CLIMATE CHANGE
13/2017

Berichterstattung unter der Klimarahmenkonvention der Vereinten Nationen und dem Kyoto-Protokoll 2017

Nationaler Inventarbericht zum Deutschen Treibhausgasinventar 1990 – 2015

Umweltbundesamt – UNFCCC-Submission

Für Mensch & Umwelt

Umwelt Bundesamt

CLIMATE CHANGE 13/2017

Berichterstattung unter der Klimarahmenkonvention der Vereinten Nationen und dem Kyoto-Protokoll 2017

Nationaler Inventarbericht zum Deutschen Treibhausgasinventar 1990 – 2015

Umweltbundesamt - UNFCCC-Submission

Impressum

Herausgeber:
Umweltbundesamt
Wörlitzer Platz 1
06844 Dessau-Roßlau
Tel: +49 340-2103-0
Fax: +49 340-2103-2285
info@umweltbundesamt.de
Internet: www.umweltbundesamt.de

/umweltbundesamt.de
/umweltbundesamt

Abschlussdatum:
13.04.2017

Redaktion:
Fachgebiet I 2.6 Emissionssituation
Michael Strogies, Patrick Gniffke

Publikationen als pdf:
http://www.umweltbundesamt.de/publikationen

ISSN 1862-4359

Dessau-Roßlau, April 2017

Die Verantwortung für den Inhalt dieser Veröffentlichung liegt bei den Autorinnen und Autoren.

Kontakt

Dieser Bericht entstand im Rahmen der Arbeiten der Nationalen Koordinierungsstelle für das *Nationale System Emissionsinventare* (NaSE) am Umweltbundesamt (UBA). Die Beiträge zu den Kapiteln Landwirtschaft bzw. Landnutzung, Landnutzungsänderung und Forstwirtschaft wurden vom Thünen-Institut (TI) erarbeitet.

Die elektronische Fassung dieses Berichts sowie die entsprechenden zugehö rigen Emissionsdaten im Common Reporting Format (CRF) (Version 1.0 auf Basis der Datenbank ZSE mit Stand Trendtabellen vom 23.01.2017) sind nach Abschluss auf der Internetseite des Umweltbundesamtes bereitgestellt:
http://www.umweltbundesamt.de/themen/klima-energie/treibhausgas-emissionen

Autoren

Federführung Gesamtbericht: Michael Strogies, Patrick Gniffke (UBA I 2.6)

Für die einzelnen Kapitel:

Teil I: Jährliche Inventarlieferung:

Kapitel 1.1	Dirk Günther (UBA I 2.6)
Kapitel 1.2.1s	Dirk Günther (UBA I 2.6)
Kapitel 1.2.1.6, 1.2.2 , 1.3.2, 1.3.3, 1.6tw	Stephan Schiller (UBA I 2.6)
Kapitel 1.3.3.1.7, 1.6.2tw	Robert Kludt (UBA I 2.6)
Kapitel 1.3.2.4, 2, 3.2.1, 3.2.3-5, 3.2.13	Michael Strogies (UBA I 2.6)
Kapitel 1.4	Dirk Günther (UBA I 2.6) und die Fachlichen Ansprechpartner (FAP)
Kapitel 1.5	David Kuntze (UBA I 2.6)
Kapitel 1.7., 1.8	Detlef Rimkus (UBA I 2.6)
Kapitel 3.2	Petra Icha, Jens Langenfeld (UBA I 2.5), Marion Dreher (UBA I 2.5), Kristina Juhrich (UBA I 2.6)
Kapitel 3.2.2.2	Sabine Gores (Öko-Institut Berlin), Michael Kotzulla (UBA I 2.6), Frank Wetzel (UBA I 3.2)
Kapitel 3.2.2.3	Katharina Koppe (UBA I 3.2), Michael Kotzulla (UBA I 2.6)
Kapitel 3.2.6 – 3.2.8, 3.2.9.11	Petra Icha, Jens Langenfeld (UBA I 2.5), Rolf Beckers (UBA III 2.1), Kristina Juhrich (UBA I 2.6)
Kapitel 3.2.9.1	Petra Icha (UBA I 2.5), Sebastian Plickert (UBA III 2.2)
Kapitel 3.2.9.2 - 3.2.9.3, 3.2.9.5, 3.2.9.7 - 3.2.9.11	Petra Icha (UBA I 2.5)
Kapitel 3.2.9.4	Petra Icha (UBA I 2.5), Almut Reichart (UBA III 2.1)
Kapitel 3.2.10.1	Sabine Gores (Öko-Institut Berlin), Michael Kotzulla (UBA I 2.6), Frank Wetzel (UBA I 3.2)
Kapitel 3.2.10.2 - 3.2.10.4	Gunnar Gohlisch (UBA I 3.2), Nadja Richter (UBA I 3.1), Michael Kotzulla (UBA I 2.6)
Kapitel 3.2.10.5	Kristina Juhrich (UBA I 2.6)
Kapitel 3.2.11 + 3.2.13	Anja Nowack (UBA III 2.1), Detlef Drosihn (UBA I 2.5)
Kapitel 3.2.12 + 3.2.14	Michael Kotzulla (UBA I 2.6)
Kapitel 3.2.4	Christian Böttcher (UBA I 2.6)Kapitel 3.3.1 Christian Böttcher (UBA I.2.6); Jürgen Ilse (Gesamtverband Steinkohle), Sebastian Plickert (UBA III 2.2)
Kapitel 3.3.2	Christian Böttcher (UBA I.2.6), Edda Hoffmann (UBA III 2.1), Karen Pannier (UBA III 2.1); Andreas Bertram (UBA I 2.3)
Kapitel 4.2.1 - 4.2.2	Maja Bernicke (UBA III 2.2)
Kapitel 4.2.3	Sandra Leuthold (UBA III 2.2)
Kapitel 4.2.4	Maja Bernicke (UBA III 2.2)

Kapitel 4.2.5	Robert Kludt (UBA I 2.6)
Kapitel 4.2.6	Robert Kludt (UBA I 2.6)
Kapitel 4.2.7	Robert Kludt (UBA I 2.6)
Kapitel 4.3.1 & 4.3.2	Birgit Brahner (UBA III 2.1)
Kapitel 4.3.3	Jens Reichel (UBA I 2.6), Traute Fiedler (UBA 3 2.1)
Kapitel 4.3.4	Jens Reichel (UBA I 2.6)
Kapitel 4.3.5	
Kapitel 4.3.6 & 4.3.7	Birgit Brahner (UBA III 2.1)
Kapitel 4.3.8 & 4.3.10	Jens Reichel (UBA I 2.6) , Traute Fiedler (UBA 3 2.1)
Kapitel 4.3.9	
Kapitel 4.4.1	Sebastian Plickert (UBA III 2.2)
Kapitel 4.4.2	Christian Lehmann (UBA III 2.2)
Kapitel 4.4.3	Christian Lehmann (UBA III 2.2), Cornelia Elsner (UBA III 1.4)
Kapitel 4.4.4	Cornelia Elsner (UBA III 1.4), David Kuntze (UBA I 2.6)
Kapitel 4.5	Almut Reichart (UBA III 2.1)
Kapitel 4.5.1 & 4.5.2	Jens Reichel (UBA I 2.6)
Kapitel 4.5.3	Conrad Dorer (UBA III 1.4), David Kuntze (UBA I 2.6)
Kapitel 4.6	Cornelia Elsner (UBA III 1.4), David Kuntze (UBA I 2.6)
Kapitel 4.7	Kerstin Martens (UBA III 1.4), Cornelia Elsner (UBA III 1.4), David Kuntze (UBA I 2.6)
Kapitel 4.8.1, 4.8.2 & 4.8.4	Cornelia Elsner (UBA III 1.4), Kerstin Martens (UBA III 1.4), David Kuntze (UBA I 2.6)
Kapitel 4.8.5	Jens Reichel (UBA I 2.6)
Kapitel 4.9.3	Cornelia Elsner (UBA III 1.4), Kerstin Martens (UBA III 1.4), David Kuntze (UBA I 2.6)
Kapitel 5	Johann Heinrich von Thünen-Institut (TI AK): Hans-Dieter Haenel, Claus Rösemann
Kapitel 6.1	Johann Heinrich von Thünen-Institut (TI): Annette Freibauer, Andreas Gensior, Karsten Dunger, Wolfgang Stümer
Kapitel 6.2 bis 6.3	Johann Heinrich von Thünen-Institut (TI): Annette Freibauer, Andreas Gensior, Andreas Laggner, Birgit Laggner, Thomas Riedel, Wolfgang Stümer, Johannes Brötz, Karsten Dunger
Kapitel 6.4	Johann Heinrich von Thünen-Institut für Waldökosysteme (TI-WO): Karsten Dunger, Wolfgang Stümer, Thomas Riedel, Johannes Brötz, Daniel Ziche, Erik Grüneberg, Nicole Wellbrock, Katja Oehmichen
Kapitel 6.5 bis 6.9 und 6.11	Johann Heinrich von Thünen-Institut für Agrarklimaschutz (TI-AK): Annette Freibauer, Andreas Gensior, Andreas Laggner
Kapitel 6.10	Johann Heinrich von Thünen-Institut für Holzforschung (TI-HF): Sebastian Rüter
Kapitel 7.2	Wolfgang Butz (UBA III 2.4)
Kapitel 7.3	Christine Winde, Dietmar Wunderlich (UBA III 2.5), Stephan Schiller (UBA I 2.6)
Kapitel 7.5	Tim Hermann, Wolfgang Butz (UBA III 2.4), Ulrich Gromke (UBA III 2.1)
Kapitel 9	Michael Strogies (UBA I 2.6)
Kapitel 10	Michael Kotzulla (UBA I 2.6)

Teil II: Ergänzende Informationen wie nach Artikel 7, Absatz 1 des Kyoto-Protokolls gefordert:

Kapitel 10.5	Johann Heinrich von Thünen-Institut (TI): Wolfgang Stümer, Annette Freibauer, Sebastian Rüter, Karsten Dunger, Johanna Steuk, Johannes Brötz
Kapitel 11.7, 12, 14	Deutsche Emissionshandelsstelle (DEHSt):
Kapitel 13	Dirk Günther (UBA I 2.6)
Kapitel 15	Bundesministerium für Umwelt, Naturschutz, Bau und Reaktorsicherheit (BMUB), Referat KI 1.1
<u>Anhänge:</u>	
Anhang 1	David Kuntze (UBA I 2.6)
Anhang 2	Marion Dreher (UBA I 2.6),
Anhang 2, Kapitel 18.7	Kristina Juhrich (UBA I 2.6)
Anhang 2, 18.8	Jens Reichel (UBA I 2.6)
Anhang 3	Autoren entsprechend der fachlichen Zuständigkeit in Kapitel 3-15
Anhang 3, Kapitel 19.1.1	Marcus Machat (UBA E 1.1), Frank Zander (Institut für Energetik und Umwelt: IE gGmbH), Dr. Dieter Merten (IE gGmbH)
Anhang 3, Kapitel 19.3	Johann Heinrich von Thünen-Institut (TI): Annette Freibauer, Hans-Dieter Haenel, Claus Rösemann
Anhang 3, Kapitel 19.4	Johann Heinrich von Thünen-Institut (TI): Annette Freibauer, Karsten Dunger, Andreas Gensior, Thomas Riedel, Wolfgang Stümer
Anhang 4	Michael Strogies
Anhang 5	Detlef Rimkus (UBA I 2.6)
Anhang 6	Dirk Günther (UBA I 2.6), Autoren entsprechend der fachlichen Zuständigkeit
Anhang 6, Kapitel 22.1.2	Stephan Schiller (UBA I 2.6)
Anhang 6, Kapitel 22.1.3	Kevin Hausmann (UBA I 2.6)
Anhang 7	Detlef Rimkus (UBA I 2.6)

Angaben aus diesem Bericht können unter Benennung der Quelle weiter verwendet werden.

Inhaltsverzeichnis

Abbildungsverzeichnis **34**
Tabellenverzeichnis **38**
Abkürzungsverzeichnis **57**
Einheiten und Größen **63**
Erklärung der Einleitenden Informationstabellen **64**

0 Zusammenfassung (ES) **65**
0.1 Hintergrundinformationen zu Treibhausgas-Inventaren und Klimawandel (ES.1) **67**
0.1.1 Hintergrundinformationen zum Klimawandel (ES1.1) **67**
0.1.2 Hintergrundinformationen zu den Treibhausgas-Inventaren (ES1.2) **67**
0.1.3 Hintergrundinformationen zu ergänzenden Informationen wie nach Artikel 7, Absatz 1 des Kyoto-Protokolls gefordert (ES.1.3) **68**
0.2 Zusammengefasste Emissionen von Treibhausgasen sowie deren Einbindung in Senken und Emissionen und Einbindungen aus KP-LULUCF-Aktivitäten (ES.2) **68**
0.2.1 Treibhausgas-Inventar (ES.2.1) **68**
0.2.2 KP-LULUCF-Aktivitäten (ES.2.2) **71**
0.3 Zusammengefasste Emissionsschätzungen und Trends der Quell- und Senkengruppen, inklusive KP-LULUCF-Aktivitäten (ES.3) **71**
0.3.1 Treibhausgas-Inventar (ES.3.1) **71**
0.3.2 KP-LULUCF-Aktivitäten (ES.3.2) **73**

1 Einleitung **74**
1.1 Hintergrundinformationen zu Treibhausgas-Inventaren, Klimawandel und ergänzende Informationen wie nach Artikel 7, Absatz 1 des Kyoto-Protokolls gefordert **74**
1.1.1 Hintergrundinformationen zum Klimawandel **74**
1.1.2 Hintergrundinformationen zu den Treibhausgas-Inventaren **76**
1.1.3 Hintergrundinformationen zu ergänzenden Informationen wie nach Artikel 7, Absatz 1 des Kyoto-Protokolls gefordert (KP NIR 1.1.3.) **77**
1.2 Beschreibung der Institutionalisierung der Inventarerstellung, inklusive der rechtlichen und prozeduralen Festlegungen zur Planung, Erstellung und Management des Inventars **77**
1.2.1 Übersicht über die institutionellen, rechtlichen und prozeduralen Festlegungen zur Erstellung der Treibhausgas-Inventare und ergänzende Informationen wie nach Artikel 7, Absatz 1 des Kyoto-Protokolls gefordert **78**
1.2.1.1 Der Nationale Koordinierungsausschuss 79
1.2.1.2 Koordinierungsstelle des Nationalen Systems 80
1.2.1.3 Arbeitskreis Emissionsinventare im Umweltbundsamt 81
1.2.1.4 Zusammenarbeit der Nationalen Koordinierungsstelle mit anderen Bundesinstitutionen und Nichtregierungsorganisationen im Rahmen des Nationalen Systems 81
1.2.1.5 Verbindlicher Terminplan im Rahmen des Nationalen Systems 84
1.2.2 Übersicht über die Inventarplanung **84**
1.2.3 Übersicht der Inventarerstellung und –management, inklusive der ergänzenden Informationen wie nach Artikel 7, Absatz 1 des Kyoto-Protokolls gefordert **85**
1.3 Inventarerstellung **86**
1.3.1 Treibhausgas- und KP-LULUCF-Inventar **87**
1.3.1.1 Vorgelagerte Abläufe 87
1.3.1.1.1 Verbesserung des Nationalen Systems *87*
1.3.1.1.2 Umsetzung von Verbesserungen in der Inventarplanung und Inventarerstellung *87*
1.3.1.1.3 Bestimmung der Hauptkategorien (gemäß Tier 1-Verfahren) *88*
1.3.1.1.4 Berechnung und Aggregation der Unsicherheiten der Emissionen *88*
1.3.1.1.5 Erweiterte Bestimmung der Hauptkategorien *89*
1.3.2 Sammlung, Verarbeitung und Speicherung der Daten, inklusive KP-LULUCF-Inventare **89**
1.3.2.1 Festlegung der Berechnungsgrundlagen 89
1.3.2.2 Datengewinnung 90
1.3.2.3 Datenaufbereitung und Emissionsberechnung 90
1.3.2.4 Berichterstellung 91

1.3.3 Prozeduren zur Qualitätskontrolle und -sicherung (QK/QS) und ausführliche Überprüfung der Treibhausgas- und KP-LULUCF-Inventare 94
1.3.3.1 Das Qualitätssystem Emissionsinventare 94
1.3.3.1.1 Hausanordnung 11/2005 des UBA 94
1.3.3.1.2 Mindestanforderungen an ein System zur Qualitätskontrolle und –sicherung 94
1.3.3.1.3 Aufbauorganisation des Qualitätssystems Emissionsinventare 95
1.3.3.1.4 Ablauforganisation des Qualitätssystems Emissionsinventare 97
1.3.3.1.5 Dokumentation im Qualitätssystem Emissionsinventare 97
1.3.3.1.6 Das QSE-Handbuch 100
1.3.3.1.7 Unterstützung UNFCCC-Review 100
1.3.3.1.8 Nutzung der Monitoring-Daten des Europäischen Emissionshandels zur Verbesserung der THG-Emissionsinventare 100
1.4 Kurze, allgemeine Beschreibung der angewandten Methodik und Datenquellen 102
1.4.1 Treibhausgas-Inventar 102
1.4.1.1 Datenquellen 102
1.4.1.1.1 Energie 102
1.4.1.1.2 Industrieprozesse 105
1.4.1.1.3 Landwirtschaft 108
1.4.1.1.4 Landnutzungsänderung und Forstwirtschaft 109
1.4.1.1.5 Abfall und Abwasser 110
1.4.1.2 Methoden 111
1.4.2 KP-LULUCF-Aktivitäten 111
1.5 Kurzbeschreibung der Hauptkategorien 112
1.5.1 Treibhausgas-Inventar (mit und ohne LULUCF) 112
1.5.2 Inventar einschließlich der KP-LULUCF Berichterstattung 113
1.6 Informationen zum Qualitätssicherungs- und –kontrollplan sowie zum Inventarplan inklusive Verifizierung und zum Umgang mit vertraulichen Informationen 118
1.6.1 Prozeduren zu Qualitätssicherung- und –kontrolle 118
1.6.1.1 QK/QS-Plan 118
1.6.1.2 Checklisten 118
1.6.1.3 Inventarplan 119
1.6.1.4 Audits 126
1.6.1.5 Workshops zum Nationalen System (Peer Review) 127
1.6.1.6 Ländervergleich zu fluorierten Gasen (Cross-Country-Review) 128
1.6.2 Aktivitäten zur Verifizierung 128
1.6.2.1 Verifizierung ausgewählter Kategorien 128
1.6.2.2 Verfahren zur Nutzung der Monitoring-Daten des Europäischen Emissionshandels 129
1.6.3 Umgang mit vertraulichen Informationen 130
1.7 Generelle Unsicherheitenschätzung 131
1.7.1 Treibhausgas-Inventar 131
1.7.1.1 In Deutschland werden die Unsicherheiten nach der Tier 2 Methode alle 3 Jahre ermittelt. Vorgehen zur Unsicherheitsbestimmung nach Tier 1 131
1.7.1.2 Ergebnisse der Unsicherheitenschätzung 132
1.7.2 KP-LULUCF-Inventar 133
1.8 Generelle Prüfung der Vollständigkeit 134
1.8.1 Treibhausgas-Inventar 134
1.8.2 KP-LULUCF-Inventar 134

2 Trends der Treibhausgase 135
2.1 Beschreibung und Interpretation des Emissionsverlaufs für aggregierte Treibhausgasemissionen 137
2.2 Beschreibung und Interpretation des Emissionsverlaufs nach Treibhausgasen 138
2.2.1 Kohlendioxid (CO_2) 138
2.2.2 Lachgas (N_2O) 139
2.2.3 Methan (CH_4) 139
2.2.4 F-Gase 140
2.3 Beschreibung und Interpretation des Emissionsverlaufs nach Kategorien 141
2.4 Beschreibung und Interpretation des Emissionsverlaufs für indirekte Treibhausgase und SO_2 143

2.5 Beschreibung und Interpretation des Emissionsverlaufs für das KP-LULUCF-Inventar, für aggregierte Emissionen, nach Aktivität und Treibhausgas 144

3 Energie (CRF Sektor 1) 146
3.1 Übersicht (CRF Sektor 1) 146
3.2 Verbrennung von Brennstoffen (1.A) 146
3.2.1 Verifikation des sektoralen Ansatzes zu CRF 1.A 152
3.2.1.1 Vergleich mit dem CO_2-Referenzverfahren 152
3.2.1.2 Verifizierung mit anderen für Deutschland verfügbaren Datensätzen 153
3.2.1.2.1 Vergleich mit den IEA-Ergebnissen 156
3.2.1.2.2 Vergleich mit den für die einzelnen Bundesländer ermittelten Daten 156
3.2.1.2.3 Geplante Verbesserungen 160
3.2.2 Internationale Bunkerbrennstoffe 160
3.2.2.1 Emissionen aus dem internationalen Verkehr (1.D.1.a/1.D.1.b) 160
3.2.2.2 Emissionen aus dem internationalen Flugverkehr (1.D.1.a) 160
3.2.2.2.1 Beschreibung der Kategorie (1.D.1.a) 160
3.2.2.2.2 Methodische Aspekte (1.D.1.a) 161
3.2.2.2.3 Unsicherheiten und Zeitreihenkonsistenz (1.D.1.a) 162
3.2.2.2.4 Kategoriespezifische Qualitätssicherung/-kontrolle und Verifizierung (1.D.1.a) 162
3.2.2.2.5 Kategoriespezifische Rückrechnungen (1.D.1.a) 162
3.2.2.2.6 Geplante Verbesserungen, kategoriespezifisch (1.D.1.a) 162
3.2.2.3 Emissionen aus dem internationalen Seeverkehr/ Marine (1.D.1.b) 162
3.2.2.3.1 Beschreibung der Kategorie (1.D.1.b) 162
3.2.2.3.2 Methodische Aspekte (1.D.1.b) 163
3.2.2.3.3 Unsicherheiten und Zeitreihenkonsistenz (1.D.1.b) 164
3.2.2.3.4 Kategoriespezifische Qualitätssicherung/-kontrolle und Verifizierung (1.D.1.b) 164
3.2.2.3.5 Kategoriespezifische Rückrechnung (1.D.1.b) 164
3.2.2.3.6 Geplante Verbesserungen, kategoriespezifisch (1.D.1.b) 164
3.2.3 Lagerhaltung 164
3.2.4 CO_2 Abscheidung von Abgasen und nachfolgende Speicherung (CCS) (CRF 1.C) 164
3.2.5 Landesspezifische Besonderheiten 165
3.2.6 Öffentliche Elektrizitäts- und Wärmeversorgung (1.A.1.a) 165
3.2.6.1 Beschreibung der Kategorie (1.A.1.a) 165
3.2.6.2 Methodische Aspekte (1.A.1.a) 168
3.2.6.3 Unsicherheiten und Zeitreihenkonsistenz (1.A.1.a) 172
3.2.6.3.1 Methodik zur Bestimmung der Unsicherheiten der Emissionsfaktoren 172
3.2.6.3.2 Ergebnis für N_2O 172
3.2.6.3.3 Ergebnis für CH_4 173
3.2.6.3.4 Zeitreihenkonsistenz der Emissionsfaktoren 173
3.2.6.4 Kategoriespezifische Qualitätssicherung/-kontrolle und Verifizierung (1.A.1.a) 173
3.2.6.5 Kategoriespezifische Rückrechnungen (1.A.1.a) 174
3.2.6.6 Geplante Verbesserungen, kategoriespezifisch (1.A.1.a) 174
3.2.7 Mineralölraffinerien (1.A.1.b) 175
3.2.7.1 Beschreibung der Kategorie (1.A.1.b) 175
3.2.7.2 Methodische Aspekte (1.A.1.b) 176
3.2.7.3 Unsicherheiten und Zeitreihenkonsistenz (1.A.1.b) 178
3.2.7.3.1 Ergebnis für N_2O 178
3.2.7.3.2 Ergebnis für CH_4 178
3.2.7.3.3 Zeitreihenkonsistenz der Emissionsfaktoren 178
3.2.7.4 Kategoriespezifische Qualitätssicherung/-kontrolle und Verifizierung (1.A.1.b) 178
3.2.7.5 Kategoriespezifische Rückrechnungen (1.A.1.b) 178
3.2.7.6 Geplante Verbesserungen, kategoriespezifisch (1.A.1.b) 178
3.2.8 Herstellung von festen Brennstoffen und sonstige Energieerzeuger (1.A.1.c) 179
3.2.8.1 Beschreibung der Kategorie (1.A.1.c) 179
3.2.8.2 Methodische Aspekte (1.A.1.c) 181
3.2.8.3 Unsicherheiten und Zeitreihenkonsistenz (1.A.1.c) 183
3.2.8.3.1 Ergebnis für N_2O 183
3.2.8.3.2 Ergebnis für CH_4 183
3.2.8.3.3 Zeitreihenkonsistenz der Emissionsfaktoren 183
3.2.8.4 Kategoriespezifische Qualitätssicherung/-kontrolle und Verifizierung (1.A.1.c) 183
3.2.8.5 Kategoriespezifische Rückrechnungen (1.A.1.c) 183

3.2.8.6 Geplante Verbesserungen, kategoriespezifisch (1.A.1.c) 183
3.2.9 Verarbeitendes Gewerbe (1. A.2) 184
3.2.9.1 Verarbeitendes Gewerbe - Eisenschaffende Industrie (1.A.2.a) 185
3.2.9.1.1 Beschreibung der Kategorie (1.A.2.a) 186
3.2.9.1.2 Methodische Aspekte (1.A.2.a) 187
3.2.9.1.3 Unsicherheiten und Zeitreihenkonsistenz (1.A.2.a) 188
3.2.9.1.4 Kategoriespezifische Qualitätssicherung/-kontrolle und Verifizierung (1.A.2.a) 188
3.2.9.1.5 Kategoriespezifische Rückrechnungen (1.A.2.a) 188
3.2.9.1.6 Geplante Verbesserungen, kategoriespezifisch (1.A.2.a) 189
3.2.9.2 Verarbeitendes Gewerbe – Nichteisen-Metalle (1.A.2.b) 189
3.2.9.2.1 Beschreibung der Kategorie (1.A.2.b) 189
3.2.9.2.2 Methodische Aspekte (1.A.2.b) 189
3.2.9.2.3 Unsicherheiten und Zeitreihenkonsistenz (1.A.2.b) 190
3.2.9.2.4 Kategoriespezifische Qualitätssicherung/-kontrolle und Verifizierung (1.A.2.b) 190
3.2.9.2.5 Kategoriespezifische Rückrechnungen (1.A.2.b) 190
3.2.9.2.6 Geplante Verbesserungen, kategoriespezifisch (1.A.2.b) 190
3.2.9.3 Verarbeitendes Gewerbe – Chemische Industrie (1.A.2.c) 190
3.2.9.4 Verarbeitendes Gewerbe – Zellstoff und Papierindustrie (1.A.2.d) 191
3.2.9.4.1 Beschreibung der Kategorie (1.A.2.d) 191
3.2.9.4.2 Methodische Aspekte (1.A.2.d) 191
3.2.9.4.3 Unsicherheiten und Zeitreihenkonsistenz (1.A.2.d) 192
3.2.9.4.4 Kategoriespezifische Qualitätssicherung/-kontrolle und Verifizierung (1.A.2.d) 192
3.2.9.4.5 Kategoriespezifische Rückrechnungen (1.A.2.d) 192
3.2.9.4.6 Geplante Verbesserungen, kategoriespezifisch (1.A.2.d) 193
3.2.9.5 Verarbeitendes Gewerbe – Zuckerherstellung (1.A.2.e) 193
3.2.9.5.1 Beschreibung der Kategorie (1.A.2.e) 193
3.2.9.5.2 Methodische Aspekte (1.A.2.e) 193
3.2.9.5.3 Unsicherheiten und Zeitreihenkonsistenz (1.A.2.e) 193
3.2.9.5.4 Kategoriespezifische Qualitätssicherung/-kontrolle und Verifizierung (1.A.2.e) 194
3.2.9.5.5 Kategoriespezifische Rückrechnungen (1.A.2.e) 194
3.2.9.5.6 Geplante Verbesserungen, kategoriespezifisch (1.A.2.e) 194
3.2.9.6 Verarbeitendes Gewerbe – Mineralische Industrie (1.A.2.f) 194
3.2.9.6.1 Beschreibung der Kategorie (1.A.2.f, Mineralische Industrie) 195
3.2.9.6.2 Methodische Aspekte (1.A.2.f, Mineralische Industrie) 196
3.2.9.6.3 Unsicherheiten und Zeitreihenkonsistenz (1.A.2.f, Mineralische Industrie) 196
3.2.9.6.4 Kategoriespezifische Qualitätssicherung/-kontrolle und Verifizierung (1.A.2.f, Mineralische Industrie) 197
3.2.9.6.5 Kategoriespezifische Rückrechnungen (1.A.2.f Mineralische Industrie) 197
3.2.9.6.6 Geplante Verbesserungen, kategoriespezifisch (1.A.2.f, Mineralische Industrie) 197
3.2.9.7 Verarbeitendes Gewerbe - Weitere Energieerzeugung (1.A.2.g, Sonstige, stationär) 197
3.2.9.7.1 Beschreibung der Kategorie (1.A.2.g, Sonstige, stationär) 197
3.2.9.7.2 Methodische Aspekte (1.A.2.g, Sonstige, stationär) 199
3.2.9.7.3 Unsicherheiten und Zeitreihenkonsistenz (1.A.2.g, Sonstige, stationär) 200
3.2.9.7.4 Kategoriespezifische Qualitätssicherung/-kontrolle und Verifizierung (1.A.2.g, Sonstige, stationär) 200
3.2.9.7.5 Kategoriespezifische Rückrechnungen (1.A.2.g, Sonstige, stationär) 201
3.2.9.7.6 Geplante Verbesserungen, kategoriespezifisch (1.A.2.g, Sonstige, stationär) 201
3.2.9.8 Bauwirtschaftlicher Verkehr (1.A.2.g vii) 201
3.2.9.8.1 Beschreibung der Kategorie (1.A.2.g vii) 201
3.2.9.8.2 Methodische Aspekte (1.A.2.g vii) 202
3.2.9.8.3 Unsicherheiten und Zeitreihenkonsistenz (1.A.2.g vii) 203
3.2.9.8.4 Kategoriespezifische Qualitätssicherung/-kontrolle und Verifizierung (1.A.2.g vii) 203
3.2.9.8.5 Kategoriespezifische Rückrechnungen (1.A.2.g vii) 204
3.2.9.8.6 Geplante Verbesserungen, kategoriespezifisch (1.A.2.g vii) 206
3.2.10 Transport (1.A.3) 206
3.2.10.1 Transport - Ziviler Luftverkehr (1.A.3.a) 206
3.2.10.1.1 Beschreibung der Kategorie (1.A.3.a) 206
3.2.10.1.2 Methodische Aspekte (1.A.3.a) 207
3.2.10.1.3 Unsicherheiten und Zeitreihenkonsistenz (1.A.3.a) 210
3.2.10.1.4 Kategoriespezifische Qualitätssicherung/-kontrolle und Verifizierung (1.A.3.a) 210
3.2.10.1.5 Kategoriespezifische Rückrechnungen (1.A.3.a) 211
3.2.10.1.6 Geplante Verbesserungen, kategoriespezifisch (1.A.3.a) 212

3.2.10.2 Transport - Straßenverkehr (1.A.3.b) 212
3.2.10.2.1 Beschreibung der Kategorie (1.A.3.b) 212
3.2.10.2.2 Methodische Aspekte (1.A.3.b) 213
3.2.10.2.3 Unsicherheiten und Zeitreihenkonsistenz (1.A.3.b) 217
3.2.10.2.4 Kategoriespezifische Qualitätssicherung/-kontrolle und Verifizierung (1.A.3.b) 217
3.2.10.2.5 Kategoriespezifische Rückrechnungen (1.A.3.b) 218
3.2.10.2.6 Geplante Verbesserungen, kategoriespezifisch (1.A.3.b) 219
3.2.10.3 Transport - Schienenverkehr (1.A.3.c) 219
3.2.10.3.1 Beschreibung der Kategorie (1.A.3.c) 219
3.2.10.3.2 Methodische Aspekte (1.A.3.c) 220
3.2.10.3.3 Unsicherheiten und Zeitreihenkonsistenz (1.A.3.c) 222
3.2.10.3.4 Kategoriespezifische Qualitätssicherung/-kontrolle und Verifizierung (1.A.3.c) 222
3.2.10.3.5 Kategoriespezifische Rückrechnungen (1.A.3.c) 223
3.2.10.3.6 Geplante Verbesserungen, kategoriespezifisch (1.A.3.c) 224
3.2.10.4 Transport - Schiffsverkehr (1.A.3.d) 225
3.2.10.4.1 Beschreibung der Kategorie (1.A.3.d) 225
3.2.10.4.2 Methodische Aspekte (1.A.3.d) 226
3.2.10.4.3 Unsicherheiten und Zeitreihenkonsistenz (1.A.3.d) 228
3.2.10.4.4 Kategoriespezifische Qualitätssicherung/-kontrolle und Verifizierung (1.A.3.d) 229
3.2.10.4.5 Kategoriespezifische Rückrechnungen (1.A.3.d) 229
3.2.10.4.6 Geplante Verbesserungen, kategoriespezifisch (1.A.3.d) 230
3.2.10.5 Transport - Übriger Verkehr (1.A.3.e) 231
3.2.10.5.1 Beschreibung der Kategorie (1.A.3.e) 231
3.2.10.5.2 Methodische Aspekte (1.A.3.e) 231
3.2.10.5.3 Unsicherheiten und Zeitreihenkonsistenz (1.A.3.e) 232
3.2.10.5.4 Kategoriespezifische Qualitätssicherung/-kontrolle und Verifizierung (1.A.3.e) 232
3.2.10.5.5 Kategoriespezifische Rückrechnungen (1.A.3.e) 232
3.2.10.5.6 Geplante Verbesserungen, kategoriespezifisch (1.A.3.e) 232
3.2.11 Sonstige: Haushalte, Gewerbe, Handel, Dienstleistungen, Land-, Forstwirtschaft und Fischerei (1.A.4 stationär) 233
3.2.11.1 Beschreibung der Kategorie (1.A.4 stationär) 233
3.2.11.2 Methodische Aspekte (1.A.4 stationär) 236
3.2.11.3 Unsicherheiten und Zeitreihenkonsistenz (1.A.4 stationär) 238
3.2.11.4 Kategoriespezifische Qualitätssicherung/-kontrolle und Verifizierung (1.A.4 stationär) 239
3.2.11.5 Kategoriespezifische Rückrechnungen (1.A.4 stationär) 240
3.2.11.6 Geplante Verbesserungen, kategoriespezifisch (1.A.4 stationär) 240
3.2.12 Sonstige: Haushalte, Gewerbe, Handel, Dienstleistungen, Land-, Forstwirtschaft und Fischerei (1.A.4 mobil) 241
3.2.12.1 Beschreibung der Kategorie (1.A.4 mobil) 241
3.2.12.2 Methodische Aspekte (1.A.4 mobil) 241
3.2.12.3 Unsicherheiten und Zeitreihenkonsistenz (1.A.4 mobil) 243
3.2.12.4 Kategoriespezifische Qualitätssicherung/-kontrolle und Verifizierung (1.A.4 mobil) 243
3.2.12.5 Kategoriespezifische Rückrechnungen (1.A.4 mobil) 244
3.2.12.6 Geplante Verbesserungen, kategoriespezifisch (1.A.4 mobil) 246
3.2.13 Andere Bereiche (1.A.5.a stationär) 246
3.2.13.1 Beschreibung der Kategorie (1.A.5.a stationär) 247
3.2.13.2 Methodische Aspekte (1.A.5.a stationär) 247
3.2.13.3 Unsicherheiten und Zeitreihenkonsistenz (1.A.5.a stationär) 248
3.2.13.4 Kategoriespezifische Qualitätssicherung/-kontrolle und Verifizierung (1.A.5.a stationär) 248
3.2.13.5 Kategoriespezifische Rückrechnungen (1.A.5.a stationär) 249
3.2.13.6 Geplante Verbesserungen, kategoriespezifisch (1.A.5.a stationär) 249
3.2.14 Andere Bereiche (1.A.5.b mobil) 249
3.2.14.1 Beschreibung der Kategorie (1.A.5.b mobil) 249
3.2.14.2 Methodische Aspekte (1.A.5.b mobil) 250
3.2.14.3 Unsicherheiten und Zeitreihenkonsistenz (1.A.5.b mobil) 252
3.2.14.4 Kategoriespezifische Qualitätssicherung/-kontrolle und Verifizierung (1.A.5.b mobil) 252
3.2.14.5 Kategoriespezifische Rückrechnungen (1.A.5.b mobil) 253
3.2.14.6 Geplante Verbesserungen, kategoriespezifisch (1.A.5.b mobil) 253
3.2.15 Militär 253
3.3 Diffuse Emissionen aus Brennstoffen (1.B) 254

3.3.1 Feste Brennstoffe - Kohlenbergbau und -umwandlung (1.B.1) 255
3.3.1.1 Tiefbau - Steinkohlen 256
3.3.1.1.1 Beschreibung der Kategorie (Tiefbau - Steinkohlen) 256
3.3.1.1.2 Methodik (Tiefbau - Steinkohlen) 257
3.3.1.1.3 Unsicherheiten und Zeitreihenkonsistenz (Tiefbau - Steinkohlen) 257
3.3.1.1.4 Kategoriespezifische Qualitätssicherung/-kontrolle und Verifizierung (Tiefbau - Steinkohlen) 258
3.3.1.2 Tagebau - Braunkohlen 259
3.3.1.2.1 Beschreibung der Kategorie (Tagebau - Braunkohlen) 259
3.3.1.2.2 Methodik (Tagebau - Braunkohlen) 259
3.3.1.2.3 Unsicherheiten und Zeitreihenkonsistenz (Tagebau - Braunkohlen) 259
3.3.1.2.4 Kategoriespezifische Qualitätssicherung/-kontrolle und Verifizierung (Tagebau - Braunkohlen) 260
3.3.1.3 stillgelegter Steinkohlenbergbau 260
3.3.1.4 Umwandlung von festen Brennstoffen 261
3.3.1.4.1 Beschreibung der Kategorie (Umwandlung von festen Brennstoffen) 261
3.3.1.4.2 Methodische Aspekte (Umwandlung von festen Brennstoffen) 262
3.3.1.4.3 Unsicherheiten und Zeitreihenkonsistenz (Umwandlung von festen Brennstoffen) 262
3.3.1.4.4 Kategoriespezifische Qualitätssicherung/-kontrolle und Verifizierung (Umwandlung von festen Brennstoffen) 262
3.3.1.5 Kategoriespezifische Rückrechnungen (1.B.1 alle) 263
3.3.1.6 Geplante Verbesserungen, kategoriespezifisch(1.B.1 alle) 263
3.3.2 Öl und Erdgas und diffuse Emissionen aus der Energieerzeugung (1.B.2) 263
3.3.2.1 Öl (1.B.2.a) 264
3.3.2.1.1 „Öl, Exploration“ (1.B.2.a.i) 264
3.3.2.1.1.1 Beschreibung der Kategorie „Öl, Exploration“ (1.B.2.a.i) 264
3.3.2.1.1.2 Methodische Aspekte der Kategorie „Öl, Exploration“ (1.B.2.a.i) 265
3.3.2.1.1.3 Unsicherheiten und Zeitreihenkonsistenz der Kategorie „Öl, Exploration“ (1.B.2.a.i) 265
3.3.2.1.1.4 Kategoriespezifische Qualitätssicherung/-kontrolle und Verifizierung der Kategorie „Öl, Exploration“ (1.B.2.a.i) 266
3.3.2.1.2 „Öl, Förderung und Vorbehandlung“ (1.B.2.a.ii) 266
3.3.2.1.2.1 Beschreibung der Kategorie „Öl, Förderung und Vorbehandlung“ (1.B.2.a.ii) 266
3.3.2.1.2.2 Methodische Aspekte der Kategorie „Öl, Förderung und Vorbehandlung“ (1.B.2.a.ii) 267
3.3.2.1.2.3 Unsicherheiten und Zeitreihenkonsistenz der Kategorie „Öl, Förderung und Vorbehandlung“ (1.B.2.a.ii) 267
3.3.2.1.2.4 Kategoriespezifische Qualitätssicherung/-kontrolle und Verifizierung der Kategorie „Öl, Förderung und Vorbehandlung“ (1.B.2.a.ii) 267
3.3.2.1.3 „Öl, Transport“ (1.B.2.a.iii) 267
3.3.2.1.3.1 Beschreibung der Kategorie „Öl, Transport“ (1.B.2.a.iii) 267
3.3.2.1.3.2 Methodische Aspekte der Kategorie „Öl, Transport“ (1.B.2.a.iii) 268
3.3.2.1.3.3 Unsicherheiten und Zeitreihenkonsistenz der Kategorie „Öl, Transport“ (1.B.2.a.iii) 269
3.3.2.1.3.4 Kategoriespezifische Qualitätssicherung/-kontrolle und Verifizierung der Kategorie „Öl, Förderung und Vorbehandlung“ (1.B.2.a.iii) 269
3.3.2.1.4 „Öl, Verarbeitung und Lagerung“ (1.B.2.a.iv) 269
3.3.2.1.4.1 Beschreibung der Kategorie „Öl, Verarbeitung und Lagerung“ (1.B.2.a.iv) 269
3.3.2.1.4.2 Methodische Aspekte der Kategorie „Öl, Verarbeitung und Lagerung“ (1.B.2.a.iv) 271
3.3.2.1.4.3 Unsicherheiten und Zeitreihenkonsistenz der Kategorie „Öl, Verarbeitung und Lagerung“ (1.B.2.a.iv) 272
3.3.2.1.4.4 Kategoriespezifische Qualitätssicherung/-kontrolle und Verifizierung der Kategorie „Öl, Verarbeitung und Lagerung“ (1.B.2.a.iv) 272
3.3.2.1.5 „Öl, Verteilung von Ölprodukten“ (1.B.2.a.v) 272
3.3.2.1.5.1 Beschreibung der Kategorie „Öl, Verteilung von Ölprodukten“ (1.B.2.a.v) 272
3.3.2.1.5.2 Methodische Aspekte der Kategorie „Öl, Verteilung von Ölprodukten“ (1.B.2.a.v) 274
3.3.2.1.5.3 Unsicherheiten und Zeitreihenkonsistenz der Kategorie „Öl, Verteilung von Ölprodukten“ (1.B.2.a.v) 276
3.3.2.1.5.4 Kategoriespezifische Qualitätssicherung/-kontrolle und Verifizierung der Kategorie „Öl, Verteilung von Ölprodukten“ (1.B.2.a.v) 276
3.3.2.2 Gas (1.B.2.b) 277
3.3.2.2.1 „Gas, Exploration“ (1.B.2.b.i) 277
3.3.2.2.1.1 Beschreibung der Kategorie „Gas, Exploration“ (1.B.2.b.i) 277

3.3.2.2.1.2 Methodische Aspekte der Kategorie „Gas, Exploration“ (1.B.2.b.i) 277
3.3.2.2.1.3 Unsicherheiten und Zeitreihenkonsistenz der Kategorie „Gas, Exploration“ (1.B.2.b.i) 277
3.3.2.2.1.4 Kategoriespezifische Qualitätssicherung/-kontrolle und Verifizierung der Kategorie „Gas, Exploration“ (1.B.2.b.i) 277
3.3.2.2.2 „Gas, Förderung“ (1.B.2.b.ii) 277
3.3.2.2.2.1 Beschreibung der Kategorie „Gas, Förderung“ (1.B.2.b.ii) 277
3.3.2.2.2.2 Methodische Aspekte der Kategorie „Gas, Förderung“ (1.B.2.b.ii) 278
3.3.2.2.2.3 Unsicherheiten und Zeitreihenkonsistenz der Kategorie „Gas, Förderung“ (1.B.2.b.ii) 278
3.3.2.2.2.4 Kategoriespezifische Qualitätssicherung/-kontrolle und Verifizierung der Kategorie „Gas, Förderung“ (1.B.2.b.ii) 278
3.3.2.2.3 Gas, Verarbeitung (1.B.2.b.iii) 278
3.3.2.2.3.1 Beschreibung der Kategorie (1.B.2.b.iii) 278
3.3.2.2.3.2 Methodische Aspekte (1.B.2.b.iii) 280
3.3.2.2.3.3 Unsicherheiten und Zeitreihenkonsistenz (1.B.2.b.iii) 280
3.3.2.2.3.4 Kategoriespezifische Qualitätssicherung/-kontrolle und Verifizierung (1.B.2.b.iii) 280
3.3.2.2.4 Gas, Weiterleitung (1.B.2.b.iv) 281
3.3.2.2.4.1 Beschreibung der Kategorie (1.B.2.b.iv) 281
3.3.2.2.4.2 Methodische Aspekte (1.B.2.b.iv) 282
3.3.2.2.4.3 Unsicherheiten und Zeitreihenkonsistenz (1.B.2.b.iv) 282
3.3.2.2.4.4 Kategoriespezifische Qualitätssicherung/-kontrolle und Verifizierung (1.B.2.b.iv) 283
3.3.2.2.5 Gas, Verteilung (1.B.2.b.v) 283
3.3.2.2.5.1 Beschreibung der Kategorie (1.B.2.b.v) 283
3.3.2.2.5.2 Methodische Aspekte (1.B.2.b.v) 284
3.3.2.2.5.3 Unsicherheiten und Zeitreihenkonsistenz (1.B.2.b.v) 285
3.3.2.2.5.4 Kategoriespezifische Qualitätssicherung/-kontrolle und Verifizierung (1.B.2.b.v) 285
3.3.2.2.6 Gas, Sonstige Leckagen (1.B.2.b.vi) 286
3.3.2.2.6.1 Beschreibung der Kategorie (1.B.2.b.vi) 286
3.3.2.2.6.2 Methodische Aspekte (1.B.2.b.v) 287
3.3.2.2.6.3 Unsicherheiten und Zeitreihenkonsistenz (1.B.2.b.v) 287
3.3.2.2.6.4 Kategoriespezifische Qualitätssicherung/-kontrolle und Verifizierung (1.B.2.b.v) 287
3.3.2.3 Abfackelung und Entlüftung (1.B.2.c) 288
3.3.2.3.1.1 Beschreibung der Kategorie „Abfackelung und Entlüftung“ (1.B.2.c) 288
3.3.2.3.1.2 Methodische Aspekte der Kategorie „Abfackelung und Entlüftung“ (1.B.2.c) 290
3.3.2.3.1.3 Unsicherheiten und Zeitreihenkonsistenz der Kategorie „Abfackelung und Entlüftung“ (1.B.2.c) 290
3.3.2.3.1.4 Kategoriespezifische Qualitätssicherung/-kontrolle und Verifizierung der Kategorie „Abfackelung und Entlüftung“ (1.B.2.c) 290
3.3.2.4 Geothermie (1.B.2.d) 291
3.3.2.4.1 Beschreibung der Kategorie (1.B.2.d) 291
3.3.2.4.2 Methodische Aspekte (1.B.2.d) 291
3.3.2.4.3 Unsicherheiten und Zeitreihenkonsistenz (1.B.2.d) 292
3.3.2.4.4 Kategoriespezifische Qualitätssicherung/-kontrolle und –Verifizierung (1.B.2.d) 292
3.3.2.5 Kategoriespezifische Rückrechnungen (1.B.2 alle) 292
3.3.2.6 Geplante Verbesserungen, kategoriespezifisch (1.B.2 alle) 293

4 Industrieprozesse (CRF Sektor 2) 294
4.1 Übersicht (CRF Sektor 2) 294
4.2 Mineralische Industrie (2.A) 294
4.2.1 Mineralische Industrie: Zement (2.A.1) 295
4.2.1.1 Beschreibung der Kategorie (2.A.1) 295
4.2.1.2 Methodische Aspekte (2.A.1) 296
4.2.1.3 Unsicherheiten und Zeitreihenkonsistenz (2.A.1) 297
4.2.1.4 Kategoriespezifische Qualitätssicherung/-kontrolle und Verifizierung (2.A.1) 297
4.2.1.5 Kategoriespezifische Rückrechnungen (2.A.1) 297
4.2.1.6 Geplante Verbesserungen, kategoriespezifisch (2.A.1) 297
4.2.2 Mineralische Industrie: Kalk (2.A.2) 298
4.2.2.1 Beschreibung der Kategorie (2.A.2) 298
4.2.2.2 Methodische Aspekte (2.A.2) 299
4.2.2.3 Unsicherheiten und Zeitreihenkonsistenz (2.A.2) 299
4.2.2.4 Kategoriespezifische Qualitätssicherung/-kontrolle und Verifizierung (2.A.2) 300

4.2.2.5 Kategoriespezifische Rückrechnungen (2.A.2) 300
4.2.2.6 Geplante Verbesserungen, kategoriespezifisch (2.A.2) 300
4.2.3 Mineralische Industrie: Glas (2.A.3) 300
4.2.3.1 Beschreibung der Kategorie (2.A.3 Glas) 301
4.2.3.2 Methodische Aspekte (2.A.3 Glas) 302
4.2.3.3 Unsicherheiten und Zeitreihenkonsistenz (2.A.3 Glas) 304
4.2.3.4 Kategoriespezifische Qualitätssicherung/-kontrolle und Verifizierung (2.A.3 Glas) 304
4.2.3.5 Kategoriespezifische Rückrechnungen (2.A.3 Glas) 305
4.2.3.6 Geplante Verbesserungen, kategoriespezifisch (2.A.3 Glas) 305
4.2.4 Mineralische Industrie: Keramik (2.A.4.a) 305
4.2.4.1 Beschreibung der Kategorie (2.A.4.a Keramik) 305
4.2.4.2 Methodische Aspekte (2.A.4.a Keramik) 306
4.2.4.3 Unsicherheiten und Zeitreihenkonsistenz (2.A.4.a Keramik) 307
4.2.4.4 Kategoriespezifische Qualitätssicherung/-kontrolle und Verifizierung (2.A.4.a Keramik) 307
4.2.4.5 Kategoriespezifische Rückrechnungen (2.A.4a Keramik) 308
4.2.4.6 Geplante Verbesserungen, kategoriespezifisch (2.A.4.a Keramik) 308
4.2.5 Mineralische Industrie: weitere Sodanutzung (2.A.4.b) 308
4.2.5.1 Beschreibung der Kategorie (2.A.4.b) 308
4.2.5.2 Methodische Aspekte (2.A.4.b) 309
4.2.5.3 Unsicherheiten und Zeitreihenkonsistenz (2.A.4.b) 309
4.2.5.4 Kategoriespezifische Qualitätssicherung/-kontrolle und Verifizierung (2.A.4.b) 309
4.2.5.5 Kategoriespezifische Rückrechnungen (2.A.4-b) 310
4.2.5.6 Geplante Verbesserungen, kategoriespezifisch (2.A.4.b) 310
4.2.6 Herstellung nichtmetallurgischer Magnesiumprodukte (2.A.4.c) 310
4.2.6.1 Beschreibung der Kategorie (2.A.4.c) 310
4.2.6.2 Methodische Aspekte (2.A.4.c) 310
4.2.6.3 Unsicherheiten und Zeitreihenkonsistenz (2.A.4.c) 311
4.2.6.4 Kategoriespezifische Qualitätssicherung/-kontrolle und Verifizierung (2.A.4.c) 311
4.2.6.5 Kategoriespezifische Rückrechnungen (2.A.4.c) 311
4.2.6.6 Geplante Verbesserungen, kategoriespezifisch (2.A.4.c) 311
4.2.7 Mineralische Industrie: weitere Verwendung von Kalkstein und Dolomit (2.A.4.d) 311
4.2.7.1 Beschreibung der Kategorie (2.A.4.d) 311
4.2.7.2 Methodische Aspekte (2.A.4.d) 311
4.2.7.3 Unsicherheiten und Zeitreihenkonsistenz (2.A.4.d) 312
4.2.7.4 Kategoriespezifische Qualitätssicherung/-kontrolle und Verifizierung (2.A.4.d) 312
4.2.7.5 Kategoriespezifische Rückrechnungen (2.A.4.d) 312
4.2.7.6 Geplante Verbesserungen, kategoriespezifisch (2.A.4d) 312
4.3 Chemische Industrie (2.B) 312
4.3.1 Chemische Industrie: Ammoniakproduktion (2.B.1) 313
4.3.1.1 Beschreibung der Kategorie (2.B.1) 313
4.3.1.2 Methodische Aspekte (2.B.1) 314
4.3.1.3 Unsicherheiten und Zeitreihenkonsistenz (2.B.1) 315
4.3.1.4 Kategoriespezifische Qualitätssicherung/-kontrolle und Verifizierung (2.B.1) 315
4.3.1.5 Kategoriespezifische Rückrechnungen (2.B.1) 315
4.3.1.6 Geplante Verbesserungen, kategoriespezifisch (2.B.1) 315
4.3.2 Chemische Industrie: Salpetersäureproduktion (2.B.2) 315
4.3.2.1 Beschreibung der Kategorie (2.B.2) 315
4.3.2.2 Methodische Aspekte (2.B 2) 316
4.3.2.3 Unsicherheiten und Zeitreihenkonsistenz (2.B.2) 316
4.3.2.4 Kategoriespezifische Qualitätssicherung/-kontrolle und Verifizierung (2.B.2) 317
4.3.2.5 Kategoriespezifische Rückrechnungen (2.B.2) 317
4.3.2.6 Geplante Verbesserungen, kategoriespezifisch (2.B.2) 317
4.3.3 Chemische Industrie: Adipinsäureproduktion (2.B.3) 317
4.3.3.1 Beschreibung der Kategorie (2.B.3) 317
4.3.3.2 Methodische Aspekte (2.B.3) 318
4.3.3.3 Unsicherheiten und Zeitreihenkonsistenz (2.B.3) 318
4.3.3.4 Kategoriespezifische Qualitätssicherung/-kontrolle und Verifizierung (2.B.3) 318
4.3.3.5 Kategoriespezifische Rückrechnungen (2.B.3) 319
4.3.3.6 Geplante Verbesserungen, kategoriespezifisch (2.B.3) 319
4.3.4 Chemische Industrie: Caprolactam, Glyoxal & Glyoxylsäure (2.B.4) 319

4.3.4.1 Beschreibung der Kategorie (2.B.4) 319
4.3.4.2 Methodische Aspekte (2.B.4) 319
4.3.4.3 Unsicherheiten und Zeitreihenkonsistenz (2.B.4) 320
4.3.4.4 Kategoriespezifische Qualitätssicherung/-kontrolle und Verifizierung (2.B.4) 320
4.3.4.5 Kategoriespezifische Rückrechnungen (2.B.4) 321
4.3.4.6 Geplante Verbesserungen, kategoriespezifisch (2.B.4) 321
4.3.5 Chemische Industrie: Carbidproduktion (2.B.5) 321
4.3.5.1 Beschreibung der Kategorie (2.B.5) 321
4.3.5.2 Methodische Aspekte (2.B.5) 321
4.3.5.3 Unsicherheiten und Zeitreihenkonsistenz (2.B.5) 322
4.3.5.4 Kategoriespezifische Qualitätssicherung/-kontrolle und Verifizierung (2.B.5) 322
4.3.5.5 Kategoriespezifische Rückrechnungen (2.B.5) 322
4.3.5.6 Geplante Verbesserungen, kategoriespezifisch (2.B.5) 322
4.3.6 Chemische Industrie: Titandioxid-Produktion (2.B.6) 322
4.3.7 Chemische Industrie: Soda-Herstellung (2.B.7) 323
4.3.7.1 Beschreibung der Kategorie (2.B.7) 323
4.3.7.2 Methodische Aspekte (2.B.7) 323
4.3.7.3 Unsicherheiten und Zeitreihenkonsistenz (2.B.7) 323
4.3.7.4 Kategoriespezifische Qualitätssicherung/-kontrolle und Verifizierung (2.B.7) 324
4.3.7.5 Kategoriespezifische Rückrechnungen (2.B.7) 324
4.3.7.6 Geplante Verbesserungen, kategoriespezifisch (2.B.7) 324
4.3.8 Chemische Industrie: Petrochemie und Industrieruß-Produktion (2.B.8) 324
4.3.8.1 Chemische Industrie: Petrochemie (2.B.8 Petrochemie) 324
4.3.8.1.1 Beschreibung der Kategorie (2.B.8 Petrochemie) 324
4.3.8.1.2 Methodische Aspekte (2.B.8 Petrochemie) 325
4.3.8.1.3 Unsicherheiten und Zeitreihenkonsistenz (2.B.8 Petrochemie) 327
4.3.8.1.4 Kategoriespezifische Qualitätssicherung/-kontrolle und Verifizierung (2.B.8 Petrochemie) 328
4.3.8.1.5 Kategoriespezifische Rückrechnungen (2.B.8 Petrochemie) 328
4.3.8.1.6 Geplante Verbesserungen, kategoriespezifisch (2.B.8 Petrochemie) 328
4.3.8.2 Chemische Industrie: Industrieruß-Produktion (2.B.8 Industrieruß) 328
4.3.8.2.1 Beschreibung der Kategorie (2.B.8 Industrieruß) 328
4.3.8.2.2 Methodische Aspekte (2.B.8 Industrieruß) 328
4.3.8.2.3 Unsicherheiten und Zeitreihenkonsistenz (2.B.8 Industrieruß) 330
4.3.8.2.4 Kategoriespezifische Qualitätssicherung/-kontrolle und Verifizierung (2.B.8 Industrieruß) 330
4.3.8.2.5 Kategoriespezifische Rückrechnungen (2.B.8 Industrieruß) 330
4.3.8.2.6 Geplante Verbesserungen, kategoriespezifisch (2.B.8 Industrieruß) 331
4.3.9 Chemische Industrie: Produktion von halogenierten Kohlenwasserstoffen und SF_6 (2.B.9) 331
4.3.9.1 Nebenprodukt-Emissionen (2.B.9.a) 331
4.3.9.1.1 Beschreibung der Kategorie (2.B.9.a) 331
4.3.9.1.2 Methodische Aspekte (2.B.9.a) 332
4.3.9.1.3 Unsicherheiten und Zeitreihenkonsistenz (2.B.9.a) 332
4.3.9.1.4 Kategoriespezifische Qualitätssicherung/-kontrolle und Verifizierung (2.B.9.a) 332
4.3.9.1.5 Kategoriespezifische Rückrechnungen (2.B.9.a) 332
4.3.9.1.6 Geplante Verbesserungen, kategoriespezifisch (2.B.9.a) 333
4.3.9.2 Herstellungsbedingte Emissionen (2.B.9.b) 333
4.3.9.2.1 Beschreibung der Kategorie (2.B.9.b) 333
4.3.9.2.2 Methodische Aspekte (2.B.9.b) 333
4.3.9.2.3 Unsicherheiten und Zeitreihenkonsistenz (2.B.9.b) 333
4.3.9.2.4 Kategoriespezifische Qualitätssicherung/-kontrolle und Verifizierung (2.B.9.b) 333
4.3.9.2.5 Kategoriespezifische Rückrechnungen (2.B.9.b) 334
4.3.9.2.6 Geplante Verbesserungen, kategoriespezifisch (2.B.9.b) 334
4.3.10 Chemische Industrie - Sonstige: Emissionen aus sonstigen Produktionsprozessen (2.B.10) 334
4.3.10.1 Beschreibung der Kategorie (2.B.10) 334
4.3.10.2 Methodische Aspekte (2.B.10) 334
4.3.10.3 Unsicherheiten und Zeitreihenkonsistenz (2.B.10) 334
4.3.10.4 Kategoriespezifische Qualitätssicherung/-kontrolle und Verifizierung (2.B.10) 334
4.3.10.5 Kategoriespezifische Rückrechnungen (2.B.10) 334
4.3.10.6 Geplante Verbesserungen, kategoriespezifisch (2.B.10) 334

4.4 Metallproduktion (2.C) 335
4.4.1 Metallproduktion: Eisen- und Stahlproduktion (2.C.1) 335
4.4.1.1 Beschreibung der Kategorie (2.C.1) 335
4.4.1.2 Methodische Aspekte (2.C.1) 335
4.4.1.3 Unsicherheiten und Zeitreihenkonsistenz (2.C.1) 340
4.4.1.4 Kategoriespezifische Qualitätssicherung/-kontrolle und Verifizierung (2.C.1) 341
4.4.1.5 Kategoriespezifische Rückrechnungen (2.C.1) 341
4.4.1.6 Geplante Verbesserungen, kategoriespezifisch (2.C.1) 341
4.4.2 Metallproduktion: Produktion von Ferrolegierungen (2.C.2) 342
4.4.2.1 Beschreibung der Kategorie (2.C.2) 342
4.4.2.2 Methodische Aspekte (2.C.2) 342
4.4.2.3 Unsicherheiten und Zeitreihenkonsistenz (2.C.2) 342
4.4.2.4 Kategoriespezifische Qualitätssicherung/-kontrolle und Verifizierung (2.C.2) 343
4.4.2.5 Kategoriespezifische Rückrechnungen (2.C.2) 343
4.4.2.6 Geplante Verbesserungen, kategoriespezifisch (2.C.2) 343
4.4.3 Metallproduktion: Aluminiumproduktion (2.C.3) 343
4.4.3.1 Beschreibung der Kategorie (2.C.3) 343
4.4.3.2 Methodische Aspekte (2.C.3) 344
4.4.3.3 Unsicherheiten und Zeitreihenkonsistenz (2.C.3) 346
4.4.3.4 Kategoriespezifische Qualitätssicherung/-kontrolle und Verifizierung (2.C.3) 346
4.4.3.5 Kategoriespezifische Rückrechnungen (2.C.3) 347
4.4.3.6 Geplante Verbesserungen, kategoriespezifisch (2.C.3) 347
4.4.4 Metallproduktion: Magnesiumproduktion (2.C.4) 347
4.4.4.1 Beschreibung der Kategorie (2.C.4) 347
4.4.4.2 Methodische Aspekte (2.C.4) 348
4.4.4.3 Unsicherheiten und Zeitreihenkonsistenz (2.C.4) 348
4.4.4.4 Kategoriespezifische Qualitätssicherung/-kontrolle und Verifizierung (2.C.4) 348
4.4.4.5 Kategoriespezifische Rückrechnungen (2.C.4) 348
4.4.4.6 Geplante Verbesserungen, kategoriespezifisch (2.C.4) 348
4.4.5 Metallproduktion: Blei (2.C.5) 349
4.4.5.1 Beschreibung der Kategorie (2.C.5) 349
4.4.5.2 Methodische Aspekte (2.C.5) 349
4.4.5.3 Unsicherheiten und Zeitreihenkonsistenz (2.C.5) 349
4.4.5.4 Kategoriespezifische Rückrechnungen (2.C.5) 350
4.4.5.5 Kategoriespezifische Qualitätssicherung/-kontrolle und Verifizierung (2.C.5) 350
4.4.5.6 Geplante Verbesserungen, kategoriespezifisch (2.C.5) 350
4.4.6 Metallproduktion: Zink (2.C.6) 350
4.4.6.1 Beschreibung der Kategorie (2.C.6) 350
4.4.6.2 Methodische Aspekte (2.C.6) 350
4.4.6.3 Unsicherheiten und Zeitreihenkonsistenz (2.C.6) 350
4.4.6.4 Kategoriespezifische Qualitätssicherung/-kontrolle und Verifizierung (2.C.6) 351
4.4.6.5 Geplante Verbesserungen, kategoriespezifisch (2.C.6) 351
4.4.7 Metallproduktion: Sonstige (2.C.7) 351
4.4.7.1 Beschreibung der Kategorie (2.C.7) 351
4.4.7.2 Methodische Aspekte (2.C.7) 351
4.4.7.3 Unsicherheiten und Zeitreihenkonsistenz (2.C.7) 351
4.4.7.4 Kategoriespezifische Rückrechnungen (2.C.7) 351
4.4.7.5 Kategoriespezifische Qualitätssicherung/-kontrolle und Verifizierung (2.C.7) 351
4.4.7.6 Geplante Verbesserungen, kategoriespezifisch (2.C.7) 351
4.5 Verwendung von nichtenergetischen Produkten aus Brennstoffen und von Lösemitteln (2.D) 352
4.5.1 Anwendung von Schmiermitteln (2.D.1) 352
4.5.1.1 Beschreibung der Kategorie (2.D.1) 352
4.5.1.2 Methodische Aspekte (2.D.1) 352
4.5.1.3 Unsicherheiten und Zeitreihenkonsistenz (2.D.1) 353
4.5.1.4 Kategoriespezifische Rückrechnungen (2.D.1) 353
4.5.1.5 Kategoriespezifische Qualitätssicherung/-kontrolle und Verifizierung (2.D.1) 353
4.5.1.6 Geplante Verbesserungen, kategoriespezifisch (2.D.1) 353
4.5.2 Anwendung von Paraffinwachsen (2.D.2) 353
4.5.2.1 Beschreibung der Kategorie (2.D.2) 353
4.5.2.2 Methodische Aspekte (2.D.2) 354

4.5.2.3 Unsicherheiten und Zeitreihenkonsistenz (2.D.2) 354
4.5.2.4 Kategoriespezifische Rückrechnungen (2.D.2) 354
4.5.2.5 Kategoriespezifische Qualitätssicherung/-kontrolle und Verifizierung (2.D.2) 354
4.5.2.6 Geplante Verbesserungen, kategoriespezifisch (2.D.2) 355
4.5.3 Sonstige: Lösemittel - NMVOC (2.D.3 Lösemittel) 355
4.5.3.1 Beschreibung der Kategorie (2.D.3 Lösemittel) 355
4.5.3.2 Methodische Aspekte (2.D.3 Lösemittel) 358
4.5.3.3 Unsicherheiten und Zeitreihenkonsistenz (2.D.3 Lösemittel) 360
4.5.3.4 Kategoriespezifische Qualitätssicherung/-kontrolle und Verifizierung (2.D.3 Lösemittel) 360
4.5.3.5 Kategoriespezifische Rückrechnungen (2.D.3 Lösemittel) 361
4.5.3.6 Geplante Verbesserungen, kategoriespezifisch (2.D.3 Lösemittel) 361
4.5.4 Sonstige: Verwendung von Bitumen zur Dachdeckung (2.D.3 Bitumen) 362
4.5.4.1 Beschreibung der Kategorie (2.D.3 Bitumen) 362
4.5.4.2 Methodische Aspekte (2.D.3 Bitumen) 362
4.5.4.3 Unsicherheiten und Zeitreihenkonsistenz (2.D.3 Bitumen) 363
4.5.4.4 Kategoriespezifische Qualitätssicherung/-kontrolle und Verifizierung (2.D.3 Bitumen) 363
4.5.4.5 Kategoriespezifische Rückrechnungen (2.D.3 Bitumen) 363
4.5.4.6 Geplante Verbesserungen, kategoriespezifisch (2.D.3 Bitumen) 363
4.5.5 Sonstige: Straßenasphaltierung (2.D.3 Asphalt) 364
4.5.5.1 Beschreibung der Kategorie (2.D.3 Asphalt) 364
4.5.5.2 Methodische Aspekte (2.D.3 Asphalt) 364
4.5.5.3 Unsicherheiten und Zeitreihenkonsistenz (2.D.3 Asphalt) 365
4.5.5.4 Kategoriespezifische Qualitätssicherung/-kontrolle und Verifizierung (2.D.3 Asphalt) 365
4.5.5.5 Kategoriespezifische Rückrechnungen (2.D.3 Asphalt) 365
4.5.5.6 Geplante Verbesserungen, kategoriespezifisch (2.D.3 Asphalt) 365
4.6 Elektronik-Industrie (2.E) 365
4.6.1 Halbleiter- und Platinenproduktion (2.E.1) 365
4.6.1.1 Beschreibung der Kategorie (2.E.1) 365
4.6.1.2 Methodische Aspekte (2.E.1) 366
4.6.1.3 Unsicherheiten & Zeitreihenkonsistenz (2.E.1) 366
4.6.1.4 Kategoriespezifische Rückrechnungen (2.E.1) 366
4.6.1.5 Kategoriespezifische Qualitätssicherung/-kontrolle und Verifizierung (2.E.1) 366
4.6.1.6 Geplante Verbesserungen, kategoriespezifisch (2.E.1) 366
4.6.2 TFT (2.E.2) 367
4.6.3 Photovoltaik (2.E.3) 367
4.6.3.1 Beschreibung der Kategorie (2.E.3) 367
4.6.3.2 Methodische Aspekte (2.E.3) 367
4.6.3.3 Unsicherheiten & Zeitreihenkonsistenz (2.E.3) 367
4.6.3.4 Kategoriespezifische Rückrechnungen (2.E.3) 368
4.6.3.5 Kategoriespezifische Qualitätssicherung/-kontrolle und Verifizierung (2.E.3) 368
4.6.3.6 Geplante Verbesserungen, kategoriespezifisch (2.E.3) 368
4.6.4 Wärmeüberträger (2.E.4) 368
4.6.4.1 Beschreibung der Kategorie (2.E.4) 368
4.6.4.2 Methodische Aspekte (2.E.4) 368
4.6.4.3 Unsicherheiten & Zeitreihenkonsistenz (2.E.4) 368
4.6.4.4 Kategoriespezifische Rückrechnungen (2.E.4) 368
4.6.4.5 Kategoriespezifische Qualitätssicherung/-kontrolle und Verifizierung (2.E.4) 368
4.6.4.6 Geplante Verbesserungen, kategoriespezifisch (2.E.4) 368
4.7 Anwendungen als ODS-Ersatzstoff (2.F) 369
4.7.1 Kälte- und Klimaanlagen (2.F.1) 372
4.7.1.1 Beschreibung der Kategorie (2.F.1) 372
4.7.1.2 Methodische Aspekte (2.F.1) 372
4.7.1.2.1 Gewerbekälte (2.F.1.a) 372
4.7.1.2.2 Haushaltskälte (2.F.1.b) 376
4.7.1.2.3 Industriekälte (2.F.1.c) 377
4.7.1.2.4 Transportkälte (Kühlfahrzeuge und –container) (2.F.1.d) 379
4.7.1.2.5 Mobile Klimaanlagen (2.F.1.e) 381
4.7.1.2.6 Stationäre Klimaanlagen (2.F.1.f) 385
4.7.1.2.6.1 Raumklimageräte 385
4.7.1.2.6.2 Kaltwassersätze (Chiller) 387

4.7.1.2.6.3 Wärmepumpenanlagen 388
4.7.1.2.6.4 Wärmepumpen-Wäschetrockner 390
4.7.1.3 Unsicherheiten und Zeitreihenkonsistenz (2.F.1 alle) 390
4.7.1.4 Kategoriespezifische Rückrechnungen (2.F.1 alle) 391
4.7.1.5 Geplante Verbesserungen, kategoriespezifisch (2.F.1 alle) 397
4.7.2 Schaumherstellung (2.F.2) 397
4.7.2.1 Geschlossenzellige Polyurethan-Hartschaumprodukte (2.F.2 PU hard foam) 397
4.7.2.1.1 Beschreibung der Kategorie (2.F.2 PU hard foam) 397
4.7.2.1.2 Methodische Aspekte (2.F.2 PU hard foam) 397
4.7.2.2 Geschlossenzelliger und offenzelliger XPS-Hartschaum (2.F.2 XPS) 398
4.7.2.2.1 Beschreibung der Kategorie (2.F.2 XPS) 398
4.7.2.2.2 Methodische Aspekte (2.F.2 XPS) 399
4.7.2.3 Offenzelliger Polyurethan-Integralschaum (2.F.2 PU integral foam) 400
4.7.2.3.1 Beschreibung der Kategorie (2.F.2 PU integral foam) 400
4.7.2.3.2 Methodische Aspekte (2.F.2 PU integral foam) 400
4.7.2.4 Offenzelliger Polyurethan-Montageschaum (2.F.2 one-component PU foam) 401
4.7.2.4.1 Beschreibung der Kategorie (2.F.2 one-component PU foam) 401
4.7.2.4.2 Methodische Aspekte (2.F.2 one-component PU foam) 401
4.7.2.5 Unsicherheiten und Zeitreihenkonsistenz (2.F.2 alle) 402
4.7.2.6 Kategoriespezifische Rückrechnungen (2.F.2 alle) 403
4.7.2.7 Geplante Verbesserungen, kategoriespezifisch (2.F.2 alle) 403
4.7.3 Feuerlöschmittel (2.F.3) 403
4.7.3.1 Beschreibung der Kategorie (2.F.3) 403
4.7.3.2 Methodische Aspekte (2.F.3) 403
4.7.3.3 Unsicherheiten und Zeitreihenkonsistenz (2.F.3) 404
4.7.3.4 Kategoriespezifische Rückrechnungen (2.F.3) 404
4.7.3.5 Geplante Verbesserungen, kategoriespezifisch (2.F.3) 404
4.7.4 Aerosole (2.F.4) 404
4.7.4.1 Dosieraerosole (2.F.4.a) 404
4.7.4.1.1 Beschreibung der Kategorie (2.F.4.a) 404
4.7.4.1.2 Methodische Aspekte (2.F.4.a) 405
4.7.4.2 Sonstige Aerosole (2.F.4.b) 406
4.7.4.2.1 Beschreibung der Kategorie (2.F.4.b) 406
4.7.4.2.2 Methodische Aspekte (2.F.4.b) 406
4.7.4.3 Unsicherheiten und Zeitreihenkonsistenz (2.F.4 alle) 407
4.7.4.3.1 Kategoriespezifische Rückrechnungen (2.F.4 alle) 407
4.7.4.3.2 Geplante Verbesserungen, kategoriespezifisch (2.F.4 alle) 408
4.7.5 Lösemittel (2.F.5) 408
4.7.5.1 Beschreibung der Kategorie (2.F.5) 408
4.7.5.2 Methodische Aspekte (2.F.5) 408
4.7.5.3 Unsicherheiten und Zeitreihenkonsistenz (2.F.5) 408
4.7.5.4 Kategoriespezifische Rückrechnungen (2.F.5) 408
4.7.5.5 Geplante Verbesserungen, kategoriespezifisch (2.F.5) 408
4.7.6 Andere Anwendungen, die ODS Ersatzstoffe verwenden (2.F.6) 409
4.7.7 Kategoriespezifische Qualitätssicherung/-kontrolle und Verifizierung (2.F alle) 409
4.8 Sonstige Produktherstellung und -verwendung (2.G) 409
4.8.1 Elektrische Betriebsmittel (2.G.1) 410
4.8.1.1 Beschreibung der Kategorie (2.G.1) 410
4.8.1.2 Methodische Aspekte (2.G.1) 411
4.8.1.3 Unsicherheiten und Zeitreihenkonsistenz (2.G.1) 413
4.8.1.4 Kategoriespezifische Rückrechnungen (2.G.1) 414
4.8.1.5 Kategoriespezifische Qualitätssicherung/-kontrolle und Verifizierung (2.G.1) 414
4.8.1.6 Geplante Verbesserungen, kategoriespezifisch (2.G.1) 414
4.8.2 SF_6 und FKW aus sonstiger Produktverwendung (2.G.2) 415
4.8.2.1 Militär - AWACS Wartung (2.G.2.a) 415
4.8.2.1.1 Beschreibung der Kategorie (2.G.2a) 415
4.8.2.1.2 Methodische Aspekte (2.G.2.a) 415
4.8.2.2 Teilchenbeschleuniger (2.G.2.b) 415
4.8.2.2.1 Beschreibung der Kategorie (2.G.2.b) 415
4.8.2.2.2 Methodische Aspekte (2.G.2.b) 416
4.8.2.3 Isolierglasfenster (2.G.2.c) 418

4.8.2.3.1 Beschreibung der Kategorie (2.G.2.c) 418
4.8.2.3.2 Methodische Aspekte (2.G.2.c) 418
4.8.2.4 Adiabatisch - Autoreifen (2.G.2.d) 419
4.8.2.4.1 Beschreibung der Kategorie (2.G.2.d) 419
4.8.2.4.2 Methodische Aspekte (2.G.2.d) 419
4.8.2.5 Adiabatisches Verhalten - Sportschuhe (2.G.2.d) 420
4.8.2.5.1 Beschreibung der Kategorie (2.G.2.d) 420
4.8.2.5.2 Methodische Aspekte (2.G.2.d) 420
4.8.2.6 Sonstige: Spurengas (2.G.2.e) 420
4.8.2.6.1 Beschreibung der Kategorie (2.G.2.e) 420
4.8.2.6.2 Methodische Aspekte (2.G.2.e) 420
4.8.2.7 Sonstige: Schweißen (2.G.2.e) 421
4.8.2.7.1 Beschreibung der Kategorie (2.G.2.e) 421
4.8.2.7.2 Methodische Aspekte (2.G.2.e) 421
4.8.2.8 Sonstige: Optische Glasfasern (2.G.2.e) 421
4.8.2.8.1 Beschreibung der Kategorie (2.G.2.e) 421
4.8.2.8.2 Methodische Aspekte (2.G.2.e) 421
4.8.2.9 Sonstige: Medizinische und kosmetische Anwendungen (2.G.2.e) 422
4.8.2.9.1 Beschreibung der Kategorie (2.G.2.e) 422
4.8.2.9.2 Methodische Aspekte (2.G.2.e) 422
4.8.2.10 Unsicherheiten und Zeitreihenkonsistenz (2.G.2 alle) 424
4.8.2.11 Quellenspezifische Qualitätssicherung/-kontrolle und Verifizierung (2.G.2 alle) 424
4.8.2.12 Kategoriespezifische Rückrechnungen (2.G.2 alle) 424
4.8.2.13 Geplante Verbesserungen, kategoriespezifisch (2.G.2 alle) 425
4.8.3 Verwendung von N_2O (2.G.3) 425
4.8.3.1 Beschreibung der Kategorie (2.G.3) 425
4.8.3.2 Methodische Aspekte (2.G.3) 427
4.8.3.3 Unsicherheiten und Zeitreihenkonsistenz (2.G.3) 428
4.8.3.4 Kategoriespezifische Qualitätssicherung/-kontrolle und Verifizierung (2.G.3) 429
4.8.3.5 Kategoriespezifische Rückrechnungen (2.G.3) 429
4.8.3.6 Geplante Verbesserungen, kategoriespezifisch (2.G.3) 429
4.8.4 Andere - ORC-Anlagen (2.G.4 ORC-Anlagen) 429
4.8.4.1 Beschreibung der Kategorie (2.G.4 ORC-Anlagen) 429
4.8.4.2 Methodische Aspekte (2.G.4 ORC-Anlagen) 430
4.8.4.3 Unsicherheiten & Zeitreihenkonsistenz (2.G.4 ORC-Anlagen) 431
4.8.4.4 Kategoriespezifische Qualitätssicherung/-kontrolle und Verifizierung (2.G.4 ORC-Anlagen) 431
4.8.4.5 Kategoriespezifische Rückrechnungen (2.G.4 ORC-Anlagen) 431
4.8.4.6 Geplante Verbesserungen, kategoriespezifisch (2.G.4 ORC-Anlagen) 431
4.8.5 Sonstige Produktherstellung und –verwendung: Sonstige, Anwendung von Holzkohle (2.G.4 Holzkohle) 431
4.8.5.1 Beschreibung der Kategorie (2.G.4 Holzkohle) 431
4.8.5.2 Methodische Aspekte (2.G.4 Holzkohle) 432
4.8.5.3 Unsicherheiten und Zeitreihenkonsistenz (2.G.4 Holzkohle) 432
4.8.5.4 Kategoriespezifische Qualitätssicherung/-kontrolle und Verifizierung (2.G.4 Holzkohle) 432
4.8.5.5 Kategoriespezifische Rückrechnungen (2.G.4 Holzkohle) 432
4.8.5.6 Geplante Verbesserungen, kategoriespezifisch (2.G.4 Holzkohle) 433
4.9 Andere Produktionen (2.H) 433
4.9.1 Andere Produktionen: Zellstoff- und Papierherstellung (2.H.1) 433
4.9.1.1 Beschreibung der Kategorie (2.H.1) 433
4.9.1.2 Methodische Aspekte (2.H.1) 434
4.9.1.3 Unsicherheiten und Zeitreihenkonsistenz (2.H.1) 435
4.9.1.4 Kategoriespezifische Qualitätssicherung/-kontrolle und Verifizierung (2.H.1) 435
4.9.1.5 Kategoriespezifische Rückrechnungen (2.H.1) 435
4.9.1.6 Geplante Verbesserungen, kategoriespezifisch (2.H.1) 435
4.9.2 Andere Produktionen: Nahrungsmittel und Getränke (2.H.2) 436
4.9.2.1 Beschreibung der Kategorie (2.H.2) 436
4.9.2.2 Methodische Aspekte (2.H.2) 436
4.9.2.3 Unsicherheiten und Zeitreihenkonsistenz (2.H.2) 437
4.9.2.4 Kategoriespezifische Qualitätssicherung/-kontrolle und Verifizierung (2.H.2) 437

4.9.2.5 Kategoriespezifische Rückrechnungen (2.H.2) 437
4.9.2.6 Geplante Verbesserungen, kategoriespezifisch (2.H.2) 437
4.9.3 Andere Bereiche (2.H.3) 437

5 Landwirtschaft (CRF Sektor 3) 440
5.1 Überblick (CRF Sektor 3) 440
5.1.1 Kategorien und Gesamtemissionen 1990 - 2015 440
5.1.2 Das Emissionsinventarmodell GAS-EM 441
5.1.2.1 Verwendete Regelwerke und ausführlicher Bericht 441
5.1.2.2 Grundstruktur des Emissionsinventarmodelles GAS-EM 441
5.1.2.3 Die Behandlung von CH_4 im Emissionsinventar 442
5.1.2.4 Das Stickstoff-Fluss-Konzept (3.B, 3.D) 442
5.1.3 Charakterisierung der landwirtschaftlichen Nutztierhaltung 444
5.1.3.1 Tierkategorien (3.A, 3.B) 444
5.1.3.2 Tierplatzzahlen (3.A, 3.B) 445
5.1.3.2.1 Erhebungen durch die statistischen Ämter des Bundes und der Länder 445
5.1.3.2.2 Besonderheiten der Tierplatzzahlen im Inventar 447
5.1.3.2.3 Im Inventar verwendete Tierplatzzahlen (3.A, 3.B) 448
5.1.3.2.4 Vergleich mit Tierzahlen der FAO (3.A, 3.B) 449
5.1.3.3 Leistungs-, Energie- und Futterdaten (3.A, 3.B) 450
5.1.3.4 N-Ausscheidungen (3.B) 452
5.1.3.5 VS-Ausscheidungen (3.B) 453
5.1.3.6 Haltungs-, Lager- und Ausbringungsverfahren (CRF 3.B, 3.D) 454
5.1.3.6.1 Häufigkeitsverteilungen (3.B, 3.D) 454
5.1.3.6.2 Einstreu bei Festmistsystemen 456
5.1.3.6.3 Maximale Methan-Bildungsrate B_o (3.B(b)) 456
5.1.3.6.4 Methan-Umwandlungsfaktoren MCF (3.B) 457
5.1.3.6.5 Wirtschaftsdünger-Vergärung und Gärreste-Management (3.B) 459
5.1.4 Vergärung von Energiepflanzen: Konzept und Aktivitätsdaten 463
5.1.4.1 Konzept und Berücksichtigung in den CRF-Tabellen 463
5.1.4.2 Aktivitätsdaten und Parameter 464
5.1.5 Aktivitätsdaten für Emissionen aus landwirtschaftlichen Böden und Kulturen 465
5.1.5.1 N_2O-Emissionen aus landwirtschaftlichen Böden (3.D) 465
5.1.5.1.1 Den direkten N_2O-Emissionen zugrunde liegende N-Mengen (3.D) 465
5.1.5.1.2 Flächen bewirtschafteter organischer Böden (3.D) 466
5.1.5.1.3 Deposition reaktiven Stickstoffs (3.B, 3.D, 3.J) 466
5.1.5.1.4 Auswaschung und Oberflächenabfluss (3.D) 467
5.1.5.2 CO_2-Emissionen aus Kalkung und Harnstoffanwendung (3.G-I) 467
5.1.5.3 NMVOC-Emissionen aus landwirtschaftlichen Kulturen 468
5.1.6 Gesamtunsicherheit aller THG-Emissionen des Sektors 3 469
5.1.7 Qualitätssicherung und -kontrolle 473
5.1.7.1 Qualitätsmanagement Emissionsinventare des Thünen-Instituts 473
5.1.7.2 Eingangsdaten, Berechnungsverfahren und Emissionsergebnisse 473
5.1.7.3 Verifizierung 474
5.1.7.4 Reviews und Reports 474
5.2 Fermentation bei der Verdauung (3.A) 475
5.2.1 Beschreibung der Quellgruppe (3.A) 475
5.2.2 Methodische Aspekte (3.A) 475
5.2.2.1 Methodik (3.A) 475
5.2.2.2 Emissionsfaktoren (3.A) 477
5.2.2.3 Emissionen (3.A) 477
5.2.3 Unsicherheiten und Zeitreihenkonsistenz (3.A) 478
5.2.4 Quellenspezifische Qualitätssicherung/-kontrolle und Verifizierung (3.A) 478
5.2.5 Quellenspezifische Rückrechnungen (3.A) 480
5.2.6 Geplante Verbesserungen (3.A) 481
5.3 Wirtschaftsdünger-Management (3.B) 482
5.3.1 Beschreibung der Quellgruppe (3.B) 482
5.3.2 Methan-Emissionen aus dem Wirtschaftsdünger-Management (3.B, CH_4) 483
5.3.2.1 Beschreibung der Quellgruppe (3.B, CH_4) 483
5.3.2.2 Methodische Aspekte (3.B, CH_4) 483
5.3.2.2.1 Methodik (3.B, CH_4) 483

5.3.2.2.2 Emissionsfaktoren (3.B,CH_4) *484*
5.3.2.2.3 Emissionen (CRF 3.B, CH_4) *484*
5.3.2.3 Unsicherheiten und Zeitreihenkonsistenz (3.B, CH_4) 485
5.3.2.4 Quellenspezifische Qualitätssicherung/-kontrolle und Verifizierung (3.B, CH_4) 485
5.3.2.5 Quellenspezifische Rückrechnungen (3.B, CH_4) 488
5.3.2.6 Geplante Verbesserungen (3.B, CH_4) 489
5.3.3 NMVOC-Emissionen aus dem Wirtschaftsdünger-Management 489
5.3.3.1 Beschreibung der Quellgruppe (NMVOC) 489
5.3.3.2 Methodische Aspekte (NMVOC) 489
5.3.3.2.1 Methodik (NMVOC) *489*
5.3.3.2.2 Emissionsfaktoren (NMVOC) *490*
5.3.3.2.3 Emissionen (NMVOC) *490*
5.3.3.3 Unsicherheiten und Zeitreihenkonsistenz (NMVOC) 491
5.3.3.4 Quellenspezifische Qualitätssicherung/-kontrolle und Verifizierung (NMVOC) 491
5.3.3.5 Quellenspezifische Rückrechnungen (NMVOC) 491
5.3.3.6 Geplante Verbesserungen (NMVOC) 491
5.3.4 Direkte N_2O- und NO-Emissionen aus dem Wirtschaftsdünger-Management (3.B, N_2O & NO) 491
5.3.4.1 Beschreibung der Quellgruppe (3.B, N_2O_{direkt} & NO) 491
5.3.4.2 Methodische Aspekte (3.B, N_2O_{direkt} & NO) 491
5.3.4.2.1 Methodik (3.B, N_2O_{direkt} & NO) *491*
5.3.4.2.2 Emissionsfaktoren (3.B, N_2O_{direkt} & NO) *492*
5.3.4.2.3 Emissionen (3.B, N_2O_{direkt} & NO) *494*
5.3.4.3 Unsicherheiten und Zeitreihenkonsistenz (3.B, N_2O_{direkt} & NO) 495
5.3.4.4 Quellenspezifische Qualitätssicherung/-kontrolle und Verifizierung (3.B, N_2O_{direkt} & NO) 495
5.3.4.5 Quellenspezifische Rückrechnungen (3.B, N_2O_{direkt} & NO) 497
5.3.4.6 Geplante Verbesserungen (3.B, N_2O_{direkt} & NO) 497
5.3.5 Indirekte N_2O-Emissionen als Folge des Wirtschaftsdünger-Managements (3.B) 498
5.3.5.1 Beschreibung der Quellgruppe (3.B, $N_2O_{indirekt}$) 498
5.3.5.2 Methodische Aspekte (3.B, $N_2O_{indirekt}$) 498
5.3.5.2.1 Methodik (3.B, $N_2O_{indirekt}$) *498*
5.3.5.2.2 Emissionsfaktor (3.B, $N_2O_{indirekt}$) *498*
5.3.5.2.3 Emissionen (3.B, $N_2O_{indirekt}$) *498*
5.3.5.3 Unsicherheiten und Zeitreihenkonsistenz (3.B, $N_2O_{indirekt}$) 499
5.3.5.4 Quellenspezifische Qualitätssicherung/-kontrolle und Verifizierung (3.B, $N_2O_{indirekt}$) 499
5.3.5.5 Quellenspezifische Rückrechnungen (3.B, $N_2O_{indirekt}$) 499
5.3.5.6 Geplante Verbesserungen (3.B, $N_2O_{indirekt}$) 499
5.4 Reisanbau (3.C) 499
5.5 Landwirtschaftliche Böden (3.D) 499
5.5.1 Beschreibung der Quellgruppe (3.D) 499
5.5.2 Methodische Aspekte und Emissionen(3.D) 500
5.5.2.1 Methodik und Emissionsfaktoren (3.D) 500
5.5.2.1.1 Direkte N_2O-Emissionen (3.D.a) *500*
5.5.2.1.2 Indirekte N_2O-Emissionen als Folge der Deposition reaktiven Stickstoffs aus der Nutzung landwirtschaftlicher Böden(3.D) *501*
5.5.2.1.3 Indirekte N_2O-Emissionen als Folge von Auswaschung und Oberflächenabfluss (3.D) *501*
5.5.2.1.4 NO-Emissionen *501*
5.5.2.1.5 NMVOC-Emissionen *502*
5.5.2.2 Die *Frac*-Größen (3.D) 502
5.5.2.3 Emissionen (3.D) 503
5.5.3 Quellenspezifische Qualitätssicherung/-kontrolle und Verifizierung (3.D) 504
5.5.4 Unsicherheiten und Zeitreihenkonsistenz (3.D) 506
5.5.5 Quellenspezifische Rückrechnungen (3.D) 506
5.5.6 Geplante Verbesserungen (3.D) 507
5.6 Brandrodung (3.E) 507
5.7 Verbrennen von Ernterückständen auf der Fläche (3.F) 507
5.8 CO_2 aus Kalkung und Harnstoffanwendung (3.G-I) 508
5.8.1 Beschreibung der Quellgruppe 508
5.8.2 Methodik und Emissionen 508

5.8.3 Quellenspezifische Qualitätssicherung/-kontrolle und Verifizierung 509
5.8.4 Unsicherheiten und Zeitreihenkonsistenz 509
5.8.5 Quellenspezifische Rückrechnungen 509
5.8.6 Geplante Verbesserungen 509
5.9 CH_4 und N_2O aus der Vergärung von Energiepflanzen (Fermenter und Gärrestelager) (3.J) 510
5.9.1 Beschreibung der Quellgruppe 510
5.9.2 Methodische Aspekte 510
5.9.3 CH_4-Emissionsfaktor und -Emissionen (3.J, CH_4) 511
5.9.4 N_2O-Emissionsfaktoren und -Emissionen (3.J, N_2O) 511
5.9.5 NO-Emissionsfaktoren und -Emissionen (3.J, NO) 512
5.9.6 Quellenspezifische Qualitätssicherung/-kontrolle und Verifizierung (3.J) 512
5.9.7 Unsicherheiten und Zeitreihenkonsistenz (3.J) 512
5.9.8 Quellenspezifische Rückrechnungen (3.J) 512
5.9.9 Geplante Verbesserungen (3.J) 512

6 Landnutzung, Landnutzungsänderung und Forstwirtschaft (CRF Sektor 4) 513
6.1 Übersicht (CRF Sektor 4) 513
6.1.1 Kategorien und Gesamtemissionen und -senken 1990 - 2015 513
6.1.2 Methodische Grundlagen 517
6.1.2.1 Treibhausgasemissionen aus Mineralböden (4.A bis 4.F) 520
6.1.2.1.1 Kohlenstoff 520
6.1.2.1.2 Lachgas 522
6.1.2.2 Treibhausgasemissionen aus organischen Böden (4.A bis 4.F; 4.(II)) 523
6.1.2.2.1 Aktivitätsdaten (3.D, 4.A- 4.E; 4.(II)) 524
6.1.2.2.2 Emissionsfaktoren für Treibhausgase aus drainierten organischen Böden in allen Landnutzungskategorien (3.D, 4.A- 4.E; 4(II)) 525
6.1.2.2.3 Implizierte Emissionsfaktoren (IEF) für Treibhausgase aus organischen Böden (4.A- 4.E; 4(II)) 527
6.1.2.3 Biomasse (4.B bis 4.F) 527
6.1.2.3.1 Allgemeines 527
6.1.2.3.2 Berechnungsmethoden 529
6.1.2.3.3 Ableitung der Emissionsfaktoren für die Phytomasse annueller Kulturen und krautiger Pflanzen 531
6.1.2.3.4 Ableitung der Emissionsfaktoren für perennierende Gehölzkulturen 534
6.1.2.3.4.1 Obstgehölze 534
6.1.2.3.4.2 Wein 538
6.1.2.3.4.3 Weihnachtsbaumplantagen 539
6.1.2.3.4.4 Baumschulen 539
6.1.2.3.4.5 Kurzumtriebsplantagen 540
6.1.2.3.4.6 Mittlerer Kohlenstoffvorrat in der Biomasse von perennierenden Ackerkulturen 541
6.1.2.3.5 Ableitung der Emissionsfaktoren für Hecken und Feldgehölze 542
6.1.3 Qualitätssicherung und -kontrolle 544
6.1.3.1 Qualitätsmanagement Emissionsinventare des Thünen-Instituts 544
6.1.3.2 Eingangsdaten, Berechnungsverfahren und Emissionsergebnisse 544
6.1.3.3 Verifizierung 546
6.1.3.4 Reviews und Reports 546
6.1.4 Geplante Verbesserungsmaßnahmen 546
6.2 Definitionen von Landnutzung, Klassifizierungssysteme und ihre Widerspiegelung in den LULUCF-Kategorien 547
6.2.1 Wälder 549
6.2.2 Ackerland 549
6.2.3 Grünland 550
6.2.4 Wetland 551
6.2.5 Siedlungen 552
6.2.6 Sonstiges Land 553
6.3 Informationen zu den für die Ermittlung der Landflächen gewählten Ansätzen und zu den verwendeten Landnutzungs-Datenquellen 553
6.3.1 Einleitung 553
6.3.2 Datengrundlage und -aufbereitung 554
6.3.2.1 Datenquellen 554
6.3.2.2 Ableiten der LULUCF-Informationen 558

6.3.3 Validierung und Fehlerbetrachtungen 560
6.3.4 Schrittweise Implementierung 561
6.3.4.1 Ableitung der Landnutzung 561
6.3.4.2 Ableitung der jährlichen Landnutzungsänderungen 564
6.3.5 Landnutzungsänderungen nach Konvention und KP 564
6.3.6 Verifizierung 569
6.4 Wälder (4.A) 570
6.4.1 Beschreibung der Kategorie (4.A) 570
6.4.1.1 Verbleibende Waldfläche (Forest Land remaining Forest Land) (4.A.1) 573
6.4.1.2 Neuwaldflächen (Land converted to Forest Land) (4.A.2) 573
6.4.2 Methodische Aspekte (4.A) 574
6.4.2.1 Datenquellen 574
6.4.2.1.1 Bundeswaldinventur, Inventurstudie 2008 und Datenspeicher Waldfonds 574
6.4.2.1.2 Bodenzustandserhebung im Wald (BZE) 575
6.4.2.2 Biomasse (CRF-Table 4.A) 575
6.4.2.2.1 Verbleibende Waldfläche 575
6.4.2.2.2 Neuwaldfläche 577
6.4.2.2.3 Herleitung der Einzelbaumbiomassen 578
6.4.2.2.4 Konvertierung in oberirdische Einzelbaumbiomasse 578
6.4.2.2.5 Konvertierung in unterirdische Biomasse 580
6.4.2.2.6 Konvertierung der Einzelbaumbiomasse in Kohlenstoff 582
6.4.2.2.7 Zustandsschätzer für 1987, 2002, 2008 u. 2012 582
6.4.2.2.8 Schätzer für die Vorratsveränderung nach der „Stock-Difference-Method“ 583
6.4.2.2.9 Interpolation der Zeiträume hin zu jährlichen Veränderungsschätzungen 584
6.4.2.3 Totholz (CRF-Table 4.A) 584
6.4.2.3.1 Verbleibende Waldfläche 584
6.4.2.3.2 Neuwaldfläche 585
6.4.2.4 Streu (CRF-Table 4.A) 586
6.4.2.4.1 Verbleibende Waldfläche 586
6.4.2.4.2 Neuwaldflächen 586
6.4.2.4.3 Herleitung der Kohlenstoffvorräte der Streu 587
6.4.2.4.4 Herleitung der Kohlenstoffvorratsänderung in der Streu in dem Zeitraum von 1990 (BZE I) bis 2006 (BZE II) 588
6.4.2.5 Mineralische Böden (CRF-Table 4.A) 588
6.4.2.5.1 Verbleibende Waldfläche 588
6.4.2.5.2 Neuwaldflächen 588
6.4.2.5.3 Herleitung der Kohlenstoffvorräte und -veränderungen 589
6.4.2.5.4 Ergebnisse der Herleitung der Kohlenstoffvorräte und -vorratsveränderungen 591
6.4.2.6 Organische Böden (CRF-Table 4.A) 592
6.4.2.6.1 Verbleibende Waldfläche 592
6.4.2.6.2 Neuwaldflächen 593
6.4.2.7 Sonstige Treibhausgasemissionen aus Wäldern 593
6.4.2.7.1 Lachgas-Emissionen aus Stickstoffdüngung (CRF-Table 4(I)) 593
6.4.2.7.2 Entwässerung und Wiedervernässung von organischen und mineralischen Böden (CRF-Table 4(II)) 593
6.4.2.7.3 Direkte Lachgas-Emissionen von Stickstoff-Mineralisierung bzw. Immobilisierung (CRF-Table 4(III)) 594
6.4.2.7.4 Indirekte Lachgas-Emissionen aus bewirtschafteten Böden (CRF-Table 4(IV)) 594
6.4.2.7.5 Waldbrand (CRF-Table 4(V)) 594
6.4.3 Unsicherheiten und Zeitreihenkonsistenz (4.A) 596
6.4.3.1 Unsicherheiten bei der Schätzung von Landnutzungsänderungsflächen 597
6.4.3.2 Unsicherheiten bei der Schätzung der Emissionsfaktoren von lebender und toter Biomasse 597
6.4.3.3 Unsicherheiten bei der Schätzung der Streu und der mineralischen Böden 601
6.4.3.3.1 Probenahmefehler 601
6.4.3.3.2 Kleinräumige Variabilität 601
6.4.3.3.3 Repräsentanz von Punkten innerhalb der Straten 601
6.4.3.3.4 Stichprobenfehler 601
6.4.3.3.5 Quantifizierung von methodisch bedingten Unsicherheiten 602
6.4.3.4 Zeitreihenkonsistenz 603
6.4.4 Kategoriespezifische Qualitätssicherung/-kontrolle und Verifizierung (4.A) 603

6.4.4.1 Biomasse und Totholz 604
6.4.4.2 Streu und mineralische Böden 604
6.4.4.3 Vergleich mit Ergebnissen anderer Staaten 605
6.4.5 Kategoriespezifische Rückrechnungen (4.A) 607
6.4.6 Geplante Verbesserungen, kategoriespezifisch (4.A) 608
6.5 Ackerland (4.B) 608
6.5.1 Beschreibung der Kategorie (4.B) 608
6.5.2 Methodische Aspekte (4.B) 611
6.5.2.1 Biomasse 611
6.5.2.1.1 Landnutzungsänderung 612
6.5.2.1.2 Verbleibkategorie 613
6.5.2.2 Mineralische Böden 615
6.5.2.2.1 Landnutzungsänderung 615
6.5.2.2.2 Verbleibkategorie 615
6.5.2.3 Organische Böden 618
6.5.3 Unsicherheiten und Zeitreihenkonsistenz (4.B) 618
6.5.4 Kategoriespezifische Qualitätssicherung/-kontrolle und Verifizierung (4.B) 620
6.5.5 Kategoriespezifische Rückrechnungen (4.B) 621
6.5.6 Geplante Verbesserungen, kategoriespezifisch (4.B) 622
6.6 Grünland (4.C) 623
6.6.1 Beschreibung der Kategorie (4.C) 623
6.6.2 Methodische Aspekte (4.C) 628
6.6.2.1 Datenquellen 628
6.6.2.2 Biomasse 628
6.6.2.3 Mineralische Böden 628
6.6.2.4 Organische Böden 629
6.6.3 Unsicherheiten und Zeitreihenkonsistenz (4.C) 629
6.6.4 Kategoriespezifische Qualitätssicherung/-kontrolle und Verifizierung (4.C) 632
6.6.5 Kategoriespezifische Rückrechnungen (4.C) 633
6.6.6 Geplante Verbesserungen, kategoriespezifisch (4.C) 634
6.7 Wetland (4.D) 634
6.7.1 Beschreibung der Kategorie (4.D) 634
6.7.2 Methodische Aspekte (4.D) 637
6.7.2.1 Datenquellen 637
6.7.2.2 Biomasse 637
6.7.2.3 Mineralböden 638
6.7.2.4 Organische Böden 638
6.7.2.4.1 Torfabbau 638
6.7.3 Unsicherheiten und Zeitreihenkonsistenz (4.D) 639
6.7.4 Kategoriespezifische Qualitätssicherung/-kontrolle und Verifizierung (4.D) 642
6.7.5 Kategoriespezifische Rückrechnungen (4.D) 643
6.7.6 Geplante Verbesserungen, kategoriespezifisch (4.D) 644
6.8 Siedlungen (4.E) 644
6.8.1 Beschreibung der Kategorie (4.E) 644
6.8.2 Methodische Aspekte (4.E) 647
6.8.2.1 Datenquellen 647
6.8.2.2 Biomasse 647
6.8.2.3 Mineralische Böden 648
6.8.2.4 Organische Böden 648
6.8.3 Unsicherheiten und Zeitreihenkonsistenz (4.E) 648
6.8.4 Kategoriespezifische Qualitätssicherung/-kontrolle und Verifizierung (4.E) 649
6.8.5 Kategoriespezifische Rückrechnungen (4.E) 650
6.8.6 Geplante Verbesserungen, kategoriespezifisch (4.E) 651
6.9 Sonstiges Land (4.F) 651
6.9.1 Beschreibung der Kategorie (4.F) 651
6.9.2 Methodische Aspekte (4.F) 652
6.9.3 Unsicherheiten und Zeitreihenkonsistenz (4.F) 652
6.9.4 Kategoriespezifische Qualitätssicherung/-kontrolle und Verifizierung (4.F) 652
6.9.5 Kategoriespezifische Rückrechnungen (4.F) 652
6.9.6 Geplante Verbesserungen, kategoriespezifisch (4.F) 652
6.10 Holzprodukte (4.G) 652

6.10.1 Beschreibung der Kategorie (4.G) 652
6.10.2 Methodische Aspekte (4.G) 653
6.10.2.1 Aktivitätsdaten 653
6.10.2.2 Emissionsfaktoren 654
6.10.2.3 Verwendete Berechnungsmethode 655
6.10.3 Unsicherheiten und Zeitreihenkonsistenz (4.G) 655
6.10.4 Kategoriespezifische Qualitätssicherung/-kontrolle und Verifizierung (4.G) 655
6.10.5 Kategoriespezifische Rückrechnungen (4.G) 655
6.10.6 Geplante Verbesserungen, kategoriespezifisch (4.G) 656
6.11 Andere Bereiche (4.H) 656

7 Abfall und Abwasser (CRF Sektor 5) 657
7.1 Übersicht (CRF Sektor 5) 657
7.2 Abfalldeponierung (5.A) 657
7.2.1 Geordnete Deponierung – Deponierung von Siedlungsabfällen (5.A.1) 658
7.2.1.1 Beschreibung der Kategorie (5.A.1) 658
7.2.1.2 Methodische Aspekte (5.A.1) 659
7.2.1.2.1 Deponierte Abfallmengen 661
7.2.1.2.2 Abfallzusammensetzung 663
7.2.1.2.3 F (Methankorrekturfaktor) 666
7.2.1.2.4 DOC 666
7.2.1.2.5 DOC_F 667
7.2.1.2.6 F = Anteil des CH_4 am Deponiegas 667
7.2.1.2.7 Halbwertszeit 667
7.2.1.2.8 Deponiegasnutzung 668
7.2.1.2.9 Oxidationsfaktor 670
7.2.1.3 Unsicherheiten und Zeitreihenkonsistenz (5.A.1) 670
7.2.1.4 Kategoriespezifische Qualitätssicherung/ -kontrolle und Verifizierung (5.A.1) 670
7.2.1.5 Kategoriespezifische Rückrechnungen (5.A.1) 670
7.2.1.6 Geplante Verbesserungen, kategoriespezifisch (5.A.1) 671
7.3 Bioabfallbehandlung (5.B) 671
7.3.1 Bioabfallbehandlung - Kompostierungsanlagen (5.B.1) 671
7.3.1.1 Beschreibung der Kategorie (5.B.1) 671
7.3.1.2 Methodische Aspekte (5.B.1) 672
7.3.1.3 Unsicherheiten und Zeitreihenkonsistenz (5.B.1) 673
7.3.1.4 Kategoriespezifische Qualitätssicherung/-kontrolle und Verifizierung (5.B.1) 673
7.3.1.5 Kategoriespezifische Rückrechnungen (5.B.1) 673
7.3.1.6 Geplante Verbesserungen, kategoriespezifisch (5.B.1) 673
7.3.2 Bioabfallbehandlung - Vergärungsanlagen (5.B.2) 673
7.3.2.1 Beschreibung der Kategorie (5.B.2) 673
7.3.2.2 Methodische Aspekte (5.B.2) 674
7.3.2.3 Unsicherheiten und Zeitreihenkonsistenz (5.B.2) 675
7.3.2.4 Kategoriespezifische Qualitätssicherung/-kontrolle und Verifizierung (5.B.2) 675
7.3.2.5 Kategoriespezifische Rückrechnungen (5.B.2) 675
7.3.2.6 Geplante Verbesserungen, kategoriespezifisch (5.B.2) 675
7.4 Abfallverbrennung (5.C) 675
7.5 Abwasserbehandlung (5.D) 676
7.5.1 Kommunale Abwasserbehandlung (5.D.1) 676
7.5.1.1 Methanemissionen der kommunalen Abwasserbehandlung (5.D.1 Abwasserbehandlung) 676
7.5.1.1.1 Beschreibung der Kategorie (5.D.1 Abwasserbehandlung) 676
7.5.1.1.2 Methodische Aspekte (5.D.1 Abwasserbehandlung) 677
7.5.1.1.3 Unsicherheit und Zeitreihenkonsistenz (5.D.1 Abwasserbehandlung) 678
7.5.1.1.4 Kategoriespezifische Qualitätssicherung/ -kontrolle und Verifizierung (5.D.1 Abwasserbehandlung) 679
7.5.1.1.5 Quellgruppenspezifische Rückrechnungen (5.D.1 Abwasserbehandlung) 679
7.5.1.1.6 Geplante Verbesserungen, kategoriespezifisch (5.D.1 Abwasserbehandlung) 680
7.5.1.2 Methanemissionen der kommunalen Schlammbehandlung (5.D.1 Schlammbehandlung) 680
7.5.1.2.1 Beschreibung der Kategorie (5.D.1 Schlammbehandlung) 680
7.5.1.2.2 Methodische Aspekte (5.D.1 Schlammbehandlung) 682

7.5.1.2.2.1 Faulgas 682
7.5.1.2.2.2 Fackel (Verluste) 682
7.5.1.2.2.3 Offene Schlammfaulung 682
7.5.1.2.3 Unsicherheiten und Zeitreihenkonsistenz (5.D.1 Schlammbehandlung) 682
7.5.1.2.3.1 Faulgas 682
7.5.1.2.3.2 Offene Schlammfaulung 683
7.5.1.2.4 Kategoriespezifische Qualitätssicherung/-kontrolle und Verifizierung (5.D.1 Schlammbehandlung) 683
7.5.1.2.5 Quellgruppenspezifische Rückrechnungen (5.D.1 Schlammbehandlung) 683
7.5.1.2.6 Geplante Verbesserungen, kategoriespezifisch (5.D.1 Schlammbehandlung) 683
7.5.1.3 Lachgasemissionen aus dem kommunalen Abwasser (5.D.1 Lachgas kommunal) 683
7.5.1.3.1 Beschreibung der Kategorie (5.D.1 Lachgas kommunal) 683
7.5.1.3.2 Methodische Aspekte (5.D.1 Lachgas kommunal) 684
7.5.1.3.3 Unsicherheit und Zeitreihenkonsistenz (5.D.1 Lachgas kommunal) 687
7.5.1.3.4 Quellgruppenspezifische Qualitätssicherung/ -kontrolle und Verifizierung (5.D.1 Lachgas kommunal) 688
7.5.1.3.5 Quellgruppenspezifische Rückrechnungen (5.D.1 Lachgas kommunal) 689
7.5.1.3.6 Geplante Verbesserungen, kategoriespezifisch (5.D.1 Lachgas kommunal) 689
7.5.2 Industrielle Abwasserbehandlung (5.D.2) 690
7.5.2.1.1 Beschreibung der Kategorie (5.D.2) 690
7.5.2.1.2 Methodische Aspekte (5.D.2) 691
7.5.2.1.3 Unsicherheiten und Zeitreihenkonsistenz (5.D.2) 693
7.5.2.1.4 Kategoriespezifische Qualitätssicherung/ -kontrolle und Verifizierung (5.D.2) 694
7.5.2.1.5 Quellgruppenspezifische Rückrechnungen (5.D.2) 694
7.5.2.1.6 Geplante Verbesserungen, kategoriespezifisch (5.D.2) 695
7.5.2.2 Lachgasemissionen der industriellen Abwasserbehandlung (5.D.2) 695
7.5.2.2.1 Beschreibung der Kategorie (5.D.2 N_2O industriell) 695
7.5.2.2.2 Methodische Aspekte (5.D.2 N_2O industriell) 695
7.5.2.2.3 Unsicherheiten und Zeitreihenkonsistenz (5.D.2 N_2O industriell) 697
7.5.2.2.4 Kategoriespezifische Qualitätssicherung/ -kontrolle und Verifizierung (5.D.2 N_2O industriell) 698
7.5.2.2.5 Quellgruppenspezifische Rückrechnungen (5.D.2 N_2O industriell) 699
7.5.2.2.6 Geplante Verbesserungen, kategoriespezifisch (5.D.2 N_2O industriell) 699
7.6 Andere Bereiche (5.E) 699
7.6.1 Andere Bereiche - Mechanisch-biologische Abfallbehandlung (MBA) (5.E Other MBA) 699
7.6.1.1 Beschreibung der Kategorie (5.E Other MBA) 699
7.6.1.2 Methodische Aspekte (5.E Other MBA) 701
7.6.1.3 Unsicherheiten und Zeitreihenkonsistenz (5.E Other MBA) 703
7.6.1.4 Kategoriespezifische Qualitätssicherung/-kontrolle und Verifizierung (5.E Other MBA) 703
7.6.1.5 Kategoriespezifische Rückrechnungen (5.E Other MBA) 703
7.6.1.6 Geplante Verbesserungen, kategoriespezifisch (5.E Other MBA) 704

8 Andere (CRF Sektor 6) 704

9 Indirektes CO_2 & NO_X 704

10 Rückrechnungen und Verbesserungen 705
10.1 Erklärung und Rechtfertigung der Rückrechnungen 705
10.1.1 Treibhausgas-Inventar 705
10.1.1.1 Generelles Vorgehen 705
10.1.1.2 Rückrechnungen im Inventar 2017 nach Quellgruppen 705
10.1.1.3 Rückrechnungen im Inventar 2017 nach Substanzen 707
10.1.1.4 Rückrechnungen als Umsetzung von Ergebnissen des Review Prozesses 708
10.1.2 KP-LULUCF-Inventar 709
10.1.2.1 Generelles Vorgehen 709
10.1.2.2 Rückrechnungen im Inventar 2017 nach Kategorien 709
10.1.2.3 Rückrechnungen im Inventar 2017 nach Substanzen 709
10.1.2.4 Rückrechnungen als Umsetzung von Ergebnissen des Review Prozesses 709
10.2 Auswirkung auf die Höhe der Emissionen 709
10.2.1 Treibhausgas-Inventar 709
10.2.1.1 Auswirkung auf die Emissionshöhe von Kategorien 1990 710
10.2.1.2 Auswirkung auf die Emissionshöhe von Kategorien 2014 712

10.2.2 KP-LULUCF-Inventar 713
10.2.2.1 Auswirkung auf die Emissionshöhe von Kategorien 1990 713
10.2.2.2 Auswirkung auf die Emissionshöhe von Kategorien 2014 713
10.3 Auswirkung auf die Emissionstrends und die Konsistenz der Zeitreihe 714
10.3.1 Treibhausgas-Inventar 714
10.3.2 KP-LULUCF-Inventar 714
10.4 Verbesserungen des Inventars 714
10.4.1 Treibhausgas-Inventar 714
10.4.2 KP & LULUCF 722
10.4.3 Implementing Regulation Article 9: Reporting on implementation of recommendations and adjustments 722
10.5 Rückrechnungen aufgrund des *In-Country-Reviews* 2016 728
10.5.1 Auswirkungen der infolge des In-Country-Reviews durchgeführten Rekalkulationen auf das Gesamtinventar 2016 728
10.5.2 In den Saturday Letter eingegangene ERT-Empfehlungen und daraus resultierende Rückrechnungen 731
10.5.2.1 N_2O aus der Caprolactam-Herstellung 731
10.5.2.2 CH_4 aus der enterischen Fermentation bei Schafen 731
10.5.2.3 indirekte N_2O-Emissionen aus bewirtschafteten landwirtschaftlichen Böden 732
10.5.2.4 CO_2 aus der Kalkung landwirtschaftlicher Böden 732
10.5.2.5 CH_4 aus gemanagten Abfalldeponien 732
10.5.2.6 CH_4 aus häuslichen Abwässern 733
10.5.2.7 unter *CRF 6 – Other* berichtetes N_2O aus der Eisen-und Stahlproduktion 733

11 Ergänzende Informationen wie nach Artikel 7, Absatz 1 des Kyoto-Protokolls gefordert 734
11.1 Allgemeine Informationen 734
11.1.1 Walddefinition und andere Kriterien 734
11.1.2 Gewählte Aktivitäten unter Artikel 3, Absatz 4 des Kyoto-Protokolls 734
11.1.3 Beschreibung wie die Definitionen aller Aktivitäten nach Artikel 3.3 und aller gewählten Aktivitäten nach Artikel 3.4 umgesetzt und im Zeitverlauf konstant angewandt wurden 735
11.1.3.1 Neu- und Wiederaufforstung und Entwaldung (ARD) 735
11.1.3.2 Waldbewirtschaftung (FM) 736
11.1.3.3 Ackerlandbewirtschaftung (CM) 737
11.1.3.4 Weidelandbewirtschaftung (GM) 738
11.1.4 Beschreibung der vorrangigen Bedingungen und/oder der Hierarchie unter den Aktivitäten nach Artikel 3.4, und wie sie konstant auf die Bestimmung der Landklassifizierung angewandt wurden 738
11.2 Landbezogene Informationen 739
11.2.1 Methode, die für die Bestimmung der Flächengröße nach Artikel 3.3 genutzt wird 739
11.2.2 Methodik, die zur Entwicklung der Landübergangsmatrix benutzt wird 739
11.2.3 Karten und/oder Datenbanken zur Bestimmung der geografischen Position von Flächen und das dazugehörige Identifizierungssystem 741
11.3 Aktivitätsspezifische Informationen 742
11.3.1 Methoden für die Bestimmung der Kohlenstoffvorratsänderung, Treibhausgasemissionen und Reduktionsschätzungen 742
11.3.1.1 Beschreibung der Methoden und der angewandten, zugrundeliegenden Annahmen 742
11.3.1.1.1 Zusammenfassung 742
11.3.1.1.2 Biomasse 745
11.3.1.1.3 Totholz 746
11.3.1.1.4 Streu 747
11.3.1.1.5 Mineralische Böden 748
11.3.1.1.6 Organische Böden 749
11.3.1.1.7 Holzprodukte 750
11.3.1.1.8 Sonstige Treibhausgasemissionen 751
11.3.1.2 Begründung bei Nichtberücksichtigung eines Kohlenstoffpools oder Treibhausgasemissionen/-abbau bei Aktivitäten nach Artikel 3.3 und gewählten Aktivitäten nach Artikel 3.4 751
11.3.1.3 Informationen ob indirekte oder natürliche Treibhausgase ausgeklammert wurden oder nicht 751

11.3.1.4 Änderungen in den Daten und Methoden seit der letzten Einreichung (Rückrechnungen) 752
11.3.1.5 Schätzung der Unsicherheiten 755
11.3.1.5.1 Schätzung der Unsicherheiten der Emissionsfaktoren für die Biomasse und das Totholz für KP Art. 3.3 und KP Art. 3.4 Waldbewirtschaftung 758
11.3.1.5.2 Schätzung der Unsicherheiten der Emissionsfaktoren für Mineralboden und Streu für KP Art. 3.3 und KP Art. 3.4 Waldbewirtschaftung 758
11.3.1.5.3 Schätzung der Unsicherheiten für die Holzprodukte 759
11.3.1.6 Informationen über andere Methoden 759
11.3.1.7 Das Anfangsjahr einer Aktivität, falls nach 2013 762
11.4 Artikel 3.3 762
11.4.1 Informationen, die belegen, dass Aktivitäten nach Artikel 3.3 am oder nach dem 1. Januar 1990 und vor dem 31.Dezember 2020 begonnen haben und direkt vom Menschen verursacht sind 762
11.4.2 Informationen über die Unterscheidung zwischen Ernte oder Waldzerstörung, die von Wiederaufforstung gefolgt sind, und Entwaldung 763
11.4.3 Informationen über die Größe und geografische Lage von Waldgebieten, die ihre Waldbedeckung verloren haben aber nicht als entwaldet gelten 764
11.4.4 Informationen in Bezug auf Natürlichen Störungen unter dem Artikel 3.3 764
11.4.5 Informationen zu den Holzprodukten unter dem Artikel 3.3 764
11.5 Artikel 3.4 764
11.5.1 Informationen, die belegen, dass Aktivitäten nach Artikel 3.4 seit dem 1.Januar 1990 auftraten und vom Menschen verursacht sind 764
11.5.1.1 Waldbewirtschaftung 764
11.5.2 Ackerlandbewirtschaftung und Weidelandbewirtschaftung 767
11.5.3 Informationen bezüglich der Ackerland- und Weidelandbewirtschaftung für das Basisjahr 767
11.5.3.1 Ackerlandbewirtschaftung 767
11.5.3.2 Weidelandbewirtschaftung 768
11.5.4 Informationen zur Waldbewirtschaftung 769
11.5.4.1.1 Definition der Waldbewirtschaftung 769
11.5.4.2 Umwandlung von natürlichen Wäldern (Natural Forest) zu Gepflanzter Wald (Planted Forest) 770
11.5.4.3 Forest Management Reference Levels (FMRL) 770
11.5.4.4 Technische Korrektur des FMRL 770
11.5.4.5 Informationen in Bezug auf Natürlichen Störungen unter dem Artikel 3.4 771
11.5.4.6 Informationen zu den Holzprodukten unter dem Artikel 3.4 771
11.6 Weitere Informationen 771
11.6.1 Hauptkategorienanalyse für Aktivitäten nach Artikel 3.3 und die gewählten Aktivitäten nach Artikel 3.4 771
11.7 Informationen zu Artikel 6 (JI- & CDM-Projekte / Management der ERU) 772
12 Informationen zur Buchführung der Kyoto-Einheiten 772
12.1 Background information 772
12.2 Summary of information reported in the SEF tables 772
12.3 Discrepancies and Notifications 772
12.4 Publicly accessible information 773
12.5 Calculation of the Commitment Period Reserve 773
13 Informationen über Änderungen im nationalen Systems 773
14 Informationen zu Änderungen in den Nationalen Registern 774
15 Informationen zur Minimierung der negativen Einflüsse nach Artikel 3, Absatz 14 775
16 Weitere Informationen 775
17 Anhang 1: Hauptkategorien des deutschen Treibhausgasinventars 776
17.1 Beschreibung der Methoden zur Festlegung der Hauptkategorien 776
17.1.1 Methode-1-Verfahren 777
17.1.2 Methode-2-Verfahren 777

17.1.3 Bewertung qualitativer Kriterien 777
17.1.4 Hauptkategorien-Analyse für die Kyoto-Berichterstattung 778

18 Anhang 2: Detaillierte Erläuterung der Methoden und Daten zur Berechnung von CO_2 Emissionen aus der Verbrennung von Brennstoffen 779
18.1 Die Energiebilanz für die Bundesrepublik Deutschland 779
18.2 Aufbau der Energiebilanzen 780
18.3 Methodische Aspekte: Energiebedingte Aktivitätsraten 781
18.4 Unsicherheiten, Zeitreihenkonsistenz und Qualitätssicherung der Energiebilanz 782
18.4.1 Qualitätsbericht der Arbeitsgemeinschaft Energiebilanzen zur Erstellung der Energiebilanz für die Bundesrepublik Deutschland 783
18.4.1.1.1 Hintergrund 783
18.4.1.1.2 Arbeitsteilung bei der Erstellung der Energiebilanzen 783
18.4.1.1.3 Qualität der verwendeten Datenquellen 784
18.4.1.1.4 Transparenz der Methoden und Verfahren 786
18.4.1.1.5 Kontrolle und Verifikation der Ergebnisse 787
18.4.1.1.6 Dokumentation und Archivierung 787
18.4.1.1.7 Qualifikation der Bearbeiter 788
18.4.1.1.8 Erläuterungen zur Aktualität bzw. zeitlichen Verfügbarkeit der Daten für die Erstellung der Energiebilanzen 788
18.5 Aktionsplan Energiedaten Inventarverbesserung 792
18.6 Unsicherheiten der Aktivitätsraten stationärer Feuerungsanlagen 797
18.7 CO_2-Emissionsfaktoren 797
18.7.1 Steinkohlen 797
18.7.2 Braunkohlen 800
18.7.3 Mineralöle 802
18.7.4 Gase 804
18.7.5 Abfall und Sonderbrennstoffe 806
18.7.6 Biomassebrennstoffe 806
18.7.7 Liste der abgeleiteten Kohlendioxid-Emissionsfaktoren für Energie & Industrieprozesse 807
18.8 Analyse der CO_2-Emissionen aus der nichtenergetischen Verwendung von Energieträgern 813

19 Anhang 3: Weitere detaillierte methodische Beschreibungen für einzelne Quell- und Senkenkategorien, inklusive KP-LULUCF-Aktivitäten 817
19.1 Weitere detaillierte methodische Beschreibungen für die Quellkategorie Energie (1) 817
19.1.1 Überarbeitung der Aktivitätsraten stationärer Feuerungsanlagen der neuen Bundesländer für das Jahr 1990 und der Folgejahre (1.A.1 und 1.A.2) 817
19.1.2 Energiewirtschaft (1.A.1) 817
19.1.2.1 Methodische Aspekte der Ermittlung der Emissionsfaktoren (Kapitel 3.2.6.2) 817
19.1.2.2 CO_2-Emissionen aus der Abgasentschwefelung (CRF 1.A.1, Kalksteinbilanz) 821
19.1.3 Verkehr (1.A.3) 822
19.1.3.1 Verkehr - Ziviler Luftverkehr (1.A.3.a) 822
19.1.3.1.1 Ableitung der weiteren Emissionsfaktoren (1.A.3.a) 822
19.1.3.1.2 Detailübersicht der für Aktivitätsdaten und Emissionsfaktoren zugrunde gelegten Unsicherheiten (1.A.3.a) 825
19.1.3.2 Ableitung der Aktivitätsraten zum Straßenverkehr (1.A.3.b) 826
19.1.3.2.1 Abgleich auf die Energiebilanz 826
19.1.3.2.2 Zuordnung von Bio-Kraftstoffen, Petroleum sowie Erd- und Flüssiggas auf die Strukturelemente 828
19.1.3.2.3 Aktivitätsrate für Verdunstung 828
19.1.3.3 Ableitung der Emissionsfaktoren 828
19.1.3.3.1 Emissionsfaktoren aus TREMOD 828
19.1.3.3.2 Emissionsfaktoren für Biodiesel, Bio-Ethanol, Petroleum, Erd- und Flüssiggas 829
19.1.3.4 Ableitung der Daten für West- und Ostdeutschland 1994 829
19.1.4 CO_2-Emissionen aus der Schmierstoff-Mitverbrennung in Verkehrsträgern und weiteren mobilen Quellen 829
19.1.4.1 CO_2-Emissionen aus der Schmierstoff-Mitverbrennung in Zweitakt-Ottomotoren 830
19.1.4.2 CO_2-Emissionen aus der Schmierstoff-Mitverbrennung in Viertakt-Ottomotoren sowie sonstigen Motoren in Verkehrsträgern und mobilen Quellen 831

19.1.5 CO_2-Emissionen aus dem Einsatz von AdBlue® in Straßenverkehr und Off-Road-Fahrzeugen 832
19.2 Weitere detaillierte methodische Beschreibungen für die Quellkategorie Industrieprozesse (2) 834
19.2.1 834
19.3 Weitere detaillierte methodische Beschreibungen für die Quellkategorie Landwirtschaft (3) 834
19.3.1 Berechnung der Emissionen zusätzlicher Tierkategorien 834
19.3.1.1 Tierplatzzahlen 834
19.3.1.2 CH_4-Emissionen aus der Verdauung 835
19.3.1.3 CH_4-Emissionen aus dem Wirtschaftsdünger-Management 835
19.3.1.4 N_2O-Emissionen aus dem Wirtschaftsdünger-Management 836
19.3.1.4.1 N-Ausscheidungen 836
19.3.1.4.2 Direkte N_2O-Emissionen aus dem Wirtschaftsdünger-Management 837
19.3.1.5 Indirekte N_2O-Emissionen aus dem Wirtschaftsdünger-Management 838
19.3.1.6 Direkte N_2O-Emissionen aus landwirtschaftlichen Böden 839
19.3.1.7 Indirekte N_2O-Emissionen aus landwirtschaftlichen Böden 839
19.3.2 Verteilungen von Haltungs- Lager- und Ausbringungsverfahren sowie Weidegangdaten (CRF 3.B, 3.D) 840
19.4 Weitere detaillierte methodische Beschreibungen für die Quell-/Senkenkategorie Landnutzungsänderung und Forstwirtschaft (4) 855
19.4.1 Landnutzungsmatrix 855
19.4.1.1 Begründung der Entscheidung für ein stichprobenbasiertes System 855
19.4.1.2 Begründung der Entscheidung für das BWI-Raster 856
19.4.2 Ermittlung der Emissionsfaktoren für den Mineralboden 857
19.4.2.1 Landnutzungskategorie Wald (Forest Land) 857
19.4.2.2 Landnutzungskategorien Ackerland, Grünland, Feuchtgebiete, Siedlungen und Sonstiges Land 858
19.4.2.2.1 Allgemein zu 4.B - 4.F 858
19.4.2.2.2 Ackerland 859
19.4.2.2.3 Grünland 860
19.4.2.2.4 Terrestrische Feuchtgebiete, Siedlungen und Sonstige Flächen 860
19.4.2.2.5 Unsicherheiten 862
19.4.2.3 Geplante Verbesserungen 863
19.4.3 Unsicherheiten 863
19.5 Weitere detaillierte methodische Beschreibungen für die Quellkategorie Abfall und Abwasser (6) 878

20 Anhang 4: CO_2 Referenzverfahren und Vergleich mit dem Sektoransatz und relevante Informationen zur nationalen Energiebilanz 878
20.1 Vergleich der Ergebnisse des sektoralen und des Referenz-Ansatzes 878

21 Anhang 5: Überprüfung der Vollständigkeit und der potentiell nicht erfassten Quellen und Senken von Treibhausgasemissionen 883

22 Anhang 6: Zusatzinformationen als Bestandteil des NIR oder andere hilfreiche Referenzinformationen 889
22.1 Zusatzinformationen zur Inventarerstellung und zum Nationalen System 889
22.1.1 Festlegungen im Grundsatzpapier „Nationales System“ zur Emissionsberichterstattung 889
22.1.2 Zusatzinformationen zum Qualitätssystem Emission 892
22.1.2.1 Mindestanforderungen an ein System zur Qualitätskontrolle und –sicherung 892
22.1.2.1.1 Einführung 892
22.1.2.1.2 System zur Qualitätskontrolle und Qualitätssicherung 892
22.1.2.1.3 Zuständige Stelle für die Koordinierung der QK/QS Aktivitäten 893
22.1.2.1.4 QK/QS Plan 893
22.1.2.1.5 Allgemeine Qualitätskontrolle 894
22.1.2.1.6 Quellgruppenspezifische Qualitätskontrolle 894
22.1.2.1.7 Verfahren zur Qualitätssicherung 895
22.1.2.1.8 Verfahren zur Berichterstattung 895
22.1.2.1.9 Dokumentation und Archivierung 896

22.1.2.1.10 Anlage 1: Mindestanforderungen an die Qualitätskontrolle und Qualitätssicherung bei der Emissionsberichterstattung im Umweltbundesamt 897
22.1.2.1.10.1 Einführung 897
22.1.2.1.10.2 System zur Qualitätskontrolle und Qualitätssicherung 897
22.1.2.1.10.2.1 Zuständige Stelle für die Koordinierung der QK/QS Aktivitäten im UBA 898
22.1.2.1.10.2.2 Verfahren zur Berichterstattung 898
22.1.2.1.10.3 QK-Plan, QS-Plan und Inventarplan 900
22.1.2.1.10.4 Verfahren zur allgemeinen und kategoriespezifischen Qualitätskontrolle 902
22.1.2.1.10.5 Verfahren zur Qualitätssicherung 902
22.1.2.1.10.6 Dokumentation und Archivierung 903
22.1.2.1.11 Anhang 2: Beispiel einer allgemeinen Checkliste für die Rolle Fachverantwortlicher 904
22.1.3 Das Datenbanksystem Zentrales System Emissionen 908
22.2 Ergänzenden Informationen wie nach Artikel 7, Absatz 1 des Kyoto-Protokolls gefordert 909
22.2.1 KP-LULUCF 909
22.2.2 Standard Electronic Format (SEF) Tabellen 909
22.2.2.1 Standard Electronic Format for the reported year 2015 (Commitment Period 2) 910
22.2.2.2 Discrepant transactions 919
22.2.3 Detailliertere Informationen über das nationale System und Änderungen im nationalen System 920
22.2.4 Weitere detaillierte Informationen zu den Nationalen Registern und der Buchführung der Kyoto-Einheiten 920
22.2.4.1 Annex A - CP2 SEF Tables 920
22.2.4.2 Annex B - Changes from EUCR v7.0.1-v8.0.7 920
22.2.4.3 Annex H: Test Report – ITL Annex H tests for MT and CY initialization 1041
22.3 Zusatzinformationen zu den Trends der Treibhausgase 1044
22.4 Rückrechnungen: detaillierte Betrachtung auf Grundlage von CRF Table 8 1052
22.4.1 Überblick für das Berichtsjahr 1990 1052
22.4.2 Überblick für das Berichtsjahr 2014 1055

23 Anhang 7: Tabelle 6.1 der IPCC Good Practice Guidance 1057

24 Referenzen 1063

Abbildungsverzeichnis

Abbildung 1: Entwicklung der Treibhausgase in Deutschland seit 1990, nach Treibhausgasen' 69
Abbildung 2: Emissionsentwicklung in Deutschland seit 1990, nach Kategorien' 72
Abbildung 3: Relative Entwicklung der Treibhausgasemissionen seit 1990 nach Kategorien' 73
Abbildung 4: Struktur des Nationalen Systems Emissionen (NaSE) 79
Abbildung 5: Übersicht über den Prozess der Emissionsberichterstattung 86
Abbildung 6: QSE - Rollen Aufgaben und Arbeitsabläufe 97
Abbildung 7: Steuerung und Dokumentation 98
Abbildung 8: Verfahrensablauf für die jährliche Inventar-Verifikation mit ETS-Monitoring-Daten 101
Abbildung 9: Verantwortlichkeiten und Datenfluss für die Berechnung der Treibhausgasemissionen im Energiebereich 102
Abbildung 10: Verantwortlichkeiten und Datenfluss für die Berechnung der Treibhausgasemissionen der Industrieprozesse 105
Abbildung 11: Verantwortlichkeiten und Datenfluss für die Berechnung der Treibhausgasemissionen der Landwirtschaft 108
Abbildung 12: Datenfluss für die Berechnung der Treibhausgasemissionen aus dem Bereich Landnutzungsänderung und Forstwirtschaft (LULUCF) und KP-LULUCF 109
Abbildung 13: Datenfluss für die Berechnung der Treibhausgasemissionen aus dem Bereich Abfall und Abwasser 110
Abbildung 14: Relative Entwicklung der Treibhausgase gegenüber 1990 138
Abbildung 15: Relative Entwicklung der F-Gase gegenüber 1995 141
Abbildung 16: Emissionsentwicklung der indirekten Treibhausgase und von SO_2 144
Abbildung 17: Übersicht über die Treibhausgas-Emissionen des CRF-Sektors 1 ' 146
Abbildung 18: Merkmale der UBA-Struktur der Bilanz der Emissionsursachen zur Disaggregierung der Energiebilanz 150
Abbildung 19: Schema der Datenquellen für den Brennstoffeinsatz von Abfällen zur energetischen Nutzung im Rahmen des Treibhausgas-Emissionsinventars 152
Abbildung 20: CO_2-Emissionen in Deutschland – Vergleich nationaler und internationaler Berechnungsergebnisse 155
Abbildung 21: CO_2-Emissionen in Deutschland – Vergleich der relativen Abweichungen nationaler und internationaler Berechnungsergebnisse 155
Abbildung 22: Treibhausgasemissionen des von Deutschland ausgehenden internationalen Flugverkehrs 1990-2015 161
Abbildung 23: Entwicklung der Treibhausgas-Emissionen des internationalen Seeverkehrs seit 1990 [a] 163
Abbildung 24: Entwicklung der CO_2-Emissionen der Kategorie 1.A.1.a 166
Abbildung 25: Entwicklung der CO_2-Emissionen der Kategorie 1.A.1.b 176
Abbildung 26: Entwicklung der CO_2-Emissionen der Kategorie 1.A.1.c (in Mio. t) 180
Abbildung 27: Entwicklung der CO2-Emissionen in Kategorie 1.A.2.a 186
Abbildung 28: Entwicklung der Brennstoffeinsätze der Kategorie 1.A.2.f Non-Metallic Minerals 195
Abbildung 29: Entwicklung der Brennstoffeinsätze der Kategorie 1.A.2.g viii Sonstige 199
Abbildung 30: Entwicklung der THG-Emissionen aus Fahrzeugen und mobilen Maschinen der Bauwirtschaft 1990-2015 202
Abbildung 31: Entwicklung der THG-Emissionen des nationalen zivilen Flugverkehrs seit 1990 207
Abbildung 32: Entwicklung der Treibhausgas-Emissionen des Straßenverkehrs 1990-2015 214

Abbildung 33: Entwicklung der Treibhausgas-Emissionen des Schienenverkehrs 1990-2015 (*ohne THG aus der Erzeugung von Bahnstrom und CO_2 aus der Schmierstoff-Mitverbrennung)* 220
Abbildung 34: Entwicklung der THG-Emissionen aus Binnenschifffahrt und nationalem Seeverkehr seit 1990 226
Abbildung 35: Änderung der Gesamtemission von 1.A.4 in Abhängigkeit von der Temperatur 234
Abbildung 36: Verlauf des Energieverbrauchs von 1.A.4 (stationär) nach 4 Brennstoffkategorien .. 235
Abbildung 37: Entwicklung der THG-Emissionen der betrachteten Teilsektoren seit 1990 241
Abbildung 38: Entwicklung des Kraftstoffverbrauchs innerhalb der betrachteten Teilsektoren seit 1990 242
Abbildung 39: Entwicklung der CO_2-Emissionen der Kategorie 1.A.5.a 247
Abbildung 40: Entwicklung der THG-Emissionen der mobilen Quellen des Militärs seit 1990 250
Abbildung 41: Entwicklung des Kraftstoffeinsatzes seit 1990 251
Abbildung 42: CRF 1.B - Emissionen relevanter Substanzen 254
Abbildung 43: Übersicht über die Treibhausgas-Emissionen des CRF-Sektors 2 294
Abbildung 44: Zeitlicher Verlauf und Quellgruppenzuordnung der aus dem Reduktionsmitteleinsatz zur Primärstahlerzeugung bzw. Gichtgasaufkommen resultierenden CO_2-Emissionen 337
Abbildung 45: NMVOC-Gesamtemissionen aus lösemittelbasierten Produkten und Anwendungen (2.D.3.a,d-i) 359
Abbildung 46: Übersicht über die Treibhausgas-Emissionen des CRF-Sektors 3 440
Abbildung 47: Logik der nationalen Methodik für die Emissionsberechnungen in der Tierhaltung am Beispiel der Milchkuh. („Leistungsindikator“ steht hier für die Summe aus leistungs- und erhaltungsbedingtem Bedarf.) 441
Abbildung 48: Konzept und thematische Inhalte des GAS-EM Modells 442
Abbildung 49: Zeitreihen der Treibhausgasemissionen und – senken (Summe aus CO_2, CH_4 und N_2O) [kt CO_2-Equivalents] im LULUCF-Sektor seit 1990, unterschieden nach Unterkategorien 515
Abbildung 50: Zeitreihen der Treibhausgasemissionen und –senken (Summe aus CO_2, CH_4 und N_2O) [kt CO_2-Equivalents] im LULUCF-Sektor seit 1990, unterschieden nach Quellgruppen 516
Abbildung 51: Zeitreihen der Treibhausgasemissionen und – senken (Summe aus CO_2, CH_4 und N_2O) [kt CO-Equivalents] im LULUCF-Sektor seit 1990, unterschieden nach Treibhausgasen (GHG) 517
Abbildung 52: Schematische Darstellung der Zuordnung von Stichprobenpunkten zu einer Landnutzungskategorie 560
Abbildung 53: Entscheidungsbaum beispielhaft für das Jahr 2012 (Abkürzungen siehe Tabelle 333) 563
Abbildung 54: Treibhausgasemissionen (Summe aus CO_2, CH_4 und N_2O) [kt CO_2-Eq.] infolge Landnutzung und Landnutzungsänderung aus Wäldern von 1990 – 2015 nach Unterkategorien 572
Abbildung 55: Treibhausgasemissionen (Summe aus CO_2, CH_4 und N_2O) [kt CO_2-Eq.] infolge Landnutzung und Landnutzungsänderung aus Wäldern von 1990 – 2015 nach Pools 573
Abbildung 57: Gegenüberstellung des Rohholzaufkommens mit der Entwicklung der Biomasse im Wald 576

Abbildung 58: Kohlenstoffvorräte und Kohlenstoffvorratsveränderungen für die unterirdische und oberirdische Biomasse im Wald für die Jahre 1987/1993, 2002, 2008 und 2012 577
Abbildung 59: Vergleich verschiedener Funktionen zur Ableitung der unterirdischen Biomasse 582
Abbildung 60: Regression zwischen Kohlenstoffvorräten (0-30cm) der BZE II und der BZE I (links) sowie die identifizierten Ausreißer anhand der Residuen-Analyse durch Student-Residuen und den “high leverage“-Punkten (rechts) am Beispiel einer Leitbodeneinheit 591
Abbildung 61: Waldbrandflächen zwischen 1990 und 2015 (nach BLE, 2016) 595
Abbildung 62: Treibhausgasemissionen (Summe aus CO_2, CH_4 und N_2O) [kt CO_2-Eq.] infolge Landnutzung und Landnutzungsänderung aus Ackerland von 1990-2015 nach Unterkategorien (Unsicherheitendarstellung nur für Gesamtsumme) 610
Abbildung 63: Treibhausgasemissionen (Summe aus CO_2, CH_4 und N_2O) [kt CO_2-Eq.] infolge Landnutzung und Landnutzungsänderung aus Ackerland von 1990-2015 nach Kategorien (Unsicherheitendarstellung nur für Gesamtsumme) 611
Abbildung 64: Kohlenstoffeintrag [kt C] mittels organischen Dünger und Ernteresten in Ackerland 1990 - 2015 617
Abbildung 65: CO_2-Emissionen [kt CO_2-Eq.] infolge Landnutzung und Landnutzungsänderung aus dem Grünland i.e.S. Deutschlands von 1990-2015, dargestellt nach Unterkategorien 625
Abbildung 66: CO_2-Emissionen [kt CO_2-Eq.] infolge Landnutzung und Landnutzungsänderung aus dem Grünland i.e.S. Deutschlands von 1990-2015, dargestellt nach Pools 626
Abbildung 67: CO_2-Emissionen [kt CO_2-Eq.] infolge Landnutzung und Landnutzungsänderung aus Gehölzflächen Deutschlands von 1990–2015, dargestellt nach Unterkategorien 627
Abbildung 68: CO_2-Emissionen [kt CO_2-Eq.] infolge Landnutzung und Landnutzungsänderung aus Gehölzflächen Deutschlands von 1990-2015, dargestellt nach Pools 627
Abbildung 69: CO_2-Emissionen [kt CO_2-Eq.] infolge Landnutzung und Landnutzungsänderung aus Feuchtgebieten Deutschlands von 1990-2015, dargestellt nach Unterkategorien 636
Abbildung 70: CO_2-Emissionen [kt CO_2-Eq.] infolge Landnutzung und Landnutzungsänderung aus den Feuchtgebieten Deutschlands von 1990-2015, dargestellt nach Pools 637
Abbildung 71: CO_2-Emissionen [kt CO_2-Eq.] infolge Landnutzung und Landnutzungsänderung aus Siedlungen von 1990 – 2015, dargestellt nach Unterkategorien 646
Abbildung 72: CO_2-Emissionen [kt CO_2-Eq.] infolge Landnutzung und Landnutzungsänderung aus Siedlungen Deutschlands von 1990 – 2015, dargestellt nach Pools 647
Abbildung 73: Netto CO_2-Emissionen und Einbindungen in Holzprodukten [kt CO_2] 653
Abbildung 74: In Deutschland produziertes Schnittholz und Holzwerkstoffe [Mm^3] (FAO 2016) 653
Abbildung 75: Entwicklung des heimischen Rohstofffaktors fDP(i) der berücksichtigten Rohstoffkategorien (FAO 2016) 654
Abbildung 76: Übersicht über die Treibhausgas-Emissionen des CRF-Sektors 5 657
Abbildung 77: Die Veränderung der Entsorgungspfade der Siedlungsabfälle zwischen 1990 und 2015, mit Zwischenjahren 659
Abbildung 78: Trend in der Zusammensetzung des Hausmülls zwischen 1990 und 2013 664
Abbildung 79: Stoffstromschema Mechanisch-Biologische Abfallbehandlung 701
Abbildung 80: Änderung der Gesamtemissionen über alle Kategorien gegenüber Submission 2016 707

Abbildung 81: Rückrechnung der Gesamtemission der einzelnen Treibhausgase über alle Quellgruppen gegenüber der Resubmission 2016 708
Abbildung 82: Auswirkung der Rückrechnungen auf CRF-Sektoren und Gesamtinventar 1990 711
Abbildung 83: Auswirkung der Rückrechnungen auf CRF-Sektoren und Gesamtinventar 2014 713
Abbildung 84: Vergleich der Treibhausgasemissionen nach Rückrechnungen für die Submission 2017 (Summe aus CO_2, CH_4 und N_2O) [kt CO_2-Equivalente] in Kategorien der Kyoto Berichterstattung 754
Abbildung 85: Schema zur Unterscheidung zwischen Ernte oder Waldzerstörung, die von Wiederaufforstung gefolgt sind, und Entwaldung 764
Abbildung 86: Verbesserungen und Veränderungen im Treibhausgasinventar seit 2011 die eine Technischer Korrektur des Forest Management Reference Level nach sich ziehen ... 771
Abbildung 87: Steinkohlemengen für die im Emissionshandel gemessene Emissionsfaktoren und Heizwerte vorliegen 798
Abbildung 88: Verhältnis zwischen Kohlenstoffgehalten und Heizwerten für verschiedene Steinkohlenqualitäten 799
Abbildung 89: Verhältnis zwischen Kohlenstoffgehalten und Heizwerten am Beispiel einer Rohbraunkohlequalität 800
Abbildung 90: Verhältnis zwischen Kohlenstoffgehalten und Heizwerten für verschiedene Klärschlämme 807
Abbildung 90: Methodik der Emissionsfaktorenberechnung 819
Abbildung 92: prozentuale Abweichungen der im Referenzverfahren erfassten jährlichen Gesamt-Aktivitätsraten von den Gesamtmengen gemäß Sektoralem Ansatz 880
Abbildung 93: prozentuale Abweichungen der mit dem Referenzverfahren berechneten jährlichen Kohlendioxid-Emissionen von den Ergebnissen des Sektoralen Ansatzes 881
Abbildung 94: Übersicht zum gesamten Prozess der Emissionsberichterstattung 899
Abbildung 95: Steuerung und Dokumentation im Rahmen des NaSE und des QSE 901

Tabellenverzeichnis

Tabelle 1: Emissionsentwicklung in Deutschland, nach Treibhausgas und Quellgruppe 70
Tabelle 2: Anteile an der Emissionsentwicklung in Deutschland, nach Treibhausgas und Quellgruppe 70
Tabelle 3: Global Warming Potential (GWP) der Treibhausgase 92
Tabelle 4: QSE - Rollen und Verantwortlichkeiten 95
Tabelle 5: Anzahl der Kategorien und Hauptkategorien 112
Tabelle 6: Hauptkategorien für Deutschland gemäß Tier 1-Ansatz 114
Tabelle 7: Ergebnis der Hauptkategorienanalyse KP-LULUCF 115
Tabelle 8: Hauptkategorien für Deutschland, die sich nur aufgrund des Tier 2-Ansatzes ergeben 117
Tabelle 9: Inventarplan – offene Handlungsbedarfe 120
Tabelle 10: Inventarplan - erledigte Handlungsbedarfe/Verbesserungen 122
Tabelle 11: Emissionen von direkten und indirekten Treibhausgasen und SO_2 in Deutschland seit 1990 136
Tabelle 12: Veränderungen der Emissionen direkter und indirekter Treibhausgase und SO_2 in Deutschland seit dem jeweiligen Bezugsjahr 136
Tabelle 13: Veränderungen der Treibhausgas-Emissionen in Deutschland nach Kategorien, seit 1990 / seit dem jeweils letzten Jahr 143
Tabelle 14: Emissionen von 2015 für die KP-LULUCF-Aktivitäten Aufforstung und Entwaldung unter Artikel 3.3 und Waldbewirtschaftung, Ackerlandbewirtschaftung und Weidelandbewirtschaftung unter Artikel 3.4. 145
Tabelle 15: Vergleich der CO_2-Inventare mit anderen unabhängigen nationalen und internationalen Ergebnissen 154
Tabelle 16: Vergleich der Ergebnisse der CO_2-Berechnungen der einzelnen Bundesländer mit den Bundesinventaren 157
Tabelle 17: jährliche Anteile der Auslandsflüge an den Kerosin-Inlandsablieferungen, in % 161
Tabelle 18: Revision des Kerosin-Inlandsabsatzes 2004 & 2014, in TJ 162
Tabelle 19: resultierende Revision des Kerosin-Verbrauchs für Auslandsflüge 2004 & 2014, in TJ 162
Tabelle 20: revidierte THG-Emissionen, in kt CO_2-Äquivalenten 162
Tabelle 21: CO_2-Emissionen aus der Gichtgasverbrennung in öffentlichen Kraftwerken 169
Tabelle 22: Technologische Emissionsfaktoren für Lachgas aus GFA 170
Tabelle 23: Technologische Emissionsfaktoren für Lachgas aus Anlagen < 50 MW FWL 171
Tabelle 24: Methan-Emissionsfaktoren für Feuerungsanlagen ab 50 MW FWL und für Gasturbinen 171
Tabelle 25: Rückrechnungen CRF 1.A.1.a 174
Tabelle 26: Rückrechnungen CRF 1.A.1.b 178
Tabelle 27: CO_2-Emissionen aus der Gichtgasverbrennung in Kokereien 182
Tabelle 28: Rückrechnungen CRF 1.A.1.c 183
Tabelle 29: Rückrechnungen in CRF 1.A.2.a 189
Tabelle 30: Rückrechnungen in CRF 1.A.2.b 190
Tabelle 31: Rückrechnungen in CRF 1.A.2.d 192
Tabelle 32: Rückrechnungen in CRF 1.A.2.e 194
Tabelle 33: Rückrechnungen in CRF 1.A.2.f 197
Tabelle 34: Rückrechnungen in CRF 1.A.2.gviii 201
Tabelle 35: für das Berichtsjahr 2014 verwendete Emissionsfaktoren, in kg/TJ 203

Tabelle 36: Übersicht relevanter Datenvergleiche 204
Tabelle 37: Vergleich der verwendeten EF(CO_2) mit Default-Werten, in kg/TJ 204
Tabelle 38: länderübergreifender Vergleich der der für fossile Flüssigbrennstoffe berichteten IEF, in kg/TJ 204
Tabelle 39: revidierte Primäraktivitätsdaten 2014, in TJ 204
Tabelle 40: revidierte jährl. Anteile von CRF 1.A.2.g vii an den in EBZ 67 angegebenen Dieselmengen, in % 205
Tabelle 41: resultierende Revision der Aktivitätsdaten für Dieselkraftstoffe, in TJ 205
Tabelle 42: revidierte Emissionsangaben, in kt bzw. kt CO_2-Äquivakenten 206
Tabelle 43: jährliche Anteile der Inlandsflüge an den Kerosin-Inlandsablieferungen, in % 208
Tabelle 44: für das Berichtsjahr 2015 verwendete Emissionsfaktoren, in kg/TJ 210
Tabelle 45: Übersicht relevanter Datenvergleiche 211
Tabelle 46: Vergleich der im Inventar verwendeten EF(CO_2) mit Default-Werten [a], in kg/TJ 211
Tabelle 47: länderübergreifender Vergleich der berichteten IEF, in kg/TJ 211
Tabelle 48: Revision des Kerosin-Inlandsabsatzes 2004 & 2014, in TJ 211
Tabelle 49: resultierende Revision des Kerosin-Verbrauchs für Inlandsflüge 2004 & 2014, in TJ 212
Tabelle 50: revidierte THG-Emissionen, in kt CO_2-Äquivalenten 212
Tabelle 51: Unterscheidung von Minderungstechniken im Straßenverkehr 215
Tabelle 52: Emissionen des Straßenverkehrs, in kt 215
Tabelle 53: Übersicht relevanter Datenvergleiche 217
Tabelle 54: Vergleich der verwendeten EF(CO_2) mit Default-Werten[*], in kg/TJ 217
Tabelle 55: länderübergreifender Vergleich der berichteten IEF, in kg/TJ 218
Tabelle 56: revidierte Energieeinsätze 2014, in TJ 218
Tabelle 57: Revision der EF(CO_2) für Flüssig- und Erdgas (2014), in kg/TJ 218
Tabelle 58: revidierte THG-Emissionen, in kt CO_2-Äquivalenten 219
Tabelle 59: Überblick der verwendeten Statistiken und sonstigen Quellen 221
Tabelle 60: für das Berichtsjahr 2015 verwendete Emissionsfaktoren, in kg/TJ 221
Tabelle 61: Übersicht relevanter Vergleiche 222
Tabelle 62: Vergleich der im Inventar verwendeten EF(CO_2) mit Default-Werten [a], in kg/TJ 222
Tabelle 63: länderübergreifender Vergleich der berichteten IEF, in kg/TJ 223
Tabelle 64: Korrektur der Kraft- und Brennstoffeinsätze, in TJ 223
Tabelle 65: Korrektur des Emissionsfaktoren für Methan aus Diesel ab 2012, in kg/TJ 223
Tabelle 66: Korrektur der Emissionsfaktoren für Methan und Lachgas für Festbrennstoffe, in kg/TJ 224
Tabelle 67: revidierte Emissionsmengen, in kt bzw. kt CO_2-Äquivalente 224
Tabelle 68: Quellennachweis für die verwendeten Aktivitätsdaten 227
Tabelle 69: für das Berichtsjahr 2015 verwendete Emissionsfaktoren, in kg/TJ 228
Tabelle 70: Übersicht relevanter Datenvergleiche 229
Tabelle 71: Vergleich der im Inventar verwendeten EF(CO_2) mit default-Werten 229
Tabelle 72: länderübergreifender Vergleich der berichteten IEF, in kg/TJ 229
Tabelle 73: revidierte Methan- und Lachgas-Emissionsfaktoren für den Einsatz von Dieselkraftstoffen bei Binnenschiffen, jahresspezifische Werte für das Berichtsjahr 2014, in kg/TJ 230
Tabelle 74: resultierende Neuberechnung der Methan- und Lachgasemissionen aus dem Einsatz von Dieselkraftstoffen in Binnenschiffen, in kt 230
Tabelle 75: Rückrechnungen in CRF 1.A.3.e 232

Tabelle 76: Sektorale Emissionsfaktoren für Feuerungsanlagen der Haushalte und Kleinverbraucher für das Bezugsjahr 2010 ... 238
Tabelle 77: Emissionsberechnung mit landesspezifischen Tier 2/3 Emissionsfaktoren und mit den Tier 1 Default-Emissionsfaktoren nach (IPCC 2006) ... 240
Tabelle 78: Rückrechnungen in CRF 1.A.4 stationär ... 240
Tabelle 79: für das Berichtsjahr 2015 verwendete Emissionsfaktoren, in kg/TJ ... 243
Tabelle 80: Übersicht relevanter Datenvergleiche ... 243
Tabelle 81: Vergleich der im Inventar verwendeten EF(CO_2) mit default-Werten* ... 244
Tabelle 82: länderübergreifender Vergleich der für fossile Flüssigbrennstoffe berichteten IEF, in kg/TJ ... 244
Tabelle 83: revidierte Energieeinsätze der Teilsektoren, in TJ ... 244
Tabelle 84: revidierte jährliche Anteile an den in EBZ 67 angegebenen Dieselmengen, in % ... 245
Tabelle 85: revidierte Energieeinsätze der Teilsektoren, in TJ ... 245
Tabelle 86: revidierte EF für CH_4 und N_2O aus Diesel in 1.A.4.a ii, in [TJ] ... 246
Tabelle 87: revidierte Emissionsmengen, in kt CO_2-Äquivalenten [a] ... 246
Tabelle 88: Sektorale Emissionsfaktoren für das Militär ... 248
Tabelle 89: Rückrechnungen in CRF 1.A.5.a ... 249
Tabelle 90: für das Berichtsjahr 2015 verwendete Emissionsfaktoren, in kg/TJ ... 252
Tabelle 91: Übersicht relevanter Datenvergleiche ... 252
Tabelle 92: Vergleich der verwendeten EF(CO_2) mit Default- Werten, in kg/TJ ... 252
Tabelle 93: länderübergreifender Vergleich der der für fossile Flüssigbrennstoffe berichteten IEF, in kg/TJ ... 253
Tabelle 94: revidierte Energieeisätze 2014, in TJ ... 253
Tabelle 95: revidierte Emissionsmengen 2014, in kt CO_2-Äquivalenten [a] ... 253
Tabelle 96: Berechnung von Methanemissionen aus dem Kohlenbergbau für 2015 ... 256
Tabelle 97: Verwertbare Förderung von Steinkohlen, in Mio. t ... 256
Tabelle 98: Anzahl aktiver Steinkohlenbergwerke ... 257
Tabelle 99: Methan-Emissionsfaktoren aus dem Bereich Förderung und Lagerung von Steinkohle für das Jahr 2015 ... 257
Tabelle 100: Emissionen der Kategorie 1.B.1.a.i - Tiefbau ... 257
Tabelle 101: IEF Vergleich mit Nachbarländern für die untertägige Produktion von Steinkohle (NIR 2014) ... 259
Tabelle 102: Förderung von Braunkohle, in Mio. t. ... 259
Tabelle 103: Emissionsfaktoren der Kategorie 1.B.1.a.ii - Tagebau ... 259
Tabelle 104: Emissionen der Kategorie 1.B.1.a.ii - Tagebau ... 259
Tabelle 105: IEF Vergleich mit Nachbarländern für die obertägige Produktion von Braunkohle (NIR 2014) ... 260
Tabelle 106: Aktivitätsraten der Veredelungsprodukte [Angaben in Tonnen] ... 261
Tabelle 107: Emissionsfaktoren aus der Produktion von Steinkohlenkoks ... 261
Tabelle 108: Emissionen der Kategorie 1.B.1.b – Umwandlung von festen Brennstoffen ... 262
Tabelle 109: Anzahl der Explorationsbohrungen (Öl und Erdgas insgesamt) ... 265
Tabelle 110: Bohrleistung der Explorationsbohrungen in m (Öl und Erdgas insgesamt) ... 265
Tabelle 111: Verwendete Emissionsfaktoren für die Kategorie 1.B.2.a.i ... 265
Tabelle 112: Emissionen der Kategorie 1.B.2.a.i ... 265
Tabelle 113: Fördermenge Erdöl in kt ... 266
Tabelle 114: Verwendete Emissionsfaktoren für die Förderung und Aufbereitung ... 266
Tabelle 115: Emissionen der Kategorie 1.B.2.a.ii ... 267
Tabelle 116: IEF Vergleich mit IPCC Default Werten ... 267

Tabelle 117: Transport von im Inland produziertem Rohöl in kt 268
Tabelle 118: Transport von importiertem Rohöl in kt..... 268
Tabelle 119: Transport von Rohöl mittels Binnentankschiffen in kt 268
Tabelle 120: Verwendete Aktivitätsraten und Emissionsfaktoren für die Kategorie 1.B.2.a.iii „Transport von Rohöl“ 268
Tabelle 121: Emissionen der Kategorie 1.B.2.a.iii 268
Tabelle 122: IEF Vergleich mit IPCC Default Werten 269
Tabelle 123: Verarbeitete Menge an Rohöl in kt 269
Tabelle 124: Auslastungsgrad der Raffinerien in kt 270
Tabelle 125: Rohöldestillationskapazität in Raffinerien, in kt..... 270
Tabelle 126: Lagerkapazität von Tanklagern in Raffinerien und Pipelineterminals, in Mio m^3 270
Tabelle 127: Lagerkapazität von raffineriefernen Tanklagern, in Mio m^3 270
Tabelle 128: Verwendete Emissionsfaktoren für die Kategorie 1.B.2.a.iii „Diffuse Emissionen in Raffinerien“ 270
Tabelle 129: Verwendeter Emissionsfaktor für die Kategorie 1.B.2.a.iii „Anodenherstellung in Raffinerien“ 270
Tabelle 130: Verwendete Emissionsfaktoren für die Kategorie 1.B.2.a.iii „Lagerung und Reinigung von Rohöl in Tanklagern von Raffinerien“ 270
Tabelle 131: Verwendete Emissionsfaktoren für die Kategorie 1.B.2.a.iii „Lagerung von flüssigen Mineralölprodukten in raffineriefernen Tanklagern“..... 270
Tabelle 132: Verwendete Emissionsfaktoren für die Kategorie 1.B.2.a.iii „Lagerung von gasförmigen Mineralölprodukten in raffineriefernen Tanklagern“ 271
Tabelle 133: Emissionen der Kategorie 1.B.2.a.iv 271
Tabelle 134: IEF Vergleich mit IPCC Default Werten 272
Tabelle 135: Tankstellenbestand in Deutschland, Anzahl 272
Tabelle 136: Verteilte Mengen an Mineralölprodukten, in kt 273
Tabelle 137: Transport von Mineralöl mittels Binnentankschiffen, in kt 273
Tabelle 138: Verwendete NMVOC Emissionsfaktoren für die Kategorie 1.B.2.a.v „Verteilung von Ottokraftstoffen“ 274
Tabelle 139: Verwendete NMVOC Emissionsfaktoren für die Kategorie 1.B.2.a.v „Verteilung von Dieselkraftstoffen“..... 274
Tabelle 140: Verwendete NMVOC Emissionsfaktoren für die Kategorie 1.B.2.a.v „Verteilung von leichtem Heizöl“ 274
Tabelle 141: Verwendete NMVOC Emissionsfaktoren für die Kategorie 1.B.2.a.v „Verteilung von Flugturbinenkraftstoffen“..... 274
Tabelle 142: Emissionen der Kategorie 1.B.2.a.v 274
Tabelle 143: Anwendungs- und Wirkungsgrad der 20. und 21. Bundesimmissionsschutzverordnung (BImSchV) an Tankstellen 275
Tabelle 144: Fördermenge Erdgas in Mio m^3 277
Tabelle 145: Verwendete Emissionsfaktoren für die Förderung für das Jahr 2015 278
Tabelle 146: Emissionen der Kategorie 1.B.2.b.ii..... 278
Tabelle 147: IEF Vergleich mit IPCC Default Werten 278
Tabelle 148: Schwefelproduktion aus der Erdgasgewinnung in Deutschland in kt 279
Tabelle 149: Verwendete Emissionsfaktoren für die Kategorie 1.B.2.b.iii „Aufbereitung“ 279
Tabelle 150: Emissionen der Kategorie 1.B.2.b.iii..... 280
Tabelle 151: IEF Vergleich mit IPCC Default Werten 280
Tabelle 152: Kohlendioxid-Emissionsfaktorvergleich..... 281
Tabelle 153: Länge der Hochdruckfernleitungen, in km 281

Tabelle 154: Unterirdische Gasspeichervolumina, Angaben in Milliarden Kubikmeter 281
Tabelle 155: Verwendete Methan-Emissionsfaktoren für die Kategorie 1.B.2.b.iv „Weiterleitung“ 282
Tabelle 156: Verwendete Kohlendioxid-Emissionsfaktoren für die Kategorie 1.B.2.b.iv „Weiterleitung“ 282
Tabelle 157: Emissionen der Kategorie 1.B.2.b.iv 282
Tabelle 158: IEF Vergleich mit IPCC Default Werten 283
Tabelle 159: Gasverteilungsnetz, Angaben in km 283
Tabelle 160: Anzahl Erdgasfahrzeuge in Deutschland 284
Tabelle 161: Emissionen der Kategorie 1.B.2.b.v 284
Tabelle 162: IEF Vergleich mit IPCC Default Werten 286
Tabelle 163: Verwendete Aktivitätsraten für die Kategorie 1.B.2.b.vi „diffuse Emissionen bei Erdgas-Anwendern“ 286
Tabelle 164: Verwendete Methan-Emissionsfaktoren für die Kategorie 1.B.2.b.vi „diffuse Emissionen bei Erdgas-Anwendern“ 286
Tabelle 165: Emissionen der Kategorie 1.B.2.b.vi 287
Tabelle 166: IEF Vergleich mit IPCC Default Werten 287
Tabelle 167: Verarbeitete Rohölmenge, in Mio. t 288
Tabelle 168: abgefackeltes Erdgas, in Mio. m³ 288
Tabelle 169: Verwendete Emissionsfaktoren für die Kategorie 1.B.2.c „Fackelemissionen bei der Erdgasförderung“ 289
Tabelle 170: Verwendete Emissionsfaktoren für die Kategorie 1.B.2.c „Fackelemissionen an Erdölförderanlagen“ 289
Tabelle 171: Verwendete Emissionsfaktoren für die Kategorie 1.B.2.c „Fackelemissionen an Raffinerien: Abfackelung-Normalbetrieb“ 289
Tabelle 172: Verwendete Emissionsfaktoren für die Kategorie 1.B.2.c „Fackelemissionen an Raffinerien: Abfackelung-Störung“ 289
Tabelle 173: Emissionen der Kategorie 1.B.2.c „Abfackelung und Entlüftung“ 290
Tabelle 174: IEF Vergleich mit IPCC Default Werten 291
Tabelle 175: Rückrechnung in der Kategorie 1.B - Methanemissionen in kt 293
Tabelle 176: Rückrechnung in der Kategorie 1.B - Kohlendioxidemissionen in kt 293
Tabelle 177: Produktion und CO_2-Emissionen der deutschen Zementindustrie 295
Tabelle 178: Produktion und CO_2-Emissionen der deutschen Kalkindustrie 298
Tabelle 179: Aktivitätsraten und prozessbedingte CO_2-Emissonen seit 1990, IEF über alle Glasarten 302
Tabelle 180: Glas: Aktivitätsraten der einzelnen Branchensektoren (Glassorten) 303
Tabelle 181: Scherbenanteil der einzelnen Glassorten 303
Tabelle 182: CO_2-Emissionsfaktoren für verschiedene Glassorten (berechnet im Vergleich mit Angaben der IPCC Guidelines 2006 304
Tabelle 183: Aktivitätsraten und prozessbedingte CO_2-Emissionen der keramischen Industrie (CRF 2.A.4.a) (gerundet, ggf. mit Abweichungen zwischen Einzelpositionen und Summe) 306
Tabelle 184: Aktivitätsraten und nutzungsbedingte CO_2-Emissonen außerhalb der Glasindustrie seit 1990 308
Tabelle 185: In Deutschland verwendete Emissionsfaktoren für sonstige Schadstoffe 329
Tabelle 186: Meldenummern der Produktionsstatistik 330
Tabelle 187: CO_2-Emissionen aus der Primärstahlerzeugung (einschließlich Gichtgasnutzung) 338

Tabelle 188: Kalksteineinsatz sowie Eigenerzeugung von Branntkalk in der Stahlindustrie und daraus resultierende CO_2-Emissionen 339
Tabelle 189: Insgesamt unter 2.C.1 zu berichtende prozessbedingte Emissionen 340
Tabelle 190: AR und prozessbedingte EF der Primäraluminiumproduktion im Jahr 2013 345
Tabelle 191: Herstellung und Verlegung von Dach- und Dichtungsbahnen mit Bitumen und dazugehörige AR und EF 363
Tabelle 192: Emissionsfaktoren bei der Herstellung Asphaltmischgut 364
Tabelle 193: Überblick über Methoden und verwendete Emissionsfaktoren für das aktuelle Berichtsjahr in der Kategorie 2.F.1 – *Kälte- und Klimaanlagen*. 370
Tabelle 194: Überblick über Methoden und verwendete Emissionsfaktoren für das aktuelle Berichtsjahr in den Kategorien 2.F.2 (Schaumherstellung), 2.F.3 (Feuerlöschmittel), 2.F.4 (Aerosole), 2.F.5 (Lösemittel) und 2.F.6 (Andere Anwendungen, die ODS-Ersatzstoffe verwenden) 371
Tabelle 195: Überblick über die durch Rekalkulationen hervorgerufenen Werteänderungen der Emissionen (EM) in der Unterquellgruppe Kälte- und Klimaanlagen (2.F.1) in der Produktion, Anwendung und Entsorgung von FKW-116, FKW-218, HFKW-125, HFKW-134a, HFKW-143a, HFKW-152a, HFKW-227ea, HFKW-23 und HFKW-32 in den Jahren 1993 bis 2014 393
Tabelle 196: Überblick über Methoden und verwendete Emissionsfaktoren für das aktuelle Berichtsjahr in den Kategorien 2.G.1 (Elektrische Betriebsmittel), 2.G.2 (SF_6 und FKW aus sonstiger Produktverwendung) und 2.G.4 (ORC-Anlagen & Anwendung von Holzkohle) 410
Tabelle 197: Inventardaten 2015 der Kategorie 2.G.1 mit Unterkategorien 413
Tabelle 198: SF_6-Bestand in Teilchenbeschleunigern in 5 Anwendungssektoren 1995-2010, in t . 417
Tabelle 199: SF_6-Emissionen aus Teilchenbeschleunigern nach fünf Anwendungsbereichen von 1995 bis 2010, in t 417
Tabelle 200: SF_6-Emissionsfaktoren von Teilchenbeschleunigern in fünf Anwendungsbereichen 1995-2010, in % des SF_6-Bestands 417
Tabelle 201: IPCC Default Emissionsfaktoren für SO_2, NO_x CO, NMVOC aus der Produktion von Zellstoff 434
Tabelle 202: Reale Emissionsfaktoren der deutschen Anlagen aus der Produktion von Zellstoff. (deutscher Beitrag zur Revision des BVT-Merkblattes für die Papier und Zellstoffindustrie 2007) 434
Tabelle 203: Zellstoff- und Papierherstellung, produzierte Mengen 434
Tabelle 204: Aktualisierte Aktivitätsdaten der Spanplattenindustrie 435
Tabelle 205: Überblick über freiwillig berichtete fluorierte Treibhausgase, ihre Treibhausgaspotenziale (GWP) und ihre Anwendungsbereiche 438
Tabelle 206: Aggregat der Treibhausgasemissionen der zusätzlichen, nichtberichtspflichtigen Treibhausgase HFKW-1234yf, HFKW-1234ze, HCFE-235da2, HFE-236ea2, HFE-347mmz1 und PFPE/PFPMIE 438
Tabelle 207: CRF-Tierkategorien und die für die deutsche Emissionsberichterstattung verwendete Unterteilung (3.A, 3.B) 444
Tabelle 208: Zahl der in die deutsche Berichterstattung eingehenden Tierplätze (3.A, 3.B) in 1.000 448
Tabelle 209: Mittlere Tiergewichte (3.A, 3.B) 450
Tabelle 210: Mittlere tägliche Milchleistung bei Milchkühen (3.A) 450
Tabelle 211: Mittlere tägliche Gesamtenergie-Aufnahme (GE) (3.A) 451
Tabelle 212: Tägliche Trockenmasseaufnahme 452

Tabelle 213: Verdaulichkeit von organischer Substanz im Futter (3.A) 452
Tabelle 214: Aschegehalt des Futters 452
Tabelle 215: N-Ausscheidungen pro Tierplatz und Jahr (3.B(b)) 453
Tabelle 216: Jährliche N-Ausscheidungen, aufgeteilt nach Wirtschaftsdünger-Managementsystemen (3.B(b)) und Weidegang (3.D) 453
Tabelle 217: Tägliche VS-Ausscheidung für Milchkühe, übrige Rinder, Schweine und Geflügel (3.B(a)) 454
Tabelle 218: Tägliche VS-Ausscheidungen für Schafe, Ziegen und Pferde (3.B(a)) 454
Tabelle 219: Güllebasierte Systeme ohne Vergärung, in % des ausgeschiedenen VS (3.B(a)) 456
Tabelle 220: Strohbasierte Systeme ohne Vergärung, in % des ausgeschiedenen VS (3.B(a)) 456
Tabelle 221: Tiefstreu ohne Vergärung, in % des ausgeschiedenen VS (3.B(a)) 456
Tabelle 222: Alle Systeme mit Vergärung, in % des ausgeschiedenen VS (3.B(a)) 456
Tabelle 223: Weide, in % des ausgeschiedenen VS (3.B(a)) 456
Tabelle 224: Jahressummen des N-Eintrags durch Einstreu in strohbasierten Systemen 456
Tabelle 225: Maximale Methan-Bildungskapazität B_o (3.B(b)) 457
Tabelle 226: Maximale Methan-Bildungskapazität B_o für Geflügel (3.B(b)) 457
Tabelle 227: Methan-Umwandlungsfaktoren *MCF* (in Prozent von B_o) für Rinder (3.B(a)) 458
Tabelle 228: Methan-Umwandlungsfaktoren *MCF* (in Prozent von B_o) für Schweine (3.B(a)) 458
Tabelle 229: Mittlere Methan-Umwandlungsfaktoren *MCF* (in Prozent von B_o) für güllebasierte Systeme ohne Vergärung (3.B(a)) 458
Tabelle 230: Methan-Umwandlungsfaktoren MCF (in Prozent von B_o) für Ziegen, Schafe, Pferde und Geflügel (3.B(a)) 458
Tabelle 231: Relative Anteile des in die Vergärung gehenden Wirtschaftsdüngers (in % der ins Lager gehenden N-Mengen) 460
Tabelle 232: Methan-Umwandlungsfaktoren für das Vorlager (in Prozent von B_o) 460
Tabelle 233: Anteile der Lagerung von Wirtschaftsdünger-Gärresten in gasdichten und nicht gasdichten Lagern (in Prozent der in Biogasanlagen eingesetzten N-Mengen) 461
Tabelle 234: Mittlere Methan-Umwandlungsfaktoren MCF (in Prozent von B_o) für Wirtschaftsdüngersysteme mit Vergärung (3.B(a)) 461
Tabelle 235: Berechnung der N_2O-Emissionen aus der Vergärung 462
Tabelle 236: N_2O-N-Emissionsfaktoren für Vorlager und Gärrestelager 462
Tabelle 237: Gesamte Trockenmasse der in Biogasanlagen eingesetzten Energiepflanzen 464
Tabelle 238: Gesamte VS-Menge der in Biogasanlagen eingesetzten Energiepflanzen 464
Tabelle 239: Gesamte N-Menge der in Biogasanlagen eingesetzten Energiepflanzen 464
Tabelle 240: Anteil der Lagerung von Energiepflanzen-Gärresten in gasdichten und nicht gasdichten Lagern (in Prozent der zur Vergärung eingesetzten Frischmasse) 465
Tabelle 241: Den direkten N_2O-Emissionen aus landwirtschaftlichen Böden zugrunde liegende N-Mengen (3.D) 466
Tabelle 242: Flächen der bewirtschafteten organischen Böden (3.D) 466
Tabelle 243: Sektoren 3.B und 3.J: Reaktiver Stickstoff aus der Deposition von NH_3 und NO 467
Tabelle 244: Sektor 3.D: Reaktiver Stickstoff aus der Deposition von NH_3 und NO 467
Tabelle 245: Ausgewaschene N-Menge (incl. Oberflächenabfluss) (3.D) 467
Tabelle 246: Düngekalkmengen (3.G) 468
Tabelle 247: Harnstoffanwendung einschließlich Ammoniumnitrat-Harnstoff-Lösung (3.H) 468
Tabelle 248: Eingangsdaten für die Berechnung von NMVOC-Emissionen aus landwirtschaftlichen Kulturen (Übersicht) 469
Tabelle 249: Gesamtunsicherheitsberechnung für die Emissionen des Sektors 3 (Tierhaltung, Nutzung landwirtschaftlicher Böden) incl. Energiepflanzen-Vergärung 471

Tabelle 250: Methan-Umwandlungsfaktoren für Schweine DÄMMGEN et al. (2012c) (3.A) 477
Tabelle 251: Tierplatzbezogene CH_4-Emissionsfaktoren, Verdauung (3.A) 477
Tabelle 252: Tier-1-Emissionsfaktoren für CH4 aus der Verdauung bei Schafen, Ziegen und Pferden (3.A) 477
Tabelle 253: CH_4-Emissionen aus der Verdauung (3.A) 478
Tabelle 254: Methan-Emissionen aus der Verdauung bei Milchkühen verschiedener Länder im Vergleich des impliziten Emissionsfaktors (IEF) für das Zeitreihenjahr 2014 479
Tabelle 255: Methan-Emissionen aus der Verdauung bei übrigen Rindern und Schweinen verschiedener Länder im Vergleich des impliziten Emissionsfaktors (IEF) für das Zeitreihenjahr 2014 480
Tabelle 256: Vergleich der 2017 und 2016 berichteten mittleren täglichen Gesamtenergie-Aufnahme für Milchkühe, übrige Rinder und Schweine (3.A) 480
Tabelle 257: Vergleich der 2017 und 2016 berichteten tierplatzbezogenen CH_4-Emissionsfaktoren (Verdauung) für Milchkühe, übrige Rinder und Schweine (3.A) .. 480
Tabelle 258: Vergleich der 2017 und 2016 berichteten CH_4-Emissionen (Verdauung) für alle Säugetiere, Milchkühe, übrige Rinder, Schweine und Schafe (3.A) 481
Tabelle 259: Tierplatzbezogene CH_4-Emissionsfaktoren, Wirtschaftsdünger-Management (3.B(a)) 484
Tabelle 260: CH_4-Emissionen aus dem Wirtschaftsdünger-Management(3.B(a)) 484
Tabelle 261: CH_4-Emissionen aus dem Wirtschaftsdünger-Management für Milchkühe, übrige Rinder und Schweine 484
Tabelle 262: Durch Wirtschaftsdünger-Vergärung verursachte absolute und prozentuale Einsparung von CH_4-Emissionen gegenüber einer Situation ohne Vergärung und Gärrestelagerung 485
Tabelle 263: CH_4-Emissionen aus der Lagerung von Wirtschaftsdüngern bei Milchkühen verschiedener Länder im Vergleich des impliziten Emissionsfaktors (IEF) und wichtiger emissionsrelevanter Parameter für das Jahr 2014 486
Tabelle 264: CH_4-Emissionen aus der Lagerung von Wirtschaftsdüngern bei übrigen Rindern verschiedener Länder im Vergleich des impliziten Emissionsfaktors (IEF) und wichtiger emissionsrelevanter Parameter für das Jahr 2014 487
Tabelle 265: CH_4-Emissionen aus der Lagerung von Wirtschaftsdüngern bei Schweinen verschiedener Länder im Vergleich des impliziten Emissionsfaktors (IEF) und wichtiger emissionsrelevanter Parameter für das Jahr 2014 487
Tabelle 266: CH_4-Emissionen aus der Lagerung von Wirtschaftsdüngern bei Geflügel verschiedener Länder im Vergleich des impliziten Emissionsfaktors (IEF) und wichtiger emissionsrelevanter Parameter für das Jahr 2014 488
Tabelle 267: Vergleich der 2017 und 2016 berichteten VS-Ausscheidungen (3.B(a)) 489
Tabelle 268: Vergleich der im 2017 und 2016 berichteten tierplatzbezogenen CH_4-Emissionsfaktoren für das Wirtschaftsdünger-Management (3.B(a)) 489
Tabelle 269: Vergleich der 2017 und 2016 berichteten CH_4-Emissionen aus dem Wirtschaftsdünger-Management (3.B(a)) 489
Tabelle 270: Im Inventar verwendete NMVOC-Emissionsfaktoren nach EMEP (2013) 490
Tabelle 271: NMVOC-Emissionen aus dem Wirtschaftsdünger-Management 491
Tabelle 272: Emissionsfaktoren für Emissionen von N_2O-N aus dem Wirtschaftsdünger-Management, ohne Vergärung (bezogen auf die Summe von ausgeschiedenem N und Einstreu-N) (3.B(b)) 493
Tabelle 273: Mittlere N_2O-N-Emissionsfaktoren nach Wirtschaftsdünger-Managementsystemen (3.B(b)) 494

Tabelle 274: Direkte N_2O-Emissionen aus dem Wirtschaftsdünger-Management (MM) insgesamt und nach Systemkategorien (3.B(b)) 494
Tabelle 275: Direkte N_2O-Emissionen aus dem Wirtschaftsdünger-Management von Milchkühen, übrigen Rindern und Schweinen (3.B(b)) 494
Tabelle 276: Durch Wirtschaftsdünger-Vergärung verursachte absolute und prozentuale Einsparung von direkten N_2O-Emissionen gegenüber einer Situation ohne Vergärung und Gärrestelagerung (negative Werte: Zunahme der Emissionen) 495
Tabelle 277: NO-Emissionen aus dem Wirtschaftsdünger-Management 495
Tabelle 278: N-Ausscheidung pro Tierplatz für Milchkühe, übrige Rinder, Schweine und Geflügel verschiedener Länder im Jahr 2014 496
Tabelle 279: IEFs der direkten N_2O-Emissionen aus dem Wirtschaftsdünger-Management für Milchkühe, übrige Rinder, Schweine und Geflügel verschiedener Länder im Jahr 2014 497
Tabelle 280: Vergleich der 2017 und 2016 berechneten direkten Gesamt-N_2O-Emissionen aus dem Wirtschaftsdünger-Management 497
Tabelle 281: Vergleich der 2017 und 2016 berechneten Gesamt-N-Ausscheidungen (siehe Kapitel 5.1.3.4) 497
Tabelle 282: Vergleich der 2017 und 2016 berechneten Gesamt-NO-Emissionen aus dem Wirtschaftsdünger-Management 497
Tabelle 283: Indirekte N_2O-Emissionen als Folge der Deposition von NH_3 und NO aus dem Wirtschaftsdünger- Management (Submission 2017 und Resubmission 2016) 499
Tabelle 284: Mittlere N_2O-N-Emissionsfaktoren für bewirtschaftete organische Böden 501
Tabelle 285: Emissionsfaktoren EF_{NO} für NO-N-Emissionen aus landwirtschaftlichen Böden 502
Tabelle 286: NMVOC-Emissionsfaktoren für landwirtschaftliche Kulturen 502
Tabelle 287: $Frac_{GASF}$ (3.D) 503
Tabelle 288: $Frac_{GASM}$ (3.D) 503
Tabelle 289: Übersicht über die N_2O-Emissionen aus landwirtschaftlich genutzten Böden (3.D) . 503
Tabelle 290: NO-Emissionen aus landwirtschaftlich genutzten Böden 504
Tabelle 291: NMVOC-Emissionen aus landwirtschaftlichen Kulturen 504
Tabelle 292: Vergleich der deutschen N_2O-N-IEF-Werte mit denen benachbarter Staaten, Jahr 2014 505
Tabelle 293: Vergleich der deutschen Frac-Größen mit denen benachbarter Staaten, Jahr 2014 506
Tabelle 294: Gesamt-N_2O aus landwirtschaftlich genutzten Böden 2017 und 2016 (3.D) 507
Tabelle 295: Differenzen 2017 –2016 für die gesamten N_2O-Emissionen aus der Nutzung landwirtschaftlicher Böden sowie separat für relevante Teilbereiche (3.D) 507
Tabelle 296: Vergleich der Gesamt-NO aus landwirtschaftlich genutzten Böden (3.D) 507
Tabelle 297: CO_2-Emissionen aus der Düngekalkung (3.G) 509
Tabelle 298: CO_2-Emissionen aus der Harnstoffanwendung (3.H) 509
Tabelle 299: CH_4-Emissionsfaktor für die Vergärung von Energiepflanzen (Fermenter und Gärrestelager), bezogen auf die mit den Energiepflanzen eingebrachte Trockenmasse 511
Tabelle 300: CH_4-Emissionen aus der Vergärung von Energiepflanzen (Fermenter und Gärrestelager) 511
Tabelle 301: Effektiver N_2O-N-Emissionsfaktor für direkte N_2O-Emissionen aus der Vergärung von Energiepflanzen (Gärrestelager), bezogen auf die mit den Energiepflanzen eingebrachte N-Menge 511
Tabelle 302: N_2O-Emissionen aus der Lagerung von Energiepflanzen-Gärresten 512

Tabelle 303: NO-Emissionen aus der Lagerung von Energiepflanzen-Gärresten 512
Tabelle 304: THG-Emissionen aus der Vergärung von Energiepflanzen (Fermenter und Gärrestelager) 2017 und 2016 (3.J) 512
Tabelle 305: Zuordnung der deutschen Berichtskategorien zu den IPCC-Landnutzungskategorien 518
Tabelle 306: Mittlere Kohlenstoffvorräte in Mineralböden Deutschlands in Abhängigkeit von der Landnutzung [t C ha^{-1}] sowie daraus abgeleitete Kohlenstoffvorratsunterschiede nach Landnutzungsänderung für das Jahr 2015 521
Tabelle 307: Implizierte Emissionsfaktoren [t C ha^{-1} a^{-1}] zur Ermittlung jährlicher Kohlenstoffvorratsunterschiede in Mineralböden Deutschlands nach Landnutzungsänderung für das Jahr 2015 522
Tabelle 308: Emissionsfaktoren für direkte Lachgasemissionen [kg N_2O ha^{-1} a^{-1}] infolge von Verlusten an organischer Substanz aus Mineralböden Deutschlands nach Landnutzungsänderung für das Jahr 2015 523
Tabelle 309: Emissionsfaktoren für indirekte Lachgasemissionen [kg N_2O ha^{-1} a^{-1}] infolge von Verlusten an organischer Substanz aus Mineralböden Deutschlands nach Landnutzungsänderung für das Jahr 2015 523
Tabelle 310: Flächen organischer Böden nach Landnutzungskategorien und den Anteil der drainierten Flächen für das Jahr 2015 (3.D, 4.A- 4.E; 4.(II)) 525
Tabelle 311: Emissionsfaktoren für CO_2-$C_{organic_drained}$ aus drainierten organischen Böden in allen Landnutzungskategorien (4.A- 4.E; 4(II)) 526
Tabelle 312: Emissionsfaktoren für $CH_{4_organic}$ aus drainierten organischen Böden in allen Landnutzungskategorien (4.A- 4.E; 4(II)) 526
Tabelle 313: Emissionsfaktoren für N_2O aus drainierten organischen Böden in allen Landnutzungskategorien (3.D, 4.A- 4.E; 4(II)) 527
Tabelle 314: Implizite Emissionsfaktoren für CO_2-C, CH_4 und N_2O-N aus organischen Böden (4.A- 4.E; 4(II)) für das Jahr 2015 527
Tabelle 315: Emissionsfaktoren [t C ha^{-1} a^{-1}] zur Ermittlung der Kohlenstoffvorratsunterschiede im Jahr der Umwandlung in der ober- und unterirdischen Biomasse nach Landnutzungsänderung für das Jahr 2015 530
Tabelle 316: Zeitreihe der mittleren Kohlenstoffvorräte in der Phytomasse von Entwaldungsflächen [t C ha^{-1}] 531
Tabelle 317: Flächenbezogener Kohlenstoffvorrat [t C ha^{-1} ± Hälfte des 95 % Konfidenzintervalls] krautiger Phytomasse auf Acker- und Gartenbauland sowie deren prozentuale Veränderung gegenüber der vorherigen Submission 533
Tabelle 318: Flächenbezogener Kohlenstoffvorrat [t C ha^{-1}] der Phytomasse auf Grünland im engeren Sinne (± Hälfte des 95 % Konfidenzintervalls) 534
Tabelle 319: Flächenbezogener Kohlenstoffvorrat [t C ha^{-1}] von Grünland im engeren Sinne (± Hälfte des 95 % Konfidenzintervalls) 534
Tabelle 320: Ergebnisse der Obstbaumvollerhebung 2007 durch das STATISTISCHES BUNDESAMT 2007 537
Tabelle 321: Flächenbezogene Kohlenstoffvorräte [t C ha^{-1}] (± Hälfte des 95 % Konfidenzintervalls) in der Biomasse von Obstgehölzen Deutschlands 537
Tabelle 322: Flächenbezogener Kohlenstoffvorrat [t C ha^{-1} ± Hälfte des 95 % Konfidenzintervalls] der Weinstockbiomasse Deutschlands 539
Tabelle 323: Flächenbezogener Kohlenstoffvorrat [t C ha^{-1}] (± Hälfte des 95 % Konfidenzintervalls)] der Weihnachtsbaumbiomasse Deutschlands 539

Tabelle 324: Herleitung des mittleren flächenbezogenen Kohlenstoffvorrats [$Mischwert_{Baumschulen}$ in t C ha^{-1} ± Hälfte des 95 % Konfidenzintervalls] in der Biomasse von Baumschulen ... 540
Tabelle 325: Mittlere, flächenbezogene Kohlenstoffvorräte [t C ha^{-1}] sowie 97,5%- und 2,5%-Perzentile [%] in der Biomasse von Kurzumtriebsplantagen ... 541
Tabelle 326: Ermittlung des flächengewichteten Kohlenstoffvorrates [t C ha^{-1}] für Ackerlandgehölze in Deutschland zu den statistischen Erhebungsterminen (KV 2 ± Hälfte des 95 % Konfidenzintervalls) ... 541
Tabelle 327: Flächengewichteter Mischwert des Kohlenstoffvorrates der Biomasse [t C ha^{-1}] für perennierende Ackerlandgehölzflächen in Deutschland (C-Vorrat der ober- und unterirdischen Biomasse sowie gesamter C-Vorrat ± Hälfte des 95 % Konfidenzintervalls) und deren Veränderung [%] gegenüber der Vorjahressubmission ... 542
Tabelle 328: Flächenbezogener Kohlenstoffvorrat [t ha^{-1} (95 %-Konfidenzintervall)] in der Biomasse von Gehölzen ... 544
Tabelle 329: Zuordnung von Hauptobjektartenschlüsselnummern und Attributen des ATKIS® zu den IPCC-Landnutzungskategorien ... 547
Tabelle 330: Unterteilung der Landnutzungskategorie Feuchtgebiete gemäß 2006 IPCC Guidelines sowie Zuordnung der Gewässer- und terrestrischen Feuchtgebietsflächen [ha] Deutschlands in die entsprechenden Unterkategorien für das Jahr 2015 ... 551
Tabelle 331: Gegenüberstellung der Straten „Mineralische Böden“ und „Organische Böden“ ... 554
Tabelle 332: Basistabelle zur Ableitung der Landnutzungen ... 562
Tabelle 333: Kodierungen in der Basistabelle ... 562
Tabelle 334: Wahrscheinlichste Landnutzung (LU) und deren Datenquelle (DB) ... 564
Tabelle 335: Landnutzungsänderungen (LUC) inklusive 20-jähriger Transition Time nach der Konventionsberichterstattung ... 565
Tabelle 336: Landnutzungsmatrix 2015. Die Diagonale zeigt die Fläche in verbleibender Nutzung, die anderen Felder die jeweiligen Landnutzungsänderungen (einschließlich 20-jähriger Übergangszeiten) ... 566
Tabelle 337: Jährliche Flächen der Landnutzungsänderungen, die den Berechnungen für das Inventar nach Koventionsberichterstattung (20-jährige Übergangszeit) und Kyoto Protokoll (kumulative Flächenänderung) zugrunde liegen ... 567
Tabelle 338: Acker und Grünland bzw. landwirtschaftliche Flächen je nach Datenquelle [kha] ... 570
Tabelle 339: Emissionen im Waldbereich für das Jahr 2015 ... 571
Tabelle 340: Koeffizienten der Biomassefunktion für Bäume >= 10 cm BHD ... 579
Tabelle 341: Koeffizienten der Biomassefunktion für Bäume >= 1,3 m Höhe und < 10 cm BHD ... 579
Tabelle 342: Koeffizienten der Biomassefunktion für Bäume < 1,3 m Höhe ... 579
Tabelle 343: Wurzelprozent und Raumdichten zur Konvertierung der Datenspeicher Waldfonds-Daten ... 580
Tabelle 344: Volumensexpansionsfaktoren zur Konvertierung von Derbholzvolumen + unterirdischem Volumen zum Baumholzvolumen der Datenspeicher Waldfonds-Daten ... 580
Tabelle 345: 581
Tabelle 346: Biomasse Expansionsfaktoren (BEF) und deren Fehler (RMSE%) für die Baumartenklassen und Zersetzungsgrade (NDH = Nadelbäume, LBH = Laubbäume, EI = Eiche) ... 585

Tabelle 347: Implizierte Emissionsfaktoren (IEF) (Kohlenstoff) für Streu der Landnutzungskategorien zu Neuwald 587
Tabelle 348: In den Inventuren BZE I und BZE II ermittelte Kohlenstoffvorräte in der Streu deutscher Wälder mit Angabe des Standardfehlers (Grueneberg et al. 2014) 588
Tabelle 349: Zusammengefasste Legendeneinheiten auf Grundlage der BÜK 1000 590
Tabelle 350: Kohlenstoffvorräte zum Zeitpunkt der BZE I und BZE II in den neugebildeten Leitbodeneinheiten (Grueneberg et al. 2014) 592
Tabelle 351: Implizierte Emissionfaktoren (IEF) (Kohlenstoff) für organische Böden 593
Tabelle 352: Implizierte Emissionfaktoren (IEF) (Methan und Stickstoff) für organische Böden ... 593
Tabelle 353: Durch Waldbrände emittierte Treibhausgase 596
Tabelle 354: Unsicherheiten der Emissionsfaktoren für die lebende Biomasse der verbleibenden Waldfläche für unterschiedliche Perioden 598
Tabelle 355: Unsicherheiten der Emissionsfaktoren für die lebende Biomasse auf Aufforstungsflächen für unterschiedliche Perioden 599
Tabelle 356: Unsicherheiten der Emissionsfaktoren für die lebende Biomasse auf Entwaldungsflächen für unterschiedliche Perioden 599
Tabelle 357: Unsicherheiten der Emissionsfaktoren für Totholz der verbleibenden Waldfläche für unterschiedliche Perioden 600
Tabelle 358: Unsicherheiten der Emissionsfaktoren für Totholz auf Aufforstungsflächen zwischen 1990 und 2015 600
Tabelle 359: Unsicherheiten der Emissionsfaktoren für Totholz auf Entwaldungsflächen für verschiedene Perioden 600
Tabelle 360: Kohlenstoffvorratsveränderung der lebenden Biomasse verschiedener Länder (Deutschland für 2014 &2015, übrige Länder für 2014) 606
Tabelle 361: Kohlenstoffvorratsveränderung der toten organischen Masse verschiedener Länder (Deutschland für 2014 & 2015, übrige Länder für 2014) 606
Tabelle 362: Kohlenstoffvorratsveränderung der mineralischen Böden verschiedener Länder (Deutschland für 2014 &2015, übrige Länder für 2014) 607
Tabelle 363: Kohlenstoffvorratsveränderung der organischen Böden verschiedener Länder (Deutschland für 2014 & 2015, übrige Länder für 2014) 607
Tabelle 364: Gegenüberstellung der Emissionen der Submission 2016 und 2017 608
Tabelle 365: CO_2-, N_2O- und CH_4-Emissionen [kt CO_2-Eq.] aus dem Ackerland Deutschlands 2015. Dargestellt sind Summen sowie obere und untere Schranke des 95 % - Konfidenzintervalls 609
Tabelle 366: Mittlerer flächengewichteter Kohlenstoffvorrat [Mg C ha-1 ± Hälfte des 95 % Konfidenzintervalls] der Phytomasse auf Ackerland in Deutschland sowie deren prozentuale Veränderung gegenüber der Submission 2016 613
Tabelle 367: Flächen [ha] perennierender Gehölzkulturen im Ackerland Deutschlands (nach STATISTISCHES BUNDESAMT div. Jgg.) 614
Tabelle 368: Unsicherheiten von Emissionsfaktoren [2,5 %- und 97,5 %-Perzentil in % vom Lagemaß] zur Berechnung der THG-Emissionen aus dem Ackerland Deutschlands 2015, unterschieden nach Pools und Unterkategorien 619
Tabelle 369: Unsicherheiten von Emissionsfaktoren [2,5 %- und 97,5%-Perzentil in % vom Lagemaß] aus organischen Böden für Ackerland im Jahr 2015 620
Tabelle 370: Vergleich impliziter Emissionsfaktoren (IEF) unterschiedlicher Pools in der Landnutzungskategorie Ackerland innerhalb Europas (Deutschland für 2014 & 2015, übrige Länder für 2014) 621

Tabelle 371: Vergleich der 2017 und 2016 berichteten Flächen [kha] und Treibhausgasemissionen [kt CO_2-Eq.] mit der Phytomasse aus verbleibendem Ackerland (4.B.1) 622
Tabelle 372: Vergleich der 2017 und 2016 berichteten Treibhausgasemissionen [kt CO2-Eq.] mit der Phytomasse infolge Landnutzungsänderungen zu Ackerland (4.B.2) 622
Tabelle 373: CO_2-, N_2O- und CH_4-Emissionen [kt CO_2-Eq.] aus dem Grünland Deutschlands 2015, unterschieden nach Unterkategorien. Dargestellt sind Summen sowie obere und untere Schranke des 95 % - Konfidenzintervalls 624
Tabelle 374: Emissionsfaktoren [t C ha^{-1} a^{-1}] mit Unsicherheiten [% vom Lagemaß] zur Berechnung der THG- Emissionen 2015 aus Grünland i. e. S. 630
Tabelle 375: Unsicherheiten von Emissionsfaktoren [2,5 %- und 97,5%-Perzentil in % vom Lagemaß] aus organischen Böden für Grünland i. e. S. im Jahr 2015 631
Tabelle 376: Emissionsfaktoren [t C ha^{-1} a^{-1}] mit Unsicherheiten [% vom Lagemaß] zur Berechnung der THG- Emissionen 2015 aus Gehölzflächen 631
Tabelle 377: Unsicherheiten von Emissionsfaktoren [2,5 %- und 97,5%-Perzentil in % vom Lagemaß] aus organischen Böden für Gehölze im Jahr 2015 632
Tabelle 378: Vergleich implizierter Emissionsfaktoren (IEF) unterschiedlicher Pools im Grünlandsektor innerhalb Europas (Deutschland für 2014 & 2015, übrige Länder für 2014) 633
Tabelle 379: Vergleich der 2017 und 2016 berichteten Flächen [kha] und Emissionen [kt CO_2-Eq.] aus Landnutzungsänderungen zu Grünland (4.C.2) 634
Tabelle 380: CO_2-, N_2O- und CH_4-Emissionen [kt CO_2-Eq.] aus Feuchtgebieten Deutschlands 2015. Dargestellt sind Summen sowie obere und untere Schranken der 95 % - Konfidenzintervalle 635
Tabelle 381: Flächenbezogener Kohlenstoffvorrat [t ha^{-1}] für Biomasse in terrestrischen Feuchtgebieten Deutschlands (95%-Konfidenzintervall) sowie dessen Veränderung [%] gegenüber der Submission 2016 638
Tabelle 382: Implizierte Emissionsfaktoren (IEF) [t CO_2-Eq. ha^{-1} a^{-1}] und Emissionen [kt CO_2-Eq.] für den Torfabbau in Deutschland 639
Tabelle 383: Emissionsfaktoren mit Unsicherheiten [in % vom Lagemaß] zur Berechnung der THG-Emissionen aus Feuchtgebieten 2015, unterschieden nach Pools und Unterkategorien 641
Tabelle 384: Unsicherheiten von Emissionsfaktoren [2,5 %- und 97,5%-Perzentil in % vom Lagemaß] aus organischen Böden für Feuchtgebiete und Torfabbau im Jahr 2015 642
Tabelle 385: Vergleich implizierter Emissionsfaktoren (IEF) unterschiedlicher Pools in der Landnutzungskategorie Feuchtgebiete innerhalb Europas (Deutschland für 2014 & 2015, übrige Länder für 2014) 643
Tabelle 386: Vergleich der 2017 und 2016 berichteten Flächen [kha] und Emissionen [kt CO2] aus verbleibenden Feuchtgebieten 644
Tabelle 387: Vergleich der 2017 und 2016 berichteten Flächen [kha] und Emissionen [kt CO_2] aus Landnutzungsänderungen zu Feuchtgebieten 644
Tabelle 388: CO_2-, N_2O- und CH_4-Emissionen [kt CO_2-Eq.] aus Siedlungsflächen Deutschlands 2015. Dargestellt sind Summen sowie obere und untere Schranke des 95 % - Konfidenzintervalls 645
Tabelle 389: Flächenbezogener Kohlenstoffvorrat [t C ha^{-1}] von Biomasse auf Siedlungsflächen (95%-Konfidenzintervall) 648

Tabelle 390: Unsicherheiten von Emissionsfaktoren [in % vom Lagemaß] zur Berechnung der Treibhausgasemissionen aus Siedlungs- und Verkehrsflächen Deutschlands 2015, unterschieden nach Pools und Unterkategorien 649
Tabelle 391: Unsicherheiten von Emissionsfaktoren [2,5 %- und 97,5%-Perzentil in % vom Lagemaß] aus organischen Böden für Siedlungen im Jahr 2015 649
Tabelle 392: Vergleich implizierter Emissionsfaktoren (IEF) unterschiedlicher Pools im Siedlungssektor innerhalb Europas (Deutschland für 2014 & 2015, übrige Länder für 2014) 650
Tabelle 393: Vergleich der 2017 und 2016 berichteten Gesamt- und Biomasseemissionen [kt CO2] aus Landnutzungsänderungen zu Siedlungsflächen 651
Tabelle 394: Jährlicher Anteil des Einschlags aus verbleibender Waldfläche 654
Tabelle 395: Gegenüberstellung von Änderungen verwendeter Produktionsdatensätze in der Statistik FAOSTAT 2016 (FAO 2016) 656
Tabelle 396: Gegenüberstellung der Änderungen der Submission 2016 und 2017 zu HWP Netto-CO_2-Emissionen 656
Tabelle 397: Mengen an biologisch abbaubaren Abfällen, die zwischen 2002 und 2014 deponiert wurden, aufgeteilt nach Abfallfraktionen 665
Tabelle 398: Pro-Kopf-Mengen an deponierten Hausmüll 666
Tabelle 399: Pro-Kopf Mengen an Siedlungsabfall 666
Tabelle 400: Verwendete DOC-Werte 667
Tabelle 401: Anteil CH_4 am Deponiegas 667
Tabelle 402: Halbwertszeiten und konstante Methanerzeugungsrate der Abfallfraktionen 668
Tabelle 403: Methanfassung auf Deponien 669
Tabelle 404: In Bioabfallkompostierungsanlagen eingesetzte Abfallmengen 672
Tabelle 405: In Bioabfallvergärungsanlagen eingesetzte Abfallmengen 674
Tabelle 406: Verwertung von Klärschlamm 681
Tabelle 407: Vergleich NEFFLUENT (indirekte Emissionen) nach IPCC Guidelines 2006, modifizierte IPCC 2006, DWA und (UBA, 2014); (kt N/Jahr) 688
Tabelle 408: Zeitreihe der CH_4-Emissionen aus der Industrieabwasserreinigung 693
Tabelle 409: Berechnung des TOW für das Jahr 2015, Direkteinleiter 693
Tabelle 410: Ergebnisse der Rückrechnung für TOW aus der industriellen Abwasserreinigung: Chemische Industrie. 695
Tabelle 411: Ergebnisse der Rückrechnung für TOW aus der industriellen Abwasserreinigung: Papier und Pappe. 695
Tabelle 412: Ergebnisse der Rückrechnung für TOW aus der industriellen Abwasserreinigung: Nahrungsmittelindustrie. 695
Tabelle 413: Unsicherheiten der mittleren spezifischen Stickstofffracht der 4 relevantesten Industriebereiche 698
Tabelle 414: Ergebnisse der Rückrechnung für N_2O aus der industriellen Abwasserreinigung. 699
Tabelle 415: Emissionen der MBA 703
Tabelle 416: Eigentliche Allokation der Nichttreibhausgase unter CRF 6 704
Tabelle 417: Übersicht der von Rückrechnungen betroffenen CRF-Oberkategorien 708
Tabelle 418: durch Rückrechnungen bedingte relative Änderungen gegenüber der vorjährigen Berichterstattung 708
Tabelle 419: durch Rückrechnungen bedingte absolute und prozentuale Veränderungen der nationalen Gesamtemissionen (ohne LULUCF) ggü. der vorjährigen Berichterstattung 710

Tabelle 420: durch Rückrechnungen bedingte prozentuale Veränderungen der nachrichtlichen Inventardaten gegenüber der vorjährigen Berichterstattung 710
Tabelle 421: Rückrechnung der CRF-spezifischen Gesamtemission über alle Treibhausgase 1990..... 711
Tabelle 422: Rückrechnung der CRF-spezifischen THG-Gesamtemissionen 2014, in kt CO_2-Äquivalenten 712
Tabelle 423: Rückrechnung der Gesamtemissionen 1990 über alle Treibhausgase, in kt CO_2-Äquivalenten 713
Tabelle 424: Rückrechnung der KP-LULUCF-Gesamtemission über alle Treibhausgase 2013 714
Tabelle 425: Zusammenstellung der mit der aktuellen Berichterstattung erledigten Review-Empfehlungen 715
Tabelle 426: Zusammenfassung der mit der aktuellen Berichterstattung erledigten und der offenen in den NIR-Kategoriekapiteln genannten geplanten Verbesserungen..... 718
Tabelle 427: Implementing Regulation Article 9: Reporting on implementation of recommendations and adjustments, Article 9.1 722
Tabelle 428: Neuberechnung der Basisjahr-Emissionen, in kt CO_2-Äquivalenten 728
Tabelle 429: Überblick der erfolgten Korrekturen und deren Effekt auf die berichteten nationalen Gesamtemissionen, in kt CO_2-Äquivalenten 729
Tabelle 430: Auswirkungen der vorgenommenen Rückrechnungen auf die nationalen Treibhausgas-Emissionen, in kt CO2-Äquivalenten 730
Tabelle 431: Auswirkungen der vorgenommenen Rückrechnungen auf die nationalen Kohlendioxid-Emissionen, in kt 730
Tabelle 432: Auswirkungen der vorgenommenen Rückrechnungen auf die nationalen Methan-Emissionen, in kt CO_2-Äquivalenten 730
Tabelle 433: Auswirkungen der vorgenommenen Rückrechnungen auf die nationalen Lachgas-Emissionen, in kt CO_2-Äquivalenten 730
Tabelle 434: Korrektur der unter 3.A.2 berichteten THG-Emissionen, in kt CO_2-Äquivalenten 732
Tabelle 435: Korrektur der unter 3.(II).D.B berichteten THG-Emissionen, in kt CO_2-Äquivalenten 732
Tabelle 436: Korrektur der unter3.(II).G berichteten THG-Emissionen, in kt CO_2-Äquivalenten..... 732
Tabelle 437: Korrektur der unter 5.A.1 berichteten THG-Emissionen, in kt CO_2-Äquivalenten 733
Tabelle 438: Korrektur der unter 5.D.1 berichteten THG-Emissionen, in kt CO_2-Äquivalenten 733
Tabelle 439: Re-Allokation der zuletzt unter CRF 6 berichteten THG-Emissionen, in kt CO_2-Äquivalenten 734
Tabelle 440: Walddefinition in Deutschland..... 734
Tabelle 441: Aufforstung in KP- und UNFCCC-Kategorien..... 735
Tabelle 442: Entwaldung in KP- und UNFCCC-Kategorien 736
Tabelle 443: Waldbewirtschaftung in KP- und UNFCCC-Kategorien..... 737
Tabelle 444: Ackerlandbewirtschaftung in KP- und UNFCCC-Kategorien 737
Tabelle 445: Weidelandbewirtschaftung in KP- und UNFCCC-Kategorien..... 738
Tabelle 446: Akkumulierte und jährliche Flächen der Kategorien Aufforstung, Entwaldung und Waldbewirtschaftung..... 740
Tabelle 447: Übersicht über die Flächen unter Ackerland- und Weidelandbewirtschaftung im Basisjahr 1990 und der Jahre 2013 bis 2015..... 741
Tabelle 448: Jährliche und akkumulierte Entwaldungsflächen und jährliche sowie implizierte Emissionsfaktoren für die abnehmende oberirdische Biomasse des Waldes; positiv: Kohlenstoffsenke; negativ: Kohlenstoffemission..... 742

Tabelle 449: Entwaldungsflächen und Kohlenstoffvorratsverluste aus Biomasse (mit Biomasse der umgewandelten Fläche), Totholz, Streu und mineralischen und organischen Böden bei der Entwaldung für das Jahr 2015; positiv: Kohlenstoffsenke; negativ: Kohlenstoffemission 743
Tabelle 451: Kohlenstoffvorratsänderungen und Treibhausgasemissionen infolge Ackerlandbewirtschaftung im Jahr 2015 744
Tabelle 452: Kohlenstoffvorratsänderungen und Treibhausgasemissionen infolge Weidelandbewirtschaftung im Jahr 2015 745
Tabelle 453: Emissionsfaktoren (EF) für das Totholz für die Perioden 1990-2001, 2002-2007 und 2008-2012 747
Tabelle 454: Implizite Emissionsfaktoren (IEF) [t C ha^{-1} a^{-1}] für mineralische Böden der Quellkategorien Aufforstung und Entwaldung (negativ = Verlust, positiv = Speicherung) 748
Tabelle 455: Statistische Ergebnisse der Modelluntersuchungen zur Humusbilanz von 180 Ackerlandstandorten Norddeutschlands (DREYSSE 2015) 749
Tabelle 456: Emissionsfaktoren für organische Böden der Entwaldungskategorien des Jahres 2015 (negativ = Verlust, positiv = Speicherung) 750
Tabelle 457: Gegenüberstellung der Änderungen der Submission 2016 und 2017 berichteten Emissionen 753
Tabelle 458: Unsicherheiten für die Treibhausgasberichterstattung für Aktivitäten des Kyoto-Protokolls der Artikel 3.3 und 3.4 756
Tabelle 459: Gesamtfehler für die Kohlenstoffvorratsveränderungsschätzung der Biomasse für die Inventurperioden der Bundeswaldinventur 1987-2002, 2002-2008 und 2008-2012 (RMSE% - root mean square error percent) 758
Tabelle 460: Gesamtfehler für die Kohlenstoffvorratsveränderungsschätzung des Totholzes für die Inventurperioden der Bundeswaldinventur 1987-2002, 2002-2008 und 2008-2012 (RMSE% - root mean square error percent) 758
Tabelle 461: Fehlerbudget für die Emissionsfaktoren von Mineralboden und Streu, mit se = Standardabweichung des Mittelwertes; C 90, C 06 = Laborfehler bei der Kohlenstoffgehaltsbestimmung BZE I und BZE II; FE = Fehler bei der Bestimmung des Feinbodenvorrates 759
Tabelle 462: Kohlenstoffvorratsänderungen in lebender Biomasse (Deutschland für 2014 & 2015, übrige Länder für 2014) 761
Tabelle 463: Kohlenstoffvorratsänderungen in Streu (Deutschland für 2014 & 2015, übrige Länder für 2014) 761
Tabelle 464: Kohlenstoffvorratsänderungen in Totholz (Deutschland für 2014 & 2015, übrige Länder für 2014) 762
Tabelle 465: Flächengrößen der Aktivitäten, die nach 2013 begonnen haben 762
Tabelle 466: Zusammenstellung der Verpflichtung zur Waldbewirtschaftung, zur Aufstellung von Plänen und zur forstlichen Rahmenplanung aus den Waldgesetzen der Bundesländer 767
Tabelle 467: Kohlenstoffvorratsänderungen und Treibhausgasemissionen infolge Ackerlandbewirtschaftung im Basisjahr 1990 768
Tabelle 468: Kohlenstoffvorratsänderungen und Treibhausgasemissionen infolge Weidelandbewirtschaftung im Basisjahr 1990 768
Tabelle 469: Gegenüberstellung der Waldfunktionen nach dem Bundeswaldgesetz und nach IPCC 770

Tabelle 469: KP CRF Table NIR.3: Summary Overview for Key Categories for Land Use, Land-Use Change and Forestry Activities under the Kyoto Protocol 778
Tabelle 471: Zur Erstellung der Energiebilanzen für die Bundesrepublik Deutschland verwendeten Erhebungen des StBA 790
Tabelle 472: Aktionsplan Energiedaten Inventarverbesserung 792
Tabelle 473: Vergleich der CO_2-Emissionsfaktoren für die Steinkohlen 798
Tabelle 474: Zusammensetzung und Emissionsfaktoren von Ottokraftstoffen 803
Tabelle 475: Für die Emissionsberichterstattung abgeleitete Emissionsfaktoren für CO_2 ab 1990, Energie 808
Tabelle 476: Für die Emissionsberichterstattung abgeleitete Emissionsfaktoren für CO_2 ab 1990, Industrieprozesse 812
Tabelle 477: IPCC Standardwerte für EF & Unteren Heizwert 814
Tabelle 478: Verifikation der Vollständigkeit des berichteten CO2 aus der nichtenergetischen Verwendung von fossilen Energieträgern 815
Tabelle 479: Anlagentypen nach Anhang der 4.BImSchV 820
Tabelle 480: Klassifikation der Quellen nach Feuerungstyp 821
Tabelle 481: CO_2-Emissionen aus der Rauchgasentschwefelung in Öffentlichen Kraftwerken 822
Tabelle 482: Emissionsfaktoren 2015 für Flugbenzin 823
Tabelle 482: Übersicht der Emissionsfaktoren für Kerosin 824
Tabelle 484: Übersicht der zu berücksichtigen Teilunsicherheiten der Aktivitätsraten und Emissionsfaktoren 825
Tabelle 485: Energieeinsatz im Straßenverkehr 1990-2015 826
Tabelle 486: Heizwerte für Otto- und Dieselkraftstoff 827
Tabelle 487: Korrekturfaktoren zur Anpassung an die Energiebilanz 827
Tabelle 488: Ableitung der EF(CO_2) für Zweitaktgemische, in kg/TJ 831
Tabelle 489: CO_2 aus in Zweitakt-Ottomotoren mitverbrannten Schmierstoffen, in kt 831
Tabelle 490: Übersicht der verwendeten spezifischen Mitverbrennungsanteile 832
Tabelle 491: Kohlendioxid aus mitverbrannten Schmierstoffen, in kt (vgl. CRF 2.D.1) 832
Tabelle 492: modellierte AdBlue®- Einsatzmengen, in kt 833
Tabelle 493: aus dem Einsatz von AdBlue® resultierende CO_2- Emissionen, in kt 833
Tabelle 493: Gesamt-THG-Emissionen von Gehegewild, Kaninchen, Straußen und Pelztieren 834
Tabelle 494: Mittlerer jährlicher Tierbestand nach Schätzungen des Statistischen Bundesamtes 835
Tabelle 495: CH_4-Emissionen aus der Verdauung bei Gehegewild, Kaninchen und Pelztieren 835
Tabelle 496: CH_4-Emissionen aus dem Wirtschaftsdünger-Management bei Gehegewild, Kaninchen, Straußen und Pelztieren 836
Tabelle 497: Gehegewild: Von anderen Ländern im NIR 2012 berichtete N-Auscheidungen N_{excr} 836
Tabelle 498: Strauße: Von anderen Ländern im NIR 2012 berichtete N-Auscheidungen N_{excr} 837
Tabelle 499: Direkte N_2O-Emissionen aus dem Wirtschaftsdünger-Management bei Gehegewild, Kaninchen, Straußen und Pelztieren 838
Tabelle 500: Eingangsdaten zur Berechnung der NH_3-Emissionen (Emissionsfaktoren [EF] in kg NH_3-N pro kg TAN 838
Tabelle 501: Indirekte N_2O-Emissionen als Folge der Deposition reaktiven Stickstoffs aus NH_3- und NO-Emissionen aus Stall und Lager 839
Tabelle 502: Direkte N_2O-Emissionen aus Böden infolge Gehegewild-Freilandaufenthalt und Wirtschaftsdüngerausbringung bei Kaninchen, Straußen und Pelztieren. 839

Tabelle 503: Parameter zur Berechnung der indirekten N_2O-Emissionen aus der Deposition reaktiven Stickstoffs infolge Freilandaufenthalt und Ausbringung (Emissionsfaktoren [EF] in kg N_2O-N pro kg reaktiven Stickstoffs) 840
Tabelle 504: Indirekte N_2O-Emissionen als Folge der Deposition reaktiven Stickstoffs (N_{reac}) aus NH_3- und NO-Emissionen aus Gehegewild-Freilandaufenthalt und Ausbringung 840
Tabelle 505: Indirekte N_2O-Emissionen aus Böden infolge Auswaschung/Oberflächenabfluss 840
Tabelle 506: Häufigkeitsverteilungen von Tierhaltungsverfahren(in %) sowie zugehörige Einstreumengen und NH_3-Emissionsfaktoren 841
Tabelle 507: Häufigkeitsverteilungen von Lagerverfahren (in %), Mengen an vergorenen Energiepflanzen sowie zugehörige Emissionsfaktoren 845
Tabelle 508: Häufigkeitsverteilungen von Ausbringungsverfahren (in %) sowie zugehörige Emissionsfaktoren 851
Tabelle 509: Legehennen, haltungsspezifische partielle NH_3-Emissionsfaktoren 854
Tabelle 511: Mittlerer Kohlenstoffvorrat [bis 30 cm Bodentiefe in tC ha^{-1} ± 1,96 * Standardfehler] in den mineralischen Waldböden Deutschlands von 1990 – 2015 .. 858
Tabelle 512: Fläche [ha], mittlerer flächenbezogener Kohlenstoffvorrat [tC ha^{-1}] und dessen Unsicherheiten (obere und untere Schranke in %) für Ackerflächen Deutschlands mit annuellen Kulturen 859
Tabelle 513: Fläche [ha], mittlerer flächenbezogener Kohlenstoffvorrat [tC ha^{-1}] und dessen Unsicherheiten (obere und untere Schranke in %) für Ackerflächen Deutschlands mit perennierenden Kulturen 859
Tabelle 514: Mittlerer flächenbezogener Kohlenstoffvorrat [tC ha^{-1}] und dessen Unsicherheiten (obere und untere Schranke in %) für Ackerflächen Deutschlands .. 859
Tabelle 515: Mittlerer flächenbezogener Kohlenstoffvorrat [t C ha^{-1}] und dessen Unsicherheiten (obere und untere Schranke in %) für Grünlandflächen Deutschlands 860
Tabelle 516: Mittlerer flächenbezogener Kohlenstoffvorrat [t C ha^{-1}] und dessen Unsicherheiten (obere und untere Schranke in %) in Mineralböden unter Terrestrischen Feuchtgebieten, Siedlungen und Sonstigen Flächen 861
Tabelle 517: Flächen [ha], Flächenanteile [%] und Bodenkohlenstoffvorrat [t C ha-1 bis 30 cm Bodentiefe-1] in Stadtböden Berlins unterschieden nach Flächennutzung (modifiziert nach EDELMANN (2013)) 862
Tabelle 518: Uncertainty Calculation for the German GHG Emissions from Sector 4.A - 4.F (LULUCF) 865
Tabelle 519: Vergleich der mittels sektoralem (1.AA) und Referenzansatz (1.AB) ermittelten Energieeinsätze (in TJ; **fett**: maximale positive und negative Abweichungen) 879
Tabelle 520: Vergleich der mittels sektoralen (1.AA) und Referenzansatz (1.AB, ohne nicht-energetischen Verbrauch NEV) ermittelten CO_2-Emissionen (fett: maximale positive und negative Abweichungen) 881
Tabelle 520: Vollständigkeit - Übersicht der Quellen und Senken, deren Emissionen nicht geschätzt (not estimated, NE) werden 884
Tabelle 521: Vollständigkeit – Übersicht der Quellen und Senken, die an anderer Stelle berichtet werden (included elsewhere, IE) 885
Tabelle 523: Dokumentationsinstrumente im Umweltbundesamt 904
Tabelle 524: Allgemeine Checkliste für Fachverantwortliche 904
Tabelle 525: Emissionsentwicklung in Deutschland, nach Treibhausgas und Quellgruppe 1045

Tabelle 526: Anteile an der Emissionsentwicklung in Deutschland, nach Treibhausgas und Quellgruppe 1047
Tabelle 527: Emissionen von direkten und indirekten Treibhausgasen und SO_2 in Deutschland seit 1990 1048
Tabelle 528: Veränderungen der Emissionen direkter und indirekter Treibhausgase und SO_2 in Deutschland seit 1990 1049
Tabelle 528: Veränderungen der Emissionen direkter und indirekter Treibhausgase und SO_2 in Deutschland, seit dem jeweils letzten Jahr 1050
Tabelle 529: Veränderungen der Emissionen in Deutschland nach Quellgruppen, seit 1990 / seit dem jeweils letzten Jahr 1051
Tabelle 531: Detaillierte numerische Übersicht der revidierten CO_2-Emissionen für 1990 1052
Tabelle 532: Detaillierte numerische Übersicht der revidierten CH_4-Emissionen für 1990..... 1053
Tabelle 533: Detaillierte numerische Übersicht der revidierten N_2O-Emissionen für 1990..... 1053
Tabelle 534: Detaillierte numerische Übersicht der revidierten HFC-Emissionen für 1990..... 1054
Tabelle 535: Detaillierte numerische Übersicht der revidierten PFC-Emissionen für 1990 1054
Tabelle 536: Detaillierte numerische Übersicht der revidierten SF_6-Emissionen für 1990 1054
Tabelle 537: Detaillierte numerische Übersicht der revidierten *Unspecified-Mix*-Emissionen für 1990 1054
Tabelle 538: Detaillierte numerische Übersicht der revidierten NF_3-Emissionen für 1990..... 1055
Tabelle 539: Detaillierte numerische Übersicht der revidierten CO_2-Emissionen für 2014 1055
Tabelle 540: Detaillierte numerische Übersicht der revidierten CH4-Emissionen für 2014..... 1055
Tabelle 541: Detaillierte numerische Übersicht der revidierten N_2O-Emissionen für 2014..... 1056
Tabelle 542: Detaillierte numerische Übersicht der revidierten HFC-Emissionen für 2014..... 1056
Tabelle 543: Detaillierte numerische Übersicht der revidierten PFC-Emissionen für 2014 1056
Tabelle 544: Detaillierte numerische Übersicht der revidierten SF_6-Emissionen für 2014 1057
Tabelle 545: Detaillierte numerische Übersicht der revidierten *Unspecified-Mix*-Emissionen für 2014 1057
Tabelle 546: Detaillierte numerische Übersicht der revidierten NF_3-Emissionen für 2014..... 1057
Tabelle 547: Tabelle 6.1 der IPCC Good Practice Guidance - Details 1058

Abkürzungsverzeichnis

AbfAblV	Abfallablagerungsverordnung
ABL	alte Bundesländer
AGEB	Arbeitsgemeinschaft Energiebilanzen
AK	Arbeitskreis
ALH	alle anderen Laubbäume hoher Lebenserwartung (BWI-Baumartengruppe)
ALN	alle anderen Laubbäume niedriger Lebenserwartung (BWI-Baumartengruppe)
ANCAT	Abatement of Nuisances from Civil Air Transport
AR	Aktivitätsrate
ARD	Afforestation, reforestation, deforestation (Aufforstung, Wiederbewaldung, Entwaldung)
ATKIS	Amtliches Topographisch-Kartographisches Informationssystem
AWMS	Animal Waste Management System
BAFA	Bundesamt für Wirtschaft und Ausfuhrkontrolle
BAT	Best Available Technique
BDZ	Bundesverband der Deutschen Zementindustrie
BEF	Biomasseexpansionsfaktoren
BEU	Bilanz der Emissionsursachen für stationäre und mobile Verbrennungsprozesse
BGR	Bundesanstalt für Geowissenschaften und Rohstoffe
BGS	Brennstoff-. Gas-, und Stromwirtschaft der Hochofen-, Stahl- und Walzwerke sowie Schmiede-, Press- und Hammerwerke einschließlich der öffentlichen verbundenen sonstigen Betriebe(ohne eigene Kokereien)
BGW	Bundesverband der deutschen Gas- und Wasserwirtschaft
BHD	Brusthöhendurchmesser (Stammdurchmesser eines Baumes in 1,30 m Höhe über dem Boden)
BHKW	Blockheizkraftwerk
BKG	Bundesamt für Kartographie und Geodäsie
BImSchV	Rechtsverordnung nach dem Bundes-Immissionsschutzgesetz
BML	siehe BMEL
BMUB	Bundesministerium für Umwelt, Naturschutz, Bau und Reaktorsicherheit (BMUB)
BMEL	Bundesministerium für Ernährung und Landwirtschaft
BMVEL	siehe BMEL
BMVG	Bundesministerium der Verteidigung
BMWA	siehe BMWi
BMWi	Bundesministerium für Wirtschaft und Energie
BoHE	Bodennutzungshaupterhebung
BREF	BAT (Best Available Technique) Reference Documents
BSB	Biologischer Sauerstoffbedarf
BSB_5	Biologischer Sauerstoffbedarf innerhalb von 5 Tagen
BV Kalk	Bundesverband der Deutschen Kalkindustrie
BÜK	Bodenübersichtskarte
BWI	Bundeswaldinventur
BZE	Bodenzustandserhebung im Wald
C_2F_6	Hexafluorethan
CAPIEL	Coordinating Committee for the Associations of Manufacturers of Industrial Electrical Switchgear and Controlgear in the European Union

CFC	Fluorchlorkohlenwasserstoffe (engl.: Chlorofluorocarbons) = FCKW
CFI	Continuous Forest Inventory (Kontrollstichprobe)
CH_4	Methan
C_{org}	Im Boden gespeicherter organischer Kohlenstoff
CO	Kohlenstoffmonoxid, Kohlenmonoxid
CO_2	Kohlenstoffdioxid, Kohlendioxid
CORINAIR	Coordination of Information on the Environment, Teilprojekt: Air
CORINE	Coordinated Information on the Environment
CRF	Common Reporting Format
CSB	Chemischer Sauerstoff Bedarf
D	Deutschland
DBFZ	Deutsches Biomasseforschungszentrum
DEHSt	Deutsche Emissionshandelsstelle
DESTATIS	Statistisches Bundesamt Deutschland, offizielle Abkürzung StBA
DFIU	Deutsch-Französisches Institut für Umweltforschung an der Universität Karlsruhe
DG	Deponiegas
DGMK	Deutsche Wissenschaftliche Gesellschaft für Erdöl, Erdgas und Kohle eV.
DIN	Deutsche Industrienorm
DIW	Deutsches Institut für Wirtschaftsforschung
DLR	Deutsches Zentrum für Luft- und Raumfahrt
DMKW	Dieselmotorkraftwerke
D_N	Stickstoff im Abwasser
DOC	Anteil des organisch abbaubaren Kohlenstoffs (engl.: Degradable Organic Carbon)
DOC_F	Anteil des in Deponiegas umgewandelten DOC (engl.: Fraction of DOC dissimilated)
DSWF	Datenspeicher Waldfonds
DTKW	Dampfturbinenkraftwerke
DVGW	Deutsche Vereinigung des Gas- und Wasserfachs eV.
D7	Stammdurchmesser eines Baumes in 7 m Höhe über dem Boden
EBZ	Energiebilanzzeile in der BEU
EEA	Europäische Umweltagentur (engl.: European Environment Agency)
EECA	European Electronic Component Manufacturers Association
EEG	Erneuerbare-Energien-Gesetz, Gesetzestext (BGBl. Teil I Nr. 40 v. 31.07.2004, Seite 1918 ff.)
EF	Emissionsfaktor
EI	Emissionsindex = Emissionsfaktor
E_{KA}	Einwohner mit Kläranlagenanschluss
EL	Heizöl EL (extra leicht flüssig)
EM	Emission
EMEP	Co-operative Programme for Monitoring and Evaluation of the Long-Range Transmission of Air Pollutants in Europe
EMEV	Emissionsrelevanter Energieverbrauch
ERT	Expert Review Team
ESIA	European Semiconductor Industry Association
ETS	Emisionshandelssystem mit Treibhausgasen in der EU (engl. Emissions Trading Scheme)

EU	Europäische Union
EU-EH	Europäischer Emissionshandel, auch ETS genannt
EUROCONTROL	Europäische Organisation zur Sicherung der Luftfahrt
EUROSTAT	Statistisches Amt der Europäischen Gemeinschaften
EW	Einwohnerzahl
FA	Feuerungsanlagen
FAP	Fachlicher Ansprechpartner im NaSE
FAL	Bundesforschungsanstalt für Landwirtschaft (ab 2008: siehe TI)
FAO	Organisation für Ernährung und Landwirtschaft (engl.: Food And Agriculture Organisation) der Vereinten Nationen
FCKW	Fluorchlorkohlenwasserstoffe
F-Gase	Fluorierte Treibhausgase
FHW	Fernheizwerke
FKW	Vollfluorierte Kohlenwasserstoffe (engl.: PFC)
FKZ	Forschungskennzahl
FV	Fachverantwortlicher im NaSE
FWL	Feuerungswärmeleistung
GAS-EM	GASeous EMissions (Programm zur Berechnung der landwirtschaftlichen Emissionen)
GEREF	GERman Emission Factor Database
GFA	Großfeuerungsanlagen
GG	Gesamtgewicht
GIS	Gasisolierte Schaltanlagen
GMBL	Gemeinsames Ministerialblatt
GMES	Global Monitoring for Environment and Security
GMKW	Gasmotorkraftwerke
GPG	Good Practice Guidance
GSE FM-INT	GMES Services Elements Forest Monitoring: Inputs für die Nationale Treibhausgasberichterstattung
GT	Gasturbinen
GTKW	Gasturbinenkraftwerke
GuD	Gas- und Dampfturbinenkraftwerke
GWP	Globales Treibhauspotential (engl.: Global Warming Potential)
HFC	Wasserstoffhaltige Fluorkohlenwasserstoffe (engl.: Hydrofluorocarbons) = HFKW
HFCKW	Wasserstoffhaltige Fluorchlorkohlenwasserstoffe
HFKW	Wasserstoffhaltige Fluorkohlenwasserstoffe (engl.: Hydrofluorocarbons, HFC)
Hi	Heizwert
HK	Hauptkategorie (engl.: key category) berücksichtigt sowohl Emissionsquellen als auch -senken.
HS-GIS	Hochspannungs- und Gasisolierte Schaltanlagen
IAI	International Aluminium Institute
IE	an anderer Stelle einbezogen (engl.: Included Elsewhere)
IEA	Internationale Energie Agentur (engl. International Energy Agency)
IEF	implizierter Emissionsfaktor (engl.: implied emission factor)
IfE	Institut für Energetik
IFEU	Institut für Energie- und Umweltforschung
IKW	Industriekraftwerke

IMA	Interministerielle Arbeitsgruppe
IPCC	Zwischenstaatlicher Ausschuss für Klimaänderungen (engl.: Intergovernmental Panel On Climate Change)
IS08	Inventurstudie 2008
K	Brennstoffeinsatz zur Krafterzeugung (Direktantrieb)
k.A.	keine Angabe
KP	Kyoto-Protokoll
KS	Klärschlamm
KTBL	Kuratorium für Technik und Bauwesen in der Landwirtschaft (engl. : Association for Technology and Structures in Agriculture)
l	level (im Rahmen des "Level Assessment" nach den IPCC-Good Practice Guidance)
LF	Landwirtschaftlich genutzte Flächen
LKW	Lastkraftwagen
LTO	Landing/Take-off-Zyklus
LUCF	Landnutzungsänderung und Forstwirtschaft (engl.: Land Use Change and Forestry)
LULUCF	Landnutzung, Landnutzungsänderung und Forstwirtschaft (engl.: Land Use, Land Use Change and Forestry)
MBA	Mechanisch-Biologische Abfallbehandlung
MCF	Methankonversionsfaktor (engl.: Methane Conversion Factor)
MS	Mittelspannung
MSW	Deponierte Menge an Siedlungsabfall
MVA	Müllverbrennungsanlage
MW	Megawatt
N	Stickstoff
N_2O	Distickstoffoxid, Lachgas
NA	nicht anwendbar (engl.: Not Applicable)
NASA	National Aeronautics and Space Administration
NaSE	Nationales System Emissionsinventare
NBL	neue Bundesländer
NE	Nicht geschätzt (engl.: Not Estimated)
NEAT	Non-energy Emission Accounting Tables
NEC	EU-Richtlinie 2001/81/EG des Europäischen Parlaments und des Rates vom 23. Oktober 2001, in der nationale Emissionshöchstmengen (engl.: National Emission Ceilings) für bestimmte Luftschadstoffe geregelt sind.
NEV	Nichtenergetischer Verbrauch
NF_3	Stickstofftrifluorid
NFR	Berichtsformat für die Berichterstattung an die UN ECE (engl.: New Format on Reporting, Nomenclature for Reporting)
NFZ	Nutzfahrzeuge
NH_3	Ammoniak
NIR	Nationaler Inventarbericht (engl.: National Inventory Report)
NMVOC	Flüchtige organische Verbindungen ohne Methan (engl.: Non Methane Volatile Organic Compounds)
NO	nicht vorkommend (engl.: Not Occurring)
NO	Stickstoffmonoxid
NSCR	Nicht-selektive katalytische Reduktion

OCF	Montageschaum (engl.: One Component Foam)
OX	Oxidationsfaktor
PAH	Polycyclische aromatische Kohlenwasserstoffe (engl.: Polycyclic aromatic hydrocarbons), auch PAK
PAK	Polycyclische aromatische Kohlenwasserstoffe (engl.: Polycyclic aromatic hydrocarbons), auch PAH
PARTEMIS	Measurement and prediction of emissions of aerosols and gaseous precursors from gas turbine engines
PCDD/F	Polychlorierte Dibenzodioxine und -furane
PF	Prozessfeuerungen
PFC	Perfluorierte Kohlenwasserstoffe (engl.: Perfluorocarbons) = FKW
PKW	Personenkraftwagen
PU	Polyurethan
QK	Qualitätskontrolle
QS	Qualitätssicherung
QSE	Qualitätssystem Emissionsinventare
REA	Rauchgasentschwefelungsanlage
ROE	Rohöleinheiten
RSt	Rohstahl
RWI	Rheinisch-Westfälisches Institut für Wirtschaftsforschung
S	Brennstoffeinsatz zur Stromerzeugung
S	Heizöl S (schwer flüssig)
S&A report	Synthesis and Assessment Report
SA	Heizöl SA (schwer flüssig, schwefelarm)
SE	Stichprobenfehler (sampling error)
SF_6	Schwefelhexafluorid
SKE	Steinkohleneinheiten
SNAP	Selected Nomenclature for Air Pollution
SO_2	Schwefeldioxid
StBA	Statistisches Bundesamt Deutschland
STEAG	STEAG Aktiengesellschaft (ein großer Stromerzeuger in Deutschland)
T	Trend (im Rahmen des "Trend Assessment" nach den IPCC-Good Practice Guidance) in den Übersichtstabellen der Quellgruppen
TA Luft	Technische Anleitung zur Reinhaltung der Luft; Erste Allgemeine Verwaltungsvorschrift zum Bundes-Immissionsschutzgesetz
TAN	Total Ammoniacal Nitrogen
THG	Treibhausgase
TI	Johann Heinrich von Thünen-Institut
TI-AK	Johann Heinrich von Thünen-Institut, Institut für Agrarklimaschutz
TI-WO	Johann Heinrich von Thünen-Institut, Institut für Waldökosysteme
TM	Trockenmasse
TOC	Gesamtkohlenstoff (engl.: Total Organic Carbon)
TREMOD	Emissionsberechnungsmodell für den Verkehr (engl.: Traffic Emission Estimation Model)
TS	Trockenstoff
TÜV	Technischer Überwachungsverein
TVF	Tonne verwertbare Förderung
UBA	Umweltbundesamt

UN ECE	Europäische Wirtschaftskommission der Vereinten Nationen (engl.: United Nations Economic Commission for Europe)
UN FCCC	Rahmenübereinkommen der Vereinten Nationen über Klimaänderungen (engl.: United Nations Framework Convention on Climate Change)
UN	Vereinte Nationen (engl.: United Nations)
UStatG	Umweltstatistikgesetz
VDEh	Verein Deutscher Eisenhüttenleute, seit 2003 in Stahlinstitut VDEh umbenannt (Eisen/Stahlverband)
VDEW	Verband der Elektrizitätswirtschaft e.V.
VDI	Verein Deutscher Ingenieure e.V.
VDN	Verband der Netzbetreiber e.V.
VDZ	Verein Deutscher Zementwerke e.V.
VGB	Technische Vereinigung der Großkraftwerksbetreiber e.V.
VIK	Verband der Industriellen Energie- und Kraftwirtschaft e.V.
VOC	Volatile Organic Compounds
VS	Glühverlust, Gehalt an organischer Substanz (engl. Volatile Solids)
W	Brennstoffeinsatz zur Wärmeerzeugung
WS	Anteil eines bestimmten Systems der Abwasserbehandlung (z.B. aerob, anaerob)
WZ	Wirtschaftszweig
XPS	Extrudiertes Polystyrol
ZSE	Zentrales System Emissionen
ZVEI	Zentralverband Elektrotechnik und Elektronikindustrie e.V.

Einheiten und Größen

Multiplikationsfaktoren, Abkürzungen, Vorsilben und Symbole

		Vorsatz	
Multiplikationsfaktor	**Abkürzung**	**Name**	**Symbol**
1.000.000.000.000.000	10^{15}	Peta	P
1.000.000.000.000	10^{12}	Tera	T
1.000.000.000	10^{9}	Giga	G
1.000.000	10^{6}	Mega	M
1.000	10^{3}	Kilo	k
100	10^{2}	Hekto	h
0,1	10^{-1}	Dezi	d
0,01	10^{-2}	Zenti	c
0,001	10^{-3}	Milli	m
0,000.001	10^{-6}	Mikro	µ

Einheiten und Abkürzungen

Abkürzung	**Einheit**
°C	Grad Celsius
a	Jahr
cal	Kalorie
g	Gramm
h	Stunde
ha	Hektar
J	Joule
m^3	Kubikmeter
ppm	parts per million
t	Tonne
W	Watt

Standardentsprechungen

Einheit	**entspricht**
1 Tonne (t)	1 Megagramm (Mg)
1 Kilotonne / Tausend Tonnen (kt)	1 Gigagramm (Gg)
1 Megatonne / Million Tonnen (Mt)	1 Teragramm (Tg)

Erklärung der Einleitenden Informationstabellen

Die Einleitenden Informationstabellen finden sich am Beginn jedes Quellgruppen-Kapitels. Sie sollen einen schnellen Überblick über die Relevanz der Quellgruppe und die verwendeten Methoden geben.

KC	Category	Activity	EM of	1990 (kt CO_2-e.)	(fraction)	2015 (kt CO_2-e.)	(fraction)	Trend 1990-2015
L/T	**1A1c Manufacture of Solid Fuels and Other Energy Industries**	**all fuels**	**CO2**	**65.289,0**	**(5,36%)**	**10.267,5**	**(1,10%)**	**-84,3%**
-/-	1A1c Manufacture of Solid Fuels and Other Energy Industries	all fuels	N2O	659,2	(0,05%)	150,1	(0,02%)	-77,2%
-/-	1A1c Manufacture of Solid Fuels and Other Energy Industries	all fuels	CH4	92,0	(0,01%)	13,9	(0,00%)	-84,9%

Gas	Angewandte Methode	Quelle der Aktivitätsdaten	benutzte Emissionsfaktoren
CO2	CS	NS	CS
CH4	Tier 2	NS	CS
N2O	Tier 2	NS	CS
NOX, CO, NMVOC, SO2			CS

Hauptkategorie

Im oberen Teil der Tabelle werden die für die Quellgruppe relevanten Zeilen der Hauptkategorien-Analyse die Emissionen absolut (kt CO_2-äquivalent) und als prozentualen Anteile im Jahr 1990 und im letzten berichteten Jahr sowie der Emissionstrend zwischen Basisjahr (1990 oder 1995 für die F-Gase) und dem letzten berichteten Jahr in übersichtlicher Form dargestellt. Der Begriff Hauptkategorie wird im NIR synonym mit dem englischen „key category“ verwendet.

L = Hauptkategorie nach Emissionshöhe (Level)
T = Hauptkategorie nach dem Emissions-Trend
2 = Hauptkategorie nach der Tier-2-Analyse

Schadstoff

Der untere Teil der Tabelle liefert Informationen über angewandte Methode, die Quelle der Aktivitätsdaten und die verwendeten Emissionsfaktoren (EF).

Angewandte Methode

D = IPCC Default
RA = Reference Approach (Referenz-Verfahren)
Tier 1 = IPCC tier 1
Tier 2 = IPCC tier 2
Tier 3 = IPCC tier 3
C = CORINAIR
CS = Country specific (landesspezifisch)
M = Model (Modell)

Quelle der Aktivitätsdaten

M = Model (Modell)
Q = Questionaires, surveys (Fragebögen, Umfragen)
PS = Plant specific data (Anlagenspezifische Daten)
AS = Associations, business organizations (Verbände-Informationen)
RS = Regional Statistics (regionale oder föderale Statistiken)
NS = National Statistics (Nationale Statistiken)
IS = International Statistics (Internationale Statistiken)

Emissionsfaktor (EF)

D = IPCC Default
C = CorinAir
CS = Country specific (landesspezifisch)
PS = Plant specific (anlagenspezifisch)
M = Model (Modell)

0 Zusammenfassung (ES)

Als Vertragsstaat der Klimarahmenkonvention der Vereinten Nationen (UNFCCC) ist Deutschland seit 1994 dazu verpflichtet, Inventare zu nationalen Treibhausgasemissionen zu erstellen, zu veröffentlichen und regelmäßig fortzuschreiben. Mit dem Inkrafttreten des Kyoto-Protokolls im Februar 2005 ist die internationale Staatengemeinschaft verpflichtet, verbindliche Handlungsziele und Umsetzungsinstrumente für den globalen Klimaschutz zu realisieren. Hieraus ergeben sich sehr weitreichende und detaillierte Verpflichtungen für die Erstellung, die Berichterstattung und die Überprüfung von Emissionsinventaren. Entsprechend Artikel 3 des Kyoto-Protokolls nutzt die europäische Staatengemeinschaft die Möglichkeit der gemeinsamen Erfüllung aller EU-Staaten der Verpflichtungen des Kyoto-Protokolls und der Klimarahmenkonvention. Dies erfolgt durch europäische Regelungen, zuletzt durch die Festlegungen der EU-Verordnung 525/2013[1] und ihrer Durchführungsverordnung 749/2014[2] Durch die aktuelle europäische Umsetzung des Kyoto-Protokolls auf dem Verordnungsweg sind dessen Anforderungen für Deutschland rechtsverbindlich geworden.

Gemäß Entscheidung 24/CP.19 müssen alle im ANNEX I der Klimarahmenkonvention aufgeführten Staaten jährlich einen Nationalen Inventarbericht (National Inventory Report, NIR) erstellen und übermitteln, der detaillierte und vollständige Angaben über den gesamten Prozess der Erstellung der Treibhausgasinventare bereitstellt. Durch diesen Bericht soll die Transparenz, Konsistenz und Vergleichbarkeit der Inventare sichergestellt und der unabhängige Überprüfungsprozess unterstützt werden.

Gemäß der Entscheidung 15/CMP.1 müssen alle im ANNEX I der Klimarahmenkonvention aufgeführten Staaten, die auch Mitgliedsstaaten des Kyoto-Protokolls sind, ab dem Jahr 2010 jährliche Inventare vorlegen, um die flexiblen Mechanismen nach Artikel 6, 12 und 17 des Kyoto-Protokolls in Anspruch nehmen zu können.

Deutschland legt zusammen mit den Inventartabellen den Nationalen Inventarbericht (NIR) vor, der si^^ch auf den Zeitraum der Inventartabellen bezieht und die Methoden sowie die Datenquellen beschreibt, auf denen die Berechnungen basieren. Der Bericht und die Berichtstabellen im Common Reporting Format (CRF) wurden gemäß der UNFCCC Richtlinie zur Berichterstattung über jährliche Inventare (FCCC/CP/2013/10/Add.3) und in Übereinstimmung mit den 2006 IPCC Guidelines for national Greenhouse Gas Inventories (IPCC Guidelines, 2006) und den IPCC Good Practice Guidance (IPCC-GPG, 2000) erstellt. Der NIR enthält einen Teil II sowie weitere Unterkapitel, um die erweiterten Anforderungen des Kyoto-Protokolls und der damit verbundenen Verpflichtungen auf europäischer Ebene zu erfüllen.

Der **Teil I des NIR** beinhaltet in den Kapiteln 1 bis 10 alle Informationen zum jährlichen Treibhausgasinventar.

Kapitel 1 gibt Hintergrundinformationen zum Klimawandel, den Treibhausgasinventaren sowie weitere Informationen zum Kyoto-Protokoll. Danach wird das Nationale System beschrieben, welches gemäß Artikel 5.1 des Kyoto-Protokolls die Erfüllung aller Berichtspflichten zu

[1] VERORDNUNG (EU) Nr. 525/2013 DES EUROPÄISCHEN PARLAMENTS UND DES RATES vom 21. Mai 2013 über ein System für die Überwachung von Treibhausgasemissionen sowie für die Berichterstattung über diese Emissionen und über andere klimaschutzrelevante Informationen auf Ebene der Mitgliedstaaten und der Union und zur Aufhebung der Entscheidung Nr. 280/2004/EG

[2] DURCHFÜHRUNGSVERORDNUNG (EU) Nr. 749/2014 DER KOMMISSION vom 30. Juni 2014 über die Struktur, das Format, die Verfahren der Vorlage und die Überprüfung der von den Mitgliedstaaten gemäß der Verordnung (EU) Nr. 525/2013 des Europäischen Parlaments und des Rates gemeldeten Informationen

atmosphärischen Emissionen und zu Einbindungen in Senken unterstützen und sicherstellen soll. Weiterhin werden in diesem Kapitel die grundlegenden Prinzipien und Methoden, mit denen die Emissionen und Senken der IPCC-Kategorien berechnet werden, eine Kurzfassung der Hauptkategorienanalyse sowie das Qualitäts-System Emissionsinventare (QSE) beschrieben. Abgeschlossen wird das Kapitel durch Texte zur Unsicherheitenanalyse und einer Analyse der Vollständigkeit.

Kapitel 2 gibt einen generellen Überblick über die Entwicklung der Emissionen von direkten und indirekten Treibhausgasen sowie der Einbindung von Kohlendioxid in Senken.

In den **Kapiteln 3 bis 9** werden Angaben zu den einzelnen Quell- und Senkengruppen gemacht, neben einer allgemeinen Beschreibung und Informationen zur angewendeten Methodik finden sich in den Unterkapiteln auch Informationen zu den Unsicherheiten, zu Qualitätssicherung und –kontrolle, durchgeführten Rückrechnungen und geplanten Verbesserungen in der jeweiligen Quell- oder Senkengruppe.

In Reflexion auf die Ergebnisse der in den letzten Jahren durchgeführten Überprüfungen wurden Inventare, Nationales System und das Qualitäts-System Emissionsinventare weiter verbessert. Genauere Angaben zu Rückrechnungen und Informationen zu den durchgeführten Verbesserungen und Änderungen gegenüber dem letzten Treibhausgasinventar sind in **Kapitel 10** zu finden.

Im **Teil II des NIR** werden der vorgegebene Gliederung (annotated NIR) entsprechend die erweiterten Anforderungen der Kyoto-Berichterstattung zusammengefasst, die **Kapitel 11 bis 16** stellen den sog. „Kyoto-NIR“ dar.

In **Kapitel 11** findet sich alle Informationen zur Kyoto-Berichterstattung des Bereichs Landnutzung, Landnutzungsänderung und Forstwirtschaft (LULUCF), insbesondere die gewählte Walddefinition, Details zur Technik der Landklassifizierung sowie alle Angaben zu den gewählten Aktivitäten nach Artikel 3.3 und 3.4 des Kyoto-Protokolls.

Kapitel 12 befasst sich ganz mit der Buchhaltung der Kyoto-Einheiten, in Deutschland durch die Deutsche Emissionshandelsstelle (DEHSt).

Kapitel 13 und 14 geben eine Übersicht über die Änderungen des Nationalen Systems und bei der Deutschen Emissionshandelsstelle, um Einflüsse auf die Kyoto-Berichterstattung auszuschließen.

Das **Kapitel 15** listet alle Maßnahmen auf, die Deutschland zur Minimierung der negativen Einflüsse nach Artikel 3, Absatz 14 durchführt.

Kapitel 16 enthält ggf. weitere Informationen zur Kyoto-Berichterstattung.

Die Anhänge 1 bis 7 in **Kapitel 17-23** enthalten detailliertere Beschreibungen von Hauptkategorien, den einzelnen Quellgruppen, dem CO_2-Referenzverfahren, der Vollständigkeit, dem Nationalen System und dem Qualitätssystem, zur Emissionsdatenbank ZSE und den Unsicherheiten.

Detailliertere Angaben zu einzelnen Bereichen sind der angegebenen weiterführenden Literatur in **Kapitel 24** zu entnehmen.

Das Treibhausgasinventar wird durch das Umweltbundesamt berechnet und zusammengestellt. Daten zu Emissionen und Senken aus der Landwirtschaft, Landnutzungsänderung und Forstwirtschaft wurden vom Johann Heinrich von Thünen-Institut (TI) bereitgestellt.

0.1 Hintergrundinformationen zu Treibhausgas-Inventaren und Klimawandel (ES.1)

0.1.1 Hintergrundinformationen zum Klimawandel (ES1.1)

Seit Beginn der Industrialisierung werden deutliche überregionale bzw. globale Änderungen im Stoffhaushalt der Atmosphäre als Folge menschlicher Aktivitäten beobachtet. So stiegen weltweit die Konzentrationen von Kohlendioxid (CO_2) um ca. 43 %, die von Methan (CH_4) um 150 % und die von Distickstoffoxid (N_2O) um 20 % gegenüber den Werten vorindustrieller Zeiten. Zum Teil gelangen völlig neue Stoffe wie Fluorchlorkohlenwasserstoffe (FCKW), Halone, vollfluorierte Kohlenwasserstoffe (FKW), teilfluorierte Kohlenwasserstoffe (HFKW) Schwefelhexafluorid (SF_6) oder Stickstofftrifluorid (NF_3) in die Atmosphäre, die in der Natur praktisch nicht vorkommen, sondern fast ausschließlich durch den Menschen erzeugt werden. Der fünfte Sachstandsbericht der Zwischenstaatlichen Ausschusses für Klimaänderungen (IPCC)[3] verdeutlicht den Einfluss des Menschen auf das Klima wissenschaftlicher Fakt ist.

0.1.2 Hintergrundinformationen zu den Treibhausgas-Inventaren (ES1.2)

Mit dem Inkrafttreten des Kyoto-Protokolls im Februar 2005 ist die internationale Staatengemeinschaft verpflichtet, verbindliche Handlungsziele und Umsetzungsinstrumente für den globalen Klimaschutz zu realisieren. Die Europäische Gemeinschaft (damals mit 15 Mitgliedstaaten) hatte im Rahmen der ersten Verpflichtungsperiode von 2008 bis 2012 die Verpflichtung übernommen, ihre Treibhausgasemissionen gegenüber dem Basisjahr (1990 bzw. 1995[4]) um 8 % zu mindern. Diese Verpflichtung wurde innerhalb der EU im Rahmen einer Lastenteilung[5] zwischen den beteiligten Mitgliedstaaten aufgeteilt und erfüllt. Deutschland hatte mit der Verpflichtung zu einer Emissionsminderung von 21 % gegenüber dem Basisjahr einen erheblichen Beitrag zur Erfüllung der EU-Verpflichtung übernommen. Dieses Ziel wurde bis 2012 mit einer Minderung von 25,8 % übertroffen.

Im Rahmen der jetzt begonnenen zweiten Verpflichtungsperiode des Kyoto-Protokolls hat sich die europäische Staatengemeinschaft verpflichtet, die Freisetzung der Treibhausgas Emissionen bis 2020 um 20 % zu mindern. Gleichzeitig wurde aber auch erklärt, dass unter bestimmten Voraussetzungen dieser europäische Beitrag auf eine Minderung von 30 %[6] gegenüber 1990 erhöht werden könnte.

In Deutschland hat das Bundeskabinett hat am 3. Dezember 2014 das Aktionsprogramm Klimaschutz 2020[7] beschlossen. Damit will die Bundesregierung sicherstellen, dass Deutschland seine Treibhausgasemissionen bis 2020 um 40 Prozent gegenüber 1990 reduziert.

---

[3] IPCC Fifth Assessment Report: Climate Change 2007, im Internet unter: http://www.ipcc.ch/ipccreports/assessments-reports.htm

[4] Für HFC, PFC und SF_6

5 burden sharing agreement, beschlossen mit Entscheidung 2002/358/EG des Rates vom 25. April 2002 über die Genehmigung des Protokolls von Kyoto zum Rahmenübereinkommen der Vereinten Nationen über Klimaänderungen im Namen der Europäischen Gemeinschaft sowie die gemeinsame Erfüllung der daraus erwachsenden Verpflichtungen [Amtsblatt L 130 vom 15.5.2002]

[6] Information on the quantified emission limitation or reduction objectives (QELROs) for the second commitment period under the Kyoto Protocol; SUBMISSION BY DENMARK AND THE EUROPEAN COMMISSION ON BEHALF OF THE EUROPEAN UNION AND ITS MEMBER STATES, Copenhagen, 19 April 2012

[7] http://www.bmub.bund.de/themen/klima-energie/klimaschutz/nationale-klimapolitik/aktionsprogramm-klimaschutz/

0.1.3 Hintergrundinformationen zu ergänzenden Informationen wie nach Artikel 7, Absatz 1 des Kyoto-Protokolls gefordert (ES.1.3)

Im vorliegenden Bericht werden entsprechend der Entscheidung 15/CMP.1 ergänzende Informationen nach Artikel 7 Absatz 1 des Kyoto-Protokolls zur Unterstützung des Überprüfungsprozesses des Kyoto-Protokolls bereitgestellt. Diese Informationen beziehen sich auf:

- Generelle Informationen zur Inventarermittlung im Zusammenhang mit der Berichterstattung nach Artikel 3 Absatz 3 sowie für die gewählten zusätzlichen Aktivitäten nach Artikel 3 Absatz 4 des Kyoto-Protokolls; (Siehe Kapitel 10.5)
- Informationen zu den Zertifikaten des Kyoto-Protokolls im Zusammenhang mit den Entscheidungen 13/CMP.1 und 5/CMP.1; (Siehe Kapitel 12)
- Informationen zu Änderungen des Nationalen Systems der Emissionsberichterstattung nach Artikel 5 Absatz 1 des Kyoto-Protokolls; (Siehe Kapitel 13)
- Informationen zu Änderungen des Nationalen Registers; (Siehe Kapitel 14)
- Informationen zur Minimierung negativer Einflüsse entsprechend Artikel 3 Absatz 14 des Kyoto-Protokolls; (Siehe Kapitel 15)

0.2 Zusammengefasste Emissionen von Treibhausgasen sowie deren Einbindung in Senken und Emissionen und Einbindungen aus KP-LULUCF-Aktivitäten (ES.2)

0.2.1 Treibhausgas-Inventar (ES.2.1)

Im maßgeblichen Intervall von 2008 bis 2012 konnte die Verpflichtung Deutschlands im Rahmen der o.g. europäischen gegenüber den 2007[8] festgelegten Basisjahremissionen in Höhe von 1.232.429,543 Gg CO_2-äquivalent voll erfüllt werden. Die Emissionen im Folgejahr 2013 sind gegenüber dem Vorjahr 2012 um 2,0 % gestiegen, vor allem die kalte Winter-Witterung in 2013 führte zu diesem Anstieg. In den Jahren 2014 und 2015 sanken die Emissionen jedoch stark, sehr milde Winter in 2014 sowie 2015 führten zu diesem Ausschlag, vor allem der Emissionen aus Haushalten & Gewerbe, Handel & Dienstleistungen (vgl. Kapitel 2.1).

[8] Im Ergebnis der 2007 erfolgten Überprüfung des Initial Reports und der Berichterstattung des Jahres 2006 entsprechend Artikel 8 des Kyoto-Protokolls sind – unabhängig von weiteren möglichen Verbesserungen der Datengrundlagen – die Bezugsgrößen für die Erreichung der Minderungsverpflichtung des Kyoto-Protokolls festgelegt. Die Minderungsverpflichtung für Deutschland liegt gemäß den Verpflichtungen des Kyoto-Protokolls und der EU-Lastenteilung (Ratsentscheidung 2002/358/EG) bei 21 %.

Abbildung 1: Entwicklung der Treibhausgase in Deutschland seit 1990, nach Treibhausgasen [9,]

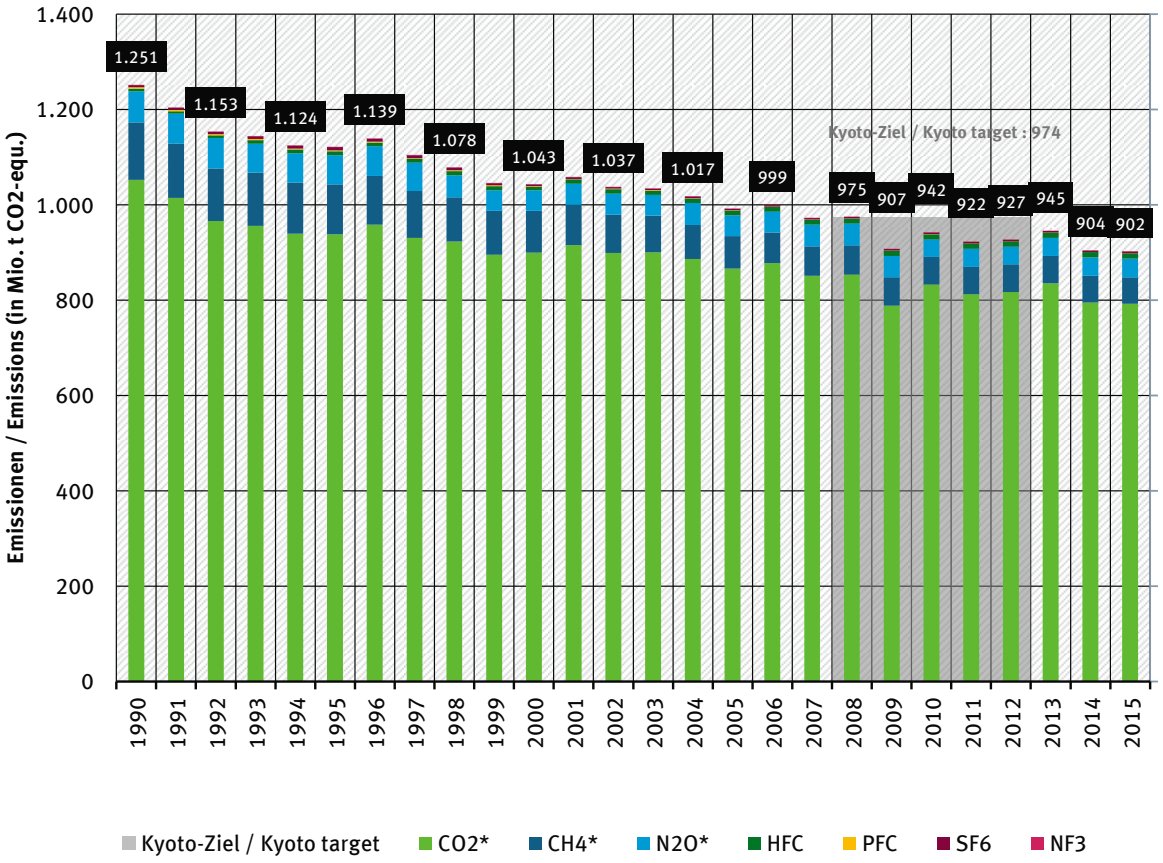

Die einzelnen Treibhausgase trugen dabei in unterschiedlichem Maße zu dieser Entwicklung bei (siehe Tabelle 1). Dies ist bei der Berücksichtigung der unterschiedlichen Anteile der einzelnen Treibhausgase an den Gesamtemissionen eines Jahres auch nicht verwunderlich (siehe Tabelle 2). Detaillierte Tabellen finden sich im Anhangkapitel 22.3.

Die Freisetzung von Kohlendioxid ist auch 2015 mit einem Anteil von 87,8 % Hauptverursacher der Treibhausgasemissionen. Diese stammten größtenteils aus der stationären und mobilen Verbrennung fossiler Energieträger. Durch den überdurchschnittlichen Rückgang der Emissionen der anderen Treibhausgase ist der relative Anteil der CO_2-Emissionen an den gesamten Treibhausgasemissionen seit dem Basisjahr um etwa 3,5 Prozentpunkte gestiegen. Die überwiegend durch Tierhaltung, Brennstoffverteilung und Deponiewirtschaft verursachten Methanemissionen (CH_4) hatten aktuell einen Anteil von 6,2 %. Lachgasemissionen (N_2O) wurden hauptsächlich durch die Landwirtschaft, Industrieprozesse und die Verbrennung fossiler Brennstoffe verursacht und trugen zu 4,3 % zu den Treibhausgasfreisetzungen bei. Die fluorierten Treibhausgase (die sogenannten F-Gase) trugen etwa 1,7 % zu den Gesamtemissionen bei, das neu berichtete Treibhausgas NF_3 ist mit 0,001% Anteil vernachlässigbar. Die Verteilung der Treibhausgasemissionen in Deutschland ist typisch für ein hoch entwickeltes und industrialisiertes Land.

Informationen zu den Trends finden sich in Kapitel 2, alle detaillierten Tabellen zur Trenddiskussion finden sich im Anhangkapitel 22.3.

[9] * CO_2-Emissionen und Festlegungen in Böden werden unter Landnutzungsänderungen und Forstwirtschaft berichtet.

Tabelle 1: Emissionsentwicklung in Deutschland, nach Treibhausgas und Quellgruppe

Emissions Trends (kt CO_2 equivalent)	**1990**	**1995**	**2000**	**2005**	**2006**	**2007**	**2008**	**2009**	**2010**	**2011**	**2012**	**2013**	**2014**	**2015**
Net CO_2 emissions/removals	1.019.229	903.409	859.653	852.192	863.298	837.241	833.178	768.816	814.391	795.156	800.967	819.417	778.240	775.753
CO_2 emissions (without LULUCF)	1.052.247	938.150	899.286	865.866	877.369	850.743	853.592	788.510	832.437	812.577	817.145	835.459	794.829	792.054
CH_4 with LULUCF	121.169	105.831	88.608	69.344	65.440	63.141	62.201	59.970	59.127	58.002	58.645	58.037	56.874	56.483
CH_4 without LULUCF	120.293	104.960	87.736	68.478	64.573	62.275	61.333	59.101	58.260	57.136	57.778	57.171	56.009	55.616
N_2O with LULUCF	65.819	61.783	43.890	44.204	43.935	45.866	46.380	45.603	37.602	39.016	38.190	38.766	39.437	39.933
N_2O without LULUCF	64.989	60.968	43.088	43.455	43.175	45.097	45.599	44.807	36.794	38.195	37.354	37.925	38.590	39.078
HFC (1995 base year)	5.891	8.217	7.806	9.940	10.162	10.448	10.589	11.170	10.753	10.953	11.140	11.096	11.183	11.356
PFC (1995 base year)	3.060	2.087	959	839	671	589	568	407	346	279	243	257	235	254
SF_6 (1995 base year)	4.428	6.467	4.072	3.320	3.242	3.181	2.971	2.924	3.100	3.163	3.155	3.261	3.396	3.562
NF_3(1995 base year)	7	5	9	34	28	12	30	29	61	61	35	16	20	12
Total Emissions/Removals with LULUCF	1.219.604	1.087.801	1.004.997	979.873	986.776	960.478	955.916	888.920	925.382	906.630	912.374	930.851	889.385	887.352
Total Emissions without LULUCF	1.250.915	1.120.856	1.042.958	991.933	999.220	972.344	974.682	906.949	941.750	922.363	926.850	945.186	904.262	901.932
Emission source and sink categories * (kt CO_2 equi.)	**1990**	**1995**	**2000**	**2005**	**2006**	**2007**	**2008**	**2009**	**2010**	**2011**	**2012**	**2013**	**2014**	
1. Energy	1.036.736	917.583	869.937	831.747	841.328	815.120	820.140	761.945	801.653	781.426	788.090	806.182	764.409	762.231
2. Industrial Processes	96.643	97.339	76.895	75.488	75.740	76.954	73.149	65.496	62.534	62.463	61.492	61.373	61.446	61.534
3. Agriculture	79.582	67.952	67.563	63.446	62.560	61.973	64.328	63.664	62.853	64.538	64.077	65.242	66.591	66.955
4. Land-Use Change and Forestry	-31.312	-33.055	-37.960	-12.060	-12.444	-11.867	-18.765	-18.029	-16.369	-15.733	-14.476	-14.335	-14.877	-14.580
CO_2 (net emissions)	*-33.018*	*-34.741*	*-39.633*	*-13.674*	*-14.071*	*-13.502*	*-20.414*	*-19.694*	*-18.045*	*-17.421*	*-16.178*	*-16.042*	*-16.589*	*-16.301*
N_2O + CH_4	*1.706*	*1.686*	*1.673*	*1.614*	*1.627*	*1.636*	*1.649*	*1.665*	*1.677*	*1.688*	*1.703*	*1.707*	*1.712*	*1.721*
5. Waste	37.955	37.982	28.564	21.251	19.593	18.297	17.065	15.844	14.710	13.937	13.191	12.389	11.816	11.210

Tabelle 2: Anteile an der Emissionsentwicklung in Deutschland, nach Treibhausgas und Quellgruppe

GHG Emission Fractions(%)	**1990**	**1995**	**2000**	**2005**	**2006**	**2007**	**2008**	**2009**	**2010**	**2011**	**2012**	**2013**	**2014**	**2015**
CO_2 emissions (without LULUCF)	84,12	83,70	86,22	87,29	87,81	87,49	87,58	86,94	88,39	88,10	88,16	88,39	87,90	87,82
CH_4	9,62	9,36	8,41	6,90	6,46	6,40	6,29	6,52	6,19	6,19	6,23	6,05	6,19	6,17
N_2O	5,20	5,44	4,13	4,38	4,32	4,64	4,68	4,94	3,91	4,14	4,03	4,01	4,27	4,33
HFC	0,47	0,73	0,75	1,00	1,02	1,07	1,09	1,23	1,14	1,19	1,20	1,17	1,24	1,26
PFC	0,24	0,19	0,09	0,08	0,07	0,06	0,06	0,04	0,04	0,03	0,03	0,03	0,03	0,03
SF_6	0,35	0,58	0,39	0,33	0,32	0,33	0,30	0,32	0,33	0,34	0,34	0,35	0,38	0,39
NF_3	0,001	0,000	0,001	0,003	0,003	0,001	0,003	0,003	0,007	0,007	0,004	0,002	0,002	0,001
GHG Emission Fractions for Categories (%)	**1990**	**1995**	**2000**	**2005**	**2006**	**2007**	**2008**	**2009**	**2010**	**2011**	**2012**	**2013**	**2014**	**2015**
1. Energy	82,88	81,86	83,41	83,85	84,20	83,83	84,14	84,01	85,12	84,72	85,03	85,29	84,53	84,51
2. Industrial Processes	7,73	8,68	7,37	7,61	7,58	7,91	7,50	7,22	6,64	6,77	6,63	6,49	6,80	6,82
3. Agriculture	6,36	6,06	6,48	6,40	6,26	6,37	6,60	7,02	6,67	7,00	6,91	6,90	7,36	7,42
5. Waste	3,03	3,39	2,74	2,14	1,96	1,88	1,75	1,75	1,56	1,51	1,42	1,31	1,31	1,24

* Informationen zur Gliederung des Common Reporting Format (CRF): http://www.ipcc-nggip.iges.or.jp/public/gl/guidelin/ch1ri.pdf

0.2.2 KP-LULUCF-Aktivitäten (ES.2.2)

Die Einbindungen von CO_2 unter Artikel 3.3 (Aufforstung und Entwaldung) haben im Vergleich zu 2014 um 4,7 % zugenommen. Das entspricht einer CO_2-Einbindung für das Jahr 2015 von -4.594 kt CO_2- äquivalent.

Unter Artikel 3.4 werden die Aktivitäten Wald-, Acker- und Weidebewirtschaftung (Forest, Cropland and Grazingland Management) berichtet. Die Emissionen und Senken aller drei Aktivitäten haben sich zum Vorjahr 2014 kaum verändert und liegen zwischen 0,1 % (Waldbewitschaftung) und 1,4 % (Ackerlandbewirtschaftung). Für die Gesamtemissionen konnte eine Abnahme des Senkenpotentials um 0,5 % zum Vorjahr 2014 ermittelt werden. Dies entspricht einer Einbindung für das Jahr 2015 von -18.038 kt CO_2-äquivalent.

0.3 Zusammengefasste Emissionsschätzungen und Trends der Quell- und Senkengruppen, inklusive KP-LULUCF-Aktivitäten (ES.3)

0.3.1 Treibhausgas-Inventar (ES.3.1)

In Abbildung 2 ist der Beitrag der einzelnen Kategorien an den Gesamtemissionen der Treibhausgase dargestellt. Hier werden die weitgehend konstanten relativen Anteile der einzelnen Kategorien und die absolute Dominanz der energiebedingten Emissionen deutlich. Letztere nahmen absolut im zeitlichen Verlauf kontinuierlich ab. Diesen Trend überlagernde Variationen sind größtenteils temperaturbedingt. Unterschiedliche Temperaturverläufe insbesondere im Winter beeinflussen das Heizverhalten und damit den Energieverbrauch zur Erzeugung von Raumwärme, mit großen Auswirkungen auf den jährlichen Trend der energiebedingten CO_2-Emissionen.

Insgesamt gingen die Emissionen der Treibhausgase gegenüber 1990 um 28,1 % zurück[10]. Betrachtungen der einzelnen Komponenten belegen diesen Trend in unterschiedlicher Ausprägung. Gegenüber den Basisjahremissionen (1995 für die F-Gase & NF_3, sonst 1990) betragen die Emissionsveränderungen bei den mengenmäßigen Haupttreibhausgasen Kohlendioxid (CO_2) - 24,7 %, bei Methan (CH_4) - 53,8 % und bei Lachgas (N_2O) - 39,9 %. Bei den so genannten F-Gasen, die insgesamt etwa 1,6 % zu den Treibhausgasemissionen beitragen ist diese Entwicklung dagegen nicht ganz so einheitlich. In Abhängigkeit von der Einführung neuer Technologien sowie der Verwendung dieser Stoffe als Substitute sanken die Emissionen seit dem Basisjahr 1995 bei SF_6 um 44,9 % und bei FKW um 87,8 %, wohingegen sie bei den H-FKW um 38,2 % anstiegen. Für das neue zu berichtende Treibhausgas NF_3 steigen die Emissionen seit 1995 mit +124,7% deutlich, der Beitrag zu den Gesamtemissionen ist jedoch mit ca. 0,001 % verschwindend gering.

Gegenüber dem Vorjahr 2014 sanken die Gesamtemissionen noch einmal um 0,3 %, nach dem starken Rückgang zwischen 2013 und 2014 von 4,3% somit das zweite Jahr mit sehr niedrigen Emissionen. Den größten Einfluss auf die Emissionsentwicklung hatte die milde Witterung. Die Jahre 2014 und 2015 waren außergewöhnlich warme Jahre. Von daher wurde deutlich weniger Heizenergie benötigt, was zu einem geringerem CO_2 Ausstoß führte.

Weiterhin kam es 2014 und 2015 zu einer deutlichen Senkung der CO_2 Emissionen aus der Stromerzeugung. Der Einsatz sämtlicher fossiler Energieträger ging zurück. Den deutlichsten

[10] Alle Angaben ohne Berücksichtigung der Emissionen aus der Kategorie Landnutzung, Landnutzungsänderung & Forstwirtschaft (LULUCF)

Rückgang verzeichneten Erdgas und Steinkohle, obwohl neue Steinkohlekraftwerke ans Netz gingen. Der Anteil der Erneuerbaren Energien an der Stromerzeugung nahm zu.

Abbildung 2: Emissionsentwicklung in Deutschland seit 1990, nach Kategorien[11,]

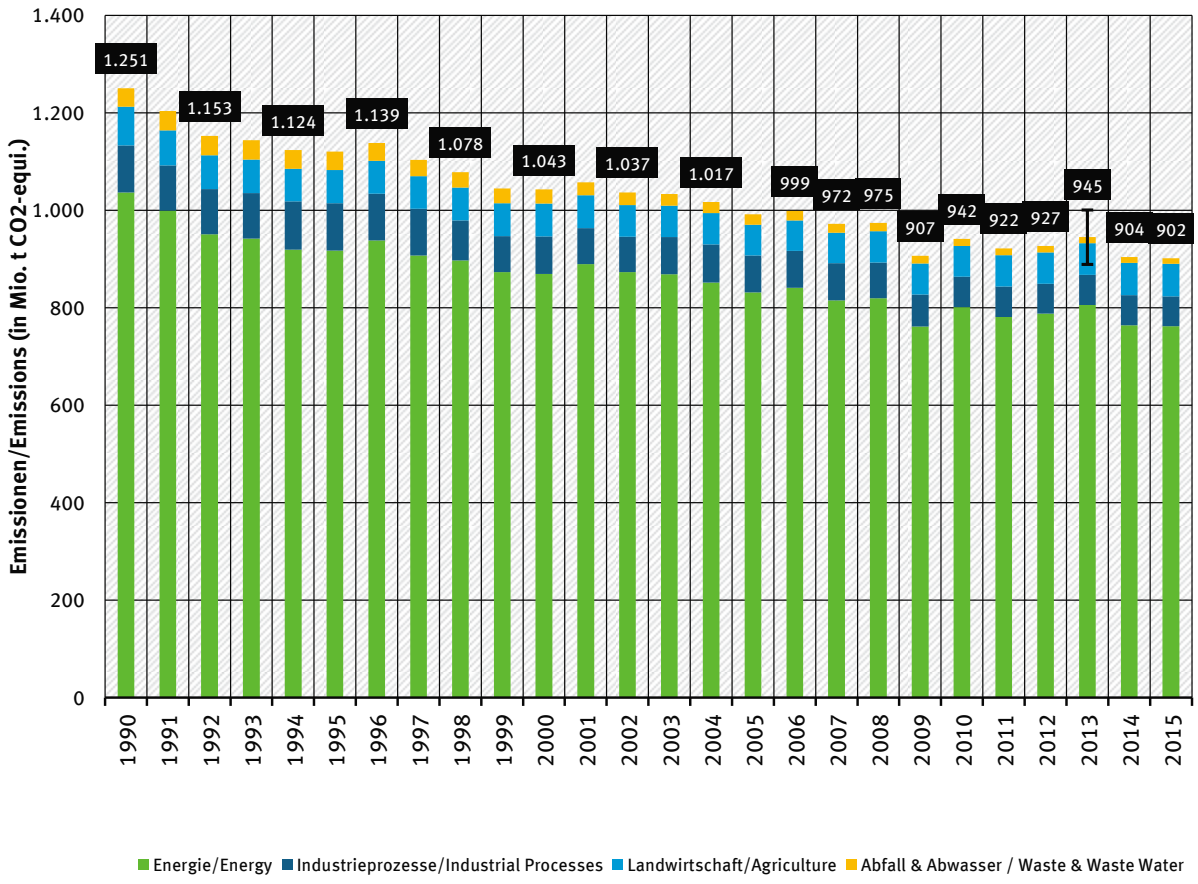

In Abbildung 3 wird die relative Entwicklung der Emissionen aus den Kategorien seit 1990 dargestellt. Die deutlichste Minderung trat hier im Bereich der Abfallemissionen auf. Dort haben die Einführung eines verstärkten Recyclings von wiederverwertbaren Stoffen (Verpackungsverordnung) und die Verwertung als Kompost (Bioabfallverordnung) zu einem starken Rückgang der zu deponierenden Abfallmenge und damit zu einer kontinuierlichen Minderung der Deponieemissionen geführt. Bei den Emissionen aus Industrieprozessen haben insbesondere die emissionsmindernden Maßnahmen im Bereich der Adipinsäureproduktion 1997 und 2009 einen großen Effekt. Die Emissionen der Lösemittel- und Produktverwendung sanken deutlich durch die zurückgehende Anwendung von N_2O zu Narkosezwecken. Die Entwicklung der Emissionen aus der Landwirtschaft folgt im Wesentlichen dem Verlauf der Tierbestandsangaben. Eine detaillierte Betrachtung der Emissionsentwicklung findet sich in Kapitel 2, Trends der Treibhausgase.

[11] CO_2-Emissionen und Festlegungen in Böden werden unter Landnutzungsänderungen und Forstwirtschaft berichtet.

Abbildung 3: Relative Entwicklung der Treibhausgasemissionen seit 1990 nach Kategorien[12,13]

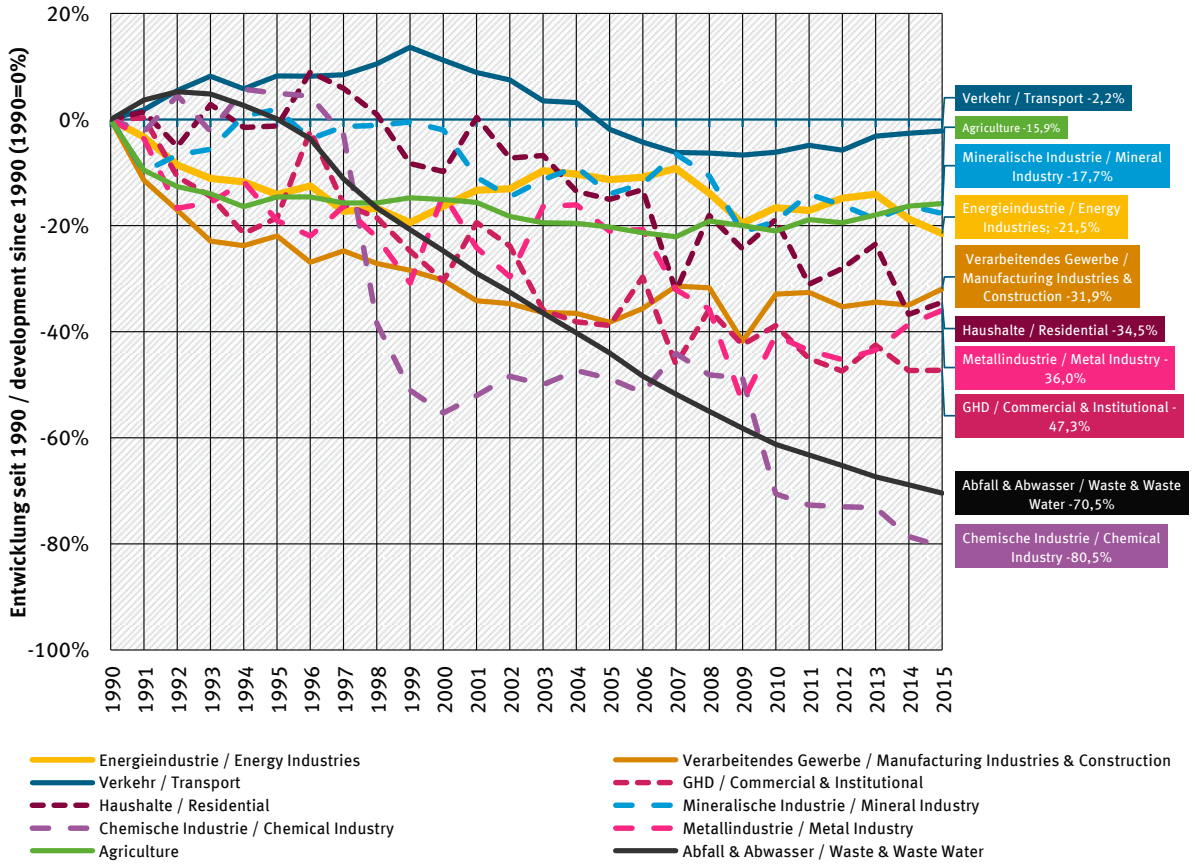

0.3.2 KP-LULUCF-Aktivitäten (ES.3.2)

Deutschland berichtet unter KP-LULUCF Artikel 3 Absatz 3 Aufforstung und Entwaldung sowie Wald-, Acker- und Weidebewirtschaftung nach Artikel 3 Absatz 4 des Kyoto-Protokolls. Berichtet werden die Treibhausgase Kohlenstoffdioxid, Methan und Lachgas.

Unter Artikel 3.3 werden für das Jahr 2015 Einbindungen von -4.593,88 kt CO_2-äquivalent berichtet. Die Einbindung setzt sich zusammen aus der Einbindung durch Aufforstung und Wiederaufforstung von -6.688,57 kt CO_2-äquivalent und aus Emissionen von Entwaldung von 2.094,69 kt CO_2-äquivalent. Unter Aufforstung und Entwaldung werden Emissionen von CO_2 mit -4.749,06 kt CO_2, CH_4 mit 14,44 kt CO_2-äquivalent und N_2O mit 140,74 Gg CO_2-äquivalent berichtet.

Unter Artikel 3.4 werden Einbindungen im Jahr 2015 von -18.037,61 kt CO_2-äquivalent berichtet. Das setzt sich zusammen aus der Einbindung von -54.853,17 kt CO_2-äquivalent aus Waldbewirtschaftung und Emissionen von 14.656,22 kt CO_2-äquivalent aus Ackerbewirtschaftung sowie 22.159,34 kt CO_2-äquivalent aus Weidebewirtschaftung. Die Emissionen für die drei Aktivitäten unterteilt nach den Gasen beträgt für CO_2 -19.203,46 kt, CH_4 751,97 kt CO_2-äquivalent und N_2O 413,88 kt CO_2-äquivalent.

[12] Emissionen von Landnutzungsänderungen und Forstwirtschaft werden im entsprechenden kapitel detailliert berichtet.

[13] Bezugspunkt sind die Emissionen des Jahres 1990 (=100%), nicht das Basisjahr.

1 Einleitung

1.1 Hintergrundinformationen zu Treibhausgas-Inventaren, Klimawandel und ergänzende Informationen wie nach Artikel 7, Absatz 1 des Kyoto-Protokolls gefordert

1.1.1 Hintergrundinformationen zum Klimawandel

Klimawandel ist die Veränderung der durchschnittlichen Witterungsverhältnisse und der Extremereignisse über einen längeren Zeitraum in einem bestimmten Gebiet oder global.

Klimaänderungen können folgende Ursachen haben:

- Veränderungen so genannter geoastrophysikalischer Parameter wie Solarkonstante, Erdbahnelemente u.a.
- Veränderungen der Erdoberfläche
- Änderungen des Energiehaushaltes im System "Erdoberfläche und Atmosphäre"
- Änderungen des Stoffhaushaltes der Atmosphäre (wie die Änderungen der Treibhausgaskonzentration).

Treibhausgase, zu denen neben Kohlendioxid, Lachgas, Methan, Ozon und andere Gase insbesondere auch Wasserdampf, als das wichtigste natürliche Treibhausgas gehört, haben eine besondere Eigenschaft: sie lassen die von der Sonne (vor allem im sichtbaren, kurzwelligen Bereich) auf die Erde fallende, energiereiche Strahlung nahezu ungehindert passieren, absorbieren aber teilweise die im Gegenzug von der erwärmten Erde ausgehende langwellige Strahlung. Hierdurch werden sie in einen energetisch angeregten Zustand versetzt, um nach kurzer Zeit unter Aussendung infraroter Strahlung wieder in den ursprünglichen Grundzustand zurückzukehren. Die Aussendung von Wärmestrahlung erfolgt gleichwertig in alle Raumrichtungen, d.h. zu einem erheblichen Anteil auch zurück zur Erdoberfläche (*thermische Gegenstrahlung*). Damit diese zusätzlich zugeführte Energiemenge dennoch abgestrahlt werden kann (aus Gründen des dynamischen, energetischen Gleichgewichts, in dem sich Erde und Atmosphäre im Mittel befinden, muss dies erfolgen), muss die Erde eine entsprechend höhere Temperatur aufweisen. Dies ist eine vereinfachte Darstellung des Treibhauseffektes.

Ohne die natürlicherweise vorkommenden Treibhausgase wäre ein Leben auf unserem Planeten nicht möglich. Statt einer globalen Erdmitteltemperatur von ca. 15°C würde eine mittlere Temperatur von etwa -18°C auf der Erde herrschen. Der natürliche Treibhauseffekt sichert also unser irdisches Leben.

Seit Beginn der Industrialisierung hat der Mensch allerdings insbesondere durch seine energieintensive Lebensweise und die damit verbundenen Emissionen von Treibhausgasen deutliche Veränderungen im Stoffhaushalt der Atmosphäre hervorgerufen. Im Zeitraum 1750 bis 2015 stieg die Konzentrationen von Kohlendioxid (CO_2) weltweit um ca. 43 %. Die gegenwärtige CO_2 Konzentration von fast 400ppm in der Atmosphäre ist die höchste der letzten 800.000 Jahre (Global Carbon Project, 2015 (Global Carbon Project, 2015)). Die Konzentration von Methan (CH_4) in der Atomsphäre stieg im gleichen Zeitraum um Faktor 2,5, während die Konzentration von Distickstoffoxid (N_2O) um etwa 21,5 % ({Blasing, 2016 #49}). Zum Teil gelangten völlig neue Stoffe wie Fluorchlorkohlenwasserstoffe (FCKW), Halone, vollfluorierte Kohlenwasserstoffe (FKW), teilfluorierte Kohlenwasserstoffe (HFKW) und Schwefelhexafluorid (SF_6) und Stickstofftrifluorid (NF_3) in die Atmosphäre, die in der Natur praktisch nicht vorkommen, sondern fast ausschließlich durch den Menschen erzeugt werden.

Treibhausgase sind so genannte Spurengase, aber ihre Wirkung ist erheblich. Durch ihre Konzentrationszunahme kommt es zum anthropogenen (durch den Menschen verursachten) Treibhauseffekt der eine Verstärkung des (natürlichen) Treibhauseffektes darstellt.

Der Fünfte Sachstandsbericht des Zwischenstaatlichen Ausschusses für Klimaänderungen ({IPCC, 2015 #53}) bestätigt eindeutig, dass sich das Klima gegenwärtig ändert:
Im gesamten Klimasystem finden seit Mitte des letzten Jahrhunderts vielfältige Veränderungen statt. Nicht nur die Temperatur der unteren Atmosphäre steigt, auch die Ozeane erwärmen sich, Gletscher tauen, Permafrostböden werden wärmer, Eisschilde verlieren an Masse, der Meeresspiegel steigt weiter an.

Umfassendere Beobachtungen, erweiterte Modelle und ein tiefergehendes Verständnis der Zusammenhänge zeigen: Die Aktivitäten des Menschen sind mit großer Sicherheit die Hauptursache des aktuellen Klimawandels.

Einige markante Beispiele der beobachteten Klimaänderungen sind:

- Die globale Mitteltemperatur in Bodennähe stieg im Zeitraum von 1880 bis 2012 um 0,85 °C. Jedes der drei vergangenen Jahrzehnte war wärmer als alle vorhergehenden seit 1850. In der Nordhemisphäre war die letzte 30-jährige Periode (von 1983 bis 2012) die wärmste seit 1400 Jahren.
- 2015 war das wärmste Jahr seit Beginn der regelmäßigen Aufzeichnungen in der zweiten Hälfte des 19. Jahrhunderts. Neun der zehn wärmsten Jahre, die bisher beobachtet wurden, traten im 21. Jahrhundert auf. Lediglich ein Jahr im 20. Jahrhundert – das Jahr 1998 - schafft es unter die zehn wärmsten.
- Die Ozeane haben im Zeitraum 1971 bis 2010 mehr als 90 % der Energie, die dem Klimasystem zusätzlich zugeführt wurde, gespeichert. Die **oberen Wasserschichten** der Ozeane (0 bis 700 Meter) erwärmten sich im Zeitraum 1971 bis 2010 deutlich. In den oberen 75 Metern stieg die Temperatur von 1971 bis 2010 im Mittel um 0,11°C pro Dekade an. Wahrscheinlich hat sich der Ozean im Beobachtungszeitraum 1957 bis 2009 auch in **Wassertiefen zwischen 700 und 2.000 Metern** erwärmt. Für größere Wassertiefen liegen erst für den Zeitraum 1992 bis 2005 ausreichende Beobachtungen vor, die für Wassertiefen unterhalb von 3.000 Metern eine Erwärmung zeigen, die in den südlichen Ozeanen am stärksten ausgeprägt war. Der bisherige Rückgang der Gletscher setzte sich global bis auf wenige Ausnahmen fort und auch die polaren Eiskappen nahmen an Masse ab. Der durchschnittliche jährliche Massenverlust der **Gletscher** (hier ohne Berücksichtigung der Gletscher am Rande der großen Eisschilde) betrug weltweit für den Gesamtzeitraum 1971 bis 2009 etwa 226 Gigatonnen pro Jahr, wuchs jedoch in der jüngsten Zeit (1993 bis 2009) auf etwa 275 Gigatonnen pro Jahr an.
- Die Ausdehnung des **Arktischen Meereises** verringerte sich im Zeitraum 1979 bis 2012 um eine Rate von 3,5 bis 4,1 Prozent pro Dekade. Im Sommer-Minimum (September) belief sich der Rückgang sogar auf 9,4 bis 13,6 Prozent pro Dekade. Die Dauer der Schmelzperiode verlängerte sich in diesem Zeitraum um etwa 5,7 Tage pro Dekade und die Dicke der winterlichen Eisdecke des Nordpolarmeeres nahm um etwa 1,3 bis 2,3 Meter ab.
- Die **Schneebedeckung** nahm insbesondere im Frühling auf der Nordhalbkugel seit Mitte des 20. Jahrhunderts ab. Sie verringerte sich im Zeitraum 1967 bis 2012 in den Monaten März und April um durchschnittlich 1,6 Prozent pro Dekade und um 11,7 Prozent pro Dekade im Juni.
- Infolge der fortgesetzten Tauprozesse von Gletschern und Eisschilden und der Ausdehnung des erwärmten Ozeanwassers stieg der globale mittlere Meeresspiegel von 1901 bis 2010 um etwa 19 cm an. Der mittlere Anstieg betrug in dieser Zeit etwa 1,7 Millimeter pro Jahr. In den letzten 20 Jahren war dieser Wert mit ca. 3,2 Millimetern pro Jahr fast doppelt so groß.

Die Veränderung des Klimas hat weitreichende Auswirkungen auf ökologische und gesellschaftliche Systeme mit bedrohlichen Folgen.

Um gefährliche Auswirkungen des Klimawandels zu verhindern, darf eine globale Erwärmung von 2 °C gegenüber dem vorindustriellen Niveau (davon sind 1,0°C bereits erreicht ({World Meteorological Organization, 2016 #62}) nicht überschritten werden. Nur bei einem Szenario mit sehr ambitionierter Klimapolitik ist davon auszugehen, dass die Erwärmung auf unter 2 °C zu begrenzen ist.

Nach derzeitigem Stand der Forschung muss dazu bis spätestens 2020 der Höhepunkt der Treibhausgasemissionen erreicht und eine Trendwende herbeigeführt sein. Im weiteren Verlauf ist bis zum Jahr 2050 eine Minderung der globalen Emissionen um mindestens 50 % gegenüber dem Jahr 2000 dringend erforderlich.

1.1.2 Hintergrundinformationen zu den Treibhausgas-Inventaren

Die Staaten der Welt haben früh erkannt, dass aufgrund der zu erwartenden Temperaturänderungen Gefahren für die Ökosysteme und die menschliche Zivilisation drohen, weil diese Änderungen relativ schnell erfolgen und sich die bestehenden Systeme nicht so schnell ohne Schäden an die neuen Klimaverhältnisse anpassen können.

1992 wurde in Rio de Janeiro das Rahmenabkommen über Klimaänderungen (Klimarahmenkonvention) von fast allen Staaten der Welt verabschiedet. Seit 1994 müssen die in Annex I der Klimarahmenkonvention benannten Staaten jährlich zum 15. April ein Inventar der Treibhausgase an das Sekretariat der Klimarahmenkonvention übermitteln. Es sind Angaben zu den Emissionen und Senken des Basisjahres (1990 für CO_2, N_2O, CH_4; 1995 für HFKW, FKW, SF_6, NF_3) für alle Jahre bis zwei Jahre vor dem Jahr der Berichterstattung vorzulegen.

Auf der dritten Vertragsstaatenkonferenz in Kyoto wurden erstmals rechtsverbindliche Begrenzungs- und Reduktionsverpflichtungen für die Industrieländer festgelegt. In der ersten Verpflichtungsperiode des Kyoto-Protokolls mussten die Industrieländer ihre Emissionen der sechs Treibhausgase Kohlendioxid (CO_2), Methan (CH_4), Distickstoffoxid (N_2O), teilhalogenierte Fluorkohlenwasserstoffe (HFKW), vollfluorierte Kohlenwasserstoffe (FKW) und Schwefelhexafluorid (SF_6) im Zeitraum der Jahre 2008 bis 2012 um durchschnittlich 5,2 Prozent[14] vermindern. In der zweiten Verpflichtungsperiode des Kyoto-Protokolls wurden die bisherigen Gase um das Gas Stickstofftrifluorid (NF_3) sowie sechs teilhalogenierte Fluorkohlenwasserstoffe (HFKW-152, HFKW-161, HFKW-236cb, HFKW-236ea, HFKW-245fa, HFKW-365mfc) und zwei vollfluorierte Kohlenwasserstoffe (c-C_3F_6, $C_{10}F_{18}$) erweitert.

Nach einer übernommenen Reduktionsverpflichtung um 8 % gegenüber dem Basisjahr in der ersten Verpflichtungsperiode, hat die Europäische Union im Rahmen der zweiten Verpflichtungsperiode des Kyoto-Protokolls die Verpflichtung übernommen, ihre Treibhausgasemissionen bis 2020 gegenüber dem Basisjahr um 20 % zu mindern. Diese Verpflichtung wurde in der Europäischen Effort Sharing Decision[15] zwischen den 28 Mitgliedsstaaten und der Europäischen Union aufgeteilt. Während die Emissionsminderungen der emissionshandelspflichtigen Teile der Inventare auf europäische Ebene umgesetzt werden, sind die Mitgliedsstaaten für Emissionsminderungen den nicht-emissionshandelspflichtigen Teilen

[14] Die durchschnittliche Minderung von 5,2 ist ein rechnerischer Wert, der in der Anlage B des Kyoto-Protokolls eingetragenen Emissionsbegrenzungen und –minderungen der jeweiligen Vertragsparteien.

[15] Entscheidung Nr. 406/2009/EC des Europäischen Parlaments und des Europäischen Rates vom 23.04.2009

national verantwortlich. Deutschland ist hier zu einer Minderung seiner Emissionen auf 445,9 Mio. Tonnen CO_2-äquivalent verpflichtet.

Wie schon in der ersten Verpflichtungsperiode ist die Wirksamkeit und der Erfolg der zweiten Verpflichtungsperiode des Kyoto-Protokolls hinsichtlich der Senkung von weltweiten Treibhausgasemissionen von zwei kritischen Faktoren abhängig: Ob die Vertragsstaaten sich an die Regeln des Protokolls halten und ihre Verpflichtungen erfüllen und ob die Emissionsdaten, die zur Erfüllungskontrolle genutzt werden, zuverlässig sind. Damit kommt der nationalen Berichterstattung und der anschließenden internationalen Überprüfung von Emissionsinventaren eine Schlüsselrolle zu.

1.1.3 Hintergrundinformationen zu ergänzenden Informationen wie nach Artikel 7, Absatz 1 des Kyoto-Protokolls gefordert (KP NIR 1.1.3.)

Gemäß der Entscheidung 15/CMP.1 der 1. Vetragsstaatenkonferenz des Kyoto-Protokolls müssen alle im ANNEX I der Klimarahmenkonvention aufgeführten Staaten, die auch Mitgliedsstaaten des Kyoto-Protokolls sind, ab dem Jahr 2010 jährliche Inventare vorlegen, um die flexiblem Mechanismen nach Art. 6, 12 und 17 des Kyoto-Protokolls in Anspruch nehmen zu können.

Deutschland hat auf freiwilliger Basis bereits seit 2008 (NIR 2008) mit dieser Berichtspflicht begonnen und sich damit intensiv auf die verpflichtende Berichterstattung nach Art. 7 des Kyoto-Protokolls vorbereitet.

Die erste verpflichtende Berichterstattung 2010 (NIR 2010) wurde im September 2010 im Rahmen eines In-Country-Reviews detailliert überprüft. Die Anmerkungen des In-Country-Reviews 2010 wurden in einer Resubmission im November 2010 und mit den folgenden Berichterstattungen 2011 bis 2014 umgesetzt.

Die erste Berichterstattung unter der zweiten Verpflichtungsperiode des Kyoto-Protokolls (NIR 2016) wurde ebenfalls im Rahmen eines In-Country-Reviews überprüft. Dessen Anmerkungen wurden beginnend mit einer Resubmission im November 2016 und der vorliegenden Berichterstattung 2017 umgesetzt.

Mit der Vorlage des fünfzehnten Nationalen Inventarberichtes (NIR 2017) legt Deutschland ebenso seinen neunten Inventarbericht nach dem Kyoto-Protokoll, den zweiten unter der zweiten Verpflichtungsperiode, vor, der alle im Art. 7 geforderten Informationen enthält.

Informationen zu den Art. 3.3 und 3.4 des Kyoto-Protokolls (KP-LULUCF) können in Kapitel 10.5 gefunden werden. Informationen zur Buchführung der Kyoto- Einheiten in der zweiten Verpflichtungsperiode werden in Kapitel 12 gegeben. Die Änderungen im Nationalen System werden in Kapitel 13 und die in den Nationalen Registern in Kapitel 14 beschrieben. Informationen zur Minimierung der negativen Einflüsse gemäß Art. 3 Abs. 14 des Kyoto-Protokolls enthält das Kapitel 15.

1.2 Beschreibung der Institutionalisierung der Inventarerstellung, inklusive der rechtlichen und prozeduralen Festlegungen zur Planung, Erstellung und Management des Inventars

Die Entscheidung 24/CP.19 fordert alle Annex I Staaten zum Aufbau und Beschreibung nationaler institutioneller Festlegungen für die Erstellung von Treibhausgasinventaren auf. Vertragsparteien des Kyoto-Protokolls werden weiterhin durch Artikel 5.1 des *Kyoto-Protokolls* zum Aufbau Nationaler Systeme für die Erstellung von Treibhausgasinventaren aufgefordert, deren Anforderungen in den *Guidelines for National Systems* (UNFCCC Decision 19/CMP.1) spezifiziert

sind. Das Nationale System für Deutschland erfüllt die Anforderungen beider Entscheidungen und der Europäischen Verordnung über ein System zum Monitoring und Berichterstattung von Treibhausgasen in der Europäischen Union und ihren Mitgliedsstaaten[16]

Das Nationale System dient dazu, die Inventarerstellung in Übereinstimmung mit den Prinzipien der Transparenz, Konsistenz, Vergleichbarkeit, Vollständigkeit und Genauigkeit sicherstellen. Dies wird durch die Anwendung der methodischen Vorschriften aus den 2006 IPCC Guidelines for National Greenhouse Gas Inventories, durch ein ständiges Qualitätsmanagement und eine kontinuierliche Inventarverbesserung erreicht.

Ausgehend von einer Vereinbarung der Staatssekretäre der beteiligten Ministerien aus dem Jahre 2007wurde die Institutionalisierung des Nationalen Systems bis zum Jahr 2011 aufgebaut. Dies geschah anfänglich durch die Einrichtung des nationalen Koordinierungsausschusses und einer Hausanordnung für das Umweltbundesamt. Später wurde die weitere Institutionalisierung vorwiegend durch den Abschluss von Vereinbarungen mit anderen Bundesinstitutionen bzw. mit Industrieverbänden und Einzelunternehmen komplettiert. In den Jahren 2013 und 2014 wurde das Nationale System an die Anforderungen der zweiten Verpflichtungsperiode des Kyoto-Protokolls angepasst und erweitert (siehe Kapitel 13)

Die anforderungskonforme Institutionalisierung und Funktionsweise des Nationalen Systems wurde von allen bisherigen internatinonalen Überprüfungen und zuletzt im In-Country-Review 2016 bestätigt.

1.2.1 Übersicht über die institutionellen, rechtlichen und prozeduralen Festlegungen zur Erstellung der Treibhausgas-Inventare und ergänzende Informationen wie nach Artikel 7, Absatz 1 des Kyoto-Protokolls gefordert

Das Nationale System wurde in Deutschland im Wesentlichen auf drei Ebenen institutionalisiert; auf ministerieller Ebene der Bundesregierung, auf der Ebene der nachgeordneten Bundesverwaltung , insbesondere des Umweltbundesamtes, und der Ebene außerhalb der Bundesverwaltung.

Auf ministerieller Ebene ist das Nationale System federführend vom Bundesministerium für Umwelt, Naturschutz, Bau und Reaktorsicherheit (BMUB) durch eine Vereinbarung der Staatssekretäre der beteiligten Ministerien als Grundsatzpapier „Nationales System zur Emissionsberichterstattung“ vom 05.06.2007 etabliert. Mit der Einbeziehung der Bundesministerien für Ernährung und Landwirtschaft (BMEL); für Wirtschaft und Energie (BMWi); für Verkehr und digitale Infrastruktur (BMVI); des Innern (BMI); der Finanzen (BMF) und der Verteidigung (BMVg) werden alle wesentlichen Institutionen und Organisationen in die Erstellung der Emissionsinventare eingebunden, die einen fachlich hochwertigen Beitrag hierfür leisten können (siehe Kapitel 1.2.1.4). Im Grundsatzpapier wurden die Zuständigkeiten der Bundesministerien definiert und beschlossen das Nationale System auf bestehenden Datenströmen aufzubauen. Bei Fehlstellen in den Datenströmen sollen diese von den zuständigen Ressorts durch geeignete Aktivitäten geschlossen werden. Zur Begleitung des Prozesses der Berichterstattung richteten die beteiligten Ministerien einen Koordinierungsausschuss ein (siehe Kapitel 1.2.1.1).

Ebenfalls im Grundsatzpapier „Nationales System zur Emissionsberichterstattung“ wird dem Umweltbundesamt die Aufgaben der Nationale Koordinierungsstelle für Deutschland übertragen. Im Umweltbundesamt wurde das Fachgebiet Emissionssituation mit der Wahrnehmung der

[16] Verordnung (EU) Nr. 525/2013 des Europäischen Parlamentes und des Europäischen Rates vom 21.05.2013

Aufgaben betraut (siehe Kapitel 1.2.1.2). Die Nationale Koordinierungsstelle bindet auf der Ebene des Umweltbundesamtes andere Facheinheiten in das Nationalen System ein und koordiniert die Beiträge der übrigen in die Emissionsberichterstattung eingebundenen Institutionen und Organisationen. Zur Koordinierung der Arbeiten innerhalb des Umweltbundesamtes wurde ein Arbeitskreis Emissionsinventare eingerichtet (siehe Kapitel 1.2.1.3). Zur Umsetzung der IPCC Good Practice Guidance zur Qualitätskontrolle und -sicherung innerhalb des Umweltbundesamtes wurde durch eine Hausanordnung im Jahre 2005 ein Qualitätssystem Emissionen etabliert (siehe Kapitel 1.3.3.1.1).

Die folgende Abbildung 4 zeigt die Struktur der drei Ebenen des Nationalen Systems in Deutschland im Überblick.

Das Grundsatzpapier „Nationales System zur Emissionsberichterstattung“ vom 05.06.2007 ist in Anhangkapitel 22.1.1 zu finden.

Abbildung 4: Struktur des Nationalen Systems Emissionen (NaSE)

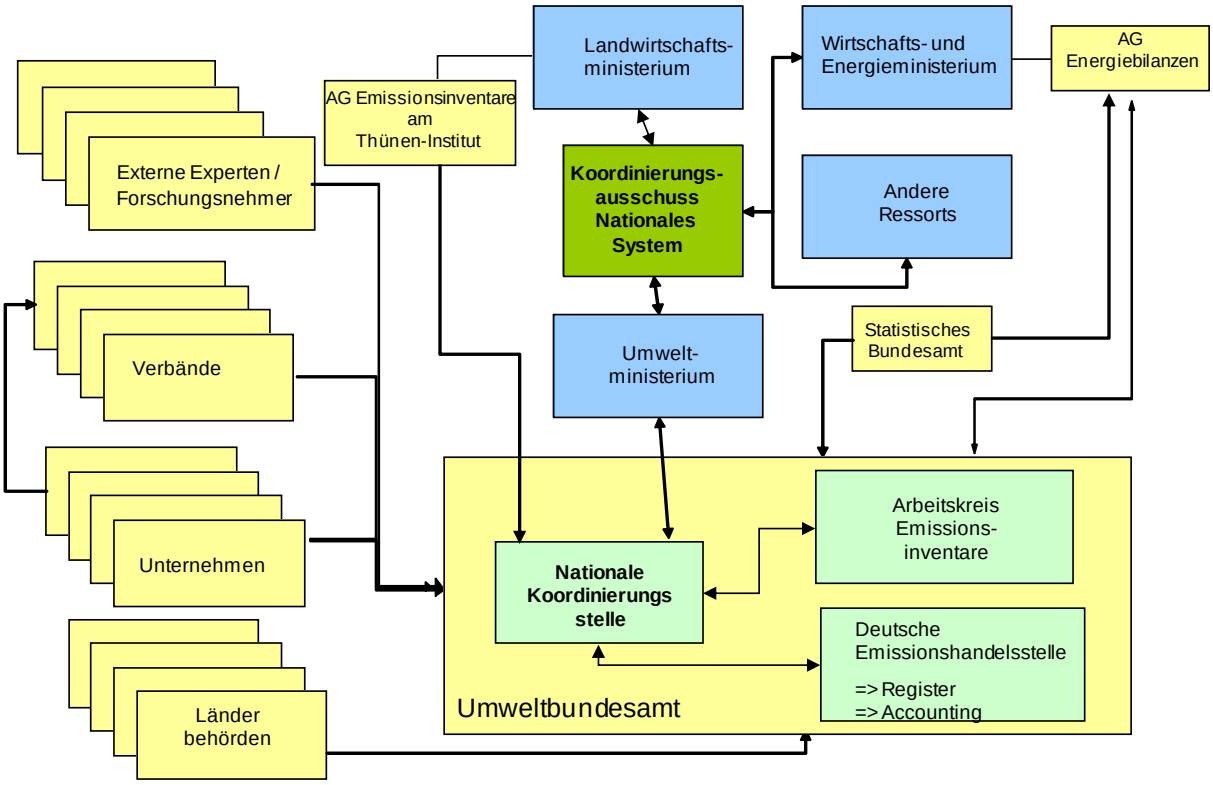

1.2.1.1 Der Nationale Koordinierungsausschuss

Der Staatssekretärsbeschluss vom 05.06.2007 legt in § 2 die Einrichtung eines Koordinierungsauschusses unter Federführung des BMUB und Einbezug aller an der Emissionsberichterstattung beteiligten Bundesministerien fest.

Der Koordinierungsausschuss soll den Prozess der Emissionsberichterstattung begleiten und alle zu klärenden Fragen des Nationalen Systems erörtern. Insbesondere berät der Ausschuss Fehlstellen in den Datenströmen und klärt Zweifelsfragen zu Zuständigkeiten.

Des Weiteren entscheidet der Koordinierungsausschuss über die Freigabe der Inventare und der nach den Art. 5, 7 und 8 des Kyoto-Protokolls notwendigen Berichte.

Der Koordinierungsausschuss trat am 21.12.2007 erstmalig zusammen. Er tagt mindestens einmal jährlich auf Einladung des BMUB. Zwischen den Sitzungen findet die Abstimmung zwischen den beteiligten Bundesministerien durch elektronische Kommunikation statt.

Der Koordinierungsausschuss ist auch in der zweiten Verpflichtungsperiode des Kyoto-Protokolls ein fester Bestandteil des Nationalen Systems.

1.2.1.2 Koordinierungsstelle des Nationalen Systems

Das Umweltbundesamt (UBA) wurde durch das Grundsatzpapier der Staatssekretäre vom 05.06.2007 mit der Wahrnehmung der **Aufgaben der nationalen Koordinierungsstelle** zur Emissionsberichterstattung (Single National Entity) betraut. Die Hausanordnung 11/2005 des UBA hat das Fachgebiet Emissionssituation (FG I 2.6) für die Wahrnehmung dieser Funktion festgelegt.

Zu den Aufgaben der Nationalen Koordinierungsstelle gehört die Planung, Erstellung, und Archivierung der Inventare und die Beschreibung dieser in den Inventarberichten sowie die Qualitätskontrolle und –sicherung bei allen relevanten Prozessschritten. Die Nationale Koordinierungsstelle dient als zentrale Anlaufstelle, koordiniert und informiert alle Teilnehmer des Nationalen Systems. Im Zeitraum 2003 bis 2007 hat die Koordinierungsstelle prioritär neue Datenquellen erschlossen. Seit 2008 liegt der Fokus auf der Verbesserung und langfristigen Sicherung vorhandener Datenquellen und der Aufrechterhaltung der **Institutionalisierung des Nationalen Systems.** In das *Nationale System* einzubindende institutionelle Einrichtungen wurden identifiziert und sukzessive eingebunden (siehe Kapitel 1.2.1.4). Im Jahr 2014 lag der Schwerpunkt auf der Umsetzung der zweiten Verpflichtungsperiode des Kyoto-Protokolls und der Revised UNFCCC Reporting Guidelines in die Berichterstattung und im Nationalen System. Weitere wesentliche Arbeiten beziehen sich auf die Umsetzung des Qualitätssystems Emissionsinventare (siehe Kapitel 1.2.2).

Die Nationale Koordinierungsstelle hat zur Erfüllung ihrer Aufgaben zwei zentrale **Instrumente** entwickelt:

Die Datenbank *Zentrale System Emissionen* (ZSE) des Umweltbundesamtes ist die zentrale, nationale Datenbank zur Emissionsberechnung und -berichterstattung. Sie wird für die zentrale Datenhaltung aller für die Emissionsberechnung benötigten Informationen (Methoden, Aktivitätsraten, Emissionsfaktoren) verwendet. Das ZSE ist das wesentliche Instrument für die Dokumentation und die Qualitätssicherung auf der Datenebene.

Das Qualitätssystem Emissionsinventare (QSE) schafft innerhalb und außerhalb des Umweltbundesamt die erforderlichen Rahmenbedingungen für die Einhaltung einer guten Inventarpraxis und die Durchführung einer routinemäßigen Qualitätssicherung. Es wurde im Umweltbundesamt über die Hausanordnung 11/2005 im Jahr 2005 installiert und umfasst die notwendigen Prozesse, um eine kontinuierliche Qualitätsverbesserung der Treibhausgasemissionsinventare zu ermöglichen. Hierzu gehört die Festlegung der Verantwortlichkeiten sowie der Qualitätsziele hinsichtlich der Methodenwahl, der Datengewinnung, der Berechnung von Emissionen und der Unsicherheitsbestimmung und die Erfassung der durchgeführten Qualitätsprüfungen sowie deren Ergebnisse (Bestätigung der Zielerreichung oder bei Nichterreichung von Zielen Benennung der geplanten Maßnahmen zur zukünftigen Abhilfe). Zur Umsetzung der kontinuierlichen Qualitätsverbesserung im Rahmen des QSE dient eine Datenbank. Hierin werden alle tabellarischen Dokumente der nationalen QK/QS vorgehalten (QK/QS-Plan, Checklisten, Listen über Verantwortlichkeiten etc.).

Die Verfahren der Qualitätskontrolle sind unter besonderer Berücksichtigung der Arbeitsstrukturen des UBA, unter generellen Gesichtspunkten der Qualitätssicherung und nach den *IPCC Good Practice Guidance* unter Einbindung externer Experten entwickelt worden. Für die zweite Verpflichtungsperiode wurden die Verfahren der Qualitätskontrolle an die Anforderungen der 2006 IPCC Guidelines for National Greenhouse Gas Inventories angepasst.

Seit 2008 ist durch die Einbeziehung weiterer Behörden, Institutionen und Inventarexperten in das Qualitätsmanagement über die Vorgabe von Mindestanforderungen an die Datendokumentation, QK/QS und Archivierung das QSE auf das gesamte Nationale System erweitert worden. Das Verfahren erlaubt es anderen Organisationen, auf Ihren vorhandenen Strukturen aufbauend eigene hausspezifische Systeme zur Qualitätssicherung zu entwickeln. Das QSE ist in Kapitel 1.3.3 ausführlich beschrieben.

1.2.1.3 Arbeitskreis Emissionsinventare im Umweltbundsamt

Wesentliche Zuarbeiten zu den Inventaren – insbesondere zu den Emissionsfaktoren – erhält die Nationale Koordinierungsstelle aus anderen Arbeitseinheiten des UBA und den an der Inventarerstellung beteiligten Thünen-Instituten. Die datenseitige Einbindung von Verbänden, Unternehmen und anderen unabhängigen Organisationen in das Nationale System erfolgt ebenfalls in erster Linie über die für konkrete Fragestellungen zuständigen Facheinheiten des UBA.

Für die Koordinierung der Arbeiten innerhalb des Umweltbundesamtes wurde im Jahr 2003 ein *Arbeitskreis Emissionsinventare* eingerichtet, über den seither alle an der Inventarerstellung beteiligten Mitarbeiter des UBA eingebunden werden.

Die Nationale Koordinierungsstelle lädt mindestens einmal jährlich zu Sitzungen des Arbeitskreises ein. Weiterhin finden zur Erörterung spezifischer Fragestellungen und zur ggf. erforderlichen Festlegungen von Hauslösungen Treffen der betroffenen Mitglieder des Arbeitskreises statt.

Die Bereitstellung notwendiger Informationen erfolgt neben den Veranstaltungen des Arbeitskreises auch über ein Intranetangebot der Nationalen Koordinierungsstelle zur Emissionsberichterstattung und jeweils einen von der Nationalen Koordinierungsstelle erstellten Newsletter zum Nationalen System und zur Datenbank Zentrales Systems Emissionen (ZSE).

1.2.1.4 Zusammenarbeit der Nationalen Koordinierungsstelle mit anderen Bundesinstitutionen und Nichtregierungsorganisationen im Rahmen des Nationalen Systems

Durch das Grundsatzpapier „Nationales System zur Emissionsberichterstattung“ vom 05.06.2007 haben die beteiligten Bundesministerien ihre Zuständigkeiten für die Quell- und Senkengruppen in der ersten Verpflichtungsperiode des Kyoto-Protokolls geregelt.

Weiterhin legt der Beschluss fest, dass auftretende Datenlücken, die in den Zuständigkeitsbereich der benannten Bundesministerien fallen, durch geeignete Aktivitäten dieser Ministerien geschlossen werden sollen. Dies erfolgt, soweit notwendig, in Form der Bereitstellung von vorhandenen Daten bzw. Berechnungen oder gegebenenfalls durch die gesicherte Bereitstellung der erforderlichen Daten durch Dritte.

Diese Regelungen behalten auch in der zweiten Verpflichtungsperiode ihre Gültigkeit.

Für einige Datenströme anderer Bundeseinrichtungen zur Nationalen Koordinierungsstelle sind spezielle Vereinbarungen zwischen der jeweiligen Einrichtung und der Nationalen Koordinierungsstelle getroffen worden.

So ist im Jahr 2009 für die **Datenlieferung des *Statistischen Bundesamtes*** zur Emissionsberichterstattung im Rahmen des 3. Mittelstandsentlastungsgesetzes (MEG 3) eine gesetzliche Regelung getroffen worden. Diese ermöglicht die Bereitstellung von Daten der Energie-, Umwelt- und Produktionsstatistik für die Emissionsberichterstattung, die der statistischen Geheimhaltung unterliegen. Auf dieser Grundlage trat am 13. Januar 2010 eine Verwaltungsvereinbarung zwischen dem Umweltbundesamt und dem *Statistischen Bundesamt* in Kraft, die die Datenlieferungen für die Emissionsberichterstattung spezifiziert. Die Vereinbarung sieht eine jährliche Überprüfung des Datenbedarfs des Umweltbundesamtes vor. Darüber hinaus ist ein enger direkter Austausch zwischen der Nationalen Koordinierungsstelle und dem Statistischen Bundesamt zu Fragen der Emissionsberichterstattung institutionalisiert worden.

Durch das Grundsatzpapier „Nationales System zur Emissionsberichterstattung“ wurde die Zuständigkeit für den Bereich Landwirtschaft und den Bereich LULUCF dem BMEL übertragen. Das BMEL hat seinen nachgeordneten Bereich mit der Durchführung der für die Emissionsberichterstattung erforderlichen Aufgaben beauftragt. Dies geschah mit Erlass vom 29.08.2007 an die damalige Bundesforschungsanstalt für Landwirtschaft (FAL). Nach der zum 01.08.2008 erfolgten Umstrukturierung des Geschäftsbereiches werden diese Aufgaben nun vom **Thünen – Institut (TI)** durchgeführt. Zu den Aufgaben gehören alle Arbeiten aus dem Bereich der Land- und Forstwirtschaft, die zur Sicherstellung der jährlichen Emissionsinventare erforderlich sind, einschließlich der Abfassung des Berichtes. Das TI übersendet Daten und Bericht an die Nationale Koordinierungsstelle. Die Erstellung der Emissions- und Kohlenstoffinventare der Quell- und Senkengruppen 3 und 4 (Land- und Forstwirtschaft), sowie für KP-LULUCF (Art. 3.3. und 3.4 KP), inklusive des Qualitätssicherungskonzepts wurde von BMEL und TI in einem Konzept kodifiziert, das alle Prozesse und Akteure und deren Rollen benennt und spezifiziert.

Weiterhin hat das TI am 13. Februar 2008 eine Vereinbarung mit dem Statistischen Bundesamt zur Bereitstellung von Emissionsdaten auf Basis der landwirtschaftlichen Statistiken abgeschlossen. Seit dem 07.07.2009 besteht ein Forschungs- und Entwicklungsvertrag zwischen dem TI und dem *Kuratorium für Technik und Bauwesen in der Landwirtschaft e.V.* (KTBL), der die benötigten Zuarbeiten für die Emissionsberichterstattung regelt.

Als Schnittstelle zur Nationalen Koordinierungsstelle im UBA wurde eine Arbeitsgruppe Emissionsberichterstattung am TI eingerichtet, die auch die Zuständigkeit für Planung und QK/QS für die Kategorien CRF 3 und CRF 4 inne hat.

Die Koordination der Arbeitsgruppe Emissionsberichterstattung obliegt im TI dem Institut für Agrarklimaschutz (AK). Die Berichterstattung für Landwirtschaft und LULUC obliegt dem selbigen Institut, während die Berichterstattung für Wald unter der Konvention und Artikel 3.3 und 3.4 unter dem Kyoto Protokoll dem TI für Waldökosysteme untergestellt ist. Das TI für Holzforschung hat ab der zweiten Verpflichtungsperiode des Kyoto-Protokolls die Zuständigkeit für die Berichterstattung der Emissionen aus Holzwirtschaftsprodukten (HWP).

Die Einbindung der Arbeitsgruppe Emissionsberichterstattung am TI in das Nationale System erfolgt über die direkte (ressortübergreifende) Integration der Arbeitsgruppe in die Kommunikationsstrukturen der Nationalen Koordinierungsstelle. Die Arbeitsgruppe am TI ist ebenso Bestandteil des Arbeitskreises Emissionsinventare (AKEI) im Umweltbundesamt und ist vollständig in das QSE der Nationalen Koordinierungsstelle integriert.

Mindestens zweimal jährlich finden zusätzliche Koordinationstreffen zwischen der Arbeitsgruppe am TI und der Nationalen Koordinierungsstelle zur Abstimmung und Information bspw. zu Inventarverbesserungen und Forschungsprojekten statt.

Die **Einbindung von Wirtschaftsverbänden, Unternehmen** und anderen unabhängigen Organisationen erfolgt in erster Linie über die für konkrete Fragestellungen zuständigen Facheinheiten des Fachbereichs I und III aus dem Umweltbundesamt. Die *Nationale Koordinierungsstelle* leistet den Facheinheiten bei der Diskussion von Berichtsanforderungen und der Bestimmung von erforderlichen Datenflüssen mit den Verbänden Unterstützung. Die Datenströme werden kontinuierlich von der Nationalen Koordinierungsstelle überprüft und soweit nötig durch geeignete Vereinbarungen der Nationalen Koordinierungsstelle mit Verbänden bzw. Unternehmen abgesichert.

Die Arbeitsgemeinschaft Energiebilanzen (AGEB) ist vertraglich durch das Bundesministerium für Wirtschaft und Energie (BMWi) zur Bereitstellung der Energiebilanzen verpflichtet. Ein abgestimmter Zeitplan sichert die rechtzeitige Erstellung einer vorläufigen Energiebilanz für das letzte Berichtsjahr und ihre Übermittlung zum 31. Juli eines jeden Jahres an das Umweltbundesamt für die Inventarerstellung. Eine Übermittlung der endgültigen Energiebilanz bis zum 28. Februar des Jahres x+2 wird angestrebt.

Für die Einbeziehung von nicht behördlichen Einrichtungen in das Nationale System wurde im Jahr 2008 eine Mustervereinbarung entworfen, über die relevante Akteure verbindlich in die Erstellung der Inventare eingebunden werden. Die Mustervereinbarung wird an die Erfordernisse und Bedürfnisse der jeweiligen Datenlieferanten angepasst. Im Juli 2009 haben das Bundesministerium für Wirtschaft und Energie und das Umweltbundesamt mit dem Verband der Chemischen Industrie (VCI) und den deutschen Produzenten eine Vereinbarung zur Datenbereitstellung in den Kategorien Ammoniak (2.B.1) und Salpetersäure (2.B.2) abgeschlossen, die im Frühsommer 2014 an die Erfordernisse der Revised UNFCCC Reporting Guidelines angepasst wurde. Ebenso konnten 2009 mit den in Deutschland ansässigen Produzenten von Adipinsäure (2.B.3) Vereinbarungen zur Datenbereitstellung erzielt werden. Weiterhin wurde eine Verbändevereinbarung mit dem Industrieverband Bitumen Dach- und Dichtungsbahnen (vdd) in der Kategorie Bitumen für Dachbahnen (2.D.3.c) abgeschlossen. Auf Basis dieser Vereinbarungen erfolgt seit 2009 die Datenbereitstellung in den genannten Kategorien für die Emissionsberichterstattung. Im Juni 2011 hat die Nationale Koordinierungsstelle mit Unterstützung des Bundesministeriums für Wirtschaft und Energie als zuständiges Ressort eine Kooperationsvereinbarung mit der Wirtschaftsvereinigung Stahl geschlossen. Diese Vereinbarung wurde erforderlich, da zum 31.12.2009 das Statistische Bundesamt aufgrund des Auslaufens der entsprechenden gesetzlichen Grundlage (Rohstoffstatistikgesetz) die Datenerhebung und Veröffentlichung der Fachserie 4 Reihe 8.1 (Eisen- und Stahlstatistik) eingestellt hat. Damit traten in der Verfügbarkeit der Berechnungsgrundlagen für diesen Bereich ein deutlicher Rückschritt und eine erhebliche Fehlstelle in den Datenströmen ein, die durch die neue Kooperationsvereinbarung gelöst werden konnte. Die Kooperationsvereinbarung stellt neben der Datenlieferung der Mitgliedsunternehmen auch die der Nicht-Mitglieder sicher.

Am 31.12.2010 lief die Selbstverpflichtung der Halbleiterproduzenten mit Produktionsstätten in Deutschland, die auch die Grundlage für die Datenbereitstellung für die Kategorie 2.F.6 bildet, aus. Die Nationale Koordinierungsstelle hat im August 2012 zur Schließung einer potentiellen Datenlücke eine Kooperationsvereinbarung mit dem Fachverband Electronic Components and Systems (ECS) im Zentralverband Elektrotechnik und Elektronikindustrie e.V. (ZVEI) zur langfristigen Sicherung der Datenlieferung an das UBA für die Kategorie 2.E.1 abgeschlossen.

Diese Vereinbarungen haben zu einer langfristigen Sicherung der Datenbereitstellung und einer erheblichen Verbesserung der Datenqualität in den betreffenden Kategorien geführt.

1.2.1.5 Verbindlicher Terminplan im Rahmen des Nationalen Systems

Der verbindliche Zeitplan für die Erstellung der Emissionsinventare und des NIR wird allen internen und externen Akteuren über die Intranet-Seite des UBA und durch Veröffentlichung im NIR bekannt gemacht:

15. Mai	Anforderung zur Daten und Berichtstextlieferung durch die Nationale Koordinierungsstelle im UBA an die Fachverantwortlichen
31. Juli	Zulieferung der Energiedaten der Arbeitsgemeinschaft Energiebilanzen, der statistischen Daten des Statistischen Bundesamtes und der Daten aus den Vereinbarungen mit Verbänden und Unternehmen, die Grundlage für weiterführende Berechnungen sind
bis 01. September	Zulieferungen fertiger Inventardaten aus dem UBA und externer Einrichtungen des NaSE
ab 02. September	Validierung / Rücksprachen der Zulieferungen der Fach- und Qualitätsverantwortlichen unter Berücksichtigung der Überprüfungsergebnisse
bis 01. Oktober	Erstellung der CRF-Zeitreihen und der nationalen Trendtabellen, Endredaktion durch die Nationale Koordinierungsstelle im UBA
08. November	Hausabstimmung UBA
ab 15. November	Abschließende Qualitätssicherung durch QSE-, ZSE- und NIR-Koordinator
25. November	Bericht der Nationalen Koordinierungsstelle zur Einleitung der Ressortabstimmung für die CRF-Daten und den Nationalen Inventarbericht an das BMUB
bis 20. Dezember	Freigabe durch Ressortabstimmung (Einleitung durch BMUB)
ab 02. Januar	Endredaktion durch die Nationale Koordinierungsstelle im UBA
15. Januar	Bericht (CRF und bestimmte Teile des NIR) an die Europäische Kommission (im Rahmen des CO_2 Monitoring Mechanismus) und die Europäische Umweltagentur
15. März	Bericht (korrigierte CRF und vollständiger NIR) an die Europäische Kommission (im Rahmen des CO_2 Monitoring Mechanismus) und die Europäische Umweltagentur
15. April	Bericht an das Klimasekretariat
Mai	Initial Check durch das Klimasekretariat
Juni	Synthesis and Assessment Report I (durch das VN-Klimasekretariat)
August	Synthesis and Assessment Report II (länderspezifisch; durch das VN-Klimasekretariat)
September - Oktober	Inventarüberprüfung durch das Klimasekretariat

1.2.2 Übersicht über die Inventarplanung

Die Expertise von *Forschungseinrichtungen* wird über die Durchführung von Forschungsprojekten im Rahmen des Umweltforschungsplans (UFOPLAN) in die Inventarerstellung eingebunden. Dies erfolgt über die Bearbeitung konkreter Fragestellungen und durch übergreifende Vorhaben. In den UFOPLÄNEN 2002-2009 verfügte die Nationale Koordinierungsstelle für die Initiierung von

Maßnahmen zur kontinuierlichen Inventarverbesserung jeweils über ein Globalvorhaben *Methodenaktualisierung für die Emissionsberechnung*. In den Jahren 2010 und 2011 wurden Maßnahmen zur kontinuierlichen Inventarverbesserung komplett aus dem Haushaltstitel für Sachverständigenleistungen finanziert. Für die Emissionsberichterstattung wurden der Nationalen Koordinierungsstelle durch das Umweltbundesamt aus dem Haushaltstitel für Sachverständigenleistungen (Titel 526 02, Kapitel 1605) zusätzlich zu den Forschungsmitteln aus dem UFOPLAN ab dem Jahr 2005 Mittel für kurzfristige Aufträge zur Inventarverbesserung in Zuständigkeit des Amtes zugesichert. Seit 2012 kann die Nationale Koordinierungsstelle Forschungsfragen im Rahmen der Emissionsberichterstattung wieder aus dem UFOPLAN finanzieren. Weiterhin steht aber auch der Haushaltstitel für Sachverständigenleistungen zur Verfügung.

1.2.3 Übersicht der Inventarerstellung und –management, inklusive der ergänzenden Informationen wie nach Artikel 7, Absatz 1 des Kyoto-Protokolls gefordert

Bei der Emissionsberichterstattung handelt es sich um einen regelmäßig jährlich ablaufenden Vorgang, der allerdings, da dezentral und von verschiedenen Personen durchgeführt, für verschiedene Teile des Inventars unterschiedlich sein kann. Vor der Einführung des QSE (im Jahre 2005) wurde dieser Prozess daher intensiv untersucht und analysiert. Im Ergebnis unterscheidet das QSE im Gesamtprozess der Emissionsberichterstattung die folgenden Hauptprozesse, die in Kapitel 1.3.2 näher erläutert werden:

- Festlegung der Berechnungsgrundlagen,
- Datengewinnung,
- Datenaufbereitung und Emissionsberechnung sowie die
- Berichterstellung.

Die Hauptprozesse untergliedern sich in Teilprozesse gemäß Abbildung 5.

Abbildung 5: Übersicht über den Prozess der Emissionsberichterstattung

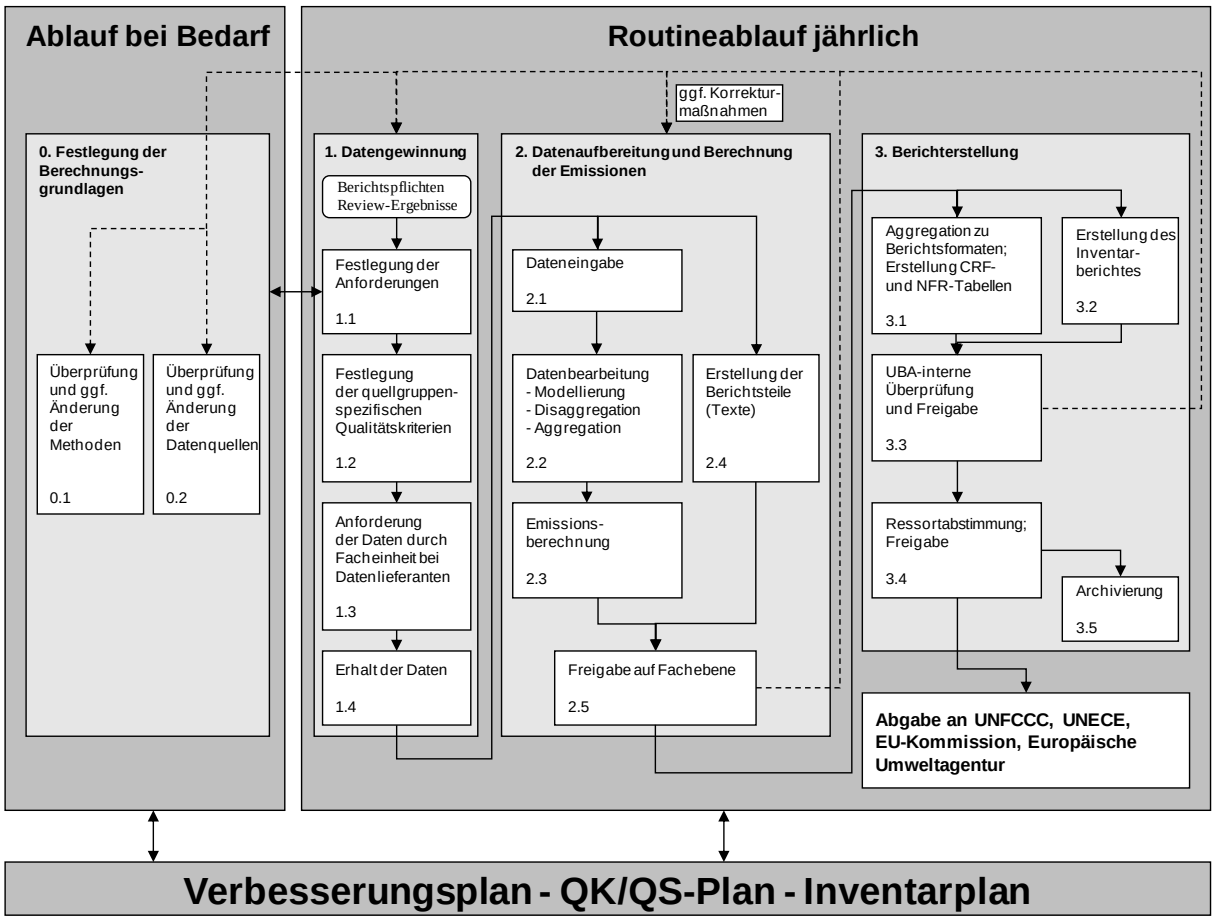

Es hat sich gezeigt, dass sich der Ablauf der Inventarplanung und -erstellung auf die Qualität der Inventare auswirken kann. Die Reihenfolge des Vorgehens ist somit nicht unwesentlich für die Inventarqualität. Der Prozess der Inventarerstellung erfolgt auch aus diesem Grund in enger Verzahnung mit der Durchführung von Maßnahmen der Qualitätskontrolle und -sicherung. Jedem Teilprozess wurden hierfür geeignete QK/QS-Maßnahmen zugewiesen, um bei der Qualitätsprüfung nicht nur die Endqualität der Inventardaten sicherzustellen, sondern diese bereits auf dem Wege dorthin zu gewährleisten. Auf diese Weise können auch periodische interne Evaluationen des Prozesses der Inventarerstellung nach Paragraph 26 der *Reporting Guidelines (*24/CP.19) durchgeführt werden.

Der Ablauf inklusive der QK/QS-Maßnahmen deckt die Anforderungen des Paragraphen 21 (b) der *Reporting* Guidelines (24/CP.19) an die Inventarerstellung ab.

Der Ablauf der Inventarerstellung ist detailliert im Kapitel 1.3 beschrieben.

1.3 Inventarerstellung

Die Inventarerstellung folgt, wie in der Übersicht in Kapitel 1.2.3 dargestellt, einem regelmäßigen, jährlich ablaufenden Schema. Die Prozesse zur Treibhausgas-Inventarerstellung, zur Erstellung des KP-LULUCF-Inventars und des Nationalen Inventarberichtes und der Durchführung von Maßnahmen der Qualitätskontrolle und -sicherung sind sehr eng mit einander verknüpft.

Grundsätzlich ist zwischen den vorgelagerten Abläufen bei der Inventarerstellung (siehe Kapitel 1.3.1.1) der Festlegung der Berechnungsgrundlagen (siehe Kapitel 1.3.2.1) , der Sammlung,

Verarbeitung und Speicherung von Daten (siehe Kapitel 1.3.2) und der Qualitätskontrolle und -sicherung (siehe Kapitel 1.3.3) zu unterscheiden.

1.3.1 Treibhausgas- und KP-LULUCF-Inventar

Die vorgelagerten Abläufe der Inventarerstellung und die Festlegung der Berechnungsgrundlagen sind für die Treibhausgas-Inventare und das KP-LULUCF-Inventar identisch.

1.3.1.1 Vorgelagerte Abläufe

Unabhängig von den in Abbildung 5 dargestellten Teilprozessen der Emissionsberichterstattung bestehen vorgelagerte Abläufe, die jeweils zwischen zwei Zyklen der Emissionsberichterstattung durchgeführt werden.

Als vorgelagerte Abläufe werden die folgenden Teilprozesse gezählt:

- kontinuierliche Überprüfung und Sicherstellung der Datenströme von den Datenlieferanten zum Umweltbundesamt durch die Verbesserung der Institutionalisierung des Nationalen Systems;
- Umsetzung von Verbesserungen in der Inventarplanung und Inventarerstellung;
- die Bestimmung der Hauptkategorien (gemäß Methode 1 nach Kapitel 4.3.1, Vol. 1 der 2006 IPCC GL);
- die Berechnung und Aggregation der Unsicherheiten der Emissionen mittels Monte Carlo Simulation (gemäß Tier 1- oder Tier 2-Verfahren nach den *IPCC Good Practice Guidance*);
- die erweiterte Bestimmung der Hauptkategorien mittels Monte Carlo Simulation (gemäß Methode 2 nach Kapitel 4.3.2, Vol. 1 der 2006 IPCC GL).

1.3.1.1.1 Verbesserung des Nationalen Systems

Durch die Form der Etablierung des Nationalen Systems, die insbesondere auf bestehenden Datenströmen aufbaut und bei fehlender langfristiger Absicherung der Datenbereitstellung geeignete Maßnahmen zur Absicherung vorsieht (siehe Kapitel 1.2.1.2), ist eine stetige Überprüfung der Datenströme zwischen zwei Zyklen der Berichterstattung nötig.

Bei auslaufenden Selbstverpflichtungen sind Gespräche mit den Datenlieferanten über deren Verlängerung bzw. Überführung in eine Kooperationsvereinbarung zu führen. Nicht abgesicherte Datenströme sind mit verbindlichen Zusagen oder Kooperationsvereinbarungen zu unterlegen. Im Zweifelsfall sind gesetzliche Regelungen zur Datenbereitstellung zu prüfen und umzusetzen.

Bestehende Vereinbarungen müssen ggf. an neue Gegebenheiten und Berichterstattungserfordernisse (z.B. Wechsel des Berichterstattungsverfahrens) angepasst werden. Damit wird zu einer stetig hohen Qualität des Nationalen Systems und der Inventarerstellung beigetragen.

Veränderungen und Verbesserungen im Nationalen System im aktuellen Berichterstattungszyklus sind im Kapitel 13 beschrieben.

1.3.1.1.2 Umsetzung von Verbesserungen in der Inventarplanung und Inventarerstellung

Das Qualitässystem dient sowohl der Gewährleistung einer hohen Inventarqualität, als auch der stetigen Inventarverbesserung und Verbesserung der Inventarplanung.

Erkannte Verbesserungsnotwendigkeiten aus der zurückliegenden Qualitätskontrolle und -sicherung, zurückliegende Review-Ergebnisse und im NIR ausgewiesene geplante Verbesserungen werden wenn möglich jeweils zwischen den Berichterstattungszyklen umgesetzt.

Eine detaillierte Beschreibung der Prozeduren zur Qualitätskontrolle und -sicherung ist im Kapitel 1.6 zu finden. Die in den Kategorien erzielten Verbesserungen dieser Berichterstattung sind in den jeweiligen Kategorien-Kapiteln zu finden.

1.3.1.1.3 Bestimmung der Hauptkategorien (gemäß Tier 1-Verfahren)

Um die für die Inventarerstellung und -verbesserung notwendigen, vielfältigen und detaillierten Aktivitäten und Kapazitäten auf die wesentlichen Kategorien der Inventare konzentrieren zu können, wurde durch IPCC die Definition einer Hauptkategorie eingeführt. Als solche werden Quell- bzw. Senkengruppen bezeichnet, die im nationalen Inventar herausgehoben sind, da ihre Emissionen bzw. Einbindungen einen signifikanten Einfluss auf die Gesamtemission der direkten Treibhausgase haben, entweder in der absoluten Höhe der Emissionen, im Beitrag zum zeitlichen Emissionstrend, ihrer Unsicherheiten oder aufgrund ihrer Einschätzung als relevante Quelle durch einen Experten.

Die Bestimmung der Hauptkategorien wird von der Nationalen Koordinierungsstelle einmal jährlich vor dem Durchlaufen des Prozesses der Emissionsberichterstattung durchgeführt. Die Ergebnisse werden im Rahmen der Berichterstattung für das Jahr x berichtet, können aber erst bei der Inventarerstellung für das Jahr x+1 fachlich berücksichtigt werden. Die Zugehörigkeit zu den Hauptkategorien dient als Kriterium dafür, welche Berechnungsmethode (Tier-Ansatz) und in Folge dessen welcher Detaillierungsgrad bei der Emissionsmodellierung für die Kategorie angewandt werden muss. Darüber hinaus wird das Ergebnis der Bestimmung der Hauptkategorien zur Ermittlung von Kategorien mit prioritärem Handlungsbedarf bei der Inventarverbesserung genutzt.

In der 2000 *IPCC Good Practice Guidance* (Vol. 1, Ch. 4) sind die für die Bestimmung der Hauptkategorien anzuwendenden Methoden festgelegt. Diese ermöglichen es, durch die Analyse des Inventars für ein Jahr im Hinblick auf die Emissionshöhe der einzelnen Kategorien (Tier 1 Level Assessment), die Analyse einer Zeitreihe der Inventarangaben (Tier 1 Trend Assessment) sowie durch eine detaillierte Analyse der fehlerbewerteten Inventarangaben (Tier 2 Level and Trend Assessment unter Berücksichtigung der Unsicherheiten) die jeweiligen Hauptkategorien zu identifizieren.

Zur Festlegung der Hauptkategorien wurden für die deutschen Treibhausgasemissionen die beide Methode 1-Verfahren Level (für das Basisjahr sowie das letzte berichtete Jahr) sowie Trend (für das letzte berichtete Jahr gegenüber dem Basisjahr) angewendet. Entsprechend den IPCC-Vorgaben wurde dabei neben den Emissionen aus Quellen auch die Einbindung der Treibhausgase in Senken in den Analysen berücksichtigt.

1.3.1.1.4 Berechnung und Aggregation der Unsicherheiten der Emissionen

Unsicherheiten sind elementarer Bestandteil der Emissionsinventare und ihre Bestimmung soll zu einem quantitativen Ausdruck für die Genauigkeit der Emissionsinventare führen. Während die Bestimmung der Unsicherheiten mit der Datenerhebung und damit im Prozessablauf der Emissionsberichterstattung unter dem Punkt Datengewinnung erfolgt, kann ihre Aggregation erst im Anschluss an die Inventarerstellung beziehungsweise den Zyklus der Emissionsberichterstattung erfolgen.

Bei der Berechnung und Aggregation der Unsicherheiten werden die Unsicherheiten der Aktivitätsraten und Emissionsfaktoren, welche in der Regel auf der untersten Ebene der Kategorien im ZSE von Experten geschätzt wurden, in Unsicherheiten von Emissionen umgerechnet und aggregiert. Die Aggregation der Unsicherheiten nach Tier 1 wird jährlich am

Ende des Berichtserstattungszyklus für das aktuelle Berichtsjahr durchgeführt. Alle drei Jahre wird zusätzlich eine Unsicherheitenbestimmung gemäß der Tier 2 Methode vorgenommen.

Deutschland berichtet im aktuellen NIR Unsicherheiten, die nach der Tier 1 Methode ermittelt worden sind. Zur Ermittlung der Unsicherheiten des Inventars wurden die Einzelunsicherheiten, soweit bisher möglich, durch die Daten liefernden Experten der Facheinheiten im UBA sowie externe Einrichtungen geschätzt.

1.3.1.1.5 Erweiterte Bestimmung der Hauptkategorien

Die aggregierten Unsicherheiten dienen als Grundlage zur erweiterten Bestimmung der Hauptkategorien (Tier-2-Hauptkategorienbestimmung).

1.3.2 Sammlung, Verarbeitung und Speicherung der Daten, inklusive KP-LULUCF-Inventare

1.3.2.1 Festlegung der Berechnungsgrundlagen

Die Auswahl, Überprüfung und ggf. Änderung der Berechnungsmethoden zur Emissionsermittlung hat Auswirkungen auf den gesamten Emissionsberichterstattungsprozess. Daher steht die Prüfung der Angemessenheit der verwendeten Methoden am Anfang des Hauptprozesses „Festlegung der Berechnungsgrundlagen". Die 2006 *IPCC Guidelines* geben für die jeweiligen Kategorien mit Hilfe von Entscheidungsbäumen (Decision Trees) vor, welche Methoden anzuwenden sind. Dies erfolgt in Abhängigkeit davon, ob es sich um eine Hauptkategorie handelt oder nicht. Kommt statt der vorgeschriebenen Methode eine andere – länderspezifische – Methode zur Anwendung, so ist dies im NIR zu begründen. Die Gleich- oder Höherwertigkeit der Methode ist darzulegen und nachvollziehbar zu dokumentieren.

Weiter stellen auch die **Auswahl, Überprüfung und ggf. Änderung der Datenquellen** einen kritischen Erfolgsfaktor dar, denn die Ergebnisse der gesamten Folgeprozesse (Datenaufbereitung, Berechnung, Berichterstattung) können nicht besser als die Qualität der Primärdaten sein. Datenquellen können sich auf Aktivitätsraten, Emissionsfaktoren oder Emissionen einer bestimmten Kategorie beziehen. In vielen Fällen wird es sich um bereits seit mehreren Jahren genutzte Datenquellen handeln. Die Auswahl neuer Datenquellen kann z.B. auf Grund einer erforderlichen Methodenumstellung, des Wegfalls einer bisherigen Datenquelle, der Notwendigkeit zusätzlicher Daten oder aufgrund von Ergebnissen der Qualitätskontrolle bei bisher genutzten Datenquellen erforderlich sein.

Verschiedene Kriterien beeinflussen die Eignung einer Datenquelle. Hierzu zählen u.a.:

- langfristige Verfügbarkeit,
- Institutionalisierung der Datenbereitstellung,
- gute Dokumentation,
- Durchführung von Maßnahmen der Qualitätskontrolle und –sicherung seitens der Datenlieferanten,
- Angabe von Unsicherheiten,
- Repräsentativität der Daten und
- Vollständigkeit der zu erwartenden Daten.

Wichtig ist, dass in jedem Fall die Entscheidung für die Auswahl einer Datenquelle dokumentiert wird und dass bei erheblich reduzierter Eignung der verwendeten Datenquellen geeignete Verbesserungsmaßnahmen geplant werden.

Die Weitergabe von Anforderungen zur Qualitätskontrolle, -sicherung und Dokumentation an Datenlieferanten ist immer erforderlich und insbesondere bei der Vergabe von Forschungsvorhaben von besonderer Relevanz, da das Umweltbundesamt als Auftraggeber in diesem Fall einen erheblichen Einfluss auf den Auftragnehmer ausüben muss.

1.3.2.2 Datengewinnung

Die Datengewinnung und -dokumentation erfolgt durch den jeweiligen Fachverantwortlichen. Dies kann durch die Auswertung von amtlichen oder Verbände-Statistiken, Studien, Periodika sowie fremden Forschungsvorhaben erfolgen. Ebenso kann sie über die Durchführung eigener Forschungsvorhaben oder die Verwendung persönlicher Informationen, sowie über einen Bund/Länder-Datenaustausch gewonnene Daten erfolgen. Häufig werden dabei anderweitig gewonnene Arbeitsergebnisse für die Emissionsberichterstattung weitergenutzt.

Die Datengewinnung umfasst die Teilschritte:

- Festlegung der Anforderungen,
- Festlegung der kategoriespezifischen Qualitätskriterien für die Daten,
- Anforderung der Daten durch die zuständige Facheinheit bei den Datenlieferanten, sowie
- Erhalt der Daten.

Über die Nationale Koordinierungsstelle wird die Anforderung an die Zuarbeit zu den Inventaren auch über die Fachvorgesetzten an die kategoriespezifischen Fachverantwortlichen geschickt. Für die Fertigung des NIR wird eine Master-Datei bereitgestellt, die die Struktur für die Zuarbeiten vorgibt. Als Anforderung für die späteren Dateneingaben gelten die Vorgaben aus dem ZSE (direkte Eingabe oder Befüllung des Importformats). Über Informationsveranstaltungen des *UBA AK Emissionsinventare,* die Intranet- und Share-Point-Seiten zur Emissionsberichterstattung des UBA und einer elektronischen Inventarbeschreibung (siehe Kapitel 1.3.3.1.5) werden den Fachverantwortlichen die Anforderungen an die Berichterstattung einschließlich der durchzuführenden Maßnahmen zur QK/QS, die Ergebnisse aller Inventarüberprüfungen sowie kategoriespezifisch der Datenbestand jeder Kategorie und die aktuellen Ergebnisse aus der Bestimmung der Hauptkategorien bekannt gemacht. Auf dieser Basis sind durch den Fachverantwortlichen die **Anforderungen** bezüglich der Datenquellen sowie der Berechnungsmethoden **festzulegen**.

Die Anforderungen beeinflussen den vorgelagerten Prozess der Festlegung von Berechnungsgrundlagen (Überprüfung und Auswahl der Methoden und Datenquellen), der immer dann stattfindet, wenn die Anforderungen noch nicht erfüllt sind oder sich verändert haben.

Nach Festlegung der Anforderungen an Datenquellen und Methoden soll vor der Einleitung der Datengewinnung bei Dritten eine **Festlegung der kategoriespezifischen Qualitätskriterien** für diese Daten erfolgen, um den Prozess der QK auf der Datenebene zu unterstützen.

Erfolgt die **Anforderung der Daten** durch den Fachverantwortlichen bei Dritten, soll der vom Datenlieferant erwartete Umfang, die Anforderungen an die Datenqualität und an die Dokumentation der Daten angegeben werden. Beim **Erhalt der Daten** werden diese auf Vollständigkeit, Einhaltung der Qualitätskriterien und Aktualität geprüft. Die Validierung der Daten erfolgt durch den Fachverantwortlichen.

1.3.2.3 Datenaufbereitung und Emissionsberechnung

Die Datenaufbereitung und Emissionsberechnung umfasst die Schritte:

- Dateneingabe,

- Datenbearbeitung (Modellbildung, Disaggregation, Aggregation),
- Emissionsberechnung,
- Erstellung Berichtsteile (Texte) sowie
- Freigabe auf der Fachebene.

Parallel zu den Zeitreihen für Aktivitätsraten, Emissionsfaktoren, Unsicherheiten und Emissionen werden auch die Berichtsteile erstellt. Insofern wird der Begriff Daten in einem weiten Sinne verstanden. Er umfasst neben Zahlenwerten, Zeitreihen, etc. auch Kontextinformationen wie Quellen einer Zeitreihe sowie Wege der Berechnung und bezieht sich ebenfalls auf die **Erstellung der Berichtsteile** für den NIR und die Dokumentation von Rückrechnungen.

Große Teile der **Dateneingabe und –bearbeitung** (Bearbeitung von Daten und Emissionsberechnung) laufen im ZSE ab, wodurch die Transparenz und Konsistenz erheblich erhöht wird und sich für die Durchführung der erforderlichen Maßnahmen der Qualitätskontrolle auf der Datenebene die Möglichkeit eröffnet, im ZSE eine Automatisierung vorzunehmen (z.B. Prüfung von Größenordnungen und Vollständigkeit, sowie Formulierung von Prüfbedingungen im CalQlator). In solchen Fällen kann die manuelle Durchführung bestimmter QK-Maßnahmen entfallen. Um Berechnungsergebnisse komplexer Modelle zu plausibilisieren, sollen zur Überprüfung Cross-Checks mit vereinfachten Annahmen erfolgen.

Nach Durchlaufen der Prüfungen und evtl. Rücksprachen erfolgt die **Emissionsberechnung** im ZSE durch ein automatisiertes Verfahren nach dem Prinzip

Aktivitätsrate * Emissionsfaktor = Emission.

Sind auch vorgelagerte Rechenwege im ZSE abgelegt, so werden diese Berechnungen zuerst angestoßen, bevor die eigentliche Emissionsberechnung durchgeführt wird.

Die **Freigabe auf der Fachebene** durch die jeweiligen QK-Verantwortlichen hat sowohl für Texte als auch für Ergebnisse der Berechnungen vor der weiteren Verwendung durch die nationale Koordinierungsstelle zu erfolgen. Dies geschieht in der Regel mit der Übermittlung an die Nationale Koordinierungsstelle und durch die Freigabe der vollständig ausgefüllten QK/QS-Checklisten.

1.3.2.4 Berichterstellung

Zur Berichterstellung gehören:

- die Aggregation der Emissionsdaten zu den nationalen Trendtabellen und zu den Berichtsformaten, Erstellung der Datentabellen für das NFR bzw. der Export der XML-Dateien für den CRF-Reporter sowie der Import der XML-Dateien in den CRF-Reporter
- die Zusammenfassung der zugelieferten Berichtstexte zum Berichtsentwurf (NIR) sowie die Gesamtredaktion des NIR,
- die UBA-interne Überprüfung des Entwurfs (nationale Trendtabellen und NIR) mit anschließender Freigabe,
- die Übergabe an das BMUB zur Ressortabstimmung mit abschließender Freigabe durch den Koordinierungsausschuss, sowie abschließend
- die Übergabe an das UNFCCC-Sekretariat, die EU-Kommission bzw. das UNECE Sekretariat und
- die Archivierung.

Nach der Fertigstellung der Daten, Berichtsteile und QK/QS-Checklisten durch die Fachexperten und die Übermittlung derselben an die Nationale Koordinierungsstelle werden sie von den kategoriespezifischen fachlichen Ansprechpartnern in der Nationalen Koordinierungsstelle

anhand einer QK-Checkliste überprüft. Die Ergebnisse dieser Überprüfung werden den Fachverantwortlichen zur Verfügung gestellt, so dass diese (ggf. nach einer Rücksprache) ihren Beitrag entsprechend überarbeiten können.

Bevor die Emissionsdaten in die Berichtsformate für die Klimarahmenkonvention und des Kyoto-Protokolls (CRF= Common Reporting Format) bzw. die Genfer Luftreinhaltekonvention (NFR= New Format on reporting) übertragen werden können, muss eine **Aggregation der Emissionsdaten** aus den Zeitreihen des ZSE (im Erfassungsformat) zu den **Berichtsformaten** CRF- bzw. NFR-Kategorien erfolgen. Dies wird über eine hierarchische Zuordnung im ZSE realisiert, die im Anhang 3 für die einzelnen Hauptkategorien genauer beschrieben ist. Die Aggregationen erfolgen automatisiert, sofern keine Änderungen gegenüber dem Vorjahr auftreten.

Nach der rechnerischen Aggregation werden Aktivitätsdaten und Emissionen über den Export in XML-Dateien in den CRF-Reporter eingelesen, in dem automatisiert die CRF-Berichtstabellen des IPCC erstellt werden. Dennoch sind Qualitätskontrollen erforderlich, die eine Übereinstimmung der Werte sowie der durch den CRF-Reporter berechneten Implied Emission Factors zwischen dem Emissionsinventar und den CRF-Reporter Tabellen sicherstellen. Zudem ist eine hinreichende Kommentierung etwaiger Rekalkulationen sowie von Notation Keys erforderlich.

Die Berechnung der Treibhausgase in CO_2-Äquivalenten erfolgt nach Maßgabe des § 2 der Entscheidung 24/CP.19 bzw. des § 31 der Revised UNFCCC Reporting Guidelines (FCCC/CP/2013/10/Add. 3), auf Basis der mit dem *Fourth Assessment Report* veröffentlichten und in folgender Tabelle abgebildeten jeweiligen Treibhauspotentials (GWP), basierend auf den Wirkungen der Treibhausgase über einen Zeithorizont von 100 Jahren.

Tabelle 3: Global Warming Potential (GWP) der Treibhausgase

Greenhouse gas	Chemical formula	IPCC AR4 GWP
Carbon dioxide	CO_2	1
Methane	CH_4	25
Nitrous oxide	N_2O	298
Hydrofluorocarbons (HFC)		
HFC-23	CHF_3	14800
HFC-32	CH_2F_2	675
HFC-41	CH_3F	92
HFC-43-10mee	$CF_3CF_2CHFCHFCF_3$	1640
HFC-125	CHF_2CF_3	3500
HFC-134	CHF_2CHF_2	1100
HFC-134a	CH_2FCF_3	1430
HFC-143	CHF_2CH_2F	353
HFC-143a	CF_3CH_3	4470
HFC-152	CH_2FCH_2F	53
HFC-152a	CH_3CHF_2	124
HFC-161	CH_3CH_2F	12
HFC-227ea	CF_3CHFCF_3	3220
HFC-236cb	$CH_2FCF_2CF_3$	1340
HFC-236ea	CHF_2CHFCF_3	1370
HFC-236fa	$CF_3CH_2CF_3$	9810
HFC-245ca	$CHF_2CF_2CH_2F$	693
HFC-245fa	$CHF_2CH_2CF_3$	1030
HFC-365mfc	$CH_3CF_2CH_2CF_3$	794
Perfluorocarbons (PFC)		

Greenhouse gas	Chemical formula	IPCC AR4 GWP
Perfluoromethane	CF_4	7390
Perfluoroethane	C_2F_6	12200
Perfluoropropane	C_3F_8	8830
Perfluorocyclopropane	c-C_3F_6	17340
Perfluorobutane	C_4F_{10}	8860
Perfluorocyclobutane	c-C_4F_8	10300
Perfluoropentane	C_5F_{12}	9160
Perfluorohexane	C_6F_{14}	9300
Perfluorodecalin	$C_{10}F_{18}$	7500
Sulphur hexafluoride		
Sulphur hexafluoride	SF_6	22800
Nitrogen trifluoride		
Nitrogene trifluoride	NF_3	17200
Fluorinated ethers		
HFE-125	*CHF_2OCF_3*	*14900*
HFE-134	*CHF_2OCHF_2*	*6320*
HFE-143a	*CH_3OCF_3*	*756*
HFE-227ea	*$CF_3CHFOCF_3$*	*1540*
HCFE-235da2	*$CHF_2OCHClCF_3$*	*350*
HFE-236ca12	*$CHF_2OCF_2OCHF_2$*	*2800*
HFE-236ea2	*$CHF_2OCHFCF_3$*	*989*
HFE-236fa	*$CF_3CH_2OCF_3$*	*487*
HFE-245cb2	*$CH_3OCF_2CF_3$*	*708*
HFE-245fa1	*$CHF_2CH_2OCF_3$*	*286*
HFE-245fa2	*$CHF_2OCH_2CF_3$*	*659*
HFE-254cb2	*$CH_3OCF_2CHF_2$*	*359*
HFE-263fb2	*$CF_3CH_2OCH_3$*	*11*
HFE-329mcc2	*$CHF_2CF_2OCF_2CF_3$*	*919*
HFE-338mcf2	*$CF_3CH_2OCF_2CF_3$*	*552*
HFE-338mmz1	*$(CF_3)_2CHOCHF_2$*	*380*
HFE-338pcc13	*$CHF_2OCF_2CF_2OCHF_2$*	*1500*
HFE-347mcc3	*$CH_3OCF_2CF_2CF_3$*	*575*
HFE-347mcf2	*$CHF_2CH_2OCF_2CF_3$*	*374*
HFE-347mmy1	*$(CF_3)_2CFOCH_3$*	*343*
HFE-347pcf2	*$CHF_2CF_2OCH_2CF_3$*	*580*
HFE-356mec3	*$CH_3OCF_2CHFCF_3$*	*101*
HFE-356mmz1	*$(CF_3)_2CHOCH_3$*	*27*
HFE-356pcc3	*$CH_3OCF_2CF_2CHF_2$*	*110*
HFE-356pcf2	*$CHF_2CH_2OCF_2CHF_2$*	*265*
HFE-356pcf3	*$CHF_2OCH_2CF_2CHF_2$*	*502*
HFE-365mcf3	*$CF_3CF_2CH_2OCH_3$*	*11*
HFE-374pc2	*$CHF_2CF_2OCH_2CH_3$*	*557*
HFE-449sl	*$C_4F_9OCH_3$*	*297*
HFE-569sf2	*$C_4F_9OC_2H_5$*	*59*
HFE-43-10pccc124	*$CHF_2OCF_2OC_2F_4OCHF_2$*	*1870*
	$CF_3CF_2CH_2OH$	*42*
	$(CF_3)_2CHOH$	*195*
	-$(CF_2)_4CH(OH)$-	*73*
Perfluoropolyethers		
PFPMIE	*$CF_3OCF(CF_3)CF_2OCF_2OCF_3$*	*10300*

Quelle : FCCC/CP/2013/10/Add. 3, S.24

Parallel hierzu erfolgt die **Zusammenfassung der geprüften Berichtstexte zum Berichtsentwurf** des NIR durch den Berichtskoordinator.

Die **UBA-Interne Überprüfung und Freigabe** der fertig gestellten Berichtstabellen und des NIR, sowie dem zukünftig darin enthaltenen Inventarplan erfolgt durch die Mitzeichnung im Rahmen der **Hausabstimmung im UBA**. Danach erfolgt die **Übermittlung an das** BMUB zur zweiten Phase der Freigabe im Rahmen der **Ressortabstimmung**. Der Koordinierungsausschuss gibt die Berichtstabellen und den NIR abschließend zur Übermittlung an das UNFCCC-Sekretariat frei. Das Ministerium übernimmt die Übersetzung des NIR und die **Übergabe an das UNFCCC-Sekretariat**.

Die Datentabellen und der dazugehörige NIR werden in der Inventarbeschreibung (siehe auch Kapitel 1.3.3.1.5) gesichert archiviert. Der zur Berechnung verwendete Inhalt der ZSE-Datenbank wird ebenfalls archiviert.

1.3.3 Prozeduren zur Qualitätskontrolle und -sicherung (QK/QS) und ausführliche Überprüfung der Treibhausgas- und KP-LULUCF-Inventare

1.3.3.1 Das Qualitätssystem Emissionsinventare

Im QSE werden die Anforderungen der 2006 *IPCC Guidelines (Vol.1, Kapitel 6)*, die nationalen Gegebenheiten in Deutschland sowie die internen Strukturen und Abläufe der berichterstattenden Institution UBA berücksichtigt. Das QSE ist in seinen Verfahrensabläufen soweit flexibel gestaltet, dass auch zukünftige veränderte Anforderungen routinemäßig berücksichtigt werden können. Der Geltungsbereich des QSE umfasst den gesamten Prozess der Emissionsberichterstattung.

Das QSE umfasst alle Teilnehmer des NaSE. Im Umweltbundesamt wurde die Verbindlichkeit über die UBA-Hausanordnung 11/2005 hergestellt. Einzelheiten bezüglich der Regelung der Verbindlichkeit für andere NaSE-Teilnehmer können dem Anhang 22.1.1 entnommen werden.

1.3.3.1.1 Hausanordnung 11/2005 des UBA

Im Jahr 2005 hat das Umweltbundesamt über die *Hausanordnung 11/2005* ein *Qualitätssystem Emissionsinventare* im Umweltbundesamt installiert, das die erforderlichen Rahmenbedingungen für die Einhaltung einer guten Inventarpraxis und die Durchführung einer routinemäßigen Qualitätssicherung schafft. Es entspricht den Anforderungen der 2006 *IPCC Guidelines (Vol.1, Kapitel 6)* und ist den nationalen Gegebenheiten in Deutschland sowie den internen Strukturen und Abläufe der berichterstattenden Institution UBA angepasst. Mit der Hausanordnung 11/2005 wurden verbindliche Zuständigkeitsregelungen innerhalb des UBA, die Terminkette bei der Erstellung der Inventare und die durchzuführenden Prüfhandlungen zur Qualitätskontrolle und -sicherung festgeschrieben.

Mit der Hausanordnung erfolgte die nach Paragraph 20 der *Reporting Guidelines* (24/CP.19)geforderte prozedurale Festlegung und die nach Paragraph 23 (a) erforderliche Festlegung spezifischer Verantwortlichkeiten auf der Amtsebene.

1.3.3.1.2 Mindestanforderungen an ein System zur Qualitätskontrolle und –sicherung

Die Anforderungen an das System zur Qualitätskontrolle und Qualitätssicherung (QK/QS-System) und an die Maßnahmen zur Qualitätskontrolle und Qualitätssicherung werden im Wesentlichen durch das Kapitel 6 der 2006 *IPCC Guidelines (Vol.1)* definiert.

Aus den vormals geltenden Good Practice Guidance (Kapitel 8) wurden bereits 2007 vom UBA „Allgemeine Mindestanforderungen an die Qualitätskontrolle und Qualitätssicherung bei der Treibhausgasemissionsberichterstattung“ abgeleitet (siehe Kapitel 22.1.2.1). Für die externen

Teilnehmer des Nationalen Systems ist die Übernahme der Mindestanforderungen, nach Beschlussfassung über diese Mindestanforderungen durch die Vertreter der beteiligten Bundesministerien im Koordinierungsausschuss des Nationalen Systems Emissionsinventare (siehe Anhangkapitel 22.1.1) erfolgt.

Weiterführende Informationen, welche organisatorischen Festsetzungen im UBA die Voraussetzung für die Umsetzung dieser Anforderungen bilden, können den folgenden Kapiteln und in Ergänzung hierzu dem Anhang 22.1.2.1.11 entnommen werden.

1.3.3.1.3 Aufbauorganisation des Qualitätssystems Emissionsinventare

Im Rahmen des QSE wurde ein Konzept zur Aufbauorganisation entwickelt, dass die Zuständigkeiten für die Umsetzung der erforderlichen QK und QS-Maßnahmen verbindlich für das UBA festlegt. Die festgelegten Rollen und Verantwortlichkeiten sollen einen effektiven Informationsaustausch und die anforderungskonforme Durchführung der QK und QS sicherstellen (siehe Tabelle 4).

Tabelle 4: QSE - Rollen und Verantwortlichkeiten

Rolle	Aufgabe	Verantwortlich
Fachverantwortlicher auf operativer Ebene (FV)	Erstellung von Teilen des Nationalen Inventarberichts (NIR) Datengewinnung und Dateneingabe in das ZSE und Berechnung entsprechend der gewählten/vorgegebenen Methoden Durchführung von systematischen QK-Maßnahmen in NIR, ZSE und Inventarbeschreibung Durchführung von Verifikationsmaßnahmen Archivierung aller kategoriespezifischen Inventarinformationen (Inventarbeschreibung und dezentrale Dokumentation) Wenn erforderlich (für kategoriespezifische QK): Festlegung von kategoriespezifischen Qualitätszielen und den Kriterien ihrer Zielerreichung in Abstimmung mit dem QK-Verantwortlichen, dem Fachlichen Ansprechpartner und dem QSEK. Prüfung, Aufbereitung und Beantwortung von Reviewergebnissen Aktive Teilnahme bei Reviewprozessen. Dies umfasst das Halten von Vorträgen, geben von Erläuterungen und die Erreichbarkeit für Nachfragen (im Vorfeld, während dessen und im Nachgang). Initiierung, Ausarbeitung (Leistungsbeschreibung) und fachliche Begleitung von FE-Projekten	Alle vom Fachgebietsleiter (FGL) kategoriespezifisch benannten Mitarbeiter
QK/QS-Verantwortlicher für das Fachgebiet (QKV)	Durchführung von systematischen Maßnahmen zur Sicherstellung der Qualität der an die Nationale Koordinierungsstelle zu liefernden Daten und Berichtsteile Freigabe der Daten und Berichtsteile Sicherstellung dass die erforderlichen Inventararbeiten, Qualitätskontrollen sowie die Dokumentation und Archivierung erfolgt sind Festlegung von fachlichen Verantwortlichkeiten zur Emissionsberichterstattung im Fachgebiet und Bereitstellung der notwendigen zeitlichen Ressourcen Unterstützung und Teilnahme bei Reviewprozessen	Alle zuständigen FGL

Fachliche Ansprechpartner (kategoriespezifisch) in der Nationalen Koordinierungsstelle (FAP)	Kategoriespezifische Betreuung von FV und QKV
	Unterstützung/Anleitung der FV/QKV bei der:
	• Umsetzung der internationalen Anforderungen
	• fachlichen Zuarbeit von Daten und Berichtstexten
	• Qualitätskontrolle/Qualitätssicherung
	  ○ Erstellung fehlender Teile des Nationalen Inventarberichts (NIR)
	  ○ Gewinnung und Eingabe fehlender Daten in das ZSE und Berechnung entsprechend der gewählten/vorgegebenen Methoden
	  ○ Sicherstellung dass die erforderlichen Inventararbeiten, Qualitätskontrollen sowie die Dokumentation und Archivierung erfolgt sind
	  ○ Durchführung von systematischen QK-/QS-Maßnahmen in NIR, ZSE und Inventarbeschreibung
		kategoriespezifisch benannte Mitarbeiter aus der Nationalen Koordinierungsstelle

Rolle	Aufgabe	Verantwortlich
	○ Archivierung fehlender kategorie-spezifischer Inventarinformationen (Inventarbeschreibung und dezentrale Dokumentation) Initiierung und Begleitung von FE-Projekten Durchführung sämtlicher Arbeiten mit dem CRF-Reporter und Qualitätskontrolle Übernahme der Aufgaben von abwesenden FV bzw. bei nicht besetzten Stellen Prüfung, Aufbereitung und tlw. Beantwortung von Reviewergebnissen Unterstützung, Begleitung, Teilnahme und tlw. Übernahme von FV-Aufgaben bei Reviewprozessen Durchführung von Kategorieübergreifenden Arbeiten Wenn erforderlich (für kategoriespezifische QK): Festlegung von kategoriespezifischen Qualitätszielen und den Kriterien ihrer Zielerreichung in Abstimmung mit dem QK-Verantwortlichen dem FAP und dem QSEK.	
Berichtskoordinator (NIRK)	Koordination von textlichen Zuarbeiten Erstellung des NIR aus den einzelnen Zuarbeiten Übergreifende QK und QS für den NIR NIR und in Teilen auch Abgleich mit den CRF	Ein benannter Mitarbeiter aus der Nationalen Koordinierungsstelle
ZSE-Koordinator (ZSEK)	Übergreifende QK und QS bei der Eingabe und Berechnung des Inventars (Daten) Sicherstellung der Integrität der Datenbanken und der Berichtstabellen (Common Reporting Format (CRF)) Emissionsberechnung und Aggregation zu Berichtsformaten Unterstützung der Facheinheiten bei Fragen zum ZSE und zu den Berichtstabellen Bestimmung der Unsicherheiten (nach Tier 2) mittels Monte Carlo Simulation	Ein benannter Mitarbeiter der nationalen Koordinierungsstelle
QSE-Koordinator (QSEK)	Übergreifende QK und QS im gesamten Berichterstattungsprozess Aufrechterhaltung und Fortentwicklung des QSE Pflege und Fortschreibung von QK-, QS-Plan, QK-Checklisten und QSE-Handbuch Federführung für Pflege und Fortschreibung Inventarplan sowie Verbesserungsplan Wenn erforderlich (für kategoriespezifische QK): Festlegung von kategoriespezifischen Qualitätszielen und den Kriterien ihrer Zielerreichung in Abstimmung FV, QK-Verantwortlichen und dem FAP.	Ein benannter Mitarbeiter aus der Nationalen Koordinierungsstelle
NaSE-Koordinator (NaSEK)	Sicherstellung der termingerechten und anforderungskonformen Berichterstattung Initiierung der Umsetzung übergreifender Maßnahmen aus dem Inventarplan Festlegung / Dokumentation von institutionellen Einrichtungen und rechtlichen Vereinbarungen Organisation von Expert-Peer-Reviews z.B. im Rahmen von NaSE-Workshops Sicherstellung der zentralen Archivierung aller, über die Archivierung in der Inventarbeschreibung hinausgehenden Inventarinformationen Vorbereitung Durchführung und Nachbereitung von Inventarüberprüfungen	Ein benannter Mitarbeiter aus der Nationalen Koordinierungsstelle

1.3.3.1.4 Ablauforganisation des Qualitätssystems Emissionsinventare

Der Ablauf der QK- und QS-Maßnahmen im QSE richtet sich am Prozess der Emissionsberichterstattung aus, wie er in Kapitel 1.2.3 beschrieben wird. Dabei ist das Qualitätsmanagement direkt mit den Arbeitsschritten in der Inventararbeit verzahnt. Jedem Schritt im Prozessablauf der Inventarerstellung wurden geeignete QK-Maßnahmen zugeordnet, die den einzelnen Akteuren zugewiesen sind (siehe Abbildung 6).

Abbildung 6: QSE - Rollen Aufgaben und Arbeitsabläufe

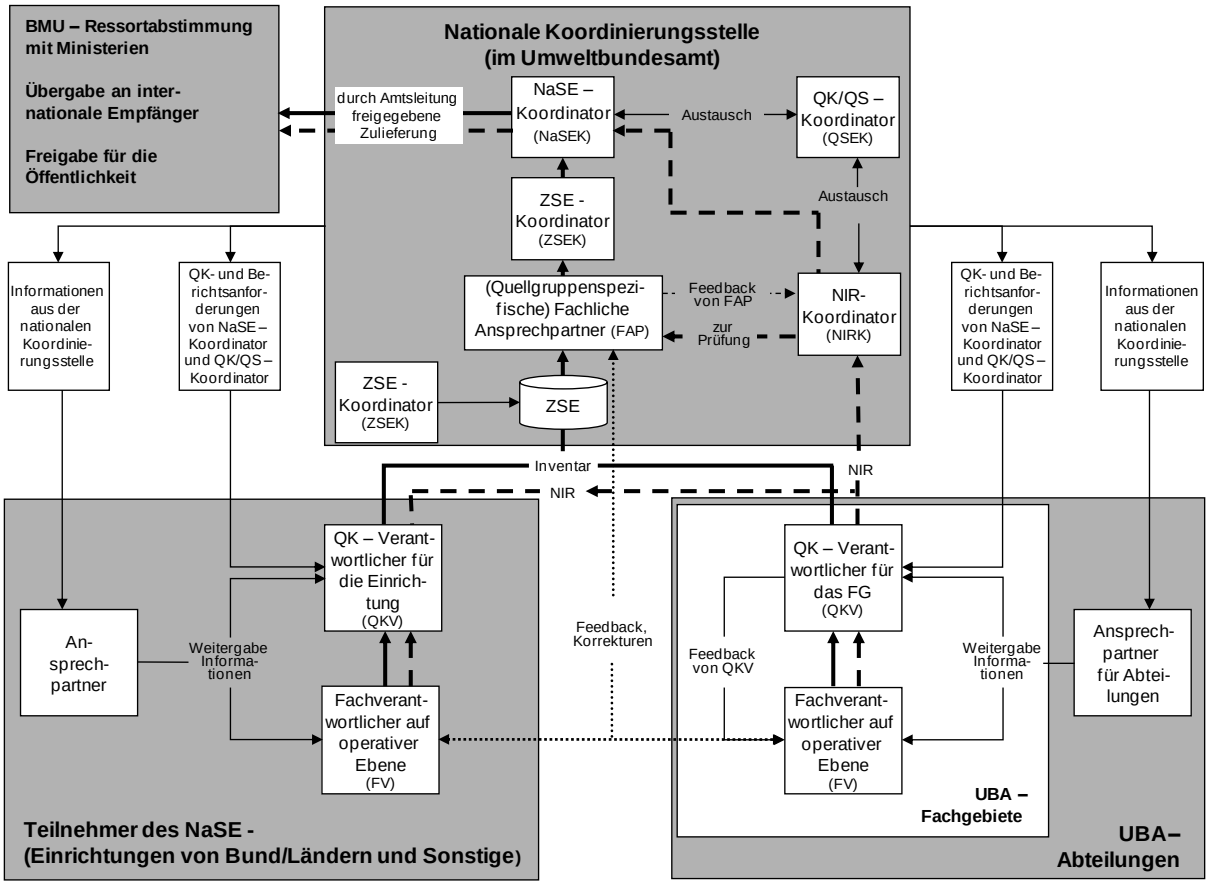

Die durchzuführenden Qualitäts-Prüfungen gemäß Paragraph 25 (f) der *Reporting* Guidelines (24/CP.19)werden den FV, QKV, FAP und dem NIRK (siehe Tabelle 4) in Form von Qualitäts-Checklisten zusammen mit der Datenanforderung zur Verfügung gestellt und im Verlauf der Zuarbeiten ausgefüllt.

1.3.3.1.5 Dokumentation im Qualitätssystem Emissionsinventare

Die mit den Mindestanforderungen an ein QK/QS-System (siehe Kapitel 22.1.2.1) formulierten Anforderungen zur Durchführung, Beschreibung und Dokumentation der QK/QS-Maßnahmen werden weitgehend gemeinsam mit den entsprechenden Inventarbeiträgen umgesetzt. Für das QSE wurde ein Dokumentationskonzept entwickelt, das zielgruppenorientiert und aufgabenspezifisch die Maßnahmen in integrierter Form darstellt. Die einzelnen Bestandteile der Dokumentation sind in Abbildung 7 dargestellt.

Abbildung 7: Steuerung und Dokumentation

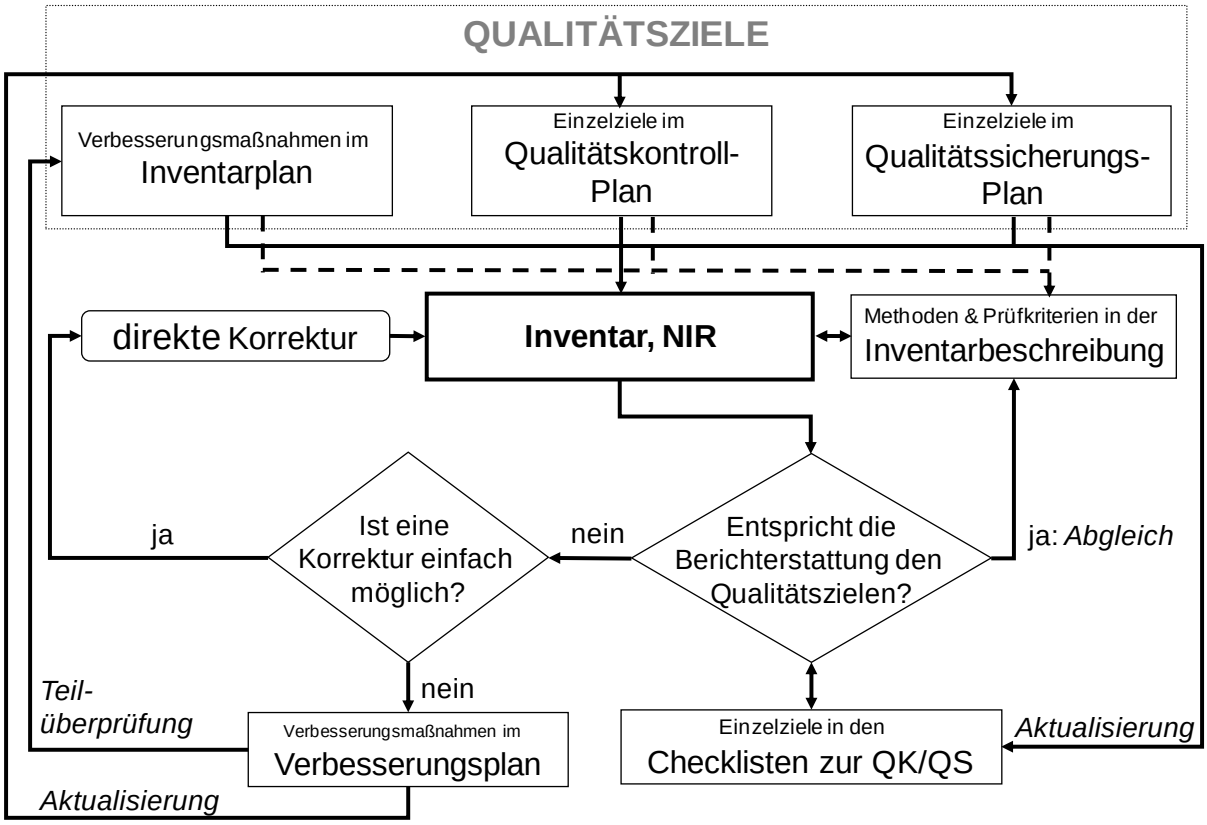

Die allgemeine Beschreibung der **Qualitätsziele** erfolgt im QSE-Handbuch und leitet sich aus den 2006 *IPCC Guidelines (Vol.1, Kapitel 6)* ab. Darüber hinaus sind für die einzelnen Kategorien operative Einzelziele zur Qualitätskontrolle und Qualitätssicherung aus dem Vergleich zwischen den Anforderungen aus den 2006 *IPCC Guidelines*, den Ergebnissen der unabhängigen Inventarüberprüfung, den im NIR gemeldeten Verbesserungsnotwendigkeiten und der Inventarrealität abzuleiten.

Gemäß den Anforderungen der IPCC 2006 *IPCC Guidelines (Vol.1, Kapitel 6)* und Paragraph 19 der *Reporting* Guidelines (24/CP.19) sollen die für die Emissionsberichterstattung notwendigen QK/QS-Maßnahmen in einem QK/QS-Plan zusammengefasst werden. Dabei ist die primäre Aufgabe eines QK/QS-Plans, diese Maßnahmen zu organisieren, zu planen und zu überwachen. Um die Durchführung und Kontrolle von Maßnahmen zur Erreichung der Qualitätsziele transparent und effektiv zu steuern, sind sie im **Qualitätskontrollplan (QK-Plan)** und **Qualitätssicherungsplan (QS-Plan)** rollenspezifisch sowie kategoriespezifisch vorgegeben. Dabei können die Qualitätsziele das Inventar, den Prozess der Berichterstattung oder das QSE selbst zum Gegenstand haben. Im Qualitätssicherungsplan erfolgt zusätzlich die zeitliche Planung von Qualitätssicherungsmaßnahmen, die sowohl durch interne, im Wesentlichen aber durch unabhängige und externe Dritte vorgenommen werden. Beide Pläne haben den Charakter eines Vorgabedokuments.

In ihrer Struktur sind QK- und QS-Plan mit den **Checklisten zur Qualitätskontrolle und Qualitätssicherung** kombiniert, die zur Überprüfung und Dokumentation der erfolgreichen Durchführung der QK/QS dienen. Hierbei sind die Qualitäts-Checks nicht als Prüfungen sondern als Qualitätsziele (data quality objective gemäß 2006 IPCC GL, Vol. 1, Kapitel 6.5) definiert, deren Einhaltung jeweils zu bestätigen oder deren Nichteinhaltung zu begründen ist. Die Checklisten zur

QK/QS sind von den Teilnehmern des NaSE[17] parallel zur Inventarerstellung auszufüllen und dienen zum einen der sofortigen Verbesserung. Falls eine sofortige Verbesserung aber nicht möglich ist, geben sie statt dessen wichtige Auskunft über die Güte der dem Inventar zugrunde liegenden Daten, Methoden und Texte). Die systematische QK/QS in Form von Checklisten wurde vom UBA erstmalig für die Berichterstattung 2006 mit den Teilnehmern des NaSE durchgeführt. Seitdem werden die Checklisten der allgemeinen Qualitätskontrolle in jedem Berichtsjahr und für alle berichteten Kategorien ausgefüllt, also sowohl für Hauptkategorien, als auch für solche, die dies nicht sind. Seit der Berichterstattung 2007 sind die Checklisten in elektronischer Form im Einsatz. Ebenfalls mit der Berichterstattung 2007 wurden die allgemeinen QK-Prüfungen (ehemals Tier 1) um einige kategoriespezifische QK-Prüfungen (ehemals Tier 2), bezogen auf Hauptkategorien, erweitert. Mit den Berichterstattungen 2008, 2009 und 2010 wurden die Checklisten für die Fachexperten und die fachlichen Ansprechpartner umfassend überarbeitet. Ziel der Überarbeitung war es, die Verständlichkeit, Anwendbarkeit und Übersichtlichkeit der Checklisten weiter zu verbessern. Um den Erfolg dieser Verbesserungsaktivität zu gewährleisten wurde eine Auswahl des betroffenen Personenkreises in die Überarbeitung einbezogen. Inhaltliche Anforderungen, sind dabei nicht verändert worden. Die CHKL werden jährlich auf etwaigen Aktualisierungsbedarf überprüft und ggf. überarbeitet oder ergänzt. Im gleichen Maße wie die Checklisten werden auch QK- und QS-Plan kontinuierlich weiterentwickelt. Mit Berichterstattung 2013 wurden erstmalig die vormals kategoriespezifischen Checklisten der QKV auf eine einzelne übergeordnete Checkliste je QKV umgestellt. Dies geschah im Wesentlichen um die Übersichtlichkeit über den QK/QS-Prozess für das Führungspersonal zu verbessern/erleichtern und aus Gründen der Ressourceneffizienz.
Mit der Berichterstattung 2015 wurden sichergestellt, dass die allgemeinen Checklisten die überarbeiteten Anforderungen der 2006 *IPCC Guidelines (Vol.1, Kapitel 6)* erfüllen. Fehlende Anforderungen wurden ergänzt.

Beide Pläne und die QK/QS-Checklisten stellen Instrumente zur Überprüfung der Erfüllung der internationalen Anforderungen dar und ermöglichen die Steuerung der Inventarqualität über die Initiierung von Maßnahmen zur Qualitätssicherung gemäß Paragraph 13 der *Guidelines for National Systems*.

Im **Verbesserungsplan** werden zunächst alle Verbesserungsmöglichkeiten und zusätzlich die Beanstandungen aus den Ergebnissen der unabhängigen Inventarüberprüfung, die im Rahmen des jeweils abgeschlossenen Zyklus der Emissionsberichterstattung identifiziert wurden, gesammelt und mit möglichen Korrekturmaßnahmen hinterlegt. Diese Korrekturmaßnahmen werden durch die Nationale Koordinierungsstelle kategorisiert, mit Prioritäten versehen und in Rücksprache mit den Fachverantwortlichen in der Regel vollständig in den **Inventarplan** überführt. Dort werden sie mit Terminen und Verantwortlichkeiten hinterlegt. Der Inventarplan durchläuft als Anhang des NIR den Abstimmungs- und Freigabeprozess und stellt somit ein verbindliches Vorgabedokument für die im kommenden Berichtsjahr umzusetzenden Verbesserungsmaßnahmen dar.

Die **Inventarbeschreibung** wird in der Nationalen Koordinierungsstelle als zentrale Dokumentation für die einzelnen Kategorien geführt. In ihr werden alle wesentlichen Aspekte der Inventarerstellung beschrieben. Alle kategoriespezifischen Arbeiten, die relevant für die Inventarerstellung sind, sind hierin zu dokumentieren. Die Inventarbeschreibung besteht aus einem serverbasierten Ordnersystem, das sowohl auf mobilen Geräten, als auch auf den

[17] Hierzu gehören Fachverantwortliche (FV), Fachliche Ansprechpartner (FAP), Qualitätskontrollverantwortliche (QKV) und der NIRK (Koordinator für den Nationalen Inventar Report)

Arbeitsplatzrechnern der im Rahmen der Emissionsberichterstattung tätigen Personen verfügbar ist. Die Pflicht zur Erstellung der beschriebenen Dokumentationen wurde über eine Hausanordnung (siehe Kapitel 1.3.3.1.1) im UBA festgeschrieben und bildet die wesentliche Grundlage für die Archivierung der Inventarinformationen gemäß den Anforderungen aus Paragraph 27 (a) der *Reporting* Guidelines (24/CP.19).

- Aus vielfältigen Gründen sieht das Dokumentationskonzept, ein überwiegend, aber nicht ausschließlich zentrales Archiv vor. Ausschlaggebend für diese Entscheidung waren der umfangreiche und teilweise dezentrale Datenbestand, auf dessen Grundlage das deutsche Inventar berechnet wird,
- die teilweise externen Zuständigkeit für diese Daten,
- Aspekte der Geheimhaltung, die aus rechtlichen Gründen einer Weitergabe von Einzeldaten zum Zwecke der Archivierung an einer zentralen Stelle entgegenstehen.

In der Inventarbeschreibung werden Informationen vorgehalten, wo solche nicht zentral hinterlegten Dokumente zu finden sind.

1.3.3.1.6 Das QSE-Handbuch

Mit dem „Handbuch zur Qualitätskontrolle und Qualitätssicherung bei der Erstellung von Emissionsinventaren und der Berichterstattung unter der Klimarahmenkonvention der Vereinten Nationen sowie der EU Entscheidung 525/2013/EG“ wurden die internationalen Anforderungen an die Qualitätskontrolle und Qualitätssicherung bei der Emissionsberichterstattung für das Nationale System Emissionsinventare (NaSE) in Deutschland spezifiziert. Es gilt verbindlich für das Umweltbundesamt und beschreibt das Qualitätssystem Emissionsinventare (QSE).

Das QSE-Handbuch wurde über eine Hausanordnung im Umweltbundesamt in Kraft gesetzt (siehe Kapitel 1.3.3.1.1). Es ist mit seinen mitgeltenden Unterlagen im Intranet des UBA veröffentlicht.

1.3.3.1.7 Unterstützung UNFCCC-Review

Neben den eigenen Maßnahmen der Qualitätskontrolle und -sicherung geben die Ergebnisse des UNFCCC-Review wichtige Impulse für die Inventarverbesserung. Insofern liegt die Erfüllung der Anforderungen zur Bereitstellung archivierter Inventarinformationen für den Überprüfungsprozess und der Beantwortung von Fragen der sachkundigen Überprüfungsgruppen im Eigeninteresse der Nationalen Koordinierungsstelle. Mit entsprechender Priorität wurden diese Aspekte bei der Konzeption des QSE berücksichtigt.

1.3.3.1.8 Nutzung der Monitoring-Daten des Europäischen Emissionshandels zur Verbesserung der THG-Emissionsinventare

Für Kategorien, die berichtspflichtige Anlagen unter dem CO_2-Emissionshandelsregime (ETS) beinhalten, werden die Monitoring-Daten des Europäischen Emissionshandels zur Qualitätsverbesserung der jährlichen nationalen Emissionsinventare genutzt.

Durchgeführte Vergleiche haben die Nutzbarkeit zur Verifizierung einzelner Kategorien und Identifikation von Fehlstellen prinzipiell bestätigt. Für die regelmäßige Nutzung wurde für den jährlich erforderlichen Datenaustausch ein formalisiertes Verfahren mit terminlichen und ablaufmäßigen Festlegungen vereinbart.

Abbildung 8: Verfahrensablauf für die jährliche Inventar-Verifikation mit ETS-Monitoring-Daten

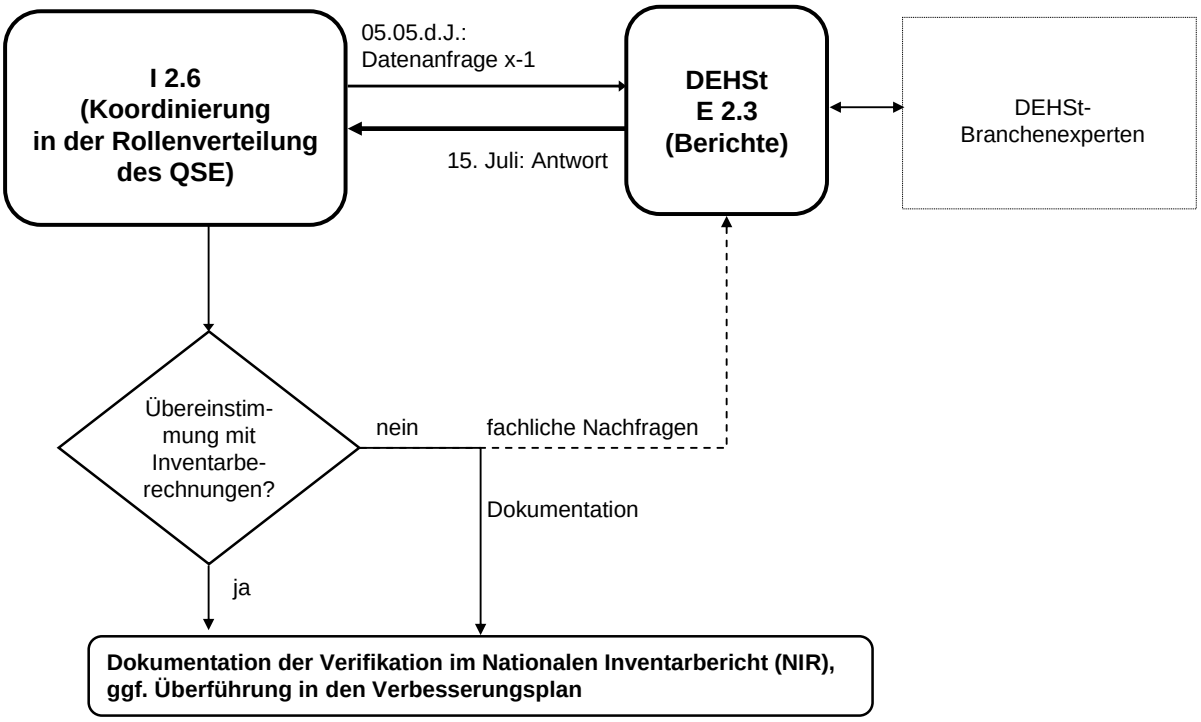

Zu Details der Datenverwendung in der QK/ QS siehe auch Kapitel 1.6.2.1 Verifizierung ausgewählter Kategorien.

1.4 Kurze, allgemeine Beschreibung der angewandten Methodik und Datenquellen

1.4.1 Treibhausgas-Inventar

1.4.1.1 Datenquellen

1.4.1.1.1 Energie

Abbildung 9: Verantwortlichkeiten und Datenfluss für die Berechnung der Treibhausgasemissionen im Energiebereich

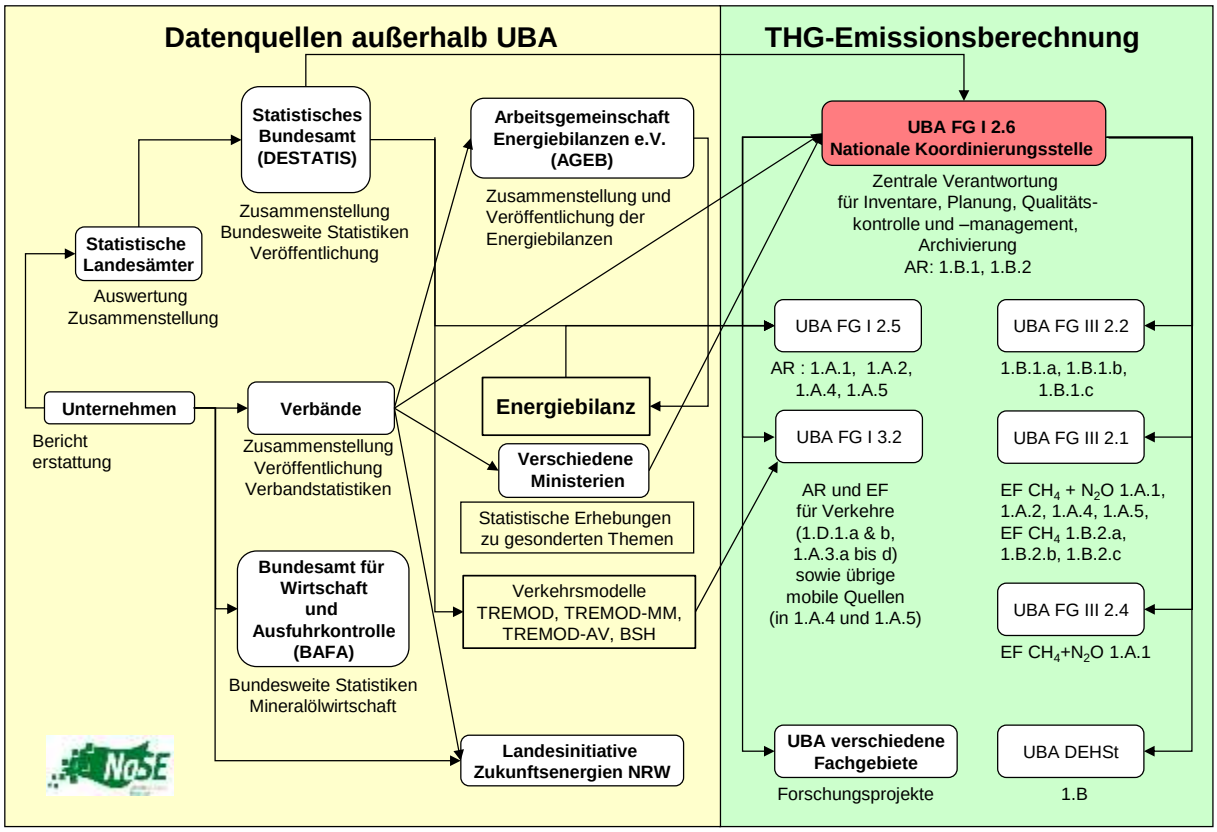

Die wohl wichtigsten Datenquellen für die Ermittlung der Aktivitätsraten für die Kategorie 1.A sind die *„Energiebilanzen der Bundesrepublik Deutschland“* (nachfolgend: Energiebilanz), die von der *Arbeitsgemeinschaft Energiebilanzen* (AGEB) herausgegeben werden. Die Energiebilanz bietet eine Übersicht über die energiewirtschaftlichen Verflechtungen innerhalb der Bundesrepublik und erlaubt eine Aufteilung nach Brennstoffen und Kategorien. Die Energiebilanz bezieht ihre Daten wiederum von einer Vielzahl anderer Quellen.

Mit Beauftragung der AGEB für die Erstellung der Energiebilanzen 2007 – 2012 und im Anschluss von 2013-18 durch das Bundesministerium für Wirtschaft und Energie wurde die AGEB zur Anwendung der Mindestanforderungen zur Qualitätssicherung des Nationalen Systems verpflichtet. für die Energiebilanzen der letzten Jahre liegen Qualitätsberichte des Deutschen Instituts für Wirtschaftsforschung (DIW) und der Energy Environment Forecast Analysis GmbH Co. KG vor, in denen die Maßnahmen zur Qualitätssicherung und –kontrolle beschrieben wurden. Seit 2012 legt die AGEB einen gemeinsamen Qualitätsbericht für die Energiebilanz vor (siehe Kapitel 18.4.1). Ebenfalls seit 2012 hat die AGEB einen Aktionsplan Energiedaten Inventarverbesserung (s. Kapitel 18.5) erarbeitet, in dem dargelegt wurde wie den Beanstandungen aus der Inventarüberprüfung Rechnung getragen werden soll. Damit wird der

Forderung aus Paragraph 39 des Überprüfungsbericht 2011 (FCCC/ARR/2011/DEU) nach einem Aktionsplan entsprochen.

Begleitend zur eigentlichen Energiebilanz erscheint die *Satellitenbilanz Erneuerbare Energieträger* (nachfolgend: Satellitenbilanz). In dieser wird das Aufkommen und der Verbrauch erneuerbarer Energieträger detailliert aufgeführt. Die Satellitenbilanz erscheint zusammen mit der Energiebilanz.

Eine weitere wichtige Datenquelle für die Ermittlung der Aktivitätsraten ist das *Statistische Bundesamt. Verwendet werden* die *Fachserien 4 Reihe 4.1.1, Reihe 6.4,* und für die Abfalldaten die Fachserie 19. Diese Daten sind zeitnah verfügbar (ungefähr ein Jahr nach Datenerhebung) und bieten insbesondere eine feine Untergliederung des Verarbeitenden Gewerbes. Zur weiteren Differenzierung der Daten und für Detailfragen werden vom Statistischen Bundesamt Sonderauswertungen zur Verfügung gestellt.

Für den Eisen und Stahl Bereich werden seit der Berichterstattung 2012 Daten der Wirtschaftsvereinigung Stahl genutzt, die u.a. den sogenannten BGS-Bogen (Brennstoff-, Gas- und Stromwirtschaft der Hochofen-, Stahl- und Walzwerke sowie Schmiede-, Press- und Hammerwerke einschließlich der örtlich verbundenen sonstigen Betriebe (ohne eigene Kokerei)) der zum 31.12.2009 eingestellten „Fachserie 4, Reihe 8.1“ ersetzen.

Als zusätzliche Datenquelle wird die STATISTIK DER KOHLENWIRTSCHAFT, insbesondere deren jährliche Veröffentlichung "Der Kohlenbergbau in der Energiewirtschaft der Bundesrepublik Deutschland" genutzt. Weiterhin werden vom Bundesverband Braunkohle (DEBRIV) Sonderauswertungen zur genaueren Differenzierung der eingesetzten Rohbraunkohlen verwendet. Zusätzlich liefert DEBRIV die nötigen Daten zur Berechnung der Brennstoffeinsätze zur Braunkohlentrocknung.

Eine weitere Datenquelle sind die *Mineralöl-Zahlen* des *Mineralölwirtschaftsverbandes e.V. (MWV)*, die Angaben zum Mineralölaufkommen und –verbrauch in Deutschland, differenziert in verschiedene Erzeugungs-, Umwandlungs- und Anwendungssektoren, enthalten. Die Statistik, die eine wesentliche Grundlage der nationalen Energiebilanz darstellt, wird nur wenige Monate nach Erhebung der Daten veröffentlicht und ist damit relativ zeitnah verfügbar.

Die zur Energieerzeugung eingesetzten Mengen an Sekundärbrennstoffen (verbucht unter CRF 1.A.2) werden dem Leistungsbericht des Verbandes der Papierindustrie und Berichten des Verbandes der Zementindustrie (VDZ) entnommen.

Eine weitere wichtige Datenquelle ist der Emissionshandel (ETS). Dort liegen sehr detaillierte, anlagenspezifische Daten vor, die ebenfalls für das Inventar verwendet werden. Vor allem für die Bereiche, die nicht von der nationalen Statistik erfasst werden, wird auf Emissionshandelsdaten zurückgegriffen:

- brennstoffbezogene CO_2 Emissionsfaktoren für stationäre Feuerungsanlagen,
- Brennstoffeinsätze für Erdgasverdichter,
- Emissionen aus dem Katalysatorabbrand und der Kalzinierung in Raffinerien und
- diffuse Emissionen in Kokereien.

Für die Erhebung der Emissionen des Verkehrs (1.A.3) werden neben den Angaben aus den Energiebilanzen auch die *Amtlichen Mineralöldaten des Bundesamtes für Wirtschaft und Ausfuhrkontrolle (BAFA)* und die *Mineralöl-Zahlen* des *MWV* verwendet.

Für den Flugverkehr kommen neben den oben genannten Quellen für Verbrauchsdaten u.a. auch Daten des Statistischen Bundesamtes (DESTATIS) zum Einsatz: Die Aufteilung der

Kraftstoffverbräuche und Emissionen auf nationale und internationale Flüge erfolgt anhand realer Flugbewegungsdaten. Diese werden von DESTATIS erfasst und zur Verfügung gestellt und im Modell TREMOD AV, einem eigenständigen Moduls der Datenbank TREMOD („Transport Emission Estimation Model“) weiterverarbeitet. Ebenfalls anhand der vom Statistischen Bundesamt erfassten Flugbewegungen erfolgt die Aufteilung von Verbräuchen und Emissionen auf die Flugphasen L/TO-Zyklus (Landung und Start; unterhalb 3.000 Fuß) sowie Reiseflug (oberhalb 3.000 Fuß).

Leidglich zu Verifikationszwecken werden zudem von Eurocontrol bereitgestellte landesspezifische Verbrauchs- und Emissionsdaten herangezogen.

Für den Straßenverkehr werden die Erhebungen dabei überwiegend mit Hilfe des Modells TREMOD durchgeführt. Für die hier stattfindenden Berechnungen werden zahlreiche Basisdaten aus allgemein zugänglichen Statistiken und speziellen Untersuchungen verwendet, aufeinander abgestimmt und ergänzt. Eine genaue Beschreibung der Datenquellen zu den Emissionsfaktoren findet sich im „Handbuch für Emissionsfaktoren des Straßenverkehrs“ (HBEFA, Version 3.2).

TREMOD wird dabei ebenfalls zur Modellierung der Emissionen aus der Verbrennung von Kraftstoffen in Schienenfahrzeugen und Binnenschiffen verwendet. Die durch historische Dampfbahnen verursachten Emissionen aus der Verbrennung von Kohle und Koks werden außerhalb TREMOD anhand von Betreiberangaben berechnet.

Im Gegensatz dazu erfolgt die Modellierung der spezifischen Verbräuche und Emissionen des von deutschen Seehäfen ausgehenden Schiffsverkehrs innerhalb eines am Bundesamt für Seeschifffahrt und Hydrographie (BSH) entwickelten Modells. Die Aufteilung der Kraftstoffverbräuche und Emissionen auf nationale und internationale Fahrten basiert hier auf Daten, die sich u.a. aus den AIS-Meldungen der Schiffe ableiten.

Hinsichtlich der weiteren mobilen Quellen (in 1.A.4. und 1.A.5.) wird ebenfalls auf die Angaben von AGEB, BAFA sowie MWV zurückgegriffen. Eine Sonderstellung nimmt hier der militärische Verkehr (1.A.5.b) ein, für den die ab 1995 nicht mehr in den Energiebilanzen ausgewiesen ausgewiesenen Verbrauchsdaten direkt den BAFA-Statistiken entnommen werden können.

Da gesicherte Angaben zum Einsatz von Biokraftstoffen in mobilen Quellen in Bau-, Land- und Forstwirtschaft sowie Haushalten und Militär fehlen, werden die jährlichen Mengen anhand der offiziellen Beimengungsraten berechnet.

Daten zu den Kategorien der Kategorie 1.B.1 werden aus den Veröffentlichungen der Statistik der Kohlenwirtschaft e.V., des Bundesministerium für Wirtschaft und Energie (BMWi), des DEBRIV, der Deutschen Montan Technologie GmbH (DMT) und der Deutschen Wissenschaftlichen Gesellschaft für Erdöl, Erdgas und Kohle e.V. (DGMK), Interessenverband Grubengas e.V. (IVG) herangezogen.

Wesentliche Grundlage ist hierbei die Statistik der Kohlenwirtschaft. Die Bearbeitung erfolgt unter Einbeziehung von Bundes- und Landesministerien, beziehungsweise deren Behörden (u.a. Landesoberbergämter) und unter Bezugnahme auf Berichte und Stellungsnahmen der Landesinitiative Zukunftsenergien NRW (hier AG Grubengas). Die Koordination der Inventarerstellung erfolgt mit Unterstützung des Gesamtverbandes Steinkohle ((GVSt).

Daten zu den Kategorien der Kategorie 1.B.2 werden aus den Veröffentlichungen des *Statistischen Bundesamtes* Deutschland, des Mineralölwirtschaftverband e.V. (MWV), der Deutschen Wissenschaftlichen Gesellschaft für Erdöl, Erdgas und Kohle e.V. (DGMK), des Wirtschaftverbandes Erdöl und Erdgasgewinnung e.V. (WEG) und der Deutschen Vereinigung des

Gas- und Wasserfaches e.V. (DVGW), der Gasstatistik des Bundesverbandes der Energie- und Wasserwirtschaft (BDEW) und der Deutsche Emissionshandelsstelle (DEHSt) herangezogen.

1.4.1.1.2 Industrieprozesse

Für die Aktivitätsdaten der Mineralischen Industrie werden überwiegend Verbandsstatistiken herangezogen. Die Daten für die Zementindustrie (2.A.1) stammen vom Verein Deutscher Zementwerke e.V. (VDZ) bzw. dessen Forschungsinstitut unter Beteiligung des Bundesverbandes der Deutschen Zementindustrie e.V. (BDZ). Dabei handelt es sich im Wesentlichen um die im Rahmen des CO_2-Monitorings der freiwilligen Selbstverpflichtung der Industrie zum Klimaschutz veröffentlichten Daten. Die Produktionszahlen für Kalk und Dolomitkalk (2.A.2) werden vom Bundesverband der Deutschen Kalkindustrie e.V. (BV Kalk) anlagenscharf erhoben und jährlich in aggregierter Form bereitgestellt. Die Produktionszahlen für die Herstellung von Glas (2.A.3) werden den regelmäßig erscheinenden Jahresberichten des Bundesverbandes Glasindustrie entnommen, wobei Hilfsgrößen zum Glasrecycling anderen Statistiken entstammen. Die Produktionsentwicklung der Keramischen Industrie (2.A.4.a) wird unter Verwendung der amtlichen Statistik und Umrechnungsfaktoren des Bundesverbandes der Ziegelindustrie berechnet. Die Verwendung von Soda (2.A.4.b) erfolgt durch eine Expertenschätzung des Umweltbundesamtes. .

Abbildung 10: Verantwortlichkeiten und Datenfluss für die Berechnung der Treibhausgasemissionen der Industrieprozesse

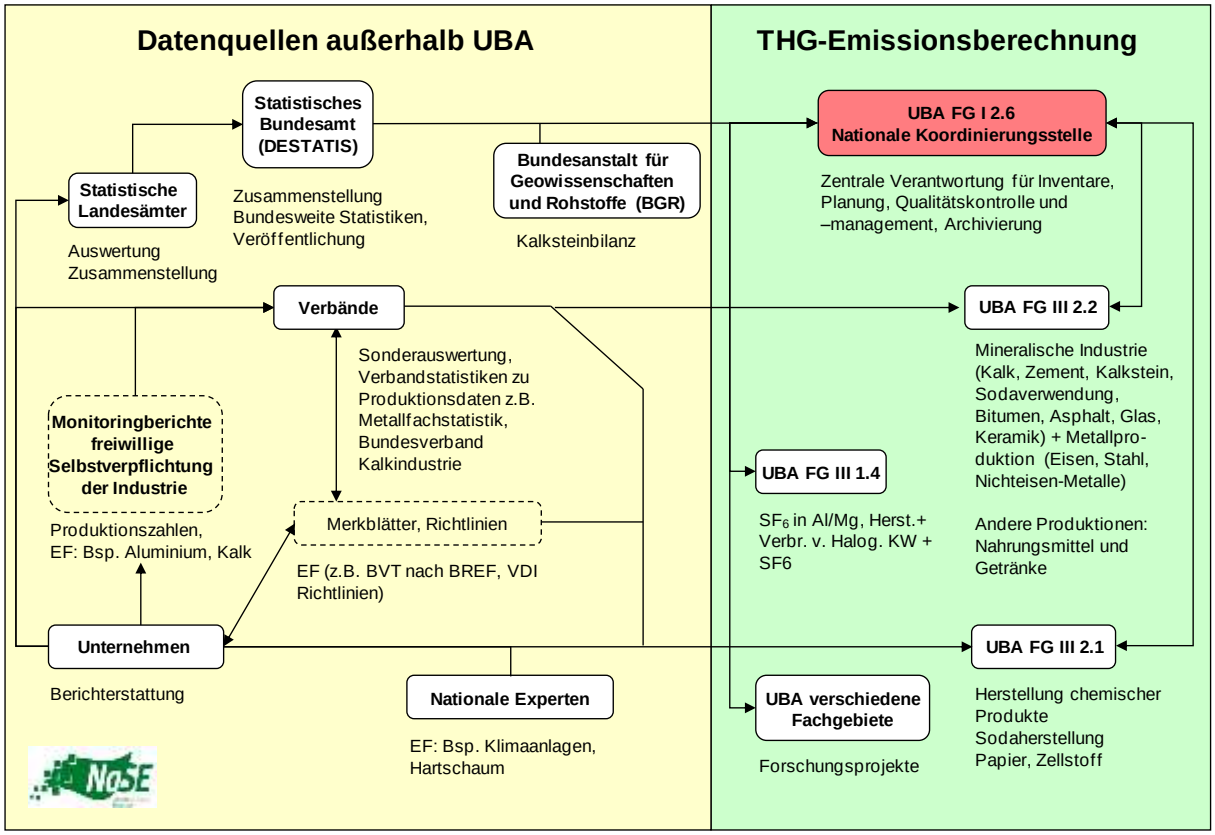

Für die Emissionsfaktoren der Mineralischen Industrie werden vielfältige Quellen genutzt. Der für die Emissionsberechnung der Zementklinkerherstellung (2.A.1) verwendete Emissionsfaktor beruht auf einer Berechnung des Vereins Deutscher Zementwerke e.V. (VDZ) durch Aggregierung anlagenspezifischer Daten. Die Berechnung der CO_2-Emissionen der Kalkherstellung (2.A.2) und der Sodaverwendung (2.A.4.b) erfolgt über stöchiometrische Faktoren. Die CO_2-

Emissionsfaktoren für verschiedene Glassorten (2.A.3) sind aus der Glaszusammensetzung und für die Keramische Industrie (2.A.4) aus dem Rohstoffinput von Fachverantwortlichen im UBA abgeleitet worden.

In der Kategorie 2.B Chemische Industrie werden die Aktivitätsdaten aus Daten des *Statistischen Bundesamtes* (*Fachserie 4 Reihe 3.1*) und direkten Hersteller- und Verbandsangaben ermittelt. Teilweise sind diese Daten vertraulich.. Die Emissionsfaktoren sind von Experten im UBA, in Forschungsvorhaben oder von den Herstellern ermittelt worden. Für 2.B.1 Ammoniak-Produktion und 2.B.2 Salpetersäure-Produktion wurden bis 2008 die Aktivitätsdaten vom *Statistischen Bundesamt* erhoben. Seit 2009 werden die Daten für Ammoniak- und Salpetersäureproduktion aufgrund einer Vereinbarung mit der chemischen Industrie für die gesamte Zeitreihe ab 1990 von den Herstellern anlagenspezifisch erhoben und an den Verband weiter gegeben, der diese anonymisiert an das UBA weiterleitet. Dafür ermitteln die Hersteller neben der Aktivitätsrate jeweils für 2.B.1 die Emissionen und für 2.B.2 die Emissionsfaktoren. Für 2.B.3 Adipinsäure-Produktion wurden bis Mitte der 90er Jahre anlagenspezifische Aktivitätsdaten geliefert. Für diese wurde der Default-EF für N_2O verwendet. Inzwischen liefern die Anlagenbetreiber auf vertraulicher Basis die Emissionsangaben direkt an das UBA. Auch für Adipinsäure ist durch eine Vereinbarung im Jahr 2009 die Datenlieferung langfristig gesichert worden. Die Default-EF für NO_X, CO und NMVOC der IPCC sind von den Produzenten in Deutschland nicht nachvollziehbar, weshalb für diese bisher keine Emissionen berichtet werden. In 2.B.4 spielen nur Emissionen aus der Herstellung von Caprolactam eine Rolle. Die Aktivitätsraten konnten bis 2008 vom *Statistischen Bundesamt* zur Verfügung gestellt werden. Seitdem wird aufgrund einer Anpassung der nationalen Produktionsstatistik an internationale Vorgaben Caprolactam nicht mehr einzeln ausgewiesen, so dass eine Fortschreibung der vertraulichen Aktivitätsraten erfolgt. Die Emissionsfaktoren wurden durch ein Forschungsvorhaben und Herstellerangaben ermittelt. Da es für die Calciumcarbid-Produktion (2.B.4) in Deutschland nur einen Hersteller gibt, sind die Daten vertraulich. Das Umweltbundesamt erhält diese direkt vom Hersteller. Die CO2-Emissionen aus der Titandioxidproduktion liegen unter dem Schwellenwert, weshalb sie nicht berichtet werden (2.B.6). Die Gesamtsumme an produziertem Soda (2.B.7) wird vom Statistischen Bundesamt erhoben. Die Emissionsfaktoren wurden aus den ETS Monitoringdaten der DEHSt abgeleitet. Für die Herstellung der unter 2.B.8 Petrochemikalien- und Industrierußherstellung aufgeführten Produkte werden die Aktivitätsdaten aus Statistiken des *Statistischen Bundesamtes* entnommen; teilweise unterliegen sie einer Vetraulichkeit. Die Emissionsfaktoren stammen aus Experten-Schätzungen, Forschungsvorhaben und Default-Angaben der IPCC-Guidelines Im Bereich der Produktion der halogenierten Kohlenwasserstoffe und SF_6 (2.B.9) werden die Daten über *Herstellerangaben* und *Umfragen bei Herstellern* ermittelt. Die Aktivitätsdaten werden zum überwiegenden Teil im Rahmen von Forschungsprojekten gezielt nach den Anforderungen des Inventars recherchiert, z.T. werden nur Emissionsdaten vom Hersteller zur Verfügung gestellt. Es sind in den einzelnen Unterkategorien jeweils nur wenige Unternehmen involviert, so dass diese Bereiche der Vertraulichkeit unterliegen. Unter 2.B.10 Sonstige werden Emissionen von Vorläufersubstanzen aus der Produktion von Schwefelsäure und Düngemittel berichtet. Die Aktivitätsdaten stammen aus Herstellerangaben, und Daten des Statistischen Bundesamtes. Die Emissionsfaktoren stammen aus Experten-Schätzungen und Forschungsvorhaben.

Die Aktivitätsdaten der Metallindustrie (2.C) werden vom Statistischen Bundesamt den einschlägigen Verbänden (Stahlinstitut VDEh, Wirtschaftsvereinigung Metalle und Gesamtverband der Aluminiumindustrie) und Industriegasehändlern geliefert. Die Emissionsfaktoren der Metallindustrie (2.C) werden in der Regel durch die Facheinheiten im

Umweltbundesamt berechnet, z.T. werden Emissionsfaktoren von Industrieverbänden zur Verfügung gestellt oder auch IPCC Default Werte benutzt.

Eine Ausnahme bildet die Kategorie Ferroalloys, hier werden die Aktivitätsdaten aus einer Statistik des UK Geological Survey verwendet, die Emissionsfaktoren stammen aus einem Forschungsvorhaben bzw. es werden auch IPCC Default Werte genutzt.

In der Kategorie 2.D Nichtenergetische Produkte aus Brennstoffen und Lösemittel stammen die Aktiviätsraten aus veröffentlichten Erhebungen des Statistischen Bundesamtes und anderer Bundesbehörden (Produktions- und Außenhandelsstatistik, Mineralölstatistik) sowie von den einschlägigen Verbänden (Industrieverband Bitumen-Dach- und Dichtungsbahnen e.V. (vdd), Deutscher Asphaltverband (DAV). Die Aktivitätsdaten werden ergänzt durch Branchenstatistiken und Informationen von Fachexperten.

Die Emissionsfaktoren stammen aus unterschiedlichen Quellen: so werden die Emissionsfaktoren für die Schmiermittel- und Paraffinwachsanwendung von der Facheinheit im Umweltbundesamt mit Hilfe von IPCC-Default-Werten berechnet; wobei NMVOC-Emissionen aus der Schmiermittelanwendung gemäß 2006 IPCC-Richtlinie nur als CO2-Emissionen angegeben werden. Die Emissionsfaktoren für die Herstellung und Verlegung von Dach- und Dichtungsbahnen (2.D.3) sowie für die Herstellung von Asphaltmischgut (2.D.3) beziehen sich nur auf NMVOC und sind Forschungsberichten entnommen.

Die Emissionsfaktoren und die anderen Parameter, die in die Berechnung der Emissionen aus der Lösemittelverwendung eingehen, sind nationalen Studien und Fachgutachten oder vom UBA direkt beauftragten Forschungsprojekten entnommen, teilweise basieren sie auch auf Expertenangaben aus Branchendialogen.

Genauere Angaben zu den Emissionsfaktoren sind in der Methodenbeschreibung der einzelnen Kategorien zu finden. Die Aktivitätsdaten für die Elektronikindustrie (2.E), die Produktverwendung als Ersatz von ODS (2.F) und Andere Produktherstellung und –verwendung (2.G) werden aus Hersteller- und Verbandsangaben, aus Erhebungen des Statistischen Bundesamtes und anderer Bundesbehörden, sowie mit Hilfe von Berechnungsmodellen ermittelt. In Einzelfällen liegen auch direkt vom Hersteller Emissionsangaben vor. Die Daten unterteilen sich in mehrere Subkategorien. Die Produktverwendung als Ersatz von ODS unterteilt man außerdem in Herstellungs-, Anwendungs- und Entsorgungsemissionen. Auch in diesen Kategorien unterliegen die Daten in einigen Bereichen der Vertraulichkeit.

Die Emissionsfaktoren für die fluorierten Treibhausgase werden teilweise aus nationalen und internationalen Merkblättern und Richtlinien entnommen, aus Expertenbefragungen gewonnen oder es werden IPCC Default-Werte übernommen.

Im Bereich 2.H.1 Andere Produktionen: Zellstoff- und Papierherstellung werden die Daten des Leistungsberichtes des Verbandes Deutscher Papierfabriken verwendet. Im Bereich 2.H.2 Andere Produktionen: Nahrungsmittel und Getränke werden Daten der Bundesvereinigung der Deutschen Ernährungsindustrie (BVE), des Statistischen Bundesamtes und des Bundesministerium für Ernährung und Landwirtschaft (BMEL) genutzt. Emissionsfaktoren stammen aus einem Forschungsvorhaben, das 2008 abgeschlossen wurde.

1.4.1.1.3 Landwirtschaft

Abbildung 11: Verantwortlichkeiten und Datenfluss für die Berechnung der Treibhausgasemissionen der Landwirtschaft

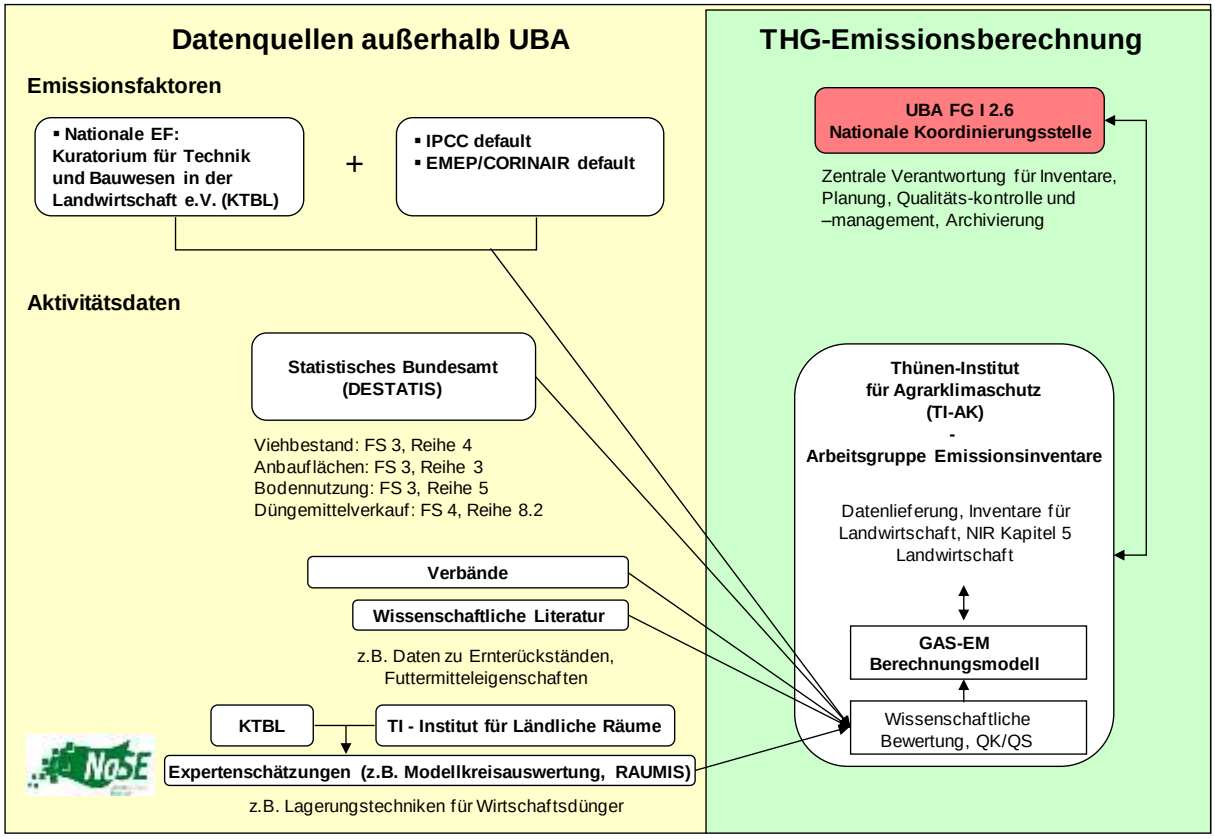

Die Berechnungen der Emissionen für die Kategorie 3 (Landwirtschaft) erfolgen durch das von Thünen Institut (TI). Zur Berechnung der landwirtschaftlichen Emissionen in Deutschland wurde von BMUB und BMEL ein Projekt initiiert, wonach die damalige FAL ein modulares Tabellenkalkulations-Modell (GASeous Emissions, GAS-EM) entwickelte (DÄMMGEN et al, 2002 & HAENEL et al. 2012). Den Daten- und Informationsaustausch und den Betrieb einer gemeinsamen Datenbank bei UBA und FAL regeln BMUB und BMEL im Rahmen einer Rahmen-Ressortvereinbarung.

Die Agrarstatistik des Statistischen Bundesamtes stellt eine wesentliche Datenquelle für die Berechnung der Landwirtschaftsemissionen dar. Die Tierzahlen sind der Fachserie 3, Reihe 4 des Statistischen Bundesamtes entnommen (*STATISTISCHES BUNDESAMT,* FS3 R4), weitere Fachserien stellen die verkauften Düngermengen oder die Angaben zu landwirtschaftlichen Anbauflächen zur Verfügung. In einzelnen Bereichen werden diese Daten aus der Literatur ergänzt (z.B. Ernterückstände, empfohlene Düngergaben). Daneben liegen Daten aus speziellen Expertenschätzungen vor (beispielsweise eine Auswertung von Modell-Landkreisen hinsichtlich Lagerungstechniken für Wirtschaftsdünger).

Die Berechnungen im Bereich Landwirtschaft basieren in vielen Bereichen auf stark differenzierten Aktivitätsdaten, die auf der Basis nationaler Datenquellen erhoben worden sind. Diese werden in vielen Bereichen mit den Standard-Emissionsfaktoren der 1996b und 2006 IPCC Guidelines oder dem EMEP/EEA-Handbuch der United Nation Economic Commission for Europe (UN ECE) kombiniert.

1.4.1.1.4 Landnutzungsänderung und Forstwirtschaft

Abbildung 12: Datenfluss für die Berechnung der Treibhausgasemissionen aus dem Bereich Landnutzungsänderung und Forstwirtschaft (LULUCF) und KP-LULUCF

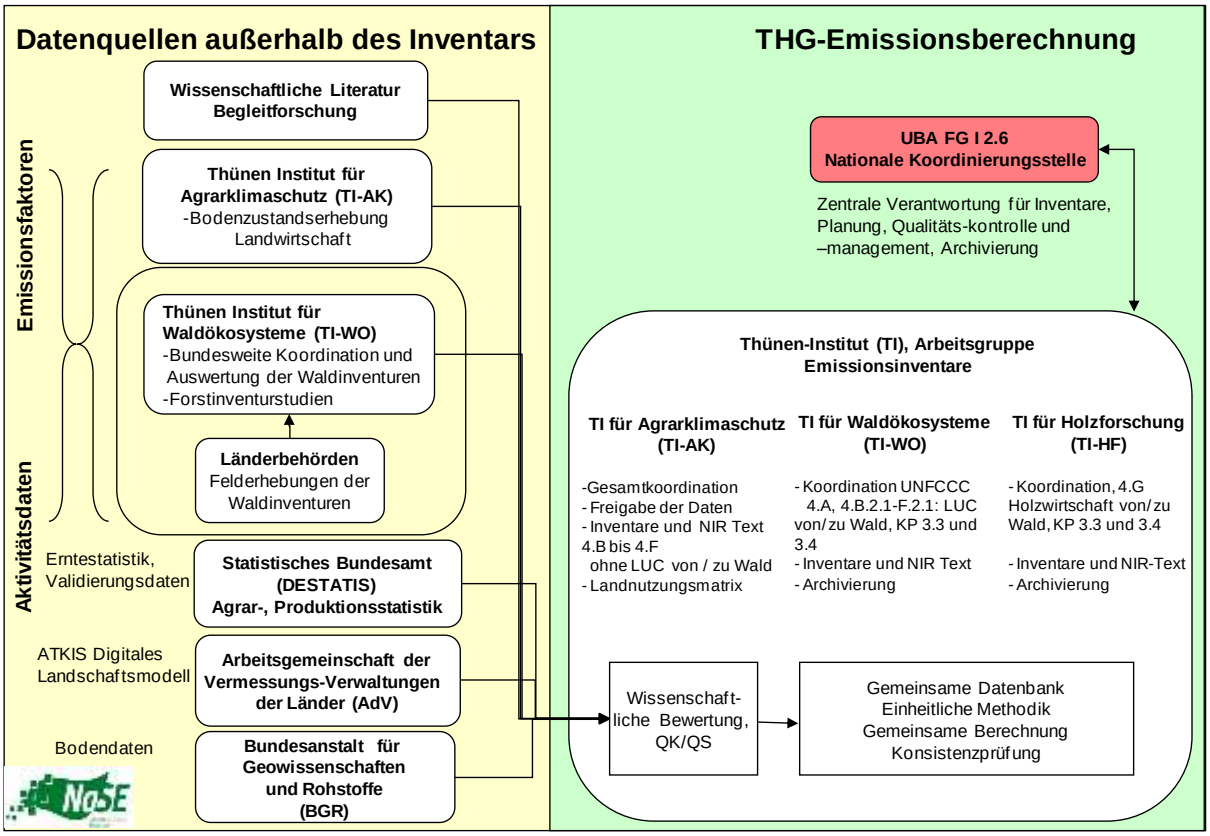

In der Submission 2012 wurde eine konsistente einheitliche Methodik zur Erfassung von Landnutzungsänderungen im LULUC-Sektor und der Forstwirtschaft eingeführt. Die Methodik erweitert das stichprobenbasierte System für die Erfassung der Waldfläche und der Landnutzungsänderungen von und zu Wald auf alle Landnutzungskategorien und –änderungen.

Die Bodenkohlenstoffvorratsschätzung wird an Hand von nutzungsdifferenzierten Bodenkarten und Bodenprofildaten und der Bodenzustandserhebung (BZE) vorgenommen und die Veränderungen dieser Vorräte infolge Nutzungsänderungen mittels Änderungen in den mittleren Vorräten je Landnutzungskategorie abgeschätzt.

Die Schätzung der Kohlenstoffvorratsänderungen in der Biomasse erfolgt anhand der Angaben der Erntestatistik, der Bodennutzungshaupterhebung, der Bundeswaldinventur (BWI) und spezifischer Faktoren aus der wissenschaftlichen Literatur in Verbindung mit den Flächendaten.

Projekte zur Verbesserung von Aktivitätsdaten, vor allem aber zur Ermittlung landesspezifischer Emissionsfaktoren für Kohlenstoff und Stickstoff bzw. CO_2, CH_4 und N_2O, z.B. Projekt „Organische Böden“ (seit 2009), Bodenzustandserhebung Landwirtschaft (seit 2011) u.a., werden die nationalen Abschätzungen der Emissionen und Festlegungen (emissions/removals) validieren bzw. verbessern.

1.4.1.1.5 Abfall und Abwasser

Abbildung 13: Datenfluss für die Berechnung der Treibhausgasemissionen aus dem Bereich Abfall und Abwasser

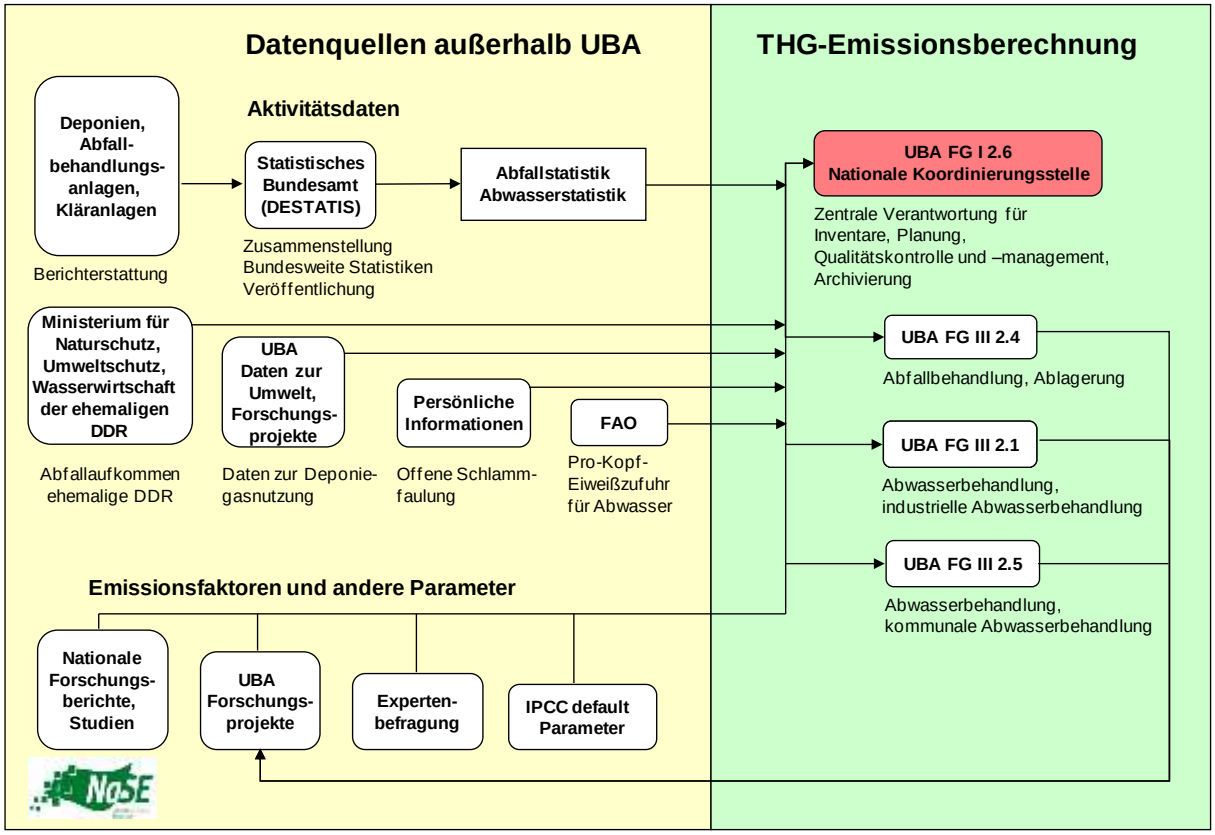

Für die Berechnung der Emissionen aus dem Bereich Abfall ist bezüglich der Methodik und der Wahl der Parameter und Daten für die Berechnungen das UBA-Fachgebiet *Abfalltechnik und Abfalltransfer* (FG III 2.4) zuständig. Bei der Neuberechnung der Emissionen aus der Deponierung (Entwicklung der Tier 2 Methode für die Bundesrepublik Deutschland) im Jahr 2003 sowie der Verfeinerung der Tier-2-Methode im Jahr 2006 wurde das UBA durch ein Forschungsprojekt unterstützt (ÖKO-INSTITUT, 2004b).

Für die Aktivitätsdaten im Bereich Abfall wird hauptsächlich auf veröffentlichte Daten des Statistischen Bundesamtes zurückgegriffen, das detaillierte und disaggregierte Zeitreihen liefert. Genaue Angaben, welche statistischen Fachserien und Quellen genutzt wurden, sind im Abschnitt Abfall enthalten. Das Statistische Bundesamt hat keine Daten zu Abfallmengen der ehemaligen DDR veröffentlicht. Hier wurde auf eine offizielle Quelle des Ministeriums für Naturschutz, Umweltschutz und Wasserwirtschaft der ehemaligen DDR zurückgegriffen. Die Berechnungen der Deponiegasnutzung basieren auf Daten der Energiebilanzen und der Fachserie 19 des Statistischen Bundesamtes. Im Rahmen des In-Country-Review 2010 wurde die Datenbasis für die Deponiegasnutzung aktualisiert. Daten der Gasfassung bei Deponien in der Nachsorgephase werden seit 2012 statistisch erfasst.

Die Emissionsfaktoren und die anderen Parameter, die in die Berechnung der Emissionen aus der Abfalldeponierung, der Mechanisch-Biologischen Abfallbehandlung und der Kompostierung eingehen, stammen aus nationalen Studien und Forschungsberichten, aus vom UBA direkt beauftragten Forschungsprojekten. Darüber hinaus wurden auch IPCC default Parameter genutzt. Zu einigen wenigen Parametern (z.B. Wahl der Halbwertszeit) wurden einzelne Experten befragt.

Im entsprechenden Kapitel ist genauer dokumentiert, welche Parameter aus welchen Quellen stammen.

Für die Berechnung der Emissionen aus dem Bereich der industriellen Abwasser- und Schlammbehandlung (5.D.2) ist bezüglich der Methodik und der Wahl der Parameter und Daten für die Berechnungen das UBA-Fachgebiet *Übergreifende Angelegenheiten, Chemische Industrie, Feuerungsanlagen* (III 2.1) zuständig. Für die Berechnung der Emissionen aus dem Bereich der kommunalen Abwasser- und Schlammbehandlung (5.D.1) ist bezüglich der Methodik und der Wahl der Parameter und Daten für die Berechnungen das UBA-Fachgebiet *Überwachungsverfahren, Abwasserentsorgung* (FG III 2.5) zuständig.

Für die Aktivitätsdaten im Bereich Abwasser wird hauptsächlich auf veröffentlichte Daten des Statistischen Bundesamtes zurückgegriffen, das detaillierte und disaggregierte Zeitreihen liefert. Genaue Angaben, welche statistischen Fachserien und Quellen genutzt wurden, sind im Abschnitt Abwasser enthalten. Für die Pro-Kopf-Eiweiß-Zufuhr werden Daten der FAO verwendet.

Die Emissionsfaktoren und die anderen Parameter, die in die Berechnung der Emissionen aus der Abwasserbehandlung eingehen, stammen aus nationalen Studien und aus vom UBA direkt beauftragten Forschungsprojekten. Zudem werden IPCC default Parameter genutzt. Zu einigen wenigen Parametern und methodischen Fragen (z.B. Auftreten von CH_4–Emissionen in aeroben Abwasserbehandlungsverfahren) wurden verschiedene Experten direkt befragt.

1.4.1.2 Methoden

Die verwendeten Methoden für die einzelnen Kategorien werden in den Übersichtstabellen der einzelnen Kategorien und in den Summary Tables 3s1 und 3s2 der CRF-Berichtstabellen dargestellt. Zudem ist eine ausführliche Beschreibung in den jeweiligen Kategorienkapiteln zu finden.

Unterschieden werden Berechnungen nach länderspezifischen Methoden (CS – country specific), und nach in den einzelnen Kategorie unterschiedlich detaillierten IPCC Berechnungsmethoden (engl. *Tier)*[18]. Die Zuordnung der Berechnung zu den verschiedenen IPCC-Methoden hängt vom Anteil der Äquivalentemission der Kategorie an der Gesamtemission ab. Diese Zuordnung wird durch das Instrument der Key-Category Analyse getroffen (siehe hierzu Kapitel 1.5).

Die in indirektes CO_2 umgerechneten NMVOC Emissionen der Lösemittelverwendung werden auf Basis eines produktverbrauchs-orientierten Ansatzes gemäß den 2006 IPCC Guidelines berechnet. Ein ähnliches Verfahren wird bei der Schmiermittelanwendung eingesetzt.

1.4.2 KP-LULUCF-Aktivitäten

Die unter der KP-Berichterstattung verwendeten Datenquellen und Methoden unterscheiden sich nicht von den verwendeten Datenquellen und Methoden der Berichterstattung der Kategorien der CRF Kategorien 4.A, 4.B und 4.G unter UNFCCC. Daher gibt es diesbezüglich keine Unterschiede. Siehe auch Kapitel 1.4.1.1.4 sowie Kapitel 5.2 und Anhang-Kapitel 19.3.

18 Tier 1 bezeichnet die jeweils einfacheren, mit weniger Eingangsdaten benutzbaren Berechnungsmethoden, während Tier 2 bzw. Tier 3 differenziertere Eingangsdaten benötigen und somit üblicherweise zu genaueren Ergebnissen führen.

1.5 Kurzbeschreibung der Hauptkategorien

1.5.1 Treibhausgas-Inventar (mit und ohne LULUCF)

Zur Festlegung der Hauptkategorien wurden beide Methode 1-Verfahren Level (für das Basisjahr, 1990 und das aktuellste Jahr) sowie Trend (für das aktuellste Jahr gegenüber dem Basisjahr) für die deutschen Treibhausgasemissionen angewendet. Zusätzlich wurde auch das Methode -2-Verfahren angewendet. Es wurden entsprechend den IPCC-Vorgaben für das Methode -1-Verfahren hierbei nicht nur die Emissionen aus Quellen sondern auch die Einbindung der Treibhausgase in Senken in den Analysen berücksichtigt. Dazu werden die Analysen zunächst nur für die Emissionen aus den Quellen des Anhang 1 der Klimarahmenkonvention durchgeführt und in einem zusätzlichen zweiten Durchlauf die Einbindung der Treibhausgase in die Senken einbezogen. Alle festgelegten Hauptkategorien ergaben sich entweder durch die Levelanalysen oder die Trendbewertung oder die Methode -2-Hauptkategorienanalyse auf Basis der aktuellen Unsicherheitenbestimmung. Durch die Bewertung qualitativer Aspekte sind keine neuen Hauptkategorien hinzugekommen (Erläuterungen hierzu siehe Anhangkapitel 17.1.2).

Im Ergebnis wurden in der aktuellen Berichterstattung im Methode -1-Verfahren insgesamt 44 der untersuchten 147 Quell- bzw. Senkengruppen als Hauptkategorie identifiziert. Nur 30 hiervon wurden gleichzeitig durch die Trend- und Levelanalysen als Hauptkategorie ermittelt. Zusätzlich wurden 8 Kategorien nur durch die Trend- bzw. 6 Kategorien nur durch die jeweiligen Levelanalysen als Hauptkategorie identifiziert. Im Methode -2-Verfahren wurden (das letzte Mal) 6 weitere Hauptkategorien identifiziert (s. Tabelle 8).

Letztendlich wurden damit 52 Hauptkategorien festgelegt, die in Tabelle 5 zusammengefasst dargestellt sind.

Tabelle 5: Anzahl der Kategorien und Hauptkategorien

Kategorie		**120**	
			Hauptkategorien
nach Level	Level & Trend	Trend	
6	30	8	**44 (Tier 1)** **+6 (Tier 2*)** **52 (gesamt)**

* Tier-2-Analyse noch nicht für 2015 aktualisiert

Eine Übersicht der Ergebnisse der Hauptkategorienanalyse nach Tier 1 ist in Tabelle 6 zusammengestellt. In Tabelle 8 sind die aufgrund der Tier 2 Analyse hinzugekommenen Hauptkategorien dargestellt. Detaillierte Darlegungen zur durchgeführten Hauptkategorien-Analyse sind im Anhang 1 (Kapitel 17) dieses Berichts zusammengestellt.

Gegenüber den im vergangenen Jahr ermittelten Ergebnissen haben sich nur geringe Änderungen ergeben. Die Anzahl der Hauptkategorien nach Tier-1-Analyse ist mit 44 um eine Hauptkategorie gestiegen. Die neu hinzugekommene Hauptkategorie ist: CH4 Emissionen aus Sonstige: Haushalte (1.A.4b) aus dem Energiesektor. Alle anderen Hauptkategorien des letzten Jahres sind Hauptkategorien geblieben.

Deutschland wendet alle empfohlenen Verfahren für die Ermittlung bzw. Bewertung der Quellkategorien an. Die 2006 IPCC-Guidelines (Vol. 1, Ch. 4.3) schreiben vor dass 95% der Emissionen aus Quellen bzw. Einbindungen in Senken als Hauptkategorien festgelegt werden müssen. Da die Festlegung der Hauptkategorien in Deutschland durch die Kombination der Ergebnisse aller Analysenverfahren und Bewertungen erfolgt, werden insgesamt die verursachenden Aktivitäten für ca. 98 % des Inventars als Hauptkategorien identifiziert.

Ein Vergleich der Hauptkategorienanalyse des CRF Reporters mit der von Deutschland hat ergeben, dass diese nur geringfügig voneinander abweichen. Im Ansatz bestehen kleine Unterschiede, so wird im Energiebereich von Deutschland in Unterkategorien unterschieden und beim CRF Reporter in Brennstofftypen differenziert. Die Anzahl der Hauptkategorien ist nahezu gleich.

1.5.2 Inventar einschließlich der KP-LULUCF Berichterstattung

Im Ergebnis der im vorherigen Kapitel beschriebenen Analyse des UNFCCC-Inventars erwiesen sich die CO_2-Emissionen/Einbindungen der Kategorien *Forest Land* (4.A), *Cropland* (4.B), *Grassland* (4.C) und Wetlands (4.D) als Hauptkategorie. Für diese Kategorien wurde unter Anwendung der methodischen Vorgaben des Kapitels „2.3.6 choice of method“ der 2013 Revised Supplementary Methods and Good Practice Guidance Arising from the Kyoto Protocol weitere detaillierte Analysen durchgeführt. Im Ergebnis wurden die in Tabelle 7 festgelegten Unterkategorien als Hauptkategorien für das KP-LULUCF-Inventar nach Artikel 3.3 identifiziert. Ausschlaggebend hierfür war die Höhe des Emissionsbeitrages bzw. der Emissionstrend. Unter Anwendung der Tabelle 2.1.1 wurden diesen Kategorien die entsprechend Artikel 3.4 gewählten Aktivitäten gegenüber gestellt. Deutschland hat unter diesem Artikel des Kyoto-Protokolls Waldbewirtschaftung, Ackerland- und Weidelandbewirtschaftung gewählt. Diese Ergebnisse sowie die für die Auswahl angewendeten Kriterien enthält CRF-Tabelle NIR.3 (Tabelle 469 in Kapitel 17.1.4).

Tabelle 6: Hauptkategorien für Deutschland gemäß Tier 1-Ansatz

IPCC Categories	Activity	Emissions of	Level						Trend		Emission Base Year (in kt CO_2 equi.)	Emission 2015 (in kt CO_2 equi.)
			Base Year	Base Year +sinks	Level 1990	1990 +sinks	Level 2015	2015 +sinks	2015	2015 +sinks		
1.A.1.a Public electricity and Heat production	all fuels	CO_2	●	●	●	●	●	●	●	●	L/T	338.451,2
1.A.1.a Public electricity and Heat production	all fuels	CH_4	-	-	-	-	●	●	●	●	L/T	172,2
1.A.1.a Public electricity and Heat production	all fuels	N_2O	-	-	-	-	●	-	-	-	L/-	2.407,5
1.A.1.b Petroleum Refining	all fuels	CO_2	●	●	●	●	●	●	●	●	L/T	20.165,6
1.A.1.c Manufacture of Solid Fuels and Other Energy Industries	all fuels	CO_2	●	●	●	●	●	●	●	●	L/T	65.289,1
1.A.2.a Manufacturing Industries and Construction: Iron and Steel	all fuels	CO_2	●	●	●	●	●	●	●	●	L/T	35.269,3
1.A.2.e Manufacturing Industries and Construction: Food Processing	all fuels	CO_2	-	-	-	-	-	-	●	●	-/T	2.015,9
1.A.2.f Manufacturing Industries and Construction: Non-metallic minerals	all fuels	CO_2	●	●	●	●	●	●	-	-	L/-	18.507,4
1.A.2.g Manufacturing Industries and Construction: Other	all fuels	CO_2	●	●	●	●	●	●	●	●	L/T	127.682,0
1.A.3.b Transport: Road Transportation	all fuels	CO_2	●	●	●	●	●	●	●	●	L/T	151.880,6
1.A.3.b Transport: Road Transportation	all fuels	CH_4	-	-	-	-	-	-	●	-	-/T	1.316,8
1.A.3.c Transport: Railways	all fuels	CO_2	●	●	●	●	-	-	●	●	L/T	2.900,5
1.A.3.d Transport: Navigation	all fuels	CO_2	●	●	●	●	-	-	●	●	L/T	3.644,5
1.A.4.a Other Sectors: Commercial/Institutional	all fuels	CO_2	●	●	●	●	●	●	●	●	L/T	64.105,9
1.A.4.a Other Sectors: Commercial/Institutional	all fuels	CH_4	-	-	-	-	-	-	●	●	-/T	1.461,6
1.A.4.b Other Sectors: Residential	all fuels	CO_2	●	●	●	●	●	●	●	●	L/T	128.635,8
1.A.4.b Other Sectors: Residential	all fuels	CH_4	-	-	-	-	-	-	●	●	-/T	2.483,9
1.A.4.c Other Sectors: Agriculture/Forestry/Fisheries	all fuels	CO_2	●	●	●	●	●	●	●	●	L/T	10.270,1
1.A.5. Other: Include Military fuel use under this category	all fuels	CO_2	●	●	●	●	-	-	●	●	L/T	11.797,5
1.B.1. Fugitive Emissions from Fuels	Solid Fuels	CH_4	●	●	●	●	●	●	●	●	L/T	25.553,4
1.B.2.b Fugitive Emissions from Fuels: Natural Gas	Gaseous Fuels	CH_4	●	●	●	●	●	●	●	●	L/T	7.939,9
2.A.1. Mineral Products: Cement Production	Clinker Burning	CO_2	●	●	●	●	●	●	●	●	L/T	15.145,8
2.A.2. Mineral Products: Lime Production	burning of Limestone and Dolomite	CO_2	●	●	●	●	●	●	-	-	L/-	5.986,6
2.B.1. Chemical Industry	Ammonia Production	CO_2	●	●	●	●	●	●	-	-	L/-	6.025,0
2.B.2. Chemical Industry	Nitric Acid Production	N_2O	●	●	●	●	-	-	●	●	L/T	3.258,5
2.B.3. Chemical Industry	Adipic Acid Production	N_2O	●	●	●	●	-	-	●	●	L/T	18.076,7
2.B.9. Fluorochemical production		HFCs	●	●	●	●	-	-	●	●	L/T	C
2.C.1. Metal Production: Iron and Steel Production	Steel (integrated production)	CO_2	●	●	●	●	●	●	-	-	L/-	22.810,3
2.C.3. Aluminium Production	Primary aluminium production	PFCs	-	-	-	-	-	-	●	●	-/T	1.800,7
2.F. Product uses as substitutes for ODS	0	HFCs	-	-	-	-	●	●	●	●	L/T	C

IPCC Categories	Activity	Emissions of	Level						Trend		Emission Base Year (in kt CO_2 equi.)	Emission 2015 (in kt CO_2 equi.)
			Base Year	Base Year +sinks	Level 1990	1990 +sinks	Level 2015	2015 +sinks	2015	2015 +sinks		
2.G. Other product manufacture and use	includes 2.B.10. Other N-Dodecanedioic acid	N_2O	-	-	-	-	-	-	●	●	-/T	2.029,5
2.G. Other product manufacture and use	0	SF_6	●	●	●	●	●	●	●	●	L/T	C
3.A.1. Enteric Fermentation	Dairy Cows	CH_4	●	●	●	●	●	●	●	-	L/T	19.089,1
3.A.1. Enteric Fermentation	Other Cattle	CH_4	●	●	●	●	●	●	●	●	L/T	14.163,3
3.D. Agricultural Soils	0	N_2O	●	●	●	●	●	●	●	●	L/T	28.575,0
3.G. Liming	0	CO_2	●	-	-	-	-	-	-	-	L/-	2.704,0
3.J. Other	0	CH_4	-	-	-	-	-	-	●	●	-/T	0,3
4.A. Forest land	0	CO_2		●		●		●		●	L/T	-75.542,1
4.B. Cropland	0	CO_2		●		●		●		●	L/T	12.436,4
4.C. Grassland	0	CO_2		●		●		●		●	L/T	25.543,6
4.D. Wetlands	0	CO_2		●		●		●		●	L/T	4.064,0
4.E. Settlements	0	CO_2		-		-		●		●	L/T	1.810,7
5.A. Solid Waste Disposal on Land	Managed Waste Disposal on Land	CH_4	●	●	●	●	●	●	●	●	L/T	34.250,0
5.D.1 Wastewater Handling	Domestic Wastewater	CH_4	-	-	-	-	-	-	●	●	-/T	2.696,2

Tabelle 7: Ergebnis der Hauptkategorienanalyse KP-LULUCF

Kategorie	gewählte KP Aktivitäten (siehe KP supplement Table 2.1.1)	Substanz	1990	2015	1990	2015
4.A.1 Forest Land remaining Forest Land	FM	CO_2	70.327,1	53.534,3	●	●
4.A.1 Forest Land remaining Forest Land	FM	CH_4	0,6	0,6	-	-
4.A.1 Forest Land remaining Forest Land	FM	N_2O	0,2	0,3	-	-
4.A.2 Land converted to Forest Land	AR	CO_2	5.215,0	4.392,7	●	●
4.A.2 Land converted to Forest Land	AR	CH_4	0,2	0,2	-	-
4.A.2 Land converted to Forest Land	AR	N_2O	0,6	0,2	-	-
4.B.1 Cropland remaining Cropland	CM	CO_2	5.880,3	7.553,3	●	●
4.B.1 Cropland remaining Cropland	CM	CH_4	5,2	6,7	-	-
4.B.2 Land converted to Cropland	D, CM	CO_2	6.556,1	6.795,1	●	●
4.B.2 Land converted to Cropland	D, CM	CH_4	2,7	3,2	-	-
4.B.2 Land converted to Cropland	D, CM	N_2O	0,9	1,0	-	-
4.C.1 Grassland remaining Grassland	GM	CO_2	26.368,4	22.790,1	●	●
4.C.1 Grassland remaining Grassland	GM	CH_4	21,9	19,5	-	-
4.C.1 Grassland remaining Grassland	GM	N_2O	0,3	0,3	-	-

Kategorie	gewählte KP Aktivitäten (siehe KP supplement Table 2.1.1)	Substanz	1990	2015	1990	2015
4.C.2 Land converted to Grassland	D, CM, GM	CO_2	824,8	697,9	-	-
4.C.2 Land converted to Grassland	D, CM, GM	CH_4	1,9	1,0	-	-
4.C.2 Land converted to Grassland	D, CM, GM	N_2O	0,0	0,0	-	-
4.D.1 Wetlands remaining Wetlands	-	CO_2	3.674,7	3.591,5	●	●
4.D.1 Wetlands remaining Wetlands	-	CH_4	1,5	1,4	-	-
4.D.1 Wetlands remaining Wetlands	-	N_2O	0,1	0,1	-	-
4.D.2 Land converted to Wetlands	D, CM, GM	CO_2	389,3	415,3	-	-
4.D.2 Land converted to Wetlands	D, CM, GM	CH_4	0,2	0,3	-	-
4.D.2 Land converted to Wetlands	D, CM, GM	N_2O	0,0	0,0	-	-
4.E.1 Settlements remaining Settlements	-	CO_2	636,6	1.011,4	-	-
4.E.1 Settlements remaining Settlements	-	CH_4	0,5	0,9	-	-
4.E.1 Settlements remaining Settlements	-	N_2O	0,1	0,2	-	-
4.E.2 Land converted to Settlements	D, CM, GM	CO_2	1.174,1	2.290,7	-	-
4.E.2 Land converted to Settlements	D, CM, GM	CH_4	0,4	0,8	-	-
4.E.2 Land converted to Settlements	D, CM, GM	N_2O	0,3	0,5	-	-
4.F.1 Other Land remaining Other Land		CO_2	0,0	0,0	-	-
4.F.2 Land converted to Other Land	D, CM, GM	CO_2	0,0	0,0	-	-
4G Harvested wood products	FM	CO_2	1.330,0	2.123,5	-	-
4H Other	-	N_2O	0,4	0,3	-	-

Tabelle 8: Hauptkategorien für Deutschland, die sich nur aufgrund des Tier 2-Ansatzes ergeben

IPCC Source Categories	Activity	Emissions of
1.A.4.b Other Sectors: Residential	All Fuels	CH_4
3.B.1.a Manure Management	Dairy Cows	CH_4 & N_2O
3.B.5 Indirect N_2O emission	Atmospheric Deposition	N_2O
4.C Grassland		CH_4
4.G Harvested wood products		CO_2
5.D.1 Wastewater Handling	Domestic Wastewater	N_2O

1.6 Informationen zum Qualitätssicherungs- und –kontrollplan sowie zum Inventarplan inklusive Verifizierung und zum Umgang mit vertraulichen Informationen

1.6.1 Prozeduren zu Qualitätssicherung- und –kontrolle

1.6.1.1 QK/QS-Plan

Gemäß den Anforderungen der 2006 IPCC Guidelines sollen die für die Emissionsberichterstattung notwendigen QK/QS- und Verifikationsmaßnahmen in einem QK/QS-Plan zusammengefasst werden. Dabei ist die primäre Aufgabe eines QK/QS-Plans, diese Maßnahmen zu organisieren, zu planen und die Durchführung sicherzustellen. Der QK-Plan ist relativ einfach aufgebaut und in jedem Jahr der selbe, denn das grundlegende Ziel der Nationalen Systems ist es, das gesamte Inventar, in jedem Jahr einer vollständigen QK entsprechend den Guidelines zu unterziehen, unabhängig davon, ob es sich um Hauptkategorien handelt oder um solche, die dies nicht sind. Der QK-Plan besteht somit im Prinzip aus den Checklisten zur QK/QS (siehe Kapitel 1.6.1.2) und dem Inventarplan (siehe Kapitel 1.6.1.3). Eine nahezu identische Herangehensweise wird auch beim QS-Plan verfolgt, was bedeutet, dass, wie auch von den Guidelines gefordert, in jedem Jahr entsprechende Qualitätsprüfungen erfolgen, die aber hinsichtlich der geforderten „Peer-Reviews“ einen periodischen Ansatz verfolgen (siehe auch weiter unten). Der QS-Plan besteht somit im Prinzip aus den Checklisten zur QK/QS (siehe Kapitel 1.6.1.2) und dem Terminplan der Emissionsberichterstattung (siehe Kapitel 1.2.1.5) mit den damit verbundenen Aufgaben. Letztere und die vom QSE vorgegebenen Freigabeprozesse stellen sicher, dass die Inventare jährlich eine Vielzahl von internen, vor allem aber externen qualitätsichernden Prüfinstanzen durchlaufen. Dazu gehören auch jährlich von den beteiligten Ministerien durchzuführende „basic Expert Peer-Reviews“, deren Ergebnisse, inkl. möglicher Korrekturen, im Rahmen der etablierten Routinen, vor Fertigstellung der Berichterstattung in die Inventare einfließen. Abgerundet werden diese qualitätssichernden Aktivitäten durch periodisch durchgeführte Peer Reviews (siehe Kapitel 1.6.1.4).

Durch regelmäßige Anpassung und Überarbeitung der genannten Instrumente, auch unter Berücksichtigung landesspezifischer Bedürfnisse, ist sichergestellt, dass die Anforderungen der 2006 Guidelines auch hinsichtlich einer angemessenen Berücksichtigung nationaler Besonderheiten erfüllt werden.

Eine allgemeine Beschreibung der Aufbau- und Ablauforganisationder Qualitätssicherung und -kontrolle findet sich in Kapitel 1.3.3.1. Dort sind auch die Prinzipien zur Steuerung und Dokumentation dieser Maßnahmen beschrieben.

Im „Handbuch zur Qualitätskontrolle und Qualitätssicherung bei der Erstellung von Emissionsinventaren und der Berichterstattung unter der Klimarahmenkonvention der Vereinten Nationen sowie der EU Entscheidung 525/2013/EG“ (UBA, 2015, unveröffentlicht) sind die Anforderungen an die Qualitätskontrolle und Qualitätssicherung bei der Emissionsberichterstattung detailliert beschrieben. Qualitätsprüfungen, die überwiegend vor Abschluss der Inventarerstellung erfolgen, bilden das Herzstück der im Handbuch gemachten Vorgaben.

1.6.1.2 Checklisten

Die Qualitätsprüfungen werden mit Hilfe von Checklisten umgesetzt (zum Inhalt siehe Kapitel 1.3.3.1.5 und 22.1.2.1.11). Diese bestehen zurzeit aus ca. 85 rollenspezifischen Einzelzielen sowie rund 50 optionalen Zielen.

Aktuell sind etwa 50 UBA- und externe Mitarbeiter in unterschiedlichen funktionalen Rollen in vier aufeinander aufbauenden QK/QS-Prüfebenen in die Emissionsberichterstattung eingebunden. Die Prüfebenen werden repräsentiert durch den eigentlichen Experten (FV), seinen Fachvorgesetzten (QKV), einen fachlichen Ansprechpartner für die jeweilige Kategorie in der Nationalen Koordinierungsstelle (FAP) und schließlich durch die Koordinatoren, die gemeinsam für das konsistente Gesamtergebnis NIR, Inventar, QSE und Unsicherheitenschätzung zuständig sind.

Die rollenspezifischen QK/QS-Prüfungen werden generell den allgemeinen Qualitätszielen (siehe Kapitel 22.1.2.1.10.3) und den einzelnen Prozessschritten (siehe Kapitel 1.2.3) bei der Inventarerstellung zugeordnet, damit die anschließende Auswertung auch nach diesen Gesichtspunkten erfolgen kann. In der Summe decken die Prüfungen den gesamten Prozess der Inventarerstellung ab.

Die anschließende Auswertung der Checklisten zeigt bei einzelnen Kategorien bestimmte Aspekte auf, die hinsichtlich der Einhaltung spezifischer Inventaranforderungen zu überprüfen und ggf. zu überarbeiten sind. Zu diesem Zweck werden sie um weiterführende Informationen ergänzt. Die überwiegende Mehrzahl aller identifizierten Prüfbedarfe wird in den verbindlichen Inventarplan überführt. Dieser wird haus- und ressortabgestimmt und anschließend in aggregierter Form veröffentlicht.

1.6.1.3 Inventarplan

Für die jährliche Erstellung des Inventarplans werden die Ergebnisse der QK/QS-Checklisten aller Kategorien ausgewertet und die nicht erreichten Ziele mit notwendigen Verbesserungsmaßnahmen, sowie Terminen zu ihrer Umsetzung hinterlegt (Follow-up-procedure). Diese werden ergänzt um die im NIR benannten Verbesserungsaktivitäten (s. Kapitel 10.4.1), die Ergebnisse der verschiedenen Reviewprozeduren der UNFCCC und der EU-Kommission, um Auditergebnisse (siehe 1.6.1.4) sowie sonstige Verbesserungsbedarfe. Der Inventarplan umfasst damit eine Vielzahl von Einzelmaßnahmen, die von unterschiedlichen Rollen des QSE (siehe Rollenkonzept des QSE Kapitel 1.3.3.1.3) und den in die Emissionsberichterstattung eingebundenen Bundesministerien Deutschlands (siehe Kapitel 1.3.3.1.3) bzw. deren nachgeordneten Behörden umzusetzen sind. Die enthaltenen Maßnahmen sind verbindlich innerhalb der im Inventarplan festgelegten Zeiträume umzusetzen, wobei die Bereitstellung der erforderlichen personellen und finanziellen Ressourcen den jeweils zuständigen Teilnehmern des NaSE obliegt.

Bei der Erstellung des jeweils aktuellen IP wird vom QSE-Koordinator auch die Abarbeitung der in den Vorjahren begebenen Handlungsbedarfe überprüft. Anhand der dadurch gewonnenen Informationen wird der IP zusätzlich aktualisiert. Handlungsbedarfe deren Termine nicht gehalten werden konnten, werden in ihrem Status auf „überfällig“ gesetzt und in ihrer Priorität heraufgesetzt (Follow-follow-up-procedure).

Da die einzelnen Maßnahmen des Inventarplans aufgrund ihrer großen Anzahl hier nicht darstellbar sind, wurden sie zu den in Tabelle 9 dargestellten übergeordneten Maßnahmen zusammengefasst. Der Inventarplan wird in einem fortlaufenden Prozess mindestens jährlich aktualisiert.

Im Zuge der Umsetzung der im Inventarplan enthaltenen Maßnahmen können regelmäßig große Teile der enthaltenen Einzelmaßnahmen bearbeitet und damit aufgelöst werden.

Tabelle 9: Inventarplan – offene Handlungsbedarfe

Main Category	CRF-Code	Data quality objective	Source	Source-Reference-Year of Reporting
Industrial Processes	2.A.4.a	Check whether there are any gaps in the available data for time series as of 1990.	CHKL	2013
Industrial Processes	2.C.2, 2.C.3.a	Check whether the source category is completely covered by the relevant data source and whether the defined data sets for EF and AR are consistently delimited.	Audit	2016
General	-	Check whether uncertainties have been determined, are complete and up to date.	ARR, Audit	2013, 2016
Energy	1.A.2.g.vii., 1.A.3.b+c+d.(a), 1.A.4.a.ii+b.ii+c.ii, 1.B.2.a+b		Audit, CHKL	2012, 2014-16
Industrial Processes	2.A.4.a., 2.B.10.(i), 2.C.3.a., 2.D.3.(a+b), 2.D.3.(a,d,e,f,g,h,i)		Audit, CHKL	2012, 2016+17
Waste	5.A.1		Audit	2016
General	-	Check whether obligations pertaining to keeping of records and documentation are fulfilled and whether the relevant documents are complete, meaningful and up to date.	Audit, CHKL	2015, 2016
Energy	1.A.1, 1.A.2, 1.A.2.e, 1.A.2.g.vii.,1.A.3.a.+ii, 1.A.3.b+c+d.(a+b)+e., 1.A.4.a.ii+b.ii+c.ii+iii,, 1.A.5.b+(iii), 1.B.2.a+b, 1.D.1.b		Audit, CHKL	2012-2017
Industrial Processes	2.A.1+3+4a, 2.B.3+8, 2.C.3.a., 2.D.3.(a,d,e,f,g,h,i), 2.F.5		Audit, CHKL	2016+17
Agriculture	3.A+B+D+G		Audit	2016
LULUCF	4.LULUCF(Total area)		Audit	2016
Waste	5.A.1, 5.B.1+2, 5.D.1+2		Audit, CHKL, Sonstige	2012, 2014-2017
General	-	Check whether data suppliers and contracted supporting entities are carrying out suitable routine quality controls, and whether the emissions-reporting requirements defined by the Single National Entity have been provided to such suppliers and entities and are being fulfilled.	Audit, Sonstige	2014, 2016
Energy	1.A.3.a-c+d, 1.A.4.c.iii, 1.A.5, 1.A.5.b		Audit, CHKL	2012, 2015-17
Industrial Processes	2.B.8.a., 2.B.9, 2.C.2, 2.D.3.(b), 2.F.5		Audit, CHKL	2012, 2016-17
Waste	5.B.1+2, 5.D.1		Audit, CHKL	2012, 2016
General	-	Check whether requirements for cross-checking and verification of data and their underlying assumptions have been fulfilled.	CHKL, Sonstige	2015, 2017
Energy	1.A, 1.A.2f, 1.D.1.a.		ARR, Audit, Sonstige	2014-2016
Industrial Processes	2.A.4.a, 2.B.3+4.a+8+10.(i), 2.C.2, 2.D.1, 2.E.4		Audit, CHKL	2013, 2015-17
Agriculture	3.H+J		CHKL	2015
LULUCF	4, 4.B+C		NIR, Sonstige	2012, 2014, 2017
Waste	5.D.1		CHKL	2014, 2015, 2017
General	-	Check whether it was possible to take pointers from inventory reviews and inventory plan into account.	ARR, ESD	2010, 2015
Industrial Processes	2.B.8, 2.D.1		CHKL	2017
Waste	5.B.1+2, 5.D.1		ESD	2015
Energy	1.A.5.b(ii+iii),	Check whether data-consistency requirements are fulfilled and whether the relevant documents are complete and meaningful.	CHKL	2016+17
Industrial Processes	2.B.3		Audit, CHKL	2016+17
Waste	5.A.1, 5.D., 5.D.1+2		CHKL, NIR, Sonstige	2013, 2016+17
Industrial Processes	2.A.3, 2.A.4.a., 2.C.6, 2.F.5	Check whether the EF are plausible and complete (have no gaps and are completely documented) and up to date.	Audit, NIR	2015+16
LULUCF	4. (Total area)		NIR	2015, 2016
Waste	5.B.1+2		Audit	2016
Industrial Processes	2.A.3, 2.B.4.a., 2.B.10(i), 2.D.3.(a)	Check whether the AR are plausible and complete (have no gaps and are completely documented) and up to date.	Audit, NIR, CHKL	2015-17
LULUCF	4.A.		NIR	2012
General	-	Check whether data has been entered into the CSE correctly, including whether all numbers, units and conversion factors have	CHKL	2015

Main Category	CRF-Code	Data quality objective	Source	Source-Reference-Year of Reporting
		been correctly entered and properly integrated.		
Industrial Processes	2.B.8+10.(i), 2.D.3.(a)	Check whether the NIR source category has been completely and logically described in terms of the required six sub-chapters for the NIR ("Source category description", "Methodological issues", etc.).	CHKL	2016-17
LULUCF	4 (II), 4.A.(b)		CHKL	2017
Waste	5.D.1		CHKL	2015-2017
General	-	Various types of required action.	Sonstige	2014, 2016
Energy	1.A.2.e, 1.A.3.a+d.(a), 1.A.4.c.iii, 1.A.5.b.(iii), 1.B.2, 1.D.1.a		Audit, CHKL, Sonstige	2013, 2015-17
Industrial Processes	2.A.2, 2.A.4.a., 2.B.8+10.(i), 2.C.3.a., 2.D.1, 2.F.5		Audit, CHKL, NIR	2015-17
Agriculture	3.A+B+D+J		CHKL, NIR	2011, 2012, 2017
LULUCF	4.C-E, 4.Total area		CHKL	2017
Waste	5.D.1		CHKL	2015-17
KP	KP		ARR	2013, 2014
Energy	1.A.1, 1.A.1.c, 1.A.3.a+b, 1.B.1, 1.B.2.a+b	Check whether pertinent responsibilities need to be updated.	Audit, CHKL	2016+17
Industrial Processes	2.B.4.a+8.+10.(i)		CHKL	2016
Waste	5.D.1		Audit	2016
Industrial Processes	2.A.4.a, 2.D.3.(b)	Initiated research projects for inventory improvement.	Audit, NIR	2012, 2016
LULUCF	4.A		NIR	2011
Waste	5.D.1		NIR	2016

Seit erstmaliger Veröffentlichung eines Inventarplanes mit der Berichterstattung 2007 sind mehrere tausend Handlungs- bzw. Verbesserungsbedarfe im Qualitäts-System zur Verbesserung adressiert worden. Da diese Summe insgesamt nicht übersichtlich darstellbar ist, wird im Folgenden ein Überblick über die Entwicklung des IP seit der Berichterstattung 2010 gegeben.

Zum Ende des aktuellen Berichterstattungsjahres besteht der Inventarplan aus rund 2000 Handlungs- bzw. Verbesserungsbedarfen. Sie verteilen sich auf etwa 160 Kategorien, wobei derzeit rund 1550 erledigt sind.

Mit der aktuellen Berichtsrunde sind rund 185 Verbesserungsbedarfe neu erkannt worden– von den Reviewergebnissen der Vorjahre konnten 5 weitere mit der diesjährigen Berichtsrunde erledigt werden. Die Schwerpunkte aller bisher erreichten Verbesserungen liegen in den Bereichen Dokumentation, Reviewergebnisse, und Verifizierung. Schwerpunkte der rund 350 offenen bzw. in Bearbeitung befindlichen Verbesserungsbedarfe sind Dokumentation, Verifizierung und Sonstige Verbesserungen. Berücksichtigt man bei der Anzahl der offenen Verbesserungsbedarfe die Anzahl von Wiederholungen, die sich durch die Wiedergabe von Checklisten- und Reviewergebnissen der Vorjahre zwangsläufig ergeben können, so liegen derzeit tatsächlich rund 450 offene Verbesserungsbedarfe vor.

In der Übersicht der Tabelle 10 werden detailliertere Informationen zu den erledigten Verbesserungsbedarfen gegeben. In beiden Tabellen (Tabelle 9 & Tabelle 10) sind die Reviewergebnisse der Jahre 2006 bis 2014, die im NIR getroffenen Aussagen zu geplanten Verbesserungen der Jahre ab 2011, die sonstigen Verbesserungsbedarfe der Jahre ab 2008 sowie die CHKL-Ergebnisse der Jahre ab 2010 enthalten.

Detailinformationen zu einzelnen Verbesserungen hinsichtlich Kategorie, Priorität, Terminierung, Zuständigkeit, Gas, Brennstoff, Handlungsbedarf etc. können aufgrund des erheblichen Umfangs der Informationen hier nicht dargestellt werden. Weiterführende Auszüge aus dem Inventarplan können für die erledigten Reviewergebnisse unter Tabelle 425 (Zusammenstellung der mit der

aktuellen Berichterstattung erledigten Review-Empfehlungen) und für die im NIR getroffenen Aussagen zu geplanten Verbesserungen unter Tabelle 426 (Zusammenfassung der mit der aktuellen Berichterstattung erledigten und der offenen in den NIR-Kategoriekapiteln genannten geplanten Verbesserungen) eingesehen werden.

Tabelle 10: Inventarplan - erledigte Handlungsbedarfe/Verbesserungen

Main Category	CRF	Data quality objective	Source	Source-Reference-Year of Reporting
Energy	1.A, 1.A.4.c.iii., 1.D.1.b.	Check whether requirements of IPCC Good Practice Guidance pertaining to selection of calculation method and to procedures for applicable methods changes are fulfilled or if it´s necessary to adjust already existing calculation methods/modells.	ARR, CHKL	2008, 2011-2014
Industrial Processes	2.A., 2.B.8, 2.C., 2.C.1, 2.E., 2.F.1+6		S&A I, NIR, CHKL	2006, 2010, 2012
Agiculture	3.A+B		NIR, ARR, Sonstige	2009, 2011-2013
LULUCF	4.D			
Waste	5.A, 5.D.1		ARR, CHKL	2011-2014
Energy	1.A.1, 1.A.2.f, 1.A.2.g.viii, 1.A.3.e	Check whether the data source (s) used will be available throughout the long term.	CHKL	2011, 2014-2016
Agiculture	3.A.(a), 3.B.(a)		CHKL	2010
LULUCF	4		Sonstige	2008
Waste	5.D.2, 5.E.1		CHKL	2010, 2015
Energy	1.A.3.c	Check whether there are any gaps in the available data for time series as of 1990.	CHKL	2010, 2013+2014
Industrial Processes	2.C.2+3		CHKL	2010-2011
Agiculture	3.A.(b), 3.B.(b), 3.D		CHKL	2010-2011
LULUCF	4. (total area), 4.A.(a)		CHKL, NIR	2012, 2015
Waste	5.D.2.		NIR	2013
Energy	1.A.1, 1.A.2.g.viii, 1.A.3.e.ii, 1.A.4.c.ii,	Check whether the source category is completely covered by the relevant data source and whether the defined data sets for EF and AR are consistently delimited.	CHKL	2011, 2014, 2015
Industrial Processes	1.D.1.b., 2.B.2., 2.C.1, 2.D.3.(c)		Audit, CHKL, NIR	2012, 2016
Waste	5.A.1, 5.D.1+2		CHKL, NIR	2011, 2012, 2015
General	General	Check whether uncertainties have been determined, are complete and up to date.	ARR, CHKL	2011, 2013, 2015
Energy	1.A.2, 1.A.3.a.ii, 1.A.3.b+c, 1.A.3.e.ii,		CHKL	2010-2012, 2014, 2015
Industrial Processes	1.A.4.a-c, 1.A.5.b 2.C.1-3, 2.D.3.c, 2.F.5, 2.G.4.(a)		Audit, CHKL, NIR	2010-2011, 2015, 2016
LULUCF	4, 4(III+IV), 4.A, 4.B-F		Sonstige, CHKL, NIR, ARR	2008, 2010-2011
Waste	5.A.1, 5.D.1		CHKL	2010-2014

Main Category	CRF	Data quality objective	Source	Source-Reference-Year of Reporting
Energy	1.A, 1.A.1+2, 1.A.1.c, 1.A.2.a+g.vii, 1.A.3.a-e, 1.A.4, 1.A.4.b.ii+c.ii+iii, 1.A.5.a+b, 1.B.1+2, 1.D.1.a+b	Check whether obligations pertaining to keeping of records and documentation are fulfilled and whether the relevant documents are complete, meaningful and up to date.	Audit, CHKL, ARR	2010-2017
Industrial Processes	2.B.1.+2+9, 2.C.1-3, 2.F.1, 2.G.2.(c), 2.G.3.a.(i)+b, 2.H.1+2, 2.B.10.(i)		Audit, CHKL	2010-2011, 2014-2016
Agiculture	3.A.+B+D+G		Audit, CHKL	2010, 2016
LULUCF	4, 4(III+IV), 4.A-F, LULUCF - Total area		Audit, CHKL, Sonstige	2008, 2010, 2016
Waste	5.A.1, 5.B.1, 5.D.1+2, 5.E.1		Audit, CHKL	2010-2013, 2015+2016
General	General	Check whether data suppliers and contracted supporting entities are carrying out suitable routine quality controls, and whether the emissions-reporting requirements defined by the Single National Entity have been provided to such suppliers and entities and are being fulfilled.	CHKL	2014
Energy	1.A.1+2, 1.A.3.a.ii, 1.A.3.b-d, 1.A.3.e.ii, 1.A.4.c.ii, 1.A.5.b, 1.D.1.b		CHKL	2010-2011, 2014
Industrial Processes	2.C.2, 2.C.3.a.		Audit, CHKL	2011, 2016
Agiculture	3, 3.A., 3.B., 3.D		CHKL, Sonstige	2008, 2010-2011
LULUCF	4, 4(III), 4.A.1, 4.B-F		CHKL, Sonstige	2008, 2010, 2012
Waste	5.D.1		CHKL	2010-2011
General	General	Check whether requirements for cross-checking and verification of data and their underlying assumptions have been fulfilled.	ARR , CHKL	2008, 2017
Energy	1, 1.A, 1.A.1+2, 1.A.3.a-e, 1.A.4, 1.A.4.a.ii+b.ii., 1.A.4.c.ii+iii, 1.A.5.a+b, 1.B.1+2, 1.D.1.a		ARR, Audit, Eu-Rev, S&A I, CHKL, NIR	2006-2008, 2010-2017
Industrial Processes	2.A.1-4, 2.B.1+3+7+8, 2.C.1-3, 2.D.1+2+3.(b), 2.G.3.a.(i), 2.G.4.(a+c), 2.H.2		Audit, ARR, CHKL, NIR	2010-2016
Agriculture	3.H		CHKL	2015
LULUCF	4(II-V), 4.A-F, 4.LULUCF(Total area)		Audit, CHKL, NIR	2010, 2012, 2014-2017
Waste	5.A.1, 5.B.2, 5.D, 5.D.2		Audit, CHKL	2010-2016

Main Category	CRF	Data quality objective	Source	Source-Reference-Year of Reporting
General	General	Check whether it was possible to take pointers from inventory reviews and inventory plan into account.	ARR, IRR	2006, 2008-2013
Energy	1, 1.A, 1.A.1.a+b, 1.A.2, 1.A.2.a+f, 1.A.3.b-d, 1.B.1+2, 1.B.2.a.iii,1.B.2.b.iv, 1.D.1		ARR, ESD, IRR, SL	2006, 2008-2013, 2015
Industrial Processes	2, 2.A.1+2, 2.A.4.b+d., 2.B.1-3+4.b+9, 2.C.1-4, 2.D.3.(a), 2.F+G		ARR, ESD, IRR, CHKL	2006, 2008-2010, 2012-2015
Agiculture	3, 3.A-D+G		ARR, ESD, IRR, NIR	2006, 2008-2010, 2012-2015
LULUCF	4, 4.A-D		ARR, IRR, SL	2006, 2008-2010, 2012-2013
Waste	5, 5.A, 5.A.1., 5.C.1, 5.D, 5.D.2, 5.E		ARR, ESD, IRR, CHKL	2006, 2008-2010-2015
KP	Kyoto Protocol		ARR	2010-2013
General	General	Check whether data-consistency requirements are fulfilled and whether the relevant documents are complete and meaningful.	ARR	2011
Energy	1, 1.A, 1.A.1+2, 1.A.2.a+f+g, 1.A.3.a.ii+b-d, 1.A.4, 1.A.5.b, 1.B.1.a, 1.B.2		ARR, EU-Rev, S&A I, CHKL, NIR	2006-2008, 2010-2016
Industrial Processes	2, 2.A.4.d, 2.B.2+4.a+8, 2.B.10.(i), 2.C.1, 2.D.3.(b+c), 2.F.1, 2.G.4.(a), 2.H.1.(b)		ARR, EU-Rev, CHKL	2007, 2010-2013, 2016
Agiculture	3, 3.D		ARR	2008
LULUCF	4, 4.A.2, 4.B.1, 4.C.1		EU-Rev, NIR	2007, 2013
Waste	5.A, 5.D, 5.E.1		ARR, EU-Rev, CHKL, NIR	2007, 2011-2014
Energy	1.A.1, 1.A.2, 1.A.2.f.(d), 1.A.3.d(b)+e.ii, 1.A.4, 1.A.5.a	Check whether the EF are plausible and complete (have no gaps and are completely documented) and up to date.	ARR, Audit, CHKL, EU-Rev, S&A I, NIR	2006, 2007, 2011-2014, 2016
Industrial Processes	2.B.1, 2.B.9., 2.C.4, 2.F		Audit, EU-Rev, NIR	2007, 2011, 2016
Agricultur e	3.B, 3.B.(b)		EU-Rev, NIR	2007, 2012
LULUCF	4.C.2		EU-Rev	2007
Waste	5.B.1, 5.D.1		CHKL, NIR	2013+2014
General	General	Check whether the AR are plausible and complete (have no gaps and are completely documented) and up to date.	Sonstige	2008
Energy	1.A.1; 1.A.2; 1.A.3.a+b+d, 1.A.4+a.i+c.i; 1.A.5.a, 1.B.1.c, 1.D.1.a+b		EU-Rev, S&A I, NIR, CHKL	2006, 2007, 2011-2013, 2015, 2016
Industrial Processes	2.A.3		NIR	2011-2012
Agiculture	3.A(b)+B+D		NIR	2011-2012
LULUCF	4.A-C		NIR	2011-2012
Waste	5.A.1, 5.D.2, 5.E.1		ARR, NIR, Sonstige	2011-2013, 2015
Waste	5.D.1	Check whether data has been entered into the CSE correctly, including whether all numbers, units and conversion factors have been correctly entered and properly integrated.	CHKL, Sonstige	2011, 2013-2015

Main Category	CRF	Data quality objective	Source	Source-Reference-Year of Reporting
General	General	Check whether the NIR source category has been completely and logically described in terms of the required six sub-chapters for the NIR ("Source category description", "Methodological issues", etc.).	ARR	2011
Energy	1, 1.A., 1.A.1, 1.A.2.f.(a-d), 1.B.1, 1.B.2.a		ARR, CHKL	2008, 2011-2013
Industrial Processes	2.A.4(a), 2.B.3+4.a, 2.B.1+9, 2.C, 2.C.2+3, 2.D.3.(b), 2.G.3.a.(i), 2.G.4.(a), 2.H.1.(a)		ARR, EU-Rev, CHKL	2007, 2010-2011-2016
LULUCF	4, 4.A.(b), 4.G		ARR, CHKL	2011, 2015
Waste	5.C.1, 5.D		ARR, CHKL	2011-2013
General	General	Check whether any recalculations are required. If they are they must be documented in a logical manner.	ARR	2011
Energy	1, 1.A.1+2+4		EU-Rev, S&A I	2006, 2007
Industrial Processes	2		ARR, EU-Rev, S&A I	2006, 2007, 2011-2013
Agiculture	3		S&A I	2006
LULUCF	4.A		ARR	2011
Waste	5, 5.E		S&A I, EU-Rev	2006, 2007
General	General	Various types of required action.	ARR, CHKL, Sonstige	2010+2011, 2013+2014, 2016
Energy	1.A., 1.A.2.f.(a-d), 1.A.2.g.vii., 1.A.3.a-e, 1.A.4.+a.ii+bii+c.iii+iii, 1.A.5.b, 1.B.1+2, 1.B.2.d		NIR, Sonstige, CHKL	2009-2015
Industrial Processes	2.A.4.a+d., 2.B.4.a+8.f.+9+10.(i), 2.C.1+6, 2.D.1-3.(a+c), 2.G.3.a.(i), 2.G.3.b., 2.G.4, 2.H.1.		ARR, Audit, CHKL, NIR, Sonstige	2010-2013, 2016
Agiculture	3		NIR	2011
LULUCF	4, 4.A-D		ARR, NIR	2008, 2011, 2013
Waste	5.D		CHKL, Sonstige	2013, 2016
Energy	1.A.2.a+b+d+e+f.(d), 1.A.3.a+b+d.(a)+e., 1.A.4.c.iii., 1.B.1, 1.B.2.b, 1.B.2.c.iii.-Flaring, 1.D.1.a.	Check whether pertinent responsibilities need to be updated.	Audit, CHKL	2010, 2013-2016
Industrial Processes	2.A.3+4.(b), 2.B.3+8.a-c+g.(i), 2.C.1-3(a), 2.D.3.(b+c), 2.G.3.a.(i), 2.G.3.b, 2.H.1.		Audit, CHKL	2010-2014, 2016
Agriculture	3.A.+B.+D.+G.		Audit	2016
LULUCF	4.A., 4.LULUCF(Total area)		Audit	2016
Waste	5.D.1.		Audit, CHKL	2010, 2013, 2016

Main Category	CRF	Data quality objective	Source	Source-Reference-Year of Reporting
Energy	1.A.1, 1.A.2.f, 1.A.3.c-e, 1.A.4.c.iii., 1.B.1.c, 1.B.2, 1.D.1.b.	Initiated research projects for inventory improvement.	CHKL, NIR	2011-2014
Industrial Processes	2.A.2+4.a, 2.G.2		Audit, NIR	2011+2012, 2016
Agiculture	3.B		NIR	2012
LULUCF	4.A-C+E		NIR	2011-2012
Waste	5.A.1, 5.B.1		CHKL, NIR	2011-2012, 2014

1.6.1.4 Audits

Im April 2016 wurde das Qualitätssystem (QSE) des Umweltbundesamtes erstmals von externer Stelle auditiert. Ziele waren:

- Prüfung ob das QSE mit den Qualitätsvorgaben der 2006 IPCC Guidelines übereinstimmt
- Identifizierung von Verbesserungspotentialen
- Identifizierung von möglichen Risiken für die Aufrechterhaltung der Datenqualität.

Es wurde ein Auditprogramm erarbeitet, welches deutlich mehr als nur einen repräsentativen Querschnitt über alle Emissionskategorien bietet, da die auditierten Mitarbeiter in den meisten Fällen weitere, „verwandte“ Kategorien betreuen, und deren Vorgehen dort sich wenig von den herangezogenen Fällen unterscheidet.

Mit dem erarbeiteten Auditplan wurde im Februar 2016 ein Voraudit für zwei Kategorien sowie den Koordinatoren für das Qualitätssystem (QSE), das Zentrale System Emissionen (ZSE; Datenbank) und das Nationale System (NaSE) durchgeführt, um die Anwendbarkeit und den Zeitbedarf zu testen und um die Notwendigkeit von Anpassungen des Auditplanes zu ermitteln. Parallel zur Überarbeitung des Auditplans wurde ein Zeitplan für die Durchführung der Audits bei Einsatz von insgesamt 5 Auditoren erstellt. Beim Audit wurden an drei Tagen im Regelfall paarweise die Fachverantwortlichen (FV) und deren fachliche Ansprechpartner (FAP) für 44 von 148 Kategorien auditiert. Die überprüften Vorgehensweisen und Abläufe in den auditierten Kategorien repräsentieren mehr als 80 % der Gesamtemissionen des deutschen Treibhausgasinventars. Darüber hinaus wurden, soweit diese noch nicht im Voraudit erfasst waren, alle Koordinatoren in Einzelaudits in das Auditprogramm aufgenommen.

Der Auditplan umfasste folgende Themenfelder:

- Rollen und Zuständigkeiten
- Anwendung allgemeiner Verfahren der Qualitätskontrolle
- Umsetzung der Vorgaben des QSE-Handbuches (IB, IP, NIR)
- Kategorie-spezifische Qualitätskontrolle für
    - Emissionsfaktoren
    - Messungen
    - Aktivitätsraten
    - Berechnungsverfahren und Bestimmung der Unsicherheiten

Die wesentlichen Ergebnisse des Audits sind:

1. Die Mindestanforderungen an die Qualitätskontrolle/Qualitätssicherung (QK/QS), die durch die IPCC 2006 Guidelines vorgegeben werden, werden vorbehaltlos eingehalten. Alle Soll-Anforderungen werden mit der Ausgestaltung und Umsetzung des QSE erfüllt.

2. Die vorgegebenen QK/QS-Verfahren des QSE sind wirksam, um die Datenqualität entsprechend den Anforderungen der IPCC Guidelines zu gewährleisten, und einen kontinuierlichen Verbesserungsprozess voranzutreiben. Voraussetzung hierfür ist die konsistente Umsetzung der Vorgaben des QSE durch die eingebundenen Mitarbeiter und Fachbereiche.
3. Das QSE geht über den eigenen Anspruch der Erfüllung der Mindestanforderungen weit hinaus und kann für viele Aspekte selbst Best-Practice-Beispiele in Anlehnung an die IPCC 2006 Guidelines bieten. Besonders hervorzuheben sind dabei die Ausgestaltung und der Umfang der Inventarbeschreibung, welche in fast allen untersuchten Kategorien ein umfassendes und transparentes Instrument für die Dokumentation von Daten, dem Bearbeitungsstand und den angewandten Verfahren darstellt. Lediglich im Bereich der Kategorie-spezifischen Qualitätskontrolle gibt es an einigen Stellen Verbesserungspotential, welches langfristig umgesetzt werden könnte (z.B. die Erstellung von einheitlichen Vorlagen für Tabellenkalkulationsblätter)
4. Das Risiko hinsichtlich einer Verringerung der Datenqualität ist aufgrund der Ausgestaltung des QSE und insbesondere des hohen Informationsgehalts der in den Inventarbeschreibungen abgelegt ist, als sehr gering einzustufen. Risiken bestehen eher im Hinblick auf temporäre Lücken in der kontinuierlichen Anwendung von Erhebungs- und Berechnungsverfahren, da im Falle des Ausfalles von Erfahrungsträgern teilweise als Ersatz Extrapolationsrechnungen in der Berichterstattung herangezogen werden müssten. Ein solcher Ausfall bedeutet aber keinesfalls einen Informationsverlust, so dass der Datenbestand mit der üblichen Datenqualität nachträglich wiederhergestellt werden könnte.
5. In einzelnen Kategorien lässt sich noch eine Verbesserung der Datenqualität durch eine häufigere Prüfung der Aktualität der genutzten Daten erreichen. So könnte es sinnvoll sein, dass in einem verpflichtenden Mindestzeitraum zu prüfen ist, ob Faktoren noch aktuell sind, oder ob inzwischen Daten zur Nutzung eines höherwertigen Ansatzes (z.B. national statt IPCC-Default) zur Verfügung stehen, bzw. beschafft werden können. Bei vorhandenem Aktualisierungsbedarf wären die notwendigen Studien in das Forschungsbudget einzuplanen.
6. Individuelle Verbesserungspotentiale für die untersuchten Kategorien und für allgemeine Belange konnten ebenfalls ermittelt werden. Sie wurden in die bestehenden Verbesserungsinstrumente (Inventarplan) übernommen.

Der Vorgang eines externen Audits hat sich als sinnvolles Element der Qualitätssicherung der nationalen Berichterstattung erwiesen. Derzeit ist geplant Audits in regelmäßigen Abständen (ca. 5 Jahre) zu wiederholen. In Ergänzung könnten auch interne Auditoren eingesetzt werden, die die Umsetzung von Verbesserungsprozessen überwachen und durch jährlich wechselnde Fokussierung in einem mehrjährigen Rhythmus alle Verfahrensschritte der Qualitätskontrolle und Berichterstellung abdecken.

1.6.1.5 Workshops zum Nationalen System (Peer Review)

Das Umweltbundesamt hat im November 2004 erstmals einen Workshop zum Nationalen System Emissionsinventare durchgeführt. Damit wurde ein Forum geschaffen, das die Einbindung von Verbänden und anderen unabhängigen Organisationen wesentlich förderte und der Umsetzung des Paragraphen 15 (b) der *Guidelines for National Systems* diente, die Inventare durch Dritte (Peer Review) prüfen zu lassen.

In der Folge wurden in mehrere Workshops durchgeführt, die jeweils der Überprüfung der Inventare durch unabhängige Dritte entsprechend des Paragraphen 15 (b) der *Guidelines for National Systems* dienten. 2009 fokussierte sich ein zweiter Workshop auf spezifische Kategorien des Inventars, wie N_2O aus der Produktverwendung, Emissionen aus der nicht-energetischen

Verwendung fossiler Brennstoffe und SF_6-Emissionen aus der Photovoltaik-Industrie. Die umfangreichen und intensiven Diskussionen während des Workshops haben wesentlich zur Verbesserung der Datenlage und damit zur Verbesserung der Qualität der Berichterstattung beigetragen.

2011 wurde ein internationaler Experten-Workshop zum deutschen LULUCF-Berichtssystem durchgeführt, der die methodischen Änderungen in Folge des In-Country-Reviews vom September 2010 begutachtete. Die Expertenempfehlungen wurden in der weiteren Umsetzung vollständig berücksichtigt.

Jeweils ein Fachgespräch mit dem Statistischen Bundesamt Thema Erdgasstatistik wurde in 2012 und im Sommer 2015 durchgeführt. An dem Fachgespräch 2012 nahmen neben dem Statistischen Bundesamt und dem Umweltbundesamt auch der BDEW, Vertreter einzelner Gasunternehmen und das DIW (AGEB) teil. In Vorbereitung der Überarbeitung der nationalen Energiebilanz wurden die verfügbaren Erdgasstatistiken diskutiert. Dabei wurden zum einen Maßnahmen beschlossen, die zu einer direkten Verbesserung der Energiebilanz und damit auch zur Verbesserung des Emissionsinventars führen. Zum anderen wurden weitere Recherchen vereinbart, die der Verifikation der statistischen Daten dienen sollen. Das Fachgespräch in 2015 diente der Abstimmung des Datenaustauschs zwischen dem Statistischen Bundesamt und dem Umweltbundesamt auch im Hinblick auf die neuen Berichtsanforderungen aus den 2006 IPCC Guidelines und der europäischen Monitoring Verordnung (MMR).

Bereits im März 2014 wurde ein Workshop mit europäischen Inventarexperten zur Umsetzung der 2006 IPCC Guidelines in der deutschen Treibhausgasemissionsberichterstattung durchgeführt. Der Workshop mit ca. 60 Teilnehmern fokussierte sich insbesondere auf die Sektoren Energie (CRF 1) und Industrieprozesse und Produktverwendungen (CRF 2). Durch den Erfahrungsaustausch konnte die Umsetzung der neuen Methoden in den deutschen Treibhausgasinventaren erheblich verbessert werden.

1.6.1.6 Ländervergleich zu fluorierten Gasen (Cross-Country-Review)

Im Februar 2011 fand in Wien ein Expertentreffen zu einer gegenseitigen länderübergreifenden Überprüfung speziell zur Berichterstattung der F-Gase statt. Teilnehmer waren Großbritannien, Österreich und Deutschland. Nach einer grundsätzlichen Vorstellung der Datenerhebung in den drei Ländern wurden die einzelnen Anwendungsbereiche detailliert betrachtet und hinsichtlich Datenquellen, Genauigkeit, Emissionsfaktoren und anderer Kriterien verglichen. Dabei wurde deutlich, dass Deutschland über das meiste fachliche Hintergrundwissen verfügt und damit die Vollständigkeit und Plausibilität der vorhandenen Daten vermutlich am besten einschätzen kann.

Wesentliches Ergebnis der länderübergreifenden Überprüfung ist, dass alle drei Länder einen hohen Aufwand der Berichterstattung für die F-Gase betreiben müssen. Eine Verringerung des Aufwandes führt zu einer nicht mehr IPCC-konformen Berichterstattung.

Als Ergebnis des Treffens wurde ein Bericht erarbeitet, der in die deutsche Berichterstattung der F-Gase eingeflossen ist.

1.6.2 Aktivitäten zur Verifizierung

1.6.2.1 Verifizierung ausgewählter Kategorien

Im Berichterstattungsjahr 2015/2016 wurde in Umsetzung der *2006 IPCC Guidelines (Vol.1, Chapter 6)* ein Verifizierungsprojekt durchgeführt. Hierfür wurden alle Kategorien des Inventars auf ihren Bedarf für eine Verifizierung untersucht. Folgende Kategorien wurden ermittelt:

- 1.A.2.a Iron & Steel
- 1.A.3.e Other Transportation
- 1.B.1.a.ii Surface Mining
- 1.B.2.b.v.i Natural Gas: Other
- 2.A Mineral Industry
- 2.B.1 Ammonia Production
- 2.B.2 Nitric Acid Production
- 2.B.3 Adipic Acid Production
- 3 Agriculture
- 4 Land Use Matrix
- 4 Konsistenz der Beschreibungen im NIR zu den CRF-Tabellen
- 4.A Forest Land
- 5.A.1 Managed Waste Disposal

Für die genannten Kategorien wurde vom Projektnehmer eine Verifizierung durchgeführt. Die Ergebnisse sind nach Fertigstellung dem Verifizierungskapitel der jeweiligen Kategorie zu entnehmen.

1.6.2.2 Verfahren zur Nutzung der Monitoring-Daten des Europäischen Emissionshandels

Zur Erfüllung von obligatorischen Qualitätskriterien wird besonders innerhalb der EU eine Verbesserung der THG-Emissionsinventare durch Erkenntnisse aus dem Europäischen Emissionshandel (EU-EH, auch ETS genannt) gefordert. Alle Mitgliedstaaten sind gefordert, die ETS-Daten zur Qualitätsverbesserung der jährlichen nationalen Emissionsinventare zu nutzen.

Seit dem Beginn des ETS-Monitorings liegt für die jährlich verursachten Emissionen eine gesicherte Datenbasis des Emissionshandels vor. Diese Daten gestatten in aggregierter Form kategorienspezifische Aussagen über Vollständigkeit und Konsistenz für Teile des Emissionsinventares. Darüber hinaus bilden sie eine Grundlage für die Überprüfung der verwendeten Emissionsfaktoren und für die Verifikation der Aktivitätsdaten. Da die Emissionsberechnung für alle Komponenten auf den gleichen Aktivitätsdaten aufbaut, hat diese Verifikation für alle zu berichtenden Emissionsinventare Bedeutung.

Die für die Verbesserung berichtspflichtiger Inventardaten benötigten Daten aus dem Emissionshandel liegen elektronisch in der Anlagendatenbank der Deutschen Emissionshandelsstelle (DEHSt) vor. 2005 wurde ein genereller Verfahrensablauf für einzelne gezielte Datenanfragen für die Inventarerstellung vereinbart. Dieser läuft im Wesentlichen durch direkte Kommunikation zwischen der Nationalen Koordinierungsstelle und der für die Berichte zuständigen Facheinheit E 2.3 der Emissionshandelsstelle (siehe Kapitel 1.3.3.1.8). Um die Potentiale regelmäßig nutzen zu können, ist für den jährlich erforderlichen Datenaustausch dieses formalisierte Verfahren mit terminlichen Festlegungen vereinbart worden.

Für Kategorien, die berichtspflichtige Anlagen unter dem CO_2-Emissionshandelsregime (ETS) beinhalten, werden die Monitoring-Daten des Europäischen Emissionshandels zur Qualitätsverbesserung der jährlichen nationalen Emissionsinventare genutzt. Informationen finden sich in den Kategoriekapiteln zur Verifikation, wobei nur in Einzelfällen die detaillierten Vergleiche aufgeführt sind. Aus Geheimhaltungsgründen, hier insbesondere für einige Inventardetails, sind die Ergebnisse der Vergleiche meist textlich beschrieben. Tabellen mit den verwendeten Daten können nur im Zuge von Inventarüberprüfungen zur Kenntnis gegeben werden. Einen exemplarischen Überblick über eine erfolgreiche Verifikation bietet der Vergleich der brennstoffbezogenen CO_2-Emissionsfaktoren im Anhang-Kapitel 18.7.

Die Bereitstellung der Datenbasis von der DEHSt an die Fachverantwortlichen der Inventare erforderte bereits mehrmals projektbasierte Unterstützung. In einem Forschungsprojekt (ÖKO-INSTITUT, 2006b) gelang die Erstellung von Zuordnungsregeln, die die Vergleichbarkeit der Daten der verifizierten Emissionsberichte mit der Struktur der Inventardatenbank jahresweise ermöglichen. Die einmalig erstellten Vergleiche haben die Nutzbarkeit zur Verifizierung einzelner Kategorien und Identifikation von Fehlstellen prinzipiell bestätigt. Ab dem Jahre 2011 wurde in einem Nachfolgeprojekt „D.E.N.K." untersucht, ob sich die Zuordnungsregeln verbessern lassen und das Verfahren weiter automatisiert werden kann. Dabei wurde deutlich, dass die Menge an Daten aus dem ETS für die Inventarberechnungen ressourcen- und zeitkritisch ist. Bei Abweichungen in den gebildeten Aggregaten, die den Anforderungen an die Vertraulichkeit von Betriebs- und Geschäftsgeheimnissen genügen, ist eine Prüfung der einzelbetrieblichen Datensätze notwendig. Diese Hürde wurde auch bei einem internationalen Workshop innerhalb des Projektes von den Experten anderer Länder für die deutsche Situation bestätigt, Die Prüfung der Datensätze des ETS (statt der automatisierten Nutzung der Aggregate) stößt bei der Zahl von ca. 35.000 an ihre Grenzen und wird demzufolge nicht dem Verfahren in anderen Ländern anzugleichen sein.

1.6.3 Umgang mit vertraulichen Informationen

Nach Inkrafttreten des 3. Mittelstandsentlastungsgesetzes und der damit bereitgestellten Daten des Statistischen Bundesamtes erhielt das Umweltbundesamt Zugriff auf Daten, die der statistischen Geheimhaltung unterliegen.

Ebenso erhält die Nationale Koordinierungsstelle von Verbänden und Unternehmen Aktivitätsraten, Emissionsfaktoren und Emissionsdaten, die Betriebs- und Geschäftsgeheimnisse enthalten und anderweitig vertraulich sind.

Hierzu sind in der Nationalen Koordinierungsstelle bei der Datenhaltung und beim Umgang mit den Daten besondere Vorkehrungen zu treffen und Prozeduren einzuhalten, die eine Wahrung der Vertraulichkeit sicherstellen.

Insbesondere muss eine strikte Trennung (räumlich und personell) von Statistik / Analyse und dem Vollzug gewährleistet sein.

Die Nationale Koordinierungsstelle und die betroffenen Facheinheiten des Umweltbundesamtes haben verschiedene Vorkehrungen zur Umsetzung dieser Erfordernisse getroffen. Dabei gilt immer der Grundsatz, dass Personen mit Vollzugsaufgaben keine fachverantwortlichen Aufgaben für die Emissionsberichterstattung in diesem Bereich übernehmen können.

Um eine genaue Einschätzung der Erfordernisse und der Möglichkeiten beim Umgang und der Nutzung der Datenbestände der Emissionsberichterstattung vornehmen zu können, hat die Nationalen Koordinierungsstelle 2008 einen Auftrag zur Erstellung eines juristischen Gutachtens erteilt. Die Ergebnisse flossen in die Überarbeitung und Weiterentwicklung eines Konzepts der Nationalen Koordinierungsstelle zum Umgang mit vertraulichen Daten ein.

Schon vorher implementiert wurde eine personenscharfe Zugangsregelung zur Datenbank Zentrales System Emissionen (ZSE), die einen Datenzugriff nur dem dafür berechtigten Personenkreis erlaubt. Diese Maßnahme stellt den Kern der bestehenden Vorkehrungen zum Umgang mit vertraulichen Daten dar. Damit kann insbesondere die erforderliche personelle Trennung von Statistik und Vollzug praktisch umgesetzt werden. Darüber hinaus wurde 2009 für vertrauliche elektronische Daten, die nicht zentral in der ZSE gehalten werden (z.B. Energiedaten, die der statistischen Geheimhaltung unterliegen, Emissionsschutzerklärungen, Daten zu

Großfeuerungsanlagen, Informationen zu Produktionsverfahren, etc.) ein speziell zugangsbeschränkter Bereich auf einem zentralen Server des Umweltbundesamtes eingerichtet.

Weiterhin werden Daten des *Statistischen Bundesamtes* auf einem personenbezogen passwortgeschützten Server beim *Statistischen Bundesamt* bereitgestellt.

1.7 Generelle Unsicherheitenschätzung

1.7.1 Treibhausgas-Inventar

Die IPCC Guidelines 2006 charakterisieren die Bestimmung von Unsicherheiten als ein wesentliches Element eines vollständigen Inventars. Durch den Anspruch zur kontinuierlichen Inventarverbesserung kommt dem Aspekt der Unsicherheiten in den Inventaren eine hohe Priorität zu. Die Information über die Unsicherheit wird dabei vorrangig als Hilfe zur zukünftigen Verbesserung der Genauigkeit des Inventars sowie der Methodenwahl und der Rekalkulation betrachtet. Dabei ist es erklärtes Ziel, die Unsicherheiten so weit wie praktikabel zu reduzieren um möglichst genaue Inventare zu erhalten. Dazu müssen die Annex-I-Staaten die Unsicherheiten aller Kategorien und Senken zunächst quantifizieren, um eine bessere Übersicht über die Inventarqualität zu schaffen, die wiederum Voraussetzung für eine effektive Inventarplanung ist.

Die Quantifizierung der Unsicherheiten erfolgt für Emissionsfaktoren und Aktivitätsdaten oder auch für Emissionen.

Es werden grundsätzlich zwei Methoden zur Ermittlung von Unsicherheiten unterschieden. Die Tier-1-Methode kombiniert auf einfache Weise die Unsicherheit von Aktivitätsrate und Emissionsfaktor je Kategorie und Treibhausgas und aggregiert diese über alle Kategorien und Treibhausgaskomponenten zur Gesamt-Unsicherheit des Inventars. Die Tier-2-Methode zur Ermittlung von Unsicherheiten geht prinzipiell ebenso vor, berücksichtigt jedoch die Verteilungsfunktion der Unsicherheit und aggregiert mittels einer Monte Carlo Simulation. Dies erfordert für die Tier-2-Methode zusätzlich die Ermittlung einer Wahrscheinlichkeitsdichtefunktion für beide Parameter. Im Idealfall können diese Funktionen über die statistische Auswertung von Einzeldaten bestimmt werden (z.B. Messergebnisse einer größeren Zahl von Anlagen). Oft stehen jedoch nur wenige Werte zur Verfügung, so dass die Unsicherheit auf der Grundlage von Expertenschätzungen ermittelt werden muss.

Im Forschungsvorhaben 202 42 266 (UBA, 2004) ist erstmals eine Ermittlung der Unsicherheiten nach Tier 1 und nach Tier 2 gemäß Kap 6 der Good Practice Guidance 2000 vorgenommen worden. Für die Berichterstattung 2016 ist seitdem diese Datengrundlage kontinuierlich verbessert und die Unsicherheitsangaben für das Treibhausgasinventar weiter vervollständigt worden. Darüber hinaus wurden die Vorgaben der 2006 Guidelines übernommen. Deutschland berichtet im aktuellen NIR Unsicherheiten, die nach der Tier-1-Methode ermittelt worden sind. Die Angaben zur Unsicherheit der verwendeten Aktivitätsraten, Emissionsfaktoren und Emissionen stammen dabei aus der Datenbank ZSE. Diese basieren auf Expertenschätzungen der UBA Facheinheiten und externer Einrichtungen. In einigen Fällen liegen die Angaben zur Unsicherheit noch nicht vollständig als Expertenschätzung vor, so dass eine Ergänzung dieser Angaben aus anderen Quellen (z.B. einschlägige Fachliteratur) erfolgt.

1.7.1.1 In Deutschland werden die Unsicherheiten nach der Tier 2 Methode alle 3 Jahre ermittelt. Vorgehen zur Unsicherheitsbestimmung nach Tier 1

Die Ermittlung der Unsicherheiten nach Tier 1 gemäß Kapitel 3 der 2006er Guidelines erfolgt auf der Grundlage der auf unterster Subkategorienebene - im Wesentlichen durch die Fachverantwortlichen des UBA - ermittelten Unsicherheiten von AR, EF und EM, wie sie im ZSE

hinterlegt sind. Bei vorliegenden asymmetrischen Unsicherheitenangaben wird der größere der beiden Werte - bei Annahme einer Normalverteilung - sowohl als obere als auch als untere Schranke verwendet. In jedem Sektor werden die Unsicherheiten der einzelnen Zeitreihen zu einer Gesamtunsicherheit des Sektors gemäß IPCC Good Practice Guidance aggregiert.

1.7.1.2 Ergebnisse der Unsicherheitenschätzung

Grundsätzlich ist davon auszugehen, dass die Aktivitätsraten geringere Unsicherheiten besitzen als die Emissionsfaktoren. Insbesondere die Aktivitätsraten, die sich aus dem Einsatz von Brennstoffen ableiten und die sich auf die bundesdeutsche Energiebilanz stützen, besitzen geringe Unsicherheiten. Mit der zunehmenden Disaggregation der Brennstoffeinsätze nehmen die Unsicherheiten der daraus abgeleiteten Aktivitätsraten jedoch in der Regel wieder zu.

- Gemäß der Ergebnisse aus einem FuE-Vorhaben (RENTZ et al, 2002) sind die Unsicherheiten der Emissionsfaktoren für indirekte Treibhausgase in stationären Feuerungsanlagen (CRF 1.A.1) als Folge ihrer regelmäßigen Überwachung vergleichsweise gering. Für die N_2O-Emissionsfaktoren werden höhere Unsicherheiten ausgewiesen, da die Emissionen von N_2O im Normalfall nicht überwacht werden. Gleiches gilt auch für die Emissionsfaktoren von CH_4.
- Für die Kategorie Verkehr (überwiegend CRF 1.A.3) ist generell von geringen Unsicherheiten auszugehen, da die Treibstoffeinsätze und die Fahrzeugflotten aufgrund ihrer Steuerpflicht sehr genau bekannt sind und die Emissionsfaktoren sehr differenziert modelliert und in der Regel messtechnisch ermittelt werden. Hier ergeben sich möglicherweise Unsicherheiten aus systematischen Messfehlern oder aus falscher Disaggregation.
- In der Kategorie der diffusen Emissionen (CRF 1.B) liegen bei den Aktivitätsraten zu flüssigen und gasförmigen Brennstoffen (CRF 1.B.2) aufgrund derer Steuerpflicht geringen Unsicherheiten vor. Eine Ausnahme bildet lediglich die Abfackelung von Gasen. Die Aktivitätsraten der Kohleförderung (CRF 1.B.1) sind ebenfalls durch die Produktionsmenge gut erfasst. Für die Emissionsfaktoren der diffusen Emissionen ist dagegen mit höheren Unsicherheiten zu rechnen. Das ergibt sich durch die Vielzahl und der Heterogenität der für die diffusen Emissionen relevanten technischen Sachverhalte bei Transport, Lagerung und der Aufarbeitung von Erdgas und Erdöl.
- Im Bereich der Industrieprozesse (CRF 2) sind in vielen Branchen höhere Unsicherheiten festzustellen. Aktivitätsraten, welche auf Produktionszahlen beruhen, die gegenüber dem Statistischen Bundesamt meldepflichtig sind, können vor allem aufgrund von gegenüber den Berichtsstrukturen abweichenden Branchendefinitionen Unsicherheiten aufweisen. Aktivitätsraten, welche aus Verbandsangaben ermittelt werden, sind in Abhängigkeit des Organisationsgrades der jeweiligen Industriebranche in diesem Verband mit entsprechenden Unsicherheiten behaftet. Bei den Emissionsfaktoren sprechen insbesondere die hohe Technikabhängigkeit einerseits und der hohe Grad der technischen Diversifizierung andererseits für je nach Treibhausgas höhere Unsicherheiten. Ferner ist zu bemerken, dass insbesondere in Branchen mit wenigen Marktakteuren (z.B. Herstellung chemischer Produkte (CRF 2.B) technikspezifische Emissionsfaktoren oftmals Betriebsgeheimnisse berühren, was wiederum zu einer prinzipiellen Zurückhaltung der Betreiber hinsichtlich der Veröffentlichung solcher Daten oder zu pauschalierten Angaben führt. Darüber hinaus erhöhen die teilweise sehr komplexen Entstehungsprozesse der Emissionen aus nicht-verbrennungsbedingten Aktivitäten und die unzureichenden Erkenntnisse bezüglich bestimmter Emissionen verursachender Vorgänge sowie das eingeschränkte Wissen über die Beiträge einzelner Aktivitäten, die Unsicherheiten.

- In der Nahrungsmittelproduktion (CRF 2.H.2) ist insbesondere im Bereich der Alkoholika von sehr geringen Unsicherheiten der Aktivitätsraten auszugehen, da dort Steuertatbestände existieren, die eine sehr genaue Erfassung der Produktionsmenge zur Folge haben. Branchen mit einem großen Anteil kleiner und mittlerer Betriebe (z.B. Backwarenherstellung) werden dagegen in der Regel wesentlich ungenauer erfasst, so dass die Aktivitätsraten mit höheren Unsicherheiten behaftet sind. Für die Emissionsfaktoren ist aufgrund der erheblichen technologischen Diversifizierung der Branche ebenfalls mit höheren Unsicherheiten zu rechnen.
- Für die Kategorien der Abfallbehandlung (CRF 5.A.1, 5.B und 5.E) und der Abwasserbehandlung (CRF 5.D) sind die Unsicherheiten der dort anzusetzenden Emissionsparameter als hoch anzunehmen. Das gilt insbesondere für die Bereiche der Kompostierung und MBA sowie auch für die Abfalldeponierung, da sich dort die Vielfalt der verschiedenen Abfallarten negativ auf die Datensicherheit der Emissionsparameter auswirkt. Bei den Aktivitätsraten lassen sich höhere Unsicherheiten u.a. darauf zurückführen, dass die zugrunde gelegten statistischen Daten uneinheitliche Abfall- bzw. Verwertungsbegriffe nutzen. Diese generellen Annahmen zu den Unsicherheiten der Aktivitätsraten gelten auch für die thermische Behandlung von Abfällen.

Die Gesamtunsicherheit des Inventars nach Tier 1 für das Jahr 2015 beträgt 4,5 % (level) bzw. 5,1 % (trend).

Bedeutsame Beiträge zur Gesamtunsicherheit liefern die Lachgasemissionen insgesamt, die merklich durch die Lachgasemissionen aus Landwirtschaftlichen Böden (3.D) sowie aus der kommunalen Abwasser-Behandlung (5 D.1) bestimmt werden .

Die CO_2-Senken und –Quellen des Sektors LULUCF haben an der Gesamtunsicherheit ebenfalls einen maßgeblichen Anteil,.

Die CO_2-Emissionen des Sektors Verbrennung von Brennstoffen (1.A) steuern einen weiteren wichtigen Anteil zur Gesamtunsicherheit bei, dabei dominieren die festen Brennstoffe des Sektors Öffentliche Elektrizitäts- und Wärmeversorgung (1.A.1.a) sowie die mobilen Quellen (1.A.3) mit Schwerpunkt Straßenverkehr (1.A.3.b) und die Feuerungen der Haushalte und Kleinverbraucher (1.A.4.a/b/c).

Nennenswerte Beiträge zur Gesamtunsicherheit liefern ebenso die Methan-Emissionen aus der Abfallablagerung (5.A) sowie aus der Nutztierhaltung (Fermentation bei der Verdauung 3.A). Detaillierte Angaben zu den vorliegenden Unsicherheiten können dem Anhang 7 entnommen werden (siehe Kapitel 23).

1.7.2 KP-LULUCF-Inventar

Da dieselben Daten und Methoden zur Berichterstattung der Kategorien 4.A-4.G unter UNFCCC und unter KP verwendet werden, sind auch die Unsicherheiten vergleichbar. Es gelten die Informationen des vorangegangenen Kapitels und der Kategoriekapitel (siehe auch Kapitel 11.3.1.5 und 19.4.3).

1.8 Generelle Prüfung der Vollständigkeit

1.8.1 Treibhausgas-Inventar

Angaben zur Vollständigkeit für die einzelnen Kategorien wird in CRF-Tabelle 9(a) dargestellt, die im NIR zusätzlich in Kapitel 21 (Tabelle 520 und Tabelle 521) zusammengefasst wird. Unterschieden werden in Deutschland:

- nicht auftretende quellenspezifische Emissionen und Senken (NO - not occurring),
- nicht berichtete quellenspezifische Emissionen und Senken, weil sie quantitativ nicht relevant oder weil die notwendigen Daten für eine Berechnung nicht vorhanden sind (NE - not estimated) und
-

Im Folgenden wird kategoriespezifisch auf einige Ansatzpunkte zur Verbesserung des Inventars hinsichtlich seiner Vollständigkeit hingewiesen.

Alle verbrennungsbedingten Aktivitäten (1.A) aus dem Bereich der Energie sind vollständig erfasst. An einigen Stellen wird die Energiebilanz der Bundesrepublik Deutschland ergänzt, wenn erkennbar wird, dass in Teilbereichen keine vollständige Abdeckung erreicht wird (z.B. nicht kommerzieller Holzeinsatz, Sekundärbrennstoffe). In einigen Kategorien ist die Trennung von verbrennungsbedingten und nicht-verbrennungsbedingten Emissionen aus der Industrie noch weiter zu verifizieren; die Vermeidung von Doppelzählungen ist hier jedoch generell Bestandteil der Qualitätssicherung.

Im Bereich der Industrieprozesse wird teilweise auf Produktionsdaten aus Verbandsstatistiken und auf Herstellerangaben zurückgegriffen. Basiert die Emissionsberichterstattung auf diesen Quellen, wird zur Sicherstellung der Vollständigkeit und Zuverlässigkeit des Inventars auch in Zukunft Wert auf die Prüfung des Kategorien-Zuschnitts und der Methodik der Datenerhebung gelegt.

Bei den noch berichteten „Not Estimated“ (NE) handelt es sich vor allem um nicht berechnete Emissionen, die laut IPCC GPG (2003, p.1.11) nicht von einem Land berichtet werden müssen, da diese Emissionen in den Appendices 3a.2, 3a.3 und 3a.4. aufgeführt sind.

Einige der Emissionsdaten, die dem UBA zur Verfügung stehen, stehen aus Gründen des Datenschutzes unter Geheimhaltung und werden zwar vollständig, aber nur aggregiert berichtet.

1.8.2 KP-LULUCF-Inventar

Da es keine Unterschiede in den Daten und Methoden zur Berichterstattung der Kategorie 5.A-5.G unter UNFCCC und unter KP gibt, gelten die Informationen des vorangegangenen Kapitels.

2 Trends der Treibhausgase

In der folgenden Tabelle 11 werden die für dieses Inventar ermittelten Gesamtemissionen der direkten und indirekten Treibhausgase sowie des Säurebildners SO_2 zusammengestellt. Der gegenüber 1990 erreichte jährliche Fortschritt wird in der Tabelle 12 im zeitlichen Verlauf abgebildet. Mit Ausnahme der HFKW und den eher minimalen Emissionen an NF_3 konnten bei allen Substanzendeutliche Emissionsminderungen erreicht werden. Insgesamt sanken die Emissionen der Treibhausgase als CO_2-Äquivalente gegenüber 1990 um 28,1 %[19].

Alle detaillierten Tabellen zur Trenddiskussion finden sich im Anhangkapitel 22.2.4.3.

Trendverlauf unter Beachtung von Änderungen zum Vorjahr des Berichtszeitraumes

Gegenüber dem Vorjahr 2014 sanken die Gesamtemissionen um 0,3 %. Ebenso wie schon im Jahr 2014 bedingt durch geringe CO_2-Emissionen aufgrund witterungsbedingt niedrigen Wärmebedarfes. Außerdem kam es zu einer weiteren Senkung der CO_2 Emissionen aus der Stromerzeugung, da der Kohle- und Erdgaseinsatz zurückging.

[19] Alle Angaben ohne Berücksichtigung der Emissionen aus der Kategorie Landnutzung, Landnutzungsänderung & Forstwirtschaft (LULUCF)

Tabelle 11: Emissionen von direkten und indirekten Treibhausgasen und SO_2 in Deutschland seit 1990

Emissions Trends (kt)	1990	1995	2000	2005	2006	2007	2008	2009	2010	2011	2012	2013	2014	2015
Net CO_2 emissions/removals	1.019.229	903.409	859.653	852.192	863.298	837.241	833.178	768.816	814.391	795.156	800.967	819.417	778.240	775.753
CO_2 emissions (without LULUCF)	1.052.247	938.150	899.286	865.866	877.369	850.743	853.592	788.510	832.437	812.577	817.145	835.459	794.829	792.054
CH_4 with LULUCF	4.847	4.233	3.544	2.774	2.618	2.526	2.488	2.399	2.365	2.320	2.346	2.321	2.275	2.259
CH_4 without LULUCF	4.812	4.198	3.509	2.739	2.583	2.491	2.453	2.364	2.330	2.285	2.311	2.287	2.240	2.225
N_2O with LULUCF	221	207	147	148	147	154	156	153	126	131	128	130	132	134
N_2O without LULUCF	218	205	145	146	145	151	153	150	123	128	125	127	129	131
HFC (CO_2 equivalent, 1995 base year)		8.217	7.806	9.940	10.162	10.448	10.589	11.170	10.753	10.953	11.140	11.096	11.183	11.356
PFC (CO_2 equivalent, 1995 base year)		2.087	959	839	671	589	568	407	346	279	243	257	235	254
SF_6 (CO_2 equivalent, 1995 base year)		6.467	4.072	3.320	3.242	3.181	2.971	2.924	3.100	3.163	3.155	3.261	3.396	3.562
NF_3		5	9	34	28	12	30	29	61	61	35	16	20	12
NO_X	2.887	2.168	1.928	1.575	1.558	1.486	1.412	1.311	1.334	1.314	1.271	1.267	1.220	1.186
SO_2	5.485	1.745	644	472	473	456	453	396	409	399	381	373	357	352
NMVOC	3.389	2.025	1.599	1.311	1.316	1.252	1.197	1.101	1.216	1.130	1.105	1.092	1.016	1.020
CO	12.498	6.436	4.790	3.718	3.621	3.503	3.398	2.952	3.317	3.230	2.855	2.828	2.715	2.678

Tabelle 12: Veränderungen der Emissionen direkter und indirekter Treibhausgase und SO_2 in Deutschland seit dem jeweiligen Bezugsjahr

Emissions Trends Changes compared to base year / prev. year (%)	Base Year	Base Year to 2014	Base Year to 2015	compared to prev. year (2014 – 2015)
Net CO_2 emissions/removals	*1990*	-23,6	-23,9	-0,3
CO_2 emissions (without LULUCF)	*1990*	-24,5	-24,7	-0,3
CH_4 (with LULUCF)	*1990*	-53,1	-53,4	-0,7
N_2O (with LULUCF)	*1990*	-40,1	-39,3	+1,3
HFC	*1995*	+36,1	+38,2	+1,5
PFC	*1995*	-88,8	-87,8	+8,1
SF_6	*1995*	-47,5	-44,9	+4,9
NF_3	*1995*	+283,4	+124,7	-41,4
Total Emissons (without LULUCF)	**Base Year**	**-27,9**	**-28,1**	**-0,3**
NO_X	*1990*	-57,8	-58,9	-2,7
SO_2	*1990*	-93,5	-93,6	-1,4
NMVOC	*1990*	-70,0	-69,9	+0,4
CO	*1990*	-78,3	-78,6	-1,4

2.1 Beschreibung und Interpretation des Emissionsverlaufs für aggregierte Treibhausgasemissionen

Von 1990 bis zum Jahr 2014 konnten die Treibhausgasemissionen mit einem Rückgang von 28,1 % deutlich reduziert werden[20]. Die einzelnen Treibhausgase trugen dabei in unterschiedlichem Maß zu dieser Entwicklung bei (siehe Tabelle 1). Bei den direkten Treibhausgasen konnten die Emissionen der mengenmäßig dominierenden Gase deutlich gemindert werden, am stärksten bei Methan. Die Hauptursachen für diese Entwicklungen sind im Folgenden benannt:

- Umstellungen der Nutzung fester Brennstoffe auf emissionsärmere flüssige und gasförmige Brennstoffe im Zeitraum seit 1990;
- Steigende Bedeutung der Nutzung der Erneuerbaren Energien und damit verbundene Substitution fossiler Brennstoffe;
- Gesteigerte Anlageneffizienz ;
- Veränderung von Tierhaltungsbedingungen und der Abbau von Tierbeständen;
- Erfüllung gesetzlicher Regelungen im Bereich der Abfallwirtschaft;

Die Ursachen werden nachfolgend in der Trenddiskussion der einzelnen Treibhausgase näher ausgeführt.

Die Freisetzung von Kohlendioxid - weit überwiegend verursacht durch die Prozesse der stationären und mobilen Verbrennung – dominiert das Gesamtbild der aggregierten Treibhausgasemissionen. Durch den überdurchschnittlichen Rückgang der anderen Treibhausgase ist der Anteil der CO_2-Emissionen an den Gesamttreibhausgasen seit 1990 gestiegen (s. Tabelle 2). Alle anderen Treibhausgase verursachen zusammen nur etwas über ein Zehntel der Gesamttreibhausgasemissionen. Das Verteilungsspektrum der Treibhausgasemissionen ist typisch für ein hoch industrialisiertes Land.

[20] Alle Angaben ohne Berücksichtigung der Emissionen aus der Kategorie Landnutzung, Landnutzungsänderung & Forstwirtschaft (LULUCF)

2.2 Beschreibung und Interpretation des Emissionsverlaufs nach Treibhausgasen

Abbildung 14: Relative Entwicklung der Treibhausgase gegenüber 1990

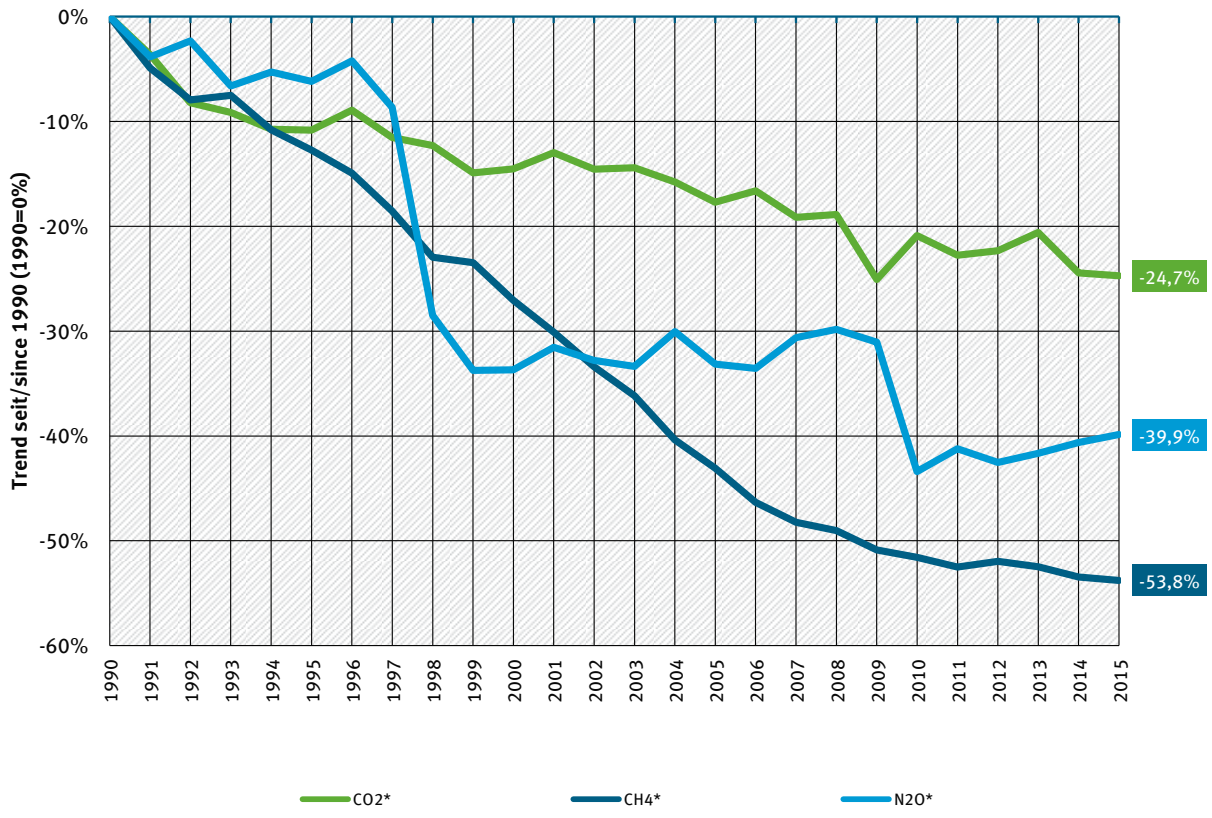

* Kohlendioxid-Emissionen ohne LULUCF

In Abbildung 14 wird die relative Entwicklung der Emissionen der einzelnen Treibhausgase seit 1990 dargestellt. Bei der Diskussion ist zu beachten, dass hier die Entwicklung jedes dieser Treibhausgase weitgehend durch spezifische Entwicklungen in einer Kategorie dominiert wird.

2.2.1 Kohlendioxid (CO_2)

Die Minderung der CO_2-Emissionen ist stark mit der Entwicklung im Energiesektor verbunden. Der starke Rückgang der Emissionen in diesem Bereich in den frühen 90er Jahren ist hauptsächlich auf die Umstrukturierungsprozesse in den neuen Bundesländern zurückzuführen; der damit einhergehende Umstieg auf emissionsärmere Energieträger sowie die Stilllegung veralteter Anlagen. Die Änderungen im Energieträgermix setzen sich in etwas abgeschwächter Form bis zum aktuellen Berichtsjahr fort.

Die Substitution von festen und flüssigen Brennstoffen durch Gase, im Wesentlichen Erdgas, zeigt sich auch in der Emissionsentwicklung der stationären Feuerungen. Während die CO_2-Emissionen der flüssigen Energieträger im Vergleich zum Jahr 1990 um ca. 23 Prozent abnehmen, die der festen Brennstoffe sogar um rund 40 Prozent, steigen die Emissionen von gasförmigen Brennstoffen um rund25 Prozent.

Wird der Emissionstrend auf Ebene der einzelnen Kategorien betrachtet, so fällt die Entwicklung sehr einheitlich aus. Verglichen mit 1990 sanken die Emissionen in allen Unterkategorien der energiebedingten Emissionen um insgesamt fast 244 Mio. t CO_2.

Etwas anders sieht die Entwicklung nur im vom Straßenverkehr dominierten Verkehrssektor aus: Die CO_2-Emissionen stiegen hier bis 1999 geringfügig an, gingen dann aber durch Verbrauchssenkungen, die Verlagerung von Tankvorgängen ins Ausland[21], die Substitution von Benzin durch Diesel[22] sowie die Beimischung von Biodiesel leicht zurück. U.a. durch den stetigen Anstieg der durchschnittlichen Motorleistung stellte sich seit etwa 2007 ein stagnierender Trendverlauf ein, der durch einen Wiederanstieg von Verkehrs- und Fahrleistungen sowie den Rückgang der eingesetzten Biokraftstoffe in den Jahren ab 2013 nach oben verlassen wurde (zwischen 2012 und 2015 stetiger Anstieg von 5,8 Mio. t). Die CO_2-Emissionen des Verkehrssektors liegen mit rund 159 Mio. t nur noch knapp unter dem Ausgangsniveau in 1990 (162 Mio. t).

Trendverlauf unter Beachtung von Änderungen zum Vorjahr des Berichtszeitraumes

Gegenüber dem Vorjahr sanken die CO_2-Emissionen weiter leicht, Minderungen aus der Energiewirtschaft wurden dabei teilweise kompensiert durch leichte Anstiege beim Verarbeitenden Gewerbe und einem etwas höheren Heizbedarfes im Bereich der Haushalte.

2.2.2 Lachgas (N_2O)

Die N_2O-Emissionen sanken seit 1990 um ca. 40 %. Hauptverursacher sind die Anwendung stickstoffhaltiger Dünger in der Landwirtschaft, die Brennstoffnutzung und die landwirtschaftliche Tierhaltung. Vergleichbar geringere Emissionen entstehen durch die Abwasserbehandlung, die chemische Industrie und die Produktverwendung von N_2O (z.B. als Narkosemittel). Den deutlichsten Einfluss auf die Emissionsminderung hat der Industriebereich, hier insbesondere die Adipinsäureproduktion durch die Installation von Abgasbehandlungsanlagen in den Jahren 1997 und 2009. Durch technische Minderungsmaßnahmen wurden die Emissionen aus der Chemischen Industrie bezogen auf 1990 um über 96% gemindert, seit 1999 wird die Emissionsentwicklung stark durch die konjunkturelle Entwicklung in der chemischen Industrie beeinflusst.

Trendverlauf unter Beachtung von Änderungen zum Vorjahr des Berichtszeitraumes

Gegenüber dem Vorjahr stiegen die Gesamtemissionen geringfügig, vor allem bedingt durch die weiterhin steigenden Emissionen der Landwirtschaft.

2.2.3 Methan (CH_4)

Die Methanemissionen werden hauptsächlich durch die landwirtschaftliche Tierhaltung, die Abfalldeponierung und die Verteilung flüssiger und gasförmiger Brennstoffe verursacht. Dem gegenüber sind die energie- und prozessbedingten Emissionen, sowie die Emissionen aus der Abwasserbehandlung fast zu vernachlässigen. Die Emissionen konnten seit 1990 um 53,8 % gemindert werden. Dieser Trend wurde hauptsächlich im Ergebnis umweltpolitischer Maßnahmen (Abfalltrennung mit verstärktem Recycling und zunehmender energetischer Verwertung der Abfälle) durch den Rückgang der Deponierung organischer Abfallmengen verursacht. Eine zweite wesentliche Ursache besteht in der verstärkten energetischen Nutzung von Grubengas bei gleichzeitigem Rückgang des Aufkommens (Schließung von Steinkohlebergwerken). Die Emissionen sanken in diesem Bereich seit 1990 um fast 76 %. Ein

[21] Die Berechnung der Emissionen erfolgt auf Basis des inländischen Kraftstoffabsatzes. Nicht in Deutschland getankte Mengen schlagen sich daher auch nicht deutschen Emissionsinventar nieder.

[22] Der Anteil von Dieselkraftstoff am Gesamtkraftstoffverbrauch im Straßenverkehr ist im gesamten Zeitraum stark gestiegen. Wurden die Emissionen im Straßenverkehr 1990 noch zu fast zwei Dritteln durch den Benzinverbrauch verursacht, hat sich dieses Verhältnis seitdem beinahe umgekehrt.

weiterer Grund für die Emissionsminderung bestand in der Verringerung der Tierbestände, vorwiegend in der ersten Hälfte der 90er Jahre in den neuen Bundesländern. Insbesondere auch die in diesem Teil Deutschlands durchgeführte Sanierung der veralteten Gasverteilungsnetze und die Verbesserungen bei der Verteilung der Kraftstoffe bewirkten weitere Minderungen der Gesamtemissionen.

Trendverlauf unter Beachtung von Änderungen zum Vorjahr des Berichtszeitraumes

Gegenüber dem Vorjahr sanken die Emissionen erneut geringfügig. Rückgange der Deponieemissionen sowie der Landwirtschaft werden dabei teilweise durch einen Anstieg der energiebedingten Emissionen neutralisiert.

2.2.4 F-Gase

In Abbildung 15 werden die Emissionsverläufe der sogenannten F-Gase im Zeitraum 1995 bis 2015 dargestellt. Die Emissionen der HFKW stiegen vor allem aufgrund des verstärkten Einsatzes als Kühlflüssigkeit in Kälteanlagen und der zunehmenden Entsorgung dieser Anlagen. Emissionsreduzierungen durch den verminderten Einsatz in PU-Montageschäumen wurden dabei überkompensiert. Die Emissionsminderungen bei den FKW wurden hauptsächlich durch Anstrengungen der Hersteller von Primäraluminium und der Halbleiterhersteller erreicht. Der Rückgang bei den SF_6-Emissionen bis 2003 geht in erster Linie auf die seit Mitte der 90er Jahre auslaufende Anwendung in Autoreifen zurück. Hier hat eine erfolgreiche Umweltaufklärung eine Emissionssenkung um über 100 t bewirkt und die Treibhausgasemissionen um 2,5 Mio. t CO2-Äquivalente gesenkt. Vergleichbares gilt für Schallschutzscheiben, in denen SF_6 bei der Herstellung gegenüber 1995 fast auf null reduziert wurde. Die heutigen und künftigen SF_6-Emissionen stammen zu einem Großteil aus der offenen Entsorgung alter Scheiben. Auch bei Anlagen zur Elektrizitätsübertragung sanken die Emissionen deutlich. Wichtige verbleibende Emissionsquellen sind das Schweißen, die Herstellung von Solarzellen und von optischen Glasfasern.

NF_3 wird in Deutschland nur in der Halbleiter- und in der Photovoltaikproduktion eingesetzt. Die NF_3-Emissionen hatten in 2015 einen Anteil von 0,0013 % und im Basisjahr einen Anteil von 0,0006 % an den Gesamttreibhausgasemissionen. Aufgrund der geringen Relevanz für die Gesamttreibhausgasemissionen wird hier keine gesonderte Trendbetrachtung durchgeführt.

Abbildung 15: Relative Entwicklung der F-Gase gegenüber 1995

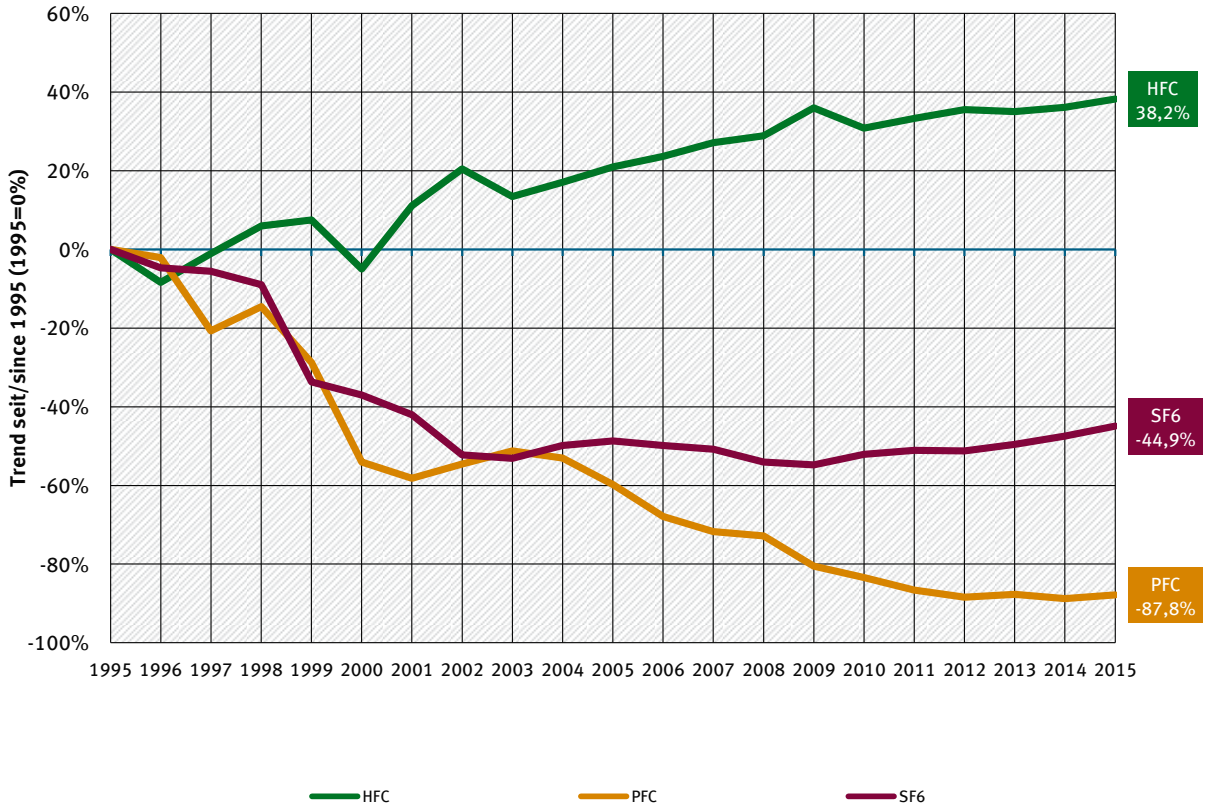

2.3 Beschreibung und Interpretation des Emissionsverlaufs nach Kategorien

Energie

Der Emissionsminderung im Energiebereich resultiert im Wesentlichen aus dem starken Rückgang der verbrennungsbedingten CO_2 Emissionen (siehe hierzu auch die Ergebnisse der Key-Category-Analyse). Demgegenüber können in diesem Bereich die Emissionen der anderen Treibhausgase vernachlässigt werden. Dies stellt sich lediglich bei den nichtverbrennungsbedingten Emissionen (Kategorie 1.B.) anders dar. Hier sind die CO_2-Emissionen sehr gering, während die Emissionsentwicklung deutlich durch die aus der Verteilung flüssiger und gasförmiger Brennstoffe verursachten CH_4-Emissionen geprägt wird.

Insgesamt nahmen die energiebedingten Emissionen aller Treibhausgase seit 1990 um 26,5 % ab. Die darin enthaltenen Emissionen des Verkehrs sanken in diesem Zeitraum lediglich um etwas mehr als 0,2 % und damit deutlich geringer als die Emissionen aus stationären Feuerungsanlagen. Bei den verbrennungsbedingten Emissionen resultiert diese Entwicklung aus Umstellungen im Mix der eingesetzten Brennstoffe, der Erhöhung der Energieeffizienz und technischer Wirkungsgrade. Außerdem wirkt sich die zunehmende Nutzung erneuerbarer Energiequellen aus, weil Kohlendioxid aus dem Einsatz von Biomasse nicht in den Emissionstrends abgebildet wird. Dagegen wirken sich bei den Verteilungsemissionen die verstärkte Grubengasnutzung, die Sanierung der Gasverteilungsnetze sowie die Einführung von Gaspendelungsanlagen bei der Kraftstoffverteilung aus.

In Tabelle 528 im Anhang werden für den Zeitraum seit 1990 die jeweiligen Emissionsveränderungen gegenüber dem Vorjahr zusammengestellt. Für CO_2 aus dem

Energiebereich wird zum Beispiel deutlich, dass größtenteils temperaturbedingte Fluktuationen im Zeitverlauf - besonders unterschiedliche Temperaturverläufe im Winter - das Heizverhalten und damit den Energieverbrauch zur Erzeugung von Raumwärme den jährlichen Trend der energiebedingten Emissionen beeinflussen.

Industrieprozesse (inkl. Produktverwendung)

Der Bereich der Emissionen aus den Industrieprozessen wird von den Treibhausgasen Kohlendioxid und Lachgas dominiert. Relativ auffällige Änderungen bei den Emissionen von F-Gasen haben dagegen auf Grund des geringen Anteils an den Gesamtemissionen keinen großen Einfluss auf den Gesamttrend.

Die Emissionen aus Industrieprozessen sind stark an das Produktionsniveau gekoppelt. Speziell die CO_2-Emissionen bilden hauptsächlich den Konjunkturverlauf der mineralischen, chemischen und metallherstellenden Industrien ab.

Ein nicht an die Produktion gekoppelter Trend konnte bei den N_2O-Emissionen erreicht werden, weil bei der Adipinsäureproduktion emissionsmindernde Maßnahmen der Hersteller wirksam wurden. Dies hat insbesondere in den Jahren 1997 und 2010 zu deutlichen Reduktionen der N_2O-Emissionen aus dieser Branche geführt. Insgesamt sanken hier die N_2O-Emissionen seit 1990 auf ca. ein Zwanzigstel.

Für alle Industrieprozesse und Produktverwendungen zusammen ergibt sich für die Treibhausgase seit 1990 somit eine Minderung an THG-Äquivalenten um 36,3 %, und im stagnierenden Emissionen im Vergleich zu den Vorjahren..

Landwirtschaft

Die Abnahme der landwirtschaftlichen Emissionen um 15,9 % seit 1990 geht im Wesentlichen auf eine Abnahme der Tierbestände, aber auch auf Reduktionen der Emissionen aus landwirtschaftlichen Böden und Düngeranwendung zurück.

Landnutzung, Landnutzungsänderung und Forstwirtschaft

Die Abnahme der Einbindung von Treibhausgasen durch Landnutzungsänderung und Forstwirtschaft ist im Wesentlichen auf eine veränderte Senkenfunktion in der Kategorie „Forest Land remaining Forest Land“ zurückzuführen. Im Zeitraum von 2002 bis 2007 beruhte die rückläufige Senkenfunktion des Waldes auf einer zunehmenden Entnahme von Holz für unterschiedliche Nutzungsarten. Ab 2008 nimmt die Senkenfunktion wieder zu, erreicht aber nicht das Niveau des Zeitraums 1990 bis 2001. Auch dies ist auf die Holznutzung zurückzuführen.

Abfall und Abwasser

Die deutlichste Emissionsminderung von 70,5 % trat im Bereich der Abfallemissionen auf. Hier hat die Einführung eines verstärkten Recyclings von wiederverwertbaren Stoffen (Gelber Sack, Verpackungsverordnung u.ä.) sowie die seit Juni 2005 nicht mehr zugelassene Deponierung von biologisch abbaubaren Abfällen zu einer Verringerung der jährlich deponierten Abfallmengen geführt und damit eine Minderung von 73,9 % im Bereich der Deponieemissionen verursacht. Die ebenfalls zu dieser Kategorie gehörenden Emissionen aus der Abwasserbehandlung treten mengenmäßig deutlich hinter den Deponieemissionen zurück, sanken jedoch ebenfalls sehr stark.

Die detaillierten Daten finden sich in Tabelle 529 in Anhangkapitel 22.2.4.3.

Tabelle 13: Veränderungen der Treibhausgas-Emissionen in Deutschland nach Kategorien, seit 1990 / seit dem jeweils letzten Jahr

Emissionsentwicklung gegenüber 1990, Veränderung in %	**1990**	**1995**	**2000**	**2005**	**2010**	**2011**	**2012**	**2013**	**2014**	**2015**
1. Energie	0,0%	-11,5%	-16,1%	-19,8%	-22,7%	-24,6%	-24,0%	-22,2%	-26,3%	-26,5%
2. Industrieprozesse	0,0%	0,7%	-20,4%	-21,9%	-35,3%	-35,4%	-36,4%	-36,5%	-36,4%	-36,3%
3. Landwirtschaft	0,0%	-14,6%	-15,1%	-20,3%	-21,0%	-18,9%	-19,5%	-18,0%	-16,3%	-15,9%
4. Landnutzung, -sänderung & Forstwirtschaft (CO_2, CH_4 & N_2O)	0,0%	5,6%	21,2%	-61,5%	-47,7%	-49,8%	-53,8%	-54,2%	-52,5%	-53,4%
5. Abfall	0,0%	0,1%	-24,7%	-44,0%	-61,2%	-63,3%	-65,2%	-67,4%	-68,9%	-70,5%
Emissionsentwicklung, gegenüber dem jeweils letzten Jahr, Veränderung in %	**1990**	**1995**	**2000**	**2005**	**2010**	**2011**	**2012**	**2013**	**2014**	**2015**
1. Energie	0,0%	-0,2%	-0,4%	-2,4%	5,2%	-2,5%	0,9%	2,3%	-5,2%	-0,3%
2. Industrieprozesse	0,0%	-1,8%	4,1%	-3,9%	-4,5%	-0,1%	-1,6%	-0,2%	0,1%	0,1%
3. Landwirtschaft	0,0%	2,2%	-0,4%	-0,9%	-1,3%	2,7%	-0,7%	1,8%	2,1%	0,5%
4. Landnutzung, -sänderung & Forstwirtschaft (CO_2, CH_4 & N_2O)	0,0%	1,6%	6,6%	28,8%	-9,2%	-3,9%	-8,0%	-1,0%	3,8%	-2,0%
5. Abfall	0,0%	-2,5%	-5,0%	-6,3%	-7,2%	-5,3%	-5,4%	-6,1%	-4,6%	-5,1%

2.4 Beschreibung und Interpretation des Emissionsverlaufs für indirekte Treibhausgase und SO_2

Die relative Emissionsentwicklung der indirekten Treibhausgase und SO_2 sind grafisch in der Abbildung 16 und in Tabelle 12 jeweils als Zeitreihen seit 1990 dargestellt. In diesem Zeitraum wurden deutliche Minderungen der Emissionen dieser Schadstoffe erreicht. So gingen die Emissionen von SO_2 um über 93,6 %, die von CO um. 78,6 %, die von den NMVOC um 69,9% % und die von NO_X um ca. 58,9 % zurück.

Die Emissionen von Schwefeldioxid, Stickstoffoxid, Kohlenmonoxid sind weit überwiegend durch stationäre und mobile verbrennungsbezogene Emissionen verursacht. Daneben treten bei den NMVOC-Emissionen noch die Emissionen aus der Anwendung von Lösemitteln mit in den Vordergrund.

Die im Folgenden aufgeführten Ursachen für diese Entwicklung sind dabei für alle hier betrachteten Komponenten in unterschiedlichem Ausmaß und mit unterschiedlicher Gewichtung relevant:

- Durch die Wiedervereinigung Deutschlands im Jahre 1990 trugen insbesondere die Emissionen des Gebietes der ehemaligen DDR zu einem sehr hohen Ausgangsniveau bei.
- In den Folgejahren wurden im Osten Deutschlands veraltete Industrieanlagen stillgelegt. Einige der Altanlagen wurden durch Neuanlagen ersetzt, die zum damaligen Zeitpunkt den modernsten Anforderungen genügten. Nicht stillgelegte Altanlagen wurden mit umfangreichen Emissionsminderungsmaßnahmen und mit die Energieeffizienz erhöhenden Maßnahmen nachgerüstet.
- Zudem erfolgte eine Umstellung des eingesetzten Brennstoffmixes. Insbesondere im Osten Deutschlands wurde der Anteil der heimischen Braunkohle zugunsten der mit geringeren Emissionen verbundenen Energieträger Erdgas und Heizöl reduziert.
- Im Verkehrsbereich erfolgte der Einsatz neuerer und mit schadstoffmindernder Technik ausgestatteter Fahrzeuge
- In den Jahren nach 1990 erlangten die immissionsschutzrechtlichen Regelungen der früheren Bundesrepublik Rechtsverbindlichkeit im Osten Deutschlands. Nach dem Auslaufen von zeitlich begrenzten Übergangsregelungen wurde das geltende Recht mehrfach an den weiterentwickelten Stand der Technik angepasst.

- Eingeführte gesetzliche Regelungen und marktwirtschaftliche Anreize führten zu einem sparsameren Umgang mit Energie und Rohstoffen.
- Internationale Rechtssetzung insbesondere der europäischen Gemeinschaft wirkte sich emissionsmindernd aus (z.B. die NEC-Richtlinie).
- Der zunehmende Einsatz von erneuerbaren Energieträgern (Strom/Wärme aus Sonne, Wind und Geothermie) wirkte sich insbesondere in den letzten Jahren auch auf die Emissionen der indirekten Treibhausgase aus.

Beschreibungen der Emissionsberechnungen für diese Schadstoffe sowie weitere detaillierte Einflussparameter für die Emissionsentwicklungen der einzelnen Luftschadstoffe können im Internet-Angebot des Umweltbundesamtes[23] eingesehen werden.

Abbildung 16: Emissionsentwicklung der indirekten Treibhausgase und von SO_2

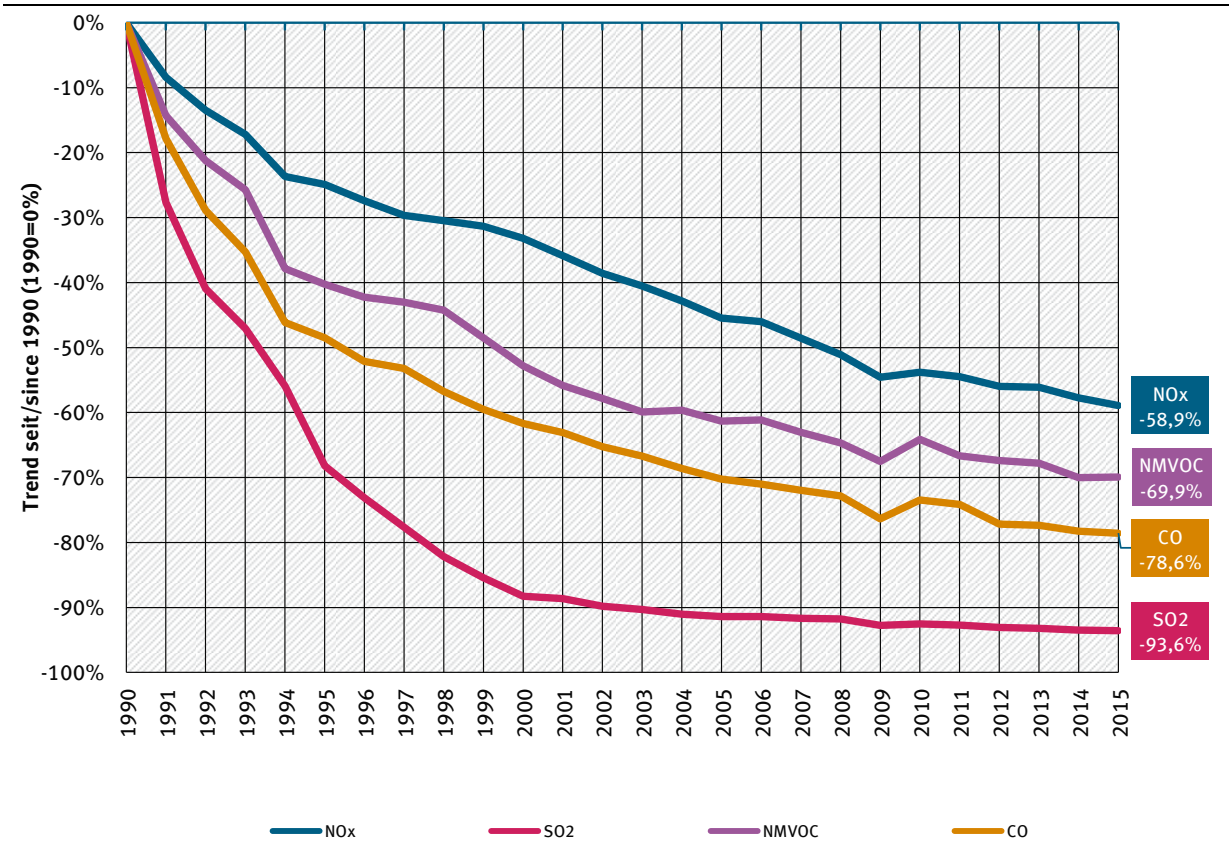

2.5 Beschreibung und Interpretation des Emissionsverlaufs für das KP-LULUCF-Inventar, für aggregierte Emissionen, nach Aktivität und Treibhausgas

Deutschland berichtet unter KP-LULUCF Artikel 3 Absatz 3 Aufforstung/Wiederaufforstung und Entwaldung (Afforestation/Reforestation, AR; Deforestation, D). In der zweiten Verpflichtungsperiode muss Deutschland Waldbewirtschaftung (Forest management, FM) nach Artikel 3, Absatz 4 des Kyotos-Protokolls anrechnen lassen. Als freiwillige Aktivitäten unter Artikel 3.4 des Kyoto-Protokolls wurden:

[23] http://www.umweltbundesamt.de/emissionen/index.htm sowie direkt im Informative Inventory Report (IIR): http://iir-de.wikidot.com/

7. Ackerlandbewirtschaftung (Cropland management, CM)
8. Weidelandbewirtschaftung (Grazing land management, GM) gewählt und berichtet.

Berichtet werden die Treibhausgase Kohlenstoffdioxid, Methan und Lachgas.

Unter Artikel 3.3 werden für das Jahr 2015 Einbindungen von -4.593,88 kt CO_2-äquivalent berichtet. Die Einbindung setzt sich zusammen aus der Einbindung durch Aufforstung und Wiederaufforstung von -6.688,57 kt CO_2-äquivalent und aus Emissionen von Entwaldung von 2.094,69 kt CO_2-äquivalent. Unter Aufforstung und Entwaldung werden Emissionen von CO2 mit -4.749,06 kt CO2, CH4 mit 14,44 kt CO2-äquivalent und N2O mit 140,74 kt CO2-äquivalent berichtet.

Unter Artikel 3.4 werden Einbindungen im Jahr 2015 von 18.037,61 kt CO_2-äquivalent berichtet. Das setzt sich zusammen aus der Einbindung von -54.853,17 kt CO_2-äquivalent aus Waldbewirtschaftung und Emissionen von 14.656,22 kt CO_2-äquivalent aus Ackerbewirtschaftung sowie 22.159,34 kt CO_2-äquivalent aus Weidebewirtschaftung. Die Emissionen für die drei Aktivitäten unterteilt nach den Gasen beträgt für CO_2 -19.203,46 kt, CH_4 751,98 kt CO_2-äquivalent und N_2O 413,88 kt CO_2-äquivalent.

Tabelle 14: Emissionen von 2015 für die KP-LULUCF-Aktivitäten Aufforstung und Entwaldung unter Artikel 3.3 und Waldbewirtschaftung, Ackerlandbewirtschaftung und Weidelandbewirtschaftung unter Artikel 3.4.

Kategorie	**Emission 2015 [kt CO_2-äquivalent]**
KP 3.3 Afforestation/Reforestation	-6.688,57
KP 3.3 Deforestation	2.094,69
KP 3.4 Forest Management	-54.853,17
KP 3.4 Cropland Management	14.656,22
KP 3.4 Grazing Land Management	22.159,34

3 Energie (CRF Sektor 1)

3.1 Übersicht (CRF Sektor 1)

Abbildung 17: Übersicht über die Treibhausgas-Emissionen des CRF-Sektors 1 [24,]

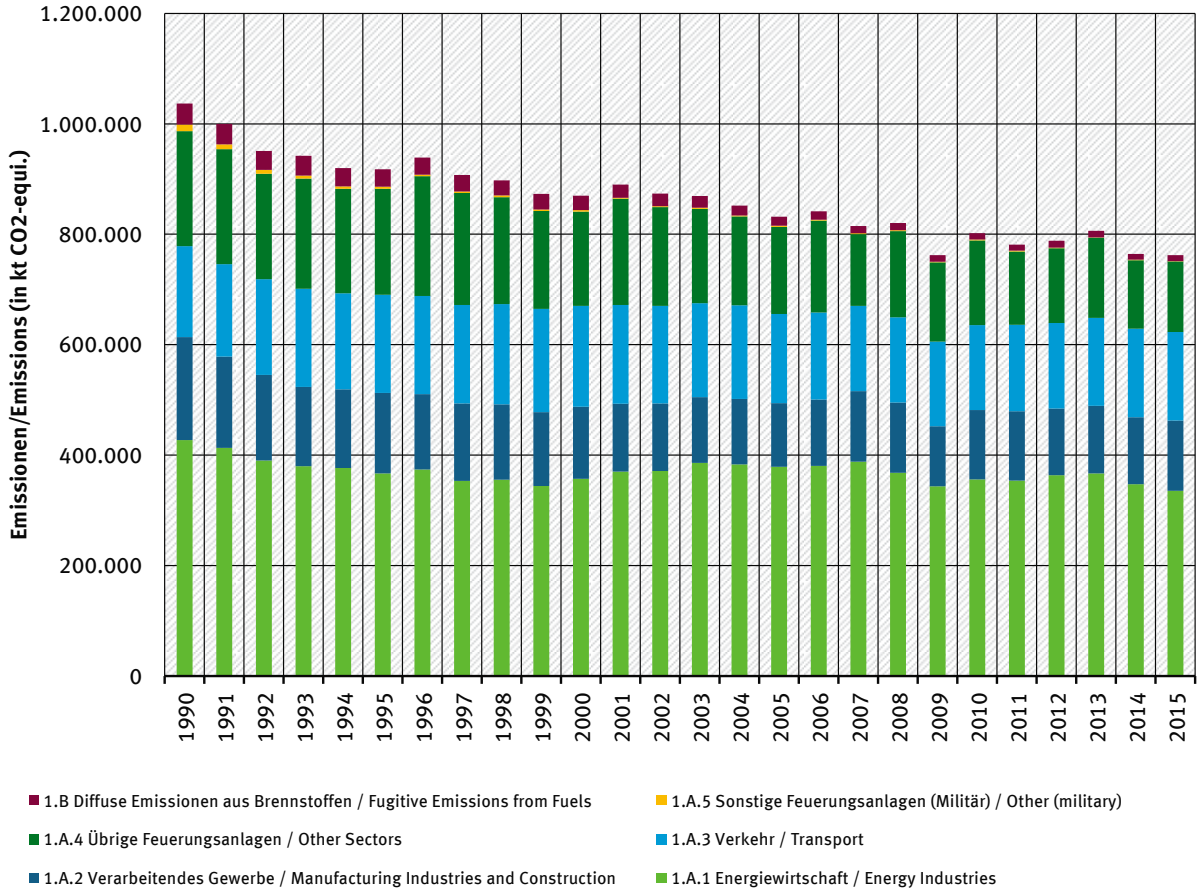

Für die Ermittlung der Aktivitätsraten aus der Verbrennung werden für mobile und stationäre Quellen unterschiedliche Modelle verwendet: Für stationäre Quellen die „Bilanz der Emissionsursachen - BEU“ und für mobile Quellen das Modell „Transport Emission Estimation Model -TREMOD“. In beiden Modellen werden verbrennungsbedingte Aktivitäten ermittelt und in der Emissionsdatenbank „Zentrales System Emissionen - ZSE“ erfasst.

Mit diesen verbrennungsbedingten Aktivitäten erfolgt durch Multiplikation mit den zugehörigen Emissionsfaktoren (vgl. Kapitel 18.7) innerhalb des ZSE die Berechnung der zugehörigen Emissionen. Hierbei wird von einer vollständigen Oxidation des in den Brennstoffen enthaltenen Kohlenstoffs ausgegangen.

3.2 Verbrennung von Brennstoffen (1.A)

Die Aktivitätsraten für stationäre Verbrennung werden im Modell „Bilanz der Emissionsursachen“ (BEU) berechnet. Dieses vom Umweltbundesamt entwickelte Modell verwendet als

[24] CO_2-Emissionen und Festlegungen in Böden werden unter Landnutzungsänderungen und Forstwirtschaft berichtet.

Datengrundlage die Energiebilanz der Bundesrepublik Deutschland. Die Energiebilanz ist in den Kapiteln 18.1 bis 18.4 ausführlich beschrieben.

Mit Hilfe zusätzlicher Statistiken sowie verschiedener Annahmen werden diese Daten in den jeweiligen Sektoren der Energiewandlung und des Endverbrauchs weiter disaggregiert und ergänzt. Kriterien sind die immissionsschutzrechtliche Zulassung, Technologien und die Differenzierung bestimmter Brennstoffe. Das Modell besteht aus zwei Teilen: dem Teilmodell für die alten Bundesländer für die Jahre 1987-1994 und dem Teilmodell für Deutschland für die Jahre ab 1995. Das Modell für Deutschland ist überarbeitet und in den Berichten der zwei Forschungsvorhaben (FKZ 203 41 142: ÖKOINSTITUT, 2005 und 204 41 132: ÖKOINSTITUT / DIW, 2007) ausführlich dokumentiert worden. Für die Berechnung wird seit dem Jahr 2009 ein Datenbank gestütztes System der BEU auf Basis der MESAP-Software eingesetzt, das im Rahmen der Forschungsvorhaben FKZ 204 42 203/03 und FKZ 360 16 010 (GICON, 2008) analog zum Teilmodell Deutschland entwickelt wurde. Für die neuen Bundesländer sind die Daten für 1990-1994 bereits direkt in das ZSE eingegeben worden. Ihre Ermittlung ist in Kapitel 19.1.1 beschrieben.

Aus der Energiebilanz werden für die Ermittlung der emissionsrelevanten Brennstoffeinsätze aus stationären Quellen folgende Zeilen herangezogen:

A: Umwandlungseinsatz (Energiebilanzzeile 9 bis 19)

9. **Öffentliche Wärmekraftwerke** (Zeile 11) sind Anlagen, deren Betreiber zu den öffentlichen Versorgern gehören. Dazu zählen auch Industriebetriebe, die ihre Kraftwerke zusammen mit Elektrizitätsversorgungsunternehmen als Gemeinschaftskraftwerke betreiben. Ausgewiesen wird der Brennstoffeinsatz zur Stromerzeugung. In dieser Zeile der Energiebilanz enthalten ist auch der Brennstoffeinsatz in Heizkraftwerken der öffentlichen Versorgung, der der Stromerzeugung zuzuordnen ist.
10. **Industriewärmekraftwerke** (Zeile 12) umfassen folgende Betreibergruppen:

- Kraftwerke des Steinkohlenbergbaus,
- Kraftwerke des Braunkohlenbergbaus,
- Kraftwerke der Mineralölverarbeitung (Raffineriekraftwerke),
- Kraftwerke, die Einphasenstrom für die Deutsche Bahn AG erzeugen (Bis 1999 werden die Einsatzmengen in den Bahnkraftwerken unter 1.A.2.g.vii berichtet (EBZ 12);ab 2000 werden sie mit den öffentlichen Kraftwerken unter 1.A.1.a berichtet (EBZ 11)),
- Kraftwerke der Industrie (Gewinnung von Steinen und Erden, sonstiger Bergbau, verarbeitendes Gewerbe).

11. **Wasserkraft-, Windkraft-, Photovoltaik- u. a. Anlagen** (Zeile 14) umfasst alle Anlagen, die aus Biogas, Deponiegas, Klärgas, fester oder flüssiger Biomasse Strom erzeugen und diesen in das öffentliche Netz einspeisen. Weiterhin werden in diesem Teil der Energiebilanz auch die Brennstoffeinsätze der Mini-KWK Anlagen, die mit Erdgas oder leichtem Heizöl betrieben werden, berichtet. Da es für diese Anlagen keine Abschneidegrenze gibt, fallen darunter auch Kleinstanlagen aus den Sektoren Haushalte und Gewerbe, Handel, Dienstleistungen.
12. **Heizkraftwerke** (Zeile 15): hier wird der Brennstoffeinsatz angegeben, der der Fernwärmeerzeugung zuzuordnen ist. Die Addition der Zeilen 11 und 15 ergibt den gesamten Brennstoffeinsatz in öffentlichen Wärmekraftwerken. Die erzeugte Fernwärme wird in öffentliche Wärmenetze eingespeist. Diese Anlagen versorgen auch Industriekunden mit Prozesswärme.

13. **Fernheizwerke** (Zeile 16): hier wird der Brennstoffeinsatz für die öffentliche Fernwärmeversorgung aus Heizwerken angegeben. Die Anlagen werden häufig zur Spitzenlastdeckung in Fernwärmenetzen verwendet, in denen die Grundlast aus Heizkraftwerken gedeckt wird.

B: Energieverbrauch im Umwandlungsbereich (Energiebilanzzeile 33 bis 39)

14. In den Zeilen 33 bis 39 bzw. in der Summenzeile 40 (**Energieverbrauch im Umwandlungsbereich**) wird unter anderem der Brennstoffeinsatz zur Wärmeerzeugung angegeben, der zum Betrieb der Umwandlungsanlagen notwendig ist. Hierbei wird nicht nach Art der Wärmeerzeugung unterschieden. So sind Brennstoffeinsätze zur Wärmeerzeugung in Kraft-Wärme-Kopplungs-Anlagen, Dampf- und Heißwasserkesseln und Prozessfeuerungen zusammengefasst. Eine Besonderheit in der Energiebilanz betrifft die Bilanzierung der Braunkohlengruben und -brikettfabriken. Seit dem Jahr 1980 wird dieser Eigenverbrauch gemeinsam mit dem Umwandlungseinsatz der Brikettfabriken zur Produktherstellung in der Zeile 10 verbucht. Damit ist der emissionsverursachende Einsatz des Eigenverbrauchs aus der Energiebilanz nicht mehr ablesbar und muss aus dem Umwandlungseinsatz heraus gerechnet werden. Die Brennstoffeinsätze zur Wärmeerzeugung in Kraft-Wärme-Kopplung bilden zusammen mit den Brennstoffeinsätzen zur Stromerzeugung der Kraftwerke des Steinkohlenbergbaus, des Braunkohlenbergbaus und der Raffineriekraftwerke den gesamten Brennstoffeinsatz in diesen Anlagen. Nach Abzug der Brennstoffeinsätze zur Wärmeerzeugung in Kraftwerken vom gesamten Einsatz in Zeile 40 verbleibt die Brennstoffmenge, die in den Prozessfeuerungen, Dampf- und Heißwasserkesseln eingesetzt wird.

C: Endenergieverbrauch (Energiebilanzzeile 46 bis 67)

15. Im **Endenergieverbrauch der Industrie** (Zeile 60 der Energiebilanz) ist der Brennstoffeinsatz zur Wärmeerzeugung dargestellt, der für die Produktion und zur Raumheizung erforderlich ist. Auch hier wird nicht nach Art der Wärmeerzeugung unterschieden. So bildet ein Teil des Endenergieverbrauchs in diesen Kategorien zusammen mit dem Brennstoffeinsatz der Industriekraftwerke zur Stromerzeugung den gesamten Brennstoffeinsatz in diesen Anlagen.
16. Die Angaben zum **Endenergieverbrauch der Haushalte** (Zeile 66 der Energiebilanz) beinhalten die Brennstoffeinsätze zur Wärmeerzeugung, das sind die Anwendungsbereiche Heizung, Warmwasserbereitung und Kochen.
17. Die Angaben zum **Endenergieverbrauch von Gewerbe, Handel,** Dienstleistungen **und übrige Verbraucher** (Zeile 67 der Energiebilanz) umfassen Brennstoffeinsätze zur Warmwasserbereitung, Raum- und Prozesswärmeerzeugung in diesem Sektor.

Für die vielfältigen Anforderungen der nationalen und internationalen Energie- und Emissionsberichterstattung reichen die Angaben der Energiebilanz nicht aus. So fasst die Energiebilanz Brennstoffeinsätze zusammen, die

- in Anlagen mit unterschiedlichen immissionsschutzrechtlichen Anforderungen eingesetzt werden (z.B. Großfeuerungsanlagen, mittelgroße Feuerungsanlagen, Kleinfeuerungsanlagen, Abfallverbrennungsanlagen)
- die nach unterschiedlichen technischen Prinzipien arbeiten (z.B. Dampfturbinenkraftwerke, Gasturbinenkraftwerke, Verbrennungsmotoranlagen)
- regionale Besonderheiten aufweisen (z.B. unterschiedliche Qualitäten der Rohbraunkohlen in den einzelnen Fördergebieten)

- bei der nationalen und internationalen Emissionsberichterstattung jeweils unterschiedlichen Kategorien zuzuordnen sind
- in verschiedenen Energiebilanzzeilen je nach ihrem Verwendungszweck (zur Strom- bzw. zur Wärmeerzeugung) angegeben, aber in einer Anlagengruppe (z.B. Dampfturbinenkraftwerke) eingesetzt werden.

Diese Charakteristika haben Auswirkungen auf das Emissionsverhalten. Um diesen verschiedenen Anforderungen Rechnung zu tragen, werden die Daten der Energiebilanz im Modell *Bilanz der Emissionsursachen* (BEU) unter Verwendung weiterer Statistiken sowie mit eigenen Rechnungen disaggregiert. Die folgende Abbildung 18 gibt eine Übersicht über die Struktur

Bilanz der Emissionsursachen (BEU)
Kategorien sind: • öffentliche Wärmekraftwerke, • Steinkohlenbergbau, • Braunkohlenbergbau, • Deutsche Bahn AG, (bis 1999) • Mineralölverarbeitung, • Fernheizwerke, • übriger Umwandlungsbereich • Gewinnung von Steinen und Erden, sonstiger Bergbau und verarbeitendes Gewerbe (weitere Untergliederung der Prozessfeuerungen), (Haushalte und Gewerbe, Handel, Dienstleistungen und übrige Verbraucher werden außerhalb des BEU-Modells direkt im ZSE bearbeitet)
Anlagenarten sind: • Dampfturbinenkraftwerke, • Gasturbinenkraftwerke, • Gas- und Dampfturbinenkraftwerke • Motorkraftwerke, • Kesselfeuerungen (ohne Kraftwerkskessel), • Prozessfeuerungen (untergliedert in 12 Prozesse).
Nach Energieträgern: • etwa 40 verschiedene Brennstoffe
Nach immissionsschutzrechtlichen Regelungen aufbereitet, wird unterschieden in: • Anlagen der 13. BImSchV, • Anlagen der 17. BImSchV, • Anlagen der 1. BImSchV,   • Anlagen der TA Luft • Nicht genehmigungsbedürftige Anlagen

Abkürzungen stehen für:

BImSchV	Rechtsverordnung nach dem Bundes-Immissionsschutzgesetz,
TA-Luft	Erste Allgemeine Verwaltungsvorschrift zum Bundes-Immissionsschutzgesetz, Technische Anleitung zur Reinhaltung der Luft

Abbildung 18: Merkmale der UBA-Struktur der Bilanz der Emissionsursachen zur Disaggregierung der Energiebilanz

Ziel des BEU-Modells ist es, eine Datenstruktur bereitzustellen, die für die unterschiedlichen Berichtspflichten verwendet werden kann. Insbesondere die Ermittlung der Emissionen klassischer Luftschadstoffe aber auch die Berechnung von Lachgas und Methanemissionen machte eine feinere Disaggregierung notwendig.

Trotz der Umstellung der Energiebilanz auf die Einteilung der Wirtschaftszweige nach der WZ 93 und einer geänderten Gruppierung der Energieträger vom Jahre 1995 an, ist es gelungen, die Daten auf die dargestellte Grundstruktur zurückzuführen, so dass konsistente Zeitreihen erarbeitet werden konnten. Bedingt durch den erneuten Umstieg der Wirtschaftszweigklassifikation in den Energie-Statistiken ab dem Jahr 2008 von „WZ 2003“ auf „WZ 2008“ wurde die Erfassung der Aktivitätsdaten für die Prozessfeuerungen aus den

Einzelstatistiken entsprechend dem Umsteigeschlüssel realisiert und dokumentiert (STATISTISCHES BUNDESAMT 2008: Umsteigeschlüssel WZ 2003 auf WZ 2008)

Die Struktur der Bilanz der Emissionsursachen (BEU) und ihre Merkmale wurde im Nationalen Inventarberichten 2011 in Abbildung 20 und tabellarisch in den Tabellen 16 bis 22 dargestellt und erläutert. Da es seither keine strukturellen Veränderungen gibt, sei hier auf diese Dokumentation verwiesen. Darin erfolgt die Zuordnung der Strukturelemente der BEU zur Datenbank des Zentralen Systems der Emissionen (ZSE) über eine eindeutige Namensvergabe.

Neben der bereits beschriebenen strukturellen Untergliederung werden zusätzlich die verschiedenen Brennstoffe in der Datenbank einzeln ausgewiesen. Die Brennstoffkategorien orientieren sich im Wesentlichen an der Energiebilanz. In einigen Fällen ist es nötig mit Hilfe der Energiestatistik und der Statistik der Kohlenwirtschaft, sowie einigen wenigen Verbandsstatistiken die Brennstoffe weiter zu untergliedern. Die verschiedenen Brennstoffqualitäten mit unterschiedlichen Kohlenstoffgehalten werden, gemäß der Berichtsvorgaben in den 5 Kategorien: Gase, Flüssige Brennstoffe, feste Brennstoffe, Biomasse und sonstige Brennstoffe, zusammengefasst. Aufgrund der Vielzahl der unterschiedlichen Brennstoffe deren Anteile in den einzelnen Kategorien schwanken, kommt es häufig zu Änderungen der in den CRF-Tabellen ausgewiesenen impliziten Emissionsfaktoren.

Für die Ermittlung der Aktivitätsraten von Abfall in Müllverbrennungsanlagen und der Mitverbrennung in Feuerungsanlagen in den Sektoren Öffentliche Strom- und Wärmerzeugung (1.A.1) und verarbeitendes Gewerbe (1.A.2) hat das UBA im Rahmen eines Eigenforschungsprojektes eine gründliche Auswertung der Brennstoffeinsätze der Energiestatistik 060 und 066 (*STATISTISCHES BUNDESAMT*, 2013) und der Abfallstatistik (*STATISTISCHES BUNDESAMT, FS 19 Reihe 1*) des Statistischen Bundesamtes durchgeführt. Um alle Brennstoffmengen möglichst vollständig zu erfassen wurde die Abfallmengen beider Statistiken nach einzelnen Sektoren und Wirtschaftszweigen verglichen. Dafür wurden die Abfälle aus der Abfallstatistik den gleichen Brennstoffgruppen zugeordnet, wie sie in der Energiestatistik angegeben werden: in feste Biomasse, andere Mineralölprodukte, Klärschlamm, Haus- und Siedlungsabfälle und Industriemüll. Es hat sich gezeigt, dass in den letzten Jahren die erfassten Brennstoffmengen der Energiestatistik stetig angestiegen sind. Der Grund dafür ist u.a., dass immer mehr feste Biomasse (v.a. Alt- und Restholz) und aufbereitete Siedlungsabfälle zur Energieerzeugung eingesetzt werden. Dennoch liegen die Abfallmengen der Energiestatistik in manchen Bereichen noch immer unter denen der Abfallstatistik. Demzufolge werden die Aktivitätsraten für Siedlungsabfälle und Industriemüll der Energiebilanz entnommen und um den Differenzbetrag zur Abfallstatistik ergänzt. Da das Altholz in der Energiebilanz nicht als Abfall sondern als feste Biomasse deklariert wird, muss es in der Abfallstatistik vom aufgeführten Einsatz in Müllverbrennungs- und Feuerungsanlagen abgezogen werden, um eine Doppelzählung zu vermeiden.

Hinsichtlich der stofflichen Zusammensetzung wird der fossile und biogene Anteil von Hausmüll/Siedlungsabfall seit dem NIR 2006 im Verhältnis 1:1 separat ausgewiesen. Dieser Split-Faktor wurde durch das veröffentlichte Forschungsvorhaben, „Nutzung der Potenziale des biogenen Anteils im Abfall zur Energieerzeugung“ (UBA, 2011; Förderkennzeichen 3707 33 303) bestätigt. Der biogene Anteil des Industriemülls variiert stark in Abhängigkeit der Industriebranche und Anlagenart. Dies führt u.a. dazu, dass im Sektor verarbeitendes Gewerbe (1.A.2) für die Wirtschaftszweige Eisen und Stahl, Papier, Zement- und Kalkindustrie wie bisher ausführliche Datenerhebungen zu Ersatzbrennstoffen verwendet werden, die von den Verbänden Stahlinstitut (VDEh), Verband Deutscher Papierfabriken e.V. (VDP), Bundesverband der

Deutschen Kalkindustrie (BV Kalk) und vom Verein Deutscher Zementwerke e.V. (VDZ) zur Verfügung gestellt werden.

In Abbildung 19 sind alle relevanten Datenquellen für den Brennstoffeinsatz von Abfällen zur Energieerzeugung schematisch dargestellt.

Abbildung 19: Schema der Datenquellen für den Brennstoffeinsatz von Abfällen zur energetischen Nutzung im Rahmen des Treibhausgas-Emissionsinventars

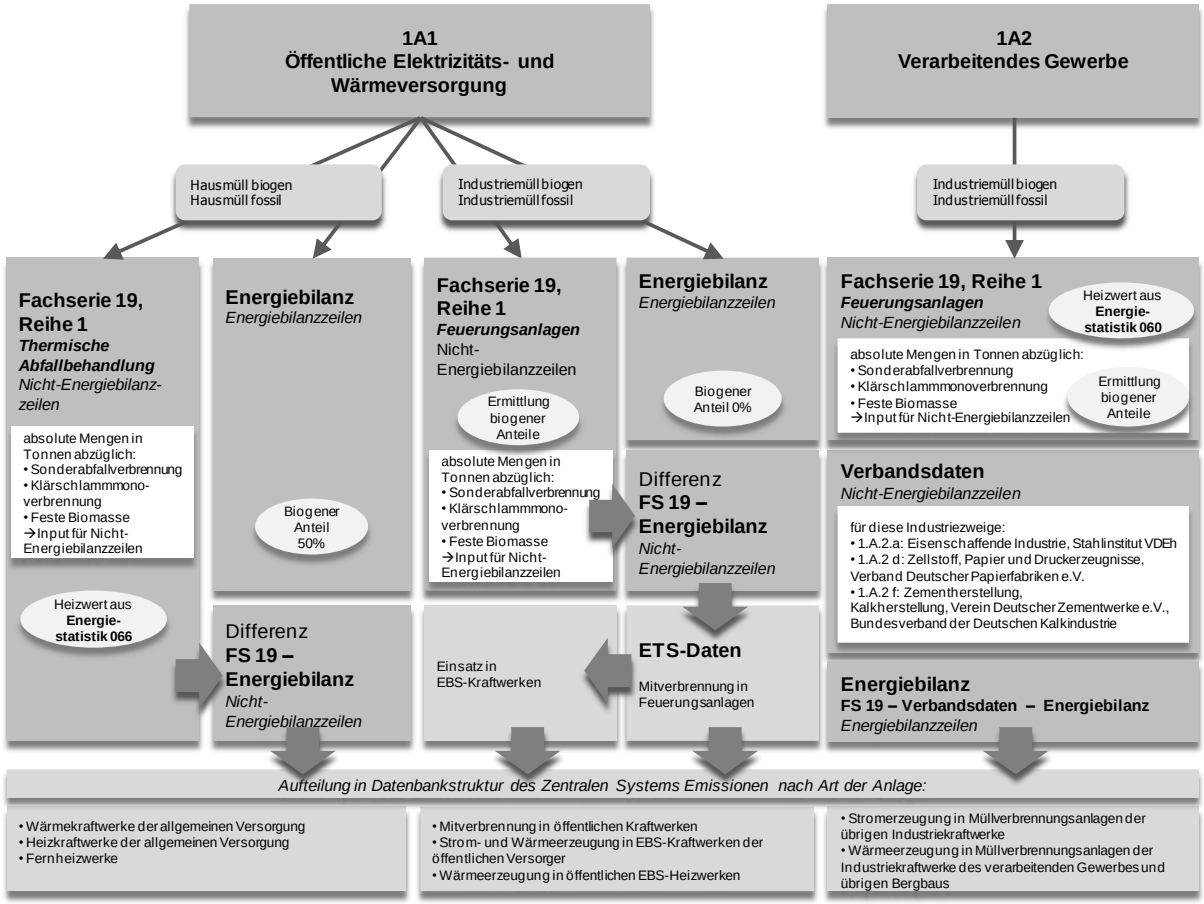

3.2.1 Verifikation des sektoralen Ansatzes zu CRF 1.A

3.2.1.1 Vergleich mit dem CO_2-Referenzverfahren

Im Rahmen des internationalen Klimaschutzes ist die Berichterstattung zu den verbrennungsbedingten CO_2-Emissionen auf Grund des dominierenden Anteils an den Gesamtemissionen von größter Bedeutung. Von den Industrieländern wird hierzu routinemäßig das quellgruppenspezifische Verfahren angewendet, das auf der Ebene der einzelnen Energieverbrauchssektoren ansetzt und daher differenzierte Aussagen zur Struktur der Emissionen erlaubt.

Zusätzlich zu den quellenspezifischen Ergebnissen dieses sogenannten Sektoralen Ansatzes (1.AA) werden die CO_2-Emissionen auch anhand eines Referenzverfahrens (1.AB) gemäß der 2006 IPCC Guidelines (Vol. 2, Ch. 6: Reference Approach) ermittelt. Dieser Referenzansatz beruht dabei auf Primärdaten zu Produktion, Importen und Exporten von Brenn- und Kraftstoffen sowie zu Änderungen im Bestand, welche unmittelbar den Nationalen Energiebilanzen der AGEB entnommen werden.

Analog zum Sektoralen Ansatz wird von einer vollständigen Oxidation ausgegangen. In Übereinstimmung mit den 2006 IPCC Guidelines entsprechen die verwendeten Kohlenstoff-Emissionsfaktoren denen des sektoralen Ansatzes und umfassen damit national referenzierte Werte. Die so berechneten CO_2-Emissionen werden zur Verifikation des Sektoralen Ansatzes verwendet.

Das Referenzverfahren wird für alle Jahre ab 1990 durchgeführt. Als Basis dienen jeweils die Angaben der Nationalen Energiebilanzen zum Primärenergieverbrauch. Für das Jahr 2015 war dabei zum Zeitpunkt der Inventarerstellung nur eine vorläufige Bilanz verfügbar.

Die so berechneten CO_2-Referenz-Emissionen liegen in der Regel unter den Ergebnissen des sektoralen Ansatzes. Aktuell liegen die Referenz-Emissionen dabei zwischen 0,31 (2003) und maximal 3,03 % (2010) unter dem sektoralen Ansatz. Mit um 0,51 % höheren Emissionen stellt das Jahr 1990 aktuell die einzige Ausnahme dar.

Die Ergebnisse des Referenzverfahrens (1.AB) sind in Tabelle 15 sowie in Kapitel 20 im Anhang 4 dieses Berichtes zusammengestellt und werden in Abbildung 20 und Abbildung 21 mit weiteren verfügbaren Datensätzen der IEA und der einzelnen Bundesländer verglichen.

3.2.1.2 Verifizierung mit anderen für Deutschland verfügbaren Datensätzen

Nachfolgend werden die Ergebnisse der detaillierten kategoriebezogenen Berechnung der energiebedingten CO_2-Emissionen für Deutschland entsprechend den Vorgaben der *IPCC Guidelines* zur Verifizierung mit anderen für Deutschland verfügbaren nationalen und internationalen Datensätzen über die energiebedingten CO_2-Emissionen für die Jahre 1990 bis 2012 verglichen. Für 2013 liegen diese Vergleichsdaten noch nicht vor.

Dies erfolgt durch Gegenüberstellung der Berechnungsergebnisse mit den Angaben:

- der IEA (kategoriespezifisches Verfahren) und
- der auf der Ebene der Bundesländer durchgeführten CO_2-Berechnungen.

In Tabelle 15 und Abbildung 20 werden die Ergebnisse der unterschiedlichen CO_2-Berechnungsansätze einander im zeitlichen Verlauf vergleichend gegenübergestellt. Die relevanten Entwicklungstrends werden in allen Berechnungsansätzen, inklusive dem Referenzverfahren – wenn auch auf unterschiedlichem Niveau – aufgezeigt. Um diese Niveauunterschiede zu veranschaulichen, werden in Abbildung 21 die relativen Abweichungen zwischen den verschiedenen Datensätzen dargestellt.

Insgesamt bestätigen diese Vergleiche die für Deutschland ermittelten CO_2-Emissionen deutlich. Die mit dem *sektoralen Ansatz* ermittelten energiebedingten nationalen Gesamtemissionen (siehe UBA (CRF 1.A)) weichen im Mittel der Jahre 1990 bis 2013 wie folgt von den Vergleichsdatensätzen ab:

- IEA (detailliertere Sektoraler Ansatz: IEA (SA)) 2,8 %
- nationales Referenzverfahren (UBA (RA)) 1,4 %
- Ergebnisse der Bundesländer 0,5%
-

Tabelle 15: Vergleich der CO_2-Inventare mit anderen unabhängigen nationalen und internationalen Ergebnissen

Ergebnisse, Abweichung	1990	1991	1992	1993	1994	1995	1996	1997	1998	1999
IEA Statistiken SA (sectoral approach)	**940,3**	**917,8**	**877,8**	**872,0**	**859,2**	**856,7**	**887,2**	**855,0**	**847,0**	**815,0**
Abweichung IEA SA von UBA (CRF 1.A)	-4,6	-3,6	-3,2	-2,8	-2,2	-2,4	-1,4	-1,6	-1,8	-2,7
Ergebnisse der Bundesländer (Energie)	**967,7**	**951,2**	**904,2**	**898,8**	**876,0**	**878,7**	**898,9**	**874,4**	**870,8**	**843,8**
Abweichung Bundesländer (Energie) von UBA	-1,8	-0,1	-0,3	0,2	-0,3	0,1	-0,1	0,6	1,0	0,8
Reference Approach UBA (RA)	**990,8**	**946,9**	**898,1**	**889,6**	**869,2**	**862,1**	**886,0**	**856,4**	**848,5**	**824,2**
Abweichung UBA RA von UBA (CRF 1.A)	0,5	-0,5	-1,0	-0,8	-1,0	-1,8	-1,5	-1,5	-1,6	-1,6
Sektoraler Ansatz UBA (CRF 1.A)	**985,7**	**951,9**	**906,7**	**897,1**	**878,3**	**877,6**	**899,6**	**869,2**	**862,6**	**837,3**
Ergebnisse, Abweichung	**2000**	**2001**	**2002**	**2003**	**2004**	**2005**	**2006**	**2007**	**2008**	**2009**
IEA Statistiken SA (sectoral approach)	**812,4**	**831,6**	**818,0**	**820,8**	**804,8**	**786,8**	**799,3**	**766,8**	**775,3**	**720,3**
Abweichung IEA SA von UBA (CRF 1.A)	-2,8	-3,2	-3,1	-2,4	-2,6	-2,7	-2,4	-3,4	-3,0	-3,0
Ergebnisse der Bundesländer (Energie)	**843,9**	**869,1**	**845,9**	**841,1**	**828,1**	**813,9**	**818,9**	**795,0**	**800,3**	**748,7**
Abweichung Bundesländer (Energie) von UBA	0,9	1,2	0,2	0,0	0,2	0,7	0,0	0,1	0,2	0,8
Reference Approach UBA (RA)	**821,1**	**842,7**	**831,9**	**838,2**	**821,3**	**802,9**	**813,4**	**784,5**	**785,7**	**731,2**
Abweichung UBA RA von UBA (CRF 1.A)	-1,8	-1,9	-1,4	-0,3	-0,6	-0,7	-0,7	-1,2	-1,7	-1,5
Sektoraler Ansatz UBA (CRF 1.A)	**836,2**	**858,6**	**843,9**	**840,8**	**826,5**	**808,2**	**819,1**	**793,9**	**799,1**	**742,6**
Ergebnisse, Abweichung	**2010**	**2011**	**2012**	**2013**						
IEA Statistiken SA (sectoral approach)	**758,9**	**731,3**	**744,8**	**763,9**						
Abweichung IEA SA von UBA (CRF 1.A)	-2,9	-3,9	-2,8	-2,7						
Ergebnisse der Bundesländer (Energie)	**781,7**	**760,7**	**768,8**	**774,5**						
Abweichung Bundesländer (Energie) von UBA	0,0	0,0	0,3	-1,3						
Reference Approach UBA (RA)	**757,7**	**739,6**	**748,1**	**775,5**						
Abweichung UBA RA von UBA (CRF 1.A)	-3,0	-2,8	-2,4	-1,2						
Sektoraler Ansatz UBA (CRF 1.A)	**781,4**	**761,0**	**766,4**	**784,8**						

Quelle: CO_2 Emissions from Fuel Combustion (2016 Edition), IEA, Paris.

Abbildung 20: CO_2-Emissionen in Deutschland – Vergleich nationaler und internationaler Berechnungsergebnisse

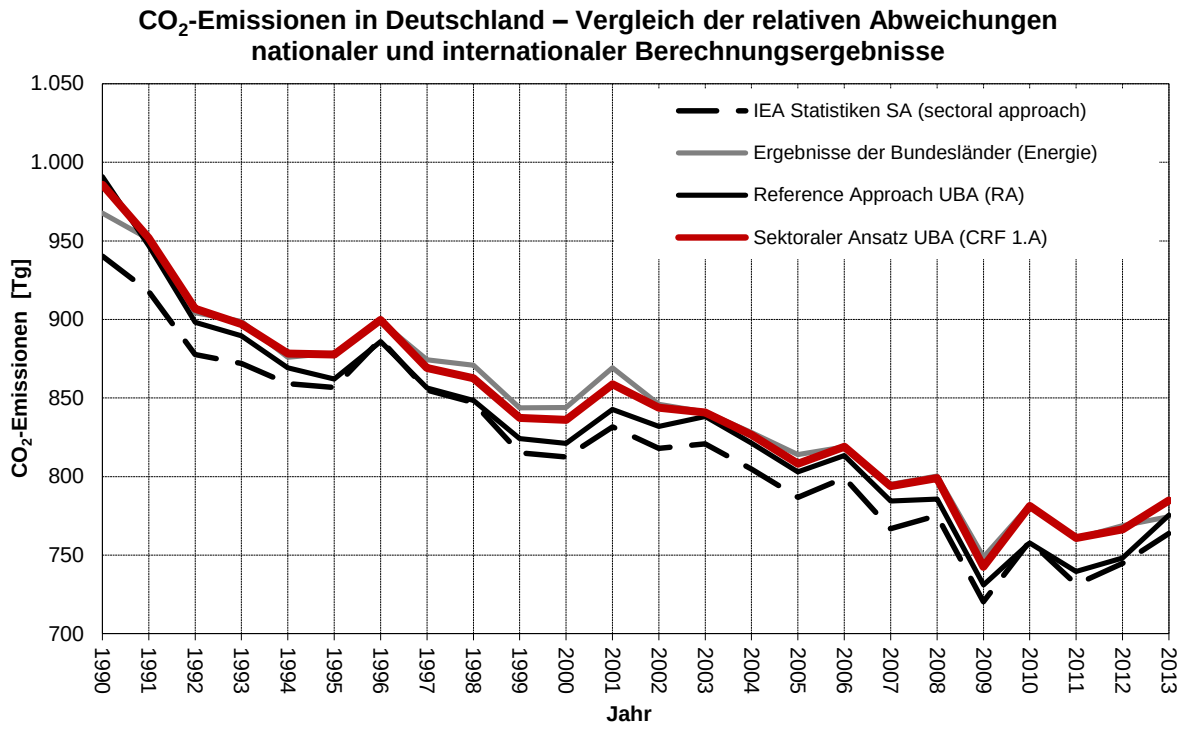

Abbildung 21: CO_2-Emissionen in Deutschland – Vergleich der relativen Abweichungen nationaler und internationaler Berechnungsergebnisse

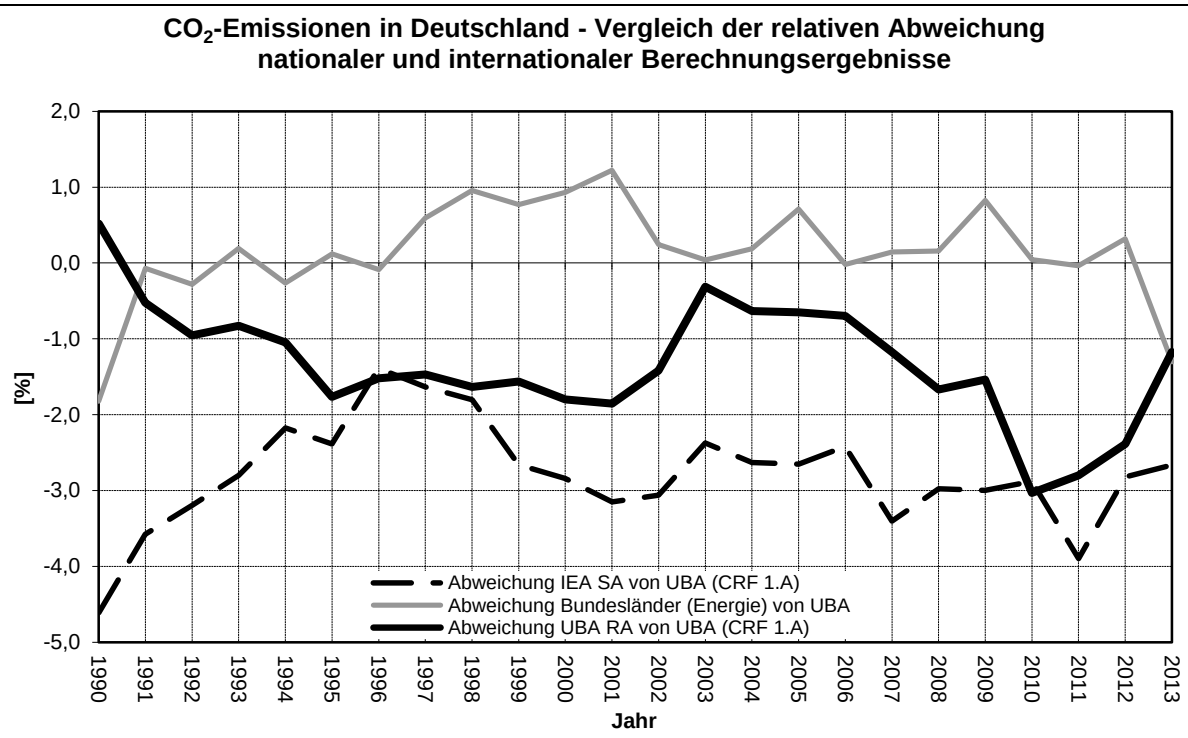

3.2.1.2.1 Vergleich mit den IEA-Ergebnissen

Die verwendeten Daten werden in jährlich aktualisierter Form international durch die IEA veröffentlicht (zuletzt: OECD/IEA, 2016). Da der Weg der Ermittlung, Aufbereitung und Anwendung der verwendeten Basisdaten gegenwärtig jedoch nicht exakt mit dem nationalen Vorgehen in Deutschland vergleichbar ist und weitere methodische Informationen insbesondere zu den verwendeten detaillierten Daten fehlen, wird dieser Vergleich hier nur aus Gründen der Vollständigkeit aufgeführt.

Der Vergleich mit den Ergebnissen des sektoralen Ansatzes der IEA bestätigt trotz dieser Einschränkungen die nach der nationalen detaillierten Methode ermittelten Daten: Die mittlere Abweichung für aktuell 24 Jahre liegt bei 2,8 %. Die nationalen Vergleichsemissionen liegen dabei in allen Jahren höher als die durch die IEA ermittelten Ergebnisse. Die Einzelabweichungen variieren im Bereich von -4,6 % (1990) bis -1,4 % (1996).

3.2.1.2.2 Vergleich mit den für die einzelnen Bundesländer ermittelten Daten

Durch die Bundesländer werden Angaben zu den jeweiligen CO_2-Emissionen veröffentlicht[25]. Zu den Verfahren, zuständigen und beteiligten Einrichtungen sowie den methodischen Beschreibungen wird auf den Internetauftritt bzw. auf die detailliertere Beschreibungen im NIR 2009 verwiesen.

Nachfolgend wird eine Gegenüberstellung der verfügbaren Länderergebnisse der Quellenbilanz mit den auf Bundesebene berechneten Inventaren für die energiebedingten CO_2-Emissionen durchgeführt. Erschwert wird der Vergleich dadurch, dass die verfügbaren Informationen für die einzelnen Bundesländer nicht immer in vollständigen Zeitreihen vorliegen. Die Füllung bestehender Fehlstellen erfolgte überwiegend durch Interpolation. Da aktuell nur für wenige Bundesländer Daten für 2014 verfügbar sind; wird der Vergleich auf den Zeitraum 1990 bis 2013 begrenzt.

[25] Landesarbeitskreis Energiebilanzen – CO_2-Bilanzen http://www.lak-energiebilanzen.de/co2-bilanzen/

Tabelle 16: Vergleich der Ergebnisse der CO_2-Berechnungen der einzelnen Bundesländer mit den Bundesinventaren

Bundesland	**1990**	**1991**	**1992**	**1993**	**1994**	**1995**	**1996**	**1997**	**1998**	**1999**
					[Gg CO_2]					
Baden-Württemberg	73.772	78.079	77.571	78.177	73.900	77.521	81.230	77.999	79.412	76.746
Bayern	83.365	87.899	86.019	89.241	86.724	87.129	90.726	88.173	90.856	88.576
Berlin	26.661	27.674	24.913	26.303	25.237	24.079	24.367	23.196	22.479	23.148
Brandenburg	81.894	66.591	58.744	56.908	53.814	50.540	50.100	50.520	59.004	57.511
Bremen	13.376	13.535	12.848	12.444	13.267	13.162	14.169	14.082	13.763	12.694
Hamburg	12.160	13.863	12.572	13.226	12.741	12.793	13.865	13.285	*12.951*	*12.662*
Hessen	42.204	46.106	44.861	47.208	46.893	46.578	50.093	47.128	46.966	43.787
Mecklenburg-Vorpommern	15.539	10.757	9.360	9.473	9.510	10.233	11.636	10.654	10.413	10.627
Niedersachsen	76.907	82.104	*80.724*	*79.344*	77.964	*78.067*	78.169	*79.028*	79.887	*76.799*
Nordrhein-Westfalen	297.281	308.160	304.377	298.004	293.723	301.029	310.042	304.648	302.239	291.442
Rheinland-Pfalz	27.394	29.448	28.914	30.248	30.274	31.490	31.463	31.646	31.167	30.311
Saarland	23.680	25.750	24.378	23.194	24.289	23.109	23.829	21.802	23.769	22.800
Sachsen	91.465	77.072	64.026	65.993	62.928	61.244	56.102	50.907	37.020	34.961
Sachsen-Anhalt	49.522	38.085	31.892	27.887	26.307	25.200	25.652	25.294	25.261	26.900
Schleswig-Holstein	24.417	24.032	24.303	24.823	24.462	23.253	23.778	23.189	22.934	22.404
Thüringen	28.098	22.068	18.684	16.332	13.988	13.233	13.634	12.800	12.682	12.398
Länderergebnis	**967.735**	**951.223**	**904.186**	**898.805**	**876.021**	**878.660**	**898.855**	**874.351**	**870.803**	**843.766**
Bundesergebnis (CRF 1.A + CRF 1.D.1.a)	**985.705**	**951.895**	**906.738**	**897.065**	**878.341**	**877.613**	**899.631**	**869.199**	**862.567**	**837.299**
Differenz Länder- zu Bundesergebnis (Gg)	**-17.970**	**-672**	**-2.552**	**1.740**	**-2.320**	**1.047**	**-776**	**5.152**	**8.236**	**6.467**
Differenz Länder- zu Bundesergebnis (%)	**-1,8**	**-0,1**	**-0,3**	**0,2**	**-0,3**	**0,1**	**-0,1**	**0,6**	**1,0**	**0,8**

Bundesland	2000	2001	2002	2003	2004	2005	2006	2007	2008	2009
					[Gg CO_2]					
Baden-Württemberg	74.285	79.579	76.012	75.034	74.025	76.451	77.430	70.053	71.882	65.625
Bayern	86.587	88.325	82.485	81.600	80.115	77.126	78.094	71.038	76.391	73.419
Berlin	23.038	23.414	20.632	20.597	19.527	19.287	19.144	16.679	17708	17236
Brandenburg	60.145	60.544	61.123	57.693	58.680	59.615	57.892	57.796	56.234	52.644
Bremen	13.972	14.038	13.936	14.575	12.970	12.152	12.627	13.558	12.947	12.511
Hamburg	*12.373*	*12.084*	*11.795*	11.996	11.887	11.500	11.473	10.958	11.088	11.187
Hessen	44.341	46.375	43.374	43.735	42.926	42.036	41.228	38.587	39.164	37.623
Mecklenburg-Vorpommern	10.256	10.718	10.908	10.696	10.906	10.354	11.133	10.044	10.835	9.515
Niedersachsen	73.711	*72.668*	71.624	*70.589*	69.553	*69.644*	69.734	*69.258*	68.782	65.371
Nordrhein-Westfalen	291.407	297.628	293.074	293.626	288.415	279.180	283.310	285.647	282.936	256.712
Rheinland-Pfalz	28.853	29.574	27.793	26.453	26.026	25.956	26.484	24.959	26.907	25.636
Saarland	23.409	23.213	22.914	23.232	23.900	24.776	23.555	25.697	22.947	18.498
Sachsen	41.364	48.664	48.865	49.460	48.335	46.850	47.989	46.384	45.809	46.900
Sachsen-Anhalt	26.301	26.840	27.518	28.171	27.145	27.846	27.821	26.477	26.973	26.772
Schleswig-Holstein	21.905	23.184	21.865	21.815	21.867	19.737	19.763	17.480	18838	18.555
Thüringen	11.994	12.280	12.005	11.866	11.791	11.424	11.260	10.404	10.888	10.513
Länderergebnis	**843.941**	**869.128**	**845.923**	**841.138**	**828.068**	**813.934**	**818.937**	**795.019**	**800.329**	**748.717**
Bundesergebnis (CRF 1.A + CRF 1.D.1.a)*	**836.167**	**858.626**	**843.864**	**840.786**	**826.529**	**808.180**	**819.086**	**793.859**	**799.054**	**742.572**
Differenz Länder- zu Bundesergebnis (Gg)	**7.774**	**10.502**	**2.059**	**351**	**1.539**	**5.753**	**-149**	**1.160**	**1.275**	**6.145**
Differenz Länder- zu Bundesergebnis (%)	**0,9**	**1,2**	**0,2**	**0,0**	**0,2**	**0,7**	**0,0**	**0,1**	**0,2**	**0,8**

Bundesland	2010	2011	2012	2013	2014	2015	2016	2017	2018	2019
					[Gg CO_2]					
Baden-Württemberg	67.094	65.833	65.239	70.423						
Bayern	76112	74619	74138	74964						
Berlin	18989	16962	18040	17884						
Brandenburg	55266	55981	57340	57297						
Bremen	13851	13150	13388	13412						
Hamburg	11563	10918	10740	10378						
Hessen	38.433	36.674	36.846	36.550						
Mecklenburg-Vorpommern	10.939	10.346	10.987	10.429						
Niedersachsen	67.072	66.178	64.031	65.037						
Nordrhein-Westfalen	271891	264618	268337	263936						
Rheinland-Pfalz	26782	24995	25031	26200						
Saarland	19104	20667	21527	22808						
Sachsen	47153	44977	47019	49635						
Sachsen-Anhalt	27375	27173	27771	26991						
Schleswig-Holstein	19364	17514	18031	18103						
Thüringen	10750	10083	10367	10502						
Länderergebnis	**781.738**	**760.688**	**768.832**	**774.549**						
Bundesergebnis (CRF 1.A + CRF 1.D.1.a)*	**781.387**	**760.961**	**766.404**	**784.763**						
Differenz Länder- zu Bundesergebnis (Gg)	**351**	**-273**	**2.428**	**-10.214**						
Differenz Länder- zu Bundesergebnis (%)	**0,0**	**0,0**	**0,3**	**-1,3**						

Anm.: Zahlen in kursiv und grau hinterlegt sind nicht Teil konsistenter Zeitreihen und wurden durch Verfahren zur Lückenschließung generiert (s. Text).

Quelle: © 2017 Länderarbeitskreis Energiebilanzen (Stand: 10.03.2017)

Im Ergebnis dieses Vergleiches wurde vom Trend her eine sehr gute Übereinstimmung der zusammengefassten Länderergebnisse mit dem Bundesinventar ermittelt. Im Durchschnitt der 24 Jahre wichen die CO_2-Emissionen der Bundesländer um 0,5 % vom Bundesergebnis ab. Die Abweichungen lagen in ihren Extremen bei – 1,8 % im Jahr 1990 und 1,2 % im Jahr 2001.

3.2.1.2.3 Geplante Verbesserungen

Die Vergleichsergebnisse werden im Anschluss an die Berichterstattung regelmäßig mit den Vertretern des Länderarbeitskreises Energiebilanzen diskutiert und hinsichtlich weiterer Verbesserungsmöglichkeiten geprüft. Gegenwärtig bestehen keine weiteren konkreten Verbesserungspläne.

3.2.2 Internationale Bunkerbrennstoffe

3.2.2.1 Emissionen aus dem internationalen Verkehr (1.D.1.a/1.D.1.b)

Der internationale Verkehr gliedert sich in den internationalen zivilen Luftverkehr (1.D.1.a) und den internationalen Seeverkehr (1.D.1.b).

3.2.2.2 Emissionen aus dem internationalen Flugverkehr (1.D.1.a)

3.2.2.2.1 Beschreibung der Kategorie (1.D.1.a)

Gas	Angewandte Methode	Quelle der Aktivitätsdaten	genutzte Emissionsfaktoren
CO_2	CS (Tier 3)	NS/IS/M	CS / D [a]
CH_4	CS (Tier 3)	NS/IS/M	CS (M)
N_2O	CS (Tier 3)	NS/IS/M	CS (M)
NO_x, CO, NMVOC	CS (Tier 3)	NS/IS/M	CS (M)
SO_2	Tier 1	NS/IS/M	CS

[a] mitverbrannte Schmierstoffe

Die Emissionen aus dem Verbrauch von Kraftstoffen für den internationalen Luftverkehr sind in der Inventarberechnung berücksichtigt, werden jedoch nicht als Bestandteil der nationalen Gesamtinventare berichtet und sind damit auch nicht Teil der Hauptkategorienanalyse.

Abbildung 22: Treibhausgasemissionen des von Deutschland ausgehenden internationalen Flugverkehrs 1990-2015

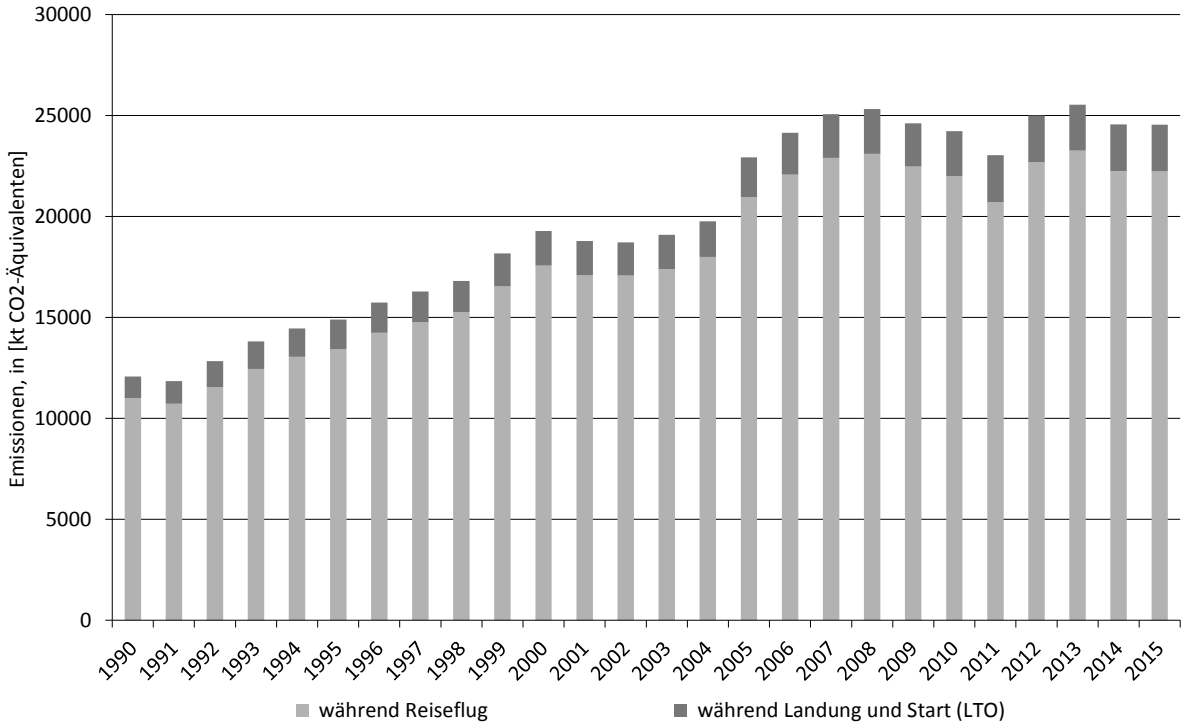

3.2.2.2.2 Methodische Aspekte (1.D.1.a)

Da anhand der deutschen Energiestatistiken eine Aufteilung der jährlichen Kraftstoffmengen auf internationalen und innerdeutschen Flugverkehr nicht verfügbar ist, erfolgt diese nachträglich anhand des jährlichen Anteils des nationalen Flugverkehrs am Gesamt-Kerosineinsatz, der innerhalb von TREMOD AV (IFEU & ÖKOINSTITUT, 2015) nach Tier 3 berechnet wird. Der Einsatz von Flugbenzin wird separat und nur für den nationalen Flugverkehr berichtet und geht in die Berechnung des Splitfaktors nicht ein.

Die so ermittelten Anteile des internationalen Flugverkehrs an den in (AGEB, 2016a&b) bzw. in den vom Bundesamtes für Wirtschaft und Ausfuhrkontrolle veröffentlichten Amtlichen Mineralöldaten (BAFA, 2016) ausgewiesenen Kerosinmengen stellen sich wie folgt dar:

Tabelle 17: jährliche Anteile der Auslandsflüge an den Kerosin-Inlandsablieferungen, in %

1990	1995	2000	2005	2006	2007	2008	2009	2010	2011	2012	2013	2014	2015
84,45	86,27	87,71	90,18	90,4	90,52	90,49	90,63	90,54	89,99	91,21	92,15	91,79	(91,79)

Quelle: 1990-2014: TREMOD AV (IFEU & ÖKOINSTITUT, 2015); 2015: eigene Berechnungen

Da aus terminlichen Gründen keine originären Daten für das Jahr 2015 in das Modell eingepflegt werden konnten, wurden die spezifischen Kerosinverbräuche für Inlandsflüge des Jahres 2014 unverändert übernommen. Diese Fortschreibung stützt sich dabei auf mehrere sich gegenseitig ausgleichende Effekte. Infolge dieser Fortschreibung stellt der für 2015 angegebene prozentuale Anteil der Auslandsflüge an den Kerosin-Inlandsablieferungen keinen modellierten Wert dar, sondern wurde lediglich künstlich aus den fortgeschriebenen Verbrauchsangaben abgeleitet.

Weitere Angaben zu den verwendeten Aktivitätsdaten und Emissionsfaktoren finden sich in Kapitel 3.2.10.1 zum nationalen zivilen Flugverkehr.

3.2.2.2.3 Unsicherheiten und Zeitreihenkonsistenz (1.D.1.a)

Siehe Nationaler Flugverkehr, Kapitel 3.2.10.1.3.

3.2.2.2.4 Kategoriespezifische Qualitätssicherung/-kontrolle und Verifizierung (1.D.1.a)

Siehe Nationaler Flugverkehr, Kapitel 3.2.10.1.4.

3.2.2.2.5 Kategoriespezifische Rückrechnungen (1.D.1.a)

Gegenüber Submission 2016 erfolgten Rückrechnungen einzig für die Jahre 2004 und 2014. Dabei wurde eine bis zuletzt fehlerhafte Angabe zum Inlandsabsatz korrigiert bzw. vorläufige durch finale Aktivitätsdaten ersetzt.

Tabelle 18: Revision des Kerosin-Inlandsabsatzes 2004 & 2014, in TJ

	2004	2014
Submission 2017	298.779	361.868
Submission 2016	316.211	361.870
Änderung absolut	-17.432	-2,00
Änderung relativ	-5,5%	-0,001%

Tabelle 19: resultierende Revision des Kerosin-Verbrauchs für Auslandsflüge 2004 & 2014, in TJ

	2004	2014
Submission 2017	267.117,53	332.166,17
Submission 2016	282.701,98	332.168,01
Änderung absolut	-15.584	-1,84
Änderung relativ	-5,5%	-0,001%

Die für 2004 und 2014 berichteten Treibhausgas-Emissionen wurden entsprechend wie folgt revidiert:

Tabelle 20: revidierte THG-Emissionen, in kt CO_2-Äquivalenten

	2004	2014
Submission 2017	19.753,22	24.563,54
Submission 2016	20.905,68	24.563,68
Änderung absolut	-1.152	-0,14
Änderung relativ	-5,5%	-0,001%

3.2.2.2.6 Geplante Verbesserungen, kategoriespezifisch (1.D.1.a)

Siehe Nationaler Flugverkehr, Kapitel 3.2.10.1.

3.2.2.3 Emissionen aus dem internationalen Seeverkehr/ Marine (1.D.1.b)

3.2.2.3.1 Beschreibung der Kategorie (1.D.1.b)

Gas	Angewandte Methode	Quelle der Aktivitätsdaten	genutzte Emissionsfaktoren
CO_2	CS (Tier 2)	NS/IS/M	D a / CS
CH_4	CS (Tier 2)	NS/IS/M	CS (M)
N_2O	CS (Tier 2)	NS/IS/M	CS (M)
NO_x, CO, NMVOC, SO_2	CS (Tier 2)	NS/IS/M	CS (M)

[a] mitverbrannte Schmierstoffe

Die durch den von deutschen Seehäfen ausgehenden internationalen Seeverkehr verursachten Emissionen werden nicht als Bestandteil der nationalen Gesamtinventare berichtet und sind nicht Teil der Hauptkategorienanalyse.

Seit 1984 steigt der Schwerölverbrauch infolge hoher Mineralölpreise für Dieselkraftstoffe sowie des weltweit wachsenden Seeverkehrs und des zunehmenden Einsatzes schwerölfähiger Dieselmotoren. Der zeitweise Rückgang der Emissionen besonders in 1992 und 2009 wurde durch Handels- und Ölkrisen verursacht.

Abbildung 23: Entwicklung der Treibhausgas-Emissionen des internationalen Seeverkehrs seit 1990 [a]

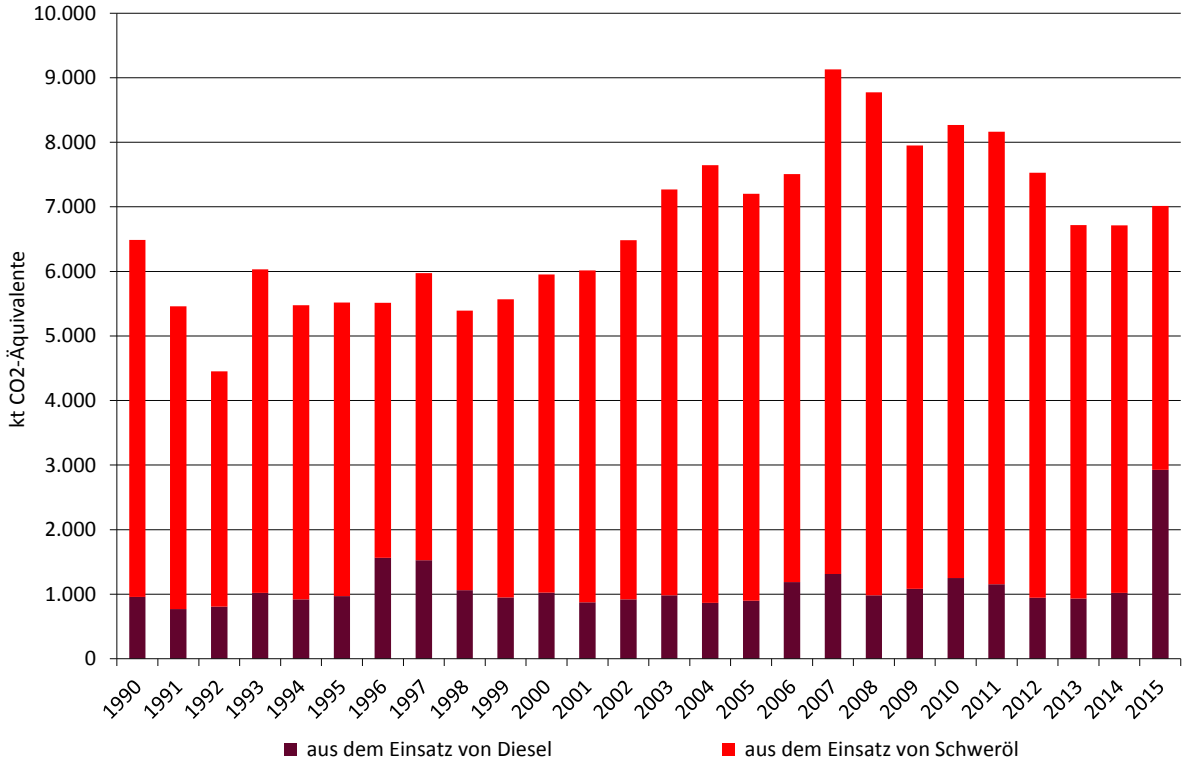

3.2.2.3.2 Methodische Aspekte (1.D.1.b)

Deutschland berichtet gemäß Tier 1, das heißt, die Emissionen werden als Produkt aus den in Deutschland verkauften Kraftstoffen und landesspezifischen Emissionsfaktoren für CO_2 sowie Default-Emissionsfaktoren für CH_4 und N_2O berechnet.

Die **Aktivitätsraten** seegehender Schiffe stammen grundsätzlich aus den Energiebilanzen der Bundesrepublik Deutschland (AGEB, 2016a&b), in denen aufgrund abweichender Besteuerung in Energiebilanzzeile 6 (EBZ 6) Hochseebunkerungen IMO-registrierter Seeschiffe gesondert ausgewiesen werden.

Für Jahre, für die eine Energiebilanz nicht rechtzeitig vorliegt, wird auf die „Amtlichen Mineralöldaten für die Bundesrepublik Deutschland“ des Bundesamtes für Wirtschaft und Ausfuhrkontrolle zurückgegriffen (BAFA, 2016: hier Tabelle 6j, Spalte: „Bunker int. Schifffahrt“), die in die Nationalen Energiebilanzen einfließen.

Die in diesen statistisch erfassten Mengen enthaltenen Bunkerungen national verkehrender Seeschiffe (Fracht und Passagiere (1.A.3.d), Fischerei (1.A.4.c iii) und Militär (1.A.5.b iii)) werden grundsätzlich gemäß (BSH, 2015) gesondert berechnet und von den in EBZ 6 geführten Gesamtmengen abgezogen. Die sich ergebende Restmenge wird dem von Deutschland ausgehenden internationalen Seeverkehr zugeordnet. Da für die vorliegende Submission keine

Modelldaten für das Jahr 2015 erzeugt werden konnten, erfolgte hier eine Fortschreibung, die in 3.2.10.4 näher beschrieben wird.

Der zwischen 2014 und 2015 zu beobachtende starke Anstieg der eingesetzten Dieselmengen resultiert dabei aus dem de-facto-Verbot von Schweröl in den sogenannten SECAs *(Sulphur Emission Control Areas)* infolge des Inkrafttretens deutlich strengerer Grenzwerte für den Schwefelgehalt der Schiffskraftstoffe.[26]

Zudem werden die Mengen mitverbrannter Schmierstoffe und die daraus resultierenden CO_2-Emssionen erfasst und berichtet. Gemäß (VSI, 2014) wird dabei davon ausgegangen, dass die Menge mitverbrannter Schmierstoffe 0,15 % der eingesetzten Kraftstoffmenge entspricht (siehe Anhang-Kapitel 19.1.4).

Bezüglich der **Emissionsfaktoren** für Kohlendioxid wird auf Kapitel 18.7 verwiesen.

Für die Berechnung der Methan- und Lachgas-Emissionen wird auf die für den nationalen Seeverkehr verwendeten Emissionsfaktoren aus (BSH, 2015) zurückgegriffen. Hinsichtlich der Mitverbrennung von Schmierstoffen wird dagegen davon ausgegangen, dass die anfallenden N_2O- und CH_4-Emissionen bereits in den Emissionsfaktoren der verwendeten Kraftstoffe abgebildet und daher hier als IE *(included elsewhere)* zu berichten sind.

3.2.2.3.3 Unsicherheiten und Zeitreihenkonsistenz (1.D.1.b)

Siehe Kapitel 3.2.10.4.3.

3.2.2.3.4 Kategoriespezifische Qualitätssicherung/-kontrolle und Verifizierung (1.D.1.b)

Siehe Kapitel 3.2.10.4.4.

3.2.2.3.5 Kategoriespezifische Rückrechnung (1.D.1.b)

Gegenüber den mit Submission 2016 übermittelten Daten erfolgten keinerlei Rückrechnungen.

3.2.2.3.6 Geplante Verbesserungen, kategoriespezifisch (1.D.1.b)

Derzeit sind keine über die routinemäßige Revision des verwendeten Rechenmodells hinausgehenden quellenspezifischen Verbesserungen geplant.

3.2.3 Lagerhaltung

Diese Emissionen werden im Rahmen des CO_2-Referenz-Verfahrens berücksichtigt.

3.2.4 CO_2 Abscheidung von Abgasen und nachfolgende Speicherung (CCS) (CRF 1.C)

Derzeit befindet sich die Abscheidung und Speicherung von CO2 (CCS) in Deutschland noch in der Erforschungsphase. Es gibt eine Pilotanlage. Nach Rückmeldung des Betreibers wurden in Deutschland ca. 67 kt CO_2 versuchsweise eingepresst. Eine messtechnische Überwachung an den Versuchsanlagen hat keine Austritte des CO_2 nachgewiesen. Um dennoch konservativ zu berichten, wurden die eingespeicherten Mengen im deutschen Inventar nicht abgezogen. Mögliche Entweichungen sind daher bereits berücksichtigt.

Nach Empfehlungen im In-Country-Review 2016 wurde der Notation Key von *NE* auf *NO* gesetzt.

[26] seit 01.Januar 2015: 0,10 % anstelle bisher 1,00 %
http://www.imo.org/en/OurWork/environment/pollutionprevention/airpollution/pages/sulphur-oxides-(sox)-%E2%80%93-regulation-14.aspx

3.2.5 Landesspezifische Besonderheiten

Es liegen keine die Berichterstattung beeinflussenden Besonderheiten vor.

3.2.6 Öffentliche Elektrizitäts- und Wärmeversorgung (1.A.1.a)

3.2.6.1 Beschreibung der Kategorie (1.A.1.a)

KC	Category	Activity	EM of	1990 (kt CO_2-e.)	(fraction)	2015 (kt CO_2-e.)	(fraction)	Trend 1990-2015
L/T	1.A.1.a Public electricity and Heat production	all fuels	CO_2	338.451,2	27,67%	301.705,7	34,00%	-10,9%
L/-	1.A.1.a Public electricity and Heat production	all fuels	N_2O	2.407,5	0,20%	2.423,3	0,27%	0,7%
L/T	1.A.1.a Public electricity and Heat production	all fuels	CH_4	172,2	0,01%	2.560,0	0,29%	1386,9%

Gas	Angewandte Methode	Quelle der Aktivitätsdaten	genutzte Emissionsfaktoren
CO_2	CS	NS	CS
CH_4	Tier 2	NS	CS
N_2O	Tier 2	NS	CS
NO_x, CO, NMVOC, SO_2	CS	NS	CS

Die Kategorie der *Öffentlichen Elektrizitäts- und Wärmeerzeugung* ist für CO_2- & CH_4-Emissionen eine Hauptkategorie nach der Emissionshöhe und dem Trend sowie für N_2O nach der Emissionshöhe.

Unter der Kategorie 1.A.1.a „Öffentliche Elektrizitäts- und Wärmeversorgung“ sind im ZSE die Fernheizwerke und die Strom- und Wärmeerzeugung der öffentlichen Kraftwerke zusammengefasst. Anlagen, die den aus Biomasse erzeugten Strom in das öffentliche Netz einspeisen werden ebenfalls der Kategorie 1.A.1.a zugeordnet.

In der öffentlichen Elektrizitätserzeugung war 2015- eine Netto-Engpassleistung von ca. 100 GW installiert. Davon wurden ca. 76 GW mit fossilen Energieträgern oder deren Umwandlungsprodukten betrieben. Alle fossil betriebenen Anlagen zusammen erzeugten ca. 301 TWh elektrische Arbeit (brutto). Das entspricht ca. 70 % der gesamten öffentlichen Stromerzeugung (ca. 434 TWh). Dabei entfiel allein auf die Brennstoffe Braun- und Steinkohle die Erzeugung von ca.267 TWh Strom.

Heizkraftwerke trugen im Jahr 2015 zur öffentlichen Versorgung mit einer Nettostromerzeugung von etwa 45 TWh und einer Nettowärmeerzeugung von 91 TWh bei. Ergänzt wird die Fernwärmeversorgung durch ungekoppelte Wärmeerzeugung aus Heizwerken, die meist im Spitzenlastbetrieb betrieben werden. (*Statistisches Bundesamt,* 2015a).

Die folgende Graphik zeigt eine Übersicht über die Entwicklung der CO_2-Emissionen in der Kategorie 1.A.1.a:

Abbildung 24: Entwicklung der CO_2-Emissionen der Kategorie 1.A.1.a

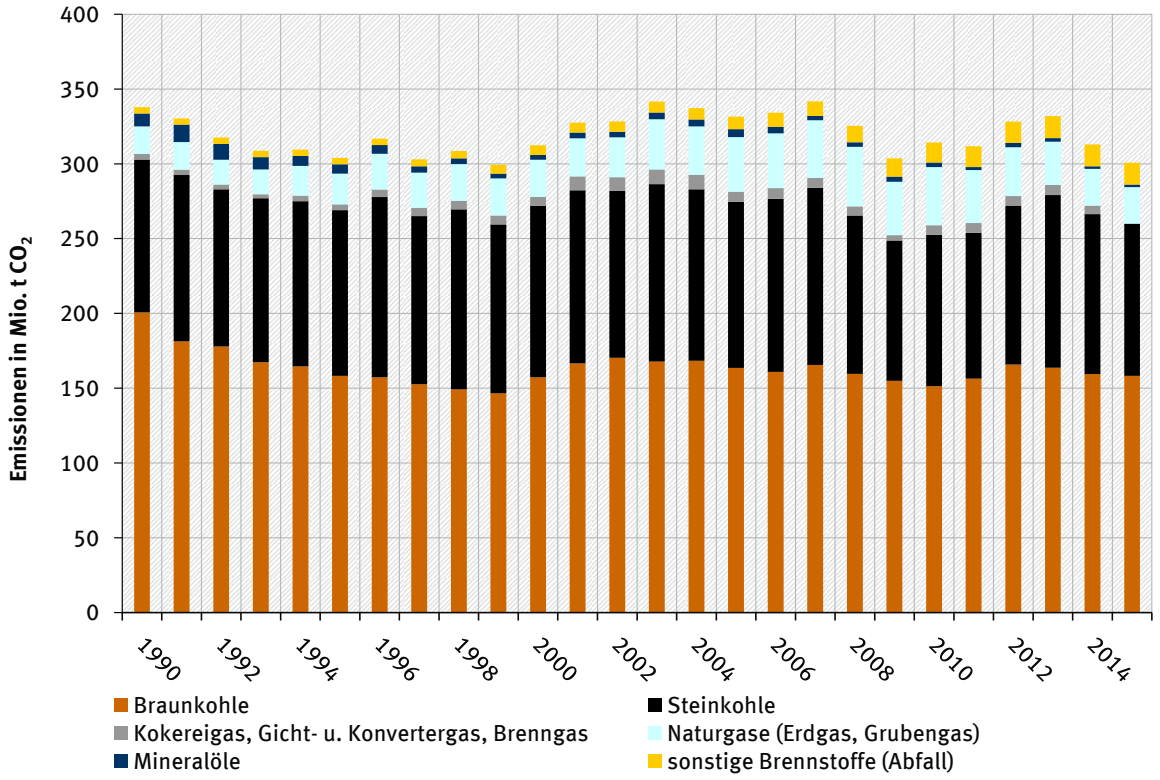

Insgesamt weisen die Emissionen bis 1999 einen fallenden Trend auf, was im Wesentlichen auf die Schließung vieler braunkohlebefeuerter Anlagen in den neuen Bundesländern zurückzuführen ist. Danach wurden einige Anlagen wieder ersetzt, so dass ab dem Jahr 2000 die neu installierte Leistung von Braunkohlenkraftwerken die der vom Netz genommenen überstieg, was wieder zu steigenden Emissionen führte. Auch im Jahr 2012 gingen noch einige neue Kraftwerksblöcke ans Netz, was zu einem erneuten Anstieg der Emissionen aus Braunkohle führte. Danach gingen die Emissionen aufgrund von Anlagenschließungen zurück. Über die gesamte Zeitreihe betrachtet bleiben die Emissionen aus Braunkohleverstromung deutlich unter dem Niveau von 1990.

Der Emissionstrend wird im Wesentlichen von der Entwicklung und der Struktur der Stromerzeugungsanlagen geprägt, da diese den Hauptteil der Emissionen ausmachen. Von 1990 bis zum Jahr 1993 sinkt der Stromverbrauch, bedingt durch den Zusammenbruch der Industrie in den neuen Bundesländern. Ab 1994 bis zum Jahr 2007 kommt es zu einer deutlichen Erhöhung des Stromverbrauches in allen Sektoren, was eine Erhöhung der Stromproduktion nach sich zieht. Dadurch steigen auch die Emissionen aus der Stromproduktion. Hinzu kommen steigende Stromexporte, die sich ab 2003 im Saldo bemerkbar machen. Der steigende Trend bis 2007 in dem, aufgrund niedriger Zertifikatspreise besonders viel Kohle zur Stromerzeugung eingesetzt wurde, wird 2008 zwischenzeitlich deutlich gesenkt, was auf einen erhöhten Einsatz von Kernkraft, Erdgas und erneuerbaren Energieträgern zurückzuführen ist. In 2009 zeigt sich deutlich auch in der öffentlichen Energieversorgung der Einfluss der Finanz- u. Wirtschaftskrise. Bereits im Jahr 2010 steigen die Emissionen aufgrund der wirtschaftlichen Erholung wieder an. Über die Zeitreihe betrachtet weisen die Steinkohlekraftwerke stärkere Schwankungen beim Brennstoffeinsatz auf, da sie im Gegensatz zur Braunkohle meist im Mittellastbereich gefahren werden und damit deutlicher auf Nachfrageschwankungen reagieren und zum anderen abhängig von Importpreisen sind. Außerdem kam es vor allem ab Mitte der 90er Jahre zu

Sektorverschiebungen von der Industrie (1.A.1.c und 1.A.2.g) zur öffentlichen Versorgung (1.A.1.a), da Betreiber vermehrt zur öffentlichen Versorgung meldeten. Im Jahr 2012 sorgt die Ummeldung eines weiteren größeren Unternehmens vom Steinkohlenbergbau (1.A.1.c) zur öffentlichen Versorgung (1.A.1.a) zu einer deutlichen Verschiebung von Emissionen zwischen den beiden Sektoren. Eine weitere Begründung für den Anstieg der Emissionen aus Steinkohlekraftwerken in der Quellgruppe 1.A.1.a sind die seit dem Jahr 2012 deutlich gefallenen Weltmarktpreise für Steinkohle. Der gleichzeitige Anstieg der Erdgaspreise führt letztlich zu einer Verschiebung des Brennstoffmixes zu Gunsten der Steinkohle. Die Mineralöle spielen für die deutsche Stromversorgung nur eine untergeordnete Rolle. Sie werden überwiegend zur Hilfs- und Stützfeuerung in Kohle- und Müllheizkraftwerken und zur Spitzenlasterzeugung eingesetzt. Seit 1990 hat sich der Einsatz mehr als halbiert. Im Jahr 2009 wurde wieder etwas mehr Mineralöl zur Spitzenlasterzeugung eingesetzt, da es im Krisenjahr deutlich preiswerter war als Erdgas. Seit dem sinken die Brennstoffeinsätze wieder und damit auch die Emissionen aus der Nutzung von Mineralöl.

Der Einsatz von Erdgas zur Stromerzeugung ist seit 1990 sehr deutlich angestiegen, was jedoch nicht in gleichem Maße zum Emissionsanstieg führte, da Erdgas deutlich niedrigere spezifische CO_2-Emissionen aufweist als Kohle. Der signifikante Anstieg des Erdgaseinsatzes ab 2005 ist insbesondere auf die Inbetriebnahme einer ganzen Reihe von großen GuD- und mittleren Gasturbinenkraftwerken zurückzuführen. Darüber hinaus wird Erdgas zunehmend als Regelenergie für die Stromerzeugung aus fluktuierenden erneuerbaren Energien genutzt. Seit dem Jahr 2010 sinkt der Erdgaseinsatz zur Stromerzeugung wieder. Bis zum Jahr 2015 fällt der Wert sogar deutlich unter das Niveau von 2005. Diese Entwicklung ist im Wesentlichen auf die hohen Erdgaspreise zurückzuführen.

Der Einsatz von Abfällen in Müllverbrennungsanlagen und zur Mitverbrennung nimmt aufgrund der Gesetzesänderungen seit 1990 ebenfalls zu. Die zusätzlichen Emissionen durch vermehrten Einsatz von Abfällen führen zur Vermeidung von Methanemissionen aus Deponien Die Nutzung von Gicht- und Konvertergas zur Stromproduktion ist abhängig vom Gasaufkommen der Stahlproduktion und unterliegt damit den wirtschaftlichen Schwankungen. Weiterhin können die Betreiber im Rahmen der statistischen Erhebungen wahlweise zur Industrie oder zur öffentlichen Versorgung melden. Insgesamt gibt es bei allen Brennstoffen immer wieder Wechsel in der Sektorzuordnung.

Aufgrund der wirtschaftlichen Erholung stieg im Jahr 2010 die Stromerzeugung aus fast allen fossilen Energieträgern z.T. sehr deutlich an, was zu einer Erhöhung der CO_2-Emissionen führte. Bis zum Jahr 2013 steigen die Emissionen weiter an. Das ist zum einen durch einen hohen Exportüberschuss zu erklären, der im Jahre 2015 mit über 50 TWh einen neuen Höchststand erreicht. Zum anderen durch den deutlich gesunkenen Anteil der Kernenergie am Strommix. Als weiterer Grund für die Steigerung der CO_2-Emissionen in den Jahren 2010, 2012 und 2013 sind die kalten Winter zu nennen. Der stetige Ausbau der erneuerbaren Energien wirkt sich insgesamt emissionsmindernd aus. Seit dem Jahr 2014 sinken die CO_2 Emissionen wieder. Die deutliche Emissionsminderung im Jahr 2015 ist im Wesentlichen auf die statistische Ummeldung der Gichtgaskraftwerke in die Stahlindustrie sowie auf die deutliche Effizienzerhöhung, aufgrund der Inbetriebnahme neuer Steinkohlekraftwerke zurückzuführen.

Der Trend für das Treibhausgas N_2O wird im Wesentlichen vom Kohleeinsatz bestimmt. Da für N_2O keine Minderungsmaßnahmen in Energieerzeugungsanlagen bekannt sind, ist der seit 1990 sinkende Trend auf den verringerten Kohleeinsatz zurückzuführen.

Für CH_4 ist dagegen seit 1990 ein steigender Trend zu beobachten. Hier macht sich vor allem der seit 2003 deutliche Anstieg des Biogaseinsatzes bemerkbar. Biogas wird vorwiegend in Verbrennungsmotoren eingesetzt, die sehr hohe spezifische Methanemissionen aufweisen.

3.2.6.2 Methodische Aspekte (1.A.1.a)

Aktivitätsraten

Die in der Energiebilanz verbuchten Energieeinsätze werden im Modell „Bilanz der Emissionsursachen“ mit Hilfe statistischer Daten nach verschiedenen Kriterien auf mehrere Zeitreihen aufgeteilt. Ziel der Berechnungen ist es, eine an die technischen Belange der Strom- und Wärmeerzeugung angepasste Datenbasis zu schaffen. Folglich können brennstoff- und technikspezifische Emissionsfaktoren auf die Aktivitätsraten angewendet werden.

Um den Einsatz von Erdgas und leichtem Heizöl in Gasturbinen, GuD-Anlagen, Dampfturbinen und Gasmotoren zur Strom- und Wärmeerzeugung berechnen zu können wurde 2014 im UBA ein Verfahren entwickelt, mit dessen Hilfe aus der UBA-Kraftwerksdatenbank bekannte Wirkungsgrade in die Berechnung einbezogen wurden. Damit kann über die aus der Energiestatistik verfügbare Stromerzeugung für die o.g. Anlagenarten ein Brennstoffeinsatz berechnet werden.

Ab dem Jahr 2012 weist die Energiebilanz Mini-KWK Anlagen als sogenannte Einspeiser in das öffentliche Netz aus. Folgerichtig werden die Emissionen aus der Erdgasverbrennung sowie der Verbrennung von leichtem Heizöl in diesen Anlagen, in der Quellgruppe 1.A.1.a berichtet. Die Brennstoffeinsätze aus der Wärmeerzeugung werden in der Quellgruppe 1.A.4 berichtet. Da die Anlagen unterhalb der statistischen Abschneidegrenze liegen, mussten hier zusätzliche Datenquellen genutzt werden. So wurden Absatzanalysen der Motorenhersteller durchgeführt und die so ermittelten Daten mit der Abrechnung nach dem KWK Gesetz geprüft. Da die Daten nur für die Jahre 2012, 2013 und 2014 vorliegen, kann es zu Auffälligkeiten beim IEF, insbesondere bei Methan, kommen.

Die Aktivitätsraten für die Neuen Bundesländer wurden für das Jahr 1990 bereits zur Berichterstattung 2006 im Rahmen des Forschungsprojektes (FKZ 205 41 115 / Teilvorhaben A „Überarbeitung und Dokumentation der Brennstoffeinsätze für stationäre Feuerungsanlagen in den neuen Bundesländern für das Jahr 1990“) überarbeitet und dokumentiert.

Im Fall der Strom- und Wärmerzeugung in Müllverbrennungsanlagen der öffentlichen Kraftwerke, sowie der Wärmeerzeugung in Müllverbrennungsanlagen der öffentlichen Fernheizwerke werden für die Bestimmung der Aktivitätsraten für Haus- und Siedlungsabfälle und Industriemüll sowohl Aktivitätsraten aus der Energiebilanz, als auch aus der Abfallstatistik (*STATISTISCHES BUNDESAMT*, FS 19 Reihe 1) verwendet.

Bisher enthielten sowohl die Energiestatistik als auch die Energiebilanz deutlich geringere Abfallmengen als die Abfallstatistik des Statistischen Bundesamtes (*STATISTISCHES BUNDESAMT*, FS 19 Reihe 1). In den letzten Jahren hat sich die Datenlage der Energiestatistik deutlich verbessert. Differenzierte Brennstoffangaben machen es möglich feste Biomasse (vornehmlich Alt- und Restholz), biogene Gase, Klärschlamm und Abwärme heraus zu rechnen. Industriemüll taucht als Brennstoffkategorie erstmalig seit dem Jahr 2008 in der Energiestatistik auf. Um alle Brennstoffeinsätze beim Abfall möglichst vollständig zu erfassen, kann dennoch nicht auf Zusatzdaten aus der Abfallstatistik verzichtet werden, um die Lücke zur Energiestatistik zu schließen.

Der fossile und biogene Anteil von Hausmüll/Siedlungsabfall wird seit dem NIR 2006 im Verhältnis 1:1 separat ausgewiesen. Beim Industriemüll variiert die fossile/biogene Zusammensetzung je nach Art der Anlage, so wird der biogene Anteil für den Einsatz zur Mitverbrennung in Braun- und Steinkohlekraftwerken und für den Einsatz zur Strom- und Wärmeversorgung in Ersatzbrennstoffkraftwerken der öffentlichen Versorger getrennt ausgewiesen.

Die bisherigen Annahmen zum biogenen Anteil von Klärschlamm wurden beibehalten.

Die Aktivitätsraten der anderen Brennstoffe werden direkt aus der Energiebilanz entnommen. Sofern statistische Anhaltspunkte oder Expertenschätzungen vorliegen werden die Brennstoffeinsätze zusätzlich in zwei Größenklassen (Verbrennungsanlagen kleiner und größer 50 MW) eingeteilt. Die Einteilungsgrenze geht auf gesetzliche Vorschriften zur Genehmigung von Feuerungsanlagen in der Bundesrepublik Deutschland zurück.

Seit dem NIR 2011 werden die CO_2-Emissionen aus der Gichtgasverbrennung in öffentlichen Kraftwerken in der Kategorie 1.A.1.a berichtet. Die folgende Tabelle gibt eine Übersicht über die entsprechenden Emissionen aus der Gichtgasnutzung über die gesamt Zeitreihe seit 1990.

Tabelle 21: CO_2-Emissionen aus der Gichtgasverbrennung in öffentlichen Kraftwerken

[Mio. t CO2)									
1990	**1991**	**1992**	**1993**	**1994**	**1995**	**1996**	**1997**	**1998**	**1999**
3,244	3,291	3,015	2,631	3,647	3,764	4,816	5,305	5,465	5,808
2000	**2001**	**2002**	**2003**	**2004**	**2005**	**2006**	**2007**	**2008**	**2009**
5,956	9,284	9,030	9,766	9,640	6,738	7,086	6,370	5,851	3,425
2010	**2011**	**2012**	**2013**	**2014**	**2015**				
6,276	6,258	6,080	6,465	5,532	0,013				

Emissionsfaktoren

Da CO_2 Emissionen von der Brennstoffqualität abhängen, werden die CO_2 Emissionsfaktoren Sektor übergreifend berechnet und genutzt. Eine detaillierte Beschreibung sowie eine Liste mit den verwendeten Faktoren ist im Anhang, Kapitel 18.7 verfügbar.

Datengrundlage für die verwendeten Emissionsfaktoren für alle anderen Treibhausgase und Vorläufersubstanzen ist der Bericht zum Forschungsvorhaben "Ermittlung und Evaluierung von Emissionsfaktoren für Feuerungsanlagen in Deutschland für die Jahre 1995, 2000 und 2010" (RENTZ et al, 2002). Die Werte für die Zwischenjahre 1996 - 1999 und 2001 - 2009 werden durch lineare Interpolation ermittelt. Das Vorhaben sowie die lineare Interpolation für die Zwischenjahre ist ebenfalls die Grundlage für die Emissionsfaktoren der Kapitel 3.2.7, 3.2.8 und 3.2.9, soweit dort Kraftwerke, Gasturbinen oder Kesselfeuerungen zur Bereitstellung von Dampf, Heiß- und Warmwasser mit enthalten sind. Das Forschungsvorhaben wurde ausgeführt vom Deutsch-Französischen Institut für Umweltforschung (DFIU) an der Universität Karlsruhe und Ende 2002 abgeschlossen. Ziel des Vorhabens war die Ermittlung und Evaluierung repräsentativer Emissionsfaktoren für die wesentlichen Luftschadstoffe aus genehmigungsbedürftigen Feuerungsanlagen in der Bundesrepublik Deutschland, gültig für die Jahre 1995, 2000 und 2010. Dies beinhaltet in erster Linie eine Analyse und Charakterisierung der Emittentenstruktur und der damit verknüpften Emissionsfaktoren für das Jahr 1995 und eine adäquate Fortschreibung dieser Daten für die Jahre 2000 und 2010. Systematisch werden auf diese Weise Emissionsfaktoren für die Stoffe SO_2, NO_X, CO, NMVOC, Staub und N_2O ermittelt. Dabei wird zwischen 12 Kohlenbrennstoffen, 4 flüssigen Brennstoffen, 7 gasförmigen Brennstoffen sowie Brennholz unterschieden. Darüber hinaus werden die verfügbaren Daten an Emissionsfaktoren

weiterer Stoffe zusammengestellt; dazu gehören PAH, PCDD/F, As und Cd für genehmigungsbedürftige Feuerungsanlagen sowie CH_4 für Gasturbinen und genehmigungsbedürftige Feuerungsanlagen, die unter die TA Luft fallen. Informationen zur Vorgehensweise des Forschungsvorhabens sind im Anhang 3 dargestellt (Kapitel 19.1.2)

Wir haben im Zuge eines größeren Forschungsvorhabens, das Ende 2008 gestartet ist und im Jahre 2011 abgeschlossen werden konnte (FICHTNER et al., 2011) die beschriebene Datengrundlage für Emissionsfaktoren (außer CO_2) aktualisiert. Bezugsjahr für die Vorschlagswerte ist das Jahr 2004; davon ausgehend werden Prognosewerte für Emissionsfaktoren für die Jahre 2010, 2015 und 2020 ermittelt. Auf der Grundlage der Forschungsergebnisse wurden, wie in den Berichten für 2012, 2013 und 2014 dargestellt, zahlreiche Emissionsfaktoren des ZSE aktualisiert. N_2O unterliegt in Deutschland nur in Ausnahmefällen der Überwachung; aus diesem Grunde liegen keine regelmäßigen Messdaten vor. Allerdings wurde das Emissionsverhalten bei Einsatz von Stein- und Braunkohlen, insbesondere bei Einsatz in Wirbelschichtfeuerungen und insbesondere in den 90er Jahren gezielt untersucht. Das Vorhaben FICHTNER et al (2011) hat die bisher verwendeten Werte überprüft und aktualisiert. Tabelle 22 zeigt die Ergebnisse für große Anlagen der öffentlichen Kraftwerke (Feuerungswärmeleistung 50 Megawatt oder mehr), die Tabelle 23 die Ergebnisse für kleinere Anlagen der Energiewirtschaft und der Industrie. Auf Grundlage dieser Werte wurden die kategoriespezifischen Emissionsfaktoren für das ZSE berechnet.

Tabelle 22: Technologische Emissionsfaktoren für Lachgas aus GFA

Brennstoff / Feuerungstechnologie	**N_2O-Emissionfaktor [kg/TJ]**
Öffentliche Kraftwerke:	
Steinkohle / Trockenfeuerung	1,0
Steinkohle / Schmelzkammerfeuerung	1,9
Braunkohle / Trockenfeuerung	3,5
Flüssigbrennstoff / Kesselfeuerungen	1,0
Erdgas / Kesselfeuerungen	0,5
Industriekraftwerke, Industriekessel und Fernheizwerke:	
Steinkohle / Trockenfeuerung	1,0
Steinkohle / Schmelzkammerfeuerung	2,0
Steinkohle / Wirbelschichtfeuerung	20
Steinkohle / Rostfeuerung	4,0
Braunkohle / Trockenfeuerung	3,4
Braunkohle / Wirbelschichtfeuerung	8,0
Braunkohle / Rostfeuerung	3,5
Flüssigbrennstoff / Kesselfeuerungen	1,0
Erdgas / Kesselfeuerungen	0,5
Gasturbinen und Gas-und Dampfturbinenanlagen:	
Erdgas	1,7
leichtes Heizöl	2,0

Müllverbrennungsanlagen	1,2

Tabelle 23: Technologische Emissionsfaktoren für Lachgas aus Anlagen < 50 MW FWL

Brennstoff / Feuerungstechnologie	**N_2O-Emissionfaktor [kg/TJ]**
Kesselfeuerungen bei Einsatz von:	
Steinkohle	10,0
Braunkohle	10,7
Biomasse	3,0
leichtem Heizöl	1,1
schwerem Heizöl	3,0
Erdgas	0,6
Gasturbinen und Gas-und Dampfturbinenanlagen:	
Erdgas	1,7
leichtes Heizöl	2,0

Tabelle 24: Methan-Emissionsfaktoren für Feuerungsanlagen ab 50 MW FWL und für Gasturbinen

Anlagenart	**Brennstoff**	**CH_4-E-Faktor [kg/TJ]**
Feuerungsanlagen ≥ 50 MW FWL	Steinkohle	1,0
	Braunkohle	0,63
	Heizöl, schwer	4,1
	Heizöl, leicht	3,3
	Erdgas	2,0
Gasturbinen (einschl. GuD)	Heizöl, leicht	8,0
	Erdgas	10,925
Verbrennungsmotoren	Erdgas	309,0
	Biogase	312,3
Müllverbrennung		1,8

In einem von IZT durchgeführten Forschungsvorhaben: „Aufbereitung von Daten der Emissionserklärungen gemäß 11.BImSchV“ konnten spezielle CH_4-Emissionsfaktoren für Gasmotoren ermittelt werden. Der Durchschnittswert für den Brennstoff Erdgas liegt mit 309 kg/TJ sehr deutlich über den bis dahin verwendeten Wert von 0,3 kg/TJ, der in etwa dem Wert für Dampfturbinenkraftwerken entspricht. Der hohe Methanschlupf, der durch ein Entweichen von unverbranntem Erdgas entsteht, konnte durch Daten aus der Emissionsüberwachung bestätigt werden. Die Messwerte können abhängig von der Art des Motors und dem Wartungszustand erheblich schwanken. Für Biogas, Klärgas und Deponiegas wird ein durchschnittlicher CH_4-Emissionsfaktor von 312,3 kg/TJ verwendet. Dieser Wert wurde in dem Projekt: „Emissionsanalyse und Quantifizierung von Stoffflüssen durch Biogasanlagen im Hinblick auf die ökologische Bewertung der landwirtschaftlichen Biogasgewinnung und Inventarisierung der deutschen Landwirtschaft“ des Deutschen Biomasse Forschungszentrums, ermittelt.

Die für die Abfallverbrennung verwendeten Emissionsfaktoren stammen größtenteils aus dem von ATZ durchgeführten Forschungsvorhaben „Überprüfung der Emissionsfaktoren für die Abfallverbrennung“. Die N_2O-Emissionsfaktoren stammen aus der Dänischen Studie „ Emissions from decentralized CHP plants 2007“. Da die Emissionsfaktoren der übrigen Schadstoffe mit denen der Deutschen Müllverbrennungsanlagen gut übereinstimmen, können auch die N_2O-Faktoren auf das Deutsche Inventar übertragen werden. Für die mit verbrannten Abfälle werden gewichtete Emissionsfaktoren berechnet, je nach Anteil der als Hauptbrennstoff eingesetzten einzelnen Kohlearten.

Informationen zu den prozessbedingten CO_2-Emissionen aus der Abgasreinigung (REA) von Großfeuerungsanlagen liefert der Anhang 3 im Kapitel 19.1.2.2.

3.2.6.3 Unsicherheiten und Zeitreihenkonsistenz (1.A.1.a)

Unsicherheiten für die Aktivitätsraten wurden erstmals für das Berichtsjahr 2004 bestimmt (Forschungsprojekt FKZ 204 41 132, UBA). Die Methode zur Bestimmung der Unsicherheiten ist im Anhang 2, Kapitel 13.6 des NIR 2007 beschrieben.

Weitere Aspekte zur Zeitreihenkonsistenz der Aktivitätsraten werden in Kapitel 18.4 und Kapitel 18.6 erläutert.

Die Angaben für die Unsicherheit des CO_2-Emissionsfaktors und deren statistische Verteilungsfunktion wurden vom Umweltbundesamt geschätzt. Die Zahlenwerte stützen sich auf die Spannweite der Kohlenstoffgehalte der einzelnen Brennstoffe.

Im Rahmen des in Kapitel 3.2.6.2 genannten Vorhaben RENTZ et al (2002) und FICHTNER et al (2011) wurde die Unsicherheit der ermittelten Emissionsfaktoren evaluiert.

3.2.6.3.1 Methodik zur Bestimmung der Unsicherheiten der Emissionsfaktoren

Die Unsicherheit von Emissionsdaten beruht auf mehreren Ursachen. Dies ist die *Genauigkeit*, beeinflusst durch zufällige und systematische Fehler im Rahmen einer Emissionsmessung sowie die Vollständigkeit der Datenbasis hinsichtlich fehlender Messungen. Hinzu kommt die *Variabilität* der Emissionen. Hier ist zu unterscheiden zwischen der Variabilität der Emission einer Anlage innerhalb des Betrachtungszeitraumes (*intra-plant variability*) und dem unterschiedlichen Emissionsverhalten der verschiedenen betrachteten Quellen (*inter-plant variability*).

Bei der Berechnung von Emissionen mit Hilfe von Emissionsfaktoren kommen weitere Quellen möglicher Unsicherheiten hinzu. Im Rahmen der IPCC-GPG (2000: Kapitel 6) werden jeweils an die Datenverfügbarkeit angepasste Methoden vorgeschlagen:

Beim Vorliegen *kontinuierlicher Messungen* sollten Unsicherheiten über die direkte Bestimmung statistischer Kennzahlen wie Standardabweichung und 95%-Vertrauensbereich charakterisiert werden.

Bei der Ermittlung *anlagenspezifischer Emissionsfaktoren* sollten vor Ort verfügbare Messwerte herangezogen werden. Hinzu kommt das Einbeziehen von Sonderbetriebszuständen (An- und Abfahrvorgänge) und Lastwechseln sowie eine Überprüfung der Repräsentativität verfügbarer Messdaten im Hinblick auf das Emissionsverhalten der Anlage.

Bei der Verwendung von *Emissionsfaktoren aus der Literatur* sollten alle dort gemachten Angaben zur Datenqualität genutzt werden. Weiterhin ist die Übertragbarkeit zu prüfen, inwieweit der Emissionsfaktor für die Situation im Untersuchungsgebiet repräsentativ ist. Ist dies nicht gegeben, sollte vielmehr eine Expertenschätzung vorgenommen werden.

Auf die Verwendung von *Expertenschätzungen* wird grundsätzlich verwiesen, wenn verfügbare empirische Daten für eine Quantifizierung nicht ausreichen. Eine beispielhafte Erläuterung wurde im Anhang 3 in Kapitel 14.1.2.2 im NIR 2007 gegeben.

3.2.6.3.2 Ergebnis für N_2O

Die Einzelbewertungen der Unsicherheiten der N_2O-Emissionsfaktoren sind in dem Abschlussbericht des Forschungsvorhabens (FICHTNER et al, 2011) dargestellt. Im Zuge einer durch den Forschungsnehmer vorgenommenen Monte-Carlo-Simulation wurden für die prozentuale Unsicherheit im CRF-Bereich 1.A.1.a (und ebenso in den Bereichen 1.A.1.b, 1.A.1.c und

1.A.2.gviii / all other) Unsicherheiten von bis zu +/- 50 % angegeben (Anmerkung: bei Angabe von +/- -Bereichen ist der Wert durch 2 zu teilen, vergleiche IPCC-GPG (2000: Kapitel 6, S. 6.14); dabei gehen wir wie bisher von einer uniformen Verteilung der Unsicherheiten aus.

3.2.6.3.3 Ergebnis für CH_4

Feuerungsanlagen unterliegen hinsichtlich der CH_4–Emissionen in Deutschland keiner Überwachung, aus diesem Grunde liegen keine systematischen Messdaten vor. Herangezogen wurden daher die in Deutschland und der Schweiz verfügbaren Einzelinformationen. Infolge dieser eingeschränkten Datenlage wurde im Forschungsvorhaben von einer systematischen Zuordnung zu den dort behandelten Quellgruppen (vergleiche Kapitel 3.2.6.2) abgesehen. Die im Forschungsvorhaben FICHTNER et al (2011) für einzelne Brennstoffe ermittelten und für die Berichterstattung verwendeten CH_4-Emissionsfaktoren für Feuerungs- und Gasturbinenanlagen einschließlich GuD sind im Anhang 19.1.2.2 zusammengestellt. Im Zuge einer durch den Forschungsnehmer vorgenommenen Expertenschätzung gemäß Tier 1 der IPCC-GPG (2000: Kapitel 6) wurde für die prozentuale Unsicherheit in der Quellgruppe 1.A.1.a (und ebenso in den Quellgruppen 1.A.1.b, 1.A.1.c und 1.A.2.gviii / all other) eine obere Grenze von +/- 50 % geschätzt; dabei gehen wir - ebenso wie bei N_2O - von einer uniformen Verteilung der Unsicherheiten aus.

3.2.6.3.4 Zeitreihenkonsistenz der Emissionsfaktoren

Die Emissionsfaktoren für N_2O wurden im Rahmen des Forschungsvorhabens (FICHTNER et al 2011) für den Zeitpunkt 2004 (Bezugsjahr) ermittelt. Das Forschungsvorhaben sieht keine Anhaltspunkte für zeitliche Änderungen für den einzelnen Emissionsfaktor. Frühere Annahmen, dass zumindest die Werte für Gasturbinen zeitvariabel sein können, haben sich nicht bestätigt. Aus diesem Grunde haben wir für jede Zeitreihe konstante Werte für den Zeitraum 1995 bis 2015 eingesetzt und diese Werte auch als Prognosewerte bis 2020 angenommen

Die Zeitreihen für N_2O zwischen 1995 und 2015 sind vor diesem Hintergrund insgesamt als konsistent zu bewerten. Die Zeitreihen der CH_4-Emissionsfaktoren für die Jahre 1995 bis 2015 wurden ebenfalls geprüft und als in sich konsistent bewertet.

Die Zeitreihen für N_2O zwischen 1995 und 2015 sind vor diesem Hintergrund insgesamt als konsistent zu bewerten. Die Zeitreihen der CH_4-Emissionsfaktoren für die Jahre 1995 bis 2015 wurden ebenfalls geprüft und als in sich konsistent bewertet.

Zum Zeitraum von 1990 bis 1994 haben wir im NIR 2009 berichtet.

Zur Sicherung der Zeitreihenkonsistenz wurden die für Verbrennungsmotoranlagen ermittelten CH_4-Emissionsfaktoren bis 1990 zurückgeschrieben. Es ist zwar davon auszugehen, dass der Methanschlupf Anfang der 90er Jahre noch deutlich höher lag, als bei modernen Motoranlagen, es liegen für diesen Zeitraum jedoch zu wenig Messwerte vor.

Da für die meisten biogenen Brennstoffe erst ab dem Jahr 2003 statistische Daten zum Brennstoffeinsatz vorliegen, kann für diese Brennstoffe keine konsistente Zeitreihe ab 1990 vorgelegt werden. Das hat ausschließlich Auswirkungen auf den Trend der CH_4-Emissionen, der ab dem Jahr 2003 steil ansteigt.

3.2.6.4 Kategoriespezifische Qualitätssicherung/-kontrolle und Verifizierung (1.A.1.a)

Eine allgemeine und kategoriespezifische Qualitätskontrolle und eine Qualitätssicherung durch die Fachseite und durch die Nationale Koordinierungsstelle wurden gemäß den Anforderungen des QSE-Handbuchs bzw. dessen mitgeltenden Unterlagen durchgeführt.

Zur Dokumentation ihrer Qualitätssicherungsmaßnahmen bei der Erstellung der Energiebilanzen legt die AGEB dem Umweltbundesamt entsprechende Qualitätsberichte der vor (siehe Kapitel 18.4.1). Seit dem Jahr 2012 führt die AGEB systematische Vergleiche zwischen der Schätzbilanz des Jahres x-1 (vorläufig) mit der Energiebilanz des Jahres x-2 (endgültig) durch, erstmals für das Berichtsjahr 2010 (siehe Kapitel 18.4.1).

Die Qualitätssicherung der amtlichen Statistik erfolgt über ein internes Qualitätssystem, dessen Qualitätsberichte innerhalb der Internetveröffentlichungen des *Statistischen Bundesamtes* einsehbar sind.

Zusätzlich zu diesen Maßnahmen findet eine Einbindung der AGEB in den jährlichen Überprüfungsprozess sowie ein regelmäßiger Erfahrungsaustausch mit der AGEB im Rahmen einer jährlichen Sitzung statt, zu der UBA alle an der Erstellung der Energiebilanz beteiligten Institute einlädt. Hier werden vor dem Hintergrund der Erfahrungen aus der Inventarerstellung und der Inventarüberprüfung methodische Fragen angesprochen und es erfolgt ein genereller Austausch, der dem besseren Verständnis der Datenerhebung sowie der Verifizierung der Daten dient.

Die generellen qualitätssichernden Maßnahmen zu den Emissionsfaktoren von Feuerungsanlagen im Rahmen der Forschungsvorhaben RENTZ et al (2002) und FICHTNER et al (2011) sind in der Methodikbeschreibung im Anhang 3, Kapitel 19.1.2.1 (hinter Abbildung 90) dargestellt. Ihre Ergebnisse wurden im NIR 2005 berichtet.

3.2.6.5 Kategoriespezifische Rückrechnungen (1.A.1.a)

Tabelle 25: Rückrechnungen CRF 1.A.1.a

Einheit [Gg]	NIR 2016	NIR 2017	Abweichung absolut					Abweichung relativ
Jahr	gesamt	gesamt	gas	liquid	other	solid	gesamt	gesamt
2008	325.981	326.380	0	0	399	0	399	0,12%
2009	304.506	304.634	0	0	128	0	128	0,04%
2010	315.089	315.223	0	0	135	0	135	0,04%
2011	312.694	312.819	0	0	125	0	125	0,04%
2012	329.126	329.248	0	0	122	0	122	0,04%
2013	333.037	332.922	13	0	-114	-14	-115	-0,03%
2014	313.285	313.949	399	-246	-215	726	664	0,21%

Aufgrund einer Fehlerkorrektur im Berechnungsmodell für die Abfallbrennstoffe kommt es zu Rückrechnungen in den Jahren 2008 – 2014. Im Jahr 2014 kam es wie gewohnt zu Rückrechnungen nachdem die vorläufigen Daten durch die endgültige Energiebilanz ersetzt wurden.

3.2.6.6 Geplante Verbesserungen, kategoriespezifisch (1.A.1.a)

Sofern in vorhergehenden Berichterstattungen in diesem Kapitel Verbesserungen benannt wurden, sind diese in Form einer Übersicht unter Kapitel 10.4 Verbesserungen des Inventars, Tabelle 426 zu finden. Sind diese bereits erledigt, sind sie im selben Kapitel in Tabelle 425 abgebildet.

3.2.7 Mineralölraffinerien (1.A.1.b)

3.2.7.1 Beschreibung der Kategorie (1.A.1.b)

KC	Category	Activity	EM of	1990 (kt CO_2-e.)	(fraction)	2015 (kt CO_2-e.)	(fraction)	Trend 1990-2015
L/T	**1.A.1.b Petroleum Refining**	**all fuels**	**CO_2**	**20.165,6**	**1,65%**	**18.154,0**	**2,05%**	**-10,0%**
-/-	1.A.1.b Petroleum Refining	all fuels	N_2O	100,4	0,01%	55,8	0,01%	-44,4%
-/-	1.A.1.b Petroleum Refining	all fuels	CH_4	16,1	0,00%	13,7	0,00%	-14,7%

Gas	Angewandte Methode	Quelle der Aktivitätsdaten	genutzte Emissionsfaktoren
CO_2	CS	NS	CS
CH_4	Tier 2	NS	CS
N_2O	Tier 2	NS	CS
NO_X, CO, NMVOC, SO_2	CS	NS	CS

Die Kategorie der *Mineralölraffinerien* ist für CO_2-Emissionen eine Hauptkategorie nach der Emissionshöhe und dem Trend.

Die oben angegebenen Werte gelten für Raffineriekraftwerke (Teil der Kategorie 1.A.1.b).

Die Rohöldestillationskapazität der deutschen Mineralölraffinerien betrug im Jahr 2015 rund 105 Mt. In diesem Zeitraum wurden 93,3 Mt Rohöl und 11,2 Mt Zwischenprodukte zur Weiterverarbeitung eingesetzt. Die Erzeugung an Mineralölprodukten betrug insgesamt 102 Mt, davon entfielen ca.52 Mt auf Kraftstoffe, ca.21,4 Mt auf Heizöle, ca. 8 Mt auf Naphtha und ca. 20,8 Mt auf andere Produkte. (MWV, 2016, Tab PRE1.1, Tab 4, Tab 5j).

In der Mineralölverarbeitung werden Kraftwerke mit einer elektrischen Leistung von etwa 1,1 GW betrieben. Diese Kraftwerke erzeugten im Jahr 2014 6,2 TWh Strom. (*Statistisches Bundesamt,* 2015c).

Der Kategorie 1.A.1.b Raffinerien sind im ZSE die Raffinerie-Unterfeuerungen sowie die Strom- und Wärmeerzeugung der Raffineriekraftwerke zugeordnet.

Die folgende Abbildung gibt einen Überblick über den Emissionsverlauf der Kategorie 1.A.1.b:

Abbildung 25: Entwicklung der CO_2-Emissionen der Kategorie 1.A.1.b

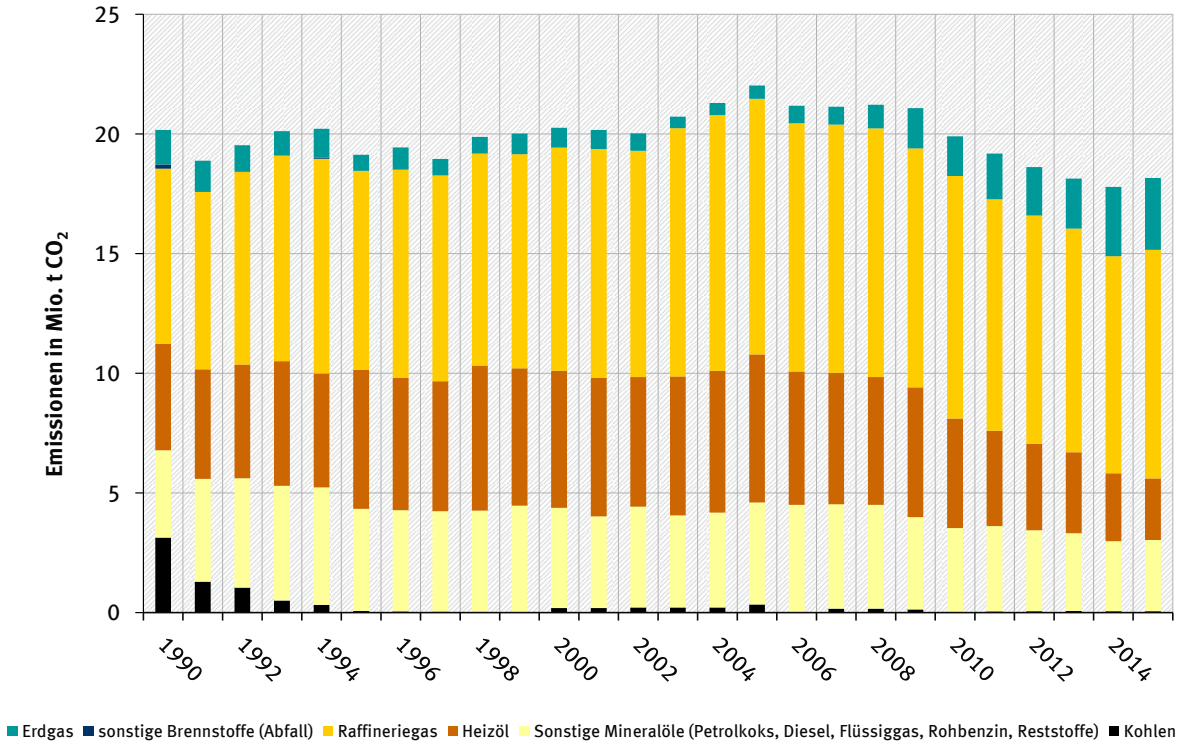

In den frühen 1990er Jahren wurden in den neuen Bundesländern noch Rohbraunkohlen eingesetzt, jetzt wird unter den festen Brennstoffen nur noch ein kleine Menge Kokereigas berichtet. Insgesamt zeigen die Emissionen bis zum Jahr 2005 einen leicht steigenden Trend, danach sinken sie wieder. Seit 1990 kam es in diesem Sektor zwar zu Anlagenschließungen, wenn auch in deutlich geringerem Umfang wie im Stein- u. Braunkohlenbergbau, dennoch wurde die Produktion erhöht. Die Anlageneffizienz wurde verbessert - allerdings führten im Gegenzug die vermehrte Produktion leichterer Mineralölprodukte sowie die verstärkte Tiefenentschwefelung zunächst zu einer Erhöhung der spezifischen Brennstoffverbräuche. Die Emissionsschwankungen über die Jahre lassen sich durch die unterschiedlichen Produktionsmengen erklären. Das bisherige Produktionsmaximum an Mineralölprodukten lag in 2005 bei insgesamt 123,6 Mio. t, was zu entsprechend hohen Emissionen führte. Danach sank die Produktion, bis auf 103,3 Mio. t Mineralölprodukte in 2011, einhergehend mit sinkenden Emissionen. Die Marktlage der Mineralölraffinerien ist noch immer schwierig, aufgrund von Überkapazitäten, vor allem in Europa. Eine deutsche Raffinerie stellte 2010 ihren Betrieb ein, so dass die Auslastung der anderen deutschen Raffinerien etwas gesteigert werden konnte. Im Jahr 2012 kam es trotz einer leichten Steigerung der Produktionsmenge auf 104,4 Mio. t zu einer Verringerung der Emissionen. Diese Entwicklung ist auf den erhöhten Einsatz vom emissionsärmeren Erdgas sowie einer Erhöhung der Anlageneffizienz zurückzuführen. Dieser Trend wird auch 2015 fortgesetzt. Nach einer Produktionssenkung in den Jahren 2013 und 2014, erhöhte sich 2015 die Bruttoraffinerieerzeugung um 2,2 % auf 102,6 Mio. t an. (Bafa 2015 Tab.5j) Dementsprechend stiegen auch die CO_2 Emissionen im aktuellen Jahr an.

3.2.7.2 Methodische Aspekte (1.A.1.b)

Aktivitätsraten

Die gesamten Daten zur Erzeugung von Mineralölprodukten in der Energiebilanz stammen aus der Amtlichen Mineralölstatistik. Die Mineralölstatistik gibt ein umfassendes Bild über Mineralölimporte, dem Umwandlungseinsatz in den Raffinerien, sowie der Produktion und dem Eigenverbrauch der Raffinerien. Zur Sicherung der Konsistenz folgt die Berichterstattung der Struktur der Mineralölstatistik sowie den entsprechenden Definitionen. In der Energiestatistik melden unter dem Wirtschaftszweig 19.2 Mineralölverarbeitung weitere Unternehmen, die z.B. Kohlen verarbeiten aber auch Altöl- oder Schmierstoffraffinerien. Diese Anlagen werden in der Kategorie 1.A.1.c berichtet. Folgerichtig wird in der Kategorie 1.A.1.b nur die Rohölverarbeitung berichtet.

Für die Berichterstattung der Emissionen aus Rohölraffinerien werden die Anlagen in Raffineriekraftwerke und Unterfeuerungen unterteilt. Die Aktivitätsraten zur Raffinerie-Unterfeuerung bestimmen sich als Differenzbetrag beim Abzug des Brennstoffeinsatzes in Raffineriekraftwerken, (aus der Energiestatistik), zum Eigenverbrauch der Raffinerien, (aus der Amtlichen Mineralölstatistik). Diese Unterscheidung ist für die Berechnung der Treibhausgasemissionen irrelevant. Für die Berechnung der Vorläufersubstanzen sowie weiterer Luftschadstoffe, ist diese Unterscheidung aber wichtig, da die Anlagen ein unterschiedliches Emissionsverhalten aufweisen.

Der in der Amtlichen Mineralölstatistik ausgewiesene Eigenverbrauch an Petrolkoks repräsentiert den Katalysatorabbrand der Anlagen. Da nicht bekannt ist auf welcher Grundlage die Betreiber den Petrolkokseinsatz berechnen, ist es nicht möglich einen passenden CO_2 Emissionsfaktor zu ermitteln. Für die Jahre 2005 bis 2014 konnte aus den vom Emissionshandel vorliegenden Gesamtemissionen aus dem Katalysatorabbrand und dem Eigenverbrauch an Petrolkoks Emissionsfaktoren ermittelt werden. Damit können die Emissionen aus dem Katalysatorabbrand für die aktuellen Jahre exakt und in Übereinstimmung mit dem Emissionshandel erfasst werden. Um entsprechende Faktoren rückwirkend bis 1990 bilden zu können, wurde zunächst ein spezifischer Faktor gebildet, der sich auf die Kapazität der Konversionsanlagen bezieht. Dieses Vorgehen hat sich nach verschiedenen Prüfungen als die realitätsnaheste Methode herausgestellt, da In- und Output der Reformer und FCC-Anlagen statistisch nicht erfasst werden. Als Ergebnis liegen die Emissionen aus dem Katalysatorabbrand im Jahr 1990 deutlich unter den Emissionen im aktuellen Jahr. Das erscheint plausibel, da die Weiterverarbeitung von schweren Mineralölprodukten seit 1990 deutlich zugenommen hat.

Da für die Jahre 1990 – 1993 für die Neuen Bundesländer kein Eigenverbrauch an Petrolkoks ausgewiesen wird, mussten diese Werte über den aus den Emissionshandelsdaten ermittelten Emissionsfaktor berechnet werden.

Da in den Mineralölraffinerien Emissionen fast ausschließlich aus Verbrennungsprozessen entstehen, werden diese in der Kategorie 1.A.1.b berichtet. Nur die diffusen Emissionen aus der Herstellung von Kalzinat sowie die Fackelemissionen werden in der Kategorie 1.B.2.a.iv berichtet.

Emissionsfaktoren

Eine Beschreibung sowie eine Liste der verwendeten CO_2 Emissionsfaktoren ist im Anhang, Kapitel 18.7 verfügbar.

Die Emissionsfaktoren für N_2O, CH_4 sowie die Vorläufersubstanzen für Raffineriekraftwerke sind den Forschungsvorhaben RENTZ et al (2002) und FICHTNER et al (2011) entnommen. Eine ausführliche Beschreibung der Vorgehensweise ist dem Kapitel 3.2.6.2 in Verbindung mit dem Kapitel 19.1.2.1 im Anhang 3 zu entnehmen. Für die Prozesswärme bereitstellenden Unterfeuerungen liefert das zitierte Vorhaben keine Emissionsfaktoren. Ersatzweise werden

daher für Unterfeuerungen dieselben Werte für N_2O und CH_4 gewählt, die auch für Raffineriekraftwerke angesetzt werden.

3.2.7.3 Unsicherheiten und Zeitreihenkonsistenz (1.A.1.b)

Erstmals wurden im Berichtsjahr 2004 für die Aktivitätsraten Unsicherheiten bestimmt (Forschungsvorhaben 204 41 132, UBA). Die Methode zur Bestimmung der Unsicherheiten ist im Anhang 2, Kapitel „Unsicherheiten der Aktivitätsraten stationärer Feuerungsanlagen“ (Kapitel 13.6 des NIR 2007) beschrieben.

3.2.7.3.1 Ergebnis für N_2O

Die Ergebnisse des Kapitels 3.2.6.3.2 gelten entsprechend.

3.2.7.3.2 Ergebnis für CH_4

Die Ergebnisse des Kapitels 3.2.6.3 gelten entsprechend.

3.2.7.3.3 Zeitreihenkonsistenz der Emissionsfaktoren

Die Ergebnisse des Kapitels 3.2.6.3.4 gelten entsprechend.

3.2.7.4 Kategoriespezifische Qualitätssicherung/-kontrolle und Verifizierung (1.A.1.b)

Eine allgemeine und kategoriespezifische Qualitätskontrolle und eine Qualitätssicherung durch die Fachseite und durch die Nationale Koordinierungsstelle wurden gemäß den Anforderungen des QSE-Handbuchs bzw. dessen mitgeltenden Unterlagen durchgeführt.

Bezüglich der Raffinerien wurden Vergleiche mit Daten aus dem Britischen Inventar durchgeführt. Die Raffineriekapazität beider Länder liegt in einer ähnlichen Größenordnung. Zur besseren Vergleichbarkeit wurden zahlreiche Indikatoren gebildet, die nicht nur den emissionsrelevanten Eigenverbrauch, sondern auch den Umwandlungseinsatz und die Produktionsdaten abbildeten. Der Vergleich der Indikatoren zeigt eine sehr gute Übereinstimmung.

Zur Überprüfung der Datenqualität wird außerdem eine Kohlenstoffbilanz erstellt, die über die Jahre nur sehr geringe statistische Differenzen aufweist.

Weitere Informationen zur Qualitätssicherung siehe CRF 1.A.1.a (Kapitel 3.2.6.4).

Bezüglich der Emissionsfaktoren gelten die Ergebnisse des Kapitels 3.2.6.3 entsprechend.

3.2.7.5 Kategoriespezifische Rückrechnungen (1.A.1.b)

Tabelle 26: Rückrechnungen CRF 1.A.1.b

Einheit [Gg]	NIR 2016	NIR 2017	Abweichung absolut				Abweichung relativ
Jahr	gesamt	gesamt	gas	liquid	solid	gesamt	gesamt
2013	18.283	18.135	1	-149	0	-148	-0,81%
2014	17.635	17.787	614	-454	-7	152	0,86%

Die Anpassung des Emissionsfaktors für Raffineriegas an den aktuellen Heizwert führte zu Rückrechnungen der flüssigen Brennstoffe in den Jahren 2013 und 2014.Nach dem Vorliegen der finalen Energiebilanz für 2014 wurden die vorläufigen Werte ersetzt. Das führte zu Rückrechnungen bei allen Brennstoffen.

3.2.7.6 Geplante Verbesserungen, kategoriespezifisch (1.A.1.b)

Sofern in vorhergehenden Berichterstattungen in diesem Kapitel Verbesserungen benannt wurden, sind diese in Form einer Übersicht unter Kapitel 10.4 Verbesserungen des Inventars,

Tabelle 426 zu finden. Sind diese bereits erledigt, sind sie im selben Kapitel in Tabelle 425 abgebildet.

3.2.8 Herstellung von festen Brennstoffen und sonstige Energieerzeuger (1.A.1.c)

3.2.8.1 Beschreibung der Kategorie (1.A.1.c)

KC	Category	Activity	EM of	1990 (kt CO_2-e.)	(fraction)	2015 (kt CO_2-e.)	(fraction)	Trend 1990-2015
L/T	**1.A.1.c Manufacture of Solid Fuels and Other Energy Industries**	**all fuels**	**CO_2**	**65.289,1**	**5,34%**	**10.157,9**	**1,14%**	**-84,4%**
-/-	1.A.1.c Manufacture of Solid Fuels and Other Energy Industries	all fuels	N_2O	659,2	0,05%	154,2	0,02%	-76,6%
-/-	1.A.1.c Manufacture of Solid Fuels and Other Energy Industries	all fuels	CH_4	92,0	0,01%	171,9	0,02%	86,8%

Gas	Angewandte Methode	Quelle der Aktivitätsdaten	genutzte Emissionsfaktoren
CO_2	CS	NS	CS
CH_4	Tier 2	NS	CS
N_2O	Tier 2	NS	CS
NO_x, CO, NMVOC, SO_2	CS	NS	CS

Die Kategorie der *Herstellung von festen Brennstoffen und der sonstigen Energieerzeuger* ist für CO_2-Emissionen eine Hauptkategorie nach der Emissionshöhe und dem Trend.

Die obigen Angaben beziehen sich auf die Kraftwerke und die sonstigen Kesselfeuerungen zur Dampf-, Heiß- und Warmwasserbereitstellung in der Kategorie 1.A.1.c.

Der Kategorie 1.A.1.c werden der Steinkohlen- und Braunkohlenbergbau sowie die Kokereien und Brikettfabriken zugerechnet, außerdem die Gewinnung von Rohöl und Erdgas. Für den deutschen Steinkohlenbergbau ergab sich in 2014 eine verwertbare Förderung von 6,2 Mio. t Steinkohle (7,6 Mio. t in 2014) [27]. Die Kokserzeugung betrug im Jahr 2014 8,8 Miot (2014 8,77 Mio. t)[28]. Die Herstellung von Steinkohlenbriketts wurde Anfang 2008 eingestellt.

Im Jahr 2015 wurden in Deutschland 178,1 Mio. t Rohbraunkohle gefördert (2014 178,2 Mio. t)[29]. Die Herstellung von Braunkohlenbriketts und anderen Braunkohlenprodukten (Braunkohlenwirbelschicht und – trockenkohlen sowie Braunkohlenkoks) betrug. 6,66 Mio.t (2014 6,71 Mio. t)(ebd.). Der Dampf zur Trocknung der Rohbraunkohle für die Herstellung von Braunkohlenveredelungsprodukten wird aus Braunkohlenkraftwerken mit Prozessdampfauskopplung (KWK-Anlagen) bereitgestellt. Aus diesen Anlagen wird Dampf zur Trocknung der Rohbraunkohle für die Herstellung der Braunkohlenprodukte ausgekoppelt.

Die deutsche Förderung von Erdöl betrug im Jahr 2015 2,4 Mio. t (2014 2,4 Mio. t)[30] und die Erdgasförderung erreichte 2015 ca.98 Mrd. kWh Hs) (AGEB, 2016) Der für den Betrieb der Anlagen erforderliche Brennstoffeinsatz für den Eigenbedarf wird in der Kategorie 1.A.1.c berichtet.

Unter die Kategorie 1.A.1.c Produktion fester Brennstoffe und anderer Energien fallen im ZSE die Strom- und Wärmeerzeugung in Dampfturbinenkraftwerken, getrennt nach Steinkohlenbergbau und Braunkohlenbergbau (Grubenkraftwerke), die Strom- und Wärmeerzeugung in Gasturbinen, Gasmotoren und Dieselmotoren der Zechen- und Grubenkraftwerke zusammen, die übrige

[27] Statistik der Kohlewirtschaft 2014 siehe http://www.gvst.de/site/steinkohle/kennzahlen20145.htm vom 13.9.2016

[28] Verein deutscher Kokerei-Fachleute VdKF – siehe http://web.vdkf-ev.de/site/index.php/produktionskennzahlen/ vom 13.09.2016

[29] siehe DEBRIV - http://www.braunkohle.de/122-0-Kohlenfoerderung.html

[30] siehe MWV, 2016 - http://www.mwv.de/index.php/daten/statistikeninfoportal

Wärmeerzeugung in Industriekesseln des Umwandlungsbereichs (ohne Raffinerien) sowie die Herstellung von Steinkohlenkoks und der Betrieb von Dieselmotoren zu Antriebszwecken in Zechen- und Grubenkraftwerken. Sie werden getrennt nach Großfeuerungsanlagen und TA Luftanlagen berichtet.

Die folgende Abbildung zeigt eine Übersicht über die Emissionsentwicklung der Kategorie 1.A.1.c:

Abbildung 26: Entwicklung der CO_2-Emissionen der Kategorie 1.A.1.c (in Mio. t)

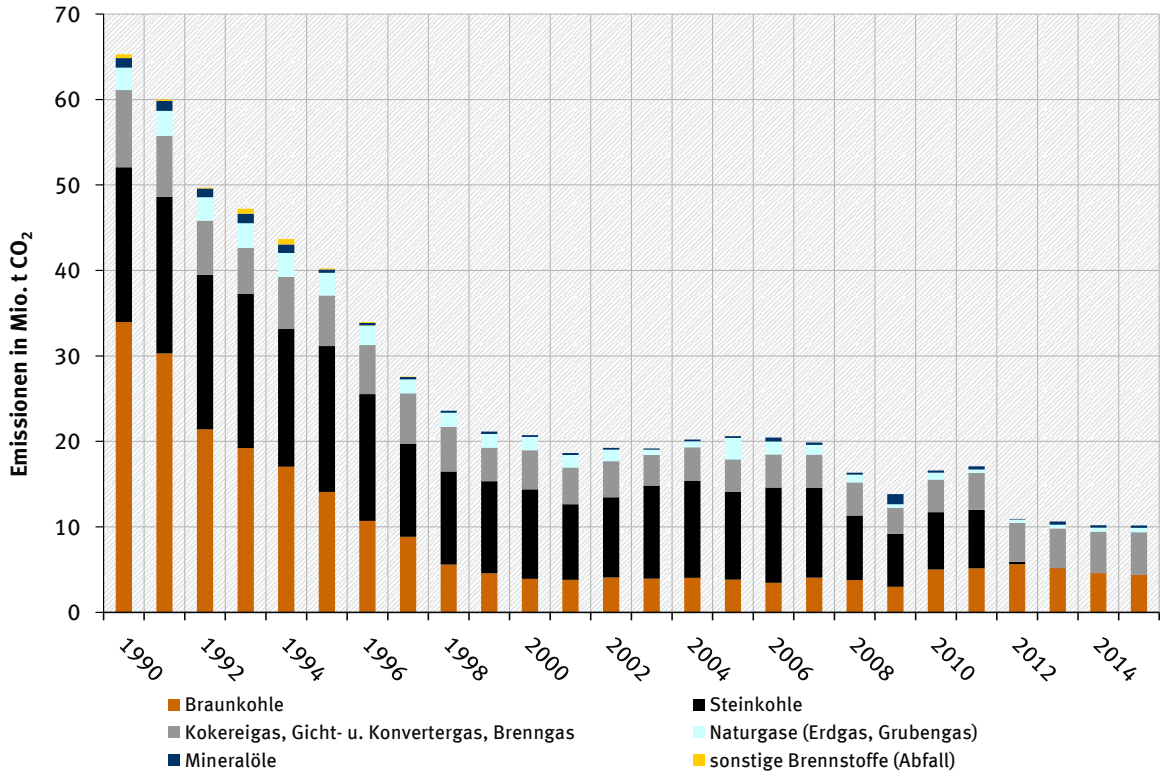

Die Abbildung zeigt sehr deutlich wie stark die Emissionen in dieser Kategorie seit 1990 zurückgegangen sind. Den stärksten Emissionsrückgang verzeichnet die Braunkohle, die in den Neuen Bundesländern Anfang der 1990er Jahre stark rückläufig war. Die DDR-Wirtschaft basierte im Wesentlichen auf Braunkohle. Aus der Rohbraunkohle wurden verschiedene Veredlungsprodukte für die Industrie, Haushalte kleinere Gewerbebetriebe hergestellt. Bis Ende der 90er Jahre erfolgte eine umfangreiche Umstellung von Braunkohlen auf andere Energieträger. In einer deutlich reduzierten Anzahl an Industrieanlagen und Gewerbebetrieben wurde nun vermehrt Steinkohle, Mineralöl und Erdgas eingesetzt, während in den Haushalten die Kohleöfen durch modernere heizöl- und erdgasbefeuerte Heizungsanlagen ersetzt wurden. Dadurch sank die Brikett- und Staubproduktion in den Neuen Bundesländern von fast 39 Mio. t in 1990 auf ca. 2,6 Mio. t im Jahr 1997. Die Schließung der meisten Anlagen der Braunkohlenverarbeitung in diesem Zeitraum führte zu einer sehr starken Emissionsreduktion. Ab 1998 erfolgte die Bereitstellung der Trocknungsenergie für die Braunkohlenprodukte in den neuen Bundesländern ausschließlich durch Prozessdampf aus öffentlichen Kraftwerken. In den alten Bundesländern führten eine Verbesserung der Anlageneffizienz und ebenfalls eine Verringerung der Produktion bis zum Jahr 2003 zu sinkenden Emissionen. Danach traten aufgrund von Produktionserhöhungen auch wieder leichte Anstiege auf.

Die Emissionen aus der Steinkohlennutzung im Sektor 1.A.1.c sinken seit dem Jahr 1990 deutlich. Das hat zum einen mit einer starken Reduktion der Steinkohlenförderung zu tun, die 1990 noch

über 70 Mio. t betrug und im Jahr 2015 rund 6 Mio. t erreicht. Zum anderen haben sich über die Jahre einige Anlagen vom Steinkohlenbergbau in die öffentliche Versorgung umgemeldet, was zu einer Verschiebung der Emissionen führte. Auch die bis 2011 in der Kategorie 1.A.1.c verbliebenen Kraftwerke speisten Strom in das öffentliche Netz ein.

Ab dem Jahr 2010 kam es aufgrund der konjunkturellen Erholung und der damit einhergehenden erhöhten Stromnachfrage, zu einer Erhöhung der Brennstoffeinsätze von Braun- und Steinkohlekraftwerken, die der Kategorie 1.A.1.c zugeordnet werden. Eine weitere Erklärung für den gestiegenen Braunkohleverbrauch ist die Ummeldung einiger Kraftwerke aus der öffentlichen Versorgung in den Braunkohlenbergbau. Das führte insgesamt zu höheren Emissionen.

Der Einsatz von Industriegasen (Kokereigas, Gicht- und Konvertergas) zeigt bis Ende der 90er Jahre ebenfalls einen abnehmenden Trend. Die Ursache liegt vor allem in der Einstellung der Stadtgaserzeugung bis 1996 und der damit verbundenen Schließung der Ortsgaswerke. Die Koksproduktion ging ebenfalls deutlich zurück. Während 1990 noch 19 Mio. t Steinkohlenkoks produziert wurden, war es 2008 nur noch knapp die Hälfte. Im Jahr 2009 aufgrund der geringen Stahlproduktion 6,7 Mio. t. Durch die verbesserte Wirtschaftslage erhöhte sich die Steinkohlenkoksproduktion in den Jahren ab 2010 wieder auf etwa 8 Mio. t. Auf diesem Niveau blieb die Produktion bis zum Jahr 2013. Aufgrund der Erweiterung einer Kokerei Anlage im Jahr 2014 stieg die Koksproduktion wieder leicht an, bis zum Jahr 2015 auf 8,8 Mio. t. Damit stiegen auch die Emissionen aus der Verbrennung von Gicht- und Kokereigas an. Während es 1990 noch 8 Zechenkokereien gab, gehören die derzeit noch betrieben 5 Kokereien alle zur Stahlindustrie („Hüttenkokereien“).. Insgesamt führten Anlagenschließungen und Ertüchtigungen zu einer deutlichen Emissionsminderung in diesem Sektor.

Im Jahr 2012 führte die erneute Ummeldung einiger bedeutender Anlagen des Steinkohlenbergbaus in den öffentlichen Sektor zu einer sehr deutlichen Reduzierung der Emissionen in der Kategorie 1.A.1.c. Dieser statistische Effekt führte allerdings zu einer Erhöhung der Emissionen aus der Steinkohlenutzung im Sektor 1.A.1.a. Insgesamt kam es im Jahr 2012 sektorübergreifend zu einer Erhöhung der Emissionen aus der Steinkohleverstromung.

Der leichte Emissionsrückgang im Jahr 2013 ist im Wesentlichen auf die Schließung eines Grubenkraftwerkes im Mitteldeutschen Braunkohlenrevier sowie auf einen verringerten Brennstoffeinsatz in Rheinischen Grubenkraftwerken zurückzuführen. Der Emissionsrückgang fiel deutlich moderater aus, da zeitgleich der Erdgaseinsatz der „sonstigen Energieerzeuger“ anstieg. In den Jahren 2014 und 2015 blieben die Emissionen stabil.

3.2.8.2 Methodische Aspekte (1.A.1.c)

Die Auswahl der Berechnungsmethode ist auf Basis der aktuellen Hauptkategorienanalyse erfolgt.

Der Brennstoffeinsatz zur Stromerzeugung in Kraftwerken des Steinkohlen- bzw. des Braunkohlenbergbaus ist in der Energiebilanzzeile 12 „Industriewärmekraftwerke“ enthalten. Der Brennstoffeinsatz zur Wärmeerzeugung im Umwandlungsbereich ist den Energiebilanzzeilen 33-39 bzw. der Summenzeile 40 („Energieverbrauch im Umwandlungsbereich insgesamt“) zu entnehmen.

Mit Hilfe von Angaben des Statistischen Bundesamtes (*STATISTISCHES BUNDESAMT*, 2015c) wird der Brennstoffeinsatz zur Stromerzeugung in Kraftwerken des Steinkohlenbergbaus ermittelt. Die Aktivitätsraten zur Wärmeerzeugung in Kraftwerken des Steinkohlenbergbaus entsprechen der Energiebilanzzeile 34 „Energieeinsatz in Steinkohlenzechen- und -brikettfabriken“.

Der ausgewiesene Brennstoffeinsatz zur Stromerzeugung in Grubenkraftwerken beruht auf Verbandsangaben (persönliche Mitteilung des DEBRIV – Bundesverband Braunkohle). Der Einsatz zur Wärmeerzeugung, insbesondere zur Braunkohlentrocknung zur Herstellung von Braukohlenprodukten ist nicht in der Energiebilanz enthalten. Dieser wird aus den Produktionszahlen der Braunkohlenprodukte (STATISTIK DER KOHLENWIRTSCHAFT o.J.) und den für die Trocknung notwendigen spezifischen Brennstoffeinsatz (persönliche Mitteilung DEBRIV – Bundesverband Braunkohle, Februar - 2016) berechnet und als „Nicht- Energiebilanz" – Einsatz im ZSE verbucht und berichtet. Die Daten werden jährlich abgefragt und aktualisiert.

Die für die Herstellung von Steinkohlenkoks eingesetzten Brennstoffmengen werden direkt aus der Energiebilanz, EBZ 33 (Kokereien) genommen. Darin wird der Eigenverbrauch der Kokereien verbucht. Die Brennstoffnutzung in den Unterfeuerungen ist die größte Emissionsquelle der Kokereien. Bevor der Koks gelöscht wird, entstehen aber auch diffuse Emissionen, die in der Kategorie 1.B.1.b berichtet werden.

Der Brennstoffeinsatz zur Wärmeerzeugung im Übrigen Umwandlungsbereich setzt sich aus den Energieverbräuchen der Energiebilanzzeilen 33 bis 39 (Energieverbrauch im Umwandlungsbereich insgesamt) zusammen. Dazu zählt der Grubenselbstverbrauch, Anlagen zur Erdöl- und Erdgasgewinnung sowie der Altölaufbereitung, Kohlenwertstoffbetriebe, Anlagen zur Herstellung und Verarbeitung von Spalt- und Brutstoffen und der Eigenverbrauch von Kläranlagen.

Seit der Berichterstattung 2011 werden die CO_2-Emissionen aus der Gichtgasverbrennung in Kokereien in der Kategorie 1.A.1.c berichtet. Die folgende Tabelle gibt eine Übersicht der CO_2-Emissionen aus der Gichtgasnutzung in Kokereien über die gesamte Zeitreihe ab 1990.

Tabelle 27: CO_2-Emissionen aus der Gichtgasverbrennung in Kokereien

[Mio. t CO2)									
1990	**1991**	**1992**	**1993**	**1994**	**1995**	**1996**	**1997**	**1998**	**1999**
5,340	5,251	4,590	4,083	5,066	4,924	4,707	4,969	4,362	3,145
2000	**2001**	**2002**	**2003**	**2004**	**2005**	**2006**	**2007**	**2008**	**2009**
3,652	3,741	3,684	3,029	3,356	3,247	3,281	3,226	3,226	2,500
2010	**2011**	**2012**	**2013**	**2014**	**2015**				
3,245	3,895	4,289	4,341	4,554	4,702				

Die Überarbeitung der Daten für 1990 und die Folgejahre 1991-1994 für die Neuen Bundesländer ist in Anhang 19.1.1 beschrieben.

Emissionsfaktoren

Eine Liste der verwendeten CO_2 Emissionsfaktoren, sowie eine methodische Beschreibung sind im Anhang, Kapitel 18.7 verfügbar.

Die Emissionsfaktoren für Kraftwerke und sonstige Kesselfeuerungen zur Dampf-, Heiß- und Warmwasserbereitstellung in der Kategorie 1.A.1.c sind RENTZ et al (2002) und FICHTNER et al (2011) entnommen. Eine ausführliche Beschreibung der Vorgehensweise ist dem Kapitel 3.2.6.2 in Verbindung mit dem Kapitel 19.1.2.1 im Anhang 3 zu entnehmen. Die Forschungsvorhaben unterscheiden innerhalb des Sektors nach Kraftwerken der STEAG, den übrigen Kraftwerken des Steinkohlenbergbaus, den Kraftwerken des Braunkohlenbergbaus sowie den sonstigen Kesselfeuerungen zur Dampf-, Heiß- und Warmwasserbereitstellung.

Die Emissionsfaktoren für Kokereien wurden größtenteils aus BFI (2012) entnommen. Die dort ermittelten Emissionsfaktoren für gefasste Quellen wurden der Kategorie 1.A.1.c zugeordnet, da

diese Emissionen hauptsächlich aus der Unterfeuerung der Koksöfen resultieren. Die ermittelten Emissionsfaktoren für diffuse Quellen wurden dagegen definitionsgemäß der Kategorie 1.B.1.b zugeordnet. Neben weiteren Schadstoffen werden auch CO-Emissionen aus Kokereien in beiden Kategorien berechnet.

3.2.8.3 Unsicherheiten und Zeitreihenkonsistenz (1.A.1.c)

Erstmals wurden im Berichtsjahr 2004 für die Aktivitätsraten Unsicherheiten bestimmt (Forschungsvorhaben FKZ 204 41 132, UBA). Die Methode zur Bestimmung der Unsicherheiten ist im Anhang 2, Kapitel 13.6 des NIR 2007 beschrieben.

Die Vorgehensweise bei der Ermittlung der Unsicherheiten für die Emissionsfaktoren ist in dem Kapitel 3.2.6.3.1 beschrieben.

3.2.8.3.1 Ergebnis für N_2O

In Anlagen des Braunkohlenbergbaus - sie sind Teil des Sektors 1.A.1.c - werden vergleichsweise viele Wirbelschichtfeuerungen eingesetzt. Es ist bekannt, dass diese relativ höhere N_2O-Emisisonen aufweisen als andere Kohlefeuerungstechnologien. Das Emissionsverhalten bei Einsatz von Stein- und Braunkohlen wurde insbesondere bei Einsatz in Wirbelschichtfeuerungen und insbesondere in den 90er Jahren gezielt untersucht. Daher lagen ausreichend Messdaten vor, die eine systematische Erhebung von N_2O-Emissionsfaktoren im Forschungsvorhaben ermöglichten. Die Ausführungen aus Kapitel 3.2.6.3.2 gelten entsprechend.

3.2.8.3.2 Ergebnis für CH_4

Die Ergebnisse des Kapitels 3.2.6.3.3 gelten entsprechend.

3.2.8.3.3 Zeitreihenkonsistenz der Emissionsfaktoren

Die Ergebnisse des Kapitels 3.2.6.3.4 gelten entsprechend.

3.2.8.4 Kategoriespezifische Qualitätssicherung/-kontrolle und Verifizierung (1.A.1.c)

Eine allgemeine und kategoriespezifische Qualitätskontrolle und eine Qualitätssicherung durch die Fachseite und durch die Nationale Koordinierungsstelle wurden gemäß den Anforderungen des QSE-Handbuchs bzw. dessen mitgeltenden Unterlagen durchgeführt.

Die Ergebnisse des Kapitels 3.2.6.2 gelten entsprechend.

3.2.8.5 Kategoriespezifische Rückrechnungen (1.A.1.c)

Tabelle 28: Rückrechnungen CRF 1.A.1.c

Einheit [Gg]	NIR 2016	NIR 2017	Abweichung absolut					Abweichung relativ
Jahr	gesamt	gesamt	gas	liquid	other	solid	gesamt	gesamt
2011	17.090	17.092	0	0	0	2	2	0,01%
2014	10.250	10.180	16	-57	0	-28	-69	-0,68%

Eine Fehlerkorrektur bei den Rohbraunkohlen führte zu geringen Rückrechnungen im Jahr 2011. Für das Jahr 2014 wurden die vorläufigen Daten durch die nun vorliegende endgültige Energiebilanz ersetzt. Dadurch wurden Rückrechnungen für fast alle Energieträger notwendig.

3.2.8.6 Geplante Verbesserungen, kategoriespezifisch (1.A.1.c)

Sofern in vorhergehenden Berichterstattungen in diesem Kapitel Verbesserungen benannt wurden, sind diese in Form einer Übersicht unter Kapitel 10.4 Verbesserungen des Inventars, Tabelle 426 zu finden. Sind diese bereits erledigt, sind sie im selben Kapitel in Tabelle 425 abgebildet.

3.2.9 Verarbeitendes Gewerbe (1. A.2)

Die Kategorie setzt sich aus mehreren Subkategorien in enger Anlehnung an die IPCC-Gliederung (CRF) zusammen und ist in den Unterkapiteln detailliert beschrieben.

Die Berechnungsalgorithmen der Strukturelemente der BEU der Kategorie 1.A.2 wurden innerhalb des Forschungsvorhabens „Dokumentation der Datenqualität von Aktivitätsraten“ (FKZ 204 41 132) überarbeitet und unterliegen einer einheitlichen Systematik. Sie basieren überwiegend auf der Grundlage von gesicherten Daten des Statistischen Bundesamtes.

Eine Sektordifferenzierung der Aktivitätsraten nach Branchen erfolgt ausschließlich für die Prozessfeuerungen. Hier kam es in Folge der neuen CRF-Kategorisierung zu Neuzuordnungen ab dem NIR 2015.

Bedingt durch den Umstieg der Wirtschaftszweigklassifikation in den Energie-Statistiken ab dem Jahr 2008 von „WZ 2003“ auf „WZ 2008“ wurde die Erfassung der Aktivitätsdaten für die Prozessfeuerungen aus den Einzelstatistiken entsprechend dem Umsteigeschlüssel realisiert (STATISTISCHES BUNDESAMT 2008: Umsteigeschlüssel WZ 2003 auf WZ 2008).

Dies führt ab der Berichterstattung 2015 zu Schwierigkeiten bei der Zuordnung zu den neuen CRF-Kategorien der Guidelines 2006. Bei der Erarbeitung der Guidelines 2006 waren die WZs 2008 noch nicht bekannt und konnten somit nicht berücksichtigt werden.

Die Aggregation der Industriekraftwerke und Kessel erfolgt für die Strom- und Wärmeerzeugung nach Technologien (Gasmaschinen, Gasturbinen, GuD-Anlagen und Dampfturbinen) sowie nach genehmigungsrechtlichen Regelungen (TA-Luft und 13. BImSchV).

Die einzelnen Berechnungsalgorithmen sind im genannten Forschungsvorhaben ausführlich dokumentiert.

Nach der Emissionsberechnung auf der Ebene der Strukturelemente werden durch eine weitestgehend IPCC-konforme Aggregierung der Ergebnisse die Summenwerte für die Subkategorien in 1.A.2 bis NIR 2014 nach den Guidelines von 1996, ab NIR 2015 entsprechend der Guidlines von 2006 gebildet. Seit dem NIR 2006 werden die Prozessfeuerungen zum großen Teil branchenbezogen berichtet. Die Disaggregation ist bei der vorhandenen Datenlage nicht vollständig IPCC-konform möglich. So kann die Strom- und Wärmeerzeugung der Industriekraftwerke und -wärmekraftwerke nicht vollständig den Branchen zugeordnet werden und wird daher zusammengefasst unter 1.A.2.gviii Sonstige berichtet.

Die Abgrenzung der energiebedingten Prozessfeuerungen zur Strom- und Wärmeerzeugung in Industriekraftwerken und Kesseln erfolgt mittels Statistik 067 (Stromerzeugungsanlagen des Verarbeitenden Gewerbes sowie des Bergbaus und der Gewinnung von Steinen und Erden; *STATISTISCHES BUNDESAMT*, 2015c).

Eine Veränderung in der Statistik 067 (ebd.) des Statistischen Bundesamtes bedingt einen Sprung der Aktivitätsraten in der Strom- und Wärmeproduktion. Bis 2001 wurde lediglich der Brennstoffeinsatz zur Stromproduktion in Stromerzeugungsanlagen ausgewiesen. Ab 2002 wird der Brennstoffeinsatz zur Strom- und Wärmeproduktion angegeben. Zu den Einsätzen zur Wärmeproduktion für die Jahre vor 2002 liegen keine Daten vor.

Das Verhältnis des fossilen und biogenen Anteils von Industriemüll ergibt sich aus der Energiebilanz, der Abfallstatistik (STATISTISCHES BUNDESAMT, FS 19 Reihe 1) und den Angaben der entsprechenden Industrieverbände zu Ersatzbrennstoffen.

Die eingesetzten Mengen an Regelbrennstoffen aller Subkategorien sind vollständig aus der Energiebilanz der Bundesrepublik Deutschland entnommen und in der BEU disaggregiert. Über die Energiebilanz hinaus werden in verschiedenen Subkategorien Ersatzbrennstoffe berücksichtigt, die im Forschungsprojekt (UBA 2005b, FKZ 204 42 203/02) ermittelt wurden und nun über Verbandsdaten jährlich aktualisiert werden (s.u.). Demnach kommen Ersatzbrennstoffe vermehrt zum Einsatz, um teurere konventionelle Brennstoffe zu ersetzen.

Im Forschungsprojekt „Einsatz von Sekundärbrennstoffen“ (UBA 2005b, FKZ 204 42 203/02) wurde der Verbesserungsbedarf zum Thema „waste fuels“ im Energiebereich auf Ersatzbrennstoffe in vier Industriebranchen eingegrenzt und die Daten von den jeweiligen Industrieverbänden ermittelt. In den Industriebranchen Roheisenerzeugung, Zellulose- und Papierherstellung sowie Herstellung von Kalk und Zement liegen hiermit deutlich verbesserte und branchenspezifische Daten für den Einsatz von Ersatzbrennstoffen in Prozessfeuerungen und in Industriekraftwerken vor.

Besonderheiten der Subkategorien sind in den Unterkapiteln beschrieben. Speziell die Sammelgruppe 1.A.2.g Sonstige ist zu beachten.

Für die im Forschungsvorhaben „Dokumentation der Datenqualität von Aktivitätsraten“ (FKZ 204 41 132) neu geschaffenen Strukturelemente wurden die Unsicherheiten entsprechend der im Rahmen des Forschungsberichts 204 42 203/02 dokumentierten Methode ermittelt. Dies ist im Endbericht zum Forschungsvorhaben (FKZ 204 41 132) und Anhang 13.6 des NIR 2007 dokumentiert.

Kohlendioxidemissionen dominieren die CRF-Kategorie 1.A.2. Andere Treibhausgase tragen nur in sehr geringem Maß zu den Gesamtemissionen bei.

Im Zeitraum 1990 bis 1994 ist ein starker Rückgang der Treibhausgasemissionen zu verzeichnen. Dies ist bedingt durch die Stilllegung ineffizienter Anlagen des verarbeitenden Gewerbes in den Neuen Bundesländern nach dem politischen Wechsel 1990 in Deutschland.

In den Folgejahren auftretende Schwankungen der Emissionen spiegeln den konjunkturellen Verlauf der Produktion im verarbeitenden Gewerbe in Deutschland wider.

3.2.9.1 Verarbeitendes Gewerbe - Eisenschaffende Industrie (1.A.2.a)

KC	Category	Activity	EM of	1990 (kt CO_2-e.)	(fraction)	2015 (kt CO_2-e.)	(fraction)	Trend 1990-2015
L/T	**1.A.2.a Manufacturing Industries and Construction: Iron and Steel**	**all fuels**	**CO_2**	**35.269,3**	**2,88%**	**38.576,0**	**4,35%**	**9,4%**
-/-	1.A.2.a Manufacturing Industries and Construction: Iron and Steel	all fuels	N_2O	155,1	0,01%	118,5	0,01%	-23,6%
-/-	1.A.2.a Manufacturing Industries and Construction: Iron and Steel	all fuels	CH_4	62,5	0,01%	68,6	0,01%	9,9%

Gas	Angewandte Methode	Quelle der Aktivitätsdaten	genutzte Emissionsfaktoren
CO_2	CS	NS	CS
CH_4	CS	NS	CS
N_2O	CS	NS	CS
NO_x, CO, NMVOC, SO_2	CS	NS	CS

Die Kategorie *Verarbeitendes Gewerbe - Eisenschaffende Industrie* ist für CO_2-Emissionen eine Hauptkategorie nach der Emissionshöhe und dem Trend.

Die Eisenschaffende Industrie (Subkategorie1.A.2.a) ist neben der Zementindustrie die zweite bedeutende CO_2-Emissionsquelle unter den Prozessfeuerungen.

3.2.9.1.1 Beschreibung der Kategorie (1.A.2.a)

Die Kategorie umfasst die Produktionsbereiche Roheisen (Hochofen), Eisenschwamm (Direktreduktion), Sinter, Walzstahl, Eisen-, Stahl-Temperguss, Siemens-Martin-Stahl und Elektrostahl, sowie Kraftwerke und Kessel der gesamten Stahlindustrie.

Die Herstellung von Siemens-Martin-Stahl führte nur noch in den neuen Bundesländern bis kurz nach 1990 zu Emissionen. In den alten Bundesländern war die Produktion von Siemens-Martin-Stahl schon vor 1990 eingestellt worden.

Eine Produktion von Eisenschwamm (direkt reduziertem Eisen; *engl.* DRI) erfolgt in Deutschland nur in geringem Umfang (ca. 0,5 Mio. t pro Jahr) und nur in einer Anlage. Die bei der Produktion von Eisenschwamm entstehenden CO_2-Emissionen resultieren aus dem Einsatz von Erdgas bzw. dem daraus erzeugten Gemisch der Reduktionsgase CO und H_2. Die eingesetzte Menge an Erdgas ist über die gesamte Zeitreihe in den unter 1.A.2.a berichteten Einsätzen von Erdgas enthalten. Somit werden die CO_2-Emissionen aus der Produktion von Eisenschwamm über die gesamte Zeitreihe unter 1.A.2.a berichtet. Eine gesonderte Ausweisung der CO_2-Emissionen aus der Produktion von Eisenschwamm ist nicht möglich, weil hieraus auf die vertraulichen Angaben zur Produktionsmenge der betreffenden Anlage zurückgeschlossen werden könnte.

Bei der Herstellung von Roheisen wird ein Großteil der im Hochofen eingesetzten Energieträger für die darin ablaufenden Reduktionsprozesse benötigt, während in den anderen Produktionsbereichen der Eisenschaffenden Industrie Brennstoffe zum großen Teil zur Wärmeerzeugung eingesetzt werden.

Die folgende Graphik zeigt eine Übersicht über die CO_2-Emissionen aus den einzelnen Subkategorien in 1.A.2.a.

Abbildung 27: Entwicklung der CO2-Emissionen in Kategorie 1.A.2.a

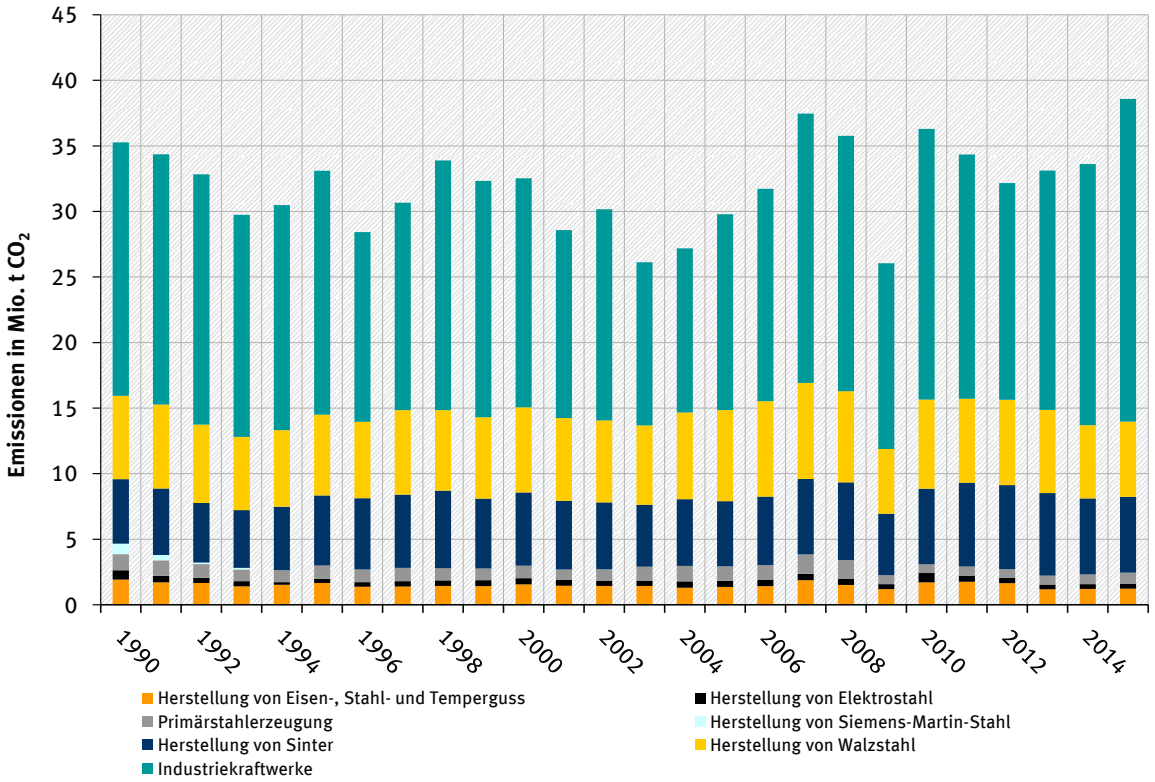

Die Übersicht zeigt über die Jahre z.T. große Schwankungen, die überwiegend der Produktionsentwicklung folgen. In den Jahren 1990 bis 1994 ist die Absenkung der Emissionen geprägt durch die Umstrukturierung im Eisen und Stahlbereich in den neuen Bundesländern nach dem politischen Wechsel 1990.

Besonders deutlich ist der Einbruch der CO_2-Emissionen im Krisenjahr 2009 zu erkennen, in dem die Stahlindustrie einen sehr starken Produktionsrückgang verzeichnete. Der erneute Emissionsanstieg in 2010 ist der Wiederbelebung der Konjunktur zuzurechnen, bei der die Stahlindustrie fast wieder das Produktionsniveau von 2008 erreichte. In den Folgejahren bis 2013 gingen die Rohstahlproduktion und damit die CO_2 Emissionen nur leicht zurück um 2014 und 2015 entsprechend der Rohstahlproduktion anzusteigen.

Der auffällig hohe Emissionsanstieg im Jahr 2015 ist auf die Ummeldung einiger Gichtgaskraftwerke aus der öffentlichen Versorgung (CRF 1.A.1.a) in die Industrie zurückzuführen. Dadurch kommt es lediglich zu einer Verschiebung der Emissionen. Insgesamt betrachtet steigen die CO_2 Emissionen nur leicht infolge des Produktionsanstieges an. Das ist in der Abbildung 44: Zeitlicher Verlauf und Quellgruppenzuordnung der aus dem Reduktionsmitteleinsatz zur Primärstahlerzeugung bzw. Gichtgasaufkommen resultierenden CO2-Emissionen im Kapitel 4.4.1 Metallproduktion: Eisen- und Stahlproduktion (2.C.1), gut zu erkennen.

Nach den Industriekraftwerken (zur Eigenstromerzeugung aus Gicht- und Konvertergas) kommen die anteilig höchsten Emissionen aus der Walzstahl- und Sintererzeugung. Für den Hochofen werden nur die zur Energieerzeugung benötigten Erd- und Kokereigaseinsätze in der Kategorie 1.A.2.a berichtet. Die prozessbedingten Emissionen werden in der Kategorie 2.C.1 verbucht.

Bei der Roheisenerzeugung im Hochofen kann ab 2010 eine kontinuierliche Abnahme der Einsatzmengen an schwerem Heizöl festgestellt werden. Das Heizöl wird größtenteils durch Einblaskohle ersetzt, was durch eine Umstellung der Einblasvorrichtungen ermöglicht wird. Die Brennstoffumstellung erfolgt preisbedingt. In einzelnen Hochöfen wird neben gemahlener Steinkohle auch gemahlene Braunkohle eingesetzt, wobei auch diese Umstellung nur vom Preis abhängt. Das führt insgesamt zu einem leichten Anstieg der spezifischen Emissionen.

3.2.9.1.2 Methodische Aspekte (1.A.2.a)

Diese Subkategorie umfasst die Prozessfeuerungen der verschiedenen Produktionsbereiche der Eisenschaffenden Industrie. Die entsprechenden Brennstoffeinsätze inklusive der Sekundärbrennstoffe sind in der BEU enthalten.

Für die Bereitstellung der Aktivitätsdaten der konventionellen Brennstoffe der Kategorie wurde ab dem Berichtsjahr 2011 der sogenannte BGS-Bogen (Brennstoff-, Gas- und Stromwirtschaft der Hochofen-, Stahl- und Walzwerke sowie Schmiede-, Press- und Hammerwerke einschließlich der örtlich verbundenen sonstigen Betriebe (ohne eigene Kokerei)), als neue Datenquelle erschlossen. Diese ermöglicht eine verbesserte Disaggregation der Energiedaten in der Bilanz der Emissionsursachen (BEU). Da die gesetzliche Grundlage für die Erhebungen des BGS-Bogens seit dem Berichtsjahr 2012 entfallen ist, werden die Daten seitdem auf der Grundlage einer Vereinbarung mit der Wirtschaftsvereinigung Stahl in gleicher Struktur bereitgestellt. Diese Änderung hat auf die Berechnungen keinen Einfluss.

Die Angaben im BGS-Bogen ermöglichen neben der Darstellung der Aktivitätsdaten in Sinteranlagen, Hochofenbetrieben, Oxygenstahlwerken (Konverter) und Walzwerken die zusätzliche Disaggregation für die Elektrostahlwerke.

Weiterhin konnte eine datenbasierte Differenzierung der festen Brennstoffe nach „Steinkohle und Steinkohlebriketts"; „Koks" und „Koksgrus unter 10 mm" erfolgen. Die Brennstoffeinsätze für Koks und Koksgrus werden in der Datenbank als „Koks" summiert ausgewiesen, da die Energiestatistik den aggregierten Brennstoff „Koks" ausweist. Die im BGS-Bogen ausgewiesenen „flüssigen Brennstoffe" werden dem „Heizöl schwer" zugeordnet.

Da der BGS-Bogen Brennstoffeinsätze in natürlichen Einheiten ausweist, werden diese mit den von der Arbeitsgemeinschaft der Energiebilanzen (AGEB) ausgewiesenen Heizwerten für festen und flüssigen Einzelbrennstoffe in Energieeinheiten umgerechnet. Für die Gase wurde im BGS-Bogen eine Normierung auf 35,16912 MJ/m³ definiert, die in der Methodik der Berechnung der Aktivitätsraten für Hochofen-, Kokerei-, Erd- und Konvertergas übernommen wurde.

Die Emissionsberechnung der Sekundärbrennstoffe wurde entsprechend der Ergebnisse des Forschungsprojektes „Einsatz von Sekundärbrennstoffen" (UBA 2005b, FKZ 204 42 203/02 beibehalten.

Die Emissionen aus der Eisen- und Stahlindustrie werden für die gesamte Zeitreihe ab 1990 in prozessbedingte und energiebedingte Emissionen unterschieden. Die Methode zur Berechnung der prozessbedingten Emissionen ist im Kapitel 4.4.1.2 der Kategorie 2.C.1 beschrieben.

3.2.9.1.3 Unsicherheiten und Zeitreihenkonsistenz (1.A.2.a)

Unsicherheiten wurden in 2004 für alle Brennstoffe außer Ersatzbrennstoffe und für Ersatzreduktionsmittel hinsichtlich der kompletten Zeitreihe bestimmt. Die Methode ist im Forschungsbericht (UBA 2005b, FKZ 204 42 203/02) erläutert. Sie wurden für die Aktivitätsraten im Forschungsvorhaben „Dokumentation der Datenqualität von Aktivitätsraten (FKZ 204 41 132)" aktualisiert und im Endbericht dokumentiert.

Die bis zur Berichterstattung 2011 verwendeten Daten zur Berechnung aus der Statistik - Fachserie 4 Reihe 8.1 - des Statistischen Bundesamtes wurden auf der Grundlage des BGS-Bogens in dieser Statistik aggregiert. Nach Einstellung der Statistik werden die Basisdaten des BGS-Bogens direkt zur Berechnung herangezogen.

Die direkte Verwendung der Daten aus dem BGS-Bogen führt zu keiner Erhöhung der Unsicherheiten. Die auf dem Forschungsbericht basierenden Unsicherheiten wurden entsprechend der konservativen Betrachtungsweise beibehalten.

3.2.9.1.4 Kategoriespezifische Qualitätssicherung/-kontrolle und Verifizierung (1.A.2.a)

Eine allgemeine Qualitätskontrolle sowie für Emissionsfaktoren & Emissionsdaten eine kategoriespezifische Qualitätskontrolle und eine Qualitätssicherung durch die Fachseite und durch die Nationale Koordinierungsstelle wurden gemäß den Anforderungen des QSE-Handbuchs bzw. dessen mitgeltenden Unterlagen durchgeführt.

Weitere Informationen zur Qualitätssicherung siehe CRF 1.A.1.a (Kapitel 3.2.6.4).

Die Qualitätssicherung der BGS-Daten durch den Verband entsprechend QSE-Handbuch wurden in der Verbandsvereinbarung festgelegt. Der Qualitätsbericht des Verbandes wird mit den Daten übermittelt.

3.2.9.1.5 Kategoriespezifische Rückrechnungen (1.A.2.a)

Für das Jahr 2014 wurden die vorläufigen Daten durch die nun vorliegende endgültige Energiebilanz ersetzt. Dadurch wurden Rückrechnungen für fast alle Energieträger notwendig.

Tabelle 29: Rückrechnungen in CRF 1.A.2.a

Einheit [Gg]	NIR 2016	NIR 2017	Abweichung absolut				Abweichung relativ
Jahr	gesamt	gesamt	gas	liquid	solid	gesamt	gesamt
2014	33.834	33.615	7	-2	-224	-219	-0,65%

3.2.9.1.6 Geplante Verbesserungen, kategoriespezifisch (1.A.2.a)

Derzeit sind keine Verbesserungen geplant.

Sofern in vorhergehenden Berichterstattungen in diesem Kapitel Verbesserungen benannt wurden, sind diese in Form einer Übersicht unter Kapitel 10.4 Verbesserungen des Inventars, Tabelle 426 zu finden. Sind diese bereits erledigt, sind sie im selben Kapitel in Tabelle 425 abgebildet.

3.2.9.2 Verarbeitendes Gewerbe – Nichteisen-Metalle (1.A.2.b)

KC	Category	Activity	EM of	1990 (kt CO_2-e.)	(fraction)	2015 (kt CO_2-e.)	(fraction)	Trend 1990-2015
-/-	1.A.2.b Manufacturing Industries and Construction: Non-Ferrous Metals	all fuels	CO_2	1.629,2	0,13%	1.513,3	0,17%	-7,1%
-/-	1.A.2.b Manufacturing Industries and Construction: Non-Ferrous Metals	all fuels	N_2O	17,1	0,00%	7,7	0,00%	-55,2%
-/-	1.A.2.b Manufacturing Industries and Construction: Non-Ferrous Metals	all fuels	CH_4	1,4	0,00%	1,7	0,00%	22,2%

Gas	Angewandte Methode	Quelle der Aktivitätsdaten	genutzte Emissionsfaktoren
CO_2	CS	NS	CS
CH_4	CS	NS	CS
N_2O	CS	NS	CS
NO_X, CO, NMVOC, SO_2	CS	NS	CS

Die Kategorie Nichteisen-Metalle ist keine Hauptkategorie.

3.2.9.2.1 Beschreibung der Kategorie (1.A.2.b)

Diese Kategorie umfasst die Prozessfeuerungen der Produktionsbereiche der Nichteisenmetalle in aggregierter Form. Eine detailliertere Darstellung ist aufgrund der Datenlage nicht möglich.

3.2.9.2.2 Methodische Aspekte (1.A.2.b)

Die entsprechenden Brennstoffeinsätze sind in der BEU enthalten. Quelle für die Brennstoffeinsätze ist die Statistik des produzierenden Gewerbes (Statistik 060 – Energieverwendung des produzierenden Gewerbes; *STATISTISCHES BUNDESAMT* 2015b) (Melde-Nr. 27.43 (WZ 2003 alt) → 24.43 (WZ 2008 neu), Erzeugung und erste Bearbeitung von Blei, Zink und Zinn und 27.44 (WZ 2003 alt) → 24.44 (WZ 2008 neu), Erzeugung und erste Bearbeitung von Kupfer) und für Abgrenzungen zur Strom- und Wärmeerzeugung die Statistik 067 (*STATISTISCHES BUNDESAMT*, 2015c).

Um die Berechnungsalgorithmen für die Aktivitätsdaten in der Bilanz der Emissionsursachen (BEU) homogener, konsistenter und transparenter darzustellen erfolgte eine Überarbeitung.

Im Ergebnis dieser Überarbeitung wurde die Erzeugung und erste Bearbeitung von Edelmetallen, Aluminium und sonstige NE-Metalle zur Ermittlung der Aktivitätsdaten mit aufgenommen.

Im Endbericht zum Forschungsvorhaben „Dokumentation der Datenqualität von Aktivitätsraten“ (FKZ 204 41 132) werden die Berechnungsalgorithmen ausführlich beschrieben.

Die Aktivitätsraten für die Neuen Bundesländer für 1990 wurden im Projekt „Basisjahr und Aktualisierung“ (UBA 2005c: FKZ 205 41 115) mit neuem Datenmaterial überarbeitet und dokumentiert, s. Anhangkapitel 19.1.1).

3.2.9.2.3 Unsicherheiten und Zeitreihenkonsistenz (1.A.2.b)

Im Jahr 2004 wurden für alle Aktivitätsraten Unsicherheiten bestimmt. Die Methode ist im Anhangkapitel 13.6 des NIR 2007 erläutert.

3.2.9.2.4 Kategoriespezifische Qualitätssicherung/-kontrolle und Verifizierung (1.A.2.b)

Eine allgemeine Qualitätskontrolle und eine Qualitätssicherung durch die Fachseite und durch die Nationale Koordinierungsstelle wurden gemäß den Anforderungen des QSE-Handbuchs bzw. dessen mitgeltenden Unterlagen durchgeführt.

Weitere Informationen zur Qualitätssicherung siehe CRF 1.A.1.a (Kapitel 3.2.6.4).

3.2.9.2.5 Kategoriespezifische Rückrechnungen (1.A.2.b)

Tabelle 30: Rückrechnungen in CRF 1.A.2.b

Einheit [Gg]	NIR 2016	NIR 2017	Abweichung absolut				Abweichung relativ
Jahr	gesamt	gesamt	gas	liquid	solid	gesamt	gesamt
2014	1.378	1.496	111	7	0	118	8,57%

Nach dem Vorliegen der endgültigen Energiebilanz wurden die vorläufigen Werte für das Jahr 2014 durch aktuelle Werte ersetzt. Dadurch kommt es bei den gasförmigen und flüssigen Brennstoffen zu Rückrechnungen.

3.2.9.2.6 Geplante Verbesserungen, kategoriespezifisch (1.A.2.b)

Derzeit sind keine Verbesserungen geplant.

Sofern in vorhergehenden Berichterstattungen in diesem Kapitel Verbesserungen benannt wurden, sind diese in Form einer Übersicht unter Kapitel 10.4 Verbesserungen des Inventars, Tabelle 426 zu finden. Sind diese bereits erledigt, sind sie im selben Kapitel in Tabelle 425 abgebildet.

3.2.9.3 Verarbeitendes Gewerbe – Chemische Industrie (1.A.2.c)

KC	Category	Activity	EM of	1990 (kt CO_2-e.)	(fraction)	2015 (kt CO_2-e.)	(fraction)	Trend 1990-2015
-/-	1.A.2.c	all fuels	IE	IE	IE	IE	IE	IE

In der chemischen Industrie kommen hauptsächlich Industriekraftwerke sowie Kessel zum Einsatz. Diese Anlagen werden kategorieübergreifend in der Subkategorie 1.A.2.g Sonstige berichtet.

Die Einsätze an Energieträgern in der Kalziumkarbidproduktion sind prozessbedingt und werden unter CRF 2.B.5 berichtet (siehe Kapitel 4.3.5).

Dies bestätigt auch das Forschungsprojekt „Basisjahr und Aktualisierung (UBA 2005c, FKZ 205 41 115) für das Jahr 1990 in den Neuen Bundesländern (wesentlicher Produktionsstandort): der Koks wurde stofflich und nicht energetisch genutzt. Die Kalziumkarbidproduktion ist demnach keine Quelle für energiebedingte CO_2-Emissionen.

Die Emissionen der gesamten Subkategorie 1.A.2.c werden somit an anderer Stelle berücksichtigt (IE - included elsewhere). Von daher wird die Subkategorie 1.A.2.c nicht gesondert in der Hauptkategorienanalyse aufgeführt.

Der Hauptteil der Emissionen aus der chemischen Industrie kommt aus Verbrennungsprozessen. Da die Brennstoffeinsätze für die chemische Industrie erst ab dem Jahr 2003 vorliegen, ist es nicht möglich Zeitreihen ab 1990 zu erstellen. Deshalb werden die Emissionen aus der energetischen Nutzung von Brennstoffen in der chemischen Industrie zusammengefasst mit anderen

Industriebereichen in der Kategorie 1.A.2.gviii „Sonstige“ berichtet. Dennoch konnten die vorhandenen Daten genutzt werden, um mit den verfügbaren Daten aus dem Emissionshandel abgeglichen zu werden. Dabei sollten zum einen Doppelzählungen mit den IPPU Sektor vermieden werden. Zum anderen sollte eine Unterfassung der Emissionen aus der Verbrennung der sonstigen hergestellten Gase ausgeschlossen werden. Im Vergleich zeigt sich, dass die in der Energiestatistik ab dem Jahr 2012 berichteten Daten gut mit den Brennstoffmengen im Emissionshandel zusammenpassen. Insgesamt sind die in den Vorjahren statistisch erfassten Gasmengen zu gering. Deshalb wurde zunächst ausgewertet, in welchen Bereichen der chemischen Industrie sonstige hergestellte Gase entstehen und energetisch genutzt werden. Über die Hälfte des gesamten Gasaufkommens wird bei der Herstellung von sonstigen organischen Grundstoffen und Chemikalien eingesetzt. Danach folgen die Herstellung von sonstigen anorganischen Grundstoffen und die Herstellung von Farbstoffen und Pigmenten. Einen kleineren Einsatz dieser Gase gibt es auch bei Herstellung von Kunststoffen in Primärformen. Für die Rückrechnung der Gasverbräuche wurden für jeden Sektor die Hauptprodukte ermittelt. Diese Daten sind aus den jährlichen VCI Berichten „Chemiewirtschaft in Zahlen“ bis zum Jahr 1990 zurück verfügbar. Lediglich für die neuen Bundesländer gibt es für das Jahr 1990 keine Produktionsdaten. Da in der Energiebilanz für die Neuen Bundesländer größere Mengen an sogenannten Brenngasen verbucht werden, ist davon auszugehen, dass diese Gase zumindest energieseitig berücksichtigt werden. Mit Hilfe der Produktionsdaten und den in der Energiestatistik für das Jahr 2013 ausgewiesenen Gasmengen konnten für jeden Teilsektor spezifische Faktoren gebildet werden, mit denen die Brennstoffeinsätze rückwirkend berechnet werden konnten.

3.2.9.4 Verarbeitendes Gewerbe – Zellstoff und Papierindustrie (1.A.2.d)

KC	Category	Activity	EM of	1990 (kt CO_2-e.)	(fraction)	2015 (kt CO_2-e.)	(fraction)	Trend 1990-2015
-/-	1.A.2.d Manufacturing Industries and Construction: Pulp, Paper and Print	all fuels	CO_2	3,6	0,00%	6,1	0,00%	66,6%
-/-	1.A.2.d Manufacturing Industries and Construction: Pulp, Paper and Print	all fuels	N_2O	2,8	0,00%	12,4	0,00%	342,3%
-/-	1.A.2.d Manufacturing Industries and Construction: Pulp, Paper and Print	all fuels	CH_4	0,7	0,00%	2,9	0,00%	342,3%

Gas	Angewandte Methode	Quelle der Aktivitätsdaten	genutzte Emissionsfaktoren
CO_2	CS	NS	CS
CH_4	CS	NS	CS
N_2O	CS	NS	CS
NO_X, CO, NMVOC, SO_2		IE	

Die Kategorie *Zellstoff und Papier* ist keine Hauptkategorie.

3.2.9.4.1 Beschreibung der Kategorie (1.A.2.d)

Der Energieverbrauch für die Herstellung von Zellstoff, und Papier, kurz in der Zellstoff- und Papierindustrie, kann nur für Ersatzbrennstoffe abgebildet werden, wobei diese in großem Umfang eingesetzt werden.

Emissionen aus dem Einsatz von Regelbrennstoffen in Prozessfeuerungen sowie Emissionen der Eigenstromerzeuger sind nicht gesondert ausgewiesen, sondern werden unter 1.A.2.g Sonstige zusammengefasst berichtet.

3.2.9.4.2 Methodische Aspekte (1.A.2.d)

Die in der Papierindustrie eingesetzten Ersatzbrennstoffe werden nur teilweise in der Energiebilanz abgebildet. Dies sind Abfälle aus dem eigenen Produktionsbereich. Die Arten und Mengen der eingesetzten Stoffe wurden vom Verband Deutscher Papierfabriken (VDP) zur Verfügung gestellt. Der überwiegende Teil der im Sektor eingesetzten Ersatzbrennstoffe besteht

aus Holz- und Zellstofffasern und damit aus Biomasse. Im Rahmen des Forschungsprojekts „Einsatz von Sekundärbrennstoffen“ (UBA 2005b, FKZ 204 42 203/02) wurden für Brennstoffe die biogenen und fossilen Anteile hergeleitet. Ebenso wurden CO_2-Emissionsfaktoren auf der Basis von Angaben zu Kohlenstoffgehalten, Wassergehalten und Heizwerten abgeleitet.

Die Daten der amtlichen Statistik zum Einsatz der Regelbrennstoffe in der Papierindustrie wurden einer Prüfung unterzogen.

Der Quelle für die Brennstoffeinsätze ist in der Statistik des produzierenden Gewerbes (Statistik 060 – Energieverwendung des produzierenden Gewerbes; *STATISTISCHES BUNDESAMT* 2015b) nach neuer Wirtschaftszweigsystematik (WZ 2008 neu), die Wirtschaftszweignummer 17 „Herstellung von Papier, Pappe und Waren daraus“ zuzuordnen.

Zurzeit ist die eindeutige Zuordnung der Quelle für eine Zeitreihe entsprechend der alten Wirtschaftszweigzuordnung (WZ 2003) nicht möglich.

Der WZ 17 der neuen Wirtschaftszweigsystematik 2008 stehen Anteile der WZ 17,21,22 und 36 der abgelösten Wirtschaftszweigsytematik 2003 gegenüber.

Zur Sicherung der Geheimhaltung der Einzel - Brennstoffeinsätze ist eine disaggregierte Ausweisung zum gegenwärtigen Zeitpunkt nicht möglich.

Gleiches gilt die Statistik 067 (*STATISTISCHES BUNDESAMT*, 2015c), welche. für die Abgrenzungen zur Strom- und Wärmeerzeugung herangezogen wird.

3.2.9.4.3 Unsicherheiten und Zeitreihenkonsistenz (1.A.2.d)

Im Rahmen eines Forschungsprojekts wurden für die die Ersatzbrennstoffe die Unsicherheiten der hergeleiteten CO_2-Emissionsfaktoren nach der Monte-Carlo-Methode bestimmt (UBA 2005b, FKZ 204 42 203/02). Dabei wurden die Angaben zu C-Gehalt, Wassergehalt und Heizwert berücksichtigt. Diesen Angaben liegen Schätzungen mit Schwankungen und wenige Mess- oder Analyseergebnisse zugrunde und führen zu einer großen Bandbreite. CO_2-Emissionsfaktoren für Sekundärbrennstoffe gelten inklusive der Unsicherheitenangabe für die gesamte Zeitreihe, weil keine Erkenntnisse zu Trends vorliegen. Die Zeitreihen sind somit konsistent.

3.2.9.4.4 Kategoriespezifische Qualitätssicherung/-kontrolle und Verifizierung (1.A.2.d)

Eine allgemeine Qualitätskontrolle und eine Qualitätssicherung durch die Fachseite und durch die Nationale Koordinierungsstelle wurden gemäß den Anforderungen des QSE-Handbuchs bzw. dessen mitgeltenden Unterlagen durchgeführt.

Die statistische Erfassung des Einsatzes sekundärer Brennstoffe hat in der Papierindustrie eine lange Tradition (VDP, verschiedene Jahrgänge). Trotz kleinerer Strukturbrüche in den dort ausgewiesenen Zeitreihen spiegeln die dort bereitgestellten Daten die fortschreitende Substitution von Regel- durch Ersatzbrennstoffe in der Papierindustrie gut wider.

3.2.9.4.5 Kategoriespezifische Rückrechnungen (1.A.2.d)

Tabelle 31: Rückrechnungen in CRF 1.A.2.d

Einheit [Gg] Jahr	NIR 2016 gesamt	NIR 2017 gesamt	Abweichung absolut gesamt	Abweichung relativ gesamt
2013	8	8	0	0,17%
2014	7	7	0	0,91%

Aufgrund von Rückrechnungen in der Originalstatistik, dem Leistungsbericht der Papierindustrie, ab dem Jahr 2013, kam es zu Rückrechnungen im Inventar. Für die Biomasse ergeben sich

Rückrechnungen über die gesamte Zeitreihe, da der CO_2 Emissionsfaktor auf Grundlage von Messwerten überarbeitet wurde. Der bisher verwendete Faktor war deutlich zu niedrig.

3.2.9.4.6 Geplante Verbesserungen, kategoriespezifisch (1.A.2.d)

Derzeit sind keine Verbesserungen geplant.

Sofern in vorhergehenden Berichterstattungen in diesem Kapitel Verbesserungen benannt wurden, sind diese in Form einer Übersicht unter Kapitel 10.4 Verbesserungen des Inventars, Tabelle 426 zu finden. Sind diese bereits erledigt, sind sie im selben Kapitel in Tabelle 425 abgebildet.

3.2.9.5 Verarbeitendes Gewerbe – Zuckerherstellung (1.A.2.e)

KC	Category	Activity	EM of	1990 (kt CO_2-e.)	(fraction)	2015 (kt CO_2-e.)	(fraction)	Trend 1990-2015
-/T	**1.A.2.e Manufacturing Industries and Construction: Food Processing**	**all fuels**	**CO_2**	**2.015,9**	**0,16%**	**290,2**	**0,03%**	**-85,6%**
-/-	1.A.2.e Manufacturing Industries and Construction: Food Processing	all fuels	N_2O	24,6	0,00%	2,5	0,00%	-89,7%
-/-	1.A.2.e Manufacturing Industries and Construction: Food Processing	all fuels	CH_4	4,5	0,00%	0,2	0,00%	-95,0%

Gas	Angewandte Methode	Quelle der Aktivitätsdaten	genutzte Emissionsfaktoren
CO_2	CS	NS	CS
CH_4	CS	NS	CS
N_2O	CS	NS	CS
NO_x, CO, NMVOC, SO_2	CS	NS	CS

Die Kategorie *Zuckerherstellung* ist für CO_2-Emissionen eine Hauptkategorie nach dem Trend (siehe Tabelle 6). Aufgrund der seit 1990 stark fallenden Emissionen (-85,6 %) und des dadurch erreichten sehr geringen Emissionsniveaus hat die Nationale Koordinierungsstelle aus Gründen der Ressourcenpriorisierung entschieden, die für Hauptkategorien vorgesehenen höheren Ansprüche an die Methodik für diese Kategorie nicht umzusetzen.

3.2.9.5.1 Beschreibung der Kategorie (1.A.2.e)

In dieser Kategorie sind nur Prozessfeuerungen der Zuckerindustrie erfasst. Eigenstromerzeuger sind nicht gesondert ausgewiesen, sondern werden unter 1.A.2.g „Sonstige“ berichtet.

3.2.9.5.2 Methodische Aspekte (1.A.2.e)

Um die Berechnungsalgorithmen für die Aktivitätsdaten in der Bilanz der Emissionsursachen (BEU) homogener, konsistenter und transparenter darzustellen erfolgte eine Überarbeitung.

Im Ergebnis dieser Überarbeitung wurde ermittelt, dass die Statistiken 060 (*STATISTISCHES BUNDESAMT*, 2015b) und 067 (*STATISTISCHES BUNDESAMT*, 2015c) alle Brennstoffe für die Berechnung der Aktivitätsraten ausweisen und als Datenquelle verwendet werden.

Im Endbericht zum Forschungsvorhaben „Dokumentation der Datenqualität von Aktivitätsraten“ (FKZ 204 41 132) werden die Berechnungsalgorithmen und Sonderauswertungen zum Brennstoffeinsatz ausführlich beschrieben.

3.2.9.5.3 Unsicherheiten und Zeitreihenkonsistenz (1.A.2.e)

Erstmals für 2004 wurden für alle Aktivitätsraten Unsicherheiten bestimmt. Die Methode ist im Anhangkapitel 13.6 des NIR 2007 erläutert.

3.2.9.5.4 Kategoriespezifische Qualitätssicherung/-kontrolle und Verifizierung (1.A.2.e)

Eine allgemeine Qualitätskontrolle und eine Qualitätssicherung durch die Fachseite und durch die Nationale Koordinierungsstelle wurden gemäß den Anforderungen des QSE-Handbuchs bzw. dessen mitgeltenden Unterlagen durchgeführt.

Weitere Informationen zur Qualitätssicherung siehe CRF 1.A.1.a (Kapitel 3.2.6.4).

3.2.9.5.5 Kategoriespezifische Rückrechnungen (1.A.2.e)

Tabelle 32: Rückrechnungen in CRF 1.A.2.e

Einheit [Gg]	NIR 2016	NIR 2017	Abweichung absolut				Abweichung relativ
Jahr	gesamt	gesamt	gas	liquid	solid	gesamt	gesamt
2014	247	286	1	13	25	39	15,80%

Für das Jahr 2014 wurden die vorläufigen Daten durch die nun vorliegende endgültige Energiebilanz ersetzt. Dadurch wurden Rückrechnungen für fast alle Energieträger notwendig. Da die Zuckerindustrie nur eine kleine Branche ist, fallen hier die aufgrund der Vorläufigkeit notwendigen Rückrechnungen prozentual gesehen besonders hoch aus. Eine zuverlässige Schätzung ist in diesem Industriezweig nur schwer möglich.

3.2.9.5.6 Geplante Verbesserungen, kategoriespezifisch (1.A.2.e)

Derzeit sind keine Verbesserungen geplant.

Sofern in vorhergehenden Berichterstattungen in diesem Kapitel Verbesserungen benannt wurden, sind diese in Form einer Übersicht unter Kapitel 10.4 Verbesserungen des Inventars, Tabelle 426 zu finden. Sind diese bereits erledigt, sind sie im selben Kapitel in Tabelle 425 abgebildet.

3.2.9.6 Verarbeitendes Gewerbe – Mineralische Industrie (1.A.2.f)

KC	Category	Activity	EM of	1990 (kt CO_2-e.)	(fraction)	2015 (kt CO_2-e.)	(fraction)	Trend 1990-2015
L/-	1.A.2.f Manufacturing Industries and Construction: Non-metallic minerals	all fuels	CO_2	18.507,4	1,51%	13.145,4	1,48%	-29,0%
-/-	1.A.2.f Manufacturing Industries and Construction: Non-metallic minerals	all fuels	N_2O	205,3	0,02%	119,8	0,01%	-41,6%
-/-	1.A.2.f Manufacturing Industries and Construction: Non-metallic minerals	all fuels	CH_4	50,3	0,00%	15,1	0,00%	-69,9%

Gas	Angewandte Methode	Quelle der Aktivitätsdaten	genutzte Emissionsfaktoren
CO_2	CS	NS	CS
CH_4	CS	NS	CS
N_2O	CS	NS	CS
NO_x, CO, NMVOC, SO_2	CS/IE	NS/IE	CS/IE

Die Kategorie *Verarbeitendes Gewerbe* - Mineralische Industrie über alle weiteren Subkategorien ist für CO_2-Emissionen eine Hauptkategorie nach der Emissionshöhe.

Im Inventar werden im Wesentlichen die Kategorien separat ausgewiesen, in denen Feuerungsanlagen mit einem spezifischen Emissionsverhalten, sogenannte Prozessfeuerungen, zum Einsatz kommen. Deshalb werden die Subkategorien 1.A.2.f Zement (Strukturelement „Herstellung von Zementklinker (Prozessfeuerung)“), 1.A.2.f Keramik (Strukturelement „Herstellung von keramischen Erzeugnissen (Prozessfeuerung)“), 1.A.2.f Glas (Strukturelement „Herstellung von Glas (Prozessfeuerung)“), 1.A.2.f Kalk (Strukturelement „Herstellung von Kalk (Prozessfeuerung)“) einzeln ausgewiesen.

Abbildung 28: Entwicklung der Brennstoffeinsätze der Kategorie 1.A.2.f Non-Metallic Minerals

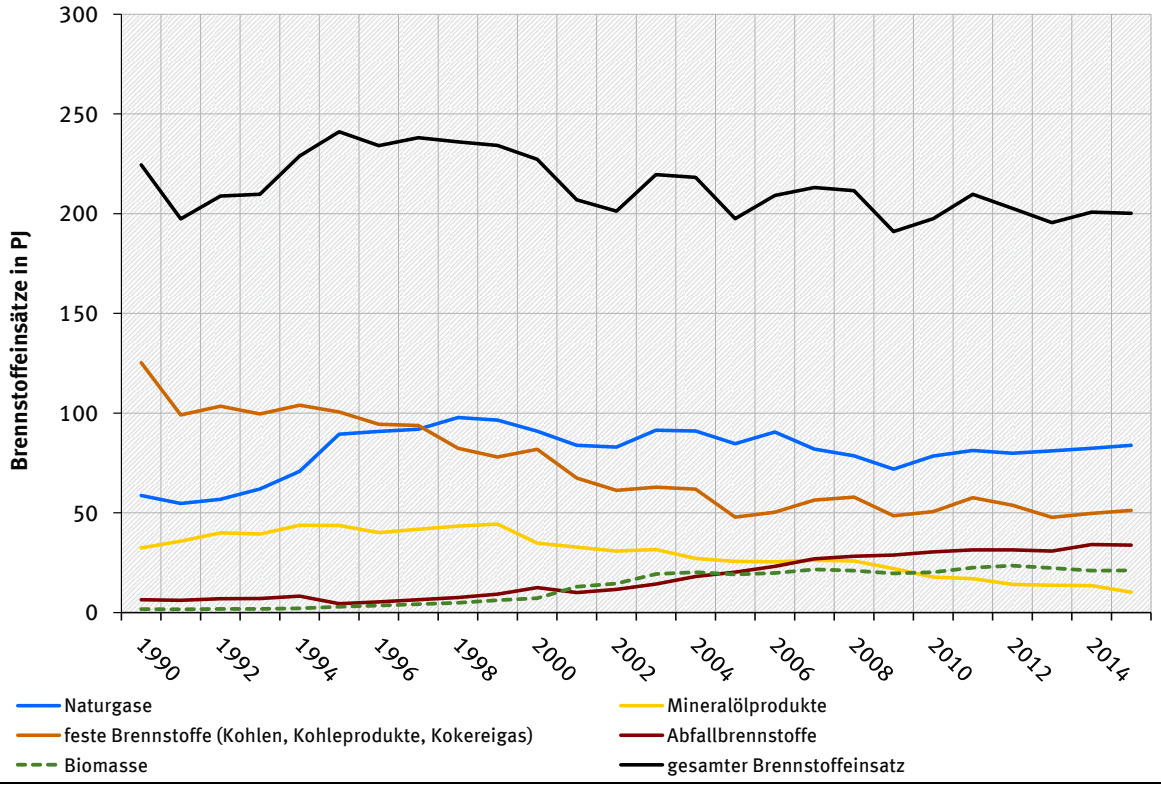

Im Bereich der Mineralischen Industrie können zwei Brennstoffwechsel beobachtet werden.

So verdrängen Mitte der Neunziger Jahre gasförmige Brennstoffe zunehmend die festen Brennstoffe. Beide Brennstoffgruppen dominieren diese Quellgruppe aktuell.

In den 2000er Jahren werden die flüssigen Brennstoffe überwiegend ersetzt, zuerst durch die Abfälle und Sekundärbrennstoffe und dann durch Biomasse.

Im Jahr 2015 steigen Erdgas und feste Brennstoffe leicht an, während Biomasse und Abfallbrennstoffe in etwa auf dem Niveau von 2014 bleiben. Dagegen sinken die Brennstoffeinsätze für Mineralöle leicht ab, so dass der Gesamtbrennstoffeinsatz im Vergleich zum Vorjahr stabil bleibt.

3.2.9.6.1 Beschreibung der Kategorie (1.A.2.f, Mineralische Industrie)

In dieser Kategorie werden die Prozessfeuerungen des Brennens von Zementklinker ausgewiesen. Der letzte Schritt der Zementherstellung, d.h. der Mahl- und Mischvorgang, ist nicht enthalten, sondern als stromintensiver Prozess über die Strombereitstellung (1.A.1) abgedeckt. Weiterhin werden die Prozessfeuerungen der Ziegelindustrie sowie sonstiger Baukeramik berichtet. Für die Glasindustrie umfassen die Prozessfeuerungen die Herstellung von Flachglas, Hohlglas, die Herstellung von Glasfasern, die Veredlung und Verarbeitung von Flachglas sowie die Herstellung und Veredlung von sonstigem Glas und technischen Glaswaren. Außerdem werden die Prozessfeuerungen bei der Herstellung von Kalk berücksichtigt. Eine gegebenenfalls stattfindende Eigenstromerzeugung wird nicht gesondert ausgewiesen, sondern ist 1.A.2.gviii „Sonstige“ enthalten.

3.2.9.6.2 Methodische Aspekte (1.A.2.f, Mineralische Industrie)

Die Brennstoffeinsätze von konventionellen Brennstoffen sind in der BEU enthalten. Die Quelle für die Brennstoffeinsätze der energiebedingten Prozessfeuerung ist die Statistik des produzierenden Gewerbes. Dabei sind folgende WZ Nummern relevant: Melde-Nr. 26.51(WZ 2003 alt) → 23.51 (WZ 2008 neu), Herstellung von Zement, Melde-Nr. 26.40 (WZ 2003 alt) → 23.32 (WZ 2008 neu), Ziegelei, Herstellung von sonstiger Baukeramik, Melde-Nr. 26.1 (WZ 2003 alt) → 23.1 (WZ 2008 neu), Herstellung von Glas und Glaswaren sowie die Melde-Nr. 26.52 (WZ 2003 alt) → 23.52 (WZ 2008 neu), Herstellung von Kalk. Eine Trennung zwischen Kalk und Gips ist auf Grund der Änderung der Meldenummern nicht mehr möglich und erfolgt mit Hilfe eines Splitfaktors, der auf Basis alter Einzelstatistiken ermittelt wurde. Für Abgrenzungen zur Strom- und Wärmeerzeugung die Statistik 067 (*STATISTISCHES BUNDESAMT*, 2015c).

Ab 2002 liegen für die Statistik 067 (ebd.) die Daten nur im dreistelligen Meldenummernbereich vor. Das heißt, es können nur Daten für die Meldenummer 26.5 (WZ 2003 alt) → 23.5 (WZ 2008 neu) (Herstellung von Zement, Kalk und gebrannten Gips) als Datengrundlage verwendet werden.

Im Endbericht zum Forschungsvorhaben „Dokumentation der Datenqualität von Aktivitätsraten“ (FKZ 204 41 132) und im NIR 2013 3.2.9.7 bis 3.2.9.10 werden die Berechnungsalgorithmen ausführlich beschrieben.

Die Brennstoffeinsätze für die Neuen Bundesländer 1990 wurden mittels des spezifischen Brennstoffverbrauchs des Jahres 1989 und der Produktion des Jahres 1990 errechnet.

In der Zementindustrie werden in nennenswertem Umfang Ersatzbrennstoffe eingesetzt, die nicht in nationalen Statistiken und der Energiebilanz berücksichtigt sind. Als Quelle für die Produktionsangaben und Brennstoffeinsätze werden Angaben der jeweiligen Industrieverbände genutzt. Das Verfahren für die Zusammenstellung der Aktivitätsdaten mit Raumbezug alte und neue Bundesländer ab 1990 sowie Deutschland ab 1995 ist im Endbericht zum Forschungsvorhaben Einsatz von Sekundärbrennstoffen dokumentiert (UBA 2005b, FKZ 204 42 203/02). In einem ersten Schritt wurden IPCC-gemäß die Brennstoffeinsätze den Gruppen Biomasse oder sonstige Brennstoffe (Abfälle) zugeordnet. Im Rahmen des Forschungsprojekts „Einsatz von Sekundärbrennstoffen“ wurden biogene Anteile von Brennstoffen hergeleitet und über Splitfaktoren in die Berechnung eingespeist. Im gleichen Vorhaben wurden für Ersatzbrennstoffe CO_2-Emissionsfaktoren auf der Basis von Angaben zu Kohlenstoffgehalten, Wassergehalten und Heizwerten abgeleitet (UBA 2005b, FKZ 204 42 203/02).

3.2.9.6.3 Unsicherheiten und Zeitreihenkonsistenz (1.A.2.f, Mineralische Industrie)

Unsicherheiten wurden in 2004 für alle Brennstoffe und für die o.g. Ersatzbrennstoffe hinsichtlich der kompletten Zeitreihe bestimmt. Die Methoden sind im Anhang 13.6 des NIR 2007 und im Endbericht des Forschungsprojekts (UBA 2005b, FKZ 204 42 203/02) erläutert.

Sie wurden für die Aktivitätsraten im Forschungsvorhaben „Dokumentation der Datenqualität von Aktivitätsraten (FKZ 204 41 132)“ aktualisiert und im Endbericht dokumentiert.

Die Aktivitätsraten der neuen Bundesländer für das Basisjahr und die Folgejahre 1991-1994 wurden entsprechend den Erkenntnissen aus dem Forschungsprojekt (FKZ 205 41 115 / Teilvorhaben A „Überarbeitung und Dokumentation der Brennstoffeinsätze für stationäre Feuerungsanlagen in den neuen Bundesländern für das Jahr 1990“) angepasst.

3.2.9.6.4 Kategoriespezifische Qualitätssicherung/-kontrolle und Verifizierung (1.A.2.f, Mineralische Industrie)

Eine allgemeine Qualitätskontrolle und eine Qualitätssicherung durch die Fachseite und durch die Nationale Koordinierungsstelle wurden gemäß den Anforderungen des QSE-Handbuchs bzw. dessen mitgeltenden Unterlagen durchgeführt.

Weitere Informationen zur Qualitätssicherung siehe CRF 1.A.1.a (Kapitel 3.2.6.4).

3.2.9.6.5 Kategoriespezifische Rückrechnungen (1.A.2.f Mineralische Industrie)

Tabelle 33: Rückrechnungen in CRF 1.A.2.f

Einheit [Gg]	NIR 2016	NIR 2017	Abweichung absolut					Abweichung relativ
Jahr	gesamt	gesamt	gas	liquid	other	solid	gesamt	gesamt
2014	12.307	13.243	311	464	1	160	936	7,61%

Im Jahr 2014 kommt es generell zu Rückrechnungen, da die vorläufigen Werte durch endgültige Energiebilanzwerte ersetzt wurden.

3.2.9.6.6 Geplante Verbesserungen, kategoriespezifisch (1.A.2.f, Mineralische Industrie)

Es sind keine weiteren Verbesserungen geplant.

Sofern in vorhergehenden Berichterstattungen in diesem Kapitel Verbesserungen benannt wurden, sind diese in Form einer Übersicht unter Kapitel 10.4 Verbesserungen des Inventars, Tabelle 426 zu finden. Sind diese bereits erledigt, sind sie im selben Kapitel in Tabelle 425 abgebildet.

3.2.9.7 Verarbeitendes Gewerbe - Weitere Energieerzeugung (1.A.2.g, Sonstige, stationär)

KC	Category	Activity	EM of	1990 (kt CO_2-e.)	(fraction)	2015 (kt CO_2-e.)	(fraction)	Trend 1990-2015
L/T	1.A.2.g Manufacturing Industries and Construction: Other	all fuels	CO_2	127.682,0	10,44%	72.445,4	8,16%	-43,3%
-/-	1.A.2.g Manufacturing Industries and Construction: Other	all fuels	N_2O	937,7	0,08%	549,9	0,06%	-41,4%
-/-	1.A.2.g Manufacturing Industries and Construction: Other	all fuels	CH_4	130,7	0,01%	184,9	0,02%	41,5%

Gas	Angewandte Methode	Quelle der Aktivitätsdaten	genutzte Emissionsfaktoren
CO_2	CS	NS	CS
CH_4	CS	NS	CS
N_2O	CS	NS	CS
NO_x, CO, NMVOC, SO_2	CS	NS	CS

Die Einordnung in die Hauptkategorien erfolgt für die Kategorien 1.A.2.g für stationäre & mobile Quellen gemeinsam. Demnach ist die Kategorie *1.A.2.g Verarbeitendes Gewerbe - Weitere Energieerzeugung* für CO_2 eine Hauptkategorie nach der Emissionshöhe und dem Trend.

Diese Subkategorie ist wegen ihrer Eigenschaft als Auffangposition für nicht branchenscharf disaggregierbare Brennstoffeinsätze besonders bedeutsam und trägt substanziell zu den CO_2-Emissionen des gesamten Energiesektors bei.

3.2.9.7.1 Beschreibung der Kategorie (1.A.2.g, Sonstige, stationär)

In dieser Subkategorie werden alle Emissionen berichtet, für die sich die Energieeinsätze nicht entsprechend der Gliederung für 1.A.2 disaggregieren lassen. Diese Subkategorie ist für ca. 70 % der gesamten CO_2-Emissionen der Kategorie 1.A.2 verantwortlich.

In dieser Subkategorie ist die gesamte Strom- und Wärmeerzeugung in Industriekraftwerken und Kesseln aufgeführt, weil sich diese Anlagenarten aufgrund ihres Emissionsverhaltens zusammenfassen lassen. Da in der chemischen Industrie im Wesentlichen KWK-Anlagen und Kessel zu Einsatz kommen, werden die Emissionen aus der Kategorie 1.A.2.c mit in der Subkategorie 1.A.2.gviii „Sonstige“ berichtet. Eine weitere Aufteilung der Industriekraftwerke und Kessel in die vorgesehenen Subkategorien wäre nicht mit einer Verbesserung der Daten verbunden, da das Emissionsverhalten der Anlagen nicht vom Industriezweig abhängt. Vor allem die Erstellung von Zeitreihen ist mit erheblichen Schwierigkeiten verbunden, da im Jahr 1990 Deutschland noch aus zwei Ländern bestand. Von daher gab es auch zwei verschiedene statistische Systeme, die in einer Übergangszeit bis 1994 zusammengeführt wurden. Es wurden große Anstrengungen unternommen, um für das Basisjahr 1990 die geforderte Dokumentation und Datenqualität bereitzustellen. Weiterhin wurde mit der Novellierung des Energiestatistikgesetzes im Jahr 2003 die Datenerhebung, vor allem für KWK-Anlagen deutlich verbessert. Eine Rückwirkende Erhebung dieser Daten von 2002 – 1990 ist nicht möglich. Die Zeitreihenkonsistenz konnte auf aggregierter Ebene weitgehend sichergestellt werden. Eine weitere Disaggregierung würde aber zu Brüchen in den Zeitreihen führen, weil die Daten nicht durchgängig disaggregiert vorliegen und eine systematische Zuordnung ebenfalls nicht möglich ist. Dennoch wurde die Möglichkeit einer weiteren Disaggregierung umfangreich geprüft, bisher jedoch ohne erfolgreichen Lösungsansatz. Hinzu kommt, dass viele Energiedaten in Deutschland der Geheimhaltung unterliegen, so dass zur Wahrung der Geheimhaltung oft eine Aggregierung zwingend erforderlich ist. In einigen bisher einzeln ausgewiesenen Branchen müssen einzelne Brennstoffe aufgrund der Geheimhaltung zusammengefasst und unter der Kategorie 1.A.2.gviii „Sonstige“ berichtet werden. Das führt ebenfalls zu einer deutlichen Verringerung der Aussagekraft der Daten in den einzelnen Sektoren.

Letztlich ist die Grenze zwischen den einzelnen Industriesektoren und der öffentlichen Versorgung nicht eindeutig zu ziehen. Der in den IPCC Guidelines beschriebene Begriff „autoproducer“ ist in der Realität in dieser reinen Form kaum zu finden. Die Strom- und Wärmeversorgung ist in den einzelnen Unternehmen unterschiedlich geregelt. Einige Unternehmen betreiben eigene Kraftwerke, die häufig auch Strom in das öffentliche Netz einspeisen. Andere Betriebe beziehen Strom oder auch Wärme aus dem öffentlichen Netz. Im Zuge der Liberalisierung des Energiemarktes kommt es zu häufigen strukturellen Änderungen. Da die Nationale Statistik die Grundlage für die Inventarerstellung bildet, wird die in der Statistik vorgenommene Zuordnung der Anlagen übernommen. Diese Zuordnung ist weder konstant über die Zeitreihe noch durchgehend konsistent mit den Angaben im Emissionshandel und kann daher in den bestehenden Datensätzen nicht harmonisiert werden.

Eine internationale Vergleichbarkeit jener Subkategorien, in denen hauptsächlich Industriekraftwerke zum Einsatz kommen ist nicht möglich, da sich die Versorgungsstrukturen deutlich unterscheiden.

Abbildung 29: Entwicklung der Brennstoffeinsätze der Kategorie 1.A.2.g viii Sonstige

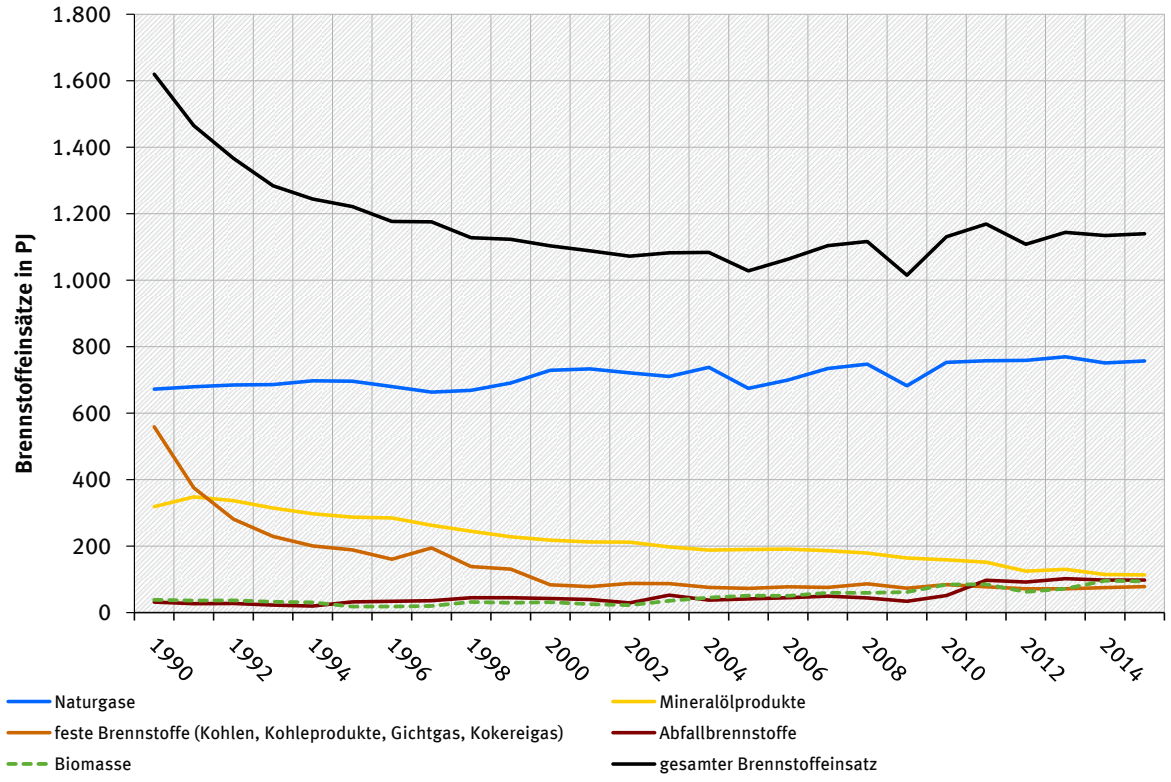

Die Kategorie weist einen deutlichen Wechsel im Brennstoffeinsatz aus.

Besonders auffällig ist der Rückgang des Einsatzes an festen Brennstoffen, vor allem durch einen deutlich geringeren Einsatz von Braunkohle. Dagegen stieg der Einsatz von Gas, Biomasse und Ersatzbrennstoffen (Abfall) an.

Im Bereich der Biomasse ist ein statistischer Bruch zu verzeichnen. Vor Einführung des Energiestatistikgesetzes wurde der Biomasseeinsatz zur Energieerzeugung statistisch nicht bzw. nur teilweise erfasst. Der Anteil der Biomasse steigt kontinuierlich an.

Im Jahr 2013 stiegen die Mengen der Abfallstatistik für den Einsatz von Industriemüll in Feuerungsanlagen und Sonderabfall (STATISTISCHES BUNDESAMT, FS 19 Reihe 1) leicht an, die sonstigen Gase in der Energiebilanz gingen deutlich zurück. Der gestiegene Verbrauch von Gas und Heizöl führten 2013 wieder zu einer insgesamt leichten Zunahme in dieser Kategorie. 2014 und 2015 blieben die Brennstoffeinsätze weitestgehend stabil.

3.2.9.7.2 Methodische Aspekte (1.A.2.g, Sonstige, stationär)

Die Brennstoffeinsätze zur Stromerzeugung in Industriekraftwerken sind in der Energiebilanzzeile 12 enthalten. Nach Abzug der Brennstoffeinsätze für Raffineriekraftwerke, Grubenkraftwerke, der Kraftwerke des Steinkohlenbergbaus und bis 1999 der Kraftwerke der Deutschen Bahn bleiben als Differenzbetrag die Aktivitätsdaten in den übrigen Industriekraftwerken, die sich zur Zeit nicht weiter untergliedern lassen.

Für die Zuordnung der Brennstoffeinsätze zur Wärmeerzeugung in Industriekraftwerken und Kesseln werden zusätzliche Daten vom Statistischen Bundesamt benötigt. Aus den Statistiken lassen sich die Brennstoffeinsätze zur KWK-Wärmeerzeugung ermitteln. Die Aktivitätsdaten für die Kessel werden als Differenzbetrag errechnet.

Sowohl für die Stromerzeugung als auch für die Wärmeerzeugung erfolgt eine Aufteilung in Dampfturbinen, Gasturbinen, GuD-Anlagen und Gasmotoren, da sich vor allem die Methanemissionen dieser Verbrennungstechniken unterscheiden. Diese Aufteilung wurde für die aktuelle Berichterstattung überarbeitet und ist unter 1.A.1.a beschrieben.

Eine ausführliche Beschreibung der Berechnungsalgorithmen, die für das Berichtsjahr 2008 grundlegend überarbeitet wurden, liegt im Endbericht zum Forschungsvorhaben „Dokumentation der Datenqualität von Aktivitätsraten“ (FKZ 204 41 132) vor.

Die neue Datenquelle BGS-Bogen ermöglichte für die Eisenschaffende Industrie die Ausweisung an Gichtgas zur Energieerzeugung im Bereich der Frischdampfkessel.

Die in der Energiebilanzzeile 54 (Metallerzeugung) ausgewiesene Gesamtenergiemenge für die Verwendung von Gichtgas unterschätzt in einigen Jahren in Summe die Einsatzmenge an Gichtgas entsprechend BGS-Bogen. In diesen Fällen werden die Daten der Energiebilanz durch Daten aus dem BGS-Bogen ergänzt.

Emissionsfaktoren

Eine Liste der verwendeten CO2 Emissionsfaktoren sowie eine methodische Beschreibung ist im Anhang, Kapitel 18.7 verfügbar.

Alle anderen Emissionsfaktoren für Treibhausgase und Vorläufersubstanzen für Kraftwerke und sonstige Kesselfeuerungen zur Dampf-, Heiß- und Warmwasserbereitstellung in der Kategorie 1.A.2.f / all other sind RENTZ et al (2002) und FICHTNER et al (2011) entnommen. Eine ausführliche Beschreibung der Vorgehensweise ist dem Kapitel 3.2.6.2 in Verbindung mit dem Kapitel 19.1.2.1 im Anhang 3 zu entnehmen. Die Forschungsvorhaben unterscheiden innerhalb des Sektors nach Kraftwerken der Deutschen Bahn AG, den übrigen Industriekraftwerken sowie den sonstigen Kesselfeuerungen zur Dampf-, Heiß- und Warmwasserbereitstellung.

3.2.9.7.3 Unsicherheiten und Zeitreihenkonsistenz (1.A.2.g, Sonstige, stationär)

Aktivitätsraten

Die Unsicherheiten wurden erstmals für das Jahr 2004 bestimmt. Die Methode ist im Anhang-Kapitel 13.6 des NIR 2007 zu finden.

Sie wurden für die Aktivitätsraten im Forschungsvorhaben „Dokumentation der Datenqualität von Aktivitätsraten (FKZ 204 41 132)“ aktualisiert und im Endbericht dokumentiert.

Emissionsfaktoren

Die Vorgehensweise bei der Ermittlung der Unsicherheiten ist in dem Kapitel 3.2.6.3.1 beschrieben.

Ergebnis für N_2O: Die Ergebnisse des Kapitels 3.2.6.3.2 gelten entsprechend.

Ergebnis für CH_4: Die Ergebnisse des Kapitels 3.2.6.3.3 gelten entsprechend.

Die Ergebnisse der Ermittlung der Zeitreihenkonsistenz des Kapitels 3.2.6.3.4 gelten entsprechend.

3.2.9.7.4 Kategoriespezifische Qualitätssicherung/-kontrolle und Verifizierung (1.A.2.g, Sonstige, stationär)

Eine allgemeine und kategoriespezifische Qualitätskontrolle und eine Qualitätssicherung durch die Fachseite und durch die Nationale Koordinierungsstelle wurden gemäß den Anforderungen des QSE-Handbuchs bzw. dessen mitgeltenden Unterlagen durchgeführt.

Weitere Informationen zur Qualitätssicherung siehe CRF 1.A.1.a (Kapitel 3.2.6.4).

Aktivitätsraten

Die Qualität der Daten wurde bei der Bearbeitung des Forschungsvorhabens „Dokumentation der Datenqualität von Aktivitätsraten (FKZ 204 41 132) überprüft und durch die Verwendung von Statistiken des Statistischen Bundesamtes als Datengrundlage verbessert. Andere, langfristig verfügbare Datenquellen konnten nicht identifiziert werden.

Emissionsfaktoren

Die Ergebnisse der generellen Vorgehensweise bei der quellenspezifischen Qualitätssicherung / -kontrolle und Verifizierung des Kapitels 3.2.6.2 gelten entsprechend.

3.2.9.7.5 Kategoriespezifische Rückrechnungen (1.A.2.g, Sonstige, stationär)

Tabelle 34: Rückrechnungen in CRF 1.A.2.gviii

Einheit [kt]	NIR 2016	NIR 2017	Abweichung absolut					Abweichung relativ
Jahr	gesamt	gesamt	gas	liquid	other	solid	gesamt	gesamt
2013	71.127	71.037	0	-2	-88	0	-90	-0,13%
2014	68.084	68.714	856	-469	-195	438	629	0,92%

Aufgrund einer Fehlerkorrektur im Abfallmodell, kam es zu Rückrechnungen für die sonstigen Brennstoffe ab 2004. Die Änderung der CO_2 Emissionsfaktoren für Dieselkraftstoffe und „Andere Mineralölprodukte“ führte zu leichten Rückrechnungen bei den flüssigen Brennstoffen ab 2008. Die Rückrechnungen für feste Brennstoffe sind in der Änderung der Heizwerte durch die Arbeitsgemeinschaft Energiebilanzen begründet. Nach dem Vorliegen der endgültigen Energiebilanz wurden die vorläufigen Werte für das Jahr 2013 durch aktuelle Werte ersetzt. Dadurch kommt es bei allen Brennstoffen zu Rückrechnungen.

3.2.9.7.6 Geplante Verbesserungen, kategoriespezifisch (1.A.2.g, Sonstige, stationär)

Aktivitätsraten:

Derzeit sind keine Verbesserungen geplant.

Emissionsfaktoren:

Derzeit sind keine weiteren Verbesserungen geplant.

Sofern in vorhergehenden Berichterstattungen in diesem Kapitel Verbesserungen benannt wurden, sind diese in Form einer Übersicht unter Kapitel 10.4 Verbesserungen des Inventars, Tabelle 426 zu finden. Sind diese bereits erledigt, sind sie im selben Kapitel in Tabelle 425 abgebildet.

3.2.9.8 Bauwirtschaftlicher Verkehr (1.A.2.g vii)

3.2.9.8.1 Beschreibung der Kategorie (1.A.2.g vii)

Gas	Angewandte Methode	Quelle der Aktivitätsdaten	genutzte Emissionsfaktoren
CO_2	Tier 1 [a], CS	NS/M	CS, D [a]
CH_4	CS (Tier 2)	NS/M	CS (M)
N_2O	CS (Tier 2)	NS/M	CS (M)
NO_x, CO, NMVOC, SO_2	CS (Tier 2)	NS/M	CS (M)

[a] Biodiesel: 2006 IPCC GL (Tab. 2.4)

Die Einordnung in die Hauptkategorien erfolgt für die Kategorien 1.A.2.g für stationäre & mobile Quellen gemeinsam. (Übersicht siehe Kapitel 3.2.9.7.). Demnach ist die Kategorie *1.A.2.g vii – Übrige: Offroad-Fahrzeuge und sonstige Maschinen,* in der die Emissionen des bauwirtschaftlichen

Verkehrs berücksichtigt sind, für CO_2 eine Hauptkategorie nach der Emissionshöhe und dem Trend.

3.2.9.8.2 Methodische Aspekte (1.A.2.g vii)

Die Emissionen werden gemäß (IPCC 2006 Guidelines; Seite 3.33; Gleichung 3.3.2) als Tier 2-Produkt aus verbrauchten Kraftstoffen und technikspezifischen Emissionsfaktoren berechnet.

Abbildung 30: Entwicklung der THG-Emissionen aus Fahrzeugen und mobilen Maschinen der Bauwirtschaft 1990-2015

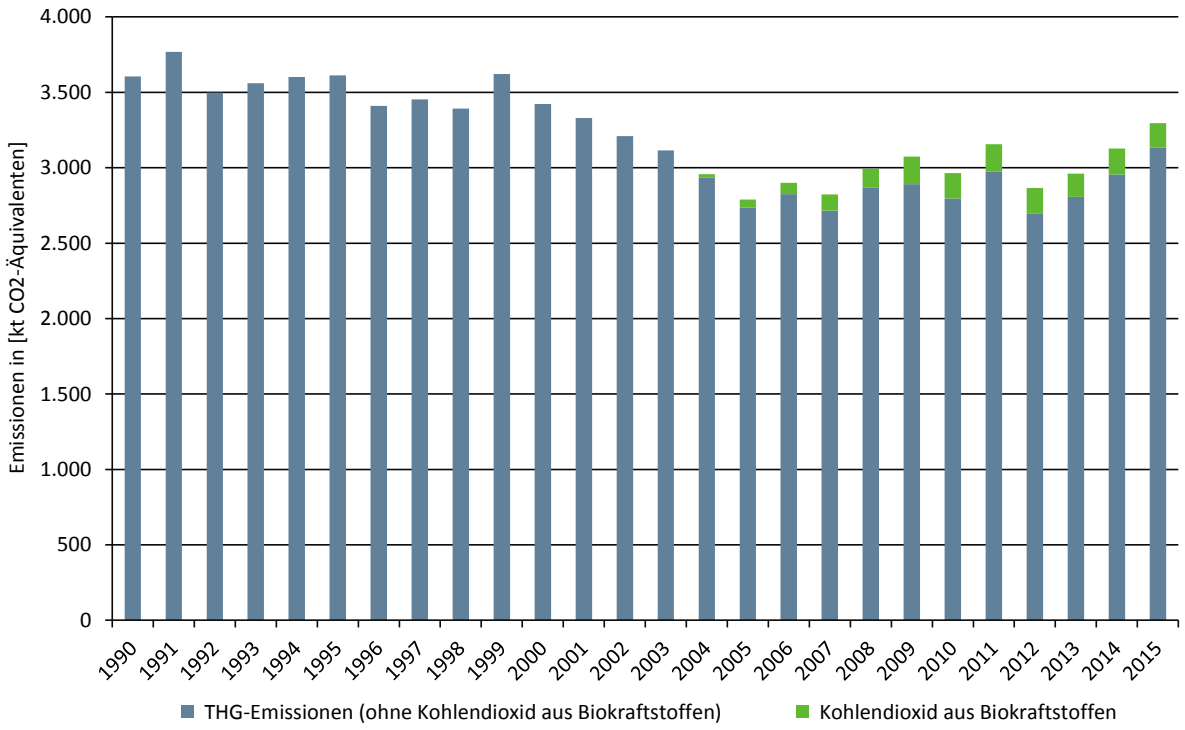

Die **Aktivitätsraten** für fossile Diesel- und Ottokraftstoffe werden, nach Abzug der Energieeinsätze des militärischen Verkehrs, aus den Angaben der Energiebilanzzeilen 79 (bis 1994) bzw. 67 *„Gewerbe, Handel, Dienstleistungen und übrige Verbraucher“* berechnet. Da für die Jahre 2005 bis 2009 für den Einsatz von Diesel- und Ottokraftstoffen in den einzelnen Verkehrsträgern (siehe nachfolgende Kapitel zu Straßen- und Schienenverkehr) Angaben des MWV verwendet werden, werden – um die nötige Konsistenz mit den Gesamtmengen gemäß NEB herzustellen – die für diese fünf Jahre zugrunde gelegten Primärdaten in TREMOD berechnet. Der Einsatz von Biokraftstoffen wird, anhand der offiziellen Beimengungsraten, ebenfalls rechnerisch ermittelt.

Zur weiteren Aufteilung der Kraftstoffmengen auf mobile Quellen in Bauwirtschaft, Handel & Gewerbe (1.A.4.a ii) sowie Land- und Forstwirtschaft (1.A.4.c ii) werden dabei in TREMOD-MM (Transport Emission Model-Mobile Machinery) modellierte, jährlich schwankende Splitfaktoren herangezogen (IFEU, 2016b)

Die **Emissionsfaktoren** stützen sich auf Ergebnisse verschiedener Forschungsprojekte und Expertenbetrachtungen des UBA.

Hinsichtlich Kohlendioxid wird hier grundsätzlich auf Kapitel 18.7 verwiesen. Es kommen sowohl landesspezifische als auch Default-Werte (Biodiesel, Flugbenzin) zum Einsatz. Weiterführende Informationen speziell zur Schmierstoffmitverbrennung finden sich in Kapitel 19.1.4.

Für Methan und Lachgas kommen landesspezifische Werte aus (IFEU, 2016b) zum Einsatz. Ihre Entwicklung spiegelt die seit Mitte der Neunziger Jahre schrittweise eingeführten Grenzwerte für die Abgasemissionen von bauwirtschaftlichen Maschinen wider.

Bezüglich der Freisetzung dieser beiden Treibhausgase aus der Schmierstoff-Mitverbrennung wird davon ausgegangen, dass diese bereits in den entsprechenden Emissionsfaktoren der verwendeten Kraftstoffe berücksichtigt und daher als IE *(included elsewhere)* zu berichten ist.

Tabelle 35: für das Berichtsjahr 2014 verwendete Emissionsfaktoren, in kg/TJ

	CH_4	N_2O	Ursprung
Diesel	1,13 (4,15)	2,92 (28,60)	gemäß (EMEP/EEA, 2016) u. (IFEU, 2016b)
Biodiesel	1,13 (-)	2,92 (-)	entspricht EF für Diesel
Ottokraftstoff	19,75 (50)	1,41 (2,00)	gemäß (EMEP/EEA, 2016) u. (IFEU, 2016b)
Bioethanol	19,75 (-)	1,41 (-)	entspricht EF für Ottokraftstoff

in Klammern: Sektor-spezifische Vorgabe-Werte für *„Industry“* gemäß IPCC Guidelines 2006, Tab. 3.3.1

3.2.9.8.3 Unsicherheiten und Zeitreihenkonsistenz (1.A.2.g vii)

Die von der mathematischen Unsicherheit des in TREMOD MM entwickelten Verteilschlüssels (siehe oben: Methodische Aspekte) dominierten Unsicherheitenangaben der spezifischen Energieeinsätze basieren auf Expertenschätzungen. Gleiches gilt für die verwendeten Kohlendioxid-Emissionsfaktoren. Während bzgl. der Emissionsfaktoren für Methan dagegen Ergebnisse aus (IFEU & INFRAS, 2009) zugrunde gelegt werden, muss bzgl. Lachgas bis auf weiteres auf Richtwerte gemäß IPCC zurückgegriffen werden.

3.2.9.8.4 Kategoriespezifische Qualitätssicherung/-kontrolle und Verifizierung (1.A.2.g vii)

Eine allgemeine und kategoriespezifische Qualitätskontrolle und eine Qualitätssicherung durch die Fachseite und durch die Nationale Koordinierungsstelle wurden gemäß den Anforderungen des QSE-Handbuchs bzw. dessen mitgeltenden Unterlagen durchgeführt.

Zur Qualitätssicherung der Energiebilanzen liegen dem Umweltbundesamt entsprechende Qualitätsberichte der AG Energiebilanzen vor.

Tabelle 36: Übersicht relevanter Datenvergleiche

Vergleich mit...	erfolgt	Erläuterung
alternativen Emissionsinventaren für Deutschland	nein	keine vergleichbaren Datensätze
sektorspezifischen Tier1-Default-EF gemäß IPCC, 2006: Band 2, Tabelle 3.3.1: Industry: CO_2	ja	siehe Tabelle 37Tabelle 37: Vergleich der verwendeten EF(CO2) mit Default-Werten, in kg/TJ
sektorspezifischen Tier1-Default-EF gemäß IPCC, 2006: Band 2, Tabelle 3.3.1: Industry: CH_4, N_2O	ja	siehe Tabelle 35
spezifischen IEF anderer Staaten	ja	siehe Tabelle 38

Tabelle 37: Vergleich der verwendeten EF(CO_2) mit Default-Werten, in kg/TJ

	Inventarwerte [a]	Default [b]	*Untergrenze*	*Obergrenze*
Dieselkraftstoff	74.027	74.100 [c]	*72.600*	*74.800*
Ottokraftstoffe	73.105	69.300 [c]	*67.500*	*73.000*
Biodiesel	70.800 [d]		*59.800*	*84.300*
Bioethanol	71.607	70.800 [d]	*59.800*	*84.300*

[b] für das Berichtsjahr 2015; [a] gemäß 2006 IPCC Guidelines, Band 2: [c] Kap. 3, Tab. 3.3.1; [d] Kap. 2, Tab. 2.4

Nachfolgende Tabelle erlaubt einen Vergleich mit spezifischen impliziten Emissionsfaktoren anderer Staaten bzw. den sich für die EU(28) ergebenden Werten, der sich aufgrund des heterogenen Quellgruppenzuschnitts jedoch schwierig gestaltet.

Tabelle 38: länderübergreifender Vergleich der der für fossile Flüssigbrennstoffe berichteten IEF, in kg/TJ

	CO_2	CH_4	N_2O
Deutschland	74.009	1,57	3,05
Dänemark	73.226	2,35	3,12
Niederlande	73.349	2,60	3,18
Großbritannien	73.650	9,46	26,78

Deutschland: IEF für das Berichtsjahr 2015; sonst: IEF für 2014 gemäß CRF-Submission 2016

3.2.9.8.5 Kategoriespezifische Rückrechnungen (1.A.2.g vii)

Wie oben beschrieben, sind die Aktivitätsraten des bauwirtschaftlichen Verkehrs Teil der in EBZ 67 angegebenen Primärdaten. Für das Jahr 2014 wurden hier die in Submission 2016 noch vorläufigen Daten durch Angaben der finalen NEB 2014 ersetzt. Die anhand der offiziellen Beimengungsraten ermittelten Mengen eingesetzter Biokraftstoffe wurden entsprechend neu berechnet. Für Biodiesel wurde dabei auch die Beimengungsrate 2014 korrigiert.

Tabelle 39: revidierte Primäraktivitätsdaten 2014, in TJ

	Diesel	Benzin	Biodiesel	Bioethanol
Submission 2017	97.410	4.941	5.937	215
Submission 2016	96.022	4.862	5.806	211
Änderung absolut	1.388	79	132	3
Änderung relativ	1,45%	1,62%	2,27%	1,62%

Quelle: Energiebilanz 2014 (AGEB, 2016) und eigene Berechnungen basierend auf (IFEU, 2016b)

Zudem wurde der auf TREMOD-MM-Angaben beruhende Verteilschlüssel für die in EBZ 67 subsummierten Teilsektoren für Dieselkraftstoffe korrigiert. Für 1.A.2.g vii resultiert diese

Revision in einer Anhebung dieser Anteile sowie der daraus berechneten sektoralen Aktivitätsdaten. Der Verteilschlüssel für Ottokraftstoffe bleibt dagegen unverändert.

Tabelle 40: revidierte jährl. Anteile von CRF 1.A.2.g vii an den in EBZ 67 angegebenen Dieselmengen, in %

	1990	1995	2000	2005	2010	2011	2012	2013	2014
Submission 2017	42,28	42,78	46,45	45,91	46,85	45,40	44,39	41,14	39,98
Submission 2016	42,05	42,39	45,85	45,19	46,02	44,56	43,54	40,25	39,19
Änderung absolut	0,23	0,39	0,61	0,72	0,83	0,84	0,85	0,89	0,79
Änderung relativ	0,54%	0,91%	1,33%	1,59%	1,81%	1,88%	1,96%	2,21%	2,02%

Quelle: eigene Berechnungen basierend auf (IFEU, 2016b)

Die beschriebenen Effekte resultieren in folgenden Veränderungen der letztlich verwendeten sektoralen Aktivitätsraten:

Tabelle 41: resultierende Revision der Aktivitätsdaten für Dieselkraftstoffe, in TJ

	1990	1995	2000	2004	2005	2010	2011	2012	2013	2014
Diesel										
Submission 2017	47.301	44.401	42.199	35.312	32.753	35.023	37.602	35.673	37.142	39.104
Submission 2016	47.046	43.582	41.388	34.547	32.103	34.093	36.499	34.657	36.086	37.396
Änderung absolut	256	819	812	765	650	930	1.103	1.016	1.056	1.707
Änderung relativ	0,54%	1,88%	1,96%	2,21%	2,02%	2,73%	3,02%	2,93%	2,93%	4,57%
Biodiesel										
Submission 2017	NO	NO	NO	304	716	2.285	2.477	2.339	2.161	2.384
Submission 2016	NO	NO	NO	298	702	2.225	2.404	2.272	2.099	2.261
Änderung absolut				7	14	61	73	67	61	122
Änderung relativ				2,21%	2,02%	2,73%	3,02%	2,93%	2,93%	5,42%

Quelle: eigene Berechnungen basierend auf (IFEU, 2016b)

Aus den beschriebenen Korrekturen resultieren folgende rekalkulierte Emissionsmengen:

Tabelle 42: revidierte Emissionsangaben, in kt bzw. kt CO_2-Äquivakenten

	1990	1995	2000	2005	2010	2011	2012	2013	2014
Kohlendioxid [a]									
Submission 2017	3.605	3.612	3.422	2.736	2.796	2.973	2.698	2.806	2.956
Submission 2016	3.586	3.552	3.362	2.688	2.727	2.891	2.623	2.728	2.825
Änderung absolut	19	61	60	48	69	82	75	78	130
Änderung relativ	0,53%	1,71%	1,79%	1,79%	2,53%	2,82%	2,87%	2,87%	4,61%
Methan									
Submission 2017	0,25	0,27	0,22	0,16	0,11	0,11	0,07	0,07	0,07
Submission 2016	0,25	0,27	0,22	0,16	0,11	0,11	0,07	0,07	0,06
Änderung absolut	0,00	0,00	0,00	0,00	0,00	0,00	0,00	0,00	0,00
Änderung relativ	0,47%	1,19%	1,23%	0,94%	1,35%	1,56%	2,23%	2,22%	5,15%
Lachgas									
Submission 2017	0,14	0,13	0,13	0,10	0,11	0,12	0,11	0,12	0,12
Submission 2016	0,13	0,13	0,13	0,10	0,11	0,12	0,11	0,11	0,12
Änderung absolut	0,00	0,00	0,00	0,00	0,00	0,00	0,00	0,00	0,01
Änderung relativ	0,54%	1,79%	1,87%	1,90%	2,63%	2,92%	2,90%	2,90%	4,64%
Gesamt-THG [a]									
Submission 2017	3.652	3.659	3.466	2.771	2.832	3.011	2.733	2.843	2.994
Submission 2016	3.633	3.597	3.405	2.722	2.763	2.929	2.657	2.763	2.862
Änderung absolut	19	61	61	49	70	83	76	79	132
Änderung relativ	0,53%	1,71%	1,79%	1,79%	2,53%	2,82%	2,87%	2,87%	4,61%

[a] ohne CO_2 aus der Verwendung von Biokraftstoffen; Quelle: eigene Berechnungen

3.2.9.8.6 Geplante Verbesserungen, kategoriespezifisch (1.A.2.g vii)

Derzeit sind keine quellenspezifischen Verbesserungen geplant.

Sofern in vorhergehenden Berichterstattungen in diesem Kapitel Verbesserungen benannt wurden, sind diese in Form einer Übersicht unter Kapitel 10.4 Verbesserungen des Inventars, Tabelle 426 zu finden. Sind diese bereits erledigt, sind sie im selben Kapitel in Tabelle 425 abgebildet.

3.2.10 Transport (1.A.3)

3.2.10.1 Transport - Ziviler Luftverkehr (1.A.3.a)

3.2.10.1.1 Beschreibung der Kategorie (1.A.3.a)

KC	Category	Activity	EM of	1990 (kt CO_2-e.)	(fraction)	2015 (kt CO_2-e.)	(fraction)	Trend 1990-2015
-/-	1.A.3.a Transport: Civil Aviation	all fuels	CO_2	2.373,5	0,19%	2.214,5	0,25%	-6,7%
-/-	1.A.3.a Transport: Civil Aviation	all fuels	N_2O	23,8	0,00%	22,1	0,00%	-7,2%
-/-	1.A.3.a Transport: Civil Aviation	all fuels	CH_4	2,6	0,00%	2,0	0,00%	-24,8%

Gas	angewandte Methode	Quelle der Aktivitätsdaten	genutzte Emissionsfaktoren
CO_2	Tier 1 a, CS (Tier 3)	NS/IS/M	D a, CS
CH_4	CS (Tier 3)	NS/IS/M	CS (M)
N_2O	CS (Tier 3)	NS/IS/M	CS (M)
NO_X, CO	CS (Tier 3)	NS/IS/M	CS (M)
NMVOC	CS (Tier 3)	NS/IS/M	CS (M)
SO_2	Tier 1	NS/IS/M	CS

[a] Flugbenzin: IPCC Guidelines 2006, Kapitel 3.6 – *Civil Aviation*, Tabelle 3.6.4

Die Kategorie *Ziviler Luftverkehr* ist keine Hauptkategorie.

Der Flugverkehr unterscheidet sich in der Entstehung seiner Emissionen in hohem Maße von den land- und wassergebundenen Verkehrsträgern: die Verbrennung der Treibstoffe findet hier weitestgehend unter von bodengebundenen Verhältnissen verschiedenen und zudem wechselnden atmosphärischen Bedingungen statt. Wesentliche Einflussfaktoren auf den Verbrennungsprozess sind der atmosphärische Druck, die Umgebungstemperatur sowie die Luftfeuchte, also Faktoren, die mit der Flughöhe erheblich variieren.

In der Debatte um die Klimawirksamkeit und die durch Luftschadstoffemissionen hervorgerufenen Umweltauswirkungen des Flugverkehrs werden neben Kohlendioxid hauptsächlich Wasserdampf sowie Stickstoffoxide und nachrangig Kohlenwasserstoffe, Partikel, Kohlenmonoxid und Schwefeldioxid wahrgenommen. Im Rahmen der nationalen Emissionsberichterstattung werden allerdings auch Angaben für weitere Emissionen gefordert. Die folgenden Ausführungen beziehen sich daher auf die Emissionen von Kohlendioxid (CO_2), Methan (CH_4), Distickstoffoxid (N_2O, Lachgas), Stickstoffoxide (NO_X, d.h. NO und NO_2), Kohlenmonoxid (CO), flüchtige organische Verbindungen ohne Methan (NMVOC) sowie Schwefeldioxid (SO_2).

Abbildung 31: Entwicklung der THG-Emissionen des nationalen zivilen Flugverkehrs seit 1990

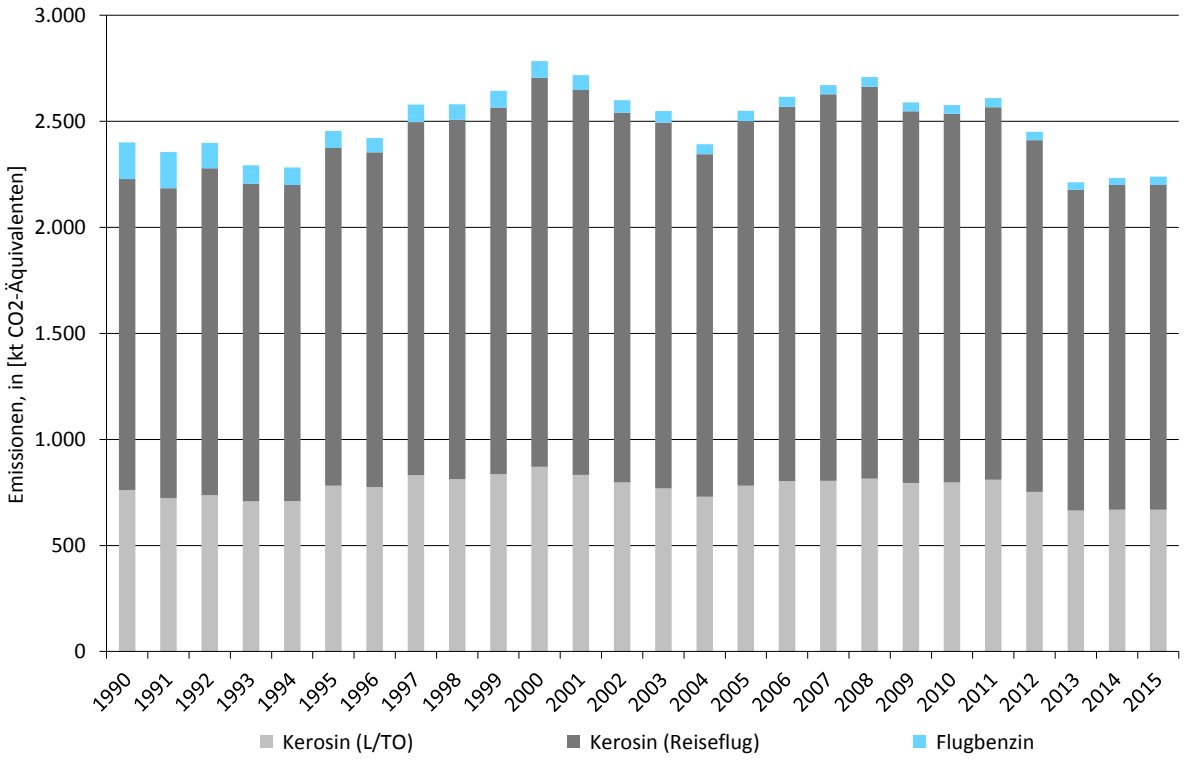

3.2.10.1.2 Methodische Aspekte (1.A.3.a)

Die Berechnung der Luftverkehrsemissionen erfolgt nach Tier3a, also unter Berücksichtigung der von einzelnen Flugzeugtypen jährlich geflogenen Strecken, getrennt nach nationalen und internationalen Flügen und unter Berücksichtigung der Flugbetriebszustände LTO (Landing/Take-off-Zyklus, d.h. Flugbewegungen bis 3.000 Fuß bzw. ca. 915 m) und Cruise (Reiseflug oberhalb 3.000 Fuß).

Grundsätzlich basiert die Ermittlung der Emissionen auf den Verbrauchsdaten der Energiebilanz für Kerosin und Flugbenzin (AGEB, 2016a&b). Für Jahre, für die noch keine oder nur eine vorläufige Energiebilanz vorliegt, werden die Absatzzahlen des Bundesamtes für Wirtschaft und Ausfuhrkontrolle (BAFA, 2016) verwendet. Entscheidend für die Berichterstattung ist die Aufteilung in innerdeutschen und internationalen Flugverkehr, die innerhalb des Modells TREMOD AV (TREMOD Aviation) (IFEU & ÖKOINSTITUT, 2015) erfolgt. Die dazu notwendigen Bewegungsdaten werden vom Statistischen Bundesamt erfasst.

Für die Berichterstattung werden die Emissionen durch die Multiplikation des Treibstoffverbrauchs der jeweiligen Flugphase mit spezifischen Emissionsfaktoren ermittelt. CO_2- und SO_2-Emissionen beruhen unabhängig von der verwendeten Methode allein auf der Menge bzw. den Eigenschaften des eingesetzten Treibstoffs. Emissionen von NMVOC, CH_4, CO, NO_X und N_2O hingegen sind abhängig von Motoren, Flughöhen, Flugphasen u.a. und werden mit höherem Tier genauer beschrieben. Die Emissionsfaktoren für NO_X, CO und HC werden deshalb aus den TREMOD-Berechnungen übernommen.

Von diesem Ansatz abweichend werden die durch den Einsatz von Flugbenzin verursachten Emissionen, wie in (IPCC, 2006: Band 2, Kap. 3: Mobile Combustion) vorgeschlagen, mit angepassten Emissionsfaktoren und Heizwerten separat nach Tier 1 berechnet. Eine Aufteilung in einen nationalen und internationalen Anteil ist hier, da Flugbenzin nur in kleineren, hauptsächlich inländisch verkehrenden Flugzeugen Verwendung findet, nicht angezeigt.

Die **Aktivitätsraten** (Energieeinsätze) entsprechen dem in Deutschland abgesetzten Flugtreibstoff nach (AGEB, 2016a&b; aktuell bis 2015) bzw. den vom Bundesamt für Wirtschaft und Ausfuhrkontrolle veröffentlichten *Amtlichen Mineralöldaten für die Bundesrepublik Deutschland* (BAFA, 2016).

Die innerhalb TREMOD AV erfolgenden Berechnungen bzgl. ***Kerosin*** berücksichtigen die Anzahl der Flüge nach Flugzeugtypen und Großkreisentfernungen für den nationalen und internationalen Flugverkehr. Einbezogen werden die vom Statistischen Bundesamt erfassten gewerblichen Flüge auf ausgewählten Flugplätzen. Flüge von „anderen Flugplätzen“ sowie nicht-gewerbliche Flüge werden vom Statistischen Bundesamt nur nach Gewichts- oder Flugzeug-Klassen, jedoch nicht nach Destination unterschieden. Dabei handelt es sich zu einem weit überwiegenden Teil um Flüge mit kleinen, mit Flugbenzin betriebenen Maschinen. Die Allokation dieser Flüge auf den (rein nationalen) Flugbenzinverbrauch zeigt sich in den überschlägigen Berechnungen nach (IFEU & ÖKOINSTITUT, 2010) als angemessen.

Tabelle 43: jährliche Anteile der Inlandsflüge an den Kerosin-Inlandsablieferungen, in %

1990	1995	2000	2005	2006	2007	2008	2009	2010	2011	2012	2013	2014	2015
15,55	13,73	12,29	9,82	9,60	9,48	9,51	9,37	9,46	10,01	8,79	7,85	8,21	(8,21)

Quelle: 1990-2014: TREMOD AV (IFEU & ÖKOINSTITUT, 2015), 2015: eigene Berechnungen

Die Aufteilung des Kerosinverbrauchs auf die beiden Flugphasen Landung/Start (LTO-Zyklus) und Reiseflug (Cruise) erfolgt, basierend auf Daten des Statistischen Bundesamtes, ebenfalls anhand von TREMOD-AV-Berechnungen. Diese ermöglichen die Ausspielung der Kerosinverbräuche in der Flugphase LTO für den nationalen und internationalen Flugverkehr. Der Verbrauch in der Flugphase Cruise ergibt sich entsprechend als Differenz des Kerosinverbrauchs nach der Energiebilanz abzüglich des LTO-Verbrauchs.

Da aus terminlichen Gründen keine originären Daten für das Jahr 2015 in das Modell eingepflegt werden konnten, wurden die spezifischen Kerosinverbräuche für nationale Flüge des Jahres 2014 unverändert übernommen. Diese Fortschreibung stützt sich dabei auf mehrere sich gegenseitig

ausgleichende Effekte. Infolge dieser Fortschreibung stellt der für 2015 angegebene prozentuale Anteil der Inlandsflüge an den Kerosin-Inlandsablieferungen keinen modellierten Wert dar, sondern wurde lediglich künstlich aus den fortgeschriebenen Verbrauchsangaben abgeleitet.

Die Aktivitätsraten für ***Flugbenzin*** entsprechen dem in Deutschland abgesetzten Flugbenzin gemäß (AGEB, 2016a&b) bzw. (BAFA, 2016). Hier wird konservativ angenommen, dass der gesamte Verbrauch auf den nationalen Flugverkehr entfällt. Eine Aufteilung in LTO-Zyklus und Reiseflug ist nach (IPCC, 2006: Band 2, Kap. 3: Mobile Combustion) nicht erforderlich.

Die Menge ***mitverbrannter Schmierstoffe*** wird gemäß (VSI, 2014) aus den jährlichen Treibstoffmengen abgeleitet (siehe Kapitel 19.1.4 im Anhang).

Hinsichtlich der verwendeten **Emissionsfaktoren** für Kohlendioxid wird grundsätzlich auf Kapitel 18.7 verwiesen.

Der Emissionsfaktor für *Kohlendioxid* aus dem Einsatz von ***Kerosin*** wurde aus dem Gehalt an Kohlenstoff im Kerosin abgeleitet und beträgt *3.150 g/kg.* Dieser Wert ist durch zahlreiche Publikationen abgesichert und wird für den gesamten Flugverkehr verwendet.

Distickstoffoxid (Lachgas) ist ein Produkt der Oxidation von Stickstoff in der Brennkammer, das in Spuren entstehen kann. Die diesbezügliche Datenlage ist grundsätzlich schlecht. Da eine Aufgliederung der Emissionsfaktoren in die beiden Flugphasen erforderlich ist, werden die Emissionsfaktoren sowohl für Lachgas als auch *Methan* der IPCC-Emissionsfaktoren-Datenbank entnommen (siehe Tabelle 482).

Die weiteren Emissionen werden, basierend auf den jeweiligen Emissionsfaktoren, nach Flugphasen getrennt berechnet. Dabei werden unterschiedliche Quellen verwendet.

Die Emissionen von NO_X, CO und NMVOC basieren auf in TREMOD AV hinterlegten Flugzeugtyp-spezifischen Emissionsfaktoren aus denen durchschnittliche (implizite) Emissionsfaktoren erzeugt werden. Für die Berichterstattung werden jährliche durchschnittliche Emissionsfaktoren für die ganze Flotte abgeleitet.

Die Berechnung der Emissionen pro LTO-Zyklus erfolgt unter Verwendung von Standardwerten für den Kerosinverbrauch pro Zyklus: Für den nationalen Flugverkehr sind das 850 kg Kerosin/LTO, für den internationalen Flugverkehr wird ein mittlerer Wert von 1.675 kg Kerosin/LTO angenommen (IPCC, 2006b). Angaben zu den darüber hinaus betrachteten Luftschadstoffen finden sich in Kapitel 19.1.3.1 im Anhang.

Die Umrechnung der in [g/kg] vorliegenden Emissionsfaktoren in Angaben mit der Einheit [g/TJ] erfolgt über einen Heizwert in Höhe von 43.000 kJ/kg (AGEB, 2016a&b).

Für ***Flugbenzin*** ist keine Unterteilung der Emissionsfaktoren in LTO und Cruise erforderlich.

Für die Berechnung der *CO_2-Emissionen* wird der Standard-Wert gemäß (IPCC, 2006: Band 2, Kap. 3: Mobile Combustion) übernommen. In diesen Richtlinien (Seite 3-64) werden die *Methan*- und *Lachgas*-Emissionsfaktoren explizit mit den für die Verwendung von Kerosin angegebenen Werten gleichgesetzt. Diese Annahme wird hier übernommen.

Wie auch für Kerosin wurden die Emissionsfaktoren für NO_X und CO aus den Ergebnissen der TREMOD-Berechnungen gewonnen, für die Flugzeugtyp-spezifische Emissionsfaktoren der EMEP/EEA-Datenbank verwendet wurden. Diese wurden anschließend durch den Flugbenzinverbrauch geteilt, um jährliche, durchschnittliche Emissionsfaktoren zu gewinnen, die in die Berichterstattung eingehen.

CO_2-Emissionen aus der ***Mitverbrennung von Schmierstoffen*** werden unter CRF 2.D.1 berichtet. Bezüglich der Freisetzung von Methan und Lachgas wird davon ausgegangen, dass diese bereits in den entsprechenden Emissionsfaktoren der verwendeten Kraftstoffe berücksichtigt und daher als IE *(included elsewhere)* zu berichten ist.

Tabelle 44: für das Berichtsjahr 2015 verwendete Emissionsfaktoren, in kg/TJ

	CH_4	N_2O	Ursprung
Kerosin			
LTO	8,21 (0,50)	2,74 (2,00)	landesspezifische Werte gemäß TREMOD AV
Reiseflug	0,00 (0,50)	2,33 (2,00)	
Flugbenzin	8,21 (-)	2,33 (-)	entspricht Tier2-EF für Kerosin, CH_4: LTO; N_2O: Cruise
Schmierstoffe	IE	IE	in EF der Treibstoffe abgebildet

Quelle: (IFEU & ÖKOINSTITUT, 2015); in Klammern: Sektor-spezifische Vorgabe-Werte gemäß 2006 IPCC Guidelines (Band 2, Kap. 3.6 – *Civil Aviation*)

3.2.10.1.3 Unsicherheiten und Zeitreihenkonsistenz (1.A.3.a)

Zur Ermittlung der Unsicherheiten werden die einzelnen Komponenten identifiziert, die in die Berechnung der Emissionen einfließen, und deren Unsicherheiten (U_1 bis U_n) quantifiziert. Durch die additive Verknüpfung der quadrierten Teilunsicherheiten ergibt sich jeweils die Gesamtunsicherheit U_{ges} laut 2006 IPCC Guidelines[31] aus der Formel:

$$U_{ges} = \sqrt{U_1^2 + U_2^2 + \ldots + U_n^2}$$

Die Unsicherheiten wurden für alle Zeitreihen und Flugphasen als Mittelwerte abgeschätzt. Die Berechnung der Gesamt-Unsicherheiten erfolgte wie in Anhang-Kapitel 19.1.3.1.2 dargestellt. In der linken Spalte werden dort die Komponenten der Unsicherheitsberechnung, rechts daneben die Teil-Unsicherheiten aufgeführt. Darauf folgen die Spalten der Werte für die zu bestimmenden Gesamt-Unsicherheiten. Diese stellen zum Teil ebenfalls wieder Einzelkomponenten der Unsicherheitsberechnung eines anderen Wertes dar: Zum Beispiel berechnet sich die Unsicherheit für den nationalen Kerosinverbrauch in den beiden Flugphasen LTO und Cruise aus den Teilunsicherheiten des gesamten nationalen Kerosinverbrauchs sowie der Teilunsicherheit der LTO-Cruise-Aufteilung. Letztere basiert auf der Anzahl der Flugbewegungen nach dem *Statistischen Bundesamt* und den Annahmen zur Flottenaufteilung (im nationalen Flugverkehr wird entsprechend den IPCC-Annahmen ein durchschnittlicher Verbrauch von 850 kg Kerosin pro LTO-Zyklus angesetzt). Die Gesamt-Unsicherheit des LTO- bzw. Cruise-Kerosinverbrauchs stellt wiederum eine Teilunsicherheit bei der Ermittlung der Unsicherheiten für die Emissionen dar.

3.2.10.1.4 Kategoriespezifische Qualitätssicherung/-kontrolle und Verifizierung (1.A.3.a)

Eine allgemeine Qualitätskontrolle und eine Qualitätssicherung durch die Fachseite und durch die Nationale Koordinierungsstelle wurden gemäß den Anforderungen des QSE-Handbuchs bzw. dessen mitgeltenden Unterlagen durchgeführt.

Für eine mit der Zeit steigende Zahl von Flugzeugtypen, für die keine spezifischen Daten verfügbar sind, mussten Emissionsfaktoren mit Hilfe von Regressionen auf Basis des Startgewichts gewonnen werden. Die Verwendung aktuellerer und vollständigerer Flugzeugtyp-spezifischer Daten würde die Qualität der Berechnungen weiter erhöhen. Auch eine Erweiterung der TREMOD-Berechnung um die Unterscheidung nach verwendeten Antrieben würde eine weitere Verbesserung bedeuten.

[31] Band 1, Kapitel 3, Seite 3.28, Formel 3.1

Bis auf die Emissionsfaktoren für Schwefeldioxid wurden internationale Standardwerte verwendet, die der IPCC-Emissionsfaktoren-Datenbank bzw. der EMEP/EEA-Datenbank sowie dem EMEP/EEA Guidebook 2013 (EMEP/EEA, 2013) entnommen wurden. Eine Diskussion der einzelnen Werte findet im Kapitel „Methodische Aspekte“ bei der Vorstellung der Emissionsfaktoren statt.

Von Eurocontrol bereitgestellte landesspezifische Verbrauchs- und Emissionsdaten werden derzeit nur zur Verifikation der eigenen Erhebungen herangezogen.

Tabelle 45: Übersicht relevanter Datenvergleiche

Vergleich mit...	erfolgt	Erläuterung
alternativen Emissionsinventaren für Deutschland	nein	keine vergleichbaren Datensätze
sektorspezifischen Tier 1 default-EF gemäß (IPCC, 2006: Band 2, Tabelle 3.6.4): CO_2	ja	siehe Tabelle 46
sektorspezifischen Tier 1 default-EF gemäß (IPCC, 2006: Band 2: Tabelle 3.6.5): CH_4, N_2O	ja	siehe Tabelle 44
spezifischen IEF anderer Staaten	ja	siehe Tabelle 47

Tabelle 46: Vergleich der im Inventar verwendeten EF(CO_2) mit Default-Werten [a], in kg/TJ

	Inventarwert	Default	*Untergrenze*	*Obergrenze*
Kerosin	73.256	71.500	*69.700*	*74.400*
Flugbenzin	70.000		*67.500*	*73.000*

[a] gemäß 2006 IPCC Guidelines, Band 2, Tab. 2.4

Die folgende Tabelle erlaubt einen Vergleich mit spezifischen impliziten Emissionsfaktoren anderer Staaten.

Tabelle 47: länderübergreifender Vergleich der berichteten IEF, in kg/TJ

	Kerosin			Flugbenzin		
	CO_2	***CH_4***	***N_2O***	***CO_2***	***CH_4***	***N_2O***
Deutschland [a]	73.256	2,49	2,45	70.000	8,21	2,33
Dänemark	71.887	0,54	3,32	72.485	18,92	2,00
Frankreich	71.591	1,00	2,36	70.500	1,88	2,41
Niederlande	71.500	0,50	2,00	72.000	20,00	0,50
Großbritannien	71.660	0,87	2,28	69.454	15,61	2,22
EU (28)	71.973	1,34	2,40	70.353	6,24	2,25

Quellen: [a] IEF für das Berichtsjahr 2015; sonst: IEF für 2014 aus CRF-Submission 2016

3.2.10.1.5 Kategoriespezifische Rückrechnungen (1.A.3.a)

Gegenüber Submission 2016 erfolgten Rückrechnungen einzig für die Jahre 2004 und 2014. Dabei wurde eine bis zuletzt fehlerhafte Angabe zum Inlandsabsatz korrigiert bzw. vorläufige durch finale Aktivitätsdaten ersetzt.

Tabelle 48: Revision des Kerosin-Inlandsabsatzes 2004 & 2014, in TJ

	2004	2014
Submission 2017	298.779	361.868
Submission 2016	316.211	361.870
Änderung absolut	-17.432	-2,00
Änderung relativ	-5,513%	-0,001%

Für beide Jahre war damit eine Neuberechnung des Kerosin-Verbrauchs für Inlandsflüge notwendig:

Tabelle 49: resultierende Revision des Kerosin-Verbrauchs für Inlandsflüge 2004 & 2014, in TJ

	2004	2014
Submission 2017	31.661	29.702
Submission 2016	33.509	29.702
Änderung absolut	-1.847	-0,2
Änderung relativ	-5,5%	-0,001%

Die für 2004 und 2014 berichteten Treibhausgas-Emissionen wurden entsprechend wie folgt revidiert:

Tabelle 50: revidierte THG-Emissionen, in kt CO_2-Äquivalenten

	2004	2014
Submission 2017	2.365,5	2.232,83
Submission 2016	2.501	2.232,84
Änderung absolut	-135	-0,01
Änderung relativ	-5,4%	-0,001%

3.2.10.1.6 Geplante Verbesserungen, kategoriespezifisch (1.A.3.a)

Abgesehen von einer routinemäßigen Revision des Modells TREMOD AV, mit der auch die aktuell nur fortgeschriebenen Verbrauchsangaben für das Jahr 2015 durch modellierte Angaben ersetzt werden, sind keine quellenspezifischen Verbesserungen geplant.

Sofern in vorhergehenden Berichterstattungen in diesem Kapitel Verbesserungen benannt wurden, sind diese in Form einer Übersicht unter Kapitel 10.4 Verbesserungen des Inventars, Tabelle 426 zu finden. Sind diese bereits erledigt, sind sie im selben Kapitel in Tabelle 425 abgebildet.

3.2.10.2 Transport - Straßenverkehr (1.A.3.b)

3.2.10.2.1 Beschreibung der Kategorie (1.A.3.b)

KC	Category	Activity	EM of	1990 (kt CO_2-e.)	(fraction)	2015 (kt CO_2-e.)	(fraction)	Trend 1990-2015
L/T	**1.A.3.b Transport: Road Transportation**	**all fuels**	**CO2**	**151.880,6**	**12,42%**	**152.955,1**	**17,24%**	**0,7%**
-/T	**1.A.3.b Transport: Road Transportation**	**all fuels**	**CH4**	**1.316,8**	**0,11%**	**137,8**	**0,02%**	**-89,5%**
-/-	1.A.3.b Transport: Road Transportation	all fuels	N2O	1.113,5	0,09%	1.496,9	0,17%	34,4%

Gas	angewandte Methode	Quelle der Aktivitätsdaten	genutzte Emissionsfaktoren
CO_2	Tier 1 [a], CS (Tier 2)	NS / M	D [a], CS
CH_4	Tier 1 [b], CS (Tier 3)	NS / M	D [b], CS (M)
N_2O	Tier 1 [b], CS (Tier 3)	NS / M	D [b], CS (M)
NO_x, CO, NMVOC, SO_2	CS (Tier 3)	NS / M	CS (M)

[a] Biodiesel, Petroleum, in Zweitaktern mitverbrannte Schmierstoffe; [b] Flüssiggas

Die Kategorie *Straßenverkehr* ist für CO_2-Emissionen eine Hauptkategorie nach der Emissionshöhe und dem Trend, für CH_4-Emissionen nur nach dem Trend.

In der genannten Kategorie werden die Emissionen aus dem motorisierten Straßenverkehr in Deutschland berichtet. Berücksichtigt ist der Verkehr auf öffentlichen Straßen im Inland ohne den land- und forstwirtschaftlichen sowie den militärischen Verkehr. Die Berechnungen erfolgen für die Fahrzeugkategorien Personenkraftwagen (PKW), motorisierte Zweiräder (MZR), leichte Nutzfahrzeuge (LNF), schwere Nutzfahrzeuge (SNF) und Busse. Diese werden für die Berechnung in so genannte *Fahrzeugschichten* mit gleichem Emissionsverhalten untergliedert. Hierzu werden

die Fahrzeugkategorien zusätzlich nach der Art des verwendeten Kraftstoffs, der Fahrzeuggröße (Nutzfahrzeuge und Busse nach ihrer Gewichtsklasse; PKW und motorisierte Zweiräder nach ihrem Hubraum) und der eingesetzten Schadstoffminderungstechnik gemäß den EU-Richtlinien zur Abgasgesetzgebung („EURO-Normen“) sowie des regionalen Fahraufkommens (außerorts, innerorts und Autobahn) differenziert.

3.2.10.2.2 Methodische Aspekte (1.A.3.b)

- siehe auch Kapitel 19.1.3.2 -

Durch Einführung des Katalysators und motortechnischen Verbesserungen infolge der kontinuierlichen Verschärfung der zulässigen Abgaswerte sowie durch verbesserte Kraftstoffqualitäten sind die Emissionen aus dem Straßenverkehr an CH_4, NO_X, CO, NMVOC und SO_2 seit 1990 drastisch zurückgegangen.

Die starke Abnahme des Methan-Emissionsfaktors für Benzin und damit auch der Methan-Emissionen zwischen 1990 und 1993 ist insbesondere auf die massive Reduzierung der Kraftfahrzeuge mit Zweitaktmotoren in den neuen Bundesländern zurückzuführen. Weitere Minderungen sind Folge der genannten Abgas-Grenzwertverschärfungen.

Für Busse und schwere Nutzfahrzeuge (über 3,5 t zulässiges Gesamtgewicht) wurde der zulässige Abgasgrenzwert für Kohlenwasserstoffe (HC) mit Einführung der EURO3-Norm im Jahr 2000 erheblich gesenkt (-40 %). Da EURO3-Fahrzeuge ab dem Jahr 2000 sehr schnell in den Markt kamen, verminderten sich der Emissionsfaktor und die Emissionen für Kohlenwasserstoffe aus Dieselkraftstoff nach 2000 deutlich. Dies gilt analog für Methan, das als fester Anteil an den Gesamt-HC-Emissionen berechnet wird.

N_2O-Emissionen entstehen hauptsächlich infolge unvollständiger Reduktion von NO zu N_2 im 3-Wege-Katalysator und sind gesetzlich nicht limitiert. Durch die wachsende Zahl von PKW mit Katalysator stiegen die N_2O-Emissionen gegenüber 1990 zunächst an. Neuere Katalysatoren sind jedoch so optimiert, dass nur noch geringe Mengen an Distickstoffoxid entstehen. In Folge dessen nahmen die N_2O-Emissionen im Zeitraum 2000-2006 ab. Seit dem ist wieder ein Anstieg der Emissionen zu verzeichnen. Dieser ist auf den zunehmenden Einsatz der SCR-Technik bei schweren Nutzfahrzeugen zurückzuführen, bei dem unter bestimmten Bedingungen N_2O als unerwünschtes Nebenprodukt auftritt.

Die CO_2-Emissionen sind direkt vom Kraftstoffverbrauch abhängig. Der Anstieg der Emissionen zwischen 1990 und 1999 ist dadurch begründet, dass die fahrzeugspezifischen Verbrauchsminderungen durch den Zuwachs der Fahrleistungen überkompensiert wurden. Im Zeitraum 2000-2009 sind die Emissionen des Straßenverkehrs aus fossilen Kraftstoffen erstmals gesunken. Diese Entwicklung dürfte im Wesentlichen auf die Verringerung der spezifischen Kraftstoffverbräuche, die deutliche Verschiebung zugunsten von Dieselfahrzeugen bei den Neuzulassungen, den kontinuierlichen Anstieg der Kraftstoffpreise, die Verwendung von Biokraftstoffen, aber auch auf die Verlagerung von Tankvorgängen ins Ausland zurückzuführen sein (s. folgende Absätze).

Da sich die oben genannten Trends abschwächten und gleichzeitig die Fahrleistungen zunahmen, stiegen in den Jahren 2010 und 2011 die Emissionen wieder an, bevor sie im Jahr 2012 dank abnehmender Verkehrs- und Fahrleistungen gegenüber dem Vorjahr wieder um 1,3 Mio. t zurückgingen. Ein Wiederanstieg der Fahrleistungen, ein Rückgang der eingesetzten Biokraftstoffe sowie ein seit Jahren zu beobachtender stetiger Anstieg der durchschnittlichen

Motorleistung bei Pkw-Neuzulassungen[32] führten jedoch dazu, dass die Emissionen seit 2012 wieder um mehr als 4 % anstiegen. Sie betrugen im Jahr 2015 153,0 Mio. t und lagen damit 1,1 Mio. t über dem Emissionsniveau von 1990.

Abbildung 32: Entwicklung der Treibhausgas-Emissionen des Straßenverkehrs 1990-2015

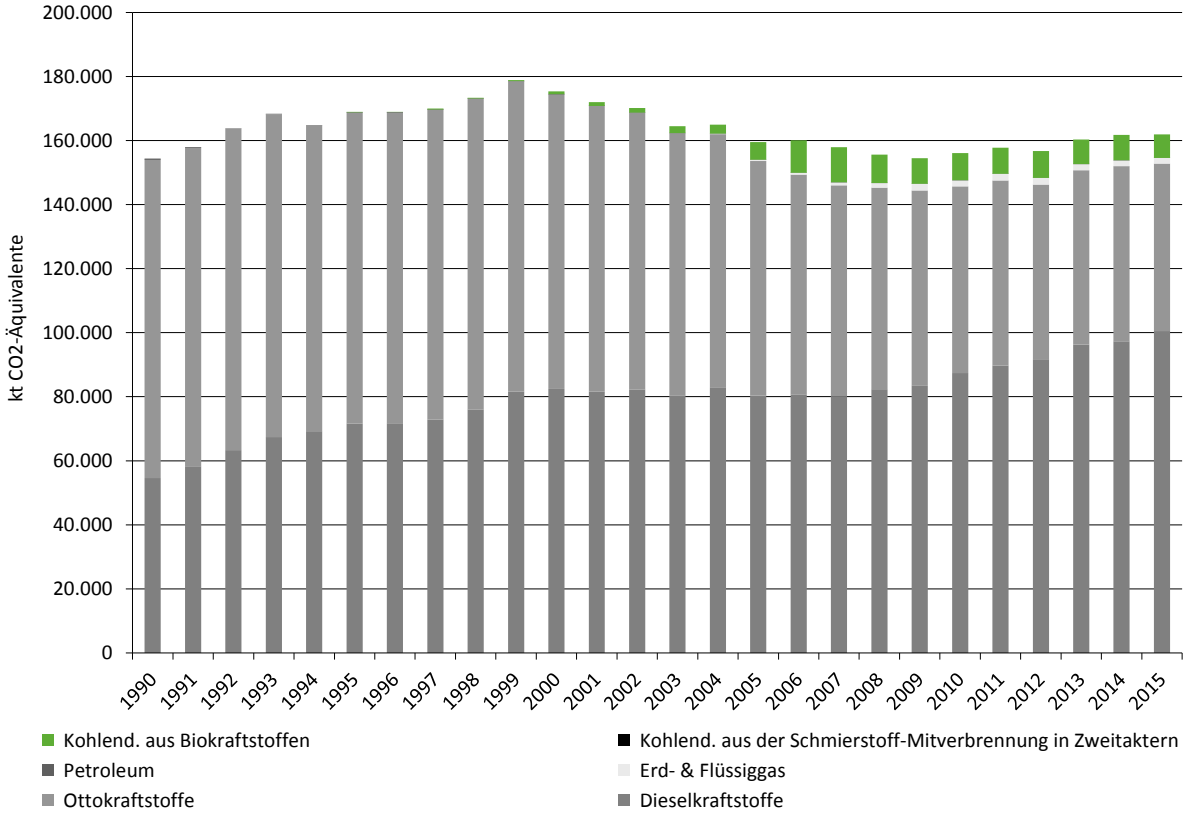

Die Berechnung der CO_2-Emissionen aus dem motorisierten Straßenverkehr in Deutschland erfolgt durch einen tier2-„*bottom up*"-Ansatz gemäß (IPCC, 2006: Band 2, Kap. 3.2, Seite 3.12): Die in Deutschland verkauften Kraftstoffe (Benzin, Bio-Ethanol, Diesel, Biodiesel, Flüssig- und Erdgas, Petroleum (bis 2002)) werden dazu innerhalb des Modells TREMOD („Transport Emission Model") auf die einzelnen Fahrzeugschichten verteilt (vgl. Kapitel 19.1.3.2) (IFEU, 2016a)[33]. Die in das Modell einfließenden Verbrauchsdaten je Kraftstoffart werden den *Energiebilanzen* entnommen. Die eigentliche Emissionsberechnung erfolgt nach Import der spezifischen Kraftstoffverbräuche und Emissionsfaktoren im ZSE.

Die Berechnung der Nicht-CO_2-Emissionen basiert auf einem in TREMOD implementierten Tier 3-Verfahren, bei dem Fahrleistungen der einzelnen Fahrzeugschichten mit spezifischen Emissionsfaktoren multipliziert werden. Für PKW und leichte Nutzfahrzeuge wird zusätzlich ein „*Kaltstart-Zuschlag*" addiert. Der je Kraftstoffart ermittelte Gesamtverbrauch wird mit dem

[32] Laut statistischem Bundesamt hatten Neuzulassungen im Jahre 2013 eine durchschnittliche Motorleistung von 137 PS. Acht Jahre zuvor ahtte diese noch bei knapp 123 PS gelegen.

https://www.destatis.de/DE/PresseService/Presse/Pressemitteilungen/2015/06/PD15_213_85pdf.pdf?__blob=publicationFile

[33] Um Minderungsmaßnahmen ableiten und bewerten zu können, werden mit TREMOD auch der Energieverbrauch und die CO_2-Emissionen der einzelnen Fahrzeugkategorien berechnet. Die Werte werden anschließend mit dem Gesamtverbrauch und der Gesamtemission an CO_2 abgeglichen.

Verbrauch gemäß Energiebilanz abgeglichen und die in TREMOD berechneten Emissionen werden mit aus diesem Abgleich abgeleiteten Korrekturfaktoren korrigiert. Für benzingetriebene Fahrzeuge werden in Abhängigkeit von der Minderungstechnik VOC-Verdampfungsemissionen berechnet. Aus Emissionen und Kraftstoffverbräuchen der einzelnen TREMOD-Fahrzeugschichten werden kraftstoffbezogene nur nach Kraftstoff– und Straßenart (Autobahn, Landstraße, Innerortsstraße) sowie, innerhalb der Fahrzeugkategorien, nach „ohne/mit" Schadstoffminderungstechnik differenzierte implizite Emissionsfaktoren (IEF) in [kg/TJ] abgeleitet und an das ZSE übergeben. Bei der Minderungstechnik wird dabei wie folgt unterschieden:

Tabelle 51: Unterscheidung von Minderungstechniken im Straßenverkehr

betrachtete Fahrzeugklassen	Minderungstechnik	
	ohne	mit
PKW und leichte Nutzfahrzeuge mit Otto-Motor	ohne G-Kat	mit G-Kat
PKW und leichte Nutzfahrzeuge mit Diesel-Motor sowie Busse, schwere Nutzfahrzeuge, motorisierte Zweiräder	vor EURO1	ab EURO1

Die eigentliche Emissionsberechnung erfolgt nach Import der spezifischen Kraftstoffverbräuche und IEF im ZSE.

Tabelle 52: Emissionen des Straßenverkehrs, in kt

	CO_2		CH_4	N_2O	NO_X	CO	NMVOC [c]	SO_2
	fossil [a]	*biogen* [b]						
1990	151.881	0	52,67	3,74	1.342,66	6.658,25	1.064,31	90,20
1995	166.437	106	29,12	5,64	1.136,23	3.469,60	445,21	69,31
2000	172.494	869	18,60	5,20	1.034,23	2.157,98	259,75	19,67
2005	152.728	5.573	11,18	3,31	738,09	1.373,78	162,75	0,80
2006	148.706	10.176	10,13	3,25	713,76	1.246,48	149,50	0,80
2007	145.715	11.005	9,10	3,38	650,72	1.133,77	134,10	0,79
2008	145.491	8.914	7,91	3,55	570,62	1.029,55	118,81	0,78
2009	145.202	8.024	7,33	3,72	519,87	971,04	110,49	0,78
2010	146.258	8.483	6,69	4,02	502,12	906,17	102,27	0,78
2011	148.199	8.175	6,47	4,29	478,36	883,31	98,41	0,79
2012	146.860	8.421	6,00	4,53	463,00	824,27	91,22	0,79
2013	151.124	7.621	5,85	4,79	455,03	804,27	88,77	0,80
2014	152.257	7.913	5,78	4,87	432,10	786,24	87,31	0,81
2015	152.955	7.384	5,51	5,02	403,54	738,45	82,38	0,81

[a] inklusive CO_2 aus in Zweitaktern mitverbrannten Schmierstoffen

[b] CO_2-Emissionen aus Bio-Kraftstoffen hier nur nachrichtlich aufgeführt

[c] inklusive Emissionen aus der Kraftstoffverdunstung

Für die Berechnung mit TREMOD werden zahlreiche **Basisdaten** aus allgemein zugänglichen Statistiken und speziellen Untersuchungen verwendet, aufeinander abgestimmt und ergänzt. Hauptquellen sowie wichtige Annahmen sollen hier nur kurz vorgestellt werden. Eine detaillierte Beschreibung der Datengrundlagen einschließlich Angaben der verwendeten Quellen sowie der in TREMOD verwendeten Berechnungsmethoden liegt in (IFEU, 2016a) vor.

Für Westdeutschland ab 1990 bis 1993 sowie für Deutschland ab 1994 werden die ***Kfz-Bestandsdaten*** aus der offiziellen Bestands- und Neuzulassungsstatistiken des Kraftfahrt-Bundesamtes (KBA) abgeleitet. Basis der Bestandsanalyse für Ostdeutschland im Jahr 1990 waren eine detaillierte Analyse der Abgas-Prüfstelle Adlershof im Jahr 1992 sowie die Zeitreihen in den statistischen Jahrbüchern der DDR. Zwischen 1991 und 1993 musste der Bestand mit Hilfe zahlreicher Annahmen geschätzt werden.

Die Bestandsdaten der Bezugsjahre ab 2001 stehen für TREMOD als Ergebnis einer Datenbankabfrage beim KBA zur Verfügung. Diese liefert die Fahrzeugbestände pro Bezugsjahr in der für die Emissionsberechnung notwendigen Gliederung nach den Merkmalen: Antriebsart (Otto, Diesel, sonstige), Größenklasse, Fahrzeugalter und Emissionsstandard. Als repräsentativ für die Flottenzusammensetzung eines Bezugsjahres wird der Bestand zur Jahresmitte angenommen.

Die Fortschreibung der ***Fahrleistungen*** wird auf Basis der „Fahrleistungserhebung 2002" (IVT, 2004) und der Straßenverkehrszählung 2010 (BASt, 2013) vorgenommen. Für schwere Nutzfahrzeuge erfolgt darüber hinaus ein Abgleich mit den Daten der Maut-Statistik.

Hinsichtlich der verwendeten **Emissionsfaktoren** für Kohlendioxid wird hier grundsätzlich auf Kapitel 18.7 verwiesen.

Während für alle anderen Kraftstoffe über alle Jahre einheitliche Werte zum Einsatz kommen, stehen für Ottokraftstoffe und Erdgas anhand der in Deutschland produzierten Qualitäten gewichtete jahresspezifische Werte zur Verfügung. Weiterführende Informationen speziell zu Kohlendioxid aus der Schmierstoffmitverbrennung finden sich zudem in Kapitel 19.1.4.

Alle weiteren Emissionsfaktoren sind im „Handbuch für Emissionsfaktoren des Straßenverkehrs 3.2" (HBEFA) abgelegt (INFRAS, 2014), das im Rahmen einer Kooperation von Deutschland, Schweiz, Österreich und den Niederlanden zur Ableitung von Emissionsfaktoren für den Straßenverkehr entstand, und entstammen überwiegend den Messprogrammen des TÜV Rheinland und des RWTÜV sowie grundlegenden Untersuchungen für die Bezugsjahre 1989/1990. In diesen Untersuchungen wurde für PKW und schwere Nutzfahrzeuge eine neue Methodik angewandt, bei der von Fahrverhalten und Verkehrssituation abhängige Faktoren abgeleitet wurden. Die Emissionsfaktoren für PKW bis zum Baujahr 1994 wurden mit Hilfe von Daten aus einer Feldüberwachung fortgeschrieben. Die für die aktuellen Emissionsberechnungen verwendete HBEFA-Version 3.2 geht auf Untersuchungsergebnisse aus dem EU-Arbeitskreis COST 346 und dem Forschungsprogramm ARTEMIS zurück.

Die Entwicklung der EF(N_2O) spiegelt auch die andauernde Weiterentwicklung der Emissionsgrenzwerte für NO_X und der zu deren Erreichung eingeführten Technologien und Abgasnormen (Euro-Normen) wider. Verminderte Stickoxid-Emissionen haben hier eine vermehrte Freisetzung von Lachgas zur Folge.

Bezüglich der Schmierstoff-Mitverbrennung wird davon ausgegangen, dass die Nicht-CO_2-Emissionen bereits in den entsprechenden Emissionsfaktoren der verwendeten Kraftstoffe abgebildet und hier als IE *(included elsewhere)* zu berichten sind.

Verlagerung von Tankvorgängen ins Ausland

Aufgrund eines teilweise starken Preisgefälles zu mehreren Nachbarstaaten werden hierzulande seit längerem aber auch Kraftstoffe eingesetzt, die jenseits der Grenzen gekauft und als Grauimporte eingeführt werden.

Zum Umfang dieses in erster Linie für den Güterverkehr und den Pkw-Verkehr für die grenznahen Regionen Deutschlands bedeutenden und als „Tanktourismus" bezeichneten Phänomens können keine genauen Angaben gemacht werden. Ein belastbares Gesamtbild existiert trotz mehrerer Detailuntersuchungen nicht (LENK et al., 2005).

Belegt wird die Verlagerung von Tankvorgängen ins Ausland (und der damit verbundene negative Einfluss auf die Emissionsinventare der Nachbarstaaten) unter anderem auch durch eine vom österreichischen Bundesministerium für Land- und Forstwirtschaft, Umwelt und Wasserwirtschaft veröffentlichte Studie (BMLFUW, 2005). Die Nachbarstaaten profitieren

allerdings nicht unerheblich von Steuermehreinnahmen aus der Energiebesteuerung dieser Treibstoffe, die erheblich über den Zertifikatskosten für die damit verbundenen CO_2-Emissionen liegen dürften.

3.2.10.2.3 Unsicherheiten und Zeitreihenkonsistenz (1.A.3.b)

Im Rahmen eines Gutachtens (IFEU & INFRAS, 2009) wurden die Unsicherheiten der in TREMOD einfließenden Aktivitätsdaten, der darin erzeugten Emissionsfaktoren und der im Zentralen System Emissionen (ZSE) berechneten Emissionen ermittelt.

3.2.10.2.4 Kategoriespezifische Qualitätssicherung/-kontrolle und Verifizierung (1.A.3.b)

Eine allgemeine und kategoriespezifische Qualitätskontrolle und eine Qualitätssicherung durch die Fachseite und durch die Nationale Koordinierungsstelle wurden gemäß den Anforderungen des QSE-Handbuchs bzw. dessen mitgeltenden Unterlagen durchgeführt.

Zur Qualitätssicherung der Energiebilanzen liegen dem Umweltbundesamt entsprechende Qualitätsberichte der AGEB vor. Außerdem wurde eine Dokumentation zur Überarbeitung der Energiebilanzen ab dem Jahr 2003 im Internet veröffentlicht[34].

Tabelle 53: Übersicht relevanter Datenvergleiche

Vergleich mit...	erfolgt	Erläuterung
alternativen Emissionsinventaren für Deutschland	nein	keine vergleichbaren Datensätze
kategoriespezifischen Tier1-Default-EF gemäß (IPCC, 2006: Band 2, Tabelle 3.2.1): CO_2	nein	keine Tier1-Default-EF für Biokraftstoffe und Petroleum
Tier1-Default-EF gemäß (IPCC, 2006: Band 2, Tab. 2.4): CO_2	ja	siehe Tabelle 54
kategoriespezifischen Tier1-Default-EF gemäß (IPCC, 2006: Band 2, Tab. 3.2.2): CH_4, N_2O	ja	Ergebnisse kaum aussagekräftig
Tier1-Default-EF gemäß (IPCC, 2006: Band 2, Tab. 2.4): CH_4, N_2O	ja	Ergebnisse kaum aussagekräftig
spezifischen IEF anderer Staaten	ja	siehe Tabelle 55

Tabelle 54: Vergleich der verwendeten EF(CO_2) mit Default-Werten*, in kg/TJ

	Inventarwert [a]	Default [b]	Untergrenze	Obergrenze
fossiler Dieselkraftstoff	74.027	74.100	72.600	74.800
fossile Ottokraftstoffe	73.105	69.300	67.500	73.000
Erdgas	55.936	56.100	54.300	58.300
Flüssiggas	65.440	63.100	61.600	65.600
Petroleum	74.000	-	-	-
mitverbrannte Schmierstoffe	73.300		71.900	75.200
Biodiesel	70.800		59.800	84.300
Bioethanol	71.607	70.800	59.800	84.300

[a] verwendet für das Berichtsjahr 2015; [b] gemäß 2006 IPCC Guidelines, Kapitel 2, Tabelle 2.4

Die folgende Tabelle erlaubt einen Vergleich mit spezifischen impliziten Emissionsfaktoren anderer Staaten sowie den sich für die EU(28) ergebenden Werten..

[34] AG Energiebilanzen: Erläuterungen zur Revision der Energiebilanzen 2003 – 2009 URL: http://www.ag-energiebilanzen.de/index.php?article_id=7&clang=0#revision_der_energiebilanzen_2003_bis_2009_05 (Aufruf vom 18.09.2013)

Tabelle 55: länderübergreifender Vergleich der berichteten IEF, in kg/TJ

	fossile Ottokraftstoffe			fossile Dieselkraftstoffe		
	CO_2	CH_4	N_2O	CO_2	CH_4	N_2O
Deutschland	73.105	6,92	0,63	74.027	0,20	3,20
Dänemark	72.988	6,76	1,17	73.997	0,84	3,20
Frankreich	70.579	13,56	1,86	75.032	0,80	3,00
Niederlande	72.000	12,04	1,07	74.300	0,60	2,56
Großbritannien	69.999	7,10	0,78	72.947	0,63	2,92
EU (28)	71.739	10,81	1,58	73.805	1,02	2,87

Deutschland: aktueller IEF für 2015; sonst: IEF für 2014 gemäß CRF-Submission 2016

3.2.10.2.5 Kategoriespezifische Rückrechnungen (1.A.3.b)

Gegenüber der Submission 2016 erfolgten Rückrechnungen sowohl aufgrund revidierter Aktivitätsdaten als auch Emissionsfaktoren.

Dabei wurden die zuletzt vorläufigen Energieeinsätze gemäß Energiebilanz 2014 durch finale Werte ersetzt.

Tabelle 56: revidierte Energieeinsätze 2014, in TJ

	Diesel	Biodiesel	Benzin	Bioethanol	Flüssiggas	Schmierstoffe [a]
Submission 2017	1.296.828	79.014	744.661	32.383	21.464	90,12
Submission 2016	1.307.520	79.094	745.025	32.399	22.715	89,87
Änderung absolut	-10.692	-80	-364	-16	-1.251	0,25
Änderung relativ	-0,82%	-0,10%	-0,05%	-0,05%	-5,51%	0,28%

Quelle: TREMOD (IFEU, 2016a) basierend auf (AGEB, 2016a&b) und (MWV, 2016)

[a] als Teil von Zweitaktergemisch 1:50

Tabelle 57: Revision der EF(CO_2) für Flüssig- und Erdgas (2014), in kg/TJ

	Erdgas	Flüssiggas
Submission 2017	55.936	65.461
Submission 2016	55.944	65.523
Änderung absolut	-8	-62
Änderung relativ	-0,01%	-0,09%

Quelle: eigene Berechnungen

Veränderungen an den spezifischen Tier-3-Emissionsfaktoren für Methan und Lachgas können an dieser Stelle nicht sinnvoll dargestellt werden.

Die nachfolgende Tabelle liefert eine Gegenüberstellung der aktuellen Emissionsmengen mit den Angaben aus Submission 2015.

Tabelle 58: revidierte THG-Emissionen, in kt CO_2-Äquivalenten

	1990	1995	2000	2005	2010	2011	2012	2013	2014
1.A.3.b i - PKW									
Submission 2017	113.629	115.124	111.255	103.032	95.262	96.989	93.859	96.531	99.179
Submission 2016	113.629	115.124	111.255	103.032	95.262	96.990	93.862	96.538	99.389
Änderung absolut	0,0	0,0	0,0	0,0	0,0	-1,4	-2,7	-7,5	-209,9
Änderung relativ	0,000%	0,000%	0,000%	0,000%	0,000%	-0,001%	-0,003%	-0,008%	-0,211%
1.A.3.b ii - Leichte Nutzfahrzeuge									
Submission 2017	3.485	5.099	6.827	7.273	7.085	7.229	7.063	7.262	7.418
Submission 2016	3.485	5.099	6.827	7.273	7.085	7.229	7.062	7.259	7.422
Änderung absolut	0,0	0,0	0,0	0,0	0,0	0,4	0,8	2,9	-4,4
Änderung relativ	0,000%	0,000%	0,000%	0,000%	0,000%	0,005%	0,012%	0,040%	-0,059%
1.A.3.b iii - schwere Nutzfahrzeuge (inkl. Busse)									
Submission 2017	35.307	47.335	54.968	42.155	43.944	44.039	46.069	47.482	45.774
Submission 2016	35.307	47.335	54.968	42.155	43.939	44.032	46.059	47.468	46.489
Änderung absolut	0,0	0,0	0,0	0,0	4,9	7,3	10,0	13,9	-715,2
Änderung relativ	0,000%	0,000%	0,000%	0,000%	0,011%	0,017%	0,022%	0,029%	-1,538%
1.A.3.b iv - motorisierte Zweiräder									
Submission 2017	1.713	1.264	1.452	1.526	1.327	1.375	1.363	1.417	1.475
Submission 2016	1.713	1.264	1.452	1.526	1.327	1.375	1.364	1.417	1.450
Änderung absolut	0,0	0,0	0,0	0,0	0,0	-0,2	-0,3	0,0	24,8
Änderung relativ	0,000%	0,000%	0,000%	0,000%	0,000%	-0,012%	-0,021%	-0,003%	1,711%
1.A.3.b - CO2 aus in Zweitaktern mitverbrannten Schmierstoffen									
Submission 2017	177,12	24,56	6,55	6,46	6,42	6,63	6,44	6,47	6,61
Submission 2016	177,12	24,56	6,55	6,46	6,42	6,63	6,44	6,47	6,59
Änderung absolut	0,00	0,00	0,00	0,00	0,00	0,00	0,00	0,00	0,02
Änderung relativ	0,000%	0,000%	0,000%	0,000%	0,000%	-0,008%	-0,015%	0,002%	0,281%
1.A.3.b - GESAMT									
Submission 2017	154.311	168.846	174.507	153.993	147.624	149.639	148.360	152.698	153.852
Submission 2016	154.311	168.846	174.507	153.993	147.619	149.633	148.352	152.689	154.757
Änderung absolut	0	0	0	0	5	6	8	9	-905
Änderung relativ	0,000%	0,000%	0,000%	0,000%	0,003%	0,004%	0,005%	0,006%	-0,585%

Quelle: eigene Berechnungen

3.2.10.2.6 Geplante Verbesserungen, kategoriespezifisch (1.A.3.b)

Im Rahmen der Revision des Modells TREMOD soll erstmals der Einsatz von Bio-Methan als biogener gasförmiger Kraftstoff erfasst werden.

Sofern in vorhergehenden Berichterstattungen in diesem Kapitel Verbesserungen benannt wurden, sind diese in Form einer Übersicht unter Kapitel 10.4 Verbesserungen des Inventars, Tabelle 426 zu finden. Sind diese bereits erledigt, sind sie im selben Kapitel in Tabelle 425 abgebildet.

3.2.10.3 Transport - Schienenverkehr (1.A.3.c)

3.2.10.3.1 Beschreibung der Kategorie (1.A.3.c)

KC	Category	Activity	EM of	1990 (kt CO_2-e.)	(fraction)	2015 (kt CO_2-e.)	(fraction)	Trend 1990-2015
L/T	**1.A.3.c Transport: Railways**	**all fuels**	**CO_2**	**2.900,5**	**0,24%**	**919,3**	**0,10%**	**-68,3%**
-/-	1.A.3.c Transport: Railways	all fuels	N_2O	6,7	0,00%	2,3	0,00%	-66,1%
-/-	1.A.3.c Transport: Railways	all fuels	CH#	2,6	0,00%	0,3	0,00%	-87,0%

Gas	angewandte Methode	Quelle der Aktivitätsdaten	genutzte Emissionsfaktoren
CO_2	Tier 1 [a], CS (Tier 2)	NS	D [a], CS
CH_4	CS (Tier 2)	NS	D [b, c, d]
N_2O	CS (Tier 2)	NS	D [d], CS
NO_x, CO, NMVOC, SO_2	CS (Tier 2)	NS	CS

[a] Biodiesel: 2006 IPCC GL (Tab. 2.4); [b] Diesel: EMEP/EEA, 2016 (1.A.3.c – *Railways*; Tab. 3-2 bis 3-4); [c] Steinkohle & Steinkohlekoks: 2006 IPCC GL (Tab. 3.4.1); [d] Braunkohlen: 2006 IPCC GL (Tab. 2.5)

Die Kategorie *Schienenverkehr* ist für CO_2 eine Hauptkategorie nach der Emissionshöhe und dem Trend.

Der Schienenverkehr in Deutschland wird langfristig mit dem Ziel modernisiert, als Energieform v.a. elektrischen Strom zu nutzen. Dessen Anteil an der zur Traktion eingesetzten Energie liegt aktuell bei etwa 76 % (AGEB, 2016). Die betriebenen Bahnstrom-Kraftwerke sind dem stationären Anteil der Stromerzeugung in öffentlichen Kraftwerken (1.A.1.a) zugeordnet und werden hier nicht weiter betrachtet.

Für die Energieversorgung spielt neben elektrischem Strom nur noch Dieselkraftstoff eine bedeutende Rolle. In Form von Beimengungen kommt seit 2004 zudem Biodiesel zum Einsatz.

In historischen Fahrzeugen werden darüber hinaus sehr geringe Mengen fester Brennstoffe verwendet.

Der Einsatz weiterer Energieträger speziell in privaten Kleinbahnen, z.B. Pflanzenöle oder Gas, wird bisher nicht erfasst und ist als vernachlässigbar anzusehen.

Abbildung 33: Entwicklung der Treibhausgas-Emissionen des Schienenverkehrs 1990-2015 (*ohne THG aus der Erzeugung von Bahnstrom und CO_2 aus der Schmierstoff-Mitverbrennung)*

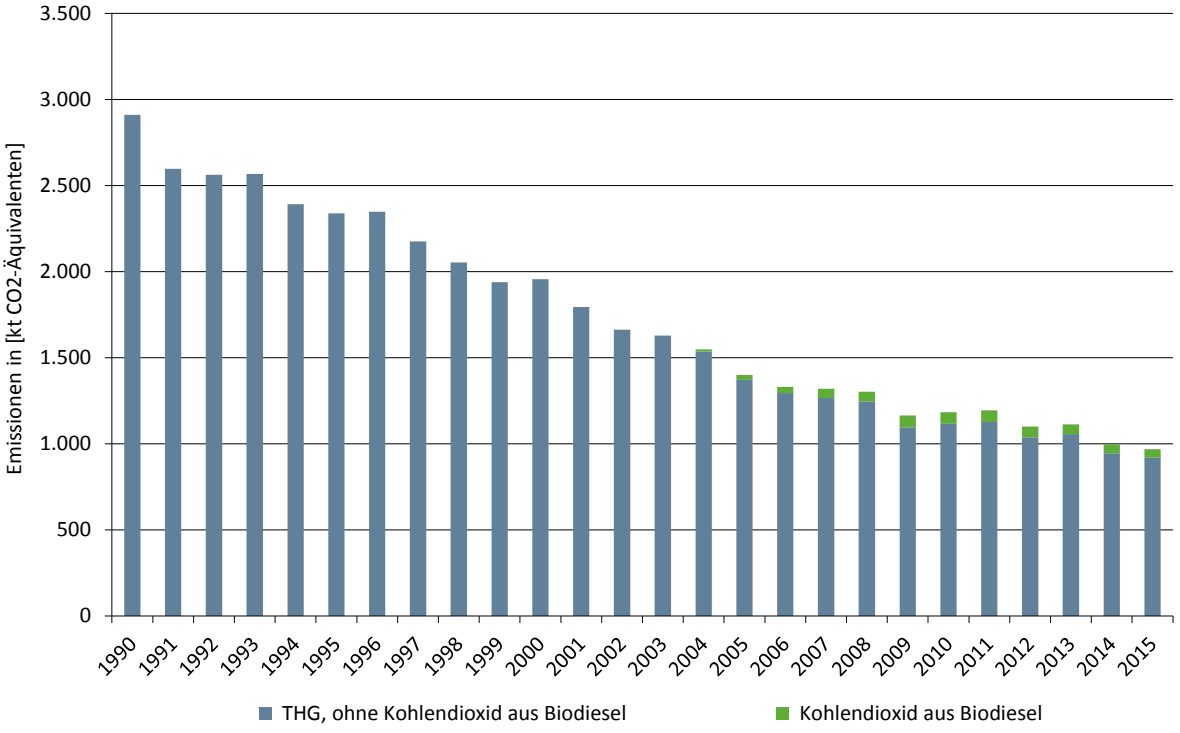

3.2.10.3.2 Methodische Aspekte (1.A.3.c)

Die Emissionen werden als Produkt aus den verbrauchten Kraft- und Brennstoffen und landesspezifischen Emissionsfaktoren berechnet. Dieses Vorgehen entspricht der allgemeinen

Tier 2-Methode und der prinzipiellen Berechnungsvorschrift nach Gleichung 3.4.2 der IPCC Guidelines 2006 (Band 2, Seite 3.42).

Die **Aktivitätsraten** (Energieeinsätze) werden grundsätzlich den Energiebilanzzeilen 74 (bis 1994) bzw. 64 (ab 1995) (AGEB, 2016) entnommen. Abweichend davon liegen aus methodischen Gründen den Jahren 2005 bis 2009 Absatzzahlen des Mineralölwirtschaftsverbandes (MWV) zugrunde, die im Jahresbericht Mineralöl-Zahlen (Tabelle „Sektoraler Verbrauch von Dieselkraftstoff“) veröffentlicht werden (MWV, 2016).[35]

Die Berechnung der jährlich eingesetzten Biodiesel-Mengen erfolgt aufgrund mangelhafter statistischer Daten bis auf weiteres anhand der offiziellen Beimengungsraten.

Auswertbare Verbrauchsdaten für Festbrennstoffe sind in den offiziellen Energiebilanzen für Braunkohle lediglich bis 2002, für Steinkohle bis 2000 verfügbar. Hier wird ergänzend auf Ergebnisse zweier in 2012 und 2016 erfolgter Erhebungen zurückgegriffen (PROBST & CONSORTEN, 2012 & 2016).

Tabelle 59: Überblick der verwendeten Statistiken und sonstigen Quellen

Kraft- / Brennstoff	verwendete Quelle(n)
Diesel	bis 2004: AGEB; 2005-2009: MWV; ab 2010: AGEB
Biodiesel	berechnet gemäß offizieller Beimengungsraten
Steinkohle	bis 1994: AGEB; 1995-2004: Interpolation, ab 2005: Erhebung
Steinkohlekoks	bis 1997: AGEB; 1998-2004: Interpolation; 2005-2010: Erhebung; ab 2011: Extrapolation
Rohbraunkohle & Braunkohlenbriketts	1990-2002: AGEB; danach nicht mehr eingesetzt

Hinsichtlich der verwendeten **Emissionsfaktoren** für Kohlendioxid wird hier grundsätzlich auf Kapitel 18.7 verwiesen.

Für Methan und Lachgas kommen landesspezifische Werte gemäß (IFEU, 2016a: Flüssigkraftstoffe) bzw. Default-Werte gemäß (IPCC, 2006: Festbrennstoffe) zum Einsatz. Bezüglich der Freisetzung dieser beiden Treibhausgase aus der Schmierstoff-Mitverbrennung wird davon ausgegangen, dass diese bereits in den entsprechenden Emissionsfaktoren der verwendeten Kraftstoffe berücksichtigt und daher als IE *(included elsewhere)* zu berichten ist.

Tabelle 60: für das Berichtsjahr 2015 verwendete Emissionsfaktoren, in kg/TJ

	CH_4	N_2O	Ursprung
Diesel	1,01 (4,15)	0,56 (28,60)	CH_4: landesspezifischer Wert gemäß (IFEU, 2016a); N_2O: tier2 default nach (EMEP/EEA, 2016)
Biodiesel	1,01 (-)	0,56 (-)	entsprechend den Faktoren für fossilen Diesel
Rohbraunkohle & Braunkohlebriketts	300 (-)	1,50 (-)	*Brennstoffe in 2015 nicht eingesetzt*
Steinkohle & Steinkohlekoks	2,00 (2,00)	1,50 (1,50)	Verwendung der Sektor-spezifischen IPCC-Vorgabewerte für *„sub-bituminous coal“*
Schmierstoffe	IE	IE	bereits in den EF der flüssigen Kraftstoffe abgebildet

in Klammern: Sektor-spezifische Vorgabe-Werte gemäß 2006 IPCC Guidelines (Band 2, Kap. 3.4 - *Railways*)

[35] AG Energiebilanzen: Erläuterungen zur Revision der Energiebilanzen 2003 – 2009 URL: http://www.ag-energiebilanzen.de/index.php?article_id=7&clang=0#revision_der_energiebilanzen_2003_bis_2009_05 (Aufruf vom 04.11.2014)

3.2.10.3.3 Unsicherheiten und Zeitreihenkonsistenz (1.A.3.c)

Im Rahmen eines Gutachtens (IFEU & INFRAS, 2009) wurden die Unsicherheiten der in TREMOD einfließenden Aktivitätsdaten, der darin erzeugten Emissionsfaktoren und der im Zentralen System Emissionen (ZSE) berechneten Emissionen ermittelt.

Die Aktivitätsraten-Zeitreihen für Braunkohlenbriketts, Steinkohle und Steinkohlenkoks weisen durch die Umstellung der Statistiken 1994/1995 Inkonsistenzen auf, die nicht beseitigt werden können.

3.2.10.3.4 Kategoriespezifische Qualitätssicherung/-kontrolle und Verifizierung (1.A.3.c)

Eine allgemeine und kategoriespezifische Qualitätskontrolle und eine Qualitätssicherung durch die Fachseite und durch die Nationale Koordinierungsstelle wurden gemäß den Anforderungen des QSE-Handbuchs bzw. dessen mitgeltenden Unterlagen durchgeführt.

Zur Qualitätssicherung der Energiebilanzen liegen dem Umweltbundesamt entsprechende Qualitätsberichte der AGEB vor. Außerdem wurde eine Dokumentation zur Überarbeitung der Energiebilanzen ab dem Jahr 2003 im Internet veröffentlicht.

Tabelle 61: Übersicht relevanter Vergleiche

Vergleich mit...	erfolgt	Erläuterung
alternativen Emissionsinventaren für Deutschland	nein	keine vergleichbaren Datensätze
kategoriespezifischen Tier1-Default-EF gemäß 2006 IPCC GL (Band 2, Kap. 3.4 - Railways, S. 3.43, Tab. 3.4.1): CO_2	ja	Tier1-Default-EF nicht für alle relevanten Brennstoffe
Tier1-Default-EF gemäß 2006 IPCC GL (Band 2, Kap. 2 - Stationary Combustion, S. 2.20, Tab. 2.4): CO_2	ja	siehe Tabelle 54
kategoriespezifischen Tier1-Default-EF gemäß 2006 IPCC GL (Band 2, Kap. 3.4 - Railways, S. 3.43, Tab. 3.4.1): CH_4, N_2O	ja	siehe Tabelle 60
Tier1-Default-EF gemäß 2006 IPCC GL (Band 2, Kap. 2 - Stationary Combustion, S. 2.20, Tab. 2.4): CH_4, N_2O	ja	Ergebnisse kaum aussagekräftig
spezifischen IEF anderer Staaten	ja	siehe Tabelle 63

Tabelle 62: Vergleich der im Inventar verwendeten EF(CO_2) mit Default-Werten [a], in kg/TJ

	Inventarwert [b]	Default	*Untergrenze*	*Obergrenze*
fossiler Dieselkraftstoff	74.027	74.100	*72.600*	*74.800*
Braunkohlebriketts	99.385	97.500	*87.300*	*109.000*
Rohbraunkohle	103.954	101.000	*90.900*	*115.000*
Steinkohle	93.510	94.600	*89.500*	*99.700*
Steinkohlekoks	108.130	107.000	*95.700*	*119.000*
Biodiesel	70.800		*59.800*	*84.300*

[a] gemäß 2006 IPCC Guidelines, Band 2, Tab. 2.4; [b] für das Berichtsjahr 2015

Die folgende Tabelle erlaubt einen Vergleich mit spezifischen impliziten Emissionsfaktoren anderer Staaten sowie den sich für die EU(28) ergebenden Werten.

Tabelle 63: länderübergreifender Vergleich der berichteten IEF, in kg/TJ

	fossile Flüssigbrennstoffe			fossile Festbrennstoffe		
	CO_2	CH_4	N_2O	CO_2	CH_4	N_2O
Deutschland [a]	74.027	1,01	1,00	93.543	2,00	1,50
Dänemark	74.000	1,81	2,24	NO	NO	NO
Frankreich	75.032	4,15	2,98	NO	NO	NO
Niederlande	74.300	4,26	0,56	NO	NO	NO
Großbritannien	74.149	3,26	2,35	95.018	99,76	0,80
EU (28)	73.980	3,26	10,89	94.311	55,99	2,43

Quellen: [a] IEF für das Berichtsjahr 2015; sonst: IEF für 2014 gemäß CRF-Submission 2016

3.2.10.3.5 Kategoriespezifische Rückrechnungen (1.A.3.c)

Gegenüber der Submission 2016 erfolgten Rückrechnungen sowohl aufgrund revidierter Aktivitätsdaten als auch Emissionsfaktoren.

Dabei wurden die zuletzt vorläufigen Energieeinsätze für Dieselkraftstoff durch finale Werte für 2014 ersetzt, was eine entsprechende Korrektur für beigemengten Biodiesel zur Folge hat. Die Angaben zum Einsatz von Steinkohle wurden auf Basis einer aktuellen Erhebung ab dem Jahr 2005 revidiert.

Tabelle 64: Korrektur der Kraft- und Brennstoffeinsätze, in TJ

	2011	2012	2013	2014
		Dieselkraftstoff [a]		
Submission 2017	14.730	13.514	13.771	12.283
Submission 2016	14.730	13.514	13.771	13.658
Änderung absolut	0	0	0	-1.375
Änderung relativ	0,00%	0,00%	0,00%	-10,07%
		Biodiesel [b]		
Submission 2017	966	882	798	745
Submission 2016	966	882	798	822
Differenz absolut	0	0	0	-77
Differenz relativ	0,00%	0,00%	0,00%	-9,42%
		Steinkohle [c]		
Submission 2017	345	357	352	341
Submission 2016	325	325	325	325
Differenz absolut	20	32	27	16
Differenz relativ	6,22%	9,72%	8,36%	5,07%

Quellen: [a] AGEB, 2106; [b] IFEU, 2016a ; [c] Probst & Consorten, 2016

Gleichzeitig wurden die in TREMOD hinterlegten jahresspezifischen Emissionsfaktoren für Methan aus der Verbrennung von Dieselkraftstoffen ab 2012 angepasst und die Emissionsfaktoren für Methan und Lachgas aus der Verbrennung von Festbrennstoffen durch IPCC-defaults ersetzt.

Tabelle 65: Korrektur des Emissionsfaktoren für Methan aus Diesel ab 2012, in kg/TJ

	2012	2013	2014
Submission 2017	1,15	1,07	1,05
Submission 2016	1,46	1,45	1,06
Änderung absolut	-0,31	-0,38	-0,01
Änderung relativ	-21%	-26%	-1%

Quelle: IFEU, 2016a

Tabelle 66: Korrektur der Emissionsfaktoren für Methan und Lachgas für Festbrennstoffe, in kg/TJ

	Steinkohle(koks) [a]		Rohbraunkohle(briketts) [b]	
	Methan	***Lachgas***	***Methan***	***Lachgas***
Submission 2017	2,00	1,50	300,00	1,50
Submission 2016	15,00	4,00	15,00	3,50
Änderung absolut	-13,00	-2,50	285,00	-2,00
Änderung relativ	-87%	-63%	1.900%	-57%

Quellen: 2006 IPCC Guidelines, Band 2 - *Energy*; [a] Kapitel 3.4, Tab. 3.4.1; [b] Kapitel 2, Tab. 2.5

Aus der Vielzahl der beschriebenen Anpassungen resultieren folgende rekalkulierte Emissionen:

Tabelle 67: revidierte Emissionsmengen, in kt bzw. kt CO_2-Äquivalente

	1990	1995	2000	2005	2010	2011	2012	2013	2014
					Kohlendioxid				
Submission 2017	2.901	2.331	1.947	1.367	1.112	1.123	1.034	1.052	941
Submission 2016	2.901	2.331	1.947	1.367	1.112	1.121	1.031	1.050	1.042
Änderung absolut	0,0	0,0	0,0	0,0	0,0	1,9	3,0	2,5	-100,2
Änderung relativ	0,00%	0,00%	0,00%	0,00%	0,00%	0,17%	0,29%	0,24%	-9,62%
					Methan				
Submission 2017	0,10	0,08	0,19	0,03	0,02	0,02	0,02	0,02	0,01
Submission 2016	0,11	0,08	0,07	0,03	0,03	0,03	0,03	0,03	0,02
Änderung absolut	-0,01	0,00	0,12	0,00	0,00	0,00	-0,01	-0,01	-0,01
Änderung relativ	-7%	-4%	180%	-10%	-16%	-15%	-33%	-37%	-29%
					Lachgas				
Submission 2017	0,022	0,018	0,015	0,011	0,009	0,009	0,009	0,009	0,008
Submission 2016	0,024	0,019	0,017	0,011	0,010	0,010	0,009	0,009	0,009
Änderung absolut	-0,001	-0,001	-0,001	-0,001	-0,001	-0,001	-0,001	-0,001	-0,002
Änderung relativ	-6%	-4%	-9%	-6%	-8%	-8%	-8%	-8%	-17%
					Gesamt-THG (ohne CO_2 aus Biodiesel)				
Submission 2017	2.910	2.339	1.956	1.371	1.116	1.126	1.037	1.055	944
Submission 2016	2.910	2.339	1.954	1.371	1.116	1.125	1.034	1.053	1.045
Änderung absolut	-0,62	-0,33	2,54	-0,28	-0,31	1,57	2,51	2,06	-100,87
Änderung relativ	-0,02	-0,01%	0,13%	-0,02%	-0,03%	0,14%	0,24%	0,20%	-9,65%

Quelle: eigene Berechnungen

Die enormen Rückrechnungen für Methan (1996 bis 2000) resultieren dabei aus der Revision des entsprechenden Emissionsfaktors für Braunkohlebriketts. Für die über die gesamte Zeitreihe erfolgte Absenkung der Lachgas-Emissionen ist dagegen die Anpassung des entsprechenden Emissionsfaktors für Steinkohle und Steinkohlekoks verantwortlich.

3.2.10.3.6 Geplante Verbesserungen, kategoriespezifisch (1.A.3.c)

Derzeit sind keine quellenspezifischen Verbesserungen geplant.

Sofern in vorhergehenden Berichterstattungen in diesem Kapitel Verbesserungen benannt wurden, sind diese in Form einer Übersicht unter Kapitel 10.4 Verbesserungen des Inventars, Tabelle 426 zu finden. Sind diese bereits erledigt, sind sie im selben Kapitel in Tabelle 425 abgebildet.

3.2.10.4 Transport - Schiffsverkehr (1.A.3.d)

3.2.10.4.1 Beschreibung der Kategorie (1.A.3.d)

KC	Category	Activity	EM of	1990 (kt CO_2-e.)	(fraction)	2015 (kt CO_2-e.)	(fraction)	Trend 1990-2015
L/T	**1.A.3.d Transport: Navigation**	**all fuels**	**CO_2**	**3.644,5**	**0,30%**	**1.798,4**	**0,20%**	**-50,7%**
-/-	1.A.3.d Transport: Navigation	all fuels	N_2O	33,7	0,00%	17,1	0,00%	-49,4%
-/-	1.A.3.d Transport: Navigation	all fuels	CH_4	1,9	0,00%	0,7	0,00%	-63,9%

Gas	Angewandte Methode	Quelle der Aktivitätsdaten	genutzte Emissionsfaktoren
CO_2	Tier 1 a, CS (Tier 2)	NS/IS/M	D a, CS
CH_4	CS (Tier 2)	NS/IS/M	CS (M)
N_2O	CS (Tier 2)	NS/IS/M	CS (M)
NOx, CO, NMVOC, SO_2	CS (Tier 2)	NS/IS/M	CS (M)

[a] Biodiesel

Die Kategorie *nationaler Schiffsverkehr* ist eine Hauptkategorie nach der Emissionshöhe und dem Trend.

Der Schiffsverkehr ist in nationalen Seeverkehr und Binnenschifffahrt sowie internationale Seeschifffahrt zu unterscheiden. Die Emissionen aus dem internationalen Schiffsverkehr werden in den Emissionsinventaren nachrichtlich ausgewiesen, gehen aber nicht in die Gesamtemissionen ein.

Der Kategorie 1.A.3.d – nationaler Schiffsverkehr sind im ZSE die Binnenschifffahrt sowie der nationale Seeverkehr, d.h. Fahrten zwischen dt. Seehäfen, zugeordnet.

Die folgende Grafik zeigt die Entwicklung der Treibhausgasemissionen des inländischen Schiffsverkehrs unterteilt in Binnenschifffahrt und nationalen Seeverkehr seit 1990.

Abbildung 34: Entwicklung der THG-Emissionen aus Binnenschifffahrt und nationalem Seeverkehr seit 1990

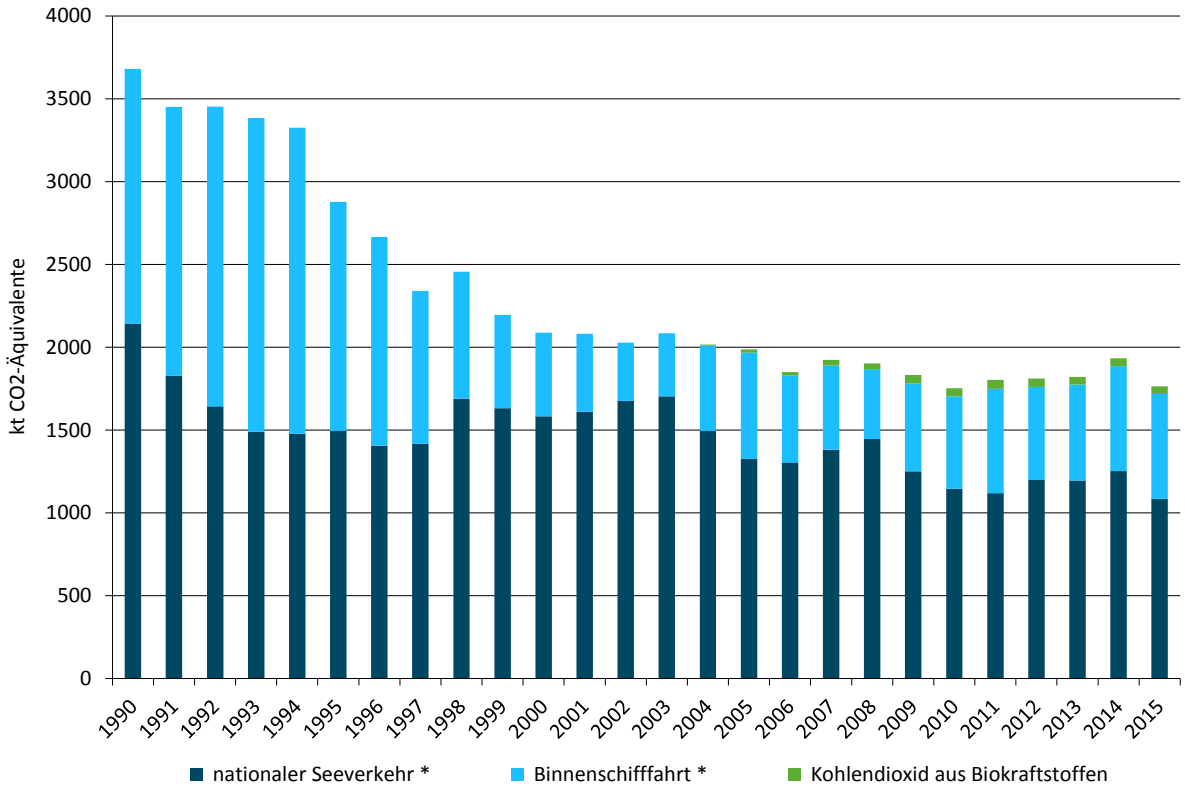

3.2.10.4.2 Methodische Aspekte (1.A.3.d)

Für den *nationalen Seeverkehr* werden sämtliche primäre Eingangsdaten in einem am Bundesamt für Seeschifffahrt und Hydrographie (BSH) betriebenen Modell gemäß dem Tier3-Ansatz nach (EMEP/EEA 2013: Teil B: Sectoral guidance chapters, 1.A.3.d Navigation (shipping), S. 19) zusammengeführt (BSH, 2015). Die hier zugrunde gelegten AIS-Bewegungsdaten liegen dabei aktuell erst ab dem Jahr 2010 vor. Für die Zeitspanne 1990 bis 2009 wurden die spezifischen Verbrauchsanteile von nationalem und militärischem Seeverkehr sowie Fischerei dagegen anhand der jährlichen Entwicklung geeigneter Indikatoren (u.a. Verkehrsleistung Nord-Ostsee-Kanal, Entwicklung der Flotten in Militär und Fischerei) abgeleitet.

Für die *Binnenschifffahrt* erfolgt die Zusammenführung primärer Daten in Form eines Tier2-Ansatzes in TREMOD (IFEU, 2016a). In das Modell gehen sowohl Emissionswerte aus Prüfstandmessungen als auch Daten zu spezifischen Energieverbräuchen ein. Letztere wurden mit einem auf der Binnenschifffahrtsstatistik des Statistischen Bundesamtes beruhenden Verkehrsmengengerüst verknüpft und können nach Schiffstypen und -größen sowie Beladungen und Gewässertypen differenziert werden.

Als Quelle der **Aktivitätsdaten** dient, wie für den gesamten Sektor 1.A, grundsätzlich (AGEB, 2016a&b, beruhend auf BAFA und MWV). Den Jahren 2005 bis 2009 liegen dabei von den Angaben der NEB abweichende Absatzzahlen des MWV zugrunde, die im Jahresbericht Mineralöl-Zahlen (hier: Seite 52, Tabelle „Sektoraler Verbrauch von Dieselkraftstoff“) veröffentlicht werden (MWV, 2016).

In den amtlichen Bilanzen der AGEB und des BAFA erfolgt die Aufteilung in *inländisch* (AGEB: „Küsten- und Binnenschifffahrt“ = BAFA: „an die Binnenschifffahrt“) und *international* (AGEB:

„Hochseebunkerungen“ = BAFA: „Bunker int. Schifffahrt“) anhand der unterschiedlichen Besteuerung der Schiffskraftstoffe.

Hinsichtlich des Schiffsverkehrs wird in der NEB – wie beschrieben einzig anhand steuerlicher Gesichtspunkte – in Hochseebunkerungen (EBZ 6) sowie Küsten- und Binnenschifffahrt (EBZ 64) unterschieden. In EBZ 6 sind die Kraftstoffmengen enthalten, die von Seeschiffen gebunkert wurden, die eine Zulassung der *International Maritime Organization* (Internationale Seeschifffahrts-Organisation, IMO) als Seeschiff (IMO-Nummer) besitzen. Das sind Fracht-, Fischerei- und Militärschiffe, die sowohl national (zwischen zwei dt. Seehäfen) als auch international (von Deutschland ins Ausland) verkehren können. In EBZ 64 sind dagegen die Kraftstoffmengen angeführt, die zum einen von Binnenschiffen getankt, zum anderen aber von *nicht* durch die IMO zertifizierten Seeschiffen gebunkert wurden (kleinere, nur national verkehrende Schiffe). Zur Aufteilung in nationalen und internationalen *See*verkehr ist daher eine Aufteilung der in EBZ 6 enthaltenen Kraftstoffmengen auf national und international verkehrende Seeschiffe notwendig. Zusätzlich werden die jeweiligen spezifischen Mengen von Fischerei- und Militärschiffen abgezogen, die unter 1.A.4.c iii bzw. 1.A.5.b gesondert berichtet werden.

Tabelle 68: Quellennachweis für die verwendeten Aktivitätsdaten

Material	Quellstatistik	darin unter	
Dieselkraftstoff & Schweröl	NEB	77 (bis 1994) bzw. 64 (seit 1995)	Küsten- und Binnenschifffahrt
Biodiesel	NEB	Zeile 64 (seit 2004)	

Nationaler Seeverkehr

Die Aktivitätsraten des *nationalen Seeverkehrs* setzen sich aus den Angaben zu den in EBZ 64 enthaltenen *nicht* IMO-zertifizierten Seeschiffen sowie zu den in EBZ 6 enthaltenen national verkehrenden IMO-zertifizierten Seeschiffen (jeweils abzüglich Fischerei und Militär) zusammen. Um diese Anteile zu ermitteln, werden im oben genannten BSH-Modell die spezifischen Verbräuche national verkehrender Seeschiffe anhand ihrer AIS-Signale (aktuell ab 2010, siehe oben) berechnet und zu einer jährlichen Gesamtmenge aggregiert. Da vom Modell in IMO-zertifizierte und nicht zertifizierte Seeschiffe unterschieden wird, liegen gleichzeitig die in EBZ 6 und EBZ 64 enthaltenen Teilmengen vor. Durch Abzug der erstgenannten Teilmenge (Kraftstoffeinsatz in national verkehrenden IMO-zertifizierten Seeschiffen) von den in EBZ 6 enthaltenen Bunkermengen ergibt sich die von international verkehrenden Seeschiffen in D gebunkerte Restmenge, die als Grundlage für die Berechnung der gesondert ausgewiesenen Emissionen des internationalen Seeverkehrs (ab D) gemäß Tier1 dient (siehe Kapitel 3.2.2.3).

Die jährlich von *Binnenschiffen* in Deutschland getankten Kraftstoffmengen ergeben sich durch Abzug der zweiten Teilmenge (Kraftstoffeinsatz in national verkehrenden nicht-IMO-zertifizierten Seeschiffen) von der in EBZ 64 angeführten Gesamtmenge. Die wechselnde Befahrbarkeit der Wasserstraßen hat stark schwankende jährliche Verbräuche zur Folge, welche seit Mitte der 1990er Jahre tendenziell sinken, da aufgrund von Preisvorteilen viele Schiffe im Ausland betankt werden. Der abrupte Rückgang 1994/1995 ist einer Umstellung der Energiebilanz geschuldet. Die Berechnung der jährlich eingesetzten Biodiesel-Mengen erfolgt aufgrund mangelhafter statistischer Daten bis auf weiteres anhand der offiziellen Beimengungsraten.

Im Rahmen des Überprüfungsprozesses des UNFCCC wurde Deutschland wiederholt (zuletzt während des In-Country Reviews 2016) ermutigt, Emissionen aus zwar hierzulande von Binnenschiffen getankten, aber erst im Ausland verbrauchten Kraftstoffen separat auszuweisen. Da die verfügbaren Statistiken und Modelle dies nicht unmittelbar zulassen, wäre hierzu eine sehr

aufwändige regelmäßige Erhebung notwendig, auf deren Grundlage zudem Daten bis zurück nach 1990 entwickelt werden müssten. Unter der Annahme, dass grenzüberschreitend verkehrende Binnenschiffe nur in seltenen Fällen in Deutschland Kraftstoffe aufnehmen[36], erscheint ein solches Vorgehen jedoch als fragwürdig. Nichtsdestotrotz wird der Bitte der Prüfkommissionen nachgegangen und eine für alle Seiten vertretbare wie wissenschaftlich belastbare Lösung gesucht.

Hinsichtlich der verwendeten **Emissionsfaktoren** für Kohlendioxid wird hier grundsätzlich auf Kapitel 18.7 verwiesen. Weiterführende Informationen speziell zu Kohlendioxid aus der Schmierstoff-Mitverbrennung finden sich zudem in Kapitel 19.1.4.

Bezüglich der Freisetzung von Methan und Lachgas aus der Schmierstoff-Mitverbrennung wird davon ausgegangen, dass diese bereits in den entsprechenden Emissionsfaktoren der verwendeten Kraftstoffe berücksichtigt und daher als IE *(included elsewhere)* zu berichten ist.

Alle weiteren Emissionsfaktoren für den Teilsektor *Nationaler Seeverkehr* wurden (BSH, 2015) entnommen.

Für die *Binnenschifffahrt* kommen CH_4-Emissionsfaktoren aus (IFEU, 2016a) zum Einsatz. Als Berechnungsgrundlage dienen Prüfstandmessungen sowie Daten zur benötigten Antriebsenergie differenziert nach Schiffstypen und -größen, Beladungen und Wasserstraßentypen. Hinsichtlich N_2O folgen die EF Expertenbetrachtungen im UBA entsprechend der UBA-Studie Luftreinhaltung ’88 bzw. dem Analogieschluss zu schweren Nutzfahrzeugen ohne Minderungstechnik.

Tabelle 69: für das Berichtsjahr 2015 verwendete Emissionsfaktoren, in kg/TJ

	CH_4	N_2O	Ursprung
Binnenschifffahrt			
Diesel	1,33 (-)	1,00 (-)	landesspezifischer Wert gemäß (IFEU, 2016a)
Biodiesel	1,33 (-)	1,00 (-)	entspricht dem EF für Diesel
nationaler Seeverkehr			
Diesel	0,97 (7,00)	3,30 (2,00)	gemäß (BSH, 2015)
Biodiesel	0,97 (-)	3,30 (-)	entspricht dem EF für Diesel
Schweröl	1,03 (7,00)	3,41 (2,00)	gemäß (BSH, 2015)
übergreifend			
Schmierstoffe	IE	IE	in EF der einzelnen Kraftstoffe berücksichtigt

in Klammern: Default-Werte gemäß IPCC Guidelines 2006 (Band 2, Kap. 3.5, S. 3.50, Tab. 3.5.3)

3.2.10.4.3 Unsicherheiten und Zeitreihenkonsistenz (1.A.3.d)

Während hinsichtlich der nationalen Binnenschifffahrt Unsicherheiten aus (IFEU & INFRAS, 2009) entnommen werden konnten, muss bzgl. des nationalen Seeverkehrs derzeit noch auf Richtwerte gemäß IPCC zurückgegriffen werden.

Durch die von 1994 zu 1995 erfolgte Umstellung der Energiebilanzen weisen die Zeitreihen der Aktivitätsdaten für Küsten- und Binnenschifffahrt zudem Inkonsistenzen auf, die aktuell nicht beseitigt werden können.

Die Emissionsfaktor-Zeitreihen weisen dagegen keine Inkonsistenzen auf.

[36] Aufgrund der in den Anrainerstaaten von Rhein und Donau dauerhaft preiswerteren Kraftstoffe und angesichts der Tatsache, dass ein großes Binnenschiff mit einer Tankfüllung ohne weiteres mehrere tausend Kilometer zurücklegen kann, wird davon ausgegangen, dass ein Nachtanken in Deutschland für grenzüberschreitende Fahrten nur in Ausnahmefällen stattfindet.

3.2.10.4.4 Kategoriespezifische Qualitätssicherung/-kontrolle und Verifizierung (1.A.3.d)

Eine allgemeine Qualitätskontrolle und eine Qualitätssicherung durch die Fachseite und durch die Nationale Koordinierungsstelle wurden gemäß den Anforderungen des QSE-Handbuchs bzw. dessen mitgeltenden Unterlagen durchgeführt.

Zur Qualitätssicherung der Energiebilanzen liegen dem Umweltbundesamt entsprechende Qualitätsberichte der AGEB vor. Außerdem wurde eine Dokumentation zur Überarbeitung der Energiebilanzen ab dem Jahr 2003 im Internet veröffentlicht[37].

Tabelle 70: Übersicht relevanter Datenvergleiche

Vergleich mit...	erfolgt	Erläuterung
alternativen Emissionsinventaren für Deutschland	nein	keine vergleichbaren Datensätze
sektorspezifischen Tier1-Default-EF gemäß (IPCC, 2006: Band 2, Tab. 3.5.2): CO_2	ja	siehe Tabelle 71
sektorspezifischen Tier1-Default-EF gemäß (IPCC, 2006: Band 2, Tab. 3.5.3): CH_4, N_2O	(ja)	See: siehe Tabelle 69 Binnen: keine Defaults
Tier1-Default-EF gemäß (IPCC, 2006: Band 2, Tab. 2.4): CH_4, N_2O	ja	Binnen: Ergebnisse kaum aussagekräftig
spezifischen IEF anderer Staaten	ja	siehe Tabelle 72

Tabelle 71: Vergleich der im Inventar verwendeten EF(CO_2) mit default-Werten

	Inventarwert [a]	Default [b]	*Untergrenze*	*Obergrenze*
fossiler Dieselkraftstoff	74.027	74.100	*72.600*	*74.800*
Schweröl	81.329	77.400	*75.500*	*78.800*
Biodiesel	70.800		*59.800*	*84.300*

[a] für das Berichtsjahr 2015; [b] gemäß IPCC Guidelines 2006: Band 2, Tabelle 2.4

Die folgende Tabelle erlaubt einen Vergleich mit spezifischen impliziten Emissionsfaktoren anderer Staaten sowie der EU(28).

Tabelle 72: länderübergreifender Vergleich der berichteten IEF, in kg/TJ

	fossiler Dieselkraftstoff			Schweröl		
	CO_2	CH_4	N_2O	CO_2	CH_4	N_2O
Deutschland	74.027	1,17	2,00	80.877	1,04	3,41
Dänemark	73.921	2,04	1,78	77.896	2,47	1,73
Frankreich	75.032	7,00	2,00	78.000	7,00	2,00
Niederlande	74.300	7,00	2,00	NO	NO	NO
Großbritannien	73.904	1,16	1,86	78.260	1,21	1,94
EU (28)	73.985	4,00	3,79	78.072	5,48	2,18

Deutschland: aktuelle IEF für das Berichtsjahr 2015; sonst: IEF für 2014 gemäß CRF-Submission 2016

3.2.10.4.5 Kategoriespezifische Rückrechnungen (1.A.3.d)

Gegenüber der Submission 2016 erfolgten lediglich marginale Rückrechnungen aufgrund der Revision von Emissionsfaktoren.

[37] AG Energiebilanzen: Erläuterungen zur Revision der Energiebilanzen 2003 – 2009 URL: http://www.ag-energiebilanzen.de/index.php?article_id=7&clang=0#revision_der_energiebilanzen_2003_bis_2009_05 (Aufruf vom 18.09.2013)

Tabelle 73: revidierte Methan- und Lachgas-Emissionsfaktoren für den Einsatz von Dieselkraftstoffen bei Binnenschiffen, jahresspezifische Werte für das Berichtsjahr 2014, in kg/TJ

	Methan	Lachgas
Submission 2017	1,3335	1,0011
Submission 2016	1,3331	1,0010
Änderung absolut	0,0005	0,0001
Änderung relativ	0,03%	0,01%

Quelle: TREMOD (IFEU, 2016a)

Aus den beschriebenen Korrekturen resultieren folgende rekalkulierte Emissionen:

Tabelle 74: resultierende Neuberechnung der Methan- und Lachgasemissionen aus dem Einsatz von Dieselkraftstoffen in Binnenschiffen, in kt

	Methan	Lachgas
Submission 2017	0,063347	0,028221
Submission 2016	0,063346	0,028217
Änderung absolut	0,000001	0,000004
Änderung relativ	0,002%	0,014%

Quelle: eigene Berechnungen

Die resultierende Neuberechnung der Gesamt-Treibhausgasemissionen fällt so gering aus, dass sie hier nicht sinnvoll dargestellt werden kann.

3.2.10.4.6 Geplante Verbesserungen, kategoriespezifisch (1.A.3.d)

Hinsichtlich des *nationalen Seeverkehrs* erfolgen im Rahmen der Modellaktualisierung im Bedarfsfall auch modellpflegerische Arbeiten, die derzeit noch nicht genauer benannt werden können.

Hinsichtlich der *Binnenschifffahrt* wird in Zusammenarbeit mit den verantwortlichen Modellierern (ifeu) und nationalen Experten (ZKR: Zentralkommission für die Rheinschifffahrt) nach Wegen zur exakten getrennten Erfassung national und international verkehrender Schiffe gesucht. Inwieweit hier schon für die Submission 2018 Ergebnisse vorliegen werden, lässt sich aktuell jedoch noch nicht sagen.

Sofern in vorhergehenden Berichterstattungen in diesem Kapitel Verbesserungen benannt wurden, sind diese in Form einer Übersicht unter Kapitel 10.4 Verbesserungen des Inventars, Tabelle 426 zu finden. Sind diese bereits erledigt, sind sie im selben Kapitel in Tabelle 425 abgebildet.

3.2.10.5 Transport - Übriger Verkehr (1.A.3.e)

3.2.10.5.1 Beschreibung der Kategorie (1.A.3.e)

KC	Category	Activity	EM of	1990 (kt CO_2-e.)	(fraction)	2015 (kt CO_2-e.)	(fraction)	Trend 1990-2015
-/-	1.A.3.e Transport: Other Transportation	all fuels	CO_2	1.083,3	0,09%	1.223,7	0,14%	13,0%
-/-	1.A.3.e Transport: Other Transportation	all fuels	N_2O	14,5	0,00%	10,7	0,00%	-26,2%
-/-	1.A.3.e Transport: Other Transportation	all fuels	CH_4	5,3	0,00%	6,0	0,00%	12,4%

Gas	Angewandte Methode	Quelle der Aktivitätsdaten	genutzte Emissionsfaktoren
CO_2	CS	ETS	CS
CH_4	Tier 2	ETS	CS
N_2O	Tier 2	ETS	CS

Die *Kategorie 1.A.3.e - Transport - Übriger Verkehr* ist keine Hauptkategorie.

In der Kategorie *1.A.3.e – Übriger Verkehr* werden nur die Emissionen von *Gasturbinen in Erdgasverdichterstationen des Transportnetzes* berichtet. Die Emissionen aus Gasturbinen der Förderstationen werden in der Kategorie 1.A.1.c berichtet. Die diffusen Emissionen aus den Verdichtern werden unter 1.B.2.b.iii & iv berichtet. Es gibt noch weitere Gasverdichter in der chemischen Industrie, die gemäß der statistischen Struktur in der Kategorie 1.A.2.g Sonstige berichtet werden.

3.2.10.5.2 Methodische Aspekte (1.A.3.e)

Aktivitätsraten:

Die Berechnung des Brennstoffeinsatzes der Erdgasverdichter wurde für den NIR 2012 vollständig überarbeitet. Als neue Datenquelle werden ab dem Jahr 2005 die für den Emissionshandel gemeldeten und von der Emissionshandelsstelle aggregierten Brennstoffeinsätze direkt verwendet. Aus dem Datensatz werden nur diejenigen Erdgasverdichter verwendet, die dem Transportnetz zuzuordnen sind. Die Erdgasverdichter der Förderstationen werden über die Energiestatistik abgefragt und sind damit bereits in der Kategorie 1.A.1.c enthalten. Durch diese Zuordnung wird eine Doppelzählung im Inventar vermieden.

Aufgrund der neuen Datenlage ergab sich der Hinweis, dass die Brennstoffeinsätze der gesamten Zeitreihe zu gering sein mussten. Einzig der in der Energiebilanz 2002 ausgewiesene Wert scheint in einer plausiblen Größenordnung. Obwohl die Brennstoffeinsätze der Erdgasverdichter von 1995-2002 in einer Statistik gemeldet wurden, kann davon ausgegangen werden, dass es eine Untererfassung gab. Deshalb wurde zur Herstellung der Zeitreihenkonsistenz eine Rückrechnung bis 1990 vorgenommen. Da die Brennstoffeinsätze abhängig vom Primärenergieverbrauch jährlich schwanken, wäre eine einfache Interpolation nicht zielführend gewesen. Deshalb wurde aus dem jeweiligen Verhältnis (Brennstoffeinsatz/Primärenergieverbrauch) ein Mittelwert über die Jahre 2005-2009 berechnet und damit bis 1990 zurückgerechnet. Dadurch ergibt sich eine plausible und konsistente Zeitreihe.

Emissionsfaktoren:

Die für den Erdgaseinsatz in **Erdgasverdichterstationen** verwendeten Emissionsfaktoren stützen sich schadstoffspezifisch auf Ergebnisse verschiedener Forschungsprojekte und Expertenbetrachtungen des UBA, im Einzelnen:

- Für CO_2 wird auf die Dokumentation im Anhang 2, Kapitel CO_2-Emissionsfaktoren, verwiesen.

- Die CH_4- und die N_2O-EF sind dem Bericht FICHTNER et al. (2011) entnommen. Die Vorgehensweise der Studien ist in Kapitel 3.2.6.2 beschrieben.

3.2.10.5.3 Unsicherheiten und Zeitreihenkonsistenz (1.A.3.e)

Erstmals wurden im Berichtsjahr 2004 für die Aktivitätsraten Unsicherheiten bestimmt (Forschungsvorhaben 204 41 132, UBA). Die Methode zur Bestimmung der Unsicherheiten ist im Anhang 2, Kapitel „Unsicherheiten der Aktivitätsraten stationärer Feuerungsanlagen“ des NIR 2007 beschrieben.

Die Vorgehensweise zur Ermittlung der Unsicherheiten der EF für Erdgasverdichterstationen ist im Kapitel 3.2.6.2 beschrieben. Ergebnisse für N_2O sind dem Kapitel 3.2.6.3.2 zu entnehmen, für CH_4 dem Kapitel 3.2.6.3.3.

3.2.10.5.4 Kategoriespezifische Qualitätssicherung/-kontrolle und Verifizierung (1.A.3.e)

Eine allgemeine Qualitätskontrolle und eine Qualitätssicherung durch die Fachseite und durch die Nationale Koordinierungsstelle wurden gemäß den Anforderungen des QSE-Handbuchs bzw. dessen mitgeltenden Unterlagen durchgeführt.

Die Ergebnisse des Kapitels 3.2.6.2 gelten entsprechend.

3.2.10.5.5 Kategoriespezifische Rückrechnungen (1.A.3.e)

Tabelle 75: Rückrechnungen in CRF 1.A.3.e

Einheit [kt]	NIR 2016	NIR 2017	Abweichung absolut		gesamt
Jahr	gesamt	gesamt	gas	gesamt	gesamt
2013	1.469	1.470	-0,70	-0,70	-0,05%
2014	1.195	1.195	-0,41	-0,41	-0,03%

Aufgrund von Änderungen der Emissionshandelsdaten für Erdgasverdichter kommt es in den Jahren 2013 und 2014 zu geringfügigen Rückrechnungen.

3.2.10.5.6 Geplante Verbesserungen, kategoriespezifisch (1.A.3.e)

Derzeit sind keine weiteren Verbesserungen geplant.

Sofern in vorhergehenden Berichterstattungen in diesem Kapitel Verbesserungen benannt wurden, sind diese in Form einer Übersicht unter Kapitel 10.4 Verbesserungen des Inventars, Tabelle 426 zu finden. Sind diese bereits erledigt, sind sie im selben Kapitel in Tabelle 425 abgebildet.

3.2.11 Sonstige: Haushalte, Gewerbe, Handel, Dienstleistungen, Land-, Forstwirstschaft und Fischerei (1.A.4 stationär)

3.2.11.1 Beschreibung der Kategorie (1.A.4 stationär)

KC	Category	Activity	EM of	1990 (kt CO_2-e.)	(fraction)	2015 (kt CO_2-e.)	(fraction)	Trend 1990-2015
L/T	**1.A.4.a Other Sectors: Commercial/Institutional**	**all fuels**	**CO_2**	**64.105,9**	**5,24%**	**34.518,8**	**3,89%**	**-46,2%**
-/T	**1.A.4.a Other Sectors: Commercial/Institutional**	**all fuels**	**CH_4**	**1.461,6**	**0,12%**	**25,1**	**0,00%**	**-98,3%**
-/-	1.A.4.a Other Sectors: Commercial/Institutional	all fuels	N_2O	145,6	0,01%	81,4	0,01%	-44,1%
L/T	**1.A.4.b Other Sectors: Residential**	**all fuels**	**CO_2**	**128.635,8**	**10,52%**	**85.363,7**	**9,62%**	**-33,6%**
-/T	**1.A.4.b Other Sectors: Residential**	**all fuels**	**CH_4**	**2.483,9**	**0,20%**	**743,8**	**0,08%**	**-70,1%**
-/-	1.A.4.b Other Sectors: Residential	all fuels	N_2O	768,9	0,06%	298,3	0,03%	-61,2%
L/T	**1.A.4.c Other Sectors: Agriculture/Forestry/Fisheries**	**all fuels**	**CO_2**	**10.270,1**	**0,84%**	**5.811,7**	**0,65%**	**-43,4%**
-/-	1.A.4.c Other Sectors: Agriculture/Forestry/Fisheries	all fuels	CH_4	240,0	0,02%	361,7	0,04%	50,7%
-/-	1.A.4.c Other Sectors: Agriculture/Forestry/Fisheries	all fuels	N_2O	61,9	0,01%	77,6	0,01%	25,4%

Gas	Angewandte Methode	Quelle der Aktivitätsdaten	genutzte Emissionsfaktoren
CO_2	Tier 1*, CS	NS/M	CS, D*
CH_4	CS (Tier 2)	NS/M	CS (M)
N_2O	CS (Tier 2)	NS/M	CS (M)
NO_X, CO, NMVOC, SO_2	CS (Tier 2)	NS/M	CS (M)

* Biodiesel und mitverbrannte Schmierstoffe

Die Einordnung in die Hauptkategorien erfolgt für die Kategorien 1.A.4 für stationäre & mobile Quellen gemeinsam (Übersicht siehe Kapitel 3.2.11.1). Demnach ist die Kategorie 1.A.4 *Sonstige* in allen ihren Subkategorien für CO_2-Emissionen eine Hauptkategorie nach der Emissionshöhe und dem Trend. Für CH_4-Emissionen sind die Kategorien 1.A.4.a & b Hauptkategorie nach dem Trend.

Die Kategorie 1.A.4 stationär umfasst Feuerungsanlagen in den Bereichen der Haushalte, des Gewerbes, des Handels und der Dienstleistungen (Kleinverbraucher) und der Landwirtschaft (*Commercial and Institutional, Residential* und *Agriculture*).

In der Subkategorie 1.A.4.ai Gewerbe, Handel und Dienstleistungen werden Anlagen zur Wärmeerzeugung in Kleinfeuerungsanlagen der Kleinverbraucher berichtet.

Unter der Subkategorie 1.A.4.bi werden die Emissionen aus den Feuerungsanlagen der Haushalte verbucht. Die Subkategorie 1.A.4.ci umfasst die Bereiche Landwirtschaft, Forstwirtschaft und Fischerei. Berichtet werden hier die Emissionen aus der Wärmeerzeugung in kleinen und mittleren Feuerungsanlagen.

Abbildung 35: Änderung der Gesamtemission von 1.A.4 in Abhängigkeit von der Temperatur

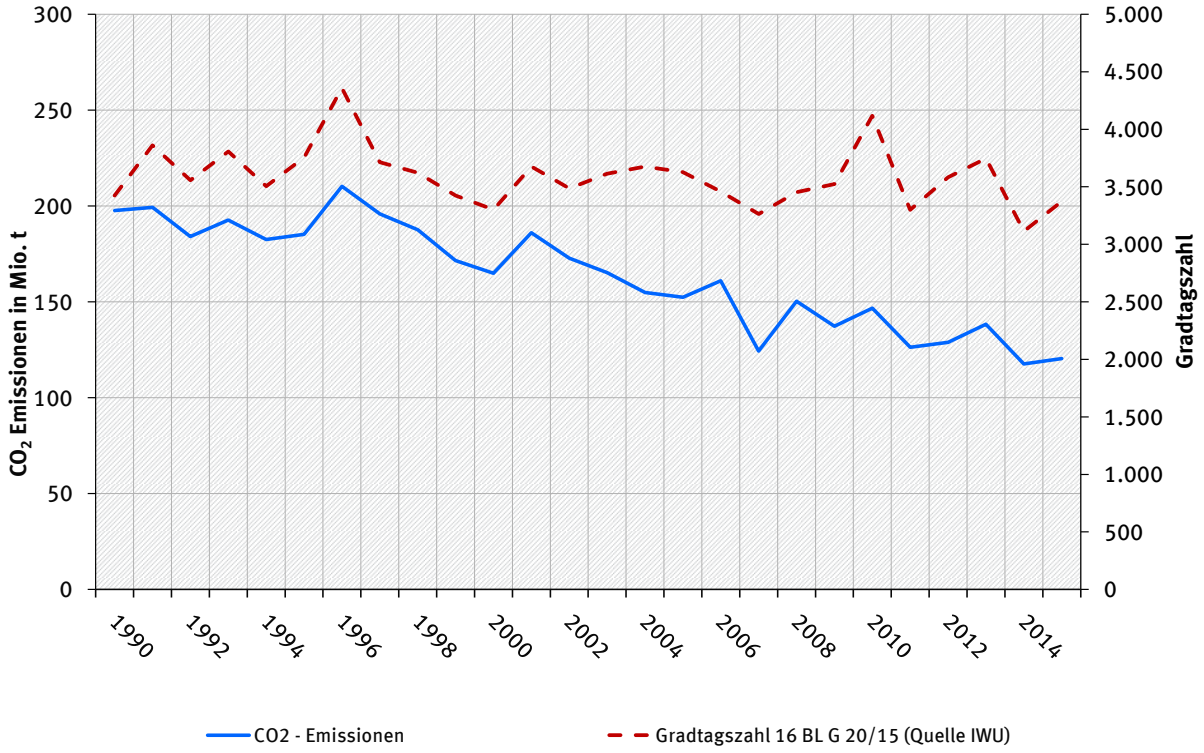

Der Haupttreiber für die CO_2-Emissionen in 1.A.4 ist der Energieverbrauch für Raumwärme. Daher sind Schwankungen beim Verbrauch gut durch die unterschiedlichen winterlichen Kälteperioden erklärbar. Der Trend zu weniger CO_2-Emissionen kommt durch die höheren Standards bei Neubauten bzw. die erfolgreiche Durchführung von energetischen Gebäudesanierungen bei Bestandsbauten, sowie durch den Wechsel zu CO_2-ärmeren Brennstoffen. CO_2-Emissionen von den heutzutage in Neubauten immer öfter eingesetzten elektrischen Wärmepumpen werden hier nicht berichtet sondern unter 1.A.1.a.

Abbildung 36: Verlauf des Energieverbrauchs von 1.A.4 (stationär) nach 4 Brennstoffkategorien

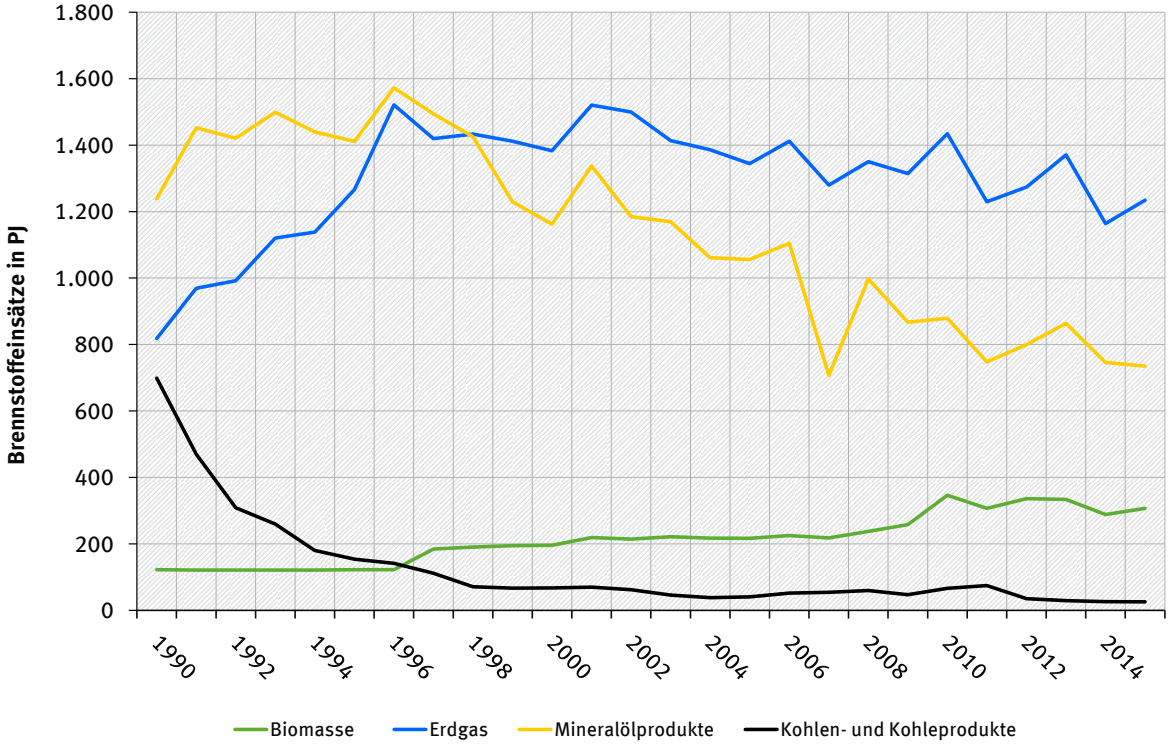

Der Wechsel von flüssigen Brennstoffen (fast nur Heizöl) und festen Brennstoffen (hauptsächlich Kohle) zu gasförmigen Brennstoffen (Erdgas) und Biomasse sorgt für eine erhebliche CO_2-Emissionsminderung. In den Jahren 2006 und 2007 gab es das Phänomen eines überhöhten bzw. abgesenkten Energieverbrauchs, welches durch eine Umsatzsteuererhöhung von 16 % auf 19 % ausgelöst wurde. Die sehr hohen Heizölverkäufe im Jahr 2006 sorgten für steigende CO_2-Emissionen, da die Daten für das Heizöl absatz- und nicht verbrauchsorientiert ermittelt werden. In den Jahren 2011 bis 2015 wurde die Entwicklung des Energieeinsatzes, vor allem auf dem Wärmemarkt, stark von den Witterungsverhältnissen in der winterlichen Heizperiode und den gestiegenen Energiepreisen und –kosten beeinflusst. Besonders beim leichten Heizöl und Erdgas, führte dies über die Jahre hinweg zu starken Schwankungen im Energieverbrauch.

Im Jahr 2015 verlief die Entwicklung uneinheitlich. Die gegenüber dem sehr milden Vorjahr etwas kühlere Witterung und der damit verbundene höhere Heizenergiebedarf wirkte sich nur auf den Energieträger Erdgas aus. Die Nachfrage nach leichtem Heizöl verringerte sich dagegen, obwohl die Preise stark zurückgingen. Der erwartete Absatzanstieg blieb aus, weil die Verbraucher offensichtlich ihren Mehrbedarf überwiegend. aus den noch vorhandenen Ölbeständen deckten (Arbeitsgemeinschaft Energiebilanzen (AGEB), Energieverbrauch in Deutschland im Jahr 2015).

Der Bestand an Feuerungsanlagen im Bereich der Haushalte und in Gewerbe, Handel und Dienstleistungen (Kleinverbraucher) stellt hinsichtlich Bauart und Größe der Anlagen eine sehr inhomogene Gruppe dar. Die Bandbreite der installierten Feuerungen reicht, um nur einige Beispiele zu nennen, von Einzelraumfeuerstätten für feste Brennstoffe mit ca. 4 kW Nennwärmeleistung (z.B. Kaminöfen, Herde), über Öl- und Gasfeuerungen zur Raumwärme- und Warmwassererzeugung (z.B. Zentralheizungskessel) sowie hand- und automatisch beschickte Holzfeuerungen im gewerblichen Bereich bis hin zu genehmigungsbedürftigen Feuerungsanlagen bei Kleinverbrauchern mit einer Nennwärmeleistung von mehreren Megawatt. Insgesamt waren im Jahr 2010 mehr als 36,3 Mio. Feuerungsanlagen im Bereich der Haushalte und in Gewerbe,

Handel und Dienstleistungen (Kleinverbraucher) in Deutschland installiert (TEBERT, 2016) Daran hatten Gasfeuerungsanlagen mit ca. 16,2 Mio. Anlagen den größten Anteil, gefolgt von den Feuerungsanlagen für feste Brennstoffe (14,2 Mio. Anlagen) und Ölfeuerungsanlagen (ca. 5,9 Mio.).

Von den in Haushalten und Gewerbe eingesetzten Holzbrennstoffen werden große Mengen privat gehandelt oder stammen aus eigenem Waldbesitz. Aus diesem Grunde werden in der Energiebilanz die Daten des Statistischen Bundesamtes durch eine Erhebung des Verbrauchs von Brennholz in privaten Haushalten ergänzt. Für den Brennholzeinsatz in den Kategorien Gewerbe, Handel, Dienstleistungen gibt es keine amtlichen Daten, so dass hier auf Ergebnisse einer Studie aus dem Jahr 2000 zurückgegriffen wird (UBA 2000a). Die dort ermittelten Verbräuche werden seither konstant fortgeschrieben. Um die Aktivitätsraten von den Holzbrennstoffen in Gewerbe, Handel und Dienstleistungen genauer zu bestimmen, wurde ein Forschungsvorhaben „Methodenentwicklung zur Ermittlung des Verbrauchs biogener Festbrennstoffe im GHD-Sektor“ durchgeführt. Da die Ergebnisse exemplarisch für einzelne Branchen ermittelt wurden, liegt weiterhin keine Vollabdeckung des Brennholzeinsatzes im Sektor vor, mit der eine Aktualisierung vorgenommen werden könnte. Ziel des Vorhabens war zunächst eine Methodenentwicklung, auf deren Basis die prinzipielle Vorgehensweise entwickelt wurde. Der Plan mit den gemachten Erfahrungen ein Folgevorhaben zu starten, das die Ergebnisse auch für die anderen Branchen vervollständigt, konnte mangels geeigneter Forschungsnehmer nicht umgesetzt werden. Die in der Energiebilanz angegebene Brennstoffkategorie „Müll und sonstige Biomasse“, wird in der Satellitenbilanz weiter spezifiziert. Daraus geht hervor, dass im Sektor Haushalte ausschließlich Brennholz eingesetzt wird, während im Sektor „Gewerbe, Handel, Dienstleistungen und übrige Verbraucher“ lediglich Klärgas und Biogas zum Einsatz kommt.

3.2.11.2 Methodische Aspekte (1.A.4 stationär)

Aktivitätsraten

Die Aktivitätsraten der Kategorie 1.A.4 bauen auf den durch die AG Energiebilanzen (AGEB) erstellten Energiebilanzen für die Bundesrepublik Deutschland auf. Für die Jahre vor 1995 werden dabei für alte und neue Bundesländer getrennte Energiebilanzen verwendet. Für die Jahre ab 1995 sind die Zeilen 66 (Haushalte) und 67 (Gewerbe, Handel, Dienstleistungen und übrige Verbraucher) maßgebend.

Da die Angaben der Energiebilanzzeile 67 – Gewerbe, Handel, Dienstleistungen und übrige Verbraucher – auch die Verbräuche des Militärs beinhalten, müssen diese von den jeweiligen Positionen der Zeile 67 abgezogen werden (siehe Kapitel 3.2.13.2 zu den stationären wie mobilen Quellen des militärischen Bereichs).

Zu den Energieeinsätzen in *Feuerungsanlagen der Landwirtschaft (1.A.4.ci),* die ebenfalls in Zeile 67 der Energiebilanz enthalten sind, kann auf Angaben einer vorliegenden Studie (UBA, 2000a) für das Jahr 1995 zurückgegriffen werden. Hier wurde eine Schätzung des Anteils der Feuerungsanlagen der Landwirtschaft am gesamten Energieeinsatz in Zeile 67 vorgenommen. Dieser Anteil wurde seither als konstant angenommen.

Emissionsfaktoren

Eine Beschreibung sowie eine Liste der verwendeten CO_2 Emissionsfaktoren ist im Anhang, Kapitel 18.7 verfügbar.

Datengrundlage für die stationären Feuerungsanlagen verwendeten Emissionsfaktoren für N_2O und CH_4 ist der Forschungsbericht „Ermittlung und Aktualisierung von Emissionsfaktoren für das

nationale Emissionsinventar bezüglich kleiner und mittlerer Feuerungsanlagen der Haushalte und Kleinverbraucher“ (TEBERT 2016). Im Rahmen dieses Vorhabens wurden gerätebezogene und kategoriespezifische Emissionsfaktoren für Feuerungsanlagen im Bereich der Haushalte und Kleinverbraucher für alle wichtigen Abgaskomponenten mit hohem Detaillierungsgrad für die Bezugsjahre 2010 und 2015 berechnet.

Die Ermittlung der Emissionsfaktoren beruht auf einem kategoriespezifischen „bottom-up"-Ansatz, bei dem zusätzlich zu den (Sub-)Kategorien und Brennstoffen detailliert nach Anlagentechnologien unterschieden wird. Hierbei werden durch Aggregierung von mehreren anlagenspezifischen Emissionsfaktoren mittlere Emissionsfaktoren für den gesamten Anlagenbestand innerhalb der betrachteten Kategorien generiert. Durch die anlagen-/ gruppenspezifischen Emissionsfaktoren werden alle wesentlichen feuerungstechnischen Besonderheiten der für die einzelnen Gruppen typischen Anlagen erfasst. Das Verfahren entspricht der Tier 2/3-Methode der 2006 IPCC Guidelines for National Greenhouse Gas Inventories (IPCC 2006).

Die Strukturierung der Emissionsfaktoren richtete sich nach den in Deutschland am Endenergieverbrauch relevant beteiligten Brennstoffen:

- Heizöl EL,
- Erdgas,
- Braunkohlen (Briketts aus dem Rheinischen und Lausitzer Revier, Importbriketts),
- Steinkohlen (Koks, Briketts, Anthrazit) und
- Holz (naturbelassenes Holz, Holzpellets, Resthölzer).

Außerdem wurden die Emissionsfaktoren nach der Gerätebauart, der Altersstufe, dem Leistungsbereich und der typischen Betriebsweise der Feuerungsanlagen differenziert erhoben. Das Emissionsverhalten der Feuerungsanlagen wurde auf der Basis einer umfangreichen Literaturauswertung dokumentiert.,. Durch die Anwendung von Übertragungsfaktoren wurde berücksichtigt, dass die Emissionen auf dem Prüfstand in der Regel unter denen von installierten Anlagen liegen.

Die Beschreibung der Anlagenstruktur der installierten Feuerungsanlagen erfolgte unter Fortschreibung der Daten von STRUSCHKA 2008 mit Hilfe von Absatzstatistiken der einschlägigen Industrieverbände. Mit Hilfe dieser Daten wurde der Energieeinsatz in einzelnen Anlagentypen geschätzt, so dass nach Energieeinsätzen gewichtete sektorale Emissionsfaktoren ermittelt werden konnten. Tabelle 76 zeigt die sektoralen Emissionsfaktoren.

Tabelle 76: Sektorale Emissionsfaktoren für Feuerungsanlagen der Haushalte und Kleinverbraucher für das Bezugsjahr 2010

1.A.4.bi - Haushalte	CH_4 [kg/TJ]	N_2O [kg/TJ]
Steinkohlen	134	11,5
Briketts	368	9,7
Steinkohlenkoks	13	0,9
Braunkohlenbriketts	237	5,2
Naturbelassenes Holz	97	1,6
Heizöl EL	0,03	0,55
Erdgas	3	0,25
1.A.4.ai & ci- Gewerbe, Handel und Dienstleistungen (Kleinverbraucher)		
Steinkohlen	100	8,5
Briketts	-	-
Steinkohlenkoks	20	0,8
Braunkohlenbriketts	-	-
Holzbrennstoffe	43	0,53
Heizöl EL	0,03	0,56
Erdgas	0,16	0,33

Die Emissionsfaktoren des Jahres 2010 wurden für folgende Jahre konstant fortgeschrieben.

3.2.11.3 Unsicherheiten und Zeitreihenkonsistenz (1.A.4 stationär)

Anhang 2, Kapitel 13.6 im NIR 2007 beschreibt die Methode, mit der die Unsicherheiten für die **Aktivitätsraten** ermittelt wurden.

Die Berechnung von abgesicherten Emissionsfaktoren im Anlagenbereich kann nur durch ein aufwendiges Verfahren erfolgen. Neben Emissionswerten müssen zusätzliche Informationen z.B. zur Berücksichtigung der Betriebsweise (Lastfälle), der Anlagenstruktur und des gerätebezogenen Endenergieverbrauchs ermittelt werden. Bei der Datenermittlung im Rahmen des oben genannten FE-Vorhabens wurde dieser Ansatz weitgehend verfolgt, gleichwohl musste allein aufgrund des großen Anlagenbestandes sowie der Vielzahl verschiedener Feuerungsbauarten und der zum Einsatz kommenden Brennstoffe von einer relativ großen „Grundunsicherheit“ der Daten ausgegangen werden.

Bei einigen Anlagenarten lagen bei Einsatz bestimmter Brennstoffe zudem nur unzureichende oder überhaupt keine Daten zum Emissionsverhalten vor. Hierbei ist zu berücksichtigen, dass bei den Feuerungsanlagen der Haushalte und in Gewerbe, Handel und Dienstleistungen (Kleinverbraucher) keine gesetzliche Messpflicht für Treibhausgasemissionen besteht. Für die Ermittlung der Emissionsfaktoren konnte daher im Regelfall (ausgenommen CO_2, da weitgehend unabhängig von der Feuerungsbauart) nur auf wenige Ergebnisse von Einzelmessungen an ausgewählten Anlagen zurückgegriffen werden. Die Datenlücken wurden durch Übertragung von Emissionsfaktoren vergleichbarer Feuerungsanlagen geschlossen.

Die Ermittlung der für die Emissionsfaktoren für CH_4 und N_2O aus der stationären Feuerung angegebenen Unsicherheiten erfolgte durch eine Expertenschätzung gemäß IPCC-GPG (2000: Kapitel 6). Sie basiert auf den für das o.g. Forschungsvorhaben erhobenen Emissionsdaten und wurde im Rahmen des o.g. Forschungsprojekts von Experten des Instituts für Verfahrenstechnik und Dampfkesselwesen der Universität Stuttgart durchgeführt. Die Schätzung der Unsicherheiten erfolgte separat für alle Feuerungstechniken und Brennstoffe. In die Schätzung gingen für N_2O und CH_4 folgende Fehlerquellen ein:

- der Messfehler bei der Bestimmung der Schadstoff-Konzentration;
- die Unsicherheit bei der Schätzung von Übertragungsfaktoren (systematische Unterschiede zwischen Prüfstands- und Feldmessungen);
- die Unsicherheit aufgrund einer zu geringen Anzahl an Emissionsdaten;
- die Unsicherheit aufgrund von unterschiedlichen eingesetzten Messverfahren;
- die Unsicherheiten bei den angesetzten Anlagendaten (Bestands-, Alters- und Leistungsstruktur und eingesetzte Brennstoffmengen)

Bei Gasfeuerungsanlagen tritt ein weiterer Fehler bei der Ermittlung der Start-/ Stopp-Emissionen auf. Hier wird CH_4 aus dem Erdgas während der An- und Abfahrvorgänge teilweise unverbrannt emittiert. Diese dem eigentlichen Verbrennungsprozess vor- und nachgelagerten Emissionen, vgl. hierzu Kapitel 3.3.2.2 (Erdgas), tragen erheblich dazu bei, dass die CH_4-Emissionsfaktoren bei Gasfeuerungsanlagen mit hohen Unsicherheiten behaftet sind.

Für die Verteilung der Unsicherheiten wird bei den N_2O-Emissionsfaktoren eine Log-Normalverteilung angenommen. Es ist davon auszugehen, dass die Abweichungen hin zu größeren Werten deutlich ausgeprägter sind als hin zu kleineren Werten. Die Emissionsfaktoren für CH_4 und N_2O wurden im Rahmen des o.g. Forschungsvorhabens für das Jahr 2005 erhoben und seither als konstant angenommen.

3.2.11.4 Kategoriespezifische Qualitätssicherung/-kontrolle und Verifizierung (1.A.4 stationär)

Eine allgemeine und kategoriespezifische Qualitätskontrolle und eine Qualitätssicherung durch die Fachseite und durch die Nationale Koordinierungsstelle wurden gemäß den Anforderungen des QSE-Handbuchs bzw. dessen mitgeltenden Unterlagen durchgeführt.

Informationen zur Qualitätssicherung für die **Aktivitätsraten** sind in Kapitel 3.2.6.4 beschrieben. Weitere Informationen zur Qualitätssicherung siehe Kapitel 18.4.1.

Zur Qualitätssicherung der Angaben zu *stationären Feuerungen* wurden im Rahmen des oben genannten FE-Vorhabens alle verwendeten Eingangsdaten aus der Literatur und aus eigenen Erhebungen des Forschungsnehmers auf ihre Validität hin überprüft. Zur Beschreibung des Emissionsverhaltens der Feuerungsanlagen wurden Emissionswerte grundsätzlich nur dann in die weitere Berechnung übernommen, wenn in der Literaturstelle vollständige und zweifelsfreie Angaben zum eingesetzten Brennstoff, zur Bauart der Feuerung und deren Betriebsweise während der Messungen vorhanden waren. Alle für die Inventarerstellung wesentlichen Materialien hat der Auftragnehmer dokumentiert.

Im Rahmen einer von Fachleuten des Umweltbundesamtes durchgeführten Qualitätsprüfung wurden zudem die nach Tier 2 ermittelten länderspezifischen Emissionsfaktoren für CH_4 und N_2O mit den IPCC Tier 2 Default-Faktoren der IPCC Guidelines for emissions inventories (IPCC 2006) verglichen. Dabei ergab sich bei den meisten Brennstoffen eine gute Übereinstimmung der Werte (Abweichungen innerhalb einer Größenordnung), wobei tendenziell die Default-Werte für CH_4 höher liegen als die länderspezifischen Werte.

Im Rahmen der Qualitätssicherung wurden für die Sektoren Haushalte sowie Gewerbe, Handel, Dienstleistungen für das Jahr 2015 neben der Ermittlung der Emissionen nach Tier 2/3 eine Berechnung mit den Tier-1-Default-Werten durchgeführt. Die Ergebnisse sind in Tabelle 77 dokumentiert.

Tabelle 77: Emissionsberechnung mit landesspezifischen Tier 2/3 Emissionsfaktoren und mit den Tier 1 Default-Emissionsfaktoren nach (IPCC 2006)

Emissionsfaktoren	CH_4 [t]				N_2O [t]			
	Haushalte		Kleinverbraucher		Haushalte		Kleinverbraucher	
	Tier 1 Default	landes-spezifische EF	Tier 1 Default	Landes-spezifische EF	Tier 1 Default	Landes-spezifische EF	Tier 1 Default	Landes-spezifische EF
Heizöl EL	4.694	76	1.723	6	277	256	101	97
Brenngase	4.223	2.534	1.763	55	84	212	35	115
Kohlebrennstoffe	7.388	5.776	44	85	37	177	2	7
Holz	66.780	21.074	9.011	1.465	890	352	120	25
Summe	**83.085**	**29.459**	**12.541**	**1.611**	**1.289**	**997**	**258**	**244**

In den Emissionen des Kleinverbrauchs sind die Emissionen der Bereiche Landwirtschaft, Forstwirtschaft und Fischerei enthalten.

Die Ergebnisse der Emissionsberechnung stimmen für N_2O bei beiden Methoden recht gut überein. Größere Abweichungen treten bei der Ermittlung der CH_4-Emissionen auf. Dies ist vermutlich darauf zurückzuführen, dass die Methanemissionen von Feuerungsanlagen sehr stark von der Verbrennungstechnik abhängen. Unterschiede in der Anlagenstruktur in einzelnen Ländern machen sich deshalb sehr viel stärker in den ermittelten Gesamtemissionen bemerkbar als bei Lachgas. Vor allem der Default-Emissionsfaktor für Heizöl liegt sehr hoch. Der in IPCC 2006 angegebene Technikspezifische Emissionsfaktor für Heizkessel stimmt mit dem länderspezifischen Faktor für Deutschland deutlich besser überein.

Datenquellen, die einen Vergleich mit den hier für die mobilen Quellen der Haushalte, den landwirtschaftlichen Verkehr und den Fischfang berichteten Daten erlauben würden, sind nicht bekannt. Darüber hinaus wurde ein Vergleich der landesspezifischen IEF mit denen anderer Staaten durchgeführt, der aufgrund der heterogenen Zusammensetzung der Unterkategorien gerade für Methan und Lachgas allerdings nur begrenzt aussagefähig ist.

3.2.11.5 Kategoriespezifische Rückrechnungen (1.A.4 stationär)

Tabelle 78: Rückrechnungen in CRF 1.A.4 stationär

Einheit [kt]	NIR 2016	NIR 2017	Abweichung absolut				Abweichung relativ
Jahr	gesamt	gesamt	gas	liquid	solid	gesamt	gesamt
2013	138.240	138.276	36	0	0	36	0,03%
2014	117.233	117.592	615	-764	509	359	0,31%

Die Änderung des Erdgaseinsatzes bei den militärischen Dienststellen in 1.A.5.a hat Auswirkungen auf den Erdgaseinsatz der stationären Quellen in 1.A.4, weil auf die Energiebilanz, Zeile 67 abgeglichen wird. Von daher kommt es zu Rückrechnungen bei den gasförmigen Brennstoffen in den Jahren 2013 und 2014. Im Jahr 2014 kommt es zu größeren Rückrechnungen, da die in der Submission 2015 eingetragenen vorläufigen Werte durch die endgültige Energiebilanz ersetzt wurden.

3.2.11.6 Geplante Verbesserungen, kategoriespezifisch (1.A.4 stationär)

Für die Berichterstattung zu den *stationären Feuerungen* wird derzeit geprüft, ob der Anteil des Holzeinsatzes anhand anderer wissenschaftlicher Studien bestimmt werden kann.

Es ist des Weiteren vorgesehen den Anteil des Energieeinsatzes in *Feuerungsanlagen der Landwirtschaft und Gärtnereien (1.A.4.ci)* am Sektor Gewerbe, Handel und Dienstleistungen, der in der Energiebilanzzeile 67 abgebildet ist, neu zu ermitteln und gegebenenfalls anzupassen.

Sofern in vorhergehenden Berichterstattungen in diesem Kapitel Verbesserungen benannt wurden, sind diese in Form einer Übersicht unter Kapitel 10.4 Verbesserungen des Inventars, Tabelle 426 zu finden. Sind diese bereits erledigt, sind sie im selben Kapitel in Tabelle 425 abgebildet.

3.2.12 Sonstige: Haushalte, Gewerbe, Handel, Dienstleistungen, Land-, Forstwirtschaft und Fischerei (1.A.4 mobil)

3.2.12.1 Beschreibung der Kategorie (1.A.4 mobil)

Die Einordnung in die Hauptkategorien erfolgt für die Kategorien 1.A.4 für stationäre & mobile Quellen gemeinsam (Übersicht siehe Kapitel 3.2.11.1). Demnach ist die Kategorie 1.A.4 *Sonstige* in allen ihren Subkategorien für CO_2-Emissionen eine Hauptkategorie nach der Emissionshöhe und dem Trend. Für CH_4-Emissionen sind die Kategorien 1.A.4.a & b Hauptkategorie nach dem Trend.

Die Kategorie 1.A.4 – mobile umfasst verschiedene mobile Quellen in den Unterkategorien 1.A.4.a ii - Gewerbe, Handel und Dienstleistungen, 1.A.4.b ii - Haushalte, 1.A.4.c ii - Land- und Forstwirtschaft und sowie 1.A.4.c iii - Fischerei.

Abbildung 37: Entwicklung der THG-Emissionen der betrachteten Teilsektoren seit 1990

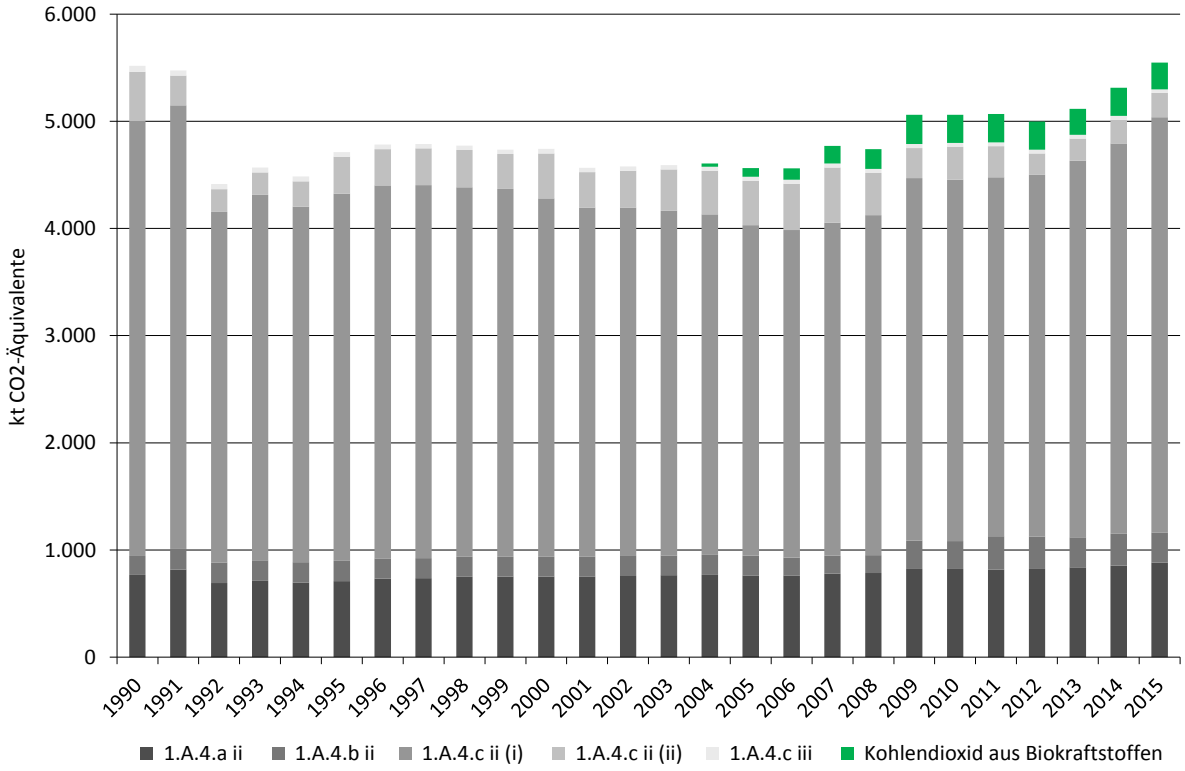

3.2.12.2 Methodische Aspekte (1.A.4 mobil)

Die **Aktivitätsraten** der Quellgruppe 1.A.4 werden, wie für die stationäre Feuerung beschrieben, (AGEB, 2016a&b) entnommen.

Die dort in *EBZ 66 – Haushalte* erfassten Ottokraftstoffe werden dabei vollständig den *mobilen Quellen* (*1.A.4.b ii)* zugeordnet.

EBZ 67 – Gewerbe, Handel, Dienstleistungen und übrige Verbraucher beinhaltet auch die Kraftstoffverbräuche des Militärs, die in (BAFA, 2016) auch separat statistisch erfasst werden und

somit hier abgezogen werden können (siehe Kapitel 3.2.14 zu mobilen Quellen des militärischen Bereichs). Die weitere Aufteilung auf *land- (1.A.4.c ii (i)), forst- (1.A.4.c ii (ii))* und *bauwirtschaftlichen Verkehr (1.A.2.g vii)* sowie mobile Quellen in *1.A.4.a ii* (vornehmlich Gabelstapler) erfolgt anhand eines in (IFEU, 2016b) erzeugten jährlichen Verteilschlüssels.

Die Aktivitätsdaten der unter *1.A.4.c (iii) – Fischerei* erfassten Küsten- und Hochseefischerei werden grundsätzlich im unter 1.A.3.d vorgestellten BSH-Modell u.a. anhand von AIS-Daten (Automatisches Identifikationssystem der IMO) und jährlichen Angaben der Europäischen Kommission zur Flottenentwicklung ermittelt. Für das Berichtsjahr 2015 erfolgte dagegen eine Fortschreibung, die in Kapitel 3.2.10.4 näher beschrieben wird.

Die Menge mitverbrannter Schmierstoffe wird grundsätzlich gemäß (VSI, 2014) aus den jährlichen Kraftstoffmengen abgeleitet. Für Zweitakt-Ottomotoren (Haushalte, Fortwirtschaft) ergibt sich diese dagegen als Aufschlag von zwei Prozent zum hier getankten Benzin (siehe auch Kapitel 19.1.4).

Abbildung 38: Entwicklung des Kraftstoffverbrauchs innerhalb der betrachteten Teilsektoren seit 1990

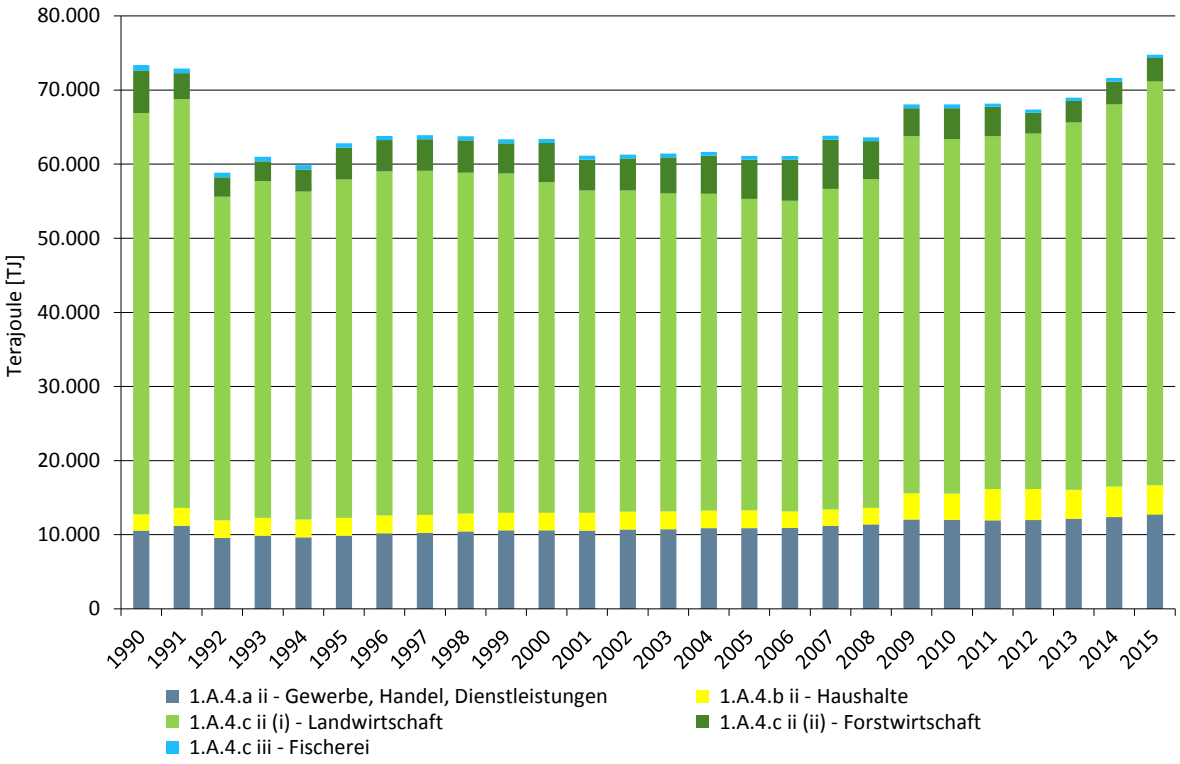

Hinsichtlich der verwendeten **Emissionsfaktoren** für Kohlendioxid wird hier grundsätzlich auf Kapitel 18.7 verwiesen. Weiterführende Informationen speziell zu Kohlendioxid aus der Schmierstoff-Mitverbrennung finden sich zudem in Kapitel 19.1.4.

Für Methan und Lachgas kommen landesspezifische Werte gemäß (IFEU, 2016b) und (BSH, 2015) zum Einsatz. Bezüglich der Freisetzung dieser beiden Treibhausgase aus der Schmierstoff-Mitverbrennung wird davon ausgegangen, dass diese bereits in den entsprechenden Emissionsfaktoren der verwendeten Kraftstoffe berücksichtigt und daher als IE *(included elsewhere)* zu berichten ist.

Tabelle 79: für das Berichtsjahr 2015 verwendete Emissionsfaktoren, in kg/TJ

	CH_4	N_2O	Ursprung
1.A.4.a ii – mobile Quellen in Gewerbe, Handel und Dienstleistungen			
Diesel	2,02 (4,15)	4,36 (28,60)	gemäß TREMOD MM (IFEU, 2016b)
Biodiesel	2,02 (-)	4,36 (-)	entspricht EF für Diesel
Flüssiggas	5,20 (-)	0,69 (-)	gemäß (IFEU, 2016b)
1.A.4.b ii – mobile Quellen der Haushalte			
Ottokraftstoff (Zweitakt)	224 (180)	0,43 (0,40)	gemäß (IFEU, 2016b)
Bioethanol (Zweitakt)	224 (-)	0,43 (-)	entspricht EF für Ottokraftstoff (Zweitakt)
Ottokraftstoff (Viertakt)	27 (120)	1,32 (2)	gemäß (IFEU, 2016b)
Bioethanol (Viertakt)	27 (-)	1,32 (-)	entspricht EF für Ottokraftstoff (Viertakt)
1.A.4.c ii (i) – mobile Quellen der Landwirtschaft			
Diesel	2,63 (4,15)	2,87 (28,6)	gemäß (IFEU, 2016b)
Biodiesel	2,63 (-)	2,87 (-)	entspricht EF für Diesel
1.A.4.c ii (ii) – mobile Quellen der Forstwirtschaft			
Diesel	0,77 (4,15)	3,10 (28,6)	gemäß (IFEU, 2016b)
Biodiesel	0,77 ()	3,10 ()	entspricht EF für Diesel
Ottokraftstoff (Zweitakt)	205 (170)	0,46 (0,40)	gemäß (IFEU, 2016b)
Bioethanol (Zweitakt)	205 ()	0,46 ()	entspricht EF für Ottokraftstoff (Zweitakt)
1.A.4.c iii – Fischerei *(hier: Hochseefischfang)*			
Diesel	0,96 (-)	3,29 (-)	gemäß (BSH, 2016)
Biodiesel	0,96 (-)	3,29 (-)	entspricht EF für Diesel
Schweröl	0,73 (-)	3,42 (-)	gemäß (BSH, 2016)
übergreifend			
Schmierstoffe	IE	IE	in EF der Kraftstoffe berücksichtigt

in Klammern: Default-Werte gemäß 2006 IPCC GL (Band 2, Kap. 3.3 - *Off-road transportation*, S. 3.36, Tab. 3.3.1)

3.2.12.3 Unsicherheiten und Zeitreihenkonsistenz (1.A.4 mobil)

Die von der mathematischen Unsicherheit des in TREMOD MM entwickelten Verteilschlüssels (siehe oben: Methodische Aspekte) dominierten Unsicherheitenangaben der spezifischen Energieeinsätze basieren auf Expertenschätzungen. Gleiches gilt für die verwendeten Kohlendioxid-Emissionsfaktoren. Während bzgl. der Emissionsfaktoren für Methan dagegen Ergebnisse aus (IFEU & INFRAS, 2009) zugrunde gelegt werden, muss bzgl. Lachgas bis auf weiteres auf Richtwerte gemäß IPCC zurückgegriffen werden.

3.2.12.4 Kategoriespezifische Qualitätssicherung/-kontrolle und Verifizierung (1.A.4 mobil)

Eine allgemeine und kategoriespezifische Qualitätskontrolle und eine Qualitätssicherung durch die Fachseite und durch die Nationale Koordinierungsstelle wurden gemäß den Anforderungen des QSE-Handbuchs bzw. dessen mitgeltenden Unterlagen durchgeführt.

Tabelle 80: Übersicht relevanter Datenvergleiche

Vergleich mit...	erfolgt	Erläuterung
alternativen Emissionsinventaren für Deutschland	nein	keine vergleichbaren Datensätze
sektorspezifischen Tier1-Default-EF gemäß (IPCC, 2006: Band 2, Tabelle 3.3.1 bzw. 3.5.2 (1.A.4.c iii)): CO_2	ja	siehe Tabelle 81
sektorspezifischen Tier1-Default-EF gemäß (IPCC, 2006: Band 2, Tabelle3.3.1 bzw. 3.5.3 (1.A.4.c iii)): CH_4, N_2O	ja	siehe Tabelle 79
spezifischen IEF anderer Staaten	ja	siehe Tabelle 82

Tabelle 81: Vergleich der im Inventar verwendeten EF(CO_2) mit default-Werten*

	Inventarwerte**	Default	*Untergrenze*	*Obergrenze*
Dieselkraftstoff	74.027	74.100	*72.600*	*74.800*
Ottokraftstoff		69.300	*67.500*	*73.000*
Zweitakt [b]	*73.109*			
Viertakt	*73.105*			
Flüssiggas	65.440	63.100	*61.600*	*65.600*
Schweröl	80.877	77.400	*75.500*	*78.800*
Schmierstoffe	73.300		*71.900*	*75.200*
Biodiesel	70.800		*59.800*	*84.300*
Bioethanol		70.800	*59.800*	*84.300*
Zweitakt [b]	*71.641*			
Viertakt	*71.607*			

[a] Inventarwerte für 2014; [b] inkl. 2 % Schmierstoffe (EF = 73.300 kg/TJ) im Zweitaktergemisch 1:50;
[c] gemäß (IPCC, 2006: Band 2, Tabelle 2.4)

Die folgende Tabelle erlaubt einen Vergleich mit spezifischen impliziten Emissionsfaktoren anderer Staaten sowie den sich für die EU(28) ergebenden Werten, der sich aufgrund des äußerst heterogenen Quellgruppenzuschnitts jedoch schwierig gestaltet.

Tabelle 82: länderübergreifender Vergleich der für fossile Flüssigbrennstoffe berichteten IEF, in kg/TJ

	CO_2	*CH_4*	*N_2O*
Deutschland	69.849 [a]	7,56	2,76
Dänemark	73.728	9,62	2,05
Niederlande	73.955	5,20	2,48
Großbritannien	72.682	7,69	9,72
EU (28)	72.821	5,45	4,89

Deutschland: IEF für das Berichtsjahr 2015; sonst: IEF für 2014 gemäß CRF-Submission 2016

3.2.12.5 Kategoriespezifische Rückrechnungen (1.A.4 mobil)

Wie oben beschrieben, sind die Aktivitätsraten des bauwirtschaftlichen Verkehrs Teil der in EBZ 67 angegebenen Primärdaten. Für das Jahr 2014 wurden hier die in Submission 2016 noch vorläufigen Daten durch Angaben der finalen NEB 2014 ersetzt. Die anhand der offiziellen Beimengungsraten ermittelten Mengen eingesetzter Biokraftstoffe wurden entsprechend neu berechnet. Für Biodiesel wurde dabei auch die Beimengungsrate 2014 korrigiert.

Tabelle 83: revidierte Energieeinsätze der Teilsektoren, in TJ

	Diesel	Benzin	Biodiesel	Bioethanol	Flüssiggas
Submission 2017	97.410	4.941	5.937	215	17.945
Submission 2016	96.022	4.862	5.806	211	18.880
Änderung absolut	1.388	79	132	3	-935
Änderung relativ	1,45%	1,62%	2,27%	1,62%	-4,95%

Quelle: Energiebilanz 2014 (AGEB, 2016) und eigene Berechnungen basierend auf (IFEU, 2016b)

Zudem wurde der auf TREMOD-MM-Angaben beruhende Verteilschlüssel für die in EBZ 67 subsummierten Teilsektoren für Dieselkraftstoffe korrigiert. Der Verteilschlüssel für Ottokraftstoffe bleibt dagegen unverändert.

Tabelle 84: revidierte jährliche Anteile an den in EBZ 67 angegebenen Dieselmengen, in %

	1990	1995	2000	2005	2010	2011	2012	2013	2014
					1.A.2.g vii				
Submission 2017	42,28	45,40	44,39	39,98	39,57	41,44	40,05	40,07	40,43
Submission 2016	42,05	44,56	43,54	39,19	38,52	40,23	38,91	38,93	39,23
Änderung absolut	0,23	0,84	0,85	0,79	1,05	1,22	1,14	1,14	1,20
Änderung relativ	0,54%	1,88%	1,96%	2,02%	2,73%	3,02%	2,93%	2,93%	3,06%
					1.A.4.a ii				
Submission 2017	6,95	6,56	6,65	7,16	7,00	6,71	6,90	6,85	6,75
Submission 2016	7,45	8,28	8,45	9,00	9,47	9,44	9,55	9,50	9,52
Änderung absolut	-0,50	-1,72	-1,80	-1,84	-2,47	-2,74	-2,65	-2,65	-2,77
Änderung relativ	-6,75%	-20,82%	-21,25%	-20,46%	-26,08%	-28,98%	-27,77%	-27,89%	-29,11%
					1.A.4.c ii (i)				
Submission 2017	48,39	46,70	46,90	50,19	50,77	49,21	50,52	50,52	50,23
Submission 2016	48,13	45,84	46,00	49,20	49,42	47,77	49,08	49,08	48,74
Änderung absolut	0,26	0,86	0,90	1,00	1,35	1,44	1,44	1,44	1,49
Änderung relativ	0,54%	1,88%	1,96%	2,02%	2,73%	3,02%	2,93%	2,93%	3,06%
					1.A.4.c ii (ii)				
Submission 2017	2,38	1,34	2,05	2,66	2,67	2,64	2,53	2,56	2,58
Submission 2016	2,37	1,32	2,01	2,61	2,59	2,56	2,46	2,49	2,51
Änderung absolut	0,01	0,02	0,04	0,05	0,07	0,08	0,07	0,07	0,08
Änderung relativ	0,54%	1,88%	1,96%	2,02%	2,73%	3,02%	2,93%	2,93%	3,06%

Quelle: eigene Berechnungen basierend auf (IFEU, 2016b)

Die beschriebenen Effekte resultieren in folgenden Veränderungen der letztlich verwendeten sektoralen Aktivitätsraten:

Tabelle 85: revidierte Energieeinsätze der Teilsektoren, in TJ

	1990	1995	2000	2005	2010	2011	2012	2013	2014
					1.A.4.a ii				
Submission 2017	10.561	9.863	10.587	10.889	12.032	11.928	11.997	12.175	12.391
Submission 2016	11.124	11.549	12.294	12.429	14.361	14.574	14.514	14.773	15.091
Änderung absolut	-563	-1.686	-1.707	-1.540	-2.329	-2.646	-2.518	-2.598	-2.701
Änderung relativ	-5,1%	-14,6%	-13,9%	-12,4%	-16,2%	-18,2%	-17,4%	-17,6%	-17,9%
					1.A.4.b ii				
Submission 2017	2.177	2.395	2.395	2.411	3.510	4.236	4.172	3.879	4.118
Submission 2016	2.177	2.395	2.395	2.411	3.510	4.236	4.172	3.879	3.820
Änderung absolut	0	0	0	0	0	0	0	0	297
Änderung relativ	0,00%	0,00%	0,00%	0,00%	0,00%	0,00%	0,00%	0,00%	7,78%
					1.A.4.c ii (i)				
Submission 2017	54.142	45.674	44.586	42.018	47.872	47.595	47.941	49.551	51.546
Submission 2016	53.849	44.832	43.729	41.173	46.600	46.199	46.575	48.142	49.272
Änderung absolut	293	843	858	845	1.271	1.396	1.366	1.409	2.274
Änderung relativ	0,54%	1,88%	1,96%	2,05%	2,73%	3,02%	2,93%	2,93%	4,61%
					1.A.4.c ii (ii)				
Submission 2017	5.759	4.315	5.274	5.284	4.137	3.959	2.817	2.916	3.082
Submission 2016	5.745	4.291	5.236	5.239	4.070	3.885	2.749	2.845	2.938
Änderung absolut	14	24	38	45	67	75	68	71	144
Änderung relativ	0,25%	0,56%	0,72%	0,85%	1,64%	1,93%	2,49%	2,51%	4,91%

Quelle: eigene Berechnungen

Zudem kam es in TREMOD MM zu einer Anpassung der Emissionsfaktoren für Methan- und Lachgasemissionen aus dem Einsatz von Diesel in mobilen Quellen des GHD-Sektors 1.A.4.a ii.

Tabelle 86: revidierte EF für CH_4 und N_2O aus Diesel in 1.A.4.a ii, in [TJ]

	CH_4	*N_2O*
Submission 2017	2,02	4,36
Submission 2016	1,39	3,00
Änderung absolut	0,63	1,36
Änderung relativ	45%	45%

Quelle: TREMOD MM (IFEU, 2016b)

Aus der Vielzahl der beschriebenen Korrekturen resultieren folgende rekalkulierte Emissionen:

Tabelle 87: revidierte Emissionsmengen, in kt CO_2-Äquivalenten [a]

	1990	1995	2000	2005	2010	2011	2012	2013	2014
1.A.4.a ii									
Submission 2017	767	709	752	763	824	817	822	838	852
Submission 2016	809	834	878	874	986	1.000	996	1.019	1.041
Änderung absolut	-42	-125	-126	-112	-162	-184	-175	-181	-189
Änderung relativ	-5,15%	-14,95%	-14,37%	-12,76%	-16,40%	-18,34%	-17,53%	-17,81%	-18,13%
1.A.4.b ii									
Submission 2017	177	189	185	185	260	311	303	281	298
Submission 2016	177	189	185	185	260	311	303	281	276
Änderung absolut	0	0	0	0	0	0	0	0	22
Änderung relativ	0,00%	0,00%	0,00%	0,00%	0,00%	0,00%	0,00%	0,00%	7,78%
1.A.4.c ii (i)									
Submission 2017	4.060	3.425	3.343	3.084	3.371	3.350	3.375	3.512	3.644
Submission 2016	4.038	3.361	3.279	3.022	3.282	3.252	3.279	3.412	3.485
Änderung absolut	22	63	64	61	90	98	96	100	159
Änderung relativ	0,54%	1,88%	1,96%	2,02%	2,73%	3,02%	2,93%	2,93%	4,57%
1.A.4.c ii (ii)									
Submission 2017	458	346	420	415	307	291	201	209	220
Submission 2016	457	344	417	412	302	285	196	203	210
Änderung absolut	1	2	3	3	5	5	5	5	10
Änderung relativ	0,24%	0,53%	0,67%	0,79%	1,55%	1,85%	2,46%	2,49%	4,89%

[a] ohne CO_2 aus der Verwendung von Biokraftstoffen; Quelle: eigene Berechnungen

Einzig die für die Fischerei (1.A.4.c iii) gemachten Angaben bleiben unverändert.

3.2.12.6 Geplante Verbesserungen, kategoriespezifisch (1.A.4 mobil)

Derzeit sind keine über die routinemäßige Prüfung und Revision der verwendeten Modelle hinausgehenden Verbesserungen geplant.

3.2.13 Andere Bereiche (1.A.5.a stationär)

Die Kategorie 1.A.5 umfasst die verbrennungsbedingten Emissionen des militärischen Bereichs. Sie ist in die Kategorien 1.A.5.a „*Stationary*“ und 1.A.5.b „*Mobile*“ untergliedert.

3.2.13.1 Beschreibung der Kategorie (1.A.5.a stationär)

KC	Category	Activity	EM of	1990 (kt CO_2-e.)	(fraction)	2015 (kt CO_2-e.)	(fraction)	Trend 1990-2015
L/T	**1.A.5. Other: Include Military fuel use under this category**	**all fuels**	**CO_2**	**11.797,5**	**0,96%**	**975,8**	**0,11%**	**-91,7%**
-/-	1.A.5. Other: Include Military fuel use under this category	all fuels	CH_4	279,4	0,02%	1,5	0,00%	-99,4%
-/-	1.A.5. Other: Include Military fuel use under this category	all fuels	N_2O	61,3	0,01%	4,2	0,00%	-93,1%

Gas	Angewandte Methode	Quelle der Aktivitätsdaten	genutzte Emissionsfaktoren
CO_2	CS, Tier 1	NS	CS/D
CH_4	CS, Tier 1, Tier 3	NS/M	CS/D/M
N_2O	CS, Tier 1, Tier 3	NS/M	CS/D/M

Die Einordnung in die Hauptkategorien erfolgt für die Kategorien 1.A.5 für stationäre & mobile Quellen gemeinsam. Demnach ist die Kategorie *Andere Bereiche* eine Hauptkategorie für CO_2 nach der Emissionshöhe und dem Trend.

Die folgende Abbildung zeigt den Emissionsverlauf seit 1990.

Abbildung 39: Entwicklung der CO_2-Emissionen der Kategorie 1.A.5.a

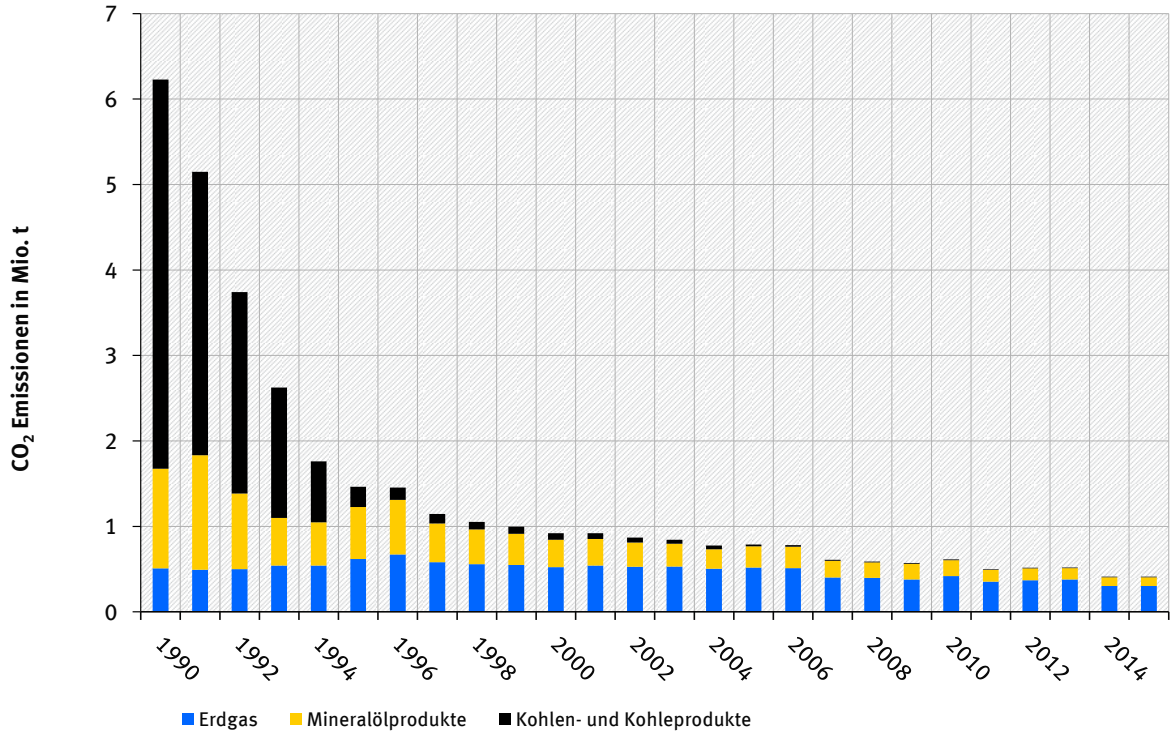

Die besonders starke Emissionsreduktion resultiert zum einen aus der Schließung vieler Militärischer Dienststellen, zum anderen aus einem deutlichen Trend weg von festen hin zu gasförmigen und flüssigen Brennstoffen.

3.2.13.2 Methodische Aspekte (1.A.5.a stationär)

Aktivitätsraten

Grundlage für die verwendeten Aktivitätsraten ist die Energiebilanz der Bundesrepublik Deutschland (AGEB). Da diese den Endenergieverbrauch der militärischen Dienststellen ab 1995 nicht mehr getrennt ausweist, sondern nur noch in Zeile 67 unter „Gewerbe, Handel,

Dienstleistungen und übrige Verbraucher“ mit erfasst, mussten zusätzliche energiestatistische Quellen erschlossen werden.

Für die Berichterstattung kann auf Angaben des Bundesamtes für Infrastruktur, Umweltschutz und Dienstleistungen der Bundeswehr (BAIUDBw, 2015) zurückgegriffen werden, das dem UBA den „Energieeinsatz zur Wärmeerzeugung in der Bundeswehr“ nach Brennstoffen 2000-2015 meldet. Diese Zahlen werden von den Angaben der Energiebilanzzeile 67 (Gewerbe, Handel, Dienstleistungen) subtrahiert und nicht in 1.A.4, sondern in 1.A.5 berichtet. Seit dem Berichtsjahr 2008 wird für die Kategorie 1.A.5.a auch der Einsatz von Holz berichtet.

Emissionsfaktoren

Eine Beschreibung sowie eine Liste der verwendeten CO_2 Emissionsfaktoren ist im Anhang, Kapitel 18.7 verfügbar.

Datengrundlage für alle anderen Schadstoffe verwendeten Emissionsfaktoren sind die Ergebnisse eines Forschungsvorhabens der Universität Stuttgart im Auftrag des Umweltbundesamtes (STRUSCHKA, 2008). Im Rahmen dieses Vorhabens wurden gerätebezogene und kategoriespezifische Emissionsfaktoren von Feuerungsanlagen in den militärischen Dienststellen für alle wichtigen Abgaskomponenten mit hohem Detaillierungsgrad für das Bezugsjahr 2005 berechnet. Die Methode bei der Ermittlung der Faktoren entspricht der für die Kategorie 1.A.4 beschriebenen. Tabelle 88 zeigt die verwendeten sektoralen Emissionsfaktoren.

Tabelle 88: Sektorale Emissionsfaktoren für das Militär

	CH_4	N_2O
	[kg/TJ]	
stationäre Feuerung in Dienststellen		
Steinkohlen	2,0	4,8
Braunkohlenbriketts	242	0,37
Heizöl EL	0,017	0,56
Erdgas	0,042	0,29

3.2.13.3 Unsicherheiten und Zeitreihenkonsistenz (1.A.5.a stationär)

Angaben zu den Unsicherheiten der Emissionsfaktoren können der Beschreibung der Kategorie 1.A.4 entnommen werden. Im Anhang 2 Kapitel 13.6 im NIR 2007 ist beschrieben, wie die Unsicherheiten für die Aktivitätsraten ermittelt wurden.

3.2.13.4 Kategoriespezifische Qualitätssicherung/-kontrolle und Verifizierung (1.A.5.a stationär)

Eine allgemeine und kategoriespezifische Qualitätskontrolle und eine Qualitätssicherung durch die Fachseite und durch die Nationale Koordinierungsstelle wurden gemäß den Anforderungen des QSE-Handbuchs bzw. dessen mitgeltenden Unterlagen durchgeführt.

Da andere Datenquellen für Deutschland nicht bekannt sind, ist eine vergleichende Verifikation der hier berichteten Emissionen derzeit nicht möglich.

3.2.13.5 Kategoriespezifische Rückrechnungen (1.A.5.a stationär)

Tabelle 89: Rückrechnungen in CRF 1.A.5.a

Einheit [kt]	NIR 2016	NIR 2017	Abweichung absolut				Abweichung relativ
Jahr	gesamt	gesamt	gas	liquid	solid	gesamt	gesamt
2013	555	519	-36	0	0	-36	-6,52%
2014	446	413	-33	0	0	-33	-7,50%

Für die Jahre 2013 und 2014 ergeben Rückrechnungen, aufgrund von Datenaktualisierungen des Bundesamtes für Infrastruktur, Umweltschutz und Dienstleistungen der Bundeswehr.

3.2.13.6 Geplante Verbesserungen, kategoriespezifisch (1.A.5.a stationär)

Sofern in vorhergehenden Berichterstattungen in diesem Kapitel Verbesserungen benannt wurden, sind diese in Form einer Übersicht unter Kapitel 10.4 Verbesserungen des Inventars, Tabelle 426 zu finden. Sind diese bereits erledigt, sind sie im selben Kapitel in Tabelle 425 abgebildet.

3.2.14 Andere Bereiche (1.A.5.b mobil)

3.2.14.1 Beschreibung der Kategorie (1.A.5.b mobil)

Gas	angewandte Methode	Quelle der Aktivitätsdaten	genutzte Emissionsfaktoren
CO_2	Tier 1 [a], CS	NS/M [b]	D [a], CS
CH_4	CS, Tier 1, Tier 3	NS/M b	CS (M)
N_2O	CS, Tier 1, Tier 3	NS/M b	CS (M)
NO_x, CO, NMVOC, SO_2	CS, Tier 1, Tier 3	NS/M b	CS (M)

[a] Biodiesel und Flugbenzin: Default-EF gemäß IPCC Guidelines 2006(Band 2, Kapitel 2, Tabelle 2.4)

[b] militär. Schiffsverkehr: gemäß (BSH, 2015)

Die Hauptkategorie-Analyse erfolgt für *1.A.5 - Andere Bereiche* übergreifend für stationäre und mobile Quellen (Übersicht siehe Kapitel 3.2.13.1). Demnach ist die Quellgruppe *1.A.5* eine Hauptkategorie für CO_2 nach der Emissionshöhe und dem Trend.

Die folgende Abbildung zeigt die Entwicklung der Treibhausgas-Emissionen seit 1990, die parallel zum Kraftstoffeinsatz verläuft.

Abbildung 40: Entwicklung der THG-Emissionen der mobilen Quellen des Militärs seit 1990

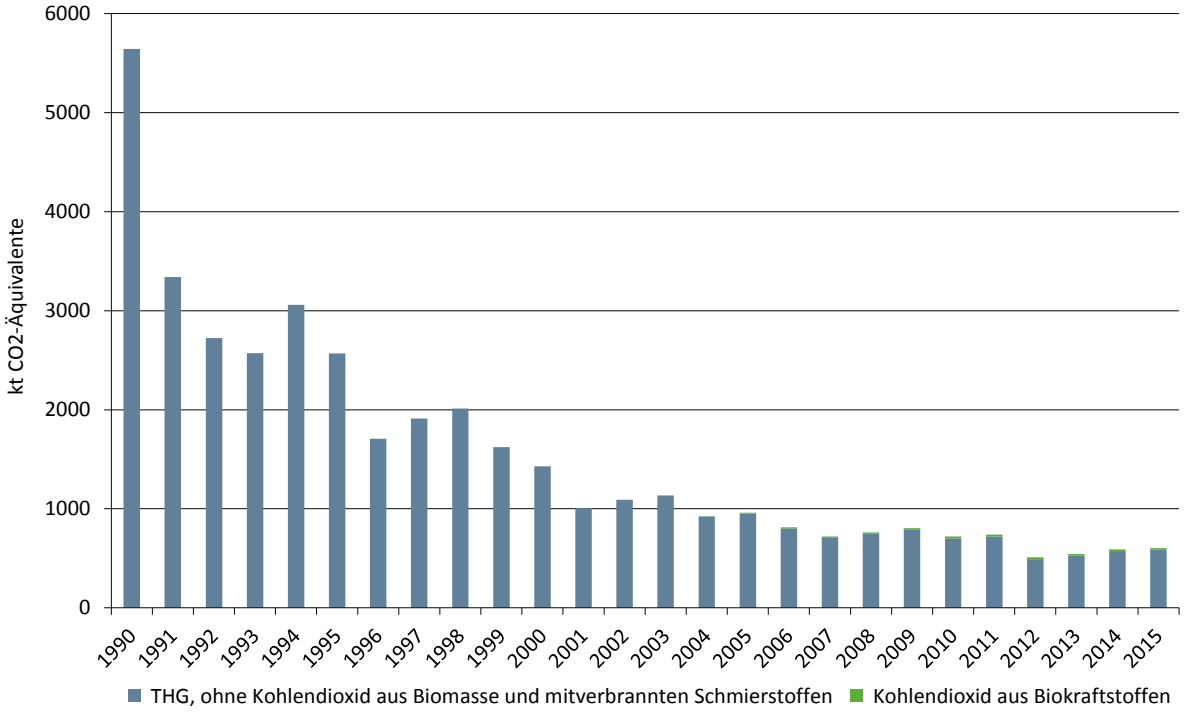

3.2.14.2 Methodische Aspekte (1.A.5.b mobil)

Aktivitätsraten

Grundlage für die verwendeten **Aktivitätsraten** ist die Energiebilanz der Bundesrepublik Deutschland (AGEB), der die Kraftstoffeinsätze des Militärischen Boden- und Luftverkehrs (Diesel- und Ottokraftstoffe inkl. biogene Beimischungen, Kerosin, Flugbenzin) lediglich bis 1993 direkt entnommen werden können. Ab 1994 wird auf (BAFA, 2016) zurückgegriffen. Die dort in 1000 t angegebenen Verbräuche werden auf Basis der ausgewiesenen Heizwerte in Terajoule umgerechnet (AGEB, 2016b). Die Kraftstoffeinsätze der Marine sind dagegen nur als Teilmenge der in *EBZ 6 – Hochseebunkerungen* geführten Mengen verfügbar und werden daher, wie in Kapitel 3.2.10.4 näher beschrieben, gesondert berechnet.

Darüber hinaus werden die Mengen mitverbrannter Schmierstoffe über Mitverbrennungsraten gemäß (VSI, 2014) aus den Gesamtmengen der in den Unterkategorien 1.A.5.b i bis iii eingesetzten Kraftstoffe abgeleitet (siehe auch Kapitel 19.1.4).

Abbildung 41: Entwicklung des Kraftstoffeinsatzes seit 1990

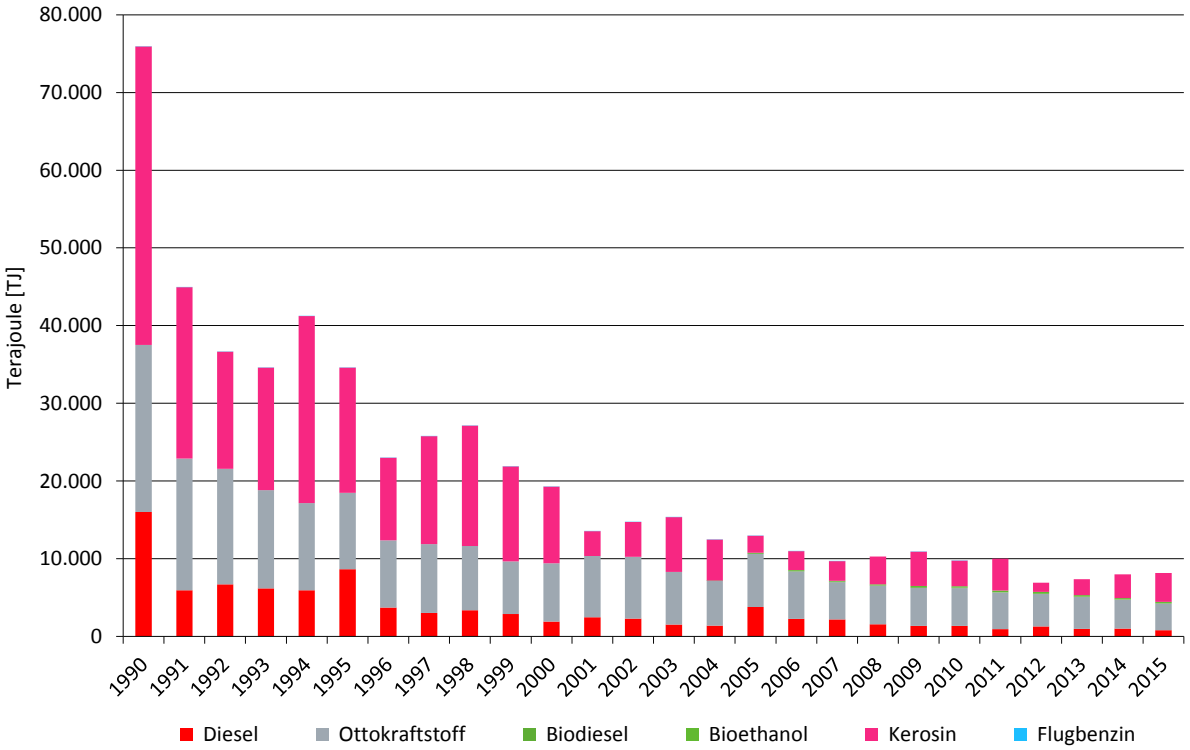

Emissionsfaktoren

Hinsichtlich der **Emissionsfaktoren** für Kohlendioxid wird hier grundsätzlich auf Kapitel 18.7 verwiesen. Es kommen sowohl landesspezifische als auch Default-Werte (Biodiesel, Flugbenzin) zum Einsatz. Weiterführende Informationen speziell zur Schmierstoffmitverbrennung finden sich in Kapitel 19.1.4.

Für Methan und Lachgas kommen für den bodengebundenen Verkehr sowie für den Einsatz von Flugbenzin landesspezifische Werte zum Einsatz. Für Kerosin werden aufgrund der vom zivilen Flugverkehr stark abweichenden Flugzeugtypen IPCC-Defaults verwendet. Die für die Marine verwendeten Emissionsfaktoren werden (BSH, 2015) entnommen. Bezüglich der Freisetzung dieser beiden Treibhausgase aus der Schmierstoff-Mitverbrennung wird davon ausgegangen, dass diese bereits in den entsprechenden Emissionsfaktoren der verwendeten Kraftstoffe berücksichtigt und daher als IE *(included elsewhere)* zu berichten ist.

Tabelle 90: für das Berichtsjahr 2015 verwendete Emissionsfaktoren, in kg/TJ

	CH_4	N_2O	Ursprung
1.A.5.b i – bodengebunden			
Diesel	2,97 (-)	0,81 (-)	IEF aus 1.A.3.b: schweres Nutzfahrzeug
Biodiesel	2,97 (-)	0,81 (-)	entspricht EF für Diesel
Ottokraftstoff	7,04 (-)	0,72 (-)	IEF aus 1.A.3.b
Bioethanol	7,04 (-)	0,72 (-)	entspricht EF für Ottokraftstoff
1.A.5.b ii – luftgebunden [a]			
Kerosin	0,50 (0,50)	2,00 (2,00)	Tier1-default gemäß (IPCC, 2006)
Flugbenzin	8,21 (-)	2,33 (-)	siehe 1.A.3.a
1.A.5.b iii – wassergebunden [b]			
Diesel	0,94 (7,00)	3,29 (2,00)	gemäß (BSH, 2015)
Biodiesel	0,94 (-)	3,29 (-)	entspricht EF für Diesel
übergreifend			
Schmierstoffe	IE	IE	in EF der Kraftstoffe abgebildet

in Klammern: Default-Werte gemäß IPCC Guidelines 2006, Band 2, Kapitel 3: [a] Tab. 3.6.5; [b] Tab. 3.5.3

3.2.14.3 Unsicherheiten und Zeitreihenkonsistenz (1.A.5.b mobil)

Innerhalb der Untersektoren 1.A.5.b i und ii wird auf Default-Unsicherheiten gemäß IPCC zurückgegriffen. Davon abweichend wurden in (BSH, 2015) spezifische Unsicherheiten für Aktivitätsdaten und Emissionsfaktoren des militärischen Seeverkehrs abgeleitet.

3.2.14.4 Kategoriespezifische Qualitätssicherung/-kontrolle und Verifizierung (1.A.5.b mobil)

Eine allgemeine und kategoriespezifische Qualitätskontrolle und eine Qualitätssicherung durch die Fachseite und durch die Nationale Koordinierungsstelle wurden gemäß den Anforderungen des QSE-Handbuchs bzw. dessen mitgeltenden Unterlagen durchgeführt.

Tabelle 91: Übersicht relevanter Datenvergleiche

Vergleich mit...	erfolgt	Erläuterung
alternativen Emissionsinventaren für Deutschland	nein	keine vergleichbaren Datensätze
sektorspezifischen Tier1-Default-EF gemäß 2006 IPCC GL (Band 2, Kap. 2 - *Stationary Combustion*, Tab. 2.4): CO_2	(ja)	für 1.A.5.b ii & iii: siehe Tabelle 92
Tier1-Default-EF gemäß 2006 IPCC GL (Band 2, Kap. 2 - *Stationary Combustion*, Tab. 2.4): CO_2	ja	für 1.A.5.b i: siehe Tabelle 92
sektorspezifischen Tier1-Default-EF gemäß 2006 IPCC GL: CH_4, N_2O	(ja)	für 1.A.5.b ii & iii: siehe Tabelle 88
Tier1-Default-EF gemäß 2006 IPCC GL (Band 2, Kap. 2 - *Stationary Combustion*, Tab. 2.4): CH_4, N_2O	ja	1.A.5.b i: siehe Tabelle 88
spezifischen IEF anderer Staaten	ja	siehe Tabelle 82

Tabelle 92: Vergleich der verwendeten EF(CO_2) mit Default- Werten, in kg/TJ

	Inventarwerte**	Default	*Untergrenze*	*Obergrenze*
Dieselkraftstoff	74.027	74.100	*72.600*	*74.800*
Ottokraftstoffe	73.091	69.300	*67.500*	*73.000*
Kerosin	73.256	71.500	*69.800*	*74.400*
Flugbenzin	70.000		*67.500*	*73.000*
Biodiesel	70.800		*59.800*	*84.300*
Bioethanol	71.607	70.800	*59.800*	*84.300*

[a] für das Berichtsjahr 2015; [b] gemäß 2006 IPCC Guidelines, Band 2, Kap. 3: [c] Tab. 3.5.2; [d] Tab. 3.6.4; [e] Kap. 2, Tab. 2.2

Die folgende Tabelle erlaubt einen Vergleich mit spezifischen impliziten Emissionsfaktoren anderer Staaten.

Tabelle 93: länderübergreifender Vergleich der der für fossile Flüssigbrennstoffe berichteten IEF, in kg/TJ

	CO_2	CH_4	N_2O
Deutschland	73.269	3,66	1,42
Dänemark	73.753	6,60	2,63
Frankreich			
Niederlande	74.227	5,84	3,58
Großbritannien	73.753	6,60	2,63
EU (28)			

Deutschland: aktueller IEF(1.A.5.b) für 2015; sonst: IEF für 2014 gemäß CRF-Submission 2016

3.2.14.5 Kategoriespezifische Rückrechnungen (1.A.5.b mobil)

Gegenüber Submission 2016 erfolgten lediglich minimale Rückrechnugen für das Jahr 2014, die aus der Korrektur der amtlichen Beimengungsrate für Biodiesel resultieren, welche, bei unveränderter Gesamtmenge der 2014 an das Militär gelieferten Dieselkraftstoffe, eine entsprechende Korrektur der Menge fossilen Diesels nach sich zog.

Tabelle 94: revidierte Energieeisätze 2014, in TJ

	1.A.5.b i	1.A.5.b ii	1.A.5.b iii	1.A.5.b
Submission 2017	4.590,56	3.060	349	7.998,84
Submission 2016	4.590,55	3.060	349	7.998,83
Änderung absolut	0,01	0	0	0,01
Änderung relativ	0,0002%	0,00%	0,00%	0,0001%

Quelle: eigene Berechnungen basierend auf (IFEU, 2016b)

Entsprechend kommt es auch nur für das Jahr 2014 zu minimal revidierten Emissionsmengen.

Tabelle 95: revidierte Emissionsmengen 2014, in kt CO_2-Äquivalenten [a]

	1.A.5.b i	1.A.5.b ii	1.A.5.b iii	1.A.5.b
Submission 2017	323,10	226,01	24,79	573,89
Submission 2016	323,12	226,01	24,79	573,91
Änderung absolut	-0,02	0	0	-0,02
Änderung relativ	-0,006%	0,000%	0,000%	-0,004%

[a] ohne CO_2 aus der Verwendung von Biokraftstoffen; Quelle: eigene Berechnungen

3.2.14.6 Geplante Verbesserungen, kategoriespezifisch (1.A.5.b mobil)

Derzeit sind keine quellenspezifischen Verbesserungen geplant.

Sofern in vorhergehenden Berichterstattungen in diesem Kapitel Verbesserungen benannt wurden, sind diese in Form einer Übersicht unter Kapitel 10.4 Verbesserungen des Inventars, Tabelle 426 zu finden. Sind diese bereits erledigt, sind sie im selben Kapitel in Tabelle 425 abgebildet.

3.2.15 Militär

Emissionen aus internationalen Einsätzen der Bundeswehr unter UN-Mandat werden in den deutschen Emissionsinventaren nicht als separate Aktivität erfasst. Diese Aufgabe wird im Rahmen des Nationalen Systems zur Emissionsberichterstattung erneut zu diskutieren sein. Gegenwärtig werden die benötigten Aktivitätsdaten aus verschiedenen Gründen nicht bereitgestellt.

Hierdurch wird gegenwärtig keine Unterlassung in den Inventaren vorgenommen, da die damit verbundenen Kraftstoffeinsätze in den nationalen militärischen Verbrauchsangaben enthalten sind.

Grundlage für die Aktivitätsdaten der militärischen Kraftstoffe sind die amtlichen Mineralöldaten für die Bundesrepublik Deutschland (BAFA, 2015).

Unter der Kategorie 1.A.5 Militär werden im ZSE als stationäre Quellen die Wärmeerzeugung der militärischen Dienststellen und als mobile Quellen der militärische Verkehr (Land, Wasser, Luft) abgelegt.

3.3 Diffuse Emissionen aus Brennstoffen (1.B)

Während aller Stadien, von der Extraktion fossiler Brennstoffe bis hin zu ihrem abschließenden Gebrauch, können Bestandteile als diffuse Emissionen entweichen oder freigesetzt werden. Während Methan die bedeutendsten Emissionen innerhalb der Quellkategorie Feste Brennstoffe und Erdgas darstellt, ist bei den diffusen Emissionen von Öl und Erdgas zusätzlich NMVOC von Bedeutung. Kohlendioxid spielt in der Kategorie 1.B nur eine geringe Rolle bei der Veredelung fester Brennstoffe, der Sauergasaufbereitung sowie den Fackeln. Die Quellkategorie 1.B. ist keine Quelle für fluorierte Gase.

Abbildung 42: CRF 1.B - Emissionen relevanter Substanzen

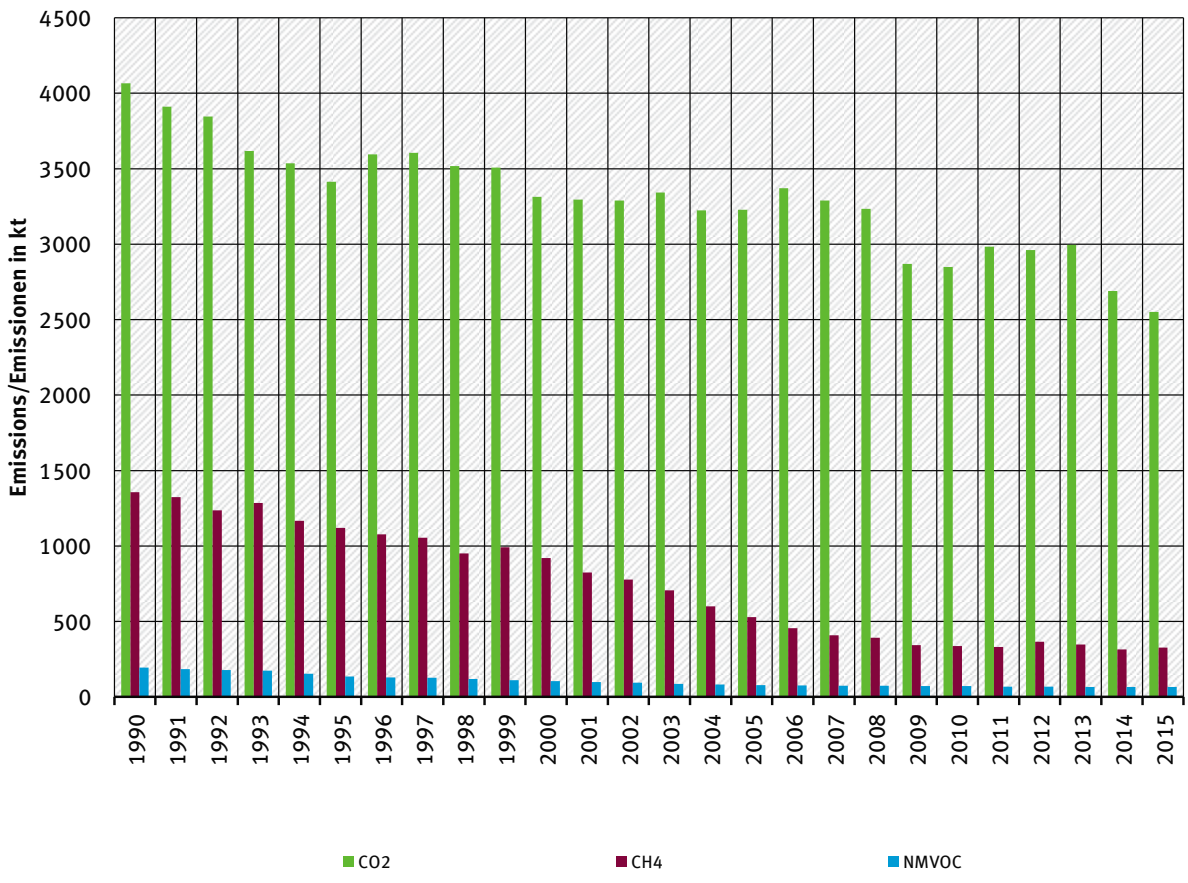

3.3.1 Feste Brennstoffe - Kohlenbergbau und -umwandlung (1.B.1)

KC	Category	Activity	EM of	1990 (kt CO_2-e.)	(fraction)	2015 (kt CO_2-e.)	(fraction)	Trend 1990-2015
L/T	**1.B.1. Fugitive Emissions from Fuels**	**Solid Fuels**	**CH_4**	**25.553,4**	**2,09%**	**3.095,9**	**0,35%**	**-87,9%**
-/-	1.B.1. Fugitive Emissions from Fuels	Solid Fuels	CO_2	1.832,8	0,15%	704,8	0,08%	-61,5%

Die Kategorie Kohlenbergbau und -umwandlung ist für CH_4-Emissionen eine Hauptkategorie nach der Emissionshöhe und dem Trend.

Im Bergbau wird zwischen Tagebau, Gewinnung des Rohstoffs in offenen Gruben und Tiefbau, Abbau der Lagerstätte in untertägigen Abbauräumen unterschieden. In Deutschland wird Steinkohle ausschließlich im Tiefbau, Braunkohle seit 2003 ausschließlich im Tagebau gewonnen.

Die Kategorie ist nach folgendem Schema untergliedert:

Quellgruppe			Enthaltene Emissionen
1.B.1.a. Kohlenbergbau			
	i.	**Tiefbau**	
		Bergbauliche Tätigkeiten	Gesamtemissionen aus Wetterströmen und Grubengasabsaugung des aktiven Steinkohlentiefbaus reduziert um die Menge verwerteten Grubengases
		anschließende bergbauliche Tätigkeiten	Emissionen aus Aufbereitung, Lagerung und Transport von Steinkohle
		Stillgelegte Kohlenbergwerke	Emissionen aus stillgelegten Steinkohlebergwerken sowie Emissionen aus dem Einsatz von Fackeln
	ii.	**Tagebau**	
		Bergbauliche Tätigkeiten	Emissionen aus aktivem Braunkohlentagebau. Hierbei wird das gesamte Methanpotential der deutschen Braunkohle zugrunde gelegt und als Emission während der Förderung angenommen. Eine spätere Emission von Methan bei der Weiterverarbeitung ist somit bereits abgedeckt. Es erfolgt keine Grubengaserfassung oder -nutzung beim Tagebau.
		anschließende bergbauliche Tätigkeiten	Keine getrennte Ausweisung – die Emissionen sind bereits in „Bergbauliche Tätigkeiten“ enthalten
1.B.1.b. Umwandlung von festen Brennstoffen – Veredelung von Kohle und Holzkohlenproduktion			Emissionen aus der Kohlenveredelung und Holzkohlenproduktion. Bei der Steinkohleveredelung werden spezifische Emissionen hier dokumentiert. Methanemissionen bei der Herstellung von Veredelungsprodukten aus Braunkohle sind bereits in 1.B.1.a.ii „Bergbauliche Tätigkeiten“ enthalten. Die zugrunde gelegte Aktivitätsrate umfasst die Gesamtmenge der Veredelungsprodukte aus Stein- und Braunkohle.
1.B.1.c. Sonstiges			In dieser Kategorie werden derzeit keine Emissionen berichtet.

Emissionen und Trend (1.B.1)

Tabelle 96: Berechnung von Methanemissionen aus dem Kohlenbergbau für 2015

			Aktivitätsdaten [Mt]	CH_4-Emissionen [kt]
1.B.1.a. Kohlenbergbau			= 1.B.1.a.i + 1.B.1.a.ii = 6,2 + 178,1 **=184,3**	= 1.B.1.a.i + 1.B.1.a.ii = 119,0+2,0 **= 121,0**
	i.	**Tiefbau**		= **bergbauliche und anschließende bergbauliche Tätigkeiten** = 114,7 3,6 + 0,7 **= 119,0**
		bergbauliche Tätigkeiten Steinkohlen-Förderung [1]	**6,2**	= AR * EF = 6,2*18,5 **= 114,7**
		anschließende bergbauliche Tätigkeiten		**= 3,6**
		Stillgelegte Kohlenbergwerke		Emissionspotenzial abzüglich Verwertung **= 0,7**
	ii.	**Tagebau**		= **bergbauliche Tätigkeiten** **= 2,0**
		bergbauliche Tätigkeiten Braunkohlenförderung [1]	**178,1**	= AR * EF = 178,1 * 0,011 **= 2,0**
		anschließende bergbauliche Tätigkeiten		(enthalten in 1.B.1.a.ii „bergbauliche Tätigkeiten“) **IE**
1.B.1.b. Umwandlung von festen Brennstoffen				**=0,4**
	Veredelung von Kohle Summe an Veredelungsprodukten [2] [1]		**15,5**	$AR_{Steink.Prod.}$*$EF_{Steink.Prod.}$ + $AR_{Braunk.Prod.}$*$EF_{Braunk.Prod}$ = 8,8 * 0,049 + 6,7 * 0 **= 0,4**

1) nach STATISTIK DER KOHLENWIRTSCHAFT (o.J.)

2) Steinkohlenkoks, Steinkohlenbriketts, Braunkohlenkoks, Staubkohle, Trockenkohle, Wirbelschichtkohle, Braunkohlenbriketts, Braunkohlengranulat

3.3.1.1 Tiefbau - Steinkohlen

3.3.1.1.1 Beschreibung der Kategorie (Tiefbau - Steinkohlen)

Gas	Angewandte Methode	Quelle der Aktivitätsdaten	benutzte Emissionsfaktoren
CH_4	Tier 3	AS	CS
CO_2	M	AS	CS

Aktivitätsraten

Tabelle 97: Verwertbare Förderung von Steinkohlen, in Mio. t.

1990	1995	2000	2005	2010	2014	2015
70,2	53,6	33,6	24,9	12,9	7,6	6,2

(STATISTIK DER KOHLENWIRTSCHAFT, o.J.).

Tabelle 98: Anzahl aktiver Steinkohlenbergwerke

1990	1995	2000	2005	2010	2014	2015
27	19	12	9	5	3	3

(STATISTIK DER KOHLENWIRTSCHAFT, o.J.).

Emissionsfaktoren

Aus der Gesamtemissionsmenge an Methan und den Aktivitätsdaten des Steinkohlenbergbaus lässt sich ein implizierter Emissionsfaktor ableiten. Berücksichtigt ist hierbei auch der Anteil an verwertetem Grubengas. Die Messwerte enthalten nur die tatsächlich emittierte Methanmenge.

Aufgrund dieses Ansatzes ändern sich die jährlichen Emission in Abhängigkeit vom Gasinhalt der Steinkohle, der Menge an zu Tage geförderten Wetter sowie den Anteil an verwerteten Methan.

Für die Berechnung der CH_4-Emissionen aus der Lagerung von Steinkohle werden die Aktivitätsdaten der Steinkohlenförderung als Basis herangezogen und mit dem Emissionsfaktor von 0,576 kg/t multipliziert. Dieser Emissionsfaktor stammt aus einer Studie des FHG ISI (1993).

Tabelle 99: Methan-Emissionsfaktoren aus dem Bereich Förderung und Lagerung von Steinkohle für das Jahr 2015

Emissionsfaktoren	m^3 CH_4/t	kg/t
CH_4 aus Förderung	41,62	27,88
CH_4 aus Förderung abzüglich verwertetes Grubengas	27,64	18,52
CH_4 aus Lagerung	0,87	0,58
CH_4 aus Bergbau (Förderung und Lagerung abzüglich Grubengasnutzung)	28,51	19,10

Für die stillgelegten Kohlenbergwerke kann kein Emissionsfaktor angegeben werden, da es keine Aktivitätsrate gibt.

Emissionen und Trend

Tabelle 100: Emissionen der Kategorie 1.B.1.a.i - Tiefbau

Gas	Gesamtemissionen 1990	2014	2015	Trend seit 1990	gegenüber Vorjahr	Erläuterung
Methan	975 kt	103 kt	116 kt	- 89 %	12 %	Die Emissionen sinken aufgrund der zurückgegangenen verwertbaren Förderung und Zunahme der Grubengasverwertung seit 2001.

3.3.1.1.2 Methodik (Tiefbau - Steinkohlen)

Die Emissionen aus dem Steinkohlentiefbau werden entsprechend Tier 3-Ansatz berechnet und erfüllen die Anforderungen einer bergwerksspezifischen Emissionsermittlung. Aus sicherheitstechnischen Gründen werden in sämtlichen Schachtanlagen kontinuierlich die Gaszusammensetzung sowie der Wetterstrom gemessen. Diese Daten werden zur Bestimmung der Menge der Methanemissionen genutzt. Durch Aggregation der Einzelmesswerte wird vom Gesamtverband Steinkohle die Gesamtmethanmenge bestimmt. Eine Expertenüberprüfung wird durch die zuständige staatliche Aufsichtsbehörde (Bergamt) vorgenommen.

3.3.1.1.3 Unsicherheiten und Zeitreihenkonsistenz (Tiefbau - Steinkohlen)

Unsicherheiten der Aktivitätsrate ergeben sich vor allem aus Ungenauigkeiten beim Wiegen der geförderten Kohle. Durch Befragung von Experten beim NaSE-Workshop 11/2004, konnte der Fehler auf < 3 % quantifiziert werden.

Unsicherheiten in der Berechnung der Methanausgasungen ergeben sich aus der Ungenauigkeit der Messungen. Da die unter Tage durchgeführten Messungen der Methankonzentrationen primär aus sicherheitstechnischen Gründen angewendet werden und ihren genauesten Messbereich nicht im Bereich der üblichen Ausgasungskonzentrationen haben, ist mit einer technischen Messunsicherheit von ca. 10 % bei den zur Verfügung stehenden Messgeräten zu rechnen [Expertengespräch Grubengas, Berlin, Dezember 2009].

Die Methanausgasung aus Steinkohlen während Lagerung und Transport unterliegt größeren Schwankungen aufgrund von Lagerzeit und Korngrößenverteilung. Eine Unsicherheit von 15 % ist anzunehmen [LANGE 1988 / BATZ 1995 sowie persönliche Informationen NASE-Workshop 11/2004].

Die Abschätzung des Methanpotentials beruht auf Expertenwissen und eine Unsicherheit von 60 % wurde zugrunde gelegt.

Für die Aktivitätsraten wird eine konsistente Quelle über die gesamte Zeitreihe verwendet.

3.3.1.1.4 Kategoriespezifische Qualitätssicherung/-kontrolle und Verifizierung (Tiefbau - Steinkohlen)

Eine allgemeine und kategoriespezifische Qualitätskontrolle und eine Qualitätssicherung, die den Anforderungen des QSE-Handbuchs bzw. dessen mitgeltenden Unterlagen entsprechen, wurden durch die Nationale Koordinierungsstelle durchgeführt. Eine Qualitätskontrolle für Aktivitätsdaten wurde vom Datenlieferanten durchgeführt.

Die IPCC Guidelines 2006 empfehlen für den Steinkohlentiefbau Emissionsfaktoren in der Größenordnung von 10 bis 25 m^3/t. Bei Umrechnung der deutschen Emissionsfaktoren unter Zugrundelegung eines Konversionsfaktors von 0,67 $Gg/10^6$ m^3 (2006 IPCC Guidelines, Kapitel 4: bei 20° C, 1 Atmosphäre) ergeben sich die in der Tabelle 99 angegebenen Einzelwerte. Fasst man die Förderung und Lagerung und in Abzug zu bringende Grubengasnutzung in einem EF zusammen, so liegt der Wert pro Tonne Kohle (verwertbare Förderung) im vorgeschlagenen Wertebereich.

Die von GVSt ermittelten Emissionen aus dem stillgelegten Steinkohlenbergbau wurden mittels des Forschungsvorhabens „Potential zur Freisetzung und Verwertung von Grubengas“ [DMT, 2014] verifiziert. Die Berechnung wurde für jede Lagerstättenregion in Deutschland vorgenommen.

Ein Vergleich mit Nachbarländern wurde auf Basis der in der Submission 2014 berichteten Werte für 2012 vorgenommen.

Tabelle 101: IEF Vergleich mit Nachbarländern für die untertägige Produktion von Steinkohle (NIR 2014)

	produzierte Steinkohle	berichtete Emission	IEF
Deutschland	**10,8 Mio. t**	**151,1 kt**	**14,0 kg/t**
Tschechien	11,4 Mio. t	100,1 kt	8,8 kg/t
Vereintes Königreich	6,2 Mio. t	65,4 kt	10,5 kg/t
Polen	71,3 Mio. t	324,7 kt	4,6 kg/t
IPCC GL 2006			6,7 – 15,5 kg/t

3.3.1.2 Tagebau - Braunkohlen

Gas	Angewandte Methode	Quelle der Aktivitätsdaten	benutzte Emissionsfaktoren
CH_4	Tier 2	AS	CS

3.3.1.2.1 Beschreibung der Kategorie (Tagebau - Braunkohlen)

Aktivitätsraten

Tabelle 102: Förderung von Braunkohle, in Mio. t.

1990	1995	2000	2005	2010	2014	2015
356,5	192,7	167,7	177,9	169,4	178,2	178,1

(STATISTIK DER KOHLENWIRTSCHAFT, o.J.).

Emissionsfaktoren

Nach Angaben des DEBRIV (Deutscher Braunkohlen-Industrie-Verein e.V.; DEBRIV 2004) wird für die deutsche Braunkohle ein durchschnittlicher Emissionsfaktor von 0,015 m^3 CH_4/t (entspricht 0,011 kg CH_4/t) angenommen. Dieser EF basiert auf einer Untersuchung der RWE Rheinbraun AG von 1989 [DEBRIV, 2004] und wird durch Veröffentlichungen des Öko-Institutes sowie der DGMK [Forschungsbericht 448-2, 1992] belegt.

Eine Lagerung von Braunkohle erfolgt nicht; die Verwendung erfolgt „mine-mouth“ direkt von der Förderung in die Verarbeitung bzw. in Kraftwerke.

Tabelle 103: Emissionsfaktoren der Kategorie 1.B.1.a.ii - Tagebau

Emissionsfaktoren	m^3 CH_4/t	kg/t
CH_4 aus Förderung	0,016	0,011

Emissionen und Trend

Tabelle 104: Emissionen der Kategorie 1.B.1.a.ii - Tagebau

Gas	Gesamtemissionen			Trend		Erläuterung
	1990	2014	2015	seit 1990	gegenüber Vorjahr	
Methan	3,9 kt	2,0 kt	2,0 kt	-49 %	0 %	Die Emissionen sinken aufgrund der zurückgegangenen Förderung von Braunkohle.

3.3.1.2.2 Methodik (Tagebau - Braunkohlen)

Die Emissionen aus dem Braunkohlentagebau werden nach dem Tier 2 Ansatz berechnet.

3.3.1.2.3 Unsicherheiten und Zeitreihenkonsistenz (Tagebau - Braunkohlen)

Der Emissionsfaktor zur Berechnung der Methanemissionen aus der Braunkohlenförderung basiert auf dem maximalen Methaninhalt und stellt somit eine Obergrenze der möglichen Methanemissionen dar. Mögliche Emissionen aus Transport und Lagerung sind somit bereits enthalten. Zahlreiche Untersuchungen zeigten, dass eine negative Unsicherheit von - 33 % angenommen werden muss [DEBRIV / DGMK Forschungsbericht 448-2, DGMK 1992].

Für den Emissionsfaktor und die Aktivitätsraten wird eine konsistente Quelle über die gesamte Zeitreihe verwendet.

3.3.1.2.4 Kategoriespezifische Qualitätssicherung/-kontrolle und Verifizierung (Tagebau - Braunkohlen)

Eine allgemeine und kategoriespezifische Qualitätskontrolle und eine Qualitätssicherung, die den Anforderungen des QSE-Handbuchs bzw. dessen mitgeltenden Unterlagen entsprechen, wurden durch die Nationale Koordinierungsstelle durchgeführt. Eine Qualitätskontrolle für Aktivitätsdaten wurde vom Datenlieferanten durchgeführt.

Im Rahmen einer Verifizierung zur aktuellen Berichterstattung wurden verschiedene Datenquellen für Aktivitätsraten im Kohlenbergbau und auch die verwendeten EF mit denen anderer Länder verglichen (siehe Tabelle 105). Der Ländervergleich spezifischer Emissionsfaktoren für den Tagebau zeigt eine große Bandbreite, wobei Deutschland sich im unteren Bereich - vergleichbar mit Polen - bewegt. Tschechien benutzt laut NIR 2011 (S.103) den mittleren IPCC Default Faktor, da in Tschechien häufiger Glanzbraunkohle (oder auch Sub-Bituminous Coal) mit einen höheren Inkohlungsgrad und somit einen höheren Methangehalt abgebaut wird, als vergleichsweise in Polen und Deutschland, wo die Weichbraunkohle (oder auch Lignite) mit einem niedrigeren Inkohlungsgrad vorkommt [Quellen NASE-Workshop 11/2004, persönliche Mitteilung DEBRIV 2005]. Zu diesem Ergebnis kommt ebenfalls ein Gutachten von VERICO [VERICO SCE 2014].

Tabelle 105: IEF Vergleich mit Nachbarländern für die obertägige Produktion von Braunkohle (NIR 2014)

	produzierte Braunkohle	berichtete Emission	IEF
Deutschland	**185,4 Mio. t**	**2,0 kt**	**0,011 kg/t**
Polen	64,3 Mio. t	0,8 kt	0,012 kg/t
Tschechien	43,5 Mio. t	33,5 kt	0,770 kg/t
IPCC GL 2006			0,2 – 1,3 kg/t

Die Emissionsfaktoren des IPCC wurden von der amerikanischen Hartbraunkohle abgeleitet und können laut nationalen Experten nicht auf die deutsche Weichbraunkohle übertragen werden, da diese während des Inkohlungsprozesses eine Temperatur von 50°C nicht überschritten hat. Eine nennenswerte Methanabspaltung findet jedoch erst bei Temperaturen von über 80°C statt [DGMK Bericht 448-2, 1992].

3.3.1.3 stillgelegter Steinkohlenbergbau

Für diese Subquellgruppe sind Emissionen aus stillgelegtem Steinkohlenbergbau von Bedeutung. Neben den aktiven Bergwerken sind die stillgelegten Steinkohlenbergwerke eine weitere relevante Quelle für diffuse CH_4-Emissionen.

Nach der Stilllegung eines Steinkohlebergwerkes kann aus dem Nebengestein und der noch anstehenden Kohle Methan in die Grubenbaue entweichen. Da keine Bewetterung mehr durchgeführt wird sammelt sich das Methan und kann durch Gaswegigkeiten im Deckgebirge oder durch Schachtanlagen zu Tage dringen.

Neben der lange Zeit vorherrschenden Betrachtung von Grubengas als negativer Umweltfaktor treten nun verstärkt die positiven Eigenschaften als Energieträger in den Vordergrund (Energetische Verwertung). In der Vergangenheit rechnete sich eine Nutzung des anfallenden Grubengases nur in seltenen Fällen. Diese Situation hat sich im Jahr 2000 mit dem Erneuerbare-Energien-Gesetz (EEG) grundlegend geändert. Obwohl Grubengas ein fossiler Brennstoff mit erschöpflichem Vorkommen ist, wurde es aufgrund des durch seine Verwendung erzielten Klimaschutzeffekts in das EEG aufgenommen. Damit wurden den Netzbetreibern eine

Abnahmeverpflichtung und eine Einspeisungsvergütung für den aus Grubengas erzeugten Strom gesetzlich vorgeschrieben.

3.3.1.4 Umwandlung von festen Brennstoffen

Gas	Angewandte Methode	Quelle der Aktivitätsdaten	benutzte Emissionsfaktoren
CH_4	Tier 2	AS	CS
CO_2	Tier 2	AS	CS
NMVOC	Tier 2	AS	CS
CO	Tier 2	AS	CS
SO_2	Tier 2	AS	CS

Die IPCC Guidelines 2006 sehen diese Kategorie nicht vor, demzufolge liegt auch kein Entscheidungsbaum vor.

3.3.1.4.1 Beschreibung der Kategorie (Umwandlung von festen Brennstoffen)

Aktivitätsraten

Tabelle 106: Aktivitätsraten der Veredelungsprodukte [Angaben in Tonnen]

	1990	1995	2000	2005	2010	2014	2015
Braunkohlebrikett	40.045.000	5.010.829	1.819.263	1.489.922	2.024.103	1. 700.000	1.709.000
Braunkohlengranulat	59.000	0	0	0	0	0	0
Braunkohlenkoks	3.355.937	191.883	179.453	173.443	175.932	175.000	170.000
Braunkohlenstaub	3.791.431	2.700.110	2.678.926	2.923.620	3.632.333	4.417.000	4.398.000
Braunkohlentrockenkohle	694.693	569.973	0	0	0	0	0
Braunwirbelschichtkohle	265.000	470.692	560.822	659.906	414.855	407.000	450.000
Steinkohlenbriketts	756.000	379.000	146.000	91.625	0	0	0
Steinkohlenkoks	17.580.000	11.102.000	9.115.000	8.397.000	8.171.000	8.770.000	8.800.000

(STATISTIK DER KOHLENWIRTSCHAFT, o.J.).

Emissionsfaktoren

Der verwendete Emissionsfaktor für Methan zur Berechnung der CH_4-Emissionen aus der Produktion von Steinkohlenkoks (Kokereien) beträgt 0,049 kg Methan pro Tonne Steinkohlenkoks [DMT 2005] und wird für die komplette Zeitreihe angewendet. Der CO_2-Emissionsfaktor ermittelt sich aus der konservativen Annahme, dass auf dem Weg zwischen Öffnen der Hochofentür und dem Löschvorgang ca. 1% des Kokses als diffuse Emission verloren gehen. Als Aktivitätsrate wurde die Gesamtmenge an Steinkohlen- und Braunkohlenkoks verwendet.

Die Emissionsfaktoren für die Nicht-Treibhausgase stammen aus dem Forschungsvorhaben "Emissionsfaktoren zur Eisen- und Stahlindustrie für die Emissionsberichterstattung“ (BFI 2011).

Tabelle 107: Emissionsfaktoren aus der Produktion von Steinkohlenkoks

Gas	Emissionsfaktor	Einheit
CH_4	0,049	kg/t
CO_2	2.777[38]	kg/t
CO	0,015	kg/t
NH_3	243,3	mg/t
NMVOC	0,310	kg/t
SO_2	0,076	kg/t

Aus Produkten der Braunkohlenveredelung sind keine Methanemissionen zu erwarten, da der in 1.B.1.a.ii angenommene EF dem Gasinhalt der in Deutschland vorkommenden Braunkohle

[38] Der Emissionsfaktor beinhaltet Stein- und Braunkohlenkoksherstellung

entspricht. Die weiteren ermittelten Emissionen stammen aus Messungen des derzeit einzigen deutschen Produzenten für Braunkohlenkoks der Herdofenanlage Fortuna-Nord.

In Deutschland werden geringe Mengen an Holzkohle produziert – es gibt einen großen Betreiber und mehrere Schauköhlereien. Diese Mengen werden vom Statistischen Bundesamt erhoben und unterliegen der Geheimhaltung. Die Emissionsfaktoren stammen von der US_EPA 1995. Die Verwendung von Holzkohle wird unter 2.G.4 berichtet.

Emissionen und Trend

Tabelle 108: Emissionen der Kategorie 1.B.1.b – Umwandlung von festen Brennstoffen

Gas	Gesamtemissionen			Trend		Erläuterung
	1990	2014	2015	seit 1990	gegenüber Vorjahr	
Methan	2,4 kt	2,4 kt	2,4 kt	3 %	1 %	Die Methanemissionen werden vor allem durch die Holzkohlenproduktion beeinflusst. Die Emissionen aus Kokereien sind seit 1990 aufgrund der gesunkenen Produktion gefallen;
Kohlendioxid	1.819 kt	766 kt	704 kt	-58 %	-8 %	Die Emissionen sind seit 1990 aufgrund der niedrigeren Koksproduktion gefallen;

CO_2-Emissionen aus der Holzkohle-Produktion werden als biogen betrachtet und unter den Memo-Items berichtet

3.3.1.4.2 Methodische Aspekte (Umwandlung von festen Brennstoffen)

Die Emissionen aus der Steinkohlenkoksproduktion sind nach dem Tier 2 Ansatz, analog der Gleichung des IPCC-Reference Manual für CH_4 -Emissionen aus dem Kohlenbergbau, berechnet worden:

Emissionen [kt CH_4] =

EF [m^3 CH_4 /t] * $AR_{Veredelungsprodukt}$* Umrechnungsfaktor [kt/$10^6 m^3$]

3.3.1.4.3 Unsicherheiten und Zeitreihenkonsistenz (Umwandlung von festen Brennstoffen)

Die Unsicherheiten für die Emissionsfaktoren für die Veredelung von Kohlen wurden von Experten auf 10% bis 25% geschätzt.

Für die Aktivitätsraten wird eine konsistente Quelle über die gesamte Zeitreihe verwendet.

3.3.1.4.4 Kategoriespezifische Qualitätssicherung/-kontrolle und Verifizierung (Umwandlung von festen Brennstoffen)

Eine allgemeine und kategoriespezifische Qualitätskontrolle und eine Qualitätssicherung, die den Anforderungen des QSE-Handbuchs bzw. dessen mitgeltenden Unterlagen entsprechen, wurden durch die Nationale Koordinierungsstelle durchgeführt. Eine Qualitätskontrolle für Aktivitätsdaten wurde vom Datenlieferanten durchgeführt.

Bei der Betrachtung von Emissionsfaktoren ist der IPCC Konversionsfaktor von 0,67 Gg/$10^6 m^3$ bei 20°C und 1 Atmosphäre gegenüber den in Deutschland als Einheit Normkubikmeter bei 1,01325 bar und 0°C [DIN 2004, DIN Nr. 1343] verwendeten Angaben zu beachten. Bei Betrachtungen der EF sind Angaben des IPCC zu Default EF bzw. Angaben aus anderen Veröffentlichungen mit der Praxis in Deutschland mit der Angabe von Normkubikmeter zu berücksichtigen. Bei der Verwendung von in Deutschland publizierten Daten zu EF wird davon ausgegangen, dass es sich um Angaben in Normkubikmeter handelt [abgesichert durch Expertenbefragung beim NaSE-Workshop 11/2004]

Die Angaben der Guidelines beziehen sich auf 20°C und 1.013 mbar. Anhand der isobaren Proportionalität des Methans kann mit dem Faktor 1,07 von Nm^3 in m^3 umgerechnet werden.

Umrechnungsfaktor Normkubikmeter ⇔ Kilogramm:

0,717 Nm^3/kg (1,01325 bar, 0°C) **= 0,67 $Gg/10^6m^3$** (20°C, 1 Atmosphäre) *** 1,07 Nm^3/m^3**

Ein Vergleich mit anderen Ländern ist in dieser Kategorie nicht möglich, da die genauen Mengen und die Zusammensetzung der umgewandelten Kohleprodukte sich nicht aus den CRF Tabellen entnehmen lassen. Ferner bieten für einen Vergleich die IPCC Guidelines weder Methoden noch Default-Emissionsfaktoren für die Quellgruppe.

3.3.1.5 Kategoriespezifische Rückrechnungen (1.B.1 alle)

Für das Jahr 2014 wurden für die Herstellung von Koks aus Braunkohle die vorläufigen Daten durch die endgültigen aktualisiert. Dies führt zu einer leichten Emissionserhöhung für Kohlendioxid (siehe hierzu Tabelle 175). Es sind sonst keine Rekalkulationen erforderlich.

3.3.1.6 Geplante Verbesserungen, kategoriespezifisch(1.B.1 alle)

Derzeit sind keine weiteren Verbesserungen geplant.

Sofern in vorhergehenden Berichterstattungen in diesem Kapitel Verbesserungen benannt wurden, sind diese in Form einer Übersicht unter Kapitel 10.4 Verbesserungen des Inventars, Tabelle 426 zu finden. Sind diese bereits erledigt, sind sie im selben Kapitel in Tabelle 425 abgebildet.

3.3.2 Öl und Erdgas und diffuse Emissionen aus der Energieerzeugung (1.B.2)

Die Kategorie ist nach folgendem Schema untergliedert:

Quellgruppe				Enthaltene Emissionen
1.B.2. Öl, Gas und diffuse Emissionen aus der Energieerzeugung				
	a	**Öl**		
		i)	**Exploration**	Gesamtemissionen aus Erdöl- und Erdgasexplorationsbohrungen
		ii)	**Förderung**	Diffuse Emissionen bei der Förderung von Erdöl sowie der Aufbereitung von Erdöl (Abtrennung von Wasser und Begleitgasen)
		iii)	**Transport**	Emissionen aus Transport von Rohöl mittels Pipelines und Binnentankschiffen
		iv)	**Raffinierung/ Lagerung**	Emissionen aus Entschwefelung und Raffinierung von Öl, der Lagerung von Rohöl und Mineralölprodukten sowie der Reinigung von Lagertanks
		v)	**Verteilung von Ölprodukten**	Emissionen aus Verteilung von Mineralölprodukten, Betankungsprozessen und Tropfverlusten sowie aus Reinigung von Tanks der Transportfahrzeuge
		vi)	**Sonstiges**	Keine Emissionen in dieser Kategorie

Quellgruppe				Enthaltene Emissionen
	b	**Gas**		
		i)	**Exploration**	Die Emissionen sind der Kategorie 1.B.2.a.i zugeordnet, da keine Differenzierung möglich
		ii)	**Förderung**	Diffuse Emissionen bei der Förderung von Erdgas
		iii)	**Verarbeitung**	Emissionen aus der Entschwefelung und Aufbereitung von Sauergas sowie der Aufbereitung von Stadtgas
		iv)	**Transport**	Emissionen aus Hochdruckfernleitungen sowie unterirdischer Gasspeicherung (Kavernen- und Porenspeicher)
		v)	**Verteilung**	Emissionen aus Erdgasverteilungsleitungen, Obertagespeicher, sowie diffuse Entweichungen aus Tanks von Erdgasfahrzeugen
		vi)	**Sonstiges**	Diffuse Emissionen aus Hausinstallationen in Haushalten, Kleinverbrauchern und der Industrie – Emissionen aus den Hausanschlussleitungen sind unter 1.B.2.b.v, Emissionen bei der Initialzündung von Endgeräten unter 1.A.4 enthalten
	c	**Ausblasen und Abfackeln**		
		i)	**Ausblasen**	
			Öl	Die Emissionen sind in den Kategorien 1.B.2.a.iii und 1.B.2.a.v enthalten
			Gas	Die Emissionen sind in den Kategorien 1.B.2.b.iv und 1.B.2.b.v enthalten
			Kombiniert	Keine Emissionen in dieser Kategorie
		ii)	**Abfackeln**	
			Öl	Fackelemissionen bei der Erdölförderung sowie der Raffinierung
			Gas	Fackelemissionen bei der Erdgasförderung, sowie der Sauergasaufbereitung
			Kombiniert	Keine Emissionen in dieser Kategorie
	d	**Sonstiges**		
		i)	**Geothermie**	Im laufenden Betrieb entstehen keine diffusen CO_2-, CH_4 oder N_2O Emissionen. Diffuse F-Gas-Emissionen sind der Kategorie 2.F.9 zugeordnet
1.C CO2 - Transport und Lagerung				In dieser Kategorie werden derzeit keine Emissionen berichtet, da es in Deutschland aktuell keine CCS-Maßnahmen gibt.

3.3.2.1 Öl (1.B.2.a)

KC	Category	Activity	EM of	1990 (kt CO_2-e.)	(fraction)	2015 (kt CO_2-e.)	(fraction)	Trend 1990-2015
-/-	1.B.2.a Fugitive Emissions from Fuels: Oil	Liquid Fuels	CH_4	404,3	0,03%	229,5	0,03%	-43,2%
-/-	1.B.2.a Fugitive Emissions from Fuels: Oil	Liquid Fuels	CO_2	282,7	0,02%	312,8	0,04%	10,7%

Die Kategorie 1.B.2.a. „Öl“ ist keine Hauptkategorie.

3.3.2.1.1 „Öl, Exploration“ (1.B.2.a.i)

Gas	Angewandte Methode	Quelle der Aktivitätsdaten	benutzte Emissionsfaktoren
CO_2, CH_4	Tier 1	AS	D
NMVOC	Tier 2	AS	CS

3.3.2.1.1.1 Beschreibung der Kategorie „Öl, Exploration“ (1.B.2.a.i)

Die Emissionen der Kategorie setzen sich aus den Tätigkeiten der Bohrfirmen und der Beteiligten in der Branche der Exploration zusammen. In Deutschland wird nach Erdöl und Erdgas gesucht. Es wird in der Statistik nicht nach reinen Erdöl- und Erdgasbohrungen unterschieden.

Aktivitätsraten

Tabelle 109: Anzahl der Explorationsbohrungen (Öl und Erdgas insgesamt)

1990	1995	2000	2005	2010	2014	2015
12	17	15	23	16	24	18

(Statistischer Bericht des WEG, 2015).

Tabelle 110: Bohrleistung der Explorationsbohrungen in m (Öl und Erdgas insgesamt)

1990	1995	2000	2005	2010	2014	2015
50.140	109.187	41.378	63.994	51.411	48.922	32.773

(Statistischer Bericht des WEG, 2015).

Emissionsfaktoren

Tabelle 111: Verwendete Emissionsfaktoren für die Kategorie 1.B.2.a.i

Gas	Emissionsfaktor	Methode	Quelle
CO_2	0,48 kg/No	Tier 1	IPCC GPG 2000
CH_4	64 kg/No	Tier 1	IPCC GPG 2000
NMVOC	576 kg/No	Tier 2	Expertenschätzung

Die Emissionsfaktoren in den IPCC GL 2006 (Tabelle 4.2.4) beziehen sich auf eine Produktionsmenge und nicht auf Explorationsbohrungen. Daher können diese nicht angewendet werden.

Emissionen und Trend

Tabelle 112: Emissionen der Kategorie 1.B.2.a.i

Gas	Gesamtemissionen			Trend		Erläuterung
	1990	2014	2015	seit 1990	gegenüber Vorjahr	
Methan	768 kg	1.536 kg	1.152 kg	100 %	9 %	Die Emissionen steigen gegenüber 1990 aufgrund der gestiegenen Bohraktivität.
Kohlendioxid	5,76 kg	11,52 kg	8,64 kg	100 %	9 %	
NMVOC	6.912 kg	13.824 kg	10.368 kg	100 %	9 %	

3.3.2.1.1.2 Methodische Aspekte der Kategorie „Öl, Exploration“ (1.B.2.a.i)

Nach Aussagen des WEG treten so gut wie keine diffusen Emissionen bei Bohrvorgängen auf, da an Bohrlöchern regelmäßig Messungen durchgeführt (Methansensoren in der Schutzhütte um das Bohrloch, Ultraschallmessungen, Ringraummanometer) und alte nicht mehr genutzte Bohrungen verfüllt und in der Regel mit einem Betondeckel versehen werden.

Da keine Messergebnisse der einzelnen Bohrungen vorliegen, werden, um konservativ zu schätzen, die Emissionen für Bohrungen auf Grundlage des Default-Faktors nach den IPCC GPG 2000 für Kohlendioxid und Methan nach dem Tier 1 Ansatz berechnet.

3.3.2.1.1.3 Unsicherheiten und Zeitreihenkonsistenz der Kategorie „Öl, Exploration“ (1.B.2.a.i)

Die Unsicherheiten der Aktivitätsraten für Erdöl- und Erdgasexploration werden mit +/- 5 % quantifiziert. Den Emissionsfaktoren werden die Default-Unsicherheiten der Good-Practice-Guidance 2000 von +/- 25 % zugeordnet.

Für die Aktivitätsraten und die Emissionsfaktoren wird eine konsistente Quelle über die gesamte Zeitreihe verwendet.

3.3.2.1.1.4 Kategoriespezifische Qualitätssicherung/-kontrolle und Verifizierung der Kategorie „Öl, Exploration“ (1.B.2.a.i)

Eine allgemeine Qualitätskontrolle und eine Qualitätssicherung durch die Fachseite und durch die Nationale Koordinierungsstelle wurden gemäß den Anforderungen des QSE-Handbuchs bzw. dessen mitgeltenden Unterlagen durchgeführt.

Aufgrund fehlender landesspezifischer Daten wurde ein externes Gutachten (Müller-BBM, 2009a) in Auftrag gegeben. Es kam in seiner Quellgruppenanalyse zu dem Ergebnis, dass die Default-Faktoren für Deutschland anwendbar sind. Ein Vergleich mit anderen Ländern konnte aufgrund der geringen Vergleichsmöglichkeiten und aufgrund nicht ineinander umrechenbarer Einheiten nicht durchgeführt werden.

3.3.2.1.2 „Öl, Förderung und Vorbehandlung“ (1.B.2.a.ii)

Gas	Angewandte Methode	Quelle der Aktivitätsdaten	benutzte Emissionsfaktoren
CO_2, CH_4	Tier 2	AS	CS
NMVOC	Tier 2	AS	CS

3.3.2.1.2.1 Beschreibung der Kategorie „Öl, Förderung und Vorbehandlung“ (1.B.2.a.ii)

Die Emissionen der Kategorie setzen sich aus den Tätigkeiten der Branche der Förderung (Rohöl) und der Vorbehandlung von Rohstoffen (Erdöl) der Erdölindustrie zusammen. Die Förderung von Erdöl in Deutschland ist wegen ihrer alten Lagerstätten sehr energieintensiv (Thermalförderung, Pumpenbetrieb zur Wassereinpressung in die Lagerstätte).

Die Vorbehandlung des geförderten Erdöls (Rohöls) in Aufbereitungsanlagen dient der Entgasung, Entwässerung und Entsalzung von Rohöl. Die unmittelbar aus den Bohrlöchern gewonnenen Rohöle entsprechen in ihrer Zusammensetzung nicht den Erfordernissen zum sicheren und problemlosen Transport in Rohrleitungen, da sie Verunreinigungen, einen Gasanteil und vor allem Wasser enthalten. Es erfolgt keine Stoffumwandlung. Störende Beimengungen, insbesondere mit dem Erdöl gefördertes Begleitgas (Erdölgas), Salze und Wasser werden entfernt, um Rohöl geeigneter Qualität für die Beförderung in Rohrleitungen (Pipelines) zu erzeugen.

Aktivitätsraten

Tabelle 113: Fördermenge Erdöl in kt

1990	1995	2000	2005	2010	2014	2015
3.606	2.959	3.113	3.573	2.516	2.439	2.414

(Jahresbericht des WEG, 2014).

Emissionsfaktoren

Tabelle 114: Verwendete Emissionsfaktoren für die Förderung und Aufbereitung

Gas	Emissionsfaktor	Methode	Quelle
CO_2	88,4 g/m³	Tier 2	Expertenschätzung
CH_4	169,4 g/m³	Tier 2	Expertenschätzung
NMVOC	21,4 g/m³	Tier 2	Expertenschätzung

Emissionen und Trend

Tabelle 115: Emissionen der Kategorie 1.B.2.a.ii

Gas	Gesamtemissionen			Trend		Erläuterung
	1990	2014	2015	seit 1990	gegenüber Vorjahr	
Methan	1.081 t	482 t	474 t	-56 %	-2 %	Die Emissionen sinken gegenüber 1990 aufgrund fallender Produktionsmenge und verbesserter emissionsmindender Techniken im Bereich Förderung und Aufbereitung.
Kohlendioxid	460 t	250 t	247 t	-46 %	-1 %	
NMVOC	108 t	63 t	60 t	-44 %	-5 %	

3.3.2.1.2.2 Methodische Aspekte der Kategorie „Öl, Förderung und Vorbehandlung“ (1.B.2.a.ii)

Die Emissionen aus der Förderung und Aufbereitung werden von den Betreibern gemessen bzw. errechnet und im jährlichen WEG Bericht veröffentlicht. Die Emissionsfaktoren werden aus den berichteten Emissionen und der Aktivitätsrate in Tabelle 113 ermittelt.

Die Berechnung der Emissionen erfolgt nach dem Tier 2 Ansatz.

3.3.2.1.2.3 Unsicherheiten und Zeitreihenkonsistenz der Kategorie „Öl, Förderung und Vorbehandlung“ (1.B.2.a.ii)

Die Unsicherheiten in der Kategorie werden bei der Aktivitätsrate mit 5 bis 10 % angegeben und beruhen auf Schätzungen von Experten des WEG und der nationalen Experten.

Die Unsicherheiten der Emissionsfaktoren in der Kategorie entsprechen 25 %.

3.3.2.1.2.4 Kategoriespezifische Qualitätssicherung/-kontrolle und Verifizierung der Kategorie „Öl, Förderung und Vorbehandlung“ (1.B.2.a.ii)

Eine allgemeine Qualitätskontrolle und eine Qualitätssicherung durch die Fachseite und durch die Nationale Koordinierungsstelle wurden gemäß den Anforderungen des QSE-Handbuchs bzw. dessen mitgeltenden Unterlagen durchgeführt.

Die verwendeten Emissionsfaktoren entsprechen der Größenordnung der IPCC Guidelines 2006 angegebenen Emissionsfaktoren.

Tabelle 116: IEF Vergleich mit IPCC Default Werten

Gas	Verwendeter CS Emissionsfaktor	IPCC GL 2006 (Tabelle 4.2.4)	
	Einheit in [g/m³]	Einheit in [Gg/1000m³]	Einheit in [g/m³]
CO_2	88,1 g/m³	$1{,}1*10^{-07}$ bis $2{,}6*10^{-04}$	0,11 – 260,00
CH_4	169,4 g/m³	$1{,}5*10^{-06}$ bis $6{,}0*10^{-02}$	1,50 – 60.000
NMVOC	21,4 g/m³	$1{,}8*10^{-06}$ bis $4{,}5*10^{-03}$	1,80 – 4500,0

3.3.2.1.3 „Öl, Transport“ (1.B.2.a.iii)

Gas	Angewandte Methode	Quelle der Aktivitätsdaten	benutzte Emissionsfaktoren
CH_4	Tier 2	AS	CS
NMVOC	Tier 2	AS	CS

3.3.2.1.3.1 Beschreibung der Kategorie „Öl, Transport“ (1.B.2.a.iii)

Die Emissionen der Kategorie setzen sich aus den Tätigkeiten der Branche der Logistikunternehmen und Betreiber von Rohrleitungen und Rohrleitungsnetzen zusammen. Nach der Vorbehandlung wird Rohöl zu den Anlagen der Verarbeitung befördert.

Der Transport von Rohöl erfolgt fast ausschließlich mittels Rohrfernleitungen. Die Rohrfernleitungen sind ortsfest und im Regelfall unterirdisch verlegt. Anders als beim übrigen Verkehr wird der Transport nicht durch Umschlagvorgänge unterbrochen.

Aktivitätsraten

Tabelle 117: Transport von im Inland produziertem Rohöl in kt

1990	1995	2000	2005	2010	2014	2015
3.606	2.959	3.113	3.573	2.516	2.439	2.414

(Statistischer Bericht des WEG, 2015).

Tabelle 118: Transport von importiertem Rohöl in kt

1990	1995	2000	2005	2010	2014	2015
84.043	86.063	89.280	97.474	98.084	102.061	102.061

(Fortschreibung für 2015 aufgrund eingestellter Statistik).

Tabelle 119: Transport von Rohöl mittels Binnentankschiffen in kt

1990	1995	2000	2005	2010	2014	2015
88,9	66,6	111,8	176,4	5,6	53,8	43,1

(Statistisches Bundesamt, Fachserie 8, Reihe 4, Tabelle 2.1).

Emissionsfaktoren

Tabelle 120: Verwendete Aktivitätsraten und Emissionsfaktoren für die Kategorie 1.B.2.a.iii „Transport von Rohöl“

Quellgruppe	Aktivität (AR)	Einheit	Gas	Emissionsfaktor (EF)	Einheit
Transport von importiertem Rohöl	102,06	Mio. t/a	NMVOC	0,0,064	kg/t
			CH4	0,0064	
Transport von im Inland produziertem Rohöl	2,41		NMVOC	0,13	
			CH4	0,013	

Emissionen und Trend

Tabelle 121: Emissionen der Kategorie 1.B.2.a.iii

Gas	Gesamtemissionen 1990	2014	2015	Trend seit 1990	gegenüber Vorjahr	Erläuterung
NMVOC	5.885 t	6,867 t	6,860 t	17 %	- 1 %	Der steigende Trend wird im Wesentlichen durch die höhere Menge an transportiertem Öl bestimmt.
CH4	588 t	687 t	686 t	17 %	- 1%	

3.3.2.1.3.2 Methodische Aspekte der Kategorie „Öl, Transport“ (1.B.2.a.iii)

Die Berechnung der Emissionen erfolgt nach dem Tier-2 Ansatz.

Der Emissionsfaktor für Methan wurde für die Pipelines aus den IPCC Guidelines 2006 übernommen, für die Binnentankschiffe von Experten geschätzt. Im Forschungsvorhaben Theloke et al „Ermittlung von Emissionsfaktoren und Aktivitätsraten im Bereich 1.B.2.a.i bis vi“ (2013) wurden diese Emissionsfaktoren bestätigt. Da Rohrfernleitungen ständig überwacht werden und es nur sehr selten zu Störfällen kommt (CONCAWE – „Performance of European cross country oil pipelines“) treten Emissionen nur in geringen Maßen an Umschlagspunkten auf. Der Emissionsfaktor ist daher sehr konservativ.

Der Emissionsfaktor beinhaltet den Umschlag/das Einpumpen in der Förderstation und sämtliche Infrastruktur (Verbindungen, Regler, Messgeräte) entlang der Pipelines sowie den Umschlag an der Raffinerie und wurde unter konservativen Annahmen ermittelt. Für die importierte Menge wird nur ein Übergabepunkt (nur Ausspeisestation) angenommen, da die Einspeisestation ins Pipelinenetz nicht auf nationalem Gebiet liegt.

3.3.2.1.3.3 Unsicherheiten und Zeitreihenkonsistenz der Kategorie „Öl, Transport“ (1.B.2.a.iii)

Die Unsicherheiten der Emissionsfaktoren werden mit +/- 20 % quantifiziert, die Aktivitätsraten mit +/- 10 %. Die Emissionsfaktoren und die Aktivitätsraten sind über die gesamte Zeitreihe konsistent.

3.3.2.1.3.4 Kategoriespezifische Qualitätssicherung/-kontrolle und Verifizierung der Kategorie „Öl, Förderung und Vorbehandlung“ (1.B.2.a.iii)

Eine allgemeine Qualitätskontrolle und eine Qualitätssicherung durch die Fachseite und durch die Nationale Koordinierungsstelle wurden gemäß den Anforderungen des QSE-Handbuchs bzw. dessen mitgeltenden Unterlagen durchgeführt.

Die verwendeten Emissionsfaktoren entsprechen der Größenordnung der in den IPCC Guidelines 2006 angegebenen Emissionsfaktoren.

Tabelle 122: IEF Vergleich mit IPCC Default Werten

Gas	Verwendeter CS Emissionsfaktor Einheit in [g/m³]	IPCC GL 2006 (Tabelle 4.2.4) Einheit in [Gg/1000m³]	Einheit in [g/m³]
CH_4	6 g/m³	5,4*10-06	5,4
NMVOC	55 g/m³	5,4*10-05	54,0

3.3.2.1.4 „Öl, Verarbeitung und Lagerung“ (1.B.2.a.iv)

Gas	Angewandte Methode	Quelle der Aktivitätsdaten	benutzte Emissionsfaktoren
CO_2	Tier 2	AS	CS
CH_4	Tier 2	AS	CS
SO_2	Tier 2	AS	CS
CO	Tier 2	AS	CS
NO_x	Tier 2	AS	CS
NMVOC	Tier 2	AS	CS

3.3.2.1.4.1 Beschreibung der Kategorie „Öl, Verarbeitung und Lagerung“ (1.B.2.a.iv)

Die Emissionen der Kategorie setzen sich aus den Tätigkeiten der Branche der Raffinerien und der Verarbeitungsbetriebe der Mineralölindustrie zusammen. In Deutschland werden Rohöl und Mineralölzwischenprodukte verarbeitet. Die Betriebe erhalten überwiegend Rohöl zur Verarbeitung. Die Verarbeitung erfolgt in technisch modernen Anlagen.

Raffinerietanklager enthalten sowohl Rohöle als auch Zwischen- und Fertigprodukte und unterscheiden sich daher von raffineriefernen Tanklagern sowohl hinsichtlich der gelagerten Produkte als auch der umgeschlagenen Mengen. Raffinerieferne Tanklager dienen insbesondere der Zwischenlagerung von Heizöl, Ottokraftstoffen sowie Diesel.

Für Tankprüfungen und zu Reparaturzwecken werden Tanks geleert und gereinigt. Bei der Tankreinigung wird zwischen Rohöltanks und Produktentanks unterschieden. Die Rohöltankreinigung ist aufgrund der Sedimentabsetzungen wesentlich aufwendiger als bei Produktentanks. Diese enthalten keine sedimentierbaren Stoffe und werden deshalb nur bei Produktwechsel gereinigt. Entsprechend einer Abschätzung von [Müller-BBM, 2009b] kann davon ausgegangen werden, dass die Emissionsfaktoren für die Lagerung von Rohölen und Mineralölprodukten Reinigungsvorgänge mit berücksichtigen.

Aktivitätsraten

Tabelle 123: Verarbeitete Menge an Rohöl in kt

1990	1995	2000	2005	2010	2014	2015
107.058	96.475	107.632	114.589	95.398	91.307	92.870

(Jahresbericht MWV 2016).

Tabelle 124: Auslastungsgrad der Raffinerien in kt

1990	1995	2000	2005	2010	2014	2015
106,2	92,1	95,3	99,5	81,1	88,3	91

(UBA interne Berechnung, MWV Jahresbericht 2016).

Tabelle 125: Rohöldestillationskapazität in Raffinerien, in kt

1990	1995	2000	2005	2010	2014	2015
100.765	104.750	112.940	115.630	117.630	103.406	102.055

(Jahresbericht MWV 2016).

Tabelle 126: Lagerkapazität von Tanklagern in Raffinerien und Pipelineterminals, in Mio m^3

1990	1995	2000	2005	2010	2014	2015
27,2	28,4	24,9	24,0	22,5	22,4	22,05

(Jahresbericht MWV 2016).

Tabelle 127: Lagerkapazität von raffineriefernen Tanklagern, in Mio m^3

1990	1995	2000	2005	2010	2014	2015
41,9	41,2	46,0	44,2	43,2	41,1	40,8

(Jahresbericht MWV 2016).

Emissionsfaktoren

Tabelle 128: Verwendete Emissionsfaktoren für die Kategorie 1.B.2.a.iii „Diffuse Emissionen in Raffinerien“

Gas	Emissionsfaktor	Methode	Quelle
CH_4	0,647 g/t	Tier 2	Expertenschätzung
CO	0,598 g/t	Tier 2	Expertenschätzung
CO_2	594,001 g/t	Tier 2	Expertenschätzung
SO_2	0,439 g/t	Tier 2	Expertenschätzung
NMVOC	24,647 g/t	Tier 2	Expertenschätzung
NO_x	0,001 g/t	Tier 2	Expertenschätzung

Tabelle 129: Verwendeter Emissionsfaktor für die Kategorie 1.B.2.a.iii „Anodenherstellung in Raffinerien“

Gas	Emissionsfaktor	Methode	Quelle
CO_2	200,7 kg/t	Tier 2	Expertenschätzung

Tabelle 130: Verwendete Emissionsfaktoren für die Kategorie 1.B.2.a.iii „Lagerung und Reinigung von Rohöl in Tanklagern von Raffinerien“

Gas	Emissionsfaktor	Methode	Quelle
CH_4	0,016 kg/t	Tier 2	Expertenschätzung
NMVOC	0,144 kg/t	Tier 2	Expertenschätzung

Tabelle 131: Verwendete Emissionsfaktoren für die Kategorie 1.B.2.a.iii „Lagerung von flüssigen Mineralölprodukten in raffineriefernen Tanklagern“

Gas	Emissionsfaktor	Methode	Quelle
CH_4	5 g/m³	Tier 2	Expertenschätzung
NMVOC	100 g/m³	Tier 2	Expertenschätzung

Tabelle 132: Verwendete Emissionsfaktoren für die Kategorie 1.B.2.a.iii „Lagerung von gasförmigen Mineralölprodukten in raffineriefernen Tanklagern“

Gas	Emissionsfaktor	Methode	Quelle
CH_4	150 g/m³	Tier 2	Expertenschätzung
NMVOC	500 g/m³	Tier 2	Expertenschätzung

Emissionen und Trend

Tabelle 133: Emissionen der Kategorie 1.B.2.a.iv

Gas	Gesamtemissionen 1990	2014	2015	Trend seit 1990	gegenüber Vorjahr	Erläuterung
Kohlendioxid	282.240 t	289.460 t	312.583 t	11 %	8 %	Der Trend beim CO2 wird durch die Anodenherstellung beeinflusst. Der fallende Trend wird bei Methan und NMVOC durch verbesserte Emissionsminderungstechniken in Raffinerien und bei der Lagerung von Raffinerieprodukten beeinflusst.
Methan	14.502 t	7.904 t	8.020 t	- 45 %	1 %	
NMVOC	97.183 t	41.106 t	41.477 t	- 57 %	1%	

3.3.2.1.4.2 Methodische Aspekte der Kategorie „Öl, Verarbeitung und Lagerung“ (1.B.2.a.iv)

Die Berechnung der Emissionen erfolgt für alle Teilbereiche nach dem Tier-2 Ansatz.

Verarbeitung

Die verwendeten Emissionsfaktoren für NMVOC, CH_4, CO_2, CO, NO_x und SO_2 stammen aus Auswertungen der Emissionserklärungen 2004 und 2008 von Theloke et al. (2013).

Anodenherstellung

Die Aktivitätsrate errechnet sich aus der Menge an Petrolkoks abzüglich des Eigenverbrauchs (Katalysatorabbrand – siehe 1.A.2). Die Daten stammen aus der amtlichen Mineralölstatistik [BAFA 2014]. Dieser sogenannte Grünkoks wird zur Veredelung durch eine Kalzinierung verarbeitet. Der Emissionsfaktor errechnet sich aus dieser Aktivitätsrate und den Emissionsdaten des ETS.

Tanklager in Raffinerien

Nach Ergebnissen des Forschungsprojekts „Aufbereitung von Daten der Emissionserklärungen gemäß 11. BImSchV - Bereich Lageranlagen“ [Müller-BBM, 2009b] wird für die Abschätzung der Emissionen aus der Lagerung in Raffinerien als Aktivitätsrate die Rohöldestillationskapazität herangezogen. Als Emissionsfaktor kann für die diffusen VOC-Emissionen der in der VDI-Richtlinie 2440 genannte Wert von 0,16 kg/t angesetzt werden. Davon abgeleitet wurde der EF für Methan (5-10 % von 0,16 kg) und entsprechend abgezogen.

Raffinerieferne Tanklager

Aus der Auswertung der Emissionserklärungen für Lageranlagen lassen sich laut Müller-BBM (2009b) wegen des offensichtlich sehr unterschiedlichen Emissionsverhaltens der einzelnen Anlagen keine für Einzelanlagen repräsentative Emissionsfaktoren ableiten. Es konnten jedoch aggregierte Emissionsfaktoren gebildet werden, indem für die jeweiligen Datenkollektive die Summen aller Emissionen auf die Summen aller Kapazitäten bezogen wurden. In raffinieferne Tanklagern kann zwischen der Lagerung von flüssigen und gasförmigen Mineralölprodukten unterschieden werden, da die Daten in der entsprechenden Differenzierung vorliegen.

3.3.2.1.4.3 Unsicherheiten und Zeitreihenkonsistenz der Kategorie „Öl, Verarbeitung und Lagerung“ (1.B.2.a.iv)

Für die Emissionsfaktoren für die Verarbeitung von Rohöl wurden Unsicherheiten von +/- 20 % angenommen. Die Unsicherheiten der Aktivitätsraten werden mit +/- 10 % angenommen. Für den Bereich Lagerung und Reinigung werden die Gesamtunsicherheiten der Emissionen mit +/- 40 % eingeschätzt. Diese Angaben beruhen auf Schätzungen von nationalen Experten sowie aus dem Forschungsbericht von Müller-BBM (2009b) und Theloke et al. (2013).

Emissionsfaktoren und Aktivitätsraten sind über die komplette Zeitreihe konsistent.

3.3.2.1.4.4 Kategoriespezifische Qualitätssicherung/-kontrolle und Verifizierung der Kategorie „Öl, Verarbeitung und Lagerung“ (1.B.2.a.iv)

Eine allgemeine Qualitätskontrolle und eine Qualitätssicherung durch die Fachseite und durch die Nationale Koordinierungsstelle wurden gemäß den Anforderungen des QSE-Handbuchs bzw. dessen mitgeltenden Unterlagen durchgeführt.

Ein Abgleich mit anderen Ländern ist aufgrund der Komplexität der Kategorie nicht möglich. Dies wurde auch auf dem EU-Workshop in Dessau 2014 deutlich. Für eine Vergleichbarkeit mit den IPCC Guidelines wurden die Faktoren der Raffinierung und der Rohöllagerung aufsummiert.

Tabelle 134: IEF Vergleich mit IPCC Default Werten

Quelle	Gas	Verwendeter CS Emissionsfaktor Einheit in [g/m³]	IPCC GL 2006 (Tabelle 4.2.4) Einheit in [Gg/1000m³]	Einheit in [g/m³]
Lagerung	CH_4	13,8		
Raffinierung	CH_4	0,56		
Summe	**CH_4**	**14,4**	**$2{,}6*10^{-06}$ - $41{,}0*10^{-06}$**	**2,6 - 41,0**
Lagerung	NMVOC	124,1		
Raffinierung	NMVOC	21,5		
Summe	**NMVOC**	**145,6**	**0,0013**	**1.300**

Der Emissionsfaktor für Methan liegt im Bereich des Default-Wertes der IPCC Guidelines. Der von NMVOC liegt eine Größenordnung niedriger, jedoch ist der Default-Wert mit einer Unsicherheit von +/- 100% behaftet. Der Faktor im EMEP Guidebook (Tabelle 3-1) liegt bei 0,2 kg/t, was 172 g/m^3 entspricht und somit in der Größenordnung des deutschen Emissionsfaktors.

3.3.2.1.5 „Öl, Verteilung von Ölprodukten“ (1.B.2.a.v)

Gas	Angewandte Methode	Quelle der Aktivitätsdaten	benutzte Emissionsfaktoren
NMVOC	Tier 2	AS	CS

3.3.2.1.5.1 Beschreibung der Kategorie „Öl, Verteilung von Ölprodukten“ (1.B.2.a.v)

Die Kategorie umfasst den Transport und Umschlag von Ölprodukten mittels Binnentankschiffen, Rohrleitungen, Eisenbahnkesselwagen und Straßentankfahrzeugen sowie die Reinigung der Transportfahrzeuge.

Aktivitätsraten

Tabelle 135: Tankstellenbestand in Deutschland, Anzahl

1990	1995	2000	2005	2010	2014	2015
19.317	17.957	16.324	15.187	14.744	14.562	14.531

(MWV 2016).

Tabelle 136: Verteilte Mengen an Mineralölprodukten, in kt

	1990	1995	2000	2005	2010	2014	2015
Dieselkraftstoff	21.817	26.208	28.922	28.531	32.128	35.587	36.756
Flugturbinenkraftstoff	4.584	5.455	6.939	8.049	8.465	8.526	8.537
Leichtes Heizöl	31.803	34.785	27.875	25.380	21.005	16.807	16.127
Ottokraftstoff	31.257	30.333	28.833	23.431	19.634	18.527	18.226

(MWV 2016).

Tabelle 137: Transport von Mineralöl mittels Binnentankschiffen, in kt

1990	1995	2000	2005	2010	2014	2015
3.000	3.000	3.000	2.783	6.358	4.839	4.756

(Statistisches Bundesamt, Fachserie 8, Reihe 4, Tabelle 2.1; Daten vor 2001 Schätzungen des UBA).

Emissionsfaktoren

Die nachfolgend aufgeführten Emissionsfaktoren wurden in der Studie [Theloke et al. 2013] verifiziert. Das Modell bei der Emissionsberechnung von Ottokraftstoffen wird im Kapitel 3.3.2.1.5.2 erläutert.

Mineralölprodukte werden mittels Binnentankschiffen, Rohrleitungen für Produkte, Eisenbahnkesselwagen und Straßentankfahrzeugen transportiert und zwischen den jeweiligen Tanks umgeschlagen. Die Betankungsemissionen von Flugzeugen werden von Experten als nicht vorhanden eingeordnet, da bei der Betankung Trockenkupplungen zum Einsatz kommen. Die Emissionen bei der Befüllung von privaten Heizölkesseltanks sind durch hohe Sicherheitsstandards ebenfalls sehr gering.

In dieser Kategorie werden Mineralölprodukte umgeschlagen und verteilt, die in der Raffinerie einer fraktionierten Destillation unterzogen wurden, bei der gasförmige Produkte bereits abgetrennt wurden – daher werden keine signifikanten Methanemissionen erwartet. Lediglich bei der Lagerung einiger Mineralölprodukte können geringe Mengen Methan entweichen.

Tabelle 138: Verwendete NMVOC Emissionsfaktoren für die Kategorie 1.B.2.a.v „Verteilung von Ottokraftstoffen“

Emissionsverursachender Vorgang	Emissionsfaktor [kg/t]	Methode	Quelle
Tropfverluste bei der Betankung an der Tankstelle	0,117 kg/t	Tier 2	Expertenschätzung
Verteilung von Tankwagen zu Tankstelle (20. BImSchV – Gaspendelung)	1,4[39] kg/t	M (Tier 2)	Expertenschätzung
Ventilierung beim Transport mit Binnentankschiffen	0,025 kg/t	Tier 2	Expertenschätzung
Verteilung von Tank Tankstelle zu Tank Fahrzeug (21. BImSchV – Gasrückführung)	1,4 kg/t	M (Tier 2)	Expertenschätzung

Tabelle 139: Verwendete NMVOC Emissionsfaktoren für die Kategorie 1.B.2.a.v „Verteilung von Dieselkraftstoffen“

Emissionsverursachender Vorgang	Emissionsfaktor [kg/t]	Methode	Quelle
Tropfverluste bei der Betankung an Tankstelle	0,1 kg/t	Tier 2	Expertenschätzung
Transport von Raffinerie zu Transportfahrzeug	0,008 kg/t	Tier 2	Expertenschätzung
Verteilung von Tank Tankstelle zu Tank Fahrzeug	0,003 kg/t	Tier 2	Expertenschätzung

Tabelle 140: Verwendete NMVOC Emissionsfaktoren für die Kategorie 1.B.2.a.v „Verteilung von leichtem Heizöl“

Emissionsverursachender Vorgang	Emissionsfaktor [kg/t]	Methode	Quelle
Tropfverluste bei der Betankung an Umschlagsstation	0,0011 kg/t	Tier 2	Expertenschätzung
Transport von Raffinerie zu Transportfahrzeug	0,0053 kg/t	Tier 2	Expertenschätzung
Verteilung von Tank Tankstelle zu Tank Fahrzeug	0,0063 kg/t	Tier 2	Expertenschätzung

Tabelle 141: Verwendete NMVOC Emissionsfaktoren für die Kategorie 1.B.2.a.v „Verteilung von Flugturbinenkraftstoffen“

Emissionsverursachender Vorgang	Emissionsfaktor [kg/t]	Methode	Quelle
Tropfverluste bei der Betankung an Umschlagsstation	0 kg/t	Tier 2	Expertenschätzung
Transport von Raffinerie zu Transportfahrzeug	0,055 kg/t	Tier 2	Expertenschätzung
Verteilung von Tank Tankstelle zu Tank Fahrzeug	0,02 kg/t	Tier 2	Expertenschätzung

Emissionen und Trend

Tabelle 142: Emissionen der Kategorie 1.B.2.a.v

Gas	Gesamtemissionen 1990	2014	2015	Trend seit 1990	Trend gegenüber Vorjahr	Erläuterung
NMVOC	82,8 kt	13,2 kt	13,2 kt	- 75 %	-1 %	Die sinkenden Emissionen sind im Wesentlichen auf die Einführung der 20. und 21. BImSchV zurückzuführen und die damit verbundene stufenweise Einführung von Gasrückführungs- und Gaspendelungsanlagen

3.3.2.1.5.2 Methodische Aspekte der Kategorie „Öl, Verteilung von Ölprodukten“ (1.B.2.a.v)

Transport

Nach dem Transport von Ottokraftstoffen mittels ***Binnentankschiffen*** befinden sich in den entladenen Tanks noch erhebliche Mengen an Ottokraftstoffdämpfen. Die Tanks müssen z.B. bei Ladungswechsel oder Werftaufenthalt entgast (ventiliert) werden. Bei einer durchschnittlichen Anzahl von 277 Ventilierungen pro Jahr ergibt sich eine emittierte Menge von 336 - 650 t NMVOC [BIPRO 2010]. Zur Berechnung der Emissionen wird der höchste Wert angenommen.

Jährlich werden etwa 13 Mio. m^3 Ottokraftstoffe in Deutschland mit ***Kesselwagen*** per Bahn transportiert. Durch Umschlag (Befüllen/Entladen) und Verluste aus den Tanks werden jährlich lediglich 1.400 t VOC emittiert [UBA 2004b]. Die Emissionssituation macht deutlich, dass der technische Ausrüstungsstand von Eisenbahnkesselwagen und Umschlagseinrichtungen bereits ein hohes Niveau erreicht hat.

[39] Faktor ist ohne Minderungsmaßnahmen – siehe hierzu Tabelle 143

Tankstellen

Beim Umfüllen aus Tankfahrzeugen in Lagertanks und bei der Betankung von Kraftfahrzeugen gelangt eine bedeutsame Menge an diffusen Emissionen von VOC in die Umwelt. Zur Ermittlung der Emissionen wird ein einheitlicher Emissionsfaktor von 1,4 kg/t herangezogen. Dies entspricht der Sättigungskonzentration von Kohlenwasserstoffdämpfen und damit der maximal möglichen Emissionsmenge ohne Minderungsmaßnahmen.

Mit den 1992 und 1993 immissionsschutzrechtlichen Vorschriften (20. und 21. BImSchV) für Tankstellen zur Begrenzung dieser Emissionen wurden Minderungsmaßnahmen gefordert. Diese betreffen sowohl den Bereich des Umfüllens und der Lagerung von Ottokraftstoffen (20. BImSchV) als auch den Bereich der Betankung von Fahrzeugen mit Ottokraftstoffen an Tankstellen (21. BImSchV).

Der Einsatz vorgeschriebener Minderungstechniken wie die Installation von Gaspendelungs- (20. BImSchV) und Gasrückführungssystemen (21. BImSchV) und der Einsatz von automatischen Überwachungseinheiten (mit der Novellierung der 21. BImSchV am 6.5.2002) führten zu einem stetigen Rückgang der VOC-Emissionen, was durch den Anwendungsgrad abgebildet wird (Tabelle 143).

Für die Berechnung der Emissionen werden die Anwendungs- und Wirkungsgrade der beiden Verordnungen auf den Tankstellenbestand mit berücksichtigt. Mit den derzeit vorhandenen technischen Möglichkeiten wird von folgenden Annahmen ausgegangen:

Tabelle 143: Anwendungs- und Wirkungsgrad der 20. und 21. Bundesimmissionsschutzverordnung (BImSchV) an Tankstellen

Verordnung		Faktor	
20. BImSchV	Gaspendelung	Anwendungsgrad	98 %
		Wirkungsgrad	98 %
21. BImSchV	Gasrückführung	Anwendungsgrad	98 %
		Wirkungsgrad	85 %

Für die Berechnung der Emissionen wird dann folgende Formel herangezogen:

Emission = Aktivitätsrate * ungeminderter Emissionsfaktor (aus Tabelle 138) * (Anwendungsgrad * (1 - Wirkungsgrad) + (1 - Anwendungsgrad))

Reinigung von Transportfahrzeugen

Die Tankinnenreinigung wird vor Reparaturarbeiten, vor Sicherheitsprüfungen, bei einem Produktwechsel oder bei einem Mietwechsel durchgeführt.

Derzeit wird im Inventar die Reinigung von Eisenbahnkesselwagen berücksichtigt. Die bei der Entleerung der Eisenbahnkesselwagen verbleibenden Restmengen, zwischen 0 und 30 Litern (in Ausnahmefällen bis zu mehreren 100 Litern), emittieren in der Regel nicht vollständig. Sie sind eine Quelle für Emissionen bei der Tankinnenreinigung.

Jährlich erfolgen etwa 2.500 Reinigungsvorgänge bei Ottokraftstoffkesselwagen. Die bei der Tankinnenreinigung von Kesselwagen entstehenden Emissionen über die Abluft betragen ca. 40.000 kg/a VOC [UBA 2004b, S.34].

Weitere Maßnahmen zur Vermeidung und Verminderung können nur noch gering die Emissionen in dieser Kategorie beeinflussen. Durch eine Kombination verschiedener technischer und organisatorischer Maßnahmen lassen sich die aktuellen Emissionen jedoch noch etwas weiter reduzieren. Eine wesentliche Ursache für Emissionen während der Handhabung z.B. beim

Umschlag in Eisenbahnkesselwagen sind vor allem die Restmengen, die beim Entleeren zurückbleiben und beim nächsten Befüllvorgang über das Mannloch emittieren können. In diesem Zusammenhang wird untersucht, inwieweit die „best practice“ an allen Umschlagstationen konsequent umgesetzt werden und dies bei der Bestimmung der Emissionen berücksichtigt werden muss. Außerdem führt eine Verbesserung des Tankeinfüllstutzens zu einem höheren Wirkungsgrad bezüglich der Vermeidung der VOC-Emissionen während des Betankungsvorgangs.

Nach dem UBA-Text (2004b) wird 1/3 der Transporte mit Eisenbahnkesselwagen durchgeführt. Die übrigen 2/3 der Transporte erfolgen mit anderen Transportmitteln, vorwiegend mit Tanklastwagen.

Es wird davon ausgegangen, dass die im Bericht vorgenommene Aufteilung von 1/3 zu 2/3 auch auf die entstehenden Emissionen bei der Reinigung bezogen werden kann. Derzeit umfasst das Inventar Emissionen aus der Reinigung von Eisenbahnkesselwagen in Höhe von 36.000 kg NMVOC. Daraus wurde abgeleitet, dass die Emissionen bei der Reinigung der anderen Transportmittel – hauptsächlich Straßentankfahrzeuge – ca. 70.000 kg NMVOC betragen.

Eine konsequentere Erfassung der Emissionen bei der Öffnung des Mannlochs im Kesselwagen (es entweichen ca. 14,6 m^3) sowie eine weitergehende Behandlung der Abluft aus der Tankinnenreinigung können VOC-Emissionen zusätzlich reduzieren. Zur Abluftreinigung wird eine einstufige Aktivkohleadsorption angenommen. Damit kann bei einer Ausgangsbeladung von 1 kg/m^3 die Abluftkonzentration um 99,5 % auf unter 5 g/m^3 gemindert werden. Somit verbleiben Restemissionen von lediglich 1,1 t. Dies entspricht einer Minderung gegenüber der ermittelten 36,5 t/a (ohne Adsorption) um ca. 97 % [UBA, 2004b, S.34].

3.3.2.1.5.3 Unsicherheiten und Zeitreihenkonsistenz der Kategorie „Öl, Verteilung von Ölprodukten“ (1.B.2.a.v)

Die Unsicherheiten in der Kategorie werden bei den Emissionsdaten mit +/- 20% (95%-Konfidenzintervall, Normalverteilung) angegeben, die Aktivitätsraten zu +/- 5% quantifiziert [Theloke et.al. 2013].

3.3.2.1.5.4 Kategoriespezifische Qualitätssicherung/-kontrolle und Verifizierung der Kategorie „Öl, Verteilung von Ölprodukten“ (1.B.2.a.v)

Eine allgemeine Qualitätskontrolle und eine Qualitätssicherung durch die Fachseite und durch die Nationale Koordinierungsstelle wurden gemäß den Anforderungen des QSE-Handbuchs bzw. dessen mitgeltenden Unterlagen durchgeführt.

Ein Vergleich mit anderen Ländern lässt sich nicht durchführen, da in den CRF-Tabellen nicht ersichtlich ist, welche Faktoren für die berichteten Emissionen einen Einfluss hatten. Ferner haben in der Submission 2013 lediglich Spanien und Schweden NMVOC Emissionen in diese Kategorie berichtet. Bei den Methanemissionen lassen sich nur für Island und Kroatien IEF ableiten. Ein Abgleich mit den IPCC Guidelines 2006 lässt sich nicht durchführen, da dort keine Default-Faktoren angegeben sind.

3.3.2.2 Gas (1.B.2.b)

KC	Category	Activity	EM of	1990 (kt CO_2-e.)	(fraction)	2015 (kt CO_2-e.)	(fraction)	Trend 1990-2015
L/T	**1.B.2.b Fugitive Emissions from Fuels: Natural Gas**	**Gaseous Fuels**	**CH4**	**7.939,9**	**0,65%**	**4.824,7**	**0,54%**	**-39,2%**
-/-	1.B.2.b Fugitive Emissions from Fuels: Natural Gas	Gaseous Fuels	CO2	1.407,7	0,12%	1.152,2	0,13%	-18,1%

Die Kategorie 1.B.2.b „Erdgas“ ist für CH_4-Emissionen aus Erdgas eine Hauptkategorie nach der Emissionshöhe und dem Trend.

3.3.2.2.1 „Gas, Exploration“ (1.B.2.b.i)

Gas	Angewandte Methode	Quelle der Aktivitätsdaten	benutzte Emissionsfaktoren
CH_4	IE	IE	IE
NMVOC	IE	IE	IE

3.3.2.2.1.1 Beschreibung der Kategorie „Gas, Exploration“ (1.B.2.b.i)

Die Kategorie 1.B.2.b.i wird zusammen mit der Kategorie 1.B.2.a.i (Exploration, Erdöl) behandelt. Dementsprechend sind die zusammengefassten nicht unterteilten Daten von 1.B.2.b.i in der Kategorie 1.B.2.a.i enthalten.

3.3.2.2.1.2 Methodische Aspekte der Kategorie „Gas, Exploration“ (1.B.2.b.i)

Eine Differenzierung der Explorationen nach Öl und Gas wurde untersucht [Öko 2014], jedoch aufgrund fehlender Statistiken und der sehr geringen Emissionsmengen nicht weiter verfolgt. Die Emissionen sind somit komplett für Öl- und Gasexploration unter 1.B.2.a.i ausgewiesen.

3.3.2.2.1.3 Unsicherheiten und Zeitreihenkonsistenz der Kategorie „Gas, Exploration“ (1.B.2.b.i)

Zur Erläuterung der Unsicherheiten und Zeitreihenkonsistenz 1.B.2.a.i.

3.3.2.2.1.4 Kategoriespezifische Qualitätssicherung/-kontrolle und Verifizierung der Kategorie „Gas, Exploration“ (1.B.2.b.i)

Eine allgemeine und kategoriespezifische Qualitätskontrolle und eine Qualitätssicherung durch die Fachseite und durch die Nationale Koordinierungsstelle wurden gemäß den Anforderungen des QSE-Handbuchs bzw. dessen mitgeltenden Unterlagen durchgeführt. Zur Erläuterung der Verifizierung siehe 1.B.2.a.i.

3.3.2.2.2 „Gas, Förderung“ (1.B.2.b.ii)

Gas	Angewandte Methode	Quelle der Aktivitätsdaten	benutzte Emissionsfaktoren
CO_2, CH_4	Tier 2	AS	CS
NMVOC	Tier 2	AS	CS

3.3.2.2.2.1 Beschreibung der Kategorie „Gas, Förderung“ (1.B.2.b.ii)

Die Emissionen der Kategorie setzen sich aus den Tätigkeiten bei der Förderung zusammen.

Aktivitätsraten

Tabelle 144: Fördermenge Erdgas in Mio m^3

1990	1995	2000	2005	2010	2014	2015
15,3	19,1	20,1	18,8	12,7	9,2	8,6

(Statistischer Bericht des WEG, 2015).

Emissionsfaktoren

Tabelle 145: Verwendete Emissionsfaktoren für die Förderung für das Jahr 2015

Gas	Emissionsfaktor	Methode	Quelle
CO_2	0,11 g/m³	Tier 2	Expertenschätzung
CH_4	0,12 g/m³	Tier 2	Expertenschätzung
NMVOC	0,01 g/m³	Tier 2	Expertenschätzung

Emissionen und Trend

Tabelle 146: Emissionen der Kategorie 1.B.2.b.ii

Gas	Gesamtemissionen 1990	2014	2015	Trend seit 1990	gegenüber Vorjahr	Erläuterung
Methan	5.799 t	1.581 t	1.027 t	- 82 %	- 35 %	Die Emissionen sinken gegenüber 1990 aufgrund fallender Produktionsmenge und verbesserter emissionsmindender Techniken
Kohlendioxid	1.450 t	965 t	899 t	- 38 %	- 7 %	
NMVOC	580 t	110 t	77 t	- 87 %	- 30 %	

3.3.2.2.2 Methodische Aspekte der Kategorie „Gas, Förderung“ (1.B.2.b.ii)

Die Emissionen aus der Förderung werden seit 1998 durch den WEG ermittelt und im Jahresbericht publiziert. Vor 1998 wurden die Emissionen mittels Default-Faktoren aus den IPCC Guidelines 2006 ermittelt. Die Berechnung der Emissionen erfolgt nach dem Tier-2 Ansatz.

3.3.2.2.3 Unsicherheiten und Zeitreihenkonsistenz der Kategorie „Gas, Förderung“ (1.B.2.b.ii)

Die Unsicherheiten in der Kategorie werden bei der Aktivitätsrate mit 5 % angegeben und beruhen auf Schätzungen von Experten des WEG und der nationalen Experten.

Die Unsicherheiten der Emissionsfaktoren in der Kategorie entsprechen 25 %.

3.3.2.2.4 Kategoriespezifische Qualitätssicherung/-kontrolle und Verifizierung der Kategorie „Gas, Förderung“ (1.B.2.b.ii)

Eine allgemeine und kategoriespezifische Qualitätskontrolle und eine Qualitätssicherung durch die Fachseite und durch die Nationale Koordinierungsstelle wurden gemäß den Anforderungen des QSE-Handbuchs bzw. dessen mitgeltenden Unterlagen durchgeführt.

Die verwendeten Emissionsfaktoren entsprechen der Größenordnung der in den IPCC Guidelines 2006 angegebenen Emissionsfaktoren.

Tabelle 147: IEF Vergleich mit IPCC Default Werten

Gas	Verwendeter CS Emissionsfaktor Einheit in [g/m³]	IPCC GL 2006 (Tabelle 4.2.5) Einheit in [Gg/106m³]	Einheit in [g/m³]
CO_2	0,11 g/m³	1,4*10-05 bis 1,8*10-04	0,014 – 0,18
CH_4	0,12 g/m³	3,8*10-04 bis 2,4*10-02	0,380 – 24,0
NMVOC	0,01 g/m³	9,1*10-05 bis 1,2*10-03	0,091 – 1,20

3.3.2.2.3 Gas, Verarbeitung (1.B.2.b.iii)

Gas	Angewandte Methode	Quelle der Aktivitätsdaten	benutzte Emissionsfaktoren
CO_2, CH_4	Tier 2	AS	CS
CO	Tier 2	AS	CS
SO_2, NMVOC	Tier 2	AS	CS

3.3.2.2.3.1 Beschreibung der Kategorie (1.B.2.b.iii)

Die Emissionen der Kategorie setzen sich aus den Tätigkeiten der Vorbehandlung und Verarbeitung zusammen.

Aus der Tiefe kommendes Erdgas wird über Tage zunächst in Trocknungs- und Aufbereitungsanlagen behandelt. Diese Vorbehandlung des Erdgases findet in der Regel in Anlagen auf der Förderstation statt. Dabei werden mitgefördertes Lagerstättenwasser, flüssige Kohlenwasserstoffe und Feststoffe abgeschieden. Der noch verbliebene Wasserdampf wird dem Gas unter Verwendung von Glykol entzogen [WEG 2008a[40], S. 25]. Gastrocknungsanlagen sind in sich geschlossene Systeme, bei denen alle Überdruckabsicherungen aus Sicherheitsgründen in ein Fackelsystem eingebunden sind. Für den Fall der Auslösung dieser Druckabsicherung wird das überschüssige Gas zu einer Fackelspitze geleitet und kann dort sicher verbrannt werden. Das nach der Trocknung verkaufsgerechte Erdgas kann dem Kunden direkt über Pipelines geliefert werden [EXXON 2014]. Die Menge an abgefackeltem Gas wird unter 1.B.2.c berichtet.

Das aus der geologischen Formation des Zechsteins in Deutschland geförderte schwefelwasserstoffhaltige Erdgas - so genanntes Sauergas - erfordert eine spezielle Aufbereitung. Dieses Gas wird durch gesonderte und wegen der Gefährlichkeit des Schwefelwasserstoffs zusätzlich gesicherte Rohrleitungen in die deutschen Aufbereitungsanlagen transportiert, wo ihm in chemisch-physikalischen Waschprozessen der Schwefelwasserstoff entzogen wird. In Deutschland werden bei der Erdgasförderung ca. 40 % Sauergas mitgefördert (WEG 2008).

Das Erdgas verlässt die Aufbereitungsanlage in verbrauchsfähiger Qualität. Der Schwefelwasserstoff wird in elementaren Schwefel umgewandelt und dient hauptsächlich der chemischen Industrie als Grundstoff.

Aktivitätsraten

Tabelle 148: Schwefelproduktion aus der Erdgasgewinnung in Deutschland in kt

1990	1995	2000	2005	2010	2014	2015
915	1.053	1.100	1.050	832	708	628

(Statistischer Bericht des WEG, 2015).

Die Förderung von Erdgas wird im Kapitel 3.3.2.2.2.1 in Tabelle 144 aufgelistet.

Emissionsfaktoren

Tabelle 149: Verwendete Emissionsfaktoren für die Kategorie 1.B.2.b.iii „Aufbereitung“

Gas	Emissionsfaktor	Methode	Quelle
NMVOC	0,01 kg/ Tsd. m³		
CH_4	0,11 kg/ Tsd. m³	Tier 2	Verbandsdaten
CO_2	336 kg/ Tsd. m³		

[40] WEG 2008a: Erdgas-Erdöl, Entstehung-Suche-Förderung, Hannover, 34 Seiten

Emissionen und Trend

Tabelle 150: Emissionen der Kategorie 1.B.2.b.iii

Gas	Gesamtemissionen 1990	2014	2015	Trend seit 1990	gegenüber Vorjahr	Erläuterung
Methan	5.340 t	404 t	377 t	- 93 %	- 7%	Der Erfassung von Luftemissionen der E&P-Industrie erfolgt nach einem industrieweit abgestimmten Verfahren41. Daher schwanken die jährlichen Emissionswerte zum Teil und ergeben keine Gerade. Der starke Anstieg beim NMVOC erklärt sich durch den Methodenwechsel.
Kohlendioxid	1.404 kt	1.265 kt	1.150 kt	- 18 %	- 9 %	
NMVOC	12 t	29 t	27 t	225 %	– 7%	

3.3.2.2.3.2 Methodische Aspekte (1.B.2.b.iii)

Die Berechnung der Emissionen erfolgte nach dem Tier-2 Ansatz.

Für die Sauergasaufbereitung werden Daten des WEG seit 2000 verwendet. Diese stammen aus Messungen und Berechnungen der Mitglieder. Vor 2000 wird der mittlere CO_2-Emissionsfaktor von 0,23 t/Tsd.m^3 aus Österreich angewandt, da nach Aussagen des WEG die deutsche Entschwefelungsanlage mit der österreichischen Anlage vergleichbar ist.

Zur Berechnung der Emissionen aus der Sauergasaufbereitung wird ein Splitfaktor bezogen auf die Aktivitätsrate von 0,4 verwendet. Diese Angabe zum Splitfaktor basiert auf dem WEG-Bericht zur Sauergasbehandlung (WEG, 2008a).

3.3.2.2.3.3 Unsicherheiten und Zeitreihenkonsistenz (1.B.2.b.iii)

Die Unsicherheiten in der Kategorie werden bei den Emissionsdaten mit 10 bis 30 % angegeben. Diese Angaben beruhen auf Schätzungen der nationalen Experten und liegen in der angegebenen Spanne relevanter Default-Emissionsfaktoren [IPCC GPG 2000; Kapitel 2.7.1.6.].

3.3.2.2.3.4 Kategoriespezifische Qualitätssicherung/-kontrolle und Verifizierung (1.B.2.b.iii)

Eine allgemeine und kategoriespezifische Qualitätskontrolle und eine Qualitätssicherung durch die Fachseite und durch die Nationale Koordinierungsstelle wurden gemäß den Anforderungen des QSE-Handbuchs bzw. dessen mitgeltenden Unterlagen durchgeführt.

Tabelle 151: IEF Vergleich mit IPCC Default Werten

Quelle	Verwendeter CS Emissionsfaktor Einheit in [g/m³]	IPCC GL 2006 (Tabelle 4.2.4)[42] Einheit in [Gg/10^{6}m³]	Einheit in [g/m³]
CO_2	336	$7{,}9*10^{-06}+ 3{,}6*10^{-3}+ 6{,}3*10^{-2}$	66,608
CH_4	0,11	$9{,}7*10^{-05} + 2{,}4*10^{-6}$	0,099
NMVOC	0,01	$6{,}8*10^{-05} + 1{,}9*10^{-6}$	0,068

Ein Vergleich mit den IPCC Default Faktoren [Tabelle 4.2.4 in den IPCC GL 2006] zeigt den nationalen Emissionsfaktoren für Methan in der Bandbreite der Defaultfaktoren. Der für Kohlendioxid übersteigt den Wert aber massiv, jedoch liegt Deutschland im Vergleich mit Österreich (s. folgende Tabelle) in derselben Größenordnung. Ein Abgleich mit anderen Ländern konnte nicht durchgeführt werden, da in den CRF Tabellen nicht ersichtlich ist, welcher Anteil aufbereiteten Erdgases dem Sauergas zuzuordnen ist.

41 WEG: „Leitfaden zu Erfassung der Umweltdaten der WEG Mitgliedsfirmen“, Eigenverlag, letzte Überarbeitung Sept. 2006

42 Addition von diffusen und Fackelemissionen sowie Rohgasventilierung (Raw-CO_2-venting)

Tabelle 152: Kohlendioxid-Emissionsfaktorvergleich

Quelle	Verwendeter CS Emissionsfaktor Einheit in [g/m³]
Österreich	230
Deutschland	336

3.3.2.2.4 Gas, Weiterleitung (1.B.2.b.iv)

Gas	Angewandte Methode	Quelle der Aktivitätsdaten	benutzte Emissionsfaktoren
CH_4 (Weiterleitung)	Tier 3	AS	CS
CH_4 (Speicherung)	Tier 2	AS	CS

3.3.2.2.4.1 Beschreibung der Kategorie (1.B.2.b.iv)

Die Emissionen der Quellgruppe setzen sich aus den Tätigkeiten der Branche der Gasproduzenten und der Gasversorger zusammen. In Deutschland wird Gas von Betrieben/Anlagen der Förderung und der Verarbeitung zu Unternehmen der Gasversorgung und Gasverarbeitung weitergeleitet. Ferner erfolgen Import und Weiterleitung von Erdgas mittels Fernleitungen.

Zur Weiterleitung von Gas werden fast ausschließlich Stahlleitungen verwendet [DBI 2014a].

Aktivitätsraten

Tabelle 153: Länge der Hochdruckfernleitungen, in km

1990	1995	2000	2005	2010	2014	2015
22.696	29.866	32.214	34.086	35.503	35.575	35.595

[BDEW-Daten sowie Internetrecherche unter Fernnetzbetreiber]

Ein Teil des Erdgases wird zur zeitlichen Unterbrechung (zur Wahrung der Versorgungssicherheit) der Weiterleitung in unterirdischen Speichern zwischengelagert.

Tabelle 154: Unterirdische Gasspeichervolumina, Angaben in Milliarden Kubikmeter

	1990	1995	2000	2005	2010	2012	2014	2015
Kavernenspeicher	2,8	4,8	6,1	6,8	9,2	12,1	14,3	14,3
Porenspeicher	5,2	8,5	12,5	12,4	12,1	10,8	10,3	9,8

[Statistischer Bericht des WEG, 2015]

Ein wesentlicher Emissionspfad sind Verdichter, die zur Druckaufrechterhaltung an den Leitungen. ca. aller 100 km (GASUNIE 2014) eingesetzt werden. Derzeit haben diese Verdichter eine Gesamtleitung von ca. 2550 MW Daten aus "Netzentwickungsplan Gas 2012"]. Hinzu kommen Absperreinrichtungen (Schieber), die sich aus Sicherheitsgründen im Abstand von ca. 30 km entlang der Hochdruckleitungen befinden sowie Gas-Druckregel(mess)anlagen (GDR(M)A).

Emissionsfaktoren

In Deutschland wird gefördertes Erdgas von den Förderfeldern und den dortigen Förderstationen (auf Land und vor der Küste), sowie importiertes Erdgas hauptsächlich über Rohrleitungen weitergeleitet.

Tabelle 155: Verwendete Methan-Emissionsfaktoren für die Kategorie 1.B.2.b.iv „Weiterleitung“

Einrichtung	Wert	Methode	Quelle
Hochdruckfernleitung	159 kg/km	T3	Expertenschätzung
Verdichter	30.229 m³/MW	T2	Expertenschätzung
Schieberknoten	46.845 m³/No.	T2	Expertenschätzung
Gas-Druckregel(mess)anlagen	764 m³/No	T2	Expertenschätzung
Kavernenspeicher	0,05 kg/Tsd.m³ (Vn)[43]	T2	Expertenschätzung
Porenspeicher	0,05 kg/Tsd.m³ (Vn)[43]	T2	Expertenschätzung

Tabelle 156: Verwendete Kohlendioxid-Emissionsfaktoren für die Kategorie 1.B.2.b.iv „Weiterleitung“

Einrichtung	Wert	Methode	Quelle
Hochdruckfernleitung	1,3 kg/km	T3	Expertenschätzung
Verdichter	183 m³/MW	T2	Expertenschätzung
Schieberknoten	271 m³/No.	T2	Expertenschätzung
Gas-Druckregel(mess)anlagen	4,5 m³/No	T2	Expertenschätzung
Kavernenspeicher	0,6 g/Tsd.m³ (Vn) [43]	T2	Expertenschätzung
Porenspeicher	0,6 g/Tsd.m³ (Vn) [43]	T2	Expertenschätzung

Emissionen und Trend

Tabelle 157: Emissionen der Kategorie 1.B.2.b.iv

Gas	Gesamtemissionen			Trend		Erläuterung
	1990	2014	2015	seit 1990	gegenüber Vorjahr	
Methan	44,4 kt	76,3 kt	76,1 kt	71 %	0 %	Die Emissionen steigen aufgrund des Zubaus neuer Fernhochdruckleitungen und damit verbundenen Verdichtern sowie Meß- und Sicherheitseinrichtungen.
Kohlendioxid	210 t	313 t	313 t	71 %	0 %	

3.3.2.2.4.2 Methodische Aspekte (1.B.2.b.iv)

Die Berechnung der Emissionen aus Erdgastransport erfolgte nach dem Tier-3 Ansatz.

Die Berechnung der Emissionen aus Erdgasspeicherung, aus Verdichterstationen, Gas-Druckregel(mess)anlagen und Schieberknoten erfolgte nach dem Tier-2 Ansatz.

Der Emissionsfaktor der unterirdischen Erdgasspeicherung wurde mittels Betreiberbefragung und Auswertung von Störungsstatistiken ermittelt [Müller-BBM 2012] und ist gültig für Poren- und Kavernenspeicher. Er wird als sehr konservativ angesehen. Der Emissionsfaktor für die Verdichteranlagen sowie die Schieberknoten stammt aus dem Forschungsvorhaben DBI 2014b.

Oberirdische Gasspeicher werden unter 1.B.2.b.v berichtet.

3.3.2.2.4.3 Unsicherheiten und Zeitreihenkonsistenz (1.B.2.b.iv)

Die Unsicherheiten in der Kategorie werden bei den Emissionsdaten mit 10 bis 30 % angegeben. Diese Angaben beruhen auf Schätzungen der nationalen Experten und liegen in der angegebenen Spanne relevanter Default-Emissionsfaktoren (IPCC GPG 2000; Kapitel 2.7.1.6.). Für die Untergrundspeicher wird eine Unsicherheit von -50% angenommen, da die verwendeten Faktoren mit einem sehr konservativen Ansatz ermittelt wurden.

[43] Verfügbares Arbeitsgasvolumen normiert auf 273 K und 1013 hPa.

3.3.2.2.4.4 Kategoriespezifische Qualitätssicherung/-kontrolle und Verifizierung (1.B.2.b.iv)

Eine allgemeine und kategoriespezifische Qualitätskontrolle und eine Qualitätssicherung durch die Fachseite und durch die Nationale Koordinierungsstelle wurden gemäß den Anforderungen des QSE-Handbuchs bzw. dessen mitgeltenden Unterlagen durchgeführt.

Ein Vergleich der Kategorie mit den IPCC Default Faktoren (Tabelle 4.2.8) zeigt, dass die Emissionsfaktoren für Methan innerhalb der angegebenen Bandbreite liegen. Für Kohlendioxid liegen keine Vergleichswerte vor.

Tabelle 158: IEF Vergleich mit IPCC Default Werten

Einrichtung	CS-Emissionsfaktor	IPCC GL 2006 – Tabelle 4.2.8
Verdichter	30.229 m³/MW	6.000 – 100.000 m³/MW
Absperreinrichtungen (Schieberknoten)[44]	46.845 m³/No.	1.000 – 50.000 m³/No

Die Emissionsfaktoren der Verdichter und Absperreinrichtungen sind im Bereich der IPCC Faktoren. Alle verwendeten Emissionsfaktoren wurden mittels Vorhaben (DBI 2014a und DBI 2014b) verifiziert. Der Faktor für die Schieberknoten wird als sehr konservativ angesehen, da dieser in einer Studie für das russische Transportnetz aufgestellt wurde (Wuppertal Institut für Klima, Umwelt und Energie; Max-Planck-Institut für Chemie, „Treibhausgasemissionen des russischen Erdgas-Exportpipeline-Systems," Wuppertal; Mainz, 2005.).

3.3.2.2.5 Gas, Verteilung (1.B.2.b.v)

Gas	Angewandte Methode	Quelle der Aktivitätsdaten	benutzte Emissionsfaktoren
CH_4	Tier 3	AS	CS

3.3.2.2.5.1 Beschreibung der Kategorie (1.B.2.b.v)

Die durch die Gasverteilung verursachten Emissionen sind trotz deutlich gestiegener Gasdurchleitungen und eines gegenüber 1990 deutlich erweiterten Verteilungsnetzes leicht zurückgegangen. Ursache hierfür ist zum einen die Erneuerung des Gasverteilungsnetzes insbesondere im Osten Deutschlands. So wurde insbesondere der Anteil der Graugussrohre im Niederdrucknetz reduziert und durch emissionsärmere Kunststoffrohrleitungen ersetzt. Eine weitere Ursache dieser Reduzierung ist die Minderung der diffusen Verteilungsverluste in der Folge technischer Verbesserungen (technisch dichte Armaturen wie Flansche, Ventile, Pumpen, Kompressoren) als Resultat der Implementierung von Anforderungen zur Emissionskontrolle aus Regularien (TA Luft 1986 und 2002, VDI-Richtlinie 2440, 11-2000).

Aktivitätsraten

Tabelle 159: Gasverteilungsnetz, Angaben in km

Parameter	1990	1995	2000	2005	2010	2014	2015
Gesamtlänge Leitungsnetz[45]	282.612	366.987	362.388	402.391	471.886	502.000	505.000

[135. Gasstatistik 2013 des BDEW, eigene Erhebung]

[44] Der Emissionsfaktor errechnet sich aus den Komponenten Ausbläser und der Armatur (DBI 2014b); es wird angenommen, dass sich der angegebene IPCC Default-Faktor aufgrund der sehr hohen Werte auf die Schieber und nicht auf die Messstationen bezieht

[45] Die angegebenen Daten beinhalten auch die Hausanschlussleitungen

Tabelle 160: Anzahl Erdgasfahrzeuge in Deutschland

	1990	1995	2000	2005	2010	2014	2015
Anzahl	0	0	7.500	28.500	90.000	99.621	97.804

[Kraftfahrtbundesamt, eigene Erhebung]

Emissionsfaktoren für Methan

Einrichtung	Wert	Methode	Quelle
Niederdruck aus Stahl und dukt. Guss	372 kg/km	Tier 3	Expertenschätzung
Niederdruck aus Kunststoff	51 kg/km	Tier 3	Expertenschätzung
Niederdruck aus Grauguss	445 kg/km	Tier 3	Expertenschätzung
Mitteldruck aus Stahl und dukt. Guss	207 kg/km	Tier 3	Expertenschätzung
Mitteldruck aus Kunststoff	28 kg/km	Tier 3	Expertenschätzung
Hochdruck aus Stahl und dukt. Guss	62 kg/km	Tier 3	Expertenschätzung
Hochdruck aus Kunststoff	0,3 kg/km	Tier 3	Expertenschätzung
Obertagespeicher	5 kg/Tsd.m³ (Vn)[46]	Tier 2	Expertenschätzung
Gasdruckregel(mess)anlagen	256 kg/No	Tier 2	Expertenschätzung
Erdgasfahrzeuge	0,33 kg/Fahrzeug	Tier 2	Expertenschätzung

Emissionsfaktoren für Kohlendioxid

Einrichtung	Wert	Methode	Quelle
Niederdruck aus Stahl und dukt. Guss	3,1 kg/km	Tier 3	Expertenschätzung
Niederdruck aus Kunststoff	0,4 kg/km	Tier 3	Expertenschätzung
Niederdruck aus Grauguss	3,7 kg/km	Tier 3	Expertenschätzung
Mitteldruck aus Stahl und dukt. Guss	1,7 kg/km	Tier 3	Expertenschätzung
Mitteldruck aus Kunststoff	0,2 kg/km	Tier 3	Expertenschätzung
Hochdruck aus Stahl und dukt. Guss	0,5 kg/km	Tier 3	Expertenschätzung
Hochdruck aus Kunststoff	2,5 g/km	Tier 3	Expertenschätzung
Obertagespeicher	34 g/Tsd.m³ (Vn)[46]	Tier 2	Expertenschätzung
Gasdruckregel(mess)anlagen	1,7 kg/No	Tier 2	Expertenschätzung
Erdgasfahrzeuge	2,3 g/Fahrzeug	Tier 2	Expertenschätzung

Emissionen und Trend

Tabelle 161: Emissionen der Kategorie 1.B.2.b.v

Gas	Gesamtemissionen 1990	2014	2015	Trend seit 1990	gegenüber Vorjahr	Gas
Methan	232,9 kt	88,0 kt	88,8 kt	- 62 %	1 %	Die Emissionen sinken aufgrund der emissionsärmeren Materialien im Leitungsnetz – insbesondere durch den Austausch der Graugussrohre
Kohlendioxid	1,77 kt	0,6 kt	0,6 kt	- 62 %	1 %	

3.3.2.2.5.2 Methodische Aspekte (1.B.2.b.v)

Rohrleitungsnetz

Die Berechnung erfolgt mittels Tier-3-Ansatzes auf der Grundlage der verfügbaren BDEW-Netzstatistiken und eigenen Erhebungen. In den frühen 1990er Jahren wurden auch die Emissionen der Verteilung von Stadtgas in die Berechnungen einbezogen. Das Stadtgasverteilungsnetz hatte 1990 einen Anteil von 16 % am gesamten Gasnetz, davon 15 % im Graugussnetz- und 85 % im Stahl- und Duktilgussbereich.

Die Emissionsfaktoren des Verteilungsnetzes wurden vom 2012 [STOLLER, DBI 2012] und 2014 [DBI 2014] verifiziert.

[46] Verfügbares Arbeitsgasvolumen normiert auf 273 K und 1013 hPa.

Der verwendete Emissionsfaktor für Methan von 256 kg/Station für die Gas-Druckregel(mess)anlagen im Verteilungsnetz wurden von Experten des UBA auf Basis der Daten der DBI Studie 2014b ermittelt.

Speicher

Zur Einlagerung von mittleren Erdgasmengen zum Ausgleich kurzzeitiger Verbrauchsschwankungen eignen sich künstliche oberirdische Speicher. In Deutschland stehen hierzu Kugel- und Röhrenspeicher sowie weitere Niederdruckbehälter zur Verfügung. Aufgrund der Ergebnisse eines Forschungsvorhabens [Müller-BBM 2012] konnten landesspezifische Emissionsfaktoren ermittelt werden. Die Berechnung der Emissionen erfolgt mittels Tier-2-Ansatz.

Erdgasfahrzeuge und Tankstellen

Weiterhin gibt es in Deutschland einen steigenden Trend zur Nutzung von erdgasbetriebenen Fahrzeugen. Diese werden an CNG-Tankstellen, welche an das öffentliche Netz angeschlossen sind, mittels Kompressoren aus Hochdruckzwischenspeichern betankt. Es gibt derzeit ca. 900 CNG-Tankstellen landesweit [Müller-BBM 2012]. Aufgrund der hohen Sicherheitsanforderungen bei der Betankung und auch bei den Tanks selbst, sind daher die Emissionen mit ca. 30 t pro Jahr sehr gering und werden im Wesentlichen bei der Druckprüfung und bei Entleerung von Tanks verursacht. Die Berechnung der Emissionen erfolgt mittels Tier-2-Ansatz.

Kälteverflüssigtes Erdgas (LNG)

Erdgas lässt sich bei -161°C verflüssigen und ist somit transportgeeignet. Dieser Prozess ist allerdings sehr energieintensiv und wird nur zur Überbrückung großer Distanzen angewendet. In Deutschland existiert derzeit kein LNG-Umschlagsterminal [Müller-BBM 2012]. Importe aus anderen Ländern erfolgen im Wesentlichen in gasförmiger Form über die Fernleitungen und werden unter 1.B.2.b.iv berücksichtigt.

In Deutschland existieren derzeit eine Erdgasverflüssigungsanlage und zwei Satellitenspeicheranlagen. Dortige Speicherungen und Umschlagvorgänge unterliegen höchsten sicherheitstechnischen Anforderungen, so dass Emissionen ausgeschlossen sind. Lediglich bei Wartungen können Kleinstmengen an Gas entweichen. Die Mengen bewegen sich im unteren dreistelligen Kilogrammbereich [Müller-BBM 2012].

3.3.2.2.5.3 Unsicherheiten und Zeitreihenkonsistenz (1.B.2.b.v)

Die Unsicherheiten in der Kategorie werden bei den Emissionsdaten mit 20-30 % angegeben. Diese Angaben beruhen auf Schätzungen von Experten und liegen in der angegebenen Spanne relevanter Default-Emissionsfaktoren [IPCC GL 2006, Tabelle 4.2.4].

3.3.2.2.5.4 Kategoriespezifische Qualitätssicherung/-kontrolle und Verifizierung (1.B.2.b.v)

Eine allgemeine und kategoriespezifische Qualitätskontrolle und eine Qualitätssicherung durch die Fachseite und durch die Nationale Koordinierungsstelle wurden gemäß den Anforderungen des QSE-Handbuchs bzw. dessen mitgeltenden Unterlagen durchgeführt.

Ein Vergleich der Kategorie mit anderen Ländern konnte aufgrund von nicht-ineinander umrechenbarer Einheiten nicht durchgeführt werden.

Tabelle 162: IEF Vergleich mit IPCC Default Werten

Methode	EF	AR	EM
CS (nur Verteilnetz)	99 kg/km[47]	505.000 km	50 kt
IPCC 2006	1,1 * 10^{-3} Gg/Mio.m³	75 Mrd. m³	83 kt

Die Emissionen liegen bei beiden Methoden in ähnlicher Größenordnung. Der IPCC Defaultfaktor liegt etwas höher, da hier vermutlich die Gasdruckregelanlagen mit enthalten sind.

3.3.2.2.6 Gas, Sonstige Leckagen (1.B.2.b.vi)

Gas	Angewandte Methode	Quelle der Aktivitätsdaten	benutzte Emissionsfaktoren
CH_4	Tier 2	AS	CS

3.3.2.2.6.1 Beschreibung der Kategorie (1.B.2.b.vi)

Die Kategorie beschreibt die Emissionen aus der Leckage im industriellen Bereich sowie bei Haushalten und Kleinverbraucher. Die Aktivitätsraten basieren auf den Ergebnissen der BDEW Gasstatistik und eigenen Erhebungen. Da die BDEW Gasstatistik zum Teil drei Jahre zeitverzögert veröffentlicht wird, werden zwischenzeitlich die Werte von der AGEB genommen.

Aktivitätsraten

Tabelle 163: Verwendete Aktivitätsraten für die Kategorie 1.B.2.b.vi „diffuse Emissionen bei Erdgas-Anwendern“

	1990	1995	2000	2005	2010	2014	2015
Anzahl der Gaszähler in Haushalten und Kleinverbrauchern [Mio.]	10,3	12,7	12,8	13,3	12,9	13,0	13,0
Energieverbrauch der Industrie [TWh]	323	361	370	399	335	322	327

[BDEW, AGEB, eigene Erhebung]

Emissionsfaktoren

Tabelle 164: Verwendete Methan-Emissionsfaktoren für die Kategorie 1.B.2.b.vi „diffuse Emissionen bei Erdgas-Anwendern“

Betriebsstätte	Gas	Wert	Methode	Quelle
Gaszähler und Armaturen in Haushalten und Kleinverbrauchern	CH_4	2 m³/No[48]	Tier 2	Expertenschätzung
Armaturen in Industrieanlagen	CH_4	0,4 m³/Tsd.m³	Tier 2	Expertenschätzung

[47] Gewichteter EF

[48] Durchschnittlicher Faktor bezogen auf Erdgasverlust pro Anzahl an Gaszähler in Haushalten

Emissionen und Trend

Tabelle 165: Emissionen der Kategorie 1.B.2.b.vi

Gas	Gesamtemissionen 1990	2014	2015	Trend seit 1990	gegenüber Vorjahr	Erläuterung
Methan	29,1 kt	26,6 kt	26,7 kt	- 9%	0 %	Der Rückgang ist zum einen durch die sinkende Anzahl an gasbetriebenen Endgeräten (insb. Gasherde) und zum anderen durch emissionsärmere Installationen zurückzuführen

3.3.2.2.6.2 Methodische Aspekte (1.B.2.b.v)

Die Emissionsfaktoren sind landesspezifisch und wurden mittels des Forschungsvorhabens "Methanemissionen durch den Einsatz von Gas in Deutschland von 1990 bis 1997 mit einem Ausblick auf 2010"; Frauenhofer ISI, 2000 ermittelt. Laut der Regelwerke DIN EN 1359, 3376-1, 3376-2 und der dort vorgeschriebenen Dichtheitsprüfung kann ein maximal zulässiger Wert von 1-5 l/h abgeleitet werden. Diese Werte werden jedoch beim 1,5 fachen Betriebsdruck ermittelt. Nationale Experten halten demnach den Wert von 2 m^3/Jahr für anwendbar. Emissionen die bei der Initialzündung an Endgeräten auftreten, sind bereits unter 1.A.4 berücksichtigt. Emissionen durch Undichtigkeiten an Hausanschlussleitungen sind aus statistischen Gründen unter 1.B.2.b.iv enthalten.

Die Berechnung der Emissionen erfolgt nach dem Tier-2 Ansatz.

3.3.2.2.6.3 Unsicherheiten und Zeitreihenkonsistenz (1.B.2.b.v)

Die Unsicherheiten in der Kategorie werden bei den Emissionsdaten mit 20 % angegeben. Diese Angaben beruhen auf Schätzungen von Experten und liegen in der angegebenen Spanne relevanter Default-Emissionsfaktoren [IPCC GPG 2000, Kapitel 2.7.1.6.].

3.3.2.2.6.4 Kategoriespezifische Qualitätssicherung/-kontrolle und Verifizierung (1.B.2.b.v)

Eine allgemeine und kategoriespezifische Qualitätskontrolle und eine Qualitätssicherung durch die Fachseite und durch die Nationale Koordinierungsstelle wurden gemäß den Anforderungen des QSE-Handbuchs bzw. dessen mitgeltenden Unterlagen durchgeführt.

Ein Vergleich der Kategorie mit anderen Ländern wurde durch VERICO SCE 2014 durchgeführt. Hierbei zeigten sich erhebliche Differenzen zu den Nachbarländern. Zwar weisen mehrere Länder Emissionen in dieser Kategorie auf, jedoch liegen diese im Schnitt zwei Größenordnungen unter den deutschen Werten. Die IPCC Guidelines 2006 geben zwar keine Methodenbeschreibung für diese Kategorie vor, jedoch in Tabelle 4.2.8 eine Bandbreite der zu erwartenden Emissionen vor.

Tabelle 166: IEF Vergleich mit IPCC Default Werten

Einrichtung	CS-Emissionsfaktor	IPCC GL 2006 – Tabelle 4.2.8
Anwenderverluste	2 m^3/No.[49]	2 bis 20 m^3/No.

[49] Der Emissionsfaktor für die Emissionen in der Industrie konnte nicht mit in den Vergleich gezogen werden, da die Einheiten sich nicht umrechnen lassen.

3.3.2.3 Abfackelung und Entlüftung (1.B.2.c)

KC	Category	Activity	EM of	1990 (kt CO_2-e.)	(fraction)	2015 (kt CO_2-e.)	(fraction)	Trend 1990-2015
-/-	1.B.2.c Venting and Flaring	0	CO_2	543,5	0,04%	380,5	0,04%	-30,0%
-/-	1.B.2.c Venting and Flaring	0	CH_4	1,6	0,00%	2,7	0,00%	65,3%
-/-	1.B.2.c Venting and Flaring	0	N_2O	1,1	0,00%	0,2	0,00%	-85,6%

Die Kategorien in der übergeordneten Gruppe der diffusen Emissionen aus 1.B.2.c "Abfackelung und Entlüftung" umfasst die direkt ausgeblasenen und über eine Verbrennung in die Atmosphäre emittierten Treibhausgase und Luftschadstoffe. Die Emissionen aus Entlüftungsvorgängen werden in den Kategorien 1.B.2.a.iv für Öl sowie 1.B.2.b.iii und 1.B.2.b.iv für Gas berücksichtigt.

Gas	Angewandte Methode	Quelle der Aktivitätsdaten	benutzte Emissionsfaktoren
CO_2	Tier 2	AS	CS
CH_4	Tier 2	AS	CS
N_2O	Tier 2	AS	CS
NMVOC	Tier 2	AS	CS

Die Kategorie 1.B.2.c „Abfackelung und Entlüftung“ ist keine Hauptkategorie.

3.3.2.3.1.1 Beschreibung der Kategorie „Abfackelung und Entlüftung“ (1.B.2.c)

Nach den allgemeinen Vorgaben aus der TA-Luft (2002) sind Gase und Dämpfe sowie Wasserstoff und Schwefelwasserstoff, die aus Druckentlastungsarmaturen und Entleerungseinrichtungen austreten, in ein Gassammelsystem einzuleiten. Die erfassten Gase werden soweit wie möglich in Prozessfeuerungen verbrannt. Sofern dies nicht möglich ist, werden die Gase einer Fackel zugeführt. Die Fackeln müssen mindestens die Anforderungen an Fackeln zur Verbrennung von Gasen aus Betriebsstörungen und Sicherheitsventilen erfüllen. Die Fackel ist für eine Raffinerie und für andere Anlagen in den Kategorien 1.B.2 eine unbedingt notwendige Sicherheitseinrichtung. Bei der Verarbeitung von Rohöl können aus unterschiedlichen Gründen gelegentlich zu hohe Drücke in den Prozessanlagen entstehen. Damit in solchen Fällen der Druck nicht so hoch wird, dass Behälter und Rohrleitungen platzen, muss der Überdruck durch Sicherheitsventile abgebaut werden können. Sicherheitsventile lassen das Produkt in Leitungen ab, die zur Fackel führen. Dort können die Gase, die bei Überdruck ausströmen, kontrolliert verbrannt werden. Durch Einrichtungen zur Fackelgasrückgewinnung wird der größte Teil der anfallenden Gase verflüssigt und wieder in den Verarbeitungsprozess rückgeführt oder in der Raffinerie für Feuerungszwecke genutzt. Kohlenwasserstoffe werden dabei zu mehr als 99 % zu CO_2 und H_2O umgesetzt. Am Fackelkopf ist daher selten mehr als eine kleine Zündflamme zu sehen.

Aktivitätsraten

Tabelle 167: Verarbeitete Rohölmenge, in Mio. t

1990	1995	2000	2005	2010	2014	2015
107	96	108	115	95	91	93

(Jahresbericht des MWV, 2016).

Tabelle 168: abgefackeltes Erdgas, in Mio. m^3

1990	1995	2000	2005	2010	2014	2015
36	33	36	19	12	11	10

(Statistischer Bericht des WEG 2015).

Emissionsfaktoren

Abfackelungsaktivitäten finden auf Förderanlagen und in Raffinerien statt. In Raffinerien werden diese differenziert nach Regelbetrieb und nach Störungs- bzw. An-/Abfahrbetrieb.

Tabelle 169: Verwendete Emissionsfaktoren für die Kategorie 1.B.2.c „Fackelemissionen bei der Erdgasförderung“

Gas	Wert	Methode	Quelle
CO_2	1,777 kg/m³	Tier 2	Expertenschätzung
NO	$2*10^{-8}$ kg/m³	Tier 1	IPCC Defaultwert

Tabelle 170: Verwendete Emissionsfaktoren für die Kategorie 1.B.2.c „Fackelemissionen an Erdölförderanlagen“

Gas	Wert	Methode	Quelle
CO_2	9,1 kg/t	Tier 2	Expertenschätzung
N_2O	0,55 g/t	Tier 1	IPCC Defaultwert

Emissionen von Methan und NMVOC sind bereits bei der Förderung enthalten. Laut WEG sind die Emissionen von Lachgas verschwindend gering. Um konservativ zu bleiben, wurde zur Berechnung der IPCC Defaultwert angenommen.

Tabelle 171: Verwendete Emissionsfaktoren für die Kategorie 1.B.2.c „Fackelemissionen an Raffinerien: Abfackelung-Normalbetrieb“

Gas	Wert	Methode	Quelle
CH_4	0,29 g/t	Tier 2	Expertenschätzung
CO_2	2,86 kg/t	Tier 2	Expertenschätzung
N_2O	0,01 g/t	Tier 2	Expertenschätzung
CO	0,33 g/t	Tier 2	Expertenschätzung
NMVOC	2,80 g/t	Tier 2	Expertenschätzung
SO_2	8,43 g/t	Tier 2	Expertenschätzung
NO_X (als NO_2)	0,41 g/t	Tier 2	Expertenschätzung

Tabelle 172: Verwendete Emissionsfaktoren für die Kategorie 1.B.2.c „Fackelemissionen an Raffinerien: Abfackelung-Störung“

Gas	Wert	Methode	Quelle
CH_4	0,08 g/t	Tier 2	Expertenschätzung
CO_2	1,28 kg/t	Tier 2	Expertenschätzung
N_2O	0,3 mg/t	Tier 2	Expertenschätzung
CO	4,16 g/t	Tier 2	Expertenschätzung
NMVOC	2,27 g/t	Tier 2	Expertenschätzung
SO_2	15,23 g/t	Tier 2	Expertenschätzung
NO_X (als NO_2)	3,49 g/t	Tier 2	Expertenschätzung

Die Emissionsfaktoren wurden aus den Emissionserklärungen 2004 und 2008 abgeleitet (Theloke et al 2013).

Emissionen und Trend

Tabelle 173: Emissionen der Kategorie 1.B.2.c „Abfackelung und Entlüftung“

Gas	Gesamtemissionen			Trend		Erläuterung
	1990	2014	2015	seit 1990	gegenüber Vorjahr	
Methan	66 t	104 t	109 t	65 %	5 %	Die Emissionen durch die Fackelanlagen sind aufgrund verbesserter Gasrückführtechniken kontinuierlich zurückgegangen
Kohlendioxid	544 kt	367 kt	381 kt	-30 %	4 %	
NMVOC	522 t	408 t	428 t	-18 %	5 %	
Lachgas	4 t	1 t	1 t	- 86 %	5 %	

3.3.2.3.1.2 Methodische Aspekte der Kategorie „Abfackelung und Entlüftung“ (1.B.2.c)

Emissionen bei der Entlüftung werden in der Kategorie 1.B.2.b.iii berücksichtigt. Die SO_2-Emissionen werden ermittelt aus der Aktivitätsrate des abgefackelten Erdgases [Tabelle 168] und einem Emissionsfaktor von 0,140 kg/ 1000 m^3, welcher einen durchschnittlichen H_2S-Gehalt von 5 Vol. % berücksichtigt.

Die Emissionsfaktoren wurden aus den Emissionsberichten, der Rohöldestillationskapazität und der Gesamtauslastung der deutschen Raffinerien gebildet. Als Basis dient das Auswertungsgutachten von Theloke et al. (2013).

Die Berechnung der Emissionen erfolgt nach dem Tier-2 Ansatz.

3.3.2.3.1.3 Unsicherheiten und Zeitreihenkonsistenz der Kategorie „Abfackelung und Entlüftung“ (1.B.2.c)

Für die Emissionsfaktoren der Abfackelungsprozesse im Normalbetrieb werden quantitative Unsicherheiten von +/-10 % (95 % Konfidenzintervall, Normalverteilung) angenommen. Die Unsicherheiten der Aktivitätsraten werden mit +/-5 % (95 % Konfidenzintervall, Normalverteilung) angenommen.

Die Unsicherheiten der Emissionsfaktoren störungsbedingter Abfackelungsprozesse (Störungs-, An- und Abfahrbetrieb) sind weitaus größer, da die Emissionsmenge jedes Jahr sehr unterschiedlich sein kann. Sie werden mit -90 %/ +300 % (95% Konfidenzintervall, Lognormal-Verteilung) abgeschätzt. Die Unsicherheiten der Aktivitätsraten werden mit +/-10 % (95 % Konfidenzintervall, Normalverteilung) angenommen (Theloke et al. 2013).

3.3.2.3.1.4 Kategoriespezifische Qualitätssicherung/-kontrolle und Verifizierung der Kategorie „Abfackelung und Entlüftung“ (1.B.2.c)

Eine allgemeine Qualitätskontrolle und eine Qualitätssicherung durch die Fachseite und durch die Nationale Koordinierungsstelle wurden gemäß den Anforderungen des QSE-Handbuchs bzw. dessen mitgeltenden Unterlagen durchgeführt.

Ein Vergleich der Kategorie mit den IPCC Guidelines zeigt einen erheblichen Unterschied der einzelnen Faktoren. Auf dem EU-Workshop in Dessau 04/2014 waren sich die Experten einig, dass die Defaultwerte deutlich über den aktuell in Europa vorhandenen Emissionsfaktoren liegen.

Tabelle 174: IEF Vergleich mit IPCC Default Werten

Gas und Einrichtung	Verwendeter CS Emissionsfaktor[50] Einheit in [g/m³]	IPCC GL 2006 (Tabelle 4.2.4) Einheit in [Gg/1000m³]	Einheit in [g/m³]
CO_2 in Raffiniefackeln	3.569	$3,4*10^{-02}$	34.000
CH_4 in Raffiniefackeln	0,32	$2,1*10^{-05}$	21
NMVOC in Raffiniefackeln	4,37	$1,7*10^{-05}$	17
CO_2 in Erdölförderanlagen	7844	$4,1*10^{-02}$	41.000
CO_2 in Erdgasförderanlagen	1532	$1,2*10^{-03}$	1.200

3.3.2.4 Geothermie (1.B.2.d)

3.3.2.4.1 Beschreibung der Kategorie (1.B.2.d)

Die Kategorie 1.B.2.d „Geothermie“ ist keine Hauptkategorie.

Geothermie ist eine regenerative Energieform. Geothermiesysteme, die die Erdwärme bis zu einer Tiefe von 400 Metern nutzen, zählen zur oberflächennahen Geothermie. Systeme der oberflächennahen Geothermie stellen über Wärmepumpen Wärme und Kälte bereit und dienen zur Brauchwassererwärmung. Geothermiesysteme, die die Erdwärme in Tiefen von größer als 400 Metern nutzen, zählen zur tiefen Geothermie. Geothermische Heizwerke versorgen Energieverbraucher über Fern- oder Nahwärme-/kältenetze mit Wärme und Kälte, indem der Wärmeinhalt des Thermalwasserstroms direkt genutzt wird. Geothermische Kraftwerke wandeln die Wärme des Thermalwasserstroms technisch in Strom und erzeugen i.d.R. in einem gekoppelten Prozess Strom und Wärme.

Bis Ende 2015 waren 33 Tiefengeothermieanlagen mit einer elektrischen Leistung von 32,2 MW und 280,7 MW thermischer Leistung in Betrieb, 3 Anlagen mit einer elektrischen Leistung von 5,3 MW und 47,0 MW thermischer Leistung befinden sich im Bau und weitere 30 Anlagen sind geplant.

Beim Betrieb der Geothermiekraftwerke und Geothermieheizwerke in Deutschland treten keine Emissionen von klimawirksamen Gasen auf. Der Thermalwasserkreislauf ist geschlossen und wird untertägig und obertägig unter Luftabschluss betrieben, so dass während des Betriebs keine Emissionen auftreten. Selbst eine Freisetzung der im Wärmeträgerfluid gelösten Gase - vor allem H_2, CH_4, CO_2 und H_2S – würde keine berichtenswerte Konzentration erreichen (vgl. „Umwelteffekte einer geothermischen Stromerzeugung, Analyse und Bewertung der klein- und großräumigen Umwelteffekte einer geothermischen Stromerzeugung“, FKZ 205 42 110, Kapitel A.2.3.5). Daher werden die Emissionen mit „NO“ berichtet. Der Eigenstrombedarf aller Geothermieanlagen, größtenteils Antriebsenergie für Pumpen, wurde im Jahr 2015 mit Strom aus dem Netz gedeckt und wird im Bericht unter den entsprechenden Quellgruppen inventarisiert.

3.3.2.4.2 Methodische Aspekte (1.B.2.d)

Das IPCC Reference Manual beschreibt keine Methodik für die Kategorie 1.B.2.d „Andere“ (IPCC, 1996: Band 3, S. 1.132f)

Emissionsfaktoren für Treibhausgase und Luftschadstoffe, die bei Bohrungen zur Erschließung der oberflächennahen und der tiefen Geothermie entweichen könnten, wurden in Deutschland nicht ermittelt. Wie aus der Exploration von Öl- und Gaslagerstätten bekannt, muss bei Bohrungen stets mit einer Freisetzung von im Untergrund gebundenen Gasen gerechnet werden – dies können H_2, CH_4, CO_2 und H_2S und Rn sein (vgl. „Umwelteffekte einer geothermischen

[50] Für Raffinerien ermittelt aus Mittelwert zwischen Normal- und Störungsbetrieb

Stromerzeugung Analyse und Bewertung der klein- und großräumigen Umwelteffekte einer geothermischen Stromerzeugung", FKZ 205 42 110, Kapitel A.2.1.5). Bei Bohrungen für die oberflächennahe Geothermie, sind nur sehr geringe Emissionen zu erwarten. Bei allen geothermischen Tiefenbohrungen werden sogenannte „Blow-out-preventer" eingesetzt, um einen Gasaustritt zu verhindern. Weiterhin werden mittels Bohrspülungen die ggf. im Bohrloch freigesetzten Gase gezielt in die durchteuften Gesteinsschichten zurückgedrängt. Eine Schätzung von THELOKE 2013 geht davon aus, dass sich die diffusen Emissionen bei der tiefen Geothermiebohrung im Kilogrammbereich bewegen. Daher werden die Emissionen aus dieser Kategorie als NE berichtet, da ihr Beitrag zu den Gesamtemissionen unter 0.05 % des Gesamtinventars oder 500 kt CO_2-Äquivalente liegen (gemäß FCCC/SBSTA/2013/L.29/Add.1) und eine jährliche Bestandaufnahme nicht gewährleistet werden kann (gemäß FCCC/SBSTA/2013/L.29/Add.1, para 37). In Kapitel 5 wird einmalig der Emissionsbeitrag zum Gesamtinventar dargestellt. Die Zusammenstellung aller Quellen, für die der Eintrag „not estimated" beibehalten wird, werden im Annex 5 (Kapitel 21) dargestellt.

3.3.2.4.3 Unsicherheiten und Zeitreihenkonsistenz (1.B.2.d)

Erläuterungen zu Unsicherheiten und Zeitreihenkonsistenz entfallen.

3.3.2.4.4 Kategoriespezifische Qualitätssicherung/-kontrolle und –Verifizierung (1.B.2.d)

Erläuterungen zu quellenspezifische Qualitätssicherung/-kontrolle und Verifizierung entfallen.

3.3.2.5 Kategoriespezifische Rückrechnungen (1.B.2 alle)

Aufgrund der Vorläufigkeit einiger Statistiken sind Rückrechnung der letzten zwei Jahre entstanden. Darüber hinaus gab es nachfolgende Inventarverbesserungen, die Rückrechnungen mit sich führten:

Transport von Rohöl

Im ESD Review 2015 wurde angemerkt, dass die verwendeten Emissionsfaktoren nicht mit der Dichte von Rohöl umgerechnet wurden. Ferner wurden die Emissionen aus der Verteilung mittels Binnentankschiffen nicht berücksichtig. Die nun erfolgte Umrechnung und die Berücksichtigung der Emissionen der Binnentankschiffe führen zu Rückrechnungen über die komplette Zeitreihe unter 1.B.2.a.iii.

Aufbereitung von Sauergas

Bei der Berechnung der Methanemissionen wurde statt der Menge Sauergas, die Menge geförderten Erdgases zu Grunde gelegt. Dies führte zu einer Überschätzung der Emissionen in der gesamten Zeitreihe von 60%.

Weiterleitung, Verteilung und Anwendung von Erdgas

Im ESD Review 2015 wurde angemerkt, dass die Kohlendioxidemissionen nicht vernachlässigbar seien. Daher wurden diese mit Hilfe der mittleren Erdgaszusammensetzung gebildet und der Notation Key *NE* durch entsprechende Werte ersetzt. Dies ist Hauptverursacher der in Tabelle 176 angegebenen Rückrechnungen.

Tankstellen - 21. BImSchV

Für das Jahr 2002 wurde der Wirkungsgrad von 0,78 auf 0,75 herabgesetzt. Bei der Überprüfung der Funktionsfähigkeit der Gasrückführungssysteme gab es bis zu 30 % Totalausfälle. Erst mit der Einführung der automatischen Überwachungseinrichtungen in der 21. BImSchV wurde die Ausfallrate reduziert. Die geänderte 21. BImSchV trat am 18.05.2002 in Kraft und war für neue

Tankstellen bis zum 01.04.2003 umzusetzen. Expertenschätzungen zur Folge haben sich die Änderungen erst auf das Jahr 2003 ausgewirkt und den Wirkungsgrad erhöht.

Des Weiteren wurde für das Jahr 2010 der Anwendungsgrad auf 0,92 und für 2011 auf 0,95 erhöht. Die EU-Richtlinie 2009/126/EG über Phase II der Benzindampf-Rückgewinnung beim Betanken von Fahrzeugen an Tankstellen (STAGE II) trat im Jahr 2009 in Kraft. Die Umsetzung der Anforderungen erfolgte in der 21. BImSchV. Diese wurde im Jahr 2012 novelliert. Bei den Arbeiten zur Novelle stellte sich heraus, dass schon fast alle Tankstellen die Minderungstechnik installiert hatten. Nur Kleintankstellen mit einem Jahresdurchsatz von 100 bis 1000 Kubikmeter Ottokraftstoff müssen noch bis Ende 2018 nachzurüsten.

Die Rückrechnungen dieser Kategorie beschränken sich ausschließlich auf NMVOC.

Tabelle 175: Rückrechnung in der Kategorie 1.B - Methanemissionen in kt

	1990	1995	2000	2005	2010	2014
Submission 2016	1356	1121	920	529	338	314
Submission 2017	1355	1121	919	528	337	314
Differenz	1	0	1	1	1	0

Tabelle 176: Rückrechnung in der Kategorie 1.B - Kohlendioxidemissionen in kt

	1990	1995	2000	2005	2010	2014
Submission 2016	4065	3410	3313	3227	2848	2629
Submission 2017	4081	3424	3328	3243	2867	2709
Differenz	16	14	15	16	19	80

3.3.2.6 Geplante Verbesserungen, kategoriespezifisch (1.B.2 alle)

Derzeit sind keine weiteren Verbesserungen geplant.

Sofern in vorhergehenden Berichterstattungen in diesem Kapitel Verbesserungen benannt wurden, sind diese in Form einer Übersicht unter Kapitel 10.4 Verbesserungen des Inventars, Tabelle 426 zu finden. Sind diese bereits erledigt, sind sie im selben Kapitel in Tabelle 425 abgebildet.

4 Industrieprozesse (CRF Sektor 2)

4.1 Übersicht (CRF Sektor 2)

Abbildung 43: Übersicht über die Treibhausgas-Emissionen des CRF-Sektors 2

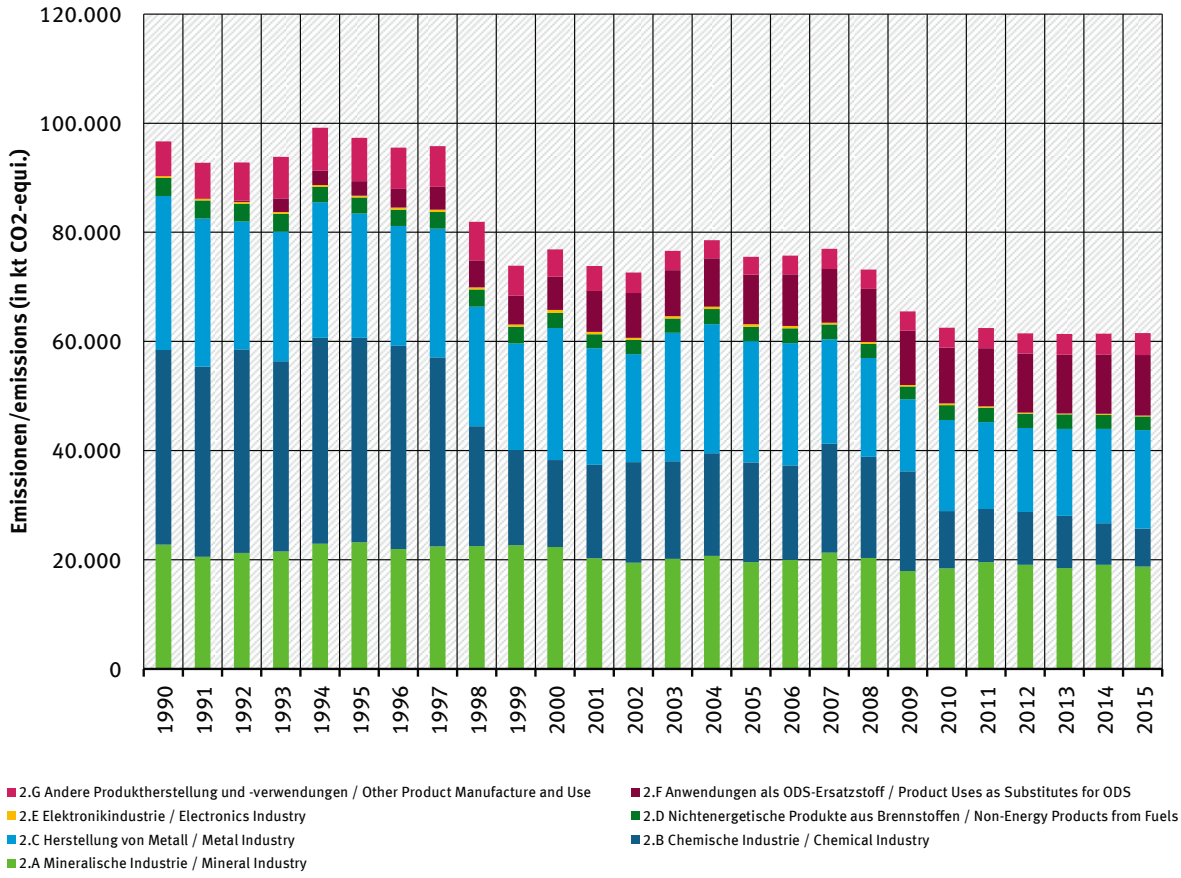

4.2 Mineralische Industrie (2.A)

Die CRF-Quellkategorie 2.A Mineralische Industrie ist unterteilt in die Unterpunkte 2.A.1 bis 2.A.4. Dazu gehören:

- die Zementklinkerproduktion (2.A.1),
- das Kalkbrennen (2.A.2),
- die Glasherstellung (2.A.3)
- die Keramikproduktion (2.A.4.a)
- die sonstige Sodaverwendung (2.A.4.b),
- die Herstellung von nicht-metallurgischen Magnesiumprodukten (2.A.4.c)
- die weitere Verwendung von Kalkstein und Dolomit (2.A.4.d).

4.2.1 Mineralische Industrie: Zement (2.A.1)

4.2.1.1 Beschreibung der Kategorie (2.A.1)

KC	Category	Activity	EM of	1990 (kt CO_2-e.)	(fraction)	2015 (kt CO_2-e.)	(fraction)	Trend 1990-2015
L/T	2.A.1. Mineral Products: Cement Production	Clinker Burning	CO_2	15.145,8	1,24%	12.378,0	1,39%	-18,3%

Gas	Angewandte Methode	Quelle der Aktivitätsdaten	genutzte Emissionsfaktoren
CO_2	Tier2	AS	CS
NO_X, SO_2	Tier 1	AS	CS

Die Kategorie *Zement* ist für CO_2-Emissionen eine Hauptkategorie nach der Emissionshöhe und dem Trend. Die weiteren Ausführungen beziehen sich nur auf die Zementklinkerproduktion, weil die Klinkermahlung als Staubquelle hier nicht relevant ist. Die Zementproduktion ist in Tabelle 177 nur als Bezugsgröße ohne Emissionsrelevanz aufgeführt.

Beim Klinkerbrennprozess werden klimarelevante Gase emittiert. Zum weit überwiegenden Teil ist dies CO_2. Die CO_2-Emissionen aus den Rohmaterialien sind direkt an die Produktionsmengen des Zementklinkers gekoppelt. Laut Deutscher Emissionshandelsstelle (DEHSt, 2016) betrug die Klinkerproduktion im Jahr 2015 23.355 kt[51]. Die rohstoffbedingten CO_2-Emissionen werden mit einem vom *Verein Deutscher Zementwerke* (VDZ) aus anlagenspezifischen Daten ermittelten, länderspezifischen Emissionsfaktor von 0,53 t CO_2/t Zementklinker berechnet. Aus der Klinkerproduktion resultiert daher eine rohstoffbedingte CO_2-Emission von 12.378 kt CO_2 im Jahr 2015.

Tabelle 177: Produktion und CO_2-Emissionen der deutschen Zementindustrie

Jahr	Klinkerproduktion [kt/a]	Emissionsfaktor [t CO_2/t]	Rohstoffbedingte CO_2-Emissionen [kt/a]	Zementproduktion (kt/a)
1990	28.577		15.146	37.772
1991	25.670		13.605	34.341
1992	26.983		14.301	37.331
1993	27.146		14.387	36.649
1994	28.658		15.189	40.512
1995	29.072		15.408	35.862
1996	27.669		14.664	34.318
1997	28.535		15.124	34.148
1998	29.039		15.391	35.601
1999	29.462		15.615	37.438
2000	28.494		15.102	35.414
2001	25.227	0,53	13.370	32.118
2002	23.954		12.696	31.009
2003	25.233		13.373	32.749
2004	26.281		13.929	31.854
2005	24.379		12.921	31.009
2006	24.921		13.208	33.630
2007	26.992		14.306	33.382
2008	25.366		13.444	33.581
2009	23.232		12.313	30.441

[51] Vorläufiger Wert (gerundet).

Jahr	Klinkerproduktion [kt/a]	Emissionsfaktor [t CO_2/t]	Rohstoffbedingte CO_2-Emissionen [kt/a]	Zementproduktion (kt/a)
2010	22.996		12.188	29.915
2011	24.775		13.131	33.540
2012	24.581		13.028	32.432
2013	23.128		12.258	31.308
2014	23.871		12.652	32.099
2015	23.355		12.378	31.160

Quelle: hergeleitet aus BdZ 2005 (bis 1994), VDZ, 2016 (ab 1995) DEHSt, 2016,

4.2.1.2 Methodische Aspekte (2.A.1)

Aktivitätsdaten

Die Erhebung der Aktivitätsdaten beruht auf der Summierung einzelbetrieblicher Angaben, bis zum Jahr 1994 auf Basis von Daten des BDZ. Nach einer Optimierung der Datenerhebung innerhalb des Verbandes wurden die Aktivitätsdaten ab 1995 vom VDZ bzw. dessen Forschungsinstitut der Zementindustrie in Düsseldorf durch Umfragen bei den deutschen Zementwerken und aus Angaben des BDZ zusammengestellt. Dabei handelt es sich im Wesentlichen um die im Rahmen des CO_2-Monitorings veröffentlichten Daten, ergänzt um die Werke, die nicht Mitglieder im BDZ sind (teilweise Schätzung des VDZ). Dies entspricht dem Tier 2-Ansatz der IPCC Guidelines (IPCC, 2006, Band 3, Kap. 2.2.1.1).

Die Daten für das Jahr 2015 konnten aus verbandsinternen Gründen nicht vom VDZ zur Verfügung gestellt werden. Stattdessen beruht die Zementklinkerangabe auf aggregierten Daten der DEHSt. Ein Vergleich für die Vorjahre 2005-2014 ergab eine konstante Abweichung zwischen Angaben der DEHSt zum Emissionshandel und der Zementklinkerproduktionsdaten des VDZ von ca. 1 %, so dass von einer hohen Übereinstimmung dieser Datensätze ausgegangen werden kann. Die Vollständigkeit ist somit bei der Verwendung einer der beiden Datensätze grundsätzlich gesichert.

In Tabelle 177 sind die Aktivitätsdaten für Zementklinker und Zement und die aus der Klinkerproduktion ermittelten rohstoffbedingten CO_2-Emissionen für die Jahre 1990 bis 2015 zusammengefasst.

Emissionsfaktoren

Der für die Emissionsberechnung verwendete Emissionsfaktor von 0,53 t CO_2 / t Zementklinker beruht auf massengewichteten einzelbetrieblichen Angaben, d.h. der Emissionsfaktor wurde vom VDZ durch Aggregierung anlagenspezifischer Daten zu den Anteilen von CaO und anderen (in den Rohmaterialien enthaltenen karbonathaltigen) Metalloxiden (MgO) im Klinker bestimmt. Der Emissionsfaktor wurde im Rahmen eines Forschungsprojektes (VdZ, 2009) und in den Folgejahren vom VDZ bestätigt. Das Verfahren entspricht der Tier 2-Methode der IPCC Guidelines (IPCC, 2006: Band 3, Kap. 2.2.1.2) und wird als genauer als die Verwendung von Default-Emissionsfaktoren eingeschätzt.

Da in der deutschen Zementindustrie der aus dem Abgas abgeschiedene Staub wieder in den Brennprozess zurückgeführt wird, kann die Karbonatfreisetzung aus den Klinkerrohstoffen direkt aus dem Metalloxidgehalt des Klinkers bestimmt werden, ohne relevante Verluste über den Abgaspfad berücksichtigen zu müssen.

Der Emissionsfaktor von 0,53 t CO_2 / t Zementklinker wurde für die gesamte Zeitreihe in Ansatz gebracht.

Die rohstoffbedingten CO_2-Emissionen in der Zementindustrie werden entsprechend der *IPCC Guidelines* (IPCC, 2006: Band 3, Gleichung 2.2) nach der folgenden Gleichung ermittelt:

$$CO_2\text{-Emissionen} = \text{Emissionsfaktor } (EF_{Klinker}) \times \text{Klinkerproduktion}$$

(Tabelle 177 enthält die berechneten CO_2-Emissionen der deutschen Zementindustrie für die berichteten Jahre)

4.2.1.3 Unsicherheiten und Zeitreihenkonsistenz (2.A.1)

Die Zeitreihenkonsistenz wird für die Aktivitätsdaten durch die langjährige Verbandsdatenerhebung und für das Jahr 2015 über die nachgewiesene Ersetzbarkeit durch Informationen aus dem Emissionshandel durch die hohe Übereinstimmung in den Vorjahren sowie für den Emissionsfaktor durch den einheitlichen Ansatz für alle Jahre gewährleistet.

Die Ermittlung der angegebenen Unsicherheiten erfolgte durch eine Expertenschätzung.

Die Angaben zur Klinkerproduktion müssen von den meisten Unternehmen auch im Rahmen des CO_2-Emissionshandels berichtet werden. In den EU-Monitoring-Leitlinien für den Emissionshandel ist eine maximale Genauigkeit von 2,5 % angegeben. Die Unsicherheiten für die verwendeten Aktivitätsdaten wurden daher mit -2,5 % bzw. +2,5 % abgeschätzt.

Die Unsicherheit des verwendeten Emissionsfaktors wurde auf +/– 2 % geschätzt. Dies wurde durch die Erhebungen im Rahmen eines Forschungsprojektes bestätigt (VdZ, 2009).

4.2.1.4 Kategoriespezifische Qualitätssicherung/-kontrolle und Verifizierung (2.A.1)

Eine allgemeine und kategoriespezifische Qualitätskontrolle und eine Qualitätssicherung durch die Fachseite und durch die Nationale Koordinierungsstelle wurden gemäß den Anforderungen des QSE-Handbuchs bzw. dessen mitgeltenden Unterlagen durchgeführt.

Zur Qualitätssicherung wurden alle verwendeten Daten des BDZ, des VDZ, des Emissionshandels sowie Vergleichsangaben aus der Literatur auf Plausibilität geprüft. Im Zuge der Inventarüberprüfung (ICR 2016) konnten anhand von Materialien des VDZ QSE-konforme Prozeduren veranschaulicht werden, die vom Review-Team als Beleg anerkannt wurden. Der ermittelte Emissionsfaktor für die rohstoffbedingten CO_2-Emissionen wurde mit denen anderer Länder verglichen. Die geringe Abweichung (ca 1 %) vom IPCC-Tier-1-Default-Faktor in Höhe von 0,52 t CO_2 / t Klinker (IPCC 2006: Band 3, Gleichung 2.4) ergibt sich aus dem zum Teil höheren Kalkgehalt des deutschen Klinkers.

Der verwendete Emissionsfaktor weicht nur geringfügig von den durchschnittlich im Vollzug des ETS in Deutschland verwendeten Emissionsfaktoren ab, die dort einer behördlichen Kontrolle und betrieblichen Nachweispflichten unterliegen. Es liegen bisher keine Berechnungen für den Emissionsfaktor vor dem Jahre 2000 vor, der einheitliche Ansatz für alle Jahre stellt eine Expertenschätzung dar.

4.2.1.5 Kategoriespezifische Rückrechnungen (2.A.1)

Rückrechnungen sind nicht erforderlich.

4.2.1.6 Geplante Verbesserungen, kategoriespezifisch (2.A.1)

Für die Zukunft wird geprüft, ob dauerhaft auf die Aktivitätsdaten des Emissionshandels gewechselt werden kann.

Sofern in vorhergehenden Berichterstattungen in diesem Kapitel Verbesserungen benannt wurden, sind diese in Form einer Übersicht unter Kapitel 10.4 Verbesserungen des Inventars,

Tabelle 426 zu finden. Sind diese bereits erledigt, sind sie im selben Kapitel in Tabelle 425 abgebildet.

4.2.2 Mineralische Industrie: Kalk (2.A.2)

4.2.2.1 Beschreibung der Kategorie (2.A.2)

KC	Category	Activity	EM of	1990 (kt CO_2-e.)	(fraction)	2015 (kt CO_2-e.)	(fraction)	Trend 1990-2015
L/-	2.A.2. Mineral Products: Lime Production	burning of Limestone and Dolomite	CO_2	5.986,6	0,49%	4.976,0	0,56%	-16,9%

Gas	Angewandte Methode	Quelle der Aktivitätsdaten	genutzte Emissionsfaktoren
CO_2	Tier 2	AS	D
NO_x, SO_2	Tier 1	AS	CS

Die Kategorie *Kalk* ist für CO_2-Emissionen eine Hauptkategorie nach der Emissionshöhe.

Die Aussagen zur Kategorie 2.A.2 beziehen sich ausschließlich auf die in deutschen Kalkwerken produzierten Branntkalk- und Dolomitkalkmengen. Über die in diesem Kapitel berücksichtigten Anlagen zum Brennen von Kalk hinaus, wurden zusätzlich Kalköfen im Bereich der Eisen- und Stahlindustrie und der Zuckerindustrie identifiziert. Diese sind nicht in diesem Kapitel, sondern in den jeweiligen Kategorien 2.C.1 (Kapitel 4.4.1) und 2.H.2 (Kapitel 4.9.2) berücksichtigt. Informationen zu anderen kalksteinverwendenden Branchen sind Gegenstand des Kapitels 4.2.7 (CRF 2.A.4d).

Die Kalkproduktion unterliegt aufgrund der Anwendungsbreite der Produkte traditionell weniger konjunkturellen Schwankungen als die Herstellung anderer mineralischer Produkte wie z.B. Zement. Die Produktion von Brannt- und Dolomitkalk liegt etwas über dem Niveau des Vorjahres.

Tabelle 178: Produktion und CO_2-Emissionen der deutschen Kalkindustrie

Jahr	Kalk		Dolomitkalk	
	Produktion [t]	CO_2-Emissionen [Mio. t]	Produktion [t]	CO_2-Emissionen [Mio. t]
1990	7.323.657	5,463	603.427	0,523
1991	6.474.897	4,830	605.186	0,525
1992	6.563.031	4,896	587.474	0,509
1993	6.852.841	5,112	526.799	0,457
1994	7.512.403	5,604	516.115	0,447
1995	7.611.109	5,678	555.927	0,482
1996	7.019.060	5,236	556.487	0,482
1997	7.114.649	5,308	541.893	0,470
1998	6.799.487	5,072	569.540	0,494
1999	6.814.898	5,084	490.745	0,425
2000	6.993.608	5,217	536.032	0,465
2001	6.665.136	4,972	522.778	0,453
2002	6.591.281	4,917	526.596	0,457
2003	6.731.929	5,022	445.625	0,386
2004	6.692.954	4,993	468.873	0,407
2005	6.535.470	4,875	473.632	0,411
2006	6.646.233	4,958	471.784	0,409
2007	6.873.539	5,128	468.593	0,406
2008	6.868.481	5,124	464.167	0,402
2009	5.500.965	4,104	341.713	0,296

Jahr	Kalk		Dolomitkalk	
	Produktion [t]	CO_2-Emissionen [Mio. t]	Produktion [t]	CO_2-Emissionen [Mio. t]
2010	6.124.382	4,569	341.779	0,296
2011	6.330.677	4,723	350.482	0,304
2012	6.035.949	4,503	241.833	0,210
2013	6.195.672	4,622	218.375	0,189
2014	6.400.977	4,775	227.701	0,197
2015	6.375.810	4,756	253.369	0,220

Da die CO_2-Emissionen und die Kalk- bzw. die Dolomitkalkproduktion bei konstantem Emissionsfaktor linear voneinander abhängen, gelten die vorhergehenden Aussagen zu den Aktivitätsraten für die CO_2-Emissionen entsprechend.

4.2.2.2 Methodische Aspekte (2.A.2)

Beim Brennen von Kalkstein oder Dolomit wird CO_2 freigesetzt, das mit dem Abgas an die Atmosphäre abgegeben wird. Die Höhe der Emissionen ergibt sich aus dem Produkt der Produktmenge (Kalk oder Dolomitkalk) und dem entsprechenden Emissionsfaktor. Die Verwendung von unten erläuterten Emissionsfaktoren und länderspezifisch bestimmten Kalkprodukten entspricht einem Tier 2-Ansatz der *2006 IPCC Guidelines* (IPCC 2006: Band 3, Kapitel 2.3.1.1).

Emissionsfaktoren

Für die Berechnung der CO_2-Emissionen werden folgende Faktoren verwendet:

EF_{Kalk} 0,746 t CO_2/t Kalk (stöchiometrisch 0,785 * Oxidanteil 0,95)
$EF_{Dolomitkalk}$ 0,867 t CO_2/t Dolomitkalk (stöchiometrisch 0,913 * Oxidanteil 0,95)

Die verwendeten Emissionsfaktoren basieren auf den stöchiometrischen Faktoren und gehen zusätzlich davon aus, dass der Branntkalk zu 95 % aus CaO bzw. der Dolomitkalk zu 95 % aus CaO • MgO besteht und somit 5 % der Gesamtmasse auf nicht CO_2-relevante Verunreinigungen entfallen. Diese Herangehensweise ist in Übereinstimmung mit den *2006 IPCC Guidelines* (IPCC 2006: Band 3, Kapitel 2.3.1.2).

Aktivitätsdaten

Die Produktionszahlen werden über die gesamte Zeitreihe vom BV Kalk e.V., dem deutschen Industrieverband der Kalkindustrie, anlagenbezogen erhoben und für die Berichterstattung zur Verfügung gestellt. Die Produktionsmenge von Werken, die nicht über die Verbandsstatistik des BV Kalk erfasst werden, wird auf der Basis vorliegender Informationen (z.B. Betreiberangaben, veröffentlichte Daten aus dem Emissionshandel) abgeschätzt und zur Angabe des BV Kalk addiert. Somit wird sichergestellt, dass die deutsche Kalkproduktion vollständig erfasst wird. Seit dem Methodenwechsel entsprechend 2006 IPCC Guidelines wird zusätzlich davon ausgegangen, dass in allen Jahren des Berichtszeitraums ab dem Jahr 1990 2 % des gebrannten Kalks als Staub über entsprechende Abgasreinigungseinrichtungen abgeschieden und dem Produktionsprozess nicht wieder zugeführt werden. Dies wird über eine fiktive Erhöhung der Aktivitätsraten um 2 % berücksichtigt.

Die Bestimmung der Aktivitätsdaten entspricht dem Tier 2 - Ansatz der *2006 IPCC Guidelines* (IPCC 2006: Band 3, Kapitel 2.3.1.3)

4.2.2.3 Unsicherheiten und Zeitreihenkonsistenz (2.A.2)

In den EU-Monitoring-Leitlinien für den Emissionshandel wird eine Genauigkeit der Aktivitätsraten von 2,5 % gefordert. Da die Angaben des BV Kalk zur Kalkproduktion auf den

Angaben der Betreiber im Rahmen des CO_2-Emissionshandels beruhen und durch die Abfrage auf zwei parallelen Wegen qualitätsgesichert werden und gleichzeitig der Anteil der nicht in den Verbandszahlen erfassten Werke (und nachträglich geschätzten Werke) gering ist, wurden die **Unsicherheiten** für die verwendeten **Aktivitätsraten** mit -2,5 % bzw. +2,5 % abgeschätzt. Dies gilt für Branntkalk und Dolomitkalk gleichermaßen.

Die Unsicherheiten für die verwendeten Emissionsfaktoren für Branntkalk wurden mit -11 % bzw. +5 % abgeschätzt. Die Unsicherheiten für die verwendeten Emissionsfaktoren für Dolomitkalk wurden mit -30 % bzw. +2 % abgeschätzt.

4.2.2.4 Kategoriespezifische Qualitätssicherung/-kontrolle und Verifizierung (2.A.2)

Eine allgemeine und kategoriespezifische Qualitätskontrolle und eine Qualitätssicherung durch die Fachseite und durch die Nationale Koordinierungsstelle wurden gemäß den Anforderungen des QSE-Handbuchs bzw. dessen mitgeltenden Unterlagen durchgeführt.

Die Erfassung der Produktionsmengen durch den BV Kalk wird durch verbandsinterne Kontrollen mit Hilfe separater Befragungen im technischen und kaufmännischen Bereich qualitätsgesichert (Tier 2).

Der Vergleich mit verfügbaren Informationen aus dem ETS ergab Abweichungen, die sich aus methodischen Unterschieden erklären lassen: zum einen zwischen den Vorgaben im ETS und bei IPCC, zum anderen auf Grund der Änderungen zwischen den Handelsperioden des ETS. Im Zuge der Inventarüberprüfung (ICR 2016) konnte anhand von grafischen Gegenüberstellungen veranschaulicht werden, dass die methodisch bedingten Abweichungen keine Zweifel an der Datenqualität der Inventare begründen.

Die verwendeten IPCC-Default-Faktoren sind für die landesspezifische Methode geeignet.

Der Vergleich mit den prozessbedingten Emissionen im Emissionshandel ergab eine gute Übereinstimmung.

4.2.2.5 Kategoriespezifische Rückrechnungen (2.A.2)

Rückrechnungen sind nicht erforderlich.

4.2.2.6 Geplante Verbesserungen, kategoriespezifisch (2.A.2)

Es sind keine kategoriespezifischen Verbesserungen geplant.

Sofern in vorhergehenden Berichterstattungen in diesem Kapitel Verbesserungen benannt wurden, sind diese in Form einer Übersicht unter Kapitel 10.4 Verbesserungen des Inventars, Tabelle 426 zu finden. Sind diese bereits erledigt, sind sie im selben Kapitel in Tabelle 425 abgebildet.

4.2.3 Mineralische Industrie: Glas (2.A.3)

KC	Category	Activity	EM of	1990 (kt CO_2-e.)	(fraction)	2015 (kt CO_2-e.)	(fraction)	Trend 1990-2015
-/-	2.A.3. Mineral Products: Glass Production	production of Glass Types	CO_2	780,5	0,06%	919,8	0,10%	17,9%

Gas	Angewandte Methode	Quelle der Aktivitätsdaten	genutzte Emissionsfaktoren
CO_2	Tier 2	AS	CS
NO_X, NMVOC, SO_2	Tier 2	AS	CS

Die Kategorie *Mineralische Produkte: Glas* ist keine Hauptkategorie.

4.2.3.1 Beschreibung der Kategorie (2.A.3 Glas)

Die Glasindustrie in Deutschland stellt eine große Vielfalt an Gläsern her, die durch voneinander abweichende chemische Zusammensetzungen charakterisiert sind. In Deutschland finden sich folgende Sektoren innerhalb der Glasbranche: Behälterglas, Flachglas, Kristall- und Wirtschaftsglas, Spezialglas sowie Mineralfasern (Glas- und Steinwolle). Die anteilig höchste Produktion wird in den Sektoren Behälterglas (ca. Hälfte der Gesamtglasproduktion) und Flachglas (ca. ein Viertel der Gesamtglasproduktion) erreicht (BV Glas, 2016a). In der Inventarberechnung ist keine Wasserglasproduktion enthalten. Sämtliche relevanten Sodaeinsatzmengen der Wasserglasproduktion sind unter 2.A.4.b (Kapitel 4.3.7) berücksichtigt.

Das aus Primär- und Sekundärrohstoffen homogen gemischte Glasgemenge wird bei Temperaturen zwischen 1450 °C und 1650 °C geschmolzen. Die hier betrachteten prozessbedingten CO_2 Emissionen entweichen während des Schmelzvorganges im Ofen aus den Karbonaten der Rohstoffe. Bei der Neutralisation von HF, HCL und SO_2 in den Abgasen mit Hilfe von Kalkstein oder anderen Karbonaten fallen ebenfalls CO_2-Emissionen an, jedoch in geringem Umfang. Diese werden hier aus diesem Grund nicht betrachtet.

Die folgende Tabelle zeigt die Trendverläufe der Aktivitätsraten, prozessbedingten CO_2-Emissionen und die sich über alle Glasarten ergebenden impliziten Emissionsfaktoren seit 1990.

Tabelle 179: Aktivitätsraten und prozessbedingte CO_2-Emissonen seit 1990, IEF über alle Glasarten

Jahr	Aktivitätsrate [t]	prozessbedingte CO_2-Emissionen [t]	IEF über alle Glasarten [t CO2/ t Glas]
1990	6.561.849	780.480	0,119
1991	7.202.807	821.376	0,114
1992	7.228.752	810.610	0,112
1993	7.074.837	778.104	0,110
1994	7.760.000	747.225	0,096
1995	7.621.300	881.306	0,116
1996	7.519.600	853.395	0,113
1997	7.392.000	833.771	0,113
1998	7.314.000	803.411	0,110
1999	7.442.239	822.236	0,110
2000	7.505.000	846.300	0,113
2001	7.293.000	846.289	0,116
2002	7.084.000	800.501	0,113
2003	7.205.720	788.726	0,109
2004	7.088.900	791.150	0,112
2005	6.948.400	802.746	0,116
2006	7.285.600	842.228	0,116
2007	7.535.300	829.060	0,110
2008	7.513.900	824.868	0,110
2009	6.784.100	745.664	0,110
2010	7.163.600	828.828	0,116
2011	7.341.600	835.138	0,114
2012	7.079.700	823.341	0,116
2013	7.255.900	860.111	0,119
2014	7.458.900	891.901	0,120
2015	7.432.800	919.847	0,124

Es ist zu erkennen, dass der Emissionsverlauf dem Trend der Aktivitätsraten weitgehend folgt. In den impliziten Emissionsfaktoren lässt sich ablesen, dass es aber keine starre Korrelation ist, sondern Abweichungen dazu auftreten. Ursache dafür sind die jährlichen Schwankungen bei der Produktionsmenge einzelner Glassorten und bei den Scherbeneinsätzen, was nachvollziehbar und rechnerisch einwandfrei ist.

Die für die Herstellung von Glas auch auftretenden Emissionen der sogenannten Vorläufersubstanzen werden hier nicht thematisiert, können aber wegen Einschränkungen der UNFCCC-Software auch nicht in dieser Kategorie berichtet werden, sondern in Kapitel 4.2.7.

4.2.3.2 Methodische Aspekte (2.A.3 Glas)

Für die Berechnung der CO_2-Emissionen (wesentlicher Schadstoff) kommt eine Tier-2-Methode zur Anwendung, weil die detaillierten Aktivitätsraten mit spezifischen Emissionsfaktoren gekoppelt werden (entsprechend Karbonatgehalten). Es werden die folgenden Karbonate als hauptsächliche Quelle für die CO_2-Bildung während des Schmelzvorgangs betrachtet: Kalciumkarbonat ($CaCO_3$), Soda/Natriumkarbonat (Na_2CO_3), Magnesiumkarbonat ($MgCO_3$) und Bariumkarbonat ($BaCO_3$). Hier werden die CO_2-Emissionen aus sämtlichen Karbonaten in Summe berichtet, Hinweise zu den Rohstoffeinsatzmengen von Soda sind unter 2.A.4.b (siehe 4.2.5) zu finden. Dabei ist zu beachten, dass die berechneten Sodaeinsatzmengen nicht veröffentlicht werden können, weil die Produktionsdaten von Soda (siehe 4.2.5.2) einer statistischen Geheimhaltung unterliegen und auch nicht über Bilanzrechnungen ermittelbar sein dürfen.

Die Produktionszahlen (**Aktivitätsraten**) werden den regelmäßig erscheinenden Jahresberichten des Bundesverbandes Glasindustrie entnommen(BV Glas, 2016a). Die Produktion bezieht sich auf die Masse an produziertem Glas, die der Masse an geschmolzenem Glas gleich gesetzt wird. Dabei ist zu beachten, dass ein Teil der Schmelze, der der Menge an internen Scherben entspricht, nicht in der Produktionsstatistik berücksichtigt ist (siehe auch unten Hinweise zum Scherbeneinsatz). Somit entspricht die statistische Angabe nicht der tatsächlichen Menge an geschmolzenem Glas, sondern der Schmelze aus Primärrohstoffen und Fremdscherben. Die Weiterverarbeitung und Veredlung des Glases bzw. der Glasgegenstände werden nicht betrachtet.

Für das Jahr 2015 wurden folgende Aktivitätsraten ermittelt:

Tabelle 180: Glas: Aktivitätsraten der einzelnen Branchensektoren (Glassorten)

Branchensektor	Aktivitätsrate 2015 [t]
Behälterglas	3.934.100
Flachglas	2.138.700
Glasfasern und -wolle	349.400
Spezialglas	350.400
Steinwolle	613.500
Wirtschaftsglas	46.700

Quelle: (BV Glas, 2016a)

Es werden folgende branchenspezifische Scherbenanteile angenommen:

Tabelle 181: Scherbenanteil der einzelnen Glassorten

Branchensektor	Scherbenanteil [%] des Rohstoffeinsatzes
Behälterglas	59 – 65(jährlich variabel)
Flachglas	10 (gesamte Zeitreihe)
Wirtschaftsglas	5 (gesamte Zeitreihe)
Spezialglas	5 (gesamte Zeitreihe)
Glasfasern und -wolle	40 (gesamte Zeitreihe)
Steinwolle	40 (gesamte Zeitreihe)

Quelle: (Gitzhofer, Bergmann, & Petermann, 2008)sowie Erhebungen des BV Glas (BV Glas, 2016b)

Bei Behälterglas ist der Scherbenanteil nur für die alten Bundesländer ab 1990 und für Deutschland ab 1995 bekannt. Für die neuen Bundesländer liegen für die Zeit zwischen 1990 und 1994 keine Daten vor, daher wurde anhand der durchschnittlichen Anteile der verschiedenen Glassektoren an der Gesamtproduktion ein durchschnittlicher Scherbeneinsatz angenommen. Im Jahr 2007 wurde die Gesellschaft für Glasrecycling und Abfallvermeidung mbH (GGA) kartellrechtlich verboten, so dass ab dem Jahr 2007 keine gesicherten Daten zum Scherbeneinsatz mehr aus dieser Quelle vorliegen. Seit 2012 stellt der BV Glas Daten zu Scherbeneinsätzen in der Behälterglasindustrie ab 2007 zur Verfügung, die aus Verbandserhebungen stammen(BV Glas, 2016b). In den Scherbenanteilen der Sektoren sind ausschließlich externe Scherben enthalten, da interne Scherben nicht in der Produktionsstatistik erfasst werden, auf die sich wiederum die Aktivitätsraten stützen. Der Gesamtanteil an Scherben in den Wannen ist teilweise deutlich höher, wenn es sich um interne Scherben handelt.

Da die während des Schmelzvorgangs entstehenden Abgase sowie die verbrennungsbedingten Abgase als gesammelter Abgasvolumenstrom abgeführt werden, können für die in der deutschen Glasindustrie emittierten Mengen an CO_2 keine Messergebnisse verwendet werden. Es wird daher ein Berechnungsverfahren angewandt, das auf Basis der Gewichtsanteile der oben erwähnten Karbonate sowie dem Einsatz von Scherben in der Behälter- und Flachglasindustrie beruht. Die

Angaben zur chemischen Zusammensetzung der verschiedenen in Deutschland produzierten Glassorten stammen aus der VDI-Richtlinie 2578 (VDI, 1999) sowie dem ATV-DVWK-Merkblatt 374 (ATV, 2004) (ATV, 2004).

Die Vorgehensweise bei der Ermittlung der **Emissionsfaktoren** für die einzelnen Glasoxide und der Emissionen ist detailliert im NIR 2007 (Kapitel 4.1.7.2, S. 251ff) beschrieben.

Für die Branchensektoren wurden folgende Emissionsfaktoren errechnet, die bei wechselndem Scherbeneinsatz jährlich schwanken (Spannenangabe bei Behälterglas).

Tabelle 182: CO_2-Emissionsfaktoren für verschiedene Glassorten (berechnet im Vergleich mit Angaben der IPCC Guidelines 2006

Glassorte	berechneter Emissionsfaktor [kg CO_2/ t geschmolzenes Glas] - stöchiometrisch/ inkl. Scherbeneinsatz-	Default-Emissionsfaktoren [kg CO_2/ t geschmolzenes Glas] - laut 2006 IPCC Guidelines (Vol. 3, Tab. 2.6)-
Behälterglas	193 / 49 – 86*	210
Flachglas	208 / 187	210
Wirtschaftsglas	120 / 114	100
Spezialglas	113 / 107	30 - 200
Glasfasern	198 / 119	190 - 250
Steinwolle	299 / 179	-
unspezifiziert	174 / 139	-

* zuletzt bei 83 kg CO_2 pro t geschmolzenen Glases

4.2.3.3 Unsicherheiten und Zeitreihenkonsistenz (2.A.3 Glas)

Die Produktionsdaten stammen aus der verbandsinternen Statistik des BV Glas. Dieser vertritt nahezu alle Behälter- und Flachglashersteller Deutschlands, damit sind die Daten dieser Branchensektoren sehr genau und es wurde eine Unsicherheit von 5 % angesetzt. Alle anderen Glassektoren vertritt der Verband nicht vollständig und kann daher keine Vollständigkeit garantieren. Daher wird von einer Unsicherheit von 10 % ausgegangen. Bis ca. 2002 hat der BV Glas ebenfalls die Daten mit den Daten des *Statistischen Bundesamtes* abgeglichen.

Die Unsicherheit bei den Scherbenangaben für Behälterglas liegt in der üblichen Spannbreite statistischer Erfassung. Für die neuen Bundesländer wurde eine Unsicherheit von 20 % angenommen, weil keine statistische Erhebung sondern nur eine Schätzung vorliegt. Die Nutzung von Daten aus verbandsinternen Erhebungen zum Scherbeneinsatz ab 2007 erhöht die Unsicherheiten. Dazu zählt der Fakt, dass nur betriebsinterne Scherben und externe Behälterglasscherben erfasst werden, aber nicht die Mengen an Flachglas, die eventuell in der Behälterglasproduktion eingesetzt werden.

Die Angaben zum Scherbeneinsatz bei allen anderen Glasarten hingegen sind deutlich ungenauer, da dort nur Schätzungen vorliegen. Es wurde daher eine Unsicherheit von 20 % angesetzt.

Für die CO_2-Emissionsfaktoren wurde eine Unsicherheit von 14 % für Behälterglas und 22 % für alle anderen Glasarten angegeben.

4.2.3.4 Kategoriespezifische Qualitätssicherung/-kontrolle und Verifizierung (2.A.3 Glas)

Eine allgemeine Qualitätskontrolle und eine Qualitätssicherung durch die Fachseite und durch die Nationale Koordinierungsstelle wurden gemäß den Anforderungen des QSE-Handbuchs bzw. dessen mitgeltenden Unterlagen durchgeführt.

Die errechneten Emissionsfaktoren wurden mit mehreren Quellen verglichen, u.a. mit den IPCC Guidelines (IPCC, 2006) sowie dem Emissionsfaktoren-Handbuch „Emissionserklärung 2004

Baden-Württemberg“ (UMEG 2004). Die errechneten Emissionsfaktoren können danach als zutreffend eingeschätzt werden. Darüber hinaus wurde der IEF mit dem folgender Länder verglichen, die ebenfalls die Sodanutzung nicht separat sondern in die Glasherstellung integriert berichten: Österreich (0,10), Italien (0,11) und Niederlande (0,13). Diese Werte sind mit dem deutschen IEF für die Glasindustrie (um 0,1 schwankend) vergleichbar.

Die berechneten Emissionen wurden ebenfalls mit den ETS-Daten in Deutschland abgeglichen. Dabei lagen die berechneten Emissionen ungefähr 3% über denen gemäß ETS, was mit der unvollständigen Sektorabdeckung im ETS begründet werden kann.

Die Angaben zur chemischen Zusammensetzung der einzelnen Glassorten werden weiterhin als richtig angesehen. Erheblichen Einfluss hat aber die Rate des Scherbeneinsatzes, für die die Datenlage immer noch verbesserungswürdig ist (siehe Kapitel 4.2.3.3).

4.2.3.5 Kategoriespezifische Rückrechnungen (2.A.3 Glas)

Es wurden minimale quellenspezifische Rückrechnungen bei den Aktivitätsdaten für das Jahr 2014 aufgrund der Bereitstellung der endgültigen Produktionszahlen durch den BV Glas für dieses Jahr durchgeführt.

4.2.3.6 Geplante Verbesserungen, kategoriespezifisch (2.A.3 Glas)

Derzeit sind keine weiteren Verbesserungen geplant.

Sofern in vorhergehenden Berichterstattungen in diesem Kapitel Verbesserungen benannt wurden, sind diese in Form einer Übersicht unter Kapitel 10.4 Verbesserungen des Inventars, Tabelle 426 zu finden. Sind diese bereits erledigt, sind sie im selben Kapitel in Tabelle 425 abgebildet.

4.2.4 Mineralische Industrie: Keramik (2.A.4.a)

KC	Category	Activity	EM of	1990 (kt CO_2-e.)	(fraction)	2015 (kt CO_2-e.)	(fraction)	Trend 1990-2015
-/-	2.A.4. Mineral Products: Other process uses of carbonates	0	CO_2	867,2	0,07%	465,4	0,05%	-46,3%

Gas	Angewandte Methode	Quelle der Aktivitätsdaten	genutzte Emissionsfaktoren
CO_2	Tier 1	NS	CS
NO_x, NMVOC, SO_2	Tier 1	NS	CS

Die übergeordnete Kategorie 2.A.4 - *Mineralische Produkte: Weiterer Einsatz von Karbonaten* ist keine Hauptkategorie.

4.2.4.1 Beschreibung der Kategorie (2.A.4.a Keramik)

Die ermittelten prozessbedingten Emissionen aus der Keramikindustrie stammen aus folgenden Unterkategorien:

1. „Herstellung von keramischen Erzeugnissen“: Diese Zeitreihe gibt die Produktionsmenge der gesamten Keramikindustrie in Deutschland an. Über diese Aktivitätsdaten werden die Nicht-CO_2-Emissionen der gesamten keramischen Industrie berechnet. Prozessbedingte CO_2-Emissionen werden dagegen nur für die Teilmengen „Dachziegel“ und „Mauerziegel“ berechnet (s.u.).
2. „Herstellung von Ziegeln (CO_2)“, Produkt „Dachziegel“: Die Produktionsmenge an Dachziegeln ist eine Teilmenge der o.g. Aktivitätsrate der gesamten Keramikindustrie. Sie wird nur für die Berechnung prozessbedingter CO_2-Emissionen verwendet (Berücksichtigung der Anteile an Kalkstein und organischen Verunreinigungen).

3. „Herstellung von Ziegeln (CO_2)", Produkt „Mauerziegel": Die Produktionsmenge an Mauerziegeln ist ebenfalls eine Teilmenge der o.g. Aktivitätsrate der gesamten Keramikindustrie. Auch sie wird nur für die Berechnung prozessbedingter CO_2-Emissionen verwendet (neben Kalksteinanteilen und organischen Verunreinigungen in den Rohstoffen auch Berücksichtigung von Porosierungsmitteln).

Tabelle 183: Aktivitätsraten und prozessbedingte CO_2-Emissionen der keramischen Industrie (CRF 2.A.4.a) (gerundet, ggf. mit Abweichungen zwischen Einzelpositionen und Summe)

	Keramische Erzeugnisse			prozessbedingte CO_2-Emissionen		
	Gesamt	davon Mauerziegel	davon Dachziegel	Mauerziegel	Dachziegel	Summe
			[kt]			
1990	21.595	16.524	1.758	481	50	531
1991	20.772	15.691	1.946	457	56	512
1992	22.769	17.302	2.216	503	63	567
1993	24.534	18.827	2.349	548	67	615
1994	30.458	23.925	2.611	696	75	771
1995	24.730	18.827	2.466	548	71	618
1996	22.663	16.965	2.598	494	74	568
1997	22.939	17.298	2.521	503	72	575
1998	22.798	17.048	2.658	496	76	572
1999	22.395	16.591	2.849	483	81	564
2000	21.199	15.383	2.924	448	84	531
2001	18.003	12.771	2.642	372	76	447
2002	16.500	11.686	2.381	340	68	408
2003	16.443	11.631	2.383	338	68	407
2004	16.796	11.697	2.601	340	74	415
2005	14.643	9.881	2.485	288	71	359
2006	16.019	10.883	2.648	316	76	392
2007	16.035	10.885	2.618	317	75	392
2008	13.867	9.302	2.254	271	64	335
2009	11.505	7.909	1.919	227	55	282
2010	12.653	8.463	2.179	246	62	308
2011	13.860	9.377	2.286	273	65	338
2012	13.409	9.233	2.118	269	61	330
2013	13.247	9.281	1.962	270	56	326
2014	13.074	9.082	2.001	264	57	321
2015	12.806	8.981	1.895	261	54	315

4.2.4.2 Methodische Aspekte (2.A.4.a Keramik)

Die 2006 IPCC Guidelines for National Greenhouse Gas Inventories enthalten Hinweise zur Berechnung der prozessbedingten CO_2–Emissionen für die Keramikindustrie (IPCC 2006: Band 3, Kapitel 2.5.1 ‚Ceramics'). Dabei wird diesem Industriesektor grundsätzlich die Herstellung folgender Produktgruppen zugeordnet: Dach- und Mauerziegel, Steinzeugrohre, feuerfeste Erzeugnisse, Blähton, Wand- und Bodenfliesen, Haushaltskeramik, Sanitärkeramik, technische Keramik, anorganisch gebundene Schleifmittel. Für das nationale Inventar werden aufgrund ihrer mengenmäßigen Bedeutung und der eingeschränkten Datenverfügbarkeit bisher nur Abschätzungen für die Herstellung von Dach- und Mauerziegeln vorgenommen.

Für die Berechnung der CO_2-Emissionen dieser Teilbereiche kommt eine Tier-1-Methode zur Anwendung, weil keine detaillierten Daten vorliegen und diese Kategorie keine Hauptkategorie ist.

Aktivitätsdaten

Die tatsächliche Produktionsentwicklung der Ziegelindustrie als Massenangabe ist mit der amtlichen Statistik nur eingeschränkt ermittelbar, da diese die Herstellung von Mauerziegeln in Kubikmetern und von Dachziegeln in Stückzahlen bemisst. Eine Ermittlung der produzierten

Massen ist nur über Umrechnungsfaktoren möglich. Als Umrechnungsfaktoren für Mauer- und Dachziegel wurden Erfahrungswerte des Bundesverbandes der Ziegelindustrie verwendet.

Emissionsfaktoren

Die prozessbedingten CO_2-Emissionen stammen aus dem Rohstoff für die Herstellung von Dach- und Mauerziegeln (i.d.R. lokal vorhandene Lehme und Tone, die unterschiedliche Anteile an $CaCO_3$ (Kalkstein) sowie z.T. organische Verunreinigungen enthalten). Unter Verwendung von Hinweisen des Bundesverbandes der Ziegelindustrie wird für prozessbedingte CO_2-Emissionen aus $CaCO_3$ und organischen Verunreinigungen im Rohmaterial ein Emissionsfaktor von 28,6 kg/$t_{Produkt}$ angenommen; das entspricht einem mittleren $CaCO_3$-Anteil von 65 kg/t im Rohmehl.

Etwa die Hälfte der Mauerziegelproduktion in Deutschland machen poröse Hintermauerziegel aus. Zu deren Herstellung werden dem Rohmaterial organische Porosierungsmittel beigemischt, die beim Brennen der Ziegel verbrennen und so gezielt Hohlräume hinterlassen. Als Porosierungsmittel kommen vorwiegend erneuerbare Ressourcen (z.B. Schlämme aus der Papierindustrie, Ablaugen aus der Zellstoffgewinnung), in geringen Mengen aber auch nicht erneuerbare Stoffe (vor allem Polystyrol) zum Einsatz. Die resultierenden CO_2-Emissionen sind gegenüber denen aus dem Kalksteinanteil minimal, werden aber über einen geringfügig höheren CO_2-Emissionsfaktor für Mauerziegel (29,1 kg CO_2/t Mauerziegel gegenüber 28,6 kg CO_2/t Dachziegel) im Inventar berücksichtigt.

Die ermittelten Aktivitätsraten sowie die resultierenden CO_2-Emissionen sind der Tabelle 183 zu entnehmen. Die prozessbedingten CO_2-Emissionen dieser Subkategorie sind mit deutlich unter einer Million Tonnen Kohlendioxid nicht besonders hervorzuheben.

4.2.4.3 Unsicherheiten und Zeitreihenkonsistenz (2.A.4.a Keramik)

Die Unsicherheit der drei Aktivitätsraten wird wegen der erforderlichen Umrechnung von Flächen- und Volumenangaben auf produzierte Massen auf +/- 20 % geschätzt; andere Unsicherheitsfaktoren fallen dagegen nicht ins Gewicht.

Die Unsicherheiten der verwendeten **CO_2-Emissionsfaktoren** für die Mauer- und Dachziegelproduktion werden maßgeblich durch die Unsicherheit in Bezug auf den $CaCO_3$-Gehalt der Rohstoffe bestimmt (+/- 30 %).

Zeitreihenkonsistenz ist für die Aktivitätsraten zur Dachziegel- und zur Mauerziegelproduktion und für die damit verknüpften CO_2-Emissionsfaktoren gegeben. Es gibt über die Zeitreihe vereinzelt Änderungen hinsichtlich der Verfügbarkeit statistischer Angaben zu einzelnen Produktarten, die aber nur etwa 1 % der produzierten Ziegelmenge und weniger als 0,5 % der gesamten keramischen Produktion ausmachten.

Die **Aktivitätsrate** zur gesamten keramischen Produktion enthält einen Methodenbruch aufgrund einer wesentlichen Änderung der verfügbaren statistischen Daten. So waren für Mauer- und Dachziegel bis 1994 Angaben in 1000 t verfügbar, ab 1995 nur in 1000 m^3 oder 1000 Stück. Im NIR 2007 wurden die Auswirkungen detailliert erläutert, wobei für die CO_2-Emissionen dieser Methodenbruch irrelevant ist.

4.2.4.4 Kategoriespezifische Qualitätssicherung/-kontrolle und Verifizierung (2.A.4.a Keramik)

Eine allgemeine Qualitätskontrolle und eine Qualitätssicherung durch die Fachseite und durch die Nationale Koordinierungsstelle wurden gemäß den Anforderungen des QSE-Handbuchs bzw. dessen mitgeltenden Unterlagen durchgeführt.

Die Daten aus dem Treibhausgas-Emissionshandel können nicht direkt mit den Emissionen aus dem Nationalen Inventar verglichen werden, weil aufgrund von Anlagenschwellenwerten im Rahmen des Emissionshandels nur für einen Teil der Keramikindustrie – auch nur für einen Teil der Ziegel- und Dachziegelproduzenten – Daten vorliegen.

4.2.4.5 Kategoriespezifische Rückrechnungen (2.A.4a Keramik)

Rückrechnungen sind nicht erforderlich.

4.2.4.6 Geplante Verbesserungen, kategoriespezifisch (2.A.4.a Keramik)

Es sind keine kategoriespezifischen Verbesserungen geplant.

Sofern in vorhergehenden Berichterstattungen in diesem Kapitel Verbesserungen benannt wurden, sind diese in Form einer Übersicht unter Kapitel 10.4 Verbesserungen des Inventars, Tabelle 426 zu finden. Sind diese bereits erledigt, sind sie im selben Kapitel in Tabelle 425 abgebildet.

4.2.5 Mineralische Industrie: weitere Sodanutzung (2.A.4.b)

4.2.5.1 Beschreibung der Kategorie (2.A.4.b)

Gas	Angewandte Methode	Quelle der Aktivitätsdaten	genutzte Emissionsfaktoren
CO_2	Tier 1	NS	D

Die übergeordnete Kategorie 2.A.4 - *Mineralische Produkte: Weiterer Einsatz von Karbonaten* ist keine Hauptkategorie.

Das Produkt Soda wird in der Industrie für die verschiedensten Anwendungen eingesetzt. Die wichtigsten Einsatzfelder sind die Glasindustrie, die Herstellung von Wasch- und Reinigungsmitteln und die chemische Industrie. Es wird davon ausgegangen, dass der im Soda enthaltene Kohlenstoff unabhängig von der Nutzungsart früher oder später als CO_2 in die Luft freigesetzt wird.

Emissionen, die sich aus der Nutzung von Soda ergeben, stehen in einem festen Verhältnis zu den berechneten Verwendungsmengen, hier außerhalb der Glasindustrie (siehe methodische Aspekte im folgenden Kapitel):

Tabelle 184: Aktivitätsraten und nutzungsbedingte CO_2-Emissonen außerhalb der Glasindustrie seit 1990

Jahr	Aktivitätsrate [t]	CO_2-Emissionen [kt]
1990	809.885	336,1
1991	587.756	243,9
1992	402.053	166,9
1993	379.687	157,6
1994	429.884	178,4
1995	340.793	141,4
1996	336.440	139,6
1997	387.823	160,9
1998	452.848	187,9
1999	394.164	163,6
2000	411.281	170,7
2001	490.469	203,5
2002	437.769	181,7
2003	529.515	219,7
2004	500.956	207,9

Jahr	Aktivitätsrate [t]	CO_2-Emissionen [kt]
2005	517.159	214,6
2006	484.871	201,2
2007	550.966	228,7
2008	538.477	223,5
2009	457.076	189,7
2010	528.885	219,5
2011	587.144	243,7
2012	516.444	214,3
2013	591.149	245,3
2014	584.961	242,8
2015	361.021	149,8

Quelle: Berechnungen des UBA, Herleitung siehe folgendes Kapitel

4.2.5.2 Methodische Aspekte (2.A.4.b)

Aktivitätsdaten

Seit der Inventarüberprüfung 2010 werden die verwendeten Sodamengen ermittelt, die nicht in anderen Kategorien für Emissionsberechnungen berücksichtigt werden. Dabei handelt es sich um eine Berechnung, die auf die höchst mögliche Emission aus der Nutzung von Soda abzielt. Die Gesamtsumme des in Deutschland genutzten Sodas wird über eine Bilanzierung (Produktionsmenge plus Import abzüglich Export) ermittelt (a). Die Im- und Exportmengen werden der Außenhandelsstatistik vom Statistischen Bundesamt entnommen (STATISTISCHES BUNDESAMT, 2015). Die Emissionen aus der Verwendung von Soda in der Glasindustrie werden bereits unter der Kategorie 2.A.3 quellspezifisch berücksichtigt (b). Die dort eingesetzten Mengen an Soda werden bei der hier relevanten Sodanutzung abgezogen. Die Aktivitätsdaten aus obiger Tabelle (c) ergeben sich nach folgender Formel:

c = a minus b

Emissionsfaktor

Für die Anwendung von Soda beträgt der Emissionsfaktor stöchiometrisch 415 kg CO_2 pro Tonne Soda unter der Annahme, dass eine vollständige Freisetzung erfolgt (konservativer Ansatz).

4.2.5.3 Unsicherheiten und Zeitreihenkonsistenz (2.A.4.b)

Aktivitätsdaten

Die Berechnungen der relevanten Mengen an genutztem Soda weisen hohe Unsicherheiten auf (maximal -18%/+18%), weil zu den statistischen Schwankungsbreiten Berechnungsannahmen o.g. Herleitung hinzukommen.

Emissionsfaktor

Der Emissionsfaktor für die Verwendung von Soda weist kleine, begründete Unsicherheiten im Bereich von Produktreinheit und Vollständigkeit des chemischen Umsatzes auf (-5%/+0%).

4.2.5.4 Kategoriespezifische Qualitätssicherung/-kontrolle und Verifizierung (2.A.4.b)

Eine allgemeine Qualitätskontrolle und eine Qualitätssicherung durch die Fachseite und durch die Nationale Koordinierungsstelle wurden gemäß den Anforderungen des QSE-Handbuchs bzw. dessen mitgeltenden Unterlagen durchgeführt. Aufgrund fehlender Fachzuständigkeiten konnte für den Bereich „Verwendung von Soda/Natriumcarbonat“ keine Qualitätskontrolle/Qualitätssicherung durch Quellgruppenexperten durchgeführt werden. Die

Qualitätssicherung erfolgte durch die Nationale Koordinierungsstelle. Daten wurden fortgeschrieben bzw. auf Basis bereits bestehender Berechnungsroutinen ermittelt.

Momentan lassen sich die verwendeten Sodamengen, die nicht der Glasindustrie zuzuordnen sind, nicht quantitativ verifizieren. Sie stellen aber als konservative Schätzung keine Unterschätzung des Inventars dar. Qualitativ stehen die Berechnungsergebnisse den stichprobenartig bekannten Absatzzahlen der Sodahersteller nicht entgegen.

Der stöchiometrische Emissionsfaktor entspricht den Default-Angaben der IPCC-Guidelines (IPCC, 2006: Band 3, Ch. 2, table 2.1)

4.2.5.5 Kategoriespezifische Rückrechnungen (2.A.4-b)

Es waren nur geringfügige Rekalkulationen für das Jahr 2013 notwendig, die sich aus Änderungen bei Datenrundungen ergeben und Rekalkulationen für das Jahr 2014, die auf Aktualisierungen von Produktionszahlen in der Glasindustrie zurückzuführen sind.

4.2.5.6 Geplante Verbesserungen, kategoriespezifisch (2.A.4.b)

Derzeit sind keine weiteren Verbesserungen geplant.

Sofern in vorhergehenden Berichterstattungen in diesem Kapitel Verbesserungen benannt wurden, sind diese in Form einer Übersicht unter Kapitel 10.4 Verbesserungen des Inventars, Tabelle 426 zu finden. Sind diese bereits erledigt, sind sie im selben Kapitel in Tabelle 425 abgebildet.

4.2.6 Herstellung nichtmetallurgischer Magnesiumprodukte (2.A.4.c)

4.2.6.1 Beschreibung der Kategorie (2.A.4.c)

Die Treibhausgas-Emissionen aus dieser Kategorie betragen weniger als 0,05 % des Gesamtinventars (ohne LULUCF) und unterschreiten 500 kt CO2-Äquivalente, zudem kann eine jährliche Erfassung nicht gewährleistet werden (gemäß FCCC/SBSTA/2013/L.29/Add.1, para 37). Somit wird auf eine entsprechende Berichterstattung verzichtet. In diesem Kapitel findet einmalig eine quantitative Abschätzung der somit nicht im Inventar berücksichtigten Emission statt. Eine Zusammenstellung aller als ‚not estimated' erfasster Quellen erfolgt darüber hinaus in Anhang 5 in Kapitel 21 dieses Berichtes.

4.2.6.2 Methodische Aspekte (2.A.4.c)

Geeignete Aktivitätsdaten für diesen Quellkategoriezuschnitt konnten nicht in den amtlichen Statistiken identifiziert werden. Einige Produktarten wie Feuerfeststeine sind bereits in den Aktivitätsdaten der keramischen Industrie enthalten (CRF 2.A.4.a, Kapitel 4.2.4). Die darüber hinaus identifizierte „Herstellung von anderen Karbonaten" ist eine Sammelposition, bei der Magnesiumkarbonate eine nicht ausweisbare Teilmenge ausmachen. Die sich ergebende Zeitreihe belegt nur Produktionsmengen unterhalb 300.000 t. Erst ab ca. einer Million Tonnen eines Produkts mit hohem Anteil an CaO und MgO würde die Schwelle zur Berücksichtigung erreicht werden. Keine in Frage kommende Produktart, auch nicht die bereits in anderen Kategorien erfassten, erreicht dieses Maß.

Eine genaue Berechnung der potentiellen CO_2-Emissionen ist auf Grund der statistischen Sammelpositionen kaum möglich, sie wird auf deutlich weniger als 100.000 t Kohlendioxid geschätzt.

4.2.6.3 Unsicherheiten und Zeitreihenkonsistenz (2.A.4.c)

Aussagen über Unsicherheiten und Angaben zur Zeitreihenkonsistenz sind nicht möglich.

4.2.6.4 Kategoriespezifische Qualitätssicherung/-kontrolle und Verifizierung (2.A.4.c)

Aufgrund begrenzter Ressourcen und minimaler Relevanz wurde für diese Berichterstattung keine QK/QS durchgeführt.

Eine erste Schätzung erfolgte im Rahmen eines Forschungsprojektes und wurde vom fachlichen Ansprechpartner im UBA geprüft und in der oben beschriebenen Weise bestätigt.

4.2.6.5 Kategoriespezifische Rückrechnungen (2.A.4.c)

Die Betrachtung von Rekalkulationen entfällt auf Grund der nicht ausgewiesenen Emissionen.

4.2.6.6 Geplante Verbesserungen, kategoriespezifisch (2.A.4.c)

Es sind keine weiteren Aktivitäten geplant.

4.2.7 Mineralische Industrie: weitere Verwendung von Kalkstein und Dolomit (2.A.4.d)

4.2.7.1 Beschreibung der Kategorie (2.A.4.d)

Emissionen von Kohlendioxid dieser Quellgruppe werden nicht gesondert berichtet, sondern werden in den Quellgruppen berichtet, in denen Kalkstein und Dolomit verwendet wird (Included Elsewhere - IE). In den jeweiligen Quellgruppen erfolgt auch die Berücksichtigung in der Hauptquellgruppenanalyse.

Emissionen der Vorläufersubstanzen SO_2, NO_X sowie NMVOC werden in dieser Kategorie berichtet, wenn die 'CRF Reporter Inventory Software' von UNFCCC-keinen Eintrag in Subkategorien gestattet, im Einzelnen sind das Folgende:

- NO_X und NMVOC aus 2.A.1, 2.A.2 und 2.A.3,
- SO_2 aus 2.A.2 und 2.A.3 inklusive einer statistischen Angabe für das Gebiet der 'Neuen Bundesländer' in 1990,
- diese Allokation bedingt, dass keine Angabe von Aktivitäten in den CRF-Tabellen möglich ist.

Alle anderen Vorläufersubstanzen werden in den Kategorien berichtet, denen die Emissionen zuzuordnen sind (keine Restriktionen der CRF-Reporter-Software).

In dieser Quellgruppe wurden bis zur Submission 2014 in Ergänzung zu den IPCC-Guidelines 1996 die gesamte Produktion und Verwendung von Kalkstein und Dolomit bilanziell betrachtet und Abgleiche mit den Quellgruppen des Inventars vorgenommen. Die „Kalksteinbilanz“ kann im NIR 2014 letztmalig nachvollzogen werden.

Für den Einsatz von Kalkstein in anderen emissionsrelevanten Bereichen als den unten benannten Quellgruppen liegen keine Erkenntnisse vor.

4.2.7.2 Methodische Aspekte (2.A.4.d)

Im Folgenden soll eine Übersicht des nationalen Kalksteineinsatzes gegeben werden (Quellgruppenverweise). Die Emissionsberechnungen erfolgen in den Quellgruppen, in denen CO_2-Emissionen aus der Kalksteinverwendung resultieren:

- 1.A.1.a Rauchgasentschwefelung von Kraftwerken (Kalksteineinsatz)
- 2.A.1 Zementklinkerherstellung (Kalksteinanteil in den Rohstoffen)
- 2.A.2 Kalkherstellung (Kalksteineinsatz)
- 2.A.3 Glasherstellung (Kalksteinanteil in den Rohstoffen)

- 2.A.4.a Keramik – Ziegelproduktion (Kalksteinanteil in den Rohstoffen)
- 2.B.7 Sodaherstellung (Kalksteineinsatz)
- 2.C.1 Eisen- und Stahlherstellung (Kalksteineinsatz und Kalköfen)
- 2.H.2 Kalköfen der Zuckerherstellung (Kalksteineinsatz)
- 3.G Land- und forstwirtschaftliche Bodenkalkung

Die Daten werden in den jeweils relevanten Quellgruppen aktualisiert (Aufstellung siehe oben), wobei auch die methodischen Aspekte in den jeweiligen Quellgruppenkapiteln erläutert werden

4.2.7.3 Unsicherheiten und Zeitreihenkonsistenz (2.A.4.d)

Angaben zu den Unsicherheiten der Aktivitätsraten und Emissionsfaktoren der relevanten Kalksteinverwendungen werden in den jeweiligen Quellgruppenkapiteln gemacht.

4.2.7.4 Kategoriespezifische Qualitätssicherung/-kontrolle und Verifizierung (2.A.4.d)

Eine Qualitätskontrolle und eine Qualitätssicherung, die den Anforderungen des QSE-Handbuchs bzw. dessen mitgeltenden Unterlagen entsprechen, wurden in denjenigen Kategorien durchgeführt, in die die Kategorie 2.A.4.d verweist.

Die Aktivitätsdaten und die Emissionsfaktoren der relevanten Kalksteinverwendungen werden in den jeweiligen Kategorien verifiziert und aktualisiert.

4.2.7.5 Kategoriespezifische Rückrechnungen (2.A.4.d)

Rekalkulationen erfolgen in den jeweiligen Quellgruppen.

4.2.7.6 Geplante Verbesserungen, kategoriespezifisch (2.A.4d)

Momentan sind keine Verbesserungen und keine jährlichen Aktualisierungen der Kalksteinbilanz geplant.

Sofern in vorhergehenden Berichterstattungen in diesem Kapitel Verbesserungen benannt wurden, sind diese in Form einer Übersicht unter Kapitel 10.4 Verbesserungen des Inventars, Tabelle 426 zu finden. Sind diese bereits erledigt, sind sie im selben Kapitel in Tabelle 425 abgebildet.

4.3 Chemische Industrie (2.B)

Die Kategorie 2.B ist unterteilt in die Unterpunkte 2.B.1 bis 2.B.10. Hierzu gehören die Ammoniakproduktion (2.B.1), die Salpetersäureproduktion (2.B.2), die Adipinsäureproduktion (2.B.3), die Caprolactam-, Glyoxal- und Glyoxylsäureproduktion, (2.B.4), die Carbidproduktion (2.B.5), die Titandioxidproduktion (2.B.6), die Sodaherstellung (2.B.7), die Petrochemikalien- und Industrierußproduktion (2.B.8) und die Produktion von fluorierten Chemikalien (2.B.9).

In der Kategorie *Andere* (2.B.10) werden nur Vorläufersubstanzen aus der Produktion von Düngemitteln und Schwefelsäure berichtet. Die Produktion von 1,12-Dodecandisäure wird in 2.B.10 beschrieben, die prozessbedingten N_2O-Emissionen werden aber aus Vertraulichkeitsgründen mit unter 2.G.3 berichtet.

4.3.1 Chemische Industrie: Ammoniakproduktion (2.B.1)

4.3.1.1 Beschreibung der Kategorie (2.B.1)

KC	Category	Activity	EM of	1990 (kt CO_2-e.)	(fraction)	2015 (kt CO_2-e.)	(fraction)	Trend 1990-2015
L/-	2.B.1. Chemical Industry	Ammonia Production	CO_2	6.025,0	0,49%	4.135,0	0,47%	-31,4%

Gas	Angewandte Methode	Quelle der Aktivitätsdaten	genutzte Emissionsfaktoren
CO_2	Tier 3	PS	PS
NO_X			D

Die Kategorie *Chemische Industrie: Ammoniakproduktion* ist für CO_2-Emissionen eine Hauptkategorie nach der Emissionshöhe.

Die Herstellung von Ammoniak erfolgt auf Basis von Wasserstoff und Stickstoff unter Bildung von CO_2 nach dem Haber-Bosch-Verfahren. Wasserstoff wird in einem hochintegrierten Verfahren in einem *Steam-Reforming*-Prozess aus Synthesegas meist auf der Basis von Erdgas gewonnen, Stickstoff wird durch Luftzerlegung bereitgestellt.

Die verschiedenen Anlagenarten zur Herstellung von Ammoniak können aufgrund des hochintegrierten Charakters des Verfahrens nicht in einzelne Aggregate unterteilt und als Verfahrensteile getrennt voneinander verglichen werden. Beim *Steam Reforming* werden folgende Verfahren unterschieden:

- ACP - *Advanced Conventional Process* (weiterentwickeltes konventionelles Verfahren) mit einem befeuerten Primär-Reformer und sekundärer Reformierung mit Luftüberschuss (stöchiometrisches H/N-Verhältnis)
- RPR - *Reduced Primary Reformer Process* (Reduzierte primäre Reformierung) unter milden Bedingungen in einem befeuerten Primär-Reformer und sekundärer Spaltung mit Luftüberschuss (unterstöchiometrisches H/N-Verhältnis)
- HPR - *Heat Exchange Primary Reformer Process* (Primäre Reformierung mit Wärmeaustausch) autothermische Spaltung mit Wärmeaustausch unter Einsatz eines mit Prozessgas beheizten Dampfreformers (Wärmeaustausch-Reformer) und eines separaten Sekundärreformers oder eines kombinierten autothermischen Reformers und Verwendung von Überschussluft oder angereicherter Luft (unterstöchiometrisches oder stöchiometrisches H/N-Verhältnis).

Weiterhin ist folgendes Verfahren im Einsatz:

- Partielle Oxidation - Vergasung von Erdgas, Fraktionen schweren Mineralöls oder Vakuumreststoffen bei der Herstellung von Synthesegas.

Seit Mitte 2014 wird in Deutschland nur noch an vier Standorten Ammoniak produziert. Dabei werden sowohl der Steam-Reforming-Prozess als auch die partielle Oxidation verwendet.

Der Produktionsrückgang um mehr als 15 % (entspricht einer Menge von knapp 300 kt) im ersten Jahr nach der Wiedervereinigung beruhte auf einer Marktbereinigung, die zu über 2/3 zu Lasten der neuen Bundesländer ging. In den Folgejahren bis 1994 blieb das Produktionsniveau nahezu konstant. Der Grund für den Wiederzuwachs ab 1995 auf das Niveau von 1990 konnte nicht geklärt werden, er könnte aber darauf zurückzuführen sein, dass in den neuen Bundesländern nach umfangreichen Modernisierungsarbeiten die Produktionsprozesse wieder aufgenommen wurden. Nach 1995 unterliegt das Produktionsniveau nur kleineren Schwankungen. Der Produktionsrückgang 2009 um fast 8 Prozent war bedingt durch die globale Wirtschaftskrise. Bis 2013 war der IEF im Vergleich zu anderen Ländern höher, da in Deutschland neben Erdgas auch

Schweröl zur partiellen Oxidation eingesetzt wurde. Schweröl erzeugt aber deutlich höhere CO_2-Emissionen als Erdgas. Seit Mitte 2013 wird für die partielle Oxidation überwiegend Erdgas eingesetzt, außerdem wird eine größere Menge an CO_2 aufgefangen und weiter verarbeitet zu Harnstoff für den Einsatz als AdBlue und für den Einsatz als Düngemittel, so dass sich der IEF nicht mehr wesentlich von dem anderer Länder unterscheidet.

4.3.1.2 Methodische Aspekte (2.B.1)

Entsprechend der Einstufung als Hauptkategorie für die CO_2-Emissionen werden die Emissionsdaten aus dieser Kategorie seit der Berichterstattung 2010 nach Tier 3 erhoben und berichtet, mit Ausnahme einer Anlage die bis 2012 nach der Tier 2 Methode erhoben worden ist, da der Default Kohlenstoffgehalt verwendet wurde. Seit 2013 sind alle Anlagen nach dem Tier 3 Verfahren erhoben. Die Grundlage dazu bildet eine Kooperationsvereinbarung mit den Betreibern zur Lieferung anlagenspezifischer Daten.

Die Betreiber übersenden ihre anlagenspezifischen Daten an den Industrieverband Agrar (IVA). Dort werden diese aus Vertraulichkeitsgründen anonymisiert und dann anlagenspezifisch an das Umweltbundesamt übermittelt. Das Umweltbundesamt nimmt eine Qualitätssicherung vor und aggregiert anschließend die Daten

Die Anlagenbetreiber melden:

- die produzierte Menge Ammoniak (**Aktivitätsdaten**),
- die Menge des jeweils eingesetzten Rohstoffes (Erdgas, schweres Mineralöl) abzüglich des in der Energiebilanz gemeldeten energetisch genutzten Brennstoffes (TFR_i),
- dessen C-Faktor (CCF_i) und Kohlenstoffoxidationsfaktor (COF_i),
- die Menge und die Verwendungsart des weiterverarbeiteten CO_2 (R_{CO2}),

CO_2-Emissionen:

Die CO_2-Emissionen werden entsprechend der Gleichung 3.3 in den 2006 IPCC-Guidelines berechnet:

$$E_{CO2} = \sum (TFR_i * CCF_i * COF_i * 44/12 - R_{CO2})$$

Die rückgewonnene Menge an CO_2, die bei anderen Produktionsprozessen wie z.B. zur Harnstoff-Produktion eingesetzt wird und dort auch berichtet wird, ist in den berichteten Emissionen nicht enthalten.

Der Kohlenstoffgehalt von Erdgas und Schweröl wird von den vier Produzenten wie folgt bestimmt:
Seit 2013 unterliegen alle Ammoniakanlagen dem Emissionshandel, damit erfüllen auch alle Anlagen für die Ermittlung des Kohlenstoffgehalts die Anforderungen an den Emissionshandel.

Ein Produzent verwendet einen Standardfaktor, der sich aufgrund der laufenden Betriebsanalytik heraus gebildet hat (C-Gehalt = 86,1 % - Gewichtsbasis). Der zweite Produzent verwendete für Erdgas bis 2013 den IPCC-Default Value, für die Restgase wurde der C-Gehalt analytisch ermittelt, der C-Gehalt des eingesetzten Gasgemischs wurde mengengewichtet aus den C-Gehalten der einzelnen Einsatzstoffe errechnet. In zwei Fällen werden die Daten, die der Erdgaslieferant zur Verfügung stellt verwendet.

Emissionsfaktor für NO_x:

Für den Emissionsfaktor von NO_X wurde der Default-Emissionsfaktor des *CORINAIR Guidebooks* von 1 kg/t NH_3 verwendet (EMEP EEA Emission Inventory Guidebook, TFEIP-endorsed draft, May 2009).

4.3.1.3 Unsicherheiten und Zeitreihenkonsistenz (2.B.1)

Die von den Betreibern übermittelten Unsicherheiten werden vom UBA entsprechend der Gleichung 3.2 (2006 IPCC Guidelines, Vol. 1, Ch. 3) aggregiert und eingetragen.

Die Unsicherheit für die Aktivitätsrate beträgt ± 0,6 %. Die Unsicherheit für die Emissionen beträgt ± 1 %.

4.3.1.4 Kategoriespezifische Qualitätssicherung/-kontrolle und Verifizierung (2.B.1)

Eine allgemeine und kategoriespezifische Qualitätskontrolle und eine Qualitätssicherung durch die Fachseite und durch die Nationale Koordinierungsstelle wurden gemäß den Anforderungen des QSE-Handbuchs bzw. dessen mitgeltenden Unterlagen durchgeführt.

4.3.1.5 Kategoriespezifische Rückrechnungen (2.B.1)

Rückrechnungen sind nicht durchgeführt worden.

4.3.1.6 Geplante Verbesserungen, kategoriespezifisch (2.B.1)

Derzeit sind keine Verbesserungen geplant.

Sofern in vorhergehenden Berichterstattungen in diesem Kapitel Verbesserungen benannt wurden, sind diese in Form einer Übersicht unter Kapitel 10.4 Verbesserungen des Inventars, Tabelle 426 zu finden. Sind diese bereits erledigt, sind sie im selben Kapitel in Tabelle 425 abgebildet.

4.3.2 Chemische Industrie: Salpetersäureproduktion (2.B.2)

4.3.2.1 Beschreibung der Kategorie (2.B.2)

KC	Category	Activity	EM of	1990 (kt CO_2-e.)	(fraction)	2015 (kt CO_2-e.)	(fraction)	Trend 1990-2015
L/T	2.B.2. Chemical Industry	Nitric Acid Production	N_2O	3.258,5	0,27%	503,6	0,06%	-84,5%

Gas	Angewandte Methode	Quelle der Aktivitätsdaten	genutzte Emissionsfaktoren
N_2O	Tier 3	PS	PS

Die Kategorie *Chemische Industrie: Salpetersäureproduktion* ist für N_2O-Emissionen eine Hauptkategorie nach Emissionshöhe und Trend.

Bei der Produktion von Salpetersäure entsteht in einer Nebenreaktion Distickstoffoxid. In Deutschland gibt es derzeit insgesamt neun Anlagen zur Herstellung von Salpetersäure.

Die Herstellung von HNO_3 erfolgt in zwei Verfahrensschritten:

- **Oxidation** von NH_3 zu NO und
- **Umwandlung** von NO in NO_2 und **Absorption** in H_2O.

Einzelheiten des Verfahrens werden nachstehend beschrieben:

Katalytische Oxidation von Ammoniak

Ein Ammoniak-Luft-Gemisch im Verhältnis von 1:9 wird in Gegenwart eines mit Rhodium und/oder Palladium legierten Platin-Katalysators bei einer Temperatur zwischen 800 und 950 °C oxidiert. Die entsprechende Reaktion nach dem Ostwald-Verfahren ist wie folgt:

$$4\ NH_3 + 5\ O_2 \rightarrow 4\ NO + 6\ H_2O$$

Gleichzeit werden durch folgende unerwünschte Nebenreaktionen Stickstoff, Distickstoffoxid und Wasser gebildet:

$$4\ NH_3 + 3\ O_2 \rightarrow 2\ N_2 + 6\ H_2O$$

$$\mathbf{4\ NH_3 + 4\ O_2 \rightarrow 2\ N_2O + 6\ H_2O}$$

Alle drei Oxidationsreaktionen sind exotherm. Die Wärme kann zurückgewonnen werden und zur Erzeugung von Dampf für den Prozess bzw. zur Abgabe an andere Betriebe und/oder zur Vorwärmung der Restgase genutzt werden. Das Reaktionswasser wird während der Abkühlung der Reaktionsgase in einem Kühlkondensator kondensiert und in die Absorptionssäule überführt.

4.3.2.2 Methodische Aspekte (2.B 2)

Die Salpetersäureproduktion wird entsprechend den 2006 IPCC-Guidelines anlagenspezifisch nach Tier 3 berichtet. Die Grundlage dazu bildet eine Kooperationsvereinbarung mit den Betreibern zur Lieferung anlagenspezifischer Daten. Bis einschließlich der Berichtsrunde 2014 übersandten sechs Betreiber die Daten an den Industrieverband Agrar (IVA). Nach einer Qualitätssicherung aggregierte der IVA aus Vertraulichkeitsgründen die Daten und übermittelte die aggregierten Daten (AR und EF) an das UBA. Eine Firma übermittelte ihre Daten (AR, EF, N_2O-Emissionen und evtl. eingesetzte Minderungstechnik) direkt an das Umweltbundesamt, dort wurden diese nach einer Qualitätsprüfung mit den Daten vom IVA aggregiert und in der Emissionsdatenbank ZSE dokumentiert.

Die Kooperationsvereinbarung wurde für die neue Verpflichtungsperiode und die neuen 2006 IPCC Guidelines angepasst. Das UBA erhält jetzt in anonymisierter Form für die sechs Betriebe mit sieben _Anlagen die anlagenspezifischen Daten über den IVA. Der siebte Betreiber schickt weiterhin seine Daten direkt an das Umweltbundesamt. Seit 2000 produziert ein weiterer Betrieb Salpetersäure. Da für die Berichterstattung 2017 die Aktivitäten zur Kooperationsvereinbarung noch nicht abgeschlossen sind, wurde für diese eine Anlage für die Berichterstattung 2017 die Aktivitätsrate und die Emissionen geschätzt.

Die Anlagenbetreiber melden an:

- die produzierte Menge Salpetersäure (**Aktivitätsdaten**),
- den EF,
- die gemessenen N_2O-Emissionen am Rohgas,
- bei Einsatz von Minderungstechniken auch die gemessenen N_2O-Emissionen am geminderten Abgas.
- Die Unsicherheiten für die Aktivitätsrate, den Emissionsfaktor und die geminderten Emissionen.

Als Minderungstechnik kommt teilweise die katalytische Zersetzung direkt nach der Ammoniakverbrennung zum Einsatz.

Bis 2006 korreliert die Produktionsmenge mit den N_2O-Emissionen. Danach ist eine deutliche Entkopplung von Produktionsmenge und N_2O-Emissionen erkennbar, dies ist auf den zunehmenden Einsatz von Minderungstechniken zurückzuführen.

NO_X-**Emissionsfaktor:**

Für den Emissionsfaktor von NO_X wurde der Default-Emissionsfaktor des *CORINAIR Guidebooks* von 10 kg/t NH_3 verwendet (EMEP EEA Emission Inventory Guidebook, TFEIP-endorsed draft, May 2009).

4.3.2.3 Unsicherheiten und Zeitreihenkonsistenz (2.B.2)

Aktivitätsrate:

Die von den Betreibern übermittelte Unsicherheit für die Aktivitätsrate wurde vom UBA entsprechend der Gleichung 3.2 (2006 IPCC Guidelines, Vol. 1, Ch. 3) festgelegt. Die Unsicherheit beträgt ± 1 %.

Emissionsfaktor:

Für den N_2O-Emissionsfaktor wird von den Betreibern eine Unsicherheit von ± 5 % angegeben.

4.3.2.4 Kategoriespezifische Qualitätssicherung/-kontrolle und Verifizierung (2.B.2)

Eine allgemeine und kategoriespezifische Qualitätskontrolle und eine Qualitätssicherung durch die Fachseite und durch die Nationale Koordinierungsstelle wurden gemäß den Anforderungen des QSE-Handbuchs bzw. dessen mitgeltenden Unterlagen durchgeführt.

4.3.2.5 Kategoriespezifische Rückrechnungen (2.B.2)

Rückrechnungen sind nicht durchgeführt worden.

4.3.2.6 Geplante Verbesserungen, kategoriespezifisch (2.B.2)

Im Jahr 2015 ist eine neue Anlage identifiziert worden, die Salpetersäure herstellt. Die Naionale Koordinierungsstelle ist dabei, diese in die Kooperationsvereinbarung aufzunehmen.

Sofern in vorhergehenden Berichterstattungen in diesem Kapitel Verbesserungen benannt wurden, sind diese in Form einer Übersicht unter Kapitel 10.4 Verbesserungen des Inventars, Tabelle 426 zu finden. Sind diese bereits erledigt, sind sie im selben Kapitel in Tabelle 425 abgebildet.

4.3.3 Chemische Industrie: Adipinsäureproduktion (2.B.3)

4.3.3.1 Beschreibung der Kategorie (2.B.3)

KC	Category	Activity	EM of	1990 (kt CO_2-e.)	(fraction)	2015 (kt CO_2-e.)	(fraction)	Trend 1990-2015
L/T	2.B.3. Chemical Industry	Adipic Acid Production	N_2O	18.076,7	1,48%	250,9	0,03%	-98,6%

Gas	Angewandte Methode	Quelle der Aktivitätsdaten	genutzte Emissionsfaktoren
N_2O	Tier 3	PS	PS
NO_x, CO	NA	NA	NE

Die Kategorie *Chemische Industrie: Adipinsäureproduktion* ist für N_2O-Emissionen eine Hauptkategorie nach der Emissionshöhe und dem Trend.

Im technischen Maßstab wird Adipinsäure durch Oxidation eines Gemisches von Cyclohexanol und Cyclohexanon mit Salpetersäure hergestellt. Bei dieser Reaktion werden erhebliche Mengen an Lachgas (N_2O) gebildet.

Dies wurde bis Ende 1993 von den beiden alleinigen deutschen Herstellern vollständig in die Atmosphäre emittiert. Ein Hersteller hat seitdem eine Anlage zur thermischen Zersetzung von Lachgas in Stickstoff und Sauerstoff in Betrieb. Die Zersetzung erfolgt nahezu vollständig. 2009 kam eine zweite, zusätzliche (redundante) thermische N_2O-Zersetzungsanlage hinzu. Es werden N_2O-Zersetzungsraten von über 99% erreicht.

Ende 1997 nahm der andere Hersteller eine katalytische Reaktoranlage in Betrieb, die bei Dauerbetrieb eine N_2O-Zersetzungsrate von 97-98 % erreicht. Ende 2009 kam ein zweiter, redundanter Zersetzungsreaktor hinzu.

Durch die Installation der zwei redundanten Abgasbehandlungsanlagen bei den beiden Herstellern haben sich die N_2O-Emissionen seit 2010 noch einmal deutlich reduziert.

Im März 2002 nahm ein dritter Hersteller mit einer Anlage die Produktion auf. Die Anlage wird ebenfalls mit einer thermischen N_2O-Zersetzung betrieben. Es können N_2O-Zersetzungsraten von über 99% erreicht werden. Auch dieser Hersteller hat die Möglichkeit bei Ausfall der Minderungsanlage eine redundante Minderungsanlage zu nutzen.

Die insgesamt schwankenden Abbauraten und somit auch die Restemissionen resultieren aus Funktionsbeeinträchtigungen und geplanten Unterbrechungen der Minderungsanlagen und unterschiedlichen Produktionsvolumina.

Die Produktion hat sich nachfragebedingt im Zeitraum von 1990 bis heute nahezu verdoppelt.

4.3.3.2 Methodische Aspekte (2.B.3)

Die Berechnung der N_2O-Emissionen aus der Adipinsäureproduktion basiert seit 1990 auf anlagenbezogenen Daten.

In den Jahren in denen keine Lachgasminderungstechnik installiert war wurden von den beiden Herstellern nur die Produktionsmengen zur Verfügung gestellt. Für die Berechnung der Lachgasemissionen wurde für diesen Zeitraum der IPCC Default-Emissionsfaktor verwendet und zwar bis 1994 für eine Anlage und bis 1997 für die zweite Anlage. Die Berechnung der N_2O-Emissionen entspricht in diesen Jahren dem Tier 2 Ansatz. Für den anschließenden Zeitraum wurden von den Herstellern die Lachgasemissionen kontinuierlich gemessen und neben den Produktionsangaben und den N_2O-Emissionen auch für die Abschätzung der Genauigkeit der berichteten Daten notwendige Hintergrundinformationen vertraulich mitgeteilt. Der dritte Hersteller misst seit 2013 kontinuierlich. Die Bestimmung der N_2O-Emissionen mit kontinuierlicher Lachgasmessung entspricht der Tier 3-Methode der 2006 IPCC Guidelines for National Greenhouse Gas Inventories (Vol. 3, Ch. 3.4.2.1).

4.3.3.3 Unsicherheiten und Zeitreihenkonsistenz (2.B.3)

Für Anlagen mit thermischer Zersetzung werden nach 2006 IPCC GL (Vol. 3, Tab. 3.4) Unsicherheiten für die N_2O-Zersetzungsrate von +/- 0,5% und für die katalytische Zersetzung von +/- 2,5% angegeben.

Nach Angaben der Hersteller liegen die Unsicherheiten der Emissionen unabhängig von dem Minderungsverfahren in einem Bereich von etwa +/-1 bis 6%. Die Unsicherheiten für die Produktionsmengen werden mit <0,1% bis etwa 1% beziffert. Der EF wird daher mit einer Unsicherheit von 6 % und die Produktionsmengen von 2% angesetzt.

4.3.3.4 Kategoriespezifische Qualitätssicherung/-kontrolle und Verifizierung (2.B.3)

ufgrund derzeit fehlender Fachzuständigkeiten konnte keine Qualitätskontrolle und Qualitätssicherung durch Quellgruppenexperten durchgeführt werden - dies wird nach Rückkehr der betreffenden Person nachgeholt (i.d.R. mit der nächsten Berichterstattung). Eine allgemeine und kategoriespezifische Qualitätskontrolle und eine Qualitätssicherung durch die Fachseite und durch die Nationale Koordinierungsstelle wurden gemäß den Anforderungen des QSE-Handbuchs bzw. dessen mitgeltenden Unterlagen durchgeführt.

Die Angaben der Hersteller unterliegen einem hohen Vertrauensschutz. Aus diesem Grund können in den CRF-Tabellen lediglich die Emissionsangaben ausgewiesen werden. Die berichteten Emissionen und Aktivitätsraten werden durch den Experten im UBA überprüft und mit Angaben der Industrie und anderen Veröffentlichungen verglichen.

Zwei der drei Hersteller haben an einem JI-Projekt teilgenommen. Die Ergebnisse dieser Projekte wurden mit den Inventardaten verglichen und konnten durch diese bestätigt werden.

4.3.3.5 Kategoriespezifische Rückrechnungen (2.B.3)

Rückrechnungen sind nicht erforderlich.

4.3.3.6 Geplante Verbesserungen, kategoriespezifisch (2.B.3)

Derzeit sind keine Verbesserungen geplant.

Sofern in vorhergehenden Berichterstattungen in diesem Kapitel Verbesserungen benannt wurden, sind diese in Form einer Übersicht unter Kapitel 10.4 Verbesserungen des Inventars, Tabelle 426 zu finden. Sind diese bereits erledigt, sind sie im selben Kapitel in Tabelle 425 abgebildet.

4.3.4 Chemische Industrie: Caprolactam, Glyoxal & Glyoxylsäure (2.B.4)

4.3.4.1 Beschreibung der Kategorie (2.B.4)

KC	Category	Activity	EM of	1990 (kt CO_2-e.)	(fraction)	2015 (kt CO_2-e.)	(fraction)	Trend 1990-2015
-/-	2.B.4. Chemical Industry	Caprolactam, glyoxal and glyoxylic acid production	N_2O	221,8	0,02%	0,0	0,00%	-100,0%

Gas	Angewandte Methode	Quelle der Aktivitätsdaten	genutzte Emissionsfaktoren
N_2O	NA	NS	NA

Die Kategorie *Chemische Industrie: Caprolactam, Glyoxal & Glyoxylsäure* ist keine Hauptkategorie.

ε-Caprolactam ist das technisch bedeutendste Lactam, das hauptsächlich zur Herstellung von PA 6 eingesetzt wird. In Deutschland gibt es zwei Hersteller.

Glyoxal wird zur Herstellung einer Vielzahl von Produkten zur Verbesserung der Eigenschaften eingesetzt. Es gibt einen Produzenten. Das von ihm für die Herstellung von Glyoxal angewendete Verfahren (Oxidation von Ethylenglykol in der Gasphase) ist keine Quelle für prozessbedingte Lachgasemissionen.

Nach Aussage des Glyoxalherstellers wird kein an Kunden in Deutschland geliefertes Glyoxal zu Glyoxylsäure verarbeitet. Eine Produktion von Glyoxylsäure aus anderen Ausgangsstoffen in Deutschland ist nicht bekannt.

4.3.4.2 Methodische Aspekte (2.B.4)

CaprolactamBeide Hersteller nutzen den Syntheseweg über das Hydroxylammoniumsulfat (HAS), für dessen Herstellung Ammoniak oxidiert wird. Die Ammoniakoxidation ist im Herstellungsprozess hauptursächlich für die N_2O-Emissionen.

Auch setzen beide Hersteller eine thermische Abgasbehandlung zur Lachgaszerstörung ein, die jeweils redundant ausgelegt ist. Die Temperaturen liegen weit oberhalb der Zersetzungstemperatur von Lachgas, so dass Emissionen standardmäßig nur in sehr geringen Mengen auftreten.

Für einen der beiden Hersteller werden aus Konsistenzgründen mit dem Emissionshandel die N_2O-Emissionen der Salpetersäureproduktion (2.B.2) zugeordnet. Die Berichterstattung erfolgt nach einer Tier 3-Methode. Für diese Anlage wird darum in der CRF-Tabelle unter 2.B.4a die Notation IE gewählt.

Für die Anlage des anderen Herstellers liegen der Nationalen Koordinierungsstelle detaillierte Informationen vor, nach denen eine vollständige Eliminierung der Lachgasmengen durch die

thermische Nachverbrennungseinrichtung angenommen werden kann. Da aber für den Anlagenbetreiber keine Messverpflichtungen bestehen und um eine Untererfassung der Lachgasemissionen durch andere Emissionsquellen vorzubeugen, werden die N_2O-Emissionen einmalig quantitativ nach einer Tier 2-Methode abgeschätzt. Für die Abschätzung werden eine Produktionskapazität aus Presseberichten[52] abgeleitet und aus den 2006 IPCC-RL der N_2O-Standardemissionsfaktor für die Herstellung von Caprolactam (9 kg N_2O/t Caprolactam gemäß Vol. 3, Kapitel 3.5, Tabelle 3.5) und Standardfaktoren für die thermische Abgasbehandlung bei der Adipinsäureproduktion (98,5 % Minderungsrate und 99,91 % Auslastung gemäß Vol. 3, Kapitel 3.4, Tabelle 3.4) genutzt. Der Auslastungsfaktor für das redundant ausgelegte Abgasbehandlungssystems ergibt sich aus dem Standardauslastungsfaktor von 97% für die Hauptanlage und 97% Auslastung der zweiten Anlage, die in den 3% zum Tragen kommt, in denen die Hauptanlage nicht eingesetzt werden kann.

Deutschland folgt mit der Verwendung von Standardfaktoren aus den IPCC-RL der Empfehlung des Expert Review Teams des In-Country-Review 2016.

Für das Jahr 2015 ergibt die Abschätzung eine Menge von 10,7 kt CO_2-Äquivalente. Da die berechneten N_2O-Emissionen aus der Anlage weniger als 0.05 % des Gesamtinventars (ohne LULUCF) darstellen und 500 kt CO_2-Äquivalente nicht überschreiten (Erfassungsuntergrenzen gemäß FCCC/SBSTA/2013/L.29/Add.1) und eine jährliche Erfassung nicht durchgeführt werden kann (gemäß FCCC/SBSTA/2013/L.29/Add.1, para 37), wird auf eine entsprechende Berichterstattung verzichtet (2006 IPCC Guidelines, 2006: Vol. 3, Ch. 3.5). Die Emissionen aus dieser Anlage werden in der CRF-Tabelle unter 2.B.4.a als NE berichtet. Eine Zusammenstellung aller als ‚not estimated' erfasster Quellen erfolgt darüber hinaus in Anhang 5 in Kapitel 21 dieses Berichtes. Die beiden Anlagen werden unter 2.B.4.a in der CRF-Tabelle durch die Notation IE, NE abgebildet. Die Notation steht im Einklang mit den Hinweisen und Empfehlungen des In-Country-Reviews.

4.3.4.3 Unsicherheiten und Zeitreihenkonsistenz (2.B.4)

Für die Aktivitätsrate wird eine Unsicherheit von ± 30% angenommen und für die Standardfaktoren gelten die entsprechenden Unsicherheiten der 2006 IPCC-GL.

4.3.4.4 Kategoriespezifische Qualitätssicherung/-kontrolle und Verifizierung (2.B.4)

Eine allgemeine Qualitätskontrolle und eine Qualitätssicherung, erfolgte durch die Nationale Koordinierungsstelle. Für die Jahre 1995 bis 2008 stehen Produktionsmengen an ε-Caprolactam zur Verfügung (STATISTISCHES BUNDESAMT, Fachserie 4, Reihe 3.1, Produzierendes Gewerbe, Produktion im Produzierenden Gewerbe). Das der Erhebung zugrundeliegende Güterverzeichnis für Produktionsstatistiken wurde 2009 an die internationale Klassifikation NACE Rev.2 und die PRODCOM-Liste 2008 angepasst, so dass seitdem keine Produktionsmengen an ε-Caprolactam mehr einzeln ausgewiesen werden. Eine statistische Erhebung der Produktionsmengen an ε-Caprolactam ist darum ab dem Jahr 2009 nicht mehr möglich. Es stehen somit für die Herstellerangaben in den Presseberichten keine Verifikationsquellen mehr zur Verfügung. In der Außenhandelsstatistik wird ε-Caprolactam weiterhin einzeln ausgewiesen, so dass Importmengen seit 1996 und Exportmengen seit 2009 zur Verfügung stehen. Die Import- und Exportmengen sind relativ stabil.

[52] u.a. BASF Presse-Information P293/16 - BASF richtet Caprolactam-Produktion in Europa neu aus https://www.basf.com/documents/corp/de/news-and-media/news-releases/2016/09/P293_Neuausrichtung_Caprolactam_Produktion_Europa.pdf (Aufruf 15.03.2017)

4.3.4.5 Kategoriespezifische Rückrechnungen (2.B.4)

Rückrechnungen sind nicht erforderlich.

4.3.4.6 Geplante Verbesserungen, kategoriespezifisch (2.B.4)

Es sind keine weiteren Aktivitäten geplant.

Sofern in vorhergehenden Berichterstattungen in diesem Kapitel Verbesserungen benannt wurden, sind diese in Form einer Übersicht unter Kapitel 10.4 Verbesserungen des Inventars, Tabelle 426 zu finden. Sind diese bereits erledigt, sind sie im selben Kapitel in Tabelle 425 abgebildet.

4.3.5 Chemische Industrie: Carbidproduktion (2.B.5)

4.3.5.1 Beschreibung der Kategorie (2.B.5)

KC	Category	Activity	EM of	1990 (kt CO_2-e.)	(fraction)	2015 (kt CO_2-e.)	(fraction)	Trend 1990-2015
-/-	2.B.5. Chemical Industry	Carbide Production	CO_2	443,2	0,04%	7,2	0,00%	-98,4%

Gas	Angewandte Methode	Quelle der Aktivitätsdaten	genutzte Emissionsfaktoren
CO_2	Tier 3	PS	PS (CaC2) NO (SiC)

Die Kategorie *Chemische Industrie: Carbidproduktion* ist keine Hauptkategorie.

Die Calciumcarbidproduktion fand zu Zeiten der Wiedervereinigung überwiegend in den neuen Bundesländern statt. Nachdem dort die Produktion kurze Zeit später eingestellt worden ist, verblieb nur in den alten Bundesländern ein Hersteller von Calciumcarbid. Nach Auskunft des zuständigen Fachverbands im VCI wird in Deutschland seit 1993 kein Siliziumcarbid mehr hergestellt. Emissionen aus diesem Bereich treten daher nicht mehr auf.

4.3.5.2 Methodische Aspekte (2.B.5)

Aktivitätsrate:

Da es nur einen Hersteller in Deutschland gibt müssen diese Daten vertraulich behandelt werden. Die Daten werden jährlich vom Hersteller dem Umweltbundesamt direkt mitgeteilt. Sie stammen ab 1997 aus der Ökobilanz bzw. aus den jährlichen Umwelterklärungen nach EMAS (der Betrieb ist zertifiziert seit 1997). Lediglich die Produktionsmengen in der ehemaligen DDR wurden vom damaligen Statistischen Zentralamt bis 1989 veröffentlicht. Diese Angabe wurde zusammen mit vorhandenen Schätzungen für 1991 und 1992 für die Interpolation der Produktion in den neuen Bundesländern im Jahr 1990 verwendet.

Emissionsfaktor:

Der stöchiometrische Emissionsfaktor für CO_2 ist 688 kg pro t Calciumcarbid (44 g mol^{-1} / 64 g mol^{-1}). Dieser Emissionsfaktor wurde bis 1992 für die Produktion in den neuen Bundesländern verwendet.

Beim Hersteller wird das im Prozess entstehende Kohlenmonoxid in gedeckelten Öfen vollständig gefasst und anschließend einer energetischen Nutzung zugeführt. Das dadurch entstehende Kohlendioxid dient als Hilfsstoff bei der Produktion von Kalkstickstoff und Folgeprodukten. Das Kohlendioxid fällt bei diesen Prozessen nach der Reaktion mineralisch in Form von Schwarzkalk an. In dieser Form wird es einer landwirtschaftlichen Verwertung zugeführt. 2012 wurde die Fahrweise der Carbidöfen vergleichmäßigt, so dass deutlich weniger Überschuss-Ofengas

abgefackelt werden musste. Zusätzlich ist nach dieser Fahrweise der Ofenbetrieb ´ruhiger´, das heißt, dass es weniger Druckstöße gibt, die über die Rohgasfackeln auszugleichen sind.

Auf diese Weise wird für die Produktion ein wesentlich geringerer Emissionsfaktor für Kohlendioxid aus der Calciumcarbidherstellung erreicht als in den Vorjahren.

Die Gesamtemissionen sowie die Produktionsmenge werden vom Hersteller auf Anfrage dem Umweltbundesamt zur Verfügung gestellt. Der Emissionsfaktor ergibt sich als Produkt von Aktivitätsrate und Emissionsmenge.

4.3.5.3 Unsicherheiten und Zeitreihenkonsistenz (2.B.5)

Die Unsicherheiten bezüglich der vom Betreiber zur Verfügung gestellten Daten werden als insgesamt gering eingeschätzt.

4.3.5.4 Kategoriespezifische Qualitätssicherung/-kontrolle und Verifizierung (2.B.5)

Eine allgemeine Qualitätskontrolle und eine Qualitätssicherung durch die Fachseite und durch die Nationale Koordinierungsstelle wurden gemäß den Anforderungen des QSE-Handbuchs bzw. dessen mitgeltenden Unterlagen durchgeführt.

Angaben von Herstellern unterliegen einem hohen Vertrauensschutz. Aus diesem Grund können in den CRF-Tabellen lediglich die Emissionsangaben ausgewiesen werden. Verifizierende Berechnungen konnten nicht durchgeführt werden. Es kann aber darauf hingewiesen werden, dass die Angaben teilweise auch den Genehmigungsbehörden zur Verfügung gestellt worden sind und somit für vertrauenswürdig erachtet werden.

4.3.5.5 Kategoriespezifische Rückrechnungen (2.B.5)

Rückrechnungen sind nicht durchgeführt worden.

4.3.5.6 Geplante Verbesserungen, kategoriespezifisch (2.B.5)

Derzeit sind keine Verbesserungen geplant.

Sofern in vorhergehenden Berichterstattungen in diesem Kapitel Verbesserungen benannt wurden, sind diese in Form einer Übersicht unter Kapitel 10.4 Verbesserungen des Inventars, Tabelle 426 zu finden. Sind diese bereits erledigt, sind sie im selben Kapitel in Tabelle 425 abgebildet.

4.3.6 Chemische Industrie: Titandioxid-Produktion (2.B.6)

In Deutschland gibt es mehrere Produzenten von Titandioxid. Eine Anlage davon produziert Titandioxid nach dem Chlorid-Verfahren. Die Anderen produzieren nach dem Sulfat-Verfahren und emittieren kein prozessbedingtes CO_2. Die Abschätzung der CO_2-Emissionen erfolgte als Expertenschätzung. Grundlage war die Produktionskapazität und ein Emissionsfaktor basierend auf einer Expertenschätzung. Die Abschätzung erfolgte aufgrund von vertraulichen Daten, die hier deshalb nicht dargestellt werden können.

Da die Treibhausgas-Emissionen aus der Kategorie Titandioxidproduktion weniger als 0.05 % des Gesamtinventars (ohne LULUCF) darstellen *und* 500 kt CO_2-Äquivalente nicht überschreiten würden (Erfassungsuntergrenzen gemäß FCCC/SBSTA/2013/L.29/Add.1) und eine jährliche Erfassung nicht gewährleistet werden kann (gemäß FCCC/SBSTA/2013/L.29/Add.1, para 37), wird auf eine entsprechende Berichterstattung verzichtet (2006 IPCC Guidelines, 2006: Vol. 3, Ch. 3.7). Eine Zusammenstellung aller als „not estimated“ erfasster Quellen erfolgt darüber hinaus in Anhang 5 in Kapitel 21 dieses Berichtes.

4.3.7 Chemische Industrie: Soda-Herstellung (2.B.7)

4.3.7.1 Beschreibung der Kategorie (2.B.7)

KC	Category	Activity	EM of	1990 (kt CO_2-e.)	(fraction)	2015 (kt CO_2-e.)	(fraction)	Trend 1990-2015
-/-	2.B.7. Chemical Industry: soda ash	production of soda ash	CO_2	667,2	0,05%	456,2	0,05%	-31,6%

Gas	Angewandte Methode	Quelle der Aktivitätsdaten	genutzte Emissionsfaktoren
CO_2	Tier 1	NS	CS

Die Kategorie *Soda*-Herstellung ist keine Hauptkategorie.

Soda wird in Deutschland nur auf chemischem Weg hergestellt. Es gibt 3 Produktionsanlagen, die den Solvay-Prozess[53] einsetzen[54]. Das im eingesetzten Kalciumkarbonat enthaltene CO_2 wird prinzipiell im Produkt Soda (Na_2CO_3) eingebunden und erst in der Anwendung gegebenenfalls freigesetzt. Da die Produktion nach dem Solvay-Verfahren jedoch mit CO_2-Überschuss abläuft, ergeben sich prozessbedingte CO_2-Emissionen.

Im Kalzinierungsschritt wird zusätzlich Koks/ Anthrazit eingesetzt, so dass weitere (energiebedingte) Kohlendioxidemissionen entstehen.

4.3.7.2 Methodische Aspekte (2.B.7)

Aktivitätsdaten

Die Gesamtsumme an in Deutschland produziertem Soda wird vom *Statistischen Bundesamt* erhoben. Von 1995 bis 2008 wurde aus den Kategorien *leichtes Soda* (Produktionsnummer 2413 33 103 Dinatriumcarbonat in Pulverform mit einer Schüttdichte von weniger als 700 g/l) und *schweres Soda* (Produktionsnummer 2413 33 109 Anderes Dinatriumcarbonat) die Summe gebildet. Seit 2009 werden leichtes und schweres Soda in einer Position (Meldenummer 2013 43 100) zusammengefasst dargestellt. Es wird nur der „zum Absatz bestimmte" Teil berücksichtigt. Auf diese Weise wird eine Doppelzählung vermieden, da schweres Soda aus leichtem Soda hergestellt wird. Da es nur zwei Hersteller in Deutschland gibt, muss die Produktionsmenge aus der amtlichen Statistik vertraulich behandelt werden.

Emissionsfaktor

Der Emissionsfaktor wird berechnet aus den Kohlendioxidemissionen entsprechend der ETS-CO_2-Bilanz und aus der Produktionsmenge. Da die Produktionsmenge aus der amtlichen Statistik vertraulich behandelt werden muss, kann auch der EF hier nicht benannt werden.

Die beim Brennen des Kalks eingesetzte Menge an Koks ist bereits in der Energiebilanz als nicht energetischer Einsatz berücksichtigt (also ohne CO_2-Emissionen).

4.3.7.3 Unsicherheiten und Zeitreihenkonsistenz (2.B.7)

Aktivitätsdaten

Unsicherheiten bestehen bezüglich der vom Statistischen Bundesamt angegebenen Produktionsmengen, da z. B. die Relation von leichtem und schwerem Soda insbesondere in den ersten Jahren der getrennten Angaben stark schwankt.

[53] Ammoniak-Soda-Verfahren nach Ernst Solvay

[54] Weitere, von der Produktionsmenge weniger bedeutendere Verfahren sind nicht betrachtet, weil Kohlendioxid aus anderen Quellen als Kalkstein zum Einsatz kommt.

Emissionsfaktor

Die Unsicherheit des Emissionsfaktors hinsichtlich der Produktion von Soda wird berechnet aus den Unsicherheiten der Emissionsbilanz des ETS und den Unsicherheiten der Produktionsdaten.

4.3.7.4 Kategoriespezifische Qualitätssicherung/-kontrolle und Verifizierung (2.B.7)

Eine allgemeine Qualitätskontrolle und eine Qualitätssicherung durch die Fachseite und durch die Nationale Koordinierungsstelle wurden gemäß den Anforderungen des QSE-Handbuchs bzw. dessen mitgeltenden Unterlagen durchgeführt.

Die CO_2-Bilanz zur Ermittlung der Emissionen wird mit Daten aus dem Emissionshandel ermittelt. Diese Daten wurden im Rahmen des ETS vollumfänglich geprüft und verifiziert.

4.3.7.5 Kategoriespezifische Rückrechnungen (2.B.7)

Rückrechnungen sind nicht erforderlich.

4.3.7.6 Geplante Verbesserungen, kategoriespezifisch (2.B.7)

Derzeit sind keine weiteren Verbesserungen geplant.

Sofern in vorhergehenden Berichterstattungen in diesem Kapitel Verbesserungen benannt wurden, sind diese in Form einer Übersicht unter Kapitel 10.4 Verbesserungen des Inventars, Tabelle 426 zu finden. Sind diese bereits erledigt, sind sie im selben Kapitel in Tabelle 425 abgebildet.

4.3.8 Chemische Industrie: Petrochemie und Industrieruß-Produktion (2.B.8)

KC	Category	Activity	EM of	1990 (kt CO_2-e.)	(fraction)	2015 (kt CO_2-e.)	(fraction)	Trend 1990-2015
-/-	2.B.8. Petrochemical and carbon black production	0	CO_2	974,0	0,08%	972,7	0,11%	-0,1%
-/-	2.B.8. Petrochemical and carbon black production	0	CH_4	333,7	0,03%	485,3	0,05%	45,4%

Gas	Angewandte Methode	Quelle der Aktivitätsdaten	genutzte Emissionsfaktoren
CO_2	Tier 2 (Industrieruß) CS (Petrochemie)	NS	D (Industrieruß) CS (Petrochemie)
CH_4	Tier 1	NS	D
CO, SO_2	Tier 1 (Industrieruß)	NS	D (Industrieruß)
NMVOC	Tier 1 (Petrochemie)	NS	C & CS (Petrochemie)

Die Kategorie *Chemische Industrie: Petrochemie und Industrieruß-Produktion* ist keine Hauptkategorie. Die Industrieruß-Produktion dominiert mit ca. 75% Anteil die Emissionen dieser Kategorie.

4.3.8.1 Chemische Industrie: Petrochemie (2.B.8 Petrochemie)

4.3.8.1.1 Beschreibung der Kategorie (2.B.8 Petrochemie)

In der Petrochemie werden aus Erdgas und Fraktionen des Erdöls organische Grundchemikalien hergestellt, die zu einer Vielzahl an Zwischen- und Endprodukten (hauptsächlich Polymere) weiterverarbeitet werden. In den 2006 IPCC Richtlinien werden unter 2.B.8 die Produktion der Grundchemikalien (a) Methanol, (b) Ethylen, (c) Ethylendichlorid und Vinylchlorid, (d) Ethylenoxid und (e) Acrylnitril aufgrund ihrer potentiellen Kohlendioxid- und Methan-Emissionen hervorgehoben.

Die Herstellung von Petrochemikalien und Derivaten ist neben Pharmazeutika, Fein- und Spezialchemikalien sowie Polymeren eine der wichtigsten Sparten der chemisch-pharmazeutischen Industrie gemessen am Produktionswert[55].

4.3.8.1.2 Methodische Aspekte (2.B.8 Petrochemie)

Aktivitätsraten

Für die Herstellung o.g. Produkte stehen keine anlagenbezogenen Produktionsmengen zur Verfügung, sondern nur national zusammengefasste Produktionsmengen. Sie werden vom Statistischen Bundesamt ab dem Jahr 1990 auf Grundlage der „Fachserie 4, Reihe 3.1, Produzierendes Gewerbe, Produktion im Produzierenden Gewerbe“ dem Umweltbundesamt auch mit vertraulichen Daten zur Verfügung gestellt.

In der amtlichen Produktionsstatistik werden Petrochemikalien und Derivate als sonstige organische Grundstoffe und Chemikalien unter der WZ-Nummer 20.14 ausgewiesen.

Das Produktionsvolumen von Acrylnitril unterliegt der Vertraulichkeit, von Methanol und Ethylendichlorid in bestimmten Jahren. Aus diesem Grund werden alle Produktionsmengen für die Produkte a) bis e) aggregiert und zusammen mit den zugehörigen CO_2-und CH_4- Emissionen unter 2.B.8.g berichtet.

Für die Bestimmung der NMVOC-Emissionen wird neben der Herstellung der zuvor genannten Produkte a) bis e) auch die Herstellung weiterer Produkte mit erfasst, die unter der Genfer Luftreinhaltekonvention berichtet werden müssen. Eine detaillierte Berichterstattung darüber erfolgt im Rahmen der Genfer Luftreinhaltekonvention im Informative Inventory Report.

CO_2 - Emissionsfaktoren

Seit dem Jahr 2013 unterliegen alle deutschen Anlagen zur Herstellung oben genannter organischer Grundchemikalien nach Anhang 1 Teil 2 Tätigkeit Nr. 27 TEHG dem Emissionshandel (ETS), weil ihre Produktionsleistung höher als 100 t/d (36.500 t/a) ist.

Ein Vergleich der für den Treibhausgas-Emissionshandel gemeldeten CO_2-Gesamtemissionen der ETS-Anlagen nach a) bis e) mit den unter Verwendung der neuen IPCC-Standardemissionsfaktoren berechneten CO_2–Emissionen für das Jahr 2013 zeigt, dass die Standardemissionsfaktoren zu höheren Emissionen führen. Und das, obwohl die anlagenbezogenen Gesamtemissionen aus dem Emissionshandel sowohl Emissionen aus Verbrennungsprozessen als auch sonstige prozessbedingte Emissionen enthalten. Im deutschen Treibhausgasinventar werden verbrennungsbedingte Emissionen größtenteils schon über die Energiestatistik im Energiesektor berücksichtigt. Daher können die Standardemissionsfaktoren nicht genutzt werden; andernfalls würde es zu einer Doppelzählung kommen.

Als Emissionsquellen für CO_2 kommen neben den Verbrennungsprozessen in Kesseln und Spaltöfen noch Verbrennungsprozesse in Fackeln, durch Entkokung und sonstige prozessbedingten Emissionen in Betracht.

Eine Quantifizierung der sonstigen prozessbedingten Emissionen ist nicht gerechtfertigt: denn bei Steamcrackern als der mit Abstand größten hier betrachteten Emittentengruppe stammen die anlagenbezogenen CO_2-Emissionen fast ausschließlich aus der Verbrennung in Spaltöfen, Hilfskesseln oder Fackeln. Diese verbrennungsbedingten Emissionen werden bis auf Fackeln in der Petrochemie schon im Energiesektor unter 1.A.2.c erfasst.

[55] Chemiewirtschaft in Zahlen 2014, Verband der Chemischen Industrie e.V. (2015)

Um dem Ziel der möglichst vollständigen Erfassung der Emissionen im Inventar nachzukommen, werden aber die CO_2-Emissionen aus Fackelverlusten quantifiziert. Dabei sollen zukünftig auch Entkokungsprozesse miterfasst werden. Es wird nur der Anteil an Fackelgasen betrachtet, der den oben genannten Produkten a) bis e) zugeordnet werden kann.

Da nicht für alle vorgenannten Produkte Daten aus dem ETS vor 2013 zur Verfügung stehen, erfolgt die Berechnung der CO_2-Emissionen auf Basis eines für 2013 hergeleiteten CO_2-Emissionsfaktors und den jährlichen Produktionsmengen der jeweiligen Produkte.

Wegen der häufigen Weiterleitung von Restgasen und Fackelgasen zwischen Anlagen zur Herstellung verschiedener Produkte erscheint es sinnvoll, dafür einen über alle in dieser Quellgruppe betrachteten Produkte aggregierten Emissionsfaktor zu verwenden. Durch diese Aggregation werden auch Unsicherheiten bei der Zuordnung der Emissionen der oben angegebenen Herstellungsverfahren auf die unter a) bis e) genannten Produkte mit berücksichtigt, insbesondere weil CO_2-Emissionen aus Fackeln der o.a. Anlagen nicht zwangsläufig nur eines der Produkte a) bis e) betreffen. An Chemiestandorten werden abzufackelnde Gase aus verschiedenen Produktionsprozessen häufiger in einer zentralen Fackel verbrannt, die genehmigungsrechtlich nur einer bestimmten Produktionsanlage zugeordnet ist. Dadurch erhöht sich in solchen Fällen die dem Produkt zugeordnete Emissionsmenge gegenüber der eigentlichen durch die Produktherstellung verursachten Emissionsmenge. Andersherum können auch abzufackelnde Gase aus den Prozessen unter a) bis e) an eine Fackel in einer hier nicht betrachteten Anlage weitergeleitet werden, sodass die erfasste Emissionsmenge niedriger als die eigentliche produktbezogene Emissionsmenge ist.

Die für das Jahr 2013 den einzelnen Anlagen an Chemiestandorten zugeordneten Fackelemissionen (ETS-Daten) wurden aufsummiert und durch die Gesamtproduktionsmenge aller hergestellte Produkte a) bis e) in dem Jahr 2013 geteilt, um den Emissionsfaktor für Fackelverluste (EF_{Fackel}) zu bestimmen. Die Fackelemissionen der Steamcracker an Raffinieriestandorten wurden über die bekannten Kapazitäten bestimmt. Der resultierende EF_{Fackel} für die oben genannten Petrochemikalien beträgt 28 kg/t Produkt. Mit diesem Emissionsfaktor werden nach einer Tier 1 Methode die jährlichen Emissionen rückwirkend bis 1990 berechnet.

CH_4 - Emissionsfaktoren

In den IPCC Guidelines werden alle oben genannten Anlagen als potentielle Emissionsquellen aufgeführt.

In deutschen Anlagen muss in den der TA Luft unterliegenden Anlagen gemäß Punkt 5.2.5 ein Grenzwert für die Massenkonzentration organischer Stoffe insgesamt (NMVOC und CH_4, ausgenommen staubförmige organische Stoffe) von 50 mg/m^3 (Gesamtkohlenstoff) eingehalten werden. Die thermische Nachverbrennung (TNV) von flüchtigen organischen Stoffen aus Anlagen zur Herstellung organischer Grundchemikalien ist Stand der Technik.

Für Ethylen, Methanol, Ethylendichlorid und Styrol wurde von einem großen deutschen Hersteller gemeldet, dass in diesen Bereichen auf Grund der seit den achtziger Jahren eingesetzten thermischen Nachverbrennung Methanemissionen vernachlässigbar sind.

Zu Methanemissionen von Anlagen der chemischen Industrie können keine Angaben aus dem Emissionshandel genutzt werden, da nach dem aktuell gültigen TEHG von Juli 2011 CH_4 nicht zu berichten ist. Da keine Angaben von weiteren Anlagenbetreibern zur Quantifizierung der CH_4-Emissionen vorliegen, werden zur Berechnung der Methanemissionen für die Gesamtheit der

Anlagen aus der petrochemischen Industrie die 2006 IPCC -Standardemissionsfaktoren (Vol. 3, Ch. 3.9.2.2) in einer Tier 1 Methode verwendet.

NMVOC– Emissionsfaktoren

Die Angaben der EF für NMVOC wurden entweder dem entsprechenden BVT-Merkblatt entnommen oder stammen aus vertraulichen Angaben deutscher Hersteller. Bis 1994 wurden die Default Faktoren des EMEP/CORINAIR Emission Inventory Guidebook verwendet. Eine detaillierte Berichterstattung erfolgt unter der Genfer Luftreinhaltekonvention im Informative Inventory Report.

4.3.8.1.3 Unsicherheiten und Zeitreihenkonsistenz (2.B.8 Petrochemie)

CO_2

Die „Rückprojektion“ des oben angegebenen produktionsbezogenen Emissionsfaktors für Fackelverluste aus den Emissionsberichten 2013 auf frühere Jahre (bis 1990 zurück) ist mit hohen Unsicherheiten behaftet. Einerseits wurden die im ETS gemeldeten Fackelemissionen im Berichtsjahr 2013 häufig auf Basis von Schätzungen ermittelt und berichtet, andererseits muss davon ausgegangen werden, dass CO_2-Emissionen aus den Fackeln, die den betreffenden Anlagen genehmigungsrechtlich zugeordnet sind, nicht in vollem Umfang der Herstellung der betrachteten Produkte a) bis e) zuzuordnen sind. So werden mitunter auch Gase und Abgase aus anderen Produktionsprozessen in den hier betrachteten Fackeln verbrannt. Im Zeitverlauf können auch standortinterne Änderungen der Abgasführungen aus verschiedenen Prozessen auftreten, die die Unsicherheit der „rückwärtsberechneten“ produktspezifischen Emissionen weiter erhöhen. Hinzu kommt noch, dass sich das Verhältnis der Produktionsmengen zu den Fackelgasen für die betrachteten Anlagen in einzelnen Jahren deutlich von denen im Jahr 2013 unterscheiden kann.

Aufgrund der eingeschränkten Datenverfügbarkeit können Doppelzählungen im Energiesektor nicht gänzlich ausgeschlossen werden. Auch die Extrapolation der Fackelemissionen der Steamcracker trägt zur Unsicherheit des Emissionsfaktors bei. Es wird darum eine Unsicherheit von ± 50 % angenommen.

Die Zeitreihenkonsistenz ist sichergestellt, weil die Rückrechnung der Emissionen bis zum Jahr 1990 nach einer einheitlichen Methode durchgeführt wird und es keine Lücken bei den Aktivitätsdaten und keine Sprünge beim Emissionsfaktor gibt.

CH_4

Aufgrund der in den achtziger Jahren eingeführten thermischen Nachverbrennung dürften die punktförmigen Emissionen an organischen Stoffen aus deutschen Anlagen gering sein. Durch die Verwendung der Standardemissionsfaktoren kommt es wahrscheinlich zu einer Übererfassung an Emissionen. Da die daraus resultierenden Unsicherheiten aber nicht abgeschätzt werden können, werden die Unsicherheiten für die Tier 1 Methoden aus Tabelle 3.27 der 2006 IPCC-Richtlinien (Vol. 3) verwendet.

Die Zeitreihenkonsistenz ist sichergestellt, weil die Rückrechnung der Emissionen bis zum Jahr 1990 nach einer einheitlichen Methode durchgeführt wird und es keine Lücken bei den Aktivitätsdaten und keine Sprünge bei den Emissionsfaktoren gibt.

Aktivitätsraten

Die Aktivitätsraten stammen aus einer amtlichen Statistik, für die Ungenauigkeiten bei der statistischen Datenerfassung von ±20 zugrunde gelegt werden.

4.3.8.1.4 Kategoriespezifische Qualitätssicherung/-kontrolle und Verifizierung (2.B.8 Petrochemie)

Aufgrund derzeit fehlender Fachzuständigkeiten konnte keine Qualitätskontrolle und Qualitätssicherung durch Quellgruppenexperten durchgeführt werden - dies wird nach Rückkehr der betreffenden Person nachgeholt (i.d.R. mit der nächsten Berichterstattung). Eine allgemeine Qualitätskontrolle und eine Qualitätssicherung durch die Fachseite und durch die Nationale Koordinierungsstelle wurden gemäß den Anforderungen des QSE-Handbuchs bzw. dessen mitgeltenden Unterlagen durchgeführt. Daten wurden erhoben, fortgeschrieben bzw. auf Basis bereits bestehender Berechnungsroutinen ermittelt.

Möglicherweise taugliche Datenquellen werden hinsichtlich ihrer Eignung zur Verifizierung der Daten geprüft.

Die vom Statistischen Bundesamt gemeldete Produktionsmenge an Ethylen für 2013 wurde mit den Kapazitätsangaben der Association of Petrochemical Producers in Europe (APPE; petrochemicals europe) verglichen. Der sich ergebende nationale Standardauslastungsfaktor von 0,858 ist vergleichbar mit dem Standardauslastungsfaktor gemäß Artikel 18 Absatz 2 des Beschlusses 2011/278/EU.

Ein Vergleich des nationalen Emissionsfaktors für CO_2 mit den CO_2-Standardemissionsfaktoren der 2006 IPCC-Richtlinien ist nicht möglich, weil die Standardemissionsfaktoren keine CO2-Emissionen aus Fackeln enthalten.

4.3.8.1.5 Kategoriespezifische Rückrechnungen (2.B.8 Petrochemie)

Rückrechnungen sind nicht erforderlich.

4.3.8.1.6 Geplante Verbesserungen, kategoriespezifisch (2.B.8 Petrochemie)

Es ist geplant die Datengrundlage zu verbessern.

Sofern in vorhergehenden Berichterstattungen in diesem Kapitel Verbesserungen benannt wurden, sind diese in Form einer Übersicht unter Kapitel 10.4 Verbesserungen des Inventars, Tabelle 426 zu finden. Sind diese bereits erledigt, sind sie im selben Kapitel in Tabelle 425 abgebildet.

4.3.8.2 Chemische Industrie: Industrieruß-Produktion (2.B.8 Industrieruß)

4.3.8.2.1 Beschreibung der Kategorie (2.B.8 Industrieruß)

Industrieruße werden durch eine unvollständige Verbrennung von gasförmigen oder flüssigen Kohlenwasserstoffen hergestellt. Über eine gezielte Steuerung und Überwachung des jeweiligen Produktionsprozesses werden definierte Spezifikationen hergestellt. In Deutschland werden für die Industrieruß-Herstellung Steinkohleteeröle (Anthracen-Öle) oder Öle aus Erdölraffinerien (Pyrolyse- und Cracköle) eingesetzt.

90 % der Industrieruße werden in Deutschland nach dem Furnacerußverfahren hergestellt. Die restlichen 10 % werden mit dem Flammruß- und Gasrußverfahren produziert.

4.3.8.2.2 Methodische Aspekte (2.B.8 Industrieruß)

CO_2 – Emissionen

Ein Vergleich der bisher berichteten CO_2-Emissionen mit den bei der Deutschen Emissionshandelsstelle (DEHSt) gemeldeten CO_2-Emissionen zeigte, dass bei der DEHSt deutlich weniger CO_2-Emissionen gemeldet sind. Auch die CO_2-Emissionen einer weiteren, nicht

emissionshandelspflichtigen Anlage erklärten diesen Unterschied nicht. Recherchen bei dem bisherigen Datenlieferanten legen den Schluss nahe, dass in der verwendeten Produktionsstatistik teilweise anstelle von Produktionszahlen die Verkaufszahlen berichtet werden. Die bisher verwendete Aktivitätsrate war damit um ein deutliches zu hoch. Ab 2005 werden deshalb die Emissionsmengen der DEHSt verwendet und mit dem Default-Emissionsfaktor aus den IPCC-Guidelines 2006 (Vol. 3, Table 3.23, Furnace Black Process (default process), primary feedstock) die Aktivitätsrate rückgerechnet. Die nicht bekannten Emissionen einer weiteren nicht emissionshandelspflichtigen Anlage wurden geschätzt; diese Anlage wird 2016 voraussichtlich stillgelegt.

CH_4 - Emissionsfaktoren

In den internationalen Richtlinien wird nur sehr knapp auf diese Quellgruppe eingegangen. In den IPCC Guidelines wird als potentielle Emissionsquelle auch die Produktion von Industrieruß aufgeführt.

In deutschen Anlagen muss in den der TA Luft unterliegenden Anlagen gemäß Punkt 5.2.5 ein Grenzwert für die Massenkonzentration organischer Stoffe insgesamt (NMVOC und CH_4, ausgenommen staubförmige organische Stoffe) von 50 mg/m^3 (Gesamtkohlenstoff) eingehalten werden. Von den deutschen Herstellern von Industrieruß wird auf Grund dieses Sachverhalts ein Emissionsfaktor von 0,027 kg Methan pro t Industrieruß gemeldet. Da diese Technik bereits seit den siebziger Jahren im Einsatz ist, wird dieser EF zu 0,03 kg/t gerundet und auf die gesamte Zeitreihe angewandt.

NMVOC, CO und SO_2 – Emissionsfaktoren

In Deutschland wurden für sonstige Schadstoffe neben dem oben betrachteten Methan die in der folgenden Tabelle aufgeführten Emissionsfaktoren verwendet.

Tabelle 185: In Deutschland verwendete Emissionsfaktoren für sonstige Schadstoffe

	Industrieruß [kg CO/t]	Industrieruß [kg SO_2/t][56]
1990	4,8/5	19,5/ [57]
1991	4,6/5	19/20
1992	4,4/5	18,5/20
1993	4,2	18
1994	4	17,5
1995	3,75	17
1996	3,5	16
1997	3,25	15
1998	3	14
1999	2,9	13,4
2000	2,8	12,8
2001	2,7	12,54
2002	2,65	12,28
2003	2,6	12,0
2004	2,55	11,7

[56] Bei zwei angegeben EF bezieht sich der zweite Wert auf die neuen Bundesländer.
[57] Für die neuen Bundesländer wird kein EF ausgewiesen, da diese SO_2-Emissionen nur pauschal in einer Summe berücksichtigt werden konnten.

	Industrieruß [kg CO/t]	Industrieruß [kg SO_2/t][56]
2005	2,5	11,5
2006	2,5	11,2
2007	2,5	10,9
2008	2,5	10,6
2009	2,5	10,3
ab 2010	2,5	10,0

Die Angaben der EF für CO und SO_2 bei der Herstellung von Industrieruß basieren auf dem BREF Large Volume Inorganic Chemicals - LVIC – S (EC, 2007) und sind identisch mit den im CORINAIR-Handbuch 2008 (First Order Draft) dargestellten Default-Werten.

Aktivitätsraten

In der Produktionsstatistik des Statistischen Bundesamtes werden die folgenden Produkte berücksichtigt (s. folgende Tabelle).

Tabelle 186: Meldenummern der Produktionsstatistik

Zeile	Industrieruß
bis 1994	4113 70
ab 1995 bis 2005	2413 11 300

Die Angabe für die Industrierußproduktion in den NBL 1990 entstammt dem statistischen Jahrbuch für die Bundesrepublik Deutschland (*STATISTISCHES BUNDESAMT*, 1992: S. 234), für 1991 und 1992 wurden sie wegen Geheimhaltung geschätzt. Die übrigen Daten für die Industrierußproduktion ab 1990 entstammen dem Statistischen Bundesamt (*STATISTISCHES BUNDESAMT*, Fachserie 4, Reihe 3.1, Produzierendes Gewerbe, Produktion im Produzierenden Gewerbe). Ab 2005 wird die Aktivitätsrate aus den CO_2-Emissionen rückgerechnet über den Default Emissionsfaktor von CO_2.

4.3.8.2.3 Unsicherheiten und Zeitreihenkonsistenz (2.B.8 Industrieruß)

Bei den Aktivitätsraten sind im Zeitablauf Schwankungen erkennbar, diese entsprechen aber im Wesentlichen den globalen wirtschaftlichen Schwankungen.

4.3.8.2.4 Kategoriespezifische Qualitätssicherung/-kontrolle und Verifizierung (2.B.8 Industrieruß)

Eine allgemeine Qualitätskontrolle und eine Qualitätssicherung durch die Fachseite und durch die Nationale Koordinierungsstelle wurden gemäß den Anforderungen des QSE-Handbuchs bzw. dessen mitgeltenden Unterlagen durchgeführt.

4.3.8.2.5 Kategoriespezifische Rückrechnungen (2.B.8 Industrieruß)

Rückrechnungen sind erforderlich, da die ab 2015 von der DEHSt gemeldeten CO_2-Emissionen nach Verifizierung angepasst werden mussten.

Jahr	CO_2-Emissionen Submission 2016 [kt]	CO_2-Emissionen Submission 2017 [kt]	CH_4-Emissionen Submission 2016 [kt]	CH_4-Emissionen Submission 2017 [kt]
2005	776,47	741,41	0,01188	0,01135
2006	815,69	772,39	0,01249	0,01182
2007	830,4	787,37	0,01271	0,01205
2008	757,43	717,56	0,01159	0,01098
2009	667,46	635,47	0,01022	0,00973
2010	761,54	783,88	0,01166	0,012
2011	745,05	709,68	0,0114	0,01086
2012	699,58	662,61	0,01071	0,01014
2013	711,18	680,21	0,01089	0,01041
2014	728,51	729,94	0,01115	0,01117
2015		732,34		0,01121

4.3.8.2.6 Geplante Verbesserungen, kategoriespezifisch (2.B.8 Industrieruß)

Derzeit sind keine Verbesserungen geplant.

Sofern in vorhergehenden Berichterstattungen in diesem Kapitel Verbesserungen benannt wurden, sind diese in Form einer Übersicht unter Kapitel 10.4 Verbesserungen des Inventars, Tabelle 426 zu finden. Sind diese bereits erledigt, sind sie im selben Kapitel in Tabelle 425 abgebildet.

4.3.9 Chemische Industrie: Produktion von halogenierten Kohlenwasserstoffen und SF_6 (2.B.9)

KC	Category	Activity	EM of	1995 (kt CO_2-e.)	(fraction)	2015 (kt CO_2-e.)	(fraction)	Trend 1995-2015
-/-	2.B.9. Fluorochemical production	0	SF_6	159,6	0,01%	96,7	0,01%	-39,4%
L/T	**2.B.9. Fluorochemical production**		**HFCs**	**C**	**C**	**C**	**C**	**-98,9%**
-/-	2.B.9. Fluorochemical production		PFCs	C	C	C	C	---

Gas	Angewandte Methode	Quelle der Aktivitätsdaten	genutzte Emissionsfaktoren
HFC	Tier 3	PS	PS
SF_6	Tier 3	PS	PS

Die Kategorie *Produktion halogenierter Kohlenwasserstoffe* ist für HFKW-Emissionen eine Hauptkategorie nach dem Level und dem Trend. Die Kategorie ist unterteilt in Emissionen durch Nebenprodukte (2.B.9.a By-product Emissions) und in herstellungsbedingte Emissionen (2.B.9.b Fugitive Emissions).

4.3.9.1 Nebenprodukt-Emissionen (2.B.9.a)

4.3.9.1.1 Beschreibung der Kategorie (2.B.9.a)

Bei der Herstellung von HFCKW-22 fällt prozessbedingt bis zu 3 % HFKW-23 als Nebenprodukt an. Selbst bei Weiterverarbeitung (z.B. zu Kältemitteln) oder beim Auffangen zur stofflichen Zersetzung ist es technisch bedingt unvermeidlich, dass ein Teil des HFKW-23 in die Atmosphäre entweicht.

In Deutschland gab es zwei Produktionsanlagen für HFCKW-22, die von einem Unternehmen betrieben wurden, eine in Frankfurt und eine in Bad Wimpfen. Seit Inbetriebnahme der FCKW-Spaltanlage in Frankfurt im Jahr 1995 wurde der bei der HFCKW-22 Produktion entstehende überschüssige HFKW-23 dort direkt der Hochtemperaturspaltung mit Rückgewinnung von Flusssäure zugeführt, d.h. es entstanden keine nennenswerten Emissionen. Das an der zweiten deutschen Produktionsanlage entstandene HFKW-23 wurde quantitativ an der Produktionsanlage aufgefangen und entweder als Kältemittel oder - nach weitergehender

destillativer Reinigung - als Ätzgas für die Halbleiterindustrie vermarktet. Der nicht verkäufliche Überschuss wurde seit 1999 nach Frankfurt an die Spaltanlage geliefert. Durch diese Maßnahme konnten die Emissionen maßgeblich gesenkt werden. Die HFCKW-22 Produktion wurde Mitte 2010 an einem Standort beendet und an dem anderen Standort soweit herunter gefahren dass nur noch die Teflonproduktion bedient wird. Die Produktionsmenge ist seither auf niedrigem Niveau konstant. Da die Anlage direkt mit der FCKW-Spaltanlage verbunden ist, treten nur sehr geringe Emissionen auf.

4.3.9.1.2 Methodische Aspekte (2.B.9.a)

Basierend auf Herstellerinformationen aus dem Jahr 1996 werden die HFKW-23-Emissionen für die Jahre 1990 bis 1994 als konstant angenommen.

Seit 1995 wurden die Emissionen anhand der HFCKW-22 Produktionsmenge, einer jährlichen Messung der HFKW-23-Konzentration im Abgas, der HFKW-23 Verkaufsmenge und der Menge an HFKW-23, welche der Spaltanlage zugeführt wurde, vom Hersteller über eine Massenbilanz berechnet. Dabei wurden für das Berichtsjahr 1995 bei der ersten Produktionsanlage seit Jahresmitte Maßnahmen (Spaltanlage) zur Vermeidung von Emissionen zu Grunde gelegt. Seit dem Berichtsjahr 2011 werden die Produktionsmengen von Experten geschätzt und daraus die Emissionen ermittelt. Grundlage für die Schätzung sind vergleichbare Produktionsanlagen in anderen europäischen Ländern.

Aktivitätsdaten

Es gibt nur einen Hersteller von HFKW in Deutschland. Die Daten des Unternehmens unterliegen daher der Vertraulichkeit. Die Emissions- und Produktionsmengen wurden dem Umweltbundesamt bis 2010 gemeldet, aber nur aggregiert berichtet. Seit 2011 werden die Daten des statistischen Bundesamtes verwendet. Die Aktivitätsdaten der HFKW werden mit denen der PFC und SF_6 als „unspecified mix“ in 2.B.9 berichtet.

Emissionsfaktoren

Es wird ab 2011 von einem Emissionsfaktor von 0,05 ausgegangen.

Emissionen

Die Emissionen des HFKW-23 wurden bis 2011 vom Hersteller mitgeteilt. Danach werden Expertenschätzungen herangezogen.

Da die Anzahl der Hersteller in Deutschland unter drei liegt sind die Emissionen vertraulich. Die Emissionen des HFKW- 23 werden als „unspecified mix“ in 2.B.9 als Aggregat von 2.B.9a und 2.B.9b berichtet.

4.3.9.1.3 Unsicherheiten und Zeitreihenkonsistenz (2.B.9.a)

Die für die Berechnung der Emissionen zu Grunde gelegten Produktionszahlen stammen vom Statistischen Bundesamt und können als sehr genau angenommen werden.

4.3.9.1.4 Kategoriespezifische Qualitätssicherung/-kontrolle und Verifizierung (2.B.9.a)

Eine allgemeine und kategoriespezifische Qualitätskontrolle und eine Qualitätssicherung durch die Fachseite und durch die Nationale Koordinierungsstelle wurden gemäß den Anforderungen des QSE-Handbuchs bzw. dessen mitgeltenden Unterlagen durchgeführt.

4.3.9.1.5 Kategoriespezifische Rückrechnungen (2.B.9.a)

Rückrechnungen sind nicht erforderlich.

4.3.9.1.6 Geplante Verbesserungen, kategoriespezifisch (2.B.9.a)

Derzeit sind keine Verbesserungen geplant.

Sofern in vorhergehenden Berichterstattungen in diesem Kapitel Verbesserungen benannt wurden, sind diese in Form einer Übersicht unter Kapitel 10.4 Verbesserungen des Inventars, Tabelle 426 zu finden. Sind diese bereits erledigt, sind sie im selben Kapitel in Tabelle 425 abgebildet.

4.3.9.2 Herstellungsbedingte Emissionen (2.B.9.b)

4.3.9.2.1 Beschreibung der Kategorie (2.B.9.b)

In Deutschland gibt es ein Unternehmen, das an zwei Standorten HFKW und SF_6 produziert. Die Emissionsentwicklung geht mit der Entwicklung der Produktionsmengen einher. Während SF_6 und der HFKW-134a in Deutschland produziert werden, fand für den HFKW-227ea bis zum Jahr 2008 keine vollständige Synthese in Deutschland statt. Vielmehr wurde ein Teil des im spanischen Tarragona produzierten HFKW-227ea einer abschließenden Destillation in Deutschland unterzogen, um pharmazeutische Reinheit zu erzielen (Einsatz in Dosieraerosolen). Dabei entstanden Emissionen aufgrund geringfügiger Gasverluste.

Der HFKW-134a wird seit 1994 produziert, der HFKW-227ea seit 1996.

Die Emissionen des HFKW-134a sind seit 2011 relativ konstant. Die Schwankungen resultieren aus leichten Unterschieden in den jährlichen Produktionsmengen.

Die Emissionen des HFKW-227ea steigen, parallel zu den steigenden Produktionsmengen, seit 2009 an. Eine Ausnahme bildet das Jahr 2012, in dem weniger HFKW-227ea verkauft wurde und damit auch weniger Emissionen auftraten.

4.3.9.2.2 Methodische Aspekte (2.B.9.b)

Emissionsfaktoren

Aus den vom Hersteller bis 2010 gemeldeten Emissions- und Produktionsmengen kann ein Emissionsfaktor errechnet werden, der für die Folgejahre als konstant angenommen wird. Der Emissionsfaktor wird aufgrund der Vertraulichkeit der Daten nicht veröffentlicht.

Aktivitätsdaten

Als einziger Hersteller von HFKW in Deutschland unterliegen die Daten des Unternehmens der Vertraulichkeit. Die Emissions- und Produktionsmengen wurden dem Umweltbundesamt bis 2010 gemeldet, aber nur aggregiert berichtet. Seit 2011 werden die Daten des statistischen Bundesamtes verwendet.

4.3.9.2.3 Unsicherheiten und Zeitreihenkonsistenz (2.B.9.b)

Die für die Berechnung der Emissionen zu Grunde gelegten Produktionszahlen können als sehr genau angenommen werden, da es sich um interne Aufzeichnungen der Hersteller handelt bzw. um offizielle statistische Erhebungen.

4.3.9.2.4 Kategoriespezifische Qualitätssicherung/-kontrolle und Verifizierung (2.B.9.b)

Eine allgemeine und kategoriespezifische Qualitätskontrolle und eine Qualitätssicherung durch die Fachseite und durch die Nationale Koordinierungsstelle wurden gemäß den Anforderungen des QSE-Handbuchs bzw. dessen mitgeltenden Unterlagen durchgeführt.

4.3.9.2.5 Kategoriespezifische Rückrechnungen (2.B.9.b)

Rückrechnungen sind nicht erforderlich.

4.3.9.2.6 Geplante Verbesserungen, kategoriespezifisch (2.B.9.b)

Derzeit sind keine Verbesserungen geplant.

Sofern in vorhergehenden Berichterstattungen in diesem Kapitel Verbesserungen benannt wurden, sind diese in Form einer Übersicht unter Kapitel 10.4 Verbesserungen des Inventars, Tabelle 426 zu finden. Sind diese bereits erledigt, sind sie im selben Kapitel in Tabelle 425 abgebildet.

4.3.10 Chemische Industrie - Sonstige: Emissionen aus sonstigen Produktionsprozessen (2.B.10)

4.3.10.1 Beschreibung der Kategorie (2.B.10)

Unter dieser Kategorie werden die Vorläufersubstanzen aus der Produktion von Düngemitteln und Schwefelsäure berichtet. N_2O-Emissionen aus der Produktion von n-Dodecandisäure werden zwar hier beschrieben aber aus Vertraulichkeitsgründen mit in 2.G.3 erfasst. 1,12-Dodecandisäure ist nach Adipinsäure mengenmäßig die zweitwichtigste Dicarbonsäure. In Deutschland gibt es einen Hersteller. Die Kapazität der Anlage beträgt 18.000 t pro Jahr[58].

4.3.10.2 Methodische Aspekte (2.B.10)

N_2O – Emissionen

Die N_2O-Emissionen werden nach einer Tier 2-Methode berechnet. Die Produktionsmenge dafür stammt aus einer einmaligen Datenerhebung beim Hersteller. Die Daten werden fortgeschrieben. Die N_2O-Emissionen werden in einer Abgasbehandlungsanlage massiv reduziert.

4.3.10.3 Unsicherheiten und Zeitreihenkonsistenz (2.B.10)

Die Zeitreihenkonsistenz ist sichergestellt, weil die einmalige Datenerhebung auf die anderen Jahre übertragen wurde. Da die Zahlen auf qualitativen Aussagen des Herstellers basieren und sich nur auf ein Jahr beziehen, müssen hohe Unsicherheiten angenommen werden + 300 % / - 20 %.

4.3.10.4 Kategoriespezifische Qualitätssicherung/-kontrolle und Verifizierung (2.B.10)

Aufgrund derzeit fehlender Fachzuständigkeiten konnte keine Qualitätskontrolle/ Qualitätssicherung durch Quellgruppenexperten durchgeführt werden - dies wird nach Rückkehr der betreffenden Person nachgeholt (i.d.R. mit der nächsten Berichterstattung). Eine allgemeine Qualitätskontrolle und eine Qualitätssicherung, die den Anforderungen des QSE-Handbuchs bzw. dessen mitgeltenden Unterlagen entsprechen, erfolgte durch die Nationale Koordinierungsstelle. Daten wurden fortgeschrieben bzw. auf Basis bereits bestehender Berechnungsroutinen ermittelt.

4.3.10.5 Kategoriespezifische Rückrechnungen (2.B.10)

Rückrechnungen sind nicht erforderlich.

4.3.10.6 Geplante Verbesserungen, kategoriespezifisch (2.B.10)

Derzeit sind keine Verbesserungen geplant.

Sofern in vorhergehenden Berichterstattungen in diesem Kapitel Verbesserungen benannt wurden, sind diese in Form einer Übersicht unter Kapitel 10.4 Verbesserungen des Inventars,

[58] Quelle: Industrielle Organische Chemie, Hans-Jürgen Arpe, Wiley-VCH, 2007

Tabelle 426 zu finden. Sind diese bereits erledigt, sind sie im selben Kapitel in Tabelle 425 abgebildet.

4.4 Metallproduktion (2.C)

Die Kategorie 2.C ist unterteilt in die Unterpunkte 2.C.1 bis 2.C.7. Dem Unterpunkt Eisen-und Stahlproduktion (2.C.1) sind in der Emissionsdatenbank ZSE die Sinterproduktion, die Roheisenproduktion, die Erzeugung von Eisenschwamm (direkt reduziertem Eisen; *engl.* DRI), die Stahlerzeugung und die Eisen-, Stahl- und Tempergussproduktion zugeordnet. Die Produktion von Ferrolegierungen (2.C.2) ist in Deutschland von untergeordneter Bedeutung und wird daher im vorliegenden Bericht nicht weiter untergliedert. Die Aluminiumproduktion (2.C.3) untergliedert sich in Hüttenaluminium und Umschmelzaluminium. Für die Anwendung von SF_6 in der Aluminium- und Magnesiumproduktion (2.C.4) gibt es keine weiteren Untergliederungen. Der Unterpunkt (2.C.5) umfasst im ZSE die Bleiproduktion. (2.C.6) beinhaltet die Zinkproduktion. Unter (2.C.7) werden die Kupferproduktion (2.C.7a), die Nickelproduktion (2.C.7b) und.Sonstige (2.C.7c) zusammengefasst. Aus diesen Kategorien resultieren in Deutschland keine Treibhausgasemissionen.

4.4.1 Metallproduktion: Eisen- und Stahlproduktion (2.C.1)

4.4.1.1 Beschreibung der Kategorie (2.C.1)

KC	Category	Activity	EM of	1990 (kt CO_2-e.)	(fraction)	2015 (kt CO_2-e.)	(fraction)	Trend 1990-2015
L/-	**2.C.1. Metal Production: Iron and Steel Production**	**Steel (integrated production)**	**CO_2**	**22.810,3**	**1,87%**	**16.731,1**	**1,89%**	**-26,7%**
-/-	2.C.1. Metal Production: Iron and Steel Production	Steel (integrated production)	N_2O	26,5	0,00%	16,5	0,00%	-38,0%
-/-	2.C.1. Metal Production: Iron and Steel Production	Steel (integrated production)	CH_4	4,7	0,00%	5,3	0,00%	13,6%

Gas	Angewandte Methode	Quelle der Aktivitätsdaten	genutzte Emissionsfaktoren
CO_2	Tier 2	NS	CS
CH_4	Tier 2	NS	CS
N_2O	CS	NS	CS
NO_x, CO, NMVOC, SO_2	Tier 2	NS	CS

Die Kategorie *Eisen- und Stahlproduktion* ist für CO_2-Emissionen eine Hauptkategorie nach der Emissionshöhe. In dieser kategorie fallen neben Kohlendioxid- auch geringfügige Emissionen von Methan und Lachgas an. Die Methanemissionen resultieren aus der Walzstahlerzeugung sowie der Eisen-, Stahl und Tempergussproduktion. Das Lachgas stammt aus der Primärstahlproduktion, wo es beim Einsatz von Gichtgas in den Winderhitzern entsteht.

Da die CRF-Reporter-Software eine Zuordnung von Lachgas unter 2.C.1 nicht ermöglicht wird es stattdessen unter 2.C.7 berichtet.

In Deutschland wurden im Jahr 2015 30,1 Mio. t Rohstahl auf Erzbasis in sechs integrierten Hüttenwerken erzeugt. Die Elektrostahlproduktion betrug 12,6 Mio. t.

4.4.1.2 Methodische Aspekte (2.C.1)

Dieser Sektor umfasst die prozessbedingten Emissionen aus der Primärstahlerzeugung (via Sinteranlage, Hochofen und Oxygenstahlwerk) sowie aus Elektrostahlwerken.

Weitere Strukturelemente in dieser Kategorie (Gießereien: Eisen-, Stahl- und Tempergussproduktion; Stahlerzeugung: Walz-Stahl-Produktion) dienen der Berechnung anderer Schadstoffemissionen (nicht von Treibhausgasen).

Die prozessbedingten CO_2-Emissionen aus der Primärstahlerzeugung in integrierten Hüttenwerken resultieren vor allem aus dem Reduktionsmitteleinsatz in den Hochöfen. Zudem werden die CO_2-Emissionen aus dem Kalksteineinsatz in Sinteranlagen und bei der Roheisenerzeugung (einschließlich der CO_2-Emissionen aus den von der Stahlindustrie selbst betriebenen Kalköfen) sowie die CO_2-Emissionen aus dem Elektrodenabbrand bei der Elektrostahlerzeugung den prozessbedingten Emissionen im Sektor 2.C.1 zugerechnet.

Eine Produktion von Eisenschwamm - direkt reduziertem Eisen (*engl.* DRI) erfolgt in Deutschland nur in geringem Umfang (ca. 0,5 Mio. t. pro Jahr). Jährliche Angaben zur Produktionsmenge sind für die gesamte Zeitreihe vorhanden, sind aber vertraulich, weil sie sich nur auf eine einzige Anlage beziehen.

Die bei der Produktion von Eisenschwamm entstehenden CO_2-Emissionen resultieren aus dem Einsatz von Erdgas bzw. dem daraus erzeugten Gemisch der Reduktionsgase H_2 und CO. Die eingesetzte Menge an Erdgas ist über die gesamte Zeitreihe in den unter 1.A.2.a berichteten Einsätzen von Erdgas in der Stahlindustrie enthalten. Die CO_2-Emissionen aus der Produktion von Eisenschwamm sind folglich ebenso über die gesamte Zeitreihe in den unter 1.A.2.a berichteten Emissionen enthalten.

Eine gesonderte Ausweisung prozessbedingter CO_2-Emissionen aus der Produktion von Eisenschwamm unter 2.C.1 ist nicht möglich, weil hieraus auf die vertraulichen Angaben zur Produktionsmenge der betreffenden Anlage zurückgeschlossen werden könnte.

Methode zur Berechnung der aus dem Reduktionsmitteleinsatz in den Hochöfen resultierenden CO_2-Emissionen

Den IPCC Guidelines zufolge sind die CO_2-Emissionen in Kategorie 2.C.1 über eine Kohlenstoffbilanz zu ermitteln. Hintergrund ist, dass praktisch sämtlicher Kohlenstoff, der in die die Hochöfen eingebracht wird, bei der späteren energetischen Nutzung oder Abfackelung des im Hochofen gebildeten Gichtgases oder des im Oxygenstahlkonverter gebildeten Konvertergases als CO_2 in die Atmosphäre abgegeben wird. Der Anteil des Kohlenstoffs, der im erzeugten Stahl oder in demjenigen Teil des Roheisens verbleibt, der nicht zu Stahl weiterverarbeitet wird, ist im Vergleich zu den mit dem Reduktionsmitteleinsatz verbundenen CO_2-Emissionen nicht relevant[59].

Der Reduktionsmitteleinsatz im Hochofen und der Materialeinsatz im Konverter werden statistisch sehr detailliert erfasst. Diese Daten werden dem UBA vom VDEh jährlich übermittelt. Die Kohlenstoffgehalte der einzelnen Materialien werden aus den Emissionshandelsdaten berechnet. Weiterhin stehen CO_2 Emissionsfaktoren für Nutzung von Hochofen und Konvertergas aus dem Emissionshandel zur Verfügung. Die eingesetzten Gasmengen werden aus der Energiestatistik entnommen. Die Berechnung über den Kohlenstoffeintrag auf der einen Seite und dem Kohlenstoffaustrag in Form der Hochofen/ Konvertergasnutzung führt zu einer Differenz. Diese CO_2 Emissionen werden in der Kategorie 2.C.1 berichtet. Die energetische Nutzung von Gichtgas und Konvertergas findet nur zum Teil in der Kategorie 2.C.1 statt (namentlich in den Winderhitzern am Hochofen), daneben wird es für andere Prozessfeuerungen in der Eisen- und Stahlindustrie (1.A.2.a), in Kokereien zur Koksofenunterfeuerung (1.A.1.c) sowie in öffentlichen (1.A.1.a) oder Industriekraftwerken (1.A.2.f) zur Stromerzeugung genutzt. Für alle genannten Kategorien liefert die Energiestatistik Angaben zum Gicht- und Konvertergasverbrauch. Folglich

[59] Der durchschnittliche Kohlenstoffanteil der über 2000 Stahlsorten, die in Deutschland erzeugt werden, liegt in der Regel deutlich unter 2%, wird statistisch jedoch nicht erfasst. In jedem Fall ist dieser nicht energetische Kohlenstoffaustrag im Vergleich zu den gesamten CO_2-Emissionen aus der Primärstahlerzeugung sehr gering (<1,5 %). Da nur etwa 3% des in Deutschland erzeugten Roheisens nicht zu Oxygenstahl weiterverarbeitet werden, ist auch dieser nicht-energetische Kohlenstoffaustrag marginal (ca. 0,1%).

teilen sich die aus dem Reduktionsmitteleinsatz zur Primärstahlerzeugung resultierenden CO_2-Emissionen auf alle Kategorien auf, in denen das Gicht- und Konvertergas verbrannt und somit tatsächlich CO_2 emittiert wird (siehe folgende Abbildung).

Abbildung 44: Zeitlicher Verlauf und Quellgruppenzuordnung der aus dem Reduktionsmitteleinsatz zur Primärstahlerzeugung bzw. Gichtgasaufkommen resultierenden CO_2-Emissionen

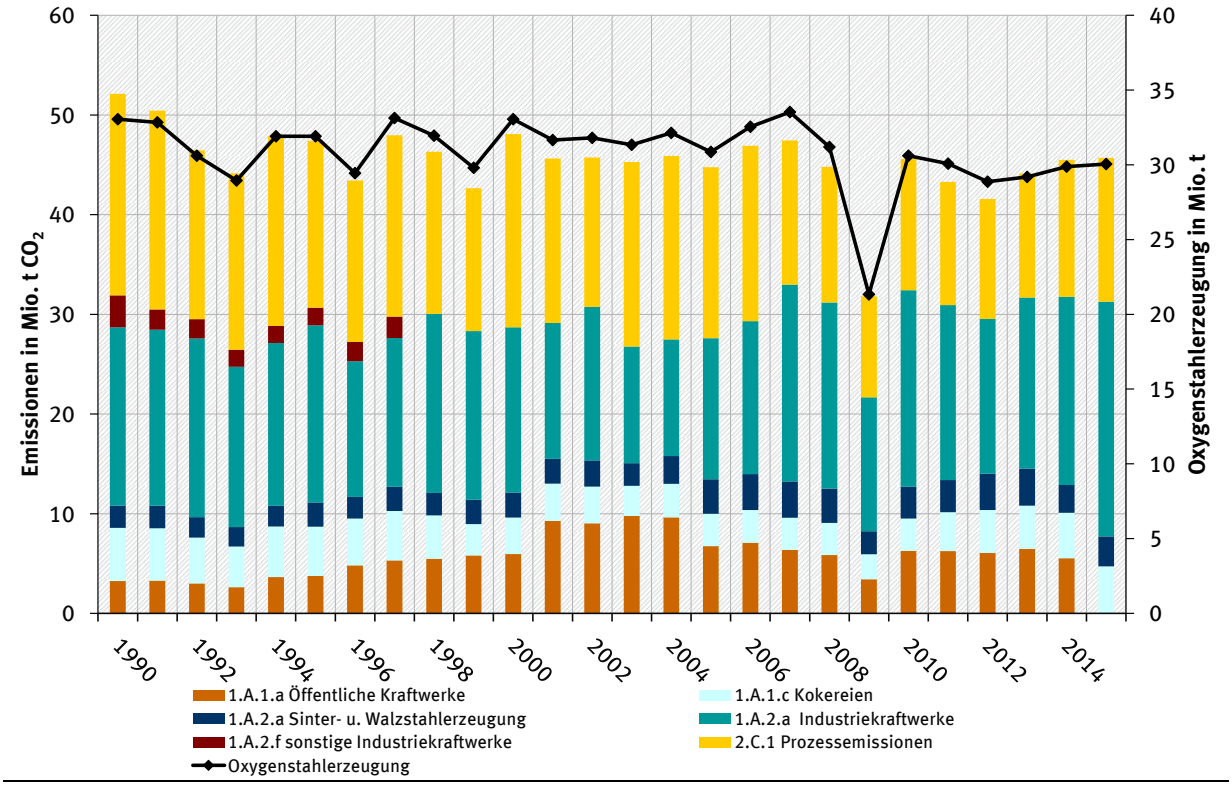

Die Summe der dargestellten CO_2-Emissionen zeigt eine gute Korrelation mit den berichteten Aktivitätsraten für die Primärstahlerzeugung (siehe schwarze Linie). Jährliche Schwankungen in den einzelnen Kategorien beruhen vermutlich auf wechselnden Zuordnungen einzelner Anlagen in der amtlichen Statistik. Dies hat jedoch keinen Einfluss auf die Gesamtsumme der berichteten Emissionen.

Tabelle 187: CO_2-Emissionen aus der Primärstahlerzeugung (einschließlich Gichtgasnutzung)

Mt CO_2	1990	1991	1992	1993	1994	1995	1996	1997	1998	1999
1.A.1.a Öffentliche Kraftwerke	3,244	3,291	3,015	2,631	3,647	3,764	4,816	5,305	5,465	5,808
1.A.1.c Kokereien	5,340	5,251	4,590	4,083	5,066	4,924	4,707	4,969	4,362	3,145
1.A.2.a Sinter- u. Walzstahlerzeugung	2,228	2,256	2,046	1,936	2,081	2,445	2,151	2,419	2,255	2,444
1.A.2.a Industriekraftwerke	17,886	17,660	17,927	16,098	16,326	17,759	13,624	14,935	17,975	16,933
1.A.2.f Sonstige Industrie-kraftwerke	3,206	2,025	1,942	1,707	1,720	1,770	1,932	2,144	0,000	0,000
2.C.1 Prozessemissionen	20,228	19,961	16,942	17,693	19,074	16,736	16,204	18,194	16,215	14,317
Mt CO_2	**2000**	**2001**	**2002**	**2003**	**2004**	**2005**	**2006**	**2007**	**2008**	**2009**
1.A.1.a Öffentliche Kraftwerke	5,956	9,284	9,030	9,766	9,640	6,738	7,086	6,370	5,851	3,425
1.A.1.c Kokereien	3,652	3,741	3,684	3,029	3,356	3,247	3,281	3,226	3,226	2,500
1.A.2.a Sinter- u. Walzstahlerzeugung	2,520	2,487	2,629	2,265	2,788	3,461	3,603	3,642	3,437	2,315
1.A.2.a Industriekraftwerke	16,573	13,627	15,406	11,709	11,695	14,164	15,351	19,748	18,675	13,429
1.A.2.f Sonstige Industrie-kraftwerke	0,000	0,000	0,000	0,000	0,000	0,000	0,000	0,000	0,000	0,000
2.C.1 Prozessemissionen	19,379	16,493	14,979	18,509	18,418	17,154	17,586	14,451	13,614	10,135
Mt CO_2	**2010**	**2011**	**2012**	**2013**	**2014**	**2015**				
1.A.1.a Öffentliche Kraftwerke	6,276	6,258	6,080	6,465	5,533	0,013				
1.A.1.c Kokereien	3,245	3,895	4,289	4,341	4,554	4,702				
1.A.2.a Sinter- u. Walzstahlerzeugung	3,198	3,217	3,646	3,715	2,787	3,015				
1.A.2.a Industriekraftwerke	19,705	17,553	15,512	17,173	18,890	23,538				
1.A.2.f Sonstige Industrie-kraftwerke	0,000	0,000	0,000	0,000	0,000	0,000				
2.C.1 Prozessemissionen	13,144	12,367	12,046	12,429	13,727	14,422				

Sekundärbrennstoffe werden in der Eisen- und Stahlindustrie nur bei der Erzeugung von Roheisen im Hochofenprozess eingesetzt. Diese Materialien sind bisher in nationalen Statistiken und der Energiebilanz nicht enthalten. Als Datenquelle werden daher Angaben der Wirtschaftsvereinigung Stahl genutzt. Da die Sekundärbrennstoffe jedoch ausschließlich als Ersatzreduktionsmittel an Stelle von Koks eingesetzt werden, sind die aus ihrem Einsatz resultierenden CO_2-Emissionen ebenfalls in den über den Gichtgas- und Konvertergaseinsatz ermittelten CO_2-Emissionen enthalten und müssen nicht gesondert berechnet werden.

Ermittlung der CO_2-Emissionen aus dem Kalksteineinsatz bei der Roheisenerzeugung

Die CO_2-Emissionen aus dem Kalksteineinsatz werden nach Tier 1 bestimmt (UBA 2006, FKZ 20541217/02). Die Stahlindustrie setzt Kalkstein ($CaCO_3$) in der Sinteranlage und bei der Roheisenerzeugung im Hochofen ein. In den Oxygenstahl- sowie den Elektrostahlwerken wird hingegen gebrannter Stahlwerkskalk (CaO) als Schlackenbildner eingesetzt, der in der Regel von Kalkindustrie zugekauft wird; die bei der Erzeugung dieses Branntkalks freigesetzten CO_2-Emissionen werden daher bereits unter 2.A.2 berichtet. Lediglich ein Stahlwerk deckt seinen Kalkbedarf mit Hilfe eigener Kalkbrennöfen, deren Produktionsmenge und damit verbundene CO_2-Emissionen nicht in den unter 2.A.2 berichteten Daten enthalten sind. Die Produktionsmenge dieser Kalköfen wird auf Basis verfügbarer Angaben zur Rohstahlerzeugung des Werks geschätzt (genauere Beschreibung siehe NIR 2016).

Aus den so ermittelten AR werden in 2.C.1 – analog zu 2.A.2 – nur die über einen stöchiometrischen EF berechneten rohstoffbedingten CO_2-Emissionen berichtet (siehe Tabelle 188). Die CO_2-Emissionen aus dem Energieeinsatz in den stahlwerkseigenen Kalköfen, der in der Energiebilanz nicht gesondert ausgewiesen werden, sind in den unter 1.A.2.a berichteten Emissionen enthalten.

Die Kalksteineinsätze bei der Sinter- und Roheisenherstellung wurden bis 2004 in der Eisen- und Stahlstatistik veröffentlicht (*STATISTISCHES BUNDESAMT* Fachserie 4, Reihe 8.1), seitdem müssen sie aus den im Rahmen des BGS-Bogens berichteten Produktionsmengen von Sinter und Roheisen über spezifische Einsatzfaktoren (d. h. kg Kalkstein pro t Sinter oder Roheisen) berechnet werden. Die Aktivitätsraten des Kalksteineinsatzes werden mit dem stöchiometrischen Emissionsfaktor für Kalkstein multipliziert und ergeben dann die in Tabelle 188 angegebenen CO_2-Emissionen.

Tabelle 188: Kalksteineinsatz sowie Eigenerzeugung von Branntkalk in der Stahlindustrie und daraus resultierende CO_2-Emissionen

Jahr	Kalksteineinsatz [t/a]		Eigenerzeugung		CO_2-Emissionen [t/a]	
	Hochofen	Sinteranlage	Branntkalk [t/a]	Kalksteineinsatz	Kalkerzeugung	Summe
1990	755.737	4.680.775	153.918	2.392.065	114.823	2.506.888
1991	757.000	4.532.000	147.439	2.327.160	109.990	2.437.150
1992	666.000	4.198.000	136.560	2.140.160	101.874	2.242.034
1993	627.000	3.891.000	129.458	1.987.920	96.575	2.084.495
1994	733.000	4.173.153	140.003	2.158.707	104.443	2.263.150
1995	751.000	4.600.000	139.973	2.354.440	104.420	2.458.860
1996	686.000	4.350.000	129.177	2.215.840	96.366	2.312.206
1997	629.000	4.471.000	145.351	2.244.000	108.432	2.352.432
1998	677.000	4.588.000	140.157	2.316.600	104.557	2.421.157
1999	817.000	4.144.000	130.704	2.182.840	97.505	2.280.345
2000	924.000	4.273.000	144.991	2.286.680	108.163	2.394.843
2001	866.000	4.136.000	138.859	2.200.880	103.588	2.304.468
2002	831.000	3.940.000	139.538	2.099.240	104.096	2.203.336
2003	832.525	4.046.711	137.468	2.146.864	102.551	2.249.415
2004	847.689	4.209.871	140.977	2.225.326	105.169	2.330.495
2005	787.724	4.306.067	134.550	2.241.268	100.374	2.341.642
2006	822.920	4.410.408	162.500	2.302.664	121.225	2.423.889
2007	840.868	4.608.067	149.500	2.397.531	111.527	2.509.058
2008	790.216	4.541.174	136.500	2.345.812	101.829	2.447.641
2009	547.680	3.496.405	97.500	1.779.397	72.735	1.852.132
2010	799.679	4.045.042	130.000	2.131.677	96.980	2.228.657
2011	782.420	3.457.145	123.500	1.865.408	92.131	1.957.539
2012	757.355	3.912.824	117.000	2.054.879	87.282	2.142.161
2013	760.932	3.926.706	130.000	2.062.561	96.980	2.159.541
2014	782.447	3.945.838	130.000	2.080.446	96.980	2.177.426
2015	794.999	3.987.196	149.500	2.104.166	111.527	2.215.693

Quelle:
bis 2004: Berechnung der Kalksteineinsätze im Projekt Kalksteinbilanz (UBA 2006, FKZ 20541217/02),
ab 2005: Berechnung über die im o.g. Projekt ermittelten produktspezifischen Faktoren

Ermittlung der CO_2-Emissionen aus dem Elektrodenabbrand bei der Elektrostahlherstellung

Bei der Elektrostahlherstellung entstehen direkte CO_2-Emissionen durch den Abbrand der Graphitelektroden, die ebenfalls den prozessbedingten CO_2-Emissionen der Stahlerzeugung zuzurechnen sind. Sie werden aus der Menge des produzierten Elektrostahls über einen in 2009 im Rahmen eines Forschungsvorhabens (UBA/BFI 2012) aktualisierten Emissionsfaktor (7,4 kg/t) berechnet, der auf dem spezifischen Elektrodenverbrauch pro t Elektrostahl (2,06 kg/t), dessen Kohlenstoffgehalt (98%) sowie dem stöchiometrischen Faktor (3,667 t CO_2/t C) basiert. Der Beitrag des Elektrodenabbrands bei der Elektrostahlherstellung ist mit ca. 0,2% der gesamten CO_2-Emissionen der Eisen- und Stahlerzeugung unbedeutend.

Ermittlung der insgesamt unter 2.C.1 zu berichtenden CO_2-Emissionen der Eisen- und Stahlproduktion)

Die insgesamt unter 2.C.1 zu berichtenden prozessbedingten Emissionen setzen sich wie folgt zusammen:

1. die aus dem Reduktionsmitteleinsatz zur Primärstahlerzeugung resultierenden CO_2-Emissionen, soweit das Gicht- und Konvertergas nicht in anderen Kategorien eingesetzt und folglich dort als CO_2-Emissionen berichtet wird
2. den CO_2-Emissionen aus dem Kalksteineinsatz bei der Roheisenerzeugung sowie der Eigenerzeugung an Branntkalk und
3. den CO_2-Emissionen aus dem Elektrodenabbrand bei der Elektrostahlherstellung

Die so ermittelten Emissionsmengen sind Tabelle 190 zu entnehmen.

Tabelle 189: Insgesamt unter 2.C.1 zu berichtende prozessbedingte Emissionen

Jahr	CO_2-Emissionen aus dem Reduktionsmitteleinsatz, soweit nicht in anderen Kategorien berichtet [t/a]	CO_2-Emissionen aus Kalksteineinsatz sowie der Eigenerzeugung an Branntkalk [t/a]	CO_2-Emissionen aus dem Elektrodenabbrand [t/a]	2.C.1 gesamt [t/a]
1990	20.228.163	2.506.888	75.242	**22.810.293**
1991	19.960.553	2.437.150	68.464	**22.466.167**
1992	16.942.152	2.242.034	64.358	**19.248.544**
1993	17.692.711	2.084.495	59.840	**19.837.046**
1994	19.074.282	2.263.150	65.783	**21.403.215**
1995	16.736.415	2.458.860	74.794	**19.270.069**
1996	16.204.219	2.312.206	76.291	**18.592.716**
1997	18.193.667	2.352.432	87.552	**20.633.651**
1998	16.255.161	2.421.157	89.196	**18.765.514**
1999	14.316.677	2.280.345	90.457	**16.687.479**
2000	19.378.699	2.394.843	98.251	**21.871.793**
2001	16.493.071	2.304.468	96.961	**18.894.500**
2002	14.978.738	2.203.336	97.381	**17.279.455**
2003	18.508.674	2.249.415	99.048	**20.857.137**
2004	18.418.361	2.330.495	104.984	**20.853.840**
2005	17.153.961	2.341.642	100.780	**19.596.383**
2006	17.586.218	2.423.889	108.206	**20.118.313**
2007	14.451.531	2.509.058	110.721	**17.071.310**
2008	13.614.398	2.447.641	107.945	**16.169.984**
2009	10.134.642	1.852.132	83.587	**12.070.361**
2010	13.144.493	2.228.657	97.446	**15.470.596**
2011	12.367.111	2.239.194	104.741	**14.711.046**
2012	12.046.280	2.142.161	101.675	**14.290.116**
2013	12.428.654	2.159.541	99.245	**14.687.440**
2014	13.726.939	2.177.426	96.314	**16.000.679**
2015	14.422.031	2.215.693	93.401	**16.731.125**

4.4.1.3 Unsicherheiten und Zeitreihenkonsistenz (2.C.1)

Die Zeitreihenkonsistenz ist gegeben, da die Aktivitätsraten bei allen Anlagen erhoben und die Emissionen für alle Jahre nach derselben Methode ermittelt wurden.

Bei den CO_2-Emissionen aus dem Kalksteineinsatz gab es von 2004 zu 2005 einen Methodenbruch durch den Wegfall der bis 2004 verwendeten Datenquelle. Die Entwicklung der Zeitreihe erscheint jedoch trotz Methodenbruch plausibel. Aufgrund der notwendigen Berechnung beträgt die Unsicherheit der Aktivitätsrate hier ± 10%. Eine erhöhte Unsicherheit weist auch die auf Basis mehrerer Annahmen geschätzte Aktivitätsrate für die Eigenerzeugung an Branntkalk auf; die damit verbundenen CO_2-Emissionen sind allerdings vergleichsweise unbedeutend.

Die Unsicherheit des Emissionsfaktors für den Elektrodenabbrand beträgt ± 3 %, bei den übrigen Daten liegt die Unsicherheit bei ± 5 %. Die Unsicherheiten beruhen nur auf Mess- und Analyseungenauigkeiten.

4.4.1.4 Kategoriespezifische Qualitätssicherung/-kontrolle und Verifizierung (2.C.1)

Eine allgemeine und kategoriespezifische Qualitätskontrolle und eine Qualitätssicherung durch die Fachseite und durch die Nationale Koordinierungsstelle wurden gemäß den Anforderungen des QSE-Handbuchs bzw. dessen mitgeltenden Unterlagen durchgeführt.

Die Emissionsermittlung in den Kategorien 1.A.2.a und 2.C.1 ist ein komplexe Aufgabe, da es zwischen der Energiebilanz, der Emissionsberichterstattung, dem Emissionshandel sowie den Verbandsstatistiken große methodische Unterschiede gibt. Zur Sicherung der Datenqualität werden regelmäßig Expertengespräche durchgeführt, in denen die Daten verglichen und bewertet werden. Aufgrund der methodischen Unterschiede ist eine Plausibilitätskontrolle der ermittelten Emissionsmengen mit den Daten der deutschen Emissionshandelsstelle nur auf einer hoch aggregierten Ebene möglich.

Eine Plausibilisierung der für diese Quellgruppe ermittelten Emissionen anhand der vom Klimasekretariat ermittelten implizierten Emissionsfaktoren (IEF) ist

1. aufgrund des von Land zu Land sehr unterschiedlichen Anteils der CO_2-intensiven Primärstahlerzeugung an der gesamten Stahlerzeugung,
2. aufgrund der von Land zu Land unterschiedlichen Allokation der daraus resultierenden Emissionen auf die Quellgruppen 1.A.2.a, 2.C.1 sowie ggf. weitere Quellgruppen, in denen die bei der Eisen- und Stahlerzeugung anfallenden Prozessgase energetisch genutzt werden, und
3. aufgrund der Addition von von Land zu Land unterschiedlich berichteten Aktivitätsraten unter 2.C.1, deren Addition zudem z.T. nicht sachgerecht ist,

nicht möglich. Die genannten Faktoren führen zu einer extremen Streuung der ermittelten IEF für die genannten Quellgruppen, die keinen Rückschluss auf die „Richtigkeit“ der ermittelten Emissionen ermöglichen.

4.4.1.5 Kategoriespezifische Rückrechnungen (2.C.1)

Die Aktualisierung statistischer Daten und das Ersetzen von Daten aus der vorläufigen Energiebilanz durch Daten der endgültigen Energiebilanz führt zu geringfügigen Rückrechnungen für das Jahr 2014. Es wurde zwar die Zeitreihe für Aktivitätsdaten zur Erzeugung von direkt reduziertem Eisen (DRI) vervollständigt, da diese Zeitreihe aber vertraulich ist und aus den Angaben keine zusätzlich zu berichtenden Emissionen resultieren (siehe Ausführungen unter Kap. 4.4.1.2), war hierzu keine weitere kategoriespezifische Rückrechnung erforderlich.

4.4.1.6 Geplante Verbesserungen, kategoriespezifisch (2.C.1)

Derzeit sind keine weiteren Verbesserungen geplant.

Sofern in vorhergehenden Berichterstattungen in diesem Kapitel Verbesserungen benannt wurden, sind diese in Form einer Übersicht unter Kapitel 10.4 Verbesserungen des Inventars, Tabelle 426 zu finden. Sind diese bereits erledigt, sind sie im selben Kapitel in Tabelle 425 abgebildet.

4.4.2 Metallproduktion: Produktion von Ferrolegierungen (2.C.2)

4.4.2.1 Beschreibung der Kategorie (2.C.2)

KC	Category	Activity	EM of	1990 (kt CO_2-e.)	(fraction)	2015 (kt CO_2-e.)	(fraction)	Trend 1990-2015
-/-	2.C.2. Ferroalloys Production	Ferroalloys	CO_2	429,0	0,04%	6,0	0,00%	-98,6%
-/-	2.C.2. Ferroalloys Production	Ferroalloys	CH_4	8,6	0,00%	1,6	0,00%	-80,9%

Gas	Angewandte Methode	Quelle der Aktivitätsdaten	genutzte Emissionsfaktoren
CO_2	CS	IS	CS
NO_X, CO, NMVOC, SO_2			NE

Die Kategorie *Produktion von Ferrolegierungen* ist keine Hauptkategorie. Ferrolegierungen sind Zuschlagsstoffe, mit denen Stahl legiert wird. In Deutschland existieren fünf Hersteller von Ferrolegierungen: Ferrochrom, Ferrosilizium und Siliziummetall werden jeweils nur von einem Unternehmen hergestellt; weitere Ferrolegierungen nur in sehr geringem Umfang. Nach den Daten des British Geological Survey wurden im Jahr 2014 54.500 t Ferrolegierungen in Deutschland produziert. Seit 1995 wird ausschließlich das Elektro-Lichtbogen-Verfahren verwandt, bei dem nur aus dem Elektrodenabbrand geringe Mengen an prozessbedingtem CO_2 freigesetzt werden.

Bis 1995 kam teilweise das Hochofenverfahren zum Einsatz, das mit vergleichsweise höheren CO_2-Emissionen verbunden war.

4.4.2.2 Methodische Aspekte (2.C.2)

Die verwendeten **Emissionsfaktoren** zu beiden genannten Verfahren (Hochofen- und Elektro-Lichtbogen-Verfahren) wurden in dem Forschungsvorhaben „NEU-CO_2" (FKZ 203 41 253/02) ermittelt.

Für die **Aktivitätsrate** wird seit 1995 auf Daten des British Geological Survey (BGS) zurückgegriffen. Die aktuell verfügbaren Daten stammen aus dem Jahr 2014. Für das Jahr 2015 ist die Aktivitätsrate fortgeschrieben worden.

4.4.2.3 Unsicherheiten und Zeitreihenkonsistenz (2.C.2)

Die Aktivitätsraten des British Geological Survey (BGS) beruhen teilweise auf Schätzungen und sind daher mit vergleichsweise hohen Unsicherheiten behaftet.

Die Daten des British Geological Survey (BGS) wurden zudem mit Daten des US Geological Survey (USGS) verglichen. Die Daten des USGS liegen zwar in derselben Größenordnung wie die Daten des BGS, weisen aber einen geringeren Detail- und höheren Aggregationsgrad auf. Aus diesem Grund werden die Daten des BGS bevorzugt.

Für die Jahre 2001 – 2006 liegen auch Daten des Statistischen Bundesamtes zum Absatz von Ferrolegierungen vor, welche aber um Faktor 0,7 unter den Produktionsdaten des BGS liegen. Aus Gründen der Zeitreihenkonsistenz werden daher auch für diese Jahre die Daten des BGS verwendet.

Die deutliche Abnahme des CO_2-Emissionsfaktors von 1994 zu 1995 bedeutet ebenfalls keine Inkonsistenz, sondern resultiert aus dem Wechsel des Produktionsverfahrens.

4.4.2.4 Kategoriespezifische Qualitätssicherung/-kontrolle und Verifizierung (2.C.2)

Eine allgemeine Qualitätskontrolle und eine Qualitätssicherung durch die Fachseite und durch die Nationale Koordinierungsstelle wurden gemäß den Anforderungen des QSE-Handbuchs bzw. dessen mitgeltenden Unterlagen durchgeführt.

Die verwendeten AR von BGS wurden mit Hilfe der Angaben des Statistischen Bundesamtes und des USGS verifiziert (siehe oben).

4.4.2.5 Kategoriespezifische Rückrechnungen (2.C.2)

Auf Grund der Aktualisierung der im letzten Jahr fortgeschriebenen Aktivitätsrate ergeben sich Rückrechnungen, die geringfügige Emissionsänderungen für das vergangene Jahr zur Folge haben. Diese Rückrechnung erfolgt regelmäßig jedes Jahr, da die zugrunde liegende Statistik nur alle zwei Jahre bereitgestellt wird.

4.4.2.6 Geplante Verbesserungen, kategoriespezifisch (2.C.2)

Derzeit sind keine Verbesserungen geplant.

Sofern in vorhergehenden Berichterstattungen in diesem Kapitel Verbesserungen benannt wurden, sind diese in Form einer Übersicht unter Kapitel 10.4 Verbesserungen des Inventars, Tabelle 426 zu finden. Sind diese bereits erledigt, sind sie im selben Kapitel in Tabelle 425 abgebildet.

4.4.3 Metallproduktion: Aluminiumproduktion (2.C.3)

4.4.3.1 Beschreibung der Kategorie (2.C.3)

KC	Category	Activity	EM of	1990/1995 (kt CO_2-e.)	(fraction)	2015 (kt CO_2-e.)	(fraction)	Trend 1990/1995-2015
-/T	**2.C.3. Aluminium Production**	**Primary aluminium production**	**PFCs**	**1.800,7**	**0,15%**	**94,9**	**0,01%**	**-94,7%**
-/-	2.C.3. Aluminium Production	Primary aluminium production	CO_2	1.011,9	0,08%	740,1	0,08%	-26,9%
-/-	2.C.3. Aluminium Production	Secondary aluminium production	SF_6	11,4	0,00%	15,8	0,00%	38,9%

Gas	Angewandte Methode	Quelle der Aktivitätsdaten	genutzte Emissionsfaktoren
CO_2	Tier 3	AS	CS
CH_4	-	-	NE
PFC	Tier 3	AS	CS
SF_6	CS	NS	CS
NO_X	-	-	NE
CO, SO_2		AS	CS

Primäraluminium - Nebenproduktemissionen

Die Kategorie *Primäraluminiumproduktion* ist nach der Einordnung der Kategorie 2.C.3 Aluminiumproduktion für PFC-Emissionen eine Hauptkategorie nach dem Trend.

In Deutschland wird in vier Hütten Aluminium in Elektrolyseöfen mit vorgebrannten Anoden erzeugt. Wesentliche Emissionsquellen sind die Abgase der Elektrolyseöfen und diffuse Emissionen über Hallendächern. An klimarelevanten Substanzen und Luftschadstoffen werden insbesondere CO, CO_2, SO_2, CF_4 und C_2F_6 emittiert.

Die größte Quelle für FKW-Emissionen ist in Deutschland trotz erheblicher Reduktionen seit 1990 weiterhin die Produktion von Primäraluminium. Durch umfangreiche Modernisierungsmaßnahmen in deutschen Aluminiumhütten und der Stilllegung von Produktionskapazitäten sanken die absoluten Emissionen aus diesem Sektor seit 1995 um über

90 %. Hinsichtlich der zukünftigen Entwicklung der FKW-Emissionen ist eine Stagnation auf niedrigem Niveau zu erwarten.

Sekundäraluminium – Verwendung von F-Gasen in Gießereien

Die Kategorie *Verwendung von SF_6 in der Sekundäraluminiumproduktion* (Alu-Giessereien) ist nach der Einordnung der Kategorie 2.C.3 Aluminiumproduktion für SF_6-Emissionen keine Hauptkategorie.

Zum Spülen von Sekundäraluminium-Schmelzen genügen in der Regel Inertgase ohne Additive. In einigen wenigen, meist kleineren Aluminium-Gießereien sowie in Labors kam in der Vergangenheit aber ein Reinigungssystem aus Inertgasen zum Einsatz, dem SF_6 in Konzentrationen von 1 oder 2,5 % zugesetzt war. Solche Reinigungssysteme wurden letztmalig im Jahr 1999 eingesetzt (seit dem Jahr 2000 findet kein Verkauf in Deutschland mehr statt). Von 1990 bis 1999 lag der SF_6 –Verbrauch relativ konstant bei 0,5 t/a.

Vereinzelt wird seit dem Jahr 1999 wieder reines SF_6 als Reinigungsgas eingesetzt.

4.4.3.2 Methodische Aspekte (2.C.3)

Primäraluminium - Nebenproduktemissionen

Die Aktivitätsraten werden dem Umweltbundesamt jährlich durch die WirtschaftsVereinigung Metalle übermittelt. Der durchschnittliche Anodenverbrauch zur Produktion von Primäraluminium liegt bei 430 kg Petrolkoks je Tonne Aluminium. In der Tabelle 190 sind die prozessbedingten Emissionsfaktoren dargestellt.

Die bei der Erzeugung von Primäraluminium anfallende Gesamtabgasmenge je Tonne Aluminium wurde mit einem mittleren Konzentrationswert, der aus mehreren Einzelwerten verschiedener Anlagen mit entsprechender Gewichtung gebildet wurde, multipliziert. Die Emissionsfaktoren berücksichtigen auch diffuse Emissionsquellen, wie Hallendachemissionen. Die verwendeten Emissionswerte für CO sind Ergebnisse aus Emissionsmessungen im Rahmen von Investitionsvorhaben.

Die SO_2- und CO_2-Emissionsfaktoren wurden aus dem spezifischen Anodenverbrauch errechnet. Die Anoden bestehen aus Petrolkoks; diese weisen spezifische Schwefelgehalte von ca. 1,2 % auf, woraus ein SO_2-Emissionsfaktor von 10,4 kg/t Al berechnet werden kann. Grundlage der Berechnung des CO_2-Emissionsfaktors ist der spezifische Kohlenstoffgehalt von Petrolkoks von 857 kg pro t. (vgl. Kapitel 18.7). Durch Multiplikation des durchschnittlichen Anodenverbrauchs mit dem mittleren Kohlenstoffgehalt und der stöchiometrischen Umsetzung zu CO_2 ergibt sich ein CO_2-Emissionsfaktor von 1367 kg/t Aluminium. Der CO_2-Emissionsfaktor vermindert sich theoretisch um den Anteil, der sich aus einem CO-Anteil von 180 kg/t Al ergibt, da sich auch CO lediglich aus dem Verbrauch der Anoden bilden kann. Dies ist in dem unten genannten CO_2- Faktor nicht berücksichtigt.

Die in Tabelle 190 genannten Emissionsfaktoren wurden mit den Emissionsangaben in BAT-Merkblättern[60] und anderen Quellen (z.B. der VDI Richtlinie 2286 Blatt 1) abgeglichen.

[60] siehe http://www.bvt.umweltbundesamt.de/kurzue.htm

Tabelle 190: AR und prozessbedingte EF der Primäraluminiumproduktion im Jahr 2013

	AR		Emissionsfaktoren				
	Anzahl Hütten	Produktion [t]	CO_2 [kg/t]	NO_X [kg/t]	SO_2 [kg/t]	C gesamt [kg/t]	CO [kg/t]
Primäraluminium	4	492.368	1367	k.A.	10,4	k.A.	180

Für die FKW-Emissionen aus Primäraluminiumhütten liegen aufgrund einer Selbstverpflichtung der Aluminiumindustrie Emissionsangaben vor. Seit 1997 berichtet die Aluminiumindustrie jährlich über die Entwicklung der FKW-Emissionen aus diesem Sektor. Die Messdaten werden nicht veröffentlicht, liegen dem Umweltbundesamt aber vor.

Basis für Berechnungen der CF_4 Emissionen sind die in den Jahren 1996 und 2001 in allen deutschen Hütten durchgeführten Messungen. Hierbei wurden je nach Technologie spezifische CF_4- Emissionswerte pro Anodeneffekt[61] ermittelt. Die Zahl der Anodeneffekte wird in den Hütten erfasst und dokumentiert. Die CF_4-Gesamtemission wurde durch Multiplikation der gesamten Anodeneffekte des Jahres mit der in 2001 ermittelten spezifischen CF_4-Emission pro Anodeneffekt errechnet. Der Gesamtemissionsfaktor für CF_4 ergibt sich durch Addition der CF_4-Emissionen der Hütten dividiert durch die Gesamtaluminiumproduktion der Hütten. C_2F_6 und CF_4 entstehen im festen Verhältnis von etwa 1:10. Die oben genannte Methode wurde auf die Zeitreihe bis 2010 angewendet, durch Rückrechnungen wurden die Emissionen für die Jahre 1990 bis 1996 ergänzt. Für den Emissionshandel hat die Aluminiumindustrie die Berechnung der PFC-Emissionen auf die IAI-Methode (entspricht UNFCC-Default Tier 2) umgestellt. Der dafür vorgesehene Default-Slope-Faktor wird auch von allen anderen europäischen Anlagen genutzt und ist im Rahmen des europäischen Emissionshandels anerkannt. Aus Konsistenzgründen hat die Aluminiumindustrie deshalb ab 2010 auch die Emissionsdaten für die Emissionsberichterstattung nach der IAI-Methode berichtet.

Sekundäraluminium – Verwendung von F-Gasen in Gießereien

Für die Aluminiumgießereien konnte durch anlagenspezifische Messungen im Jahr 2010 eine Konkretisierung des Emissionsfaktors und damit der Emissionen vorgenommen werden.

Für die Berichtsjahre 1990 bis 1994 wurden Berichte und archivierte Umfrageprotokolle aus dem Jahr 1996 zu Grunde gelegt.

Emissionsfaktor Sekundäraluminium

Basierend auf von der Zulassungsbehörde anerkannten, vertraulichen Messprotokollen ist der Emissionsfaktor von SF_6 für die Aluminiumgiessereien für den Zeitraum von 1999 bis 2008 von 100 % auf 3 % reduziert worden. Durch Umbaumaßnahmen konnte eine weitere Reduzierung des Emissionsfaktors ab 2009 auf 1,5 % erreicht werden.

Aktivitätsdaten Sekundäraluminium

Der SF_6-Verbrauch wurde durch Befragung der Gasehändler ermittelt, wobei die Abfrage für das Berichtsjahr 2000 ergeben hat, dass die Gasemischung seit dem Jahr 2000 nicht mehr vermarktet wird.

61 „...Zu organischen Fluoriden kommt es jedoch nur unter besonderen Bedingungen, wenngleich diese in Intervallen von Stunden bis zu mehreren Tagen am Ofen immer wieder eintreten. Diese Bedingungen werden als Anodeneffekt bezeichnet. ... Das Gas an der Anode ändert seine Zusammensetzung von CO_2 zu CO und zu 5 bis 20 % CF_4....“ (ÖKO-RECHERCHE 1996)

Das seit 1999 wieder verwendete rein eingesetzte SF_6 wurde bei den Anwendern direkt erfragt und mit Daten der Gasehändler abgeglichen.

Seit dem Berichtsjahr 2007 werden die Daten vom *Statistischen Bundesamt* durch Abfrage der SF_6-Verkaufszahlen des Gasehandels erhoben.

4.4.3.3 Unsicherheiten und Zeitreihenkonsistenz (2.C.3)

Primäraluminium - Nebenproduktemissionen

Die Emissionsangaben zu FKW, CO, CO_2 und SO_2 genügen dem Tier 3b Ansatz und werden entsprechend als sehr genau bewertet. Für CO, CO_2 und SO_2 besteht eine Zeitreihenkonsistenz.

Allerdings wurde die anlagenspezifische Anzahl der Anodeneffekte in den Jahren 1991, 1992, 1993 und 1995 im Rahmen der freiwilligen Selbstverpflichtung nicht erhoben und für diese Jahre keine Berechnung durchgeführt (siehe 4.4.3.6).

Außerdem waren die Jahre 1991 bis 1994 wegen des Verfalls der Weltmarktpreise für Primäraluminium tiefe Krisenjahre für die deutsche Aluminiumindustrie. Aus diesem Grund wurden einige Anlagen stillgelegt. Der Abbau betraf alle Ofentypen, aber am stärksten betroffen waren die kurz zuvor modernisierten Öfen mit Punktdosierungstechnik. Deren Kapazität sank um 43%, gemessen am Bestand 1990. Dies erklärt auch den kurzfristigen Anstieg bzw. die Stagnation des implizierten Emissionsfaktors für CF_4 in diesen Jahren. Absolut haben die Primärhütten 2007 nur 26 Tonnen CF_4 gegenüber 45 Tonnen in 2005 emittiert. Ursache hierfür ist ein Produktionsrückgang. Gegenüber dem Jahr 2006 ist jedoch eine geringe Produktionssteigerung zu verzeichnen, weil das teilweise Abschalten der Öfen im Werk Stade durch eine Produktionssteigerung am Produktionsstandort Hamburg mehr als ausgeglichen wurde. Im Jahr 2009 führte die Wirtschaftskrise u.a. zu drastischen Produktionseinbrüchen im Rheinwerk Neuss. Aufgrund der schwierigen ökonomischen Situation aller deutschen Primärhütten kam es in der Folgezeit immer wieder zu Prozessinstabilitäten durch häufige An- und Abfahrprozesse. Dies führte zu einer höheren Anzahl von Anodeneffekten und damit zu höheren PFC-Emissionen. Im Jahr 2010 stabilisierte sich die ökonomische Lage merklich. Die Prozesse konnten wieder kontinuierlich und stabil gefahren werden. Dadurch verringerte sich die Anzahl der Anodeneffekte in einem solchem Maße, dass die absoluten PFC-Emissionen trotz der Produktionssteigerung im Vergleich zu 2009 sanken. Dieser Trend setzte sich auch in den Folgejahren fort.

Sekundäraluminium – Verwendung von F-Gasen in Gießereien

Wie Untersuchungen belegen, wird ein Teil des SF_6 bei der Nutzung in der Aluminiumproduktion zersetzt. In der Aluminiumindustrie wurde der Emissionsfaktor auf die maximal gemessenen Emissionen gelegt und nach unten eine Unsicherheit von 50% angenommen, da die Messungen gezeigt haben, dass die Emissionen häufig auch deutlich geringer sind.

4.4.3.4 Kategoriespezifische Qualitätssicherung/-kontrolle und Verifizierung (2.C.3)

Eine allgemeine und kategoriespezifische Qualitätskontrolle und eine Qualitätssicherung durch die Fachseite und durch die Nationale Koordinierungsstelle wurden gemäß den Anforderungen des QSE-Handbuchs bzw. dessen mitgeltenden Unterlagen durchgeführt.

Die Aktivitätsraten für die Primäraluminiumproduktion stützen sich auf Eigenerhebungen der Wirtschaftsvereinigung Metalle und werden dem Umweltbundesamt jährlich übermittelt. Die Zeitreihe erscheint plausibel und weist keine Inkonsistenzen auf. Es wird davon ausgegangen, dass diese Angaben qualitätsgesichert erhoben werden.

Die Ermittlung der spezifischen FKW-Emissionen während der Anodeneffekte erfolgte durch Messungen der Industrie in den Jahren 1996 und 2001 an allen Primäraluminium produzierenden Anlagen in Deutschland. Die Menge der entstehenden FKW hängt vor allem von der Dauer und Häufigkeit der Anodeneffekte ab. Durch computerbasierte Prozesssteuerung konnten die Dauer und die Häufigkeit der Anodeneffekte in den letzten Jahren deutlich reduziert werden. Der deutsche Emissionsfaktor für CF_4, aufgrund von Anodeneffekten, lag 2010 bei 0,044 kg/t Aluminium. Er liegt somit in derselben Größenordnung wie der vom International Aluminium Institute (IAI) bekannt gegebene internationale Durchschnittsfaktor von 0,034 kg/t für Point Feeder-Anlagen. Der Emissionsfaktor ist somit verifiziert.

Für die Verbrauchsmengen in den Al-Gießereien erfolgte erstmalig für das Berichtsjahr 2002 ein Abgleich der Verkaufszahlen mit den Verwendungsmengen in der Industrie, der eine Lücke aufzeigte. Diese wurde korrigiert. Die für das Berichtsjahr 2004 verglichenen Verkaufszahlen und Verwendungsmengen in der Industrie zeigten gute Übereinstimmung.

4.4.3.5 Kategoriespezifische Rückrechnungen (2.C.3)

Rückrechnungen sind nicht erforderlich.

4.4.3.6 Geplante Verbesserungen, kategoriespezifisch (2.C.3)

Derzeit sind keine Verbesserungen geplant.

Sofern in vorhergehenden Berichterstattungen in diesem Kapitel Verbesserungen benannt wurden, sind diese in Form einer Übersicht unter Kapitel 10.4 Verbesserungen des Inventars, Tabelle 426 zu finden. Sind diese bereits erledigt, sind sie im selben Kapitel in Tabelle 425 abgebildet.

4.4.4 Metallproduktion: Magnesiumproduktion (2.C.4)

4.4.4.1 Beschreibung der Kategorie (2.C.4)

KC	Category	Activity	EM of	1995 (kt CO_2-e.)	(fraction)	2015 (kt CO_2-e.)	(fraction)	Trend 1995-2015
-/-	2.C.4. Magnesium Foundries	0	SF_6	176,6	0,01%	10,5	0,00%	-94,0%
-/-	2.C.4. Magnesium Foundries	0	HFC 134a	0,0	0,00%	48,0	0,01%	---

Gas	Angewandte Methode	Quelle der Aktivitätsdaten	genutzte Emissionsfaktoren
SF_6	D	PS	D
HFC	D	PS	D

Die Kategorie *SF_6 und HFKW-134a in der Magnesiumproduktion* ist keine Hauptkategorie.

In Deutschland wird kein Primärmagnesium hergestellt. Es werden lediglich Gussteile aus Magnesiumlegierungen produziert.

In Deutschland wird kein Primärmagnesium hergestellt. Es werden lediglich Gussteile aus Magnesiumlegierungen produziert.

Beim Gießen von Magnesium wird SF_6 seit Mitte der 70er Jahre als Schutzgas über der Schmelze eingesetzt, um ihre Oxidation und Entzündung zu verhindern. Die eingesetzte Menge an SF_6 pro Tonne Magnesium (spezifischer SF_6-Koeffizient) hat sich seit 1995 stark reduziert, da es seit 2003 in zunehmendem Maße durch HFKW-134a ersetzt wurde. SF_6 wird sowohl beim Sandgussverfahren zur Fertigung von Prototypen, Einzelteilen und kleinen Serien, als auch beim Druckgussverfahren als Schutzgas eingesetzt.

4.4.4.2 Methodische Aspekte (2.C.4)

Der Einsatz von SF_6 als Reinigungs- und Schutzgas bei der Magnesiumherstellung ist eine offene Anwendung, d.h. die eingesetzte SF_6–Menge emittiert vollständig beim Gebrauch in die Atmosphäre. Die Gleichsetzung von Verbrauch (AR) und Emission entspricht der Methode in den IPCC-Guidelines 2006 (Kapitel 4.5).

Beim Einsatz von HFKW-134a sind die Berechnungsmethode, der verwendete Emissionsfaktor und die Angaben über die Aktivitätsdaten in der Magnesiumproduktion identisch mit der Verwendung von SF_6 in der Magnesiumproduktion.

Emissionsfaktoren

Für die Magnesiumgießereien wird ein $EF_{Anwendung}$ = 100% angenommen, da genauere Daten zu Zersetzungsgraden noch fehlen.

Aktivitätsdaten Magnesiumproduktion

Im Jahr 1996 wurde im Auftrag des Umweltbundesamtes eine Mengenbefragung bei allen inländischen Magnesiumgießereien mit SF_6–Einsatz durchgeführt. Hierbei wurden die Verbrauchsmengen für die Jahre 1990 bis 1995 ermittelt.

Bis zum Berichtsjahr 2007 wurden die verwendeten Mengen direkt bei den Anwendern erfragt. Seit dem Berichtsjahr 2006 werden die Daten durch Abfrage der SF_6-Verkaufszahlen des Gasehandels erhoben. Im Berichtsjahr 2006 erfolgte ein Vergleich beider Methoden.

Seit dem Berichtsjahr 2007 werden die Daten des *Statistischen Bundesamtes* verwendet.

4.4.4.3 Unsicherheiten und Zeitreihenkonsistenz (2.C.4)

Wie Untersuchungen belegen wird ein Teil des SF_6 bei der Nutzung in der Magnesiumproduktion zersetzt. Daher werden die Emissionen durch die Annahme einer 100 %-igen Emission der verwendeten Menge bei der Magnesiumproduktion wahrscheinlich deutlich überzeichnet.

4.4.4.4 Kategoriespezifische Qualitätssicherung/-kontrolle und Verifizierung (2.C.4)

Eine allgemeine Qualitätskontrolle und eine Qualitätssicherung durch die Fachseite und durch die Nationale Koordinierungsstelle wurden gemäß den Anforderungen des QSE-Handbuchs bzw. dessen mitgeltenden Unterlagen durchgeführt.

Die Qualitätssicherung/-kontrolle erfolgte für die Verbrauchsmengen in den Mg-Gießereien durch einen einmaligen Abgleich der Abfrageergebnisse aus den Gießereien mit den Hersteller-Verkaufszahlen für SF_6 insgesamt und mit den Angaben des Gasehandels. Für das Berichtsjahr 2007 wurden zusätzlich Erkenntnisse aus einem Fachgespräch im Dezember 2007 berücksichtigt.

4.4.4.5 Kategoriespezifische Rückrechnungen (2.C.4)

Rückrechnungen sind nicht erforderlich.

4.4.4.6 Geplante Verbesserungen, kategoriespezifisch (2.C.4)

Derzeit sind keine Verbesserungen geplant.

Sofern in vorhergehenden Berichterstattungen in diesem Kapitel Verbesserungen benannt wurden, sind diese in Form einer Übersicht unter Kapitel 10.4 Verbesserungen des Inventars, Tabelle 426 zu finden. Sind diese bereits erledigt, sind sie im selben Kapitel in Tabelle 425 abgebildet.

4.4.5 Metallproduktion: Blei (2.C.5)

4.4.5.1 Beschreibung der Kategorie (2.C.5)

KC	Category	Activity	EM of	1990 (kt CO_2-e.)	(fraction)	2015 (kt CO_2-e.)	(fraction)	Trend 1990-2015
-/-	2.C.5. Lead Production	0	CO_2	157,9	0,01%	83,0	0,01%	-47,4%

Gas	Angewandte Methode	Quelle der Aktivitätsdaten	genutzte Emissionsfaktoren
CO_2	Tier 1	AS	D/CS

Die Kategorie *Metallproduktion: Blei* ist keine Hauptkategorie.

Die Bleiproduktion erfolgt in Deutschland aus primären Bleikonzentraten und sekundären Vorstoffen wie bleihaltigen Schrotten oder Blei-Säure-Batterien.

Die Primärbleiproduktion erfolgt in Deutschland ausschließlich durch das Direktschmelzverfahren (DS) im Badschmelzofen (Isasmelt-Ausmelt) oder im QSL-Reaktor. Prozessbedingte CO_2-Emission entstehen maßgeblich durch die Zugabe von kohlenstoffhaltigen Reduktionsmitteln (z.B. Kohlenstaub). Das Imperial Smelting Verfahren (ISF) wird in Deutschland nicht mehr angewendet.

Die Sekundärbleiproduktion in Deutschland wird maßgeblich durch die Aufbereitung von Blei-Säure-Batterien bestimmt. Dabei kommt entweder der Kurztrommelofen- oder der Schachtofenprozess zum Einsatz. Prozessbedingte CO_2-Emission entstehen maßgeblich durch die Zugabe von kohlenstoffhaltigen Reduktionsmitteln(z.B. Koks).

Die Aktivitätsraten werden dem Umweltbundesamt jährlich durch die WirtschaftsVereinigung Metalle übermittelt.

4.4.5.2 Methodische Aspekte (2.C.5)

Die verwendeten **Emissionsfaktoren** entstammen den 2006er IPCC Guidelines for National Greenhouse Gas Inventories (Werte aus Table 4.21). In Deutschland existiert nur das Direktschmelzverfahren (DS) zur Primärbleiproduktion sowie das Sekundärproduktions-verfahren (S). Das Produktionsmengenverhältnis von DS/S liegt in Deutschland relativ konstant bei ca. 1/ 1,5. Mit diesem Verhältnis wurde aus den Werten aus Table 4.21 der Emissionsfaktor von 220 kg CO_2/ t Blei ermittelt:

$$EF_{Blei} = \frac{DS \cdot EF_{DS} + S \cdot EF_S}{DS + S} = \frac{1 \cdot 0{,}25 \ \frac{t\ CO2}{t\ Blei} + 1{,}5 \cdot 0{,}2 \ \frac{t\ CO2}{t\ Blei}}{2{,}5} = 0{,}22 \ \frac{t\ CO2}{t\ Blei}$$

DS: Produktionsmenge der Primärbleiproduktion nach dem Direktschmelzverfahren

S: Produktionsmenge der Sekundärbleiproduktion

DS/S: Produktionsmengenverhältnis in Deutschland relativ konstant bei 1/1,5

EF_{Blei}: CO_2-Gesamtemissionsfaktor für Blei

EF_{DS}: CO2-Emissionsfaktor für das Direktschmelzverfahren zur Primärbleiproduktion 0,25 t CO_2/ Blei (nach Table 4.21)

EF_S: CO2-Emissionsfaktor für die Sekundärbleiproduktion 0,20 t CO_2/ Blei (nach Table 4.21)

4.4.5.3 Unsicherheiten und Zeitreihenkonsistenz (2.C.5)

Es werden Default-Unsicherheiten der 2006er IPCC Guidelines for National Greenhouse Gas Inventories verwendet.

4.4.5.4 Kategoriespezifische Rückrechnungen (2.C.5)

Rückrechnungen sind nicht erforderlich.

4.4.5.5 Kategoriespezifische Qualitätssicherung/-kontrolle und Verifizierung (2.C.5)

Die Aktivitätsraten stützen sich auf vertrauliche Eigenerhebungen der WirtschaftsVereinigung Metalle und werden dem Umweltbundesamt jährlich übermittelt. Die Zeitreihe erscheint plausibel und weist keine Inkonsistenzen auf. Es wird davon ausgegangen, dass diese Angaben qualitätsgesichert erhoben werden.

4.4.5.6 Geplante Verbesserungen, kategoriespezifisch (2.C.5)

Derzeit sind keine Verbesserungen geplant.

Sofern in vorhergehenden Berichterstattungen in diesem Kapitel Verbesserungen benannt wurden, sind diese in Form einer Übersicht unter Kapitel 10.4 Verbesserungen des Inventars, Tabelle 426 zu finden. Sind diese bereits erledigt, sind sie im selben Kapitel in Tabelle 425 abgebildet.

4.4.6 Metallproduktion: Zink (2.C.6)

4.4.6.1 Beschreibung der Kategorie (2.C.6)

KC	Category	Activity	EM of	1990 (kt CO_2-e.)	(fraction)	2015 (kt CO_2-e.)	(fraction)	Trend 1990-2015
-/-	2.C.6. Zinc Production	0	CO_2	670,8	0,05%	293,7	0,03%	-56,2%

Gas	Angewandte Methode	Quelle der Aktivitätsdaten	genutzte Emissionsfaktoren
CO_2	Tier 1	AS	D

Die Kategorie *Metallproduktion: Zink* ist keine Hauptkategorie.

Die Zinkproduktion erfolgt in Deutschland aus primären Zinkkonzentraten und sekundären Vorstoffen wie zinkhaltigen Schrotten oder Stahlwerksstäuben.

Die Primärzinkproduktion erfolgt in Deutschland ausschließlich durch das hydrometallurgische Verfahren. Das pyrometallurgische Imperial Smelting Verfahren (ISF) wird nicht angewendet.

Prozessbedingte Treibhausgasemissionen entstehen in Deutschland vorrangig bei der Sekundärzinkproduktion. Durch die Nutzung von Koks als Reduktionsmittel entstehen vor allem bei der Aufbereitung von zinkhaltigen Sekundärmaterialien im Wälzofen prozessbedingte CO_2-Emissionen.

Die Aktivitätsraten werden dem Umweltbundesamt jährlich durch die WirtschaftsVereinigung Metalle übermittelt.

4.4.6.2 Methodische Aspekte (2.C.6)

Die verwendeten **Emissionsfaktoren** entstammen den 2006er IPCC Guidelines for National Greenhouse Gas Inventories (Default-Faktor), da derzeit keine besseren Zahlen zur Verfügung stehen.

4.4.6.3 Unsicherheiten und Zeitreihenkonsistenz (2.C.6)

Es werden Default-Unsicherheiten der 2006er IPCC Guidelines for National Greenhouse Gas Inventories verwendet.Kategoriespezifische Rückrechnungen (2.C.6)

Rückrechnungen sind nicht erforderlich.

4.4.6.4 Kategoriespezifische Qualitätssicherung/-kontrolle und Verifizierung (2.C.6)

Eine allgemeine Qualitätskontrolle und eine Qualitätssicherung durch die Fachseite und durch die Nationale Koordinierungsstelle wurden gemäß den Anforderungen des QSE-Handbuchs bzw. dessen mitgeltenden Unterlagen durchgeführt.

Die Aktivitätsraten stützen sich auf vertrauliche Eigenerhebungen der WirtschaftsVereinigung Metalle und werden dem Umweltbundesamt jährlich übermittelt. Die Zeitreihe erscheint plausibel und weist keine Inkonsistenzen auf. Es wird davon ausgegangen, dass diese Angaben qualitätsgesichert erhoben werden.

4.4.6.5 Geplante Verbesserungen, kategoriespezifisch (2.C.6)

In den nächsten Berichterstattungsrunden sollten spezifische Daten zur Bestimmung der Emissionsfaktoren ermittelt werden.

Sofern in vorhergehenden Berichterstattungen in diesem Kapitel Verbesserungen benannt wurden, sind diese in Form einer Übersicht unter Kapitel 10.4 Verbesserungen des Inventars, Tabelle 426 zu finden. Sind diese bereits erledigt, sind sie im selben Kapitel in Tabelle 425 abgebildet.

4.4.7 Metallproduktion: Sonstige (2.C.7)

Da die CRF-Reporter-Software eine Zuordnung von Lachgas unter 2.C.1 nicht ermöglicht wird es stattdessen unter 2.C.7 berichtet. Ansonsten werden in Kategorie 2.C.7 keine Emissionen berichtet.

4.4.7.1 Beschreibung der Kategorie (2.C.7)

Unter diese Kategorie fällt in Deutschland vor allem die Produktion von Kupfer. Der Hauptteil der Treibhaugasemissionen aus dieser Industrie stammt aus Prozessfeuerungen und wird unter 1.A.2.b berichtet. Die nicht aus Prozessfeuerungen stammenden Treibhausgasemissionen sind vergleichsweise sehr gering.

4.4.7.2 Methodische Aspekte (2.C.7)

Es sind keine Emissionfaktoren vorhanden. Auch die 2006er IPCC Guidelines for National Greenhouse Gas Inventories geben keinen Default-Faktor an.

4.4.7.3 Unsicherheiten und Zeitreihenkonsistenz (2.C.7)

Keine Angaben.

4.4.7.4 Kategoriespezifische Rückrechnungen (2.C.7)

Rückrechnungen sind nicht erforderlich.

4.4.7.5 Kategoriespezifische Qualitätssicherung/-kontrolle und Verifizierung (2.C.7)

Die Aktivitätsraten stützen sich auf vertrauliche Eigenerhebungen der WirtschaftsVereinigung Metalle und werden dem Umweltbundesamt jährlich übermittelt. Die Zeitreihe erscheint plausibel und weist keine Inkonsistenzen auf. Es wird davon ausgegangen, dass diese Angaben qualitätsgesichert erhoben werden.

4.4.7.6 Geplante Verbesserungen, kategoriespezifisch (2.C.7)

Derzeit sind keine Verbesserungen geplant.

Sofern in vorhergehenden Berichterstattungen in diesem Kapitel Verbesserungen benannt wurden, sind diese in Form einer Übersicht unter Kapitel 10.4 Verbesserungen des Inventars, Tabelle 426 zu finden. Sind diese bereits erledigt, sind sie im selben Kapitel in Tabelle 425 abgebildet.

4.5 Verwendung von nichtenergetischen Produkten aus Brennstoffen und von Lösemitteln (2.D)

4.5.1 Anwendung von Schmiermitteln (2.D.1)

4.5.1.1 Beschreibung der Kategorie (2.D.1)

KC	Category	Activity	EM of	1990 (kt CO_2-e.)	(fraction)	2015 (kt CO_2-e.)	(fraction)	Trend 1990-2015
-/-	2.D.1. Lubricant use	0	CO_2	521,8	0,04%	589,8	0,07%	13,0%

Gas	Angewandte Methode	Quelle der Aktivitätsdaten	genutzte Emissionsfaktoren
CO_2	Tier 1	NS	D

Die Kategorie *Anwendung von Schmiermitteln* ist für CO_2-Emissionen keine Hauptkategorie.

Schmiermittel sollen die Reibung und Beanspruchung bei sich bewegenden Maschinenteile vermindern. Dabei können sie auch zur Kraft- oder Wärmeübertragung genutzt werden. Auch das Dichten, das Vermeiden von Ablagerungen und der Korrosionsschutz können Anforderungen an Schmiermittel sein. Darum gibt es für viele Anwendungen spezielle Schmiermittel. Der Verbrauch an Schmiermitteln in Deutschland ist seit 1990 relativ konstant geblieben mit einem konjunkturell bedingten Einbruch im Jahr 2009.

4.5.1.2 Methodische Aspekte (2.D.1)

Aufgrund unterschiedlicher Berechnungsmethoden erfolgt eine Unterteilung des Schmiermitteleinsatzes in Kraftfahrzeugen einschließlich anderer mobiler Quellen und in der Industrie.

Innerhalb des deutschen Treibhausgas-Inventars werden für sämtliche mobilen Quellen CO_2-Emissionen aus der Schmierstoff-Mitverbrennung erfasst. Gemäß den Anforderungen an die Emissionsberichterstattung werden dabei auf Zweitakt-Ottomotoren entfallende Emissionen direkt der jeweiligen Emissionsquelle zugeordnet, da hier der Schmierstoff als Teil des Kraftstoffes (Zweitakter-Gemisch) betrachtet wird. Alle nicht von Zweitaktern verursachten Mitverbrennungs-Emissionen werden dagegen als Produktanwendung betrachtet und zusammen mit den Emissionen aus der Schmiermittelanwendung im industriellen Bereich hier berichtet. Die Beschreibung der jeweiligen Berechnungsmethode erfolgt hier und in 19.1.4.

Aktivitätsraten – Schmiermitteleinsatz in der Industrie

Für den Schmiermitteleinsatz in der Industrie werden als Aktivitätsraten die Inlandsablieferungen (Einheit in Tonnen) aus der Statistik „Amtliche Mineralöldaten für die Bundesrepublik Deutschland“ des Bundesamtes für Wirtschaft und Ausfuhrkontrolle verwendet (Tabelle 10j).

Emissionsfaktoren – Schmiermitteleinsatz in der Industrie

Die Berechnung der CO_2-Emissionen erfolgt nach einer Tier 1 Methode mit einem Standardemissionsfaktor für die gesamte Zeitreihe. Die Herleitung des Emissionsfaktors erfolgte mit Hilfe von Gleichung 5.2 aus Vol. 3 Kapitel 5 der 2006 IPCC-Richtlinien gemäß:

$$EF\ (CO_2) = NCV * CC * ODU * 44/12$$

Die Werte für den NCV (default net calorific value) und den CC (default carbon content) stammen aus Vol. 1 Kapitel 1 Tabelle 1.2 und 1.3. Der ODU-Faktor (oxidised during use factor) ist aus Vol. 3 Kapitel 5 Tabelle 5.2

Es resultiert ein Emissionsfaktor von 0,5896 t CO_2/t Schmiermittel.

4.5.1.3 Unsicherheiten und Zeitreihenkonsistenz (2.D.1)

Da eine Tier 1 Methode mit Standardwerten der 2006 IPCC Guidelines angewendet wird, gelten auch die entsprechenden Unsicherheiten für die Aktivitätsraten und Emissionsfaktoren (2006 IPCC Guidelines: Vol. 3, Ch. 5).

4.5.1.4 Kategoriespezifische Rückrechnungen (2.D.1)

Rückrechnungen sind nicht erforderlich.

4.5.1.5 Kategoriespezifische Qualitätssicherung/-kontrolle und Verifizierung (2.D.1)

Eine allgemeine Qualitätskontrolle und eine Qualitätssicherung durch die Fachseite und durch die Nationale Koordinierungsstelle wurden gemäß den Anforderungen des QSE-Handbuchs bzw. dessen mitgeltenden Unterlagen durchgeführt.

Die Ergebnisse der Emissionsberechnung können nicht mit anderen Datenquellen für Deutschland verglichen werden, weil keine Daten bezüglich Emissionsfaktoren und Emissionen zugänglich sind.

Ein Vergleich des Emissionsfaktors für Kohlendioxid mit den Emissionsfaktoren anderen Länder wurde durchgeführt. Der Emissionsfaktor stimmt mit dem dänischen Emissionsfaktor von 0,6176 t CO_2/t Schmiermittel gut überein. Die Differenz resultiert aus der Umrechnung der Bezugsgröße des Emissionsfaktors von TJ in t Schmiermittel.

4.5.1.6 Geplante Verbesserungen, kategoriespezifisch (2.D.1)

Derzeit sind keine Verbesserungen geplant.

Sofern in vorhergehenden Berichterstattungen in diesem Kapitel Verbesserungen benannt wurden, sind diese in Form einer Übersicht unter Kapitel 10.4 Verbesserungen des Inventars, Tabelle 426 zu finden. Sind diese bereits erledigt, sind sie im selben Kapitel in Tabelle 425 abgebildet.

4.5.2 Anwendung von Paraffinwachsen (2.D.2)

4.5.2.1 Beschreibung der Kategorie (2.D.2)

KC	Category	Activity	EM of	1990 (kt CO_2-e.)	(fraction)	2015 (kt CO_2-e.)	(fraction)	Trend 1990-2015
-/-	2.D.2. Paraffin wax use	0	CO_2	248,4	0,02%	586,7	0,07%	136,2%
-/-	2.D.2. Paraffin wax use	0	N_2O	0,6	0,00%	1,4	0,00%	136,2%

Gas	Angewandte Methode	Quelle der Aktivitätsdaten	genutzte Emissionsfaktoren
CO_2	Tier 1	NS	D
N_2O	Tier 1	NS	D

Die Kategorie *Anwendung von Paraffinwachsen* ist für CO_2 und N_2O-Emissionen keine Hauptkategorie.

Deutschland stellt einen bedeutenden Markt für Kerzen innerhalb der Europäischen Union dar. 2013 belief sich der Marktanteil auf 35 % (Quelle: Verbrauch von Kerzen in der Europäischen Union (EU 28) der European Candle Association ASBL) Im Gegensatz zum europäischen Trend

wuchs der Bedarf in Deutschland von 1990 bis 2013. Die Produktion ist gleich geblieben, der zunehmende Bedarf wird durch Importe gedeckt.

4.5.2.2 Methodische Aspekte (2.D.2)

Dem Berechnungsmodell liegen die Annahmen zugrunde, dass alle Kerzen innerhalb eines Jahres verbraucht und vollständig verbrannt werden.

Die Berechnungen der CO_2 und N_2O-Emissionen erfolgen nach einer Tier 1 Methode.

Aktivitätsraten

Die Produktionsmengen sowie die Import- und Exportmengen an Kerzen für die Jahre ab 1996 entstammen dem Statistischen Bundesamt (STATISTISCHES BUNDESAMT, Fachserie 4, Reihe 3.1, Produzierendes Gewerbe, Produktion im Produzierenden Gewerbe sowie der Außenhandelsstatistik).

Die Berechnung der Verbrauchsmenge erfolgt gemäß Produktion + Import – Export.

Für die Jahre 1990 bis 1995 erfolgt die Berechnung der Verbrauchsmenge über den ProKopf-Verbrauch, der aus den Jahren 1996 bis 2013 abgeleitet wird. Dabei wird davon ausgegangen, dass auch in diesen Jahren der Verbrauch linear gestiegen ist.

Emissionsfaktoren

Der Emissionsfaktor für CO_2 beträgt 2,9467 t/t Produkt und für N_2O 0,024 kg/t Produkt.

Zur Herleitung der Emissionsfaktoren, die auf die gesamte Zeitreihe angewendet werden, wurde auf Standardwerte zurückgegriffen (IPCC-GL2006, Vol. 2 Chapter 1 table 1.2 und IPCC, 2006: Vol. 2, Ch. 2 Tab. 2.4).

4.5.2.3 Unsicherheiten und Zeitreihenkonsistenz (2.D.2)

Da eine Tier 1 Methode mit Standardwerten der 2006 IPCC Guidelines angewendet wird, gelten auch die entsprechenden Unsicherheiten für Aktivitätsraten und Emissionsfaktoren (2006 IPCC Guidelines: Vol. 3, Ch- 5).

4.5.2.4 Kategoriespezifische Rückrechnungen (2.D.2)

Rückrechnungen sind nicht erforderlich.

4.5.2.5 Kategoriespezifische Qualitätssicherung/-kontrolle und Verifizierung (2.D.2)

Eine allgemeine Qualitätskontrolle und eine Qualitätssicherung durch die Fachseite und durch die Nationale Koordinierungsstelle wurden gemäß den Anforderungen des QSE-Handbuchs bzw. dessen mitgeltenden Unterlagen durchgeführt.

Für eine Überprüfung der Import-, Export- und Produktionsmengen als Grundlage zur Verifikation der Verbrauchsmengen stehen außer den von Statistischen Bundesamt zur Verfügung gestellten Daten keine weiteren Quellen zur Verfügung. So greift z.B. auch der europäische Kerzenverband ECA (european candle association) auf die Daten von EUROSTAT zurück. Ein Vergleich mit den Daten von EUROSTAT wurde durchgeführt. Die Zahlen zeigen gute Übereinstimmung mit den vom Statistischen Bundesamt an EUROSTAT übermittelten Zahlen.

Die Emissionsfaktoren für Kohlendioxid und Lachgas sind mit den Emissionsfaktoren des dänischen Inventars verglichen worden. Die Emissionsfaktoren in beiden Treibhausgasinventaren stimmen sehr gut überein.

4.5.2.6 Geplante Verbesserungen, kategoriespezifisch (2.D.2)

Derzeit sind keine Verbesserungen geplant.

Sofern in vorhergehenden Berichterstattungen in diesem Kapitel Verbesserungen benannt wurden, sind diese in Form einer Übersicht unter Kapitel 10.4 Verbesserungen des Inventars, Tabelle 426 zu finden. Sind diese bereits erledigt, sind sie im selben Kapitel in Tabelle 425 abgebildet.

4.5.3 Sonstige: Lösemittel - NMVOC (2.D.3 Lösemittel)

4.5.3.1 Beschreibung der Kategorie (2.D.3 Lösemittel)

KC	Category	Activity	EM of	1990 (kt CO_2-e.)	(fraction)	2015 (kt CO_2-e.)	(fraction)	Trend 1990-2015
-/-	2.D.3. Other		CO_2	2.552,0	0,21%	1.317,1	0,15%	-48,4%

Gas	Angewandte Methode	Quelle der Aktivitätsdaten	genutzte Emissionsfaktoren
CO_2	D	NS	D
NMVOC	Tier 2	NS	CS

Die Kategorie indirektes CO_2 aus NMVOC-Emissionen aus dem Bereich *Lösemittel und andere Produktverwendung* (CRF 2.D.3) ist aufgrund der Einordnung der übergeordneten Kategorie *2.D.3 - Weitere* keine Hauptkategorie.

Die aus dem Gebrauch von Lösemitteln oder aus der Anwendung lösemittelhaltiger Produkte freigesetzten NMVOC-Emissionen entstammen allen Subgruppierungen dieser Quellgruppe.

Um der sehr heterogenen Struktur dieser Kategorie bei der Datenermittlung besser gerecht zu werden, werden für die Berechnung der Inventardaten die UNECE/EMEP Substrukturen verwendet, die auf der CORINAIR97 (CORINAIR: COordination d' INformation Environmentale; Teilprojekt AIR) SNAP-Systematik[62] basieren.

Für die Kategorien 2.D.3.a, d, e, f, g, h, i werden folgende Anwendungen bzw. Aktivitäten einbezogen:

2.D.3.a: Häusliche Verwendung von Lösemitteln inklusive Fungizide

i) Häusliche Verwendung von Lösemitteln

- **Seifen**
- **Waschmittel, Spülmittel und Reiniger** (Weichspüler; Universalwaschmittel; Waschmittel; Waschhilfsstoffe; Geschirrspülmittel; Reinigungsmittel für Fußbodenbeläge und Teppiche; Autowaschmittel; Fensterputzmittel; WC-Reinigungsmittel);
- **Schuhcreme, Schuh- und Lederpflegemittel, Möbel- und Bohnerwachs; Lackpflegemittel für Autos**
- **Zubereitungen zum Polieren von Metall**
- **Duftstoffe** (für Räume, Parfüme, Toilettenwässer, Aftershaves)
- **Kosmetika und Schminkmittel** (Make-up; Zubereitungen zur Hand-, Nagel- und Fußpflege; Gesichtspflegemittel; Körperpflegemittel; Sonnenschutzmittel und andere Zubereitungen)
- **Haarwaschmittel und Haarpflegeprodukte** (Shampoos; Dauerwell- und Entkrausungsmittel; Haarsprays; Haarcremes und Brillantine; Tönungsshampoo, Haarfärbemittel, Haarbleichmittel und andere Pflegeprodukte)

[62] hier in der Detaillierung des sogenannten SNAP Level 3

- **Andere persönliche Pflegeprodukte** (Rasiercremes; Körperdesodorierungs- und Antitranspirationsmittel; Badeessenzen; Zubereitungen zur Körperintimpflege, Haarentfernungsmittel, Schönheitsmittel und anderes)
- **Kfz-Frostschutz**

ii) Häusliche Verwendung von pharmazeutischen Produkten

2.D.3.d: Anwendung von Farben und Lacken

i) Industrielle Beschichtungen

- **Kfz-Reparatur**
- **Professionelle Anwendungen von Farben und Lacken in Konstruktionen und Gebäuden** (Dispersionsfarben innen; Fassadenfarben / Silikat; Kunstharzputze / Silikat; Bautenlacke / Lasuren; Grundierungen / Überzüge; andere Anwendungen)
- **Do-it-yourself Anwendungen von Farben und Lacken in Konstruktionen und Gebäuden** (Dispersionsfarben innen; Fassadenfarben / Silikat; Kunstharzputze / Silikat; Bautenlacke / Lasuren; Grundierungen / Überzüge; andere Anwendungen)
- **Holzbeschichtungen** (Holzinnenausbau; Schreinerarbeiten)

ii) Industrielle Beschichtungen

- **Kfz-Herstellung** (Grundierung, Füller, Deck- und Klarlacke)
- **Kfz-Reparatur von Nutzfahrzeugen und sonstigen Fahrzeugen**
- **Spulenbeschichtung**
- **Beschichtungen im Schiffbau**
- **Holzbeschichtungen** (Möbel)
- **Andere industrielle Beschichtungen** (Lackspray (ohne Treibgas); Elektro / Haushalt; Maschinenbau; Autozubehör / Metall; Metallwaren, Blechemballagen; Drahtlacke; Tränk- und Gießmittel; Bauelemente ohne Bandbeschichtung; Kunststoffe; Papier / Folie; Übrige Verarbeitung)

iii) Andere nichtindustrielle Farbbeschichtungen (Markierungsfarben; Korrosionsschutz; Anderes)

2.D.3.e Entfettung

- **Metallentfettung**
- **Herstellung von Elektronikkomponenten**
- **Andere industrielle Reinigung** (Feinmechanik, Optik, Herstellung von Uhren)

2.D.3.f Chemische Reinigung

- **Chemische Reinigung**

2.D.3.g Herstellung und Verarbeitung von chemischen Produkten

- **Verarbeitung von Polyester**
- **Verarbeitung von Polyvinylchlorid**
- **Verarbeitung von Polyurethan**
- **Verarbeitung von Polystyrolschaum**
- **Gummi-Verarbeitung** (Reifenherstellung)
- **Herstellung von pharmazeutischen Produkten**
- **Herstellung von Farben und Lacken**

- **Herstellung von Druckfarben und Tinten**
- **Herstellung von Klebstoffen**
- **Asphalt blasen**
- **Herstellung von Haftmaterialien, Magnetbändern, Filmen und Fotografien**
- **Herstellung von lösemittelhaltigen Produkten**
    - Herstellung von Holzschutzmitteln
    - Herstellung von Baustoffadditiven
    - Herstellung lösemittelhaltiger Konsumgüter
    - Herstellung von Oberflächenreinigungsmitteln
    - Herstellung von Frostschutz- und Enteisungsmitteln
    - Herstellung von Be- und Entwachsungsmitteln
    - Herstellung von Abbeizmitteln

2.D.3.h Druckindustrie-Druckanwendungen

- Coldset-Offsetdruck (Zeitungsdruck)
- Bogenoffsetdruck (konventionell, UV-basiert)
- Heatset-Offsetdruck
- Endlos-Offsetdruck
- Buchdruck
- Verpackungs-Flexodruck (lösemittelbasiert, wasserbasiert)
- Verpackungs-Tiefdruck (lösemittelbasiert, wasserbasiert)
- Illustrationstiefdruck
- Siebdruck
- Andere Druckanwendungen
- Farben für Kunstmaler in Zusammenstellungen
- Farben für Kunstmaler, nicht in Zusammenstellungen
- Tinte und Tusche zum Schreiben oder Zeichnen u. ä., auch konzentriert oder in fester Form (ohne Druckfarben)

2.D.3.i: Andere Anwendungen

- **Behandlung von Glas- und Mineralwolle**
- **Extraktion von Ölen und Fetten**
- **Anwendung von Klebstoffen und Haftmaterialien** (Papier und Verpackung; Bau, Holz; Transport; Schuhe; Heimwerkeranwendungen; anderes)
- **Anwendung von Holzschutzmitteln**
- **Anwendung von Unterbodenschutz und Fahrzeugkonservierung**
- **Entwachsen von Fahrzeugen**
- Sonstige
    - Verwendung von Pflanzenschutzmitteln
    - Abbeizen mit Dichlormethan
    - Entlackung (fehlbeschichtete Aluminiumteile, Stahlteile und Stahlgehänge)
    - Betonzusatzmittel
    - Enteisung (Flugzeuge; Betriebsflächen; Sonstiges)
    - Wissenschaftliche Laboratorien
    - Kühlschmierstoffe

Für die Definition von „NMVOC“ wird auf die VOC-Definition der EG-Lösemittelrichtlinie zurückgegriffen[63]. Zur Konkretisierung des Begriffes „Lösemittelanwendung“ (solvent use) wird für die Lösemitteldefinition ebenfalls auf die EG-Lösemittelrichtlinie zurückgegriffen[64].

Dabei ist jedoch zu beachten, dass einige dieser flüchtigen organischen Verbindungen sowohl als Lösemittel als auch als chemische Reaktionskomponente eingesetzt werden, z. B. Toluol - als Lösemittel in Lacken und Klebstoffen und als Reaktionskomponente bei der Herstellung von Toluoldiisocyanat (TDI) - oder Methylethylketon (Butanon) - als Lösemittel in Druckfarben und als Ausgangsmaterial bei der Synthese von Methylethylketonperoxid. VOC (genauer Stoffe oder Mengenanteile von Stoffen oder Produkten), die als chemische Reaktionskomponente eingesetzt werden, werden dementsprechend in dieser Kategorie nicht betrachtet.

Durch die skizzierte Abgrenzung der Kategorie wird ein sehr heterogenes Feld von emissionsverursachenden Vorgängen einbezogen. Dies gilt für:

- den Anteil und die Flüchtigkeit der eingesetzten VOC.
  (Die Spannbreite reicht von der Verwendung von leichtflüchtigen Einzelstoffen als Lösemittel z.B. bei Reinigungsvorgängen über den Einsatz von Produkten mit Lösemittelgemischen z.B. in Farben & Lacken bis zu Anwendungen, in denen nur kleine Teile der Zubereitung (auch) Lösemitteleigenschaft haben, wie dies z.B. bei der Polystyrolschaumherstellung der Fall ist.)
- die sehr unterschiedlichen Emissionsbedingungen.

Lösemitteleinsätze können umweltoffen (wie bei der Verwendung von Kosmetika) bis weitgehend geschlossen (wie bei der Extraktion von nativen Ölen oder in Anlagen zur chemischen Reinigung) sein.

4.5.3.2 Methodische Aspekte (2.D.3 Lösemittel)

Die Berechnung der NMVOC-Emissionen erfolgt auf der Basis eines produktverbrauchsorientierten Ansatzes. Dabei werden die NMVOC-Einsatzmengen, die über Lösemittel oder lösemittelhaltige Produkte zu diesen Quellkategorien zugeordnet werden, ermittelt und daraus über (für jede Quellkategorie) spezifische Emissionsfaktoren die NMVOC-Emissionen berechnet. Diese Methodik ist unter der Bezeichnung „consumption-based emissions estimating“ explizit als eine von zwei für die Emissionsberechnung dieser Kategorie anzuwendenden Methoden aufgeführt.

Die Methodik erfordert - differenziert nach den Quellkategorien - belastbare Informationen über die folgenden Eingangsgrößen:

- die im Berichtsjahr eingesetzten Mengen an VOC-haltigen (Vor-) Produkten und Hilfsmitteln,
- den VOC-Gehalt dieser Produkte (Stoffe und Zubereitungen),
- die jeweiligen Anwendungs- und Emissionsbedingungen (bzw. den daraus resultierenden spezifischen Emissionsfaktor).

[63] Demnach sind flüchtige organische Verbindungen (VOC) alle organischen Verbindungen, die bei 293,15 K einen Dampfdruck von mindestens 0,01 kPa oder unter den entsprechenden Gebrauchsbedingungen eine entsprechende Flüchtigkeit haben.

[64] Demnach ist ein organisches Lösemittel eine flüchtige organische Verbindung, die, ohne sich chemisch zu verändern, alleine oder in Kombination mit anderen Stoffen Rohstoffe, Produkte oder Abfallstoffe auflöst oder als Reinigungsmittel zur Auflösung von Verschmutzungen, als Lösungsmittel, als Dispersionsmittel oder als Mittel zur Einstellung der Viskosität oder der Oberflächenspannung oder als Weichmacher oder Konservierungsmittel verwendet wird.

Um der sehr heterogenen Struktur innerhalb der Kategorie gerecht zu werden, werden die Eingangsgrößen nach 37 differenzierten Verursacherprozessen (wie oben aufgeführt, analog zu CORINAIR SNAP Level 3) bestimmt und die errechneten NMVOC-Emissionen anschließend aggregiert. Die eingesetzten Produkt-/Stoffmengen werden auf der Ebene von Produktgruppen unter Verwendung der Produktions- und der Außenhandelsstatistik ermittelt. Wo möglich, werden die so ermittelten Inlandsverbrauchsmengen durch den Abgleich mit Branchenstatistiken weiter verifiziert.

Für die durchschnittlichen VOC-Gehalte der Einsatzstoffe sowie die Emissionsfaktoren werden Werte angesetzt, die auf Expertenschätzungen (Fachgutachten und Branchendialoge) für die einzelnen Kategorien oder Kategorienbereiche basieren. Für die Berechnung der NMVOC-Emissionen des jeweils aktuellsten Jahres liegen die benötigten statistischen Basisangaben noch nicht abschließend vor, so dass für die aktuelle Berichterstattung zunächst die für das Vorjahr ermittelten Daten als Grundlage für eine Prognose verwendet werden. Die Prognose der NMVOC-Emissionen aus der Lösemittelverwendung für das aktuellste Jahr wird auf der Grundlage der spezifischen Aktivitätsentwicklungen errechnet. Sobald die statistischen Basisdaten für das jeweils aktuellste Jahr in der endgültigen Fassung vorliegen, werden damit die Inventardaten der NMVOC-Emissionen aus der Lösemittelverwendung neu berechnet.

Seit 1990 sind die NMVOC-Emissionen aus der Verwendung von Lösemitteln und lösemittelhaltigen Produkten insgesamt um über 50% zurückgegangen.

Abbildung 45: NMVOC-Gesamtemissionen aus lösemittelbasierten Produkten und Anwendungen (2.D.3.a,d-i)

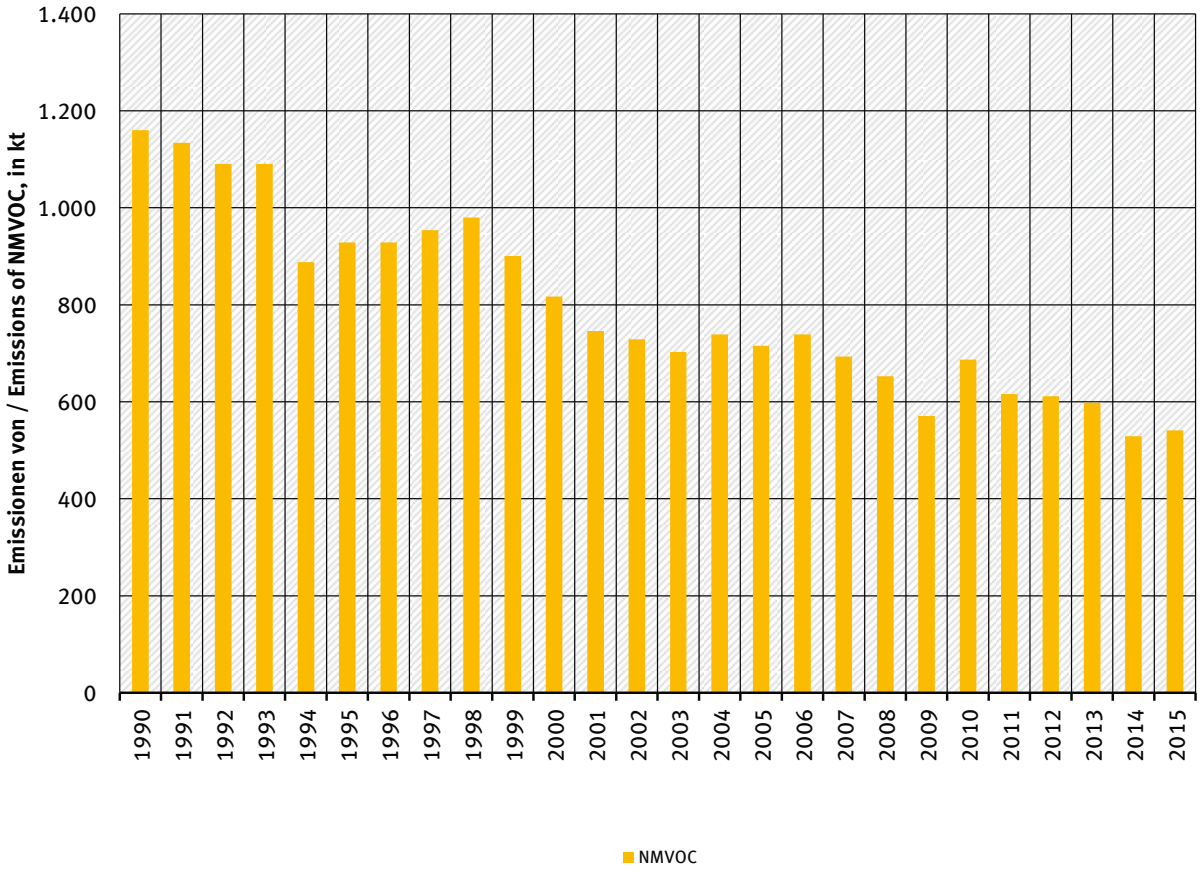

Der Schwerpunkt der Emissionsminderung lag in den Jahren seit 1999. Zu diesem Minderungserfolg trugen insbesondere ordnungsrechtliche Regelungen wie die

Chemikalienrechtliche Verordnung zur Begrenzung der Emissionen flüchtiger organischer Verbindungen (VOC) durch Beschränkung des Inverkehrbringens lösemittelhaltiger Farben und Lacke (Lösemittelhaltige Farben- und Lack-Verordnung - ChemVOCFarbV), die 31. Verordnung zum Bundesimmissionsschutzgesetz *(Verordnung zur Begrenzung der Emissionen flüchtiger organischer Verbindungen bei der Verwendung organischer Lösemittel in bestimmten Anlagen – 31. BImSchV)* und die 2. Verordnung zum Bundesimmissionsschutzgesetz *(Verordnung über Emissionsbegrenzung von leichtflüchtigen halogenierten organischen Verbindungen – 2. BImSchV)* sowie die TA Luft bei. Aber auch das deutsche Umweltzeichen „Blauer Engel", in dessen Rahmen unter anderem lösemittelarme Lacke, Wandfarben oder Klebstoffe ausgezeichnet werden, hat daran einen wichtigen Anteil.

Obwohl in einzelnen Bereichen teilweise für mehrere Jahre sogar erhöhte Produkteinsatzmengen zu verzeichnen waren, die sich dort entsprechend emissionssteigernd auswirkten, konnte durch die oben beschriebenen Maßnahmen diese Entwicklung weitgehend ausgeglichen werden. Diese Erfolge gelangen insbesondere in den letzten Jahren und spiegeln sich in den aktualisierten Emissionsberechnungen wieder, die im Rahmen der Methodenoptimierung weiter differenzierte VOC-Gehalte und Emissionsfaktoren berücksichtigen konnten.

Seit der Berichterstattung 2009 werden die indirekten CO_2-Emissionen aus NMVOC berechnet.

Da der methodische Hintergrund für die Umrechnung der NMVOC-Emissionen in indirekte CO_2-Emissionen vor allem die Kompatibilität zur Emissionsberichterstattung der EU ist, haben wir für die Berichterstattung den in Vol 3, *Chapter 7 Precursors and Indirect Emissions* der 2006 IPCC Guidelines for National Greenhouse Gas Inventories vorgeschlagenen Referenzansatz verwendet:

$$EM_{indirektes\ CO2} = EM_{NMVOC} * \text{Molmasse } CO_2 / \text{Molmasse C} * 60\ \%$$

Im Rahmen eines Expertengutachtens und von Fachgesprächen mit den betroffenen Branchen in den Jahren 2013 und 2015 konnten die Lösemittelgehalte von verschiedenen Lacken und Beschichtungsstoffen dem aktuellen Stand der Technik angepasst und damit verringert werden.

Eine ausführlichere Darlegung der Methodik und Analyse der Trends von NMVOC-Emissionen aus lösemittelhaltigen Produkten und Anwendungen liegt im Informative Inventory Report (IIR) 2015[65] vor.

4.5.3.3 Unsicherheiten und Zeitreihenkonsistenz (2.D.3 Lösemittel)

Für die NMVOC-Emissionen liegt zum Berichtszeitpunkt eine Fehlerbetrachtung auf der Basis von Expertenschätzungen für alle Eingangsgrößen (in allen 37 differenzierten Quellbereichen) nach der Methode der Fehler-Fortpflanzung vor. Die bestehenden Unsicherheiten liegen derzeit vor allem in der mangelnden Trennschärfe der Basis-Statistiken (Produktions- und Außenhandelsstatistik) in Hinblick auf die Unterteilung in VOC-haltige und VOC-freie Produkte sowie in Bezug auf die Verwendung in verschiedenen Quellbereichen mit sehr unterschiedlichen Emissionsbedingungen.

4.5.3.4 Kategoriespezifische Qualitätssicherung/-kontrolle und Verifizierung (2.D.3 Lösemittel)

Eine allgemeine Qualitätskontrolle und eine Qualitätssicherung durch die Fachseite und durch die Nationale Koordinierungsstelle wurden gemäß den Anforderungen des QSE-Handbuchs bzw. dessen mitgeltenden Unterlagen durchgeführt.

[65] Informative Inventory Report – Germany http://iir.umweltbundesamt.de

4.5.3.5 Kategoriespezifische Rückrechnungen (2.D.3 Lösemittel)

Die im Emissionsinventar verwendeten Daten für die NMVOC-Emissionen des vorangehenden Jahres werden routinemäßig einer quellenspezifischen Rückrechnung unterzogen. Diese Vorgehensweise ist in der Methodik des produktverbrauchsorientierten Ansatzes begründet und notwendig, da die endgültigen Daten der Außenhandelsstatistik erst nach Abschluss der Berichterstattung im betreffenden Berichtsjahr vorliegen.

Für die NMVOC-Emissionen des Jahrs 2014 waren Korrekturen notwendig, da sich Anpassungen der Außenhandelsstatistik ergaben.

Eine Aktualisierung der Datenerhebung und Einarbeitung branchenspezifischer Daten für die Quellgruppe 2.D.3.h (Druckindustrie / Druckanwendungen) für die Jahre 2006 bis 2015 führte zu einer plausiblen Abnahme von Emissionen in diesem Bereich. Berücksichtigt wurden Änderungen im Druckfarbenverbrauch (z.B. Abnahme der Bedeutung des Buchdrucks) und geringere Emissionsfaktoren durch umweltfreundlichere Drucktechnologien.

Erniedrigt wurden die Emissionsfaktoren für Enteisungsmittel für die Jahre 2006 bis 2015 von 50% auf 40%, da mit hohem Gehalt an Glykolderivaten eine geringere Flüchtigkeit gerechtfertigt ist.

Seit 2010 wurde eine schrittweise Erhöhung des Lösemittelgehaltes in Frostschutzmitteln vorgenommen nach einer neueren Abschätzung des mittleren Lösemittelgehaltes in dieser Produktgruppe.

Für das Jahr 2005 konnte auf detailliertere Daten zurückgegriffen werden, die zu einer Neuberechnung führten.

Die Rückrechnungen führen zu folgenden neuen Gesamtwerten für NMVOC der Kategorie 2.D.3 (Lösemittel).

Bezugsjahr	Gesamt-NMVOC-Emissionen von 2.D.3 (Lösemittel)		Differenz, in kt
	VOR Rück-rechnungen, in kt	*NACH Rückrechnungen, in kt*	
2005	743	715	27
2006	747	739	8
2007	707	694	13
2008	669	653	16
2009	596	571	25
2010	705	687	18
2011	647	616	32
2012	637	611	26
2013	613	598	14
2014	550	529	21

4.5.3.6 Geplante Verbesserungen, kategoriespezifisch (2.D.3 Lösemittel)

Derzeit wird eine Konsistenzprüfung der Jahre 2005 bis 2015 durchgeführt und die Plausibiltät von Emissionsentwicklungen systematisch überprüft.

Sofern in vorhergehenden Berichterstattungen in diesem Kapitel Verbesserungen benannt wurden, sind diese in Form einer Übersicht unter Kapitel 10.4 Verbesserungen des Inventars, Tabelle 426 zu finden. Sind diese bereits erledigt, sind sie im selben Kapitel in Tabelle 425 abgebildet.

4.5.4 Sonstige: Verwendung von Bitumen zur Dachdeckung (2.D.3 Bitumen)

Gas	Angewandte Methode	Quelle der Aktivitätsdaten	genutzte Emissionsfaktoren
NMVOC	Tier 1	AS	CS
CO_2	NE	NE	NE

Die Kategorie *Verwendung von Bitumen zur Dachdeckung* weist nach derzeitigem Kenntnisstand keine Emissionen an Treibhausgasen auf[66] und ist somit keine Hauptkategorie.

4.5.4.1 Beschreibung der Kategorie (2.D.3 Bitumen)

Die Verwendung von Bitumen umfasst die Herstellung und Verlegung von Dach- und Dichtungsbahnen.

Die Menge an in Deutschland produzierten und verwendeten Mengen an Dach- und Dichtungsbahnen ist aus Tabelle 191 zu entnehmen, wobei die Abweichung zwischen beiden Angaben vom Exportüberschuss abhängt. Bei der Herstellung wird flüssiges Bitumen bei Temperaturen von 150°C bis 220°C als Tränk- oder Deckmasse verarbeitet. Der Prozess ist mit Emissionen an organischen Stoffen verbunden (hier als NMVOC zusammen gefasst).

Die Verlegung von Dach- und Dichtungsbahnen erfolgt in Heiß- und Kaltverfahren. Beim Heißverfahren, dem Bahnenschweißen, treten relevante Emissionen an organischen Stoffen auf. Die Emissionsentwicklung wird hauptsächlich von der Entwicklung der Produktionsmenge an Polymerbitumenbahnen bestimmt. Die Verwendung von lösemittelhaltigen Voranstrichen wird hier nicht berücksichtigt, sondern erfolgt im Lösemittelmodell, siehe Kapitel 4.5.1.

Die Emissionen aus der Herstellung der Dach- und Dichtungsbahnen gehen bei sinkenden Produktionsmengen leicht zurück. Die Emissionen aus der Verlegung der Dach- und Dichtungsbahnen bleiben bei sinkenden Verwendungsmengen etwa gleich.

Andere Substanzen als NMVOC haben nur eine untergeordnete Emissionsrelevanz (siehe Fußnote [66]).

4.5.4.2 Methodische Aspekte (2.D.3 Bitumen)

Die Daten zur Produktionsmenge und Anwendungsmenge (**Aktivitätsrate**) an Dach- und Dichtungsbahnen stellt auf Basis einer Kooperationsvereinbarung aus dem Jahre 2009 der Verband der Dachbahnenindustrie zur Verfügung (VDD, 2015). Momentan finden keine Datenergänzungen oder Hochrechnungen statt. Für eine international vergleichbare Angabe werden jedoch die Produktionsmengen in die Menge an eingesetztem Bitumen umgerechnet (je nach Bahnenart zwischen 1,3 und 3,3 Bitumen kg/m^2).

Es werden wegen der dominierenden Emissionsrelevanz nur die Emissionen an NMVOC betrachtet und im Emissionsinventar berücksichtigt und dabei zwischen Emissionen aus der Herstellung und Emissionen aus der Verlegung von Dach- und Dichtungsbahnen unterschieden.

Der **Emissionsfaktor** für die Herstellung der Dach- und Dichtungsbahnen stammt aus einer Berechnung auf Basis des Standes der Technik deutscher Hersteller (VDD, 2009). Der Emissionsfaktor für die Verlegung von Polymerbitumenbahnen ist einer Ökobilanz entnommen ({Kreißig, 1996 #13}). Für Bahnen, die überwiegend mit Heißbitumen verklebt werden, wurde dieser Emissionsfaktor in Analogie übernommen. Dünne Bahnen werden nicht verklebt, sondern genagelt und weisen keine Emissionen auf. Wegen der zunehmenden Bedeutung der Polymerbitumenbahnen steigt der implizite Emissionsfaktor für die Kategorie leicht an.

[66] siehe Diskussion um indirekte CO2-Emissionen unter methodische Aspekte

Die Berechnung der NMVOC-Emissionen entspricht einer Tier-1-Methode, da keine detaillierten Daten vorliegen.

Tabelle 191: Herstellung und Verlegung von Dach- und Dichtungsbahnen mit Bitumen und dazugehörige AR und EF

	Produzierte oder verarbeitete Fläche in 2015 [Mio. m^2]	EF/ IEF [kg/ m^2]
Herstellung von Dach- und Dichtungsbahnen mit Bitumen	166	NMVOC 0,000358
Verlegung von Dach- und Dichtungsbahnen mit Bitumen	142	NMVOC 0,000027 – 0,000040

Die Emissionen von Kohlendioxid, die sich aus der Multiplikation der NMVOC-Emissionen mit einem Faktor für den Kohlenstoffgehalt in Höhe von 80% und einer Umrechnung auf CO_2 ergeben würden liegen vernachlässigbar niedrig. Diese werden deshalb nicht ausgewiesen, sondern in den CRF-Tabellen mit ‚NE' gekennzeichnet.

4.5.4.3 Unsicherheiten und Zeitreihenkonsistenz (2.D.3 Bitumen)

Angaben zur Unsicherheit der Daten des vdd wurden zwischen vdd und Umweltbundesamt abgestimmt. Die Gesamtunsicherheit der Aktivitätsdaten von Herstellung und Verlegung wird auf einen Wert von circa +/-1 % geschätzt. Daraus ergibt sich für den errechneten Bitumenverbrauch der Gesamtproduktion eine höhere Unsicherheit von circa +/-2,5 %.

Die kumulierten Emissionsfaktoren werden für die Produktion und Verlegung der Dach- und Dichtungsbahnen auf circa +/-5 % geschätzt.

4.5.4.4 Kategoriespezifische Qualitätssicherung/-kontrolle und Verifizierung (2.D.3 Bitumen)

Aufgrund begrenzter Ressourcen und minimaler Relevanz wird für die Berichterstattung von Precursern keine QK/QS durchgeführt. Im Rahmen der Verbandsvereinbarung mit dem VDD wurde eine Checkliste zur QK/QS ausgefüllt und bestätigt.

Die Ermittlung der Aktivitätsraten wird als plausibel eingeschätzt. Die Emissionsfaktoren stehen im Einklang mit Erkenntnissen aus Forschungsprojekten des UBA und sind plausibel. Vor allem wird die Gültigkeit der Emissionsfaktoren damit begründet, dass hier keine Emissionen aus dem Einsatz lösemittelhaltiger Anstriche zu berücksichtigen sind (erfolgt im Lösemittelmodell, siehe oben).

4.5.4.5 Kategoriespezifische Rückrechnungen (2.D.3 Bitumen)

Rückrechnungen sind nicht erforderlich.

4.5.4.6 Geplante Verbesserungen, kategoriespezifisch (2.D.3 Bitumen)

Derzeit sind keine weiteren Verbesserungen geplant.

Sofern in vorhergehenden Berichterstattungen in diesem Kapitel Verbesserungen benannt wurden, sind diese in Form einer Übersicht unter Kapitel 10.4 Verbesserungen des Inventars, Tabelle 426 zu finden. Sind diese bereits erledigt, sind sie im selben Kapitel in Tabelle 425 abgebildet.

4.5.5 Sonstige: Straßenasphaltierung (2.D.3 Asphalt)

Gas	Angewandte Methode	Quelle der Aktivitätsdaten	genutzte Emissionsfaktoren
NO_X, NMVOC, SO_2	Tier 1	AS	CS
CO_2	NE	NE	NE

Die Kategorie Straßenasphaltierung weist nach derzeitigem Kenntnisstand keine Emissionen an Treibhausgasen auf[67] und ist somit keine Hauptkategorie.

4.5.5.1 Beschreibung der Kategorie (2.D.3 Asphalt)

Aktuell werden in den Berichtstabellen Produktionsmengen von Asphaltmischgut und die Emissionen an NMVOC, NO_X und SO_2 berichtet (bezüglich CO_2 siehe Fußnote 67).

Im Jahr 2015 wurden in Deutschland ca. 39 Mio. t Asphalt (DAV, 2016) in ca. 660 Asphaltmischanlagen produziert. Das Produkt wird vornehmlich im Straßenbau eingesetzt und steht in direkter Konkurrenz zu hydraulisch gebundenen Betonstraßen. Nach einem deutlichen Anstieg der Produktion im Jahr 1991 nahm die produzierte Menge seit 2000 ab.

Die Emissionsentwicklung wird hauptsächlich von der Entwicklung der Produktionsmenge bestimmt. Die Produktionsmenge sinkt weiterhin wegen ausbleibender Investitionen im Straßennetz.

4.5.5.2 Methodische Aspekte (2.D.3 Asphalt)

Für den Brennstoffeinsatz existiert in der Kategorie 1.A.2 kein gesondertes Berechnungsverfahren. Die eingesetzten Brennstoffe sind aber über die Auswertung der Energiebilanz berücksichtigt und mit entsprechenden Emissionsfaktoren gekoppelt.

Die Produktionsmenge (**Aktivitätsrate**) an Asphaltmischgut wurde den Mitteilungen vom Deutschen Asphaltverband (DAV) entnommen.

Die Ermittlung der **Emissionsfaktoren** erfolgte länderspezifisch nach Tier 2. Zur Bestimmung der Emissionsfaktoren anderer Substanzen als CO_2 wurde auf Emissionsmessdaten von über 400 Asphaltmischanlagen im Messzeitraum 1989 bis 2000 zurückgegriffen. Der größte Teil der Emissionen entsteht beim Trocknen der Mineralstoffe. NMVOC-Emissionen stammen nahezu vollständig aus den organischen Rohstoffen und werden v.a. im Paralleltrommelbetrieb und sowie aus dem Mischer und im Verladebereich freigesetzt. NO_X und SO_2 stammen durchschnittlich zu etwa 50 % aus den mineralischen Einsatzstoffen (anteilige Prozessemission). CO entsteht überwiegend bei unvollständigen Verbrennungsvorgängen. Die Emissionen an CO werden ausschließlich beim Brennstoffeinsatz berechnet.

Tabelle 192: Emissionsfaktoren bei der Herstellung Asphaltmischgut

	NOx	NMVOC	SO_2
EF [kg/ t]	0,015	0,030	0,030

Es werden nur die Emissionen bei der Herstellung von Asphalt berichtet. Angaben über die Emissionen beim Einbau des Asphalts sind noch nicht ausreichend geprüft.

Die Emissionen von Kohlendioxid, die sich aus der Multiplikation der NMVOC-Emissionen mit einem Faktor für den Kohlenstoffgehalt in Höhe von 80 % und einer Umrechnung auf CO_2 ergeben würden liegen vernachlässigbar niedrig. Diese werden deshalb nicht ausgewiesen, sondern in den CRF-Tabellen mit ‚NE' gekennzeichnet.

[67] siehe Diskussion um indirekte CO2-Emissionen unter methodische Aspekte

4.5.5.3 Unsicherheiten und Zeitreihenkonsistenz (2.D.3 Asphalt)

Wie die umfangreichen Messdaten zeigen, liegen die Emissionen in einem vergleichsweise engen Bereich. Aufgrund der Anzahl der Messdaten lassen sich sehr verlässliche Mittelwerte bilden. Lediglich die Aufteilung der Emissionsmengen in brennstoff- und prozessbedingte Emissionen ist mit größeren Unsicherheiten behaftet.

Die Ermittlung der Produktionsmengen kann als sehr genau betrachtet werden, da es sich um ein verkaufsfertiges Produkt handelt und die Mengen von den Betreibern an den DAV übermittelt werden.

4.5.5.4 Kategoriespezifische Qualitätssicherung/-kontrolle und Verifizierung (2.D.3 Asphalt)

Aufgrund begrenzter Ressourcen und minimaler Relevanz wird für die Berichterstattung von Precursern keine QK/QS durchgeführt.

4.5.5.5 Kategoriespezifische Rückrechnungen (2.D.3 Asphalt)

Rückrechnungen sind nicht erforderlich.

4.5.5.6 Geplante Verbesserungen, kategoriespezifisch (2.D.3 Asphalt)

Derzeit sind keine weiteren Verbesserungen geplant.

Sofern in vorhergehenden Berichterstattungen in diesem Kapitel Verbesserungen benannt wurden, sind diese in Form einer Übersicht unter Kapitel 10.4 Verbesserungen des Inventars, Tabelle 426 zu finden. Sind diese bereits erledigt, sind sie im selben Kapitel in Tabelle 425 abgebildet.

4.6 Elektronik-Industrie (2.E)

KC	Category	Activity	EM of	1995 (kt CO_2-e.)	(fraction)	2015 (kt CO_2-e.)	(fraction)	Trend 1995-2015
-/-	2.E. Electronics industry	0	PFCs	266,7	0,02%	150,7	0,02%	-43,5%
-/-	2.E. Electronics industry	0	SF_6	47,3	0,00%	19,6	0,00%	-58,5%
-/-	2.E. Electronics industry	0	HFCs	17,1	0,00%	14,2	0,00%	-16,8%
-/-	2.E. Electronics industry	0	NF_3	5,3	0,00%	11,9	0,00%	124,7%

Gas	Angewandte Methode	Quelle der Aktivitätsdaten	genutzte Emissionsfaktoren
HFC	Tier 3	AS, NS	PS
PFC	CS	AS, NS	CS
SF_6	CS	AS, NS	CS
NF_3	CS	AS, NS	CS

Die Kategorie *Elektronik-Industrie* ist keine Hauptkategorie.

4.6.1 Halbleiter- und Platinenproduktion (2.E.1)

4.6.1.1 Beschreibung der Kategorie (2.E.1)

In der Halbleiterindustrie emittieren gegenwärtig FKW (CF_4, C_2F_6, C_3F_8, c-C_4F_8), HFKW (CHF_3), Stickstofftrifluorid (NF_3) und SF_6 aus dem Fertigungsprozess. Diese Gase werden zum Strukturätzen dünner Schichten und zum Reinigen der Reaktionskammern nach dem CVD-Prozess (Chemical Vapour Deposition) eingesetzt. Einige der in die Plasmakammern eingebrachten FKW werden im Produktionsprozess teilweise zu CF_4 umgewandelt.

Die Emissionen aus der Halbleiterindustrie hängen zum einen von der Häufigkeit des Einsatzes von Abgasreinigungstechniken ab. Zum anderen hat die jährlich produzierte Menge an Halbleitern direkten Einfluss auf die Emissionen. Daraus resultieren relativ starke jährliche Schwankungen in den Emissionen.

4.6.1.2 Methodische Aspekte (2.E.1)

Emissionsfaktoren

Während des Ätzprozesses setzen sich nur etwa 15 % des zugeführten CF_4 chemisch um. Der Emissionsfaktor als inverse Umsetzungsrate beträgt also 85 % des CF_4-Verbrauchs.

Die Emissionen können allerdings nicht allein anhand der eingesetzten Mengen (Verkäufe des Gasehandels) ermittelt werden, weil die Differenz zwischen Verbrauch und Emission von verschiedenen Faktoren abhängig ist, nämlich neben der nur partiellen chemischen Umsetzung im Plasmareaktor vor allem auch von der Wirkung nachgeschalteter Abgasreinigungsanlagen. Sie werden daher anlagenspezifisch vom Industrieverband aggregiert und gemeldet.

Aktivitätsdaten

Die Verwendungsmengen von SF_6 (seit dem Berichtsjahr 2006)und NF_3 (seit dem Berichtsjahr 2015) werden durch Befragung des Gasehandels vom statistischen Bundesamt ermittelt. Die Verwendungsmengen der anderen Stoffe werden vom Statistischen Bundesamt erhoben, der Halbleiterindustrie zugeordnet und von ihr bestätigt.

Gesicherte Emissionsdaten liegen für 1990 und 1995 vor. Für die Jahre 1991 bis 1994 wurde eine lineare Interpolation durchgeführt.

Bis zum Berichtsjahr 2000 basierten die Emissionsangaben auf Befragungen durch EECA-ESIA (European Electronic Component Manufacturers Association – European Semiconductor Industry Association). Die nationalen Hersteller wurden zu Produktionskapazitäten, eingesetzten Stoffmengen und Abgasbehandlungstechniken befragt.

Seit dem Jahr 2001 liegen aufgrund einer freiwilligen Zusage der Halbleiterindustrie Emissionsangaben für diese Teilgruppe für alle Einzelstoffe vor. Die Emissionsdaten werden nach einer einheitlichen Berechnungsformel (Tier 3-Ansatz) aus dem jährlichen Verbrauch für jede Produktionsstätte berechnet, aggregiert und vom ZVEI (Fachverband Bauelemente) an das Umweltbundesamt gemeldet.

4.6.1.3 Unsicherheiten & Zeitreihenkonsistenz (2.E.1)

Die Unsicherheiten wurden vollständig erfasst.

4.6.1.4 Kategoriespezifische Rückrechnungen (2.E.1)

Rückrechnungen sind nicht erforderlich.

4.6.1.5 Kategoriespezifische Qualitätssicherung/-kontrolle und Verifizierung (2.E.1)

Eine allgemeine Qualitätskontrolle und eine Qualitätssicherung durch die Fachseite und durch die Nationale Koordinierungsstelle wurden gemäß den Anforderungen des QSE-Handbuchs bzw. dessen mitgeltenden Unterlagen durchgeführt.

Die Daten haben einen verbandsinternen Prozess der Qualitätssicherung /-kontrolle durchlaufen.

Eine Qualitätskontrolle (nach Tier 1) und eine Qualitätssicherung, die den Anforderungen des QSE-Handbuchs bzw. dessen mitgeltenden Unterlagen entsprechen, wurden durchgeführt.

4.6.1.6 Geplante Verbesserungen, kategoriespezifisch (2.E.1)

Derzeit sind keine Verbesserungen geplant.

Sofern in vorhergehenden Berichterstattungen in diesem Kapitel Verbesserungen benannt wurden, sind diese in Form einer Übersicht unter Kapitel 10.4 Verbesserungen des Inventars,

Tabelle 426 zu finden. Sind diese bereits erledigt, sind sie im selben Kapitel in Tabelle 425 abgebildet.

4.6.2 TFT (2.E.2)

Es findet keine Herstellung von TFT Flachbildschirmen in Deutschland statt.

4.6.3 Photovoltaik (2.E.3)

4.6.3.1 Beschreibung der Kategorie (2.E.3)

SF_6 und andere Fluorverbindungen wurden in Deutschland bei der Herstellung von Wafern zum Strukturätzen und zur Reinigung der Reaktionskammern im Fertigungsprozess eingesetzt. Da die Reinheit des Prozessgases niedriger ist als im analogen Produktionsprozess der Halbleiterindustrie, wird die Anwendung *Photovoltaik* gesondert berichtet. In Deutschland begann die Verwendung von SF_6 in der Solartechnik im Jahr 2002.

Die Zeitreihe zeigt zwischen 2002 und 2006 einen kontinuierlichen Anstieg der Emissionen, der auf steigende Produktionsmengen zurückzuführen ist. 2007 und 2008 ist ein sprunghafter Anstieg zu verzeichnen, da die Zahl der produzierten Wafer und damit auch der Anwendungsmengen von SF_6 stark stiegen. Im Jahr 2009 gab es den gegenteiligen Effekt.

NF_3 ersetzte seit 2008 SF_6 in allen neu gebauten Produktionslinien zur Herstellung von Si-Dünnschichtzellen. Die Produktion wurde bis 2015 eingestellt.

Außerdem wurde der Kohlenwasserstoff CF_4. in den Jahren 2002/2003 zum so genannten Kantenisolieren kristalliner Solarzellen eingeführt. Er wurde aber bald durch ein leichter handhabbares Verfahren ersetzt. Der Verbrauch von CF_4, der seinen Spitzenwert im Jahr 2004 erreichte, ging seitdem stark zurück. Die Produktion wurde 2014 eingestellt.

4.6.3.2 Methodische Aspekte (2.E.3)

Wie auch in der Halbleiterindustrie treten die Emissionen in der Photovoltaik während der Produktion auf. Die Fertigungsemissionen können nicht allein anhand der eingesetzten Mengen (Verkäufe des Gasehandels) ermittelt werden. Die Differenzen zwischen Verbrauch und Emission resultieren aus der partiellen chemischen Umsetzung im Plasmareaktor und der Wirkung nachgeschalteter Abgasreinigungsanlagen.

Emissionsfaktoren

In Deutschland gab es im Jahr 2009 nur noch einen Hersteller ohne Abgasreinigungsanlage. Daher wird der IPCC Emissionsfaktor von 40 % nur für das erste Einsatzjahr 2003 angenommen. Danach sinkt der Emissionsfaktor mit steigendem Anteil der Wafer-Produktion mit nachgeschalteter Abgasreinigungsanlage. Im Jahr 2010 lag er bei knapp 6 % und ist seitdem bis auf 4 % gesunken.

Aktivitätsdaten

Die jährlichen Verbrauchsmengen werden vom Statistischen Bundesamt durch Abfragen der Inlandsabsätze der Gaslieferanten ermittelt. Zusätzlich wurden die Daten in einer gesonderten Studie mit dem Titel: „SF_6 und NF_3 in der deutschen Photovoltaik-Industrie“ (ÖKO-RECHERCHE 2009) nachrecherchiert.

4.6.3.3 Unsicherheiten & Zeitreihenkonsistenz (2.E.3)

Die Unsicherheiten wurden vollständig erhoben.

4.6.3.4 Kategoriespezifische Rückrechnungen (2.E.3)

Rückrechnungen sind nicht erforderlich.

4.6.3.5 Kategoriespezifische Qualitätssicherung/-kontrolle und Verifizierung (2.E.3)

Eine allgemeine Qualitätskontrolle und eine Qualitätssicherung durch die Fachseite und durch die Nationale Koordinierungsstelle wurden gemäß den Anforderungen des QSE-Handbuchs bzw. dessen mitgeltenden Unterlagen durchgeführt.

4.6.3.6 Geplante Verbesserungen, kategoriespezifisch (2.E.3)

Derzeit sind keine Verbesserungen geplant.

Sofern in vorhergehenden Berichterstattungen in diesem Kapitel Verbesserungen benannt wurden, sind diese in Form einer Übersicht unter Kapitel 10.4 Verbesserungen des Inventars, Tabelle 426 zu finden. Sind diese bereits erledigt, sind sie im selben Kapitel in Tabelle 425 abgebildet.

4.6.4 Wärmeüberträger (2.E.4)

4.6.4.1 Beschreibung der Kategorie (2.E.4)

Der FKW C_6F_{14} findet als Wärmeüberträger in der Halbleiterindustrie und in ausgewählten ICE-Triebköpfen Anwendung. Der Stoff wird seit 2001 jedoch nicht mehr eingesetzt. Emissionen entstehen daher nur noch aus dem Bestand und bei der Entsorgung. Aufgrund der Vertraulichkeit wird dieser Stoff unter 2.H.3 mit berichtet.

4.6.4.2 Methodische Aspekte (2.E.4)

Wegen der Datenvertraulichkeit werden Verbrauch und Emissionen der Wärmeüberträger unter CRF 2.H.3 berichtet. Die Emissionsfaktoren werden mit 1 % für die Befüllung, 3 bzw. 4 % für die Emissionen aus dem Bestand und mit 10 % für die Entsorgung angenommen.

4.6.4.3 Unsicherheiten & Zeitreihenkonsistenz (2.E.4)

Die Unsicherheiten wurden vollständig erhoben.

4.6.4.4 Kategoriespezifische Rückrechnungen (2.E.4)

Es wurden keine Rekalkulationen durchgeführt.

4.6.4.5 Kategoriespezifische Qualitätssicherung/-kontrolle und Verifizierung (2.E.4)

Eine allgemeine Qualitätskontrolle, die den Anforderungen des QSE-Handbuchs bzw. dessen mitgeltenden Unterlagen entspricht, wurde durchgeführt - die zugehörige Qualitätssicherung konnte von der zuständigen Person nicht vollständig durchgeführt werden. Die zusätzliche Qualitätskontrolle und Qualitätssicherung durch die Nationale Koordinierungsstelle ist erfolgt.

4.6.4.6 Geplante Verbesserungen, kategoriespezifisch (2.E.4)

Derzeit sind keine Verbesserungen geplant.

Sofern in vorhergehenden Berichterstattungen in diesem Kapitel Verbesserungen benannt wurden, sind diese in Form einer Übersicht unter Kapitel 10.4 Verbesserungen des Inventars, Tabelle 426 zu finden. Sind diese bereits erledigt, sind sie im selben Kapitel in Tabelle 425 abgebildet.

4.7 Anwendungen als ODS-Ersatzstoff (2.F)

KC	Category	Activity	EM of	1995 (kt CO_2-e.)	(fraction)	2015 (kt CO_2-e.)	(fraction)	Trend 1995-2015
L/T	**2.F. Product uses as substitutes for ODS**	**0**	**HFCs**	**C**	**C**	**C**	**C**	**326,1%**
-/-	2.F. Product uses as substitutes for ODS	0	PFCs	19,9	0,00%	11,8	0,00%	-40,9%

Gas	Angewandte Methode	Quelle der Aktivitätsdaten	genutzte Emissionsfaktoren
HFC, PFC	s. Tabelle 193/Tabelle 194	s. Tabelle 193/Tabelle 194	s. Tabelle 193/Tabelle 194

Die Kategorie Anwendungen als ODS Ersatzstoff ist für HFKW-Emissionen eine Hauptkategorie nach der Emissionshöhe und dem Trend.

Zu der Kategorie 2.F gehören Kälte- und Klimaanlagen (2.F.1), die Schaumherstellung (2.F.2), Feuerlöschmittel (2.F.3), Aerosole (2.F.4), Lösemittel (2.F.5) und andere Anwendungen, die ODS-Ersatzstoffe verwenden (2.F.6). Zwecks genauerer Datenerhebung erfolgt eine weitere Unterteilung dieser Unterkategorien, die in den folgenden Unterkapiteln beschrieben wird.

Die Verwendung als Kältemittel in der stationären und mobilen Kühlung ist mit über drei Vierteln der Emissionsmenge die größte Quelle der HFKW-Emissionen dieser Quellgruppe. Die verbleibenden Emissionen verteilen sich auf Schäume und Aerosole, sowie in geringen Mengen auf Feuerlöschmittel und Lösemittel.

Die FKW-Emissionen stammen aus dem Einsatz sogenannter Kältemittelblends in Kälte- und Klimaanlagen.

Tabelle 193: Überblick über Methoden und verwendete Emissionsfaktoren für das aktuelle Berichtsjahr in der Kategorie 2.F.1 – *Kälte- und Klimaanlagen*.

	QG	Methode	Schadstoff		Lebensdauer	Herstellung	Anwendung	Entsorgung	
			HFKW	FKW	[Jahre]	Emissionsfaktor (dimensionslos)	Emissionsfaktor (dimensionslos)	Restfüllstand (dimensionslos)	Rückgewinnungsrate (dimensionslos)
Kälte- und Klimaanlagen	**2.F.1**								
Gewerbekälte	2.F.1a								
- Steckerfertige Geräte		Tier 2a	HFKW		10 (D)	0,005 (D)	0,01 - 0,014 (D)	0,90 (CS)	0,326 - 0,5 (D)
- Verflüssigungssätze					12 (D)	0,01 (D)	0,060 - 0,097 (CS)	0,85 (D)	0,475 - 0,7 (D)
- Zentralanlagen				FKW	10 - 14 (D)	0,01 (D)	0,098 - 0,195 (D)	0,875 (D)	0,429 - 0,767 (D, CS)
Haushaltskälte	2.F.1b	Tier 2a	HFKW		15 (D)	NO	0,003 (D)	0,955 (CS)	0,733 (CS)
Industriekälte	2.F.1c								
- Steckerfertige Geräte		Tier 2a	HFKW		10 (CS)	0,005 (D)	0,01 - 0,014 (CS)	0,9 (D)	0,337 – 0,50(D)
- Großkälteanlagen				FKW	10 – 30 (CS, D)	0,01 (D)	0,055 - 0,088 (CS, D)	0,85 (D)	0,45 – 0,775(D)
Transportkälte	2.F.1d								
- Kühlfahrzeuge		Tier 2a	HFKW	FKW	10 (CS)	5 g/Anlage (CS, D)	0,15 - 0,3 (D)	0,875 (CS)	0,657 (D)
- Kühlcontainer					14 (CS)	NO	0,1 (CS)	0,875 (CS)	0,657 (D)
Mobile Klimaanlagen	2.F.1e								
- Lkw		Tier 2a	HFKW		15 (D)	5 g/Anlage (CS, D)	0,15 (D)	0,34 (D)	0,38 - 0,433 (D)
- PKW					15 (D)	3 g/Anlage (CS, D)	0,1 (D)	0,34 (D)	0,38 – 0,433(D)
- Busse					15 (D)	50 g/Anlage (D)	0,15 (D)	0,34 (D)	0,38 (D)
- Schiffe					25 (CS)	0,01 (CS)	0,1 - 0,3 (CS)	NO	NO
- Schienenfahrzeuge					25 (CS)	0,005 (D)	0,06 (CS)	NO	NO
- Landmaschinen					10 (CS)	5 g/Anlage (CS)	0,15 - 0,25 (CS)	0,34 (CS)	0,117 (CS)
- Flugzeuge					-	-	0,05 (CS)	NO	NO
Stationäre Klimaanlagen	2.F.1f								
- Großklimaanlagen		Tier 2a	HFKW		15 - 25 (D)	0,005 (D)	0,034 - 0,06 (D)	0,9 (D)	0,658 - 0,775 (D)
- Wärmepumpen					15 (D)	0,005 (D)	0,02 - 0,025 (D)	0,75 (D)	0,5 - 0,575 (D)
- Wärmepumpentrockner					15 (CS)	0,005 (CS)	0,003 (CS)	NO	NO
- mob. Raumklimageräte					10 (D)	NO	0,025 - 0,034 (D)	0,75 (D)	0,242 - 0,325 (D)
- Single-Split Geräte					10 (D)	0,1 (CS)	0,05 - 0,069 (D)	0,875 (CS)	0,379 - 0,50 (D)
- Multi-Split Geräte					13 (D)	0,01 (D)	0,051 - 0,079 (D)	0,875 (CS)	0,62 - 0,70 (D)
- VRF Geräte					13 (D)	0,01 (D)	0,060 - 0,081 (D)	NO	NO

Tabelle 194: Überblick über Methoden und verwendete Emissionsfaktoren für das aktuelle Berichtsjahr in den Kategorien 2.F.2 (Schaumherstellung), 2.F.3 (Feuerlöschmittel), 2.F.4 (Aerosole), 2.F.5 (Lösemittel) und 2.F.6 (Andere Anwendungen, die ODS-Ersatzstoffe verwenden)

	QG	Methode	Schadstoff		Lebensdauer	Emissionsfaktor (dimensionslos)		
			HFKW	FKW	[Jahre]	Herstellung	Anwendung	Entsorgung
Schaumherstellung	**2.F.2**							
geschlossenzellig	2.F.2a							
- PU-Hartschaum mit 134a		Tier 2a	HFKW		50 (D)	0,1 (D)	0,005 (D)	NO
- PU-Hartschaum mit 227ea/245fa/365mfc					50 (D)	0,15 (D)	0,01 (D)	NO
- XPS-Schaum mit 134a/1234ze					50 (D)	C	0,0066 (CS)	NO
offenzellig	2.F.2b							
- XPS-Schaum mit 152a		Tier 2a	HFKW		-	1 (CS)	NO	NO
- PU-Integralschaum mit 134a, 227ea, 245fa, 365mfc		Tier 2a			-	1 (CS)	NO	NO
- PU-Montageschaum (134a)		Tier 2a			-	0,5 g/Dose (CS)	1 (CS)	NO
- PU-Montageschaum (152a)					-	0,5 g/Dose (CS)	1 (CS)	NO
Feuerlöschmittel	**2.F.3**	CS	HFKW			0,001 (CS)	0,01 – 0,08 (CS) 0,04 (D)	1,0 (D)
Aerosole	**2.F.4**							
Dosieraerosole	2.F.4a	Tier 2a	HFKW		-	0,01 (CS)	1 (CS)	NO
Sonstige Aerosole/Novelties	2.F.4b/c	Tier 2a			-	0,015 (CS)	1 (CS)	NO
Lösemittel	**2.F.5**	Tier 2a	HFKW		-	NO	1 (D)	NO
Andere Anwendungen, die ODS Ersatzstoffe verwenden	**2.F.6**					NO	NO	NO

Halogenierte Kohlenwasserstoffe werden in verschiedenen Anwendungen eingesetzt. Während die eingesetzten Stoffe in einigen, so genannten offenen Anwendungen vollständig und noch im selben Jahr emittieren, kommt es in anderen Anwendungen zu großen Speichermengen (stocks). Aus diesen „stocks“ emittieren sie ganz oder teilweise über die gesamte Nutzungsphase und bei der Entsorgung. Die verwendeten EF sind länderspezifisch (CS) oder IPCC Default (D).

Die in einem Berichtsjahr langsam aus dem „stock“ entweichenden, sowie bei der Herstellung und Entsorgung emittierenden Mengen an HFKW und FKW stellen die Emissionen dar, wie sie in den Inventartabellen angegeben sind.

Die für die einzelnen Produktgruppen erhobenen Emissionsdaten setzen sich im Allgemeinen aus Herstellungs-, Anwendungs- und Entsorgungsemissionen zusammen. Sofern nicht bei den jeweiligen Methoden etwas anderes angegeben ist, werden sie folgendermaßen berechnet:

1. Herstellungsemissionen werden über den Inlands-Neuverbrauch als Aktivitätsrate bestimmt:

   Gleichung 1:

   $$EM_{Herstellung} = \text{Inlands-Neuverbrauch} * EF_{Herstellung}$$

2. Anwendungsemissionen basieren auf dem Endbestand an Schadstoff als Aktivitätsrate und werden mit folgender Formel berechnet:

   Gleichung 2:

   $$EM_{Anwendung} = \text{Endbestand} * EF_{Anwendung}$$

Der Endbestand des aktuellen Jahres wird durch Summation der jährlichen Neuzugänge vom ersten bis zum aktuellen Berichtsjahr errechnet. Der Neuzugang eines Jahres ist der Inlands-Neuverbrauch, von dem Herstellungsemissionen und durch Abgänge verursachte Verluste subtrahiert werden. Hier muss auch noch der Außenhandel mit berücksichtigt werden.

3. Entsorgungsemissionen beziehen sich auf den Neuzugang des Jahres, das x Jahre (entsprechend der Produktlebensdauer) vor dem aktuellen Berichtsjahr n liegt:

   Gleichung 3:

   $EM_{Entsorgung} = Neuzugang(n-x) * EF_{Entsorgung}$

4. Bei Kälte- und Klimaanlagen werden die Entsorgungsemissionen entsprechend Vol. 3, Gleichung 7.14 der 2006 IPCC Guidelines berechnet:

   Gleichung 4:

   $EM_{Entsorgung} = Neuzugang(n-x) * Restfüllstand * (1-Rückgewinnungsfaktor)$

In diesem Kapitel werden die Abschnitte *Unsicherheiten und Zeitreihenkonsistenz*, *Kategoriespezifische Qualitätssicherung/-kontrolle und Verifizierung*, *Kategoriespezifische Rückrechnungen* und *Geplante Verbesserungen* zum Teil auf die gesamte Quellgruppe, die Unterkategorie oder auch nur auf eine Teilgruppe bezogen. Der Bezug ist aus der Angabe der CRF-Nummer in der Abschnittsüberschrift ersichtlich.

4.7.1 Kälte- und Klimaanlagen (2.F.1)

4.7.1.1 Beschreibung der Kategorie (2.F.1)

Dieser Bereich wird in die Teilgruppen Gewerbekälte, Haushaltskälte, Industriekälte, Transportkälte, mobile Klimaanlagen und stationäre Klimaanlagen (siehe Tabelle 193) gegliedert.

Die mit Abstand wichtigsten HFKW-Kältemittel sind in Deutschland der HFKW-134a und die Gemische R404A, R407C, R410A, R422D und R507A.

Für die Berechnung der HFKW-Emissionen aus den Untergruppen der Kälte- und Klimaanlagen werden je nach Gruppe Einzeldaten erhoben oder Kältemittel-Modelle genutzt und bei der jeweiligen Methode beschrieben.

Die verwendeten Emissionsfaktoren sind das Ergebnis von Expertenbefragungen. Entsorgungsemissionen in dieser Kategorie treten erstmals im Jahr 2000 auf, in den Unterkategorien 2.F.1.a (Gewerbekälte) und 2.F.1.e (mobile Klimaanlagen).

4.7.1.2 Methodische Aspekte (2.F.1)

4.7.1.2.1 Gewerbekälte (2.F.1.a)

Die Gewerbekälte ist die größte und zugleich heterogenste Anwendung von (H)FKW. Es erfolgt eine Unterteilung in steckerfertige Geräte, Verflüssigungssätze und Zentralanlagen. Bei Zentralanlagen resultiert die Vielfalt in Bezug auf Bauart, Größe, Kältemitteltyp und Emissionsdichtheit aus der überwiegenden Konzeption individuell angepasster Lösungen. Bei steckerfertigen Geräten und Verflüssigungssätzen ist dies weniger ausgeprägt.

Der Einsatz der (H)FKW als Kältemittel begann nur zögerlich. So wurde der HFKW-134a erst Mitte 1993 in nennenswertem Umfang eingesetzt. Die Kältemittelgemische R404A und R407C kamen ebenfalls erst ab 1993 zum Einsatz, die verschiedenen R422-Gemische, die als drop-in Kältemittel

bei der Umrüstung von HFCKW-22-Anlagen eingesetzt werden, werden erst ab 2009 verwendet. Daneben kommen seit 1993 in geringem Umfang auch FKW-haltige Kältemittelmischungen wie R403A/B, R413A, Isceon 89 und R508A/B als drop-in Kältemittel zum Einsatz. Seit 2007 findet R410A Verwendung in kleinen Zentralanlagen. Für die Umrüstung von R404A-Zentralanlagen kommen seit 2013 das Kältemittelgemisch R449A und seit 2014 auch R448A zum Einsatz. Als halogenfreie Alternativen werden seit 2002 auch R744 und seit 2010 R290 verwendet.

Heute ist das wichtigste HFKW-Kältemittel für stationäre Kälteanlagen die Mischung R404A, noch vor dem HFKW-134a. Auch die Mischungen R407C und R422D spielen inzwischen eine nicht zu vernachlässigende Rolle.

Aufgrund der außerordentlich großen Zahl an Kältefachbetrieben ist eine detaillierte statistische Erfassung der Kältemittel-Bestände nicht praktikabel, so dass eine andere Berechnungsmethode angewendet wird.

- Zur Berechnung der Emissionen von *Zentralanlagen* der Gewerbekälte, die im Lebensmitteleinzelhandel zum Einsatz kommen, wird das folgende Kältemittelmodell verwendet (s. SCHWARZ et al., o.J.):
- Der Außenhandel mit vor Ort errichteten Kälteanlagen ist vernachlässigbar, so dass der jährliche HFKW-Verbrauch für Neuanlagen gleich dem HFKW-Zugang in Neuanlagen ist.
- Ausgangspunkt für die Berechnungen ist nicht die Zahl der Betriebe oder die installierte Kälteleistung, sondern die Verkaufsfläche der Lebensmitteleinzelhandelsgeschäfte, da diese jährlich statistisch erfasst wird. Für Discountmärkte, deren Verkaufsflächen in Deutschland relativ konstant bei 800 m^2 liegen, wird angenommen, dass der Kältebedarf und damit die Kältemittelmenge für alle Märkte gleich groß sind. Daher ist hier die Anzahl der Discountmärkte Ausgangspunkt für weitere Berechnungen. Auch die Anzahl der Discounter wird jährlich statistisch erfasst.
- Von einem typischen Supermarkt mittlerer Größe wird auf Basis einer Studie des EPEE[68] (SKM Enviros, 2010) der Koeffizient „Kilogramm pro Quadratmeter Verkaufsfläche“ abgeleitet. Dieser beträgt 0,23 kg/m^2. Für Discounter wird der Koeffizient „Kilogramm pro Discount-Markt“ bestimmt. Er hat eine Größe von 80 kg/Markt. Mit Hilfe dieser Koeffizienten wird der jährliche Kältemittelbestand für die drei Marktformate Discount-Märkte, kleine und große Supermärkte berechnet.
- Die nach Kältemitteltypen untergliederten Kältemittelbestände der verschiedenen Marktformate werden mit Hilfe von prozentualen Anteilen der verwendeten Kältemitteltypen bestimmt. Die Kältemittelanteile werden in statistischen Rechenmodellen abgeleitet, die auf Expertenschätzungen beruhen. Hierbei wird zwischen großen Supermärkten (Verkaufsflächen über 1500 m^2), kleinen Supermärkten (Verkaufsflächen zwischen 400 und 1500 m^2) und Discount-Märkten unterschieden.
- Die Division der Kältemittelbestände durch die durchschnittliche Lebensdauer der Anlagen (10 Jahre für Discount-Märkte, 14 Jahre für alle anderen Marktformate) führt zum HFKW-Zugang in Neuanlagen.
- Herstellungsemissionen und Bestandsemissionen werden durch Gleichung 1 und Gleichung 2 errechnet. Die Herstellung erfolgt i.d.R. vor Ort.
- Der Austausch von FCKW und HFCKW in Altanlagen wird gesondert berücksichtigt.

[68] EPEE: The European Partnership for Energy and the Environment.

- Entsorgungsemissionen treten bei Zentralanlagen erstmalig im Jahr 2000 auf. Der Abgang von Kältemittel wird mit Hilfe der durchschnittlichen Lebensdauer, bei Zentralanlagen in Discount-Märkten 10 Jahre, bei Zentralanlagen aller anderen Marktformate 14 Jahre, errechnet. Die nominale Entsorgungsmenge entspricht dabei dem Neuzugang, den eine Anlage bei Inbetriebnahme enthielt. In der Praxis enthalten die Anlagen zum Zeitpunkt der Entsorgung jedoch weniger Kältemittel als die nominale Füllmenge, da in der Zeit vor der Außerbetriebnahme in der Regel nicht nachgefüllt wird. Daher wird der bei der Entsorgung vorliegende aktuelle Füllstand, die „effektive" Entsorgungsmenge, mit Hilfe von prozentualen Restfüllständen ermittelt. In die Bestimmung der Restfüllstände fließt als wichtigster Faktor der Kältemittelverlust ein, bei dem eine Anlage nachgefüllt werden muss, um ihre Funktionsfähigkeit aufrecht zu erhalten. Der effektive Füllstand am Lebensende ist um die Hälfte der Differenz zwischen technischem Mindestfüllstand und Nominalfüllmenge größer als der technische Mindestfüllstand. Er beträgt für Zentralanlagen 87,5 % der Nominalfüllmenge.
- Die Entsorgungsemissionen werden durch Multiplikation der so bestimmten „effektiven" Entsorgungsmenge mit dem umgekehrten Rückgewinnungsfaktor mit Gleichung 4 berechnet.
- Emissionen der nicht berichtspflichtigen HFKW-1234yf und HFKW-1234ze aus den Kältemittelmischungen R448A und R449A werden gemäß den Empfehlungen der UNFCCC Reporting Guidelines 2014 (FCCC/CP/2013/10/Add.3, Decision 24/CP.19) freiwillig als „additional greenhouse gases" berichtet. Die Emissionen sind aggregiert mit anderen nicht berichtspflichtigen Emissionen in Kapitel 4.9.3 unter CRF 2.H.3 aufgeführt.

Auch bei *Verflüssigungssätzen* der Gewerbekälte ist der Kältemittelbestand zentraler Bezugspunkt des Kältemittelmodells zur Berechnung der Emissionen:

- Ausgangspunkt für die Berechnungen ist die Anzahl von Betrieben in den zahlreichen Anwendungssektoren von Verflüssigungssätzen, deren Auswahl auf einer Studie des VDMA (2011) beruht. Dazu zählen Getränkeabholmärkte, Tankstellenshops, Gärtnereien, Blumengeschäfte, Blumengroßhandel, Kantinen, Caterer, Krankenhäuser, Pflegeheime, Gaststätten- und Beherbergungsgewerbe, Fleischerfachbetriebe und -filialen, Bäckereihandwerk und -filialen, Discount-Märkte, kleine Lebensmitteleinzelhandelsgeschäfte und der Facheinzelhandel mit Nahrungsmitteln. Die Anzahl der Betriebe wird aus öffentlich zugänglichen Statistiken jährlich aktualisiert.
- Der Kältemittelbestand für die einzelnen Sektoren berechnet sich als Produkt aus der jeweiligen Anzahl der Betriebe, den sektorspezifischen Füllmengen, die durch Literaturrecherche und Expertenbefragungen ermittelt wurden, und den prozentualen Anteilen der verwendeten Kältemitteltypen. Die Kältemittelanteile werden in einem statischen Rechenmodell abgeleitet (s. SCHWARZ et al., o.J.).
- Die Division des Gesamtkältemittelbestands durch die durchschnittliche Lebensdauer von Verflüssigungssätzen (12 Jahre) führt zum HFKW-Zugang in Neuanlagen.
- Herstellungsemissionen und Bestandsemissionen werden durch Gleichung 1 und Gleichung 2 errechnet.
- Durch Gleichung 4 werden die Entsorgungsemissionen berechnet. Die nominale Entsorgungsmenge ist sowohl quantitativ als auch von den Kältemittelanteilen her mit der Erstbefüllung vor 12 Jahren identisch. Der effektive Füllstand am Lebensende beträgt für Verflüssigungssätze 85 % der Nominalfüllmenge.

Die Anwendungssektoren für hermetische *steckerfertige Systeme* decken sich überwiegend mit denen für Verflüssigungssätze. Die Berechnung der Emissionen entspricht dem unter

Verflüssigungssätzen beschriebenen Kältemittelmodell. Die durchschnittliche Lebensdauer der Geräte beträgt 10 Jahre, der Restfüllstand bei Entsorgung 90 % der Nominalfüllmenge.

Emissionsfaktoren

Die verwendeten Emissionsfaktoren sind das Ergebnis von Expertenbefragungen und Literaturauswertungen.

Die Befüllungsemissionen sind bei kältetechnischen Anlagen im Allgemeinen gering. Die 2006 IPCC Guidelines geben für „initial emission" in Vol. 3, Tabelle 7.9 Werte von 0,5 bis 3 Prozent der Erstbefüllung für steckerfertige Geräte sowie mittelgroße und große Gewerbekälteanlagen an. Der länderspezifische $EF_{Herstellung}$ liegt mit 0,5 % für steckerfertige Geräte sowie 1 % für Zentralanlagen und Verflüssigungssätze innerhalb dieses Bereichs.

Die laufenden (H)FKW-Emissionen aus stationären Kälteanlagen der *Gewerbekälte* differieren nach der Anlagenbauart stark voneinander. So reicht der Kältemittelverlust von 1 bis 1,4 % für steckerfertige Einzelgeräte über 6,0 bis 9,7 % für Verflüssigungssätze bis zu 9,8 bis 19,5 % für Zentralanlagen. Die Emissionsfaktoren der Anwendung sinken für alle Anlagen und Geräte der Gewerbekälte von 1993 an kontinuierlich ab (siehe Tabelle 193), um dem Umstand des zunehmend sorgsameren Umgangs mit HFKW-Kältemitteln Rechnung zu tragen. Die verwendeten Emissionsfaktoren liegen verglichen mit den in den 2006 IPCC Guidelines in Vol. 3, Tabelle 7.9 angegebenen Werten von 1 bis 15 % für Einzelgeräte und 10 bis 35 % für mittelgroße und große gewerbliche Kälteanlagen im unteren Bereich (Einzelgeräte und Zentralanlagen bis zum Berichtsjahr 2014) bzw. darunter (Verflüssigungssätze und Zentralanlagen ab dem Berichtsjahr 2015).

Die Entsorgung setzt nach einer durchschnittlichen Lebensdauer von 10 (Einzelgeräte, Zentralanlagen in Discount-Märkten), 12 (Verflüssigungssätze) bzw. 14 Jahren (Zentralanlagen in allen Marktformaten außer Discount-Märkten) ein. Die verwendeten Lebensdauern liegen damit innerhalb der in den 2006 IPCC Guidelines angegebenen Werte von 10 bis 15 (Einzelgeräte) bzw. 7 bis 15 Jahren (mittelgroße und große gewerbliche Kälteanlagen).

Der in den Geräten und Anlagen enthaltene Restfüllstand beträgt bezogen auf die Erstfüllmenge 90 % (Einzelgeräte), 85 % (Verflüssigungssätze) bzw. 87,5 % (Zentralanlagen). In den 2006 IPCC Guidelines sind Werte von 0 - 80 % (Einzelgeräte) und 50 – 100 % (mittelgroße und große gewerbliche Kälteanlagen) angegeben. Die verwendeten Werte sind somit alle Default-Werte.

Die Rückgewinnungsfaktoren entwickeln sich kontinuierlich nach oben, so dass die bei der Entsorgung auftretenden Verluste bezogen auf die Erstfüllmenge bzw. Restfüllmenge über die Jahre kleiner werden. Für steckerfertige Einzelgeräte beträgt der Rückgewinnungsfaktor im Jahr 2003 32,6 %, im Jahr 2015 50 %, bei Verflüssigungssätzen beträgt der Rückgewinnungsfaktor im Jahr 2005 47,5 % und im Jahr 2015 bereits 70 %, bei Zentralanlagen steigt der Rückgewinnungsfaktor von 42,9 % im Jahr 2000 auf 76,7 % im Jahr 2015. Damit liegen die meisten verwendeten Rückgewinnungsfaktoren innerhalb des in den 2006 IPCC Guidelines in Vol. 3, Tabelle 7.9 angegebenen Wertebereichs von 0 bis 70 %, lediglich die für Zentralanlagen ab dem Berichtsjahr 2009 genutzten Rückgewinnungsfaktoren liegen über den IPCC Werten.

Aktivitätsdaten

Die Verkaufsflächen der Lebensmitteleinzelhandelsgeschäfte werden jährlich statistisch durch zwei Marktforschungsinstitute[69] erfasst. Das EHI erhebt ebenfalls die Anzahl der Discounter. Auch

[69] EHI – EuroHandelsinstitut, Köln, The Nielsen Company GmbH, Frankfurt am Main.

die Anzahl der Gewerbebetriebe wird jährlich aus verschiedenen, öffentlich verfügbaren Statistiken aktualisiert (s. SCHWARZ et al., o.J.).

Der jährliche Neuzugang von FKW-116 (C_2F_6), FKW-218 (C_3F_8), HFKW-125 und HFKW-23, die in den Kältemittelmischungen R508A, R508B, Isceon MO 89 und R413A enthalten sind bzw. im Fall von HFKW-23 auch als Einstoffkältemittel verwendet wird, wird der jährlichen nationalen Erhebung nach Umweltstatistikgesetz entnommen.

Die typische kältetechnische Ausstattung von Gewerbebetrieben beruht auf Literaturauswertung und Expertenschätzung. Der Koeffizient „Kilogramm pro Quadratmeter Verkaufsfläche“ bzw. „Kilogramm pro Discounter“ ist von Experten mit Hilfe von Fachliteratur (SKM ENVIROS, 2010, CLODIC et al., 2011 und 2012) semiempirisch bestimmt worden. Die Füllmengen von Verflüssigungssätzen und steckerfertigen Geräten sind durch Fachgespräche mit deutschen Kälteanlagenbauern und Literaturrecherche bestimmt worden.

4.7.1.2.2 Haushaltskälte (2.F.1.b)

1994 stellten inländische Produzenten von Haushaltskühl- und Gefriergeräten von FCKW-12 auf HFKW-134a um, kurze Zeit später erfolgte in Deutschland die Umstellung auf Isobutan. Ein geringer Anteil von Geräten mit HFKW-134a wurde aber zwischen 1993 und 2014 importiert. Ab 2015 ist der Import von Haushaltskühl- und -gefriergeräten, die Kältemittel mit einem GWP von 150 oder mehr verwenden, laut EU F-Gas Verordnung verboten (F-Gas V, 2014).

Herstellungsverluste und der Neuverbrauch fürs Inland brauchen nicht bestimmt zu werden, da Befüllungen mit HFKW nur im Ausland erfolgten.

Mit Gleichung 2 werden die jährlichen HFKW-Emissionen auf Basis des Endbestands berechnet. Dazu ermittelt und aggregiert man den jährlichen HFKW-Neuzugang seit 1993 und subtrahiert die aggregierten jährlichen Abgänge durch Entsorgung.

Entsorgungsemissionen, die bei einer durchschnittlichen Lebensdauer von 15 Jahren ab dem Jahr 2008 auftreten, werden mit Gleichung 4 berechnet.

Emissionsfaktoren

Die laufenden HFKW-Emissionen aus Haushaltskühl- und -gefriergeräten werden auf 0,3 % geschätzt und liegen damit innerhalb des in den 2006 IPCC Guidelines in Vol. 3, Tabelle 7.9 angegebenen Wertebereichs von 0,1 bis 0,5 %.

Die Entsorgung setzt nach einer durchschnittlichen Lebensdauer von 15 Jahren ein. Die verwendete Lebensdauer liegt damit innerhalb des in den 2006 IPCC Guidelines angegebenen Wertebereichs von 12 bis 20 Jahren.

Der in den Geräten enthaltene Restfüllstand beträgt bezogen auf die Erstfüllmenge 95,5 %. In den 2006 IPCC Guidelines sind Werte von 0 - 80 % angegeben. Der verwendete Wert liegt somit oberhalb des in den 2006 IPCC Guidelines angegebenen Bereichs. Der Grund dafür sind die geringen Kältemittelverluste während der Nutzungsphase (0,3 % pro Jahr, 4,5 % über die gesamte Nutzungsphase), die keinen kleineren Restfüllstand rechtfertigen.

Der Rückgewinnungsfaktor beträgt 73,3 % und liegt damit leicht oberhalb des in den 2006 IPCC Guidelines in Vol. 3, Tabelle 7.9 angegebenen Wertebereichs von 0 bis 70 %. Der höhere Rückgewinnungsfaktor ist auf die laut Elektrogesetz (ElektroG, 2015) gesetzlich geregelte Entsorgung von Haushaltsgeräten zurückzuführen.

Aktivitätsdaten

Der jährliche Neuzugang von 1 % der Neugeräte ist eine Schätzung führender Kühlgerätehersteller.

4.7.1.2.3 Industriekälte (2.F.1.c)

Die in diesem Sektor zusammengefasste Kälte im Industriebetrieb dient der Erzeugung von Produkten, in der Regel von Nahrungsmitteln, die gekühlt oder gefroren werden. Wie in der *Gewerbekälte* ist die kältetechnische Ausstattung in der Regel nicht serienmäßig, sondern individuell angepasst, so dass für die Berechnung der Emissionen ein Kältemittelmodell verwendet werden muss.

Fluorhaltige Kältemittel sind in der Industrie, besonders in der Lebensmittelindustrie kein allgemeiner Standard und natürliche Kältemittel, hauptsächlich Ammoniak, werden viel häufiger eingesetzt als in anderen Sektoren. Als fluorhaltige Kältemittel werden in der Industriekälte R404A, HFKW-134a, R407C, R507A und R422D als Ersatzkältemittel für umgerüstete HFCKW-22-Anlagen eingesetzt. Daneben spielen HFKW-23 und FKW-116 bei Tieftemperaturanlagen, sowie das Kältemittel HFKW-227ea zur Kranklimatisierung und für Hochtemperaturwärmepumpen eine Rolle.

Der Einsatz fluorhaltiger Kältemittel beginnt in Deutschland 1993. Entsorgungsemissionen treten erstmalig 2002 aus umgerüsteten FCKW-12 und HFCKW-22-Anlagen auf.

Für die *Industriekälte* wird folgendes Kältemittel-Modell genutzt:

- Der Kältemittelbestand ist zentraler Bezugspunkt des Modells. Er gliedert sich in die zwölf großen Sektoren der Industriekälte: Bierbrauereien, Weinerzeugung, Fleischproduktion, Molkereien, Kühlhäuser, Schokoladeproduktion, Tiefkühlkost- und Fruchtsafterzeugung, Eisbahnen, Milchkühlung in der Landwirtschaft, sonstige Industrie (80 % Chemische Industrie) und hermetisch geschlossene Geräte der verarbeitenden Industrie. Die Berechnungsbasis zur Bestimmung des Kältemittelbestands sind die Produktionsmengen von Gütern, die über öffentlich zugängliche Waren-Statistiken jährlich aktualisiert werden.
- In den drei kleineren Sektoren der Industriekälte Kranklimatisierung, Hochtemperaturwärmepumpen und Tieftemperaturkühlung mit HFKW-23 (vornehmlich in der Kunststoffindustrie) und R508A/B, wird der jährliche Neuzugang als Ausgangsgröße zur Berechnung des Bestands und aller Emissionen verwendet.
- Basierend auf diesen Produktionsmengen erfolgt die Umrechnung in die für die Kühlung der Güter in den zwölf großen Sektoren installierte Kälteleistung. Die dafür benötigten Kennziffern „installierte Kälteleistung pro jährliche Güterproduktion“ wurden basierend auf Fachliteratur empirisch ermittelt.
- Die Abschätzung der Kältemittelmenge für diese Kälteleistungen erfolgt auf Basis von Kältemittelraten für Plus- und Minuskühlung sowie direkter und indirekter Kühlung. Die verwendeten Kältemittelraten wurden ebenfalls durch Literaturrecherche, u.a. CLODIC et al. 2011 & 2012, ermittelt. Sie liegen zwischen 2 kg/kW für indirekte Plus-Kühlung und 8,8 kg/kW für direkte Minus-Kühlung. Aus der Kombination dieser Werte mit jeweiliger sektorspezifischer Wichtung der vier Kühlungsformen errechnen sich die typischen Füllmengen pro installierte Kälteleistung für die zwölf Sektoren.
- Der Außenhandel mit vor Ort errichteten Kälteanlagen ist vernachlässigbar, so dass der jährliche HFKW-Verbrauch für Neuanlagen gleich dem HFKW-Zugang in Neuanlagen ist.

- Der Kältemittelbestand ist auch Berechnungsgrundlage für die Entsorgungsmenge. Sie wird in jedem Sektor durch Division des Bestands durch die Anlagenlebensdauer errechnet. Diese liegt für die meisten Sektoren bei 30 Jahren, für Milchviehbetriebe und Eisbahnen bei 20 Jahren, für steckerfertige Geräte, Kranklimaanlagen, Hochtemperaturwärmepumpen und Tieftemperaturanwendungen bei 10 Jahren.
- Die prozentualen Anteile der verwendeten Kältemitteltypen, die sich zeitlich für Bestand, Neuzugang und Entsorgungsmenge ändern, werden für jeden Sektor in einem statischen Rechenmodell abgeleitet (s. SCHWARZ et al., o.J.).
- Der Austausch von FCKW und HFCKW in Altanlagen wird gesondert berücksichtigt.
- Herstellungsemissionen und Bestandsemissionen werden durch Gleichung 1 und Gleichung 2 errechnet.
- Entsorgungsemissionen werden durch Gleichung 4 berechnet. Die nominale Entsorgungsmenge ist mit der Erstbefüllung identisch. Der effektive Füllstand am Lebensende beträgt für alle Sektoren 85 % der Nominalfüllmenge, nur bei steckerfertigen Geräten ist er mit 90 % höher.

Emissionsfaktoren

Die den Emissionsdaten zugrunde liegenden Emissionsfaktoren sind in Tabelle 193 wiedergegeben.

Die verwendeten Emissionsfaktoren sind das Ergebnis von Expertenbefragungen und Literaturauswertungen.

Die Befüllungsemissionen sind bei Industriekälteanlagen im Allgemeinen gering. Die 2006 IPCC Guidelines geben in Vol. 3, Tabelle 7.9 für „initial emission“ 0,5 bis 3 Prozent der Erstbefüllung an, der länderspezifische $EF_{Herstellung}$ liegt mit 1 %, für die sektoralen Anwendungsbereiche bzw. mit 0,5 % für steckerfertige Geräte im unteren Bereich dieser Vorgaben.

Die laufenden HFKW-Emissionen aus Industriekälteanlagen gehen in allen Sektoren außer hermetischen Geräten kontinuierlich von 8,8 % im Jahr 1993 auf 5,5 % im Jahr 2015 zurück, da die Kälteanlagen bedingt durch nationale und europäische gesetzliche Regelungen zunehmend dichter werden. Sie liegen im unteren Bereich bzw. unterhalb der in den 2006 IPCC Guidelines in Vol. 3, Tabelle 7.9 angegebenen Werte von 7 bis 25 Prozent. Bei steckerfertigen Geräten geht der entsprechende Rückgang wie in der Gewerbekälte auch von 1,4 % im Jahr 1994 auf 1 % im Jahr 2015.

Die Entsorgung setzt nach einer durchschnittlichen Lebensdauer von 10 Jahren (steckerfertige Einzelgeräte, Kranklimaanlagen, Hochtemperaturwärmepumpen, Tieftemperaturanwendungen und Kunststoffindustrie), 20 Jahren (Milchviehbetriebe, Eisbahnen) bzw. 30 Jahren (Lebensmittelindustrie, Kühlhäuser, chemische Industrie) ein. Die verwendeten Lebensdauern liegen damit mit Ausnahme der Anwendungsbereiche mit 10 Jahren Lebensdauer innerhalb der in den 2006 IPCC Guidelines (Vol. 3, table 7.9) angegebenen Werte von 15 bis 30 Jahren.

Der in den Geräten und Anlagen enthaltene Restfüllstand beträgt bezogen auf die Erstfüllmenge 90 % (Einzelgeräte) bzw. 85 % (sektorale Anwendungsbereiche). In den 2006 IPCC Guidelines (Vol. 3, table 7.9) sind Werte von 50 bis 100 % für Industriekälteanlagen angegeben. Die verwendeten Werte sind somit alle Default-Werte.

Die Rückgewinnungsfaktoren entwickeln sich kontinuierlich nach oben, so dass die bei der Entsorgung auftretenden Verluste bezogen auf die Erstfüllmenge bzw. Restfüllmenge über die Jahre kleiner werden. Für steckerfertige Einzelgeräte beträgt der Rückgewinnungsfaktor im Jahr

2004 33,7 %, im Jahr 2015 50 %, bei den Kälteanlagen der sektoralen Anwendungsbereiche beträgt der Rückgewinnungsfaktor im Jahr 2002 45 % und im Jahr 2015 77,5 %. Damit liegen die verwendeten Rückgewinnungsfaktoren innerhalb des in den 2006 IPCC Guidelines in Vol. 3, Tabelle 7.9 angegebenen Wertebereichs von 0 bis 90 %.

Aktivitätsdaten

Zahlreiche Zeitreihen für die Produktionsmengen von Nahrungsmitteln finden sich in den Statistiken des Bundesministeriums für Ernährung, Landwirtschaft und Verbraucherschutz (BMELV). Zudem sind Daten von Industrieverbänden wie dem Verband Deutscher Kühlhäuser und Kühllogistikunternehmen e.V. (VDKL) oder dem Bundesverband der Deutschen Süßwarenindustrie (BDSI) sowie spezialisierten Instituten, z.B. dem Deutschen Weininstitut, verfügbar.

Die Stückzahlen der steckerfertigen Geräte stammen aus einer Studie des VDMA (2011) und Aussagen von Branchenexperten.

Der jährliche Neuzugang von HFKW-227ea und HFKW-23 (Kranklimatisierung, Hochtemperaturwärmepumpen und Tieftemperaturkühlung) wird der jährlichen nationalen Erhebung nach Umweltstatistikgesetz entnommen.

Die Kennziffern „installierte Kälteleistung pro jährliche Güterproduktion“ und die Kältemittelraten für Plus- und Minuskühlung sowie direkte und indirekte Kühlung wurden basierend auf Fachliteratur ermittelt.

4.7.1.2.4 Transportkälte (Kühlfahrzeuge und –container) (2.F.1.d)

HFKW werden in *Kühlfahrzeugen* seit 1993 als Kältemittel eingesetzt. Heute kommen überwiegend der HFKW-134a und die Kältemittelgemische R404A und R410A zum Einsatz. Seit 2015 auch R452A. Dem Ladevolumen der Kühlfahrzeuge entsprechend variieren Größe und Kältemittelfüllung der Kälteaggregate.

Kühlcontainer werden vor allem für den Transport verderblicher Waren auf Seeschiffen eingesetzt. Da die Emissionen vorzugsweise in internationalen Gewässern erfolgen, werden die Kältemittelemissionen entsprechend dem Anteil eines Landes am Welthandel aufgeteilt. Deutschland werden 10% der weltweiten Emissionen aus dem Bestand von Kühlcontainern zugerechnet. Bevorzugtes Kältemittel ist seit 1993 der HFKW-134a. Seit 1997 wird auch R404A eingesetzt.

Es wird folgendes Kältemittelmodell für *Kühlfahrzeuge* angewendet:

- Die Kühlfahrzeuge werden entsprechend ihres Gewichts in vier Größenklassen eingeteilt: 2-5 t, 5-9 t, 9-22 t und > 22 t zulässiges Gesamtgewicht.
- Den Größenklassen werden Kältemittel (Typ) und spezifische Kältemittel-Füllmengen zugeordnet und jedem Kältemittel ein prozentualer Anteil an der Größenklasse zugeteilt. Seit dem Berichtsjahr 2006 wird in der Hälfte der kleinen Anlagen bis 5 t zulässigem Gesamtgewicht das Kältemittel R404A eingefüllt, in der anderen Hälfte HFKW-134a. Von 1993 bis 2005 wurde ausschließlich HFKW-134a eingesetzt. In der Größenklasse 5-9 t zulässigem Gesamtgewicht wurden zwischen 1993 und 2014 jeweils 50 % HFKW-134a und R404A eingefüllt, ab 2015 auch ein geringer Anteil an R452A, in der Größenklasse 9-22 t und > 22 t kommen HFKW-134a, R404A, R410A und R452A zum Einsatz. Dabei dominiert R404A in diesen Größenklassen mit 77,5 bis 95 %.
- Die Anzahl der neu zugelassenen Kühlfahrzeuge und der im Inland befüllten Kühlfahrzeuge (nach Kältemittel) wird für jedes Jahr ermittelt.

- Herstellungsemissionen werden mit Gleichung 1 über den Neuverbrauch zur Befüllung der im Inland produzierten Kühlfahrzeuge berechnet.
- Aus der Anzahl neu zugelassener Kühlfahrzeuge und den o.g. Annahmen ergibt sich der jährliche Neuzugang an Kältemitteln.
- Zwischen 1996 und 1999 wurden in einer gewissen Zahl von Altanlagen FCKW-12 durch HFKW ausgetauscht. Diese Mengen sind dem jährlichen Neuzugang zuzuschlagen.
- Der Jahresendbestand wird durch Aggregation der jährlichen HFKW-Neuzugänge seit 1993 und Subtraktion der Abgänge durch Entsorgung ermittelt.
- Mit Gleichung 2 werden die jährlichen HFKW-Emissionen auf Basis des Endbestands berechnet.
- Entsorgungsemissionen treten bei Kühlfahrzeugen erstmalig im Jahr 2003 auf. Diese werden durch Gleichung 4 errechnet. Die nominale Entsorgungsmenge ist mit dem Neuzugang vor 10 Jahren (bzw. 7 Jahren bei umgerüsteten FCKW-12 Anlagen) identisch. Der effektive Füllstand am Lebensende beträgt 87,5 % der Nominalfüllmenge.
- Emissionen des nicht berichtspflichtigen HFKW-1234yf aus dem Kältemittelgemisch R452A werden gemäß den Empfehlungen der UNFCCC Reporting Guidelines 2014 (FCCC/CP/2013/10/Add.3, Decision 24/CP.19) freiwillig als „additional greenhouse gases“ berichtet. Die Emissionen sind aggregiert mit anderen nicht berichtspflichtigen Emissionen in Kapitel 4.9.3 unter CRF 2.H.3 aufgeführt.

Für *Kühlcontainer* wird folgendes Kältemittel-Modell angewendet:

- Die Anzahl der weltweit produzierten Kühlcontainer wird für jedes Jahr ermittelt.
- Der weltweite HFKW-Neuzugang für Kühlcontainer wird mit Hilfe der jährlichen Stückzahlen aus der Weltproduktion in Kombination mit den Füllmengen und den Kältemittelanteilen ermittelt.
- Der HFKW-Neuzugang Deutschlands wird aus dem weltweiten Neuzugang entsprechend seinem Anteil am Welthandel, der bei 10 % liegt, berechnet.
- Da Kühlcontainer nur außerhalb Deutschlands produziert werden, fallen im Inland keine Emissionen aus der Befüllung an.
- Der Jahresendbestand wird durch Aggregation der jährlichen HFKW-Neuzugänge seit 1993 und Subtraktion der Abgänge durch Entsorgung ermittelt.
- Bestandsemissionen werden mit Gleichung 2 berechnet.
- Bei einer durchschnittlichen Lebensdauer von 14 Jahren, treten Entsorgungsemissionen bei Kühlcontainern erstmals im Jahr 2007 auf. Diese werden durch Gleichung 4 errechnet.

Emissionsfaktoren

Die den Emissionsdaten zugrunde liegenden EF sind in Tabelle 193 wiedergegeben.

Die verwendeten Emissionsfaktoren sind das Ergebnis von Expertenbefragungen und Literaturauswertungen.

Die Befüllungsemissionen sind bei Kühlfahrzeugen im Allgemeinen gering. Die Kältemittelverluste beim Befüllen werden auf 5 Gramm pro Anlage geschätzt, unabhängig von deren Größe. Dies ist ein Standardwert für Schlauchverluste bei Vor-Ort-Befüllungen. Werden die Befüllungsemissionen rechnerisch auf den Neuverbrauch bezogen, so ergeben sich Emissionsfaktoren zwischen 0,06 und 0,25 %. Die 2006 IPCC Guidelines geben in Vol. 3, Tabelle 7.9 für „initial emission“ in der Transportkälte 0,2 bis 1 Prozent der Erstbefüllung an. Damit liegen die verwendeten Werte zum größten Teil unter dem in den IPCC Guidelines vorgeschlagenen Wertebereich.

Da es keine Inlandsproduktion von Kühlcontainern gibt, fallen keine Befüllungsemissionen an.

Die laufenden HFKW-Emissionen aus Kälteaggregaten von Kühlfahrzeugen werden für Neuanlagen von 5-22 t zulässigem Gesamtgewicht auf 15 % geschätzt. Für Anlagen bis zu 5 t zulässigem Gesamtgewicht beträgt der Emissionsfaktor 30 %. Für Kühlfahrzeug-Altanlagen (umgerüstete FCKW-12-Anlagen) wird der Emissionsfaktor des Bestands über alle Anlagengrößen auf durchschnittlich 25 % geschätzt. Die Emissionsfaktoren von Kühlfahrzeugen liegen damit an der unteren Grenze des in den 2006 IPCC Guidelines in Vol. 3, Tabelle 7.9 angegebenen Wertebereichs von 15 bis 50 %.

Der Bestandsemissionsfaktor für Kälteaggregate von Kühlcontainern beträgt 10 % und liegt damit unterhalb des in den 2006 IPCC Guidelines in Vol. 3, Tabelle 7.9 angegebenen Wertebereichs von 15 bis 50 %.

Die Lebensdauer von Kühlfahrzeug-Altanlagen beträgt 7 Jahre, die von Kühlfahrzeug-Neuanlagen 10 Jahre. Die Entsorgung von Kühlcontainern setzt nach einer durchschnittlichen Lebensdauer von 14 Jahren ein. Die verwendeten Lebensdauern liegen damit, mit Ausnahme von Kühlfahrzeug-Altanlagen, über der in den 2006 IPCC Guidelines (Vol. 3, table 7.9) angegebenen Größenordnung von 6 bis 9 Jahren.

Der in Kühlfahrzeugen und Kühlcontainern enthaltene Restfüllstand beträgt bezogen auf die Erstfüllmenge 87,5 %. In den 2006 IPCC Guidelines (Vol. 3, table 7.9) sind Werte von 0 bis 50 % für Transportkälteanlagen angegeben. Die verwendeten Werte sind alle größer als in den Guidelines angegeben, da davon ausgegangen werden muss, dass Transportkälteanlagen, die nur noch über 50 % der Erstfüllmenge verfügen, nicht mehr einwandfrei funktionieren und so eine lückenlose Kühlkette gefährden. Dies ist mit deutschem Recht nicht vereinbar.

Die Rückgewinnungsfaktoren betragen für Kühlfahrzeuge und Kühlcontainer 65,7 %. Damit liegen die verwendeten Rückgewinnungsfaktoren innerhalb des in den 2006 IPCC Guidelines in Vol. 3, Tabelle 7.9 angegebenen Wertebereichs von 0 bis 70 % und sind Default-Werte.

Aktivitätsdaten

Die Zulassungszahlen von Kühlfahrzeugen nach Gewichtsklassen stammen bis 2008 und ab 2011 aus den statistischen Mitteilungen des Kraftfahrt-Bundesamtes (KBA). Da das Kraftfahrt-Bundesamt 2009 und 2010 keine gesonderten Erhebungen für Kühlfahrzeuge durchführte, wird die Anzahl neuer Kühlfahrzeuge für diese beiden Jahre durch Extrapolation der vom KBA ermittelten Zulassungszahlen von Nutzfahrzeugen bestimmt. Die Füllmengen der Kälteaggregate, verwendete Kältemittel und Details zum FCKW-12-Ersatz stammen von Experten der wichtigsten Anbieter von Kühlfahrzeug-Kälteanlagen.

Der Kältemittel-Neuzugang bei Kühlcontainern wird anhand eines Kältemittelmodells, ausgehend von der Anzahl der weltweit produzierten Kühlcontainer, die dem Branchen-Informationsdienst "World Cargo News" entnommen wird, ermittelt. Ein Anteil von 10 % wird Deutschland zugerechnet.

4.7.1.2.5 Mobile Klimaanlagen (2.F.1.e)

Mobile Klimaanlagen sind Fahrzeugklimaanlagen in Personenkraftwagen (Pkw), Lastkraftwagen bzw. Nutzfahrzeugen (Nfz), Bussen, Landmaschinen (Ackerschleppern, Mähdreschern, Feldhäckslern), Schienenfahrzeugen, auf Schiffen, in Flugzeugen und Hubschraubern. Teilfluorierte Kohlenwasserstoffe (HFKW) werden seit 1991 in mobilen Klimaanlagen eingesetzt. Als HFKW-Kältemittel wird HFKW-134a verwendet. Seit dem Jahr 2012 kommt in Pkw-Klimaanlagen auch HFKW-1234yf zum Einsatz.

Die Zeitreihen zeigen einen signifikanten Anstieg der Emissionen seit 1995, was in direktem Zusammenhang mit dem vermehrten Einsatz von Klimaanlagen in Fahrzeugen steht, trotz rückläufiger Füllmengen.

- Für *Pkw* wird folgendes Kältemittelmodell angewendet:
- Die Stückzahlen deutscher Pkw-Produktion sind aus öffentlich zugänglichen Statistiken des Verbands der Automobilindustrie (VDA) jährlich verfügbar. Sie bilden die Datenbasis zur Berechnung der Verbrauchsmengen für die Befüllung.
- Die Jahrgangs-Klimaanlagenquote wird direkt über umfangreiche Herstellerbefragungen erhoben, da keine amtlichen oder öffentlich verfügbaren Statistiken verfügbar sind. Dies gilt auch für die durchschnittlichen Kältemittelfüllmengen, die aus den Angaben für jeden Fahrzeugtyp und den Aussagen von Branchenexperten bestimmt werden.
- Durch Multiplikation der produzierten Stückzahlen mit der Jahrgangs-Klimaanlagenquote und den durchschnittlichen Kältemittelfüllmengen wird die Verbrauchsmenge für die Befüllung berechnet.
- Herstellungsemissionen werden nach Gleichung 1 errechnet.
- Für die Ermittlung des jährlichen Neuzugangs und des Kältemittelbestands in Pkw-Klimaanlagen werden nicht die jährlichen Fahrzeug-Neuzulassungen des Kraftfahrtbundesamtes (KBA) herangezogen, da der vorzeitige, vor Erreichen der durchschnittlichen Lebensdauer auftretende Fahrzeugschwund aus den Zulassungsjahrgängen, die den Bestand bilden, nicht quantitativ abgeschätzt werden kann.
- Der Kältemittelbestand wird vielmehr aus den zugelassenen Fahrzeugbeständen nach Alter seit Erstzulassung bestimmt. Diese amtlichen Zahlen sind in der Statistischen Mitteilung des KBA[70] für alle benötigten Jahre, d.h. ab 1991, verfügbar und ermöglichen die Bestimmung eines kontinuierlichen und chronologischen Fahrzeugbestands nach Zulassungsjahrgängen in Stückzahlen.
- Auch die Bestimmung der Jahrgangs-Klimaanlagenquote für die zugelassenen Fahrzeuge erfolgt direkt über umfangreiche Herstellerbefragungen. Sie ist nicht identisch mit der Klimaquote für die in Deutschland produzierten Pkw, da auch im Ausland produzierte Pkw berücksichtigt werden müssen. Zu ihrer Bestimmung werden deshalb auch ausländische Unternehmen befragt. Dies gilt ebenso für die Bestimmung der durchschnittlichen Kältemittelfüllmengen der zugelassenen Fahrzeuge.
- Für die Berechnung des Kältemittelbestands eines Zulassungsjahrgangs wird die jahrgangsspezifische Füllmenge mit der Stückzahl klimatisierter Pkw multipliziert. Der Gesamtbestand entspricht der Summe der Kältemittelbestände aller Zulassungsjahrgänge seit 1991.
- Bestandsemissionen werden gemäß Gleichung 2 berechnet.
- Der Austausch von FCKW in Altanlagen und die Klimaanlagennachrüstung werden gesondert berücksichtigt.
- Für die Bestimmung der Entsorgungsmenge werden nur die Altfahrzeuge berücksichtigt, die jährlich in deutschen Demontagebetrieben behandelt werden. Deren Anzahl wird amtlichen Daten für das Altfahrzeugaufkommen[71] (s. auch UBA/BMUB, 2016) entnommen. Gebrauchtwagen- und Altfahrzeugexporte bleiben im Kältemittel-Modell unberücksichtigt, da die bei der Entsorgung auftretenden Emissionen in den Zielländern berichtet werden müssen, und eine Doppelnennung vermieden werden soll.

[70] KBA "Fahrzeugzulassungen Bestand an Kraftfahrzeugen und Kraftfahrzeuganhängern nach Fahrzeugalter 1. Januar 2015".

[71] Statistisches Bundesamt, Fachserie 19 / Reihe 1, Umwelt Abfallentsorgung.

- Für die demontierten Altfahrzeuge wird eine durchschnittliche Lebensdauer von 15 Jahren angenommen. Durch Multiplikation der Stückzahlen demontierter Fahrzeuge mit der Klimaanlagenquote und der durchschnittlichen Kältemittelfüllmenge des Neuzulassungsjahrgangs vor 15 Jahren, kann nun die Kältemittelentsorgungsmenge ermittelt werden.
- Entsorgungsemissionen traten erstmals im Jahr 2002 auf und werden mit Gleichung 4 berechnet.
- Emissionen des nicht berichtspflichtigen HFKW-1234yf berichtet Deutschland gemäß den Empfehlungen der UNFCCC Reporting Guidelines 2014 (FCCC/CP/2013/10/Add.3, Decision 24/CP.19) freiwillig unter „additional greenhouse gases“. Die HFKW-1234yf-Emissionen werden mit anderen nicht berichtspflichtigen Emissionen zusammengefasst und in Kapitel 4.9.3 unter CRF 2.H.3 berichtet.

Die Kältemittelmodelle für *Nutzfahrzeuge* und *Busse* sind ähnlich aufgebaut wie das Modell für Pkw. Eine ausführliche Beschreibung der Modelle findet sich in SCHWARZ et al., o.J.

Das für *Landmaschinen*, *Schiffe* und *Schienenfahrzeuge* genutzte Kältemittelmodell sieht folgendermaßen aus:

- Für Schiffe und Schienenfahrzeuge werden die Kältemittelemissionen auf Basis der jährlichen Neuinstallationen von Klimaanlagen in Schiffen (Ausgangsdaten: Schiffsneubauten für die deutsche Flotte) und in Schienenfahrzeugen (Ausgangsdaten: Neubeschaffungen der deutschen Bahn und privater Unternehmen) und deren Füllmengen bestimmt.
- Das Kältemittelmodell für Klimaanlagen in Landmaschinen beruht auf der Ermittlung der Anzahl der jährlichen Fahrzeug-Neuzulassungen, der durchschnittlichen Klimaanlagenquote und der durchschnittlichen Füllmenge der verschiedenen Landmaschinentypen.
- Der jährliche Neuzugang sowie der Endbestand an HFKW-134a für jeden Bereich wird aus den Angaben zuvor ermittelt.
- Bestandsemissionen werden gemäß Gleichung 2 durch Multiplikation des Endbestandes für jeden Bereich mit dem jeweiligen $EF_{Anwendung}$ errechnet.
- Der inländische Verbrauch an HFKW-134a zur Herstellung von mobilen Klimaanlagen wird aufbauend auf Produktionsstückzahlen ermittelt. Die Herstellungsemissionen werden nach Gleichung 1 errechnet.
- Entsorgungsemissionen bei Landmaschinen treten erstmalig im Jahr 2004, nach Ablauf einer durchschnittlichen Lebensdauer von 10 Jahren, auf. Diese werden durch Gleichung 4 errechnet. Klimaanlagen in Schiffen und Schienenfahrzeugen werden, bedingt durch ihre lange Lebensdauer von 25 Jahren, noch nicht entsorgt.

Für *Flugzeuge und Hubschrauber* wird folgendes Kältemittelmodell angewendet:

- Für die Ermittlung des Kältemittelbestands in Klimaanlagen mittelgroßer, mehrmotoriger Flugzeuge (Kennzeichenklasse I) und Hubschrauber (Kennzeichenklasse H) sowie in der Bordkühlung von Passagierflugzeugen der Kennzeichenklassen A, B und C wird die jeweilige Anzahl der in Deutschland zugelassenen Flugzeuge bzw. Hubschrauber herangezogen. Diese amtlichen Zahlen sind in den jährlich veröffentlichten Statistiken des Luftfahrt-Bundesamtes[72] für alle benötigten Jahre, d.h. ab 1993, verfügbar.
- In Passagierflugzeugen der Kennzeichenklassen A, B und C werden bei Flügen von über vier Stunden durchschnittlich drei HFKW-134a-Chiller mit einer Füllmenge von jeweils 500g für die Bordkühlung eingesetzt.

[72] http://www.lba.de/DE/Presse_POE/Statistiken/Statistik_Luftfahrzeuge.html?nn=700678.

- In Flugzeugen der Kennzeichenklasse I und Hubschraubern kommen laut Herstelleraussagen pro Flugzeug durchschnittlich 2 kg HFKW-134a zur Instrumentenkühlung und Klimatisierung zum Einsatz.
- Für die Berechnung des Kältemittelbestands wird die flugzeugspezifische Füllmenge mit der Stückzahl der zugelassenen klimatisierten bzw. gekühlten Flugzeuge multipliziert.
- Bestandsemissionen werden gemäß Gleichung 2 berechnet.
- Entsorgungsemissionen treten aufgrund der langen Lebensdauer der Flugzeuge bisher nicht auf.

Emissionsfaktoren

Die den Emissionsdaten zugrunde liegenden EF sind in Tabelle 193 wiedergegeben.

Die verwendeten Emissionsfaktoren sind das Ergebnis von Literaturauswertungen (z.B. ÖKO-RECHERCHE / ECOFYS 2003; SIEGL et. al. 2002; CLODIC et al. 2011 und 2012; SCHWARZ et al. o.J.), Messungen (Pkw), Auswertungen von Werkstattdokumentationen und umfangreichen Expertenbefragungen sowie Umfragen bei Pkw-Werkstätten und Demontagebetrieben. Zu den regulären Emissionen während des Betriebs kommen hier noch Emissionen durch Unfälle und andere äußere Einflüsse hinzu.

Die Befüllungsemissionen sind bei mobilen Klimaanlagen im Allgemeinen gering. Die Kältemittelverluste beim Befüllen werden bei Pkw auf 3 Gramm pro Anlage geschätzt, bei Nfz und Landmaschinen auf 5 Gramm pro Anlage und bei Bussen auf 50 Gramm pro Anlage. Dabei handelt es sich um Standardwerte für Schlauchverluste bei Vor-Ort-Befüllungen. Werden die Befüllungsemissionen rechnerisch auf den Neuverbrauch bezogen, so ergeben sich in Abhängigkeit von jährlich sich ändernder Erstfüllmengen Emissionsfaktoren zwischen 0,25 - 0,63 % (Pkw), 0,42 - 0,66 % (Nfz), 0,28 - 0,35 % (Landmaschinen) und 0,42 - 0,45 % (Busse). Bei Schienenfahrzeugen beträgt der Emissionsfaktor der Befüllung 0,5 % und bei Schiffen 1 %. Die 2006 IPCC Guidelines geben in Vol. 3, Tabelle 7.9 für „initial emission“ bei mobilen Klimaanlagen (Pkw, Nfz, Busse und Schienenfahrzeuge) 0,2 bis 0,5 Prozent der Erstbefüllung an. Die Guidelines geben keine Werte für Landmaschinen, Schiffe und Flugzeuge vor. Die verwendeten Werte für die in den Guidelines beschriebenen Fahrzeuge liegen somit zum größten Teil innerhalb des in den IPCC Guidelines vorgeschlagenen Wertebereichs.

Die laufenden HFKW-Emissionen werden für Pkw auf 10 % geschätzt, für Nutzfahrzeuge und Busse auf 15 %, für Schienenfahrzeuge auf 6 %, für Landmaschinen auf 15 % (Ackerschlepper) bzw. 25 % (Mähdrescher, Feldhäcksler), für Schiffe auf 10 % (Binnenpersonenschiffe), 20 % (Seepersonenschiffe) bzw. 30 % (Seegüterschiffe) und für Flugzeuge auf 5 %. Die verwendeten $EF_{Anwendung}$ liegen damit größtenteils im Bereich des in Vol. 3, Tabelle 7.9 der 2006 IPCC Guidelines gegebenen Vorschlags von 10 bis 20 % für Klimaanlagen in Pkw, Nfz, Bussen und Schienenfahrzeugen. Für Landmaschinen, Schiffe und Flugzeuge werden keine Vorschläge unterbreitet.

Die Entsorgung setzt nach einer durchschnittlichen Lebensdauer von 15 Jahren (Pkw, Nfz, Busse), 10 Jahren (Landmaschinen) bzw. 25 Jahren (Schienenfahrzeuge, Schiffe) ein. Bei Schienenfahrzeugen beginnt die Entsorgung erst im Jahr 2017, bei Schiffen im Jahr 2022. Mit Ausnahme von Schienenfahrzeugen und Schiffen liegen die verwendeten Lebensdauern innerhalb des in den 2006 IPCC Guidelines für Pkw, Nfz, Busse und Schienenfahrzeuge angegebenen Wertebereiches von 9 bis 16 Jahren.

Der in den Klimaanlagen enthaltene Restfüllstand beträgt bezogen auf die Erstfüllmenge 34 % (Pkw, Nfz, Busse, Landmaschinen). In den 2006 IPCC Guidelines (Vol. 3, table 7.9) sind Werte von 0 - 50 % angegeben. Die verwendeten Werte sind somit alle Default-Werte.

Wegen der seit dem Jahr 2002 in der Altfahrzeugverordnung geforderten geregelten Entsorgung und Verwertung von Altfahrzeugen entwickeln sich die Rückgewinnungsfaktoren bei Pkw und Nfz kontinuierlich nach oben, so dass die bei der Entsorgung auftretenden Verluste bezogen auf die Erstfüllmenge bzw. Restfüllmenge über die Jahre kleiner werden. Sie liegen für Pkw und Nfz im Jahr 2000 bei 38 % und im Jahr 2015 bei 43,3 %. Der Rückgewinnungsfaktor wird bei Bussen auf 38 % und bei Landmaschinen auf 11,7 % geschätzt. Damit liegen die verwendeten Rückgewinnungsfaktoren für Pkw, Nfz und Busse innerhalb des in den 2006 IPCC Guidelines in Vol. 3, Tabelle 7.9 angegebenen Wertebereichs von 0 bis 50 %. Für Landmaschinen werden keine Vorschläge gemacht.

Aktivitätsdaten

Zugelassene Fahrzeugbestände von Pkw, Nfz und Bussen sowie Neuzulassungen von landwirtschaftlichen Zugmaschinen werden vom Kraftfahrtbundesamt gemeldet. Die Anzahl der zugelassenen Flugzeuge stammt vom Luftfahrt-Bundesamt. Produktionszahlen stammen vom Verband der Automobilindustrie (VDA), vom Verband Deutscher Maschinen- und Anlagenbau (VDMA), sind anderen Statistiken entnommen oder basieren auf Herstellerbefragungen.

Bei den Pkw-Klimaanlagen werden Füllmengen und Jahrgangs-Klimaanlagenquoten durch Direktbefragung von Automobilunternehmen ermittelt, bei den anderen Fahrzeugtypen durch eine Kombination aus amtlichen Statistiken, gezielter Herstellerbefragung und Expertenschätzung.

4.7.1.2.6 Stationäre Klimaanlagen (2.F.1.f)

Zu den stationären Klimaanlagen zählen Raumklimageräte, Kaltwassersätze zur Gebäudeklimatisierung und industriellen Flüssigkeitskühlung, sowie Wärmepumpenanlagen und Wärmepumpen-Wäschetrockner.

4.7.1.2.6.1 Raumklimageräte

Raumklimageräte dienen der Temperierung der Innenraumluft einzelner Räume, ganzer Stockwerke oder kleinerer bis mittelgroßer Gebäude und liegen von der Leistung her unter der von Großklimaanlagen. Als Kältemittel kommen seit 1998 das HFKW-Gemisch R407C, ab 2001 das Gemisch R410A und ab 2014 der HFKW-32 zum Einsatz. Als halogenfreie Alternative wird in mobilen Raumklimageräten ab 1997 auch R290 verwendet.

Eine inländische Produktion von Raumklimageräten gibt es nicht. Raumklimageräte werden in der Regel befüllt importiert. Bei der Installation von fabrikmäßig hergestellten Single-Split-, Multi-Split- und VRF-Multi-Split-Geräten erfolgt jedoch eine Auffüllung der vor Ort verlegten Kältemittelleitungen. Dies ist bei mobilen, steckerfertigen Raumklimageräten nicht erforderlich.

Folgendes Kältemittelmodell wird für Raumklimageräte angewendet:

- Die *Raumklimageräte* werden in vier Kategorien eingeteilt, deren jeweilige Stückzahl von Neuanlagen jedes Jahr durch Anbieterbefragung und die in internationalen Publikationen veröffentlichten Zahlen ermittelt wird: kleine mobile Geräte, Single-Split-Geräte, Multi-Split-Geräte mit konstantem Volumenstrom des Kältemittels und VRF-Multi-Split-Systeme mit variablem Volumenstrom.

- Für jede Kategorie werden Füllmenge und prozentuale Anteile der verwendeten Kältemitteltypen entsprechend der jährlich verkauften Neuanlagen festgelegt. Aus der Absatzmenge und den o.g. Annahmen ergibt sich der jährliche Neuverbrauch, der identisch ist mit dem Neuzugang an Kältemitteln. Der Jahresendbestand wird durch Aggregation der jährlichen HFKW-Neuzugänge und Subtraktion der Abgänge durch Entsorgung ermittelt.
- Herstellungsemissionen treten nicht auf. Befüllungsverluste treten aber bei der Installation der ortsfesten Single-Split-Geräte, Multi-Split-Geräte und VRF-Multisplit-Systeme auf. Auf der Grundlage von Expertenbefragungen kommt es hierbei zu Installationsverlusten von 5 g pro Gerät (10 % der Auffüllmenge) bei Single-Split-Geräten, 20 g pro Gerät (1 % der Auffüllmenge) bei Multi-Split-Geräten und 45 g pro Gerät (1 % der Auffüllmenge) bei VRF-Multisplit-Systemen.
- Bestandsemissionen werden nach Gleichung 2 berechnet.
- Entsorgungsemissionen traten erstmals im Jahr 2008 nach einer durchschnittlichen Lebensdauer von 10 Jahren für mobile Geräte und Single-Split-Geräte bzw. 13 Jahren für Multi-Split- und VRF-Multi-Split-Geräte auf und werden mit Gleichung 4 berechnet.

Emissionsfaktoren

Die verwendeten Emissionsfaktoren sind das Ergebnis von Expertenbefragungen und Literaturauswertung und sind in Tabelle 193 wiedergegeben.

Der länderspezifische $EF_{Herstellung}$ = 1 % für Multi-Split- und VRF-Multi-Split-Geräte liegt innerhalb des in den 2006 IPCC Guidelines in Vol. 3, Tabelle 7.9 vorgeschlagenen Wertebereichs von 0,2 bis 1 %. Bei Single-Split-Geräten beträgt der Emissionsfaktor 10 %, was einem Verlust von 5 g Kältemittel bei 50 g Auffüllung entspricht, und liegt über den in den Guidelines angegebenen Werten.

Die Emissionsfaktoren der Anwendung sinken für alle Geräte innerhalb der Zeitreihe ab dem ersten Jahr der Anwendung kontinuierlich ab (siehe Tabelle 193). Sie liegen für mobile Raumklimageräte zwischen 3,4 % (1999) und 2,5 % (2015), für Single-Split-Geräte zwischen 6,9 % (1998) und 5 % (2015), für Multi-Split-Geräte zwischen 7,9 % (1998) und 5,1 % (2015) und für VRF-Multi-Split-Geräte zwischen 8,1 % (2003) und 6,0 % (2015). Die Anwendungs-Emissionsfaktoren liegen somit innerhalb des in den 2006 IPCC Guidelines in Vol. 3, Tabelle 7.9 vorgeschlagenen Wertebereichs von 1 bis 10 %.

Die geschätzte Lebensdauer liegt mit 10 Jahren (mobile Raumklimageräte, Single-Split-Geräte) bzw. 13 Jahren (Multi-Split-Geräte, VRF-Multi-Split-Geräte) innerhalb des in den 2006 IPCC Guidelines in Vol. 3, Tabelle 7.9 vorgeschlagenen Wertebereichs von 10 bis 20 Jahren. Bei VRF-Multi-Split-Geräten setzt die Entsorgung bei einer Lebensdauer von 13 Jahren erst im Jahr 2016 ein.

Der Restfüllstand bei Entsorgung beträgt 75 % bei mobilen Raumklimageräten und 87,5 % bei allen anderen Typen. Die 2006 IPCC Guidelines schlagen in Vol.3, Tabelle 7.9 Werte von 0 bis 80 % vor. Der für mobile Raumklimageräte verwendete Restfüllstand ist somit ein Default-Wert, die für Single-Split-Geräte und Multi-Split-Geräte verwendeten Werte liegen oberhalb des angegebenen Bereichs.

Die Rückgewinnungsfaktoren entwickeln sich kontinuierlich nach oben, so dass die bei der Entsorgung auftretenden Verluste bezogen auf die Erstfüllmenge bzw. Restfüllmenge über die Jahre kleiner werden. Bei mobilen Raumklimageräten beträgt der Rückgewinnungsfaktor im Jahr 2009 24,2 %, im Jahr 2015 32,5 %, bei Single-Split-Geräten beträgt er im Jahr 2008 37,9 % und im Jahr 2015 50 %, bei Multi-Split-Geräten liegt er im Jahr 2011 bei 62 % und im Jahr 2015 bei 70 %.

Damit liegen die verwendeten Rückgewinnungsfaktoren innerhalb des in den 2006 IPCC Guidelines in Vol. 3, Tabelle 7.9 angegebenen Wertebereichs von 0 bis 80 %.

Aktivitätsdaten

Die in Deutschland verkauften Stückzahlen der verschiedenen Gerätetypen sind über Fachpublikationen[73] und durch Anbieterbefragung jährlich verfügbar.

4.7.1.2.6.2 Kaltwassersätze (Chiller)

Kaltwassersätze zur Gebäudeklimatisierung und industriellen Flüssigkeitskühlung werden in drei Kategorien unterteilt: Chiller mit einer Kälteleistung unter 100 kW, Chiller mit einer Kälteleistung über 100 kW und Turboverdichteranlagen (Kälteleistung über 1500 kW). Die in Leistungsklassen eingeteilten Chiller verwenden Kolben-, Scroll- oder Schraubenverdichter.

In Turboverdichteranlagen kommt seit 1993 ausschließlich der HFKW-134a zum Einsatz. HFKW-134a wurde auch für die Umrüstungen von FCKW-12-Turboverdichteranlagen in den Jahren 1995 bis 1999 genutzt. Die wichtigsten in Chillern eingesetzten Kältemittel sind HFKW-134a (Einsatz ab 1993), ab 1998 R407C und seit 2004 auch R410A. Seit 2013 wird auch der HFKW-1234ze verwendet.

Es wird folgendes Kältemittelmodell für *Kaltwassersätze* angewendet:

- Kaltwassersätze werden in drei Kategorien eingeteilt, deren Anzahl an Neuanlagen jedes Jahr durch Expertenbefragung und internationale Absatzstatistiken ermittelt wird: Chiller ‹100 kW Kälteleistung, Chiller ›100 kW Kälteleistung und Turboverdichteranlagen im Leistungsbereich über 1500 kW.
- Für jede Kategorie werden eine durchschnittliche Füllmenge und die prozentualen Anteile der verwendeten Kältemitteltypen ermittelt. Die Füllmengen liegen bei 10 kg für Chiller ‹100 kW, 95 kg für Chiller ›100 kW und 630 kg für Turboverdichteranlagen.
- Aus der Anzahl der Neuanlagen und den o.g. Annahmen ergibt sich der jährliche HFKW-Zugang zum inländischen Bestand. Hier muss auch noch der Verbrauch für den FCKW-Ersatz in Altanlagen berücksichtigt werden.
- Durch Kenntnis des Vorjahresbestands, des Neuzugangs und des Abgangs kann der Jahresendbestand an Kältemitteln errechnet werden.
- Herstellungsemissionen werden durch Multiplikation der Verbrauchsmengen für die Befüllung mit dem $EF_{Herstellung}$ gemäß Gleichung 1 errechnet.
- Bestandsemissionen werden gemäß Gleichung 2 errechnet.
- Entsorgungsemissionen traten erstmals im Jahr 2003 auf (FCKW-Umrüstanlagen) und werden mit Gleichung 4 berechnet.
- Emissionen des nicht berichtspflichtigen HFKW-1234ze werden gemäß den Empfehlungen der UNFCCC Reporting Guidelines 2014 (FCCC/CP/2013/10/Add.3, Decision 24/CP.19) freiwillig als „additional greenhouse gases“ berichtet. Die Emissionen sind aggregiert mit anderen nicht berichtspflichtigen Emissionen in Kapitel 4.9.3 unter CRF 2.H.3 aufgeführt.

Emissionsfaktoren

Die verwendeten Emissionsfaktoren sind das Ergebnis von Expertenbefragungen. Sie sind in Tabelle 193 aufgeführt.

[73] Fachzeitschrift JARN – Japan Air Conditioning, Heating & Refrigeration News, Tokyo 107-0052, Special Edition “World Air Conditioner Market”.

Der Befüllungsverlust liegt mit 0,5 % innerhalb des in den 2006 IPCC Guidelines in Vol.3, Tabelle 7.9 vorgeschlagenen Wertebereichs von 0,2 bis 1 %. Um der Tatsache Rechnung zu tragen, dass eine große Menge der Kaltwassersätze vorgefüllt importiert wird, wird nicht der eigentliche $EF_{Herstellung}$ = 1 % verwendet.

Die laufenden HFKW-Emissionen werden für alle Kälteleistungsklassen bzw. Verdichterbauarten, Altersstufen und Kältemittel-Typen bis zum Jahr 2000 auf 6 % geschätzt. Danach nimmt der $EF_{Anwendung}$ kontinuierlich auf 3,4 % (2015) ab. Alle verwendeten Werte liegen damit im unteren Bereich des Vorschlags von 2 bis 15 Prozent der 2006 IPCC Guidelines (Vol. 3, table 7.9).

Die Lebensdauer von Kaltwassersätzen wird in den 2006 IPCC Guidelines in Vol. 3, Tabelle 7.9 mit 15 bis 30 Jahren angegeben. Die verwendeten Werte liegen in diesem Rahmen: 15 Jahre für Chiller kleiner und größer 100 kW Kälteleistung und 25 Jahre für Turboverdichteranlagen.

Der Restfüllstand bei Entsorgung beträgt 90 % für alle Typen von Kaltwassersätzen. Die 2006 IPCC Guidelines schlagen in Vol. 3, Tabelle 7.9 Werte von 80 bis 100 % vor. Die verwendeten Restfüllstände sind somit Default-Werte.

Die Rückgewinnungsfaktoren entwickeln sich bedingt durch technischen Fortschritt und zunehmende Sorgsamkeit im Umgang mit Kältemitteln kontinuierlich nach oben, so dass die bei der Entsorgung auftretenden Verluste bezogen auf die Erstfüllmenge bzw. Restfüllmenge über die Jahre kleiner werden. Bei Chillern kleiner und größer 100 kW Kälteleistung beträgt der Rückgewinnungsfaktor im Jahr 2003 65,8 %, im Jahr 2015 77,5 %, bei Turboverdichteranlagen beträgt er im Jahr 2003 69,5 % und im Jahr 2015 77,5 %. Die verwendeten Rückgewinnungsfaktoren liegen alle innerhalb des in den 2006 IPCC Guidelines in Vol. 3, Tabelle 7.9 angegebenen Wertebereichs von 0 bis 95 %.

Aktivitätsdaten

Die Anzahl an Neuanlagen wird jährlich durch Expertenbefragung und internationale Absatzstatistiken ermittelt. Die Statistiken werden von zwei Marktforschungsinstituten[74] erstellt.

Die durchschnittlichen Füllmengen und die prozentualen Anteile der verwendeten Kältemitteltypen wurden in Expertentreffen mit Industrievertretern ermittelt.

4.7.1.2.6.3 Wärmepumpenanlagen

Mit einer Wärmepumpenanlage wird mittels eines Kältemittelkreislaufs aus der Umgebungswärme in Luft, Erdreich oder Grundwasser Nutzwärme zur Heizung oder Klimatisierung von Innenräumen sowie für die Bereitstellung von Warmwasser erzeugt. Geräte, die die Umweltwärme der Außenwärme zur direkten Innenlufterwärmung nutzen, fallen unter die Kategorie der Raumklimageräte. Als Kältemittel kommen in Wärmepumpen seit 1995 der HFKW-134a und die HFKW-Gemische R404A und R407C zum Einsatz, seit 2001 auch R410A.

Methodisch ist das Kältemittel-Modell für *Wärmepumpen* wie das für Raumklimageräte aufgebaut:

- Es wird zwischen drei Kategorien von Heizwärmepumpen unterschieden: Luft - Wasser, Erdreich (Grundwasser) - Wasser, Erdreich (Sole) - Wasser. Daneben gibt es als vierte Kategorie Brauchwarmwasser-Wärmepumpen.

[74] BSRIA, Großbritannien und die europäische Industrie-Assoziation EUROVENT, Brüssel. Beide Unternehmen gliedern den Markt für Kaltwassersätze sowohl nach Kompressortyp als auch nach Kälteleistung.

- Ausgangs- und Bezugspunkt für die Berechnungen sind die jährlichen Stückzahlen neu installierter Wärmepumpen aller vier Kategorien, die jährlich vom Bundesverband Wärmepumpe (BWP) veröffentlicht werden. Die Stückzahlen der neu installierten Brauchwarmwasser-Wärmepumpen werden auch als Produktionszahlen genutzt. Die Produktionszahlen von Heizungswärmepumpen sind um den Faktor 2 größer als die Installationszahlen. Den verschiedenen Wärmepumpentypen werden basierend auf den Werten des Neuzugangs mittlere HFKW-Füllmengen und prozentuale Anteile der HFKW-Typen zugeordnet. Das Modell enthält außerdem die Lebensdauern und Emissionsraten.
- Herstellungsemissionen werden durch Multiplikation der Verbrauchsmengen für die Befüllung mit dem $EF_{Herstellung}$ gemäß Gleichung 1 errechnet, Bestandsemissionen gemäß Gleichung 2.
- Wärmepumpen mit HFKW werden seit 1995 hergestellt und vertrieben. Bei einer Lebensdauer von durchschnittlich 15 Jahren treten Entsorgungsemissionen ab dem Jahr 2010 auf. Sie werden mit Gleichung 4 berechnet.

Emissionsfaktoren

Die den Emissionsdaten zugrunde liegenden Emissionsfaktoren (EF) sind in Tabelle 193 wiedergegeben.

Die verwendeten Emissionsfaktoren sind das Ergebnis von Expertenbefragungen.

Der Befüllverlust beträgt 0,5 %. Damit ist der $EF_{Herstellung}$ innerhalb des in den 2006 IPCC Guidelines in Vol. 3, Tabelle 7.9 vorgeschlagenen Wertebereichs von 0,2 bis 1 %.

Die jährlichen HFKW-Emissionen werden für Heizungs-Wärmepumpen auf 2,5 % geschätzt, für Warmwasser-Wärmepumpen auf 2 %. Die verwendeten $EF_{Anwendung}$ liegen damit im Bereich des Vorschlags der 2006 IPCC Guidelines (Vol. 3, table 7.9) von 1 bis 10 %.

Die Entsorgung setzt nach einer durchschnittlichen Lebensdauer von 15 Jahren ein. Die verwendete Lebensdauer liegt damit innerhalb des in den 2006 IPCC Guidelines in Vol. 3, Tabelle 7.9 angegebenen Wertebereichs von 10 bis 20 Jahren.

Der in den Wärmepumpen enthaltene Restfüllstand beträgt bezogen auf die Erstfüllmenge 75 %. In den 2006 IPCC Guidelines (Vol. 3, table 7.9) sind Werte von 0 - 80 % angegeben. Der verwendete Wert ist somit ein Default-Wert.

Der Rückgewinnungsfaktor für Wärmepumpen entwickelt sich, bedingt durch einen zunehmend sorgsameren Umgang mit Kältemitteln, kontinuierlich nach oben, so dass die bei der Entsorgung auftretenden Verluste bezogen auf die Erstfüllmenge bzw. Restfüllmenge über die Jahre kleiner werden. Der Rückgewinnungsfaktor beträgt im Jahr 2010 50 %, im Jahr 2015 57,5 %, Damit liegen alle verwendeten Rückgewinnungsfaktoren innerhalb des in den 2006 IPCC Guidelines in Vol. 3, Tabelle 7.9 angegebenen Wertebereichs von 0 bis 80 %.

Aktivitätsdaten

Der Bundesverband Wärmepumpe (BWP) veröffentlicht jährlich die Zahl der inländischen Neuinstallationen von Wärmepumpen, die die Grundlage für die Emissionsberechnung bilden.

Das Verhältnis von Produktions- und Installationszahlen basiert auf Aussagen von Wärmepumpenproduzenten.

4.7.1.2.6.4 Wärmepumpen-Wäschetrockner

Wärmepumpen-Wäschetrockner mit HFKW-Kältemitteln werden seit dem Jahr 2008 auf dem deutschen Markt vertrieben. Diese Haushaltsgeräte verwenden HFKW-134a oder das Kältemittelgemisch R407C als Kältemittel. Die Füllmenge in den hermetischen Geräten liegt zwischen 220 g und 485 g.

Von 2008 bis 2012 produzierte ein Unternehmen Wärmepumpen-Wäschetrockner mit dem Kältemittel HFKW-134a. Die Produktion wurde Ende 2012 ins Ausland verlagert.

Das Kältemittelmodell für *Wärmepumpen-Wäschetrockner* ist ähnlich aufgebaut wie das Modell für Raumklimageräte:

- Die wichtigsten Ausgangswerte sind die Stückzahlen für den Inlandsabsatz und die inländische Produktion sowie die Untergliederung in die beiden verwendeten Kältemittel, die den Werten des Inlandsabsatzes folgen. Der Gerätebestand wird aus der Summe der Neuzugänge errechnet.
- Herstellungsemissionen werden durch Multiplikation der Verbrauchsmengen für die Befüllung mit dem $EF_{Herstellung}$ gemäß Gleichung 1 errechnet, Bestandsemissionen gemäß Gleichung 2.
- Wärmepumpen-Wäschetrockner mit HFKW werden seit 2008 hergestellt und vertrieben. Bei einer Lebensdauer von durchschnittlich 15 Jahren treten Entsorgungsemissionen erst ab dem Jahr 2023 auf.

Emissionsfaktoren

Die verwendeten Emissionsfaktoren sind das Ergebnis von Expertenaussagen. Sie sind in Tabelle 193 wiedergegeben.

Der Befüllverlust beträgt 0,5 %. Der $EF_{Herstellung}$ ist länderspezifisch, da die IPCC Guidelines diese Geräte nicht erfassen.

Die laufenden HFKW-Emissionen dieser hermetischen Geräte werden auf 0,3 % geschätzt. Auch hierfür gibt es keine Vorgaben in den IPCC Guidelines.

Aktivitätsdaten

Wärmepumpen-Wäschetrockner sind ein relativ neues Produkt, über das erst wenige statistische Daten und technische Informationen vorliegen. Das Kältemittelmodell basiert daher fast ausschließlich auf Aussagen von Herstellerunternehmen (s. SCHWARZ et al., o.J.).

4.7.1.3 Unsicherheiten und Zeitreihenkonsistenz (2.F.1 alle)

Die Emissionsfaktoren sind mit größeren Unsicherheiten behaftet. Die in der Literatur (s. Kältemittelmodelle) zu findende breite Streuung von Emissionsfaktoren für identische Anwendungen ist nur teilweise Folge technischer Veränderung, der Anlagendichtheit oder Ausdruck nationaler Unterschiede. In großem Maße resultiert sie aus realer Unsicherheit, da es noch zu wenig solide empirische Erforschungen ihrer Größen gibt (ÖKO-RECHERCHE 2007).

Aufgrund der genannten Unsicherheit bei den Emissionsfaktoren, aber auch aufgrund der Vielzahl von Einzelanwendungen (Anlagen) wird für die Emissionsdaten noch Präzisierungsbedarf gesehen. Zur Verbesserung der Datenqualität wurden die Daten mit den Verkaufsdaten (stoffbezogen) der Hersteller abgeglichen.

Bis zum Berichtsjahr 2001 hatte Deutschland nur aggregierte Emissionen über alle Untergruppen gemeldet. Im Rahmen der Emissionserhebung für die Jahre 1999 bis 2001 und der

Emissionserhebung für das Berichtsjahr 2002 wurden auch die Emissionen der Berichtsjahre 1995 bis 1998 überprüft und aufgrund neuer Erkenntnisse zu Einsatzmengen und Emissionsfaktoren aktualisiert. Alle Daten unterliegen weiterhin einer kontinuierlichen Verbesserung. Eine umfassende Überprüfung der Aktualität der verwendeten Kältemittelmodelle, Ausgangsdaten und Emissionsfaktoren erfolgte 2012.

Die Datenqualität der Emissionen aus mobilen Klimaanlagen ist gut. Denn es können die Jahresverbräuche von HFKW über die zugelassenen Fahrzeugbestände, Neuzulassungen, die Produktion und den Im- und Export von Pkw, die den Großteil dieses Sektors ausmachen, sowie der jährlichen Ermittlung der modellspezifischen Ausstattungsquoten mit Klimaanlagen und der zugehörigen Füllmengen statistisch recht genau ermittelt werden. Lediglich bei den Nutzfahrzeugen sind die Angaben mit größeren Unsicherheiten behaftet.

Auf der Grundlage der Ergebnisse des Gutachtens des Umweltbundesamtes (SCHWARZ et al., o.J.) wurden die Emissionsfaktoren aktualisiert und weisen jetzt in vielen Anwendungsbereichen eine kontinuierliche Entwicklung innerhalb der Zeitreihe auf. Insgesamt werden die EF als genau bewertet. In dem Gutachten wurden ebenfalls Restfüllstände und Rückgewinnungsfaktoren für alle Anwendungsbereiche von Kälte- und Klimaanlagen bestimmt, um den Anforderungen der 2006 IPCC Guidelines gerecht zu werden.

Eine Quantifizierung der Unsicherheiten für die gesamte Unterquellgruppe Kälte- und Klimaanlagen ist für die Berichterstattung 2015 erfolgt.

4.7.1.4 Kategoriespezifische Rückrechnungen (2.F.1 alle)

Bei Tieftemperaturanwendungen der Gewerbekälte und HFCKW-22-Umrüstanlagen (Subquellgruppe 2.F.1.a) werden für die Erstfüllung von Neuanlagen und die Erstfüllung der Umrüstanlagen mit R413A, R508A, R508B, Isceon 89 und R23 die vom Statistischen Bundesamt erhobenen Daten nach UStatG verwendet. Da die UStatG-Zahlen für HFKW erst im Dezember des Folgejahres vorlagen, musste eine Rekalkulation der 2014-Zahlen durchgeführt werden. Dies führte zu Änderungen der Emissionen von FKW-116, FKW-218, HFKW-125 und HFKW-23 der Produktion und Anwendung im Jahr 2014.

Bei den Zentralanlagen des Lebensmitteleinzelhandels (Subquellgruppe 2.F.1.a) wurde die zeitliche Verwendung von HFCKW- und HFKW-Kältemitteln aufgrund neuer wissenschaftlicher Erkenntnisse neu bewertet. Ebenso wurde der Einsatz halogenfreier Kältemittel und neuer HFKW-Kältemittelblends im Kältemittelmodell der Zentralanlagen implementiert. Dies führte zu Änderungen der Emissionen von HFKW-125, HFKW-134a, HFKW-143a und HFKW-32 der Produktion und Anwendung in den Jahren 1993 bis 2014 sowie der Entsorgung in den Jahren 2000 bis 2014.

In der Industriekälte (Subquellgruppe 2.F.1.c) wurde die Anzahl der im Jahr 2014 auf R404A und R407C umgerüsteten Kälteanlagen in Schlachthöfen und Kühlhäusern nach unten korrigiert. Eine Rekalkulation war auch für den Neuzugang an HFKW-227ea und HFKW-23 im Jahr 2014 notwendig, da die nach Umweltstatistikgesetz erhobenen Daten erst im Dezember des Folgejahres vorlagen. Dies führte zu Änderungen der Emissionen der Anwendung von HFKW-125, HFKW-134a, HFKW-143a und HFKW-32 und der Emissionen der Produktion und Anwendung von HFKW-227ea und HFKW-23 im Jahr 2014.

Bei Kühlfahrzeugen (Subquellgruppe 2.F.1.d) wurde die Anzahl der in Deutschland mit R404A produzierten Kühlfahrzeugen mit 2-5 t zulässigem Gesamtgewicht für die Jahre 2006 bis 2014 nach oben korrigiert. Dadurch erhöhten sich die Emissionen der Produktion von HFKW-125, HFKW-134a und HFKW-143a in den Jahren 2006 bis 2014.

Bei Bussen (Subquellgruppe 2.F.1.e) wurde die Klimaquote der im Jahr 2014 neu zugelassenen Busse nach oben korrigiert. Dadurch erhöhten sich die Bestandsemissionen von HFKW-134a im Jahr 2014.

Bei Nutzfahrzeugen (Subquellgruppe 2.F.1.e) mussten die Klimaquote und die Füllmenge der im Inland produzierten Fahrzeuge für das Jahr 2013 nach oben korrigiert werden. Dadurch erhöhten sich die HFKW-134a-Emissionen der Produktion im Jahr 2013. Außerdem waren eine Absenkung der Füllmengen und eine Erhöhung der Klimaquoten der in den Jahren 2013 und 2014 neu zugelassenen Nutzfahrzeuge erforderlich. Dies führte zu einer Erhöhung der Bestandsemissionen von HFKW-134a in den Jahren 2013 und 2014. Die Korrektur eines irrtümlicherweise falsch eingetragenen Wertes der im Jahr 2014 im Inland entsorgten Altfahrzeuge führte zu einer Erhöhung der Entsorgungsemissionen von HFKW-134a im Jahr 2014.

Bei Pkw (Subquellgruppe 2.F.1.e) wurden die Klimaquoten und die Füllmengen der im Inland produzierten Fahrzeuge für das Jahr 2013 nach unten und für das Jahr 2014 nach oben korrigiert. Dadurch sanken die HFKW-134a-Emissionen der Produktion im Jahr 2013, während sie im Jahr 2014 stiegen. Bei den Klimaquoten und Füllmengen der in den Jahren 2012 bis 2014 neu zugelassenen Pkw waren ebenso Korrekturen erforderlich. Dies führte zu einer Absenkung der Bestandsemissionen von HFKW-134a in den Jahren 2012 bis 2014. Außerdem wurde der falsch eingetragene Wert der im Jahr 2014 im Inland entsorgten Altfahrzeuge nach oben korrigiert. Dies führte zu einer Erhöhung der Entsorgungsemissionen von HFKW-134a im Jahr 2014.

Bei Raumklimageräten (Subquellgruppe 2.F.1.f) war eine Korrektur der prozentualen Anteile der verwendeten Kältemitteltypen für alle Gerätetypen ab 1998 erforderlich, da in der Vergangenheit der Anteil an R407C-Geräten unterschätzt und der an R410A-Geräten überschätzt wurde. Außerdem kam der HFCKW-22 länger in Raumklimageräten zu Einsatz als bisher angenommen. Darüber hinaus wurde ab 2014 R32 in Single-Split-Geräten verwendet, was bisher nicht im Inventar erfasst war. Ebenso blieb die Verwendung des halogenfreien R290 in mobilen Raumklimageräten bisher unberücksichtigt. Die Neubewertung der prozentualen Kältemittelanteile führte zu Änderungen der Emissionen der Produktion und der Anwendung von HFKW-125, HFKW-134a und HFKW-32 in den Jahren 1998 bis 2014 sowie zu Änderungen der Entsorgungsemissionen dieser HFKW in den Jahren 2010 bis 2014.

Bei Chillern <100 kW und >100 kW Kälteleistung (Subquellgruppe 2.F.1.f) wurden die prozentualen Kältemittelanteile ab 2005 korrigiert: der Anteil der R407C-Geräte wurde erhöht, der der R410A-Geräte abgesenkt. Die Neubewertung der Kältemittelanteile führte zu Änderungen der Emissionen der Produktion und der Anwendung von HFKW-125, HFKW-134a und HFKW-32 in den Jahren 2005 bis 2014.

Bei Wärmepumpen (Subquellgruppe 2.F.1.f) wurden die prozentualen Anteile der verwendeten HFKW-Kältemittel ab 1996 korrigiert. Auch hier wurde in der Vergangenheit der Anteil an R407C- und HFCKW-22-Geräten unterschätzt und der an R410A-Geräten überschätzt. Die Neubewertung der Kältemittelanteile führte zu Änderungen der Emissionen der Produktion und der Anwendung von HFKW-125, HFKW-134a und HFKW-32 in den Jahren 1996 bis 2014 sowie zu Änderungen der Entsorgungsemissionen dieser HFKW in den Jahren 2011 bis 2014.

Die Änderungen der Emissionen in der Unterkategorie Kälte- und Klimaanlagen (2.F.1) der Produktion, Anwendung und Entsorgung von FKW-116, FKW-218, HFKW-125, HFKW-134a, HFKW-143a, HFKW-152a, HFKW-227ea, HFKW-23 und HFKW-32 in den Jahren 1993 bis 2014 sind in Tabelle 195 aufgeführt.

Tabelle 195: Überblick über die durch Rekalkulationen hervorgerufenen Werteänderungen der Emissionen (EM) in der Unterquellgruppe Kälte- und Klimaanlagen (2.F.1) in der Produktion, Anwendung und Entsorgung von FKW-116, FKW-218, HFKW-125, HFKW-134a, HFKW-143a, HFKW-152a, HFKW-227ea, HFKW-23 und HFKW-32 in den Jahren 1993 bis 2014

	Einheit	1993	1994	1995	1996	1997	1998	1999	2000	2001	2002	2003
EM Produktion HFKW-125												
Submission 2016	t CO_2eq	336,67	2401	4790	9975	10330	10862	10104	10019	10129	9112	9522
Submission 2017	t CO_2eq	337,39	2409	4824	9520	9848	10407	9667	10927	11716	10724	11047
Differenz	**t CO_2eq**	**+0,72**	**+8**	**+33**	**-454**	**-481**	**-455**	**-437**	**+908**	**+1588**	**+1613**	**+1525**
EM Produktion HFKW-134a												
Submission 2016	t CO_2eq	2921,6	5829,3	10392	18511	22236	27846	30802	30255	31592	30157	30826
Submission 2017	t CO_2eq	2920,9	5820,5	10357	17954	21649	27282	30255	29064	29884	28527	29266
Differenz	**t CO_2eq**	**-0,7**	**-8,7**	**-34**	**-557**	**-588**	**-564**	**-547**	**-1191**	**-1709**	**-1630**	**-1560**
EM Produktion HFKW-143a												
Submission 2016	t CO_2eq	168	673	2429	9263	9713	10958	12039	11742	11776	10349	10450
Submission 2017	t CO_2eq	170	702	2545	8793	9214	10530	11687	13975	15164	13687	13764
Differenz	**t CO_2eq**	**+3**	**+30**	**+117**	**-470**	**-500**	**-428**	**-353**	**+2232**	**+3388**	**+3338**	**+3314**
EM Produktion HFKW-32												
Submission 2016	t CO_2eq	2,8	12	43	159	169	211	284	361	408	395	466
Submission 2017	t CO_2eq	2,6	10	35	134	143	180	248	259	291	288	344
Differenz	**t CO_2eq**	**-0,2**	**-2**	**-8**	**-25**	**-27**	**-31**	**-36**	**-101**	**-117**	**-107**	**-122**
EM Anwendung HFKW-125												
Submission 2016	t CO_2eq	9530	56554	141942	298973	454586	608669	730009	811909	889818	959017	1029778
Submission 2017	t CO_2eq	9544	56729	142735	301735	459379	614828	736433	829827	929366	1019247	1107088
Differenz	**t CO_2eq**	**+14**	**+175**	**+793**	**+2762**	**+4792**	**+6160**	**+6424**	**+17918**	**+39548**	**+60230**	**+77309**
EM Anwendung HFKW-134a												
Submission 2016	t CO_2eq	67648	176854	340665	634237	980469	1397569	1827541	2212569	2544476	2853106	3153733
Submission 2017	t CO_2eq	67633	176673	339847	631373	975490	1390069	1817085	2183668	2490537	2777548	3059439
Differenz	**t CO_2eq**	**-15**	**-180**	**-818**	**-2865**	**-4979**	**-7500**	**-10456**	**-28901**	**-53939**	**-75558**	**-94294**
EM Anwendung HFKW-143a												
Submission 2016	t CO_2eq	7990	22967	62761	199202	335761	483114	628349	720933	813252	890547	964607
Submission 2017	t CO_2eq	8039	23577	65531	208882	352571	506766	657908	780079	918834	1038374	1151665
Differenz	**t CO_2eq**	**+49**	**+610**	**+2771**	**+9680**	**+16810**	**+23652**	**+29558**	**+59146**	**+105582**	**+147827**	**+187058**
EM Anwendung HFKW-32												
Submission 2016	t CO_2eq	26	177	874	3198	5532	8296	11724	15387	18939	22720	27954
Submission 2017	t CO_2eq	23	136	689	2550	4406	6608	9389	11614	13538	16012	19610
Differenz	**t CO_2eq**	**-3**	**-41**	**-185**	**-648**	**-1126**	**-1687**	**-2335**	**-3774**	**-5401**	**-6708**	**-8344**

	Einheit	1993	1994	1995	1996	1997	1998	1999	2000	2001	2002	2003
EM Entsorgung HFKW-125												
Submission 2016	t CO_2eq								65355	62087	70383	84141
Submission 2017	t CO_2eq								62950	60718	68647	87140
Differenz	**t CO_2eq**								**-2405**	**-1370**	**-1736**	**+2999**
EM Entsorgung HFKW-134a												
Submission 2016	t CO_2eq								64668	61466	71999	85382
Submission 2017	t CO_2eq								59321	57115	67534	85776
Differenz	**t CO_2eq**								**-5347**	**-4351**	**-4465**	**+394**
EM Entsorgung HFKW-143a												
Submission 2016	t CO_2eq								86374	82056	93020	97840
Submission 2017	t CO_2eq								86469	83527	93745	104533
Differenz	**t CO_2eq**								**+94**	**+1472**	**+725**	**+6693**
EM Entsorgung HFKW-32												
Submission 2016	t CO_2eq								1442	1370	1553	1437
Submission 2017	t CO_2eq								1004	954	1160	1183
Differenz	**t CO_2eq**								**-438**	**-416**	**-393**	**-255**

Fortsetzung

	Einheit	2004	2005	2006	2007	2008	2009	2010	2011	2012	2013	2014
EM Produktion FKW-116												
Submission 2016	t CO_2eq											14,64
Submission 2017	t CO_2eq											20,76
Differenz	**t CO_2eq**											**+6,12**
EM Produktion FKW-218												
Submission 2016	t CO_2eq											6,18
Submission 2017	t CO_2eq											7,41
Differenz	**t CO_2eq**											**+1,23**
EM Produktion HFKW-125												
Submission 2016	t CO_2eq	10011	10828	12216	13015	17381	21594	24650	23930	19624	18666	18959
Submission 2017	t CO_2eq	11619	12215	13495	14347	18194	21689	24386	23999	18761	16564	16350
Differenz	**t CO_2eq**	**+1608**	**+1387**	**+1279**	**+1332**	**+813**	**+95**	**-264**	**+69**	**-863**	**-2102**	**-2609**
EM Produktion HFKW-134a												
Submission 2016	t CO_2eq	31921	32996	33961	34902	35220	31525	35761	37325	33983	33930	36134
Submission 2017	t CO_2eq	30386	31625	32683	33680	34253	30344	34734	36543	33580	33954	35929
Differenz	**t CO_2eq**	**-1535**	**-1371**	**-1278**	**-1221**	**-967**	**-1181**	**-1027**	**-782**	**-403**	**+24**	**-205**
EM Produktion HFKW-143a												
Submission 2016	t CO_2eq	10627	10762	11226	11353	12297	13297	13988	13635	12472	11957	11781
Submission 2017	t CO_2eq	13991	14068	14446	14540	15358	15941	15844	15188	13110	10880	10074
Differenz	**t CO_2eq**	**+3364**	**+3305**	**+3220**	**+3187**	**+3061**	**+2643**	**+1856**	**+1553**	**+638**	**-1078**	**-1707**

	Einheit	2004	2005	2006	2007	2008	2009	2010	2011	2012	2013	2014
EM Produktion HFKW-227ea												
Submission 2016	t CO_2eq											64
Submission 2017	t CO_2eq											46
Differenz	**t CO_2eq**											**-18**
EM Produktion HFKW-23												
Submission 2016	t CO_2eq											666
Submission 2017	t CO_2eq											776
Differenz	**t CO_2eq**											**+110**
EM Produktion HFKW-32												
Submission 2016	t CO_2eq	535	673	876	1010	1278	1157	1249	1393	1482	1576	1707
Submission 2017	t CO_2eq	422	523	713	861	1041	935	1042	1182	1228	1300	1412
Differenz	**t CO_2eq**	**-113**	**-150**	**-162**	**-149**	**-238**	**-222**	**-207**	**-211**	**-255**	**-276**	**-294**
EM Anwendung FKW-116												
Submission 2016	t CO_2eq											1539
Submission 2017	t CO_2eq											1620
Differenz	**t CO_2eq**											**+81**
EM Anwendung FKW-218												
Submission 2016	t CO_2eq											4276
Submission 2017	t CO_2eq											4292
Differenz	**t CO_2eq**											**+16**
EM Anwendung HFKW-125												
Submission 2016	t CO_2eq	1084257	1114857	1155875	1218473	1317812	1461103	1610269	1735578	1769247	1779838	1816466
Submission 2017	t CO_2eq	1180583	1224743	1276022	1353865	1465249	1613949	1758909	1883191	1906764	1895992	1896768
Differenz	**t CO_2eq**	**+96326**	**+109886**	**+120147**	**+135392**	**+147437**	**+152846**	**+148640**	**+147613**	**+137517**	**+116154**	**+80302**
EM Anwendung HFKW-134a												
Submission 2016	t CO_2eq	3453207	3753398	4056508	4015124	4218521	4433857	4599339	4752960	4854917	4926116	4989720
Submission 2017	t CO_2eq	3340729	3627844	3920705	3864864	4054485	4260024	4419816	4569249	4670514	4738033	4812704
Differenz	**t CO_2eq**	**-112478**	**-125554**	**-135804**	**-150261**	**-164036**	**-173833**	**-179523**	**-183711**	**-184403**	**-188083**	**-177015**
EM Anwendung HFKW-143a												
Submission 2016	t CO_2eq	1048672	1115300	1184689	1270896	1363727	1431866	1485837	1525594	1533315	1522849	1516931
Submission 2017	t CO_2eq	1276157	1375568	1473810	1596987	1726550	1815556	1873347	1918417	1920668	1884088	1827198
Differenz	**t CO_2eq**	**+227485**	**+260267**	**+289121**	**+326091**	**+362824**	**+383691**	**+387510**	**+392822**	**+387353**	**+361239**	**+310267**
EM Anwendung HFKW-227ea												
Submission 2016	t CO_2eq											3291
Submission 2017	t CO_2eq											3185
Differenz	**t CO_2eq**											**-106**

	Einheit	2004	2005	2006	2007	2008	2009	2010	2011	2012	2013	2014
EM Anwendung HFKW-23												
Submission 2016	t CO_2eq											61867
Submission 2017	t CO_2eq											62437
Differenz	**t CO_2eq**											**+570**
EM Anwendung HFKW-32												
Submission 2016	t CO_2eq	34096	40995	49249	59158	70240	78946	87939	97847	106818	114909	123295
Submission 2017	t CO_2eq	24322	29676	36218	44356	53061	60164	67856	76391	84047	91253	99456
Differenz	**t CO_2eq**	**-9774**	**-11319**	**-13031**	**-14802**	**-17178**	**-18782**	**-20084**	**-21456**	**-22771**	**-23656**	**-23838**
EM Entsorgung HFKW-125												
Submission 2016	t CO_2eq	169262	229746	239045	221281	193166	109788	110478	130257	232442	260705	271226
Submission 2017	t CO_2eq	162894	229388	226875	220932	180022	104618	114358	130345	230069	247102	284368
Differenz	**t CO_2eq**	**-6368**	**-359**	**-12171**	**-349**	**-13144**	**-5170**	**+3880**	**+89**	**-2374**	**-13602**	**+13142**
EM Entsorgung HFKW-134a												
Submission 2016	t CO_2eq	100416	130077	160421	148601	161018	375295	203290	243651	301876	332973	361813
Submission 2017	t CO_2eq	93564	127225	146508	146244	146263	368346	203718	240731	294984	320306	332791
Differenz	**t CO_2eq**	**-6852**	**-2853**	**-13913**	**-2356**	**-14756**	**-6949**	**+428**	**-2920**	**-6892**	**-12667**	**-29022**
EM Entsorgung HFKW-143a												
Submission 2016	t CO_2eq	94922	105928	123542	105364	105321	109444	124153	149562	182031	183876	195805
Submission 2017	t CO_2eq	87240	108174	109748	107094	90131	104713	132152	155125	191086	193042	246911
Differenz	**t CO_2eq**	**-7683**	**+2246**	**-13794**	**+1730**	**-15190**	**-4731**	**+7999**	**+5563**	**+9054**	**+9166**	**+51106**
EM Entsorgung HFKW-32												
Submission 2016	t CO_2eq	1423	1908	2210	1919	1996	2442	3433	5323	10249	16702	21962
Submission 2017	t CO_2eq	1196	1580	1672	1654	1450	2081	3181	4684	8763	13141	17142
Differenz	**t CO_2eq**	**-227**	**-328**	**-538**	**-265**	**-546**	**-361**	**-252**	**-638**	**-1485**	**-3560**	**-4819**

4.7.1.5 Geplante Verbesserungen, kategoriespezifisch (2.F.1 alle)

Derzeit sind keine Verbesserungen geplant.

Sofern in vorhergehenden Berichterstattungen in diesem Kapitel Verbesserungen benannt wurden, sind diese in Form einer Übersicht unter Kapitel 10.4 Verbesserungen des Inventars, Tabelle 426 zu finden. Sind diese bereits erledigt, sind sie im selben Kapitel in Tabelle 425 abgebildet.

4.7.2 Schaumherstellung (2.F.2)

Auch bei der Schaumherstellung werden seit 1993 teilfluorierte Kohlenwasserstoffe (HFKW) als Ersatz für die Ozonschicht schädigenden und klimaschädlichen FCKW und HFCKW als Treibmittel eingesetzt.

Dabei kann zwischen offenzelligen und geschlossenzelligen Schaumprodukten unterschieden werden. Bei offenzelligen Schaumprodukten emittiert das Treibmittel nur während des Produktionsprozesses bzw. kurz danach. Zu den offenzelligen Schaumprodukten, die in Deutschland produziert und verwendet werden, zählen Polyurethan-Integralschaum, Polyurethan-Montageschaum und mit HFKW-152a-geschäumter extrudierter Polystyrolhartschaum (XPS). Bei geschlossenzelligen Schaumprodukten treten während der gesamten Lebensdauer Emissionen auf: bei der Produktion, bei der Anwendung und bei der Entsorgung. Hierzu zählen Polyurethan-Hartschaum und extrudierter Polystyrolhartschaum (XPS), der mit HFKW-134a oder HFKW-1234ze geschäumt wurde. Beide geschlossenzellige Schaumprodukte werden in Deutschland produziert und verwendet.

4.7.2.1 Geschlossenzellige Polyurethan-Hartschaumprodukte (2.F.2 PU hard foam)

4.7.2.1.1 Beschreibung der Kategorie (2.F.2 PU hard foam)

Geschlossenzellige Polyurethan (PU)-Hartschaumprodukte kommen in vielen verschiedenen Anwendungen vor, z.B. in Haushaltsgeräten, Kühlfahrzeugen, flexibel beschichteten Dämmplatten oder starr beschichteten Sandwichelementen. Neben dem HFKW-134a, der von 1998 bis 2003 als Treibmittel zum Einsatz kam, werden seit 2002 HFKW-365mfc (mit einem geringen Zusatz an HFKW-227ea) und seit 2004 HFKW-245fa eingesetzt. HFKW-245ca wird in Deutschland nicht angewendet. Die Verwendung von HFKW geht zugunsten von Kohlenwasserstoffen wie Pentan, und in geringen Mengen auch CO_2, zurück.

Die Zeitreihe beginnt erst 1998 und zeigt bis 2003 einen geringen Anstieg der Emissionen. 2004 ist ein größerer Anstieg zu verzeichnen. Dies steht in Einklang mit der historischen Entwicklung des HFKW-Einsatzes in dieser Anwendung, der in Folge des langen HFCKW-Einsatzes erst langsam beginnt. Von 2005 bis 2009 sinken die Emissionen von PU-Hartschaumprodukten wieder leicht ab. Nach einem leichten Anstieg im Jahr 2010 sind die Emissionen seitdem auf relativ konstantem Niveau.

4.7.2.1.2 Methodische Aspekte (2.F.2 PU hard foam)

Herstellungsemissionen werden durch Multiplikation der HFKW-Menge, die spätestens innerhalb eines Jahres nach Fertigungszeitpunkt emittiert ist (Erstjahresverlust), mit dem $EF_{Herstellung}$ gemäß Gleichung 1 errechnet, Bestandsemissionen gemäß Gleichung 2.

Bei einer durchschnittlichen Lebensdauer von bis zu 50 Jahren (Sandwichelemente) setzt die Entsorgung der PU-Hartschaumprodukte erst in einigen Jahren ein.

Emissionsfaktoren

Die verwendeten Emissionsfaktoren können Tabelle 194 entnommen werden.

Der Emissionsfaktor der Produktion mit HFKW-134a beträgt 10 % und entspricht dem in den 2006 IPCC Guidelines in Vol. 3, Tabelle 7.6 vorgeschlagenen Standardwert für „Polyurethane continuous panels".

Die Emissionsfaktoren für alle anderen HFKW wurden mit nationalen Experten abgestimmt und zum Teil angepasst. So wurde der Emissionsfaktor für die Herstellung von PU-Hartschaum unter Verwendung von HFKW-365mfc/HFKW-227ea ab 2004 von 10 % auf 15 % erhöht, da dieses HFKW-Gemisch verstärkt in offenen Anwendungen vor Ort, vor allem in Spritzschaum, eingesetzt wird. Der Emissionsfaktor der Produktion mit HFKW-245fa beträgt ebenfalls 15 %. Diese Werte liegen innerhalb der in den 2006 IPCC Guidelines in Vol. 3, Tabelle 7.7 vorgeschlagenen Standardwerte für „first year loss" der verschiedenen PU-Hartschaum-Anwendungen.

Die jährlichen HFKW-Emissionen aus dem „stock" werden für PU-Hartschaum, der mit HFKW-134a geschäumt wurde, auf 0,5 % geschätzt. Dies entspricht dem Default-Wert der 2006 IPCC Guidelines (Vol. 3, table 7.6) für „Polyurethane continuous panels". Die mit HFKW-365mfc/HFKW-227ea und HFKW-245fa geschäumten Produkte emittieren jährlich 1 % und liegen damit innerhalb der in den 2006 IPCC Guidelines in Vol. 3, table 7.7 vorgegebenen Default-Werten für verschiedene PU-Hartschaum-Anwendungen. Der verwendete Emissionsfaktor aus dem Bestand für HFKW-365mfc/HFKW-227ea stammt aus einer Abschätzung aus den Versuchsprodukten.

Aktivitätsdaten

Die Inlands-Neuverbräuche für jedes Treibmittel und jede Produktgruppe basieren auf den in Deutschland produzierten Mengen an Schaumprodukten. Die Bestände basieren auf den in Deutschland eingesetzten Mengen an Schaumprodukten (Verkauf in Deutschland) seit Einführung der HFKW. Abgänge, die den Bestand mindern, spielen bei einer Lebensdauer von bis zu 50 Jahren bis auf weiteres noch keine Rolle.

Inlands-Neuverbräuche und Inlands-Absatz an Schaumprodukten werden jährlich durch Herstellerbefragung, Anwenderbefragung, Befragung von Treibmittellieferanten und Verbandsinformationen (IVPU[75]) erhoben.

4.7.2.2 Geschlossenzelliger und offenzelliger XPS-Hartschaum (2.F.2 XPS)

4.7.2.2.1 Beschreibung der Kategorie (2.F.2 XPS)

Extrudierter Polystyrolhartschaum (XPS) wird für Dämmstoffplatten verwendet, die eine hohe Resistenz gegen Feuchtigkeit aufweisen sollen. Verbräuche und Emissionen von HFKW zur Herstellung von XPS-Dämmplatten gibt es erst seit 2001, da vorher HFCKW oder alternativ $CO_{2/Ethanol}$ eingesetzt wurde. Als Treibmittel kommen seit 2001 sowohl HFKW-152a als auch HFKW-134a zum Einsatz, entweder allein oder als Gemisch. Ab dem Jahr 2012 wird auch der HFKW-1234ze als Treibmittel eingesetzt. In Abhängigkeit vom Treibmittel zeigen XPS-Dämmstoffplatten ein unterschiedliches Emissionsverhalten. Bei Verwendung von HFKW-152a kommt es nur während der Produktion zu HFKW-Emissionen, so dass man von offenzelligen XPS-Dämmstoffplatten sprechen kann. Werden HFKW-134a oder HFKW-1234ze verwendet, entstehen geschlossenzellige XPS-Hartschaumprodukte, die auch während der Anwendung und bei der Entsorgung HFKW-Emissionen verursachen.

[75] IVPU - Industrieverband Polyurethan-Hartschaum e. V.

Die Zeitreihe beginnt im Jahr 2001 und zeigt zunächst einen leichten Anstieg der Emissionen bis zum Jahr 2005. Ab dem Jahr 2006 sinken die Emissionen kontinuierlich ab, was mit dem zunehmenden Einsatz nichthalogenierter Treibmittel bei der XPS-Hartschaumproduktion in Deutschland zusammenhängt.

4.7.2.2.2 Methodische Aspekte (2.F.2 XPS)

Herstellungsemissionen werden durch Multiplikation des HFKW-Neuverbrauchs der Produktion von XPS-Dämmplatten mit dem $EF_{Herstellung}$ gemäß Gleichung 1 errechnet.

Anwendungsemissionen errechnen sich gemäß Gleichung 2 aus dem inländischen HFKW-Endbestand in XPS-Dämmstoffen. Dieser erhöht sich jährlich nur durch Neuzugänge von HFKW-134a-haltigen und HFKW-1234ze-haltigen Dämmplatten. Abgänge vom Bestand spielen bei einer Lebensdauer von 50 Jahren noch keine Rolle. Der HFKW-Neuzugang entspricht nicht dem jährlichen Neuverbrauch abzgl. der Herstellungsemissionen. Denn durch den Außenhandel, besonders den Export von HFKW-134a- oder HFKW-1234ze-haltigem XPS, bilden nur 25 % (Kehrwert der Exportquote) des in den Produkten enthaltenen HFKW-134a bzw. HFKW-1234ze einen Neuzugang zum inländischen HFKW-Bestand.

Bei einer durchschnittlichen Lebensdauer der XPS-Dämmplatten von 50 Jahren setzt die Entsorgung frühestens im Jahr 2051 ein. Entsorgungsemissionen sind daher bisher nicht relevant.

Die Emissionen des nicht berichtspflichtigen HFKW-1234ze berichtet Deutschland gemäß den Empfehlungen der UNFCCC Reporting Guidelines 2014 (FCCC/CP/2013/10/Add.3, Decision 24/CP.19) freiwillig als „additional greenhouse gas". Die HFKW-1234ze-Emissionen werden aus Vertraulichkeitsgründen mit anderen nicht berichtspflichtigen Emissionen zusammengefasst und aggregiert in Kapitel 4.9.3 unter CRF 2.H.3 berichtet.

Emissionsfaktoren

Die verwendeten Emissionsfaktoren können Tabelle 194 entnommen werden.

Die Herstellungsemissionen (HFKW-Erstjahresverlust) für HFKW-152a betragen praktisch 100 % ($EF_{Herstellung}$ = 1), da es bei der Produktion nur als Treibmittel genutzt wird. Beim HFKW-134a emittiert bei der Schäumung nur eine Teilmenge des Verbrauchs, der Hauptteil geht in das Produkt ein. Der $EF_{Herstellung}$ von HFKW-134a wird empirisch bestimmt und vom Fachverband CEFIC[76] bzw. dessen Branchenverband EXIBA[77] mitgeteilt. Er unterliegt der Geheimhaltung. Bis zum Vorliegen experimenteller Messwerte wird für mit HFKW-1234ze geschäumte XPS-Dämmplatten der gleiche $EF_{Herstellung}$ angenommen wie für Dämmplatten, die mit HFKW-134a geschäumt wurden.

Das Auffangen und die Rückgewinnung der HFKW im Produktionsprozess wurden erprobt, bislang aber aus technischen und ökonomischen Gründen nicht umgesetzt.

Die 2006 IPCC Guidelines geben in Vol. 3, Tabelle 7.6 Default-Werte für mit HFKW-134a und HFKW-152a geschäumte Dämmplatten vor: Für den „first year loss" beträgt er 25 % für HFKW-134a und 50 % für HFKW-152a. Die in Deutschland verwendeten Werte weichen, besonders für HFKW-152a, stark davon ab, werden aber als repräsentativ eingeschätzt, da die Angaben auf Aussagen von Branchenexperten beruhen.

Der Sprecher des Fachverbands Polystyrol-Extruderschaumstoff e.V. (FPX) schätzte die jährlichen Ausgasungen von eingeschlossenem HFKW-134a-Zellgas im Jahr 2002 auf unter 1 %. Dem zugrunde liegt u.a. eine interne Studie der BASF über die Halbwertszeit verschiedener Zellgase,

[76] CEFIC – The European Chemical Industry Council
[77] EXIBA – European Extruded Polystyrene Insulation Board Association

u.a. auch HFKW-134a (WEILBACHER 1987). Der $EF_{Anwendung}$ aus dieser Laborstudie wird für den HFKW-134a benutzt. Die Diffusion aus den Platten ist dickeabhängig und kann nur als Durchschnitt bzw. als Wert für bestimmte Plattenstärken angegeben werden. Der verwendete Wert $EF_{Anwendung}$ = 0,66 % ist auf eine mittlere Plattenstärke bezogen und liegt unter dem in den 2006 IPCC Guidelines in Vol. 3, Tabelle 7.6 vorgeschlagenen Wert von 0,75 %. Für mit HFKW-1234ze geschäumte Dämmplatten gibt es keine Default-Werte in den 2006 IPCC Guidelines. Es wird der gleiche $EF_{Anwendung}$ angenommen wie für HFKW-134a.

Aktivitätsdaten

Für den Inlands-Neuverbrauch von HFKW-134a werden die Daten aus der Erhebung nach Umweltstatistikgesetz sowie Informationen aus Herstellerbefragung herangezogen.

Der Inlands-Neuverbrauch von HFKW-152a stammt aus der Erhebung nach Umweltstatistikgesetz.

Für den Inlands-Neuverbrauch von HFKW-1234ze werden die Daten aus der Erhebung nach Umweltstatistikgesetz und Informationen des Treibmittelherstellers herangezogen.

Alle für die Emissionsberechnung erforderlichen Daten, wie Verlustrate bei der Produktion und Außenhandelssaldo für HFKW-134a-haltige Dämmplatten stammen vom europäischen Fachverband (CEFIC bzw. EXIBA).

4.7.2.3 Offenzelliger Polyurethan-Integralschaum (2.F.2 PU integral foam)

4.7.2.3.1 Beschreibung der Kategorie (2.F.2 PU integral foam)

Offenzellige Polyurethan (PU)-Integralschäume sind Schaumstoffe, die einen porösen Kern und eine massive Randzone aufweisen. Ihre Herstellung erfolgt durch Reaktionsspritzgussverfahren. Dabei wird das Reaktionsgemisch inklusive des Treibmittels in flüssiger Form in die kalte Spritzgussform eingebracht. Bei der Verschäumungsreaktion emittiert das Treibmittel vollständig. PU-Integralschäume werden z.B. bei Sport- und Freizeitschuhsohlen, Autokarosserieteilen und Fensterprofilen eingesetzt. HFKW werden seit 1996 als Treibmittel bei der Produktion von PU-Integralschäumen eingesetzt.

In Deutschland werden neben dem HFKW-134a, der seit 1996 verwendet wird, seit dem Jahr 2002 auch HFKW-365mfc (mit einem geringen Zusatz an HFKW-227ea) und seit 2004 HFKW-245fa als Treibmittel eingesetzt. HFKW-245ca wird in Deutschland nicht angewendet.

Die Zeitreihe beginnt 1996 und verläuft bis zum Jahr 2002 relativ konstant. Von 2002 bis 2007 steigen die Emissionen kontinuierlich an. Der verzögerte Einsatz der HFKW ist auf den langen HFCKW-Einsatz in der PU-Integralschaumproduktion in Deutschland zurückzuführen. Ab dem Jahr 2008 ist ein starker Rückgang der Emissionen zu verzeichnen. Der Grund hierfür ist der verstärkte Einsatz von Kohlenwasserstoffen (z.B. Pentan) als Treibmittel, die die HFKW zunehmend verdrängen.

4.7.2.3.2 Methodische Aspekte (2.F.2 PU integral foam)

Gemäß 2006 IPCC-Guidelines (Seite 7.34, Gleichung 7.8) wird bei dieser offenen Anwendung die Emission gleich der bei der Produktion verwendeten HFKW-Menge (HFKW-Neuverbrauch) gesetzt.

Herstellungsemissionen werden durch Multiplikation des HFKW-Neuverbrauchs der Produktion mit dem $EF_{Herstellung}$ gemäß Gleichung 1 errechnet.

Anwendungsemissionen und Entsorgungsemissionen fallen nicht an, da das Treibmittel bereits vollständig bei der Produktion emittiert.

Emissionsfaktoren

Der verwendete Emissionsfaktor kann Tabelle 194 entnommen werden.

Die 2006 IPCC Guidelines geben für PU-Integralschäume, die mit HFKW-134a, HFKW-245fa oder HFKW-365mfc (mit einem Zusatz von HFKW-227ea) geschäumt werden, einen Default-Wert für den Erstjahresverlust (first year loss) von 95 % vor. Als jährlicher Verlust wird ein Wert von 2,5 % angegeben, so dass Emissionen über drei Jahre anfallen.

Laut den befragten inländischen Experten entweicht das Treibmittel bei Integralschäumen bis auf wenige Reste während des Schäumungsvorgangs. Die Reste gasen maximal innerhalb eines Zeitraums von zwei Jahren aus. Daher wird in Deutschland im Unterschied zu den IPCC Guidelines ein Emissionsfaktor der Produktion von 100 % als angemessen betrachtet.

Aktivitätsdaten

Die Inlands-Neuverbräuche für jedes Treibmittel basieren auf den in Deutschland produzierten Mengen an Integralschäumen.

Die Inlands-Neuverbräuche werden jährlich durch Herstellerbefragung, Anwenderbefragung, Befragung von Treibmittellieferanten und Verbandsinformationen (IVPU) erhoben.

4.7.2.4 Offenzelliger Polyurethan-Montageschaum (2.F.2 one-component PU foam)

4.7.2.4.1 Beschreibung der Kategorie (2.F.2 one-component PU foam)

Unter dem Begriff „Montageschaum“ wird offenzelliger Polyurethanschaum (PU-Schaum) verstanden, der aus Druckbehältern (Dosen) vor Ort, z.B. bei der Fenster- oder Türzargenmontage, ausgetragen wird. Als Treibmittel werden seit dem HFCKW-Verbot Gemische aus HFKW und Propan, Butan oder Dimethylether (DME) eingesetzt, wobei der HFKW-Anteil in den Dosen seit 1996 immer mehr reduziert worden ist.

HFKW-134a wird in Deutschland bereits seit 1992 bei der Produktion von PU-Montageschaumdosen eingesetzt, HFKW-152a fand zwischen 2002 und 2004 Verwendung. Importierte und in Deutschland verwendete Montageschaumdosen enthalten seit 1992 HFKW-134a und seit 1995 HFKW-152a.

Die Emissionen von PU-Montageschaum steigen von 1992 bis 1997 stark an, danach sinken sie bis zum Jahr 2010 kontinuierlich ab und sind seitdem auf relativ konstantem, niedrigem Niveau. Seit dem 4. Juli 2008 gilt, mit wenigen Ausnahmen, in der EU ein Verbot für das Inverkehrbringen von Einkomponentenschäumen, die mit fluorierten Treibhausgasen mit einem Treibhauspotential (Global Warming Potential, GWP) über 150 befüllt wurden. Die Höhe der zukünftigen Emissionen wird daher voraussichtlich relativ konstant auf einem niedrigen Niveau bleiben.

4.7.2.4.2 Methodische Aspekte (2.F.2 one-component PU foam)

Die Fertigungsemissionen werden aus der Zahl der jährlich in Deutschland abgefüllten Dosen und dem Treibmittelverlust pro Dose berechnet.

Gemäß 2006 IPCC-Guidelines (Seite 7.34, Gleichung 7.8) wird bei dieser offenen Anwendung die Emission gleich der in den Dosen verkauften Menge HFKW gesetzt. Anwendungsemissionen werden über die in den Dosen verkaufte Menge an HFKW mit Gleichung 2 berechnet.

Entsorgungsemissionen fallen nicht an, da das in den Montageschaumdosen enthaltene HFKW bereits vollständig bei der Anwendung emittiert.

Emissionsfaktoren

Die verwendeten Emissionsfaktoren können Tabelle 194 entnommen werden.

Der $EF_{Herstellung}$ wurde durch Experten- und Herstellerbefragung ermittelt und hatte von 1992 bis 2002 einen Wert von 1,5 g/Dose, ab dem Jahr 2003 nur noch 0,5 g/Dose, da die Gesamtfüllmengen der Dosen seitdem kleiner sind.

Die 2006 IPCC Guidelines geben in Vol. 3, table 7.6 einen Erstjahresverlust von 95 % und einen jährlichen Verlust von 2,5 % für Einkomponenten-Montageschäume an, so dass die Emissionen über insgesamt drei Jahre verteilt sind. Im Unterschied zur IPCC-Methode wird für das deutsche Inventar angenommen, dass sämtliche Emissionen im Verkaufsjahr entstehen ($EF_{Anwendung}$ = 100 %), da eine zügige Anwendung und Entsorgung erfolgt. Zwar sind verbrauchte Dosen bei der Entsorgung nicht vollständig leer, sondern enthalten noch etwa 8 % der ursprünglichen Schaummenge einschließlich Treibgas. Dieses Treibgas gelangt jedoch verzögert zum größten Teil ebenfalls in die Atmosphäre.

Aktivitätsdaten

Die für die Ermittlung der Befüllungsverluste (Fertigungsemissionen) benötigten Daten, die Anzahl der jährlich in Deutschland abgefüllten Dosen mit HFKW-134a bzw. HFKW-152a, der HFKW-Gehalt je Dose in Gramm und der spezifische Befüllungsverlust werden durch Expertenbefragung und Informationen von Herstellern erhoben.

Die Anzahl der jährlich in Deutschland verkauften Dosen mit dem Treibmittel HFKW-134a bzw. HFKW-152a und der HFKW-Gehalt je Dose in Gramm, die für die Ermittlung der Anwendungsemissionen benötigt werden, stammen von den Herstellern von Montageschaumdosen.

Die Daten zu Montageschaum vor dem Jahr 1995 stammen aus einem Gespräch mit führenden ausländischen Einkomponenten-Montageschaum-Anbietern aus dem Jahr 2006 sowie älteren Veröffentlichungen.

4.7.2.5 Unsicherheiten und Zeitreihenkonsistenz (2.F.2 alle)

Eine systematische Quantifizierung der Unsicherheiten für die Unterkategorie Schäume ist erfolgt.

Bei PU-Schaumprodukten werden die Emissionsangaben für die zurückliegenden Jahre als gut bewertet, da die eingesetzten HFKW-Mengen derzeit noch eher klein sind. Allerdings wird in Zukunft aufgrund der erwarteten Produktvielfalt ein guter Marktüberblick schwieriger.

Der XPS-Markt ist in Deutschland wegen weniger Hersteller überschaubar. Da die EF und AR in Zusammenarbeit mit den Herstellern erarbeitet wurden, werden sie als hinreichend genau bewertet.

Die Einsatzmengen der beiden HFKW-152a und HFKW-134a zur Produktion von XPS-Hartschaum wurden seit 2001 vom Fachverband recherchiert. Seit 2006 liegen darüber hinaus Daten aus der Erhebung nach Umweltstatistikgesetz vor. Da nur drei Hersteller HFKW für die XPS-Schäumung einsetzen, ist an der Datensicherheit der Aktivitätsdaten wenig zu zweifeln. Dies gilt auch für die Exportquote und die ermittelten HFKW-Herstellungsemissionen beim Einsatz von HFKW-134a.

Die Fertigungsemissionen bei der Anwendung des HFKW-152a von 100 % stimmen nicht mit den bisherigen IPCC-Schätzungen überein, wurden jedoch vom Fachverband als realistisch eingeschätzt.

Die durch eine Laborstudie erhaltene Emissionsrate aus dem laufenden Bestand wird angewendet, solange es keine zuverlässigen Messungen an wirklich genutzten Dämmplatten gibt, die in der Aussagekraft noch höher zu bewerten wären als Laborwerte.

4.7.2.6 Kategoriespezifische Rückrechnungen (2.F.2 alle)

Der Wert des Inlandsverbrauchs von HFKW-152a für die Produktion von XPS-Hartschaum wurde basierend auf den erst im Dezember 2015 vorliegenden Daten aus der Erhebung nach Umweltstatistikgesetz für das Jahr 2014 korrigiert. Aus Vertraulichkeitsgründen (es gibt nur einen Hersteller von XPS-Dämmplatten, die mit HFKW-152a produziert werden) erfolgt hier keine Quantifizierung der Emissionsänderung im Jahr 2014.

4.7.2.7 Geplante Verbesserungen, kategoriespezifisch (2.F.2 alle)

Derzeit sind keine Verbesserungen geplant.

Sofern in vorhergehenden Berichterstattungen in diesem Kapitel Verbesserungen benannt wurden, sind diese in Form einer Übersicht unter Kapitel 10.4 Verbesserungen des Inventars, Tabelle 426 zu finden. Sind diese bereits erledigt, sind sie im selben Kapitel in Tabelle 425 abgebildet.

4.7.3 Feuerlöschmittel (2.F.3)

4.7.3.1 Beschreibung der Kategorie (2.F.3)

Die bis 1991 als Feuerlöschmittel erlaubten Halone sind weitgehend durch ökologisch unbedenkliche Stoffe ersetzt worden; vor allem Inertgase wie Stickstoff und Argon in Anlagen zur Beflutung von zu löschenden Innenräumen und Pulver, CO_2 oder Schaum in Handfeuerlöschern.

Als Halonersatz wurde in Deutschland 1998 der HFKW-227ea zugelassen. Danach folgte 2001 der HFKW 236fa, der aber nur im militärischen Bereich eingesetzt wird. Seit 2002 ist auch HFKW-23 zugelassen, wird aber erst seit 2005 eingesetzt. Eine Zulassung von Feuerlöschmitteln ist heute zwar nicht mehr notwendig. Die Liste der eingesetzten Löschmittel hat sich aber trotzdem nicht erweitert, da alle Anwendungsbereiche mit halogenfreien und den genannten HFKW (besonders 227ea und 236fa) abgedeckt werden können.

Die HFKW-Feuerlöschmittel werden importiert und in Deutschland in Anlagen eingefüllt. Außenhandel bereits befüllter Anlagen kommt praktisch nicht vor. Die Zeitreihen beginnen erst nach 1995.

4.7.3.2 Methodische Aspekte (2.F.3)

Der jährliche HFKW-Neuzugang in inländischen Anlagen ist identisch mit der im Inland in Neuanlagen gefüllten Menge (HFKW-Neuverbrauch).

Da in Deutschland die Aktivitätsdaten für den HFKW-227ea und 236fa vorliegen, wird ein bottom-up Ansatz gewählt. Im Gegensatz zum top-down Ansatz IPCC-Guidelines 2006, (Vol. 3, Kapitel 7.6) werden Befüllungsemissionen berücksichtigt.

Für den HFKW-23 werden die installierten Mengen mangels Daten vom Umweltbundesamt geschätzt. Ab dem Berichtsjahr 2015 wird davon ausgegangen, dass aufgrund der Regelungen der Verordnung (EU) 517/2014 keine Neuanlagen mehr installiert werden.

Die durchschnittliche Lebensdauer von Feuerlöschanlagen wurde von 15 Jahren (2006 *IPCC Guidelines: Vol. 3, table 7.9) auf* 20 Jahre, aufgrund der übereinstimmenden Expertenmeinung, hochgesetzt.

Emissionsfaktoren

Die $EF_{Herstellung}$ basieren auf Expertenschätzungen.

Der $EF_{Anwendung}$ steigt für den HFKW-236fa, basierend auf Expertenschätzungen, von 1 % auf 4 % bis zum Jahr 2007, um die größere Wahrscheinlichkeit von Undichtigkeiten älterer Anlagen zu berücksichtigen. Die 4 % entsprechen den 2006 IPCC Guidelines. Auch für den HFKW-23 wird der Emissionsfaktor der Anwendung auf 4 % festgesetzt. Für den HFKW-227ea liegen konkrete Installations- und Nachfüllmengen vor, die über den von der Firma geschätzten Marktanteil auf den gesamten deutschen Markt hochgerechnet werden,

Für alle HFKW beträgt der Emissionsfaktor der Entsorgung 100 %, wobei derzeit noch keine Entsorgung stattfindet.

Aktivitätsdaten

Die Emissionsangaben zum HFKW-227ea basieren auf statistischen Erhebungen eines Unternehmens zu Einsatzmengen, Nachfüllmengen, Fehlauslösungen, Auslösungen im Brandfall und Probeflutungen in Deutschland (in Anlehnung an Tier 2). Aufgrund der von der Firma geschätzten Marktanteile wird eine Hochrechnung vorgenommen. Die Angaben zum HFKW-236fa basieren auf freiwilligen Firmenangaben. Die Angaben zum HFKW-23 beruhen auf Schätzungen des UBA.

4.7.3.3 Unsicherheiten und Zeitreihenkonsistenz (2.F.3)

Eine systematische Quantifizierung der Unsicherheiten für die Unterkategorie Feuerlöschmittel ist erfolgt.

4.7.3.4 Kategoriespezifische Rückrechnungen (2.F.3)

Rückrechnungen sind nicht erforderlich.

4.7.3.5 Geplante Verbesserungen, kategoriespezifisch (2.F.3)

Derzeit sind keine Verbesserungen geplant.

Sofern in vorhergehenden Berichterstattungen in diesem Kapitel Verbesserungen benannt wurden, sind diese in Form einer Übersicht unter Kapitel 10.4 Verbesserungen des Inventars, Tabelle 426 zu finden. Sind diese bereits erledigt, sind sie im selben Kapitel in Tabelle 425 abgebildet.

4.7.4 Aerosole (2.F.4)

In diesen Bereich fallen die Dosieraerosole (Metered Dose Inhalers, MDI), die im medizinischen Bereich angewendet werden, sowie die allgemeinen Aerosole und die sogenannten Novelty-Aerosole.

4.7.4.1 Dosieraerosole (2.F.4.a)

4.7.4.1.1 Beschreibung der Kategorie (2.F.4.a)

Dosieraerosole werden im medizinischen Bereich, überwiegend zur Behandlung von Asthma, eingesetzt. In Deutschland kam das erste HFKW-getriebene Dosieraerosol 1996 mit dem Treibmittel HFKW-134a auf den Markt. Ab dem Jahr 1999 wurden auch Dosieraerosole mit dem

Treibmittel HFKW-227ea vertrieben. Seitdem ist die Anzahl der Präparate kontinuierlich gestiegen. Eine inländische Abfüllung mit dem HFKW-134a gibt es seit dem Jahr 2001.

Die Zeitreihe zeigt von 1996 bis 2002 einen steilen Anstieg der Emissionen, der in Einklang mit der zunehmenden Verwendung der HFKW als FCKW-Ersatzstoffe steht. Ein großer Sprung ist 2001 zu verzeichnen. Ab diesem Jahr wurden FCKW für die größte Wirkstoffgruppe, die kurzwirksamen Beta-Mimetika, verboten. Ab dem Jahr 2003 sind die Emissionen relativ konstant auf gleichbleibend hohem Niveau.

4.7.4.1.2 Methodische Aspekte (2.F.4.a)

Da 98 % des Doseninhalts von Dosieraerosolen aus Treibgas besteht, wird der Doseninhalt als reiner HFKW aufgefasst.

Die Fertigungsemissionen werden aus der Zahl der jährlich in Deutschland abgefüllten Dosieraerosole und dem Treibmittelverlust pro Dose berechnet. Die Emissionen wären höher, wenn nicht ein Teil des Treibgases mithilfe einer Kältefalle aufgefangen und der Verbrennung zugeführt würde.

Anwendungsemissionen werden über die in den Dosieraerosolen verkaufte Menge an HFKW mit Gleichung 2 berechnet. Die große Mehrheit der Dosieraerosole in Deutschland wird in Apotheken verkauft. Auf weitere 10 Prozent wird der Bedarf in Krankenhäusern geschätzt, und 3 Prozent sind „unverkäufliche Muster“ für Ärzte und Pharmareferenten. Diese Anteile werden durch einen Zuschlagsfaktor von 13 % auf die Apothekenverkäufe berücksichtigt.

Die Zeitspanne zwischen Apothekenverkauf und Anwendung ist kurz. Bezugsgröße für die Anwendungsemissionen ist daher nicht wie in den 2006 IPCC Guidelines (Vol. 3, Gleichung 7.6) vorgeschlagen die Summe der halben Käufe (Verkäufe) des vorherigen Jahres und des aktuellen Jahres, sondern die gesamten Käufe/Verkäufe des aktuellen Jahres. Der Ansatz der IPCC Guidelines böte sich an, wenn nicht verkaufte, sondern produzierte Dosen als Daten vorlägen, weil zwischen Produktion und Anwendung tatsächlich viel Zeit für Transport- und Lagerung vergehen kann.

Entsorgungsemissionen fallen nicht an, da die in den Dosieraerosolen enthaltenen HFKW bereits vollständig bei der Anwendung emittieren.

Emissionsfaktoren

Die verwendeten Emissionsfaktoren können Tabelle 194 entnommen werden.

Der den Herstellungsemissionen zu Grunde liegende $EF_{Herstellung}$ basiert auf im Betrieb von der einzigen deutschen Abfüllfirma von Dosieraerosolen sehr exakt ermittelten Befüllemissionen. Diese betragen 1 %, bezogen auf den Neuverbrauch zur Befüllung. Das entspricht etwa 0,15 g pro 10 ml-Dose.

In Übereinstimmung mit den IPCC Vorgaben (2006 IPCC Guidelines, Vol. 3, Seite 7.28) wird von einer 100 %igen Emission bei der Anwendung ausgegangen ($EF_{Anwendung}$ = 1). Inhalierte HFKW setzen sich in den Atemwegen nicht um, sondern gelangen beim Ausatmen unverändert in die Atmosphäre. In Deutschland wird abweichend von den Guidelines nur eine einjährige Lebensdauer der Aerosoldose zugrunde gelegt. Der Emissionsfaktor ist daher als „country specific“ eingestuft.

Aktivitätsdaten

Die Emissionsdaten bis zum Berichtsjahr 2005 (Produktion) bzw. 2006 (Anwendung) basieren auf Verkaufszahlen (Apothekenverkäufen) von Dosieraerosolen in Deutschland, die über

Befragungen der Produzenten erhoben wurden. Dabei werden die gesamte Stückzahl, die durchschnittliche Füllmenge in ml und das eingesetzte Treibgas zur Aufbereitung herangezogen. Ab dem Berichtsjahr 2006 beruhen die Angaben zur Aktivitätsrate der Produktion bzw. ab dem Jahr 2007 auch die zur Aktivitätsrate der Anwendung auf Expertenschätzungen. Die Ergebnisse der jährlichen Erhebung bestimmter klimawirksamer Stoffe des *Statistischen Bundesamtes* liegen im Bereich der Dosieraerosole nicht rechtzeitig für das laufende Berichtsjahr vor, es wird jedoch, wenn erforderlich, rückwirkend ein Datenabgleich vorgenommen.

4.7.4.2 Sonstige Aerosole (2.F.4.b)

4.7.4.2.1 Beschreibung der Kategorie (2.F.4.b)

In Deutschland werden sechs Arten allgemeiner Aerosole (ohne medizinische Dosieraerosole und Novelties) mit HFKW verwendet:

- Druckluftsprays,
- Kältesprays,
- Abflussreiniger-Sprays,
- Schmiermittelsprays,
- Insektizide und
- Abwehrsprays.

Die Produktion und Anwendung von allgemeinen Aerosolen mit HFKW-134a begann im Jahr 1992, mit HFKW-152a im Jahr 1995. Seit dem Jahr 2013 kommt auch der HFKW-1234ze als Treibmittel in Kältesprays und Reinigungssprays zum Einsatz. Die Zeitreihe zeigt von 1992 bis 1996 einen steilen Anstieg der Emissionen, der in Einklang mit der zunehmenden Verwendung der HFKW als FCKW-Ersatzstoffe steht. Zwischen 1996 und 2005 sind die Emissionen konstant. Ein großer Sprung nach oben ist 2007 zu verzeichnen, seitdem sinken die Emissionen aus allgemeinen Aerosolen leicht ab.

Zu den sonstigen Aerosolen zählen auch die so genannten Novelty-Aerosole (künstlicher Schnee, Luftschlangensprays u.a.), die aber nicht in Deutschland hergestellt werden. Die Anwendung von Novelties mit HFKW-134a beginnt im Jahr 1995, die mit HFKW-152a im Jahr 2000. Ab 2004 sinken die Emissionen stark ab, seit dem Jahr 2010 befinden sie sich auf konstant niedrigem Niveau. Grund dafür ist das ab dem 4. Juli 2009 in der EU geltende Verbot für das Inverkehrbringen von neuartigen Aerosolen, die mit teilfluorierten Kohlenwasserstoffen mit einem Treibhauspotential (Global Warming Potential, GWP) über 150 befüllt sind, das zu einem vorzeitigen Umstellen der Produktion auf andere Treibgase führte.

4.7.4.2.2 Methodische Aspekte (2.F.4.b)

Bei allgemeinen Aerosolen halten sich Importe und Exporte die Waage, so dass der Inlandsmarkt mit dem Verbrauch für die inländische Abfüllung gleichgesetzt werden kann. Der inländische Verbrauch richtet sich nach den im Inland abgefüllten Dosen, unabhängig davon, wo diese angewendet werden. Die Fertigungsemissionen werden aus dem HFKW-Verbrauch für die inländische Abfüllung allgemeiner Aerosole und dem Treibmittelverlust bei der Produktion gemäß Gleichung 1 berechnet.

Novelty-Aerosole werden nicht in Deutschland hergestellt. Für Novelty-Aerosole ist der Anteil des deutschen Markts am EU-Markt Basis für die Berechnung der in den Novelty-Aerosoldosen verkauften HFKW-Mengen.

Anwendungsemissionen werden über die in den sonstigen Aerosolen verkaufte Menge an HFKW mit Gleichung 2 berechnet.

Da die Anzahl der verkauften und nicht der produzierten Aerosoldosen Ausgangspunkt für die Berechnungen ist, kann davon ausgegangen werden, dass die Zeitspanne zwischen Verkauf und Anwendung sehr kurz ist. Bezugsgröße für die Berechnung der Anwendungsemissionen sind daher die gesamten Käufe/Verkäufe des aktuellen Jahres und nicht wie in den 2006 IPCC Guidelines (Vol. 3, Gleichung 7.6) vorgeschlagen, die Summe der halben Käufe (Verkäufe) des vorherigen Jahres und des aktuellen Jahres.

Da die in den Aerosolen enthaltenen HFKW bereits vollständig bei der Anwendung emittieren, müssen keine Entsorgungsemissionen berichtet werden.

Die Emissionen des nicht berichtspflichtigen HFKW-1234ze berichtet Deutschland gemäß den Empfehlungen der UNFCCC Reporting Guidelines 2014 (FCCC/CP/2013/10/Add.3, Decision 24/CP.19) freiwillig als „additional greenhouse gas". Die HFKW-1234ze-Emissionen werden aus Vertraulichkeitsgründen mit anderen nicht berichtspflichtigen Emissionen zusammengefasst und aggregiert in Kapitel 4.9.3 unter CRF 2.H.3 berichtet.

Emissionsfaktoren

Der den Herstellungsemissionen zu Grunde liegende $EF_{Herstellung}$ = 1,5 % von allgemeinen Aerosolen basiert auf Expertenschätzungen.

Es wird analog den IPCC Vorgaben (2006 IPCC Guidelines, Vol. 3, Seite 7.28) sachgerecht von einer 100 %igen Emission bei der Anwendung der sonstigen Aerosole ausgegangen ($EF_{Anwendung}$ = 1). Anders als in den Guidelines vorgeschlagen, wird von der in Deutschland abgesetzten Anzahl von Dosen angenommen, dass sie vollständig im gleichen Jahr verbraucht wird. Der Emissionsfaktor ist daher als „country specific" eingestuft.

Aktivitätsdaten

Die Daten vor 1995 basieren auf Expertenschätzungen. Entsprechend einem bottom-up-Ansatz stammen sämtliche Mengendaten ab 1995 direkt von Produzenten, Abfüllern und Betreibern, Treibmittelherstellern bzw. der Branchenvereinigung. Für allgemeine Aerosole kommen noch Befüllungsemissionen (= Herstellungsemissionen) hinzu. Grundlage für eine Schätzung ist EU-weites Datenmaterial.

4.7.4.3 Unsicherheiten und Zeitreihenkonsistenz (2.F.4 alle)

Eine systematische Quantifizierung der Unsicherheiten für die Unterkategorie Aerosole ist erfolgt.

Bei Dosieraerosolen kann der Zuschlagsfaktor für Krankenhäuser und Ärztemuster um 3 % nach oben oder unten von den 13 % abweichen.

Gegenüber den Emissionsangaben zu Dosieraerosolen werden die Angaben für die sonstigen Aerosole als nicht so gut bewertet, da aufgrund der Vielzahl von Produkten der Marktüberblick begrenzt ist. Auch sind hohe Importmengen, vor allem bei den „Novelties" problematisch. Die Unsicherheiten sind daher deutlich höher (über 20 %).

Da der Umstieg von FCKW auf chlorfreie Treibgase bereits Anfang der 1990er Jahre vollendet war, ist die Zeitreihe von 1995 bis 2005 weitgehend unverändert, seit 2006 sind leichte Emissionsrückgänge zu verzeichnen.

4.7.4.3.1 Kategoriespezifische Rückrechnungen (2.F.4 alle)

Rückrechnungen sind nicht erforderlich.

4.7.4.3.2 Geplante Verbesserungen, kategoriespezifisch (2.F.4 alle)

Derzeit sind keine Verbesserungen geplant.

Sofern in vorhergehenden Berichterstattungen in diesem Kapitel Verbesserungen benannt wurden, sind diese in Form einer Übersicht unter Kapitel 10.4 Verbesserungen des Inventars, Tabelle 426 zu finden. Sind diese bereits erledigt, sind sie im selben Kapitel in Tabelle 425 abgebildet.

4.7.5 Lösemittel (2.F.5)

4.7.5.1 Beschreibung der Kategorie (2.F.5)

Der Einsatz von HFKW als Lösemittel war in Deutschland bis zum Jahr 2001 verboten (2. BImSchV) und ist auch heute noch stark eingeschränkt. Jede Oberflächenbehandlungsanlage, die HFKW in Reinform oder in Gemischen mit Trans-1,2-Dichlorethen einsetzt, muss einzeln beantragt werden, wobei eine Bewilligung nur im Sonderfall erteilt wird. Eingesetzt werden heute neben dem bisher schon berichteten HFKW-43-10mee, auch in sehr geringem Umfang der HFKW-365mfc (seit 2013) und C_6F_{14} (seit 2006). Der HFKW-245fa wurde nur in den Jahren 2010 bis 2014 eingesetzt. Die Verwendungsmenge von C_6F_{14} geht zurück. Die Verwendungsmengen von HFKW-43-10mee und dem HFKW-365mfc ist konstant bzw. leicht ansteigend.

Darüber hinaus kommen Hydrofluorether (HFE) in verschiedenen Anwendungen zum Einsatz. Die nicht berichtspflichtigen Emissionen dieser HFE (HFE-7100/7200/7300) werden gemäß den Empfehlungen der UNFCCC Reporting Guidelines 2014 (FCCC/CP/2013/10/Add.3, Decision 24/CP.19) freiwillig unter „additional greenhouse gases" berichtet. Die Emissionen sind aggregiert mit anderen nicht berichtspflichtigen Emissionen in Kapitel 4.9.3 unter CRF 2.H.3 aufgeführt.

4.7.5.2 Methodische Aspekte (2.F.5)

Die Emissionsberechnung erfolgt nach Tier 2a der 2006 IPCC-Guidelines (Vol. 3, Kapitel 7.2).

Emissionsfaktoren

Bei der Verwendung geht man von einer vollständigen Emission innerhalb von 2 Jahren aus. Bei den HFE wird von einem Emissionsfaktor von 100 % ausgegangen.

Aktivitätsdaten

Die Verbrauchsangaben für den HFKW-43-10mee basieren auf den Verkaufsdaten eines autorisierten Händlers. Die verwendeten Mengen des HFKW-245fa, des HFKW-365mfc und C_6F_{14} sowie der HFE basieren auf Aussagen von Industrieexperten. Da die Daten vertraulich sind, werden sie unter CRF 2.H berichtet.

4.7.5.3 Unsicherheiten und Zeitreihenkonsistenz (2.F.5)

Die Unsicherheiten für die Unterkategorie *Lösemittel* wurden vollständig erfasst.

4.7.5.4 Kategoriespezifische Rückrechnungen (2.F.5)

Rückrechnungen sind nicht durchgeführt worden.

4.7.5.5 Geplante Verbesserungen, kategoriespezifisch (2.F.5)

Derzeit sind keine Verbesserungen geplant.

Sofern in vorhergehenden Berichterstattungen in diesem Kapitel Verbesserungen benannt wurden, sind diese in Form einer Übersicht unter Kapitel 10.4 Verbesserungen des Inventars,

Tabelle 426 zu finden. Sind diese bereits erledigt, sind sie im selben Kapitel in Tabelle 425 abgebildet.

4.7.6 Andere Anwendungen, die ODS Ersatzstoffe verwenden (2.F.6)

Deutschland berichtet keine Emissionen in dieser Kategorie.

4.7.7 Kategoriespezifische Qualitätssicherung/-kontrolle und Verifizierung (2.F alle)

Eine allgemeine und kategoriespezifische Qualitätskontrolle und eine Qualitätssicherung durch die Fachseite und durch die Nationale Koordinierungsstelle wurden gemäß den Anforderungen des QSE-Handbuchs bzw. dessen mitgeltenden Unterlagen durchgeführt.

Die Daten für das aktuelle Berichtsjahr wurden, wie bereits für die meisten Vorjahre, im Rahmen eines Forschungsvorhabens im Auftrag des Umweltbundesamtes durch einen externen Experten erhoben.

Die Qualitätssicherung erfolgt im Wesentlichen durch den externen Experten. Darüber hinaus werden die Daten durch die Fachbegleiter des UBA bei Abnahme geprüft.

Der gesamte Sektor der F-Gas Emissionen wurde im Jahr 2011 einer freiwilligen trilateralen Überprüfung unterzogen. Experten aus England, Deutschland und Österreich überprüften die F-Gas Inventare der anderen Länder. Das Ziel der Überprüfung war der Informationsaustausch über die länderspezifischen Methoden der Erstellung der F-Gas Inventare, ein Einblick in die institutionellen und rechtlichen Regelungen für die F-Gas Inventare in jedem Land, die Identifizierung der Hindernisse zur Erstellung von vollständigen und exakten Inventaren und die Diskussion der Unterschiede und Ähnlichkeiten in den Methoden, die zur Erstellung der F-Gas Inventare verwendet werden. Das Treffen hat allen drei Ländern geholfen, die verwendeten Methoden zur Emissionsberechnung zu überprüfen. Weiterhin konnten die Transparenz, die Vollständigkeit und die Genauigkeit der Inventare bewertet werden. Das positive Ergebnis war, dass Deutschland ein gutes F-Gase-Inventar hat. Im Ergebnis wurden keine Empfehlungen für Verbesserungen des deutschen F-Gase-Inventars ausgesprochen.

4.8 Sonstige Produktherstellung und -verwendung (2.G)

KC	Category	Activity	EM of	1990 (kt CO_2-e.)	(fraction)	2015 (kt CO_2-e.)	(fraction)	Trend 1990-2015
-/-	2.G. Other product manufacture and use		HFCs	C	C	C	C	---
L/T	**2.G. Other product manufacture and use**		**SF_6**	**C**	**C**	**C**	**C**	**-43,7%**
-/-	2.G. Other product manufacture and use		CH_4	4,5	0,00%	36,5	0,00%	706,4%
-/-	2.G. Other product manufacture and use		PFCs	0,0	0,00%	20,8	0,00%	---
-/T	**2.G. Other product manufacture and use**	**Other N-Dodecanedioic acid[78]**	**N_2O**	**2.029,5**	**0,17%**	**392,7**	**0,04%**	**-80,7%**

Gas	Angewandte Methode	Quelle der Aktivitätsdaten	genutzte Emissionsfaktoren
CO_2, CH_4, N_2O, SF_6, PFC, HFC	s. Tabelle 196	s. Tabelle 196	s. Tabelle 196

Die Kategorie *Sonstige Produktherstellung und –verwendung* ist für SF_6-Emissionen eine Hauptkategorie nach der Emissionshöhe und dem Trend und für N_2O-Emissionen nur nach dem Trend.

[78] includes 2.B.10.

Zu der Quellgruppe 2.G gehören SF_6 aus elektrischen Betriebsmitteln (2.G.1), SF_6 und FKW aus sonstiger Produktverwendung (2.G.2), Verwendung von N_2O (2.G.3) und Andere - ORC-Anlagen (2.G.4 ORC) sowie CO_2-, CH_4-, N_2O- und Staub-Emissionen aus der Anwendung von Holzkohle (2.G.4 Holzkohle). Aus der Anwendung von Zigaretten (2.G.4) und Feuerwerkskörpern (2.G.4) werden Staub, Vorläufersubstanzen und Schwermetalle berichtet. Zwecks genauerer Datenerhebung erfolgt im Folgenden z.T. eine weitere Unterteilung dieser Unterquellgruppen.

Die der Emissionsberechnung zugrunde liegenden Methoden, Emissionsfaktoren und Lebensdauern finden sich in Tabelle 194.

Tabelle 196: Überblick über Methoden und verwendete Emissionsfaktoren für das aktuelle Berichtsjahr in den Kategorien 2.G.1 (Elektrische Betriebsmittel), 2.G.2 (SF_6 und FKW aus sonstiger Produktverwendung) und 2.G.4 (ORC-Anlagen & Anwendung von Holzkohle)

	QG	Methode	Schadstoff			Lebensdauer	Emissionsfaktor (dimensionslos)		
			SF_6	HFKW	FKW	[Jahre]	Herstellung	Anwendung	Entsorgung
Elektrische Betriebsmittel	**2.G.1**								
Schaltanlagen	2.G.1a	Tier 3	SF_6				0,02 (CS)	0,001 – 0,01 (CS)	0,015 (CS)
SF_6 und FKW aus sonstiger Produktverwendung	**2.G.2**								
AWACS	2.G.2a	CS	SF_6				NO	C	NO
Teilchenbeschleuniger	2.G.2b	CS					0,15 - 1 (CS)	0,006 – 0,003 (CS)	NO
Isolierglasfenster	2.G.2c	Equ. 3.24 ff					0,33 (D)	0,01 (D)	1 (D)
Adiabatisches Verhalten	2.G.2d								
- Autoreifen		Equ. 3.23	SF_6				NO	NO	1 (D)
- Sportschuhe		Equ. 3.23	SF_6		FKW		NO	NO	1 (D)
Sonstige	2.G.2e								
- Spurengas		Equ. 3.22	SF_6				NO	1 (D)	NO
- Schweißen		CS	SF_6				NO	1 (CS)	NO
- Optische Glasfasern		CS	SF_6				0,7 (CS)	NO	NO
- Medizin- und Kosmetik		CS			FKW	-	NO	1 (CS) 0,95 – 0,998 (CS)	NO
Halbleiterherstellung		D					C		
Narkotikaanwendung		D						1	
Sprengstoffanwendung		D						0,1036 kg/t	
Sprühdosen		D						1	
Andere	**2.G.4**								
ORC-Anlagen	2.G.4a	CS		HFKW	FKW	20 – 30 (CS)	0,02 (CS)	0,04 (CS)	0,2 (CS)
Anwendung von Holzkohle	*2.G.4b*	Tier 1	CO_2-, CH_4-, N_2O- und Staub				C	C	

4.8.1 Elektrische Betriebsmittel (2.G.1)

Diese Kategorie umfasst die Anwendungen der elektrischen Betriebsmittel (2.G.1), die sich in Hochspannungs (HS)- und Mittelspannungs (MS)- sowie sonstigen elektrischen Betriebsmitteln unterteilen.

4.8.1.1 Beschreibung der Kategorie (2.G.1)

In der elektrischen Energieübertragung und -verteilung findet SF_6 als Lösch- und auch als Isoliermittel anstelle von Luft vor allem in Schaltanlagen und Schaltgeräten der Hochspannung (52-380 kV) und zunehmend auch in der Mittelspannung (10-52 kV) Verwendung. Außerdem wird es noch bei der Herstellung von Komponenten eingesetzt, die entweder in gasisolierten Innenraum-Schaltanlagen eingebaut werden (Wandler, Durchführungen) oder direkt zu Betreibern gelangen (HS-Freiluftwandler).

Durch die erstmalige Erfassung weiterer SF_6-Anwendungen im Berichtsjahr 2002 kam es in der Zeitreihe im Jahr 2002 zu einem sprunghaften Anstieg der Emissionen. Im Berichtsjahr 2005 wurden neue Unternehmen in die Berichtserstattung aufgenommen, insbesondere in der neuen Kategorie „Sonstige elektrische Betriebsmittel". Konjunkturell bedingt wurden 2005 und 2006 mehr Anlagen verkauft. Dennoch fallen insgesamt die absoluten Emissionen aufgrund deutlicher Reduzierungen im Bereich der „anderen" Betriebsmittel und durch erneut geringere Emissionsraten bei den Schaltanlagen. Die Industrie, vertreten durch die Hersteller- und Betreiberverbände sowie dem SF_6 Produzenten, hat sich 1996 zur Emissionsminimierung in allen Lebenszyklen von Schaltanlagen sowie zu einer jährlichen Berichterstattung verpflichtet. Im Jahre 2005 wurde diese Selbstverpflichtung in Zusammenarbeit mit dem Umweltbundesamt und dem Umweltministerium auf weitere Anwendungen im Bereich der Energieübertragung und -verteilung über 1 kV ausgedehnt und um konkrete Reduktionsziele ergänzt. Die freiwillige Berichterstattung wurde entsprechend ergänzt und verfeinert. In den nachfolgenden Jahren wurde seitens der Hersteller und des Gasproduzenten weiter in Minderungsmaßnahmen investiert, bei Durchführungen konnten in Teilbereichen SF_6 Schäume substituiert werden. Dadurch konnten, bei weiter steigender Produktion, die spezifischen Emissionsraten und auch die absoluten Emissionen weiter gesenkt werden.

4.8.1.2 Methodische Aspekte (2.G.1)

Die Emissionsangaben basieren im Wesentlichen auf einer Massenbilanz, zunehmend kombiniert mit Emissionsfaktoren für Teilbereiche, in denen Massenbilanzierung an messtechnische Grenzen stößt bzw. mit einem unangemessenen Aufwand verbunden wäre.

Die angewendete Methodik basiert auf den neuen „2006 IPCC Guidelines for National Greenhouse Gas Inventories; Volume 3", Kapitel 8. Näheres siehe „Tier 3, Hybrid Life-Cycle Approach" (Hybride Methode nach Lebenszyklen) im Unterkapitel 8.2.

Anwendungsemissionen

Laufende Bestandsemissionen beziehen sich auf den seit 1970 durch jährliche Zugänge in Schaltanlagen akkumulierten SF_6-Bestand, der im Mittel des Jahres n besteht.

Der SF_6-Endbestand in der Gesamtheit der elektrischen Betriebsmittel eines bestimmten Jahres n verändert sich jährlich um den Saldo aus Zugang und Abgang. Vereinzelte Abgänge (Hochspannung) werden seit 1997 registriert; ein verstärktes Ausscheiden von Hochspannungsschaltanlagen und -geräten der ersten Generation ist bei einer auf mindestens 40 Jahre geschätzten Lebensdauer erst nach 2015 zu erwarten.

Drei Besonderheiten sind bei der Berichterstattung zu Schaltanlagen zu beachten:

- Die Berechnung des Endbestandes für jedes Jahr n basiert zwar jeweils auf dem Endbestand des Vorjahres (n-1), jedoch nicht bis zum allerersten Einsatzjahr. Dieses sonst übliche Verfahren entfällt bei Schaltanlagen, weil die Betreiber/Hersteller den SF_6-Bestand für 1995 abgeschätzt haben, und zwar getrennt für Hoch- und Mittelspannung (770 t bzw. 157,6 t).
- Bestands- und Emissionsermittlung erfolgen in der Hochspannung durch regelmäßige Direkterhebungen bei den ca. 100 Betreibern. Diese werden unmittelbar nach ihrem aktuellen Bestand an SF_6 in Betriebsmitteln (GIS, Leistungsschalter, Freiluftwandler) befragt. Auf diese Bestandsdaten werden Emissionsfaktoren angewendet, die anhand von Referenzanlagen bestimmt worden sind.

- Mittelspannungs-Schaltanlagen haben sehr zahlreiche und zugleich sehr heterogene Betreiber. Direktbefragungen scheiden daher aus. Die Hersteller der Mittelspannungsanlagen haben es selbst übernommen, auf Basis ihrer Verkaufsdaten den inländischen Bestand fortzuschreiben. Die Emissionsermittlung ist dadurch möglich, dass die Anlagen praktisch wartungsfrei sind und per Definition (IEC 62271-1) während der gesamten Lebensdauer keine Nachfüllung benötigen. Die Emissionen sind minimal (meist nur infolge äußerer Einwirkungen) und können durch einen pauschalen Emissionsfaktor (Expertenbefragung) abgedeckt werden: Die Emissionsrate wird seit 1998 mit konstanten 0,1 % angesetzt, da seit Mitte der 90er Jahre praktisch nur noch Anlagen zum inländischen Bestand gelangen, die als "sealed for life" (hermetisch abgeschlossene Drucksysteme nach IEC) gelten. In der Selbstverpflichtung 2005 haben sich zudem die Betreiber verpflichtet, nur noch solche Anlagen einzusetzen. Wenige ältere Anlagen mit Emissionsraten höher als 0,1 % verlieren dadurch an Gewicht. Die Berechnung des Bestandes basiert auf dem Bestand des Vorjahres zuzüglich Neulieferungen und abzüglich Außerbetriebnahmen.

Entsorgungsemissionen

Wegen der langen Lebensdauer von Schaltanlagen (40 Jahre) und dem Ersteinsatz von SF_6 Ende der 60er Jahre kam es bis 2004 nur zu geringen Entsorgungsemissionen. Aus Altanlagen (Hoch- und Mittelspannung) zur Entsorgung anstehende SF_6-Mengen (AR) wurden daher bis 2004 nur grob geschätzt (auf konstante 3 t/a). Ab dem Berichtsjahr 2005 wurden die Entsorgungsmengen von den Verbänden aus dem Anlagenrückbau erstmals präzise ermittelt. Dies gilt auch für die Emissionen aus der Entsorgung, die vor 2005 mit 0,06 t abgeschätzt wurden.

Aktivitätsdaten

Im Rahmen der Selbstverpflichtung wird der Jahresverbrauch der Hersteller aller Betriebsmittel sowie der Bestand von Mittelspannungsschaltanlagen vom ZVEI, der Bestand von Hochspannungsschaltanlagen, Freiluftwandlern, gasisolierten Leitungen und Transformatoren vom Forum Netztechnik/Netzbetrieb (FNN) im Verband der Elektrotechnik Elektronik Informationstechnik e.V. (VDE) und seit 2004 vom Verband der industriellen Energie- und Kraftwirtschaft e.V. (VIK) dem Umweltbundesamt übermittelt. Die Außerbetriebnahmemengen ermitteln die Teilnehmer der Selbstverpflichtung gemeinsam.

In Tabelle 197 sind die Inventardaten für das aktuelle Jahr in Unterkategorien aufgeführt und erläutert. Die Summe der elektrischen Betriebsmittel der Energieübertragung und -verteilung deckt sich mit den Daten in Tabelle 2 (II)F, Blatt 2, Kategorie 2.G.1 im CRF.

Tabelle 197: Inventardaten 2015 der Kategorie 2.G.1 mit Unterkategorien

Kategorie 2.G.1.: Elektrische Betriebsmittel der Energieübertragung und -verteilung	Aktivitätsdaten			Emissionen	
	Jahresverbrauch Herstellung	Bestand	Außer Betrieb genommen (Tonnen SF_6)	Herstellung	Betrieb
Elektrische Betriebsmittel der Energieübertragung und -verteilung 2.G.1 (Summe), darin:	910	2546	5,8	10,7	6,5
MS Schaltanlagen und -geräte *	168	1144	0,8	0,4	1,1
HS Schaltanlagen und -geräte**	684	1142	5,0	3,5	4,6
Sonstige Elektrische Betriebsmittel ***	57	259	0	6,9	0,7

IE=in HS Schaltanlagen enthalten; marginal

Erläuterungen

* hermetisch abgeschlossene Drucksysteme nach IEC 62271-1 über 1kV bis einschließlich 52 kV; auch „Sealed for life“ genannt

** Geschlossene Drucksysteme nach IEC 62271-1 über 52 kV

*** Gasisolierte Transformatoren: marginaler Restbestand im Netz; (keine Herstellungsemissionen) + Hochspannungs-Freiluftmesswandler (alle Emissionskategorien) + Gasisolierte Leitungen-GIL- (alle Emissionskategorien) + Hochspannungsdurchführungen (nur Herstellungsemissionen) + Mittelspannungs-Gießharzmesswandler (nur Herstellungsemissionen) + Prüfung von Mittelspannungskomponenten (nur Herstelleremissionen) + Kondensatoren 1000V (nur Herstellungsemissionen)

4.8.1.3 Unsicherheiten und Zeitreihenkonsistenz (2.G.1)

Da es nur ca. zehn verschiedene Hersteller der Betriebsmittel (einschließlich Durchführungen und Wandler) gibt, sind die Verbrauchsdaten, die Angaben zu Neulieferungen und Außerbetriebnahmen sehr sicher, zumal eine interne Buchführung dahintersteht und die Füllmengen mit hoher Präzision ermittelt und auf den Typenschildern dokumentiert werden. Die Ungenauigkeit liegt hier im Bereich von ± 5 %.

Bei den Emissionen ist die Erfassung schwieriger, da in den Betrieben mehrere Emissionsquellen vorhanden sind, die für sich genommen mitunter recht klein sind. Gasverluste entstehen beim Befüllen von Geräten, beim Testen, beim Öffnen von Ausschuss, in der Entwicklungsabteilung usw. Allerdings gehen mittlerweile alle inländischen Werke nach einem einheitlichen Fragebogen vor, der sämtliche möglichen Emissionsquellen nennt und der im Rahmen der Erhebung auf seine Richtigkeit geprüft wird. Aus diesem Grund und der geringen Anzahl an Herstellern (s.o.) hängt die Exaktheit der Erhebung letztlich von der Messgenauigkeit ab. Diese bewegt sich im Bereich von ± 10 % der Abschätzungen.

Die Emissionen aus dem Betrieb in der Hochspannung werden von ausgewählten Betreibern mit Referenzanlagen über die jährlichen Nachfüllungen ermittelt (Nachfüllungen erfolgen bei Unterschreitung von 90 % des Soll-Füllstandes, was in der Regel vom Gerät selbst angezeigt wird). Diese Methode ist als sehr sicher zu bewerten, d.h. die Abweichungen vom wahren Wert betragen etwa ± 5 %. Alle bisherigen Erhebungen führten zu nahe beieinander liegenden Größenordnungen für die Emissionsraten, die zwischen 0,55 und 0,88 % betrugen. Die einmalige Spitze bei der Emissionsrate von Hochspannungs- Schaltanlagen in 2004 erklärt sich aus Sonderereignissen; im Wesentlichen dem zeitgleichen Nachfüllen von alten, weniger dichten Anlagen älterer Bauart.

Beim HS-Bestand und damit auch bei den Emissionen, die sich beide seit 1995 grundsätzlich erhöhen, gibt es im Jahr 2000 einen Rückgang gegenüber dem Vorjahr um über 25 t beim Bestand (und 0,85 t bei den Emissionen). Dieser Rückgang, der auf HS-GIS (600 zu 567 t) zurückgeht, ist nicht durch Abgänge durch Außerbetriebnahme zu erklären, da diese noch keine nennenswerte Rolle spielen. Dem Verband der Netzbetreiber (VDN) zufolge, der die Erhebungen damals durchführte, steckt dahinter sowohl ein statistisches als auch organisatorisches Problem. Ende der 90er Jahre fanden im Zuge der Liberalisierung des Strommarktes bei den Betreibern tiefgehende Umgruppierungen (durch Fusionen und Eigentumswechsel von Unternehmensteilen) statt, so dass die personellen Zuständigkeiten für den Betriebsmittelbestand immer wieder wechselten. So sind Doppelzählungen im Jahr 1999 nicht auszuschließen, ebenso wie nicht erfasste Betriebsmittel im Jahr 2000. Aufgrund der Erfahrungen der letzten Jahre kann aber heute von einer Ungenauigkeit in der Größenordnung von ± 5 % beim HS-Bestand ausgegangen werden.

Die Emissionsrate 0,1 % in der Mittelspannung ist für hermetisch abgeschlossene Drucksysteme nach IEC üblich.

4.8.1.4 Kategoriespezifische Rückrechnungen (2.G.1)

Rückrechnungen sind nicht durchgeführt worden.

4.8.1.5 Kategoriespezifische Qualitätssicherung/-kontrolle und Verifizierung (2.G.1)

Eine allgemeine und kategoriespezifische Qualitätskontrolle und eine Qualitätssicherung durch die Fachseite und durch die Nationale Koordinierungsstelle wurden gemäß den Anforderungen des QSE-Handbuchs bzw. dessen mitgeltenden Unterlagen durchgeführt.

Die Daten für das aktuelle Berichtsjahr wurden, wie bereits für die meisten Vorjahre, im Rahmen eines Forschungsvorhabens im Auftrag des Umweltbundesamtes durch einen externen Experten erhoben.

Die Qualitätssicherung erfolgt im Wesentlichen durch den externen Experten. Darüber hinaus werden die Daten durch die Fachbegleiter des UBA bei Abnahme geprüft.

Der gesamte Sektor der F-Gas Emissionen wurde im Jahr 2011 einer freiwilligen trilateralen Überprüfung unterzogen. Experten aus England, Deutschland und Österreich überprüften die F-Gas Inventare der anderen Länder. Das Ziel der Überprüfung war der Informationsaustausch über die länderspezifischen Methoden der Erstellung der F-Gas Inventare, ein Einblick in die institutionellen und rechtlichen Regelungen für die F-Gas Inventare in jedem Land, die Identifizierung der Hindernisse zur Erstellung von vollständigen und exakten Inventaren und die Diskussion der Unterschiede und Ähnlichkeiten in den Methoden, die zur Erstellung der F-Gas Inventare verwendet werden. Das Treffen hat allen drei Ländern geholfen, die verwendeten Methoden zur Emissionsberechnung zu überprüfen. Weiterhin konnten die Transparenz, die Vollständigkeit und die Genauigkeit der Inventare bewertet werden. Das positive Ergebnis war, dass Deutschland ein gutes F-Gase-Inventar hat. Im Ergebnis wurden keine Empfehlungen für Verbesserungen des deutschen F-Gase-Inventars ausgesprochen.

4.8.1.6 Geplante Verbesserungen, kategoriespezifisch (2.G.1)

Derzeit sind keine Verbesserungen geplant.

Sofern in vorhergehenden Berichterstattungen in diesem Kapitel Verbesserungen benannt wurden, sind diese in Form einer Übersicht unter Kapitel 10.4 Verbesserungen des Inventars, Tabelle 426 zu finden. Sind diese bereits erledigt, sind sie im selben Kapitel in Tabelle 425 abgebildet.

4.8.2 SF_6 und FKW aus sonstiger Produktverwendung (2.G.2)

Diese Kategorie umfasst die Anwendungen *Militär-AWACs* (2.G.2.a), *Teilchenbeschleuniger* (2.G.2.b), *Isolierglasfenster* (2.G.2.c), *Adiabatisches Verhalten: Autoreifen* und *Sportschuhe* (2.G.2.d), Sonstige: *Spurengas, Schweißen, Optische Glasfasern* sowie medizinische und kosmetische Anwendungen (2.G.2.e).

4.8.2.1 Militär - AWACS Wartung (2.G.2.a)

4.8.2.1.1 Beschreibung der Kategorie (2.G.2a)

SF_6 wird in den großen militärischen Aufklärungsflugzeugen vom Typ Boing E-3A (ehemals AWACS) als Isolationsmedium für das Radar eingesetzt. Es soll elektrische Überschläge in den Hohlleitern zur Antenne verhindern, in denen hohe Spannungen von über 135 kV herrschen. Die laufenden Emissionen sind relativ hoch, da bei Aufstieg des Flugzeugs SF_6 zum Druckausgleich abgelassen wird.

4.8.2.1.2 Methodische Aspekte (2.G.2.a)

Die Emissionsangaben für die Berichtsjahre bis 2001 basieren auf Schätzungen, die als Grundlage eine Erhebung im Jahr 1996 haben. Daher sind die Emissionsdaten der Jahre 1997 bis 2001 ungenauer als in den Folgejahren. Für das Berichtsjahr 2002 wurden die Verbrauchsmengen neu erhoben, was zu einer signifikanten Erhöhung gegenüber dem Berichtsjahr 2001 führte. Ab dem Berichtsjahr 2006 werden die verwendeten Mengen vom Statistischen Bundesamt erhoben. Diese Mengen werden in Deutschland in die Flugzeuge eingefüllt.

Die SF_6-Emissionen der AWACS wurden bisher mit 50% auf Deutschland bezogen. In diesem Jahr wird ein Emissionsfaktor von 100% des Verbrauches angenommen. Eine entsprechende Rekalkulation rückwirkend bis 1990 wurde durchgeführt.

Die Emissionen sind in den letzten Jahren rückläufig..

Daten zur AWACS-Wartung werden unter CRF 2.H.3 berichtet, da diese Daten der Vertraulichkeit unterliegen.

4.8.2.2 Teilchenbeschleuniger (2.G.2.b)

4.8.2.2.1 Beschreibung der Kategorie (2.G.2.b)

Das Isolatorgas SF_6 wird zum Personenschutz und zum Schutz von Geräteteilen (Schutz vor Durchbrennen von Widerständen im Gerät) eingesetzt. Seine Funktion besteht darin, Hochspannungsteile durch die Umhüllung mit Gas zu isolieren (Schutz vor Spannungs-Überschlägen zwischen den Hochspannungsteilen und der Gerätewand).

Diese Schutzfunktion kann u.U. auch durch andere Gase (z.B. Stickstoff, Stickstoff/CO_2-Mischung), durch räumlichen Abstand (Luftisolation) oder z.B. durch Umgebung mit Betonwänden realisiert werden. Ob bei den Geräten SF_6 als Isolatorgas eingesetzt wird (allein oder als Beimischung) hängt von technischen Gegebenheiten, Konstruktion und Spannungshöhe ab. Daher benötigen die Anlagen, sofern sie nicht standardisiert sind, unterschiedliche Mengen an SF_6. Die SF_6-Füllmenge ist deshalb auch nicht von der Anlagengröße (etwa gemessen in MV) abhängig, sondern variiert je nach Geräteaufbau.

SF_6-isolierteTeilchenbeschleuniger werden in unterschiedlicher Größe, Bauart und Funktion genutzt. Hochspannungsgeräte (0,3 bis über 23 MV) werden an Hochschulinstituten, Forschungsgemeinschaften und in der Industrie eingesetzt. Bei diesen Hochspannungsgeräten befinden sich Beschleuniger und Hochspannungsquelle (Van-de-Graaff-Generatoren oder

kompaktere Hochspannungsgeneratoren mit Dioden in Kaskadentechnik) in einem mit SF_6 oder SF_6-Beimischung isolierten Tank, der ggfs. unter Druck steht. Zur Einstellung der Geräte und zu Reparaturzwecken muss der Tank geöffnet werden, wobei das Isolatorgas in Reservetanks umgepumpt wird. Hierbei sowie beim Anspringen von Überdruckventilen bei Beschleuniger- und Reservetanks treten SF_6-Verluste auf. Die Forschungs-Beschleuniger, die unter variierenden Bedingungen gefahren werden, müssen häufiger geöffnet werden als die industriell genutzten Elektronenbeschleuniger.

In der Industrie kommen außerdem Niedrig-Energie-Geräte mit weniger als 0,3 MV zum Einsatz. Bei den Niederenergieanlagen ist die Eindringtiefe der Elektronen in das zu bearbeitende Material wesentlich geringer als bei den Hochenergieanlagen. "Elektronenstrahlwerkzeug“ werden im industriellen Bereich beispielsweise zur Polymervernetzung, vornehmlich von Kabel- und Drahtisolationen eingesetzt. Die Niederenergieanlagen mit geringerer Beschleunigungs-spannung benötigen eine geringere Abschirmung (SF_6-Menge) als die Hochenergieanlagen.

Eine weitere Kategorie stellen Strahlentherapiegeräte in medizinischen Einrichtungen dar. Bei Krebsbehandlung durch Bestrahlung mit Elektronen bzw. Photonen werden industriell voreingestellte Teilchenbeschleuniger eingesetzt, bei denen der sog. Hohlleiter, in dem die Teilchen beschleunigt werden, zur Verhinderung von Spannungsüberschlägen mit SF_6 als Isolationsgas gefüllt ist. Vor 1996 wurden in diesen Geräten FCKW eingesetzt.

SF_6 dient ferner als Isolatorgas bei großen Elektronenmikroskopen (>100 kV Beschleuniger-spannung) und Elektronenstrahlschreibern, die als „sonstige Geräte“ zusammengefasst werden und erstmals für 2010 erfasst wurden.

Insgesamt gilt: Der SF_6-Verbrauch bei Erst- bzw. Neubefüllung der Geräte und beim Emissionsersatz ist von der Größe der Geräte, den Druckverhältnissen sowie den Betriebs-bedingungen abhängig.

4.8.2.2.2 Methodische Aspekte (2.G.2.b)

Anfang 2004 führte Öko-Recherche für das Umweltbundesamt eine Totalerhebung zu inländischen Teilchenbeschleunigern durch, um die teilweise bis auf 1996 zurückreichenden Daten zu aktualisieren. Dabei wurden sowohl Anwender als auch Hersteller befragt. Inhalt der Fragen waren sowohl die SF_6-Mengen in ihren Geräten als auch die SF_6-Nachfüllungen während der letzten sieben Jahre.

Das ZSE übernimmt die Gliederung dieser Erhebung und enthält für alle fünf Kategorien den jährlichen SF_6-Bestand und den jährlichen Ersatz für Emissionen. Letztere schließen außer den laufenden auch die Befüll- und Entsorgungsverluste ein.

Für das Berichtsjahr 2011 wurde nochmals eine Totalerhebung durchgeführt. Erstmals wurden Daten für Elektronenmikroskope gesammelt. (SCHWARZ et al., o.J.) Es war nur eine geringe Gerätezu- und abnahme je nach Anwendung zu beobachten. Es werden daher konstante Verwendungsmengen angenommen. Eine Ausnahme bildet die Strahlentherapie. Hier sind leicht ansteigende Verwendungsmengen zu beobachten.

Tabelle 198: SF_6-Bestand in Teilchenbeschleunigern in 5 Anwendungssektoren 1995-2010, in t

Nutzer-Kategorie	1995	1997	1999	2001	2003	2010	Geräte 1995→2003	Geräte 2010
(1) Universitäts- Institute	30,571	30,571	28,467	28,067	28,317	32,090	13→11	10
(2) Forschungs-Einrichtungen	19,555	19,305	19,305	19,305	19,555	13,531	10→9	20
(3) Industrie (Hochspannung)	13,750	19,700	22,700	24,422	24,422	26,575	12→19	22
Zwischensumme (1-3)	63,876	69,826	70,722	72,044	72,044	72,196	35→39	52
(4) Industrie (Niederspannung)	1,600	1,600	1,600	1,600	1,600	1,425	14→14	23
(5) Strahlentherapie Einrichtungen	0,156	0,162	0,168	0,173	0,157	0,106	350→401	545
Zwischensumme (4-5)	1,756	1,762	1,768	1,773	1,757	1,531	364→415	568
Gesamt (1-5)	**65,632**	**71,588**	**72,490**	**73,817**	**73,801**	**73,727**	**399→455**	**620**

Die Nachfüllmengen als Indikatoren der laufenden Emissionen betragen bei den meist großvolumigen Teilchenbeschleunigern zu Forschungs- und industriellen Zwecken (erste drei Nutzerkategorien) 4,1-4,5 t jährlich in den Jahren von 1995 bis 2003. Die laufenden Emissionen sind im Jahr 2010 deutlich geringer. Dieser Rückgang ist ausgeprägter als der Rückgang der Füllvolumina.

Tabelle 199: SF_6-Emissionen aus Teilchenbeschleunigern nach fünf Anwendungsbereichen von 1995 bis 2010, in t

Nutzer-Kategorie	1995	1997	1999	2001	2003	2010	Geräte 1995→2003	Geräte 2010
(1) Universitäts-Institute	1,853	1,853	1,703	1,508	1,558	1,582	13→11	10
(2) Forschungs-Einrichtungen	1,259	1,259	1,246	1,246	1,196	0,886	10→ 9	20
(3) Industrie (Hochspannung)	0,958	1,291	1,548	1,722	1,710	1,155	12→19	22
Zwischensumme (1-3)	4,070	4,403	4,497	4,476	4,464	3,623	35→39	52
(4) Industrie (Niederspannung)	0,020	0,020	0,020	0,020	0,020	0,017	14→14	23
(5) Strahlentherapie Einrichtungen	0,345	0,359	0,372	0,384	0,395	0,491	350→401	545
Zwischensumme (4-5)	0,365	0,379	0,392	0,404	0,415	0,508	364→415	568
Gesamt	**4,435**	**4,782**	**4,889**	**4,880**	**4,879**	**4,131**	**399→455**	**620**

Das SF_6 wird bei Öffnung der Tanks der großvolumigen Hochspannungsgeräte umgepumpt und danach rückgeführt. Dies kann mit beträchtlichen Gasverlusten verbunden sein. Die gemeldeten Nachfüllungen schließen außerdem den Ausgleich von Emissionen durch Havariefälle ein. Daraus ergeben sich die Schwankungen in den Emissionsfaktoren in den Zeilen 1-3.

Tabelle 200: SF_6-Emissionsfaktoren von Teilchenbeschleunigern in fünf Anwendungsbereichen 1995-2010, in % des SF_6-Bestands

Nutzer-Kategorie	1995	1997	1999	2001	2003	2010
(1) Universitäts-Institute	6,1	6,1	6,0	5,4	5,5	4,9
(2) Forschungs-Einrichtungen	6,4	6,4	6,2	6,2	6,2	6,5
(3) Industrie (Hochspannung)	7,0	6,6	6,8	7,1	7,0	4,3
Zwischensumme (1-3)	6,4	6,3	6,3	6,2	6,2	5,0
(4) Industrie (Niederspannung)	1,3	1,3	1,3	1,3	1,3	1,2
(5) Strahlentherapie Einrichtungen	222	222	222	222	252	463
Gesamt (1-5)	**6,8**	**6,7**	**6,7**	**6,6**	**6,6**	**5,6**

Bei den kleinvolumigen Niederspannungs-Anlagen in der Industrie lagen die Emissionsraten nach Herstellerangaben in den Jahren 1995-2003 mit 1,3%. 2010 lag dieser Wert nach Herstellerangaben bei 1,2%, hat sich also kaum verändert.

Die Strahlentherapiegeräte in medizinischen Einrichtungen hatten in den Jahren von 1995 bis 2003 jährliche Emissionsraten von 220 - 250%. Der hohe Nachfüllbedarf ergibt sich daraus, dass diese Geräte im Durchschnitt zwei bis vier Mal jährlich im Zuge der vom Hersteller durchgeführten Wartung und Reparatur geöffnet werden, wobei das Isoliergas entweicht. Es wird vom Servicepersonal regelmäßig bei Wartung und Reparatur nachgefüllt. Die Emissionsraten (jährlicher Verlust pro Gerät) unterscheiden sich bei den drei Herstellern um den Faktor 10. Je geringer das Füllvolumen, desto größer der Nachfüllbedarf und damit die Emissionsrate. Bei zwei der drei Hersteller ist die Nachfüllrate pro Gerät zwischen 2003 und 2010 konstant geblieben, bei einem hat sie sich deutlich vermindert. Da sich der Anteil der kleinen und hochemissiven Geräte am Gesamtbestand deutlich vergrößert hat, ist auch die Gesamtverlustrate bei den Strahlentherapiegeräten zwischen 2003 und 2010 deutlich angestiegen, von ca. 250% auf ca. 460%. Ein Hersteller von Strahlentherapiegeräten berichtet über die Einführung eines Servicetools zur Wiederverwertung von SF_6 bei seinen Gerätetypen seit 2006 (Abpumpen des SF_6, Zwischenlagerung und Wiederbefüllung). Dies habe zu einer deutlichen Reduzierung des SF_6-Verbrauchs geführt

4.8.2.3 Isolierglasfenster (2.G.2.c)

4.8.2.3.1 Beschreibung der Kategorie (2.G.2.c)

SF_6 wird seit 1975 zur Erhöhung der Schalldämmung bei Mehrscheiben-Isolierglas in den Scheibenzwischenraum gefüllt. Nachteilig bei der Anwendung sind die schlechtere Wärmedämmleistung und das hohe Treibhauspotenzial von SF_6 Die Verschiebung der Priorität in Richtung Wärmeschutz, z. B. durch die Wärmeschutzverordnung und ein Bedeutungszuwachs SF_6-freier Scheibentechnologien hat dazu geführt, dass der Einsatz von SF_6 in dieser Anwendung seit Mitte der 90er Jahre zurückgeht.

Schallschutzscheiben wurden in Deutschland in zahlreichen Betrieben hergestellt und mit Gas befüllt. Der Export fertiger Scheiben spielt keine nennenswerte Rolle.

Seit dem 4. Juli 2007 gilt in der EU ein Verbot für das Inverkehrbringen von Fenstern für Wohnhäuser, die mit fluorierten Treibhausgasen befüllt wurden. Ab dem 4. Juli 2008 gilt dieses Verbot auch für sonstige Fenster. Heutige und künftige Emissionen dieser Kategorie stammen daher vorwiegend aus der offenen Entsorgung alter Fensterscheiben, die im Mittel 25 Jahre nach der Befüllung angenommen wird. Aus diesem Grund werden die Gesamtemissionen bis zum Jahr 2020 weiter zunehmen.

4.8.2.3.2 Methodische Aspekte (2.G.2.c)

Emissionen treten bei der Befüllung der Scheibenzwischenräume durch Überfüllung, (Herstellungsemissionen), während des Gebrauchs (Anwendungsemissionen) und bei der Entsorgung (Entsorgungsemissionen) auf. Die Emissionen werden analog den Gleichungen 3.24 – 3.26 der IPCC-GPG (2000) mittels des Inlandsneuverbrauchs, des mittleren Jahresbestands und des Restbestands vor 25 Jahren berechnet.

Die Zeitreihen für Schallschutzfenster beginnen im Jahr 1975, da für die Bestandsemissionen des Jahres 1995 die Befüllungsmengen des Jahres 1975 von Bedeutung sind. Diese mit Branchenexperten 1996 rekonstruierten Daten wurden erstmals im Jahr 2004 veröffentlicht.

Emissionsfaktoren

Vom SF_6-Verbrauch entweicht laut Expertenangaben von Scheiben- und Gasfüllgeräteherstellern, Branchenexperten und eines wissenschaftlichen Instituts bei der Befüllung des

Scheibenzwischenraums ein Drittel. $EF_{Herstellung}$ ist daher 33 % bezogen auf den Jahres-Neuverbrauch.

Dieser Emissionsfaktor kommt folgendermaßen zustande: Sowohl bei Handgeräten als auch bei automatischen Gasfüllpressen sind Verwirbelungen im Innenraum unvermeidlich, so dass nicht nur Restluft, sondern auch ein Luft-SF_6-Gemisch austritt, und zwar umso mehr davon, je weiter fortgeschritten der Befüllungsvorgang ist. Der Gasverlust, die sog. Überfüllung, reicht von 20 bis 60 % der Einfüllmenge. Relativ ist er umso größer, je kleiner die Scheibe ist. Im Durchschnitt, d.h. über das gesamte Spektrum der befüllten Scheibenformate, beträgt die Überfüllung 50 % auf die tatsächlich im Scheibenzwischenraum verbleibende Menge. Das entspricht einem Drittel (33 %) der jeweiligen Verbrauchsmenge. Der Emissionsfaktor wird unverändert weiter genutzt, da sich die Befüllungstechnik oder auch das geometrische Spektrum der Scheiben nicht verändert hat.

Eine DIN-Norm (DIN EN 1279-3, DIN 2003) schreibt 10 Promille jährlichen Verlust der Gasfüllung durch die Randabdichtung der Scheibe als Obergrenze vor. Dieser Wert bezieht auch Gasverlust infolge von Glasbruch bei Transport, Einbau und Nutzung sowie der mit dem Alter zunehmenden Undichtheit des Randverbunds mit ein. Daraus resultiert ein Emissionsfaktor $EF_{Anwendung}$ von 1 % bezogen auf den seit 1975 akkumulierten SF_6-Bestand, der im Durchschnitt des Jahres n besteht.

Entsorgungsverluste fallen am Ende der Nutzungsphase der Scheiben an, durchschnittlich 25 Jahre nach der Befüllung. Darum sind erst ab dem Jahr 2000 Abgänge durch Entsorgung bei den Emissionen zu berücksichtigen.

Da die Scheiben in jedem Jahr 1 % Gas vom Vorjahreswert verlieren, wird bei der Entsorgung nur ein Teil der ursprünglichen Füllung emittiert. Da aber keine Rückgewinnung stattfindet, erfolgt eine 100%ige Emission ($EF_{Entsorgung}$ = 1).

Aktivitätsdaten

Der Jahres-Neuverbrauch wurde mittels top-down-Erhebung gewonnen (Inlandsabsatz des Gasehandels).

4.8.2.4 Adiabatisch - Autoreifen (2.G.2.d)

4.8.2.4.1 Beschreibung der Kategorie (2.G.2.d)

Autoreifen wurden aus Imagegründen (die verbesserte Druckkonstanz ist nicht praxisrelevant) ab 1984 mit SF_6 befüllt. Der größte Verbrauch lag im Jahr 1995. Hier bestand bei über 500 der rund 3500 Verkaufsstellen des deutschen Reifenfachhandels die Möglichkeit, die Reifen mit SF_6-Gas zu befüllen. Wegen des großen Treibhauspotenzials von SF_6 stiegen viele Reifenhändler auf Stickstoff als Befüllungsalternative um, was zu einem deutlichen Rückgang geführt hat. Seit dem 4. Juli 2007 gilt in der EU ein Verbot für das Inverkehrbringen von neuen Autoreifen, die mit fluorierten Treibhausgasen befüllt wurden. Es finden keine Emissionen mehr statt.

4.8.2.4.2 Methodische Aspekte (2.G.2.d)

Gasemissionen während der Reifenlaufzeit werden zur Vereinfachung nicht berücksichtigt, so dass nur Emissionen bei der Reifendemontage auftreten. Bei einer kalkulierten Laufzeit von ca. 3 Jahren folgen die Emissionen dem inländischen Verbrauch zur Befüllung, da es keinen Außenhandel mit befüllten Reifen gibt, dreijährig Zeit versetzt (ÖKO-RECHERCHE 1996). Zur Berechnung der Emissionen wird die Gleichung 8.9 der 2006 IPCC-Guidelines (Vol. 3) angewendet.

Emissionsfaktoren

Die sehr geringen Verluste bei der Reifenbefüllung werden nicht berücksichtigt. Da SF_6 bei der Reifendemontage vollständig entweicht, gilt $EF_{Entsorgung} = 1$.

Aktivitätsdaten

Die jährlichen Verbrauchsmengen wurden durch Abfragen der Inlandsabsätze der Gaslieferanten an Reifenhändler und Kfz-Werkstätten durch das Statistische Bundesamt ermittelt.

4.8.2.5 Adiabatisches Verhalten - Sportschuhe (2.G.2.d)

4.8.2.5.1 Beschreibung der Kategorie (2.G.2.d)

Der Einsatz von SF_6 erfolgte in den Sohlen von Sportschuhen zur Verbesserung der Dämpfung; das letzte Mal europaweit im Jahr 2003. Ab 2004 wurde FKW-218 (C_3F_8) eingesetzt, letztmals im Jahr 2006. Heute wird größtenteils Stickstoff verwendet. Das Inverkehrbringen von mit fluorierten Treibhausgasen hergestellter Fußbekleidung in die EU ist seit dem 4. Juli 2006 verboten. Es finden keine Emissionen mehr statt.

4.8.2.5.2 Methodische Aspekte (2.G.2.d)

Die Berechnung der Emissionen erfolgte über Gleichung 8.9 der IPCC-Guidelines (2006). Fertigungsemissionen fielen nur im Ausland an, laufende Emissionen wurden nicht ermittelt. Wegen der Vertraulichkeitszusage werden die Daten zu Sportschuhsohlen unter CRF 2.H.3 berichtet.

Emissionsfaktoren

Emissionen bei der Produktion wurden von den Herstellern nicht berichtet.

Während der Anwendung wird keine Emission angenommen.

Bei der Entsorgung können die Emissionen den eingesetzten Mengen gleichgesetzt werden ($EF_{Entsorgung} = 1$), wobei analog zur IPCC-Methode bei Autoreifen eine Zeitverzögerung von drei Jahren angenommen wird.

Aktivitätsdaten

Die Füllmengen beruhen auf europaweiten Verkaufszahlen der Hersteller. Diese Angaben werden auf Deutschland über die Bevölkerungszahl als Kriterium herunter gerechnet. Die Daten liegen dem Umweltbundesamt seit dem Berichtsjahr 2001 vor, werden aber aus Gründen der Vertraulichkeit nur in aggregierter Form unter CRF 2.H.3 berichtet.

4.8.2.6 Sonstige: Spurengas (2.G.2.e)

4.8.2.6.1 Beschreibung der Kategorie (2.G.2.e)

Als stabiles und auch in extrem geringer Konzentration gut nachweisbares Spurengas wird SF_6 von Forschungseinrichtungen für die Untersuchung bodennaher und atmosphärischer Luftströmungen und Gasausbreitungen sowie von Wasserströmungen eingesetzt.

Ab dem Berichtsjahr 2007 wurde SF_6 als Spurengas gegenüber den Vorjahren deutlich weniger eingesetzt.

4.8.2.6.2 Methodische Aspekte (2.G.2.e)

Die verwendeten Mengen wurden von Experten geschätzt.

Emissionsfaktoren

Es wird von einer offenen Anwendung ausgegangen, d.h. der jährliche Neueinsatz emittiert vollständig im selben Jahr und wird als Verbrauch zur Fertigung ($EF_{Herstellung}$ = 1) betrachtet. Eine Rückgewinnung erfolgt nicht.

Aktivitätsdaten

Die Einschätzung des inländischen Gesamteinsatzes erfolgte 1996 durch die Experten aller Forschungseinrichtungen und dann jeweils im Abstand von 3 Jahren durch einen Experten. Die Einschätzungen zeigten nur geringe Variationen der Einsatzmengen.

4.8.2.7 Sonstige: Schweißen (2.G.2.e)

4.8.2.7.1 Beschreibung der Kategorie (2.G.2.e)

Nach Angaben von Gaslieferanten begann die Verwendung von SF_6 beim Schweißen im Jahr 2001. SF_6 wird als Schutzgas beim Schweißen von Metall eingesetzt. Da es nur einen Anwender in Deutschland gibt, unterliegen die Daten der Vertraulichkeit.

4.8.2.7.2 Methodische Aspekte (2.G.2.e)

Wegen der Datenvertraulichkeit werden Verbrauch und Emissionen beim Schweißen unter CRF 2.H.3 berichtet.

Emissionsfaktoren

Es stehen keine verlässlichen Daten über den Zerfall von SF_6 während der Anwendung zur Verfügung. Nach Expertenschätzung emittiert die eingesetzte SF_6–Menge bei der Anwendung vollständig in die Atmosphäre. Daher werden Verbrauch und Emissionen beim Schweißen gleichgesetzt. Für den Emissionsfaktor beim Schweißen gilt $EF_{Anwendung}$ = 1.

Aktivitätsdaten

Die jährlichen Verbrauchsmengen werden durch Abfrage bei der Firma erfragt, die SF_6 zum Schweißen verwendet.

4.8.2.8 Sonstige: Optische Glasfasern (2.G.2.e)

4.8.2.8.1 Beschreibung der Kategorie (2.G.2.e)

Die Verwendung von SF_6 bei der Herstellung optischer Glasfasern begann im Jahr 2002. SF_6 wird bei der Herstellung spezieller optischer Glasfaserkabel zur Fluordotierung eingesetzt. Es gibt in Deutschland nur wenige Produktionsbetriebe.

4.8.2.8.2 Methodische Aspekte (2.G.2.e)

Emissionen treten bei der Produktion der optischen Glasfaserkabel auf.

Emissionsfaktoren

Die 2006 IPCC Guidelines[79] enthalten keine Informationen über die Verwendung von SF_6 bei der Produktion optischer Glasfasern. Laut Expertenangaben entweichen 70 % der eingesetzten SF_6-Menge. Daher gilt für den Emissionsfaktor $EF_{Herstellung}$ = 0,7.

[79] IPCC GL 2006: Vol. 6, Ch. 6: Electronics Industry

Aktivitätsdaten

Die jährlichen Verbrauchsmengen werden durch Abfragen der Inlandsabsätze der Gaslieferanten durch das Statistische Bundesamt erhoben. Sie steigen seit 2001 mit leichten Schwankungen stetig an.

4.8.2.9 Sonstige: Medizinische und kosmetische Anwendungen (2.G.2.e)

4.8.2.9.1 Beschreibung der Kategorie (2.G.2.e)

In Deutschland werden fluorierte Treibhausgase nicht nur in medizinischen Dosieraerosolen (Quellgruppe 2.F.4) eingesetzt, sondern auch in verschiedenen medizinischen bzw. kosmetischen Anwendungen.

Perfluordecalin ($C_{10}F_{18}$, FKW-9-1-18) wird seit dem Jahr 2000 als Reinstoff in der Augenheilkunde und in der Forschung verwendet. In der Augenheilkunde wird Perfluordecalin in der Netzhautchirurgie innerhalb des Auges angewendet, insbesondere bei Netzhautablösungen, Netzhautrissen, Glaskörperproliferationen etc. In deutlich geringeren Mengen kommt Perfluordecalin in der Forschung zur Organkonservierung während Transplantationen, als Kontrastmittel in diagnostischen Abbildungstechniken (Magnetresonanztomographie, Ultraschall) und als Sauerstoffträger bei der Zellkultivierung zum Einsatz.

Perfluordecalin wird seit dem Jahr 2012 auch als Inhaltsstoff in Kosmetikprodukten (Hautpflege, Nagelpflege), in denen es als Träger- bzw. Speichermedium für Sauerstoff genutzt wird, verwendet. Die Einsatzkonzentration von Perfluordecalin in diesen Produkten beträgt laut Herstellerangaben 0,1 %.

Hydrofluorether (HFE) sind in Deutschland die Standard-Narkosegase für inhalative Anästhesien und werden bei etwa 9 Millionen Operationen jährlich eingesetzt. Der hydrofluorchlorierte Ether Isofluran (HCFE-235da2, CHF_2-O-CHCl-CF_3) kommt bereits seit dem Jahr 1985 zum Einsatz. Desfluran (HFE-236ea2, CHF_2-O-CHF-CF_3) und Sevofluran (HFE-347mmz1, CH_2F-O-$CH(CF_3)_2$ sind seit 1995 in Gebrauch und haben gegenwärtig einen Marktanteil von zusammen etwa 90 %. Die Hydrofluorether werden bei der Anwendung mit speziellen Vorrichtungen verdampft und in Konzentrationen von 1 % bis 6 % in einem Trägergas, das aus Sauerstoff und Lachgas (N_2O) besteht, verabreicht. Pro Operation werden durchschnittlich 8,2 g Isofluran, 32,6 g Desfluran bzw. 11,4 g Sevofluran eingesetzt. Die Verwendungsmengen der bei den Operationen verwendeten Hydrofluorether sind unterschiedlich, da die Konzentrationen der Narkosegase in der zugeführten Atemluft bzw. dem Trägergas stark differieren, um ihre Wirksamkeit zu gewährleisten.

Medizinische und kosmetische Anwendungen von FKW werden entsprechend des Vorschlags der 2006 IPCC Guidelines in der Quellgruppe 2.G.2 eingeordnet.

4.8.2.9.2 Methodische Aspekte (2.G.2.e)

Perfluordecalin emittiert vollständig bei der Anwendung als Reinstoff in der Augenheilkunde und in der Forschung. Das in Kosmetikprodukten enthaltene Perfluordecalin emittiert ebenfalls vollständig während der Anwendung ($EF_{Anwendung} = 1$).

Die als Inhalationsnarkotika verwendeten Hydrofluorether werden während der Operationen gesammelt und zentral in die Atmosphäre abgeleitet. Die verschiedenen Hydrofluorether werden bei den Operationen jedoch nicht unverändert wieder ausgeatmet, sondern teilweise und in unterschiedlichem Maße im Organismus metabolisiert. Die gasspezifischen Emissionsfaktoren haben jeweils Werte von 100 % abzüglich der Metabolisierungsrate.

Herstellungsemissionen bei medizinischen bzw. kosmetischen Anwendungen treten nicht auf, da keine Produkte in Deutschland produziert werden.

Anwendungsemissionen werden über die als Bulkware und in Kosmetikprodukten verkauften Mengen an Perfluordecalin mit Gleichung 2 berechnet. Dabei wird entgegen der in den 2006 IPCC Guidelines vorgeschlagenen Methode zur Berechnung der „prompten Emissionen" (Gleichung 8.23) davon ausgegangen, dass die in einem Jahr verkauften Mengen vollständig im gleichen Jahr emittieren und nicht die Summe der halben Käufe (Verkäufe) des vorherigen Jahres und des aktuellen Jahres. Diese Vorgehensweise ist vertretbar, da die Zeitspanne zwischen Verkauf und Anwendung sehr kurz ist.

Anwendungsemissionen von den als Narkosegasen eingesetzten Hydrofluorethern errechnen sich mit Gleichung 2 über die in Deutschland verwendeten Mengen. Die 2006 IPCC Guidelines machen keine Vorgaben zur Berechnung der Emissionen.

Da Perfluordecalin und die Hydrofluorether bereits vollständig bei ihrer Anwendung emittieren, müssen keine Entsorgungsemissionen berichtet werden.

Wegen der Datenvertraulichkeit werden Verbrauch und Emissionen von Perfluordecalin unter CRF 2.H.3 berichtet.

Die Emissionen der nicht berichtspflichtigen Hydrofluorether werden gemäß den Empfehlungen der UNFCCC Reporting Guidelines 2014 (FCCC/CP/2013/10/Add.3, Decision 24/CP.19) freiwillig als „additional greenhouse gases" berichtet. Die Emissionen sind aggregiert mit anderen nicht berichtspflichtigen Emissionen in Kapitel 4.9.3 unter CRF 2.H.3 aufgeführt.

Emissionsfaktoren

Die verwendeten Emissionsfaktoren sind das Ergebnis von Expertenaussagen und sind in Tabelle 195 wiedergegeben.

Der $EF_{Anwendung}$ beträgt für alle medizinischen und kosmetischen Anwendungen von Perfluordecalin 100 %.

Bei den als Inhalationsnarkotika verwendeten Hydrofluorethern beträgt der $EF_{Anwendung}$ für Isofluran und Desfluran 99,8 %, für Sevofluran 95 %.

In Übereinstimmung mit den IPCC Vorgaben (2006 IPCC Guidelines, Seite 8.32) wird von einer 100 %igen Emission bei der Anwendung von Perfluordecalin ausgegangen ($EF_{Anwendung}$ = 100 %). In Deutschland wird abweichend von den Guidelines nur eine einjährige Lebensdauer zugrunde gelegt. Der Emissionsfaktor ist daher als „country specific" eingestuft.

Für die Verwendung von Hydrofluorethern als Inhalationsnarkotika gibt es keine Vorgaben in den IPCC Guidelines.

Aktivitätsdaten

Die jährlichen Importe von $C_{10}F_{18}$ nach Deutschland für die Anwendung in der Augenheilkunde und der Forschung wurden vom Hersteller F2 Chemicals, UK, vertraulich zur Verfügung gestellt.

Die nach Deutschland importierten Mengen $C_{10}F_{18}$-haltiger Kosmetikprodukte wurden vom Handelsunternehmen P2 cosmetics, das diese Produkte in Deutschland vertreibt, vertraulich zur Verfügung gestellt.

Die Verwendungsmengen der als Inhalationsnarkotika eingesetzten Hydrofluorether wurden durch Befragungen von Branchenexperten (Kliniken, Hersteller von Narkosehilfsgeräten) und Literaturangaben im Rahmen eines Forschungsvorhabens ermittelt (s. ÖKO-RECHERCHE 2015.

4.8.2.10 Unsicherheiten und Zeitreihenkonsistenz (2.G.2 alle)

Eine systematische Quantifizierung der Unsicherheiten für die Quellgruppe ist erfolgt.

Bei Isolierglasfenstern erfolgt seit 2006 ein Datenabgleich des Jahres-Neuverbrauchs der top-down-Erhebung auf Basis von kommerziellen Verkaufsdaten mit den vom *Statistischen Bundesamt* jährlich durchgeführten Erhebungen. Dadurch konnte die Datensicherheit erhöht werden und ist als verlässlich und vollständig zu bewerten. Der $EF_{Herstellung}$ kann angesichts der Vielfalt der Einflussfaktoren nicht verbindlich gemessen werden. Die Schätzung der 1996 und 1999 befragten zehn Branchenexperten (aus Kreisen der Scheibenhersteller, Füllgerätelieferanten und eines wissenschaftlichen Instituts) lässt kaum einen anderen Schluss zu, als dass sich der mittlere Befüllungsverlust zwischen 30 % und 40 % bewegt. 1 % laufende Gasverluste werden als realistisch angesehen.

Bei Sportschuhen ist trotz der guten Datenqualität für die EU die Verteilung der Füllmengen auf die Mitgliedstaaten mit erheblichen Unsicherheiten verbunden.

Bei medizinischen Anwendungen wird die Datenqualität der Verwendungsmenge von Perfluordecalin als gut bewertet, da die Zahlen direkt vom Hersteller (F2 Chemicals Ltd, UK) stammen, der als einziger Anbieter Perfluordecalin nach Deutschland exportiert. Die Unsicherheiten bei den kosmetischen Produkten sind höher, da der Kosmetikmarkt in Deutschland sehr dynamisch ist und nicht auf Statistiken zurückgegriffen werden kann.

4.8.2.11 Quellenspezifische Qualitätssicherung/-kontrolle und Verifizierung (2.G.2 alle)

Eine allgemeine und kategoriespezifische Qualitätskontrolle und eine Qualitätssicherung durch die Fachseite und durch die Nationale Koordinierungsstelle wurden gemäß den Anforderungen des QSE-Handbuchs bzw. dessen mitgeltenden Unterlagen durchgeführt.

Die Daten für das aktuelle Berichtsjahr wurden, wie bereits für die meisten Vorjahre, im Rahmen eines Forschungsvorhabens im Auftrag des Umweltbundesamtes durch einen externen Experten erhoben.

Die Qualitätssicherung erfolgt im Wesentlichen durch den externen Experten. Darüber hinaus werden die Daten durch die Fachbegleiter des UBA bei Abnahme geprüft.

Der gesamte Sektor der F-Gas Emissionen wurde im Jahr 2011 einer freiwilligen trilateralen Überprüfung unterzogen. Experten aus England, Deutschland und Österreich überprüften die F-Gas Inventare der anderen Länder. Das Ziel der Überprüfung war der Informationsaustausch über die länderspezifischen Methoden der Erstellung der F-Gas Inventare, ein Einblick in die institutionellen und rechtlichen Regelungen für die F-Gas Inventare in jedem Land, die Identifizierung der Hindernisse zur Erstellung von vollständigen und exakten Inventaren und die Diskussion der Unterschiede und Ähnlichkeiten in den Methoden, die zur Erstellung der F-Gas Inventare verwendet werden. Das Treffen hat allen drei Ländern geholfen, die verwendeten Methoden zur Emissionsberechnung zu überprüfen. Weiterhin konnten die Transparenz, die Vollständigkeit und die Genauigkeit der Inventare bewertet werden. Das positive Ergebnis war, dass Deutschland ein gutes F-Gase-Inventar hat. Im Ergebnis wurden keine Empfehlungen für Verbesserungen des deutschen F-Gase-Inventars ausgesprochen.

4.8.2.12 Kategoriespezifische Rückrechnungen (2.G.2 alle)

Bei Medizin- und Kosmetikprodukten (Subquellgruppe 2.G.2.e) wurden die Verwendungsmengen der als Inhalationsnarkotika eingesetzten nicht berichtspflichtigen Hydrofluorether für die Jahre 1990 bis 2014 nach oben korrigiert, da im letzten Erhebungsjahr fälschlicherweise zu niedrige Werte veranschlagt wurden. Da es sich um nichtberichtspflichtige Stoffe handelt, wird hier auf

eine quantitative Darstellung verzichtet. Die neu berechneten Emissionen werden mit anderen nicht berichtspflichtigen Emissionen zusammengefasst und aggregiert in Kapitel 4.9.3 unter CRF 2.H.3 berichtet.

4.8.2.13 Geplante Verbesserungen, kategoriespezifisch (2.G.2 alle)

Derzeit sind keine Verbesserungen geplant.

Sofern in vorhergehenden Berichterstattungen in diesem Kapitel Verbesserungen benannt wurden, sind diese in Form einer Übersicht unter Kapitel 10.4 Verbesserungen des Inventars, Tabelle 426 zu finden. Sind diese bereits erledigt, sind sie im selben Kapitel in Tabelle 425 abgebildet.

4.8.3 Verwendung von N_2O (2.G.3)

4.8.3.1 Beschreibung der Kategorie (2.G.3)

Der deutsche Lachgasmarkt wird von Air Liquide, Linde AG und Westfalen AG dominiert, die sowohl als Hauptthersteller als auch Importeur auftreten. Bei der Lachgasherstellung und dessen Abfüllung in Gasflaschen entstehen keine Lachgasemissionen. Diese treten lediglich bei dessen Anwendung auf: Als N_2O-Quelle ist hier vor allem der Einsatz in der Medizin von Bedeutung. Weitere Emissionsquellen sind der Einsatz von Lachgas als Treibmittel in Sprühsahnedosen und der Einsatz in der Halbleiterindustrie. Auch bei Sprengungen wird N_2O in geringen Mengen freigesetzt. Die Lachgas-Emissionen der Anästhesie sind als dominierende Emissionsquelle seit 1990 stark rückläufig, da statt Lachgas zunehmend intravenöse Betäubungen angewandt werden. Dieser Trend wird sich auch in Zukunft fortsetzen.

Medizin - Anästhesie

In der Medizin wird Lachgas als analgetisch wirkendes Gas zu Narkosezwecken genutzt. Bei der Anwendung wird Lachgas mit reinem Sauerstoff gemischt, um eine wirkungsvolle Gasmischung von 70 % Lachgas und 30 % Sauerstoff zu erhalten. In der modernen Anästhesie wird die Wirkung des Lachgases durch Zugabe von anderen Narkosemitteln verbessert. Bislang ist der Einsatz von N_2O in diesem Bereich nicht verboten, jedoch gibt es starke Bestrebungen in der deutschen Medizin gegen dessen allgemeine Verwendung. Der Einsatz von Lachgas in der Medizin geht deshalb seit 1990 kontinuierlich zurück.

Lebensmittelindustrie - Sprühsahnedosen

Lachgas wird in der Lebensmittelindustrie als Zusatzstoff mit dem Namen E 942 verwendet. Treibgase pressen Lebensmittel unter Druck aus ihren Behältern. Je nach Art des Lebensmittels kommt es dabei zur Aufschäumung oder zur Herstellung einer cremigen Konsistenz. So werden Sahne (aus Sprühdosen), Quark, und diverse Desserts wie zum Beispiel Fertigpuddings mit N_2O versetzt (DIE VERBRAUCHER INITIATIVE E.V, 2005; LINDE GAS GMBH, 2005),

Halbleiterherstellung

Für die Fertigungsschritte in der Halbleitertechnik werden eine Vielzahl von Chemikalien und Gasen verwendet. Argon, hochreiner Sauerstoff, Wasserstoff, hochreines Helium und Stickstoff bilden die Hauptmengen der eingesetzten Gase. Der Verbrauch der speziellen Prozessgase wie Distickstoffmonoxid, Ammoniak und Hexafluorethan ist vergleichsweise gering und in den letzten Jahren annähernd konstant geblieben (AMD Saxony LLC&Co. KG, Dresden, Umweltbericht 2002/2003, Seite 16).

Sprengstoffe

Sprengstoffe können militärisch und gewerblich eingesetzt werden. Zivile bzw. gewerbliche Sprengstoffe finden im Bergbau, bei Baumaßnahmen in felsigen Gegenden, bei Abrissunternehmen, in der Geologie und bei Feuerwerken Verwendung.

Lachgasemissionen entstehen vorwiegend bei der Detonation von ammoniumnitrathaltigen Sprengstoffen wie dem ANFO (Ammoniumnitrat- / Fuel Oil) und den Emulsionssprengstoffen. Im Allgemeinen enthalten die gewerblichen/zivilen Sprengstoffe zu ca. 60 bis 80 % Ammoniumnitrat (AN). Dagegen enthält der ANFO-Sprengstoff Andex bis zu 94 % Ammoniumnitrat.

In Deutschland werden Sprengstoffe zur zivilen Nutzung von zwei Firmen hergestellt: Orica Mining (früher Dynamit Nobel) und Westpreng GmbH (Wasag Chemie).

Bei der Herstellung von Sprengstoff entstehen keine Lachgasemissionen, jedoch kann bei der thermischen Zersetzung von Sprengstoffen Lachgas gebildet werden. Die Ursache dafür ist, dass Ammoniumnitrat (AN) beim thermischen Zerfall Distickstoffmonoxid (Lachgas) und Wasser bildet.

Bei vorsichtigem Erwärmen über die Schmelztemperatur läuft die Reaktion wie folgt ab:

$$NH_4NO_3 \longrightarrow N_2O + 2H_2O$$

Bei der schnellen, detonativen Umsetzung des AN-haltigen Sprengstoffes, verläuft die Reaktion jedoch wie folgt:

$$NH_4NO_3 \longrightarrow 2H_2O + N_2 + 0{,}5O_2$$

Dies bedeutet, dass bei hohem Druck und hoher Temperatur AN vorwiegend zu Stickstoff, Sauerstoff und Wasser reagiert. Nur eine geringe Konzentration an primär gebildetem N_2O bleibt beim Detonationsprozess erhalten. So enthalten z.B. die Detonationsschwaden von Amatolen[80] mit etwa 80 % an AN nur 0,1 Mol N_2O pro Mol Ammoniumnitrat. Aus diesem Betrag lässt sich eine theoretische maximale Lachgasbildung von etwa 68 g (dieser Wert wurde von einem Sprengstoffexperten mitgeteilt, der stöchiometrische Wert würde 44 g/Mol Amatol (80 %-AN) betragen) pro Kilogramm AN errechnen (ORELLAS, D.L., 1982; VOLK, F, 1997, Seite 74). Nach Aussage von Experten können Annahmen über die N_2O-Emissionen bezogen auf diesen AN-Gehalt für andere Sprengstoffe getroffen werden.

N_2O im Auto-Tuning

In der Antriebstechnik wird Lachgas zur Verbesserung des Verbrennungsprozesses in Benzinmotoren, der so genannten „Lachgas-Einspritzung“, verwendet. Dabei wird das Lachgas in Stickstoff und Sauerstoff gespalten. Der Stickstoff kühlt den Verbrennungsprozess und der Sauerstoff erhöht die Verbrennungsleistung. Infolge dieser „Tuningmaßnahme“ kann die Leistung des Motors kurzfristig gesteigert werden. Es gibt in Deutschland bisher eine Firma, die solche Tuning-Maßnahmen anbietet. Recherchen haben ergeben, dass die entsprechende Technik, die für ein solches Tuning genutzt wird, auf einen möglichst restlosen Verbrauch des Lachgases ohne nennenswerte Emissionen ausgelegt ist.

[80] Amatol x/y : militärische Sprengstoffe. Gießbare Gemische, i.a. aus x % TNT und y % Ammoniumnitrat

4.8.3.2 Methodische Aspekte (2.G.3)

Anästhesie

Die Menge an N_2O-Emissionen aus medizinischen Anwendungen für das Jahr 1990 basiert auf einer Extrapolation der statistischen Anlagenerhebung im Gebiet der ehemaligen DDR im Jahr 1990. Damals wurde festgestellt, dass dort eine Anlage zur Produktion von N_2O für Narkosezwecke existiert hat. Die Anlage war zum damaligen Zeitpunkt noch nicht lange in Betrieb (Errichtung im Jahr 1988). Die Produktionskapazität betrug etwa 1.200 t pro Jahr. Nach Recherchen fand kein Export bzw. Import dieses Stoffes statt, so dass von der vollständigen Anwendung im Land ausgegangen wurde. Über die hierdurch für die ehemalige DDR ermittelte Pro-Kopf-Emission wurde unter der Annahme gleicher Verhältnisse in grober Näherung für das Jahr 1990 eine N_2O-Emission von 6.200 t für Deutschland festgelegt. Die N_2O-Angabe für das Jahr 2001 stammt aus einer schriftlichen Mitteilung des Industriegaseverbands e.V. (IGV) aus dem Jahr 2002. Dieser Wert hatte eine Bandbreite von 3.000 ~ 3.500 t/a, woraufhin für die Zeitreihenentwicklung der N_2O-Emissionen der Mittelwert aus diesen Werten verwendet wurde (3.250 t/a).

Seit dem Jahr 2005 wird durch den Industriegaseverband eine Erhebung der N_2O-Absatzmengen aller Anwendungen in Deutschland durchgeführt. Diese Daten hat der IGV auch dem Umweltbundesamt für die Berichterstattung zur Verfügung gestellt. 2010 hat der IGV mit dem Bundeswirtschaftsministerium eine Selbstverpflichtung abgeschlossen über die jährliche Bereitstellung der N_2O Absatzmengen für die Emissionsberichterstattung.

Die Datenlücken in der Anästhesie werden durch Interpolation und Extrapolation geschlossen.

Der Emissionsfaktor beträgt 100%.

Sprühsahnedosen

Der Einsatz von N_2O in Sprühsahnedosen in Deutschland muss differenziert betrachtet werden. Es gibt in Deutschland einen Hersteller von Sprühsahnedosen, der diese auch in Deutschland befüllt. In den Emissionsberechnungen wird aufgrund der oben beschriebenen Recherchen angenommen, dass diese Firma einen Anteil von ca. 3 % an den Lachgas-Absatzmengen des Industriegaseverbandes hat. Der größere Anteil der Unternehmen aber lässt ihre Sprühsahnedosen im Ausland befüllen und importiert diese nach Deutschland. Die Absatzmengen dieser Firmen sind deshalb nicht in den Daten des Industriegaseverbandes enthalten. Der Milchindustrieverband hat in einer einmaligen Erhebung dem Umweltbundesamt mitgeteilt, dass 2008 50,2 Mio. Einheiten Sprühsahnedosen verkauft worden sind. Der Milchindustrieverband gab aber an, dass die Einheiten verschiedene Größen haben und eine differenzierte Angabe nach den Größen nicht möglich ist. Eine Internetrecherche hat ergeben, dass im deutschen Handel Druckpatronen mit 8g N_2O für 0.5l Sahnedosen und 16g N_2O für 1,0l Sahnedosen verkauft werden. Vergleichsrechnungen haben ergeben, dass vereinfacht mit 8g N_2O pro verkaufte Einheit gerechnet werden kann. Dies ergibt eine Einsatzmenge von 401,6 t N_2O für Sprühsahnedosen im Jahr 2008 in Deutschland. Da für die Jahre vor 2008 keine Daten vorliegen wird dieser Wert als konstant angenommen.

Der Emissionsfaktor für Sprühsahnedosen wird mit 100% angenommen.

Halbleiterherstellung

Für die Jahre 1990, 1995, 2000, 2001 und 2008 hat der ZVEI eine einmalige Angabe über die Einsatzmengen (**Aktivitätsdaten**) von Lachgas gemacht. Zwischen diesen Werten wird interpoliert.

Für die Fertigungsschritte in der Halbleitertechnik werden eine Vielzahl von Chemikalien und Gasen verwendet. Argon, hochreiner Sauerstoff, Wasserstoff, hochreines Helium und Stickstoff bilden die Hauptmengen der eingesetzten Gase. Der Verbrauch der speziellen Prozessgase wie Distickstoffmonoxid und Ammoniak ist vergleichsweise gering und in den letzten Jahren annähernd konstant geblieben (AMD Saxony LLC&Co. KG, Dresden, Umweltbericht 2002/2003, Seite 16).

Der **Emissionsfaktor** ist vertraulich und wird daher hier nicht im Detail beschrieben.

Sprengstoffe

2003 wurden in Deutschland 59 kt Sprengstoff hergestellt. Davon wurden 13 kt ins Ausland exportiert und 5,8 kt nach Deutschland importiert[81]. Das ergibt eine in Deutschland verbrauchte Menge von 51,8 kt. Der Anteil von ANFO an der Gesamtmenge beträgt 60 %, der der Emulsionssprengstoffe 25 % und der der Dynamitsprengstoffe 15 %. ANFO-Sprengstoffe bestehen aus 94 % Ammoniumnitrat und 6 % Brennstoffen. Für Emulsionssprengstoffe beträgt dieses Verhältnis 80 % zu 20 % und für Dynamitsprengstoffe 50 % zu 50 %.

Derzeit wird Lachgas als Schwadenkomponente im Gegensatz zu NO und NO_2 nicht ermittelt.

In der Regel ist die Bildung von N_2O nur bei Sprengstoffen relevant, die Ammoniumnitrat (AN) enthalten. Allerdings liegen bei ANFO-Sprengstoffen keine genauen Analysen der Detonationsschwaden vor. Aus diesem Grund muss man davon ausgehen, dass bei der Detonation von ANFO eine ähnlich hohe Konzentration von N_2O gebildet wird bezogen auf den AN-Gehalt wie bei den Amatolen und Ammoniten[82], von denen bereits Analysen vorliegen, um eine Abschätzung ermöglichen zu können. Man kommt zu folgendem Ergebnis: Amatole und Ammonite bilden bei der Detonation etwa 0,1 Mol N_2O pro Mol Ammoniumnitrat (AN).

Laut Aussage der *Bundesanstalt für Materialforschung und -prüfung* (BAM) ist die Menge des Sprengstoffverbrauchs in der BRD von 1990 bis 2005 konstant geblieben.

Der Emissionsfaktor für den Einsatz von Sprengstoffen beträgt 0,1036 kg N_2O/t Sprengstoff. Der Emissionsfaktor wurde von der Bundesanstalt für Materialprüfung im Februar 2010 durch Messungen ermittelt. Dadurch konnte der Emissionsfaktor gegenüber der Submission 2010 deutlich nach unten korrigiert werden.

Für Anästhesie, Sprühsahnedosen und die Halbeiterindustrie werden die Emissionen zusammen aggregiert mit den vertraulichen Emissionen aus der 1,12-Dodecandisäure-Produktion (2.B.10) berichtet, da Letzteres vertrauliche Daten enthält.

4.8.3.3 Unsicherheiten und Zeitreihenkonsistenz (2.G.3)

Die Aktivitätsdaten für die Anästhesie werden seit 2005 aus den Verbandsangaben ermittelt, deshalb wird die Unsicherheit auf 20 % geschätzt. Die Verbrauchsmengen für Sprühsahne und Sprengmittel unterliegen einer sehr hohen Unsicherheit (75 %), da die Berechnungen auf mehreren Annahmen fußen und nur jeweils für ein Jahr eine Angabe vorliegt. Die Unsicherheit der Aktivitätsdaten wird für die Halbleiterindustrie auf 10 % geschätzt, da die Daten von den Anlagenbetreibern stammen. Für die Unsicherheiten der Sprengstoffe wird der IPCC Default-Wert von +/- 75% verwendet.

[81] Persönliche Mitteilung: Bundesanstalt für Materialforschung und -prüfung (BAM).

[82] Ammonit: Zusammensetzung 70-88 % Ammoniumnitrat mit 5-20 % Nitroaromaten, 1-6 % Pflanzenmehl sowie z.T. 4 %
Nitroglycerin, Aluminiumpulver und Kaliumperchlorat

Die Unsicherheit der Emissionsfaktoren für die Anästhesie und Sprühsahnedosen wird auf 0 % festgelegt, da zum gegenwärtigen Zeitpunkt davon ausgegangen wird, dass N_2O bei seiner Anwendung keiner Umwandlung unterliegt und somit nach der Anwendung vollständig in die Atmosphäre entweicht. Der Emissionsfaktor für den Einsatz in der Halbleiterherstellung wird auf eine Unsicherheit von 15 % geschätzt, da die Daten von den Anlagenbetreibern stammen. Der Emissionsfaktor für Sprengstoffe wird auf 5 % Unsicherheit geschätzt, da der Emissionsfaktor in einer amtlichen Messung ermittelt worden ist.

Für den Verteilungstyp der Zeitreihen kann von einer Normalverteilung ausgegangen werden.

4.8.3.4 Kategoriespezifische Qualitätssicherung/-kontrolle und Verifizierung (2.G.3)

Eine allgemeine und kategoriespezifische Qualitätskontrolle und eine Qualitätssicherung durch die Fachseite und durch die Nationale Koordinierungsstelle wurden gemäß den Anforderungen des QSE-Handbuchs bzw. dessen mitgeltenden Unterlagen durchgeführt.

Für die Verwendung in der Anästhesie zeigt ein Vergleich mit anderen Ländern, dass die Meisten wie Deutschland den Emissionsfaktor von 1,0 verwenden. Dies entspricht auch dem Default-Wert der IPCC GL 2006: Vol. 3, S.8.36.

Für die Lachgas-Emissionen aus der Verwendung von Explosivstoffen ist ein Vergleich mit anderen Ländern oder Datenquellen nicht möglich, da Deutschland das einzige Land ist das diese Emissionen berichtet.

Eine Verifikation des Lachgaseinsatzes durch andere Datenquellen ist nicht möglich, da keine anderen Daten vorliegen mit denen eine Verifikation möglich wäre. Für die Berichterstattung wurden die Daten extra neu erhoben.

4.8.3.5 Kategoriespezifische Rückrechnungen (2.G.3)

Rückrechnungen sind nicht erforderlich.

4.8.3.6 Geplante Verbesserungen, kategoriespezifisch (2.G.3)

Derzeit sind keine weiteren Verbesserungen geplant.

Sofern in vorhergehenden Berichterstattungen in diesem Kapitel Verbesserungen benannt wurden, sind diese in Form einer Übersicht unter Kapitel 10.4 Verbesserungen des Inventars, Tabelle 426 zu finden. Sind diese bereits erledigt, sind sie im selben Kapitel in Tabelle 425 abgebildet.

4.8.4 Andere - ORC-Anlagen (2.G.4 ORC-Anlagen)

4.8.4.1 Beschreibung der Kategorie (2.G.4 ORC-Anlagen)

In Deutschland werden fluorierte Treibhausgase seit dem Jahr 2003 in ORC-Anlagen eingesetzt und unter der Kategorie 2.G.4 berichtet.

Zur Stromerzeugung aus Wärmemengen, deren Temperaturen und Drücke für den üblichen Dampfkraftprozess mit Wasser zu niedrig sind, kann man den „Organischen Rankine Kreisprozess“ („Organic Rankine Cycle“, kurz: ORC) verwenden. Die Haupteinsatzbereiche von ORC-Anlagen sind die Erdwärme- (Geothermie-) und die Abwärmenutzung von (Heiz)kraftwerken und Biogas-Anlagen.

Im ORC-Kreislauf werden organische Stoffe wie HFKW, FKW, Kohlenwasserstoffe oder Silikonöle mit niedrigeren Verdampfungstemperaturen als Wasser als Arbeitsmittel eingesetzt. Die Arbeitsmittel verdampfen im ORC-Kreislauf und treiben die Turbine an, analog dem Wasserdampf

in herkömmlichen Kraftwerken. In der Geothermie werden die mit Abstand größten Füllmengen, bis zu 75 Tonnen fluorierte Arbeitsmittel, eingesetzt. Deutlich geringere Füllmengen (0,2 bis 0,6 Tonnen) kommen bei der Nutzung von Abwärme in Biogas-Anlagen und in BHKW zum Einsatz.

In Deutschland begann die Verwendung von C_5F_{12} als Arbeitsmittel in einer ORC-Pilotanlage im Jahr 2003. Diese Anlage wurde bereits im Jahr 2010 außer Betrieb genommen. Der HFKW-134a kam erstmalig im Jahr 2008 in einer ORC-Anlage zum Einsatz. Im Jahr 2010 wurde erstmalig HFKW-245fa als Arbeitsmittel eingesetzt. Ab dem Jahr 2011 wurden mehrere Anlagen mit dem HFKW-245fa sowie dem Arbeitsmittel „Solkatherm", das aus HFKW-365mfc (65 %) und einem perfluorierten Polyether (PFPE) mit dem Handelsnamen „Galden" (35 %) besteht, in Betrieb genommen.

4.8.4.2 Methodische Aspekte (2.G.4 ORC-Anlagen)

Emissionen aus ORC-Anlagen treten während der Befüllung, des Betriebs und der Entsorgung auf.

Herstellungsemissionen werden über den Inlands-Neuverbrauch als Aktivitätsrate bestimmt und gemäß Gleichung 1 berechnet.

Anwendungsemissionen werden basierend auf dem Endbestand der Arbeitsmittel durch Multiplikation mit dem $EF_{Anwendung}$ gemäß Gleichung 2 bestimmt.

Entsorgungsemissionen beziehen sich auf den Neuzugang des Jahres, der x Jahre (entsprechend der Produktlebensdauer) vor dem aktuellen Berichtsjahr n liegt und werden gemäß Gleichung 3 berechnet.

Entsorgungsemissionen spielen bisher, mit einer Ausnahme, noch keine Rolle, da die Anlagen größtenteils neu sind und bei großen ORC-Anlagen in der Geothermie von einer Lebensdauer von 30 Jahren, bei kleineren Anlagen von einer Lebensdauer von 20 Jahren ausgegangen wird.

Die Emissionen des nicht berichtspflichtigen perfluorierten Polyethers „Galden" werden gemäß den Empfehlungen der UNFCCC Reporting Guidelines 2014 (FCCC/CP/2013/10/Add.3, Decision 24/CP.19) freiwillig als „additional greenhouse gas" berichtet. Die Emissionen sind aggregiert mit anderen nicht berichtspflichtigen Emissionen in Kapitel 4.9.3 unter CRF 2.H.3 aufgeführt.

Emissionsfaktoren

Die verwendeten Emissionsfaktoren sind das Ergebnis von Expertenaussagen und sind in Tabelle 196 wiedergegeben.

Der Befüllungsverlust beträgt 2 % und ist länderspezifisch, da ORC-Anlagen bislang nicht in den IPCC Guidelines aufgeführt sind und daher keine Default-Faktoren zur Verfügung stehen.

Die Anwendungsemissionen werden auf 4 % geschätzt. Auch hierfür gibt es keine Vorgaben in den IPCC Guidelines.

Nach derzeitigem Stand der Technik beträgt der Emissionsfaktor der Entsorgung 20 %. Dieser Wert ist ebenfalls länderspezifisch.

Aktivitätsdaten

ORC-Anlagen stellen einen neuen Anwendungsbereich fluorierter Treibhausgase dar, über den erst wenige Daten und technische Informationen vorliegen. Die verwendeten Daten basieren daher fast ausschließlich auf Aussagen von Herstellern und Betreibern von ORC-Anlagen. Ermittelt wurden die Daten durch Expertengespräche (s. ÖKO-RECHERCHE 2015).

4.8.4.3 Unsicherheiten & Zeitreihenkonsistenz (2.G.4 ORC-Anlagen)

Eine systematische Quantifizierung der Unsicherheiten für die Unterkategorie ORC-Anlagen ist erfolgt.

Die Datenqualität der Verwendungsmengen wird insgesamt als gut bewertet. Die Zahl der Hersteller bzw. Vertreiber von ORC-Anlagen mit fluorhaltigen Arbeitsmitteln in Deutschland ist klein (weniger als 10 Unternehmen), und der Markt ist überschaubar. Die Datenqualität der jährlichen Verwendungsmengen von HFKW-245fa und Solkatherm (HFKW-365mfc und PFPE) ist gut, da die Zahlen direkt von den Herstellern dieser Arbeitsmittel (Honeywell und Solvay Solexis) stammen, die diese Stoffe als einzige Anbieter nach Deutschland exportieren.

Die Emissionsfaktoren sind mit größeren Unsicherheiten behaftet. Da ORC-Anlagen erst seit wenigen Jahren in Deutschland betrieben werden, gibt es bisher keine soliden empirischen Erforschungen. Die Werte basieren auf Schätzungen von Anlagenbetreibern.

4.8.4.4 Kategoriespezifische Qualitätssicherung/-kontrolle und Verifizierung (2.G.4 ORC-Anlagen)

Eine allgemeine und kategoriespezifische Qualitätskontrolle und eine Qualitätssicherung durch die Fachseite und durch die Nationale Koordinierungsstelle wurden gemäß den Anforderungen des QSE-Handbuchs bzw. dessen mitgeltenden Unterlagen durchgeführt.

Die Daten für das aktuelle Berichtsjahr wurden, wie bereits für die meisten Vorjahre, im Rahmen eines Forschungsvorhabens im Auftrag des Umweltbundesamtes durch einen externen Experten erhoben.

Die Qualitätssicherung erfolgt im Wesentlichen durch den externen Experten. Darüber hinaus werden die Daten durch die Fachbegleiter des UBA bei Abnahme geprüft.

4.8.4.5 Kategoriespezifische Rückrechnungen (2.G.4 ORC-Anlagen)

Rückrechnungen sind nicht erforderlich.

4.8.4.6 Geplante Verbesserungen, kategoriespezifisch (2.G.4 ORC-Anlagen)

Derzeit sind keine weiteren Verbesserungen geplant.

Sofern in vorhergehenden Berichterstattungen in diesem Kapitel Verbesserungen benannt wurden, sind diese in Form einer Übersicht unter Kapitel 10.4 Verbesserungen des Inventars, Tabelle 426 zu finden. Sind diese bereits erledigt, sind sie im selben Kapitel in Tabelle 425 abgebildet.

4.8.5 Sonstige Produktherstellung und –verwendung: Sonstige, Anwendung von Holzkohle (2.G.4 Holzkohle)

4.8.5.1 Beschreibung der Kategorie (2.G.4 Holzkohle)

In dieser Kategorie werden CO_2-, CH_4-, N_2O- und Staub-Emissionen aus der Anwendung von Holzkohle zum Grillen berichtet.

In Deutschland werden nur geringe Mengen an Holzkohle produziert – es gibt einen großen Betreiber und mehrere Schauköhlereien. Diese Mengen werden vom Statistischen Bundesamt (STBA) erhoben und unterliegen der Geheimhaltung. Die Produktion von Holzkohle wird unter 1.B.1b berichtet.

Der Holzkohleverbrauch ist in den Jahren 1990 bis 2012 gestiegen. Der weitaus größte Teil wird importiert.

4.8.5.2 Methodische Aspekte (2.G.4 Holzkohle)

Dem Berechnungsmodell liegen die Annahmen zugrunde, dass alle Holzkohle innerhalb des Jahres verbraucht und vollständig verbrannt wird.

Die Berechnungen der CO_2-, CH_4- und N_2O-Emissionen erfolgen nach einer Tier 1 Methode.

Aktivitätsraten

Die Produktionsmengen sowie die Import- und Exportmengen an Holzkohle für die Jahre ab 1996 entstammen dem Statistischen Bundesamt (STATISTISCHES BUNDESAMT, Fachserie 4, Reihe 3.1, Produzierendes Gewerbe, Produktion im Produzierenden Gewerbe sowie der Außenhandelsstatistik).

Die Berechnung der Verbrauchsmenge erfolgt gemäß Produktion + Import – Export.

Für die Jahre 1990 bis 1995 erfolgt die Berechnung der Verbrauchsmenge über den ProKopf-Verbrauch, der aus den Jahren 1996 bis 2013 abgeleitet wird. Dabei wird davon ausgegangen, dass auch in diesen Jahren der Verbrauch linear gestiegen ist.

Emissionsfaktoren

Da Import- und Exportzahlen veröffentlicht werden, können aus Geheimhaltungsgründen keine exakten Emissionsfaktoren für CO_2, CH_4 und N_2O angegeben werden. Die Emissionsfaktoren sind aber vergleichbar mit den Emissionsfaktoren, die aus den 2006 IPCC Richtlinien abgeleitet werden können.

Jeder Emissionsfaktor wird für die gesamte Zeitreihe angewendet.

4.8.5.3 Unsicherheiten und Zeitreihenkonsistenz (2.G.4 Holzkohle)

Da eine Tier 1 Methode mit Emissionsfaktoren, die den Standardwerten der 2006 IPCC Guidelines ähnlich sind, angewendet wird, gelten auch die entsprechenden Unsicherheiten für Aktivitätsraten und Emissionsfaktoren (2006 IPCC Guidelines: Vol. 3, Ch. 5).

4.8.5.4 Kategoriespezifische Qualitätssicherung/-kontrolle und Verifizierung (2.G.4 Holzkohle)

Eine allgemeine und kategoriespezifische Qualitätskontrolle und eine Qualitätssicherung durch die Fachseite und durch die Nationale Koordinierungsstelle wurden gemäß den Anforderungen des QSE-Handbuchs bzw. dessen mitgeltenden Unterlagen durchgeführt.

Für eine Überprüfung der Import-, Export- und Produktionsmengen als Grundlage zur Verifikation der Verbrauchsmengen stehen außer den vom Statistischen Bundesamt zur Verfügung gestellten Daten keine weiteren Quellen zur Verfügung. Ein Vergleich der Import- und Exportzahlen mit den Daten von EUROSTAT wurde durchgeführt. Die Zahlen zeigen gute Übereinstimmung mit den vom Statistischen Bundesamt an EUROSTAT übermittelten Zahlen. Die Produktionsmengen können nicht verglichen werden, weil sie auch bei EUROSTAT als geheim ausgewiesen sind.

Ein Vergleich der Emissionsfaktoren mit den Emissionsfaktoren anderen Länder wurde durchgeführt. Aus Vertraulichkeitsgründen kann das Vergleichsergebnis nur intern dokumentiert werden. Die Emissionsfaktoren sind vergleichbar.

4.8.5.5 Kategoriespezifische Rückrechnungen (2.G.4 Holzkohle)

Rückrechnungen sind nicht erforderlich.

4.8.5.6 Geplante Verbesserungen, kategoriespezifisch (2.G.4 Holzkohle)

Derzeit sind keine weiteren Verbesserungen geplant.

Sofern in vorhergehenden Berichterstattungen in diesem Kapitel Verbesserungen benannt wurden, sind diese in Form einer Übersicht unter Kapitel 10.4 Verbesserungen des Inventars, Tabelle 426 zu finden. Sind diese bereits erledigt, sind sie im selben Kapitel in Tabelle 425 abgebildet.

4.9 Andere Produktionen (2.H)

Die Kategorie *Andere Produktionen* ist keine Hauptkategorie.

Unter 2.H.1 Pulp and Paper sind im ZSE prozessbedingte Emissionen aus der Produktion von Spanplatten sowie aus der Produktion von Zellstoff aufgeführt.

Unter 2.H.2 Food and Drink sind prozessbedingte Emissionen aus der Produktion alkoholischer Getränke sowie Brot und anderer Nahrungsmittel zu finden.

Unter 2.H.3 werden vertrauliche Emissionen fluorierter Treibhause berichtet. Des Weiteren werden dort freiwillig zu berichtende F-Gase aggregiert berichtet.

4.9.1 Andere Produktionen: Zellstoff- und Papierherstellung (2.H.1)

4.9.1.1 Beschreibung der Kategorie (2.H.1)

Gas	Angewandte Methode	Quelle der Aktivitätsdaten	genutzte Emissionsfaktoren
NO_X, CO, NMVOC, SO_2			CS D

Die Kategorie *Andere Produktionen – Zellstoff- und Papierherstellung* ist keine Quelle für Treibhausgas-Emissionen und daher auch keine Hauptkategorie.

Alle Emissionen von klimarelevanten Gasen aus der Zellstoff- und Papierindustrie sowie der Spanplattenherstellung in Deutschland resultieren aus der Verbrennung von Energieträgern und werden daher in Kapitel 3.2 als energiebedingte Emissionen berichtet. Prozessbedingte Emissionen von klimarelevanten Gasen im Sinne der 2006 IPCC *Guidelines* gibt es bei der Zellstoff- und Papiererzeugung nicht.

Die **Herstellung von Zellstoff** nach dem Sulfatverfahren erfolgt in zwei der sechs Zellstoffanlagen in Deutschland mittels Kaustifizierung, wonach die brennstoffbedingten CO_2-Emissionen des Kalkofens bereits über die Brennstoffangaben als energiebedingte Emissionen berücksichtigt sind. Die restlichen vier Anlagen arbeiten nach dem Sulfitverfahren.

Es wurde darauf verzichtet, die länderspezifischen Emissionsfaktoren für CO bei den energiebedingten Emissionen der Zellstoffproduktion mit zu berücksichtigen, da eine Umrechnung der produktbezogenen Emissionsfaktoren in brennstoffbezogene Emissionsfaktoren erforderlich wäre. Diese Umrechnung ist sehr aufwendig. Die CO-Emissionen für die sechs Zellstoffwerke fallen jedoch mengenmäßig neben den CO-Emissionen aus den Papierfabriken kaum ins Gewicht.

Sowohl die Sulfat- als auch die Sulfitzellstoffproduktion ist eine potentielle SO_2-Emissionsquelle. In der Sulfatzellstoffproduktion treten aus den Laugenkesseln, Kalköfen, Rindenkesseln sowie Hilfskesseln auch Emissionen von NO_X, CO und NMVOC auf.

Spanplatten werden aus Holzspänen mit Zusatz von Bindemitteln unter Einwirkung von Druck und Wärme hergestellt. Hauptquelle der NMVOC Emissionen sind die eingesetzten Holzspäne, aus

denen während der Trocknung durch Wärmeeinwirkung NMVOC ausgasen. Auch während des Pressvorgangs können NMVOC aus dem Holz und dem Bindemittel emittieren.

Die Produktion von Spanplatten erfolgt in 18 Anlagen in Deutschland. Bundesweit sind ca. 6.000 Mitarbeiter in den Spanplattenwerken beschäftigen. Die Spanplattenindustrie ist überwiegend durch größere Unternehmen geprägt.

4.9.1.2 Methodische Aspekte (2.H.1)

In der **Zellstoff- und Papierindustrie** treten keine prozessbedingten Emissionen von klimarelevanten Gasen im Sinne der *IPCC Good Practice Guidance* (IPCC, 2000) auf. Für die indirekten Treibhausgase wurden bis zum berichteten Jahr 2004 die in Tabelle 201 aufgeführten Emissionsfaktoren aus den IPCC-Guidelines verwendet.

Tabelle 201: IPCC Default Emissionsfaktoren für SO_2, NO_x CO, NMVOC aus der Produktion von Zellstoff

	NO_X	**CO**	**NMVOC**	**SO_2**
		[kg / t ADt*]		
Sulfatzellstoff	1,5	5,6	3,7	7
Sulfitzellstoff				30

* ADt = Air Dried tonne, luftgetrocknet

Ab dem berichteten Jahr 2005 wurden von den Anlagenbetreibern aktualisierte Emissionsfaktoren berichtet.

Tabelle 202: Reale Emissionsfaktoren der deutschen Anlagen aus der Produktion von Zellstoff. (deutscher Beitrag zur Revision des BVT-Merkblattes für die Papier und Zellstoffindustrie 2007)

	NO_X	**CO**	**NMVOC**	**SO_2**
		[kg / t ADt*]		
Sulfatzellstoff	1,75	0,16	3,7	0,03
Sulfitzellstoff	2			2

Im Jahre 2015 wurden in 162 Anlagen folgende Mengen produziert:

Tabelle 203: Zellstoff- und Papierherstellung, produzierte Mengen

Produkt	**Produzierte Mengen 2014**	
Erzeugung von Papier, Pappe und Karton (PPK)	22,60	Mio. t
Rohstoffproduktion:		
Papierzellstoff	1.608.849	t
davon Sulfitzellstoff	*604.091*	*t*
davon Sulfatzellstoff	*1.004.758*	*t*
Holzstoff	945.952	t
Altpapierstoff	13.980.000	t
Menge dazu eingesetzten Altpapiers	(16.722.000	t)

Quelle: Verband Deutscher Papierfabriken, Leistungsbericht 2016 (VDP, verschiedene Jahrgänge)

Diese Zahlen können bis zum Basisjahr 1990 zurückverfolgt werden und werden jährlich vom Verband Deutscher Papierfabriken erhoben und in einem Leistungsbericht zusammengestellt.

Spanplatten

Emissionsfaktoren

Die Emissionsfaktoren sind auf der Basis von Expertenschätzungen ermittelt worden.

Aktivitätsdaten

Die Aktivitätsdaten entstammen der nationalen Statistik (STATISTISCHES BUNDESAMT: Fachserie 4, Reihe 3.1).

Tabelle 204: Aktualisierte Aktivitätsdaten der Spanplattenindustrie

Jahr	2010	2011	2012	2013	2014	2015
Aktivitätsrate der Spanplattenindustrie [in t]	4.561.000	4.488.000	4.429.000	4.488.000	4.446.000	4.402.000

Quelle: Statistisches Bundesamt, Fachserie 4 Reihe 3.1

4.9.1.3 Unsicherheiten und Zeitreihenkonsistenz (2.H.1)

Zellstoff & Papier

Für die Berechnung der Emissionen wurden bis zum berichteten Jahr 2004 die IPCC Default-Werte (IPCC, 1996b: Vol. 3) verwendet. Ab dem berichteten Jahr 2005 wurden nach Rücksprache mit den deutschen Anlagenbetreibern aktualisierte deutschlandspezifische Emissionsfaktoren in die Emissionsdatenbank ZSE eingefügt. Diese Aktualisierung war erforderlich, da in den vergangenen 5 Jahren erhebliche Modernisierungsmaßnahmen in den deutschen Sulfatzellstoffwerken vollzogen wurden, die zu einer starken Emissionsminderung geführt haben. Diese Arbeiten waren 2005 abgeschlossen. Für die Sulfitzellstoffwerke führten kontinuierliche Verbesserungen zu einer erheblichen SO_2-Minderung gegenüber 1990.

Die Unsicherheiten der Aktivitätsraten betragen schätzungsweise 5 %. Die Unsicherheiten der Emissionsfaktoren betragen schätzungsweise 20 %.

Spanplatten

Die Unsicherheiten für die Aktivitätsraten der Spanplattenindustrie betragen ±5 % (Expertenschätzung).

4.9.1.4 Kategoriespezifische Qualitätssicherung/-kontrolle und Verifizierung (2.H.1)

Aufgrund begrenzter Ressourcen und minimaler Relevanz wird für die Berichterstattung von Precursern keine QK/QS durchgeführt.

4.9.1.5 Kategoriespezifische Rückrechnungen (2.H.1)

Rückrechnungen sind nicht erforderlich.

4.9.1.6 Geplante Verbesserungen, kategoriespezifisch (2.H.1)

Da die Anlagenbetreiber die Emissionsfaktoren aus den internationalen Richtlinien bestätigt haben, sind derzeit keine weiteren Inventarverbesserungen für diese Kategorie geplant.

Sofern in vorhergehenden Berichterstattungen in diesem Kapitel Verbesserungen benannt wurden, sind diese in Form einer Übersicht unter Kapitel 10.4 Verbesserungen des Inventars, Tabelle 426 zu finden. Sind diese bereits erledigt, sind sie im selben Kapitel in Tabelle 425 abgebildet.

4.9.2 Andere Produktionen: Nahrungsmittel und Getränke (2.H.2)

4.9.2.1 Beschreibung der Kategorie (2.H.2)

Gas	Angewandte Methode	Quelle der Aktivitätsdaten	genutzte Emissionsfaktoren
CO_2	NA	NA	NA
NMVOC	CS	NS	CS/D

Die Kategorie *Andere Produktionen - Nahrungsmittel und Getränke* ist keine Quelle für Treibhausgas-Emissionen und daher auch keine Hauptkategorie.

Emissionen der direkten Klimagase aus der Nahrungsmittel- und Getränkeindustrie in Deutschland resultieren aus der Verbrennung von Energieträgern und werden daher in CRF 1.A.2 berichtet. Als prozessbedingte Emissionen der Nahrungsmittel- und Getränkeherstellung sind Kohlenwasserstoffe ohne Methan (NMVOC) von Bedeutung (IPCC 1996c: S. 2.41). Die Kohlendioxidemissionen aus den eingesetzten Nahrungsmitteln, die während bestimmter Prozesse bei der Produktion anfallen, werden nicht in CRF 2.D.2. berichtet, da sie aus der Verwendung von biologischem Kohlenstoff stammen und nicht zur Netto-CO_2-Emission beitragen. Die mit der Herstellung von Margarine und pflanzlichen Ölen verbundenen Lösemittelemissionen werden in der Kategorie 3.D berichtet. Im Quellbereich „Margarine und harte und gehärtete Fette“ werden hier daher tierische Fette berücksichtigt. Das bei der Zuckerherstellung eingesetzte, aus der Verbrennung von Kalkstein gewonnene CO_2 wird während des Produktionsprozesses gebunden. Daher ist dieser Prozess nicht emissionsrelevant (s. UFOPLAN Forschungsprojekt FKZ 205 41 217/02; UBA, 2006).

Die Emissionen der Nahrungsmittel- und Getränkeindustrie werden im Inventar in der „Table2(I)s2“ des sektoralen Reports für Industrielle Prozesse zusammengefasst berichtet. Es wird der IEF in der Tabelle Hintergrunddaten des sektoralen Reports für Industrielle Prozesse „Table2(I).A-G“ als NE angegeben, da die CO_2-Emissionen unter CRF 1.A.2 berichtet werden.

In der Kategorie der Nahrungsmittel und Getränke werden nach IPCC folgende Produkte für die Emissionsberichterstattung betrachtet:

Alkoholische Getränke

- Wein
- Bier
- Spirituosen

Brot und andere Nahrungsmittel

- Fleisch, Fisch und Geflügel
- Zucker
- Margarine und harte und gehärtete Fette
- Kuchen, Kekse und Frühstückscerealien
- Brot
- Tierfutter
- Kaffeeröstung

Für diese Produkte werden Default-Emissionsfaktoren für die NMVOC-Emissionen angegeben (IPCC, 1996c: S. 2.41f):

4.9.2.2 Methodische Aspekte (2.H.2)

Für die Berechnung von Emissionen wurden sofern vorhanden nationale Emissionsfaktoren, ansonsten die von IPCC bzw. CORINAIR empfohlenen Emissionsfaktoren verwendet. Grundlage

für die Auswahl der Emissionsfaktoren bildet der Forschungsbericht „Emissionen aus der Nahrungsmittelindustrie“ (FKZ 206 42 101/01; IER, 2008). Das Vorgehen erfolgt analog der Beschreibung im NIR 2013.

Für die Kategorie 2.H.2 ergeben sich für 2015 insgesamt 14,5 kt NMVOC-Emissionen, wovon 4,0 kt NMVOC auf die Zuckerherstellung und 3,5 kt NMVOC auf die Spirituosenherstellung zurückzuführen sind.

4.9.2.3 Unsicherheiten und Zeitreihenkonsistenz (2.H.2)

Die Unsicherheiten der Aktivitätsraten betragen schätzungsweise 5-20 %. Weitere Informationen zu Unsicherheiten sind dem NIR 2013 zu entnehmen.

4.9.2.4 Kategoriespezifische Qualitätssicherung/-kontrolle und Verifizierung (2.H.2)

Aufgrund begrenzter Ressourcen und minimaler Relevanz wird für die Berichterstattung von Precursern keine QK/QS durchgeführt.

In Berichten anderer Staaten sind kaum Ausführungen zu 2.H.2 enthalten, so dass ein Vergleich zum gegenwärtigen Zeitpunkt nicht möglich ist. Ein Vergleich mit ETS-Daten ist nicht möglich, da in 2.H.2 keine emissionshandelspflichtigen Emissionen anfallen.

4.9.2.5 Kategoriespezifische Rückrechnungen (2.H.2)

Auf Grund einer kleineren Aktualisierung statistischer Daten im Bereich der Spirituosenherstellung wurden Rückrechnungen für das Jahr 2014 durchgeführt.

NMVOC	2014 [t]	neu 2014 [t]	Änderung
Sprituosen	3.372	3.456	+ 3%
Gesamt	**14.708**	**1.4793**	**+ 1%**

4.9.2.6 Geplante Verbesserungen, kategoriespezifisch (2.H.2)

Derzeit sind keine Verbesserungen geplant.

Sofern in vorhergehenden Berichterstattungen in diesem Kapitel Verbesserungen benannt wurden, sind diese in Form einer Übersicht unter Kapitel 10.4 Verbesserungen des Inventars, Tabelle 426 zu finden. Sind diese bereits erledigt, sind sie im selben Kapitel in Tabelle 425 abgebildet.

4.9.3 Andere Bereiche (2.H.3)

Gas	Angewandte Methode	Quelle der Aktivitätsdaten	genutzte Emissionsfaktoren
HFC, PFC, SF6	s. Tabelle 194/ Tabelle 196	s. Kapitel 4.7.5 / Kapitel 4.8.2	s. Tabelle 194/ Tabelle 196

Die Emissionen von SF_6 aus der Anwendung in *Sportschuhen* (2.G.2.d. Adiabatische Eigenschaften - Sportschuhe), der Anwendung bei der *AWACS-Wartung* (2.G.2.a Militärische Anwendungen) und der Anwendung beim *Schweißen* (2.G.2.e Sonstige – Schweißen) werden aus Vertraulichkeitsgründen unter 2.H.3 berichtet.

Die Emissionen von HFKW aus der Verwendung der Lösemittel HFC-43-10mee, HFKW-245fa, HFKW-365mfc sowie C_6F_{14} (2.F.5) werden auch unter 2.H.3 berichtet.

Die Emissionen von FKW aus der Anwendung in Sportschuhen (2.G.2.d Adiabatische Eigenschaften - Sportschuhe) und die Verwendung von Perfluordecalin in *medizinischen und kosmetischen Anwendungen* (2.G.2.e Sonstige – Medizinische und kosmetische Anwendungen) werden ebenfalls unter 2.H.3 berichtet.

Entsprechend der Empfehlung des Expert Review Teams wird darauf verwiesen, dass sämtliche Informationen zu den unter 2.H.3 berichteten Emissionen zur Beschreibung der Quellgruppe, Methodischen Aspekten, Unsicherheiten & Zeitreihenkonsistenz, Kategoriespezifischen Rückrechnungen & Verifizierung sowie den geplanten Verbesserungen in den entsprechenden Kategorie-Kapiteln zu finden sind.

Zusätzlich zu den berichtspflichtigen Treibhausgasen hat sich Deutschland entschlossen, die in Tabelle 205 dargestellten nicht berichtspflichtigen Treibhausgase für die in Deutschland relevanten, ebenfalls aufgezählten Anwendungen zu berichten. In Tabelle 206 sind die Emissionen dieser nicht berichtspflichtigen Treibhausgase aus Vertraulichkeitsgründen in aggregierter Form dargestellt.

Tabelle 205: Überblick über freiwillig berichtete fluorierte Treibhausgase, ihre Treibhausgaspotenziale (GWP) und ihre Anwendungsbereiche

Treibhausgas	Formel	GWP	Anwendungsbereich	QG
HFKW-1234yf		4[1]	Gewerbekälte Transportkälte mobile Klimaanlagen	2.F.1.a 2.F.1.d 2.F.1.e
HFKW-1234ze		7[1]	Gewerbekälte stationäre Klimaanlagen XPS-Schäume allgemeine Aerosole	2.F.1.a 2.F.1.f 2.F.2.a 2.F.4.b
HCFE-235da2 (Isofluran)	$CHF_2OCHClCF_3$	350	inhalatives Anästhetikum	2.G.2.e
HFE-236ea2 (Desfluran)	$CHF_2OCHFCF_3$	989	inhalatives Anästhetikum	2.G.2.e
HFE-347mmz1 (Sevofluran)	$CH_2FOCH(CF_3)_2$	216[2]	inhalatives Anästhetikum	2.G.2.e
PFPE/PFPMIE	$CF_3(OCF(CF_3)CF_2)_n(OCF_2)_mOCF_3$	10.300	ORC-Anlagen	2.G.4

Wenn nicht anders angegeben, stammen die GWP-Werte aus dem 4. IPCC Assessment Report.

[1] GWP-Wert nach Verordnung (EU) Nr. 517/2014 [2] GWP-Wert laut Herstellerangaben

Tabelle 206: Aggregat der Treibhausgasemissionen der zusätzlichen, nichtberichtspflichtigen Treibhausgase HFKW-1234yf, HFKW-1234ze, HCFE-235da2, HFE-236ea2, HFE-347mmz1 und PFPE/PFPMIE

Jahr	Emissionen in t CO_2-Äquivalenten
1990	3.038
1991	3.795
1992	4.619
1993	5.512
1994	6.474
1995	7.504
1996	13.874
1997	20.026
1998	26.671
1999	33.809
2000	41.439
2001	47.758
2002	54.433
2003	61.463
2004	68.849
2005	76.591
2006	88.534
2007	95.727
2008	101.095
2009	108.838

Jahr	Emissionen in t CO_2-Äquivalenten
2010	116.013
2011	122.420
2012	129.802
2013	129.984
2014	120.964
2015	120.835

Es sind keine weiteren Emissionsquellen für fluorierte Treibhausgase bekannt.

5 Landwirtschaft (CRF Sektor 3)

5.1 Überblick (CRF Sektor 3)

5.1.1 Kategorien und Gesamtemissionen 1990 - 2015

Deutschland berichtet in der Quellgruppe 3 „Landwirtschaft“ über die Emissionen aus der Fermentation bei der Verdauung (3.A), aus der Behandlung von Wirtschaftsdüngern (incl. Wirtschaftsdünger-Vergärung und deren Gärrestelagerung) (3.B), aus der Nutzung landwirtschaftlicher Böden (3.D) sowie aus Kalkung (3.G) und Anwendung von Harnstoff (3.H). Zusätzlich werden die im Zusammenhang mit der Energiepflanzen-Vergärung entstehenden Emissionen berichtet (3.J: Emissionen aus Vergärung von Energiepflanzen und deren Gärrestelagerung; 3.D: Emissionen infolge der Ausbringung der Gärreste).

Emissionen aus dem Reisanbau (3.C) kommen in Deutschland nicht vor, Brandrodung (3.E) wird in Deutschland nicht praktiziert (NO). Das Verbrennen von Ernterückständen auf dem Feld (3.F) ist in Deutschland untersagt (NO). Die im Sektor 3.I (andere kalkhaltige Dünger) zu berichtenden CO_2-Emissionen sind in 3.G enthalten; unter 3.I wird daher „IE“ angegeben.

Abbildung 46 gibt für den vorliegenden NIR 2017 eine Übersicht über die zeitliche Entwicklung der Treibhausgasemissionen aus den Bereichen 3.A, 3.B, 3.D, 3.G, 3.H und 3.J seit 1990. Die Daten wurden mit dem Inventarmodell GAS-EM (siehe Kapitel 5.1.2) berechnet.

Abbildung 46: Übersicht über die Treibhausgas-Emissionen des CRF-Sektors 3

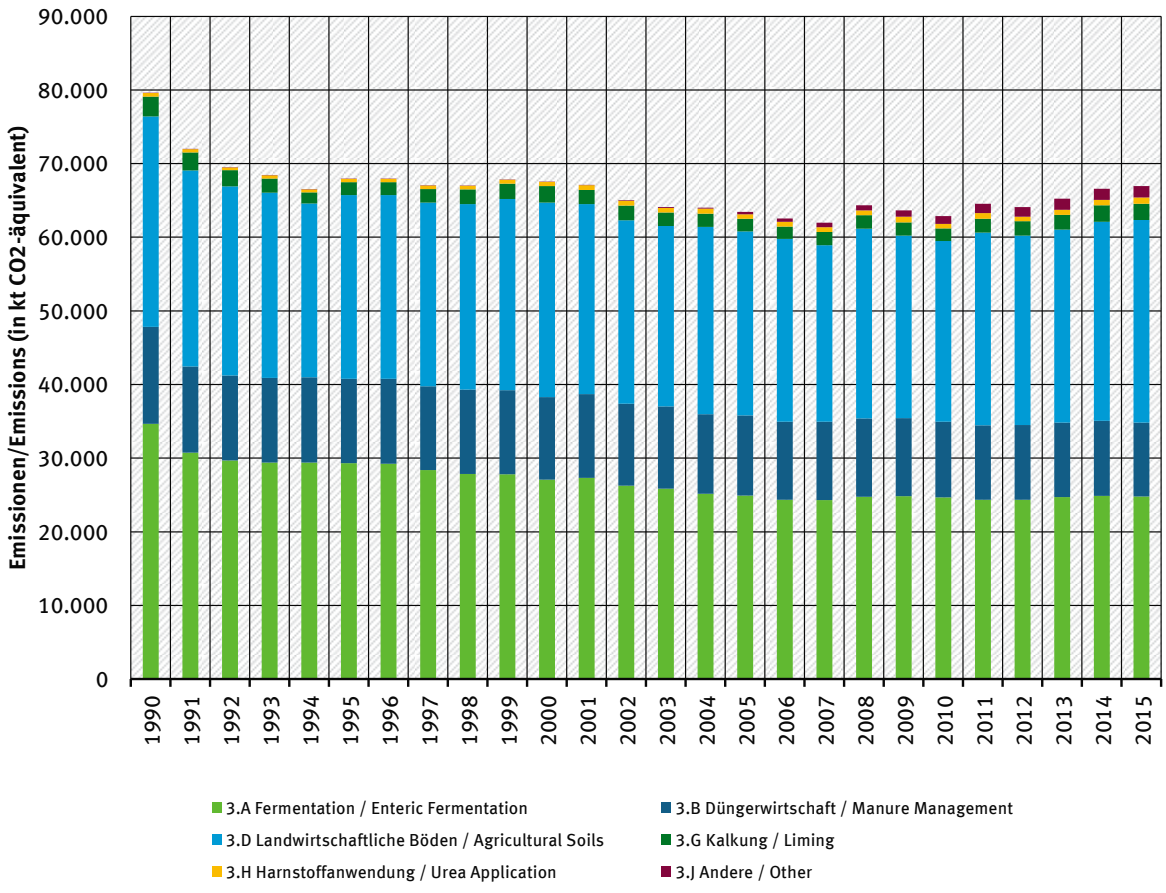

5.1.2 Das Emissionsinventarmodell GAS-EM

5.1.2.1 Verwendete Regelwerke und ausführlicher Bericht

Das Emissionsinventarmodell GAS-EM beruht im Wesentlichen auf der Umsetzung der entsprechenden Handbücher (Treibhausgase: IPCC 2006a, 2006b; Schadstoffe, insbesondere NH_3: EMEP, 2007; EMEP, 2009; EMEP, 2013). Für die Berechnung von Emissionen aus der Vergärung von Energiepflanzen geben die genannten Handbücher keine Berechnungsmethodik an.

Im Laufe der letzten Jahre wurden zahlreiche der in den Handbüchern beschriebenen Methoden für das GAS-EM-Modell weiter entwickelt. Für die Berechnung von Emissionen aus der Vergärung von Energiepflanzen wurde eine nationale Methodik entwickelt. Eine umfassende Beschreibung des Inventarmodells GAS-EM einschließlich der Dokumentation weiterer Quellen findet sich im ausführlichen Bericht (RÖSEMANN et al., 2017)[83]. Die nachfolgenden Ausführungen repräsentieren eine Zusammenfassung des ausführlichen Berichtes.

5.1.2.2 Grundstruktur des Emissionsinventarmodelles GAS-EM

Als Grundlage der Emissionsberechnungen in der Tierhaltung dient die Futteraufnahme, die als Funktion des erhaltungs- und leistungsbedingten Energiebedarfs berechnet wird, wie Abbildung 47 am Beispiel der Milchkuh verdeutlicht. Daraus ergeben sich die CH_4-Emissionen aus der Verdauung (3.A) und die Ausscheidungen von Kohlenstoff und Stickstoff für die Emissionen aus dem Wirtschaftsdünger- und Gärreste-Management (3.B). Letztere gehen auch in die Berechnungen des Stickstoffeintrags in landwirtschaftliche Böden (3.D) ein.

Abbildung 47: Logik der nationalen Methodik für die Emissionsberechnungen in der Tierhaltung am Beispiel der Milchkuh. („Leistungsindikator“ steht hier für die Summe aus leistungs- und erhaltungsbedingtem Bedarf.)

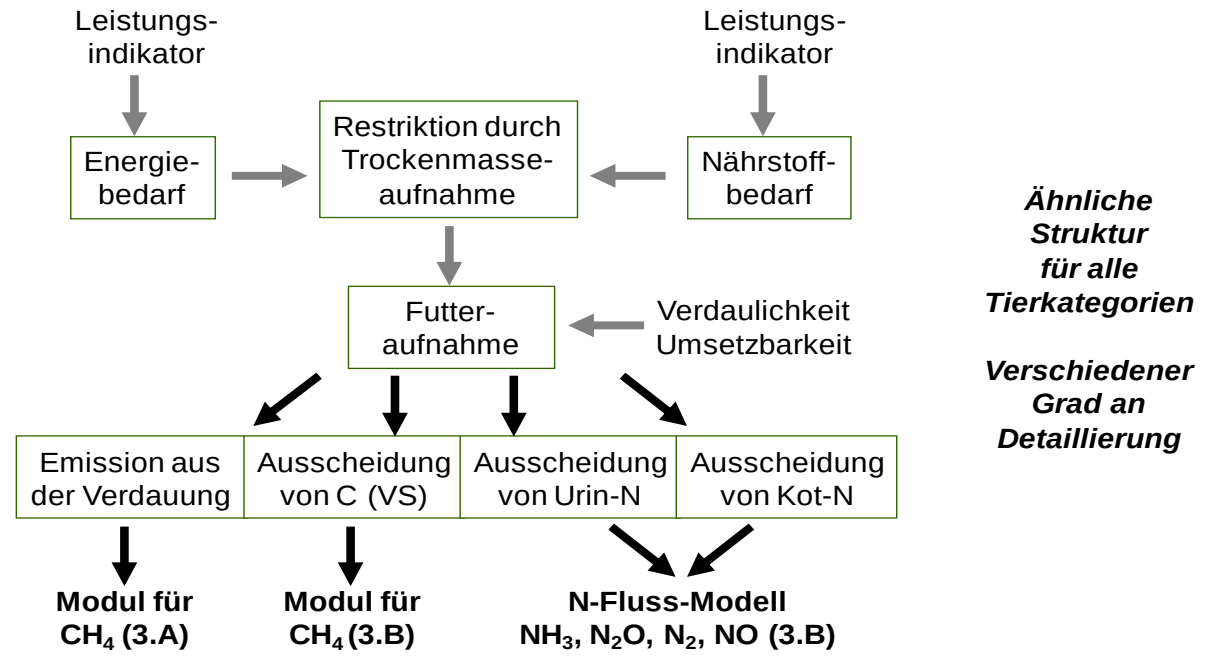

Abbildung 48 zeigt, wie das GAS-EM-Modell erst nach Tierkategorien und –unterkategorien für die Berechnungen der Kategorien 3.A und 3.B differenziert und diese wiederum nach

[83] Der ausführliche Bericht ist auch in elektronischer Form erhältlich bei: dieter.haenel@thuenen.de, claus.roesemann @thuenen.de.

Stallsystemen, Lagerungssystemen (mit Vergärung als separatem Lagersystem) und Ausbringungsverfahren für Wirtschaftsdünger und Gärreste aufteilt. CH_4 wird für 3.A und 3.B getrennt für jede Tier-Subkategorie berechnet. N_2O wird für die Kategorien 3.B und 3.D auf der Basis eines N-Fluss-Konzeptes berechnet (s. Kapitel 5.1.2.4). CO_2-Emissionen werden im Bereich 3.G-I für Kalkung und Harnstoffeinsatz berechnet, wobei IPCC-konform auch die Kalkung im Forst eingeschlossen ist. Die Emissionen aus der Vergärung von Energiepflanzen werden in zwei getrennten Abschnitten berechnet: Emissionen aus Fermenter und Gärrestelagerung in 3.J, Emissionen aus Böden als Folge der Gärreste-Ausbringung in 3.D.

Abbildung 48: Konzept und thematische Inhalte des GAS-EM Modells

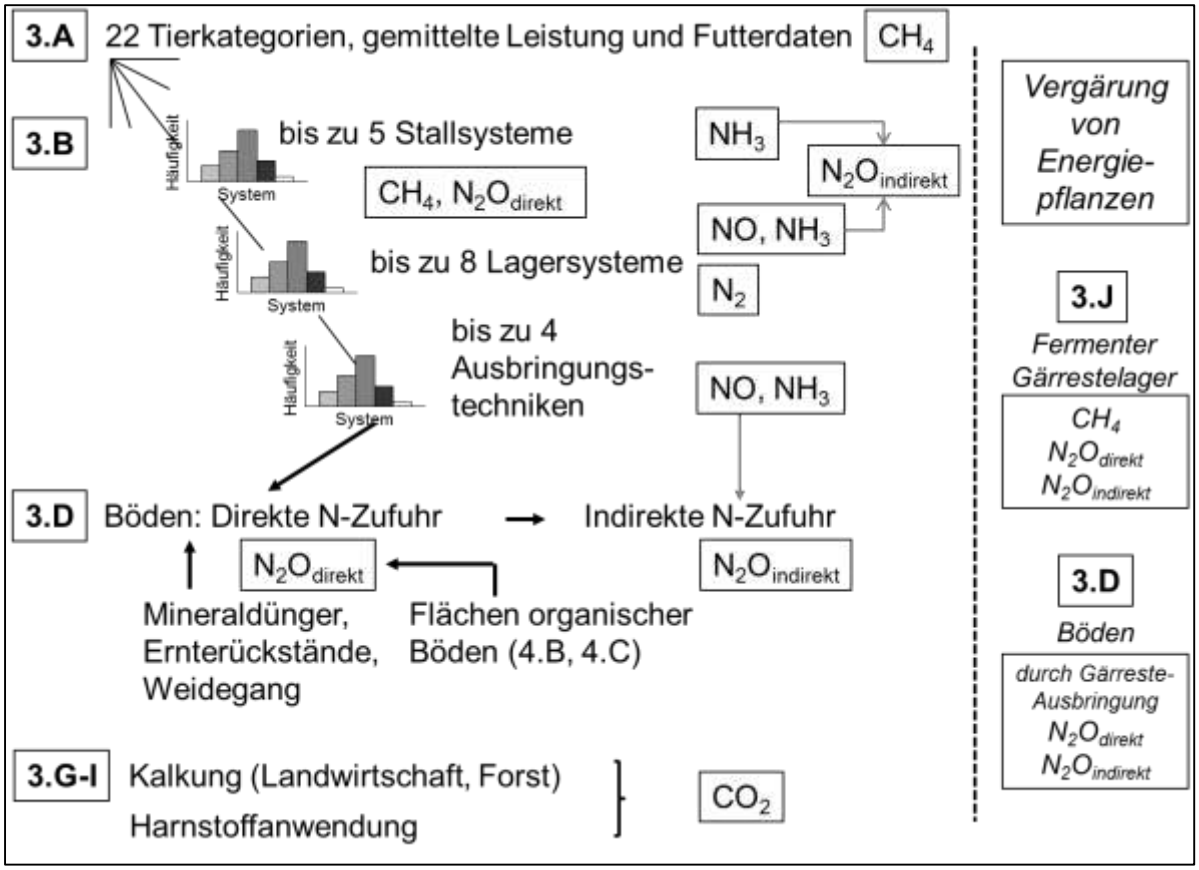

5.1.2.3 Die Behandlung von CH_4 im Emissionsinventar

Mit dem Inventarmodell GAS-EM werden die CH_4-Emissionen aus der Verdauung und den VS-Ausscheidungen der landwirtschaftlichen Nutztiere (siehe Kapitel 5.2 und 5.3.2) berechnet, wobei gülle- und strohbasierte Systeme mit ihren typischen Lagerformen berücksichtigt werden. Die anaerobe Vergärung von Wirtschaftsdünger und Energiepflanzen in Biogasanlagen wird in die Berechnungen einbezogen (siehe Kapitel 5.1.3.6.5 und 5.1.4).

5.1.2.4 Das Stickstoff-Fluss-Konzept (3.B, 3.D)

Die Berechnung der Emissionen von N-Spezies mit GAS-EM erfolgt auf Grundlage des N-Fluss-Konzeptes (DÄMMGEN & HUTCHINGS, 2005, RÖSEMANN et al., 2017).

Wesentliche Voraussetzung für die Anwendung des Konzeptes ist die Bestimmung der in der Tierhaltung ausgeschiedenen N-Mengen. Bei Milchkühen, Färsen, Mastbullen, Schweinen, Legehennen, Junghennen, Masthähnchen und -hühnchen, Enten sowie Putenhähnen und Putenhennen wird die N-Ausscheidung als Differenz zwischen aufgenommener N-Menge und

erhaltungs- und leistungsbedingtem N-Bedarf (Tiergewicht, Gewichtszuwachs, jährliche Milchmenge oder Anzahl an Eiern, gegebenenfalls Anzahl der Nachkommen) berechnet. Die mit dem Futter aufgenommene N-Menge wird anhand des tierischen Energiebedarfs sowie des Energie- und N-Gehalts im Futter ermittelt. Für die übrigen Tiere werden N-Ausscheidungswerte aus der deutschen Fachliteratur entnommen (siehe dazu RÖSEMANN et al., 2017).

Bei der N-Ausscheidung wird zwischen den beiden Anteilen „organisches N“ und „leicht in NH_3 umsetzbares N (TAN, total ammoniacal nitrogen)“ unterschieden. TAN ist im Harn von Säugetieren vorhanden; im GAS-EM-Modell wird TAN mit dem N-Gehalt im Harn gleichgesetzt. Geflügel scheidet UAN (uric acid nitrogen) aus, das im Inventar als TAN angesehen wird. Aufgrund der Definitionen der Emissionsfaktoren werden prinzipiell die NH_3-Emissionen proportional zur verfügbaren TAN-Menge und die N_2O-, NO-, und N_2-Emissionen proportional zur verfügbaren N-Gesamtmenge berechnet. Daher werden zwei N-Pools parallel in den Rechnungen mitgeführt: Dies sind (1) die gesamte im jeweiligen Stadium zur Verfügung stehende N-Menge, d. h. die Summe aus organischem N und TAN, sowie (2) TAN allein.

Die für eine Tierkategorie ermittelten N-Ausscheidungen werden auf Stall und Weide aufgeteilt. Diese Aufteilung erfolgt entsprechend den im Stall und auf der Weide verbrachten Zeitanteilen.

Bei Festmistsystemen wird zusätzlich zu den N-Ausscheidungen der N-Eintrag durch Einstreumaterial berücksichtigt.

Für jede Tierkategorie werden die im Stall anfallenden N-Mengen im Verhältnis der relativen Anteile der in Deutschland üblichen Haltungsverfahren aufgeteilt. N-Verluste durch NH_3-Emission werden von TAN-Pool und Gesamt-N-Pool subtrahiert. Die verbleibenden N- und TAN-Mengen aller Ställe werden für güllebasierte Systeme einerseits und strohbasierte Systeme andererseits zusammengefasst und ins Lager transferiert.

Das in Abluftreinigungsanlagen abgeschiedene N wird als TAN angesehen und direkt mit dem Wirtschaftsdünger ausgebracht (s. u.).

Die dem Lager zufließenden Gesamt-N- und TAN-Mengen (bei Festmistsystemen einschließlich des N-Eintrages durch Einstreu) werden getrennt nach festen und flüssigen Wirtschaftsdüngern zwischen den verschiedenen in Deutschland gängigen Lagerverfahren entsprechend ihren prozentualen Anteilen aufgeteilt. Die anaerobe Vergärung von Wirtschaftsdünger in Biogasanlagen wird berücksichtigt (siehe Kapitel 5.1.3.6.5). Aus dem Lager erfolgen Emissionen von NH_3 aus TAN- und Gesamt-N-Pool. Die N-Verluste durch die Emissionen von N_2O, NO und N_2 werden für Stall und Lager gemeinsam berechnet und aus dem Gesamt-N-Pool subtrahiert; parallel werden diese N-Verluste im Verhältnis von TAN- zu N-Gesamt-Menge auch dem TAN-Pool entzogen. Die verbleibenden N- bzw. TAN-Mengen werden ausgebracht, wobei dem TAN-Pool noch das in Abluftreinigungsanlagen abgeschiedene N zugeschlagen wird.

Die zur Ausbringung kommende N-Menge wird auf die in Deutschland üblichen verschiedenen Ausbringungsverfahren und Einarbeitungszeiten von Wirtschaftsdüngern aufgeteilt. Dies geschieht im Verhältnis der relativen Anteile der verschiedenen Ausbringungsvarianten an der Gesamtmenge des auszubringenden Wirtschaftsdüngers, differenziert nach Tierkategorie und festen und flüssigen Wirtschaftsdüngern. Die N_2O-Emissionen aus landwirtschaftlichen Böden infolge der Ausbringung von Wirtschaftsdünger und Gärresten aus Wirtschaftsdünger werden proportional zur ausgebrachten N-Menge berechnet.

Die beim Weidegang ausgeschiedene Gesamt-N-Menge ergibt die im Boden verfügbare N-Menge zur Berechnung der N_2O-Emissionen infolge von Weidegang.

Die N-Ströme, die im Zusammenhang mit der Vergärung von Energiepflanzen und der Lagerung und Ausbringung der resultierenden Gärreste entstehen, werden getrennt von den N-Strömen der Tierhaltung behandelt. Ihre Berechnung erfolgt, ausgehend von der N-Menge in den zu vergärenden Energiepflanzen (siehe Kapitel 5.1.4.2), sinngemäß wie oben für die tierischen N-Ausscheidungen beschrieben.

Wie beim Wirtschaftsdünger werden die durch die Ausbringung von Mineraldünger verursachten N_2O-Emissionen aus landwirtschaftlichen Böden proportional zur ausgebrachten N-Menge berechnet.

5.1.3 Charakterisierung der landwirtschaftlichen Nutztierhaltung

5.1.3.1 Tierkategorien (3.A, 3.B)

Für die Berechnung der Emissionen aus der Tierhaltung in der deutschen Landwirtschaft werden die Tierbestände in Unterkategorien unterteilt, um die erforderliche Beschreibung leistungs- und haltungsmäßig homogener Teil-Tierbestände zu ermöglichen. Tabelle 207 zeigt eine Gegenüberstellung der in den CRF-Tabellen zu berichtenden Tierkategorien und der im deutschen Inventar verwendeten Tierkategorien.

Die CRF-Kategorien „Esel und Maultiere“ und „Büffel“ werden als „IE“ berichtet, da die Tierzahlen dieser Kategorien in den Tierzahlen der „Pferde“ bzw. „übrigen Rinder“ enthalten sind (siehe Kapitel 5.1.3.2.2).

Über die Kategorien Gehegewild, Kaninchen, Strauße und Pelztiere wird in den CRF-Tabellen unter IPCC (2006a) nicht berichtet, da ihr Beitrag zu den Gesamtemissionen unter 0,05 % des Gesamtinventars oder 500 kt CO_{2eq} liegen (gemäß FCCC/SBSTA/2013/L.29/Add.1) und eine jährliche Bestandaufnahme nicht gewährleistet werden kann (gemäß FCCC/SBSTA/2013/L.29/Add.1, para 37). In Kapitel 19.3.1 wird der Emissionsbeitrag dieser Kategorien abgeschätzt. In Kapitel 21 werden alle Quellen zusammen gestellt, für die keine Emissionen berichtet werden (Eintrag NE).

Tabelle 207: CRF-Tierkategorien und die für die deutsche Emissionsberichterstattung verwendete Unterteilung (3.A, 3.B)

CRF-Tierkategorien		Tierkategorien im deutschen Inventar
1	Milchkühe	„Milchkühe“ [a]
	Übrige Rinder	„Kälber“ (bis 4 Monate) [a] weibliche Jungrinder ab 4 Monaten („Färsen“) [a] männliche Jungrinder ab 4 Monaten („Mastbullen“) [a] „Mutterkühe“ [a] „männliche Rinder ab 2 Jahren“ [a]
2	Schafe	„Erwachsene Schafe“ „Lämmer“
3	Schweine	„Sauen“ (incl. Saugferkel bis 8 kg) „Aufzuchtferkel“ „Mastschweine“ „Eber“

CRF-Tierkategorien		Tierkategorien im deutschen Inventar
4	Büffel	--- [a]
	Kamele	--- [b]
	Gehegewild	--- [c]
	Ziegen	„Ziegen“
	Pferde	„Großpferde“ [d] „Kleinpferde und Ponys“ [d]
	Esel und Maultiere	--- [d]
	Geflügel	„Legehennen“ „Masthähnchen und –hühnchen“ „Junghennen“ „Gänse“ „Enten“ „Puten, männlich“ „Puten, weiblich“
	Kaninchen	--- [c]
	Rentiere	--- [b]
	Strauße	--- [c]
	Pelztiere	--- [c]

[a] Im deutschen Inventar wurden Büffel bis 2012 den Mutterkühen zugeschlagen, ab 2013 sind Büffel nicht separierbar in den amtlichen Tierzahlen der übrigen Rinder und Milchkühe enthalten.

[b] Diese Tiere kommen in Deutschland nicht vor.

[c] Über diese Tiere wird nicht berichtet, da ihr Beitrag zu den Emissionen nicht relevant ist, siehe Kapitel 19.3.1.

[d] Im deutschen Inventar wurden Esel und Maultiere bis 2009 den Kleinpferden und Ponys zugeschlagen, ab 2010 sind sie nicht separierbar in den amtlichen Tierzahlen der Pferde enthalten.

5.1.3.2 Tierplatzzahlen (3.A, 3.B)

Der Begriff „Tierplatz“ oder „Platz“ (Einheit: pl) im deutschen Inventar entspricht der AAP-Definition („average annual population“) in EMEP(2013), S. 13, bzw. IPCC(2006a)-10.8, Gleichung 10.1. Es handelt sich um einen mittleren, kontinuierlich zur Produktion besetzten Tierplatz. Diese Tierplatz-Definition ist konsistent mit der im deutschen Inventar getroffenen Annahme, dass die durch die Offizialstatistik zu einem bestimmten Stichtag (siehe Kapitel 5.1.3.2.1) erhobenen Tierzahlen über das Jahr konstant sind.

Als Synonym für Tierplatz wird im Folgenden auch der Begriff der Tierzahl verwendet.

5.1.3.2.1 Erhebungen durch die statistischen Ämter des Bundes und der Länder

Das Statistische Bundesamt und die statistischen Landesämter führen Agrarstrukturerhebungen [84] durch, bei denen zusammen mit anderen Daten die Tierzahlen für Rinder, Schweine, Schafe, Pferde (ab 2010: Equiden) und Geflügel erfasst werden. Diese Agrarstrukturerhebungen fanden 1990 - 1996 und 1999 -2007 jedes zweite Jahr statt, 2010 im Rahmen der umfangreicheren Landwirtschaftszählung 2010 (LZ 2010)[85] und danach erst wieder im Jahr 2013. Die Erhebungen 1990, 1992, 1994 und 1996 erfolgten am 3. Dezember, während der Stichtag in den Jahren 1999 - 2007 am 3. Mai und 2010 und 2013 am 1. März war.

[84] https://www.destatis.de/DE/Meta/AbisZ/Agrarstrukturerhebung.html

[85] https://www.destatis.de/DE/ZahlenFakten/Wirtschaftsbereiche/LandForstwirtschaft/Landwirtschaftszaehlung2010/Ergebnisse.html

Neben den Agrarstrukturerhebungen finden jährlich Viehbestandserhebungen statt (STATISTISCHES BUNDESAMT, Fachserie 3, Reihe 4.1). Bis 1998 einschließlich erfolgten diese Erhebungen halbjährlich für Rinder und Schafe (Juni, Dezember), viermonatlich für Schweine (April, August, Dezember), sowie alle zwei Jahre im Dezember der geraden Jahre für alle Tierarten, d. h. auch für Pferde und Geflügel. Stichtag war jeweils der dritte Kalendertag im Monat. Seit 1999 erfolgt die Viehbestandserhebung für Rinder und Schweine zweimal jährlich zum Stichtag 3. Mai und 3. November. Für Schafe gilt 1999 bis 2009 der Stichtag 3. Mai und ab 2011 der 3. November, während 2010 die Erhebung am 1. März erfolgte.

Für Rinder, Schweine und Schafe liegen somit für alle Jahre seit 1990 Tierzahlen aus offiziellen Erhebungen vor. Dabei wurden im Inventar bis 1998 einschließlich die Daten von Dezember (für Schafe im Juni) und danach bis 2010 einschließlich die Daten von Mai verwendet, während in Absprache mit dem Statistischen Bundesamt ab 2011 der November-Stichtag zu verwenden ist (EU Regulation No 1165/2008, Article 4). Diese Zahlen entsprechen den vom Statistischen Bundesamt an EUROSTAT übermittelten Zahlen. Der Wechsel des Stichtages zum 3. November hat bei Rindern und Schweinen keinen signifikanten Einfluss auf die Tierzahlen. Bei den Schafzahlen erwies sich dagegen eine Tierzahlkorrektur als erforderlich, siehe Kapitel 5.1.3.2.2.

Die Anzahl der Ziegen in Deutschland wurde zwischen den Jahren 1977 und 2010 nicht erfasst. Bis 2004 schätzte das Bundesministerium für Ernährung und Landwirtschaft (BMEL) die Ziegenzahlen auf nationaler Ebene. Diese Zeitreihe wurde ab 2005 durch Schätzungen des Statistischen Bundesamtes ergänzt. Die 2010 im Rahmen der Landwirtschaftszählung 2010 (LZ 2010) erstmalig wieder offiziell erfasste Gesamtzahl der Ziegen (Stichtag 1. März) liegt deutlich unter den Schätzungen der Vorjahre. Diese Schätzungen, die auch an EUROSTAT berichtet wurden, werden nach Abstimmung mit dem Statistischen Bundesamt weiter im Inventar verwendet. Für 2013 liegt eine offiziell erhobene Ziegenzahl des Statistischen Bundesamtes vor (Stichtag 1. März). Für 2014 und 2015 hat das Statistische Bundesamt keine Zahlen erhoben.

Für Pferde bzw. Equiden und Geflügel sind Tierzahlen nur alle zwei bis drei Jahre aus den Agrarstrukturerhebungen verfügbar (Stichtage: bis 1998 einschließlich 3. Dezember, 1999 – 2007 3. Mai, 2010 und 2013 1. März). Es erfolgten in Absprache mit dem Statistischen Bundesamt keine Tierzahlkorrekturen wegen der variierenden Stichtage.

Der Erhebung der Geflügelzahlen 2013 durch das Statistische Bundesamt und die Statistischen Landesämter lag eine Berichtskreisrevision zugrunde. Diese war erforderlich geworden, da in den Erhebungen zuvor (letztmalig 2010) aufgrund der seinerzeitigen Regeln zur Auswahl der zu befragenden Betriebe größere Geflügelbestände nicht erfasst wurden. Die 2013 erhobenen Geflügelzahlen sind damit deutlich höher, als dies aufgrund der Erhebungen in den Jahren zuvor zu erwarten war. Da das Statistische Bundesamt die offiziellen Geflügelzahlen der Vorjahre bis 2010 nicht korrigiert, weisen die im Inventar verwendeten Geflügelzahlen zwischen 2010 und 2013 einen markanten Anstieg auf, der aber nicht als Trend in der Entwicklung der Geflügelzahlen interpretiert werden darf. Für 2014 und 2015 hat das Statistische Bundesamt keine Zahlen erhoben.

Für die Inventarberechnung mussten die Datenlücken geschlossen und die verfügbaren Tierplatzzahlen teilweise modifiziert werden, um den Erfordernissen der Emissionsberichterstattung zu entsprechen. Hierauf sowie auf Berücksichtigung von Büffeln, Eseln und Maultieren geht Kapitel 5.1.3.2.2 ein.

5.1.3.2.2 Besonderheiten der Tierplatzzahlen im Inventar

Die Rinderbestände werden seit dem Jahr 2008 aus der Datenbank HIT (Herkunftssicherungs- und Informationssystem für Tiere, http://www.hi-tier.de) des Bayerischen Staatsministeriums für Ernährung, Landwirtschaft und Forsten (StMELF) entnommen, in der jedes Rind registriert ist. Als Folge der neuen Erhebungsmethode ergeben sich für die Jahre ab 2008 allerdings systematisch höhere Tierzahlen als in den Jahren zuvor, in denen aufgrund von Erfassungsgrenzen nicht alle Tiere berücksichtigt wurden. Ein Vergleich des Statistischen Bundesamtes für das Jahr 2007 zeigt, dass die Rinderzahlen aus HIT 2,9 % höher als nach der herkömmlichen Erhebungsmethode sind (für Milchkühe allein 2,8 %). Laut Statistischem Bundesamt werden die Rinderzeitreihen vor 2008 nicht nachträglich angepasst. Als Folge werden die Emissionen aus der Rinderhaltung in den Jahren 1990 bis 2007 leicht unterschätzt. Um möglichst homogene Tierkategorien zu bilden, wurden einige der in den amtlichen Erhebungen verwendeten Rinderkategorien für das Inventar modifiziert (RÖSEMANN et al., 2017).

Ab dem Zeitreihenjahr 2013 umfassen die vom Statistischen Bundesamt bereitgestellten Rinderzahlen auch Bisons und Büffel, ohne dass die Büffel aus diesen Zahlen herauszurechnen wären. Da auf diese Weise ab dem Zeitreihenjahr 2013 die Emissionen der Büffel in den Emissionen der Rinder enthalten sind, werden Büffel im Inventar ab Submission 2015 nicht mehr als eigenständige Kategorie behandelt (included elsewhere, IE). Die in den Zeitreihenjahren 1990 bis 2012 von den Büffeln ausgehenden Emissionen werden im Inventar dadurch berücksichtigt, dass die Büffelzahl der Mutterkuhzahl zugeschlagen wird. Allerdings hat das Statistische Bundesamt keine Büffelzahlen veröffentlicht. Daher wurden für die Jahre ab 2000 die Angaben des Deutschen Büffelverbandes verwendet. Aufgrund der Empfehlung im Abschlussbericht zum „Initial Review under the Kyoto Protocol and Annual 2006 Review under the Convention“ wurde die Zeitreihe der Büffel-Population auf nationaler Ebene für die Jahre vor 2000 durch lineare Extrapolation vervollständigt. Für die Jahre 1990 bis 1995 ergaben sich rechnerisch negative Tierzahlen, die durch Nullen ersetzt wurden.

Auch bei den Schweinen wurden einige der in den amtlichen Erhebungen verwendeten Kategorien modifiziert, um möglichst homogene Tierkategorien zu bilden. Die offiziellen Tierzahlen für Ferkel bis 20 kg Tier^{-1} sowie Jung- und Mastschweine ab 20 kg Tier^{-1} werden nach dem in HAENEL et al. (2011) beschriebenen Verfahren zu Tierzahlen für die Inventarkategorien „Aufzuchtferkel“ und „Mastschweine“ umgerechnet. Diese Umrechnung beruht u. a. auf Gewichtsdaten, so dass deren Aktualisierung i. d. R. zu einer gewissen Verschiebung der Tierzahlen zwischen den beiden Kategorien „Aufzuchtferkel“ und „Mastschweine“ führt. Ein solcher Fall liegt bei der aktuellen Submission vor, siehe Kapitel 5.1.3.3. Die Tierzahlumrechnung bleibt aber ohne Auswirkung auf die Gesamtzahl der Schweine. Letztere wird für die Emissionsberechnung allerdings um die Zahl der Ferkel verringert, die bis 8 kg wiegen. Dieses Vorgehen beruht auf dem Inventarkonzept, dass Ferkel bis 8 kg als Saugferkel zu werten sind, die bzgl. ihrer Emissionen implizit bei den Sauen mitgerechnet werden.

Bei den Schafen werden für alle Jahre ab 2010 die amtlichen Schafzahlen korrigiert (RÖSEMANN et al., 2017). Grund ist der Wechsel des Erhebungstermins vom Frühjahr (bis 2009 Mai bzw. Juni) zum 1. März (2010) bzw. zum 3. November (seit 2011). Die mit diesem Wechsel verbundene scheinbare Abnahme der Lämmer (und damit der Schafe-Gesamtzahl) wird durch die Korrektur ausgeglichen.

Die amtlichen Ziegenzahlen für 2010 und 2013 wurden dazu verwendet, die nicht verfügbaren Zahlen von 2011 und 2012 durch lineare Interpolation zu berechnen. Die fehlenden Zahlen für 2014 und 2015 wurden durch Extrapolation des Trends zwischen 2010 und 2013 geschätzt.

Die Pferdezahlen werden im Inventar zur Berücksichtigung unterschiedlichen Emissionsverhaltens in „Großpferde“ und „Kleinpferde und Ponys“unterteilt.

In der Landwirtschaftszählung 2010 und in der Zählung 2013 wurden statt Pferdezahlen Equidenzahlen erhoben. Deren Zahl schließt in nicht separierbarer Weise Esel und Maultiere ein (included elsewhere, IE). Ab Submission 2015 entfällt daher im Inventar die separate Kategorie „Esel und Maultiere“. Die Zahl der Esel- und Maultiere wurde bis zum Jahr 2009 zu der Zahl der Kleinpferde und Ponys addiert. Diese Zahl wurde nach Daten der INTERESSENGEMEINSCHAFT FÜR ESEL UND MAULTIERE (IGEM) auf 8.500 Esel und Maultiere pro Jahr geschätzt. Datenlücken innerhalb der Pferdezeitreihe wurden durch lineare Interpolation geschlossen. Die fehlenden Zahlen für 2014 und 2015 wurden durch Extrapolation des Trends zwischen 2010 und 2013 geschätzt.

Junghennen wurden bis 2007 entgegen der Haltungspraxis (Aufstallung als Legehenne bereits nach der 18. Woche, wie es im Inventar auch berücksichtigt ist) offiziell bis zu einem Alter von 6 Monaten gezählt. Daher wurde für das Inventar ein Teil der Junghennen in die Legehennen-Kategorie verschoben, wobei die Gesamtsumme aus Jung- und Legehennen nicht verändert wurde RÖSEMANN et al., 2017). Die nächste Geflügelzählung nach 2007 fand 2010 statt. Ab dieser Zählung entfällt die Umrechnung zwischen Junghennen und Legehennen, da die Tierzahlen entsprechend der Haltungspraxis erhoben wurden. Für 2014 und 2015 sind keine Zahlen verfügbar; sie wurden durch Beibehaltung des Wertes von 2013 geschätzt, da das Jahr 2010 wegen des Tierzahlrückgangs (aufgrund des ab 2010 geltenden Käfigverbots) für eine Trendschätzung mit anschließender Extrapolation für 2014 und 2015 ungeeignet ist.

Die für 2014 und 2015 fehlenden Tierzahlen der anderen Geflügelkategorien wurden ausgehend von 2013 durch Anwendung des Trends zwischen 2007 und 2010 geschätzt. Der Trend zwischen 2010 und 2013 kam hierfür nicht in Betracht, da er durch die Berichtskreisrevision, die zur Erfassung zahlreicher bis dahin nicht berücksichtigter Tierbestände führte (siehe Kapitel 5.1.3.2.1), erheblich verzerrt ist.

Die offiziell erhobenen Putenzahlen wurden im Inventar zur Berücksichtigung unterschiedlichen Wachstums für alle Jahre seit 1990 in Hähne und Hennen aufgeteilt.

5.1.3.2.3 Im Inventar verwendete Tierplatzzahlen (3.A, 3.B)

Die der deutschen Berichterstattung zugrunde liegenden Tierplatzzahlen sind in Tabelle 208 zusammengestellt.

Zu den Unsicherheiten der Tierzahlen siehe Tabelle 249 in Kapitel 5.1.6.

Tabelle 208: Zahl der in die deutsche Berichterstattung eingehenden Tierplätze (3.A, 3.B) in 1.000

[in 1000]	Milchkühe	übrige Rinder	Schweine	Schafe	Ziegen	Pferde	Geflügel
1990	6.355	13.133	26.502	3.266	90	499	113.879
1995	5.229	10.661	20.387	2.991	100	634	111.228
2000	4.570	9.969	21.768	2.743	140	500	120.180
2005	4.236	8.800	22.743	2.643	170	508	120.560
2006	4.082	8.668	22.418	2.561	180	529	124.512
2007	4.071	8.617	22.985	2.538	180	550	128.463
2008	4.218	8.754	22.678	2.437	190	521	128.608
2009	4.205	8.742	23.022	2.350	220	491	128.754
2010	4.183	8.629	22.244	2.245	150	462	128.900

[in 1000]	Milchkühe	übrige Rinder	Schweine	Schafe	Ziegen	Pferde	Geflügel
2011	4.190	8.340	22.788	1.980	143	462	145.044
2012	4.190	8.319	23.648	1.966	137	461	161.189
2013	4.268	8.418	23.391	1.877	130	461	177.333
2014	4.296	8.447	23.667	1.892	124	461	180.421
2015	4.285	8.351	22.979	1.867	117	461	183.508

5.1.3.2.4 Vergleich mit Tierzahlen der FAO (3.A, 3.B)

Die Ernährungs- und Landwirtschaftsorganisation der Vereinten Nationen (FAO) veröffentlicht weltweite Tierzahlen in ihrer Internetdatenbank FAOSTAT (http://faostat3.fao.org). Die deutschen Angaben in FAOSTAT stammen grundsätzlich vom Statistischen Bundesamt in Deutschland, der Datenquelle, die auch Grundlage für die Tierzahlen im deutschen Inventar ist. Dennoch ergibt der Vergleich der Daten von FAOSTAT (Stand 20.06.2016: Zeitreihe bis 2014) und Inventar zahlreiche Abweichungen. Kleinere Unterschiede sind durch Rundungsfehler erklärbar; sie wurden bei dem Vergleich als nicht relevant angesehen, so dass die entsprechenden Daten als „übereinstimmend" eingestuft wurden. Hauptgründe für die Unterschiede zwischen FAOSTAT und den deutschen Daten sind in FAOSTAT Einträge unter falschen Jahren und eine uneinheitliche Vorgehensweise bei der Schließung von Datenlücken. Im Folgenden werden die wichtigsten Ergebnisse des Datenvergleichs aufgelistet.

Rinder (incl. Büffel): Im Unterschied zum Inventar enthält FAOSTAT in den Jahren 2011 – 2013 die Daten der Mai-Zählung, während das Inventar die Daten der November-Zählung verwendet. Vor 2000 kommt es vor, dass die FAOSTAT-Zahlen um ein Jahr verschoben eingetragen sind (z.B. enthält 1999 die Rinderzahlen von 1998).

Schweine: Die FAO-Schweinezahlen sind generell nicht mit den Inventarzahlen zu vergleichen, da im Inventar die Zahl der Ferkel mit einem Gewicht kleiner 8 kg abgezogen wird (siehe Kapitel 5.1.3.2.2). Vergleicht man die FAOSTAT-Zahlen daher mit den Zahlen des Statistischen Bundesamtes vor Abzug der Saugferkel, so findet sich wie bei den Rindern für die FAOSTAT-Zahlen vor 2000 eine Verschiebung um ein Jahr. Die FAOSTAT-Daten 2011 – 2013 entsprechen der Mai-Zählung, während das Inventar die Daten der November-Zählung verwendet.

Schafe: In den Zeiträumen 1993 – 2000 und 2005 - 2009 stimmen die Zahlen gut miteinander überein. In den Zeiträumen 1990 - 1992 und 2001 – 2004 gibt es z. T. größere Abweichungen, die mit den vorliegenden Informationen nicht erklärbar sind. Ab 2010 sind die FAOSTAT-Schafzahlen nicht mit den Inventarzahlen zu vergleichen, da im Inventar die Schafzahlen korrigiert werden (siehe Kapitel 5.1.3.2.2).

Ziegen: FAOSTAT gibt Ziegenzahlen nicht mehr explizit an, sondern in einer Zeitreihe „Schafe & Ziegen". Subtrahiert man davon die Zahlen der FAOSTAT-Zeitreihe „Schafe", erhält man die Zeitreihe der Ziegenzahlen. Diese Zahlen sind für die Jahre vor 2003 gegenüber der deutschen Statistik um ein Jahr versetzt (die FAOSTAT-Ziegenzahl 1991 gibt die deutsche Ziegenzahl von 1990 wieder usw.). Für die Jahre 2003, 2005, 2007, 2010 und 2013 stimmen die FAOSTAT-Zahlen mit den deutschen Zahlen überein. Für die Jahre dazwischen gibt es Abweichungen, die sich auf FAOSTAT-Seite aus Fortschreibung alter Daten oder nicht korrigierten Schätzwerten erklären. Insbesondere die Herkunft der FAOSTAT-Ziegenzahlen für 2011 und 2012 ist unklar.

Pferde (incl. Esel und Maultiere): Die FAOSTAT-Zahlen vor 2010 geben nur die reinen Pferdezahlen ohne Esel und Maultiere wieder. Zieht man daher für einen Vergleich die hinzuaddierten Esel und Maultiere (siehe Kapitel 5.1.3.2.2) bei den Inventarzahlen ab, so ergibt sich für die Jahre 1994, 2003 und 2007 sowie angenähert für die Jahre 1996 und 2005 eine Übereinstimmung. Die FAOSTAT-Zahl für 2013 entspricht der deutschen Zahl, die implizit bereits Esel und Maultiere enthält, was damit auch für die FAOSTAT-Zahl gilt. In allen hier nicht genannten

Jahren seit 1990 gibt es zum Teil erhebliche Abweichungen zwischen FAOSTAT- und deutschen Zahlen, u. a. durch Verschiebung um ein Jahr bei den FAOSTAT-Zahlen. Andere Abweichungen, insbesondere zwischen 2008 und 2013, sind mit den vorliegenden Informationen nicht erklärbar. Die stark abweichende FAOSTAT-Schätzung für 2014 erklärt sich aus einer Fortsetzung des in den Vorjahren schon nicht korrekten Trends.

Geflügel: In fast allen Jahren mit Tierzählungen stimmen die Geflügelzahlen weitgehend überein (1994, 1999, 2003, 2005, 2007, 2010 und 2013). Die Ergebnisse der Zählungen der Jahre 1990, 1996 und 2001 sind offenbar in FAOSTAT fälschlich im darauffolgenden Jahr eingetragen. Die Schließung der Datenlücke zwischen 2010 und 2013 in FAOSTAT lässt keinerlei Systematik erkennen, ebenso wie die Schätzung der FAOSTAT-Zahl für 2014, so dass es zu erheblichen Abweichungen von den Inventardaten kommt.

5.1.3.3 Leistungs-, Energie- und Futterdaten (3.A, 3.B)

Die Berechnung von Emissionen nach einem Tier-2-Verfahren erfordert Angaben zur tierischen Leistung (Tiergewicht, Gewichtszunahme, Milchleistung, Milcheiweißgehalt, Milchfettgehalt, Geburtenzahl, Eizahl und -gewicht) und zum Futter (Phasenfütterung, Futterbestandteile, Protein- und Energiegehalt, Umsetzbarkeit von Energie, Verdaulichkeit von organischer Substanz). Zur Aufteilung der vom Statistischen Bundesamt berichteten Puten-Gesamtzahl in Hähne und Hennen wird das Geschlechterverhältnis benötigt. Die benötigten Daten sind zum großen Teil nicht aus der amtlichen Statistik erhältlich. Sie wurden der allgemein verfügbaren Fachliteratur, Veröffentlichungen von Verbänden oder Regelwerken für die landwirtschaftliche Beratung in Deutschland entnommen oder durch Expertenbefragung gewonnen.

Tabelle 209 zeigt die mittleren Tiergewichte für Milchkühe, übrige Rinder, Schweine und Geflügel. Bei Rindern und Schweinen gibt es wegen aktualisierter Tiergewichte geringfügige Abweichungen zur Resubmission 2016. Zu Details der Berechnung der mittleren Tiergewichte siehe RÖSEMANN et al. (2017).

Tabelle 209: Mittlere Tiergewichte (3.A, 3.B)

[kg Tier^{-1}]	1990	1995	2000	2005	2006	2007	2008	2009	2010	2011	2012	2013	2014	2015
Milchkühe	607,9	618,7	641,9	646,7	648,6	651,2	642,6	641,9	646,8	647,8	646,1	645,7	645,2	649,7
übrige Rinder	338,7	351,1	367,7	365,4	369,4	371,8	365,7	366,0	367,8	365,6	365,2	367,1	367,0	369,6
Schweine	66,7	69,0	67,3	67,0	66,9	66,9	66,6	66,7	65,3	64,1	63,7	63,6	63,7	63,3
Geflügel	1,63	1,60	1,69	1,78	1,79	1,78	1,76	1,79	1,78	1,74	1,72	1,69	1,69	1,68

Die Tiergewichte von Schafen, Ziegen und Pferden (siehe RÖSEMANN et al., 2017) gehen nicht in die Emissionsberechnungen ein, wurden aber für CRF-3.B geschätzt (mittlere Gewichte bei Schafen und Pferden zur Berücksichtigung von Groß- und Kleintieren): Schafe 50 kg Tier^{-1}, Ziegen 40 kg Tier^{-1} und Pferde 490 kg Tier^{-1}.

Tabelle 210 zeigt die mittlere tägliche Milchleistung bei Milchkühen, die der jährlichen Milchleistung dividiert durch 365 Tage entspricht.

Tabelle 210: Mittlere tägliche Milchleistung bei Milchkühen (3.A)

[kg d^{-1}]	1990	1995	2000	2005	2006	2007	2008	2009	2010	2011	2012	2013	2014	2015
Milchleistung	12,93	14,80	16,65	18,53	18,77	19,03	18,69	19,11	19,41	19,84	20,06	20,12	20,66	20,90

Bei Milchkühen, Färsen, Mastbullen, Sauen, Aufzuchtferkeln und Mastschweinen wird die Aufnahme der Gesamtenergie (GE) leistungsabhängig berechnet. Diese Berechnung beruht auf

der Bedingung, dass die Fütterung den tierischen NEL- bzw. ME-Energiebedarf [86] genau deckt. Aus dem Energiebedarf und dem mittleren NEL- bzw. ME-Energiegehalt des Futters wird ermittelt, welche Menge Futter bei gegebener Futterzusammensetzung zur Deckung des NEL- bzw. ME-Energiebedarfs aufgenommen wird (RÖSEMANN et al., 2017). Aus der aufgenommenen Futtermenge und dem mittleren GE-Gehalt des Futters wird die vom Tier aufgenommene Gesamtenergie GE berechnet. Bei Kälbern, Mutterkühen, männlichen Rindern ab 2 Jahren, Ebern, Ziegen, Schafen und Pferden wird die GE-Aufnahme mit Hilfe von Standardwerten ermittelt. Für Geflügel wird keine GE-Aufnahme berechnet.

Gegenüber der Resubmission 2016 wurden folgende Leistungsdaten geändert (siehe dazu auch RÖSEMANN et al., 2017):

- **Milchkühe, Färsen, Mastbullen:** In mehreren Jahren wurden Anfangs- und Endgewichte aktualisiert.
- **Schweine:** In einigen Bundesländern wurden für mehrere Zeitreihenjahre die Daten zu Anfangs- und Endgewichten, Zuwachsraten und Ferkel pro Sau aktualisiert.
- **Masthähnchen:** Die Eingangsgröße „Gesamt-Bruttoschlachtfleischmenge“ wurde für 2013 und 2014 aktualisiert.

Tabelle 211 zeigt für Milchkühe, übrige Rinder sowie Schweine die tägliche Gesamtenergie-Aufnahme GE. In allen drei Tierkategorien gibt es aufgrund der o. g. Änderungen bei Leistungsdaten in manchen Jahren geringfügige Abweichungen von der Resubmission 2016.

Tabelle 211: Mittlere tägliche Gesamtenergie-Aufnahme (GE) (3.A)

[MJ Platz^{-1}]	1990	1995	2000	2005	2006	2007	2008	2009	2010	2011	2012	2013	2014	2015
Milchkühe	259,9	277,8	295,1	310,3	311,8	314,7	310,2	314,1	317,5	320,3	321,9	321,9	326,0	328,4
übrige Rinder	103,3	105,5	107,0	105,5	105,8	105,6	105,1	105,5	105,3	104,8	104,3	104,4	103,8	103,8
Schweine	30,2	31,8	32,6	33,0	33,1	33,2	33,3	33,8	33,8	34,0	34,3	34,5	34,8	34,9

Tabelle 212 bis Tabelle 214 zeigen für Milchkühe, übrige Rinder und Schweine die Eingangsdaten für die VS-Berechnung, die der Berechnung der CH_4-Emissionen aus dem Wirtschaftsdünger-Management zugrunde liegt (siehe Kapitel 5.3.2.2.1). Es handelt sich um Trockenmasseaufnahme, Verdaulichkeit organischer Substanz und Aschegehalt des Futters. Die Trockenmasseaufnahme ergibt sich aus der Futteraufnahme unter Berücksichtigung des Trockenmassegehaltes der Futterkomponenten (Details siehe RÖSEMANN et al., 2017). Die Verdaulichkeit organischer Substanz und der Aschegehalt des Futters sind als Futterkennwerte gegeben (BEYER et al., 2004; Herstellerangaben); sind die Daten nicht verfügbar, werden geeignete Ersatzwerte verwendet (siehe RÖSEMANN et al., 2017). Geringfügige Abweichungen gegenüber der Resubmission 2016 resultieren aus den oben genannten Änderungen bei den Leistungsdaten.

[86] Der Energiebedarf wird bei der Milchkuh in der Einheit „Netto Energie Laktation (NEL)“ angegeben (siehe KIRCHGESSNER et al., 2008), während bei den anderen Tieren mit Energiebedarfsberechnung im deutschen Inventar die Einheit „Umsetzbare Energie (ME, metabolic energy)“ verwendet wird (siehe z. B. GfE, 2006).

Tabelle 212: Tägliche Trockenmasseaufnahme

[kg $^{-1}$ Platz^{-1} d^{-1}]	1990	1995	2000	2005	2006	2007	2008	2009	2010	2011	2012	2013	2014	2015
Milchkühe	14,17	15,07	15,96	16,74	16,81	16,96	16,73	16,93	17,10	17,24	17,32	17,32	17,53	17,66
übrige Rinder	5,52	5,64	5,72	5,64	5,65	5,64	5,61	5,64	5,63	5,59	5,57	5,57	5,54	5,54
Schweine	1,83	1,93	1,98	2,00	2,01	2,02	2,02	2,05	2,05	2,06	2,08	2,10	2,11	2,12

Tabelle 213: Verdaulichkeit von organischer Substanz im Futter (3.A)

[%]	1990	1995	2000	2005	2006	2007	2008	2009	2010	2011	2012	2013	2014	2015
Milchkühe	72,9	73,4	73,9	74,4	74,5	74,5	74,4	74,5	74,6	74,6	74,7	74,6	74,8	74,8
übrige Rinder	72,7	72,7	72,6	72,7	72,7	72,8	72,8	72,8	72,8	72,8	72,9	72,9	72,9	72,9
Schweine	84,7	84,7	84,7	84,8	84,8	84,8	84,8	84,8	84,8	84,8	84,9	84,9	84,9	84,9

Tabelle 214: Aschegehalt des Futters

[kg kg^{-1}]	1990	1995	2000	2005	2006	2007	2008	2009	2010	2011	2012	2013	2014	2015
Milchkühe	0,096	0,093	0,091	0,089	0,089	0,088	0,089	0,088	0,088	0,087	0,087	0,087	0,087	0,087
übrige Rinder	0,089	0,091	0,091	0,091	0,091	0,091	0,091	0,091	0,091	0,091	0,091	0,091	0,091	0,091
Schweine	0,056	0,056	0,056	0,056	0,056	0,056	0,056	0,056	0,056	0,056	0,056	0,056	0,056	0,056

Weitere Angaben zur Tierhaltung, z. B. zu Ausscheidungen (N, VS), finden sich in den nachfolgenden Kapiteln.

In keinem der verwendeten Tiermodelle wird die mittlere prozentuale Trächtigkeit als Eingangsgröße verwendet. Sie wird der Vollständigkeit halber für Rinder in CRF-Tabelle 3.A berichtet.

5.1.3.4 N-Ausscheidungen (3.B)

Bei Milchkühen, Färsen, Mastbullen, Schweinen, Legehennen, Junghennen, Masthähnchen und -hühnchen, Enten sowie Putenhähnen und Putenhennen werden die N-Ausscheidungen leistungsabhängig berechnet. Für die übrigen Tiere werden die N-Ausscheidungswerte aus der deutschen Fachliteratur abgeleitet (siehe RÖSEMANN et al., 2017).

Die leistungsabhängige Berechnung der N-Ausscheidung basiert auf der Annahme einer Fütterung, die genau den Energiebedarf deckt (siehe Kapitel 5.1.3.3). Die vom Tier aufgenommene N-Menge ergibt sich aus der aufgenommenen Futtermenge und dem mittleren N-Gehalt der Futterration, der den nationalen Fütterungsempfehlungen entspricht. Von der aufgenommenen N-Menge werden die wachstumsbedingte N-Retention, die N-Abgabe über Produkte (Milch/Eier) sowie die N-Verluste durch Trächtigkeit/Nachwuchs abgezogen. Die verbleibende N-Menge ist die N-Ausscheidung:

In die Berechnung der N-Ausscheidung gehen folgende Parameter ein:

- Milchkühe: Milchleistung, Milcheiweiß-Gehalt, Milchfett-Gehalt, Tiergewicht, Gewichtszunahme, Zahl der Geburten pro Jahr, Futtereigenschaften;
- Färsen und Mastbullen: Gewichtszunahme, Endgewicht und Futtereigenschaften;
- Schweine: Tiergewicht; bei Sauen auch Zahl der Ferkel pro Jahr; bei Aufzuchtferkeln und Mastschweinen auch Gewichtszunahme und Futtereigenschaften;
- Legehennen, Junghennen, Enten, Puten: Gewichtszunahme, Endgewicht, Futtereigenschaften; bei Legehennen auch Legeleistung und Eigewicht;
- Masthähnchen und –hühnchen: Brutto-Schlachtfleischenge, Futtereigenschaften.

Bei Tierkategorien mit Weidegang werden die pro Tierplatz und Jahr berechneten N-Ausscheidungen auf Weide und Stall aufgeteilt, da nur die Ausscheidungen im Stall in die Berechnung der N_2O-Emissionen unter 3.B einfließen. Diese Aufteilung erfolgt proportional zu

den relativen Zeitanteilen, die auf die Haltung im Stall und auf der Weide entfallen (siehe dazu Kapitel 19.3.1, Tabelle 506).

Tabelle 215 zeigt die Zeitreihen der N-Ausscheidungen. Für Ziegen ist die N-Ausscheidung zeitlich konstant (11,0 kg Platz^{-1} a^{-1}). Die Abweichungen gegenüber Resubmission 2016, die sich aus Änderungen bei den Leistungsdaten (siehe Kapitel 5.1.3.3) ergeben, sind gering.

Tabelle 215: N-Ausscheidungen pro Tierplatz und Jahr (3.B(b))

[kg Platz^{-1} a^{-1}]	1990	1995	2000	2005	2006	2007	2008	2009	2010	2011	2012	2013	2014	2015
Milchkühe	97,6	102,9	109,9	115,3	115,9	116,9	114,2	115,4	116,4	117,3	117,6	117,3	119,2	120,4
übrige Rinder	41,2	43,0	43,8	43,3	43,4	43,1	43,0	43,2	43,1	42,9	42,7	42,7	42,5	42,5
Schweine	12,1	12,6	12,7	12,8	12,8	12,8	12,8	12,9	12,9	12,9	12,9	13,0	13,0	13,0
Schafe	7,7	7,7	7,8	7,8	7,8	7,7	7,7	7,8	7,8	7,8	7,8	7,8	7,8	7,8
Pferde	48,2	48,1	49,0	48,8	48,8	48,8	48,8	48,8	48,8	48,8	48,8	48,8	48,8	48,8
Geflügel	0,70	0,67	0,69	0,74	0,73	0,74	0,74	0,75	0,77	0,75	0,73	0,70	0,70	0,69

Tabelle 216 zeigt die jährlichen N-Ausscheidungen für die vier Wirtschaftsdünger-Managementsysteme „güllebasiert (ohne Vergärung)“, „strohbasiert (ohne Tiefstreu und ohne Vergärung)“, „Tiefstreu (ohne Vergärung)“ und „Vergärung“ sowie für „Weidegang“.

Tabelle 216: Jährliche N-Ausscheidungen, aufgeteilt nach Wirtschaftsdünger-Managementsystemen (3.B(b)) und Weidegang (3.D)

[kt a^{-1}]	**1990**	**1995**	**2000**	**2005**	**2006**	**2007**	**2008**	**2009**	**2010**	**2011**	**2012**	**2013**	**2014**	**2015**
insgesamt	1611,4	1382,9	1346,1	1297,4	1274,4	1286,1	1290,8	1301,2	1286,4	1291,3	1309,4	1324,8	1343,1	1335,3
güllebasiert [a]	898,6	848,0	823,7	766,2	733,6	719,4	706,5	692,9	656,6	635,6	635,8	622,7	626,5	617,7
strohbasiert [b]	447,7	310,0	297,4	284,5	282,7	287,4	287,8	288,4	287,0	289,6	294,9	299,3	303,0	303,4
Tiefstreu [a]	51,6	53,1	57,4	70,7	70,4	71,5	74,1	75,1	74,5	71,6	71,3	71,9	72,0	70,5
Vergärung	0,04	0,56	4,8	32,3	48,1	69,5	83,6	106,3	132,2	161,4	175,0	197,1	206,2	207,7
Weidegang	213,4	171,3	162,8	143,7	139,5	138,4	138,8	138,5	136,1	133,0	132,3	133,8	135,4	135,9

[a] ohne Vergärung

[b] ohne Tiefstreu und ohne Vergärung

5.1.3.5 VS-Ausscheidungen (3.B)

Die Berechnung der VS-Ausscheidungen erfolgt für Milchkühe, übrige Rinder, Schweine und Geflügel (Ausnahme: Gänse) mit dem nationalen Verfahren von DÄMMGEN et al. (2011):

Gleichung 5: Berechnung der VS-Ausscheidungen

$$VS_{\,i} = m_{\text{feed, DM, i}} \cdot (1 - X_{\text{DOM, i}}) \cdot (1 - x_{\text{ash, feed}})$$

VS_i	VS-Ausscheidung von Tierkategorie i (in kg Platz^{-1} d^{-1})
$m_{\text{feed, DM, i}}$	Trockenmasse-Aufnahme, Tierkategorie i (in kg Platz^{-1} d^{-1})
$X_{\text{DOM, i}}$	Verdaulichkeit organischer Substanz, Tierkategorie i (in kg kg^{-1})
$X_{\text{ash, i}}$	Aschegehalt des Futters, Tierkategorie i (in kg kg^{-1})

Für Gänse wird die VS-Ausscheidung in Anlehnung an die VS-Ausscheidung von Enten geschätzt (RÖSEMANN et al., 2017): 0,023 kg pl^{-1} d^{-1}.

Die Eingangsdaten für die VS-Berechnung sind: Trockenmasse-Aufnahme, Verdaulichkeit organischer Substanz und Aschegehalt des Futters; für eine Übersicht für Milchkühe, übrige Rinder und Schweine siehe Kapitel 5.1.3.3.

Die mit nationalen Eingangsdaten berechneten VS-Ausscheidungen für Milchkühe, übrige Rinder, Schweine und Geflügel sind in Tabelle 217 dargestellt. Wegen der Änderungen bei den Leistungsdaten (siehe Kapitel 5.1.3.2.4) unterscheiden sich die VS-Werte geringfügig von den Werten der Resubmission 2016 (im Zahlenformat von Tabelle 217 nicht darstellbar).

Tabelle 217: Tägliche VS-Ausscheidung für Milchkühe, übrige Rinder, Schweine und Geflügel (3.B(a))

[kg Platz^{-1} d^{-1}]	1990	1995	2000	2005	2006	2007	2008	2009	2010	2011	2012	2013	2014	2015
Milchkühe	3,47	3,63	3,78	3,90	3,91	3,94	3,90	3,94	3,97	3,99	4,01	4,01	4,04	4,06
übrige Rinder	1,37	1,40	1,43	1,40	1,40	1,40	1,39	1,39	1,39	1,38	1,37	1,38	1,37	1,37
Schweine	0,26	0,28	0,28	0,29	0,29	0,29	0,29	0,29	0,29	0,30	0,30	0,30	0,30	0,30
Geflügel	0,023	0,022	0,023	0,026	0,026	0,026	0,026	0,026	0,027	0,026	0,025	0,024	0,024	0,024

Tabelle 218 zeigt die täglichen VS-Ausscheidungen für Schafe, Ziegen und Pferde. Für erwachsene Schafe, Ziegen und Großpferde wurden die VS-Default-Werte nach IPCC (2006a), Tabelle 10A-9, übernommen. Wegen der im Vergleich zu erwachsenen Schafen niedrigeren Leistung wird für Lämmer die VS-Ausscheidung mit 40 % der VS-Ausscheidung von erwachsenen Schafen angesetzt (RÖSEMANN et al., 2017). Analog wurden die VS-Ausscheidungen der Kleinpferde und Ponys aus dem Verhältnis des Energiebedarfs aus den VS-Ausscheidungen für Großpferde abgeleitet (RÖSEMANN et al., 2017).

Tabelle 218: Tägliche VS-Ausscheidungen für Schafe, Ziegen und Pferde (3.B(a))

[kg Platz^{-1} d^{-1}]	*VS*
erwachsene Schafe	0,40
Lämmer	0,16
Ziegen	0,30
Großpferde	2,13
Kleinpferde und Ponys	1,38

Die mittlere VS-Ausscheidung für Schafe und Pferde ist wegen variierender Populationsanteile der jeweiligen Groß- und Kleintiere keine Konstante. Die jährliche Variation ist aber gering. Die über die Jahre gemittelte tägliche VS-Ausscheidung für alle Schafe zusammen liegt bei 0,31 kg Platz^{-1} d^{-1}, für alle Pferde zusammen bei 1,95 kg Platz^{-1} d^{-1}.

5.1.3.6 Haltungs-, Lager- und Ausbringungsverfahren (CRF 3.B, 3.D)

5.1.3.6.1 Häufigkeitsverteilungen (3.B, 3.D)

Das deutsche Inventar verwendet jährliche Häufigkeitsverteilungen von Haltungsformen (Anteile Weidehaltung/Stallhaltung; Anteile von Aufstallungsformen), Wirtschaftsdünger-Lagerungsformen und -Ausbringungstechniken sowie Weidezeiten nach Tier-Unterkategorien. Auf Daten zu Wirtschaftsdünger-Vergärung und Gärrestelagerung wird in Kapitel 5.1.3.6.5 eingegangen.

Für die Jahre 1990 bis 1999 wurden die Häufigkeitsverteilungen zu Haltungs-, Lager- und Ausbringungsverfahren sowie die Weidezeiten mit Hilfe des Agrarsektormodells RAUMIS (Regionalisiertes Agrar- und UmweltInformationsSystem für Deutschland) gewonnen[87]. Datengrundlage für diese RAUMIS-Daten waren nationale Fachstatistiken auf sektoraler und Kreisebene, KTBL-Normdaten zur Beschreibung der Produktionsverfahren, Daten der landwirtschaftlichen Gesamtrechnung, Sonderauswertungen des Bundesministeriums für Ernährung und Landwirtschaft (Bestandsgrößen-Klassenverteilung), sowie Daten aus Befragungen. Bei fehlenden statistischen Datengrundlagen wurde Expertenwissen in die Modellformulierung einbezogen.

Nach 1999 konnten die vorgenannten RAUMIS-Daten nicht mehr aktualisiert werden. Erst für das Jahr 2010 konnten durch die Landwirtschaftszählung 2010 (LZ 2010), die Erhebung über

[87] RAUMIS wird am Institut für Ländliche Räume des von Thünen-Instituts (TI; bis 2008: Bundesforschungsanstalt für Landwirtschaft, FAL) betrieben. Für eine Einführung siehe WEINGARTEN (1995); eine detaillierte Beschreibung ist in HENRICHSMEYER et al. (1996) zu finden.

landwirtschaftliche Produktionsmethoden sowie die Erhebung über Wirtschaftsdüngerausbringung im Kalenderjahr 2010 aktuelle Daten gewonnen werden. Die Lücke zwischen diesen Daten und den RAUMIS-Daten von 1999 wurde i. d. R. durch lineare Interpolation geschlossen. In einigen Fällen wurden die Daten der LZ 2010 im Inventar allerdings bereits ab 1990 verwendet, um vergleichsweise unsicherere RAUMIS-Daten oder Annahmen zu ersetzen. Für Schafe z. B. wurden erstmals in der Landwirtschaftszählung 2010 offizielle Daten zum Weidegang erhoben; sie werden für die Jahre ab 1990 verwendet und ersetzen frühere Annahmen.

Für Legehennen liegen ab 1993 für jedes Jahr Angaben zur Verteilung der Haltungsformen vor. Die Daten werden auf Anfrage jährlich durch das Statistische Bundesamt (Referat G 105) bereitgestellt, wobei für das Zeitreihenjahr 2015 zum Zeitpunkt der Emissionsberechnungen für Submission 2017 noch keine Daten vorlagen. Die Datenlücke 1990 bis 1992 wird durch Übernahme des Wertes von 1993 geschlossen. Für 2015 werden die Werte von 2014 übernommen.

Zusätzlich wurden aufgrund von KTBL-Expertenurteilen folgende Festlegungen getroffen:

- Kälber wurden bis 2002 zu 50 % in Anbindehaltung auf planbefestigtem Boden mit Einstreu und 50 % auf Tiefstreu und ab 2003 wegen des Verbots der Anbindehaltung zu 100 % auf Tiefstreu gehalten.
- Bei Färsen werden alle strohbasierten Systeme als planbefestigter Boden mit Einstreu geführt, da dies in Deutschland am gebräuchlichsten ist.
- Bei Mutterkühen werden alle strohbasierten Systeme außer Anbindehaltung als Tiefstreu geführt, da dies in Deutschland am gebräuchlichsten ist.
- Für die Jahre 2011 bis 2015 liegen keine Daten über Häufigkeitsverteilungen von Haltungs-, Lager- und Ausbringungsverfahren vor. Daher werden die Daten der LZ 2010 auch für diese Jahre verwendet. Abweichend davon wurden die Einarbeitungsfristen für Flüssigmist ab 2012 aktualisiert, da ab diesem Jahr auf unbewachsenen Boden ausgebrachter Flüssigmist (incl. flüssige Gärreste) aufgrund präzisierter rechtlicher Durchführungsbestimmungen generell innerhalb von 4 Stunden einzuarbeiten ist (siehe RÖSEMANN et al., 2017).
- Die Anzahl der Abluftreinigungsanlagen in Schweineställen bis 2012 (betrifft die für 3.D relevanten NH_3-Emissionen) beruht auf Erhebungen von KTBL. Da mit Ausnahme von Niedersachsen 2014 keine neuen Daten für 2013 bis 2015 verfügbar waren, wurden für alle anderen Bundesländer die Angaben von 2012 für 2013 bis 2015 übernommen. Für Niedersachsen wurde der fehlende Wert von 2013 durch lineare Interpolation zwischen 2012 und 2014 geschätzt; der Wert von 2014 wurde für 2015 übernommen.
- Die Anteile der anaeroben Vergärung von Gülle und Mist von Rindern, Schweinen und Geflügel in Biogasanlagen sowie die Häufigkeiten gasdichter Gärrestelager wurden durch KTBL (2016) bereitgestellt. Die Daten wurden gegenüber der Resubmission 2016 für alle Jahre aktualisiert.

Die dem deutschen Inventar zugrunde liegenden Verteilungen von Haltungs- Lager- und Ausbringungsverfahren sowie Angaben zum Weidegang sind in Tabelle 506, Tabelle 507 und Tabelle 508 im Anhangkapitel 19.3.1 wiedergegeben. Diese Tabellen beinhalten auch Daten zur Vergärung von Wirtschaftsdünger aus der Rinder-, Schweine- und Geflügelhaltung sowie zur Ausbringung der Gärreste (siehe Kapitel 5.1.3.6.5).

Die nachfolgenden Tabellen zeigen für die wichtigen Tierkategorien „Milchkühe“, „übrige Rinder“, „Schweine“ und „Geflügel“ die Aufteilung der Tierpopulation auf die verschiedenen Kategorien von Wirtschaftsdünger-Managementsystem.

Tabelle 219: Güllebasierte Systeme ohne Vergärung, in % des ausgeschiedenen VS (3.B(a))

[%]	1990	1995	2000	2005	2006	2007	2008	2009	2010	2011	2012	2013	2014	2015
Milchkühe	54,5	70,9	72,1	70,3	68,4	66,2	64,9	62,6	60,0	56,9	55,7	53,7	53,1	52,9
übrige Rinder	59,2	56,8	53,4	47,0	45,2	43,3	41,5	39,4	37,0	35,6	35,2	34,5	34,0	33,9
Schweine	80,6	87,2	89,0	88,4	87,7	86,5	85,8	84,8	82,8	81,3	80,8	79,2	78,8	78,3

Tabelle 220: Strohbasierte Systeme ohne Vergärung, in % des ausgeschiedenen VS (3.B(a))

[%]	1990	1995	2000	2005	2006	2007	2008	2009	2010	2011	2012	2013	2014	2015
Milchkühe	27,8	15,7	14,8	15,4	15,5	15,5	15,5	15,5	15,5	15,4	15,3	15,2	15,2	15,2
übrige Rinder	19,6	18,3	18,5	18,4	18,7	18,9	19,3	19,7	20,2	20,1	19,8	19,7	19,8	19,9
Schweine	17,3	10,9	9,1	7,8	7,6	7,3	7,0	6,6	6,4	6,2	5,9	5,9	5,8	5,8
Geflügel	100,0	99,9	99,6	96,8	95,6	94,6	93,8	92,2	90,2	89,1	88,7	87,3	87,1	87,1

Tabelle 221: Tiefstreu ohne Vergärung, in % des ausgeschiedenen VS (3.B(a))

[%]	1990	1995	2000	2005	2006	2007	2008	2009	2010	2011	2012	2013	2014	2015
Milchkühe	0,1	0,2	0,1	0,1	0,1	0,0	0,0	0,0	0,0	0,0	0,0	0,0	0,0	0,0
übrige Rinder	6,7	8,7	10,2	15,0	15,4	16,0	16,7	17,2	17,5	17,4	17,5	17,4	17,4	17,3
Schweine	2,2	1,9	1,6	1,4	1,3	1,3	1,3	1,3	1,3	1,3	1,3	1,3	1,3	1,2

Tabelle 222: Alle Systeme mit Vergärung, in % des ausgeschiedenen VS (3.B(a))

[%]	1990	1995	2000	2005	2006	2007	2008	2009	2010	2011	2012	2013	2014	2015
Milchkühe	0,003	0,051	0,49	3,1	5,2	7,6	9,2	11,6	14,4	17,5	18,7	20,6	21,3	21,4
übrige Rinder	0,003	0,033	0,28	2,0	2,9	4,0	4,6	5,8	7,2	8,9	9,7	10,6	10,9	10,9
Schweine	0,003	0,042	0,33	2,4	3,3	4,8	5,9	7,4	9,5	11,2	12,0	13,7	14,1	14,6
Geflügel	0,004	0,056	0,43	3,2	4,4	5,4	6,2	7,8	9,8	10,9	11,3	12,7	12,9	12,9

Tabelle 223: Weide, in % des ausgeschiedenen VS (3.B(a))

[%]	1990	1995	2000	2005	2006	2007	2008	2009	2010	2011	2012	2013	2014	2015
Milchkühe	17,7	13,2	12,5	11,1	10,8	10,6	10,5	10,3	10,1	10,2	10,3	10,4	10,4	10,5
übrige Rinder	14,4	16,2	17,6	17,7	17,7	17,9	17,9	18,0	18,1	18,0	17,8	17,8	17,9	18,1

5.1.3.6.2 Einstreu bei Festmistsystemen

Bei Festmistsystemen gelangt mit der Einstreu zusätzlicher Stickstoff ins System, der im Inventar bei der Berechnung der Emissionen von N_2O und NO aus dem Wirtschaftsdünger-Management berücksichtigt wird. In Tabelle 506 in Kapitel 19.3.1 zeigt die vom Tierhaltungsverfahren abhängigen Einstreumengen in Frischmasse. Mit einem Trockenmassegehalt von 86 % und einem N-Gehalt der Trockenmasse von 0,58 % (siehe RÖSEMANN et al., 2017) ergeben sich die in Tabelle 224 nach Tierkategorien angegebenen Einstreu-N-Mengen. Der merkliche Rückgang bei den Schweinen von 2014 zu 2015 ist auf den Rückgang der Schweinezahlen zurückzuführen.

Tabelle 224: Jahressummen des N-Eintrags durch Einstreu in strohbasierten Systemen

[kt a^{-1}]	1990	1995	2000	2005	2006	2007	2008	2009	2010	2011	2012	2013	2014	2015
Milchkühe	17,1	7,6	7,1	6,7	6,5	6,5	6,7	6,7	6,7	6,7	6,7	6,8	6,9	6,9
übrige Rinder	23,9	21,1	21,3	20,3	20,2	20,4	21,1	21,3	21,3	20,6	20,5	20,7	20,8	20,6
Schweine	3,18	1,78	1,58	1,41	1,36	1,35	1,28	1,26	1,18	1,18	1,19	1,17	1,18	1,13
Schafe	0,83	0,75	0,70	0,68	0,65	0,64	0,62	0,60	0,58	0,51	0,50	0,48	0,48	0,47
Ziegen	0,04	0,05	0,07	0,08	0,09	0,09	0,09	0,11	0,07	0,07	0,07	0,06	0,06	0,06
Pferde	6,54	8,30	6,65	6,75	7,02	7,30	6,91	6,51	6,12	6,12	6,12	6,12	6,11	6,11
Geflügel	0,80	0,91	1,10	1,27	1,31	1,35	1,39	1,46	1,52	1,62	1,72	1,83	1,88	1,92

5.1.3.6.3 Maximale Methan-Bildungsrate B_o (3.B(b))

Die mit der Lagerung von Wirtschaftsdünger verbundene Methanbildung wird für die Emissionsberechnung (siehe Kapitel 5.3.2.2.1) durch die tierspezifische maximale Methan-Bildungsrate B_o und den lagerspezifischen Methan-Umwandlungsfaktor *MCF* charakterisiert. Zum *MCF* siehe Kapitel 5.1.3.6.4.

Tabelle 225 zeigt die verwendeten B_0-Werte und die Datenherkunft. Bei Rindern und Schweinen handelt es sich um nationale Daten. Für die übrigen Tiere außer Junghennen und Gänsen wurden IPCC-Default-Werte verwendet. Für Junghennen und Gänse existieren keine IPCC (2006a)-Default-Werte. Für Junghennen wurde konservativ der IPCC (2006a)-Default-Wert der Legehennen angenommen. Für B_0 bei Gänsen wird nach RÖSEMANN et al. (2017) ein Wert von 0,36 m^3 kg^{-1} angesetzt. Das mittlere B_0 für Geflügel ist wegen variierender Populationsanteile der verschiedenen Geflügelkategorien keine Konstante, wie Tabelle 226 zeigt.

Tabelle 225: Maximale Methan-Bildungskapazität B_0 (3.B(b))

[m^3 kg^{-1}]	B_0	Quelle
Rinder	0,23	DÄMMGEN et al. (2012a)
Schweine	0,30	DÄMMGEN et al. (2012a)
Schafe	0,19	IPCC (2006a), 10.82
Ziegen	0,18	IPCC (2006a), 10.82
Pferde	0,30	IPCC (2006a), 10.82
Legehennen	0,39	IPCC (2006a), 10.82
Masthähnchen	0,36	IPCC (2006a), 10.82
Enten	0,36	IPCC (2006a), 10.82
Puten	0,36	IPCC (2006a), 10.82
Junghennen	0,39	Annahme (siehe Text)
Gänse	0,36	RÖSEMANN et al. (2017)

Tabelle 226: Maximale Methan-Bildungskapazität B_0 für Geflügel (3.B(b))

[m^3 kg^{-1}]	1990	1995	2000	2005	2006	2007	2008	2009	2010	2011	2012	2013	2014	2015
Geflügel	0,380	0,377	0,375	0,372	0,372	0,372	0,371	0,371	0,370	0,370	0,371	0,371	0,371	0,371

5.1.3.6.4 Methan-Umwandlungsfaktoren MCF (3.B)

In CRF 3.B(a) sind unter „Additional Information" die MCF-Werte der nationalen Wirtschaftsdünger-Managementkategorien zu berichten. In Deutschland sind dies „güllebasiert ohne Vergärung", „strohbasiert ohne Vergärung" (Festmistlager), „Tiefstreu ohne Vergärung", „Vergärung" und „Weide". Es handelt sich dabei um gewichtete Mittelwerte über alle Tierkategorien, die auf den nachfolgend beschriebenen MCF-Werten beruhen. Dabei umfasst die Kategorie „güllebasiert ohne Vergärung" alle güllebasiert gehaltenen Tiere, deren Wirtschaftsdünger nicht vergoren wird. Entsprechendes gilt für die Kategorien „strohbasiert ohne Vergärung (Festmistlager)" und „Tiefstreu ohne Vergärung". Die Kategorie „Vergärung" fasst alle Tiere zusammen, deren Wirtschaftsdünger vergoren wird.

In Tabelle 227 sind die MCF-Werte für Rinder nach den in Deutschland gebräuchlichen Lagerungsverfahren dargestellt. Die von DÄMMGEN et al. (2012a) vorgeschlagenen nationalen Werte sind fettgedruckt. Mangels IPCC-Defaultwerten oder nationalen Werten wurde für „Flüssigmist mit fester Abdeckung" (incl. Zeltstrukturen), „Flüssigmist mit Schwimmdecke aus Strohhäckseln" und „Flüssigmist mit schwimmender Abdeckfolie" konservativ der MCF von „Flüssigmist ohne Schwimmdecke" übernommen. Die Werte für Tiefstreu und Weide wurden aus IPCC (2006a)-10.44ff übernommen.

Tabelle 227: Methan-Umwandlungsfaktoren *MCF* (in Prozent von B_0) für Rinder (3.B(a))

		MCF [%]
Flüssigmist	Außenlager ohne Abdeckung, ohne Schwimmdecke	**17**
	feste Abdeckung	17
	natürliche Schwimmdecke	**10**
	Schwimmdecke aus Strohhäckseln	17
	schwimmende Abdeckfolie	17
	Lager unter Spaltenboden > 1 Monat	**17**
Festmist	Tiefstreu	17
	Festmistlager	**2**
Weide		1

Tabelle 228 zeigt die Methan-Umwandlungsfaktoren MCF für die Wirtschaftsdüngerlagerung in der Schweinehaltung. Wie bei den Rindern handelt es sich um nationale Werte (DÄMMGEN et al., 2012a, fett gedruckt), Defaultwerte aus IPCC (2006a)-10.44ff sowie konservative Annahmen in Fällen, in denen kein MCF bekannt ist. Da bei den Rindern der MCF für „Tiefstreu" gleich dem für Flüssigmist ohne Schwimmdecke ist, wurde dies auch für die Schweine angenommen. Freilandhaltung von Schweinen („Weide") ist in Deutschland von sehr geringer Bedeutung und wird daher im Inventar nicht berücksichtigt (not occurring, NO).

Tabelle 228: Methan-Umwandlungsfaktoren *MCF* (in Prozent von B_0) für Schweine (3.B(a))

		MCF [%]
Flüssigmist	Außenlager ohne Abdeckung, ohne Schwimmdecke	**25**
	feste Abdeckung	25
	natürliche Schwimmdecke	**15**
	Schwimmdecke aus Strohhäckseln	25
	schwimmende Abdeckfolie	25
	Lager unter Spaltenboden > 1 Monat	**25**
Festmist	Tiefstreu	25
	Festmistlager	**3**

Die mittleren Methan-Umwandlungsfaktoren für güllebasierte Systeme ohne Vergärung bei Milchkühen, übrigen Rindern und Schweinen sind von der Häufigkeit der verschiedenen Haltungsverfahren abhängig und damit nicht konstant, wie Tabelle 229 zeigt.

Tabelle 229: Mittlere Methan-Umwandlungsfaktoren *MCF* (in Prozent von B_0) für güllebasierte Systeme ohne Vergärung (3.B(a))

[%]	1990	1995	2000	2005	2006	2007	2008	2009	2010	2011	2012	2013	2014	2015
Milchkühe	14,3	14,0	14,0	14,4	14,5	14,7	14,8	14,9	15,1	15,2	15,2	15,3	15,3	15,3
übrige Rinder	14,5	14,4	14,6	14,9	15,0	15,0	15,1	15,2	15,3	15,3	15,3	15,4	15,4	15,4
Schweine	24,7	23,7	23,6	22,8	22,6	22,5	22,4	22,2	22,1	22,1	22,1	22,1	22,1	22,2

Für die Wirtschaftsdüngerlagerung der übrigen Tiere (Ziegen, Schafe, Pferde und Geflügel) werden Defaultwerte aus IPCC (2006a)-10.44ff verwendet (siehe Tabelle 230).

Tabelle 230: Methan-Umwandlungsfaktoren MCF (in Prozent von B_0) für Ziegen, Schafe, Pferde und Geflügel (3.B(a))

MCF [%] [a]	
Festmistlager	2
Geflügelmist	1,5
Weide	1

Bei Systemen, deren Wirtschaftsdünger vergoren wird, ergibt sich unter Berücksichtigung von Teilbeiträgen von Vorlager, Fermenter und Gärrestelager ein variabler MCF, siehe Kapitel 5.1.3.6.5.

5.1.3.6.5 Wirtschaftsdünger-Vergärung und Gärreste-Management (3.B)

Nach IPCC (2006a), Tabelle 10.17, gilt die anaerobe Vergärung von Wirtschaftsdünger und die Lagerung der daraus resultierenden Gärreste insgesamt als eigenständiger Lager-Typ. Dieser wird der deutschen Situation entsprechend für Rinder, Schweine und Geflügel berücksichtigt (HAENEL und WULF, 2016; RÖSEMANN et al., 2017). Die Zeitreihen der Aktivitätsdaten wurden durch KTBL insbesondere unter Verwendung von Daten des DBFZ bereitgestellt, siehe KTBL (2016).

Gleichung 6 beschreibt am Beispiel von Gülle das von KTBL (2016) verwendete Konzept zur Ermittlung der relativen Anteile des in die Vergärung gehenden Wirtschaftsdüngers. Gleichung 6 wird analog auch für Mist (einschließlich N aus Einstreu) angewendet. Die Aggregierung zu „Wirtschaftsdünger insgesamt" erfolgt mithilfe von Tierzahl und tierspezifischer Produktion von Wirtschaftsdünger.

Gleichung 6: Konzept zur Berechnung der prozentualen Anteile vergorenen Wirtschaftsdüngers an der Gesamtproduktion an Wirtschaftsdünger

$$pct_{\mathrm{SL,\,dig,i}}(y) = 100 \cdot \frac{SL_{\mathrm{dig,i}}(y)}{SL_{\mathrm{total,i}}(y)} = 100 \cdot \frac{W_{\mathrm{el,\,dig}}(y) \cdot s_{\mathrm{i}}}{SL_{\mathrm{total,i}}(y)}$$

mit

$pct_{\mathrm{SL,\,dig,\,i}}$	Anteil vergorener Gülle an der Gesamtgülleproduktion der Tierkategorie i (in %)
i	Index der Tierkategorie
y	Jahr (1990, 1991, …)
$SL_{\mathrm{dig,\,i}}$	Stickstoffmenge in vergorener Gülle der Tierkategorie i (in kg a^{-1})
$SL_{\mathrm{total,\,i}}$	Gesamtgülleproduktion (Stickstoffmenge) der Tierkategorie i (in kg a^{-1})
$W_{\mathrm{el,\,dig}}$	jährliche elektrische Arbeit deutscher Biogasanlagen (in GWh_{el} a^{-1})
s_{i}	arbeitsspezifischer Substratinput (Stickstoffmenge) der Tierkategorie i (in kg GWh_{el}^{-1})

KTBL (2016) leitete die jährliche elektrische Arbeit $W_{\mathrm{el,\,dig}}$ differenziert nach Bundesländern und Anlagen-Leistungsklassen aus Daten des Biogasanlagenregisters ab (Stand 31.12.2013, 9129 Anlagen). Dabei werden über eine äquivalente elektrische Arbeit auch die Biogasanlagen berücksichtigt, die keinen Strom erzeugen, sondern Biomethan in das Gasnetz einspeisen. Der arbeitsspezifische Substratinput s_{i} wurde anhand der Daten von 1664 Biogasanlagen getrennt für Rindergülle, Rindermist, Schweinegülle und Geflügelmist berechnet. Die Stickstoffmengen $SL_{\mathrm{total,\,i}}$ wurden aus den Tierzahlen und der tierspezifischen Gülle- und Mistproduktion (einschließlich Einstreu) abgeleitet. Die Daten wurden gegenüber der Resubmission 2016 aktualisiert.

Tabelle 231 zeigt die sich daraus ergebenden aktualisierten Anteile der Vergärung von Rindergülle, Rindermist, Schweinegülle und Geflügelmist in Prozent der ins Lager gehenden N-Mengen. Für Schweinmist wird keine Vergärung berücksichtigt, da wegen des geringen Aufkommens die Datenlage unsicher ist.

Tabelle 231: Relative Anteile des in die Vergärung gehenden Wirtschaftsdüngers (in % der ins Lager gehenden N-Mengen)

[%]	1990	1995	2000	2005	2006	2007	2008	2009	2010	2011	2012	2013	2014	2015
insgesamt	0,003	0,042	0,38	2,6	4,0	5,6	6,8	8,8	11,1	13,7	14,9	16,5	17,1	17,3
Rindergülle	0,004	0,056	0,52	3,6	5,8	8,4	10,2	13,3	16,8	21,1	23,2	25,6	26,6	26,7
Rindermist	0,001	0,012	0,11	0,8	1,2	1,6	1,8	2,3	2,9	3,6	4,1	4,4	4,5	4,6
Schweinegülle	0,003	0,044	0,35	2,5	3,4	4,9	6,0	7,7	10,0	12,0	13,0	14,8	15,2	15,7
Geflügelmist	0,004	0,052	0,40	3,0	4,1	5,1	5,9	7,6	9,6	10,7	11,2	12,6	12,9	12,8

Die Daten aus Tabelle 231 werden auch dafür verwendet, den Anteil der dem Lager zugeführten VS-Mengen zu berechnen, der in die Vergärung geht.

Die Berechnung des Gesamt-MCF für die Vergärung von Wirtschaftsdünger in Biogasanlagen einschließlich Substrat-Vorlager und Gärrestelagerung erfolgt nach einer nationalen Methodik, siehe Gleichung 7. Zur Ableitung dieser Gleichung siehe RÖSEMANN et al. (2017).

Gleichung 7: Berechnung des Gesamt- MCF für die Vergärung von Wirtschaftsdünger in Biogasanlagen einschließlich Vorlagerung des Substrats und Lagerung der Gärreste

$$MCF\% = MCF\%_{ps} + (100\,\% - MCF\%_{ps}) \cdot \left((1 - \mu_{rg}) \cdot L_{dig} \; + \; \mu_{rg} \cdot \frac{MCF\%_{residues}}{100\,\%} \right)$$

mit

MCF%	Gesamt-MCF für das System "Vorlager + Fermenter + Gärrestelager" (in %)
$MCF\%_{ps}$	MCF für das Vorlager (in %)
μ_{rg}	Restgaspotential bezogen auf B_o (with $0 \le \mu_{rg} \le 1$ m³ m^{-3})
L_{dig}	relative Leckagerate des Fermenters, bezogen auf die im Fermenter produzierte CH_4-Menge (mit $0 \le L_{dig} \le 1$ m³ m^{-3})
$MCF\%_{residues}$	MCF für das Gärrestelager (in %)

Tabelle 232 zeigt die Methan-Umwandlungsfaktoren $MCF\%_{ps}$ für das Vorlager. Zur Ableitung siehe RÖSEMANN et al. (2017).

Tabelle 232: Methan-Umwandlungsfaktoren für das Vorlager (in Prozent von B_o)

$MCF\%_{ps}$ [%]	
Rindergülle	1,7
Rindermist	0,2
Schweinegülle	2,5
Geflügelkot	0,15

Basierend auf KTBL (2016) wurde die auf B_o bezogene potentielle CH_4-Restgasmenge μ_{rg} mit 4,6 % (bzw. 0,046 m³ m^{-3}) angesetzt, siehe RÖSEMANN et al. (2017).

Die Leckagerate des Fermenters L_{dig} wird in Anlehnung an BACHMAIER & GRONAUER (2007), BÖRJESSON & BERGLUND (2007), GÄRTNER et al. (2008) und ROTH et al. (2011) mit 1 % bzw. 0,01 m³ m^{-3} angesetzt (KTBL, 2016). Das Umweltbundesamt geht in einer Studie von 2016 ebenfalls von einer Leckagerate von 1 % aus (UBA, 2016).

Auch beim gasdichten Gärrestelager wird eine Leckagerate unterstellt; es wird angenommen, dass sie der Leckagerate des Fermenters entspricht. Unter Berücksichtigung des relativen Anteils der gasdichten Lager an der gesamten Gärrestelagerung, ergibt sich Gleichung 8.

Gleichung 8: Berechnung des *MCF* für das Gärrestelager

$$MCF\%_{residues} = x_{gts} \cdot (100 \cdot L_{sto,gt}) + (1 - x_{gts}) \cdot MCF\%_{ngts}$$

mit

$MCF\%_{residues}$	MCF für das Gärrestelager (in %)
x_{gts}	relativer Anteil der gasdichten Gärrestelagerung (in kg kg^{-1})
$L_{sto,gt}$	relative Leckagerate bei der gasdichten Gärrestelagerung ($L_{sto,gt} = L_{dig}$)
$MCF\%_{ngts}$	MCF für das nicht gasdichte Gärrestelager (in %)

Gärreste sind im Allgemeinen flüssig. Dabei wird angenommen, dass sich bei der nicht gasdichten Gärrestelagerung aufgrund der Ko-Fermentierung von Energiepflanzen und des damit erhöhten Trockensubstanzgehaltes der Gärreste eine natürliche Schwimmdecke bildet. Die Lagerung ähnelt dabei der offenen Lagerung von unvergorener Rindergülle mit Schwimmdecke. Daher wird für $MCF\%_{ngts}$ der entsprechende MCF für unvergorene Rindergülle verwendet: 10 % (siehe Kapitel 5.1.3.6.4).

Tabelle 233 zeigt den Anteil gasdichter Lagerung von Wirtschaftsdünger-Gärresten der gesamten Wirtschaftsdünger-Gärrestelagerung in Prozent des eingesetzten N. Diese Daten wurden durch KTBL (2016) aus den Gärsubstratinputmengen nach Ländern und Anlagenleistungsklassen und dem Anteil der Biogasanlagen mit gasdicht abgedeckten Gärrestlagern nach Leistungsklassen in Deutschland abgeleitet. Der starke Anstieg in der Verbreitung der gasdichten Gärrestlagerung von 2011 zu 2012 wird auf das Energieeinspeisegesetz 2012 zurückgeführt, das für alle Gärrestlager, die ab 1. Januar 2012 in Betrieb genommen wurden, eine gasdichte Abdeckung vorschreibt. Die Prozentwerte für die gasdichte Abdeckung wurden für 2013 und 2014 aktualisiert. Da für 2015 keine Daten für die Abdeckung verfügbar waren, wurde der Wert von 2014 beibehalten.

Tabelle 233: Anteile der Lagerung von Wirtschaftsdünger-Gärresten in gasdichten und nicht gasdichten Lagern (in Prozent der in Biogasanlagen eingesetzten N-Mengen)

[%]	1990	1995	2000	2005	2006	2007	2008	2009	2010	2011	2012	2013	2014	2015
gasdicht	0,0	4,5	9,1	15,2	20,3	25,3	30,4	35,5	40,6	45,6	57,0	59,6	62,1	62,1
nicht gasdicht	100,0	95,5	90,9	84,8	79,7	74,7	69,6	64,5	59,4	54,4	43,0	40,4	37,9	37,9

Die sich aus Gleichung 7 ergebenden Gesamt-MCF-Werte der Systeme "Vorlager + Fermenter + Gärrestelager" bei Milchkühen, übrigen Rindern, Schweinen und Geflügel sind in der nachfolgenden Tabelle wiedergegeben.

Tabelle 234: Mittlere Methan-Umwandlungsfaktoren MCF (in Prozent von B_o) für Wirtschafts-düngersysteme mit Vergärung (3.B(a))

[%]	1990	1995	2000	2005	2006	2007	2008	2009	2010	2011	2012	2013	2014	2015
Milchkühe	3,00	3,02	3,00	2,97	2,95	2,93	2,92	2,90	2,87	2,85	2,81	2,80	2,79	2,79
übrige Rinder	2,99	2,91	2,87	2,81	2,79	2,77	2,74	2,72	2,69	2,67	2,62	2,61	2,60	2,60
Schweine	3,88	3,86	3,84	3,82	3,80	3,78	3,75	3,73	3,71	3,69	3,65	3,64	3,63	3,63
Geflügel	1,56	1,54	1,53	1,50	1,48	1,46	1,44	1,42	1,40	1,38	1,33	1,33	1,32	1,32

Die mit der Vergärung verbundene Minderung der CH_4-Emissionen aus dem Wirtschaftsdünger-Management hängt vom Anteil des Wirtschaftsdüngers, der vergoren wird, und von der relativen Häufigkeit gasdichter Gärrestelager ab. Die sich in Deutschland ergebenden Minderungen sind in Kapitel 5.3.2.2.3, wiedergegeben.

Tabelle 235 zeigt, welche N_2O-Emissionen für die verschiedenen Teilsysteme und Wirtschaftsdünger im Inventar berücksichtigt werden. Zu Details siehe RÖSEMANN et al. (2017).

N_2O-, und NO-Emissionen aus landwirtschaftlichen Böden als Folge der Ausbringung der Gärreste werden in Kapitel 5.5 beschrieben.

Tabelle 235: Berechnung der N_2O-Emissionen aus der Vergärung

		Gülle	Mist/Geflügelkot
Vorlager		0	Gleichung 9
Fermenter		0	0
Gärrestelager	gasdicht	0	0
	nicht gasdicht	Gleichung 10	Gleichung 10

Gleichung 9: Berechnung der N_2O-Emissionen aus dem Vorlager für Mist und Geflügelkot

$$E_{\text{N2O-N, dig,ps}} = (N_{\text{excr, dig}} + N_{\text{straw, dig}}) \cdot EF_{\text{N2O-N, dig,ps}}$$

mit

$E_{\text{N2O-N, dig, ps}}$	N-Verlust durch N_2O-Emissionen aus dem Vorlager von Mist oder Geflügelkot (in kg a^{-1})
$N_{\text{excr, dig}}$	Anteil der jährlichen N-Ausscheidung im Stall, der in die Vergärung geht (in kg a^{-1})
$N_{\text{straw, dig}}$	Anteil des jährlichen N-Eintrags durch Einstreu, der in die Vergärung geht (in kg a^{-1})
$EF_{\text{N2O-N, dig, ps}}$	N_2O-N-Emissionsfaktor für die Vorlagerung von Mist oder Geflügelkot (in kg N_2O-N pro kg N)

Gleichung 10: Berechnung der N_2O-Emissionen aus dem nicht gasdichten Gärrestelager

$$E_{\text{N2O-N, dig,ngts}} = (1 - x_{\text{gts}}) \cdot N_{\text{tot,dig,ferm}} \cdot EF_{\text{N2O-N, dig,ngts}}$$

mit

$E_{\text{N2O-N, dig, ngts}}$	N-Verlust durch N_2O-Emissionen aus dem nicht gasdichten Gärrestelager (in kg a^{-1})
x_{gts}	relativer Anteil der gasdichten Gärrestelagerung (in kg kg^{-1})
$N_{\text{tot, dig, ferm}}$	Gesamte Gärreste-N-Menge beim Verlassen des Fermenters (in kg a^{-1})
$EF_{\text{N2O-N, dig, ngts}}$	N_2O-N-Emissionsfaktor für das nicht gasdichte Gärrestelager (in kg N_2O-N pro kg N)

Die im Inventar verwendeten N_2O-Emissionsfaktoren gehen aus Tabelle 236 hervor. Zu ihrer Ableitung wird auf RÖSEMANN et al. (2017) verwiesen.

Tabelle 236: N_2O-N-Emissionsfaktoren für Vorlager und Gärrestelager

	[kg kg^{-1}]	Mist	Geflügelkot
Vorlager	$EF_{\text{N2O-N, dig, ps}}$	0,001	0,0001
Gärrestelager, nicht gasdicht	$EF_{\text{N2O-N, dig, ngts}}$	0,005	0,005

Die N-Menge in den Gärresten zu Beginn der Lagerung ($N_{\text{tot, dig, ferm}}$) berechnet sich unter Berücksichtigung der N-Verluste aus dem Vorlager. Für den Fermenter wird davon ausgegangen, dass keine N-Verluste auftreten.

Die im Zusammenhang mit der Wirtschaftsdünger-Vergärung entstehenden NO-Emissionen werden analog zu den N_2O-Emissionen berechnet. Wie im deutschen Inventar im Bereich Wirtschaftsdünger-Management üblich (siehe RÖSEMANN et al., 2017) wird angenommen, dass der NO-N-Emissionsfaktor ein Zehntel des N_2O-N-Emissionsfaktors beträgt.

Für die Berechnung der indirekten N_2O-Emissionen aus landwirtschaftlich genutzten Böden infolge der Deposition reaktiven Stickstoffs (siehe Kapitel 5.5.2.1.2) ist auch die Berechnung der NH_3-Emissionen erforderlich, die im Zusammenhang mit der Wirtschaftsdünger-Vergärung entstehen. Für die Vorlagerung von Mist und Geflügelkot, für das nicht gasdichte Gärrestelager und die Ausbringung der Gärreste werden NH_3-Emissionen berechnet. In den übrigen Bereichen wird davon ausgegangen, dass keine NH_3-Emissionen entstehen oder dass sie vernachlässigbar sind. Zu Details der umfangreichen NH_3-Berechnungsmethodik wird auf RÖSEMANN et al. (2017) verwiesen.

5.1.4 Vergärung von Energiepflanzen: Konzept und Aktivitätsdaten

5.1.4.1 Konzept und Berücksichtigung in den CRF-Tabellen

Das Inventar berücksichtigt die in Deutschland mengenmäßig relevanten sechs Energiepflanzen-Kategorien Maissilage, Grassilage, Ganzpflanzensilage, Weizenkorn, Roggenkorn und Corn-Cob-Mix (CCM). Sie unterscheiden sich nur wenig in ihren wesentlichen Eigenschaften (N- und VS-Gehalt der Trockenmasse, maximales Methanausbeute-Potenzial B_o, siehe KTBL (2016). Dies erlaubt die Behandlung der Gesamttrockenmasse aller berücksichtigten Energiepflanzen als eine einzige Energiepflanzenkategorie. Die Emissionsberechnung erfolgt analog zur Vergärung von Mist (siehe Kapitel 5.1.3.6.5), allerdings ohne Vorlager.

Trotz der in der Praxis als Regelfall vorkommenden gemeinsamen Vergärung von Wirtschaftsdünger und Energiepflanzen werden die Emissionen im Zusammenhang mit der Vergärung dieser beiden Substratkategorien getrennt berechnet, um den Beitrag der Energiepflanzenvergärung zur Treibhausgasbilanz besser sichtbar werden zu lassen.

Zu weiteren Details der Emissionsberechnung im Zusammenhang mit der Vergärung von Energiepflanzen siehe RÖSEMANN et al. (2017).

Berechnet werden folgende Emissionen, die sich als direkte oder indirekte Folge aus der Vergärung von Energiepflanzen sowie der Gärrestelagerung und -ausbringung ergeben:

Fermenter

- CH_4 (durch Leckage)

Lagerung

- CH_4 (durch Leckage)
- direktes N_2O
- indirektes N_2O als Folge der Deposition von NH_3 und NO aus der Lagerung
- NO

Ausbringung

- direktes N_2O
- indirektes N_2O als Folge der Deposition von NH_3 und NO aus der Ausbringung
- indirektes N_2O durch Auswaschung/Oberflächenabfluss des mit den Gärresten ausgebrachten Stickstoffs
- NO

Die Emissionen aus Fermenter und Gärrestelager (CH_4, N_2O, indirektes N_2O aus der Deposition von NH_3 und NO aus der Lagerung) werden in Kapitel 5.9 beschrieben und unter 3.J in CRF-Tabelle 3s2 berichtet. Die direkten und indirekten N_2O-Emisionen als Folge der Gärreste-Ausbringung

werden in Kapitel 5.5 beschrieben und unter 3.D berichtet (CRF 3.D: a.2.c, b.1 und b.2). Die aus der Gärrestlagerung und als Folge der Gärreste-Ausbringung entstehenden NO-Emissionen werden getrennt als NO_x-Emissionen unter 3.J in CRF-Tabelle 3s2 berichtet.

5.1.4.2 Aktivitätsdaten und Parameter

Als Aktivitätsdaten für die Berechnung der Emissionen werden die der Vergärung zugeführten Trockenmasse-Gesamtmengen der Energiepflanzen verwendet, siehe Tabelle 237. Die zugrunde liegenden Substratmengen wurden durch KTBL (2016) im Zusammenhang mit der Wirtschaftsdünger-Vergärung (siehe Kapitel 5.1.3.6.5) abgeleitet. Der Wert für 2014 wurde gegenüber der Resubmission 2016 aktualisiert.

Tabelle 237: Gesamte Trockenmasse der in Biogasanlagen eingesetzten Energiepflanzen

[kt a^{-1}]	1990	1995	2000	2005	2006	2007	2008	2009	2010	2011	2012	2013	2014	2015
	3,4	43,2	374,2	3.175	4.457	6.095	7.105	9.115	11.461	14.295	15.657	18.862	19.795	19.911

Aus den B_o-Werten der sechs Energiepflanzen-Kategorien (siehe Kapitel 5.1.4.1) wurde unter Berücksichtigung des IPCC-Defaultwertes für die Dichte von Methan (0,67 kg m^{-3}) ein gewichtet gemittelter B_o-Wert von 0,36 m^3 kg^{-1} abgeleitet. Als gewichtete Mittelwerte der VS- und N-Gehalte ergaben sich (bezogen auf die Trockenmasse): VS-Gehalt 0,947 kg kg^{-1}, N-Gehalt 0,0148 kg kg^{-1}.

Aus der Multiplikation der Trockenmasse mit dem mittleren VS-Gehalt ergibt sich die für die Berechnung der CH_4-Emissionen benötigte VS-Menge, siehe Tabelle 238.

Tabelle 238: Gesamte VS-Menge der in Biogasanlagen eingesetzten Energiepflanzen

[kt a^{-1}]	1990	1995	2000	2005	2006	2007	2008	2009	2010	2011	2012	2013	2014	2015
	3,2	40,9	354,3	3.007	4.221	5.772	6.729	8.632	10.854	13.538	14.827	17.862	18.745	18.856

Mithilfe des mittleren N-Gehaltes erhält man die für die Berechnung von N-Emissionen benötigten N-Mengen, siehe Tabelle 239.

Tabelle 239: Gesamte N-Menge der in Biogasanlagen eingesetzten Energiepflanzen

[kt a^{-1}]	1990	1995	2000	2005	2006	2007	2008	2009	2010	2011	2012	2013	2014	
	0,05	0,64	5,5	47,0	66,0	90,2	105,2	134,9	169,6	211,6	231,7	279,2	293,0	294,7

Die Leckageraten für Fermenter und gasdichtes Gärrestelager werden nach KTBL (2016) wie bei der Vergärung von Wirtschaftsdünger angesetzt (siehe Kapitel 5.1.3.6.5).

Tabelle 240 zeigt den Anteil der gasdichten Lagerung von Energiepflanzen-Gärresten in Prozent der eingesetzten Frischmasse (KTBL, 2016). Die Daten wurden gegenüber der Resubmission 2016 für 2013 und 2014 aktualisiert. Da für 2015 keine Daten für die Abdeckung verfügbar waren, wurde der Wert von 2014 beibehalten. Der starke Anstieg in der Verbreitung der gasdichten Gärrestlagerung von 2011 zu 2012 wird auf das Energieeinspeisegesetz 2012 zurückgeführt, das für alle Gärrestlager, die ab 1. Januar 2012 in Betrieb genommen wurden, eine gasdichte Abdeckung vorschreibt. Die Daten unterscheiden sich etwas von denen bei der Lagerung von Wirtschaftsdünger-Gärresten (siehe Tabelle 233). Dies ist darauf zurück zu führen (KTBL, 2016), dass der Gesamtanteil von Energiepflanzen am Substratmix von Wirtschaftsdünger und Energiepflanzen mit der Anlagengröße zunimmt, was auch für den Abdeckungsgrad der Gärrestelager gilt.

Tabelle 240: Anteil der Lagerung von Energiepflanzen-Gärresten in gasdichten und nicht gasdichten Lagern (in Prozent der zur Vergärung eingesetzten Frischmasse)

[%]	1990	1995	2000	2005	2006	2007	2008	2009	2010	2011	2012	2013	2014	2015
gasdicht	0,0	4,7	9,4	15,8	21,1	26,4	31,7	37,0	42,2	47,5	59,4	63,1	66,8	66,8
nicht gasdicht	100,0	95,3	90,6	84,2	78,9	73,6	68,3	63,0	57,8	52,5	40,6	36,9	33,2	33,2

Die Ausbringung erfolgt mit verschiedenen Techniken und unterschiedlichen Einarbeitungszeiten auf Ackerland und Grünland. Die dazu verfügbaren relativen Häufigkeiten stammen aus einer 2011 durchgeführten Erhebung des Statistischen Bundesamtes für das Jahr 2010, siehe Kapitel 19.3.1, Tabelle 508. Sie werden mangels anderer Daten für alle Jahre der Zeitreihe eingesetzt, mit der Ausnahme, dass ab 2012 bei der Ausbringung wie bei Wirtschaftsdünger die Einarbeitung innerhalb von 4 Stunden erfolgt (siehe Kapitel 5.1.3.6.1 und RÖSEMANN et al., 2017).

5.1.5 Aktivitätsdaten für Emissionen aus landwirtschaftlichen Böden und Kulturen

5.1.5.1 N_2O-Emissionen aus landwirtschaftlichen Böden (3.D)

5.1.5.1.1 Den direkten N_2O-Emissionen zugrunde liegende N-Mengen (3.D)

Tabelle 241 gibt die aus verschiedenen Quellen stammenden N-Mengen an, die der Berechnung der direkten N_2O-Emissionen nach IPCC (2006a)-11.7 (siehe Kapitel 5.5.2.1.1) zugrunde gelegt werden.

Da keine Daten zur Mineraldüngerausbringung erhoben werden, setzt das Inventar die N-Mengen der Mineraldüngerausbringung den offiziell auf Bundesland-Ebene erfassten N-Mengen des Mineraldüngerverkaufs gleich. Diese Erfassung erfolgt um ein halbes Jahr versetzt gegenüber dem Kalenderjahr. Für das Inventar wird angenommen, dass der gesamte im zweiten Halbjahr des Jahres j-1 und im ersten Halbjahr des Jahres j verkaufte Mineraldünger im Jahr j ausgebracht wurde.

Die mit Wirtschaftsdünger und Wirtschaftsdünger-Gärresten ausgebrachte N-Menge entspricht der Summe der im Stall ausgeschiedenen und ggf. durch Einstreu eingebrachten N-Menge abzüglich der Verluste durch N-Emissionen aus Stall und Lager nach dem N-Fluss-Konzept (Wirtschaftsdünger: Kapitel 5.1.2.4; Gärreste aus Wirtschaftsdünger-Vergärung: Kapitel 5.1.3.6.5).

Die N-Menge, die mit Energiepflanzen-Gärresten ausgebracht wird, ergibt sich aus der N-Menge in den zur Vergärung eingesetzten Energiepflanzen abzüglich der N-Verluste durch Emissionen aus dem Gärrestelager.

Die N-Menge der Klärschlammausbringung wird für jedes Bundesland aus Aufstellungen des Umweltbundesamtes (Fachgebiet III 3.3) bzw. seit 2009 des Statistischen Bundesamtes (Referat G 202) entnommen.

Die Berechnung direkter N_2O-Emissionen infolge von N-Ausscheidungen beim Weidegang erfolgt proportional zu der auf der Weide ausgeschiedenen N-Menge (siehe Kapitel 5.1.3.4).

Die durch Ernterückstände im Boden verbleibenden N-Mengen ergeben sich aus den Anbauflächen, den Erträgen und den kulturspezifischen N-Gehalten. Daten zu Anbauflächen und Frischmasseerträgen berichtet STATISTISCHES BUNDESAMT (Fachserie 3, Reihe 3). Die Umrechnung in Trockenmasseerträge erfolgt mithilfe von Trockenmassegehalten aus der Düngeverordnung (DüV, 2007). Die Werte der in den Ernterückständen enthaltenen relativen N-Gehalte werden der Düngeverordnung (DüV, 2007) sowie einer Aufstellung des Instituts für Gemüse- und Zierpflanzenbau (IGZ, 2007) entnommen. Die mit Stroh als Einstreu für die Tierhaltung von der Fläche entfernten N-Mengen werden abgezogen. Zu Eingangsdaten und Berechnungsmethodik siehe RÖSEMANN et al. (2017).

Die außer beim Mineraldünger festzustellenden Änderungen der N-Mengen im Vergleich zur Resubmission 2016 sind auf die Aktualisierung folgender Aktivitätsdaten zurück zu führen:

- **Wirtschaftsdünger incl. Wirtschaftsdünger-Gärreste:** Die N-Mengen haben sich in manchen Jahren aufgrund aktualisierter Eingangsdaten (tierische Leistung, relative Anteile der vergorenen Wirtschaftsdünger, Verbreitung der gasdichten Gärrestlagerung) geringfügig verändert (siehe Kapitel 5.1.3.3 und 5.1.3.6.5).
- **Energiepflanzen-Vergärung:** Die Zeitreihen der Frischmassen und der Verbreitung der gasdichten Gärrestlagerung wurden aktualisiert, wodurch sich auch die N-Mengen in der Ausbringung geändert haben (siehe Kapitel 5.1.4.2).
- **Klärschlämme:** Die ausgebrachten Klärschlammmengen wurden in einigen Jahren aktualisiert.
- **Weidegang:** Geringfügige Änderungen der ausgeschiedenen N-Mengen gehen auf die Aktualisierungen tierischer Leistungsdaten (siehe Kapitel 5.1.3.3) zurück.
- **Ernterückstände:** Die Porree-Aktivitätsdaten wurden für 2012, 2013 und 2014 aktualisiert.

Bemerkenswert ist in der Zeitreihe der N-Mengen aus Ernterückständen der starke Anstieg von 2013 zu 2014, der eine direkte Folge der sehr guten Ernte im Jahr 2014 ist.

Tabelle 241: Den direkten N_2O-Emissionen aus landwirtschaftlichen Böden zugrunde liegende N-Mengen (3.D)

[kt a^{-1}]	1990	1995	2000	2005	2006	2007	2008	2009	2010	2011	2012	2013	2014	2015
Mineraldünger	2163,7	1787,4	2014,4	1778,4	1783,7	1599,8	1807,2	1550,6	1569,0	1786,5	1640,4	1648,8	1675,3	1822,8
Wirtschaftsdünger incl. W.-Gärreste	1152,2	1001,9	973,9	943,1	927,6	938,1	942,9	952,5	945,5	953,1	969,1	982,7	998,0	992,3
Energiepflanzen-Gärreste	0,0	0,6	5,3	45,2	63,6	87,2	101,9	131,0	165,1	206,5	227,4	274,4	288,4	290,1
Klärschlämme	27,4	35,3	33,0	27,4	27,0	26,0	25,6	25,5	26,0	25,1	25,0	21,5	21,3	21,3
Weidegang	213,4	171,3	162,8	143,7	139,5	138,4	138,8	138,5	136,1	133,0	132,3	133,8	135,4	135,9
Ernterückstände	484,3	497,6	559,5	586,5	548,7	551,3	614,6	643,8	571,5	559,5	604,4	604,5	688,0	604,8

5.1.5.1.2 Flächen bewirtschafteter organischer Böden (3.D)

Tabelle 242 zeigt die Flächen der bewirtschafteten organischen Böden, gegliedert nach Acker und Grünland. Die Daten wurden durch den LULUCF-Sektor bereitgestellt. Die Werte für Grünland unterscheiden sich von den Grünlandflächen, die der LULUCF-Sektor berichtet, da LULUCF zusätzlich zu den in Tabelle 242 angegebenen Flächen drainierten Grünlands auch die Flächen nicht drainierten Nassgrünlandes einbezieht.

Tabelle 242: Flächen der bewirtschafteten organischen Böden (3.D)

[1000 ha]	1990	1995	2000	2005	2006	2007	2008	2009	2010	2011	2012	2013	2014	2015
insgesamt	1307,6	1303,1	1298,6	1279,3	1275,2	1271,1	1267,0	1264,3	1261,6	1258,9	1256,2	1252,0	1247,7	1243,5
Acker	301,5	306,1	310,7	315,5	326,5	337,5	348,4	355,5	362,5	369,6	376,6	378,0	379,3	380,7
Grünland (drainiert)	1006,1	997,0	987,9	963,8	948,7	933,7	918,6	908,8	899,1	889,3	879,6	874,0	868,4	862,9

5.1.5.1.3 Deposition reaktiven Stickstoffs (3.B, 3.D, 3.J)

Die Deposition reaktiven Stickstoffs wird aus den im Inventar berechneten NH_3- und NO-Emissionen aus der deutschen Landwirtschaft abgeleitet. Dies erfolgt getrennt für die NH_3- und NO-Quellbereiche „Stall & Lager“ (3.B), „Lagerung von Energiepflanzen-Gärresten“ (3.J) sowie „Ausbringung & Weide“ (3.D). „Ausbringung“ umfasst neben Wirtschaftsdünger und Wirtschaftsdünger-Gärresten auch die Ausbringung von Mineraldünger und Energiepflanzen-Gärresten.

Tabelle 243 zeigt für die Sektoren 3.B und 3.J die Mengen an reaktivem Stickstoff, die der Berechnung von indirektem N_2O aus der N-Deposition zugrunde liegen. Entsprechende Daten für den Sektor 3.D sind Tabelle 244 zu entnehmen. Der deutliche Anstieg der Gesamtsumme von 2014 zu 2015 ist eine Folge der starken Zunahme der NH_3-Emissionen aus der Mineraldüngerausbringung, die auf einer deutlichen Zunahme der Mineraldüngermengen und des gleichzeitig gestiegenen relativen Anteils von Harnstoff-Dünger beruht.

Tabelle 243: Sektoren 3.B und 3.J: Reaktiver Stickstoff aus der Deposition von NH_3 und NO

[kt a^{-1}]	1990	1995	2000	2005	2006	2007	2008	2009	2010	2011	2012	2013	2014	2015
3.B, Wirtschaftsdünger incl. W.- Gärreste	265,4	223,3	222,3	222,6	219,5	222,1	222,0	222,8	217,4	217,6	220,7	221,4	223,0	220,3
3.J, Energiepflanzen-Gärreste	0,0	0,0	0,1	1,0	1,3	1,7	1,8	2,2	2,5	2,9	2,4	2,7	2,5	2,6

Tabelle 244: Sektor 3.D: Reaktiver Stickstoff aus der Deposition von NH_3 und NO

[kt a^{-1}]	1990	1995	2000	2005	2006	2007	2008	2009	2010	2011	2012	2013	2014	2015
3.D, insgesamt	**403,6**	**336,2**	**345,7**	**331,8**	**338,0**	**336,1**	**347,3**	**360,2**	**343,1**	**380,2**	**361,9**	**382,7**	**389,0**	**412,2**
3.D, Wirtschaftsdünger, W.- Gärreste, Mineraldünger, Weide	403,5	336,0	344,6	323,0	325,3	319,0	327,5	334,7	310,7	339,6	319,3	331,9	335,8	358,7
3.D, Energiepflanzen-Gärreste	0,0	0,1	1,0	8,8	12,7	17,2	19,8	25,6	32,4	40,6	42,6	50,8	53,2	53,5

Abweichungen der Gesamtmenge an reaktivem Stickstoff (Summe aus Tabelle 243 und Tabelle 244) gegenüber der Resubmission 2016 beruhen auf Änderungen bei den tierischen Leistungsdaten (siehe Kapitel 5.1.3.3) und den Aktivitätsdaten für die Wirtschaftsdünger- und Energiepflanzenvergärung (siehe Kapitel 5.1.3.6.5 und Kapitel 5.1.4).

5.1.5.1.4 Auswaschung und Oberflächenabfluss (3.D)

Wie bereits zur Resubmission 2016 wurde für die Berechnung der N_2O-Emissionen aus Auswaschung und Oberflächenabfluss im Einklang mit IPCC (2006a) die Summe des Stickstoffs in den ausgebrachten Mengen von Mineraldünger, Wirtschaftsdünger, Gärresten (incl. Energiepflanzen-Gärresten) und Klärschlämmen sowie die N-Mengen in Ernterückständen als Aktivitätswert verwendet. Deutschland folgt damit der Empfehlung des Expert Review Teams des In-Country-Review der Submission 2016. Zu Details siehe RÖSEMANN et al. (2017).

Nur ein Teil der verfügbaren N-Menge wird ausgewaschen. Dieser Anteil wird durch die Größe $Frac_{LEACH}$ beschrieben (siehe IPCC (2006a)-11.21). Deutschland verwendet für $Frac_{LEACH}$ den IPCC-Defaultwert 0,30 kg kg^{-1} (IPCC (2006a)-11.24, Tabelle 11.3). Das Kriterium für die Anwendung dieses Defaultwertes ist die Überschreitung der Bodenwasserhaltekapazität, siehe IPCC (2006a)-11.24, Tabelle 11.3. Von einer solchen Überschreitung ist im Jahresmittel für ganz Deutschland auszugehen, da überall in Deutschland Grundwasserneubildung stattfindet (NEUMANN & WYCISK, 2002). Die berechnete Menge an ausgewaschenem Stickstoff ist in Tabelle 245 wiedergegeben.

Tabelle 245: Ausgewaschene N-Menge (incl. Oberflächenabfluss) (3.D)

[kt a^{-1}]	1990	1995	2000	2005	2006	2007	2008	2009	2010	2011	2012	2013	2014	2015
	1212,3	1048,3	1124,7	1057,3	1047,1	1002,2	1089,3	1032,6	1024,0	1099,1	1079,6	1099,7	1141,9	1160,2

5.1.5.2 CO_2-Emissionen aus Kalkung und Harnstoffanwendung (3.G-I)

Die berechneten CO_2-Emissionen aus Kalkung umfassen, wie es für die Berichterstattung des Landwirtschaftssektors vorgesehen ist (siehe IPCC (2006a), Chapter 11.3, und CRF-Tabelle 3.G-I), auch die Emissionen aus den im Forst angewendeten Düngekalkmengen. Die Emissionen werden wegen unterschiedlicher Emissionsfaktoren (siehe Kapitel 5.8.2) für Kalkstein- und Dolomit-Anwendung getrennt berechnet und ausgewiesen. (Die Forderung des ERT des In-Country-

Reviews 2016 nach getrennter Berechnung für Kalkstein und Dolomit wurde bereits in der Resubmission 2016 umgesetzt.)

Daten zu ausgebrachten Düngekalkmengen sind nicht verfügbar. Daher wird die Ausbringung den im Inland verkauften und statistisch erfassten Produktmengen (STATISTISCHES BUNDESAMT, Fachserie 4, Reihe 8.2) gleichgesetzt. Diese Erfassung erfolgt um ein halbes Jahr versetzt gegenüber dem Kalenderjahr. Für das Inventar wird angenommen, dass der gesamte im zweiten Halbjahr des Jahres j-1 und im ersten Halbjahr des Jahres j verkaufte Düngekalk im Jahr j ausgebracht wurde. Es werden kohlensaure, Misch-, Carbo- und Rückstandskalke sowie Kalkammonsalpeter berücksichtigt. Die in CaO- oder N-Einheiten berichteten Produktmengen werden für die Emissionsberechnungen in Einheiten von $CaCO_3$ für Kalkstein und $CaMg(CO_3)_2$ für Dolomit umgerechnet.

Der Anteil von Dolomit an der Düngekalk-Gesamtmenge wird statistisch nicht erfasst. Er wird für das Inventar anhand eines Expertenurteils (pers. Mitteilung R. Müller, Düngekalk-Hauptgemeinschaft, Köln, 25.08.2016) berechnet, nach dem der im Forstbereich eingesetzte Düngekalk zu einem Drittel aus $MgCO_3$ besteht und die Anwendung von Dolomit in der Landwirtschaft vernachlässigt werden kann. Bereits zur Berechnung der Resubmission 2016 wurden gegenüber der Submission 2016 die Aktivitätsdaten der neuen Bundesländer in den Jahren 1990 bis 1993 aktualisiert (RÖSEMANN et al., 2017).

Tabelle 246 zeigt die den Emissionsberechnungen zugrunde liegenden Kalkstein- und Dolomitmengen für Landwirtschaft und Forst zusammen (RÖSEMANN et al., 2017).

Tabelle 246: Düngekalkmengen (3.G)

[kt a^{-1}]	1990	1995	2000	2005	2006	2007	2008	2009	2010	2011	2012	2013	2014	2015
Kalkstein [in $CaCO_3$]	5318,9	3505,2	4688,5	3713,8	3567,5	3849,7	4005,3	3874,0	3768,6	4086,4	4239,7	4339,0	4894,2	4855,2
Dolomit [in $CaMg(CO_3)_2$]	763,0	425,0	339,8	195,7	187,7	193,8	151,8	190,5	166,7	184,0	174,8	198,0	186,1	164,6

Die Berechnung von CO_2-Emissionen aus der Harnstoffanwendung erfolgt proportional zu den in Tabelle 247 angegebenen Mengen an ausgebrachtem Harnstoff (einschließlich Ammoniumnitrat-Harnstoff-Lösung). Diese Mengen wurden auf stöchiometrischem Wege (Multiplikation mit dem Molgewichtsverhältnis 60/28) aus den in der Offizialstatistik berichteten Harnstoff-N-Mengen abgeleitet.

Tabelle 247: Harnstoffanwendung einschließlich Ammoniumnitrat-Harnstoff-Lösung (3.H)

[kt a^{-1}]	1990	1995	2000	2005	2006	2007	2008	2009	2010	2011	2012	2013	2014	2015
	654,0	650,8	788,9	815,4	891,5	874,1	883,5	1084,1	801,0	1022,6	852,0	947,8	951,6	1167,6

5.1.5.3 NMVOC-Emissionen aus landwirtschaftlichen Kulturen

Tabelle 248 zeigt die Eingangsdaten für landwirtschaftliche Kulturen, für die NMVOC-Emissionen nach EMEP (2013)-3D-32 ff berechnet werden (siehe Kapitel 5.5.2.1.5). Für die Anbauflächen und die Frischmassenerträge sind exemplarisch Anfangs- und Endjahr der Zeitreihe dargestellt. Daten zu Anbauflächen und Frischmasseerträgen berichtet STATISTISCHES BUNDESAMT (Fachserie 3, Reihe 3). Die Umrechnung in Trockenmasseerträge erfolgt über die Trockenmassegehalte aus der Düngeverordnung (DüV, 2007). Die relative Emissionsdauer wurde für Weizen, Roggen, Raps und Gras aus EMEP (2013)-3D-34, Tabelle A3-2, entnommen und sinngemäß auf die übrigen Kulturen übertragen.

Tabelle 248: Eingangsdaten für die Berechnung von NMVOC-Emissionen aus landwirtschaftlichen Kulturen (Übersicht)

Kultur	Anbaufläche [ha]		Frischmasseertrag [kg ha^{-1}]		Trockenmasse-gehalt	relative Emissionsdauer
	1990	2015	1990	2015	[kg kg^{-1}]	[a a^{-1}]
Weizen	2419,9	3263,8	6,3	8,1	0,86	0,3
Roggen	1067,1	616	3,8	5,7	0,86	0,3
Gerste	2612,5	1621,7	5,4	7,2	0,86	0,3
Hafer	533,5	140	4,5	4,5	0,86	0,3
Triticale	77,4	401,6	5,1	6,5	0,86	0,3
Körnermais	228,4	455,9	6,8	8,9	0,86	0,3
Silomais	1365,4	2100,3	40,4	41,4	0,28	0,3
Raps	557,5	1281,6	3,0	3,9	0,91	0,3
Hackfrüchte	1249,6	549,4	40,6	60,0	0,22	0,3
Kleegras, Alfalfa, Futtergras	856,6	526,6	34,0	35,4	0,20	0,5
Hülsenfrüchte	121,2	160,3	3,6	3,5	0,86	0,3
Wiesen und Mähweiden	5417,2	4495,2	31,6	31,4	0,20	0,5

5.1.6 Gesamtunsicherheit aller THG-Emissionen des Sektors 3

Ergänzend zu den Emissionsberechnungen wurde die Gesamtunsicherheit aller THG-Emissionen des Sektors 3 berechnet. Grundlage war das in IPCC (2006b), Kapitel 3, als "Approach 1" beschriebene Verfahren, das auf der Anwendung der Gaußschen Fehlerrechnung beruht. Dabei bleibt per Konvention unberücksichtigt, dass diese Fehlerrechnung Normalverteilung voraussetzt, eine Forderung, die von einigen der eingehenden Aktivitätsdaten und Emissionsfaktoren nicht erfüllt wird oder nicht geprüft werden kann. Für asymmetrische Verteilungen wurde, wie von IPCC (2006b) für das „Approach 1"-Verfahren gefordert, von den beiden Intervallen [2,5 %-Perzentil; Mittelwert] und [Mittelwert; 97,5 %-Perzentil] das größere verwendet. (Für eine Unsicherheits-berechnung mit dem „Approach 2"-Verfahren durch das Umweltbundesamt werden für alle Unsicherheiten die untere und die obere Schranke des 95 %-Konfidenzintervalles sowie der Typ der Verteilung bereitgestellt.) Weitere Details zur Unsicherheitenberechnung für das deutsche Inventar finden sich in RÖSEMANN et al. (2017).

Tabelle 249 zeigt für das Jahr 2015 die mit dem "Approach 1"-Verfahren berechnete Gesamtunsicherheit aller Emissionen des Sektors „Landwirtschaft" (Sektor 3) einschließlich der Vergärung von Energiepflanzen und Lagerung und Ausbringung der Energiepflanzen-Gärreste. Die Unsicherheit des Gesamttrends seit 1990 ist ebenfalls aus Tabelle 249 zu entnehmen. Alle Emissionswerte sind in CO_2-Äquivalenten angegeben, wobei gemäß IPCC (2006a) die Umrechnungsfaktoren (GWP) von 25 kg kg^{-1} für CH_4 und 298 kg kg^{-1} für N_2O zugrunde gelegt wurden.

Der besseren Übersichtlichkeit wegen erfolgt die Darstellung in Tabelle 249 unter Verwendung der Tiersammelkategorien „Übrige Rinder", „Schweine", „Pferde" und „Geflügel", für die bei Aktivitätsdaten und Emissionsfaktoren repräsentative Unsicherheiten angegeben sind. Die Berechnungen für Tabelle 249 wurden aber unter Verwendung der Unterkategorien (z. B. bei den Schweinen: Sauen (incl. Saugferkel), Aufzuchtferkel, Mastschweine, Eber) und ihren spezifischen Unsicherheiten durchgeführt, siehe RÖSEMANN et al. (2017).

Deutlich zu erkennen ist, dass die Unsicherheiten der Emissionsfaktoren in der Regel deutlich über denen der Aktivitätsdaten liegen, so dass sie die kombinierte Unsicherheit in Spalte „Combined uncertainty as % of total national emissions" dominieren.

Die Gesamtunsicherheit der Emissionen des Sektors 3 (Tierhaltung, Nutzung landwirtschaftlicher Böden, Energiepflanzen-Vergärung) beträgt 38,1 % (gültig für das Jahr 2015). Sie geht zum großen

Teil auf die Unsicherheiten der N_2O-Emissionen aus landwirtschaftlich genutzten Böden zurück, wie der Spalte „Combined uncertainty as % of total national emissions“ zu entnehmen ist. Die Unsicherheit des Trends 1990 – 2015 liegt bei 12,9 %.

Tabelle 249: Gesamtunsicherheitsberechnung für die Emissionen des Sektors 3 (Tierhaltung, Nutzung landwirtschaftlicher Böden) incl. Energiepflanzen-Vergärung

Source category **EntFer = Enteric Fermentation** **MM = Manure Management** **DEC = Digestion of Energy Crops**	**Gas**	**Base year emissions, in CO_2 equivalents**	**Year 2015 emissions, in CO_2 equivalents**	**Activity data uncertainty (half the 95 % confidence interval)**	**Emission factor uncertainty (half the 95 % confidence interval)**	**Combined uncertainty (half the 95 % confidence interval)**	**Auxiliary calcula-tions [A]**	**Type A sensitivity**	**Type B sensitivity**	**Uncertainty in trend in national emissions introduced by emission factor uncertainty**	**Uncertainty in trend in national emissions introduced by acticity data uncertainty**	**Square of "Uncertainty introduced into the trend in total national emissions" [B]**
		(GWP_{CH4} = 25, GWP_{N2O} = 298)										
		kt a^{-1}	**kt a^{-1}**	**%**	**%**	**%**		**%**	**%**	**%**	**%**	
EntFer, dairy cows	CH_4	19,089.1	14,579.1	4	20	20.4	19.7	0.02	0.18	0.37	1.04	1.21
EntFer, other cattle	CH_4	14,163.3	9,045.4	4	20	20.4	7.6	0.04	0.11	0.72	0.64	0.93
EntFer, pigs	CH_4	677.7	654.6	4	20	20.4	0.0	0.00	0.01	0.02	0.05	0.00
EntFer, sheep	CH_4	518.2	297.0	10	30	31.6	0.0	0.00	0.00	0.05	0.05	0.01
EntFer, goats	CH_4	11.3	14.6	20	30	36.1	0.0	0.00	0.00	0.00	0.01	0.00
EntFer, horses	CH_4	204.6	190.9	10	30	31.6	0.0	0.00	0.00	0.01	0.03	0.00
MM, dairy cows	CH_4	2,646.8	2,225.6	4	20	20.4	0.5	0.00	0.03	0.00	0.16	0.03
MM, other cattle	CH_4	2,602.9	1,445.5	4	20	20.4	0.2	0.01	0.02	0.19	0.10	0.05
MM, pigs	CH_4	2,684.7	2,341.8	4	20	20.4	0.5	0.00	0.03	0.02	0.17	0.03
MM, sheep	CH_4	17.0	9.7	10	30	31.6	0.0	0.00	0.00	0.00	0.00	0.00
MM, goats	CH_4	0.5	0.6	20	30	36.1	0.0	0.00	0.00	0.00	0.00	0.00
MM, horses	CH_4	31.7	29.6	10	30	31.6	0.0	0.00	0.00	0.00	0.01	0.00
MM, poultry	CH_4	89.4	148.2	10	20	22.4	0.0	0.00	0.00	0.02	0.03	0.00
MM, direct N_2O, dairy cows	N_2O	1,565.6	993.9	4	100	100.1	2.2	0.00	0.01	0.41	0.07	0.17
MM, direct N_2O, other cattle	N_2O	1,456.2	1,000.3	4	100	100.1	2.2	0.00	0.01	0.28	0.07	0.08
MM, direct N_2O, pigs	N_2O	548.7	546.7	4	100	100.1	0.7	0.00	0.01	0.11	0.04	0.01
MM, direct N_2O, sheep	N_2O	74.2	42.3	10	300	300.2	0.0	0.00	0.00	0.08	0.01	0.01
MM, direct N_2O, goats	N_2O	4.2	5.5	20	300	300.7	0.0	0.00	0.00	0.01	0.00	0.00
MM, direct N_2O, horses	N_2O	156.1	145.9	10	300	300.2	0.4	0.00	0.00	0.05	0.03	0.00
MM, direct N_2O, poultry	N_2O	37.5	67.0	10	100	100.5	0.0	0.00	0.00	0.04	0.01	0.00

Source category EntFer = Enteric Fermentation MM = Manure Management DEC = Digestion of Energy Crops	Gas	Base year emissions, in CO_2 equivalents (GWP_{CH4} = 25, GWP_{N2O} = 298)	Year 2015 emissions, in CO_2 equivalents (GWP_{CH4} = 25, GWP_{N2O} = 298)	Activity data uncertainty (half the 95 % confidence interval)	Emission factor uncertainty (half the 95 % confidence interval)	Combined uncertainty (half the 95 % confidence interval)	Auxiliary calcula-tions [A]	Type A sensitivity	Type B sensitivity	Uncertainty in trend in national emissions introduced by emission factor uncertainty	Uncertainty in trend in national emissions introduced by acticity data uncertainty	Square of "Uncertainty introduced into the trend in total national emissions" [B]
		kt a^{-1}	kt a^{-1}	%	%	%		%	%	%	%	
MM, indirect N_2O, all animals	N_2O	1,242.9	1,031.7	10	400	400.1	38.0	0.00	0.01	0.07	0.18	0.04
Soils, mineral fertilizers	N_2O	10,132.1	8,535.9	1	200	200.0	650.1	0.00	0.11	0.03	0.15	0.02
Soils, spreading of manure	N_2O	5,395.7	4,647.0	20	200	201.0	194.6	0.00	0.06	0.27	1.65	2.80
Soils, sewage sludge	N_2O	128.4	99.8	20	200	201.0	0.1	0.00	0.00	0.02	0.04	0.00
Soils, crop residues	N_2O	2,267.8	2,832.4	50	200	206.2	76.1	0.01	0.04	2.32	2.52	11.73
Soils, organic soils	N_2O	2,594.2	2,836.7	1	200	200.0	71.8	0.01	0.04	1.64	0.05	2.70
Soils, grazing	N_2O	1,909.0	1,211.7	20	200	201.0	13.2	0.00	0.02	0.99	0.43	1.17
Soils, indirect N_2O (deposition)	N_2O	1,889.8	1,679.7	50	400	403.1	102.3	0.00	0.02	0.45	1.49	2.43
Soils, indirect N_2O (leaching, run-off)	N_2O	4,257.8	3,769.1	170	230	286.0	259.2	0.00	0.05	0.54	11.39	129.94
DEC, digester and storage	CH_4	0.3	1,296.0	10	20	22.4	0.2	0.02	0.02	0.33	0.23	0.16
DEC, storage, direct N_2O	N_2O	0.1	233.0	10	100	100.5	0.1	0.00	0.00	0.29	0.04	0.09
DEC, storage, indirect N_2O (deposition)	N_2O	0.0	12.0	10	400	400.1	0.0	0.00	0.00	0.06	0.00	0.00
DEC, soils, direct N_2O	N_2O	0.2	1,358.7	10	200	200.2	16.5	0.02	0.02	3.41	0.24	11.71
DEC, soils, indirect N_2O (deposition)	N_2O	0.0	250.5	10	400	400.1	2.2	0.00	0.00	1.26	0.04	1.59
DEC, soils, indirect N_2O (leaching, run-off)	N_2O	0.0	305.7	10	230	230.2	1.1	0.00	0.00	0.88	0.05	0.78
Liming, calcium fertilizers without Dolomite	CO_2	2,340.3	2,136.3	3	3	4.2	0.0	0.00	0.03	0.01	0.11	0.01
Liming, Dolomite	CO_2	363.7	78.5	100	3	100.0	0.0	0.00	0.00	0.01	0.14	0.02
Application of urea	CO_2	479.6	856.3	1	1	1.4	0.0	0.01	0.01	0.01	0.02	0.00
Total		79,581.6	66,955.2									
					percentage uncertainty in total inventory:		38.1			trend uncertainty (percentage):		12.9

[A] The data in this column describes auxiliary data needed to derive the percentage uncertainty in total inventory in the bottommost cell of this column. In order to calculate the data the calculation procedure provided by IPCC (2006b)-3.31, Table 3.2, column H, has been used. Note, however, that the head of column as prescribed by IPCC (2006b)-3.31, Table 3.2, column H („Contribution to Variance by Category ") does not correctly describe the data in column H. Hence the head of column had been modified.

[B] The head of this column as prescribed by IPCC (2006b)-3.31, Table 3.2, column M („Uncertainty introduced into the trend in total national emissions"), has been modified in order to match the formula provided by IPCC (2006b) and applied in the table above to calculate the data in this column.

5.1.7 Qualitätssicherung und -kontrolle

Eine allgemeine Qualitätskontrolle und eine Qualitätssicherung durch die Fachseite und durch die Nationale Koordinierungsstelle wurden gemäß den Anforderungen des QSE-Handbuchs bzw. dessen mitgeltenden Unterlagen durchgeführt.

5.1.7.1 Qualitätsmanagement Emissionsinventare des Thünen-Instituts

Das Qualitätsmanagement der Emissionsinventarerstellung am Thünen-Institut wurde konform zu den IPCC-Richtlinien und dem QSE (Kapitel 1.6.1) entwickelt. Rahmenbedingungen und Durchführung des Qualitätsmanagements sind im Konzept (BMEL, 2016) und in der Ausführungsbestimmung des Konzepts (TI, 2016) ausführlich beschrieben. Für die Qualitätskontrolle wichtige Dokumente werden in der Inventarbeschreibung abgelegt, die von der Nationalen Koordinierungsstelle archiviert wird. Die Vorgaben und Abläufe der Ausführungsbestimmung wurden vollständig eingehalten. Die nachfolgenden Abschnitte gehen auf wichtige Aspekte der Qualitätskontrolle für diese Submission ein.

5.1.7.2 Eingangsdaten, Berechnungsverfahren und Emissionsergebnisse

Die Prüfung der Emissionsberechnungen und des NIR umfasste die folgenden Elemente:

- Die Berechnungsmethoden stimmen mit denen für die Resubmission 2016 überein. Eine ausführliche Dokumentation der Berechnungsmethoden findet sich in RÖSEMANN et al. (2017).
- Eingangsdaten und Berechnungsergebnisse aller in der landwirtschaftlichen Emissionsberichterstattung relevanten Emissionsquellen sind als Hintergrund für die im NIR 2017 und den CRF-Tabellen gezeigten Ergebnisse im CD-Anhang von RÖSEMANN et al. (2017) dokumentiert.
- Jede einzelne Zeitreihe der Emissionsergebnisse für Submission 2017 wurde auf Konsistenz mit der entsprechenden Zeitreihe der Resubmission 2016 geprüft. Es gibt nur wenige Abweichungen, die vor allem eine Folge von Aktualisierungen einiger Eingangsdaten sind (siehe Kapitel 5.1.3.3, 5.1.3.6.5 und 5.1.4.2). Zur Dokumentation siehe RÖSEMANN et al. (2017).
- Die Fläche der organischen Böden unter Acker und Nutzgrünland sind konsistent zwischen LULUC (Kap. 4.B, 4.C) und Landwirtschaft (3.D).
- Fluktuationen und Trends in den Zeitreihen sind erklärbar und die wichtigen sind im NIR beschrieben.
- Aktivitätsdaten und Emissionsergebnisse wurden mit entsprechenden Daten mitteleuropäischer Länder verglichen, die direkt benachbart oder in ihrer landwirtschaftlichen Praxis vergleichbar sind. Die deutschen Daten liegen dabei meist im mittleren Bereich oder auf dem Niveau eines oder mehrerer Vergleichsländer bzw. einem IPCC (2006a)-Standardwert. Relevante Abweichungen von diesen Kriterien lassen sich in jedem Einzelfall begründen. Zur Dokumentation siehe RÖSEMANN et al. (2017).
- Die korrekte Übertragung der Aktivitätsdaten und der Emissionsfaktoren (IEF) in die ZSE-Datenbank (Zentrales System Emissionen), die den CRF-Tabellen zugrunde liegt, wurde durch Vergleich der mit dem ZSE berechneten Emissionen mit den Ergebnissen des Inventarmodells GAS-EM sicher gestellt.
- Die Daten im NIR-2017-Text wurden mit den Berechnungsergebnissen auf Konsistenz geprüft.

5.1.7.3 Verifizierung

Die mit dem Inventarmodell GAS-EM berechneten nationalen Emissionsergebnisse können nicht mit anderen Daten aus Deutschland verglichen werden, da solche Daten nicht vorliegen. Stattdessen wurde, wie in Kapitel 5.1.7.2 beschrieben, ein Vergleich von Eingangsdaten und Emissionsergebnissen mit entsprechenden Daten anderer Staaten sowie IPCC (2006a)-Standardwerten durchgeführt. Hierauf wird im vorliegenden NIR in entsprechenden Unterkapiteln eingegangen.

Eine für den NIR 2014 im Rahmen eines Verifizierungsprojektes durchgeführte Verfizierung der deutschen Emissionsberechnungen durch einen externen Experten (Zsolt Lengyel, Verico SCE) erbrachte, dass die Eingangsdaten konsistent sind, und dass die durchgeführten Berechnungen konsistent und korrekt nach den methodischen Anforderungen der IPCC Guidelines durchgeführt wurden.

Das GAS-EM-Modell wird im Rahmen der EAGER-Gruppe und durch Prüfung von Modulen durch das KTBL kontinuierlich validiert und verifiziert. Für die vorliegende Submission 2017 wurde die Modellierung der Mastschweine-Fütterung durch das KTBL positiv auf Konsistenz zu den praxisrelevanten Angaben der Deutschen Landwirtschaftlichen Gesellschaft (DLG, 2014) geprüft.

5.1.7.4 Reviews und Reports

Den Empfehlungen aus dem Individual Review zu Submission 2013 bzgl. Verbesserung der Transparenz und der Begründung von Aktivitätsdaten und Parametern der Biogas-Berechnungen sowie des nationalen N_2O-Emissionsfaktors für Festmist wird durch Beifügen des umfangreichen Detailberichts (aktuelle Fassung: RÖSEMANN et al., 2017) zum NIR und durch Verweis auf weitere relevante Dokumente entsprochen. Die Forderung nach Zeitreihenkonsistenz bei Tierzahlen nach Verlegung des Erhebungsstichtages führte zu der ab Submission 2015 vorgenommenen Korrektur der Schafzahlen ab 2010. Die Empfehlung des ERT, die Aktivitätsdaten der Mineraldüngerausbringung im NIR explizit darzustellen, wurde für die Submission 2015 umgesetzt.

Die Empfehlungen zum Sektor Landwirtschaft aus dem Entwurf des ERT-Berichts des Centralized Review zur Submission 2014 wurden in der Submission 2015 umgesetzt.

Die Empfehlungen des Expert Review Teams des In-Country-Reviews 2016 wurden in vollem Umfang umgesetzt. Dies betrifft insbesondere die Punkte, die der Resubmission 2016 zugrunde gelegt wurden:

- Anhebung des Tier-1-Emissionsfaktors für CH_4 aus der Verdauung bei den Lämmern von 3,2 kg Platz^{-1} a^{-1} auf 3,6 kg Platz^{-1} a^{-1};
- Anpassung der Berechnung von indirekten N_2O-Emissionen als Folge von Auswaschung und Oberflächenabfluss an die IPCC (2006a)-Methodik;
- für Dolomit und Kalkstein getrennte Berechnung der CO_2-Emissionen aus der Kalkung.

Das nationale Qualitätsaudit durch die Firma Verico SCE (Auditor für den Sektor Landwirtschaft: Markus Helm) im April 2016 bestätigte im Berichtsentwurf die Konformität des QSE (Qualitätssystem Emissionsberichterstattung) und damit u. a. auch der landwirtschaftlichen Emissionsberichterstattung mit den Anforderungen der IPCC (2006a) Guidelines. Die Veröffentlichung des Berichts ist in Vorbereitung.

5.2 Fermentation bei der Verdauung (3.A)

5.2.1 Beschreibung der Quellgruppe (3.A)

KC	Category	Activity	EM of	1990 (kt CO_2-e.)	(fraction)	2015 (kt CO_2-e.)	(fraction)	Trend 1990-2015
L/T	**3.A.1. Enteric Fermentation**	**Dairy Cows**	**CH_4**	**19.089,1**	**1,56%**	**14.579,1**	**1,64%**	**-23,6%**
L/T	**3.A.1. Enteric Fermentation**	**Other Cattle**	**CH_4**	**14.163,3**	**1,16%**	**9.045,4**	**1,02%**	**-36,1%**
-/-	3.A.2.-4. Enteric Fermentation	Other Animals (sheep, goats, horses, swine)	CH_4	1.411,8	0,12%	1.157,1	0,13%	-18,0%

Gas	Angewandte Methode	Quelle der Aktivitätsdaten	genutzte Emissionsfaktoren
CH_4	CS/Tier1/Tier2/Tier3	M/Q/AS/RS/NS	CS/D

Innerhalb der Quellgruppe *Fermentation bei der Verdauung* ist die Kategorie *Milchkühe* die wichtigste Emissionsquelle. Sie stellt für Methan nach Emissionshöhe und dem Trend eine Hauptkategorie dar. Dies liegt an den hohen Tierzahlen und der hohen Leistung. Die Kategorie der übrigen Rinder ist ebenfalls eine Hauptkategorie nach der Emissionshöhe und dem Trend.

CH_4 aus der Fermentation entsteht durch mikrobielle Umsetzungen im Verdauungstrakt. Die je Tier und Zeiteinheit abgegebenen Mengen sind von der Tierart, der individuellen Leistung der Tiere und der Nahrungszusammensetzung abhängig.

Deutschland berichtet über die Emissionen von CH_4 aus der Fermentation bei der Verdauung von Milchkühen, übrigen Rindern (Kälbern, Färsen, Bullen, Mutterkühe, männliche Rinder ab 2 Jahren), Schweinen (Sauen incl. Saugferkel mit einem Gewicht bis 8 kg pro Tier, Aufzuchtferkel, Mastschweine und Eber), Schafen, Ziegen und Pferden.

Der Trend der CH_4-Emissionen wird bestimmt durch abnehmende Tierzahlen, v. a. der Rinder im Gesamtzeitraum und aller Tierkategorien Anfang der 1990er Jahre, und bessere Verdaulichkeit des Futters, teilweise kompensiert durch steigende GE-Aufnahme infolge von Anstiegen bei Milchleistung und Tiergewichten.

Der Anteil der CH_4-Emissionen aus der Verdauung an der gesamten CH_4-Emission aus der deutschen Landwirtschaft incl. der CH_4-Emissionen aus der Vergärung von Energiepflanzen und der Lagerung von Energiepflanzen-Gärresten hat über die Jahre leicht abgenommen (1990: 81,1 %; 2015: 76,8 %). Insgesamt sind die CH_4-Emissionen aus der Verdauung zwischen 1990 und 2015 um 28,5 % gefallen.

5.2.2 Methodische Aspekte (3.A)

5.2.2.1 Methodik (3.A)

Die CH_4–Emissionen aus der Verdauung der Milchkühe werden mit einem nationalen Verfahren berechnet (Tier 3), s. u. Für sonstige Rinder und Schweine erfolgt die Berechnung mit einem Tier-2- Verfahren (IPCC, 2006a, 10.24 ff), s. u. Schafe, Ziegen und Pferde werden mit dem Tier-1-Verfahren gerechnet, das Default-Emissionsfaktoren verwendet (siehe Kapitel 5.2.2.2).

Im nationalen Verfahren zur Berechnung der CH_4-Emissionen aus der Verdauung bei Milchkühen (DÄMMGEN et al., 2012b) wird der Emissionsfaktor nach KIRCHGESSNER et al. (1994) als Funktion der Aufnahme von Rohfasern, N-freien Extrakten, Rohprotein und Fett berechnet:

Gleichung 11: Berechnung des CH_4-Emissionsfaktors für Milchkühe (nationales Verfahren)

$$EF_{\mathrm{CH4,ent}} = a \cdot M_{\mathrm{XFi}} + b \cdot M_{\mathrm{NFE}} + c \cdot M_{\mathrm{XP}} + d \cdot M_{\mathrm{XF}} + e$$

mit

$EF_{CH4,\ ent}$	Emissionsfaktor für CH_4 aus der Verdauung (in kg Platz^{-1} a^{-1} CH_4)
a	Koeffizient (a = 0,079 kg kg^{-1})
M_{XFi}	Rohfaser-Aufnahme (in kg Platz^{-1} a^{-1})
b	Koeffizient (b = 0,010 kg kg^{-1})
M_{NFE}	Aufnahme von N-freien Extrakten (in kg Platz^{-1} a^{-1})
c	Koeffizient (c = 0,026 kg kg^{-1})
M_{XP}	Aufnahme an Rohprotein (in kg Platz^{-1} a^{-1})
d	Koeffizient (d = - 0,212 kg kg^{-1})
M_{XF}	Aufnahme an Fett (in kg Platz^{-1} a^{-1})
e	Konstante (e = 365 · 0,063 kg Platz^{-1} a^{-1})

Die Aufnahme von Rohfaser, N-freien Extrakten, Rohprotein und Fett ergibt sich aus den Kennwerten der Futterzusammensetzung und der Menge des aufgenommenen Futters (siehe Kapitel 5.1.3.3).

Daraus wird mit Hilfe der Gesamtenergie-Aufnahme (siehe Kapitel 5.1.3.3) der Methanumwandlungsfaktor berechnet:

$$x_{CH4,GE} = \frac{\eta_{CH4} \cdot EF_{CH4,ent}}{GE}$$

mit

$x_{CH4,\ GE}$	Methan-Umwandlungsfaktor für Milchkühe (in MJ MJ^{-1})
η_{CH4}	Energiegehalt von Methan (η_{CH4} = 55.65 MJ (kg CH_4)$^{-1}$)
$EF_{CH4,\ ent}$	Emissionsfaktor für CH_4 aus der Verdauung (in kg Platz^{-1} a^{-1} CH_4)
GE	Gesamtenergie-Aufnahme (in MJ Platz^{-1} a^{-1} GE)

Obwohl der Methanumwandlungsfaktor für Milchkühe von 0,071 MJ MJ^{-1} im Jahr 1990 auf 0,063 MJ MJ^{-1} im Jahr 2015 sank, stieg der Emissionsfaktor als Folge des ständigen Leistungsanstiegs von 120,2 kg CH_4 pro Tierplatz und Jahr für 1990 auf 136,1 kg CH_4 pro Tierplatz und Jahr für 2015 (siehe Kapitel 5.2.2.2).

Das für die übrigen Rinder und Schweine verwendete Tier-2-Verfahren berechnet den Emissionsfaktor aus der Gesamtenergie-Aufnahme (siehe Kapitel 5.1.3.3) und dem Methan-Umwandlungsfaktor nach folgender Formel:

Gleichung 12: Berechnung des CH_4-Emissionsfaktors (Tier-2-Verfahren, IPCC (2006), S. 10.31)

$$EF_{CH4,ent} = GE \cdot \frac{x_{CH4,GE}}{\eta_{CH4}}$$

mit

$EF_{CH4,\ ent}$	Emissionsfaktor für CH_4 aus der Verdauung (in kg Platz^{-1} a^{-1} CH_4)
GE	Gesamtenergie-Aufnahme (in MJ Platz^{-1} a^{-1} GE)
$x_{CH4,\ GE}$	Methan-Umwandlungsfaktor (in MJ MJ^{-1})
η_{CH4}	Energiegehalt von Methan (η_{CH4} = 55.65 MJ (kg CH_4)$^{-1}$)

Mit Ausnahme der Kälber wird für alle übrigen Rinder nach IPCC (2006a), Tabelle 10.12, ein Methan-Umwandlungsfaktor von 0,065 MJ MJ^{-1} verwendet, während Kälber nach DÄMMGEN et al. (2013) mit einem Methan-Umwandlungsfaktor von 0,041 MJ MJ^{-1} in die Berechnungen eingegangen sind. Für 1990 und 2015 liegt der mittlere Methan-Umwandlungsfaktor der übrigen Rinder bei 0,0637 MJ MJ^{-1}; er variiert allerdings aufgrund wechselnder Zusammensetzung der Gesamtpopulation der übrigen Rinder geringfügig mit den Jahren.

Tabelle 250 zeigt die nationalen kategoriespezifischen Methanumwandlungsfaktoren für Schweine (DÄMMGEN et al., 2012c). Für 1990 liegt der mittlere Methan-Umwandlungsfaktor aller Schweine zusammen bei 0,0052 MJ MJ^{-1}, für 2015 bei 0,0050 MJ MJ^{-1}. Die Veränderung zwischen 1990 und 2015 ist eine Folge der sich ändernden Zusammensetzung der Schweine-Gesamtpopulation.

Tabelle 250: Methan-Umwandlungsfaktoren für Schweine DÄMMGEN et al. (2012c) (3.A)

	MJ MJ^{-1}
Sauen	0,0071
Aufzuchtferkel	0,0044
Mastschweine	0,0046
Eber	0,0071

Zu den mit Gleichung 12 berechneten Emissionsfaktoren siehe Kapitel 5.2.2.2.

Eine ausführliche Beschreibung der Berechnung von CH_4-Emissionen aus der Verdauung findet sich in RÖSEMANN et al. (2017).

5.2.2.2 Emissionsfaktoren (3.A)

Tabelle 251 zeigt die berechneten CH_4-Emissionsfaktoren pro Tierplatz für die Verdauung bei Milchkühen, übrigen Rindern und Schweinen.

Tabelle 251: Tierplatzbezogene CH_4-Emissionsfaktoren, Verdauung (3.A)

[kg $^{-1}$ Platz^{-1} a^{-1}]	1990	1995	2000	2005	2006	2007	2008	2009	2010	2011	2012	2013	2014	2015
Milchkühe	120.2	124.4	128.4	131.8	132.1	132.8	131.9	132.8	133.6	134.3	134.7	134.7	135.5	136.1
übrige Rinder	43.1	44.1	44.7	44.1	44.2	44.1	43.9	44.1	44.0	43.7	43.5	43.6	43.3	43.3
Schweine	1.02	1.07	1.09	1.10	1.10	1.10	1.10	1.11	1.12	1.12	1.12	1.13	1.14	1.14

Die Änderungen gegenüber der Resubmission 2016 sind eine Folge der in Kapitel 5.1.3.3 genannten Änderungen bei den tierischen Leistungsdaten.

Tabelle 252 zeigt die im Inventar verwendeten Tier-1-Emissionsfaktoren für Schafe, Ziegen und Pferde; diese Werte wurden für die gesamte Zeitreihe verwendet. Der Emissionsfaktor für Ziegen wurde aus IPCC (2006a), Tabelle 10.10, entnommen. Die in dieser IPCC-Tabelle angegebenen Emissionsfaktoren für Schafe und Pferde wurden für erwachsene Schafe bzw. Großpferde übernommen (RÖSEMANN et al., 2017). Die Emissionsfaktoren für Lämmer und Kleinpferde/Ponys wurden aus den Tier-1-Emissionsfaktoren erwachsener Schafe bzw. der Großpferde abgeleitet (RÖSEMANN et al., 2017). Aufgrund des In-Country-Reviews 2016 wurde bei den Lämmern der Emissionsfaktor gegenüber der Submission 2016 von 3,2 auf 3,6 kg Platz^{-1} a^{-1} angehoben. (Die Resubmission 2016 wurde mit dem Lämmer-Emissionsfaktor von 3,6 kg Platz^{-1} a^{-1} berechnet.)

Tabelle 252: Tier-1-Emissionsfaktoren für CH4 aus der Verdauung bei Schafen, Ziegen und Pferden (3.A)

Tierkategorie	***EF*** **[kg Platz^{-1} a^{-1}]**
Erwachsene Schafe	8,0
Lämmer	3,6
Ziegen	5,0
Großpferde	18,0
Kleinpferde/Ponys	12,0

Als Folge der zeitlich nicht konstanten Populationszusammensetzung aus Groß- und Kleintieren variieren die in den CRF-Tabellen berichteten Emissionsfaktoren für Schafe insgesamt und Pferde insgesamt leicht von Jahr zu Jahr. Für Schafe liegt er im Mittel über die Jahre 1990 bis 2015 bei 6,4 kg Platz^{-1} a^{-1}, für Pferde bei 16,5 kg Platz^{-1} a^{-1}.

5.2.2.3 Emissionen (3.A)

Die berechneten CH_4-Emissionen aus der Verdauung für die gesamte deutsche Tierhaltung zeigt Tabelle 253.

Tabelle 253: CH_4-Emissionen aus der Verdauung (3.A)

[kt a^{-1}]	1990	1995	2000	2005	2006	2007	2008	2009	2010	2011	2012	2013	2014	2015
insgesamt	**1386,6**	**1172,5**	**1082,9**	**997,3**	**973,3**	**972,3**	**990,5**	**993,5**	**986,2**	**974,0**	**973,8**	**988,7**	**995,4**	**991,3**
Milchkühe	763,6	650,7	586,9	558,1	539,3	540,5	556,2	558,3	559,0	562,7	564,3	575,1	582,2	583,2
übrige Rinder	566,5	470,1	445,6	387,9	383,3	380,3	384,3	385,3	379,7	364,8	362,2	367,0	366,0	361,8
Schweine	27,1	21,9	23,8	25,0	24,8	25,4	25,1	25,7	24,8	25,5	26,5	26,4	26,9	26,2
Schafe	20,7	18,9	17,6	16,9	16,3	16,1	15,4	15,0	14,3	12,6	12,5	11,9	12,0	11,9
übrige Säugetiere [a]	8,6	10,9	9,0	9,3	9,7	10,0	9,6	9,2	8,4	8,4	8,3	8,3	8,3	8,2

[a] übrige Säugetiere: Ziegen und Pferde

Der zeitliche Verlauf der Emissionen seit 1990 ist im Wesentlichen geprägt durch

- die Entwicklung der Tierzahlen (u. a. starke Abnahme 1990/1991 nach der deutschen Wiedervereinigung, gefolgt von allmählicher weiterer Abnahme, wobei Schweine ab Mitte der 1990er Jahre und Milchkühe ab 2011 wieder eine zunehmende Tendenz zeigen);
- beständige Leistungszunahme (Milchleistung, Tiergewichte, Gewichtszunahmen).

5.2.3 Unsicherheiten und Zeitreihenkonsistenz (3.A)

Die Unsicherheiten im Bereich der Methan-Emissionen aus der Verdauung sind aus Tabelle 249 in Kapitel 5.1.6 (Gesamt-Unsicherheit des deutschen THG-Inventars) zu entnehmen.

Die Emissionszeitreihen sind konsistent, da sie für alle Jahre des Berichtszeitraumes jeweils mit der gleichen Methode berechnet wurden und die Eingangsdaten ebenfalls konsistent und vollständig sind.

5.2.4 Quellenspezifische Qualitätssicherung/-kontrolle und Verifizierung (3.A)

Zu Qualitätskontrolle und Qualitätssicherung wird auf Kapitel 5.1.7 verwiesen.

Im Rahmen der Verifizierung erfolgte für Milchkühe, übrige Rinder und Schweine eine Gegenüberstellung der Daten aus der deutschen Tierhaltung mit IPCC-Defaultwerten sowie mit Daten benachbarter Staaten incl. des Vereinigten Königreiches, siehe Tabelle 254 und Tabelle 255. Zum Zeitpunkt der Erstellung der deutschen Emissionsberichterstattung 2017 waren die Ergebnisse der Emissionsberichterstattung 2017 der anderen Länder noch nicht bekannt. Daher wurde für diese Länder auf Daten der Berichterstattung 2016 zurückgegriffen, während die deutschen Daten der aktuellen Berichterstattung 2017 entstammen. Der internationale Vergleich wird für 2014 durchgeführt (letztes Zeitreihenjahr in Berichterstattung 2016).

Tabelle 254 zeigt für Milchkühe den nationalen Mittelwert des auf den Tierplatz bezogenen Emissionsfaktors (impliziter Emissionsfaktor, IEF), die Aufnahme von Bruttoenergie (GE) sowie für die Emissionshöhe die maßgeblich bestimmende Milchleistung. Ergänzend wird der CH_4-Umwandlungsfaktor aufgeführt. Mit seiner Hilfe wird berechnet, welcher Anteil von GE in Methanenergie umgewandelt wird, die mit dem emittierten Methan verloren geht (siehe Methodenbeschreibung in Kapitel 5.2.2.1).

Von den zehn Vergleichsländern hat Dänemark den höchsten und Polen den niedrigsten IEF. Deutschland liegt mit seinem IEF im mittleren Bereich. Dies gilt auch für GE-Aufnahme und Milchleistung. Im Hinblick auf die Methanumwandlungsfaktoren ist festzustellen, dass eine Reihe von Ländern den IPCC-Defaultwert von 6,5 % verwendet hat. Bei den übrigen Ländern liegen die Werte von Dänemark, Frankreich und Deutschland unter dem IPCC-Defaultwert, wobei der deutsche Wert dem IPCC-Defaultwert noch am nächsten kommt.

Es wird darüber hinaus deutlich, dass die IPCC-Defaultwerte für IEF und Milchleistung im Vergleich mit dem mittleren Niveau der betrachteten Länder von 2014 zu niedrig sind. Der

deutsche IEF lag allerdings auch 1990, als die mittlere tägliche Milchleistung mit 12,9 kg pl^{-1} d^{-1} noch erheblich niedriger war als 2014, mit 20,7 kg pl^{-1} d^{-1} schon über dem IPCC-IEF.

Tabelle 254: Methan-Emissionen aus der Verdauung bei Milchkühen verschiedener Länder im Vergleich des impliziten Emissionsfaktors (IEF) für das Zeitreihenjahr 2014

	IEF_{CH4} [kg $Platz^{-1}$ a^{-1}]	CH_4-Umwandlungsfaktor Y_m [MJ MJ^{-1}]	GE-Aufnahme [MJ $Platz^{-1}$ d^{-1}]	Milchleistung [kg $Platz^{-1}$ d^{-1}]
Österreich	130,12	0,0650	305,2	17,92
Belgien	139,78	0,0600	355,2	21,27
Tschechische Republik	140,54	0,0650	329,7	21,11
Dänemark [a]	154,70	0,0600	393,1	24,94
Frankreich	122,18	0,0615	302,7	19,10
Deutschland	**135,54**	**0,0635**	**326,0**	**20,66**
Niederlande	127,20	n/a	281,1	NA
Polen	119,86	0,0650	281,1	n/a
Schweiz	136,92	0,0690	302,5	22,87
Vereinigtes Königreich	130,85	0,0650	306,9	21,69
IPCC(2006a)-10.15 bis 10.21, 10.29, 10.72	117	0,065	Gleichung 10.3-10.16	16,44 [b]

Quelle: Deutschland: Submission 2017; andere Länder: UNFCCC, 2016

n/a: keine Angabe

[a] Dänemark einschließlich Grönland, ohne Färöer-Inseln

[b] berechnet aus der von IPCC (2006a) angenommenen jährlichen Milchleistung von 6000 kg $Platz^{-1}$ a^{-1}

Tabelle 255 zeigt für die Gruppe der übrigen Rinder sowie für alle Schweine zusammengefasst den IEF sowie die GE-Aufnahme.

Bei den übrigen Rindern hat von den zehn Vergleichsländern Dänemark den niedrigsten und das Vereinigte Königreich den höchsten IEF. Deutschland liegt mit seinem IEF im unteren Bereich. Dies ist, da die Methanumwandlungsrate auf etwa dem gleichen Niveau wie bei den anderen Ländern liegt (siehe RÖSEMANN et al., 2017), direkt auf die GE-Aufnahme zurückzuführen, die das untere Ende der Skala der Vergleichsländer markiert. Hierzu ist festzustellen, dass die Berechnung der deutschen GE-Aufnahme auf einer Fütterung mit typischen Futtermitteln bzw. Kennwerten aus der Fachliteratur beruht.

Bei den Schweinen verwenden alle Länder außer Dänemark, Deutschland, Frankreich und der Schweiz den IPCC-Defaultwert für CH_4 aus der Verdauung. Die vier Länder, die den IEF berechnen, kommen zu Ergebnissen, die niedriger sind als der IPCC-Defaultwert. Der deutsche Wert wird dadurch gestützt, dass Dänemark und die Schweiz zu relativ ähnlichen Ergebnissen kommen. Ein sinnvoller Vergleich der GE-Aufnahme der Schweine ist wegen der geringen Anzahl von berichteten Werten nicht möglich. Bei den berichteten Werten liegt Deutschland etwas oberhalb des Mittelwertes.

Sowohl bei den übrigen Rindern wie auch bei den Schweinen erscheinen die IEF-Defaultwerte aus IPCC (2006a) zu hoch für mitteleuropäische Verhältnisse.

Tabelle 255: Methan-Emissionen aus der Verdauung bei übrigen Rindern und Schweinen verschiedener Länder im Vergleich des impliziten Emissionsfaktors (IEF) für das Zeitreihenjahr 2014

	Übrige Rinder		Schweine	
	IEF_{CH4} [kg Platz^{-1} a^{-1}]	GE-Aufnahme [MJ Platz^{-1} d^{-1}]	IEF_{CH4} [kg Platz^{-1} a^{-1}]	GE-Aufnahme [MJ Platz^{-1} d^{-1}]
Österreich	59,92	140,55	1,50	NA
Belgien	50,14	132,27	1,50	NE
Tschechische Republik	55,33	129,78	1,50	NA
Dänemark [a]	37,64	130,24	1,12	39,95
Frankreich	50,77	119,40	0,79	n/a
Deutschland	**43,33**	**103,81**	**1,14**	**34,82**
Niederlande [b]	37,29	n/c	1,50	NE
Polen	49,78	116,77	1,50	n/a
Schweiz [b]	46,90	114,68	1,07	27,15
Vereinigtes Königreich [c]	64,67	NE	1,50	n/a
IPCC (2006a)-10.15 bis 10.21, 10.28/29	57	Gleichung 10.3-10.16	1,5	Gleichung 10.3-10.16

Quelle: Deutschland: Submission 2017; andere Länder: UNFCCC, 2016;

n/a: keine Angabe; n/c: konnte nicht berechnet werden

[a] Dänemark einschließlich Grönland, ohne Färöer-Inseln

[b] Übrige Rinder: berechnet aus CRF-Daten

[c] Vereinigtes Königreich, übrige Rinder: Rinder ohne Milchkühe und ohne Milchkuh-Nachzucht (incl. Kälber)

5.2.5 Quellenspezifische Rückrechnungen (3.A)

Tabelle 256 und Tabelle 257 zeigen für Milchkühe, übrige Rinder und Schweine die Gesamtenergie-Aufnahme und die Emissionsfaktoren im Vergleich mit den entsprechenden Daten der Resubmission 2016. Die Unterschiede sind geringfügig und in der hier gewählten Dezimaldarstellung nur bei den Schweinen in den Jahren 2010 und 2014 bemerkbar; sie beruhen auf den in Kapitel5.1.3.3 angegebenen Änderungen der leistungsbestimmenden Daten.

Tabelle 256: Vergleich der 2017 und 2016 berichteten mittleren täglichen Gesamtenergie-Aufnahme für Milchkühe, übrige Rinder und Schweine (3.A)

(MJ/Tier)	1990	1995	2000	2005	2006	2007	2008	2009	2010	2011	2012	2013	2014	2015
Milchkühe 2017	259,9	277,8	295,1	310,3	311,8	314,7	310,2	314,1	317,5	320,3	321,9	321,9	326,0	328,4
Milchkühe 2016	259,9	277,8	295,1	310,3	311,8	314,7	310,2	314,1	317,5	320,3	321,9	321,9	326,0	
übrige Rinder 2017	103,3	105,5	107,0	105,5	105,8	105,6	105,1	105,5	105,3	104,8	104,3	104,4	103,8	103,8
übrige Rinder 2016	103,3	105,5	107,0	105,5	105,8	105,6	105,1	105,5	105,3	104,8	104,3	104,4	103,8	
Schweine 2017	30,2	31,8	32,6	33,0	33,1	33,2	33,3	33,8	33,8	34,0	34,3	34,5	34,8	34,9
Schweine 2016	30,2	31,8	32,6	33,0	33,1	33,2	33,3	33,8	33,7	34,0	34,3	34,5	34,6	

Tabelle 257: Vergleich der 2017 und 2016 berichteten tierplatzbezogenen CH_4-Emissionsfaktoren (Verdauung) für Milchkühe, übrige Rinder und Schweine (3.A)

[kg Platz^{-1} a^{-1}]	1990	1995	2000	2005	2006	2007	2008	2009	2010	2011	2012	2013	2014	2015
Milchkühe 2017	120,2	124,4	128,4	131,8	132,1	132,8	131,9	132,8	133,6	134,3	134,7	134,7	135,5	136,1
Milchkühe 2016	120,2	124,4	128,4	131,8	132,1	132,8	131,9	132,8	133,6	134,3	134,7	134,7	135,5	
übrige Rinder 2017	43,1	44,1	44,7	44,1	44,2	44,1	43,9	44,1	44,0	43,7	43,5	43,6	43,3	43,3
übrige Rinder 2016	43,1	44,1	44,7	44,1	44,2	44,1	43,9	44,1	44,0	43,7	43,5	43,6	43,3	
Schweine 2017	1,02	1,07	1,09	1,10	1,10	1,10	1,10	1,11	1,12	1,12	1,12	1,13	1,14	1,14
Schweine 2016	1,02	1,07	1,09	1,10	1,10	1,10	1,10	1,11	1,11	1,12	1,12	1,13	1,13	

Tabelle 258 stellt für die vorgenannten Tierkategorien die Emissionen aus der Verdauung gegenüber, ergänzt um einen Vergleich der Emissionen bei den Schafen sowie bei allen Säugetieren insgesamt. Analog zu den Emissionsfaktoren haben sich bei Milchkühen, übrigen

Rindern und Schweinen nur geringfügige Änderungen der Emissionen ergeben; sie zeigen sich in der hier gewählten Dezimaldarstellung nur bei den Schweinen im Jahr 2014. Der aufgrund des In-Country-Reviews 2016 von 3,2 auf 3,6 kg Platz^{-1} a^{-1} angehobene Emissionsfaktor für Lämmer wurde bereits in der Resubmission 2016 umgesetzt; es gibt bei den Schafen keine Unterschiede in den Emissionsergebnissen zwischen Resubmission 2016 und Submission 2017.

Tabelle 258: Vergleich der 2017 und 2016 berichteten CH_4-Emissionen (Verdauung) für alle Säugetiere, Milchkühe, übrige Rinder, Schweine und Schafe (3.A)

[Tg a^{-1} CH_4]	1990	1995	2000	2005	2006	2007	2008	2009	2010	2011	2012	2013	2014	2015
Säugetiere 2017	1,387	1,172	1,083	0,997	0,973	0,972	0,991	0,993	0,986	0,974	0,974	0,989	0,995	0,991
Säugetiere 2016	1,387	1,172	1,083	0,997	0,973	0,972	0,991	0,993	0,986	0,974	0,974	0,989	0,995	
Milchkühe 2017	0,764	0,651	0,587	0,558	0,539	0,541	0,556	0,558	0,559	0,563	0,564	0,575	0,582	0,583
Milchkühe 2016	0,764	0,651	0,587	0,558	0,539	0,541	0,556	0,558	0,559	0,563	0,564	0,575	0,582	
übrige Rinder 2017	0,567	0,470	0,446	0,388	0,383	0,380	0,384	0,385	0,380	0,365	0,362	0,367	0,366	0,362
übrige Rinder 2016	0,567	0,470	0,446	0,388	0,383	0,380	0,384	0,385	0,380	0,365	0,362	0,367	0,366	
Schweine 2017	0,0271	0,0219	0,0238	0,0250	0,0248	0,0254	0,0251	0,0257	0,0248	0,0255	0,0265	0,0264	0,0269	0,0262
Schweine 2016	0,0271	0,0219	0,0238	0,0250	0,0248	0,0254	0,0251	0,0257	0,0248	0,0255	0,0265	0,0264	0,0267	
Schafe 2017	0,0207	0,0189	0,0176	0,0169	0,0163	0,0161	0,0154	0,0150	0,0143	0,0126	0,0125	0,0119	0,0120	0,0119
Schafe 2016	0,0207	0,0189	0,0176	0,0169	0,0163	0,0161	0,0154	0,0150	0,0143	0,0126	0,0125	0,0119	0,0120	

5.2.6 Geplante Verbesserungen (3.A)

Derzeit sind keine weiteren Verbesserungen geplant.

Sofern in vorhergehenden Berichterstattungen in diesem Kapitel Verbesserungen benannt wurden, sind diese in Form einer Übersicht unter Kapitel 10.4 Verbesserungen des Inventars, Tabelle 426 zu finden. Sind diese bereits erledigt, sind sie im selben Kapitel in Tabelle 425 abgebildet.

5.3 Wirtschaftsdünger-Management (3.B)

5.3.1 Beschreibung der Quellgruppe (3.B)

KC	Category	Activity	EM of	1990 (kt CO_2-e.)	(fraction)	2015 (kt CO_2-e.)	(fraction)	Trend 1990-2015
-/-	3.B.1. Manure Management	Dairy Cows	CH_4	2.646,8	0,22%	2.225,6	0,25%	-15,9%
-/-	3.B.1. Manure Management	Dairy Cows	N_2O	1.565,6	0,13%	993,9	0,11%	-36,5%
-/-	3.B.1. Manure Management	Other Cattle	CH_4	2.602,9	0,21%	1.445,5	0,16%	-44,5%
-/-	3.B.1. Manure Management	Other Cattle	N_2O	1.456,2	0,12%	1.000,3	0,11%	-31,3%
-/-	3.B.2. and 3.B.4. Manure Management	Other Animals (sheep, goats, horses, poultry)	N_2O	272,0	0,02%	260,7	0,03%	-4,2%
-/-	3.B.2. and 3.B.4. Manure Management	Other Animals (sheep, goats, horses, poultry)	CH_4	138,6	0,01%	188,2	0,02%	35,7%
-/-	3.B.3. Manure Management	Swine	CH_4	2.684,7	0,22%	2.341,8	0,26%	-12,8%
-/-	3.B.3. Manure Management	Swine	N_2O	548,7	0,04%	546,7	0,06%	-0,4%
-/-	3.B.5. Indirect N_2O emission	Wirtschaftsdünger (Atmosphärische Deposition)	N_2O	1.242,9	0,10%	1.031,7	0,12%	-17,0%

Gas	Angewandte Methode	Quelle der Aktivitätsdaten	genutzte Emissionsfaktoren
CH_4	Tier 2	M/Q/AS/RS/NS	CS/D
N_2O direct	Tier 2	M/Q/AS/RS/NS	CS/D
N_2O indirect	Tier 1	M/Q/AS/RS/NS	D
NO_X	Tier 2	M/Q/AS/RS/NS	CS
NMVOC	Tier 1	RS/NS	D

Die Quellgruppe *Wirtschaftsdünger-Management* ist keine Hauptkategorie.

Deutschland berichtet im Sektor 3.B über CH_4, N_2O, NO und NMVOC aus dem Wirtschaftsdünger-Management.

CH_4 entsteht durch die Aktivität von methanogenen Bakterien bei der Zersetzung organischer Substanz in anaerober Umgebung. Direkte N_2O-Emissionen entstehen bei Nitrifikations- und Denitrifikationsprozessen während der Lagerung von Wirtschaftsdünger und Gärresten. NO entsteht durch Nitrifikation in den Oberflächenschichten im Lager. NMVOC-Emissionen werden aus Silage-Futter und Wirtschaftsdüngerlager freigesetzt.

In der Berichterstattung werden dem Wirtschaftsdünger-Management auch indirekte N_2O-Emissionen zugeordnet. Diese können bei Umsetzungsprozessen in Böden aus reaktivem Stickstoff, der aus der Deposition von NH_3 und NO aus dem Wirtschaftsdünger- und Gärreste-Management stammt, sowie infolge von Stickstoff-Auswaschung oder -Oberflächenabfluss aus dem Wirtschaftsdünger- und Gärreste-Management entstehen. Da allerdings Versickerung oder unkontrollierter oberirdischer Abfluss aus dem Wirtschaftsdünger- und Gärreste-Management aus Gründen des Gewässerschutzes zu vermeiden sind (EU-Nitrat-Richtlinie 1991), wurden keine indirekten N_2O-Emissionen aus Auswaschung/Oberflächenabfluss berechnet. Dies erfolgte für alle Jahre ab 1990, was bzgl. der Gesamt-N_2O-Emissionen aus der deutschen Landwirtschaft eine konservative Annahme darstellt, da der nicht durch N_2O aus Auswaschung/Oberflächenabfluss verloren gegangene Stickstoff ausgebracht wird und dabei höhere N_2O-Emissionen verursacht.

Die Berechnung der Emissionen erfolgt in Abhängigkeit von der Tierkategorie, den Ausscheidungen der Tiere (welche eine Funktion der Tierleistung und der Ernährung sind), den in bestimmten Aufenthaltsbereichen (Weide, Stall) verbrachten Zeiten, sowie von Stalltyp, Stickstoffeintrag durch Einstreu (Stroh) und Lagerungstyp.

Die CH_4-Emissionen aus dem Bereich Wirtschaftsdünger (incl. Wirtschaftsdünger-Gärreste und Weidegang) nahmen zwischen 1990 und 2015 um 23,2 % ab. Dieser Rückgang ist im Wesentlichen auf Veränderungen in den Tierbeständen und die Emissionseinsparung durch Wirtschaftsdünger-Vergärung (siehe Tabelle 262) zurück zu führen. Die CH_4-Emissionen aus dem Sektor 3.B trugen 1990 18,9 % und 2015 19,5 % zu den CH_4-Gesamtemissionen aus der deutschen Landwirtschaft bei.

Die gesamten direkten N_2O-Emissionen aus dem Bereich Wirtschaftsdünger (incl. Wirtschaftsdünger-Gärreste) nahmen zwischen 1990 und 2015 um 27,1 % ab. Die Gründe sind im Wesentlichen die gleichen wie bei CH_4, siehe oben. Die N_2O-Emissionen aus dem Sektor 3.B trugen 1990 11,4 % und 2015 8,9 % zu den N_2O-Gesamtemissionen aus der deutschen Landwirtschaft bei.

Die dem Bereich Wirtschaftsdünger (incl. Wirtschaftsdünger-Gärreste) zugeschriebenen indirekten N_2O-Emissionen sanken von 1990 bis 2015 um 17,0 %. Der Anteil an den N_2O-Gesamtemissionen aus der deutschen Landwirtschaft ging leicht zurück: 1990 3,7 %, 2015 3,3 %.

Die gesamten NMVOC-Emissionen aus dem Wirtschaftsdünger-Management betrugen 1990 271,4 kt a^{-1} im Jahr und sanken um 26,8 % auf 198,6 kt a^{-1} im Jahr 2015.

5.3.2 Methan-Emissionen aus dem Wirtschaftsdünger-Management (3.B, CH_4)

5.3.2.1 Beschreibung der Quellgruppe (3.B, CH_4)

Siehe Kapitel 5.3.1.

5.3.2.2 Methodische Aspekte (3.B, CH_4)

5.3.2.2.1 Methodik (3.B, CH_4)

Die CH_4-Emissionen werden für alle Tierkategorien nach der Tier-2-Methode berechnet:

Gleichung 13: Berechnung der CH_4-Gesamtemission aus dem Wirtschaftsdünger-Management

$$E_{\mathrm{CH4,MM}} = \sum_{\mathrm{i,\,j}} n_{\mathrm{i}} \cdot EF_{\mathrm{i,\,j}} = \sum_{\mathrm{i,\,j}} n_{\mathrm{i}} \cdot \alpha \cdot \rho_{\mathrm{CH4}} \cdot VS_{\mathrm{i}} \cdot B_{\mathrm{o,i}} \cdot MS_{\mathrm{i,\,j}} \cdot MCF_{\mathrm{i,\,j}}$$

mit

$E_{\mathrm{CH4,\,MM}}$	Methan-Gesamtemission aus dem Wirtschaftsdünger-Management (in kg a^{-1} CH_4)
n_{i}	Anzahl der Tierplätze in Tierkategorie i (in Platz)
$EF_{\mathrm{i,\,j}}$	Methan-Emissionsfaktor für Tierkategorie i in Wirtschaftsdünger-Management-System j (in kg Platz^{-1} a^{-1} CH_4)
α	Faktor zur Umwandlung der Zeiteinheiten (α = 365 d a^{-1})
ρ_{CH4}	Dichte von Methan (ρ_{CH4} = 0,67 kg m^{-3})
VS_{i}	VS-Ausscheidung von Tierkategorie i (in kg Platz^{-1} d^{-1})
$B_{\mathrm{o,\,i}}$	Maximale Methanproduktionskapazität von Tierkategorie i (in m^3 kg^{-1} CH_4)
$MS_{\mathrm{i,\,j}}$	relativer Anteil der Anzahl der Haltungsplätze von Tierkategorie i, deren Exkremente in Wirtschaftsdünger-Management-System j anfallen (in Platz Platz^{-1})
$MCF_{\mathrm{i,\,j}}$	Methan-Umwandlungsfaktor für Wirtschaftsdünger-Management-System j (in m^3 m^{-3}) [88]

Für die Tierplatzzahlen n_{i} wird auf Kapitel 5.3.2.2.1 verwiesen. Die VS-Ausscheidungen werden in Kapitel 5.1.3.5 beschrieben. Zu den Häufigkeiten von Lagerverfahren für Festmist, Flüssigmist und Gärreste sowie der Weidedauer siehe Kapitel 5.1.3.6.1 und 19.3.1. Auf maximale Methan-Bildungsrate B_0 und Methan-Umwandlungsfaktoren *MCF* gehen die Kapitel 5.1.3.6.3 und 5.1.3.6.4

[88] IPCC gibt den *MCF* in Prozent (von B_0) an; im deutschen Inventar wird die eindeutigere Einheit m^3 m^{-3} verwendet.

ein. Die Vergärung von Wirtschaftsdünger einschließlich Gärrestelagerung wird von IPCC als eigenständiger Lagertyp angesehen, zu dessen B_0 und *MCF* auf Kapitel 5.1.3.6.5 verwiesen wird.

5.3.2.2.2 Emissionsfaktoren (3.B,CH_4)

Tabelle 259 zeigt die Zeitreihen der auf den Tierplatz bezogenen Emissionsfaktoren. Sie wurden nach Gleichung 13 in Kapitel 5.3.2.2.1 berechnet. Der Effekt der Emissionsminderung durch die Vergärung von Wirtschaftsdünger ist in den Emissionsfaktoren enthalten. Abweichungen gegenüber der Resubmission 2016 sind die Folge der Änderungen bei den tierischen Leistungsdaten (siehe Kapitel 5.1.3.3) und den Aktivitätsdaten zur Wirtschaftsdünger-Vergärung (siehe Kapitel 5.1.3.6.5).

Tabelle 259: Tierplatzbezogene CH_4-Emissionsfaktoren, Wirtschaftsdünger-Management (3.B(a))

[kg Platz^{-1} a^{-1}]	1990	1995	2000	2005	2006	2007	2008	2009	2010	2011	2012	2013	2014	2015
Milchkühe	16,7	21,3	22,5	23,4	23,2	22,9	22,6	22,4	22,0	21,4	21,2	20,7	20,7	20,8
übrige Rinder	7,9	8,0	8,1	8,0	7,9	7,8	7,6	7,5	7,4	7,2	7,1	7,0	7,0	6,9
Schweine	4,1	4,4	4,5	4,4	4,4	4,3	4,2	4,2	4,1	4,1	4,1	4,1	4,1	4,1
Schafe	0,21	0,21	0,21	0,21	0,21	0,21	0,21	0,21	0,21	0,21	0,21	0,21	0,21	0,21
Ziegen	0,22	0,22	0,22	0,22	0,22	0,22	0,22	0,22	0,22	0,22	0,22	0,22	0,22	0,22
Pferde	2,5	2,5	2,6	2,6	2,6	2,6	2,6	2,6	2,6	2,6	2,6	2,6	2,6	2,6
Geflügel	0,031	0,030	0,032	0,035	0,035	0,036	0,036	0,036	0,037	0,035	0,034	0,033	0,033	0,032

5.3.2.2.3 Emissionen (CRF 3.B, CH_4)

Tabelle 260 zeigt die berechneten CH_4-Gesamtemissionen aus dem Wirtschaftsdünger-Management.

Tabelle 260: CH_4-Emissionen aus dem Wirtschaftsdünger-Management(3.B(a))

	1990	1995	2000	2005	2006	2007	2008	2009	2010	2011	2012	2013	2014	2015
[kt a^{-1}]	322,92	291,42	287,18	275,08	266,88	265,55	265,12	263,86	253,87	249,62	251,85	250,22	251,76	248,05

Es ergibt sich von 1990 bis 2015 eine Abnahme von 74,9 kt a^{-1} (23,2 %). Der zeitliche Verlauf ist im Wesentlichen eine Folge der Entwicklung der Tierzahlen (siehe Kapitel 5.1.3.2), modifiziert durch emissionssteigernden Leistungszuwachs (siehe Kapitel 5.1.3.2.4) und eine zunehmende Emissionseinsparung aufgrund von Wirtschaftsdünger-Vergärung, siehe Tabelle 262 weiter unten.

Tabelle 261 zeigt die Emissionsbeiträge von Milchkühen, übrigen Rindern und Schweinen. Diese Tierkategorien verursachen 98,3 % (1990) bis 97,0 % (2015) der Emission aus dem Wirtschaftsdüngermanagement. Das Verhältnis zwischen Rinder- und Schweinehaltung liegt bei rund 2:1 für 1990 und 1,6:1 für 2015.

Tabelle 261: CH_4-Emissionen aus dem Wirtschaftsdünger-Management für Milchkühe, übrige Rinder und Schweine

[kt a^{-1}]	1990	1995	2000	2005	2006	2007	2008	2009	2010	2011	2012	2013	2014	2015
Milchkühe	105,9	111,1	102,7	99,0	94,6	93,4	95,3	94,0	92,2	89,7	88,7	88,4	88,9	89,0
übrige Rinder	104,1	85,3	80,4	70,1	68,4	67,0	66,9	66,0	63,6	59,8	59,0	59,3	58,8	57,8
Schweine	107,4	89,3	98,3	99,9	97,6	98,5	96,4	97,4	91,7	93,3	97,0	95,1	96,6	93,7

Die durch Wirtschaftsdünger-Vergärung eingesparten CH_4-Emissionen gehen aus Tabelle 262 hervor. Ohne Vergärung wären sie zusätzlich zu den in Tabelle 260 angegeben Mengen emittiert worden. Daraus resultiert die in Tabelle 262 zusätzlich angegebene Zeitreihe des prozentualen Minderungseffekts durch Vergärung.

Tabelle 262: Durch Wirtschaftsdünger-Vergärung verursachte absolute und prozentuale Einsparung von CH_4-Emissionen gegenüber einer Situation ohne Vergärung und Gärrestelagerung

	1990	1995	2000	2005	2006	2007	2008	2009	2010	2011	2012	2013	2014	2015
[kt a^{-1}]	0,01	0,1	0,7	6,5	9,5	13,7	16,6	21,3	26,6	32,7	35,8	40,1	41,9	42,0
[%]	0,0	0,0	0,2	2,3	3,4	4,9	5,9	7,5	9,5	11,6	12,4	13,8	14,3	14,5

5.3.2.3 Unsicherheiten und Zeitreihenkonsistenz (3.B, CH_4)

Hinsichtlich der Unsicherheiten im Bereich der Methan-Emissionen aus dem Wirtschaftsdünger-Management wird auf Tabelle 249 in Kapitel 5.1.6 (Gesamt-Unsicherheit des deutschen THG-Inventars) verwiesen.

Die Emissionszeitreihen sind konsistent, da sie für alle Jahre des Berichtszeitraumes jeweils mit dergleichen Methode berechnet wurden und die Eingangsdaten ebenfalls konsistent und vollständig sind.

5.3.2.4 Quellenspezifische Qualitätssicherung/-kontrolle und Verifizierung (3.B, CH_4)

Zu Qualitätskontrolle und Qualitätssicherung wird auf Kapitel 5.1.7 verwiesen.

Im Rahmen der Verifizierung wurden analog zur Vorgehensweise in Kapitel 5.2.4 die für 2014 erhaltenen Ergebnisse und Eingangsdaten mit denen benachbarter Staaten sowie des Vereinigten Königreiches von 2014 (Submission 2016 für 2014, UNFCCC 2016) verglichen.

Tabelle 263 zeigt für Milchkühe den IEF für CH_4 aus dem Wirtschaftsdünger-Management und wichtige Einflussgrößen. Entsprechend der CRF-Vorgabe beziehen sich die prozentualen Anteile von Flüssigmistsystemen und die entsprechenden MCF-Werte nur auf Flüssigmistsysteme, deren Gülle nicht in einer Biogasanlage vergoren wird.

Deutschland liegt mit dem IEF in der Größenordnung der IPCC-Defaultwertspanne und damit im mittleren Bereich der verglichenen Länder, obwohl die berechnete tägliche VS-Ausscheidung pro Tierplatz das untere Ende der Skala markiert. Ein wesentlicher Grund für diese scheinbare Diskrepanz ist, dass der deutsche MCF von Flüssigsystemen deutlich über dem Mittelwert der verglichenen Länder liegt. Nur Polen und Belgien weisen - durch die Verwendung von IPCC-Defaultwerten - noch höhere MCF-Werte auf.

Tabelle 263: CH_4-Emissionen aus der Lagerung von Wirtschaftsdüngern bei Milchkühen verschiedener Länder im Vergleich des impliziten Emissionsfaktors (IEF) und wichtiger emissionsrelevanter Parameter für das Jahr 2014

	IEF_{CH4}	**VS-Ausscheidungen**	**Flüssigmistsysteme (ohne Vergärung)**	
			Häufigkeit	**mittlerer MCF**
	[kg Platz^{-1} a^{-1}]	**[kg Platz^{-1} d^{-1}]**	**[%]**	**[%]**
Österreich	11,86	4,91	32,20	8,72
Belgien	28,35	5,09	46,15	19,00
Tschechische Republik	21,78	6,19	27,00	NO
Dänemark [a]	30,40	6,66	79,99	6,97
Frankreich	23,30	4,15	n/a	n/a
Deutschland	**20,70**	**4,04**	**52,77**	**15,28**
Niederlande	41,55	4,70	83,42	NA
Polen	11,64	5,71	10,53	17,00
Schweiz	26,93	4,80	66,08	13,67
Vereinigtes Königreich	17,52	4,51	37,02	11,40
IPCC (2006a)-10.38, 10.77, Western Europe, cool region 10°C/11°C	21 bis 23	5,1	35,7	17 bis 19

Quelle: Deutschland: Submission 2017; andere Länder: UNFCCC, 2016;

n/a: keine Angabe

[a] Dänemark einschließlich Grönland, ohne Färöer-Inseln

Tabelle 264 zeigt für die übrigen Rinder den IEF für CH4 aus dem Wirtschaftsdünger-Management und wichtige Einflussgrößen. Der deutsche IEF liegt ungefähr auf dem Niveau des Mittelwertes aller Länder. Die große Schwankungsbreite der IEF-Werte kann, außer auf unterschiedliche VS-Ausscheidungen und MCF-Werte, vor allem darauf zurückgeführt werden, dass es eine sehr unterschiedlich starke Verbreitung von Flüssigmist-Systemen gibt. Deutschland liegt auch hier im mittleren Bereich. Wie bei den Milchkühen markiert die deutsche VS-Ausscheidung die Untergrenze der Wertespanne der Vergleichsländer.

Aus Tabelle 265 geht hervor, dass auch bei den Schweinen der deutsche IEF für CH4 aus dem Wirtschaftsdünger-Management im mittleren Bereich liegt, wenn auch etwas unter dem Mittelwert aller Vergleichsländer.

Tabelle 264: CH_4-Emissionen aus der Lagerung von Wirtschaftsdüngern bei übrigen Rindern verschiedener Länder im Vergleich des impliziten Emissionsfaktors (IEF) und wichtiger emissionsrelevanter Parameter für das Jahr 2014

	IEF_{CH4}	VS-Ausscheidungen	Flüssigmistsysteme (ohne Vergärung)	
			Häufigkeit	mittlerer MCF
	[kg Platz^{-1} a^{-1} CH_4]	[kg Platz^{-1} d^{-1}]	[%]	[%]
Österreich	5,01	2,17	24,73	8,47
Belgien	3,49	1,69	18,84	19,00
Tschechische Republik	9,09	2,82	42,00	NO
Dänemark [a]	12,83	3,28	31,12	6,97
Frankreich	5,20	1,91	n/a	n/a
Deutschland	**6,96**	**1,37**	**31,73**	**15,36**
Niederlande [b]	8,60	n/c	66,43	n/c
Polen	2,16	2,09	5,06	17,00
Schweiz [b]	7,99	2,48	44,74	13,67
Vereinigtes Königreich [c]	8,83	2,95	10,06	11,40
IPCC (2006a)-10.38, 10.77, Western Europe, cool region 10°C/11°C	6 bis 7	2,6	25,2	17 bis 19

Quelle: Deutschland: Submission 2017; andere Länder: UNFCCC, 2016;

n/a: keine Angabe; n/c: kann nicht berechnet werden

[a] Dänemark einschließlich Grönland, ohne Färöer-Inseln

[b] berechnet aus CRF-Daten

[c] Vereinigtes Königreich: Rinder ohne Milchkühe und ohne Milchkuh-Nachzucht (incl. Kälber)

Tabelle 265: CH_4-Emissionen aus der Lagerung von Wirtschaftsdüngern bei Schweinen verschiedener Länder im Vergleich des impliziten Emissionsfaktors (IEF) und wichtiger emissionsrelevanter Parameter für das Jahr 2014

	IEF_{CH4}	VS-Ausscheidungen	Flüssigmistsysteme (ohne Vergärung)	
			Häufigkeit	mittlerer MCF
	[kg Platz^{-1} a^{-1} CH_4]	[kg Platz^{-1} d^{-1}]	[%]	[%]
Österreich	1,18	0,27	75,28	3,39
Belgien	4,48	0,22	96,79	19,00
Tschechische Republik	6,00	NA	76,00	NO
Dänemark [a]	4,36	0,19	NO	16,66
Frankreich	4,74	n/a	n/a	n/a
Deutschland	**4,08**	**0,30**	**78,22**	**22,17**
Niederlande	6,77	3,70	99,01	NA
Polen	1,99	0,50	24,81	17,00
Schweiz	4,33	0,31	89,31	13,67
Vereinigtes Königreich	5,21	n/a	n/a	n/a
IPCC (2006a)-10.80, 10.81, Western Europe, cool region 10°C/11°C	Sau, Eber: 9 bis 10 übrige: 6	Sau, Eber: 0,46 übrige: 0,30		17 bis 19

Quelle: Deutschland: Submission 2017; andere Länder: UNFCCC, 2016;

n/a: keine Angabe

[a] Dänemark einschließlich Grönland, ohne Färöer-Inseln

Tabelle 266 zeigt für Geflügel den mittleren IEF, die mittlere VS-Ausscheidung und als Indikator für Energiebedarf und damit Futteraufnahme und Ausscheidungen das mittlere Tiergewicht. Allerdings liegen bei den VS-Ausscheidungen und dem mittleren Tiergewicht nur für wenige

Länder Daten vor. Die deutsche VS-Ausscheidung liegt in realistischer Weise auf dem Niveau von Dänemark und den Niederlanden. Das mittlere deutsche Geflügelgewicht liegt zwischen den von Belgien und Tschechien/Dänemark angegebenen Werten.

Tabelle 266: CH_4-Emissionen aus der Lagerung von Wirtschaftsdüngern bei Geflügel verschiedener Länder im Vergleich des impliziten Emissionsfaktors (IEF) und wichtiger emissionsrelevanter Parameter für das Jahr 2014

	IEF_{CH4} [kg Platz^{-1}a^{-1}CH_4]	VS-Ausscheidungen [kg Platz^{-1}d^{-1}]	mittleres Tiergewicht [kg Tier^{-1}]
Österreich	0,026	NA	NA
Belgien	0,024	NE	1,56
Tschechische Republik	0,173	NA	2,00
Dänemark	0,028	0,02	2,00
Frankreich	n/a	n/a	n/a
Deutschland	**0,033**	**0,024**	**1,69**
Niederlande	0,027	0,022	n/a
Polen	0,028	NA	NA
Schweiz	0,017	0,01	NA
Vereinigtes Königreich	0,020	0,01	NE
IPCC (2006a)-10.82, W-Europe, cool region, developed countries	0,02 bis 0,09	0,01 bis 0,07	0,9 bis 6,8

Quelle: Deutschland: Submission 2017; andere Länder: UNFCCC, 2016;
n/a: keine Angabe

5.3.2.5 Quellenspezifische Rückrechnungen (3.B, CH_4)

Tabelle 267 und Tabelle 268 zeigen VS-Ausscheidung und Emissionsfaktor für Milchkühe, übrige Rinder, Schweine und Geflügel. Die durch Änderungen bei den tierischen Leistungsdaten (siehe Kapitel 5.1.3.3) und den Aktivitätsdaten zur Wirtschaftsdünger-Vergärung (siehe Kapitel 5.1.3.6.5) verursachten Veränderungen gegenüber Resubmission 2016 sind so gering, dass sie wegen der in den nachfolgenden Tabellen gewählten Zahlendarstellung nur im Einzelfall zu erkennen sind.

Tabelle 267: Vergleich der 2017 und 2016 berichteten VS-Ausscheidungen (3.B(a))

[kg Platz^{-1}d^{-1}]	1990	1995	2000	2005	2006	2007	2008	2009	2010	2011	2012	2013	2014	2015
Milchkühe 2017	3,47	3,63	3,78	3,90	3,91	3,94	3,90	3,94	3,97	3,99	4,01	4,01	4,04	4,06
Milchkühe 2016	3,47	3,63	3,78	3,90	3,91	3,94	3,90	3,94	3,97	3,99	4,01	4,01	4,04	
übrige Rinder 2017	1,37	1,40	1,43	1,40	1,40	1,40	1,39	1,39	1,39	1,38	1,37	1,38	1,37	1,37
übrige Rinder 2016	1,37	1,40	1,43	1,40	1,40	1,40	1,39	1,39	1,39	1,38	1,37	1,38	1,37	
Schweine 2017	0,264	0,278	0,284	0,287	0,289	0,289	0,290	0,294	0,294	0,295	0,297	0,299	0,302	0,302
Schweine 2016	0,264	0,278	0,284	0,288	0,289	0,289	0,290	0,294	0,293	0,295	0,297	0,299	0,300	
Geflügel 2017	0,0225	0,0218	0,0233	0,0255	0,0255	0,0261	0,0262	0,0264	0,0271	0,0263	0,0254	0,0242	0,0243	0,0241
Geflügel 2016	0,0225	0,0218	0,0233	0,0255	0,0255	0,0261	0,0262	0,0264	0,0271	0,0263	0,0254	0,0242	0,0242	

Tabelle 268: Vergleich der im 2017 und 2016 berichteten tierplatzbezogenen CH_4-Emissionsfaktoren für das Wirtschaftsdünger-Management (3.B(a))

[kg Platz^{-1} a^{-1}]	1990	1995	2000	2005	2006	2007	2008	2009	2010	2011	2012	2013	2014	2015
Milchkühe 2017	16,7	21,3	22,5	23,4	23,2	22,9	22,6	22,4	22,0	21,4	21,2	20,7	20,7	20,8
Milchkühe 2016	16,7	21,3	22,5	23,4	23,2	22,9	22,6	22,4	22,0	21,4	21,2	20,7	20,6	
übrige Rinder 2017	7,93	8,01	8,07	7,97	7,89	7,78	7,65	7,55	7,37	7,17	7,09	7,04	6,96	6,92
übrige Rinder 2016	7,93	8,01	8,07	7,97	7,89	7,78	7,65	7,55	7,37	7,17	7,09	7,04	6,93	
Schweine 2017	4,05	4,38	4,52	4,39	4,35	4,29	4,25	4,23	4,12	4,09	4,10	4,07	4,08	4,08
Schweine 2016	4,05	4,38	4,52	4,39	4,35	4,28	4,25	4,23	4,12	4,09	4,10	4,06	4,03	
Geflügel 2017	0,0314	0,0302	0,0321	0,0348	0,0348	0,0355	0,0356	0,0358	0,0366	0,0354	0,0341	0,0325	0,0325	0,0323
Geflügel 2016	0,0314	0,0302	0,0321	0,0348	0,0348	0,0355	0,0356	0,0358	0,0366	0,0354	0,0341	0,0325	0,0324	

Tabelle 269: Vergleich der 2017 und 2016 berichteten CH_4-Emissionen aus dem Wirtschaftsdünger-Management (3.B(a))

[kt a^{-1}]	1990	1995	2000	2005	2006	2007	2008	2009	2010	2011	2012	2013	2014	2015
alle Tiere 2017	322,9	291,4	287,2	275,1	266,9	265,6	265,1	263,9	253,9	249,6	251,8	250,2	251,8	248,0
alle Tiere 2016	322,9	291,4	287,2	275,2	266,8	265,5	265,1	263,9	253,7	249,6	251,8	250,2	249,8	
Milchkühe 2017	105,9	111,1	102,7	99,0	94,6	93,4	95,3	94,0	92,2	89,7	88,7	88,4	88,9	89,0
Milchkühe 2016	105,9	111,1	102,7	99,0	94,6	93,4	95,3	94,0	92,2	89,7	88,7	88,4	88,5	
übrige Rinder 2017	104,1	85,3	80,4	70,1	68,4	67,0	66,9	66,0	63,6	59,8	59,0	59,3	58,8	57,8
übrige Rinder 2016	104,1	85,3	80,4	70,1	68,4	67,0	66,9	66,0	63,6	59,8	59,0	59,3	58,5	
Schweine 2017	107,4	89,3	98,3	99,9	97,6	98,5	96,4	97,4	91,7	93,3	97,0	95,1	96,6	93,7
Schweine 2016	107,4	89,3	98,3	100,0	97,6	98,5	96,4	97,4	91,5	93,3	97,0	95,1	95,4	
Geflügel 2017	3,58	3,36	3,86	4,20	4,34	4,56	4,57	4,61	4,71	5,13	5,49	5,77	5,86	5,93
Geflügel 2016	3,58	3,36	3,86	4,20	4,34	4,56	4,57	4,61	4,71	5,13	5,49	5,76	5,85	

5.3.2.6 Geplante Verbesserungen (3.B, CH_4)

Im Sektor 5.B.2 "Biowaste treatment - digesters" werden ebenfalls CH_4-Emissionen aus Wirtschaftsdüngereinsatz berichtet. Um eine Doppelzählung von Emissionen für die Sektoren Abfall und Landwirtschaft auszuschließen, werden die Daten und Stoffströme zwischen diesen Sektoren für die Submission 2018 detaillierter analysiert.

Sofern in vorhergehenden Berichterstattungen in diesem Kapitel Verbesserungen benannt wurden, sind diese in Form einer Übersicht unter Kapitel 10.4 Verbesserungen des Inventars, Tabelle 426 zu finden. Sind diese bereits erledigt, sind sie im selben Kapitel in Tabelle 425 abgebildet.

5.3.3 NMVOC-Emissionen aus dem Wirtschaftsdünger-Management

5.3.3.1 Beschreibung der Quellgruppe (NMVOC)

Siehe Kapitel 5.3.1.

5.3.3.2 Methodische Aspekte (NMVOC)

5.3.3.2.1 Methodik (NMVOC)

IPCC (2006a) gibt keine Methode zur Berechnung von NMVOC-Emissionen aus dem Wirtschaftsdünger-Management an. EMEP (2013) stellt Methoden und die dazugehörigen

Parameter bereit. Deutschland verwendet das Tier-1-Verfahren (EMEP (2013)-3B-13 ff). Die Berechnung erfolgt getrennt nach Tierkategorien.

Gleichung 14: Tier-1-Verfahren zur Berechnung der jährlichen NMVOC-Emissionen aus dem Wirtschaftsdünger-Management

$$E_{\text{NMVOC, MM, i}} = n_{\text{i}} \cdot EF_{\text{NMVOC, MM, i}}$$

mit

$E_{\text{NMVOC, MM, i}}$	NMVOC-Emissionen aus dem Wirtschaftsdünger-Management von Tierkategorie i (in kg a^{-1})
n_{i}	Anzahl von Tierplätzen in Tierkategorie i (in Platz)
$EF_{\text{NMVOC, MM, i}}$	NMVOC-Emissionsfaktor für Tierkategorie i (in kg $Platz^{-1}$ a^{-1})

5.3.3.2.2 Emissionsfaktoren (NMVOC)

EMEP (2013)-3B-16, Table 3.3, gibt unterschiedliche Emissionsfaktoren für Fütterung mit und ohne Silage an. Für Rinder und Pferde werden davon im deutschen Inventar die Emissionsfaktoren für Silagefütterung angenommen, für die übrigen Tiere die Faktoren für eine Fütterung ohne Silage.

In konservativer Weise wird für Eber der Emissionsfaktor von Sauen und für Aufzuchtferkel der von Mastschweinen übernommen.

Der in EMEP (2013) angegebene Emissionsfaktor für Schafe wird als Emissionsfaktor für erwachsene Schafe interpretiert. Nach RÖSEMANN et al. (2017) wird der Emissionsfaktor für Lämmer mit 40 % des Emissionsfaktors für erwachsene Schafe angesetzt.

Der in EMEP (2013) angegebene Emissionsfaktor für Pferde wird als Emissionsfaktor für Großpferde interpretiert. Für Kleinpferde und Ponys wird der in EMEP (2013) angegebene Emissionsfaktor für Esel und Maultiere verwendet.

Wegen der Ähnlichkeit des Haltungsverfahrens wird für Junghennen der Emissionsfaktor von Masthähnchen übernommen.

Tabelle 270 zeigt die Liste der im Inventar verwendeten Emissionsfaktoren.

Tabelle 270: Im Inventar verwendete NMVOC-Emissionsfaktoren nach EMEP (2013)

[kg $Platz^{-1}$ a^{-1}]	EF_{NMVOC}
Milchkühe	17,937
übrige Rinder	8,902
Sauen, Eber	1,704
Mastschweine, Aufzuchtferkel	0,551
erwachsene Schafe	0,169
Lämmer	0,068
Ziegen	0,542
Großpferde	7,781
Kleinpferde und Ponys	3,018
Legehennen	0,165
Masthähnchen, Junghennen	0,108
Gänse, Enten und Puten	0,489

5.3.3.2.3 Emissionen (NMVOC)

Die unter CRF 3s1 zu berichtenden NMVOC-Emissionen aus dem Wirtschaftsdünger-Management gehen aus Tabelle 271 hervor. Aufgrund der verwendeten Tier-1-Methodik (siehe Kapitel

5.3.3.2.1) spiegeln die Zeitreihen direkt die Entwicklung der Tierzahlen (siehe Kapitel 5.1.3.2.3) wieder.

Die Gesamtemission nimmt von 271,4 kt a^{-1} im Jahr 1990 um 26,8 % auf 198,6 kt a^{-1} im Jahr 2015 ab. Der Anteil der Rinder an der Gesamtemission sinkt von 85,1 % im Jahr 1990 auf 76,1 % im Jahr 2015, während der Anteil des Geflügels von 6,8 % auf 14,7 % steigt. Damit liegt der Beitrag aller übrigen Tierkategorien zusammen auf niedrigem Niveau (1990: 8,2 %; 2015: 9,2 %).

Tabelle 271: NMVOC-Emissionen aus dem Wirtschaftsdünger-Management

[kt a^{-1}]	1990	1995	2000	2005	2006	2007	2008	2009	2010	2011	2012	2013	2014	2015
insgesamt	**271,4**	**225,6**	**209,3**	**193,9**	**190,5**	**191,0**	**194,3**	**193,9**	**191,7**	**191,7**	**194,1**	**198,4**	**199,7**	**198,6**
Milchkühe	114,0	93,8	82,0	76,0	73,2	73,0	75,7	75,4	75,0	75,2	75,2	76,5	77,1	76,9
übrige Rinder	116,9	94,9	88,7	78,3	77,2	76,7	77,9	77,8	76,8	74,2	74,1	74,9	75,2	74,3
Schweine	18,4	14,2	15,0	15,5	15,3	15,6	15,3	15,4	14,9	15,1	15,5	15,3	15,4	15,0
Schafe	0,43	0,39	0,36	0,35	0,34	0,33	0,32	0,31	0,30	0,26	0,26	0,25	0,25	0,25
Ziegen	0,05	0,05	0,08	0,09	0,10	0,10	0,10	0,12	0,08	0,08	0,07	0,07	0,07	0,06
Pferde	3,2	4,1	3,3	3,4	3,5	3,7	3,5	3,3	3,1	3,1	3,1	3,1	3,1	3,1
Geflügel	18,3	18,1	19,8	20,3	20,9	21,5	21,5	21,6	21,6	23,8	26,0	28,2	28,7	29,1

5.3.3.3 Unsicherheiten und Zeitreihenkonsistenz (NMVOC)

Nach EMEP (2013)-3B-33 kann das Berechnungsverfahren lediglich als ein erster Ansatz zur Schätzung von NMVOC-Emissionen aus der Tierhaltung gelten. Die damit verbundene Unsicherheit wird als sehr hoch eingeschätzt; eine Quantifizierung wird durch EMEP (2013) nicht vorgenommen.

Die Emissionszeitreihen sind konsistent, da sie für alle Jahre des Berichtszeitraumes jeweils mit der gleichen Methode berechnet wurden und die Eingangsdaten ebenfalls konsistent und vollständig sind.

5.3.3.4 Quellenspezifische Qualitätssicherung/-kontrolle und Verifizierung (NMVOC)

Zu Qualitätskontrolle und Qualitätssicherung wird auf Kapitel 5.1.7 verwiesen.

5.3.3.5 Quellenspezifische Rückrechnungen (NMVOC)

Die in Kapitel 5.3.3.2.3 dargestellte Zeitreihe der NMVOC- Emissionen wurde mit der gegenüber der Resubmission 2016 unveränderten Methodik berechnet. Die NMVOC-Emissionen der Jahre 1990 bis 2014 stimmen mit denen in der Resubmission 2016 überein.

5.3.3.6 Geplante Verbesserungen (NMVOC)

Derzeit sind keine Verbesserungen geplant.

5.3.4 Direkte N_2O- und NO-Emissionen aus dem Wirtschaftsdünger-Management (3.B, N_2O & NO)

5.3.4.1 Beschreibung der Quellgruppe (3.B, N_2O_{direkt} & NO)

Siehe Kapitel 5.3.1.

5.3.4.2 Methodische Aspekte (3.B, N_2O_{direkt} & NO)

5.3.4.2.1 Methodik (3.B, N_2O_{direkt} & NO)

Die Berechnung der N_2O-Emissionen aus dem Wirtschaftsdünger-Management erfolgt für alle Tierkategorien getrennt unter Berücksichtigung der gegebenen Managementsysteme (einschließlich der Wirtschaftsdünger-Vergärung, siehe Kapitel 5.1.3.6.5):

Gleichung 15: Berechnung der N_2O-Emissionen aus dem Wirtschaftsdünger-Management

$$E_{N2O\text{-}N} = \sum_{i,j} [(N_{excr,\,i} + N_{straw,\,i,\,j}) \cdot MS_{i,\,j}] \cdot EF_{N2O\text{-}N,\,j}$$

mit:

$E_{N2O\text{-}N}$	Gesamte N_2O-N-Emissionen aus dem Wirtschaftsdünger-Management (kg a^{-1} N_2O-N)
$N_{excr,\,i}$	Gesamte N-Ausscheidung der Tierkategorie i (kg a^{-1} N)
$N_{straw,\,i,\,j}$	N-Eintrag durch Einstreu für Tierkategorie i und Wirtschaftsdünger-Managementsystem j (kg a^{-1} N)
$MS_{i,\,j}$	relativer Anteil des Wirtschaftsdünger-Managementsystems j in Tierkategorie i (Platz $Platz^{-1}$)
$EF_{N2O\text{-}N,\,j}$	N_2O-N-Emissionsfaktor für Wirtschaftsdünger-Managementsystem j (kg kg^{-1} N_2O-N)

Zu Gesamt-N-Ausscheidungen und Gesamt-N-Einträgen durch Einstreu siehe Kapitel 5.1.3.4 und 5.1.3.6.2. Zu den relativen Häufigkeiten der Wirtschaftsdünger-Managementsysteme siehe Kapitel 5.1.3.6.1 und 19.3.2.

Die NO-Emissionen aus dem Wirtschaftsdünger-Management werden analog zu den N_2O-Emissionen berechnet.

N_2O- und NO-Emissionen infolge von Wirtschaftsdüngerausbringung und Weidegang werden unter 3.D berichtet.

5.3.4.2.2 Emissionsfaktoren (3.B, N_2O_{direkt} & NO)

Für die Güllelagerung werden, soweit vorhanden, die in IPCC(2006a)-10.62 angegebenen Default-Emissionsfaktoren verwendet (Außenlager ohne Abdeckung = Außenlager ohne natürliche Schwimmdecke, Außenlager mit natürlicher Schwimmdecke, Lagerung unterhalb Spaltenboden). Für die in IPCC (2006a) nicht genannte Güllelagerung mit fester Abdeckung oder mit künstlicher Schwimmdecke (Häcksel) wird konservativ der Emissionsfaktor der Außenlagerung mit natürlicher Schwimmdecke übernommen. Für die in IPCC (2006a) ebenfalls nicht genannte Güllelagerung unter Folienabdeckung wird angenommen, dass der Emissionsfaktor der Außenlagerung ohne natürliche Schwimmdecke übernommen werden kann.

Bei Festmistsystemen wird nach Anbindehaltung/Laufstall (mit Lagerung im Misthaufen) und Tiefstreu differenziert. Für die Lagerung von Festmist aus Anbindehaltung/Laufstall wird der von VANDRÉ et al. (2013) abgeleitete Emissionsfaktor eingesetzt: 0,013 kg N_2O-N (kg N)$^{-1}$. Im Hinblick auf Tiefstreu-Haltung kennt die landwirtschaftliche Praxis in Deutschland keine aktive Durchmischung (Expertenurteil Brigitte Eurich-Menden, KTBL, 2016; siehe RÖSEMANN et al., 2017). Daher wird der IPCC-Defaultwert für „Cattle and swine deep bedding/no mixing“ verwendet: 0,010 kg N_2O-N (kg N)$^{-1}$ (IPCC(2006a)-10.63).

Für Geflügelkot basieren die Inventarberechnungen auf dem IPCC (2006a)-Default-Emissionsfaktor: 0,001 kg N_2O-N (kg N)$^{-1}$ (IPCC(2006a)-10.63).

Die Vergärung von Wirtschaftsdünger einschließlich Gärrestelagerung wird von IPCC (2006a)-10.63 als eigenständiger Lagertyp angesehen. Der IPCC-Defaultwert für den N_2O-Emissionsfaktor (0 kg kg^{-1}) wird im deutschen Inventar allerdings nicht verwendet, da die entsprechenden N_2O-Emissionen differenziert für verschiedene Wirtschaftsdünger- und Gärrestelagerarten berechnet werden, siehe Kapitel 5.1.3.6.5.

Tabelle 272 fasst die für die vorliegende Submission 2017 verwendeten N_2O-N-Emissionsfaktoren zusammen.

Tabelle 272: Emissionsfaktoren für Emissionen von N_2O-N aus dem Wirtschaftsdünger-Management, ohne Vergärung (bezogen auf die Summe von ausgeschiedenem N und Einstreu-N) (3.B(b))

Wirtschaftsdünger		Emissionsfaktor [kg kg^{-1}]
Gülle	Außenlager ohne Abdeckung [a]	0,000
	feste Abdeckung [b]	0,005
	natürliche Schwimmdecke [a]	0,005
	Schwimmdecke (Häcksel) [b]	0,005
	Schwimmdecke (Folie) [c]	0,000
	unterhalb Spaltenboden [a]	0,002
Jauche [d]	feste Abdeckung	0,005
Festmist [e]		0,013
Tiefstreu [a]		0,010
Geflügelfestmist bzw. –kot [a]		0,001

[a] Quelle: IPCC (2006a)
[b] Worst-Case-Annahme: Wie natürliche Schwimmdecke, da keine Angaben verfügbar.
[c] Annahme: Bei Folienschwimmdecken tritt keine N_2O-Bildung auf.
[d] Annahme: Vergleichbar mit Lagerung von Gülle unter fester Abdeckung
[e] Quelle: VANDRÉ et al. (2013)

IPCC (2006a) gibt keine Emissionsfaktoren für NO an. Die in EMEP (2009)-4B-16 (siehe auch EMEP (2013)-3B-15) angegebenen Tier-1-Emissionsfaktoren beziehen sich auf den Tierplatz und können daher nicht im Inventarmodell GAS-EM verwendet werden, das im Rahmen des N-Fluss-Konzeptes (siehe Kapitel 5.1.2.4) Emissionsfaktoren benötigt, die sich auf die emissionsrelevante N-Menge beziehen. Vergleichsrechnungen zeigen aber, dass die mit der Tier-1-Methode nach EMEP (2009) berechneten deutschen NO-Gesamtemissionen aus dem Sektor 3.B mit GAS-EM reproduziert werden können, wenn der auf N bezogene NO-N-Emissionsfaktor um eine Größenordnung kleiner als der N_2O-N-Emissionsfaktor ist. Daher wurde im Inventar der NO-N-Emissionsfaktor mit 10 % des N_2O-N-Emissionsfaktors angesetzt. Dieser Ansatz führt zu NO-Emissionen, die den N_2O-Emissionen direkt proportional sind.

Emissionsfaktoren zu N_2 (im N-Fluss-Konzept ebenfalls zu berücksichtigen, siehe Kapitel 5.1.2.4) werden weder von IPCC noch von EMEP angegeben. JARVIS & PAIN (1994) fanden für das Verhältnis von N_2-Emissionen zu N_2O-N–Emissionen einen Wert von 3:1. Daher wurde im Inventar angenommen, dass der N_2-Emissionsfaktor das Dreifache des N_2O-N-Emissionsfaktors beträgt.

Tabelle 273 zeigt die Zeitreihen der mittleren N_2O-N-Emissionsfaktoren für die vier Wirtschaftsdünger-Managementkategorien „güllebasiert (ohne Vergärung)“, „strohbasiert (ohne Tiefstreu und ohne Vergärung)“, „Tiefstreu (ohne Vergärung)“ und „Vergärung (von Wirtschaftsdünger)“. Zur Verbesserung der Übersichtlichkeit wird in Abweichung von der sonst für die Emissionsfaktoren üblichen Einheit (kg kg^{-1}) die Einheit g kg-1 verwendet. Diese Emissionsfaktoren sind definiert als das Verhältnis der gesamten N_2O-N-Emissionen aus einem Managementsystem zur Summe der tierischen N-Ausscheidungen in diesem Managementsystem. Dabei umfassen die Gesamt-N_2O-Emissionen bei Systemen mit Einstreu auch Emissionsanteile, die auf Einstreu-N zurückgehen. Aus diesem Grund ist in Tabelle 273 der resultierende Emissionsfaktor für Tiefstreu höher als der in Tabelle 272 angegebene. Gleiches gilt prinzipiell auch für strohbasierte Systeme ohne Tiefstreu und Vergärung, wobei der Effekt nicht auffällt, weil in die entsprechenden Werte in Tabelle 273 auch der erheblich niedrigere Geflügel-Emissionsfaktor (siehe Tabelle 272) eingeht. Auffällig ist der negative Trend bei den N_2O-N-Emissionsfaktoren für strohbasierte Systeme in der ersten Hälfte der 1990er Jahre und für Systeme mit Vergärung über nahezu die gesamte Zeitreihe. Bei den strohbasierten Systemen ist dies eine Folge der abnehmenden N_2O-Beiträge aus Festmistsystemen in der Rinder- und Schweinehaltung, was auf die veränderten Tierzahlen in den jeweiligen Haltungsverfahren

zurückzuführen ist. Bei der Vergärung ist der Grund in erster Linie in der zunehmenden Verbreitung gasdichter Gärrestelagerung zu finden (siehe Kapitel 5.1.3.6.5). Die Daten in Tabelle 273 weichen von denen in Resubmission 2016 für die Jahre 1990 bis 2014 ab, weil ein Fehler in der Ableitung der N_2O-IEFs der vier verschiedenen Wirtschaftsdünger-Managementkategorien korrigiert wurde. Änderungen aufgrund der Aktualisierung von Aktivitätsdaten werden dadurch überdeckt. Die Höhe der N_2O-Gesamtemission wurde durch die Fehlerkorrektur nicht beeinflusst.

Tabelle 273: Mittlere N_2O-N-Emissionsfaktoren nach Wirtschaftsdünger-Managementsystemen (3.B(b))

[g kg^{-1}]	1990	1995	2000	2005	2006	2007	2008	2009	2010	2011	2012	2013	2014	2015
güllebasiert [a]	3,15	3,45	3,41	3,44	3,44	3,45	3,47	3,48	3,50	3,50	3,50	3,50	3,50	3,50
strohbasiert [b]	10,65	10,14	9,63	9,25	9,19	9,09	9,04	8,95	8,94	8,64	8,46	8,32	8,30	8,24
Tiefstreu [a]	11,71	12,03	12,25	12,27	12,29	12,21	12,22	12,28	11,84	11,76	11,70	11,62	11,56	11,53
Vergärung	5,81	5,45	5,25	4,94	4,67	4,40	4,14	3,88	3,61	3,33	2,71	2,58	2,44	2,44

[a] ohne Vergärung

[b] ohne Tiefstreu und ohne Vergärung

5.3.4.2.3 Emissionen (3.B, N_2O_{direkt} & NO)

Tabelle 274 zeigt die direkten N_2O-Gesamtemissionen aus dem Wirtschaftsdünger-Management (einschließlich Lagerung der Wirtschaftsdünger-Gärreste) und ihre Aufschlüsselung nach Systemkategorien, Die jährlichen Emissionen aus dem Wirtschaftsdünger-Management gehen zwischen 1990 und 2015 um 27,1 % von jährlich rund 12,9 kt N_2O auf rund 9,4 kt N_2O zurück. Die starke Abnahme der Emissionen in der ersten Hälfte der 1990er Jahre ist im Wesentlichen eine Folge des Rückgangs der Tierbestände nach der deutschen Wiedervereinigung. Zusätzliche Einflussfaktoren sind die zeitliche Veränderung der Verteilung der Managementsysteme (siehe Kapitel 5.1.3.6.1 und 19.3.1) sowie die mit den Jahren zunehmende Emissionsminderung durch Vergärung von Wirtschaftsdünger (siehe Kapitel 5.1.3.6.5).

Tabelle 274: Direkte N_2O-Emissionen aus dem Wirtschaftsdünger-Management (MM) insgesamt und nach Systemkategorien (3.B(b))

[kt a^{-1}]	1990	1995	2000	2005	2006	2007	2008	2009	2010	2011	2012	2013	2014	2015
MM gesamt	12,894	10,552	10,064	9,886	9,769	9,863	9,908	9,951	9,784	9,597	9,470	9,446	9,495	9,402
güllebasiert [a]	4,451	4,603	4,420	4,137	3,971	3,905	3,854	3,795	3,614	3,496	3,496	3,424	3,445	3,397
strohbasiert [b]	7,493	4,941	4,500	4,135	4,084	4,106	4,086	4,058	4,033	3,933	3,919	3,911	3,952	3,929
Tiefstreu [a]	0,950	1,004	1,105	1,364	1,360	1,372	1,423	1,451	1,386	1,323	1,311	1,313	1,308	1,278
Vergärung	0,000	0,005	0,040	0,251	0,353	0,480	0,545	0,648	0,751	0,845	0,744	0,798	0,791	0,798

[a] ohne Vergärung

[b] ohne Tiefstreu und ohne Vergärung

Aus Tabelle 275 gehen die entsprechenden Beiträge der drei wichtigsten Tierkategorien (Milchkühe, übrige Rinder und Schweine) hervor. Die Rinder tragen den Hauptanteil bei: 78,6 % im Jahr 1990 und 71,2 % im Jahr 2015. Zusammen mit den Schweinen sind es 92,9 % (1990) bzw. 90,7 % (2015).

Tabelle 275: Direkte N_2O-Emissionen aus dem Wirtschaftsdünger-Management von Milchkühen, übrigen Rindern und Schweinen (3.B(b))

[kt a^{-1}]	1990	1995	2000	2005	2006	2007	2008	2009	2010	2011	2012	2013	2014	2015
Milchkühe	5,25	3,92	3,65	3,57	3,45	3,46	3,47	3,46	3,42	3,38	3,29	3,28	3,32	3,34
übrige Rinder	4,89	4,15	3,99	3,61	3,57	3,55	3,63	3,65	3,62	3,46	3,39	3,41	3,40	3,36
Schweine	1,84	1,46	1,53	1,78	1,80	1,87	1,87	1,93	1,88	1,89	1,92	1,88	1,90	1,83

Die durch Wirtschaftsdünger-Vergärung erzielte absolute und prozentuale Einsparung von N_2O-Emissionen gegenüber einer Situation ohne Vergärung und Gärrestelagerung geht aus Tabelle 276 hervor. Negative Werte bedeuten eine Zunahme der Emissionen. Diese Zunahme ist im Wesentlichen darauf zurück zu führen, dass die Lagerung der Gärreste, wenn sie nicht gasdicht

erfolgt, zu höheren N_2O-Emissionen als die herkömmliche Lagerung von Wirtschaftsdünger führt. Darüber hinaus erzeugt bei Geflügelkot die Gärrestelagerung generell höhere N_2O-Emissionen als die Lagerung unvergorenen Geflügelkots. Erst der mit den Jahren ansteigende Anteil der gasdichten Lagerung (siehe Kapitel 5.1.3.6.5) führt ab 2006/2007 zur Einsparung von N_2O-Emissionen.

Tabelle 276: Durch Wirtschaftsdünger-Vergärung verursachte absolute und prozentuale Einsparung von direkten N_2O-Emissionen gegenüber einer Situation ohne Vergärung und Gärrestelagerung (negative Werte: Zunahme der Emissionen)

	1990	1995	2000	2005	2006	2007	2008	2009	2010	2011	2012	2013	2014	2015
[kt a^{-1}]	-0,0001	-0,0006	-0,003	-0,02	0,00	0,03	0,08	0,14	0,22	0,33	0,51	0,60	0,67	0,68
[%]	-0,001	-0,005	-0,03	-0,2	0,0	0,3	0,8	1,4	2,2	3,3	5,1	6,0	6,6	6,7

Tabelle 277 zeigt die NO-Gesamtemissionen der Quellgruppe 3.B. Wegen der Proportionalität der Emissionsfaktoren von NO und N_2O sind die zeitlichen Trends für NO identisch mit denen für N_2O.

Tabelle 277: NO-Emissionen aus dem Wirtschaftsdünger-Management

[kt a^{-1}]	1990	1995	2000	2005	2006	2007	2008	2009	2010	2011	2012	2013	2014	2015
	1,758	1,439	1,372	1,348	1,332	1,345	1,351	1,357	1,334	1,309	1,291	1,288	1,295	1,282

5.3.4.3 Unsicherheiten und Zeitreihenkonsistenz (3.B, N_2O_{direkt} & NO)

Hinsichtlich der Unsicherheiten im Bereich der N_2O-Emissionen aus dem Wirtschaftsdünger-Management wird auf Tabelle 249 in Kapitel 5.1.6 (Gesamt-Unsicherheit des deutschen THG-Inventars) verwiesen.

Zu den Unsicherheiten im Bereich der N_2O-Emissionen siehe auch RÖSEMANN et al. (2017).

Die Emissionszeitreihen sind konsistent, da sie für alle Jahre des Berichtszeitraumes jeweils mit der gleichen Methode berechnet wurden und die Eingangsdaten ebenfalls konsistent und vollständig sind.

5.3.4.4 Quellenspezifische Qualitätssicherung/-kontrolle und Verifizierung (3.B, N_2O_{direkt} & NO)

Zu Qualitätskontrolle und Qualitätssicherung wird auf Kapitel 5.1.7 verwiesen.

Im Rahmen der Verifizierung wurde analog zur Vorgehensweise in Kapitel 5.2.4 für 2014 ein Vergleich der N-Ausscheidungen und der N_2O-Emissionenen aus dem Wirtschaftsdünger-Management in Deutschland (aktuelle Submission 2017) und benachbarten Staaten inklusive des Vereinigten Königreiches (Submission 2016, UNFCCC 2016) durchgeführt, siehe Tabelle 278. und Tabelle 279.

Bei den N-Ausscheidungen liegt Deutschland für die Milchkühe ungefähr im Mittelfeld, während der Wert für die übrigen Rinder eher im unteren Bereich angesiedelt ist. Dies ist zumindest teilweise auf die (nicht bekannte) unterschiedliche Herdenzusammensetzung in den verschiedenen Ländern zurück zu führen. Die deutschen N-Ausscheidungen für die Schweine stellen den zweithöchsten Wert nach dem sehr hohen tschechischen Wert dar, der eher den Ausscheidungen einer Sau entspricht. Es erhebt sich dabei die Frage nach der Definition des Mittelwertes für die gesamte Schweinepopulation: Deutschland berechnet den Mittelwert regelkonform für einen AAP-Platz, der 365 Tage im Jahr besetzt ist, siehe RÖSEMANN et al. (2017), während sich die niedrigeren N-Ausscheidungen der übrigen Länder möglicherweise zum Teil durch die Berücksichtigung von Leerstandszeiten erklären lassen.

Beim Geflügel weist Deutschland die höchsten N-Ausscheidungen unter den verglichenen Ländern auf. Wie bei den Schweinen erschwert die Unkenntnis über die Zusammensetzung der Gesamtpopulation in den verschiedenen Ländern den direkten Vergleich.

Tabelle 278: N-Ausscheidung pro Tierplatz für Milchkühe, übrige Rinder, Schweine und Geflügel verschiedener Länder im Jahr 2014

	Milchkühe [kg Platz^{-1} a^{-1}]	Übrige Rinder [kg Platz^{-1} a^{-1}]	Schweine [kg Platz^{-1} a^{-1}]	Geflügel [kg Platz^{-1} a^{-1}]
Österreich	101,38	45,93	9,43	0,54
Belgien	117,92	54,31	9,38	0,60
Tschechische Republik	149,69	73,58	27,92	0,61
Dänemark [a]	143,07	41,74	7,95	0,51
Frankreich	113,21	59,03	n/a	n/a
Deutschland	**119,17**	**42,47**	**13,02**	**0,70**
Niederlande [b]	n/a	n/c	n/a	n/a
Polen	n/a	n/a	10,36	0,53
Schweiz [b]	115,17	39,00	9,20	0,53
Vereinigtes Königreich [c]	127,84	53,70	n/a	0,57
IPCC (2006a)-10.59, 10.72, 10.78,10.80, 10.81, 10.82	105,1 [d]	50,6 [d]	9,3 / 30,4 [d, e]	0,52 [d, f]
EMEP (2013)-3B-27	105	41	12,1 / 34,5 [e]	0,36 bis 1,64

Quelle: Deutschland: Submission 2017; andere Länder: UNFCCC, 2016

[a] Dänemark einschließlich Grönland, ohne Färöer-Inseln

[b] Niederlande und Schweiz, übrige Rinder: berechnet aus CRF-Daten

[c] Vereinigtes Königreich: Rinder-Daten unterscheiden zwischen Milchrindern (Milchkühe und Milchkuhnachzucht incl. Kälber) und den verbleibenden anderen Rindern

[d] IPCC-Gewichte: berechnet nach IPCC (2006a) mit den IPCC-Standardwerten für Gewicht und N-Ausscheidung und im Falle von Geflügel mit den deutschen Tierzahlen der Geflügelunterkategorien (Submission 2017)

[e] IPCC (2006a): Sauen und Eber: 30,4, andere: 9,3; EMEP (2013): Sauen: 34,5, Mastschweine: 12,1

[f] Geflügel: Annahmen für fehlende Werte: Gewicht Gänse = 1/2 Standardgewicht Puten (IPCC 2006a), N-Ausscheidung Gänse = Standard-N-Ausscheidung Puten (IPCC 2006a), Gewicht Junghennen = 1/2 Standardgewicht Legehennen (IPCC 2006a), N-Ausscheidung Junghennen = Standard-N-Ausscheidung Legehennen (IPCC 2006a)

Tabelle 279 zeigt eine Gegenüberstellung der IEFs der direkten N2O-Emissionen aus dem Wirtschaftsdünger-Management für Milchkühe, übrige Rinder, Schweine und Geflügel. Die Werte von Tschechien, Frankreich, Niederlande und der Schweiz stellen Extrem- oder Fehlwerte dar (außer beim schweizerischen Geflügel), die vermutlich auf Übertragungsfehler zurück zu führen sind. Lässt man diese Länder außer Betracht, liegen die deutschen IEFs für Milchkühe, übrige Rinder und Schweine jeweils etwas oberhalb des Mittelwertes, während beim Geflügel der deutsche Wert der höchste ist. Letzteres lässt sich dadurch erklären, dass der deutsche Geflügel-IEF auch die N_2O-Emissionen aus Vergärung von Geflügelmist und anschließender Gärrestlagerung einschließt, deren effektiver Emissionsfaktor deutlich höher ist als der Emissionsfaktor für die konventionelle Lagerung von Geflügelkot.

Tabelle 279: IEFs der direkten N_2O-Emissionen aus dem Wirtschaftsdünger-Management für Milchkühe, übrige Rinder, Schweine und Geflügel verschiedener Länder im Jahr 2014

	Milchkühe [kg Platz^{-1} a^{-1}]	Übrige Rinder [kg Platz^{-1} a^{-1}]	Schweine [kg Platz^{-1} a^{-1}]	Geflügel [kg Platz^{-1} a^{-1}]
Österreich	0,70	0,36	0,045	0,00080
Belgien	0,76	0,57	0,037	0,00094
Tschechische Republik	3,35	0,95	0,374	0,00872
Dänemark [a]	1,04	0,35	0,071	0,00081
Frankreich	0,15	0,09	0,004	n/a
Deutschland	**0,77**	**0,40**	**0,080**	**0,00123**
Niederlande [b]	IE	n/c	IE	n/a
Polen	0,58	0,24	0,081	0,00083
Schweiz [b]	0,16	0,10	0,004	0,00081
Vereinigtes Königreich [c]	0,52	0,26	0,078	0,00088

Quelle: Deutschland: Submission 2017; andere Länder: UNFCCC, 2016

n/a: keine Angabe; n/c: kann nicht berechnet werden

[a] Dänemark einschließlich Grönland, ohne Färöer-Inseln

[b] Niederlande und Schweiz, übrige Rinder: berechnet aus CRF-Daten

[c] Vereinigtes Königreich: Rinder-Daten unterscheiden zwischen Milchrindern (Milchkühe und Milchkuhnachzucht incl. Kälber) und den verbleibenden anderen Rindern

5.3.4.5 Quellenspezifische Rückrechnungen (3.B, N_2O_{direkt} & NO)

Tabelle 280 zeigt die N_2O-Emissionen des Sektors 3.B im Vergleich mit Ergebnissen der Resubmission 2016.

Tabelle 280: Vergleich der 2017 und 2016 berechneten direkten Gesamt-N_2O-Emissionen aus dem Wirtschaftsdünger-Management

[kt a^{-1}]	1990	1995	2000	2005	2006	2007	2008	2009	2010	2011	2012	2013	2014	2015
2017	12,894	10,552	10,064	9,886	9,769	9,863	9,908	9,951	9,784	9,597	9,470	9,446	9,495	9,402
2016	12,894	10,552	10,064	9,887	9,768	9,862	9,908	9,951	9,782	9,597	9,470	9,463	9,531	

Die Abweichungen der N_2O-Emissionen gegenüber Resubmission 2016 resultieren aus den Änderungen bei den tierischen Leistungsdaten (siehe Kapitel 5.1.3.3) und den Aktivitätsdaten zur Wirtschaftsdünger-Vergärung (siehe Kapitel 5.1.3.6.5). Die Änderungen der N- Ausscheidungen, siehe Tabelle 281, gehen auf aktualisierte tierische Leistungsdaten zurück.

Tabelle 281: Vergleich der 2017 und 2016 berechneten Gesamt-N-Ausscheidungen (siehe Kapitel 5.1.3.4)

[kt a^{-1}]	1990	1995	2000	2005	2006	2007	2008	2009	2010	2011	2012	2013	2014	2015
2017	1611,4	1382,9	1346,1	1297,4	1274,4	1286,1	1290,8	1301,2	1286,4	1291,3	1309,4	1324,8	1343,1	1335,3
2016	1611,4	1382,9	1346,1	1297,6	1274,4	1286,0	1290,8	1301,2	1286,1	1291,3	1309,4	1324,8	1341,8	

Die NO-Emissionen haben sich wegen der direkten Proportionalität zu den N_2O-Emissionen (siehe Kapitel 5.3.4.2.2) gegenüber der Resubmission 2016 in gleicher Weise wie die N_2O-Emissionen verändert. Tabelle 282 vergleicht die Zeitreihen für die Gesamt-NO-Emissionen.

Tabelle 282: Vergleich der 2017 und 2016 berechneten Gesamt-NO-Emissionen aus dem Wirtschaftsdünger-Management

[kt a^{-1}]	1990	1995	2000	2005	2006	2007	2008	2009	2010	2011	2012	2013	2014	2015
2017	1,758	1,439	1,372	1,348	1,332	1,345	1,351	1,357	1,334	1,309	1,291	1,288	1,295	1,282
2016	1,758	1,439	1,372	1,348	1,332	1,345	1,351	1,357	1,334	1,309	1,291	1,290	1,300	

5.3.4.6 Geplante Verbesserungen (3.B, N_2O_{direkt} & NO)

Im Sektor 5.B.2 "Biowaste treatment - digesters" werden ebenfalls N_2O-Emissionen aus Wirtschaftsdüngereinsatz berichtet. Um eine Doppelzählung von Emissionen für die Sektoren

Abfall und Landwirtschaft auszuschließen, werden die Daten und Stoffströme zwischen diesen Sektoren für die Submission 2018 detaillierter analysiert.

Sofern in vorhergehenden Berichterstattungen in diesem Kapitel Verbesserungen benannt wurden, sind diese in Form einer Übersicht unter Kapitel 10.4 Verbesserungen des Inventars, Tabelle 426 zu finden. Sind diese bereits erledigt, sind sie im selben Kapitel in Tabelle 425 abgebildet.

5.3.5 Indirekte N_2O-Emissionen als Folge des Wirtschaftsdünger-Managements (3.B)

5.3.5.1 Beschreibung der Quellgruppe (3.B, $N_2O_{indirekt}$)

Siehe Kapitel 5.3.1.

5.3.5.2 Methodische Aspekte (3.B, $N_2O_{indirekt}$)

5.3.5.2.1 Methodik (3.B, $N_2O_{indirekt}$)

Die indirekten N_2O-Emissionen als Folge der Deposition von NH_3 und NO aus Wirtschaftsdünger-Management (incl. Lagerung der Wirtschaftsdünger-Gärreste; ohne Ausbringung) werden nach IPCC (2006a)-11.21 proportional zur deponierten N-Menge berechnet:

Gleichung 16: indirekte N_2O-Emissionen als Folge des Wirtschaftsdünger- Managements

$$E_{\mathrm{N2O\,indirect,MM}} = \frac{44}{28} \cdot (E_{\mathrm{NH3\text{-}N,\,MM}} + E_{\mathrm{NO\text{-}N,\,MM}}) \cdot EF_4$$

mit:

$E_{\mathrm{N2O,\,indirect,\text{-}MM}}$	indirekte N_2O-Emissionen aus der Deposition von NH_3-N und NO-N aus dem Wirtschaftsdünger -Management (kg a^{-1})
$E_{\mathrm{NH3\text{-}N,\,MM}}$	gesamte NH_3-N-Emissionen aus dem Wirtschaftsdünger -Management (kg a^{-1})
$E_{\mathrm{NO\text{-}N,\,MM}}$	gesamte NO-N-Emissionen aus dem Wirtschaftsdünger-Management (kg a^{-1})
EF_4	N_2O-N-Emissionsfaktor, siehe Kapitel 5.3.5.2.2

Zur Berechnung der NH_3- und NO-Emissionen aus Stall und Wirtschaftsdüngerlager siehe RÖSEMANN et al. (2017).

Indirekte N_2O-Emissionen aufgrund von Auswaschung aus dem Wirtschaftsdünger-Management werden für Deutschland nicht berichtet, siehe Kapitel 5.3.1.

5.3.5.2.2 Emissionsfaktor (3.B, $N_2O_{indirekt}$)

Der Emissionsfaktor EF_4 für indirekte N_2O-Emissionen als Folge der Deposition von NH_3 und NO aus dem Wirtschaftsdünger- und Gärreste-Management (ohne Ausbringung) beträgt 0,01 kg N_2O-N (kg N)$^{-1}$ (IPCC (2006a)-11.24, Table 11.3).

5.3.5.2.3 Emissionen (3.B, $N_2O_{indirekt}$)

Tabelle 283 zeigt die indirekten N_2O-Emissionen aufgrund der Deposition von reaktivem Stickstoff durch NH_3- und NO-Emissionen aus dem Wirtschaftsdünger-Management für die vorliegende Submission 2017 sowie im Vorgriff auf Kapitel 5.3.5.5 auch für die Resubmission 2016. Der Trend der indirekten N_2O-Emissionen folgt im Wesentlichen dem zeitlichen Verlauf der direkten N_2O-Emissionen, siehe Kapitel 5.3.4.2.3. Für die zugrunde liegende Menge an reaktivem Stickstoff siehe Kapitel 5.1.5.1.3.

Tabelle 283: Indirekte N_2O-Emissionen als Folge der Deposition von NH_3 und NO aus dem Wirtschaftsdünger- Management (Submission 2017 und Resubmission 2016)

[kt a^{-1}]	1990	1995	2000	2005	2006	2007	2008	2009	2010	2011	2012	2013	2014	2015
2017	4,171	3,509	3,493	3,498	3,449	3,489	3,487	3,500	3,415	3,418	3,469	3,479	3,504	3,462
2016	4,171	3,509	3,493	3,498	3,449	3,489	3,487	3,500	3,414	3,418	3,468	3,479	3,500	

5.3.5.3 Unsicherheiten und Zeitreihenkonsistenz (3.B, $N_2O_{indirekt}$)

Hinsichtlich der Unsicherheiten der indirekten N_2O-Emissionen als Folge der Deposition von NH_3 und NO aus aus dem Wirtschaftsdünger-Management wird auf Tabelle 249 in Kapitel 5.1.6 (Gesamt-Unsicherheit des deutschen THG-Inventars) verwiesen.

Die Emissionszeitreihen sind konsistent, da sie für alle Jahre des Berichtszeitraumes jeweils mit der gleichen Methode berechnet wurden und die Eingangsdaten ebenfalls konsistent und vollständig sind.

5.3.5.4 Quellenspezifische Qualitätssicherung/-kontrolle und Verifizierung (3.B, $N_2O_{indirekt}$)

Zu Qualitätskontrolle und Qualitätssicherung wird auf Kapitel 5.1.7 verwiesen.

5.3.5.5 Quellenspezifische Rückrechnungen (3.B, $N_2O_{indirekt}$)

Für Submission 2017 wurden tierische Leistungsdaten (siehe Kapitel 5.1.3.3) und Aktivitätsdaten zur Wirtschaftsdünger-Vergärung aktualisiert (siehe Kapitel 5.1.3.6.5). Daher wurde die Zeitreihe der depositionsbedingten indirekten N_2O-Emissionen aus dem Wirtschaftsdünger-Management für alle Jahre ab 1990 neu berechnet. Tabelle 283 in Kapitel 5.3.5.2.3 zeigt den Vergleich der Zeitreihen aus Submission 2017 und Resubmission 2016. Die Unterschiede sind gering.

5.3.5.6 Geplante Verbesserungen (3.B, $N_2O_{indirekt}$)

Derzeit sind keine Verbesserungen geplant.

Sofern in vorhergehenden Berichterstattungen in diesem Kapitel Verbesserungen benannt wurden, sind diese in Form einer Übersicht unter Kapitel 10.4 Verbesserungen des Inventars, Tabelle 426 zu finden. Sind diese bereits erledigt, sind sie im selben Kapitel in Tabelle 425 abgebildet.

5.4 Reisanbau (3.C)

In Deutschland wird kein Reis angebaut (not occuring, NO).

5.5 Landwirtschaftliche Böden (3.D)

5.5.1 Beschreibung der Quellgruppe (3.D)

KC	Category	Activity	EM of	1990 (kt CO_2-e.)	(fraction)	2015 (kt CO_2-e.)	(fraction)	Trend 1990-2015
L/T	**3.D. Agricultural Soils**		**N_2O**	**28.575,0**	**2,34%**	**27.527,1**	**3,10%**	**-3,7%**

Gas	Angewandte Methode	Quelle der Aktivitätsdaten	genutzte Emissionsfaktoren
N_2O	Tier 1/Tier 2	M/AS/RS/NS	D, CS
NO_X	Tier 1	RS/NS	D
NMVOC	Tier 1	RS/NS	D

Die Quellgruppe *Landwirtschaftliche Böden* ist hinsichtlich *der N_2O-Emissionen* eine Hauptkategorie nach der Emissionshöhe und dem Trend.

Mikrobielle Umsetzungen (Nitrifikation und Denitrifikation) von N-Verbindungen führen zu N_2O-Emissionen aus Böden. Es wird zwischen direkten und indirekten N_2O-Emissionen unterschieden. Die direkten Emissionen des Sektors 3.D umfassen die N_2O-Emissionen infolge von:

- Mineraldüngerausbringung
- Wirtschaftsdüngerausbringung (incl. Ausbringung von Wirtschaftsdünger-Gärresten)
- Ausbringung von Gärresten aus Energiepflanzenvergärung
- Klärschlammausbringung
- Weidegang
- Ernterückständen
- Bewirtschaftung organischer Böden

In Mineralböden unter verbleibender Nutzung als Ackerland und als Grünland im engeren Sinne treten in Deutschland keine Änderungen der Kohlenstoffvorräte auf (Ackerland: Kapitel 6.5.2.2, CRF 4.B.1; Grünland im engeren Sinne: Kapitel 6.6.2.3, CRF 4.C.1). Dementsprechend findet auch keine Mineralisierung/Immobilisierung von Stickstoff in Verbindung mit Zuwachs/Verlust von organischer Substanz in Mineralböden unter verbleibender landwirtschaftlicher Nutzung statt. N_2O wird daher für Mineralböden mit Null (NA) berichtet.

Die indirekten N_2O-Emissionen des Sektors 3.D ergeben sich als Folge der Deposition reaktiven Stickstoffs sowie von Auswaschung und Oberflächenfluss.

Die gesamten N_2O-Emissionen des Sektors 3.D lagen 2015 um 3,7 % unter denen von 1990. Ihr Anteil an den gesamten N_2O-Emissionen aus der deutschen Landwirtschaft war 2015 mit 87,1 % etwas höher als 1990 mit 84,9 %. Die Treibhausgasemissionen des Sektors 3.D hatten (in CO_{2eq}) 1990 einen Anteil von 35,9 % an den Treibhausgasemissionen der gesamten Landwirtschaft, der bis 2015 auf 41,1 % anstieg. Dabei waren die Treibhausgasemissionen, die allein durch die Ausbringung der Energiepflanzengärreste verursacht wurden, 1990 noch vernachlässigbar, während sie 2015 bei 2,9 % der Treibhausgasemissionen der gesamten Landwirtschaft lagen.

Das deutsche Inventar berücksichtigt NMVOC-Emissionen aus landwirtschaftlichen Kulturen. Sie stiegen von 7,7 kt im Jahr 1990 wegen zunehmender Erträge um 28,0 % auf 9,8 kt im Jahr 2015.

5.5.2 Methodische Aspekte und Emissionen(3.D)

5.5.2.1 Methodik und Emissionsfaktoren (3.D)

5.5.2.1.1 Direkte N_2O-Emissionen (3.D.a)

Direkte N_2O-Emissionen als Folge der Ausbringung von N-haltigen Substraten sowie aus Ernterückständen werden mit einem Tier-1-Verfahren nach IPCC (2006a)-11.7 proportional zu den ausgebrachten N-Mengen (siehe Kapitel 5.1.5.1) berechnet. Der Emissionsfaktor wird nach IPCC(2006a)-11.11, Tabelle 11.1, mit 0,01 kg N_2O-N je kg ausgebrachten Stickstoff angesetzt.

Die Berechnung der Emissionen aus N-Ausscheidungen beim Weidegang erfolgt nach IPCC (2006a)-11.7 proportional zur N-Menge, die auf der Weide ausgeschieden wurde (siehe Kapitel 5.1.5.1). Der Emissionsfaktor ist für Rinder EF = 0,02 kg N_2O-N je kg ausgeschiedenen Stickstoff. Für Schafe, Ziegen und Pferde beträgt der N_2O-N-Emissionsfaktor 0,01 kg kg^{-1}. (Für Schweine und Geflügel sieht das Inventar keine N-Ausscheidungen im Freien vor.)

Direkte N_2O-Emissionen aus der Bewirtschaftung organischer Böden werden proportional zur Fläche berechnet, getrennt nach Acker und Grünland (siehe Kapitel 5.1.5.1.2). Nach RÖSEMANN et al. (2017) liegt der aus deutschen Daten abgeleitete nationale Emissionsfaktor für Acker bei 10,7 kg N_2O-N je ha und für drainiertes Grünland bei 2,3 kg N_2O-N je ha. Damit wird für drainiertes

Grünland ein niedrigerer EF verwendet als in der Resubmission 2016 (2,7 kg N_2O-N je ha). Die von Jahr zu Jahr variierenden Acker- und Grünlandflächen führen zu einem zeitlich veränderlichen mittleren Emissionsfaktor, siehe Tabelle 284.

Tabelle 284: Mittlere N_2O-N-Emissionsfaktoren für bewirtschaftete organische Böden

[kg kg^{-1}]	1990	1995	2000	2005	2006	2007	2008	2009	2010	2011	2012	2013	2014	2015
N_2O-N	4,2	4,3	4,3	4,4	4,5	4,5	4,6	4,7	4,7	4,8	4,8	4,8	4,9	4,9

5.5.2.1.2 Indirekte N_2O-Emissionen als Folge der Deposition reaktiven Stickstoffs aus der Nutzung landwirtschaftlicher Böden(3.D)

Indirekte N_2O-Emissionen als Folge der Deposition reaktiven Stickstoffs werden nach IPCC (2006a)-11.21 proportional zur deponierten N-Menge berechnet. Die Methodik entspricht sinngemäß der in Kapitel 5.3.5.2.1 beschriebenen Vorgehensweise; zum Emissionsfaktor siehe Kapitel 5.3.5.2.2 (0,01 kg N2O-N (kg N)$^{-1}$). Die für die Berechnungen im Sektor 3.D relevante deponierte N-Gesamtmenge umfasst die N-Mengen folgender NH_3- und NO-Emissionen (siehe Kapitel 5.1.5.1.3):

- NH_3- und NO-Emissionen aus der Mineraldüngeranwendung,
- NH_3- und NO-Emissionen aus der Ausbringung von Wirtschaftsdünger (inkl. Wirtschaftsdünger-Gärreste),
- NH_3- und NO-Emissionen aus der Ausbringung von Gärresten der Energiepflanzen-Vergärung,
- NH_3- und NO-Emissionen aus dem Weidegang.

Diese Emissionen ergeben sich durch Multiplikation der ausgebrachten N-Menge bzw. der N-Ausscheidung auf der Weide mit dem entsprechenden Emissionsfaktor. Für die verschiedenen Dünger-Kategorien werden die NH_3-Emissionsfaktoren nach EMEP (2013)-3D verwendet. Zu den NH_3-Emissionsfaktoren der Wirtschaftsdünger- und Gärreste-Ausbringung wird auf RÖSEMANN et al. (2017) verwiesen. Die NH_3-Emissionsfaktoren bei Weidegang sind nach Tierart differenziert, siehe EMEP (2013)-3B-27. Zum NO-Emissionsfaktor siehe Kapitel 5.5.2.1.4.

Eine ausführliche Beschreibung der Berechnung der indirekten N_2O-Emissionen aus landwirtschaftlichen Böden findet sich in RÖSEMANN et al. (2017).

5.5.2.1.3 Indirekte N_2O-Emissionen als Folge von Auswaschung und Oberflächenabfluss (3.D)

Die indirekten N_2O-Emissionen als Folge von Auswaschung und Oberflächenabfluss werden nach dem Tier-1-Verfahren nach IPCC (2006a)-11.21, als Produkt aus N_2O-N-Umrechnungsfaktor 44/28, ausgewaschener N-Menge (siehe Kapitel 5.1.5.1.4) und Emissionsfaktor (0,0075 kg N_2O-N (kg N)$^{-1}$, siehe IPCC (2006a)-11.24, Tabelle 11.3) berechnet.

Eine ausführliche Beschreibung der Berechnung der indirekten N_2O-Emissionen aus landwirtschaftlichen Böden findet sich in RÖSEMANN et al. (2017).

5.5.2.1.4 NO-Emissionen

Die Berechnung der NO-Emissionen erfolgt analog zur Berechnung der N_2O-Emissionen (siehe Kapitel 5.5.2.1.2). Die NO-Emissionsfaktoren sind der nachstehenden Tabelle zu entnehmen. Weder EMEP (2013) noch EMEP (2009) stellen ein Verfahren zur Berechnung von NO-Emissionen infolge von Weidegang bereit. Daher wird auf den in EMEP(2007)-B1020-12, Kapitel 4.3, angegebenen Emissionsfaktor zurückgegriffen.

Tabelle 285: Emissionsfaktoren EF_{NO} für NO-N-Emissionen aus landwirtschaftlichen Böden

	EF_{NO-N} kg kg^{-1}	Anmerkung
Ausbringung von Mineraldünger, Wirtschaftsdünger und Gärresten	0,012	EMEP (2013)-3D-11, nach STEHFEST & BOUWMAN (2006) (umgerechnet von NO in NO-N)
Weidegang	0,007	EMEP (2007), B1020-12

5.5.2.1.5 NMVOC-Emissionen

IPCC (2006a) gibt keine Methode zur Berechnung der NMVOC-Emissionen aus landwirtschaftlichen Kulturen an. Deutschland berechnet die NMVOC-Emissionen nach EMEP (2013)-3D-32 ff, getrennt nach Kulturen:

Gleichung 17: EMEP-Verfahren zur Berechnung der jährlichen NMVOC-Emissionen aus landwirtschaftlichen Kulturen

$$E_{\mathrm{NMVOC,cult,i}} = \beta \cdot A_{\mathrm{i}} \cdot m_{\mathrm{FM,i}} \cdot x_{\mathrm{DM,i}} \cdot t_{\mathrm{i}} \cdot EF_{\mathrm{NMVOC,cult,i}}$$

mit

$E_{\mathrm{NMVOC,cult,i}}$	NMVOC-Emissionen aus der landwirtschaftlichen Kultur i (in kg a^{-1})
β	Zeiteinheiten-Umrechnungsfaktor (8760 h a^{-1})
A_{i}	Anbaufläche der Kultur i (in ha)
$m_{\mathrm{FM,i}}$	mittlerer Frischmasseertrag von Kultur i (in kg ha^{-1})
$x_{\mathrm{DM,i}}$	Trockenmassegehalt von Kultur i (in kg kg^{-1})
t_{i}	Anteil des Jahres, während dessen Kultur i NMVOCs emittiert (in a a^{-1})
$EF_{\mathrm{NMVOC,cult,i}}$	NMVOC-Emissionsfaktor für Kultur i (in kg kg^{-1} h^{-1})

Zu Anbauflächen, Frischmasseerträgen, Trockenmassegehalten und relativen Emissionsdauern siehe Kapitel 5.1.5.3. Die Emissionsfaktoren wurden für Weizen, Roggen, Raps und Gras aus EMEP (2013)-3D-34, Tabelle A3-2, entnommen, siehe Tabelle 286. Für die Kulturkategorien „Kleegras, Luzerne, Futtergras“ sowie „Wiesen und Mähweiden“ wurde der EMEP-Emissionsfaktor von Gras übernommen. Für die übrigen Kulturen wurde der EMEP-Emissionsfaktor von Weizen übernommen.

Tabelle 286: NMVOC-Emissionsfaktoren für landwirtschaftliche Kulturen

Kultur	Emissionsfaktor [kg kg^{-1} h^{-1}]
Weizen	$2{,}60 \cdot 10^{-8}$
Roggen	$1{,}41 \cdot 10^{-7}$
Raps	$2{,}02 \cdot 10^{-7}$
Gras (15 °C)	$1{,}03 \cdot 10^{-8}$

5.5.2.2 Die *Frac*-Größen (3.D)

Deutschland berichtet über $Frac_{GASF}$, $Frac_{GASM}$ und $Frac_{leach}$.

$Frac_{LEACH}$ ist im deutschen Inventar eine Eingabegröße. Sie gibt den relativen Anteil des N-Eintrags in Böden an, der durch Auswaschung und Oberflächenabfluss verloren geht. Das deutsche Inventar verwendet den IPCC-Defaultwert $Frac_{LEACH}$ = 0,30 kg kg^{-1} (IPCC (2006a)-11.24, Tabelle 11.3), siehe Kapitel 5.1.5.1.4.

Die Größen $Frac_{GASF}$ und $Frac_{GASM}$ werden dagegen im Inventar nicht verwendet, sondern für die Berichterstattung aus Ein- und Ausgabedaten der abgeschlossenen Emissionsberechnung ermittelt.

$Frac_{GASF}$ ist nach IPCC (2006a)-11.21, Gleichung 11.9, der Anteil der mit Mineraldüngern ausgebrachten N-Menge, der als NH_3-N und NO-N emittiert wird, siehe Tabelle 287. Dabei dominiert der Einfluss von NH_3. Wegen der unterschiedlichen NH_3-Emissionsfaktoren der verschiedenen Mineraldüngerarten hängt der $Frac_{GASF}$-Wert vom Mineraldüngermix des jeweiligen Jahres ab. Dabei ergibt sich wegen des vergleichsweise hohen Emissionsfaktors von Harnstoff (EMEP, 2013) eine sehr gute Korrelation von $Frac_{GASF}$ mit dem relativen Verhältnis von Harnstoff-N zu Gesamtmineraldünger-N (R^2 = 99,3 %). Der Mittelwert von $Frac_{GASF}$ über die gesamte Zeitreihe liegt bei 0,073 kg kg^{-1}.

Tabelle 287: $Frac_{GASF}$ (3.D)

[kg kg^{-1}]	1990	1995	2000	2005	2006	2007	2008	2009	2010	2011	2012	2013	2014	2015
$Frac_{GASF}$	0,061	0,064	0,068	0,073	0,077	0,081	0,077	0,094	0,078	0,084	0,080	0,085	0,085	0,091

$Frac_{GASM}$ ist nach IPCC (2006a)-11.21, Gleichung 11.9, der Anteil der mit Wirtschaftsdünger (incl. Wirtschaftsdünger-Gärresten), Energiepflanzen-Gärresten, Klärschlämmen und beim Weidegang ausgebrachten N-Menge, der als NH_3-N und NO-N emittiert wird, siehe Tabelle 288. (Die $Frac_{GASM}$-Definition in CRF-Tabelle 3.D entspricht nicht dieser Definition.) Der Mittelwert von $Frac_{GASM}$ über die gesamte Zeitreihe liegt bei 0,179 kg kg^{-1}.

Tabelle 288: $Frac_{GASM}$ (3.D)

[kg kg^{-1}]	1990	1995	2000	2005	2006	2007	2008	2009	2010	2011	2012	2013	2014	2015
$Frac_{GASM}$	0,195	0,183	0,178	0,174	0,174	0,173	0,173	0,172	0,173	0,175	0,170	0,172	0,171	0,172

5.5.2.3 Emissionen (3.D)

Tabelle 289 zeigt eine Übersicht über die Beiträge der einzelnen Teilquellen zu den N_2O-Emissionen aus landwirtschaftlich genutzten Böden. Die indirekten Emissionen umfassen auch die Beiträge als Folge der Ausbringung von Energiepflanzen-Gärresten.

Tabelle 289: Übersicht über die N_2O-Emissionen aus landwirtschaftlich genutzten Böden (3.D)

[kt a^{-1}]	1990	1995	2000	2005	2006	2007	2008	2009	2010	2011	2012	2013	2014	2015
Gesamtemissionen [a]	**95,9**	**83,7**	**88,7**	**83,8**	**83,3**	**80,5**	**86,5**	**83,1**	**82,4**	**87,8**	**86,3**	**88,0**	**90,8**	**92,4**
Summe direkte Emissionen [a]	**75,3**	**66,0**	**70,0**	**66,2**	**65,7**	**63,5**	**68,2**	**65,3**	**64,9**	**68,9**	**67,9**	**69,0**	**71,3**	**72,2**
Summe indir. Emissionen [a]	**20,6**	**17,6**	**18,7**	**17,7**	**17,7**	**17,1**	**18,3**	**17,8**	**17,5**	**18,9**	**18,4**	**19,0**	**19,6**	**20,2**
Mineraldünger	34,0	28,1	31,7	27,9	28,0	25,1	28,4	24,4	24,7	28,1	25,8	25,9	26,3	28,6
Wirtschaftsdünger	18,1	15,7	15,3	14,8	14,6	14,7	14,8	15,0	14,9	15,0	15,2	15,4	15,7	15,6
Energiepflanzen-Gärreste	0,0	0,0	0,1	0,7	1,0	1,4	1,6	2,1	2,6	3,2	3,6	4,3	4,5	4,6
Klärschlamm	0,4	0,6	0,5	0,4	0,4	0,4	0,4	0,4	0,4	0,4	0,4	0,3	0,3	0,3
Weidegang	6,4	5,1	4,8	4,2	4,1	4,1	4,1	4,1	4,0	4,0	3,9	4,0	4,0	4,1
Ernterückstände	7,6	7,8	8,8	9,2	8,6	8,7	9,7	10,1	9,0	8,8	9,5	9,5	10,8	9,5
Organische Böden	8,7	8,8	8,8	8,8	8,9	9,0	9,2	9,3	9,3	9,4	9,5	9,5	9,5	9,5
Indirekt, Deposition, ohne EC [b]	6,3	5,3	5,4	5,1	5,1	5,0	5,1	5,3	4,9	5,3	5,0	5,2	5,3	5,6
Indirekt, Deposition, EC [b]	0,0	0,0	0,0	0,1	0,2	0,3	0,3	0,4	0,5	0,6	0,7	0,8	0,8	0,8
Indirekt, Auswaschung, ohne EC [b]	14,3	12,4	13,2	12,3	12,1	11,5	12,5	11,7	11,5	12,2	11,9	12,0	12,4	12,6
Indirekt, Auswaschung, EC [b]	0,0	0,0	0,0	0,2	0,2	0,3	0,4	0,5	0,6	0,7	0,8	1,0	1,0	1,0

[a] Abweichungen zwischen den Summenzeilen und den Summen der Einzelquellen sind rundungsbedingt.

[b] EC: Energiepflanzen-Gärreste

Die Gesamt-N_2O-Emissionen haben in der ersten Hälfte der 1990er Jahre abgenommen. In den anschließenden Jahren bis 2013 ist kein klarer Trend festzustellen. Von 2013 zu 2014/2015 zeigt sich ein deutlicher Anstieg.

Die jährlichen Schwankungen der Gesamtemissionen wird zu einem großen Teil durch die Schwankungen der N_2O-Emissionen aus der Mineraldüngeranwendung bestimmt, die wiederum eine Folge der von Jahr zu Jahr variierenden Mineraldünger-N-Menge sind (siehe Tabelle 241 in Kapitel 5.1.5.1.1). In den letzten zehn Jahren der Zeitreihe wirkt sich auch die Ausbringung

zunehmender Mengen von Wirtschaftsdünger-Gärresten und Energiepflanzen-Gärresten aus. Der markante Anstieg von 2013 zu 2014 wird überwiegend durch den Anstieg der N_2O-Emissionen aus Ernterückständen und Auswaschung verursacht, was vorrangig eine Folge der außergewöhnlich hohen Ernteerträge 2014 ist (siehe Kapitel 5.1.5.1.1 und 5.1.5.1.4). Obwohl die N_2O-Emissionen aus Ernterückständen 2015 wieder auf das Niveau von 2013 zurückgegangen sind, sind die Gesamt-N_2O-Emissionen von 2014 zu 2015 wegen einer deutlichen Zunahme der Mineraldüngeranwendung noch einmal angestiegen.

Auf den Einsatz von Mineraldünger gehen 2015 31,0 % der Gesamtemissionen zurück, 21,8 % auf die Ausbringung von Wirtschaftsdünger (incl. Wirtschaftsdünger-Gärresten) und Energiepflanzen-Gärresten, 10,3 % auf Ernterückstände, 10,3 % auf die Bewirtschaftung organischer Böden, 4,4 % auf Weidegang und 0,4 % auf Klärschlämme. Die verbleibenden 21,8 % sind indirekte Emissionen.

Die Ergebnisse der NO-Emissionsberechnungen sind in Tabelle 290 dargestellt. Entsprechend den Ausführungen in Kapitel 5.5.2.1.2 umfassen sie die NO-Emissionen infolge Ausbringung von Mineral- und Wirtschaftsdünger (incl. Wirtschaftsdünger-Gärreste) sowie Weidedang (zusammengefasst unter „Tierhaltung, Mineraldünger“), während die NO-Emissionen als Folge der Ausbringung von Energiepflanzen-Gärresten gesondert angegeben sind. Der zeitliche Verlauf der Gesamtemissionen folgt weitgehend dem Verlauf der N_2O-Emissionen. (Für die Berichterstattung in CRF 3s2 werden die NO-Werte durch Multiplikation mit dem Molgewichtsverhältnis 46/30 in NO_2 umgerechnet.)

Tabelle 290: NO-Emissionen aus landwirtschaftlich genutzten Böden

[kt a^{-1}]	1990	1995	2000	2005	2006	2007	2008	2009	2010	2011	2012	2013	2014	2015
insgesamt	**88,5**	**74,3**	**79,4**	**73,3**	**73,4**	**69,6**	**75,4**	**69,8**	**70,9**	**77,8**	**74,9**	**76,7**	**78,2**	**81,9**
Tierhaltung, Mineraldünger	88,5	74,3	79,3	72,1	71,8	67,3	72,8	66,4	66,7	72,4	69,1	69,7	70,8	74,4
Energiepflanzen-Gärreste	0,0	0,0	0,1	1,2	1,6	2,2	2,6	3,4	4,2	5,3	5,8	7,1	7,4	7,5

Tabelle 291 zeigt den zeitlichen Verlauf der NMVOC-Emissionen, die von 1990 bis 2014 als Folge der Ernteertragssteigerung seit 1990 (siehe Kapitel 5.1.5.3) um fast die Hälfte (47,4 %) anstiegen.

Tabelle 291: NMVOC-Emissionen aus landwirtschaftlichen Kulturen

[kt a^{-1}]	1990	1995	2000	2005	2006	2007	2008	2009	2010	2011	2012	2013	2014	2015
	7,69	8,19	8,79	9,17	8,83	9,19	9,83	10,63	9,49	8,99	10,02	10,32	11,34	9,85

5.5.3 Quellenspezifische Qualitätssicherung/-kontrolle und Verifizierung (3.D)

Zu Qualitätskontrolle und Qualitätssicherung wird auf Kapitel 5.1.7 verwiesen.

Analog zur Vorgehensweise in Kapitel 5.2.4 stellen Tabelle 292 und Tabelle 293 zum Zweck der Verifizierung die für Deutschland ermittelten N_2O-IEFs sowie die Frac-Größen $Frac_{GASF}$, $Frac_{GASM}$ und $Frac_{LEACH}$ den entsprechenden Daten solcher Staaten gegenüber, die benachbart sind oder deren landwirtschaftliche Praxis mit der deutschen vergleichbar ist. Das Vergleichsjahr ist aus den in Kapitel 5.2.4 angegebenen Gründen das Zeitreihenjahr 2014.

Tabelle 292: Vergleich der deutschen N_2O-N-IEF-Werte mit denen benachbarter Staaten, Jahr 2014

N_2O-N	Mineral-dünger	Wirtschafts-dünger	Ernterück-stände	organische. Böden	Weidegang	Deposition	Auswa-schung
	[kg kg^{-1}]	[kg kg^{-1}]	[kg kg^{-1}]	[kg ha^{-1}]	[kg kg^{-1}]	[kg kg^{-1}]	[kg kg^{-1}]
Österreich	0,0100	0,0100	0,0100	NO	0,0159	0,010	0,0075
Belgien	0,0099	0,0100	0,0100	8,0000	0,0196	0,010	0,0031
Tschechische Republik	0,0100	0,0100	0,0100	NO	0,0183	0,010	0,0075
Dänemark [a]	0,0100	0,0100	0,0100	11,3818	0,0180	0,010	0,0047
Frankreich	0,0100	0,0101	0,0100	8,0335	0,0189	0,010	0,0075
Deutschland	**0,0100**	**0,0100**	**0,0100**	**4,8537**	**0,0190**	**0,010**	**0,0075**
Niederlande	0,0130	0,0087	0,0117	7,4725	0,0330	0,011	0,0075
Polen	0,0100	0,0100	0,0100	8,0000	0,0191	0,010	0,0075
Schweiz	0,0100	0,0100	0,0100	8,0000	0,0190	0,026	0,0075
Vereinigtes Königreich	0,0093	0,0046	0,0100	8,0000	0,0044	0,010	0,0075
IPCC(2006a)-11.11, 11.24, IPCC (2013) [b]	0,0100	0,0100	0,0100	8,00 (13 / 4,3 / 8,2 / 1,6) [b]	0,02 (Rinder, Schweine, Geflügel); 0,01 andere Tiere	0,0100	0,0075

Quelle: Deutschland: Submission 2017; andere Länder: UNFCCC, 2016

[a] Dänemark einschließlich Grönland, ohne Färöer-Inseln

[b] IPCC (2013) Wetlands Supplement, Tabelle 2.5 (Ackerland, drainiert / Grünland, drainiert, nährstoffarm / Grünland, tief-drainiert, nährstoffreich / Grünland, flach-drainiert, nährstoffreich)

Für die Ausbringung von Mineraldünger und Wirtschaftsdünger sowie für Ernterückstände entsprechen mit wenigen Ausnahmen (vor allem Niederlande und Vereinigtes Königreich) die N_2O-N-IEFs der zehn Vergleichsländer und damit auch Deutschlands dem IPCC (2006)-Defaultwert von 0,01 kg kg^{-1}.

Bei den IEFs für N_2O-N aus organischen Böden verwendet die Mehrzahl der Länder, die diese Größe berichten, den IPCC (2006)-Defaultwert von 8 kg ha^{-1}. Der dänische Wert weicht deutlich nach oben ab. Der deutsche Wert markiert mit 4,85 kg ha^{-1} zwar das untere Ende der Skala, basiert aber auf nationalen Emissionsfaktoren, siehe Kapitel 5.5.2.1.1.

Die meisten IEFs für N_2O-N als Folge von Weidegang basieren offensichtlich auf einer Kombination der beiden Defaultwerte von IPCC (2006), wobei der Anteil der „anderen Tiere“ mit dem niedrigeren EF von Land zu Land variierend ins Gewicht fällt. Der deutsche Wert liegt mit 0,019 kg kg^{-1} nahe am Defaultwert für Rinder, Schweine und Geflügel, worin zum Ausdruck kommt, dass die Populationsanteile der übrigen Tiere vergleichsweise klein sind.

Mit Ausnahme der Schweiz rechnen beim indirekten N_2O-N infolge Deposition reaktiven Stickstoffs alle Länder, also auch Deutschland, mit dem IPCC (2006)-Defaultwert. Beim indirekten N_2O-N aus Auswaschung und Oberflächenabfluss (leaching) folgen die meisten Länder, darunter auch Deutschland, der Vorgabe in IPCC (2006).

Tabelle 293: Vergleich der deutschen Frac-Größen mit denen benachbarter Staaten, Jahr 2014

[kg kg^{-1}]	$Frac_{GASF}$	$Frac_{GASM}$	$Frac_{LEACH}$
Österreich	0,04	0,17	0,15
Belgien	0,08	0,19	0,30
Tschechische Republik	0,10	0,20	0,30
Dänemark [a]	0,04	0,08	0,28
Frankreich	0,10	0,20	0,30
Deutschland	**0,08**	**0,17**	**0,30**
Niederlande	NO	NO	NO
Polen	0,10	0,20	0,30
Schweiz	0,05	0,21	0,22
Vereinigtes Königreich	0,03	0,07	0,22
IPCC(2006a)-11.24	0,10	0,20	0,30

Quelle: Deutschland: Submission 2017; andere Länder: UNFCCC, 2016

[a] Dänemark einschließlich Grönland, ohne Färöer-Inseln

Die Streuung bei $Frac_{GASF}$ wird auf die zwischen den Nachbarländern variierenden relativen Anteile verschiedener Düngerarten (mit ihren unterschiedlichen NH_3-Emissionsfaktoren) zurückgeführt. Die Werte sind daher nur schwer vergleichbar. Der deutsche Wert liegt mit 0,08 kg kg^{-1} unter dem IPCC (2006a)-Defaultwert von 0,10 kg kg^{-1}. Mit Ausnahme der Niederlande berechnen die Länder, die nicht den IPCC-Defaultwert verwenden, deutlich niedrigere $Frac_{GASF}$-Werte (0,03 bis 0,05 kg kg^{-1}).

Auch bei $Frac_{GASM}$ ist eine erhebliche Bandbreite festzustellen. Sie reicht von den niedrigen Werten des Vereinigten Königreichs und Dänemarks (0,07 bzw. 0,08 kg kg^{-1}) bis zum Schweizer Wert von 0,21 kg kg^{-1}, der nur knapp über dem IPCC (2006a)-Defaultwert liegt. Der deutsche Wert liegt auf dem Niveau des Mittelwertes aller Vergleichsländer.

Bei $Frac_{LEACH}$ ist festzustellen, dass die Mehrheit der Nachbarländer wie Deutschland den IPCC-Defaultwert verwendet.

5.5.4 Unsicherheiten und Zeitreihenkonsistenz (3.D)

Hinsichtlich der Unsicherheiten der N_2O-Emissionen im Bereich der landwirtschaftlich genutzten Böden wird auf Tabelle 249 in Kapitel 5.1.6 (Gesamt-Unsicherheit des deutschen THG-Inventars) verwiesen.

Für NO gibt EMEP (2013)-3D-18 unter Bezug auf Stehfest und Bouwman (2006) ein 95 %-Konfidenzintervall von -80 % bis +406 % (bezogen auf den Emissionsfaktor) an. Dies entspricht, anders als von EMEP (2013)-3D-18 interpretiert, einem Unsicherheitsfaktor von rund 5.

Die Bestimmung von NMVOC-Emissionen ist mit großen Unsicherheiten verbunden (EMEP (2013)-3D-5, EMEP (2013)-3D-7, EMEP (2013)-3D-34). Die Tier-1-Emissionsfaktoren in EMEP (2013)-3D-11, Tabelle 3-1, weisen einen Unsicherheitsfaktor von 4 auf.

Die Emissionszeitreihen sind konsistent, da sie für alle Jahre des Berichtszeitraumes jeweils mit der gleichen Methode berechnet wurden und die Eingangsdaten ebenfalls konsistent und vollständig sind.

5.5.5 Quellenspezifische Rückrechnungen (3.D)

Die N_2O-Emissionen aus landwirtschaftlich genutzten Böden sind generell niedriger als in der Resubmission 2016, siehe Tabelle 294:

Tabelle 294: Gesamt-N_2O aus landwirtschaftlich genutzten Böden 2017 und 2016 (3.D)

[kt a^{-1}]	1990	1995	2000	2005	2006	2007	2008	2009	2010	2011	2012	2013	2014	2015
2017	95,9	83,7	88,7	83,8	83,3	80,5	86,5	83,1	82,4	87,8	86,3	88,0	90,8	92,4
2016	96,5	84,3	89,3	84,4	83,9	81,1	87,0	83,7	82,9	88,4	86,9	88,5	91,5	

Aus Tabelle 295 geht hervor, dass die Unterschiede zur Resubmission 2016 für die Jahre bis einschließlich 2013 nahezu ausschließlich auf die Änderungen bei den organischen Böden aufgrund des geänderten Emissionsfaktors für drainiertes Grünland (siehe Kapitel 5.5.2.1.1) zurück zu führen sind. Als Folge aktualisierter Aktivitätsdaten zur Vergärung von Energiepflanzen (siehe Kapitel 5.1.4.2) tragen im Zeitreihenjahr 2014 auch Auswaschung und Oberflächenabfluss und die Ausbringung von Gärresten signifikant zum Unterschied gegenüber Resubmission 2016 bei. Die durch das ERT des In-Country-Reviews 2016 geforderte methodische Anpassung bei der Berechnung von indirekten N_2O-Emissionen aus Auswaschung und Oberflächenabfluss wurde bereits in der Resubmission 2016 umgesetzt.

Tabelle 295: Differenzen 2017 –2016 für die gesamten N_2O-Emissionen aus der Nutzung landwirtschaftlicher Böden sowie separat für relevante Teilbereiche (3.D)

[kt a^{-1}]	1990	1995	2000	2005	2006	2007	2008	2009	2010	2011	2012	2013	2014
insgesamt	**-0,63**	**-0,63**	**-0,62**	**-0,61**	**-0,60**	**-0,59**	**-0,58**	**-0,58**	**-0,56**	**-0,56**	**-0,55**	**-0,54**	**-0,70**
Auswaschung incl. EC[a]	0,00	0,00	0,00	0,00	0,00	0,00	0,00	0,00	0,00	0,00	0,00	0,00	-0,02
Organische Böden	-0,63	-0,63	-0,62	-0,61	-0,60	-0,59	-0,58	-0,57	-0,57	-0,56	-0,55	-0,55	-0,55
EC-Gärreste-Ausbringung[b]	0,00	0,00	0,00	0,00	0,00	0,00	0,00	0,00	0,00	0,00	0,00	0,00	-0,12
übrige Quellen	0,00	0,00	0,00	0,00	0,00	0,00	-0,01	-0,01	0,00	0,00	0,00	0,01	-0,01

[a] Auswaschung einschließlich der Auswaschung infolge Ausbringung von Energiepflanzen-Gärresten

[b] Direkte N_2O-Emissionen infolge Ausbringung von Energiepflanzen-Gärresten

Tabelle 296 stellt die NO-Gesamtemissionen den entsprechenden Daten aus der Resubmission 2016 gegenüber. Die geringen Differenzen sind auf die zum Teil gegenläufigen Auswirkungen der Änderungen der tierischen Leistungsdaten (siehe Kapitel 5.1.3.3) und der Aktivitätsdaten zur Wirtschaftsdünger- und Energiepflanzenvergärung (siehe Kapitel 5.1.3.6.5 und 5.1.4.2) zurück zu führen.

Tabelle 296: Vergleich der Gesamt-NO aus landwirtschaftlich genutzten Böden (3.D)

[kt a^{-1}]	1990	1995	2000	2005	2006	2007	2008	2009	2010	2011	2012	2013	2014	2015
2017	88,5	74,3	79,4	73,3	73,4	69,6	75,4	69,8	70,9	77,8	74,9	76,7	78,2	81,9
2016	88,5	74,3	79,4	73,3	73,4	69,6	75,4	69,8	70,9	77,8	74,9	76,7	78,4	

Die NMVOC-Emissionen haben sich gegenüber der Resubmission 2016 nicht verändert.

5.5.6 Geplante Verbesserungen (3.D)

Derzeit sind keine Verbesserungen geplant.

Sofern in vorhergehenden Berichterstattungen in diesem Kapitel Verbesserungen benannt wurden, sind diese in Form einer Übersicht unter Kapitel 10.4 Verbesserungen des Inventars, Tabelle 426 zu finden. Sind diese bereits erledigt, sind sie im selben Kapitel in Tabelle 425 abgebildet.

5.6 Brandrodung (3.E)

Brandrodung wird in Deutschland nicht praktiziert (NO).

5.7 Verbrennen von Ernterückständen auf der Fläche (3.F)

Das Verbrennen von Ernterückständen ist in Deutschland untersagt (NO).

5.8 CO_2 aus Kalkung und Harnstoffanwendung (3.G-I)

5.8.1 Beschreibung der Quellgruppe

KC	Category	Activity	EM of	1990 (kt CO_2-e.)	(fraction)	2015 (kt CO_2-e.)	(fraction)	Trend 1990-2015
L/-	**3.G. Liming**		**CO_2**	**2.704,0**	**0,22%**	**2.214,7**	**0,25%**	**-18,1%**
-/-	3.H. Urea application		CO_2	479,6	0,04%	856,3	0,10%	78,5%

Gas	Angewandte Methode	Quelle der Aktivitätsdaten	genutzte Emissionsfaktoren
CO_2	Tier 1	NS	D

Die Quellgruppe *CO_2 aus Kalkung* ist für CO_2-Emissionen eine Hauptkategorie nach der Emissionshöhe.

Kalkdüngung, d. h. die Zuführung von Carbonaten, verringert den Säuregehalt des Bodens und verbessert das Pflanzenwachstum, wobei CO_2 frei gesetzt wird. Die Kalkdünger umfassen alle Carbonate von Calcium und Magnesium als reine Stoffe oder als Beimengungen. Deutschland berichtet unter CRF 3.G die gesamten CO_2-Emissionen, die aus der Anwendung von kohlensauren, Misch-, Carbo- und Rückstandskalken entstehen. Auch die aus der Ausbringung von Kalkammonsalpeter resultierenden CO_2-Emissionen sind CRF 3.G enthalten, weshalb unter CRF 3.I („Andere kalkhaltige Dünger“) „IE“ angegeben wird. Die berichteten CO_2-Emissionen umfassen entsprechend den Anforderung in IPCC (2006a), Chapter 11.3, und CRF-Tabelle 3.G-I neben den Emissionen aus der Landwirtschaft auch die aus der Kalkung im Forstbereich und werden für Kalkstein ($CaCO_3$) und Dolomit ($CaMg(CO_3)_2$) getrennt angegeben.

Bei der Stickstoffdüngung mit Harnstoff entsteht unter Einwirkung von Urease und Wasser CO_2. Deutschland berichtet diese CO_2-Emissionen im Sektor 3.H ohne Berücksichtigung von CO_2, das bei der industriellen Herstellung von Harnstoffdünger gebunden wurde.

Die berechneten CO_2-Emissionen aus Kalkung sind von 1990 bis 2015 von 2704,0 kt a^{-1} auf 2214,7 kt a^{-1} gesunken, was eine Abnahme um 18,1 % bedeutet. Die CO_2-Emissionen aus der Harnstoffanwendung liegen 2015 mit 856,3 kt a^{-1} um 78,5 % über dem Wert von 1990 (479,6 kt a^{-1}).

5.8.2 Methodik und Emissionen

Trotz der Charakterisierung als Hauptquellgruppe werden die CO_2-C-Emissionen aus der Kalkung mit dem in IPCC (2006a)-11.27 angegebenen Tier-1-Ansatz berechnet. Der in IPCC (2006a)-11.27 angegebene Tier-2-Ansatz beruht auf Anwendung der Tier-1-Gleichung (Gleichung 11.12 in IPCC (2006a)-11.27) und der Verwendung nationaler Emissionsfaktoren. Solche Emissionsfaktoren sind für Deutschland nicht verfügbar, weshalb im Inventar der Tier-1-Ansatz mit den in IPCC (2006a)-11.27 angegebenen Default-Emissionsfaktoren angewendet wurde, bei denen es sich um die höchstmöglichen Emissionsfaktoren handelt. Als Folge davon entsprechen die von Deutschland berechneten und berichteten CO_2-Emissionen aus der Kalkung in konservativer Weise den höchstmöglichen Emissionen.

Nach Gleichung 11.12 in IPCC (2006a)-11.27) werden die CO_2-C-Emissionen aus der Kalkung als Produkt von Kalkmenge (siehe Kapitel 5.1.5.2) und CO_2-C-Emissionsfaktor berechnet. Die IPCC-Tier-1-Emissionsfaktoren betragen für Kalkstein 0,12 kg CO_2-C pro kg $CaCO_3$ und für Dolomit 0,13 kg CO_2-C pro kg $CaMg(CO_3)_2$ (IPCC (2006a)-11.27).

Die so berechneten CO_2-C-Emissionen werden für die Eintragung in die CRF-Tabellen durch Multiplikation mit dem Molgewichtsverhältnis 44/12 (IPCC (2006a)-11.27) in CO_2-Einheiten umgerechnet.

Tabelle 297 zeigt den zeitlichen Verlauf der CO_2-Emissionen aus der Düngekalkung getrennt für Kalkstein und Dolomit.

Tabelle 297: CO_2-Emissionen aus der Düngekalkung (3.G)

[kt a^{-1}]	1990	1995	2000	2005	2006	2007	2008	2009	2010	2011	2012	2013	2014	2015
insgesamt	2704,0	1744,9	2224,9	1727,4	1659,2	1786,3	1834,7	1795,4	1737,6	1885,7	1948,7	2003,5	2242,2	2214,7
Kalkstein	2340,3	1542,3	2062,9	1634,1	1569,7	1693,9	1762,4	1704,6	1658,2	1798,0	1865,5	1909,1	2153,5	2136,3
Dolomit	363,7	202,6	162,0	93,3	89,5	92,4	72,4	90,8	79,4	87,7	83,3	94,4	88,7	78,5

Die Tier-1-Methodik für CO_2-C-Emissionen aus Harnstoffanwendung (IPCC (2006a)-11.32) berechnet die Emissionen proportional zu Harnstoffmenge (siehe Kapitel 5.1.5.2). Als Proportionalitätsfaktor dient der CO_2-C-Emissionsfaktor, der stöchiometrisch abzuleiten ist und von IPCC (2006a)-11.32 mit 0,2 kg CO_2-C pro kg Harnstoff angegeben wird. Die für die CRF-Tabellen erforderliche Umrechnung in CO_2-Einheiten erfolgt analog zu CO_2 aus Kalkung, siehe oben. Tabelle 298 zeigt die resultierende Zeitreihe.

Tabelle 298: CO_2-Emissionen aus der Harnstoffanwendung (3.H)

[kt a^{-1}]	1990	1995	2000	2005	2006	2007	2008	2009	2010	2011	2012	2013	2014	2015
	479,6	477,2	578,5	598,0	653,8	641,0	647,9	795,0	587,4	749,9	624,8	695,0	697,8	856,3

5.8.3 Quellenspezifische Qualitätssicherung/-kontrolle und Verifizierung

Zu Qualitätskontrolle und Qualitätssicherung wird auf Kapitel 5.1.7 verwiesen.

5.8.4 Unsicherheiten und Zeitreihenkonsistenz

Hinsichtlich der Unsicherheiten der CO_2-Emissionen aus Düngekalkung und Harnstoffanwendung wird auf Tabelle 249 in Kapitel 5.1.6 (Gesamt-Unsicherheit des deutschen THG-Inventars) verwiesen. Zu Details siehe RÖSEMANN et al. (2017).

Der Umstand, dass i. d. R. nicht der gesamte ausgebrachte Kohlenstoff in CO_2 umgewandelt wird, kann nicht berücksichtigt werden, da die tatsächlich in CO_2 umgewandelte C-Menge nicht quantifizierbar ist. Die berechneten Emissionen stellen daher im Rahmen der in Tabelle 249 in Kapitel 5.1.6 angeführten Unsicherheiten maximal mögliche Emissionen dar.

Die Emissionszeitreihen sind konsistent, da sie für alle Jahre des Berichtszeitraumes jeweils mit der gleichen Methode berechnet wurden und die Eingangsdaten ebenfalls konsistent und vollständig sind.

5.8.5 Quellenspezifische Rückrechnungen

Die durch das Expert Review Team des In-Country-Reviews 2016 geforderte getrennte Berechnung der kalkungsbedingten CO_2-Emissionen für Kalkstein und Dolomit wurde bereits in der Resubmission 2016 umgesetzt. Dies gilt auch für die Aktualisierung der Aktivitätsdaten für die neuen Bundesländer in den Jahren 1990 bis 1993 (siehe Kapitel 5.1.5.2). Daher waren für die vorliegende Submission 2017 keine Rückrechnungen im Bereich der Kalkung erforderlich.

Für die CO_2-Emissionen aus der Anwendung von Harnstoff blieben Aktivitätsdaten und Methodik unverändert, so dass auch hier keine Rückrechnungen erforderlich waren.

5.8.6 Geplante Verbesserungen

Die CO_2-Emissionen aus der Anwendung von Kalkammonsalpeter sollen ab Submission 2018 separat berichtet werden (CRF 3.I, Other carbon-containing fertilizer).

Sofern in vorhergehenden Berichterstattungen in diesem Kapitel Verbesserungen benannt wurden, sind diese in Form einer Übersicht unter Kapitel 10.4 Verbesserungen des Inventars, Tabelle 426 zu finden. Sind diese bereits erledigt, sind sie im selben Kapitel in Tabelle 425 abgebildet.

5.9 CH_4 und N_2O aus der Vergärung von Energiepflanzen (Fermenter und Gärrestelager) (3.J)

5.9.1 Beschreibung der Quellgruppe

KC	Category	Activity	EM of	1990 (kt CO_2-e.)	(fraction)	2015 (kt CO_2-e.)	(fraction)	Trend 1990-2015
-/T	**3.J. Other**	**0**	**CH_4**	**0,3**	**0,00%**	**1.296,0**	**0,15%**	**477864,4%**
-/-	3.J. Other	0	N_2O	0,1	0,00%	245,0	0,03%	200157,6%

Gas	Angewandte Methode	Quelle der Aktivitätsdaten	genutzte Emissionsfaktoren
CH_4	Tier 2	Q/RS/NS	CS/D
N_2O direct	Tier 2	Q/RS/NS	CS/D
N_2O indirect	Tier 1	Q/RS/NS	D
NO_X	Tier 2	Q/RS/NS	CS

Die Quellgruppe „CH_4 und N_2O aus der Vergärung von Energiepflanzen (Fermenter und Gärrestelager“) ist eine Hauptkategorie für CH_4-Emissionen nach dem Trend.

Die Vergärung von Energiepflanzen dient vorrangig der Energiegewinnung. Daher werden die bei der Vergärung selbst (Fermenter) und der Lagerung der Gärreste entstehenden Emissionen (CH_4, N_2O und NO, siehe Kapitel 5.1.4.1) als separate Quellgruppe berichtet (CRF 3s2/J). Die Emissionen aus der Nutzung der Gärreste als Dünger werden zusammen mit den Emissionen aus der Ausbringung anderer Dünger unter 3.D.2.c berichtet.

Analog zum Wirtschaftsdünger werden auch für die Lagerung von Energiepflanzen-Gärresten indirekte N_2O-Emissionen als Folge der Deposition von reaktivem Stickstoff berechnet. Es treten wie beim Wirtschaftsdünger keine indirekten N_2O-Emissionen aufgrund von Auswaschung/Oberflächenabfluss aus dem Lager auf.

Die THG-Emissionen aus der Vergärung von Energiepflanzen sind von 1990 bis 2015 von jährlich 0,4 kt CO_{2eq} auf 1541,0 kt CO_{2eq} angestiegen, was 2,3 % der THG-Emissionen der gesamten Landwirtschaft 2015 entspricht. Der relative N_2O-Beitrag zu den Gesamt-THG-Emissionen aus der Vergärung von Energiepflanzen ging von 1990 bis 2015 von 31,1 % auf 15,9 % zurück, was auf die zunehmende Verbreitung der gasdichten Lagerung der Gärreste zurück zu führen ist.

5.9.2 Methodische Aspekte

Die Berechnung der CH_4-Emissionen und der direkten N_2O-Emissionen erfolgt analog zur Emissionsberechnung bei der Vergärung von Mist (siehe Kapitel 5.1.3.6.5), allerdings ohne Vorlager.

Wie beim Wirtschaftsdünger (siehe Kapitel 5.3.5) werden auch für die Lagerung von Energiepflanzen-Gärresten indirekte N_2O-Emissionen als Folge der Deposition von reaktivem Stickstoff berechnet, der im Falle der Energiepflanzen aus NH_3- und NO-Emissionen aus dem Energiepflanzen-Gärrestelager stammt. Die NO-Emissionen aus dem Gärrestelager werden wie bei Wirtschaftsdünger analog zu den N_2O-Emissionen berechnet (siehe Kapitel 5.3.4.2). Zur Berechnung der NH_3-Emissionen aus dem Energiepflanzen-Gärrestelager wird auf RÖSEMANN et al. (2017) verwiesen.

5.9.3 CH_4-Emissionsfaktor und -Emissionen (3.J, CH_4)

Tabelle 299 zeigt den zeitlichen Verlauf des CH_4-Emissionsfaktors für die Vergärung von Energiepflanzen (Fermenter und Gärrestelager), bezogen auf die Trockenmasse -Mengen, die mit den Energiepflanzen in den Vergärungsprozess eingebracht wurden (siehe Kapitel 5.1.4.2). Zur Verbesserung der Übersichtlichkeit wird in Abweichung von der sonst für die Emissionsfaktoren üblichen Einheit (kg kg^{-1}) die Einheit g kg-1 verwendet. Die Abnahme des Emissionsfaktors mit der Zeit beruht auf der zunehmenden Verbreitung der gasdichten Lagerung der Gärreste (siehe Kapitel 5.1.4.2), für die anstelle des höheren Emissionsfaktors der offenen Lagerung nur die CH_4-Leckagerate zu berücksichtigen ist.

Tabelle 299: CH_4-Emissionsfaktor für die Vergärung von Energiepflanzen (Fermenter und Gärrestelager), bezogen auf die mit den Energiepflanzen eingebrachte Trockenmasse

[g kg^{-1}]	1990	1995	2000	2005	2006	2007	2008	2009	2010	2011	2012	2013	2014	2015
	3,23	3,19	3,14	3,08	3,03	2,98	2,93	2,88	2,83	2,78	2,67	2,64	2,60	2,60

Die CH_4-Emissionen aus der Vergärung von Energiepflanzen (Fermenter und Gärrestelager) gehen aus Tabelle 300 hervor. Der deutlich ansteigende Trend ist eine Folge der starken Zunahme der vergorenen Energiepflanzen-Menge (siehe Kapitel 5.1.4.2) insbesondere seit 2005. Dieser Trend wird durch die zunehmende Verbreitung gasdichter Gärrestelagerung (siehe Kapitel 5.1.4.2) abgeschwächt, speziell für den Übergang von 2011 zu 2012.

Tabelle 300: CH_4-Emissionen aus der Vergärung von Energiepflanzen (Fermenter und Gärrestelager)

[kt a^{-1}]	1990	1995	2000	2005	2006	2007	2008	2009	2010	2011	2012	2013	2014	2015
	0,01	0,14	1,18	9,78	13,51	18,17	20,82	26,25	32,44	39,75	41,77	49,71	51,54	51,84

5.9.4 N_2O-Emissionsfaktoren und -Emissionen (3.J, N_2O)

Die Emissionsfaktoren für direkte N_2O-Emissionen aus der Vergärung von Energiepflanzen (Gärrestelager) sind in Tabelle 301 dargestellt. Diese Daten repräsentieren den Mittelwert für gasdichte und offene Lagerung und spiegeln in ihrem abnehmenden Trend die mit den Jahren zunehmende Verbreitung der gasdichten Lagerung, die kein N_2O emittiert. Zur Verbesserung der Übersichtlichkeit wird in Abweichung von der sonst für die Emissionsfaktoren üblichen Einheit (kg kg^{-1}) die Einheit g kg-1 verwendet. Die Emissionsfaktoren in Tabelle 301 sind auf die N-Mengen anzuwenden, die mit den Energiepflanzen in den Vergärungsprozess eingebracht wurden (siehe Kapitel 5.1.4.2).

Tabelle 301: Effektiver N_2O-N-Emissionsfaktor für direkte N_2O-Emissionen aus der Vergärung von Energiepflanzen (Gärrestelager), bezogen auf die mit den Energiepflanzen eingebrachte N-Menge

[g kg^{-1}]	1990	1995	2000	2005	2006	2007	2008	2009	2010	2011	2012	2013	2014	2015
	5,00	4,77	4,53	4,21	3,95	3,68	3,41	3,15	2,89	2,63	2,03	1,86	1,69	1,69

Als Emissionsfaktor für indirekte N_2O-Emissionen infolge der Deposition von NH_3 und NO aus der Lagerung der Energiepflanzen-Gärreste wird wie beim Wirtschaftsdünger EF = 0,01 kg kg^{-1} angesetzt (IPCC (2006a)-11.24, Table 11.3). Dieser Emissionsfaktor ist mit den N-Depositionsmengen zu multiplizieren, die in Kapitel 5.1.5.1.3 angegeben sind, um die entsprechenden Emissionen zu erhalten.

Die berechneten direkten und indirekten N_2O-Emissionen zeigt Tabelle 302. Der zeitliche Verlauf spiegelt den starken Anstieg der vergorenen Energiepflanzen-Mengen (siehe Kapitel 5.1.4) insbesondere seit 2005 wieder. Die deutliche Abnahme der Emissionen von 2011 zu 2012 ist die

Folge einer überdurchschnittlichen Zunahme der Verbreitung der gasdichten Lagerung, siehe Kapitel 5.1.4.2.

Tabelle 302: N_2O-Emissionen aus der Lagerung von Energiepflanzen-Gärresten

[kt a^{-1}]	1990	1995	2000	2005	2006	2007	2008	2009	2010	2011	2012	2013	2014	2015
insgesamt	**0,000**	**0,005**	**0,041**	**0,327**	**0,431**	**0,549**	**0,593**	**0,702**	**0,810**	**0,918**	**0,777**	**0,856**	**0,818**	**0,822**
N_2Odirekt	0,000	0,005	0,039	0,311	0,410	0,522	0,564	0,668	0,770	0,873	0,739	0,815	0,778	0,782
N_2Oindirekt	0,000	0,000	0,002	0,016	0,021	0,027	0,029	0,034	0,040	0,045	0,038	0,042	0,040	0,040

5.9.5 NO-Emissionsfaktoren und -Emissionen (3.J, NO)

Wie beim Wirtschaftsdünger (siehe Kapitel 5.3.4.2.2) werden die NO-Emissionen proportional zu den direkten N_2O-Emissionen berechnet, indem der auf die eingebrachte N-Menge anzuwendende NO-N-Emissionsfaktor mit 10 % des N_2O-N-Emissionsfaktors angesetzt wird.

Tabelle 303 zeigt den zeitlichen Verlauf der NO-Emissionen aus der Vergärung von Energiepflanzen (Gärrestelager).

Tabelle 303: NO-Emissionen aus der Lagerung von Energiepflanzen-Gärresten

[kt a^{-1}]	1990	1995	2000	2005	2006	2007	2008	2009	2010	2011	2012	2013	2014	2015
	0,000	0,001	0,005	0,042	0,056	0,071	0,077	0,091	0,105	0,119	0,101	0,111	0,106	0,107

5.9.6 Quellenspezifische Qualitätssicherung/-kontrolle und Verifizierung (3.J)

Zu Qualitätskontrolle und Qualitätssicherung wird auf Kapitel 5.1.7 verwiesen.

5.9.7 Unsicherheiten und Zeitreihenkonsistenz (3.J)

Zu den Unsicherheiten bzgl. der Emissionen von CH_4 und N_2O aus der Vergärung von Energiepflanzen (Fermenter und Gärrestelager) wird auf Tabelle 249 in Kapitel 5.1.6 (Gesamt-Unsicherheit des deutschen THG-Inventars) verwiesen.

Die Emissionszeitreihen sind konsistent, da sie für alle Jahre des Berichtszeitraumes jeweils mit der gleichen Methode berechnet wurden und die Eingangsdaten ebenfalls konsistent und vollständig sind.

5.9.8 Quellenspezifische Rückrechnungen (3.J)

Aufgrund der gegenüber der Resubmission 2016 aktualisierten Zeitreihen der Aktivitätsdaten (Energiepflanzen-Mengen, gasdichte Lagerung: siehe Kapitel 5.1.4.2) wurden die gesamten Emissionszeitreihen von CH_4 und N_2O (siehe Kapitel 5.9.3 und 5.9.4) mit der gegenüber der Resubmission 2016 unveränderten Methodik neu berechnet. Tabelle 304 vergleicht die Ergebnisse. Abweichungen treten nur in den Jahren 2013 und 2014 auf. Sie sind auf aktualisierte Aktivitätsdaten zurückzuführen (siehe Kapitel 5.1.4.2).

Tabelle 304: THG-Emissionen aus der Vergärung von Energiepflanzen (Fermenter und Gärrestelager) 2017 und 2016 (3.J)

	1990	1995	2000	2005	2006	2007	2008	2009	2010	2011	2012	2013	2014
2017 [kt CO_2eq]	0,39	4,94	41,7	341,9	466,3	617,7	697,1	865,4	1052,3	1267,4	1275,7	1497,9	1532,3
2016 [kt CO_2eq]	0,39	4,94	41,7	341,9	466,3	617,7	697,1	865,4	1052,3	1267,4	1275,7	1516,5	1639,0

5.9.9 Geplante Verbesserungen (3.J)

Derzeit sind keine Verbesserungen geplant.

6 Landnutzung, Landnutzungsänderung und Forstwirtschaft (CRF Sektor 4)

6.1 Übersicht (CRF Sektor 4)

6.1.1 Kategorien und Gesamtemissionen und -senken 1990 - 2015

In der Unterkategorie „Forstwirtschaft und andere Landnutzung“ des LULUCF-Sektors (Common Reporting Framework Sektor 4) wird in Deutschland über positive (Quelle) und negative (Senke) CO_2-Emissionen der Kohlenstoffpools[89]

- ober- und unterirdische Biomasse
- Totholz, Streu
- organische und mineralische Böden

berichtet, für die Landnutzungskategorien

- Wald (4.A.1)
- Acker (4.B.1)
- Grünland (4.C.1)
- Feuchtgebiete (4.D.1)
- Siedlungen (4.E.1)

sowie die jeweiligen Landnutzungsänderungen zwischen diesen Nutzungskategorien (CRF 4.A.2 - 4.E.2). In der Kategorie Sonstiges Land (4.F) treten keine anthropogen bedingten Emissionen auf, da die Flächen nicht genutzt werden. Landnutzungsänderungen zu Sonstigem Land finden nicht statt, da einmal genutztes Land per Definition nicht wieder in ungenutztes überführt werden kann.

Des Weiteren werden inventarisiert:

- CO_2-Emissionen aus
    - den Holzprodukten (4.G)
    - dem industriellen Torfabbau (4.D.1)
- N_2O-Emissionen aus
    - organischen Böden der Landnutzungskategorien 4.A, 4.D, 4.E (Emissionen aus den Kategorien 4.B Ackerland und 4.C Grünland werden unter Landwirtschaft CRF 3.D.a.6 berichtet)
    - direkte (CRF 4.(III)) und indirekte (CRF 4.(IV)) Emissionen aus der Humusmineralisation in Mineralböden infolge Landnutzungsänderung bzw. Landbewirtschaftung
    - dem industriellen Torfabbau (4.(II))
    - Waldbrand (4.(V))
- CH_4-Emissionen aus
    - organischen Böden (4.(II))
    - Entwässerungsgräbenorganischer Bodenflächen (4.(II))
    - dem industriellen Torfabbau (4.(II))
    - Waldbrand (4.(V))

[89] CO2-Emissionen aus Waldbränden werden über die Kohlenstoffänderung im Wald implizit berücksichtigt.

  - Bei der Berichterstattung über die Freisetzung/Einbindung der Treibhausgase in jeder Landnutzungskategorie wird unterschieden zwischen Flächen, die in der Berichtsperiode
- keiner Landnutzungsänderung unterliegen, somit unverändert der Landnutzungskategorie zugeschlagen werden (Verbleibkategorie 4.A.1 - 4.F.1)
- eine Umnutzung erfahren: Diese werden vom Zeitpunkt der Umnutzung in der Kategorie berichtet, deren Nutzung sie zugeführt wurden. Die Änderungsflächen werden in diesen neuen Landnutzungskategorien für 20 Jahre in Übergangskategorien (4.A.2 - 4.F.2) berichtet. Nach 20 Jahren in der Übergangskategorie werden diese Flächen dann in die Verbleibkategorie übernommen.

Abbildung 49, Abbildung 50 und Abbildung 51 geben für die vorliegende Submission 2017 eine Übersicht über die zeitliche Entwicklung der Treibhausgasemissionen (Summe aus CO_2, CH_4 und N_2O als CO_2-Äquivalente) aus den Bereichen 4.A-4.E, aufgeteilt nach Unterkategorien, Pools und Treibhausgasen. Auf der X-Achse ist die Jahresleiste im Berichtszeitraum und auf der Y-Achse die Emissions- (positive Werte) und die Senkenwirkung (negative Werte) in Kilotonnen CO_2-Äquivalenten (kt CO_2-Eq.) dargestellt.

Die deutlichen Änderungen der Emissionen in den Jahren 2002 und 2008 sind auf veränderte Emissionsfaktoren für die Forstbiomasse und der Holznutzung zurückzuführen, welche in der Inventurperiode 2002 bis 2008 zugenommen und in der Periode 2008 bis 2012 wieder abgenommen hat (siehe Kapitel 6.4.2.2.1). Die Zeitreihen spiegeln neben den Veränderungen bei der Forstbiomasse die Trends der Landnutzungsänderungen wider (siehe Kapitel 6.3.5). Für die Erfassung von Landnutzungsänderungen wurden Datensätze der Stichjahre 1990, 2000, 2005, 2008, 2012 und 2014 verwendet (vergl. Kapitel 6.3). Die Landnutzungsänderungen wurden zwischen den Stichjahren linear interpoliert, so dass sich zwischen den Stichjahren jeweils konstante mittlere Landnutzungsänderungen ergeben (siehe Tabelle 337). Für das Jahr 2015 wurden die Werte des Jahres 2014 extrapoliert. Diese Methode ist konform mit den Richtlinien des IPCC. Die Landnutzungsänderungen können zwischen den Perioden unterschiedlich stark und unterschiedlich gerichtet sein.

Der Verlauf der Nettoemissionen von 1990 bis 2015 zeigt, dass der Sektor über die Jahre ausnahmslos als Senke fungierte. Hauptursache hierfür ist die Landnutzungskategorie Wald, dominierender Pool die Waldbiomasse; aber auch die Waldböden tragen einen bedeutenden Teil zur Senke bei. Einen Anteil an der Senkenfunktion liefern ebenfalls die Holzprodukte durch ihre Funktion als Kohlenstoffspeicher. Dem gegenüber stehen hauptsächlich die Emissionen aus den landwirtschaftlich genutzten Flächen der Landnutzungskategorien Acker- und Grünland. Diese beiden Kategorien zeigen sich über die Jahre als konstante, wenig variierende Quelle, zurückzuführen auf die anhaltend hohen Emissionen aus entwässerten organischen Böden. Die Landnutzungskategorie Feuchtgebiete trägt hauptsächlich durch den industriellen Torfabbau zu den Emissionen bei; die Kategorie Siedlungen weist mit einer Zunahme der Emissionen von 80,1 % den stärksten Trend aller Landnutzungskategorien auf. Dominierendes Treibhausgas ist Kohlenstoffdioxid (CO_2), welches Netto als bedeutende Senke wirkt. Die Freisetzung von Methan (CH_4) und Lachgas (N_2O) ist demgegenüber gering. Detaillierte Beschreibungen der Emissionen und deren Zeitreihen finden sich in den jeweiligen Kapiteln (Kapitel 6.4.1, Kapitel 6.5.1, Kapitel 6.6.1, Kapitel 6.7.1, Kapitel 6.8.1 und Kapitel 6.10.1).

Abbildung 49: Zeitreihen der Treibhausgasemissionen und – senken (Summe aus CO_2, CH_4 und N_2O) [kt CO_2-Equivalents] im LULUCF-Sektor seit 1990, unterschieden nach Unterkategorien

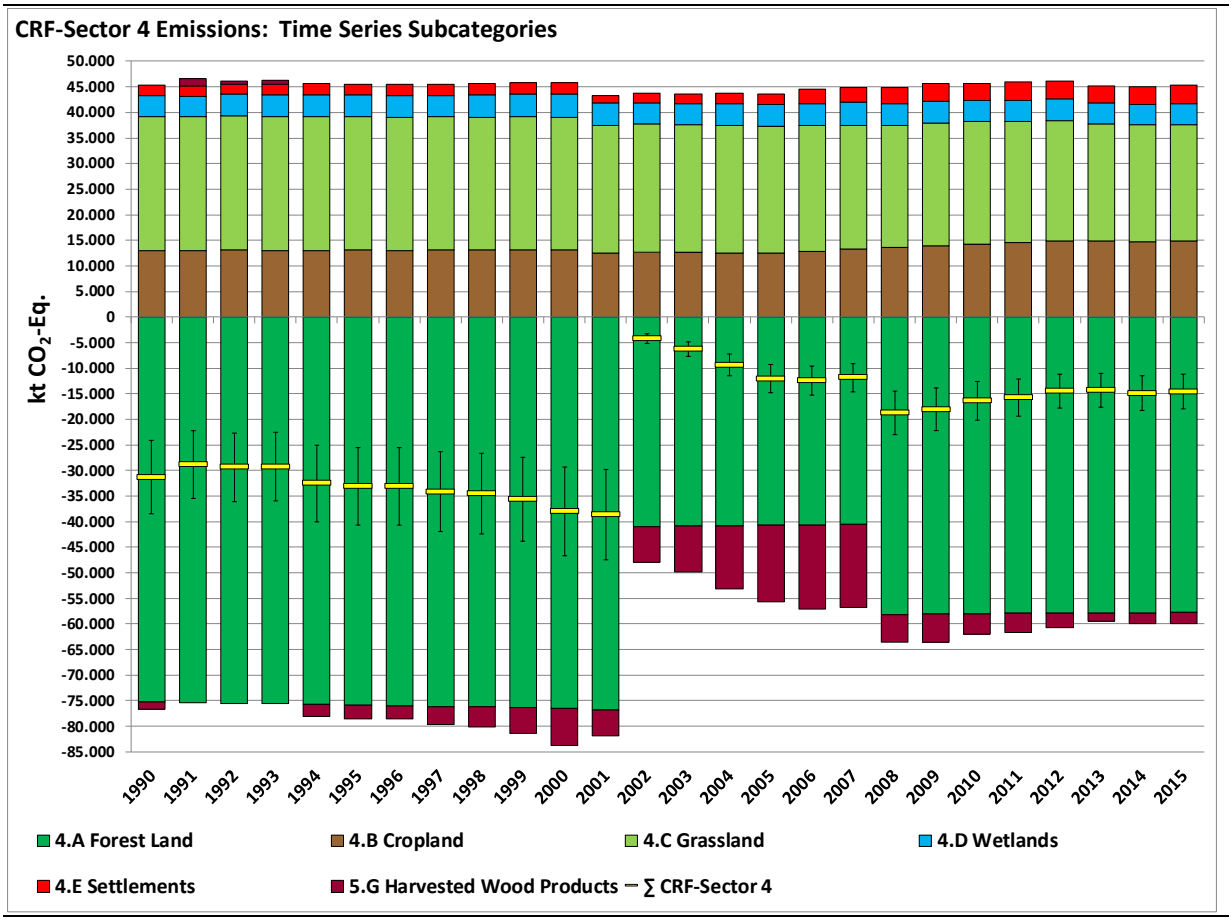

Abbildung 50: Zeitreihen der Treibhausgasemissionen und –senken (Summe aus CO_2, CH_4 und N_2O) [kt CO_2-Equivalents] im LULUCF-Sektor seit 1990, unterschieden nach Quellgruppen

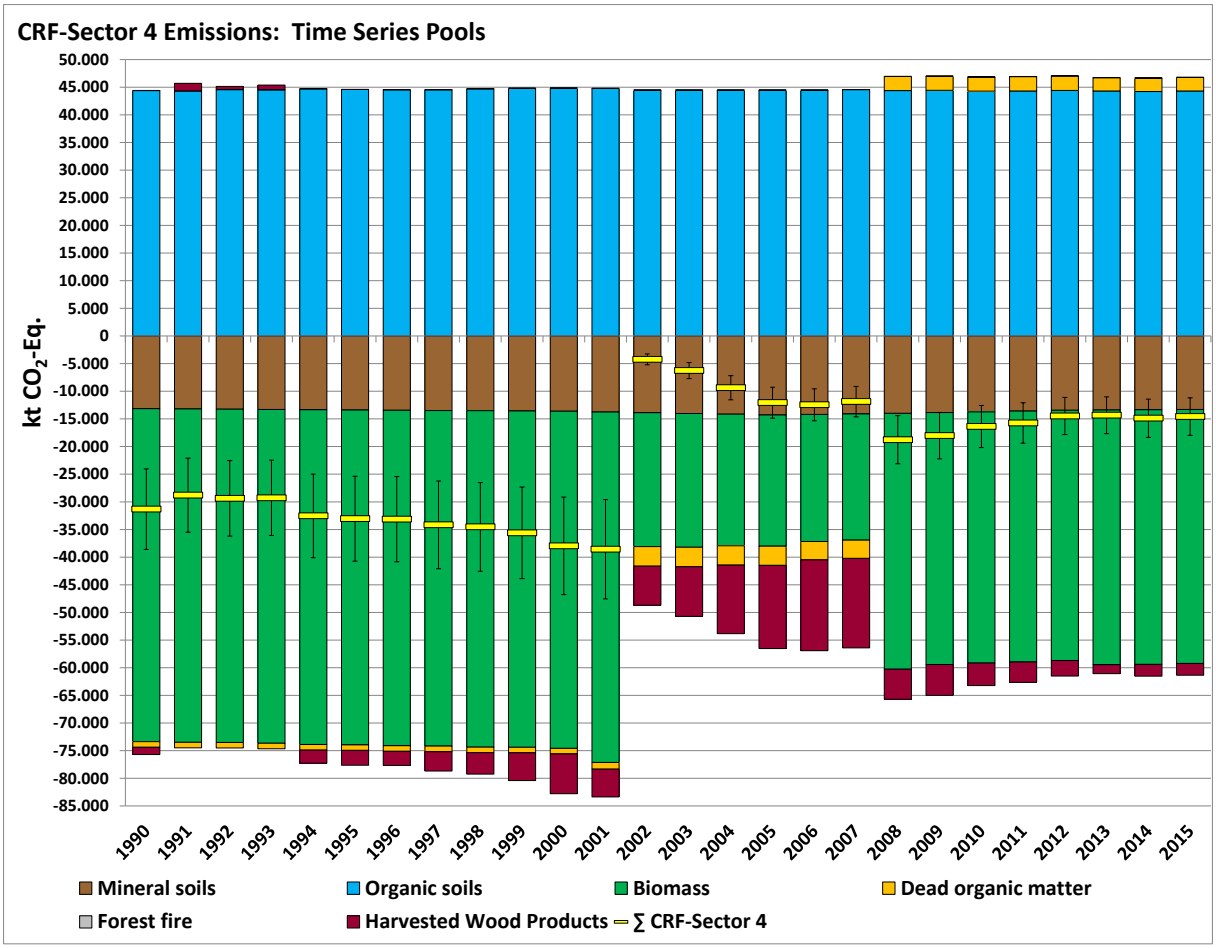

Abbildung 51: Zeitreihen der Treibhausgasemissionen und – senken (Summe aus CO_2, CH_4 und N_2O) [kt CO-Equivalents] im LULUCF-Sektor seit 1990, unterschieden nach Treibhausgasen (GHG)

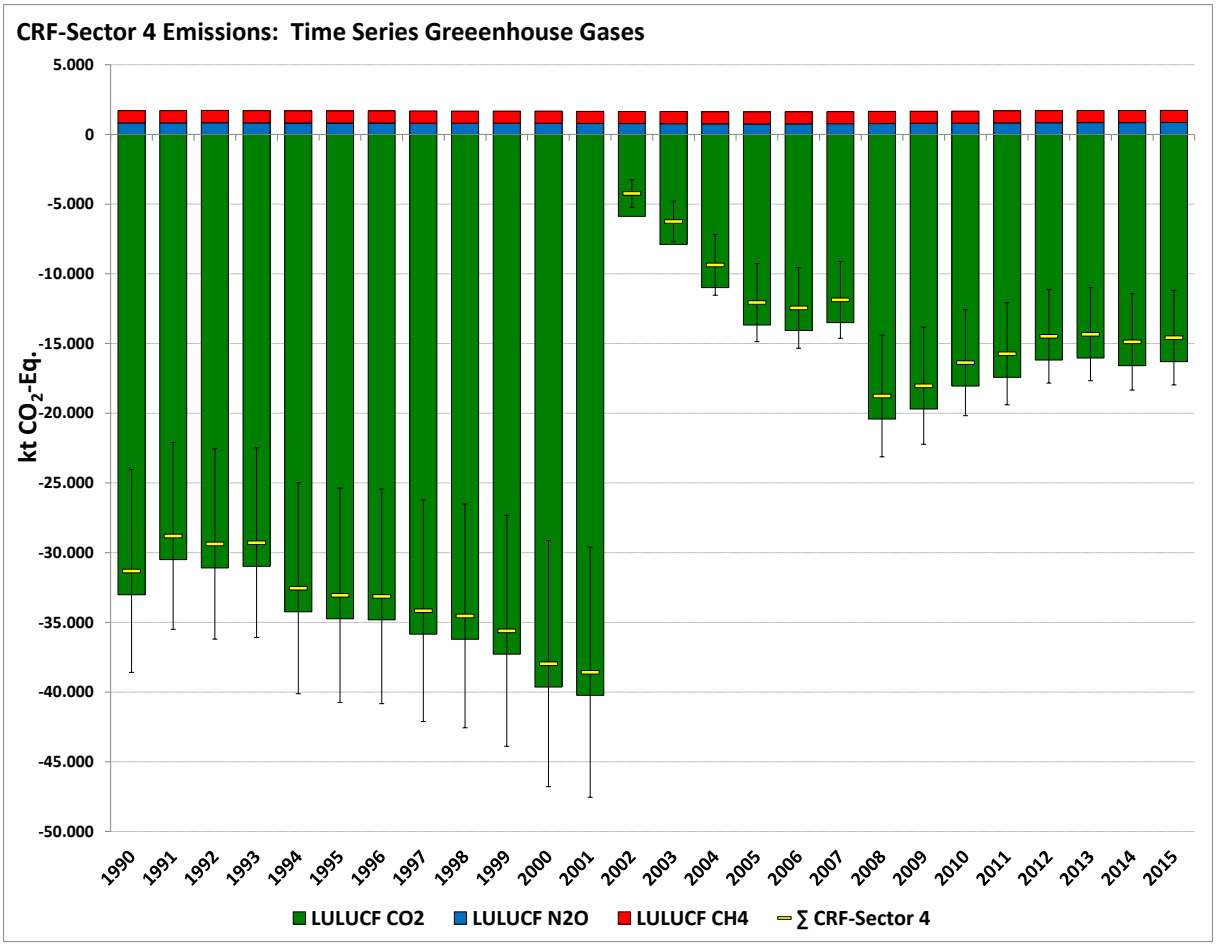

Die Gesamtunsicherheit des deutschen LULUCF-Inventars (ohne Holzprodukte) beträgt 23,26 %,. Ausführungen hierzu finden sich in den entsprechenden Kapiteln der einzelnen Kategorien sowie im Kapitel 19.4.3.

6.1.2 Methodische Grundlagen

Das für den CRF-Sektor 4 in den 2006 IPCC Guidelines geforderte System der Landnutzungssysteme wurde von Deutschland übernommen; die Umsetzung ist in Tabelle 305 dargestellt, genaue Definitionen und Beschreibungen finden sich in Kapitel 6.2 (vergl. auch Kapitel 6.3).

Tabelle 305: Zuordnung der deutschen Berichtskategorien zu den IPCC-Landnutzungskategorien

IPCC-Kategorie	Deutsche LULUCF-Kategorien
4.A Wald	Wald
4.B Ackerland	Ackerland
4.C Grünland	Grünland im engeren Sinne
	Gehölze
4.D Feuchtgebiete	Terrestrische Feuchtgebiete
	Torfabbau
	Gewässer
4.E Siedlungen	Siedlungen
4.F Sonstiges Land	Sonstiges Land
4.G Holzprodukte	Holzprodukte

Grundlegende Elemente und Schritte bei der Erstellung des LULUCF-Inventars

1. **Landnutzungsmatrix$_{\text{jährlich}}$ *[Area_ann]***: Jährliche Berechnung der Gesamtfläche für die Unterkategorien „verbleibende Landnutzung“ und „Landnutzungsänderung“ für die Kategorien Wald, Ackerland, Grünland im engeren Sinn, Gehölze, terrestrische Feuchtgebiete, Gewässer, Torfabbau, Siedlungen und sonstiges Land, für alle Zeitreihen unterteilt nach mineralischen und organischen Böden. Die Landnutzung und deren Flächenausweisung wurden explizit bestimmt für die Jahre 1990, 2000, 2005, 2008, 2012 und 2014. Für die Zeiträume zwischen diesen Jahren wurden die ermittelten Flächen linear interpoliert (siehe Kapitel 6.3) und für 2015 extrapoliert**,** was den Richtlinien des IPCC entspricht**.**

2. **Emissionsfaktoren für den gesamten Kohlenstoffvorrat im Jahr der Landnutzungsänderung *[EF_ann]***: Die Emissionsfaktoren für die verschiedenen Pools sind differenziert nach Landnutzungskategorie in Tabelle 306 (Mineralboden), Tabelle 315 (Biomasse), Tabelle 316 (Waldbiomasse (Entwaldung),Totholz und Streu) und im Kapitel 6.1.2.2.2 (organische Böden) dargestellt. Außer in Wald und Acker sind die Kohlenstoffvorräte pro Flächeneinheit über die Zeit konstant. Damit ergeben sich auch konstante Änderungen der Kohlenstoffvorräte bei Landnutzungsänderung.

3. **Kohlenstoffvorratsänderungen für die jährlichen Landnutzungsänderungen *[E_ann]*** werden nach der Formel ***E_ann [kt C] = EF_ann [t C/ha]* Area_ann [kha]*** berechnet, unter der Annahme, dass die gesamte Kohlenstoffvorratsänderung im Jahr der Landnutzungsänderung auftritt.

4. **Einführung einer zwanzigjährigen Übergangszeit *[Area_20y]***: Die Berechnung der Landnutzungsmatrix beginnt 1970, um die Landnutzungsänderungsflächen vor dem eigentlichen Berichtszeitraum zu ermitteln (siehe Kapitel 6.3.4). Ermittelte Übergangsflächen werden der jeweiligen Landnutzungsänderungskategorie im Jahr des Übergangs zugeschlagen und verbleiben für 20 Jahre in dieser Kategorie. Folgerichtig sind ab dem zweiten Berichtsjahr die Flächen in den Verbleibkategorien kleiner, in den Übergangskategorien größer, als in der jährlichen Landnutzungsmatrix. Die Flächen sind in den CRF-Tabellen, Tabelle 335 und Tabelle 336 dargestellt.

5. **Emissionsfaktoren *[EF]* und implizierte Emissionsfaktoren *[IEF]* für die zwanzigjährige Übergangszeit *[IEF_20y]***: Diese Faktoren sind in den CRF-Tabellen dargestellt. Es werden jährliche Emissionsfaktoren in Emissionsfaktoren bzw. implizierte

Emissionsfaktoren umgerechnet, die zu den Flächen der Landnutzungsmatrix mit zwanzigjähriger Übergangszeit passen. Die Berechnungen können mit den entsprechenden Arbeitsblätter der Tabellenkalkulation schrittweise nachvollzogen werden. Die Konversion von ***EF_ann*** zu ***IEF_20y*** führt nach der Verrechnung mit den mineralischen und organischen Bodenflächen für die Emissionen aus Pools zu angepassten, also implizierten, IEFs. Auch wenn die absoluten Emissionen unverändert bleiben, werden die IEF´s beeinflusst von den jährlichen Nettoänderungen der Flächen in den Übergangskategorien. Dabei kommen folgende Formeln zur Anwendung:

- **Mineralböden**: Die gesamte Kohlenstoffvorratsänderung infolge Landnutzungsänderung wird nach der Formel ***IEF_20y = EF_ann / 20*** linear auf 20 Jahre Übergangszeit aufgeteilt; d.h. nur ein Zwanzigstel der Gesamtemission wird jährlich veranschlagt.
- **Organische Böden**: Es wird jedes Jahr die gleiche Menge CO_2 emittiert, in den Übergangskategorien genauso wie in der Verbleibkategorie der neuen Landnutzung; ***IEF_20y = EF_ann***.
- **Netto-Kohlenstoffvorratsänderung, Kohlenstoffzu- und -abnahme der Biomasse und toter organischer Substanz außer bei Landnutzungsänderung zu Wald**: Alle Emissionen werden vollständig im Jahr der Landnutzungsänderung veranschlagt, nach der Formel ***IEF_20y = E_ann / Area_20y***. Die Emissionen, die im jeweiligen Berichtsjahr auftreten, werden so an die größere Fläche der entsprechenden Übergangskategorie angepasst.
- **Netto-Kohlenstoffvorratsänderung, Kohlenstoffzunahme der Biomasse und toter organischer Substanz bei Landnutzungsänderung zu Wald**: Die gesamte Kohlenstoffvorratsänderung infolge Landnutzungsänderung wird nach der Formel ***IEF_20y = EF_ann*** berechnet; d.h. jedes Jahr wird auf der gesamten Landnutzungsänderungsfläche die Kohlenstoffsenke veranschlagt.
- **N_2O aus dem Verlust von organischer Substanz in Mineralböden infolge von** Landnutzungsänderung **zu Acker**: Es wird dieselbe Methode wie bei Kohlenstoffvorratsverlusten in Mineralböden verwendet. Die gesamte Kohlenstoffvorratsänderung infolge Landnutzungsänderung wird linear auf die 20 Jahre Übergangszeit aufgeteilt, nach der Formel ***IEF_20y = E_ann / Area_20y***; d.h. nur ein Zwanzigstel der Gesamtemission wird jährlich veranschlagt.

6. **Gesamte Kohlenstoffvorratsänderungen für Flächen mit zwanzig jähriger Übergangszeit**, werden für die Klimarahmenkonvention ebenfalls nach folgender Formel ***E_20y [kt C] = IEF_20y [t C/ha]* Area_20y [kha]*** berechnet.
7. **Berechnung der CO_2 Emissionen** aus den Kohlenstoffwerten für den NIR durch Multiplikation der Kohlenstoffvorratsänderungen mit dem Faktor -44/12.
8. Die Submission 2017 wurde nach den Regelwerken

- 2006 IPCC Guidelines
- 2013 Revised Supplementary Methods and Good Practice Guidance Arising from the Kyoto Protocol (IPCC 2014a)
- 2013 Supplement to the IPCC Guidelines for National Greenhouse Gas Inventories: Wetlands (IPCC 2014b)

zusammengestellt. Maßgebliche Maßnahmen zur Inventarverbesserung, die in dieser Submission zur Anwendung kamen und zu Neuberechnungen führten waren:

- Erstmalige Abschätzung der Kohlenstoffvorratsänderungen der Phytomasse in der Kategorie Ackerland bleibt Ackerland
- Nutzung der Flächen für perennierende Ackerkulturen Deutschlands aus der Offizialstatistik in der Subkategorie „Ackerland bleibt Ackerland“ (s. Kapitel 6.5.2.1)
- Einführung von Emissionsfaktoren für die Phytomasse perennierender und annueller Ackerpflanzen in der Subkategorie „Ackerland bleibt Ackerland“ (s. Kapitel 6.5.2.1).
- Korrektur bzw. Methodenänderung bei der Ermittlung der Emissionsfaktoren für die Biomasse annueller Acker- und Grünlandpflanzen (Kapitel 6.1.2.3)

Abgesehen von diesen Änderungen kamen die Methoden, Datenquellen und Emissionsfaktoren des Vorjahres zur Anwendung.

6.1.2.1 Treibhausgasemissionen aus Mineralböden (4.A bis 4.F)

6.1.2.1.1 Kohlenstoff

Die Fläche der Mineralböden wurde als Differenz der Gesamtflächen und der Flächen organischer Böden berechnet (Kapitel 6.1.2.2).

Die Veränderungen der Kohlenstoff- bzw. Stickstoffvorräte in Mineralböden werden, gemäß Gleichung 2.25 in den 2006 IPCC Guidelines (IPCC, 2006), als Differenz zwischen den jeweiligen Vorräten vor und nach den entsprechenden Landnutzungsänderungen berechnet. Die Emissionsfaktoren wurden landesspezifisch abgeleitet. Für die Landnutzungskategorien 4.B-4.F (Ackerland, Grünland i.e.S, Gehölze, Feuchtgebiete, Siedlungen und Sonstiges Land), wurde für Mineralböden ein repräsentativer flächengewichteter Kohlenstoffvorrat für Mineralböden bis 30 cm Bodentiefe aus in Deutschland vorhandenen nutzungsdifferenzierten Profildaten bestimmt. Dieser Kohlenstoffvorrat wurde nach Ausgangssubstrat, Bodentyp, Klimaregion (nur Oberböden) und Landnutzung differenziert. Die Herleitung dieser Werte und deren Unsicherheiten werden in Kapitel 19.4.2 beschrieben. Die Werte für die Waldböden entstammen aus den Bodenzustandserhebungen im Wald (s. Kapitel 6.4.2.5.3). Die Berichterstattung für Mineralböden erfolgt somit nach einem Tier 2 - Ansatz.

Für die Kategorie 4.A.1 „Wald bleibt Wald“ wurde im Rahmen der Bodenzustandserhebungen im Wald eine jährliche Kohlenstoffvorratsänderung von 0,41 ± 0,11 t C ha^{-1} a^{-1} ermittelt (vergl. Kapitel 6.4.2.5.4 und Kapitel 19.4.2.1). Diese wird jährlich dem Vorjahresvorrat zugeschlagen und als Einbindung berichtet.

Bei Mineralböden der Landnutzungskategorien 4.B, 4.C, 4.D, 4.E und 4.F wird bei gleichbleibender Nutzung unterstellt, dass die Kohlenstoff ein- und -austräge in die Böden gleich groß, die Systeme somit im Gleichgewicht sind. Begründungen finden sich in Kapitel 6.5.2.3 und Kapitel 6.6.2.3.

Die Kategorie Grünland (4.C) weist zwei Subkategorien auf: zum Einen das Grünland i.e.S., zum Anderen Flächen, auf denen Gehölze vorhanden sind, die nicht unter die Walddefinition fallen. Die Flächenübergänge zwischen diesen Unterkategorien werden wie Landnutzungsänderungen behandelt.

Die Kategorie Feuchtgebiete (4.D) weist drei Subkategorien auf: Terrestrische Feuchtgebiete, Torfabbauflächen (nur Verbleibkategorie) und Gewässer (Flooded Land). Die Flächenübergänge zwischen diesen Unterkategorien werden wie Landnutzungsänderungen behandelt. Mineralböden kommen nur in den beiden Subkategorien terrestrische Feuchtgebiete und

Gewässer vor. Bei Landnutzungsänderungen von und zu Gewässern werden keine Kohlenstoffvorratsänderungen angesetzt, so dass bei Landnutzungsänderungen zwischen den Subkategorien keine Kohlenstoffvorratsänderungen in Mineralböden auftreten (NO).

Die Kohlenstoffvorratsänderungen in Mineralböden infolge von Landnutzungsänderung werden für jede Übergangskategorie als Differenz des Kohlenstoffvorrates der Zielnutzungskategorie und des Kohlenstoffvorrates der Ursprungskategorie berechnet. Da sich der Kohlenstoffvorrat von Waldböden (4.A) jährlich verändert, werden die jeweils jährlich gültigen Werte den Inventarberechnungen zugrunde gelegt. Die Gesamtänderung wird gemäß IPCC-Default (IPCC 2006) auf einen Zeitraum von 20 Jahren linear verteilt. Die Summe der Kohlenstoffvorratsänderungen infolge von Landnutzungsänderungen in den Mineralböden Deutschlands errechnet sich für 20 Jahre dann wie folgt:

$$\Delta C = \sum_{n=1}^{7} (C_{final} - C_{initial})$$

ΔC: Veränderung des Kohlenstoffvorrates infolge Landnutzungsänderung in Mineralböden einer IPCC-Landnutzungskategorie [t C (20*a)$^{-1}$]

C_{final}: Finaler Bodenkohlenstoffvorrat [t C]

$C_{initial}$: Initialer Bodenkohlenstoffvorrat [t C]

n: Übergangskategorien

Die Kohlenstoffvorräte der Mineralböden der einzelnen Landnutzungskategorien, sowie die daraus abgeleiteten als Emissionsfaktoren genutzten Kohlenstoffvorratsdifferenzen, sind für das Jahr 2015 in Tabelle 306 dargestellt und deren Herleitung ist in Kapitel 19.4.2 beschrieben.

Tabelle 306: Mittlere Kohlenstoffvorräte in Mineralböden Deutschlands in Abhängigkeit von der Landnutzung [t C ha^{-1}] sowie daraus abgeleitete Kohlenstoffvorratsunterschiede nach Landnutzungsänderung für das Jahr 2015

Mittlerer Kohlenstoffvorrat in Mineralböden Deutschlands im Jahre 2015								
	Wald	**Acker**	**Grünland i.e.S.**	**Gehölze**	**Terrestrische Feuchtgebiete**	**Gewässer**	**Siedlungen**	**Sonstiges Land**
[t C ha^{-1}]	*65,49*	60,03	77,43	73,18	74,00		58,67	55,60
Kohlenstoffvorratsänderung in 20 Jahren [t C ha^{-1} (20 a)$^{-1}$]								
Initial\Final	**Wald**	**Acker**	**Grünland i.e.S.**	**Gehölze**	**Terrestrische Feuchtgebiete**	**Gewässer**	**Siedlungen**	**Sonstiges Land**
Wald		*-5,46*	*11,94*	*7,69*	*8,51*	0	*-6,82*	*-9,89*
Acker	*5,46*		17,40	13,15	13,97	0	-1,35	NO
Grünland i.e.S.	*-11,94*	-17,40		-4,25	-3,43	0	-18,76	NO
Gehölze	*-7,69*	-13,15	4,25		0,82	0	-14,51	NO
Terrestr. Feuchtgebiete	*-8,51*	-13,97	3,43	-0,82		0	-15,32	NO
Gewässer	0	0	0	0	0		0	NO
Siedlungen	*6,82*	1,35	18,76	14,51	15,32	0		NO
Sonstiges Land	*9,89*	4,42	21,83	17,58	18,39	0	3,07	

Kursive Werte: von Jahr zu Jahr veränderlich

negativ: Kohlenstoffverluste; positiv: Kohlenstoffsequestrierung; NO: nicht auftretend

Für die Berücksichtigung der 20-jährigen Übergangszeit wird die für die jeweilige Übergangskategorie ermittelte gesamte Vorratsänderung (EF_ann, siehe Tabelle 306) durch 20 dividiert (siehe auch Kapitel 6.1.2). So erhält man die Impliziten Emissionsfaktoren für die Übergangskategorien (IEF_20y siehe Tabelle 307). Im Falle von Landnutzungsänderungen von und zu Wald muss, aufgrund des sich jährlich ändernden Kohlenstoffvorrates in den mineralischen Waldböden, für jedes Berichtsjahr ein sich jährlich ändernder implizierter

Emissionsfaktor (IEF) für jede Übergangskategorie hergeleitet werden, der sich emissionsgewichtet aus den Beiträgen der Landnutzungsänderungen der 20 Vorjahre ergibt. Die Emissionen werden als Produkt der IEF_20y und der Flächen der 20-jährigen Übergangskategorien berechnet (siehe Kapitel 6.1.2).

Tabelle 307: Implizierte Emissionsfaktoren [t C ha^{-1} a^{-1}] zur Ermittlung jährlicher Kohlenstoffvorratsunterschiede in Mineralböden Deutschlands nach Landnutzungsänderung für das Jahr 2015

Emissionsfaktoren$_{Mineralböden}$ [t C ha^{-1} a^{-1}] für das Jahr 2015								
Initial\Final	**Wald**	**Acker**	**Grünland i.e.S.**	**Gehölze**	**Terrestr. Feuchtgebiete**	**Gewässer**	**Siedlungen**	**Sonstiges Land**
Wald		*-0,009*	*0,813*	*0,575*	*0,689*	0	*-0,156*	0
Acker	*0,037*		0,870	0,658	0,699	0	-0,068	NO
Grünland i.e.S.	*-0,801*	-0,870		-0,213	-0,172	0	-0,938	NO
Gehölze	*-0,598*	-0,658	0,213		0,041	0	-0,725	NO
Terrestr. Feuchtgebiete	*-0,672*	-0,699	0,172	-0,041		0	-0,766	NO
Gewässer	0	0	0	0	0		0	NO
Siedlungen	*0,116*	0,068	0,938	0,725	0,766	0		NO
Sonstiges Land	*0,220*	0,221	1,091	0,879	0,920	0	0,154	

Kursive Werte: von Jahr zu Jahr veränderlich

negativ: Kohlenstoffverluste; positiv: Kohlenstoffsequestrierung; NO: nicht auftretend

6.1.2.1.2 Lachgas

Die direkten (CRF-Tabelle 4.III) und indirekten (CRF-Tabelle 4.IV) N_2O-Emissionen durch Verluste an organischer Bodensubstanz infolge von Landnutzungsänderungen bzw. Bewirtschaftungsmaßnahmen, wurden gemäß der IPCC Guidelines 2006 ermittelt. Hierfür wurden die für die einzelnen Landnutzungsänderungsflächen ermittelten Kohlenstoffvorratsänderungen durch die flächengewichteten mittleren C/N – Verhältnisse der entsprechenden Böden dividiert und somit die absoluten Veränderungen im Stickstoffvorrat der Böden bestimmt (Gleichung 11.8 in den IPCC Guidelines 2006). Die C/N-Verhältnisse wurden aus den Schätzprofildaten der BÜK 1000 n 2.3 (BGR 2011) abgeleitet.

Zur Ermittlung der direkten Emissionen wurden die absoluten Stickstoffvorratsunterschiede mit dem IPCC Standardwert von 0,01 kg N_2O-N (kg N)$^{-1}$ verrechnet, gemäß Gleichung 11.1 in den IPCC Guidelines 2006. Die so ermittelten N_2O-Emissionen sind in der CRF-Tabelle 4.III aufgeführt; die Emissionsfaktoren sind in Tabelle 308, die Unsicherheiten in den Kapiteln 6.4.3, 6.5.3, 6.6.3, 6.7.3 und 6.8.3 dargestellt.

Zur Abschätzung der indirekten Lachgasemissionen wurden die N-Vorratsunterschiede nach Gleichung 11.10 der IPCC Guidelines 2006 mit den Standardfaktoren $Frac_{Leach-(H)}$ (0,3 kg N_2O-N (kg N)$^{-1}$) und dem EF_5 (0,0075 kg N_2O-N (kg N)$^{-1}$) multipliziert (IPCC Guidelines 2006). Die Emissionsfaktoren für die indirekten Lachgasemissionen sind für das Jahr 2015 in Tabelle 309 aufgeführt sowie mit Unsicherheiten auch in den Kapiteln 6.4.3, 6.5.3, 6.6.3, 6.7.3 und 6.8.3. Im Zahlenwerk finden sich die Ergebnisse in der CRF-Tabelle 4.IV.

Die Lachgasemissionen unterliegen ebenfalls der Übergangszeit und werden analog zu den Kohlenstoffvorratsänderungen auf 20 Jahre verteilt.

Tabelle 308: Emissionsfaktoren für direkte Lachgasemissionen [kg N_2O ha^{-1} a^{-1}] infolge von Verlusten an organischer Substanz aus Mineralböden Deutschlands nach Landnutzungsänderung für das Jahr 2015

Emissionsfaktoren$_{Mineralböden}$ [kg N_2O ha^{-1} a^{-1}] für das Jahr 2015								
Initial\Final	**Wald**	**Acker**	**Grünland i.e.S.**	**Gehölze**	**Terrestr. Feuchtgebiete**	**Gewässer**	**Siedlungen**	**Sonstiges Land**
Wald		*0,040*	*0*	*0*	*0*	0	*0,135*	0
Acker	*0,041*		0	0	0	0	0,087	NO
Grünland i.e.S.	*0,993*	1,078		0,263	0,213	0	1,162	NO
Gehölze	*0,769*	0,845	0		0	0	0,932	NO
Terrestr. Feuchtgebiete	*0,684*	0,711	0	0,042		0	0,780	NO
Gewässer	0	0	0	0	0		0	NO
Siedlungen	*0,012*	0	0	0	0	0		NO
Sonstiges Land	*0*	0	0	0	0	0	0	

kursive Werte: von Jahr zu Jahr veränderlich

positiv: Lachgasemission

Tabelle 309: Emissionsfaktoren für indirekte Lachgasemissionen [kg N_2O ha^{-1} a^{-1}] infolge von Verlusten an organischer Substanz aus Mineralböden Deutschlands nach Landnutzungsänderung für das Jahr 2015

Emissionsfaktoren$_{Mineralböden}$ [kg N_2O ha^{-1} a^{-1}] für das Jahr 2015								
Initial\Final	**Wald**	**Acker**	**Grünland i.e.S.**	**Gehölze**	**Terrestr. Feuchtgebiete**	**Gewässer**	**Siedlungen**	**Sonstiges Land**
Wald		*0,009*	*0*	*0*	*0*	0	*0,030*	NO
Acker	*0,009*		0	0	0	0	0,019	NO
Grünland i.e.S.	*0,223*	0,243		0,059	0,048	0	0,261	NO
Gehölze	*0,173*	0,190	0		0	0	0,210	NO
Terrestr. Feuchtgebiete	*0,154*	0,160	0	0,009		0	0,175	NO
Gewässer	0	0	0	0	0		0	NO
Siedlungen	*0,002*	0	0	0	0	0		NO
Sonstiges Land	*0*	0	0	0	0	0	0	

kursive Werte: von Jahr zu Jahr veränderlich

positiv: Lachgasemission

6.1.2.2 Treibhausgasemissionen aus organischen Böden (4.A bis 4.F; 4.(II))

Über die CO_2-, N_2O- und CH_4-Emissionen aus organischen Böden wird in den Landnutzungskategorien Wald, Ackerland, Grünland i.e.S., Gehölze, terrestrische Feuchtgebiete, industrieller Torfabbau und Siedlungen berichtet (N_2O aus gedränten organischen Böden unter Acker und Grünland in CRF-Sektor 3.D.a.6). Außerdem werden die Methanemissionen aus Entwässerungsgräben erfasst sowie die Kohlenstoffverluste mit der gelösten organischen Substanz (DOC). In Deutschland wird der Großteil der organischen Böden entwässert.

Die Emissionsberechnung erfolgt durch Multiplikation der Moorflächen pro Subkategorie mit einem nutzungsspezifischen Emissionsfaktor. Bei Landnutzungsänderungen wird sofort der Emissionsfaktor der Zielkategorie verwendet:

$$EC_{orgsoil} = \sum_{n=1}^{7} (A_n * EF_n)$$

$EC_{orgsoil}$: Kohlenstoffemission aus organischen Böden einer Landnutzungskategorie [Gg C]

A_n: Moorfläche unter bestimmter Landnutzung [kha]

EF_n: Landnutzungsspezifischer Emissionsfaktor [t C ha^{-1} a^{-1}]

n: Übergangs- bzw. Verbleibkategorien

Dem vorliegenden Inventar liegen sehr detaillierte Karten zur Lage und Drainage der organischen Böden zugrunde. Ebenso konnten sehr umfangreiche Messdaten von Treibhausgasemissionen aus organischen Böden in Deutschland verwendet werden, die im Verbundprojekt „Organische Böden" des Thünen-Instituts (www.organische-boeden.de) und Vorgängerprojekten mit standardisierten Messprotokollen erhoben bzw. in geringerem Umfang der nationalen Literatur entnommen wurden. Die Datenbasis und Ableitung der Aktivitätsdaten und Emissionsfaktoren entspricht einem IPCC Tier-3-Ansatz. Um Transparenz und Konsistenz mit anderen Aktivitätsdaten und Kohlenstoffpools zu wahren, wurde daraus eine nationale Tier-2-Methodik für das Inventar entwickelt.

6.1.2.2.1 Aktivitätsdaten (3.D, 4.A- 4.E; 4.(II))

Im Auftrag des Thünen-Instituts wurde bis 2013 eine „Karte organischer Böden" (Parametrisierter Flächendatensatz zu den organischen Böden in Deutschland) neu erstellt, die die IPCC-Definition organischer Böden vollständig abbildet (ROSSKOPF et al. 2015):

- Räumliche Auflösung / Maßstab: Verfahrensbedingt heterogen, ~1:10.000 – 1:200.000; Rasterweite 25 m.
- Zeitliche Auflösung: regional in Abhängigkeit von der jeweiligen Datengrundlage unterschiedlich (Anfang des 20. Jahrhunderts bis heute).
- Datensätze: in enger Zusammenarbeit mit den Behörden der Bundesländer wurden die vorhandenen Bodendaten, Moorkataster und Datensätze aus geologischen, forstlichen oder landwirtschaftlichen Kartierungen so umfassend und hochauflösend wie möglich einbezogen und harmonisiert.
- Datenselektion (Minimalkriterium): In Anlehnung an die Bodenkundliche Kartieranleitung (KA 5, ARBEITSGRUPPE BODEN 2005) und die Vorgaben für organische Böden gemäß IPCC 2006 wurden diejenigen Blattlegendeneinheiten digital (vektoriell) vorliegender Ausgangsdaten herangezogen, die überwiegend Böden mit einem Mindestgehalt von 9 % organischem Kohlenstoff (15 % organische Bodensubstanz) in der Mischprobe der oberen 20 cm beschreiben.

Die neue Flächenkulisse organischer Böden umfasst 1,824 Mio ha. Die neue Karte organischer Böden löst die bisher verwendete grobe Bodenübersichtskarte 1:1.000.000 (BGR 1997) ab, in der keine flachgründigen oder mit Mineralboden vermischten Torfe enthalten waren (alte Flächenkulisse: 1,725 Mio ha). Durch die sehr viel genauere Lagezuordnung in der neuen Karte organischer Böden haben sich die Flächenanteile der Landnutzungskategorien gegenüber den Submissionen vor 2015 verschoben. Grünland im engen Sinne dominiert die Nutzung bei weitem (Tabelle 310). Um auch kleinräumige Strukturen zu erfassen wurde das Raster zur Bestimmung der Landnutzungskategorien auf organischen Böden stark verdichtet (siehe Kapitel 6.3); so kann eine sehr genaue Zeitreihe der Landnutzungen und Landnutzungsänderungen auf organischen Böden berichtet werden.

Tabelle 310 zeigt die Flächen organischer Böden nach Landnutzungskategorien und den Anteil der drainierten Flächen für das Jahr 2015. Der drainierte Anteil organischer Böden nach Landnutzungskategorien wurde abgeleitet aus der regionalen Verteilung der Wasserstände in organischen Böden Deutschlands (BECHTOLD et al. 2014), die u.a. auf der Karte organischer Böden und langjährigen Messreihen von Wasserpegeln in organischen Böden beruht. Der

drainierte Anteil organischer Böden entspricht den Flächen, die einen Jahresmittelwasserstand tiefer als 0,1 m unter Flur haben.

Für CH_4 aus Gräben wurde aus dem ATKIS-Basis-DLM ein Grabenflächenanteil (Fracditch) von 1,3 % ermittelt, der für alle Landnutzungskategorien gilt.

Tabelle 310: Flächen organischer Böden nach Landnutzungskategorien und den Anteil der drainierten Flächen für das Jahr 2015 (3.D, 4.A- 4.E; 4.(II))

	Fläche organischer Böden [ha]	Drainierter Anteil [%]
Wald	146.078	77,00
Ackerland	380.664	100
Grünland i.e.S.	934.259	92,36
Gehölze	150.508	76,82 (wie Wald)
Terrestrische Feuchtgebiete	98.991	76,37
Gewässer	19.559	0
Torfabbau	19.857	100
Siedlungen	74.006	100
Sonstiges Land	0	0
∑	**1.823.922**	

6.1.2.2.2 Emissionsfaktoren für Treibhausgase aus drainierten organischen Böden in allen Landnutzungskategorien (3.D, 4.A- 4.E; 4(II))

Die Emissionsfaktoren wurden entsprechend den Richtlinien im 2013 IPCC Wetlands Supplement (IPCC 2014) entwickelt. Für CO_2 aus dem Boden (CO_2-C on-site), CH_4 aus dem Boden (CH_{4_land}) und N_2O wurden Emissionsfaktoren aus nationalen jährlichen Messwerten entwickelt. Für CO_2 aus gelöstem organischen Kohlenstoff (CO_2-C_{DOC}) und CH_4 aus Gräben (CH_{4_Ditch}) wurden die Standardwerte aus dem 2013 IPCC Wetlands Supplement (IPCC 2014) übernommen.

CO_2 aus dem Boden (CO_2-$C_{on\text{-}site}$):

Die Datengrundlage sind repräsentativ erhobene, qualitätsgeprüfte, nationale jährliche Messwerte (208 Messjahre, 95 Standorte, 13 verschiedene Moorgebiete) mit einem Jahresmittelwasserstand von 0 cm oder tiefer unter Flur (kein Überstau). Dieser Datensatz hat eine landnutzungsübergreifende lineare Abhängigkeit mit dem Jahresmittelwasserstand. Die lineare Regression erlaubt somit, für jedes 25 x 25 m Pixel der Karte der regionalen Verteilung der Wasserstände in organischen Böden Deutschlands (BECHTOLD et al. 2014) CO_2 aus dem Boden (CO_2-$C_{on\text{-}site}$) zu berechnen, das einen Jahresmittelwasserstand tiefer als 0,1 m unter Flur hat. Für die Unsicherheitsberechnung wurde die Unsicherheit der Wasserstandskarte berücksichtigt. Aus der Ergebniskarte wurden der Mittelwert als Emissionsfaktor und die 95%-Perzentile aus der Unsicherheitsrechnung abgeleitet. Tabelle 311 fasst die nationalen Emissionsfaktoren zusammen. Dabei wird sowohl der national hergeleitete Teil des Emissionsfaktors für CO_2 gezeigt, als auch der endgültige aggregierte Emissionsfaktor, der im Inventar verwendet wurde.

Tabelle 311: Emissionsfaktoren für CO_2-$C_{organic_drained}$ aus drainierten organischen Böden in allen Landnutzungskategorien (4.A- 4.E; 4(II))

Landnutzung	NIR 2017 Boden-CO_2-C_{onsite} t CO_2-C ha^{-1} a^{-1}	NIR 2017 CO_2-$C_{total_organic_drained}$ t CO_2-C ha^{-1} a^{-1}	IPCC Wetlands Supplement CO_2-$C_{total_organic_drained}$ t CO_2-C ha^{-1} a^{-1}
Wald, Gehölze	IPCC	2,9 (2,3 -3,6)	2,9 (2,3 - 3,6)
Ackerland	7,8 (4,1 - 4,9)	8,1 (4,4 - 9,5)	8,2 (6,8 - 9,7)
Grünland, Siedlung	7,1 (3,0 - 9,2)	7,4 (3,3 - 9,5)	6,4 (5,3 - 7,6)
Terrestrische Feuchtgebiete	6,2 (2,3 - 9,2)	6,5 (2,5 - 9,5)	/
Torfabbauflächen	1,2 (1,2 - 1,4)	1,6 (1,5 - 1,8)	3,1 (1,4 - 4,5)

CH_4 aus dem Boden (CH_{4_land}):

Die Datengrundlage sind repräsentativ erhobene, qualitätsgeprüfte, nationale jährliche Messwerte (197 Messjahre, 97 Standorte, 15 verschiedene Moorgebiete) mit einem Jahresmittelwasserstand von 0 cm oder tiefer unter Flur (kein Überstau). Der Emissionsfaktor wurde analog zu CO_2 aus dem Boden (CO_2-C on-site) entwickelt. Methanemissionen steigen exponentiell mit steigendem Wasserstand, daher wurde eine Exponentialfunktion verwendet. Es wurden landnutzungsabhängige Exponentialfunktionen für Wald, Grünland und Feuchtgebiete erstellt. Ackerland und Torfabbauflächen waren zu trocken, um eine Abhängigkeit zu Wasserständen zu entwickeln. Daher wurden für diese beiden Landnutzungskategorien die Mittelwerte der Messwerte angenommen. Tabelle 312 fasst die nationalen Emissionsfaktoren zusammen. Dabei wird sowohl der national hergeleitete Teil des Emissionsfaktors für CH_4 gezeigt, als auch der endgültige aggregierte Emissionsfaktor, der im Inventar verwendet wurde.

Tabelle 312: Emissionsfaktoren für $CH_{4_organic}$ aus drainierten organischen Böden in allen Landnutzungskategorien (4.A- 4.E; 4(II))

Landnutzung	NIR 2017 CH_{4_land} kg CH_4 ha^{-1} a^{-1}	NIR 2017 $CH_{4_organic}$(land+ditch) kg CH_4 ha^{-1} a^{-1}	IPCC Wetlands Supplement CH_{4_land} kg CH_4 ha^{-1} a^{-1}
Wald, Gehölze	3,7 (-2,1 - 70)	6 (0,3 - 72)	2,5 (-0,6 - 6)
Ackerland	11,4 (-2,7 - 73)	26 (8,8 - 88)	0 (-2,8 - 3)
Grünland, Siedlung	10,4 (3,6 - 69	23 (12 - 81)	16 (2,4 - 29)
Terrestrische Feuchtgebiete	17 (1,5 - 150)	20 (4,1 - 151)	/
Torfabbauflächen	4,2 (-0,4 - 13)	11 (3,9 - 22)	6,1 (1,6 - 11)

N_2O:

Die Datengrundlage sind repräsentativ erhobene, qualitätsgeprüfte, nationale Messwerte, die mindestens ein Jahr umfassen (94 Standorte, 20 verschiedene Moorgebiete) mit einem Jahresmittelwasserstand von 0,1 m oder tiefer unter Flur. Die nationale Datengrundlage ist Teil des europäischen Datensatzes aus LEPPELT et al. (2014). Da keine funktionalen Zusammenhänge identifiziert wurden, wurden die Mittelwerte der Messwerte je Landnutzungskategorie als Emissionsfaktor herangezogen. Tabelle 313 fasst die nationalen Emissionsfaktoren für N_2O zusammen.

Tabelle 313: Emissionsfaktoren für N_2O aus drainierten organischen Böden in allen Landnutzungskategorien (3.D, 4.A- 4.E; 4(II))

Landnutzung	NIR 2017 kg N_2O-N ha^{-1} a^{-1}	IPCC Wetlands Supplement kg N_2O-N ha^{-1} a^{-1}
Wald, Gehölze	1,8 (0,1 - 5,3)	2,8 (-0,6 - 6,1)
Ackerland	10,7 (1,6 - 41,4)	13 (8,2 - 18)
Grünland, Siedlung	2,7 (0 - 8,9)	8,2 (4,9 - 11)
Terrestrische Feuchtgebiete	0,4 (-0,1 - 1,6)	/
Torfabbauflächen	0,9 (0,3 - 1,4)	0,3 (0 - 0,6)

6.1.2.2.3 Implizierte Emissionsfaktoren (IEF) für Treibhausgase aus organischen Böden (4.A-4.E; 4(II))

Im Rahmen der Inventarerstellung werden zur Berechnung der Emissionen aus organischen Böden, für jedes Treibhausgas und jede Landnutzungskategorie spezifische, implizierte Emissionsfaktoren verwendet. Die im Kapitel 6.1.2.2.2 dargestellten Emissionsfaktoren gelten für drainierte organische Böden. Bei der Ermittlung der Emissionen aus einer Landnutzungskategorie, müssen die nicht drainierten, nassen Flächen jedoch ebenfalls berücksichtigt werden; beim IEF für Torfabbauflächen auch die Emissionen aus produziertem, ausgebrachten Torf. Dadurch ergeben sich die in Tabelle 314 dargestellten impliziten Emissionsfaktoren zur Berechnung der Treibhausgasemissionen aus organischen Böden, die zum Teil deutlich von den in Kapitel 6.1.2.2.2 abweichen.

Tabelle 314: Implizite Emissionsfaktoren für CO_2-C, CH_4 und N_2O-N aus organischen Böden (4.A- 4.E; 4(II)) für das Jahr 2015

Landnutzung	CO_2-C t CO_2-C ha^{-1} a^{-1}	CH_4 kg CH_4 ha^{-1} a^{-1}	N_2O-N kg N_2O-N ha^{-1} a^{-1} CH_4
Wald	-2,233	4,620	1,386
Ackerland	-8,100	26,000	10,700
Grünland	-6,834	21,242	2,494
Gehölze	-2,233	4,620	1,386
Terrestrische Feuchtgebiete	-4,964	15,275	0,305
Torfabbauflächen	-29,991	11,191	1,339
Siedlung	-7,400	23,000	2,700

6.1.2.3 Biomasse (4.B bis 4.F)

6.1.2.3.1 Allgemeines

Im Rahmen der deutschen Inventarerstellung werden Emissionen aus dem Pool ober- und unterirdische pflanzliche Biomasse ausgewiesen für

- die Verbleibkategorie Ackerland (Nutzungsänderung zwischen annuellen, krautigen und perennierenden Gehölzkulturen)
- die Übergangskategorien Wald, Ackerland, Grünland, Gehölze, Feuchtgebiete, Gewässer, Siedlungen und Sonstiges Land

Für die Verbleibkategorien Acker, Grünland, Gehölze, Feuchtgebiete und Siedlungen werden bei gleichbleibender Kulturart (annuell oder perennierend) keine Kohlenstoffvorratsänderungen ausgewiesen, da

- gemäß der IPCC-Richtlinien (2006 IPCC Guidelines), in diesen Subkategorien ein Gleichgewichtszustand für die Kohlenstoffflüsse des annuellen Phytomasse-Pools unterstellt wird. Nach der Gain-Loss Methode ist somit ΔC = 0 (Equation 2.7 in den 2006 IPCC Guidelines). Entsprechend werden in den CRF-Tabellen 4.D.1 - 4.F.1 unter den Rubriken „lebende Biomasse“ und „tote organische Substanz“ die Vermerke NO (not occurring) geführt.
- Für die holzigen perennierenden Pflanzen auf diesen Flächen begründet sich dies in für Deutschland ermittelten repräsentativen „Gleichgewichtskohlenstoffvorräten“. Diese konnten basierend auf der Arbeit von PÖPKEN (2011) für Hecken und Feldgehölze sowie alle ackerbaulich genutzten Gehölzpflanzen, namentlich Obst- und Weinanbauflächen, Baumschulen, Weihnachtsbaumkulturen und Kurzumtriebsplantagen ermittelt werden, in dem über alle unterschiedlichen Altersklassen, Ausprägungen und Zusammensetzungen der jeweiligen Gehölzformen und -arten summiert wurde (Kapitel 6.1.2.3.4 und Kapitel 6.1.2.3.5). So liegt z.B. der Berechnung des durchschnittlichen Kohlenstoffvorrates für Obstgehölze eine vollständige Baumzählung zugrunde, die die Gehölze unterschieden nach Art und Alter (< 1 - > 25 Jahre) erfasst Kapitel 6.1.2.3.4.1. Auf die Fläche bezogen, in Abhängigkeit von der Umtriebszeit, ergibt sich so der mittlere Emissionsfaktor für die jeweilige Gehölzart. Der jährliche Zuwachs wird bei Gehölzpflanzen in Nutzung i.d.R. vollständig weggeschnitten. Die Umtriebszeiten für die Gehölzpflanzen sind relativ kurz (ca. 10-15 Jahre bei Obstgehölzen), so dass es zwar häufig zu einer Erneuerung der Bestände kommt, jedoch aus der bei der Herleitung der Emissionsfaktoren berücksichtigten Quellgruppe. Es besteht ein dynamisches Gleichgewicht zwischen Pflanzung, Wachstum, Schnitt, Ernte und Erneuerung. Dies gilt auch für die Gehölzbiomasse von Weingärten, Baumschulen, Weihnachtsbaumkulturen, Kurzumtriebsplantagen, Hecken und Feldgehölzen(Kapitel 6.1.2.3.4). Daher werden die Kohlenstoffvorräte durch Anpflanzung von Gehölzbiomasse auch bei Landnutzungsänderungen vollständig im Jahr der Flächenumwidmung angerechnet.

Annuelle und perennierende Ackerkulturen können mit dem bestehenden System zur Landnutzungsausweisung derzeit nicht räumlich explizit und umfänglich nachgewiesen werden. Dies hat zur Folge, dass

1. die Kategorie Ackerland derzeit nicht in zwei Subkategorien ($Ackerland_{annuell}$, $Ackerland_{perennierend}$ untergliedert werden kann und Nutzungsänderungen innerhalb der Landnutzungskategorie Ackerland zwischen annuellen und perennierenden Ackerkulturen und zu anderen Landnutzungskategorien als „normale Landnutzungsänderung“ berichtet werden können (analog zum Grünland)
2. im Fall von Landnutzungsänderungen von und zu Ackerland ein flächengewichteter Emissionsfaktor für die gesamte Ackerlandphytomasse abgeleitet werden muss, da unklar ist, ob annuelles oder perennierendes Ackerland Ausgangs- bzw. Zielnutzung ist

Deshalb kann die Änderung der Kohlenstoffvorräte perennierender Ackerkulturen nur anhand statistisch erfasster Flächenänderungen für ganz Deutschland abgeschätzt werden, unter der Annahme, dass die jährlichen Flächendifferenzen bei den Dauerkulturen ausschließlich Nutzungsänderungen innerhalb der Landnutzungskategorie Ackerland darstellen (s. Kapitel 6.5.2.1.2). Verbindungen zu anderen Landutzungskategorien können nicht nachgewiesen, somit nicht berichtet werden. So erfolgt die erstmalige Abschätzung der Kohlenstoffvorratsänderungen der Phytomasse der Verbleibkategorie Ackerland den u.a. Methoden, jedoch basierend auf der räumlich und qualitativ unspezifischen Flächendifferenz der Daten der Offizialstatistik, ohne Verbindung zu anderen Landnutzungsklassen (vergl. Tabelle 315).

6.1.2.3.2 Berechnungsmethoden

Bei Landnutzungsänderungen werden die Kohlenstoffvorratsänderungen in der annuellen und perennierenden Biomasse erfasst und berichtet. Die Einbindung bzw. die Emission von CO_2 wird über die Kohlenstoffvorratsänderungen, getrennt nach ober- und unterirdischer Biomasse anhand nationaler Daten ermittelt. Die Kohlenstoffvorratsänderungen finden vollständig im Jahr der Landnutzungsänderung statt (siehe auch Kapitel 6.1.2)

Die Abschätzung der Kohlenstoffvorratsänderungen in der Biomasse erfolgt durch Subtraktion des Biomassekohlenstoffvorrats vor Nutzungsänderung vom Vorrat nach der Nutzungsänderung, bezogen auf die von der Änderung betroffenen Fläche (n. Gleichung 2.16, 2006 IPCC Guidelines):

$$\Delta C_{Bio} = \sum_{n=1}^{7} \left(A_n * EF_{final} - A_n * EF_{initial} \right)$$

ΔC_{Bio}: Veränderung des Kohlenstoffvorrates in der Biomasse einer Landnutzungskategorie [Mg]
A_n: Fläche der Landnutzungsänderung [ha]
EF_{final}: Pflanzenspezifischer Biomassekohlenstoffvorrat [Mg ha^{-1}]
$EF_{initial}$: Pflanzenspezifischer Biomassekohlenstoffvorrat [Mg ha^{-1}]
n: Übergangskategorien

Die Berechnung der Biomassevorratsänderungen erfolgt gemäß der Gain-Loss Methode (2006 IPCC Guidelines). Die Ermittlung der Aktivitätsdaten ist in Kapitel 6.3,die Herleitung der landesspezifischen Emissionsfaktoren und deren Unsicherheiten in den Kapiteln 6.1.2.3.3, Kapitel 6.1.2.3.4, Kapitel 6.1.2.3.5 und in den Kapiteln der einzelnen Landnutzungskategorien beschrieben. Die Biomasseberichterstattung folgt einem Tier 2-Ansatz.

Die Kohlenstoffvorräte der annuellen Biomasse werden für Acker- und Grünlandpflanzen basierend auf der Erntestatistik jährlich variabel berechnet, wobei die gleichen Datenquellen und Algorithmen wie für die Berechnung der Ernterückstände in CRF-Sektor 3.D verwendet werden. Durch oben beschriebene Bildung der Differenz ergeben sich die Emissionsfaktoren in Tabelle 315. Diese weichen für Ackerland, Grünland, Feuchtgebiete und Siedlungen von denen des Vorjahres geringfügig ab, da die Werte der Emissionsfaktoren für die annuelle Phytomasse geringfügig modifiziert wurden (vergl. Kapitel 6.5.5, Kapitel 6.6.5), in der Kategorie

- Ackerland im Rahmen einer Fehlerbereinigung
- Grünland i.e.S. durch eine verbesserte Ableitung

Tabelle 315: Emissionsfaktoren [t C ha^{-1} a^{-1}] zur Ermittlung der Kohlenstoffvorratsunterschiede im Jahr der Umwandlung in der ober- und unterirdischen Biomasse nach Landnutzungsänderung für das Jahr 2015

	Mittlerer Kohlenstoffvorrat in der ober- und unterirdischen Biomasse									
	Wald[90]	Acker	Grünland i.e.S.	Gehölze	Terrestr. Feuchtgebiete	Gewässer	Siedlungen	Sonstiges Land	$Acker_{einjährig}$	$Acker_{mehrj.}$
[t C ha^{-1}]	*54,66*	*6,55*	6,81	43,16	18,93	0	12,49	0	*6,48*	*11,66*
	Emissionsfaktoren 2015 Biomasse [t C ha^{-1} a^{-1}]									
Initial\Final	Wald[91]	Acker[92]	Grünland i.e.S.[92]	Gehölze[92]	Terrestr. Feuchtgebiete[92]	Gewässer[92]	Siedlungen[92]	Sonstiges Land	$Acker_{einjährig}$[93]	$Acker_{mehrj}$[93]
Wald		*-48,11*	*-47,85*	*-11,5*	*-35,73*	*-54,66*	*-42,17*	NO		
Acker	*3,47*		*0,26*	*36,61*	*12,38*	*-6,55*	*5,94*	NO		
Grünland i.e.S.	*3,25*	*-0,26*		36,35	12,12	-6,81	5,68	NO		
Gehölze	*2,04*	-36,61	-36,35		-24,23	-43,16	-30,67	NO		
Terrestr. Feuchtgebiete	*3,49*	*-12,38*	-12,12	24,23		-18,93	-6,44	NO		
Gewässer	*3,64*	*6,55*	6,81	43,16	18,93		12,49	NO		
Siedlungen	*3,41*	*-5,94*	-5,68	30,67	6,44	-12,49		NO		
Sonstiges Land	*3,64*	*6,55*	6,81	43,16	18,93	0	12,49			
$Acker_{einjährig}$[93]										*5,18*
$Acker_{mehrjährig}$[93]									*-5,18*	

Anm.: die Kohlenstoffvorräte für Wald und Acker sind zeitlich variabel (Werte kursiv), die der anderen Landnutzungskategorien konstant

[90] Kohlenstoffvorrat Entwaldungsflächen
[91] Kohlenstoffvorratsänderung jährlich über 20 Jahre
[92] Kohlenstoffvorratsänderung einmalig
[93] nur Verbleibkategorie Ackerland

Für die Berechnung der Umwandlung von Wald in andere Nutzungen (Entwaldung) wurde der für Deutschland ermittelte Durchschnittswert für Entwaldungsflächen der Bundeswaldinventuren 2002 und 2012 für die jeweiligen Berichtsjahre zugrunde gelegt. Methodik und Herleitung der Werte siehe Kapitel 6.4.2.2. Im Rahmen der BWI 2012 wurden auch neue Werte für Totholz bestimmt.

Tabelle 316: Zeitreihe der mittleren Kohlenstoffvorräte in der Phytomasse von Entwaldungsflächen [t C ha^{-1}]

Jahr	Phytomasse – Kohlenstoff [t C ha^{-1}] (EF 1)					
	Bio_{total}	Bio_{above}	Bio_{below}	Streu	Totholz	Σ Entwaldung
1990	28,93	24,53	4,39	19,00	1,88	49,81
1995	28,93	24,53	4,39	18,94	1,88	49,75
2000	28,93	24,53	4,39	18,88	1,88	49,69
2005	54,66	46,48	8,18	18,81	1,82	75,29
2006	54,66	46,48	8,18	18,80	1,82	75,28
2007	54,66	46,48	8,18	18,79	1,82	75,26
2008	54,66	46,48	8,18	18,78	1,99	75,42
2009	54,66	46,48	8,18	18,76	1,99	75,41
2010	54,66	46,48	8,18	18,75	1,99	75,39
2011	54,66	46,48	8,18	18,74	1,99	75,38
2012	54,66	46,48	8,18	18,73	1,99	75,37
2013	54,66	46,48	8,18	18,71	1,99	75,36
2014	54,66	46,48	8,18	18,70	1,99	75,34
2015	54,66	46,48	8,18	18,69	1,99	75,33

Die Unsicherheit für die Baumbiomasse beträgt 24,95 % (Hälfte des 95 %- Konfidenzintervalls). Es liegt eine Normalverteilung zugrunde. Dies gilt auch für die Werte der toten organischen Substanz; beim Totholz beträgt die Hälfte des 95 %- Konfidenzintervalls 56,76 %, bei der Streu 3,15 %. Die Unsicherheiten der in Tabelle 315 aufgeführten Emissionsfaktoren sind in den entsprechenden Kapiteln der Landnutzungskategorien aufgeführt (Kapitel 6.4.3, Kapitel 6.5.3, Kapitel 6.6.3, Kapitel 6.7.3, Kapitel 6.8.3 und Kapitel 527).

On-site burning von Biomasse ist in Deutschland per Gesetz verboten (§ 3 DirektZahlVerpflV; BGBl 2004) und wird daher nicht berichtet. In den CRF-Tabellen wird NO (not occurring) eingetragen.

Emissionen aus toter organischer Substanz werden nur für Landnutzungsänderungen von Wald zu einer der Kategorien 4.B - 4.E berichtet. In den Landnutzungsänderungskategorien 4.B - 4.E werden die Emissionen aus der toten organischen Substanz mit den Emissionen aus der lebenden Biomasse erfasst, da bei der Abschätzung der Emissionen aus der lebenden Biomasse jeweils die der gesamten Pflanze zugrunde gelegt wird. Daher werden die Emissionen aus toter organischer Substanz in dieser Übergangskategorie in den CRF-Tabellen mit dem Vermerk IE (included elsewhere) versehen, um eine doppelte Anrechnung zu vermeiden. In der Kategorie 4.F wird der Vermerk NO (not occurring) verwendet, da es sich bei Flächen in dieser Kategorie per Definition um vegetationslose Flächen handelt.

6.1.2.3.3 Ableitung der Emissionsfaktoren für die Phytomasse annueller Kulturen und krautiger Pflanzen

Der Kohlenstoffvorrat für die ober- und unterirdische Phytomasse krautiger Pflanzen von Acker- und Gartenlandkulturen sowie Grünländern i.e.S. wird jährlich auf Basis der Ernteerhebungen des statistischen Bundesamtes abgeleitet. Hieraus werden flächen- und ertragsgewichtete mittlere

Kohlenstoffvorräte bezogen auf die Fläche berechnet und die flächengewichteten Mittel als Emissionsfaktoren angesetzt. Dieses Vorgehen entspricht den 2006 IPCC Guidelines-Methoden.

Die Grundlage für die Ermittlung der mittleren Kohlenstoffvorräte für Früchte von Acker- und Gartenlandkulturen bilden die Erträge und Anbauflächen von 65 Feldfrüchten. Diese sind:

- Winterweizen, Sommerweizen, Roggen, Triticale, Wintermenggetreide, Wintergerste, Sommergerste, Hafer, Sommermenggetreide, Körnermais;
- Futtererbsen, Ackerbohnen;
- Kartoffeln, Zuckerrüben, Runkelrübe;
- Winterraps;
- Klee, Luzerne, Gras, Silomais; und
- Blumenkohl, Brokkoli, Chinakohl, Grünkohl, Kohlrabi, Rosenkohl, Rotkohl, Weißkohl, Wirsing, Eichblattsalat, Eissalat, Endiviensalat, Feldsalat, Kopfsalat, Lollosalat, Radicchio, Römischer , Rucolasalat, sonstige Salate, Spinat, Rharbarber, Spargel, Staudensellerie, Knollenfenchel, Knollensellerie, Meerrettich, Möhren, Radieschen, Rettich, Rote Rüben, Einlegegurken, Schälgurken, Speisekürbisse, Zucchini, Zuckermais, Buschbohnen, Dicke Bohnen, Stangenbohnen, Frischerbsen-Drusch, Frischerbsen, Bundzwiebeln, Speisezwiebeln, Petersilie, Porree, Schnittlauch.

Für Grünland i.e.S. sind dies die Erträge und Anbauflächen aller statistisch erfassten

- Wiesen
- Mähweiden
- Weiden
- Almen und Hutungen

Die Ableitung der trockenen Biomasse einzelner Pflanzenteile aus den Ernteerträgen erfolgt nach ROESEMANN et al. (2015) mittels Verhältniszahlen und Wassergehaltsangaben aus unterschiedlichen Quellen. Die Daten und Methoden sind konsistent mit denen zur Berechnung des Stickstoffs in Ernterückständen (CRF 3.D.a.4).

Für die Berechnung des Kohlenstoffvorrats der Biomasse wurde, abweichend vom IPCC Standardwert (50 Gew-%), ein durchschnittlicher Kohlenstoffgehalt von 45 Gew-% angenommen, da OSOWSKI et al. (2004) Kohlenstoffgehalte für Pflanzen in Mitteleuropa von 44–48 Gew.-% ausweisen und PÖPKEN (2011), bei ihren Untersuchungen von Nutzgehölzpflanzen für das deutsche Inventar ebenfalls mittlere Werte von 45–46 % ermittelte.

Die Ergebnisse für krautige Pflanzen der Acker- und Gartenbauflächen sind in Tabelle 317 dargestellt, die für Grünland i.e.S. in Tabelle 318.

Tabelle 317 zeigt, dass die Werte für die Phytomasse der krautigen Acker- und Gartenlandpflanzen

- im Zeitverlauf einen positiven, signifikanten Trend aufweisen. Daher wird den Berechnungen der Kohlenstoffvorratsänderungen infolge Landnutzungsänderung immer der aktuelle Wert des jeweiligen Jahres zugrunde gelegt.
- der Jahre 1990 - 2014 von den Werten der Vorjahressubmission abweichen. Dies ist auf die Bereinigung eines Berechnungsfehlers infolge eines fehlenden Feldbezuges im Berechnungsprogramm zurückzuführen. Die Korrektur führte zu unbedeutend geringeren Emissionsfaktoren in der aktuellen Submission, gegenüber dem Vorjahr.

Tabelle 317: Flächenbezogener Kohlenstoffvorrat [t C ha^{-1} ± Hälfte des 95 % Konfidenzintervalls] krautiger Phytomasse auf Acker- und Gartenbauland sowie deren prozentuale Veränderung gegenüber der vorherigen Submission

	$Ackerland_{annuell}$					
Jahr	**Kohlenstoffvorrat [t C ha^{-1}]**			**Veränderung gegenüber Submission 2016 [%]**		
	$Phytomasse_{total}$	**$Phytomasse_{oberirdisch}$**	**$Phytomasse_{unterirdisch}$**	**$Phytomasse_{total}$**	**$Phytomasse_{oberirdisch}$**	**$Phytomasse_{unterirdisch}$**
1990	5,17 ± 0,61	3,72 ± 0,51	1,45 ± 0,33	-0,34	-0,34	-0,34
1995	5,54 ± 0,65	4,12 ± 0,57	1,42 ± 0,32	-0,33	-0,33	-0,33
2000	5,89 ± 0,69	4,40 ± 0,60	1,49 ± 0,33	-0,32	-0,32	-0,32
2005	6,08 ± 0,71	4,58 ± 0,63	1,50 ± 0,34	-0,29	-0,29	-0,29
2006	5,74 ± 0,67	4,36 ± 0,60	1,39 ± 0,31	-0,28	-0,28	-0,28
2007	5,81 ± 0,68	4,35 ± 0,60	1,46 ± 0,33	-0,30	-0,30	-0,30
2008	6,30 ± 0,74	4,78 ± 0,66	1,51 ± 0,34	-0,31	-0,31	-0,31
2009	6,46 ± 0,76	4,89 ± 0,67	1,57 ± 0,35	-0,31	-0,31	-0,31
2010	5,96 ± 0,70	4,51 ± 0,62	1,45 ± 0,32	-0,30	-0,30	-0,30
2011	6,09 ± 0,71	4,55 ± 0,62	1,54 ± 0,35	-0,30	-0,30	-0,30
2012	6,43 ± 0,75	4,84 ± 0,66	1,59 ± 0,36	-0,30	-0,30	-0,30
2013	6,32 ± 0,74	4,81 ± 0,66	1,51 ± 0,34	-0,30	-0,30	-0,30
2014	7,21 ± 0,84	5,45 ± 0,75	1,76 ± 0,40	-0,31	-0,31	-0,31
2015	6,48 ± 0,76	4,95 ± 0,68	1,53 ± 0,34	/	/	/

Für Grünland i.e.S. verdeutlichen Tabelle 318 und Tabelle 319, dass die Kohlenstoffvorräte in der Phytomasse der krautigen Pflanzen

- in der Zeitreihe keinen signifikanten Trend aufweisen und die jährlichen Veränderungen deutlich geringer sind als die Unsicherheiten. Daher wird ein mittlerer Kohlenstoffvorrat für die Phytomasse von Grünland i.e.S. abgeschätzt und einheitlich den Berechnungen aller Jahre zugrunde gelegt.
- die Werte der aktuellen von denen der Vorjahressubmission geringfügig abweichen. Dies ist auf eine Verfahrensänderung bei der Berechnung des Emissionsfaktors zurückzuführen. Der mittlere Kohlenstoffvorrat über die Zeit wurde nun mehr mittels Bootstrapping ermittelt. Bootstrapping ist ein Verfahren der Stichprobenwiederholung (resampling), bei dem statistische Kennwerte anhand einer Stichprobe (im vorliegenden Fall die mittleren Kohlenstoffvorräte der ober- und unterirdischen Phytomasse krautiger Grünlandpflanzen der Jahre 1990 - 2015) berechnet werden. Dieses Verfahren empfiehlt sich dann besonders, wenn die theoretische Verteilung der Statistik nicht bekannt ist und ein Parameter (im vorliegenden Fall der Mittelwert) der Grundgesamtheit (nicht der Stichprobe) und dessen durchschnittliche Abweichung vom wahren Parameterwert abzuschätzen ist. Die so berechneten Werte für krautige Pflanzen des Grünlands i.e.S. sind in Tabelle 319 dargestellt; sie liegen allen entsprechenden Berechnungen im Inventar zugrunde. Der Standardfehler der errechneten Mittelwerte für die Grundgesamtheit beträgt 2,3 % (Hälfte des 95 % - Konfidenzintervalls).

Tabelle 318: Flächenbezogener Kohlenstoffvorrat [t C ha^{-1}] der Phytomasse auf Grünland im engeren Sinne (± Hälfte des 95 % Konfidenzintervalls)

Grünland i.e.S.	Kohlenstoffvorrat [t C ha^{-1}]		
	$Biomasse_{total}$	$Biomasse_{oberirdisch}$	$Biomasse_{unterirdisch}$
1990	6,63 ± 2,00	3,68 ± 1,33	2,95 ± 1,50
1995	6,74 ± 2,04	3,75 ± 1,35	3,00 ± 1,52
2000	7,26 ± 2,19	4,03 ± 1,46	3,22 ± 1,64
2005	7,08 ± 2,14	3,94 ± 1,42	3,15 ± 1,60
2006	6,62 ± 2,00	3,68 ± 1,33	2,94 ± 1,49
2007	7,00 ± 2,12	3,89 ± 1,41	3,11 ± 1,58
2008	6,67 ± 2,01	3,71 ± 1,34	2,96 ± 1,51
2009	6,81 ± 2,06	3,78 ± 1,37	3,03 ± 1,54
2010	6,74 ± 2,04	3,75 ± 1,35	3,00 ± 1,52
2011	6,84 ± 2,07	3,80 ± 1,37	3,04 ± 1,54
2012	7,18 ± 2,17	3,99 ± 1,44	3,19 ± 1,62
2013	6,80 ± 2,05	3,78 ± 1,37	3,02 ± 1,54
2014	7,67 ± 2,32	4,26 ± 1,54	3,41 ± 1,73
2015	6,62 ± 2,00	3,68 ± 1,33	2,94 ± 1,49

Tabelle 319: Flächenbezogener Kohlenstoffvorrat [t C ha^{-1}] von Grünland im engeren Sinne (± Hälfte des 95 % Konfidenzintervalls)

Grünland i.e.S.	Kohlenstoffvorrat [t C ha^{-1}]			Veränderung gegenüber Submission 2016 [%]		
	$Biomasse_{total}$	$Biomasse_{oberirdisch}$	$Biomasse_{unterirdisch}$	$Biomasse_{total}$	$Biomasse_{oberirdisch}$	$Biomasse_{unterirdisch}$
Grünland i.e.S.	6,81 ± 2,06	3,78 ± 1,37	3,03 ± 1,54	-0,73 %	-0,79 %	-0,66 %

6.1.2.3.4 Ableitung der Emissionsfaktoren für perennierende Gehölzkulturen

Im Rahmen des Forschungsprojektes „Methodenentwicklung zur Erfassung der Biomasse mehrjährig verholzter Pflanzen außerhalb von Waldflächen“ wurden landesspezifische Kohlenstoffvorräte für die ober- und unterirdische Biomasse von Obstgehölzen, Wein und Weihnachtsbaumkulturen in Deutschland erhoben. Außerdem wurden mittels dieser Daten und Ergebnissen der Bundeswaldinventur mittlere Kohlenstoffvorräte für die Pflanzenbestände in Baumschulen abgeschätzt. Die mittlere Baumbiomasse für Kurzumtriebsplantagen wurde landesspezifisch aus Literaturdaten hergeleitet.

6.1.2.3.4.1 Obstgehölze

Im Rahmen des oben genannten Forschungsprojektes wurden aus den zwei Hauptobstanbaugebieten Deutschlands (Altes Land: Norddeutschland und Bodenseegebiet: Süddeutschland) insgesamt 100 Obstbäume (91 Apfel-, 6 Kirsch- und 3 Pflaumenbäume) unterschiedlichen Alters und Sorte destruktiv untersucht. Zusätzlich wurden an 210 lebenden Apfelbäumen folgende Parameter erhoben:

- Stammfußdurchmesser
- Brusthöhendurchmesser
- Höhe

Anhand aller erhobenen Daten konnte mittels Regression ein hochsignifikanter Zusammenhang zwischen Baumalter und durchschnittlichem mittlerem Stammdurchmesser (=(Stammfuß + Brusthöhendurchmesser)/2) pro Altersklasse ermittelt werden:

Gleichung 18: Regressionsgleichung zur Abschätzung des mittleren Stammdurchmessers [cm] von Apfelbäumen in Abhängigkeit vom Baumalter [a]

$$S_{mean\ Apfel} = 14{,}2986 * \left(1 - e^{(-0{,}0528x)}\right)$$

S_{mean_Apfel}: Mittlerer Stammdurchmesser Apfelbaum [cm]

x: Baumalter [a]

Statistische Kennwerte/Unsicherheiten:

r^2 = 0,9768

p = 0,0002

Standardfehler der Schätzung = 0,5625 ≙ 8,44 %

Die Gesamtunsicherheit der Abschätzung des mittleren Stammdurchmessers von Apfelbäumen in Abhängigkeit vom Baumalter beträgt 23,59 % (Hälfte des 95 % - Konfidenzintervalls).

Gleichung 19: Regressionsgleichung zur Abschätzung des mittleren Stammdurchmessers [cm] von Kirsch- und Pflaumenbäumen in Abhängigkeit vom Baumalter [a]

$$S_{mean\ Kirsche/Pflaume} = 53{,}8165 * \left(1 - e^{(-0{,}0252x)}\right)$$

$S_{mean_KirschePflaume}$: Mittlerer Stammdurchmesser Kirsche/Pflaume [cm]

x: Baumalter [a]

Statistische Kennwerte:

r^2 =0,9486

n = 9

p < 0,0001

Standardfehler der Schätzung = 1,2963 ≙ 11,14 %

Die Abschätzung des Stammdurchmessers von Kirsche und Pflaume in Abhängigkeit vom Baumalter führt zu einer Gesamtunsicherheit von 25,68 % (Hälfte des 95 % - Konfidenzintervalls).

Mittels der Ergebnisse der destruktiven Untersuchung konnten die Masse, der Wasser- und Kohlenstoffgehalt der Obstgehölze getrennt nach den Kompartimenten oberirdische Biomasse (Stamm und Äste) und unterirdische Biomasse (Wurzeln) ermittelt werden. Die derart untersuchten Apfelbäume waren alle 6 und 9 Jahre, die Kirsch- und Pflaumenbäume 4, 12 und 14 Jahre alt.

Die Biomasse der Bäume wurde um den durch Trocknung bei 105°C gemessenen Wassergehalt korrigiert und zur Ermittlung des Kohlenstoffvorrates der Pflanzenteile bzw. der ganzen Pflanze mit dem prozentualen Kohlenstoffgehalt der $Biomasse_{trocken}$ multipliziert.

Aus diesen Daten lassen sich hochsignifikante Beziehungen zwischen mittlerem Stammdurchmesser und Kohlenstoffvorrat der gesamten Pflanze (Gleichung 22 (Kirsche/Pflaume)) und der oberirdischen Biomasse (Gleichung 20 (Apfel); Gleichung 23 (Kirsche/Pflaume)) ableiten. Der Kohlenstoffvorrat der unterirdischen Biomasse von Kirsche und Pflaume wurde durch Subtraktion der oberirdischen von den Gesamtvorräten, der für Apfelbäume anhand der Gleichung von MOKANY et al. (2006) (Gleichung 21) ermittelt. Diese haben in ihrer Übersichtsarbeit Wurzel/Spross-Verhältnisse für zahlreiche Vegetationstypen in Abhängigkeit von Biomasse, klimatischen und standortkundlichen Parametern abgeleitet, die als Default-Werte in die IPCC – Guidelines 2006 (IPCC 2006) übernommen wurden.

Gleichung 20: Regressionsgleichung zur Abschätzung des Kohlenstoffvorrates in der oberirdischen Biomasse von Apfelbäumen in Abhängigkeit vom mittleren Stammdurchmesser

$$\ln C_{above\ Apfel} = -2{,}7521 + 1{,}9533 * \ln x$$

ln C_{above_Apfel}: Logarithmus des Kohlenstoffvorrats in den oberirdischen Pflanzenteilen [kg Pflanze^{-1}]

ln x: Logarithmus des mittleren Stammdurchmessers [cm]

Statistische Kennwerte:

r^2 =0,8273

n = 90

p < 0,0001

Standardfehler der Schätzung = 0,044 ≙ 2,83 %

Gleichung 21: Regressionsgleichung zur Abschätzung des Kohlenstoffvorrates in der unterirdischen Biomasse von Apfelbäumen in Abhängigkeit von der oberirdischen Biomasse MOKANY et al. (2006):

$$C_{below\ Apfel} = 0{,}489 * x^{0{,}89}$$

C_{below}_Apfel: Kohlenstoffvorrat in den unterirdischen Pflanzenteilen [kg Pflanze^{-1}]

x: Kohlenstoffvorrat in der oberirdischen Biomasse[kg Pflanze^{-1}]

Statistische Kennwerte:

r2 =0,93

n = 301

Standardfehler der Schätzung = 13,6 % (abgeleitet aus MOKANY et al. (2006))

Gleichung 22: Regressionsgleichung zur Abschätzung des Kohlenstoffvorrates der gesamten Biomasse von Kirsch- und Pflaumenbäumen in Abhängigkeit vom mittleren Stammdurchmesser

$$C_{ges\ Kirsche/Pflaume} = 0{,}0369\ x^{2{,}2725}$$

$C_{ges_KirschePflaume}$: Kohlenstoffvorrat der gesamten Kirsch-/Pflaumenbaumbiomasse [kg Pflanze^{-1}]

x: Mittlerer Stammdurchmesser Kirsche/Pflaume [cm]

Statistische Kennwerte:

r^2 =0,9608

n = 9

p < 0,0001

Standardfehler der Schätzung = 1,7382 ≙ 14,04 %

Gleichung 23: Regressionsgleichung zur Abschätzung des Kohlenstoffvorrates in der oberirdischen Biomasse von Kirsch- und Pflaumenbäumen in Abhängigkeit vom mittleren Stammdurchmesser

$$C_{above\ Kirsche/Pflaume} = 0{,}0238\ x^{2{,}3586}$$

$C_{above_KirschePflaume}$: Kohlenstoffvorrat der oberirdischen Kirsch-/Pflaumenbaumbiomasse [kg Pflanze^{-1}]

x: Mittlerer Stammdurchmesser Kirsche/Pflaume [cm]

Statistische Kennwerte:

r^2 =0,9442

n = 9

p < 0,0001

Standardfehler der Schätzung = 2,025 ≙ 18,76 %

Die Differenzen zwischen dem Kohlenstoffvorrat der gesamten Pflanze und ihren oberirdischen Teilen, ergibt den C-Wurzelvorrat von Kirsche/Pflaume (siehe Gleichung 24).

Gleichung 24: Abschätzung des Kohlenstoffvorrates in der Wurzelmasse von Kirsche/Pflaume

$$C_{below} = C_{ges} - C_{above}$$

C_{below}: Unterirdischer Kohlenstoffvorrat [kg Pflanze^{-1}]

C_{ges}: Kohlenstoffvorrat der gesamten Pflanze [kg Pflanze^{-1}]

C_{above}: Oberirdischer Kohlenstoffvorrat [kg Pflanze^{-1}]

Der absolute Kohlenstoffvorrat aller Obstbäume Deutschlands wurde mithilfe der Ergebnisse der statistischen Vollerhebungen im Obstbau errechnet, die in den Jahren 2002, 2007 und 2012 durchgeführt wurden (STATISTISCHES BUNDESAMT div. Jgg.). Mittels dieser wurden vom Statistischen Bundesamt die Stückzahlen von Apfel-, Birn-, Süß-, Sauerkirsch-, Pflaumen-, Zwetschgen-, Mirabellen- und Reneklodenbäumen in unterschiedlichen Altersklassen ermittelt, sowie die mit diesen Bäumen in der Altersklasse bestockten Flächen; beispielhaft für das Jahr 2007 dargestellt in Tabelle 320.

Tabelle 320: Ergebnisse der Obstbaumvollerhebung 2007 durch das STATISTISCHES BUNDESAMT 2007

Altersklasse		Baumobst insgesamt	Äpfel	Birnen	Süßkirschen	Sauerkirschen	Pflaumen, Zwetschen	Mirabellen, Renekloden
<1	**Fläche [ha]**	6.337	2.610	558	1.669	569	561	89
	Anzahl [n]	77.908.784	1.959.650	374.357	349.898	309.888	174.950	25.268
1-4	**Fläche [ha]**	1.314	1.283	30	125	9	142	8
	Anzahl [n]	3.493.397	3.460.242	51.926	92.723	6.720	98.538	4.372
5-9	**Fläche [ha]**	7.403	5.159	252	859	330	713	90
	Anzahl [n]	15.410.632	13.645.705	466.895	563.239	234.410	452.011	48.372
10-14	**Fläche [ha]**	10.606	7.275	350	783	866	1.186	146
	Anzahl [n]	19.740.123	17.334.084	581.720	458.483	579.748	722.909	63.179
15-19	**Fläche [ha]**	10.321	7.603	454	763	372	1.057	71
	Anzahl [n]	19.602.081	17.527.552	831.342	322.364	260.231	632.286	28.306
20-24	**Fläche [ha]**	8.599	5.995	338	764	791	621	91
	Anzahl [n]	12.899.071	11.365.689	443.150	219.989	543.127	290.899	36.217
>25	**Fläche [ha]**	3.333	1.837	119	519	507	284	66
	Anzahl [n]	3.348.345	2.569.271	126.438	143.442	351.826	130.916	26.452

Zur Ermittlung des gesamten Kohlenstoffvorrats in Obstgehölzen wurden die gemessenen bzw. durch Regression ermittelten Kohlenstoffvorräte in der ober- und unterirdischen Biomasse von Einzelbäumen einer jeden Altersklasse mit der Stückzahl multipliziert. Dabei wurden die für Apfelbäume ermittelten Werte auch den Birnen zugeteilt, die für Kirsche und Pflaume sowohl den Zwetschgen als auch den Mirabellen und Renekloden.

Die Berechnung der flächenbezogenen Emissionsfaktoren für die einzelnen Obstbaumarten erfolgte mittels Division durch die jeweils bestockte Fläche.

Tabelle 321: Flächenbezogene Kohlenstoffvorräte [t C ha^{-1}] (± Hälfte des 95 % Konfidenzintervalls) in der Biomasse von Obstgehölzen Deutschlands

Obstgehölz	Obstbaumerhebung 2002 Kohlenstoffvorrat [t C ha^{-1}]			Fläche [ha]
	Bio_{above}	Bio_{below}	Bio_{total}	
Äpfel	3,53 ± 0,85	1,55 ± 0,56	5,08 ± 2,20	32.406
Birnen	2,93 ± 0,71	1,24 ± 0,45	4,18 ± 1,81	2.189
Süßkirschen	7,53 ± 1,39	1,33 ± 0,15	8,86 ± 1,25	5.505
Sauerkirschen	14,08 ± 2,74	2,67 ± 0,32	16,74 ± 2,5	4.230
Pflaumen/Zwetschen	6,52 ± 1,36	1,28 ± 0,16	7,79 ± 1,25	4.562
Mirabellen/Renekloden	6,70 ± 1,26	1,25 ± 0,14	7,95 ± 1,14	473

Obstgehölz	Obstbaumerhebung 2007 Kohlenstoffvorrat [t C ha^{-1}]			Fläche [ha]
	Bio_{above}	Bio_{below}	Bio_{total}	
Äpfel	4,56 ± 1,10	1,97 ± 0,71	6,53 ± 2,83	31.762
Birnen	3,95 ± 0,95	1,66 ± 0,60	5,61 ± 2,43	2.101
Süßkirschen	7,71 ± 1,50	1,39 ± 0,17	9,09 ± 1,36	5.482
Sauerkirschen	15,24 ± 2,98	2,83 ± 0,34	18,07 ± 2,71	3.444
Pflaumen/Zwetschen	7,71 ± 1,59	1,53 ± 0,19	9,24 ± 1,47	4.565
Mirabellen/Renekloden	7,28 ± 1,41	1,38 ± 0,16	8,66 ± 1,29	561
Obstgehölz	**Obstbaumerhebung 2012** Kohlenstoffvorrat [t C ha^{-1}]			**Fläche [ha]**
	Bio_{above}	Bio_{below}	Bio_{total}	
Äpfel	5,31 ± 1,28	2,27 ± 0,82	7,58 ± 3,29	31.739
Birnen	4,91 ± 1,19	2,04 ± 0,73	6,95 ± 3,02	1,933
Süßkirschen	8,44 ± 1,65	1,57 ± 0,19	10,01 ± 1,49	5.258
Sauerkirschen	17,31 ± 3,53	3,13 ± 0,39	20,45 ± 3,19	2.292
Pflaumen/Zwetschen	9,60 ± 1,93	1,9 ± 0,24	11,51 ± 1,78	3.870
Mirabellen/Renekloden	8,25 ± 1,62	1,51 ± 0,18	9,76 ± 1,47	501

6.1.2.3.4.2 Wein

Zur Ableitung eines landesspezifischen mittleren Kohlenstoffvorrates für Weinstöcke wurden im Projekt „Methodenentwicklung zur Erfassung der Biomasse mehrjährig verholzter Pflanzen außerhalb von Waldflächen“ (PÖPKEN 2011) 74 Weinstöcke destruktiv untersucht. Die Rebstöcke waren 15 bzw. 25 Jahre alt. Ermittelt wurden die Masse sowie der Wasser- und Kohlenstoffgehalt der ober- und unterirdischen Pflanzenteile (PÖPKEN 2011). Der Kohlenstoffvorrat des Rebstocks bzw. von Pflanzenteilen errechnet sich nach Gleichung 58.

Gleichung 25: Berechnung des Kohlenstockvorrats in Weinstöcken

$$C_{vine} = C_{cont\ above} * M_{105\ Bio\ above} + C_{cont\ below} * M_{105\ Bio\ below}$$

C_{vine}: Kohlenstoffvorrat eines Weinstocks [kg]

$C_{cont\ above}$: Kohlenstoffgehalt des Stocks [Masse-%]

$M_{105\ Bio\ above}$: Biomasse trocken des Stocks [kg]

$C_{cont\ below}$: Kohlenstoffgehalt der unterirdischen Biomasse [Masse-%]

$M_{105\ Bio\ below}$: Biomasse trocken der unterirdischen Biomasse [kg]

Das jährliche Schnittholz wurde bei der Ermittlung der Biomasse von Weinstöcken nicht berücksichtigt, da der jährliche Zuwachs dem des Schnittes entspricht und somit ein kurzfristiges Gleichgewicht darstellt.

Da in Deutschland durchschnittlich 4.000 Weinstöcke auf einem ha stocken (PÖPKEN 2011), wurden zur Berechnung des Kohlenstoffvorrats pro Flächeneinheit die C-Vorräte der einzelnen Pflanzenkompartimente bzw. der Gesamtpflanze mit 4.000 multipliziert und somit die Vorräte pro ha ermittelt. Der absolute Kohlenstoffvorrat errechnet sich durch Multiplikation der Emissionsfaktoren mit der Weinanbaufläche. Letztere entstammt der deutschen Offizialstatistik (Statistisches Bundesamt, FS 3, R 3.1.5, div. Jgg.). Die Werte können Tabelle 322 entnommen werden.

Tabelle 322: Flächenbezogener Kohlenstoffvorrat [t C ha^{-1} ± Hälfte des 95 % Konfidenzintervalls] der Weinstockbiomasse Deutschlands

Gehölz	Kohlenstoffvorrat [t C ha^{-1}]			Fläche [ha]
	Bio_{above}	Bio_{below}	Bio_{total}	
Wein	1,12 ± 0,06	0,54 ± 0,04	1,66 ± 0,09	102.425

6.1.2.3.4.3 Weihnachtsbaumplantagen

In Deutschland wurden 2015 auf 20.100 ha Weihnachtsbäume außerhalb des Waldes, auf landwirtschaftlichen Flächen kultiviert (STATISTISCHES BUNDESAMT 2015). Bei einem durchschnittlichen Baumbesatz von 6.000 Pflanzen pro ha, werden 50 t $Biomasse_{trocken}$ produziert (PÖPKEN 2011). Hiervon entfallen ca. 28 % auf die Wurzelmasse. Dieser Wert wurde anhand der Regression von Wurzelbiomasse in Abhängigkeit von der oberirdischen Biomasse (Gleichung 21) nach MOKANY et al. (2006) hergeleitet (vergl. Kapitel 6.1.2.3.4.1).

Tabelle 323: Flächenbezogener Kohlenstoffvorrat [t C ha^{-1}] (± Hälfte des 95 % Konfidenzintervalls)] der Weihnachtsbaumbiomasse Deutschlands

Gehölz	Kohlenstoffvorrat [t C ha^{-1}]			Fläche [ha]
	Bio_{above}	Bio_{below}	Bio_{total}	
Weihnachtsbaum	8,10 ± 4,1	3,15 ± 1,6	11,25 ± 4,4	15.800

6.1.2.3.4.4 Baumschulen

Im Jahre 2015 betrug die Baumschulfläche in Deutschland 19.900 ha (STATISTISCHES BUNDESAMT 2015). Aussagen über die Art der in Baumschulen aufgezogenen Gehölze gibt die Baumschulerhebung, die im Turnus von 4 Jahren als Vollerhebung vom STATISTISCHEN BUNDESAMT (div. Jgg.) durchgeführt wird. Die letzte Erhebung 2012 zeigte, dass auf den deutschen Baumschulflächen hauptsächlich Zier- und sonstige Gehölze angebaut (86,7 %) wurden; die Aufschulung von Forstpflanzen erfolgte auf 13,3 % der Fläche. Die Zusammensetzung der aufgeschulten Gehölzarten ist über die Jahre sehr variabel (STATISTISCHES BUNDESAMT 2013). Da für Deutschland leider keinerlei Untersuchungen über den durchschnittlichen Biomassevorrat im Aufwuchs von Baumschulen vorliegen, wurde aus landesspezifischen Biomassevorratswerten für Gehölzpflanzen ein mittlerer Kohlenstoffvorrat pro Baumschulflächeneinheit hergeleitet. Hierfür wurde folgendes unterstellt:

- Der Gehölzbestand setzt sich zu zwei Dritteln aus Ziergehölzen, zu einem Drittel aus Waldbäumen zusammen (letztere werden zwar nur auf 13,3 % der Fläche aufgezogen; da dieser Anteil über die Jahre sehr variabel ist (Anteil Forstpflanzen 2004: 19,8 %, STATISTISCHES BUNDESAMT 2005) und auch im Zierpflanzenanbau Koniferen (erheblicher Anteil) und „Waldbäume“ wie Eiche und Buche angebaut werden, wurde der Anteil auf 33 % aufgewertet)
- Ziergehölze werden max. 10 Jahre, Forstpflanzen max. 5 Jahre geschult
- Die Altersklassen innerhalb der Gehölzgruppen sind gleichverteilt

Für Ziergehölze wurden stellvertretend die im Projekt „Methodenentwicklung zur Erfassung der Biomasse mehrjährig verholzter Pflanzen außerhalb von Waldflächen“ (PÖPKEN 2011) ermittelten Kohlenstoffvorräte herangezogen. So wurden hälftig, für größere Gehölze, die für Kirsche und Pflaume ermittelten Kohlenstoffvorräte, für kleinere Gehölze, die für Apfelbäume zugrunde gelegt (s. Kapitel 6.1.2.3.4.1).

Zur Berechnung der Biomasse der Waldbäume wurden die Methoden angewendet, die zur Berechnung der Waldbiomasse von KÄNDLER & BÖSCH (2013) entwickelt wurden und in Kapitel

6.4.2.2 beschrieben sind. Für Fichte, Kiefer, Buche und Eiche wurde mittels der Gleichung 27 und der in Tabelle 340 dargestellten Koeffizienten im Kapitel 6.4.2.2.4 der oberirdische Biomassevorrat pro Einzelbaum bis zum Alter von 5 Jahren bestimmt. Für die Umrechnung auf t C ha^{-1} wurde der Kohlenstoffkonversionsfaktor von 0,45 unterstellt, sowie von 6.000 Pflanzen pro ha ausgegangen (dies entspricht einem mittleren Pflanzenbestand, bei einem Pflanzabstand von ca. 120/130 cm). Die unterirdische Biomasse wurde aus der so berechneten Sprossmasse anhand der Formel von MOKANY et al. (2006) abgeschätzt (s. Kapitel 6.1.2.3.4.1), der Gesamtvorrat durch Addition der ober- und unterirdischen Vorräte bestimmt.

Auf diesem Wege der Herleitung ergeben sich dann durch Mittelwertbildung die in Tabelle 324 dargestellten mittleren, flächenbezogenen Kohlenstoffvorräte für die einzelnen Gehölzarten, sowie die daraus resultierenden mittleren Kohlenstoffvorräte, die das dynamische Gleichgewicht der Biomasse in Deutschlands Baumschulen im Inventar repräsentieren.

Tabelle 324: Herleitung des mittleren flächenbezogenen Kohlenstoffvorrats [$Mischwert_{Baumschulen}$ in t C ha^{-1} ± Hälfte des 95 % Konfidenzintervalls] in der Biomasse von Baumschulen

Gehölz	C-$Vorrat_{total}$ [t C ha^{-1}]	C-$Vorrat_{above}$ [t C ha^{-1}]	C-$Vorrat_{below}$ [t C ha^{-1}]
$Apfel_{10}$	6,69 ± 1,34	4,8 ± 1,16	1,89 ± 0,68
$Kirsche_{10}$	21,52 ± 1,88	16,83 ± 1,92	4,69 ± 0,33
$Waldbäume_{5}$	7,7 ± 0,82	5,54 ± 0,71	2,15 ± 0,42
$Mischwert_{Baumschulen}$	11,97 ± 0,82	9,06 ± 0,78	2,91 ± 0,29

6.1.2.3.4.5 Kurzumtriebsplantagen

Kurzumtriebsplantagen (KUP) sind in Deutschland nach § 2 des Bundeswaldgesetzes BWaldG (2015) kein Wald und werden deshalb im deutschen Inventar ausschließlich in der Landnutzungskategorie Ackerland berichtet. Da KUP auch im Rahmen der Bundeswaldinventur als Ackerland ausgewiesen werden, ist eine Doppelzählung ausgeschlossen.

Zur Ermittlung landesspezifischer, mittlerer Kohlenstoffvorräte in der Biomasse von Kurzumtriebsplantagen (KUP) wurden Daten aus der einschlägigen Literatur abgeleitet. Grundlegend waren die Übersichtsarbeiten von WALTER et al. (2014), HORN (2013), GURGEL (2011), KERN et al. (2010), BIERTÜMPFEL et al. (2009), BOELCKE (2007), STOLZENBURG (2006) und MAIER & VETTER (2004).

Diese Arbeiten enthalten die Ergebnisse von 23 Versuchsstandorten zu Kurzumtriebsplantagen, die über ganz Deutschland verteilt sind (Bayern, Baden-Württemberg, Thüringen, Sachsen, Brandenburg, Mecklenburg-Vorpommern und Niedersachsen), alle Klimazonen (Niederschlag: 550 – 1550 mm; Jahresdurchschnittstemperatur: 6,8 – 10,1°C) und Bodenarten umfassen (leichte bis schwere Böden) und vom Tiefland bis ins Mittelgebirge reichen. Auf insgesamt 62 Versuchsfeldern wurden die Kurzumtriebsplantagen überwiegend mit Pappeln (58 %) und Weiden (34 %) aber auch mit Birken (3 %), Erlen, Robinien und Blauglockenbäumen (5%) bestockt. Die Umtriebszeiten betrugen zwischen einem und zehn Jahren, bei einem Mittel von 4,2 Jahren. Da diese Studien bezüglich räumlicher Verteilung, Standortbedingungen, Bewuchs und Management das ganze Spektrum des Betriebes von Kurzumtriebsplantagen in Deutschland widerspiegeln, sind sie repräsentativ.

Aus den Ergebnissen dieser Studien konnte der durchschnittliche jährliche Trockenertrag mit 9,05 (-6,0 % / +9,9 %) t ha^{-1} a^{-1} oberirdische Biomasse für Kurzumtriebsplantagen in Deutschland abgeleitet werden.

Zur Herleitung des durchschnittlichen Gesamtertrags für KUP, in Abhängigkeit von der Betriebsdauer, wurde der mittlere jährliche Trockenertrag mit der Anzahl der Jahre der

Betriebsdauer multipliziert. Es wurde eine durchschnittliche Betriebsdauer von 20 Jahren unterstellt als auch, dass die Kurzumtriebsplantagen innerhalb der Betriebsaltersklassen (Initialisierungsklasse sowie $Klasse_{1_a}$ - $Klasse_{20_a}$) gleichverteilt sind. Für die Initialisiserungsphase wurde davon ausgegangen, dass 10.000 Stecklinge a 20 g Biomasse auf einen Hektar gesetzt wurden (≙ 0,2 t Biomasse ha^{-1}). Die unterirdische Biomasse wurde anhand des mittleren Trockenertrages in Abhängigkeit von der Betriebsdauer und der Formel von MOKANY et al. (2006) bestimmt. Durch Addition der ober- und unterirdischen Biomasse wurde der Gesamtvorrat in Kurzumtriebsplantagen für jede unterschiedliche Betriebsaltersklasse ermittelt und durch Multiplikation mit 0,45 in Kohlenstoffvorräte umgerechnet. Die Mittelwerte dieser Kohlenstoffvorräte aller Betriebsaltersklassen stellen die dynamischen Gleichgewichtswerte für die mittleren, flächenbezogenen Kohlenstoffvorräte in der Biomasse von KUP dar, die den Berechnungen im Inventar zugrunde liegen. Diese sind in Tabelle 325 dargestellt.

Tabelle 325: Mittlere, flächenbezogene Kohlenstoffvorräte [t C ha^{-1}] sowie 97,5%- und 2,5%-Perzentile [%] in der Biomasse von Kurzumtriebsplantagen

	Kohlenstoffvorrat in der Biomasse von Kurzumtriebsplantagen		
	Bio_{total}	Bio_{above}	Bio_{below}
C-Vorrat [t C ha^{-1}]	**53,71**	**40,75**	**12,96**
97,5 %-Perzentil [%]	10,30	9,93	29,13
2,5 %-Perzentil [%]	8,16	6,02	28,04

6.1.2.3.4.6 Mittlerer Kohlenstoffvorrat in der Biomasse von perennierenden Ackerkulturen

In Kap. 6.1.2.3.1 wird ausgeführt, dass mit dem bestehenden System zur Landnutzungsausweisung annuelle und perennierende Ackerkulturen derzeit nicht räumlich explizit und umfänglich nachgewiesen werden können. Folglich ist bei einer Landnutzungsänderung von/zu Ackerland nicht bekannt, welche Gehölzkultur Gegenstand der Landnutzungsänderung ist. Diesem Umstand wird Rechnung getragen, in dem ein nach Art und Nutzung flächengewichteter Emissionsfaktor für die gesamte Gehölzbiomasse des perennierenden Ackerlandes abgeleitetet wird.

Hierfür wurde der absolute Kohlenstoffvorrat der einzelnen Kulturarten kompartimentweise durch Multiplikation der Anbaufläche mit den mittleren, kulturbezogenen Kohlenstoffvorräten berechnet, aufsummiert und durch die Flächensumme dividiert. Diese Berechnungen erfolgten für die Jahre 2002, 2007 und 2012 (Tabelle 326). Das Zeitintervall ergibt sich aus den Erhebungsterminen der Obstbaumzählung, die nur alle 5 Jahre vom Statistischen Bundesamt durchgeführt wird; in der derzeitigen Form erst seit 2002. Die Werte zwischen den einzelnen Erhebungen wurden linear interpoliert. Für die Jahre von 1990 – 2002 wurden die Daten des Jahres 2002 angesetzt, für das Jahr 2013 - 2015 die des Jahres 2012. Letztere werden mit der nächsten Vollerhebung 2017 korrigiert.

Tabelle 326: Ermittlung des flächengewichteten Kohlenstoffvorrates [t C ha^{-1}] für Ackerlandgehölze in Deutschland zu den statistischen Erhebungsterminen (KV 2 ± Hälfte des 95 % Konfidenzintervalls)

Obstgehölze	Kohlenstoffvorrat in t C ha^{-1}		
	Bio_{total}	Bio_{above}	Bio_{below}
2002	5,04 ± 0,41	3,72 ± 0,38	1,31 ± 0,17
2007	5,19 ± 0,43	3,83 ± 0,39	1,36 ± 0,18
2012	6,55 ± 0,48	4,85 ± 0,43	1,70 ± 0,21

Da in Deutschland perennierende Ackerkulturen immer mit Gras durchwachsen sind, berechnet sich der gesamte Biomassekohlenstoffvorrat pro Flächeneinheit für diese Flächen nach Gleichung 26:

Gleichung 26:

$$C\text{-}Vorrat_{Biomasse_perennierende_Ackerkulturen} = C\text{-}Vorrat_{perennierende_Gehölze} + C\text{-}Vorrat_{Grünland} * 0{,}75$$

Der Faktor für die Grünlandbiomasse ergibt sich aus dem Umstand, dass nur die Flächen direkt unter den Gehölzpflanzen frei von Bewuchs gehalten werden, in Obstbaumplantagen und Weingärten nur zwischen den Gehölzreihen Gras wächst. Es wird der Wert für Grünland i.e.S. zugrunde gelegt. Tabelle 327 zeigt die Zeitreihen des Biomassenkohlenstoffvorrats perennierender Ackerlandgehölzflächen Deutschlands. Die starken Veränderungen in der ober- und unterirdischen Biomasse sind auf die Verwendung überholter Vorräte für das Grünland (ausschließlich bei dieser Berechnung) zurückzuführen. Die Veränderungen bezüglich der gesamten Biomasse sind allerdings sehr gering, weshalb ein Einfluss dieses Fehlers auf den Mischwert für Ackerland praktisch nicht auszumachen ist (Differenz ca. 0,02 %).

Tabelle 327: Flächengewichteter Mischwert des Kohlenstoffvorrates der Biomasse [t C ha^{-1}] für perennierende Ackerlandgehölzflächen in Deutschland (C-Vorrat der ober- und unterirdischen Biomasse sowie gesamter C-Vorrat ± Hälfte des 95 % Konfidenzintervalls) und deren Veränderung [%] gegenüber der Vorjahressubmission

	$Ackerland_{perennierend}$					
Jahr	**Kohlenstoffvorrat [t C ha^{-1}]**			**Veränderung gegenüber Submission 2016 [%]**		
	$Phytomasse_{total}$	**$Phytomasse_{oberirdisch}$**	**$Phytomasse_{unterirdisch}$**	**$Phytomasse_{total}$**	**$Phytomasse_{oberirdisch}$**	**$Phytomasse_{unterirdisch}$**
1990	10,15 ± 1,62	6,56 ± 1,08	3,59 ± 1,15	0,93	-6,22	17,28
1995	10,15 ± 1,62	6,56 ± 1,08	3,59 ± 1,15	0,93	-6,22	17,28
2000	10,15 ± 1,62	6,56 ± 1,08	3,59 ± 1,15	0,93	-6,22	17,28
2005	10,24 ± 1,63	6,62 ± 1,09	3,62 ± 1,16	0,92	-6,17	17,11
2006	10,27 ± 1,64	6,64 ± 1,10	3,63 ± 1,17	0,91	-6,15	17,06
2007	10,30 ± 1,64	6,66 ± 1,10	3,64 ± 1,17	0,91	-6,13	17,00
2008	10,57 ± 1,69	6,87 ± 1,13	3,70 ± 1,19	0,96	-5,89	16,71
2009	10,85 ± 1,73	7,08 ± 1,17	3,77 ± 1,21	1,00	-5,66	16,43
2010	11,12 ± 1,77	7,28 ± 1,20	3,84 ± 1,24	1,04	-5,46	16,15
2011	11,39 ± 1,82	7,48 ± 1,23	3,91 ± 1,26	1,06	-5,27	15,88
2012	11,66 ± 1,86	7,68 ± 1,27	3,98 ± 1,28	1,08	-5,10	15,62
2013	11,66 ± 1,86	7,68 ± 1,27	3,98 ± 1,28	1,08	-5,10	15,62
2014	11,66 ± 1,86	7,68 ± 1,27	3,98 ± 1,28	1,08	-5,10	15,62
2015	11,66 ± 1,86	7,68 ± 1,27	3,98 ± 1,28	/	/	/

6.1.2.3.5 Ableitung der Emissionsfaktoren für Hecken und Feldgehölze

Zur Bestimmung des Kohlenstoffvorrates in Hecken wurden von PÖPKEN (2011) im Rahmen des Forschungsprojektes „Methodenentwicklung zur Erfassung der Biomasse mehrjährig verholzter Pflanzen außerhalb von Waldflächen“ 50 Hecken untersucht. Die Ausprägung der aufgenommenen Hecken variierte bezüglich:

1. **des Alters**
    - ca. 4-20 Jahre
2. **der Ausdehnung**

- Höhe ca. 2-9 m
- Tiefe ca. 1-6 m
- Länge ca. 100-500 m

3. **der Artenzusammensetzung**

   - typische Heckenpflanzen, wie Hundsrose (Rosa canina), Schlehe (Prunus spinosa), Hasel (Corylus avellana), Holunder (Sambuccus spec.), Rot- und Weißdorn (Crataegus spec.), Heckenkirschen (Lonicera spec.) und Weiden (Salix spec.)
   - Bäume, wie Feldahorn (Acer campestre), Hainbuche (Carpinus betulus), Weide (Salix spec.), Buche (Fagus sylvatica), Linde (Tilia spec.) und Ulme (Ulmus spec.),

so dass ein repräsentatives Spektrum dieser Feldgehölze erfasst wurde. An diesen Gehölzproben wurden im Labor die Masse, der Wasser- und Kohlenstoffgehalt gemessen, so das der absolute und der flächenbezogene Kohlenstoffvorrat in Verbindung mit den Feldmaßen ermittelt werden konnte (siehe Tabelle 328). Anhand dieser Daten konnte mittels Regression ein hochsignifikanter Zusammenhang zwischen dem durchschnittlichen Kohlenstoffvorrat der oberirdischen Biomasse von Hecken und deren Alter ermittelt werden:

$C_{above} = 1{,}5506 * X^{1{,}6015}$

$R^2 = 0{,}843$; Hälfte des 95 %-Konfidenzintervalls: ± 65,7 %

C_{above}: Durchschnittlicher Kohlenstoffvorrat der oberirdischen Biomasse in Hecken [t C ha^{-1}]

X: Heckenalter [a]

Mittels dieser Gleichung wurde dann der durchschnittliche Kohlenstoffvorrat der oberirdischen Biomasse von Hecken für jedes Jahr einer Umtriebsperiode (12 Jahre) bestimmt. Da bei der Untersuchung von PÖPKEN (2011) aus Gründen des Naturschutzes lediglich die oberirdische Biomasse erfasst werden konnte, wurde zur Abschätzung der unterirdischen Biomasse die von MOKANY et al. (2006) mittels Regression abgeleitete Formel herangezogen, um für jede dieser Altersklassen von der ober- auf die unterirdischer Biomasse zu schließen.

$Bio_{below} = 0{,}489 * Bio_{above}^{0{,}890}$ (MOKANY et al., 2006)

$R^2 = 0{,}93$

Bio_{below}: Unterirdische Biomasse in t C ha^{-1}

Bio_{above}: Oberirdische Biomasse in t C ha^{-1}

Der Gesamtvorrat pro Altersklasse ergibt sich dann nach

$C_{total_AK} = C_{above_AK} + C_{below_AK}$

C_{total_AK}: Durchschnittlicher Kohlenstoffvorrat in der gesamten Biomasse von Heckenpflanzen einer Altersklasse [t C ha^{-1}]

C_{above_AK}: Durchschnittlicher Kohlenstoffvorrat in der oberirdischen Biomasse von Heckenpflanzen einer Altersklasse [t C ha^{-1}]

C_{below_AK}: Durchschnittlicher Kohlenstoffvorrat in der unterirdischen Biomasse von Heckenpflanzen einer Altersklasse [t C ha^{-1}]

Der Mittelwert aller Altersklassen, bei einer unterstellten Umtriebszeit von 12 Jahren, ergibt dann den durchschnittlichen Gleichgewichtskohlenstoffvorrat in den Hecken Deutschlands, der als Emissionsfaktor den Berechnungen im Inventar zugrunde liegt (Tabelle 319).

Tabelle 328: Flächenbezogener Kohlenstoffvorrat [t ha^{-1} (95 %-Konfidenzintervall)] in der Biomasse von Gehölzen

Gehölze	Kohlenstoffvorrat [t C ha^{-1}]		
	$Bio_{oberirdisch}$	$Bio_{unterirdisch}$	Bio_{total}
Gehölze	32,69 (10,46-55,27)	10,47 (3,16-18,11)	43,16 (19,77-67,00)

6.1.3 Qualitätssicherung und -kontrolle

Eine allgemeine Qualitätskontrolle (für 4(I) bis 4 (V), Wetlands & Other Land) bzw. eine allgemeine und kategoriespezifische Qualitätskontrolle (für alle anderen Bereieche) und eine Qualitätssicherung durch die Fachseite und durch die Nationale Koordinierungsstelle wurden gemäß den Anforderungen des QSE-Handbuchs bzw. dessen mitgeltenden Unterlagen durchgeführt.

Bei der QS kamen detaillierte Checklisten und Einzelchecks zur Überprüfung und Dokumentation der Ergebnisse entsprechend dem Qualitätsmanagement des Thünen Instituts (THÜNEN-INSTITUT 2016) zum Einsatz. Die Thünen-Checklisten sowie andere für die QK wichtige Dokumente werden von der Nationalen Koordinierungsstelle archiviert und sind somit auch zur externen Überprüfung verfügbar.

6.1.3.1 Qualitätsmanagement Emissionsinventare des Thünen-Instituts

Das Qualitätsmanagement der Emissionsinventarerstellung am Thünen-Institut wurde konform zu den IPCC-Richtlinien und dem QSE-Handbuch (Kapitel 1.3.3) entwickelt. Rahmenbedingungen und Durchführung des Qualitätsmanagements sind im Konzept (BMELV, 2012) und in der Ausführungsbestimmung des Konzepts (THÜNEN-INSTITUT, 2016) ausführlich beschrieben. Alle Dokumente und Daten werden in der Inventarbeschreibung abgelegt, die von der Nationalen Koordinierungsstelle archiviert wird. Die Vorgaben und Abläufe der Ausführungsbestimmung wurden vollständig eingehalten. Im Folgenden werden die besonderen zusätzlichen Qualitätskontrollen für diese Submission beschrieben.

6.1.3.2 Eingangsdaten, Berechnungsverfahren und Emissionsergebnisse

Im ersten Schritt wurde die Landnutzungsmatrix qualitätskontrolliert und zur Emissionsberechnung freigegeben. Die Prüfungen umfassten die Entscheidungsbäume und die Ergebnisse der jährlichen Landnutzungsmatrix und der 20-jährigen Übergangszeit. Im Folgenden sind wichtige Testkriterien für die Landnutzungsmatrix gelistet, die in der Prüfung zum Einsatz kamen. Diese gehen über die Anforderungen der Ausführungsbestimmung hinaus. Sie gelten für die gesamte Landnutzungsmatrix und die beiden Teilmatrizen für Mineral- und organische Böden:

- Die nationale Fläche ist konstant.
- Die nationale Fläche ist die gleiche wie im Vorjahr.
- Die Flächen der Landnutzungskategorien sind gleich oder kaum unterschiedlich zum Vorjahr bzw. Unterschiede sind erklärbar.
- Die Flächen und Flächentrends sind konsistent mit statistischen Daten bzw. Unterschiede sind erklärbar.
- Die Summen der Gesamtflächen, bestehend aus verbleibenden Flächen und Landnutzungsänderungen, sind korrekt.
- Sonstige Flächen sind konstant oder nehmen ab; es findet keine Landnutzungsänderung zu sonstigen Flächen statt.
- Torfabbauflächen wurden getrennt ausgewiesen.
- Die Wald- und ARD-Flächen zwischen LULUCF und KP-LULUCF sind konsistent.

Die Emissionsberechnungen wurden mit der qualitätsgeprüften Landnutzungsmatrix durchgeführt. Aus den Flächendaten und Emissionsfaktoren bzw. implizierten Emissionsfaktoren (IEF) werden in Tabellen schrittweise die Emissionsberechnungen für jährliche Landnutzungsänderungen und die Übergangszeit durchgeführt. Die Tabellen wurden geprüft hinsichtlich:

1. Korrektheit der Berechnungen,
2. Konsistenz in der Zeitreihe,
3. Konsistenz mit den Berechnungen des Vorjahres.

Außerdem kamen folgende Testkriterien zum Einsatz.

Emissionsfaktoren:

- Die Berechnungen der Emissionsfaktoren bzw. implizierten Emissionsfaktoren (IEF) sind korrekt.
- Die Zeitreihe der Emissionsfaktoren ist konsistent; Änderungen von Jahr zu Jahr sind erklärbar.
- Die Emissionsfaktoren sind gleich denen des Vorjahres außer bei Änderungen in Daten und Methoden: neue Emissionsfaktoren sind plausibel. Unterschiede zu denen des Vorjahres sind erklärbar und vollständig dokumentiert.
- Unsicherheiten sind korrekt angegeben und konsistent mit denen des Vorjahres.
- Die Daten sind konsistent zwischen Konventions- (LULUCF) und Kyotoprotokollberichterstattung (KP-LULUCF).

Berechnungen:

- Die Basisberechnungen, die Berechnungen für die jährlichen Landnutzungsänderungen und die Übergangszeit sind korrekt.
- Die Übersichtstabellen, die die Grundlage für die CRF-Tabellen und den Text bilden, sind korrekt.
- Die Emissionsergebnisse sind konsistent mit denen des Vorjahres bzw. Unterschiede aufgrund neuer Daten und Methoden erklärbar.
- Die Berechnungen sind konsistent zwischen Konventions- (LULUCF) und Kyotoprotokollberichterstattung (KP-LULUCF).

Ergebnisse der Qualitätskontrollen:

1. Alle Berechnungen sind korrekt.
2. Die Zeitreihen sind konsistent. Größere Änderungen von Jahr zu Jahr sind ausschließlich bedingt durch die Periodizität der Daten und lineare Interpolationen dazwischen.
3. Es wurden keine unerklärbaren Ausreißer der relativen Differenzen der Emissionen zum Vorjahr gefunden. Alle Änderungen gegenüber dem Vorjahr waren korrekt dokumentiert und sind im Nationalen Inventarbericht enthalten.
4. Bei den annuellen Biomassen in Acker (4.B.2) und Grünland i.e.S. (4.C.2) waren einige wenige Aktualisierungen im Landwirtschaftssektor (3.D) in der Submission 2015 nicht überall umgesetzt worden. Dies wurde nach der QK in dieser Submission korrigiert.

Nach Eingabe der Aktivitätsdaten und implizierten Emissionsfaktoren (IEF) in die ZSE-Datenbank (Zentrales System Emissionen) wurde zur Kontrolle ein Abgleich der im ZSE berechneten Emissionen mit den außerhalb der Datenbankumgebung errechneten Emissionsergebnissen

durchgeführt. Die Schritte der Qualitätskontrolle und ihre Ergebnisse sind in der Inventarbeschreibung vollständig dokumentiert, die ebenfalls von der Nationalen Koordinierungsstelle archiviert wird.

6.1.3.3 Verifizierung

Die Ergebnisse bzw. IEF, differenziert nach Kohlenstoffquellgruppen und Landnutzungskategorien, wurden mit denen der Nachbarstaaten verglichen. Details dazu finden sich in den jeweiligen Unterkapiteln.

6.1.3.4 Reviews und Reports

Im September 2016 erfolgte ein In-Country-Review durch ein Expertengremium des Klimasekretariats. Dessen Empfehlungen wurden mit der vorliegenden Submission umgesetzt:

- Abschätzung der Kohlenstoffvorratsänderungen der (Gehölz-) Phytomasse in der Landnutzungssubkategorie „Ackerland bleibt Ackerland“
- Zusätzliche, ergänzende und tiefergehende Ausführungen um die Transparenz des Berichts zu verbessern bezüglich
    - des Mineralbodenpools der Kategorie „Ackerland bleibt Ackerland“: Nachweis, dass Mineralboden keine Kohlenstoffquelle ist
    - des Nachweises, dass der mittlere Kohlenstoffvorrat von Mineralböden unter Siedlungsflächen landesspezifisch und regelgerecht ist, die Methode Tier 2 entspricht
    - Emissionsfaktoren HWP CRF Table4.Gs2
    - Wald: Stock change - Methode
    - Nachweis Landnutzung, Erstellung Landnutzungsmatrix
    - KP-LULUCF (Anmerkungen z.T. redundant mit UNFCCC)

6.1.4 Geplante Verbesserungsmaßnahmen

Zur Verbesserung des Inventars sind folgende Maßnahmen geplant:

- Ermittlung neuer, landesspezifischer Emissionsfaktoren für Mineralböden mittels einer Großinventur (Bodenzustandserhebung Landwirtschaft), vollständig frühestens zum NIR 2020.
- Ableitung landesspezifischer Emissionsfaktoren bzw. Entwicklung von Modellen zur Erfassung des Bewirtschaftungseinflusses auf Acker- und Grünlandflächen anhand der Daten der Bodenzustandserhebung Landwirtschaft, der Bodendauerbeobachtung sowie mathematischer Modelle (frühestens 2020).
- Der Zeitplan zur Umsetzung dieser Maßnahmen ist abhängig vom Abschluss, Ergebnis und der Veröffentlichung der Forschungsergebnisse der zu diesem Zwecke durchgeführten Forschungsprojekte sowie der Qualitätsprüfung für die Berichterstattung. Neue Aktivitätsdaten und Emissionsfaktoren werden entsprechend der „Ausführungsbestimmung zur Erstellung von Emissions- und Kohlenstoffinventaren und deren Qualitätsmanagement für den Bereich der Quellgruppen 4 (THÜNEN INSTITUT, 2016) erst nach festgelegten Prüfkriterien qualitätskontrolliert und für die Berichterstattung freigegeben.

6.2 Definitionen von Landnutzung, Klassifizierungssysteme und ihre Widerspiegelung in den LULUCF-Kategorien

Mit der Einführung des Stichproben-Punktrastersystems mussten die unterschiedlichen Definitionen für Landnutzung der zugrunde liegenden Datenquellen (Basis-DLM des ATKIS®, CORINE Land Cover, vgl. Kapitel 6.3.2 und CIR-Daten) den LULUCF-Berichtskategorien zugeordnet werden.

Im Basis-DLM wurde der Objektartenkatalog mit der Einführung des neuen AAA-Modells verändert, deswegen gibt es ab 2013 eine neue Zuordnungstabelle. Den sechs IPCC Landnutzungskategorien werden den Objektarten aus dem Basis-DLM (AAA-Ebenen) des ATKIS® direkt zugeordnet. (Tabelle 329).

Bei der Erstellung der Landnutzungsmatrix erfolgt die Zuordnung der Rasterpunkte rechnergestützt und vollautomatisch mittels dafür erstellter Programme. Die Zuordnungsschlüssel dieser Klassifizierungssysteme sind zu diesem Zweck digital hinterlegt, so dass stets eine eineindeutige Zuordnung eines Rasterpunktes zu einer Objektartenschlüsselnummer und somit zu einer Landnutzung und Landnutzungskategorie führt, unabhängig von der Datenquelle. Die Scripte für diese Programme werden in der Inventarbeschreibung vorgehalten.

Tabelle 329: Zuordnung von Hauptobjektartenschlüsselnummern und Attributen des ATKIS® zu den IPCC-Landnutzungskategorien

ATKIS® Objektartenkatalog					CORINE Land Cover
Objektnummer AAA-Ebenen	Attribut AAA-Ebenen	Objektnummer Ebenen	Objekttyp	Beschreibung/Attribute n. ATKIS® Objektartenkatalog	Nomenklatur-Code
IPCC-Kategorie: Wald					
43002	VEG Alle	4107	Wald	Laub-, Nadel- und Mischwald	311; 312; 313; 324
IPCC-Kategorie: Ackerland					
43001	VEG 1010	4101	Landwirtschaft: Ackerland	Fläche für den Anbau von Feldfrüchten (z.B. Getreide, Hülsenfrüchte, Hackfrüchte) und Beerenfrüchten (z.B. Erdbeeren). Zum Ackerland gehören auch die Rotationsbrachen, Dauerbrachen sowie Flächen, die zur Erlangung der Ausgleichszahlungen der EU stillgelegt worden sind.	211; 212
43001	VEG 1011		Landwirtschaft: Streuobstacker	Streuobstacker beschreibt den Bewuchs einer Ackerfläche mit Obstbäumen.	211; 212
43001	VEG 1012	4109	Landwirtschaft: Hopfen	Hopfen	211; 212
43001	VEG 1021		Landwirtschaft: Streuobstwiese	Streuobstwiese beschreibt den Bewuchs einer Grünlandfläche mit Obstbäumen.	211; 212
43001	VEG 1030	4103	Landwirtschaft: Gartenland	Gartenland ist eine Fläche für den Anbau von Gemüse, Obst und Blumen sowie für die Aufzucht von Kulturpflanzen.	211; 212
43001	VEG 1031	4109	Landwirtschaft: Baumschule	Baumschule	211; 212
43001	VEG 1040	4109	Landwirtschaft: Weingarten	Weingarten	211; 212
43001	VEG 1050	4109	Landwirtschaft: Obstplantage	Obstplantage	211; 212

ATKIS® Objektartenkatalog						CORINE Land Cover
Objektnummer AAA-Ebenen	Attribut AAA-Ebenen	Objektnummer Ebenen	Objekttyp		Beschreibung/Attribute n. ATKIS® Objektartenkatalog	Nomenklatur-Code
IPCC-Kategorie: Grünland						
43001	VEG 1020	4102	Landwirtschaft: Grünland	Grünland i.e.S.	Grünland ist eine Grasfläche, die gemäht oder beweidet wird.	231; 321
43004		4104	Heide		Heide ist eine meist sandige Fläche mit typische Sträuchern, Gräsern und geringwertigem Baumbestand.	322; 421
43006		4106	Sumpf		Sumpf ist ein wassergesättigtes, zeitweise unter Wasser stehendes Gelände. Nach Regenfällen kurzzeitig nasse Stellen werden nicht als Sumpf erfasst.	411
43007	FKT 1300		Unland und Vegetationslose Fläche: Naturnahe Fläche		Naturnahe Fläche ist eine nicht zum Anbau von Kulturpflanzen genutzte Fläche, die mit Gras, Wildkräutern und anderen Pflanzen bewachsen ist.	keine Zuordnung
43003		4108	Gehölz		Fläche, die mit einzelnen Bäumen, Baumgruppen, Büschen, Hecken und Sträuchern bestockt ist.	243
43007	FKT 1200		Unland und Vegetationslose Fläche: Sukzessionsfläche		Sukzessionsfläche ist eine Fläche, die dauerhaft aus der landwirtschaftlichen oder sonstigen bisherigen Nutzung herausgenommen ist und die in den Urzustand z. B. Gehölz, Moor, Heide übergeht.	keine Zuordnung
IPCC-Kategorie: Feuchtgebiete						
43005		4105	Moor	terrestrische Feuchtgebiete	Unkultivierte Fläche, deren obere Schicht aus vertorften oder zersetzten Pflanzenresten besteht	412
41005	AGT 4010	2301	Tagebau: Torfabbau			keine Zuordnung
43001 bis 44007		5101 - 5203, 3402	Gewässer		z.B. Stauseen, Flüsse ab 12 m Breite, Kanäle, Speicherbecken, veränderliche Ufer. 3402 sind Hafenbecken und somit Gewässer und nicht Siedlung (In AAA 44005).	511; 512; 423; 521; 522; 523
IPCC-Kategorie: Siedlungen						
41001 bis 41010		2101-2352	Siedlung		Siedlung beinhaltet die bebauten und nicht bebauten Flächen, die durch Ansiedlung von Menschen geprägt werden oder zur Ansiedlung beitragen.	111; 112; 121; 131; 132; 133; 142; 141; 142
42001 bis 42016		3101-3543	Verkehr		Verkehr enthält die bebauten und nicht bebauten Flächen, die dem Verkehr dienen.	122; 123; 124
42007	FKT 1100		Unland und Vegetationslose Fläche: Gewässerbegleitfläche		Gewässerbegleitfläche bezeichnet eine bebaute oder nicht bebaute Fläche, die einem Fließgewässer zugeordnet wird.	122; 123; 124
IPCC-Kategorie: Sonstiges Land						
42007	FKT 1000	4120	Unland und Vegetationslose Fläche: Vegetationslose Fläche		Fläche ohne nennenswerten Bewuchs aufgrund besonderer Bodenbeschaffenheit wie z.B. nicht aus dem Geländerelief herausragende Felspartien, Sand- oder Eisflächen.	331; 332; 333; 334; 335
43008		4199	Fläche z.Z. unbestimmbar		Fläche, deren Merkmale hinsichtlich der Zuordnung zu den Objektarten gegenwärtig nicht bestimmt werden können.	keine Zuordnung

6.2.1 Wälder

Die dem deutschen Inventar zugrunde liegende Definition von Wald entspricht den 2006 IPCC Guidelines (Vol. 4, Chapter 2.2). Die Zuordnung nationaler Landnutzungssysteme zu dieser Kategorie erfolgt nach Tabelle 329.

Grundlage der Berichterstattung ist die Walddefinition der Bundeswaldinventur (BMVEL, 2001):

Wald im Sinne der BWI ist, unabhängig von den Angaben im Kataster oder ähnlichen Verzeichnissen, jede mit Forstpflanzen bestockte Grundfläche. Als Wald gelten auch kahl geschlagene oder verlichtete Grundflächen, Waldwege, Waldeinteilungs- und Sicherungsstreifen, Waldblößen und Lichtungen, Waldwiesen, Wildäsungsplätze, Holzlagerplätze, im Wald gelegene Leitungsschneisen, weitere mit dem Wald verbundene und ihm dienende Flächen einschließlich Flächen mit Erholungseinrichtungen, zugewachsene Heiden und Moore, zugewachsene ehemalige Weiden, Almflächen und Hutungen sowie Latschen- und Grünerlenflächen. Heiden, Moore, Weiden, Almflächen und Hutungen gelten als zugewachsen, wenn die natürlich aufgekommene Bestockung ein durchschnittliches Alter von fünf Jahren erreicht hat und wenn mindestens 50 % der Fläche bestockt sind. In der Flur oder im bebauten Gebiet gelegene bestockte Flächen unter 1.000 m², Gehölzstreifen unter 10 m Breite und Weihnachtsbaum- und Schmuckreisigkulturen sowie zum Wohnbereich gehörende Parkanlagen sind kein Wald im Sinne der BWI. Wasserläufe bis 5 m Breite unterbrechen nicht den Zusammenhang einer Waldfläche.

Abweichend zur Walddefinition der BWI wurden Flächen, die dort als Wald zählen, aber als Waldkategorie Nichtholzboden erfasst wurden und somit unbestockt sind, bei der Kohlenstoffvorrats- und -änderungsberechnung in der BWI als Nichtwald eingetragen. Kurzumtriebsplantagen werden bei der BWI separat erfasst, sind aber kein Wald in Sinne der Waldinventur, des Waldgesetzes und des Inventars und werden deshalb unter Ackerland berichtet.

Nach den IPCC 2006 Guidelines bleibt Neuwald 20 Jahre lang in der Neuwald-Kategorie und geht erst dann in die Verbleibkategorie über. Für die Aufforstungsfläche werden Daten ab 1970 berücksichtigt.

6.2.2 Ackerland

Die dem deutschen Inventar zugrunde liegende Definition von Ackerland entspricht der der 2006 IPCC Guidelines (Vol. 4, Chapter 3.2). Die Zuordnung nationaler Landnutzungssysteme zu dieser Kategorie erfolgt nach Tabelle 329.

Für die Berechnung der Emissionen werden diese Landnutzungssysteme poolspezifisch stratifiziert:

- Berechnung der Biomassevorräte: Jährlich variable Stratifizierung nach 65 annuellen Kulturarten (Kapitel 6.1.2.3.3) und Dauerkulturen. Dauerkulturen werden unterschieden nach diversen Obstbaumkategorien (Kapitel 6.1.2.3.4.1), Wein (Kapitel 6.1.2.3.4.2), Weihnachtsbäumen (Kapitel 6.1.2.3.4.3), Baumschulen (Kapitel 6.1.2.3.4.4) und Kurzumtriebsplantagen (Kapitel 6.1.2.3.4.5). Der Anteil der Dauerkulturen an der Gesamtfläche des Ackerlands betrug 2015 1,36%.
- Berechnung der Emissionen aus Böden: Zeitlich konstante Stratifizierung nach organischen Böden und Mineralböden. Die Mineralböden werden weiterhin nach Nutzung, Bodentyp bzw. Bodenausgangsgesteinsgruppen und Klimaregion stratifiziert (vergl. Kapitel 19.4.2.2).
- Zuzüglich zur Fläche der organischen Böden unter Ackerland wird die Fläche der offenen Entwässerungsgräben ermittelt.

- Berechnung der Emissionen aus Landnutzungsänderungen: Jährlich aktualisierte Stratifizierung nach Acker unter verbleibender Nutzung und Land, das in Acker umgewandelt wurde. Die Daten werden jährlich aus der Landnutzungsinformation übernommen (Kapitel 6.3 und Kapitel 6.4).

6.2.3 Grünland

Grünland im deutschen Inventar entspricht der Definition der 2006 IPCC Guidelines (Vol. 4, Chapter 3.2). Die Zuordnung nationaler Landnutzungssysteme zu dieser Kategorie erfolgt nach Tabelle 329.

Grünland wird in zwei Unterkategorien unterteilt, zum einen in mit Gräsern und Kräutern bewachsene Flächen (Grünland im engeren Sinn / Grassland in a strict sense) und mit Gehölzen bestockte Flächen (Gehölze / Woody Grassland), die nicht der Walddefinition unterliegen. Des Weiteren zählt die Objektart 4106 „Sumpf, Ried“ aus dem Basis-DLM (Kapitel 6.3.2.1) dazu, bei der es sich um nicht gedrainte organische Böden im Grünland handelt, im Folgenden auch als Nassgrünland bezeichnet. Der Anteil von Grünland i.e.S. an der Fläche des gesamten Grünlands betrug 2015 88,6 %, der Anteil der Gehölzflächen 11,4 %.

Die Unterkategorien umfassen folgende Flächennutzung und Pflanzenbestände:

- Wiesen, Weiden, Almen, Hutungen, Heideflächen, naturbelassenes Grünland, Erholungsflächen sowie Sumpf/Ried wurden unter „Grünland im engeren Sinne (Grünland i. e. S.)“ zusammengefasst.
- Hecken, Feldgehölze sowie Strauchbestände bilden die Unterkategorie „Gehölze“.

Übergänge zwischen diesen beiden Unterkategorien werden wie Landnutzungsänderungen gehandhabt.

Für die Berechnung der Emissionen werden die beiden Unterkategorien von Grünland poolspezifisch stratifiziert. Dafür werden flächengewichtete mittlere Kohlenstoffvorräte ermittelt, die im Inventar verwendet werden:

- Berechnung der Biomassevorräte: Stratifizierung innerhalb der Unterkategorien nach Kulturarten. Für Grünland i.e.S. sind dies ober- und unterirdische Biomasse von Gräsern bzw. krautigen Pflanzen (Kapitel 6.6.2.2); für Gehölze wurde ein mittlerer Kohlenstoffvorrat für Heckenpflanzen und Feldgehölze ermittelt, stratifiziert nach Artenzusammensetzung, Alter, Wuchsdichte und -höhe (Kapitel 6.6.2.2), der ein langfristiges Gleichgewicht repräsentiert.
- Berechnung der Emissionen aus Böden: Zeitlich konstante Stratifizierung nach organischen Böden und Mineralböden.
    - Die organischen Böden werden in nasse Flächen (Grundwasserflurabstand < 0,1 m) und drainierte Flächen (Grundwasserflurabstand > 0,1 m) unterteilt (vergl. Kapitel 6.1.2.2). Außerdem wurde die Fläche der Entwässerungsgräben abgeschätzt.
    - Die Mineralböden werden nach Nutzung, Bodentyp bzw. Bodenausgangs-gesteinsgruppen und Klimaregion stratifiziert (vergl. Kapitel 19.4.2.2).
- Berechnung der Emissionen aus Landnutzungsänderungen: jährlich aktualisierte Stratifizierung nach Grünland i.e.S. und Gehölze unter verbleibender Nutzung und Land, das in Grünland umgewandelt wurde. Die Daten werden jährlich aus der Landnutzungsinformation übernommen (Kapitel 6.2 und Kapitel 6.3).

6.2.4 Wetland

Nach den 2006 IPCC Guidelines müssen in der Landnutzungskategorie Feuchtgebiete alle Landflächen subsummiert werden, deren Böden zeitweise oder das ganze Jahr wassergesättigt oder mit Wasser bedeckt sind und die nicht unter die Landnutzungskategorien 4.A, 4.B, 4.C und 4.E fallen. Diese Flächen werden im deutschen Inventar in den Unterkategorien terrestrische Feuchtgebiete (IPCC: Other Wetlands) und Gewässer (IPCC: Flooded Land) zusammengefasst. Des Weiteren werden unter der Landnutzungskategorie Wetlands alle Flächen, die im Zusammenhang mit Torfabbau stehen in einer weiteren Unterkategorie zusammengefasst (IPCC: Peat Extraction; vergl. 2006 IPCC Guidelines).

In Deutschland ist der Großteil der ehemaligen Feuchtgebietsflächen drainiert, unterliegt hauptsächlich land- und forstwirtschaftlicher Nutzung (1.614 kha ≙ 89 %) und wird gemäß 2006 IPCC Guidelines somit in den entsprechenden Landnutzungskategorien (4.A - 4.C) berichtet. In der Unterkategorie terrestrische Feuchtgebiete finden sich daher nur die wenigen, vom Menschen weniger beeinflussten, nicht drainierten und naturnahen Moorstandorte und sonstigen Feuchtgebiete auf mineralischen Böden sowie die Torfabbauflächen. In der Unterkategorie Gewässer wird ebenfalls nach dem Grad der anthropogenen Beeinflussung zwischen „überflutetem Land“[94] , sowie „nicht regulierten“ und „regulierten natürlichen Gewässern“ unterschieden (nicht berichtspflichtig). Tabelle 330 verdeutlicht die nach diesen Vorgaben ermittelte Zuordnung der unter die Kategorie Feuchtgebiete fallenden Flächen Deutschlands für das Jahr 2015.

Tabelle 330: Unterteilung der Landnutzungskategorie Feuchtgebiete gemäß 2006 IPCC Guidelines sowie Zuordnung der Gewässer- und terrestrischen Feuchtgebietsflächen [ha] Deutschlands in die entsprechenden Unterkategorien für das Jahr 2015

<table>
<tr><th colspan="6">4.D Feuchtgebiete
[728.681 ha]</th></tr>
<tr><th colspan="4">Terrestrische Feuchtgebiete
[111.857 ha]</th><th>Torfabbau
[19.857 ha]</th><th colspan="2">Gewässer
[598.068 ha]</th></tr>
<tr><td colspan="2">Mineralböden
[12.866 ha]</td><td colspan="2">Organische Böden
[98.991 ha]</td><td>Organische Böden
[19.857 ha]</td><td rowspan="3"></td><td rowspan="3"></td></tr>
<tr><td colspan="2">nicht gedränt
[12.866 ha]</td><td colspan="2">gedränt [75.604 ha] /
nicht gedränt [23.387 ha]</td><td>gedränt
[19.857 ha]</td></tr>
<tr><td>Verbleibend
[7.686 ha]</td><td>Verändert [5.179 ha]</td><td>Verbleibend inkl. alle nicht gedränten
[77.098 ha]</td><td>Verändert (gedränt)
[21.902 ha]</td><td>Verbleibend
[19.857 ha]</td><td>Verbleibend
[534.594 ha]</td><td>Verändert
[63.474 ha]</td></tr>
<tr><td colspan="2">Natürliche und naturnahe Feuchtgebiete (z.B. Sümpfe, Fluss- und Bachläufe)</td><td>Natürliche und naturnahe Moore (z.B. Torfgebiete, Niedermoore)</td><td>Naturnahe Moore</td><td>Torfabbau-gebiete</td><td rowspan="2"></td><td rowspan="2"></td></tr>
<tr><td>Keine Emissionen</td><td>Emissionen aus Mineralböden, Biomasse</td><td>Emissionen aus organischen Böden, Biomasse</td><td>Emissionen aus Organische Böden, Biomasse</td><td>Emissionen aus on-site, off-site</td></tr>
<tr><td></td><td></td><td></td><td></td><td></td><td>Keine Emissionen</td><td>Emissionen aus Biomasse</td></tr>
</table>

Das Emissionsverhalten der Unterkategorien Torfabbau, Terrestrische Feuchtgebiete und Gewässer ist unterschiedlich ausgeprägt. Daher werden sie als eigenständige Unterkategorien geführt und in den CRF-Tabellen (4.D und 4.(II)) getrennt berichtet (Details siehe Kapitel 6.3. Die Berechnung der Landflächen erfolgt für die Landnutzungskategorie Feuchtgebiete durch eine jährlich aktualisierte Stratifizierung nach Terrestrischen Feuchtgebieten und Gewässern unter verbleibender Nutzung und Land, das in Gewässer oder Terrestrische Feuchtgebiete umgewandelt

[94] Wasserkörper, die durch menschliche Aktivitäten reguliert werden und starke Wasserstandsschwankungen bzw. Änderungen im Flächenbedeckungsgrad aufweisen (Staubecken usw.) (2006 IPCC Guidelines)

wurde. Die Daten werden jährlich aus der Landnutzungsinformation übernommen (Kapitel 6.3 und Kapitel 6.4). Für die Torfabbaufläche wird ein konstanter Wert von 19.857 ha unterstellt (s. Kapitel 6.7.2.4.1); diese Fläche wird nur in der Verbleibkategorie berichtet. Umwandlungen von Gewässer in terrestrische Feuchtgebiete bzw. umgekehrt, werden wie Landnutzungsänderungen aus anderen Landnutzungskategorien behandelt.

Für die Berechnung der Emissionen werden die Unterkategorien Torfabbau, Terrestrische Feuchtgebiete und Gewässer, poolspezifisch stratifiziert. Dafür werden flächengewichtete mittlere Kohlenstoffvorräte ermittelt, die im Inventar verwendet werden:

Verbleibkategorie:

- Berechnung der Biomassevorräte: In der Unterkategorie Gewässer kommt keine Biomasse vor. Für die Unterkategorie Terrestrische Feuchtgebiete wurde die Biomasse aus den Werten für Grünland i.e.S. und Gehölzen hergeleitet (Kapitel 6.7.2.2).
- Berechnung der Emissionen aus Mineralböden: In allen Unterkategorien treten keine anthropogenen Emissionen auf, da die Flächen nicht drainiert sind. Im Tabellenwerk werden sie als „not occuring“ (NO) aufgeführt.
- Berechnung der Emissionen aus organischen Böden: Für die Torfabbauflächen werden on-site- und off-site-Emissionen (Kapitel 6.7.2.4.1) berechnet, gemäß 2006 IPCC Guidelines bzw. 2013 IPCC Supplement Wetland. Die Unterkategorie Terrestrische Feuchtgebiete wird in nasse (Grundwasserflurabstand < 0,1 m) und drainierte Flächen (Grundwasserflurabstand > 0,1 m) unterteilt (vergl. Kapitel 6.1.2.2); es werden on-site Emissionen berichtet, für die Unterkategorie Gewässer werden keine Emissionen berichtet (Kapitel 6.7.2.4).

Übergangskategorien:

- Berechnung der Biomassevorräte: Bei Landnutzungsänderungenzu Gewässern wird der Biomassevorrat auf Null gesetzt. Für die Unterkategorie terrestrische Feuchtgebiete wurde die Biomasse aus den Werten für Grünland i.e.S. und Gehölzen hergeleitet (Kapitel 6.7.2.2, vergl. Kapitel 6.6.2.2).
- Berechnung der Emissionen aus Böden: In der Unterkategorie Gewässer treten keine Emissionen auf; für die terrestrischen Feuchtgebiete wird zeitlich konstant nach organischen Böden und Mineralböden unterschieden. Für organische Böden werden on-site Emissionen berichtet, nach Unterteilung in nasse (Grundwasserflurabstand < 0,1 m) und drainierte Flächen (Grundwasserflurabstand > 0,1 m) (Kapitel 6.7.2.4). Die Mineralböden werden nach Nutzung, Bodentyp bzw. Bodenausgangsgesteinsgruppen und Klimaregion stratifiziert (vergl. Kapitel 19.4.2.2).

6.2.5 Siedlungen

Die Beschreibung der nationalen Landnutzungssysteme im Zusammenhang mit Siedlung und Verkehr, sowie deren Zuordnung zur IPCC-Landnutzungskategorie Siedlungen sind in Tabelle 329 dargestellt. Die dem deutschen Inventar zugrunde liegende Definition von Siedlung entspricht der 2006 IPCC Guidelines (Vol. 4, Chapter 2.2). Die gesamte Siedlungsfläche wurde in einer Kategorie zusammengefasst.

- Für die Berechnung der Emissionen wird in der Landnutzungskategorie poolspezifisch stratifiziert. Dafür werden flächengewichtete mittlere Kohlenstoffvorräte ermittelt, die im Inventar verwendet werden:
- Berechnung der Biomassevorräte: Für die Kategorie Siedlungen wurde die Biomasse aus den Werten für Grünland i.e.S. und Gehölzen hergeleitet (Kapitel 6.8.2.2, vergl. Kapitel 6.6.2.2).

- Berechnung der Emissionen aus Böden: Zeitlich konstante Unterscheidung nach organischen und Mineralböden. Die Mineralböden werden nach Bodentyp bzw. Bodenausgangsgesteinsgruppen und Klimaregion stratifiziert (vergl. Kapitel 19.4.2.2). Für die organischen Böden werden als Proxy die Werte des Grünlands i.e.S. herangezogen (Kapitel 6.1.2.2).
- Berechnung der Emissionen aus Landnutzungsänderungen: Eine jährlich aktualisierte Stratifizierung nach verbleibender Nutzung und Land, das in Siedlungen umgewandelt wurde, wurde angewandt. Die Daten werden jährlich aus der Landnutzungsinformation übernommen (Kapitel 6.2 und Kapitel 6.3).

6.2.6 Sonstiges Land

Folgende im ATKIS® ausgewiesenen Objektarten werden im deutschen Berichtssystem, gemäß der 2006 IPCC Guidelines, der Kategorie „Other Land“ zugeordnet: „Fläche z.Z. unbestimmbar“ (Ob.-Nr. 4199) und „vegetationslose Fläche“ (Ob.-Nr. 4120). Beschreibung und Zuordnung der Flächen erfolgte nach Tabelle 329 in Kapitel 6.2 und den dort beschriebenen Algorithmen.

6.3 Informationen zu den für die Ermittlung der Landflächen gewählten Ansätzen und zu den verwendeten Landnutzungs-Datenquellen

6.3.1 Einleitung

Die Methodik zur Erfassung von Landnutzungsänderungen im LULUCF-Sektor berücksichtigt zeitlich und räumlich konsistent alle Landnutzungen und Landnutzungsänderungen. Zur Anwendung kommt ein stichprobenbasiertes System. Grundlage für dieses ist ein regelmäßiges Raster von Stichprobenpunkten, welches über die Gesamtfläche Deutschlands gelegt wurde. Das zufallsverteilte Raster basiert auf dem Netz der Bundeswaldinventur 2012 (BWI 2012) und weist einem Punkt durchschnittlich1,4 km^2 Fläche zu. Da die angewandte Methode auf räumlich expliziten Beobachtungen beruht, ist sie nach den 2006 IPCC Guidelines als „approach 3“ einzustufen. Entscheidungsgründe, die zur Anwendung des stichprobenbasierten Systems führten, sind in Kapitel 19.4.1 aufgeführt.

Mit der Submission 2016 wurde eine Änderung innerhalb dieses stichprobenbasierten Ansatzes vorgenommen. Zum räumlich genauen und sicheren Nachweis von Landnutzung und Landnutzungsänderung auf Flächen mit organischen Böden, erwies sich die Stichprobenanzahl des Netzes der Bundeswaldinventur als zu gering. Deshalb wurde die Gesamtfläche Deutschlands (35.779.633 ha) in zwei Flächensysteme stratifiziert; das „Mineralbodensystem“ (33.955.711 ha) und das System „Organische Böden“ (1.823.922 ha) (siehe auch Tabelle 331). Die Stratifizierungsgrundlage für das System „Organische Böden“ bildet die „Karte organischer Böden Deutschlands“ im Maßstab 1:25.000 (Rosskopf et al., 2015). Die Fläche des Systems „Mineralboden“ ergibt sich aus der Differenz der Gesamtfläche und der Fläche der organischen Böden. Im System „Mineralboden“ kommt die herkömmliche Netzdichte der BWI mit 243.454 Stichprobenpunkten zur Anwendung. Das Punkteraster im System „Organische Böden“ wurde, aufgrund der Kleinräumigkeit und großen räumlichen Heterogenität von Feuchtgebieten in der Landschaft, auf eine durchschnittlichen Fläche von 64 m^2 pro Punkt verdichtet (284.769 Stichprobenpunkte). Nach getrennter Berechnung der Landflächen in beiden Systemen, mittels der gleichen Methoden und Algorithmen (Kapitel 6.3.2 ff), werden die Ergebnisse beider Systeme anschließend zu einer einheitlichen Landnutzungsmatrix zusammengeführt (Kapitel 6.3.5). Dadurch ergibt sich eine deutliche Verbesserung in der Genauigkeit der Ausweisung von

Landnutzung und Landnutzungsänderung auf organischen und mineralischen Böden in allen Landnutzungskategorien.

Tabelle 331: Gegenüberstellung der Straten „Mineralische Böden“ und „Organische Böden“

Landfläche	Stichprobennetz	Anzahl Stichprobenpunkte	Fläche [ha]	Durchschnittliche Fläche pro Stichprobenpunkt
Mineralische Böden	BWI Netz	243.454	33.955.711	1,4 km²
Organische Böden	BWI Netz (verdichtet)	284.769	1.823.922	64 m²
Deutschland	BWI Netz (zum Teil verdichtet)	528.223	35.779.633	0,68 km²

6.3.2 Datengrundlage und -aufbereitung

Grundlage für die Herleitung der Landnutzungsmatrix (LUM) sind alle verfügbaren, geographisch expliziten Datensätze. Zur Nutzung einer Datenquelle müssen die durch Interpretation oder Modellierung zugewiesenen Landnutzungsklassen in die IPCC-Landnutzungskategorien überführbar sein. Dabei muss nicht jeder Datensatz alle Landnutzungskategorien ausweisen; mindestens eine der sechs Landnutzungskategorien ist ausreichend. Die Landnutzungsinformationen der verschiedenen Datensätze werden durch die geografische Lage den Stichprobenpunkten zugeordnet und somit stehen für jeden Stichprobenpunkt über die Zeit verteilte, in der Anzahl unterschiedliche und in der Qualität bezüglich Lage-, Erstellungs- und Interpretationsfehler differierende Informationen zur Verfügung.

Das Ziel dieses flexiblen Erfassungssystems ist es nicht, Landnutzungsänderungen möglichst häufig zu erfassen, sondern:

- aus der Mende an Informationen, die zuverlässigsten Landnutzungsinformationen zuzuweisen,
- Landnutzungsänderungen herauszufiltern und zu erfassen, sowie
- mögliche Unsicherheiten und Fehlerquellen zu eliminieren.

Die zur Verfügung stehenden Datensätze weisen unterschiedliche Qualitäten bei der Klassifizierung von Landnutzungskategorien aus. Aus diesem Grund wurde eine eindeutige Hierarchie eingeführt innerhalb derer die Datensätze beginnend mit den genauesten Daten (1. Qualitätsstufe) bis zur schlechtesten Qualitätsstufe einsortiert werden. Die Landnutzung wird in dem Jahr, in welchem die Datenquelle erhoben wurde, erfasst. Liegen in einem Jahr an einem Stichprobenpunkt mehrere Informationen aus unterschiedlichen Datenquellen bezüglich der Landnutzung vor, so wird der Datensatz mit der höchsten Qualitätsstufe (QL) zur Festlegung der Landnutzungskategorie genutzt. Wenn Datenquellen mit gleicher Qualitätsstufe unterschiedliche Landnutzungskategorien auswiesen, wurden zusätzliche Entscheidungsregeln aufgestellt und dokumentiert. Diese orientieren sich u.a. an Verifikationsdaten, wie z.B. Trends in der Agrarstatistik, die nicht georeferenziert verfügbar sind.

6.3.2.1 Datenquellen

Es wurden folgende Datenquellen/-sätze genutzt:

- Informationen zu den Wald-bezogenen Kategorien aus der Bundeswaldinventur 1987 und 2002 für den Zeitraum 1987 bis 2002 für die alten Bundesländer, aus den Daten der Bundeswaldinventur 2002 und der Inventurstudie 2008 (Oehmichen et al. 2011) für 2002 bis 2008 für ganz Deutschland, sowie aus den Daten der Inventurstudie 2008 und Bundeswaldinventur 2012 für 2008 bis zur vorliegenden Submission,
- aus CIR-Daten abgeleitete Kartenwerke der Biotop- und Nutzungstypen-Kartierung für 1990,

- Basis-DLM zu den Zeitpunkten 2000, 2005, 2008, 2012 und 2015,
- Digitales Landbedeckungsmodell LBM-DE zum Zeitpunkt 2009,
- Corine Land Cover 1990, 2000, 2006,
- GSE-Daten 1990 für die neuen Bundesländer.

Dabei kommen 99,97 % aller Landnutzungsinformationen aus der BWI, den CIR-Daten oder dem Basis-DLM bzw. für 1990 aus dem Corine Land Cover. Landnutzungsinformationen aus dem „Digitales Landbedeckungsmodell LBM-DE zum Zeitpunkt 2009“ und den „GSE-Daten 1990“ tragen mit 0,03 % nur sehr gering bei der Landflächenbestimmung bei.

1. Qualitätsstufe: BWI-Daten

Details zur BWI sind in Kapitel 6.4.2.1.1 beschrieben. Die BWI ist eine permanente systematische Traktstichprobe, welche periodisch erfasst wird. Derzeit liegt die BWI zu den Stichjahren 1987, 2002 und 2012 sowie auf einer Unterstichprobe für das Jahr 2008 (Inventurstudie 2008) vor. Die Daten der BWI 2012 liefern zum Abschluss der ersten Verpflichtungsperiode des Kyoto-Protokolls im Jahr 2012 und zum Beginn der zweiten Verpflichtungsperiode für das Kyoto-Protokoll im Jahr 2013 exakte Informationen zur Landnutzung (verbleibender Wald) bzw. Landnutzungsänderungen hin zu Wald (Aufforstungen) oder weg von Wald (Entwaldung). Die Landnutzung bzw. Landnutzungsänderungen hin zu Wald oder weg von Wald werden für jeden Stichprobenpunkt mit Hilfe von Luftbildern unter Zuhilfenahme landesspezifischer Kartenwerke und über in situ-Kontrollen erfasst. Grundlage der Berichterstattung nach der Klimarahmenkonvention ist die Walddefinition der Bundeswaldinventur (BMVEL, 2001), siehe Kapitel 6.2.1.

Für das Kyoto-Protokoll wird im deutschen Eröffnungsbericht die folgende Walddefinition in Übereinstimmung mit der Walddefinition der Welternährungsorganisation (FAO) verwendet:

- Fläche, die zu mehr als 10% der Fläche von Bäumen überschirmt ist,
- kleinste zu berücksichtigende Fläche beträgt 0,1 ha,
- potenzielle Baumhöhe beträgt mindestens 5 Meter.

Innerhalb der in den Marrakesh Accords[95] gesetzten Grenzen kommt diese Definition der in der nationalen Waldinventur verwendeten am nächsten. Untersuchungen (Tomter et al., 2010) haben gezeigt, dass der Vergleich zwischen Berechnungen der Aktivitätsdaten nach den oben aufgeführten Definitionen zu vernachlässigbaren Unterschieden führt, weshalb sowohl für die Klimarahmenkonvention als auch für das Kyoto-Protokoll die gleichen Algorithmen zur Flächenschätzung zur Anwendung kamen. Abweichend zur Walddefinition der Bundeswaldinventur wurden Flächen, die nach der BWI als Wald zählen, aber dort als Waldkategorie Nichtholzboden erfasst wurden und somit dauernd unbestockt sind, bei der Kohlenstoffvorrats- und -änderungsberechnung im Sektor Forstwirtschaft nicht berücksichtigt.

In den neuen Bundesländern liegen für den Zeitpunkt 1987 an den BWI-Punkten keine Wald/Nicht Wald-Informationen vor. Für eine möglichst konsistente Datenbasis in den neuen Bundesländern, wurden die Einzelbaumdaten der BWI 2002 folgendermaßen genutzt: Für das Jahr 1987 erfolgte retrospektiv die Zuordnung der Probepunkte zur Landnutzungsklasse Wald, wenn bei der BWI 2002 auf diesen Waldtraktecken Bäume erfasst wurden, welche älter als 15 Jahre waren.

[95] ein Set von Regeln und Guidelines, das Einzelheiten im Kyoto-Protokoll konkretisiert.

2. Qualitätsstufe: CIR-DatenDie CIR-Daten sind thematische Karten, die aus Farb-Infrarot (color infrared, CIR) Luftbildern hergestellt wurden. Diese Luftbilder weisen eine Auflösung von etwa 40 cm auf und bilden somit eine deutlich bessere Datengrundlage als die CORINE Land Cover Daten. In der Genauigkeit des Aufnahmezeitpunktes und im Detailierungsgrad der thematischen Karte, sind diese Daten sogar dem Basis-DLM überlegen. Mit der Nutzung der CIR-Daten zur Verbesserung der Landnutzungsdaten 1990 wird der Aktionsplan zur Lösung von Problemen, die beim In-country Review 2010 festgestellt wurden, umgesetzt. Die Bundesländer Schleswig-Holstein, Sachsen, Sachsen-Anhalt, Brandenburg, Mecklenburg-Vorpommern und Thüringen haben gesetzlich geforderte Biotoptypenkartierungen in den Jahren 1989 bis 1992 zum Anlass genommen, das gesamte Bundesland zu kartieren. Ab dem Berichtsjahr 2014 werden alle CIR-Daten im Basisjahr 1990 verwendet. Dazu wurde für jeden Datensatz eine individuelle Übersetzungstabelle zum Basis-DLM angewandt.

3. Qualitätsstufe: Basis-DLM-Daten

Das Basis Digitale Landschaftsmodell (Basis-DLM) ist die Grundlage des Amtlich Topographisch-Kartographischen Informationssystems (ATKIS®) Deutschlands der Arbeitsgemeinschaft der Vermessungsverwaltungen der Länder (AdV). Das ATKIS® beschreibt die Oberfläche Deutschlands mit digitalen Landschafts- und Geländemodellen. „Das Basis-DLM beschreibt die topographischen Objekte der Landschaft und das Relief der Erdoberfläche im Vektorformat. Die Objekte werden einer bestimmten Objektart zugeordnet und durch ihre räumliche Lage, ihren geometrischen Typ, beschreibende Attribute und Beziehungen zu anderen Objekten (Relationen) definiert. Jedes Objekt besitzt deutschlandweit eine eindeutige Identifikationsnummer (Identifikator). Die räumliche Lage wird für das Basis-DLM maßstabs- und abbildungsunabhängig im Koordinatensystem der Landesvermessung angegeben. Welche Objektarten das DLM beinhaltet und wie die Objekte zu bilden sind, ist im ATKIS®-Objektartenkatalog (ATKIS®-OK) festgelegt“ (AdV). Der Informationsumfang des Basis-DLM orientiert sich am Inhalt der Topographischen Karte 1:25.000, weist jedoch eine höhere Lagegenauigkeit (± 3m) für die wichtigsten punkt- und linienförmigen Objekte auf. Die Daten der Basis-DLM der Länder werden vom Bundesamt für Kartographie und Geodäsie (BKG) übernommen und für ein bundeseinheitliches Basis-DLM geprüft, harmonisiert, georeferenziert, blattschnittfrei aufbereitet und für die Abgabe an Bundesbehörden und andere in einer Datenbank verwaltet.

Der Zweck des ATKIS® ist die Bereitstellung eines möglichst aktuellen und hochauflösenden Landschaftsmodells (Landbedeckung) für Deutschland, dessen Geometrien und Inhalte regelmäßig aktualisiert und erweitert werden. Die Vermessungsverwaltungen der Bundesländer erheben die Daten fortlaufend und nicht bundesweit zu einem Stichtag. Somit werden neue Vermessungsergebnisse laufend an das BKG übermittelt und in das ATKIS® eingepflegt. Die Vorgabe für eine komplette Überarbeitung ist fünf Jahre, wird von den Bundesländern aber sehr unterschiedlich gehandhabt. In der Praxis liegt die Aktualität bei Vegetationsflächen zwischen einem und sieben Jahre; für Flächen mit sehr hoher Aktualität, insbesondere was Flächenänderungen betrifft, z.B. Siedlungs- und Verkehrsflächen, wird eine Transferzeit in das ATKIS® von drei bis zwölf Monaten angegeben. Das BKG pflegt immer nur die aktuelle Version des Basis-DLM. Es wird keine Historie aufgezeichnet, noch werden alte Versionen archiviert.

Das bedeutet für die Berichterstattung am Thünen-Institut:

- Jährlicher Bezug des Basis-DLM für die jeweiligen Berichtsjahre (September) und
- Archivierung der Version des jeweiligen Jahres institutsintern.

Die Basis-DLM-Datensätze liegen dem Thünen-Institut erst seit 2005 auf jährlicher Basis vor, sowie ein Datensatz für das Jahr 2000. Für die Jahre vor 2000 existieren keine ATKIS®–Daten. Wegen der mehrjährigen Überarbeitungszyklen werden mehrjährige Abstände der Basis-DLM-Datensätze verwendet, um regionale Artefakte von scheinbar plötzlichen Schüben der Landnutzungsänderungen im Aktualisierungsjahr zu vermeiden.

Seit 2009 wird das Basis-DLM auf ein neues Datenmodell umgestellt, im Weiteren als „AAA-Ebenen" bezeichnet, im Gegensatz zu „Ebenen" als Bezeichnung für das alte Modell. In den Jahren 2009 bis 2012 lieferten einige Bundesländer im alten Modell und einige im neuen, seit 2013 gibt es das Basis-DLM (AAA-Ebenen) für ganz Deutschland.

Das Basis-DLM (Ebenen) besteht aus etwa 800 einzelnen Layern pro Datensatz, welche sich in ihrem Detaillierungsgrad unterscheiden. So liegen bspw. Polygone mit geringer Detailschärfe (z.B. Siedlungsfläche) zu unterst; Polygone mit sehr hohem Detaillierungsgrad (z.B. Wohngebiet) zu oberst. Daraus resultieren zahlreiche mehrfach übereinander liegende Polygone in einem Datensatz, welche jedoch inhaltlich den gleichen LULUCF-Kategorien zugeordnet werden können. Dieser gesamte Inhalt wird mit allen Überlagerungen eingelesen. Dadurch gibt es nur noch dort Datenlücken, wo im gesamten Basis-DLM keine Daten vorhanden sind. Anschließend werden die Flächen mit den Punkten des BWI-Netzes verschnitten. Bei Punkten, die mehrere übereinander liegende Flächen treffen, wird mit Hilfe einer Prioritätenliste nur ein Wert übernommen. Wenn gleiche Prioritäten überlagern (z.B. Vegetation mit Vegetation), dann wird die Fläche mit der niedrigeren ATKIS® eigenen Identifikation gewählt. Dieses Verfahren wurde für das Basis-DLM (Ebenen) aus den Jahren 2000, 2005, 2008und 2012 durchgeführt. Die Kategorien des Basis-DLM (Ebenen) werden über eine Schlüsseltabelle den LULUCF-Kategorien zugeordnet (siehe auch Tabelle 329).

Das neue Datenmodell (AAA-Ebenen) bietet einen Layer „Tatsächliche Nutzung". „Alle Objektarten dieses Objektartenbereichs nehmen an der lückenlosen, überschneidungdsfreien und flächendeckenden Beschreibung der Erdoberfläche teil (Grundflächen)." Damit gehört die Problematik mit Überschneidungen und Lücken der Vergangenheit an. Zusatzattribute kommen in zusätzlichen Layern. Die Kategorien des Basis-DLM (AAA-Ebenen) werden über eine Schlüsseltabelle den LULUCF-Kategorien zugeordnet (siehe auch Tabelle 329).

4. Qualitätsstufe: CORINE Land Cover Daten (CLC)

CORINE Land Cover (CLC) ist ein europäisches Fernerkundungsprojekt zur einheitlichen Klassifikation der Landnutzung und Landnutzungsänderung, welches von der EU-Kommission Mitte der 1980er Jahre initiiert wurde. Digitale Satellitenbilder europäischer Staaten werden gesammelt und hinsichtlich Änderungen in der Flächennutzung einheitlich ausgewertet. Es stehen Daten der drei Aufnahmezeitpunkte 1990, 2000 und 2006 zur Verfügung. Diese Daten wurden per Script in die Datenbank eingelesen. Mit Hilfe einer Übersetzungstabelle wurden die CORINE-Klassen den LULUCF-Kategorien zugeordnet (siehe auch Tabelle 329).

5. Qualitätsstufe: GSE-Daten

Das Projekt GSE Forest Monitoring ist Bestandteil der Erdbeobachtungsinitiative für die Globale Umwelt- und Sicherheitsüberwachung (Global Monitoring for Environment and Security, GMES), die 1998 von der Europäischen Kommission und der Europäischen Weltraumorganisation (European Space Agency, ESA) gegründet wurde. Im Rahmen des Projekts GSE Forest Monitoring wurde für das Bundesministerium für Ernährung und Landwirtschaft (BMEL) die Dienstleistung „Wald Monitoring: Inputs für die Nationale Treibhausgasberichterstattung (GSE FM-INT)" durchgeführt. Als Ergebnis dieses Dienstes wurden u. a. Karten zur Waldbedeckung, Landnutzung

und Landnutzungsänderung für die Zeitpunkte 1990 und deren Veränderungen bis 2002 bzw. 2005/06, Flächenstatistiken sowie Fehleranalysen für die neuen Bundesländer zur Verfügung gestellt (GSE 2003, GSE 2006, GSE 2007, GSE 2009). Weiterführende Informationen zu dem Projekt GSE FM-INT sind in Oehmichen et al. (2011b) zu finden.

6.3.2.2 Ableiten der LULUCF-Informationen

Jedem Stichprobenpunkt wurden die Informationen aus den vorhandenen Datenquellen bezüglich der Landnutzung pro Jahr zugeordnet. Nun kann mit der Klassifizierung nach LULUCF-Kategorien begonnen werden. Hierzu wird - ausgehend vom gerade betrachteten Jahr - für jeden Punkt retro- und prospektiv verglichen, zu welchem Zeitpunkt Informationen über die Landnutzung mit der höchsten vorhandenen Qualitätsstufe vorliegen (QL-MAX-retrospektiv bzw. QL-MAX-prospektiv). Für einen Stichprobenpunkt, dem beispielsweise im Jahr 2001 eine Landnutzungsklasse zugeordnet werden soll, liegen Daten der 1. Qualitätsstufe vor - die BWI-Informationen. Retrospektiv liegt der letzte Erfassungszeitpunkt 1987 des Punktes im Wald, prospektiv gesehen, liegt der nächste Erfassungszeitpunkt im Jahre 2002 ebenfalls im Wald. Aus beiden Landnutzungsklassen, zu den Zeitpunkten 1987 und 2002, wird nun die entsprechende Landnutzungskategorie abgeleitet, das wäre für den Punkt die Landnutzungskategorie Wald bleibt Wald.

Stichprobenpunkte, an denen BWI-Informationen zur Landnutzung (verbleibender Wald) bzw. zu den Landnutzungsänderungskategorie hin zu Wald (Aufforstungen) oder weg von Wald (Entwaldung) vorhanden sind, wurden durch Begehung vor Ort während der Waldinventuren validiert und können als korrekt gelten. Letzteres wird auch den CIR-Daten unterstellt (welche Informationen für alle Landnutzungsformen enthalten), da diese Kartenwerke sehr großmaßstäbig erstellt und durch Felderhebungen ergänzt wurden. Auch die Basis-DLM-Daten werden ab 2013 (flächendeckend AAA-Modell) als aktuell und qualitätsgesichert eingeschätzt, da erstmals vollständig eine streng hierarchische Nomenklatur umgesetzt wurde. Alle anderen Datensätze wurden auf Plausibilität der zugeordneten Landnutzungskategorien, in einem bestimmten Jahr, anhand weiterer Daten, nach folgenden Kriterien geprüft:

- Kann die Einordnung in eine Landnutzungskategorie mit Hilfe von Daten einer niedrigeren Qualitätsstufe nachvollzogen werden?
- Nach der Einordnung in eine Landnutzungskategorie, wurde bei Landnutzungsänderungen geprüft, ob die Daten niedrigerer Qualitätsstufen zur Eingrenzung des Veränderungszeitpunkts genutzt werden können.
- Als zusätzliches Kriterium wurde der nationale Trend der Landnutzungsänderungen (außer von und zu Wald) mit den nationalen Netto-Raten der Landnutzungsänderungen der periodischen Flächenerhebung und der Agrarstrukturerhebungen des Statistischen Bundesamtes verglichen. Die Erhebungen verwenden aber Definitionen für Landnutzungskategorien, die von dem hier verwendeten System teilweise stark abweichen.

Die Eingrenzung des Veränderungszeitpunkts der Landnutzung soll an einem Beispiel verdeutlicht werden: Es wird angenommen, dass ein Stichprobenpunkt aufgrund der BWI-Information 1987 als Wald und 2002 als Siedlung klassifiziert wurde. Ohne weitere Daten würde die Landnutzungsänderung linear zwischen den Zeitpunkten interpoliert und jährlich würde 1/15 der repräsentierten Fläche von Wald in Siedlung umgewandelt werden. Stehen an diesem Punkt jedoch noch die Basis-DLM-Informationen zur Verfügung, die dem Punkt im Jahr 2000 ebenfalls die Kategorie Wald und im Jahr 2005 ebenfalls die Kategorie Siedlung zuordnen, könnte die Einordnung in die Landnutzungsänderungskategorie „Wald zu Siedlung“ nachvollzogen und

zusätzlich der Veränderungszeitraum auf zwei Jahre (2000 = Wald im Basis-DLM und 2002 = Siedlung nach BWI) eingegrenzt werden (siehe auch Abbildung 52).

Die Prüfung und Entscheidung für eine Landnutzungskategorie pro Stichprobenpunkt und Zeitpunkt erfolgte transparent anhand eines Entscheidungsbaums (vgl. Kap. 6.3.4.1).

Entsprechend den 2006 IPCC Guidelines werden für die Berichterstattung unter der Klimarahmenkonvention bereits Flächennutzungsänderungen seit 1970 berücksichtigt. Damit werden die Übergangskategorien bereits so mit Flächen gefüllt, dass sie ab 1990 einen stabilen dynamischen Zustand mit Zugängen von neuen Umwandlungsflächen und Abgängen von Flächen in die Verbleibkategorie erreichen. Da für Deutschland erstmals zum Zeitpunkt der BWI 1987 georeferenzierte Daten zur Verfügung stehen, wurden die Veränderungen aller Landnutzungskategorien der Periode 1990-2000 bis zum Jahre 1970 rückwirkend extrapoliert, da bundesweit für den Zeitraum vor 1990 keine vollständigen und vor allem keine zueinander konsistenten Datensätze zur Verfügung stehen. Dies entspricht z.B. dem Vorgehen der Tschechischen Republik und Österreichs für die Landnutzungsmatrix.

Abbildung 52: Schematische Darstellung der Zuordnung von Stichprobenpunkten zu einer Landnutzungskategorie

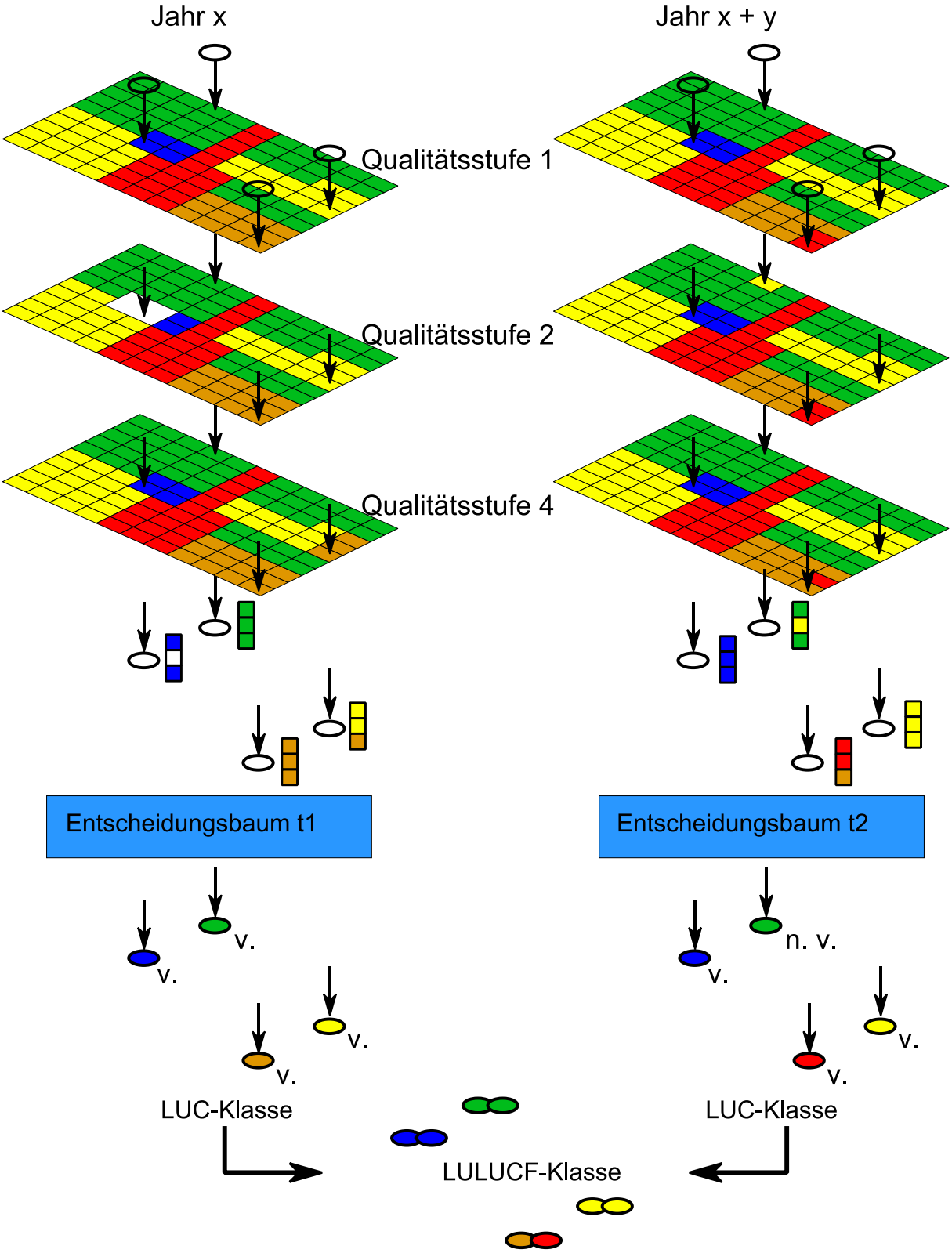

6.3.3 Validierung und Fehlerbetrachtungen

Mit Hilfe der verwendeten Stichprobenmethode lassen sich verschiedenen Fehlerquellen, wie:

- der zusätzliche Stichprobenfehler,
- Definitionsunterschiede und
- voneinander differierende Minimum Mapping Units

quantifizieren. Schwieriger bleibt die Erfassung von Fehlern durch eine nicht zu erreichende, hundertprozentig genaue Georeferenzierung der Datensätze zueinander.

Allerdings können die drei letztgenannten Fehlerquellen durch dieses flexible, stichprobenbasierte System über die Zeit aus folgendem Grund ausgeschlossen werden: Gemäß dem eingeführten Entscheidungsbaum wird eine Landnutzungskategorie nur angenommen, wenn sie aus entsprechend genauen Datensätzen der 1. Qualitätsstufe abgeleitet werden kann bzw. wenn Daten einer niedrigeren Qualitätsstufe diese Zuordnung bestätigen. In jedem anderen Fall — also dann, wenn sich unterschiedliche Datenquellen uneinig über die Landnutzungsarten zu einem Zeitpunkt sind — erfolgt eine Evaluierung dieses Stichprobenpunktes mittels Luftbildern, soweit Daten vorliegen. Diese Evaluierung ist für mehrere Bundesländer für 1990 erfolgt. Kann an wenigen Punkten mit Hilfe von Luftbildern keine Entscheidung getroffen werden oder sind keine Luftbilder vorhanden, erfolgt - soweit möglich - eine Recherche „vor Ort“. Inkonsistenzen in Zeitreihen, bedingt durch die Verwendung von Datensätzen mit unterschiedlichen Definitionen, unterschiedlichen Minimum Mapping Units oder Inkonsistenzen bedingt durch Lageungenauigkeiten treten durch diese zusätzlichen Validierungen nicht auf.

6.3.4 Schrittweise Implementierung

Die vollständige Umsetzung des hier beschriebenen Systems zur Erfassung der Landnutzung und -änderungen für ganz Deutschland über die Zeit impliziert umfangreiche Vor- aber auch ständige Begleitarbeiten. So müssen:

- die verschiedenen Datenmaterialien für unterschiedliche Zeitpunkte akquiriert werden,
- geometrische Korrekturen (defekte Geometrien, etc.) bzw. Kontrollen durchgeführt werden,
- Konvertierungsfunktionen geschrieben werden, um die Ursprungsklassifizierung in die verwendete Kategorisierung zu überführen,
- die Stichprobenpunkte mit den Kartenwerken verschnitten werden,
- der Entscheidungsbaum programmiert und je nach Datenlage angepasst werden und
- die „Transition Time“-Prozeduren programmiert und je nach Datenlage angepasst werden.

Die Entscheidung für dieses flexible, stichprobenbasierte System wurde in Abstimmung mit der Nationalen Koordinierungsstelle (Umweltbundesamt, UBA) und dem für die Waldinventur zuständigen Ministerium für Ernährung und Landwirtschaft (BMEL) im Frühjahr 2011 getroffen.

Angepasst auf die derzeitige Datenstruktur sind der Entscheidungsbaum pro Klassifizierungsjahr und die „Transition Time“-Prozeduren programmiert.

6.3.4.1 Ableitung der Landnutzung

Aufgrund des Datenmaterials (siehe Kapitel 6.3.2), welches am jeweiligen Stichprobenpunkt zur Verfügung steht, kann für diesen für die Jahre 1990, 2000, 2005, 2008, 2012 und 2015 eine Zuordnung zu einer Landnutzungskategorie in Abhängigkeit der Qualitätsstufen vorgenommen werden. Die Basistabelle (siehe Tabelle 332) ist wie folgt aufgebaut (hier anhand eines Beispielstichprobenpunktes):

Tabelle 332: Basistabelle zur Ableitung der Landnutzungen

Trakt	Traktpoint	BWI 1987	BWI 2002	BWI 2008	DLM 2000	DLM 2005	DLM 2008	DLM 2012	DLM 2015	CORINE 1990	CORINE 2000	CORINE 2006	GSE 1990	GSE 2005
xya	1	forl	sett	sett	forl	sett	sett	sett	sett	forl	gra1	sett	gse0	gse0

wobei für die Landnutzungsklassen in den Datensätzen folgende Kodierungen verwendet wurden:

Tabelle 333: Kodierungen in der Basistabelle

Kodierung	Kategorie	Subkategorie
crop	Acker	Acker
gra1	Grünland	Grünland im engeren Sinn (i.e.S)
gra2	Grünland	Gehölze
forl	Wald	Wald
wet1	Feuchtgebiete	Terrestrische Feuchtgebiete
wet2	Feuchtgebiete	Gewässer
sett	Siedlungen	Siedlungen
othl	Sonstiges Land	Sonstiges Land
nofo	Nichtwald[96]	
bwi0	Keine Information[97]	
dlm0	Keine Information[98]	
clc0	Keine Information[99]	
gse0	Keine Information[100]	

Auf diese Basistabelle wurden für die Jahre 1990, 2000, 2005, 2008, 2012 und 2015 die Entscheidungsbäume für das jeweilige Jahr angewandt. In Abbildung 53 ist beispielhaft der Entscheidungsbaum für 2012 dargestellt. Beim Lesen des Entscheidungsbaumes ist zu beachten, dass nicht einfache IF - THEN - ELSE-Bedingungen dargestellt sind, sondern in jeder Linie eine IF - ELSE IF - ELSE-Struktur. D. h., trifft eine Bedingung zu, wird diese umgesetzt. Alle nachfolgenden Bedingungen sind nun irrelevant. Mit Hilfe einer solchen Struktur vereinfacht sich die Abfragelogik deutlich.

[96] Information stammt aus BWI-Daten, muss durch andere Datenquellen konkretisiert werden und Nichtwald sein.
[97] Keine Landnutzungsinformation an diesem Punkt aus den BWI-Daten
[98] Keine Landnutzungsinformation an diesem Punkt aus den Basis-DLM-Daten
[99] Keine Landnutzungsinformation an diesem Punkt aus den Corine-Daten
[100] Keine Landnutzungsinformation an diesem Punkt aus den GSE-Daten

Abbildung 53: Entscheidungsbaum beispielhaft für das Jahr 2012 (Abkürzungen siehe Tabelle 333)

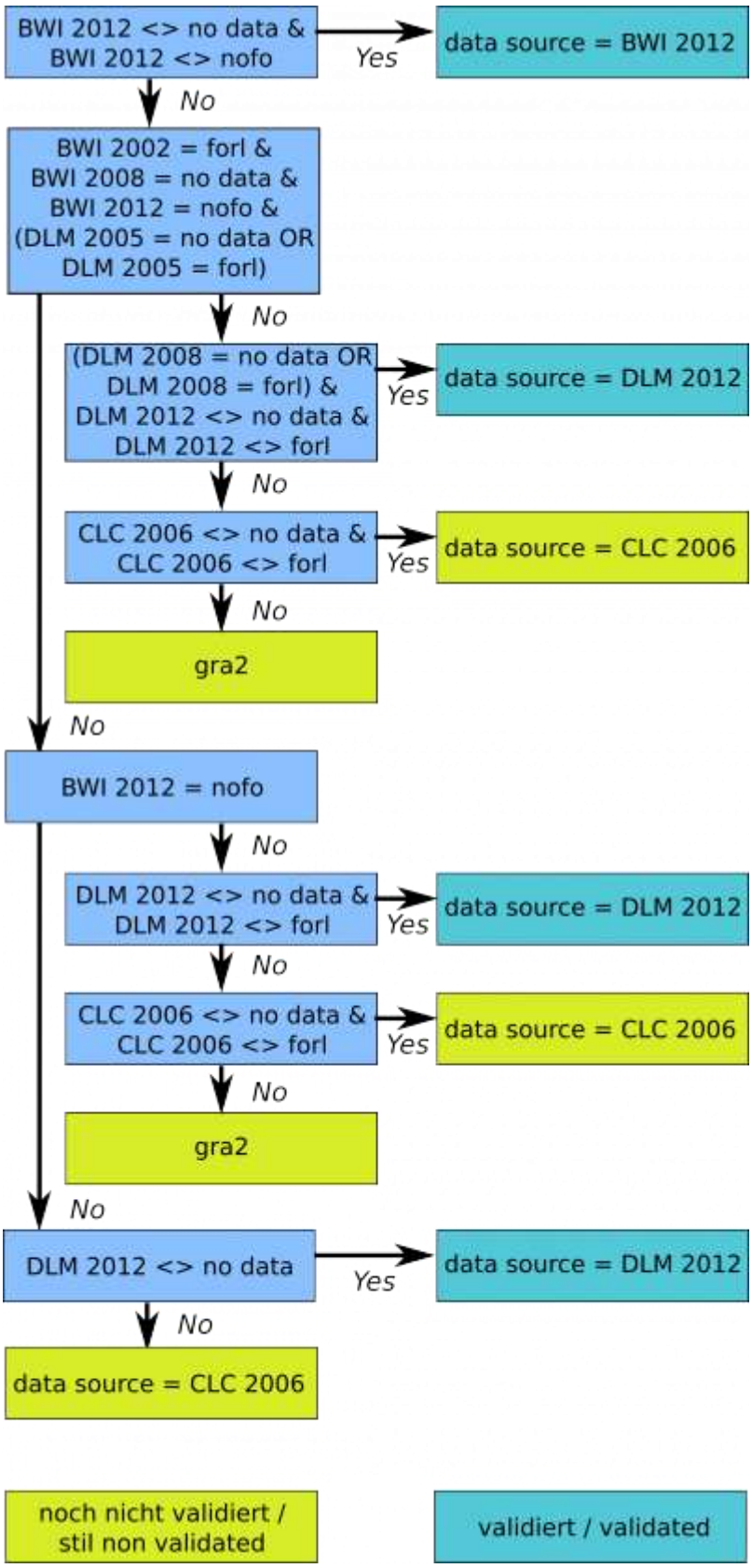

Durch die Anwendung der Entscheidungsbäume resultiert eine weitere Tabelle (siehe Tabelle 334) mit den wahrscheinlichsten Landnutzungen pro Stichprobenpunkt und Jahr (1990, 2000,

2005, 2008, 2012 und 2015) und der jeweils besten Datenquelle. Die Daten aus der BWI werden nur für tatsächliche Waldflächen genannt, bei der Information „Nicht Wald“ aus der BWI werden immer andere Datenquellen für die Festlegung der Landnutzung verwendet und die Landnutzung darf dort nicht Wald sein:

Tabelle 334: Wahrscheinlichste Landnutzung (LU) und deren Datenquelle (DB)

Trakt	Traktpoint	LU 1990	LU 2000	LU 2005	LU 2008	LU 2012	LU 2015	DB 1990	DB 2000	DB 2005	DB 2008	DB 2012	DB 2015
xya	1	forl	forl	sett	sett	sett	sett	bwi	dlm	dlm	dlm	dlm	dlm

(Abkürzungen siehe Tabelle 333)

6.3.4.2 Ableitung der jährlichen Landnutzungsänderungen

Anschließend wurden die Landnutzungsänderungskategorien für jede Veränderungsperiode (1990-2000, 2000-2005, 2005-2008, 2008-2012, 2012-2015) und jeden Stichprobenpunkt abgeleitet. Dazu wurde ein SQL-Skript programmiert, das in der Inventarbeschreibung dokumentiert ist.

Die Entwicklung einer Landnutzungsmatrix, in der die geforderte Übergangszeit von 20 Jahren nach einer Landnutzungsänderung berücksichtigt wird, erfolgt in mehreren Teilschritten:

- Für alle Landnutzungsänderungen, die innerhalb des Übergangszeitraums auftreten, der durch die aufgenommenen Beobachtungen abgedeckt ist (1990-2015), erfolgt zunächst eine punktbezogene Bearbeitungsweise. Dabei existiert eine räumliche Zuordnung der Landnutzungsänderungen zu den einzelnen Beobachtungspunkten.
- Landnutzungsänderungen, die vor diesem Zeitraum aufgetreten sind (1970-1990), werden aus den Beobachtungen im ersten Messzeitraum (1990-2000) rückwirkend extrapoliert. Eine räumliche Zuordnung zu den Beobachtungspunkten ist hierbei nicht möglich aber auch nicht erforderlich, so dass an dieser Stelle ein Wechsel von der punktbezogenen Bearbeitungsweise hin zu einer Berechnung auf Basis der Flächensummen stattfindet.
- Der Beobachtungszeitraum ist aufgeteilt in unterschiedlich lange Übergangsperioden (1990-2000, 2000-2005, 2005-2008, 2008-2012, 2012-2015), so dass die jährlichen Änderungen durch lineare Interpolation in den Veränderungsperioden anteilig berechnet werden.

6.3.5 Landnutzungsänderungen nach Konvention und KP

Die bisher beschriebene Methode zur Erfassung von Landnutzungsänderungen und die daraus resultierende vollständige Landnutzungsmatrix (siehe Tabelle 335), inklusive einer 20-jährigen „Transition Time“ seit 1970 ist konform zur Berichterstattung nach der Klimarahmenkonvention und den 2006 IPCC Guidelines. Tabelle 336 zeigt beispielhaft die komplette detaillierte Landnutzungsmatrix für das Jahr 2015.

Zur Erfassung der Landnutzungsänderungen nach dem Kyoto-Protokoll werden auf der gleichen jährlichen Datengrundlage (siehe Tabelle 337) Landnutzungsänderungen erst ab 1990 berücksichtigt und in den Änderungskategorien Aufforstung und Entwaldung über 20 Jahre hinaus akkumuliert (siehe Tabelle 446 in Kapitel 11.2.2).

Tabelle 335: Landnutzungsänderungen (LUC) inklusive 20-jähriger Transition Time nach der Konventionsberichterstattung

Quell-gruppe	4.A.1 Verbleibender Wald	4.A.2 … LUC zu Wald	4.B.1 Verbleibender Acker	4.B.2 … LUC zu Acker	4.C.1 Verbleibendes Grünland	4.C.2 … LUC zu Grünland	4.D.1 Verbleibende Feuchtgebiete	4.D.2 … LUC zu Feuchtgebieten	4.E.1 Verbleibende Siedlungen	4.E.2 … LUC zu Siedlungen	4.F.1 Verbleibendes Sonstiges Land	4.F.2 … LUC zu Sonstigem Land
Einheit	ha	ha	ha	ha	ha	ha	ha	ha	ha	ha	ha	ha
1990	10.376.246	552.374	12.587.710	1.045.088	6.378.432	966.821	616.711	92.953	2.396.776	684.463	82.060	0
1995	10.451.644	552.374	12.529.098	1.045.088	6.274.232	966.821	612.016	92.953	2.500.987	684.463	69.959	0
2000	10.527.042	552.374	12.470.486	1.045.088	6.170.032	966.821	607.320	92.953	2.605.198	684.463	57.857	0
2005	10.618.033	491.033	12.381.063	893.694	6.210.648	938.749	609.812	102.349	2.717.210	787.273	29.769	0
2006	10.634.337	478.462	12.382.137	924.047	6.155.508	924.577	612.675	102.695	2.738.447	798.784	27.965	0
2007	10.650.641	465.890	12.383.211	954.399	6.100.368	910.405	615.538	103.041	2.759.683	810.296	26.161	0
2008	10.666.944	453.319	12.384.285	984.752	6.045.228	896.232	618.401	103.387	2.780.919	821.807	24.357	0
2009	10.683.558	442.258	12.384.373	1.015.414	5.987.639	875.696	621.387	101.574	2.806.860	837.544	23.330	0
2010	10.700.171	431.196	12.384.461	1.046.075	5.930.050	855.160	624.373	99.760	2.832.801	853.282	22.303	0
2011	10.716.784	420.135	12.384.549	1.076.737	5.872.461	834.624	627.359	97.946	2.858.742	869.019	21.277	0
2012	10.733.397	409.074	12.384.637	1.107.398	5.814.873	814.088	630.345	96.133	2.884.683	884.756	20.250	0
2013	10.753.207	395.526	12.384.320	1.107.278	5.787.141	794.231	633.577	94.002	2.912.638	897.563	20.151	0
2014	10.773.017	381.978	12.384.003	1.107.157	5.759.409	774.373	636.810	91.871	2.940.593	910.370	20.052	0
2015	10.792.827	368.430	12.383.686	1.107.037	5.731.677	754.515	640.042	89.740	2.968.549	923.177	19.953	0

Tabelle 336: Landnutzungsmatrix 2015. Die Diagonale zeigt die Fläche in verbleibender Nutzung, die anderen Felder die jeweiligen Landnutzungsänderungen (einschließlich 20-jähriger Übergangszeiten)

	Landnutzungsmatrix 2014: Flächen [ha]										
Initial*Final*	*Wald*	*Acker*	*Grünland i.e.S.*	*Gehölze*	*Terrestr. Feuchtgebiete*	*Gewässer*	*Torfabbau*	*Siedlungen*	*Sonstiges Land*	**Σ Abnahme**	**Σ Zunahme - Σ Abnahme**
Wald	**10.792.827**	31.797	54.876	17.893	5.772	6.372	0	94.482	0	**211.191**	**157.240**
Acker	115.679	**12.383.686**	445.655	64.416	1.116	15.384	0	548.250	0	**1.190.500**	**-83.463**
Grünland i.e.S.	164.354	1.009.754	**5.082.131**	75.069	18.035	20.365	0	244.930	0	**1.532.507**	**-867.794**
Gehölze	25.303	10.638	27.517	**546.960**	582	1.360	0	14.054	0	**79.454**	**112.934**
Terrestrische Feuchtgebiete	6.162	1.203	4.809	1.390	**84.775**	351	0	6.610	0	**20.525**	**6.556**
Gewässer	8.982	3.613	24.650	1.782	465	**534.594**	0	5.726	0	**45.218**	**18.256**
Torfabbau	0	0	0	0	0	0	**19.857**	0	0	**0**	**0**
Siedlungen	37.883	45.043	91.878	28.651	1.111	12.335	0	**2.968.549**	0	**216.901**	**706.276**
Sonstiges Land	10.067	4.988	15.329	3.188	0	7.307	0	9.127	**19.953**	**50.006**	**-50.006**
Σ Zunahme	**368.430**	**1.107.037**	**664.713**	**192.388**	**27.081**	**63.474**	**0**	**923.177**	**0**		
Σ Landnutzungskategorie	**11.161.258**	**13.490.722**	**5.746.844**	**739.348**	**111.857**	**598.068**	**19.857**	**3.891.726**	**19.953**		
Fläche Deutschland				**35.779.633**							

Tabelle 337: Jährliche Flächen der Landnutzungsänderungen, die den Berechnungen für das Inventar nach Koventionsberichterstattung (20-jährige Übergangszeit) und Kyoto Protokoll (kumulative Flächenänderung) zugrunde liegen

Landnutzungsänderung [Hektar pro Jahr]	**1990-2000**	**2001-2005**	**2006-2008**	**2009-2012**	**2013-2015**
… zu Wald					
Acker zu Wald	9.715	4.843	5.648	4.274	2.949
Grünland i.e.S. zu Wald	11.189	6.454	4.454	8.645	9.398
Gehölze zu Wald	1.874	922	1.006	1.371	941
Terrestrische Feuchtgebiete zu Wald	258	610	260	224	48
Gewässer zu Wald	1.050	209	276	441	31
Siedlung zu Wald	2.467	1.805	3.035	1.327	703
Sonstiges Land zu Wald	1.066	506	368	276	0
… zu Acker					
Wald zu Acker	3.369	1.543	784	872	466
Grünland i.e.S. zu Acker	42.871	17.004	78.703	80.929	50.185
Gehölze zu Acker	1.552	153	199	78	401
Terrestrische Feuchtgebiete zu Acker	223	11	6	3	0
Gewässer zu Acker	612	68	35	25	3
Siedlung zu Acker	3.517	2.350	2.813	1.008	1.078
Sonstiges Land zu Acker	111	847	67	0	0
… zu Grünland i.e.S.					
Wald zu Grünland i.e.S.	2.863	3.394	2.826	2.487	1.721
Acker zu Grünland i.e.S.	31.127	24.005	17.276	15.596	18.594
Gehölze zu Grünland i.e.S.	3.015	1.670	743	228	317
Terrestrische Feuchtgebiete zu Grünland i.e.S.	194	382	20	120	464
Gewässer zu Grünland i.e.S.	2.227	1.338	920	503	684
Siedlung zu Grünland i.e.S.	5.258	4.330	5.026	4.819	3.194
Sonstiges Land zu Grünland i.e.S.	613	1.771	668	351	0
… zu Gehölze					
Wald zu Gehölze	1.008	409	1.709	778	857
Acker zu Gehölze	3.288	4.102	3.891	2.285	2.217
Grünland i.e.S. zu Gehölze	1.114	5.145	5.620	2.688	5.387
Terrestrische Feuchtgebiete zu Gehölze	61	161	26	48	3
Gewässer zu Gehölze	197	63	103	7	49
Siedlung zu Gehölze	1.385	2.454	1.638	612	699
Sonstiges Land zu Gehölze	119	319	66	200	0

Landnutzungsänderung [Hektar pro Jahr]	**1990-2000**	**2001-2005**	**2006-2008**	**2009-2012**	**2013-2015**
… zu terrestrische Feuchtgebiete					
Wald zu terrestrische Feuchtgebiete	92	698	443	78	60
Acker zu terrestrische Feuchtgebiete	127	55	10	2	56
Grünland i.e.S. zu terrestrische Feuchtgebiete	358	1.532	1.210	548	920
Gehölze zu terrestrische Feuchtgebiete	72	40	2	2	3
Gewässer zu terrestrische Feuchtgebiete	60	19	2	4	16
Siedlung zu terrestrische Feuchtgebiete	32	52	35	10	181
Sonstiges Land zu terrestrische Feuchtgebiete	0	0	0	0	0
… zu Gewässer					
Wald zu Gewässer	484	132	572	340	72
Acker zu Gewässer	1.317	817	643	465	309
Grünland i.e.S. zu Gewässer	1.160	1.489	1.096	656	401
Gehölze zu Gewässer	184	20	75	27	3
Terrestrische Feuchtgebiete zu Gewässer	21	30	6	10	13
Siedlung zu Gewässer	722	829	439	506	412
Sonstiges Land zu Gewässer	99	862	468	200	99
… zu Siedlung					
Wald zu Siedlung	4.723	3.245	4.981	6.450	4.632
Acker zu Siedlung	18.402	36.317	23.712	29.544	28.446
Grünland i.e.S. zu Siedlung	8.595	12.299	16.269	13.304	12.813
Gehölze zu Siedlung	1.327	304	467	370	1.006
Terrestrische Feuchtgebiete zu Siedlung	96	1.111	71	68	30
Gewässer zu Siedlung	668	195	68	225	103
Sonstiges Land zu Siedlung	412	1.314	167	0	0

6.3.6 Verifizierung

Die Landnutzungskategorien wurden so gewählt, dass sie den Definitionen nach UNFCCC, Kyoto Protokoll bzw. IPCC entsprechen. In Deutschland werden verschiedene Definitionen für wichtige Landnutzungskategorien, insbesondere landwirtschaftliche Flächen (Acker, Grünland) und Siedlungen verwendet. Aus den unterschiedlichen Definitionen und durch Unterschiede in der Datenerhebung ergeben sich unterschiedliche Flächenangaben. Diese Unterschiede von über 10% bzw. 2 Millionen Hektar je Landnutzungskategorie sind seit langem bekannt, werden aber beibehalten, um in jedem Datensatz eine konsistente Zeitreihen zu erhalten.

Die drei wichtigsten Datenquellen in Deutschland für landwirtschaftliche Flächen sind (siehe Tabelle Tabelle 338):

1. Bodennutzungshaupterhebung des Statistischen Bundesamtes: Landnutzung wird aus einer Befragung landwirtschaftlicher Betriebe ermittelt (2014: Vollerhebung). Ackerland schließt einige Dauerkulturen aus, Grünland schließt extensive und nicht-kommerzielle Nutzungsformen aus, z.B. für Naturschutz und Erholung. Die Acker- und Grünlandflächen der Bodennutzungshaupterhebung werden vom Statistischen Bundesamt an Eurostat gemeldet. Die Netto-Flächenänderungen zwischen Acker und Grünland werden im Inventar zur Validierung der Landnutzugsänderungen verwendet.
2. AKTIS® Basis-DLM: Landnutzung wird aus dem offiziellen Landbedeckungskataster abgeleitet. Die Geometrien stammen aus topographischen Karten 1:5000 bis 1:25000 und werden durch die Luftbilder korrigiert bzw. mitgeführt. Die Inhalte (Objektarten) werden ausschließlich aus Luftbildern bestimmt. Grünland schließt alle Formen krautiger Vegetation ein. Straßen sind als Linien implementiert, so dass Straßenbegleitgrün als Grünland, nicht als Infrastruktur klassifiziert wird. Dadurch werden bis zu 0,7 Millionen Hektar Straßenbegleitgrün zusätzlich als Grünland klassifiziert. Das Basis-DLM ist eine zentrale Datenquelle des Inventars und wird aus Transparenzgründen ohne Nachbearbeitungen und Re-Klassifizierungen verwendet.
3. Flächenerhebung des Statistischen Bundesamtes: Landnutzung wird aus dem offiziellen Liegenschaftskataster und dem AKTIS® Basis-DLM abgeleitet. Grünland schließt Erholungsflächen aus. Wegen der unscharfen Trennung zwischen Acker und Grünland wird nur die Summe aus Acker und Grünland veröffentlicht. Der Stichtag hier ist 31.12.2013. Die Flächenerhebung nutzt Informationen, die weitgehend mit dem ATKIS® Basis-DLM konsistent sind, konvertiert aber Straßen von Linien in Flächen in einem Nachbearbeitungsschritt. Deutschland wird von der Flächenerhebung vollständig und zeitlich konsistent, aber nicht mit einer konstanten Nationalfläche abgebildet. Die Flächenerhebung ist konsistent mit dem Inventar.

Tabelle 338: Acker und Grünland bzw. landwirtschaftliche Flächen je nach Datenquelle [kha]

Landnutzungskategorie	Bodennutzungshaupterhebung	Inventar	Flächenerhebung
Ackerland	12.074	13.491	Nicht veröffentlicht
Grünland	4.651	6.534	Nicht veröffentlicht
Summe	**16.725**	**20.024**	**18.647**

6.4 Wälder (4.A)

6.4.1 Beschreibung der Kategorie (4.A)

KC	Category	Activity	EM of	1990 (kt CO_2-e.)	(fraction)	2015 (kt CO_2-e.)	(fraction)	Trend 1990-2015
L/T	**4.A. Forest land**		**CO_2**	**-75.542,1**	**6,18%**	**-57.927,0**	**6,53%**	**-23,3%**
-/-	4.A. Forest land		N_2O	231,5	0,02%	146,4	0,02%	-36,7%
-/-	4.A. Forest land		CH_4	20,1	0,00%	19,8	0,00%	-1,3%

Gas	Angewandte Methode	Quelle der Aktivitätsdaten	genutzte Emissionsfaktoren
CO_2	CS/Tier 2	RS/NS	CS
CH_4	Tier 2	RS/NS	D/CS
N_2O	Tier 2	RS/NS	D/CS

Die Kategorien Forest Land remaining Forest Land (4.A.1) und *Land converted to Forest Land* (4.A.2) sind für CO_2-Emissionen Hauptkategorie nach der Emissionshöhe und dem Trend.

In der Kategorie *Forest Land* wird über die Emission/Einbindung von CO_2 aus organischen und mineralischen Böden, der ober- und unterirdischen Biomasse, Streu, Totholz sowie Waldbrand berichtet; außerdem über Lachgasemissionen aus Waldbränden, Drainage organischer Böden und Mineralisierung in Mineralböden sowie Methanemissionen aus Waldbränden und Drainage organischer Böden.

Die Gesamtemissionen aus den Wäldern betrugen im Jahre 2015 -57.750 kt CO_2-Äquivalente. In der Tabelle 339 sind die Emissionen für den Wald unterteilt nach Kategorien und Treibhausgasen sowie ihre Unsicherheiten zusammengestellt.

Tabelle 339: Emissionen im Waldbereich für das Jahr 2015

Quellgruppe	Gas	Emissionen aus Wald 2015				
		Emission	2,5 % Perzentil	97,5 % Perzentil	2,5 % Perzentil	97,5 % Perzentil
			[kt CO_2-Eq.]		%	
$Wald_{total}$ [101]		-57.749,6	-36.361,4	-79.139,2	37,0	37,0
Mineralböden	CO_2 [102]	-15.617,8	-7.658,0	-23.578,8	51,0	51,0
	$N_2O_{indirekt}$ [103]	11,2	0,0	39,7	100,0	254,9
	N_2O_{direkt} [104]	49,7	10,9	140,3	78,1	182,5
Organische Böden	CO_2 [102]	1.196,1	988,0	1.427,5	16,6	19,4
	CH_4 [105]	16,9	4,3	150,6	74,6	792,6
	N_2O [105]	94,8	25,1	243,9	73,5	157,3
Biomasse	CO_2 [102]	-45.377,6	-22.289,6	-68.465,7	50,9	50,9
Streu	CO_2 [102]	-136,5	0,0	-312,8	100,0	129,2
Totholz	CO_2 [102]	2.008,8	0,2	4.108,3	100,0	104,5
Waldbrände	CO_2 [106]	IE	-	-	-	-
	CH_4 [106]	2,9	1,8	4,1	38,1	38,1
	N_2O [106]	1,9	1,2	2,7	38,1	38,1

Die Zeitreihen der Emissionen aus den Wäldern (siehe Abbildung 54 und Abbildung 55) verdeutlichen, dass die Summe der Treibhausgaseinbindungen der Wälder im Jahr 2002 „sprunghaft“ zurückgegangen und 2008 gestiegen sind. Der Grund für die Sprünge ist die periodische Erfassung im Rahmen der Bundeswaldinventuren. Weitere Details hierzu werden im Kapitel 6.4.2.2.1 beschrieben.

Ausschlaggebend für die Einbindungen in der Waldkategorie sind die Kategorien Biomasse (70,34 %), mineralische Böden (24,21 %) und Streu (0,21 %). Quellen entstehen durch Totholz, Drainage, Mineralisierung und Waldbrände. Die Quellen tragen mit 5,24 % nur einen sehr geringen Anteil zur Treibhausgasbilanz im Wald bei.

[101] Summe der Emissionen aus den CRF-Tabellen 4.A, 4.(II).A, 4.(III).A, 4.(IV).2, 4.(V).A
[102] CRF-Tabelle 4.A
[103] Die kategoriespezifischen indirekten N2O-Emissionen werden im CRF-Tabellenwerk nicht erfasst und dargestellt; sie sind Teil der in CRF-Tabelle 4.(IV).2 dargestellten Summe aller Unterkategorien
[104] CRF-Tabelle 4.(III).A
[105] CRF-Tabelle 4.(II).A
[106] CRF-Tabelle 4.(V).A

Abbildung 54: Treibhausgasemissionen (Summe aus CO_2, CH_4 und N_2O) [kt CO_2-Eq.] infolge Landnutzung und Landnutzungsänderung aus Wäldern von 1990 – 2015 nach Unterkategorien

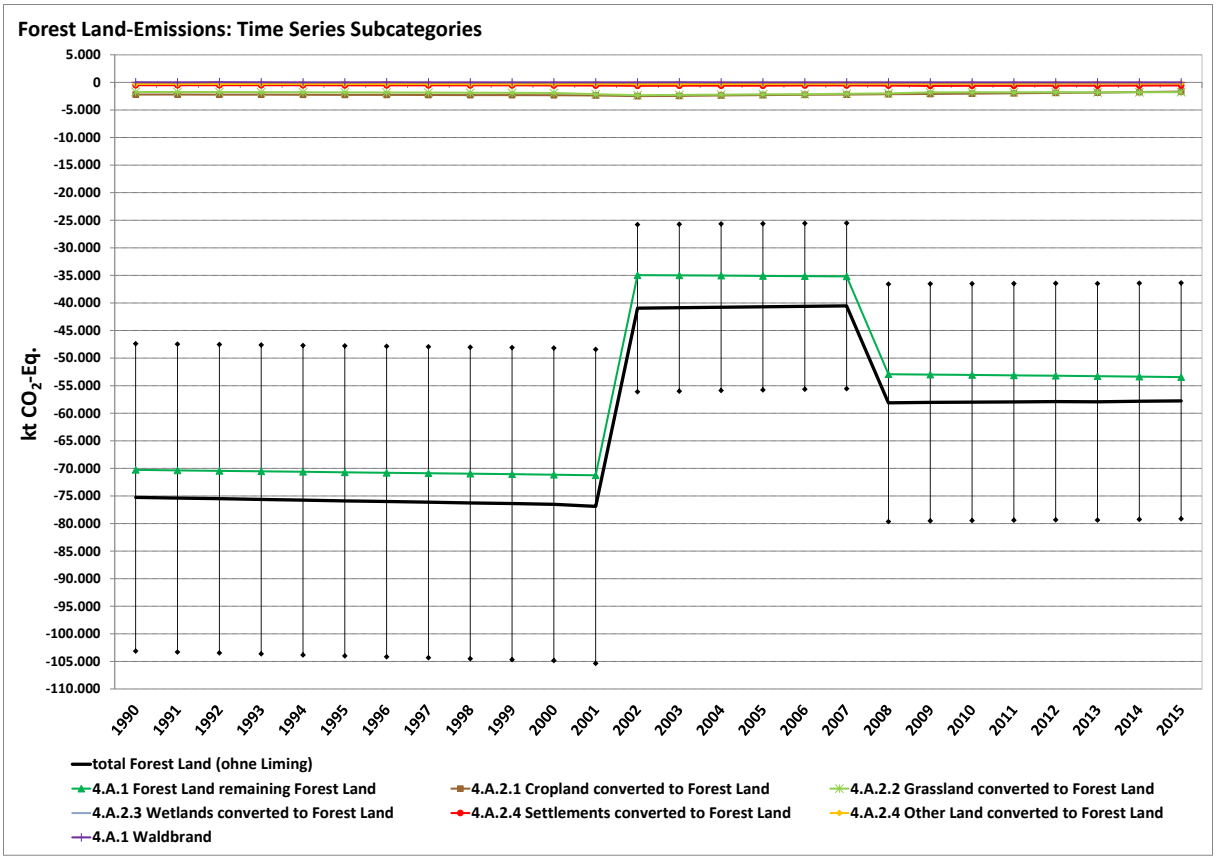

Abbildung 55: Treibhausgasemissionen (Summe aus CO_2, CH_4 und N_2O) [kt CO_2-Eq.] infolge Landnutzung und Landnutzungsänderung aus Wäldern von 1990 – 2015 nach Pools

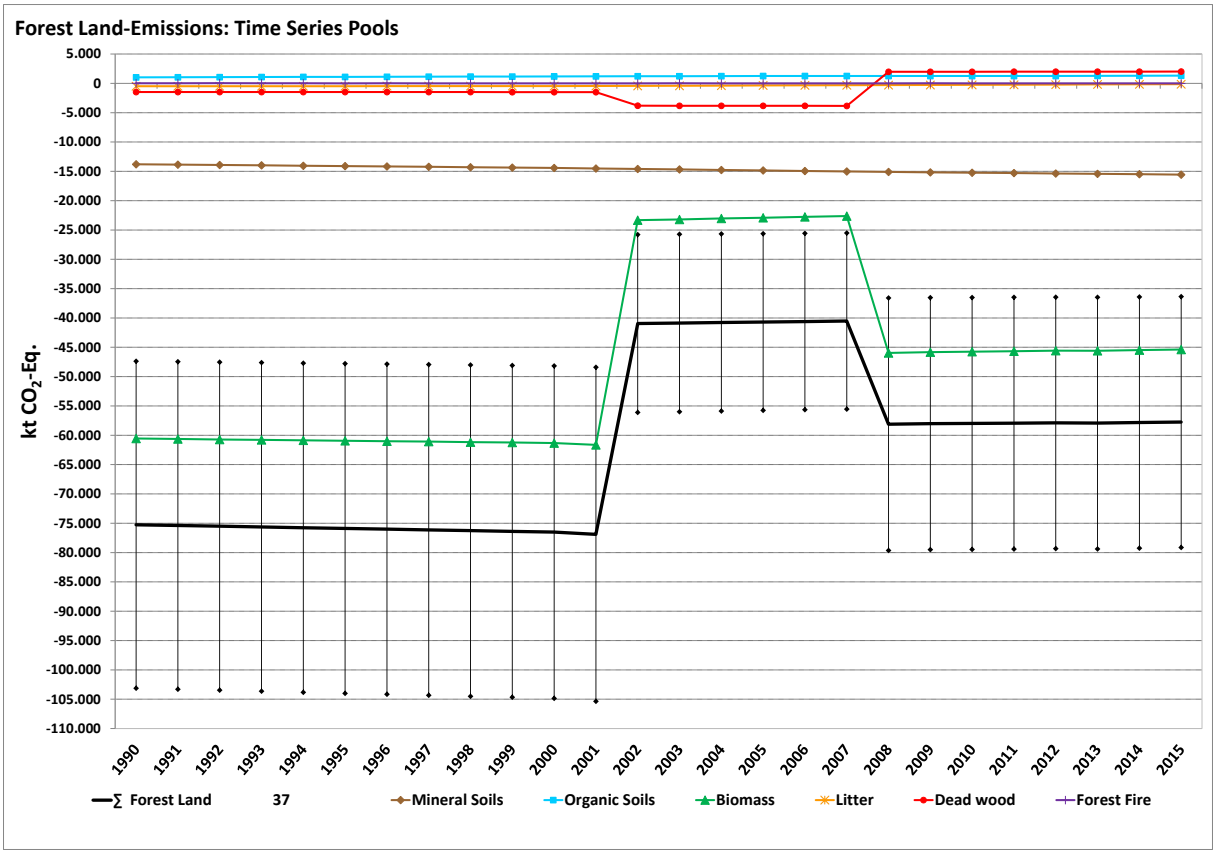

Die Kategorie „Wald“ wird in den 2006 IPCC Guidelines for National Greenhouse Gas Inventories (IPCC, 2006) und in den offiziellen Berichtstabellen im Common Reporting Format (CRF) für die an das Klimasekretariat zu übermittelnden Treibhausgasinventare in verbleibende Waldfläche, die im Berichtszeitraum unverändert Wald bleibt (Forest Land remaining Forest Land) und Neuwald, der durch Aufforstung oder natürliche Sukzession auf zuvor anderweitig genutzten Flächen entstanden ist (Land converted to Forest Land), unterteilt. Zu beachten ist, dass mit einer 20jährigen Übergangszeit („Transition Time“) auf der Datengrundlage ab dem Jahr 1970 gerechnet wird (siehe Kapitel 6.3).

6.4.1.1 Verbleibende Waldfläche (Forest Land remaining Forest Land) (4.A.1)

Als verbleibende Waldfläche wird die Fläche bezeichnet, die im Berichtsjahr unverändert Wald bleibt. Hinzu kommen Flächen, die nach 20 Jahren von der Kategorie Neuwald (Land converted to Forest Land (4.A.2)) in die verbleibende Waldfläche wechseln. Die verbleibende Waldfläche unterscheidet sich von der Gesamtwaldfläche durch das Weglassen der Neuwaldflächen, die in der Kategorie Neuwald betrachtet werden (siehe Kapitel 6.4.1.2).

6.4.1.2 Neuwaldflächen (Land converted to Forest Land) (4.A.2)

Neue Waldflächen entstehen durch Sukzession, Wiederbewaldung und Aufforstung und speichern Kohlenstoff mit Beginn der Umwandlung. Nach 2006 IPCC Guidelines verbleibt Neuwald 20 Jahre lang in dieser Kategorie und geht dann in die Kategorie „verbleibende Waldfläche“ über.

Es ist zu beachten, dass die Kohlenstoffvorräte vorheriger Landnutzungen nach der Umwandlung abgezogen werden. Informationen dazu finden sich in den Kapiteln 6.4 bis 6.9.

6.4.2 Methodische Aspekte (4.A)

6.4.2.1 Datenquellen

Zur Ermittlung der Waldflächen, der eingetretenen Landnutzungsänderungen, der Schätzung der Emissionsfaktoren für Boden, Biomasse, Streu und Totholz sowie für die Berechnung der Kohlenstoffvorräte und -vorratsveränderungen zu unterschiedlichen Zeitpunkten bzw. in verschiedenen Zeiträumen sowie für die Emissionsberechnung für Waldbrand, Drainage und Mineralisierung wurden folgende Datenquellen genutzt:

- Bundeswaldinventur 1987 (BWI 1987)
- Bundeswaldinventur 2002 (BWI 2002)
- Bundeswaldinventur 2012 (BWI 2012)
- Inventurstudie 2008 (IS08)
- Datenspeicher Waldfonds (DSWF)
- Bodenzustandserhebung im Wald I (BZE I)
- Bodenzustandserhebung im Wald II (BZE II)
- aus CIR-Daten abgeleitete Kartenwerke der Biotop- und Nutzungstypenkartierung für 1990
- Amtliches Topographisch-Kartographisches Informationssystem (ATKIS®)
- CORINE Land Cover (CLC)
- Bodenübersichtskarte der Bundesrepublik Deutschland 1:1.000.000 (BÜK 1000)
- Karte der organischen Böden Deutschlands (Rosskopf et al. 2015)
- Waldbrandstatistik der Bundesrepublik Deutschland

6.4.2.1.1 Bundeswaldinventur, Inventurstudie 2008 und Datenspeicher Waldfonds

Die Bundeswaldinventur erfasst die großräumigen Waldverhältnisse und forstlichen Produktionsmöglichkeiten auf Stichprobenbasis nach einem einheitlichen Verfahren in Deutschland. Sie ist eine terrestrische Stichprobeninventur mit permanent markierten Probepunkten in einem 4 km x 4 km Grundnetz, das auf Wunsch der Bundesländer regional verdichtet wurde[107]. Die erste Bundeswaldinventur (BWI 1987) erstreckte sich nur über das Gebiet der Bundesrepublik Deutschland in ihren Grenzen vor 1990 und Westberlin und wurde im Zeitraum 1986 bis 1989 (Stichjahr 1987) durchgeführt. Die zweite Bundeswaldinventur (BWI 2002) wurde in den Jahren 2001 bis 2003 (Stichjahr 2002) als Wiederholungsinventur in den alten Bundesländern und als Erstinventur in den neuen Bundesländern durchgeführt (BMVEL, 2001; BMELV, 2005). Aktuell stehen die Ergebnisse der dritten Bundeswaldinventur (BWI 2012) zur Verfügung, die von 2011 bis 2012 (Stichjahr 2012) im gesamten Bundesgebiet als Wiederhohlungsinventur durchgeführt wurde. Mit den Daten der BWI 2012 stehen zum Beginn der zweiten Verpflichtungsperiode des Kyoto-Protokolls aktuelle Werte zum Zustand und zur Veränderung des Waldes bereit.

Daten zum Zustand des Waldes wurden im Jahr 2008 auf einer Teilstichprobe der Bundeswaldinventur im Netz von 8 km x 8 km ermittelt. Diese sogenannte Inventurstudie 2008 (IS08) bedient sich im Wesentlichen der Methodik der Bundeswaldinventur (SCHWITZGEBEL et al. 2008, BMELV 2010).

Der Datenspeicher Waldfonds (DSWF) enthält flächendeckende Forsteinrichtungsdaten für das Gebiet der DDR bis 1993. Diese Daten wurden in periodischen Abständen erhoben und jährlich mit Wachstumsmodellen fortgeschrieben sowie nach Vollzugs- und Änderungsmeldungen der Forstbetriebe aktualisiert (BMELF, 1994).

[107] weitere Informationen: http://www.bundeswaldinventur.de

6.4.2.1.2 Bodenzustandserhebung im Wald (BZE)

Zur Bestimmung der Kohlenstoffemissionen aus Waldböden wurde die Vorratsänderungsmethode angewandt (2006 IPCC Guidelines). Dazu konnten Daten aus den bodenkundlichen Inventuren BZE I und BZE II genutzt werden. Die BZE I wurde von 1987 bis 1992 und die BZE II von 2006 bis 2008 durchgeführt. Bei allen drei Inventuren wurden sowohl die gesamte organische Auflage, im folgendem nach IPCC 2006 Guidelines Streu genannt, als auch der Mineralboden beprobt. Die Daten der Inventuren wurden von den Bundesländern erhoben.

Bei der BZE I (WOLFF & RIEK, 1996) und BZE II (WELLBROCK et al., 2006) wurden Waldböden deutschlandweit in einem Raster von 8 km x 8 km beprobt. Dazu wurden an jedem Rasterpunkt in einem Radius von 10 m acht Satellitenproben um eine zentrale Bodengrube mit freigelegtem Bodenprofil genommen. Die Anzahl der Rasterpunkte betrug bei der BZE I 1800 und bei der BZE II 2000. Die Zunahme in der Stichprobenanzahl zwischen beiden Inventuren erklärt sich v.a. dadurch, dass Flächen betreten werden durften, bei denen zuvor keine Zutrittserlaubnis vorlag (z.B. sind alte Truppenübungsplätze jetzt zugänglich).

Die Rasterpunkte der beiden Inventuren lagen zum Großteil jeweils innerhalb eines Radius von 30 m. Bei ca. 400 Punkten ist es zu einer systematischen Rasterverschiebung gegenüber der BZE I gekommen.

Für die BZE I liegt eine Datenbank mit ca. 1800 Punkten vor, für die Kohlenstoffvorräte in Streu und Mineralboden (0-30 cm) berechnet wurden (Wolff & Riek, 1996). Für die BZE II wurden von den Bundesländern ca. 2000 Punkte an eine gemeinsame Bundesdatenbank übermittelt. Von den 2000 Stichprobenpunkten, die aus der BZE II zur Verfügung stehen, gibt es für ca. 1.800 Rasterpunkten Kohlenstoffvorräte[108].

6.4.2.2 Biomasse (CRF-Table 4.A)

6.4.2.2.1 Verbleibende Waldfläche

Die Berechnung der Änderungen der Kohlenstoffvorräte für die Biomasse erfolgt nach dem Tier 2-Ansatz mit der Vorratsveränderungsmethode (stock-difference method, Equation 2.8 2006 IPCC Guidelines). Durch die Anwendung dieser Methode erhält man einen durchschnittlichen landesspezifischen Emissionsfaktor (IEF) für die Zeiträume zwischen den jeweiligen Jahren, für die Datenquellen vorhanden sind. Somit gibt es einen IEF vor 2002, der die durchschnittliche Biomasseveränderung zwischen BWI 1987 und BWI 2002 in den alten Bundesländern und DWSF und BWI 2002 in den neuen Bundesländern widerspiegelt, einen IEF für die Periode 2002 bis 2008 der eine durchschnittliche Biomasseveränderung zwischen BWI 2002 und IS08 (2008) und einen IEF für 2008 bis 2012 der eine durchschnittliche Biomasseveränderung zwischen IS08 und BWI 2012 für ganz Deutschland wiedergibt. Dadurch erfolgt zwischen den Jahren 2001/2002 und 2007/2008 eine Anpassung der Biomasseveränderungen, die zu den sogenannten „Sprüngen“ führt (siehe Kapitel 6.4.1 Abbildung 54). Der Grund für die Veränderungen zwischen den Perioden ist die Holznutzung, die in der Inventurperiode 2002 bis 2008 zugenommen und in der Periode 2008 bis 2012 wieder abgenommen hat.

Für die alten Bundesländer liegen für den Zeitraum bis 2002 Daten aus zwei Bundeswaldinventuren (Stichtage: 1.10.1987 und 1.10.2002) vor. Die Kohlenstoffvorräte in der Biomasse nahmen in den Wäldern der alten Bundesländer zwischen der BWI 1987 und BWI 2002 um 1,26 t C ha^{-1} a^{-1} zu. Die Vorratsanreicherung ist auf die geringe Nutzung im Vergleich zum Zuwachs zurückzuführen. Für die neuen Bundesländer wurden - wegen Fehlens einer der

[108] siehe: https://www.thuenen.de/de/wo/arbeitsbereiche/waldmonitoring/bodenzustandserhebung/

BWI 1987 vergleichbaren Erstinventur - die Daten der BWI 2002 mit den Daten des Datenspeichers Waldfonds (DSWF) verglichen. Beim Vergleich zeigte sich eine Netto-Kohlenstoffvorratsanreicherung von 1,83 t C ha^{-1} a^{-1}. Der gesamtdeutsche Emissionsfaktor beträgt für diesen Zeitraum 1,43 t C ha-1 a-1. Für den Zeitraum von 2002 bis 2008 stehen für die Veränderungsrechnung die Daten der BWI 2002 und der Inventurstudie 2008 (IS08) (jeweils für Gesamtdeutschland) zur Verfügung. Auf Basis dieser Informationen wurde eine Vorratsanreicherung von 0,43 t C ha^{-1} a^{-1} für das Bundesgebiet berechnet. Mit den neuen Daten der BWI 2012 konnte für die Periode von 2008 bis 2012 eine weiterführende Vorratsveränderung mit den Daten der IS08 und der BWI 2012 berechnet werden, welche 1,03 t C $ha^{-1}a^{-1}$ beträgt. Dieser Wert wird ab dem Jahr 2013 fortgeschrieben.

Nichtsdestotrotz hat die Senkenwirkung der bewirtschafteten Wälder im Jahr 2002 deutlich abgenommen. Ein Grund hierfür ist die nahezu Verdopplung der Nutzungsmenge. So wurden in der ersten Inventurperiode (1987-2002) in den alten Bundesländern durchschnittlich rund 47,9 Mio. m^3 Vorratsfestmetern (Vfm) pro Jahr geerntet; in der Inventurperiode 2002 – 2008 dagegen rund 89,0 Mio. m^3 Vfm. Trotz der Zunahme der Nutzungsmengen und den daraus resultierenden CO_2-Emissionen blieben diese in der Summe unter den CO_2-Einbindungen. Ab dem Jahr 2008 konnte mit den Daten der BWI 2012 wieder eine größere Senkenwirkung nachgewiesen werden. Auch dies ist auf die Nutzungsmenge zurückzuführen, die wieder abgenommen hat (siehe Abbildung 56).

Abbildung 56: Gegenüberstellung des Rohholzaufkommens mit der Entwicklung der Biomasse im Wald

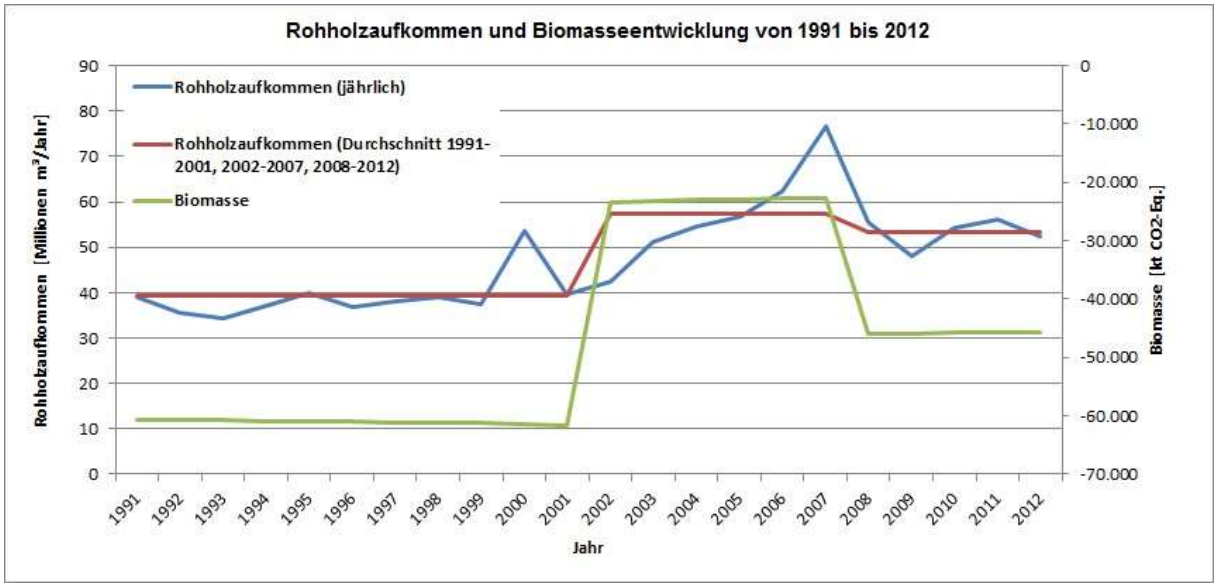

In Abbildung 57 sind die Kohlenstoffvorräte für die vier Inventurzeitpunkte angegeben. Die Daten von 1987 bzw. 1993 kommen aus der BWI 1987 bzw. dem DSWF, von 2002 aus der BWI 2002, von 2008 aus der IS08 und von 2012 aus der BWI 2012. Auch diese Zahlen verdeutlichen die Zunahme des Kohlenstoffvorrates in den Wäldern, wobei hier nur die Vorräte für die verbleibenden Waldflächen ohne Neuwaldflächen berücksichtigt wurden.

Die Wälder der Bundesrepublik Deutschland sind damit insgesamt eine Nettosenke für Kohlenstoff.

Abbildung 57: Kohlenstoffvorräte und Kohlenstoffvorratsveränderungen für die unterirdische und oberirdische Biomasse im Wald für die Jahre 1987/1993, 2002, 2008 und 2012

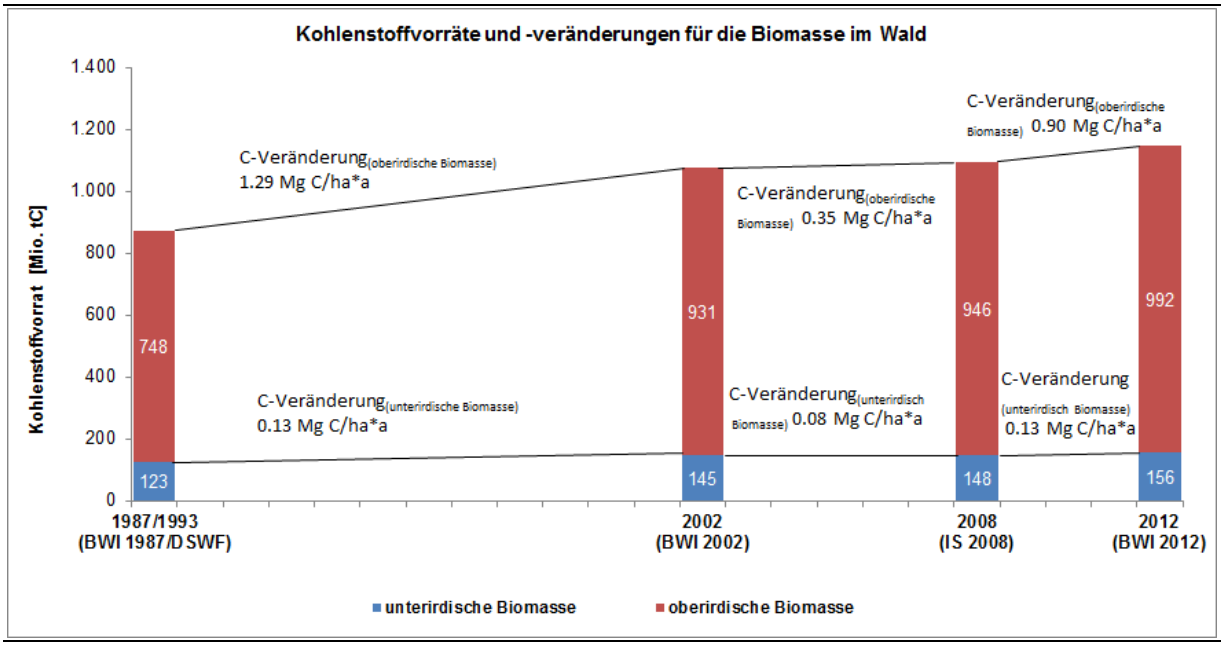

6.4.2.2.2 Neuwaldfläche

Die Berechnung der Änderungen der Kohlenstoffvorräte für die Biomasse auf Neuwaldflächen erfolgt nach dem Tier 2-Ansatz nach der Formel 2.16 der *2006 IPCC Guidelines*. Dabei wird die Vorratsveränderung durch die Differenz zwischen dem Biomassevorrat vor und nach der Umwandlung gebildet (siehe auch Kapitel 6.1.2.3).

Für die Neuwaldfläche wurde auf Basis der BWI 1987, BWI 2002 und BWI 2012 eine Einzelbaumberechnung durchgeführt. Für den Zeitraum bis 2002 wurden nur Bäume in den alten Bundesländern berücksichtigt, da die BWI 1987 nur dort durchgeführt wurde. Ab dem Jahr 2002 erfolgte eine Berechnung für Gesamtdeutschland. Die Kohlenstoffvorräte wurden für jede Umwandlungsfläche einer Landnutzungskategorie in Wald berechnet und am Ende in der Kategorie Neuwald zusammengefasst. Die Vorräte der Vornutzungskategorien wurden abgezogen und somit berücksichtigt.

Da für den Zeitraum von 1990 bis 2002 in den neuen Bundesländer die Holzvorräte der Neuwaldflächen nicht direkt aus dem Vergleich zweier Inventuren abgeleitet werden konnten, wurden die Werte der alten Bundesländer verwendet.

Die Biomassevorräte am Ende der Vegetationsperiode 2002 bzw. 2012 entsprechen der Vorratszunahme in der Biomasse über den gesamten Betrachtungszeitraum seit 1987. Diese Vorratszunahme wurde linear in den Perioden 1990 bis 2002 und 2002 bis 2012 interpoliert. Die Daten der IS08 sind für die Berechnung der Biomasse von Neuwaldflächen ungeeignet, da keine Neuwaldflächen aufgenommen wurden. Die Kohlenstoffvorratsanreicherung in der Biomasse beträgt für 1990 bis 2002 jedes Jahr 3,40 t C ha^{-1} a^{-1} und für 2002 bis 2015 jedes Jahr 3,64 t C ha^{-1} a^{-1}. Zu beachten ist, dass die Aufforstungsflächen 20 Jahre in dieser Landnutzungskategorie verbleiben. Bei den jährlich hinzukommenden Flächen ist der Kohlenstoffvorratsverlust von der Vornutzung im Umwandlungsjahr zu berücksichtigen, der sofort als Emission gewertet wird.

6.4.2.2.3 Herleitung der Einzelbaumbiomassen

Die Schätzung der oberirdischen Biomasse erfolgt durch Biomassefunktionen, die mit den Daten der Bundeswaldinventur hergeleitet wurden. Weitere Informationen finden sich in KÄNDLER & BÖSCH (2013) und im Kapitel 6.4.2.2.4. Auch die unterirdische Biomasse wird über Biomassefunktionen hergeleitet. Dies geschieht mit Hilfe bundesweit repräsentativer Funktionen (siehe Kapitel 6.4.2.2.5).

Für die Berechnung von Kohlenstoffvorräten wurden für 1987 für die alten Bundesländer die Daten der BWI 1987 (ca. 230.000 vermessene Bäume) verwendet. Für die neuen Bundesländer liegen mit dem Datenspeicher Waldfonds die Daten der Forsteinrichtung bis 1993 in aggregierter Form zur Kohlenstoffvorrats-Berechnung vor. Die BWI 2002 mit ca. 377.000 vermessenen Bäumen bildet die Datengrundlage für das Stichjahr 2002. Ergänzt werden die BWI-Daten durch die wiederholte Aufnahme von ca. 83.000 Bäumen in der Inventurstudie 2008. Hinzugekommen sind die Daten der BWI 2012 mit rund 537.000 aufgenommenen Bäumen. Diese Datenquellen bilden so gute Berechnungsgrundlagen für die die Kohlenstoffvorrats-Veränderungsschätzungen, dass die Vorratsveränderungsmethode (Stock-Difference Method, 2006 IPCC Guidelines) der Biomasse-Zunahme-Abnahme-Methode (Gain-Loss Method, 2006 IPCC Guidelines) vorgezogen werden konnte.

6.4.2.2.4 Konvertierung in oberirdische Einzelbaumbiomasse

Die rund 1600 Bäume der Studie von KÄNDLER & BÖSCH (2013) beschränkten sich auf die Baumarten Fichte, Kiefer, Buche und Eiche. Alle weiteren Baumarten werden mit Ausnahme der Weichlaubhölzer den bereits genannten zugeordnet. Würden die Weichlaubhölzer ebenfalls der Baumart Buche zugeordnet und die entsprechenden Funktionen und Koeffizienten angewendet, wäre eine deutliche Überschätzung der Biomasse für diese Baumartengruppe die Folge. Aus diesem Grund wurde über sogenannte Pseudobeobachtungen basierend auf den GRUNDNER & SCHWAPPACH (1952)-Tafeln für die Weichlaubhölzer eine Biomassefunktion gleichen Typs angepasst.

Die Biomassefunktionen nach Baumartengruppen gliedern sich in drei Teile:

- Bäume >= 10 cm Brusthöhendurchmesser (BHD)
- Bäume >= 1,3 m Höhe und < 10 cm BHD sowie
- Bäume < 1,3 m Höhe

Bei Bäumen < 1,3 m Höhe (hier kann kein BHD gemessen werden) ist eine Differenzierung nach den genannten 5 Baumartengruppen nicht mehr sinnvoll. Deshalb wird hier nur nach Nadel- und Laubholz unterschieden. In den Übergangsbereichen wurden die Funktionen mit Hilfe statistischer Verfahren geglättet, so dass hier mögliche Sprünge zwischen den Funktionen vermieden werden konnten.

Im Folgenden sind die Funktionen zur Ableitung der oberirdischen Biomasse aus den Bundeswaldinventurdaten und deren Koeffizienten, getrennt nach Baumartengruppen aufgeführt.

Bäume ab 10 cm BHD

Gleichung 27

$$Y_{BIOM_0} = b_0 e^{b_1 \frac{BHD}{BHD+k_1}} \; e^{b_2 \frac{D03}{D03+k_2}} \; H^{b_3}$$

mit Y_{BIOM_0} = Oberirdische Biomasse in kg pro Einzelbaum,
$b_{0,1,2,3}$ und $k_{1,2}$ = Koeffizienten der Marklundfunktion,
BHD = Brusthöhendurchmesser in cm,

D03 = Durchmesser in cm auf 30% der Baumhöhe,

H = Baumhöhe in m.

Tabelle 340: Koeffizienten der Biomassefunktion für Bäume >= 10 cm BHD

Baumart	b_0	b_1	b_2	b_3	k_1	k_2	RMSE%
Fichte	0,75285	2,84985	6,03036	0,62188	42,0	24,0	11,2
Kiefer	0,33778	2,84055	6,34964	0,62755	18,0	23,0	15,6
Buche	0,16787	6,25452	6,64752	0,80745	11,0	135,0	18,8
Eiche	0,09428	10,26998	8,13894	0,55845	400,0	8,0	12,1
Weichlaubholz	0,27278	4,19240	5,96298	0,81031	13,7	66,8	50,0[109]

Bäume > 1,3 m Höhe und < 10 cm BHD

Gleichung 28

$$Y_{BIOM_0} = b_0 + \left(\frac{b_s - b_0}{d_s^2} + b_3(BHD - d_s)\right) BHD^2$$

Y_{BIOM_0} = Oberirdische Biomasse in kg pro Einzelbaum,

$b_{0,s,3}$ = Koeffizienten der Funktion,

BHD = Brusthöhendurchmesser in cm ,

d_s = Durchmessergültigkeitsgrenze für diese Funktion = 10 cm.

Tabelle 341: Koeffizienten der Biomassefunktion für Bäume >= 1,3 m Höhe und < 10 cm BHD

Baumart	b_0	b_s	b_3
Fichte	0,41080	26,63122	0,01370
Kiefer	0,41080	19,99943	0,00916
Buche	0,09644	33,22328	0,01162
Eiche	0,09644	28,94782	0,01501
Weichlaubholz	0,09644	16,86101	-0,00551

Bäume < 1,3 m Höhe

Gleichung 29

$$Y_{BIOM_0} = b_0 \, H_1^b$$

Y_{BIOM_0} = Oberirdische Biomasse in kg pro Einzelbaum,

$b_{0,1}$ = Koeffizienten der Funktion,

H = Baumhöhe in m.

Die Baumhöhe bei Bäumen unter 1,3 m Höhe wird bei der Bundeswaldinventur lediglich in zwei Stufen erfasst: 20-50 cm und 50-130 cm, so dass hier in die Funktion die jeweiligen Mittelwerte dieser Klassen von 35 cm und 90 cm als Standardwerte eingesetzt werden.

Tabelle 342: Koeffizienten der Biomassefunktion für Bäume < 1,3 m Höhe

Baumart	b_0	b_1
Fichte	0,23059	2,20101
Buche	0,04940	2,54946

Für die Neuen Bundesländer lagen für den Zeitpunkt 1990 keine Inventurdaten vor. Einzigst verfügbare Datenquelle ist der Datenspeicher Waldfonds von 1993, welcher die Vorräte und die Waldflächen für die Neuen Bundesländer nach einer einheitlichen Methode erfasst. Deshalb

[109] Für diese Funktion ist keine Angabe des RMSE% verfügbar, deshalb wurde der IPCC Standardwert von 50% eingesetzt.

wurden, wie in den vergangenen Submissionen auch, die Derbholzvorräte mittels der in BURSCHEL et. al (1993) beschriebenen Methoden in Biomasse umgewandelt. In einem ersten Schritt wird das Derbholzvolumen mit dem Wurzelprozent multipliziert, so dass daraus die Angabe des unterirdischen Volumens resultiert. Anschließend wird das Derbholzvolumen und das unterirdische Volumen mit einem Volumensexpansionsfaktor multipliziert. Daraus resultiert das gesamte Baumholzvolumen. Wird vom Baumholzvolumen das Derbholz- und unterirdische Volumen subtrahiert, erhält man das Astvolumen. Anschließend werden die Volumina mit der Raumdichte multipliziert, wobei für das Astvolumen nach PISTORIUS et. al (2006) spezifische Raumdichten verwendet werden. Alle Werte sind in den folgenden Tabellen aufgeführt.

Tabelle 343: Wurzelprozent und Raumdichten zur Konvertierung der Datenspeicher Waldfonds-Daten

Baumart	Wurzelprozent (bis 20 Jahre)	Wurzelprozent (> 20 Jahre)	RMSE%	Raumdichte (Derbholz und Wurzel)	Raumdichte (Astholz)	RMSE%
Fichte	100	30	50	0,38	0,49	18,8
Tanne	100	25	50	0,36	0,49	22,7
Douglasie	100	25	50	0,41	0,49	20,7
Kiefer	100	25	50	0,43	0,49	27,2
Lärche	100	25	50	0,49	0,49	18,2
Buche	100	25	50	0,56	0,54	13,7
Eiche	100	25	50	0,57	0,57	19,8
Hartlaubholz	100	25	50	0,56	0,57	15,0
Weichlaubholz	100	25	50	0,46	0,54	8,7

Tabelle 344: Volumensexpansionsfaktoren zur Konvertierung von Derbholzvolumen + unterirdischem Volumen zum Baumholzvolumen der Datenspeicher Waldfonds-Daten

Baumart	0 bis 20 Jahre	21 bis 40 Jahre	41 bis 60 Jahre	61 bis 80 Jahre	81 bis 100 Jahre	101 bis 120 Jahre	121 bis 140 Jahre	141 bis 160 Jahre	> 160 Jahre	RMSE%
Fichte	4	1,65	1,51	1,45	1,45	1,45	1,46	1,47	1,48	50
Tanne	4	1,52	1,44	1,44	1,38	1,41	1,41	1,42	1,41	50
Douglasie	4	1,65	1,51	1,45	1,45	1,45	1,46	1,47	1,48	50
Kiefer	4	1,51	1,42	1,40	1,36	1,34	1,34	1,34	1,33	50
Lärche	4	1,51	1,42	1,40	1,36	1,34	1,34	1,34	1,33	50
Buche	4	1,69	1,47	1,41	1,38	1,39	1,39	1,38	1,39	50
Eiche	4	1,58	1,41	1,39	1,37	1,35	1,34	1,35	1,34	50
Hartlaubholz	4	1,69	1,47	1,41	1,38	1,39	1,39	1,38	1,39	50
Weichlaubholz	4	1,69	1,47	1,41	1,38	1,39	1,39	1,38	1,39	50

Sowohl für das Wurzelprozent als auch für den Volumensexpansionsfaktor sind keinerlei Unsicherheiten bekannt. Aus diesem Grund wird hier der IPCC Standardwert von 50 % verwendet.

6.4.2.2.5 Konvertierung in unterirdische Biomasse

Um zwischen der Herleitung der oberen und der unteren Biomasse vergleichbare und transparente Methoden anwenden zu können, werden seit der Submission 2015 Biomassefunktionen basierend auf begutachteten Artikeln verwendet. Für die Kiefer wurde vom Thünen Institut eine eigene Biomassefunktion zur Ableitung der unterirdischen Biomasse entwickelt. Alle gewählten Biomassefunktionen entsprechen der Gleichung 30.

Gleichung 30

$$Y_{BIOM_u} = b_0 \, BHD^{b1}$$

Y_{BIOM_u} = unterirdische Biomasse in kg pro Einzelbaum

$b_{0,1}$ = Koeffizienten der unterirdischen Biomassefunktion.

Tabelle 345:

Baumart	b_0	Parameter	b_1	RMSE%	Region	Quelle
Fichte	0.003720	BHD [cm]	2.792465	34,6	Solling	BOLTE (2003)
Kiefer	0.006089	BHD [cm]	2.739073	26,3	Barnim	NEUBAUER & DEMANT (2013)
Buche	0.018256	BHD [cm]	2.321997	49,0	Solling	BOLTE (2003)
Eiche	0.028000	BHD [cm]	2.440000	50,0[110]	Nordost Frankreich	DREXHAGE (2001) in BOLTE (2003)
Weichlaubholz (Wurzelbiomasse)	0.000010	BHD [mm]	2.529000	9,6	Südschweden	JOHANNSON (2012)
Weichlaubholz (Wurzelstumpfbiomasse)[111]	0.000116	BHD [mm]	2.290300	15,9	Südschweden	JOHANNSON (2012)

Auf die Verwendung von log-Funktionen, welche in der Literatur ebenfalls vorhanden sind (siehe Abbildung 58), wurde bewusst verzichtet. Eine „Rücktransformierung“ der Fehlerwerte zur Weiterverwendung im Fehlerbudget ist nicht möglich bzw. es stellte sich heraus, dass bei Vorliegen der original Messwerte, die log-Fehlerangaben nach einer „Rücktransformation“ ähnlich hoch ausfallen, wie in der ursprünglichen Skaleneinheit.

Neben der Thünen-Institut-eigenen Kiefernfunktion (NEUBAUER & DEMANT, 2013) ist auch die Funktion von DREXHAGE (2001) in BOLTE (2003) für Eiche für Europa einzigartig. Die gewählten Funktionen für Buche und Fichte decken einen wesentlich breiteren Bereich in der BHD-Verteilung ab, vor allem im stärkeren Bereich, als Vergleichsstudien von WUTZLER et. al. (2008) und WIRTH et al. (2004a). Die Funktionen haben somit einen wesentlich geringeren Extrapolationsbereich, wodurch ein „abdriften“ der Biomassewerte nach oben vermieden wird (siehe Abbildung 58).

Gleichzeitig wurden die gewählten Funktionen für Fichte und Buche jedoch nur in einem kleinen Gebiet, dem Solling erhoben. Dagegen beziehen die Funktionen von WUTZLER et al. (2008) und WIRTH et al. (2004a) Daten aus verschiedenen, geographisch unterschiedlichen Studien ein.

Dieser Vergleich der gewählten Funktionen für Fichte, Buche und Weichlaubholz (jeweils durchgezogene Linie in Abbildung 58) mit weiteren Veröffentlichungen zeigt, dass die gewählten Funktionen stets konservative Biomassevorräte schätzen. Die Veränderungsraten zwischen zwei Zuständen sind somit ebenfalls im Bezug auf andere Funktionen gering. Da in der Kategorie der unterirdischen Biomasse über den gesamten Berichtszeitraum Kohlenstoff akkumuliert wird, sind die Schätzungen zur Sequestrierungsrate als konservativ zu werten.

[110] Für diese Funktion ist keine Angabe des RMSE% verfügbar, deshalb wurde der IPCC-Default von 50% eingesetzt.
[111] Der mittlere RMSE% beider Funktionen (Wurzelstumpfmasse + Wurzelmasse) beträgt 24,2%.

Abbildung 58: Vergleich verschiedener Funktionen zur Ableitung der unterirdischen Biomasse

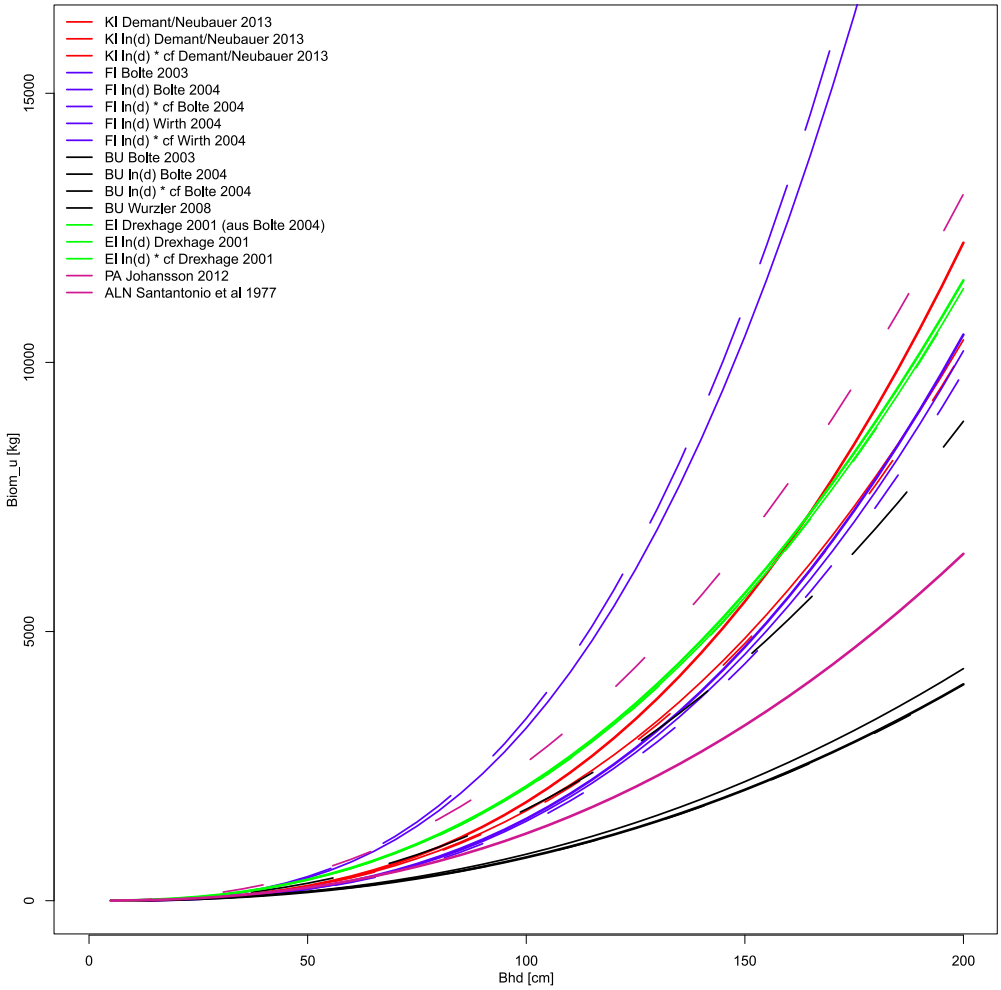

6.4.2.2.6 Konvertierung der Einzelbaumbiomasse in Kohlenstoff

Für die Konvertierung der Biomasse in in Kohlenstoffvorräte wurde ein Wert von 0,5 angewandt. WIRTH et al. (2004b) berichten, dass die Unterschiede zwischen den Kompartimenten innerhalb einer Baumart größer sind als die Unterschiede zwischen den Baumarten. Sie kommen auf eine Spanne von 0,5 bis 0,56 g C g^{-1} in Nadelbäumen. Der relative Standardfehler des Kohlenstoffgehaltes in Holz wird von BURSCHEL et al. (1993) mit 1 bis 2 % angegeben, WEISS et al. (2000) benutzten 2 %. Insgesamt scheint daher ein mittlerer Kohlenstoffgehalt von 0,5 g C g^{-1} als gute Annahme für den durchschnittlichen Gehalt mit einem relativen Standardfehler von ± 2 % als angemessen.

6.4.2.2.7 Zustandsschätzer für 1987, 2002, 2008 u. 2012

Einige Bundesländer verwenden ein Stichprobennetz, das dichter ist als 4 x 4 km. Darüber hinaus haben einige Bundesländer das Stichprobennetz zwischen den Inventuren verdichtet. Daher muss die Hochrechnung auf die Bundesfläche stratifiziert nach homogenen Netzdichten nach sogenannten Samplingstraten erfolgen. An dieser Stelle werden die Hochrechnungsprozeduren für den stratifizierten Stichprobenplan für die Zielgrößen Derbholzvorrat, Biomasse und Kohlenstoff zu einem Zeitpunkt vorgestellt. Berechnet werden die Zustände zu den Zeitpunkten 1987, 2002, 2008 und 2012. Die Hochrechnungsalgorithmen sind für unterschiedliche Aussageeinheiten (gesamtes Bundesgebiet, verschiedene Regionen (Alte/Neue Bundesländer) und unterschiedliche LULUCF- bzw. ARD-Kategorien) identisch.

Die Bundeswaldinventur ist eine Traktstichprobe. Die kleinste Stichprobeneinheit ist der Trakt (Cluster) mit vier Trakt-Ecken (Probepunkten). An der Grenze des Inventurgebietes bzw. der Straten gibt es jedoch unvollständige Trakte mit variabler Größe, d.h. die Anzahl Stichprobenpunkte (Trakt-Ecken im Wald und Nichtwald) innerhalb eines Traktes kann zwischen den Werten 1 bis 4 variieren. Für jeden Trakt *c*, der im Stratum *l* lokalisiert ist, muss vorab die lokale Dichte (*Y*) berechnet werden:

Gleichung 31

$$Y_{lc} = \frac{\sum_{m=1}^{M} I_{l,c,m} Y_{l,c,m}}{M_{l,c}}$$

mit $M_{l,c}$ = Anzahl Stichprobenpunkte des Traktes *c* im Stratum *l*. Daraus ergibt sich der Mittelwertschätzer bezogen auf Wald und Nichtwald für das Stratum *l* wie folgt:

Gleichung 32

$$\hat{\bar{Y}}_l = \frac{\sum_{c_l=1}^{C_l} M_{l,c} Y_{lc}}{\sum_{c_l=1}^{C_l} M_l}$$

Der Gesamtschätzer für eine Zielgröße über alle Straten hinweg ($\hat{Y}_{st}$) ist ein mit den Flächenanteilen der Straten gewichteter Mittelwert aus den einzelnen Stratenschätzern:

Gleichung 33

$$\hat{\bar{Y}}_{st} = \sum_{l=1}^{L} \hat{\bar{Y}}_l \frac{\lambda(U_{l)}}{\lambda(U)}$$

Das Total einer Zustandsschätzung ergibt sich durch Multiplikation des Gesamtschätzers mit der Gesamtfläche $\lambda(U)$.

Gleichung 34

$$\hat{Y}_{st} = \hat{\bar{Y}}_{st} \lambda(U)$$

Der (wald-) flächenbezogene Mittelwert ist definiert als Quotienten- oder Ratioschätzer ($\hat{R}_{st}$) aus:

Gleichung 35

$$\hat{R}_{st} = \frac{\hat{Y}_{st}}{\lambda(U_{Wald})}$$

6.4.2.2.8 Schätzer für die Vorratsveränderung nach der „Stock-Difference-Method“

Für die Berechnung der Veränderung zwischen zwei Zeitpunkten (den Perioden 1987 und 2002, 2002 und 2008 bzw. 2008 und 2012) wurde die CFI (Continuous Forest Inventory) Methode gewählt, d.h. für die Hochrechnung werden nur die Traktecken herangezogen, die zu beiden Zeitpunkten aufgenommen wurden. Die Veränderungsschätzung beruht somit auf der Differenz beider Zustandsschätzungen. Auf Ebene der Straten wird die Gesamtveränderung geschätzt durch:

Gleichung 36

$$\hat{G}_l = \hat{Y}_l^{(t_2)} - \hat{Y}_l^{(t_1)}$$

Die Schätzung der Gesamtveränderung über die Straten hinweg für die gesamte Aussageeinheit erfolgt analog zu Gleichung 33. Die Schätzung des Veränderungstotals berechnet sich nach Gleichung 34. Die Veränderung des flächenbezogenen Mittelwertes ergibt sich aus:

Gleichung 37

$$\hat{G}_{Rst} = \hat{R}_{st}^{(t_2)} - \hat{R}_{st}^{(t_1)}$$

6.4.2.2.9 Interpolation der Zeiträume hin zu jährlichen Veränderungsschätzungen

Da es sich bei der Bundeswaldinventur um eine periodisch wiederkehrende Inventur handelt, müssen die Veränderungsschätzungen zwischen zwei Zeiträumen interpoliert werden, um jährliche Veränderungsraten, sogenannte Emissionsfaktoren, zu erhalten. Für die Zeiträume zwischen den Inventuren BWI 1987, BWI 2002, IS 2008 und BWI 2012 erfolgte eine lineare Interpolation auf Ebene der LULUCF- bzw. ARD-Klassen. Der Emissionsfaktor *EF* für eine LULUCF-Klasse ist somit als Quotient des flächenbezogenen Mittelwertes und der Anzahl Jahre *a* im Inventurintervall definiert:

Gleichung 38

$$EF = \frac{\hat{G}_{Rst}}{a}$$

Demzufolge entspricht Gleichung 27 der Equation 2.5 der 2006 IPCC Guidelines (IPCC, 2006):

Equation 2.5, 2006 IPCC Guidelines

$$\Delta C = \frac{(C_{t_2} - C_{t_1})}{(t_2 - t_1)}$$

Für eine Fortschreibung der Veränderungsschätzungen über den Inventurzeitraum hinaus (Extrapolation) wird ebenfalls ein linearer Trend angenommen.

6.4.2.3 Totholz (CRF-Table 4.A)

6.4.2.3.1 Verbleibende Waldfläche

Die Berechnung der Änderung des Totholzkohlenstoffvorrates erfolgt nach dem Tier 2-Ansatz mit der Vorratsveränderungsmethode (Stock-Difference Method, Equation 2.19, 2006 IPCC Guidelines).

Für die Berechnung der Kohlenstoffvorräte im Totholz wurden die Daten der BWI 2002 (BMELV 2005), der Inventurstudie 2008 und der BWI 2012 verwendet. Totholzdaten zum Zeitpunkt der BWI 1987 stehen nicht zur Verfügung, da bei dieser Inventur kein Totholz aufgenommen wurde. Die terrestrische Aufnahme der BWI 2002 beschränkte sich auf Totholz mit einem Durchmesser ab 20 cm am dickeren Ende bei liegendem Totholz bzw. BHD bei stehendem Totholz sowie Stöcke ab 50 cm Höhe oder 60 cm Schnittflächendurchmesser (BMVEL 2001). Aufgrund der Vorgaben der Klimaberichterstattung wurde die Erfassungsgrenze für Totholzobjekte bei den Erhebungen der Inventurstudie 2008 und der BWI 2012 auf einen Durchmesser ab 10 cm am dickeren Ende gesenkt (BMELV 2010). Bei allen drei Waldinventuren erfolgte eine Unterteilung in die drei Baumartengruppen Nadelbäume (NDH), Laubbäume (LBH) (außer Eiche) und Eiche (EI). Der

Zersetzungsgrad des Totholzes wurde nach vier Kategorien angesprochen (BMELV 2010, BMVEL 2001).

Für die Berichterstattung nach den 2006 IPCC Guidelines wurde aus den in der Inventurstudie erhobenen Daten die Relation des Totholzvorrates zwischen der Aufnahmegrenze von 10 cm und 20 cm ermittelt. Unter der Annahme, dass dieses Verhältnis zum Zeitpunkt der BWI 2002 gleich war, erfolgte die Schätzung des Totholzvorrates ab 10 cm Aufnahmegrenze für das Jahr 2002. Für die Totholzvorräte der BWI 2002 der Inventurstudie (2008) und der BWI 2012 wurde die Biomasse für die einzelnen Zersetzungsgrade mit der Raumdichte nach FRAVER et al. (2002) für Nadelholz und nach MÜLLER-USING & BARTSCH (2009) für Laubholz ermittelt. Für die Berechnung der Raumdichte des Laubholzes wurden die Totholzobjekte der Baumartengruppen Laubbäume (außer Eiche) und Eiche zusammengelegt. Einen Überblick über die verwendeten Biomasse Expansionsfaktoren und deren Fehler getrennt nach Baumartenklassen und Zersetzungsgrade finden sich in Tabelle 346.

Tabelle 346: Biomasse Expansionsfaktoren (BEF) und deren Fehler (RMSE%) für die Baumartenklassen und Zersetzungsgrade (NDH = Nadelbäume, LBH = Laubbäume, EI = Eiche)

Totholzart	Zersetzungsgrad		BEF	RMSE%	Quelle
NDH	1	frisch abgestorben	0.372	17,2	FRAVER (2002)
NDH	2	beginnende Zersetzung	0.308	27,9	FRAVER (2002)
NDH	3	fortgeschrittene Zersetz.	0.141	35,5	FRAVER (2002)
NDH	4	stark vermodert	0.123	25,2	FRAVER (2002)
LBH	1	frisch abgestorben	0.58	12,1	MÜLLER-USING (2009)
LBH	2	beginnende Zersetzung	0.37	43,2	MÜLLER-USING (2009)
LBH	3	fortgeschrittene Zersetz.	0.21	33,3	MÜLLER-USING (2009)
LBH	4	stark vermodert	0.26	65,4	MÜLLER-USING (2009)
EI	1	frisch abgestorben	0.58	12,1	MÜLLER-USING (2009)
EI	2	beginnende Zersetzung	0.37	43,2	MÜLLER-USING (2009)
EI	3	fortgeschrittene Zersetz.	0.21	33,3	MÜLLER-USING (2009)
EI	4	stark vermodert	0.26	65,4	MÜLLER-USING (2009)

Die jährliche Änderung des Kohlenstoffvorrates im Totholz wurde nach Gleichung 39 (Equation 2.19, 2006 IPCC Guidelines) berechnet und beträgt für die Periode 2002 bis 2007 0,0967 t C ha^{-1} a^{-1} und für 2008 bis 2015 -0,0519 t C ha^{-1} a^{-1}. Für den Zeitraum von 1990 bis 2001 wurde eine mittlere Totholzvorratsveränderung der Perioden 2002-2007 und 2008-2012 gleichbleibend für alle Jahre angenommen, die 0,0368 t C ha^{-1} a^{-1} beträgt.

Gleichung 39

$$\Delta C_{FF_{DW}} = \frac{A * \left(B_{t_2} - B_{t_1}\right)}{T} CF$$

mit:

ΔC_{FFDW} = jährliche Änderung des Kohlenstoffes im Totholz auf verbleibenden Waldflächen

A = Fläche des verbleibenden Waldes

B_{t1} = Totholzvorrat zum Zeitpunkt t_1 (Beginn der Periode) für den verbleibenden Wald

B_{t2} = Totholzvorrat zum Zeitpunkt t_2 (Ende der Periode) für den verbleibenden Wald

$T=(t_2-t_1)$ = Zeitraum zwischen den beiden Schätzungen

CF = Kohlenstoffkonversionsfaktor (Standardwert = 0,5)

6.4.2.3.2 Neuwaldfläche

Die jährliche Änderung des Kohlenstoffvorrates im Totholz auf Neuwaldflächen wurde nach Equation 2.19 der 2006 IPCC Guidelines (IPCC, 2006) berechnet. Sie ist identisch mit der Gleichung für die Veränderung der Totholzvorräte für verbleibenden Wald (siehe Gleichung 39).

Der Totholzvorrat auf Neuwaldflächen für den Zeitpunkt 2012 (t2) wird aus den Daten der BWI 2012 bestimmt. Als Neuwaldflächen zählen die Flächen, die zum Zeitpunkt der BWI 1987 nicht Waldflächen waren. Daraus folgt, dass für den Zeitpunkt 1987 (t1) der Totholzvorrat mit Null angenommen wird. Der Zeitraum zwischen den zwei Zeitpunkten beträgt 25 Jahre, was sowohl für die Konventions- wie für die Kyotoberichterstattung zu einer Unterschätzung der Totholzvorratsveränderung führt und somit einen konservativen Ansatz darstellt. Die jährliche Änderung der Kohlenstoffvorräte im Totholz auf Neuwaldflächen beträgt 0,0344 t C ha-1 a-1.

Für die Bestimmung von Totholzvorräten für Neuwaldflächen standen nur die Daten der BWI 2012 zur Verfügung. Bei der Inventurstudie 2008 wurden keine Neuwaldflächen erhoben, die BWI 2002 beschränkte sich auf die Aufnahme von Totholz mit einem Durchmesser ab 20 cm am dickeren Ende bei liegendem Totholz bzw. BHD bei stehendem Totholz und bei der BWI 1987 wurde kein Totholz erfasst.

6.4.2.4 Streu (CRF-Table 4.A)

6.4.2.4.1 Verbleibende Waldfläche

Die Berechnung der Kohlenstoffvorratsveränderung für die Streu erfolgt nach dem Tier 2-Ansatz mit der Vorratsveränderungsmethode (Stock-Difference Method, Equation 2.19, 2006 IPCC Guidelines).

Die Veränderungsrechnung der Kohlenstoffvorräte im Boden und Streu basiert auf den Daten der bundesweiten Bodenzustandserhebungen im Wald (BZE I und BZE II, siehe Kapitel 6.4.2.1.2, Grueneberg et al., 2014). Im Zeitraum von 1990 (BZE I) bis 2006 (BZE II) war eine leichte Abnahme der Kohlenstoffvorräte von -0.02 t C ha-1 a-1 zu verzeichnen (Grueneberg et al., 2014). Es wird angenommen, dass dieser Trend auch für den Zeitraum von 2007 bis 2015 gilt. Eine ausführliche Beschreibung zum methodischen Vorgehen zur Bestimmung der Kohlenstoffveränderung in der Streu ist im Kapitel 6.4.2.4.4 zu finden.

6.4.2.4.2 Neuwaldflächen

Die Berechnung der Kohlenstoffvorratsänderungen erfolgte nach dem Tier 2-Ansatz (Equation 2.23, 2006 IPCC Guidelines). Dieser Ansatz erfordert die Herleitung der jährlichen Kohlenstoffänderungsrate. Diese wird berechnet aus den durchschnittlichen Streuvorräten im Wald unter Gleichgewichtsbedingungen und einer Übergangsperiode, die benötigt wird, bis sich die Streuvorräte bei Aufforstung aufgebaut haben.

Für die Berechnung der Streuauflage wurden die Zustandsdaten der BZE I und BZE II verwendet. Danach betragen die mittleren Kohlenstoffvorräte in der Streu für das Stichjahr 1990 der BZE I 19,0 t C ha^{-1} und für das Stichjahr 2006 der BZE II 18,8 t C ha^{-1}. Somit zeigte es sich, dass die mittleren Kohlenstoffvorräte in der Streu im Wald ihrerseits einem leichten Trend unterlagen. Die mittleren Vorräte werden diesem Trend angepasst. Sie werden für die Periode von 1991 bis 2005 durch Interpolation und ab 2007 durch Extrapolation berechnet und als Berechnungsgrundlage für Aufforstungsflächen herangezogen (siehe Tabelle 347). Die methodische Beschreibung für die Herleitung der Kohlenstoffvorräte in der Streu findet sich im Kapitel 6.4.2.4.3.

Tabelle 347: Implizierte Emissionsfaktoren (IEF) (Kohlenstoff) für Streu der Landnutzungskategorien zu Neuwald

Jahr	1990	1995	2000	2005	2006	2007	2008	2009	2010	2011	2012
IEF [t C ha^{-1}]	0,4750	0,4734	0,4719	0,4703	0,4700	0,4697	0,4694	0,4691	0,4688	0,4684	0,4681
Jahr	**2013**	**2014**	**2015**								
IEF [t C ha^{-1}]	0,4678	0,4675	0,4672								

Für die Übergangsperiode wurde angenommen, dass sich erst nach 40 Jahren ein mittlerer Kohlenstoffvorrat in der Streu einstellt. Dieser Wert wird von Standardwerten für die Kohlenstoffspeicherung in der Bodenauflage sowie von Standardwerten für die Zeiträume bis zur Erreichung eines neuen Gleichgewichtes nach PAUL et al. (2009) und den 2003 IPCC Good Practice Guidance, Tabelle 3.2.1 (IPCC, 2003) belegt. In der IPCC-Tabelle 3.2.1 wird für Deutschland die warmgemäßigte Klimazone (feucht) angenommen und ein Mittelwert zwischen den Laub- und Nadelwaldwerten gebildet. Somit ergibt sich der jährliche Kohlenstoffaufbau in der Streu durch den mittleren Kohlenstoffvorrat des jeweiligen Jahres geteilt durch die Anzahl der Jahre bis sich dieser einstellt.

Eine weitere Unterteilung der Aufforstungsflächen in die Klassen „natürliche Regeneration“ und „menschlich induziert“ wurde nicht unternommen (siehe Kapitel 11.4.1).

6.4.2.4.3 Herleitung der Kohlenstoffvorräte der Streu

Die Beprobung der Streu erfolgte an den Inventurpunkten anhand von Mischproben an Satelliten mit Stechrahmen unterschiedlicher Größe (GRUENEBERG et al., 2014). Als Streu entsprechend den 2006 IPCC Guidelines wurde die gesamte tote organische Auflage einschließlich den L-, Of- und Oh-Horizonten angesehen (IPCC, 2006). Die Messung der organischen Kohlenstoffkonzentration der Streu erfolgte durch eine vergleichbare Methodik. Dabei gilt, dass der Gesamtkohlenstoff (C_{ges}) gleich dem organischen Kohlenstoff (C_{org}) ist ([C_{ges}]=[C_{org}]). Der Kohlenstoffvorrat der Streu errechnete sich aus der Fläche des Stechrahmens sowie aus dem Gewicht und der organischen Kohlenstoffkonzentration der Streu. Die Beschreibung der verwendeten Methoden bei der Beprobung und Analytik findet sich in WELLBROCK et al. 2006 und KÖNIG et al. 2005.

In die Berechnung der Kohlenstoffvorräte der Streu gingen alle für die BZE I und BZE II vorliegenden Punkte mit Angaben zum Waldtyp ein. Alle Werte kleiner oder größer der doppelten Standardabweichung ($x \pm 2\ \sigma$) wurden als Ausreißer aufgefasst und gelöscht. Aus den Werten der verbliebenen Datenpunkte für BZE I ($n = 1629$) und BZE ($n = 1542$) ließen sich die Kohlenstoffvorräte getrennt für Laub-, Nadel- und Mischwald angeben (siehe Tabelle 348). Die mittleren Kohlenstoffvorräte der beiden Inventuren wurden als gewichtetes Mittel aus den Kohlenstoffvorräten der drei Waldtypen berechnet. Die Gewichte wurden dabei aus den Flächenanteilen der Waldtypen an der Gesamtwaldfläche aus den CORINE Land Cover- Daten 1990 und 2006 und der regionalen Netzdichte ermittelt. Die mittleren Kohlenstoffvorräte der Stichproben betrugen für die BZE I 19,0 ± 0,3 t C ha^{-1} und für die BZE II 18,8 ± 0,3 t C ha^{-1} (GRUENEBERG et al. 2014). Diese Werte dienen als Grundlage für die Berechnung von CO_2-Emissionen aus der Streuauflage bei Entwaldung (siehe Kapitel 11.3.1.4) und Kohlenstoffsequestrierung in selbiger bei Aufforstungen (siehe Kapitel 6.4.2.4.2).

Tabelle 348: In den Inventuren BZE I und BZE II ermittelte Kohlenstoffvorräte in der Streu deutscher Wälder mit Angabe des Standardfehlers (Grueneberg et al. 2014)

Waldtyp	Kohlenstoffvorräte (BZE I) [t C ha^{-1}]	Kohlenstoffvorräte (BZE II) [t C ha^{-1}]
Laubwald	8,35 ± 0,37	6,78 ± 0,30
Mischwald	17,94 ± 0,63	14,99 ± 0,70
Nadelwald	23,75 ± 0,44	25,23 ± 0,49
Wald gesamt	**19,04 ± 0,30**	**18,83 ± 0,32**

6.4.2.4.4 Herleitung der Kohlenstoffvorratsänderung in der Streu in dem Zeitraum von 1990 (BZE I) bis 2006 (BZE II)

Die bei der Berechnung der Kohlenstoffvorräte eingehenden Punkte wurden als ungepaarte Stichproben aufgefasst. Es wurde mit einem zweiseitigen T-Test für ungepaarte Stichproben getestet, ob sich die logarithmierten Kohlenstoffvorräte zu beiden Inventurzeitpunkten unterschieden. Jedem Punkt wurde dabei ein Gewicht zugeordnet, das sich aus dem Flächenanteil des jeweiligen Stratums und der regionalen Netzdichte zusammensetzte. Die durchschnittliche Differenz betrug -0,02 ± 0,02 MgC ha^{-1} a^{-1} (GRUENEBERG et al. 2014). Der Wert weicht nicht signifikant von Null ab.

Für die Neuwaldflächen wurde aus den Kohlenstoffvorräten der BZE I / BZE II und der durchschnittlichen Differenz jährlich abnehmende Faktoren für die Streuakkumulation berechnet (siehe Kapitel 6.4.2.4.2 sowie Tabelle 347).

6.4.2.5 Mineralische Böden (CRF-Table 4.A)

6.4.2.5.1 Verbleibende Waldfläche

Die Berechnung der Kohlenstoffvorratsveränderung für die mineralischen Böden erfolgt nach dem Tier 2-Ansatz der 2006 IPCC Guidelines (Equation 2.25, IPCC, 2006).

Die Hochrechnung der Kohlenstoffvorräte und -vorratsveränderungen in den mineralischen Böden basiert auf der bundesweiten Bodenzustandserhebung im Wald (BZE I und BZE II, siehe Kapitel 6.4.2.1.2) entsprechend GRUENEBERG et al. 2014. Mit den vorhandenen Daten wurde eine Veränderungsrechnung für die mineralischen Böden für beide Inventuren durchgeführt. Das methodische Vorgehen wird ausführlich in den Kapiteln 6.4.2.5.3 und 6.4.2.5.4 beschrieben. Die Hochrechnung ergab über das gesamte Bundesgebiet gemittelt eine jährliche Zunahme des Kohlenstoffvorrates im Mineralboden von 0,41 ± 0,11 t C ha^{-1}. Es wurde angenommen, dass dieser Trend auch für den Zeitraum 2007 bis 2014 anhält.

6.4.2.5.2 Neuwaldflächen

Auch für die Neuwaldflächen wird - wie bei verbleibendem Wald - die Berechnung der Kohlenstoffvorratsveränderung für die mineralischen Böden nach dem Tier 2-Ansatz durchgeführt (Equation 2.25, 2006 IPCC Guidelines).

Für Neuwaldflächen wurden die Kohlenstoffänderungen in den mineralischen Böden entsprechend Kapitel 6.1.2.1 berechnet. Die berechneten mittleren Emissionsfaktoren (Implied Emission Factors) für das Jahr 2012 sind in Tabelle 306 im Kapitel 6.1.2.1 zusammengefasst und beziehen sich auf die jährliche Veränderung des Kohlenstoffvorrats der mineralischen Böden bei Landnutzungsänderung zu Neuwald bei einem Veränderungszeitraum von 20 Jahren.

6.4.2.5.3 Herleitung der Kohlenstoffvorräte und -veränderungen

Die Herleitung der Kohlenstoffvorräte und deren Veränderungen erfolgte auf Grundlage von Inventurdaten (siehe Kapitel 6.4.2.1.2, GRUENEBERG et al., 2014). Die Beprobung des Mineralbodens in der für den nationalen Inventurbericht relevanten Tiefe erfolgte an den meisten BZE-Punkten in Tiefenstufen von 0-5 cm, 5-10 cm und 10-30 cm. In wenigen Fällen wurde horizontweise beprobt.

Mit der Beprobung wurden die Trockenrohdichte des Feinbodens (TRD_{fb}), der Grobbodenanteil (GBA) und die Konzentration des organischen Kohlenstoffs (C_{org}) nach vergleichbarer Methodik erfasst (KÖNIG et al., 2005). Die Trockenrohdichte des Feinbodens wurde durch volumengerechte Beprobung tiefenstufenweise ermittelt, wobei teilweise am Bodenprofil ermittelte Schätzwerte genutzt wurden (WOLFF & RIEK, 1996, WELLBROCK et al., 2006). Fehlende Angaben zur Trockenrohdichte wurden durch vorhandene Werte aus anderen Inventuren ersetzt. Dies galt ebenfalls für den zur Berechnung der TRD_{fb} und des Feinbodenvorrats notwendigen Grobbodenanteil.

In karbonathaltigen Böden erfolgte die Messung der organischen Kohlenstoffkonzentration (C_{org}) des Feinbodens unter Berücksichtigung des anorganischen Kohlenstoffgehalts (C_{anorg}) ($[C_{org}] = [C_{ges}] - [C_{anorg}]$). Bei nicht-karbonathaltigen Böden gilt $[C_{org}] = [C_{ges}]$.

Die Gesamtkohlenstoffvorräte pro Probe wurden aus den Vorräten der einzelnen Tiefenstufen berechnet. Dazu mussten horizontweise erhobene Daten zunächst in Tiefenstufenabschnitte überführt werden, indem die Kohlenstoffvorräte einer Tiefenstufe gewichtet nach den Mächtigkeiten der sich überschneidenden Abschnitte und deren Kohlenstoffvorräten berechnet wurden.

Für die Berechnung der Kohlenstoffvorräte und deren Veränderungen zwischen beiden Inventurzeitpunkten wurde mit der Bildung von Straten ein flächenbezogener Ansatz gewählt. Grundlage zur Bildung von flächenrelevanten Straten waren die 72 Legendeneinheiten der Bodenübersichtskarte der Bundesrepublik Deutschland 1:1.000.000 (BÜK 1000). Darin sind Leitbodentypen und Ausgangsgesteine der Bodenbildung nach deutscher Bodensystematik (AG BODEN, 1994) und FAO (FAO, 1990) beschrieben. Da die einzelnen Klassen unterschiedlich stark mit Stichprobenpunkten besetzt waren, wurden die einzelnen Leitbodeneinheiten zu neuen Leitbodeneinheiten aggregiert, was die Grundgesamtheit je Klasse steigerte und die damit verbundene statistische Aussagekraft erhöhte. Die Klassenbildung orientierte sich sowohl nach vergleichbaren Bodentypen als auch nach Substrattyp bzw. Ausgangsgestein sowie nach Bodenart und Kalkgehalt. Insgesamt standen 16 Leitbodeneinheiten mit dem entsprechenden Ausgangsgestein für die flächenbezogene Auswertung zur Verfügung (siehe Tabelle 349). Die Zuordnung der Inventurpunkte zu den Leitbodeneinheiten erfolgte anhand der bei den Inventuren aufgenommenen Daten zum Ausgangsgestein und einer eventuellen Schichtung, zum Bodentyp und den Horizontabfolgen sowie zur Bodenart.

Tabelle 349: Zusammengefasste Legendeneinheiten auf Grundlage der BÜK 1000

Abk.	Leitbodeneinheiten nach Substrattyp, Bodenart und Kalkgehalt
1	Nährstoffarme Böden aus trockenen, nährstoffarmen Sanden
2	Verschiedene Böden aus sandigen bis lehmigen Terassen- oder Flussablagerungen
3	Verschiedene Böden aus teilweise kalkhaltigen, lehmig-tonigen Terassen- oder Flussablagerungen
4	Pseudovergleyte Böden aus sandig bis lehmigen Deckschichen über Geschiebelehm
5	Verschiedene Böden aus sandigen Deckschichten über Geschiebelehm
6	Braunerden aus nährstoffreichen Sanden
7	Böden der Lössgebiete
8	Verschiedene Böden aus Hangschutt über Kalk-, Mergel- und Dolomitgesteinen über Terra fusca aus schluffig-tonigen Umlagerungsprodukten der Kalksteinverwitterung
9	Braunerde und Terra fusca aus Umlagerungsprodukten der Kalk-, Mergel- und Dolomitstein-Verwitterung sowie Rendzina aus Kalkstein
10	Pelosol-Braunerde / Pelosol-Pseudogley aus Verwitterungsprodukten von Mergel- und Tongesteinen und kalkhaltigen Schottern
11	Braunerde aus basischen und intermediären magmatischen Gesteinen
12	Braunerden aus sauren magmatischen und metamorphen Gesteinen
13	Braunerde / Podsole aus harten Ton- und Schluffschiefern mit Anteilen von Grauwacke, Sandstein, Schluffstein, Quarzit und Phyllit
14	Podsole / Braunerde aus basenarmen Quarziten, Sandsteinen und Konglomeraten
15	Verschiedene Böden in engräumigem Wechsel aus Grauwacken, Tonschiefer, Kalkstein, Sand-Schluff- und Tonsteinen sowie Lösslehm über verschiedenen Gesteinen
16	Hochgebirgsböden aus Kalk- und Dolomitgestein sowie aus Silikatgesteinen

Für die Auswertung lagen Kohlenstoffvorräte für 1.865 Punkte der BZE I und 1.813 Punkte der BZE II -Inventur vor (GRUENEBERG et al. 2014). Mit Ausnahme von zwei Bundesländern, lagen die Daten hauptsächlich als gepaarte Stichprobe vor, d.h. einem BZE I-Punkt konnte genau ein BZE II-Punkt zugeordnet werden. Die Anzahl, der in die endgültige Berechnung eingehenden Punkte, war allerdings niedriger, da organische Böden ausgeschlossen wurden, die Punkte keiner Leitbodeneinheit zugeordnet werden konnten oder die Werte der Vorräte aufgrund der Ausreißeranalyse als unplausibel verworfen wurden. Für die Auswertung wurde die Gesamtstichprobe, nach Bundesländern unterteilt, in eine gepaarte und eine ungepaarte Unterstichprobe unterteilt. Bei der gepaarten Unterstichprobe konnten die Ausreißer mittels Residuen-Analyse identifiziert werden. Dazu wurden die Kohlenstoffvorräte für jede Leitbodeneinheit zu den unterschiedlichen Inventurzeitpunkten in einer linearen Regression gegeneinander aufgetragen. Ein Beispiel findet sich in Abbildung 59 links. Student-Residuen halfen, Ausreißer zu eliminieren, die nicht mit dem Rest der Daten konsistent erschienen (siehe Abbildung 59 rechts). Außerdem wurde eine “hat matrix“ erzeugt, um “leverage“-Punkte[112] zu identifizieren, die Ausreißer innerhalb der unabhängigen Variable darstellen (siehe Abbildung 59 rechts) (WEISBERG, 2005).

[112] Leverage ist eine dimensionslose statistische Kenngröße, die angibt, wie stark ein Einzelwert die Regressionsstatistik beeinflusst

Abbildung 59: Regression zwischen Kohlenstoffvorräten (0-30cm) der BZE II und der BZE I (links) sowie die identifizierten Ausreißer anhand der Residuen-Analyse durch Student-Residuen und den "high leverage"-Punkten (rechts) am Beispiel einer Leitbodeneinheit

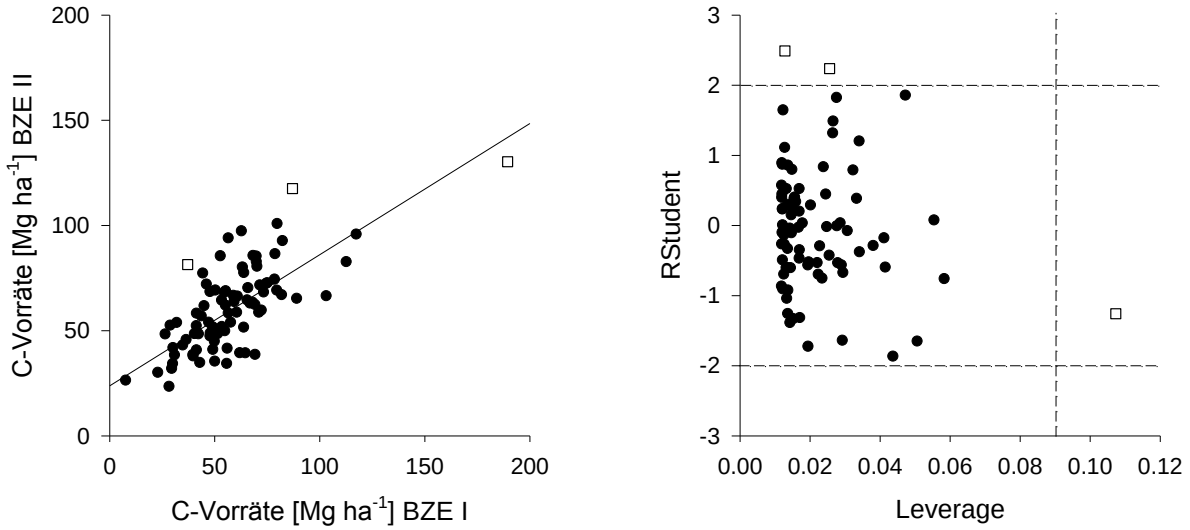

Da zwei Bundesländer das Raster zwischen BZE I und BZE II verschoben haben, stehen dort die Punkte, die einer Leitbodeneinheit zugeordnet werden konnten, als ungepaarte Stichprobe zur Verfügung. Hierfür erfolgt die Berechnung der Kohlenstoffvorräte durch Bildung gemittelter Werte je Leitbodeneinheit. Ausreißer wurden für jede Klasse mittels doppelter Standardabweichung ($x \pm 2\,\sigma$) detektiert und anschließend entfernt. Weiterhin wurden organische Böden ausgeschlossen. Danach wurden die mittleren Kohlenstoffvorräte je Leitbodeneinheit mit der Jahresdifferenz in Beziehung gesetzt. Nach Ausreißeranalyse blieben 1577 Punkte der BZE I und 1539 Punkte der BZE II-Inventur übrig. Davon lagen 1075 Punkte als gepaarte Stichprobe vor.

Um Kohlenstoffvorratsänderungen flächenbezogen berechnen zu können, wurden die Anteile der Waldflächen auf den Leitbodeneinheiten an der Gesamtwaldfläche Deutschlands ermittelt. Dazu wurden die CORINE Land Cover Daten mit der BÜK 1000 in einem Geografischen Informationssystem (GIS) verschnitten. Der mittleren Kohlenstoffänderung für jede Leitbodeneinheit konnte die entsprechende Waldfläche zugeordnet werden. Nun konnte die durchschnittliche jährliche Änderung des organischen Kohlenstoffs unter Berücksichtigung des Anteils der verwendeten Leitbodeneinheiten für Deutschland berechnet werden.

6.4.2.5.4 Ergebnisse der Herleitung der Kohlenstoffvorräte und -vorratsveränderungen

Die Kohlenstoffvorräte bis in eine Tiefe von 30 cm des Mineralbodens betrugen auf Grundlage des flächenbezogenen Ansatzes für Deutschland zum Inventurzeitpunkt der BZE I 55,6 ± 3,4 t C ha^{-1} und zum Inventurzeitpunkt BZE II 61,8 ± 3,7 t C ha^{-1}, was eine jährliche Zunahme von 0,41 ± 0,11 t C ha^{-1} bedeutet (GRUENEBERG et al., 2014). Eine Varianzanalyse (Typ III - ANOVA) zeigte, dass die Unterschiede zwischen den beiden Inventuren signifikant waren ($p<0.001$). Sowohl die Änderungsrate als auch die Gesamtvorräte liegen in einem Bereich, der für Mitteleuropa bereits von anderen Autoren abgeschätzt wurde. Die jährliche Kohlenstoffsequestrierung des durchwurzelten Bereichs wurde zwischen 0,1 t C ha^{-1} a^{-1} (NABUURS & SCHELHAAS, 2002) und 0,9 t C ha^{-1} a^{-1} (SCHULZE, et al. 2000) angegeben. Die meisten Literaturwerte basieren auf modellhaften Hochrechnungen und berücksichtigen den gesamten durchwurzelten Bereich des Bodens (LISKI et al. 2002; DE VRIES, et al. 2006). Im Vergleich zu diesen Studien standen deutlich

mehr Messdaten in einem engeren Punkteraster zur Verfügung, so dass die Daten eine validere Stichprobe bildeten, die verlässlichere und flächendeckende Aussagen für Deutschland ermöglicht.

Die Abschätzung der Kohlenstoffvorräte getrennt nach Klassen ergab für fast alle Leitbodeneinheiten höhere Kohlenstoffvorräte zum Zeitpunkt der BZE II im Vergleich zur BZE I (siehe Tabelle 350). Die Kohlenstoffvorräte waren in Böden mit hohem Tongehalt höher als in Böden mit hohem Sandgehalt. Gründe hierfür werden z.B. bei SIX et al. (2002) und BARITZ et al. (2010) diskutiert. Die Auswertung der Zeitreihe zwischen BZE I und BZE II zeigt größere jährliche Änderungen des Kohlenstoffvorrats insbesondere bei den sandigen Leitbodeneinheiten des Norddeutschen Tieflands. So lag die jährliche Änderungsrate der Leitbodeneinheiten 1, 5 und 6 über 0,6 t C ha^{-1} a^{-1} (Grueneberg et al. 2014). PRIETZEL et al. (2006) spricht hingegen von einer Kohlenstoffsequestrierung in den oberen 30 cm von 0,2 t C ha^{-1} a^{-1} auf sandigen Standorten und von 0,4 t C ha^{-1} a^{-1} auf lehmigen Standorten. Geringere positive Kohlenstoffänderungen zwischen 0,1 und 0,6 t C ha^{-1} a^{-1} fanden sich bei mehr als der Hälfte der gebildeten Klassen. Eine deutliche Abnahme der Kohlenstoffvorräte zwischen beiden Inventurzeitpunkten zeigte die Klasse 9.

Tabelle 350: Kohlenstoffvorräte zum Zeitpunkt der BZE I und BZE II in den neugebildeten Leitbodeneinheiten (Grueneberg et al. 2014)

	Kohlenstoffvorrat (BZE I) [t C ha^{-1}]			Kohlenstoffvorrat (BZE II) [t C ha^{-1}]		
LBE	**n**	**MW**	**SE**	**n**	**MW**	**SE**
1	201	52,8	1,6	187	65,5	6,8
2	56	60,5	2,6	62	65,0	4,9
3	20	67,3	3,2	25	68,1	2,4
4	105	66,4	1,8	87	64,1	4,5
5	77	33,4	1,6	75	52,8	2,2
6	34	24,6	1,6	34	43,7	1,8
7	126	55,8	1,5	109	63,0	2,2
8	110	76,3	2,4	106	79,1	0,8
9	36	77,1	4,9	43	68,3	1,0
10	55	56,7	2,1	63	60,8	0,8
11	39	51,3	3,2	39	54,6	0,9
12	187	59,5	1,7	163	62,5	2,2
13	222	54,7	1,4	233	60,1	4,1
14	245	50,5	1,2	257	55,3	3,2
15	30	51,8	2,9	30	49,0	0,9
16	34	84,4	6,2	26	104,5	0,5

(LBE = Leitbodeneinheiten, n = Anzahl Bodenproben, MW = Mittelwert, SE = Standardfehler)

6.4.2.6 Organische Böden (CRF-Table 4.A)

In diesem Kapitel wird einzig auf die CO_2-Emissionen aus organischen Böden eingegangen. Diese werden in der CRF-Tabelle 4.A unter organische Böden eingetragen. Für die Treibhausgase N_2O und CH_4 wird das methodische Vorgehen im Kapitel 6.4.2.7.2 beschrieben. Diese Emissionen werden in die CRF-Tabelle 4(II) berichtet.

6.4.2.6.1 Verbleibende Waldfläche

Die Ermittlung der Flächen der organischen Böden erfolgte georeferenziert durch Verschneidung der "Karte organischer Böden" und der ATKIS®-Daten. Dabei wird zwischen drainierten und nicht drainierten organischen Böden unterschieden. Für die verbleibende Waldfläche beträgt die Fläche

organischer Böden für das Jahr 2015 112.420 ha, davon werden 77 % drainiert. Eine detaillierte Beschreibung zur Herleitung der organischen Bodenflächen findet sich im Kapitel 6.1.2.2.1.

Die methodische Beschreibung zur Herleitung des Emissionsfaktors befindet sich in den Kapiteln 6.1.2.2.2 und 6.1.2.2.3. Für organische Waldböden sind die implizierten Emissionsfaktoren in Tabelle 351 zusammengefasst.

Tabelle 351: Implizierte Emissionfaktoren (IEF) (Kohlenstoff) für organische Böden

Jahr	1990	1995	2000	2005	2006	2007	2008	2009	2010	2011	2012
IEF [t C ha^{-1}]	-2,1034	-2,1442	-2,1811	-2,2099	-2,2112	-2,2124	-2,2136	-2,2144	-2,2151	-2,2158	-2,2166
Jahr	**2013**	**2014**	**2015**								
IEF [t C ha^{-1}]	-2,2222	-2,2277	-2,2331								

6.4.2.6.2 Neuwaldflächen

Für 77 % der Neuwaldflächen auf organischen Böden wird wie bei den verbleibenden Waldflächen von einer Drainage ausgegangen (siehe Kapitel 6.1.2.2.1). Für organische Böden unter Neuwald werden ebenfalls die in Tabelle 351 zusammengefassten Emissionsfaktoren verwendet. Diese jährlichen Emissionen werden für alle Jahre seit der Umwandlung berichtet. Im Kapitel 6.1.2.2 wird die Herleitung der Treibhausgasemissionen aus organischen Böden für alle Landnutzungskategorien beschrieben.

6.4.2.7 Sonstige Treibhausgasemissionen aus Wäldern

6.4.2.7.1 Lachgas-Emissionen aus Stickstoffdüngung (CRF-Table 4(I))

Stickstoffdüngung von Wäldern findet in Deutschland nicht statt. In der CRF-Tabelle 4(I) wurde diese Aktivität daher als nicht vorkommend „NO“ (not occurring) bezeichnet.

6.4.2.7.2 Entwässerung und Wiedervernässung von organischen und mineralischen Böden (CRF-Table 4(II))

Die Herleitung der Treibhausgasemissionen aus organischen Böden durch Entwässerung und Wiedervernässung wird für alle Landnutzungskategorien im Kapitel 6.1.2.2 beschrieben. Die CO_2-Emissionen für Wälder werden in die CRF-Tabelle 4.A eingetragen und in der CRF-Tabelle 4(II) als IE (included elsewhere) gekennzeichnet (siehe auch Kapitel 6.4.2.6). Die CH_4- und N_2O-Emissionen hingegen sind in der CRF-Tabelle 4(II) zu finden. Für organische Waldböden sind die Implizite Emissionsfaktoren in Tabelle 352 zusammengefasst.

Wiedervernässung auf mineralischen Böden im Wald gibt es nicht und wird in der CRF-Tabelle 4(II) mit NO (not occurring) gekennzeichnet.

Tabelle 352: Implizierte Emissionfaktoren (IEF) (Methan und Stickstoff) für organische Böden

Jahr		1990	1995	2000	2005	2006	2007	2008	2009	2010	2011	2012	2013	2014	2015
IEF	Methan [kg CH_4 ha^{-1}]	4,3519	4,4363	4,5125	4,5722	4,5748	4,5774	4,5799	4,5814	4,583	4,5845	4,586	4,5976	4,6201	4,6089
	Stickstoff [kg N_2O-N ha^{-1}]	1,3056	1,3309	1,3538	1,3717	1,3724	1,3732	1,374	1,3744	1,3749	1,3754	1,3758	1,3793	1,3860	1,3827

6.4.2.7.3 Direkte Lachgas-Emissionen von Stickstoff-Mineralisierung bzw. Immobilisierung (CRF-Table 4(III))

Die Ermittlung der direkten N_2O-Emissionen durch Mineralisierung und Immobilisierung von mineralischen Böden wird im Kapitel 6.1.2.1.2 beschrieben. Die N_2O-Emissionen sind in der CRF-Tabelle 4(III) zu finden.

6.4.2.7.4 Indirekte Lachgas-Emissionen aus bewirtschafteten Böden (CRF-Table 4(IV))

Die Ermittlung der indirekten N_2O-Emissionen durch Verluste an organischer Bodensubstanz infolge von Landnutzungsänderungen bzw. Bewirtschaftungsmaßnahmen wird zusammenfassend für alle Landnutzungskategorien im Kapitel 6.1.2.1.2 beschrieben. Die N_2O-Emissionen sind in der CRF-Tabelle 4(IV) zu finden.

6.4.2.7.5 Waldbrand (CRF-Table 4(V))

Während in anderen Ländern Feuer in Form von „kontrollierten Bränden“ (prescribed burning) als Methode zur Flächenberäumung dienen oder Bestandteil der Bewirtschaftung von Ökosystemen sind, findet in Deutschland im bewirtschafteten Wald keine kontrollierte Verbrennung von Biomasse statt. In der CRF-Tabelle 4 (V) wird deshalb für "Controlled Burning" NO geführt. Aufgrund der klimatischen Lage Deutschlands und der Maßnahmen zur Vorbeugung von Waldbränden sind Waldbrände ein eher seltenes Ereignis, was durch die in der Walbrandstatistik (BLE, 2016) erfassten Waldbrandflächen bestätig wird (siehe Abbildung 60). Für den Zeitraum 1990-2015 lag die mittlere Waldbrandfläche bei 766 ha. In manchen Jahren führten sehr hohe Temperaturen in den Sommermonaten zu höheren Waldbrandflächen, wie z. B. 1996 und 2003. Eine überdurchschnittlich hohe Waldbrandfläche von rund 4908 ha wurde im Jahr 1992 ermittelt, das durch einen extrem warmen Sommer geprägt war.

Abbildung 60: Waldbrandflächen zwischen 1990 und 2015 (nach BLE, 2016)

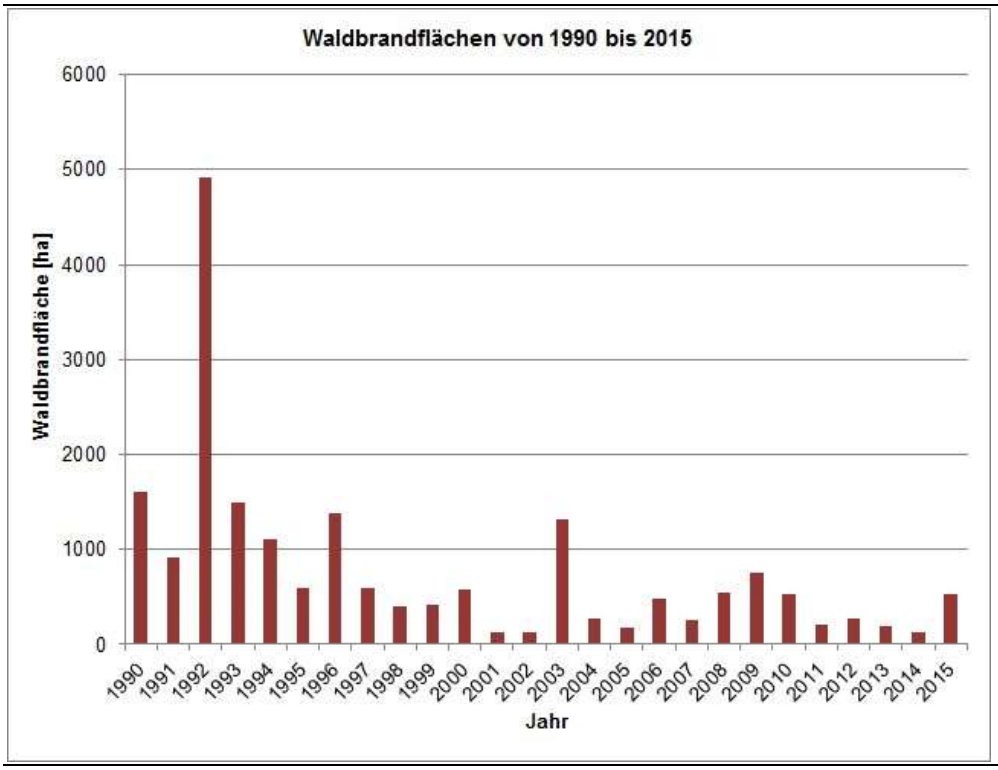

Bei Waldbränden („wild fires“) werden neben CO_2 auch sonstige Treibhausgase (CO, CH_4, N_2O, NO_x und NMVOC) freigesetzt. Die aus der Verbrennung von Biomasse resultierenden CO_2-Emissionen werden bereits bei der Änderung der Biomassevorräte (CRF Sector 4.A.1 Forest land remaining forest land) mittels der „Stock-Difference-Method“ berücksichtigt und deshalb als „IE“ (included elsewhere) angegeben. Die Emissionen sonstiger Treibhausgase wurden nach Gleichung 40 (Equation 2.27, 2006 IPCC Guidelines) berechnet.

Gleichung 40

$$L_{fire} = A*B*C*D*10^{-6}$$

mit:

L_{fire} = Menge des durch Feuer freigesetzten Treibhausgases [t]
A = Waldbrandfläche [ha]
B = Masse des vorhandenen Brennmaterials (Biomasse) [kgTM ha^{-1}]
C = Verbrennungseffizienz
D = Emissionsfaktor [$g(kgTM)^{-1}$]

Für die Berechnung der NMVOC-Emissionen kam die Gleichung nach EMEP/EEA emission inventory guidebook 2013 zur Anwendung

Gleichung 41

$$M(C) = 0{,}45 * A * B * \alpha * \beta$$

mit:

0.45 = Durchschnittlicher Kohlenstoffanteil in Brennholz (average fraction of carbon in fuel wood);
A = *Verbrannte Fläche (area burnt) [m^2];*
B = *Durchschnittliche zur Verfügung stehende Gesamtbiomasse pro Flächeneinheit (average total biomass of fuel material per unit area) [kg m^{-2}];*

α = *Anteil der durchschnittlichen oberirdischen Biomasse, relativ zu B (fraction of average above-ground biomass, relative to the total average biomass B);*
β = *Anteil tatsächlich verbrannter Biomasse (burning efficiency (fraction burnt) of the above-ground biomass).*

Die Waldbrandflächen für die Jahre 1990 bis 2015 wurden aus der bei der Bundesanstalt für Landwirtschaft und Ernährung geführten Waldbrandstatistik (BLE 2016) entnommen. Bei der Erhebung der Flächen wird nicht zwischen Neuwaldflächen und verbleibender Wald unterschieden. Aus diesem Grund werden die Emissionen aus Neuwaldflächen in der Sektion „verbleibender Wald" berichtet und in den CRF-Tabellen 4(V) wird „IE" angegeben. Für die Biomassebestimmung stehen die Daten für 1990 aus der BWI 1987 und DSWF, für 2002 aus der BWI 2002, für 2008 aus der IS08 und für 2012 aus der BWI 2012 zur Verfügung. Die durchschnittliche oberirdische Biomasse wurde für jedes Jahr durch lineare Interpolation zwischen 1990, 2002, 2008 und 2012 und Extrapolation für die Jahre ab 2013 hergeleitet. Basierend auf der Expertenschätzung von KÖNIG (2007) sind 80 % der Waldbrände in Deutschland Bodenfeuer und 20 % Vollfeuer. Nach Tabelle 2.6 (IPCC Guidelines 2006) wurde eine Verbrennungseffizienz (Massenverlust durch direkte Verbrennung) von 0,15 für Bodenfeuer und 0,45 für Vollfeuer angewandt. Die Emissionsfaktoren für CH_4, N_2O, CO und NO_X wurden aus Tabelle 2.5 (IPCC Guidelines 2006) entnommen. Für NMVOC kommt der Emissionsfaktor aus dem EMEP/EEA Emission Inventory Guidebook 2013.

Die Waldbrandflächen in Deutschland und damit auch die dabei entstehenden CH_4-, N_2O-, CO-, NO_X und NMVOC-Gasmengen sind gering. Mit Ausnahme des Jahres 1992 liegen die CH_4-Emissionen zwischen 25 t und 271 t und die N_2O-Emissionen zwischen 1,4 t und 15 t, die CO_2-Emissionen zwischen 559 t und 6.165 t, die NO_X-Emissionen zwischen 16 t und 173 t und die NMVOC-Emissionen zwischen 49 t und 545 t. Überschritten wurden diese Emissionen im Jahr 1992 (CH_4: 857 t, N_2O: 47,4 t, CO_2: 19.502 t, NO_X: 547 t, NMVOV: 1.722 t), infolge der überdurchschnittlich großen Waldbrandfläche durch den extrem warmen Sommer. Die vollständige Zeitreihe für die aus Waldbränden resultierenden Treibhausgase ist in Tabelle 353 zu finden.

Tabelle 353: Durch Waldbrände emittierte Treibhausgase

Jahr	Oberirdische Biomasse [t ha^{-1}]	Waldbrandfläche [ha]	Emittierte Gase [t]				
			CH_4	N_2O	CO	NO_X	NMVOC
1990	171	1.606	271	15,0	6.165	173	545
1995	186	592	109	6,0	2.472	69	218
2000	201	581	115	6,4	2.621	73	232
2005	210	183	38	2,1	863	24	76
2006	210	482	100	5,5	2.280	64	201
2007	211	256	53	2,9	1.216	34	107
2008	212	539	113	6,2	2.569	72	227
2009	214	757	160	8,9	3.646	102	322
2010	216	522	111	6,2	2.538	71	224
2011	218	214	46	2,6	1.051	29	93
2012	221	269	58	3,2	1.331	37	118
2013	223	199	44	2,4	995	28	88
2014	225	120	27	1,5	606	17	54
2015	227	526	118	6,5	2.680	75	236

6.4.3 Unsicherheiten und Zeitreihenkonsistenz (4.A)

Bei der Berechnung der Kohlenstoffvorräte müssen verschiedene Unsicherheiten berücksichtigt werden. Zur Abschätzung der Unsicherheiten werden pragmatische Ansätze herangezogen, die lediglich eine Annäherung an die tatsächlichen Unsicherheiten ermöglichen.

Die in den folgenden Kapiteln vorgestellten Unsicherheiten fließen in ein Gesamtfehlerbudget für den LULUCF-Sektor ein, welches im Kapitel 19.4.3 zu finden ist.

Hinsichtlich der Unsicherheiten des Kohlenstoff-Konversionsfaktors wird an dieser Stelle auf Kapitel 6.4.2.2.6 verwiesen.

Fehlerschätzungen (*U*) für Zielgrößen (1, …, *i*, …, *I*) pflanzen sich bei deren Aggregation auf zwei unterschiedliche Arten fort. Werden zwei Zielgrößen addiert oder subtrahiert, erfolgt die Fehlerweitergabe additiv (siehe Gleichung 42):

Gleichung 42

$$U = \frac{\sqrt{\sum_i (U_i x_i)^2}}{\sum_i x_i}$$

mit:

U = Gesamtunsicherheit

U_i = Unsicherheit für Zielgröße

x_i = Quantität der Zielgröße

Werden dagegen zwei Zielgrößen multipliziert bzw. dividiert, pflanzen sich die Fehler beider Größen multiplikativ fort (siehe Gleichung 43)

Gleichung 43

$$U = \sqrt{\sum_i (U_i)^2}$$

6.4.3.1 Unsicherheiten bei der Schätzung von Landnutzungsänderungsflächen

Aufgrund der stichprobenbasierten Landnutzungsänderungserfassung konnten die Stichprobenfehler für jede LULUCF-Kategorie berechnet werden (siehe Tabelle 517 im Kapitel 19.4.3). Der Stichprobenfehler wird nach den Formeln im Kapitel 6.4.3.2 berechnet. Alle anderen Fehlerquellen lassen sich nach Abschluss der Validierung ausschließen (siehe auch Kapitel 6.3.3). Alle Flächen sind signifikant erfasst.

6.4.3.2 Unsicherheiten bei der Schätzung der Emissionsfaktoren von lebender und toter Biomasse

Die Ableitung der Biomassen und der Kohlenstoffvorräte im Wald bzw. deren Veränderungen unterliegen einer Reihe von Fehlerquellen, da sich die Biomasse nicht direkt messen lässt. In den Abschnitten 6.4.2.2.4, 6.4.2.2.5 und 6.4.2.2.6 sind die Fehler der Biomassefunktionen und des Kohlenstoffkonversionsfaktors aufgeführt und diskutiert. Für das Totholz sind die Fehler der Biomassekonversionsfaktoren nach Baumarten und Zersetzungsgrad in Abschnitt 6.4.2.3 gegeben.

Die Baumartengruppen-spezifischen Fehler werden zu den Unsicherheiten der ober- und unterirdischen Biomasse addiert und anschließend zu einer Fehlerangabe für die Gesamtbiomasse aggregiert. Durch die Subtraktion des Biomassevorrates des ersten Zeitpunktes vom Biomassevorrat des zweiten Zeitpunktes ergibt sich die Unsicherheit für die Biomasseveränderung durch Addition. Der Fehler für die Gesamtbiomasseveränderung wird mit dem Fehler des Kohlenstoffkonversionsfaktors und dem Stichprobenfehler multipliziert. Der Stichprobenfehler leitet sich aus der Varianz der Stichprobe her. Die Varianz der Veränderung eines Ratioschätzers (siehe Gleichung 26) $v\left[\hat{G}_{R_{st}}\right]$ ist definiert durch:

Gleichung 44:

$$v\left[\hat{G}_{R_{st}}\right] = v\left[\hat{R}_{st}^{(t_2)}\right] + v\left[\hat{R}_{st}^{(t_1)}\right] - 2\,\mathrm{cov}\left[\hat{R}_{st}^{(t_2)}, \hat{R}_{st}^{(t_1)}\right]$$

mit:

$$\mathrm{cov}\left\langle \hat{R}_{st}^{(2)}, \hat{R}_{st}^{(1)} \right\rangle = \frac{1}{\hat{\bar{X}}_{st}^{(2)} \hat{\bar{X}}_{st}^{(1)}} \sum_{l=1}^{L} \left(\frac{\lambda(U_l)}{\lambda(U)} \right)^2 \frac{1}{n_{2,l}(n_{2,l}-1)}$$

$$\sum_{x \in F_1 \cap S_2} \left(\frac{M(x)}{E(M(x))} \right)^2 \left(d_c^{(2)}(x) - \hat{\bar{d}}_l^{(2)} \right) \left(d_c^{(1)}(x) - \hat{\bar{d}}_l^{(1)} \right)$$

wobei

$$d_c^{(2)}(x) = (Y_c^{(2)}(x) - \hat{R}_{st}^{(2)} X_c^{(2)}(x))$$

und

$$\hat{\bar{d}}_l^{(2)} = \frac{1}{n_{2,l}} \sum_{x \in F_1 \cap S_2} \left(Y_c^{(2)}(x) - \hat{R}_{st}^{(2)} X_c^{(2)}(x) \right)$$

sowie $d_c^{(1)}(x)$ und $\hat{\bar{d}}_l^{(1)}$ entsprechend.

In den folgenden Tabellen sind die Unsicherheiten für die einzelnen Fehlerquellen als auch für den resultierenden Emissionsfaktor aufgeführt.

Tabelle 354: Unsicherheiten der Emissionsfaktoren für die lebende Biomasse der verbleibenden Waldfläche für unterschiedliche Perioden

FM 1987 – 2002	**Fehler % (Biomasse Umwandlung)**						**Fehler % (C)**	**SE %**	**RMSE%**
Alte Bundesländer	**Fichte**	**Kiefer**	**Buche**	**Eiche**	**Weich-holz$_{Laub}$**	**Alle**			
Biomasse$_{oberirdisch}$	7,96	11,06	13,41	8,61	35,95	6,82	2,00	2,43	7,51
Biomasse$_{unterirdisch}$	24,54	18,63	34,91	35,55	17,33	13,95	2,00	2,36	14,29
Emissionsfaktor						6,21	2,00	2,40	6,95
FM 1993 – 2002	**Fehler % (Biomasse Umwandlung)**						**Fehler % (C)**	**SE %**	**RMSE%**
Neue Bundesländer	**Fichte**	**Kiefer**	**Buche**	**Eiche**	**Weich-holz$_{Laub}$**	**Alle**			
Biomasse$_{oberirdisch}$	11,34	24,66	17,35	12,93	37,15	9,03	2,00	5,43	10,73
Biomasse$_{unterirdisch}$	30,38	27,74	38,90	43,94	22,49	16,82	2,00	5,93	17,94
Emissionsfaktor						8,16	2,00	5,51	10,05
FM 2002 – 2008	**Fehler % (Biomasse Umwandlung)**						**Fehler % (C)**	**SE %**	**RMSE%**
Deutschland	**Fichte**	**Kiefer**	**Buche**	**Eiche**	**Weich-holz$_{Laub}$**	**Alle**			
Biomasse$_{oberirdisch}$	7,95	11,04	13,30	8,57	35,38	14,44	2,00	28,66	32,15
Biomasse$_{unterirdisch}$	24,47	18,60	34,67	35,39	17,14	19,29	2,00	16,35	25,37
Emissionsfaktor						12,21	2,00	25,95	28,75

FM 2008 – 2015	Fehler % (Biomasse Umwandlung)						Fehler % (C)	SE %	RMSE%
Deutschland	**Fichte**	**Kiefer**	**Buche**	**Eiche**	**Weich-holz$_{Laub}$**	**Alle**			
Biomasse$_{oberirdisch}$	7,95	11,04	13,29	8,56	35,37	5,70	2,00	11,66	13,14
Biomasse$_{unterirdisch}$	24,47	18,60	34,65	35,37	17,14	12,35	2,00	10,86	16,57
Emissionsfaktor						5,22	2,00	11,29	12,60

Tabelle 355: Unsicherheiten der Emissionsfaktoren für die lebende Biomasse auf Aufforstungsflächen für unterschiedliche Perioden

AR 1987 – 2002	Fehler % (Biomasse Umwandlung)						Fehler % (C)	SE %	RMSE%
Alte Bundesländer	**Fichte**	**Kiefer**	**Buche**	**Eiche**	**Weich-holz$_{Laub}$**	**Alle**			
Biomasse$_{oberirdisch}$	11,23	15,62	18,80	12,10	50,00	12,14	2,00	7,39	14,35
Biomasse$_{unterirdisch}$	34,60	26,30	49,00	50,00	24,23	19,19	2,00	8,00	20,88
Emissionsfaktor						10,59	2,00	7,41	13,08
AR 2002 – 2015	**Fehler % (Biomasse Umwandlung)**						**Fehler % (C)**	**SE %**	**RMSE%**
Deutschland	**Fichte**	**Kiefer**	**Buche**	**Eiche**	**Weich-holz$_{Laub}$**	**Alle**			
Biomasse$_{oberirdisch}$	11,23	15,62	18,80	12,10	50,00	11,10	2,00	6,08	12,81
Biomasse$_{unterirdisch}$	34,60	26,30	49,00	50,00	24,23	17,48	2,00	5,63	18,47
Emissionsfaktor						9,69	2,00	5,93	11,53

Tabelle 356: Unsicherheiten der Emissionsfaktoren für die lebende Biomasse auf Entwaldungsflächen für unterschiedliche Perioden

DF 1987 – 2002	Fehler % (Biomasse Umwandlung)						Fehler % (C)	SE %	RMSE%
Alte Bundesländer	**Fichte**	**Kiefer**	**Buche**	**Eiche**	**Weich-holz$_{Laub}$**	**Alle**			
Biomasse$_{oberirdisch}$	11,23	15,62	18,80	12,10	50,00	8,29	2,00	10,00	13,15
Biomasse$_{unterirdisch}$	34,60	26,30	49,00	50,00	24,23	17,38	2,00	11,05	20,70
Emissionsfaktor						7,51	2,00	10,08	12,73
DF 2002 – 2015	**Fehler % (Biomasse Umwandlung)**						**Fehler % (C)**	**SE %**	**RMSE%**
Deutschland	**Fichte**	**Kiefer**	**Buche**	**Eiche**	**Weich-holz$_{Laub}$**	**Alle**			
Biomasse$_{oberirdisch}$	11,23	15,62	18,80	12,10	50,00	8,97	2,00	7,27	11,72
Biomasse$_{unterirdisch}$	34,60	26,30	49,00	50,00	24,23	16,94	2,00	7,04	18,45
Emissionsfaktor						8,04	2,00	7,17	10,95

Tabelle 357: Unsicherheiten der Emissionsfaktoren für Totholz der verbleibenden Waldfläche für unterschiedliche Perioden

2002 – 2008	**Fehler % (Biomasse Umwandlung)**													**Fehler % (C)**	**SE %**	**RMSE%**
Deutschland	**N1**	**N2**	**N3**	**N4**	**L1**	**L2**	**L3**	**L4**	**EI1**	**EI2**	**EI3**	**EI4**	**all**			
> 20 cm	12,30	19,82	25,12	17,87	8,87	30,62	23,95	46,25	8,92	31,54	23,71	53,23	8,36	2,00	30,80	31,98
10 bis 20 cm	12,30	19,82	25,12	17,87	8,87	30,62	23,95	46,25	8,92	31,54	23,71	53,23	10,09	2,00	50,00	51,05
Emissionsfaktor																**27,11**
FM 2008 – 2015	**Fehler % (Biomasse Umwandlung)**													**Fehler % (C)**	**SE %**	**RMSE%**
Deutschland	**N1**	**N2**	**N3**	**N4**	**L1**	**L2**	**L3**	**L4**	**EI1**	**EI2**	**EI3**	**EI4**	**all**			
> 20 cm	12,55	19,74	25,16	18,28	8,70	30,66	23,63	46,96	8,59	30,64	23,86	50,61	21,92	2,00	82,64	85,52
10 bis 20 cm	12,26	19,77	25,14	17,82	8,54	30,60	23,57	46,41	8,54	30,66	23,67	47,47	13,23	2,00	30,91	33,69
Emissionsfaktor																**54,52**

mit N = Nadelholz, L = Laubholz ohne Eiche, EI = Eiche und 1-4 = Zersetzungsgrad

Tabelle 358: Unsicherheiten der Emissionsfaktoren für Totholz auf Aufforstungsflächen zwischen 1990 und 2015

AR 1987 – 2015	**Fehler % (Biomasse Umwandlung)**													**Fehler % (C)**	**SE %**	**RMSE%**
Deutschland	N1	N2	N3	N4	L1	L2	L3	L4	EI1	EI2	EI3	EI4	all			
> 20 cm	17,20	27,92	35,46	25,20	12,07	43,24	33,33	65,38	12,07	43,24	33,33	65,38	10,55	2,00	35,11	36,72
10 bis 20 cm	17,20	27,92	35,46	25,20	12,07	43,24	33,33	65,38	12,07	43,24	33,33	65,38	13,05	2,00	28,37	31,30
Emissionsfaktor																**24,84**

mit N = Nadelholz, L = Laubholz ohne Eiche, EI = Eiche und 1-4 = Zersetzungsgrad

Tabelle 359: Unsicherheiten der Emissionsfaktoren für Totholz auf Entwaldungsflächen für verschiedene Perioden

DF 2002 – 2008	**Fehler % (Biomasse Umwandlung)**													**Fehler % (C)**	**SE %**	**RMSE%**
Deutschland	**N1**	**N2**	**N3**	**N4**	**L1**	**L2**	**L3**	**L4**	**EI1**	**EI2**	**EI3**	**EI4**	**all**			
> 20 cm	17,20	27,92	35,46	25,20	12,07								6,18	2,00	27,45	28,21
10 bis 20 cm	17,20	27,92	35,46	25,20	12,07								13,05	2,00	50,00	51,10
Emissionsfaktor																**24,88**
DF 2008 – 2015	**Fehler % (Biomasse Umwandlung)**													**Fehler % (C)**	**SE %**	**RMSE%**
Deutschland	**N1**	**N2**	**N3**	**N4**	**L1**	**L2**	**L3**	**L4**	**EI1**	**EI2**	**EI3**	**EI4**	**all**			
> 20 cm		27,92	35,46	25,20									6,18	2,00	27,45	28,21
10 bis 20 cm	17,20	27,92	35,46	25,20	12,07	43,24	33,33	65,38					16,79	2,00	41,11	44,46
Emissionsfaktor																**24,02**

mit N = Nadelholz, L = Laubholz ohne Eiche, EI = Eiche und 1-4 = Zersetzungsgrad

6.4.3.3 Unsicherheiten bei der Schätzung der Streu und der mineralischen Böden

6.4.3.3.1 Probenahmefehler

Ein Problem der Beprobung von Böden ist die korrekte Trennung der Streu vom Mineralboden, da der Übergang zwischen beiden Kompartimenten nicht immer eindeutig identifizierbar ist. Dies ist umso problematischer, da die Kohlenstoffkonzentration der Streu sich deutlich gegenüber dem darunter liegenden Mineralboden unterscheidet. Eine unsaubere oder unsachgemäße Abtrennung der Streu vom Mineralboden kann daher große Auswirkungen auf die Kohlenstoffvorräte des jeweiligen Horizontes bzw. der jeweiligen Tiefenstufe haben.

6.4.3.3.2 Kleinräumige Variabilität

Die Beprobung von Kohlenstoffvorräten unterliegt aufgrund der hohen räumlichen Variabilität in der Streu oder im Mineralboden einer großen Unsicherheit, da Kohlenstoffvorräte nur über kurze Distanzen eine räumliche Kontinuität aufweisen. SCHÖNING et al. (2006) berechneten für die Streu eines Buchenwaldes einen Vorrat von 4,0 t C ha^{-1} mit einem Variationskoeffizienten von 38 %. Im Mineralboden (0-36 cm) fanden sie Kohlenstoffvorräte von 64,0 t C ha^{-1} mit Variationskoeffizienten zwischen 30 % und 43 %. Ähnliche Werte sind auch von LISKI (1995) dokumentiert. Er zeigte, dass Kohlenstoffvorräte unter einem Fichtenstandort innerhalb eines bestimmten Horizontes ab 8 m räumlich unabhängig voneinander waren.

6.4.3.3.3 Repräsentanz von Punkten innerhalb der Straten

Ein Problem der Auswertung nach den Leitbodeneinheiten ergab sich aus der unterschiedlichen Besetzung der Klassen. Kleinen Klassen fehlt die statistische Validität gegenüber einer großen Grundgesamtheit. Wenn aufgrund fehlender Daten kein Vergleich zwischen BZE I und BZE II möglich war, konnte die vom Wald bedeckte Fläche der Leitbodeneinheiten ebenfalls nicht in die Berechnung einfließen. Weiterhin war es nicht möglich, alle Leitbodeneinheiten zu besetzen, da einige nur auf kleinere Flächen im Bundesgebiet beschränkt sind. Insgesamt betrifft dies eine nicht berücksichtigte Waldfläche von 4,3 %.

6.4.3.3.4 Stichprobenfehler

Bei der Berechnung der Stichprobenfehler der Vorratsänderung für Streu und Mineralböden wurde zwischen gepaarten und ungepaarten Stichproben unterschieden und eine Stratifizierung für Mineralböden berücksichtigt. Die Varianz des mittleren Vorrats des Stratums l bzw. der unstratifizierten Gesamtstichprobe mit der Anzahl der Probepunkte n_l berechnete sich nach:

Gleichung 45

$$v\left\langle \overline{Y}_l \right\rangle = \frac{1}{n_l (n_l - 1)} \sum_{j=1}^{n_l} (Y_{lj} - \overline{Y}_l)^2$$

Die Varianz der mittleren Vorratsänderung des Stratums l zwischen den Zeitpunkten t_1 und t_2 berechnete sich bei gepaarten Stichproben nach:

Gleichung 46

$$v\left\langle \overline{G}_l \right\rangle = v\left\langle \overline{Y}_{lt_2} \right\rangle + v\left\langle \overline{Y}_{lt_1} \right\rangle - 2r_{y^2 y^1} \sqrt{v\left\langle \overline{Y}_{lt_2} \right\rangle} \sqrt{v\left\langle \overline{Y}_{lt_1} \right\rangle}$$

mit

$$r_{y^2y^1} = \frac{s_{y^2y^1}}{s_{y^2y^1}}$$

und

$$s_{y^2y^1} = \frac{1}{n_l(n_l-1)} \sum_{j=1}^{n_l} (Y_{ljt_2} - \overline{Y}_{lt_2})(Y_{ljt_1} - \overline{Y}_{lt_1})$$

Bei ungepaarten Stichproben berechnete sich die Varianz der Vorratsänderungen nach:

Gleichung 47

$$v\langle \overline{G}_l \rangle = v\langle \overline{Y}_{lt_2} \rangle + v\langle \overline{Y}_{lt_1} \rangle$$

Die Gesamtvarianz über alle Straten hinweg wurde unter Berücksichtigung ihres Flächenanteils w_l / w abgeschätzt nach:

Gleichung 48

$$v\langle \overline{Y} \rangle \approx \sum_{l=1}^{L} \left(\frac{w_l}{w} \right)^2 v\left[\overline{Y}_l\right]$$

bzw.

$$v\langle \overline{G} \rangle \approx \sum_{l=1}^{L} \left(\frac{w_l}{w} \right)^2 v\left[\overline{G}_l\right]$$

Die Vorratsänderung für die Streu wurde stratifiziert als ungepaarte Stichprobe berechnet. Es ergab sich dabei ein Stichprobenfehler von 0,02 t C ha^{-1} a^{-1}oder 100 %. Bei der Berechnung der Vorratsänderung für Mineralböden wurde die Stichprobe in eine gepaarte und eine ungepaarte Stichprobe unterteilt. Weiterhin wurde nach Leitbodeneinheiten und den beiden Teilstichproben stratifiziert. Insgesamt betrug der Stichprobenfehler für Mineralböden 0,037 t C ha^{-1} a^{-1} oder 9 %.

6.4.3.3.5 Quantifizierung von methodisch bedingten Unsicherheiten

Als weitere Unsicherheit kommen zur Stichprobenvarianz messtechnisch bedingte Abweichungen bei der Einzelmessung hinzu. Sowohl die Kohlenstoffkonzentration als auch der Vorrat im Feinboden würden bei mehreren, an einem Standort unabhängig voneinander genommenen Proben in einem durch die Genauigkeit der Messtechnik bestimmten Bereich schwanken. Um diese Schwankungsbreite bei der Messung der Kohlenstoffkonzentration zu quantifizieren, wurden die Ergebnisse aus den Ringanalysen herangezogen (BLUM & HEINBACH 2006, 2007). Bei den Ringanalysen zur BZE II wurden die Wiederholstandardabweichung als mittlere laborinterne Standardabweichung (DIN ISO 5725 2) mehrerer Kohlenstoffmessungen und die Sollstandardabweichung als Standardabweichung der Mittelwerte bestimmt. Daraus wurde die Vergleichsstandardabweichung berechnet. Diese eignet sich als Schätzwert für die Messunsicherheit. Die Vergleichsstandardabweichung der Mineralbodenmessungen betrug bei kalkfreien Böden 0,9 g kg^{-1} und bei kalkhaltigen Böden 2,9 g kg^{-1}, sowie bei der organischen Auflage 20,2 g kg^{-1}. Für die BZE I wurde auf Werte von WOLFF & RIEK (1996) zurückgegriffen, die Variationskoeffizienten für die Kohlenstoffbestimmung in Mineralböden zwischen 5 und 20 %

sowie für die Kohlenstoffbestimmung in der organischen Auflage zwischen 5 und 10 % angeben. Davon wurde jeweils der Mittelwert eingesetzt. Bei der Berechnung der Unsicherheiten des Vorrats im Feinboden konnte nicht auf Ergebnisse von Ringversuchen zurückgegriffen werden. Daher wurden alle BZE-Punkte ausgewählt bei denen zu beiden Inventurzeitpunkten Ergebnisse für die Feinbodenbestimmung vorlagen. Es wurde die mittlere Abweichung der beiden Messungen voneinander berechnet. Die mittlere Abweichung lag bei 193 ± 35 t ha^{-1}. Im Sinne einer konservativen Fehlerabschätzung wurde die Annahme getroffen, dass sich die Feinbodenvorräte zwischen den beiden Inventuren nicht ändern und dass die mittlere Abweichung plus ihre Streuung ein Maß für die Messunsicherheit des Feinbodenvorrats darstellt. Die Unsicherheit der jährlichen Kohlenstoffänderungsrate wurde um die Messunsicherheiten der Einzelmessung erweitert (Gleichung 49).

Gleichung 49:

$$s_{total}^2 = se^2 + \left(\frac{C_1}{(t_{II} - t_I)} MA_{FBV}\right)^2 + \left(\frac{FBV_1}{(t_{II} - t_1)} s_{C_1}\right)^2 + \left(\frac{FBV_{II}}{(t_{II} - t_1)} s_{C_{II}}\right)^2$$

Die Unsicherheiten bei der Abschätzung der jährlichen Änderungsrate in Mineralböden betrugen für die Stichprobenvarianz 0,037 t C ha^{-1} a^{-1}, für die Laboranalytik der C-Bestimmung zum Zeitpunkt der BZE I 0,058 t C ha^{-1} a^{-1}, zum Zeitpunkt der BZE II 0,056 t C ha^{-1} a^{-1} und für die Bestimmung des Feinbodenvorrates 0,05 t C ha^{-1} a^{-1}. Damit ergab sich eine Gesamtunsicherheit von 0,11 t C ha^{-1} a^{-1}. Die Gesamtunsicherheit bei der Abschätzung der jährlichen Kohlenstoffänderungsrate der organischen Auflage betrug 0,035 t C ha^{-1} a^{-1}.

6.4.3.4 Zeitreihenkonsistenz

An die Zeitreihenkonsistenz werden folgende Bedingungen geknüpft:

- die Berechnung der Emission erfolgt über die gesamte Zeitreihe mit der gleichen Methode und denselben bzw. untereinander konsistenten Datenquellen;
- ergeben sich Änderungen an der Methode, sollte eine Neuberechnung mit der neuen Methode über die gesamte Zeitreihe erfolgen;
- neue Daten, z.B. aus Wiederholungsinventuren, sind konsistent mit früheren Daten.
- stehen neue Daten zur Verfügung, die zu einer Verbesserung des Inventars führen, sollte eine Rekalkulation über die gesamte Zeitreihe erfolgen;
- werden Fehler in den Schätzungen identifiziert müssen diese korrigiert und die gesamte Zeitreihe neu berechnet werden.

Diese Bedingungen wurden konsequent auf alle Zeitreihen der Submission angewendet. Wenn in einigen Zeitreihen in bestimmten Jahren sogenannte Sprünge auftreten, beispielsweise bei der Biomasse (siehe Kapitel 6.4.2.2), liegt dies an der Periodizität der verfügbaren Daten in einer konsistenten Zeitreihe. Denn auch für diese Zeitreihen wurden für alle Jahre dieselbe Methode und dieselbe Datenquelle zugrunde gelegt.

6.4.4 Kategoriespezifische Qualitätssicherung/-kontrolle und Verifizierung (4.A)

Die durchgeführten QK/QS-Maßnahmen für den gesamten LULUCF -Sektor finden sich in Kapitel 6.1.3.

Die zur Erstellung dieses Inventars verwendeten Datenquellen erfüllen die Prüfkriterien des QSE – Handbuchs für Datenquellen. Bezüglich der Qualitätssicherung der Eingangsdaten (ATKIS®,

BÜK, Offizialstatistik, Waldbrandstatistik, siehe Kapitel 6.4.2.1) wird auf die Datenhalter verwiesen (Dokumentation in der Inventarbeschreibung).

Es wurde eine vollständige Fehlerbetrachtung für den Sektor LULUCF durchgeführt, wobei versucht wurde, alle vorhandenen Fehlerquellen zu quantifizieren. Darin enthalten sind Fehlerrechnungen aus dem Forstbereich für Biomasse, Totholz, Streu, mineralische Böden, organische Böden und Waldbrand der Treibhausgase CO_2, N_2O und CH_4. Zusammenfassend wurde im Kapitel 19.4.3 ein Gesamtfehlerbudget erstellt.

6.4.4.1 Biomasse und Totholz

Die Schätzungen der Kohlenstoffvorräte und der Kohlenstoffvorratsänderungen in den Quellgruppen Biomasse und Totholz zu den jeweiligen Zeitpunkten beruhen auf Hochrechnungen am Thünen Institut für Waldökosysteme (TI-WO), die auf die Daten der Bundeswaldinventuren und der Inventurstudie 2008 zugreifen. Dabei werden wiederholte Messungen der Vorräte auf einem permanenten, systematischen Stichprobennetz über das gesamte Gebiet Deutschlands gemessen. Bei der BWI 2012 wurden ca. 420.000 Bäumen auf etwa 60.000 Waldprobeflächen aufgenommen. Aus den Vorräten werden die Vorratsveränderungen abgeleitet. Die Vorratsveränderung ist die Nettoveränderung zwischen den Vorräten der einzelnen Inventurjahren und umfasst die Holzernte, Verluste durch natürliche Störungen wie beispielsweise Storm und Mortalität. Um die Ergebnisse abzusichern werden umfangreiche Qualitätskontrollen durchgeführt:

- Qualitätsprüfungen während der Feldaufnahmen
- Qualitätsprüfungen der erhobenen Datensätze
- Plausibilitätsprüfungen

Bezüglich der für die Bundeswaldinventur entwickelten Qualitätssicherung wird auf die Literatur zur Bundeswaldinventur verwiesen (BMELV, 2005)[113].

Unabhängig von den Berechnungen am TI-WO wurden die Kohlenstoffvorrats- und -änderungsschätzungen für die Biomasse mit einem unter PostGreSQL entwickelten Programm berechnet. Die erzielten Ergebnisse beider Berechnungen stimmen überein.

6.4.4.2 Streu und mineralische Böden

Um für die Auswertung der Probenahmen, die im Rahmen der BZE-Erhebungen durchgeführt wurden, einen einheitlichen Standard für die Laboranalytik zu erhalten, wurde eine Ringanalyse initiiert. Dabei wurden alle Labore einem Qualitätstest durch den Gutachterausschuss Forstliche Analytik unterzogen (BLUM & HEINBACH, 2006, 2007). Um die Vergleichbarkeit der Labormethoden zu gewährleisten, haben nur die an der Ringanalyse erfolgreich teilgenommenen Labore die Analytik durchgeführt. Eine Ringanalyse wurde auch auf europäischer Ebene mit deutscher Beteiligung durchgeführt (COOLS et al., 2006).

Für die Harmonisierung der Labormessungen und Geländeerhebungen wurden im Rahmen der BZE II für die beteiligten Labore Vorschriften für die Ermittlung der zu bestimmenden Parameter erstellt, um Abweichungen aufgrund der Verwendung unterschiedlicher Analysegeräte oder Analysemethoden zu vermeiden (KÖNIG et al 2005, WELLBROCK et al. 2006). Grundlage für die Zulassung der Labore für die Analytik waren vorangegangene Ringanalysen. Ähnliches wurde auch für die Außenaufnahmen durchgeführt. Aufgrund verschiedener Vorstudien wurden

[113] siehe auch: https://bundeswaldinventur.de/index.php?id=2&L=3 und https://bwi.info/

Methoden zur Probennahme zugelassen und in einem Handbuch für die Außenaufnahmen beschrieben (WELLBROCK et al., 2006).

6.4.4.3 Vergleich mit Ergebnissen anderer Staaten

Der Vergleich mit Ergebnissen anderer Staaten kann eine grobe Einordnung der Verhältnisse in Deutschland geben. Gerade bei den Umwandlungskategorien zu Wald ist aber zu beachten, dass erhebliche methodische Unterschiede und unterschiedliche Verfahren zum Umgang mit der Übergangszeit („Transition Time“) bestehen, so dass die Ergebnisse nicht direkt miteinander vergleichbar sind.

Die Vergleichsdaten für die Kohlenstoffvorratsänderungen anderer Staaten kommen aus den Nationalen Inventurberichten der Nachbarstaaten Deutschlands. Die Emissionsfaktordaten stammen aus der letzten zugänglichen Submission des Klimasekretariats der Vereinten Nationen.

Die Vergleichsdaten für die Kohlenstoffvorratsänderungen anderer Staaten können auf Grund technischer Probleme in der Datenübermittlung zum Sekretariat mit bisherigem Stand nur für 2012 abgerufen werden[114] (vgl. Paragraph 11ff, Decision 13/CP.20, UNFCCC 2015).

Der Vergleich der Kohlenstoffvorratsänderungen der lebenden Biomasse (siehe Tabelle 360) zeigt, dass Deutschland in den Umwandlungskategorien zu Wald (4.A.2.x) die höchsten Senkenleistungen aufweist. Polen, Österreich und Frankreich liegen bei den Flächenumwandlungen zu Wald im mittleren Bereich der Senkenleistung, wobei Dänemark als einziges Land sogar geringe Kohlenstoffquellen berichtet. Bei der Kategorie verbleibende Waldfläche (4.A.1) liegt Deutschland hingegen im mittleren Bereich der Senkenleistung. Hier können die Niederlande die höchste Senkenleistung verzeichnen, während Österreich die niedrigste Kohlenstoffsenke berichtet.

Bei der toten organischen Substanz (siehe Quelle: UNFCCC 2016a

Tabelle 361) liegt Deutschland mit den berichteten Senkenleistungen bei den Landnutzungsänderungen zu Wald (4.A.2.x) im oberen Bereich. Die höchsten Senkenleistungen finden sich bei Dänemark und Großbritannien. Die Schweiz hat als einziges Land bei den Flächenumwandlungen zu Wald eine negative Bilanz zu verzeichnen. Sehr geringe Senkenleistungen zeigen Belgien, die Tschechische Republik und Frankreich. Bei der verbleibenden Waldfläche (4.A.1) hat Deutschland, ebenso wie die Schweiz, Frankreich und Belgien eine Kohlenstoffquelle zu berichten. Lediglich Dänemark, Großbritannien, Österreich und die Niederlande können hier eine positive Bilanz vorweisen, wobei Dänemark mit Abstand die höchste Senkleistung berichtet und die Niederlande und Österreich nur Werte für den Litter Pool berichten.

Bei den mineralischen Böden (siehe Quelle: UNFCCC 2016a

Tabelle 362 wird die Senkenleistung Deutschlands in der Kategorie verbleibende Waldfläche (4.A.1) nur von Belgien übertroffen. Österreich hat als einziges Land in dieser Kategorie Kohlenstoffverluste zu verzeichnen. Bei den Umwandlungskategorien zu Wald (4.A.2.x) hat Deutschland generell Kohlenstoffquellen zu verzeichnen. Ausnahmen finden sich in den Unterkategorien Flächenumwandlungen von landwirtschaftlichen Flächen, von Siedlungen und von sonstigem Land, wo sich Senkenleistungen berichten lassen. Die größten Kohlenstoffsenken zeigen Belgien, Großbritannien, Polen und die Schweiz.

[114] Die vom Sekretariat benutzte Software zur Übermittlung, Verarbeitung und Bereitstellen von CRF-Tabellen ist noch nicht technisch einwandfrei benutzbar. Darum verzögert sich die Übermittlung der Daten anderer Annex 1 Länder.

Kohlenstoffflüsse und deren Änderungen in organischen Böden (siehe Quelle: UNFCCC 2016a

Tabelle 363) berichtet neben Deutschland nur die Schweiz in allen Unterkategorien. Dänemark, Frankreich, Großbritannien, die Niederlande und Polen berichten in einer bis fünf Unterkategorien. In allen Kategorien zeigt Deutschland hier eine negative Bilanz, wobei die organischen Böden der Schweiz noch größere Verluste aufweisen. In der Kategorie verbleibender Wald (4.A.1) hat Deutschland ebenfalls die zweithöchsten Kohlenstoffverluste zu berichten – nach der Schweiz. Großbritannien zeigt als einziges Land Kohlenstoffsenken in allen Kategorien.

Tabelle 360: Kohlenstoffvorratsveränderung der lebenden Biomasse verschiedener Länder (Deutschland für 2014 &2015, übrige Länder für 2014)

Land	4.A.1 - Forest Land remaining Forest Land [t C ha^{-1} a^{-1}]	4.A.2 - Land converted to Forest Land [t C ha^{-1} a^{-1}]	4.A.2.1. - Cropland converted to Forest Land [t C ha^{-1} a^{-1}]	4.A.2.2. - Grassland converted to Forest Land [t C ha^{-1} a^{-1}]	4.A.2.3. - Wetlands converted to Forest Land [t C ha^{-1} a^{-1}]	4.A.2.4. - Settlements converted to Forest Land [t C ha^{-1} a^{-1}]	4.A.2.5. - Other Land converted to Forest Land [t C ha^{-1} a^{-1}]
Belgien	0,94	2,55	2,18	2,39	3,16	2,95	NO
Dänemark	1,64	-1,35	-1,68	-0,92	NO	NO	NO
Frankreich	0,80	1,27	1,55	1,28	1,31	1,12	0,66
Großbritannien	1,24	0,91	0,78	0,94	NO	0,85	0,90
Niederlande	1,90	1,45	1,91	1,29	1,56	1,37	1,52
Österreich	0,31	1,19	1,22	1,20	1,22	1,24	1,15
Polen	0,90	1,04	1,06	0,96	NO	NO	NO
Schweiz	0,53	0,55	0,83	0,54	0,59	1,12	0,63
Tschechische Republik	0,79	1,88	1,85	1,85	1,90	1,90	1,90
Deutschland 2014	1,03	3,28	3,47	3,10	3,59	3,42	3,64
Deutschland 2015	**1,03**	**3,18**	**3,48**	**3,09**	**3,58**	**3,41**	**3,64**

Quelle: UNFCCC 2016a

Tabelle 361: Kohlenstoffvorratsveränderung der toten organischen Masse verschiedener Länder (Deutschland für 2014 & 2015, übrige Länder für 2014)

Land	4.A.1 - Forest Land remaining Forest Land [t C ha^{-1} a^{-1}]	4.A.2 - Land converted to Forest Land [t C ha^{-1} a^{-1}]	4.A.2.1. - Cropland converted to Forest Land [t C ha^{-1} a^{-1}]	4.A.2.2. - Grassland converted to Forest Land [t C ha^{-1} a^{-1}]	4.A.2.3. - Wetlands converted to Forest Land [t C ha^{-1} a^{-1}]	4.A.2.4. - Settlements converted to Forest Land [t C ha^{-1} a^{-1}]	4.A.2.5. - Other Land converted to Forest Land [t C ha^{-1} a^{-1}]
Belgien	-0,01	0,00	NO	NO	NO	NO	NO
Dänemark	0,53	0,35	0,03	0,01	NO	NO	NO
Frankreich	-0,03	0,06	0,52	0,24	0,51	0,35	0,38
Großbritannien[115]	0,23	0,21	0,03	0,04	NO	0,03	0,03
Niederlande	0,02[116]	NO	NO	NO	NO	NO	NO
Österreich	0,06[117]	0,06	1,35	1,27	0,80	1,25	1,24
Polen	NO	NO	NO	NO	NO	NO	NO
Schweiz	-0,14	-0,08	0,49	1,53	1,30	0,60	1,36
Tschechische Republik	NO	0,02	0,56	0,56	0,56	0,56	0,56
Deutschland 2014	-0,06	0,50	0,50	0,50	0,50	0,50	0,50
Deutschland 2015	**-0,06**	**0,50**	**0,50**	**0,50**	**0,50**	**0,50**	**0,50**

Quelle: UNFCCC 2016a

[115] Nur Litter Pool, Für Dead Wood wird IE angegeben

[116] Only Dead Wood

[117] Litter value: Notation Keys: IE, NE

Tabelle 362: Kohlenstoffvorratsveränderung der mineralischen Böden verschiedener Länder (Deutschland für 2014 &2015, übrige Länder für 2014)

Land	4.A.1 - Forest Land remaining Forest Land [t C ha^{-1} a^{-1}]	4.A.2 - Land converted to Forest Land [t C ha^{-1} a^{-1}]	4.A.2.1. - Cropland converted to Forest Land [t C ha^{-1} a^{-1}]	4.A.2.2. - Grassland converted to Forest Land [t C ha^{-1} a^{-1}]	4.A.2.3. - Wetlands converted to Forest Land [t C ha^{-1} a^{-1}]	4.A.2.4. - Settlements converted to Forest Land [t C ha^{-1} a^{-1}]	4.A.2.5. - Other Land converted to Forest Land [t C ha^{-1} a^{-1}]
Belgien	0,53	0,58	2,58	1,26	0,84	3,48	NO
Dänemark	NA,NO	0,01	0,10	0,12	NO	NO	NO
Frankreich	NO	0,01	1,07	-0,03	NO	1,62	NO
Großbritannien	0,23	0,31	1,72	0,93	NO	1,32	1,08
Niederlande	NO	0,00	0,40	-0,40	0,06	0,35	2,16
Österreich	-0,18	-0,15	1,17	-0,76	NO	3,33	2,98
Polen	0,11	0,11	0,12	0,10	NO	NO	NO
Schweiz	0,00	0,03	0,56	0,49	1,11	1,39	4,10
Tschechische Republik	NO	0,00	0,51	0,01	NO	NO	NO
Deutschland 2014	0,41	-0,39	0,02	-0,80	-0,05	0,10	0,21
Deutschland 2015	**0,41**	**-0,36**	**0,04**	**-0,77**	**-0,05**	**0,12**	**0,22**

Quelle: UNFCCC 2016a

Tabelle 363: Kohlenstoffvorratsveränderung der organischen Böden verschiedener Länder (Deutschland für 2014 & 2015, übrige Länder für 2014)

Land	4.A.1 - Forest Land remaining Forest Land [t C ha^{-1} a^{-1}]	4.A.2 - Land converted to Forest Land [t C ha^{-1} a^{-1}]	4.A.2.1. - Cropland converted to Forest Land [t C ha^{-1} a^{-1}]	4.A.2.2. - Grassland converted to Forest Land [t C ha^{-1} a^{-1}]	4.A.2.3. - Wetlands converted to Forest Land [t C ha^{-1} a^{-1}]	4.A.2.4. - Settlements converted to Forest Land [t C ha^{-1} a^{-1}]	4.A.2.5. - Other Land converted to Forest Land [t C ha^{-1} a^{-1}]
Belgien	NO	NO	NO	NO	NO	NO	NO
Dänemark	-1,30	-1,30	-1,30	-1,30	NO	NO	NO
Frankreich	NO	-2,01	NO	NO	-2,01	NO	NO
Großbritannien	0,77	0,89	2,55	2,64	NO	2,78	2,68
Niederlande	NO	-0,06	-0,22	-0,23	NO	-0,32	NO
Österreich	NO	NO	NO	NO	NO	NO	NO
Polen	-0,68	-0,68	-0,68	-0,68	NO	NO	NO
Schweiz	-2,60	-2,60	-2,60	-2,60	-2,60	-2,60	-2,60
Tschechische Republik	NO	NO	NO	NO	NO	NO	NO
Deutschland 2014	-2,23	-2,23	-2,23	-2,23	-2,23	-2,23	-2,23
Deutschland 2015	**-2,23**	**-2,23**	**-2,23**	**-2,23**	**-2,23**	**-2,23**	**-2,23**

Quelle: UNFCCC 2016a

6.4.5 Kategoriespezifische Rückrechnungen (4.A)

Mit der diesjährigen Submission werden quellenspezifische Rückrechnungen für den gesamten Berichtszeitraum von 1990-2014 vorgelegt, da die Emissionsfaktoren für die annuelle Biomasse modifiziert wurden. Dadurch lagen zur Berechnung der CO_2-Emissionen korrigierte Emissionsfaktoren für die Biomasse folgender Landnutzungskategorien vor:

- Ackerland
- Grünland i.e.S.
- Feuchtgebiete
- Siedlungen

Dies wirkt sich auch auf die Landnutzungsänderungen zu Wald aus. Im Rahmen der Neuberechnung der Aktivitätsdaten sowie einzelner Emissionsfaktoren wurden auch die zugehörigen Unsicherheiten neu bestimmt.

Die Auswirkungen der Rückrechnungen auf die Emissionen sind in Tabelle 364 zu sehen. Die Einbindungsleistungen von Kohlenstoff verändern sich in der Verbleibkategorie Wald nicht, aber

in der Übergangskategorie zu Wald sind sie im Vergleich mit der Vorjahressubmission geringfügig größer.

Tabelle 364: Gegenüberstellung der Emissionen der Submission 2016 und 2017

Emission [kt CO_2-eq]		1990	1995	2000	2005	2006	2007	2008	2009
5.A.1 Forest Land remaining Forest Land	2016	-70.268	-70.704	-71.140	-35.098	-35.144	-35.190	-52.918	-52.989
	2017	-70.268	-70.704	-71.140	-35.098	-35.144	-35.190	-52.918	-52.989
5.A.2 Land converted Forest Land	2016	-4.997	-5.184	-5.372	-5.596	-5.465	-5.339	-5.203	-5.035
	2017	-5.000	-5.187	-5.375	-5.597	-5.467	-5.341	-5.205	-5.037
Emission [kt CO_2-eq]		**2010**	**2011**	**2012**	**2013**	**2014**			
5.A.1 Forest Land remaining Forest Land	2016	-53.060	-53.130	-53.201	-53.284	-53.366			
	2017	-53.060	-53.130	-53.201	-53.284	-53.366			
5.A.2 Land converted Forest Land	2016	-4.926	-4.806	-4.683	-4.640	-4.464			
	2017	-4.928	-4.808	-4.685	-4.642	-4.466			

6.4.6 Geplante Verbesserungen, kategoriespezifisch (4.A)

Derzeit sind, über frühere Angaben hinaus, keine weiteren Verbesserungen geplant. Aussagen über den Stand der Umsetzung der geplanten Verbesserungsmaßnahmen im LULUCF-Sektor sind in Kapitel 6.1.4 zu finden.

Sofern in vorhergehenden Berichterstattungen in diesen Kapiteln Verbesserungen benannt wurden, sind diese in Form einer Übersicht unter Kapitel 10.4 Verbesserungen des Inventars, Tabelle 426 zu finden. Sind diese bereits erledigt, sind sie im selben Kapitel in Tabelle 425 abgebildet.

6.5 Ackerland (4.B)

6.5.1 Beschreibung der Kategorie (4.B)

KC	Category	Activity	EM of	1990 (kt CO_2-e.)	(fraction)	2015 (kt CO_2-e.)	(fraction)	Trend 1990-2015
L/T	**4.B. Cropland**		**CO_2**	**12.436,4**	**1,02%**	**14.348,3**	**1,62%**	**15,4%**
-/-	4.B. Cropland		N_2O	255,0	0,02%	289,0	0,03%	13,3%
-/-	4.B. Cropland		CH_4	196,0	0,02%	247,4	0,03%	26,3%

Gas	Angewandte Methode	Quelle der Aktivitätsdaten	genutzte Emissionsfaktoren
CO_2	Tier 2	RS/NS	CS
N_2O	Tier 2	RS/NS	CS/D
CH_4	Tier 2	RS/NS	CS

Die Kategorie *Ackerland* (4.B) ist für CO_2-Emissionen eine Hauptkategorie nach der Emissionshöhe und dem Trend.

In der Kategorie „*Ackerland*“ wird über die Freisetzung/Einbindung von CO_2 aus mineralischen und organischen Böden sowie der ober- und unterirdischen Biomasse berichtet; außerdem über direkte und indirekte Lachgasemissionen durch Humusverluste aus Mineralböden nach Landnutzungsänderung zu Acker und über Methanemissionen aus organischen Böden. Direkte und indirekte Lachgasemissionen aus der Düngemittelausbringung (Kunstdünger, Wirtschaftsdünger, Klärschlamm usw.), Ernteresten und der Drainage organischer Böden unter Ackernutzung werden gemäß der IPCC Richtlinien (IPCC 2006) unter Landwirtschaft berichtet (CRF 3.D) und daher, im Kapitel Ackerland, mit dem Schlüsselvermerk IE versehen. Das Abbrennen von Feldern und Ernterückständen ist in Deutschland per Gesetz verboten (BGBl 2004) und wird deshalb nicht berichtet (NO).

Die Emissionen aus dem Ackerland sind, getrennt nach Kategorien, in Tabelle 365 und im CRF-Tabellenwerk in den Tabellen 4, 4.B, 4.(II).B, 4.(III).B und 4.(IV).2 dargestellt. Die

Gesamtemissionen betrugen 2015 in Deutschland 14.949,7 kt CO_2-Äquivalente. Hauptquellen sind die Böden, vor allem ackerbaulich genutzte organische Böden (77,3 %). Die Mineralböden tragen 21,4% zur Emissionssumme bei, insbesondere durch Emissionen infolge von Grünlandumbruch (99,6 % der Mineralbodensumme (CRF 4.B.2.2.1; 4.(II).B; 4.(IV).2). Die anthropogen bedingte Netto-Freisetzung von CO_2 aus der Biomasse (1,04 %) und der toten organischen Substanz (0,24 %) ist im Ackerlandsektor sehr gering.

Das dominierende Treibhausgas im Ackerlandsektor ist mit 14.348,3 kt CO_2-Äquivalenten das CO_2 (96,0 %); daran gemessen, sind die zu berichtenden Lachgasemissionen aus dem Zersatz organischer Bodensubstanz infolge Landnutzungsänderung zu Ackerland gering (insgesamt 2,4 %, zusammengesetzt aus direkten Emissionen (289,0 kt CO_2-Eq. (CRF 4.(III)) und indirekten Emissionen (65,0 kt CO_2-Eq. (CRF 4.(IV)); u dies gilt auch für die Methanemissionen (247,4 kt CO_2-Eq. ≙ 1,7 % (CRF(4.(II).B), aus der Nutzung organischer Böden).

Tabelle 365: CO_2-, N_2O- und CH_4-Emissionen [kt CO_2-Eq.] aus dem Ackerland Deutschlands 2015. Dargestellt sind Summen sowie obere und untere Schranke des 95 % - Konfidenzintervalls

Quellgruppe	THG	Ackerland Emissionen 2015 [kt CO_2-Eq.]			[%]	
		Emission	**2,5 %-Perz.**	**97,5 %-Perz.**	**2,5 %-Perz.**	**97,5 %-Perz.**
$Acker_{total}$ [118]		**14.949,7**	11.046,1	17.098,7	26,1	14,4
Mineralboden	CO_2 [119]	**2.851,4**	2.007,3	4.238,8	29,6	48,7
	N_2O_{direkt} [120]	**289,0**	28,3	895,4	90,2	209,9
	$N_2O_{indirekt}$ [121]	**65,0**	0,0	255,0	100,0	292,3
Organischer Boden	CO_2 [119]	**11.305,7**	7.472,6	12.770,6	33,9	13,0
	N_2O [122]	**IE**	IE	IE	IE	IE
	CH_4 [123]	**247,4**	124,9	677,0	49,5	173,2
Biomasse	CO_2 [119]	**155,8**	132,6	179,3	14,9	15,1
Streu/Totholz	CO_2 [119]	**35,3**	30,1	40,6	14,9	14,9

Abbildung 61und Abbildung 62 zeigen den Verlauf der Emissionen aus dem Ackerland über die Zeit. Die Gesamtemission war im Jahr 2015 um 2.005 kt CO_2 ≙ 15,5 % größer als im Basisjahr 1990.

Hauptursache für den generellen Trend ist die Zunahme der Emissionen aus den organischen Böden in der Verbleibkategorie, die auf deren Flächenzunahme (26,3 % gegenüber 1990) zurückzuführen ist, hauptsächlich infolge von Grünlandumbruch (CRF 4.B.2.1.1). Der Rückgang der Entwaldungsfläche um -53 % führte 2015 zu 73 % geringeren Emissionen aus der Entwaldung. Deren Anteil an den Gesamtemissionen aus dem Ackerlandsektor ist mit 175 kt CO_2 ≙ 1,2 % sehr gering. Dies gilt auch für die Landnutzungsänderungen von Siedlungsflächen (53,8 kt CO_2 ≙ 0,4 %) und Feuchtgebieten zu Ackerland (45,3 kt CO_2 ≙ 0,3 %); auch hier sind die Flächen und somit die Emissionen gegenüber 1990 zurückgegangen (Siedlungen: -64 %; Feuchtgebiete: -72 %).

[118] Summe der Emissionen aus den CRF-Tabellen 4.B, 4.(II).B, 4.(III).B, 4.(IV).2

[119] CRF-Tabelle 4.B

[120] CRF-Tabelle 4.(III).B

[121] Die kategoriespezifischen indirekten N2O-Emissionen werden im CRF-Tabellenwerk nicht erfasst und dargestellt; sie sind Teil der in CRF-Tabelle 4.(IV).2 dargestellten Summe aller Subkategorien

[122] CRF-Tabelle 3.D.a.6

[123] CRF-Tabelle 4.(II).B

Verantwortlich für die Trendumkehr seit dem Jahr 2005 sind insbesondere die Emissionen infolge Landnutzungsänderungen von Grünland i.e.S. zu Ackerland. Die Umbruchsfläche hat seit 2005 auf organischen und Mineralböden Deutschlands um 281.673 ha ≙ 39 % und damit die Emissionen um 1.015,2 kt CO_2 ≙ 18,4 % zugenommen.

Als Ursachen für die Veränderungen in den Zeitreihen sind zum einen CO_2-Emissionen aus organischen und Mineralböden auszumachen und zum anderen die Abnahme der Emissionen aus der Biomasse und der toten organischen Substanz infolge des Rückgangs der Entwaldung.

Die Kurvenverläufe der Zeitreihen, insbesondere deutliche Änderungen, haben ihre Ursache vor allem in den periodischen Erhebungsterminen der Flächendaten (siehe Kapitel 6.3.5, Tabelle 335). Der Erfassung von Landnutzungsänderungen anhand räumlich expliziter Daten lagen Datensätze der Jahre 1990, 2000, 2005, 2008, 2012 und 2014 zugrunde (vergl. Kapitel 6.3). Landnutzungsänderungen, die zwischen diesen Terminen auftraten, wurden durch lineare Interpolation ermittelt, so dass die jährlichen Konversionsflächen zwischen den Erhebungszeitpunkten konstant sind. Die Werte für 2015 wurden extrapoliert. Ursache für die deutliche Abnahme der Emissionen zwischen 2000 und 2001 ist der deutliche Rückgang der Entwaldung.

Abbildung 61: Treibhausgasemissionen (Summe aus CO_2, CH_4 und N_2O) [kt CO_2-Eq.] infolge Landnutzung und Landnutzungsänderung aus Ackerland von 1990-2015 nach Unterkategorien (Unsicherheitendarstellung nur für Gesamtsumme)

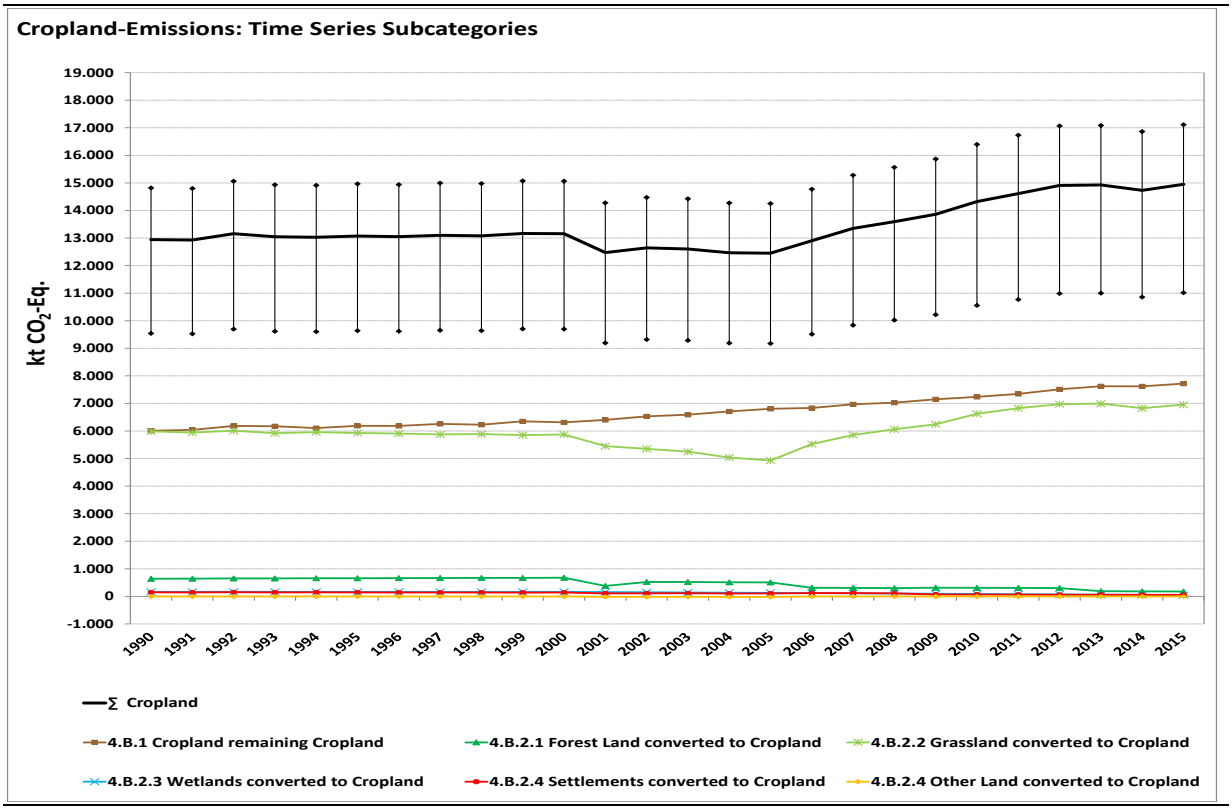

Abbildung 62: Treibhausgasemissionen (Summe aus CO_2, CH_4 und N_2O) [kt CO_2-Eq.] infolge Landnutzung und Landnutzungsänderung aus Ackerland von 1990-2015 nach Kategorien (Unsicherheitendarstellung nur für Gesamtsumme)

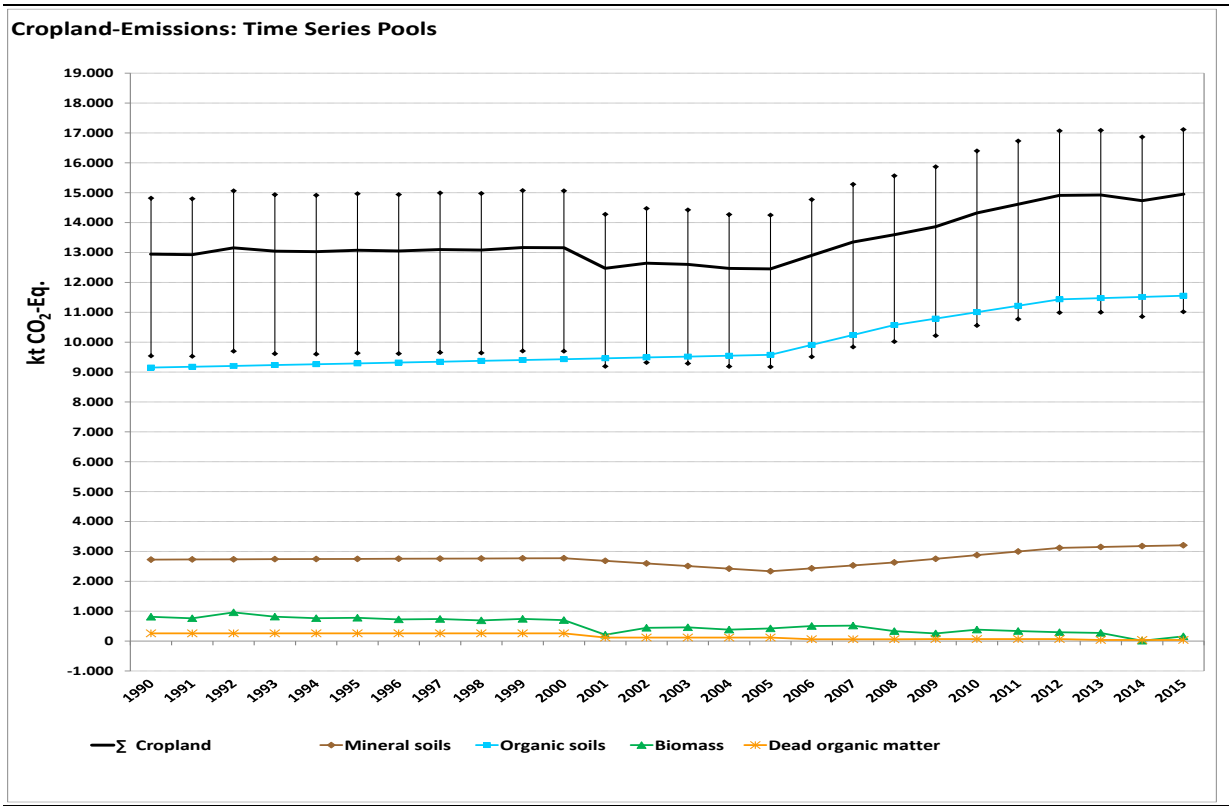

6.5.2 Methodische Aspekte (4.B)

6.5.2.1 Biomasse

Kohlenstoffvorratsänderungen in der ober- und unterirdischen Phytomasse von Ackerflächen werden berichtet infolge von Landnutzungsänderungen zu Ackerland sowie erstmalig für die Subkategorie „Ackerland bleibt Ackerland". In der Kategorie Ackerland wird der Pool Phytomasse weiter untergliedert nach Ausprägung der Pflanzen in

- krautige Pflanzen
- mehrjährige Gehölzkulturen (Obst- und Weinanbauflächen, Weihnachtsbaumkulturen, Baumschulen und Kurzumtriebsplantagen (KUP))

Die Unterstellungen und Methoden zur Berechnung der Kohlenstoffvorratsänderungen in der ober- und unterirdischen Biomasse von Pflanzen sind in Kapitel 6.1.2.3.1 und Kapitel 6.1.2.3.2 beschrieben, die Herleitung der Emissionsfaktoren für

- krautige Pflanzen annueller Kulturen in Kapitel 6.1.2.3.3
- Obstanbauflächen in s. Kapitel 6.1.2.3.4.1
- Weinanbauflächen in s. Kapitel 6.1.2.3.4.2
- Weihnachtsbaumkulturen in s. Kapitel 6.1.2.3.4.3
- Baumschulen in s. Kapitel 6.1.2.3.4.4
- Kurzumtriebsplantagen in s. Kapitel 6.1.2.3.4.5

6.5.2.1.1 Landnutzungsänderung

In Kapitel 6.1.2.3.1 wird ausgeführt, dass mit dem bestehenden System zur Landnutzungsausweisung annuelle und perennierende Ackerkulturen derzeit nicht räumlich explizit und umfänglich nachgewiesen werden können. Daher ist bei einer Landnutzungsänderung von/zu Ackerland nicht bekannt, ob annuelles oder perennierendes Ackerland Ausgangs- bzw. Zielnutzung ist. Diesem Umstand wird Rechnung getragen, in dem ein flächengewichteter Emissionsfaktor für die gesamte Ackerlandphytomasse abgeleitetet wird. Dieser wird mittels der in Kapitel 6.1.2.3.3 und Kapitel 6.1.2.3.4.6 hergeleiteten Emissionsfaktoren für die Phytomasse auf annuellem bzw. perennierenden Ackerland flächengewichtet berechnet, nach

$$EF_{crop_{Phyto}} = \frac{\left(EF_{crop_{an}} * A_{crop_{an}} + EF_{crop_{per}} * A_{crop_{per}}\right)}{\left(A_{crop_{an}} + A_{crop_{per}}\right)}$$

EF_crop_Phyto: Flächengewichteter Emissionsfaktor für die gesamte annuelle und perennierende Ackerphytomase [Mg C ha^{-1}]

EF_crop_an: Nach Pflanzenart und Anbaufläche gewichteter mittlerer Emissionsfaktor für krautige und annuelle Ackerlandphytomasse [Mg C ha^{-1}]

A_crop_an: Anbaufläche krautiger und annueller Biomasse [ha]

EF_crop_per: Nach Pflanzenart und Anbaufläche gewichteter mittlerer Emissionsfaktor für perennierende Gehölzphytomasse auf Ackerland [Mg C ha^{-1}]

A_crop_per: Anbaufläche für perennierende Gehölzephytomasse auf Ackerland [ha]

Die mittleren Kohlenstoffvorräte pro Flächeneinheit für die Ackerphytomasse bzw. Emissionsfaktoren können Tabelle 366 entnommen werden; sie liegen allen Berechnungen der CO_2-Einbindung/Emissionen in/aus dem Pool Ackerlandphytomasse zugrunde, die infolge von Landnutzungsänderungen von/zu Ackerland auftreten. Die geringen Unterschiede gegenüber der Vorjahressubmission sind auf die Berichtigung eines Berechnungsfehlers bei der Abschätzung der krautigen Phytomasse zurückzuführen (s. Kapitel 6.1.2.3.3).

Tabelle 366: Mittlerer flächengewichteter Kohlenstoffvorrat [Mg C ha-1 ± Hälfte des 95 % Konfidenzintervalls] der Phytomasse auf Ackerland in Deutschland sowie deren prozentuale Veränderung gegenüber der Submission 2016

Jahr	Ackerland Phytomasse total					
	Kohlenstoffvorrat [t C ha^{-1}]			Veränderung gegenüber Submission 2016 [%]		
	Phytomasse total	Phytomasse oberirdisch	Phytomasse unterirdisch	Phytomasse total	Phytomasse oberirdisch	Phytomasse unterirdisch
1990	5,27 ± 0,60	3,78 ± 0,51	1,49 ± 0,32	-0,34	-0,34	-0,35
1991	5,53 ± 0,63	4,08 ± 0,55	1,46 ± 0,32	-0,36	-0,36	-0,37
1992	5,11 ± 0,59	3,74 ± 0,50	1,38 ± 0,30	-0,35	-0,35	-0,36
1993	5,67 ± 0,65	4,13 ± 0,55	1,54 ± 0,33	-0,36	-0,35	-0,36
1994	5,44 ± 0,62	4,01 ± 0,54	1,43 ± 0,31	-0,35	-0,35	-0,36
1995	5,63 ± 0,65	4,17 ± 0,56	1,46 ± 0,32	-0,34	-0,33	-0,34
1996	5,77 ± 0,66	4,26 ± 0,57	1,51 ± 0,33	-0,34	-0,33	-0,34
1997	5,94 ± 0,68	4,43 ± 0,59	1,51 ± 0,33	-0,34	-0,33	-0,34
1998	5,87 ± 0,67	4,37 ± 0,59	1,50 ± 0,33	-0,35	-0,34	-0,35
1999	6,10 ± 0,70	4,54 ± 0,61	1,55 ± 0,34	-0,40	-0,40	-0,40
2000	5,97 ± 0,69	4,44 ± 0,60	1,53 ± 0,33	-0,33	-0,33	-0,33
2001	6,28 ± 0,72	4,73 ± 0,64	1,55 ± 0,34	-0,31	-0,31	-0,32
2002	5,75 ± 0,66	4,29 ± 0,58	1,46 ± 0,32	-0,32	-0,32	-0,33
2003	5,23 ± 0,60	3,92 ± 0,53	1,31 ± 0,29	-0,32	-0,32	-0,33
2004	6,55 ± 0,75	4,93 ± 0,66	1,62 ± 0,35	-0,31	-0,31	-0,32
2005	6,16 ± 0,71	4,62 ± 0,62	1,54 ± 0,33	-0,30	-0,30	-0,31
2006	5,83 ± 0,67	4,40 ± 0,59	1,43 ± 0,31	-0,29	-0,29	-0,30
2007	5,89 ± 0,68	4,39 ± 0,59	1,49 ± 0,32	-0,30	-0,30	-0,31
2008	6,37 ± 0,73	4,82 ± 0,65	1,55 ± 0,34	-0,31	-0,31	-0,32
2009	6,53 ± 0,75	4,93 ± 0,66	1,61 ± 0,35	-0,31	-0,31	-0,31
2010	6,05 ± 0,69	4,56 ± 0,61	1,49 ± 0,32	-0,30	-0,30	-0,31
2011	6,18 ± 0,71	4,60 ± 0,62	1,58 ± 0,34	-0,29	-0,29	-0,30
2012	6,49 ± 0,74	4,88 ± 0,66	1,62 ± 0,35	-0,30	-0,30	-0,30
2013	6,39 ± 0,73	4,84 ± 0,65	1,55 ± 0,34	-0,30	-0,30	-0,31
2014	7,27 ± 0,83	5,48 ± 0,74	1,79 ± 0,39	-0,30	-0,30	-0,31
2015	6,55 ± 0,75	4,98 ± 0,67	1,56 ± 0,34	/	/	/

6.5.2.1.2 Verbleibkategorie

Für die Verbleibkategorie von Ackerland werden erstmals Emissionen aus dem Pool Phytomasse berichtet. Während in den Verbleibkategorien aller anderen Landnutzungskategorien und -subkategorien einheitliche Vegetationsstrukturen auftreten, somit bezüglich der Phytomasse ein dynamisches Gleichgewicht unterstellt werden kann (folglich keine Emissionen auftreten) (s. Kapitel 6.1.2.3.1), weist die Subkategorie „Ackerland bleibt Ackerland" krautige, annuelle Kulturen und mehrjährige Gehölzkulturen auf. Flächenumwidmungen zwischen diesen ziehen folglich, anthropogen verursacht, Kohlenstoffvorratsänderungen in der pflanzlichen Biomasse nach sich, die zu berichten sind.

Da die Flächenänderungen zwischen annuellen und perennierenden Ackerkulturen mit dem bestehenden System zur Landnutzungsausweisung derzeit nicht räumlich explizit und umfänglich nachgewiesen werden können, (s. Kapitel 6.1.2.3.1), müssen die zur Abschätzung der Emissionen nötigen Aktivitätsdaten der Offizialstatistik (aktuell Fachserie 3 Reihe 3.1.2 (STATISTISCHES BUNDESAMT div. Jgg.)) entnommen werden. Die Werte sind in Tabelle 367 dargestellt. Es zeigt sich, dass die Flächensumme relativ konstant ist; der Standardfehler für den Stichprobenmittelwert beträgt 0,9 % (Hälfte des 95 %-Konfidenzintervalls).

Kurzumtriebsplantagen spielen in Deutschland nur eine marginale Rolle (1,7 % - 2,7 % der Ackerlandgehölzfläche); sie werden seit 2010 überhaupt erst statistisch erfasst.

Tabelle 367: Flächen [ha] perennierender Gehölzkulturen im Ackerland Deutschlands (nach STATISTISCHES BUNDESAMT div. Jgg.)

Jahr	Gehölzkulturen im Ackerland Fläche [ha]					
	Obstanbau	Weinanbau	Weihnachtsbaumkulturen	Baumschulen	Kurzumtriebsplantagen	∑ $Fläche_{Gehölzkulturen}$
1990	80.856	104.973	5.467	26.788		218.084
1991	80.856	104.924	7.185	26.788		219.753
1992	73.863	106.961	7.552	26.658		215.034
1993	69.723	106.917	8.136	27.226		212.002
1994	69.413	107.360	10.642	27.014		214.429
1995	68.977	106.781	10.353	27.831		213.942
1996	70.107	106.141	11.555	27.516		215.319
1997	69.598	105.390	11.954	26.808		213.750
1998	72.013	105.074	12.674	26.239		216.000
1999	69.359	104.260	12.753	25.762		212.134
2000	69.500	104.724	13.400	24.800		212.424
2001	69.200	103.605	14.100	25.700		212.605
2002	67.600	102.989	15.400	24.300		210.289
2003	69.000	102.470	14.500	23.600		209.570
2004	68.300	102.240	13.100	22.700		206.340
2005	66.200	102.037	12.900	21.700		202.837
2006	65.900	101.999	14.600	21.200		203.699
2007	65.000	102.036	14.700	20.900		202.636
2008	65.100	102.340	15.800	20.700		203.940
2009	65.300	102.276	16.900	20.200		204.676
2010	65.287	102.197	14.625	20.860	3.501	206.470
2011	65.600	102.104	15.000	20.700	5.100	208.504
2012	64.300	102.172	15.600	21.200	4.400	207.672
2013	63.400	102.427	15.800	20.700	3.600	205.927
2014	63.800	102.439	17.900	20.800	4.800	209.739
2015	64.100	102.581	20.100	19.900	5.786	212.467

Anhand der statistisch erfassten Flächen für Ackerlandgehölze und den daraus ableitbaren jährlichen Flächenänderungen, kann die Kohlenstoffänderung in der Phytomassse in der Verbleibkategorie nur als Summe für ganz Deutschland abgeschätzt werden. Da die Qualität bzw. Richtung der Landnutzungsänderung nicht nachzuführen ist (s. Kap. 6.1.2.3.1), Verbindungen zu anderen Landnutzungskategorien nicht nachgewiesen, somit nicht berichtet werden können, erfolgt die Berichterstattung unter der Annahme, dass die jährlichen Flächendifferenzen bei den Dauerkulturen ausschließlich Nutzungsänderungen innerhalb der Landnutzungskategorie Ackerland darstellen.

Die Berechnung erfolgt nach der in Kapitel 6.1.2.3.2 beschriebenen Gain-Loss Methode (2006 IPCC Guidelines). Um methodisch konsistent zu verfahren, wird die Differenz der Flächensumme mit den gewichteten mittleren Kohlenstoffvorräten der Gehölzphytomasse (Kapitel 6.1.2.3.3) bzw. der krautigen Phytomasse multipliziert (Kapitel 6.1.2.3.4.6) und mit umgekehrtem Vorzeichen verrechnet (positive Flächendifferenz: Gehölzbiomasse positives Vorzeichen (gain), krautige Biomasse negatives Vorzeichen (loss) und umgekehrt (vergl. Tabelle 315 in Kapitel 6.1.2.3.2).

6.5.2.2 Mineralische Böden

6.5.2.2.1 Landnutzungsänderung

Die Berechnung der CO_2-Emissionen infolge der Umwandlung von Landflächen in Ackerland ist in Kapitel 6.1.2.1.1, für die N_2O-Emissionen in Kapitel 6.1.2.1.2 beschrieben. Die Emissionsfaktoren für Kohlenstoff sind in Tabelle 306 und Tabelle 307 (Kapitel 6.1.2.1.1), die für direkte Lachgasemissionen in Tabelle 308, für indirekte N_2O-Emissionen in Tabelle 309(Kapitel 6.1.2.1.2) dargestellt. Die Herleitung der Emissionsfaktoren ist in Kapitel 19.4.2 beschrieben, die Unsicherheiten sind in Tabelle 368 (Kapitel 6.6.3) ausgewiesen. Die Ergebnisse für die Emissionen aus Mineralböden finden sich für die:

- CO_2-Emissionen in CRF-Tabelle 4.B.2.1-4.B.2.5,
- direkten N_2O-Emissionen in CRF-Tabellen 4.III.2.1-4.III.2.5,
- indirekten N_2O-Emissionen in CRF-Tabelle 4.IV.2.

6.5.2.2.2 Verbleibkategorie

Für Flächen unter verbleibender Ackerlandnutzung wird keine Änderung der Kohlenstoffvorräte in Mineralböden ausgewiesen; folglich wird auch kein Lachgas infolge von Mineralisierung organischer Bodensubstanz freigesetzt. Die Annahme, dass Mineralböden unter anhaltender Ackernutzung in Deutschland keine Quelle für Kohlenstoff und Stickstoff sind, wurde mit folgenden Argumenten hinterlegt:

- Ergebnisse von 140 regionalen Langzeituntersuchungsflächen (HÖPER & SCHÄFER, 2012; FORTMANN et al., 2012 und BAYERISCHE LANDESANSTALT FÜR LANDWIRTSCHAFT, 2007), die die Konstanz des Kohlenstoffvorrats seit Anfang der 1990er Jahre belegen.
- Erste Untersuchungen zur Kohlenstoffbilanz von Ackerlandflächen an 180 Standorten der landesweiten Bodenzustandserhebung Landwirtschaft, mittels Modellen (DREYSSE, 2015). Zum einen kam das für die praktische Beratung entwickelte Bilanzierungsmodell „VDLUFA-Humusbilanzierung“ (KÖRSCHENS et al., 2004; AUTORENKOLLEKTIV, 2014) zum Einsatz, zum anderen das prozessgesteuerte, standortangepasste Modell „CandyCarbonBalance“ (FRANKO et al., 2011) zum Einsatz. Beide Modelle zeigen eindeutig, dass die untersuchten, langjährig genutzten Ackerböden keine Quellen für CO2 darstellen (DREYSSE, 2015).
- Metastudien jüngeren Datums (BAKER et al., 2007; LUO et al., 2010), die zeigen, dass die Art der Bodenbearbeitung bei einer Betrachtungstiefe > 60 cm keinen Einfluss auf den Gesamtkohlenstoffvorrat von Mineralböden hat.

In Ergänzung dieser Argumente können nun mehr weitergehende und umfassendere Beweisgründe für die Richtigkeit o.a. Thesen angeführt werden:

1. Die Ergebnisse der bundesweiten Auswertung der deutschen Bodendauerbeobachtungsflächen (MARX et al., 2016).
2. Analyse der Zeitreihen des Kohlenstoffeintrags durch organische Düngemittel und Ernterückstände; der Kohlenstoffeintrag wurde abgeleitet aus dem jeweiligen Stickstoffeintrag in die Ackerflächen Deutschlands, die für diese Quellgruppen des Landwirtschaftssektors berechnet wurden (CRF-Tabelle 3.D).
3. Die Düngemittelempfehlungen zur Umsetzung der Deutschen Düngeverordnung und der Europäischen Nitratrichtlinie

zu 1.) Die Ergebnisse der Bodendauerbeobachtungsflächen der Bundesländer wurden in einem Forschungsprojekt zusammengetragen, harmonisiert und bundesweit synthetisch ausgewertet (MARX et al., 2016). Die wesentlichen Ergebnisse sind:

- Die bundesweite Auswertung der BDF bezüglich Kohlenstoffvorratsänderungen bestätigt das Bild der bisherigen Länderbetrachtung. Der Anteil der Standorte, an denen keine statistisch abgesicherten Veränderungen auftreten überwiegt deutlich; so zeigen 77 % der Mineralböden unter Acker keine Kohlenstoffvorratsänderungen, 10 % eine signifikante Zu-, 13 % eine signifikante Abnahme (MARX et al., 2016).
- An 157 Acker-BDF Standorten lagen für eine Korrelation auswertbare organische Bodenkohlenstoff- und Bewirtschaftungsdaten vor. Eine positive signifikante Korrelation zwischen den organische Bodenkohlenstoffdifferenzen und der Bewirtschaftung konnte nur an zwei Standorten nachgewiesen werden, entsprechend ca. 1,3 %. Der Einfluss der Bewirtschaftung auf den Kohlenstoffgehalt ist offensichtlich marginal (MARX et al., 2016).
- Als wichtigste Einflussgrößen, die den Gehalt an organischem Kohlenstoff in Böden erklären, konnten MARX et al., 2016 den Tongehalt, den Niederschlag und die Temperatur ausmachen, gefolgt von weiteren Standortparametern. Bewirtschaftungsfaktoren trugen unerheblich zur Erklärung der Varianz der Kohlenstoffgehalte in den Mineralböden unter Ackerland bei. Als wichtigste Einflussgrößen für die langfristige Veränderung der Kohlenstoffgehalte konnten in der Studie der Ausgangsgehalt an Kohlenstoff sowie der Tongehalt ermittelt werden.

Die Ergebnisse der bundesweiten Auswertung der Bodendauerversuchsstandorte durch MARX et al., 2016 bestätigen die These, dass die Netto-Kohlenstoffvorratsänderungen in den Mineralböden von Ackerlandstandorten im Durchschnitt Null sind, auftretende Veränderungen im Wesentlichen nicht durch die Bewirtschaftung beeinflusst werden sondern standortbedingt sind.

zu 2.) Der Trend des Kohlenstoffeintrags durch organischen Dünger und Ernterückstände erlaubt eine unabhängige Abschätzung des Bewirtschaftungseinflusses hinsichtlich der Humusbilanz. Ein positiver Trend deutet auf eine Netto-C-Senke hin, während ein negativer Trend Indiz für eine potentielle Abnahme des Kohlenstoffvorrates ist. Als Grundlage für die Trendschätzung dient der Stickstoffeintrag in die Mineralböden, der für den Landwirtschaftssektor (CRF-Tabelle 3.D) des deutschen THG-Inventars ermittelt wurde. Daraus leitet sich der Kohlenstoffeintrag durch organische Dünger angenähert ab, indem der Stickstoffeintrag mit einem durchschnittlichen C/N-Verhältnis von 12 (repräsentativ für die Mischung aus Gülle und Dung, die die organischen Dünger dominieren) multipliziert wird. 48% des organischen Düngers werden in Deutschland auf Ackerland, 66 % des organischen Düngers werden in Deutschland auf Ackerland, 34 % auf Grünland angewendet (Statistisches Bundesamt, 2010). Abbildung 63 zeigt die Ergebnisse:

- Der Kohlenstoffeintrag mit organischen Düngern ist seit 1990 mehr oder weniger konstant geblieben
- Der Kohlenstoffeintrag mit den Ernterückständen hat deutlich zugenommen
- Insgesamt ist ein positiver Trend zu verzeichnen, eine Zunahme der Kohlenstoffeinträge in Mineralböden unter Ackerland seit 1990

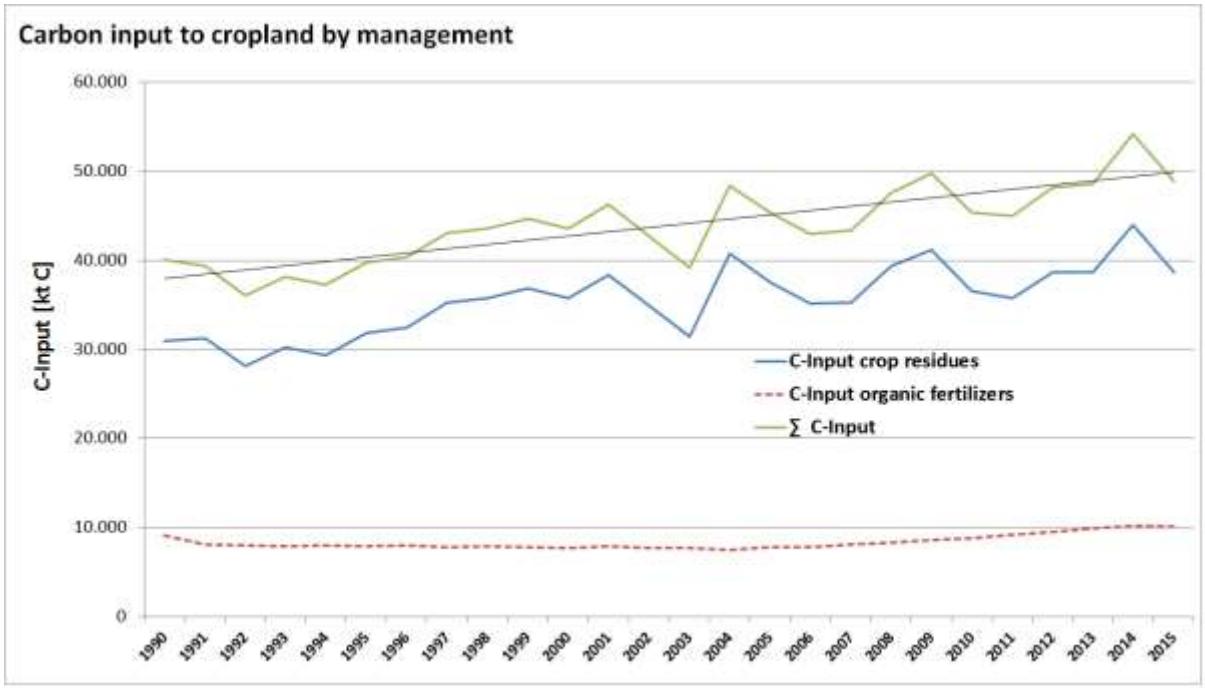

Abbildung 63: Kohlenstoffeintrag [kt C] mittels organischen Dünger und Ernteresten in Ackerland 1990 - 2015

So bestätigen die Ergebnisse dieser nationalen Analyse, unabhängig von den Ergebnissen der Bodendauerbeobachtung, dass mineralische Böden in der Kategorie „Ackerland bleibt Ackerland" eher eine Netto-Kohlenstoffsenke als eine -quelle sind. Angesichts der Tatsache, dass Kulturpflanzen weniger pro Kohlenstoffeinheit für die Humusbilanz von Böden beitragen als organische Düngemittel, wird die Schätzung einer Nullbestandsveränderung erneut als robust bestätigt.

zu 3.) Ein weiterer Hinweis darauf, dass Mineralböden unter Dauerackerland keine organische Bodensubstanz verlieren, liefern die Düngeempfehlungen für annuelle Ackerpflanzen, welche durch die Landwirtschaftsbehörden der Bundesländer den Landwirten gegeben werden. Damit werden die Ziele der deutschen Gesetzgebung zur Düngung unterstützt, mit welcher auch die Europäische Nitratrichtlinie umgesetzt werden soll. In §6 der Düngeverordnung (DüV; BGBl 2012) sind verpflichtende Höchstgrenzen für Stickstoffüberschüsse auf Ackerland festsetzt, die von den Behörden kontrolliert werden. Die zuständigen Behörden der Bundesländer stellen den Landwirten Daten und Tools für die Düngebedarfsermittlung zur Verfügung. Die DüV legt dezidiert fest, welche Parameter hierbei zu beachten sind (z.B. diverse Standortfaktoren, Anbaubedingungen, Bewirtschaftung, Frucht, Vorfrucht, Restgehalte, organische Dünger usw.) und führt des Weiteren aus, dass zur Ermittlung des Düngebedarfs die Ergebnisse regionaler Feldversuche herangezogen werden sollen (§3, Abs. 2 DüV (BGBl 2012)). So basieren die von den einzelnen Bundesländer entwickelten Werkzeuge zur Abschätzung des Stickstoffdüngebedarfs sowie die diesen zugrunde liegenden Daten auf regionalen Messungen und Düngeversuchen. Stickstoffverluste aus der Mineralisierung organischer Bodensubstanz werden jedoch in keinem dieser Systeme berücksichtigt. Als Stickstoffquellen wirken offensichtlich ausschließlich organische Dünger und Ernterückstände nicht jedoch die Mineralisierung organischer Bodensubstanz. Daraus folgt, ergänzend zu den Ergebnissen aus 1.), dass in der Kategorie „Ackerland bleibt Ackerland" keine N_2O-Emissionen infolge der Mineralisierung organischer Bodensubstanz auftreten.

In der CRF-Tabelle 4.B.1 wird die Spalte Kohlenstoffvorratsänderung in Mineralböden der Verbleibkategorie daher mit NA (not applicable) gekennzeichnet; entsprechendes gilt für die N_2O-Emissionen in der CRF-Tabelle 3.D.5.

6.5.2.3 Organische Böden

Die Berechnungen der CO_2-, N_2O- und CH_4-Emissionen aus organischen Böden infolge Landnutzung und Landnutzungsänderung sowie die Herleitung der entsprechenden Emissionsfaktoren sind in Kapitel 6.1.2.1 beschrieben, die Ermittlung der Flächen sowie Flächennutzung in Kapitel 6.3.1 ff. Die jährlichen Emissionen nach Landnutzungsänderung werden wie die Emissionen aus verbleibender Ackernutzung berechnet, letztere werden in der CRF-Tabelle 4.B.1, die Emissionen infolge von Landnutzungsänderung in CRF-Tabellen 4.B.2.1 - 4.B.2.5 ausgewiesen.

Die N_2O-Emissionen aus ackerbaulich genutzten organischen Böden werden im Sektor „Landwirtschaft“ unter Kapitel 3.D.a.6 „Cultivation of Histosols“ berichtet. Um Doppelzählungen zu vermeiden, werden diese in der LULUCF CRF-Tabelle 4.II.B mit dem Notationsschlüssel „IE“ versehen.

Die Methanemissionen aus organischen Böden sowie aus Draingräben werden im Zahlenwerk in der CRF-Tabelle 4.II.B präsentiert.

6.5.3 Unsicherheiten und Zeitreihenkonsistenz (4.B)

Die Bestimmung der Unsicherheiten für Emissionsfaktoren und Aktivitätsdaten erfolgten gemäß der IPCC 2006 Guidelines (IPCC 2006). Nähere Erläuterungen hierzu finden sich in Kapitel 19.4.3. Tabelle 368 und 6.1.2.1 zeigen die Unsicherheiten der Emissionsfaktoren (EF) des Ackerlandsektors, unterschieden nach Kategorien und Subkategorien.

Tabelle 368 unterstreicht, dass Verteilungen aus natürlichen Prozessen oft nicht symmetrisch sind, sondern mit links- bzw. rechtssteilen Verteilungen beschrieben werden müssen. Standardnormalverteilungen bzw. annähernd Normalverteilungen weisen lediglich die EF für die Biomasse auf. Die Unsicherheiten sind hier gleichzeitig die geringsten. Mit Ausnahme des EF für CO_2 aus organischen Böden, die eine rechtssteile Verteilung aufweisen, sind die anderen EF für Böden i.d.R lognormal verteilt. Die größten Unsicherheiten weisen die N_2O- EF für Mineralböden auf, was im Wesentlichen auf die Nutzung der IPCC-Standardfaktoren zurückzuführen ist.

Bei den Unsicherheiten der Faktoren für indirekte N_2O-Emissionen wurden, im Rahmen der Gaußschen Berechnung der Unsicherheitsfortpflanzung, für die untere Schranke des 95 %-Konfidenzintervalls, Unsicherheiten > 100 % berechnet. Diese Berechnungsmethode entspricht zwar dem Reglement, darf, streng mathematisch gesehen, hier jedoch nicht zur Anwendung kommen. Aufgrund der Berechnungsmethode zugrunde liegenden Annahmen, können für indirekte N_2O-Emissionen aus Mineralböden keine negativen Emissionen auftreten. Daher wurde die Unsicherheit für die untere Schranke auf 100 % festgelegt.

Die große Unsicherheit der EF für Methan und Lachgas aus organischen Böden beruht auf deren extrem großer Variabilität bei den Geländemessungen und dem Umstand, dass beim Methan auch negative Emissionen auftreten können (s. Kapitel 6.1.2.2.2).

Die Unsicherheiten für die Aktivitätsdaten sind in Tabelle 517 in Kapitel 19.4.3 dargestellt. Diese sind normalverteilt und die Hälfte des 95 % - Konfidenzintervalls beträgt im Ackerlandbereich zwischen 1,0 - 90,2 %. Beim Rasterpunktansatz ist der Stichprobenfehler systembedingt abhängig von der Stichprobengröße, somit vom Flächenanteil der jeweiligen Unterkategorie an der Gesamtfläche (vergl. Kapitel 6.3). So weisen lediglich die Unterkategorien im Ackerlandbereich

größere Unsicherheiten auf, deren Anteil an der gesamten Ackerfläche < 0,1 % beträgt. Eine flächengewichtete Ableitung einer Gesamtunsicherheit der Flächendaten in der Ackerlandkategorie ergibt eine Unsicherheit von 1,05 % [Hälfte des 95-% Konfidenzintervalls].

Tabelle 517 in Kapitel 19.4.3 zeigt, dass im Ackerlandbereich, gemessen an den Gesamtemissionen, insbesondere die Emissionen aus organischen Böden einen erheblichen Anteil an den nationalen LULUCF-Emissionen aufweisen. Die Emissionen aus Mineralböden sind nur im Falle des Grünlandumbruchs eine bemerkenswerte Größe.

Tabelle 368: Unsicherheiten von Emissionsfaktoren [2,5 %- und 97,5 %-Perzentil in % vom Lagemaß] zur Berechnung der THG-Emissionen aus dem Ackerland Deutschlands 2015, unterschieden nach Pools und Unterkategorien

Ackerland		Emissionsfaktor	Schranken	
Landnutzung$_{vor}$	Landnutzung$_{nach}$		untere	obere
Mineralboden CO_2-C[124]		[t C ha^{-1} a^{-1}]	[%]	[%]
Wald	**Acker**	-0,025	16,9	25,0
Grünland i.e.S.	**Acker**	-0,870	29,6	49,1
Gehölze	**Acker**	-0,658	27,9	51,1
Terr. Feuchtgebiete	**Acker**	-0,699	28,4	36,8
Gewässer	**Acker**	0,000	33,0	50,5
Siedlungen	**Acker**	0,068	27,9	49,2
Sonstige Fläche	**Acker**	0,221	27,4	51,8
Mineralboden N_2O_{direkt}[125]		[kg N_2O ha^{-1} a^{-1}]	[%]	[%]
Wald	**Acker**	0,029	72,1	201,6
Grünland i.e.S.	**Acker**	1,078	91,0	211,9
Gehölze	**Acker**	0,845	90,4	212,4
Terr. Feuchtgebiete	**Acker**	0,711	90,6	209,4
Mineralboden $N2O_{indirekt}$[125]		[kg N_2O ha^{-1} a^{-1}]	[%]	[%]
Wald	**Acker**	0,007	100	287,8
Grünland i.e.S.	**Acker**	0,243	100	295,2
Gehölze	**Acker**	0,190	100	295,5
Terr. Feuchtgebiete	**Acker**	0,160	100	293,4
Biomasse[126]		[t C ha^{-1} a^{-1}]	[%]	[%]
Acker$_{perennierend}$ [127]	**Acker$_{annuel}$** [128]	-5,18	11,1	11,1
Acker$_{annuel}$ [128]	**Acker$_{perennierend}$** [127]	5,18	11,1	11,1
Wald	**Acker**[129]	-48,11	22,2	22,2
Grünland i.e.S.	**Acker**[129]	-0,26	16,4	16,4
Gehölze	**Acker**[129]	-36,62	47,1	48,0
Terr. Feuchtgebiete	**Acker**[129]	-12,38	31,9	32,5
Gewässer	**Acker**[129]	6,55	11,5	11,5
Siedlungen	**Acker**[129]	-5,94	31,1	31,7
Sonstige Fläche	**Acker**[129]	6,55	11,5	11,5
Tote organische Substanz[126]		[t C ha^{-1} a^{-1}]	[%]	[%]
Wald	**Acker**	-20,69	6,2	6,2

124 Berechnung über 20 Jahre; Vorratsänderung: positiv ≙ Senke; negativ ≙ Quelle

125 Berechnung über 20 Jahre; Emission: positiv ≙ Quelle; negativ ≙ Senke

126 Berechnung nur im ersten Jahr der Landnutzungsänderung; Vorratsänderung: positiv ≙ Senke; negativ ≙ Quelle

127 Mittelwert perennierender Ackerpflanzen, s. Kap. 6.1.2.3.4.6

128 Mittelwert annueller Ackerpflanzen, s. Kap. 6.1.2.3.3

129 gewichtetes Mittel aus perennierenden und annuellen Ackerpflanzen, s. Kap. 6.5.2.1.2

Tabelle 369: Unsicherheiten von Emissionsfaktoren [2,5 %- und 97,5%-Perzentil in % vom Lagemaß] aus organischen Böden für Ackerland im Jahr 2015

Landnutzung	Treibhausgas	Emissionsfaktor	Schranken untere	Schranken obere
Organischer Boden[130]		[t CO_2-Eq. ha^{-1} a^{-1}]	[%]	[%]
Acker	**CO_2**	29,70	45,7	17,4
Acker	**N_2O**	5,01	85,5	286,5
Acker	**CH_4**	0,65	66,7	233,9

Die Berechnungen sind für den gesamten Berichtszeitraum von 1990-2013 räumlich und zeitlich konsistent und vollständig.

6.5.4 Kategoriespezifische Qualitätssicherung/-kontrolle und Verifizierung (4.B)

Details zu den diesjährigen Prüfungen finden sich in Kapitel 6.1.3.

Die zur Erstellung dieses Inventars verwendeten Datenquellen erfüllen die Prüfkriterien des QSE-Handbuchs für Datenquellen. Bezüglich der Qualitätssicherung der Eingangsdaten (ATKIS®, BÜK, Offizialstatistik, siehe Kapitel 6.3) wird auf die Datenhalter verwiesen (Dokumentationen finden sich in der Inventarbeschreibung).

Die Ergebnisse der Emissionsberechnung der aktuellen Berichterstattung können mit anderen Datenquellen für Deutschland nicht verglichen werden, da solche flächendeckend, umfassend und unabhängig von den hier aufgeführten Methoden und Datenquellen nicht existieren.

Tabelle 370 zeigt einen innereuropäischen Vergleich implizierter Emissionsfaktoren (IEF) für unterschiedliche Quellgruppen. Für diesen Vergleich wurden die neusten Werte der Nachbarstaaten verwendet. Diese stammen aus den letzten Submissionen der Länder an das Sekretariat der Klimarahmenkonvention. Der Vergleich zeigt, insbesondere unter Berücksichtigung der großen Unsicherheiten und Streuung der berichteten Werte (siehe Kapitel 6.5.3), dass die landesspezifischen Werte für Deutschland im Reigen seiner Nachbarländer keine auffälligen Unterschiede in der Größenordnung aufweisen. Dies gilt insbesondere auch für die IEF der erstmals berichteten Emissionen aus der Phytomasse der Verbleibkategorie; der Wert für Deutschland trifft ziemlich genau den Durchschnitt der dargestellten IEF, die in allen Ländern sehr gering sind.

[130] Berechnung jährlich, Emission: positiv ≙ Quelle; negativ ≙ Senke

Tabelle 370: Vergleich impliziter Emissionsfaktoren (IEF) unterschiedlicher Pools in der Landnutzungskategorie Ackerland innerhalb Europas (Deutschland für 2014 & 2015, übrige Länder für 2014)

Land	4.B.1 - Cropland Remaining Cropland Organische Böden [t C ha^{-1} a^{-1}]	Phytomasse [t C ha^{-1} a^{-1}]	4.B.2 - Land Converted To Cropand Mineralböden [t C ha^{-1} a^{-1}]	Phytomasse [t C ha^{-1} a^{-1}]	Tote org. Substanz [t C ha^{-1} a^{-1}]	Lachgas [kg N_2O-N ha^{-1}]
Belgien	-10	-0,0005	-1,3	-0,11	-0,01	-
Dänemark	-9,3	-0,038	0,02	0,34	NA,NO	-
Frankreich	NO	0	-1,18	-0,16	-0,02	-
Großbritannien	IE	0,003	-1,26	-0,03	0	-
Niederlande	-3,98	NE	-0,79	-0,22	-0,03	-
Österreich	NO	-0,023	-0,98	0,03	-0,04	-
Polen	-1	0,034	-0,05	NO	NO	-
Schweiz	-9,52	0,025	-0,25	-0,08	0	-
Tschechische Republik	NO	-0,0001	-0,33	-0,16	0	-
Deutschland 2014	-8,1	NO	-0,79	-0,02	-0,01	-
Deutschland 2015	**-8,1**	**0,001**	**-0,79**	**-0,05**	**-0,3**	**-**

Kohlenstoffsenke; negativ: Kohlenstoffquelle; Quelle: UNFCCC, 2016a

6.5.5 Kategoriespezifische Rückrechnungen (4.B)

Mit der diesjährigen Submission werden quellenspezifische Rückrechnungen für den gesamten Berichtszeitraum von 1990 – 2015 vorgelegt, da neue bzw. korrigierte Datenquellen und Methoden zur Berechnung der Phytomasse in der Landnutzungskategorie Ackerland zur Anwendung kamen:

1. Aktivitätsdaten

- Nutzung der Flächen für perennierende Ackerkulturen Deutschlands aus der Offizialstatistik in der Subkategorie „Ackerland bleibt Ackerland“ (s. Kap. 6.5.2.1)

2. Emissionsfaktoren

- Einführung von Emissionsfaktoren für die Phytomasse perennierender und annueller Ackerpflanzen in der Subkategorie „Ackerland bleibt Ackerland“ (s. Kap. 6.5.2.1).
- Die Werte der Emissionsfaktoren für die annuelle Phytomasse wurden geringfügig modifiziert; für die Ackerphytomasse im Rahmen einer Fehlerbereinigung, für die pflanzliche Biomasse von Grünland i.e.S. im Rahmen einer verbesserten Ableitung. Dadurch lagen zur Berechnung der CO2-Emissionen korrigierte Emissionsfaktoren für die pflanzliche Biomasse folgender Landnutzungskategorien vor:
    - Ackerland
    - Grünland i.e.S.
    - Feuchtgebieten
    - Siedlungen

3. Methoden

- Einführung einer Methode zur Berechnung der Kohlenstoffvorratsänderungen in der Phytomasse mehrjähriger Ackerpflanzen in der Subkategorie Ackerland bleibt Ackerland (s. Kap. 6.5.2.1).

Im Rahmen der Neuberechnung der Emissionsfaktoren sowie der Aktivitätsdaten wurden auch die zugehörigen Unsicherheiten neu bestimmt.

Tabelle 371 und Tabelle 372 verdeutlichen die Auswirkungen der Rückrechnungen. Die Flächen der perennierenden Phytomasse haben in der Verbleib-Kategorie Acker keinen Einfluss auf deren Gesamtflächen, da sie jeweils Teil dieser sind. Da die Emissionen aus der Phytomasse durch Nutzungsänderungen zwischen perennierender zu annueller Ackerkultur und umgekehrt das erste Mal in der Verbleibkategorie berichtet werden, belaufen sich die Unterschiede in den Gesamtemissionen zwischen den beiden Submissionen auf die absoluten Werte für die Phytomasse der Submission 2017. Die Unterschiede in der Zeitreihe sind nicht gerichtet und betragen zwischen -0,80 % - 0,79 %. Die Differenzen in den Vorratsunterschieden der Phytomasse sind vollständig verantwortlich für diese Unterschiede. In der Subkategorie Landnutzungsänderung zu Ackerland sind die Gesamtemissionen in der Submission 2017 über die gesamte Zeitreihe geringer als in der Vorjahressubmission; ohne Trend -0,03 % - -0,16 %. Die fehlerbereinigten Emissionsfaktoren für die Phytomasse sind auch hier vollumfänglich die Ursache für diese Differenzen.

Tabelle 371: Vergleich der 2017 und 2016 berichteten Flächen [kha] und Treibhausgasemissionen [kt CO_2-Eq.] mit der Phytomasse aus verbleibendem Ackerland (4.B.1)

Flächen [kha]														
		1990	**1995**	**2000**	**2005**	**2006**	**2007**	**2008**	**2009**	**2010**	**2011**	**2012**	**2013**	**2014**
Gesamtfläche	**2017**	12.588	12.529	12.470	12.381	12.382	12.383	12.384	12.384	12.384	12.385	12.385	12.384	12.384
	2016	12.588	12.529	12.470	12.381	12.382	12.383	12.384	12.384	12.384	12.385	12.385	12.384	12.384
Fläche Phytomasse	**2017**	218	214	212	203	204	203	204	205	206	209	208	206	210
	2016	0	0	0	0	0	0	0	0	0	0	0	0	0
Emissionen [kt CO_2-Eq.]														
		1990	**1995**	**2000**	**2005**	**2006**	**2007**	**2008**	**2009**	**2010**	**2011**	**2012**	**2013**	**2014**
Gesamt	**2017**	6.009,7	6.186,8	6.314,0	6.806,1	6.836,8	6.967,0	7.027,4	7.148,4	7.238,7	7.345,5	7.513,5	7.623,0	7.618,0
	2016	6.038,5	6.178,5	6.318,5	6.752,7	6.851,1	6.949,4	7.047,8	7.160,3	7.272,7	7.385,1	7.497,5	7.588,9	7.680,2
Phytomasse	**2017**	-28,9	8,2	-4,5	53,4	-14,3	17,5	-20,4	-11,9	-34,0	-39,6	16,0	34,1	-62,2
	2016	0	0	0	0	0	0	0	0	0	0	0	0	0

Tabelle 372: Vergleich der 2017 und 2016 berichteten Treibhausgasemissionen [kt CO2-Eq.] mit der Phytomasse infolge Landnutzungsänderungen zu Ackerland (4.B.2)

Emissionen [kt CO_2-Eq.]														
		1990	**1995**	**2000**	**2005**	**2006**	**2007**	**2008**	**2009**	**2010**	**2011**	**2012**	**2013**	**2014**
Gesamt	**2017**	6.935,1	6.887,5	6.844,9	5.643,8	6.067,5	6.382,4	6.568,9	6.714,4	7.084,6	7.268,4	7.396,8	7.302,6	7.113,9
	2016	6.939,6	6.892,0	6.849,2	5.645,5	6.076,9	6.391,6	6.577,5	6.723,1	7.094,0	7.277,8	7.405,9	7.308,2	7.118,9
Phytomasse	**2017**	840,3	770,5	705,6	370,3	518,1	499,8	352,7	267,8	414,5	375,0	280,2	237,8	70,2
	2016	844,9	775,0	710,0	372,1	527,5	509,0	361,3	276,6	424,0	384,4	289,3	243,4	75,2

6.5.6 Geplante Verbesserungen, kategoriespezifisch (4.B)

Derzeit sind, über frühere Angaben hinaus, keine weiteren Verbesserungsmaßnahmen geplant. Aussagen über den Stand der Umsetzung der geplanten Verbesserungsmaßnahmen im LULUCF-Sektor sind in Kapitel 6.1.4 zu finden.

Sofern in vorhergehenden Berichterstattungen in diesen Kapiteln Verbesserungen benannt wurden, sind diese in Form einer Übersicht unter Kapitel 10.4 Verbesserungen des Inventars, Tabelle 426 zu finden. Sind diese bereits erledigt, sind sie im selben Kapitel in Tabelle 425 abgebildet.

6.6 Grünland (4.C)

6.6.1 Beschreibung der Kategorie (4.C)

KC	Category	Activity	EM of	1990 (kt CO_2-e.)	(fraction)	2015 (kt CO_2-e.)	(fraction)	Trend 1990-2015
L/T	**4.C. Grassland**		**CO_2**	**25.543,6**	**2,09%**	**22.092,2**	**2,49%**	**-13,5%**
-/-	4.C. Grassland		CH_4	593,8	0,05%	513,5	0,06%	-13,5%
-/-	4.C. Grassland		N_2O	87,5	0,01%	102,8	0,01%	17,6%

Gas	Angewandte Methode	Quelle der Aktivitätsdaten	genutzte Emissionsfaktoren
CO_2	Tier 2	RS/NS	CS
N_2O	Tier 2	RS/NS	CS/D
CH_4	Tier 2	RS/NS	CS

Die Kategorie *Grünland* (4.C) ist für CO_2-Emissionen eine Hauptkategorie nach der Emissionshöhe und dem Trend.

Im Jahre 2015 betrugen die anthropogen bedingten Netto-Emissionen aus Grünland 22.709,7 kt CO_2-Eq. (95 %-Konfidenzintervall: 13.142,7 kt CO_2-Eq. ≙ 42,1 % - 27.751,7 kt CO_2-Eq. ≙ 22,2 %). Durch die Entwässerung organischer Grünlandböden wurden 24.644,5 kt CO_2, 513,5 kt CO_2-Eq. Methan sowie 97,7 kt CO_2-Eq. Lachgas freigesetzt; durch Zersetzung von Totholz und Streu aus der Entwaldung 195,5 kt CO_2. Die Biomasse (-669,8 kt CO_2) als auch die Mineralböden (-2.077,9 kt CO_2) fungierten im Grünlandsektor als Kohlenstoffsenken.

Diese Emissionen bilden die Summe aus den Unterkategorien Grünland i.e.S und Gehölze, die sich bezüglich ihrer Emissionen sowohl quantitativ, wie auch qualitativ deutlich unterscheiden. So verdeutlichen Tabelle 373 und die Abbildung 64 und Abbildung 65, dass Grünland im engeren Sinne eine deutliche CO_2-Quelle ist, deren absolute Größe von 22.577,0 kt CO_2-Eq. von den Emissionen aus den organischen Böden dominiert wird (23.908,3 kt CO_2-Eq. ≙ 105,9 %), wobei der Anteil des CO_2 (97,9 %) den des Methan (2,1 %) bei weitem übertrifft. Während auch die Biomasse und die tote organische Substanz als geringe CO_2-Quellen wirkten (2,3 %), stellen die Mineralböden unter Grünland i.e.S. eine anhaltende Senke für Kohlenstoff dar, mit einem Anteil von 7,6 % am Betrag der Bruttoemissionen der Unterkategorie.

Tabelle 373: CO_2-, N_2O- und CH_4-Emissionen [kt CO_2-Eq.] aus dem Grünland Deutschlands 2015, unterschieden nach Unterkategorien. Dargestellt sind Summen sowie obere und untere Schranke des 95 % - Konfidenzintervalls

Grünland i.e.S. Emissionen 2015						
Pool	THG	[kt CO_2-Eq.]			[%]	
		Emission	2,5 %-Perz.	97,5 %-Perz.	2,5 %-Perz.	97,5 %-Perz.
Grünland i.e.S.$_{total}$[131]		**22.577,0**	12.034,7	28.116,5	46,7	24,5
Mineralboden	**CO_2**[132]	**-1.858,2**	-1.445,9	-2.529,4	22,2	36,1
	N_2O[133]	**0**	0	0	0	0
Organischer Boden	**CO_2**[134]	**23.412,1**	11.119,5	29.722,8	52,5	27,0
	N_2O[135]	**IE**	IE	IE	IE	IE
	CH_4[136]	**496,1**	277,6	1.701,3	44,0	242,9
Biomasse	**CO_2**[134]	**396,5**	305,1	487,9	23,0	23,1
Tote organische Substanz	**CO_2**[134]	**130,5**	104,7	156,3	19,8	19,8
Gehölze Emissionen 2015						
Pool	**THG**	**[kt CO_2-Eq.]**			**[%]**	
		Emission	**2,5 %-Perz.**	**97,5 %-Perz.**	**2,5 %-Perz.**	**97,5 %-Perz.**
Gehölze$_{total}$[137]		132,6	110,4	158,5	16,8	19,5
Mineralboden	**CO_2**[138]	-219,8	-177,3	-289,0	19,3	31,5
	N_2O_{direkt}[139]	5,1	0,2	16,2	95,7	215,6
	$N_2O_{indirekt}$[140]	1,2	0,0	4,6	99,9	297,8
Organischer Boden	**CO_2**[134]	1.232,3	997,3	1.507,0	19,1	22,3
	N_2O[139]	97,7	14,9	274,8	84,8	181,3
	CH_4[141]	17,4	2,4	176,2	86,0	913,6
Biomasse	**CO_2**[134]	-1.066,3	-683,5	-1.444,8	35,9	36,4
Tote organische Substanz	**CO_2**[134]	65,0	47,9	82,0	26,2	26,2

Der Verlauf der Zeitreihe der Gesamtemissionen von Grünland i.e.S. weist 2015 Emissionen auf, die um 13,6 % gegenüber dem Basisjahr abgenommen haben. Der Verlauf der Zeitreihe der Gesamtemissionen wird dominiert von den Emissionen aus den organischen Böden, deren Flächenänderungen sie im Wesentlichen widerspiegelen (r = 0,996). Die höchsten Emissionen traten im Basisjahr auf; seitdem sinken sie infolge verstärkter Überführung organischer Grünlandflächen in andere Landnutzungskategorien besonders im Ackerland (95,8 % der Änderungsfläche mit einem Trend seit 2005 von +48,4 %). Neben den Emissionen aus organischen Böden nehmen Emissionen aus Biomasse und toten organischen Substanz infolge Entwaldungsmaßnahmen bzw. in jüngerer Zeit deren Rückgang Einfluss auf den Kurvenverlauf. Im Gegensatz zu diesen Quellen wirken Mineralböden als Senke. Diese Senkenleistung zeigt im Zeitverlauf einen hochsignifikanten negativen Trend; sie hat gegenüber dem Basisjahr um 25,2 % abgenommen. Ursache hierfür ist der Rückgang der Umwandlung von Wald-, Acker-, Feuchtgebiets- und sonstigen Flächen zu Grünland (-26,6 %); mit einem Anteil von 67,0 % an

131 Teilsummen der Emissionen aus den CRF-Tabellen 4.C, 4.(II).C, 4.(IV).2

132 Teilsumme der Emissionen CRF-Tabelle 4.C

133 Summe aus direkten und indirekten N2O-Emissionen; die kategoriespezifischen indirekten N2O-Emissionen werden im CRF-Tabellenwerk nicht erfasst und dargestellt; sie sind Teil der in CRF-Tabelle 4.(IV).2 dargestellten Summe aller Subkategorien

134 Teilsumme CRF-Tabelle 4.C

135 CRF-Tabelle 3.D.a.6

136 Teilsumme CRF-Tabelle 4.(II)C

137 Teilsummen der Emissionen aus den CRF-Tabellen 4.C, 4.(II).C, 4.(IV).2, sowie Summe aus 4.(III).C

138 Teilsumme der Emissionen aus CRF-Tabelle 4.C

139 CRF-Tabelle 4.(III).C

140 Die kategoriespezifischen indirekten N2O-Emissionen werden im CRF-Tabellenwerk nicht erfasst und dargestellt; sie sind Teil der in CRF-Tabelle 4.(IV).2 dargestellten Summe aller Subkategorien

141 Teilsumme CRF-Tabelle 4.(II).C

dieser Summe, ist die Abnahme des Flächentransfers aus dem Ackerland hierbei hauptverantwortlich für die Abnahme der Senkenleistung.

Die Kurven der Zeitreihen, insbesondere deutliche Verlaufsänderungen, haben ihre Ursache vor allem in den sich zu den entsprechenden expliziten Erhebungsterminen ändernden Flächendaten (siehe Kapitel 6.5.3, Tabelle 335). Dies gilt insbesondere auch für die Unterkategorie Gehölze.

Abbildung 64: CO_2-Emissionen [kt CO_2-Eq.] infolge Landnutzung und Landnutzungsänderung aus dem Grünland i.e.S. Deutschlands von 1990-2015, dargestellt nach Unterkategorien

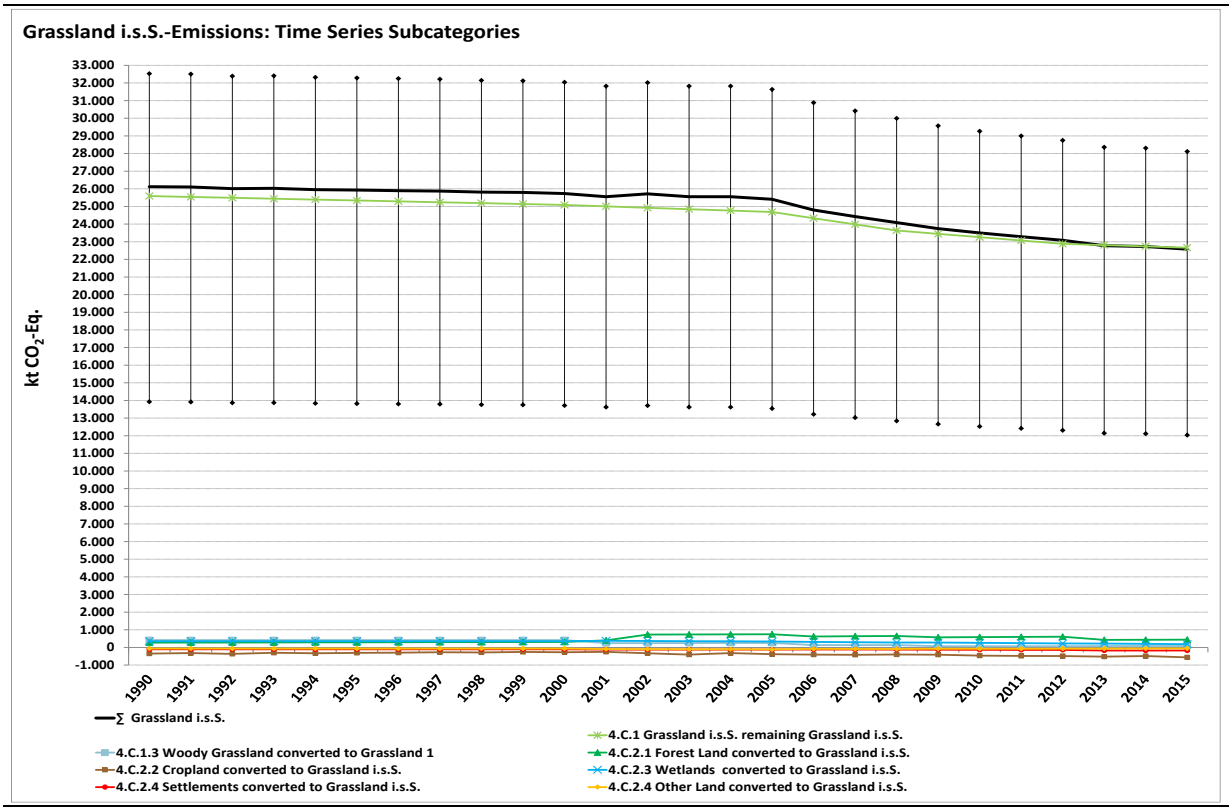

Abbildung 65: CO_2-Emissionen [kt CO_2-Eq.] infolge Landnutzung und Landnutzungsänderung aus dem Grünland i.e.S. Deutschlands von 1990-2015, dargestellt nach Pools

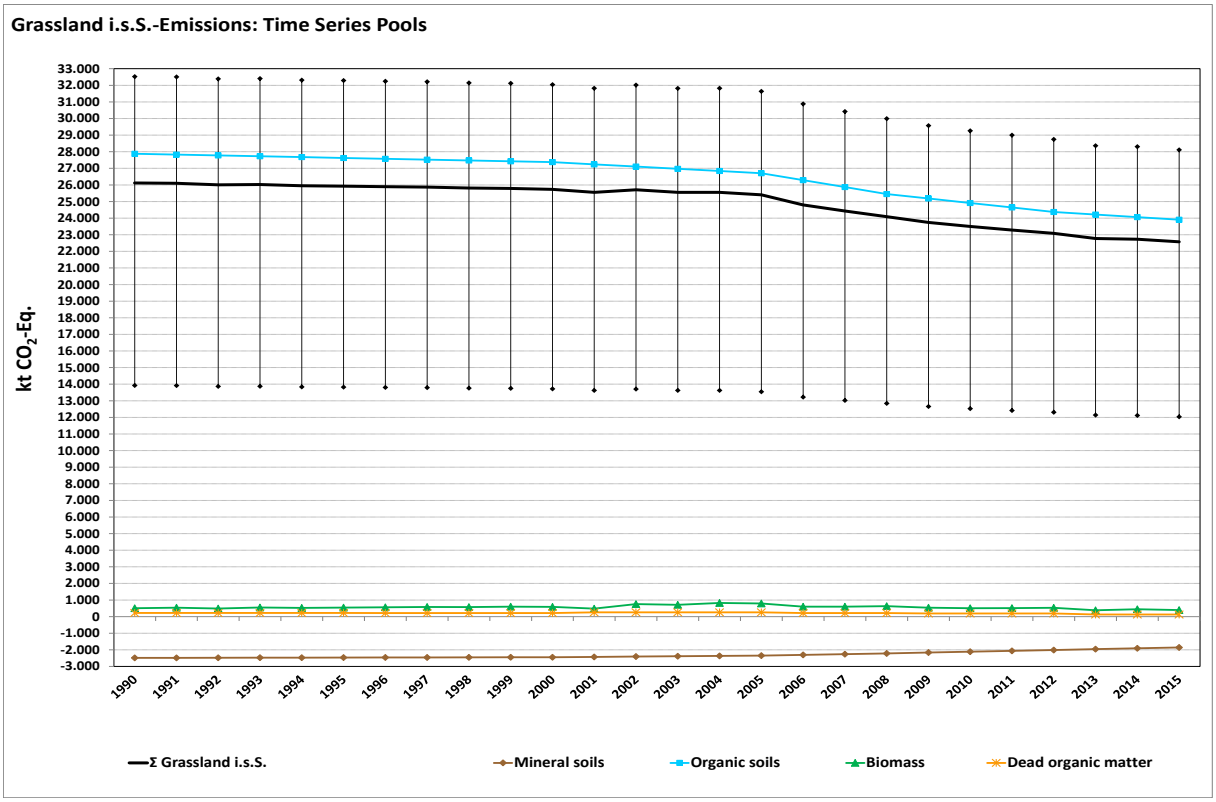

Die Unterkategorie Gehölze fungierte 2015 als schwache CO_2-Quelle (132,6 kt CO2-Eq. Tabelle 373 sowie Abbildung 64 / Abbildung 65). Dominiert werden die Nettoemissionen von den Quellgruppen Biomasse und organische Böden. Letztere stellen mit 1.347,4 kt CO_2-Eq. die Haupttreibhausgasquelle (95,0 %) in der Unterkategorie Gehölze dar; die Freisetzungen aus toter organischer Substanz (4,6 %) und Lachgas durch Humuszersatz in Mineralböden nach Landnutzungsänderung von Grünland i.e.S. und terrestrischen Feuchtgebieten (0,4 %) sind sehr gering. Dem entgegen wirkt die CO_2-Einbindung in Mineralböden (-213,5 kt CO_2-Eq.) und in Biomasse (-1.066,3 kt CO_2-Eq.).

Die Kurvenverläufe der Zeitreihen in Abbildung 66 und Abbildung 67 zeigen, dass die Quellenwirkung gegenüber dem Basisjahr um 24,0 % zugenommen hat. Die Kurven verdeutlichen aber auch, dass aufgrund von Landnutzungsänderungen von und zur Subkategorie Gehölze, durch den erheblichen Kohlenstoffvorrat in der Quellgruppe Biomasse, diese Kategorie sehr dynamisch ist. So spiegelt sie die Stilllegungsphase in der deutschen Landwirtschaft zur Jahrtausendwende wieder, genauso wie die in den letzten Jahren zu verzeichnende zunehmende Intensivierung der Landwirtschaft. Die Kurven der Zeitreihen, insbesondere die deutlichen Verlaufsänderungen, haben ihre Ursache vor allem in den sich zu den entsprechenden expliziten Erhebungsterminen ändernden Flächendaten. Dies gilt insbesondere für die Unterkategorie Gehölze (siehe Kapitel 6.3.5, Tabelle 335).

Abbildung 66: CO_2-Emissionen [kt CO_2-Eq.] infolge Landnutzung und Landnutzungsänderung aus Gehölzflächen Deutschlands von 1990–2015, dargestellt nach Unterkategorien

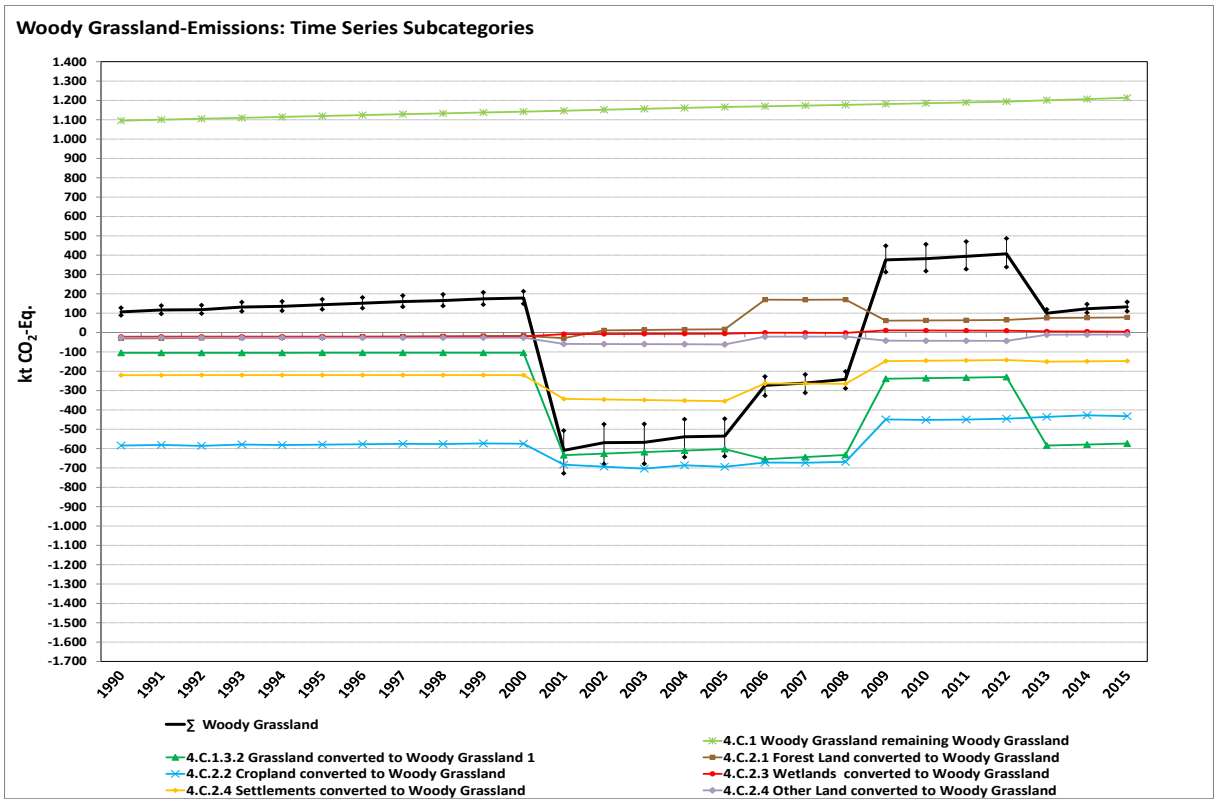

Abbildung 67: CO_2-Emissionen [kt CO_2-Eq.] infolge Landnutzung und Landnutzungsänderung aus Gehölzflächen Deutschlands von 1990-2015, dargestellt nach Pools

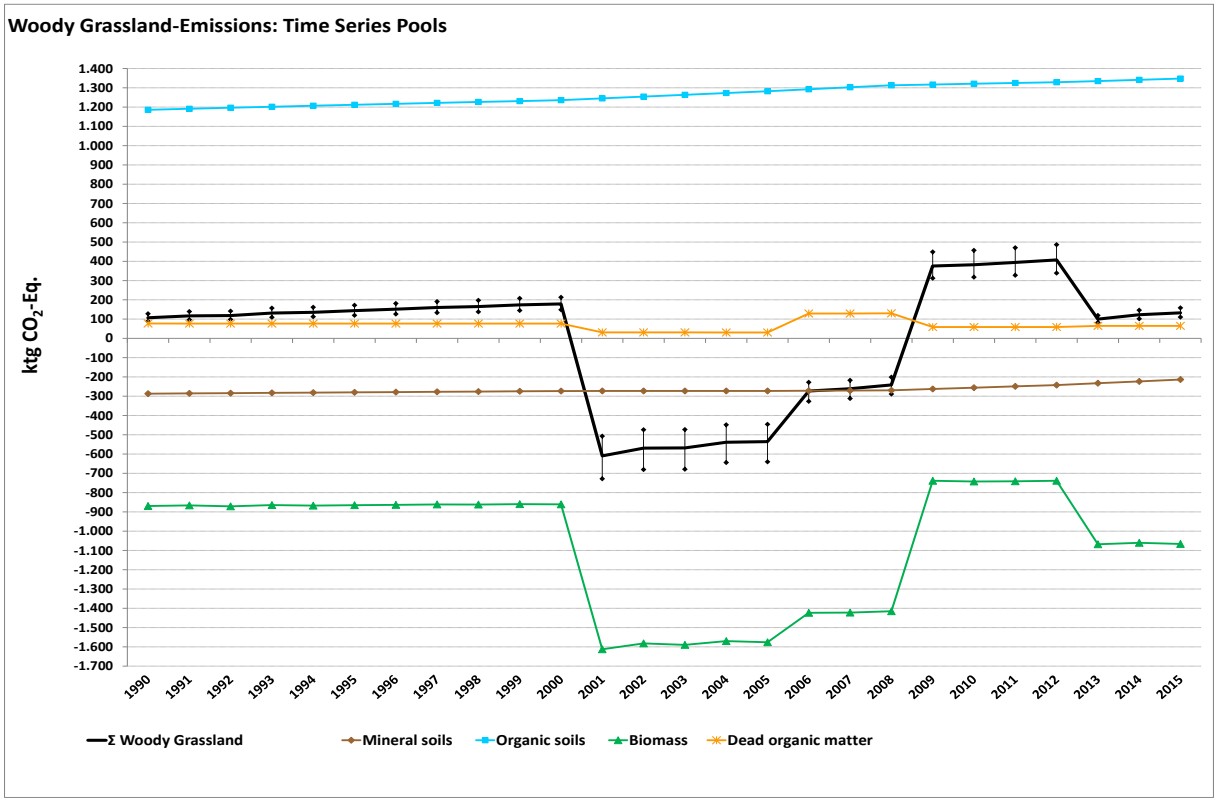

6.6.2 Methodische Aspekte (4.C)

6.6.2.1 Datenquellen

- Statistisches Bundesamt, Fachserie 3, Reihe 3, Land- und Forstwirtschaft, Fischerei, Landwirtschaftliche Bodennutzung und pflanzliche Erzeugung (div. Jgg.),
- Statistisches Bundesamt, Fachserie 3, Reihe 3.2.1, Land- und Forstwirtschaft, Fischerei, Wachstum und Ernte – Feldfrüchte; (div. Jgg.),
- Statistisches Bundesamt, Fachserie 3, Reihe 3.1.2, Land- und Forstwirtschaft, Fischerei,– Bodennutzung der Betriebe (Landwirtschaftlich genutzte Flächen); (div. Jgg.),
- 2006 IPCC Guidelines for National Greenhouse Gas Inventories, Volume 4 - Agriculture, Forestry and Other Land Use (IPCC 2006),
- „Verordnung über die Anwendung von Düngemitteln, Bodenhilfsstoffen, Kultursubstraten und Pflanzenhilfsmitteln nach den Grundsätzen der guten fachlichen Praxis beim Düngen (Düngeverordnung –DüV)“ (Düngeverordnung in der Fassung der Bekanntmachung vom 27. Februar 2007 (BGBl. I S. 221), die zuletzt durch Artikel 18 des Gesetzes vom 31. Juli 2009 (BGBl. I S. 2585) geändert worden ist)(BGBl 2009),
- Zwischenbericht Forschungsprojekt „Methodenentwicklung zur Erfassung der Biomasse mehrjährig verholzter Pflanzen außerhalb von Wäldern“ (PÖPKEN 2011).

6.6.2.2 Biomasse

Zur Berechnung der Kohlenstoffvorratsänderung in der Biomasse bei Landnutzungsänderung von und zu Grünland wurde ein zeitlich konstanter Kohlenstoffvorrat für die Unterkategorien Grünland i. e. S. und Gehölze ermittelt. Umwandlungen von Grünland i.e.S. zu Gehölzen und umgekehrt werden wie Landnutzungsänderungen behandelt und als solche in den CRF-Tabellen (4.C.1) ausgewiesen.

Für Flächen unter verbleibender Nutzung in den Unterkategorien Grünland i.e.S. bzw. Gehölze wird keine Änderung der Kohlenstoffvorräte in der Biomasse ausgewiesen, da ein Gleichgewichtszustand auch für die Kohlenstoffflüsse mit der Gehölzbiomasse in diesen Kategorien unterstellt wird; nach der Gain-Loss Methode ist somit $\Delta C = 0$ (Equation 2.7, 2006 IPCC Guidelines). Die Gründe hierfür sind in Kapitel 6.1.2.3.1 aufgeführt. In der CRF-Tabelle 4.C.1 wird entsprechend unter den Rubriken „lebende Biomasse“ und „tote organische Substanz“ der Vermerk NA (not applicable) für die Verbleibkategorien von Grünland i.e.S. und Gehölze ausgewiesen.

Die Methode zur Berechnung der CO_2-Emissionen aus Biomasse infolge Landnutzungsänderung ist in Kapitel 6.1.2.3.2, die Ermittlung der Aktivitätsdaten in Kapitel 6.3 dargestellt. Die Emissionsfaktoren und deren Unsicherheiten zeigen Tabelle 319 und Tabelle Tabelle 317.

6.6.2.3 Mineralische Böden

Für Flächen unter verbleibender Nutzung wird keine Änderung der Kohlenstoffvorräte in Mineralböden ausgewiesen. Die Konstanz der Kohlenstoffvorräte ist mit Ergebnissen von 42 deutschen Bodendauerbeobachtungsflächen belegt (HÖPER & SCHÄFER 2012, FORTMANN et al. 2012 und BLU 2011). Die Langzeitbeobachtungen umfassen einen Zeitraum von 20 - 25 Jahren. Der Großteil der Untersuchungsflächen zeigte während dieses Zeitraumes keine Veränderungen in den Kohlenstoffvorräten der Mineralböden; einige der Böden zeigten geringe Abnahmen, andere leichte Zunahmen, absolut in etwa gleichem Umfang. In der CRF-Tabelle 4.C.1 sind die Felder „Kohlenstoffvorratsänderung in Mineralböden“ der Verbleibkategorien Grünland i.e.S. und Gehölze daher mit NO (not occurring) gekennzeichnet. Die Berechnung der CO_2-Emissionen infolge der Umwandlung von Landflächen in Grünland i.e.S. bzw. Gehölze ist in Kapitel 6.1.2.1, die

Emissionsfaktoren und deren Unsicherheiten auch in den Tabelle 374 und Tabelle 376 in Kapitel 6.6.3, die Herleitung der Emissionsfaktoren in Kapitel 19.4.2 beschrieben. Die Emissionen der Verbleibkategorien werden in der CRF-Tabelle 4.C.1, die Emissionen infolge von Landnutzungsänderung in CRF-Tabellen 4.C.2.1-4.C.2.5 ausgewiesen. Die Lachgasemissionen aus Mineralböden werden im Zahlenwerk in den CRF-Tabellen 4(III).C und 4 (IV).2 präsentiert.

6.6.2.4 Organische Böden

In der Landnutzungskategorie Grünland werden CO_2-, CH_4- und N_2O-Emissionen aus organischen Böden berichtet; Lachgasemissionen jedoch nur für die Subkategorie Gehölze. N_2O-Emissionen aus organischen Böden unter Grünland i.e.S. werden im Sektor „Landwirtschaft“ in der CRF-Tabelle 3.D.a.6 „Cultivation of Histosols berichtet (siehe Kapitel 6.5.2). Um Doppelzählungen zu vermeiden, werden N2O-Emissionen aus organischen Böden infolge der Konversion zu Grünland i. e. S. in den LULUCF-Tabellen deshalb mit dem Notationsschlüssel „IE“ versehen. Die Methoden zur Berechnung der Emissionen aus organischen Böden sowie die Herleitung der Emissionsfaktoren sind in Kapitel 6.1.2.2 beschrieben.

Die jährlichen Emissionen nach Landnutzungsänderung zu Grünland i.e.S. werden wie die Emissionen aus organischen Böden der Unterkategorie Grünland i.e.S. unter verbleibender Nutzung berechnet. Gleiches gilt für die Emissionen aus organischen Böden nach Landnutzungsänderung zu Gehölzen; sie werden methodisch wie Emissionen aus Gehölzen unter verbleibender Nutzung berechnet. Die Emissionen der Verbleibkategorien werden in der CRF-Tabelle 4.C.1, die Emissionen infolge von Landnutzungsänderung in CRF-Tabellen 4.C.2.1-4.C.2.5 ausgewiesen. Die Methanemissionen aus organischen Böden sowie aus Draingräben werden im Zahlenwerk in der CRF-Tabelle 4.II.C, die Lachgasemissionen aus der Unterkategorie Gehölze in 4(II).H präsentiert.

6.6.3 Unsicherheiten und Zeitreihenkonsistenz (4.C)

In Tabelle 374 bis Tabelle 376 sind die Unsicherheiten bezüglich der Emissionsfaktoren für die Unterkategorien Grünland i.e.S. und Gehölze dargestellt. Die Verteilungsfunktionen sind in der Regel logarithmisch normalverteilt und werden durch die obere und untere Schranke charakterisiert. Die Unsicherheiten der Quellgruppe Mineralböden beider Unterkategorien bewegen sich in der gleichen Größenordnung. Bezüglich der Biomasse sind die Unsicherheiten der Emissionsfaktoren in Gehölzen größer. Diese spiegeln die große Variationsbreite von derartigen Gehölzflächen in Deutschland wieder. Bezüglich der Unsicherheiten der Emissionsfaktoren für CO_2, Lachgas und Methan aus organischen Böden gilt das in Kapitel 6.5.3 Gesagte.

Die in Tabelle 517 in Kapitel 19.4.3 dargestellten Unsicherheiten für die Aktivitätsdaten sind normalverteilt, mit Werten für die Hälfte des 95 % - Konfidenzintervalls zwischen 1,5 – 96,0 %. Auch hier ist die Unsicherheit abhängig von der Stichprobengröße, dem Flächenanteil. Flächengewichtet beträgt die Gesamtunsicherheit der Aktivitätsdaten in der Grünlandkategorie 1,34 %.

Gemessen an den Gesamtemissionen zeigt Tabelle 517 in Kapitel 19.4.3, dass insbesondere die Emissionen aus den organischen Böden unter Grünland einen deutlichen Beitrag zur Emission und Gesamtunsicherheit des LULUCF-Inventars leisten.

Tabelle 374: Emissionsfaktoren [t C ha^{-1} a^{-1}] mit Unsicherheiten [% vom Lagemaß] zur Berechnung der THG-Emissionen 2015 aus Grünland i. e. S.

$Grünland_{i.e.S}$ $Landnutzung_{vor}$ Mineralboden CO_2-C[142]	$Landnutzung_{nach}$	Emissionsfaktor [t C ha^{-1} a^{-1}]	Schranken obere [%]	Schranken untere [%]
Wald	$Grünland_{i.e.S}$	0,85	25,6	42,7
Acker	$Grünland_{i.e.S}$	0,87	29,6	49,1
Gehölze	$Grünland_{i.e.S}$	0,21	31,5	56,9
Terr. Feuchtgebiete	$Grünland_{i.e.S}$	0,17	31,8	47,4
Gewässer	$Grünland_{i.e.S}$	0,00	45,9	77,9
Siedlungen	$Grünland_{i.e.S}$	0,94	32,6	57,5
Sonstige Fläche	$Grünland_{i.e.S}$	1,09	32,6	59,7
Biomasse[143]		[t C ha^{-1} 1 a^{-1}]	[%]	[%]
Wald	$Grünland_{i.e.S}$	-47,85	22,4	22,4
Acker	$Grünland_{i.e.S}$	-0,26	16,4	6,4
Gehölze	$Grünland_{i.e.S}$	-36,35	47,0	47,9
Terr. Feuchtgebiete	$Grünland_{i.e.S}$	-12,12	34,0	34,6
Gewässer	$Grünland_{i.e.S}$	6,81	30,3	30,3
Siedlungen	$Grünland_{i.e.S}$	-5,68	32,2	32,8
Sonstige Fläche	$Grünland_{i.e.S}$	6,81	30,3	30,3
Tote organische Substanz[144]		[t C ha^{-1} 1 a^{-1}]	[%]	[%]
Wald	$Grünland_{i.e.S}$	-20,67	6,2	6,2

Wald, Acker: jährlich variabel; alle anderen Faktoren sind konstant

142 Berechnung über 20 Jahre, Vorratsänderung: positiv ≙ Senke; negativ ≙ Quelle

143 Berechnung nur im ersten Jahr der Landnutzungsänderung, Vorratsänderung: positiv ≙ Senke; negativ ≙ Quelle

144 Berechnung nur im ersten Jahr der Landnutzungsänderung, Vorratsänderung: positiv ≙ Senke; negativ ≙ Quelle

Tabelle 375: Unsicherheiten von Emissionsfaktoren [2,5 %- und 97,5%-Perzentil in % vom Lagemaß] aus organischen Böden für Grünland i. e. S. im Jahr 2015

Landnutzung	Treibhausgas	Emissionsfaktor	Schranken	
			untere	obere
Organischer Boden[145]		[t CO_2-Eq. ha^{-1} a^{-1}]	[%]	[%]
Grünland i. e. S.	**CO_2**	25,07	55,4	28,4
Grünland i. e. S.	**N_2O**	1,17	99,4	222,7
Grünland i. e. S.	**CH_4**	0,53	46,9	258,6

Tabelle 376: Emissionsfaktoren [t C ha^{-1} a^{-1}] mit Unsicherheiten [% vom Lagemaß] zur Berechnung der THG-Emissionen 2015 aus Gehölzflächen

Gehölze		Emissionsfaktor	Schranken	
$Landnutzung_{vor}$	$Landnutzung_{nach}$		obere	untere
Mineralboden CO_2-C[146]		[t C ha^{-1} a^{-1}]	[%]	[%]
Wald	**Gehölze**	0,60	23,4	44,5
Acker	**Gehölze**	0,66	27,9	51,1
Grünland i. e. S.	**Gehölze**	-0,21	31,5	56,9
Terr. Feuchtgebiete	**Gehölze**	-0,04	30,7	49,1
Gewässer	**Gehölze**	0,00	42,9	83,3
Siedlungen	**Gehölze**	0,73	31,2	85,0
Sonstige Fläche	**Gehölze**	0,88	31,1	62,0
Mineralboden N_2O_{direkt}[147]		[kg N_2O ha^{-1} a^{-1}]	[%]	[%]
Grünland i. e. S.	**Gehölze**	0,263	91,6	213,9
Terr. Feuchtgebiete	**Gehölze**	0,042	91,3	211,9
Mineralboden $N_2O_{indirekt}$[148]		[kg N_2O ha^{-1} a^{-1}]	[%]	[%]
Grünland i. e. S.		0,059	100	296,6
Terr. Feuchtgebiete		0,009	100	295,2
Biomasse[149]		[Mg C ha^{-1} 1 a^{-1}]	[%]	[%]
Wald	**Gehölze**	-11,50	27,7	28,1
Acker	**Gehölze**	36,61	47,1	48,0
Grünland i. e. S.	**Gehölze**	36,35	47,0	47,9
Terr. Feuchtgebiete	**Gehölze**	24,23	34,0	34,6
Gewässer	**Gehölze**	43,16	54,2	55,2
Siedlungen	**Gehölze**	30,67	43,3	44,2
Sonstige Fläche	**Gehölze**	43,16	54,2	55,2
Tote organische Substanz[150]		[Mg C ha^{-1} 1 a^{-1}]	[%]	[%]
Wald	**Gehölze**	-20,67	6,2	6,2

Wald, Acker: jährlich variabel; alle anderen Faktoren sind konstant

145 Berechnung jährlich, Emission: positiv ≙ Quelle; negativ ≙ Senke
146 Berechnung über 20 Jahre, Vorratsänderung: positiv ≙ Senke; negativ ≙ Quelle
147 Berechnung über 20 Jahre, Emission: positiv ≙ Quelle; negativ ≙ Senke
148 Berechnung über 20 Jahre, Emission: positiv ≙ Quelle; negativ ≙ Senke
149 Berechnung nur im ersten Jahr der Landnutzungsänderung, Vorratsänderung: positiv ≙ Senke; negativ ≙ Quelle
150 Berechnung nur im ersten Jahr der Landnutzungsänderung, Vorratsänderung: positiv ≙ Senke; negativ ≙ Quelle

Tabelle 377: Unsicherheiten von Emissionsfaktoren [2,5 %- und 97,5%-Perzentil in % vom Lagemaß] aus organischen Böden für Gehölze im Jahr 2015

Landnutzung	Treibhausgas	Emissionsfaktor	Schranken	
			untere	obere
Organischer Boden[151]		[t CO_2-Eq. ha^{-1} a^{-1}]	[%]	[%]
Gehölze	CO_2	8,17	21,0	24,6
Gehölze	N_2O	0,65	93,8	200,7
Gehölze	CH_4	0,12	95,2	1.011,6

Die Berechnungen sind sowohl für Grünland i.e.S wie für Gehölze für den gesamten Berichtszeitraum von 1990-2015 räumlich und zeitlich konsistent und vollständig.

6.6.4 Kategoriespezifische Qualitätssicherung/-kontrolle und Verifizierung (4.C)

Details zu den diesjährigen Prüfungen finden sich in Kapitel 6.1.3.

Die zur Erstellung dieses Inventars verwendeten Datenquellen erfüllen die Prüfkriterien des QSE-Handbuchs für Datenquellen. Bezüglich der Qualitätssicherung der Eingangsdaten (ATKIS®, BÜK, Offizialstatistik) wird auf die Datenhalter verwiesen (Dokumentation in Inventarbeschreibung).

Die Ergebnisse der Emissionsberechnung der aktuellen Berichterstattung können mit anderen Datenquellen für Deutschland nicht verglichen werden, da solche flächendeckend, umfassend und unabhängig von den hier aufgeführten Methoden und Datenquellen nicht existieren.

Für eine Einordnung der deutschen Ergebnisse wurden in einem Vergleich die nationalen IEF der einzelnen Pools mit denen der Nachbarstaaten Deutschlands verglichen. Hierzu wurden die aktuellsten IEF verwendet, die diese mit der letzten Submissionen an das Sekretariat der Klimarahmenkonvention übermittelt haben.

Tabelle 378 zeigt, dass Deutschland, gemessen an den Nachbarländern mit ähnlich intensiver Moornutzung, wie die Schweiz oder die Niederlande, einen vergleichbaren IEF für CO2 aus der Dränage organischer Böden unter Grünlandnutzung verwendet. Dieser Wert ist allerdings ein flächengewichteter Mischwert aus -6,85 t C ha-1 a-1 für Grünland i.e.S. und -2,23 t C ha-1 a-1 für Gehölzflächen (Kapitel 6.6.2.4). Bei Landnutzungsänderung zu Grünland gilt bei organischen Böden sofort der gleiche Emissionsfaktor wie bei Grünland unter gleichbleibender Nutzung.

In der Kategorie „Verbleibendes Grünland“ beziehen sich Kohlenstoffvorratsänderungen in Mineralböden und Biomasse für Deutschland auf Änderungen zwischen Grünland i.e.S. und Gehölzflächen. Die mittleren Emissionsfaktoren sind sehr niedrig, da nur ein kleiner Flächenanteil betroffen ist. Diese Änderungen werden in anderen Staaten unterschiedlich gehandhabt, so dass die mittleren Emissionsfaktoren zwischen den Staaten nicht direkt vergleichbar sind.

Die Landnutzungsänderung zu Grünland führt in Deutschland zu einer starken Kohlenstoffsenke in Mineralböden; die Werte sind vergleichbar mit denen der direkten Nachbarstaaten Österreich und Frankreich. Insgesamt liegt der deutsche IEF 2015 etwas über dem Mittel aller in Tabelle 378 aufgeführten. Auch der deutsche IEF für die Biomasse in den Übergangskategorien unterscheidet sich nicht wesentlich von denen der Nachbarländer. Er korrespondiert mit den Werten von Belgien und Großbritannien, ist nahezu neutral (leichte Quelle) und liegt etwas über dem Mittelwert, der eine stärkere Quelle ausweist. Die Streuung der IEF der Biomasse ist allerdings deutlich größer als beim Mineralboden. Ursache hierfür sind die länderspezifischen Kategoriegrenzen, somit die

[151] Berechnung jährlich, Emission: positiv ≙ Quelle; negativ ≙ Senke

Zusammensetzung der Kategorie (in Deutschland Mischwert aus Grünland i.e.S. und Gehölzflächen).

Tabelle 378: Vergleich implizierter Emissionsfaktoren (IEF) unterschiedlicher Pools im Grünlandsektor innerhalb Europas (Deutschland für 2014 & 2015, übrige Länder für 2014)

Land	4.C.1 - Grassland Remaining Grassland			4.C.2 - Land Converted To Grassland			
	Organische Böden	Mineral-böden	Biomasse	Organische Böden	Mineral-böden	Biomasse	Tote org. Substanz
	t C ha^{-1}						
Belgien	-2,50	0,09	NO	NO	1,30	-0,03	0,00
Dänemark	-6,26	NO	-0,19	-8,40	-0,02	-0,36	-0,04
Frankreich	NO	NO	0,00	-2,39	1,07	-0,12	-0,02
Großbritannien	IE, NO	0,11	0,00	-0,25	0,64	-0,01	-0,35
Niederlande	-4,62	0,00	NE	-4,20	0,68	-0,16	-0,07
Österreich	-0,25	0,00	NO	NO	0,89	-0,70	-0,40
Polen	-0,25	-0,02	NO	NO	0,95	0,23	-0,16
Schweiz	-9,07	0,01	0,01	-9,00	0,53	-0,81	IE, NO
Tschechische Republik	NO	0,09	NO	NO	0,47	0,00	0,00
Deutschland 2014	-6,19	0,00	0,03	-6,38	0,82	-0,02	-0,01
Deutschland 2015	-6,19	0,002	0,03	-6,37	0,82	-0,002	-0,07

positiv: Kohlenstoffsenke; negativ: Kohlenstoffquelle; Quelle: UNFCCC, 2016a

6.6.5 Kategoriespezifische Rückrechnungen (4.C)

Mit der diesjährigen Submission werden quellenspezifische Rückrechnungen für den gesamten Berichtszeitraum von 1990-2015 vorgelegt, da neue bzw. korrigierte Datenquellen und Methoden zur Berechnung der Phytomasse in der Landnutzungskategorie Grünland zur Anwendung kamen. So wurden mit dieser Submission die Werte der Emissionsfaktoren für die krautige, annuelle Phytomasse geringfügig modifiziert; für die Ackerphytomasse im Rahmen einer Fehlerbereinigung, für die pflanzliche Biomasse von Grünland i.e.S. im Rahmen einer verbesserten Ableitung (s. Kapitel 6.1.2.3.3). Dadurch lagen zur Berechnung der CO_2-Emissionen korrigierte Emissionsfaktoren für die pflanzliche Biomasse folgender Landnutzungskategorien vor:

- Ackerland
- Grünland i.e.S.
- Feuchtgebiete
- Siedlungen

Im Rahmen der Neuberechnung der Emissionsfaktoren sowie der Aktivitätsdaten wurden auch die zugehörigen Unsicherheiten neu bestimmt.

In der Landnutzungskategorie Grünland sind Veränderungen gegenüber dem Vorjahr infolge der Rückrechnung nur in den Übergangskategorien zu verzeichnen. Diese sind für den Biomassepool und die Gesamtemissionen in Tabelle 379 vergleichend dargestellt. Alle anderen Pools der Übergangs- und Verbleibkategorien sind von der Rückrechnung nicht betroffen. Die Gesamtemissionen der Übergangskategorien zu Grünland der Submission 2017 haben über die gesamte Zeitreihe infolge der Rückrechnung zugenommen gegenüber der Vorjahressubmission, mit abnehmendem Trend. Die Unterschiede sind insgesamt sehr gering und vollständig auf die Änderung der Emissionsfaktoren in der Biomasse zurückzuführen. Die Differenz zur Submission 2016 berechnet sich bezüglich der Gesamtemissionen und der Biomasse für das Jahr 1990 auf 5,5 kt CO_2-Eq.; bezogen auf die Gesamtenissionen entspricht dies 0,02 %, auf die Biomasse 1,49 %. Für das Jahr 2014 errechnet sich der Unterschied auf 1,7 kt CO_2-Eq. entsprechend 0,01 % bezogen auf die Gesamtemissionen, auf die Biomasse 2,27 %.

Tabelle 379: Vergleich der 2017 und 2016 berichteten Flächen [kha] und Emissionen [kt CO_2-Eq.] aus Landnutzungsänderungen zu Grünland (4.C.2)

Emissionen [kt CO_2-Eq.]									
		1990	**1995**	**2000**	**2005**	**2006**	**2007**	**2008**	**2009**
Gesamt	**2017**	26.225	26.070	25.910	24.869	24.524	24.167	23.845	24.120
	2016	26.220	26.065	25.905	24.866	24.521	24.164	23.843	24.117
Biomasse	**2017**	-364	-318	-275	-786	-824	-820	-782	-203
	2016	-369	-323	-280	-789	-827	-822	-784	-205
		2010	**2011**	**2012**	**2013**	**2014**			
Gesamt	**2017**	23.879	23.679	23.491	22.874	22.853			
	2016	23.877	23.677	23.489	22.873	22.851			
Biomasse	**2017**	-234	-226	-205	-682	-615			
	2016	-237	-228	-208	-684	-617			

6.6.6 Geplante Verbesserungen, kategoriespezifisch (4.C)

Derzeit sind, über frühere Angaben hinaus, keine weiteren Verbesserungsmaßnahmen geplant. Aussagen über den Stand der Umsetzung der geplanten Verbesserungsmaßnahmen im LULUCF - Sektor sind in Kapitel 6.1.4 zu finden.

Sofern in vorhergehenden Berichterstattungen in diesen Kapiteln Verbesserungen benannt wurden, sind diese in Form einer Übersicht unter Kapitel 10.4 Verbesserungen des Inventars, Tabelle 426 zu finden. Sind diese bereits erledigt, sind sie im selben Kapitel in Tabelle 425 abgebildet.

6.7 Wetland (4.D)

6.7.1 Beschreibung der Kategorie (4.D)

KC	Category	Activity	EM of	1990 (kt CO_2-e.)	(fraction)	2015 (kt CO_2-e.)	(fraction)	Trend 1990-2015
L/T	**4.D. Wetlands**	**0**	**CO_2**	**4.064,0**	**0,33%**	**4.006,7**	**0,45%**	**-1,4%**
-/-	4.D. Wetlands	0	CH_4	41,8	0,00%	43,4	0,00%	3,8%
-/-	4.D. Wetlands	0	N_2O	21,5	0,00%	22,3	0,00%	3,6%

Gas	Angewandte Methode	Quelle der Aktivitätsdaten	genutzte Emissionsfaktoren
CO_2	Tier 2	RS/NS	CS
N_2O	Tier 2	RS/NS	CS/D
CH_4	Tier 2	RS/NS	CS

Die Kategorie *Feuchtgebiete* ist für CO_2 eine Hauptkategorie nach der EMissionshöhe und dem trend.

In der Kategorie Feuchtgebiete finden sich für Deutschland im Wesentlichen die wenigen, kaum vom Menschen beeinflussten, nicht drainierten, naturnahen Moorstandorte und sonstigen Feuchtgebiete, im vorliegenden Bericht zusammengefasst unter dem Überbegriff "Terrestrische Feuchtgebiete", „Gewässer und überflutete Landflächen“, sowie die „Torfabbauflächen“ zur Gewinnung von Gartenbautorfen.

CO_2-Emissionen aus regulierten Gewässern mit starken Wasserstandsschwankungen (flooded lands) werden gemäß der 2006 IPCC Guidelines berichtet, also nur Emissionen aus der Biomasse infolge von Landnutzungsänderungen. Methanemissionen sind demnach nicht berichtspflichtig. Über Emissionen aus dem Torfabbau wird ausschließlich unter verbleibenden Feuchtgebieten berichtet; über die Veränderungen im Kohlenstoffvorrat der ober- und unterirdischen Biomasse sowie der Böden, in den Übergangskategorien. Die Ergebnisse der Emissionsberechnungen für das Jahr 2015 sind in Tabelle 380 und der Verlauf der Emissionen in der Zeit unterschieden nach Kategorien und Unterkategorien in Abbildung 68 und Abbildung 69 dargestellt.

Tabelle 380: CO_2-, N_2O- und CH_4-Emissionen [kt CO_2-Eq.] aus Feuchtgebieten Deutschlands 2015. Dargestellt sind Summen sowie obere und untere Schranken der 95 % - Konfidenzintervalle

Torfabbau 2015						
Pool	THG	[kt CO_2-Eq.]			[%]	
		Emission	2,5 %-Perz.	97,5 %-Perz.	2,5 %-Perz.	97,5 %-Perz.
Torfabbau$_{total}$		2.197,1	1.377,9	3.016,4	37,3	37,3
Mineralboden	CO_2	NO	NO	NO	NO	NO
	N_2O	NO	NO	NO	NO	NO
Organischer Boden	CO_2	2.183,6	1.364,6	3.002,9	37,5	37,5
	N_2O	7,9	2,9	12,9	63,4	63,4
	CH_4	5,6	1,9	10,7	65,3	92,9
Biomasse	CO_2	/	/	/	/	/
Streu/Totholz	CO_2	/	/	/	/	/
Gewässer 2015						
Pool	THG	[kt CO_2-Eq.]			[%]	
		Emission	2,5 %-Perz.	97,5 %-Perz.	2,5 %-Perz.	97,5 %-Perz.
Gewässer$_{total}$		57,5	42,2	72,9	26,6	26,7
Mineralboden	CO_2	/	/	/	/	/
	N_2O	/	/	/	/	/
Organischer Boden	CO_2	/	/	/	/	/
	N_2O	/	/	/	/	/
	CH_4	/	/	/	/	/
Biomasse	CO_2	52,1	37,0	67,2	28,9	29,1
Streu/Totholz	CO_2	5,4	2,6	8,2	51,6	51,6
Terrestrische Feuchtgebiete 2015						
Pool	THG	[kt CO_2-Eq.]			[%]	
		Emission	2,5 %-Perz.	97,5 %-Perz.	2,5 %-Perz.	97,5 %-Perz.
Terrestrische Feuchtgebiete$_{total}$		1.817,9	1.003,5	2.474,9	44,8	36,1
Mineralboden	CO_2	-0,2	-0,1	-0,4	61,9	64,4
	N_2O_{direkt}	0,25	0,0	0,82	100	234,4
	$N_2O_{indirekt}$[152]	0,06	0,0	0,23	100,0	311,7
Organischer Boden	CO_2	1.801,9	942,1	2.465,3	47,7	36,8
	N_2O	14,2	0,0	48,6	100,0	243,0
	CH_4	37,8	14,1	238,7	62,7	531,1
Biomasse	CO_2	-40,6	-28,5	-52,9	29,9	30,2
Streu/Totholz	CO_2	4,6	2,1	7,0	53,5	53,5

Aus Feuchtgebieten wurden im Jahr 2015 4.072,5 kt CO_2-Eq. (95 %-KI: 2.913,6 – 5.119,9 kt CO_2-Eq.) freigesetzt. Tabelle 380 verdeutlicht, dass die Emissionen aus der Landnutzungskategorie Feuchtgebiete im Wesentlichen auf organische Böden zurückzuführen sind und diese wiederum zu ähnlichen Teilen durch die CO_2-Freisetzung infolge des Torfabbaus (53,9 %) und der Entwässerung terrestrischer organischer Böden (44,5 %). Die Freisetzung von Methan (1,1 %) und Lachgas (0,5 %) ist gemessen an der Summe der Gesamtemissionen sehr gering, genau wie die CO_2-Freisetzung aus toter organischer Substanz (0,3 %) und Biomasse (0,3 %); letztere wirkt in der Unterkategorie Gewässer als Quelle, in der Unterkategorie „Terrestrische Feuchtgebiete“ als Senke. Eine ganz schwache Senkenleistung ist in dieser Unterkategorie auch den Mineralböden zuzuschreiben.

Die Emissionen aus industriellem Torfabbau unterteilen sich in Emissionen, die auf Abbauflächen während der Torfgewinnung entstehen (on-site-Emissionen) sowie denjenigen, welche durch Ausbringung der gewonnenen Torfprodukte freigesetzt werden (off-site-Emissionen). Die off-site-Emissionen betrugen 2015 2.066,4 ± 766,6 kt CO_2-Eq. und waren demnach maßgeblich für die Höhe der Gesamtemissionen aus dem Torfabbau (94,6 %). Die on-site-Emissionen sind mit 130,7 kt CO_2-Eq. (-9,9 % / +11,5 %) demgegenüber gering und werden dominiert vom CO_2 (89,7 %); Methan- (4,3 %) und Lachgasemissionen (6,1 %) sind marginal.

[152] Die kategoriespezifischen indirekten N2O-Emissionen werden im CRF-Tabellenwerk nicht erfasst und dargestellt; sie sind Teil der in CRF-Tabelle 4.(IV).2 dargestellten Summe aller Subkategorien

Der Verlauf der Zeitreihen in Abbildung 68 und Abbildung 69 verdeutlicht, dass die Gesamtemissionen im Jahr 2015 gegenüber dem Basisjahr abgenommen haben (-1.3 %), aber insgesamt nur schwache zeitliche Änderungen auftraten. Der Kurvenverlauf wird im Wesentlichen vom Torfabbau dominiert und spiegelt die jährlichen Torfproduktionsmengen wieder, während die Emissionen aus den organischen Böden der Unterkategorie terrestrische Böden eine in etwa gleichmäßig hohe Basis bilden, die nur geringe Veränderungen im Zeitverlauf aufweist (± 3 %).

Abbildung 68: CO_2-Emissionen [kt CO_2-Eq.] infolge Landnutzung und Landnutzungsänderung aus Feuchtgebieten Deutschlands von 1990-2015, dargestellt nach Unterkategorien

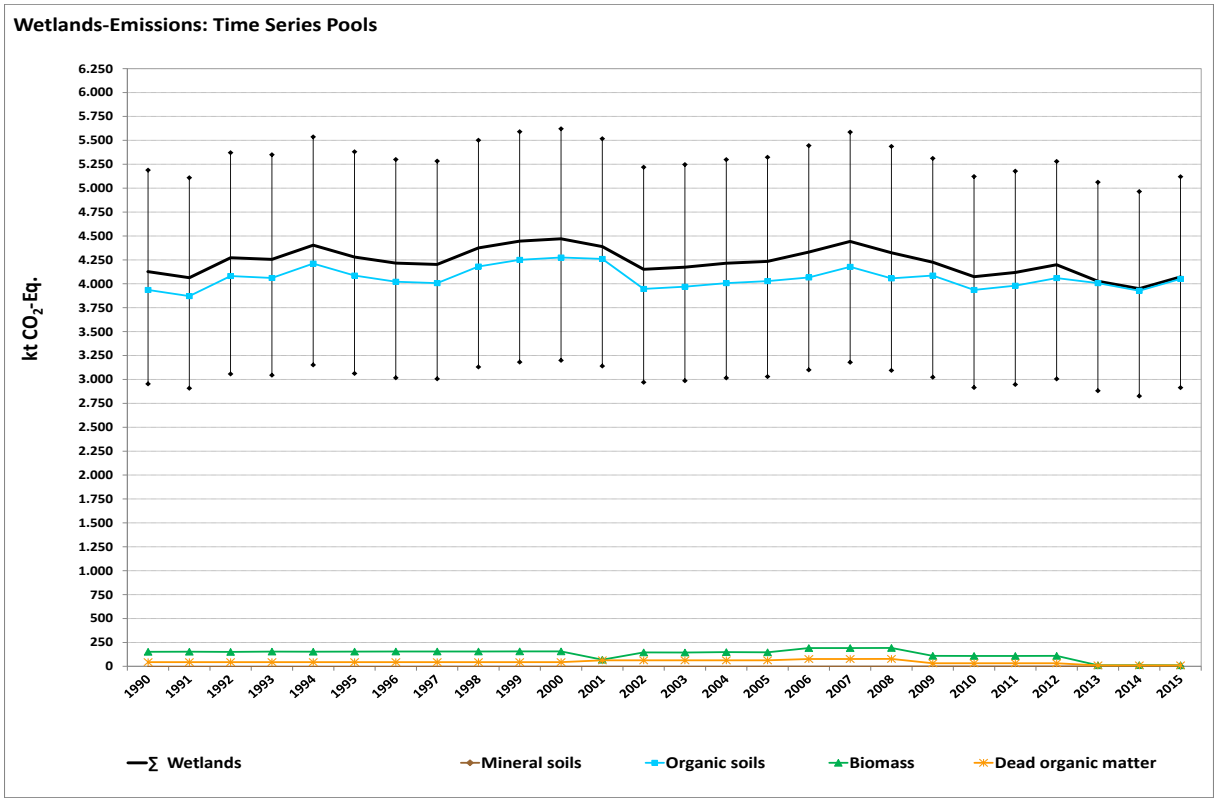

Abbildung 69: CO_2-Emissionen [kt CO_2-Eq.] infolge Landnutzung und Landnutzungsänderung aus den Feuchtgebieten Deutschlands von 1990-2015, dargestellt nach Pools

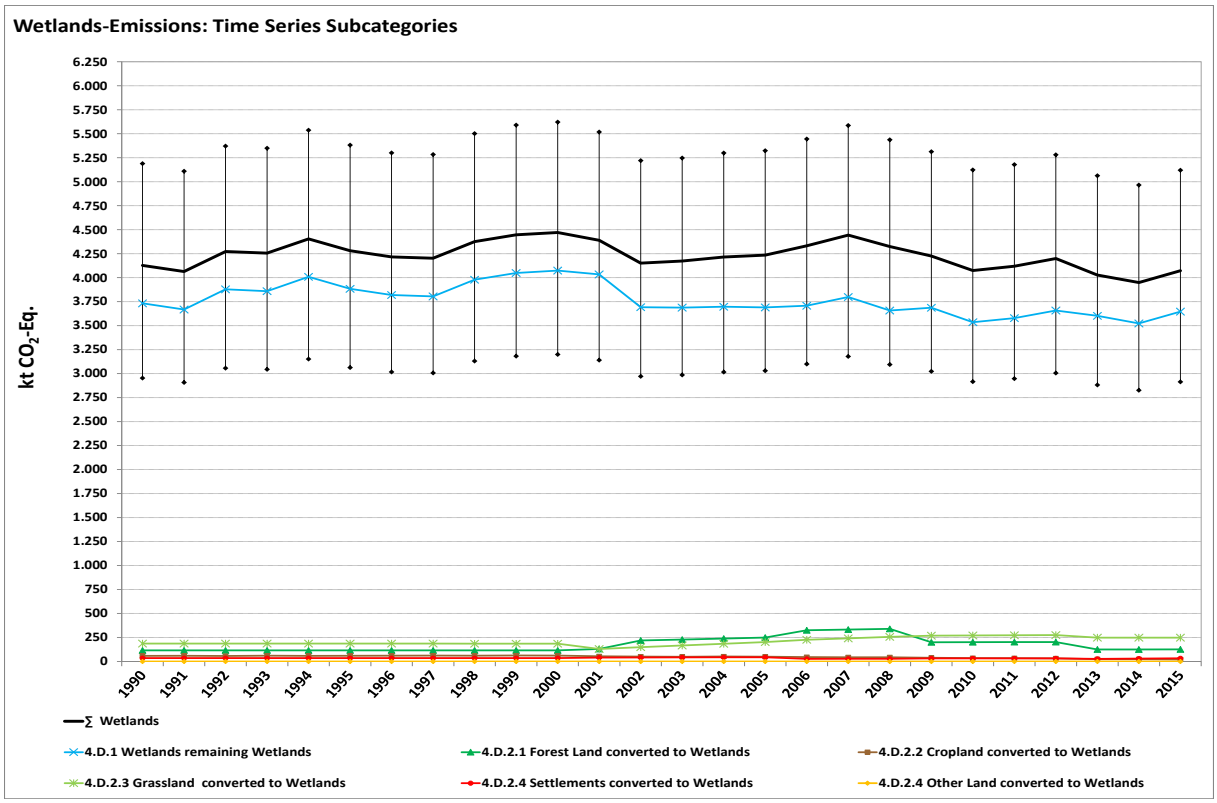

6.7.2 Methodische Aspekte (4.D)

6.7.2.1 Datenquellen

Die Produktionsmengen für Torf aus industriellem Torfabbau entstammen der deutschen Offizialstatistik (STATISTISCHES BUNDESAMT, Fachserie 4, Reihe 3.1).

Weitere Quellen siehe Kapitel 6.3.2, 6.2 und 19.4.2.

6.7.2.2 Biomasse

Gewässerflächen sind vegetationslos, so dass der Kohlenstoffvorrat in der Biomasse Null ist und in den CRF-Tabellen immer mit NO (not occurring) ausgewiesen wird.

Für die Unterkategorie „Terrestrische Feuchtgebiete“ erfolgt die Berechnung der Veränderungen im Kohlenstoffvorrat der Biomasse infolge von Landnutzungsänderungen mittels der in Kapitel 6.1.2.3 beschriebenen Verfahren und Methoden.

Terrestrische Feuchtgebiete sind in der Regel mit Gehölzen (einzelne Büsche bis Wälder), Moosen und Gräsern bewachsen, von denen letztere überwiegen. Aufgrund dessen wird im Inventar folgende Annahme für die Flächenverteilung der Kohlenstoffvorräte in der Biomasse unterstellt: 1/3 Gehölzanteil und 2/3 Moos-/Grasanteil.

Da für derartige Flächen keine Biomasseerhebungen in Deutschland vorliegen, werden die Werte für Gehölze und Grünland i.e. S. näherungsweise zugrunde gelegt. Daher wird methodisch im Sinne von Kapitel 6.6.2.2 berichtet.

Der Kohlenstoffvorrat terrestrischer Feuchtgebiete berechnet sich dann nach Gleichung 50. Die Ergebnisse zeigt Tabelle 381. Aufgrund der Änderung des Kohlenstoffvorrates für Grünland in

diesem Jahr (vergl. Kapitel 6.6.5), folgt aus Gleichung 50 auch eine Änderung des Biomassekohlenstoffvorrates von Feuchtgebietsflächen gegenüber den vorherigen Submissionen; diese sind ebenfalls in Tabelle 381 dargestellt.

Gleichung 50:

$$C\text{-}Vorrat_{terr.\ Feuchtgebiete} = C\text{-}Vorrat_{Gehölze} * 0{,}333 + C\text{-}Vorrat_{Grünland\ i.e.S.} * 0{,}667$$

Tabelle 381: Flächenbezogener Kohlenstoffvorrat [t ha^{-1}] für Biomasse in terrestrischen Feuchtgebieten Deutschlands (95%-Konfidenzintervall) sowie dessen Veränderung [%] gegenüber der Submission 2016

Terr. Feuchtgebiete	Kohlenstoffvorrat [t C ha^{-1}]			Veränderung gegenüber Submission 2016 [%]		
	Bio_{total}	$Bio_{oberirdisch}$	$Bio_{unterirdisch}$	Bio_{total}	$Bio_{oberirdisch}$	$Bio_{unterirdisch}$
Terr. Feuchtgebiete	18,93 (10,84 - 27,16)	13,42 (6,04 - 20,91)	5,51 (2,65 - 8,49)	-0,18	-0,15	-0,23

Die Emissionsfaktoren mit Unsicherheiten sind in Tabelle 383 (Kapitel 6.7.3) dargestellt.

Im Sinne der Aussagen von Kapitel 6.6.2.2 wird für lebende Biomasse und tote organische Substanz in den jeweiligen Verbleibkategorien der CRF-Tabelle 4.D.1 NO (not occurring) berichtet.

6.7.2.3 Mineralböden

Bei Landnutzungsänderungen zu Gewässern werden keine Änderungen im Kohlenstoffvorrat von Mineralböden angenommen (NO in CRF-Tabelle 4.D.1).

Für die Unterkategorie „Terrestrische Feuchtgebiete“ erfolgt die Berechnung der Veränderungen im Kohlenstoffvorrat der Mineralböden infolge von Landnutzungsänderungen mittels der in Kapitel 6.1.2.1 beschriebenen Verfahren und Methoden.

Die Emissionsfaktoren mit Unsicherheiten werden in Tabelle 383 (Kapitel 6.7.3) gezeigt.

6.7.2.4 Organische Böden

In einem nationalen Forschungsprojekt wurden landesspezifische Emissionsfaktoren für organische Böden der Unterkategorie „Terrestrische Feuchtgebiete“ ermittelt, so dass nun mehr auch in dieser Kategorie über Kohlenstoffdioxid-, Lachgas- und Methanfreisetzung berichtet wird (s. Kapitel 6.1.2.2).

6.7.2.4.1 Torfabbau

Die Berechnung der CO_2-Emissionen aus dem Torfabbau erfolgte gemäß den Vorgaben der 2006 IPCC Guidelines nach einem Tier-2-Ansatz. Berechnet werden die Gesamtemissionen aus den on-site- und off-site-Emissionen nach den Gleichungen 7.2 - 7.5 der 2006 IPCCGuidelines. In der Unterkategorie Torfabbau werden CO_2- (on-site (Emission und DOM), off-site), CH_4- (Emission und Grabendrainung) und N_2O-Emissionen (on-site) berichtet; die Herleitung der Emissionsfaktoren ist in Kapitel 6.1.2.2 dargestellt. Als Aktivitätsdaten liegen der Abschätzung zugrunde:

- Berechnung der on-site-Emissionen: Die Flächenermittlung der industriellen Torfabbauflächen erfolgte mittels des Basis-DLM (siehe Kapitel 6.3); diese Datensätze wurden erst im Jahr 2011 vollständig in das Basis-DLM übernommen, daher wird die für 2011 ermittelte Torfabbaufläche für alle Jahre zur Berechnung der on-site-Emissionen herangezogen. Die Abbaufläche beträgt konstant 19.857 ha.
- Berechnung der off-site - Emissionen: Die jährlichen Produktionsmengen; diese entstammen der deutschen Offizialstatistik (STATISTISCHES BUNDESAMT, Fachserie 4, Reihe 3.1).

Equation 7.3 (2006 IPCC Guidelines)

$$CO_2\text{-Eq.}_{Torfabbau} = CO_2\text{- Eq.}_{on\text{-}site} + CO_2\text{- Eq.}_{off\text{-}site}$$

CO_2- Eq.$_{Torfabbau}$: THG-Emissionen aus dem Torfabbau [t C- Eq a^{-1}]

CO_2- Eq.$_{on\text{-}site}$: THG-Emissionen, die während der Produktion vor Ort entstehen [t C- Eq a^{-1}]

CO_2- Eq.$_{off}$-site: THG-Emissionen durch produzierte, zu Gartenbauzwecken ausgebrachten Torfen [t C-Eq a^{-1}]

In Deutschland werden ausschließlich Hochmoortorfe abgebaut daher wurde Equation 7.4 (2006 IPCC Guidelines) folgendermaßen modifiziert:

$$CO_2\text{-Eq.}_{on\text{-}site} = A_{Torf\text{-}nährstoffarm} \times (EF_{Torf\text{-}nährstoffarm_CO2} + EF_{Torf\text{-}nährstoffarm_N2O} + EF_{Torf\text{-}nährstoffarm_CH4})$$

CO_2-Eq.$_{on\text{-}site}$: on-site-Emissionen, die während der Produktion vor Ort entstehen [t CO_2-Eq. a^{-1}]

$A_{Torf\text{-}nährstoffarm}$: Torfabbaufläche für Hochmoortorfe [ha]

$EF_{Torf\text{-}nährstoffarm_(CO2, N2O, CH4)}$: Emissionsfaktor für Hochmoortorfe im Abbau [t CO_2-Eq. ha^{-1} a^{-1} (IPCC 2006 Guidelines, Table 7.4)]

Die Berechnung der off-site-Emissionen erfolgte nach Equation 7.5 (2006 IPCC Guidelines):

$$CO_2\text{-Eq.}_{off\text{-}site} = Vol_{Torf_trocken} \times Cfraction_{vol_Torf}$$

$CO_{2off\text{-}site}$: CO_2-Eq.-Emissionen durch produzierte, zu Gartenbauzwecken ausgebrachten Torfen [t CO_2-Eq. a^{-1}]

$Vol_{Torf_trocken}$: Volumen des lufttrockenen Torfes [m^3]

$C_{fractionvol_Torf}$: Kohlenstoffanteil bezogen auf das Volumen luftgetrockneten Torfs [0,2567 t CO_2-Eq. m^3 luftgetrockneter Torf (2006 IPCC Guidelines, Table 7.5)]

Tabelle 382: Implizierte Emissionsfaktoren (IEF) [t CO_2-Eq. ha^{-1} a^{-1}] und Emissionen [kt CO_2-Eq.] für den Torfabbau in Deutschland

Torfabbau	IEF	Emissionen [t CO2-Eq.]				
Jahr	[t CO'-Eq. ha^{-1} a^{-1}]	on-site CO_2	on-site NO	on-site CH_4	off-site	Σ Torfabbau
1990	108,79	117,2	7,9	5,6	2.029,5	2.160,2 ± 800,7
1995	117,57	117,2	7,9	5,6	2.203,9	2.334,6 ± 869,0
2000	128,26	117,2	7,9	5,6	2.416,2	2.546,9 ± 952,3
2005	116,35	117,2	7,9	5,6	2.179,6	2.310,3 ± 859,5
2006	116,84	117,2	7,9	5,6	2.189,5	2.320,2 ± 863,4
2007	120,98	117,2	7,9	5,6	2.271,7	2.402,4 ± 895,6
2008	113,46	117,2	7,9	5,6	2.122,2	2.252,9 ± 837,0
2009	114,69	117,2	7,9	5,6	2.146,8	2.277,5 ± 846,7
2010	106,87	117,2	7,9	5,6	1.991,5	2.122,2 ± 785,8
2011	108,84	117,2	7,9	5,6	2.030,5	2.161,2 ± 801,1
2012	112,64	117,2	7,9	5,6	2.106,0	2.236,7 ± 830,7
2013	109,42	117,2	7,9	5,6	2.042,0	2.172,7 ± 805,6
2014	104,92	117,2	7,9	5,6	1.952,7	2.083,4 ± 765,6
2015	110,65	117,2	7,9	5,6	2.066,4	2.197,1 ± 810,2

6.7.3 Unsicherheiten und Zeitreihenkonsistenz (4.D)

Die Zeitreihen für die Aktivitätsdaten zum Torfabbau vom Statistischen Bundesamt sind konsistent und für die gesamte Berichtsperiode verfügbar. Die Unsicherheiten dieses Aktivitätsdatums sind laut Statistischem Bundesamt 0, da es sich bei diesen Daten um eine Vollerhebung mit Auskunftspflicht handelt. Nichtsdestotrotz wird nach den 2006 IPCC Guidelines eine Unsicherheit von 20 % unterstellt, die im Wesentlichen auf der Unsicherheit der Umrechnung von Volumen- auf Masseeinheiten für Torfe beruht. Die in Tabelle 383 und Tabelle 384 aufgeführten Unsicherheiten bis 40 % für den Torfabbau sind Ergebnisse aus der Berechnung der Unsicherheitsfortpflanzung und insbesondere auf die großen Unsicherheiten der genutzten IPCC Standardwerte zurückzuführen. Bezüglich der Unsicherheiten der Emissionsfaktoren für Methan und Lachgas gilt das in Kapitel 6.5.3 und Kapitel 6.6.3 Ausgeführte.

Die Aktivitäts- bzw. Flächendaten sind normalverteilt und weisen je nach Flächen- bzw. Stichprobengröße Unsicherheiten von 2-197 % auf (siehe Tabelle 517 in Kapitel 19.4.3). Die Gesamtunsicherheit für die Flächendaten der Kategorie Feuchtgebiete beträgt 5,1 %. Der Beitrag der Kohlenstoffsenken aus Feuchtgebieten zur Gesamtemission bzw. -unsicherheit des LULUCF-Sektors ist sehr gering. Lediglich die Werte im Zusammenhang mit dem Torfabbau sind wahrnehmbar (siehe Tabelle 517 in Kapitel 19.4.3).

Tabelle 383: Emissionsfaktoren mit Unsicherheiten [in % vom Lagemaß] zur Berechnung der THG-Emissionen aus Feuchtgebieten 2015, unterschieden nach Pools und Unterkategorien

Feuchtgebiete$_{terrestrisch}$		**Emissionsfaktoren**	**Schranken**		**Gewässer**	**Emissionsfaktoren**	**Schranken**	
Landnutzung$_{vor}$	**Landnutzung$_{nach}$**		**untere**	**obere**	**Landnutzung$_{nach}$**		**obere**	**untere**
Mineralboden CO_2-C[153]		**[t C ha^{-1} a^{-1}]**	**[%]**	**[%]**		**[t C ha^{-1} a^{-1}]**	**[%]**	**[%]**
Wald	**Feuchtgebiete$_{terrestrisch}$**	0,64	24,0	28,5	**Gewässer**	keine Emission		
Acker	**Feuchtgebiete$_{terrestrisch}$**	0,70	28,4	36,8	**Gewässer**	keine Emission		
Grünland$_{i.e.S.}$	**Feuchtgebiete$_{terrestrisch}$**	-0,17	31,8	47,4	**Gewässer**	keine Emission		
Gehölze	**Feuchtgebiete$_{terrestrisch}$**	0,04	30,7	49,1	**Gewässer**	keine Emission		
Siedlungen	**Feuchtgebiete$_{terrestrisch}$**	0,77	31,6	47,6	**Gewässer**	keine Emission		
Gewässer	**Feuchtgebiete$_{terrestrisch}$**	0	43,9	52,5	**Gewässer**	keine Emission		
Sonstiges Land	**Feuchtgebiete$_{terrestrisch}$**	0,92	31,5	49,8	**Gewässer**	keine Emission		
Mineralboden N_2O_{direkt}[154]		[kg N_2O ha^{-1} a^{-1}]	[%]	[%]		[kg N_2O ha^{-1} a^{-1}]	[%]	[%]
Grünland$_{i.e.S.}$	**Feuchtgebiete$_{terrestrisch}$**	0,213	91,7	211,5	**Gewässer**	keine Emission		
Mineralboden $N_2O_{indirekt}$[155]		[kg N_2O ha^{-1} a^{-1}]	[%]	[%]		[kg N_2O ha^{-1} a^{-1}]	[%]	[%]
Grünland$_{i.e.S.}$	**Feuchtgebiete$_{terrestrisch}$**	0,048	100,0	294,9	**Gewässer**	keine Emission		
Biomasse[156]		[t C ha^{-1} a^{-1}]	[%]	[%]		[t C ha^{-1} a^{-1}]	[%]	[%]
Wald	**Feuchtgebiete$_{terrestrisch}$**	-35,73	21,6	21,7	**Gewässer**	-54,66	25,0	25,0
Acker	**Feuchtgebiete$_{terrestrisch}$**	12,38	31,9	32,5	**Gewässer**	-6,55	11,5	11,5
Grünland i.e.S.	**Feuchtgebiete$_{terrestrisch}$**	12,12	32,4	33,0	**Gewässer**	-6,81	30,3	30,3
Gehölze	**Feuchtgebiete$_{terrestrisch}$**	-24,24	34,0	34,6	**Gewässer**	-43,16	54,2	55,2
Feuchtgebiete$_{terrestrisch}$	**Feuchtgebiete$_{terrestrisch}$**	0	0	0	**Gewässer**	-18,93	42,7	43,5
Gewässer	**Feuchtgebiete$_{terrestrisch}$**	18,93	42,7	43,5	**Gewässer**	0	0	0
Siedlungen	**Feuchtgebiete$_{terrestrisch}$**	6,43	31,8	32,4	**Gewässer**	-12,49	47,0	47,9
Sonstiges Land	**Feuchtgebiete$_{terrestrisch}$**	18,93	42,7	43,5	**Gewässer**	0	0	0
Tote organische Substanz		[Mg C ha^{-1} a^{-1}]	[%]	[%]		[Mg C ha^{-1} a^{-1}]	[%]	[%]
Wald	**Feuchtgebiete$_{terrestrisch}$**	-20,67	6,2	6,2	Gewässer	-20,67	6,2	6,2

positiv: Senke; negativ: Quelle

153 Berechnung über 20 Jahre, Vorratsänderung: positiv ≙ Senke; negativ ≙ Quelle
154 Berechnung über 20 Jahre Emission: positiv ≙ Quelle; negativ ≙ Senke,
155 Berechnung über 20 Jahre Emission: positiv ≙ Quelle; negativ ≙ Senke,
156 Berechnung nur im ersten Jahr der Landnutzungsänderung

Tabelle 384: Unsicherheiten von Emissionsfaktoren [2,5 %- und 97,5%-Perzentil in % vom Lagemaß] aus organischen Böden für Feuchtgebiete und Torfabbau im Jahr 2015

Landnutzung	Treibhausgas	Emissionsfaktor	Schranken	
			untere	obere
Organischer Boden[157]		[t CO_2-Eq. ha^{-1} a^{-1}]	%	%
Feuchtgebiete$_{terrestrisch}$	CO_2	18,18	59,9	46,1
Feuchtgebiete$_{terrestrisch}$	N_2O	0,14	100,0	306,2
Feuchtgebiete$_{terrestrisch}$	CH_4O	0,38	78,9	669,9
Torfabbau	CO_2	5,90	9,7	11,2
Torfabbau	N_2O	0,40	46,9	258,9
Torfabbau	CH_4O	0,28	65,3	92,9

Die Berechnungen sind für den gesamten Berichtszeitraum von 1990 – 2015 räumlich und zeitlich konsistent und vollständig.

6.7.4 Kategoriespezifische Qualitätssicherung/-kontrolle und Verifizierung (4.D)

Details zu den diesjährigen Prüfungen finden sich in Kapitel 6.1.3.

Die zur Erstellung dieses Inventars verwendeten Datenquellen erfüllen die Prüfkriterien des QSE-Handbuchs für Datenquellen. Bezüglich der Qualitätssicherung der Eingangsdaten (ATKIS®, BÜK, Offizialstatistik) wird auf die Datenhalter verwiesen (Dokumentation in Inventarbeschreibung).

Die Ergebnisse der Emissionsberechnung der aktuellen Berichterstattung können mit anderen Datenquellen für Deutschland nicht verglichen werden, da solche flächendeckend, umfassend und unabhängig von den hier aufgeführten Methoden und Datenquellen nicht existieren.

Der Vergleich der mittleren Emissionsfaktoren Deutschlands in der Kategorie Feuchtgebiete mit denen der europäischen Nachbarstaaten (Tabelle 385) zeigt, dass die IEF aufgrund der Zusammenfassung der Bodentypen nur schwer vergleichbar sind. So weist Deutschland in der Verbleibkategorie den größten Emissionsfaktor auf, was darauf zurückzuführen ist, dass hier der Torfabbau einschließlich der off-site-Emissionen einfließt. Die Kategorie Feuchtgebiete ist stark von der nationalen Definition abhängig, so dass die nationalen Verhältnisse und daher auch die mittleren Emissionsfaktoren eine große Streuung zeigen. Die Änderungen der IEF gegenüber dem Vorjahr beruhen im Wesentlichen auf der unterschiedlichen Vornutzung der Umwidmungsflächen.

Für diesen Vergleich wurden die neusten Werte der Nachbarstaaten verwendet. Diese stammen aus den letzten Submissionen der Länder an das Sekretariat der Klimarahmenkonvention. Die Submissionen aus dem letzten Jahr enthalten für gewöhnlich die Treibhausgasinventur des vorvergangen Jahres.

[157] Berechnung jährlich, Emission: positiv ≙ Quelle; negativ ≙ Senke

Tabelle 385: Vergleich implizierter Emissionsfaktoren (IEF) unterschiedlicher Pools in der Landnutzungskategorie Feuchtgebiete innerhalb Europas (Deutschland für 2014 & 2015, übrige Länder für 2014)

Land	4.E.1 - Wetlands Remaining Wetlands	4.E.2 - Land Converted To Wetlands		
	Organische Böden	Mineralische Böden	Biomasse	Tote org. Substanz
		t C ha^{-1}		
Belgien	-2,50	0,09	NO	NO
Dänemark	-6,26	NO	-0,19	-8,40
Frankreich	NO	NO	0,00	-2,39
Großbritannien	IE, NO	0,11	0,00	-0,25
Niederlande	-4,62	0,00	NE	-4,20
Österreich	NO	NO	NO	NO
Polen	-0,25	-0,02	NO	NO
Schweiz	-9,07	0,01	0,01	-9,00
Tschechische Republik	NO	0,09	NO	NO
Deutschland 2014	-6,19	0,00	0,03	-6,38
Deutschland 2015	-8,77	0,001	-0,04	-4,02

positiv: Kohlenstoffsenke; negativ: Kohlenstoffquelle; Quelle: UNFCCC, 2016a

6.7.5 Kategoriespezifische Rückrechnungen (4.D)

Mit der diesjährigen Submission werden quellenspezifische Rückrechnungen für den gesamten Berichtszeitraum von 1990 – 2015 vorgelegt, da neue bzw. korrigierte Datenquellen und Methoden zur Berechnung der Phytomasse in der Landnutzungskategorie Feuchtgebiete zur Anwendung kamen. So wurden mit dieser Submission die Werte der Emissionsfaktoren für die krautige, annuelle Phytomasse geringfügig modifiziert; für die Ackerphytomasse im Rahmen einer Fehlerbereinigung, für die pflanzliche Biomasse von Grünland i.e.S. im Rahmen einer verbesserten Ableitung (s. Kapitel 6.1.2.3.3). Dadurch lagen zur Berechnung der CO_2-Emissionen korrigierte Emissionsfaktoren für die pflanzliche Biomasse folgender Landnutzungskategorien vor:

- Ackerland
- Grünland i.e.S.
- Feuchtgebiete
- Siedlungen

Im Rahmen der Neuberechnung der Emissionsfaktoren sowie der Aktivitätsdaten wurden auch die zugehörigen Unsicherheiten neu bestimmt.

Tabelle 386und Tabelle 387 verdeutlichen die Auswirkungen der Rückrechnungen. Die Emissionen der Verbleibkategorie Feuchtgebiete haben im Vergleich mit der Vorjahressubmission kaum merklich abgenommen (max. -0,013 ‰). Die Unterschiede sind vollständig auf die Änderung der Emissionsfaktoren für die Phytomasse zurückzuführen. In den Übergangskategorien „zu Feuchtgebieten“ führte die Rückrechnung ebenfalls zu geringeren Emissionen in der aktuellen Submission gegenüber der des Vorjahres. Die Differenzen der Gesamteemissionen zwischen den Submissionen sind sehr gering, mit der Zeit abnehmend (-8,2 ‰ bis - 3,5 ‰). Die Unterschiede sind vollständig auf die Änderung der Emissionsfaktoren zurückzuführen. Alle anderen Pools der Übergangs- und Verbleibkategorien sind von der Rückrechnung nicht betroffen und werden deshalb in den Tabellen nicht dargestellt.

Tabelle 386: Vergleich der 2017 und 2016 berichteten Flächen [kha] und Emissionen [kt CO2] aus verbleibenden Feuchtgebieten

		Emissionen [kt CO_2-Eq.]							
		1990	**1995**	**2000**	**2005**	**2006**	**2007**	**2008**	**2009**
Gesamt	**2017**	3.732,316	3.883,753	4.073,188	3.689,839	3.707,828	3.798,564	3.657,461	3.686,286
	2016	3.732,312	3.883,748	4.073,183	3.689,840	3.707,828	3.798,565	3.657,461	3.686,287
Biomasse	**2017**	-2,725	-2,725	-2,725	0,778	0,263	0,263	0,263	0,433
	2016	-2,730	-2,730	-2,730	0,780	0,264	0,264	0,264	0,434
		2010	**2011**	**2012**	**2013**	**2014**			
Gesamt	**2017**	3.535,107	3.578,226	3.657,792	3.602,538	3.522,536			
	2016	3.535,108	3.578,227	3.657,792	3.602,537	3.522,535			
Biomasse	**2017**	0,433	0,433	0,433	-0,225	-0,225			
	2016	0,434	0,434	0,434	-0,226	-0,226			

Tabelle 387: Vergleich der 2017 und 2016 berichteten Flächen [kha] und Emissionen [kt CO_2] aus Landnutzungsänderungen zu Feuchtgebieten

		Emissionen [kt CO_2-Eq.]							
		1990	**1995**	**2000**	**2005**	**2006**	**2007**	**2008**	**2009**
Gesamt	**2017**	395,0	396,4	397,7	544,4	623,6	644,4	666,9	539,1
	2016	395,3	396,7	398,0	544,8	623,9	644,7	667,2	539,3
Biomasse	**2017**	154,8	156,7	158,5	146,3	190,9	191,0	192,2	108,8
	2016	155,1	157,0	158,8	146,6	191,1	191,3	192,5	109,0
		2010	**2011**	**2012**	**2013**	**2014**			
Gesamt	**2017**	539,2	540,4	541,8	424,1	426,6			
	2016	539,4	540,6	542,0	424,3	426,7			
Biomasse	**2017**	108,0	108,2	108,7	11,4	12,6			
	2016	108,2	108,4	108,9	11,6	12,8			

6.7.6 Geplante Verbesserungen, kategoriespezifisch (4.D)

Derzeit sind, über frühere Angaben hinaus, keine weiteren Verbesserungen geplant. Aussagen über den Stand der Umsetzung der geplanten Verbesserungsmaßnahmen im LULUCF-Sektor sind in Kapitel 6.1.4 zu finden.

Sofern in vorhergehenden Berichterstattungen in diesen Kapiteln Verbesserungen benannt wurden, sind diese in Form einer Übersicht unter Kapitel 10.4 Verbesserungen des Inventars, Tabelle 426 zu finden. Sind diese bereits erledigt, sind sie im selben Kapitel in Tabelle 425 abgebildet.

6.8 Siedlungen (4.E)

6.8.1 Beschreibung der Kategorie (4.E)

KC	Category	Activity	EM of	1990 (kt CO_2-e.)	(fraction)	2015 (kt CO_2-e.)	(fraction)	Trend 1990-2015
L/T	**4.E. Settlements**		**CO_2**	**1.810,7**	**0,15%**	**3.302,0**	**0,37%**	**82,4%**
-/-	4.E. Settlements		N_2O	126,5	0,01%	194,2	0,02%	53,5%
-/-	4.E. Settlements		CH_4	24,0	0,00%	42,6	0,00%	77,2%

Gas	Angewandte Methode	Quelle der Aktivitätsdaten	genutzte Emissionsfaktoren
CO_2	Tier 2	RS/NS	CS
N_2O	Tier 2	RS/NS	CS/D
CH_4	Tier 2	RS/NS	CS

Die Kategorie *Siedlungen* ist für CO_2 eine Hauptkategorie nach der Emissionshöhe und dem Trend.

In der Landnutzungskategorie Siedlungen wird über CO_2-Emissionen/-Festlegung der Kategorien Boden, Biomasse und tote organische Substanz berichtet, die auf Flächen liegen, die zu Siedlungs- und Verkehrszwecken ausgewiesen sind. Genaue Definitionen und Kategoriezuordnungen sind in

Kapitel 6.2 aufgeführt. Die Ergebnisse der Abschätzung der Treibhausgasemissionen sind in Tabelle 388 und in Abbildung 70 und Abbildung 71 dargestellt.

Tabelle 388: CO_2-, N_2O- und CH_4-Emissionen [kt CO_2-Eq.] aus Siedlungsflächen Deutschlands 2015. Dargestellt sind Summen sowie obere und untere Schranke des 95 % - Konfidenzintervalls

Kategorie	THG	Siedlungen Emissionen 2015 [kt CO_2-Eq.]			[%]	
		Emission	2,5 %-Perz.	97,5 %-Perz.	2,5 %-Perz.	97,5 %-Perz.
Siedlungen$_{total}$ [158]		**3.561,4**	3.049,2	4.021,3	14,4	12,9
Mineralboden	CO_2[159]	**1.004,6**	733,9	1.466,2	26,9	46,0
	N_2O_{direkt}[160]	**100,6**	26,0	273,4	74,2	171,7
	$N_2O_{indirekt}$[161]	**22,6**	0	76,5	99,9	238,0
Organischer Boden	CO_2[159]	**2.008,0**	1.360,8	2.347,7	32,2	16,9
	N_2O[162]	**93,6**	39,7	214,0	57,5	128,7
	CH_4[162]	**42,6**	30,6	106,1	27,4	149,4
Biomasse	CO_2[159]	**-61,8**	-51,2	-72,4	17,0	17,2
Streu/Totholz	CO_2[159]	**351,1**	298,3	403,9	15,0	15,0

Im Jahr 2015 betrugen die CO_2-Emissionen aus den Siedlungs- und Verkehrsgebieten Deutschlands infolge von Landnutzung und Landnutzungsänderung 3.561,4 kt CO_2 (Tabelle 388); der Großteil hiervon (60,2 %) wird durch Drainage organischer Böden verursacht. Aber auch die Emissionen aus den Mineralböden tragen mit einem Anteil von 31,7 % deutlich zu der Emissionssumme bei. Verursacht werden diese im Wesentlichen durch Landnutzungsänderungen von Ackerland (59 %), Grassland i.e.S. (27 %) und Wald (10 %) zu Siedlungen (Abbildung 70).

Gegenüber dem Basisjahr ergibt sich im Jahr 2015 eine Nettozunahme der Emissionen von 1.583,7 kt CO_2 ≙ 80,1 % (siehe Abbildung 70 und Abbildung 71) Der Trend ist eindeutig gerichtet und wird vor allem durch die Umwidmung von Acker- und Grünlandflächen, in den Vorjahren auch Wald zu Siedlungszwecken getrieben. Eine Zunahme der Emissionen (Grünland 38 %; Wald 117 %; Feuchtgebiete 453 %) bzw. Abnahme der Senkenfunktion (Ackerland -18 %; Sonstiges Land -79 %) ist in allen Unterkategorien zu beobachten, wobei insbesondere auch die Umnutzung der Feuchtgebietsflächen zu einer steten Zunahme der Emissionen aus organischen Böden führt.

Die Kurvenverläufe der Zeitreihen, insbesondere die deutlichen Änderungen, sind vor allem auf die sich zu den entsprechenden expliziten Erhebungsterminen ändernden Flächendaten zurückzuführen (siehe Kapitel 6.3.5).

158 Summe der Emissionen aus den CRF-Tabellen 4.E, 4.(II).H, 4.(III).E, 4.(IV).2

159 CRF-Tabelle 4.E

160 CRF-Tabelle 4.(III).E

161 Die kategoriespezifischen indirekten N_2O-Emissionen werden im CRF-Tabellenwerk nicht erfasst und dargestellt; sie sind Teil der in CRF-Tabelle 4.(IV).2 dargestellten Summe aller Unterkategorien

162 CRF-Tabelle 4.(II).H

Abbildung 70: CO_2-Emissionen [kt CO_2-Eq.] infolge Landnutzung und Landnutzungsänderung aus Siedlungen von 1990 – 2015, dargestellt nach Unterkategorien

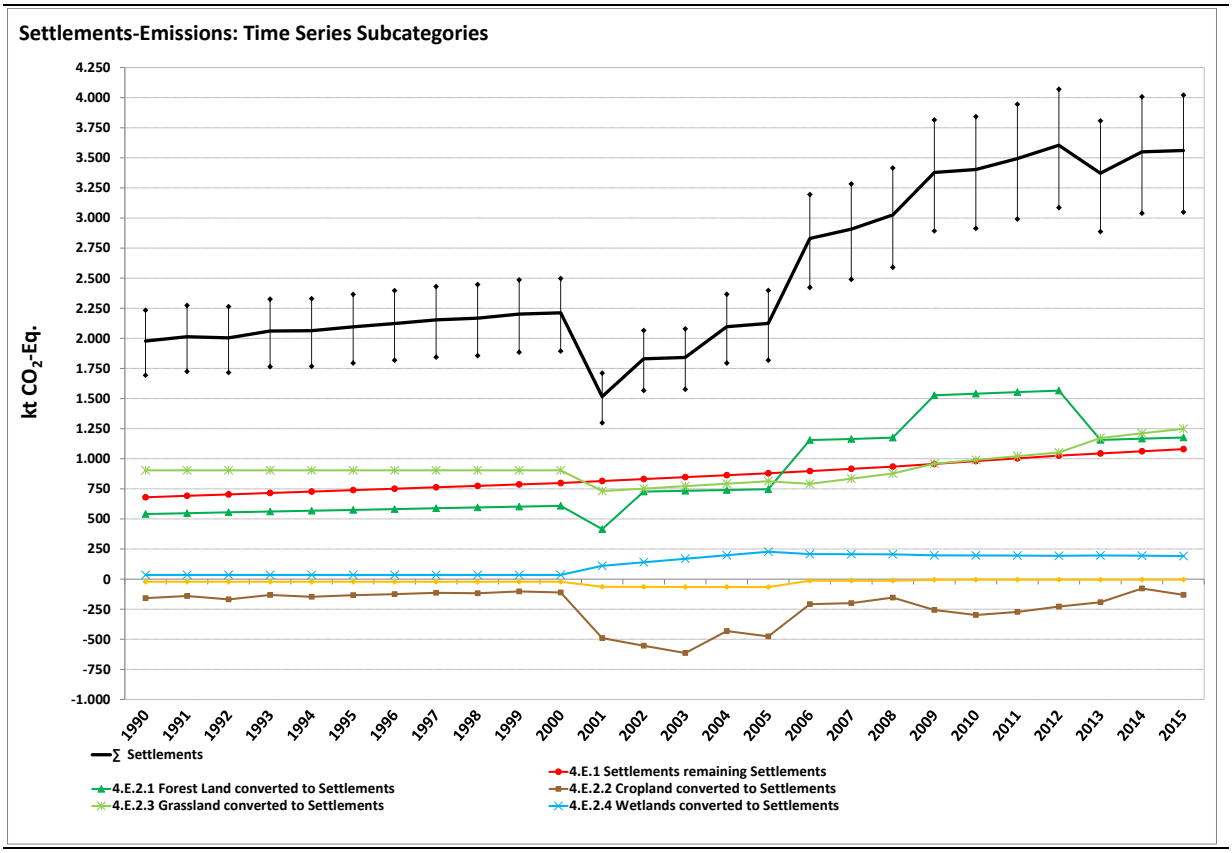

Abbildung 71: CO_2-Emissionen [kt CO_2-Eq.] infolge Landnutzung und Landnutzungsänderung aus Siedlungen Deutschlands von 1990 – 2015, dargestellt nach Pools

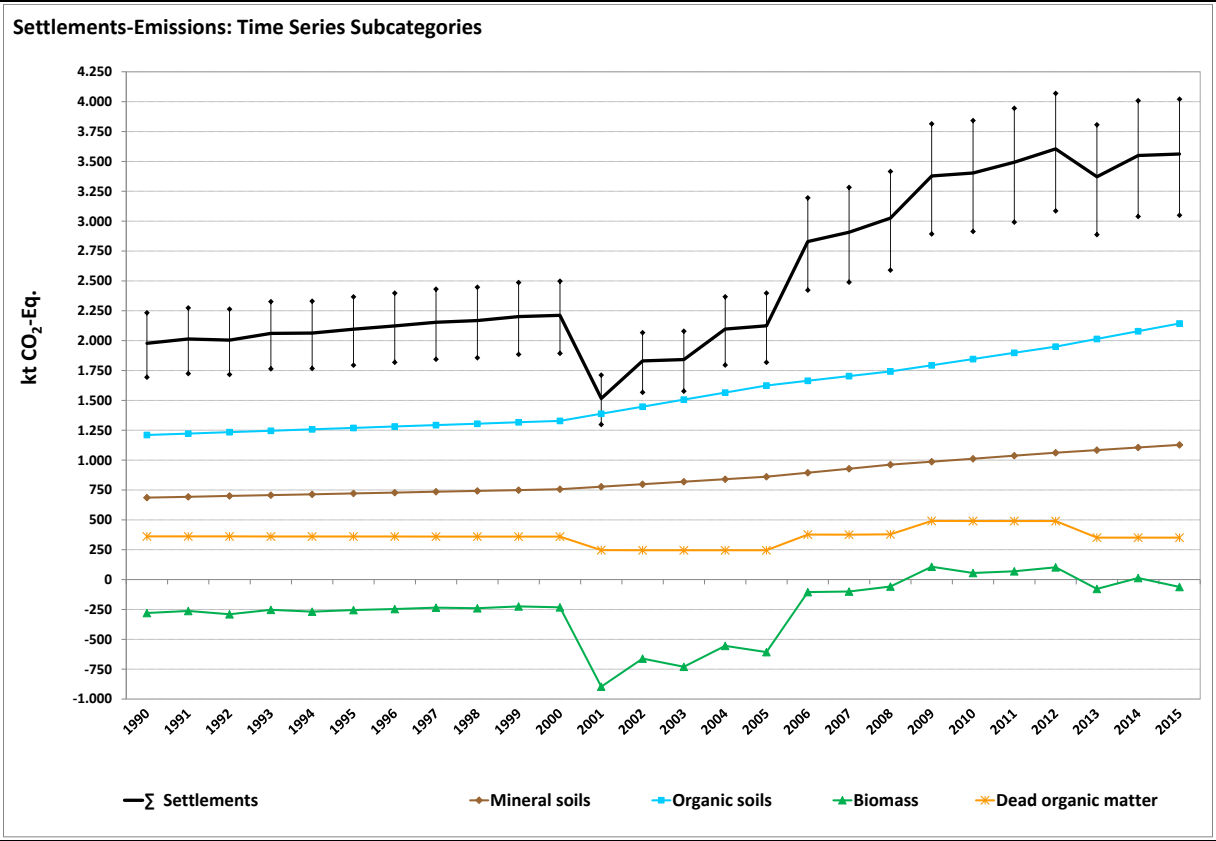

6.8.2 Methodische Aspekte (4.E)

Bei verbleibenden Siedlungen wird unterstellt, dass keine Kohlenstoffvorratsänderungen in Mineralböden (vgl. Kapitel 6.5.2.3) und Biomasse (vergl. Kapitel 6.6.2.2) auftreten. Für organische Böden in Siedlungsgebieten wird davon ausgegangen, dass sie drainiert sind.

Bei Landnutzungsänderungen zu Siedlungen werden alle Pools berichtet (siehe auch Kapitel 6.5.2).

6.8.2.1 Datenquellen

Nähere Angaben zu Datenquellen sind unter Kapitel 6.3.2 zu finden.

6.8.2.2 Biomasse

Flächen im Siedlungs- und Verkehrsbereich weisen erhebliche Anteile an unversiegelten, mit Vegetation bedeckten Flächen auf. Stichprobenuntersuchungen des Bundesinstituts für Bau-, Stadt- und Raumforschung im Bundesamt für Bauwesen und Raumordnung haben ergeben, dass der Anteil der überbauten und versiegelten Fläche an der ausgewiesenen Siedlungs- und Verkehrsfläche zwischen 40 – 50 % beträgt (EINIG et al. 2009). Daher wird die begrünte Fläche im deutschen Inventar im Mittel auf 50 % der Siedlungsfläche festgelegt.

Da über die Biomasse bzw. den Kohlenstoffvorrat auf diesen Flächen keine spezifisch erhobenen Daten vorliegen, wird angenommen, dass die begrünte Fläche zur Hälfte aus Gehölzen, zur anderen Hälfte aus Grünflächen vergleichbar mit Grünland i. e. S. besteht. Diese Annahmen entsprechen in etwa den Werten, die in der Schweiz diesbezüglich zugrunde gelegt werden. Mit Methoden der Fernerkundung wurde hier der Anteil an Bäumen (32,1 %) und Büschen (15,3 %)

am Pflanzenbedeckungsgrad mit 47,4 % ermittelt (FOEN 2010). Da im Siedlungs- und Verkehrsbereich die Variation der anzutreffenden Gehölze sehr groß ist - vom Kleingartengehölz über Hecken jeglicher Ausstattung bis zu Straßen- und Waldbäumen, wurde bezüglich der Biomasse dieser Gehölze in dieser Landnutzungskategorie der landesspezifische Wert für Gehölze zugrunde gelegt. Daher werden für die Verbleibkategorie von Siedlungsflächen keine Kohlenstoffvorratsänderungen in der Gehölzmasse berichtet (NO in CRF-Tabelle 4.E.1 für lebende Biomasse und tote organische Substanz). Auch gelten die Berechnungsregeln im Sinne von Kapitel 6.6.2.2. Der Kohlenstoffvorrat für die Biomasse einer Siedlungsfläche ergibt sich dann nach Gleichung 51. Die Ergebnisse zeigt Tabelle 389. Aufgrund der Änderung des Kohlenstoffvorrates für Grünland in diesem Jahr (vergl. Kapitel 6.6.2.2), bedingt Gleichung 51 auch eine Änderung des Biomassekohlenstoffvorrates von Siedlungsflächen gegenüber den vorherigen Submissionen; diese sind ebenfalls in Tabelle 389 dargestellt.

Gleichung 51:

$$C\text{-}Vorrat_{Siedlungen} = (C\text{-}Vorrat_{Gehölze} * 0,5 + C\text{-}Vorrat_{Grünland\ i.e.S.} * 0,5) * 0,5$$

Tabelle 389: Flächenbezogener Kohlenstoffvorrat [t C ha^{-1}] von Biomasse auf Siedlungsflächen (95%-Konfidenzintervall)

Siedlungen	Kohlenstoffvorrat [t C ha^{-1}]			Veränderung gegenüber Submission 2016 [%]		
	Bio_{total}	$Bio_{oberirdisch}$	$Bio_{unterirdisch}$	Bio_{total}	$Bio_{oberirdisch}$	$Bio_{unterirdisch}$
Siedlungen	12,49 (6,62 - 18,47)	9,12 (3,55 - 14,77)	3,38 (1,51 - 5,32)	-0,1	-0,09	-0,14

6.8.2.3 Mineralische Böden

Nähere Angaben zu Mineralischen Böden sind unter Kapitel 6.1.2.1 und 19.4.2 zu finden.

6.8.2.4 Organische Böden

Da über die Dränage von organischen Böden in Siedlungen keine spezifisch erhobenen Daten vorliegen, wird angenommen, dass die Böden wie Wirtschaftsgrünland gedraint werden und der entsprechende Emissionsfaktor verwendet wird(Kapitel 6.6.2.4).

Bei Landnutzungsänderung zu Siedlungen wird sofort der Wert für verbleibende Siedlungen verwendet.

6.8.3 Unsicherheiten und Zeitreihenkonsistenz (4.E)

Die Zeitreihenkonsistenz ist bezüglich der Aktivitätsdaten und Emissionsfaktoren gesichert.

Die Emissionsfaktoren und Unsicherheiten für die Landnutzungskategorie Siedlungen sind in Tabelle 390und Tabelle 391 dargestellt; die Unsicherheiten sind in der Regel lognormalverteilt, mit Ausnahme derjenigen für CO_2 aus organischen Böden; diese weisen eine rechtssteile Verteilung auf. Für die großen Unsicherheiten bezüglich der direkten und indirekten Stickstoffemissionen gilt das in Kapitel 6.5.3 Aufgeführte. Tabelle 517 in Kapitel 19.4.3 weist für die Aktivitätsdaten in Abhängigkeit von der Flächengröße für das Jahr 2015 Unsicherheiten von 2,5-91,5 % aus. Die Gesamtunsicherheit für die Aktivitätsdaten der Siedlungskategorie beträgt 2,3 %. Der Beitrag der Emissionen der Siedlungskategorie zur Unsicherheit des Gesamtinventars ist gering, bezüglich der Emissionen aus den organischen Böden, der Biomasse und den Mineralböden aber wahrnehmbar.

Tabelle 390: Unsicherheiten von Emissionsfaktoren [in % vom Lagemaß] zur Berechnung der Treibhausgasemissionen aus Siedlungs- und Verkehrsflächen Deutschlands 2015, unterschieden nach Pools und Unterkategorien

Siedlungen Landnutzungvor	Fläche Landnutzungnach	Emissionsfaktor	Schranken obere	Schranken untere
Mineralboden CO_2-C[163]		**[t C ha^{-1} a^{-1}]**	**[%]**	**[%]**
Wald	Siedlungen	-0,097	22,3	40,9
Acker	Siedlungen	-0,07	27,9	49,2
Grünland i. e. S.	Siedlungen	-0,94	32,6	57,5
Gehölze	Siedlungen	-0,73	31,2	59,7
Terr. Feuchtgebiete	Siedlungen	-0,77	31,6	47,6
Gewässer	Siedlungen	0,00	45,1	85,0
Sonstige Flächen	Siedlungen	0,15	31,7	62,8
Mineralboden $N2O_{direkt}$[164]		**[kg N_2O ha^{-1} a^{-1}]**	**[%]**	**[%]**
Wald	Siedlungen	0,078	73,5	204,1
Acker	Siedlungen	0,087	90,4	211,9
Grünland i.e.S.	Siedlungen	1,162	92,0	214,6
Gehölze	Siedlungen	0,932	96,2	222,3
Terr. Feuchtgebiete	Siedlungen	0,780	91,6	211,6
Mineralboden $N2O_{indirekt}$[165]		**[kg N_2O ha^{-1} a^{-1}]**	**[%]**	**[%]**
Wald	Siedlungen	0,018	100,0	289,7
Acker	Siedlungen	0,019	100,0	295,2
Grünland i.e.S.	Siedlungen	0,261	100,0	296,7
Gehölze	Siedlungen	0,210	100,0	297,1
Terr. Feuchtgebiete	Siedlungen	0,175	100,0	294,9
Biomasse[166]		**[ktC ha^{-1} 1 a^{-1}]**	**[%]**	**[%]**
Wald	Siedlungen	-42,15	22,1	22,2
Acker	Siedlungen	5,22	30,0	30,5
Grünland i. e. S.	Siedlungen	5,65	31,2	32,7
Gehölze	Siedlungen	-30,66	43,3	44,1
Terr. Feuchtgebiete	Siedlungen	-6,46	31,8	32,4
Gewässer	Siedlungen	12,51	47,0	47,8
Sonstige Flächen	Siedlungen	12,51	47,0	47,8
Tote organische Substanz[167]		**[kt C ha^{-1} 1 a^{-1}]**	**[%]**	**[%]**
Wald	Siedlungen	-20,69	6,2	6,2

Tabelle 391: Unsicherheiten von Emissionsfaktoren [2,5 %- und 97,5%-Perzentil in % vom Lagemaß] aus organischen Böden für Siedlungen im Jahr 2015

Landnutzung	Treibhausgas	Emissionsfaktor	Schranken untere	Schranken obere
Organischer Boden[168]		**[t CO2-Eq. ha^{-1} a^{-1}]**	**[%]**	**[%]**
Siedlungen	CO_2	27,1	55,4	28,4
Siedlungen	N_2O	1,3	99,4	222,7
Siedlungen	CH_4	0,6	46,9	258,6

6.8.4 Kategoriespezifische Qualitätssicherung/-kontrolle und Verifizierung (4.E)

Details zu den diesjährigen Prüfungen finden sich in Kapitel 6.1.3.

Die zur Erstellung dieses Inventars verwendeten Datenquellen erfüllen die Prüfkriterien des QSE – Handbuchs für Datenquellen. Intern wird die Prozessierung von Daten nach Thünen-Institut (2012) überprüft. Bezüglich der Qualitätssicherung der Eingangsdaten (ATKIS®, BÜK, Offizialstatistik) wird auf die Datenhalter verwiesen (Dokumentation in der Inventarbeschreibung).

163 Berechnung über 20 Jahre, Vorratsänderung: positiv ≙ Senke; negativ ≙ Quelle
164 Berechnung über 20 Jahre, Emission: positiv ≙ Quelle; negativ ≙ Senke
165 Berechnung über 20 Jahre, Emission: positiv ≙ Quelle; negativ ≙ Senke
166 Berechnung nur im ersten Jahr der Landnutzungsänderung, Vorratsänderung: positiv ≙ Senke; negativ ≙ Quelle
167 Berechnung nur im ersten Jahr der Landnutzungsänderung, Vorratsänderung: positiv ≙ Senke; negativ ≙ Quelle
168 Berechnung jährlich, Emission: positiv ≙ Quelle; negativ ≙ Senke

Die Ergebnisse der Emissionsberechnung der aktuellen Berichterstattung können mit anderen Datenquellen für Deutschland nicht verglichen werden, da solche flächendeckend, umfassend und unabhängig von den hier aufgeführten Methoden und Datenquellen nicht existieren.

Tabelle 392 vergleicht die mittleren Emissionsfaktoren der Kategorie Siedlungen mit denen europäischer Nachbarländer. Für diesen Vergleich wurden die neusten Werte der Nachbarstaaten verwendet. Diese stammen aus den letzten Submissionen der Länder an das Sekretariat der Klimarahmenkonvention.

Nur Deutschland, die Schweiz und Großbritannien berichten CO_2-Emissionen aus gedränten organischen Böden in Siedlungsflächen. Die mittleren Emissionsfaktoren sind auf die Gesamtsiedlungsfläche bezogen, so dass sie u.a. den Flächenanteil organischer Böden widerspiegeln. Weitere Kohlenstoffquellgruppen werden im deutschen Inventar nur bei Landnutzungsänderungen zu Siedlungsflächen berechnet. Die Emissionen aus Böden stellen in dieser Subkategorie eine Quelle dar. Während andere Nachbarstaaten (z.B. Frankreich, Niederlande, Polen, UK) deutlich höhere Quellen für Mineralböden aufweisen, liegt der Wert von Österreich, der Schweiz, Belgien und Dänemark in der Größenordnung des deutschen Wertes, am unteren Ende des Spektrums; direkt vergleichbar ist jedoch nur der Wert der Schweiz, der sowohl organische als auch mineralische Böden umfasst. Der IEF für Biomasse der aktuellen Submission weist diese als Senke aus; in der gleichen Größenordnung zeigt sich die Senke auch in Österreich und der UK. In allen anderen Ländern des Vergleichs ist der Biomassepool eine leichte Quelle. Die mittleren Emissionsfaktoren der Pools der Übergangskategorien werden stark von der Ausgangsnutzung bestimmt, so dass die weite Streuung innerhalb der europäischen Staaten letztlich ohne Kenntnis der Ausgangsnutzungen nicht interpretiert werden kann.

Tabelle 392: Vergleich implizierter Emissionsfaktoren (IEF) unterschiedlicher Pools im Siedlungssektor innerhalb Europas (Deutschland für 2014 & 2015, übrige Länder für 2014)

Land	4.E.1 - Verbleibende Siedlungen	4.E.2 - Landnutzungsänderung zu Siedlungen		
	Organische Böden	Böden	Biomasse	Tote org. Substanz
		t C ha^{-1}		
Belgien	NO	-1,26[169]	-0,16	-0,01
Dänemark	NO	-0,33[169]	-0,05	-0,01
Frankreich	NO	-5,32	-0,47	-0,06
Großbritannien	IE, NO	-8,71[169]	0,02	0,00
Niederlande	-4,5	-7,71	-0,78	-0,18
Österreich	NO	-0,67	0,30	-0,03
Polen	NO	-4,63[169]	-0,84	0,00
Schweiz	-2,9	-0,97	-0,54	-0,08
Tschechische Republik	NO	NO[170]	-0,44	-0,01
Deutschland 2014	-7,4	-3,11	0,00	-0,11
Deutschland 2015	-7,4	-0,59	0,02	-1,01

positiv: Kohlenstoffsenke; negativ: Kohlenstoffquelle; Quelle: UNFCCC 2016a

6.8.5 Kategoriespezifische Rückrechnungen (4.E)

Mit der diesjährigen Submission werden quellenspezifische Rückrechnungen für den gesamten Berichtszeitraum von 1990-2015 vorgelegt, da die Emissionsfaktoren für die annuelle Biomasse

[169] Only mineral soils

[170] Notation keys for organic soils: IE, NO

modifiziert wurden. Dadurch lagen zur Berechnung der CO_2-Emissionen korrigierte Emissionsfaktoren für die Biomasse folgender Landnutzungskategorien vor:

- Ackerland
- Grünland i.e.S.
- Feuchtgebiete
- Siedlungen

Im Rahmen der Neuberechnung der Emissionsfaktoren sowie der Aktivitätsdaten wurden auch die zugehörigen Unsicherheiten neu bestimmt.

Die Auswirkungen der Rückrechnung auf die Emissionen in der Landnutzungskategorie Siedlungen sind in Tabelle 393 vergleichend für den Biomassepool und die Gesamtemissionen der Übergangskategorien dargestellt. Alle anderen Pools der Übergangs- und Verbleibkategorien sind von der Rückrechnung nicht betroffen. Die Gesamtemissionen der Übergangskategorien zu Siedlungen, der Submission 2017, sind über die gesamte Zeitreihe infolge der Rückrechnung kleiner als die der Vorjahressubmission. Die Unterschiede sind insgesamt sehr gering und vollständig auf die Änderung der Emissionsfaktoren in der Biomasse zurückzuführen. Die Differenz zur Submission 2016 berechnet sich für das Jahr 1990 auf -1,25 kt CO2-Eq. ≙ -0,06 %, für das Jahr 2014 auf -2,51 kt CO2-Eq. ≙ -0,07 %.

Tabelle 393: Vergleich der 2017 und 2016 berichteten Gesamt- und Biomasseemissionen [kt CO2] aus Landnutzungsänderungen zu Siedlungsflächen

		Emissionen [kt CO_2-Eq.]												
		1990	1995	2000	2005	2006	2007	2008	2009	2010	2011	2012	2013	2014
Gesamt	2017	1.978	2.096	2.212	2.124	2.830	2.907	3.025	3.379	3.403	3.494	3.604	3.372	3.550
	2016	1.979	2.097	2.213	2.126	2.832	2.910	3.028	3.381	3.405	3.496	3.607	3.374	3.552
Biomasse	2017	-280	-255	-233	-607	-105	-100	-58	107	55	69	103	-78	13
	2016	-279	-254	-231	-605	-103	-97	-55	110	57	71	105	-76	16

6.8.6 Geplante Verbesserungen, kategoriespezifisch (4.E)

Derzeit sind, über frühere Angaben hinaus, keine weiteren Verbesserungen geplant. Aussagen über den Stand der Umsetzung der geplanten Verbesserungsmaßnahmen im LULUCF-Sektor sind in Kapitel 6.1.4 zu finden.

Sofern in vorhergehenden Berichterstattungen in diesen Kapiteln Verbesserungen benannt wurden, sind diese in Form einer Übersicht unter Kapitel 10.4 Verbesserungen des Inventars, Tabelle 426 zu finden. Sind diese bereits erledigt, sind sie im selben Kapitel in Tabelle 425 abgebildet.

6.9 Sonstiges Land (4.F)

6.9.1 Beschreibung der Kategorie (4.F)

KC	Category	Activity	EM of	1990 (kt CO_2-e.)	(fraction)	2015 (kt CO_2-e.)	(fraction)	Trend 1990-2015
-/-	4.F. Other land		CO_2	0,0	0,00%	0,0	0,00%	---

Da es sich bei den unter der Kategorie „Sonstiges Land“ geführten Flächen per Definition um vom Menschen nicht bewirtschaftetes Land handelt, werden nur die Flächengrößen zur Vervollständigung der Flächenmatrix aufgeführt. Emissionen im Sinne der IPCC Richtlinien können nicht auftreten und damit nicht berichtet werden. Daher findet sich der Vermerk NO in allen Rubriken der CRF-Tabelle 4.F mit Ausnahme des Feldes für die Fläche der Verbleibkategorie.

6.9.2 Methodische Aspekte (4.F)

Sonstige Flächen werden nur als Ausgangskategorie von Landnutzungsänderungen zu anderen Kategorien in der Emissionsberechnung berücksichtigt. Rückumwandlungen zu Sonstigen Flächen finden nicht statt, da definitionsgemäß einmal genutztes Land nicht mehr in eine ungenutzte Landnutzungskategorie überführt werden kann.

Die Kohlenstoffvorräte in den Kategorien Biomasse, Totholz und toter organischer Substanz in Sonstigen Flächen sind Null.

Die Kohlenstoffvorräte in Mineralböden in Sonstigen Flächen sind in Kapitel 6.1.2 und 19.4.2 ausgewiesen.

Organische Böden in Sonstigen Flächen sind nicht gedraint.

6.9.3 Unsicherheiten und Zeitreihenkonsistenz (4.F)

Die Bestimmung der Unsicherheiten für Emissionsfaktoren und Aktivitätsdaten erfolgten gemäß der 2006 IPCC Guidelines (IPCC 2006). Nähere Erläuterungen hierzu finden sich in Kapitel 19.4.3.

Die Zeitreihe ist vollständig und konsistent.

6.9.4 Kategoriespezifische Qualitätssicherung/-kontrolle und Verifizierung (4.F)

Details zu den diesjährigen Prüfungen finden sich in Kapitel 6.1.3.

6.9.5 Kategoriespezifische Rückrechnungen (4.F)

Entfällt, da in dieser Kategorie keine Treibhausgasquellen und -senken berichtet werden.

6.9.6 Geplante Verbesserungen, kategoriespezifisch (4.F)

Entfällt, da in dieser Kategorie keine Treibhausgasquellen und -senken berichtet werden.

6.10 Holzprodukte (4.G)

6.10.1 Beschreibung der Kategorie (4.G)

KC	Category	Activity	EM of	1990 (kt CO_2-e.)	(fraction)	2015 (kt CO_2-e.)	(fraction)	Trend 1990-2015
-/-	4.G. Harvested wood products	0	CO_2	-1.330,4	0,11%	-2.123,5	0,24%	59,6%

Gas	Angewandte Methode	Quelle der Aktivitätsdaten	genutzte Emissionsfaktoren
CO_2	CS/Tier 2	IS/NS	D

Die Kategorie Holzprodukte ist keine Hauptkategorie.

Wie in den Vorjahren, wurde die Abschätzung des Beitrags von Holzprodukten in Deutschland zu den Emissionen nach Quellen und Einbindungen nach Senken von Treibhausgasen im Landnutzungssektor in dem Modell WoodCarbonMonitor mit einem Berechnungsansatz auf Basis der Daten zur Produktion von Holzprodukten vorgenommen. Die Abschätzung umfasst alle in Deutschland produzierten Holzprodukte, deren Holz aus heimischem Einschlag stammt und die stofflich genutzt werden.

Aus Konsistenzgründen folgt die Berechnung den methodischen Vorgaben des Kapitel 2.8 des 2013 IPCC KP Supplement (IPCC 2014), da gemäß der Fußnote 12 im Tabellenblatt 4.G s1 des Gemeinsamen Berichterstattungsformats im Annex II der Entscheidung 24/CP.19 über die

Überarbeitung des gemeinsamen Berichterstattungsformats[171] (UNFCCC 2014) für den auf Produktionsdaten basierenden und hier verwendeten Ansatz (Ansatz B) neben den 2006 IPCC Guidelines (IPCC 2006) auch andere IPCC Leitlinien genutzt werden können, die diesen Ansatz widerspiegeln. Die in den Regeln des 2013 IPCC KP Supplement (IPCC 2014) beschriebenen Systemgrenzen zur Abschätzung des Beitrags von Holzprodukten entsprechen den Systemgrenzen des in Tabelle 12.1 der 2006 IPCC Guidelines (IPCC 2006) mit der Variable 2A umschriebenen Ansatzes (Produktionsansatz für stoffliche genutzte Holzprodukte).

Um eine transparente Darstellung zu gewährleisten, werden die stofflich genutzten Holzprodukte gemäß Berichterstattungstabelle 4.G s1 unterschieden in Produkte, welche nach ihrer Herstellung in Deutschland verbraucht werden, und in Produkte, die anschließend exportiert werden. Eine Kohlenstoffspeicherwirkung von Holz in Deponien wird nicht berücksichtigt.

Abbildung 72: Netto CO_2-Emissionen und Einbindungen in Holzprodukten [kt CO_2]

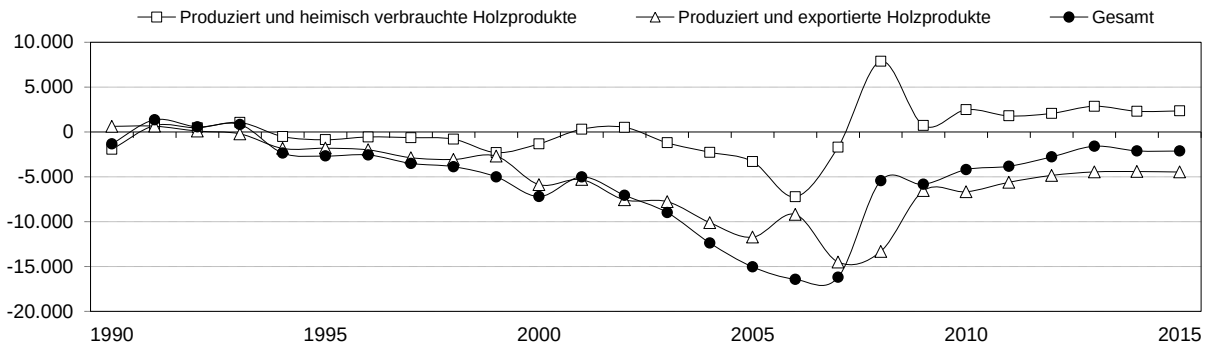

6.10.2 Methodische Aspekte (4.G)

6.10.2.1 Aktivitätsdaten

Abbildung 73 zeigt die Entwicklung der Produktionsmengen der Holzhalbwarengruppen Schnittholz und Holzwerkstoffe, getrennt nach den in Deutschland verbleibenden (Produktion abzüglich Export) und den exportierten Holzmengen (Export) seit 1990 nach den Daten der Food and Agriculture Organization of the United Nations (FAO) (FAO 2016). Diese Zeitreihen entsprechen den in den 2006 IPCC Guidelines (IPCC 2006) vorgeschlagenen Daten für die Abschätzung des Beitrags von Holzprodukten auf Basis einer Tier-1-Berechnung (Kap. 12.2.1, IPCC 2006: 12.9).

Abbildung 73: In Deutschland produziertes Schnittholz und Holzwerkstoffe [Mm³] (FAO 2016)

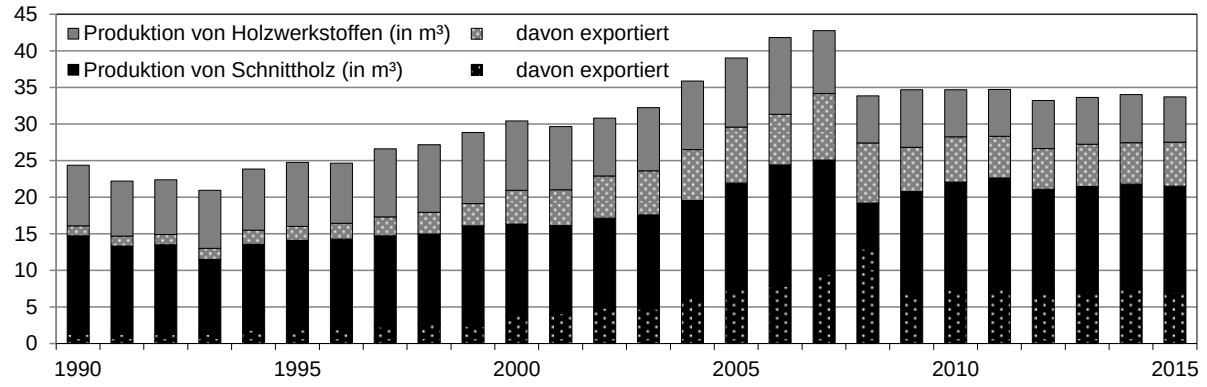

171 Fußnote 12 des CRF-Tabellenblatts 4.G s1

Gemäß der IPCC Leitlinien wurde zunächst der Rohstoffanteil der Holzprodukte aus heimischem Holzeinschlag berechnet und ein heimischer Rohstofffaktor $f_{DP}(i)$ bestimmt. Für die Halbwarenkategorien Schnittholz und Holzwerkstoffe basiert dieser auf den FAO-Daten zur Holzrohstoffkategorie Industrierohholz (*industrial roundwood*). Für die Berechnung des aus heimischem Einschlag stammenden Anteils der Produktkategorie Papier und Pappe, wurde neben der im 2013 IPCC KP Supplement (IPCC 2014) vorgeschlagenen Rohstoffkategorie Holzzellstoff (*wood pulp*) auch die Verwendung von Altpapier bei der Papierherstellung berücksichtigt, da sich der Anteil von Altpapier in Papier und Pappe in Deutschland auf über 70 % beläuft. Ebenso wie im vorherigen Berichtsjahr wurde der Anteil *p* von Altpapier in Papierprodukten über das Verhältnis des rechnerischen Verbrauchs von Holzzellstoff und Altpapier in Deutschland ermittelt (vgl. Kapitel 6.10.5).

Neben dem für Industrierohholz (f_{IRW}) und Holzzellstoff (f_{PULP}), die gemäß der Gleichungen 2.8.1 und 2.8.2 des 2013 IPCC KP Supplement berechnet wurden (IPCC 2014:2.115), wurde auf Basis der gleichen Vorgehensweise ein weiterer Faktor für Altpapier (recovered paper) mit Hilfe von FAO Daten ermittelt (f_{RecP}) (Abbildung 74). Dieser wurde bei der Berechnung der aus heimischem Einschlag stammenden Produktanteile mit Hilfe der Gleichung 2.8.4 des 2013 IPCC KP Supplement (IPCC 2014:2.118) für die HWP-Kategorie 'Papier und Pappe' mit $f_{DP}(i) = \{(f_{IRW}(i) \bullet (1\text{-}p) \bullet f_{PULP}(i)\} + p \bullet f_{RecP}(i)$ berücksichtigt.

Abbildung 74: Entwicklung des heimischen Rohstofffaktors fDP(i) der berücksichtigten Rohstoffkategorien (FAO 2016)

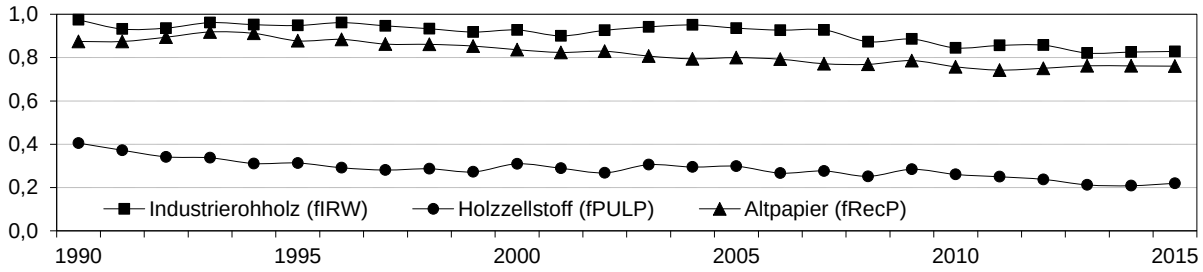

In einem zweiten Schritt (Kapitel 2.8.1.2, IPCC 2014), wurde der in den Produkten enthaltene Kohlenstoff den jeweiligen Landnutzungsklassen zugeordnet, aus dem der Rohstoff stammt. Für Deutschland lässt sich der Holzeinschlag der verbleibenden Waldfläche (Kategorie 5.A.1, Kapitel 6.2.1) und Holz, das aufgrund von Landnutzungsänderung von Wald in andere Kategorien eingeschlagen wird, (Tabelle 394) zuordnen. Holzprodukte aus Entwaldung werden gemäß den Vorgaben des IPCC auf Basis einer sofortigen Emission berücksichtigt (vgl. Kapitel 2.8.3, IPCC 2014), so dass sich als Ergebnis der für Deutschland verfügbaren Inventurinformationen und der Equation 2.8.3 (IPCC 2014: 2.116) die jährlichen Holzeinschlagsanteile aus bewirtschafteten Waldflächen $f_{FM}(i)$ berechnen.

Tabelle 394: Jährlicher Anteil des Einschlags aus verbleibender Waldfläche

Zeitraum	$f_{FM}(i)$
1990 – 2002	0.98989
2003 – 2007	0.99202
2008 – 2012	0.98881

6.10.2.2 Emissionsfaktoren

Für die Berechnung der Kohlenstoffabflüsse aus dem Kohlenstoffspeicher, werden die in Tabelle 2.8.2 des 2013 IPCC KP Supplement (IPCC 2014) gelisteten Standardwerte verwendet, welche auf den in Tabelle 3a.1.3 der 2003 IPCC GPG (IPCC 2003)genannten Werten beruhen.

6.10.2.3 Verwendete Berechnungsmethode

Für die Berechnung des Beitrags der stofflichen Holznutzung zur verzögerten Freisetzung von CO_2-Emissionen auf Basis von Kohlenstoffspeicheränderungen verwendet Deutschland die in den IPCC Leitlinien beschriebene exponentielle Zerfallsfunktion für die in Tabelle 2.8.1 des 2013 IPCC KP Supplement beschriebenen Produktkategorien. Dies entspricht der in den 2006 IPCC Leitlinien beschriebenen Standardmethode (Gleichung 12.1, IPCC 2006:12.11) bzw. der unter Tier 2 beschriebenen Standardmethode im 2013 IPCC KP Supplement (Gleichung 2.8.5). Für die Kohlenstoffumrechnung werden für die Produktkategorien „Holzwerkstoffe“ die detaillierten und für die Kategorie „Papier und Pappe“ der aggregierte Wert der in Tabelle 2.8.1 enthaltenen Faktoren verwendet (IPCC, 2014). Die Kohlenstoffmengen in den Produktkategorien ‚Laub- und Nadelschnittholz‘ werden auf Basis der in RÜTER (2011) beschriebenen Faktoren berechnet (vgl. auch UNFCCC 2011), um die in Deutschland typischerweise verwendeten Holzarten bei der Schnittholzherstellung zu reflektieren. Für Nadelschnittholz beträgt der Faktor 0,225 Mg C/m^3 und für Laubschnittholz 0,335 Mg C/m^3.

Da erst seit der Wiedervereinigung Deutschlands im Jahr 1990 Zeitreihen zu Holzprodukten und den verwendeten Rohstoffkategorien mit ausreichender Datenqualität vorliegen und um mit den Daten verbundene Unsicherheiten zu reduzieren, wird der Anfangswert des Kohlenstoffspeichers in Holzprodukten auf Basis der Equation 2.8.6 (IPCC 2014) mit $C(t_0)$ = 1990 berechnet.

6.10.3 Unsicherheiten und Zeitreihenkonsistenz (4.G)

Die Zeitreihen für die Aktivitätsdaten zu Holzprodukten aus der Datenbank der FAO sind konsistent und für die gesamte Berichtsperiode verfügbar. Die Unsicherheiten dieser Zeitreihen belaufen sich nach Angaben in dem entsprechenden Kapitel des 2103 IPCC KP Supplement (IPCC 2014) auf -25/+5 % (siehe auch Kapitel 11.3.1.5.3).

6.10.4 Kategoriespezifische Qualitätssicherung/-kontrolle und Verifizierung (4.G)

Details zu den diesjährigen Prüfungen finden sich in Kapitel 6.1.3.

6.10.5 Kategoriespezifische Rückrechnungen (4.G)

Gegenüber den im Vorjahr verwendeten Statistikdaten der FAOSTAT 2015 wurden im laufenden Berichtsjahr die Werte für mehrere Produktkategorien korrigiert (vgl. FAO, 2016). Während die in der Produktionsstatistik enthaltenen Werte des jeweils aktuellen Meldejahres (d.h. hier 2015) immer nur vorläufiger Natur sind und erst im darauffolgenden Jahr als endgültige Werte vorliegen, wurden für Deutschland auch weitere rückwirkende Korrekturen ab dem Jahr 2006 in der FAO Datenbank vorgenommen. Diese Änderungen betreffen Exportdaten der HWP Produktkategorie Schnittholz und der Produktgruppe 'Holzzellstoff' (d.h. 'Wood Pulp'). Letzterer Datensatz wird entsprechend der methodischen Vorgaben aus Gleichung 2.8.2 (IPCC, 2014) für die Berechnung der aus heimischer Produktion stammenden Kohlenstoffanteile in der Papierproduktion verwendet (vgl. Kapitel 6.10.2). Die relevanten Änderungen sind in Tabelle 395 abgebildet.

Tabelle 395: Gegenüberstellung von Änderungen verwendeter Produktionsdatensätze in der Statistik FAOSTAT 2016 (FAO 2016)

[m³]	Produkt (Itemnummer)	2006	2007	2011
2015	Holzzellstoff (1875)	-	-	1.078.000
	Nadelschnittholz (1632)	7.972.625	931.8000	-
2016	Holzzellstoff (1875)	-	-	1.077.000
	Nadelschnittholz (1632)	7.042.327	8.432.139	-

Die sich daraus ergebenden Änderungen in den ermittelten Netto-Emissionszeitreihen gegenüber dem Vorjahr sind in Tabelle 396 abgebildet.

Tabelle 396: Gegenüberstellung der Änderungen der Submission 2016 und 2017 zu HWP Netto-CO_2-Emissionen

	Netto-Emissionen [kt CO_2]	2006	2007	2008	2009	2010	2011	2012	2013	2014
2016	aus exportierten Holzwerkstoffen	-	-	-	-	-	-	-	-	-1686
	aus heimischen Holzwerkstoffen	-	-	-	-	-	-	-	-	2384
	aus exportiertem Papier und Pappe	-	-	-	-	-	-133	-171	-92	-283
	aus heimischem Papier und Pappe	-	-	-	-	-	234	91	370	205
	aus exportiertem Schnittholz	-5332	-6499	-7645	-3090	-3156	-3258	-2735	-2602	-2857
	aus heimischem Schnittholz	-2141	-1319	5330	-524	-480	-940	-334	-52	-63
2017	aus exportierten Holzwerkstoffen	-	-	-	-	-	-	-	-	-1687
	aus heimischen Holzwerkstoffen	-	-	-	-	-	-	-	-	2370
	aus exportiertem Papier und Pappe	-	-	-	-	-	-142	-175	-118	202
	aus heimischem Papier und Pappe	-	-	-	-	-	228	89	353	-147
	aus exportiertem Schnittholz	-4633	-5847	-7672	-3116	-3181	-3283	-2760	-2626	-2945
	aus heimischem Schnittholz	-2839	-1971	5356	-498	-454	-915	-310	-28	76

6.10.6 Geplante Verbesserungen, kategoriespezifisch (4.G)

Sofern in vorhergehenden Berichterstattungen in diesem Kapitel Verbesserungen benannt wurden, sind diese in Form einer Übersicht unter Kapitel 10.4 Verbesserungen des Inventars, Tabelle 426 zu finden. Sind diese bereits erledigt, sind sie im selben Kapitel in Tabelle 425 abgebildet.

6.11 Andere Bereiche (4.H)

KC	Category	Activity	EM of	1990 (kt CO_2-e.)	(fraction)	2015 (kt CO_2-e.)	(fraction)	Trend 1990-2015
-/-	4.H. Other	0	N_2O	108,5	0,01%	100,0	0,01%	-7,8%

Gas	Angewandte Methode	Quelle der Aktivitätsdaten	genutzte Emissionsfaktoren
-	-	-	-

Aus technischen Gründen können in der Datenbank des CRF Reporter die CH_4- und N_2O-Emissionen aus der Quellgruppe *Settlements* sowie die N_2O-Emissionen aus der Quellgruppe *Grassland* nicht in die entsprechende CRF Tabelle 4 (II) eingetragen werden. Vor diesem Hintergrund werden diese Emissionen behelfsmäßig unter 4 H berichtet.

7 Abfall und Abwasser (CRF Sektor 5)

7.1 Übersicht (CRF Sektor 5)

Abbildung 75: Übersicht über die Treibhausgas-Emissionen des CRF-Sektors 5

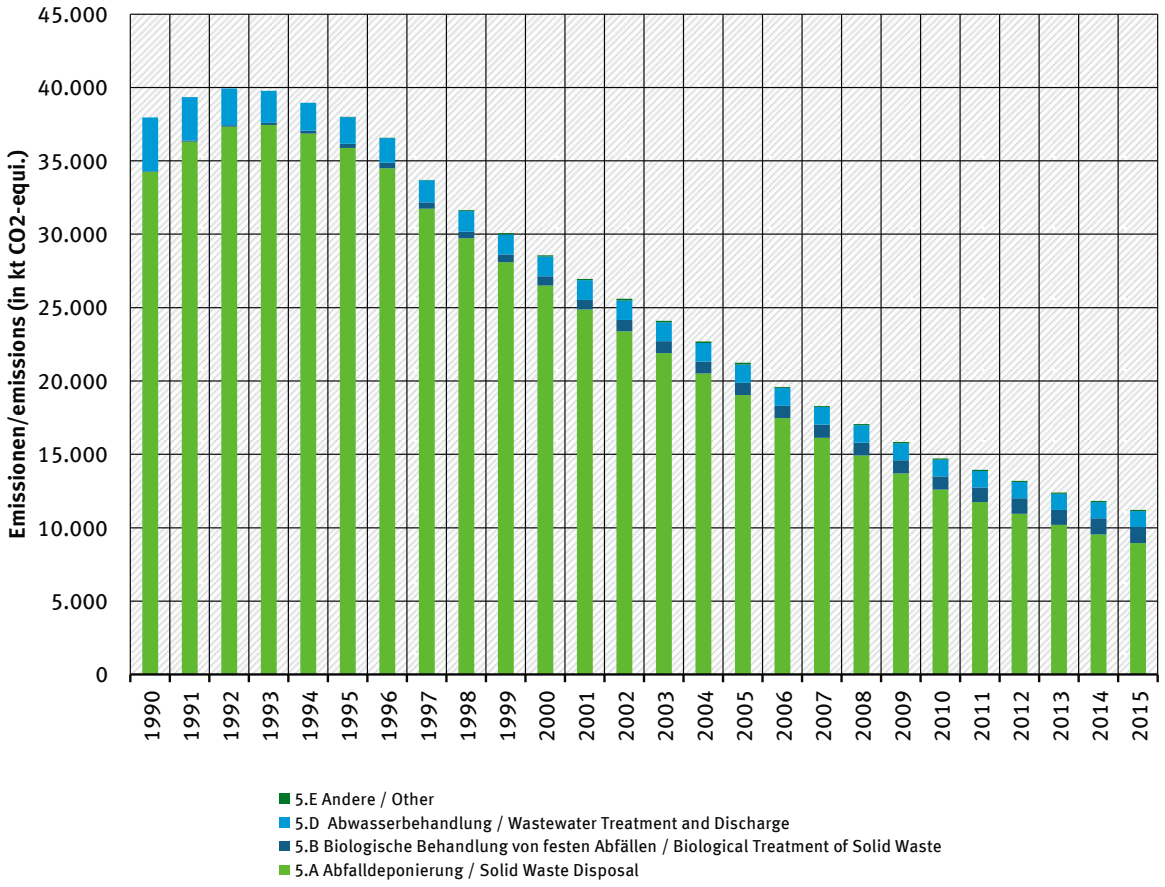

7.2 Abfalldeponierung (5.A)

KC	Category	Activity	EM of	1990 (kt CO_2-e.)	(fraction)	2015 (kt CO_2-e.)	(fraction)	Trend 1990-2015
L/T	5.A. Solid Waste Disposal on Land	Managed Waste Disposal on Land	CH_4	34.250,0	2,80%	8.950,0	1,01%	-73,9%

Gas	Angewandte Methode	Quelle der Aktivitätsdaten	genutzte Emissionsfaktoren
CH_4	Tier 2	NS	CS

Die Kategorie *Abfalldeponierung* ist für CH_4-Emissionen eine Hauptkategorie nach der Emissionshöhe und dem Trend.

Für die deutsche Emissionsberichterstattung unter CRF 5.A ist nur die geordnete Deponierung (5.A.1) von Relevanz. Die so genannte wilde Deponierung (CRF 5.A.2) ist in Deutschland gesetzlich verboten.

Nachdem andere Abfallbehandlungsmethoden für biologisch abbaubare Anteile des Mülls zunehmend an Bedeutung gewinnen, werden seit 2004 die Emissionen aus der Kompostierung und der Mechanisch-Biologischen Abfallbehandlung (MBA) und seit der Berichterstattung 2015 die Emissionen aus der Abfallvergärung berichtet. Mit der Umstellung der CRF-Tabellen zum

Berichtsjahr 2013, werden diese Emissionen unter der Kategorie 5.B Biologische Abfallbehandlung bzw. CRF 5.E Sonstige - MBA berichtet.

Der Kategorie 5.A Festmülldeponierung sind im ZSE der deponierte Hausmüll, biologisch abbaubare Abfälle aus der Industrie und Klärschlamm zugeordnet.

7.2.1 Geordnete Deponierung – Deponierung von Siedlungsabfällen (5.A.1)

7.2.1.1 Beschreibung der Kategorie (5.A.1)

In der Zeit seit 1990 und auch schon davor wurden in der Abfallwirtschaft in Deutschland eine Reihe von gesetzlichen Regelungen erlassen und organisatorische Maßnahmen in die Wege geleitet, welche die Entwicklung der Emissionen aus der Abfalldeponierung stark beeinflusst haben. Hierzu gehören die verstärkte Sammlung von Bioabfällen aus Haushalten und Gewerbe, die verstärkte Sammlung von anderen Wertstoffen wie Glas, Papier/Pappe, Metalle und Kunststoffe und die getrennte Sammlung von Verpackungen und deren Verwertung. Daneben wurde die Verbrennung von Siedlungsabfällen ausgeweitet sowie die mechanisch-biologische Behandlung von Restabfällen eingeführt. Diese Maßnahmen hatten zur Folge, dass sich die Menge der deponierten Siedlungsabfälle von 1990 bis 2006 sehr stark reduziert und seit 2006 auf einen niedrigen Niveau eingependelt hat (siehe Abbildung 76). Aus der Abbildung wird deutlich, dass in Deutschland heute mehr als die Hälfte der anfallenden Siedlungsabfälle getrennt gesammelt und stofflich verwertet wird (getrennte Wertstoffe und Bioabfallsammlung). Offizielle statistische Daten (*STATISTISCHES BUNDESAMT* Fachserie 19, Reihe 1 Abfallentsorgung 2014 vom 18. August 2016,) existieren bis zum Jahr 2014. Für die Aktivitätsraten für das Jahr 2015 wurden die Daten von 2014 unverändert fortgeschrieben und werden im jeweiligen Folgejahr durch die dann verfügbaren Aktivitätsraten ersetzt. Bei den Emissionen aus der Deponierung hat dies nur einen sehr geringfügigen Einfluss auf die Gesamtemissionen im jeweils aktuellen Berichtsjahr, da diese vor allem durch die in der Vergangenheit abgelagerten Abfälle bestimmt werden.

In der Bundesrepublik Deutschland wurden im Jahre 2004 etwa 330 Deponien für Siedlungsabfall betrieben. Strenge rechtliche Anforderungen verlangen bereits zu diesem Zeitpunkt technische Einrichtungen zur Fassung und Behandlung des Deponiegases und gewährleisteten eine weitgehende Minderung der Methanemissionen dieser Anlagen. Durch die neuen, weitergehenden Anforderungen der Abfallablagerungs- und der Deponieverordnung wurden im Juni 2005 mehr als die Hälfte der Deponien geschlossen, so dass gegenwärtig nur noch etwa 150 Siedlungsabfalldeponien betrieben werden. Seit Juni 2005 ist die Deponierung von biologisch abbaubaren Abfällen nicht mehr zugelassen. Mit anderen Worten eine Deponierung von Abfällen mit signifikanter Methanbildung ist seit Juni 2005 nicht mehr möglich. Zur Einhaltung dieser Anforderungen ist eine Vorbehandlung der Siedlungsabfälle und anderer biologisch abbaubarer Abfälle durch thermische oder mechanisch-biologischen Verfahren erforderlich. Aus der Ablagerung nach dem Jahr 2006 tragen nur noch wenige Abfallkomponenten mit sehr geringem Methanbildungspotenzial (z.B. Behandlungsrückstände der MBA, geringe Holzgehalte aus aufbereitetem Bauschutt) zur Deponiegasbildung bei. Mit dem Abklingen der Deponiegasbildung älterer Ablagerungen werden sich die Methanemissionen aus Deponien nochmals sehr weitgehend mindern und langfristig auf einem sehr niedrigen Niveau stabilisieren.

Abbildung 76: Die Veränderung der Entsorgungspfade der Siedlungsabfälle zwischen 1990 und 2015, mit Zwischenjahren

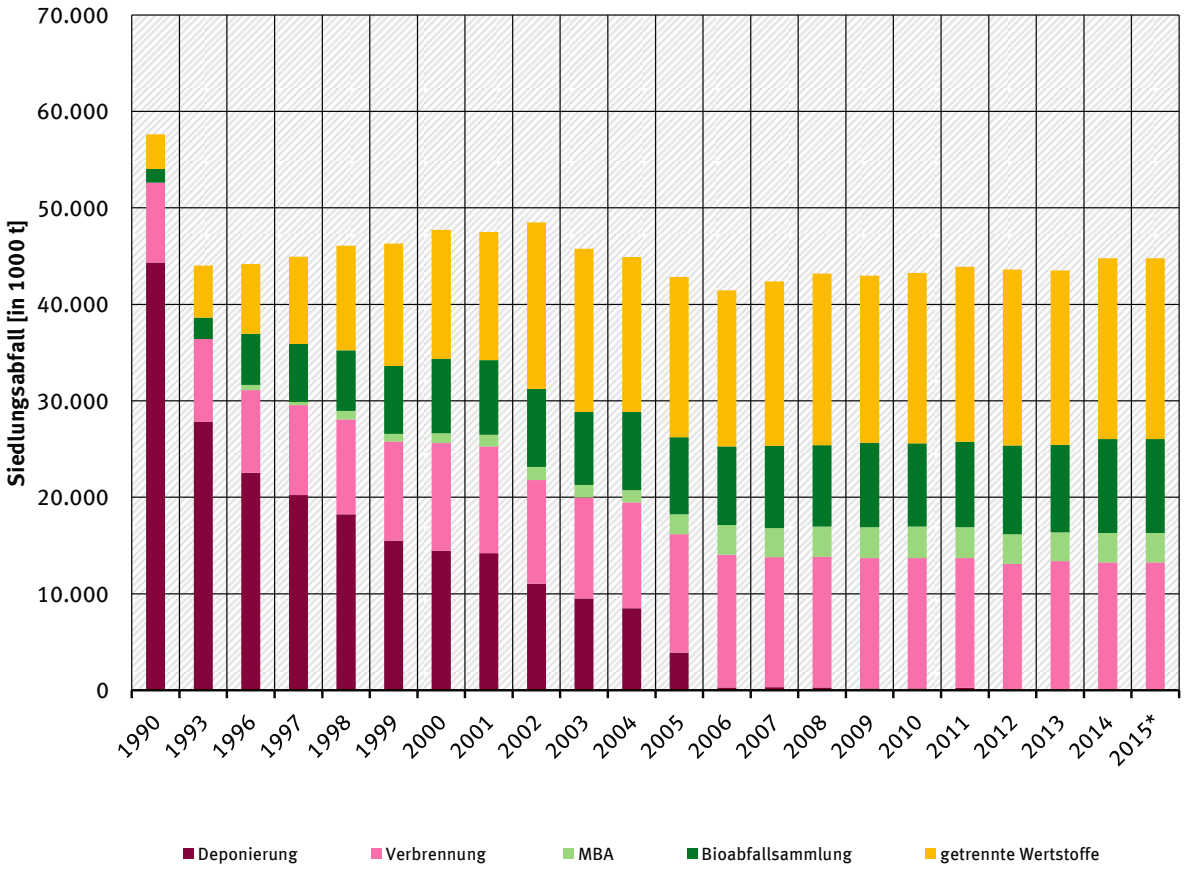

Mit der Minderung der Methanemissionen aus Deponien von 1,4 Mio. Mg CH_4 im Jahr 1990 auf 0,4 Mio. Mg im Jahr 2014 leistete die Abfallwirtschaft in Deutschland einen bedeutenden Beitrag zum Klimaschutz. Diese rückläufigen Methanemissionen der Kategorie 5.A.1 entsprechen 24 Mio. Tonnen CO_2-Äquivalente und damit einer Minderung der gesamten Treibhausgasemissionen Deutschlands um ca. 2,2 %. Die Erfahrungen der deutschen Abfallwirtschaft zeigen, dass die Reduktion der abgelagerten Mengen biologisch abbaubarer Abfälle deutlich höhere Beiträge zum Klimaschutz erbringen kann als Fassung und Behandlung des Deponiegases.

7.2.1.2 Methodische Aspekte (5.A.1)

In den *2006 IPCC Guidelines for National Greenhouse Gas Inventories* basiert die Berechnung der CH_4-Emissionen aus der Deponierung auf der sogenannten „First Order Decay Methode“ (kurz: FOD-Methode). Die Einstufung der verschiedenen Tiers hängt von der Verwendung nationaler Daten von guter Qualität ab. Die in Deutschland angewendete Methode liegt zwischen Tier 2 und Tier 3. Die Tier 3 Methode erfordert nationale/landesspezifische Schlüsselparameter für DOC, DOC_F und Halbwertzeiten (k-Werte). Deutschland verwendet landesspezifische DOC-Werte, aber Default-Werte für DOC_F und k-Werte.

Im Folgenden wird die FOD-Methode zur Bestimmung der Methanerzeugung auf Deponien und die verwendeten Parameter näher erläutert. Die FOD-Methode wird nach den folgenden Gleichungen berechnet:[172]

Gleichung 52: *(2006 IPCC Guidelines for National Greenhouse Gas Inventories, Gleichung 3.6)*

$$CH_4\ erzeugt\ im\ Jahr\ t\ \left(\frac{Gg}{Jahr}\right) = DDOCm\ decomp_t\ \times F \times 16/12$$

Mit:

CH_4 erzeugt:im Jahr t	*= Menge an CH4, welche durch die biologisch abbaubaren Abfälle erzeugt wird.*
DDOCm decomp$_T$	*= Masse des im Jahr T abgebauten abbaubaren DOC*
F	*= Anteil des CH_4 am Deponiegas*
16/12	*= Umrechnung von C zu CH_4*
t	*= Inventarjahr*

Dabei gilt:

Gleichung 53: (2006 IPCC Guidelines for National Greenhouse Gas Inventories, Gleichung 3.2)

$$DDOC_m = W \times DOC \times DOC_f \times MCF$$

Mit:

DDOCm	= Masse des abbaubaren und abgelagerten DOC, (Gg)
W	= Masse des abgelagrten Abfalls, Gg
DOC	=Anteil des abbaubaren organischen Kohlenstoffs im Jahr der Ablagerung (Gg C/Gg Abfall)
DOCf	=Anteil des DOC, der biologisch abbaubar ist
MCF	= Methankorrekturfaktor für das Jahr x

Nach den gesetzlichen Vorschriften ist in der alten Bundesrepublick seit 1972 nur noch eine geordnete Deponierung zulässig. Im Zuge der Wiedervereinigung wurden diese Standards 1989/90 auf die neuen Bundesländer übertragen. In der Inventarberechnung werden alle seit 1950 abgelagerten Abfälle berücksichtigt, unabhänig ob diese auf bereits stillgelegten und noch betrieben Deponien liegen.

Für die Emissionsbeiträge aus den Abfällen, die zwischen 1950 und 1972 abgelagert wurden, werden mit einem MFC von 0,6 berechnet. Für den Zeitraum 1973-1989 wird für die neuen Bundeslander ein MFC von 0,6 und für die alten Bundesländer ein MFC von 1 angesetzt.Für die Emissionsberechnung im Inventar wird in diesem Zeitraum ein MFC ermittelt, der sich nach Gewichtung der jeweiligen Abfallmengen für Gesamtdeutschland ergibt. Die Emissionen aus den Abfällen die seit 1990 abgelagert wurden werden mit einem MFC von 1 berechnet.

Deutschland verwendet das IPCC Waste Model, das auf Basis der Gleichungen 3.4 und 3.5 der 2006 IPCC Guidelines entwickelt wurde. Dabei wird für jedes einzelne Jahr die Gesamtmenge an abbaubarem DOC in den Deponien berechnet um dann die Mange an DOC zu berechnet, die in jedem Jahr zu CH_4 und CO_2 abgebaut wird:

[172] Eine ausführliche Beschreibung der FOD-Methode und ihrer Parameter ist zu finden in den Revised 1996 IPCC Guidelines for National Greenhouse Gas Inventories im Greenhouse Gas Inventory Reference Manual, kurz: IPCC Guidelines, (IPCC 1996b) sowie in den IPCC Good Practice Guidance and Uncertainty Management in National Greenhouse Gas Inventories, kurz: Good Practice Guidance, (IPCC 2000).

Gleichung 54: (2006 IPCC Guidelines for National Greenhouse Gas Inventories, Gleichung 3.4)

$$DDOCma_t = DDOCmd_t + (DDOCma_{t-1} * e^{-k})$$

mit:

t = *Inventarjahr*
$DDOCma_t$= in der Deponie akkumulierte DDOCm am Ende des Jahres t, Gg
$DDOCma_{t-1}$== in der Deponie akkumulierte DDOCm am Ende des Jahres t-1, Gg
$DDOCmd_t$= in der Deponie abgelagerte DDOCm im Jahr t, Gg
k = *konstante Methanerzeugungsrate (1/Jahr)*

Gleichung 55: (2006 IPCC Guidelines for National Greenhouse Gas Inventories, Gleichung 3.5)

$$DDOCm\,decomp_t = DDOCma_{t-1} \times (1 - e^{-k})$$

mit:

t = Inventarjahr
$DDOCdecomp_t$= in der Deponie im Jahr t abgebauter DDOCm, Gg

Es wurde ein Multi-Phasen-Modell verwendet, das für die einzelnen Abfallfraktionen mit verschiedenen Halbwertszeiten rechnet und anschließend summiert.

Für das Endergebnis der CH_4-Emissionen wird dann das erfasste und abgefackelte oder energetisch genutzte Methan abgezogen, außerdem wird ein Korrekturfaktor angewandt, der die Oxidierung des Methans in den Deckschichten der Deponien berücksichtigt, wie Gleichung widerspiegelt:

Gleichung 56: *(2006 IPCC Guidelines, Gleichung 3.1)*:

CH_4 emittiert in Jahr t (Gg/Jahr) = (CH_4 erzeugt in Jahr t – R(t)) • (1- OX)

Wobei:

R(t) = CH_4-Erfassung im Jahr t
OX = Oxidationsfaktor (Anteil)

Im IPCC Waste Model können die Nutzer einen Zeitraum bestimmen, in welchem der abgelagerte Abfall zunächst noch nicht mit der Gasbildung beginnt, sondern erst nach dieser zeitlichen Verzögerung. Der in den 2006 IPCC Richtlinien empfohlene Standardwert für diese Verzögerungszeit beträgt 6 Monate. Nach Diskussionen mit nationalen Abfallexperten und basierend auf die Erfahrungen mit gemessener CH_4-Entstehung nach erfolgter Ablagerung wurde dieser Wert auf 3 Monate festgelegt. Die Emissionsberechnung wird hierdurch nur geringfügig beeinflusst.

Für die Berechnung müssen die Mengen an Siedlungsabfall (MSW_T) sowie der Anteil des deponierten Siedlungsabfalls (MSW_F) bestimmt werden. Für die FOD-Methode muss das Aufkommen an Siedlungsabfall für die letzten Dekaden ermittelt werden. Der deponierte Siedlungsabfall soll nach 2006 IPCC Guidelines differenziert nach Abfallarten geschätzt werden, da die Emissionsberechnungen im Weiteren darauf basieren, dass die einzelnen Abfallarten unterschiedliche DOC-Werte aufweisen.

7.2.1.2.1 Deponierte Abfallmengen

Das FOD-Modell berechnet die Emissionen aus dem deponierten Siedlungsabfall, dem deponierten Industrieabfall und dem deponierten Klärschlamm.

Das Aufkommen an deponierten Siedlungsabfällen (Haus- und Gewerbemüll) werden den Statistiken des Statistischen Bundesamtes entnommen, die auf jährlichen Erhebungen der Art, Herkunft und Verbleib der Abfälle und auf zweijährigen Erhebungen bestimmter Ausstattungsmerkmale der befragten Abfallanlagen beruhen. Die Erhebungen der deponierten Mengen an Siedlungsabfällen in den alten Bundesländern begannen auf Grundlage des Umweltstatistikgesetzes von 1974 im Jahr 1975. Die Abfallmengen für den Zeitraum von 1950 bis 1975 wurden auf Grundlage der Bevölkerungsdaten extrapoliert.

Für die neuen Bundesländer liegen für die Jahre 1990 und 1993 nach Bundesländern differenzierte Daten zu den deponierten Siedlungsabfallmengen vor. Für die 80er Jahre der DDR hat LALE (2000) Daten vorgelegt, die Aufschluss über die deponierten Abfallmengen pro Kopf, die Abfallzusammensetzung, die Deponietypen und die Art der Ablagerung gibt. Die deponierten Abfallmengen pro Kopf lagen mit 190 kg/Person in der ehemaligen DDR deutlich niedriger als in den alten Bundesländern (330 kg/Person, Jahr). Dies hängt mit einem hohen Verwertungsgrad der Abfälle in der ehemaligen DDR zusammen. 1990, im Jahr der Wiedervereinigung, stiegen die deponierten Abfallmengen in den neuen Bundesländern sehr stark und die Pro-Kopf-Mengen lagen sogar über den alten Bundesländern, weil in diesem Jahr einerseits die bestehenden Verwertungssysteme zusammenbrachen, andererseits eine Flut neuer Produkte verfügbar war, die zu hohen Ersatzkäufen und zu einer stark erhöhten Menge an Verpackungsabfällen führte. Nach 1990 nähern sich dann die Abfallmengen pro Person in beiden Teilen Deutschlands langsam an.

In den Inventarberechnungen sind die abgelagerten Klärschammengen der alten und neuen Bundesländer bzw. der früheren Bundesrepublik und der ehemaligen DDR für den gesamten Zeitraum 1950 bis 2015 enthalten. Für die Ablagerungen in den neuen Bundesländern/DDR liegen keine statistischen Daten vor. Die Abfallzusammensetzungen (auch der Klärschlammanteil) wurde aus Ergebnissen eines Forschungsprojektes abgeschätzt, in dem in den 1990er Jahren das Abfallinventar von DDR-Deponien untersucht wurden.

Die nicht verwerteten Abfallmengen wurden in der ehemaligen DDR vollständig deponiert.

Seit 1996 veröffentlicht das Statistische Bundesamt differenzierte Daten zur Abfalldeponierung in der Industrie. Im Inventar werden die deponierten Abfallmengen aus folgenden Industriebranchen berücksichtigt:

- Abfälle aus der Landwirtschaft, Gartenbau, Forstwirtschaft, Fischerei und der Verarbeitung von Nahrungsmitteln
- Abfälle aus der Holzverarbeitung
- Abfälle aus der Herstellung von Zellstoff, Papier und Karton
- Abfälle aus der Textilindustrie
- Verpackungsabfälle, Aufsaug- u. Filtermaterialien, Wischtücher und Schutzkleidung
- Die Holzanteile aus Bau- und Abbruchabfällen (Daten seit 1975)

Die deponierten Abfallmengen aus der Industrie zwischen 1975 und 1996 wurden auf Basis der gesamten deponierten Abfallmengen abgeleitet. Die Gesamtmengen umfassen die Industrieabfälle, weisen diese allerdings nicht gesondert aus. Extrapolationen zwischen Abfallaufkommen und Produktionsdaten der betroffenen Sektoren für den Zeitraum 1996 bis 2002 ergaben keine befriedigenden statistischen Zusammenhänge. Während die Produktionsdaten steigen, sank das Abfallaufkommen teilweise deutlich, weil Veränderungen in den Produktionsprozessen stattfanden. Aufgrund des fehlenden statistischen Zusammenhanges wurden die deponierten Abfallmengen zwischen 1950 und 1975 konstant gehalten. Auf die

Emissionen des Basisjahres wirken sich Veränderungen der Annahmen zu den industriellen Abfällen im Zeitraum 1950 bis 1970 nur sehr marginal aus.

Für den gesamten Zeitraum von 1950 bis 2015 liegen damit für alle zu berücksichtigten Abfälle, einschließlich Klärschlämme, vollständige und durchgängige Daten vor, die auf den für die jeweiligen Zeiträume besten verfügbaren Grundlagen beruhen.

7.2.1.2.2 Abfallzusammensetzung

Die Inventarberechnungen erfordern eine Aufteilung in die deponierten Abfallfraktionen Organik, Garten- und Parkabfälle, Papier, Holz, Windeln und Textilien, Verbundstoffe, Klärschlamm und MBA Output. Diese sind teilweise separat in der Abfallstatistik ausgewiesen, allerdings enthält die Statistik auch eine deponierte Menge an gemischten Siedlungsabfällen, die für die Berechnungen in die oben genannten Fraktionen aufgeteilt werden muss. Zu diesem Zweck wurden zahlreiche Studien zur Abfallzusammensetzung der gemischten Siedlungsabfälle ausgewertet, um die Abfallfraktionen (Organik, Garten- und Parkabfälle, Papier, Holz, Windeln und Textilien, Verbundstoffe) im historischen Verlauf zu bestimmen. In den Jahren 1980 und 1985 wurde die Abfallzusammensetzung der gemischten Abfälle für das gesamte Gebiet der ehemaligen Bundesrepublik ermittelt (UBA 1983, 1986). Für den nachfolgenden Zeitraum gibt es eine sehr große Zahl an einzelnen Studien einzelner Städte, Landkreise oder Bundesländer, die teilweise bereits in übergreifenden Studien ausgewertet und zusammengefasst wurden. Aus diesen Angaben wurden Zeitreihen der Abfallzusammensetzung zwischen 1980 und 2013 bestimmt (siehe Abbildung 77). Eine solche Auswertung vorhandener Studien wurde sowohl für Hausmüll, als auch für hausmüllähnliche Gewerbeabfälle und für Sperrmüll durchgeführt, die in den nationalen Statistiken getrennt ausgewiesen werden. Für die Abfallzusammensetzung der neuen Bundesländer wurden die Angaben aus LALE (2000) für die 80er Jahre der ehemaligen DDR übernommen (Zusammensetzung des Hausmülls: 28 % Vegetabilien, 14 % Papier/Pappe, 2.3 % Holz, Gummi, Verbundstoffe, 3 % Textilien; der Hausmüll machte aber nur 16 % der gesamten deponierten Abfallmengen aus). Die deponierten Siedlungsabfälle in der ehemaligen DDR sind durch einen geringeren Anteil an biologisch abbaubaren Materialien und durch hohe anorganische Fraktionen (vor allem Asche aus dem Hausbrand) charakterisiert. Nahrungsmittelabfälle wurden gesammelt und als Futtermittel verwertet, deren Verfügbarkeit während bestimmter Zeiträume knapp war. Papier wurde gesammelt und war ebenfalls eine knappe Ressource. Holz und Papier wurden häufig in Öfen zu Heiz- und Kochzwecken verfeuert. Das SERO-Verwertungssystem erfasste effizient den relativ geringen Anteil an Kunststoffverpackungen, Glas gab es in Pfandsystemen bzw. wurde ebenfalls gesammelt. Insgesamt war die Ökonomie der ehemaligen DDR vor allem durch die Knappheit von Ressourcen gekennzeichnet, was zu einer effizienten Abfallverwertung führte. Die deponierten Abfallmengen der Haushalte bestanden zu großen Anteilen aus Asche aus dem Hausbrand. Im Jahr 2014 wurde die bisherige Auswertung an Studien zur Abfallzusammensetzung überprüft und neuere Studien über die Restmüllzusammensetzung für den Zeitraum 2006 bis 2013 recherchiert (6 Studien) und ausgewertet. Diese neueren Studien bestätigten die bisherigen Annahmen zur Zusammensetzung der gemischten Müllfraktionen, so dass diese konstant fortgeschrieben wurden. Nachdem nach 2005 die Deponierung von gemischtem Siedlungsabfällen durch die gesetzlichen Veränderungen sehr stark zurückgegangen sind (von 5,8 Mio. Tonnen im Jahr 2004 auf 2000 Tonnen im Jahr 2013) ist die genaue Erfassung der Restmüllfraktionen für den Zeitraum ab 2005 auch weniger relevant und es wurden von Bund, Ländern, Landkreisen und Städten eine geringere Zahl von Untersuchungen zur Zusammensetzung in Auftrag gegeben.

Abbildung 77: Trend in der Zusammensetzung des Hausmülls zwischen 1990 und 2013

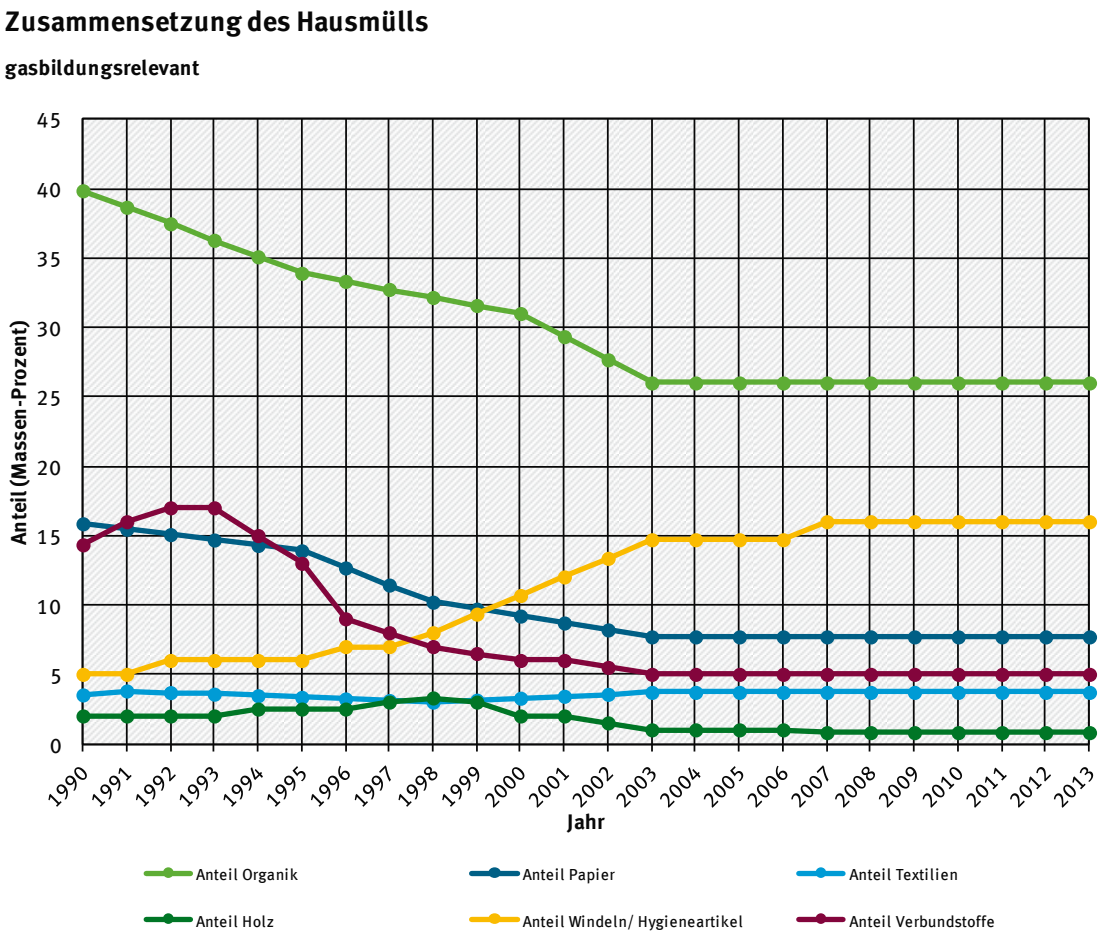

Die auf Deponien abgelagerten Abfallmengen werden vom Statistischen Bundesamt getrennt nach Abfallschlüssel erfasst. Für die Emissionsberechnung werden alle Abfallarten, die zur Deponiegasbildung beitragen können, einbezogen und jede Abfallart getrennt auf die Abfallzusammensetzung beurteilt. In Tabelle 397 sind alle für die Deponiegasbildung relevanten Abfälle enthalten, für die Bau- und Abbruchabfälle sind die Holzfraktionen berücksichtigt. Die gefassten Deponiegasmengen beruhen auf Daten der offiziellen Statistik.

Seit dem 1. Juni 2005 dürfen in Deutschland nur noch Abfälle mit einem Gesamtkohlenstoffgehalt < 3 % und mechanisch-biologisch behandelte Siedlungsabfälle abgelagert werden. Die nach diesem Zeitpunkt abgelagerten Abfallmengen sind stark zurückgegangen und tragen nur noch in sehr geringem Maße zur Gasbildung bei. Tabelle 397 beschreibt die Entwicklung der Mengen der biologisch abbaubaren Abfälle, die deponiert wurden. Gegenüber 2009 verringern sich die biologisch abbaubaren Abfallfraktionen weiter. Für 2015 liegen noch keine Daten vor. Es wird daher davon ausgegangen, dass die Abfallmengen und –zusammensetzungen gegenüber 2014 konstant sind.

Tabelle 397: Mengen an biologisch abbaubaren Abfällen, die zwischen 2002 und 2014 deponiert wurden, aufgeteilt nach Abfallfraktionen

Abfallfraktion	Einheit	2002	2003	2004	2005	2006	2007	2008	2009
Organik	1000 t	2,513	2,064	1,831	813	28	13	12	5
Garten- und Parkabfälle	1000 t	43	43	49	26	19	25	23	1
Papier	1000 t	1,191	1,095	974	426	10	5	6	6
Windeln und Textilien	1000 t	1,856	1,720	1,276	519	30	13	13	5
Holz	1000 t	860	709	529	238	10	11	5	1
Verbundstoffe	1000 t	481	398	349	155	5	2	2	1
Klärschlamm	1000 t	369	308	624	634	130	129	133	31
MBA Output	1000 t	1,226	1,108	990	1,170	1,177	1,266	1,253	1,113

Abfallfraktion	Einheit	2010	2011	2012	2013	2014	
Organik	1000 t	6	5	0	0	0	0
Garten- und Parkabfälle	1000 t	0	0	0	0	1	1
Papier	1000 t	7	6	2	4	1	1
Windeln und Textilien	1000 t	5	5	2	2	2	2
Holz	1000 t	0	0	3	3	0	0
Verbundstoffe	1000 t	1	1	0	0	0	0
Klärschlamm	1000 t TM	27	34	67	25	73	73
MBA Output	1000 t	991	934	764	692	703	703

In der Inventarüberprüfung in 2010 verlangte das Überprüfungsteam, dass auch CH_4 –Emissionen aus deponierten MBA-Reststoffen in die Berechnung der Emissionen aus der Deponierung einbezogen werden sollten. Diese Fraktion wurde inzwischen einbezogen, es gibt jedoch weder eine eindeutige Methode, noch geeignete nationale Parameter für diese Abfallkategorie. Es liegen auch noch keine Ergebnisse über das Verhalten von deponierten MBA-Abfällen aus der realen Deponierung vor, sondern lediglich Laborergebnisse, so dass diese Ergebnisse mit sehr hohen Unsicherheiten behaftet sind. Das Verfahren der mechanisch-biologische Abfallbehandlung (MBA) wird in Kapitel 7.5.2 beschrieben.

2011/12 wurde die Restgasemissionen aus der Ablagerung mechanisch-biologische behandelter Abfälle in einem Sachverständigengutachten (IFAS, 2012) quantifiziert. Das Gutachten bestätigt, die bislang in der Emissionsberechnung angesetzten geringen Emissionsbeiträge aus der Ablagerung der MBA Abfälle.

Entsprechend der Empfehlungen aus der Inventarüberprüfung 2010 (Paragraph 146, FCCC/ARR/2010/DEU) werden seit der Berichterstattung 2011 zusätzliche Informationen zur Verfügung gestellt. Tabelle 398 stellt die deponierte Abfallmenge pro Kopf und Tag zwischen 1990 und 2013 dar. Diese Werte entsprechen nicht der Pro-Kopf-Rate des Abfallaufkommens, die als weitere Information in den CRF-Tabellen berichtet werden soll. Letztere umfasst das Gesamtaufkommen des Hausmülls unter Berücksichtigung aller Entsorgungspfade und wird für die kommende Berichterstattung berechnet werden.

In Deutschland hat die Deponierung von Siedlungsabfällen seit 2005 sehr stark abgenommen; dieser Trend spiegelt sich auch in der Pro-Kopf-Rate des deponierten Hausmülls wider.

Tabelle 398: Pro-Kopf-Mengen an deponierten Hausmüll

	Einheit	1990	1995	2000	2001	2002	2003	2004
Deponierte Abfallmenge pro Kopf	kg/Kopf/Tag	1,612	0,851	0,546	0,507	0,440	0,387	0,334
	Einheit	**2005**	**2006**	**2007**	**2008**	**2009**	**2010**	**2011**
Deponierte Abfallmenge pro Kopf	kg/Kopf/Tag	0,178	0,050	0,053	0,043	0,040	0,040	0,040
	Einheit	**2012**	**2013**	**2014**	**2015**			
Deponierte Abfallmenge pro Kopf	kg/Kopf/Tag	0,031	0,028	0,029	0,029			

Tabelle 399: Pro-Kopf Mengen an Siedlungsabfall

	Einheit	1995	2000	2001	2002	2003	2004	2005
Aufkommen an Siedlungsabfällen pro Kopf	kg/Kopf/Tag	1,707	1,802	1,802	1,752	1,647	1,608	1,547
	Einheit	**2006**	**2007**	**2008**	**2009**	**2010**	**2011**	**2012**
Aufkommen an Siedlungsabfällen pro Kopf	kg/Kopf/Tag	1,545	1,596	1,616	1,623	1,650	1,713	1,693
	Einheit	**2013**	**2014**	**2015**				
Aufkommen an Siedlungsabfällen pro Kopf	kg/Kopf/Tag	1,693	1,702	1,702				

7.2.1.2.3 F (Methankorrekturfaktor)

Abfälle wurden bis zur Schaffung des ersten Abfallgesetzes 1972 zumeist auf ungeordnete Deponien gebracht, die nach 1972 geschlossen wurden. Nach 1972 wurden die Abfälle auf geordnete Deponien verbracht. Für den MCF wurde daher für die ABL der Default-Wert von 0.6 für „nicht zugeordnete Deponien“ angenommen, nach 1972 ein MCF von 1.

Für das Gebiet der ehemaligen DDR liegt eine Erhebung aus dem Jahre 1989 vor, nach der 120 geordnete Deponien, ca. 1000 kontrollierte Ablagerungen und ca. 10.000 wilde Müllkippen erfasst wurden (MNUW, 1990). Von den rund 13.000 Ablagerungsstandorten waren 11.000 für Hausmüll und 2.000 für industrielle Abfälle, letztere waren überwiegend betriebseigene Anlagen (BMU, 1990: S. 28). Für das Gebiet der ehemaligen DDR wurde daher für den Zeitraum von 1950 bis 1990 ein MCF von 0.6 (Default für nicht zugeordnete Deponien) angenommen. Mit der Wiedervereinigung wurde das bundesdeutsche Abfallgesetz auf die Gebiete der NBL ausgedehnt und Übergangsregelungen stellten sicher, dass sowohl stillgelegte als auch in Betrieb befindliche Anlagen, in denen Abfälle erzeugt oder entsorgt wurden bzw. werden, erfasst wurden und dass erforderliche Sanierungsmaßnahmen eingeleitet wurden. (BMU, 1990: S. 46) Wilde Mülldeponien wurden 1990 geschlossen, weiter zu betreibende Anlagen wurden gesichert, saniert und nach Standard des bundesdeutschen Abfallrechtes ausgebaut sowie neue Standorte für neu zu errichtende Anlagen gesucht. Ab dem Jahr 1990 erfasst das Statistische Bundesamt beide Gebietsteile. Für die Berechnung wird nach 1990 ein MCF von 1 für das gesamte Bundesgebiet angenommen.

7.2.1.2.4 DOC

Für DOC, den Anteil des abbaubaren organischen Kohlenstoffs im Abfall, werden nationale Daten sowie Default-Faktoren des IPCC verwendet. Eine Übersicht über die verwendeten DOC-Werte ist in folgender Tabelle 400 enthalten.

Bezogen auf die Trockenmasse geben die 2006 IPCC Guidelines einen default DOC von 50% an, welcher rechnerisch einem Trockenmassgehalt von etwa 10% entspricht. In Deutschland wurden zwischen den 1980er Jahren und 2005 nahezu ausschließlich mechanisch entwässerte Klärschlämme mit einem Trockenmassegehalt von etwa 30% abgelagert. Auf Basis des Trockenmassegehaltes der Gesamtmenge der historisch deponierten kommunalen und industriellen Klärschlämme wurde daraus ein gewichteter DOC Mittelwert von 15% abgeleitet. Seit dem 1. Juni 2005 dürfen in Deutschland nur noch Abfälle mit einem Gesamt¬kohlen¬stoff-

gehalt < 3 % auf Deponien abgelagert werden. Dies gilt auch für Klärschlamm, so dass ab 2006 mit einem DOC von 3% gerechnet wird, weil Klärschlamm nur noch nach entsprechender Vorbehandlung deponiert werden kann oder wenn entsprechend niedrige Kohlenstoffgehalte für industrielle Abwässer nachgewiesen werden.

Für Klärschlamm wurde im Inventar 2015 ein Fehler in den Berechnungen korrigiert, der zu deutlich geringen Emissionsmengen für frühere Jahre in der Zeitreihe führte als in den vorangegangenen Inventaren.

Tabelle 400: Verwendete DOC-Werte

Fraktion	DOC	Quelle
Organik	18%	Verschiedene nationale Studien weisen höhere DOC- Gehalte als der IPCC default aus
Garten- und Parkabfälle	20%	Nationaler Wert
Papier und Pappe	40%	IPCC Default
Holz und Stroh	43%	Nationaler Wert liegt etwas höher als IPCC default
Textilien	24%	Nationaler Wert
Windeln	24%	Nationaler Wert
Verbundstoffe	10%	Nationaler Wert
Klärschlamm	15%	Rechnerisch aus IPCC default für Klärschlamm, bezogen auf Trockenmasse, ermittelt; nach 2006 wird ein DOC von 3% angenommen
MBA Abfälle	2,3%	Nationaler Wert (10 % des durchschnittlichen DOCs der deponierten Fraktionen aus dem aktuellen Jahr)

7.2.1.2.5 DOC_F

DOC_F, der Anteil des in Deponiegas umwandelbaren DOC, wird für Siedlungsabfall mit 50 % angenommen, was auf einer nationalen Studie (RETTENBERGER et al, 1997: S. 277) basiert. Dieser Wert liegt im Rahmen der IPCC Defaults von 0.5.

7.2.1.2.6 F = Anteil des CH_4 am Deponiegas

Für F wird 50%, der Mittelwert aus der Bandbreite des IPCC Default-Wertes, angenommen. Dieser Wert wurde auch durch ein nationales Forschungsvorhaben bestätigt (UBA, 1993).

In den letzten Jahren sind die Methankonzentrationen im gefassten Deponiegas (Tabelle 398) rückläufig. Dieser Rückgang der Methankonzentrationen ist vermutlich auf Oxidationseffekte in den Gasfassungssystemen zurückzuführen, wobei sich dieser Effekt mit rückläufiger Gasbildung verstärkt.

Tabelle 401: Anteil CH_4 am Deponiegas

	2004	2006	2008	2010	2012
Anteil CH4 am Deponiegas	49%	50%	49%	48%	48%

Quelle: STATISTISCHES BUNDESAMT, Fachserie 19, reise 1, 2012, Tabelle 1.5

7.2.1.2.7 Halbwertszeit

Das Berechnungsmodell ist ein Multi-Phasen-Modell, das die unterschiedlichen Halbwertszeiten der verschiedenen Abfallfraktionen berücksichtigt. Tabelle 402 dokumentiert die verwendeten Halbwertszeiten sowie die Methanerzeugungsrate für die Abfallfraktionen. Um der Empfehlung aus der Inventarüberprüfung in 2010 zu entsprechen (Paragraph 146, FCCC/ARR/2010/DEU), wurden für die Berichterstattung ab 2011 zusätzliche Informationen aufbereitet. Die konstante Methanerzeugungsrate, die in der FOD-Methode auftaucht, entspricht der Zeit, die für die

Zersetzung des abbaubaren organischen Kohlenstoffs im Abfall auf die Hälfte seiner Ausgangsmasse benötig wird. Sie kann daher aus den jeweiligen Halbwertszeiten der unterschiedlichen Fraktionen entsprechend Gleichung 57 abgeleitet werden.

Gleichung 57: (2006 IPCC Guidelines)

$$k = \ln 2 / t_{1/2}$$

Tabelle 402: Halbwertszeiten und konstante Methanerzeugungsrate der Abfallfraktionen

Abfallart	Halbwertszeit (Jahre)		CH4 Erzeugungsrate (k-Wert)	
	IPCC Default Wert*	Nationaler Wert	IPCC Default Wert*	Nationaler Wert
Nahrungsmittelabfälle	4	4	0,173	0,173
Garten/Parkabfälle	7	7	0,099	0,099
Papier / Pappe	12	12	0,058	0,058
Holz	23	23	0,030	0,030
Textilien / Windeln	12	12	0,058	0,058
Verbundstoffe	--	12	---	0,058
Klärschlamm	4	4	0,173	0,173
MBA-Abfälle	--	12	--	0,058

* Wet temperate

7.2.1.2.8 Deponiegasnutzung

Mit der TA Siedlungsabfall von 1993[173] wurde die Gasfassung auf den Siedlungsabfalldeponien Teil der Genehmigungsvoraussetzung. In der Neufassung des Umweltstatistikgesetztes in 2005 wurde verankert, dass das Statistische Bundesamt künftig die Deponiegaserfassung in seinen Umfragen berücksichtigt und veröffentlicht. Für die Jahre 2004, 2006 und 2008 wurden in der Fachserie 19 vom 12.07.2012 nur Daten zur Deponiegasfassung und -nutzung auf Deponien in der Ablagerungs- und Stilllegungsphase veröffentlicht. Daten zur Gasfassung für den gesamten Deponiebestand, d.h. einschließlich der Deponien in der Nachsorgephase wurden erstmals für das Jahr 2010 erhoben und bislang für die Jahre 2010 und 2012 berichtet.

In der Berichtserstattung der letzten Jahre (bis einschließlich NIR 2012) wurden bei der Ermittlung der gesamten gefassten Deponiegasmengen - aufgrund der oben beschriebenen Datenlücken - Daten aus dem Energiesektor und der Fachserie 19 zusammengeführt. Die Ergebnisse der Datenerhebung über den gesamten Deponiebestand für die Jahre 2010 und 2012 zeigen, dass hierbei die gefassten Deponiegasmengen der Deponien der Nachsorgephase deutlich überschätzt wurden. Daher mussten die gefassten Deponiegasmengen und damit verbundenen Methanemissionen der Deponien für die vergangenen Jahre in einer Rückrechnung korrigiert werden. Die in Tabelle 17 gelisteten gefassten Methanmengen beinhalten die energetsch genutzen und die abgefackelten Deponiegasmengen.

Da die Treibhausgas-Emissionen aus der Kategorie Deponiegas-Fackeln in 5.A weniger als 0.05 % des Gesamtinventars (ohne LULUCF) darstellen und 500 kt CO2-Äquivalente nicht überschreiten würden (Erfassungsuntergrenzen gemäß FCCC/SBSTA/2013/L.29/Add.1) und eine jährliche Erfassung nicht gewährleistet werden kann (gemäß FCCC/SBSTA/2013/L.29/Add.1, para 37), wird auf eine entsprechende Berichterstattung verzichtet (IPCC Guideline, 2006). Eine einmalig durchgeführte quantitative Abschätzung der somit nicht im Inventar berücksichtigten Emissionen aus Deponiegas-Fackeln ergibt eine Menge von etwa 0,6 t CO_2-äquivalent. Eine Zusammenstellung

[173] Technische Anleitung zur Verwertung, Behandlung und sonstigen Entsorgung von >Siedlungsabfälle (Dritte Allgemeine Verwaltungsvorschrift zum Abfallgesetz) vom 14. Mai 1993

aller als not estimated erfasster Quellen erfolgt darüber hinaus in Annex 5 (Anhang-Kapitel 21) dieses Berichtes.

Tabelle 403: Methanfassung auf Deponien

Jahr	NIR 2012			NIR 2015				
	Methan-bildung in kt	Gefasste Methan-menge in kt	Erfassungs rate in %	Methan-bildung in kt	Gefasste Methanmenge in kt			Erfassungs rate in %
					Ablagerungs- u. Stillegung-sphase	Nachsorge phase	Gesammt menge	
1990	2.169	126	5,8	1.614			92	5,8
1991	2.228	136	6,1	1.715			103	6,1
1992	2.246	146	6,5	1.772			113	6,5
1993	2.223	156	7,0	1.787			123	7,0
1994	2.167	166	7,7	1.770			133	7,7
1995	2.095	176	8,4	1.738			143	8,4
1996	2.008	190	9,5	1.690			157	9,5
1997	1.906	260	13,6	1.629			218	13,6
1998	1.801	280	15,5	1.559			238	15,5
1999	1.703	349	20,5	1.490			242	16,6
2000	1.611	352	21,8	1.423			246	17,6
2001	1.520	356	23,4	1.353			247	18,7
2002	1.441	360	25,0	1.288			249	19,7
2003	1.355	363	26,8	1.222			248	20,8
2004	1.280	425	33,2	1.158	*236*	11	247	21,8
2005	1.202	447	37,2	1.094			247	23,0
2006	1.120	460	41,1	1.018	*231*	11	242	24,3
2007	1.026	445	43,4	937			220	24,1
2008	943	374	39,7	865	*190*	11	201	23,8
2009	874	358	41,0	800			191	24,4
2010	816	347	42,5	741	*171*	*11*	*181*	24,4
2011				689			167	24,2
2012				641	*140*	*14*	*154*	24,0
2013				598			144	24,2
2014				559	*121*	*13*	134	24,0
2015				523			125	24,0

kursiv: Daten des Statistischen Bundesamtes (Fachserie 19, Reihe1, 2014 vom 18. August 2016

Da nur für einzelne Jahre offizielle Statistische Daten vorliegen mussten für die Rückrechnung Datenlücken durch Extrapolation und qualifizierte Schätzungen geschlossen werden.

Für die Jahre bis einschließlich 1998 wurden prozentualen Gaserfassungsraten aus früheren Schätzungen weiter verwendet (Quellen und Datenherleitung siehe NIR 2012) und die gefasste Methanmenge aus der Methanbildung und der jeweiligen prozentualen Erfassungsrate berechnet.

Für die Jahre 1999 bis 2003 wurden die prozentualen Erfassungsraten zwischen den Werten aus 1998 (alter Ansatz) und 2004 interpoliert. Die gefasste Methanmengemenge wurde aus der gesamten Methanbildung und der jeweiligen prozentualen Erfassungsrate berechnet.

Für die Jahre 2004, 2006 und 2008 liegen STBA-Daten nur für Deponien in der Ablagerungs- und Stillegungsphase vor. Für die Ermittlung der gesamten gefassten Methanmengen aller Deponien wurden die für 2010 ermittelten Methanmengen aus Deponien der Nachsorgephase und zu den Jahreswerten für 2004, 2006 und 2008 addiert.

Für die Jahre 2010 und 2014 liegen vollständige Daten des statistischen Bundesamtes für die Deponiegasfassung aller Deponien vor. Für die Jahre 2005, 2007, 2009, 2011, 2013 und 2015liegen keine Daten zu den gefassten Deponiegasmengen vor, da diese Datenerhebung durch das statistische Bundesamt nur in jedem zweiten Jahr erfolgt. Die prozentualen Deponiegaserfassungsraten wurden aus diesem Grunde zwischen dem vorhergehenden und dem nachfolgenden Jahr interpoliert und gefassten Gasmengen aus der Gasbildung und der prozentualen Erfassungsrate berechnet. Für 2015 wurde in diesem Ansatz die prozentuale Erfassungsrate aus 2014 übernommen.

7.2.1.2.9 Oxidationsfaktor

Für den Faktor zur Bestimmung des Anteils an CH_4, der in der Deponiedeckschicht oxidiert wird, wurde der IPCC-Default-Wert von 0.1 für die gesamte Zeitreihe angenommen. In den frühen 90er Jahren ist zwar einerseits ein höherer Anteil an ungeordneten Deponien aus der ehemaligen DDR zu erwarten, aus einem Forschungsprojekt wurden jedoch für die Deponien der ehemaligen DDR ein nur geringes CH_4 -Bildungspotential nachgewiesen, so dass für diesen Zeitraum ebenfalls der Faktor 0,1 verwendet wurde (BMBF, 1997).

7.2.1.3 Unsicherheiten und Zeitreihenkonsistenz (5.A.1)

Die Unsicherheiten der Methode wurden für den NIR 2006 erstmals abgeschätzt.

Über den langen Zeitraum von dreißig Jahren der Aktivitätsdaten entstehen zwangsläufig Inkonsistenzen der Zeitreihen, da im Laufe der Zeit mehrfach die Abfallkategorien und die Art der Befragung verändert wurde, da die Gesetzgebung und die Abfallstatistik weiterentwickelt wurden. In Deutschland ergeben sich besondere Probleme vor allem durch die deutsche Wiedervereinigung und die Zusammenführung zweier verschiedener Wirtschafts- und statistischer Systeme. Daher mussten mit erheblichem Aufwand die Konsistenz der Daten und die Zuordnung zu den berichteten Kategorien überprüft werden, um einen möglichst konsistenten Zeitverlauf zu erhalten.

7.2.1.4 Kategoriespezifische Qualitätssicherung/ -kontrolle und Verifizierung (5.A.1)

Eine allgemeine und kategoriespezifische Qualitätskontrolle und eine Qualitätssicherung durch die Fachseite und durch die Nationale Koordinierungsstelle wurden gemäß den Anforderungen des QSE-Handbuchs bzw. dessen mitgeltenden Unterlagen durchgeführt.

Die gewählten Parameter wurden mit den Daten anderer Staaten verglichen.

Bei der Dateneingabe wurde die korrekte Eingabe unter anderem über die Kontrolle der Summenwerte überprüft, verschiedene Abfallkategorien wurden nur zu Zwecken der Überprüfung der korrekten Dateneingabe mitgeführt.

Das bisher verwendete nationale Berechnungsmodell wurde durch das FOD-Modell des IPCC überprüft, indem dort die gleichen Parameter und nationalen Daten eingegeben wurden. Es wurde das gleiche Ergebnis erzielt.

7.2.1.5 Kategoriespezifische Rückrechnungen (5.A.1)

Bei der Erarbeitung des NIR 2016 lagen offizielle statistische Daten für die abgelagerten Abfallmengen nur bis zum Jahr 2013 vor, die Abfallmengen für das Jahr 2014 wurde aus diesem Grunde als gegenüber 2013 konstant angesetzt. Mit der Fachserie 19 vom 27. Juli 2015 wurden die Abfalldaten für das Jahr 2014 veröffentlicht. Auf der Basis dieser Daten erfolgte eine Rückrechnung für das Jahr 2014.

In den früheren Fassungen des NIR wurde für den Anteil des CH_4 am Deponiegas (F) ein nationaler Wert von 49 % angesetzt, der auf offiziellen statistischen Daten beruht. In den Review-Prozessen zum NIR wurde dieser Ansatz kritisiert und die Nutzung des IPCC Default-Wertes von 50 % empfohlen. Es kann nicht ausgeschlossen werden, dass der niedrigere Methangehalt im nationalen Wert auf Minderungseffekte in der Deponie oder im Deponiegasfassungssystem zurückzuführen ist. Aus diesem Grunde erfolgte eine Rückrechnung mit 50 % Methangehalt.

Im Excel Berechnungstool zur Berechnung der Methanemissionen wurden Übertragungsfehler (Methankonzentration im Deponiegas, DOC für mechanisch-biologisch behandelte Abfälle) korrigiert, die geringe Auswirkungen auf das Gesamtergebnis haben.

7.2.1.6 Geplante Verbesserungen, kategoriespezifisch (5.A.1)

Sofern in vorhergehenden Berichterstattungen in diesem Kapitel Verbesserungen benannt wurden, sind diese in Form einer Übersicht unter Kapitel 10.4 Verbesserungen des Inventars, Tabelle 426 zu finden. Sind diese bereits erledigt, sind sie im selben Kapitel in Tabelle 425 abgebildet.

7.3 Bioabfallbehandlung (5.B)

In der Kategorie 5.B werden die Emissionen aus Kompostierungsanlagen (5.B.1) und aus der Vergärung von Bioabfall in Biogasanlagen (5.B.2) berichtet. Beide Anlagentypen in der Kategorie 5.B behandeln getrennt gesammelte Bioabfälle und stellen Kompost oder Gärrest her, der anschließend in der Landwirtschaft oder im Gartenbau verwertet wird. Dies ist der Unterschied zur mechanisch-biologischen Behandlung in der Kategorie 5.E. Diese Anlagen setzen gemischte Siedlungsabfälle (Restabfälle) ein. Die Rückstände aus diesen Anlagen werden deponiert oder verbrannt.

KC	Category	Activity	EM of	1990 (kt CO_2-e.)	(fraction)	2015 (kt CO_2-e.)	(fraction)	Trend 1990-2015
-/-	5.B. Biological treatment of solid waste	0	CH_4	25,3	0,00%	776,6	0,09%	2964,6%
-/-	5.B. Biological treatment of solid waste	0	N_2O	16,0	0,00%	326,3	0,04%	1943,8%

Die Kategorie *Bioabfallbehandlung* ist keine Hauptkategorie.

7.3.1 Bioabfallbehandlung - Kompostierungsanlagen (5.B.1)

7.3.1.1 Beschreibung der Kategorie (5.B.1)

Gas	Angewandte Methode	Quelle der Aktivitätsdaten	genutzte Emissionsfaktoren
CH_4	Tier 2	NS	CS
N_2O	Tier 2	NS	CS

In der Bundesrepublik werden jährlich zunehmende Anteile der biologisch abbaubaren Abfälle getrennt gesammelt und behandelt. Komposte und Gärreste, die aus diesen getrennt gesammelten Küchen- und Grünabfällen erzeugt werden, werden anschließend in der Landwirtschaft oder im Gartenbau verwertet. Im Inventarbericht 2006 wurde erstmals über CH_4 und N_2O-Emissionen aus der Behandlung von Bioabfällen in Kompostierungsanlagen berichtet und eine vollständige Zeitreihe dieser Emissionen berechnet. Mit dem NIR 2015 wurde die Berichterstattung an die 2006 IPCC Guidelines angepasst.

Neben der zentralen Kompostierung von getrennt gesammelten Bioabfällen gibt es auch die private Kompostierung im eigenen Garten (Eigenkompostierung). Hierzu liegen uns weder belastbare Daten zu den Mengen noch zu den verursachten Emissionen vor. Daher wird über diese Emissionen nicht berichtet.

7.3.1.2 Methodische Aspekte (5.B.1)

Über Lachgasemissionen aus der Kompostierung von Küchen- und Grünabfällen wird entsprechend den IPCC Guidlines 2006 berichtet. Allerdings werden eigene nationale Emissionsfaktoren verwendet, die Ergebnisse eines Forschungsprojektes sind. Auch für die Methanemissionen wurden in diesem Forschungsprojekt Emissionsfaktoren ermittelt. Es mussten daher keine gebildeten und verwerteten Methanmengen miteinander verrechnet werden. Die Berechnung der Methan- und Lachgasemissionen erfolgt nach folgender Formel:

E = M * EF

E = Emissionen in kg
M = Masse Bioabfall in Gg (1000 t)
EF = g/t (kg/Gg)

Aktivitätsdaten

Die in Kompostierungsanlagen verwerteten Abfallmengen werden seit 1980 regelmäßig vom Statistischen Bundesamt erhoben und veröffentlicht (Abfallentsorgung 2014, STBA, Fachserie 19, Reihe 1 vom 18. August 2016, Tabelle 7). Hierfür findet eine Totalerhebung bei den Abfallbehandlungsanlagen statt.

Die Aktivitätsdaten für das aktuelle Berichtsjahr müssen geschätzt werden, da die offizielle Abfallstatistik mit einem Jahr Verzug erscheint. Zur Abschätzung wird die Abfallmenge vom vorhergehenden Jahr unverändert fortgeschrieben. Die Schätzung wird im jeweils folgenden Jahr durch die statistisch erhobene Zahl ersetzt. Regelmäßige Rückrechnungen sind daher jährlich für das vorvergangene Jahr erforderlich.

Tabelle 404: In Bioabfallkompostierungsanlagen eingesetzte Abfallmengen

[in 1000 t]	1990	1991	1992	1993	1994	1995	1996	1997	1998	1999
Kompostierung	724	1.515	1.956	2.397	3.783	5.168	6.554	7.214	7.320	7.964
	2000	2001	2002	2003	2004	2005	2006	2007	2008	2009
Kompostierung	9.030	8.562	9.459	9.200	8.981	8.886	8.754	9.115	8.895	8.728
	2010	2011	2012	2013	2014	2015				
Kompostierung	8.609	8.793	8.886	8.977	8.684	8.684				

Emissionsfaktoren

Für die Kompostierung von Bioabfällen wurden im Rahmen eines Forschungsprojektes Emissionsfaktoren ermittelt (Cuhls et al. 2015). Im Rahmen dieses Projektes wurden sowohl für Methan als auch für Lachgas und Ammoniak Emissionsmessungen an 19 Kompostierungsanlagen durchgeführt. Aus den Messergebnissen und den Ergebnissen von Literaturrecherchen wurden Emissionsfaktoren für den Anlagenbestand in Deutschland hochgerechnet.

Für die Kompostierung von Bioabfall wurden die folgenden Emissionsfaktoren ermittelt:

EF-CH_4 = 1.400 g CH_4/Mg Bioabfall

EF-N_2O = 74 g N_2O/Mg Bioabfall

Diese nationalen Emissionsfaktoren wurden für die Inventarberechnungen verwendet.

7.3.1.3 Unsicherheiten und Zeitreihenkonsistenz (5.B.1)

Aktivitätsdaten

Die Unsicherheiten bei den kompostierten Abfallmengen werden als sehr gering (2 %) geschätzt, da es sich um eine Totalerhebung handelt, das Niveau der Berichterstattung gut ist und die Betreiber an einer guten Berichterstattung interessiert sind.

Emissionsfaktoren

Die Unsicherheiten der Emissionsfaktoren liegen hoch und hängen von der Art der Anlage der Zusammensetzung der Abfälle und der Wirkung der eingesetzten Biofilter ab. Die Angaben aus der Literatur und aus anderen Staaten schwanken sehr stark, so dass hier von einer Unsicherheit von +400 % bis -69 % für CH_4 und von mindestens +177 % bis -46 % für N_2O ausgegangen wird. Die Unsicherheiten wurden im Rahmen des o.g. Forschungsprojektes ermittelt (Cuhls et al. 2015).

7.3.1.4 Kategoriespezifische Qualitätssicherung/-kontrolle und Verifizierung (5.B.1)

Eine allgemeine Qualitätskontrolle und eine Qualitätssicherung durch die Fachseite und durch die Nationale Koordinierungsstelle wurden gemäß den Anforderungen des QSE-Handbuchs bzw. dessen mitgeltenden Unterlagen durchgeführt.

7.3.1.5 Kategoriespezifische Rückrechnungen (5.B.1)

Die Aktivitätsdaten für das aktuelle Berichtsjahr müssen geschätzt werden, da die offizielle Abfallstatistik mit einem Jahr Verzug erscheint. Regelmäßige Rückrechnungen sind daher jährlich für das vorvergangene Jahr erforderlich.

7.3.1.6 Geplante Verbesserungen, kategoriespezifisch (5.B.1)

Aktuell sind keine weiteren Verbesserungen geplant. Sofern in vorhergehenden Berichterstattungen in diesem Kapitel Verbesserungen benannt wurden, sind diese in Form einer Übersicht unter Kapitel 10.4 Verbesserungen des Inventars, Tabelle 426 zu finden. Sind diese bereits erledigt, sind sie im selben Kapitel in Tabelle 425 abgebildet.

7.3.2 Bioabfallbehandlung - Vergärungsanlagen (5.B.2)

7.3.2.1 Beschreibung der Kategorie (5.B.2)

Gas	Angewandte Methode	Quelle der Aktivitätsdaten	genutzte Emissionsfaktoren
CH_4	CS	NS	CS
N_2O	CS	NS	CS

In der Bundesrepublik werden jährlich zunehmende Anteile der biologisch abbaubaren Abfälle getrennt gesammelt und behandelt. Die unter 5.B.2 berichteten Emissionen stammen aus Bioabfallvergärungsanlagen die vor allem getrennt gesammelte Bioabfälle aus Haushalten, Speiseabfälle aus Kantinen und Restaurants sowie Bioabfälle aus der Lebensmittelproduktion und -verarbeitung vergären. Die Klärschlammfaulung ist nicht enthalten.

Die Vergärung wird gezielt zur Biogasgewinnung und damit zur Erzeugung eines Energieträgers betrieben (im Gegensatz zur Kompostierung). Aus diesem Grund wird ein Großteil des erzeugten Biogases energetisch verwertet und nur ein geringer Teil abgefackelt. Diese Gasmengen werden direkt an den Anlagen statistisch erfasst und in der Abfallstatistik dargestellt (Abfallentsorgung 2014, STBA, Fachserie 19, Reihe 1 vom 18. August 2016, Tabelle 1.5). Sie müssen nicht berechnet werden. Die unten angeführten Emissionsfaktoren dienen nur zur Berechnung der emittierten Methanmengen aus dem Betrieb der Vergärungsanlagen. Im ZSE gibt es je eine Zeitreihe für

verwertetes, abgefackeltes und emittiertes Methan. Die Methanemissionen aus der Verbrennung des Biogases zur Energiegewinnung werden im Energiesektor berichtet.

Komposte und Gärreste, die aus diesen getrennt gesammelten Küchen- und Grünabfällen erzeugt werden, werden anschließend in der Landwirtschaft oder im Gartenbau verwertet. Im Inventarbericht 2006 wurde erstmals über CH_4- und N_2O-Emissionen aus der Behandlung von Bioabfällen in Kompostierungsanlagen berichtet und eine vollständige Zeitreihe dieser Emissionen berechnet. Seit 1998 wird auch die Vergärung von Bioabfällen in Biogasanlagen statistisch erfasst und gewinnt seitdem zunehmend an Bedeutung. Seit dem NIR 2015 wird daher in Übereinstimmung mit den 2006 IPCC Guidelines auch über die Bioabfallvergärung in Biogasanlagen berichtet.

7.3.2.2 Methodische Aspekte (5.B.2)

Über Lachgasemissionen aus der Vergärung von Küchen- und Grünabfällen wird entsprechend den 2006 IPCC Guidelines berichtet. Allerdings werden eigene nationale Emissionsfaktoren verwendet, die Ergebnisse eines Forschungsprojektes sind. Auch für die Methanemissionen wurden in diesem Forschungsprojekt Emissionsfaktoren ermittelt. Es mussten daher keine gebildeten und verwerteten Methanmenge miteinander verrechnet werden. Die Berechnung der Methan- und Lachgasemissionen erfolgt nach folgender Formel:

$$E = M * EF$$

E = Emissionen in kg
M = Masse Bioabfall in Gg (1000 t)
EF = g/t (kg/Gg)

Daneben wird die aus der Bioabfallvergärung stammende energetisch genutzte Gasmenge und die abgefackelte Gasmenge berichtet, die seit 2004 alle zwei Jahre direkt in der Abfallstatistik erfasst wird.

Aktivitätsdaten

Die in Bioabfallvergärungsanlagen verwerteten Abfallmengen werden seit 1998 regelmäßig vom Statistischen Bundesamt erhoben und veröffentlicht (Abfallentsorgung 2014, STBA, Fachserie 19, Reihe 1 vom 18. August 2016, Tabelle 7). Hierfür findet eine Totalerhebung bei den Abfallbehandlungsanlagen statt. Die Aktivitätsdaten für das aktuelle Berichtsjahr müssen geschätzt werden, da die offizielle Abfallstatistik mit einem Jahr Verzug erscheint. Zur Abschätzung wird die Abfallmenge vom vorhergehenden Jahr unverändert fortgeschrieben. Die Schätzung wird im jeweils folgenden Jahr durch die statistisch erhobene Zahl ersetzt. Regelmäßige Rückrechnungen sind daher jährlich für das vorvergangene Jahr erforderlich.

Tabelle 405: In Bioabfallvergärungsanlagen eingesetzte Abfallmengen

[in 1000 t]	1990	1991	1992	1993	1994	1995	1996	1997	1998	1999
Vergärung	0	0	0	0	0	0	0	0	411	821
	2000	**2001**	**2002**	**2003**	**2004**	**2005**	**2006**	**2007**	**2008**	**2009**
Vergärung	1.254	1.812	2.783	3.088	3.410	3.526	3.628	4.119	4.149	4.470
	2010	**2011**	**2012**	**2013**	**2014**	**2015**				
Vergärung	4.398	5.370	6.094	5.681	6.752	6.752				

Emissionsfaktoren

Für die Vergärung von Bioabfällen wurden im Rahmen eines Forschungsprojektes Emissionsfaktoren ermittelt (Cuhls et al. 2015). Im Rahmen dieses Projektes wurden sowohl für Methan als auch für Lachgas und Ammoniak Emissionsmessungen an 16 Vergärungsanlagen

durchgeführt. Aus den Messergebnissen und den Ergebnissen von Literaturrecherchen wurden Emissionsfaktoren für den Anlagenbestand in Deutschland hochgerechnet.

Für die Vergärung von Bioabfall wurden die folgenden Emissionsfaktoren ermittelt:

EF-CH_4 = 2.800 g CH_4/Mg Bioabfall

EF-N_2O = 67 g N_2O/Mg Bioabfall

Diese nationalen Emissionsfaktoren wurden für die Inventarberechnungen verwendet.

7.3.2.3 Unsicherheiten und Zeitreihenkonsistenz (5.B.2)

Aktivitätsdaten

Die Unsicherheiten bei den in Vergärungsanlagen behandelten Abfallmengen werden als sehr gering (2 %) geschätzt, da es sich um eine Totalerhebung handelt, das Niveau der Berichterstattung gut ist und die Betreiber an einer guten Berichterstattung interessiert sind. Dies gilt auch für die statistisch erhobenen verwerteten und abgefackelten Gasmengen aus Bioabfallvergärungsanlagen.

Emissionsfaktoren

Die Unsicherheiten der Emissionsfaktoren liegen hoch und hängen von der Art der Anlage der Zusammensetzung der Abfälle und der Wirkung der eingesetzten Biofilter ab. Die Angaben aus der Literatur und aus anderen Staaten schwanken sehr stark, so dass hier von einer Unsicherheit von +179 % bis -77 % für CH_4 und von mindestens +320 % bis -37 % für N_2O ausgegangen wird. Die Unsicherheiten wurden im Rahmen des o.g. Forschungsprojektes ermittelt (Cuhls et al. 2015).

7.3.2.4 Kategoriespezifische Qualitätssicherung/-kontrolle und Verifizierung (5.B.2)

Eine allgemeine und kategoriespezifische Qualitätskontrolle und eine Qualitätssicherung durch die Fachseite und durch die Nationale Koordinierungsstelle wurden gemäß den Anforderungen des QSE-Handbuchs bzw. dessen mitgeltenden Unterlagen durchgeführt.

7.3.2.5 Kategoriespezifische Rückrechnungen (5.B.2)

Regelmäßige Rückrechnungen sind jährlich für das vorvergangene Jahr erforderlich, da die Aktivitätsdaten des Statistischen Bundesamtes mit einem Jahr Verzug erscheinen und das aktuelle Berichtsjahr deshalb geschätzt werden muss. Die Schätzung wird im jeweils folgenden Jahr durch die statistisch erhobene Zahl ersetzt.

7.3.2.6 Geplante Verbesserungen, kategoriespezifisch (5.B.2)

Aktuell sind keine weiteren Verbesserungen geplant.

Sofern in vorhergehenden Berichterstattungen in diesem Kapitel Verbesserungen benannt wurden, sind diese in Form einer Übersicht unter Kapitel 10.4 Verbesserungen des Inventars, Tabelle 426 zu finden. Sind diese bereits erledigt, sind sie im selben Kapitel in Tabelle 425 abgebildet.

7.4 Abfallverbrennung (5.C)

Die Abfallverbrennung erfolgt in Deutschland vollständig unter energetischer Nutzung, weshalb die entstehenden Emissionen zur Vermeidung von Doppelzählungen im Energieteil (CRF 1.A.1.a, Kapitel 3.2.6) berichtet werden. Aufgrund der energetischen Nutzung fallen somit unter 6.C keine Emissionen aus der Abfallverbrennung an (NO). Lediglich die Emissionen von NO_X, SO_2 und NMVOC aus Krematorien werden an dieser Stelle berichtet. Zur Berechnung dieser Emissionen

werden die EF Default-Werte aus dem „EMEP/EEA air pollutant emission inventory guidebook 2013“ verwendet. Da im CRF-Reporter die fest vorgegebene Einheit „kt“ nicht angepasst werden kann steht in den CRF-Tabellen für die Aktivitätsrate (Anzahl der Kremierungen) „NA“.

7.5 Abwasserbehandlung (5.D)

KC	Category	Activity	EM of	1990 (kt CO_2-e.)	(fraction)	2015 (kt CO_2-e.)	(fraction)	Trend 1990-2015
-/T	**5.D.1 Wastewater Handling**	**Domestic Wastewater**	**CH_4**	**2.696,2**	**0,22%**	**583,8**	**0,07%**	**-78,3%**
-/-	5.D.1 Wastewater Handling	Domestic Wastewater	N_2O	926,7	0,08%	427,4	0,05%	-53,9%
-/-	5.D.2 Wastewater Handling	Commercial Wastewater	N_2O	31,6	0,00%	25,1	0,00%	-20,5%
-/-	5.D.2 Wastewater Handling	Commercial Wastewater	CH_4	9,3	0,00%	43,1	0,00%	365,7%

Die Kategorie *Abwasserbehandlung - Kommunale Abwasserbehandlung* ist für CH_4-Emissionen eine Hauptkategorie nach dem Trend. Aufgrund der seit 1990 sehr stark fallenden Emissionen und des dadurch erreichten sehr geringen Emissionsniveaus hat die Nationale Koordinierungsstelle aus Gründen der Ressourcenpriorisierung entschieden, die für Hauptkategorien vorgesehenen höheren Ansprüche an die Methodik für diese Kategorie nicht umzusetzen.

7.5.1 Kommunale Abwasserbehandlung (5.D.1)

7.5.1.1 Methanemissionen der kommunalen Abwasserbehandlung (5.D.1 Abwasserbehandlung)

7.5.1.1.1 Beschreibung der Kategorie (5.D.1 Abwasserbehandlung)

Gas	Angewandte Methode	Quelle der Aktivitätsdaten	genutzte Emissionsfaktoren
CO_2	NA	NA	NA
CH_4	D/CS	NS	D/CS
N_2O	D/CS	NS	D/CS

Die Kategorie *Abwasserbehandlung - Kommunale Abwasserbehandlung* ist für CH_4-Emissionen eine Hauptkategorie nach dem Trend.

99,5% der Abwassermenge in Deutschland wird in Kläranlagen behandelt. Dabei entsteht Methan, auch wenn die Behandlung meist aerob erfolgt. Zur Emission tragen alle Prozessschritte bei, allerdings haben die Schlammfaulung und die Faulschlammstapelung die größten Anteile. Die Schlammeindickung, der Sandfang und die Denitrifikation verzeichnen deutlich niedrigere Werte. Allerdings ist eine Verschiebung dieser Anteile über den Betrachtungszeitraum der Berichterstattung anzunehmen.

Die restlichen 0,5 % der Abwassermenge (STBA 2015a) bildet die Behandlung der Abwassermengen von Einwohnern (human sewage), die nicht an die Kanalisation bzw. Kleinkläranlagen angeschlossen sind. Deren Abwasser wird bis zum Abtransport in eine Kläranlage in abflusslosen Gruben gesammelt. In abflusslosen Gruben können unkontrollierte Prozesse (teils aerob, teils anaerob) ablaufen, die zur Methanbildung führen. Die organische Fracht, die in abflusslose Gruben geleitet wird, reduzierte sich jedoch seit 1990 drastisch, da sich der Anschlussgrad an Kläranlagen stetig erhöht hat. Aus dieser Konstellation resultiert ein stark abfallender Trend der CH_4-Emissionen dieses Sektors.

Zusätzlich wurde die bis Anfang der 90er Jahre in den neuen Bundesländern durchgeführte offene Schlammfaulung zur Schlammstabilisierung schrittweise reduziert und 1994 eingestellt (siehe Kapitel 7.5.1.2.1).

Geplante Verbesserungen

Bei der Berechnung der Emissionen aus der Abwasserbehandlung werden nur N_2O-Emissionen aus den Belebtbecken bzw. dem Effluenten berichtet. Mögliche weitere, potentiell emissionsrelevante Behandlungsschritte, wie z.B. die Schlammbehandlung werden nicht berichtet, da sie seitens der 2006 IPCC-Guidelines außerhalb der Betrachtung liegen und bisher keine Daten vorliegen.

Für die diffusen Emissionen von Methan und anderen Gase aus Kläranlagen gibt es keine für Gesamtdeutschland repräsentativen Messungen. Aus diesem Grund wurde im vergangenen Jahr ein Forschungsprojekt gestartet, dessen Ziel es ist, mögliche diffuse Emissionen über relevanten Anlagenteilen zu ermitteln. Hierzu sollen auf repräsentativen Abwasserbehandlungsanlagen Messungen der Gase CH_4, N_2O und NH_3 (indirektes THG; da in geringerem Umfang atmosphärische Umwandlung zu N_2O) durchgeführt werden. Mit Ergebnissen ist nicht vor Ende 2018 zu rechnen. Sobald diese Erkenntnisse vorliegen, kann die aktuelle Schätzung der Methanemissionen aus dieser Quelle deutlich präzisiert werden.

7.5.1.1.2 Methodische Aspekte (5.D.1 Abwasserbehandlung)

Die von IPCC vorgestellte Gleichung 6.1 (2006 IPCC Guidelines, Vol. 5, Kapitel 6.2.2.) zur Berechnung von CH_4-Emissionen aus dem kommunalen Abwasser ist in Deutschland nicht anwendbar. Von den in Tabelle 6.5 der IPCC-Guidelines (ebd.) vorgestellten Anteilen der Bevölkerung (fraction of population, U_i) trägt eine einzige, extrem kleine, bezogen auf CH_4 nicht mit den Kläranlagen und der dortigen CH_4-Gewinnung in Verbindung stehende Quellgruppe maßgeblich zu den berichteten CH_4-Emissionen bei. Gleichzeitig wird der Primär- und Sekundärschlamm zur CH_4-Erzeugung in Faultürmen genutzt. Das entstehende Methan wird gefasst, wodurch die dabei produzierte CH_4-Gesamtmenge weit über den hier berechneten CH_4-Emissionen liegen und damit auch der aus der IPCC-Gleichung entstehende Wert negativ wäre. Der ausgefaulte Klärschlamm wird zudem erst danach z.B. verbrannt, in der Landwirtschaft oder im Landschaftsbau weiterverwertet, weshalb im Sinne der Guidelines nicht von „sludge removed“ gesprochen werden kann, da der Klärschlamm keinen BSB_5 mehr enthält (siehe auch Kapitel 7.5.1.2.1). Darüber hinaus sind die in Deutschland vorliegenden Werte für die an abflusslose Gruben angeschlossenen Personen sehr viel präziser, als die mit Tabelle 6.5 der Guidelines ableitbaren Werte für U_i und $T_{i,j}$ (degree of utilisation of treatment system). Alles in allem ist die 2006 Guidelines-Methode viel zu eingeschränkt für die in Deutschland real vorliegende Situation.Aus den beschriebenen Gründen wird anstelle der IPPC 2006 Gleichung nach der 1996 IPCC Methode verfahren, die allerdings um die Anforderungen der 2006 IPCC Guidelines ergänzt wurde.

Die Berechnung der Methanemissionen aus Kläranlagen beruhen auf einer begrenzten Anzahl von Messungen aus (Becker et al). Dort wird ein Emissionsfaktor von 0,28kg Methan pro Jahr und Einwohner angegeben. Da so gut wie alle Einwohner in Deutschland an eine der ca. 6000 Kläranlagen angeschlossen sind, wird die Bevölkerungszahl als Aktivitätsrate genutzt. Der verwendete Trend von 1990 bis 2015 beruht auf einem Fachbeitrag (Schmelz et al 2013), deren spezifische Betrachtungen für den Einzugsbereich des „Emschersystems“ (Nordrhein-Westfalen) generalisiert und mittels Expertenschätzung auf einen repräsentativen Verlauf gebracht wurden. Dieser geht von einer Halbierung der Emissionen in Zeitraum 1990 bis 2020 aus.Die organische Fracht der abflusslosen Gruben wird entsprechend der IPCC-Methode ermittelt, indem die an Gruben angeschlossenen Personen (P) mit der durchschnittlichen organischen Fracht pro Einwohner multipliziert werden. Für die durchschnittliche tägliche organische Fracht wird 60 g BSB_5 pro Einwohner angenommen (Gujer, 2006)). Dabei handelt es sich um den für Deutschland

spezifischen Wert, der zusätzlich aber auch europaweit als statistischer Mittelwert verwendet wird (Amtsblatt_der_Europäischen_Gemeinschaft, 1991); ((91/271/EWG, 1991)). Der IPCC Default Wert für Deutschland (2006 IPCC Guidelines, Vol. 5,, Kapitel 6, Tabelle 6.4) liegt mit 62 g in derselben Größenordnung.

Die Methanemissionen aus abflusslosen Gruben werden entsprechend der IPCC Methode ermittelt. Es wird der IPCC Default-Wert für das Methanbildungspotenzial (0,6 kg CH_4/kg BSB_5) verwendet.

Gemäß IPCC (ebd. Kapitel 6.1, Seite 6.7) ist die Höhe des Methankorrekturfaktors (MCF) temperarturabhängig. Bei Temperaturen unterhalb von 15°C findet demgemäß keine signifikante Methanproduktion statt.

Ausgehend von der langjährigen mittleren Bodentemperatur in Deutschland (DWD, 2013) in 1 m Tiefe liegt in den Sommermonaten die gemittelte Bodentemperatur bei Werten zwischen 15 und 18° C. Eine Methanbildung ist in dieser Zeit somit möglich, da die Gruben durchschnittlich in einer Tiefe von etwa 0,5 - 2,5m liegen. Der MCF für diesen Zeitraum (etwa 3,5 Monate) wird in Anlehnung an (Gibbs & Woodbury, 1993) konservativ auf 0,35 geschätzt. Für den Rest des Jahres liegen die Temperaturen teilweise signifikant unter der 15° C-Grenze des IPCC. Sie sinken bis auf etwa 3,8 ° C. Der MCF für diesen Zeitraum (etwa 8,5 Monate) wird in Anlehnung an (GIBBS & WOODBURY, 1993) auf 0,1 geschätzt. Da die Gruben zusätzlich regelmäßig zur Entsorgung des Abwassers in der Kläranlage geleert werden und demzufolge keine Sedimentation oder Schlammanreicherung stattfindet, wird davon ausgegangen, dass die verwendeten Werte realistisch bis konservativ einzuschätzen sind. Die beschriebenen Verhältnisse und die Temperaturverteilung im Boden ergeben einen mathematisch gemittelten MCF für Deutschland von 0,173.

Der MCF wird wie folgt ermittelt:

*MCF = (0,35 * 3,5 Monate + 0,1 * 8,5 Monate) / 12 Monate*

0,35 Schätzung von (Gibbs and Woodbury 1993) für Temperaturen > 15° C und 0,1 für Temperaturen < 15° C

Die Emissionen werden folgendermaßen berechnet:

$CH_4 = BSB_{5Jahr} \times B_o \times MCF$

$BSB_{5Y} = P_{Grube} \times BSB_5 \times 365 \times 0{,}001$

Wobei:

MCF	*= Methankorrekturfaktor, 0,173*
B_o	*= Default – max. CH_4 Bildungskapazität, 0,6 kg CH_4 / kg BSB_5*
P_{Grube}	*= an Gruben angeschlossene Personen*
BSB_{5Jahr}	*= BSB_5 in g / Jahr*
BSB_5	*= 60 g / Tag x Person*

Eine Berechnung mit höheren Tiermethoden, wie für Hauptkategorien gefordert, ist nicht möglich, da die Stoffströme der abflusslosen Gruben nicht separat erfasst werden.

7.5.1.1.3 Unsicherheit und Zeitreihenkonsistenz (5.D.1 Abwasserbehandlung)

Der MCF-Wert wurde an die klimatischen Verhältnisse (langjährige mittlere Bodentemperatur) in Deutschland angepasst. Die Unsicherheit des Wertes beträgt ± 20 % (Expertenschätzung).

Des Weiteren werden folgende Unsicherheiten verwendet (Expertenschätzungen):

Emissionsfaktor Methan aus Kläranlagen	=	± 25 %
Einwohner mit abflusslosen Gruben	=	± 3 %
BSB_5	=	± 30 %
Bo	=	± 30 %

Die Aktivitätsraten der organischen Fracht in abflusslosen Gruben basieren auf Angaben des Statistischen Bundesamtes (StBA 2015a). Die Anzahl der Einwohner, die nicht an die öffentliche Kanalisation angeschlossen sind und deren Abwasser über abflusslose Gruben entsorgt wird, wird vom Statistischen Bundesamt alle drei Jahre, ohne Angabe von Unsicherheiten, erhoben. Fehlende Jahre werden linear interpoliert, bzw. extrapoliert. Eine alternative Datenquelle existiert nicht. Die Ergebnisse dieser Erhebungen sind, da es sich um eine Totalerhebung handelt, als sehr genau einzustufen.

Bis zum Jahr 1995 wurden die Daten für die alten und neuen Bundesländer getrennt ermittelt, seither wird ein gesamtdeutscher Wert bestimmt. Dies hat aber auf die Zeitreihenkonsistenz keine Auswirkung.

7.5.1.1.4 Kategoriespezifische Qualitätssicherung/ -kontrolle und Verifizierung (5.D.1 Abwasserbehandlung)

Eine allgemeine und kategoriespezifische Qualitätskontrolle und eine Qualitätssicherung durch die Fachseite und durch die Nationale Koordinierungsstelle wurden gemäß den Anforderungen des QSE-Handbuchs bzw. dessen mitgeltenden Unterlagen durchgeführt.

In Deutschland sind, wie oben schon erwähnt (Kapitel 7.5.1.1.1) 0,5 % der Bevölkerung nicht an die Kanalisation angeschlossen und ihr Abwasser wird daher in abflusslosen Gruben gesammelt. Dieser Wert deckt sich recht gut mit den von IPCC (2006 IPCC Guidelines, Vol. 5, Kapitel 6.2.2.3; Tabelle 6.5) für Deutschland vorgeschlagenen Werten für den Anteil der Landbevölkerung (rural population) und dem assoziierten Nutzungsgrad von septischen Systemen. Den Werten von IPCC folgend ergibt sich ein Wert von etwa 1,2% der Bevölkerung, deren Abwasser über septische Systeme geführt wird. Beide Werte liegen in der gleichen Größenordnung und zusätzlich recht nahe bei einander.

7.5.1.1.5 Quellgruppenspezifische Rückrechnungen (5.D.1 Abwasserbehandlung)

Die Daten für 2014/2015 wurden extrapoliert und für 2011 und 2012 interpoliert, da aller 3 Jahre Daten zu den abflusslosen Gruben vom Statistischen Bundesamt (STBA 2015a) veröffentlicht werden.

Der MCF (0,173) wurde an die nationalen klimatischen Begebenheiten angepasst (mittlere durchschnittliche Bodentemperatur in 1m Tiefe). Hieraus ergab sich eine Reduktion der Methanemissionen.

Die Daten zur Faulgasgewinnung und zur Klärschlammverwendung werden jährlich berichtet. Rückfragen bei einigen Abwasserbehandlungsanlagen mit Faulgasgewinnung ergaben, dass die Gasverluste der Anlagen bei 5 % liegen. Sie bestätigen die Angaben des Statistischen Bundesamtes. Dauerhafte Leckagen existieren in den Anlagen nicht. Es gibt Unfallverhütungsvorschriften für faulgasführende Anlagenteile, die auch Untersuchungen auf Dichtigkeit in bestimmten Zeitabständen einschließen (DGUV 1997). Diese Leckagen führen zu einer signifikanten Erhöhung der Methanemissionen auf Kläranlagen mit Faulgasgewinnung. Die erzeugte Faulgasmenge, einschließlich der Leckagen, wird bei der weiteren Verwertung des Klärschlammes eingespart. Weiterhin werden die indirekten Emissionen für die erforderliche

Energieerzeugung und Wärmegewinnung reduziert sich um den Anteil des für diese Zwecke verwendeten Faulgases, das aus biogenen Rohstoffen, dem Klärschlamm, gewonnen wird.

7.5.1.1.6 Geplante Verbesserungen, kategoriespezifisch (5.D.1 Abwasserbehandlung)

Derzeit sind keine Verbesserungen geplant.

Sofern in vorhergehenden Berichterstattungen in diesem Kapitel Verbesserungen benannt wurden, sind diese in Form einer Übersicht unter Kapitel 10.4 Verbesserungen des Inventars, Tabelle 426 zu finden. Sind diese bereits erledigt, sind sie im selben Kapitel in Tabelle 425 abgebildet.

7.5.1.2 Methanemissionen der kommunalen Schlammbehandlung (5.D.1 Schlammbehandlung)

7.5.1.2.1 Beschreibung der Kategorie (5.D.1 Schlammbehandlung)

Die Behandlung von kommunalem Schlamm besteht in aller Regel aus zwei Behandlungsschritten:

- Entwässerung: maschinelle Verfahren (Kammerfilterpresse, Zyklon), Verdunstung in Schlammentwässerungsbecken oder Trockenbeeten
- Stabilisierung: Aerobe Stabilisierung (offenes Becken mit Sauerstoffeinleitung) oder anaerobe Stabilisierung im Faulturm;
- (Früher: Offene Schlammfaulung)

Bezogen auf die Einwohnerwerte stellt die maschinelle *Entwässerung* vor bzw. nach Behandlung im Faulturm derzeit das überwiegende Behandlungsverfahren dar (Ausnahme: kleine ländliche Kläranlagen). Dazu kommt, dass der Schlamm vor der weiteren Verwendung noch stabilisiert wird.

Die Schlammstabilisierung erfolgt, um eine unkontrollierte Faulung zu verhindern. Bei Anlagen <10.000 EW erfolgt diese in der Regel aerob unter Energieverbrauch, bei Anlagen > 30.000 EW hingegen erfolgt sie in der Regel anaerob unter Gewinn von Faulgas. 2015 wurde in 1252 Abwasserbehandlungsanlagen Faulgas gewonnen. Die Menge an Faulgas hängt insbesondere von der Zusammensetzung des Schlamms, der Temperatur sowie den Reaktionsbedingungen ab. Das entstehende Gas wird in der Regel energetisch in Blockheizkraftwerken (BHKW) genutzt und unter 1.A.1 berichtet. Bei Anlagen, für die die energetische Nutzung nicht wirtschaftlich ist, sowie bei technischen Störungen oder Überlastungen des BHKW, kann es jedoch zu einer Abfackelung des Faulgases kommen. Weitere Verluste entstehen z.B. auch bei Wartungsarbeiten, bei denen Gasleitungen entleert werden bzw. aus Gaslecken. Eine weitere Spezifikation der Verluste sieht die Novelle des Energiestatistikgesetzes (EnStatG) nicht vor. Dabei gelangen Methanemissionen im nicht nennenswertem Umfang in die Umwelt (≤ 5%) (StBA, 2016a, 2016b) (StBA 2016 c). Die Angaben wurden bei einer durchgeführten Recherche zu Verlusten in Abwasserbehandlungsanlagen bestätigt. Es müssen jährlich auf den Anlagen Dichtigkeitsprüfungen durchgeführt werden.

Bis Anfang der 90er Jahre wurde jedoch in den neuen Bundesländern zur Schlammstabilisierung offene Schlammfaulung betrieben, die zur Emission von Methan führte. Die offene Schlammfaulung hat aber heutzutage keine Relevanz mehr. Sie wurde schrittweise reduziert und 1994 eingestellt.

Die Emissionen der offenen Schlammfaulung sind jedoch auch heute noch der Grund, weshalb in den CRF unter diesem Punkt NO berichtet wird, anstelle von IE (für die energetische Nutzung

unter 1.A.1 – siehe oben), denn bis einschließlich 1993 gab es diese Technik und die damit verbundenen Emissionen. Heutzutage gibt es sie in Deutschland nicht mehr – deshalb NO.

Der bei der Abwasserbehandlung entstehende Sekundär- (Überschussschlamm) sowie der Primärschlamm werden gemeinsam im Faulturm anaerob behandelt (ausgefault; siehe oben) und damit anaerob stabilisiert. Dabei entsteht Faulschlamm, der nach weiterer Aufbereitung die Abwasserbehandlungsanlage als Klärschlamm verlässt. Mit diesem Verfahren ist sichergestellt, dass der Klärschlamm keine leicht biologisch abbaubaren Stoffe mehr enthält.

Der Klärschlamm sowie das behandelte Abwasser sind die Endprodukte der Abwasserbehandlung.

Der nach der biologischen Abwasserbehandlung anfallende Klärschlamm wird in Deutschland (ggf. nach der Entwässerung und Stabilisierung) den folgenden Entsorgungswegen zugeführt:

- Thermische Entsorgung: Es entstehen keine Methanemissionen. Die thermische Entsorgung erfolgt unter energetischer Nutzung und geht daher in CRF 1 ein.
- Stoffliche Verwertung: Zur stofflichen Verwertung des Klärschlamms zählen insbesondere die Verwertung in der Landwirtschaft laut Klärschlammverordnung sowie Nutzung bei landschaftsbaulichen Maßnahmen und Sonstigem. Die Emissionen der stofflichen Verwertung werden nicht unter der Abwasser- und Schlammbehandlung berichtet.

Tabelle 406: Verwertung von Klärschlamm

Klärschlamm	t Trockenmasse			
	2011	2012	2013	2014
Gesamtmenge (t TM)	1.950.126	1.846.441	1.787.871	1.809.166
Thermische Entsorgung	*1.067.431*	*1.008.830*	*1.034.771*	*1.084.108*
- Monoverbrennung			230.581	431.286
- Mitverbrennung			250.326	400.115
- unbekannt			553.864	252.707
Deponie		0	0	*0*
Stoffliche Verwertung	882.695	837.611	748.868	722.416
- Landwirtschaft	567.187	544.065	484.464	470.882
- Landschaftsbauliche Maßnahmen	254.402	235.439	203.712	216.148
- Kompostierung		0	0	
- Sonstiges	61.106	58.107	60.692	35.386
sonstige direkte Entsorgung			4.232	2.642

Quelle: (StBA 2016 d, e)

Die Aktivitätsraten der Klärschlammverwertung basieren auf Angaben des Statistischen Bundesamtes. (StBA 2016d) Dieser Bericht erscheint 3-jährlich. Für die Zwischenjahre wird auf die Veröffentlichung „Wasserwirtschaft Öffentliche Abwasserentsorgung Klärschlammentsorgung aus der biologischen Abwasserbehandlung“ (Statistisches Bundesamt, jährlich StBA 2016e) zurückgegriffen. Für die Zeit vor 1998 und die Jahre 1999-2000, 2002-2003 sowie 2005 existieren keine Daten. Eine Interpolation ist nicht möglich, da eine Summenbildung auf 100% aufgrund einer statistischen Umstellung ab 2007 nicht möglich ist (Wiechmann et al., 2013). Zahlen für das aktuelle Inventarjahr liegen zurzeit nicht vor. Für 2013 berichtete das Statistische Bundesamt zum ersten Mal unter „Stofflicher Verwertung“ „sonstige direkte Entsorgung“ [174].

[174] Hierzu zählt auch die Abgabe an Trocknungsanlagen, wenn die weitere Entsorgung nicht bekannt ist. 2013 zum ersten Mal ausgewiesen

Die Aktivitätsraten der Klärschlammverwertung für die Jahre vor 2011 können im NIR 2015 nachgeschlagen werden.

7.5.1.2.2 Methodische Aspekte (5.D.1 Schlammbehandlung)

7.5.1.2.2.1 Faulgas

Wie oben beschrieben, wird das bei der Faulung entstehende Faulgas gefasst und zur Energieerzeugung verwendet. Der Gehalt an Methan im Faulgas beträgt annähernd 65 % (Schön et al., 1993). Für 2015 ermittelte das Statistische Bundesamt (StBa 2016f) einen durchschnittlichen Methangehalt von 63,15 % für Klärgas. Die Ermittlung der Methanmenge im Rohgasvolumen (StBa 2016f) erfolgt auf folgende Weise:

$$M_{Methan} = V_{Rohgas} \times 0{,}65 \times \sigma \times 0{,}000001$$

Wobei:

M_{Methan} = Masse erzeugtes Methan bei der Faulung (kt)
V_{Rohgas} = Volumen erzeugtes Faulgas (m3)
0,65 = Umrechnungsfaktor Gehalt Methan im Faulgas
σ = Dichte Methan (0,717 kg/m3) (v.Vogel & Synowietz, 1974)

7.5.1.2.2.2 Fackel (Verluste)

Bei der Gasfassung kann es bei technischen Schwierigkeiten, Havarien und dergleichen zu Fackelverlusten kommen, da für solche Fälle aus Sicherheitsaspekten eine Abfackelung vorgesehen ist. Gasfackeln sind ausschließlich als Notfackeln im Einsatz, z.B. auch für den Fall, dass Wartungsarbeiten am BHKW vorgenommen werden müssen. Die Gasfackeln werden so ausgelegt, dass sie im Notfall das gesamte anfallende Gas verbrennen können. Gasfackeln sind mit einer automatischen Zündung ausgerüstet, um in Störfällen sicher das anfallende Gas zu verbrennen.

7.5.1.2.2.3 Offene Schlammfaulung

Für die offene Schlammfaulung in den neuen Bundeländern wird ein Emissionsfaktor von 210 kg CH_4/t TS angesetzt, basierend auf Ergebnissen der Studie (Schön et al., 1993)[175]. Die Aktivitätsraten für die Jahre 1990 bis 1992 wurden dem Umweltbundesamt persönlich durch den damaligen Hauptinspekteur der Wasseraufbereitungsbetriebe der DDR mitgeteilt

Vor dem Hintergrund, dass in der Bundesrepublik Deutschland die offene Schlammfaulung verboten ist, wurde diese Art der Behandlung in den neuen Bundesländern schrittweise zurückgeführt und ab dem Jahr 1994 eingestellt.

Die oben beschriebenen Daten für die Jahre 1990-1994 sind in tabellarischer Form letztmalig im NIR 2015 aufgeführt.

7.5.1.2.3 Unsicherheiten und Zeitreihenkonsistenz (5.D.1 Schlammbehandlung)

7.5.1.2.3.1 Faulgas

Die Unsicherheiten bei der Ermittlung und Berechnung der Methanmenge werden wie folgt eingeschätzt (Expertenschätzung):

Erzeugtes Faulgasvolumen = ± 5 %

175 Der Emissionsfaktor wurde ermittelt, indem die Differenz aus den Methanemissionen der psychrophilen Schlammstabilisierung in den neuen Bundesländern und der anfallenden Klärschlammenge gebildet worden ist.

Unsicherheiten liegen in der Messungenauigkeit der Messgeräte begründet

Methangehalt im Faulgas = ± 15 %

variiert mit der Zusammensetzung des jeweiligen Abwassers und damit des Schlammes

Dichte = ± 30 %

die Angaben zur Dichte von Methan in der Literatur variieren (abhängig von Temperatur usw.)

Die Angabe der erzeugten Faulgasmenge beruht auf Angaben des statistischen Bundesamtes. Die Zeitreihen sind in sich konsistent. Die Erhebungen erfolgen jährlich. Die Ergebnisse dieser Erhebungen sind als genau einzustufen.

7.5.1.2.3.2 Offene Schlammfaulung

Die Unsicherheiten der offenen Schlammfaulung wurden bislang noch nicht abgeschätzt, weshalb auf die Default-Werte (Konservative Faktoren) der UNFCCC Decision 20/CMP.1 (S. 39ff) zurückgegriffen wird. Die Aktivitätsraten zwischen 1990 und 1992 basieren auf einer persönlichen Mitteilung, die für 1993 hingegen auf einer Abschätzung des Umweltbundesamtes. Daher ist eine hohe Konsistenz der Zeitreihe nicht gesichert.

7.5.1.2.4 Kategoriespezifische Qualitätssicherung/-kontrolle und Verifizierung (5.D.1 Schlammbehandlung)

Eine allgemeine und kategoriespezifische Qualitätskontrolle und eine Qualitätssicherung durch die Fachseite und durch die Nationale Koordinierungsstelle wurden gemäß den Anforderungen des QSE-Handbuchs bzw. dessen mitgeltenden Unterlagen durchgeführt.

Vergleichbare Emissionsdaten für Deutschland oder Daten zur Methangewinnung aus Kläranlagen sind nicht bekannt.

7.5.1.2.5 Quellgruppenspezifische Rückrechnungen (5.D.1 Schlammbehandlung)

Rückrechnungen sind nicht erforderlich.

7.5.1.2.6 Geplante Verbesserungen, kategoriespezifisch (5.D.1 Schlammbehandlung)

Zurzeit erscheinen Verbesserungen als nicht notwendig oder möglich, da keine weiteren Aktivitätsdaten zu erhalten sind.

Sofern in vorhergehenden Berichterstattungen in diesem Kapitel Verbesserungen benannt wurden, sind diese in Form einer Übersicht unter Kapitel 10.4 Verbesserungen des Inventars, Tabelle 426 zu finden. Sind diese bereits erledigt, sind sie im selben Kapitel in Tabelle 425 abgebildet.

7.5.1.3 Lachgasemissionen aus dem kommunalen Abwasser (5.D.1 Lachgas kommunal)

7.5.1.3.1 Beschreibung der Kategorie (5.D.1 Lachgas kommunal)

Kommunales Abwasser enthält eine Vielzahl Stickstoffverbindungen. Im Verlauf bakterieller Abbauprozesse wird ein Teil des organisch verfügbaren Stickstoffs wieder in Biomasse umgewandelt. Um auch den verbleibenden Stickstoff weitestgehend zu eliminieren, werden in Deutschland ergänzend zur biologischen Abwasserbehandlung nahezu alle kommunalen Kläranlagen mit einer zusätzlichen Nitrifikations- und Denitrifikationsstufe betrieben. Bei der Nitrifikation werden unter aeroben Bedingungen die im Abwasser enthaltenen Stickstoffverbindungen in Nitrat und bei der Denitrifikation wird der im Nitrat gebundene Stickstoff zu molekularem Stickstoff und Stickoxiden umgewandelt. Unter ungünstigen Bedingungen (siehe auch Kapitel 7.5.2.2.1) kann dabei auch Lachgas (N_2O) als

Nebenprodukt/Zwischenprodukt bei beiden Prozessen entstehen, wobei die Denitrifikation als Quelle dominiert (2006 IPCC Guidelines, Vol. 5, Kapitel 6.1 Seite 6.8) (direkte Emissionen). Die N-Eliminationsleistung biologischer Kläranlagen liegt in Deutschland für die Jahre 2006-2014 bei rund 81,4 %, (18. - 27. Leistungsvergleich Kommunaler Kläranlagen (DWA 2007-2015)) und nach (UBA 2016) ebenfalls bei 81,2 %. Der nach Abschluss der Abwasserbehandlung im Abwasser verbleibende Stickstoff gelangt in die Gewässer, wo auch mikrobielle Abbauprozesse stattfinden, in deren Verlauf u.a. Lachgas gebildet und emittiert werden kann (indirekte Emissionen).

Für die Ermittlung der Gesamtemissionen an Lachgas, die aus dem kommunalen Abwasser entstehen, werden die direkten Lachgasemissionen (N_2O_{PLANTS}) und indirekten Lachgasemissionen ($N_2O_{Effluent}$) bestimmt. Die Gesamtemission ergibt sich wie folgt:

$$N_2O_{Gesamt} = N_2O_{PLANTS} + N_2O_{Effluent}$$

In den folgenden Kapiteln werden die direkten und indirekten Emissionsquellen für Lachgas betrachtet.

Der Trend der Emissionen war aufgrund des starken Ausbaus der Denitrifikationstechnik in den Abwasserbehandlungsanlagen im Zeitraum von 1990 bis etwa 2001 stark fallend. Ursache hierfür war die Umsetzung der Abwasserverordnung (91/271/EWG, 1991). Die Anfang der 1990´er Jahre die Nährstoffelimination in Kläranlagen zum Stand der Technik erklärte. Mit dem erreichten hohen Niveau dieser Technologie seit etwa 2005 hat sich der Trend der Emissionen als leicht fallend etabliert.

7.5.1.3.2 Methodische Aspekte (5.D.1 Lachgas kommunal)

Direkte Emissionen

Gemäß 2006 IPCC Guidelines müssen direkte Emissionen nur von Ländern berichtet werden, die über fortschrittliche zentrale Abwasserbehandlungsanlagen verfügen. Diese zeichnen sich dadurch aus, dass sie über Nitrifikations- und Denitrifikationsstufen verfügen. Wie eingangs erwähnt entstehen Lachgasemissionen überwiegend bei der Denitrifikation (2006 IPCC Guidelines, Vol. 5, Kapitel 6.1). Aus diesem Grund wird im Folgenden der Grad der Ausstattung der deutschen Kläranlagen mit Denitrifikationstechnologien zur Berechnung herangezogen (T_{Plant}) und nicht der mit Nitrifikationstechnologien. 97 % der Kläranlagen besitzen eine Nitrifikation, 96 % eine Denitrifikation und 97 % eine biologische Stufe (StBA, 2015b). In diesem Jahr verwenden wir für die Berechnung der Lachgasemissionen zentrale Kläranlagen, die mit einer Denitrifikation ausgestattet sin. Die Unterschiede im Ausstattungsgrad sind minimal (ca. 1-2 %).

Gemäß 2006 IPCC Guidelines werden die Lachgasemissionen für zentrale Kläranlagen mit

Denitrifikation wie folgt berechnet:

$$N_2O_{PLANTS} = P \bullet T_{PLANT\ DENI} \bullet F_{IND\text{-}COM} \bullet EF_{PLANT}$$

Wobei:

N_2O_{PLANTS}	=	gesamte jährliche N_2O Emission der Anlagen in kg N_2O/Jahr)
P	=	Bevölkerung
$T_{PLANT\ DENI}$	=	Grad der Nutzung moderner zentraler Kläranlagen mit Denitrifikation in %/100 (d.h. bezogen auf die gesamte Abwasserfracht in Deutschland)
$F_{IND\text{-}COMM}$	=	Anteil des industriellen / kommerziellen, mit dem Abwasser entsorgten Proteins, Default = 1.25
EF_{PLANT}	=	Emissionsfaktor, 3.2 g N_2O/Person x Jahr

Während für den Lachgasemissionsfaktor und den Anteil für industriell und kommerziell entsorgtes Eiweiß ($F_{IND-COMM}$) die IPCC Default-Werte verwendet werden, sind die Zahl der Einwohner (P = Bevölkerung) und auch der Grad der Nutzung moderner zentralisierter Abwasserbehandlungsanlagen mit Denitrifikation ($T_{PLANT\ DENI}$) landesspezifisch ermittelte Werte.

Indirekte Emissionen

Gemäß der in der 2006 IPCC Guidelines vorgeschlagenen Vorgehensweise wird zunächst die Jahresgesamtmenge Stickstoff im Abwasserablauf ermittelt. Dies hat für Länder mit modernen zentralen Kläranlagen unter Berücksichtigung des N_{WWT} zu erfolgen:

$$N_{EFFLUENT} = (P \times Protein \times F_{NPR} \times F_{NON-CON} \times F_{IND-COM}) - N_{SLUDGE} - N_{WWT}$$

(2006 IPCC Guidelines, Vol. 5, Kapitel 6.3.1.3.Gleichung: 6.8)

Wobei:

$N_{EFFLUENT}$	=	Jahresgesamtmenge Stickstoff im Abwasserablauf in kg N/Jahr
P	=	Bevölkerung
Protein	=	Protein-Pro-Kopf -Verbrauch in kg/Person/Jahr
F_{NPR}	=	Stickstoffanteil im Protein, Default = 0.16 kg N/kg Protein
$F_{NON-CON}$	=	Faktor des nicht konsumierten Proteins im Abwasser, Default = 1,1
$F_{IND-COM}$	=	Faktor des industriellen / kommerziellen, mit dem Abwasser entsorgten Proteins, Default = 1.25
N_{SLUDGE}	=	Mit dem Schlamm entfernter Stickstoff, Default = 0 in kg N/Jahr
N_{WWT}	=	Stickstoffanteil, des bei der Abwasserbehandlung entstehenden Lachgases
	=	$N_2O_{\ PLANTS}$ x 28/44 in kg N/Jahr
28/44	=	Umrechnungsfaktor N_2O in N_2

Nach Experteneinschätzung ist diese Formel aber fehlerhaft und allein nicht zielführend, denn sie berücksichtigt nicht die N-Eliminationsleistung der Denitrifikationsstufe in den Kläranlagen. Für die Jahre 2006-2014 liegen Daten zum durchschnittlichen N-Gehalt des Abwassers in Deutschland im Zulauf ($N_{\ Zulauf}$) und Ablauf ($N_{\ Ablauf}$) der deutschen Kläranlagen vor (DWA, 2007-2015). Aus diesen Daten wurde eine durchschnittliche N-Eliminationsleistung der biologischen Kläranlagen in Deutschland von 81,4 % für die genannten Jahre berechnet. Um realistische Ergebnisse zu erzeugen, muss daher die obige Gleichung angepasst werden. Für die Ermittlung von $T_{Plant\ Deni}$ wurden die Kläranlagen mit Denitrifikation herangezogen, um eine Vergleichbarkeit der Daten zu erhalten. Zum einen muss die Eliminationsleistung der Kläranlagen mit Denitrifikation [176]und zum anderen die N-Fracht des Anlagenbestands ohne biologische Behandlung berücksichtigt werden. Der N_{WWT} reicht hierfür nicht aus, denn er berücksichtigt nur den Stickstoffanteil des entstehenden Lachgases (direkte Emissionen), nicht aber den N-Anteil des bei der Denitrifikation entstehenden molekularen Stickstoffs. Der N_{WWT} wird daher aus der Gleichung entfernt. Zusätzlich wird auch der Faktor $N_{\ SLUDGE}$ entfernt, da der von Deutschland verwendete Wert für $N_{\ SLUDGE}$ gleich 0 ist und die Entfernung des Stickstoffs aus dem Schlamm bereits durch $F_{ELIMINATION}$ berücksichtigt ist:

$$N_{EFFLUENT} = (P \times Protein \times F_{NPR} \times F_{NON-CON} \times F_{IND\ COM})$$

Diese Formel gilt für Anlagen ohne Stickstoffelimination.

[176] Es werden nur die Anlagen mit Denitrifikatin betrachtet, da hier die Bildung von Lachgas wahrscheinlicher ist. Der DWA unterscheidet bei seiner Erfassung nicht in einzelne Behandlungsstufen.

Zur Berechnung der N-Fracht ($N_{EFFLUENT\ mit}$) im Ablauf von Anlagen mit Stickstoffelimination wird nun ein Eliminationsfaktor $F_{ELIMINATION}$ eingeführt. Die Formel lautet wie folgt:

$$N_{EFFLUENT\ mit} = (P \times Protein \times F_{NPR} \times F_{NON-CON} \times F_{IND-COM}) \times (1 - F_{ELIMINATION}) \times T_{PLANT\ Deni.}$$

Wobei:

$F_{ELIMINATION}$ = Faktor für die Eliminationsleistung von Stickstoff in Abwasserbehandlungsanlagen = N Ablauf / N Zulauf 81,4 / 100 (DWA 2007-20015)

$T_{PLANT\ Deni}$ = Grad der Nutzung moderner zentraler Kläranlagen in %/100 (d.h. bezogen auf die gesamte Abwasserfracht in Deutschland)

$N_{EFFLUENT\ mit}$ = N-Fracht im Ablauf von Kläranlagen

$N_{EFFLUENT\ ohne}$ = N-Fracht im Ablauf von Kläranlagen

Die N-Fracht ($N_{EFFLUENT\ ohne}$) im Ablauf von Kläranlagen ohne biologische Behandlung wird wie folgt berechnet:

$$N_{EFFLUENT\ ohne} = (P \times Protein \times F_{NPR} \times F_{NON-CON} \times F_{IND-COM}) \times (1 - T_{PLANT\ Deni.})$$

Im Anschluss werden die Stickstofffrachten im Abwasserablauf für Kläranlagen mit Denitrifikation und für Kläranlagen ohne biologische Behandlung addiert und ergeben die Gesamt N-Fracht im Ablauf aller Kläranlagen:

$$N_{EFFLUENT} = N_{EFFLUENT\ mit} + N_{EFFLUENT\ ohne}$$

$$= (P \times Protein \times F_{NPR} \times F_{NON-CON} \times F_{IND-COM}) \times (1 - F_{ELIMINATION}) \times T_{PLANT\ Deni.} + (P \times Protein \times F_{NPR} \times F_{NON-CON} \times F_{IND-COM}) \times (1 - T_{PLANT\ Deni.})$$

Das Ergebnis des oben beschriebenen Vorgehens konnte durch Heranziehung alternativer Daten (DWA, 2007-2014, 2007-2015; UBA, 2014) verifiziert werden und erscheint damit korrekt (siehe Kapitel 7.5.1.3.6).

Für den Lachgasemissionsfaktor, den Stickstoffanteil im Eiweiß, den Anteil für nichtkonsumiertes Eiweiß ($F_{NON-CON}$) und auch für industriell und kommerziell abgeleitetes Eiweiß ($F_{IND-COMM}$) werden die IPCC Default-Werte verwendet. Für die durchschnittliche Pro-Kopf Eiweißzufuhr sowie die Zahl der Einwohner werden landesspezifisch ermittelte Werte verwendet. Der Wert für nichtkonsumiertes Eiweiß ($F_{NON-CON}$) ist so niedrig, da die Abfallentsorgung über das Abwasser (Küchenabfallzerkleinerer) in Deutschland nicht verbreitet ist. 177.

Seit diesem Jahr verwenden wir nur noch die Daten der Datenbank FAOSTAT (FAO, 2015) für die Ermittlung der durchschnittlichen Eiweißzufuhr pro Person und Tag für den gesamten Berichtszeitraum. Die Daten unterscheiden sich nur marginal von den Daten der Statistical Yearbook.

Die Lachgasemissionen werden gemäß IPCC- wie folgt ermittelt.

$$N_2O_{\ Emissions} = N_{EFFLUENT} \times EF_{EFFLUENT} \times 44/28$$

Wobei:

$N_2O_{\ emissions}$ = N_2O Emissionsen in, kg N_2O/Jahr

$N_{EFFLUENT}$ = Stickstoff, der in die aquatische Umwelt ausgetragen wird in kg N/Jahr

177 Es gibt in Deutschland kein nationales Verbot für Küchenabfallzerkleinerer, einzelne Gemeinden verbieten aber Abfälle, auch zerkleinerte, in ihrer Abwasserverordnung. https://de.wikipedia.org/wiki/K%C3%BCchenabfallzerkleinerer 28.07.2016

$EF_{EFFLUENT}$	= Emissionsfaktor für N_2O Emissionen, die ins Abwasser ausgetragen werden in kg N_2O-N/kg N (Default = 0,005)
44/28	= Umrechnungsfaktor von N_2O-N in N_2O

Eine Berechnung mit höheren Tier-Methoden ist aufgrund der Vielzahl an Anlagen nicht möglich. Zudem werden die Stoffströme der Kläranlagen vom Statistischen Bundesamt nicht separat ausgewiesen.

7.5.1.3.3 Unsicherheit und Zeitreihenkonsistenz (5.D.1 Lachgas kommunal)

Es werden folgende Unsicherheiten verwendet (alle Expertenschätzung):

P (Bevölkerungszahlen)	=	± 5 %
$T_{PLANT\ DENI}$ (Kläranlagen mit Denitrifikation)	=	± 5 %
$F_{IND\text{-}COMM}$	=	± 25 %
Protein	=	± 15 %

Die Aktivitätsraten basieren auf Angaben des Statistischen Bundesamtes. Die Bevölkerungszahl in Deutschland wird jährlich, die Menge des in Abwasserbehandlungsanlagen mit Denitrifikation behandelten Abwassers alle drei Jahre, ohne Angabe von Unsicherheiten, erhoben. Die Ergebnisse der Erhebungen sind, da es sich um eine Totalerhebung handelt, als sehr genau einzustufen. Werte für die Jahre vor 1998 wurden extrapoliert und sind plausibel, da mit Beginn der 1990er Jahre in Deutschland die Stickstoffelimination in Kläranlagen ausgebaut wurde. Die Jahre nach 2013 wurden fortgeschrieben. Alle sonstigen fehlenden Daten wurden linear interpoliert.

Die Unsicherheiten für den EF_{Plant} werden Tabelle 6.11 (2006 IPCC Guidelines, Vol. 5, Kapitel 6.3.3) entnommen und liegen bei - 37,5 % und + 150 %. Dieser Wert erscheint aus Expertensicht plausibel zu sein.

Für die durchschnittliche N-Eliminationsleistung der deutschen Kläranlagen wird die Unsicherheit auf ± 5 % geschätzt.

Die Aktivitätsraten für 1990 – 2011 der Datenbank FAOSTAT entnommen. Fehlende Werte wurden wie unter Kapitel 7.5.1.3.2 beschrieben extrapoliert oder durch Bildung des arithmetischen Mittels berechnet.

Es wurde der durchschnittliche tägliche Proteinbedarf der FAO-Datenbasis für die Berechnungen zugrunde gelegt, damit die Zeitreihenkonsistenz gesichert ist und nicht eine Hochrechnung von Einzelwerten erfolgen muss. Es wird von einer Unsicherheit von ± 20 % ausgegangen (Expertenschätzung).

Der Anteil an Stickstoff im Eiweiß (F_{NPR}) beträgt im Mittel 16 % ± 1%. Dieser Wert bezieht sich auf Rinderserumalbumin (Bovine serum albumin) als Standardprotein. Die Unsicherheit läge entsprechend der oben genannten Standardabweichung (± 1%) bei rund ± 6 % (bezogen auf den 16%-Anteil), wird aber auf insgesamt ± 7 % geschätzt, da im Abwasser ein breiteres Eiweißspektrum enthalten ist (Expertenschätzung).

Des Weiteren werden folgende Unsicherheiten verwendet (alle Expertenschätzung)

$F_{NON\text{-}CON}$, = ± 30 %

$F_{IND\text{-}COM}$ = ± 25 %

Die Unsicherheiten für den $EF_{EFFLUENT}$ werden Tabelle 6.11 (2006 IPCC Guidelines, Vol. 5, Kapitel 6.3.3) entnommen.

7.5.1.3.4 Quellgruppenspezifische Qualitätssicherung/ -kontrolle und Verifizierung (5.D.1 Lachgas kommunal)

Eine allgemeine und kategoriespezifische Qualitätskontrolle und eine Qualitätssicherung durch die Fachseite und durch die Nationale Koordinierungsstelle wurden gemäß den Anforderungen des QSE-Handbuchs bzw. dessen mitgeltenden Unterlagen durchgeführt.

Die Verifikation der mittels $F_{ELIMINATION}$ angepassten Formel zur Ermittlung des N-Ablauf in das Gewässer erfolgte mit den im Leistungsvergleich kommunaler Abwasserbehandlungsanlagen veröffentlichten Durchschnittswerten für die N-Einleitung in Gewässer (DWA, 2007-2015). Derzeit liegen Ergebnisse für die Jahre 2006-2014 vor. Die Berechnung bzw. Erhebung erfolgte unabhängig voneinander. In Tabelle 8 werden die Ergebnisse der Berechnungen des $N_{Effluent}$ (indirekte Emissionen) nach IPCC 2006 Methode, nach der angepassten IPCC Methode (Stickstoffeliminationsfaktor $F_{Elimination}$), nach der Berichterstattung der Bundesregierung an die EU gemäß 91/271/EWG (UBA 2016), nach den vom DWA erfassten Messergebnissen. zusätzlich eine Betrachtung der DWA-Daten bei Verwendung von Aktivitätsdaten des Statistischen Bundesamtes dargestellt.

Tabelle 407: Vergleich NEFFLUENT (indirekte Emissionen) nach IPCC Guidelines 2006, modifizierte IPCC 2006, DWA und (UBA, 2014); (kt N/Jahr)

	2006	2007	2008	2009	2010	2011	2012	2013	2014	2015
Nach IPCC 2006										
$N_{EFFLUENT}$	654,2	653,4	671,4	669,8	676	664,2	665,8	667,8	671,4	680,3
Angepasste MethodeIPCC 2006										
$N_{EFFLUENT}$	137,4	135,4	138,4	137,4	137,9	135,5	135,9	136,3	137	142,5
Auf Basis DWA ermittelte Gehalte im Effluenten										
$N_{EFFLUENT}$[1]	71,5	86,1	86,5	82,7	87	77,9	79,1	81,7	72,8	72,3
$N_{EFFLUENT}$[2]	80,8	90,6	95,4	95,1	92,9	90,9	89,9	89,9	88	95,7
Auf Basis von (UBA 2016)										
$N_{EFFLUENT}$			87,3		82,6		83,1		75,1	

Die N-Fracht im Effluenten ($N_{EFFLUENT}$) nach der modifizierten Methode liegt deutlich unter den nach der IPCC-Methode ermittelten Werten. Die alternativ berechneten Werte werden dadurch bestätigt, dass die Ergebnisse in der gleichen Größenordnung wie die ermittelten Werte der DWA liegen. Ergänzend wurden die von DWA ermittelten durchschnittlichen N-Gehalte im Ablauf mit den Daten des Statistischen Bundesamtes zur Jahresabwassermenge verrechnet, wobei sich eine recht nahe Übereinstimmung ergibt. Die Daten stimmen sehr gut mit denen der Berichterstattung der Bundesregierung an die EU gemäß 91/271/EWG (UBA 2015) überein. Die bestehende etwas deutlichere Abweichung zur angepassten IPCC-Methode lässt sich auf den verwendeten IPCC-Default-Emissionsfaktor zurückführen, der im Lichte dieser Verifikation als zu hoch eingeschätzt werden muss. Dennoch liegt er mit einer wahrscheinlichen Überschätzung der realen N-Fracht im Ablauf und der damit möglichen N_2O-Emissionen im Bereich der Unsicherheiten.

Alternative Datenquellen für die durchschnittliche Eiweißzufuhr pro Person und Tag sind:

- In der Lebensmitteltabelle für die Praxis von 1991 (Senser & Scherz, 1991) wird eine durchschnittliche Eiweißzufuhr von 94 g/ Einwohner und Tag angegeben.

- Im Ernährungsbericht der Deutschen Gesellschaft für Ernährung (DGE, 2008)[178] wurde anhand der geschätzten Lebensmittelverzehrdaten für das Jahr 2005 / 2006 u.a. die mittlere tägliche Zufuhr an Proteinen abgeschätzt. Aus diesen Daten konnte ein gemittelter Wert von ca. 79 g Eiweiß/ Person und Tag[179] abgeleitet werden.

Zur Bestimmung der N2O-Emissionen des Abwassers wird seit diesem Jahr auf die FAOSTAT-Datenbank (FAO, 2015) zurückgegriffen, da es sich hierbei um eine konsistente Zeitreihe handelt. Sie ist international vergleichbar und wird regelmäßig aktualisiert. Zudem erklärte die FAO, dass die bisherigen FAO-Veröffentlichungen ersetzt werden. Es liegen dem Umweltbundesamt keine Hinweise vor, dass die länderspezifischen Werte der Lebensmitteltabelle sowie des Ernährungsberichtes 2008 eine höhere Genauigkeit bzw. nationale Akzeptanz aufweisen. Darüber hinaus wird in vielen Ländern auf die Datenbasis der FAO zurückgegriffen, so dass die Emissionsermittlung in Deutschland international vergleichbar ist. Der angenommene tägliche Eiweißbedarf liegt im europäischen Vergleich im Mittelfeld. Die Daten der FAO berücksichtigen nicht den Eiweißanteil, der beim Gebrauch entsorgt wird (FNON –CON) und der nicht verzehrt, sondern entsorgt wird. Der WWF (WWF, 2015) geht bei Fleisch, Eiern und Milch von Konsumverlusten von bis zu 16 % aus.

Die von der FAO verwendeten Daten zum Eiweißkonsum werden auf der Basis von Produktionsdaten (Lieferant Statistischen Bundesamt) und Handelsdaten (EUROSTAT) nach der abgeleitet (FAO 2016). Hierbei werden fünf verschiedene, entlang der Wertschöpfungskette einander nachgelagerte Einbußen abgedeckt und untersucht, wie Ernte-, Nachernte-, Prozess-, Verteilungs- und Konsumverluste (WWF, 2015).

7.5.1.3.5 Quellgruppenspezifische Rückrechnungen (5.D.1 Lachgas kommunal)

Änderungen gegenüber dem Vorjahr ergeben sich zum einen aus den aktualisierten Angaben zum Anteil der Kläranlagen mit Denitrifikationsstufe und zu anderen aus der Hinzunahme der statistischen Daten der FAO für den Eiweißkonsum. Während die Anpassung von Tplant-biol nur recht geringe Auswirkungen am Ende der Zeitreihe (2011-2015) hat, errechnen sich mit den neuen Daten der FAO umfängliche Differenzen über den gesamten Zeitraum von 1990 bis 2015. Dabei sind die Basisjahremission etwas niedriger als in der letzten Berichterstattung, während die aktuellen Jahre leicht höher liegen; der Trend ist also geringer ausgeprägt als zuvor angenommen.

7.5.1.3.6 Geplante Verbesserungen, kategoriespezifisch (5.D.1 Lachgas kommunal)

Derzeit sind keine Verbesserungen geplant.

Sofern in vorhergehenden Berichterstattungen in diesem Kapitel Verbesserungen benannt wurden, sind diese in Form einer Übersicht unter Kapitel 10.4 Verbesserungen des Inventars, Tabelle 426 zu finden. Sind diese bereits erledigt, sind sie im selben Kapitel in Tabelle 425 abgebildet.

[178] Der Ernährungsbericht wird im vierjährigen Rhythmus herausgegeben.
[179] Der Wert wurde ermittelt mit der groben Abschätzung, dass es sich jeweils um 50% Männer (90,8 g/Tag) und Frauen (66,7 g/Tag) in Deutschland handelt.

7.5.2 Industrielle Abwasserbehandlung (5.D.2)

7.5.2.1.1 Beschreibung der Kategorie (5.D.2)

Gas	Angewandte Methode	Quelle der Aktivitätsdaten	genutzte Emissionsfaktoren
CO_2	NA	NA	NA
CH_4	CS	NS	CS
N_2O	CS	NS	CS

Die Emissionen der industriellen Abwasserbehandlung sind nur wegen der Aggregierung mit der kommunalen Abwasserbehandlung (5.D.1) eine Hauptkategorie.

Die hier berichteten CH_4-Emissionen beziehen sich gemäß IPCC 2006 ausschließlich auf den Teil des Abwassers, der in industriellen Abwasserbehandlungsanlagen behandelt wird. Der Teil des industriellen Abwassers, der kommunalen Anlagen zugeleitet wird, wird unter 5.D.1 (Kommunale Abwasserbehandlung) durch einen Aufschlag von 25 Prozent mitberücksichtigt.

Die Grundlagen für die Berechnungen für CH_4 aus der industriellen Abwasserbehandlung werden im zugrunde liegenden Forschungsbericht (AUSTERMANN-HAUN 2014) ausführlich beschrieben.

Die biologische Stufe der industriellen Abwasserbehandlung wird in Deutschland teils aerob teils anaerob durchgeführt. Ähnlich wie bei der aeroben Behandlung kommunaler Abwässer treten auch bei der aeroben industriellen Abwasserbehandlung keine Methanemissionen auf. Beim anaeroben Abbau der organischen Abwasserinhaltsstoffe hingegen entsteht Faulgas, welches größtenteils aus CO_2 und CH_4 besteht.

In Deutschland werden heutzutage Industrieabwässer in vielen Branchen, vor allem in der Lebensmittelindustrie, anaerob behandelt. Daten zur Anlagentechnik werden in Deutschland nicht systematisch erhoben. Eine Auswertung von (Austermann-Haun & Witte)((2014)) ergibt allerdings, dass derzeit in Deutschland 184 Anaerobanlagen bei 136 Betrieben in 26 Wirtschaftszweigen von der Gemüseverarbeitung über Zucker- und Papierherstellung bis hin zur Herstellung von Reinigungsmitteln in Betrieb sind. Die größten CSB-Frachten, die anaerob behandelt werden, stammen aus der Papier- und Zellstoffherstellung, der Zuckerherstellung und aus den Brauereien.

Zur anaeroben Industrieabwasserbehandlung kommen vor allen Dingen Schlammbettreaktoren (UASB- und EGSB-Reaktoren) sowie das anaerobe Belebungsverfahren zum Einsatz. Alle Anlagen verfügen vorschriftsgemäß über eine Gasfackel mit automatischer Zündung. Lediglich ein einziger (relativ kleiner) Betrieb der Zuckerherstellung behandelt sein Abwasser in anaeroben Teichen.

Das entstehende Faulgas wird nahezu vollständig gefasst, im Betrieb verfeuert und substituiert somit Stadtgas oder es wird zur Stromerzeugung verwendet. Die energetische Nutzung wird unter CRF 1.A.1 berichtet. Die vom Statistischen Bundesamt veröffentlichten Daten zur Klärgasmenge beinhalten sowohl das in dieser Kategorie entstehende Faulgas, als auch das der kommunalen Anlagen.

Für Deutschland existieren daher lediglich die CH_4-Emissionen, die durch ungewollte Verluste entstehen. Diese ungewollten Verluste können sein:

- CH_4, welches im Ablauf der Methanreaktoren in der Flüssigphase enthalten ist (dies ist vor allem temperaturabhängig),
- Verluste in Gasspeichern,
- Verluste über den abgezogenen Schlamm in Pelletspeichern,
- Gas, welches in einer nicht belüfteten Teichanlage entsteht,
- Gas, welches in Versäuerungsreaktoren entsteht,
- Gas, welches in Abwasserteichen der Zuckerindustrie entsteht,

- Verluste aus Leckagen/Störfällen/Fackelverlusten.

Gasfackeln sind ausschließlich als Notfackeln im Einsatz, für den Fall, dass beispielsweise Wartungsarbeiten am BHKW vorgenommen werden müssen. Die Gasfackeln werden so ausgelegt, dass sie im Notfall das gesamte anfallende Gas verbrennen können. Die Gasmenge, die über die Gasfackeln geht, wird nicht erfasst. Die Fackeln werden als Notfackeln verwendet, die verbrannte Gasmenge liegt in diesem Anwendungsbereich nahe Null. Gasfackeln sind mit einer automatischen Zündung ausgerüstet, um in Störfällen sicher das anfallende Gas zu verbrennen. Während der Anfahr- und Abfahrphase von Vergärungsanlagen wird das entstehende Methan auf Grund zu geringer Methankonzentrationen auch über die Gasfackeln verbrannt, bei Kampagnenbetrieben also jeweils zum Kampagnenbeginn und -ende. Methanemissionen aus Gasfackeln werden in Fachkreisen mit Null bewertet.

Störfälle, die mit Gasverlusten einhergehen, sind nach Expertenschätzung (AUSTERMANN-HAUN 2014) in den letzten Jahrzehnten auf dem Gebiet der anaeroben Industrieabwasserbehandlung zweimal in Form von Undichtigkeiten des Methanreaktors im Gasraum aufgetreten. Wegen der mit Leckagen verbundenen Gerüche, werden Leckagen schnell gesucht, gefunden und beseitigt. Im Jahr 1992 wurde durch Geruchsprobleme auf der Kläranlage ein Leck in der GFK-Abdeckung (GFK; Glasfaserverstärkter Kunststoff; glass-fibre reinforced plastic) des Methanreaktors gefunden. Ein zweiter Fall einer Undichtigkeit trat 2013 auf im Dach eines Methanreaktors aus Stahl. Aufgrund der wenigen Störfälle (2 in 30 Jahren bei Betrieb von nunmehr 184 Methanreaktoren), werden die Methanemissionen aus Störfällen als vernachlässigbar eingestuft.

Andere Störfälle, die z.B. zu einer Hemmung der Methanbakterien führen, führen zu keinen Methanemissionen.

7.5.2.1.2 Methodische Aspekte (5.D.2)

Die gewählte Berechnungsmethode entspricht Tier 2.

Für 20 der 26 relevanten Wirtschaftszweige wurde gemäß folgender Formel (2006 IPCC Guidelines, Vol. 5, Kapitel 6.2.3.3, Gleichung 6.6) die CSB-Jahresfracht des Wirtschaftszweigs errechnet. Hierzu wurde für jeden Wirtschaftszweig die Produktionsmenge des Jahres 2013 sowie der spezifische Abwasseranfall aus der Bundesstatistik (STATISTISCHES BUNDESAMT, Fachserie 4 Reihe 3.1) ermittelt und mit dem im Forschungsbericht benannten spezifischen CSB-Gehalt des Rohabwassers verrechnet. Von 6 Wirtschaftszweigen waren in der Literatur keine Daten zum spezifischen Abwasseranfall verfügbar, daher konnte dort nicht die CSB-Jahresfracht errechnet werden.

$$TOW_i = P_i \cdot W_i \cdot COD_i$$

mit

TOW_i	= gesamte organisch abbaubare Substanz im Abwasser des Wirtschaftszweigs i (CSB-Jahresfracht), kg CSB/a (total organically degradable material in wastewater for industry i, kg COD/yr)
i	= Wirtschaftszweig (industrial sector)
P_i	= gesamte jährliche Produktionsmenge im Wirtschaftszweig i, t/a (total industrial product for industrial sector i, t/yr)
W_i	= spez. Abwasseranfall im Wirtschaftszweig i, m³/t (wastewater generated, $m^3/t_{product}$)
COD_i	= chemischer Sauerstoffbedarf, kg CSB/m³ (chemical oxygen demand (industrial degradable organic component in wastewater), kg COD/m³)

Da es gute Praxis ist, mit länderspezifischen Daten zu rechnen und für Deutschland spezifische Daten vorliegen, wird für die Kalkulation der gesamten Methan-Emissionen vom Berechnungsansatz des IPCC (2006 IPCC Guidelines, Vol. 5, Kapitel 6.2.3.1, Gleichung 6.4) abgewichen und ein eigener Ansatz erarbeitet. Die gesamten Methan-Emissionen aus der Industrieabwasserreinigung errechnen sich nach folgender Formel.

$$CH_4\ Emissions = \sum_i \left[\left(TOW_i \cdot \omega_{ANR,i} \cdot \omega_{CSB,i} \cdot EF_{CH4,gelöst,i}\right) + E_{CH4,GS,i} + E_{CH4,PS,i} + E_{CH4,AT,i}\right]$$

mit:

$CH_4\ Emissions$	= CH_4-Emissionen im Inventarjahr in kg CH_4/a
TOW_i	= gesamte organisch abbaubare Substanz im Abwasser des Wirtschaftszweigs i (CSB-Jahresfracht), kg CSB/a
i	= Wirtschaftszweig
$\omega_{ANR,i}$	= prozentualer Anteil an der anaeroben Reinigung im Wirtschaftszweig i
$\omega_{CSB,i}$	= CSB-Abbaugrad in der anaeroben Reinigung im Wirtschaftszweig i
$EF_{CH4,gelöst,i}$	= Emissionsfaktor für das im Wasser gelöste CH_4 im Wirtschaftszweig i in kg CH_4/kg $CSB_{eliminiert}$
$E_{CH4,GS,i}$	= CH_4-Emissionen aus den Gasspeichern im Wirtschaftszweig i, in kg CH_4/a
$E_{CH4,PS,i}$	= CH_4-Emissionen aus den Pelletspeichern im Wirtschaftszweig i, in kg CH_4/a
$E_{CH4,AT,i}$	= CH_4-Emissionen aus den Abwasserteichen im Wirtschaftszweig i, in kg CH_4/a

Ein Vergleich der Ergebnisse mit Ergebnissen nach der Methode beschrieben in IPCC 2006 ist nicht sinnvoll möglich, da auf Grund der technischen Realität (siehe „Beschreibung der Quellgruppe“) und der vorliegenden Datensituation nur der gewählte Ansatz durchführbar ist.

Die spezifischen Emissionsfaktoren $EF_{CH4,gelöst,i}$ des in der Wasserphase gelösten Methans errechnen sich auf Grundlage des Henry-Dalton-Gesetzes und werden im Forschungsbericht benannt.

Die Emissionen aus den Gasspeichern haben als Grundlage die zulässigen Leckageraten aus Gasspeichern. Auf dieser Basis wurden pro Gasspeicher CH_4-Emissionen von 20 m^3 CH_4/a errechnet.

Die Emissionen aus den Pelletspeichern (Speicher für den anaeroben granulierten Schlamm) wurden gleich 0 kg CH_4/a gesetzt, da die Emissionen aus diesem Bereich als vernachlässigbar angesehen werden (Expertenschätzung). Ebenso werden die CH_4-Emissionen aus Störfällen zu 0 kg CH_4/a angesetzt.

Auf Grund ungünstiger Methanbildungsbedinungen sind die Methanemissionen aus Versäuerungsreaktoren vernachlässigbar und mit 0 kg CH_4/a angesetzt.

Der Emissionsfaktor aus den Abwasserteichen wurden nach Formel 6.5 und Tabelle 6.8 aus (2006 IPCC Guidelines, Vol. 5, Kapitel 6) ermittelt, wobei für Bo der IPCC Default Wert angenommen wird und der MCF mit 0,2 bei einer Teichtiefe von maximal 2 Metern angesetzt wird.

Die Zeitreihe ab 1990 wurde anhand der Entwicklung der anaeroben Industrieabwasserreinigung im Bezug auf die Kapazitäten zur Behandlung von CSB-Frachten ermittelt. Die gesamte Zeitreihe von 1990 bis 2013 ist im NIR 2015 veröffentlicht. Bis zur nächsten Aktualisierung der Datengrundlage werden die Daten ab 2014 mit einem Wachstum von 2 Prozent pro Jahr unter der Annahme, dass ein moderater Zubau an Anaerobanlagen erfolgen wird, fortgeschrieben (Expertenschätzung). Insgesamt wurden **für das Jahr 2015** Methanemissionen aus der Industrieabwasserreinigung von **1,72 Gg CH_4/a** errechnet. Eine Übersicht über die Zeitreihe ist

in der folgenden Tabelle gegeben. Die dargestellten Prozentwerte geben die Änderungen im Vergleich zum Basisjahr 2013 an. In der Tabelle sind zusätzlich die der Berechnung zu Grunde gelegten CSB Jahresfrachten dargestellt. Hieraus ergibt sich ein impliziter Emissionsfaktor von 1,86 kg CH4/t CSB.

Tabelle 408: Zeitreihe der CH_4-Emissionen aus der Industrieabwasserreinigung

Jahr	Anaerob behandelte CSB-Jahresfrachten [t/a]	Prozentualer Anteil an der CH_4-Emission von 2013	CH_4-Emission [kg CH_4/a]
1990	198.477	22 %	370.087
1995	332.950	37 %	620.829
2000	493.357	56 %	919.931
2005	744.371	84 %	1.387.979
2010	854.374	96 %	1.593.094
2011	881.360	99 %	1.643.412
2012	886.829	100 %	1.653.610
2013	888.757	100 %	1.657.206
2014	906.532	102 %	1.690.350
2015	924.307	104 %	1.723.494

Der TOW der einzelnen betrachteten Unterbranchen ist in AUSTERMANN-HAUN 2014 dokumentiert. Für die Chemische Industrie, die Nahrungsmittelindustrie, sowie die Papier- und Zellstoffindustrie wurde auf Basis eines mittleren CSB-Gehaltes und der absoluten Abwassermenge zusätzlich der Gesamt-TOW ermittelt (Tabelle 409). Allerdings ist der Gesamt-TOW für die Berechnung der CH_4-Emissionen unerheblich, weil diese wie oben beschrieben nach einer länderspezifischen Methode berechnet wurden. Für weitere Branchen konnten keine durchschnittlichen CSB-Mengen ermittelt werden. In den 2006 IPCC Guidelines werden zusätzlich zu bisher berücksichtigten Branchen auch Default Werte für „Organic Chemicals", „Plastic & Resins" sowie „Soap & Detergents" benannt. Unter der Überschrift „Chemische Erzeugnisse" werden in der Abwasserstatistik Erzeugnisse mit dem WZ 2008 Code 20 zusammengefasst. Hierunter fallen auch die organische Chemie (WZ 2008 Code 20.14), Kunststoffe und Harze (Code 20.1) sowie Seife und Reinigungsmittel (Code 20.4). Im Unterschied zu Code 20.4 in welchem Vorprodukte berichtet werden, werden unter Code 22 Kunststoff- und Gummiwaren (Endprodukte) gelistet. Der in IPPC 2006 berichtete Default Wert (2006 IPCC Guidelines, Vol. 5, Kapitel 6) bezieht sich auf die Vorprodukte. Somit enthält die bisherige Berichterstattung bereits die geforderten zusätzlichen Produktkategorien. IPPC 2006 merkt an, dass die Default-Werte mit Vorsicht zu nutzen sind, da sie industrie-, prozess- und landesspezifisch sind.

Tabelle 409: Berechnung des TOW für das Jahr 2015, Direkteinleiter

Industriebereich	Mittlerer CSB [kg/m³]	Abwassermenge (2015) [m³]	TOW (2015) [t CSB/Jahr]
Chemische Industrie	3 [1)]	266.000.000	797.000
Nahrungsmittelindustrie	3 [2)]	64.000.000	193.000
Papier- und Zellstoffindustrie	2 [2)]	204.000.000	407.000

1) Expertenschätzung, angelehnt an 2006 IPCC Guidelines, Vol. 5, Kapitel 6, Table 6.9

2) Expertenschätzung

7.5.2.1.3 Unsicherheiten und Zeitreihenkonsistenz (5.D.2)

Die Unsicherheit der gesamten Methanemissionen wird u.a. aufgrund fehlender Daten für einige Wirtschaftszweige, unterschiedlichen Betriebsdrücken der Methanreaktoren, unterschiedlichen Membranen bei den Gasspeichern und der nicht bekannten Zahl von Gasspeichern mit ± 50 % als Expertenschätzung bewertet.

7.5.2.1.4 Kategoriespezifische Qualitätssicherung/ -kontrolle und Verifizierung (5.D.2)

Eine allgemeine Qualitätskontrolle und eine Qualitätssicherung durch die Fachseite und durch die Nationale Koordinierungsstelle wurden gemäß den Anforderungen des QSE-Handbuchs bzw. dessen mitgeltenden Unterlagen durchgeführt.

Ein Abgleich der Ergebnisse mit Daten aus dem ETS ist nicht möglich, da die beschriebenen Anlagen nicht dem Emissionshandel unterliegen. Hierzu wurden Länder mit ähnlichen Rahmenbedingungen (Klima, installierte Technik) wie in Deutschland ausgewählt.

In Österreich werden die Methan-Emissionen aus der industriellen Abwasserreinigung als vernachlässigbar angesehen, da das entstehende Methan gefasst wird und entweder energetisch genutzt wird oder in einer Fackel verbrannt wird.

In den Niederlanden werden die Methan-Emissionen auf Basis der IPCC-Default-Werte in Verbindung mit Landesspezifischen Daten zum TOW und weiteren spezifischen Anpassungen berichtet. Es liegen keine aktuellen Informationen zur in industriellen Abwasseranlagen behandelten CSB Menge vor. Somit ist auch hier die Datenverfügbarkeit der limitierende Faktor. Ein direkter Datenvergleich ist nicht möglich.

In Dänemark wird nicht zwischen industriellen und kommunalen Anlagen unterschieden. Die Methode folgt dem IPCC Handbuch.

Eine weitergehende Verifizierung ist nicht möglich, da keine weiteren spezifischen Daten dieser Quellgruppe für Deutschland verfügbar sind.

7.5.2.1.5 Quellgruppenspezifische Rückrechnungen (5.D.2)

Rückrechnungen sind auf Grund neuerer statistischer Daten für den TOW für die Jahre 2011-2014 durchgeführt worden.

Tabelle 410: Ergebnisse der Rückrechnung für TOW aus der industriellen Abwasserreinigung: Chemische Industrie.

Jahr	TOW [Gg]	TOW [Gg] vorherige Berichterstattung	Unterschied zur vorherigen Berichterstattung
2011	434	448	+3%
2012	421	448	+6%
2013	407	448	+10%
2014	407	448	+10%

Tabelle 411: Ergebnisse der Rückrechnung für TOW aus der industriellen Abwasserreinigung: Papier und Pappe.

Jahr	TOW [Gg]	TOW [Gg] vorherige Berichterstattung	Unterschied zur vorherigen Berichterstattung
2011	830	846	-2%
2012	813	846	-4%
2013	797	846	-6%
2014	797	846	-6%

Tabelle 412: Ergebnisse der Rückrechnung für TOW aus der industriellen Abwasserreinigung: Nahrungsmittelindustrie.

Jahr	TOW [Gg]	TOW [Gg] vorherige Berichterstattung	Unterschied zur vorherigen Berichterstattung
2011	188	186	-1%
2012	191	186	-2%
2013	193	186	-4%
2014	193	186	-4%

7.5.2.1.6 Geplante Verbesserungen, kategoriespezifisch (5.D.2)

Es sind derzeit keine weiteren Verbesserungen vorgesehen.

Sofern in vorhergehenden Berichterstattungen in diesem Kapitel Verbesserungen benannt wurden, sind diese in Form einer Übersicht unter Kapitel 10.4 Verbesserungen des Inventars, Tabelle 426 zu finden. Sind diese bereits erledigt, sind sie im selben Kapitel in Tabelle 425 abgebildet.

7.5.2.2 Lachgasemissionen der industriellen Abwasserbehandlung (5.D.2)

7.5.2.2.1 Beschreibung der Kategorie (5.D.2 N_2O industriell)

Lachgasemissionen können als Nebenprodukt bei der biologischen Abwasserreinigung mit gezielter Stickstoffelimination, hauptsächlich bei der Denitrifikation, aber vermutlich auch bei der Nitrifikation, entstehen. (vgl. IPPC 2006, Vol. 5, Kapitel 6.1, Seite 6.8) Es wird vermutet, dass der Reduktionsschritt von N_2O zu N_2 durch verschiedene Einflussfaktoren, wie z.B. freiem Sauerstoff, hohen Nitrit-, Ammonium- und/oder Sulfidgehalten, gehemmt wird und dadurch N_2O entsteht (UBA 2011b Seite 2-12 ff).

Der überwiegende Teil des industriellen Abwassers wird in kommunalen Kläranlagen gereinigt und entsprechend in 5.D.1 berücksichtigt (Aufschlag von 25 Prozent). Unter 5.D.2 werden aus diesem Grunde nur die industriellen Direkteinleiter betrachtet.

7.5.2.2.2 Methodische Aspekte (5.D.2 N_2O industriell)

Seitens der 2006 IPCC Guidelines gibt es keine Vorschrift und auch keine Pflicht zur Berechnung der N2O-Emissionen des industriellen Bereichs (Vol. 5, Kapitel 6.3.4). Es existiert kein decision tree und auch keine höheren Tier-Berechnungsmethoden. Die Einordnung der im Folgenden

vorgestellten Berechnungsmethodik erfolgt daher in Anlehnung an den decision tree und die Tier Klassifizierung für CH4 (industriell). Der hier verwendete Ansatz entspricht demgemäß einer Tier 2 Berechnungsmethode.

Zur Ermittlung der Lachgasemissionen aus der industriellen Abwasserbehandlung wurden im Rahmen eines Forschungsprojektes Daten zum produktspezifischen Abwasseranfall, zur Stickstoffkonzentration und zum CSB-Gehalt (Chemischer Sauerstoffbedarf) aller Industriebereiche zusammengetragen und anhand der Jahresproduktionszahlen jährliche Stickstofffrachten errechnet. Die zu Grunde liegenden Stickstofffrachten entstammen aus Merkblättern der Deutschen Vereinigung für Wasserwirtschaft, Abwasser und Abfall e. V. (DWA) und stellen den anerkannten Stand der Wissenschaft dar. Die genaue Vorgehensweise ist in UBA 2011b dokumentiert. Ein CSB:N-Verhältnis < 40 war das Entscheidungskriterium dafür, einen Stickstoffüberschuss im Abwasser der Branche anzunehmen, der in der anschließenden biologischen Abwasserbehandlung Lachgasemissionen verursachen kann. Erst wenn so viel Stickstoff im Abwasser vorliegt, dass nach Einbau in die Biomasse noch ein Rest vorhanden ist, der durch die biologische Stickstoffelimination entfernt werden muss, kann davon ausgegangen werden, dass möglicherweise Lachgas bei der biologischen Abwasserreinigung emittiert wird. Der Wert wurde verifiziert durch das ATV-DVKK-Arbeitsblatt A 131, worin die Stickstofffracht vereinfacht mit 2 bis 2,5 % der CSB-Konzentration berücksichtigt wird (2,5 % entspricht einem CSB:N-Verhältnis von 40:1). Durch die Zusammenstellung der Daten konnten die 6 relevantesten Industriebereiche identifiziert werden, die gemeinsam ca. 75 % der Stickstofffracht aus der industriellen Abwasserbehandlung liefern (UBA 2011b). Diese sind:

- Schlachten und Fleischverarbeitung,
- Milchverarbeitung,
- Verarbeitung tierischer Nebenprodukte,
- Herstellung von Bier,
- Zuckerherstellung,
- Weizenstärkeherstellung.

Auf die Aufnahme der Textilindustrie (7,5 % an Gesamtstickstofffracht) und Kartoffelverarbeitung (2,6 % Anteil an der Gesamtstickstofffracht) wurde verzichtet, da das Abwasser ein CSB:N Verhältnis größer als 40 aufweist und somit eine Lachgasbildung gemäß den Ergebnissen des Forschungsberichtes nicht erfolgt. Die Herstellung von Kartoffelstärke wird als nicht Lachgas-relevant angesehen – der Anteil an der Gesamtstickstofffracht im Abwasser liegt bei unter 0,4 %. Die verbleibenden rund 20 % der Gesamtstickstofffracht verteilen sich auf viele Einzelbranchen mit unklarer Datensituation (insbesondere CSB:N-Verhältnis). Ein großer Teil dieser Branchen leitet als Indirekteinleiter die Stickstofffracht in kommunale Kläranlagen ein und wird bereits über die Emissionsberichterstattung unter 5.D.1 berücksichtigt.

Auf Basis der mittleren produktspezifischen Stickstofffracht der 6 genannten Industriebereiche und anhand der jährlichen Produktionszahlen wird die Jahresstickstofffracht ermittelt, die ins Rohwasser emittiert wird. Dabei wird angenommen, dass auf Grund von organisatorischen und technischen Maßnahmen eine schrittweise Reduktion auf den Stand von 2010 erfolgte und die ins Abwasser abgegebene Stickstoffmenge im Jahr 1990 um 30 % höher lag (Expertenschätzung). Dabei wird für die Jahre von 1990 bis 2000 eine jährliche Reduktion der Stickstofffracht um 2 Prozentpunkte angenommen, von 2000 bis 2010 um einen Prozentpunkt (Expertenschätzung). Ab 2010 wird die Stickstofffracht pro Kubikmeter Abwasser als konstant angenommen (Expertenschätzung).

Die Berechnung der Aktivitätsrate AD erfolgte folgendermaßen:

$$AD = \sum_B [NF_B \times PZ_B \times 10^{-6}]$$

Wobei:

AD = Gesamt-Aktivitätsrate [t N_Z/a] = mittlere N-Fracht im Zulauf = N_Z
NF_B = mittlere spez. N-Fracht der Branche [g N pro Einheit]
PZ_B = Produktionszahlen für das Jahr 2010 der Branche [Anzahl Einheiten/a]
10^{-6} = Faktor zur Umrechnung von g in t

Zur Ermittlung des N_2O-Emissionsfaktors wurden im oben genannten Forschungsprojekt verschiedene Daten aus der Literatur ausgewertet. Aus den dort angegebenen Daten wurde ein gewichteter Mittelwert gebildet. Das Ergebnis war, dass 1 % der Stickstofffracht in einer Kläranlage als N_2O-N emittiert wird. In IPPC 2006, Vol. 5, Kapitel 6.3.1.2, Seite 6.25 wird der Default-Emissionsfaktor mit 0.005 (0.0005 - 0.25) kg N2O-N/kg N angegeben. Der gewählte Emissionsfaktor liegt somit um Faktor zwei höher als der Default-Wert, aber immer noch in der angegebenen Bandbreite.

N_2O = EF x AD x 44/28

Wobei:

N_2O = N_2O Emissionen in t N_2O/a
EF = Emissionsfaktor 0,01 t N_2O-N/t N
44/28 = Stöchiometrischer Umrechnungsfaktor N_2O-N in N_2O

Zusätzlich wurde für die einzelnen Branchen der Anteil der Direkteinleiter ermittelt und in der Berechnung berücksichtigt.

Die Lachgasbildungsrate in den betrachteten Branchen unterscheidet sich signifikant von der Bildungsrate in kommunalen Kläranlagen, sie liegt in den industriellen Kläranlagen um den Faktor 100 über dem von kommunalen Kläranlagen. Dies ist auf das oben bereits beschriebene CSB:N Verhältnis und die daraus resultierenden besseren N_2O Bildungsbedingungen zurück zu führen.

7.5.2.2.3 Unsicherheiten und Zeitreihenkonsistenz (5.D.2 N_2O industriell)

Die Unsicherheiten der Produktionszahlen entstammen der Bundesstatistik bzw. anderen Statistiken, denen eine Vollerhebung zugrunde liegt. Die Daten sind somit voraussichtlich mit sehr geringen Unsicherheiten behaftet.

Der N_2O-Emissionsfaktor wurde durch Expertenschätzung im Rahmen des oben genannten Forschungsprojektes mit einer sehr hohen Unsicherheit von - 99,9 %/+ 300 % bewertet.

Die mittleren spezifischen Stickstofffrachten der verschiedenen Branchenbesitzen nachfolgende Unsicherheiten (Tabelle 413), die durch Expertenschätzung ermittelt wurden. Als Unsicherheit für die Gesamtstickstofffracht (Aktivitätsrate) werden unter konservativen Gesichtspunkten - 50 %/+50 % angenommen (Expertenschätzung).

Tabelle 413: Unsicherheiten der mittleren spezifischen Stickstofffracht der 4 relevantesten Industriebereiche

Mittlere spez. N-Fracht des Industriebereichs	Unsicherheit obere Schranke	Unsicherheit untere Schranke
Schlachtung von Schweinen	40	40
Schlachtung von Schafen	50	50
Schlachtung von Ziegen	50	50
Schlachtung von Rindern	40	40
Schlachtung von Pferden	50	50
Schlachtung von Geflügel	40	40
Fleischverarbeitung	40	40
Verarbeitung tierischer Nebenprodukte	20	20
Milchverarbeitung	15	15
Herstellung von Bier	30	30
Herstellung von Zucker	30	30
Herstellung von Weizenstärke	30	30

7.5.2.2.4 Kategoriespezifische Qualitätssicherung/ -kontrolle und Verifizierung (5.D.2 N_2O industriell)

Eine allgemeine Qualitätskontrolle und eine Qualitätssicherung durch die Fachseite und durch die Nationale Koordinierungsstelle wurden gemäß den Anforderungen des QSE-Handbuchs bzw. dessen mitgeltenden Unterlagen durchgeführt.

Ein Abgleich der Ergebnisse mit Daten aus dem ETS ist nicht möglich, da die beschriebenen Anlagen nicht dem Emissionshandel unterliegen. Die beschriebenen Aktivitätsdaten entstammen der öffentlichen Statistik des Statistischen Bundesamtes bzw. im Falle der Verarbeitung tierischer Nebenprodukte dem Bericht der „Servicegesellschaft tierische Nebenprodukte“. Weitere Aktivitätsdaten zur Plausibilisierung liegen nicht vor.

Es wurde versucht Vergleichsdaten aus den Inventarberichten anderer Länder zur Plausibilisierung heranzuziehen. Hierzu wurden Länder mit ähnlichen Rahmenbedingungen (Klima, installierte Technik) wie in Deutschland ausgewählt.

In Österreich werden N2O-Emissionen der industriellen Abwasserreinigung nur als Mitbehandlung in kommunalen Abwasserentsorgung betrachtet. Es wird angenommen, dass die N_2O-Emissionen aus der industriellen Abwasserreinigung mit 30 % der Emissionen aus der kommunalen Abwasserreinigung zu bewerten sind. In der deutschen Emissionsberichterstattung wird in der Berichterstattung zur kommunalen Abwasserreinigung ein Aufschlag von 25 % für das mitbehandelte industrielle Abwasser berücksichtigt, allerdings werden zusätzlich für die oben beschriebenen Branchen spezifische Emissionen aus den industriellen Abwasserreinigungsanlagen ermittelt. Ein exakter Vergleich zwischen beiden Methoden ist nicht möglich, es kann aber davon ausgegangen werden, dass der Unterschied zwischen beiden Methoden gering ist.

In den Niederlanden wurden die N_2O-Emissionen aus der industriellen Abwasserreinigung als irrelevant im Vergleich zu den N2O-Emissionen aus der kommunalen Abwasserreinigung eingestuft und nicht berichtet, somit war ein Vergleich nicht möglich.

In Dänemark wird die industrielle Abwasserreinigung nicht gesondert betrachtet.

In [UBA 2011b] wird eine Literaturstudie zu Lachgasemissionen aus der Abwasserreinigung durchgeführt. Die hier verwendeten Emissionsfaktoren wurden aus dieser Literaturstudie abgeleitet.

Eine weitergehende Verifizierung ist nicht möglich, da keine weiteren spezifischen Daten dieser Quellgruppe für Deutschland verfügbar sind.

Der verwendete Ansatz unterscheidet sich vom IPCC Default Ansatz. IPPC gibt eine Werte Spanne von 0.0005 – 0.25 kg N_2O-N/kg –N (Default 0,005 kg N_2O-N/kg –N) an. Im Rahmen der Berichterstattung wurde ein Emissionsfaktor von 0,01 kg N_2O-N/kg –N angewendet.

7.5.2.2.5 Quellgruppenspezifische Rückrechnungen (5.D.2 N_2O industriell)

Auf Grund kleinerer statistischer Korrekturen erfolgt eine Rückrechnung für die Jahre 2013 und 2014. Die Ergebnisse der Rückrechnung sind exemplarisch in Tabelle 414 aufgeführt.

Die Änderungen sind derart gering, dass sie hier nicht dargestellt werden.

Tabelle 414: Ergebnisse der Rückrechnung für N_2O aus der industriellen Abwasserreinigung.

Jahr	N_2O Emissionen [kt]	N_2O Emissionen [kt] vorherige Berichterstattung	Unterschied zur vorherigen Berichterstattung
2013	0,084	0,084	+0%
2014	0,093	0,093	+0%

7.5.2.2.6 Geplante Verbesserungen, kategoriespezifisch (5.D.2 N_2O industriell)

Derzeit sind keine Verbesserungen geplant.

Sofern in vorhergehenden Berichterstattungen in diesem Kapitel Verbesserungen benannt wurden, sind diese in Form einer Übersicht unter Kapitel 10.4 Verbesserungen des Inventars, Tabelle 426 zu finden. Sind diese bereits erledigt, sind sie im selben Kapitel in Tabelle 425 abgebildet.

7.6 Andere Bereiche (5.E)

In der Kategorie 5.E Other werden derzeit ausschließlich die Emissionen aus der Mechanisch-Biologischen Abfallbehandlung berichtet.

KC	Category	Activity	EM of	1990 (kt CO_2-e.)	(fraction)	2015 (kt CO_2-e.)	(fraction)	Trend 1990-2015
-/-	5.E. Other	Other	CH4	0,0	0,00%	4,3	0,00%	---
-/-	5.E. Other	Other	N2O	0,0	0,00%	74,0	0,01%	---

Die Kategorie 5.E - Weitere ist keine Hauptkategorie.

7.6.1 Andere Bereiche - Mechanisch-biologische Abfallbehandlung (MBA) (5.E Other MBA)

7.6.1.1 Beschreibung der Kategorie (5.E Other MBA)

Gas	Angewandte Methode	Quelle der Aktivitätsdaten	genutzte Emissionsfaktoren
C_H4	CS	NS	CS
N_2O	CS	NS	CS

In der Bundesrepublik ist seit dem 1. Juni 2005 die Ablagerung von organischen und biologisch abbaubaren Abfällen nicht mehr zulässig. Restsiedlungsabfälle und ähnlich zusammengesetzte Abfälle können daher nur nach einer Vorbehandlung abgelagert werden. Neben den thermischen Abfallbehandlungsverfahren (Müllverbrennung) kommen hierbei auch verstärkt mechanisch-biologische Verfahren zum Einsatz.

In Deutschland wird unterschieden in die biologische Behandlung von getrennt gesammelten Bioabfällen und die von Restabfällen. Die Behandlung von Bioabfällen dient der Erzeugung eines

Kompostes oder Gärrestes zur Anwendung als Dünger. Die biologische Behandlung von Restabfall dient der Vorbehandlung der organischen Abfälle vor der Deponierung oder der energetischen Verwertung. Für die Behandlung von Restabfällen bestehen höhere Anforderungen an den Emissionsschutz als für die Bioabfallbehandlung. Daher liegen die Emissionsfaktoren für die MBA deutlich unter denen der Kompostierung oder Vergärung für Bioabfälle. Die Abfallströme werden auch in der Bundesstatistik gesondert erfasst.

Für die MBA begrenzt die 30. Verordnung zum Bundesimissionsschutzgesetz die Emissionsfrachten für organische Stoffe auf 55 g pro Tonne behandelter Abfälle und für N_2O auf 100 g g pro Tonne behandelter Abfälle. Diese Emissionsbegrenzungen werden als Emissionsfaktoren eingesetzt. Mehrere Überprüfungen haben ergeben, dass die Emissionsbegrenzungen von allen deutschen Anlagen sicher eingehalten werden, bei vielen Anlagen sogar deutlich unterschritten werden. Die Emissionsbegrenzungen und die Emissionsfaktoren beziehen sich auf die Feuchtsubstanz, die Abfallmengen werden bei der Anlieferung an die Anlagen so erfasst.

Seit den 90er Jahren werden in Deutschland mechanisch-biologische Verfahren im größeren Umfang zur Restabfallbehandlung eingesetzt. Anfangs dominierten technisch einfache Anlagenkonzepte ohne Abgasfassung und -behandlung. Im Zuge verfahrenstechnischer Weiterentwicklungen setzten sich jedoch verstärkt geschlossene Anlagen mit Biofilter als Abgasreinigung durch. Diese Abgasreinigungsverfahren konnten die Geruchsemissionen der Anlagen deutlich reduzieren, führten aber zu keiner Minderung der Treibhausgasemissionen.

Mit der Beendigung der Ablagerung unbehandelter Abfälle im Jahr 2005 wurden die Kapazitäten zur mechanisch-biologischen Behandlung deutlich ausgebaut. Nach den Anforderungen der 30. Verordnung zum Bundesimmissionsschutzgesetz (30. BImSchV) müssen MBA-Neuanlagen seit dem 1. März 2001 strenge technische Anforderungen erfüllen und anspruchsvolle Grenzwerte einhalten. Die Übergangsregelungen für Altanlagen fordern eine Nachrüstung bis spätestens zum 1. März 2006.

Nahezu alle in den letzten errichteten Neuanlagen wurde im Laufe des Jahres 2005 in Betrieb genommen. Aufgrund von Erweiterungen und technischen Anpassungen der Aufbereitungstechnik wurden auch nahezu alle Altanlagen bereits im Jahr 2005 an die Anforderungen der 30. BImSchV angepasst. Die Übergangssituation im Jahr 2005 lässt mit den bestehenden Berechnungsmodellen kaum beschreiben, da eine Zuordnung der Abfallmengen zu den unterschiedlichen Anlagentechniken nicht möglich ist. Aus Gründen der Vereinfachung erfolgt die Emissionsberechnung bis einschließlich 2005 mit den höheren Emissionsfaktoren der alten Anlagentechnik. Die Berechnung der Emissionen im Jahr 2006 erfolgt mit niedrigeren Emissionsfaktoren der neuen Anlagen.

In Deutschland werden derzeit etwa 4,5 Mio. Mg Abfälle in mechanisch-biologischen Abfallbehandlungsanlagen entsorgt. Als Behandlungsrückstände fallen hierbei etwa 0,5 Mio Mg Abfälle zur Deponierung an. Des weiteren werden etwa 2,5 Mio. Mg heizwertreiche Abfallbestandteile abgetrennt, die in industriellen Feuerungsanlagen als Ersatzbrennstoffe genutzt werden. Im Abfall enthaltene Metalle werden abgetrennt und als Sekundärrohstoffe verwertet. Die restlichen 1,5 Mio. Mg sind Masseverluste im Behandlungsprozess durch biologischen Abbau organischer Bestandteile und Verdunstung oder Auschleusung (Abwasser) des Wassergehalte des Abfalls.

Abbildung 78: Stoffstromschema Mechanisch-Biologische Abfallbehandlung[180]

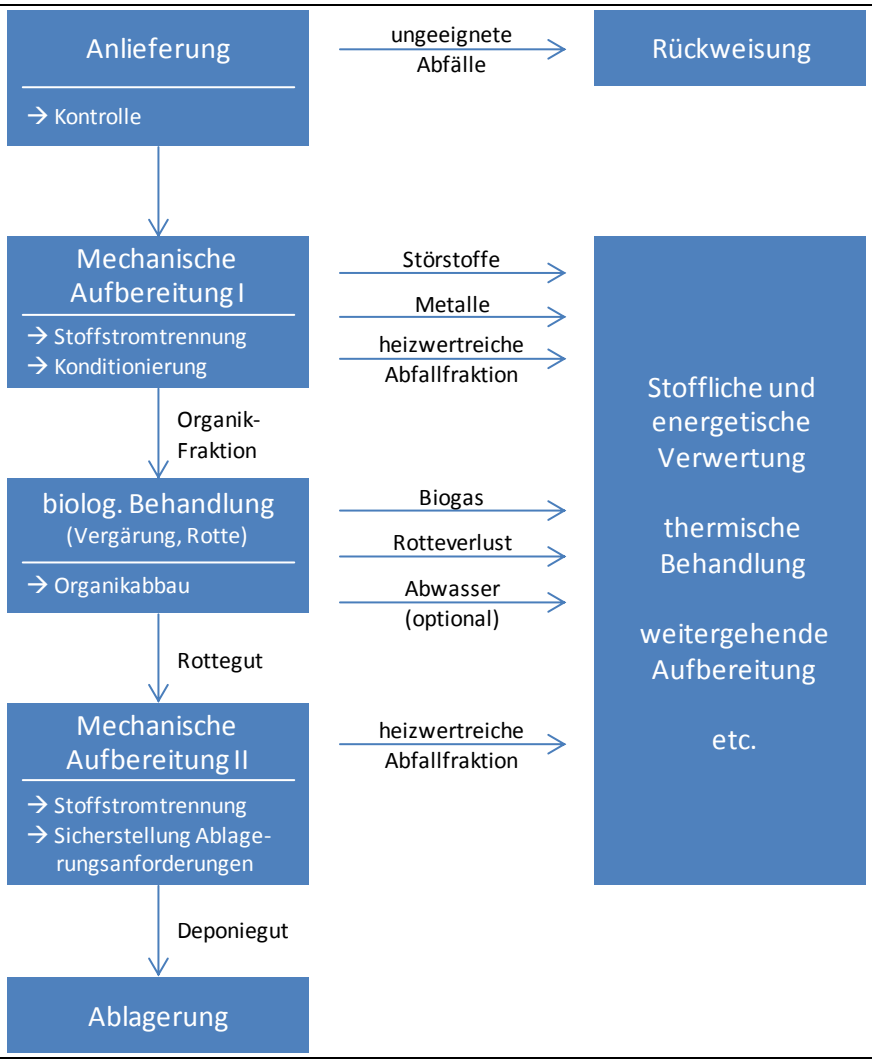

7.6.1.2 Methodische Aspekte (5.E Other MBA)

Die in MBA behandelten Abfallmengen werden seit 1995 regelmäßig vom Statistischen Bundesamt erhoben und veröffentlicht. In der Berichterstattung der letzten Jahre wurden für 2007 bis 2010 Daten aus dem Forschungsprojekt „Anlagen zur mechanisch-biologischen Restabfallbehandlung“ (UBA, 2007) übernommen. Zum damaligen Zeitpunkt bestanden Zweifel, ob die Daten des *Statistischen Bundesamtes* alle Anlagenvarianten erfassen, die vom Emissionsverhalten her der MBA entsprechen. Als konservativer Ansatz wurden daher die höheren Abfallmengen des Forschungsprojektes für die Emissionsberechnung herangezogen. In mehreren Gesprächen mit dem Statistischen Bundesamt konnten die Bedenken ausgeräumt werden. Für die Jahre 2007 bis 2010 erfolgte im NIR 2014 eine Rückrechnung mit Daten des Statistischen Bundesamtes (STBA, Fachserie 19, Reihe 1 vom 12. Juli 2012). Für die weitere Berichterstattung werden die aktuellen Daten des Statistischen Bundesamtes genutzt.

[180] Quelle: VDI 3475 Blatt 3, Emisssionsminderung - Anlagen zur mechanisch-biologischen Behandlung von Siedlungsabfällen, 2006-12 (verändert)

Aktivitätsdaten

Die in MBA behandelten Abfallmengen werden seit 1995 regelmäßig vom Statistischen Bundesamt erhoben und veröffentlicht.

Emissionsfaktoren

In den 90er Jahren wurden die Emissionen der mechanisch-biologischen Behandlung mit Förderung des BMBF in einem umfangreichen Verbundforschungsvorhaben untersucht. In einem Vorhaben im Jahre 2003 wurden vom Institut für Energie und Umwelt (IFEU) aus den Ergebnissen des Verbundvorhabens Emissionsfaktoren entwickelt. Dabei wurde zwischen offenen (keine Abgasfassung und –behandlung) und geschlossenen (Abgasfassung mit Behandlung im Biofilter) MBA-Verfahren differenziert. Bei Methan wurden die Emissionsfaktoren für beide Varianten in gleicher Höhe angesetzt, da dieser Stoff im Biofilter praktisch nicht abgebaut wird. Der Emissionsfaktor für N_2O wurde bei geschossenen Anlagen höher als offenen Anlagen angesetzt, da auch im Biofilter N_2O durch die Oxidation Ammoniumstickstoff gebildet wird.

Seit Juni 2005 werden aufgrund neuer rechtlicher Anforderungen (30. BImSchV) nur noch geschlossene MBA betrieben, die mit effektiveren Abgasreinigungsverfahren ausgestattet sind. Ab 2006 werden daher als Emissionsfaktoren die Emissionsgrenzwerte der 30. BImSchV angesetzt.

Für die Offene MBA ergaben sich folgende Emissionsfaktoren:

$EF\text{-}N_2O = 190$ g N_2O/Mg Abfall
$EF\text{-}CH_4 = 150$ g CH_4/Mg Abfall

Für die geschossenen MBA mit Biofilter ermittelt die gleiche Studie die folgenden Emissionsfaktoren:

$EF\text{-}N_2O = 375$ g N_2O/Mg Abfall
$EF\text{-}CH_4 = 150$ g CH_4/Mg Abfall

Für den Zeitraum ab 2006 wurden für die Inventarberichte bis einschließlich Inventar 2015 die Begrenzungen der Emissionsfrachten der 30. BImSchV als Emissionsfaktoren übernommen:

$EF\text{-}N_2O = 100$ g N_2O/Mg Abfall
$EF\text{-}CH_4 = 55$ g CH_4/Mg Abfall

Da im Jahre 2005 die Mehrzahl der MBA über Abgasreinigungsverfahren zur Minimierung der N_2O-Emission verfügte, wurde der Emissionsfaktor für das Jahr 2005 auf 169 g geschätzt.

Im Rahmen der Datenerhebung für die Überarbeitung des Best Available Techniques Reference Document „ Waste Treatment“ wurden im Jahren 2013 vom Umweltbundesamt in Zusammenarbeit mit der Arbeitsgemeinschaft stoffstromspezifische Abfallbehandlung – ASA (Verband der MBA Betreiber) Emissionsdaten für die MBA erhoben. Die Emissionsdaten für die Parameter Methan und N_2O lagen hierbei deutlich unter den zulässigen Grenzwerten (Tabelle 415).

Tabelle 415: Emissionen der MBA

Emissionsparameter (Abgas)	Rahmenbedingungen (Normalbedingungen)	Emissionsbandbreiten 16 Anlagen		Grenzwerte 30. BImSchV
Gesamtkohlenstoff ($C_{ges.}$)	Halbstundenmittelwerte Konzentration in mg/m³ kontinuierliche Messung	min. **Median** max.	0 – 1,53 **1,2 – 11,6** 1,5 – 38,7	**40**
	Tagesmittelwerte Konzentration in mg/ m³ kontinuierliche Messung	min. **Median** max.	0 – 2,68 **1,3 – 15,9** 4,58 – 23,9	**20**
	Monatsmittelwerte Fracht in g C_{ges}/Mg Abfall rechnerisch aus Halbstundenmittelwerten	min. **Median** max.	2,3 – 21,8 **8,36 – 30,7** 10,6 – 44,0	**55**
Distickstoffoxid (N_2O)	Monatsmittelwerte Fracht in g N_2O/Mg Abfall rechnerisch aus Halbstundenmittelwerten	min. **Median** max.	0,01 – 33,3 **1,54 – 59,0** 6,23 - 108	**100**

Die in der Erhebung gemeldeten Emissionsdaten sind für den deutschen Anlagenbestand repräsentativ und berücksichtigen alle in Deutschland eingesetzten MBA Varianten. In der Datenerhebung wurden von jeder Anlagen die jeweils Emissionsbandbreiten in Form der höchsten und niedrigsten Messwerte für den jeweiligen Parameter gemeldet. In der Tabelle 415 sind die Anlagen mit den niedrigsten und höchsten Emissionen sowie die Anlage im Mittelfeld der Emissionen als Median gelistet.

Auf der Grundlage dieser Erhebung werden im Inventar 2016 für die Jahre ab 2006 die Emissionsfaktoren an die realen Anlagenemissionen angepasst. Für die Emissionsfaktoren wurde hierbei die maximale Emissionsfracht der Median Anlagen angesetzt.

$EF\text{-}N_2O = 59{,}0$ g N_2O/Mg Abfall

$EF\text{-}CH_4$ = 40,9 g CH_4/Mg Abfall (30,7 g $C_{ges.}$ entsprechen 40,9 g CH_4)Diese nationalen Emissionsfaktoren werden hier im Inventar 2016 erstmalig für die Inventarberechnungen verwendet es erfolgt eine Rückrechnung ab dem Jahr 2006.

7.6.1.3 Unsicherheiten und Zeitreihenkonsistenz (5.E Other MBA)

Die Unsicherheiten der mechanisch-biologisch behandelten Abfallmengen werden theoretisch als sehr gering (2 %) geschätzt, da es sich um eine Totalerhebung handelt, das Niveau der Berichterstattung gut ist und die Betreiber an einer guten Berichterstattung interessiert sind. Die Unsicherheiten der Emissionsfaktoren für den Zeitraum vor 2005 liegen hoch und hängen von der Art der Anlage, der zum Zeitpunkt eingesetzten Anlagentechnik und der Wirkung der eingesetzten Biofilter ab. Die Angaben aus der Literatur schwanken hierbei sehr stark. .

7.6.1.4 Kategoriespezifische Qualitätssicherung/-kontrolle und Verifizierung (5.E Other MBA)

Eine allgemeine Qualitätskontrolle und eine Qualitätssicherung durch die Fachseite und durch die Nationale Koordinierungsstelle wurden gemäß den Anforderungen des QSE-Handbuchs bzw. dessen mitgeltenden Unterlagen durchgeführt.

7.6.1.5 Kategoriespezifische Rückrechnungen (5.E Other MBA)

Bei der Erarbeitung des NIR 2016 lagen statistische Daten für die abgelagerten Abfallmengen nur bis zum Jahr 2014 vor. Die behandelten Abfallmengen für 2013 und 2014 wurden daher als konstant angesetzt. Für die der Emissionen des Jahres 2013 erfolgte daher eine Rückrechnung, wobei die mit der Fachserie 19, Reihe 1 vom 18. August 2016 veröffentlichten aktuellen Daten genutzt wurden.

7.6.1.6 Geplante Verbesserungen, kategoriespezifisch (5.E Other MBA)

Weitere Verbesserungen sind derzeit nicht geplant.

Sofern in vorhergehenden Berichterstattungen in diesem Kapitel Verbesserungen benannt wurden, sind diese in Form einer Übersicht unter Kapitel 10.4 Verbesserungen des Inventars, Tabelle 426 zu finden. Sind diese bereits erledigt, sind sie im selben Kapitel in Tabelle 425 abgebildet.

8 Andere (CRF Sektor 6)

Nach Empfehlungen des UNFCCC Expertenteams im In-Country-Review 2016 werden keine Treibhausgase in der CRF Kategorie 6 berichtet. Aufgrund fehlenden Eingabemöglichkeiten in einigen entsprechenden Kategorien des CRF Reporters werden für die Nicht-Treibhausgase NO_X, CO und NH_3 unter CRF 6 subsummiert. Die eigentliche Allokation ergibt sich aus folgender Tabelle:

Tabelle 416: Eigentliche Allokation der Nichttreibhausgase unter CRF 6

Schadstoff	Menge in kt	Eigentliche Allokation
CO	0,15	1.B
NO_X	0,04	1.B
NH_3	723,95	3

9 Indirektes CO_2 & NO_X

Deutschland berichtet keine Emissionen für indirektes NO_X und für indirektes CO_2 nur die NMVOC-Emissionen aus der Lösemittelverwendung. Zur Information wie diese NMVOC-Emissionen ermittelt werden und wie diese in indirektes CO_2 umgerechnet werden verweisen wir auf das Kapitel 4.5.3 *Nichtenergetische Produkte aus Brennstoffen und Lösemitteln, Sonstige, Lösemittel – NMVOC* verwiesen.

10 Rückrechnungen und Verbesserungen

10.1 Erklärung und Rechtfertigung der Rückrechnungen

10.1.1 Treibhausgas-Inventar

10.1.1.1 Generelles Vorgehen

Neben Korrekturen gibt es eine Reihe von fachlichen Gründen für Rückrechnungen und Verbesserungen:

- Ergänzende Daten sind verfügbar, die zur Schließung von Fehlstellen des Inventars beitragen.
- Die Datenquelle hat sich geändert.
- Die für die Quellgruppe genutzte Methode wurde an die Vorgaben der *Good Practice Guidance* angepasst.
- Die Quellgruppe ist eine Hauptquellkategorie geworden, so dass ein Methodenwechsel erforderlich wurde.
- Neue länderspezifische Berechnungsverfahren werden angewendet.
- Hinweise und Ergebnisse aus Reviews wurden umgesetzt.

Es ist gute Praxis, bei einer Methodenänderung die gesamte Zeitreihe mit derselben Methode konsistent neu zu berechnen, so dass in jedem Jahr die gleiche Methode verwendet wird und alte Werte entsprechend ersetzt werden. Ist es nicht möglich, die gleiche Methode für alle Jahre zu verwenden, sollte eines von folgenden vier Rückrechnungsverfahren (gemäß *IPCC Good Practice Guidance, 2000: Kapitel 7*) angewendet werden:

- *Überlappungsverfahren* - Voraussetzung ist, dass Daten zur Berechnung nach der alten und neuen Methode wenigstens für ein Jahr gemeinsam verfügbar sind.
- *Ersatzverfahren* - Voraussetzung ist, dass die bisher verwendeten EF und/oder AR starke Ähnlichkeit mit den neuen verfügbaren Daten haben.
- *Interpolationsverfahren* - Die bisher verwendeten Daten für die Rückrechnung sind nur für einige Jahre der Zeitreihe verfügbar und die fehlenden werden interpoliert.
- *Extrapolationsverfahren* - Daten für die neue Methode sind nicht für den Anfang und/oder das Ende der Zeitreihe verfügbar.

Eine Anleitung zur Verwendung der vorgenannten Rückrechnungsverfahren findet sich nebst Beispielen im QSE-Handbuch.

10.1.1.2 Rückrechnungen im Inventar 2017 nach Quellgruppen

Die Rückrechnungen begründen sich diesjährig durch verschiedene methodische Anpassungen, die teilweise erhebliche Veränderungen in den betroffenen Quellgruppen nach sich zogen, sowie weiteren Detailverbesserungen.

Die Inventare enthalten dabei Verbesserungen in folgenden Bereichen (wenn nicht anders angegeben beziehen sich die Änderungen auf die gesamte Zeitreihe):

Energie

Für das Berichtsjahr 2014 ergeben sich die bedeutendsten Rückrechnungen mit Vorliegen der jetzt *endgültigen* Energiebilanz 2014 für Emissionen aus der Verbrennung von Erdgas (+3 Mio. t CO_2) und Steinkohle (+2 Mio. t). Für diese zu wesentlichen Teilen importierten Brennstoffe sind rückwirkende statistische Korrekturen nahezu unvermeidlich. Die für Braunkohle gemachten

Angaben zeigen dagegen nur geringe Änderungen. Für diesen ausschließlich im Inland geförderten Brennstoff liegen korrekte Daten in der Regel deutlich früher vor.

Für die Mineralöle ergibt sich im Vergleich zur letzten Submission ausnahmsweise eine Rückrechnung, die zur Verringerung der CO_2-Emissionen um rund 2,5 Mio. t führt. Grund dafür ist die rückwirkende Herabsetzung des unteren Heizwertes für Dieselkraftstoff von 42.960 kJ/kg (bis einschließlich 2013) auf 42.649 kJ/kg (ab 2014).

(darüber hinaus, auszugsweise)

- Korrektur der Abfallmodell (1.A)
- Revision EF(CO_2) für Ablaugen, Raffinerie-, Erd- & Flüssiggas und Steinkohlenprodukte (1.A, 1.D.1.b)
- Aktualisierung TREMOD MM (1.A.2.g vii, 1.A.4.a ii, b ii, c ii)
- Revision EF(CH_4) gemäß TREMOD 5.62 (1.A.3.c)
- Revision zuletzt vorläufiger Statistiken; 2013 & 2014 (1.B)
- Berücksichtigung der Dichte von Rohöl (1.B.2.a.iii)
- Implementierung der diffusen Emissionen aus Binnentankschiffen (1.B.2.a.iii)
- Änderung Anwendungs- bzw. Wirkungsgrad von Gasrückführsystemen an Tankstellen; ab 2002 bzw. 2011 (1.B.2.a.v)
- Berücksichtigung Kohlendioxid im Erdgas (1.B.2.b.iii-vi)
- Anwendung des Splitfaktors (1.B.2.b.iii)

Industrieprozesse & Produktverwendung

- Korrektur AR Glasindustrie und Sodaeinsatz der Glasindustrie 2014 (2.A.3, 2.A.4.b)
- Korrektur Kohlendioxid aus Produktion von Industrieruß; ab 2005 (2.B.8)
- Reduzierung NMVOC und indirektes CO_2 aus Lösemittelanwendung; ab 2005 (2.D.3)
- neuen Informationen zu Druckindustrie und Enteisungsmitteln (2.D.3)
- Korrektur HFKW und FKW für Gewerbe- und Industriekälte, Kühlfahrzeuge, Kfz, Raumklimageräte, Chiller und Wärmepumpen; ab 2003 (2.F.1)
- Korrektur Inlandsverbrauch HFKW und FKW für Schaumherstellung; 2014 (2.F.2)

Landwirtschaft

- Aktualisierung Anfangs- und Endgewichte bei Milchkühen, Färsen und Mastbullen (3.A, 3.B, 3.D)
- Aktualisierung Anfangs- und Endgewichte, Zuwachsraten und Kennwert „Ferkel pro Sau“ bei Schweinen (3.A, 3.B, 3.D)
- Aktualisierung Eingangsgröße „Gesamt-Bruttoschlachtfleischmenge“ bei Masthähnchen; ab 2013 (3.A, 3.B, 3.D)
- Aktualisierung Aktivitätsdaten Wirtschaftsdünger-Vergärung (3.B, 3.D)
- Aktualisierung N-Mengen bei Ausbringung von Wirtschaftsdünger und Wirtschaftsdünger-Gärresten aufgrund aktualisierter Eingangsdaten (tierische Leistung, relative Anteile der vergorenen Wirtschaftsdünger, Verbreitung der gasdichten Gärrestlagerung) (3.D)
- Aktualisierung Aktivitätsdaten für Energiepflanzen-Vergärung (Frischmassen und Verbreitung gasdichter Gärrestlagerung) (3.D, 3.J, 3.s2).
- Aktualisierung Klärschlammmengen (3.D)
- Aktualisierung beim Weidegang ausgeschiedener N-Mengen aufgrund aktualisierter tierischer Leistungsdaten (3.D)
- Aktualisierung Ernterückstände für Porree; ab 2012 (3.D)
- Organische Böden: Absenkung des N_2O-Emissionsfaktors für drainiertes Grünland (3.D)

Landnutzung, Landnutzungsänderung und Forstwirtschaft:

- Nutzung neuer Aktivitätsdaten und Herleitung spezifischer EF (4.B.1; 4(KP-I)B.2)
- Nutzung der Flächen für perennierende Ackerkulturen aus der Offizialstatistik (4.B)
- Einführung von EF für Phytomasse perennierender und annueller Ackerpflanzen (4.B)
- Korrektur der EF für annuelle Phytomasse (4.B – 4.E)
- Einführung Methode zur Berechnung Kohlenstoffvorratsänderungen in der Phytomasse mehrjähriger Ackerpflanzen (4.B)
- Aktualisierung der FAO-Datenbank für Exportdaten der HWP, Produktkategorie *Schnittholz*, Produktgruppe *Holzzellstoff*; ab 2006 (4.G)

Abfall und Abwasser:

- Berücksichtigung von Leckagen (5.D.1)
- Aktualisierung Anteil der Bevölkerung mit abflusslosen Gruben (5.D.1)
- Aktualisierung Anteil der Kläranlagen mit biologischer Stufe (5.D.1)
- neue statistische Daten für TOW; 2011-2014 (5.D.2)

Abbildung 79: Änderung der Gesamtemissionen über alle Kategorien gegenüber Submission 2016

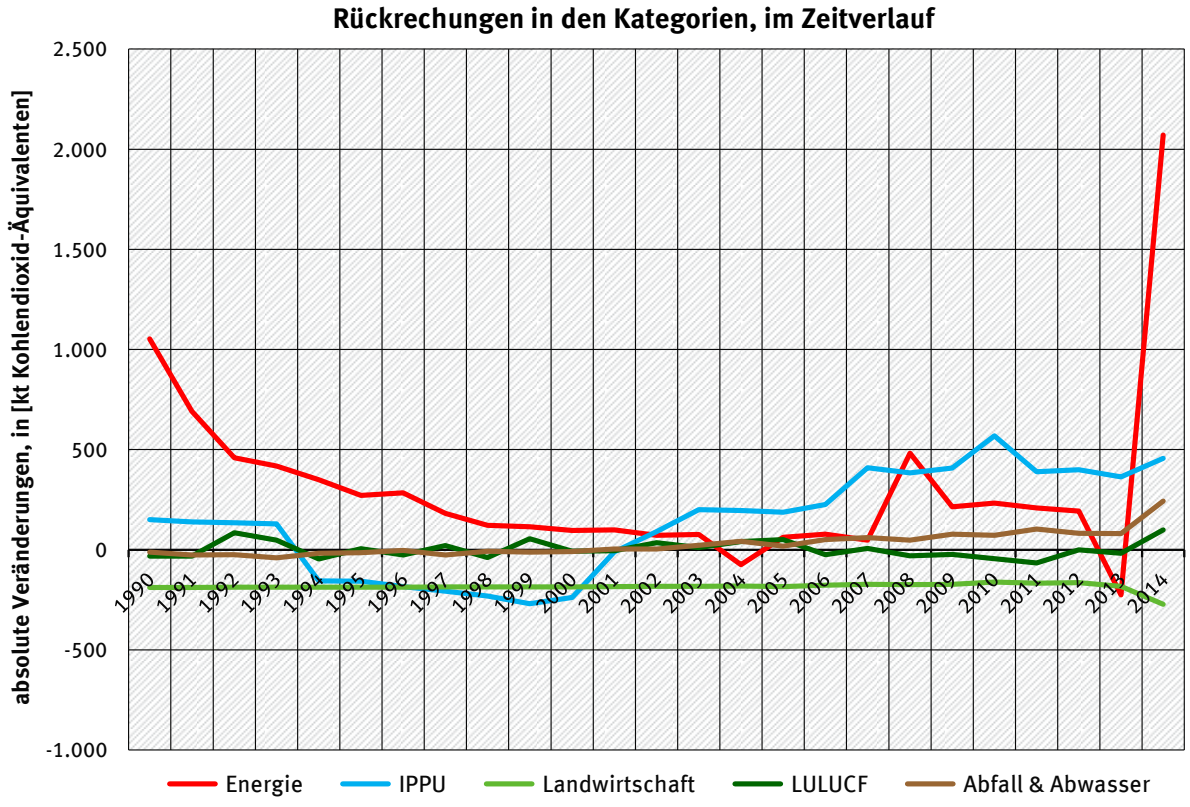

10.1.1.3 Rückrechnungen im Inventar 2017 nach Substanzen

Rückrechnungen erfolgten in folgenden Quellgruppen (siehe auch Nennungen unter 10.1.1.2):

Tabelle 417: Übersicht der von Rückrechnungen betroffenen CRF-Oberkategorien

CRF	CO_2	CH_4	N_2O	HFCs	PFCs	SF_6	NF_3
1 - Energie	x	x	x				
2 - IPPU	x	x	x	x	x		
3 - Landwirtschaft	x	x	x				
4 - LULUCF	x						
5 - Abfall & Abwasser		x	x				

Tabelle 418: durch Rückrechnungen bedingte relative Änderungen gegenüber der vorjährigen Berichterstattung

		Basisjahr	2013
Gesamt (CO_2-äquiv.)		0,08 %	0,28 %
CO_2	1990:	0,00 %	0,24 %
CH_4		0,89 %	0,87 %
N_2O		-0,31 %	-0,49 %
F-Gase	1995:	-0,95 %	1,93 %
HFCs		-1,93 %	2,57 %
PFCs		0,08 %	0,16 %
SF_6		0,00 %	0,00 %
NF_3		0,00 %	0,00 %

Abbildung 80: Rückrechnung der Gesamtemission der einzelnen Treibhausgase über alle Quellgruppen gegenüber der Resubmission 2016

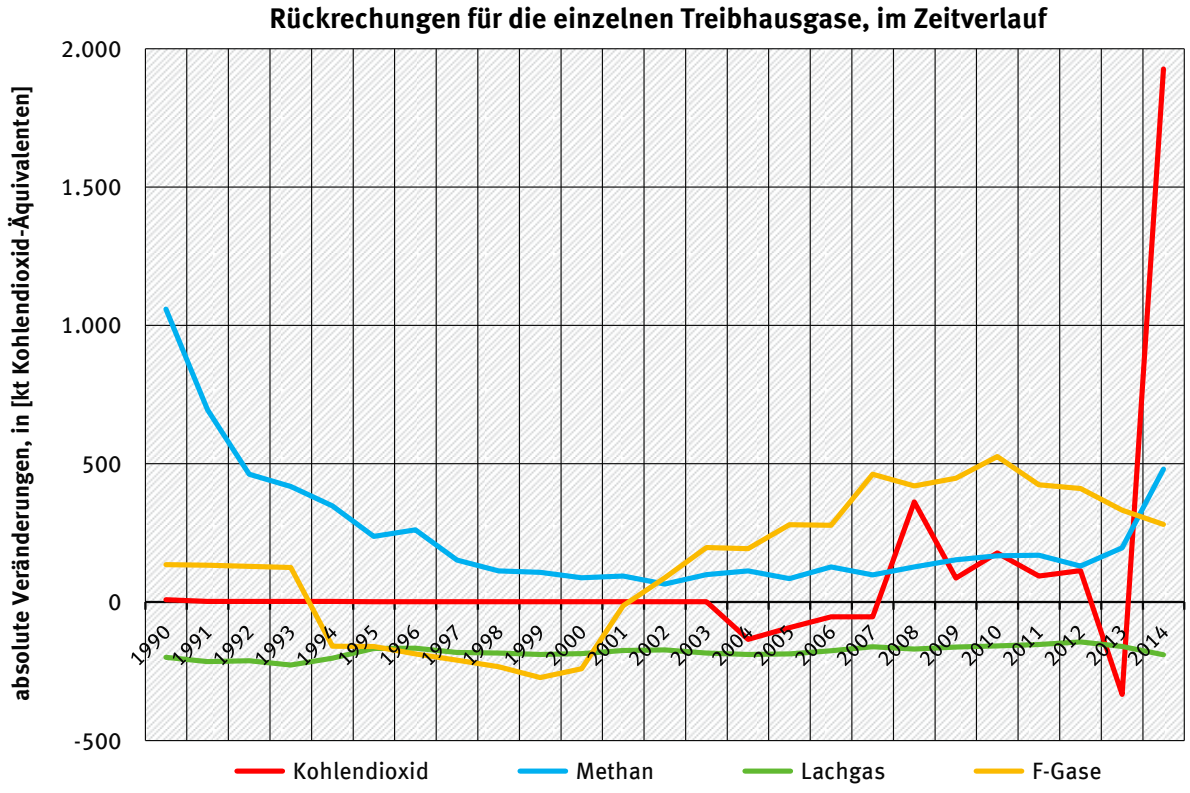

10.1.1.4 Rückrechnungen als Umsetzung von Ergebnissen des Review Prozesses

Gegenüber der Re-Submission 2016 erfolgten folgende Rückrechnungen infolge von Hinweisen und Empfehlungen des Review-Teams:

Bereits mit Re-Submission umgesetzte Rückrechnungen werden in Kapitel 10.5 gesondert beschrieben.

10.1.2 KP-LULUCF-Inventar

10.1.2.1 Generelles Vorgehen

Das methodische Vorgehen bei Rückrechnungen unter dem Kyoto Protokoll entspricht dem bei der Konvention angewendeten. Ausführliche Informationen zum generellen Vorgehen finden sich im Kapitel 10.1.1.1.

10.1.2.2 Rückrechnungen im Inventar 2017 nach Kategorien

Für die Aktivitätsdaten fanden in der Subkategorie *Ackerland bleibt Ackerland* die Flächen perennierender Ackerkulturen gemäß Offizialstatistik Verwendung.

In der Kategorie *Ackerland*, Biomasse, wurden Emissionsfaktoren für die Phytomasse perennierender und annueller Ackerpflanzen eingeführt. Die Werte der Emissionsfaktoren für die annuelle Phytomasse wurden geringfügig modifiziert; für die Ackerphytomasse im Rahmen einer Fehlerbereinigung, für die pflanzliche Biomasse von Grünland i.e.S. im Rahmen einer verbesserten Ableitung. Infolgedessen wurden die Kohlendioxid-Emissionsfaktoren für die pflanzliche Biomasse der Landnutzungskategorien *Ackerland*, *Grünland i.e.S., Feuchtgebiete* und *Siedlungen* revidiert.

Die Berechnung der Kohlenstoffvorratsänderungen in der Phytomasse mehrjähriger Ackerpflanzen in der Subkategorie *Ackerland bleibt Ackerland* wurde berücksichtigt (siehe Kapitel 6.5.2.1).

Für die Holzprodukte (*Harvested Wood Products – HWPs*) wurden die im Vorjahr verwendeten Exportdaten gemäß FAOSTAT 2015 aufgrund einer Revision der Produktkategorie *Schnittholz* und der Produktgruppe *Holzzellstoff* für alle Jahre ab 2006 korrigiert (siehe Kapitel 6.10.5).

10.1.2.3 Rückrechnungen im Inventar 2017 nach Substanzen

Die beschriebenen Änderungen wirken sich allein auf die Höhe der berichteten CO_2-Emission aus.

10.1.2.4 Rückrechnungen als Umsetzung von Ergebnissen des Review Prozesses

Auf Anregung des In-Country-Review 2016 wurde eine Methode zur Berechnung der Kohlenstoffvorratsänderungen in der Phytomasse mehrjähriger Ackerpflanzen eingeführt. Damit verbunden ist die Ausweisung von Emissionsfaktoren für die Phytomasse perennierender und annueller Ackerpflanzen und die Herleitung von Aktivitätsdaten für die Flächen perennierende Ackerkulturen.

10.2 Auswirkung auf die Höhe der Emissionen

10.2.1 Treibhausgas-Inventar

Die Veränderungen gegenüber der Re-Submission 2016 fallen mit +0,08 % für 1990 und +0,28 % für das Jahr 2014 jeweils ehr gering aus.

Für die einzelnen CRF-Sektoren sind die Veränderungen innerhalb der für 1990 bzw. 2014 berichteten Emissionen in Tabelle 421 und Tabelle 422 dargestellt.

Das Inventar wurde in Bezug auf Vollständigkeit und Genauigkeit verbessert.

Tabelle 419: durch Rückrechnungen bedingte absolute und prozentuale Veränderungen der nationalen Gesamtemissionen (ohne LULUCF) ggü. der vorjährigen Berichterstattung

	2016	2017	Änderung ggü. 2016	
1990	1.249.913	1.250.915	1.002	0,08%
1991	1.203.219	1.203.834	615	0,05%
1992	1.152.900	1.153.282	382	0,03%
1993	1.143.675	1.143.993	318	0,03%
1994	1.124.258	1.124.246	-12	0,00%
1995	1.120.944	1.120.856	-88	-0,01%
1996	1.138.768	1.138.677	-91	-0,01%
1997	1.104.244	1.104.005	-239	-0,02%
1998	1.078.643	1.078.341	-303	-0,03%
1999	1.045.420	1.045.067	-352	-0,03%
2000	1.043.294	1.042.958	-337	-0,03%
2001	1.058.070	1.057.978	-92	-0,01%
2002	1.036.942	1.036.925	-18	0,00%
2003	1.033.728	1.033.843	115	0,01%
2004	1.017.294	1.017.276	-18	0,00%
2005	991.849	991.933	84	0,01%
2006	999.044	999.220	176	0,02%
2007	971.998	972.344	346	0,04%
2008	973.942	974.682	739	0,08%
2009	906.423	906.949	526	0,06%
2010	941.039	941.750	712	0,08%
2011	921.830	922.363	534	0,06%
2012	926.338	926.850	511	0,06%
2013	945.151	945.186	35	0,00%
2014	901.764	904.262	2.498	0,28%

„2016“: gemäß Resubmission 2016; „2017“: gemäß Submission 2017

Quelle: eigene Berechnungen

Tabelle 420: durch Rückrechnungen bedingte prozentuale Veränderungen der nachrichtlichen Inventardaten gegenüber der vorjährigen Berichterstattung

	1990	2014
nachrichtliche Emissionen:	4,33%	1,18%
aus internationalen Verkehren	0,00%	0,00%
davon: internationaler ziviler Flugverkehr	0,00%	0,00%
davon: internationaler Schiffsverkehr	0,00%	0,00%
aus multilateralen Militäreinsätzen	NE	NE
CO_2 aus der Verbrennung von Biomasse	-0,90%	1,11%

Quelle: eigene Berechnungen

10.2.1.1 Auswirkung auf die Emissionshöhe von Kategorien 1990

Die Gesamtemissionen (ohne LULUCF) für 1990 werden um etwa 0,08 % bzw. 1002 kt CO_2-Äquivalente nach oben korrigiert (siehe Tabelle 421).

Die maßgebliche inventarwirksame Korrektur erfolgt dabei mit einem Minus von 1.052 kt bzw. 0,10 % im Sektor Energie.

In den Sektoren *Industrieprozesse und Produktanwendung (IPPU)* und *Landwirtschaft* kam es ähnlich geringen relativen Veränderungen. Mit +150 bzw. -188 kt CO_2-Äquivalente heben sich die absoluten Veränderungen aber nahezu auf.

Ein Minus von 11 kt CO_2-Äquivalente bedeutet nahezu unveränderte (-0,03 %) Emissionen aus dem Sektor *Abfall und Abwasser*.

Im *LULUCF*-Sektor (*Landnutzung, Landnutzungsänderung und Forstwirtschaft*) kam es für 1990 lediglich zu einer minimalen Anhebung der CO_2-Senkenleistung um 32 kt. Die Methan- und Lachgas-Emissionen blieben dagegen unverändert.

Detailliertere Informationen sind, in Ergänzung zu nachfolgender Tabelle, in den CRF-Tabellen 8(a)s1 bis 8(a)s4 verfügbar.

Tabelle 421: Rückrechnung der CRF-spezifischen Gesamtemission über alle Treibhausgase 1990

	2016	2017	Änderung ggü. 2016	
Nationale Gesamtemissionen (ohne LULUCF)	**1.249.913**	**1.250.915**	**1.002**	**0,08%**
1. Energie	1.035.684	1.036.736	1.052	0,10%
2. IPPU	96.493	96.643	150	0,16%
3. Landwirtschaft	79.770	79.582	-188	-0,24%
4. Landnutzungsänderung und Forstwirtschaft	-31.279	-31.312	-32	-0,10%
CO_2 (Netto-Emissionen/Einbindung)	*-32.985*	*-33.018*	*-32*	*-0,10%*
N_2O + CH_4 (Emissionen)	*1.706*	*1.706*	*0*	*0,00%*
5. Abfall & Abwasser	37.966	37.955	-11	-0,03%

„2016“: gemäß Resubmission 2016; „2017“: gemäß Submission 2017

Quelle: eigene Berechnungen

Abbildung 81: Auswirkung der Rückrechnungen auf CRF-Sektoren und Gesamtinventar 1990

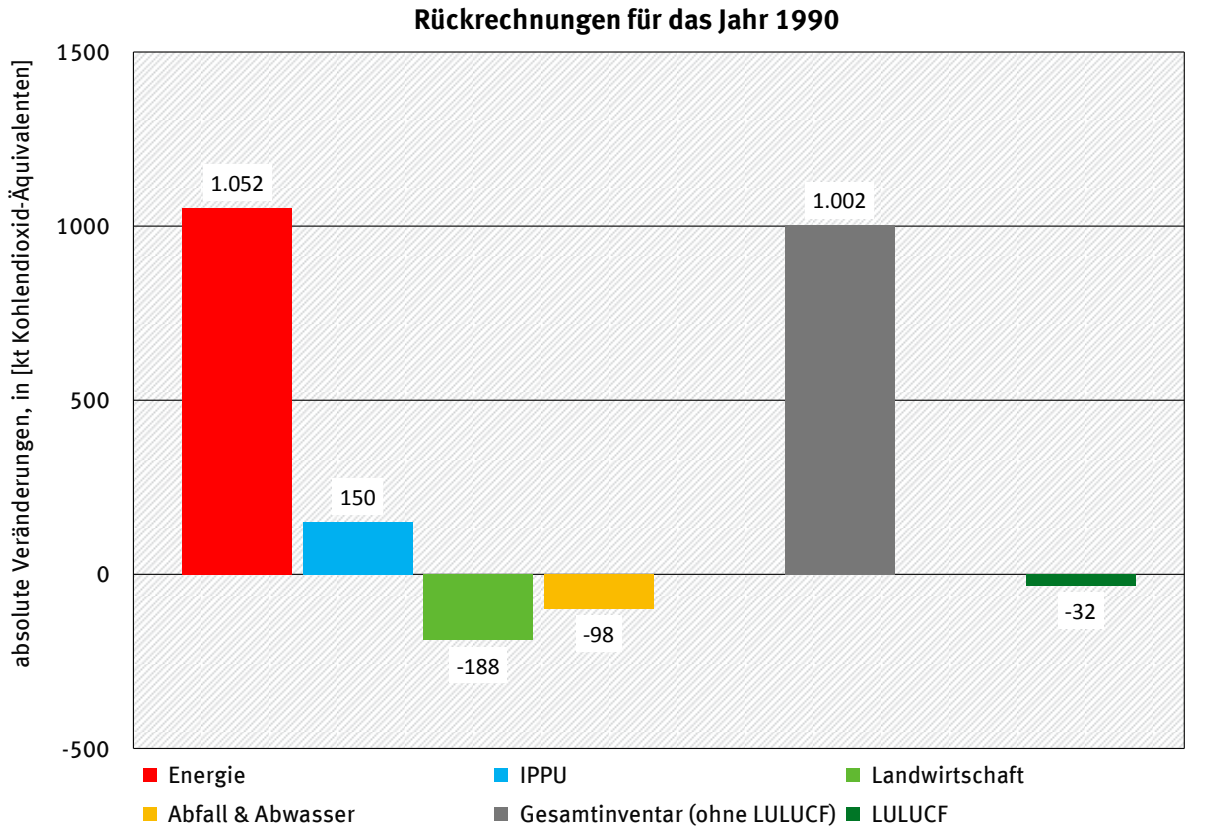

10.2.1.2 Auswirkung auf die Emissionshöhe von Kategorien 2014

Die für das Jahr 2014 berichteten Gesamtemissionen ohne LULUCF erhöhen sich im Vergleich zur Re-Submission 2016 um 2.498 kt CO_2-Äquivalente bzw. 0,28 % (siehe Tabelle 422).

Die maßgebliche inventarwirksame Korrektur erfolgt dabei mit einem Plus von 2.071 kt bzw. 0,27 % im Sektor Energie, das in erster Linie auf das Vorliegen von ggü. Submission und Re-Submission 2016 finalen statistischen Daten zurückzuführen ist.

In den meisten weiteren Sektoren kam es zu recht ähnlichen absoluten Veränderungen, die in der Regel ebenfalls auf das Vorliegen aktualisierter statistischer Daten zurückzuführen sind.

Mit +457 kt CO_2-Äquivalente (+0,57 %) entfällt die zweitgrößte absolute Änderung dabei auf den Sektore *Industrieprozesse und Produktanwendung (IPPU)*, die drittgrößte absolute Änderung (-272 kt bzw. -0,41 %) auf die *Landwirtschaft.*

Mit einer Anhebung um 243 kt CO_2-Äquivalente bzw. +2,10 %erfolgt die größte relative Änderung im Sektor *Abfall und Abwasser.*

Im *LULUCF*-Sektor (*Landnutzung, Landnutzungsänderung und Forstwirtschaft*) kam es für 2014 lediglich zu einer Anhebung der CO_2-Senkenleistung um 99 kt. Die Methan- und Lachgas-Emissionen blieben dagegen wie auch für 1990 unverändert.

Detailliertere Informationen sind, in Ergänzung zu nachfolgender Tabelle, in den CRF-Tabellen 8(a)s1 bis 8(a)s4 verfügbar.

Tabelle 422: Rückrechnung der CRF-spezifischen THG-Gesamtemissionen 2014, in kt CO_2-Äquivalenten

	2016	2017	Änderung ggü. 2016	
Nationale Gesamtemissionen (ohne CO_2 aus LULUCF)	**901.764**	**904.262**	**2.498**	**0,28%**
1. Energie	762.338	764.409	2.071	0,27%
2. IPPU	60.989	61.446	457	0,75%
3. Landwirtschaft	66.863	66.591	-272	-0,41%
4. Landnutzungsänderung u. Forstwirtschaft	-14.977	-14.877	99	0,66%
CO_2 (Netto-Emissionen/Einbindung)	*-16.689*	*-16.589*	*99*	*0,60%*
N_2O + CH_4 (Emissionen)	*1.712*	*1.712*	*0*	*0,00%*
5. Abfall	11.573	11.816	243	2,10%

„2016“: gemäß Resubmission 2016; „2017“: gemäß Submission 2017

Quelle: eigene Berechnungen

Abbildung 82: Auswirkung der Rückrechnungen auf CRF-Sektoren und Gesamtinventar 2014

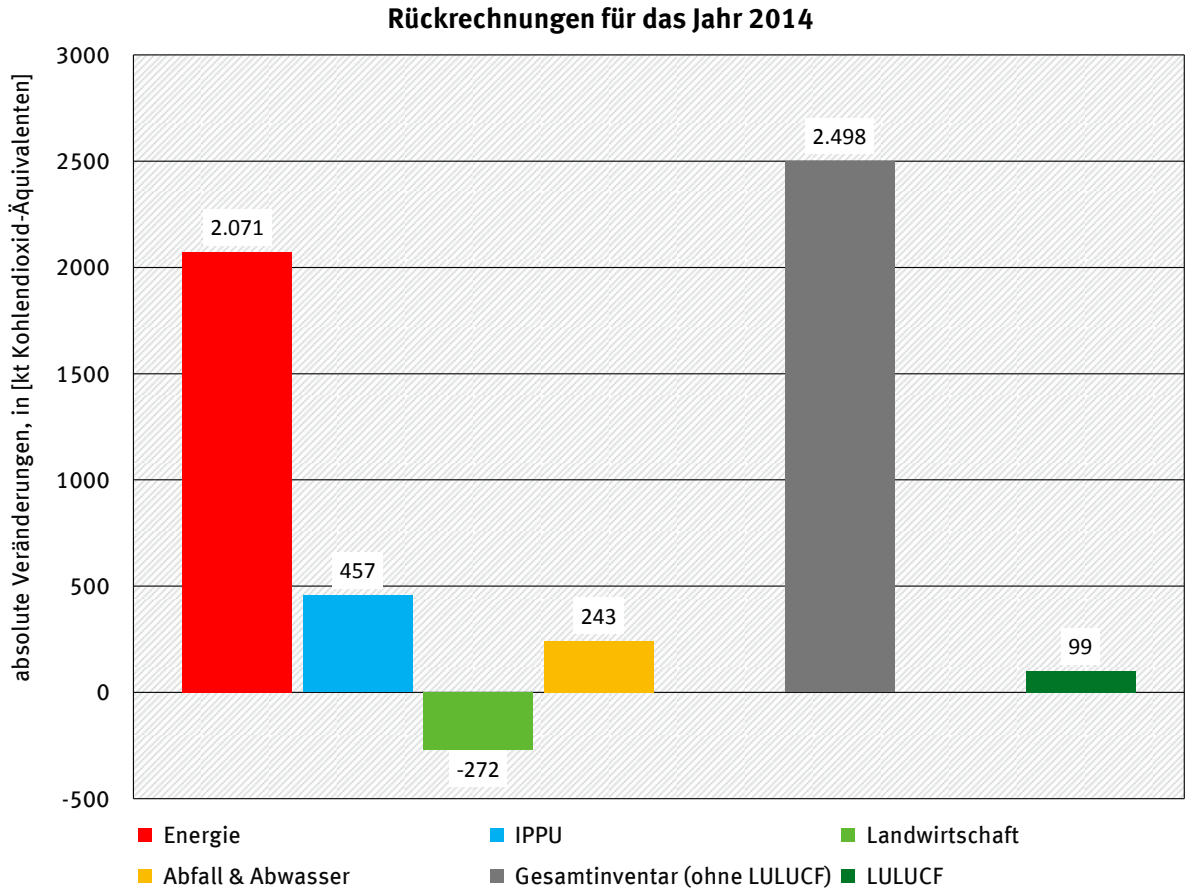

10.2.2 KP-LULUCF-Inventar

10.2.2.1 Auswirkung auf die Emissionshöhe von Kategorien 1990

Die Gesamt-Senkenleistung für 1990 erhöht sich gegenüber der Submission 2016 um 0,08 %. Dies ist vor allem auf die Methodenänderung bei der Unterscheidung perennierender und annueller Ackerpflanzen und die veränderten Emissionsfaktoren für Biomasse zurückzuführen. Die relativen Veränderungen liegen für sämtliche Kategorien unter 1 % (siehe Tabelle 423).

Tabelle 423: Rückrechnung der Gesamtemissionen 1990 über alle Treibhausgase, in kt CO_2-Äquivalenten

Landnutzungskategorie	2016	2017	Änderung ggü. 2016	
Aufforstung (KP 3.3)	585	582	-3	-0,51 %
Entwaldung (KP 3.3)	1.763	1.768	5	0,28 %
Waldbewirtschaftung (KP 3.4)	-74.806	-74.806	0	0,00 %
Ackerlandbewirtschaftung (KP 3.4)	12.702	12.669	-3	-0,26 %
Grünlandbewirtschaftung (KP 3.4)	25.766	25.772	6	0,02 %
gesamt	-33.989	-34.015	26	0,08 %

„2016“: gemäß Resubmission 2016; „2017“: gemäß Submission 2017

Quelle: eigene Berechnungen

10.2.2.2 Auswirkung auf die Emissionshöhe von Kategorien 2014

Ebenfalls getrieben durch die Änderungen beim Ackerland sinkt die Gesamt-Senkenleistung für das Jahr 2014 sinkt im Vergleich zur Submission 2016 um 0,75 %. Die größte relative Änderung

(mit allerdings nur geringem Einfluss auf die Gesamtemissionen) verzeichnet hier die Kategorie *Entwaldung* (+3,36 %).

Tabelle 424: Rückrechnung der KP-LULUCF-Gesamtemission über alle Treibhausgase 2013

Landnutzungskategorie	2016	2017	Änderung ggü. 2016	
Aufforstung (KP 3.3)	-6,449	-6.451	2	0,03 %
Entwaldung (KP 3.3)	1.997	2.064	67	3,36 %
Waldbewirtschaftung (KP 3.4)	-55.070	-54.900	-170	-0,31 %
Ackerlandbewirtschaftung (KP 3.4)	14.520	14.453	-67	-0,46 %
Grünlandbewirtschaftung (KP 3.4)	22.314	22.317	3	0,01 %
gesamt	-22.689	-22.518	-171	-0,75 %

„2016“: gemäß Resubmission 2016; „2017“: gemäß Submission 2017

Quelle: eigene Berechnungen

10.3 Auswirkung auf die Emissionstrends und die Konsistenz der Zeitreihe

10.3.1 Treibhausgas-Inventar

Die Konsistenz der Zeitreihen hat sich auf Grund der Rückrechnungen verbessert.

Im Ergebnis stellt sich der Trend der nationalen Gesamtemissionen (ohne LULUCF) gegenüber dem aktuellen Basisjahr in einer gegenüber der Submission 2016 nahezu unveränderten Reduktion von knapp 28 % dar.

Nach dem zuletzt deutlicheren Rückgang liegen die reinen CO_2-Emissionen 2015 lediglich 0,3 % unter den Werten des Vorjahres. Ähnliches gilt mit einem Minus von 0,7 % für Methan. Die Lachgas-Emissionen nehmen im Gegensatz dazu um 1,3 % zu.

Die HFC-, PFC-, SF_6- und NF_3-Emissionen entwickeln sich weiterhin uneinheitlich: Gegenüber 2014 wurden 1,5 % mehr HFCs und sogar 8,1 % mehr PFCs freigesetzt. Die emittierten Mengen SF_6 nahmen um 4,9 % zu während mit -41,4 % deutlich weniger NF_3 freigesetzt wurde.

10.3.2 KP-LULUCF-Inventar

Die Konsistenz der Zeitreihen bleibt trotz der durchgeführten Rückrechnungen gewahrt. Vor allem durch die verbesserte Methode zur Unterscheidung perennierender und annueller Ackerpflanzen wird eine wesentliche Verbesserung der Emissionsberechnung erreicht.

10.4 Verbesserungen des Inventars

10.4.1 Treibhausgas-Inventar

Die folgende Tabelle fasst die durchgeführten Verbesserungen der THG-Emissionsberichterstattung aufgrund der Hinweise und Anmerkungen des ERT aus den zurückliegenden Überprüfungen unter der Klimarahmenkonvention und unter dem Kyoto Protokoll zusammen. Die Tabelle nennt nur Aspekte, die nicht bereits während der Überprüfung gelöst wurden.

Tabelle 425: Zusammenstellung der mit der aktuellen Berichterstattung erledigten Review-Empfehlungen

CRF	Review Findings	Improvement	Report [year]	Source	Reference	Resolved in NIR-Chapter
1.	Germany included in its NIR a time-series comparison of aggregate CO2 emissions with other independent national and international data sets (NIR tables 23 and 24 and figures 22 and 23). While the comparisons confirm the consistent emission trends and annual emission levels in all calculation approaches, the ERT noted that a fuel-level comparison between the data sets would provide useful information on the discrepancies between the reference and sectoral approaches. The ERT commends Germany for its efforts to reconcile the differences between the approaches and encourages the Party to include qualitative and quantitative information on any significant differences, at the level of primary fuel consumption, in the CRF documentation box and in the NIR of its next annual submission.	Issue has been resolved	2012	ARR	§ 40	-
1.	To further increase the transparency of the inventory, the ERT also reiterates the encouragement in the previous review report to include in the NIR details of primary fuel types for the entire time series.	ERT conclusion E2 - ICR 2016: Resolved. Germany is making progress in applying national energy balance and EU ETS data, which are the most important components to improve the quality of Germany's energy inventory	2013	ARR	§ 22	-
1.	The ERT is of the view that the GHG inventory compiler should have access to any data that allow the Party to improve the quality of its GHG emissions inventory, including for QA and quality control (QC) purposes. The ERT also considers that the new reporting requirements for the energy sector, the ongoing and planned quality inventory improvements and the thoroughness of the reviews will also place additional demands on the inventory compiler.	ERT conclusion E5 - ICR 2016: Resolved. Germany provided additional information on the use of EU ETS plant-specific data during the review, indicating that sufficient access to relevant data is provided to the inventory compiler	2014	ARR	§ 24	-
1.A.	ERT found that the Party's reporting on the energy sector could be improved in relation to the comparability of its emission estimates and emission factors (EFs) with those of other Parties included in Annex I to the Convention (Annex I Parties). The ERT notes there has been no change regarding the recommendation made in the 2013 annual review report that Germany assess the possibility of preparing emission data at the level of disaggregation in the CRF tables.5 During the review, the Party explained that it does not believe that the inventory quality would improve by providing the relevant breakdown of industrial activities in the CRF tables. Germany provided a detailed line of reasoning on why it believes that comparability with other Annex I Parties would not improve by reporting emission estimates for manufacturing industries and construction according to the "Guidelines for the preparation of national communications by Parties included in Annex I to the Convention, Part I (...). This is mainly a result of the reporting of autoproduction (e.g. combined heat and power plants, which are part of industrial installations), the size of the plants (e.g. thresholds), ownership issues, as well as feedback between industrial installations and the main electricity producers (e.g. industrial plants selling electricity back to the main activity producers). The ERT (...) still notes that emissions from autoproducers are to be assigned to the category where they were generated. The ERT also notes that the comparability of emission estimates and EFs, at the required level of disaggregation provided in the CRF tables, is one of the quality criteria provided in the UNFCCC reporting guidelines. In addition, as Germany already reports the required breakdown to the Statistical Office of the European Union (Eurostat) under the European Union (EU) Regulation No 147/2013 on energy statistics, it should be possible for Germany to report the emissions using the required CRF breakdown.	ERT conclusion ICR 2016: Resolved. Germany is making progress in applying national energy balance and EU ETS data which are the most important componends to improve the quality of germans energy inventory.	2014	ARR	§ 21	-

CRF	Review Findings	Improvement	Report [year]	Source	Reference	Resolved in NIR-Chapter
4.A. (b)	Emissions from land converted to forest land have increased by 19 per cent over the period 1990–2012, from –5,878.56 Gg CO2 eq in 1990 to –4,776.83 Gg CO2 eq in 2012. While the IEF for the carbon stock changes in living biomass was relatively constant over this period, the area of land converted to forest land decreased from 606.20 kha in 1990 to 400.18 kha in 2012. This decline occurred because the rate of land conversion to forest land decreased during that period. As a result, land is moving from the category land converted to forest land to the category forest land remaining forest land at a higher rate than it is being replaced with new land converted to forest land.	Issue has been resolved	2014	ARR	§ 50	-

Alle Maßnahmen zielen auf volle Konsistenz mit den UNFCCC-Berichtsguidelines und den IPCC-Guidelines ab und sollen Adjustments unter dem Kyoto-Protokoll verhindern.

In der folgenden Tabelle werden die in den Quellgruppen-Kapiteln gemachten Aussagen der Inventarberichte (seit 2011) zu den geplanten Verbesserungen zusammengefasst. Sie werden ergänzt um Informationen zum daraus abgeleiteten Handlungsbedarf, dem avisierten Termin zur Umsetzung der Maßnahme (Deadline) und dem aktuellen Bearbeitungsstand.

Tabelle 426: Zusammenfassung der mit der aktuellen Berichterstattung erledigten und der offenen in den NIR-Kategoriekapiteln genannten geplanten Verbesserungen

CRF	Planned improvement	Data quality objective	Deadline	STATUS	Comment	Resolved in NIR-Chapter	Year of Reporting	Reference NIR-Chapter
1.A.4.a.i.	With regard to reporting on stationary combustion systems, review is currently being carried out to determine whether the applicable percentage for wood use can be determined via other scientific studies.	After finalization of a survey project of wood firing facilitys new EFs are to be integrated into the inventory and be completely documented.	[2017]	done	Issue has been resolved	-	2015	3.2.11.6
1.A.4.c.i.	In addition, plans call for redetermining, and adjusting as necessary, the energy-input fraction listed in Energy Balance line 67 for Combustion systems in the agricultural sector and in nurseries (garden centers) (1.A.4.ci), with regard to the Commercial and Institutional sector.	The energy-input fraction listed in Energy Balance line 67 for Combustion systems in the agricultural sector and in nurseries (garden centers) (1.A.4.ci) needs to be redetermined, and adjusted as necessary.	[2017]	done	Issue has been resolved	-	2016	-
1.D.1.b.	In 2013 or later, use will begin of LNG bunkered in Germany. Such use will duly be taken into account in future reports.	LNG bunkered in germany shall be included into the inventory.	[2015]	closed	No LNG in use yet.	-	2013	3.2.2.3.6
2.B.2	In 2015, a new plant that produces nitric acid was identified. The Single National Entity is in the process of bringing that plant into the cooperation agreement.	In 2015, a new plant that produces nitric acid was identified. That plant needs to be included in the cooperation agreement.	[2017]	closed	The Plant in question is a Plant for the production of Caprolatam and is reported under the EU ETS out of consistency reasons. Emissionen are below 1 t N2O - therefore extremely low. Data are gathered continously, therefore no need for an cooperation agreement.	-	2016	4.3.2.6
2.B.4.a.	Plans call for the production quantities of ε-caprolactam as of 2009 to be determined via other sources, and for the N_2O reductions of other producers to be determined.	Results of the survey related to verification of produced caprolactam and of N2O-mitigation efforts have to be implemented in the national inventory and reporting and be completely documented.	[2016]	overdue			2015	4.3.4.6
2.B.8	Plans call for improving the database.	The database needs to be improved.	[2017]	overdue			2016	4.3.8.1.6
2.C.6.	Specific data for determination of emission factors will be collected in the next rounds of reporting.	Revision of EF as well as complete documentation of results..	[2016]	overdue			2015	4.4.6.6
2.D.3.(a)	Currently, the currentness of the data collected for 2.D.3.h (printing industry / printing applications) is being reviewed.	The results of the review of the currentness of the data collected for 2.D.3.h (printing industry / printing applications) need to be documented in the NIR and the IB. The inventory is to be adjusted if necessary.	[2017]	done	Currentness of data-gathering has been reviewed. Results are given in the NIR.	-	2016	4.5.3.6
2.D.3.(b)	Relevant findings currently available from a research project are to be used for specific evaluation of emission factors.	The emission factors need to be evaluated on the basis of the existing project report.	[2012]	overdue			2011	4.2.6.6

CRF	Planned improvement	Data quality objective	Deadline	STATUS	Comment	Resolved in NIR-Chapter	Year of Reporting	Reference NIR-Chapter
3.A.	In data management and emissions calculations for this area, a transition is being made from spreadsheet files to a relational database and procedural programmes. That step, for which work began in summer 2010, is oriented primarily to QC/QA purposes. Its benefits, for example, will include facilitation of automatic plausibility checks.	The relational database needs to be completed.	[2020]	to do			2011	6.2.6
3.A.	In data management and emissions calculations for this area, a transition is being made from spreadsheet files to a relational database and procedural programmes. That step, for which work began in 2010, is oriented primarily to QC/QA purposes. Its benefits, for example, will include facilitation of automatic plausibility checks.	The relational database needs to be completed.	[2020]	to do			2012	6.2.6
3.B.	In data management and emissions calculations for this area, a transition is being made from spreadsheet files to a relational database and procedural programmes. That step, for which work began in summer 2010, is oriented primarily to QC/QA purposes. Its benefits, for example, will include facilitation of automatic plausibility checks.	The relational database needs to be completed.	[2020]	to do			2011	6.3.2.6
3.B.	In data management and emissions calculations for this area, a transition is being made from spreadsheet files to a relational database and procedural programmes. That step, for which work began in 2010, is oriented primarily to QC/QA purposes. Its benefits, for example, will include facilitation of automatic plausibility checks.	The relational database needs to be completed.	[2020]	to do			2012	6.3.2.6
3.D	In data management and emissions calculations for this area, a transition is being made from spreadsheet files to a relational database and procedural programmes. That step, for which work began in summer 2010, is oriented primarily to QC/QA purposes. Its benefits, for example, will include facilitation of automatic plausibility checks.	The relational database needs to be completed.	[2020]	to do			2011	6.5.6
3.D	In data management and emissions calculations for this area, a transition is being made from spreadsheet files to a relational database and procedural programmes. That step, for which work began in summer 2010, is oriented primarily to QC/QA purposes. Its benefits, for example, will include facilitation of automatic plausibility checks.	The relational database needs to be completed.	[2020]	to do			2012	6.5.6
4.	The results of the Agricultural Soil Inventory are being used for step-by-step validation of the current emission factors.	The currently used EF are to be verified with the results of the Agricultural Soil Inventory	[2019]	to do			2014	19.5.2.3
4. LULUCF (Total area)	Development of new, country-specific emission factors for mineral soils, via a major inventory (Agricultural Soil Inventory).	Integration of new EF for mineral soils into the inventory and complete documentation of background data, results and assumptions.	[2021]	to do			2015	6.1.5
4. LULUCF (Total area)	Derivation of country-specific emission factors, and development of models for determination of the impacts of cultivation on cropland and	Integration of new EF for mineral soils into the inventory and complete	[2019]	to do			2015	6.1.5

CRF	Planned improvement	Data quality objective	Deadline	STATUS	Comment	Resolved in NIR-Chapter	Year of Reporting	Reference NIR-Chapter
	grassland areas, using data from the Agricultural Soil Inventory, data from long-term soil monitoring and mathematical models.	documentation of background data, results and assumptions.						
4. LULUCF (Total area)	The following inventory-improvement measures are planned: Derivation of country-specific emission factors, and development of models for identification of annually varying wood harvests and of wood growth.	Derivation of country-specific emission factors, and development of models for identification of annually varying wood harvests and of wood growth, and integration of the results within the inventory.	[2018]	to do			2016	6.1.4
4.A.	*Litter and mineral soils* Evaluation of the data relative to changes in organic carbon in the upper 30 cm of mineral soil shows that sandy soils in particular, soils whose distribution is concentrated in northern Germany, have accumulated carbon since the BZE I survey. A study is already underway, with regard to the BZE, to determine the reasons for the carbon increase. A comparison with a regional soil inventory carried out on long-term study areas (KONOPATZKY 2009) indicates that changes have taken place primarily in recent years. On the other hand, a study carried out in the framework of the BZE has concluded that significant changes of carbon stocks in mineral soil take at least 10 years to become apparent in surveys (MELLERT et al. 2007). It is thus necessary to determine the relevant rate of change via a follow-on inventory. The time for that inventory will be determined after evaluation of the BZE II survey has been completed.	Once the Forest Soil Inventory II (BZE II) has been evaluated, a follow-on inventory needs to be initiated to determine changes in organic carbon in the top 30cm of mineral soils (cf. the relevant individual objective).	[2017]	overdue			2011	7.2.8.2
4.A.	Evaluation of the data relative to changes in organic carbon in the upper 30 cm of mineral soil shows that sandy soils in particular, soils whose distribution is concentrated in northern Germany, have accumulated carbon since the BZE I survey. A study is already underway, with regard to the BZE, to determine the reasons for the carbon increase. A comparison with a regional soil inventory carried out on long-term study areas (KONOPATZKY 2009) indicates that the changes have taken place primarily in recent years. On the other hand, a study carried out in the framework of the BZE has concluded that significant changes of carbon stocks in mineral soil take at least 10 years to become apparent in surveys (MELLERT et al. 2007). It is thus necessary to determine the relevant rate of change via a follow-on inventory. The time at which that inventory is to be carried out will not be decided until after the BZE II inventory has been evaluated.	Once the Forest Soil Inventory II (BZE II) has been evaluated, a follow-on inventory needs to be initiated to determine changes in organic carbon in the top 30cm of mineral soils.	[2017]	overdue			2012	7.2.8.2
4.B, 4.C	Improvement of the area data for organic soils under cultivation: ongoing research project.	The area data for organic soils on cropland need to be improved.	[2016]	done	Improvement of the area data for organic soils under		2012	7.3.8

CRF	Planned improvement	Data quality objective	Deadline	STATUS	Comment	Resolved in NIR-Chapter	Year of Reporting	Reference NIR-Chapter
					cultivation has taken place and is reported in the NIR 215.			
4.B, 4.C	Mineral soils: Agricultural soil inventory: generation of national measurements of C stocks, for cropland and grassland.	On the basis of the Agricultural Soil Inventory, data on C stocks in mineral soils need to be derived for cropland and grassland, and the inventory has to be improved accordingly.	[2020]	to do			2012	7.3.8
5.A.1.	In an international comparison, collection rates of landfill gas, at about 20 %, seem very low. They also seem low in that nearly all German landfills have gas-collection facilities and that the technical characteristics of German landfills would seem to provide a comparatively good basis for high collection rates. This apparent contradiction will need to be cleared up for future reports.	The causes for the high differences between statistical data and estimated amount of landfill gas shall be determined.	[2018]	to do			2013	8.2.1.6
5.D.1.	In the area of wastewater treatment, only CH_4 emissions from open cesspools and N_2O emissions from aeration tanks and from effluent are currently being reported. Other possible treatment steps that could be emissions-relevant – such as sludge treatment – are not reported, since the 2006 IPCC Guidelines do not cover them and since no pertinent data are available to date. Recently, however, initial national spot surveys have been carried out that suggest that various treatment steps that are currently not being considered might produce additional CH_4 and N_2O emissions. For this reason, a research project was launched this year with the aim of identifying possible fugitive emissions via relevant sections of facilities. To that end, measurements of the gases CH4, N2O and NH3 (indirect GHG; since to a small degree it converts to N2O in the atmosphere) are to be carried out at representative wastewater treatment facilities.	The inventory needs to be adjusted in keeping with the results of the R&D project on "fugitive emissions."	[2019]	to do			2016	7.5.1.1.1

10.4.2 KP & LULUCF

Die für das Konventionsinventar beschriebenen Verbesserungen für den Sektor LULUCF im Kapitel 6.1.3 sind auch für das KP-LULUCF-Inventar anzuwenden.

10.4.3 Implementing Regulation Article 9: Reporting on implementation of recommendations and adjustments

Tabelle 427: Implementing Regulation Article 9: Reporting on implementation of recommendations and adjustments, Article 9.1

Member State:	Germany			
Reporting year:	UNFCCC Annual Review Report 2014 -- **Implementation of ARR 2015 and 2016 was not possible due to not beeing finalised!**			
CRF category / issue	Review recommendation	Review report / paragraph	MS response / status of implementation	Chapter/section in the NIR
1.	greater focus on explaining the recalculations that led to the largest changes --> energy balance and particularly natural gas consumption	§ 18	Issue has been resolved. There are quantitive and qualitive analyses of recalculations available in the sector specific chapters of 1.A.	1.A
1.	Continue improving the inventory of the energy sector in future annual submissions, not only by implementing the recommendations made in the 2014 annual review report but also as a result of Germany's own quality improvements	§ 20	Issue has been resolved. . This takes place every year on an ongoing basis.	-
1.A.	ERT found that the Party's reporting on the energy sector could be improved in relation to the comparability of its emission estimates and emission factors (EFs) with those of other Parties included in Annex I to the Convention (Annex I Parties). The ERT notes there has been no change regarding the recommendation made in the 2013 annual review report that Germany assess the possibility of **preparing emission data at the level of disaggregation in the CRF tables.5** During the review, the Party explained that it does not believe that the inventory quality would improve by providing the relevant breakdown of industrial activities in the CRF tables. Germany provided a detailed line of reasoning on why it believes that comparability with other Annex I Parties would not improve by reporting emission estimates for manufacturing industries and construction according to the "Guidelines for the preparation of national communications by Parties included in Annex I to the Convention, Part I (...). This is mainly a result of the reporting of **autoproduction** (e.g. combined heat and power plants, which are part of **industrial installations**), the **size of the plants** (e.g. thresholds), ownership issues, as well as feedback between industrial installations and the main **electricity producers** (e.g. industrial plants selling electricity back to the main activity producers). The ERT (...) still notes that emissions from autoproducers **are to be assigned to the category where they were generated**. The ERT also notes that the comparability of emission estimates and EFs, at the required level of disaggregation provided in the CRF tables, is one of the quality criteria provided in the UNFCCC reporting guidelines. In addition, as Germany already reports the required breakdown to the Statistical Office of the European Union (Eurostat) under the European Union (EU) Regulation No 147/2013 on energy statistics, it should be possible for Germany to report the emissions using the required CRF breakdown.	§ 21	ERT conclusion ICR 2016: Resolved. Germany is making progress in applying national energy balance and EU ETS data which are the most important componends to improve the quality of germans energy inventory.	-
1.A.	The Party explained that the German inventory compiler has no access to plant-specific EU ETS data, or to plant-specific statistical data. The responsibility for the QA of data collected under the EU ETS lies strictly with the national emissions trading authority. The inventory compiler has initiated activities to perform the verification of aggregated data collected under the EU ETS with those used for the compilation of the inventory. The ERT notes that this is a very big task given the number of installations, legal restrictions	§ 23	Germany is continuing to work on that issue.	

Member State:	Germany			
Reporting year:	UNFCCC Annual Review Report 2014 -- **Implementation of ARR 2015 and 2016 was not possible due to not beeing finalised!**			
CRF category / issue	Review recommendation	Review report / paragraph	MS response / status of implementation	Chapter/section in the NIR
	and different esponsibilities within the Quality System for Emissions Inventories. During the review, Germany also indicated that it has already started a discussion between the Federal Statistical Office, the single national entity (the coordinating agency for the national system) and EU ETS authorities to extend the cooperation regarding the QA of the EU ETS data and energy statistics.			
1.	The ERT is of the view that the GHG inventory compiler should have access to any data that allow the Party to improve the quality of its GHG emissions inventory, including for QA and quality control (QC) purposes. The ERT also considers that the new reporting requirements for the energy sector, the ongoing and planned quality inventory improvements and the thoroughness of the reviews will also place additional demands on the inventory compiler.	§ 24	ERT conclusion E5 - ICR 2016: Resolved. Germany provided additional information on the use of EU ETS plant-specific data during the review, indicating that sufficient access to relevant data is provided to the inventory compiler	-
1.A.3-5	The ERT notes that some of the uncertainties reported in the NIR are relatively large. For example, the uncertainty of the AD related to CO2 emissions from road transportation is around 9 per cent and the uncertainties for the residential and commercial categories are around 8 per cent. The ERT notes that these are very large emission sources and well-established statistical flows in the energy balance. During the review, the Party explained that the uncertainty of 8 per cent for the residential and commercial categories takes into account the uncertainty of the net calorific value (NCV) and the AD. The ERT notes that accurate and reliable AD are prerequisites for the calculation of good-quality emission estimates for the energy sector.	§ 25	Issue has been explained.	1.7.1.2
0	With regard to QA/QC procedures, the NIR states that "Due to a lack of relevant specialized staff, it has not yet been possible to have source category experts carry out quality control and quality assurance for the area of CO2 emission factors". The ERT asked the Party to clarify whether this statement refers to category-specific (tier 2) QC procedures during the inventory preparation process and/or to QA activities performed by personnel not directly involved in the inventory preparation process. The Party responded that all CO2 EFs and NCVs are thoroughly checked by an experienced expert, including comparisons with IPCC default values, the EFs of other countries and EFs based on EU ETS data. The Party also explained that there are regular discussions with the Federal Statistical Office and the industry about NCVs and the composition of special gases. The ERT found that no experts outside the inventory team are involved in the performance of regular QA/QC procedures and considers that QA checks would further enhance the quality of the Party's GHG inventory. The ERT encourages Germany to establish a process for external QA of its annual submissions.	§ 26	The conclusion that there is no external QA is wrong. Please see NIR, (role concept and process organisation). If in some cases an expert or the belonging superior is missing (e.g. illness) and cannot be replaced in short-term there is always a back-up within the national entity responsible for qc and qa. More over there is a basic expert peer review mechanism established on a routinely and yearly basis.	1.3.3.1.3+4
1.A.	The energy statistics reported by Germany to **Eurostat** under the EU regulation on energy statistics show that, in 2012, gas consumption by households was 2.4 per cent higher according to the Eurostat data than in the data reported to the **UNFCCC** (905,134 TJ compared with 883,630 TJ). The difference in consumption of liquid fuels was 3.6 per cent: higher in the Eurostat data (545,477 TJ) than in the data reported in the CRF tables (525,833 TJ). Finally, the difference in consumption of liquid fuels in the commercial sector was even greater (36.9 per cent): 308,317 according to the Eurostat data compared with 194,647 reported in the CRF tables. During the review, the Party informed the ERT that data pertaining to the Joint Annual Questionnaires, which are submitted to both Eurostat and the International Energy Agency, have to be reported by the end of November when the final energy data are not yet available in Germany. The ERT notes that these differences partly reflect the reporting of 'preliminary' energy statistics to Eurostat by 30 November, which are more up to date, compared with the 'preliminary' energy statistics that are made available to the inventory compiler in August.	§ 28	Germany is continuing to work on that issue.	

Member State:	Germany			
Reporting year:	UNFCCC Annual Review Report 2014 -- **Implementation of ARR 2015 and 2016 was not possible due to not beeing finalised!**			
CRF category / issue	Review recommendation	Review report / paragraph	MS response / status of implementation	Chapter/section in the NIR
1.D.1.b.	Germany cannot distinguish the amount of **bunker fuel** that is used for international transport on inland waterways (such as on the **Rhine** river) from that used for domestic navigation because of a lack of statistical data. The ERT notes that the approach followed by Germany leads to an overestimation of emissions from navigation as all fuel and emissions are considered domestic and reported under navigation. During the review, Germany explained that no statistics are available to report this breakdown. The IPCC good practice guidance also requires that estimates are accurate in the sense that they do not systematically overestimate or underestimate true emissions or removals.	§ 29	Issue has been resolved.	NIR 2015 3.2.10.4
1.A., 1.B	Inconsistencies in the Party's reporting of non-energy use of fuels among CRF tables 1.A(b), 1.A(c) and 1.A(d), including in the use of the notation keys (e.g. "NA" (not applicable) instead of "NO" (not occurring)). For example, the sum of total carbon stored reported in CRF table 1.A(b) (67,777.26 Gg CO2) is not equal to the sum of CO2 not emitted reported in CRF table 1.A(d) (68,429.68 Gg CO2). Also, the difference between the apparent consumption and the apparent consumption excluding non-energy use and feedstocks reported in CRF table 1.A(c) (1,109,155 TJ) is not equal to the sum of all fuel quantities reported in CRF table 1.A(d) (1,116,767 TJ). In addition to these findings regarding the consistency of the reported information, the ERT considers that the reporting of non-energy use of fuels and feedstocks could be improved in relation to transparency. For example, the relevant information in the last three columns of CRF table 1.A(d) (i.e. subtracted from energy sector, associated CO2 emissions and allocated under) has not been reported. The ERT considers that ensuring access to this information by the inventory compiler is important for improving the transparency of the reporting of the energy and industrial processes sectors.	§ 30	Given the fundamental revision and harmonisation of the named CRF tables after submission 2014, going along with changes in the data compilation work flow, the inventory compiler regards this issue as solved until a contrary assessments of a future ERT.	-
1.A.1-2	Germany reported a consumption of solid fuels equivalent to 191,340 TJ in 2012 for iron and steel. For the same year, the data reported to Eurostat show a consumption of 363,690 TJ. The Party explained that this difference is a result of the different reporting structure in the GHG inventory compared with the national energy statistics. The ERT notes that the AD used to estimate emissions from iron and steel in Germany include coke breeze, hard coal use of sinter plants, blast furnace gas and basic oxygen furnace gas, as well as coke oven gas used in power plants and in boilers of the different steel-making processes. Also, an important part of the emissions from solid fuels is reported under iron and steel production in the industrial processes sector. During the review, the ERT asked Germany to provide the carbon balance for the iron and steel category. The Party responded that the current reporting structure, as well as the carbon balance, is the result of the in-country review conducted in 2010. The carbon balance shows that the output is indeed higher than the input, with a very high statistical difference. The Party explained that there was an intensive discussion with the Iron and Steel Association and the Federal Statistical Office to determine the exact reason for this inconsistency. The reason for the imbalance is an overestimation of the blast furnace gas volume as a result of high measurement uncertainties. The ERT notes that Germany is planning to revise its calculation method and increase the consistency with the EU ETS data in its 2015 annual submission.	§ 31	Issue has been resolved. In chapter 1.A.2.a and 2.C.1 a comprehensive explanation of the reporting structure ist available. A couple of graphs help to illustrate this subject. The carbon balance cannot be reported due to confidential data. Information on the carbon balance can be supplied to the review experts upon request.	1.A.2.a and 2.C.1 a
2.A.2.	Germany uses lime production data to estimate CO2 emissions for the entire time series. The estimated emissions and collected production-quantity data were compared with findings from the EU ETS and with national statistical data. Responding to recommendations made in previous review reports, Germany reported on the analysis of the differences between the CO2 emissions reported in the NIR and those from the EU ETS. Germany has reported in the NIR that these comparisons have revealed a need for further review of the EU ETS methodology.	§ 35	It's checked, but it is not possible to provide EU ETS methodology over three trading periods.	NIR 2015 4.2.2
2.B.3.	In Germany, emissions from adipic acid production were estimated based on IPCC default EFs and the amount of adipic acid produced until the mid-1990s. In recent years, the emissions were estimated using confidential AD. The NIR reports that there are three facilities producing adipic acid and these facilities have installed abatement technologies for which no description has been provided.	§ 36	Issue has been resolved	4.3.3

Member State:	Germany			
Reporting year:	UNFCCC Annual Review Report 2014 -- **Implementation of ARR 2015 and 2016 was not possible due to not beeing finalised!**			
CRF category / issue	Review recommendation	Review report / paragraph	MS response / status of implementation	Chapter/section in the NIR
2.C.1.	In iron and steel production, the ERT noted that the trend in the CO2 implied emission factor (IEF) decreased by 22.7 per cent between 2004 (0.48 t/t) and 2012 (0.37 t/t). Also, several large inter-annual changes were identified (...). During the review, Germany explained that the inter-annual fluctuations are caused by the reallocation of fuel provided from the blast furnace from the category iron and steel in the energy sector to the category iron and steel production in the industrial processes sector, and by changes in production. The Party also explained that because the allocation methods are different, the aggregation of steel, pig iron and sinter production for the determination of the IEF could lead to incorrect conclusions.	§ 37	Issue has been resolved.	NIR-Kapitel 3.2.9.1.1 und 4.4.1.2
2.B.9.	Germany has reported hydrofluorocarbon-23 (HFC-23) emissions as “NA” under by-product emissions in CRF table 2(II).E, while other HFCs are reported as “C” (confidential) and “NO” under fugitive emissions. There is no information in the NIR that shows that direct production of HFC-23 occurs in Germany. In response to questions raised by the ERT during the review, Germany agreed that it has used the incorrect notation keys.	§ 38	Issue has been resolved. Notation key was changed into NO	-
3.	HB (recommendation) passt nicht zum Issue (dieses enthält keine Empfehlung, daher hier nicht wiedergegeben)	§ 40	Issue has been resolved. In NIR 2016, chapter 5.1.3.2.1 it is clearly described for which animal categories (and how often) the German Federal Statistical Office is carrying out surveys. In years without agricultural-stucture surveys there is no information about animal numbers of sheep, goats, horses and poultry. In line with the IPCC guidelines, these animal numbers are estimated by inter-/extrapolation.	NIR 2016, chapter 5.1.3.2.1
3.	The NIR includes a separate section describing the different data sources, database and statistics used for the estimation of the AD (mainly animal numbers). The ERT noted that in several animal categories (i.e. poultry, goats and horses) the AD were not available for the latest reporting year (i.e. 2012) and, therefore, the same values as for 2011 were used to estimate the emissions. The ERT also noted several discrepancies with the international statistics published in the database of the Statistics Division of the Food and Agriculture Organization of the United Nations (FAOSTAT). During the review, Germany provided an additional document regarding the comparison of data published in FAOSTAT with the national background data on goats, horses, sheep, pigs and poultry, and information that justifies the differences (e.g. meat production in Germany).	§ 41	Issue has been resolved.	NIR 2016, chapter 5.1.3.2.4
3.B.	In response to a recommendation made in the previous review report, Germany has made improvements in the reporting of emissions from biogas plants and in providing information on the share of slurry digested, disaggregated by cattle and swine. The ERT commends Germany for these improvements and considers the explanation provided transparent.	§ 44	As stated in the review findings, the German methodoloy is explained transparently. The NIR is not the place to conduct an additional literature review, so this point is rejected.	-
3.B.	Germany uses an N2O IEF for solid storage and dry lot (0.0091 kg N2O-N/kg N) which is lower than the IPCC default value (0.02 kg N2O-N/kg N). In response to questions raised by the ERT during the review, Germany provided additional information about the methodology used to estimate a country-specific EF for solid manure (“N2O emissions from solid manure storage. Calculation of a national emission factor”).	§ 45	Derivation and justification of the country specific EF for solid manure is given in VANDRE et. al. (2013) and has been made available to the ERT. Due to	-

Member State:	Germany			
Reporting year:	UNFCCC Annual Review Report 2014 -- **Implementation of ARR 2015 and 2016 was not possible due to not beeing finalised!**			
CRF category / issue	Review recommendation	Review report / paragraph	MS response / status of implementation	Chapter/section in the NIR
			the change to IPCC 2006 this EF now is higher than the IPCC default EF (German EF: 0.013; IPCC default: 0.005).	
4.A.(a)	During the period 1990–2012, emissions from forest land remaining forest land increased by 16,379.09 Gg CO2 eq/year from –63,332.15 Gg CO2 eq in 1990 to –47,074.09 Gg CO2 eq in 2012. The carbon stock change method used by Germany integrates the gains and losses of carbon stocks over the time period between inventory years. The increase in emissions over the period 1990–2012 was the result of a generally high rate of harvesting in the period 2000–2012, which is broadly reflected in the inventory results obtained from the national forest inventory (NFI) in 2012. The forest inventory method underestimates the amount of roundwood production by up to 35 per cent based on the national statistics. In response to a question raised by the ERT during the review, Germany explained that wood harvested is considered implicitly by the inventory method. The ERT sought information that would aid the transparency of reporting of emissions on forest land, specifically in relation to harvesting activity. In response to a draft version of this report, Germany stated that "German logging statistics is flawed. It is not based on measurements, but partly on expert judgments with a very high uncertainty and has been considered inappropriate for inventory purposes by the national logging and timber trade experts".	§ 49	Issue has been closed due to incorrect assumptions by the reviewer. The wood harvest statistics have been deleted from the NIR. falsche Annahme und Forderung vom Reviewer - Textpassagen zur Holzeinschlagsstatistik wurden aus dem NIR entfernt	-
4.A.(b)	Emissions from land converted to forest land have increased by 19 per cent over the period 1990–2012, from –5,878.56 Gg CO2 eq in 1990 to –4,776.83 Gg CO2 eq in 2012. While the IEF for the carbon stock changes in living biomass was relatively constant over this period, the area of land converted to forest land decreased from 606.20 kha in 1990 to 400.18 kha in 2012. This decline occurred because the rate of land conversion to forest land decreased during that period. As a result, land is moving from the category land converted to forest land to the category forest land remaining forest land at a higher rate than it is being replaced with new land converted to forest land.	§ 50	Issue has been resolved	-
5.A.1.	Germany has reported the fraction of municipal solid waste (MSW) disposed using the notation key "NE" (not estimated) in the CRF tables. The ERT considers that this is not in accordance with the UNFCCC reporting guidelines. In response to a question raised by the ERT during the review, the Party explained that as a result of regulations in force since June 2005, the landfilling of biodegradable waste is no longer permitted in Germany. The outcome of this is that municipal waste and other biodegradable waste must be pre-treated via thermal or mechanical biological processes and the fraction of MSW disposed has been zero since that time.	§ 53	Tere is no additional information box in the CRF tables anymore.	-
5.D.2.	During the review, the ERT noted that there were errors in the formula described in the NIR and the AD presented were not consistent across the annual submission. In response to questions raised by the ERT during the review, Germany explained that the AD have been completely updated to reflect 2012 values and were used in the correct formula, but the values were not correctly described in the NIR.	§ 54	Issue has been resolved. AD have been revised.	7.5.2.1.5
5.B.1.	The ERT noted that the EF for waste composting is high compared with other reporting Parties. This issue was raised by the ERT during the review and the Party explained that research projects relating to this issue are currently under way and that improved data will be reported as they become available.	§ 56	Issue has been resolved.	NIR-Kapitel 7.3.1.2
KP-LULUCF	During the first commitment period, Germany reported average annual net emissions of 2,283.19 Gg CO2 eq/year. The deforestation area and emission estimates were subject to a significant recalculation in the 2014 annual submission. The average annual recalculation over the first commitment period was 515 per cent for deforestation area and 1,691.9 per cent for emissions.	§ 61	Issue has been closed due to not being relevant for improvement. nicht relevant für Verbesserungen	-

Member State:	Germany			
Reporting year:	UNFCCC Annual Review Report 2014 -- **Implementation of ARR 2015 and 2016 was not possible due to not beeing finalised!**			
CRF category / issue	Review recommendation	Review report / paragraph	MS response / status of implementation	Chapter/section in the NIR
KP-LULUCF	These recalculations were primarily undertaken following the availability of the results from the third NFI, which provided a basis for more accurate estimates of deforested area and on-site biomass on deforested land. Germany reported in CRF table 5(KP-I)A2.1 the total area of deforestation as otherwise subject to elected activities under Article 3, paragraph 4, of the Kyoto Protocol. The ERT noted that the Party misinterpreted the purpose of the table.	§ 62	Issue has been resolved.	-
KP-LULUCF	All forests in Germany, except those classified under afforestation or reforestation, were included within the forest management activity. By 2012, net removals on forest management land were estimated to amount to 46,692.65 Gg CO2 eq from 10.76 million ha of forest land. The forest management removal estimates were subject to a significant recalculation in the 2014 annual submission. The average annual recalculation of forest management removals over the first commitment period was 68.5 per cent. This recalculation increased net removals from forest management land by an average of 18,978.24 Gg CO2 eq/year throughout the first commitment period. This recalculation was primarily undertaken following the availability of the results of the third NFI, which provided a basis for more accurate estimates of on-site biomass. In response to a draft version of this report, Germany explained that “before the new data of the NFI 2012 became available, the removals on forest management land were estimated up to submission 2013 by applying the same removal rate as between 2002 and 2008 (extrapolation method), when harvest rates were very high. The logging statistics – with all their flaws and uncertainties – had suggested for years that harvest rates have declined since then, which is supported by lower timber prices”. The ERT agrees with Germany that declines in logging activity may help to explain the increase in removals on forest management land during the first commitment period	§ 63	Issue has been closed due to incorrect assumptions by the reviewer. The wood harvest statistics have been deleted from the NIR. falsche Annahme und Forderung vom Reviewer - Textpassagen zur Holzeinschlagsstatistik wurden aus dem NIR entfernt	-
KP	Germany’s description of the minimization of adverse impacts in accordance with Article 3, paragraph 14, of the Kyoto Protocol since the previous annual submission is the same as the reporting in the 2013 NIR. The ERT noted that Germany did not provide information on changes in its reporting of the minimization of adverse impacts in accordance with Article 3, paragraph 14, of the Kyoto Protocol in its annual submission. Although noting that changes have not been reported, the ERT concluded that the information provided continues to be complete and transparent.	§ 75	Germany is continuing to work on that issue.	

10.5 Rückrechnungen aufgrund des *In-Country-Reviews* 2016

Die Überprüfung der Treibhausgas-Inventare 2015 und 2016 erfolgte im September 2016 im Rahmen eines In-Country-Reviews. Im Ergebnis wurde das Inventar an mehreren Stellen Korrekturen unterzogen, die teils zu eher kleinen, teils aber auch zu größeren Rückrechnungen und letztlich zu einer am 07. November 2016 erfolgten Resubmission führten.

Im Folgenden werden alle im Rahmen der Resubmission 2016 erfolgten Neuberechnungen und deren Auswirkungen auf das Treibhausgas-Inventar 2016 dargelegt.

Die mit der Resubmission übermittelten Daten stellen die Grundlage für alle sowohl in den einzelnen Quellgruppen selbst, als auch in den Kapiteln 10.1 bis 10.3 beschriebenen Rückrechnungen dar.

10.5.1 Auswirkungen der infolge des In-Country-Reviews durchgeführten Rekalkulationen auf das Gesamtinventar 2016

Die Neuberechnungen führen für alle Jahre zur Anhebung der nationalen THG-Gesamtemissionen, für 1990 um 3.727 kt CO_2-Äquivalente (+0,3 %), für2014 um 1.562 kt CO_2-Äquiv. (+0,17 %).

Die größten Korrekturen erfolgten dabei in den CRFs *3 - Landwirtschaft* und *5 – Abfall & Abwasser*. In den CRF-Unterkategorien *3.D – Landwirtschaftliche Böden, 3.G – Kalkung von Böden, 5.A - Ablagerung von festen Abfällen* sowie 5.*D – Abwasserbehandlung* kommt es dabei zu einer Anhebung der jährlichen Emissionsniveaus um durchweg mehrere hundert Kilotonnen Kohlendioxid-Äquivalente.

Hinzu kommt eine weitere, jedoch vergleichsweise kleine Korrektur in CRF *3.A – Verdauung* sowie eine Reallokation von Emissionen von *CRF 6* nach *CRF 2.C – Metall-Industrie*.

Die Basisjahr-Emissionen Deutschlands wurden damit, wie nachfolgend dargestellt, auf 1.253.599.336 Tonnen CO_2-Äquivalente korrigiert.

Tabelle 428: Neuberechnung der Basisjahr-Emissionen, in kt CO_2-Äquivalenten

	ohne LULUCF	**ohne LULUCF, inkl. indirektes CO_2**
indirektes CO_2 (1990)	0	0
CO_2 (1990)	1.052.238.234	1.052.238.234
CH_4 (1990)	119.234.770	119.234.770
N_2O (1990)	65.188.852	65.188.852
HFCs (1995)	2.606.074	2.606.074
PFCs (1995)	2.085.721	2.085.721
nicht spezifizierter Mix von HFCs & PFCs	5.773.247	5.773.247
SF_6 (1995)	6.467.150	6.467.150
NF_3 (1995)	5.290	5.290
Basisjahr - exklusive Article 3(7bis)	1.253.599.336	1.253.599.336
Deforestation cf. Article 3 (7bis)	NA	NA
Basisjahr - inklusive Article 3(7bis)	1.253.599.336	1.253.599.336

Tabelle 429: Überblick der erfolgten Korrekturen und deren Effekt auf die berichteten nationalen Gesamtemissionen, in kt CO_2-Äquivalenten

	1990	1995	2000	2005	2010	2011	2012	2013	2014
Nationale THG-Gesamtemissionen (ohne LULUCF) - *gemäß Submission 2016 vom 15.06.2016*									
	1.246.101	**1.118.523**	**1.041.064**	**989.916**	**939.372**	**920.151**	**924.701**	**943.520**	**900.202**
revidierte Kategorien									
CRF 2 - Industrieprozesse	26,54	16,78	18,62	19,34	15,69	15,23	12,92	13,19	14,02
2.C - Metallindustrie	26,54	16,78	18,62	19,34	15,69	15,23	12,92	13,19	14,02
CRF 3 - Landwirtschaft	2.071,73	771,34	780,86	711,56	705,78	769,10	741,97	775,10	793,40
3.A - Verdauung	12,27	11,39	9,98	9,56	8,35	7,36	7,31	6,98	7,04
3.D - Landwirtschaftliche Böden	780,23	658,99	690,15	655,51	657,84	718,03	693,15	721,08	742,15
3.G – Kalkung von Böden	1.279,23	100,96	80,73	46,49	39,59	43,71	41,51	47,04	44,21
CRF 5 - Abfall & Abwasser	1.655,45	1.649,99	1.449,75	1.221,33	960,85	909,15	894,98	856,07	768,39
5.A - Ablagerung von festen Abfällen	725,00	775,00	650,00	500,00	325,00	300,00	300,00	275,00	200,00
5.D - Abwasserbehandlung	930,45	874,99	799,75	721,33	635,85	609,15	594,98	581,07	568,39
CRF 6 – Sonstige Quellen / Senken	-26,54	-16,78	-18,62	-19,34	-15,69	-15,23	-12,92	-13,19	-14,02
Nationale THG-Gesamtemissionen (ohne LULUCF) - *gemäß Re-Submission 2016 vom 07.11.2016*									
	1.249.829	**1.120.944**	**1.043.294**	**991.849**	**941.039**	**921.830**	**926.338**	**945.151**	**901.764**
Effekt der Rückrechnungen - in kt	**+3.727,18**	**+2.421,33**	**+2.230,61**	**+1.932,90**	**+1.666,63**	**+1.678,26**	**+1.636,96**	**+1.631,17**	**+1.561,78**
Effekt der Rückrechnungen - in %	**+0,3**	**+0,2**	**+0,2**	**+0,2**	**+0,2**	**+0,2**	**+0,2**	**+0,2**	**+0,2**

Sämtliche infolge von Anmerkungen des *Expert Review Teams* im sogenannten *Saturday Letter* erfolgten Neuberechnungen werden in Kapitel 10.5.2 sowohl inhaltlich als auch hinsichtlich ihrer Auswirkungen auf das Inventar der Quellgruppe selbst und das Gesamtinventar ausführlicher beschrieben.

Tabelle 430: Auswirkungen der vorgenommenen Rückrechnungen auf die nationalen Treibhausgas-Emissionen, in kt CO2-Äquivalenten

	1990	1995	2000	2005	2006	2007	2008	2009	2010	2011	2012	2013	2014
Submission 2016	1.246.186	1.118.523	1.041.064	989.916	997.152	970.186	972.146	904.689	939.372	920.151	924.701	943.520	900.202
Re-Submission 2016	1.249.913	1.120.944	1.043.294	991.849	999.044	971.998	973.942	906.423	941.039	921.830	926.338	945.151	901.764
absolute Änderung	3.727	2.421	2.231	1.933	1.892	1.812	1.796	1.735	1.667	1.678	1.637	1.631	1.562
relative Änderung	0,3%	0,2%	0,2%	0,2%	0,2%	0,2%	0,2%	0,2%	0,2%	0,2%	0,2%	0,2%	0,2%

Tabelle 431: Auswirkungen der vorgenommenen Rückrechnungen auf die nationalen Kohlendioxid-Emissionen, in kt

	1990	1995	2000	2005	2006	2007	2008	2009	2010	2011	2012	2013	2014
Submission 2016	1.050.959	938.047	899.204	865.912	877.378	850.750	853.194	788.377	832.220	812.440	816.990	835.746	792.859
Re-Submission 2016	1.052.238	938.148	899.285	865.959	877.422	850.796	853.230	788.422	832.259	812.483	817.031	835.793	792.903
absolute Änderung	1.279	101	81	46	45	46	36	45	40	44	42	47	44
relative Änderung	0,122%	0,011%	0,009%	0,005%	0,005%	0,005%	0,004%	0,006%	0,005%	0,005%	0,005%	0,006%	0,006%

Tabelle 432: Auswirkungen der vorgenommenen Rückrechnungen auf die nationalen Methan-Emissionen, in kt CO_2-Äquivalenten

	1990	1995	2000	2005	2006	2007	2008	2009	2010	2011	2012	2013	2014
Submission 2016	117.567	103.061	86.188	67.162	63.257	61.054	60.128	57.937	57.123	56.050	56.745	56.112	54.752
Re-Submission 2016	119.235	104.722	87.648	68.393	64.446	62.176	61.207	58.948	58.092	56.966	57.647	56.975	55.528
absolute Änderung	1.668	1.661	1.460	1.231	1.189	1.122	1.079	1.011	969	917	902	863	775
relative Änderung	1,4%	1,6%	1,7%	1,8%	1,9%	1,8%	1,8%	1,8%	1,7%	1,6%	1,6%	1,5%	1,4%

Tabelle 433: Auswirkungen der vorgenommenen Rückrechnungen auf die nationalen Lachgas-Emissionen, in kt CO_2-Äquivalenten

	1990	1995	2000	2005	2006	2007	2008	2009	2010	2011	2012	2013	2014
Submission 2016	64.409	60.477	42.584	42.987	42.692	44.614	45.088	44.291	36.295	37.629	36.804	37.364	38.038
Re-Submission 2016	65.189	61.136	43.274	43.642	43.351	45.258	45.769	44.970	36.953	38.347	37.497	38.085	38.780
absolute Änderung	780	659	690	656	659	644	681	678	658	718	693	721	742
relative Änderung	1,2%	1,1%	1,6%	1,5%	1,5%	1,4%	1,5%	1,5%	1,8%	1,9%	1,9%	1,9%	2,0%

10.5.2 In den Saturday Letter eingegangene ERT-Empfehlungen und daraus resultierende Rückrechnungen

Im Folgenden werden die einzelnen von den Prüfern (*Expert Review Team - ERT)* im *Saturday Letter* festgehaltenen Korrekturaufträge sowie die von den Inventarerstellern vorgeschlagenen Lösungen vorgestellt.

10.5.2.1 N_2O aus der Caprolactam-Herstellung

(wie unter CRF 2.B.4. - Caprolactam, glyoxal and glyoxylic acid production berichtet)

Für die zwei in Deutschland aktiven Anlagen zur Caprolactam-Herstellung wurden bisher keine N_2O-Emissionen aus der Abfackelung gasförmiger Abfallstoffe berichtet. Diese wurden stattdessen als not applicable („NA“: hier nicht anwendbar da entsprechende Emissionen nicht auftreten) angegeben.

Im Rahmen der Überprüfung wurde das ERT darüber informiert, dass beide Anlagen mit einem redundanten Systemen zur thermischen Abgas-Nachbehandlung ausgerüstet sind, welche eine thermische Zersetzung von Lachgas ermöglichen.

Das ERT merkte hierzu an, dass die IPCC-Guidelines 2006 von einer Wirksamkeit solcher Anlagen von 99 % ausgehen und dass Belege für den hier stattdessen angenommenen vollständigen Abbau fehlen, und stellte somit eine mögliche Unterschätzung der berichteten N_2O-Emissionen fest.

Um letztere auszuschließen, forderte das ERT Deutschland auf, entweder Belege für den vollständigen Abbau sowie die ununterbrochene störungsfreie Tätigkeit der entsprechenden technischen Vorrichtungen vorzulegen, oder aber auf Basis der in den Guidelines vorgeschlagenen Methoden entsprechende N_2O-Emissionen zu berechnen.

Für einen der beiden Hersteller werden die Lachagsemissionen aus der Caprolactam-Produktion im Inventar der Salpetersäureproduktion (2.B.2) zugeordnet. Dies geschieht aus Konsistenzgründen mit dem Emissionshandel. Die Beiträge werden darum als *included elsewhere* (IE) ausgewiesen. Für die Anlage des anderen Herstellers wird die Empfehlung des ERT umgesetzt und die zu erwartenden N_2O-Emissionen mit Hilfe der 2006 IPCC-Guidelines berechnet. Die Emissionen aus dieser Anlage werden in der CRF-Tabelle unter 2.B.4.a als *not estimated* (NE) berichtet. Weitere Details siehe Kapitel 4.3.4.2.

10.5.2.2 CH_4 aus der enterischen Fermentation bei Schafen

(wie unter CRF 3.A.2 - Enteric Fermentation berichtet)

Vom ERT wurde hier ein zu niedriger impliziter Emissionsfaktor (IEF) für Methan aus der Verdauungstätigkeit von Schafen angemerkt (6,21 anstelle von 8 kg CH_4 pro Schaf und Jahr), der sich aus dem IPCC default für Schafe (8 kg) und einem um 60 % reduzierten Wert (3,2 kg) für Lämmer ergibt. Das Verhältnis der auf adulte Schafe bzw. Lämmer angewendeten EF leitet sich dabei aus einer Studie ab, deren Ergebnisse im NIR jedoch nicht dargestellt sind. Als mögliche Alternative zum unzureichend begründeten landesspezifischen Ansatz schlug der Inventarersteller die Anwendung eines gemäß IPPC Guidelines revidierten EF für Lämmer in Höhe von 3,57 kg CH_4 pro Lamm und Jahr vor.

Für die festgestellte mögliche Unterschätzung der berichteten Methan-Emissionen schlug das ERT entsprechend folgende alternative Lösungsansätze vor:

1. Vorlage einer stichhaltigen Begründung zur Anwendung des EF von 3,2 kg CH_4 pro Lamm und Jahr oder

2. Vorlage einer auf Basis des korrigierten EF (3,57 kg) neu berechneten Zeitreihe

Im Ergebnis erfolgte die Anwendung des korrigierten EF, der einen IEF von nunmehr 6,36 kg CH_4 pro Schaf und Jahr bzw. um im Schnitt etwa 2,4 % bzw. 7 bis 13 kt gesteigerte Methan-Emissionen zur Folge hat:

Tabelle 434: Korrektur der unter 3.A.2 berichteten THG-Emissionen, in kt CO_2-Äquivalenten

	1990	1995	2000	2005	2010	2014
Submission 2016	506,0	461,5	428,9	413,9	348,8	294,0
Re-Submission 2016	518,2	472,9	438,9	423,4	357,1	301,0
absolute Änderung	12,3	11,4	10,0	9,6	8,4	7,0
relative Änderung	2,43%	2,47%	2,33%	2,31%	2,39%	2,39%

10.5.2.3 indirekte N_2O-Emissionen aus bewirtschafteten landwirtschaftlichen Böden

(wie unter *CRF 3.(II).D.B - Indirect N_2O Emissions from Managed Soils* berichtet)

Der im NIR beschriebene landesspezifische Ansatz zur Berechnung dieser indirekten Lachgas-Emissionen wurde vom ERT als nicht Guideline-konform bewertet.

Im Ergebnis wurden die Emissionen entsprechend den Vorgaben der IPCC Guidelines 2006 neu berechnet:

Tabelle 435: Korrektur der unter 3.(II).D.B berichteten THG-Emissionen, in kt CO_2-Äquivalenten

	1990	1995	2000	2005	2010	2014
Submission 2016	3.477,6	3.022,6	3.259,8	3.058,0	2.938,4	3.275,0
Re-Submission 2016	4.257,8	3.681,6	3.949,9	3.713,5	3.596,2	4.017,2
absolute Änderung	780,2	659,0	690,2	655,5	657,8	742,2
relative Änderung	22,44%	21,80%	21,17%	21,44%	22,39%	22,66%

10.5.2.4 CO_2 aus der Kalkung landwirtschaftlicher Böden

(wie unter *CRF 3.(II).G – Liming* berichtet)

Mangels differenzierter Eingangsdaten wird im deutschen Inventar *CO_2 aus dem Einsatz von Dolomit* als Teil des *CO_2 aus dem Einsatz von Kalkstein* berichtet. Das ERT stellte fest, dass dabei jedoch kein gewichteter impliziter Emissionsfaktor, sondern der Wert für reinen Kalkstein (0,12 t C / t eingesetztes Material) zum Einsatz kommt während der entsprechende EF für den Einsatz von Dolomit (0,13 t C / t) unberücksichtigt bleibt.

Im Ergebnis der Neuberechnungen erhöhten sich die Emissionen zwischen 2,0 und 7,7 % bzw. 36 bis 108 kt CO_2-Äquivalente:

Tabelle 436: Korrektur der unter3.(II).G berichteten THG-Emissionen, in kt CO_2-Äquivalenten

	1990	1995	2000	2005	2010	2014
Submission 2016	1.424,8	1.643,9	2.144,2	1.680,9	1.698,0	2.198,0
Re-Submission 2016	2.704,0	1.744,9	2.224,9	1.727,4	1.737,6	2.242,2
absolute Änderung	1.279,2	101,0	80,7	46,5	39,6	44,2
relative Änderung	89,78%	6,14%	3,76%	2,77%	2,33%	2,01%

10.5.2.5 CH_4 aus gemanagten Abfalldeponien

(wie unter CRF 5.A.1- Managed waste disposal sites berichtet)

Im dt. Inventar kommen Messwerte für den Methangehalt von Deponiegas zum Einsatz. Der so gemittelte Methan-Gehalt von 49 % wurde vom ERT als nicht Guideline-konform bewertet und Neuberechnung unter Verwendung des IPPC-Vorgabewertes (50 %) angeregt.

Diesem Vorschlag wurde nachgekommen und eine entsprechend neu berechnete Zeitreihe vorgelegt:

Tabelle 437: Korrektur der unter 5.A.1 berichteten THG-Emissionen, in kt CO_2-Äquivalenten

	1990	1995	2000	2005	2010	2014
Submission 2016	33.525	35.100	25.850	18.525	12.200	9.200
Re-Submission 2016	34.250	35.875	26.500	19.025	12.525	9.400
absolute Änderung	725,0	775,0	650,0	500,0	325,0	200,0
relative Änderung	2,16%	2,21%	2,51%	2,70%	2,66%	2,17%

10.5.2.6 CH_4 aus häuslichen Abwässern

(wie unter CRF 5.D.1 - Domestic Wastewater berichtet)

Im deutschen Inventar wurde bisher ein Methan-Umwandlungsfaktor (MCF) von 0 verwendet, der unterstellt, dass jegliche Behandlung häuslicher Abwässer aerob abläuft und dass sämtliches Methan aus der anaeroben Klärschlamm-Faulung aufgefangen und energetisch verwertet wird. Dieser Ansatz sollte anhand einer im Vorfeld eines laufenden Messprogrammes durchgeführten Literaturstudie geprüft und ggf. revidiert werden.

Nach Einsicht zweier einschlägiger Studien sah das ERT unmittelbaren Handlungsbedarf hinsichtlich der Berechnung der Methan-Freisetzung aus der Abwasserbehandlung sowie aus Leckagen der für die Klärschlamm-Faulung genutzten Behälter.

Obwohl in den Studien auf die Notwendigkeit weiterer Messungen zur Bestätigung der eigenen Ergebnisse verwiesen wird, wurden diese als Grundlage für eine Neuberechnung herangezogen, die für 2014 eine Methanfreisetzung von 0,28 kg pro Kopf und Jahr ausweist. Eine der technologischen Entwicklung und Durchdringung Rechnung tragende Expertenschätzung legt dabei eine Halbierung der Freisetzung im Zeitraum 1990 bis 2020 nahe.

Dieser vom ERT noch abschließend zu bewertende Ansatz resultiert in 37.2 kt CH_4 im Jahre 1990 und 22.7 kt für 2014:

Tabelle 438: Korrektur der unter 5.D.1 berichteten THG-Emissionen, in kt CO_2-Äquivalenten

	1990	1995	2000	2005	2010	2014
Submission 2016	NE	NE	NE	NE	NE	NE
Re-Submission 2016	930,5	875,0	799,8	721,3	635,8	568,4
absolute Änderung	930,5	875,0	799,8	721,3	635,8	568,4

10.5.2.7 unter *CRF 6 – Other* berichtetes N_2O aus der Eisen-und Stahlproduktion

Während laut NIR 2016 in *CRF 6 – Other* keine Emissionen berichtet werden, enthalten die CRF-Tabellen der Submission 2016 N_2O-Emissionen aus CRF 2.C.1, die aufgrund einer begrenzten Funktionalität der *CRF Reporter* Software nicht an der entsprechenden Stelle aufgeführt werden konnten und daher, um die Vollständigkeit des Inventars zu wahren, unter CRF 6 berichtet wurden.

Da CRF 6 jedoch im Rahmen des Kyoto-Protokolls keine Berücksichtigung findet (es werden nur die im Annex des Protokolls aufgeführten Quellgruppen berücksichtigt), stellte das ERT hier eine potentielle Untererfassung der nationalen Gesamtemissionen im Rahmen der weiteren Datenverarbeitung fest, die nur durch eine Re-Allokation der Emissionen in die CRFs 1 bis 5 ausgeschlossen werden kann.

Konkret wurde durch das ERT eine Verschiebung nach CRF *2.C.7 - Other* oder *2.H.3 - Other* vorgeschlagen. Dem folgend wurden die Lachgas-Emissionen nach 2.C.7 verlagert.

Tabelle 439: Re-Allokation der zuletzt unter CRF 6 berichteten THG-Emissionen, in kt CO_2-Äquivalenten

	1990	1995	2000	2005	2010	2011	2012	2013	2014
CRF 2.C	26,54	16,78	18,62	19,34	15,69	15,23	12,92	13,19	14,02
CRF 6	-26,54	-16,78	-18,62	-19,34	-15,69	-15,23	-12,92	-13,19	-14,02

11 Ergänzende Informationen wie nach Artikel 7, Absatz 1 des Kyoto-Protokolls gefordert

11.1 Allgemeine Informationen

11.1.1 Walddefinition und andere Kriterien

Die wesentliche Datenquelle, die zur Ermittlung der Aktivitätsdaten und Emissionsfaktoren im Waldbereich verwendet wurde, ist die Bundeswaldinventur. Deren Walddefinition ist unter anderem Grundlage für die Berichterstattung und findet sich in Kapitel 6.2.1.

Entsprechend dem deutschen Eröffnungsbericht des Kyoto-Protokolls (UNFCCC 2007) hat Deutschland für die Walddefinition folgende spezifische Parameter festgesetzt:

Tabelle 440: Walddefinition in Deutschland

Parameter	Spannbreite (range)	Gewählter Wert (selected value)
Mindestflächengröße (minimum area of land)	0,05 – 1,00 ha	0,1 ha
Mindestüberschirmungsgrad (tree crown cover or equivalent stocking level)	10 – 30 %	10 %
Potenzielle Baumhöhe (potential tree height at maturity)	2 – 5 m	5 m

Innerhalb der in den Marrakesh Accords gesetzten Grenzen (s.o. range) kommen diese Werte der in der Bundeswaldinventur verwendeten Definition am nächsten. Untersuchungen haben gezeigt, dass der Vergleich zwischen Berechnungen der Aktivitätsdaten nach den oben aufgeführten Werten zu vernachlässigbaren Unterschieden führt (Tomter et al. 2010).

Nach dem Kyoto Protokoll (UNFCCC 1998) werden Flächen den Aktivitäten Aufforstung und Entwaldung zugeordnet, wenn sie seit 1990 aufgeforstet bzw. entwaldet wurden. Diese Flächen bleiben bis zum Ende der Verpflichtungsperiode in diesen Kategorien, was einen kontinuierlichen Anstieg der Flächen bedingt. Kurzumtriebsplantagen werden unter der Treibhausgasberichterstattung nicht als Wald erfasst (vgl. Kapitel 6.3.2.1), sondern werden unter Ackerland berichtet.

Generell gilt in Deutschland das Wiederaufforstungsgebot (vgl. § 11 (1) S. 2 BWaldG), wonach kahlgeschlagene Waldflächen oder verlichtete Waldbestände wieder aufzuforsten oder zu ergänzen sind. Flächen, die seit 1990 aufgeforstet wurden und aufgrund von Naturkatastrophen kurzzeitig keine Bestockung aufweisen fallen also weiterhin unter die Walddefinition und müssen wiederaufgeforstet werden. Entwaldung durch Naturkatastrophen gibt es in Deutschland nicht.

11.1.2 Gewählte Aktivitäten unter Artikel 3, Absatz 4 des Kyoto-Protokolls

Deutschland muss in der zweiten Verpflichtungsperiode die forstlichen Tätigkeiten *Forest Management (FM*) nach Artikel 3, Absatz 4 des Kyotos-Protokolls anrechnen. Des Weiteren berichtet Deutschland die Emissionen aus Holzprodukten. Die Option *natürliche Störungen* hat Deutschland nicht gewählt.

Deutschland hat die folgenden freiwilligen Aktivitäten unter Artikel 3.4 des Kyoto-Protokolls gewählt:

- Ackerlandbewirtschaftung (Cropland management, CM)
- Weidelandbewirtschaftung (Grazing land management, GM).

Deutschland wählt die Abrechnung am Ende der zweiten Verpflichtungsperiode.

11.1.3 Beschreibung wie die Definitionen aller Aktivitäten nach Artikel 3.3 und aller gewählten Aktivitäten nach Artikel 3.4 umgesetzt und im Zeitverlauf konstant angewandt wurden

11.1.3.1 Neu- und Wiederaufforstung und Entwaldung (ARD)

Die Definitionen von Neu- und Wiederaufforstung sowie Entwaldung werden entsprechend der Marrakesh Accords verwendet. Danach wird Aufforstung definiert als „die direkte vom Mensch induzierte Umwandlung von Flächen, die für einen Zeitraum von mindestens 50 Jahren nicht bewaldet waren, zu bewaldeten Flächen durch Pflanzung, Aussaat und / oder vom Mensch induzierte Förderung der natürlichen Bestockung (Sukzession)[181]." Die Wiederaufforstung unterscheidet sich von der Neuaufforstung lediglich durch den Zeitpunkt der letzten Bewaldung, da die Flächen, die nach IPCC als neuaufgeforstet anzusehen sind, seit dem 31.12.1989 nicht bewaldet waren[182]. Da der Zeitpunkt der Berichterstattung für Deutschland mit dem Basisjahr 1990 beginnt und eine ausreichende Datengrundlage zur Abgrenzung der Landnutzungsformen erst ab 1970 vorhanden ist, werden hier Neu- und Wiederaufforstung zusammengefasst betrachtet (im Folgenden als Aufforstung bezeichnet). Darunter wird die Ansiedlung von Bäumen auf aufgelassenem bewirtschaftetem Land verstanden, insofern die Verjüngung in ausreichendem Maße vorhanden ist, um Wald gemäß der nationalen Walddefinition werden zu können. Der Zeitpunkt der Neuaufforstung ist im Allgemeinen der Punkt, an dem die erste Aktivität des Regenerationsprozesses durchgeführt wurde. Im Fall einer spontanen Regeneration von Bäumen ist der Zeitpunkt der Aufforstung der, ab dem die nationalen Bedingungen zur Erfüllung der Walddefinition eingetreten sind, also wenn die Bewaldung ein durchschnittliches Alter von fünf Jahren erreicht hat und mindestens 50 % der Fläche bestockt sind (vgl. Kapitel 6.2.1).

Die Kategorie Aufforstung entspricht den folgenden Kategorien nach der Berichterstattung unter der Klimarahmenkonvention:

Tabelle 441: Aufforstung in KP- und UNFCCC-Kategorien

Kategorie unter KP-Berichterstattung	Kategorie nach UNFCCC
	4.A.2.1 Ackerland zu Wald

[181] Original "Afforestation is the direct human-induced conversion of land that has not been forested for a period of at least 50 years to forested land through planting, seeding and/or the human-induced promotion of natural seed sources . (IPCC KP Supplements (2014))

[182] Original: "Reforestation" is the direct human-induced conversion of non-forested land to forested land through planting, seeding and/or the human-induced promotion of natural seed sources, on land that was forested but that has been converted to non-forested land. For the first commitment period, Reforestation activities will be limited to Reforestation occurring on those lands that did not contain forest on 31 December 1989. (IPCC KP Supplements (2014))

Aufforstung nach Art. 3.3 KP	4.A.2.2. Grünland zu Wald	4.A.2.2.1 Grünland i.e.S. zu Wald
		4.A.2.2.2 Gehölze zu Wald
	4.A.2.3. Feuchtgebiete zu Wald	4.A.2.3.1 Terrestrische Feuchtgebiete zu Wald
		4.A.2.3.2 Gewässer zu Wald
	4.A.2.4. Siedlungen zu Wald	
	4.A.2.5. Sonstige Flächen zu Wald	

Entwaldung wird nach IPCC als „die direkte vom Mensch induzierte Umwandlung von Waldflächen in Nichtwaldflächen[183]“ definiert. Nicht als Entwaldung gilt das Ernten von Waldflächen, die danach wieder verjüngt werden, da dieser Vorgang gemäß Art. 3.4 zur Waldbewirtschaftung zählt. Ebenfalls als nichtentwaldet in diesem Sinne gelten Flächen, die durch natürliche Störereignisse wie Waldbrände, Insektenkalamitäten oder Stürme vorübergehend unbestockt sind, da derartige Flächen von sich aus oder durch waldbauliche Maßnahmen wiederbewaldet werden. Auch diese Flächen fallen unter bewirtschaftete Flächen nach Art. 3.4 oder, wenn es sich um aufgeforstete Flächen handelt, in die Kategorie der aufgeforsteten Flächen nach Art. 3.3.

Finden auf derartigen vorübergehend unbestockten Flächen seit 1990 jedoch menschliche Aktivitäten, wie Straßen-, Siedlungsbau oder andere Landnutzungsarten (Bewirtschaftung von Grünland oder Feuchtflächen) statt, so dass eine Wiederbewaldung der Flächen durch die Änderung der Landnutzung ausgeschlossen wird, so sind diese Flächen entsprechend IPCC als entwaldet zu bezeichnen.

Die Kategorie Entwaldung entspricht den folgenden Kategorien nach der Berichterstattung unter der Klimarahmenkonvention:

Tabelle 442: Entwaldung in KP- und UNFCCC-Kategorien

Kategorie unter KP-Berichterstattung	**Kategorie nach UNFCCC**	
Entwaldung nach Art. 3.3 KP	4.B.2.1. Wald zu Ackerland	
	4.C.2.1. Wald zu Grünland	4.C.2.1.1 Wald zu Grünland i.e.S.
		4.C.2.1.2 Wald zu Gehölze
	4.D.2.1. Wald zu Feuchtgebiete	4.D.2.1.1 Wald zu Terrestrische Feuchtgebiete
		4.D.2.1.2 Wald zu Gewässer
	4.E.2.1. Wald zu Siedlungen	
	4.F.2.1. Wald zu Sonstigen Flächen	(NO)

NO: nicht vorkommend (not occuring)

11.1.3.2 Waldbewirtschaftung (FM)

In Deutschland werden alle Waldflächen, die seit 1990 Wald sind, als bewirtschaftet im Sinne der Marrakesh Accords[184] angesehen und unter *forest management*[185] nach Art. 3.4 KP berichtet. Eine ausführliche Begründung findet sich in Kapitel 11.5.1.

[183] Original „Deforestation” is the direct human-induced conversion of forested land to non-forested land . (IPCC KP Supplements (2014))

[184] Paragraph 1 lit. f des Annex A der Decision 16/CMP.1

[185] Original: “Forest management” is a system of practices for stewardship and use of forest land aimed at fulfilling relevant ecological (including biological diversity), economic and social functions of the forest in a sustainable manner. (IPCC KP Supplements (2014))

Tabelle 443: Waldbewirtschaftung in KP- und UNFCCC-Kategorien

Kategorie unter KP-Berichterstattung	Kategorie nach UNFCCC
Waldbewirtschaftung nach Art. 3.4 KP	4.A.1 verbleibende Waldfläche

Da jede Landnutzungsänderung hin zu Wald als Aufforstung, jede Landnutzungsänderung von Wald in eine andere Landnutzungsart als Entwaldung und alle Waldflächen, die nicht Neuwald sind als bewirtschaftet betrachtet werden, ist eine Änderung hinsichtlich der Anwendung der Definitionen über die Zeit ausgeschlossen.

Die Abschätzung des Beitrags von Holzprodukten in Deutschland zu den Emissionen nach Quellen und Senken von Treibhausgasen wurde in dem Modell WoodCarbonMonitor mit einem Berechnungsansatz auf Basis der Daten zur Produktion von Holzprodukten vorgenommen. Die Abschätzung umfasst alle in Deutschland produzierten Holzprodukte, deren Holz aus heimischem Einschlag stammt und die stofflich genutzt werden.

11.1.3.3 Ackerlandbewirtschaftung (CM)

Ackerlandbewirtschaftung (CM) ist die landwirtschaftliche Nutzung von Land als Fläche für den Anbau von Feldfrüchten (z.B. Getreide, Hülsenfrüchte, Hackfrüchte) und Beerenfrüchten (z.B. Erdbeeren), Gartenland als Fläche für den Anbau von Gemüse, Obst und Blumen sowie die Aufzucht von Kulturpflanzen und für Sonderkulturen als Fläche zum Anbau bestimmter Pflanzen (z.B. Hopfen, Wein, Obstgärten). Ackerlandbewirtschaftung schließt annuelle Kulturen und Dauerkulturen wie Wein, Obstbäume, Weihnachtsbäume, Kurzumtriebsplantagen ein. Dauerkulturen fallen nicht unter die deutsche Walddefinition.

Die Definition der Ackerlandbewirtschaftung entspricht der Definition der Flächen unter Ackerland der Berichterstattung unter der Klimarahmenkonvention (siehe Kapitel 6.2 und Tabelle 329).

Die Kategorie Ackerlandbewirtschaftung entspricht den folgenden Kategorien nach der Berichterstattung unter der Klimarahmenkonvention:

Tabelle 444: Ackerlandbewirtschaftung in KP- und UNFCCC-Kategorien

Kategorie unter KP-Berichterstattung	Kategorie nach UNFCCC	
Ackerlandbewirtschaftung nach Art. 3.4 KP	4.B.1 Ackerland bleibt Ackerland	
	4.B.2.2 Grünland zu Ackerland	4.B.2.2.1 Grünland i.e.S. zu Ackerland 4.B.2.2.2 Gehölze zu Ackerland
	4.B.2.3 Feuchtgebiete zu Ackerland	4.B.2.3.1 Terrestrische Feuchtgebiete zu Ackerland 4.B.2.3.2 Gewässer zu Ackerland
	4.B.2.4 Siedlungen zu Ackerland	
	4.B.2.5 Sonstige Flächen zu Ackerland	
	4.C.2.2.2 Ackerland zu Gehölze [1)]	
	4.D.2.2 Ackerland zu Feuchtgebiete[2)]	4.D.2.2.3 Ackerland zu Terrestrische Feuchtgebiete[3)] 4.D.2.2.2 Ackerland zu Gewässer[4)]
	4.E.2.2 Ackerland zu Siedlungen[5)]	
	4.F.2.2 Ackerland zu Sonstige Flächen (NO)[6)]	

Nummern: 1), 2), 3), 4), 5) Emissionen und Senken werden mit Null angesetzt (IPCC KP Supplement (2014) Kap. 2.9.2). Fußnote 6) NO: Not occurring

Alle Flächen unter Ackerlandbewirtschaftung unterliegen periodischen Bewirtschaftungsmaßnahmen, so dass die Emissionen und Senken menschlichen Ursprungs sind.

11.1.3.4 Weidelandbewirtschaftung (GM)

Weidelandbewirtschaftung (GM) ist die Nutzung von Land als Grünland im engen Sinne als Wiesen, Weiden, Almen, Hutungen, Heideflächen, naturbelassenes Grünland, Erholungsflächen sowie Sumpf/Ried.

Die Definition der Weidelandbewirtschaftung entspricht der Definition der Flächen unter Grünland i.e.S. der Berichterstattung unter der Klimarahmenkonvention (siehe Kapitel 6.2 und Tabelle 329).

Die Kategorie Weidelandbewirtschaftung entspricht den folgenden Kategorien nach der Berichterstattung unter der Klimarahmenkonvention:

Tabelle 445: Weidelandbewirtschaftung in KP- und UNFCCC-Kategorien

Kategorie unter KP-Berichterstattung	Kategorie nach UNFCCC	
Weidelandbewirtschaftung nach Art. 3.4 KP	4.C.1.1 Grünland i.e.S. bleibt Grünland i.e.S.	
	4.C.2.2.1 Ackerland zu Grünland i.e.S	
	4.C.1.3 Gehölze zu Grünland i.e.S	
	4.C.2.3.1 Feuchtgebiete zu Grünland i.e.S	4.C.2.3.3.1 Terrestrische Feuchtgebiete zu Grünland i.e.S.
		4.C.2.3.2.1 Gewässer zu Grünland i.e.S.
	4.C.2.4.1 Siedlungen zu Grünland i.e.S.	
	4.C.2.5.1 Sonstige Flächen zu Grünland i.e.S.	
	4.C.1.4 Grünland i.e.S. zu Gehölze [1)]	
	4.D.2.3 Grünland i.e.S. zu Feuchtgebiete[2)]	4.D.2.3.1.3 Grünland i.e.S. zu Terrestrische Feuchtgebiete[3)]
		4.D.2.3.1.2 Grünland i.e.S. zu Gewässer[4)]
	4.E.2.3.1 Grünland i.e.S. zu Siedlungen)[5)]	
	4.F.2.3.1 Grünland i.e.S. zu Sonstige Flächen[6)]	

Nummer 1), 2), 3), 4), 5) Emissionen und Senken werden mit Null angesetzt (IPCC KP Supplement (2014) Kap. 2.9.2). Fußnote 6) NO: Not occurring

Alle Flächen unter Weidelandbewirtschaftung unterliegen periodischen Bewirtschaftungsmaßnahmen, so dass die Emissionen und Senken menschlichen Ursprungs sind.

11.1.4 Beschreibung der vorrangigen Bedingungen und/oder der Hierarchie unter den Aktivitäten nach Artikel 3.4, und wie sie konstant auf die Bestimmung der Landklassifizierung angewandt wurden

Deutschland hat unter Art. 3.4 des Kyoto-Protokolls die Hierarchie der Aktivitäten gemäß der Vorgaben der IPCC 2013 KP Supplements (IPCC 2014) festgelegt. Die Aktivität *forest management* ist verpflichtend und hat damit Vorrang vor den freiwilligen Aktivitäten *cropland management* und *grazing land management*. Deutschland hat in der ersten Verpflichtungsperiode *forest management* freiwillig gewählt. Die Hierarchie erlaubt eine konsistente Berichterstattung für die erste und zweite Verpflichtungsperiode.

Gemäß der Vorgaben der IPCC 2013 KP Supplements (IPCC 2014) kann Waldbewirtschaftung (FM) nur auf Flächen stattfinden, die Wald sind. Die unter FM berichteten Waldflächen, sind die nach der Konvention unter *forest land remaining forest land* berichteten Waldflächen, abgesehen von unterschiedlich zu den Konversionsflächen zu Wald (Konvention) bzw. zur Aufforstung

(Kyoto-Protokoll) zugeordneten Flächen. Die Gesamtwaldfläche ist unter der Konvention und dem Kyoto-Protokoll gleich. Der gesamte deutsche Wald wird als bewirtschaftet im Sinne der Vorgaben der Marrakesh Accords angesehen. Die Definition der Waldbewirtschaftung wird weit auslegt (siehe dazu ausführlich Kapitel 11.5.1).

Innerhalb der freiwilligen Aktivitäten hat die Zuordnung zu *cropland management* Vorrang vor *grazing land management*. Ackergras in Fruchtfolgen wird der Ackerlandbewirtschaftung zugeordnet. Dauerhafte Landnutzungsänderungen von Acker zu Grünland i.e.S. und umgekehrt werden dagegen als Änderung in der Aktivität von Ackerland- zu Weidelandbewirtschaftung und umgekehrt berichtet. Damit entspricht die Landklassifizierung von Ackerland- und Weidelandbewirtschaftung der Klassifizierung von Ackerland und Grünland i.e.S. im Inventar unter UNFCCC.

11.2 Landbezogene Informationen

11.2.1 Methode, die für die Bestimmung der Flächengröße nach Artikel 3.3 genutzt wird

Die verwendete Methodik zur Herleitung der Aktivitätsdaten (Flächen) ist in Kapitel 6.3 beschrieben. Sie entspricht dem Approach 3 nach den IPCC 2006 Guidelines (IPCC 2006), wobei die flächige Bezugseinheit Deutschland, mit einer Fläche von 35.779,63 kha, ist. Die Flächen der Landnutzungsart Wald und deren Zu- und Abgänge werden vorrangig aus den Punktdaten der Bundeswaldinventuren hergeleitet (BMELV 2005). Für die neuen Bundesländer im Jahr 1990 werden die BWI-Daten mit CIR-Daten ergänzt. Eine ausführliche Beschreibung zur Landnutzungsklassifizierung findet sich im Kapitel 6.2 und zur Herleitung der Landnutzungsmatrix im Kapitel 6.3.

Durch die Herleitung der Landnutzungsmatrix (LUM) durch eine einheitliche Methode wird für die Entwaldungsflächen dieselbe räumliche Auflösung (spatial assessment unit) wie für Aufforstung verwendet.

11.2.2 Methodik, die zur Entwicklung der Landübergangsmatrix benutzt wird

Die Bestimmung der Waldfläche und die Herleitung der Flächen für die Veränderungsklassen sind ausführlich im Kapitel 6.3 beschrieben. In Tabelle 446 sind die Landnutzungsänderungen zu Waldflächen (Afforestation/Reforestation), von Waldflächen (Deforestation) und die bewirtschafteten Flächen (Forest Management) zusammengefasst. Dabei bleiben Umwandlungsflächen bis zum Ende der 2. Verpflichtungsperiode des Kyoto-Protokolls 2020 in der Umwandlungsklasse, weshalb die jährlichen Flächen akkumuliert werden. Neben den akkumulierten Flächen, wie sie in der Berichterstattung verwendet werden, sind diesen in der Tabelle 446 die jährlichen Flächen gegenübergestellt.

Tabelle 446: Akkumulierte und jährliche Flächen der Kategorien Aufforstung, Entwaldung und Waldbewirtschaftung

Jahr	Afforestation/ Reforestation (KP 3.3) [kha]		Deforestation (KP 3.3) [kha]		Forest Management (KP 3.4) [kha]	
	akkumulierte Flächen	jährliche Flächen	akkumulierte Flächen	jährliche Flächen	akkumulierte Flächen	jährliche Flächen
1990	27.619	27.619	12.539	12.539	10.901.001	10.901.001
1995	165.712	27.619	75.235	12.539	10.838.306	10.976.399
2000	303.806	27.619	137.931	12.539	10.775.610	11.051.797
2005	380.558	15.350	185.033	9.420	10.728.508	11.093.715
2006	395.605	15.048	196.348	11.315	10.717.193	11.097.751
2007	410.653	15.048	207.662	11.315	10.705.878	11.101.483
2008	425.701	15.048	218.977	11.315	10.694.563	11.105.216
2009	442.258	16.557	229.983	11.005	10.683.558	11.109.258
2010	458.815	16.557	240.988	11.005	10.672.552	11.114.810
2011	475.372	16.557	251.994	11.005	10.661.547	11.120.362
2012	491.930	16.557	262.999	11.005	10.650.541	11.125.914
2013	506.001	14.071	270.808	7.809	10.642.732	11.134.662
2014	520.072	14.071	278.617	7.809	10.634.924	11.140.924
2015	534.142	14.071	286.425	7.809	10.627.115	11.147.187

Die Bestimmung der Acker- und Grünlandflächen sowie die Herleitung der Flächen für die Veränderungsklassen sind ausführlich im Kapitel 6.3 beschrieben. In Tabelle 447 sind die Flächen unter Ackerlandbewirtschaftung (Cropland Management) und Weidelandbewirtschaftung (Grassland Management) für das Basisjahr 1990 und die Jahre 2013 bis 2015 zusammengefasst. Dabei werden im Basisjahr die Landnutzungsänderungen in der Periode 1970 bis 1990 berücksichtigt außer bei Landnutzungsänderungen zu Wald, die methodisch konsistent mit KP Art. 3.3 kumulativ seit 1990 als Aufforstung erfasst werden. Die Flächen werden stratifiziert nach

- Ackerland bleibt Ackerland bzw. Grünland bleibt Grünland i.e.S
- Landnutzungsänderungen zu Ackerland bzw. zu Grünland i.e.S (außer Wald)
- Landnutzungsänderungen von Ackerland bzw. Grünland i.e.S zu Nutzungskategorien, die nicht in anderen Aktivitäten unter KP Art. 3.3. oder 3.4 erfasst sind.

Bei Landnutzungsänderungen von Ackerland und Grünland i.e.S. zu Nutzungskategorien, die nicht in anderen Aktivitäten unter KP Art. 3.3. oder 3.4 erfasst sind, wird gemäß der IPCC 2013 KP Supplements (IPCC 2014), Kap. 2.9.2, die Fläche berichtet, die von Ackerland und Grünland i.e.S. zu anderen Nutzungskategorien gewechselt hat. Die Emissionen von diesen Flächen werden nach IPCC 2013 KP Supplements (IPCC 2014), Kap. 2.9.2 mit Null angerechnet.

Tabelle 447: Übersicht über die Flächen unter Ackerland- und Weidelandbewirtschaftung im Basisjahr 1990 und der Jahre 2013 bis 2015

Unter-kategorien	Cropland Management (CM)				Grazing Land Management (GM)			
	Fläche 1990 [ha]	Fläche 2013 [ha]	Fläche 2014 [ha]	Fläche 2015 [ha]	Fläche 1990 [ha]	Fläche 2013 [ha]	Fläche 2014 [ha]	Fläche 2015 [ha]
…land bleibt …land	12.587.710	12.384.320	12.384.003	12.383.686	5.808.654	5.149.747	5.115.939	5.082.131
Summe LUC zu …land	1.041.719	1.056.200	1.055.614	1.055.027	903.073	636.746	614.702	592.659
Summe LUC von …land	462.690	1.145.473	1.176.501	1.207.529	224.550	600.043	619.565	639.087
Gesamt	**14.092.119**	**14.585.993**	**14.616.117**	**14.646.242**	**6.936.277**	**6.386.536**	**6.350.206**	**6.313.877**

11.2.3 Karten und/oder Datenbanken zur Bestimmung der geografischen Position von Flächen und das dazugehörige Identifizierungssystem

Zur Ermittlung der Aktivitätsdaten wurden folgende Datenquellen benutzt:

- Bundeswaldinventur 1987 (BWI 1987)
- Bundeswaldinventur 2002 (BWI 2002)
- Bundeswaldinventur 2012 (BWI 2012)
  Inventurstudie 2008 (IS08)
- Aus CIR-Daten abgeleitete Kartenwerke der Biotop- und Nutzungstypenkartierung für 1990
- Amtliches Topographisch-Kartographisches Informationssystems (ATKIS®)
- CORINE Land Cover (CLC)
- Bodenübersichtskarte der Bundesrepublik Deutschland 1:1.000.000 (BÜK 1000; BGR 1997)
  Karte der organischen Böden Deutschland (ROSSKOPF et al., 2015)
- Waldbrandstatistik der Bundesrepublik Deutschland

Ausführliche Beschreibungen zu den Datenquellen finden sich im Kapitel 6.4.2.1 und 6.3.2.1.

Alle Aufforstungen und Entwaldungen sind in Artikel 3.3 bilanziert und werden nicht unter Waldbewirtschaftung, Ackerlandbewirtschaftung und Weidelandbewirtschaftung nach Artikel 3.4 angegeben. Die Veränderungen der Flächen zwischen den Maßnahmen gemäß Artikel 3.3 und Artikel 3.4 werden in KP-Tabelle NIR 2 aufgeführt. Die Methodik der Flächenherleitung beruht auf einem stichprobenbasierten System, welches die Fläche je Landnutzungskategorie und die Landnutzungsänderungen von und zu den Landnutzungskategorien erfasst (s. Kapitel 6.3). Das verwendete Stichprobennetz basiert auf dem Netz der BWI 2012. Jeder Stichprobenpunkt wird anteilmäßig den Landnutzungskategorien Waldbewirtschaftung, Aufforstung und Entwaldung sowie Ackerlandbewirtschaftung und Weidelandbewirtschaftung zugeordnet. Für die Kategorien Aufforstung und Entwaldung ist ein Wechsel des Stichprobenpunktanteils in eine andere Landnutzungskategorie ausgeschlossen. Jeder Anteil eines Stichprobenpunktes entspricht einer Fläche und über die Stichprobenkoordinaten ist die geografische Position der Fläche bestimmt. Durch dieses Identifizierungssystem ist eine eindeutige Abgrenzung zwischen Aufforstungs- und Entwaldungsflächen unter KP Art. 3.3 und Waldbewirtschaftung, Ackerlandbewirtschaftung und Weidelandbewirtschaftung nach KP Art. 3.4 gegeben.

11.3 Aktivitätsspezifische Informationen

11.3.1 Methoden für die Bestimmung der Kohlenstoffvorratsänderung, Treibhausgasemissionen und Reduktionsschätzungen

11.3.1.1 Beschreibung der Methoden und der angewandten, zugrundeliegenden Annahmen

11.3.1.1.1 Zusammenfassung

Die meisten methodischen Beschreibungen finden sich im Kapitel 6, in dem die Berichterstattung für die Klimarahmenkonvention abgehandelt wird.

Waldbewirtschaftung und Aufforstung

Wie im Kapitel 11.1.3 beschrieben, sind die Aktivitäten Waldbewirtschaftung und Aufforstung im Kyoto Protokoll den Kategorien 4.A.1 verbleibende Waldfläche und 4.A.2 Flächenumwandlungen zu Wald bei der Klimarahmenkonvention gleichzusetzen. In den folgenden Kapiteln wird deshalb für diese Kategorien meist auf das Kapitel 6 verwiesen und nur für die Entwaldung methodische Beschreibungen ergänzt.

Entwaldung

In dem Zeitraum von 1987 bis 2002 konnte in den alten Bundesländern und von 2002 bis 2012 in allen Bundesländern eine Hochrechnung auf Basis der Einzelbaumdaten aus den Bundeswaldinventuren (Stichproben, Tier 2) durchgeführt und die Biomasse-Kohlenstoffvorräte für die Entwaldungsflächen abgeschätzt werden (siehe Kapitel 11.3.1.1.2). Die Kohlenstoffvorräte der alten Bundesländer in dieser Kategorie zwischen 1987 und 2002 wurden auf die Entwaldungsflächen in den neuen Bundesländern übertragen, da der Datenspeicher Waldfonds diesbezüglich keine Informationen bereitstellt. Ab dem Jahr 2013 werden die Ergebnisse der Periode 2002 bis 2012 fortgeschrieben. Insgesamt ging im Jahr 2015 bei der Entwaldung aus der Biomasse (ohne Biomasse der umgewandelten Fläche) ein Kohlenstoffvorrat von -54,66 t C ha^{-1} verloren. Vereinfachend wurde angenommen, dass der Kohlenstoffvorrat im Jahr der Umwandlung in die Atmosphäre emittiert wird.

Die aus Biomasseverlusten und der im jeweiligen Jahr seit 1987 errechneten Fläche abgeleiteten impliziten Emissionsfaktoren nehmen für die Kyoto-Berichterstattung von 1990 bis 2015 ab. Dies ist ausschließlich darauf zurückzuführen, dass die Flächen ab 1990 in der Aktivität Entwaldung verbleiben und sich die Fläche hierdurch in jedem Berichtsjahr vergrößert. In Tabelle 448 ist am Beispiel der abnehmenden oberirdischen Biomasse bei Entwaldung dieser Effekt abgebildet. Neben der abnehmende Biomasse muss auch die zunehmende Biomasse der neuen Landnutzungskategorie berücksichtigt werden. Diese wird mit der abnehmenden Biomasse verrechnet.

Tabelle 448: Jährliche und akkumulierte Entwaldungsflächen und jährliche sowie implizierte Emissionsfaktoren für die abnehmende oberirdische Biomasse des Waldes; positiv: Kohlenstoffsenke; negativ: Kohlenstoffemission

		1990	2000	2010	2014	2015
Entwaldungsfläche [ha]	**Jährlich**	12.539	12.539	11.005	7.809	7.809
	Akkumuliert	12.539	137.931	240.988	278.617	286.425
Emissionsfaktor [t C ha^{-1}]	**Jährlich**	-24,53	-24,53	-46,48	-46,48	-46,48
	Akkumuliert	-24,53	-2,23	-2,12	-1,30	-1,27

Neben dem Verlust der Biomasse bei Entwaldungen kommen noch Verluste bei Totholz, Streu, mineralischen und organischen Böden hinzu. Bei Biomasse, Totholz und Streu wird angenommen,

dass sie im Jahr der Umwandlung als Emission emittiert werden. Die Emission aus organischen Böden findet jedes Jahr auf der gesamten Entwaldungsfläche statt und für mineralische Böden wird eine Übergangszeit von 20 Jahren angenommen. Eine Übersicht über die Kohlenstoffverluste bei Entwaldung und den Entwaldungsflächen für das Jahr 2015 gibt Tabelle 449.

Tabelle 449: Entwaldungsflächen und Kohlenstoffvorratsverluste aus Biomasse (mit Biomasse der umgewandelten Fläche), Totholz, Streu und mineralischen und organischen Böden bei der Entwaldung für das Jahr 2015; positiv: Kohlenstoffsenke; negativ: Kohlenstoffemission

Pool	**Kohlenstoffvorratsverlust [GgC]**
Biomasse	-316,026
Totholz	-15,505
Streu	-145,925
Mineralische Böden	34,879
Organische Böden	-120,108
Summe	**-562,684**
	Entwaldungsfläche [ha]
jährliche	7.809
akkumulierte	286.425

Ackerlandbewirtschaftung

- Die Aktivität Ackerlandbewirtschaftung entspricht methodisch den Kategorien 4.B.1 und 4.B.2 außer 4.B.2.1 Wald zu Ackerland. Entsprechend den IPCC 2013 KP Supplements (IPCC 2014), Kap. 2.9.2 werden Emissionen und Senken auf Flächen, die von Ackerland zu nicht angerechneten Landnutzungskategorien gewechselt haben, mit Null angerechnet. Die Berechnungsmethoden sind wie folgt beschrieben:
- Änderung der Kohlenstoffvorräte in der ober- und unterirdischen Biomasse: Kapitel 6.5.2.1,
- Änderung der Kohlenstoffvorräte in Mineralböden: Kapitel 6.5.2.2,
- CO_2-, CH_4- und N_2O-Emissionen aus drainierten organischen Böden: Kapitel 6.5.2.3,
- direkte und indirekte N_2O-Emissionen aus Humusverlusten bei Landnutzungsänderung: Kapitel 6.1.2.1.2.

Die Kohlenstoffpools Totholz und Streu kommen nur im Wald vor, nicht aber bei Ackerlandbewirtschaftung (NO), da Landnutzungsänderungen von Wald zu Acker unter Entwaldung angerechnet werden. N_2O-Emissionen aus organischen Böden unter Ackerland werden nicht unter der Aktivität Ackerlandbewirtschaftung nach Art. 3.4 berichtet, sondern im Sektor Landwirtschaft.

Eine Übersicht über die Änderungen der Kohlenstoffvorräte und der Treibhausgasemissionen bei Ackerlandbewirtschaftung für das Jahr 2015 gibt Tabelle 450.

Tabelle 450: Kohlenstoffvorratsänderungen und Treibhausgasemissionen infolge Ackerlandbewirtschaftung im Jahr 2015

Unterkategorien	C-Vorratsänderungen in Biomasse 2015[186] [kt C]	C-Vorratsänderungen in Mineralböden 2015[79] [kt C]	CO_2 aus organischen Böden 2015[79] [kt C]	CH_4 aus organischen Böden 2015[187] [kt CH_4]	Direktes und indirektes N_2O aus Zersatz organischer Substanz in Mineralböden 2015[80] [kt N_2O]	Summe 2015[80/188] [kt CO_2-Äqu]
Ackerland bleibt Ackerland	14,13	NO	-2.074,11	6,66	NO	7.719,70
Summe LUC zu Ackerland	**-34,21**	**-762,42**	**-979,16**	**3,14**	**1,16**	**6.936,53**
Summe LUC von Ackerland	**NO**	**NO**	**NO**	**NO**	**NO**	**NO**
Gesamt	**-20,8**	**-762,42**	**-3.053,27**	**9,80**	**1,16**	**14.656,22**

Die Emissionen aus Ackerlandbewirtschaftung 2015 werden dominiert von CO_2 aus organischen Böden. Kohlenstoffverluste aus Mineralböden durch die Umwandlung von Grünland i.e.S. zu Ackerland sind ebenfalls signifikant.

2015 waren die Netto-Emissionen aus Ackerlandbewirtschaftung höher als im Basisjahr 1990 (siehe Tabelle 466), so dass 2015 eine Netto-Emission von 1.987,58 kt CO_2-Äquivalenten anrechenbar ist. Diese stammt zum größten Teil aus der Zunahme von Ackerlandflächen auf organischen Böden aber auch aus Mineralböden insbesondere infolge von Grünlandumbruch. Diese Effekte überkompensieren bei weitem den Rückgang der allerdings immer noch positiven Emissionen aus den Subkategorien Siedlungen und Feuchtgebiete zu Ackerland seit 1990.

Treibhausgasemissionen und –senken der Landnutzungsänderungen von Ackerland zu nicht angerechneten Aktivitäten (Terrestrische Feuchtgebiete, Gewässer, Siedlungen) werden nach IPCC 2013 KP Supplements (IPCC 2014), Kap. 2.9.2 mit Null angerechnet. Dementsprechend wurden keine Emissionen berechnet.

Weidelandbewirtschaftung:

Die Aktivität Weidelandbewirtschaftung entspricht methodisch der Subkategorien Grünland i.e.S. (4.C.1.1 und entsprechende Landnutzungsänderungen zu Grünland i.e.S. außer Wald zu Grünland i.e.S.). Entsprechend den IPCC 2013 KP Supplements (IPCC 2014), Kap. 2.10.2 werden Emissionen und Senken auf Flächen, die von Grünland i.e.S. zu nicht angerechneten Landnutzungskategorien gewechselt haben, mit Null angerechnet. Die Berechnungsmethoden sind wie folgt beschrieben:

- Änderung der Kohlenstoffvorräte in der ober- und unterirdischen Biomasse: Kapitel 6.6.2.2,
- Änderung der Kohlenstoffvorräte in Mineralböden: Kapitel 6.6.2.3,
- CO_2-, CH_4- und N_2O-Emissionen aus drainierten organischen Böden: Kapitel 6.6.2.4,
- direkte und indirekte N_2O-Emissionen aus Humusverlusten bei Landnutzungsänderung: Kapitel 6.1.2.1.2.

Die Kohlenstoffpools Totholz und Streu kommen nur im Wald vor, nicht aber bei der Weidelandbewirtschaftung (NO), da Landnutzungsänderungen von Wald zu Grünland i.e.S. unter Entwaldung angerechnet werden.

Eine Übersicht über die Änderungen der Kohlenstoffvorräte und der Treibhausgasemissionen bei Weidelandbewirtschaftung für das Jahr 2015 gibt Tabelle 451. N_2O-Emissionen aus organischen Böden unter Grünland i.e.S. werden nicht unter der Aktivität Weidelandbewirtschaftung nach Art. 3.4 berichtet, sondern im Sektor Landwirtschaft.

[186] Vorratsänderung positiv: Kohlenstoffsenke; negativ: Kohlenstoffquelle

[187] THG-Emissionen positiv: THG-Quelle; negativ: THG-Senke

[188] Ohne N_2O-Emissionen aus organischen Böden, diese werden im Sektor Landwirtschaft berichtet

Tabelle 451: Kohlenstoffvorratsänderungen und Treibhausgasemissionen infolge Weidelandbewirtschaftung im Jahr 2015

Unterkategorien	C-Vorratsände-rungen in Biomasse 2014[189]	C-Vorratsände-rungen in Mineralböden 2014[82]	CO_2 aus organischen Böden 2014[82]	CH_4 aus organischen Böden 2014[190]	Direktes und indirektes N_2O aus Zersatz organischer Substanz in Mineralböden 2014[83]	Summe 2014[83/191]
	[kt C]	[kt C]	[kt C]	[kt CH_4]	[kt N_2O]	[kt CO_2-Äqu]
Grünland i.e.S. bleibt Grünland i.e.S.	0	0	-6.071,44	18,87	0	22.733,70
Summe LUC zu Grünland i.e.S.	**-38,43**	**467,88**	**-308,45**	**0,96**	**0**	**-419,69**
Summe LUC von Grünland i.e.S.	**0**	**0**	**0**	**0**	**0**	**0**
Gesamt	**-38,43**	**467,88**	**-6.379,89**	**19,83**	**0**	**22.314,01**

Die Emissionen aus Weidelandbewirtschaftung 2015 stammen fast ausschließlich aus drainierten organischen Böden. Sie werden geringfügig kompensiert durch die Kohlenstoffsenke in Mineralböden nach Landnutzungsänderungen.

2015 waren die Netto-Emissionen aus Weidelandbewirtschaftung geringer als im Basisjahr 1990 (siehe Tabelle 467), so dass 2015 eine Netto- Emissionsminderung von -3.612,48 kt CO2-Äquivalenten. anrechenbar ist. Diese stammt zum größten Teil aus der Abnahme der Grünlandflächen auf organischen Böden. Der damit verbundenen Rückgang der Emissionen seit 1990 (- 14 %) überkompensiert die Abnahme der Senkenfunktion der Mineralböden (-30 %) im Berichtszeitraum, aufgrund des absoluten Größenunterschiedes, bei Weitem.

Treibhausgasemissionen und –senken aus Flächen, die Landnutzungsänderungen zu nicht angerechneten Aktivitäten haben (Terrestrische Feuchtgebiete, Gewässer, Siedlungen), werden nach IPCC 2013 KP Supplements (IPCC 2014), Kap. 2.10.2 mit Null angerechnet. Dementsprechend wurden keine Emissionen berechnet.

11.3.1.1.2 Biomasse

Waldbewirtschaftung und Aufforstung:

Informationen zum methodischen Vorgehen bei der Berechnung der Kohlenstoffvorräte und -veränderungen in der ober- und unterirdischen Biomasse finden sich in den folgenden Kapiteln:

- Verbleibende Waldfläche siehe Kapitel 6.4.2.2.1.
- Neuwaldfläche siehe Kapitel 6.4.2.2.2.

Weiterführende methodische Beschreibungen finden sich wie folgt:

- Herleitung der Einzelbaumbiomasse siehe Kapitel 6.4.2.2.3.
- Konvertierung in oberirdische Einzelbaumbiomasse siehe Kapitel 6.4.2.2.4.
- Konvertierung in unterirdische Biomasse siehe Kapitel 6.4.2.2.5.
- Konvertierung der Einzelbaumbiomasse in Kohlenstoff siehe Kapitel 6.4.2.2.6.
- Hochrechnungsalgorithmen für den Zustand von 1987, 2002, 2008 siehe Kapitel 6.4.2.2.7.
- Hochrechnungsalgorithmen für die Vorratsveränderung nach der „Stock-Difference Method“ siehe Kapitel 6.4.2.2.8.

189 Vorratsänderung positiv: Kohlenstoffsenke; negativ: Kohlenstoffquelle

190 Emissionen positiv: THG-Quelle; negativ: THG-Senke

191 Ohne N_2O-Emissionen aus organischen Böden, diese werden im Sektor Landwirtschaft berichtet

- Interpolation der Zeiträume hin zu jährlichen Veränderungsschätzungen siehe Kapitel 6.4.2.2.9.

Entwaldung:

Für die Entwaldungsflächen erfolgte auf Basis der BWI 1987, BWI 2002 und BWI 2012 eine Einzelbaumberechnung. Die Daten der Inventurstudie 2008 wurden wegen dem geringen Stichprobenumfang von Bäumen auf Entwaldungsflächen nicht berücksichtigt. Zwischen der BWI 1987 und BWI 2002 fanden nur Bäume in den alten Bundesländern Berücksichtigung, da die BWI 1987 nur dort durchgeführt wurde. Für die neuen Bundesländer wurden die Holzvorräte der alten Bundesländer verwendet. Der Emissionsfaktor für die abnehmende ober- und unterirdische Biomasse des Zeitraumes 1990 bis 2001 beträgt -28,93 t C ha^{-1} a^{-1}. Ab 2002 konnte eine Einzelbaumberechnung zwischen BWI 2002 und BWI 2012 für Gesamtdeutschland durchgeführt werden. Der Emissionsfaktor für die abnehmende ober- und unterirdische Biomasse des Zeitraumes 2002 bis 2015 beträgt -54,66 t C ha^{-1} a^{-1}. Die bei der Entwaldung freiwerdenden Kohlenstoffvorräte werden im selben Jahr vollständig als Emission gezählt. Die Vorräte der nachfolgenden Nutzungsklassen werden unter „gains“ in der CRF-Tabelle einmalig für das Umwandlungsjahr angegeben und somit berücksichtigt.

Ackerlandbewirtschaftung:

Informationen zum methodischen Vorgehen bei der Berechnung der Kohlenstoffvorräte und -veränderungen in der ober- und unterirdischen Biomasse finden sich im Kapitel 6.5.2.1 gegliedert nach:

- Dauerkulturen (perennierende Ackerkulturen) siehe Kapitel 6.1.2.3.
- Annuelle Kulturen, die bei Landnutzungsänderungen berücksichtigt werden, siehe Kapitel 6.1.2.3.3. Die Biomassevorräte werden aus jährlichen Anbau- und Ertragsstatistiken konsistent mit der Berechnung der N-Einträge aus Ernterückständen im Kapitel 5 (Landwirtschaft) berechnet.
- Aggregierung der Biomassewerte siehe Kapitel 6.5.2.1

Weidelandbewirtschaftung:

Informationen zum methodischen Vorgehen bei der Berechnung der Kohlenstoffvorräte und -veränderungen in der ober- und unterirdischen Biomasse finden sich im Kapitel 6.6.2.2.

11.3.1.1.3 Totholz

Waldbewirtschaftung und Aufforstung:

Informationen zum methodischen Vorgehen bei der Berechnung der Kohlenstoffvorräte und -veränderungen im Totholz finden sich in den folgenden Kapiteln:

- Verbleibende Waldfläche siehe Kapitel 6.4.2.3.1
- Neuwaldfläche siehe Kapitel 6.4.2.3.2

Entwaldung:

Für die Berechnung des Totholzes auf Entwaldungsflächen wurden die Daten der BWI 2002, Inventurstudie 2008 (IS08) und BWI 2012 verwendet. Bei der BWI 2002 beschränkten sich die terrestrischen Aufnahmen auf Totholz mit einem Durchmesser > 20 cm am dickeren Ende bei liegendem Totholz bzw. BHD bei stehendem Totholz (BMVEL 2001). Für die anderen Aufnahmen lag die Grenze entsprechend der Vorgaben der Klimaberichterstattung > 10 cm.

Für die Totholzstärkenklasse > 20 cm wurde die Totholzvorratsveränderung mit den Daten der BWI 2002 und 2012 für den Zeitraum 2002 bis 2012 berechnet. Für die Stärkenklasse 10 cm bis 20 cm erfolgte die Berechnung für den Zeitraum 2008 bis 2012 mit den Daten der IS08 und BWI 2012. Für den Zeitraum 2002 bis 2008 derselben Stärkenklasse wurde das Verhältnis der Totholzveränderungen zwischen den zwei Stärkeklassen der Periode 2008 bis 2012 zugrunde gelegt. Der Mittelwert für die Totholzvorratsveränderung des Zeitraums 2002 bis 2012 wurde für die Periode 1990 bis 2002 als Totholzvorratsveränderung angenommen. In Tabelle 452 sind die Werte für die Totholzvorratsveränderung der Perioden und Stärkeklassen zusammengefasst. Ab dem Jahr 2013 wurde der Emissionsfaktor der Periode 2008 bis 2012 fortgeschrieben. Die Kohlenstoffvorräte im Totholz für das entsprechende Jahr werden bei der Entwaldung sofort als Kohlenstoffemission berücksichtigt.

Tabelle 452: Emissionsfaktoren (EF) für das Totholz für die Perioden 1990-2001, 2002-2007 und 2008-2012

t C ha^{-1} a^{-1}	1990 - 2001	2002 - 2007	2008 - 2012
EF Totholz gesamt	-1,884	-1,817	-1,986
EF Totholz Stärkeklasse > 20cm	-1,298	-1,298	-1,298
EF Totholz Stärkeklasse 10 bis 20cm	-0,586	-0,519	-0,687

Ackerlandbewirtschaftung und Weidelandbewirtschaftung:

Totholz kommt bei Ackerlandbewirtschaftung und Weidelandbewirtschaftung nicht vor. Bei Dauerkulturen wird Totholz und Baumschnitt von den Flächen entfernt. Diese Maßnahmen sind bereits bei der Berechnung der Biomasse berücksichtigt.

11.3.1.1.4 Streu

Waldbewirtschaftung und Aufforstung:

Informationen zum methodischen Vorgehen bei der Berechnung der Kohlenstoffvorräte und -veränderungen in der Streu finden sich in den folgenden Kapiteln:

- Verbleibende Waldfläche siehe Kapitel 6.4.2.4.1
- Neuwaldflächen siehe Kapitel 6.4.2.4.2

Weiterführende methodische Beschreibungen finden sich wie folgt:

- Herleitung der Streuvorräte von 1990 (BZE I) und 2006 (BZE II) siehe Kapitel 6.4.2.4.3
- Herleitung der Kohlenstoffvorratsveränderung in der Streu in dem Zeitraum von 1990 (BZE I) bis 2006 (BZE II) siehe Kapitel 6.4.2.4.4

Entwaldung:

Für die Berechnung der Streuauflage wurden die Zustandsdaten der BZE I und die Zustandsdaten der BZE II verwendet. Danach beträgt der mittlere Kohlenstoffvorrat in der Streu zum Zeitpunkt 1990 (BZE I) 19,05 t ha^{-1} und zum Zeitpunkt 2006 (BZE II) 18,83 t ha^{-1}. Für die Jahre von 1991 bis 2005 werden die Vorräte durch Interpolation der Zustandsdaten zum Zeitpunkt 1990 und 2006 hergeleitet und ab 2007 durch Extrapolation. Die Kohlenstoffvorräte in der Streu für das entsprechende Jahr werden bei der Entwaldung sofort als Kohlenstoffemission berücksichtigt.

Ackerlandbewirtschaftung und Weidelandbewirtschaftung:

Streu kommt bei Ackerlandbewirtschaftung und Weidelandbewirtschaftung nicht vor bzw. ist in der Biomasse enthalten.

11.3.1.1.5 Mineralische Böden

Waldbewirtschaftung:

- Informationen zum methodischen Vorgehen bei der Berechnung der Kohlenstoffvorräte und -veränderungen in den mineralischen Böden der verbleibenden Waldfläche finden sich im Kapitel 6.4.2.5.1

Weiterführende methodische Beschreibungen finden sich wie folgt:

- Herleitung der Kohlenstoffvorräte und -veränderungen siehe Kapitel 6.4.2.5.3.
- Ergebnisse der Herleitung der Kohlenstoffvorräte und -veränderungen siehe Kapitel 6.4.2.5.4.

Aufforstung und Entwaldung:

Die Kohlenstoffvorratsänderungen in Mineralböden infolge von Landnutzungsänderung werden für jede Landnutzungsänderungskategorie als Differenz des Kohlenstoffvorrates der Zielnutzungskategorie und des Kohlenstoffvorrates der Ursprungskategorie berechnet. Die Gesamtänderung wird gemäß IPCC Richtlinien (IPCC 1996b, 2003, 2006) auf einen Zeitraum von 20 Jahren linear verteilt (siehe Kapitel 6.1.2.1). Für Aufforstungs- und Entwaldungsflächen wurden die Kohlenstoffänderungen in den mineralischen Böden entsprechend Tabelle 453 und Kapitel 19.4.2 berechnet. Dabei werden die Kohlenstoffvorräte des Waldbodens für das entsprechende Jahr durch lineare Interpolation der Ergebnisse der Bodenzustandserhebungen angegeben.

Tabelle 453: Implizite Emissionsfaktoren (IEF) [t C ha^{-1} a^{-1}] für mineralische Böden der Quellkategorien Aufforstung und Entwaldung (negativ = Verlust, positiv = Speicherung)

[t c ha^{-1} a^{-1}]	1990	1995	2000	2005	2006	2007	2008	2009	2010	2011	2012	2013	2014	2015
KP 3.3 Afforestation/ Reforestation	-0,608	-0,558	-0,509	-0,478	-0,466	-0,455	-0,443	-0,440	-0,399	-0,361	-0,326	-0,297	-0,270	-0,245
KP 3.3 Deforestation	0,454	0,405	0,356	0,343	0,334	0,326	0,317	0,304	0,266	0,232	0,202	0,176	0,153	0,131

Ackerlandbewirtschaftung:

Mineralböden werden nach Nutzung, Bodentyp bzw. Bodenausgangsgesteinsgruppen und Klimaregion stratifiziert (vergl. Kapitel 19.4.2.2). Informationen zum methodischen Vorgehen bei der Berechnung der Kohlenstoffvorräte und -veränderungen in Mineralböden finden sich in Kapitel 6.5.2.2 und Kapitel 6.1.2.1.1.

Für Flächen unter verbleibender Nutzung als Ackerland wird keine Änderung der Kohlenstoffvorräte in Mineralböden auf der Basis nationaler Messwerte ausgewiesen. Die Konstanz des Kohlenstoffvorrats seit Anfang der 1990er Jahre wird durch Ergebnisse auf 140 regionalen Bodendauerbeobachtungsflächen belegt (HÖPER und SCHÄFER 2012; FORTMANN et al. 2012 und BAYERISCHE LANDESANSTALT FÜR LANDWIRTSCHAFT 2007). Die Beobachtungen decken sich mit Daten zum Aufkommen von Wirtschaftsdüngern und zu Kohlenstoffeinträgen in Böden aus Ernterückständen und Zwischenfrüchten seit 1990, die sich aus Agrarstatistiken konsistent mit den entsprechenden Daten zum Stickstoffeintrag in landwirtschaftliche Böden im Kapitel 5 (Landwirtschaft) ableiten lassen. Die seit 1990 rückläufigen Mengen von Kohlenstoffeinträgen aus Wirtschaftsdüngern werden mehr als kompensiert von steigenden Mengen an Ernterückständen durch steigende Erträge und Änderungen in den Fruchtarten und dem gestiegenen Anbau von Zwischenfrüchten. Zudem unterstützen erste Auswertungen der Ergebnisse der nationalen Bodeninventur deutlich die Annahme, dass die mineralischen Ackerlandböden Deutschlands keine Kohlenstoffquelle sind. Untersucht wurde die

Kohlenstoffbilanz von Ackerlandflächen an 180 Standorten der landesweiten Bodenzustandserhebung Landwirtschaft, anhand von Modellen (DREYSSE 2015). Zum einen kam das für die praktische Beratung entwickelte Bilanzierungsmodell „VDLUFA-Humusbilanzierung“ (KÖRSCHENS et al. 2004 und AUTORENKOLLEKTIV 2014) zum Einsatz; zum anderen das prozessgesteuerte, standortangepasste Modell „CandyCarbonBalance“ (FRANKO, et al. 2011)). Die Berechnungen mit beiden Modellen ergaben in der Summe positive Humusbilanzen (Tabelle 454) und belegen, dass die untersuchten, langjährig genutzten Ackerböden keine Quellen für Treibhausgase darstellen (DREYSSE 2015).

Tabelle 454: Statistische Ergebnisse der Modelluntersuchungen zur Humusbilanz von 180 Ackerlandstandorten Norddeutschlands (DREYSSE 2015)

			n = 180					
Modell	**Unit**	**Mean**	**Standard-error**	**Min**	**25 %**	**Median**	**75 %**	**Max**
VDLUFA	[HÄQ ha^{-1} a^{-1}]	**205,83**	21,81	-426,00	72,00	**195,00**	319,5	2.641
CCB	[kg SOM-C ha^{-1} a^{-1}]	**75,82**	41,72	-1.857,6	-181,21	**188,35**	456,71	1.261,96
Δ C_{org}	[% 10 a^{-1}]	**0,0192**	0,0096	-0,406	-0,0454	**0,0374**	0,0979	0,298

HÄQ = Humusäquivalente

Weidelandbewirtschaftung:

Mineralböden werden nach Nutzung, Bodentyp bzw. Bodenausgangsgesteinsgruppen und Klimaregion stratifiziert (vergl. Kapitel 19.4.2.2). Informationen zum methodischen Vorgehen bei der Berechnung der Kohlenstoffvorräte und -veränderungen in Mineralböden finden sich in Kapitel 6.6.2.3.

Für Flächen unter verbleibender Nutzung als Grünland i.e.S. wird keine Änderung der Kohlenstoffvorräte in Mineralböden auf der Basis nationaler Messwerte ausgewiesen. Die Konstanz der Kohlenstoffvorräte ist mit Ergebnissen von 42 deutschen Bodendauerbeobachtungsflächen belegt (HÖPER und SCHÄFER 2012, FORTMANN et al. 2012 und BLU 2011). Die Langzeitbeobachtungen umfassen einen Zeitraum von 20 - 25 Jahren. Der Großteil der Untersuchungsflächen zeigte während dieses Zeitraumes keine Veränderungen in den Kohlenstoffvorräten der Mineralböden; einige der Böden zeigten geringe Abnahmen, andere leichte Zunahmen, zahlenmäßig und absolut in etwa gleichem Umfang. Es gibt keine Hinweise auf deutlichen Änderungen in der Bewirtschaftung von Dauergrünland seit 1990, die sich auf die Kohlenstoffvorräte in Mineralböden auswirken könnten.

11.3.1.1.6 Organische Böden

Waldbewirtschaftung und Aufforstung:

Informationen zum methodischen Vorgehen bei der Berechnung der Kohlenstoffvorräte und -veränderungen in den organischen Böden finden sich in den folgenden Kapiteln:

- Verbleibende Waldfläche siehe Kapitel 6.4.2.6.1
- Neuwaldflächen siehe Kapitel 6.4.2.6.2

Entwaldung:

Für Entwaldungsflächen wurden die Kohlenstoffänderungen in den organischen Böden gemäß Tabelle 455 und Kapitel 6.1.2.2 berechnet. Der flächengewichtete Emissionsfaktor für die Entwaldung des Jahres 2015 beträgt - -5,857 t C ha^{-1}. Dabei ist zu beachten, dass hier nicht die Differenz zwischen Wald und der Nachnutzung berechnet wird, sondern entsprechend der Drainage-Intensität die Emission der neuen Nutzung. Organische Böden unter Wald emittieren bereits -2,233 t C ha^{-1} a^{-1}.

Tabelle 455: Emissionsfaktoren für organische Böden der Entwaldungskategorien des Jahres 2015 (negativ = Verlust, positiv = Speicherung)

Landnutzungsänderung	Emissionsfaktor [t C ha^{-1} a^{-1}]
Forest Land converted to Cropland	-8,100
Forest Land converted to Grassland	-6,834
Forest Land converted to Woody gl.	-2,233
Forest Land converted to Wetlands	-4,964
Forest Land converted to Water	0,000
Forest Land converted to Settlements	-7,400
Forest Land converted to Other land	0,000

Ackerlandbewirtschaftung und Weidelandbewirtschaftung:

Emissionsfaktoren für organische Böden wurden aus räumlich expliziten Daten hergeleitet, indem die Häufigkeitsverteilung der Grundwasserflurabstände nach Nutzung differenziert und Regressionen zwischen Grundwasserflurabständen und CO_2-Emissionen verwendet wurden. Bei Landnutzungsänderungen gilt sofort der Emissionsfaktor der neuen Landnutzungskategorie. Weitere Informationen finden sich wie folgt:

- Herleitung der Emissionsfaktoren siehe Kapitel 6.1.2.2
- Methodik für Ackerland siehe Kapitel 6.5.2.3
- Methodik für Grünland i.e.S. siehe Kapitel 6.6.2.4.

11.3.1.1.7 Holzprodukte

In der ersten Verpflichtungsperiode des Kyoto-Protokolls wurde der Beitrag des Kohlenstoffspeichers in Holzprodukten in Übereinstimmung mit den IPCC 2003 GPG (IPCC 2003) auf Basis einer sofortigen Emission berücksichtigt und dementsprechend nicht berichterstattet und/oder angerechnet (vgl. Kap. 2.8.2, IPCC 2014).

Für das vorliegende Berichtsjahr wurde die Abschätzung des Beitrags von Holzprodukten in Deutschland zu den Emissionen nach Quellen und Einbindungen nach Senken von Treibhausgasen, wie in Kapitel 6.10 detailliert beschrieben, wie auch in den Vorjahren gemäß der Vorgaben des IPCC KP Supplement (IPCC 2014) mit dem Modell *WoodCarbonMonitor* durchgeführt.

Zunächst wurde die Verfügbarkeit von Aktivitätsdaten, d.h. Daten zu Produktion und Außenhandel von Holzprodukten, geprüft (vgl. Kap. 2.8.1.1, IPCC 2014). Nach der Berechnung der aus heimischem Einschlag stammenden Produktanteile wurde in einem zweiten Schritt (vgl. Kap. 2.8.1.2, IPCC 2014), der in den Produkten enthaltene Kohlenstoff entsprechend der in Kapitel 6.10.2.1 beschrieben Vorgehensweise den Kyoto-Aktivitäten zu Wald unter Artikel 3, Paragraphen 3 und 4 zugeordnet. Für Deutschland lässt sich der Holzeinschlag den beiden Aktivitäten Waldbewirtschaftung (*forest management*), und Entwaldung (*deforestation*) zuordnen. Holzprodukte aus Entwaldungsereignissen werden gemäß der Vorgaben der IPCC 2013 KP Supplement (IPCC 2014) auf Basis einer sofortigen Emission berücksichtigt, so dass sich als Ergebnis der für Deutschland verfügbaren Inventurinformationen und der Gleichung 2.8.3 (IPCC 2014) die jährlichen Holzeinschlagsanteile aus der Aktivität Waldbewirtschaftung $f_{FM}(i)$ berechnen.

Holz, welches aus Entwaldungsflächen aber nicht aus den eigentlichen Entwaldungsereignissen stammt (vgl. CRF Tabelle) kommt in Deutschland nicht vor und wurde daher in der CRF Tabelle mit der Bezeichnung „NO“ versehen. Holz aus den Aktivitäten Aufforstung und Wiederaufforstung

ist hingegen in den Daten zu Waldbewirtschaftung enthalten und wurde dementsprechend mit der Bezeichnung „IE“ versehen.

Weitere Informationen und Angaben zu den verwendeten Emissionsfaktoren und der für Deutschland durchgeführten Berechnung gemäß der Vorgaben des IPCC 2013 KP Supplement (IPCC 2014) finden sich in den Kapiteln 6.10.2.2 und 6.10.2.3. Entsprechend dieser Vorgaben wird energetisch verwendetes Holz und Holz in Deponien auf Basis einer sofortigen Emission berücksichtigt (vgl. Kap. 2.8.2, IPCC 2014).

11.3.1.1.8 Sonstige Treibhausgasemissionen

Informationen zur Berechnung sonstiger Treibhausgasemissionen finden sich in den folgenden Kapiteln:

Wälder:

- Lachgas-Emissionen aus Stickstoffdüngung (CRF-Table 4(KP-II)1) siehe Kapitel 6.4.2.7.1
- Entwässerung und Wiedervernässung von organischen und mineralischen Böden (CRF-Table 4(KP-II)2) siehe Kapitel 6.4.2.7.2
- Direkte Lachgas-Emissionen von Stickstoff-Mineralisierung bzw. Immobilisierung (CRF-Table 4(KP-II)3) siehe Kapitel 6.4.2.7.3
- Indirekte Lachgas-Emissionen aus bewirtschafteten Böden (CRF-Table 4(KP-II)3) siehe Kapitel 6.4.2.7.4
- Waldbrand (CRF-Table 4(KP-II)4) siehe Kapitel 6.4.2.7.5

Ackerlandbewirtschaftung und Weidelandbewirtschaftung:

- Entwässerung und Wiedervernässung von organischen und mineralischen Böden (CRF-Table 4(KP-II)2) siehe Kapitel 6.1.2.2, 6.5.2.3, 6.6.2.4
- Direkte Lachgas-Emissionen von Stickstoff-Mineralisierung bzw. Immobilisierung (CRF-Table 4(KP-II)3) siehe Kapitel 6.1.2.1.2.
- Indirekte Lachgas-Emissionen aus bewirtschafteten Böden (CRF-Table 4(KP-II)3) siehe Kapitel 6.1.2.1.2.

Die direkte und indirekte Lachgas-Emission wird für die Kyoto-Berichterstattung zusammengefasst und der gemeinsame Emissionsfaktor in der CRF-Tabelle 4(KP-II)3 berichtet. N_2O-Emissionen aus organischen Böden unter Acker- und Weidelandbewirtschaftung werden im Sektor Landwirtschaft in der Subkategorie Kultivierung von Histosolen berichtet.

11.3.1.2 Begründung bei Nichtberücksichtigung eines Kohlenstoffpools oder Treibhausgasemissionen/-abbau bei Aktivitäten nach Artikel 3.3 und gewählten Aktivitäten nach Artikel 3.4

Eine Düngung von Waldflächen mit mineralischem Dünger gibt es in Deutschland nicht. Deshalb ist bei der Düngung mit mineralischem Dünger in der CRF-Tabelle 4(KP-II)1 NO (not occurring) eingetragen.

Totholz und Streu treten bei Ackerlandbewirtschaftung und Grünlandbewirtschaftung nicht auf (NO, not occurring).

11.3.1.3 Informationen ob indirekte oder natürliche Treibhausgase ausgeklammert wurden oder nicht

Es wurden keine indirekten oder natürlichen Treibhausgasemissionen oder –senken berücksichtigt.

11.3.1.4 Änderungen in den Daten und Methoden seit der letzten Einreichung (Rückrechnungen)

Mit der diesjährigen Submission werden quellenspezifische Rückrechnungen für den gesamten Berichtszeitraum von 1990-2015 vorgelegt, da neue bzw. korrigierte Datenquellen und Methoden zur Berechnung der Phytomasse in der Landnutzungskategorie „Ackerland“ zur Anwendung kamen:

- Nutzung der Flächen für perennierende Ackerkulturen Deutschlands aus der Offizialstatistik in der Subkategorie „Ackerland bleibt Ackerland“ (s. Kapitel 6.5.2.1)
- Einführung von Emissionsfaktoren für die Phytomasse perennierender und annueller Ackerpflanzen in der Subkategorie „Ackerland bleibt Ackerland“ (s. Kapitel 6.5.2.1).
- Die Werte der Emissionsfaktoren für die annuelle Phytomasse wurden geringfügig modifiziert. Dadurch lagen zur Berechnung der CO_2-Emissionen korrigierte Emissionsfaktoren für die pflanzliche Biomasse vor.
- Einführung einer Methode zur Berechnung der Kohlenstoffvorratsänderungen in der Phytomasse mehrjähriger Ackerpflanzen in der Subkategorie Ackerland bleibt Ackerland (s. Kap. 6.5.2.1).

Im Rahmen der Neuberechnung wurden auch die zugehörigen Unsicherheiten neu bestimmt.

Die Auswirkungen der Rückrechnungen auf die Emissionen sind in Tabelle 456 und Abbildung 83 zu sehen.

Tabelle 456: Gegenüberstellung der Änderungen der Submission 2016 und 2017 berichteten Emissionen

Emission [kt CO_2-eq.]		1990	1995	2000	2005	2006	2007	2008	2009	2010	2011	2012	2013	2014
KP 3.3 Afforestation/ Reforestation	2016	585	-996	-2.632	-4.258	-4.459	-4.666	-4.866	-5.035	-5.323	-5.600	-5.874	-6.228	-6.449
	2017	582	-999	-2.635	-4.260	-4.461	-4.668	-4.867	-5.037	-5.325	-5.602	-5.876	-6.230	-6.451
KP 3.3 Deforestation	2016	1.763	1.733	1.725	2.235	2.539	2.555	2.577	2.624	2.660	2.693	2.726	1.969	1.997
	2017	1.768	1.757	1.769	2.267	2.580	2.597	2.622	2.712	2.751	2.788	2.824	2.036	2.064
KP 3.4 Forest Management	2016	-74.806	-75.756	-79.856	-50.433	-51.786	-51.539	-58.471	-58.579	-57.002	-56.577	-55.633	-54.371	-55.070
	2017	-74.806	-75.756	-79.856	-50.433	-51.786	-51.539	-58.471	-58.579	-57.002	-56.593	-55.639	-54.415	-54.900
KP 3.4 Cropland Management	2016	12.702	12.681	12.664	11.968	12.675	13.075	13.346	13.568	14.036	14.319	14.547	14.629	14.520
	2017	12.669	12.684	12.655	12.019	12.651	13.083	13.317	13.548	13.993	14.270	14.553	14.658	14.453
KP 3.4 Grazing Land Management	2016	25.766	25.574	25.379	24.635	24.161	23.782	23.430	23.165	22.911	22.692	22.484	22.362	22.314
	2017	25.772	25.580	25.385	24.639	24.164	23.785	23.433	23.168	22.914	22.695	22.486	22.365	22.317

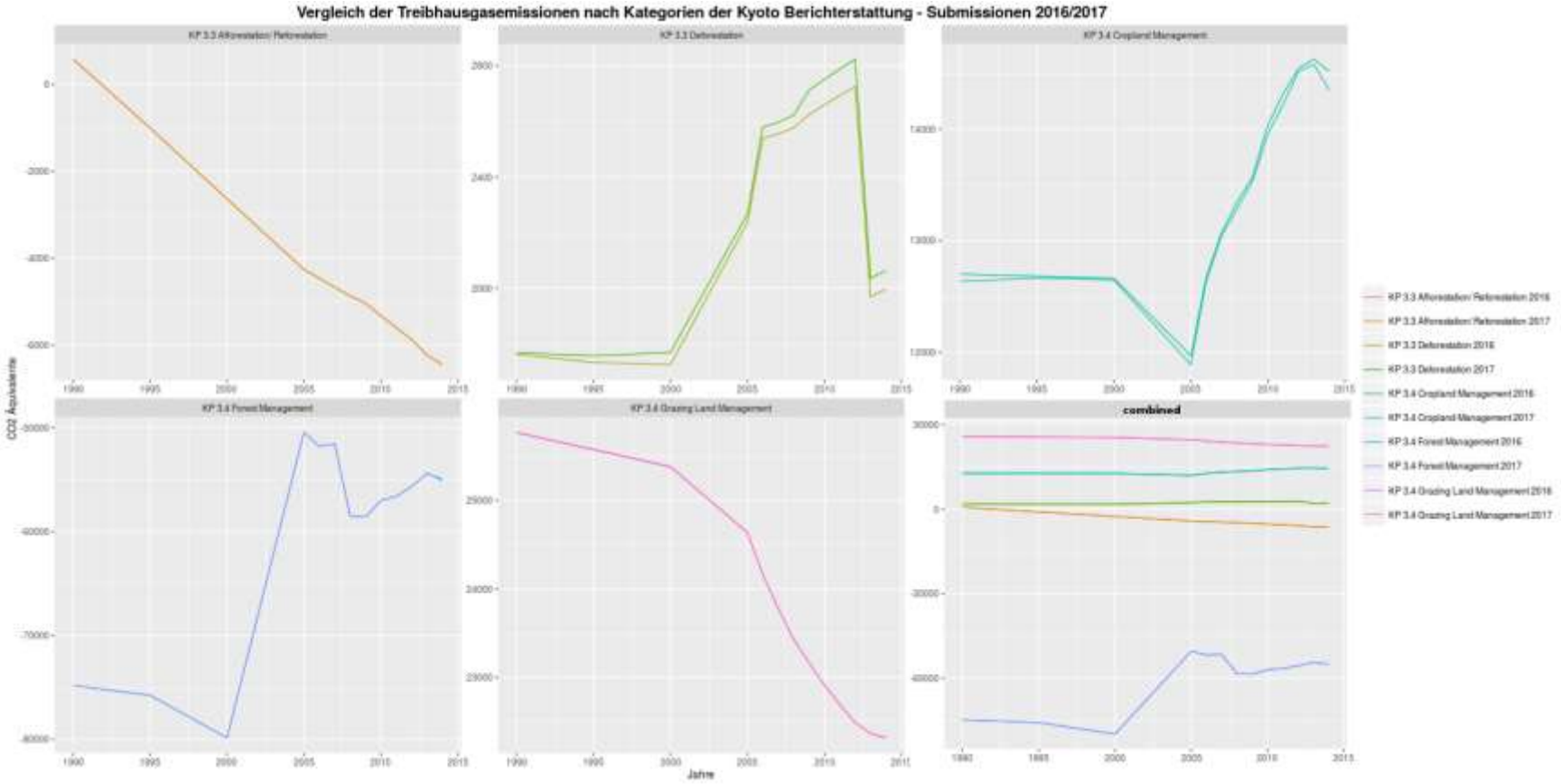

Abbildung 83: Vergleich der Treibhausgasemissionen nach Rückrechnungen für die Submission 2017 (Summe aus CO_2, CH_4 und N_2O) [kt CO_2-Equivalente] in Kategorien der Kyoto Berichterstattung

11.3.1.5 Schätzung der Unsicherheiten

Die Bestimmung der Unsicherheiten für Aktivitäten nach den Artikel 3.3 Aufforstung/Entwaldung und 3.4 Waldbewirtschaftung, Ackerlandbewirtschaftung und Weidelandbewirtschaftung des Kyoto Protokolls (KP) erfolgte gemäß den Vorgaben der IPCC 2006 Guidelines (IPCC 2006). Bei Normalverteilung wird das 95 % Konfidenzintervall bzw. ± die Hälfte des 95 % Konfidenzintervals oder 1,96 x der Standardfehler in % vom Mittelwert angegeben. Bei unsymmetrischen Verteilungen, hier in der Regel logarithmisch normalverteilte Daten, werden die zu ermittelnden Abweichungen in % vom Lagemaß als obere und untere Schranke dargestellt. Im Falle der Berechnung der Unsicherheitsfortpflanzung wurde in solch einem Fall im Sinne einer konservativen Abschätzung, der Abstand zwischen dem Extremwert des schiefen Achsenabschnitts zum Lagemaß per Definition zur Hälfte des 95 % Konfidenzintervals erklärt.

Die Ergebnisse der Unsicherheitenberechnung des KP 3.3/3.4-Inventars sind für alle Quellgruppen und Unterkategorien (außer den Holzprodukte; siehe Kapitel 11.3.1.5.3) in Tabelle 457 dargestellt. Die Gesamtunsicherheit beträgt demnach 24,61 %.

Weiterführende Informationen zu den Unsicherheiten finden sich für die Schätzung von Landnutzungsänderungsflächen im Kapitel 6.4.3.1, für die ober- und unterirdischen Biomasse und das Totholz im Kapitel 11.3.1.5.1 für die Streu und den mineralischen Böden im Kapitel 11.3.1.5.2 und Zusammenfassend für den LULUCF-Sektor im Kapitel 19.4.3.

Tabelle 457: Unsicherheiten für die Treibhausgasberichterstattung für Aktivitäten des Kyoto-Protokolls der Artikel 3.3 und 3.4

Source Category	Pool	Gas	Base year emissions [CO_2-eq,] kt a^{-1}	Year 2015 emissions [CO_2-eq,] kt a^{-1}	Combined uncertainty Maximalwert %	Contribution to Variance by Category in Year 2015 %
KP 3.3 Afforestation/Reforestation	Mineral soils	CO_2	57,14	438,42	37,37	0,02
KP 3.3 Afforestation/Reforestation	Organic soils	CO_2	15,36	373,40	86,57	0,08
KP 3.3 Afforestation/Reforestation	Organic soils	CH_4	0,22	5,27	879,53	0,00
KP 3.3 Afforestation/Reforestation	Organic soils	N_2O	1,22	29,60	176,46	0,00
KP 3.3 Afforestation/Reforestation	Above-ground biomass	CO_2	323,67	-5.612,54	43,05	4,72
KP 3.3 Afforestation/Reforestation	Below-ground biomass	CO_2	226,81	-1.029,19	43,51	0,16
KP 3.3 Afforestation/Reforestation	Litter	CO_2	-48,10	-915,00	6,18	0,00
KP 3.3 Afforestation/Reforestation	Dead wood	CO_2	-3,48	-67,33	48,98	0,00
KP 3.3 Afforestation/Reforestation	SOM	N_2O	9,32	88,80	161,90	0,02
KP 3.3 Deforestation	Mineral soils	CO_2	-19,77	-127,89	40,20	0,00
KP 3.3 Deforestation	Organic soils	CO_2	15,82	440,40	41,95	0,03
KP 3.3 Deforestation	Organic soils	CH_4	0,34	9,17	385,37	0,00
KP 3.3 Deforestation	Organic soils	N_2O	0,37	15,48	90,31	0,00
KP 3.3 Deforestation	Above-ground biomass	CO_2	758,38	1.037,89	27,05	0,06
KP 3.3 Deforestation	Below-ground biomass	CO_2	52,73	120,87	27,55	0,00
KP 3.3 Deforestation	Litter	CO_2	873,56	535,06	8,79	0,00
KP 3.3 Deforestation	Dead wood	CO_2	86,64	56,85	57,35	0,00
KP 3.3 Deforestation	SOM	N_2O	0,00	6,86	175,32	0,00
KP 3.4 Forest Management	Mineral soils	CO_2	-16.206,97	-15.825,05	52,60	56,01
KP 3.4 Forest Management	Organic soils	CO_2	927,89	822,66	24,66	0,03
KP 3.4 Forest Management	Organic soils	CH_4	13,09	11,60	1.011,57	0,01
KP 3.4 Forest Management	Organic soils	N_2O	73,55	65,21	200,69	0,01
KP 3.4 Forest Management	Above-ground biomass	CO_2	-52.340,82	-35.127,24	63,03	396,24
KP 3.4 Forest Management	Below-ground biomass	CO_2	-4.981,66	-5.192,49	49,74	5,39
KP 3.4 Forest Management	Litter	CO_2	499,63	487,08	294,00	1,66
KP 3.4 Forest Management	Dead wood	CO_2	-1.471,56	2.023,69	106,88	3,78
KP 3.4 Forest Management	Forest fires	CH_4	6,77	2,91	38,08	0,00
KP 3.4 Forest Management	Forest fires	N_2O	4,46	1,92	38,08	0,00
KP 3.4 Forest Management	SOM	N_2O	0,00	0,00	0,00	0,00
KP 3.4 to Cropland Management	Mineral soils	CO_2	2.676,32	2.795,54	49,25	1,53
KP 3.4 to Cropland Management	Organic soils	CO_2	3.035,28	3.590,26	44,87	2,10
KP 3.4 to Cropland Management	Organic soils	CH_4	66,43	78,57	233,40	0,03
KP 3.4 to Cropland Management	Above-ground biomass	CO_2	231,38	-164,52	38,68	0,00
KP 3.4 to Cropland Management	Below-ground biomass	CO_2	316,66	289,95	34,57	0,01

Source Category	Pool	Gas	Base year emissions [CO_2-eq,] kt a^{-1}	Year 2015 emissions [CO_2-eq,] kt a^{-1}	Combined uncertainty Maximalwert %	Contribution to Variance by Category in Year 2015 %
KP 3.4 Cropland Management	Mineral soils	CO_2	0,00	0,00	50,52	0,00
KP 3.4 Cropland Management	Organic soils	CO_2	5.909,20	7.605,07	45,66	9,75
KP 3.4 Cropland Management	Organic soils	CH_4	129,33	166,44	233,93	0,12
KP 3.4 Cropland Management	Above-ground biomass	CO_2	-15,53	-27,36	11,43	0,00
KP 3.4 Cropland Management	Below-ground biomass	CO_2	-13,33	-24,46	24,07	0,00
KP 3.4 total Cropland Management	SOM	N_2O	332,91	346,72	181,22	0,32
KP 3.4 to Grazing Land Management	Mineral soils	CO_2	-2.375,99	-1.663,77	42,28	0,40
KP 3.4 to Grazing Land Management	Organic soils	CO_2	2.237,67	1.045,99	46,91	0,19
KP 3.4 to Grazing Land Management	Organic soils	CH_4	47,42	22,17	219,04	0,00
KP 3.4 to Grazing Land Management	Above-ground biomass	CO_2	389,86	185,08	34,87	0,00
KP 3.4 to Grazing Land Management	Below-ground biomass	CO_2	-116,51	-90,63	28,35	0,00
KP 3.4 Grazing Land Management	Mineral soils	CO_2	0,00	0,00	77,89	0,00
KP 3.4 Grazing Land Management	Organic soils	CO_2	25.058,33	22.190,24	55,36	121,98
KP 3.4 Grazing Land Management	Organic soils	CH_4	531,03	470,25	258,59	1,20
KP 3.4 Grazing Land Management	Above-ground biomass	CO_2	0,00	0,00	36,24	0,00
KP 3.4 Grazing Land Management	Below-ground biomass	CO_2	0,00	0,00	50,86	0,00
KP 3.4 total Grazing Land Management	SOM	N_2O	0,00	0,00	0,00	0,00
Uncertainty total ARD / FM / CM / GM [%]:						**24,61**

11.3.1.5.1 Schätzung der Unsicherheiten der Emissionsfaktoren für die Biomasse und das Totholz für KP Art. 3.3 und KP Art. 3.4 Waldbewirtschaftung

Nach den in Kapitel 6.4.3.2 gemachten Angaben ergeben sich für die Kohlenstoffveränderungsrechnung der lebenden Biomasse die in Tabelle 458 angegebenen Unsicherheiten. Dabei ist folgendes zu beachten:

- Für die Neuen Bundesländer konnten für den Zeitraum 1993 - 2002 keine Emissionsfaktoren für KP Afforestation/Reforestation und KP Deforestation hergeleitet werden, da diese Angaben im Datenspeicher Wald nicht vorhanden sind. Somit wurden in diesem Zeitraum die Emissionsfaktoren der Alten Bundesländer angewandt.
- Bei der Inventurstudie 2008 wurden keine Aufforstungsflächen erfasst und für die Entwaldungspunkte ist die Datengrundlage wenig belastbar. Deshalb wurden für die Periode 2002 - 2012 die Emissionsfaktoren und Fehler aus den Daten der BWI 2002 und 2012 hergeleitet.

Tabelle 458: Gesamtfehler für die Kohlenstoffvorratsveränderungsschätzung der Biomasse für die Inventurperioden der Bundeswaldinventur 1987-2002, 2002-2008 und 2008-2012 (RMSE% - root mean square error percent)

RMSE%	1987-2002 alte Bundesländer	1993-2002 neue Bundesländer	2002-2008 Gesamtdeutschland	2008-2012 Gesamtdeutschland
Afforestation (KP 3.3)	13,08	-	11,53	11,53
Deforestation (KP 3.3)	12,73	-	10,95	10,95
Forest Management (KP 3.4)	6,95	10,05	28,75	12,60

Für die C-Veränderungsrechnung des Totholzes ergeben sich nach den in Kapitel 6.4.3.2 gemachten Angaben die in Tabelle 459 angegebenen Unsicherheiten. Dabei ist folgendes zu beachten:

- Für die Entwaldung wird der Fehler der Periode 1987-2002 aus dem Mittelwert der Fehler des Zeitraumes 2002-2012 hergeleitet.
- Für die Flächen unter Waldbewirtschaftung wird der Totholzfehler der Periode 1987-2002 aus dem Mittelwert der Fehler des Zeitraumes 2002-2012 berechnet.

Tabelle 459: Gesamtfehler für die Kohlenstoffvorratsveränderungsschätzung des Totholzes für die Inventurperioden der Bundeswaldinventur 1987-2002, 2002-2008 und 2008-2012 (RMSE% - root mean square error percent)

RMSE%	1987-2002	2002-2008	2008-2012
Afforestation (KP 3.3)	24,84	24,84	24,84
Deforestation (KP 3.3)	28,96	24,88	44,46
Forest Management (KP 3.4)	46,67	27,11	54,52

Die Gesamtfehlerrechnung für die Kyoto-Berichterstattung findet sich in Tabelle 457 im Kapitel 11.3.1.5.

11.3.1.5.2 Schätzung der Unsicherheiten der Emissionsfaktoren für Mineralboden und Streu für KP Art. 3.3 und KP Art. 3.4 Waldbewirtschaftung

Nach den in Kapitel 6.4.3.3 gemachten Angaben ergeben sich für die Emissionsfaktoren von Mineralboden und Streu folgende Unsicherheiten (siehe Tabelle 460).

Tabelle 460: Fehlerbudget für die Emissionsfaktoren von Mineralboden und Streu, mit se = Standardabweichung des Mittelwertes; C 90, C 06 = Laborfehler bei der Kohlenstoffgehaltsbestimmung BZE I und BZE II; FE = Fehler bei der Bestimmung des Feinbodenvorrates

LULUCF-category	Pool	emission factor					
		se [%]	C 90 [%]	C 06 [%]	FE [%]	error total [%]	uncertainty [%]
KP Forest Management	Litter	105.9	111.2	73.4		168.9	337.8
KP Forest Management	Mineral soil	9.0	14.1	13.6	12.2	26.7	53.4

11.3.1.5.3 Schätzung der Unsicherheiten für die Holzprodukte

Die Unsicherheiten für die Aktivitätsdaten der Holzprodukte belaufen sich nach Angaben der IPCC 2013 KP Supplement (IPCC 2014) Richtlinien auf -25/+5%. Für die Emissionsfaktoren werden die in Tabelle 2.8.2 der IPCC 2013 KP Supplement (IPCC 2014) Richtlinien gelisteten Standardwerte verwendet, die keine Unsicherheiten beinhalten. Durch die fehlenden Unsicherheiten ist keine Fehlerrechnung für die Holzprodukte möglich.

11.3.1.6 Informationen über andere Methoden

In diesem Kapitel werden die Ergebnisse der einzelnen Pools der aktuellen Submission mit denen anderer Staaten verglichen. Wie in Kapitel 6.4.4.3 beschrieben, kann der Vergleich Deutschlands mit anderen Staaten nur einer pauschalen Einordnung dienen, da mitunter unterschiedliche Methoden und Ansätze, insbesondere bei der Definition von Wald und der Wahl der Aktivitäten unter Artikel 3.4, von den einzelnen Staaten gewählt wurden. So wird von allen Ländern,, die mit Deutschland in etwa vergleichbar sind, Waldbewirtschaftung als verpflichtende Kategorie nach Artikel 3.4 berichtet. Da sich bisher nur Deutschland, Dänemark und Großbritannien dazu verpflichtet haben in den freiwillig zu berichtenden Kategorien Ackerland- und Weidelandbewirtschaftung zu berichten,, wird für diese beiden freiwilligen Aktivitäten auf einen Vergleich mit anderen Staaten verzichtet.

Die Vergleichsdaten für die Kohlenstoffvorratsänderungen anderer Staaten kommen aus den Nationalen Inventurberichten der Nachbarstaaten Deutschlands und Großbritanniens. Die Emissionsfaktordaten stammen aus der letzen Submission an das Klimasekretariat der Vereinten Nationen und entsprechen dem Inventurjahr 2014.

Im Vergleich der Kohlenstoffvorratsänderungen der lebenden oberirdischen Biomasse (Tabelle 461) durch Aufforstung zeigt Deutschland den zweitgrößten Kohlenstoffspeicher. Nur die Niederlande berichten einen höheren Kohlenstoffspeicher. Für den Pool unterirdisch lebende Biomasse weist Deutschland die höchste Speicherleistung durch Aufforstung auf. Diese liegt damit knapp über der Frankreichs, gefolgt von den Niederlanden.In der Kategorie Entwaldung berichten alle Staaten Kohlenstoffverluste. Deutschland kann für die unterirdische Biomasse in Entwaldungsgebieten jedoch die geringsten Kohlenstoffverluste berichten. Für den Pool oberirdisch lebende Biomasse in Entwaldungsgebieten kann nur Österreich eine geringere Kohlenstoffquelle als Deutschland ausweisen. Die höchsten Kohlenstoffverluste durch Entwaldung, sowohl in oberirdischer wie auch unterirdischer Biomasse, haben Dänemark, die Schweiz und die Niederlande zu berichten. In der Kategorie Waldbewirtschaftung sind die deutschen Kohlenstoffspeicherleistungen im Bereich der oberirdischen und unterirdischen Biomasse im mittleren Segment angesiedelt. Die größten Speicherleistungen in dieser Kategorie sind in den Niederlanden (oberirdisch) und Dänemark (unterirdisch), die geringsten in Österreich (ober- und unterirdisch) zu finden.

In dem Pool Totholz (Tabelle 443) berichten für die Aktivität Aufforstung Deutschland und Frankreich dieselbe, sehr geringe Kohlenstoffspeicherleistung. Polen, die Niederlande und Belgien

berichten keine Werte in diesem Pool. In den Entwaldungsaktivitäten zeigt Deutschland geringe Kohlenstoffverluste - geringere zeigt nur Polen, währen Österreich weder eine Quelle noch eine Senke ausweist. Die Niederlande berichten hier die höchsten Kohlenstoffverluste, während Großbritannien „nicht vorkommend“ berichtet. In der Waldwirtschaft berichtet Deutschland relativ die höchste - wenn auch absolut eine geringe - Kohlenstoffemissionsleistung. Dänemark und Östereich berichten eine geringe Speicherleistung durch Waldbewirtschaftung, während Polen und die Tschechische Republik „nicht vorkommend“ angeben.

Im Pool Streu (Tabelle 443) liegt Deutschland im Bereich der Aufforstung an dritter Stelle der Kohlenstoffspeicherungleistung. Den höchsten Wert und damit die größte Kohlenstoffspeicherleistung weist Österreich aus, gefolgt von der Tschechischen Republik. Bei Entwaldung hat Deutschland Kohlenstoffverluste im mittleren Bereich, vergleichbar mit denen Österreichs, während Frankreich die geringsten Verluste zu berichten hat. Die größten Verluste durch Entwaldung sind in Dänemeark zu finden, während Belgien sogar eine kleine Speicherleistung ausweist. Durch Waldbewirtschaftung entsteht in Deutschland eine geringe Kohlenstoffquelle, während die Schweiz eine größere Quelle angibt. Speicherleistungen in dieser Kategorie zeigen Dänemark und Großbritannien, während Frankreich und Polen weder Verluste noch Speicherungen und die Niederlande, die Tschechische Republik und Polen gar nicht berichten.Deutschland und die Niederlande verzeichnen Kohlenstoffverluste im Pool dermineralischen Böden (Quelle: UNFCCC 2016a

) durch Aufforstung. Die größten Kohlenstoffspeicher finden sich in Belgien, Großbritannien und Österreich, während die anderen Vergleichsländer hier nur mittlere, bzw. kleine Speicherleistungen aufweisen. In der Kategorie Entwaldung zeigen Deutschland und Dänemark eine geringe Kohlenstoffspeicherleistung. Die kleinsten Kohlenstoffverluste finden sich in der Tschechischen Republik; die mit Abstand größten Kohlenstoffverluste in Polen, gefolgt von Belgien. In der Waldbewirtschaftung berichtet Belgien die höchste Kohlenstoffspeicherleistung gefolgt von Deutschland. Österreich berichtet hier eine Kohlenstoffquelle, während Dänemark, die Niederlande und die Tschechische Republik gar nicht („NO“) berichten.

In dem Pool der organischen Böden berichten neben Deutschland überhaupt nur die Schweiz (alle Aktivitäten), Dänemark, die Niederlande (beide nur Artikel 3.3 Aktivitäten), Polen und Großbritannien (beide nur A/R- und Waldbewirtschaftungsaktivitäten). Deutschland verzeichnet in allen drei Kategorien Kohlenstoffverluste. In allen drei Aktivitäten zeigt nur die Schweiz und in Entwaldungsaktivitäten zusätzlich noch Dänemark höhere Verluste. Frankreich wiederum gibt für organische Böden in allen berichteten Aktivitäten an, dass die Emissionen in anderen Kategorien und Quellgruppen berichtet werden („IE“). Allein Großbritannien gibt für Land unter Aufforstungsaktivitäten eine gewisse Kohlenstoffspeicherleistung an. Auch durch Entwaldung sind in den organischen Böden, in allen vergleichbaren Ländern, Kohlenstoffverluste zu finden. Im Bereich der Waldbewirtschaftung stuft sich die Emissionsquellenleistung wie folgt ab: Schweiz, Deutschland, Dänemark und Polen. Während Großbritannien erneut eine Kohlenstoffspeicherleistung verzeichnet, berichten Belgien, die Niederlande, Östereich und die Tschechische Republik „nicht vorkommend“ (NO).

Tabelle 461: Kohlenstoffvorratsänderungen in lebender Biomasse (Deutschland für 2014 & 2015, übrige Länder für 2014)

Land	Aufforstungen		Entwaldung		Waldbewirtschaftung	
[t C ha^{-1}]	oberirdisch	unterirdisch	oberirdisch	unterirdisch	oberirdisch	unterirdisch
Belgien	1,75	0,35	-1,12	-0,22	0,79	0,03
Dänemark	0,26	0,05	-5,67	-1,24	1,18	0,26
Frankreich	1,10	0,47	-1,48	-0,35	0,59	0,21
Großbritannien	1,41	IE	-1,59	IE, NO	1,15	IE
Niederlande	2,91	0,41	-3,69	-0,54	1,33	0,24
Österreich	0,96	0,26	-0,69	-0,17	0,26	0,03
Polen	0,82	0,22	-1,91	-0,38	0,71	0,19
Schweiz	0,97	0,40	-2,92	-0,90	0,42	0,10
Tschechische Republik	1,73	0,35	-2,70	-0,54	0,60	0,12
Deutschland 2014	2,86	0,52	-1,01	-0,12	0,90	0,13
Deutschland 2015	**2,87**	**0,53**	**-0,99**	**-0,12**	0,90[192]	**0,134**

Quelle: UNFCCC 2016a

Tabelle 462: Kohlenstoffvorratsänderungen in Streu (Deutschland für 2014 & 2015, übrige Länder für 2014)

Land	Aufforstungen		Entwaldung		Waldbewirtschaftung	
[t C ha^{-1}]	Totholz	Streu	Totholz	Streu	Totholz	Streu
Belgien	NO	NO	-0,11	0,01	-0,01	0,00
Dänemark	0,00	0,15	-0,17	-1,90	0,13	0,39
Frankreich	0,03	0,17	-0,05	-0,17	-0,03	0,00
Großbritannien	IE	0,09	IE, NO	-0,25	IE	0,24
Niederlande	NO	NO	-0,24	-1,47	0,00	NO
Österreich	0,02	0,89	0,00	-0,54	0,06	IE, NE
Polen	NO	NO	-0,01	0,00	NO	NO
Schweiz	0,00	-0,08	-0,23	-1,01	0,00	-0,14
Tschechische Republik	0,01	0,50	-0,07	-0,37	NO	NO
Deutschland 2014	0,03	0,47	-0,06	-0,52	-0,05	-0,01
Deutschland 2015	**0,03**	**0,47**	**-0,05**	**-0,51**	**-0,05**	**-0,01**

Quelle: UNFCCC 2016a

[192] Biomasse Verluste sind mit dem Notation Key 'IE' gekennzeichnet

Tabelle 463: Kohlenstoffvorratsänderungen in Totholz (Deutschland für 2014 & 2015, übrige Länder für 2014)

Land	Aufforstungen		Entwaldung		Waldbewirtschaftung	
[t C ha^{-1}]	Mineralischer Boden	Organischer Boden	Mineralischer Boden	Organischer Boden	Mineralischer Boden	Organischer Boden
Belgien	1,42	NO	-1,60	NO	0,53	NO
Dänemark	0,09	-1,30	0,10	-6,03	NO	-1,30
Frankreich	0,18	IE	-0,63	IE	0,00	IE
Großbritannien	1,00	2,28	-1,59	IE, NO	0,20	0,68
Niederlande	-0,07	-0,23	0,00	-2,52	NO	NO
Österreich	0,53	NO	-0,57	NO	-0,18	NO
Polen	0,06	-0,68	-1,76	NO	0,11	-0,68
Schweiz	0,44	-2,60	-0,99	-6,05	0,00	-2,73
Tschechische Republik	0,12	NO	-0,04	NO	NO	NO
Deutschland 2014	-0,27	-2,23	0,15	-4,94	0,41	-2,23
Deutschland 2015	**-0,24**	**-2,23**	**0,13**	**-5,86**	**0,41**	**-2,23**

Quelle: UNFCCC 2016a

11.3.1.7 Das Anfangsjahr einer Aktivität, falls nach 2013

In Tabelle 464 finden sich die Flächengrößen der Aktivitäten nach KP 3.3, die nach 2013 begonnen haben. Die Aktivität Forest Management (KP.3.4) wird nur auf den Flächen berücksichtigt, die seit 1990 Wald sind. Demnach gibt es keine Flächen, auf denen Waldbewirtschaftung nach 2013 begonnen hat.

Tabelle 464: Flächengrößen der Aktivitäten, die nach 2013 begonnen haben

KP 3.3 Activity	Year of the onset	
	2014	2015
Afforestation/Reforestation [ha]	14.071	14.071
Deforestation [ha]	7.809	7.809

11.4 Artikel 3.3

11.4.1 Informationen, die belegen, dass Aktivitäten nach Artikel 3.3 am oder nach dem 1. Januar 1990 und vor dem 31.Dezember 2020 begonnen haben und direkt vom Menschen verursacht sind

Wie in dem Kapitel 6.3 beschrieben, erfasst das Verfahren zur Landnutzungsänderung von und zu Wald Flächenänderungen ab 1970, wobei methodisch bei der Kyoto-Berichterstattung nur die Änderungen seit 1990 eingehen. Ab der Submission 2014 flossen die Ergebnisse der dritten Bundeswaldinventur ein, deren Stichjahr 2012 ist. Diese bildet die Datengrundlage für das Anfangsjahr der zweiten Verpflichtungsperiode. Alle erfassten Aktivitäten liegen in dem Zeitraum zwischen dem 1. Januar 1990 und dem 31. Dezember 2020.

Jede Landnutzungsänderung von und zu Wald wird vorrangig über die Bundeswaldinventur (BWI), aber auch durch ergänzende Daten erfasst. Die Stichprobenpunkte decken rasterförmig ganz Deutschland ab. Durch die wiederholte Aufnahme der Punkte können die Veränderungen großflächig ermittelt werden. Wird ein Punkt als Wald aufgenommen, der bei der vorangegangenen Inventur als Nicht-Wald gekennzeichnet war, so repräsentiert dieser eine bestimmte aufgeforstete Fläche. Die BWI unterscheidet zwischen aufgeforstet durch Pflanzung/Saat oder durch natürliche Verjüngung. Letztere werden jedoch erst dann als

aufgeforsteter Wald klassifiziert, wenn der Bestand ein durchschnittliches Alter von fünf Jahren erreicht hat und einen Überschirmungsgrad von mindestens 50 % aufweist (vgl. Kapitel 6.2.1).

Eine landwirtschaftlich genutzte Fläche kann von (bewirtschaftetem) Ackerland in unbewirtschaftetes übergehen und durch eine spontane Ansiedlung von Bäumen (natürliche Verjüngung) in Wald übergehen. Diese Art der Aufforstung kann gem. IPCC 2013 KP Supplements (IPCC 2014) allerdings nur dann angerechnet werden, wenn sie „direkt vom Mensch induziert" wurde. Es ist gute Praxis die direkt vom Mensch induzierte Flächenumwandlung zu belegen. Nach IPCC schließt der zu führende Beweis u.a. die Tatsache ein, dass eine Entscheidung zur Aufforstung oder dem Zulassen einer natürlichen Verjüngung getroffen wurde[193]. Das deutsche Recht sieht gem. § 10 (1) BWaldG vor, dass jede Erstaufforstung von Flächen einer „Genehmigung der nach Landesrecht zuständigen Behörde" bedarf. Nach Absatz 2 bedarf es lediglich dann keiner Genehmigung, wenn für die aufzuforstende Fläche „auf Grund anderer öffentlich rechtlicher Vorschriften die Aufforstung rechtsverbindlich festgesetzt worden ist oder Erfordernisse der Raumordnung und Landesplanung nicht berührt werden". Deutschland ist ein dicht besiedeltes und intensiv bewirtschaftetes Land, welches flächendeckend beplant wird. Es existieren unterschiedliche Planungsebenen, von großräumigen Plänen (z.B. Raumordnungsplanung) bis hin zu kleinräumigen Festsetzungen (z.B. Landschaftspläne, forstliche Betriebspläne). Die Aufstellung und Einhaltung wird von den jeweils zuständigen Behörden des Bundes, der Länder sowie der einzelnen Gemeinden überwacht. Es ist daher davon auszugehen, dass alle neuaufgeforsteten Flächen die Bedingung der „direkt vom Mensch induzierten Umwandlung" erfüllen, da sowohl der Akt der Genehmigung, als auch rechtsverbindliche Festsetzungen und das Aufstellen von Raumordnungs- und Landschaftsplänen, eine aktive Entscheidung durch den Mensch voraussetzen.

11.4.2 Informationen über die Unterscheidung zwischen Ernte oder Waldzerstörung, die von Wiederaufforstung gefolgt sind, und Entwaldung

Nach § 11 (1) BWaldG soll der Wald „im Rahmen seiner Zweckbestimmung ordnungsgemäß und nachhaltig bewirtschaftet werden. Durch Landesgesetz ist mindestens die Verpflichtung für alle Waldbesitzer zu regeln, kahlgeschlagene Waldflächen oder verlichtete Waldbestände in angemessener Frist

1. wieder aufzuforsten oder
2. zu ergänzen, soweit die natürliche Wiederbestockung unvollständig bleibt,

falls nicht die Umwandlung in eine andere Nutzungsart genehmigt worden oder sonst zulässig ist."

Grundsätzlich ist danach jede Waldfläche wieder aufzuforsten, sofern sie weiterhin als Wald genutzt werden soll. Dies ist gesetzliche Vorgabe und gängige Praxis der deutschen Forstwirtschaft. Vorübergehend unbestockte Flächen fallen damit nach wie vor unter die Berichterstattung der Waldbewirtschaftung nach Art. 3.4 KP. Anders verhält es sich, wenn eine unbestockte Fläche entsteht, für deren Nachnutzung Nicht-Wald vorgesehen ist. Diese Flächen sind, unabhängig davon, ob die Entwaldung durch natürliche Störereignisse oder durch menschliches Abholzen hervorgerufen wurde, als Entwaldung, die direkt vom Mensch verursacht wurde anzusehen.

[193] Vgl. IPCC 2014, Section 2.5.2

Abbildung 84: Schema zur Unterscheidung zwischen Ernte oder Waldzerstörung, die von Wiederaufforstung gefolgt sind, und Entwaldung

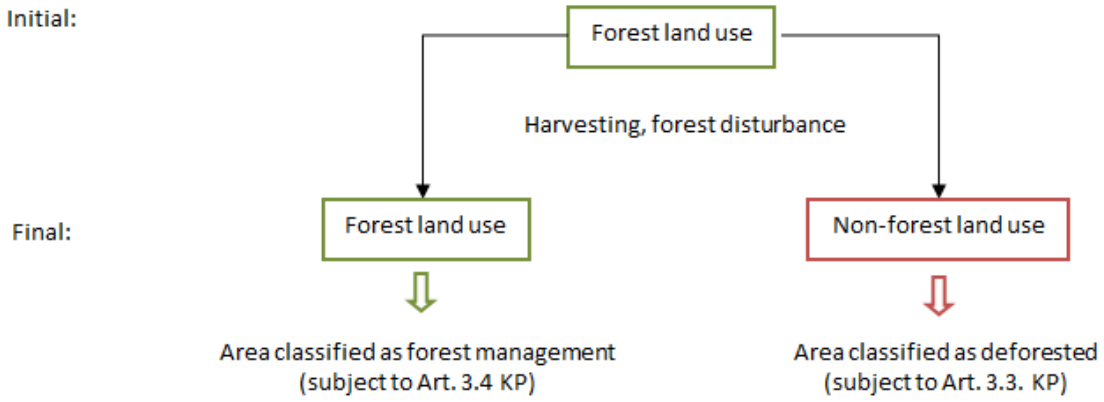

11.4.3 Informationen über die Größe und geografische Lage von Waldgebieten, die ihre Waldbedeckung verloren haben aber nicht als entwaldet gelten

Durch Waldbewirtschaftung entstehen in Wäldern geringfügig unbestockte Flächen (Blößen). Diese betragen nach den Daten der BWI 2012 ca. 41.742 ha und haben einen Anteil von 0,36 % an der Gesamtwaldfläche. Wie bereits oben in Kapitel 11.4.2 erläutert, fallen auch diese Flächen nach wie vor unter die Walddefinition und gehen in die Berechnungen zu den Vorräten und deren Änderungen mit ein.

11.4.4 Informationen in Bezug auf Natürlichen Störungen unter dem Artikel 3.3

Wie im Kapitel 11.1.2 dargelegt, hat Deutschland die Option natürliche Störungen nicht gewählt. Auftretende natürliche Störungen werden nicht gesondert betrachtet, sondern fließen in die Veränderungsrechnungen der entsprechenden Pools mit ein.

11.4.5 Informationen zu den Holzprodukten unter dem Artikel 3.3

Die Abschätzung des Beitrags von Holzprodukten in Deutschland zu den Emissionen nach Quellen und Einbindungen nach Senken von Treibhausgasen wurde, wie in Kapitel 6.10 detailliert beschrieben, gemäß der Vorgaben des IPCC KP Supplement (IPCC 2014) mit dem Modell WoodCarbonMonitor durchgeführt.

Für Deutschland lässt sich der Holzeinschlag den beiden Aktivitäten Waldbewirtschaftung (forest management), und Entwaldung (deforestation) zuordnen. Holzprodukte aus Entwaldung (Artikel 3.3) werden gemäß der Vorgaben der IPCC KP Supplements (IPCC 2014) auf Basis einer sofortigen Emission berücksichtigt.

11.5 Artikel 3.4

11.5.1 Informationen, die belegen, dass Aktivitäten nach Artikel 3.4 seit dem 1.Januar 1990 auftraten und vom Menschen verursacht sind

11.5.1.1 Waldbewirtschaftung

Da die Erfassung der Waldflächen, der Flächenänderungen und der durch die entsprechenden Aktivitäten verursachten Vorratsänderungen in einem integrierten Verfahren abgebildet werden, gelten für die Aktivität Waldbewirtschaftung die Aussagen entsprechend aus Kapitel 11.4.1.

Gemäß § 1 Nr. 1 BWaldG ist der „Wald wegen seines wirtschaftlichen Nutzens (Nutzfunktion) und wegen seiner Bedeutung für die Umwelt, insbesondere für die dauernde Leistungsfähigkeit des Naturhaushaltes, das Klima, den Wasserhaushalt, die Reinhaltung der Luft, die Bodenfruchtbarkeit, das Landschaftsbild, die Agrar- und Infrastruktur und die Erholung der Bevölkerung (Schutz- und Erholungsfunktion) zu erhalten, erforderlichenfalls zu mehren und seine ordnungsgemäße Bewirtschaftung nachhaltig zu sichern".

Dem Wald werden damit drei Grundfunktionen zugeordnet, nämlich die Nutz-, Schutz- und Erholungsfunktion, aufgrund derer seine Erhaltung und seine ordnungsgemäße und nachhaltige Bewirtschaftung zu sichern sind. Zusätzlich schreibt § 11 (1) S. 1 BWaldG vor, dass der „Wald (…) im Rahmen seiner Zweckbestimmung ordnungsgemäß und nachhaltig bewirtschaftet werden (soll)." Zwar besagt die Formulierung nicht, dass Wald bewirtschaftet werden „muss", weshalb eine grundsätzliche Verpflichtung zu verneinen ist, andererseits wurde auch nicht die Formulierung „kann" gewählt, bei der eine Verpflichtung auszuschließen wäre. Die gewählte Formulierung lässt damit sehr wohl eine Grundhaltung erkennen, nämlich dass Wald bewirtschaftet werden soll. Eine Verbindlichkeit zur Bewirtschaftung von Waldflächen existiert damit für ganz Deutschland[194].

Zur Sicherung der drei Grundfunktionen soll der Wald gem. § 1 Nr. 1 i.V.m. § 11 (1) S.1 BWaldG erhalten und ordnungsgemäß und nachhaltig bewirtschaftet werden. Die Zielvorgabe der Waldbewirtschaftung entsprechend der Marrakesh Accords (MA) deckt sich damit mit den Vorgaben des BWaldG. In beiden Fällen zielt die Bewirtschaftung darauf ab, dass der Wald seine Funktionen auf Dauer erfüllen kann.

Gemäß den MA wird Waldbewirtschaftung definiert als „a system of practices". Damit wird vorgegeben, dass die Bewirtschaftung durch Handlungen/Maßnahmen gekennzeichnet ist. Eine Waldfläche, die sich selbst überlassen wird, ohne dass irgendwelche Maßnahmen ergriffen werden, zählt damit nicht zu einer bewirtschafteten Waldfläche. Voraussetzung dafür ist jedoch, dass in diesem Waldgebiet tatsächlich keine menschlichen Aktivitäten stattfinden, also kein aktiver Eingriff durch den Mensch erlaubt ist (entspricht MCPFE-Schutzkategorie 1.1). Derartige Schutzwaldflächen sind in Deutschland jedoch „praktisch nicht vertreten" (BMELV 2009). Schutzwaldgebiete, in denen aktive Eingriffe des Menschen auf ein Minimum beschränkt zugelassen sind, sog. Totalschutzgebiete (MCPFE-Schutzkategorie 1.2), hatten 2007 einen Flächenanteil von 1,1% der Gesamtwaldfläche mit zunehmender Tendenz (BMELV, 2009). Im Vordergrund dieser Waldflächen steht der Biotop- und Artenschutz (z.B. Bannwälder, Naturwaldreservate, Kernzonen von Nationalparken und Biosphärenreservaten). Bestimmte eingreifende Maßnahmen sind jedoch ausdrücklich zugelassen (z.B. zur Brandbekämpfung, Kontrolle von Schalenwild, Krankheiten oder Insektenkalamitäten[195]). Für Schutzwälder sind wie für alle Schutzgebiete Konzepte aufzustellen, in denen der Schutzgegenstand, der Schutzzweck, die zur Erreichung des Schutzzwecks notwendigen Ge- und Verbote und die erforderlichen Pflege-, Entwicklungs- und Wiederherstellungsmaßnahmen darzustellen sind[196] (z.B. in Schutzgebietsverordnungen oder Richtlinien, Vgl. z.B. § 23 (2) LWaldG MV). Weiterhin sind etwa 23% der Waldfläche Schutzgebiete, deren Schutzzweck aktiv durch Bewirtschaftungsmaßnahmen sichergestellt wird (MCPFE-Schutzkategorie 1.3), 56 % entfallen auf Wälder, deren vorrangiges

[194] Von einer Verpflichtung zur „nachhaltigen ordnungsgemäßen Bewirtschaftung" für alle Waldbesitzer sprechen Häusler und Scherer-Lorenzen (2002) in: Nachhaltige Forstwirtschaft in Deutschland im Spiegel des ganzheitlichen Ansatzes der Biodiversitätskonvention. BfN – Skripten 62, S. 5 und 15.

[195] Außerdem zugelassen sind Maßnahmen zur naturverträglichen Walderschließung für Erholungszwecke und zur naturverträglichen Forschung.

[196] Vgl. z.B. § 22 (1) BNatSchG

Ziel der Schutz von Landschaften und spezifischen Naturelementen ist (MCPFE-Schutzkategorie 2) und 34 % mit dem vorrangigen Ziel von Schutzfunktionen (MCPFE-Schutzkategorie 3). Bei den MCPFE-Schutzkategorien 1.3 bis 3 wird die Bewirtschaftung entsprechend dem Schutzzweck ausgerichtet. Diese Kategorien erfüllen damit die Vorgaben der Waldbewirtschaftung. Auch bei der Kategorie 1.2 sind menschliche Aktivitäten zur Sicherung der Schutzgebiete durchaus zulässig. Gemäß IPCC 2006 Guidelines (IPCC 2006) erfüllen damit auch diese Gebiete die Vorgaben der Waldbewirtschaftung nach Art. 3.4 KP: „For example forested national parks (…) where these parks are managed to fulfil relevant ecological (including biodiversity) and social functions, and are subject to forest management activities such as fire suppression, a country may choose to include these forested national parks as lands subject to forest management“[197]. Es ist zu beachten, dass die hier angegebenen Flächenanteile der Schutzwaldkategorien nicht aufaddiert werden dürfen, da sie sich z.T. überschneiden und die gleiche Waldfläche z.T. mehrfach erfasst wurde (BMELV, 2009).

Der Wald in Deutschland wird in weiten Teilen beplant. Für etwa ¾ der Waldfläche liegen nach Schätzung des BMEL forstliche Betriebspläne (Wirtschaftspläne, Betriebspläne oder -gutachten) vor (BMELV, 2009). Neben dieser betrieblichen Planung werden für den Wald zusätzlich im Rahmen der Landesplanung z.T. eigenständige forstliche Landschaftspläne (forstliche Rahmenpläne) aufgestellt[198]. Ziel der forstlichen Rahmenplanung ist es, „die für die Entwicklung der Lebens- und Wirtschaftsverhältnisse notwendigen Funktionen des Waldes nach § 1 Nr. 1 (BWaldG) zu sichern“. Dies entspricht genau der Zielstellung, die auch von der IPCC Good Practice Guidance (2003) für die Waldbewirtschaftung vorgegeben wird. Dabei können bzw. müssen auch Maßnahmen festgelegt werden (Vgl. z.B. § 6 (3) Nr. 4 S. 2 BWaldG a.F.; Art. 6 (1) Nr. 2 BayWaldG (Waldgesetz für Bayern), § 9 (4) LWaldG Mecklenburg-Vorpommern, § 6 S. 2 NWaldLG (Niedersächsisches Wald- und Landschaftsgesetz), § 7 (1) LFoG NRW (Landesforstgesetz für das Land Nordrhein-Westfalen), § 6 (2) WaldG Sachsen-Anhalt[199]). Teilweise wird auch explizit vorgegeben, dass die Planung als Richtlinie u.a. für die Bewirtschaftungstätigkeit zu nutzen ist (Vgl. § 8 (3) LFoG NRW).

Alles in allem dürfte die Annahme, dass Wald in Deutschland flächendeckend die Kriterien der Waldbewirtschaftung entsprechend den Vorgaben der MA und IPCC 2013 KP Supplements (IPCC 2014) erfüllt, damit bestätigt sein.

Eine Zusammenstellung von Textausschnitten aus den Landeswaldgesetzen für die Bewirtschaftungsvorgaben von Wäldern und zu den Vorgaben der forstlichen Rahmenplanung findet sich in STEUK (2010). Die Zusammenfassung ist in Tabelle 465 zu finden.

[197] IPCC KP Supplements (2014) Kapitel 2.7.2 and IPCC 2006 Guidelines, Kapitel 2, Volume 4

[198] Die forstliche Rahmenplanung war bis 2005 im BWaldG verpflichtend vorgegeben. Aufgrund der sehr unterschiedlichen Ausgestaltung der Planung innerhalb der Länder, wurden diese Bestimmungen jedoch gestrichen. Vgl. BMELV (2009) Waldbericht der Bundesregierung, S. 28.

[199] Festlegung von Maßnahmen in Betriebsplänen siehe § 5 (6) S. 3 LWaldG Schleswig-Holstein.

Tabelle 465: Zusammenstellung der Verpflichtung zur Waldbewirtschaftung, zur Aufstellung von Plänen und zur forstlichen Rahmenplanung aus den Waldgesetzen der Bundesländer

Bundesland	Verpflichtung zur Waldbewirtschaftung			Verpflichtung zur Aufstellung von Plänen (Wirtschafts-, Betriebspläne, Betriebsgutachten oder andere forstliche Fachplanungen)			Verpflichtung zur forstlichen Rahmenplanung
	Staatswald	Körperschaftswald	Privatwald	Staatswald	Körperschaftswald	Privatwald	
Baden-Württemberg	X	X	X	X	X	(X)	(X)
Bayern	X	X	X	X	[X]		(X)
Berlin	X	X	X				X
Brandenburg							X
Bremen	X	X	X				
Hamburg	X	X	X				X
Hessen	X	X	X	X	X	[X]	
Mecklenburg-Vorpommern	X	X	X				X
Niedersachsen	X	X	X	[X]	[X]		X
Nordrhein-Westfalen	X	X	X		X		X
Rheinland-Pfalz	X	X	X	[X]	[X]	[X]	X
Saarland	X	X	X	X	X	(X)	X
Sachsen	X	X	X	X	X		(X)
Sachsen-Anhalt	X	X	X	X	X		X
Schleswig-Holstein				[X]	[X]		
Thüringen	X	X	X	X	X	[X]	X

Legende

X Vorgabe verbindlich (einschließlich soll)

[X] Vorgabe nur unter bestimmten Voraussetzungen (z.B. Mindestgröße) verbindlich

(X) Vorgabe optional / nicht verbindlich (kann)

11.5.2 Ackerlandbewirtschaftung und Weidelandbewirtschaftung

Alle Flächen unter Ackerlandbewirtschaftung und Weidelandbewirtschaftung unterliegen einmal oder mehrmals im Jahr periodischen Bewirtschaftungsmaßnahmen, so dass die Emissionen und Senken menschlichen Ursprungs sind.

11.5.3 Informationen bezüglich der Ackerland- und Weidelandbewirtschaftung für das Basisjahr

11.5.3.1 Ackerlandbewirtschaftung

Die Emissionen aus Ackerlandbewirtschaftung 1990 werden dominiert von CO_2 aus organischen Böden. Kohlenstoffverluste aus Mineralböden durch die Umwandlung zu Ackerland sind ebenfalls signifikant (Tabelle 466). Das Emissionsmuster ist sehr ähnlich wie im Jahr 2015 (Tabelle 450).

Tabelle 466: Kohlenstoffvorratsänderungen und Treibhausgasemissionen infolge Ackerlandbewirtschaftung im Basisjahr 1990

Unterkategorien	C-Vorratsände-rungen in Biomasse 1990[200] [kt C]	C-Vorratsände-rungen in Mineralböden 1990[93] [kt C]	CO_2 aus organischen Böden 1990[93] [kt C]	CH_4 aus organischen Böden 1990[201] [kt CH_4]	Direktes und indirektes N_2O aus Zersatz organischer Substanz in Mineralböden 1990[94] [kt N_2O]	Summe 1990[94/202] [kt CO_2-Äqu]
Ackerland bleibt Ackerland	7,87	NO	-1.611,60	5,17	NO	6.009,66
Summe LUC zu Ackerland	**-149,47**	**-729,91**	**-827,80**	**2,66**	**1,12**	**6.658,98**
Summe LUC von Ackerland	**NO**	**NO**	**NO**	**NO**	**NO**	**NO**
Gesamt	**-141,60**	**-729,91**	**-2.439,40**	**7,83**	**1,12**	**12.668,64**

Emissionen und Senken aus Landnutzungsänderung von Ackerland zu anderen Landnutzungskategorien werden unter Art. 3.3 (Aufforstung), Art. 3.4 (Weidelandbewirtschaftung) berücksichtigt bzw. gemäß der IPCC 2013 KP Supplements (IPCC 2014), Kap. 2.9.2 mit Null berechnet. N2O-Emissionen aus organischen Böden unter Ackerland werden im Sektor Landwirtschaft in der Subkategorie Kultivierung von Histosolen berichtet.

11.5.3.2 Weidelandbewirtschaftung

Die Emissionen aus Weidelandbewirtschaftung 1990 werden dominiert von CO2 aus organischen Böden. Die Kohlenstoffsenke in Mineralböden Landnutzungsänderungen kompensiert die Emissionen nur geringfügig (Tabelle 467). Das Emissionsmuster ist sehr ähnlich wie im Jahr 2015 (Tabelle 451).

Tabelle 467: Kohlenstoffvorratsänderungen und Treibhausgasemissionen infolge Weidelandbewirtschaftung im Basisjahr 1990

Unterkategorien	C-Vorratsände-rungen in Biomasse 1990[203] [kt C]	C-Vorratsände-rungen in Mineralböden 1990[96] [kt C]	CO_2 aus organischen Böden 1990[96] [kt C]	CH_4 aus organischen Böden 1990[204] [kt CH_4]	Direktes und indirektes N_2O aus Zersatz organischer Substanz in Mineralböden 1990[97] [kt N_2O]	Summe 1990[97/205] [kt CO_2-Äqu]
Grünland i.e.S. bleibt Grünland i.e.S.	NO	NO	-6.834,09	21,24	NO	25.589,36
Summe LUC zu Grünland i.e.S.	**-74,55**	**648,00**	**-610,27**	**1,90**	**NO**	**182,46**
Summe LUC von Grünland i.e.S.	**NO**	**NO**	**NO**	**NO**	**NO**	**NO**
Gesamt	**-74,55**	**648,00**	**-7.444,36**	**23,14**	**NO**	**25.771,82**

Emissionen und Senken aus Landnutzungsänderung von Grünland i.e.S. zu anderen Landnutzungskategorien werden unter Art. 3.3 (Aufforstung), Art. 3.4 (Ackerlandbewirtschaftung) berücksichtigt bzw. gemäß der IPCC 2013 KP Supplements (IPCC 2014), Kap. 2.10.2 mit Null berechnet. N_2O-Emissionen aus organischen Böden unter Grünland i.e.S. werden im Sektor Landwirtschaft in der Subkategorie Kultivierung von Histosolen berichtet.

200 Vorratsänderung positiv: C-Senke; negativ: C-Quelle
201 THG-Emission positiv: THG-Quelle; negativ: THG-Quelle
202 Ohne N_2O-Emissionsn aus organischen Böden, wird unter Landwirtschaft berichtet
203 Vorratsänderung positiv: C-Senke; negativ: C-Quelle
204 THG-Emission positiv: THG-Quelle; negativ: THG-Quelle
205 Ohne N_2O-Emissionsn aus organischen Böden, wird unter Landwirtschaft berichtet

11.5.4 Informationen zur Waldbewirtschaftung

11.5.4.1.1 Definition der Waldbewirtschaftung

Wie bereits in Kapitel 11.5.1 erläutert, sind die deutschen Wälder per Gesetz ordnungsgemäß und nachhaltig zu bewirtschaften. Bundesweite Vorgaben zur Waldbewirtschaftung finden sich im Bundeswaldgesetz (BWaldG). Dieses wird durch die Bundesländer mit eigenen Landeswaldgesetzen konkretisiert. Bei einer Gegenüberstellung der nationalen Vorgaben mit der internationalen Definition, zeigt sich dass diese durchaus vergleichbar sind.

Internationale Definition gemäß der MA[206]*:*

"Forest management" is a system of practices for stewardship and use of forest land aimed at fulfilling relevant ecological (including biological diversity), economic and social functions of the forest in a sustainable manner;

Übersetzung: „Waldbewirtschaftung „ ist ein System von Praktiken für die Behandlung/Pflege und Nutzung des Waldes, darauf abzielend relevante ökologische (einschließlich der biologischen Vielfalt), wirtschaftliche und soziale Funktionen des Waldes in nachhaltiger Weise zu erfüllen;

Nationale Definitionen nach dem BWaldG und den Landeswaldgesetzen (LWaldG):

Gem. § 1 Nr. 1 BWaldG ist der Zweck des Gesetzes insbesondere, „den Wald wegen seines wirtschaftlichen Nutzens (Nutzfunktion) und wegen seiner (…) (Schutz- und Erholungsfunktion) zu erhalten, erforderlichenfalls zu mehren und seine ordnungsgemäße Bewirtschaftung nachhaltig zu sichern". Nach § 11 (1) S. 1 BWaldG soll der Wald „im Rahmen seiner Zweckbestimmung ordnungsgemäß und nachhaltig bewirtschaftet werden." Aufgrund der eingeschränkten Gesetzgebungskompetenz des Bundes, gibt dieser hier lediglich einen Rahmen vor, der dann durch die Bundesländer entsprechend umzusetzen und zu konkretisieren ist (Vgl. § 5 und § 11 (1) S. 2 BWaldG). Somit legen die Länder fest, was unter einer ordnungsgemäßen und nachhaltigen Forstwirtschaft zu verstehen ist. Eine Zusammenstellung der relevanten Abschnitte aus den Landeswaldgesetzen findet sich in STEUK (2010).

Die Vorgaben zur Waldbewirtschaftung nach den Landeswaldgesetzen sind mit den internationalen vergleichbar. Die Bestimmung, dass Wald unter Erfüllung ökologischer (einschließlich der biologischen Vielfalt), wirtschaftlicher und sozialer Funktionen in nachhaltiger Weise bewirtschaftet werden soll[207], lässt sich von der Aussage her in jedem Landesgesetz finden. Synonym für die ökologischen, wirtschaftlichen und sozialen Funktionen werden in Deutschland oftmals Schutz-, Nutz- und Erholungsfunktion verwendet[208](siehe Tabelle 468). Findet sich der Wortlaut der ökologischen, wirtschaftlichen und sozialen Funktionen, die bei der Bewirtschaftung sicherzustellen sind, nicht explizit nochmal im Text des Landesgesetzes, so findet sich jedoch der Zusatz „im Rahmen seiner Zweckbestimmung"[209]. Der Wald ist danach also im Rahmen seiner Zweckbestimmung nachhaltig zu bewirtschaften. Damit wird auf § 1 BWaldG verwiesen (Gesetzeszweck), der sich wortgleich in jedem Landeswaldgesetz wiederfindet. § 1 Nr. 1 BWaldG legt wiederum fest, dass der Wald insbesondere, „wegen seines wirtschaftlichen Nutzens (Nutzfunktion) und wegen seiner (…) (Schutz- und Erholungsfunktion) zu erhalten" ist. Die Zielstellung zur Sicherung der wirtschaftlichen, ökologischen und sozialen Funktionen findet sich

[206] Paragraph 1 (f) des Annex A der Decision 16/CMP.1

[207] Vgl. Art. 4 Nr. 1 BayWaldG; § 1a LFoG NRW; sinngemäß auch § 6 (1) LWaldG RLP; sinngemäß auch § 18 (1) i.V.m. § 19 (1) S. 2 ThürWaldG.

[208] Vgl. § 1 Nr. 1 BWaldG; § 13 LWaldG BW; § 11 (2) Nr. 1 LWaldG B; § 4 (2) LWaldG Bbg; § 5 (1) BremWaldG, § 6 (1) HeFoG; § 6 (1) Nr. 1 LWaldG MV; § 11 (1) NWaldLG; § 5 (1) LWaldG SH.

[209] Vgl. § 6 (1) LWaldG Ha; § 11 (1) LWaldG SL; § 17 SächsWaldG; § 4 (1) WaldG LSA; § 18 (1) ThürWaldG.

damit flächendeckend in den Gesetzestexten wieder. Auch das Erfordernis der Nachhaltigkeit wird sowohl durch das BWaldG, als auch durch die Landesgesetze erfüllt.

Tabelle 468: Gegenüberstellung der Waldfunktionen nach dem Bundeswaldgesetz und nach IPCC

Waldfunktionen nach BWaldG	Waldfunktionen nach MA
Nutzfunktion	Wirtschaftliche Funktionen
Schutzfunktion	Ökologische Funktionen
Erholungsfunktion	Soziale Funktionen

11.5.4.2 Umwandlung von natürlichen Wäldern (Natural Forest) zu Gepflanzter Wald (Planted Forest)

Die Mehrheit der deutschen Wälder wird im Sinne des Kyoto Protokolls als Teil des Planted Forest definiert (vgl. Annex 4A.1, Chapter 4, Volume 4, 2006 IPCC Guidelines). In diesem Sinne fallen unter diese Definition alle Wirtschaftswälder, Plantagen und gepflanzten Bestände. Im weitesten Sinne der Definition liegt auch bei Vorhandensein eines Schutzkonzepts ein Bewirtschaftungsplan vor. Demnach kommen Waldflächen, in denen noch kein Bewirtschaftungskonzept vorlag, in Deutschland nicht vor. Primärwald in diesem Sinne gibt es nicht, bzw. ist nicht flächenrelevant (KRISMANN & HENNENBERG (2012)).

Aus den oben angeführten Gründen gibt es in Deutschland keine Umwandlung von natürlichen Wäldern (Natural Forest) zu Waldplantagen (Planted Forest).

11.5.4.3 Forest Management Reference Levels (FMRL)

Gemäß dem Beschluss 2/CMP.6 (Cancun Agreements) sollen anthropogene Treibhausgasemissionen aus Quellen und Senken, die sich aus Waldbewirtschaftung unter Artikel 3.4 in der zweiten Verpflichtungsperiode ergeben gegen das Forest Management Reference Level (FMRL) angerechnet werden. Das FMRL beinhaltet einen Wert, der die durchschnittliche jährliche Netto-Emissionen von Waldbewirtschaftung in der zweiten Verpflichtungsperiode aus historischen Daten und politischen Entscheidungen projiziert.

Für Deutschland wurde ein FMRL von -22.418 Mt CO_2-Eq. pro Jahr gemeldet. Die im Jahr 2011 eingereichten Dokumente zum FMRL und den dazugehörigen Reviewbericht finden sich auf der UNFCCC-Webseite http://unfccc.int/bodies/awg-kp/items/5896.php. Diese beinhalten die methodische Beschreibung für die Erstellung des FMRL.

11.5.4.4 Technische Korrektur des FMRL

Die IPCC 2013 KP Supplements verlangen eine technische Korrektur des FMRL wenn sich methodische Änderungen bei der Berechnung der Zeitreihen ergeben, neue historische Daten zur Verfügung stehen oder Pools in der aktuellen Berichterstattung berücksichtigt werden, die noch nicht in der ursprünglichen FMRL-Berechnung berücksichtigt werden konnten. Das bisher entwickelte Referenzlevel enthält nicht alle Quellgruppen und sonstige Emissionen, die nach den derzeitigen Regeln der THG-Berichterstattung zu KP 3.4 berichtet werden und damit auch Teil der Anrechnung sind (siehe Abbildung 85). Deshalb muss Deutschland eine technische Korrektur des FMRL durchführen. Wegen fehlender Vorhersagemodelle, die zurzeit aber in Entwicklung sind, kann Deutschland diese Technische Korrektur noch nicht in der aktuellen Submission 2016 durchführen, wird dies aber in den folgenden Submissionen nachholen.

Pool/GHG source	Relevant changes	Need of technical correction
Forest living biomass	• NFI cycle 2012 ➢ New parameters for tree growth functions ➢ New biomass functions	*New model run, adaptation to GHGI methodology and values, causing also new HWP calculations*
Soils	• Forest soil inventory (country specific emission factors) • *Future: use of soil model*	*Adaptation to GHGI methodology and values*
Litter		
Deadwood	• NFI cycle 2012 (full sample, adapted threshold)	
Others	• Minor changes	*Small adjustments possible*

Abbildung 85: Verbesserungen und Veränderungen im Treibhausgasinventar seit 2011 die eine Technischer Korrektur des Forest Management Reference Level nach sich ziehen

11.5.4.5 Informationen in Bezug auf Natürlichen Störungen unter dem Artikel 3.4

Wie im Kapitel 11.1.2 dargelegt, hat Deutschland die Option natürliche Störungen nicht gewählt. Auftretende natürliche Störungen werden nicht gesondert betrachtet, sondern fließen in die Veränderungsrechnungen der entsprechenden Pools mit ein.

11.5.4.6 Informationen zu den Holzprodukten unter dem Artikel 3.4

Die Abschätzung des Beitrags von Holzprodukten in Deutschland zu den Emissionen nach Quellen und Einbindungen nach Senken von Treibhausgasen wurde, wie in Kapitel 6.10 detailliert beschrieben, gemäß der Vorgaben des IPCC KP Supplement (IPCC 2014) mit dem Modell WoodCarbonMonitor durchgeführt.

Zunächst wurde die Verfügbarkeit von Aktivitätsdaten, d.h. Daten zu Produktion und Außenhandel von Holzprodukten, geprüft (vgl. Kap. 2.8.1.1, IPCC 2014). Nach der Berechnung der aus heimischem Einschlag stammenden Produktanteile wurde in einem zweiten Schritt (vgl. Kap. 2.8.1.2, IPCC 2014), der in den Produkten enthaltene Kohlenstoff entsprechend der in Kapitel 6.10.2.1 beschrieben Vorgehensweise den Kyoto-Aktivitäten zu Wald unter Artikel 3, Paragraphen 3 und 4 zugeordnet. Für Deutschland lässt sich der Holzeinschlag den beiden Aktivitäten Waldbewirtschaftung (forest management), und Entwaldung (deforestation) zuordnen. Holzprodukte aus Entwaldung werden gemäß der Vorgaben der IPCC KP Supplements (IPCC 2014) auf Basis einer sofortigen Emission berücksichtigt, so dass sich als Ergebnis der für Deutschland verfügbaren Inventurinformationen und der Gleichung 2.8.3 (IPCC 2014) die jährlichen Holzeinschlagsanteile aus der Aktivität Waldbewirtschaftung fFM(i) berechnen.

Weitere Informationen und Angaben zu den verwendeten Emissionsfaktoren und der für Deutschland durchgeführten Berechnung gemäß der Vorgaben des IPCC KP Supplement (IPCC 2014) finden sich in den Kapiteln 6.10.2.2 und 6.10.2.3.

11.6 Weitere Informationen

11.6.1 Hauptkategorienanalyse für Aktivitäten nach Artikel 3.3 und die gewählten Aktivitäten nach Artikel 3.4

Die Hauptkategorienanalyse wurde im Zusammenhang mit der Analyse für das UNFCCC-Inventar auch für die Aktivitäten nach Artikel 3.3 und die gewählten Aktivitäten nach Artikel 3.4 durchgeführt. Die Ergebnisse sind in tabellarischer Form im Kapitel 1.5.2 dieses Berichts

zusammengestellt. Die angewendeten Verfahren, Grundlagen und Methoden hierfür sind ausführlich im Kapitel 17.1.4 beschrieben.

11.7 Informationen zu Artikel 6 (JI- & CDM-Projekte / Management der ERU)

Es können gemäß Paragraph 5, Absatz 1, Satz 1 des Projekt-Mechanismen-Gesetzes (ProMechG, http://www.gesetze-im-internet.de/promechg/__5.html) keine Projekte im Bereich LULUCF genehmigt werden, die in Deutschland stattfinden sollen.

Die Unzulässigkeit ergibt sich aus § 5 in Verbindung mit dem Begriff der Emissionsminderung gemäß § 2 Nr. 5 ProMechG: als Emissionsminderung ist definiert „die Minderung der Emission aus Quellen, nicht hingegen die Verstärkung des Abbaus von Treibhausgasen durch Senken in den Bereichen Landnutzung, Landnutzungsänderung und Forstwirtschaft. Des Weiteren steht JI-Projekten im Wege, dass die Anwendung von JI in Deutschland Ende 2012 endete, vgl. § 5 Abs. 3 ProMechG.

12 Informationen zur Buchführung der Kyoto-Einheiten

12.1 Background information

Chapter 12 and 14 include information on the German emission trading registry. The accounting on Kyoto units and the public availability of information is described in chapter 12. Any significant changes in the national registry are reported in chapter 14.

12.2 Summary of information reported in the SEF tables

According to decision 15/CMP.1, annex, part 1, section E each Party must include information on its aggregate holdings and transactions of Kyoto units in its annual report. The information has to be reported in the Standard Electronic Format (SEF), which is an agreed format, embodied in a special report, for reporting on Kyoto units.

The SEF for 2016 was generated on 2 March 2017 with the Union registry in version 8.0.8 r. 12510, provided by the EU commission on 01.03.2017 and the SEF application version 3.6.1, provided by the secretariat on 1.12.2015. The German SEF for 2016 contains the information required in paragraph 11 of the annex to decision 15/CMP.1 and adhere to the guidelines of the SEF. The SEF has been submitted to the UNFCCC Secretariat electronically.

12.3 Discrepancies and Notifications

15/CMP.1 annex I.E paragraph 12 List of discrepant transactions	No discrepant transactions occurred in 2016.
15/CMP.1 annex I.E paragraph 13 and 14 List of CDM notifications	No CDM notifications occurred in 2016.
15/CMP.1 annex I.E paragraph 15 List of non-replacements	No non-replacements occurred in 2016.
15/CMP.1 annex I.E paragraph 16 List of invalid units	No invalid units exist as at 31 December 2016.
15/CMP.1 annex I.E paragraph 17 Actions and changes to address discrepancies	No actions were taken or changes made to address discrepancies for the period under review.

12.4 Publicly accessible information

13/CMP.1 annex II paragraph 45 Account information	The requested information is publicly available for all accounts. The data of all accounts can be viewed online at: https://ets-registry.webgate.ec.europa.eu/euregistry/DE/public/reports/publicReports.xhtml Representative name and contact information is classified as confidential due to Article 107 Registry Regulation No. 389/2013.
13/CMP.1 annex II paragraph 46 Joint implemention project information	The complete documentation of the JI projects is presented in the German JI project database which is accessible at the following URL. The database also contains already registered but not yet approved JI projects. https://jicdm.dehst.de/promechg/pages/project1.aspx In 2016, no ERU were converted from AAU or and no ERU converted from RMU were issued.
13/CMP.1 annex II paragraph 47 Unit holding and transaction information	The information requested in (a), (d), (f) and (l) is classifed as confidential due to Article 107 Registry Regulation No. 389/2013 as well as national data protection law and therefore not publicly available. Transactions of units within the most recent five year period are also classified as confidential, therefore the transactions provided are only those completed more than five years in the past. The information requested in (b), (c), (e), (g), (h), (i), (j) and (k) is publicly available at https://ets-registry.webgate.ec.europa.eu/euregistry/DE/public/reports/publicReports.xhtml.
13/CMP.1 annex II paragraph 48 Authorized legal entities information	The following legal entities are authorized by the Member State to hold Kyoto units:

	Legal entities authorised by Germany to hold units
AAU	Federal Government only
ERU	Each account holder
CER	Each account holder
RMU	Federal Government only
tCER	Federal Government only
lCER	Federal Government only

12.5 Calculation of the Commitment Period Reserve

Germany's Commitment Period Reserve (CPR) is calculated as 90 percent of Germany's assigned amount (3,592,699,888 tonnes CO_2 equivalent) calculated pursuant to Article 3 paragraphs 7 and 8 of the Kyoto Protocol. The initial CPR of the current commitment period did not change and is still 3,233,429,899 tonnes CO_2 equivalent (or AAU).

In accordance to Article 4 paragraph 4 Registry Regulation No. 389/2013 the Union registry has to prepare for keeping the CPR. If a transfer proposal would result in an infringement of the CPR, the registry should reject it internally.

The German registry did not violate the CPR during the reported year.

13 Informationen über Änderungen im nationalen Systems

Im vorliegenden Berichtszeitraum lag der Schwerpunkt auf der weiteren institutionellen Konsolidierung des Nationalen Systems gemäß der Erfordernisse für die 2. Verpflichtungsperiode des Kyoto Protokolls aus den Revised UNFCC Reporting Guidelines und der 2006 IPCC Guidelines for National Greenhouse Gas Inventories. Insbesondere im Bereich der neu gewählten Aktivitäten

gemäß Artikel 3.4 des Kyoto-Protokolls wurde das angepasste Konzept zur Erstellung der Emissions- und Kohlenstoffinventare der Quellgruppen 3 und 4 inklusive des Qualitätssicherungskonzepts für KP-LULUCF (siehe Kapitel 1.2.1.4) in der Inventarerstellung umgesetzt. Weiterhin wurde die bestehende Institutionalisierung auf ihren Bestand für die 2. Verpflichtungsperiode kontinuierlich überprüft. Weitere Änderungen in der Institutionalisierung des Nationalen Systems wurden aber in 2016 nicht durchgeführt.

14 Informationen zu Änderungen in den Nationalen Registern

The following changes to the national registry of Germany have occurred in 2016.

15/CMP.1 annex II.E paragraph 32.(a) Change of name or contact	No change in the name or contact information of the registry administrator occurred during the reported period.
15/CMP.1 annex II.E paragraph 32.(b) Change regarding cooperation arrangement	No change of cooperation arrangement occurred during the reported period.
15/CMP.1 annex II.E paragraph 32.(c) Change to database structure or the capacity of national registry	New tables were added to the CSEUR database for the implementation of the CP2 SEF functionality. Versions of the CSEUR released after 6.7.3 (the production version at the time of the last Chapter 14 submission) introduced other minor changes in the structure of the database. These changes were limited and only affected EU ETS functionality. No change was required to the database and application backup plan or to the disaster recovery plan. The database model, including the new tables, is provided in Annex A. No change to the capacity of the national registry occurred during the reported period.
15/CMP.1 annex II.E paragraph 32.(d) Change regarding conformance to technical standards	Changes introduced since version 6.7.3 of the national registry are listed in Annex B. Each release of the registry is subject to both regression testing and tests related to new functionality. These tests also include thorough testing against the DES and were successfully carried out prior to the relevant major release of the version to Production (see Annex B). Annex H testing was completed in January 2017 and the test report is submitted as Annex H. No other change in the registry's conformance to the technical standards occurred for the reported period.
15/CMP.1 annex II.E paragraph 32.(e) Change to discrepancies procedures	No change of discrepancies procedures occurred during the reported period.
15/CMP.1 annex II.E paragraph 32.(f) Change regarding security	The mandatory use of hard tokens for authentication and signature was introduced for registry administrators.
15/CMP.1 annex II.E paragraph 32.(g) Change to list of publicly available information	No change to the list of publicly available information occurred during the reporting period.
15/CMP.1 annex II.E paragraph 32.(h) Change of Internet address	No change of the registry internet address occurred during the reporting period.
15/CMP.1 annex II.E paragraph 32.(i) Change regarding data integrity measures	No change of data integrity measures occurred during the reporting period.
15/CMP.1 annex II.E paragraph 32.(j) Change regarding test results	Changes introduced since version 6.7.3 of the national registry are listed in Annex B. Both regression testing and tests on the new functionality were successfully carried out prior to release of the version to Production. The site acceptance test was carried out by

	quality assurance consultants on behalf of and assisted by the European Commission; the report is attached as Annex B. Annex H testing was carried out in January 2017 and the test report is submitted as Annex H.
1/CMP.8 paragraph 23 PPSR account	The opening of the PPSR account is linked to the entry into force of the Doha amendment (Article 73f introduced by the Delegated Regulation 2015/1844). Since only 74 countries have ratified out of the 144 needed in total, it currently prevents the carry-over of AAUs and thus the creation of PPSR accounts in the Union Registry.

15 Informationen zur Minimierung der negativen Einflüsse nach Artikel 3, Absatz 14

Von den meisten Maßnahmen in Deutschland werden keine direkten Auswirkungen auf Entwicklungsländern erwartet; in den übrigen Fällen werden die erwarteten Auswirkungen durchweg positiv eingeschätzt, beispielsweise durch Aufbau von technischen und Verwaltungsstrukturen für den Klimaschutz.

Auch die möglichen indirekten Effekte sind fast durchweg positiv, insbesondere durch vorteilhafte Auswirkungen auf die Energieversorgung und –preise in den Kooperationsländern. Eine detaillierte Beschreibung der einzelnen Maßnahmen erfolgte im NIR 2016. Diese bezogen sich u.a. auf die Förderung von Biotreibstoffen, den Abbau von Steinkohlesubventionen, Politiken und Maßnahmen auf EU-Ebene, insbesondere EU-Emissionshandel und die Unterstützung von Entwicklungsländern bei der Diversifizierung ihrer Energieversorgung. Gegenüber diesen berichteten Maßnahmen haben sich aktuell keine Veränderungen ergeben.

16 Weitere Informationen

Dieses Kapitel wird derzeit nicht benötigt.

17 Anhang 1: Hauptkategorien des deutschen Treibhausgasinventars

Entsprechend der *2006 IPCC Guidelines* sind die Vertragsstaaten der Klimarahmenkonvention und des Kyoto-Protokolls verpflichtet, jährlich Emissionsdaten zu berechnen und zu veröffentlichen.

Diese Emissionsinventare müssen für jeden nachvollziehbar sein (Transparenz), in der Zeitreihe seit 1990 vergleichbar berechnet sein (Konsistenz), durch Anwendung der vorgeschriebenen Berechnungsmethoden international einheitlich bewertet sein (Vergleichbarkeit), alle im Berichtsland relevanten Emissionsquellen und –senken beinhalten (Vollständigkeit) und mit einer Fehlerangabe bewertet sein sowie einem permanentem internen und externen Qualitätsmanagement unterliegen (Genauigkeit).

Um die hierfür notwendigen, vielfältigen und detaillierten Aktivitäten und Ressourcen auf die wesentlichen Kategorien der Inventare konzentrieren zu können, wurde durch den IPCC die Definition einer Hauptkategorie (engl.: Key Source) eingeführt. Als solche werden Kategorien bezeichnet, die im nationalen Inventarsystem herausgehoben sind, da ihre Emissionen einen signifikanten Einfluss auf die Gesamtemission der direkten Treibhausgase haben, entweder in der absoluten Höhe der Emissionen, im Beitrag zum zeitlichen Emissionstrend oder beides.

In der den 2006 IPCC Guidelines sind hierzu im Kapitel 4 die für die Bestimmung der Hauptkategorien anzuwendenden Methoden festgelegt. Diese ermöglichen es, durch die Analyse des Inventars für ein Jahr (Methode 1 Level Assessment), die Analyse einer Zeitreihe der Inventarangaben (Methode 1 Trend Assessment), einer detaillierten Analyse der fehlerbewerteten Inventarangaben (Methode 2 Trend Assessment unter Berücksichtigung der Ungenauigkeiten), sowie einer Bewertung qualitativer Kriterien (entsprechend Kapitel 4.3.3 2006 IPCC GL: Vol. 4, Ch. 1) jeweils die Hauptkategorien zu identifizieren.

Die Analysen nach Methode 1 sind dabei immer nach zwei Verfahren durchzuführen. In einem ersten Durchlauf werden lediglich die Emissionen – die Einbindungen in Senken bleiben hier unberücksichtigt – aus Quellen bewertet. In einem zusätzlichen Durchlauf wird dann auch der Betrag (ohne Berücksichtigung des Vorzeichens) der Emissionseinbindung in den Senken mit einbezogen. Beide Ergebnisse differieren dann erwartungsgemäß. Entsprechend den 2006 IPCC GL sind beide Ergebnisse bei der Festlegung der Hauptkategorien zu berücksichtigen.

Für die identifizierten Hauptkategorien besteht dann die Verpflichtung, für die Emissionen sehr detaillierte Berechnungsmethoden (Methode 2 oder höher), die ebenfalls in den 2006 IPCC GL vorgegeben sind, anzuwenden. Sollte deren direkte Anwendung aus den verschiedensten Gründen (z.B. die Datenverfügbarkeit für die benötigten Eingangsgrößen o.ä.) nicht möglich sein, besteht die Verpflichtung, nachzuweisen, dass durch die national angewendeten Methoden mindestens eine vergleichbare Genauigkeit im Berechnungsergebnis erreicht wird. Diese Nachweise sowie auch die insgesamt durchgeführte Hauptkategorienanalyse sind in dem jährlich zu erarbeitenden nationalen Inventarbericht zu beschreiben.

17.1 Beschreibung der Methoden zur Festlegung der Hauptkategorien

Im Nachfolgenden werden die Ergebnisse der Hauptkategorienanalyse nach den beiden Methode 1 Verfahren (Level und Trend), dem Methode-2-Verfahren und der Bewertung qualitativer Kriterien vorgestellt. Auf die Beschreibung der zugrunde gelegten Methoden in den *2006 IPCC GL* wird verwiesen. Die jährlichen Emissionsinventare wurden hinsichtlich ihrer CO_2-Äquivalentemissionen in insgesamt 151 Einzelaktivitäten aufgesplittet.

17.1.1 Methode-1-Verfahren

Im Ergebnis der **Level-Analyse** werden die Kategorien als Hauptkategorien (•) festgelegt, die im Basisjahr des Kyoto-Protokolls, bzw. im aktuellen Jahr von der Menge der freigesetzten Emissionen 95 % der nationalen Gesamtemission (als CO_2-Äquivalentemission) verursachen. Die Berechnung erfolgte unter Anwendung der Formel 4.1 der 2006 IPCC Guidelines (Vol. 1).

Bei der in dieser Analyse verwandten Kategorienzusammenfassung sind nach diesem Verfahren in der aktuellen Berichterstattung insgesamt 35 Hauptkategorien festzustellen (siehe Tabelle 6, Kapitel 1.5).

Im Ergebnis der **Trend-Analyse** werden die Kategorien als Hauptkategorien (•) festgelegt, die hinsichtlich der zeitlichen Entwicklung ihres Emissionsbeitrages seit dem Basisjahr zur Änderung der Gesamttreibhausgasemissionen des neuesten Jahres besonders beigetragen haben. Es spielt hierbei keine Rolle, ob durch diese Änderung eine Minderung oder Steigerung der Emissionen der Gesamtemissionen erfolgt ist. Die Berechnung erfolgte unter Anwendung der Formel 4.2 der 2006 IPCC Guidelines (Vol. 1).

Bei der in dieser Analyse verwendeten Quellgruppenzusammenfassung sind nach diesem Verfahren insgesamt 39 Hauptkategorien festzustellen (siehe Tabelle 6, Kapitel 1.5).

17.1.2 Methode-2-Verfahren

Die Hauptkategorienanalyse nach dem Methode-2-Ansatz beruht auf den Ergebnissen der aktuellen Unsicherheitenbestimmung nach Methode 1. Die Ergebnisse bestätigten in weiten Teilen die Ergebnisse der Methode-1-Hauptkategorien-Analysen. Hinzu kommen jedoch sechs weitere Kategorien (siehe Tabelle 8, Kapitel 1.5.1).

17.1.3 Bewertung qualitativer Kriterien

Deutschland führt eine Bewertung der Hauptkategorien durch die Anwendung qualitativer Kriterien durch. Die anzuwendenden Kriterien sind in Kapitel 4.3.3 der 2006 IPCC Guidelines (Vol. 1) empfohlen und schließen eine Bewertung aufgrund des Einsatzes von Minderungstechniken, der Erwartung einer überproportionalen Zunahme der Emissionen, einer hohen Unsicherheit oder unerwartet niedriger oder hoher Emissionen einer Kategorie ein. Auf Grund dieser Kriterien können zusätzliche Kategorien als eine Hauptkategorie festgelegt werden.

In der Adipinsäureproduktion (2.B.3) wurde eine redundante Abgasbehandlungsanlage installiert. Aufgrund dessen wird es nach qualitativen Kriterien als Hauptkategorie eingestuft. 2.B.3 ist aber bereits nach Methode 1 Level und Trend eine Hauptkategorie. Unter 2.G.2 werden SF_6-Emissionen aus Schallschutzscheiben berichtet. Noch ist der Trend nicht zu erkennen, aber aufgrund der zunehmenden Entsorgung dieser Scheiben ist mit stark steigenden SF_6-Emissionen in den kommenden Jahren zu rechnen. Deshalb ist es bereits nach den qualitativen Kriterien eine Hauptkategorie. Dies führt zu keiner Änderung da bereits 2G für SF_6 nach Methode 1 Level und Trend eine Hauptkategorie ist. Eine qualitative Wertung aufgrund hoher Unsicherheiten ist nicht erforderlich, da Deutschland eine Methode 2 Hauptkategorienanalyse für das gesamte Inventar alle drei Jahre durchführt. Im Inventar fielen keine unerwartet niedrigen oder hohen Emissionen auf.

Durch die Anwendung qualitativer Kriterien werden in Deutschland keine zusätzlichen Hauptkategorien identifiziert.

Deutschland wendet alle empfohlenen Verfahren für die Ermittlung bzw. Bewertung der Quellkategorien an. Die IPCC-Guidelines schreiben vor dass 95% der Emissionen aus Quellen bzw.

Einbindungen in Senken als Hauptkategorien festgelegt werden müssen. Da die Festlegung der Hauptkategorien in Deutschland durch die Kombination der Ergebnisse aller Analysenverfahren und Bewertungen erfolgt, werden insgesamt die verursachenden Aktivitäten für ca. 98 % des Inventars als Hauptkategorien identifiziert.

17.1.4 Hauptkategorien-Analyse für die Kyoto-Berichterstattung

Die folgende CRF-Tabelle NIR.3 enthält die zusammengefassten Informationen zur Hauptkategorien-Analyse der Kyoto-Berichterstattung.

Tabelle 469: KP CRF Table NIR.3: Summary Overview for Key Categories for Land Use, Land-Use Change and Forestry Activities under the Kyoto Protocol

Key Categories of Emissions and Removals	Gas	Criteria used for Key Category Identification			Comments [3]
		Associated category in UNFCCC inventory[1] is key (indicate which category)	Category contribution is greater than the smallest category considered key in the UNFCCC inventory [1], [4] (including LULUCF)	Other[2]	
Specify key categories according to the national level of disaggregation used[1]					
Afforestation and Reforestation	CO_2	Conversion to forest land	Yes	High expected growth.	The value is very close to the value in the smallest category considered key in the UNFCCC inventory. The value has increased about tenfold since 1990.
Forest Management	CO_2	Forest land remaining forest land	Yes	None	No Comment
Cropland management	CO_2	Cropland remaining cropland, Land converted to Cropland	Yes	None	No comment
Deforestation	CO_2	Land converted to Cropland	Yes	None	No comment
Grazing land management	CO_2	Grassland remaining grassland	Yes	None	No comment

(1) See section 5.4 of the IPCC good practice guidance for LULUCF.

(2) This should include qualitative consideration as per section 5.4.3 of the IPCC good practice guidance for LULUCF or any other criteria.

(3) Describe the criteria identifying the category as key.

(4) If the emissions or removals of the category exceed the emissions of the smallest category identified as key in the UNFCCC inventory (including LULUCF), Parties should indicate YES. If not, Parties should indicate NO.

18 Anhang 2: Detaillierte Erläuterung der Methoden und Daten zur Berechnung von CO_2 Emissionen aus der Verbrennung von Brennstoffen

18.1 Die Energiebilanz für die Bundesrepublik Deutschland

In der Bundesrepublik Deutschland werden von zahlreichen Stellen energiestatistische Daten veröffentlicht, die zum Teil eine unterschiedliche Darstellung, Abgrenzung und Aggregation aufweisen. Die Energiebilanzen der Bundesrepublik Deutschland werden im Auftrag des BMWi erstellt und bilden die zentrale Datengrundlage für die Ermittlung energiebedingter Emissionen, Szenarien und Prognosen über die Auswirkung energie- und umweltpolitischer Maßnahmen. Die Verbände der deutschen Energiewirtschaft fassen jährlich gemeinsam mit wirtschaftswissenschaftlichen Forschungsinstituten im Rahmen der Arbeitsgemeinschaft Energiebilanzen (AGEB) die relevanten Daten zu einem geschlossenen Bild zusammen und machen dieses Zahlenwerk als Energiebilanzen der Öffentlichkeit zugänglich.

Die vollständigen Energiebilanzen für die Jahre seit 1990 werden im Internet bereitgestellt unter:

http://www.ag-energiebilanzen.de/index.php?article_id=7&clang=0

Auf der Internetseite der AGEB ist in deutscher und englischer Sprache auch ein Vorwort zu den Energiebilanzen veröffentlicht, in dem Erläuterungen zur Struktur der Energiebilanz gegeben werden.

Mitglieder der Arbeitsgemeinschaft Energiebilanzen sind (Stand: September 2015):

- Bundesverband der deutschen Energie- und Wasserwirtschaft e.V. (BDEW), Berlin,
- Deutscher Braunkohlen-Industrie-Verein e.V. (DEBRIV), Köln,
- Deutsches Institut für Wirtschaftsforschung (DIW Berlin),
- EEFA GmbH, Münster,
- Energiewirtschaftliches Institut an der Universität Köln (EWI), Köln,
- Gesamtverband Steinkohle (GVSt), Herne,
- Mineralölwirtschaftsverband (MWV), Berlin,
- Rheinisch-Westfälisches Institut für Wirtschaftsforschung (RWI), Essen,
- Verein der Kohlenimporteure e.V., Hamburg,
- Zentrum für Sonnenenergie- und Wasserstoff-Forschung Baden-Württemberg (ZSW), Stuttgart.

Die Arbeit der Arbeitsgemeinschaft Energiebilanzen wird außerdem unterstützt durch den Energieeffizienzverband für Wärme, Kälte und KWK e.V. (AGFW) sowie den Verband der Industriellen Energie- und Kraftwirtschaft e.V. (VIK). Die Gesamtverantwortung für die Erstellung der Energiebilanzen obliegt seit dem Bilanzjahr 1994 dem DIW Berlin, seit 2002 in Kooperation mit EEFA (Energy Environment Forecast Analysis GmbH) sowie Herrn Rossbach (ehemals MWV) als Berater für den Mineralölteil. Insgesamt liefern die Energiebilanzen unter Berücksichtigung der verfügbaren Daten ein umfassendes Bild der Energiemengenstrukturen nach Aufkommen und Verwendung in der deutschen Volkswirtschaft.

Die wichtigste Quelle ist die amtliche Statistik. Die verwendeten Erhebungen vom Statistischen Bundesamt sind in der Tabelle 470 aufgelistet. In die endgültige Energiebilanz fließen weiterhin Daten der Verbände BDEW und Deutsches Atomforum ein, sowie Daten des Gesamtverbands Steinkohle (GVSt), des Deutschen Braunkohlen-Industrie-Vereins (DEBRIV), des Mineralölwirtschaftsverbands (MWV). Weiterhin wurde bis 2011 für den Holzverbrauch der privaten Haushalte auf die GfK-Rheinbraun-Daten zurückgegriffen, die über DEBRIV im Februar/März des

übernächsten Jahres gemeldet wurden. Für den Holzverbrauch der privaten Haushalte ab dem Jahr 2012 wurden die Daten der Erhebungsstudie von RWI zugrunde gelegt, für den Holzverbrauch im Sektor GHD werden ab dem Jahr 2013 Angaben des Thünen-Instituts verwendet.

Ferner werden für die endgültige Energiebilanz Angaben der Arbeitsgruppe Erneuerbare Energien-Statistik (AGEE-Stat) verwendet. Vorläufige Daten zu erneuerbaren Energieträgern werden mit der AGEE-Stat und dem BDEW abgestimmt und fließen in die Schätzbilanz und damit in die Auswertungstabellen ein.

Hinzu kommen in einer Reihe von Fällen, z.B. zur Darstellung des nichtenergetischen Verbrauchs seitens der chemischen Industrie, persönliche Expertenmitteilungen.

18.2 Aufbau der Energiebilanzen

Die Energiebilanzen bieten in Form einer Matrix eine Übersicht der energiewirtschaftlichen Verflechtungen. Sie erlauben damit nicht nur Aussagen über den Verbrauch von Energieträgern in den einzelnen Quellgruppen, sondern geben ebenso Auskunft über ihren Fluss von der Erzeugung bis zur Verwendung in den unterschiedlichen Erzeugungs-, Umwandlungs- und Verbrauchsbereichen. In der ***Aufkommensbilanz*** werden:

- die Gewinnung im Inland
- die Einfuhr
- die Bestandsentnahmen
- die Ausfuhr
- die Hochseebunkerung
- die Bestandsaufstockungen

von Energieträgern dargestellt und zum ***Primärenergieverbrauch*** zusammen gefasst. Die Primärenergiebilanz ist Grundlage für die Berechnungen des IPCC-Referenzverfahrens (PROGNOS, 2000). Maßgebend für die Emissionsinventarerstellung ist die ***Verwendungsbilanz***. Auch über die Verwendungsbilanz lässt sich der Primärenergieverbrauch ermitteln. Sie umfasst:

- die Umwandlungsbilanz
- die Fackel- und Leitungsverluste
- den Nichtenergetischen Verbrauch und
- den Endenergieverbrauch.

Unterschiede zwischen Aufkommens- und Verwendungsbilanz werden durch die Position „Statistische Differenzen“ ausgeglichen.

Die ***Umwandlungsbilanz*** als Bestandteil der Verwendungsbilanz gibt an, welche Energieträger in andere Energieträger umgewandelt werden. Der Umwandlungsausstoß zeigt das Ergebnis dieser Umwandlung. Die Umwandlung von Energie kann stofflicher Natur sein, z. B. die Umwandlung von Rohöl (Umwandlungseinsatz) in Mineralölprodukte (Umwandlungsausstoß) oder physikalischer Natur, z. B. durch die Verbrennung von Steinkohlen (Umwandlungseinsatz) in Kraftwerken zur Erzeugung elektrischer Energie (Umwandlungsausstoß). Der Energieverbrauch im Umwandlungsbereich weist aus, wieviel Energie zum Betrieb der Umwandlungsanlagen benötigt wurde (Eigenverbrauch des Umwandlungsbereichs). Die Umwandlungsbilanz wird nach 12 Anlagenarten differenziert.

Der ***Nichtenergetische Verbrauch*** als Bestandteil der Verwendungsbilanz wird ohne Zuordnung zu Anlagenarten oder Wirtschaftszweigen insgesamt ausgewiesen. Er beschreibt, welche Energieträger

als Rohstoffe eingesetzt werden (z. B. in der Chemischen Industrie Umwandlung von Energieträgern in Kunststoffe).

Schließlich zeigt die Verwendungsbilanz, in welchen Endverbrauchssektoren Energie in die letztlich benötigte Nutzenergie (z. B. Kraft, Licht, Raum- und Prozesswärme) umgewandelt wird (***Endenergieverbrauch***). Dies umfasst die Industrie, unterteilt in 14 Wirtschaftszweige, den Verkehr, die Haushalte und Gewerbe, Handel, Dienstleistungen und übrige Verbraucher (inklusive Landwirtschaft).

Der Energiefluss in den Energiebilanzen ist dargestellt für 30 Energieträger. Diese Energieträger können den folgenden Hauptgruppen zugeordnet werden:

- Steinkohlen,
- Braunkohlen,
- Mineralöl (einschließlich Flüssiggas und Raffineriegas),
- Gase (Kokerei- u. Gichtgas, Erdgas, Grubengas, ohne Deponie- u. die o.g. Gase),
- Erneuerbare Energien (einschließlich erneuerbare Abfälle, ab 2013 auch Klärschlamm),
- Sonstige Energieträger (nichterneuerbare Abfälle, Abwärme)
- Elektrischer Strom und andere Energieträger.

Energiebilanzen liegen für die Jahre 1990 bis 1994 getrennt für die alten und neuen Bundesländer sowie für Deutschland insgesamt vor. Seit 1995 wird nur noch eine Energiebilanz für Deutschland insgesamt (in der Gebietsabgrenzung vom 3. Oktober 1990) vorgelegt. In einer Satellitenbilanz werden die Erneuerbaren Energien ab 1996 weiter aufgeschlüsselt (AGEB 2003).

Ab dem Jahr 2000 wurde die Energieträgerstruktur im Bereich Erneuerbare Energien / Müll geändert: Wasser- und Windkraft incl. PV wurden zusammengefasst und Müll/Biomasse wurde in erneuerbare und nicht erneuerbare Anteile aufgesplittet. Seit dem Jahr 2003 werden in der Energiebilanz nichterneuerbare Abfälle und Abwärme auch im Endenergieverbrauch verbucht.

In der Energiebilanz werden die Energieträger in *natürlichen Einheiten* wie Tonnen (t) für feste und flüssige Brennstoffe, Kubikmeter (m^3) für Gase (außer Erdgas), Kilowattstunden (kWh) für elektrische Energie und Erdgas, Joule (J) für Abfälle, Erneuerbare Energien, Kernenergie und Fernwärme angegeben. Um die Angaben vergleichbar und additionsfähig zu machen, werden alle Werte über Heizwerttabellen und Umrechnungsfaktoren in die Einheit Joule (J) umgerechnet. Anders als in Gasstatistiken werden in der Energiebilanz auch die Gase auf den Heizwert bezogen.

Gegenwärtig sind die Energiebilanzen bis 2014 veröffentlicht. Um den Bedürfnissen der Emissionsberichterstattung nach Aktualität Rechnung zu tragen wird dem UBA von der Arbeitsgemeinschaft Energiebilanzen eine vollständige vorläufige Energiebilanz für die Inventarerstellung zur Verfügung gestellt.

18.3 Methodische Aspekte: Energiebedingte Aktivitätsraten

Die im UBA erstellten Inventare für Luftschadstoffe und Treibhausgase bauen auf den von der AG Energiebilanzen erstellten Energiebilanzen für Deutschland auf. Dabei lassen sich die zur Emissionsberechnung benötigten Daten direkt aus den Energiebilanzzeilen 11, 12, 15, 16, 40, 60 sowie 65 und 68 ablesen. Für Biomassebrennstoffe sowie Erdgas und Heizöl leicht muss auch EBZ 14 zur Berechnung herangezogen werden.

Um den speziellen Anforderungen für die Emissionsberechnung gerecht zu werden und die Vollständigkeit der Daten zu gewährleisten, muss in einigen wenigen Fällen von der oben genannten Systematik abgewichen und es müssen weitere Daten hinzugefügt werden:

- Der emissionsrelevante Brennstoffeinsatz zur Braunkohlentrocknung muss aus der EBZ 10 herausgerechnet werden. Die genaue Beschreibung der Kategorie 1.A.1.c erfolgt im Kapitel 3.2.8.2.
- Der Erdgaseinsatz in den Kompressoren konnte für die Jahre 1995-2002 direkt aus der Energiebilanz (EBZ 33) entnommen werden. Für die Jahre 1990-1994 sowie ab dem Jahr 2003 müssen die Werte außerhalb der Energiebilanz berechnet werden. Die Beschreibung der Methode erfolgt im Kapitel 3.2.10.5.2 (Kategorie 1.A.3.e).
- Da die verbrannten Abfallmengen in der Energiebilanz aus systematischen Gründen bzw. unter dem Fokus der Energieerzeugung nicht über alle Jahre vollständig erfasst werden, muss auch in diesem Fall mit Hilfe der Abfallstatistik ergänzt werden. Erläuterungen dazu sind im Kapitel 3.2.6.2 (Kategorie 1.A.1.a) sowie im Kapitel 3.2.9.7.2 (Kategorie 1.A.2.g Sonstige (stationär)) vorhanden.
- Der Brennholzeinsatz in den Kategorien Gewerbe, Handel, Dienstleistungen wird in der Energiebilanz bis 2012 nicht ausgewiesen und muss ergänzt werden. Die Beschreibung für die Kategorie 1.A.4 erfolgt im Kapitel 3.2.11.2.

Der Reduktionsmitteleinsatz zur Herstellung von Roheisen wird in der Energiebilanz z.T. als energetischer Verbrauch in der EBZ 54 und z.T. als Umwandlungseinsatz in EBZ 17 (Gichtgasäquivalent) ausgewiesen. Der Einsatz des dabei entstehenden Gichtgases zur Energieerzeugung wird in den entsprechenden Energiebilanzzeilen 11, 12, 15, 33 und 54 verbucht. Um Doppelzählungen zu vermeiden werden die in der EBZ 54 verbuchten Reduktionsmitteleinsätze aus dem Hochofen sowie das Gichtgasäquivalent nicht mit berichtet.

18.4 Unsicherheiten, Zeitreihenkonsistenz und Qualitätssicherung der Energiebilanz

Bedingt durch die zunehmende Liberalisierung der Energiemärkte, aber auch im Zusammenhang mit der Herausbildung eines europäischen Binnenmarktes – hat sich die energiestatistische Datenbasis in den Umbruchjahren verschlechtert (ZIESING et al, 2003). Mit Einführung des seit 2003 wirksamen Energiestatistikgesetzes hatte sich zwar die Datengrundlage wieder relativ verbessert, aufgrund der Dynamik im Energiesektor ist unterdessen jedoch wieder eine Novellierung des Energiestatistikgesetzes erforderlich.

Kontinuierlich erfolgen Anpassungen im Datengerüst der Energiebilanz um bestmöglich Daten zur Verfügung zu stellen.

Diese Änderungen erfolgen in größeren Abständen und werden jeweils von der AGEB dokumentiert:

- Erläuterungen zur Revision der Energiebilanzen 2003 - 2006[210]
- Anmerkungen zu den Änderungen in den Energiebilanzen 2003 bis 2007[211]
- Revision der Energiebilanzen 2003 bis 2009[212]
- Methodische Änderungen in der Energiebilanz 2012[213]

[210] http://www.ag-energiebilanzen.de/#revision_der_eb_2003_bis_2006
[211] http://www.ag-energiebilanzen.de/#aktualisierungen_der_energiebilanzen_2003_bis
[212] http://www.ag-energiebilanzen.de/#revision_der_energiebilanzen_2003_bis_2009_05
[213] http://www.ag-energiebilanzen.de/#methodische_aenderungen_der_eb_2012

18.4.1 Qualitätsbericht der Arbeitsgemeinschaft Energiebilanzen zur Erstellung der Energiebilanz für die Bundesrepublik Deutschland

Zur Dokumentation ihrer Qualitätssicherungsmaßnahmen bei der Erstellung der Energiebilanzen legt die AGEB seit dem Jahr 2012 dem Umweltbundesamt einen gemeinsamen Qualitätsbericht vor.

Der Inhalt der aktuellen Berichte wird im Folgenden wortgetreu veröffentlicht (kenntlich über andere Schriftart).

18.4.1.1.1 Hintergrund

Im Rahmen der Treibhausgasemissionsberichterstattung hat der Koordinierungsausschuss des Nationalen Systems Emissionsinventare Mindestanforderungen an die Qualitätskontrolle und Qualitätssicherung (QK/QS) festgelegt. Diese sind auf allen Ebenen der Inventarerstellung einzuhalten. Einer der wichtigsten Datensätze zur Ermittlung der Treibhausgasemissionen sind die Energiebilanzen für die Bundesrepublik Deutschland, mit deren Erstellung die Arbeitsgemeinschaft Energiebilanzen (AGEB) beauftragt ist. Das Deutsche Institut für Wirtschaftsforschung e.V. (DIW Berlin) und das EEFA-Forschungsinstitut arbeiten als Unterauftragnehmer für die AGEB daran mit. Die Bearbeiter der Energiebilanzen sind gehalten, dabei die Mindestanforderungen an QK/QS wie Transparenz, Konsistenz, Vergleichbarkeit, Vollständigkeit und Genauigkeit zu erfüllen.

Zur Dokumentation ihrer Datenquellen und Qualitätssicherungsmaßnahmen bei der Erstellung der Energiebilanzen legt die AGEB dem Umweltbundesamt hiermit den aktuellen Qualitätsbericht vor. Er bezieht sich insbesondere auf die Energiebilanz 2014.

18.4.1.1.2 Arbeitsteilung bei der Erstellung der Energiebilanzen

Das DIW Berlin ist bei der Erstellung der Energiebilanzen für die folgenden Energieträger verantwortlich:

- Erdgas, Erdölgas,
- Erneuerbare Energien (Wasser, Wind und Photovoltaik; Biomasse und erneuerbare Abfälle; Sonstige erneuerbare Energieträger),
- Nicht-erneuerbare Abfälle, Abwärme,
- Strom (bis 2012),
- Kernenergie und
- Fernwärme (bis 2012).

Darüber hinaus koordiniert das DIW Berlin im Rahmen der Energiebilanzarbeiten die vierteljährlichen Schätzungen des Primärenergieverbrauchs für die Bundesrepublik Deutschland und schätzt dafür den Energieträger „Sonstiges“.

Des Weiteren vergibt das DIW Berlin einen Werkvertrag an Herrn Ulrich Rossbach, der den Mineralölteil der Energiebilanzen bearbeitet:

- Erdöl (roh) und
- Mineralölprodukte (Ottokraftstoffe; Rohbenzin; Flugturbinenkraftstoffe; Dieselkraftstoff; Heizöl leicht; Heizöl schwer; Petrolkoks; Flüssiggas; Raffineriegas; Andere Mineralölprodukte).

In den Aufgabenbereich des EEFA-Forschungsinstituts fällt die Erstellung der Energiebilanzen für die Energieträger:

- Steinkohle, Steinkohlenkoks, Steinkohlebriketts und Andere Steinkohlenprodukte,
- Braunkohle (roh), Braunkohlenbriketts, Andere Braunkohlenprodukte und Hartbraunkohle sowie
- Kokerei- und Stadtgas, Gicht- und Konvertergas sowie Grubengas
- Strom (ab 2013),

- Fernwärme (ab 2013).

Darüber hinaus koordiniert das EEFA-Institut im Rahmen der Energiebilanzarbeiten die Lieferungen bzw. Meldungen energiestatistischer Daten im Rahmen europäischer bzw. internationaler Verpflichtungen (sog. IEA/EUROSTAT Annual Joint Questionnaires).

Beginnend mit dem Energiebilanzjahr 2009 wird im Rahmen der Arbeiten für die Auswertungstabellen eine Schätzbilanz erstellt. In sie fließen vor allem die Daten aus der Statistik-Nr. 066 (Erhebung über die Elektrizitäts- und Wärmeerzeugung der Stromerzeugungsanlagen der allgemeinen Versorgung) des Statistischen Bundesamtes (StBA) und Verbandsdaten des Bundesverbandes der Energie- und Wasserwirtschaft e.V. (BDEW) sowie Daten der Arbeitsgruppe Erneuerbare Energien–Statistik (AGEE-Stat) ein. Die Schätzungen werden insbesondere mit dem BDEW und der AGEE-Stat abgestimmt. Hinzu kommen Daten der Amtlichen Mineralölstatistik (AMS des BAFA).

Zu diesem frühen Zeitpunkt liegen i.d.R. wichtige amtliche Datenquellen wie z.B. die Erhebungen über den Energieverbrauch der Industriesektoren noch nicht vor. Diese Datenlücken werden mit Hilfe von Schätzungen geschlossen. Die Schätzbilanz kann deshalb nicht die hohen Anforderungen an die Datenqualität erfüllen wie die endgültige Energiebilanz, die erst mit einer zeitlichen Verzögerung von etwa einem Jahr publiziert werden kann.

18.4.1.1.3 Qualität der verwendeten Datenquellen

Zur Erstellung der Energiebilanzen für die Bundesrepublik Deutschland werden folgende *Daten des Statistischen Bundesamts (StBA)* verwendet:

- Erhebung (Nr. 060) über die Energieverwendung der Betriebe des Bergbaus und der Gewinnung von Steinen und Erden sowie des Verarbeitenden Gewerbes,
- Erhebung (Nr. 061E) über die Einfuhr von Kohle,
- Erhebung (Nr. 062) über Geothermie,
- Erhebung (Nr. 064) über Erzeugung, Bezug, Verwendung und Abgabe von Wärme,
- Erhebung (Nr. 066) über die Elektrizitäts- und Wärmeerzeugung der Stromerzeugungsanlagen der allgemeinen Versorgung,
- Erhebung (Nr. 067) über die Stromerzeugungsanlagen im Bergbau und des Verarbeitenden Gewerbes,
- Erhebung (Nr. 070) über die Stromeinspeisung bei Netzbetreibern,
- Erhebung (Nr. 073) über Gewinnung, Verwendung und Abgabe von Klärgas,
- Erhebung (Nr. 075) über Erzeugung, Bezug, Verwendung und Abgabe von Flüssiggas,
- Erhebung (Nr. 082 P) über Abgabe, Ein- und Ausfuhr von Erdgas und Erdölgas sowie Erlöse der Produzenten,
- Erhebung (Nr. 082) über Aufkommen, Abgabe, Ein- und Ausfuhr von Gas sowie Erlöse der Gasversorgungsunternehmen und der Gashändler,
- Energiesteuerstatistik, Fachserie 14, Reihe 9.3),
- Angaben zur Kohlenwirtschaft (Statistik der Kohlenwirtschaft e.V., getragen von GVSt und DEBRIV).

Die Daten des Statistischen Bundesamts (StBA) unterliegen amtlichen Qualitätsanforderungen. Die Qualitätsberichte des StBA können im Internet auf der Homepage bezogen werden:

https://www.destatis.de/DE/Publikationen/Qualitaetsberichte/Energie/EnergieWasserversorgung.html.

Außerdem werden *Angaben aus der Amtlichen Mineralölstatistik (AMS)* des Bundesamtes für Wirtschaft und Ausfuhrkontrolle (BAFA) verwendet. Die monatlich und jährlich publizierte AMS impliziert ein geschlossenes, widerspruchfreies System des gesamten Aufkommens und Verbrauchs von Mineralöl in Deutschland. Statistische Grundlage für die AMS ist der sogenannte „Integrierte Mineralölbericht“ (IM), zu dessen Abgabe alle größeren Ölfirmen verpflichtet sind. Das BAFA überprüft die Angaben der Ölfirmen regelmäßig. Darüber hinaus werden auch Händler/Importeure, definiert durch den sog. Erhebungskreis,

durch das BAFA befragt. Die AMS enthält - mit wenigen Ausnahmen – keine Angaben zum sektoralen Ölverbrauch in Deutschland. Diese Daten werden anderen amtlichen und sonstigen Quellen entnommen und falls erforderlich modifiziert. Jährlich werden die Heizwerte für die Ölprodukte und den Rohöleinsatz überprüft und gegebenenfalls neu festgesetzt. Das erfolgt unter Berücksichtigung technischer Entwicklungen und Marktentwicklungen. Ziel ist eine möglichst genaue Umrechnung der Tonnenangaben in TJ.

Neben den amtlichen Daten werden folgende *Daten von Verbänden* verwendet:

- Angaben zur Bruttostromerzeugung in der Bundesrepublik Deutschland (BDEW),
- Angaben zur Stromerzeugung in Kernkraftwerken (Deutsches Atomforum e.V.),
- Angaben zum Aufkommen und Verbrauch von Mineralöl (Mineralölwirtschaftsverband, MWV; MWV-Mitgliedsunternehmen; Befragungen von Verbrauchern),
- Angaben zur Erdöl- und Erdgasgewinnung (Wirtschaftsverband Erdöl- und Erdgasgewinnung, W.E.G.),
- Angaben zu Flüssiggas (Deutscher Verband Flüssiggas e.V., DVFG),
- Angaben zur Kohlenwirtschaft (Statistik der Kohlenwirtschaft e.V., getragen von GVSt und DEBRIV).

Unter den Statistiken der Verbände spielt die *Statistik der Kohlenwirtschaft* eine besondere Rolle. Für die Energiebilanz werden u.a. folgende Daten verwendet:

für die Steinkohle:

- die Statistik über den Inlandsabsatz nach Steinkohlearten und Verbrauchergruppen und
- die Statistik über die Produktion, Einsatz in Umwandlungsbereichen und Lagerbestands-veränderungen (Vordruck 4a)

für die Braunkohle:

- Daten über die Förderung, Herstellung Selbstverbrauch und den Absatz (Vordruck 5) sowie Informationen aus dem Produktionsbericht,
- Daten zum Inlandsabsatz/-einsatz nach Ländern und Verbrauchergruppen.

Die Daten der Kohlenstatistik können in Deutschland als quasi amtlich und sehr genau eingestuft werden. Der Verein der Statistik der Kohlenwirtschaft e.V. arbeitet seit 60 Jahren als Bindeglied zwischen den Unternehmen des Kohlenbergbaus und der amtlichen Statistik (vgl. dazu Internet: http://www.kohlenstatistik.de/files/50jahre.pdf). Die Kohledaten der amtlichen Statistik beruhen auf den Erhebungen der Statistik der Kohlenwirtschaft. Ein Großteil der Kohledaten wird auf der Internetseite http://www.kohlenstatistik.de einer breiteren Öffentlichkeit zugänglich gemacht. Die damit verbundene Transparenz kann ebenfalls als Beleg für die Zuverlässigkeit und Genauigkeit dieser Datenquellen herangezogen werden. Das Energiestatistikgesetz hat unter ausdrücklichem Hinweis auf das funktionierende System der Kohlenstatistik auf einen eigenen Paragrafen für Erhebungen zur inländischen Kohle verzichtet.

Darüber hinaus werden folgende *weitere Quellen* verwendet:

- Studien zum Kraftstoffverbrauch von Maschinen des „Non-Road-Sektors“ (ifeu-Institut GmbH, Heidelberg),
- Angaben zu erneuerbaren Energien (Arbeitsgruppe Erneuerbare Energien-Statistik, AGEE-Stat).

Für den Holzverbrauch der privaten Haushalte werden für 2014 Ergebnisse der Erhebungsstudie von RWI/forsa fortgeschrieben. Der Holzverbrauch im Sektor GHD wird seit 2013 auf Basis von Daten des Thünen-Instituts ermittelt.

Über die Qualität der vorliegenden Daten hinaus spielt für die Energiebilanzerstellung die mehrjährige Verfügbarkeit der Quellen sowie eine einheitliche und konsistente Darstellung der Zeitreihen eine wichtige Rolle. Nur so kann sichergestellt werden, dass über die zur Energiebilanzerstellung genutzten Verfahren und Methoden Daten generiert werden, die sich auch über einen langen Zeitraum konsistent und ohne Strukturbrüche in das Bilanzschema eingliedern. Sowohl die amtlichen Quellen als vor allem auch die Daten der Kohlenstatistik blicken auf eine lange Tradition zurück. Sollten aufgrund von Revisionen oder der Veränderung statistischer Grundlagen (z.B. Energiestatistikgesetz) Brüche in den Zeitreihen unvermeidbar sein, sind sie in den zur Energiebilanzerstellung genutzten Quellen gut dokumentiert, so dass stets eine sachgerechte Anpassung der Methoden gewährleistet ist.

18.4.1.1.4 Transparenz der Methoden und Verfahren

Am 1. Januar 2003 ist das Energiestatistikgesetz (EnStatG) in Kraft getreten. Mit diesem Gesetz wurden die amtlichen Energiestatistiken aus verschiedenen Rechtsgrundlagen zusammengeführt und an die gewandelten Informationsbedürfnisse der Nutzer angepasst. Seitdem werden durch das Statistische Bundesamt auch für die Bereiche Wärmemarkt, Kraft-Wärme-Kopplung und erneuerbare Energieträger Daten erhoben und bereitgestellt. Im Rahmen dieser Neustrukturierung weist das Statistische Bundesamt neben der Strom- und Wärmerzeugung aus Kraft-Wärme-Kopplung den kompletten Brennstoffeinsatz für Kraft-Wärme-Kopplung in der allgemeinen Versorgung und der Industrie (differenziert nach Energieträgern) aus.

Für die Energiebilanzen - und hier insbesondere für die Darstellung des industriellen Endenergieverbrauchs - ergab sich aus dem veränderten statistischen Datenangebot grundsätzlich ein methodischer Anpassungsbedarf. Die skizzierte Erweiterung des Datenangebots hat nämlich zur Folge, dass für die industrielle Stromerzeugung ab dem Jahr 2003 gesonderte Informationen zum Brennstoffeinsatz der reinen Stromerzeugung vorliegen.

Daten zur Aufteilung des Brennstoffeinsatzes auf die Produkte Strom und Wärme bei Kraft-Wärme-Kopplung in der Industrie und in Heizkraftwerken werden vom Statistischen Bundesamt nicht erhoben, sondern von der Arbeitsgemeinschaft Energiebilanzen bzw. den von ihr beauftragten Instituten geschätzt. Die dabei angewandte „finnische“ Methode beruht auf der Richtlinie 2004/8/EG des Europäischen Parlaments und des Rates vom 11. Februar 2004. Diese ist mathematisch exakt definiert und wird im Vorwort der Energiebilanzen näher erläutert.

Mit Blick auf die Qualitätssicherung wird die Berechnung in den Bereichen der allgemeinen Versorgung und der Industrie mit der finnischen Methode nachvollziehbar und transparent gehandhabt. Die notwendigen Rahmenannahmen wie etwa die Referenzwirkungsgrade der ungekoppelten Erzeugung in den Dokumentationen zur Energiebilanz werden deutlich angegeben. All dies zeigt, dass bei der Erstellung der Energiebilanzen trotz Anwendung teilweise komplexer methodischer Umwandlungsschritte eine hohe Transparenz und Eindeutigkeit der Ergebnisse gewährleistet werden kann. So lassen sich alle Energiebilanzfelder stets eindeutig bis hin zur jeweiligen primärstatistischen Grundlage zurückverfolgen.

Amtliche oder verbandsinterne Primärinformationen können – ungeachtet ihrer Qualität – nur an wenigen Stellen der Energiebilanz unmittelbar ohne den Einsatz methodischer oder statistischer Verfahren zur Erstellung der Energiebilanz genutzt werden. Vielmehr erfordert die komplexe Darstellung des Energieflusses in Form einer Matrix zur Einhaltung der formalen Rahmenbedingungen und methodischen Vorgaben ausgehend von vorliegenden statistischen Rohdaten zahlreiche Transformationsschritte, Umrechnungen oder Umbuchungen. Hinzu kommt, dass in einigen wenigen Bereichen der Energiebilanz keine primärstatistischen Daten vorliegen, so dass Datenlücken in Abhängigkeit vom Einzelfall auch durch die Anwendung formaler Schätzmethoden geschlossen werden müssen.

18.4.1.1.5 Kontrolle und Verifikation der Ergebnisse

Die Maßnahmen zur Qualitätssicherung und –kontrolle umfassen die Bereiche

- Sicherung der Datenqualität und der Transparenz der Methoden und Verfahren,
- Mechanismen zur Kontrolle und kritischen Überprüfung der Energiebilanzen, die Korrektheit, Vollständigkeit und Konsistenz der Bilanz sicherstellen sowie
- Maßnahmen zur Dokumentation und Archivierung, die die Nachvollziehbarkeit und Reproduzierbarkeit der Bilanz gewährleisten sollen,
- Fachverantwortlichkeit zur Erstellung der Energiebilanzen.

Kritische Diskussion, Verifikation und Kontrolle erfolgen auf unterschiedlichen Ebenen:

- Die jährliche Energiebilanz wird unabhängig von mehreren Bearbeitern erstellt und wechselseitig abgeglichen.
- Die Arbeiten werden wechselseitig kontrolliert und anhand von Kontrollgrößen (z.B. Veränderungen im Jahresvergleich, impliziten Heizwerten, Nutzungsgraden) auf Plausibilität geprüft.
- Die Zeitreihenkonsistenz wird regelmäßig verifiziert. Im Falle unplausibler Sprünge in der Zeitreihe, die nicht auf Übertragungs- oder Rechenfehler, sondern auf die Entwicklungen in den primärstatistischen Erhebungen zurückzuführen sind, erfolgt in enger Kooperation mit der datenliefernden Institution wie dem StBA eine lösungsorientierte Erörterung des Problems.
- Die Energiebilanzen werden mit den Datenlieferungen an IEA/Eurostat abgeglichen.
- Des Weiteren kontrollieren die in der AGEB zusammengeschlossenen Verbände begleitend die Ergebnisse.
- Für die erneuerbaren Energien findet eine Abstimmung und gegenseitige Kontrolle innerhalb der AGEE-Stat statt.
- Außerdem werden Daten und Ergebnisse frühzeitig mit den Fachverantwortlichen des Umweltbundesamts (UBA) ausgetauscht und diskutiert.
- Statistische Fragen der Energiebilanz werden auch im „Arbeitskreis Methodik“ (AKM) beim BMWi diskutiert.

Die Veröffentlichung der Energiebilanz auf den Internetseiten der AGEB bzw. die Bereitstellung vorläufiger Energiebilanzdaten an das Umweltbundesamt zur Weiterverarbeitung im System des nationalen Treibhausgasinventars erfolgen erst, nachdem die Gesamtbilanz alle Kontrollinstanzen erfolgreich durchlaufen hat.

Um Fehler bei Berechnungen und Schätzungen der Daten für die Energiebilanz weitgehend zu vermeiden, erfolgt die jährliche Aufstellung der Energiebilanz im Rahmen standardisierter Vorgehensweisen. Dazu wurden umfangreiche Instrumente entwickelt, die bewährte Schätzverfahren oder formale Berechnungsmethoden im Rahmen der Bilanzarbeiten automatisieren. Aufgrund dieser Vorgehensweise, die teilweise nur das Einpflegen der statistischen Rohdaten in die entsprechenden Tools erfordert, können Berechnungs- oder Transformationsfehler weitgehend verhindert werden. Die Verwendung stets einheitlicher und standardisierter Methoden leistet zudem einen wichtigen Beitrag zur Sicherung der Zeitreihenkonsistenz.

18.4.1.1.6 Dokumentation und Archivierung

DIW Berlin und EFFA-Forschungsinstitut führen über die in jährlichem Abstand zu erstellenden Energiebilanzen eine detaillierte, schriftliche Dokumentation. Die Dokumentation umfasst jedes Feld der Energiebilanz, eine Auflistung der verwendeten statistischen Quellen und Erhebungen sowie eine genaue Erläuterung der angewandten Rechenmethoden und –verfahren. Ziel der Dokumentation ist die lückenlose Nachvollziehbarkeit sowohl für eigene Zwecke als auch für das BMWi und das UBA.

Regelmäßige Aktualisierung der Dokumentation ist auch ein Beitrag zur Datenqualität und Einhaltung der Zeitreihen- und Methodenkonsistenz.

Alle statistischen Daten, Berechnungsmethoden, Schätzverfahren, die für die Erstellung der Energiebilanzen für die Bundesrepublik Deutschland verwendet werden, werden archiviert. Die Sicherung der elektronischen Daten erfolgt im DIW sowohl automatisch durch die Zentrale Datenverarbeitung auf speziellem Serverplatz als auch manuell in regelmäßigen Abständen. Im EEFA-Institut kommen zur Archivierung elektronischer Inhalte sowohl portable Medien wie CD-ROM oder DVD sowie Wechselplatten als auch netzbasierte Serverlösungen zum Einsatz. Die Sicherung der Daten erfolgt sowohl automatisch als auch in regelmäßigem Abstand auf manuellem Weg.

18.4.1.1.7 Qualifikation der Bearbeiter

Für die Bearbeitung des Dienstleistungsprojektes „Erstellen von Energiebilanzen für die Bundesrepublik Deutschland“ steht dem DIW Berlin und dem EEFA-Forschungsinstitut erfahrenes Personal mit fundierten statistischen, ökonomischen sowie energiewirtschaftlichen Kenntnissen zur Verfügung.

18.4.1.1.8 Erläuterungen zur Aktualität bzw. zeitlichen Verfügbarkeit der Daten für die Erstellung der Energiebilanzen

Amtliche Statistiken

Die endgültigen Jahreswerte der monatlichen Erhebung 066 (Stromerzeugung für die Allgemeine Versorgung) für 2014 waren im April 2015 verfügbar und wurden im Juli 2015 korrigiert; die jährlichen Erhebungen 064 (Wärmeerzeugung) im November 2015, die 067 (Stromerzeugungsanlagen der Industrie) war nach einer Korrektur endgültig im November 2015 verfügbar , die 070 (Einspeisungen) im Oktober 2015 und die 073 (Klärgaserhebung) im Juli 2015, die 082/082P lag auch im November 2014 vor. Die Ergebnisse der Erhebungen 066 (Stromerzeugungsanlagen für die allgemeine Versorgung) und 067 (Stromerzeugungsanlagen der Industrie) müssen mit der finnischen Methode umgerechnet werden. Berechnungen, Prüfvorgänge, Abstimmungsprozesse mit BDEW, AGEE-Stat, EEFA, MWV benötigen mindestens drei Wochen Zeit.

Die Ergebnisse der Erhebung 060 (Energieverwendung der Industrie), die einen wesentlichen Bestandteil der Energiebilanzen ausmachen, lagen im November 2015 vor. Dies bildet einen wesentlichen zeitlichen Engpass für die Erstellung der Energiebilanz. Branchenscharfe Berechnungen, Plausibilitätsprüfungen, Prüfanfragen an das StBA (das diese dann an die Länder weiterreichen muss) und Abstimmungen mit beteiligten Verbänden benötigen wenigstens drei Wochen Zeit. Die Ergebnisse der Erhebung 062 (Geothermie) lagen im Oktober 2015 vor.

Solche zeitlichen Restriktionen haben dazu geführt, dass beginnend mit dem Berichtsjahr 2009 im Juli zunächst eine Schätzbilanz erstellt wird, in der die vorliegenden amtlichen Daten aus der Erhebung 066 eingearbeitet sind. Die restlichen Daten werden in Zusammenarbeit mit den Verbänden, die der AGEB angehören, zunächst geschätzt und abgestimmt.

Verbandsstatistiken

In die endgültige Energiebilanz fließen Daten von Verbänden ein (s.o.), die frühzeitig vorliegen.

Aufgrund der vierteljährlichen Schätzungen zum Primärenergieverbrauch in Deutschland liegen hierzu zeitnah auch vorläufige Daten vor. Wichtige vorläufige Daten, die auch für den Endenergieverbrauch für die Schätzbilanz mit Stand August vonnöten sind, liefert der BDEW. Dieser veröffentlicht im Sommer eines jeden Jahres Daten zum Thema „Energiemarkt Deutschland – Zahlen und Fakten zur Gas-, Strom- und Fernwärmeversorgung“. Außerdem fließen in die Schätzbilanz Angaben des BDEW zur Bruttostromerzeugung ein sowie Daten des Gesamtverbands Steinkohle (GVSt), des Bundesverbands Braunkohle (DEBRIV), des Mineralölwirtschaftsverbands (MWV) und des Deutschen Atomforums.

Sonstige Daten

Für die endgültige Energiebilanz werden Angaben der Arbeitsgruppe Erneuerbare Energien-Statistik (AGEE-Stat) verwendet, die regelmäßig mit Stand vom August vorliegen.

Angaben zur Stromerzeugung aus Biomasse sowie zum Brennstoffeinsatz von Biomasse in dezentralen KWK-Anlagen für das Jahr 2013 beruhen auf Angaben des ZSW. Dabei wird eine Methodik verwendet, die von ZSW und EEFA im Rahmen der Meldungen an IEA und Eurostat konzipiert wurde. Für den Holzverbrauch der privaten Haushalte und des Sektors GHD wurden Angaben von RWI/forsa bzw. des Thünen-Instituts fortgeschrieben.

Zur Berechnung der Stromerzeugung und des Brennstoffeinsatzes in kleinen Erdgas- und HEL-KWK-Anlagen (< 1 MW) wurden Angaben aus der BHKW-Datenbank des Öko-Instituts verwendet, die auch für die IEA/Eurostat-Berichterstattung genutzt werden.

Tabelle 470: Zur Erstellung der Energiebilanzen für die Bundesrepublik Deutschland verwendeten Erhebungen des StBA

Erhebung	Nr.	Erhebungszeitraum	Aktualität gemäß Qualitätsbericht	Angaben	Erhebungskreis	Erhebungseinheiten
Erhebung über die Energieverwendung des Verarbeitenden Gewerbes sowie der Betriebe des Bergbaus und der Gewinnung von Steinen und Erden	060	jährlich	Ende des Folgejahres (verfügbar ab Ende Oktober/Anfang November)	Stromerzeugung, -abgabe und –verbrauch Energieträger- / Brennstoffbezug und –verbrauch nach Energieträger Energieträger- / Brennstoffabgabe und –bestand nach Energieträger Durchschnittlicher Heizwert	Abschnitte B „Bergbau und Gewinnung von Steinen und Erden“ und C „Verarbeitendes Gewerbe“	Produzierende Betriebe (derzeit ca. 40.000) mit mind. 20 Beschäftigten Ausnahme: Betriebe von Unternehmen des Verarbeitenden Gewerbes bereits mit 10 und mehr tätigen Personen in den Wirtschaftszweigen
Erhebung über die Einfuhr von Kohle	061E	Monatlich, jährlich	Ende April des Folgejahres	Einfuhr von Kohle	Unternehmen, die Braunkohle, Braunkohlenprodukte, Steinkohle, Steinkohlenkoks und -briketts einführen.	Vollerhebung (nicht einbezogen werden im Ausland gelegene Einheiten)
Erhebung über Geothermie	062	jährlich	Ca. 9 Monate nach Ende des Berichtszeitraums	Nettowärmeerzeugung und Leistung nach Art der Anlage sowie Abgabe von Wärme nach inländischen Abnehmergruppen.		Erhoben wird bei höchstens 100 Betreibern, die Anlagen zur Nutzung von Geothermie unterhalten
Erhebung über Erzeugung, Bezug, Verwendung und Abgabe von Wärme	064	jährlich	Ende des Folgejahres (verfügbar meist Ende September)	Fernwärmeversorgung: Nettowärmeerzeugung, Bezug, Abgabe und Netzverluste. Es erfolgt keine Aussage zum verwendeten Energieträger Heizwerke: Brennstoffeinsatz und Wärmeerzeugung nach Energieträger	Betreiber von Heizwerke ab 1 MWth und Betreiber von Fernwärmenetzen (nur große „historisch“ gewachsene Netze) Es erfolgt keine Erfassung von Nahwärme-„Insel-netzen“	Max. 1000 Betreiber von Anlagen zur Wärmeversorgung einschl. Absorptionsanlagen zur Kälteerzeugung ab 2 MWth.
Erhebung über die Elektrizitäts- und Wärmeerzeugung der Stromerzeugungsanlagen für die allgemeine Versorgung	066K	monatlich; jährlich	6 Wochen nach Ende des Berichtszeitraums; Ende Juni des Folgejahres (verfügbar im Mai)	Anzahl, Nettostrom- und Nettowärmeerzeugung nach Anlagenart, Strom und Wärmeerzeugung nach Energieträger Brennstoffeinsatz für Strom- und/oder Wärmeerzeugung nach Energieträger (getrennte Erfassung von KWK Anlagen)	Unternehmen und Betriebe der Elektrizitätsversorgung (Allgemeine Versorgung)	Höchstens 1000 Betreiber ab 1 MWel.
Erhebung über Stromerzeugungsanlagen der Betriebe des Verarbeitenden Gewerbes sowie des Bergbaus und der Gewinnung von Steinen und Erden	067	jährlich	9 Monate nach Ende des Berichtszeitraums (verfügbar meist Ende September)	Anzahl und Engpassleistung nach Anlagenart Nettostrom und Nettowärmeerzeugung (getrennte Erfassung von KWK Anlagen) Brennstoffeinsatz für Strom- und/oder Wärmeerzeugung nach Energieträger (getrennte Erfassung von KWK Anlagen), Eigenverbrauch von Strom und Wärme	Abschnitt B „Bergbau und Gewinnung von Steinen und Erden“ und C „Verarbeitendes Gewerbe“	Betreiber (derzeit ca. 500) von Anlagen zur eigenen Versorgung. Es werden Anlagen zur Erzeugung von Elektrizität einschl. der Anlagen zur Erzeugung von Elektrizität und Wärme in Kopplungsprozessen (KWK) ab 1 MWel abgefragt
Erhebung über die Stromeinspeisung bei Netzbetreibern	070	jährlich	12 Wochen nach Ende des Berichtszeitraums (verfügbar meist Ende September)	Stromeinspeisung nach Bundesländer und Energieträger getrennt Leistungsangaben nach Bundesländer und Energieträger getrennt	Betreiber von Stromnetzen für die allgemeine Versorgung	Vollbefragung
Erhebung über Gewinnung, Verwendung und Abgabe von Klärgas	073	jährlich	8 Monate nach Ende des Berichtszeitraums (verfügbar Ende Juni/Anfang Juli)	Anaerobe Klärgasgewinnung Brennstoffeinsatz in Stromerzeugungsanlagen Brennstoffeinsatz zu reinen Heiz-/oder Antriebszwecken Stromeinspeisung Eigenverbrauch	Betreiber von Kläranlagen	bei höchstens 6000 Betreibern von Kläranlagen (zurzeit ca. 1300 Betreiber)
Erhebung über Abgabe von Flüssiggas	075	jährlich	8 Monate nach Ende des Berichtszeitraums (verfügbar Ende Juni/Anfang Juli)	Abgabe von Flüssiggas nach inländischen Abnehmergruppen und Bundesländern sowie Ausfuhr	Unternehmen, die Flüssiggas an Letztverbraucher und Wiederverkäufer abgeben	Bei höchstens 130 Unternehmen, die Flüssiggas an Letztverbraucher oder Wiederverkäufer abgeben

Erhebung	Nr.	Erhebungszeitraum	Aktualität gemäß Qualitätsbericht	Angaben	Erhebungskreis	Erhebungseinheiten
Erhebung über Aufkommen, Abgabe, Ein- und Ausfuhr von Gas sowie Erlöse der Gasversorgungsunternehmen und der Gashändler	082	jährlich	Die Bundesergebnisse liegen 12 Monate nach Ende des Berichtszeitraums vor.	Gewinnung, Erzeugung und Bezüge von Gas sowie Wert der Einfuhr Abgabe und Ausfuhr von Gas sowie Erlöse Aufkommen von Gas nach Gasarten Abgabe von Gas sowie Erlöse nach Bundesländern	Unternehmen der Gasversorgung	Totalerhebung
Erhebung über Abgabe, Ein- und Ausfuhr von Erdgas und Erdölgas sowie Erlöse der Produzenten	082P	jährlich	Die Bundesergebnisse liegen 12 Monate nach Ende des Berichtszeitraums vor.	Ein- und Ausfuhr, die Abgabe nach inländischen Abnehmergruppen	Produzenten von Erdgas	Totalerhebung

Link zur Nomenklatur der Wirtschaftszweige (WZ 2008): https://www.destatis.de/DE/Methoden/Klassifikationen/Klassifikationen.html

Link zu den Qualitätsberichten Energiestatistik inkl. Fragebogen: https://www.destatis.de/DE/Publikationen/Qualitaetsberichte/Energie/EnergieWasserversorgung.html

18.5 Aktionsplan Energiedaten Inventarverbesserung

Ebenfalls seit 2012 hat das Umweltbundesamt in Zusammenarbeit mit BMWi, AGEB und StBA einen Aktionsplan Energiedaten Inventarverbesserung erarbeitet, in dem dargelegt wurde, wie den Beanstandungen aus der Inventarüberprüfung Rechnung getragen werden soll. Damit wird der Forderung aus Paragraph 39 des Überprüfungsberichts 2011 (FCCC/ARR/2011/DEU) nach einem Aktionsplan entsprochen.

Tabelle 471: Aktionsplan Energiedaten Inventarverbesserung

Nr	Thema	Zuständigkeit	Verantwortlich für die Durchführung	Bezug (Absatz)	Zitat aus Überprüfungsbericht 2011 (FCCC/ARR/2011/DEU)	Instrument zur Umsetzung / Veröffentlichung	Aktivität zur Verbesserung	geplantes / erreichtes Ergebnis	Zeitliche Perspektive	Anmerkung
1	Aktionsplan Energiedaten zur Inventarver-besserung	BMWi/UBA/ AGEB/StBA	UBA	39	*address review relevant issues in an action plan in the 2011 submission. […] The ERT reiterates the recommendation of the previous review report that Germany prepare a plan for the remaining abovementioned issues, and to report on it and on any progress achieved in its next annual submission*	Aktionsplan; NIR	Für den Inventarbericht 2013 wird erstmals dieser Aktionsplan aufgestellt	abgestimmter Aktionsplan Energiedaten Inventarverbesserung liegt für die Inventarüberprüfung 2012 vor und wird jährlich aktualisiert	laufend	
2.1	Pünktlichkeit der endgültigen Energiebilanz	BMWi/AGEB / StBA/StaLas	BMWi	39	*timeliness of reporting […]*	Prozessanalyse Energiedaten; NIR	Für den Inventarbericht 2013 wird das Ergebnis einer Prozessanalyse dargelegt, in dem die Meldewege genauer als bisher beschrieben werden, sowie die Bemühungen und Erfolge, diese zu verkürzen	durch Prozessanalyse, in dem die geltenden Meldewege genauer als bisher beschrieben werden, sowie die Bemühungen und Erfolge, diese zu verkürzen, können Überprüfungsexperten nachvollziehen, dass D alle Optimierungsmöglichkeiten ausgeschöpft hat; Arbeitsstand ist im NIR 2013 dokumentiert	erledigt	
2.2	Pünktlichkeit der endgültigen Energiebilanz	BMWi/AGEB/StBA/StaLas	BMWi/AGEB (nicht für amtliche Daten)/StBA und Statistische	137	*In the course of the review, the ERT formulated a number of recommendations relating to the transparency of background and*	Prozessanalyse Energiedaten; NIR	Organisationsverbesserungen in den Statistischen Landesämtern. Das Statistische	amtliche statistische Daten sollen zukünftig früher übermittelt werden als bisher		

Nr	Thema	Zuständigkeit	Verantwortlich für die Durchführung	Bezug (Absatz)	Zitat aus Überprüfungsbericht 2011 (FCCC/ARR/2011/DEU)	Instrument zur Umsetzung / Veröffentlichung	Aktivität zur Verbesserung	geplantes / erreichtes Ergebnis	Zeitliche Perspektive	Anmerkung
			Landesämter (für amtliche Daten)		*methodological information (e.g. in the energy[...] sectors), justification and documentation of recalculations (e.g. in the energy[...] sectors)[...] The key sectoral recommendations are that Germany:* *[...]* *(b) Improve the timeliness of reporting of the NEB (energy);*		Bundesamt bespricht auf der Referentenbesprechung mit den Ländern, ob und wie eine Verbesserung der Zusammenarbeit gewährleistet werden kann.			
3.1	Abweichungen vorläufige und endgültige EB	BMWi/AGEB / StBA/StaLas	AGEB; UBA	39	*significant differences between the preliminary and final NEB*	QK-Bericht; NIR	Energiedatenkonsistenzanalyse (EDKA)	Feststellung und Klärung der Abweichungen sowie Unterscheidung und Adressierung von a) Informationsdefiziten b) Dokumentationsbedarfen c) Datenproblemen d) methodische Änderungen	fortlaufend	
3.2	Abweichungen vorläufige und endgültige EB	AGEB	AGEB	39	*significant differences between the preliminary and final NEB*	QK	Von der AGEB wird angestrebt, eine Verringerung der Schätzfehler zu erreichen.	Berichte der AGEB zu Plausibilitätschecks. Die AGEB prüft neue Verfahren und Methoden zur Erstellung der Schätzbilanz. Konkrete Vorschläge dazu wurden vorgelegt (vgl. Bericht des EEFA-Forschungsinstituts zum Thema Schätz - u. Modellansätze zur Erstellung vorl. Energiebilanzen).	fortlaufend	
3.3	Abweichungen vorläufige und endgültige EB	AGEB, UBA	UBA	39	*significant differences between the preliminary and final NEB*	Inventar-beschreibung	Im Rahmen der Arbeiten an Inventar und Nationalem Inventarbericht 2015 (NIR) werden	Arbeitsstand ist in der Inventarbeschreibung 2015 dokumentiert: Dokumentation, Datenrevision für frühere	seit 2012 fortlaufend	

Nr	Thema	Zuständigkeit	Verantwortlich für die Durchführung	Bezug (Absatz)	Zitat aus Überprüfungsbericht 2011 (FCCC/ARR/2011/DEU)	Instrument zur Umsetzung / Veröffentlichung	Aktivität zur Verbesserung	geplantes / erreichtes Ergebnis	Zeitliche Perspektive	Anmerkung
							Abweichungen beschrieben und die Ergebnisse werden im Rahmen einer Differenzendiskussion dargestellt.	Jahre, Verringerung von Schätzfehlern		
4	komplexes Nationales System	BMWi/UBA/ AGEB	UBA	39	*The previous review report noted several issues related to Germany's NEB (such as [...] the complexity of the NEB compiling process that may contribute to the problems with regard to timeliness and quality.*	NaSE	Austausch über die Ergebnisse der Inventar-überprüfung und Ableitung von Handlungsbedarfen	Energiedatenworkshop am 16.11.10 Energiedatenworkshop am 05.08.11 Energiedatenworkshop am 27.04.12 Energiedatenworkshop am 07.08.12 Energiedatenworkshop 2013 am 07.05.2013 Energiedatenworkshop 2014 am 05.06.2014 Energiedatenworkshop 2016 am 03.05.2016		
5	Qualitäts-sicherung	EEFA/ DIW/ StBA/ AGEB / UBA	AGEB/UBA	39	*lack of QA/QC procedures in place for some data sources used to compile the NEB*	NIR	gemeinsamen Qualitätsbericht der AGEB in neuen Anhang 2 des NIR 2012 und folgende	the NEB is subject to QA/QC procedures in accordance with the national system	seit 2012 fortlaufend	
6.1	Abweichungen EB mit IEA-Daten	BMWi, AGEB, Fragebogenbeauftragte	BMWi	39	*low comparability with the IEA data*		gemeinsam im Rahmen des Aktionsplans festzuschreiben	Einführung eines Überleitungsverfahrens zur Sicherstellung der Kompaitibilität zwischen Energiebilanz und Fragebogen im Bereich Strom und Wärme (vgl. dazu im Einzelnen Bericht des EEFA-Forschungsinstituts an AGEB bzw. BMWI. Die Überleitung wurde im Zuge der umfassenden Revision	Abgeschlossen bzw. Fortlaufend Abgeschlossen	

Nr	Thema	Zuständigkeit	Verantwortlich für die Durchführung	Bezug (Absatz)	Zitat aus Überprüfungsbericht 2011 (FCCC/ARR/2011/DEU)	Instrument zur Umsetzung / Veröffentlichung	Aktivität zur Verbesserung	geplantes / erreichtes Ergebnis	Zeitliche Perspektive	Anmerkung
								der Fragebögen erfolgreich umgesetzt. In anderen Bereichen der Fragebögen bzw. Bilanz werden die Bemühungen zur Minimierung von Abweichungen weiter fortgesetzt. Berichte der AGEB zu Plausibilitätschecks Revision des Questionnaires 2003-2011. Geplante Revision der NEB	Frühjahr 2014	
6.2	Abweichungen EB mit IEA-Daten	BMWi, AGEB, Fragebogenbeauftragte	BMWi	45	*The ERT also noted differences between the inventory data and the corresponding IEA data (e.g. for solid fuels exports, the data show differences of over 60 per cent in some recent years […] Germany has provided some explanations for the divergences and informed the ERT that it is continuing to investigate these differences. The ERT considers that the differences cause no underestimation of emissions, but reiterates the recommendation of the previous review report that Germany explain the reasons for these differences between its inventory data and the corresponding IEA data in its next annual submission.*		gemeinsam im Rahmen des Aktionsplans festzuschreiben	Siehe 6.1		
7.1	Verbesserung Gasbilanz	BMWi/StBA/ DIW/UBA/u.a.	StBA	39	*significant amount of flaring/losses of natural gas in*	NIR, EB	Treffen aller Beteiligten Energieexperten,	the significant amount of flaring/losses of natural gas are taken into account	Apr 12	erledigt

Nr	Thema	Zuständigkeit	Verantwortlich für die Durchführung	Bezug (Absatz)	Zitat aus Überprüfungsbericht 2011 (FCCC/ARR/2011/DEU)	Instrument zur Umsetzung / Veröffentlichung	Aktivität zur Verbesserung	geplantes / erreichtes Ergebnis	Zeitliche Perspektive	Anmerkung
					the NEB that were not transparently accounted for		Überprüfung und Umstellung der Datenquelle			
7.2	Verbesserung Gasbilanz	BMWi/StBA/ DIW/UBA/u.a.	StBA	39	*significant amount of flaring/losses of natural gas in the NEB that were not transparently accounted for*	NIR, EB	Aktualisierung der Gasbilanzen in den Positionen Fackelverluste, sondern u.a. auch auf Gewinnung , Außenhandel, Bestandsveränderung, NEV, EEV in den Energiebilanzen 2005 und Folgende	the significant amount of flaring/losses of natural gas are taken into account with regard to the time series Revision der NEB	erledigt	

18.6 Unsicherheiten der Aktivitätsraten stationärer Feuerungsanlagen

Siehe NIR 2007, Kapitel 13.6.

18.7 CO_2-Emissionsfaktoren

Die CO_2 Emissionsfaktoren wurden für die Berichterstattung 2015 vollständig überarbeitet. Dabei konnte erstmals in großem Umfang auf Daten des Emissionshandels zurückgegriffen werden. Es lagen Daten zu Heizwerten, Emissionsfaktoren, Brennstoffmengen und der Datenqualität vor. Diese Daten wurden einer gründlichen Qualitätskontrolle unterzogen. So wurden nur die Faktoren der Ebene 3 oder 4 (Messung) in die Rechnung einbezogen. Weiterhin wurden Emissionsfaktoren ersetzt, die offensichtlich aus Listenwerten stammten. Manche Stoffströme werden im Emissionshandel nicht eindeutig benannt, was zu fehlerhaften Materialzuordnungen bei festen Brennstoffen führt. Bezüglich der Kohlen konnten diese Fehlallokationen über den Heizwert eindeutig identifiziert und nachträglich umsortiert werden. Braunkohlen und Steinkohlen lassen sich über den Heizwert eindeutig unterscheiden. Aus den qualitätsgeprüften Daten wurden jährlich gewichtete Mittelwerte berechnet. Um überprüfen zu können, ob die ermittelten Faktoren repräsentativ sind, wurden die dahinterliegenden Brennstoffmengen mit denen der Energiebilanz verglichen. Außerdem wurde auf eine weitest gehende Konsistenz zwischen Heizwerten und Emissionsfaktoren geachtet.

Zusätzlich zu den Daten des Emissionshandels wurden noch weitere Datenquellen ausgewertet, Archivdaten gesichtet und eigene Messungen durchgeführt. Für die Rückrechnungen bis 1990 wurden je nach Sachverhalt sehr unterschiedliche Verfahren gewählt. Damit sollte zum einen die Zeitreihenkonsistenz gesichert werden und zum anderen möglichst realitätsnahe Lösungen gefunden werden. Die Herausforderung bestand gut dokumentierte Archivdaten für das Jahr 1990 zu finden, da Dokumente aus dieser Zeit nur in Papierform an unterschiedlichen Institutionen vorlagen. Außerdem werden Daten nur selten über einen Zeitraum von über 20 Jahren aufbewahrt.

Da zum verbleibenden Kohlenstoffgehalt in der Asche keine belastbaren und repräsentativen Daten vorliegen, wird als Oxydationsfaktor 1 angenommen. Das entspricht dem Default-Wert der 2006 IPCC Guidelines.

18.7.1 Steinkohlen

Für die Steinkohlen wird ein sektorübergreifender Emissionsfaktor berechnet, was in diesem Fall sicherstellt, dass die Gesamtemissionen möglichst genau ermittelt werden. Einzige Ausnahme bilden die Kokskohlen für die Eisen & Stahlindustrie, die sich deutlich von den Kesselkohlen unterscheiden. Eine weitere Ausnahme bilden die in den Haushalten und übrigen Kleinfeuerungsanlagen eingesetzten Anthrazitkohlen, die deutlich höhere Heizwerte und Kohlenstoffgehalte aufweisen.

Für die übrigen Steinkohlen wurden Emissionshandelsdaten für die Jahre 2005 – 2014 ausgewertet. Es gibt jeweils Stoffströme, die einem bestimmten Herkunftsgebiet zugeordnet werden können. Dadurch ist es möglich, herkunftsspezifische CO_2 Emissionsfaktoren und Heizwerte zu ermitteln. Neben den herkunftsspezifischen Daten gibt es noch eine Menge gemischter Kohlen bzw. Kohlen unklarer Herkunft. Für alle einzelnen Kohlefraktionen (Deutschland, Südafrika, Australien, Indonesien, Kolumbien, Norwegen, Polen, Tschechien, Russland, USA und Venezuela) wurden CO_2 Emissionsfaktoren und Heizwerte bestimmt. Für die nicht spezifizierbaren sonstigen Steinkohlen wurden ebenfalls gewichtete Mittelwerte berechnet.

Um die Emissionsfaktoren zurückrechnen zu können, wurden für die Steinkohlen zwei verschiedenen Rechenvarianten geprüft. Zum einen wurde mit Hilfe der Daten zu den einzelnen Herkunftsgebieten sowie über die Importströme der Steinkohlenstatistik, ein gewichteter Mittelwert für jedes Jahr berechnet. Zum anderen wurde aus den gesamten im Emissionshandel gemeldeten und geprüften Emissionsfaktoren für Steinkohlen ein gewichteter Mittelwert gebildet. Die folgende Abbildung zeigt das Ergebnis des Vergleiches:

Tabelle 472: Vergleich der CO_2-Emissionsfaktoren für die Steinkohlen

[t CO2/TJ]	2005	2006	2007	2008	2009	2010	2011	2012	2013	2014
Rechnung über Importe	93,874	93,976	93,865	93,924	93,993	94,003	94,181	93,652	93,276	93,888
gewichteter EF aller ETS Daten	93,606	93,940	93,792	94,317	94,121	94,032	94,228	93,675	93,363	93,560
Differenz	**0,29%**	**0,04%**	**0,08%**	**-0,42%**	**-0,14%**	**-0,03%**	**-0,05%**	**-0,02%**	**-0,09%**	**0,35%**

Da die Differenzen in den meisten Jahren sehr gering sind, können ab dem Jahr 2006 die gewichteten Emissionsfaktoren von allen im Emissionshandel gemeldeten Steinkohlen (außer Eisen & Stahl) verwendet werden - unabhängig vom Herkunftsgebiet. Für die Rückrechnung bis 1990 werden die aus den Emissionshandelsdaten gebildeten herkunftsspezifischen Emissionsfaktoren mit den jeweiligen Importströmen kombiniert. Dadurch entsteht eine konsistente Zeitreihe.

Die folgende Abbildung zeigt die auswertbaren Steinkohlemengen für die im Emissionshandel gemessene Emissionsfaktoren und Heizwerte vorlagen.

Abbildung 86: Steinkohlemengen für die im Emissionshandel gemessene Emissionsfaktoren und Heizwerte vorliegen

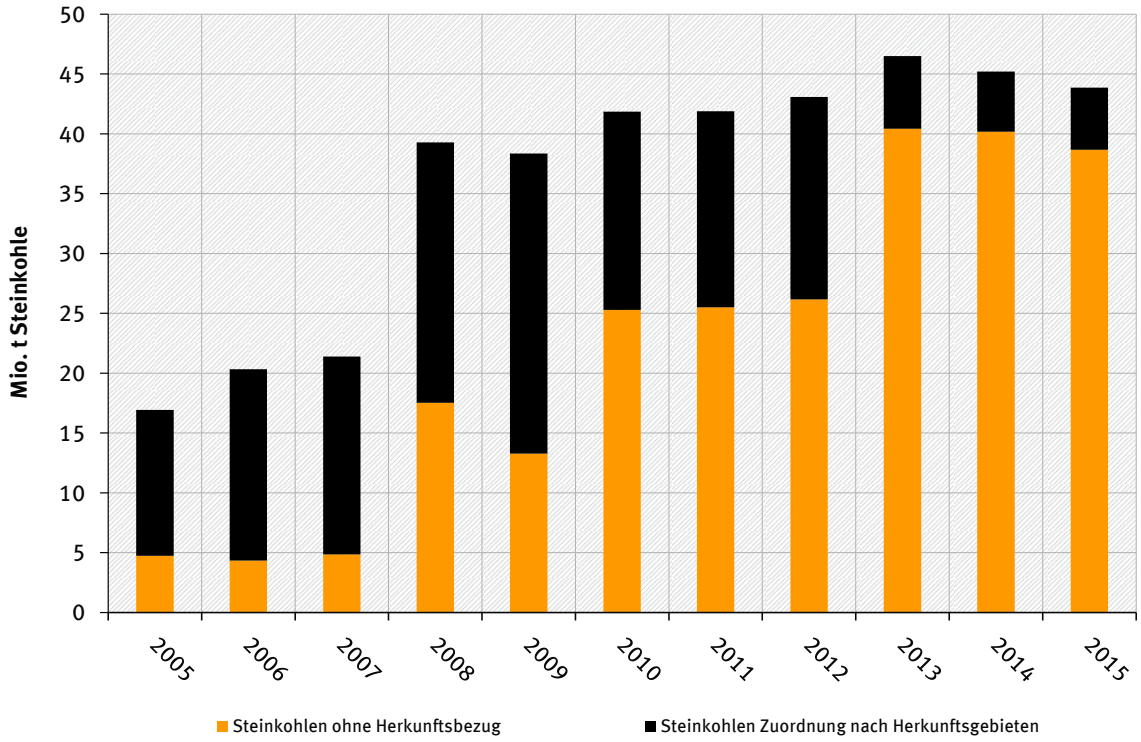

Dabei zeigt sich, dass aufgrund der Änderung der Regelungen die Qualität der Werte, vor allem ab dem Jahr 2008 deutlich ansteigt. Zum anderen fällt auf, dass die Menge der Steinkohlen, die sich eindeutig einem bestimmten Abbaugebiet zuordnen lässt, deutlich abnimmt. Von daher ist die Bildung eines gewichteten Mittelwertes über alle Steinkohlen, unabhängig von der Herkunft, die

fachlich sinnvollste Lösung. Nur so kann sichergestellt werden, dass die Emissionsfaktoren repräsentativ sind.

Insgesamt wurden sehr gründliche Qualitätsprüfungen durchgeführt und zahlreiche Auswertungen vorgenommen. Die folgende Abbildung zeigt beispielhaft, dass sich zum einen mehr oder weniger deutliche Herkunftsprofile erstellen lassen, zum anderen ein klarer Zusammenhang zwischen Kohlenstoffgehalt und Heizwert besteht.

Abbildung 87: Verhältnis zwischen Kohlenstoffgehalten und Heizwerten für verschiedene Steinkohlenqualitäten

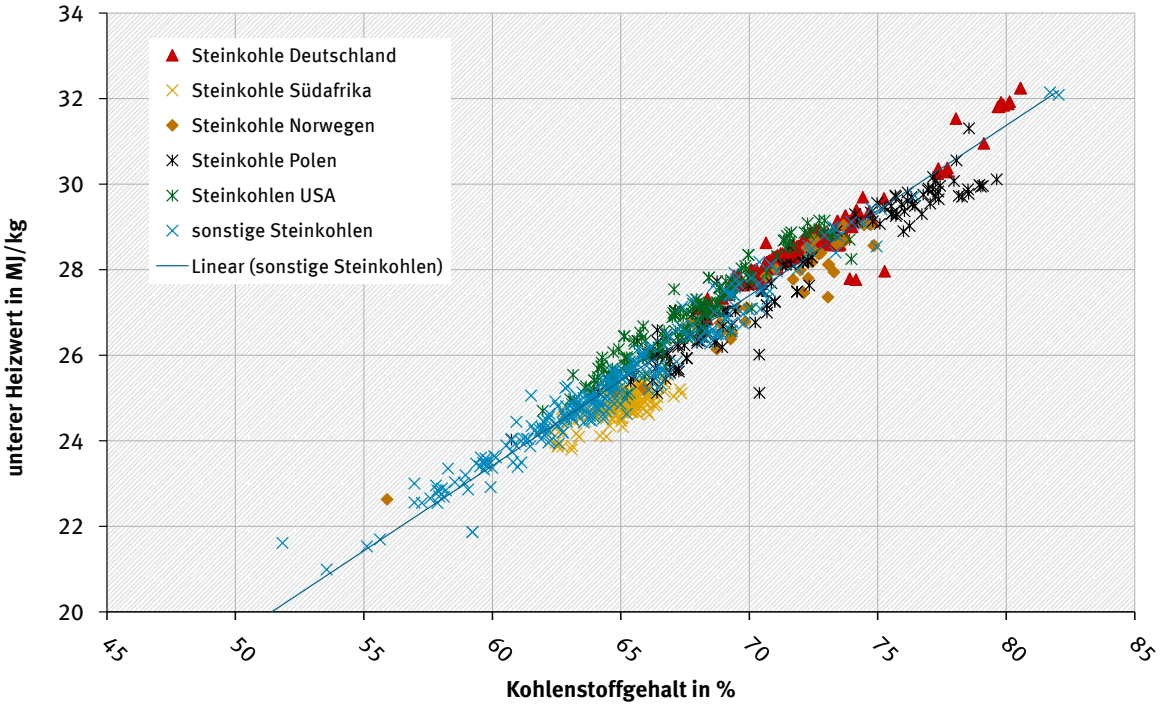

Die meisten Steinkohlen haben einen Kohlenstoffgehalt (bezogen auf die Originalsubstanz) zwischen 60 und 75 %. Der Durchschnitt liegt je nach Jahr zwischen 65 und 66 %. Die Steinkohlen im unteren Bereich bis zu einem Kohlestoffgehalt von rund 56 % und einem Heizwert von maximal 22 MJ/kg können als Ballaststeinkohlen bezeichnet werden. Die Steinkohlen im oberen Bereich, ab einem Heizwert von ca. 30 MJ/kg weisen Kokskohlenqualität auf. Die höchsten Kohlenstoffgehalte kommen bei Anthrazit vor.

Die Werte der in Deutschland eingesetzten **Kokskohlen** sind in dieser Grafik nicht enthalten. Die Kokskohlen wurden aufgrund ihrer besonderen Eigenschaften separat ausgewertet. Außerdem werden für die Eisen & Stahl Industrie bezüglich der Kohlen im Emissionshandel keine auswertbaren Heizwerte gemeldet, so dass für diesen Bereich nur massebezogene Emissionsfaktoren ermittelt wurden. Dementsprechend werden die Kohlemengen ebenfalls in Tonnen bilanziert. Da für diesen Sektor in der Statistik Heizwertangaben größtenteils fehlen, erscheint es sinnvoll, mit natürlichen Einheiten zu rechnen. Nach intensiven Gesprächen mit den zuständigen Fachexperten der Deutschen Emissionshandelsstelle konnten repräsentative Emissionsfaktoren für die in der Eisen & Stahlindustrie eingesetzten Steinkohlen ermittelt werden. Aus dem gleichen Datensatz konnten Emissionsfaktoren für **Steinkohlenkoks,**

Steinkohlenteer sowie Benzol, die in der Energiebilanz unter „Andere Steinkohlenprodukte“ zusammengefasst werden.

Bezüglich **Steinkohlenkoks** wurde für alle anderen Industriezweige eine energiebezogener CO_2 Emissionsfaktor als Mittelwert aus den Emissionshandelsdaten für die Jahre 2005 – 2013 berechnet.

Da die in den Kleinfeuerungsanlagen eingesetzten **Steinkohlenbriketts** über den Emissionshandel nicht erfasst werden, wurden für diesen Bereich im Rahmen eines Projektes eigene Analysen durchgeführt. Die Werte werden bis zum Jahr 1990 zurückgeschrieben, da für das Basisjahr keine repräsentativen Werte vorliegen.

18.7.2 Braunkohlen

Die Rohbraunkohlen, die in der öffentlichen Versorgung eingesetzt werden, können über die Braunkohlenstatistik revierspezifisch zugeordnet werden. Die CO_2 Emissionsfaktoren werden ab dem Jahr 2005 aus den Emissionshandelsdaten ermittelt. Die Kohlenstoffgehalte (bezogen auf die Originalsubstanz) liegen ebenfalls revierspezifisch vor. Die folgende Abbildung soll ein Beispiel geben:

Abbildung 88: Verhältnis zwischen Kohlenstoffgehalten und Heizwerten am Beispiel einer Rohbraunkohlequalität

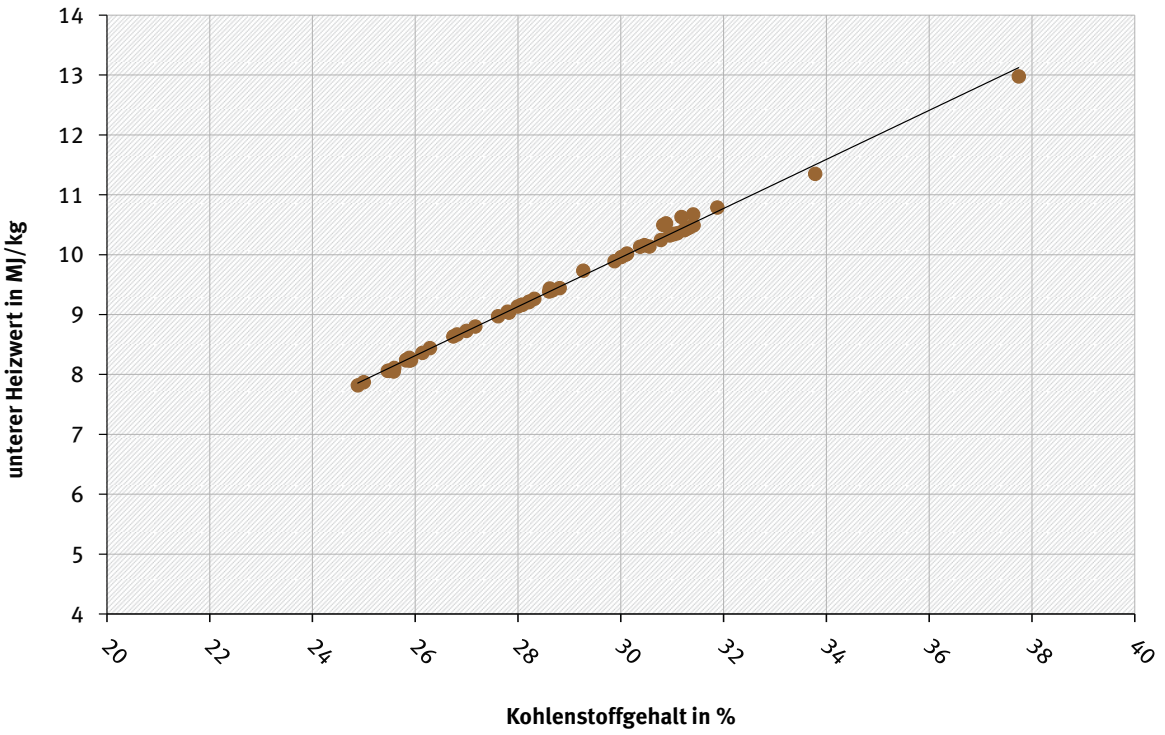

Bezüglich der Braunkohlen sind die Unterschiede beim Schwefelgehalt größer als bei den Steinkohlen. Da der Schwefelgehalt einen merklichen Einfluss auf den Heizwert und damit auf das Verhältnis zwischen Kohlenstoffgehalt und Heizwert hat, muss die Braunkohle revierspezifisch ausgewertet werden. Die Abbildung Abbildung 88 zeigt, dass es eine eindeutige Korrelation zwischen Heizwert und Kohlenstoffgehalt gibt. Somit kann über die entsprechende Formel und den für die jeweiligen Jahre bekannten Heizwert, der entsprechende Kohlenstoffgehalt und anschließend der energiebezogene CO_2 Emissionsfaktor berechnet werden. Dadurch ist eine

Rückrechnung bis 1990 und somit die Bildung einer konsistenten Zeitreihe möglich. Sicherlich gibt es Unschärfen, da 1990 vermutlich noch kleinere Gruben in Betrieb waren, die andere Schwefelgehalte aufwiesen. Das lässt sich aber im Nachhinein nicht mehr herausfinden. 1990 wurden kaum Kohlenstoffanalysen durchgeführt, weil dieses Thema damals noch nicht relevant war. Es gibt nur wenige Einzelanalysen, die nicht unbedingt repräsentativ sind. So liegen zum Beispiel für die Hessische Braunkohle, welche bis 2003 gefördert wurde, nur Angaben zum Heizwert vor. Für die Rückrechnung wurde hier ein mittlerer Schwefelgehalt angenommen, der zwischen dem Mitteldeutschen und dem Rheinischen Revier liegt. Mengenmäßig ist diese Kohle kaum relevant. Der Emissionsfaktor ändert sich zwischen 1991 und 1992 sehr stark, weil in diesem Revier zwei Kraftwerke vom Netz gingen, die zwischenzeitlich mit minderwertiger Kohle versorgt wurden.

Für den Rohbraunkohleeinsatz in den Fernheizwerken wird ein gewichteter Emissionsfaktor aus dem Braunkohleeinsatz in der öffentlichen Versorgung berechnet. Für die Industrie und die Kleinverbraucher wurde aus der Absatzstatistik des DEBRIV (Deutscher Braunkohlen Industrie Verein) ein gewichteter Emissionsfaktor berechnet, der sich aus der Verteilung der Reviere ergibt.

Zur Ermittlung der Emissionsfaktoren für die **Braunkohlenbriketts** werden ab dem Jahr 2005 Emissionshandelsdaten verwendet. Daraus werden Jahres- und revierspezifische Mittelwerte gebildet, aus denen mit Hilfe der Absatzstatistik (DEBRIV) ein gewichteter Mittelwert berechnet wird. Die Emissionshandelsdaten können nicht direkt verwendet werden, da sie den Berichtskreis nicht vollständig abdecken. Die Haushalte und Kleinverbraucher nehmen nicht am Emissionshandel teil. Um sicherzustellen, dass die Brennstoffqualitäten gleich sind, wurden die Datenauswertungen aus dem ETS mit eigenen Analysen für Briketts aus dem Haushaltsbereich verglichen. Die Werte passen gut zusammen. Braunkohlenbriketts sind zwar ein standardisiertes Produkt, für das bestimmte Qualitätsmerkmale gelten, trotzdem gibt es revierspezifische Unterschiede, abhängig vom Kohlenstoff- oder Schwefelgehalt der eigesetzten Rohbraunkohlen. Die Rückrechnung bis zum Jahr 1990 erwies sich als deutlich komplizierter als die Berechnung der Rohbraunkohlen. Lediglich für die Rheinischen Braunkohlenbriketts konnten aus ETS Daten 2005 – 2013 ein mittlerer CO_2 Emissionsfaktor berechnet werden, der auch für die Jahre 1990 – 2004 verwendet werden kann. In den Neuen Bundesländern wurden Anfang der 1990er Jahre sehr viele Brikettfabriken geschlossen, so dass sich die Qualität der Brennstoffe deutlich verändert hat. Aus mitteldeutscher Braunkohle werden gar keine Briketts mehr hergestellt. Dementsprechend sind auch keine aktuellen Messwerte vorhanden. Von daher musste auf Archivdaten zurückgegriffen werden. Es lagen Analysedaten von Mohry 1986 sowie Daten aus dem „Jahresbericht der Kohleindustrie der DDR“ aus dem Jahre 1986 vor. Es stellte sich heraus, dass der bisher für die mitteldeutschen Briketts angenommene Kohlenstoffgehalt deutlich zu hoch war. Bei der Berechnung der Mittelwerte wurde darauf geachtet, dass die Emissionsfaktoren mit den vom DEBRIV veröffentlichten Heizwerten zusammenpassen. Somit konnte für jedes Revier ein jährlicher CO_2 Emissionsfaktor berechnet werden. Daraus konnten mit Hilfe der vom DEBRIV verfügbaren Absatzstatistik jährliche, gewichtete CO_2 Emissionsfaktoren berechnet werden.

Bezüglich der **Braunkohlenstaub- und Wirbelschichtkohle** ist die Datenlage deutlich einfacher, da aus allen Revieren Daten im Emissionshandel vorliegen. Für die Rückrechnung bis 1990 wurden hier - abhängig von der Datenqualität - Mittelwerte aus den Jahren 2005 bzw. 2008 – 2013 verwendet. Analog zu Rohbraunkohlen und Briketts, wurde auch für die Braunkohlenstaub- und Wirbelschichtkohlen mit Hilfe der Absatzstatistik (DEBRIV) ein gewichteter CO_2 Emissionsfaktor berechnet. Ab dem Jahr 2005 werden die CO_2 Emissionsfaktoren aus dem Emissionshandel direkt in die Berechnung eingefügt. Mit Hilfe der Revierspezifischen Absatzstatistik werden dann wie bisher gewichtete Faktoren berechnet.

Braunkohlenkoks wird gegenwärtig nur noch in einem Revier hergestellt. Der Herdofenkoks dient im Wesentlichen der stofflichen Nutzung. Da die Brennstoffqualität nur äußerst geringe Schwankungen aufweist, wurde aus den ETS Daten 2008 – 2013 ein Mittelwert gebildet, der bis 1990 zurückgerechnet wurde. Für die neuen Bundesländer lag nur eine Datenquelle vor. Es handelt sich um Analysen aus der Ingenieursschule für Bergbau und Energetik „Ernst Thälmann" in Senftenberg. Es erscheint aber plausibel, dass der Kohlenstoffgehalt deutlich geringer war, während Asche- und Schwefelgehalt im Vergleich zum rheinischen Koks deutlich höher lagen. Folgerichtig ist der für die neuen Bundesländer berechnete Emissionsfaktor auch niedriger.

Der für 2014 aus den Emissionshandelsdaten ermittelte Emissionsfaktor liegt mit 109,317 t CO_2/TJ dicht an dem für 2005 – 2013 berechneten Mittelwert von 109,578 t CO_2/TJ.

Der Datensatz aus der Ingenieursschule für Bergbau und Energetik „Ernst Thälmann" in Senftenberg enthielt auch Analysen für **Torf, lufttrocken**. Der Heizwert stimmt mit dem in der Energiebilanz verwendeten Heizwert überein. Die Werte für das in den Raffinerien der neuen Bundesländer eingesetzte **Braunkohlenteeröl**, stammen aus derselben Datenquelle.

Für den in den Neuen Bundesländern verwendeten **Braunkohlenteer** lagen keine Daten vor. Alternativ wurden Analysedaten aus dem Forschungsbericht Vertrag Nr. 7220-EB/106 (DEBRIV 1980) verwendet. Braunkohlenteer wird seit dem Jahr 1991 nicht mehr eingesetzt.

Die CO_2 Emissionsfaktoren für die **Hartbraunkohlen** können ab dem Jahr 2008 aus ETS Daten generiert werden. In Deutschland werden derzeit nur sehr geringe Mengen an Hartbraunkohle eingesetzt. Um die Emissionsfaktoren bis 1990 zurückrechnen zu können, wurde aus den vorhandenen ETS Daten das Kohlenstoff/ Heizwertverhältnis ermittelt. Mit Hilfe der aus der Braunkohlestatistik (DEBRIV) bekannten Heizwerte konnte dann eine konsistente Zeitreihe erstellt werden.

18.7.3 Mineralöle

Rohöl und **Rohbenzin** werden in Deutschland nicht in Verbrennungsanlagen eingesetzt. Deshalb liegen für diese Rohstoffe im Emissionshandel keine Kohlenstoffgehalte vor. Auch aus anderen Quellen liegen keine Analysewerte vor. Von daher werden die Default-Werte aus den 2006 Guidelines verwendet. Die Faktoren werden nur für das Referenzverfahren sowie für die Raffinerie-Umwandlungsbilanz benutzt. Für **Flugbenzin** und **Schmierstoffe** kommen ebenfalls Default-Werte zur Anwendung.

Zur Berechnung der CO_2 Emissionsfaktoren für **Ottokraftstoff** wurde eine umfangreiche Auswertung dem DGMK Forschungsbericht 502-1 „Zusammensetzung von Ottokraftstoffen aus deutschen Raffinerien" (DGMK 2002) vorgenommen. Im Rahmen der Studie wurden die Bestandteile der Kraftstoffe sehr detailliert untersucht. Als Ergebnis liegt die Konzentration von 113 Einzelsubstanzen sowie 16 Stoffgruppen als Mittelwerte für Normalbenzin, Super und Super Plus aus allen deutschen Raffinerien vor. Über die Kohlenstoffgehalte der angegebenen Stoffe und der dazugehörigen Konzentration konnte für die 3 Kraftstoffqualitäten jeweils ein gewichteter Kohlenstoffgehalt berechnet werden. Aus dem Kohlenstoffgehalt konnte ein massebezogener Emissionsfaktor berechnet werden. Die folgende Tabelle zeigt die Mittelwerte sowie die Schwankungsbreite der CO_2 Faktoren:

Tabelle 473: Zusammensetzung und Emissionsfaktoren von Ottokraftstoffen

		mittlerer CO_2 EF	Minimum	Maximum	Einheit
Normalbenzin		**3,183**	**3,160**	**3,206**	**t CO_2/ t**
Super		**3,185**	**3,152**	**3,211**	**t CO_2/ t**
Super plus		**3,141**	**3,102**	**3,176**	**t CO_2/ t**
Mit folgender Zusammensetzung:					
Normalbenzin	Paraffine	45,30	52,06	41,64	%
	Aromaten	37,14	28,68	48,12	%
	Sauerstoffverbindungen	0,30	0,32	0,19	%
Super	Paraffine	40,23	23,32	32,22	%
	Aromaten	43,44	47,99	46,30	%
	Sauerstoffverbindungen	2,54	11,52	0,01	%
Super Plus	Paraffine	33,95	41,60	33,29	%
	Aromaten	44,33	34,43	49,19	%
	Sauerstoffverbindungen	10,49	13,44	6,80	%

Als weitere Bestandteile sind noch Naphthene und Olefine zu nennen, die aber kaum einen Einfluss auf den CO_2 Faktor haben. Beim Normalbenzin bestimmt im Wesentlichen der Gehalt an Aromaten die Höhe des CO_2 Emissionsfaktors. Die Aromaten haben durchschnittlich einen höheren Kohlenstoffgehalt als die Paraffine. Der Gehalt an Aromaten im Ottokraftstoff hängt hauptsächlich davon ab, ob auf dem Gelände der Raffinerie auch chemische Grundstoffe hergestellt werden. In diesen Fällen wird versucht, einen möglichst hohen Anteil an Aromaten dem chemischen Produktionsprozess zur Verfügung zu stellen. Beim Ottokraftstoff Super schwankt der Gehalt an Aromaten nur geringfügig. Der CO_2 Faktor wird hier im Wesentlichen durch den Gehalt an Sauerstoffverbindungen (MTBE) bestimmt. Beim Super Plus spielt sowohl der Gehalt an Aromaten als auch der Gehalt an Sauerstoffverbindungen eine Rolle.

Aus den Angaben zum jährlichen Absatz von Normalbenzin, Ottokraftstoff Super und Super Plus (Amtliche Mineralöldaten) wird ein gewichteter CO_2 Emissionsfaktor berechnet. Für das Jahr 1990 liegen keine Angaben für die Neuen Bundesländer vor. Deshalb wird in diesem Fall die Aufteilung der einzelnen Kraftstoffqualitäten für das Jahr 1991 auf das Jahr 1990 übertragen. Aus Konsistenzgründen wird aus dem berechneten massebezogenen Emissionsfaktor und dem in der Energiebilanz verwendeten unteren Heizwert ein energiebezogener CO_2 Emissionsfaktor berechnet. Die so ermittelten Emissionsfaktoren schwanken über die Jahre kaum. Lediglich für das Jahr 2011 ergibt sich es ein auffällig niedriger Emissionsfaktor. Nach der Einführung von E10 (10%iger Anteil an Biokraftstoff im Super) wurde deutlich mehr Super Plus getankt.

Als Grundlage zur Berechnung des Emissionsfaktors für **Dieselkraftstoff** dient der DGMK Forschungsbericht 583: „Zusammensetzung von Dieselkraftstoffen aus Deutschen Raffinerien 1999-2002“. Dabei wurden Proben aus 13 Raffinerien für Sommer- und Winterqualitäten untersucht. Aus den Analyseergebnissen wurden jeweils ein Mittelwert für die Sommer- und ein Mittelwert für die Winterqualität berechnet. In Deutschland ist die Verfügbarkeit von Winterdiesel gesetzlich geregelt. Danach müssen die Tankstellen vom 15.11. bis zum 28.02. Winterdiesel anbieten. Zusätzlich muss noch eine Umstellungsphase berücksichtigt werden, so dass mit einer Nutzung von Winterdiesel von ca. 4 Monaten zu rechnen ist. Demnach fahren die Dieselfahrzeuge 8 Monate lang mit Sommerdiesel. Über diese Verteilung wurde aus den Analyseergebnissen zum Sommer- und Winterdiesel ein gewichteter Emissionsfaktor berechnet.

Die CO_2 Emissionsfaktoren für **Heizöl leicht, Petrolkoks, Heizöl schwer** und **Andere Mineralölprodukte** werden aus Emissionshandelsdaten berechnet. Die jeweiligen Mittelwerte aus den Jahren 2005 – 2013 wurden bis 1990 zurückgeschrieben. Die Grenze zwischen schwerem Heizöl und Anderen Mineralölprodukten ist nicht leicht zu ziehen. Gemäß der Mineralölstatistik

wurden die Anderen Mineralölprodukte als Reststoffe aus den Raffinerien definiert und der Emissionsfaktor entsprechend berechnet.

Für das **Raffineriegas** wird aus den ETS Daten ein massebezogener CO_2 Emissionsfaktor berechnet. Da die jährlichen Schwankungen gering sind, wird hier ein über alle Jahre gleicher Faktor verwendet, der aus den Durchschnittswerten der Jahre 2005 – 2013 gebildet wird. Während die im Emissionshandel angegebenen unteren Heizwerte nur geringe jährliche Schwankungen aufweisen, schwanken die in der Energiebilanz verwendeten Heizwerte teilweise erheblich und weichen von den ETS Daten ab. Die in der Energiebilanz berichteten Raffineriegasmengen stammen aus der Mineralölstatistik. Diese Werte stimmen gut mit den ETS Daten überein. Aus Konsistenzgründen werden zur Inventarerstellung die in der Energiebilanz benutzten unteren Heizwerte verwendet. Der Emissionsfaktor wird dann entsprechend angepasst.

Um die CO_2 Emissionsfaktoren für **Flüssiggas** ermitteln zu können, wurde zunächst über die molare Masse der Kohlenstoffgehalt für Butan und Propan berechnet. Der jeweilige Anteil der beiden Komponenten wird im Jahresbericht des Deutschen Verbandes Flüssiggas e.V. veröffentlicht. Auch die Daten bis 1990 wurden vom Verband zur Verfügung gestellt. Über den jeweiligen Anteil der beiden Komponenten wird für alle ein gewichteter Emissionsfaktor berechnet, der durch den in der Energiebilanz verwendeten unteren Heizwert geteilt wird. Die im NIR veröffentlichten Emissionsfaktoren für Flüssiggas gelten nur für den energetischen Verbrauch. Die Daten für die stoffliche Nutzung unterscheiden sich, da in diesem Fall im Gemisch durchschnittlich mehr Butan als Propan enthalten ist. Bei der energetischen Nutzung ist mehr Propan als Butan enthalten.

18.7.4 Gase

Gemäß IPCC Definition der Brennstoffe werden einige gasförmige Brennstoffe den festen Brennstoffen zugeordnet, da diese nach Logik der Guidelines aus festen Brennstoffen entstehen bzw. hergestellt werden. Das gilt für Kokerei- und Stadtgas, Gicht- und Konvertergas sowie für Brenngas. Die sonstigen hergestellten Gase werden den flüssigen Brennstoffen zugeordnet, da diese Gase im Wesentlichen in der Chemischen Industrie entstehen, aus dem Nichtenergetischen Verbrauch von Naphtha und anderen Mineralölprodukten. Diese Zuordnung ist notwendig, um im Referenzverfahren sinnvolle Ergebnisse zu erzielen.

Zur Ermittlung der CO_2 Emissionsfaktoren für **Kokereigas, Gichtgas, Konvertergas** und **Erdölgas** werden Emissionshandelsdaten verwendet. Für die Rückrechnung bis 1990 wurden aus den ETS Daten 2005 – 2013 Mittelwerte berechnet, die dann für die Jahre 1990 – 2004 verwendet werden. Da in der Energiestatistik Gicht- und Konvertergas nur als Gasgemisch berichtet werden, wird aus den für beide Gase einzeln ermittelten Emissionsfaktoren und dem Gicht- und Konvertergasaufkommen ein gewichteter Emissionsfaktor berechnet. In den einzelnen Verwendungsbereichen gibt es sicherlich Unterschiede im Mischungsverhältnis. Da die Gicht- und Konvertergasverbrennung im Emissionshandel nur teilweise abgedeckt wird, wird durch die hier angewendete Berechnungsmethode sichergestellt, dass die Gesamtemissionen korrekt berechnet werden.

Bis zum Jahr 1996 wurde in Deutschland noch Stadtgas eingesetzt, das in der Energiebilanz mit dem Kokereigas zusammengefasst wird. Genau wie bei der Gicht- und Konvertergasverbrennung ist auch hier der Anteil vom **Kokereigas und Stadtgas** bei der Verwendungsseite nicht ablesbar. Deshalb wird auch in diesem Fall über das Kokereigas- und das Stadtgasaufkommen ein gewichteter Emissionsfaktor berechnet. Die Werte für das **Stadtgas** stammen von der GASAG und

DBI Gas- und Umwelttechnik GmbH Leipzig. Es liegen detaillierte Analysen für die Jahre 1989 bis 1991 vor. Diese unterschiedlichen Gase wurden zu einer einigermaßen gleichbleibenden Stadtgasqualität zusammengemischt. Zum jeweiligen Mischungsverhältnis der Gasfraktionen für die Sommer- und Winterqualität liegen ebenfalls Information der DBI Gas- und Umwelttechnik GmbH Leipzig vor. Die Emissionsfaktoren wurden entsprechend gewichtet. Die Werte für das ausschließlich in den Neuen Bundesländern verwendete **Brenngas** stammen aus dem Datensatz der Ingenieursschule für Bergbau und Energetik „Ernst Thälmann" in Senftenberg. Der Begriff Brenngas ist nicht klar definiert. Da dieses Gas vornehmlich in den Grubenkraftwerken eingesetzt wurde, ist davon auszugehen, dass sich um ein braunkohlebasiertes Gas handelt. Die Zusammensetzung dieser Gase kann aber sehr unterschiedlich sein. Dementsprechend sind auch die Emissionsfaktoren sehr unterschiedlich. Sie liegen in einem Bereich von 118,6 – 131 t CO_2/TJ. Im Sinne eines konservativen Ansatzes, um die Basisjahremissionen nicht zu überschätzen, wird für die Inventarerstellung der niedrigste Emissionsfaktor verwendet. Im Energiewirtschaftlichen Jahresbericht 1989 wird für sonstiges Gas ein Heizwert von 5,3 MJ/Nm^3 ausgewiesen, was auf einen höheren Emissionsfaktor hinweist. Da in der Energiebilanz Kokereigas, Stadtgas und Brenngas zusammengefasst berichtet werden, sind die Heizwerte der einzelnen Gase nicht mehr feststellbar.

Sonstige hergestellte Gase werden im Wesentlichen in der Chemischen Industrie eingesetzt. Unter diesem Begriff werden sowohl hochkalorische Gase, mit einem hohen Wasserstoffanteil, als auch niederkalorische Fackelgase mit einem hohen Stickstoffanteil zusammengefasst. Der Emissionsfaktor wurde aus Emissionshandelsdaten für die Chemische Industrie berechnet. Dabei wurde der Mittelwert aus den Jahren 2008 – 2013 gebildet. Da sich die Heizwertangaben zwischen der Energiestatistik und dem Emissionshandel deutlich unterscheiden, die angegebenen Mengen in Kubikmeter aber gut zusammenpassen, wurde hierfür somit ein Emissionsfaktor berechnet, der sich auf diese natürliche Einheit bezieht. Aus Konsistenzgründen wird für die Inventarerstellung mit dem in der Energiestatistik verwendeten Heizwert gerechnet.

Für **Grubengas** wird über die vom Steinkohlenverband angegebene verwertete Methanmenge und die in der Energiebilanz angegebene Gesamtmenge in Kubikmetern ein Methangehalt ausgerechnet. Über die entsprechende Gaszusammensetzung wird ein CO_2 Emissionsfaktor berechnet. Da sich in einigen Jahren statistische Differenzen ergeben, wird, im Sinne eines konservativen Ansatzes mit dem niedrigsten Methangehalt gerechnet.

Da die im Emissionshandel verbuchte **Erdgas**menge nicht repräsentativ ist und häufig Default-Emissionsfaktoren verwendet werden, wurden in dem Projekt: „Messungen der Erdgasqualität an verschiedenen Stellen im Netz zur Ableitung bzw. Verifizierung von durchschnittlichen Emissionsfaktoren und Heizwerte von Erdgas" (2014), von der DBI Gas- und Umwelttechnik GmbH Leipzig eigene Analysen durchgeführt. Dabei wurden an 32 Standorten Deutschlandweit Messungen vorgenommen. Die Messstellen wurden so ausgewählt, dass alle wichtigen Importgase sowie die Eigenförderung erfasst wurden. Außerdem wurde ein in Deutschland verteiltes Gemisch analysiert. In den Fällen, in denen die Messung an einem Grenzübergabepunkt nicht möglich war, wurden alternative Messstellen gefunden. Die Schwankungsbreite der CO_2 Emissionsfaktoren innerhalb der Gasqualitäten ist sehr gering. Aber auch insgesamt schwanken die Werte nur geringfügig. Analog zu anderen Brennstoffen werden auch beim Erdgas keine sektorspezifischen Emissionsfaktoren ermittelt. Das ist in diesem Fall aufgrund der Datenlage nicht möglich. Von daher erscheint es realistischer, auf nationaler Ebene gewichtete Emissionsfaktoren zu ermitteln. Die Berechnung erfolgt auf Grundlage der vorgenommenen Messungen und der Importströme sowie der Eigenproduktion.

18.7.5 Abfall und Sonderbrennstoffe

Für den **Abfall** wird gemäß VDI 3460 ein Kohlenstoffgehalt angenommen. Die Datenquelle für die Heizwerte ist die Energiestatistik. Die Daten für die **Sonderbrennstoffe** stammen aus dem Projekt: „Einsatz von Sekundärbrennstoffen“ (UBA 2005b, FKZ 204 42 203/02). Diese Daten müssen noch mit Hilfe der Emissionshandelsdaten überprüft und gegebenenfalls korrigiert werden. Für Brennstoffe mit einem relevanten Biomasseanteil ist ein Vergleich mit ETS-Daten generell schwierig, da der Emissionsfaktor nicht in jedem Fall den Biomasseanteil berücksichtigt. Außerdem sind die Bezeichnungen im ETS nicht immer eindeutig. Da die Heizwerte der Sonderbrennstoffe deutlich stärker variieren als die der konventionellen Brennstoffe, ist eine eindeutige Identifikation über den Heizwert nicht möglich. Von daher ist ein solcher Vergleich deutlich aufwendiger. Während für die konventionellen Brennstoffe weitestgehend sektorübergreifende Emissionsfaktoren ermittelt werden, muss bei den Sonderbrennstoffen sektorspezifisch gerechnet werden.

Für wenige Sonderbrennstoffe konnten bereits Emissionshandelsdaten ausgewertet werden. Das betrifft **Altöl** und **Altkunststoff**. Diese Werte werden für die Kohlenstoffbilanz der Eisen & Stahlindustrie verwendet. Der Emissionsfaktor für **Altreifen** wurde aus ETS Daten aus dem Jahr 2010 berechnet.

18.7.6 Biomassebrennstoffe

Die Emissionsfaktoren für die Biomassebrennstoffe, die als **Ersatzbrennstoffe** in der Industrie eingesetzt werden, stammen ebenfalls aus dem Projekt: „Einsatz von Sekundärbrennstoffen“ (UBA 2005b, FKZ 204 42 203/02). Die CO_2 Emissionsfaktoren für **Holz** stammen aus dem Forschungsbericht „Effiziente Bereitstellung aktueller Emissionsdaten für die Luftreinhaltung“ (STRUSCHKA 2008).

Für die **Ablaugen** aus der Zellstofferzeugung wurden auf Grundlage von Betreiberangaben zur stofflichen Zusammensetzung jeweils Emissionsfaktoren für Sulfat- und Sulfitablaugen berechnet. Aus diesen beiden Werten wird jährlich über die produzierten Mengen an Sulfit- und Sulfatzellstoff ein gewichteter Mittelwert gebildet.

Zur Berechnung der CO_2 Emissionsfaktoren für **Biogas, Deponiegas** und **Klärgas** wurden zunächst Heizwerte aus der Energiestatistik ausgewertet. Aus den Heizwerten für die Jahre 2009 – 2011 wurden jeweils Mittelwerte berechnet. Aus diesem Heizwert wurde jeweils ein Methangehalt bestimmt. Da diese Gase neben Methan hauptsächlich aus Kohlendioxid und zu einem geringen Anteil aus Stickstoff bestehen, wird der Heizwert durch den Methangehalt bestimmt. Außerdem sind in den Biogasen noch Sonstige Kohlenwasserstoffe enthalten, deren Anteil ca. 1 % beträgt. Mit Hilfe dieser Gaszusammensetzung wurde ein CO_2 Emissionsfaktor berechnet.

Der Emissionsfaktor für **Bioethanol** wurde über die Anzahl der Kohlenstoffatome sowie die molare Masse von Ethanol berechnet. Der Heizwert wird vom Bundesverband der Deutschen Bioethanolwirtschaft veröffentlicht. Für **Biodiesel** liegen keine eigenen Analysen vor. Deshalb wird der Default-Emissionsfaktor aus den 2006 IPCC Guidelines verwendet.

Zur Bestimmung der CO_2 Emissionsfaktoren von **Klärschlamm, Altholz und Tiermehl** wurden Daten aus dem Emissionshandel ausgewertet. Für Tiermehl und Altholz wurde aus den von 2005 bis 2014 vorliegenden Daten zu Kohlenstoffgehalt und Heizwert der Median gebildet. Für Klärschlamm wurden zusätzlich Daten von kommunalen Entsorgern in die Auswertung einbezogen. Da Klärschlämme sowohl im Originalzustand als auch im getrockneten Zustand

eingesetzt werden, reicht das Heizwertspektrum von < 1 MJ/kg bis 18 MJ/kg. Daraus folgend ist die Standardabweichung für die CO_2 Emissionsfaktoren so hoch, dass die Bildung eines Mittelwertes oder Median nicht zielführend wäre. Da der Kohlenstoffgehalt sehr gut mit dem Heizwert korreliert, kann aus der graphischen Darstellung eine entsprechende Formel abgeleitet werden (siehe folgende Abbildung).

Abbildung 89: Verhältnis zwischen Kohlenstoffgehalten und Heizwerten für verschiedene Klärschlämme

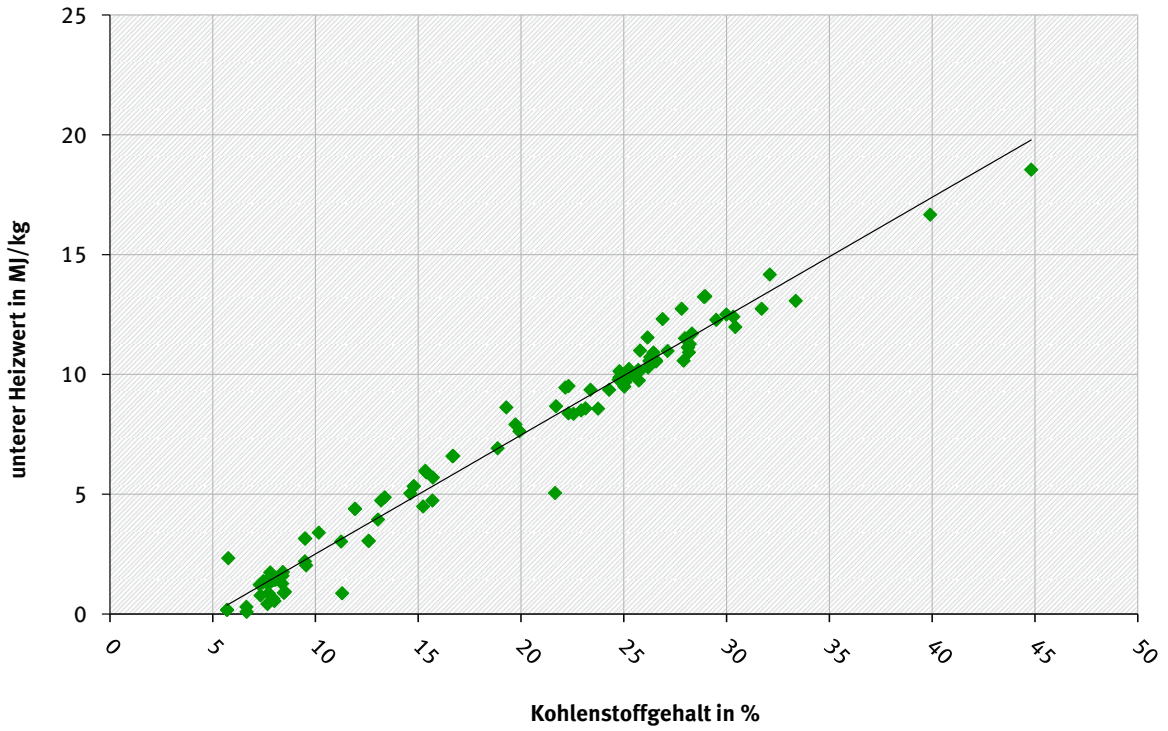

Dadurch können mit Hilfe der in der Energiestatistik angegebenen Heizwerte für die Mitverbrennung und den Heizwerten für die Monoverbrennung die dazugehörigen Kohlenstoffgehalte und Emissionsfaktoren berechnet werden.

18.7.7 Liste der abgeleiteten Kohlendioxid-Emissionsfaktoren für Energie & Industrieprozesse

In den folgenden Tabellen geben einen Überblick über die im Inventar verwendeten Kohlendioxid-Emissionsfaktoren.

Tabelle 474: Für die Emissionsberichterstattung abgeleitete Emissionsfaktoren für CO_2 ab 1990, Energie

Brennstoffbezogene Emissionsfaktoren	Einheit	1990	1995	2000	2005	2006	2007	2008	2009	2010	2011	2012	2013	2014	2015
Kohlen															
Steinkohle															
Steinkohle roh (Kraftwerke, Industrie)	t CO_2/TJ	93,1	93,1	93,5	93,9	93,9	93,8	94,3	94,1	94,0	94,2	93,7	93,4	93,6	93,5
Steinkohlenbriketts	t CO_2/TJ	95,9	95,9	95,9	95,9	95,9	95,9	95,9	95,9	95,9	95,9	95,9	95,9	95,9	95,9
Steinkohlenkoks (ohne Eisen & Stahl)	t CO_2/TJ	108,1	108,1	108,1	108,1	108,1	108,1	108,1	108,1	108,1	108,1	108,1	108,1	108,1	108,1
Steinkohlenkoks Eisen & Stahl	t CO_2/ t	3,29	3,26	3,23	3,19	3,18	3,16	3,17	3,17	3,18	3,17	3,17	3,20	3,19	3,17
Anthrazit (Wärmemarkt Haushalte, Kleinverbrauch)	t CO_2/TJ	97,6	97,6	97,6	97,6	97,6	97,6	97,6	97,6	97,6	97,6	97,6	97,6	97,6	97,6
Balaststeinkohle Alte Bundesländer	t CO_2/TJ	95,2													
Kokskohlen Deutschland	t CO_2/ t	2,96	2,93	2,90	2,87	2,86	2,86	2,85	2,85	2,86	2,85	2,86	2,85	2,89	2,90
Steinkohlen Eisen & Stahl	t CO_2/ t	2,92	2,92	2,92	2,95	2,99	2,96	2,91	2,86	2,89	2,89	2,91	2,96	2,97	2,90
Andere Steinkohlenprodukte	t CO_2/ t	3,30	3,30	3,30	3,30	3,30	3,30	3,27	3,29	3,29	3,30	3,30	3,32	3,32	3,32
Steinkohlenteer	t CO_2/ t	3,27	3,27	3,27	3,28	3,28	3,28	3,24	3,26	3,27	3,27	3,28	3,31	3,31	3,30
Benzol	t CO_2/ t	3,38	3,38	3,38	3,38	3,38	3,38	3,38	3,38	3,38	3,38	3,38	3,38	3,38	3,38
Braunkohle															
Rohbraunkohlen															
öffentliche Fernheizwerke Deutschland	t CO_2/TJ		111,7	110,8	111,1	111,2	111,3	111,5	111,4	110,7	110,7	111,0	110,7	110,9	111,0
Alte Bundesländer	t CO_2/TJ	113,8													
Neue Bundesländer	t CO_2/TJ	110,0													
Industrie, Kleinverbrauch Deutschland	t CO_2/TJ		106,0	109,8	108,2	107,3	107,4	106,5	106,1	106,3	106,0	105,0	105,1	103,8	104,0
Alte Bundesländer	t CO_2/TJ	114,7													
Neue Bundesländer	t CO_2/TJ	107,7													
öffentliche Kraftwerke Revier:															
Rheinland	t CO_2/TJ	114,8	113,9	113,1	113,2	113,5	113,5	113,8	113,6	113,3	113,3	113,2	113,0	113,1	113,1
Helmstedt	t CO_2/TJ	98,7	98,7	98,7	98,7	98,7	98,7	95,2	97,3	96,7	101,7	97,9	103,3	101,1	99,5
Hessen	t CO_2/TJ	112,2	103,2	103,5	NO	NO	NO	NO	NO	NO	NO	NO	NO	NO	NO
Lausitz	t CO_2/TJ	111,2	111,3	111,5	111,2	111,3	111,3	112,2	112,0	110,6	109,9	111,0	110,3	111,2	110,9
Mitteldeutschland	t CO_2/TJ	105,7	103,9	102,9	104,0	103,9	103,5	103,4	103,3	103,4	103,4	102,8	102,9	102,8	102,9
Braunkohlenbriketts Deutschland	t CO_2/TJ		98,3	99,0	99,3	99,0	99,6	99,8	99,4	99,0	99,3	99,3	99,1	99,6	99,4
Alte Bundesländer	t CO_2/TJ	99,5													
Neue Bundesländer	t CO_2/TJ	96,6													
Braunkohlenteer Neue Bundesländer	t CO_2/TJ	82,9													
Braunkohlenteeröl Neue Bundesländer		78,6													
Braunkohlenstaub und -wirbelschichtkohle Deutschland	t CO_2/TJ		97,6	98,1	98,1	98,1	97,9	98,0	97,8	98,0	98,1	98,0	98,0	98,1	98,0
Alte Bundesländer	t CO_2/TJ	98,3													
Neue Bundesländer	t CO_2/TJ	96,1													
Braunkohlenkoks Deutschland	t CO_2/TJ		109,6	109,6	109,6	109,6	109,6	109,6	109,6	109,6	109,6	109,6	109,6	109,6	109,6
Alte Bundesländer	t CO_2/TJ	109,6													
Neue Bundesländer	t CO_2/TJ	100,2													

Brennstoffbezogene Emissionsfaktoren	Einheit	1990	1995	2000	2005	2006	2007	2008	2009	2010	2011	2012	2013	2014	2015
Torf Alte Bundesländer, Deutschland		101,8	101,8	101,8	101,8	101,8	NO	NO	NO	NO	NO	NO	NO	NO	NO
Hartbraunkohle	t CO_2/TJ	96,4	96,4	96,5	NO	96,6	95,7	96,7	95,5	94,9	94,8	94,9	94,2	95,6	94,5
Mineralöle															
Erdöl roh 4)	t CO_2/TJ	73,3	73,3	73,3	73,3	73,3	73,3	73,3	73,3	73,3	73,3	73,3	73,3	73,3	73,3
Ottokraftstoff	t CO_2/TJ	73,1	73,1	73,1	73,1	73,1	73,1	73,1	73,1	73,1	73,0	73,1	73,1	73,1	73,1
Rohbenzin Deutschland 4)	t CO_2/TJ		73,3	73,3	73,3	73,3	73,3	73,3	73,3	73,3	73,3	73,3	73,3	73,3	73,3
Alte Bundesländer 4)	t CO_2/TJ	73,3													
Neue Bundesländer 4)	t CO_2/TJ	73,3													
Kerosin 4)	t CO_2/TJ	73,3	73,3	73,3	73,3	73,3	73,3	73,3	73,3	73,3	73,3	73,3	73,3	73,3	73,3
Flugbenzin 4)	t CO_2/TJ	70,0	70,0	70,0	70,0	70,0	70,0	70,0	70,0	70,0	70,0	70,0	70,0	70,0	70,0
Dieselkraftstoff Deutschland	t CO_2/TJ		74,0	74,0	74,0	74,0	74,0	74,0	74,0	74,0	74,0	74,0	74,0	74,0	74,0
Alte Bundesländer	t CO_2/TJ	74,0													
Neue Bundesländer	t CO_2/TJ	74,0													
Heizöl leicht Deutschland	t CO_2/TJ		74,0	74,0	74,0	74,0	74,0	74,0	74,0	74,0	74,0	74,0	74,0	74,0	74,0
Alte Bundesländer	t CO_2/TJ	74,0													
Neue Bundesländer	t CO_2/TJ	74,0													
Heizöl schwer	t CO_2/TJ	79,8	79,8	79,8	79,6	79,7	79,8	80,1	79,0	79,7	79,9	80,1	80,0	81,3	80,9
Petroleum	t CO_2/TJ	74,0	74,0	74,0	74,0	74,0	74,0	74,0	74,0	74,0	74,0	74,0	74,0	74,0	74,0
Petrolkoks (ohne Katalysatorabbrand)	t CO_2/TJ	94,8	94,8	94,8	94,8	94,8	94,8	95,0	94,2	94,6	95,4	94,7	95,1	95,7	97,6
Flüssiggas Deutschland (energetischer Verbrauch)	t CO_2/TJ		65,3	64,4	65,3	65,4	66,6	65,2	65,3	65,3	65,4	65,4	65,4	65,5	65,4
Alte Bundesländer	t CO_2/TJ	65,6													
Neue Bundesländer	t CO_2/TJ	65,6													
Raffineriegas Deutschland	t CO_2/TJ		56,9	56,7	57,0	57,1	57,6	57,9	62,2	65,4	61,3	62,3	61,3	62,0	62,0
Alte Bundesländer	t CO_2/TJ	54,6													
Neue Bundesländer	t CO_2/TJ	54,6													
Andere Mineralölprodukte Deutschland	t CO_2/TJ		82,1	82,1	82,1	82,1	82,1	82,1	82,5	82,5	82,8	82,9	82,6	82,7	82,3
Alte Bundesländer	t CO_2/TJ	82,1													
Neue Bundesländer	t CO_2/TJ	82,1													
Schmierstoff 4)	t CO_2/TJ	73,3	73,3	73,3	73,3	73,3	73,3	73,3	73,3	73,3	73,3	73,3	73,3	73,3	73,3
Gase															
Kokereigas Deutschland	t CO_2/TJ		41,0	41,0	40,7	41,1	40,6	40,9	41,1	40,3	41,6	41,2	41,8	41,2	41,3
Alte Bundesländer	t CO_2/TJ	41,0													
Neue Bundesländer	t CO_2/TJ	43,6													
Kokerei- und Stadtgas Deutschland	t CO_2/TJ		42,6												
Alte Bundesländer	t CO_2/TJ	43,2													
Neue Bundesländer	t CO_2/TJ	58,3													
Gicht- und Konvertergas Deutschland	t CO_2/TJ		257,1	258,7	252,9	256,6	249,4	257,5	265,9	259,7	264,7	263,5	259,5	256,8	261,3
Alte Bundesländer	t CO_2/TJ	264,6													
Neue Bundesländer	t CO_2/TJ	264,6													
Brenngas Neue Bundesländer	t CO_2/TJ	118,4													
sonstige hergestellte Gase Deutschland	t CO_2/1000 m³	1,77	1,77	1,77	1,77	1,77	1,77	1,77	1,77	1,77	1,77	1,77	1,77	1,77	1,77

Brennstoffbezogene Emissionsfaktoren	Einheit	1990	1995	2000	2005	2006	2007	2008	2009	2010	2011	2012	2013	2014	2015
Naturgase															
Erdgas Deutschland	t CO_2/TJ		55,8	55,8	55,9	55,9	55,9	55,9	55,9	55,9	55,9	55,9	55,9	55,9	55,9
Alte Bundesländer	t CO_2/TJ	55,7													
Neue Bundesländer	t CO_2/TJ	55,5													
Erdölgas	t CO_2/TJ	61,9	61,9	61,9	61,9	61,9	61,9	61,9	61,9	61,9	61,9	61,9	61,9	61,9	61,9
Grubengas	t CO_2/TJ	68,1	68,1	68,1	68,1	68,1	68,1	68,1	68,1	68,1	68,1	68,1	68,1	68,1	68,1
Abfall															
Hausmüll, Siedlungsabfall	t CO_2/TJ	109,6	96,9	91,5	91,5	91,5	91,5	91,5	91,5	91,5	91,5	91,5	91,5	91,5	91,5
Industriemüll Deutschland	t CO_2/TJ		71,1	71,1	71,1	71,1	71,1	71,1	71,1	71,1	71,1	71,1	71,1	71,1	71,1
Alte Bundesländer 2)	t CO_2/TJ	73,9													
Neue Bundesländer 2)	t CO_2/TJ	74,9													
Sonderabfall Deutschland	t CO_2/TJ		83,0	83,0	83,0	83,0	83,0	83,0	83,0	83,0	83,0	83,0	83,0	83,0	83,0
Sonderbrennstoffe 1)															
Altöl	t CO_2/t	75,7	75,7	75,7	75,7	75,7	75,7	74,6	76,8	75,9	75,9	77,3	75,6	75,5	75,3
Altkunststoff	t CO_2/t	80,9	80,9	80,9	80,9	80,9	80,9	80,9	80,9	80,9	80,9	80,9	80,9	80,9	80,9
Altreifen	t CO_2/TJ	88,4	88,4	88,4	88,4	88,4	88,4	88,4	88,4	88,4	88,4	88,4	88,4	88,4	88,4
Bleicherde	t CO_2/TJ	NO	78,2	78,2	78,2	78,2	78,2	78,2	78,2	78,2	78,2	78,2	78,2	78,2	78,2
Klärschlamm (2 MJ/kg)	t CO_2/TJ	NO	NO	NO	168,9	168,9	168,9	168,9	168,9	168,9	168,9	168,9	168,9	168,9	168,9
Klärschlamm (4 MJ/kg)	t CO_2/TJ	NO	NO	NO	120,4	120,4	120,4	120,4	120,4	120,4	120,4	120,4	120,4	120,4	120,4
Klärschlamm (6 MJ/kg)	t CO_2/TJ	NO	NO	NO	104,2	104,2	104,2	104,2	104,2	104,2	104,2	104,2	104,2	104,2	104,2
Klärschlamm (8 MJ/kg)	t CO_2/TJ	NO	NO	NO	96,1	96,1	96,1	96,1	96,1	96,1	96,1	96,1	96,1	96,1	96,1
Klärschlamm (10 MJ/kg)	t CO_2/TJ	NO	NO	NO	91,3	91,3	91,3	91,3	91,3	91,3	91,3	91,3	91,3	91,3	91,3
Lösemittel (Abfall)	t CO_2/TJ	74,2	74,2	74,2	74,2	74,2	74,2	74,2	74,2	74,2	74,2	74,2	74,2	74,2	74,2
Biomasse-Brennstoffe 3)															
Ablaugen Zellstoffherstellung	t CO_2/TJ	121,1	121,1	110,3	104,8	99,2	98,6	98,1	97,6	98,3	98,0	98,2	97,9	97,5	97,8
Faser-/Deinking-Rückstände	t CO_2/TJ	54,9	54,9	54,9	54,9	54,9	54,9	54,9	54,9	54,9	54,9	54,9	54,9	54,9	54,9
Brennholz naturbelassen	t CO_2/TJ	102,1	102,1	102,1	102,1	102,1	102,1	102,1	102,1	102,1	102,1	102,1	102,1	102,1	102,1
Holzabfälle, Resthölzer (Industrie)	t CO_2/TJ	107,8	107,8	107,8	107,8	107,8	107,8	107,8	107,8	107,8	107,8	107,8	107,8	107,8	107,8
Holzabfälle, Resthölzer (Kleinverbraucher)	t CO_2/TJ	101,4	101,4	101,4	101,4	101,4	101,4	101,4	101,4	101,4	101,4	101,4	101,4	101,4	101,4
Rinde	t CO_2/TJ	80,6	80,6	80,6	80,6	80,6	80,6	80,6	80,6	80,6	80,6	80,6	80,6	80,6	80,6
Tiermehle und -fette	t CO_2/TJ	85,8	85,8	85,8	85,8	85,8	85,8	85,8	85,8	85,8	85,8	85,8	85,8	85,8	85,8
Biogas	t CO_2/TJ	90,6	90,6	90,6	90,6	90,6	90,6	90,6	90,6	90,6	90,6	90,6	90,6	90,6	90,6
Deponiegas	t CO_2/TJ	111,4	111,4	111,4	111,4	111,4	111,4	111,4	111,4	111,4	111,4	111,4	111,4	111,4	111,4
Klärgas	t CO_2/TJ	104,9	104,9	104,9	104,9	104,9	104,9	104,9	104,9	104,9	104,9	104,9	104,9	104,9	104,9
Bio-Ethanol	t CO_2/TJ	NO	NO	NO	71,6	71,6	71,6	71,6	71,6	71,6	71,6	71,6	71,6	71,6	71,6
Biodiesel 4)	t CO_2/TJ	NO	70,8	70,8	70,8	70,8	70,8	70,8	70,8	70,8	70,8	70,8	70,8	70,8	70,8

Brennstoffbezogene Emissionsfaktoren	Einheit	1990	1995	2000	2005	2006	2007	2008	2009	2010	2011	2012	2013	2014	2015
Sonstige Faktoren Einheit [kg/t]															
Rauchgasentschwefelung	kg/t	440,0	440,0	440,0	440,0	440,0	440,0	440,0	440,0	440,0	440,0	440,0	440,0	440,0	440,0

1) Brennstoffe nach Definition der Inventardaten können bei den Bezeichnungen von anderen Normen abweichen und sind nur bei Inventarausweisung benannt und mit EF unterlegt.

2) Jährliche Änderung des EF aufgrund der unterschiedlichen Anteile von Feuerungsanlagen und Betriebseigenen Anlagen. 1990 bis 1994 jeweils einzeln für Alte Bundeländer / Neue Bundeländer

3) Nennung für ausgewählte Brennstoffe, wobei errechnete CO2-Emissionen nur nachrichtlich übermittelt werden und nicht in die Gesamtmengen des Inventars eingehen, Biomasseanteile aus Sonderbrennstoffen (s.o.) sind nicht gesondert aufgeführt, weil die CO2-EF nicht unterschieden werden.

4) Defaultwerte

Anm.: Bei der Verwendung von Stoffwerten aus dem NIR im Rahmen des ETS sind die Hinweise und FAQ der Deutschen Emissionshandelsstelle (DEHSt) zu beachten.

Tabelle 475: Für die Emissionsberichterstattung abgeleitete Emissionsfaktoren für CO_2 ab 1990, Industrieprozesse

Einheit [kg CO2/ t (Rohstoff oder Produkt)]	1990	1995	2000	2005	2006	2007	2008	2009	2010	2011	2012	2013	2014	2015
2.A.1 Produktion von Zementklinker	530,00	530,00	530,00	530,00	530,00	530,00	530,00	530,00	530,00	530,00	530,00	530,00	530,00	530,00
2.A.2 Produktion von Branntkalk	746,00	746,00	746,00	746,00	746,00	746,00	746,00	746,00	746,00	746,00	746,00	746,00	746,00	746,00
2.A.2 Produktion von Dolomitkalk	867,00	867,00	867,00	867,00	867,00	867,00	867,00	867,00	867,00	867,00	867,00	867,00	867,00	867,00
2.A.3 Produktion von Behälterglas	193,00	193,00	193,00	193,00	193,00	193,00	193,00	193,00	193,00	193,00	193,00	193,00	193,00	193,00
2.A.3 Produktion von Flachglas	208,00	208,00	208,00	208,00	208,00	208,00	208,00	208,00	208,00	208,00	208,00	208,00	208,00	208,00
2.A.3 Produktion von Wirtschaftsglas	120,00	120,00	120,00	120,00	120,00	120,00	120,00	120,00	120,00	120,00	120,00	120,00	120,00	120,00
2.A.3 Produktion von Spezialglas	113,00	113,00	113,00	113,00	113,00	113,00	113,00	113,00	113,00	113,00	113,00	113,00	113,00	113,00
2.A.3 Produktion von Glasfasern	198,00	198,00	198,00	198,00	198,00	198,00	198,00	198,00	198,00	198,00	198,00	198,00	198,00	198,00
2.A.3 Produktion von Steinwolle	299,00	299,00	299,00	299,00	299,00	299,00	299,00	299,00	299,00	299,00	299,00	299,00	299,00	299,00
2.A.3 Produktion von Glas (alle Glasarten inkl. Scherbeneinsatz)	118,94	115,64	112,76	115,53	115,60	110,02	109,78	109,91	115,70	113,75	116,30	118,54	119,58	123,76
2.A.4.a Produktion von Mauerziegeln	29,10	29,10	29,10	29,10	29,10	29,10	29,10	29,10	29,10	29,10	29,10	29,10	29,10	29,10
2.A.4.a Produktion von Dachziegeln	28,60	28,60	28,60	28,60	28,60	28,60	28,60	28,60	28,60	28,60	28,60	28,60	28,60	28,60
2.A.4.b Verwendung von Soda	415,00	415,00	415,00	415,00	415,00	415,00	415,00	415,00	415,00	415,00	415,00	415,00	415,00	415,00
2.B.1 Produktion von Ammoniak	2.405,10	2.410,30	2.340,45	2.372,79	2.310,39	2.363,87	2.383,54	2.492,09	2.377,53	2.350,73	2.421,49	2.353,47	2.019,64	1.876,24
2.B.5 Produktion von Calciumcarbid	C	C	C	C	C	C	C	C	C	C	C	C	C	C
2.B.7 Produktion von Soda	C	C	C	C	C	C	C	C	C	C	C	C	C	C
2.B.8 Petrochemie	28,00	28,00	28,00	28,00	28,00	28,00	28,00	28,00	28,00	28,00	28,00	28,00	28,00	28,00
2.B.8.f Produktion von Ruß	1.960	1.960	1.960	1.960	1.960	1.960	1.960	1.960	1.960	1.960	1.960	1.960	1.960	1.960
2.C.1 Produktion von Elektrostahl	8,50	7,374	7,374	7,374	7,374	7,374	7,374	7,374	7,374	7,374	7,374	7,374	7,374	7,374
2.C.1 Produktion von Oxygenstahl, Kalksteineinsatz	440,00	440,00	440,00	440,00	440,00	440,00	440,00	440,00	440,00	440,00	440,00	440,00	440,00	440,00
2.C.2 Produktion von Ferrolegierungen	1500,00	110,00	110,00	110,00	110,00	110,00	110,00	110,00	110,00	110,00	110,00	110,00	110,00	110,00
2.C.3 Produktion von Hüttenaluminium	1367,00	1367,00	1367,00	1367,00	1367,00	1367,00	1367,00	1367,00	1367,00	1367,00	1367,00	1367,00	1367,00	1367,00
2.C.5 Produktion raff. Blei (D)		371,00	220,00	220,00	220,00	220,00	220,00	220,00	220,00	220,00	220,00	220,00	220,00	220,00
2.C.5 Produktion raff. Blei (ABL)	434,00													
2.C.5 Produktion raff. Blei (NBL)	200,00													
2.C.6 Zinkproduktion: Hütten- und Umschmelzzink	1720,00	1720,00	1720,00	1720,00	1720,00	1720,00	1720,00	1720,00	1720,00	1720,00	1720,00	1720,00	1720,00	1720,00

C Vertrauliche Daten

ABL/NBL/D = Bezugsangabe: alte Bundesländer/ neue Bundesländer/ Deutschland gesamt

Anm.: Bei der Verwendung von Stoffwerten aus dem NIR im Rahmen des ETS sind die Hinweise und FAQ der Deutschen Emissionshandelsstelle (DEHSt) zu beachten.

18.8 Analyse der CO_2-Emissionen aus der nichtenergetischen Verwendung von Energieträgern

In Deutschland werden Kohle, Öl und Gas weit überwiegend zu energetischen Zwecken genutzt. Ein Anteil der Kohlen, der Mineralöle und der Gase wird jedoch auch als Rohstoff (Feedstock) für Herstellungsprozesse verwendet – dies wird als der Nicht-Energetische Verbrauch (NEV) bilanziert.

In der deutschen Energiebilanz wird er in Zeile 43 separat ausgewiesen. Die chemische Industrie ist der dominierende Verbraucher von fossilen Energieträgern zu nichtenergetischen Zwecken. So werden fossile Energieträger in Crackern, in Reforming-Verfahren, in der Synthesegasherstellung und in der Herstellung von Graphitelektroden eingesetzt. Die wichtigsten Folgeprodukte dieser Prozesse sind für das Cracken und Reformieren Ethylen, Propylen, 1,3-Butadien, Benzol, Toluol und Xylole und für Synthesegas Ammoniak und Methanol. In Raffinerien werden Bitumen, Schmierstoffe und Paraffinwachse gewonnen. Bitumen wird u.a. für Straßenbeläge oder Bitumendachbahnen verwendet. Schmierstoffe werden u.a. im Straßenverkehr und in Maschinen eingesetzt. Ein Vergleich zwischen den in der Zeile 43 der Energiebilanz aufgelisteten Verbräuchen und den im Inventar unter Industrieprozesse berichteten Emissionen von CO_2 und NMVOC aus dem Einsatz von fossilen Energieträgern in nichtenergetischen Verwendungen ist ohne Anpassung nicht möglich. Denn bei den Industrieprozessen werden nur Emissionen bei der Herstellung oder Nutzung der Produkte betrachtet während in der Zeile 43 der gesamte Feedstock im Vordergrund steht. Dieser setzt sich zusammen aus prozessspezifischen Emissionen und den Kohlenstoffmengen, die in den Produkten gespeichert werden. Letztere machen den weitaus größeren Anteil des Feedstocks aus. Ein weiterer gravierender Unterschied ist, dass für die Berechnung der Emissionen aus der Nutzung der Produkte Import- und Exportmengen mit berücksichtigt werden. Um eine vollständige Bilanzierung zu ermöglichen, wurden in Tabelle 477 (s.u.) die in den Produkten gespeicherten Kohlenstoffmengen der fossilen Energieträger mitberücksichtigt. Die Zuordnung der Emissionen aus den stofflichen Anwendungen und Produkten zu den einzelnen Energieträgern orientiert sich an der Tabelle 1.3 aus Volume 3 der 2006 IPCC-GL und basiert auf Angaben von Verbänden, Produzenten und Experten. Teilweise mussten eigene Abschätzungen durchgeführt werden, wie sich der Einsatz auf die einzelnen Energieträger verteilt.

Die Produktionsmengen der in der Tabelle genannten Produkte wurden aus den gemeldeten Daten des Statistischen Bundesamtes und des Bundesamtes für Wirtschaft und Ausfuhrkontrolle übernommen und in CO_2-Äquivalente umgerechnet. Die Umrechnung erfolgte für die petrochemischen Produkte anhand des spezifischen Kohlenstoffgehaltes gemäß Tabelle 3.10 aus Volume 3 der 2006 IPCC-GL und der molaren Masse von CO_2. Anschließend wurden die CO_2-Äquivalent-Emissionen auf die drei in Deutschland eingesetzten Feedstocks Naphta, Flüssiggas und andere Mineralölprodukte nach internen Verbandsangaben aufgesplittet.

Für Industrieruß wurde für das Produkt vereinfacht angenommen, dass es aus reinem Kohlenstoff besteht. Dieser wurde ebenfalls in CO_2-Äquivalente umgerechnet.

Die Produktionsmengen von Bitumen, Schmierstoffen und Paraffinwachsen stammen aus der amtlichen Mineralölstatistik und beziehen sich auf die Bruttoraffinerieerzeugung. Die Produktionsmengen wurden mit den folgenden IPCC Standardwerten (Tabelle 1.2 und Tabelle 1.4 aus Vol. 2 der 2006 IPCC GL) in CO_2-Äquivalente umgerechnet.

Tabelle 476: IPCC Standardwerte für EF & Unteren Heizwert

	EF t CO_2/TJ	Unterer Heizwert TJ/kt
Bitumen	80,6	40,2
Paraffinwachs	73,3	40,2
Schmieröl	73,3	40,2

Die Summe des Kohlenstoffs aus den Emissionen und der Speicherung in den Produkten entspricht für das Jahr 2014 106 % des nichtenergetischen Verbrauchs wie er in Zeile 43 der Energiebilanz gemeldet ist. Somit lassen sich die in der Energiebilanz als nichtenergetischer Verbrauch ausgewiesenen Mengen gut in der stofflichen Verwendung nachweisen. Eine Lücke in der Erfassung von nicht energiebedingten CO_2-Emissionen im Inventar ist nicht zu erkennen.

Tabelle 477: Verifikation der Vollständigkeit des berichteten CO2 aus der nichtenergetischen Verwendung von fossilen Energieträgern

Jahr	2014	Einheit	Kohle			Mineralöl					Gas	
			Steinkohle + Steinkohlenkoks	Braunkohlen + Braunkohleprodukte	Summe Festbrennstoffe	Rohbenzin (Naphtha)	Petrolkoks	Flüssiggas	Andere Mineralölprodukte	Summe Flüssigbrennstoffe	Erdgas	Summe Gas
A: Ausgewiesene NEU-Menge (Energiebilanzzeile 43)		TJ	3.110	13.004	16.114,4	488 619	8 707	50 432	299 883	847.640,7	116 305	116.305,0
B: Kohlenstoffgehalt		kg C/GJ	29,2	30,2		20,0	26,0	17,8	22,4		15,3	
C: Summe des Einsatzes als Feedstock/Nicht-energetische Verwendung		kt C	90,8	397,0	487,8	9.767,5	225,9	899,7	6.714,4	17.607,5	1.779,5	1.779,5
D: Summe des Einsatzes als Feedstock/Nicht-energetische Verwendung		kt CO_2	**333,0**	**1.455,6**	**1.788,6**	**35.814,1**	**828,5**	**3.298,9**	**24.619,4**	**64.560,9**	**6.524,7**	**6.524,7**
E: Impliziter oxidierter Kohlenstoffanteil		%	**142%**			**104%**	**88%**	**114%**	**115%**	**108%**	**102%**	**102%**

Jahr	2014	Einheit	Kohle			Mineralöl					Gas	
			Steinkohle + Steinkohlenkoks	Braunkohlen + Braunkohle-produkte	Summe Festbrennstoffe	Rohbenzin (Naphtha)	Petrolkoks	Flüssiggas	Andere Mineralölpro-dukte	Summe Flüssigbrennstoffe	Erdgas	Summe Gas
	AR [kt]	EM [kt CO2]	AR + EM [C in Gg CO2]			AR + EM [C in Gg CO2]						
F: Summe berichtetes fossiles IPPU CO2		7.790	474			37.181	730	3.765	28.321	69.997	6.636	6.636
2 Industrieprozesse		7.790	474			37.181	730	3.765	8.759	50.436	6.636	6.636
2B: Chemische Industrie		6.591				37.181	4	3.765	8.759	49.710	6.636	6.636
2B1: Ammoniak Produktion	2.899	5.856							586	586	5.270	5.270
2B5: Karbid Produktion	C	4					4			4		
2B6: Titandioxid Produktion		NE										
2B8: Petrochemie (1)												
Methanol	*993*										*1.366*	1.366
Ethylene	*5.070*					*12.571*		*1.273*	*2.069*	*15.913*		
Propylen	*3.986*					*9.888*		*1.001*	*1.627*	*12.517*		
Butene und 1,3-Butadien	*2.300*					*5.917*		*599*	*974*	*7.490*		
Benzol	*2.150*					*5.746*		*582*	*946*	*7.273*		
Toluol	*636*					*1.683*		*170*	*277*	*2.130*		
Xylol	*524*					*1.375*		*139*	*226*	*1.741*		
Industrieruß	*372*	*731*							*2.055*	*2.055*		
2C: Metall Industrie		1.199	474				725			725		
2C1: Eisen- und Stahlproduktion (2)		IE										
2C2: Produktion von Ferrolegierungen	55	6	6									
2C3: Primäraluminiumproduktion	531	725					725			725		
2C5: Bleiproduktion (2)	C	IE										
2C6: Zinkproduktion (2)	C	IE										
2D: Nichtenergetische Produkte aus Brennstoffen und Lösemitteln (1)									*19.562*	19.562		
Schmierstoffe	*2746*								*8.095*	*8.095*		
Wachse, Paraffine, Vaseline, etc.	*137*								*404*	*404*		
Bitumen	*3.410*								*11.063*	*11.063*		
Lösemittel und andere Produktverwendungen (3)	IE	IE				IE						

(1) Um eine vollständige Kohlenstoffbilanzierung zu gewährleisten, wird hier vom Berichtsformat der Quellgruppen im Inventar abgewichen. Darum sind die hier aufgeführten Produktionsmengen nicht mit dem Inventar in 2.B.8 und 2.D vergleichbar. Die Emissionen beziehen sich in der Tabelle auf eine vollständige Umwandlung der Produkte in CO_2 statt auf Emissionen in der Herstellung oder Anwendung wie in den Quellgruppen des Inventars.

(2) Aus Vertraulichkeitsgründen werden diese Daten aggregiert berichtet.

(3) Da ca. über 90% der Lösemittel aus Grundchemikalien aus Steamcrackern gewonnen werden, wird angenommen, dass der Kohlenstoff der im NMVOC emittiert aus den Produkten der Cracker stammt.

19 Anhang 3: Weitere detaillierte methodische Beschreibungen für einzelne Quell- und Senkenkategorien, inklusive KP-LULUCF-Aktivitäten

19.1 Weitere detaillierte methodische Beschreibungen für die Quellkategorie Energie (1)

19.1.1 Überarbeitung der Aktivitätsraten stationärer Feuerungsanlagen der neuen Bundesländer für das Jahr 1990 und der Folgejahre (1.A.1 und 1.A.2)

Die Probleme der amtlichen Statistik der DDR im Jahr der Wiedervereinigung 1990 und die Schaffung einer einheitlichen gesamtdeutschen amtlichen Statistik wirkten sich spürbar auf die Qualität der bisher berichteten Zahlen zu den Aktivitätsraten stationärer Feuerungsanlagen der neuen Bundesländer des Jahres 1990 (und Folgejahre) aus. Daher wurden diese Zahlen durch das Institut für Energetik und Umwelt gGmbH (IE gGmbH) überarbeitet. Im Forschungsvorhaben „Basisjahr und Aktualisierung“ (UBA, 2005c: FKZ 20541115) wurden im Arbeitspaket 1 „explizit die Aktivitätsraten für stationäre Feuerungsanlagen der neuen Bundesländer (NBL) als Grundlage für die Emissionsinventare und den Bericht zur Festlegung der zugewiesenen Mengen auf evtl. Lücken überprüft, ggf. vervollständigt bzw. korrigiert und dokumentiert.“ Zur näheren Beschreibung des Vorgehens bei der Überarbeitung der Aktivitätsraten stationärer Feuerungsanlagen verweisen wir auf den NIR 2010.

19.1.2 Energiewirtschaft (1.A.1)

19.1.2.1 Methodische Aspekte der Ermittlung der Emissionsfaktoren (Kapitel 3.2.6.2)

Dieser Teil des Anhangs erläutert die wesentlichen Schritte in den Forschungsvorhaben RENTZ et al (2002) und FICHTNER et al (2011) zur Bestimmung von Emissionsfaktoren unter Ausschluss der CO_2-Emissionsfaktoren, deren Ermittlung dem Anhang 2 (Kapitel 18.7) zu entnehmen ist.

Die Ermittlung von Emissionsfaktoren erfordert eine detaillierte Analyse des Anlagenparks hinsichtlich der eingesetzten Technologien und des bauartspezifischen Emissionsverhaltens. Dabei werden drei übergeordnete Kategorien gebildet: Großfeuerungsanlagen, Feuerungsanlagen im Geltungsbereich der TA Luft sowie Gasturbinen. Der Anlagenbestand wird hinsichtlich der emissionsbestimmenden Eigenschaften klassifiziert und die zugehörigen Emissionsfaktoren bestimmt. Diese so genannten technikspezifischen Faktoren können dann in adäquater Weise aggregiert werden. Diese Datenbasis bildet weiterhin die Grundlage für eine Abschätzung künftiger Emissionen (Veränderung der Anteile der Anlagentypen am Anlagenpark). Aus dieser Vorgehensweise ergeben sich folgende Arbeitsschritte:

1. Charakterisierung des technikspezifischen Emissionsverhaltens der Feuerungsanlagen. In einem ersten Schritt werden die in Deutschland zum Einsatz kommenden Feuerungs- und Emissionsminderungstechniken kurz beschrieben und die emissionsbestimmenden Einflussfaktoren dargestellt. Ausgehend von dieser Charakterisierung werden für die verschiedenen Techniken, differenziert nach Größenklasse und Brennstofftyp, Emissionsfaktoren abgeleitet. Die gewählte Klassifikation orientiert sich dabei auch an den immissionsschutzrechtlichen Vorgaben, was eine Gegenüberstellung der abgeleiteten Emissionsfaktoren mit derzeit oder künftig geltenden Grenzwerten ermöglicht.
2. Analyse der Quellgruppenstruktur
   Die Emissionsberechnung erfordert Emissionsfaktoren, die den gleichen Bezug wie die zugehörigen Energieeinsatzdaten aufweisen. Letztere sind nach Kategorien gegliedert, die

sich aus der nationalen Energiebilanz (vergleiche Kapitel 3.2) ableiten und sich nicht an den eingesetzten Feuerungstechniken orientieren. Als Kategorien bezeichnet und analysiert werden im Rahmen des Vorhabens: Öffentliche Energieversorgung (CRF 1.A.1a), Industriekraftwerke (CRF 1.A.1c bei Kraftwerken des Bergbaus, sonst CRF 1.A.2), Fernheizwerke (CRF 1.A.1a), Raffineriekraftwerke (CRF 1.A.1b), Industriefeuerungen (CRF 1.A.1c und 1.A.2) sowie Kleinverbraucher (CRF 1.A.4 und 1.A.5).

Bei der Analyse sind die Anteile der verschiedenen Techniken am Energieeinsatz zu ermitteln. Wesentliche Datenquellen hierfür sind die Kraftwerksdatenbank des DFIU (heute KIT), einschlägige Statistiken, Verbandsmitteilungen (VGB, VDEW, VIK), Betreiberangaben und Fachveröffentlichungen. Weiterhin wurden die von einigen Landesbehörden zur Verfügung gestellten Auszüge aus den Emissionserklärungen der Jahre 1996 und 2004 diesbezüglich ausgewertet.

3. Aggregation der Emissionsfaktoren

   Auf der Grundlage der Anteile der einzelnen Techniken, die getrennt nach alten und neuen Bundesländern ermittelt wurden, werden die technikspezifischen Emissionsfaktoren zu kategoriespezifischen Faktoren aggregiert. Abschließend werden Faktoren für Deutschland insgesamt gebildet. Die kategoriespezifischen Faktoren untergliedern sich weiterhin nach Großfeuerungen, TA Luft Feuerungen und Gasturbinen sowie nach dem eingesetzten Brennstoff. Die aggregierten Emissionsfaktoren werden zunächst für das Bezugsjahr 1995 (RENTZ et al, 2002) bzw. für das Bezugsjahr 2004 (FICHTNER et al, 2011) gebildet.

4. Projektionen für die Jahre 2000 und 2010 (RENTZ et al, 2002) und für die Jahre 2010 und 2020 (FICHTNER et al, 2011)

   Zur Beschreibung der fortschreitenden technischen Entwicklung werden wiederum technikspezifische Emissionsfaktoren bestimmt. Diese leiten sich aus der Charakterisierung fortschrittlicher Technologien ab. Eine Zunahme emissionsarmer Techniken an der Gesamtaktivität kann so über eine entsprechende Veränderung der Technologieanteile abgebildet werden. Als Rahmenbedingung für die Fortschreibung werden die jeweils geltenden immissionsschutzrechtlichen Regelungen herangezogen. Für das Bezugsjahr 2010 wird davon ausgegangen, dass die Anforderungen der novellierten TA Luft aus dem Jahre 2002 und der EU-Großfeuerungsanlagenrichtlinie aus dem Jahre 2001 umgesetzt sind; für das Bezugsjahr 2020 gehen wir davon aus, dass die Anforderungen der Richtlinie 2010/75/EU des Europäischen Parlamentes und des Rates über Industrieemissionen umgesetzt sind.

Mit Hilfe der hier angewandten Methodik, ausgehend von der Emissionscharakteristik der eingesetzten Feuerungstechnik schrittweise zu aggregierten Faktoren auf unterschiedlicher regionaler und kategoriespezifischer Ebene zu gelangen, können die benötigten Faktoren in transparenter Weise gebildet werden.

Die gewählte Methodik zur Ableitung der Emissionsfaktoren für ein gegebenes Bezugsjahr ist in der nachfolgenden Abbildung 90 dargestellt.

Abbildung 90: Methodik der Emissionsfaktorenberechnung

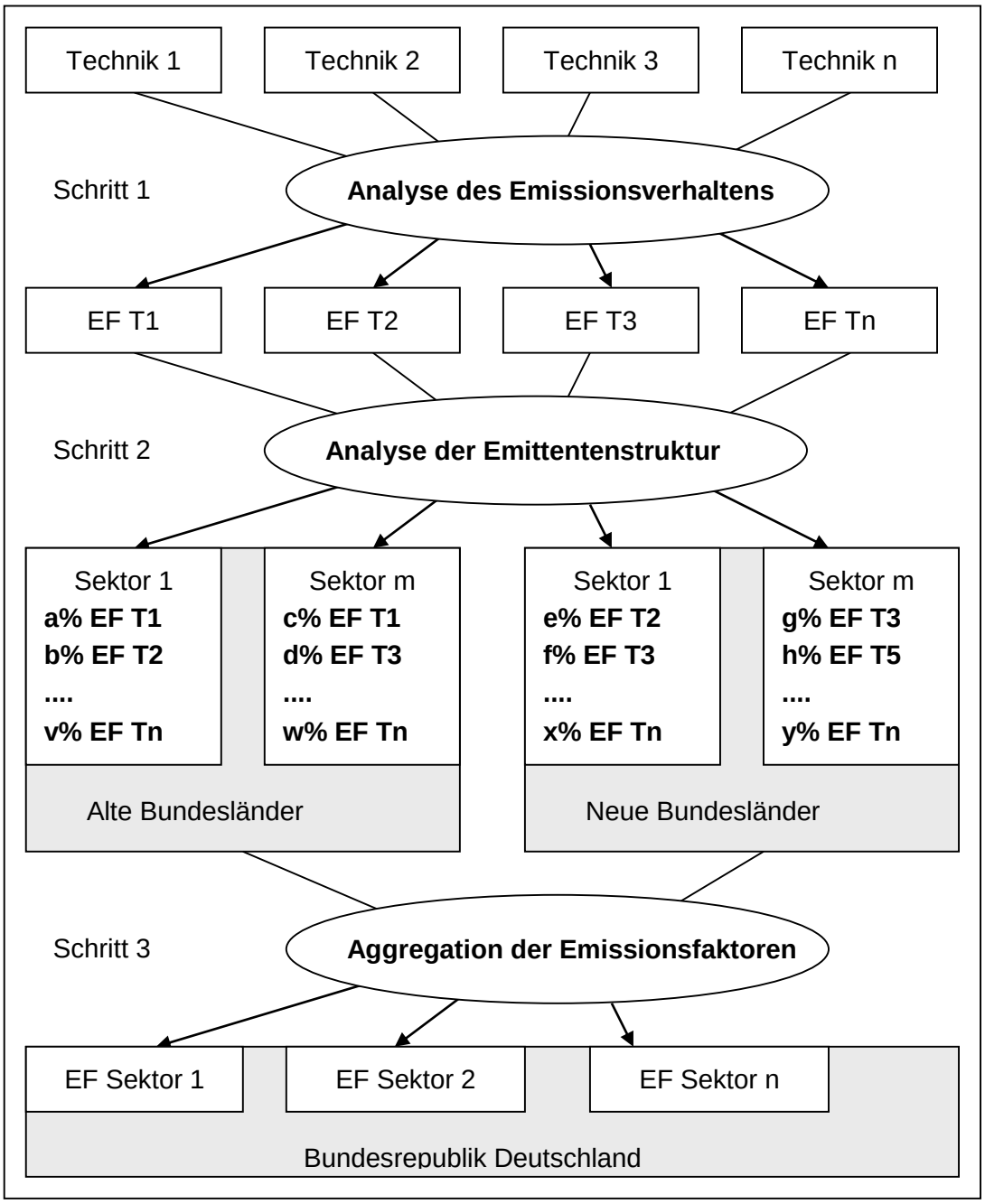

Die Herkunft und Qualität der Daten wird in den Vorhabensberichten (RENTZ et al, 2002) und (FICHTNER et al, 2011) eingehend beschrieben. Ein großer Teil der Daten entstammt den Emissionserklärungen der Bundesländer Baden-Württemberg, Brandenburg, Nordrhein-Westfalen und Thüringen für das Jahr 1996 und den Emissionserklärungen von allen Bundesländern (außer Berlin) für das Jahr 2004. Die darin angegebenen jährlichen Frachten beruhen dabei je nach Schadstoff entweder auf Messergebnissen einer kontinuierlichen Überwachung, auf Einzelmessungen oder auf einer Rechnung auf der Basis physikalischer Gesetzmäßigkeiten, Massenbilanzen oder Emissionsfaktoren. Am Beispiel der Emissionserklärungen des Landes Baden-Württemberg wird exemplarisch analysiert, für welche Feuerungsarten und Substanzen welche Ermittlungsart überwiegt. Dies erlaubt im Anschluss eine Einordnung der Qualität der Datengrundlage für die abgeleiteten technikspezifischen

Emissionsfaktoren. Gleichzeitig verdeutlicht die Darstellung die Vorgehensweise bei der Datenauswertung. Soweit eine ausreichende Anzahl von Daten einer Quellengruppe zur Verfügung steht, wird der Wertebereich über den Median sowie das Perzentil bei 25 % und 75 % charakterisiert[214]. Daraus erhält man eine robuste Schätzung, die, anders als bei der Charakterisierung über den Mittelwert, durch Extremwerte nicht verzerrt wird. Um grundsätzlich die Streuung der Werte zu beschreiben, werden auch die Perzentile bei 5 % und 95 % aufgeführt. Vergleichbare Auswertungen nach Perzentilen erfolgten ebenfalls für die Emissionserklärungen der anderen Bundesländer.

Nachfolgend wird zwischen gemessenen Daten (kontinuierliche Messung oder Einzelmessung) und solchen Daten unterschieden, die auf Rechnung oder Emissionsfaktoren beruhen. Bei der Auswertung werden die Einzeldaten daher zunächst nach Messdaten (M) und Annahmen (A) klassifiziert. Dieser allgemeine Überblick gliedert sich wiederum in Großfeuerungsanlagen, TA Luft Feuerungsanlagen und Gasturbinen. Diese werden weiterhin hinsichtlich der Erklärungspflicht unterteilt in verkürzt (K) und vollständig (V) zu erklärende Anlagen. Für jede der drei Anlagengruppen wird exemplarisch am Beispiel der Daten von Baden-Württemberg eine nach Messdaten und Annahmen getrennte Auswertung und Ableitung von Emissionsfaktoren vorgenommen.

Die Tabelle 478 fasst die berücksichtigten Anlagenarten nochmals nach 4. BImSchV-Nummer und Erklärungsart zusammen.

Tabelle 478: Anlagentypen nach Anhang der 4.BImSchV

Kennung		**Großfeuerungsanlagen**	**Erklärungsart**
1 01 1	Kraftwerke	≥ 50 MW für feste, flüssige und gasförmige Brennstoffe	V
1 02A 1	Feuerungsanlagen	≥ 50 MW für feste und flüssige Brennstoffe	V
1 02B 1	Feuerungsanlagen	≥ 50 MW für gasförmige Brennstoffe	V
Kennung		**TA Luft Anlagen**	**Erklärungsart**
1 02A 2	Feuerungsanlagen	1 - < 50 MW feste und flüssige Brennstoffe (außer Heizöl EL)	V
1 02B 2	Feuerungsanlagen	5 - < 50 MW Heizöl EL	K
1 02C 2	Feuerungsanlagen	10 - < 50 MW für Erdgas	K
	Feuerungsanlagen	10 - < 50 MW außer Erdgas	V
1 03 1	Feuerungsanlagen	> 1 MW andere Brennstoffe	V
Kennung		**Gasturbinenanlagen**	**Erklärungsart**
1 05 1	Gasturbinen	≥ 50 MW für Erdgas	K
	Gasturbinen	≥ 50 MW außer Erdgas	V
1 05 2	Gasturbinen	< 50 MW für Erdgas	K
	Gasturbinen	< 50 MW außer Erdgas	V

Bei den Analysen werden die Emissionsdaten nach Feuerungstechnik differenziert. Hierfür gibt Tabelle 479 einen Überblick über die Technologieeinteilung nach der Art/Typ Klassifikation. Dabei umfassen die Kategorien 110 bis 118 im Wesentlichen feste Brennstoffe, 120 bis 125 flüssige Brennstoffe und 130 bis 132 gasförmige Brennstoffe.

214 Für den gesamten Wertebereich einer Variablen X lässt sich mit Hilfe der Summenhäufigkeitsverteilung abschätzen, welcher Anteil aller Untersuchungseinheiten maximal einen Wert x aufweist. Diesen Wert bezeichnet man als *Quantil* (engl.: quantile) bzw. bei Verwendung von prozentualen Anteilen als *Perzentil* (engl.: percentile). Das bekannteste Perzentil, das die untere Hälfte aller Werte von der Oberen trennt, ist das 50% Perzentil, der sogenannte *Median*. Das 25 und 75% Perzentil schneiden das untere und das obere Viertel der Verteilung ab. Man bezeichnet sie daher auch als untere und obere *Quartile* bzw. als erstes und drittes Quartil (der Median ist quasi das zweite Quartil).

Tabelle 479: Klassifikation der Quellen nach Feuerungstyp

Technologie	
Art/Typ	**Typ Bedeutung**
110	Feuerungen für feste Brennstoffe / Abfälle
111	Füllschachtfeuerungen
112	Feuerung mit Wurfbeschickung
113	Feuerung mit pneumatischer Beschickung
114	Unterschubfeuerung
115	Feuerung mit mechanisch bewegtem Rost
116	Staubfeuerung mit trockenem Ascheabzug
117	Staubfeuerung mit flüssigem Ascheabzug
118	Wirbelschichtfeuerung
120	Feuerungen für flüssige Brennstoffe / Abfälle
121	Mit Verdampferbrenner
122	Mit Druckzerstäubungsbrenner
123	Mit Dampfzerstäubungsbrenner
124	Mit Drehzerstäubungsbrenner
125	Mit Luftzerstäubungsbrenner
130	Feuerungen für gasförmige Brennstoffe / Abfälle
131	Mit atmosphärischem Gasbrenner
132	Mit Gasgebläsebrenner
141	Mehrstofffeuerungen
142	Mischfeuerungen
815	Gasturbinen

19.1.2.2 CO_2-Emissionen aus der Abgasentschwefelung (CRF 1.A.1, Kalksteinbilanz)

Im Rahmen des Forschungsprojekts Kalksteinbilanz (UBA 2006, FKZ 20541217/02) wurden für die Kategorie Strom- und Wärmeerzeugung in Öffentlichen Kraftwerken die Daten für die CO_2-Emissionen aus der Abgasentschwefelung (REA) ermittelt (siehe 3.2.6.2). Abgasentschwefelungsanlagen haben die Aufgabe, das in den Verbrennungsgasen enthaltene Schwefeldioxid durch chemisch-physikalische Prozesse in weniger schädliche Substanzen umzuwandeln. Kalkstein dient bei der Entschwefelung von Abgasen typischerweise als Reagenz. Die Entschwefelungstechnik richtet sich im Wesentlichen nach den immissionsschutzrechtlichen Anforderungen und der ökonomischen Verwertbarkeit der anfallenden Reststoffe (Gips). Im Bereich der Stromerzeugungsanlagen dominiert das Kalkstein-Waschverfahren. Gemessen an der installierten Leistung nutzen etwa 87 % der Kraftwerke in Deutschland dieses Verfahren (RENTZ et al. 2002b).

Die Entschwefelung mit $CaCO_3$ erfolgt nach mehreren Teilreaktionen. Zur stöchiometrischen Berechnung des Kalksteineinsatzes im Kalkstein-Waschverfahren wird die relevante chemische Brutto-Reaktionsgleichung für das Verfahren zugrunde gelegt (STRAUSS 1998):

$$CaCO_3 + SO_2 + 1/2O_2 + 2H_2O \Longrightarrow CaSO_4.2H_2O + CO_2$$

Daraus kann das molare Gewichts-Verhältnis von Kalkstein zu Gips abgeleitet werden. Daraus folgt, dass pro angefallener Tonne Gips 581,39 Kilogramm Kalkstein eingesetzt werden. Aus den Angaben zum Gipsaufkommen lässt sich der theoretisch maximale Kalksteineinsatz für REA in Stein- und Braunkohlekraftwerken ableiten. Aus dem Gipsaufkommen ist jedoch nicht ersichtlich, ob Kalkstein oder Kalk eingesetzt wird. Um hierzu eine Aussage treffen zu können wurden Angaben des Bundesverbandes Kalk zur Absatzstatistik für ungebrannten und gebrannten Kalk für den Absatzbereich der Luftreinhaltung herangezogen. Über das Massenverhältnis zwischen $CaCO_3$ und CO_2 lassen sich dann gemäß obiger Reaktionsgleichung die prozessbedingten CO_2-Emissionen bestimmen. Die Ergebnisse der Rechnung sind in folgender Tabelle wiedergegeben.

Sie berücksichtigen die Zahlen zum Gipsaufkommen in allen Jahren zwischen 1990 und 2011; für die Jahre 2012 bis einschließlich 2015 haben wir als vorläufigen Eingangswert für die Berechnung das Gipsaufkommen von 2011 fortgeschrieben.

Tabelle 480: CO_2-Emissionen aus der Rauchgasentschwefelung in Öffentlichen Kraftwerken

Jahr	**1990**	**1991**	**1992**	**1993**	**1994**	**1995**	**1996**	**1997**	**1998**	**1999**
CRF 1.A.1					**Angaben in kt**					
CO2 aus REA der öffentlichen Kraftwerke	618	652	629	662	616	683	867	878	1.005	966
Jahr	**2001**	**2001**	**2002**	**2003**	**2004**	**2005**	**2006**	**2007**	**2008**	**2009**
CRF 1.A.1					**Angaben in kt**					
CO2 aus REA der öffentlichen Kraftwerke	1.135	1.069	1.094	1.156	1.162	1.142	1.076	1.017	985	995
Jahr	**2010**	**2011**	**2012**	**2013**	**2014**	**2015**				
CRF 1.A.1					**Angaben in kt**					
CO2 aus REA der öffentlichen Kraftwerke	1.003	1.028	1.019	979	973	981				

Quelle: Berechnung auf der Grundlage des Projektes Kalksteinbilanz (UBA 2006, FKZ 20541217/02), aktualisiert im Jahre 2008 (siehe NIR 2009)

Diese CO_2-Emissionen wurden im Inventar den Emissionen aus dem Einsatz fester Brennstoffe zugeordnet, weil hier die Ursache für die REA und die CO_2-Emissionen liegen. Nach einer Expertenschätzung des Forschungsnehmers liegt die Unsicherheit des Kalksteineinsatzes und damit auch die Unsicherheit der damit verbundenen CO_2-Emissionen bei +/- 10 %.

19.1.3 Verkehr (1.A.3)

19.1.3.1 Verkehr - Ziviler Luftverkehr (1.A.3.a)

19.1.3.1.1 Ableitung der weiteren Emissionsfaktoren (1.A.3.a)

Da für die Submission 2017 bzw. das Berichtsjahr 2015 aus terminlichen Gründen keine Aktualisierung des zugrunde liegenden Modells erfolgen konnte, wurden die jahresspezifischen Emissionsfaktoren des Berichtsjahres 2014 unverändert für das Jahr 2015 übernommen.

Kerosin

Die Emission von *Schwefeldioxid* ist direkt abhängig vom Schwefelgehalt des Kerosins, der regionalen und zeitlichen Schwankungen unterliegt. (IPCC, 2006b) geht hier mit einem EF von 1 kg SO_2/t Kerosin von einem Schwefelgehalt von 0,05 Gew.% aus. Nach Angaben des Fachausschusses für Mineralöl- und Brennstoff-Normung[215] (FAM) liegt der typische Wert für den Gesamtschwefelgehalt von Kerosin in Deutschland derzeit bei etwa 0,01 Gew.%, also einem Fünftel des Ansatzes des IPCC. Im Inventarbericht 2009 wird ein Schwefelgehalt von 0,021 Gew.% für Kerosin angesetzt, basierend auf Messungen aus dem Jahre 1998 (DÖPELHEUER, 2002). Da ein durch verbesserte Verfahren und gesunkene Grenzwerte mit der Zeit abnehmender Emissionsfaktor plausibel erscheint, wird hier eine lineare Abnahme zwischen den Stützjahren 1990 (1,08 g SO_2/kg Kerosin), 1998 (0,4 g) und 2009 (0,2 g) vorgesehen. Dabei wird von einer vollständigen Umsetzung des Schwefels in Schwefeldioxid ausgegangen. - Wegen der direkten

215 Persönliche Email-Kommunikation mit Dr. Feuerhelm, FAM Hamburg, 9.Juni 2009

Abhängigkeit des Emissionsfaktors allein vom Schwefelgehalt des Kerosins wird dieser für beide Flugphasen verwendet.

NO_X- und *CO-Emissionen* werden mit Hilfe von Emissionsfaktoren berechnet, die auf TREMOD-AV-Berechnungen beruhen. Diesen unterliegen Flugzeugtyp- und Betriebszustand-spezifische EF, die zu einem Großteil der EMEP/EEA-Datenbank entstammen. Wenn einzelne Flugzeugtypen nicht direkt und auch nicht unter Verwendung von Flugzeugtypen mit ähnlichen technischen Daten zugeordnet werden können, muss stellenweise mit angepassten Emissionsfaktoren gearbeitet werden. Dazu wurden Regressionsberechnungen durchgeführt, bei denen Emissionsfaktoren über Emissionsfunktionen ermittelt wurden, die den Emissionsfaktor je Triebwerkstyp in Abhängigkeit des Startgewichts berechnen. Als Basis dieser Funktionen dienen die Emissionsfaktoren der vorhandenen Typen gemäß (IFEU & ÖKOINSTITUT, 2010).

Die *NMVOC*-Emissionsfaktoren ergeben sich jeweils aus der Differenz der EF für Kohlenwasserstoffe und Methan.

Flugbenzin

In (IPCC, 2006: Vol. 2, S. 3-64) werden die *Stickstoffoxid*-Emissionsfaktoren explizit mit den für die Verwendung von Kerosin angegebenen Werten gleichgesetzt. Diese Annahme wird hier übernommen – und mithin die Emissionsfaktoren für den Einsatz von Kerosin im nationalen Flugverkehr während des Reiseflugs.

Hinsichtlich der Treibstoff-Eigenschaften gibt es keine grundlegenden Unterschiede zwischen Flugbenzin und PKW-Benzin[216]. Damit lassen sich die spezifischen SO_2-Emissionen aus PKW-Treibstoff auf Flugbenzin übertragen. - Nach Angaben des Fachausschusses für Mineralöl- und Brennstoff-Normung (FAM) beträgt der Grenzwert des Gesamt-Schwefelgehalts für Tankstellen-Kraftstoff 10 mg/kg, also 0,001 Gew.%. oder ein Zehntel des für Kerosin angegebenen Wertes. Infolge dessen wird hier aktuell der um 90 % verminderte Emissionsfaktor für SO_2 aus Kerosin für das Jahr 2008 verwendet.

Die *NMVOC*-Emissionsfaktoren ergeben sich jeweils aus der Differenz der EF für Kohlenwasserstoffe und Methan.

Die weiteren Emissionsfaktoren sind nicht als spezielle Werte für durchschnittliche Kleinflugzeuge verfügbar. Deshalb werden sie den Kerosin-Emissionsfaktoren (national, Cruise) gleichgesetzt.

Tabelle 481: Emissionsfaktoren 2015 für Flugbenzin

	EF		Bemerkung zur Quelle oder Berechnung
	[g/kg]	[kg/TJ]	
CO_2	3.048,00	70.000	Tier1-default-EF gemäß (IPCC, 2006: Table 3.6.4)
CH_4	0,36	8,21	entspricht EF für Kerosin, LTO/national
N_2O	0,10	2,33	entspricht EF für Kerosin, Cruise/national
SO_2	0,02	0,51	entspricht 1/10 des EF für Kerosin, Cruise/national
NO_X	11,76	270,15	entspricht EF für Kerosin, Cruise/national
NMVOC	7,98	183,36	Tier3-EF aus EF(HC) minus EF(CH_4)
CO	660,69	15.173	Tier3-EF, berechnet in TREMOD-AV

Quelle: ÖKO-INSTITUT (2015)

216 Email- Kommunikation mit Herrn Winkler vom Mineralölwirtschaftsverband, 8.Juni 2009

Tabelle 482: Übersicht der Emissionsfaktoren für Kerosin

in g/kg	1990	1995	2000	2001	2002	2003	2004	2005	2006	2007	2008	2009	2010	2011	2012	2013	2014	2015
1.A.3.a - übergreifend																		
CO_2									3.150									
SO_2	1,08	0,66	0,36	0,35	0,33	0,31	0,29	0,27	0,25	0,24	0,22	0,20	0,20	0,20	0,20	0,20	0,20	*0,20*
National, LTO-Zyklus																		
CH_4									0,35									
N_2O									0,12									
NO_X	11,73	11,47	12,04	12,03	11,75	11,46	11,39	11,20	11,12	11,19	11,62	12,07	12,24	12,17	12,26	12,41	12,42	*12,42*
NMVOC	2,03	1,18	0,90	0,80	0,83	0,80	0,83	0,87	0,83	0,90	0,86	0,74	0,67	0,72	0,73	0,76	0,782	*0,782*
CO	12,26	12,27	11,69	11,56	11,82	12,08	12,02	12,15	12,01	11,75	11,41	10,64	10,39	10,60	10,52	10,036	9,921	*9,921*
National, Reiseflug (Cruise)																		
CH_4									0,00									
N_2O									0,10									
NO_X	16,03	15,95	16,32	16,21	16,15	15,95	15,68	15,56	15,50	15,88	16,60	17,00	17,22	17,20	17,47	18,07	18,14	*18,14*
NMVOC	0,48	0,52	0,53	0,51	0,54	0,53	0,56	0,47	0,41	0,39	0,39	0,38	0,38	0,37	0,37	0,40	0,40	*0,40*
CO	4,21	4,40	4,29	4,01	3,98	3,91	3,87	3,75	3,70	3,47	3,43	3,55	3,64	3,68	3,55	3,16	3,204	*3,204*
National, Reiseflug (Cruise)																		
CH_4									0,13									
N_2O									0,09									
NO_X	12,45	12,20	12,20	12,29	12,33	12,43	12,50	12,55	12,59	12,72	12,80	13,08	13,34	13,33	13,48	13,70	13,80	*13,80*
NMVOC	3,14	3,09	2,00	1,87	1,98	1,89	1,61	1,44	1,38	1,29	1,28	1,14	1,00	1,03	0,98	0,88	0,82	*0,82*
CO	11,82	10,93	10,96	10,80	10,68	10,56	10,44	10,29	10,27	10,08	10,09	10,02	9,85	9,86	9,77	9,50	9,35	*9,35*
International, Reiseflug (Cruise)																		
CH_4									0,00									
N_2O									0,10									
NO_X	15,47	14,86	14,46	14,50	14,53	14,62	14,66	14,75	14,79	14,93	15,01	15,22	15,57	15,65	16,01	16,287	16,48	*16,48*
NMVOC	0,35	0,25	0,20	0,19	0,18	0,19	0,18	0,17	0,17	0,17	0,17	0,17	0,16	0,16	0,15	0,15	0,15	*0,15*
CO	2,12	1,86	1,68	1,63	1,58	1,55	1,47	1,45	1,45	1,43	1,40	1,40	1,39	1,37	1,35	1,33	1,31	*1,31*

Quelle: ÖKO-INSTITUT (2015)

19.1.3.1.2 Detailübersicht der für Aktivitätsdaten und Emissionsfaktoren zugrunde gelegten Unsicherheiten (1.A.3.a)

Tabelle 483: Übersicht der zu berücksichtigen Teilunsicherheiten der Aktivitätsraten und Emissionsfaktoren

Einzelkompo-nenten		Teil-Unsicherh eiten		AR (Kerosin & Flugbenzin)		SF (LTO/ Cruise)		AR (Kerosin)LTO bzw. Cruise		EM (CO_2) LTO und Cruise		EM (CH_4) LTO und Cruise		EM (N_2O) LTO und Cruise		EM (SO_2) LTO und Cruise		EM (H_2O) LTO und Cruise		restl. EM LTO + Cruise		**Quelle / Begründung der Annahmen**
		[%]		Ges.	n / i	n	i	n	i	n	i	n	i	n	i	n	i	n	i	n	i	
AR von AGEB und BAFA		-5	5	x	x																	Öko-Institut / DIW 2007. Hier werden die höheren Unsicherheiten der Energiebilanz verwendet. Die Unsicherheiten der BAFA-Daten liegen bei +3, -1% (konservativ durch den Ansatz der Unsicherheiten der Mineralölstatistik, die auf den BAFA-Daten basiert.)
Splitfaktor SF n <> i		-10	10		x																	berechnet
AR (Kerosin)	n & i	-11	11					x	x													berechnet
Daten des Statistischen Bundesamtes zu Flugbewegungen	n	-0,1	0,1			x																Die Luftfahrtstatistik beruht auf dem Verkehrsstatistikgesetz. Erhoben werden die Angaben zu §§ 12, 13 VerkStatG. Nach diesem Gesetz ist die gesamte zivile Luftfahrt, die mit Flugzeugen, Hubschraubern, Luftschiffen, Motorseglern, Segelflugzeugen und bemannten Ballonen betrieben wird, in die Erhebung einzubeziehen, soweit davon die Flugplätze in Deutschland berührt werden.
	i	-0,1	0,1				x															
Realdistanz-zuschlag	n & i	-3	3			x	x															Die Daten des StBA liegen nach Großkreisentfernungen vor. Es wurde ein Umwegfaktor für die Cruise-Flugphase verwendet, um die tatsächlich geflogenen Strecken abzuschätzen (s. IFEU und Öko-Institut 2010).
Zuordnung von Verbrauchswerten für Kerosin zu Flugzeugtypen	n	-5	5			x																Flugzeugtypen nach StBA werden Emissionsfaktoren aus der EMEP-EEA Datenbank zugewiesen.Dabei gibt es vier Qualitätsstufen der Zuweiseung:a) direkt, b) über ähnliche Typen, c) über Regressionsfunktionen abh. vom Startgewicht und d) pauschale EF.
	i	-5	5				x															
SF (LTO/Cruise)	n	-6	6					x														berechnet
	i	-6	6						x													berechnet
AR (Kerosin) LTO bzw. Cruise	n	-13	13							x		x		x		x		x		x		berechnet
	i	-13	13								x		x		x		x		x		x	berechnet
Emissions-faktoren (EF)	CO_2	5	5							x	x											2006 IPCC GL (Band 2, Kap. 3.6 - Civil aviation, S. 3.69), geringe Unsicherheit, da EF nur vom C-Gehalt des Brennstoffs abhängig ist.
	CH_4	-57	100									x	x									2006 IPCC GL (Band 2, Kap. 3.6 - Civil aviation, S. 3.69), abh. von Technologie und damit große Unsicherheit bei Vereinheitlichung durch Tier 1 Ansatz
	N_20	-70	150											x	x							
	SO_2	-10	10													x	x					Emissionsfaktor ist nur von Brennstoffeigenschaften abhängig (Schwefelgehalt).
	H_2O	-5	5															x	x			Emissionsfaktor ist nur von Brennstoffeigenschaften abhängig. Niedrige Werte - 4,9 bis 1,6 bei (EUROCONTROL, 2004, S.49)
restliche EF	n & i	-10	10																	x		Annahme - für NO_x, HC und CO erfolgt eine Berechnung eines durchschnittlichen EF durch TREMOD, auf Basis der EF für einzelne Flugzeugtypen
																					x	
Gesamt-Unsicherheit. *oben*				+5	+11	+6	+6	+13	+13	+14	+14	+58	+58	+71	+71	+16	+16	+14	+14	+16	+16	
Gesamt-Unsicherheit. *unten*				-5	-11	+6	-6	-13	-13	-14	-14	-101	-101	-150	-150	-16	-16	-14	-14	-16	-16	

n = nationaler Anteil, i = internationaler Anteil

Quelle: ÖKO-INSTITUT (2009)

19.1.3.2 Ableitung der Aktivitätsraten zum Straßenverkehr (1.A.3.b)

19.1.3.2.1 Abgleich auf die Energiebilanz

Als Basis der ZSE-Datenerfassung des Straßenverkehrs wird der Endenergieverbrauch entsprechend den Angaben der Arbeitsgemeinschaft Energiebilanzen zugrunde gelegt. Die Summe der Aktivitätsraten der einzelnen Strukturelemente muss für jedes Jahr den Angaben der Energiebilanz in TJ entsprechen. Die Eckdaten der Energiebilanz sind in folgender Tabelle 484 dargestellt.

Tabelle 484: Energieeinsatz im Straßenverkehr 1990-2015

	Benzin	Diesel	Biokraftstoffe	Erd- & Flüssigg.	Petroleum	Schmierstoffe a
Energieeinsatz gemäß Energiebilanzen 1990-2015 (Stand: 10/2016) in TJ						
1990	1.330.479	735.920	0	138	0	2.416,41
1991	1.332.285	785.174	0	137	0	1.387,13
1992	1.344.129	853.502	0	229	0	1.283,70
1993	1.350.617	907.787	0	184	473	885,23
1994	1.276.637	932.060	0	184	559	364,85
1995	1.299.982	964.013	1.504	138	610	335,05
1996	1.299.879	964.580	2.046	115	638	294,50
1997	1.297.487	979.586	3.652	106	357	232,72
1998	1.300.463	1.022.794	4.081	106	637	200,96
1999	1.300.602	1.097.036	5.370	100	637	123,02
2000	1.237.055	1.108.105	12.276	94	414	89,36
2001	1.199.318	1.097.416	16.740	98	471	85,69
2002	1.166.381	1.105.842	20.460	607	472	81,56
2003	1.108.989	1.078.352	29.948	694	0	82,93
2004	1.072.720	1.110.931	39.950	1.887	0	88,27
2005	992.377	1.078.620	78.641	5.484	0	88,18
2006	930.834	1.082.042	143.583	9.051	0	91,49
2007	892.982	1.073.987	155.297	14.787	0	87,26
2008	854.002	1.102.623	125.721	22.796	0	89,54
2009	829.227	1.114.939	113.066	32.285	0	91,04
2010	791.416	1.168.063	119.463	30.591	0	87,60
2011	787.803	1.197.252	115.102	32.384	0	90,40
2012	742.000	1.223.718	118.565	32.401	0	87,89
2013	741.150	1.283.637	107.274	30.466	0	88,32
2014	744.661	1.296.828	111.397	28.936	0	90,12
2015	712.855	1.338.988	103.937	27.284	0	87,17

Quellen: Auswertetabellen der Energiebilanzen, Mineralöl-Zahlen des Mineralölwirtschaftsverbandes MWV (2016) und Amtliche Mineralöldaten.

[a] als Bestandteil von Zweitakter-Kraftstoffgemisch 1:50

Die Energiebilanz wird auch zur Modellierung der Verkehrsmengengerüste in TREMOD herangezogen. So führt das DIW zur Ableitung der Gesamtfahrleistung eine Kraftstoffverbrauchsberechnung durch (DIW, 2002). Die Ergebnisse der Berechnung werden für den PKW-Verkehr z.T. in TREMOD übernommen. Da das DIW mit der Kraftstoffverbrauchsberechnung die Inländerfahrleistung abbildet, werden in TREMOD zur Abschätzung der Inlandsfahrleistung - insbesondere für den Güterverkehr - z.T. andere Quellen und Annahmen verwendet (siehe ausführliche Beschreibung in IFEU, 2002). Auch diese Abschätzung berücksichtigt die Eckwerte der Energiebilanz.

Allerdings ist es aufgrund der zahlreichen Abhängigkeiten und Unsicherheiten in der Modellierung sowie der zu berücksichtigenden Eckdaten nicht mit vernünftigem Aufwand möglich, Fahrleistung und Energieverbrauch für jedes Jahr und jede Fahrzeugschicht so abzugleichen, dass die Ergebnisse einerseits die Summe der Energiebilanz ergeben und andererseits die Fahrleistungen und durchschnittlichen Energieverbräuche in der Zeitreihe plausibel sind. Aus diesem Grunde werden die TREMOD-Ergebnisse für den Energieverbrauch am

Ende so korrigiert, dass sie jedes Bezugsjahr in der Summe den Werten der Energiebilanz entsprechen.

Da TREMOD den Energieverbrauch in Tonnen berechnet müssen die Ergebnisse zunächst in [TJ] umgerechnet werden. Dazu werden die Heizwerte der Arbeitsgemeinschaft Energiebilanzen angesetzt (siehe Tabelle 485).

Tabelle 485: Heizwerte für Otto- und Dieselkraftstoff

Geltungszeitraum	Ottokraftstoff	Dieselkraftstoff
1990-1992	43,543 MJ/kg	42,704 MJ/kg
ab 1993	43,543 MJ/kg	42,960 MJ/kg

Quelle: Arbeitsgemeinschaft Energiebilanzen (AGEB)

Die Korrekturfaktoren werden in TREMOD separat für die einzelnen Fahrzeugkategorien wie folgt abgeleitet:

- Zunächst wird ein Korrekturfaktor für Ottokraftstoff aus dem berechneten Ottokraftstoff-Verbrauch aller Fahrzeugkategorien und dem Absatz an Ottokraftstoff gemäß der Energiebilanz abgeleitet.
- Der Korrekturfaktor für den Ottokraftstoff wird auch für Diesel verbrauchende Fahrzeuge der PKW und sonstigen Fahrzeuge ≤ 3,5 t (Leichte Nutzfahrzeuge (LNF), Wohnmobile, motorisierte Zweiräder (MZR)) zur Kraftstoffanpassung an die Energiebilanz verwendet.
- Die Differenz zwischen dem korrigierten Dieselkraftstoff-Verbrauch der PKW sowie der sonstigen Fahrzeuge ≤ 3,5 t und der Energiebilanz wird den schweren Nutzfahrzeugen und Bussen zugeordnet.
- Der Korrekturfaktor für die schweren Nutzfahrzeuge und Busse berechnet sich damit aus deren nach dem Inlandsprinzip berechneten Energieverbrauch und der für diese Gruppe berechneten Differenz zur Energiebilanz.

Die folgende Tabelle fasst die verwendeten Anpassungsfaktoren zusammen.

Tabelle 486: Korrekturfaktoren zur Anpassung an die Energiebilanz

	Geltungs-bereich	**Ottokraftstoffe** (inkl. Bio-Ethanol)	**Dieselkraftstoff** (inkl. Biodiesel)	
		PKW, LNF, MZR	***PKW, LNF***	***SNF, Busse***
1990	ABL	1,035	1,035	1,126
1990	NBL	1,051	1,051	1,390
1991	ABL	1,032	1,032	1,084
1991	NBL	1,050	1,050	0,983
1992	ABL	1,035	1,035	1,166
1992	NBL	0,990	0,990	1,169
1993	ABL	1,039	1,039	1,277
1993	NBL	0,970	0,970	1,126
1994	ABL	0,981	0,981	1,181
1994	NBL	0,981	0,981	1,181
1995	D	0,993	0,993	1,205
1996	D	0,994	0,994	1,183
1997	D	0,991	0,991	1,186
1998	D	0,984	0,984	1,247
1999	D	0,987	0,987	1,305

	Geltungs-bereich	Ottokraftstoffe (inkl. Bio-Ethanol)	Dieselkraftstoff (inkl. Biodiesel)	
		PKW, LNF, MZR	*PKW, LNF*	*SNF, Busse*
2000	D	0,957	0,957	1,334
2001	D	0,944	0,944	1,236
2002	D	0,939	0,939	1,193
2003	D	0,926	0,926	1,134
2004	D	0,933	0,933	1,080
2005	D	0,923	0,923	1,074
2006	D	0,919	0,919	1,090
2007	D	0,916	0,916	1,032
2008	D	0,918	0,918	1,021
2009	D	0,912	0,912	1,056
2010	D	0,901	0,901	1,088
2011	D	0,912	0,912	1,054
2012	D	0,891	0,891	1,127
2013	D	0,914	0,914	1,143
2014	D	0,934	0,934	1,076
2015	D	0,908	0,908	1,110

Anmerkung: 1994 Korrekturfaktoren ABL und NBL wie in D gesamt

19.1.3.2.2 Zuordnung von Bio-Kraftstoffen, Petroleum sowie Erd- und Flüssiggas auf die Strukturelemente

Die Energiebilanz enthält für die einzelnen Verkehrsträger auch Angaben zu Biomasse sowie weiteren Kraftstoffen. Diese werden wie folgt weiter zugeordnet:

- Biodiesel und Bioethanol werden gemäß dem Anteil des jeweiligen Verkehrsträgers am Verbrauch des entsprechenden fossilen Kraftstoffs aufgeteilt.
- Petroleum wird den Bussen auf Außerortsstraßen entsprechend ihrem Anteil am Verbrauch von konventionellem Dieselkraftstoff zugeordnet.

19.1.3.2.3 Aktivitätsrate für Verdunstung

Als Aktivitätsrate für die Verdunstungsemissionen wird der gesamte Ottokraftstoff-Verbrauch *innerorts* angesetzt, bei Mopeds der *Gesamtverbrauch*. Es werden die Energiebilanz-korrigierten Werte verwendet.

19.1.3.3 Ableitung der Emissionsfaktoren

19.1.3.3.1 Emissionsfaktoren aus TREMOD

Im ZSE werden für *Antrieb* und *Verdunstung* aus spezifischeren TREMOD-Daten erzeugte implizite Emissionsfaktoren in [kg/TJ] bzw. [kg/t] angegeben. Für Ottokraftstoffe und Diesel können diese Werte direkt aus TREMOD abgeleitet werden. Hierfür werden die Emissionen in [t] sowie der Energieeinsatz in [TJ] (umgerechnet aus den Ergebnissen „Energieverbrauch in t“ mit den Heizwerten nach Tabelle 485) aus den TREMOD-Ergebnissen abgeleitet und entsprechend zugeordnet. Die impliziten Emissionsfaktoren (IEF) ergeben sich als Quotient aus den spezifischen Emissionen in [t] dividiert durch den spezifischen Energieverbrauch in [TJ].

$$IEF\ [kg\ pro\ TJ]_{\ Inventar} = EM\ [kg]_{\ spezifisch,\ TREMOD} \div AR\ [TJ]_{\ spezif.\ Verbrauch,\ TREMOD}$$

Hinsichtlich der impliziten Emissionsfaktoren für die Verdunstung wird analog vorgegangen:

$$IEF\ [kg\ pro\ t]_{\ Inventar} = EM\ [kg]_{\ spezifisch,\ TREMOD} \div AR\ [t]_{\ spezif.\ Verbrauch,\ TREMOD}$$

Grundsätzlich werden für diese Ableitung die nicht auf die Energiebilanz korrigierten TREMOD-Daten verwendet. Eine Verwendung der korrigierten Emissionen und Energieverbräuche würde allerdings, da sich der Korrekturfaktor bei der Berechnung der IEF gemäß

$$EM_{korr.} \div AR_{korr.} = EM_{TREMOD} \div AR_{TREMOD}$$

aufhebt, zu identischen Ergebnissen führen.

19.1.3.3.2 Emissionsfaktoren für Biodiesel, Bio-Ethanol, Petroleum, Erd- und Flüssiggas

Die Emissionsfaktoren für Biodiesel und Petroleum werden durchweg denjenigen von konventionellem Diesel gleichgesetzt. Die Emissionsfaktoren von Bioethanol werden denjenigen von konventionellem Ottokraftstoff gleichgesetzt.

Ausnahmen:

- Als EF(CO_2) von Biodiesel wird mit 70,8 t/TJ ein default gemäß 2006 IPCC GL (Band 2, Kap. 2 - Stationary Combustion, S. 2.20, Tab. 2.4) angesetzt.
- Der EF(SO_2) von Petroleum wird in den Jahren, in denen Dieselkraftstoff einen höheren Wert aufweist, mit 24 kg/TJ angesetzt. In allen anderen Jahren wird der niedrigere Wert von Dieselkraftstoff übernommen.

Wie für Diesel und Ottokraftstoff werden auch für Flüssig- und Erdgas die Emissionsfaktoren aus dem „Handbuch für Emissionsfaktoren des Straßenverkehrs 3.2“ verwendet.

19.1.3.4 Ableitung der Daten für West- und Ostdeutschland 1994

In TREMOD wird zwischen alten und neuen Bundesländern nur bis zum Jahr 1993 unterschieden. Da das ZSE eine Differenzierung auch für 1994 erfordert, muss eine Aufteilung mit vereinfachten Annahmen erfolgen. Randbedingungen sind:

- Die Aktivitätsraten für den Antrieb müssen in der Summe den Werten der Energiebilanz (jeweils alte und neue Bundesländer) entsprechen.
- Die Emissionen, die sich durch Verknüpfung der Aktivitätsraten und Emissionsfaktoren ergeben, müssen im Gesamtergebnis den TREMOD-Ergebnissen für Deutschland entsprechen.

Unter diesen Randbedingungen kann eine Aufteilung nur unter den folgenden Annahmen vorgenommen werden:

- Die EF(ZSE) für alte und neue Bundesländer werden so angesetzt, wie für Deutschland insgesamt (TREMOD) im Jahr 1994.
- Die Anteile der einzelnen ZSE-Fahrzeugschichten an den Aktivitätsraten werden für alte und neue Bundesländer jeweils gleich angesetzt und entsprechen denen von Deutschland insgesamt im Jahr 1994.

Mit diesen Annahmen werden die genannten Randbedingungen erfüllt. Nicht erfüllt wird eine dritte Randbedingung: Die Plausibilität der Emissionsergebnisse in der Zeitreihe jeweils für alte bzw. neue Bundesländer.

19.1.4 CO_2-Emissionen aus der Schmierstoff-Mitverbrennung in Verkehrsträgern und weiteren mobilen Quellen

Innerhalb des deutschen Treibhausgas-Inventars werden für sämtliche mobilen Quellen CO_2-Emissionen aus der Schmierstoff-Mitverbrennung erfasst. Gemäß den Anforderungen an die Emissionsberichterstattung werden dabei auf Zweitakt-Ottomotoren entfallenden Emissionen

direkt der jeweiligen Emissionsquelle zugeordnet, da hier der Schmierstoff als Teil des Kraftstoffes (Zweitakter-Gemisch) betrachtet wird. Alle nicht von Zweitaktern verursachten Mitverbrennungs-Emissionen werden dagegen unter CRF 2.D.1 (Produktanwendung) berichtet.

19.1.4.1 CO_2-Emissionen aus der Schmierstoff-Mitverbrennung in Zweitakt-Ottomotoren

Für die gesamte Zeitreihe ab 1990 wird vereinfacht davon ausgegangen, dass das in Deutschland getankte Zweitakt-Gemisch aus 49 Teilen Ottokraftstoff und einem Teil Schmiermittel zusammengesetzt ist (Gemisch 1:50). Zumindest für die Mehrzahl der Zweitakt-Fahrzeuge stellt dieses Mischungsverhältnis seit den Achtzigerjahren den Standard dar. Zu Motoren, die mit einem Verhältnis von 1:100 auskommen (neuere mobile Geräte wie Kettensägen, Rasenmäher etc.) liegen keine belastbaren Anwendungsdaten vor.

Zweitakt-Fahrzeuge kommen aktuell in Form von Mopeds und kleineren Motorrädern lediglich im Straßenverkehr zum Einsatz. Bis Ende der Neunzigerjahre bestand zudem ein Teil der PKW- und Nutzfahrzeug-Flotte aus noch in der DDR produzierten Zweitaktern.

Innerhalb TREMOD liegen entsprechende separate Verbrauchsangaben für PKW und leichte Nutzfahrzeuge (bis 1999) sowie Mopeds und Zweiräder vor.

Angaben zum Einsatz *mobiler Zweitakt-Geräte* stehen aktuell sowohl für Haushalte (1.A.4.b ii) als auch die Forstwirtschaft (1.A.4.c ii) aus TREMODD MM heraus zur Verfügung.

Die Angaben zum Ottokraftstoffverbrauch im Straßenverkehr wie auch in den mobilen Quellen in Gewerbe, Handel und Dienstleistungen bzw. in den Haushalten entsprechen den Angaben der Energiebilanz. Um die auf Zweitakter entfallenden Kraftstoffverbräuche vollständig abzubilden, müssen daher – gemäß dem Mischungsverhältnis von 1:50 – die Mengen zusätzlich getankter Schmierstoffe berechnet werden. Ausgehend von einem Anteil r_V von 2 Volumen-% muss dazu, über das Verhältnis der mittleren Dichten (ρ) und Heizwerte (H_i) beider Komponenten, der auf die Energiemenge in [TJ] bezogene Anteil r_E ermittelt werden:

$$r_{E\%} = r_{V\%} \times \frac{\rho_{Schmierstoff}}{\rho_{Kraftstoff}} \times \frac{\mathrm{H_{i_{Schmierstoff}}}}{\mathrm{H_{i_{Kraftstoff}}}}$$

$$r_{E\%} = 2\,\% \times \frac{0{,}875\ \frac{\mathrm{kg}}{\mathrm{l}}}{0{,}750\ \frac{\mathrm{kg}}{\mathrm{l}}} \times \frac{40{,}000\ \frac{\mathrm{kJ}}{\mathrm{kg}}}{43{,}543\ \frac{\mathrm{kJ}}{\mathrm{kg}}} = 2{,}1435\,\%$$

Aus den jährlich auf Zweitakter entfallenden Energieeinsätzen in [TJ] und Anteil r_E werden dann die als Teil des Zeitaktgemisches mitverbrannten Schmierstoffmengen in [TJ] berechnet. Die CO_2-Emissionen aus der Schmieröl-Mitverbrennung in Zweitaktern des Straßenverkehrs können somit gesondert ausgewiesen werden.

Hinsichtlich mobiler Maschinen und Geräte wird keine gesonderte Schmierstoffmenge in [TJ] berechnet, sondern vereinfacht der auf diese Zweitakter entfallende Energieeinsatz um 2,1435 % nach oben korrigiert. Die CO_2-Emissionen aus der Schmieröl-Mitverbrennung in Zweitaktern in mobilen Maschinen und Geräten sind damit in den Gesamtemissionen der entsprechenden Sektoren enthalten.

Emissionsfaktoren

Um die CO_2-Emissionen aus dem verbrannten Zweitakt-Gemisch im Inventar abzubilden, wurden für die gesamte Zeitreihe gewichtete impliziten Emissionsfaktoren gebildet, die zu 49/50 aus dem jahresspezifischen EF(CO_2) für Ottokraftstoff (bzw. dem tier1-EF für Bioethanol) sowie zu 1/50 aus dem default-Wert von 73.300 kg CO_2/TJ für Schmierstoff gemäß 2006 IPCC GL (Band 2, Kap.

2 - *Stationary Combustion*, S. 2.20, Tab. 2.4) zusammengesetzt sind. Diese IEF inkl. 2 Vol.% Schmierstoff liegen damit geringfügig über den für die reinen Kraftstoffe (Ottokraftstoff, Bioethanol) angesetzten Werten.

Tabelle 487: Ableitung der EF(CO_2) für Zweitaktgemische, in kg/TJ

	1990	1995	2000	2005	2010	2011	2012	2013	2014	2015
Ottokraftstoffe	73.069	73.075	73.094	73.103	73.119	73.025	73.088	73.091	73.091	73.105
Bioethanol						71.607				
Schmierstoffe [a]						73.300				
Zweitaktmix fossil	73.074	73.079	73.098	73.107	73.123	73.030	73.093	73.095	73.095	73.109
Zweitaktmix biogen						71.641				

Quelle: eigene Berechnungen

[a] Default-Emissionsfaktor gemäß 2006 IPCC GL (Band 2, Kap. 2 - *Stationary Combustion*, S. 2.20, Tab. 2.4)

Die aus der Schmierstoff-Mitverbrennung in Zweitakt-Ottomotoren resultierenden CO_2-Emissionen sind damit bereits in den für die betreffenden Sektoren (1.A.3.b - Straßenverkehr, 1.A.4.b ii - Haushalte, 1.A.4 c ii (ii) - Forstwirtschaft) berichteten Emissionen enthalten und werden innerhalb der CRF-Tabellen nicht gesondert ausgewiesen. Tabelle 488 gibt daher lediglich einen Überblick dieser CO_2-Emissionen:

Tabelle 488: CO_2 aus in Zweitakt-Ottomotoren mitverbrannten Schmierstoffen, in kt

	1990	1995	2000	2005	2010	2011	2012	2013	2014	2015
1.A.3.b	176,58	24,49	6,53	6,45	6,41	6,60	6,42	6,46	6,59	6,37
1.A.4.b ii	2,28	1,76	1,17	1,10	1,40	1,65	1,55	1,41	1,48	1,39
1.A.4.c ii	4,52	4,39	4,86	4,47	2,37	2,06	0,60	0,59	0,63	0,60
Summe	**183,38**	**30,64**	**12,57**	**12,02**	**10,17**	**10,31**	**8,58**	**8,45**	**8,69**	**8,37**

Quelle: eigene Berechnungen, basierend auf (IFEU, 2016a & b)

Kohlendioxid aus der Schmierstoff-Mitverbrennung in Viertakt-Ottomotoren sowie sonstigen Motoren in Verkehrsträgern und mobilen Maschinen und Geräten wird dagegen als Emission aus der Produktanwendung separat unter CRF 2.D.1 berichtet. (siehe folgendes Kapitel)

19.1.4.2 CO_2-Emissionen aus der Schmierstoff-Mitverbrennung in Viertakt-Ottomotoren sowie sonstigen Motoren in Verkehrsträgern und mobilen Quellen

Da hinsichtlich der Schmierstoff-Mitverbrennung in Viertakt-Ottomotoren sowie sonstigen Motoren in mobilen Quellen nur unvollständige Daten zu insgesamt eingesetzten Schmierstoffmengen vorliegen, werden die mitverbrannten Mengen weitestgehend auf Basis von Angaben des *Verbandes der Schmierstoff-Industrie e. V.* (VSI) aus den eingesetzten Kraftstoffmengen berechnet.

Gemäß (VSI, 2014) werden in den verschiedenen Einsatzbereichen folgende auf die jeweils eingesetzten Kraftstoffmengen bezogenen Mitverbrennungsanteile erreicht:

Tabelle 489: Übersicht der verwendeten spezifischen Mitverbrennungsanteile

Sektor	Kraftstoff	Anteil	Quelle / Anmerkung
1.A.2.g vii	OK	0,00 %	Annahme, basierend auf (VSI, 2014)
	DK	0,10 %	
1.A.3.a, 1.D.1.a, 1.A.5.b ii	Ke & FB	0,01 %	Flugbenzin: analog zu Kerosin
1.A.3.b	alle	-	Berechnung anhand TREMOD
1.A.3.c	DK	0,05 %	
1.A.3.d, 1.D.1.b. 1.A.4.c iii, 1.A.5.b iii	DK & HOS	0,15 %	Schweröl: analog zu Diesel
1.A.4.a ii	DK	0,10 %	analog zu 1.A.3.b
	LPG	0,10 %	analog zu 1.A.3.b
1.A.4.b ii	OK	0,00 %	Annahme, basierend auf (VSI, 2014)
1.A.4.c ii (i)	OK	0,00 %	Annahme, basierend auf (VSI, 2014)
	DK	0,10 %	analog zu 1.A.3.b
1.A.4.c ii (ii)	DK	0,10 %	analog zu 1.A.3.b
1.A.5.b i	OK	0,00 %	Annahme, basierend auf (VSI, 2014)
	DK	0,15 %	analog zu 1.A.3.d: Berücksichtigung schwere Panzerfahrzeuge
	HOS	0,15 %	analog zu Diesel

OK: Ottokraftstoffe (inkl. Bioethanol), nur Viertakter; DK: Dieselkraftstoffe (inkl. Biodiesel), Ke: Kerosin; FB: Flugbenzin; HOS: Schweröl; LPG: Flüssiggas

Anhand der in den einzelnen Sektoren in Nicht-Zweitaktern eingesetzten Energiemengen und die Mitverbrennungsanteile gemäß VSI werden die Mengen mitverbrannter Schmierstoffe ermittelt, aus denen wiederum über den einheitlichen Emissionsfaktor von 73.300 kg CO_2 / TJ die sektorspezifischen Kohlendioxid-Emissionen aus der Schmierstoff-Mitverbrennung berechnet werden, die sind in nachfolgender Tabelle dargestellt sind.

Tabelle 490: Kohlendioxid aus mitverbrannten Schmierstoffen, in kt (vgl. CRF 2.D.1)

	1990	1995	2000	2005	2010	2011	2012	2013	2014	2015
1.A.2.g vii	3,57	3,58	3,39	2,77	2,95	3,14	2,85	2,94	3,10	3,27
1.A.3.a	0,24	0,24	0,28	0,25	0,26	0,26	0,24	0,22	0,22	0,22
1.A.3.b	86,21	103,61	113,54	117,27	120,43	122,62	122,65	123,64	126,02	128,62
1.A.3.c	1,41	1,14	0,93	0,68	0,57	0,58	0,53	0,53	0,48	0,46
1.A.3.d	5,31	4,17	2,99	2,86	2,53	2,60	2,61	2,62	2,78	2,68
1.A.4.a ii	0,77	0,72	0,78	0,80	0,88	0,87	0,88	0,89	0,91	0,93
1.A.4.b ii	*hier nur Einsatz von Zweitaktern*									
1.A.4.c ii	4,39	3,66	3,65	3,47	3,81	3,78	3,72	3,85	4,00	4,23
1.A.4.c iii	0,08	0,06	0,06	0,06	0,06	0,05	0,05	0,05	0,05	0,05
1.A.5.b i	1,65	0,88	0,15	0,38	0,12	0,07	0,11	0,08	0,08	0,07
1.A.5.b ii	0,28	0,12	0,07	0,02	0,02	0,03	0,01	0,02	0,02	0,03
1.A.5.b iii	0,11	0,07	0,06	0,05	0,04	0,04	0,04	0,04	0,04	0,03
NATIONAL	***104,04***	***118,26***	***125,90***	***128,59***	***131,66***	***134,04***	***133,68***	***134,87***	***137,71***	***140,58***
1.D.1.a	1,20	1,48	1,91	2,27	2,40	2,28	2,48	2,53	2,43	2,43
1.D.1.b	8,93	7,61	8,21	9,91	11,39	11,22	10,31	9,21	9,09	9,77

Quelle: eigene Berechnungen

19.1.5 CO_2-Emissionen aus dem Einsatz von AdBlue® in Straßenverkehr und Off-Road-Fahrzeugen

Seit 2005 kommen in Deutschland zunehmend Fahrzeuge zum Einsatz, die mit einem SCR-Katalysator ausgerüstet sind. In diesen Katalysatoren zur reduktiven Minderung von NO_x-

Emissionen kommt eine wässrige Harnstofflösung[217] zum Einsatz, bei deren chemischer Umwandlung Kohlendioxid frei wird. In Deutschland wird dazu nahezu ausschließlich das Produkt AdBlue® verwendet (VDA, 2014).

Da aktuell keine umfassenden Statistiken oder Marktstudien zum AdBlue®-Absatz oder die durch AdBlue® entstehenden CO_2-Emissionen vorliegen, erfolgte in 2013 eine Erhebung durch das ifeu Institut in Heidelberg (IFEU, 2013). Im Rahmen der Erhebung wurden anhand der Angaben zum Kraftstoffverbrauch mit SCR-Katalysatoren ausgerüsteter Fahrzeuge die eingesetzten AdBlue®-Mengen modelliert und die resultierenden CO_2-Emissionen berechnet.

Tabelle 491: modellierte AdBlue®- Einsatzmengen, in kt

	2005	2006	2007	2008	2009	2010	2011	2012	2013	2014	2015
PKW	0,0	0,0	0,0	0,1	0,7	2,2	4,9	9,0	17,4	33,4	57,8
leichte Nutzfahrzeugen	0,0	0,0	0,0	0,0	0,0	0,0	0,0	0,0	0,0	0,0	0,9
schwere NFZ: LKW	4,7	24,1	75,5	147,9	183,6	230,5	271,8	310,4	347,8	390,0	436,8
schwere NFZ: Busse	0,1	0,5	2,1	4,6	7,2	8,6	9,6	14,6	16,0	18,8	21,7
andere Kfz	0,0	0,1	0,6	1,5	2,5	3,3	3,5	4,9	6,0	6,9	7,9
1.A.3.b	**4,8**	**24,7**	**78,2**	**154,0**	**194,0**	**244,5**	**289,8**	**339,0**	**387,2**	**449,1**	**525,2**
Baufahrzeuge etc.	0,0	0,0	0,0	0,0	0,0	0,0	0,0	0,0	0,0	2,1	8,9
Gesamt	**4,8**	**24,7**	**78,2**	**154,0**	**194,0**	**244,5**	**289,8**	**339,0**	**387,2**	**451,2**	**534,0**

Quelle: (IFEU, 2013)

Die Berechnung der resultierenden CO_2-Emissionen erfolgt anhand folgender Formel gemäß 2006 IPCC GL (Band 2, Kap. 3.2 - Road Transportation, S. 3.12, Formel 3.2.2):

$$EM_{CO_2} = AR_{AdBlue®} \times \frac{12}{60} \times \frac{32,5}{100} \times \frac{44}{12}$$

Die folgende Tabelle stellt die so für den Zeitraum 2005 bis 2013 ermittelten CO_2-Emissionen aus dem Einsatz von AdBlue® in mit SCR-Katalysatoren ausgerüsteten Fahrzeugen dar.

Tabelle 492: aus dem Einsatz von AdBlue® resultierende CO_2- Emissionen, in kt

	2005	2006	2007	2008	2009	2010	2011	2012	2013	2014	2015
PKW	0,0	0,0	0,0	0,0	0,2	0,5	1,2	2,2	4,1	8,0	13,8
leichte Nutzfahrzeuge	0,0	0,0	0,0	0,0	0,0	0,0	0,0	0,0	0,0	0,0	0,2
schwere NFZ: LKW	1,1	5,7	18,0	35,2	43,8	54,9	64,8	74,0	82,9	93,0	104,1
schwere NFZ: Busse	0,0	0,1	0,5	1,1	1,7	2,0	2,3	3,5	3,8	4,5	5,2
andere Kfz	0,0	0,0	0,1	0,4	0,6	0,8	0,8	1,2	1,4	1,6	1,9
1.A.3.b	**1,1**	**5,9**	**18,6**	**36,7**	**46,2**	**58,3**	**69,1**	**80,8**	**92,3**	**107,0**	**125,2**
Baufahrzeuge etc.	0,0	0,0	0,0	0,0	0,0	0,0	0,0	0,0	0,0	0,5	2,1
Gesamt	**1,1**	**5,9**	**18,6**	**36,7**	**46,2**	**58,3**	**69,1**	**80,8**	**92,3**	**107,5**	**127,3**

Quelle: (IFEU, 2013)

Im deutschen Treibhausgas-Inventar werden diese Emissionen gemäß Fußnote (6) zur CRF-Tabelle 2(I).A-Hs2 unter *2.D.3 – Non-energy products from fuels – Other* berichtet.

[217] mittlerer Harnstoffgehalt gemäß DIN 70070: 32,5 %

19.2 Weitere detaillierte methodische Beschreibungen für die Quellkategorie Industrieprozesse (2)

19.2.1

19.3 Weitere detaillierte methodische Beschreibungen für die Quellkategorie Landwirtschaft (3)

19.3.1 Berechnung der Emissionen zusätzlicher Tierkategorien

In den CRF-Tabellen unter IPCC (2006a) werden unter „Other Livestock“ gegenüber den früheren CRF-Tabellen zusätzliche Tierkategorien aufgeführt:

- Deer (Gehegewild),
- Rabbit (Kaninchen),
- Reindeer (Rentiere),
- Ostrich (Strauße),
- Fur-bearing animals (Pelztiere).

Rentiere werden in Deutschland nicht gehalten. Für die übrigen vier Kategorien werden in den nachfolgenden Kapiteln die Treibhausgasemissionen mit Tier-1-Verfahren exemplarisch für ein Jahr berechnet. Tabelle 493 fasst die Ergebnisse dieser Berechnungen zusammen. Diese Daten dienen als Grundlage für die Entscheidung, dass die entsprechenden Emissionen als geringfügig einzustufen sind und daher nicht im NIR berichtet werden müssen.

Tabelle 493: Gesamt-THG-Emissionen von Gehegewild, Kaninchen, Straußen und Pelztieren

	CH_4 [kt a^{-1}]	N_2O [kt a^{-1}]	CO_{2eq} [kt a^{-1}]
insgesamt	5,635	0,1119	174,20
Gehegewild	5,348	0,0829	158,42
Kaninchen	0,194	0,0143	9,09
Strauße	0,043	0,0024	1,81
Pelztiere (Nerze)	0,050	0,0122	4,88

19.3.1.1 Tierplatzzahlen

In Deutschland gibt es für Gehegewild, Kaninchen, Strauße und Pelztiere keine offizielle Erhebung der Tierzahlen. Tabelle 494 zeigt unter Angabe der verwendeten Informationsquelle Schätzungen des Statistischen Bundesamtes zum mittleren Tierbestand (Statistischen Bundesamt, Referat G 105, C. Schreiner, pers. Mitteilung, 2012). Diese Zahlen werden als durchgängig belegte Tierplätze (AAP) interpretiert (siehe Kapitel 5.1.3.2). Die FAO bietet für Kaninchen ebenfalls Zahlen an, die aber weit unter den nationalen Zahlen liegen. Daher ist der Ansatz, der hier gewählt wird, als konservativ einzustufen.

Tabelle 494: Mittlerer jährlicher Tierbestand nach Schätzungen des Statistischen Bundesamtes

	Tierbestand	Quelle
Gehegewild	264.500	Landesverbände für landwirtschaftliche Wildtierhaltung, Umfrage im Zeitraum 2008/2009
Kaninchen	440.000	Bundesverband deutscher Kaninchenfleisch- und –wollerzeuger e.V.
Strauße	7.632	Tierseuchenkasse (2012)
Pelztiere (Nerze)	63.500	Länderabfrage zur Haltung von Pelztieren (Stand März 2012)

19.3.1.2 CH_4-Emissionen aus der Verdauung

Für Strauße werden keine CH_4-Emissionen aus der Verdauung berechnet, da IPCC (2006a) keine Methodik angibt. Die Emissionsberechnung für Gehegewild, Kaninchen und Pelztiere erfolgt durch Multiplikation der Tierzahl mit dem entsprechenden Emissionsfaktor.

Für Gehegewild wird der CH_4-Default-Emissionsfaktor aus IPCC (2006a)-10.28, Table 10.10, verwendet (20 kg pl^{-1} a^{-1}).

Dagegen gibt IPCC (2006a) keinen Emissionsfaktor für Kaninchen an. Laut Fußnote 1 zur Table 10.10 auf S. 10.28 in IPCC (2006a) kann der Emissionsfaktor approximiert werden, indem man eine Tierkategorie mit ähnlichem Verdauungssystem auswählt und deren Emissionsfaktor mithilfe des mit 0,75 potenzierten Verhältnisses der Tiergewichte skaliert. Für eine solche Schätzung wurde das Pferd als Vergleichstier gewählt, da es weder Wiederkäuer (Rind, Schaf, Ziege) noch Allesfresser (Schwein) ist. Nach IPCC (2006a)-10.28, Table 10.10) wird für das Pferdegewicht mit 550 kg pro Tier gerechnet. Das Kaninchengewicht wird mit 3,0 kg angesetzt (Lebendendgewicht eines Mastkaninchens, nach LfL Bayern[218]). Mit dem CH_4-Emissionsfaktor für Pferde (18 kg pl^{-1} a^{-1}, IPCC (2006a)-10.28, Table 10.10), ergibt sich damit für Kaninchen ein CH_4-Emissionsfaktor von 0,36 kg pl^{-1} a^{-1}.

Für Pelztiere wird der von anderen Ländern (Estland, Finnland, Island, Norwegen; jeweils NIR 2014) verwendete CH_4-Emissionsfaktor von 0,1 kg pl^{-1} a^{-1} übernommen.

Tabelle 495 zeigt die beispielhaft berechneten jährlichen Emissionen aus der Verdauung bei Gehegewild, Kaninchen, Straußen und Pelztieren.

Tabelle 495: CH_4-Emissionen aus der Verdauung bei Gehegewild, Kaninchen und Pelztieren

	EF [kg pl^{-1} a^{-1}]	CH_4 [kt a^{-1}]	CO_{2eq} [kt a^{-1}]
insgesamt		5,45	136,37
Gehegewild	20,00	5,29	132,25
Kaninchen	0,36	0,16	3,96
Pelztiere (Nerze)	0,10	0,0064	0,16

19.3.1.3 CH_4-Emissionen aus dem Wirtschaftsdünger-Management

Es werden die Default-Emissionsfaktoren aus IPCC (2006a)-10.83, Table 10A-9, verwendet. Die resultierenden Emissionen sind Tabelle 496 zu entnehmen.

[218] http://www.lfl.bayern.de/itt/tierhaltung/37339/

Tabelle 496: CH_4-Emissionen aus dem Wirtschaftsdünger-Management bei Gehegewild, Kaninchen, Straußen und Pelztieren

	EF [kg pl^{-1} a^{-1}]	CH_4 [kt a^{-1}]	CO_{2eq} [kt a^{-1}]
insgesamt		0,180	4,50
Gehegewild	0,22	0,058	1,45
Kaninchen	0,08	0,035	0,88
Strauße	5,67	0,043	1,08
Pelztiere (Nerze)	0,68	0,043	1,08

19.3.1.4 N_2O-Emissionen aus dem Wirtschaftsdünger-Management

Zur Berechnung der N_2O-Emissionen aus dem Wirtschaftsdünger-Management wird die N-Ausscheidung sowie ggf. die Aufteilung der Tierpopulation auf verschiedene Haltungssysteme benötigt. Letzteres ist für Gehegewild, Kaninchen, Pelztiere und Strauße in Deutschland nicht bekannt. Es wird daher vereinfachend für Gehegewild ganzjährige Freilandhaltung und für Kaninchen, Pelztiere und Strauße eine ganzjährige Haltung in festmistbasierten Ställen angenommen. Zu den N-Ausscheidungen siehe Kapitel 19.3.1.4.1. Die resultierenden N_2O-Emissionen finden sich in Kapitel 19.3.1.4.2.

19.3.1.4.1 N-Ausscheidungen

Weder IPCC (2006a) noch EMEP (2013) geben einen Default-Wert für die N-Ausscheidung von Gehegewild an. Die nachfolgende Tabelle zeigt die N-Ausscheidungswerte der Länder, die über Gehegewild-Emissionen berichten (NIR 2012). Für die deutschen Berechnungen wurde der Wert aus Dänemark verwendet (16 kg pl^{-1} a^{-1}), da davon ausgegangen wird, dass sich die durchschnittlichen N-Ausscheidungen von Gehegewild in Dänemark und Deutschland nicht wesentlich unterscheiden. Der Wert liegt nur wenig oberhalb des Mittelwertes aller Daten in Tabelle 497 (15,1 kg pl^{-1} a^{-1}).

Tabelle 497: Gehegewild: Von anderen Ländern im NIR 2012 berichtete N-Auscheidungen N_{excr}

Gehegewild	N_{excr} [kg pl^{-1} a^{-1}]	Bemerkung
Dänemark	16	
Großbrittanien	13	
Österreich	13,1	Übernahme des Wertes für Schafe
Norwegen	12	
Russland	8,48	
Neuseeland	28,23	

Für Kaninchen gibt IPCC (2006a), S. 10.59, Table 10.19, eine Default-N-Ausscheidung von 8,1 kg pl^{-1} a^{-1} an. Dieser Wert erscheint unrealistisch, da er in der Größenordnung des Gesamtzuwachses an Lebendmasse pro Tierplatz und Jahr liegt. Letzterer berechnet sich bei jährlich ca. vier Durchgängen (n_{round}, abgeleitet aus 87 Tagen Mastdauer nach LfL Bayern[219]) und einem Lebendendgewicht von ca. 3 kg Tier^{-1} (siehe ebenfalls LfL Bayern) zu rund 12 kg pl^{-1} a^{-1}. Daher wird die N-Ausscheidung von Kaninchen auf Grundlage der tierischen N-Bilanz geschätzt, siehe Gleichung 58:

Gleichung 58: Berechnung der N-Ausscheidung von Kaninchen (N-Bilanz)

$$N_{excr,\,rabbit} = n_{round} \cdot \Delta w_{round} \cdot (x_N \cdot x_{XP,\,feed} \cdot x_{feed} - x_{N,\,ret})$$

mit

$N_{excr,\,rabbit}$ N-Ausscheidung (in kg Platz^{-1} a^{-1})

[219] http://www.lfl.bayern.de/itt/tierhaltung/37339/

n_{round}	Anzahl der Mastdurchgänge pro Jahr (in Durchgang a^{-1})
Δw_{round}	Gewichtszunahme pro Mastdurchgang (in kg Durchgang^{-1} Platz^{-1})
x_N	N-Gehalt von Rohprotein (1/6,25 kg kg^{-1})
$x_{XP, feed}$	Rohprotein-Gehalt des Futters (Frischmasse) (in kg kg^{-1})
x_{feed}	Futteraufwand (Frischmasse) pro kg Gewichtszunahme (in kg kg^{-1})
$x_{N, ret}$	spezifische N-Retention (kg kg^{-1})

In konservativer Weise wird Δw_{round} vereinfachend mit dem Mastendgewicht (siehe oben) gleichgesetzt. Der Rohproteingehalt des Futters, $x_{XP,feed,}$ liegt nach[220] bei etwa 0,17 kg kg^{-1}. Der Futteraufwand x_{feed} beträgt ca. 3,5 kg kg^{-1} (LfL Bayern). Laut DLG (2005), S.12, ist $x_{n,ret}$ = 0,03 kg kg^{-1}. Damit ergibt Gleichung 58 eine N-Ausscheidung von 0,8 kg pl^{-1} a^{-1}.

Für Strauße geben weder IPCC (2006) noch EMEP (2013) Defaultwerte für die N-Ausscheidung an. Aus den CRF-Tabellen (NIR 2012) der Länder, die über Strauße berichten, wurden die in Tabelle 11 aufgelisteten Werte entnommen.

Tabelle 498: Strauße: Von anderen Ländern im NIR 2012 berichtete N-Auscheidungen N_{excr}

Strauße	N_{excr} [kg pl^{-1} a^{-1}]	Bemerkung
Dänemark	15,6	
Norwegen	12	
Luxemburg	12	
Australien	7	N-Ausscheidung von Straußen und Emus

Für die deutschen Berechnungen wird wie bei Gehegewild der dänische Wert verwendet (15,6 kg pl^{-1} a^{-1} N).

Für Nerze gibt gibt IPCC (2006a)-10.59, Table 10.19, eine Default-N-Ausscheidung von 4,59 kg pl^{-1} a^{-1} N an.

19.3.1.4.2 Direkte N_2O-Emissionen aus dem Wirtschaftsdünger-Management

Zur Berechnung der direkten N_2O-Emissionen aus dem Wirtschaftsdünger-Management für Kaninchen und Pelztiere wird die Tierplatzzahl mit der jährlichen N-Ausscheidung pro Platz, dem nationalen deutschen N_2O-N-Emissionsfaktor für Festmist (0,013 kg kg^{-1}, VANDRÉ et al., 2013) und dem Molgewichtsverhältnis von N_2O zu N (44/28) multipliziert. Die Berechnung für Strauße erfolgt analog; als Emissionsfaktor wird allerdings der IPCC-Defaultwert 0,001 kg kg^{-1} (IPCC (2006a)-10.63, Table 10.21) verwendet. Für Gehegewild entsteht im Bereich Wirtschaftsdünger-Management keine N_2O-Emission, da die Freilandhaltung als „Weidegang" anzusehen ist; die daraus resultierenden Emissionen werden bei den direkten N_2O-Emissionen aus Böden berichtet, siehe Kapitel 19.3.1.6.

[220] http://www.meissner-widder-kaninchen.de/F_WERT_TAB1.html

Tabelle 499: Direkte N_2O-Emissionen aus dem Wirtschaftsdünger-Management bei Gehegewild, Kaninchen, Straußen und Pelztieren

	N_{excr} [kg pl^{-1} a^{-1}]	N_2O [kt a^{-1}]	CO_{2eq} [kt a^{-1}]
insgesamt		**0,013**	**3,97**
Gehegewild	16	0,000	0,00
Kaninchen	0,8	0,007	2,14
Strauße	15,6	0,0002	0,06
Pelztiere (Nerze)	4,59	0,006	1,77

19.3.1.5 Indirekte N_2O-Emissionen aus dem Wirtschaftsdünger-Management

Indirekte N_2O-Emissionen aus Auswaschung/Oberflächenabfluss werden wie bei den anderen Tieren (siehe Kapitel 5.3.1) nicht berechnet. Die Berechnung indirekter N_2O-Emissionen infolge der Deposition reaktiven Stickstoffs aus NH_3- und NO-Emissionen aus Stall und Lager wird im Folgenden beschrieben. Stickstoffeinträge aus Einstreu können dabei mangels Daten nicht berücksichtigt werden.

Zunächst werden die NH_3- und NO-Emissionen aus Stall und Lager ermittelt. Die Berechnung der NO-Emissionen erfolgt dabei analog zur Berechnung der direkten N_2O-Emissionen aus Stall und Lager (siehe Kapitel 19.3.1.4.2). Der Emissionsfaktor wird wie bei den anderen Tieren (siehe Kapitel 5.3.4.2.2) mit zehn Prozent des N_2O-Emissionsfaktors angesetzt: 0,0013 kg kg^{-1} für Kaninchen und Pelztiere bzw. 0,0001 kg kg^{-1} für Strauße.

Die NH_3-Emissionen aus dem Stall werden durch Multiplikation der ausgeschiedenen TAN-Menge (total ammoniacal nitrogen) mit dem entsprechenden Emissionsfaktor berechnet. Dabei ist die TAN-Menge das Produkt aus der N-Ausscheidung und deren relativem TAN-Gehalt. Die NH_3-Emissionen aus dem Lager sind proportional zur TAN-Menge, die nach Abzug der N-Verluste aufgrund der NH3-Emissionen aus dem Stall verbleibt. Als Proportionalitätsfaktor dient der Lager-Emissionsfaktor. Für Kaninchen und Strauße liegen keine Daten zu TAN-Gehalt und Emissionsfaktoren vor; daher wurden die entsprechenden Default-Werte für Pferde und Gänse aus EMEP (2013)-3B-27 übernommen. Die schließlich verwendeten Daten sind in Tabelle 500 aufgelistet, wobei die Emissionsfaktoren in kg NH_3-N pro kg TAN angegeben sind. Für Gehegewild entfällt die Berechnung, da es sich ganzjährig im Freien aufhält.

Tabelle 500: Eingangsdaten zur Berechnung der NH_3-Emissionen (Emissionsfaktoren [EF] in kg NH_3-N pro kg TAN

	TAN-Gehalt [%]	EF Stall [kg kg^{-1}]	EF Lager [kg kg^{-1}]	Bemerkung
Kaninchen	60	0,22	0,35	Default für Pferde, EMEP (2013)-3B-27
Strauße	70	0,57	0,16	Default für Gänse, EMEP (2013)-3B-27)
Pelztiere (Nerze)	60	0,27	0,09	Default, EMEP (2013)-3B-27

Die resultierende Deposition von reaktivem Stickstoff (N_{reac}) sowie die daraus folgenden indirekten N_2O-Emissionen sind in Tabelle 501 wiedergegeben, wobei nach IPCC (2006a)-11.24, Table 11.3, der Emissionsfaktor EF_4 = 0,01 kg N2O-N pro kg N_{reac} verwendet wurde.

Tabelle 501: Indirekte N_2O-Emissionen als Folge der Deposition reaktiven Stickstoffs aus NH_3- und NO-Emissionen aus Stall und Lager

	N_{reac} [kt a^{-1}]	N_2O [kt a^{-1}]	CO_{2eq} [kt a^{-1}]
insgesamt	**0,2169**	**0,00341**	**1,02**
Kaninchen	0,1046	0,00164	0,49
Strauße	0,0533	0,00084	0,25
Pelztiere (Nerze)	0,0591	0,00093	0,28

19.3.1.6 Direkte N_2O-Emissionen aus landwirtschaftlichen Böden

Infolge der Ausbringung des Wirtschaftsdüngers von Kaninchen, Straußen und Pelztieren sowie des Freilandaufenthalts von Gehegewild entstehen direkte N_2O-Emissionen aus landwirtschaftlichen Böden.

Die Emissionen durch Wirtschaftsdünger- Ausbringung werden berechnet, indem die jeweilige N-Menge, die nach N-Verlusten (als NH_3, N_2O, NO und N_2) aus Stall und Lager noch zur Verfügung steht, mit dem IPCC-Default-Emissionsfaktor EF_1 (0,01 kg N2O-N pro kg N, IPCC (2006a)-11.11, Table 11.1) und dem Molgewichtsverhältnis 44/28 multipliziert wird.

Die durch das Gehegewild verursachte N_2O-Emission ergibt sich, indem die Tierzahl mit der TAN-Ausscheidung, dem N_2O-N-Emissionsfaktor für Weidegang und dem Molgewichtsverhältnis 44/28 multipliziert wird. Dabei ist die TAN-Menge das Produkt aus der N-Ausscheidung und deren relativem TAN-Gehalt. Letzterer ist nicht bekannt, weshalb der Wert für Schafe nach EMEP (2013)-3B-27 übernommen wird (50 %). Als Emissionsfaktor wird gemäß IPCC (2006a)-11.11, Table 11.1, der $EF_{3PRP,SO}$ für Schafe und andere Tiere angewendet (0,01 kg N2O-N pro kg N-Ausscheidung).

Tabelle 502 zeigt die N-Menge, deren Multiplikation mit dem jeweiligen Emissionsfaktor und dem Molgewichtsverhältnis 44/28 zur ebenfalls angegebenen Emission führt.

Tabelle 502: Direkte N_2O-Emissionen aus Böden infolge Gehegewild-Freilandaufenthalt und Wirtschaftsdüngerausbringung bei Kaninchen, Straußen und Pelztieren.

	N [kt a^{-1}]	N_2O [kt a^{-1}]	CO_{2eq} [kt a^{-1}]
insgesamt	**4,744**	**0,0745**	**22,21**
Gehegewild	4,232	0,0665	19,82
Kaninchen	0,229	0,0036	1,07
Strauße	0,065	0,0010	0,31
Pelztiere (Nerze)	0,217	0,0034	1,02

19.3.1.7 Indirekte N_2O-Emissionen aus landwirtschaftlichen Böden

Zur Berechnung der indirekten Emissionen aus der Deposition reaktiven Stickstoffs werden die NH_3-N-Emissionen aus dem Gehegewild-Freilandaufenthalt und der Ausbringung von Wirtschaftsdünger sowie die entsprechenden NO-N-Emissionen benötigt.Tabelle 504 zeigt die verwendeten Parameter, wobei die Emissionsfaktoren in kg NH_3-N pro kg TAN angegeben sind.

Tabelle 503: Parameter zur Berechnung der indirekten N_2O-Emissionen aus der Deposition reaktiven Stickstoffs infolge Freilandaufenthalt und Ausbringung (Emissionsfaktoren [EF] in kg N_2O-N pro kg reaktiven Stickstoffs)

	EF_{NH3-N} Freiland	EF_{NH3-N} Ausbringung	Bemerkung
Gehegewild	0,09		Default für Schafe, EMEP (2013)-3B-27
Kaninchen		0,90	Default für Pferde, EMEP (2013)-3B-27
Strauße		0,45	Default für Gänse, EMEP (2013)-3B-27
Pelztiere (Nerze)		0,90	Default, EMEP (2013)-3B-27

Die NO-N-Emissionen aus dem Gehegewild-Freilandaufenthalt werden mit dem Default-Emissionsfaktor 0,007 kg kg^{-1} N (EMEP (2007)-B1020-12) berechnet. Die NO-N-Emissionen aus der Ausbringung werden analog zu den N_2O-N-Emissionen aus der Ausbringung mit dem Emissionsfaktor 0,012 kg NO-N pro kg N (EMEP (2013)-3D-11; dort ist der EF als 0,026 kg NO pro kg N angegeben) berechnet.

Tabelle 504: Indirekte N_2O-Emissionen als Folge der Deposition reaktiven Stickstoffs (N_{reac}) aus NH_3- und NO-Emissionen aus Gehegewild-Freilandaufenthalt und Ausbringung

	N_{reac} [kt a^{-1}]	N_2O [kt a^{-1}]	CO_{2eq} [kt a^{-1}]
insgesamt	**0,424**	**0,0067**	**1,99**
Gehegewild	0,220	0,0035	1,03
Kaninchen	0,090	0,0014	0,42
Strauße	0,014	0,0002	0,07
Pelztiere (Nerze)	0,100	0,0016	0,47

Die indirekten Emissionen als Folge von Auswaschung/Oberflächenabfluss werden berechnet, indem die hierfür im Boden verfügbare N-Menge (N_{Boden}) mit $FRAC_{Leach}$ (0,3 kg kg^{-1} nach IPCC (2006a)-11.24, Tabelle 11.3) und dem Emissionsfaktor EF_5 = 0,0075 (IPCC (2006a)-11.24, Table 11.3) multipliziert wird. Die im Boden verfügbare N-Menge wird wie bei den anderen Tieren berechnet, siehe Kapitel 5.1.5.1.4.

Tabelle 505: Indirekte N_2O-Emissionen aus Böden infolge Auswaschung/Oberflächenabfluss

	N_{Boden} [kt a^{-1}]	N_2O [kt a^{-1}]	CO_{2eq} [kt a^{-1}]
insgesamt	**3,395**	**0,0139**	**4,15**
Gehegewild	3,673	0,0130	3,87
Kaninchen	0,118	0,0004	0,12
Strauße	0,045	0,0002	0,05
Pelztiere (Nerze)	0,098	0,0003	0,10

19.3.2 Verteilungen von Haltungs- Lager- und Ausbringungsverfahren sowie Weidegangdaten (CRF 3.B, 3.D)

Tabelle 506 bis Tabelle 509 zeigen (gerundet auf ganze Prozentwerte) die auf nationaler Ebene aggregierten Verteilungen von Haltungs- Lager- und Ausbringungsverfahren sowie Angaben zum Weidegang. Da Büffel zusammen mit den Rindern sowie Esel und Maultiere mit den Pferden berichtet werden (siehe Kapitel 5.1.3.2.2), sind sie in den nachstehenden Tabellen nicht gesondert aufgeführt.

Die Emissionsberechnungen wurden nicht mit den Daten aus Tabelle 506 bis Tabelle 509 durchgeführt, sondern mit den dahinter stehenden Daten in Bundesland-Auflösung. Die Tabellen umfassen auch Angaben zu Emissionsfaktoren (u. a. auch für NH_3). Zu weiteren Details siehe RÖSEMANN et al. (2017).

Tabelle 506: Häufigkeitsverteilungen von Tierhaltungsverfahren(in %) sowie zugehörige Einstreumengen und NH_3-Emissionsfaktoren

livestock category	housing type	1990	1991	1992	1993	1994	1995	1996	1997	1998	1999	2000	2001	2002	2003	2004	2005	2006	2007	2008	2009	2010	2011	2012	2013	2014	2015	bedding material (straw) kg place d^{-1}	NH_3-N EF for housing, kg NH_3-N per kg TAN in excreta
dairy cows	tied systems, straw based	31	31	31	31	15	15	15	15	13	13	13	12	12	12	11	11	10	10	10	9	9	9	9	9	9	9	5.0	0.066
	tied systems, slurry based	37	37	37	37	36	36	36	36	34	34	33	31	30	28	27	25	24	23	21	20	18	18	18	18	18	18		0.066
	loose housing, straw based	2	2	2	2	3	3	3	3	3	3	4	4	5	5	6	6	7	7	8	8	9	9	9	9	9	9	5.0	0.197
	loose housing, slurry based	29	29	29	29	46	46	46	46	49	49	50	52	53	55	56	57	59	60	61	63	64	64	64	64	64	64		0.197
	loose housing, deep bedding	0	0	0	0	0	0	0	0	0	0	0	0	0	0	0	0	0	0	0	0	0	0	0	0	0	0	8.0	0.197
	time spent on pastures (in % of year)	18	18	18	18	14	14	14	14	13	13	13	13	12	12	12	11	11	11	11	11	10	11	11	11	11	11		
male beef cattle	tied systems, straw based	4	4	4	4	2	2	2	2	2	2	2	3	3	4	4	5	5	6	6	6	7	7	7	7	7	7	2.0	0.066
	tied systems, slurry based	7	7	7	7	4	4	4	4	4	4	4	5	5	6	7	7	8	8	9	10	10	10	10	10	10	10		0.066
	loose housing, slurry based	83	83	83	83	89	89	89	89	91	91	87	84	81	78	74	71	68	65	61	58	55	55	55	55	55	55		0.197
	loose housing, sloped floor	5	5	5	5	4	4	4	4	3	3	6	8	10	12	15	17	19	21	24	26	28	28	28	28	28	28	2.5	0.213
	time spent on pastures (in % of year)	4	4	4	4	4	4	4	4	4	3	3	3	3	3	3	3	3	3	3	3	4	4	3	3	3	3		
heifers	tied systems, straw based	8	8	8	8	8	8	8	8	8	8	9	9	9	9	9	9	10	10	10	10	10	10	10	10	10	10	2.0	0.066
	tied systems, slurry based	15	15	15	15	17	17	17	17	17	17	16	16	15	14	14	13	12	12	11	10	10	10	10	10	10	10		0.066
	loose housing, slurry based	48	48	48	48	49	49	49	49	49	49	49	49	48	48	47	47	47	46	46	45	45	45	45	45	45	45		0.197
	loose housing, straw based	29	29	29	29	25	25	25	25	25	25	26	27	28	29	30	31	32	32	33	34	35	35	35	35	35	35	3.0	0.197
	time spent on pastures (in % of year)	20	20	20	20	20	20	20	20	20	20	20	20	20	20	20	20	20	20	20	20	20	20	20	21	21	21		

livestock category	housing type	1990	1991	1992	1993	1994	1995	1996	1997	1998	1999	2000	2001	2002	2003	2004	2005	2006	2007	2008	2009	2010	2011	2012	2013	2014	2015	bedding material (straw) kg place d^{-1}	NH_3-N EF for housing, kg NH_3-N per kg TAN in excreta
calves	tied systems, straw based	50	50	50	50	50	50	50	50	50	50	50	50	50	0	0	0	0	0	0	0	0	0	0	0	0	0	2.5	0.066
	loose housing, deep bedding	50	50	50	50	50	50	50	50	50	50	50	50	50	100	100	100	100	100	100	100	100	100	100	100	100	100	2.5	0.197
	time spent on pastures (in % of year)	0	0	0	0	0	0	0	0	0	0	0	0	0	0	0	0	0	0	0	0	0	0	0	0	0	0		
suckler cows	tied systems, straw based	6	6	6	6	6	6	6	6	6	6	7	8	9	10	11	12	13	14	15	16	17	17	17	17	17	17	5.0	0.066
	tied systems, slurry based	3	3	3	3	3	3	3	3	2	2	2	3	3	3	3	4	4	4	5	5	5	5	5	5	5	5		0.066
	loose housing, slurry based	9	9	9	9	8	8	8	8	6	6	7	8	9	9	10	11	12	12	13	14	14	14	14	14	14	14		0.197
	loose housing, deep bedding	82	82	82	82	83	83	83	83	86	86	84	82	80	78	76	74	71	69	67	65	63	63	63	63	63	63	8.0	0.197
	time spent on pastures (in % of year)	41	40	42	42	42	42	43	43	44	44	44	44	45	44	45	45	45	46	46	47	47	47	47	47	47	47		
mature males > 2 years	tied systems, straw based	16	16	16	16	15	15	15	15	14	14	14	14	15	15	15	15	15	15	15	15	15	15	15	15	15	15	5.0	0.066
	tied systems, slurry based	10	10	10	10	9	9	9	9	8	8	8	8	8	8	8	8	8	8	8	8	8	8	8	8	8	8		0.066
	loose housing, slurry based	38	38	38	38	35	35	35	35	36	36	36	36	35	35	35	35	34	34	34	34	33	33	33	33	33	33		0.197
	loose housing, straw based	37	37	37	37	41	41	41	41	41	41	41	42	42	42	43	43	43	44	44	44	44	44	44	44	44	44	5.0	0.197
	time spent on pastures (in % of year)	35	33	33	34	33	33	33	32	33	33	32	32	32	32	32	33	33	33	34	34	34	34	34	34	34	34		
fattening pigs	fully slatted floor, slurry	49	49	49	49	57	57	57	57	62	62	63	64	64	65	66	67	68	69	70	71	72	72	72	72	72	72		0.3
	partly slatted floor, slurry	40	40	40	40	34	34	34	34	31	31	31	30	29	28	27	26	26	25	24	23	22	22	22	22	22	22		0.3
	plane floor with bedding	8	8	8	8	6	6	6	6	5	5	5	5	5	5	5	5	5	4	4	4	4	4	4	4	4	4	0.3	0.4
	deep bedding	3	3	3	3	3	3	3	3	2	2	2	2	2	2	2	2	2	2	2	2	2	2	2	2	2	2	1.0	0.4
	time spent on pastures (in % of year)	0	0	0	0	0	0	0	0	0	0	0	0	0	0	0	0	0	0	0	0	0	0	0	0	0	0		

livestock category	housing type	1990	1991	1992	1993	1994	1995	1996	1997	1998	1999	2000	2001	2002	2003	2004	2005	2006	2007	2008	2009	2010	2011	2012	2013	2014	2015	bedding material (straw) kg place d^{-1}	NH_3-N EF for housing, kg NH_3-N per kg TAN in excreta
weaners	fully slatted floor, slurry	0	0	0	0	0	0	0	0	0	0	0	0	0	0	0	0	0	0	0	0	0	0	0	0	0	0		0.3
	partly slatted floor, slurry	0	0	0	0	0	0	0	0	0	0	0	0	0	0	0	0	0	0	0	0	0	0	0	0	0	0		0.3
	plane floor with bedding	0	0	0	0	0	0	0	0	0	0	0	0	0	0	0	0	0	0	0	0	0	0	0	0	0	0	0.15	0.4
	deep bedding	45	45	45	45	57	57	57	57	62	62	63	64	64	65	66	67	68	68	69	70	71	71	71	71	71	71	0.2	0.4
	time spent on pastures (in % of year)	41	41	41	41	33	33	33	33	28	28	28	27	27	26	26	25	25	24	24	23	23	23	23	23	23	23		
sows	straw based	10	10	10	10	7	7	7	7	6	6	6	6	6	6	6	6	5	5	5	5	5	5	5	5	5	5	0.5	0.34
	Slurry based	4	4	4	4	3	3	3	3	3	3	3	3	3	3	2	2	2	2	2	2	2	2	2	2	2	2		0.34
	time spent on pastures (in % of year)	0	0	0	0	0	0	0	0	0	0	0	0	0	0	0	0	0	0	0	0	0	0	0	0	0	0		
boars	straw based	32	32	32	32	23	23	23	23	21	21	21	20	20	19	19	18	18	17	16	16	15	15	15	15	15	15	0.5	0.34
	slurry based	68	68	68	68	77	77	77	77	79	79	79	80	80	81	81	82	82	83	84	84	85	85	85	85	85	85		0.34
	time spent on pastures (in % of year)	0	0	0	0	0	0	0	0	0	0	0	0	0	0	0	0	0	0	0	0	0	0	0	0	0	0		
laying hens	cages; ≥2010: small group housing systems	95	95	95	95	95	94	92	90	89	88	87	85	84	81	77	73	70	68	62	38	18	14	13	11	11	11		*)
	floor management, aviary	4	4	4	4	4	5	5	7	7	7	7	7	7	9	12	14	15	17	22	45	63	64	64	64	64	64	0.5	*)
	free range, organic farming	1	1	1	1	1	2	2	4	4	5	7	8	9	10	11	13	14	15	16	18	19	22	23	24	26	26	0.5	*)
broilers	floor management	100	100	100	100	100	100	100	100	100	100	100	100	100	100	100	100	100	100	100	100	100	100	100	100	100	100	1.4	0.09
pullets	floor management	100	100	100	100	100	100	100	100	100	100	100	100	100	100	100	100	100	100	100	100	100	100	100	100	100	100	0.75	0.09
ducks	floor management	100	100	100	100	100	100	100	100	100	100	100	100	100	100	100	100	100	100	100	100	100	100	100	100	100	100	22	0.16
geese	floor management and free range	100	100	100	100	100	100	100	100	100	100	100	100	100	100	100	100	100	100	100	100	100	100	100	100	100	100		0.57. per kg TAN (UAN) in excreta

livestock category	housing type	1990	1991	1992	1993	1994	1995	1996	1997	1998	1999	2000	2001	2002	2003	2004	2005	2006	2007	2008	2009	2010	2011	2012	2013	2014	2015	bedding material (straw) kg place d^{-1}	NH_3-N EF for housing, kg NH_3-N per kg TAN in excreta
turkeys, female	floor management	100	100	100	100	100	100	100	100	100	100	100	100	100	100	100	100	100	100	100	100	100	100	100	100	100	100	10.3	0.22
turkeys, male	floor management	100	100	100	100	100	100	100	100	100	100	100	100	100	100	100	100	100	100	100	100	100	100	100	100	100	100	10.3	0.22
horses	straw based system	100	100	100	100	100	100	100	100	100	100	100	100	100	100	100	100	100	100	100	100	100	100	100	100	100	100	8.0 / 5.0	0.22
	time spent on pastures (in % of year)	21	21	21	21	21	21	21	21	21	21	21	21	21	21	21	21	21	21	21	21	21	21	21	21	21	21		
sheep without lambs	straw based system	100	100	100	100	100	100	100	100	100	100	100	100	100	100	100	100	100	100	100	100	100	100	100	100	100	101	0.4	0.22
	time spent on pastures (in % of year)	55	55	55	55	55	55	55	55	55	55	55	55	55	55	55	55	55	55	55	55	55	55	55	55	55	55		
lambs	straw based system	100	100	100	100	100	100	100	100	100	100	100	100	100	100	100	100	100	100	100	100	100	100	100	100	100	101	0.16	0.22
	time spent on pastures (in % of year)	57	57	58	58	57	57	58	57	57	57	57	57	57	57	57	57	57	57	57	57	55	55	55	55	55	55		
goats	straw based system	100	100	100	100	100	100	100	100	100	100	100	100	100	100	100	100	100	100	100	100	100	100	100	100	100	101	0.4	0.22
	time spent on pastures (in % of year)	34	34	34	34	34	34	34	34	34	34	34	34	34	34	34	34	34	34	34	34	34	34	34	34	34	34		

*) s. Tabelle 509: Legehennen, haltungsspezifische partielle NH_3-Emissionsfaktoren

Tabelle 507: Häufigkeitsverteilungen von Lagerverfahren (in %), Mengen an vergorenen Energiepflanzen sowie zugehörige Emissionsfaktoren

livestock category	storage type	1990	1991	1992	1993	1994	1995	1996	1997	1998	1999	2000	2001	2002	2003	2004	2005	2006	2007	2008	2009	2010	2011	2012	2013	2014	2015	NH_3-N EF for storage, kg NH_3-N per kg TAN in storage system	NH_3-N EF for storage, kg NH_3-N per kg TAN in storage system (leachate / urine)	N_2O EF for storage kg N_2O-N per kg N in storage system	N_2O EF for storage kg N_2O-N per kg N in storage system (leachate / urine)	CH_4 MCF for storage % von Bo < 10 °C	maximum CH_4 producing capacity (Bo) m^3 CH4 per kg VS
cattle, untreated slurry	open tank (% of total untreated slurry)	1	1	1	1	1	1	1	1	1	1	1	2	2	2	3	3	4	4	5	5	6	6	6	6	6	6	0.150		0.000		17.0	0.23
	solid cover (% of total untreated slurry)	22	22	22	22	22	22	22	22	22	22	23	23	24	25	25	26	27	27	28	29	29	29	29	29	29	29	0.015		0.005		17.0	0.23
	natural crust (% of total untreated slurry)	36	36	36	36	40	40	40	40	40	40	39	38	36	35	34	33	31	30	29	28	27	27	27	27	27	27	0.045		0.005		10.0	0.23
	plastic film (% of total untreated slurry)	0	0	0	0	0	0	0	0	0	0	0	0	0	0	0	0	0	0	0	0	0	0	0	0	0	0	0.023		0.000		17.0	0.23
	artificial crust (chaff) (% of total untreated slurry)	0	0	0	0	0	0	0	0	0	0	0	0	0	0	0	0	0	0	0	0	0	0	0	0	0	0	0.030		0.000		17.0	0.23
	storage below animal confinements > 1 month (% of total untreated slurry)	41	41	41	41	36	36	36	36	36	36	36	37	37	37	37	37	38	38	38	38	38	38	38	38	38	38	0.045		0.002		17.0	0.23

livestock category	storage type	1990	1991	1992	1993	1994	1995	1996	1997	1998	1999	2000	2001	2002	2003	2004	2005	2006	2007	2008	2009	2010	2011	2012	2013	2014	2015	NH_3-N EF for storage, kg NH_3-N per kg TAN in storage system	NH_3-N EF for storage, kg NH_3-N per kg TAN in storage system (leachate / urine)	N_2O EF for storage kg N_2O-N per kg N in storage system	N_2O EF for storage kg N_2O-N per kg N in storage system (leachate / urine)	CH_4 MCF for storage % von Bo < 10 °C	maximum CH_4 producing capacity (Bo) m^3 CH4 per kg VS
cattle, digestion of slurry	% of total cattle slurry	0	0	0	0	0	0	0	0	0	0	1	1	1	1	2	4	6	9	11	14	17	21	23	26	27	27						
cattle, digestiono f solid manure	% of total solid manure of cattle	0	0	0	0	0	0	0	0	0	0	0	0	0	0	0	1	1	2	2	2	3	4	4	4	5	5						
cattle, storage of digestates	gas tight storage (% of slurry)	0	1	2	3	4	5	5	6	7	8	9	10	11	12	14	15	20	25	30	35	41	46	57	60	62	62	0.000 *)		0.000 *)		2.7 *)	0.23
cattle, storage of digestates	open tank (% of slurry)	100	99	98	97	96	95	95	94	93	92	91	90	89	88	86	85	80	75	70	65	59	54	43	40	38	38	0.045 *)		0.005 *)		3.1 *)	0.23
cattle, storage of digestates	gas tight storage (% of solid manure)	0	1	2	3	4	5	5	6	7	8	9	10	11	12	14	15	20	25	30	35	41	46	57	60	62	62	0.000 *)		0.000 *)		1.2 *)	0.23
cattle, storage of digestates	open tank (% of solid manure)	100	99	98	97	96	95	95	94	93	92	91	90	89	88	86	85	80	75	70	65	59	54	43	40	38	38	0.045 *)		0.005 *)		1.6 *)	0.23
dairy cows, solid manure	heap (% of total solid manure)	100	100	100	100	100	100	100	100	100	100	100	100	100	100	100	100	100	100	100	100	100	100	100	100	100	100	0.600	0.013	0.013	0.005	2.0	0.23
male beef cattle, solid manure	heap (% of total solid manure)	42	42	42	42	39	39	39	39	38	38	30	27	25	23	22	22	21	21	20	20	20	20	20	20	20	20	0.600	0.013	0.013	0.005	2.0	0.23
	sloped floor (% of total solid manure)	58	58	58	58	61	61	61	61	62	62	70	73	75	77	78	78	79	79	80	80	80	80	80	80	80	80	0.600		0.010	0.005	17.0	0.23
heifers, solid manure	heap (% of total solid manure)	100	100	100	100	100	100	100	100	100	100	100	100	100	100	100	100	100	100	100	100	100	100	100	100	100	100	0.600	0.013	0.013	0.005	2.0	0.23
calves, solid manure	heap (% of total solid manure)	50	50	50	50	50	50	50	50	50	50	50	50	50	0	0	0	0	0	0	0	0	0	0	0	0	0	0.600	0.013	0.013	0.005	2.0	0.23
	deep bedding (% of total solid manure)	50	50	50	50	50	50	50	50	50	50	50	50	50	100	100	100	100	100	100	100	100	100	100	100	100	100	0.600		0.010		17.0	0.23

livestock category	storage type	1990	1991	1992	1993	1994	1995	1996	1997	1998	1999	2000	2001	2002	2003	2004	2005	2006	2007	2008	2009	2010	2011	2012	2013	2014	2015	NH_3-N EF for storage, kg NH_3-N per kg TAN in storage system	NH_3-N EF for storage, kg NH_3-N per kg TAN in storage system (leachate / urine)	N_2O EF for storage kg N_2O-N per kg N in storage system	N_2O EF for storage kg N_2O-N per kg N in storage system (leachate / urine)	CH_4 MCF for storage % von Bo < 10 °C	maximum CH_4 producing capacity (Bo) m^3 CH4 per kg VS
suckler cows, solid manure	heap (% of total solid manure)	7	7	7	7	7	7	7	7	6	6	7	9	10	11	13	14	15	17	18	20	21	21	21	21	21	21	0.600	0.013	0.013	0.005	2.0	0.23
	deep bedding (% of total solid manure)	93	93	93	93	93	93	93	93	94	94	93	91	90	89	87	86	85	83	82	80	79	79	79	79	79	79	0.600		0.010		17.0	0.23
mature males, solid	heap (% of total solid manure)	100	100	100	100	100	100	100	100	100	100	100	100	100	100	100	100	100	100	100	100	100	100	100	100	100	100	0.600	0.013	0.013	0.005	2.0	0.23
pigs, untreated slurry	open tank (% of total untreated slurry)	47	47	47	47	27	27	27	27	27	27	25	23	22	20	19	17	15	14	12	10	9	9	9	9	9	9	0.150		0.000		25.0	0.30
	solid cover (% of total untreated slurry)	18	18	18	18	22	22	22	22	22	22	23	23	23	24	24	25	25	25	26	26	26	26	26	26	26	26	0.015		0.005		25.0	0.30
	natural crust (% of total untreated slurry)	3	3	3	3	13	13	13	13	13	13	14	16	17	19	20	22	23	25	26	28	29	29	29	29	29	29	0.105		0.005		15.0	0.30
	plastic film (% of total untreated slurry)	0	0	0	0	6	6	6	6	6	6	6	5	4	4	3	3	2	2	1	1	0	0	0	0	0	0	0.023		0.000		25.0	0.30
	artificial crust (chaff) (% of total untreated slurry)	0	0	0	0	1	1	1	1	1	1	1	1	2	2	2	2	3	3	3	4	4	4	4	4	4	4	0.030		0.000		25.0	0.30
	storage below animal confinements > 1 month (% of total	32	32	32	32	31	31	31	31	32	32	32	32	32	32	32	32	32	32	32	32	32	32	32	32	32	32	0.105		0.002		25.0	0.30

livestock category	storage type	1990	1991	1992	1993	1994	1995	1996	1997	1998	1999	2000	2001	2002	2003	2004	2005	2006	2007	2008	2009	2010	2011	2012	2013	2014	2015	NH_3-N EF for storage, kg NH_3-N per kg TAN in storage system	NH_3-N EF for storage, kg NH_3-N per kg TAN in storage system (leachate / urine)	N_2O EF for storage kg N_2O-N per kg N in storage system	N_2O EF for storage kg N_2O-N per kg N in storage system (leachate / urine)	CH_4 MCF for storage % von Bo < 10 °C	maximum CH_4 producing capacity (Bo) m^3 CH4 per kg VS
	untreated slurry)																																
pigs, digested slurry	% of total pig slurry	0	0	0	0	0	0	0	0	0	0	0	1	1	1	1	3	4	5	6	8	10	12	13	15	15	16						
pigs, storage of digestates	gas tight storage (% of digestates)	0	1	2	3	4	5	5	6	7	8	9	10	11	12	14	15	20	25	30	35	41	46	57	60	62	62	0.000 *)		0.000 *)		3.5 *)	0.30
pigs, storage of digestates	open tank (% of digestates)	100	99	98	97	96	95	95	94	93	92	91	90	89	88	86	85	80	75	70	65	59	54	43	40	38	38	0.045 *)		0.005 *)		3.9 *)	0.30
fattening pigs / weaners, solid manure	heap (% of total solid manure)	75	75	75	75	70	70	70	70	69	69	69	70	70	71	71	71	72	72	73	73	74	74	74	74	74	74	0.600	0.030	0.013	0.005	3.0	0.30
	deep bedding (% of total solid manure)	25	25	25	25	30	30	30	30	31	31	31	30	30	29	29	29	28	28	27	27	26	26	26	26	26	26	0.600		0.010		25.0	0.30
sows / boars, solid manure	heap (% of total solid manure)	100	100	100	100	100	100	100	100	100	100	100	100	100	100	100	100	100	100	100	100	100	100	100	100	100	100	0.600	0.030	0.013	0.005	3.0	0.30
laying hens	heap (% of total solid manure)	100	100	100	100	100	100	100	100	100	100	100	100	100	100	100	100	100	100	100	100	100	100	100	100	100	100	0.140		0.001		1.5	0.39
broilers	heap (% of total solid manure)	100	100	100	100	100	100	100	100	100	100	100	100	100	100	100	100	100	100	100	100	100	100	100	100	100	100	0.170		0.001		1.5	0.36
pullets	heap (% of total solid manure)	100	100	100	100	100	100	100	100	100	100	100	100	100	100	100	100	100	100	100	100	100	100	100	100	100	100	0.170		0.001		1.5	0.39
ducks	heap (% of total solid manure)	100	100	100	100	100	100	100	100	100	100	100	100	100	100	100	100	100	100	100	100	100	100	100	100	100	100	0.240		0.001		1.5	0.36

livestock category	storage type	1990	1991	1992	1993	1994	1995	1996	1997	1998	1999	2000	2001	2002	2003	2004	2005	2006	2007	2008	2009	2010	2011	2012	2013	2014	2015	NH_3-N EF for storage, kg NH_3-N per kg TAN in storage system	NH_3-N EF for storage, kg NH_3-N per kg TAN in storage system (leachate / urine)	N_2O EF for storage kg N_2O-N per kg N in storage system	N_2O EF for storage kg N_2O-N per kg N in storage system (leachate / urine)	CH_4 MCF for storage % von Bo < 10 °C	maximum CH_4 producing capacity (Bo) m^3 CH4 per kg VS
geese	heap (% of total solid manure)	100	100	100	100	100	100	100	100	100	100	100	100	100	100	100	100	100	100	100	100	100	100	100	100	100	100	0.160		0.001		1.5	0.36
turkeys, female	heap (% of total solid manure)	100	100	100	100	100	100	100	100	100	100	100	100	100	100	100	100	100	100	100	100	100	100	100	100	100	100	0.240		0.001		1.5	0.36
turkeys, male	heap (% of total solid manure)	100	100	100	100	100	100	100	100	100	100	100	100	100	100	100	100	100	100	100	100	100	100	100	100	100	100	0.240		0.001		1.5	0.36
poultry, digested solid manure		0	0	0	0	0	0	0	0	0	0	0	1	1	1	1	3	4	5	6	8	10	11	11	13	13	13						
poultry, storage of digestates	gas tight storage (% of digestates)	0	1	2	3	4	5	5	6	7	8	9	10	11	12	14	15	20	25	30	35	41	46	57	60	62	62	0.000 *)		0.000 *)		1.1 *)	see animal-specific values (above)
poultry, storage of digestates	open tank (% of digestates)	100	99	98	97	96	95	95	94	93	92	91	90	89	88	86	85	80	75	70	65	59	54	43	40	38	38	0.045 *)		0.005 *)		1.6 *)	
horses	heap (% of total solid manure)	100	100	100	100	100	100	100	100	100	100	100	100	100	100	100	100	100	100	100	100	100	100	100	100	100	100	0.350		0.013		2.0	0.30
sheep	heap (% of total solid manure)	100	100	100	100	100	100	100	100	100	100	100	100	100	100	100	100	100	100	100	100	100	100	100	100	100	100	0.280		0.013		2.0	0.19
goats	heap (% of total solid manure)	100	100	100	100	100	100	100	100	100	100	100	100	100	100	100	100	100	100	100	100	100	100	100	100	100	100	0.280		0.013		2.0	0.18

livestock category	storage type	1990	1991	1992	1993	1994	1995	1996	1997	1998	1999	2000	2001	2002	2003	2004	2005	2006	2007	2008	2009	2010	2011	2012	2013	2014	2015	NH_3-N EF for storage, kg NH_3-N per kg TAN in storage system	NH_3-N EF for storage, kg NH_3-N per kg TAN in storage system (leachate / urine)	N_2O EF for storage kg N_2O-N per kg N in storage system	N_2O EF for storage kg N_2O-N per kg N in storage system (leachate / urine)	CH_4 MCF for storage % von Bo < 10 °C	maximum CH_4 producing capacity (Bo) m^3 CH4 per kg VS
digestion of energy crops	amount of energy crops digested (1000 kt fresh matter)	0,01	0,02	0,03	0,04	0,05	0,12	0,20	0,25	0,56	0,64	1,0	1,5	2,1	2,5	3,2	8,7	12,2	16,7	19,5	25,0	31,4	39,2	42,9	51,8	54,3	54,6						
	gas tight storage (% of digestates)	0	1	2	3	4	5	6	7	8	8	9	10	11	13	14	16	21	26	32	37	42	48	59	63	67	67	0.000 *)		0.000 *)		1.0 *)	0.36
	open tank (% of digestates)	100	99	98	97	96	95	94	93	92	92	91	90	89	87	86	84	79	74	68	63	58	52	41	37	33	33	0.045 *)		0.005 *)		1.4 *)	0.36

*) digestion of slurry, solid manure, poultry manure and energy crops: EFs and MCFs are overall values for the system “pre-storage (if existent) + digester + storage of digestates”

Tabelle 508: Häufigkeitsverteilungen von Ausbringungsverfahren (in %) sowie zugehörige Emissionsfaktoren

livestock category	application type	1990	1991	1992	1993	1994	1995	1996	1997	1998	1999	2000	2001	2002	2003	2004	2005	2006	2007	2008	2009	2010	2011	2012	2013	2014	2015	NH_3-N EF for application, kg NH_3-N per kg TAN applied
cattle, untreated slurry	broadcast, without incorporation	10	10	10	10	2	2	2	2	2	2	2	2	2	1	1	1	1	1	0	0	0	0	0	0	0	0	0.50
	broadcast, incorporation < 1 h	4	4	4	4	4	4	4	4	4	4	4	4	4	5	5	5	5	5	5	5	5	5	5	5	5	5	0.10
	broadcast, incorporation < 4h	0	0	0	0	2	2	2	2	2	2	3	3	4	5	6	7	7	8	9	10	11	11	18	18	18	18	0.26
	broadcast, incorporation < 6h	5	5	5	5	0	0	0	0	0	0	0	0	0	0	0	0	0	0	0	0	0	0	0	0	0	0	0.35
	broadcast, incorporation < 8h	0	0	0	0	0	0	0	0	0	0	1	1	2	2	3	3	4	4	5	5	6	6	0	0	0	0	0.40
	broadcast, incorporation < 12h	0	0	0	0	20	20	20	20	22	22	20	18	16	14	12	11	9	7	5	3	1	1	0	0	0	0	0.43
	broadcast, incorporation < 24h	32	32	32	32	9	9	9	9	9	9	8	8	7	6	5	4	3	3	2	1	0	0	0	0	0	0	0.46
	broadcast, incorporation < 48h	4	4	4	4	0	0	0	0	0	0	0	0	0	0	0	0	0	0	0	0	0	0	0	0	0	0	0.50
	broadcast, vegetation	0	0	0	0	0	0	0	0	0	0	1	3	4	6	7	9	10	12	13	15	16	16	16	16	16	16	0.50
	broadcast, grassland	44	44	44	44	42	42	42	42	41	41	41	41	42	42	42	42	43	43	43	43	44	44	44	44	44	44	0.60
	trailing hose, without incorporation	0	0	0	0	1	1	1	1	1	1	1	1	1	0	0	0	0	0	0	0	0	0	0	0	0	0	0.46
	trailing hose, incorporation < 1 h	0	0	0	0	2	2	2	2	2	2	2	2	2	2	2	1	1	1	1	1	1	1	1	1	1	1	0.04
	trailing hose, incorporation < 4h	0	0	0	0	3	3	3	3	3	3	2	2	2	2	2	2	2	2	2	2	2	2	3	3	3	3	0.15
	trailing hose, incorporation < 6h	1	1	1	1	0	0	0	0	0	0	0	0	0	0	0	0	0	0	0	0	0	0	0	0	0	0	0.20
	trailing hose, incorporation < 8h	0	0	0	0	0	0	0	0	0	0	0	0	0	0	0	1	1	1	1	1	1	1	0	0	0	0	0.24
	trailing hose, incorporation < 12h	0	0	0	0	9	9	9	9	9	9	8	7	7	6	5	4	3	3	2	1	0	0	0	0	0	0	0.30
	trailing hose, incorporation < 24h	1	1	1	1	2	2	2	2	2	2	2	2	2	1	1	1	1	1	0	0	0	0	0	0	0	0	0.39
	trailing hose, incorporation < 48h	0	0	0	0	0	0	0	0	0	0	0	0	0	0	0	0	0	0	0	0	0	0	0	0	0	0	0.46
	trailing hose, vegetation	0	0	0	0	0	0	0	0	0	0	0	1	1	1	2	2	3	3	3	4	4	4	4	4	4	4	0.35
	trailing hose, short vegetation	0	0	0	0	0	0	0	0	0	0	0	0	0	0	0	0	0	0	0	0	0	0	0	0	0	0	0.50
	trailing hose, grassland	0	0	0	0	0	0	0	0	0	0	0	0	1	1	1	1	2	2	2	2	2	2	2	2	2	2	0.54
	trailing shoe	0	0	0	0	1	1	1	1	1	1	1	1	1	1	1	1	2	2	2	2	2	2	2	2	2	2	0.36
	injection (open slot)	0	0	0	0	2	2	2	2	2	2	2	2	2	2	2	2	2	2	2	2	2	2	2	2	2	2	0.24
	grubber and injection	0	0	0	0	1	1	1	1	1	1	1	1	1	1	2	2	2	2	2	3	3	3	3	3	3	3	0.05
cattle, solid manure	broadcast, without incorporation	13	13	13	13	2	2	2	2	2	2	2	2	2	2	2	2	2	2	2	2	2	2	2	2	2	2	0.90
	broadcast, incorporation < 1 h	6	6	6	6	11	11	11	11	11	11	11	11	11	11	11	11	11	11	11	11	11	11	11	11	11	11	0.09
	broadcast, incorporation < 4h	0	0	0	0	9	9	9	9	8	8	8	8	8	8	8	8	8	8	8	8	8	8	8	8	8	8	0.45
	broadcast, incorporation < 12h	10	10	10	10	28	28	28	28	29	29	29	29	29	29	29	29	29	29	29	29	29	29	29	29	29	29	0.81
	broadcast, incorporation < 24h	46	46	46	46	24	24	24	24	25	25	25	25	25	25	25	25	25	25	25	25	25	25	25	25	25	25	0.90
	broadcast, incorporation < 48h	7	7	7	7	0	0	0	0	0	0	0	0	0	0	0	0	0	0	0	0	0	0	0	0	0	0	0.90
	broadcast, vegetation/grassland	20	20	20	20	25	25	25	25	24	24	24	24	24	24	24	24	24	24	24	24	24	24	24	24	24	24	0.90

livestock category	application type	1990	1991	1992	1993	1994	1995	1996	1997	1998	1999	2000	2001	2002	2003	2004	2005	2006	2007	2008	2009	2010	2011	2012	2013	2014	2015	NH_3-N EF for application, kg NH_3-N per kg TAN applied
pigs, untreated slurry	broadcast, without incorporation	7	7	7	7	4	4	4	4	4	4	4	3	3	3	2	2	1	1	1	0	0	0	0	0	0	0	0.25
	broadcast, incorporation < 1 h	4	4	4	4	8	8	8	8	8	8	8	8	7	7	7	7	7	6	6	6	6	6	6	6	6	6	0.04
	broadcast, incorporation < 4h	0	0	0	0	1	1	1	1	1	1	2	2	3	4	5	5	6	7	8	9	9	9	15	15	15	15	0.09
	broadcast, incorporation < 6h	0	0	0	0	0	0	0	0	0	0	0	0	0	0	0	0	0	0	0	0	0	0	0	0	0	0	0.11
	broadcast, incorporation < 8h	0	0	0	0	0	0	0	0	0	0	0	1	1	2	2	3	3	4	4	4	5	5	0	0	0	0	0.13
	broadcast, incorporation < 12h	0	0	0	0	29	29	29	29	28	28	25	23	21	18	16	13	11	8	6	4	1	1	0	0	0	0	0.16
	broadcast, incorporation < 24h	50	50	50	50	4	4	4	4	4	4	3	3	3	2	2	2	1	1	1	0	0	0	0	0	0	0	0.21
	broadcast, incorporation < 48h	3	3	3	3	0	0	0	0	0	0	0	0	0	0	0	0	0	0	0	0	0	0	0	0	0	0	0.25
	broadcast, vegetation	30	30	30	30	22	22	22	22	23	23	23	23	23	23	23	23	23	23	23	23	23	23	23	23	23	23	0.25
	broadcast, grassland	0	0	0	0	0	0	0	0	0	0	0	1	1	1	2	2	2	3	3	3	3	3	3	3	3	3	0.30
	trailing hose, without incorporation	0	0	0	0	2	2	2	2	2	2	2	2	2	1	1	1	1	1	0	0	0	0	0	0	0	0	0.18
	trailing hose, incorporation < 1 h	0	0	0	0	5	5	5	5	5	5	5	5	5	5	5	4	4	4	4	4	4	4	4	4	4	4	0.02
	trailing hose, incorporation < 4h	0	0	0	0	1	1	1	1	1	1	2	2	3	3	3	4	4	5	5	6	6	6	10	10	10	10	0.06
	trailing hose, incorporation < 6h	0	0	0	0	0	0	0	0	0	0	0	0	0	0	0	0	0	0	0	0	0	0	0	0	0	0	0.08
	trailing hose, incorporation < 8h	0	0	0	0	0	0	0	0	0	0	0	1	1	1	1	2	2	2	2	3	3	3	0	0	0	0	0.09
	trailing hose, incorporation < 12h	0	0	0	0	10	10	10	10	10	10	9	8	7	7	6	5	4	3	2	2	1	1	0	0	0	0	0.11
	trailing hose, incorporation < 24h	4	4	4	4	2	2	2	2	2	2	2	2	1	1	1	1	1	1	0	0	0	0	0	0	0	0	0.14
	trailing hose, incorporation < 48h	0	0	0	0	0	0	0	0	0	0	0	0	0	0	0	0	0	0	0	0	0	0	0	0	0	0	0.17
	trailing hose, vegetation	0	0	0	0	0	0	0	0	0	0	3	5	8	11	13	16	19	21	24	27	29	29	29	29	29	29	0.13
	trailing hose, short vegetation	1	1	1	1	8	8	8	8	9	9	8	7	6	6	5	4	3	2	2	1	0	0	0	0	0	0	0.25
	trailing hose, grassland	0	0	0	0	0	0	0	0	0	0	0	0	0	1	1	1	1	1	1	1	1	1	1	1	1	1	0.21
	trailing shoe	0	0	0	0	0	0	0	0	0	0	0	0	1	1	1	1	1	2	2	2	2	2	2	2	2	2	0.12
	injection (open slot)	0	0	0	0	0	0	0	0	0	0	0	0	0	0	1	1	1	1	1	1	1	1	1	1	1	1	0.06
	grubber and injection	0	0	0	0	3	3	3	3	3	3	3	3	3	4	4	4	4	4	4	4	4	4	4	4	4	4	0.02
pigs, solid manure	broadcast, without incorporation	36	36	36	36	29	29	29	29	31	31	31	31	31	31	31	31	31	31	31	31	31	31	31	31	31	31	0.90
	broadcast, incorporation < 1 h	4	4	4	4	16	16	16	16	15	15	15	15	15	15	15	15	15	15	15	15	15	15	15	15	15	15	0.09
	broadcast, incorporation < 4h	0	0	0	0	2	2	2	2	2	2	2	2	2	2	2	2	2	2	2	2	2	2	2	2	2	2	0.45
	broadcast, incorporation < 12h	0	0	0	0	21	21	21	21	21	21	21	21	21	21	21	21	21	21	21	21	21	21	21	21	21	21	0.81
	broadcast, incorporation < 24h	53	53	53	53	33	33	33	33	30	30	30	30	30	30	30	30	30	30	30	30	30	30	30	30	30	30	0.90
	broadcast, incorporation < 48h	8	8	8	8	0	0	0	0	0	0	0	0	0	0	0	0	0	0	0	0	0	0	0	0	0	0	0.90
	broadcast, vegetation	0	0	0	0	0	0	0	0	0	0	0	0	0	0	0	0	0	0	0	0	0	0	0	0	0	0	0.90

livestock category	application type	1990	1991	1992	1993	1994	1995	1996	1997	1998	1999	2000	2001	2002	2003	2004	2005	2006	2007	2008	2009	2010	2011	2012	2013	2014	2015	NH_3-N EF for application, kg NH_3-N per kg TAN applied
cattle and pigs, leachate	broadcast, without incorporation	50	50	50	50	50	50	50	50	50	50	45	41	36	32	27	23	18	14	9	5	0	0	0	0	0	0	0.20
	broadcast, incorporation < 1 h	0	0	0	0	0	0	0	0	0	0	0	1	1	1	1	2	2	2	2	3	3	3	3	3	3	3	0.02
	broadcast, incorporation < 4h	0	0	0	0	0	0	0	0	0	0	1	1	2	3	4	4	5	6	7	7	8	8	19	19	19	19	0.07
	broadcast, incorporation < 8h	0	0	0	0	0	0	0	0	0	0	1	1	2	3	4	4	5	6	6	7	8	8	0	0	0	0	0.12
	broadcast, incorporation < 12h	0	0	0	0	0	0	0	0	0	0	0	1	1	1	1	2	2	2	2	3	3	3	0	0	0	0	0.14
	broadcast, vegetation	0	0	0	0	0	0	0	0	0	0	1	3	4	6	7	8	10	11	13	14	15	15	15	15	15	15	0.20
	broadcast, grassland	50	50	50	50	50	50	50	50	50	50	50	49	49	49	49	48	48	48	48	47	47	47	47	47	47	47	0.20
	trailing hose, without incorporation	0	0	0	0	0	0	0	0	0	0	0	0	0	0	0	0	0	0	0	0	0	0	0	0	0	0	0.18
	trailing hose, incorporation < 1 h	0	0	0	0	0	0	0	0	0	0	0	0	0	0	0	0	0	0	0	1	1	1	1	1	1	1	0.01
	trailing hose, incorporation < 4h	0	0	0	0	0	0	0	0	0	0	0	0	0	1	1	1	1	1	1	1	2	2	4	4	4	4	0.05
	trailing hose, incorporation < 8h	0	0	0	0	0	0	0	0	0	0	0	0	0	1	1	1	1	1	1	1	1	1	0	0	0	0	0.09
	trailing hose, incorporation < 12h	0	0	0	0	0	0	0	0	0	0	0	0	0	0	0	0	0	0	0	1	1	1	0	0	0	0	0.12
	trailing hose, vegetation	0	0	0	0	0	0	0	0	0	0	0	1	1	1	2	2	2	3	3	4	4	4	4	4	4	4	0.10
	trailing hose, grassland	0	0	0	0	0	0	0	0	0	0	0	1	1	1	1	2	2	2	2	3	3	3	3	3	3	3	0.14
	trailing shoe	0	0	0	0	0	0	0	0	0	0	0	0	0	0	0	0	0	0	0	1	1	1	1	1	1	1	0.08
	injection (open slot)	0	0	0	0	0	0	0	0	0	0	0	0	0	0	0	1	1	1	1	1	1	1	1	1	1	1	0.04
	grubber and injection	0	0	0	0	0	0	0	0	0	0	0	1	1	1	2	2	2	3	3	3	3	3	3	3	3	3	0.01
laying hens, solid manure	broadcast, without incorporation	8	8	8	8	5	5	5	5	8	8	8	8	8	8	8	8	8	8	8	8	8	8	8	8	8	8	0.90
	broadcast, incorporation < 1 h	0	0	0	0	0	0	0	0	0	0	0	0	0	0	0	0	0	0	0	0	0	0	0	0	0	0	0.00
	broadcast, incorporation < 4h	0	0	0	0	0	0	0	0	0	0	0	0	0	0	0	0	0	0	0	0	0	0	0	0	0	0	0.18
	broadcast, incorporation < 12h	0	0	0	0	11	11	11	11	21	21	21	21	21	21	21	21	21	21	21	21	21	21	21	21	21	21	0.40
	broadcast, incorporation < 24h	92	92	92	92	84	84	84	84	70	70	70	70	70	70	70	70	70	70	70	70	70	70	70	70	70	70	0.45
poultry, except laying hens, solid manure	broadcast, incorporation < 24 h	100	100	100	100	100	100	100	100	100	100	100	100	100	100	100	100	100	100	100	100	100	100	100	100	100	100	0.45
all other animals, solid manure *)	broadcast, without incorporation	100	100	100	100	100	100	100	100	100	100	100	100	100	100	100	100	100	100	100	100	100	100	100	100	100	100	0.90
digested manure (cattle, pigs, poultry) and	broadcast, without incorporation	0	0	0	0	0	0	0	0	0	0	0	0	0	0	0	0	0	0	0	0	0	0	0	0	0	0	0.50

livestock category	application type	1990	1991	1992	1993	1994	1995	1996	1997	1998	1999	2000	2001	2002	2003	2004	2005	2006	2007	2008	2009	2010	2011	2012	2013	2014	2015	NH_3-N EF for application, kg NH_3-N per kg TAN applied
digested energy crops	broadcast, incorporation < 1 h	5	5	5	5	5	5	5	5	5	5	5	5	5	5	5	5	5	5	5	5	5	5	5	5	5	5	0.10
	broadcast, incorporation < 4h	9	9	9	9	9	9	9	9	9	9	9	9	9	9	9	9	9	9	9	9	9	9	16	16	16	16	0.26
	broadcast, incorporation < 8h	6	6	6	6	6	6	6	6	6	6	6	6	6	6	6	6	6	6	6	6	6	6	0	0	0	0	0.40
	broadcast, incorporation < 12h	1	1	1	1	1	1	1	1	1	1	1	1	1	1	1	1	1	1	1	1	1	1	0	0	0	0	0.43
	broadcast, vegetation	13	13	13	13	13	13	13	13	13	13	13	13	13	13	13	13	13	13	13	13	13	13	13	13	13	13	0.50
	broadcast, grassland	12	12	12	12	12	12	12	12	12	12	12	12	12	12	12	12	12	12	12	12	12	12	12	12	12	12	0.60
	trailing hose, without incorporation	0	0	0	0	0	0	0	0	0	0	0	0	0	0	0	0	0	0	0	0	0	0	0	0	0	0	0.46
	trailing hose, incorporation < 1 h	3	3	3	3	3	3	3	3	3	3	3	3	3	3	3	3	3	3	3	3	3	3	3	3	3	3	0.04
	trailing hose, incorporation < 4h	7	7	7	7	7	7	7	7	7	7	7	7	7	7	7	7	7	7	7	7	7	7	13	13	13	13	0.15
	trailing hose, incorporation < 8h	5	5	5	5	5	5	5	5	5	5	5	5	5	5	5	5	5	5	5	5	5	5	0	0	0	0	0.24
	trailing hose, incorporation < 12h	1	1	1	1	1	1	1	1	1	1	1	1	1	1	1	1	1	1	1	1	1	1	0	0	0	0	0.30
	trailing hose, vegetation	16	16	16	16	16	16	16	16	16	16	16	16	16	16	16	16	16	16	16	16	16	16	16	16	16	16	0.35
	trailing hose, grassland	3	3	3	3	3	3	3	3	3	3	3	3	3	3	3	3	3	3	3	3	3	3	3	3	3	3	0.54
	trailing shoe	4	4	4	4	4	4	4	4	4	4	4	4	4	4	4	4	4	4	4	4	4	4	4	4	4	4	0.36
	injection (open slot)	4	4	4	4	4	4	4	4	4	4	4	4	4	4	4	4	4	4	4	4	4	4	4	4	4	4	0.24
	grubber and injection	11	11	11	11	11	11	11	11	11	11	11	11	11	11	11	11	11	11	11	11	11	11	11	11	11	11	0.04

*) horses, sheep, goats

Tabelle 509: Legehennen, haltungsspezifische partielle NH_3-Emissionsfaktoren

[in kg NH_3-N per excreted kg N]	≤ 2000	2001 - 2009	≥2010
cage housing; as of 2010: small-group housing		0.164	0.066
floor management, aviary	0.351	linear interpolation	0.351
intensive outdoor management, free-range management, organic production		0.099	

19.4 Weitere detaillierte methodische Beschreibungen für die Quell-/Senkenkategorie Landnutzungsänderung und Forstwirtschaft (4)

19.4.1 Landnutzungsmatrix

19.4.1.1 Begründung der Entscheidung für ein stichprobenbasiertes System

Für die jährliche Erfassung der Landnutzungsänderungen stehen in Deutschland verschiedene räumliche Datensätze zur Verfügung. Jeder dieser Datensätze weist spezifische Vor- und Nachteile auf, z.B.:

- periodische vs. jährliche Erfassung
- regionale vs. national vollständige Erfassung
- flächig vollständige vs. (systembedingte) unvollständige (lückenhafte) Erfassung
- fokussiert auf die (Ist-) Zustandserfassung vs. Erfassung von Veränderungen
- Erfassung einer einzelnen Landnutzungskategorie: Wald

Durch die genannten Unterschiede in den Datensätzen ergeben sich für jede weitere Verwendung folgende Fragestellungen:

- Können mit diesen Daten alle Landnutzungsarten adäquat erfasst werden?
- Stimmen die Definitionen der Landnutzungs- und Landnutzungsänderungs-Klassen zwischen den Datensätzen aber auch mit nationalen oder internationalen Definitionen überein?
- Werden die Daten fortgeführt?
- Entwickelt sich deren Erhebung weiter?
- Stehen neue Informationsquellen zur Verfügung, etc.?

Mit der Entwicklung und dem Aufbau solcher sowohl inhaltlich umfassenden als auch räumlich expliziten und vollständigen, GIS-basierten Kartenwerke wurde häufig erst in den 1990er Jahren begonnen. Der Datenbestand wurde nach und nach aufgebaut und in seiner Qualität sukzessive verbessert. Dies impliziert jedoch, dass nicht für jede einzelne Fläche bzw. jeden einzelnen Stichprobenpunkt Informationen über die Landnutzung im Jahr 1990 bzw. davor aber auch danach vorliegen. Aus diesem Grund wurde nun ein flexibles System entwickelt, welches die Informationen möglichst vieler Datenquellen nutzt, um:

- umfassende und vollständige Landnutzungsänderungs-Informationen zu erhalten,
- den qualitativen Unterschieden der einzelnen Datenquellen gerecht zu werden,
- die räumlichen als auch qualitativen Entwicklungen der Daten zu berücksichtigen und
- Veränderungen zwischen verschiedenen Datenquellen zu verifizieren und
- eine konsistente Definition der Landnutzungskategorien in der Zeitreihe zu gewährleisten bzw.
- eigene Recherchen zuzulassen.

Diesen Ansprüchen wird angesichts der Datenlage in Deutschland nur ein stichprobenbasiertes System gerecht, da

- Datenquellen validiert werden können
- hierdurch die Quantifizierung unterschiedlicher Fehlerquellen möglich ist.
- Veränderungen punktweise und nicht in der Fläche betrachtet werden, weshalb ein stichprobenbasiertes System:
    - robuster auf kleinere Ungenauigkeiten in der Grenzziehung einer Fläche zwischen unterschiedlichen Datenquellen reagiert und

  - eine 100%ige Genauigkeit in der Georeferenzierung nicht benötigt wird (FULLER 2003).
- die Plausibilität von Landnutzungsänderungen verifiziert werden kann und
- sich Datenquellen, welche nur stichprobenartig vorliegen, in dieses System integrieren lassen, wodurch die Datenbasis erweitert werden kann.

Ein solches stichprobenbasiertes System, welches bereits seit 1987 existiert und seitdem periodisch auch Landnutzungsveränderungen von und zu Wald sehr genau erfasst, ist die Bundeswaldinventur (BWI). Das BWI-Netz wird nun auch konsequent für die Erfassung der gesamten Landnutzungsveränderungen genutzt. Damit wird neben der Konsistenz in der Flächenberechnung auch eine vollständige Konsistenz zwischen den Berichten unter der Klimarahmenkonvention und der im Rahmen von Artikel 3.3/3.4 des Kyoto-Protokolls erreicht. Die Entscheidung Deutschlands für ein stichprobenbasiertes System wurde im Mai 2011 in einem nationalen Expertenworkshop abgestimmt und anschließend in einem internationalen Expertenworkshop vorgestellt, diskutiert und von den internationalen Experten als sehr gut geeignet und zukunftsweisend eingeschätzt.

19.4.1.2 Begründung der Entscheidung für das BWI-Raster

Einige der 31 LULUCF-Klassen (Hauptlandnutzungsklassen ohne Wechsel zu „Other Land“) sind deutschlandweit nur von sehr geringem Ausmaß. Deshalb wurde in einer Simulation geprüft, ob diese mit dem derzeitigen bundesweiten Grund-Raster von 4 km x 4 km und den Bundesland-spezifischen Verdichtungen bis hin zu 2 km x 2 km ausreichend genau erfasst werden können oder ob eine weitere Verdichtung des BWI-Netzes nötig wäre. Hierzu wurde ein systematisches, einfaches Stichprobennetz mit einer Rasterweite von 100 m x 100 m generiert. Aus diesem wurden bis zu 25 Subnetze je Rasterweite 200 m x 200 m, 500 m x 500 m, 1.000 m x 1.000 m und 2.000 m x 2.000 m gezogen. Aus statistischer Sicht ist gewünscht, dass möglichst jede der 31 LULUCF-Klassen erfasst wird. Jedoch wird nicht der Anspruch erhoben, dass sich die Schätzung des Flächenanteiles jeder noch so kleinen LULUCF-Klasse signifikant von Null unterscheidet. Auf Grund der erzielten Ergebnisse ist ein 1 km x 1 km-Netz als optimal anzusehen. Ignoriert man die Anordnung der bundesweit 243.454 BWI-Trakt-Ecken in Trakten und Verdichtungsgebieten, so repräsentiert jede Trakt-Ecke eine Fläche von 1, 4 km^2, was bei einer quadratischen Anordnung in etwa einer Netzdichte von 1.183 m x 1.183 m entspricht. Die Wahl des aktuellen BWI 2012-Netzes bildet aus statistischer Sicht somit einen guten Kompromiss. Die Anzahl realisierter Stichprobenpunkte liegt nahe an dem eines systematischen 1 km x 1 km-Netzes. Da die Korrelation zwischen den Trakt-Ecken kleiner 1 ist, steigt die Wahrscheinlichkeit, mit einem Trakt mehrere Landnutzungsänderungsklassen zu erfassen, auch die für Landnutzungsänderungsklassen mit sehr kleinen Flächenanteilen. Gleichzeitig ist die Anzahl kleinster Stichprobenelemente bei einer Traktstichprobe geringer als bei einer einfachen Stichprobe, wenn die gleiche Anzahl Probepunkte realisiert wird. Der Stichprobenfehler wird somit konservativ geschätzt.

Betrachtet man die Anforderungen an die Berichterstattung, so ist die Wahl des BWI 2012-Netzes als optimal einzustufen, da:

- nur mit dem BWI-Netz eine in sich konsistente Landnutzungsmatrix zu erstellen ist,
- welche gleichzeitig konsistent mit den BWI-Waldflächenschätzungen ist,
- aber auch zu den BWI-Kohlenstoffvorratsänderungsschätzungen.

Den hohen qualitativen Ansprüchen vor allem unter dem Kyoto-Reporting kann somit Rechnung getragen werden.

19.4.2 Ermittlung der Emissionsfaktoren für den Mineralboden

Grundlage zur Ermittlung der flächendeckenden und nach Klimaregionen gewichteten durchschnittlichen Kohlenstoffvorräte in Mineralböden, in Abhängigkeit von der Landnutzung, bilden folgende Datenquellen:

- Bodenübersichtskarte im Maßstab 1:1.000.000 (BÜK 1000; BGR 1995, 1997, Düwel et al. 2007)
- Schätzprofile der BÜK 1000 n 2.3; FISBo BGR (BGR 2011)
- „Gehalte an organischer Substanz in Oberböden Deutschlands – Bericht über länderübergreifende Auswertung von Punktinformationen im FISBo BGR-“ (DÜWEL et al. 2007)
- Ergebnisse der zweiten Bodenzustandserhebung im Wald (BZE II; WELLBROCK et al. 2016)
- Datensätze des Basis-Digitalen Landschaftsmodells (B-DLM) des Amtlichen Topographisch-Kartographischen InformationsSystems (ATKIS®) der Jahre 2000, 2005, 2010 (AdV 2000; 2005; 2010)
- IPCC-Guidelines for National Greenhouse Gas Inventories, Volume 4, Agriculture, Forestry and Other Land Use (IPCC 2006)

Der Ermittlung der Emissionsfaktoren für die einzelnen Landnutzungskategorien wurde ein Rückfallsystem zugrunde gelegt. Das bedeutet:

- Liegen spezifisch erhobene Bodendaten für eine Landnutzungskategorie vor (BZE II-Daten; Daten der BGR-Studie (DÜWEL et al. 2007), so werden diese für sich oder in Kombination mit Daten der BÜK 1000 herangezogen, zur Bestimmung der Bodenkohlenstoffvorräte in der entsprechenden Kategorie.
- Existieren solche Daten nicht, liegen der Bestimmung die Schätzwerte der BÜK 1000 zugrunde.

Aufgrund der unterschiedlichen Datenlage für die einzelnen Landnutzungskategorien wurden die flächengewichteten, nutzungs- und bodenspezifischen Kohlenstoffgehalte für unterschiedliche Kategorien getrennt bestimmt.

19.4.2.1 Landnutzungskategorie Wald (Forest Land)

Allen Flächen, die durch die Bundeswaldinventur als Wald deklariert wurden (im Sinne der Definition nach Bundeswaldgesetz) bzw. unter die von Deutschland gewählte IPCC-Definition für Wald fallen, wurde der mittlere Kohlenstoffvorrat im Mineralboden bis 30 cm Bodentiefe zugeordnet, der mittels der Bodenzustandserhebungen (BZE II) ermittelt wurde.

Die BZE II ist eine systematische Stichprobenerhebung und wurde durchgeführt, um grundlegende Informationen über den Zustand von Waldböden und die in ihnen ablaufenden Veränderungen zu gewinnen. Ziel war es, u.a. Daten von zentralen Bodeneigenschaften zu ermitteln. Zu diesem Zwecke wurden flächendeckend, in einem 8 x 8 km Raster, ca. 2.000 Punkte durch die jeweiligen Bundesländer boden- und standortkundlich intensiv untersucht. Die Arbeitsanleitung war einheitlich durch Bund und Länder erarbeitet und festgelegt worden (siehe Kapitel 6.4.2.1.2 und 6.4.2.5).

Nach Abschluss der Arbeiten konnten den LULUCF-Inventarberechnungen ab der Submission 2013 die Ergebnisse der Waldbodeninventur (BZE II) bezüglich des Bodenkohlenstoffvorrats sowie dessen Veränderungsrate zugrunde gelegt werden. Der im Rahmen dieser Erhebung ermittelte mittlere Kohlenstoffvorrat für Mineralböden, bis 30 cm Tiefe, beträgt 61,8 ± 3,7 t ha^{-1} für das Jahr 2006. Die mittlere jährliche Veränderungsrate, die für den Zeitraum zwischen den

jeweiligen Erhebungen bestimmt wurde, beträgt 0,41 ± 0,22 t ha^{-1} a^{-1} (vergl. Kapitel 6.4.2.1.2). Um den Kohlenstoffvorrat der mineralischen Forstböden für die unterschiedlichen Berichtsjahre zu ermitteln, wurde die mittlere Veränderungsrate dem für das Jahr 2006 ermittelten durchschnittlichen Mineralbodenkohlenstoffvorrat aller Forstböden Deutschlands zu- bzw. abgeschlagen, so dass sich für den Berichtszeitraum seit 1990 folgende Zeitreihe ergibt (Tabelle 510):

Tabelle 510: Mittlerer Kohlenstoffvorrat [bis 30 cm Bodentiefe in tC ha^{-1} ± 1,96 * Standardfehler] in den mineralischen Waldböden Deutschlands von 1990 – 2015

	1990	1995	2000	2005	2006	2007	2008	2009	2010	2011	2012
$C_{Vorrat_Waldboden}$	55,24 ± 6,44	57,29 ± 6,68	59,34 ± 6,92	61,39 ± 7,16	61,80 ± 7,25	62,21 ± 7,26	62,62 ± 7,30	63,03 ± 7,35	63,44 ± 7,40	63,85 ± 7,45	64,26 ± 7,49
	2013	**2014**	**2015**								
$C_{Vorrat_Waldboden}$	64,67 ± 7,54	65,08 ± 7,59	65,49 ± 7,64								

Diese Werte bilden für das jeweilige Jahr die Grundlage für alle Berechnungen im Rahmen der Inventarerstellung.

19.4.2.2 Landnutzungskategorien Ackerland, Grünland, Feuchtgebiete, Siedlungen und Sonstiges Land

19.4.2.2.1 Allgemein zu 4.B - 4.F

In der Bodenübersichtskarte BÜK 1000 werden die Böden Deutschlands in 71 bodenkundlich charakterisierten Legendeneinheiten zusammengefasst. Diese sogenannten Leitbodenassoziationen (LBA) sind durch Leit- und Begleitbodentypen gekennzeichnet und werden durch einen flächenrepräsentativen Leitboden charakterisiert, dem ein ausgewähltes Bodenprofil zugewiesen ist. Diese Profilbeschreibungen enthalten neben deskriptiven Parametern auch Angaben zu Bodeneigenschaften, wie Humus- und Stickstoffgehalten sowie bodenphysikalischen Kennwerten (DÜWEL et al. 2007). Der den vorliegenden Berechnungen zugrunde liegende Datensatz enthält u.a. abgeleitete Lagemaße für Kohlenstoff (C_t), anorganischen Kohlenstoff (C_i), Stickstoff (N_t), Steingehalt und die $Rohdichte_{trocken}$ sowie die Spannweite dieser Werte durch Klassenangaben nach KA 4 (AG BODEN 1994).

Der mittlere Kohlenstoffvorrat einer LBA kann aus diesen Daten durch Multiplikation des Kohlenstoffgehaltes mit der Masse des Bodens, korrigiert um Skelett- und Carbonatgehalt, berechnet werden. Zur Bestimmung der mittleren Kohlenstoffvorräte in den Mineralböden der Kategorien Ackerland, Grünland, Feuchtgebiete, Siedlungen und Sonstiges Land wurde die BÜK 1000 mit dem Basis-DLM (Kapitel 6.3.2.1) verschnitten. Die nutzungsspezifischen Flächendaten und die Bodeneigenschaften der BÜK 1000 (Trockenrohdichte, Skelettgehalt) wurden mit den Gehalten an organischem Kohlenstoff der BGR-Studie „Gehalte organischer Substanz in Oberböden Deutschlands: Länderübergreifende Auswertung von Punktinformationen im FISBo BGR“ (DÜWEL et al. 2007) kombiniert.

DÜWEL et al. 2007 weisen typische Gehalte an organischer Substanz (C_{org}) bzw. Humus in Oberböden Deutschlands für 15 Bodenausgangsgesteinsgruppen und 4 Klimazonen aus. Grundlage hierfür bildete die flächendeckende Auswertung der Daten von ca. 14.000 Profilen, in Abhängigkeit von der Nutzung (Acker, Grünland und Wald) und nach Klimaregion.

Zudem werden die 71 Legendeneinheiten der BÜK nach ihren pedo-lithologischen Merkmalen diesen 15 Bodenausgangsgesteinsgruppen zugewiesen (DÜWEL et al. 2007), so dass diese die Verbindung zu den Angaben der Legendeneinheiten der BÜK 1000 bilden.

19.4.2.2.2 Ackerland

Ackerland mit annuellen Kulturen

Für Ackerflächen mit annuellen Früchten führt die BGR-Studie eine Gültigkeit ihrer Werte bis 30 cm Tiefe aus. Daher konnte der Kohlenstoffgehalt aus der BGR-Arbeit auf alle Leitbodenassoziationen der BÜK 1000 übertragen werden.

Tabelle 511: Fläche [ha], mittlerer flächenbezogener Kohlenstoffvorrat [tC ha^{-1}] und dessen Unsicherheiten (obere und untere Schranke in %) für Ackerflächen Deutschlands mit annuellen Kulturen

Mineralboden	Kohlenstoffvorrat [t C ha^{-1}]	Schranken	
		obere [%]	untere [%]
Ackerland $_{annuell}$	59,77	50,07	32,67

Ackerland mit perennierenden Kulturen

Bezüglich der Ackerflächen mit perennierenden Kulturen (z.B. Obstbäume, Wein) wurde davon ausgegangen, dass die Flächen nicht gepflügt werden und zu 75 % mit Gras bestanden sind. Daher wurden die Profileigenschaften der Grünlandprofile der Berechnung des mittleren Kohlenstoffvorrates zugrunde gelegt. Die Vorgehensweise ist im Kapitel 19.4.2.2.3 beschrieben. Die ermittelten Werte für diese Flächen zeigt Tabelle 512.

Tabelle 512: Fläche [ha], mittlerer flächenbezogener Kohlenstoffvorrat [tC ha^{-1}] und dessen Unsicherheiten (obere und untere Schranke in %) für Ackerflächen Deutschlands mit perennierenden Kulturen

Mineralboden	Kohlenstoffvorrat [tC ha^{-1}]	Schranken	
		obere [%]	untere [%]
Ackerland perennierend	72,64	68,18	46,40

Kohlenstoffvorrat Ackerland

Der mittlere Kohlenstoffvorrat für den Mineralboden in Ackerland ergibt sich durch:

$$C_{Min\ Acker} = \frac{\left(C_{Acker\ annuell} * A_{Acker\ annuell} + C_{Acker\ perennierend} * A_{Acker\ perennierend}\right)}{A_{Acker\ annuell} + A_{Acker\ perennierend}}$$

C_{Min_Acker}: Mittlerer flächenbezogener Kohlenstoffvorrat aller mineralischen Ackerböden Deutschlands [t C ha^{-1}]

$C_{Acker_annuell}$: Mittlerer flächenbezogener Kohlenstoffvorrat aller mineralischen Ackerböden Deutschlands mit annuellen Kulturen [t C ha^{-1}]

$C_{Acker_perennierend}$: Mittlerer flächenbezogener Kohlenstoffvorrat aller mineralischen Ackerböden Deutschlands mit perennierenden Kulturen [t C ha^{-1}]

$A_{Acker_annuell}$: Mineralbodenfläche Deutschlands unter Acker mit annuellen Kulturen [ha]

$A_{Acker_perennierend}$: Mineralbodenfläche Deutschlands unter Acker mit perennierenden Kulturen [ha]

Tabelle 513 zeigt den mittleren Kohlenstoffvorrat für Mineralböden unter Acker, der allen diesbezüglichen Berechnungen im Inventar zugrunde liegt.

Tabelle 513: Mittlerer flächenbezogener Kohlenstoffvorrat [tC ha^{-1}] und dessen Unsicherheiten (obere und untere Schranke in %) für Ackerflächen Deutschlands

Mineralboden	Kohlenstoffvorrat [t C ha^{-1}]	Schranken		Verteilungsfunktion
		obere [%]	untere [%]	
Ackerland	60,03	50,50	32,99	lognormal

19.4.2.2.3 Grünland

Die Landnutzungskategorie Grünland setzt sich aus der Subkategorie „Grünland im engeren Sinne“ und „Gehölze“ zusammen (vergleiche Kapitel 6.2.3). Die Berechnung erfolgt für beide Subkategorien aufgrund derselben Datengrundlage. Unterschiede im Kohlenstoffvorrat dieser Subkategorien bedingen sich folglich nur in der unterschiedlichen räumlichen Verteilung der Landnutzungen und somit unterschiedlichen Anteilen von Bodenausgangsgesteinsgruppen und Klimazonen.

Für Grünlandflächen führt die BGR-Studie eine Gültigkeit ihrer Werte bis 10 cm Tiefe an (DÜWEL et al. 2007). Die Bodenkohlenstoffgehalte wurden den Eigenschaften der Mineralbodenprofile der BÜK 1000 via Relation über die Bodenausgangsgesteinsgruppe folgendermaßen zugeordnet: Die Bodenkohlenstoffgehalte der BGR-Studie (DÜWEL et al. 2007) wurden dem obersten Horizont entsprechend der angegebenen Mächtigkeit zugeteilt, (maximal 10 cm Mächtigkeit); die Trockenrohdichte sowie der Skelettgehalt wurden für diese Horizonte aus der BÜK 1000 übernommen, genau wie die gesamten Eigenschaften und Mächtigkeiten der darunter liegenden Horizonte bzw. Tiefenstufen bis 30 cm. Die Ergebnisse zeigt Tabelle 514.

Tabelle 514: Mittlerer flächenbezogener Kohlenstoffvorrat [t C ha^{-1}] und dessen Unsicherheiten (obere und untere Schranke in %) für Grünlandflächen Deutschlands

Mineralboden	Kohlenstoffvorrat [t C ha^{-1}]	Schranken		Verteilungsfunktion
		obere [%]	untere [%]	
Grünland i. e. S.	77,43	77,87	45,93	lognormal
Gehölze	73,18	83,27	42,94	lognormal

19.4.2.2.4 Terrestrische Feuchtgebiete, Siedlungen und Sonstige Flächen

Zur Bestimmung der mittleren Kohlenstoffgehalte für Mineralböden in Terrestrischen Feuchtgebieten (Feuchtgebiete ist unterteilt in Terrestrische Feuchtgebiete und Gewässer) wurde wie beim Grünland verfahren. Die Beschreibung des Verfahrens ist folglich Kapitel 19.4.2.2.3 zu entnehmen. Unterschiede im Kohlenstoffvorrat zwischen Grünland und Terrestrischen Feuchtgebieten bedingen sich wiederum nur in der räumlichen Verteilung der Kategorieflächen.

Die der BÜK 1000 zugrunde liegende Datenbank weist keine Leitprofile für Böden auf Siedlungsflächen und sonstigem Land aus, lediglich für Wald-, Acker- und Grünlandstandorte; aber auch für diese Nutzungen liegen nicht für alle Leitbodenassoziationen Leitprofile vor. Daher wurden als stellvertretende Leitprofile, für Böden unter Siedlungen und sonstigem Land, die Profile der Grünlandstandorte herangezogen (aufgrund der relativen Ähnlichkeit zu Gärten und Parkanlagen). Für die Leitbodenassoziationen, für die keine Grünlandleitprofile mit bodenkundlichen Kennwerten vorlagen, wurde auf die Horizontierung der Waldbodenprofile zurückgegriffen, da Siedlungsböden und insbesondere Böden unter sonstigem Land häufig gestört und im Oberboden nicht so tief entwickelte A-Horizonte aufweisen, wie landwirtschaftlich bewirtschaftetes Grün- oder Ackerland. Diese Vorgehensweise führte bei 42 der 71 Leitbodenprofile zu veränderten, i.d.R. geringeren, Kohlenstoffvorräten, verglichen mit dem Grünland. Zusätzlich hat die räumliche Verteilung von Siedlungsflächen und sonstigem Land in der Bodenlandschaft einen deutlichen Einfluss auf die mittleren Kohlenstoffvorräte der Mineralböden, zum einen gegenüber den Grünlandböden, zum anderen der Mineralböden dieser Kategorien (4.E und 4.F) untereinander.

Die mittleren Kohlenstoffgehalte sind in Tabelle 515 aufgeführt.

Tabelle 515: Mittlerer flächenbezogener Kohlenstoffvorrat [t C ha^{-1}] und dessen Unsicherheiten (obere und untere Schranke in %) in Mineralböden unter Terrestrischen Feuchtgebieten, Siedlungen und Sonstigen Flächen

Mineralboden	Kohlenstoffvorrat [t C ha^{-1}]	Schranken		Verteilungsfunktion
		obere [%]	untere [%]	
Terrestrische Feuchtgebiete	74,00	52,48	43,85	lognormal
Siedlungen	58,67	84,97	45,11	lognormal
Sonstige Flächen	55,60	92,86	44,56	lognormal

Die aus diesen mittleren, nach Klimaregion, Landnutzung und Flächen gewichteten Kohlenstoffvorräten abgeleiteten Emissionsfaktoren sind in Tabelle 306 und Tabelle 307 in Kapitel 6.1.2.1 dargestellt, die Emissionsfaktoren mit statistischen Kennwerten zur Beschreibung der Unsicherheiten in Tabelle 383 bzw. Tabelle 390 in den Kapiteln 6.7.3 bzw. 6.8.3.

Der Wert für den Kohlenstoffvorrat von Siedlungsböden (58,67 t/ha) wird bei Landnutzungsänderungen vollständig in Anrechnung gebracht, d.h. mit dem Mineralbodenvorrat der alten bzw. neuen Landnutzung verrechnet, ohne anteilhaftigen Abzug für eine eventuelle Versiegelung (gemäß der in Kapitel 6.1.2.1 beschriebenen Methoden). Dieser Kohlenstoffvorrat für Siedlungsböden und der methodische Umgang damit stehen im Einklang mit den 2006 IPCC Guidelines. Der Wert erfüllt die Anforderungen an einen Tier 2-Ansatz, denn er

- ist landesspezifisch abgeleitet
- schließt die Versiegelung ein
- ist konservativ

Begründung:

1. Der Kohlenstoffvorrat für Siedlungsböden wurde aus der einzigen flächendeckend verfügbaren Bodenkarte für Deutschland (BÜK 1000 (BGR 1997)) in Verbindung mit der Karte der Bodenausgangsgesteine Deutschlands (BAG 5000 (BGR 2008)) abgeleitet. Er stellt somit den derzeit bestmöglich zu ermittelnden Wert für Kohlenstoff in Stadtböden Deutschlands dar, flächengewichtet nach Bodentyp, Ausgangsgestein und Klimazone. Er steht als Kennwert für die gesamten, auch versiegelten, Siedlungs- und Verkehrsflächen. Nach der deutschen Gesetzgebung ist der Mutterboden besonders zu schützen (§ 202 BauBG (BauBG (2004)) und muss im Falle von Baumaßnahmen unvermischt, geschützt und konservierend gelagert, im Falle einer Versiegelung lateral, unkontaminiert und unvermischt verbracht werden (BBodSchG (1998); KrWG (2012); sowie 16 Landesbauordnungen). So wird der Bodenanteil der versiegelten Fläche i.d.R. auf den unversiegelten (Nachbar)flächen aufgetragen, so dass die Flächenbilanz bezüglich des Kohlenstoffs gleich bleibt.
2. EDELMANN (2013)) untersuchte die Kohlenstoffvorräte in terrestrischen und semiterrestrischen Böden an 146 repräsentativen Profilen im Berliner Stadtgebiet, um die organischen Kohlenstoffvorräte in Abhängigkeit von der Flächennutzung bilanzieren zu können. Hierzu unterteilte er das Stadtgebiet in „bebaute Flächen“ und „Grün- und Freiraumflächen“. Tabelle 516 zeigt die Ergebnisse dieser Untersuchung, bezogen auf 30 cm Bodentiefe. Tabelle 516 verdeutlicht, dass der Bodenkohlenstoffvorrat in den bebauten Flächen unter Berücksichtigung der Versiegelung im Mittel 60,3 t C ha-1 bis 30 cm Bodentiefe-1 beträgt, der für die Grün- und Freiraumflächen 67,2 t C ha-1 bis 30 cm Bodentiefe-1, so dass sich für die Gesamtfläche Berlins ein Mittel von 62,6 t C ha-1 bis 30 cm Bodentiefe-1 ergibt. Diese Werte liegen alle über dem aus der Bodenkarte ermittelten,

obschon die versiegelten Flächen in die Berechnung einbezogen wurden. Desweiteren: Berücksichtigt man die Lage Berlins, inmitten einer Bodengroßlandschaft mit überwiegend armen Sandböden, mit geringen Niederschlägen, kann gefolgert werden, dass die für die Siedlungsfläche Berlins ermittelten Bodenkohlenstoffvorräte hochwahrscheinlich unter dem bundesdeutschen Durchschnitt liegen. Daraus kann wiederum geschlossen werden, dass der aus der Bodenkarte abgeleitete Wert mit 58,67 t C ha-1 bis 30 cm Bodentiefe-1 konservativ ist.

Tabelle 516: Flächen [ha], Flächenanteile [%] und Bodenkohlenstoffvorrat [t C ha-1 bis 30 cm Bodentiefe-1] in Stadtböden Berlins unterschieden nach Flächennutzung (modifiziert nach EDELMANN (2013))

Flächennutzungstyp	Fläche	Flächenanteil		C_{org}- Vorrat
	[ha]	nutzungsspezifisch %	Stadtgebiet	[Mg ha^{-1}]
bebaute Flächen				
Wohnnutzung	13.766,5	24,4	16,2	89,4
Mischnutzung	751,1	1,3	0,9	48,6
Kerngebietsnutzung	85,5	0,2	0,1	48,7
Gewerbe- und Industrienutzung	2.171,5	3,8	2,5	45,7
Gemeinbedarfs- und Sondernutzung, Sportnutzung	5.292,7	9,4	6,2	114,1
Ver- und Entsorgungseinrichtungen	353,4	0,6	0,4	48,7
Wochenendhäuser und kleingartenähnliche Nutzung, Kleingarten	3.246,4	5,7	3,8	89,4
Verkehrsflächen	1.624,3	2,9	1,9	23,4
versiegelte Böden	29.190,0	51,7	34,3	37,1
∑	**56.481,3**	**100,0**	**66,3**	**60,3**
Grün- und Freiflächen				
Wald	15.614,3	54,4	18,3	60,0
Grünland	1.130,6	3,9	1,3	66,1
Ackerland	2.277,0	7,9	2,7	47,7
Park- und Grünfläche	4.272,5	14,9	5,0	102,0
Stadtplatz/ Promenade	62,7	0,2	0,1	64,2
Friedhof	1.021,7	3,6	1,2	82,3
Brachfläche vegetationsfrei	175,0	0,6	0,2	30,5
Brachfläche wiesenartiger Vegetationsbestand	1.563,1	5,5	1,8	73,1
Brachfläche Mischbestand aus Wiesen, Gebüsch und Bäumen	2.299,6	8,0	2,7	58,4
Baumschule/Gartenbau	262,9	0,9	0,3	111,7
∑	**28.679,3**	**100,0**	**33,7**	**67,2**
Stadtgebiet				
∑	**85.160,6**		**100,0**	**62,6**

19.4.2.2.5 Unsicherheiten

Da mit Einzelprofilen keine Aussagen zur Heterogenität der Bodenparameter innerhalb der Legendeneinheiten getroffen werden können (DÜWEL et al. 2007), wurde zur Abschätzung der potentiellen Spannweite der Kohlenstoff- bzw. Stickstoffvorräte einer LBA, somit zur Bestimmung der Unsicherheit, eine jeweilige Extremkonstellation der Klassenwerte konstruiert:

LBA-Kohlenstoffvorrat$_{maximum}$: C_{org}-Gehalt$_{maximum}$, Rohdichte$_{maximum}$, Skelettgehalt$_{minimum}$

LBA-Kohlenstoffvorrat$_{minimum}$: C_{org}-Gehalt$_{minimum}$, Rohdichte$_{minimum}$, Skelettgehalt$_{maximum}$

Die Werte für die Trockenraumdichte, den Skelettgehalt sowie die Kohlenstoffgehalte der Horizonte, für die keine Werte aus der Oberbodenstudie der BGR (DÜWEL et al. 2007) vorlagen, wurden nach entsprechenden Klassenangaben aus den Leitprofilbeschreibungen der BÜK 1000 (BGR 1997) mittels der KA 4 abgeleitet.

Die so ermittelten mini- und maximalen Kohlenstoffvorräte bildeten die obere und untere Schranke und geben im Zusammenhang mit dem Lagemaß die für derartige Daten typische linkssteile Verteilung wieder.

Die Kohlenstoffgehalte der BGR-Studie (DÜWEL et al. 2007) sind mit einer deskriptiven Statistik hinterlegt. Aus dieser wurden die Werte für das 25%- bzw. 75%-Perzentil als untere und obere Schwellenwerte für den Kohlenstoffgehalt abgeleitet.

19.4.2.3 Geplante Verbesserungen

Die in den vorangegangenen Kapiteln aufgeführten Werte stellen die im Moment besten, flächendeckend verfügbaren Daten dar. Zur Verbesserung dieser Datengrundlage wurden und werden in Deutschland derzeit Großinventuren zur Ermittlung des Kohlenstoff- und Stickstoffgehalts in Mineralböden durchgeführt:

- die Bodenzustandserhebung II Wald, für alle Waldböden; die Ergebnisse kommen seit der Submission 2013 zur Anwendung
- die Bodenzustandserhebung Landwirtschaft, für Acker- und Grünlandböden (vgl. Kapitel 6.5.6)

Durch diese beiden Großinventuren werden ca. 84 % der Gesamtfläche Deutschlands erfasst, dies entspricht ca. 88 % der Mineralbodenfläche. Die Ergebnisse der BZE-Landwirtschaft werden schrittweise zur Validierung der jetzigen Emissionsfaktoren herangezogen. Mit einer vollständigen Implementierung der Ergebnisse als Grundlage der Mineralbodenberichterstattung ist nicht vor 2019 zu rechnen.

Sofern in vorhergehenden Berichterstattungen in diesem Kapitel Verbesserungen benannt wurden, sind diese in Form einer Übersicht unter Kapitel 10.4 Verbesserungen des Inventars, Tabelle 426 zu finden. Sind diese bereits erledigt, sind sie im selben Kapitel in Tabelle 425 abgebildet.

19.4.3 Unsicherheiten

Die Unsicherheitenbestimmung im LULUCF Teil des deutschen Treibhausgasinventars folgt den Richtlinien der 2006 IPCC Guidelines und der Good Practice Guidance and Uncertainty Management in National Greenhouse Gas Inventories (IPCC 2000). Bei Normalverteilung wird das 95 % Konfidenzintervall angegeben bzw. ± die Hälfte des 95 % Konfidenzintervals oder 1,96 x der Standardfehler in % vom Mittelwert. Bei unsymmetrischen Verteilungen, hier meist logarithmisch-normalverteilte Daten, werden die Unsicherheiten in Prozent vom Lagemaß dargestellt, als obere und untere Schranke; in der Regel ermittelt über die Quantile (p = 0,025 bzw. p = 0,975). Bei der Unsicherheitenfortpflanzungsrechnung wurde gemäß der o.a. Richtlinien, im Sinne einer konservativen Abschätzung, der Abstand zwischen dem Extremwert des schiefen Achsenabschnitts zum Lagemaß per Definition zur Hälfte des 95 % Konfidenzintervals erklärt. Für die Holzprodukte konnte wegen fehlender Unsicherheiten für die Emissionsfaktoren keine Unsicherheitenberechnung durchgeführt werden (siehe auch Kapitel 11.3.1.5.3). Die Ergebnisse der Unsicherheitenberechnung sind, außer für die Holzprodukte, für alle Pools und Subkategorien in Tabelle 517 dargestellt.

Die Gesamtunsicherheit des LULUCF-Teils des deutschen THG-Inventars beträgt demnach 23,26 % bezüglich des Levels der Emissionen. Den größten Beitrag zur Gesamtunsicherheit bedingen die CO_2-Emissionen (99,71 %), insbesondere aus dem Biomassepool (68,00 %), gefolgt von den Quellgruppen organische Böden (21,39 %), Mineralböden (9,44 %) und tote organische Substanz

(0,89 %). Der Einfluss der Methan- (0,22 %) und Lachgasemissionen (0,07 %) auf die Gesamtunsicherheit ist marginal und praktisch kaum wahrnehmbar.

Bezogen auf die Landnutzungskategorien treten die größten Unsicherheiten in der Unterkategorie verbleibender Wald auf. Hier leistet der Biomassepool aufgrund der Unsicherheit des Emissionsfaktors von 56 % und der absoluten Größe der Senke von -40.948,45 kt CO_2-eq.CO_2-Emissionen mit Abstand den größten Beitrag mit 67,93 % zur Gesamtunsicherheit des LULUCF-Inventars bei. In dieser Landnutzungskategorie folgt der Mineralboden (9,09 %) und die tote organische Substanz (0,88 %); deren Beitrag wird im Wesentlichen von der Höhe der Emissionsfaktoren (Streu: 294 %; Totholz: 107 %) beeinflusst. Außerhalb des Waldsektors tragen insbesondere die CO_2-Emissionen aus den organischen Böden der Verbleibkategorien des Grünlands i.e.S. (19,24 %) und des Ackerlands (1,54 %) erheblich zur Gesamtunsicherheit des LULUCF-Inventars bei, aufgrund der absoluten Höhe der CO_2-Emissionen (22.190,22 bzw. 7.605,07 kt CO_2-eq.) und der Unsicherheit der Emissionsfaktoren (55 % bzw. 46 %). Alle anderen Unterkategorien und Pools sind marginal und tragen aufsummiert nur ca. 1,32 % zur Gesamtunsicherheit bei.

Tabelle 517: Uncertainty Calculation for the German GHG Emissions from Sector 4.A - 4.F (LULUCF)

	A		B	C	D	E	F	G	H[221]
	Source category	Pool	Gas	Base year emissions or removals [kt CO_2 equivalent]	Year 2015 emissions or removals [kt CO_2 equivalent]	Activity data uncertainty [%]	Emission factor uncertainty [%]	Combined uncertainty [%]	Contribution to Variance by Category in Year 2015 [%]
4.A.1	Forest Land remaining Forest Land	Mineral soils	CO2	-15,474.96	-16,056.21	1.23	52.59	52.60	49.2135
4.A.1	Forest Land remaining Forest Land	Organic soils	CO2	636.12	920.48	1.72	24.60	24.66	0.0356
4.(II).A	Forest Land remaining Forest Land	Organic soils	CH4	8.97	12.98	1.72	1,011.57	1,011.57	0.0119
4.(II).A	Forest Land remaining Forest Land	Organic soils	N2O	50.43	72.97	1.72	200.69	200.69	0.0148
4.A.1	Forest Land remaining Forest Land	Biomass	CO2	-54,563.08	-40,948.45	1.21	56.35	56.37	367.5818
4.A.1	Forest Land remaining Forest Land	Litter	CO2	475.58	494.67	1.21	294.00	294.00	1.4594
4.A.1	Forest Land remaining Forest Land	Dead wood	CO2	-1,400.72	2,055.25	1.21	106.87	106.88	3.3290
4.(IV).2	Forest Land remaining Forest Land	SOM indirect	N2O	0.00	0.00	1.23	291.54	291.54	0.0000
4.(III).A.1	Forest Land remaining Forest Land	SOM direct	N2O	0.00	0.00	1.23	206.81	206.81	0.0000
4.(V).A.1	Forest Land remaining Forest Land	Forest fires	CH4	6.77	2.91	15.00	35.00	38.08	0.0000
4.(V).A.1	Forest Land remaining Forest Land	Forest fires	N2O	4.46	1.92	15.00	35.00	38.08	0.0000
4.(V).A.1	Forest Land remaining Forest Land	Forest fires	CO2	IE	IE	0.00	0.00	0.00	0.0000
4.(II).A	Forest Land remaining Forest Land	Mineral soils	N2O	NO	NO	0.00	0.00	0.00	0.0000
4.(I).A.1.1	Forest Land remaining Forest Land	Fertilizer	N2O	NO	NO	0.00	0.00	0.00	0.0000
4.A.2.1	Cropland converted to Forest Land	Mineral soils	CO2	297.53	-14.96	9.78	25.00	26.85	0.0000
4.A.2.1	Cropland converted to Forest Land	Organic soils	CO2	56.96	35.11	6.59	24.60	25.47	0.0001
4.(II).A	Cropland converted to Forest Land	Organic soils	CH4	0.80	0.50	6.59	1,011.57	1,011.59	0.0000
4.(II).A	Cropland converted to Forest Land	Organic soils	N2O	4.52	2.78	6.59	200.69	200.79	0.0000
4.A.2.1	Cropland converted to Forest Land	Biomass	CO2	-2,233.08	-1,473.71	9.30	11.57	14.84	0.0330
4.A.2.1	Cropland converted to Forest Land	Litter	CO2	-338.42	-198.16	9.30	3.15	9.82	0.0003
4.A.2.1	Cropland converted to Forest Land	Dead wood	CO2	-24.49	-14.58	9.30	48.69	49.57	0.0000
4.(IV).2	Cropland converted to Forest Land	SOM indirect	N2O	6.96	0.31	9.78	292.14	292.31	0.0000
4.(III).A.2.1	Cropland converted to Forest Land	SOM_direct	N2O	30.92	1.37	9.78	207.67	207.90	0.0000

[221] The data in this column describe auxiliary data needed to derive the percentage uncertainty in total inventory in the bottommost cell of this column. In order to calculate the data the calculation procedure provided by IPCC (2006)-3.31, Table 3.2, column H, has been used. However, the head of this column as prescribed by IPCC (2006)-3.31, Table 3.2, column H („Contribution to Variance by Category “) does not correctly describe the data in this column. The head could not be adapted to the meaning of the data in the column and should therefore not be used.

	A		B	C	D	E	F	G	H[221]
	Source category	Pool	Gas	Base year emissions or removals [kt CO_2 equivalent]	Year 2015 emissions or removals [kt CO_2 equivalent]	Activity data uncertainty [%]	Emission factor uncertainty [%]	Combined uncertainty [%]	Contribution to Variance by Category in Year 2015 [%]
4.A.2.2.1	Grassland i.s.s. converted to Forest Land	Mineral soils	CO2	973.25	423.57	8.96	42.74	43.67	0.0236
4.A.2.2.1	Grassland i.s.s. converted to Forest Land	Organic soils	CO2	156.29	165.36	5.19	24.60	25.14	0.0012
4.(II).A	Grassland i.s.s. converted to Forest Land	Organic soils	CH4	2.20	2.33	5.19	1,011.57	1,011.59	0.0004
4.(II).A	Grassland i.s.s. converted to Forest Land	Organic soils	N2O	12.39	13.11	5.19	200.69	200.75	0.0005
4.A.2.2.1	Grassland i.s.s. converted to Forest Land	Biomass	CO2	-2,508.61	-1,959.75	8.13	21.94	23.40	0.1451
4.A.2.2.1	Grassland i.s.s. converted to Forest Land	Litter	CO2	-389.75	-281.54	8.13	3.15	8.72	0.0004
4.A.2.2.1	Grassland i.s.s. converted to Forest Land	Dead wood	CO2	-28.21	-20.72	8.13	48.69	49.36	0.0001
4.(IV).2	Grassland i.s.s. converted to Forest Land	SOM indirect	N2O	22.05	9.60	8.96	294.19	294.33	0.0006
4.(III).A.2.2.1	Grassland i.s.s. converted to Forest Land	SOM direct	N2O	98.00	42.65	8.96	210.54	210.73	0.0056
4.A.2.2.2	Woody Grassland converted to Forest Land	Mineral soils	CO2	140.07	52.26	23.75	44.52	50.46	0.0005
4.A.2.2.2	Woody Grassland converted to Forest Land	Organic soils	CO2	19.12	12.06	21.34	24.60	32.57	0.0000
4.(II).A	Woody Grassland converted to Forest Land	Organic soils	CH4	0.27	0.17	21.34	1,011.57	1,011.80	0.0000
4.(II).A	Woody Grassland converted to Forest Land	Organic soils	N2O	1.52	0.96	21.34	200.69	201.82	0.0000
4.A.2.2.2	Woody Grassland converted to Forest Land	Biomass	CO2	-170.32	-188.86	22.22	51.22	55.83	0.0077
4.A.2.2.2	Woody Grassland converted to Forest Land	Litter	CO2	-65.26	-43.34	22.22	3.15	22.44	0.0001
4.A.2.2.2	Woody Grassland converted to Forest Land	Dead wood	CO2	-4.72	-3.19	22.22	48.69	53.52	0.0000
4.(IV).2	Woody Grassland converted to Forest Land	SOM indirect	N2O	3.29	1.23	23.75	294.46	295.41	0.0000
4.(III).A.2.2.2	Woody Grassland converted to Forest Land	SOM direct	N2O	14.64	5.46	23.75	210.91	212.24	0.0001
4.A.2.3.3	Other Wetlands converted to Forest Land	Mineral soils	CO2	4.98	1.47	146.21	28.49	148.96	0.0000
4.A.2.3.3	Other Wetlands converted to Forest Land	Organic soils	CO2	30.58	45.57	19.21	24.60	31.21	0.0001
4.(II).A	Other Wetlands converted to Forest Land	Organic soils	CH4	0.43	0.64	19.21	1,011.57	1,011.76	0.0000
4.(II).A	Other Wetlands converted to Forest Land	Organic soils	N2O	2.42	3.61	19.21	200.69	201.60	0.0000
4.A.2.3.3	Other Wetlands converted to Forest Land	Biomass	CO2	-46.42	-78.91	19.21	37.08	41.76	0.0007
4.A.2.3.3	Other Wetlands converted to Forest Land	Litter	CO2	-8.99	-10.56	19.21	3.15	19.47	0.0000
4.A.2.3.3	Other Wetlands converted to Forest Land	Dead wood	CO2	-0.65	-0.78	19.21	48.69	52.34	0.0000
4.(IV).2	Other Wetlands converted to Forest Land	SOM indirect	N2O	0.09	0.03	146.21	292.46	326.97	0.0000
4.(III).A.2.3.3	Other Wetlands converted to Forest Land	SOM direct	N2O	0.41	0.12	146.21	208.11	254.34	0.0000

	A		B	C	D	E	F	G	H[221]
	Source category	Pool	Gas	Base year emissions or removals [kt CO_2 equivalent]	Year 2015 emissions or removals [kt CO_2 equivalent]	Activity data uncertainty [%]	Emission factor uncertainty [%]	Combined uncertainty [%]	Contribution to Variance by Category in Year 2015 [%]
4.A.2.3.2	Flooded Land converted to Forest Land	Mineral soils	CO2	0.00	0.00	23.43	11.25	25.99	0.0000
4.A.2.3.2	Flooded Land converted to Forest Land	Organic soils	CO2	33.10	11.63	7.48	24.60	25.71	0.0000
4.(II).A	Flooded Land converted to Forest Land	Organic soils	CH4	0.47	0.16	7.48	1,011.57	1,011.60	0.0000
4.(II).A	Flooded Land converted to Forest Land	Organic soils	N2O	2.62	0.92	7.48	200.69	200.83	0.0000
4.A.2.3.2	Flooded Land converted to Forest Land	Biomass	CO2	-261.54	-119.93	17.30	25.64	30.93	0.0009
4.A.2.3.2	Flooded Land converted to Forest Land	Litter	CO2	-36.56	-15.39	17.30	3.15	17.58	0.0000
4.A.2.3.2	Flooded Land converted to Forest Land	Dead wood	CO2	-2.65	-1.13	17.30	48.69	51.67	0.0000
4.(IV).2	Flooded Land converted to Forest Land	SOM indirect	N2O	0.00	0.00	23.43	291.29	292.23	0.0000
4.(III).A.2.3.2	Flooded Land converted to Forest Land	SOM direct	N2O	0.00	0.00	23.43	206.46	207.79	0.0000
4.A.2.4	Settlements converted to Forest Land	Mineral soils	CO2	64.38	-15.85	16.72	40.85	44.13	0.0000
4.A.2.4	Settlements converted to Forest Land	Organic soils	CO2	10.97	5.48	20.69	24.60	32.15	0.0000
4.A.2.4	Settlements converted to Forest Land	Organic soils	CH4	0.15	0.08	20.69	1,011.57	1,011.78	0.0000
4.A.2.4	Settlements converted to Forest Land	Organic soils	N2O	0.87	0.43	20.69	200.69	201.75	0.0000
4.A.2.4	Settlements converted to Forest Land	Biomass	CO2	-501.71	-473.61	16.18	38.03	41.33	0.0264
4.A.2.4	Settlements converted to Forest Land	Litter	CO2	-85.94	-64.89	16.18	3.15	16.48	0.0001
4.A.2.4	Settlements converted to Forest Land	Dead wood	CO2	-6.22	-4.78	16.18	48.69	51.30	0.0000
4.(IV).2	Settlements converted to Forest Land	SOM indirect	N2O	1.48	0.02	16.72	293.92	294.40	0.0000
4.(III).A.2.4	Settlements converted to Forest Land	SOM direct	N2O	6.58	0.08	16.72	210.16	210.83	0.0000
4.A.2.5	Other Land converted to Forest Land	Mineral soils	CO2	16.63	-8.07	34.05	43.35	55.13	0.0000
4.A.2.5	Other Land converted to Forest Land	Organic soils	CO2	0.10	0.38	312.66	24.60	313.63	0.0000
4.(II).A	Other Land converted to Forest Land	Organic soils	CH4	0.00	0.01	312.66	1,011.57	1,058.79	0.0000
4.(II).A	Other Land converted to Forest Land	Organic soils	N2O	0.01	0.03	312.66	200.69	371.52	0.0000
4.A.2.5	Other Land converted to Forest Land	Biomass	CO2	-265.63	-134.42	34.04	25.64	42.62	0.0023
4.A.2.5	Other Land converted to Forest Land	Litter	CO2	-37.13	-17.25	34.04	3.15	34.18	0.0000
4.A.2.5	Other Land converted to Forest Land	Dead wood	CO2	-2.69	-1.27	34.04	48.69	59.40	0.0000
4.(IV).2	Other Land converted to Forest Land	SOM indirect	N2O	0.38	0.00	34.05	294.28	296.25	0.0000
4.(III).A.2.5	Other Land converted to Forest Land	SOM direct	N2O	1.67	0.00	34.05	210.66	213.40	0.0000
4.B.1	Cropland remaining Cropland	Mineral soils	CO2	0.00	0.00	1.06	50.50	50.52	0.0000
4.B.1	Cropland remaining Cropland	Organic soils	CO2	5,909.20	7,605.07	1.28	45.65	45.66	8.3215
4.(II).B	Cropland remaining Cropland	Organic soils	CH4	129.33	166.44	1.28	233.93	233.93	0.1046
4.B.1	Cropland remaining Cropland	Biomass	CO2	-28.86	-51.82	1.04	11.08	11.13	0.0000

	A		B	C	D	E	F	G	H[221]
	Source category	Pool	Gas	Base year emissions or removals [kt CO_2 equivalent]	Year 2015 emissions or removals [kt CO_2 equivalent]	Activity data uncertainty [%]	Emission factor uncertainty [%]	Combined uncertainty [%]	Contribution to Variance by Category in Year 2015 [%]
4.B.2.1	Forest Land converted to Cropland	Mineral soils	CO2	-97.38	0.96	15.31	25.00	29.32	0.0000
4.B.2.1	Forest Land converted to Cropland	Organic soils	CO2	184.12	55.15	7.62	45.65	46.28	0.0004
4.(II).B	Forest Land converted to Cropland	Organic soils	CH4	4.03	1.21	7.62	233.93	234.05	0.0000
4.B.2.1	Forest Land converted to Cropland	Biomass	CO2	292.22	82.24	13.53	22.32	26.10	0.0003
4.B.2.1	Forest Land converted to Cropland	Dead organic matter	CO2	257.97	35.34	13.53	6.16	14.87	0.0000
4.(IV).2	Forest Land converted to Cropland	SOM indirect	N2O	0.00	0.08	15.31	287.84	288.25	0.0000
4.(III).B.2.1	Forest Land converted to Cropland	SOM direct	N2O	0.00	0.36	15.31	201.57	202.15	0.0000
4.B.2.2.1	Grassland i.s.s. converted to Cropland	Mineral soils	CO2	2,458.85	2,840.94	4.92	49.10	49.34	1.3558
4.B.2.2.1	Grassland i.s.s. converted to Cropland	Organic soils	CO2	2,576.21	3,543.87	3.34	45.65	45.77	1.8152
4.(II).B	Grassland i.s.s. converted to Cropland	Organic soils	CH4	56.38	77.56	3.34	233.93	233.95	0.0227
4.B.2.2.1	Grassland i.s.s. converted to Cropland	Biomass	CO2	242.07	48.14	4.45	16.44	17.03	0.0000
4.(IV).2	Grassland i.s.s. converted to Cropland	SOM indirect	N2O	55.71	64.36	4.92	295.18	295.22	0.0249
4.(III).B.2.2.1	Grassland i.s.s. converted to Cropland	SOM direct	N2O	247.58	286.05	4.92	211.92	211.98	0.2537
4.B.2.2.2	Woody Grassland converted to Cropland	Mineral soils	CO2	70.57	24.39	30.00	51.10	59.25	0.0001
4.B.2.2.2	Woody Grassland converted to Cropland	Organic soils	CO2	52.63	15.60	21.34	45.65	50.39	0.0000
4.(II).B	Woody Grassland converted to Cropland	Organic soils	CH4	1.15	0.34	21.34	233.93	234.90	0.0000
4.B.2.2.2	Woody Grassland converted to Cropland	Biomass	CO2	215.61	53.85	28.32	47.96	55.70	0.0006
4.(IV).2	Woody Grassland converted to Cropland	SOM indirect	N2O	1.66	0.57	30.00	295.52	297.04	0.0000
4.(III).B.2.2.2	Woody Grassland converted to Cropland	SOM direct	N2O	7.37	2.55	30.00	212.39	214.50	0.0000
4.B.2.3.3	Other Wetlands converted to Cropland	Mineral soils	CO2	0.00	0.00	0.00	36.76	36.76	0.0000
4.B.2.3.3	Other Wetlands converted to Cropland	Organic soils	CO2	132.53	35.73	19.62	45.65	49.68	0.0002
4.(II).B	Other Wetlands converted to Cropland	Organic soils	CH4	2.90	0.78	19.62	233.93	234.75	0.0000
4.B.2.3.3	Other Wetlands converted to Cropland	Biomass	CO2	11.17	0.00	19.62	32.45	37.92	0.0000
4.(IV).2	Other Wetlands converted to Cropland	SOM indirect	N2O	0.00	0.00	0.00	295.64	295.64	0.0000
4.(III).B.2.3.3	Other Wetlands converted to Cropland	SOM direct	N2O	0.00	0.00	0.00	212.56	212.56	0.0000
4.B.2.3.2	Flooded Land converted to Cropland	Mineral soils	CO2	0.00	0.00	32.39	50.50	60.00	0.0000
4.B.2.3.2	Flooded Land converted to Cropland	Organic soils	CO2	28.41	8.72	18.54	45.65	49.27	0.0000
4.(II).B	Flooded Land converted to Cropland	Organic soils	CH4	0.62	0.19	18.54	233.93	234.66	0.0000
4.B.2.3.2	Flooded Land converted to Cropland	Biomass	CO2	-11.82	-0.08	29.24	11.47	31.41	0.0000
4.(IV).2	Flooded Land converted to Cropland	SOM indirect	N2O	0.00	0.00	32.39	295.42	297.19	0.0000
4.(III).B.2.3.2	Flooded Land converted to Cropland	SOM direct	N2O	0.00	0.00	32.39	212.25	214.71	0.0000

	A		B	C	D	E	F	G	H[221]
	Source category	Pool	Gas	Base year emissions or removals [kt CO_2 equivalent]	Year 2015 emissions or removals [kt CO_2 equivalent]	Activity data uncertainty [%]	Emission factor uncertainty [%]	Combined uncertainty [%]	Contribution to Variance by Category in Year 2015 [%]
4.B.2.4	Settlements converted to Cropland	Mineral soils	CO2	-16.88	-10.84	15.50	49.15	51.54	0.0000
4.B.2.4	Settlements converted to Cropland	Organic soils	CO2	69.84	40.28	21.22	45.65	50.34	0.0003
4.(II).B	Settlements converted to Cropland	Organic soils	CH4	1.53	0.88	21.22	233.93	234.89	0.0000
4.B.2.4	Settlements converted to Cropland	Biomass	CO2	93.15	23.51	15.00	31.65	35.03	0.0000
4.(IV).2	Settlements converted to Cropland	SOM indirect	N2O	0.00	0.00	15.50	295.19	295.60	0.0000
4.(III).B.2.4	Settlements converted to Cropland	SOM direct	N2O	0.00	0.00	15.50	211.93	212.50	0.0000
4.B.2.5	Other Land converted to Cropland	Mineral soils	CO2	-1.78	-4.01	91.67	51.78	105.28	0.0000
4.B.2.5	Other Land converted to Cropland	Organic soils	CO2	0.74	1.29	180.19	45.65	185.88	0.0000
4.(II).B	Other Land converted to Cropland	Organic soils	CH4	0.02	0.03	180.19	233.93	295.28	0.0000
4.B.2.5	Other Land converted to Cropland	Biomass	CO2	-2.14	0.00	90.15	11.47	90.88	0.0000
4.(IV).2	Other Land converted to Cropland	SOM indirect	N2O	0.00	0.00	90.15	295.64	309.08	0.0000
4.(III).B.2.5	Other Land converted to Cropland	SOM direct	N2O	0.00	0.00	91.67	212.56	231.48	0.0000
4.C.1.1	Grassland i.s.s. remaining Grassland i.s.s.	Mineral soils	CO2	0.00	0.00	1.79	77.87	77.89	0.0000
4.C.1.1	Grassland i.s.s. remaining Grassland i.s.s.	Organic soils	CO2	25,058.33	22,190.24	0.57	55.35	55.36	104.1134
4.(II).C	Grassland i.s.s. remaining Grassland i.s.s.	Organic soils	CH4	531.03	470.25	0.57	258.59	258.59	1.0203
4.C.1.1	Grassland i.s.s. remaining Grassland i.s.s.	Biomass	CO2	0.00	0.00	1.50	30.30	30.33	0.0000
4.C.2.1.1	Forest Land converted to Grassland i.s.s.	Mineral soils	CO2	-259.05	-145.33	20.20	42.74	47.27	0.0033
4.C.2.1.1	Forest Land converted to Grassland i.s.s.	Organic soils	CO2	78.36	152.63	10.17	55.35	56.28	0.0051
4.(II).C	Forest Land converted to Grassland i.s.s.	Organic soils	CH4	1.66	3.23	10.17	258.59	258.79	0.0000
4.C.2.1.1	Forest Land converted to Grassland i.s.s.	Biomass	CO2	232.19	302.01	18.78	22.44	29.26	0.0054
4.C.2.1.1	Forest Land converted to Grassland i.s.s.	DOM	CO2	219.25	130.48	18.78	6.16	19.76	0.0005
4.(IV).2	Forest Land converted to Grassland i.s.s.	SOM indirect	N2O	0.00	0.00	20.20	289.92	290.62	0.0000
4.(III).C.2.1.1	Forest Land converted to Grassland i.s.s.	SOM direct	N2O	0.00	0.00	20.20	204.53	205.52	0.0000
4.C.2.2.1	Cropland converted to Grassland i.s.s.	Mineral soils	CO2	-1,787.24	-1,324.38	6.13	49.10	49.48	0.2963
4.C.2.2.1	Cropland converted to Grassland i.s.s.	Organic soils	CO2	1,580.07	765.70	3.17	55.35	55.45	0.1244
4.(II).C	Cropland converted to Grassland i.s.s.	Organic soils	CH4	33.48	16.23	3.17	258.59	258.61	0.0012
4.C.2.2.1	Cropland converted to Grassland i.s.s.	Biomass	CO2	-175.76	-17.84	5.47	16.44	17.32	0.0000
4.(IV).2	Cropland converted to Grassland i.s.s.	SOM indirect	N2O	0.00	0.00	6.13	295.18	295.25	0.0000
4.(III).C.2.1.1	Cropland converted to Grassland i.s.s.	SOM direct	N2O	0.00	0.00	6.13	211.92	212.01	0.0000
4.C.1.3	Woody Grassland converted to Grassland i.s.s.	Mineral soils	CO2	-45.10	-19.74	19.70	56.92	60.23	0.0001
4.C.1.3	Woody Grassland converted to Grassland i.s.s.	Organic soils	CO2	60.93	54.66	15.70	55.35	57.54	0.0007
4.(II).C	Woody Grassland converted to Grassland i.s.s.	Organic soils	CH4	1.29	1.16	15.70	258.59	259.07	0.0000
4.C.1.3	Woody Grassland converted to Grassland i.s.s.	Biomass	CO2	401.83	42.22	18.88	47.87	51.46	0.0003
4.(IV).2	Woody Grassland converted to Grassland i.s.s.	SOM indirect	N2O	0.00	0.00	19.70	296.58	297.24	0.0000
4.(III).C.1.3	Woody Grassland converted to Grassland i.s.s.	SOM direct	N2O	0.00	0.00	19.70	213.87	214.77	0.0000

	A		B	C	D	E	F	G	H[221]
	Source category	Pool	Gas	Base year emissions or removals [kt CO_2 equivalent]	Year 2015 emissions or removals [kt CO_2 equivalent]	Activity data uncertainty [%]	Emission factor uncertainty [%]	Combined uncertainty [%]	Contribution to Variance by Category in Year 2015 [%]
4.C.2.3.3.1	Other Wetlands converted to Grassland i.s.s.	Mineral soils	CO2	-0.50	-1.19	57.40	47.36	74.42	0.0000
4.C.2.3.3.1	Other Wetlands converted to Grassland i.s.s.	Organic soils	CO2	78.39	73.30	49.96	55.35	74.56	0.0021
4.(II).C	Other Wetlands converted to Grassland i.s.s.	Organic soils	CH4	1.66	1.55	49.96	258.59	263.37	0.0000
4.C.2.3.3.1	Other Wetlands converted to Grassland i.s.s.	Biomass	CO2	8.63	20.60	56.85	32.97	65.72	0.0001
4.(IV).2	Other Wetlands converted to Grassland i.s.s.	SOM indirect	N2O	0.00	0.00	57.40	294.90	300.43	0.0000
4.(III).C.2.3.3.1	Other Wetlands converted to Grassland i.s.s.	SOM direct	N2O	0.00	0.00	57.40	211.53	219.17	0.0000
4.C.2.3.2.1	Flooded Land converted to Grassland i.s.s.	Mineral soils	CO2	0.00	0.00	16.50	77.87	79.60	0.0000
4.C.2.3.2.1	Flooded Land converted to Grassland i.s.s.	Organic soils	CO2	314.46	105.12	6.25	55.35	55.71	0.0024
4.(II).C	Flooded Land converted to Grassland i.s.s.	Organic soils	CH4	6.66	2.23	6.25	258.59	258.67	0.0000
4.C.2.3.2.1	Flooded Land converted to Grassland i.s.s.	Biomass	CO2	-55.61	-17.09	13.10	30.30	33.01	0.0000
4.(IV).2	Flooded Land converted to Grassland i.s.s.	SOM indirect	N2O	0.00	0.00	16.50	301.31	301.76	0.0000
4.(III).C.2.3.2.1	Flooded Land converted to Grassland i.s.s.	SOM direct	N2O	0.00	0.00	16.50	220.37	220.99	0.0000
4.C.2.4.1	Settlements converted to Grassland i.s.s.	Mineral soils	CO2	-344.31	-306.77	11.82	57.48	58.68	0.0224
4.C.2.4.1	Settlements converted to Grassland i.s.s.	Organic soils	CO2	127.48	66.87	10.30	55.35	56.30	0.0010
4.(II).C	Settlements converted to Grassland i.s.s.	Organic soils	CH4	2.70	1.42	10.30	258.59	258.80	0.0000
4.C.2.4.1	Settlements converted to Grassland i.s.s.	Biomass	CO2	0.00	0.00	11.22	32.77	34.64	0.0000
4.(IV).2	Settlements converted to Grassland i.s.s.	SOM indirect	N2O	0.00	0.00	11.82	296.69	296.93	0.0000
4.(III).C.2.4.1	Settlements converted to Grassland i.s.s.	SOM direct	N2O	0.00	0.00	11.82	214.02	214.34	0.0000
4.C.2.5.1	Other Land converted to Grassland i.s.s.	Mineral soils	CO2	314.46	105.12	57.40	43.35	71.93	0.0039
4.C.2.5.1	Other Land converted to Grassland i.s.s.	Organic soils	CO2	6.66	2.23	49.96	55.35	74.56	0.0000
4.(II).C	Other Land converted to Grassland i.s.s.	Organic soils	CH4	14.65	4.90	49.96	258.59	263.37	0.0001
4.C.2.5.1	Other Land converted to Grassland i.s.s.	Biomass	CO2	-15.31	0.00	56.85	30.30	64.42	0.0000
4.(IV).2	Other Land converted to Grassland i.s.s.	SOM indirect	N2O	0.00	0.00	57.40	297.12	302.62	0.0000
4.(III).C.2.5.1	Other Land converted to Grassland i.s.s.	SOM direct	N2O	0.00	0.00	57.40	214.62	222.16	0.0000
4.C.1.2	Woody Grassland remaining Woody Grassland	Mineral soils	CO2	0.00	0.00	4.87	83.27	83.42	0.0000
4.C.1.2	Woody Grassland remaining Woody Grassland	Organic soils	CO2	1,001.66	1,109.86	1.59	24.60	24.65	0.0517
4.(II).C	Woody Grassland remaining Woody Grassland	Organic soils	CH4	14.13	15.66	1.59	1,011.57	1,011.57	0.0173
4.(II).C	Woody Grassland remaining Woody Grassland	Organic soils	N2O	79.40	87.98	1.59	200.69	200.69	0.0215
4.C.1.2	Woody Grassland remaining Woody Grassland	Biomass	CO2	0.00	0.00	3.56	55.21	55.33	0.0000

	A		B	C	D	E	F	G	H[221]
	Source category	Pool	Gas	Base year emissions or removals [kt CO_2 equivalent]	Year 2015 emissions or removals [kt CO_2 equivalent]	Activity data uncertainty [%]	Emission factor uncertainty [%]	Combined uncertainty [%]	Contribution to Variance by Category in Year 2015 [%]
4.C.2.1.2	Forest Land converted to Woody Grassland	Mineral soils	CO2	-72.52	-34.94	28.51	44.52	52.87	0.0002
4.C.2.1.2	Forest Land converted to Woody Grassland	Organic soils	CO2	15.75	10.87	15.77	24.60	29.22	0.0000
4.(II).C	Forest Land converted to Woody Grassland	Organic soils	CH4	0.22	0.15	15.77	1,011.57	1,011.70	0.0000
4.(II).C	Forest Land converted to Woody Grassland	Organic soils	N2O	1.25	0.86	15.77	200.69	201.30	0.0000
4.C.2.1.2	Forest Land converted to Woody Grassland	Biomass	CO2	-52.61	36.13	25.50	28.07	37.93	0.0001
4.C.2.1.2	Forest Land converted to Woody Grassland	Dead organic matter	CO2	77.18	64.98	25.50	6.16	26.24	0.0002
4.(IV).2	Forest Land converted to Woody Grassland	SOM indirect	N2O	0.00	0.00	28.51	290.19	291.59	0.0000
4.(III).C.2.1.2	Forest Land converted to Woody Grassland	SOM direct	N2O	0.00	0.00	28.51	204.91	206.88	0.0000
4.C.2.2.2	Cropland converted to Woody Grassland	Mineral soils	CO2	-151.60	-150.92	14.00	51.10	52.98	0.0044
4.C.2.2.2	Cropland converted to Woody Grassland	Organic soils	CO2	22.37	14.97	10.69	24.60	26.82	0.0000
4.(II).C	Cropland converted to Woody Grassland	Organic soils	CH4	0.32	0.21	10.69	1,011.57	1,011.63	0.0000
4.(II).C	Cropland converted to Woody Grassland	Organic soils	N2O	1.77	1.19	10.69	200.69	200.97	0.0000
4.C.2.2.2	Cropland converted to Woody Grassland	Biomass	CO2	-456.91	-297.68	13.21	47.96	49.75	0.0151
4.(IV).2	Cropland converted to Woody Grassland	SOM indirect	N2O	0.00	0.00	14.00	295.52	295.85	0.0000
4.(III).C.2.2.2	Cropland converted to Woody Grassland	SOM direct	N2O	0.00	0.00	14.00	212.39	212.85	0.0000
4.C.1.4	Grassland i.s.s. converted to Woody Grassland	Mineral soils	CO2	14.90	50.87	27.89	56.92	63.38	0.0007
4.C.1.4	Grassland i.s.s. converted to Woody Grassland	Organic soils	CO2	24.39	80.07	14.65	24.60	28.63	0.0004
4.(II).C	Grassland i.s.s. converted to Woody Grassland	Organic soils	CH4	0.34	1.13	14.65	1,011.57	1,011.68	0.0001
4.(II).C	Grassland i.s.s. converted to Woody Grassland	Organic soils	N2O	1.93	6.35	14.65	200.69	201.22	0.0001
4.C.1.4	Grassland i.s.s. converted to Woody Grassland	Biomass	CO2	-148.55	-718.10	24.20	47.87	53.64	0.1024
4.(IV).2	Grassland i.s.s. converted to Woody Grassland	SOM indirect	N2O	0.34	1.15	27.89	296.58	297.89	0.0000
4.(III).C.1.4	Grassland i.s.s. converted to Woody Grassland	SOM direct	N2O	1.50	5.12	27.89	213.87	215.68	0.0001
4.C.2.3.3.2	Other Wetlands converted to Woody Grassland	Mineral soils	CO2	0.00	0.03	209.23	49.10	214.91	0.0000
4.C.2.3.3.2	Other Wetlands converted to Woody Grassland	Organic soils	CO2	9.46	9.78	30.11	24.60	38.88	0.0000
4.(II).C	Other Wetlands converted to Woody Grassland	Organic soils	CH4	0.13	0.14	30.11	1,011.57	1,012.02	0.0000
4.(II).C	Other Wetlands converted to Woody Grassland	Organic soils	N2O	0.75	0.77	30.11	200.69	202.93	0.0000
4.C.2.3.3.2	Other Wetlands converted to Woody Grassland	Biomass	CO2	-5.45	-0.28	30.11	34.60	45.87	0.0000
4.(IV).2	Other Wetlands converted to Woody Grassland	SOM indirect	N2O	0.00	0.00	209.23	295.18	361.81	0.0000
4.(III).C.2.3.3.2	Other Wetlands converted to Woody Grassland	SOM direct	N2O	0.00	0.00	209.23	211.92	297.80	0.0000

	A		B	C	D	E	F	G	H[221]
	Source category	Pool	Gas	Base year emissions or removals [kt CO_2 equivalent]	Year 2015 emissions or removals [kt CO_2 equivalent]	Activity data uncertainty [%]	Emission factor uncertainty [%]	Combined uncertainty [%]	Contribution to Variance by Category in Year 2015 [%]
4.C.2.3.2.2	Flooded Land converted to Woody Grassland	Mineral soils	CO2	0.00	0.00	48.90	83.27	96.57	0.0000
4.C.2.3.2.2	Flooded Land converted to Woody Grassland	Organic soils	CO2	4.40	1.64	23.40	24.60	33.95	0.0000
4.(II).C	Flooded Land converted to Woody Grassland	Organic soils	CH4	0.06	0.02	23.40	1,011.57	1,011.84	0.0000
4.(II).C	Flooded Land converted to Woody Grassland	Organic soils	N2O	0.35	0.13	23.40	200.69	202.05	0.0000
4.C.2.3.2.2	Flooded Land converted to Woody Grassland	Biomasse	CO2	-31.18	-7.76	39.98	55.21	68.17	0.0000
4.(IV).2	Flooded Land converted to Woody Grassland	SOM indirect	N2O	0.00	0.00	48.90	302.75	306.67	0.0000
4.(III).C.2.3.2.2	Flooded Land converted to Woody Grassland	SOM direct	N2O	0.00	0.00	48.90	222.34	227.65	0.0000
4.C.2.4.2	Settlements converted to Woody Grassland	Mineral soils	CO2	-71.48	-74.52	26.09	59.71	65.16	0.0016
4.C.2.4.2	Settlements converted to Woody Grassland	Organic soils	CO2	6.32	5.16	20.45	24.60	31.99	0.0000
4.(II).C	Settlements converted to Woody Grassland	Organic soils	CH4	0.09	0.07	20.45	1,011.57	1,011.78	0.0000
4.(II).C	Settlements converted to Woody Grassland	Organic soils	N2O	0.50	0.41	20.45	200.69	201.73	0.0000
4.C.2.4.2	Settlements converted to Woody Grassland	Biomass	CO2	-155.73	-78.59	25.12	44.15	50.79	0.0011
4.(IV).2	Settlements converted to Woody Grassland	SOM indirect	N2O	0.00	0.00	26.09	297.13	298.28	0.0000
4.(III).C.2.4.2	Settlements converted to Woody Grassland	SOM direct	N2O	0.00	0.00	26.09	214.63	216.21	0.0000
4.C.2.5.2	Other Land converted to Woody Grassland	Mineral soils	CO2	-7.68	-10.27	95.98	62.02	114.27	0.0001
4.C.2.5.2	Other Land converted to Woody Grassland	Organic soils	CO2	0.00	0.00	0.00	24.60	24.60	0.0000
4.(II).C	Other Land converted to Woody Grassland	Organic soils	CH4	0.00	0.00	0.00	1,011.57	1,011.57	0.0000
4.(II).C	Other Land converted to Woody Grassland	Organic soils	N2O	0.00	0.00	0.00	200.69	200.69	0.0000
4.C.2.5.2	Other Land converted to Woody Grassland	Biomass	CO2	-18.87	0.00	95.98	55.21	110.73	0.0000
4.(IV).2	Other Land converted to Woody Grassland	SOM indirect	N2O	0.00	0.00	95.98	297.60	312.70	0.0000
4.(III).C.2.5.2	Other Land converted to Woody Grassland	SOM direct	N2O	0.00	0.00	95.98	215.28	235.71	0.0000
4.D.1.3	Other Wetlands remaining Other Wetlands	Mineral soils	CO2	0.00	0.00	41.38	52.48	66.83	0.0000
4.D.1.3	Other Wetlands remaining Other Wetlands	Organic soils	CO2	1,523.36	1,403.22	3.38	59.94	60.03	0.4896
4.(II).D.3	Other Wetlands remaining Other Wetlands	Organic soils	CH4	31.96	29.44	3.38	669.85	669.86	0.0268
4.(II).D.3	Other Wetlands remaining Other Wetlands	Organic soils	N2O	11.97	11.03	3.38	306.18	306.20	0.0008
4.D.1.3	Other Wetlands remaining Other Wetlands	Biomass	CO2	0.00	0.00	6.16	43.49	43.93	0.0000
4.D.2.1.3	Forest Land converted to Other Wetlands	Mineral soils	CO2	-3.29	-1.75	96.26	28.49	100.39	0.0000
4.D.2.1.3	Forest Land converted to Other Wetlands	Organic soils	CO2	19.03	92.46	30.98	59.94	67.47	0.0027
4.(II).D.3	Forest Land converted to Other Wetlands	Organic soils	CH4	0.40	1.94	30.98	669.85	670.57	0.0001
4.(II).D.3	Forest Land converted to Other Wetlands	Organic soils	N2O	0.15	0.73	30.98	306.18	307.74	0.0000
4.D.2.1.3	Forest Land converted to Other Wetlands	Biomass	CO2	3.39	7.88	53.11	21.65	57.35	0.0000
4.D.2.1.3	Forest Land converted to Other Wetlands	Dead organic matter	CO2	7.08	4.56	53.11	6.16	53.46	0.0000
4.(IV).2	Forest Land converted to Other Wetlands	SOM indirect	N2O	0.00	0.00	96.26	288.17	303.82	0.0000
4.(III).D.2.1.3	Forest Land converted to Other Wetlands	SOM direct	N2O	0.00	0.00	96.26	202.03	223.79	0.0000

	A		B	C	D	E	F	G	H[221]
	Source category	Pool	Gas	Base year emissions or removals [kt CO_2 equivalent]	Year 2015 emissions or removals [kt CO_2 equivalent]	Activity data uncertainty [%]	Emission factor uncertainty [%]	Combined uncertainty [%]	Contribution to Variance by Category in Year 2015 [%]
4.D.2.2.3	Cropland converted to Other Wetlands	Mineral soils	CO2	-1.02	-0.63	66.19	36.76	75.71	0.0000
4.D.2.2.3	Cropland converted to Other Wetlands	Organic soils	CO2	38.49	15.83	20.21	59.94	63.25	0.0001
4.(II).D.3	Cropland converted to Other Wetlands	Organic soils	CH4	0.81	0.33	20.21	669.85	670.16	0.0000
4.(II).D.3	Cropland converted to Other Wetlands	Organic soils	N2O	0.30	0.12	20.21	306.18	306.84	0.0000
4.D.2.2.3	Cropland converted to Other Wetlands	Biomass	CO2	-6.35	-2.54	22.82	32.45	39.67	0.0000
4.(IV).2	Cropland converted to Other Wetlands	SOM indirect	N2O	0.00	0.00	66.19	293.38	300.76	0.0000
4.(III).D.2.2.3	Cropland converted to Other Wetlands	SOM direct	N2O	0.00	0.00	66.19	209.41	219.62	0.0000
4.D.2.3.1.3	Grassland i.s.s. converted to Other Wetlands	Mineral soils	CO2	0.63	2.45	100.93	47.36	111.49	0.0000
4.D.2.3.1.3	Grassland i.s.s. converted to Other Wetlands	Organic soils	CO2	111.01	257.46	15.26	59.94	61.85	0.0175
4.(II).D.3	Grassland i.s.s. converted to Other Wetlands	Organic soils	CH4	2.33	5.40	15.26	669.85	670.03	0.0009
4.(II).D.3	Grassland i.s.s. converted to Other Wetlands	Organic soils	N2O	0.87	2.02	15.26	306.18	306.56	0.0000
4.D.2.3.1.3	Grassland i.s.s. converted to Other Wetlands	Biomass	CO2	-15.90	-40.87	21.26	32.97	39.24	0.0002
4.(IV).2	Grassland i.s.s. converted to Other Wetlands	SOM indirect	N2O	0.01	0.06	100.93	294.90	311.69	0.0000
4.(III).D.2.3.1.3	Grassland i.s.s. converted to Other Wetlands	SOM direct	N2O	0.06	0.25	100.93	211.53	234.37	0.0000
4.D.2.3.2.3	Woody Grassland converted to Other Wetlands	Mineral soils	CO2	-0.03	-0.01	197.08	49.10	203.11	0.0000
4.D.2.3.2.3	Woody Grassland converted to Other Wetlands	Organic soils	CO2	22.42	9.69	32.28	59.94	68.08	0.0000
4.(II).D.3	Woody Grassland converted to Other Wetlands	Organic soils	CH4	0.47	0.20	32.28	669.85	670.63	0.0000
4.(II).D.3	Woody Grassland converted to Other Wetlands	Organic soils	N2O	0.18	0.08	32.28	306.18	307.87	0.0000
4.D.2.3.2.3	Woody Grassland converted to Other Wetlands	Biomass	CO2	6.42	0.29	40.76	34.60	53.47	0.0000
4.(IV).2	Woody Grassland converted to Other Wetlands	SOM indirect	N2O	0.00	0.00	197.08	295.18	354.93	0.0000
4.(III).D.2.3.2.3	Woody Grassland converted to Other Wetlands	SOM direct	N2O	0.00	0.00	197.08	211.92	289.40	0.0000
4.D.1.6	Flooded Land converted to Other Wetlands	Mineral soils	CO2	0.00	0.00	200.60	52.48	207.35	0.0000
4.D.1.6	Flooded Land converted to Other Wetlands	Organic soils	CO2	7.31	4.84	34.36	59.94	69.09	0.0000
4.(II).D.3	Flooded Land converted to Other Wetlands	Organic soils	CH4	0.15	0.10	34.36	669.85	670.73	0.0000
4.(II).D.3	Flooded Land converted to Other Wetlands	Organic soils	N2O	0.06	0.04	34.36	306.18	308.10	0.0000
4.D.1.6	Flooded Land converted to Other Wetlands	Biomasse	CO2	-4.17	-1.12	123.37	43.49	130.81	0.0000
4.(IV).2	Flooded Land converted to Other Wetlands	SOM indirect	N2O	0.00	0.00	200.60	295.76	357.37	0.0000
4.(III).D.1.6	Flooded Land converted to Other Wetlands	SOM direct	N2O	0.00	0.00	200.60	212.73	292.39	0.0000
4.D.2.4.3	Settlements converted to Other Wetlands	Mineral soils	CO2	-1.12	-0.28	103.58	47.63	114.01	0.0000
4.D.2.4.3	Settlements converted to Other Wetlands	Organic soils	CO2	4.26	18.41	73.04	59.94	94.49	0.0002
4.(II).D.3	Settlements converted to Other Wetlands	Organic soils	CH4	0.09	0.39	73.04	669.85	673.82	0.0000
4.(II).D.3	Settlements converted to Other Wetlands	Organic soils	N2O	0.03	0.14	73.04	306.18	314.77	0.0000
4.D.2.4.3	Settlements converted to Other Wetlands	Biomass	CO2	-0.75	-4.28	83.68	32.38	89.73	0.0000
4.(IV).2	Settlements converted to Other Wetlands	SOM indirect	N2O	0.00	0.00	103.58	294.94	312.60	0.0000
4.(III).D.2.4.3	Settlements converted to Other Wetlands	SOM direct	N2O	0.00	0.00	103.58	211.59	235.58	0.0000

	A		B	C	D	E	F	G	H[221]
	Source category	Pool	Gas	Base year emissions or removals [kt CO_2 equivalent]	Year 2015 emissions or removals [kt CO_2 equivalent]	Activity data uncertainty [%]	Emission factor uncertainty [%]	Combined uncertainty [%]	Contribution to Variance by Category in Year 2015 [%]
4.D.2.5.3	Other Land converted to Other Wetlands	Mineral soils	CO2	0.00	0.00	0.00	49.85	49.85	0.0000
4.D.2.5.3	Other Land converted to Other Wetlands	Organic soils	CO2	0.00	0.00	0.00	59.94	59.94	0.0000
4.(II).D.3	Other Land converted to Other Wetlands	Organic soils	CH4	0.00	0.00	0.00	669.85	669.85	0.0000
4.(II).D.3	Other Land converted to Other Wetlands	Organic soils	N2O	0.00	0.00	0.00	306.18	306.18	0.0000
4.D.2.5.3	Other Land converted to Other Wetlands	Biomass	CO2	0.00	0.00	0.00	43.49	43.49	0.0000
4.(IV).2	Other Land converted to Other Wetlands	SOM indirect	N2O	0.00	0.00	0.00	295.31	295.31	0.0000
4.(III).D.2.5.3	Other Land converted to Other Wetlands	SOM direct	N2O	0.00	0.00	0.00	212.10	212.10	0.0000
4.D.1.2	Flooded Land remaining Flooded Land	Mineral soils	CO2	0.00	0.00	5.77	0.00	5.77	0.0000
4.D.1.2	Flooded Land remaining Flooded Land	Organic soils	CO2	0.00	0.00	4.90	0.00	4.90	0.0000
4.(II).D.2	Flooded Land remaining Flooded Land	Organic soils	CH4	0.00	0.00	4.90	0.00	4.90	0.0000
4.(II).D.2	Flooded Land remaining Flooded Land	Organic soils	N2O	0.00	0.00	4.90	0.00	4.90	0.0000
4.D.1.2	Flooded Land remaining Flooded Land	Biomass	CO2	0.00	0.00	5.62	0.00	5.62	0.0000
4.D.2.1.2	Forest Land converted to Flooded Land	Mineral soils	CO2	0.00	0.00	53.30	11.25	54.47	0.0000
4.D.2.1.2	Forest Land converted to Flooded Land	Organic soils	CO2	0.00	0.00	34.27	0.00	34.27	0.0000
4.(II).D	Forest Land converted to Flooded Land	Organic soils	CH4	0.00	0.00	34.27	0.00	34.27	0.0000
4.(II).D	Forest Land converted to Flooded Land	Organic soils	N2O	0.00	0.00	34.27	0.00	34.27	0.0000
4.D.2.1.2	Forest Land converted to Flooded Land	Biomass	CO2	51.34	14.36	51.22	24.95	56.98	0.0000
4.D.2.1.2	Forest Land converted to Flooded Land	Dead organic matter	CO2	37.07	5.43	51.22	6.16	51.59	0.0000
4.(IV).2	Forest Land converted to Flooded Land	SOM indirect	N2O	0.00	0.00	53.30	286.97	291.88	0.0000
4.(III).D.2.1.2	Forest Land converted to Flooded Land	SOM direct	N2O	0.00	0.00	53.30	200.33	207.30	0.0000
4.D.2.2.2	Cropland converted to Flooded Land	Mineral soils	CO2	0.00	0.00	30.90	50.50	59.21	0.0000
4.D.2.2.2	Cropland converted to Flooded Land	Organic soils	CO2	0.00	0.00	16.53	0.00	16.53	0.0000
4.(II).D.2	Cropland converted to Flooded Land	Organic soils	CH4	0.00	0.00	16.53	0.00	16.53	0.0000
4.(II).D.2	Cropland converted to Flooded Land	Organic soils	N2O	0.00	0.00	16.53	0.00	16.53	0.0000
4.D.2.2.2	Cropland converted to Flooded Land	Biomass	CO2	25.45	7.42	28.91	11.47	31.11	0.0000
4.(IV).2	Cropland converted to Flooded Land	SOM indirect	N2O	0.00	0.00	30.90	295.42	297.03	0.0000
4.(III).D.2.2.2	Cropland converted to Flooded Land	SOM direct	N2O	0.00	0.00	30.90	212.25	214.49	0.0000
4.D.2.3.1.2	Grassland i.s.s. converted to Flooded Land	Mineral soils	CO2	0.00	0.00	22.26	77.87	80.99	0.0000
4.D.2.3.1.2	Grassland i.s.s. converted to Flooded Land	Organic soils	CO2	0.00	0.00	17.41	0.00	17.41	0.0000
4.(II).D.2	Grassland i.s.s. converted to Flooded Land	Organic soils	CH4	0.00	0.00	17.41	0.00	17.41	0.0000
4.(II).D.2	Grassland i.s.s. converted to Flooded Land	Organic soils	N2O	0.00	0.00	17.41	0.00	17.41	0.0000
4.D.2.3.1.2	Grassland i.s.s. converted to Flooded Land	Biomass	CO2	28.96	10.02	20.31	30.30	36.47	0.0000
4.(IV).2	Grassland i.s.s. converted to Flooded Land	SOM indirect	N2O	0.00	0.00	22.26	301.31	302.13	0.0000
4.(III).D.2.3.1.2	Grassland i.s.s. converted to Flooded Land	SOM direct	N2O	0.00	0.00	22.26	220.37	221.49	0.0000

	A		B	C	D	E	F	G	H[221]
	Source category	Pool	Gas	Base year emissions or removals [kt CO_2 equivalent]	Year 2015 emissions or removals [kt CO_2 equivalent]	Activity data uncertainty [%]	Emission factor uncertainty [%]	Combined uncertainty [%]	Contribution to Variance by Category in Year 2015 [%]
4.D.2.2.2.2	Woody Grassland converted to Flooded Land	Mineral soils	CO2	0.00	0.00	80.26	83.27	115.66	0.0000
4.D.2.2.2.2	Woody Grassland converted to Flooded Land	Organic soils	CO2	0.00	0.00	68.65	0.00	68.65	0.0000
4.(II).D.2	Woody Grassland converted to Flooded Land	Organic soils	CH4	0.00	0.00	68.65	0.00	68.65	0.0000
4.(II).D.2	Woody Grassland converted to Flooded Land	Organic soils	N2O	0.00	0.00	68.65	0.00	68.65	0.0000
4.D.2.2.2.2	Woody Grassland converted to Flooded Land	Biomass	CO2	29.11	0.50	75.19	55.21	93.28	0.0000
4.(IV).2	Woody Grassland converted to Flooded Land	SOM indirect	N2O	0.00	0.00	80.26	302.75	313.21	0.0000
4.(III).D.2.2.2.2	Woody Grassland converted to Flooded Land	SOM direct	N2O	0.00	0.00	80.26	222.34	236.38	0.0000
4.D.1.5	Other Wetlands converted to Flooded Land	Mineral soils	CO2	0.00	0.00	209.23	52.48	215.71	0.0000
4.D.1.5	Other Wetlands converted to Flooded Land	Organic soils	CO2	0.00	0.00	53.32	0.00	53.32	0.0000
4.(II).D.2	Other Wetlands converted to Flooded Land	Organic soils	CH4	0.00	0.00	53.32	0.00	53.32	0.0000
4.(II).D.2	Other Wetlands converted to Flooded Land	Organic soils	N2O	0.00	0.00	53.32	0.00	53.32	0.0000
4.D.1.5	Other Wetlands converted to Flooded Land	Biomass	CO2	1.45	0.89	70.06	43.49	82.46	0.0000
4.(IV).2	Other Wetlands converted to Flooded Land	SOM indirect	N2O	0.00	0.00	209.23	295.76	362.29	0.0000
4.(III).D.1.5	Other Wetlands converted to Flooded Land	SOM direct	N2O	0.00	0.00	209.23	212.73	298.38	0.0000
4.D.2.4.2	Settlements converted to Flooded Land	Mineral soils	CO2	0.00	0.00	42.13	84.97	94.84	0.0000
4.D.2.4.2	Settlements converted to Flooded Land	Organic soils	CO2	0.00	0.00	52.69	0.00	52.69	0.0000
4.(II).D.2	Settlements converted to Flooded Land	Organic soils	CH4	0.00	0.00	52.69	0.00	52.69	0.0000
4.(II).D.2	Settlements converted to Flooded Land	Organic soils	N2O	0.00	0.00	52.69	0.00	52.69	0.0000
4.D.2.4.2	Settlements converted to Flooded Land	Biomass	CO2	33.09	18.88	41.40	47.87	63.29	0.0001
4.(IV).2	Settlements converted to Flooded Land	SOM indirect	N2O	0.00	0.00	42.13	303.22	306.13	0.0000
4.(III).D.2.4.2	Settlements converted to Flooded Land	SOM direct	N2O	0.00	0.00	42.13	222.98	226.92	0.0000
4.D.2.5.2	Other Land converted to Flooded Land	Mineral soils	CO2	0.00	0.00	83.91	92.86	125.15	0.0000
4.D.2.5.2	Other Land converted to Flooded Land	Organic soils	CO2	0.00	0.00	153.04	0.00	153.04	0.0000
4.(II).D.2	Other Land converted to Flooded Land	Organic soils	CH4	0.00	0.00	153.04	0.00	153.04	0.0000
4.(II).D.2	Other Land converted to Flooded Land	Organic soils	N2O	0.00	0.00	153.04	0.00	153.04	0.0000
4.D.2.5.2	Other Land converted to Flooded Land	Biomass	CO2	0.00	0.00	83.91	0.00	83.91	0.0000
4.(IV).2	Other Land converted to Flooded Land	SOM indirect	N2O	0.00	0.00	83.91	305.52	316.84	0.0000
4.(III).D.2.5.2	Other Land converted to Flooded Land	SOM direct	N2O	0.00	0.00	83.91	226.10	241.17	0.0000
4.D.1.1	Peat Extraction remaining Peat Extraction	Organic soils	CO2	2,146.75	2,183.65	3.06	37.39	37.52	0.4630
4.(II).D.1	Peat Extraction remaining Peat Extraction	Organic soils	CH4	5.56	5.56	3.06	92.86	92.91	0.0000
4.(II).D.1	Peat Extraction remaining Peat Extraction	Organic soils	N2O	7.92	7.92	3.06	63.27	63.35	0.0000
4.D.1.1	Peat Extraction remaining Peat Extraction	Biomass	CO2	0.00	0.00	3.06	0.00	3.06	0.0000

	A		B	C	D	E	F	G	H[221]
	Source category	Pool	Gas	Base year emissions or removals [kt CO_2 equivalent]	Year 2015 emissions or removals [kt CO_2 equivalent]	Activity data uncertainty [%]	Emission factor uncertainty [%]	Combined uncertainty [%]	Contribution to Variance by Category in Year 2015 [%]
4.E.1	Settlements remaining Settlements	Mineral soils	CO2	0.00	0.00	2.54	84.97	85.00	0.0000
4.E.1	Settlements remaining Settlements	Organic soils	CO2	636.59	1,011.35	3.06	55.35	55.44	0.2169
4.(II).H.1	Settlements remaining Settlements	Organic soils	CH4	13.49	21.43	3.06	258.59	258.61	0.0021
4.(II).H.1	Settlements remaining Settlements	Organic soils	N2O	29.66	47.13	3.06	222.68	222.70	0.0076
4.E.1	Settlements remaining Settlements	Biomass	CO2	0.00	0.00	2.50	47.87	47.93	0.0000
4.E.2.1	Forest Land converted to Settlements	Mineral soils	CO2	-125.96	53.18	13.85	40.85	43.13	0.0004
4.E.2.1	Forest Land converted to Settlements	Organic soils	CO2	19.12	47.47	21.57	55.35	59.41	0.0005
4.(II).H.1	Forest Land converted to Settlements	Organic soils	CH4	0.41	1.01	21.57	258.59	259.49	0.0000
4.(II).H.1	Forest Land converted to Settlements	Organic soils	N2O	0.89	2.21	21.57	222.68	223.72	0.0000
4.E.2.1	Forest Land converted to Settlements	Biomass	CO2	284.58	716.15	13.71	22.18	26.07	0.0241
4.E.2.1	Forest Land converted to Settlements	Dead organic matter	CO2	361.66	351.12	13.71	6.16	15.03	0.0019
4.(IV).2	Forest Land converted to Settlements	SOM indirect	N2O	0.00	0.84	13.85	289.65	289.98	0.0000
4.(III).E.2.1	Forest Land converted to Settlements	SOM direct	N2O	0.00	3.74	13.85	204.14	204.61	0.0000
4.E.2.2	Cropland converted to Settlements	Mineral soils	CO2	89.40	133.18	8.15	49.15	49.83	0.0030
4.E.2.2	Cropland converted to Settlements	Organic soils	CO2	213.70	317.84	10.34	55.35	56.31	0.0221
4.(II).H.1	Cropland converted to Settlements	Organic soils	CH4	4.53	6.74	10.34	258.59	258.80	0.0002
4.(II).H.1	Cropland converted to Settlements	Organic soils	N2O	9.96	14.81	10.34	222.68	222.92	0.0008
4.E.2.2	Cropland converted to Settlements	Biomass	CO2	-487.40	-620.08	7.98	31.65	32.64	0.0283
4.(IV).2	Cropland converted to Settlements	SOM indirect	N2O	2.09	3.11	8.15	295.19	295.30	0.0001
4.(III).E.2.2	Cropland converted to Settlements	SOM direct	N2O	9.29	13.84	8.15	211.93	212.09	0.0006
4.E.2.3.1	Grassland i.s.s. converted to Settlements	Mineral soils	CO2	569.15	787.56	10.63	57.48	58.46	0.1462
4.E.2.3.1	Grassland i.s.s. converted to Settlements	Organic soils	CO2	173.48	431.55	10.45	55.35	56.33	0.0408
4.(II).H.1	Grassland i.s.s. converted to Settlements	Organic soils	CH4	3.68	9.15	10.45	258.59	258.80	0.0004
4.(II).H.1	Grassland i.s.s. converted to Settlements	Organic soils	N2O	8.08	20.11	10.45	222.68	222.93	0.0014
4.E.2.3.1	Grassland i.s.s. converted to Settlements	Biomass	CO2	-179.12	-267.02	10.23	32.77	34.33	0.0058
4.(IV).2	Grassland i.s.s. converted to Settlements	SOM indirect	N2O	12.89	17.84	10.63	296.69	296.88	0.0019
4.(III).E.2.3.1	Grassland i.s.s. converted to Settlements	SOM direct	N2O	57.31	79.30	10.63	214.02	214.28	0.0199
4.E.2.3.2	Woody Grassland converted to Settlements	Mineral soils	CO2	67.59	35.83	30.75	59.71	67.17	0.0004
4.E.2.3.2	Woody Grassland converted to Settlements	Organic soils	CO2	30.38	15.82	27.26	55.35	61.70	0.0001
4.(II).H.1	Woody Grassland converted to Settlements	Organic soils	CH4	0.64	0.34	27.26	258.59	260.02	0.0000
4.(II).H.1	Woody Grassland converted to Settlements	Organic soils	N2O	1.42	0.74	27.26	222.68	224.35	0.0000
4.E.2.3.2	Woody Grassland converted to Settlements	Biomass	CO2	149.20	113.18	29.45	44.15	53.07	0.0025
4.(IV).2	Woody Grassland converted to Settlements	SOM indirect	N2O	1.59	0.84	30.75	297.13	298.72	0.0000
4.(III).E.2.3.2	Woody Grassland converted to Settlements	SOM direct	N2O	7.06	3.74	30.75	214.63	216.82	0.0000

	A		B	C	D	E	F	G	H[221]
	Source category	Pool	Gas	Base year emissions or removals [kt CO_2 equivalent]	Year 2015 emissions or removals [kt CO_2 equivalent]	Activity data uncertainty [%]	Emission factor uncertainty [%]	Combined uncertainty [%]	Contribution to Variance by Category in Year 2015 [%]
4.E.2.4.3	Other Wetlands converted to Settlements	Mineral soils	CO2	0.00	0.00	0.00	47.63	47.63	0.0000
4.E.2.4.3	Other Wetlands converted to Settlements	Organic soils	CO2	52.16	179.34	28.56	55.35	62.29	0.0086
4.(II).H.1	Other Wetlands converted to Settlements	Organic soils	CH4	1.11	3.80	28.56	258.59	260.16	0.0001
4.(II).H.1	Other Wetlands converted to Settlements	Organic soils	N2O	2.43	8.36	28.56	222.68	224.51	0.0002
4.E.2.4.3	Other Wetlands converted to Settlements	Biomass	CO2	2.27	0.70	28.56	32.38	43.17	0.0000
4.(IV).2	Other Wetlands converted to Settlements	SOM indirect	N2O	0.00	0.00	0.00	294.94	294.94	0.0000
4.(III).E.2.4.3	Other Wetlands converted to Settlements	SOM direct	N2O	0.00	0.00	0.00	211.59	211.59	0.0000
4.E.2.4.2	Flooded Land converted to Settlements	Mineral soils	CO2	0.00	0.00	29.78	84.97	90.03	0.0000
4.E.2.4.2	Flooded Land converted to Settlements	Organic soils	CO2	6.90	4.23	34.64	55.35	65.30	0.0000
4.(II).H.1	Flooded Land converted to Settlements	Organic soils	CH4	0.15	0.09	34.64	258.59	260.90	0.0000
4.(II).H.1	Flooded Land converted to Settlements	Organic soils	N2O	0.32	0.20	34.64	222.68	225.36	0.0000
4.E.2.4.2	Flooded Land converted to Settlements	Biomass	CO2	-30.62	-4.70	29.02	47.87	55.98	0.0000
4.(IV).2	Flooded Land converted to Settlements	SOM indirect	N2O	0.00	0.00	29.78	303.22	304.68	0.0000
4.(III).E.2.4.2	Flooded Land converted to Settlements	SOM direct	N2O	0.00	0.00	29.78	222.98	224.96	0.0000
4.E.2.5	Other Land converted to Settlements	Mineral soils	CO2	-4.61	-5.13	57.26	62.80	84.99	0.0000
4.E.2.5	Other Land converted to Settlements	Organic soils	CO2	1.01	0.42	91.47	55.35	106.92	0.0000
4.(II).H.1	Other Land converted to Settlements	Organic soils	CH4	0.02	0.01	91.47	258.59	274.29	0.0000
4.(II).H.1	Other Land converted to Settlements	Organic soils	N2O	0.05	0.02	91.47	222.68	240.74	0.0000
4.E.2.5	Other Land converted to Settlements	Biomass	CO2	-18.85	0.00	56.95	47.87	74.39	0.0000
4.(IV).2	Other Land converted to Settlements	SOM indirect	N2O	0.00	0.00	57.26	297.77	303.23	0.0000
4.(III).E.2.5	Other Land converted to Settlements	SOM direct	N2O	0.00	0.00	57.26	215.51	222.99	0.0000
4.F.1	Other Land remaining Other Land	Mineral soils	CO2	0.00	0.00	40.19	92.86	101.18	0.0000
4.F.1	Other Land remaining Other Land	Organic soils	CO2	0.00	0.00	344.73	0.00	344.73	0.0000
4.(II).H.2	Other Land remaining Other Land	Organic soils	CH4	0.00	0.00	344.73	0.00	344.73	0.0000
4.(II).H.2	Other Land remaining Other Land	Organic soils	N2O	0.00	0.00	344.73	0.00	344.73	0.0000
4.F.1	Other Land remaining Other Land	Biomass	CO2	0.00	0.00	40.19	0.00	40.19	0.0000
			Total	**-29,708.35**	**-12,353.60**				**541.1559**
								Percentage uncertainty in total LULUCF	**23.26**

19.5 Weitere detaillierte methodische Beschreibungen für die Quellkategorie Abfall und Abwasser (6)

20 Anhang 4: CO_2 Referenzverfahren und Vergleich mit dem Sektoransatz und relevante Informationen zur nationalen Energiebilanz

Allgemeine Hinweise

Das in Kapitel 3.2.1.1 bereits kurz vorgestellte Referenzverfahren soll grundsätzlich für alle Berichtsstaaten anwendbar sein. Allein diese Abstraktion und Verallgemeinerung führt unausweichlich zu Diskrepanzen zum Sektoralen Ansatz.

Insgesamt erlaubt der Sektorale Ansatz wesentlich differenziertere und exaktere Berechnungen, deren Ergebnisse insbesondere auf Detaileben ggf. stark von denen des Referenzverfahrens abweichenden.

Die in den vergangenen Jahren begonnenen und mit dieser Submission fortgesetzten Arbeiten insbesondere zur Beseitigung von Fehlern bei der Überführung landesspezifischer Aktivitätsdaten in die Struktur des Referenzverfahrens haben auf maximal aggregierter Ebene eine sehr gute Übereinstimmung der mit beiden Berechnungsansätzen erzielten Ergebnisse zur Folge (siehe Kapitel 3.2.1.1). Auf *Brennstoffgruppen*-, vor allem aber auf *Brennstoff*-Ebene auch weiterhin bestehende Abweichungen lassen sich zumindest teilweise mit landesspezifischen Besonderheiten erklären, können bisher aber nicht zufriedenstellend beseitigt werden.

Das Referenzverfahren bietet damit auch in Zukunft Raum für weitere Verbesserungen. Neben der Prüfung und ggf. Revision insbesondere der für den nicht-energetischen Verbrauch genutzten Eingangsdaten und Rechenwege würde eine größtmögliche Flexibilisierung der Datenhaltung im CRF-Reporter die Vergleichbarkeit beider Ansätze weiter verbessern.

20.1 Vergleich der Ergebnisse des sektoralen und des Referenz-Ansatzes

Im Folgenden soll genauer auf die Ergebnisse der Gegenüberstellung der mit sektoralem und Referenzansatz berechneten CO_2-Emissionen eingegangen werden.

CRF-Berichtstabelle 1.A(c) enthält einen Vergleich des Sektoralen Ansatzes mit den Ergebnissen des Referenzansatzes. Da der nicht-energetische Verbrauch (NEV) der betrachteten Brennstoffe an anderer Stelle erfolgt (Industrieprozesse und Produktanwendung), werden die laut Energiebilanzen darauf entfallenden Mengen vom Referenzansatz abgezogen. Dies betrifft neben Schmierstoffen, Bitumen und Rohbenzin auch Diesel, leichtes und schweres Heizöl, LPG, Petrolkoks und andere Öle, Stein- und Braunkohlen, Koks und Erdgas. Für 2015 ergibt sich so ein NEV von etwa 1.100 Petajoule (siehe CRF-Tabelle 1.A(d) zum nicht-energetischen Verbrauch).

Da der CRF-Reporter in Tabelle 1.A(c) bis dato keine Emissionen aus der Verbrennung fossiler Abfälle ausweist, wurden diese Emissionen in CRF 1.AB unter „Other fossil fuels“ *(„Andere fossile Brennstoffe“)* abgelegt. Mit der nun vorliegenden Version des Reporters wurde hier eine neue Materialkategorie „Waste“ *(„Abfall“)* eingeführt. Die Oberkategorie *„Waste (non-biomass fraction)“* blieb dabei erhalten. Da der Vergleich zwischen CRFs 1.AA und 1.AB an dieser Stelle jetzt aber auch zu funktionieren scheint, wenn die betreffenden Angaben unter CRF 1.AB direkt in der Materialkategorie *„Waste (non-biomass fraction)“* erfolgen, wurde auf deren Überführung nach *1.AB - „Other fossil fuels - Waste“* verzichtet.

Für den separat ausgewiesenen Torf werden in 1.AA und 1.AB identische Emissionsfaktoren und Einsatzmengen verwendet. Daher weist Tabelle 1.A(c) hier keinerlei Abweichungen aus.

Die Ergebnisse des Vergleichs von Sektoralem und Referenzansatz sind in den nachfolgenden Tabellen nochmals illustriert. Für das Jahr 2015 ergibt sich für den Referenzansatz ein um 0,63 % höherer energetischer Brennstoffeinsatz bei um 1,64 % geringeren Emissionen (siehe Kapitel 3.2.1.1).

Betrachtet man den gesamten Zeitraum 1990-2014, liegen die für das Referenzverfahren ausgewiesenen Brennstoffeinsätze (abzüglich der nicht-energetisch verwendeten Mengen) durchweg über denen des Sektoralen Ansatzes.

Tabelle 518: Vergleich der mittels sektoralem (1.AA) und Referenzansatz (1.AB) ermittelten Energieeinsätze (in TJ; **fett**: maximale positive und negative Abweichungen)

	1.AA	*1.AB (inkl. NEV)*	1.AB (exkl. NEV)	1.AB (exkl. NEV) minus 1.AA	
1990	11.653	*12.932*	11.818	165	1,40%
1991	11.487	*12.657*	11.606	119	1,03%
1992	11.025	*12.228*	11.164	139	1,25%
1993	11.031	*12.207*	11.188	157	1,40%
1994	10.828	*12.067*	10.966	139	1,27%
1995	10.896	*12.096*	11.009	113	1,03%
1996	11.315	*12.503*	11.431	116	1,02%
1997	10.901	*12.188*	11.040	138	1,25%
1998	10.856	*12.141*	10.977	121	1,10%
1999	10.561	*11.798*	10.668	107	1,01%
2000	10.515	*11.791*	10.600	85	0,80%
2001	10.795	*12.048*	10.915	120	1,10%
2002	10.573	*11.861*	10.720	148	1,38%
2003	10.568	*11.880*	10.823	255	2,36%
2004	10.375	*11.666*	10.628	253	2,38%
2005	10.156	*11.480*	10.419	**262**	**2,52%**
2006	10.295	*11.617*	10.543	249	2,36%
2007	9.882	*11.077*	10.073	191	1,90%
2008	10.044	*11.094*	10.159	115	1,13%
2009	9.389	*10.306*	9.485	96	1,01%
2010	9.854	*10.718*	9.806	-47	-0,48%
2011	9.524	*10.363*	9.476	**-47**	**-0,50%**
2012	9.558	*10.437*	9.581	23	0,24%
2013	9.808	*10.775*	9.896	88	0,89%
2014	9.232	*10.105*	9.215	-17	-0,19%
2015	9.243	*10.172*	9.302	58	0,63%

Abbildung 91: prozentuale Abweichungen der im Referenzverfahren erfassten jährlichen Gesamt-Aktivitätsraten von den Gesamtmengen gemäß Sektoralem Ansatz

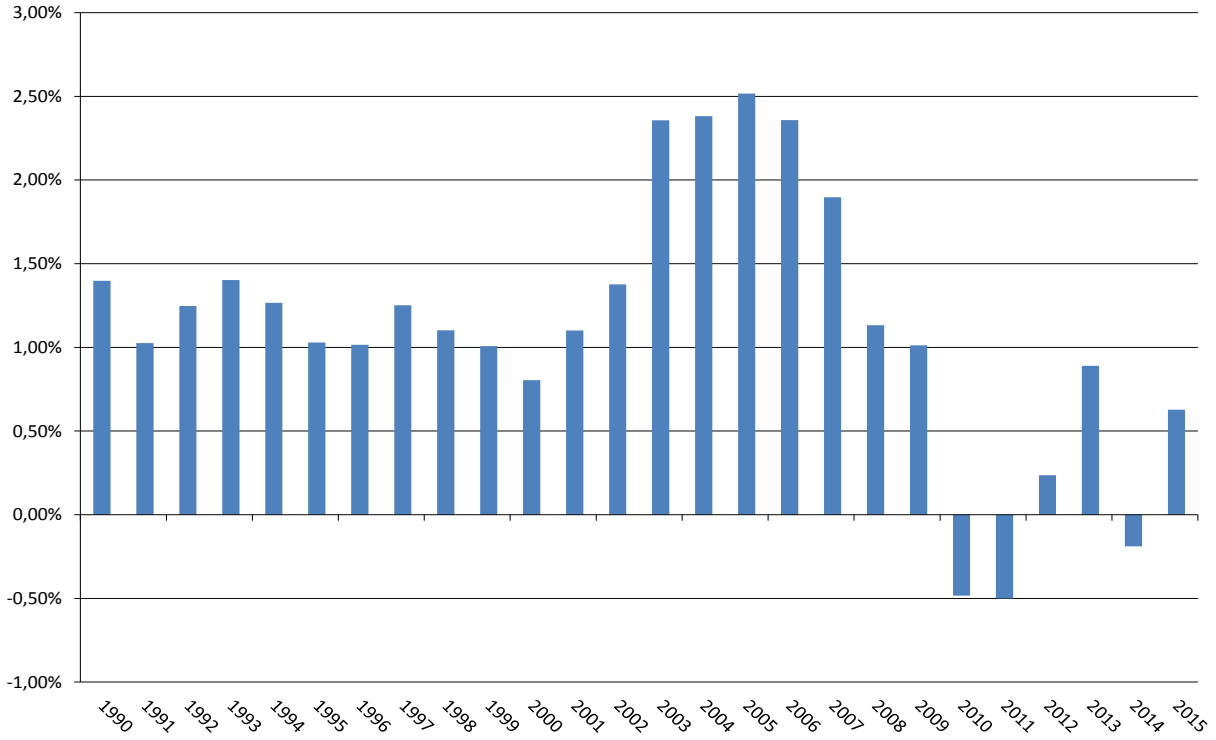

Hinsichtlich der im Referenzansatz berechneten Kohlendioxid-Emissionen ergibt sich ein umgekehrtes Bild: Diese fallen – bis auf 1990 – durchweg geringer aus, als im Sektoralem Ansatz berechnet (siehe Kapitel 3.2.1.1).

Tabelle 519: Vergleich der mittels sektoralen (1.AA) und Referenzansatz (1.AB, ohne nicht-energetischen Verbrauch NEV) ermittelten CO_2-Emissionen (fett: maximale positive und negative Abweichungen)

	1.AA	1.AB (exkl. NEV)	1.AB (exkl. NEV) minus 1.AA	
1990	985.705	990.816	5.111	**0,52%**
1991	951.895	946.912	-4.983	-0,52%
1992	906.738	898.086	-8.652	-0,95%
1993	897.065	889.621	-7.443	-0,83%
1994	878.341	869.158	-9.183	-1,05%
1995	877.613	862.119	-15.494	-1,77%
1996	899.631	885.954	-13.677	-1,52%
1997	869.199	856.428	-12.771	-1,47%
1998	862.567	848.464	-14.103	-1,63%
1999	837.299	824.233	-13.066	-1,56%
2000	836.167	821.114	-15.053	-1,80%
2001	858.626	842.707	-15.919	-1,85%
2002	843.864	831.873	-11.991	-1,42%
2003	840.786	838.152	-2.635	-0,31%
2004	826.529	821.303	-5.226	-0,63%
2005	808.180	802.917	-5.263	-0,65%
2006	819.086	813.380	-5.706	-0,70%
2007	793.859	784.529	-9.330	-1,18%
2008	799.054	785.718	-13.336	-1,67%
2009	742.572	731.158	-11.414	-1,54%
2010	781.387	757.690	**-23.697**	**-3,03%**
2011	760.961	739.644	-21.316	-2,80%
2012	766.404	748.123	-18.281	-2,39%
2013	784.763	775.535	-9.227	-1,18%
2014	744.253	726.938	-17.315	-2,33%
2015	741.775	729.614	-12.161	-1,64%

Abbildung 92: prozentuale Abweichungen der mit dem Referenzverfahren berechneten jährlichen Kohlendioxid-Emissionen von den Ergebnissen des Sektoralen Ansatzes

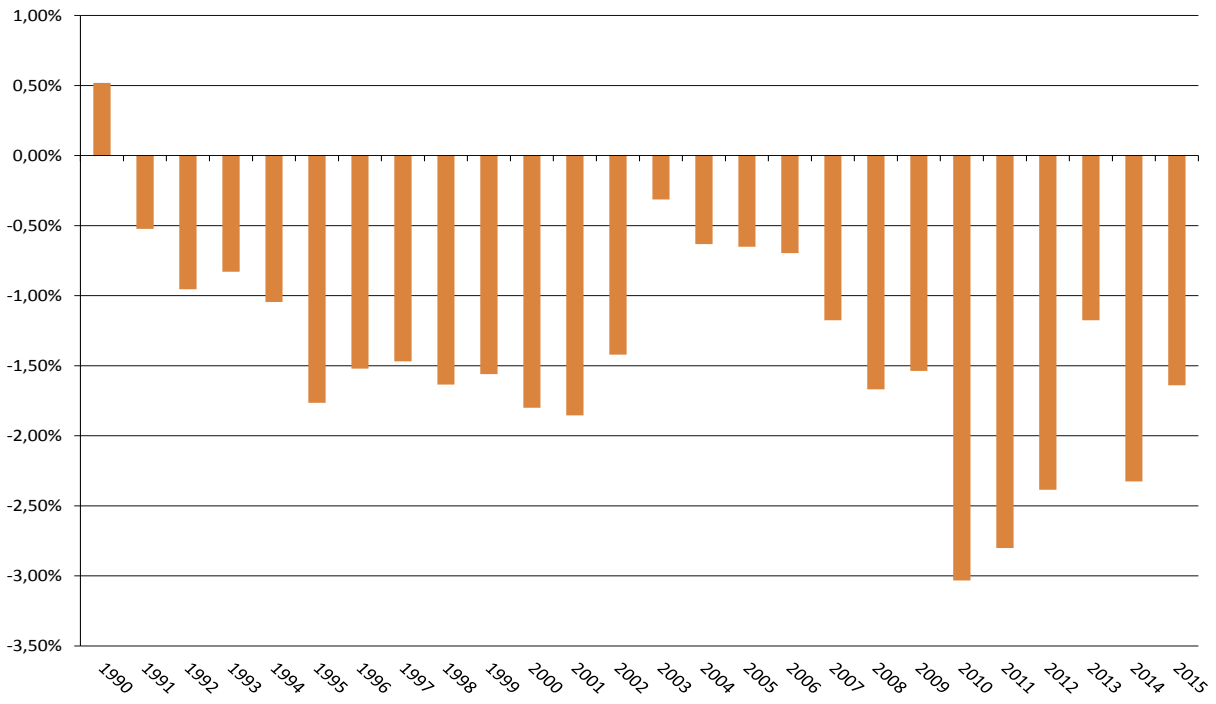

21 Anhang 5: Überprüfung der Vollständigkeit und der potentiell nicht erfassten Quellen und Senken von Treibhausgasemissionen

Die folgenden zwei Tabellen enthalten die Quellen für Treibhausgase, die im Treibhausgasinventar von Deutschland noch nicht direkt berichtet werden. Dies bezieht sich auf Emissionen, für die die notwendigen Berechnungsgrundlagen nicht zur Verfügung stehen oder nur mit großem Aufwand ermittelt werden können. Diese müssen jedoch den mit der Definition des notation keys „NE“ vorgegebenen Kriterien der Vernachlässigbarkeit entsprechen. Die hierfür erforderlichen Schätzungwerte sind ebenfalls aufgelistet.

Weiterhin erfolgt eine Zusammenfassung der CRF-Tabelle 9(a), in der die an anderer Stelle im Inventar als „IE“ berichteten Emissionen.

Zusätzliche Informationen finden sich in Kapitel 1.8.

Tabelle 520: Vollständigkeit - Übersicht der Quellen und Senken, deren Emissionen nicht geschätzt (not estimated, NE) werden

Emissions 2015		
kt CO_2 equiv.	national total (without LULUCF)	901.932
kt CO_2 equiv.	thereoff 0,1 %	902
kt CO_2 equiv.	thereoff 0,05 %	451
Category CRF code	**Category description**	**assumption for estimated emission (in kt CO_2 equiv.)**
1.B.2.d	Geothermal Energy	< 1
2.A.4.c	Non-metallurgical magnesium production	< 100
2.B.4.a	Caprolactam*	10,7
2.B.6	Titan dioxid production	< 300
2.D.3	Asphalt - asphalt roofing	0,2
2.D.3	Asphalt - road paving	2,5
3.A.4	Deer	132
3.A.4	Rabbits	3,96
3.A.4	Fur-bearing animals	0,16
3.B(a).4	Deer	1,45
3.B(a).4	Fur-bearing animals	1,08
3.B(a).4	Rabbits	0,88
3.B(a).4	Ostrich	1,08
3.B(b).4	Deer	IE
3.B(b).4	Fur-bearing animals	1,77
3.B(b).4	Rabbits	2,14
3.B(b).4	Ostrich	0,06
3.B(b).5	Indirect emissions	1,02
3.D	Direct and indirect N2O emissions from Agricultural Soils	28,3
5.A	Flaring	0,0006
Sum	**≈**	**589**

* (currently not in CRF tables due to late review issue → fixed in next submission)

Tabelle 521: Vollständigkeit – Übersicht der Quellen und Senken, die an anderer Stelle berichtet werden (included elsewhere, IE)

Source/sink category	GHG	Allocation used by the Party / Explanation
1.A.2 Manufacturing Industries and Construction/1.A.2.a Iron and Steel 1.A.2 Manufacturing Industries and Construction/1.A.2.a Iron and Steel/Biomass	CO2	The use of reducing agents is part of the carbon balance. Emissions were reported under blast furnace gas incineration (solid fuels).
1.A.2 Manufacturing Industries and Construction/1.A.2.a Iron and Steel 1.A.2 Manufacturing Industries and Construction/1.A.2.a Iron and Steel/Other Fossil Fuels	CO2	The use of reducing agents is part of the carbon balance. Emissions were reported under blast furnace gas incineration (solid fuels).
1.A.2 Manufacturing Industries and Construction/1.A.2.b Non-Ferrous Metals/Gaseous Fuels 1.A.2 Manufacturing Industries and Construction/1.A.2.b Non-Ferrous Metals	CO2, CH4, N2O	Emissions were reported in source category 1.A.2.gviii because of confidential data.
1.A.2 Manufacturing Industries and Construction/1.A.2.c Chemicals 1.A.2 Manufacturing Industries and Construction/1.A.2.c Chemicals/Gaseous Fuels	CO2, CH4, N2O	Reported in source category 1.A.2.g.viii
1.A.2 Manufacturing Industries and Construction/1.A.2.c Chemicals 1.A.2 Manufacturing Industries and Construction/1.A.2.c Chemicals/Liquid Fuels	CO2, CH4, N2O	Reported in source category 1.A.2.g.viii
1.A.2 Manufacturing Industries and Construction/1.A.2.c Chemicals 1.A.2 Manufacturing Industries and Construction/1.A.2.c Chemicals/Other Fossil Fuels	CO2, CH4, N2O	Reported in source category 1.A.2.g.viii
1.A.2 Manufacturing Industries and Construction/1.A.2.c Chemicals 1.A.2 Manufacturing Industries and Construction/1.A.2.c Chemicals/Solid Fuels	CO2, CH4, N2O	Reported in source category 1.A.2.g.viii
1.A.2 Manufacturing Industries and Construction/1.A.2.d Pulp, Paper and Print 1.A.2 Manufacturing Industries and Construction/1.A.2.d Pulp, Paper and Print/Gaseous Fuels	CO2, CH4, N2O	Reported in source category 1.A.2.g.viii
1.A.2 Manufacturing Industries and Construction/1.A.2.d Pulp, Paper and Print 1.A.2 Manufacturing Industries and Construction/1.A.2.d Pulp, Paper and Print/Liquid Fuels	CO2, CH4, N2O	Reported in source category 1.A.2.g.viii
1.A.2 Manufacturing Industries and Construction/1.A.2.d Pulp, Paper and Print 1.A.2 Manufacturing Industries and Construction/1.A.2.d Pulp, Paper and Print/Solid Fuels	CO2, CH4, N2O	Reported in source category 1.A.2.g.viii
1.A.2 Manufacturing Industries and Construction/1.A.2.e Food Processing, Beverages and Tobacco 1.A.2 Manufacturing Industries and Construction/1.A.2.e Food Processing, Beverages and Tobacco/Gaseous Fuels	CO2, CH4, N2O	Emissions were reported in source category 1.A.2.gviii because of confidential data.
1.A.3 Transport/1.A.3.b Road Transportation/1.A.3.b.v Other (please specify)/CO2 from lubricant co-incineration in 2-stroke road vehicles/Other Liquid Fuels (please specify)/lubricant used in 2-stroke mix	CH4, N2O	Already included in CH4 emissions from fuel combustion.
1.AD Feedstocks, reductants and other non-energy use of fuels/Liquid Fuels/Natural Gas Liquids	CO2	Included in Crude Oil.
1.AD Feedstocks, reductants and other non-energy use of fuels/Liquid Fuels/Orimulsion	CO2	Included in Crude Oil.
1.AD Feedstocks, reductants and other non-energy use of fuels/Liquid Fuels/Other Kerosene	CO2	Included in Jet Kerosene.
1.AD Feedstocks, reductants and other non-energy use of fuels/Liquid Fuels/Refinery Feedstocks	CO2	Included in Other Oil.
1.AD Feedstocks, reductants and other non-energy use of fuels/Solid Fuels/Anthracite	CO2	Inlcuded in Other Bituminous Coal.
1.AD Feedstocks, reductants and other non-energy use of fuels/Solid Fuels/Coking Coal	CO2	Inlcuded in Other Bituminous Coal.
1.AD Feedstocks, reductants and other non-energy use of fuels/Solid Fuels/Sub-bituminous Coal	CO2	Inlcuded in Other Bituminous Coal.
1.B Fugitive Emissions from Fuels/1.B.1 Solid Fuels/1.B.1.a Coal Mining and Handling/1.B.1.a.2 Surface Mines/1.B.1.a.2.ii Post-Mining Activities	CH4	already included in 1.B.1.a.2.i
1.B Fugitive Emissions from Fuels/1.B.2 Oil and Natural Gas and Other Emissions from Energy Production/1.B.2.b Natural Gas/1.B.2.b.1 Exploration	CO2, CH4	included in 1.B.2.a.i
1.B Fugitive Emissions from Fuels/1.B.2 Oil and Natural Gas and Other Emissions from Energy Production/1.B.2.c Venting and Flaring/1.B.2.c.2 Flaring/1.B.2.c.2.ii Gas	CH4	included under 1.B.2.b
1.B Fugitive Emissions from Fuels/1.B.2 Oil and Natural Gas and Other Emissions from Energy Production/1.B.2.c Venting and Flaring/1.B.2.c.2 Flaring/1.B.2.c.2.iii Combined	CO2, CH4, N2O	see 1.B.2.c.2.i and 1.B.2.c.2.ii

Source/sink category	GHG	Allocation used by the Party / Explanation
2.A Mineral Industry/2.A.4 Other Process Uses of Carbonates/2.A.4.d Other	CO2	1.A.1.a, 2.A.1, 2.A.2, 2.A.3, 2.A.4.a, 2.B.7, 2.C.1, 2.H.2, 3.G (all activities of using carbonates are described in NIR)
2.B Chemical Industry/2.B.4 Caprolactame, Glyoxal and Glyoxylic Acid/2.B.4.a Caprolactam	N2O	one plant included in 2.B.2 Nitric Acid production for consistency with ETS data (currently not in CRF tables due to late review issue → fixed in next submission)
2.B Chemical Industry/2.B.8 Petrochemical and Carbon Black Production/2.B.8.a Methanol	CO2, CH4	included in 2.B.8.g Petrochemicals
2.B Chemical Industry/2.B.8 Petrochemical and Carbon Black Production/2.B.8.b Ethylene	CO2, CH4	included in 2.B.8.g Petrochemicals
2.B Chemical Industry/2.B.8 Petrochemical and Carbon Black Production/2.B.8.c Ethylene Dichloride and Vinyl Chloride Monomer	CO2, CH4	included in 2.B.8.g Petrochemicals
2.B Chemical Industry/2.B.8 Petrochemical and Carbon Black Production/2.B.8.d Ethylene Oxide	CO2, CH4	included in 2.B.8.g Petrochemicals
2.B Chemical Industry/2.B.8 Petrochemical and Carbon Black Production/2.B.8.e Acrylonitrile	CO2, CH4	included in 2.B.8.g Petrochemicals
2.B Chemical Industry/2.B.9 Fluorochemical Production/2.B.9.a By-Product Emissions/2.B.9.a.1 Production of HCFC-22	HFC-23	The emissions are reported because of confidentiality reasons together with the other emissions from 2B9 as unspecified mix at 2.B.9 By product emissions as unspecified mix.
2.B Chemical Industry/2.B.9 Fluorochemical Production/2.B.9.a By-Product Emissions/2.B.9.a.1 Production of HCFC-22/HFC-23		
2.B Chemical Industry/2.B.9 Fluorochemical Production/2.B.9.b Fugitive Emissions/2.B.9.b.1 Production of HFC-134a	HFC-134a	The emissions are reported because of confidentiality reasons together with the other emissions from 2B9 as unspecified mix at 2.B.9 By product emissions as unspecified mix.
2.B Chemical Industry/2.B.9 Fluorochemical Production/2.B.9.b Fugitive Emissions/2.B.9.b.1 Production of HFC-134a/HFC-134a		
2.B Chemical Industry/2.B.9 Fluorochemical Production/2.B.9.b Fugitive Emissions/2.B.9.b.3 Other (please specify)/CF4/CF4	CF4	The emissions are reported because of confidentiality reasons together with the other emissions from 2B9 as unspecified mix at 2.B.9 By product emissions as unspecified mix.
2.C Metal Industry/2.C.1 Iron and Steel Production/2.C.1.c Direct Reduced Iron	CO2, CH4	is considered in CRF 1A2
2.C Metal Industry/2.C.1 Iron and Steel Production/2.C.1.d Sinter	CO2, CH4	is considered in CRF 1A2
2.F Product Uses as Substitutes for ODS/2.F.5 Solvents/C6F14	C6F14	The emissions are reported because of confidentiality reasons together with other confidential data at unspecified mix of HFCs at 2H3.
2.F Product Uses as Substitutes for ODS/2.F.5 Solvents/HFC-245fa	HFC-245fa	The emissions are reported because of confidentiality reasons together with other confidential data at unspecified mix of HFCs at 2H3.
2.F Product Uses as Substitutes for ODS/2.F.5 Solvents/HFC-365mfc	HFC-365mfc	The emissions are reported because of confidentiality reasons together with other confidential data at unspecified mix of HFCs at 2H3.
2.F Product Uses as Substitutes for ODS/2.F.5 Solvents/HFC-43-10mee	HFC-43-10mee	The emissions are reported because of confidentiality reasons together with other confidential data at unspecified mix of HFCs at 2H3.
2.G Other Product Manufacture and Use/2.G.2 SF6 and PFCs from Other Product Use/2.G.2.a Military Applications/SF6	SF6	The emissions are confidential and are reported at 2H3 as unspecified mix of HFCs.
2.G Other Product Manufacture and Use/2.G.2 SF6 and PFCs from Other Product Use/2.G.2.d Adiabatic Properties: Shoes and Tyres/C3F8	C3F8	The emissions are reported because of confidentiality reasons as Unspecified mix of HFCs at 2H3
2.G Other Product Manufacture and Use/2.G.2 SF6 and PFCs from Other Product Use/2.G.2.d Adiabatic Properties: Shoes and Tyres/SF6	SF6	The emissions are reported because of confidentiality reasons as Unspecified mix of HFCs at 2H3
2.G Other Product Manufacture and Use/2.G.2 SF6 and PFCs from Other Product Use/2.G.2.e Other (please specify)/Medical and cosmetical applications/C10F18	C10F18	The emissions are reported because of confidentiality reasons as Unspecified mix of HFCs at 2H3
2.G Other Product Manufacture and Use/2.G.2 SF6 and PFCs from Other Product Use/2.G.2.e Other (please specify)/Welding/SF6	SF6	The emissions are confidential and are reported at 2H3 as unspecified mix of HFCs
2.G Other Product Manufacture and Use/2.G.3 N2O from Product Uses/2.G.3.b Other/Other (please specify)/Explosives	N2O	The emissions are reported because of confidentiality reasons at 2G3a Medical Applications
2.G Other Product Manufacture and Use/2.G.3 N2O from Product Uses/2.G.3.b Other/Other (please specify)/Semiconductor production	N2O	The emissions are reported because of confidentiality reasons at 2G3a Medical Applications
2.G Other Product Manufacture and Use/2.G.3 N2O from Product Uses/2.G.3.b Other/Propellant for pressure and aerosol products	N2O	The emissions are reported because of confidentiality reasons at 2G3a Medical Applications

Source/sink category	GHG	Allocation used by the Party / Explanation
3.1 Livestock/3.A Enteric Fermentation/3.A.4 Other livestock/Buffalo	CH4	Buffalo: before 1996: NO, since 1996: IE; Buffalo are no longer treated as a separated category (included elsewhere, IE) in the inventory from 2015 onwards. See chapter 5.1.3.2.2
3.1 Livestock/3.A Enteric Fermentation/3.A.4 Other livestock/Mules and Asses	CH4	In the 2010 agricultural census and in the 2013 census, number of horses was raised instead of horse numbers. Their number includes donkeys and mules in an inseparable manner (included elsewhere, ie). See NIR chapter 5.1.3.2.2
3.1 Livestock/3.B Manure Management/3.B.1 CH4 Emissions/3.B.1.4 Other livestock/Buffalo	CH4	Buffalo: before 1996: NO, since 1996: IE; Buffalo are no longer treated as a separated category (included elsewhere, IE) in the inventory from 2015 onwards. See chapter 5.1.3.2.2
3.1 Livestock/3.B Manure Management/3.B.1 CH4 Emissions/3.B.1.4 Other livestock/Mules and Asses	CH4	In the 2010 agricultural census and in the 2013 census, number of horses was raised instead of horse numbers. Their number includes donkeys and mules in an inseparable manner (included elsewhere, ie). See NIR chapter 5.1.3.2.2
3.1 Livestock/3.B Manure Management/3.B.2 N2O and NMVOC Emissions/3.B.2.4 Other livestock/Buffalo	N2O	Buffalo: before 1996: NO, since 1996: IE; Buffalo are no longer treated as a separated category (included elsewhere, IE) in the inventory from 2015 onwards. See chapter 5.1.3.2.2
3.1 Livestock/3.B Manure Management/3.B.2 N2O and NMVOC Emissions/3.B.2.4 Other livestock/Mules and Asses	N2O	In the 2010 agricultural census and in the 2013 census, number of horses was raised instead of horse numbers. Their number includes donkeys and mules in an inseparable manner (included elsewhere, ie). See NIR chapter 5.1.3.2.2
3.I Other Carbon-containing Fertilizers	CO2	IE: Calcium ammonium nitrate is included in Liming. See respective NIR chapter.
4(IV) Indirect N2O Emissions from Managed Soils/Atmospheric Deposition	N2O	4 (IV) indirect emissions, atmospheric deposition: is included under 3.B.2.5 Indirect N2O Emissions (Agriculture)
4.A Forest Land/4(II) Emissions and removals from drainage and rewetting and other management of organic and mineral soils/Total Organic Soils/Drained Organic Soils	CO2	4.A. (II) Emissions and removals from drainage and rewetting... drained organic soils: IE: under Carbon stock change
4.A Forest Land/4.A.1 Forest Land Remaining Forest Land/4(V) Biomass Burning/Wildfires	CO2	4.A. Biomass, wildfires, CO2 emissions: IE: included in carbon stock change.
4.A Forest Land/4.A.2 Land Converted to Forest Land/4(V) Biomass Burning/Wildfires	CO2, CH4, N2O	4A2 IE: 4.A.2 Biomass Burning: IE: included in forest land reamining forest land (see NIR chapter 6.4.2.7.5).
4.B Cropland/4(II) Emissions and removals from drainage and rewetting and other management of organic and mineral soils/Total Organic Soils/Drained Organic Soils	CO2	4.B (II) emissions and removals from drainage and rewetting ....drained organic soils: see NIR chapter 6.1.2.2.2 and 6.4.2.7.2, IE: under carbon stock change.
4.C Grassland/4(II) Emissions and removals from drainage and rewetting and other management of organic and mineral soils/Total Organic Soils/Drained Organic Soils	CO2	4.C (II) emissions and removals from drainage and rewetting ....drained organic soils: see NIR chapter 6.1.2.2.2 and 6.4.2.7.2, IE: under carbon stock change.
4.D Wetlands/4(II) Emissions and removals from drainage and rewetting and other management of organic and mineral soils/Flooded Lands/Total Organic Soils/Drained Organic Soils	CO2, CH4, N2O	4.D (II) Emissions and removals from drainage and rewetting...flooded lands...drained organic soils: IE: under [Flooded Lands][Total Organic Soils][Other].
4.D Wetlands/4(II) Emissions and removals from drainage and rewetting and other management of organic and mineral soils/Flooded Lands/Total Organic Soils/Rewetted Organic Soils	CO2, CH4, N2O	4.D. (II): Emissions and removals...flooded land...rewetted organic soils: IE: under [Flooded Lands][Total Organic Soils][Other].
4.D Wetlands/4(II) Emissions and removals from drainage and rewetting and other management of organic and mineral soils/Other Wetlands (please specify)/Other/Total Organic Soils/Drained Organic Soils	CO2, CH4, N2O	4.D. (II) emissions and removals from drainage...drained organic soils: IE: under [Other Wetlands][Total Organic Soils][Other].
4.D Wetlands/4(II) Emissions and removals from drainage and rewetting and other management of organic and mineral soils/Other Wetlands (please specify)/Other/Total Organic Soils/Other (please specify)/Other	CO2	4.D (II) Emissions and removals droam drainage... other wetlands..other: CO2 emissions: IE: in carbon stock change.
4.D Wetlands/4(II) Emissions and removals from drainage and rewetting and other management of organic and mineral soils/Other Wetlands (please specify)/Other/Total Organic Soils/Rewetted Organic Soils	CO2, CH4, N2O	4.D. (II) emissions and removals from drainage...rewetting organic soils: IE: under [Other Wetlands][Total Organic Soils][Other].
4.D Wetlands/4(II) Emissions and removals from drainage and rewetting and other management of organic and mineral soils/Peat Extraction Lands/Total Organic Soils/Drained Organic Soils	CO2, CH4, N2O	4.D. Emissions and removal peat extraction...rewetting organic soils, CH4: IE: included in [Peat Extraction Lands][Total Organic Soils][Other].
4.D Wetlands/4(II) Emissions and removals from drainage and rewetting and other management of organic and mineral soils/Peat Extraction Lands/Total Organic Soils/Other (please specify)/Other	CO2	4.D. (II) Emissions and remmovals from drainage ... peat extraction...other, CO2 emissions, IE: included in carbon stock change.
4.D Wetlands/4(II) Emissions and removals from drainage and rewetting and other management of organic and mineral soils/Peat Extraction Lands/Total Organic Soils/Rewetted Organic Soils	CO2, CH4, N2O	4.D. Emissions and removal peat extraction...rewetting organic soils, CH4: IE: included in [Peat Extraction Lands][Total Organic Soils][Other].

Source/sink category	GHG	Allocation used by the Party / Explanation
4.H Other (please specify)/Settlements/4(II) Emissions and removals from drainage and rewetting and other management of organic and mineral soils/Total Organic Soils	CH4	[4.H Other][Settlements][4(II) Emissions and removals from drainage and rewetting and other management of organic and mineral soils][Total Organic Soils]: CO2 emissions IE: under 4 E, Carbon stock change; CH4 emissions: IE under 4 E.
4.H Other (please specify)/Settlements/4(II) Emissions and removals from drainage and rewetting and other management of organic and mineral soils/Total Organic Soils	CO2	4.H [4.H Other][Settlements][4(II) Emissions and removals from drainage and rewetting and other management of organic and mineral soils][Total Organic Soils]: CO2 emissions IE: under 4 E, Carbon stock change; CH4 emissions: IE under 4 E
5.D Wastewater Treatment and Discharge/5.D.2 Industrial Wastewater	CH4	Out of statistical reasons CH4-recovery from domestic and industrial treatment cannot be devided. Data are reported under 5.D.1

22 Anhang 6: Zusatzinformationen als Bestandteil des NIR oder andere hilfreiche Referenzinformationen

22.1 Zusatzinformationen zur Inventarerstellung und zum Nationalen System

22.1.1 Festlegungen im Grundsatzpapier „Nationales System“ zur Emissionsberichterstattung

Durch das Grundsatzpapier „Nationales System“ zur Emissionsberichterstattung haben die Staatssekretäre vom Bundesministerium für Umwelt, Naturschutz, Bau und Reaktorsicherheit (BMUB); Bundesministerium des Innern (BMI); Bundesministerium der Verteidigung (BMVg); Bundesministerium der Finanzen (BMF); Bundesministerium für Wirtschaft und Energie (BMWi); Bundesministerium für Verkehr, Bau und Stadtentwicklung (BMVBS) und vom Bundesministerium für Ernährung und Landwirtschaft (BMEL) die Zuständigkeiten für die Quell- und Senkengruppen sowie die notwendige Finanzierung für 2008 geregelt. Die Vereinbarung lautet:

BMUB, BMI, BMVg, BMF, BMWi, BMVBS, BMEL Berlin, den 05.06.2007

Grundsatzpapier „Nationales System“ zur Emissionsberichterstattung

Die Staatssekretäre der betroffenen Ressorts stellen zum Thema „Nationales System“ zur Emissionsberichterstattung nach Art. 5(1) Kyoto-Protokoll einvernehmlich fest:

1. *Das Umweltbundesamt, Fachgebiet I 4.6[222] „Emissionssituation“ ist die zuständige Nationale Koordinierungsstelle („single national entity“) für die Berichterstattung nach VN-Klimarahmenkonvention und Kyoto-Protokoll. Die Nationale Koordinierungsstelle ist dafür zuständig, das nationale Inventar zu erstellen, auf eine ständige Verbesserung des Inventars hinzuwirken, die am nationalen System Beteiligten zu unterstützen und die Entscheidungen des Koordinierungsausschusses vorzubereiten.*

2. *Für alle zu klärenden Fragen im Rahmen des Nationalen Systems sowie zur offiziellen Erörterung und Freigabe der Inventare und der nach den Artikeln 5, 7 und 8 des Kyoto-Protokolls notwendigen Berichte wird ein Koordinierungsausschuss aller betroffenen Ressorts eingerichtet, der den Prozess begleitet und insbesondere Zweifelsfragen, z.B. bei der Festlegung einzelner Emissionsfaktoren, klärt.*

   Insbesondere legt der Ausschuss die Hauptquell- und -senkengruppen, die Mindestanforderungen an die Qualitätskontrolle und Qualitätssicherung der Datenerhebung und -verarbeitung sowie den jährlichen Qualitätskontroll- und Qualitätssicherungsplan fest.

   Soweit erforderlich kann der Ausschuss die Methoden zur Berechnung der Emissionen in den Kategorien und zur Berechnung des Abbaus in den Senkengruppen festlegen. Die Federführung hat BMU. Ausschusssitzungen finden statt, wenn mindestens ein Ressort die Notwendigkeit hierfür sieht. Nachgeordnete Behörden und weitere an der Erstellung der Inventare beteiligte Institutionen können nach Bedarf zu Sitzungen hinzugezogen werden.

3. *Für die Erstellung des nationalen Inventars werden Daten zur Berechnung der Emissionen und des Abbaus verwendet, die nach Maßgabe der Anforderungen des Art. 3 Abs. 1 der Entscheidung 280/2004/EG und des Art. 2 Abs. 1 der Durchführungsbestimmungen zur Berechnung der Emissionen in den Quell- und des Abbaus in den Senkengruppen erforderlich sind. Die Erstellung des Inventars erfolgt*

[222] Anm. des Autors: aktuell I 2.6.

jährlich. Dabei ist die Durchführung einer Qualitätskontrolle nach den Anforderungen des Art. 12 der Durchführungsbestimmungen sicherzustellen. Ebenso ist eine nachweisbare Dokumentation und Archivierung erforderlich.

Bestehende Datenflüsse, etwa auf der Grundlage freiwilliger Vereinbarungen oder gesetzlicher Vorschriften sollen nicht grundlegend geändert, sondern nur ggf. vervollständigt und verbessert werden, um eine verlässliche Datengrundlage zu schaffen. Daher ist mit der Zuständigkeit nicht zwingend die Erhebung und Weitergabe von Daten verbunden. Für die Aufgabenverteilung zwischen BMU/UBA, BMVBS und BMWI wird insbesondere auf Anlage 1 verwiesen.

Die Zuständigkeiten für die Sicherstellung der Datenlieferung an die Nationale Koordinierungsstelle sowie die Qualitätskontrolle, Dokumentation und Archivierung der Daten verteilen sich wie folgt auf die Ressorts:

a) Für die Kategorie 1 (Energie) ist - mit Ausnahme der Kategorien 1.A.3 (Verkehr) und 1.A.5a (Energie: Sonstige), soweit Emittenten der Bundeswehr betroffen sind, - das Bundesministerium für Wirtschaft und Technologie zuständig.

b) Für die Kategorien 2 (Produktionsprozesse) und 3 (Verwendung von Lösemitteln und anderen Erzeugnissen) ist das Bundesministerium für Wirtschaft und Technologie zuständig.

c) für die Kategorie 1.A.3 (Verkehr) ist das Bundesministerium für Verkehr, Bau und Stadtentwicklung zuständig.

d) Für die Kategorie 1.A.5a (Energie: Sonstige) ist, soweit Emittenten der Bundeswehr betroffen sind, das Bundesministerium für Verteidigung zuständig. Soweit Daten der Geheimhaltung unterliegen, werden vom Umweltbundesamt die Erfordernisse der Geheimhaltung berücksichtigt.

e) Für die Quell- und Senkengruppen 4 (Landwirtschaft) und 5 (Landnutzung, Landnutzungsänderung und Forstwirtschaft, ist das Bundesministerium für Ernährung, Landwirtschaft und Verbraucherschutz zuständig.

f) Für die Kategorie 6 (Abfall) und Kategorie 7 sowie die Treibhausgas-Emissionen aus der Verbrennung von Biomasse, ist das Bundesministerium für Umwelt, Naturschutz und Reaktorsicherheit zuständig.

g) Das Bundesministerium für Ernährung, Landwirtschaft und Verbraucherschutz ist auch für die Erstellung der Tabellen im einheitlichen Berichtsformat nach Art. 2 Abs. 2 Buchstabe a der der Entscheidung 2005/166/EG (Durchführungsbestimmungen) in den Quell- und Senkengruppen 4 und 5.

Grundsätzlich sind für Durchführungsaufgaben der amtlichen Statistik einschließlich Datenlieferung, Qualitätskontrolle, Dokumentation und Archivierung der Daten die nach den einschlägigen Statistikvorschriften bestimmten Behörden zuständig. Die Zusammenarbeit der statistischen Ämter des Bundes und der Länder mit den mit der Berichterstattung befassten Stellen erfolgt durch das Statistische Bundesamt. Dabei ist die statistische Geheimhaltung sicher zu stellen.

4. *Die zuständigen Ressorts klären kurzfristig, wie die anforderungsgerechte Bereitstellung der Daten dauerhaft sichergestellt wird, soweit dies nicht schon der Fall ist. Insbesondere betrifft dies Vereinbarungen, Verordnungen oder Gesetze, die zur Institutionalisierung des Nationalen Systems erforderlich werden. Freiwillige Vereinbarungen mit Verbänden und/oder Einzelunternehmen stehen gesetzlichen Vorschriften für die Zwecke der Emissionsberichterstattung grundsätzlich gleich. Umweltbundesamt und Statistisches Bundesamt prüfen, wie im Abstimmungsgespräch am 12.09.2006 vereinbart, darüber hinaus, welche Daten aus dem amtlichen statistischen System für die Berichterstattung bereit gestellt werden können oder nach ihrer Auffassung zusätzlich über das*

amtliche statistische System erhoben werden sollen. Die Ressorts, UBA und Statistisches Bundesamtübermitteln ihre entsprechenden Vorschläge bis zum 15.07.2007 an das BMU.

5. *Bis zum 31.07.2007 wird BMU die beteiligten Ressorts zur Abstimmung der Vorschläge und Festlegung eines Fahrplans zur Implementierung der notwendigen Instrumente einladen. Die zuständigen Ressorts bzw. die Bundesregierung werden die Etablierung der erforderlichen Instrumente schnellstmöglich veranlassen.*

6. *Soweit für die Wahrnehmung der unter 3. genannten Zuständigkeiten zusätzliche Mittel erforderlich sind, werden diese aus den Einnahmen des Verkaufs von AAUs finanziert, in Erweiterung der Vereinbarung der Staatssekretäre vom 22.12.2006 zu Artikel 3.4 Kyoto-Protokoll.*

   Hierzu wird bereits für das Haushaltsjahr 2008 ein Einnahmetitel im Einzelplan 16 eingerichtet. Die zu finanzierenden Mehrbedarfe werden nach Prüfung durch BMF als Ausgaben in den Einzelplänen der Ressorts ausgewiesen. Die Nachmeldungen der Ressorts hierzu müssen bis zum 6.6.2007 gegenüber BMF erfolgen.

   Sollten über den in im Haushalt 2008 festgestellten Mehrbedarf hinaus in den kommenden Jahren zusätzliche Haushaltsmittel erforderlich sein, werden in den darauf folgenden Jahren im entsprechenden Umfang zusätzliche AAUs veräußert.

[…]

Anlage: Aufgabenverteilung zwischen BMU/UBA, BMVBS und BMWI

Zwischen BMU, BMVBS und BMWi besteht Einigkeit, dass die bisherigen Strukturen der Emissionsberichterstattung beibehalten werden sollen und UBA auch weiterhin seine bisherigen Aufgaben in den Kategorien 1, 1.A.3, 2 und 3 ausübt. BMVBS und BMWi stellen sicher, dass etwaige Datenlücken in den Quellgruppen, für die sie zuständig sind, geschlossen werden.

Im Einzelnen:

BMWi:

Zur Kategorie 1: Die Inventare in diesem Bereich werden im UBA u.a. auf Basis der Energiedaten, die der vom BMWi mit der Erstellung der Energiebilanzen beauftragte Auftragnehmer übermittelt hat, sowie auf Basis weiterer Statistiken und Verbandsangaben, erstellt.

Zur Kategorie 2: Die Inventare in diesem Bereich werden im UBA auf Basis von Daten erstellt, die u.a. aus der Statistik im Produzierenden Gewerbe (ProdGewStatG) sowie aus Mitteilungen von Verbänden/Einzelunternehmen stammen.

Zur Kategorie 3: Die Inventare in diesem Bereich werden im UBA auf Basis von Daten erstellt, die u.a. aus der Statistik im Produzierenden Gewerbe (ProdGewStatG), aus der Außenhandelsstatistik sowie aus Mitteilungen von Verbänden/Einzelunternehmen stammen.

Die bestehenden Optimierungsnotwendigkeiten werden zwischen BMWi, BMU und UBA kurzfristig geklärt. Soweit Datenoptimierungen durch Änderung bestehender Erhebungen auf Grundlage des Umweltstatistikgesetzes (UStatG) oder der 13. BImSchV erforderlich sein sollten, ist das BMU zuständig. Das UBA übernimmt die Dokumentation und Archivierung der im UBA eingehenden Daten.

BMVBS:

Zur Kategorie 1.A.3 (Verkehr) werden Emissionen bei UBA über das TREMOD-Modell berechnet. Für die Schließung von Lücken und für die Emissionen des internationalen Luftverkehrs stellt das BMVBS, soweit notwendig, Daten/Berechnungen zur Verfügung bzw. stellt sicher, dass diese durch Dritte zur Verfügung gestellt werden. Die Emissionen des Schiffsverkehrs können derzeit aus Daten der Energiebilanz und Default-

Emissionsfaktoren berechnet werden. Das UBA übernimmt die Dokumentation und Archivierung der im UBA eingehenden Daten.

22.1.2 Zusatzinformationen zum Qualitätssystem Emission

22.1.2.1 Mindestanforderungen an ein System zur Qualitätskontrolle und –sicherung

Wie bereits im Hauptteil beschrieben werden die Anforderungen an das System zur Qualitätskontrolle und Qualitätssicherung (QK/QS-System) und an die Maßnahmen zur Qualitätskontrolle und Qualitätssicherung im Wesentlichen durch das Kapitel 8 der *IPCC Good Practice Guidance* definiert.

Aus diesen wurden von UBA „Allgemeine Mindestanforderungen an die Qualitätskontrolle und Qualitätssicherung bei der Treibhausgasemissionsberichterstattung“ abgeleitet (Stand November 2007), die im Folgenden wiedergegeben werden.

22.1.2.1.1 Einführung

Die Vertreter der beteiligten Ressorts im Koordinierungsausschuss des Nationalen Systems Emissionsinventare legen die in diesem Dokument beschriebenen allgemeinen Mindestanforderungen an die Qualitätskontrolle und Qualitätssicherung (QK/QS) bei der Treibhausgasemissionsberichterstattung fest. Sie werden damit Grundlage für die Erhebung, Verarbeitung, Weitergabe und Berichterstattung von allen Daten, die der THG-Berichterstattung dienen.

Diese QK/QS Mindestanforderungen müssen auf allen Ebenen der Inventarerstellung eingehalten werden. In vielen Fällen kann dabei auf existierenden Prozessen und Systemen aufgebaut werden, z. B. den Qualitätsstandards der öffentlichen Statistik. Im Anhang 1 dieses Dokuments ist exemplarisch die Umsetzung der QK/QS Mindestanforderungen und das QK/QS System im Umweltbundesamt dargestellt. Eine entsprechende Beschreibung zur Umsetzung dieser Mindestanforderungen ist von allen beteiligten Institutionen vorzunehmen, so dass sie im Rahmen der Berichterstattung 2009 mit dem Inventarbericht veröffentlicht werden kann. Auf Anfrage unterstützt das Umweltbundesamt die Ministerien bei der Erstellung der QK/QS Systeme in den jeweiligen Zuständigkeitsbereichen.

22.1.2.1.2 System zur Qualitätskontrolle und Qualitätssicherung

Die *Durchführungsbestimmungen 2005/166/EG zur Entscheidung 280/2004/EG* verlangen, dass das nationale Treibhausgasinventar den QK/QS Anforderungen der *IPCC good practice guidance and uncertainty management in national greenhouse gas inventories* (IPCC good practice guidance) und der *IPCC good practice guidance for land use, land-use change and forestry* (IPCC Good Practice Guidance for LULUCF) entspricht.

Um die Verbesserung der Transparenz, Konsistenz, Vergleichbarkeit, Vollständigkeit und Genauigkeit der nationalen Emissionsinventare und insbesondere die Erfüllung der Anforderungen an die „Gute Inventarpraxis“ zu gewährleisten, fordern die *IPCC Good Practice Guidance* die Einführung eines Qualitätskontroll- und Qualitätssicherungssystems. Ein QK/QS System umfasst:

- eine zuständige Stelle für die Koordinierung der QK/QS Aktivitäten
- die Entwicklung und Umsetzung eines QK/QS-Plans
- allgemeine QK Verfahren
- kategoriespezifische QK Verfahren
- QS Verfahren und

- Verfahren für die Berichterstattung,
- Verfahren für die Dokumentation und Archivierung

QK/QS Maßnahmen können im Konflikt zu Anforderungen an Pünktlichkeit und Kosteneffizienz stehen. Bei der Entwicklung eines QK/QS Systems sollen deshalb die vorhandenen zeitlichen, personellen und materiellen Ressourcen berücksichtigt werden. Es ist gute Praxis, höhere Anforderungen an die Datenqualität der Hauptkategorien zu stellen. Für andere Kategorien ist es nicht notwendig, alle kategoriespezifischen QK Verfahren umzusetzen. Des Weiteren sind nicht alle Maßnahmen jährlich notwendig, z.B. muss die Methodik zur Erhebung von Daten nur einmalig detailliert überprüft werden. Danach reichen periodische Kontrollen, ob die Voraussetzungen für die Anwendung der Methodik weiterhin gegeben sind. Ein weiteres Kriterium für die Anforderungen an die QK/QS Maßnahmen ist die Unsicherheit einer Angabe. Um die gesamte Unsicherheit des Inventars zu reduzieren, sollten diejenigen Kategorien detailliert überprüft werden, die eine hohe Unsicherheit aufweisen.

22.1.2.1.3 Zuständige Stelle für die Koordinierung der QK/QS Aktivitäten

Das Umweltbundesamt als Nationale Koordinierungsstelle ist zuständig für das QK/QS System des nationalen Treibhausgasinventars und hat dafür die Stelle des Koordinators für das Qualitätssystem Emissionen (QSE) eingerichtet. Es ist gute Praxis, dass alle an der Inventarerstellung beteiligten Unternehmen und Organisationen einen QK/QS Koordinator ernennen und dem QSE Koordinator mitteilen.

Der QK/QS Koordinator ist verantwortlich dafür, dass ein QK/QS System entwickelt und umgesetzt wird. Die Umsetzung sollte in geeigneter Weise institutionalisiert werden, z.B. durch eine Hausanweisung oder Verbändevereinbarung.

Damit die nationale Koordinierungsstelle ihre unterstützenden Aufgaben zielgerichtet wahrnehmen kann, sind dem QSE Koordinator für die Wahrnehmung der folgenden weiteren Funktionen namentlich Personen zu benennen:

Fachverantwortlicher – Zuständige Person für die Datengewinnung, Dateneingabe, Berechnung entsprechend den vorgegebenen Methoden, für die Durchführung von QK-Maßnahmen und die Erstellung des Textbeitrags für den Nationalen Inventarbericht.

Qualitätskontrollverantwortlicher - Zuständige Person für die Prüfung und Freigabe der Daten und Berichtsteile (Funktion kann vom QK/QS Koordinator mit wahrgenommen werden).

22.1.2.1.4 QK/QS Plan

Der QK/QS Plan soll die Organisation und Durchführung von QK/QS Maßnahmen sicherstellen. Er enthält eine Darstellung über alle durchzuführenden QK/QS Maßnahmen sowie den Zeitplan zur Umsetzung der Maßnahmen. Der QK/QS Plan legt die Schwerpunkte der durchzuführenden Maßnahmen fest. Kriterien für die Auswahl der Quellgruppen, die detailliert geprüft werden, sind u.a.:

- die Relevanz der Kategorie (Hauptkategorie ja/nein, Unsicherheiten hoch/gering)
- der Zeitpunkt und die Ergebnisse der letzten detaillierten QK/QS Maßnahme für die Quellgruppe
- Änderungen der Methodik oder der Datengrundlage
- Ergebnisse der jährlichen Inventarüberprüfung unter der Klimarahmenkonvention und dem Kyoto Protokoll
- vorhandene Ressourcen zur Durchführung der QK/QS Maßnahmen

Es ist gute Praxis, einen QK/QS Plan anzulegen und jährlich nach Ende der Inventarerstellung zu überprüfen und zu aktualisieren.

Auf der Grundlage der Ergebnisse der jährlichen Inventarüberprüfung und der Ergebnisse aus den ihr bekannten QK/QS-Maßnahmen erstellt die nationale Koordinierungsstelle für das gesamte Inventar einen Verbesserungsplan. Auf dieser Grundlage leitet sie Vorschläge für einen verbindlichen Inventar-Plan für das nächste Berichtsjahr ab, der dem Koordinierungsausschuss als Beschlussvorlage vorgelegt wird. Der QK/QS Koordinator legt gemeinsam mit dem QSE Koordinator in der Nationalen Koordinierungsstelle Verfahren und Termine fest, wie und in welchem Umfang die QK/QS-Maßnahmen der Institution in den Inventar-Plan für das Gesamtinventar Eingang finden.

22.1.2.1.5 Allgemeine Qualitätskontrolle

Nach der Definition der IPCC (Kapitel 8.1 *Good Practice Guidance*) ist die Qualitätskontrolle (QK) ein System routinemäßiger fachlicher Maßnahmen zur Messung und Kontrolle der Qualität des in Erarbeitung befindlichen Inventars.

Hierfür soll das QK-System:

- Routinemäßige und einheitliche Überprüfungen ermöglichen, um für die Integrität, Korrektheit und Vollständigkeit der Daten Sorge zu tragen;
- Fehler und Auslassungen ermitteln und beheben;
- Inventarmaterial dokumentieren und archivieren sowie alle QK-Aktivitäten aufzeichnen.

In Tabelle 8.1 der *IPCC Good Practice Guidance* ist eine vollständige Liste der allgemeinen QK-Maßnahmen dargestellt. Anforderungen an die allgemeinen QK-Verfahren nach Tier 1 lassen sich aus den in Kapitel 8.6 der *IPCC Good Practice Guidance* benannten ableiten. Typische allgemeine Qualitätskontrollmaßnahmen bei der Ermittlung der Aktivitätsrate sind die Überprüfung der Daten auf Übertragungsfehler, Überprüfung auf Vollständigkeit, Überprüfung der Formeln zur Zusammenfassung der Daten sowie Plausibilitätsprüfungen anhand von externen Datenquellen und früheren Berechnungen. Lieferanten von Emissionsberechnungen müssen zusätzliche QK-Maßnahmen durchführen, z.B. die Überprüfung der Formeln zur Berechnung der Emissionen.

Die notwendigen Qualitätskontrollen sollen in Form von Checklisten dokumentiert werden. Die Listen sollen mindestens die durchgeführte Maßnahme, das Ergebnis der Kontrolle, die ggf. umgesetzte Korrektur und den Bearbeiter enthalten. Im Anhang 2 dieses Dokuments ist exemplarisch eine Checkliste im Umweltbundesamt dargestellt.

Nicht alle Qualitätskontrollen müssen jährlich durchgeführt werden, sondern können auch periodisch umgesetzt werden. Dies gilt insbesondere für Aspekte der Datenerhebung, die sich nicht jährlich ändern. Für Hauptkategorien werden höhere Anforderungen an die Häufigkeit und Vollständigkeit der QK-Maßnahmen als für andere Kategorien gestellt. Es ist darauf zu achten, dass alle Kategorien zumindest periodisch einer detaillierten Qualitätskontrolle unterliegen.

22.1.2.1.6 Quellgruppenspezifische Qualitätskontrolle

Ergänzend zu den Tier 1 Verfahren sollten die besonders relevanten Kategorien (z.B. Hauptkategorien), immer unter Abwägung von Ressourcenaspekten, bei der Ermittlung von Aktivitätsraten, Emissionen und Unsicherheiten einer Qualitätskontrolle nach Tier 2 unterzogen werden (siehe Kapitel 8.7 *Good Practice Guidance*). Die Kapitel der *IPCC Good Practice Guidance* zu den einzelnen Kategorien (Kapitel 1-5) enthalten zusätzliche Hinweise zu kategoriespezifischen QK-Maßnahmen. Diese müssen bei der Erstellung des QK/QS Plans berücksichtigt werden. :

Werden zusammengefasste **Aktivitätsraten** aus Sekundärquellen verwendet, ist es gute Praxis, die QK Maßnahmen bei der Erstellung der Sekundärquellen zu evaluieren. Ist das Niveau dieser Maßnahmen ausreichend, reicht es darauf in der Dokumentation zu verweisen. Falls die Sekundärquellen den Mindestanforderungen an die Qualitätskontrolle nicht genügen, sollen QK/QS Kontrollen von der Institution durchgeführt werden, die die Daten verwendet. Die Ergebnisse der nachträglichen QK/QS Kontrollen sollen in die Bestimmung der Unsicherheiten der Aktivitätsraten einfließen. Des Weiteren sollen, soweit möglich, verschiedene Quellen verglichen werden, um die Güte der Daten zu ermitteln.

Bei der Verwendung von anlagenspezifischen Aktivitätsdaten ist es gute Praxis, die Methodik und den QK/QS Standard bei der Datenermittlung zu überprüfen. Sollten diese nicht den Mindestanforderungen genügen, soll die Verwendung der Daten grundsätzlich überdacht und ggf. die Unsicherheitsangaben angepasst werden.

Bei **Emissionsdaten** gehört es zur guten Praxis, die verwendeten Emissionsfaktoren zu überprüfen. Dazu gehört die Verwendung von nationalen Emissionsfaktoren für Hauptkategorien und die Überprüfung der Gültigkeit der IPCC Standardfaktoren unter nationalen Gegebenheiten. Werden Emissionen durch direkte Messung ermittelt ist es gute Praxis, die Messmethoden und verwendeten Qualitätsstandards zu überprüfen. Emissionsdaten und Emissionsfaktoren sollen mit Daten der Vorjahre sowie unabhängigen Quellen überprüft und Abweichungen erklärt werden.

Die **Qualitätskontrolle** der Unsicherheiten umfasst die Überprüfung, ob die Berechnung frei von Fehlern ist und die Dokumentation zur Reproduktion der Ergebnisse ausreichend ist. Bei der Verwendung von Expertenschätzungen soll die Qualifikation der Experten und die Methodik zur Schätzung überprüft und dokumentiert werden.

22.1.2.1.7 Verfahren zur Qualitätssicherung

Während das Ziel der Qualitätskontrolle hauptsächlich die korrekte Anwendung einer Methodik ist, soll bei der Qualitätssicherung die Methodik als solche untersucht und ggf. verbessert werden.

Nach der Definition der IPCC (Kapitel 8.1 *Good Practice Guidance*) beruhen die Maßnahmen der **Qualitätssicherung** (QS) *„auf einem planvollen System von Überprüfungen durch Personen, die nicht unmittelbar an der Erarbeitung des Inventars mitwirkten. Solche Überprüfungen – am besten durch unabhängige Dritte – sollten an einem fertig gestellten Inventar nach Realisierung von QK-Prozeduren erfolgen. Durch sie wird:*

- verifiziert, dass die Kriterien der Datenqualität erfüllt wurden,
- dafür Sorge getragen, dass das Inventar die bestmöglichen Schätzungen von Emissionen und Senken auf der Grundlage des neuesten Standes der Wissenschaft und der verfügbaren Daten berücksichtigt, und
- die Effizienz des QK-Systems gefördert“.

Das geforderte Instrument der Qualitätssicherung sind Peer Reviews. Die Durchführung von Audits wird angeregt, stellt aber keine verbindliche Anforderung dar.

22.1.2.1.8 Verfahren zur Berichterstattung

Die Einleitung, Koordinierung und Gesamtorganisation der Berichterstattung erfolgt durch die Nationale Koordinierungsstelle. Zuarbeiten von Datenteilen oder Berichten durch Dritte erfolgen unter Beachtung der Vereinbarungen über Umfang Form und Zeitpunkt dieser Zuarbeit.

22.1.2.1.9 Dokumentation und Archivierung

Es besteht die generelle Pflicht alle Daten und Informationen zur Inventarberechnung für jedes Berichtsjahr zu dokumentieren und zu archivieren. Die Dokumentation soll es ermöglichen, die Emissionsberechnung vollständig nachzuvollziehen. Die allgemeinen Anforderungen an die Dokumentation und Archivierung für den gesamten Prozess der Erstellung von Treibhausgasinventaren ergeben sich aus Kapitel 8.10.1 der *IPCC Good Practice Guidance*.

Die Datenlieferanten haben die Pflicht, die folgenden Informationen zu den an das UBA gelieferten Daten für die Inventarberechnungen zu dokumentieren:

Lieferanten von Daten:

- Veröffentlichung / Quelle der Aktivitätsdaten mit detailliertem Verweis auf entsprechende Tabellennummern und -bezeichnungen und Seiten der Originalquellen;
- Erhebungsinhalte (Definitionen der erhobenen Merkmale, Abschneidegrenzen, Erhebungseinheiten) und Erhebungsmethodik;
- Rechtsgrundlagen, Verordnungen, auf denen die Erhebung basiert;
- Zeitliche und räumliche Vergleichbarkeit zu Vorjahresdaten, Veränderungen hinsichtlich Definitionen, Geltungsbereichen, Abschneidegrenzen, Quellen von Aktivitätsraten oder der Methodik der Datengewinnung;
- Revisionen von bereits veröffentlichen Daten;
- Genauigkeit bzw. quantitative Fehlerangabe der Aktivitätsdaten, Methodik der Fehlerschätzung und Benennung der Experten, welche die Fehlerschätzung vorgenommen haben.
- Geheimhaltung und Datenschutz: Dokumentation falls Einzelangaben als geheim gelten.

Diese Dokumentation soll dem UBA jährlich zusammen mit den Daten zur Verfügung gestellt werden und wird vom UBA zentral archiviert.

Qualitätskontrolle

Im Rahmen der Qualitätskontrolle soll die Dokumentation zuständige und durchführende Mitarbeiter, Art, Datum und Ergebnisse der Qualitätskontrollen sowie Korrekturen und Modifikationen, die durch die Qualitätskontrollen ausgelöst wurden, erfassen. Die Dokumentation und Archivierung der Qualitätskontrollen erfolgt intern durch die Daten liefernde Einrichtung. Eine allgemeine Beschreibung der regelmäßig durchgeführten Qualitätskontrollen wird dem UBA für den nationale Inventarbericht und die Inventarüberprüfung zur Verfügung gestellt.

Lieferanten von Emissionsberechnungen

Für Lieferanten von Emissionsberechnungen umfassen die Mindestanforderungen zur Dokumentation zusätzlich die folgenden Bestandteile:

- Beschreibung der Berechnungsmethodik und Begründung der Wahl der Methode;
- Annahmen und Kriterien zu Auswahl von Aktivitätsdaten und Emissionsfaktoren;
- Dokumentation der Emissionsfaktoren und deren Quellen mit detaillierten Verweis auf entsprechende Nummern und Seiten der Originalquellen;
- Berechnungsmodelle;
- Berechnungsdateien, Berechnungssoftware.

Punkte 1-4 werden im Rahmen der gelieferten Beschreibungen für den nationalen Inventarbericht dokumentiert und archiviert. Für Berechnungsmodelle ist eine gesonderte Dokumentation der Modelle entsprechend allgemeiner wissenschaftlichen Praxis erforderlich sowie eine interne

Dokumentation in Form von Handbüchern oder Anleitungen. Die Dokumentation und Archivierung der Berechnungsdateien oder Berechnungssoftware erfolgt intern beim Datenlieferanten. Diese sollen dem UBA zur Verfügung gestellt werden, falls dies im Rahmen der Inventarüberprüfung gefordert wird.

Qualitätssicherung

Lieferanten von Emissionsberechnungen sind neben Maßnahmen zur Qualitätskontrolle auch zur Qualitätssicherung verpflichtet. Im Rahmen der Qualitätssicherung soll die Dokumentation die zuständigen und durchführenden Mitarbeiter, Art, Datum und Ergebnisse der Qualitätssicherung sowie Korrekturen und Modifikationen, die durch die Qualitätssicherung ausgelöst wurden, erfassen. Darüber hinaus sollen kategoriespezifische Qualitätskontrollen dokumentiert werden.

Die Dokumentation und Archivierung der Qualitätssicherung erfolgt intern durch die Daten liefernde Einrichtung, sowie durch eine Zusammenfassung der Sicherungsmaßnahmen im nationalen Inventarbericht.

Vertrauliche Daten / Geheimhaltung

Generell sind vertrauliche Daten bei der Übermittlung als solche zu kennzeichnen, damit bei ihrer Verwendung entsprechende Vorkehrungen getroffen werden.

Im Rahmen der Inventarüberprüfung besteht eine generelle Pflicht, vertrauliche Daten offen zu legen, falls dies im Rahmen der Inventarüberprüfung aus Gründen der Transparenz und Nachvollziehbarkeit der Emissionsberechnungen von den Inventarprüfern für erforderlich gehalten wird. Inwieweit dies tatsächlich die Offenlegung von Einzelangaben berührt, soll im Einzelfall mit der Daten liefernden Einrichtung geklärt werden.

22.1.2.1.10 Anlage 1: Mindestanforderungen an die Qualitätskontrolle und Qualitätssicherung bei der Emissionsberichterstattung im Umweltbundesamt

22.1.2.1.10.1 Einführung

Die vom Koordinierungsausschuss des Nationalen Systems Emissionsinventare beschlossenen allgemeinen Mindestanforderungen an die Qualitätskontrolle und Qualitätssicherung (QK/QS) bei der Treibhausgasemissionsberichterstattung gelten für alle Beteiligten. Sie sind Grundlage für die Erhebung, Verarbeitung, Weitergabe und Berichterstattung von allen Daten, die der THG-Berichterstattung dienen und damit auch verbindlich für alle Arbeitseinheiten, die im Umweltbundesamt an der Erfüllung dieser Aufgabe mitwirken.

22.1.2.1.10.2 System zur Qualitätskontrolle und Qualitätssicherung

Über die vom Koordinierungsausschuss des Nationalen Systems Emissionsinventare beschlossenen allgemeinen Mindestanforderungen an die Qualitätskontrolle und Qualitätssicherung (QK/QS) bei der Treibhausgasemissionsberichterstattung gelten im Umweltbundesamt die konkreten Festlegungen der Hausanordnung Nr. 11/2005, die das im QSE-Handbuch festgelegte Verfahren für alle an der Emissionsberichterstattung Beteiligten des UBA verbindlich vorschreibt (Geschäftsordnung des Umweltbundesamtes, Band II, Ziffer XV).

Die Anforderungen von Kapitel 8 der IPCC *Good Practice Guidance* sind über die Hausanordnung vollständig umgesetzt. Für eine effektive Erfassung und Durchführung von Maßnahmen zur kontinuierlichen Inventarverbesserung wurden geeignete UBA-spezifische Instrumente etabliert (Verbesserungsplan und Inventarplan, siehe unter 22.1.2.1.10.3). Im Ergebnis wurde das Qualitätssystem Emissionsinventare (QSE) entwickelt, dass die in Kapitel 22.1.2.1.2 benannten Punkte implementiert hat.

22.1.2.1.10.2.1 Zuständige Stelle für die Koordinierung der QK/QS Aktivitäten im UBA

Hausanordnung Nr. 11/2005 regelt, dass das Fachgebiet *Emissionssituation* (FG I 2.6) "Nationale Koordinierungsstelle" im UBA ist. Diese Zuständigkeit ist in der Organisationsübersicht des UBA unter der Rubrik: „Kontaktstellen internationaler Organisationen“ ausgewiesen und von den relevanten Ministerien durch einen Staatssekretärsbeschluss vom 05.06.2007 bestätigt worden.

Die Rollen und Verantwortlichkeiten der Nationalen Koordinierungsstelle und der an der Emissionsberichterstattung beteiligten Fachgebiete ergeben sich aus Kapitel 3.2 "Rollen und Verantwortlichkeiten" des QSE-Handbuchs. Die Fortschreibung und Pflege des QSE-Handbuchs und dessen Anhänge und Anlagen obliegt der Nationalen Koordinierungsstelle unter Einbeziehung der durch die Fachabteilungen benannten Ansprechpartner/innen. Die auf der Intranetseite der Nationalen Koordinierungsstelle veröffentlichte Version des QSE-Handbuchs und der mitgeltenden Unterlagen ist verbindlich.

22.1.2.1.10.2.2 Verfahren zur Berichterstattung

Komplexe Tätigkeiten sind im Allgemeinen dadurch gekennzeichnet, dass am Ende des Durchlaufens einer Vielzahl von unterschiedlichen, aber miteinander in Verbindung stehenden und aufeinander aufbauenden Tätigkeiten (Prozessen), ein Produkt erzeugt wird. Für ein erfolgreiches Management dieser Prozesse ist es wichtig, sich dieser existierenden oder zu schaffenden Prozessabläufe bewusst zu werden und sie auf eine logische, der Realität entsprechende Weise zu beschreiben (Tätigkeiten, Abhängigkeiten, Verantwortlichkeiten, Zuständigkeiten u.v.m.) und in Verbindung zu setzen.

In der Praxis lassen sich die Abläufe komplexer Prozesse nicht widerspruchsfrei in die hierarchisch geprägten, traditionellen Strukturen von Unternehmen und Institutionen einpassen. Sie laufen diesen oft diametral entgegen, da sie meist Organisationseinheiten übergreifend gelagert sind. Eine an der Erstellung des Produkts orientierte Organisation von zusammenhängenden Arbeitsprozessen erfordert es, dass man sich von starren Hierarchiestrukturen löst und die Arbeitsprozesse mit dem Ziel der Verbesserung neu definiert.

Die Emissionsberichterstattung wurde daher zunächst als ein Prozess beschrieben, bei dem über mehrere miteinander verbundene Tätigkeiten am Ende ein Produkt (NIR und Inventare) entsteht (siehe Abbildung 93) Weiterführende Informationen finden sich im QSE-Handbuch Kapitel 4.3.

Abbildung 93: Übersicht zum gesamten Prozess der Emissionsberichterstattung

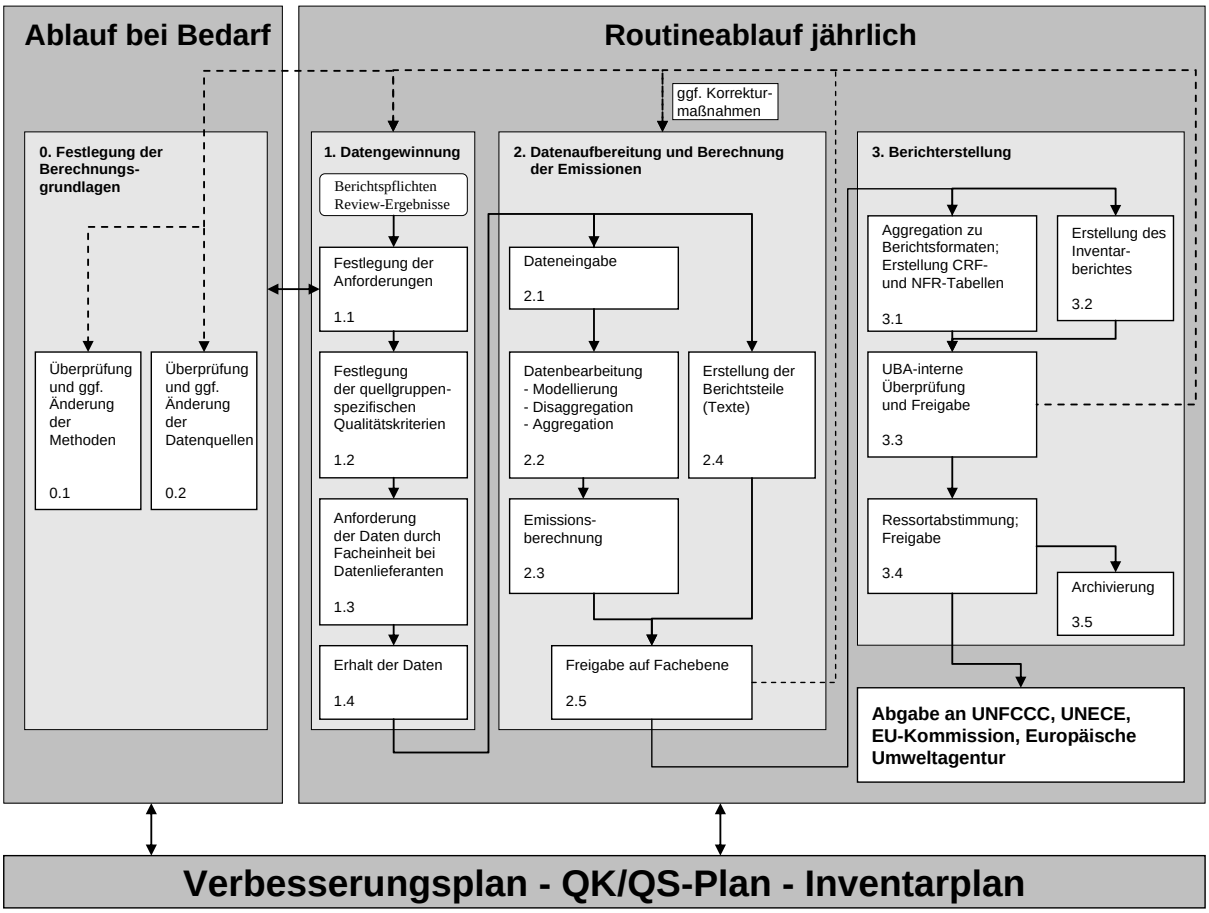

Den innerhalb der abgebildeten Haupt- und Teilprozesse ablaufenden Tätigkeiten wurden über ein Rollenkonzept entsprechende Zuständigkeiten zugeordnet, die diese Prozesse durchführen/ausführen. Beispielsweise arbeiten viele Mitarbeiter in unterschiedlichen Arbeitseinheiten und Quellgruppen, führen dort aber im Wesentlichen die gleichen Tätigkeiten aus. Dies führte zur Entwicklung einer Personengruppe (Rolle; z.B. Fachverantwortliche). Dieser muss eine weitere Personengruppe (Rolle) nachgeordnet sein, die sicherstellt, dass die Anforderungen, die die erste Gruppe bei Ihrer Arbeit zu beachten und zu erfüllen hat, auch erreicht worden sind (z.B. Fachlicher Ansprechpartner). Des Weiteren wurde gemäß den Anforderungen des IPCC (siehe Kapitel 22.1.2.1.2) ein Koordinator für das QSE bestellt, damit sichergestellt wird, dass das System weiterentwickelt wird.

Im Ganzen wurde ein umfassendes Rollenkonzept entwickelt, dass den vielfältigen Anforderungen Rechnung trägt, die dem UBA aus seiner Aufgabe als Nationale Koordinierungsstelle erwachsen. Hierzu gehören folgende Rollen:

1. Fachverantwortlicher auf operativer Ebene (FV)

- Wesentliche Zuständigkeiten: Datengewinnung, Dateneingabe und Berechnung entsprechend den vorgegebenen Methoden, Durchführung von QK-Maßnahmen, Erstellen des NIR-Textes.

2. QK-Verantwortlicher (QKV)

- Ist Vorgesetzter des FV
- Wesentliche Zuständigkeiten: Prüfung und Freigabe der Daten und Berichtsteile

3. Fachliche Ansprechpartner (FAP)

- Mitarbeiter der Nationalen Koordinierungsstelle
- Wesentliche Zuständigkeiten: Quellgruppenspezifische Betreuung der fachlich Zuarbeitenden (Inventararbeit und Berichterstellung) und Qualitätskontrolle/Qualitätssicherung in den zugehörigen Kategorien in NIR und ZSE.

4. Berichtskoordinator (NIRK)

- Mitarbeiter der Nationalen Koordinierungsstelle
- Wesentliche Zuständigkeiten: Koordination von textlichen Zuarbeiten, Erstellung des NIR aus den einzelnen Zulieferungen, übergreifende QK und QS für den NIR

5. ZSE-Koordinator (ZSEK)

- Mitarbeiter der Nationalen Koordinierungsstelle
- Wesentliche Zuständigkeiten: Wartung der Datenbanken, Emissionsberechnung und Aggregation, Übergreifende QK und QS bei Eingabe und Berechnung des Inventars

6. QSE-Koordinator (QSEK)

- Mitarbeiter der Nationalen Koordinierungsstelle
- Wesentliche Zuständigkeiten: Aufrechterhaltung und Fortentwicklung des QSE (System, Checklisten, Verbesserungsplan, Inventarplan, QK/QS-Plan und QSE-Handbuch)

7. NaSE-Koordinator (NaSEK)

- Mitarbeiter der Nationalen Koordinierungsstelle
- Wesentliche Zuständigkeiten: termingerechte und anforderungskonforme Berichterstattung, Einbindung nationaler Institutionen, Festlegung/Dokumentation von rechtlichen Vereinbarungen

Die oben erläuterten Rollen haben i.d.R. Aufgaben in mehreren Haupt- und Teilprozessen der Emissionsberichterstattung.

22.1.2.1.10.3 QK-Plan, QS-Plan und Inventarplan

Um zu gewährleisten, dass alle Verbesserungspotentiale, die im Zuge der Inventararbeiten ermittelt werden, einer systematischen Umsetzung zugeführt werden können, ist es unerlässlich diese zunächst auf koordinierte Weise zusammenzutragen. Dabei sind die erkannten Verbesserungspotentiale mit allen Informationen zu versehen (Herkunft des Verbesserungspotentials, Quellgruppe, Zuständigkeit, Priorität, etc.), die für eine zielgerichtete Weiterverwendung notwendig sind. Aufbauend auf diesen grundlegenden Informationen sind Festlegungen zur Umsetzung der erkannten Verbesserungspotentiale zu treffen (Handlungsbedarf/Korrekturmaßnahme, Terminsetzungen, etc.).

Zur Steuerung und Dokumentation im Rahmen des NaSE und des QSE (siehe Abbildung 94) wurden Verfahren festlegt, wie die ermittelten Verbesserungspotentiale für das systematische Management der Verbesserungspotentiale aufbereitet und weiterverwendet werden sollen. Ziel ist es, die zentralen Fragen, WER, WAS, WIE, WANN und WARUM tun soll, zu beantworten:

WER: Gibt den Bezug zum Rollenkonzept: zuständig ist eine bestimmte Person xy mit der Rolle z.B. Fachverantwortlicher (FV)

WAS: Gibt den Bezug zum Objekt, das verbessert soll, z.B. Verbesserung der CO_2-Berechnung in Kategorie xy

WIE: Gibt den Bezug zum Ziel, das erreicht werden soll, z.B. durch Erreichen einer bestimmten Verbesserung laut Inventarplan oder Checkliste.

WANN: Gibt den Bezug zum Zeitpunkt, bis zu dem die Verbesserung laut Inventarplan durchgeführt sein muss

WARUM: Gibt den Bezug zum Ursprung der notwendigen Handlung, z.B. aufgrund einer Empfehlung aus dem Überprüfungsprozess der UNFCCC

Abbildung 94: Steuerung und Dokumentation im Rahmen des NaSE und des QSE

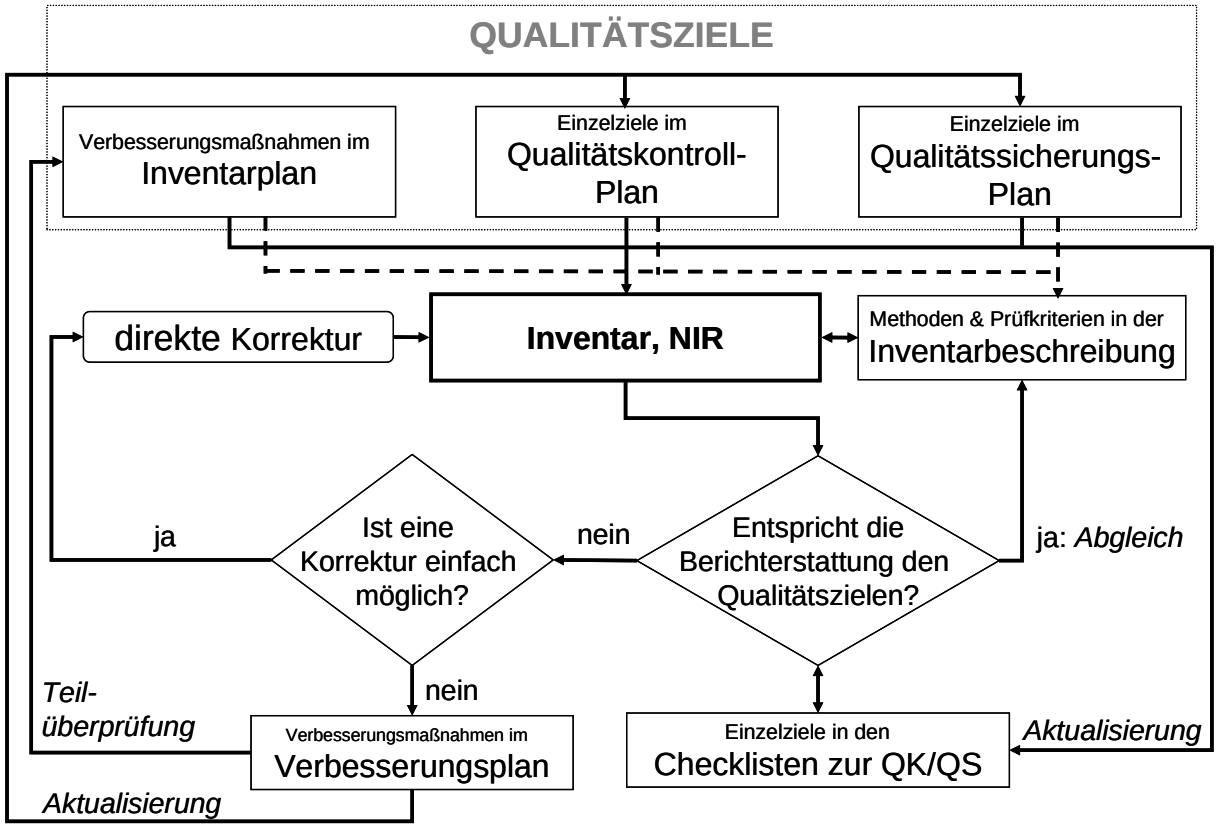

Die **Qualitätsziele** wurden den allgemeinen Qualitätszielen der *IPCC Good Practice Guidance* entnommen (Transparenz, Konsistenz, Genauigkeit, Vergleichbarkeit, Vollständigkeit). Darüber hinaus sind für die einzelnen Kategorien operative Einzelziele zur Qualitätskontrolle und Qualitätssicherung aus dem Vergleich zwischen den Anforderungen aus den *IPCC Good Practice Guidance*, den Ergebnissen der unabhängigen Inventarüberprüfungen (UNFCCC und EU) und der Inventarrealität abgeleitet worden.

In einem **Verbesserungsplan** werden alle Verbesserungsmöglichkeiten beziehungsweise Beanstandungen aus den Ergebnissen der unabhängigen Inventarüberprüfungen, gesammelt und mit möglichen Korrekturmaßnahmen hinterlegt. Sie werden durch die Nationale Koordinierungsstelle kategorisiert, mit Prioritäten versehen und in Rücksprache mit den Fachverantwortlichen teilweise in den **Inventarplan** überführt. Dort werden sie mit Terminen und Verantwortlichkeiten hinterlegt. Der Inventarplan durchläuft als Anhang des NIR einen Abstimmungs- und Freigabeprozess im UBA und im Koordinierungsausschuss und stellt somit ein

verbindliches Vorgabedokument für die zukünftig umzusetzenden Verbesserungsmaßnahmen dar.

Um die Kontrolle und Durchführung von Maßnahmen zur Inventarverbesserung transparent und effektiv zu steuern, sind sie nach Maßgabe der IPCC *Good Practice Guidance* (Kapitel 8.5) im **Qualitätskontrollplan/Qualitätssicherungsplan (QK/QS-Plan)** rollenspezifisch sowie gegebenenfalls kategoriespezifisch vorgegeben. Der QK-Plan bezieht sich ausschließlich auf die Ziele der Qualitätskontrolle des Inventars. Im QS-Plan können die Ziele der Qualitätssicherung das Inventar, den Prozess der Berichterstattung oder das QSE selbst zum Gegenstand haben. Weiterhin erfolgt im Qualitätssicherungsplan die zeitliche Planung von Qualitätssicherungsmaßnahmen, die durch externe Dritte vorgenommen werden.

In den **Checklisten zur Qualitätskontrolle und zur Qualitätssicherung** sind entsprechend den Qualitätskontroll- und Qualitätssicherungsplänen alle Einzelziele im Prozess der Emissionsberichterstattung aufgeführt. Die Checklisten werden allen für Qualitätskontrolle und Qualitätssicherung verantwortlichen Akteuren zur Verfügung gestellt und sollen die Kontrolle der Erreichung der Einzelziele erleichtern. In den Checklisten wird die Durchführung von Maßnahmen zur Qualitätskontrolle und Qualitätssicherung dokumentiert. Sofern Einzelziele nicht erreicht werden und keine direkte Korrektur möglich ist, hat ein Eintrag in den Verbesserungsplan (siehe oben) zu erfolgen.

22.1.2.1.10.4 Verfahren zur allgemeinen und kategoriespezifischen Qualitätskontrolle

Aus den Anforderungen der IPCC Good Practice Guidance hat das Umweltbundesamt ein Checklistenkonzept entwickelt, in dem die Qualitätsanforderungen als konkrete Ziele formuliert wurden. Diese Einzelziele gilt es, zu erreichen. Die Zielerreichung wird in den Checklisten eingetragen und dokumentiert. Es sind Einträge von Ja (Ziel ist erreicht), über „Trifft nicht zu“ (Zielformulierung korrespondiert nicht mit der speziellen Situation der Quellgruppe; nur sehr selten als Antwort möglich) bis hin zu „Nein“ (Ziel konnte nicht erreicht werden) möglich.

Die Checklisten bestehen aus einem allgemeinen Teil, der die gesamten Tier 1 QK-Anforderungen der IPCC Good Practice Guidance reflektiert und mit jeder Berichterstattung durchgeführt wird. Zusätzlich beinhalten die Checklisten einen kategoriespezifischen Teil (Tier 2), der konkrete Zielvorgaben für den Bereich der Hauptkategorien macht.

Checklisten gibt es für die ersten fünf Rollen des Rollenkonzepts. In dem Maße, wie die verschiedenen Rollen für verschiedene Haupt- und Teilprozesse der Emissionsberichterstattung zuständig sind (vergleiche Kapitel 22.1.2.1.10.2.2), beziehen sich auch die Checklisten überwiegend auf mehrere Haupt- und Teilprozesse der Emissionsberichterstattung. Sie stellen somit einen Querschnitt durch die Emissionsberichterstattung her. Hierbei ist für die Checklisten der FV und der FAP eine gemeinsame Grundgesamtheit der zu erreichenden Ziele vorgesehen. Da die FAP dafür zuständig sind, die Arbeiten der FV zu prüfen, lässt sich dies am besten gewährleisten, wenn sich beide an gleichen Zielen orientieren müssen.

22.1.2.1.10.5 Verfahren zur Qualitätssicherung

Bereits mit dem Rollenkonzept sind die Verfahren derart gestaltet, dass die Qualitätssicherung immer zumindest über ein Vieraugenprinzip gestützt wird. In diesem Zusammenhang wurde den Fachlichen Ansprechpartnern (FAP) die Aufgabe übertragen, die Qualität der Emissionsberechnungen und textlichen Zuarbeiten der Fachverantwortlichen (FV) sicherzustellen.

IPCC stellt unter dem Punkt „Überprüfung durch unabhängige Experten (Experten-Peer Review)“ klar, dass das obige von UBA gewählte formale Prüfverfahren, die Überprüfungen eines Experten-Peer Review ergänzen, aber nicht ersetzen kann (Good Practice Guidance; Kapitel 8.8). Um unter Abwägung der vorhandenen Ressourcen, der begründeten Forderung nach Einbeziehung externer Experten entsprechen zu können, werden zum einen, für konkrete Fragestellungen, detaillierte Überprüfungen durch externe Dritte im Rahmen von Forschungsvorhaben und Gutachten durchgeführt. Eine Beauftragung Dritter wird generell von beiden Seiten (d.h. FV und FAP) gemeinsam betreut. Zum anderen wurde das Instrument eines unregelmäßig durchgeführten Workshops zum Nationalen System ins Leben gerufen. Ziel dieses Workshops ist es, nationale Experten ins UBA zu laden und gemeinsam mit den UBA-Experten (FV) zu ausgewählten Kategorien aktuelle Inventarfragen zu besprechen.

Audits wurden im Umweltbundesamt bislang nicht durchgeführt und sind zurzeit nicht geplant. Laut Good Practice Guidance sind Audits nicht zwingend durchzuführen.

22.1.2.1.10.6 Dokumentation und Archivierung

Bei der Erstellung der deutschen Treibhausgas-Inventare soll eine im Grundsatz einheitliche Praxis bei der Dokumentation und Archivierung erreicht werden. Dabei ist zu unterscheiden zwischen der zentralen Dokumentation und Archivierung in der Nationalen Koordinierungsstelle und der dezentralen Dokumentation und Archivierung, die in den Facheinheiten des UBA und in anderen Institutionen erfolgt.

Die Dokumentationsverfahren für Daten und Kontextinformationen unterscheiden sich bedarfsgemäß und umfassen einige Informationen überlappend, wobei es sich teilweise um Redundanzen handelt und teilweise um Informationen mit unterschiedlichem Detaillierungsgrad. Bei beiden ist die Konsistenz regelmäßig sicherzustellen.

Um eine im Grundsatz einheitliche Praxis für alle Arbeitseinheiten des Umweltbundesamtes zu erreichen, sind für die verwendeten Instrumente allgemeine oder speziell für die Emissionsberichterstattung entwickelte Vorgaben einzuhalten. Im Umweltbundesamt können für die Dokumentation die in Tabelle 522 beschriebenen Instrumente verwendet werden. Dabei sind die jeweils genannten Vorgaben zur Dokumentation einzuhalten. Sofern keine speziellen Vorgaben bestehen, sind die Anforderungen aus den „Allgemeinen Mindestanforderungen an die Qualitätskontrolle und Qualitätssicherung bei der Treibhausgasemissionsberichterstattung“ einzuhalten.

Tabelle 522: Dokumentationsinstrumente im Umweltbundesamt

Instrument	Vorgaben zur Dokumentation
öffentlich verfügbar	
Nationales Inventar (CRF-Tabellen, CRF-Reporter)	Anhang 2, QSE-Handbuch: Anleitung zur Durchführung der Rückrechnungen in den CRF–Tabellen
Nationaler Inventarbericht	Anhang 3, QSE-Handbuch: Vorgaben bei der Erstellung von Berichtsteilen im Nationalen System
Publikation	GO des UBA: Punkt 6.2 Veröffentlichungen
veröffentlichte Handbücher, Anleitungen	Bei IT-Beschreibungen: Vorgehensmodell UBA, sonst: keine speziellen Vorgaben
intern zentral in der Nationalen Koordinierungsstelle verfügbar	
Datenbank ZSE	Anhang 5, QSE-Handbuch: Vorgaben für die Datendokumentation im ZSE
Inventarbeschreibung	Anhang 4, QSE-Handbuch: Anforderungen an die Dokumentation und Archivierung
intern dezentral verfügbar	
Akten der zentralen Registratur	GO des UBA: Punkt 4.2.10 Aktenbehandlung
Handakte	keine speziellen Vorgaben
interne Handbücher, Anleitungen	Bei IT-Beschreibungen: Vorgehensmodell UBA, sonst: keine speziellen Vorgaben

Ein integriertes Dokumentationskonzept legt fest, welche wesentlichen Inhalte in den genannten Dokumentationsinstrumenten vorgehalten werden sollen und wie zwischen den genannten Dokumentationsinstrumenten Konsistenz und Transparenz durch ein entsprechendes Verweissystem zwischen diesen Instrumenten herzustellen ist (siehe Anhang 4, QSE-Handbuch).

22.1.2.1.11 Anhang 2: Beispiel einer allgemeinen Checkliste für die Rolle Fachverantwortlicher

Im unten stehenden Beispiel (Stand: CHKL 2010) sind nur die relevanten Anforderungen abgebildet. Darüber hinaus gehende Detailinformationen wurden zur Verbesserung der Übersichtlichkeit entfernt.

Tabelle 523: Allgemeine Checkliste für Fachverantwortliche

Prozess Nr.	Teilprozess Bezeichnung	Einzelziel	Optionales Ziel
Hauptprozess: 0. Festlegung der Berechnungsgrundlagen			
0.1	Überprüfung und ggf. Änderung der Methoden	Die Berechnungsmethode steht im Einklang mit der aktuellen Hauptkategorienanalyse.	
0.1	Überprüfung und ggf. Änderung der Methoden	Die Auswahl der Berechnungsmethode ist nach dem Entscheidungsbaum der IPCC-Good Practice Guidance erfolgt, bzw. stimmt mit diesen überein.	Abweichungen vom Entscheidungsbaum der IPCC-Good Practice Guidance sind fachlich und nachvollziehbar begründet und dokumentiert.
0.1	Überprüfung und ggf. Änderung der Methoden	Die Auswahl der Berechnungsmethode hat die Anforderungen aus dem Inventarplan berücksichtigt.	Abweichungen vom Inventarplan wurden fachlich und nachvollziehbar begründet und dokumentiert.
0.1	Überprüfung und ggf. Änderung der Methoden	Die ausgewählte Berechnungsmethode kann für die gesamte Zeitreihe ab 1990 angewendet werden oder wird bereits konsistent angewandt.	Bei Methodenwechsel in der Zeitreihe(n) ist die Durchführung einer Rekalkulation gemäß QSE-Handbuch (Anhang 2) und die Erstellung einer nachvollziehbaren Dokumentation sichergestellt.

0.1	Überprüfung und ggf. Änderung der Methoden	Abweichungen von den durch 0.1.01-0.1.04 geforderten Zielen sind fachlich und nachvollziehbar begründet und dokumentiert.	
0.2	Überprüfung und ggf. Änderung der Datenquellen	Wurden neue Datenquellen verwendet?	
0.2	Überprüfung und ggf. Änderung der Datenquellen	Die Datenquelle(n) ist/sind für die Zukunft langfristig verfügbar (z.B. auf Basis gesetzlicher Grundlagen, Vereinbarungen mit längerer Laufzeit [> 3 Jahre] etc.).	
0.2	Überprüfung und ggf. Änderung der Datenquellen	Aus der/den Datenquelle(n) ist eine/mehrere vollständige Zeitreihe(n) ab 1990 verfügbar.	Lücken in der Datenverfügbarkeit für Zeitreihe(n) ab 1990 wurden nachvollziehbar begründet und dokumentiert.
0.2	Überprüfung und ggf. Änderung der Datenquellen	Aus der/den Datenquelle(n) ist eine/mehrere vollständige Zeitreihe(n) ab 1990 verfügbar.	Für den Umgang mit Datenlücken wurde gemäß der IPCC Good Practice Guidance (Kap. 7.3.2.2) ein fachlich geeignetes Vorgehen (Inter-/Extrapolation) festgelegt und nachvollziehbar dokumentiert. Hinweis: Fortschreibung ist keine Extrapolation !
0.2	Überprüfung und ggf. Änderung der Datenquellen	Aus der/den Datenquelle(n) ist eine/mehrere vollständige Zeitreihe(n) ab 1990 verfügbar.	Nach der Schließung von Datenlücken ist, wo notwendig, eine Rekalkulation der Zeitreihe(n) gemäß QSE-Handbuch (Anhang 2) erfolgt und diese nachvollziehbar in NIR und CRF dokumentiert.

Prozess Nr.	Teilprozess Bezeichnung	Einzelziel	Optionales Ziel
0.2	Überprüfung und ggf. Änderung der Datenquellen	Die Datenquelle(n) deckt/decken die Kategorie vollständig ab.	Die unvollständige Abdeckung wurde in einer Hochrechnung und in der Unsicherheitenberechnung berücksichtigt. Alle Schritte sind nachvollziehbar dokumentiert.
0.2	Überprüfung und ggf. Änderung der Datenquellen	Für die Datenquelle(n) liegen Angaben von Unsicherheiten (Höhe und Verteilung) vor.	
0.2	Überprüfung und ggf. Änderung der Datenquellen	EF und AR stimmen in Ihrem Quellgruppenzuschnitt überein.	Bei fehlender Übereinstimmung von EF und AR können andere Datenquellen Deckungsgleichheit herstellen. Alternativ wurde die fehlende Übereinstimmung in einer Hochrechnung und in der Unsicherheitenberechnung berücksichtigt und alles nachvollziehbar dokumentiert.
0.2	Überprüfung und ggf. Änderung der Datenquellen	Die Verfahren zur Berechnung der Ausgangsdaten sind nachvollziehbar beschrieben.	
0.2	Überprüfung und ggf. Änderung der Datenquellen	Die Auswahl der Datenquelle(n) hat die Anforderungen aus dem Inventarplan berücksichtigt.	Abweichungen wurden nachvollziehbar begründet und dokumentiert.
0.2	Überprüfung und ggf. Änderung der Datenquellen	Die Annahmen und Kriterien, die zur Auswahl der jeweiligen Datenquelle(n) geführt haben sind nachvollziehbar dokumentiert.	
0.2	Überprüfung und ggf. Änderung der Datenquellen	Für die Datenquelle(n) werden durch den Datenlieferanten geeignete routinemäßige Qualitätskontrollen durchgeführt. Bei Einzelvorhaben wurden einmalige Qualitätskontrollen durchgeführt. Die Durchführung ist dokumentiert.	

0.2	Überprüfung und ggf. Änderung der Datenquellen	Bei der Verwendung einer/mehrerer neuer Datenquellen wurde eine Rekalkulation gemäß QSE-Handbuch (Anhang 2) auf Basis dieser andere(n) Datenquelle(n) durchgeführt.	
0.2	Überprüfung und ggf. Änderung der Datenquellen	Bei Verwendung von IPCC-Default-EF sind diese hinsichtlich ihrer Generierung mit den nationalen Gegebenheiten verglichen worden und in Deutschland anwendbar. Das Ergebnis dieser Prüfung wurde nachvollziehbar dokumentiert.	Für IPCC Default-Werte die nicht mit den nationalen Gegebenheiten übereinstimmen, wurden die Abweichungen in den Unsicherheiten berücksichtigt und dokumentiert .
0.2	Überprüfung und ggf. Änderung der Datenquellen	Bei Verwendung anderer EF als der IPCC Default-EF, wurden diese nachvollziehbar begründet und dokumentiert. Hinweis: Die Verwendung anderer EF ist nur zulässig, wenn diese eine exaktere Berechnung der landesspezifischen Emissionen ermöglichen.	
0.2	Überprüfung und ggf. Änderung der Datenquellen	Ein Vergleich der verwendeten AR gegen andere Datenquellen (z.B. EU-ETS, IEA, EPER etc.) ist erfolgt und das Ergebnis nachvollziehbar dokumentiert.	

Hauptprozess: 1. Datengewinnung

1.1	Festlegung der Anforderungen	Die Anforderungen an die Daten berücksichtigen die Hinweise aus dem Inventarplan und den Inventarüberprüfungen (z.B. S&A Report, Centralized Review).	

Prozess Nr.	Teilprozess Bezeichnung	Einzelziel	Optionales Ziel
1.3	Anforderung der Daten durch Facheinheit bei Datenlieferanten	Die Anforderungen an die QK und die Datenformate sind an die Datenlieferanten und/oder die Auftragnehmer weitergegeben worden und diese Weitergabe ist dokumentiert. Hinweis: Wo Datenlieferanten über NaSE-Vereinbarungen eingebunden sind, ist Ziel erreicht.	Der Datenlieferant (z.B. Verbände) führt eigene routinemäßige Qualitätskontrollen durch und dieses Ergebnis ist dokumentiert.
1.4	Erhalt der Daten	Der Datenlieferant bzw. der Auftragnehmer hat die geforderten Qualitätskontrollen durchgeführt und dokumentiert.	Der Datenlieferant (z.B. Verbände) führt eigene routinemäßige Qualitätskontrollen durch und dieses Ergebnis wurde dokumentiert.
1.4	Erhalt der Daten	Die erhaltenen Daten sind vollständig und weisen keine Datenlücken auf.	Alle Datenlücken in der Zeitreihe ab 1990 sind im Einklang mit den IPCC Good Pract. Guidance durch Extrapolation/Interpolation (Kap.7.3.2.2) geschlossen worden und nachvollziehbar dokumentiert und begründet. Hinweis: Fortschreibung ist keine Extrapolation
1.4	Erhalt der Daten	Die erhaltenen Daten sind konsistent mit den Vorjahreswerten und nachvollziehbar beschrieben.	Deutliche Abweichungen von den Vorjahreswerten sind nachvollziehbar begründet und dokumentiert.
1.4	Erhalt der Daten	Die erhaltenen Daten liegen im Vergleich zu anderen Datenquellen (z.B. ETS-Daten, IEA, EPER etc.) in der gleichen Größenordnung. Das Prüfungsergebnis wurde dokumentiert.	Die Ursachen für Abweichungen sind nachvollziehbar begründet und dokumentiert.
1.4	Erhalt der Daten	Die Methodik/Annahmen auf denen die Unsicherheitsbestimmungen basieren, sind nachvollziehbar dokumentiert.	Konnten keine Annahmen abgeleitet werden, wurde alternativ eine Expertenschätzung durchgeführt und die Qualifikation des Experten nachvollziehbar dokumentiert.
1.4	Erhalt der Daten	Die Unsicherheitsbestimmungen sind vollständig und plausibel.	

Hauptprozess: 2. Datenaufbereitung / Emissionsberechnung			
2.1	Dateneingabe (bevorzugt ZSE) /	Die EF sind vollständig im ZSE eingetragen.	
2.1	Dateneingabe (bevorzugt ZSE)	Die Dokumentation der Datenherkunft von EF ist vollständig und entspricht den Anforderungen des QSE Handbuchs (Anhänge 3, 4 und 5).	
2.1	Dateneingabe (bevorzugt ZSE)	Die Entwicklung der EF innerhalb der Zeitreihe ist plausibel und im Falle von Auffälligkeiten (z.B. Größenordnungsänderungen) nachvollziehbar begründet und dokumentiert.	Unplausible EF wurden korrigiert.
2.1	Dateneingabe (bevorzugt ZSE)	Die AR sind vollständig im ZSE eingetragen.	
2.1	Dateneingabe (bevorzugt ZSE)	Die Dokumentation der Datenherkunft von AR ist vollständig und entspricht den Anforderungen des QSE Handbuchs (Anhänge 3, 4 und 5).	

Prozess Nr.	Teilprozess Bezeichnung	Einzelziel	Optionales Ziel
2.1	Dateneingabe (bevorzugt ZSE)	Die Entwicklung der AR innerhalb der Zeitreihe ist plausibel und im Falle von Auffälligkeiten (z.B. Größenordnungsänderungen) nachvollziehbar begründet und dokumentiert.	Unplausible Abweichungen wurden korrigiert.
2.1	Dateneingabe (bevorzugt ZSE)	Nach Abschluss der Dateneingabe in das ZSE wurde die Richtigkeit der Eingabe von Zahlen, Einheiten und Umrechnungsfaktoren überprüft und bestätigt.	
2.1	Dateneingabe (bevorzugt ZSE)	Die Unsicherheiten sind vollständig im ZSE eingegeben und entsprechend den Anforderungen des QSE Handbuchs (Anhänge 3, 4 und 5) dokumentiert.	
2.2	Datenbearbeitung (Modellbildung, Disaggregation, Aggregation)	Eine adäquate Beschreibung der Modelle in Bezug auf Aufbau, Modellstruktur, Rechengang, Annahmen etc. liegt in der Inventarbeschreibung vor.	
2.3	Emissionsberechnung	Die aktuellen Inventarberechnungen sind mit Berechnungen vorhergehender Berichterstattungen abgeglichen worden.	Bei signifikanten Änderungen oder auffälligen Abweichungen vom erwarteten Trend, wurde die Rechnung und die Eingangsdaten der Berechnung überprüft und weiterbestehende Unterschiede begründet und dokumentiert.
2.3	Emissionsberechnung	Die Ergebnisse der Emissionsberechnung der aktuellen/vorhergehenden Berichterstattungen sind mit anderen Datenquellen für Deutschland, insbesondere ETS-Daten, abgeglichen worden und vergleichbar. Das Ergebnis wurde nachvollziehbar dokumentiert.	Wenn eine Vergleichbarkeit nicht gegeben ist bzw. ein Vergleich nicht durchgeführt wurde, ist dies fachlich und nachvollziehbar begründet worden.
2.3	Emissionsberechnung	Der nationale implizierte EF (national Implied EF; siehe S&A Report I) der vorhergehenden Berichterstattung ist mit den implizierten EF anderer Länder vergleichbar (gleiche Größenordnung).	Extreme implied EF, sind im NIR fachlich und nachvollziehbar begründet und dokumentiert worden bzw. es wurde auf eine bestehende Begründung verwiesen.
2.4	Erstellung Berichtsteile (Texte)	Die Kategorie ist für den NIR entsprechend der geforderten sechs Unterkapitel des NIR ("Beschreibung der Quellgruppe", "Methodische Aspekte" etc.) vollständig und nachvollziehbar beschrieben.	

2.5	Freigabe auf der Fachebene	Die Werte von AR, EF, ED und deren Unsicherheiten im NIR sind aktuell und mit den Werten im ZSE kongruent.	
2.5	Freigabe auf der Fachebene	Die Dokumentation der Datenherkunft von AR, EF, ED und deren Unsicherheiten im NIR ist aktuell und mit den Angaben im ZSE kongruent.	Fehlende oder unvollständige Dokumentationen der Datenherkunft sind fachlich und nachvollziehbar begründet und dokumentiert.

22.1.3 Das Datenbanksystem Zentrales System Emissionen

Als informationstechnologisches Werkzeug für die Inventarerstellung etabliert und pflegt das Umweltbundesamt seit 1998 eine integrierte nationale Datenbank, das *Zentrale System Emissionen (ZSE)*. Das ZSE setzt die vielfältigen Anforderungen an die Emissionsberechnung und -berichterstattung um und automatisiert wesentliche Arbeitsschritte. Es unterstützt die Inventarplanung und die Berichterstattung (z. B. durch Emissionsberechnung, -rekalkulation und Fehleranalyse) sowie das Inventarmanagement (z. B. durch Archivierung, jährliche Evaluierung der Daten) und das Qualitätsmanagement auf der Datenebene (siehe UBA 2003a, Projekthandbuch Decor). Mit Hilfe des ZSE werden die Schlüsselanforderungen der Transparenz, Konsistenz, Vollständigkeit, Vergleichbarkeit und Genauigkeit auf der Datenebene erfüllt.

Dabei wird der Datendokumentation eine zentrale Rolle eingeräumt. Das ZSE speichert die zuständigen Bearbeiter, die Datenquellen und Berechnungsverfahren sowie die Unsicherheiten von Zeitreihenwerten. Auch Zeitpunkt und Verursacher von Änderungen werden festgehalten. Das System verfügt über eine Historienverwaltung, die gelöschte Werte archiviert und bei Bedarf wiederherstellt. Rückverfolgungen und Rekonstruktion von Daten sowie eine unabhängige Überprüfung durch Dritte werden so ermöglicht. Für die Durchführung der Qualitätssicherung auf der Datenebene werden unterstützende Instrumente bereitgestellt (z. B. eine Komponente zur Erfassung von Unsicherheiten, Plausibilitätsprüfungen). Der Transparenz wird vor allem dadurch Rechnung getragen, dass die Datenerfassung in derselben Struktur erfolgt, in der die Daten bereitstehen und sämtliche Bearbeitungen und Transformationen hin zu einem Berichtsformat erst im ZSE selbst und damit nachvollziehbar erfolgen. Das ZSE verwaltet dazu detaillierte technik-spezifische Aktivitätsdaten und Emissionsfaktoren, die über Rechenregeln (Berechnungsverfahren) zu aggregierten, kategoriespezifischen Werten für die Berichtsformate verdichtet werden. Die Aggregation der einzelnen ZSE-Zeitreihen zu den CRF-Berichtszeilen beispielsweise sind in Anhang 3 bzw. Kapitel 3ff jeweils bei den einzelnen Kategorien beschrieben. Neben der Aggregation und Modellbildung für Berechnungen unterstützt das ZSE auch die Durchführung von Szenarien- und Prognoseberechnungen sowie beim Reference Approach.

Über das Zentrale System Emissionen wird zudem der Datenaustausch im Rahmen des Nationalen Systems, also innerhalb des UBA und mit Dritten, organisiert. Neben der Direkteingabe werden dazu aus vorhandenen Datenbanken aggregierte Werte über eine Standardschnittstelle importiert (z. B. TREMOD für Verkehrsdaten oder GAS-EM für Daten zur Landwirtschaft). Ziel ist es, dass Inventardaten möglichst direkt von den inhaltlich zuständigen Fachverantwortlichen in das ZSE eingepflegt oder vom ZSE-Administrator über die Importschnittstelle eingelesen werden. Dies gilt für UBA-interne und für externe Mitwirkende am Nationalen System. Um dies zu erreichen, wurden verschiedene Maßnahmen umgesetzt:

- Mit der Bereitstellung eines *Standardisierten Importformats des ZSE* im Jahr 2002 wurde der direkte Datenimport aus anderen emissionsrelevanten Datenbanken ermöglicht.
- Im September 2002 wurde den beteiligten Fachexperten aus dem UBA ein direkter Zugang zum ZSE über das UBA-Netzwerk ermöglicht

- Seit November 2002 werden jährlich Schulungen für die betroffenen UBA-Mitarbeiter zur Handhabung des ZSE durchgeführt.
- Seit 2005 erfolgt die Erfassung qualitativer und quantitativer Angaben über die Datenunsicherheit im ZSE.
- Seit 2006 erfolgt die Erfüllung der Berichtsverpflichtungen unter der Genfer Luftreinhaltekonvention und von EU-Regelungen (z. B. der NEC-Richtlinie) über das ZSE.
- Über einen Fernzugriff können seit 2008 auch UBA-externe Datenlieferanten und Experten sowie Projektpartner interaktiv mit dem ZSE arbeiten.

22.2 Ergänzenden Informationen wie nach Artikel 7, Absatz 1 des Kyoto-Protokolls gefordert

22.2.1 KP-LULUCF

Die CRF-Tabellen werden separat berichtet.

22.2.2 Standard Electronic Format (SEF) Tabellen

22.2.2.1 Standard Electronic Format for the reported year 2015 (Commitment Period 2)

Report Type	RREG1
Registry	DE
Reported Year	2016
Submission Year	2017
CP	2
Version	2
Status	FINAL
Validity	VALID

Party	Germany
Submission Year	2017
Reported Year	2016
Commitment Period	2

Table 1. Total quantities of Kyoto Protocol units by account type at beginning of reported year

	Account type	Unit type					
		AAUs	ERUs	RMUs	CERs	tCERs	lCERs
1	Party holding accounts	NO	NO	NO	NO	NO	NO
2	Entity holding accounts	NO	NO	NO	526.923	NO	NO
3	Retirement account	NO	NO	NO	NO	NO	NO
4	Previous period surplus reserve account	NO					
5	Article 3.3/3.4 net source cancellation accounts	NO	NO	NO	NO		
6	Non-compliance cancellation account	NO	NO	NO	NO		
7	Voluntary cancellation account	NO	NO	NO	153.069	NO	NO
8	Cancellation account for remaining units after carry-over	NO	NO	NO	NO	NO	NO
9	Article 3.1 ter and quater ambition increase cancellation account	NO					
10	Article 3.7 ter cancellation account	NO					
11	tCER cancellation account for expiry					NO	
12	lCER cancellation account for expiry						NO
13	lCER cancellation account for reversal of storage						NO
14	lCER cancellation account for non-submission of certification report						NO
15	tCER replacement account for expiry	NO	NO	NO	NO	NO	
16	lCER replacement account for expiry	NO	NO	NO	NO		
17	lCER replacement account for reversal of storage	NO	NO	NO	NO		NO
18	lCER replacement account for non-submission of certification report	NO	NO	NO	NO		NO
19	Total	NO	NO	NO	679.992	NO	NO

Party	Germany
Submission Year	2017
Reported Year	2016
Commitment Period	2

Table 2a. Annual internal transactions

	Transaction type	Additions						Subtractions					
		AAUs	ERUs	RMUs	CERs	tCERs	lCERs	AAUs	ERUs	RMUs	CERs	tCERs	lCERs
	Art6 issuance and conversion												
1	Party verified projects		NO					NO		NO			
2	Independently verified projects		NO					NO		NO			
	Art3.3 and 3.4 issuance or cancellation												
3	3.3 Afforestation reforestation			NO				NO	NO	NO	NO		
4	3.3 Deforestation			NO				NO	NO	NO	NO		
5	3.4 Forest management			NO				NO	NO	NO	NO		
6	3.4 Cropland management			NO				NO	NO	NO	NO		
7	3.4 Grazing land management			NO				NO	NO	NO	NO		
8	3.4 Revegetation			NO				NO	NO	NO	NO		
9	3.4 Wetland drainage and rewetting			NO				NO	NO	NO	NO		
	Art 12 afforestation and reforestation												
10	Replacement of expired tCERs							NO	NO	NO	NO	NO	
11	Replacement of expired lCERs							NO	NO	NO	NO		
12	Replacement for reversal of storage							NO	NO	NO	NO		NO
13	Cancellation for reversal of storage												NO
14	Replacement for non-submission of certification report							NO	NO	NO	NO		NO
15	Cancellation for non submission of certification report												NO
	Other cancelation												
16	Voluntary cancellation							NO	NO	NO	683.504	NO	NO
17	Article 3.1 ter and quater ambition increase cancellation							NO					
18	Subtotal		NO	NO				NO	NO	NO	683.504	NO	NO

	Transaction type	Retirement					
		AAUs	ERUs	RMUs	CERs	tCERs	lCERs
1	Retirement	NO	NO	NO	NO	NO	NO
2	Retirement from PPSR	NO					
3	Total	NO	NO	NO	NO	NO	NO

Party	Germany
Submission Year	2017
Reported Year	2016
Commitment Period	2

Table 2b. Annual external transactions

		Additions						Subtractions					
	Total transfers and acquisitions	AAUs	ERUs	RMUs	CERs	tCERs	lCERs	AAUs	ERUs	RMUs	CERs	tCERs	lCERs
1	CH	NO	NO	NO	161	NO	NO	NO	NO	NO	14.517	NO	NO
2	CDM	NO	NO	NO	2.005.905	NO	NO	NO	NO	NO	NO	NO	NO
3	GB	NO	NO	NO	NO	NO	NO	NO	NO	NO	25.082	NO	NO
4	IT	NO	NO	NO	143.455	NO	NO	NO	NO	NO	NO	NO	NO
5	NL	NO	NO	NO	NO	NO	NO	NO	NO	NO	225.636	NO	NO
6	EU	NO	NO	NO	218.209	NO	NO	NO	NO	NO	1.402.960	NO	NO
7	Subtotal	NO	NO	NO	2.367.730	NO	NO	NO	NO	NO	1.668.195	NO	NO

Table 2c. Annual transactions between PPSR accounts

		AAUs	ERUs	RMUs	CERs	tCERs	lCERs	AAUs	ERUs	RMUs	CERs	tCERs	lCERs
1	Subtotal	NO						NO					

Table 2d. Share of proceeds transactions under decision 1/CMP.8, paragraph 21 - Adaptation Fund

		AAUs	ERUs	RMUs	CERs	tCERs	lCERs	AAUs	ERUs	RMUs	CERs	tCERs	lCERs
1	First international transfers of AAUs	NO						NO					
2	Issuance of ERU from Party-verified projects		NO						NO				
3	Issuance of independently verified ERUs		NO						NO				

Table 2e. Total annual transactions

		AAUs	ERUs	RMUs	CERs	tCERs	lCERs	AAUs	ERUs	RMUs	CERs	tCERs	lCERs
1	Total (Sum of sub-totals in table 2a and table 2b)	NO	NO	NO	2.367.730	NO	NO	NO	NO	NO	2.351.699	NO	NO

Party	Germany
Submission Year	2017
Reported Year	2016
Commitment Period	2

Table 3. Expiry, cancellation and replacement

	Transaction or event type	Requirement to replace or cancel			Replacement						Cancellation					
	Transaction or event type	tCERs	lCERs	CERs	AAUs	ERUs	RMUs	CERs	tCERs	lCERs	AAUs	ERUs	RMUs	CERs	tCERs	lCERs
	Temporary CERs															
1	Expired in retirement and replacement accounts	NO			NO	NO	NO	NO	NO							
2	Expired in holding accounts	NO													NO	
	Long-term CERs															
3	Expired in retirement and replacement accounts		NO		NO	NO	NO	NO								
4	Expired in holding accounts		NO													NO
5	Subject to reversal of Storage		NO		NO	NO	NO	NO		NO						NO
6	Subject to non submission of certification Report		NO		NO	NO	NO	NO		NO						NO
	Carbon Capture and Storage CERs															
7	Subject to net reversal of storage			NO							NO	NO	NO	NO		
8	Subject to non submission of certification report			NO							NO	NO	NO	NO		
9	Total	NO	NO	NO	NO	NO	NO	NO	NO	NO	NO	NO	NO	NO	NO	NO

Party	Germany
Submission Year	2017
Reported Year	2016
Commitment Period	2

Table 4. Total quantities of Kyoto Protocol units by account type at end of reported year

	Account type	Unit type					
		AAUs	ERUs	RMUs	CERs	tCERs	lCERs
1	Party holding accounts	NO	NO	NO	NO	NO	NO
2	Entity holding accounts	NO	NO	NO	542.954	NO	NO
3	Retirement account	NO	NO	NO	NO	NO	NO
4	Previous period surplus reserve account	NO					
5	Article 3.3/3.4 net source cancellation accounts	NO	NO	NO	NO		
6	Non-compliance cancellation account	NO	NO	NO	NO		
7	Voluntary cancellation account	NO	NO	NO	836.573	NO	NO
8	Cancellation account for remaining units after carry-over	NO	NO	NO	NO	NO	NO
9	Article 3.1 ter and quater ambition increase cancellation account	NO					
10	Article 3.7 ter cancellation account	NO					
11	tCER cancellation account for expiry					NO	
12	lCER cancellation account for expiry						NO
13	lCER cancellation account for reversal of storage						NO
14	lCER cancellation account for non-submission of certification report						NO
15	tCER replacement account for expiry	NO	NO	NO	NO	NO	
16	lCER replacement account for expiry	NO	NO	NO	NO		
17	lCER replacement account for reversal of storage	NO	NO	NO	NO		NO
18	lCER replacement account for non-submission of certification report	NO	NO	NO	NO		NO
19	Total	NO	NO	NO	1.379.527	NO	NO

Party	Germany
Submission Year	2017
Reported Year	2016
Commitment Period	2

Table 5a. Summary information on additions and subtractions

		Additions						Subtractions					
		AAUs	ERUs	RMUs	CERs	tCERs	lCERs	AAUs	ERUs	RMUs	CERs	tCERs	lCERs
1	Assigned amount units issued	NO											
2	Article 3 Paragraph 7 ter cancellations							NO					
3	Cancellation following increase in ambition							NO					
4	Cancellation of remaining units after carry over							NO	NO	NO	NO	NO	NO
5	Non-compliance cancellation							NO	NO	NO	NO		
6	Carry-over		NO		NO				NO		NO		
7	Carry-over to PPSR	NO						NO					
8	Total	NO	NO		NO			NO	NO	NO	NO	NO	NO

Table 5b. Summary information on annual transactions

		Additions						Subtractions					
		AAUs	ERUs	RMUs	CERs	tCERs	lCERs	AAUs	ERUs	RMUs	CERs	tCERs	lCERs
1	Year 1 (2013)	NO	NO	NO	NO	NO	NO	NO	NO	NO	NO	NO	NO
2	Year 2 (2014)	NO	NO	NO	1.761.325	NO	NO	NO	NO	NO	151.074	NO	NO
3	Year 3 (2015)	NO	NO	NO	4.556.137	NO	NO	NO	NO	NO	5.639.465	NO	NO
4	Year 4 (2016)	NO	NO	NO	2.367.730	NO	NO	NO	NO	NO	2.351.699	NO	NO
5	Year 5 (2017)	NO	NO	NO	NO	NO	NO	NO	NO	NO	NO	NO	NO
6	Year 6 (2018)	NO	NO	NO	NO	NO	NO	NO	NO	NO	NO	NO	NO
7	Year 7 (2019)	NO	NO	NO	NO	NO	NO	NO	NO	NO	NO	NO	NO
8	Year 8 (2020)	NO	NO	NO	NO	NO	NO	NO	NO	NO	NO	NO	NO
9	2021	NO	NO	NO	NO	NO	NO	NO	NO	NO	NO	NO	NO
10	2022	NO	NO	NO	NO	NO	NO	NO	NO	NO	NO	NO	NO
11	2023	NO	NO	NO	NO	NO	NO	NO	NO	NO	NO	NO	NO
12	Total	NO	NO	NO	8.685.192	NO	NO	NO	NO	NO	8.142.238	NO	NO

Table 5c. Summary information on annual transactions between PPSR accounts

		Additions						Subtractions					
		AAUs	ERUs	RMUs	CERs	tCERs	lCERs	AAUs	ERUs	RMUs	CERs	tCERs	lCERs
1	Year 1 (2013)	NO						NO					

2	**Year 2 (2014)**	NO						NO								
3	**Year 3 (2015)**	NO						NO								
4	**Year 4 (2016)**	NO						NO								
5	**Year 5 (2017)**	NO						NO								
6	**Year 6 (2018)**	NO						NO								
7	**Year 7 (2019)**	NO						NO								
8	**Year 8 (2020)**	NO						NO								
9	**2021**	NO						NO								
10	**2022**	NO						NO								
11	**2023**	NO						NO								
12	**Total**	NO						NO								

Table 5d. Summary information on expiry, cancellation and replacement

		Requirement to replace or cancel			Replacement						Cancellation					
		tCERs	**lCERs**	**CERs**	**AAUs**	**ERUs**	**RMUs**	**CERs**	**tCERs**	**lCERs**	**AAUs**	**ERUs**	**RMUs**	**CERs**	**tCERs**	**lCERs**
1	**Year 1 (2013)**	NO	NO	NO	NO	NO	NO	NO	NO	NO	NO	NO	NO	NO	NO	NO
2	**Year 2 (2014)**	NO	NO	NO	NO	NO	NO	NO	NO	NO	NO	NO	NO	NO	NO	NO
3	**Year 3 (2015)**	NO	NO	NO	NO	NO	NO	NO	NO	NO	NO	NO	NO	NO	NO	NO
4	**Year 4 (2016)**	NO	NO	NO	NO	NO	NO	NO	NO	NO	NO	NO	NO	NO	NO	NO
5	**Year 5 (2017)**	NO	NO	NO	NO	NO	NO	NO	NO	NO	NO	NO	NO	NO	NO	NO
6	**Year 6 (2018)**	NO	NO	NO	NO	NO	NO	NO	NO	NO	NO	NO	NO	NO	NO	NO
7	**Year 7 (2019)**	NO	NO	NO	NO	NO	NO	NO	NO	NO	NO	NO	NO	NO	NO	NO
8	**Year 8 (2020)**	NO	NO	NO	NO	NO	NO	NO	NO	NO	NO	NO	NO	NO	NO	NO
9	**2021**	NO	NO	NO	NO	NO	NO	NO	NO	NO	NO	NO	NO	NO	NO	NO
10	**2022**	NO	NO	NO	NO	NO	NO	NO	NO	NO	NO	NO	NO	NO	NO	NO
11	**2023**	NO	NO	NO	NO	NO	NO	NO	NO	NO	NO	NO	NO	NO	NO	NO
12	**Total**	NO	NO	NO	NO	NO	NO	NO	NO	NO	NO	NO	NO	NO	NO	NO

Table 5e. Summary information on retirement

		AAUs	ERUs	RMUs	CERs	tCERs	lCERs
1	**Year 1 (2013)**	NO	NO	NO	NO	NO	NO
2	**Year 2 (2014)**	NO	NO	NO	NO	NO	NO
3	**Year 3 (2015)**	NO	NO	NO	NO	NO	NO
4	**Year 4 (2016)**	NO	NO	NO	NO	NO	NO
5	**Year 5 (2017)**	NO	NO	NO	NO	NO	NO
6	**Year 6 (2018)**	NO	NO	NO	NO	NO	NO
7	**Year 7 (2019)**	NO	NO	NO	NO	NO	NO
8	**Year 8 (2020)**	NO	NO	NO	NO	NO	NO
9	**2021**	NO	NO	NO	NO	NO	NO
10	**2022**	NO	NO	NO	NO	NO	NO
11	**2023**	NO	NO	NO	NO	NO	NO
12	**Total**	NO	NO	NO	NO	NO	NO

Party	Germany
Submission Year	2017
Reported Year	2016
Commitment Period	2

Table 6a. Memo item: corrective transactions relating to additions and subtractions

Additions						Subtractions					
AAUs	ERUs	RMUs	CERs	tCERs	lCERs	AAUs	ERUs	RMUs	CERs	tCERs	lCERs

Table 6b. Memo item: corrective transactions relating to replacement

Expiry, cancellation and requirement to replace		Replacement					
tCERs	lCERs	AAUs	ERUs	RMUs	CERs	tCERs	lCERs

Table 6c. Memo item: corrective transactions relating to retirement

Retirement					
AAUs	ERUs	RMUs	CERs	tCERs	lCERs

22.2.2.2 Discrepant transactions

No discrepant transactions occurred in 2016.

22.2.3 Detailliertere Informationen über das nationale System und Änderungen im nationalen System

Alle Informationen wurden in den vorangegangenen Kapiteln gegeben.

22.2.4 Weitere detaillierte Informationen zu den Nationalen Registern und der Buchführung der Kyoto-Einheiten

The required documents are confidential and accessible for assessors only. Therefore the documents which are mentioned in the below table are not available within this document.

22.2.4.1 Annex A - CP2 SEF Tables

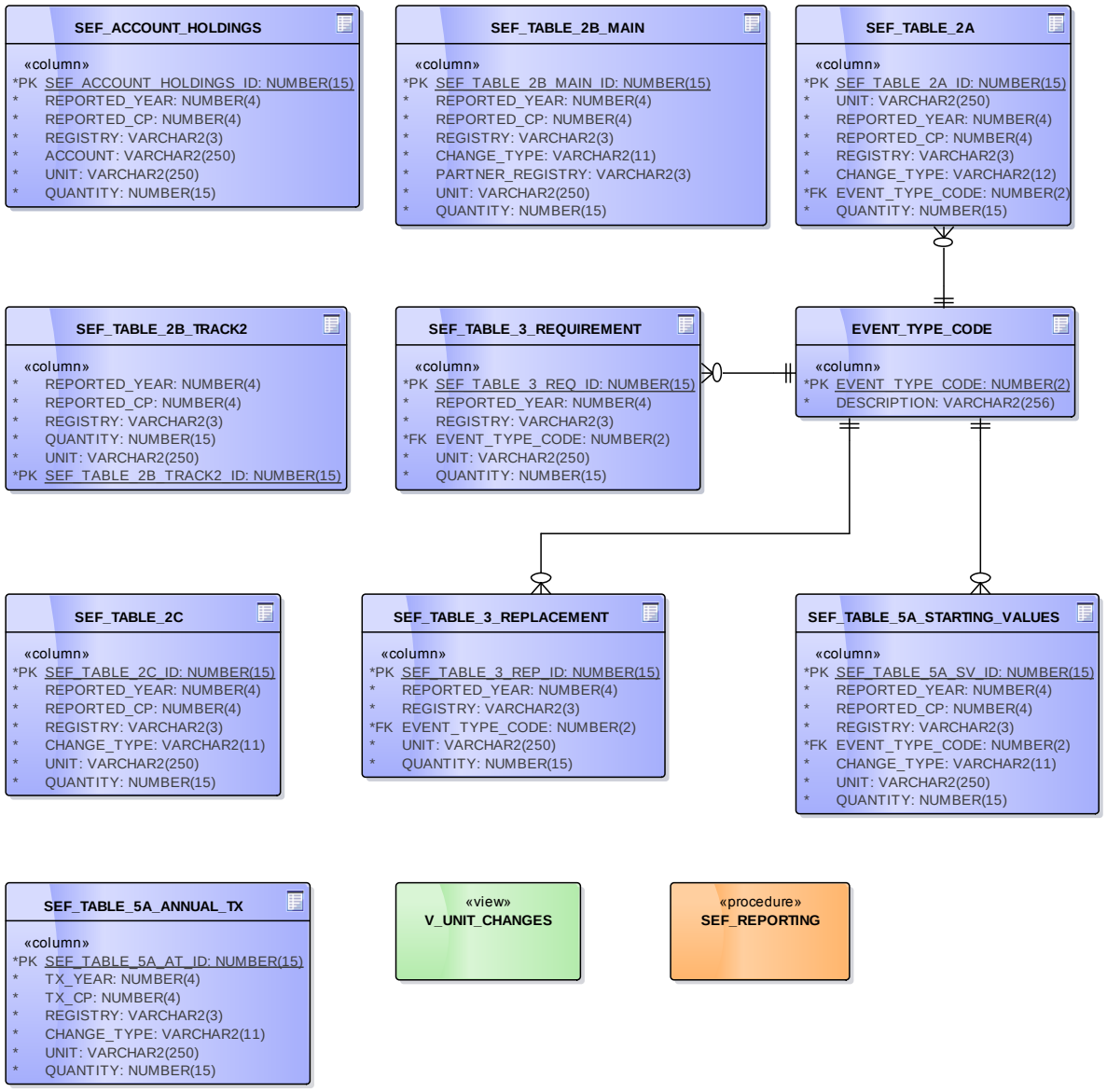

22.2.4.2 Annex B - Changes from EUCR v7.0.1-v8.0.7

Feature	Summary	Description	Test Cases	SAT Status
JBPM console deployment fails	The JBPM console is non functional in one of two applciation servers; this has been fixed.	The JBPM console is non functional in one of two applciation servers.	Solution confirmed by CLIMA	PASSED
Accounts requested to be opened (but not yet approved) can be added in TALs of other accounts. Rejecting these account opening requests should remove these accounts from TALs automatically.	Europe - Account pending for opening approval added to trusted list but not removed after rejection of the opening request	For details see [https://webgate.ec.europa.eu/etsis/browse/ETS-2384]	Execute UC_AM_70_TC_08 UC_AM_70_TC_09 UC_AM_70_TC_10	PASSED
Helpdesk users can create new accounts referencing existing account holders.	Helpdesk employees (role: Service Desk) should be able to open an account under an exisiting account holder	For details see [https://webgate.ec.europa.eu/etsis/browse/ETS-5403]		PASSED
An executed allocation did not appear correctly in task history; this is now fixed.	Wrong details in historic tasks 'Approve Allocation Settings Delivery'	For details see [https://webgate.ec.europa.eu/etsis/browse/ETS-6726]		PASSED
Incorporation of manual adjustment in ICE values.	Calculation of remaining entitlement for 1.4 cases	Refer to https://webgate.ec.europa.eu/etsis/browse/ETS-6762		PASSED
Account exclusion flag is corrected so as to be propagated to the next year correctly; propagation happens via a job on 1-JAN.	Europe - Account exclusion issue	For details see [https://webgate.ec.europa.eu/etsis/browse/ETS-7272]		PASSED
Modify the screen so that monitoring plan cannot be updated.	AOHA - The Monitoring plan first year of applicability should not be updatable.	imported on 23/7/2015 see [https://webgate.ec.europa.eu/etsis/browse/ETS-7345]	Execute UC_AM_220_TC_01	PASSED
If an AR replacement request the user is requested to be un-enrolled and the un-	Account Representative Replacement/removal workflow issue	For details see [https://webgate.ec.europa.eu/etsis/browse/ETS-7362] =====		PASSED

Feature	Summary	Description	Test Cases	SAT Status
enrolment request is rejected, then the AR replacement request failed. This is now fixed.		Also -797 One problematic scenario we have spotted is the following: One AR/AAR is requested to be removed/replaced from an account. The user is marked as SUSPENDED on the account. The AR/AAR is proposed to be un-enrolled. The un-enrolment request is rejected The user is marked as ACTIVE on all accounts The request of step 1 is approved. The system searches for SUSPENDED users on the account but all are ACTIVE. Another scenario 1. Log in as NA1 to registry and go to any account 2. Request AR1 to be suspended from given account 3. As User AR1 request un-enrolment. 4. As NA reject un-enrolment task. AR1 accesses are activated including access to account where he was manually suspended		
If all years of an operator become excluded, then aggregate compliance surrenders/emissions do not appear; this is now fixed.	Compliance table is empty after excluding AOHA	For details see [https://webgate.ec.europa.eu/etsis/browse/ETS-7457]		PASSED
Change of task description for "Merger of aircraft operators" task	Europe - Wrong information in the "Merger between Aircraft Operators" task	For details see [https://webgate.ec.europa.eu/etsis/browse/ETS-7478]	Execute UC_AP_123_TC_01	PASSED
Correction of bug raised when processing an ITL notification update, while the original ITL notification is missing.	ITL Notification Update Error - No acquiring account to fulfil the request	For details see [https://webgate.ec.europa.eu/etsis/browse/ETS-7506]	Execute UC_IN_002_TC_01	PASSED
Correction of appearance of dates in transaction PDF	Transaction PDF formats	For details see [https://webgate.ec.europa.eu/etsis/browse/ETS-7766]		PASSED
If an allocation task is approved and not yet executed (allocations appearing yellow) then	Yellow boxes in already allocated installations	For details see [https://webgate.ec.europa.eu/etsis/browse/ETS-7782]	Execute UC_AP_110_TC_02	PASSED

Feature	Summary	Description	Test Cases	SAT Status
prohibit upload of new allocation for the same installations.				
If an operator does not yet have calculated compliance, then the compliance screen does not show aggregate surrenders/emissions either. This is now fixed.	Missing information on stationary installation compliance tab	For details see [https://webgate.ec.europa.eu/etsis/browse/ETS-7808]	Current date = Jan 2018 Test Case 1: - Account with YFE 2014, YLE 2015 and no emissions. The DCS is C - Exclude years 2014, 2015 - The DCS becomes blank Test Case 2: - Account with YFE 2014, YLE blank, emissions entered for 2014 only. The DCS is C - Exclude 2014 - Change YLE to 2014 - The DCS becomes blank Test Case 3: - Account with YFE 2014, YLE blank, emissions entered for 2014 only. The DCS is C - Exclude all years from 2014 to 2018 - The DCS becomes blank Test Case 4: - Account with YFE = 2017, YLE blank, no emissions. The DCS is C - change YFE to 2018 - The DCS becomes blank	PASSED
Correct the account statements so that AAUs and RMUs appear correctly.	Account statements display incorrectly CP1 AAUs	For details see [https://webgate.ec.europa.eu/etsis/browse/ETS-8143]		PASSED
Correct the message explaining an ITL error check.	Missing description for new ITL check	https://webgate.ec.europa.eu/etsis/browse/-1005?filter=10404	Ensure message.properties file contains prescribed messaged for 5121 and 5129	PASSED
Regression issue: cancellations crashed due to tokens. This is now fixed.	Cancellations reversal crash	While testing reversals of cancellations: • I entered a new cancellation (GB166) • I tried to reverse it • I get the following red screen I also tried reversing another cancellation and got a similar red screen {code}		PASSED

Feature	Summary	Description	Test Cases	SAT Status
		An unrecoverable error has occurred. Please retry later or contact your help desk if the problem persists. Refer to the error GB-E9B0983F-08/03/2018 10:17:44 in your communications with the help desk. {code}		
Approved "Allocation Delivery Settings" request displayed all allocations not only approved one. This is now fixed.	Approved "Allocation Delivery Settings" request displays all allocations not only approved one.	For details see [https://webgate.ec.europa.eu/etsis/browse/-734]		PASSED
The date after which allocations for past year are allowed is now a parameter. This used to be fixed at 1-FEB.	Allocation minimum date to be a parameter	For details see [https://webgate.ec.europa.eu/etsis/browse/-790]	Execute UC_AL_115_TC_09	PASSED
InstallationId link in "Approve allocation delivery" from History Tab is not working. This is now fixed.	InstallationId link in "Approve allocation delivery" from History Tab is not working	For details see [https://webgate.ec.europa.eu/etsis/browse/-861]		PASSED
Change in the SEF Procedure to Handle CP1 and CP2 separately	Change in the SEF Procedure to Handle CP1 and CP2 separately		UC_SEF_010_TC_01: DISPLAY THE SEF REPORITNG PAGE	PASSED
Error while suspending unit blocks; this is now fixed.	IllegalArgumentException while suspending/restoring unit blocks	In our internal version, ETS 6.7.3, this issue is not reproducible.	The issue is not reproducible. Test cases are available in Issue Links tab of EUCR-2196 (linked issue)	PASSED
Enhance system logs so that allocation is better monitored.	Logging requirements	Implement all logging requirements found in the TOKENS specification	Confirm that that the logs for signature with tokens are saved to the DB under the table: REQUEST_SIGNATURE_LOG.	PASSED
Regression issue: Issue when suspending unit blocks.	EUCR-2196 null values stored to the flash will not be available on the next request.		Select UnitBlocks under Administration select a Unit Block and suspend/restore 3 times. the 3rd time there will be the below issue:	PASSED

Feature	Summary	Description	Test Cases	SAT Status
This is now fixed.				
Modification of text pertaining to error 7214.	Modify label of Check 7214	Check 7214 reads now "The number of allowances transferred is not strictly equal to the number foreseen in the NAP for the specified installation and specified year." has to be modified to something else, to be in-line with the implementation of EUTL-34 Check 7214 to read: "The number of allowances transferred is not less or equal to the number foreseen in the NAP for the specified installation and specified year."		PASSED
A single digit change in a message, while suspending unit blocks	A single digit change in a message	In unit block suspension/restoration confirmation, use singular, since only one unit block may be affected.	Connect as NA, navigate to Administration->Unit Blocks and suspend a unit block. Ensure the message appears in singular.	PASSED
Allocation execution job is split into batches. The size of each batch is defined via the parameter allocationBatchSize.	Split Allocation Night Job	Allocation execution job is split into batches. The size of each batch is defined via the parameter allocationBatchSize.	EUCR-2296	PASSED
Allocation logging is enhanced so that NULL permit status and insufficient unit in allocation account are logged.	Issues with the allocation workflow	Execute UC_AL_115_TC_10	EUCR-2300, EUCR-2301	PASSED
Two issues regarding account creation are resolved: * one pertaining to hiding the users connected on account when not applicable * and one issue of Internet Explorer when creating OHA	Account Request > Both panels appear when you add an AR without having selected if the AR is related to the Account Holder or not, AND "Problem with your request" message while creating account	Refer to -297 and -991 Known issue regarding -297: ========== When I set "Account Holder is already recorded in the registry" and I enter an account holder ID and click on the users of this AH, sometimes the users combobox is not initialised correctly and users cannot be added. Note: A fix for this issue has already been prepared and is pending internal testing.	Regarding -297: Executed UC_AM_10_TC_13 as defined in TC.01 Addendum v0.10. Regarding -991: # Create a new OHA using Internet Explorer. # At installation creation, contact person on installation information, click repeatedly on "Address Provided" link. # Enter contact person information and address details and submit # Ensure account creation request is submitted normally by approving as NA and ensuring the new account is created.	PASSED

Feature	Summary	Description	Test Cases	SAT Status
Regression issue: The CSV containing manual adjustment has invalid structure. This is now fixed.	The CSV containing manual adjustment has invalid structure	Refer to the screenshot; the generated CSV has invalid headers	1. Connect to EUCR -> Entitlements and click on Export CSV. 2. Paste the generated file in Excel, distribute text to columns 3. Ensure that columns correspond to data correctly	PASSED
Regression issue: Manual adjustment is not subtracted from the ICE value This is now fixed.	Manual adjustment is not subtracted from the ICE value	Refer to the attachment; manual adjustments are not being subtracted from the ICE value.	1. Ensure that the value uploaded in manualAdjustment column is subtracted from the loaded ICE value, in Account Holdings screen.	PASSED
Regression issue: The entitlement values in the exported XML are wrong This is now fixed.	The entitlement values in the exported XML are wrong	When viewing ICE entitlements and clicking export XML, the generated XML is wrong.	1. Connect to GB which has accounts with ICE values without manual adjustments. 2. Navigate to ETS->Entitlements 3. Click on Export XML; ensure the file contains loaded ICE values and no manual adjustments. 4. Repeat the test for Romania, which has accounts with ICE values and manual adjustments; ensure XML contains that manual adjustments.	PASSED
Regression issue: Holdings screen: entitlement appears equal to remaining entitlement This is now fixed.	Holdings screen: entitlement appears equal to remaining entitlement	Related to EUCR-2273. Testing EUCR-2236	1. Connect as NA and navigate to account holdings of an account with ICE. 2. Ensure entitlement is the loaded ICE value and remaining entitlement contains the IC value minus exchanges minus surrenders minus manual adjustments.	PASSED
Regression testing: Account creation fails. This is now fixed.	Cannot create account via "Account Request" (regression testing)	I submit an account opening request and get red screen. Please see attachment. An unrecoverable error has occurred. Please retry later or contact your help desk if the problem persists. Refer to the error GB-388D79C6-08/03/2018 15:05:54 in your communications with the help desk.	1. Create an OHA; in installation information screen enter Permit Expiry Date = 1/1/20020 2. In the Permit Entry into Force Date set it to 1/1/20015 3. Click on Next, Next, Submit 4. Ensure the mentioned fields are highlighted and validation rule "Invalid date. Date format: dd/mm/yyyy" appears. 5. Correct both of the fields to 1/1/2020 and 1/1/2015 respectively and click on Next, Next, Submit 6. Approve the account open request 7. Ensure the account is created with the entered Permit Expiry Date and Permit Entry into Force Date	PASSED

Feature	Summary	Description	Test Cases	SAT Status
		This is a legacy issue. The cause of this issue has been located; if a date of the form 1/1/20013 is entered while requesting an account opening then an unhandled error is generated.		
Regression testing: ICE XML without manual adjustment failed to upload. This is now fixed.	An ICE XML without manual adjustment is ignored when uploaded	Related to EUCR-2273 and EUCR-2236	1, Upload ICE XML with and without manualAdjustments in EUCR and EUTL. 2. Ensure the upload is successful in each system.	PASSED
Regression issue: Addition to TAL via tokens fails. This is now fixed.	Cannot add to TAL via Tokens	When adding to TAL via tokens, I get the error: *80205: The account EU-100-10002986-0-47 is already on the trusted account list.* The account is added to the TAL in APPROVAL_PENDING state and there is no approval task generated. Refer to the TAL of account 310 for Finland; account EU-100-10002986-0-47 is added in APPROVAL_PENDING state but no task is generated. This issue was due to tokens code integration and was resolved.	Ensure a TAL addition via GSM and Tokens is completed successfully.	PASSED
Regression issue: Exchange reversal crashes This is now fixed.	Exchange reversal	Reverse EU1104042; it crashes with the attached error.		PASSED
Regression issue: ESD entitlement transaction approval crashes. This is now fixed.	At ESD Entitlement trx approval, red screen error	At approval of ESD entitlement transaction, I get red screen error: *An unrecoverable error has occurred.* *Please retry later or contact your help desk if the problem persists.* *Refer to the error ED-1C63D460-12/03/2018 15:07:47 in your communications with the help desk.*	1. Propose an ESD entitlements transaction as ESDCA; sign in ECAS. 2. Approve the transactions as ESDCA1; sign in ECAS. 3. Ensure the transaction is completed.	PASSED
Regression issue: Personal details approval crashes. This is now fixed.	Approve personal details update: red screen (regression testing)	Approve personal details crashes screen at approval.	A. Personal details update 1. Connect as NA and navigate to Administration->Roles 2. Locate a user and click Edit. 3. Modify personal details and click Submit 4. As another NA approve the task 5. Locate again the user and ensure the personal details are updated B. Administration roles update	PASSED

Feature	Summary	Description	Test Cases	SAT Status
			1. Connect as NA and navigate to Administration->Roles 2. Locate a user and click Edit. 3. Add an administration role to the user via the tab "Administration Roles". 4. Click Submit and sign via ECAS 5. Approve the task as another NA and sign via ECAS 6. Locate again the user and ensure the administration roles are updated	
Regression issue: Entitlement calculations are wrong. This is now fixed.	Wrong values in Entitlement Calculation for Account	The formula to add/subtract the manual adjustment as seen in the documentation is: entitlement -= (manualAdj==null?0D:manualAdj.doubleValue()); The code for some reason subtracts it from calculatedVE which is the value for the Verified Emissions multiplied by the factor.	1. Exclude year with emissions to force recalculation of entitlements 2. Unexclude year with emissions to "enable" emissions and recalculate entitlements 3. Goto entitlements screen and verify at the Entitlement Calculation for Account that the VE Emissions is 4,5(OHA) or 1,5(AOHA)% of emissions.	PASSED
Regression issue: At account exclusion, errors are logged. This is now fixed.	At account exclusion an error is logged in the logs due to entitlement re-calculation	I exclude OHA 10002975 of GB. The account appears excluded but the attached error is logged. The workflow of account exclusion is stuck in SUSPENDED mode and the remaining ICE is never recalculated.	# Locate OHA 10002975 of GB. # Approve emissions 1000 for 2017 # Upload ICE with flag 1 # Ensure entitlement is 45 # Update entitlement to manualAdjustment -3 # Ensure entitlement is 48 # Exclude year 2017; ensure entitlement becomes zero # Unexclude year 2017; ensure entitlement becomes again 48 # Exchange 5 CERs of CP2 of this account; ensure entitlement becomes 43 # Reverse the exchange; ensure entitlement becomes 48.	PASSED
SEF mechanism did not count correctly all ERU units; this is now fixed.	ERUs not handled correctly by the SEF process	The SEF code is not able to handle the presence of both types of ERUs in a registry i.e. ERU_FROM AAUs and ERU_FROM_RMUs. Only one type is calculated which means that the ERU values are under-reported.	1. Locate a Registry with SEF values for 2013 for ERU_from_RMU and ERU_from_RMU units. This can be done with the query: select registry, count(*) from sef_table_5c where year=2013 and cp=1 and unit in ('ERU_FROM_AAU', 'ERU_FROM_RMU') group by registry having count(*) > 1; If such a registry does not exist, the data can be entered as follows (e.g. for Romania): INSERT INTO sef_table_5c(sef_table_5c_id, year, cp, registry, unit, quantity) VALUES (sef5c_seq.NEXTVAL, 2013, 1, 'RO', 'ERU_FROM_AAU', 10); INSERT INTO sef_table_5c(sef_table_5c_id, year, cp, registry, unit, quantity) VALUES (sef5c_seq.NEXTVAL, 2013, 1, 'RO', 'ERU_FROM_RMU', 20); 2. Connect as NA and navigate to Administration -> SEF Reporting	PASSED

Feature	Summary	Description	Test Cases	SAT Status
			3. Click on "2013" 4. On the opened text document search for "Table2a" and then for "Retirement" 5. Just below, search for "UnitQty type=ERU" and ensure the ERU value is the sum of the values located or inserted in step [1]. Alternatively, the XML can be opened with the UN SEF tool.	
No user can have more than one admin role; this rule is now imposed via a check and module redesign	One user should only have one admin role.	UNSCONS response: Users possessing multiple administration roles is not explicitly covered in use cases, refer to “UC_UA_060: Request administration roles update”. Practically only two users in Production have 2 administration roles. ETS v.7.0.2 handles multiple administration roles; all actions must be performed sequentially due to the tokens mechanism. [FL] Please refer to -8849 and the relevant author's position ("UCS 02 - Users v1 80_rev_DK_FL_CP Authors Position")	Execute UC_UA_060_TC_02 from TC.01.	PASSED
In this release, a log entry is added for the case of aircraft operator with null permit status.	Issues with the allocation workflow	Imported on 22/7/2015 For details see [https://webgate.ec.europa.eu/etsis/browse/ETS-7365].	Execute UC_AL_115_TC_10. Testing for ETS 7.0.4 (allocations.log entry for air operator permit_status=null). 1. Upload a NAAT for an air.operator in EUCR and EUTL. 2. Propose and approve the allocation. 3. Perform the following to set permit status to null: update aircraft_operator set permit_status = null where verified_entity_id = 35757; 4. Ensure entries similar to the following appear in the allocations.log <INFO > <2018-05-22 12:25:02,919> <ALLOCATION_LOG> <> The following is a list of aircraft operators with NULL or REVOKED permit status checked for allocation(Number: 4): <INFO > <2018-05-22 12:25:02,919> <ALLOCATION_LOG> <> AIRCRAFT_NON_ACTIVE_PERMIT- Permit status was null:[Year:(2015), Registry:(RO), Identifier:(10002626), AcquiringAccountId:(36055),Phase 3 Snapshot: Free(99999970) - Reserved(null) - Transitional(null)] See Tests EUCR-2300, EUCR-2355, EUCR-2356, EUCR-2357, EUCR-2358, EUCR-2359, EUCR-2361	PASSED
Screen change for unit blocks.	Suspend/restore unit block: button should be renamed	The button "Suspend/Restore" should be called either "Suspend" or "Restore".	1. Log in as NA in EU registry 2. Navigate to Administration -> Unit blocks 3. Choose a unit block by clicking its Unit Block ID 4. Ensure that below the unit block there exists a "Suspend" button. 5. Click the "Suspend" button and sign via ECAS. 6, Ensure the button "Suspend" does not appear; ensure the button "Restore" appears. 7. Click the "Restore" button and sign via ECAS. 8. Ensure that below the unit block there exists a "Suspend" button. Check with I.E., Firefox, Chrome.	PASSED
With some versions of Internet Explorer there were issues when	"Problem with your request" message while creating account	Regarding -991: # Create a new OHA using Internet Explorer 9 and IE 11; repeat with Chrome and Firefox. # At installation creation, contact person on installation information, click repeatedly on "Address Provided" link.	# Create a new OHA using Internet Explorer 9 and IE 11; repeat with Chrome and Firefox. # At installation creation, contact person on installation information, click repeatedly on "Address Provided" link. # Enter contact person information and address details and submit	PASSED

Feature	Summary	Description	Test Cases	SAT Status
clicking repeatedly on checkbox.		# Enter contact person information and address details and submit # Ensure account creation request is submitted normally by approving as NA and ensuring the new account is created.	# Ensure account creation request is submitted normally by approving as NA and ensuring the new account is created.	
With some versions of Internet Explorer there were issues when requesting a new account and specifying the account holder.	Account Request > Both panels appear when you add an AR without having selected if the AR is related to the Account Holder or not, AND "Problem with your request" message while creating account	When the Step for adding AR loads, two different panels are visible, see attached screenshot. These two panels should load as hidden and each one of them should become visible only when the respective option above ("Representative is Related" vs "Representative is not yet related")is selected. Having both panels visible probably misleads the users, for example we display many different fields as mandatory but whether they really are only depends on which option was selected.	Using I.E.9 and I.E.11 execute the following test cases. Repeat with Chrome 48 and Firefox 43. * UC_AM_10_TC_13 as defined in TC.01 document.	PASSED
Account statement issues; now fixed.	CP1 AAU retirement transaction not covered in account statement PDF and CSV	Imported on: 01/02/2016 From: https://webgate.ec.europa.eu/etsis/browse/-1219	EUCR-2454	PASSED
Account statement issues; now fixed.	CP1 AAU unit displayed as eligible on account statement screen	Imported on: 29/01/2016 From: https://webgate.ec.europa.eu/etsis/browse/-1218	EUCR-2454	PASSED
While an allocation is ticked but not yet allocated, the user cannot upload a new NAT/NAAT for the specific type, year, installation/air.operator	Allocations with no value marked as "to be delivered"	As discussed, we should lock and not allow NAT update once the cells are ticked (even before approving).	A. Upload NAT for uploaded but not yet approved installation allocation (installation 101 of Romania was used) 1. Locate an installation with uploaded but not yet approved allocation 2. Upload NAT file for the specific installation and year and allocation type. 3. Ensure EUCR check 80214 is triggered and upload is prohibited. 4. Repeat the upload for another allocation type for the same installation and year and ensure it can be uploaded. B. Upload NAT for approved and not yet executed installation allocation 1. Locate an installation with approved but not yet executed allocation 2. Upload NAT file for the specific installation and year and allocation type. 3.Ensure EUCR checks 80213 and 80214 are triggered and upload is prohibited. 4. Repeat the upload for another allocation type for the same installation and year and ensure it can be uploaded. C. Upload a NAAT for uploaded but not yet approved aircraft allocation (air.operator 12409 of Romania was used) 1. Locate an air.operator with uploaded but not yet approved allocation 2. Upload NAAT file for the specific air.operator and year and allocation type. 3.Ensure EUCR check 80214 is triggered and upload is prohibited. 4. Repeat the upload for another allocation type for the same air.operator and year and ensure it can	PASSED

Feature	Summary	Description	Test Cases	SAT Status
			be uploaded. D. Upload a NAAT for approved but not yet executed aircraft allocation (air.operator 12409 of Romania was used) 1. Locate an air.operator with approved but not yet executed allocation. 2. Upload NAAT file for the specific air.operator and year and allocation type. 3.Ensure EUCR check 80213 and 80214 are triggered and upload is prohibited. 4. Repeat the upload for another allocation type for the same air.operator and year and ensure it can be uploaded.	
Entitlements export in CSV is fixed to display correctly remaining value.	Inconsistency while displaying "Remaining" value in Entitlement CSV export	Imported on: 01/02/2016 From: https://webgate.ec.europa.eu/etsis/browse/-1210	1. Log in MT registry as NA (this registry has some installations with phase 3 verified emissions but no uploaded ICE values) 2. Go to Entitlements tab 3. Click Search 4. Click Export CSV 5. Check the exported file and ensure it does not contain negative values in the Remaining column, but shows zero instead.	PASSED
ICE screen were enriched to show the calculation method in more detail.	Inconsistent description for entitlement calculation method	Descriptions in the ICE calculation details: Method 0 - Value in XML Method 1 - 4,5% of Phase 3 VE	1. Connect as NA and navigate to EUETS -> Entitlements. 2. Find a record with Calculation Method = 0; click on "View Calculation"; ensure the lowest row which has a number has label: "Entitlement (Value in XML):" 3. Find a record with Calculation Method = 1; click on "View Calculation"; ensure the lowest row which has a number has label: "Entitlement (4,5% of Phase 3 VE)" 4. Find a record with Calculation Method = 2; click on "View Calculation"; ensure the lowest row which has a number has label: "Entitlement (maximum of value in XML and 4.5 % of VE)" 5. Find a record with Calculation Method = 3; click on "View Calculation"; ensure the lowest row which has a number has label: "Entitlement (sum of value in XML and 1.5 % of VE):"	PASSED
A screen was corrected to show remaining entitlement.	Wrongly calculated "Entitlement" in propose Exchange transaction screen	Imported on: 29/01/2016 From: https://webgate.ec.europa.eu/etsis/browse/-1203	1.Log in RO as NA 2.For OHA account with identifier 655, perform an "Exchange transaction" 2.1 First check at Holdings tab, the table with the entitlements, for value Entitlement (4) and Remaining Entitlements (3). 2.2 Propose an Exchange transaction; in the confirmation box check that Entitlement and Remaining Entitlement are identical to those noted in step 2.1.	PASSED
A task approval screen was enriched with current/proposed values.	No current / proposed columns for manual adjustments In "Approve Proposed ICE Table" task screen	Imported on: 21/01/2016 From: https://webgate.ec.europa.eu/etsis/browse/-1200	1. Log in to RO registry, as NA 2. Go to EU ETS tab and click "ICE Upload Table" 3. Click Browse and upload xml with values: -registryCode = "RO" -identifier="101", action = "U", flag="0", ice="6000" 4. Log in as another NA in RO, claim the task, and go to "Approve Proposed ICE Table" page 5. Submitted Value, Calculation Method and Manual adjustment columns should appear with current and proposed values.	PASSED

Feature	Summary	Description	Test Cases	SAT Status
The ICE screen was modified so as to hide the Export XML button under some conditions.	ICE XML export leads to blank page	Imported on: 21/01/2016 From: https://webgate.ec.europa.eu/etsis/browse/-1199	1. Log in to RO registry as NA 2. Go to "Entitlements" page, in EU ETS tab 3. In "Entitlements" drop-down list click "Not set" 4. Ensure export button is disabled and the message "It is not possible to export in XML the installations whose entitlements are not set. Please use the "export in CSV" instead." appears at the top. 5. In "Entitlements" drop-down list click "All" 6. Ensure export button is enabled and the no messages appears at the top. 7. In "Entitlements" drop-down list click "Has Entitlements" 8. Ensure export button is enabled and the no messages appears at the top.	PASSED
The screen of unit block management was modified.	RedBox while creating new UnitBlock	Imported on: 15/01/2016 From: https://webgate.ec.europa.eu/etsis/browse/-1194	1. Log in GB as NA 2. Go to Administration -> Unit Blocks 3. Click Search and then Add 4. Enter the numbers provided for start and end blocks: (12345678901330 and 12345678901340) , unit type: CER 5. Insert an account ID that does not exist in GB (e.g. 383) 6. The following message appears at the top of the screen and the insertion is prohibited: "80102: The holding account does not belong to the registry: 383"	PASSED
The screen of unit block management was modified.	Unit block suspend / restore confirmation window has no enough information	Imported on: 14/01/2016 From: https://webgate.ec.europa.eu/etsis/browse/-1190	1. Log in to registry as NA 2. Navigate to Administration -> Unit Blocks 3. Click on a unit block 4. Click the "Suspend" button. 5. Ensure a confirmation box similar to the one below appears: "This action will change the unit block table of the registry. Please confirm that you want to suspend 1 unit block. Unitblock start: 35000005 Unitblock end: 35000006 Originating country: Romania (RO)" 6. Confirm and aign the request via ECAS. 7. Ensure the button "Restore" appears now and not the button "Suspend". 8. Click on button "Restore" 9. Ensure a confirmation box similar to the one below appears:"This action will change the unit block table of the registry. Please confirm that you want to restore 1 unit block. Unitblock start: 35000005 Unitblock end: 35000006 Originating country: Romania (RO)" 10. Confirm and Sign the request via ECAS.	PASSED

Feature	Summary	Description	Test Cases	SAT Status
Suspended ESD AR is not considered privileged user anymore; this is now fixed	Suspended ESD AR is not considered privileged user anymore	Imported on: 14/01/2016 From: https://webgate.ec.europa.eu/etsis/browse/-1187	1.Check that "esdca3" ESD AR user can log in with Token. 2.Log in ESD registry as esdca 3.At Users tab with filter ESD AR, view all accounts of enrolled esdca3 user (check that the user is indeed the one of step 1, ensuring the URID is the same). 4.For each account, suspend the ESD AR user 5.Log in with esdca3 via token; it should not result in message prompting to log in with GSM.	PASSED
Specific flow leads to "Administrative Roles Update" task is locked in "User approved" status; this is now fixed	Specific flow leads to "Administrative Roles Update" task is locked in "User approved" status	There is a flow that leads to situation when "Administrative Roles Update" task is locked in "User approved" status. It happens when a NA requests adding administrative role to the user and before this request is signed, another NA requests the very same thing. In this situation two requests are created to perform same task and when approved, the second one is locked in "User approved" status and can't be completed due to unique constraint violation. As a result there is no way modify user's role anymore ("Only one administration roles update request can be active for the same user at any given time."). This is not a new bug I believe and also not very probable to be seen in real file, hence low priority.	A. No two concurrent admin roles updates can be approved. 1. Locate a user without any admin roles. 2. Propose to add role "National Administrator" to this user 3. Reach ECAS but do not sign yet. 4. Via another browser propose to add role "Central Administrator" to this user 5. Reach ECAS but do not sign yet. 6. Sign the request of step 3 7. Ensure the request is signed and a green message box appears: "Your administration roles update request has been submitted for approval. The request identifier is <<request_id>>." 8. Sign the request of step 5. 9. Ensure an orange alert box appears and this request cannot be approved: "Only one administration roles update request can be active for the same user at any given time." B. No admin role task approval can be approved if the specific user is already administrator. 1. Locate a user without any admin roles. 2. Propose to add role "Service Desk" to this user 3. Reach ECAS but do not sign yet. 4. Add via script the role "National Administrator" to this user: INSERT INTO ACCESSES (access_id, account_id, profile_id, role_id, state) VALUES (ACCESS_SEQ.NEXTVAL, -1, (select PROFILE_ID from profile where URID = 'EU724332260059'), (select role_id from roles where role_name = 'NATIONAL_ADMINISTRATOR' and registry_code=(SELECT REGISTRY_CODE FROM USERS WHERE urid = 'EU724332260059')), 'ACTIVE'); 5. Sign this task 6. Via another NA claim and approve this task. 7. Ensure the message appears in an orange box: "User has already an admin role. You can only Reject the task" 8. Reject this task. Ensure the task is rejected normally and no further admin roles are applied to the user via the query: select * from accesses where profile_id = (select PROFILE_ID from profile where URID =	PASSED

Feature	Summary	Description	Test Cases	SAT Status
			'EU724332260059') order by 1 desc;	
Text of EUTL Check 7861 incorrect; this is now fixed	Text of EUTL Check 7861 incorrect	https://webgate.ec.europa.eu/etsis/browse/-1180 Text of check to be modified to: "Acquiring Account should be an ESD Compliance account for year *greater or equal to the* Active Year and ESD Member State other than the ESD Member State of the Transferring Account. For reversal Transferring Account should be an ESD Compliance Account for year *greater or equal to the* Active Year and ESD Member State other than the ESD Member State of the Acquiring Account."	Navigate to deployment files, message.properties file: Ensure the following line appears in this file: error.message.check.7861=Acquiring Account should be an ESD Compliance account for year greater or equal to the Active Year and ESD Member State other than the ESD Member State of the Transferring Account. For reversal Transferring Account should be an ESD Compliance Account for year greater or equal to the Active Year and ESD Member State other than the ESD Member State of the Acquiring Account.	PASSED
If the user has different mobile in ECAS and in Union Registry, a 404 error appeared; this is now fixed, presenting a message and two buttons. Idem for changing registry.	At login with GSM, if the GSM in EUCR <> GSM in ECAS, Error 404 appears.	If the user has different mobile in ECAS and in Union Registry, a 404 error appeared; this is now fixed, presenting a message and two buttons. Idem for changing registry.	EUCR-2469, EUCR-2470	PASSED

Screen correction for display of address	Displaying Addresses in Task with HTML tags	When checking Tasks in History Tab for some group of tasks which are displaying information with Addresses of Authorised Representative, or Holders Addresses, then this is displayed with HTML tags.
		In related places like for example account details/AR tab those address information looks correct.
			1. Connect as NA and navigate to task history.
			2. Find a task of type "Approve Account Representative Addition"
			3. Click it and ensure the address does not appear with bullets
			4. The actual data in the database can be confirmed as follows:
			select * from account_holder_rep_add_req where request_id = <<the request id of the chosen task>>;
			select * from account_holder_representative where ID = 10062;
			select * from business_details where business_details_id = 10062;
			select * from contact where ID = 10123;
			5. Ensure the address details of the contact do not contain bullets and the screen does not contain bullets either.
				PASSED

Administration roles management issue	Unrecoverable error (FacesException) when changing user role	Given user has a role assigned (e.g. National Administrator) it is possible to attempt to remove this role and assign different one in one step. Example: 1. User is NA in FI 2. As another NA go to FI registry and edit this user 3. Uncheck checkbox next to National Administrator - all checkboxes become enabled 4. Check checkbox next to Auditor for NA 5. Click [Next] button 6. Click [Submit] button	After the implementation of ETS-8849 and the re-design of admin roles management, it is impossible for an end-user to remove and add a role in one request. Via technical means, the following tests were done: The following scenarios were tested: Sign in as 'na' Administration -> Users -> Search -> URID GR900000000001 Modified directly from National Administrator to Service Desk / SD Agent / Auditor for NA fails with	PASSED

Feature	Summary	Description	Test Cases	SAT Status
		Unrecoverable error is displayed since this operation should be atomic and broken into 2 steps - remove NA role and add Auditor role	the following error message " ERROR You are not allowed to add more than 1 Administration role." When the same was tested from National Administrator to Central / System Administrator the error message is : " ERROR You are not allowed to upgrade your (or another users) role to a higher level than the one you currently have." It seems that the permission check is in higher priority. However when the application was enforced to modify the current role to a role that does not exist in the radio buttons (e.g. TRADER, VERIFIER), the modification fails without any error message to highlight the problem. Finally, attempts to assign double roles by adding two selectionsRadio values in the same HTTP request fail as well. Regarding the aforementioned tests, Burp Suite Pro was utilized https://portswigger.net/burp/download.html Burp is a software operating as a proxy between the browser and the application. It has the ability to intercept HTTP requests and perform man in the middle attacks in terms of replaying modified requests from the web interface to the server. Every request was intercepted for the above scenario. The key test was to understand the reactions of the backend code, based on the manipulated parameter ''selectionsRadio'' which reflects the choice of the user in the radio button list. This parameter was manipulated as part of the POST data sent with the "Next" button in the role management page. The plan was to test the following: Test case 1: Going from one role (e.g. National Administrator) to ONE other by skipping the "none" mandatory option. To do this, I changed the value of the selectionsRadio in the POST data of the request from 10223 which is the value of the NA, to a value which represents another role (e.g. 10421, SD Agent). Test case 2: Going from one role (e.g. National Administrator) to MANY others. In other words assign multiple roles to the same user. To do that I added two parameters named selectionsRadio, one keeping the value of my current role, and one more with a new valid value (e.g. 10421, SD Agent). With this scenario I wanted to simulate the previous check box functionality under the new radio button list. Test case 3: Going from 'None' role, to multiple users again with the same technique mentioned in the Test case 2 above. Test case 4: Ask for a role that does not exist in the radio button list. I tried to change my role from NA to Trader (value: 10313). Of course this option is not available in the list. The test successfully failed similar to all the previous test cases, but I didn't receive any error message for this situation. Just a short note for the test cases 1,2,3. I received a permission error when I attempted to change from NA -> CA or SA. The error was related to the prohibited change of the higher privileges of the target roles (CA, SA). In modifications that had a lower privilege role as a target, I was correctly receiving the following error: ERROR You are not allowed to add more than 1 Administration role.	

Feature	Summary	Description	Test Cases	SAT Status
Correction of text for check	7214 check text should be alligned with -364 fix for EUTL 6.8.1	After implementing -364 in EUTL 6.8.1 ﷺAllocation transacted volume *<=* volume in NAT/NAVAT in EUTL - any already allocated volume + any returned volumeﷺ. It means that text displayed in terminated transaction as a result of check 7214: "7214: The number of allowances transferred is not strictly equal to the number foreseen in the NAP for the specified installation and specified year." is *no longer accurate*	1. Navigate to deployment files, message.properties file: 2. Ensure the following line appears in this file: error.message.check.7214 = 7214: The number of allowances transferred is greater than the number foreseen in the NAT/NAAT for the specified installation/aircraft operator and specified year.	PASSED
Wrongly calculated values for transitional and NER allocations in Allocation Delivery Task	Wrongly calculated values for transitional and NER allocations in Allocation Delivery Task	Given the OHA account that received transitional and NER allowances. When there is a change in NAT related to transitional and NER values. Then values in Allocation Delivery task are wrongly calculated. Example: OHA received allowances per following NAT: Free: 100 Transitional: 200 NER: 300 NAT is updated with following values: Free: 110 Transitional: 210 NER: 310 When Allocation Delivery task is created it will display following summary: Total of allocations to be delivered: 530 (10 free, 210 transitional, 310 the NER) So it seems to work fine for free but transitional nad NER values are wrong. This is only display issues - when allocation transaction is generated, proper number of allowances is transferred (in this case 10 per allocation type).	Installation 12408 of Romania has the following values in allocation tables for 2016: Free: Allocation: 12, Allocated: 10 Transitional: Allocation: 36, Allocated: 30 NER: Allocation: 24, Allocated: 20 1. Connect as NA to RO 2. Navigate to EUETS -> Allocation Phase 3 3. Choose to propose allocation to installation 12408 4. Ensure the quantities 2, 6, 4 appear for each of Free, Transitional, NER 5. Claim the task "Approve allocation delivery settings" as another NA. 6. The task approval task mentions the quantities 2,6,4 and sums the total quantity of 12 units to be allocated. 7. Approve the task. 8. Ensure 12 units are allocated.	PASSED
The "reversal" button should be hidden in voluntary cancellation for all roles and permissions	The "reversal" button should be hidden in voluntary cancellation for all roles and permissions		1. Connect as NA and navigate to EUETS -> Transactions. 2. Search for transactions of type "4-0". 3. Click on a voluntary cancellation which is completed and whose completion date is less than the configuration parameter TRANSACTION_REVERSAL_WORKING_DAYS_LIMIT (because if it was older, it would already be prohibited to reverse it). 4. Ensure no "Reverse" button appears. Repeat for an account's AR, an account's AAR and all administrative roles: SD, SDA, Auditor, CA. Repeat for a voluntary cancellation just completed (executed with EU1160464 of EU).	PASSED

Feature	Summary	Description	Test Cases	SAT Status
Technical issue referring to a directive specifying the compatibility mode of Internet Explorer browser.	Change in compatibility mode only when IE9 is used, and leave it as is when IE10+	for the: EUCR-2008 and for EUCR-2411 (corresponding to -991) the following change was made: the <meta http-equiv="X-UA-Compatible" content="IE=EmulateIE8" />, was added at the main_layout.xhtml. This results to enforcing the change in compatibility mode only when IE9 is used, and leave it as is case of any subsequent IE version.	Use IE 9 to perform this test or alternatively: Use IE11 and click Development Tools. Set compatibility mode to IE9 to emulate IE9. Scenario: 1. Log in to RO registry as NA 2. Request opening the account (OHA) 3. Fill in data until Contact Person Information screen is displayed 4. Click on "Address Provided" checkbox 5. Repeat step 4 many times to check for intermittence 6. Submit the OHA creation request and ensure the account request is normally submitted. Repeat with IE10, Firefox, Chrome.	PASSED
Account statement issues; now fixed.	Conversion of CP1 AAUs are displayed as eligible in account statement screen	Conversion of CP1 AAUs are displayed as eligible in account statement screen. e.g. account PT 643 transaction PT154		PASSED
At issuance of CP1 KP units, these units are now marked ineligible for ETS.	IssueOfAAUsAndRMUs does not set the IS_INELIGIBLE flag	IssueOfAAUsAndRMUs does not set the IS_INELIGIBLE flag in auto_unit_selection_constraint nor in transaction_block.	1. Login as NA in EU and navigate to KP -> Issuance 2. Propose an issuance of KP1 RMU units 3. As another NA approve the issuance 4. Get the transaction identifier of the approved transaction request 5. Browse the transactions and ensure the transaction is COMPLETED. 6. Run the two following queries and ensure the IS_INELIGIBLE flag is 1: select * from transaction_block where transaction_id = (select transaction_id from transactions where transaction_identifier = '<<transaction_identifier>>'); select * from auto_unit_selection_constraint where transaction_identifier = '<<transaction_identifier>>';	PASSED
Account statement issues; now fixed.	EUCR-2407 Correction of Account Statements PDF	Correction of Account Statements PDF		PASSED

Account statement issues; now fixed.	Script which corrects AAUs & RMUs is not correct	Script which corrects AAUs & RMUs is not correct.
		
		"case when" in fixed_res are not correct.
			This is a technical issue.
			
			This issue is implemented via a script which migrates account statement data. It is called via:
			
			BEGIN
			PKG_ACCST_CORR_AFTER_20150331.p_fix_account_statements (to_date('1/4/2015', 'dd/mm/yyyy');
			END;
				PASSED

Account statement issues; now fixed.	Account statements for AAU and RMU	The following are pending: # Show correctly AAU, RMU at screen and PDF	EUCR-2287, EUCR-2454,	PASSED

Feature	Summary	Description	Test Cases	SAT Status
		# Migration script should include screen and PDF # Migration script should be optimised # New indices should be created for the script to run faster		
It was not possible to allocate to reserve allocation without having transitional allocation.	Red screen when allocating to installation	I have an installation with reserve allocation and no transitional allocation. I try to allocation to reserve and I get red screen.	Find an installation which has Free and NER allocation but not transitional. This is installation 12406 for RO in FAT. 1. Connect as NA for RO and navigate to EUETS->Allocation Phase 3. 2. Filter for year=2016 and allocate the NER quantity to installation 12406. 3. Confirm and approve as another NA. 4. Ensure the allocation is completed. (Transaction EU1160232 in our FAT).	PASSED
Admin roles management screen is modified so as to allow only one admin role per user.	Change of role selection in roles administration		From TC.01 Users-Basic Functionality-Account creation test document, execute the following: * UC_UA_060_TC_01, * UC_UA_060_TC_02, * UC_UA_060_TC_03, * UC_UA_060_TC_04	PASSED
Roles and permissions management screen optimizations.	The refresh following a tick in the Roles and Permission screen takes 5 seconds		Open a web browset and delete cache and all temporary internat files. Restart the browser. Repeat with IE and Firefox and Chrome. 1. Log in EU registry as NA 2. Navigate to Administration -> Roles and Permissions tab tick a box 3. An "update" icon appears; the screen is refreshed to disable all other checkboxes; update of the screen lasts less than 5 seconds. 4. User clicks "Next" button.	PASSED
Suspend/restore unit block pop-up window approval did not appear in Internet Explorer; this is now fixed.	Suspend/restore unit block pop-up window approval does not appear in Internet Explorer		Connect with IE11; repeat with Firefox and Chrome: 1. Log in EU registry 2. Administration -> Unit Blocks 3. Click on a unit block 4. Click suspend or restore 5. Pop-up window must appear	PASSED
Allocations technical issue; it is now fixed	Clicking on a new allocation setting delivery task causes screen to crash	I click on a new allocation in NA's exclusice task list and screen crashes. Refer to attachments.		PASSED
Inclusion of translation strings	Integrate MS translations for v7.0.4 (v6.7.3 --> v7.0.4 delta)			PASSED
Revert the changes performed via EUCR-2459 of EUCR 7.0.4.	Revert APPREQ-23	Remove meta tags added by APPREQ-23	1. Log in EUCR 2. Click "View source" on the browser 3. Ensure the following meta tags have been removed:	PASSED

Feature	Summary	Description	Test Cases	SAT Status
This added some HTTP headers in all pages of the application.			<meta http-equiv="Cache-Control" content="max-age=0" /> <meta http-equiv="Cache-Control" content="no-cache, no-store" /> <meta http-equiv="expires" content="0" /> <meta http-equiv="expires" content="Tue, 01 Jan 1980 1:00:00 GMT" /> <meta http-equiv="pragma" content="no-cache" />	
This package fixes the account statement records for AAU, RMU, ERU_FROM_RMU, lCER, tCER. It accepts a date parameter, which must be greater of equal to 01-APR-2015.	Account statements correction since 01-Apr-2015 for five unit types of KP1	This issue corrects account statements generated from 01-Apr-2015 onwards for the units: * AAU * RMU * ERU_FROM_RMU * LCER * TCER It is tested via a series of SQL statements, and a procedure which is integrated in a package. It must also be tested that the correct package contained in Liquibase in committed in the database.		PASSED
Handling of error in case a wrong XML is uploaded in NAT/NAAT upload screen.	Unrecoverable error on allocation XML upload (incorrect xml)	1. Log in to registry as NA 2. Go to Allocation Tables Phase 3 3. Upload entitlement xml Description When incorrect xml is uploaded in Allocation Tables Phase 3 unrecoverable error is thrown. This is happened when entitlements xml was used instead of allocations xml (please see attached).	*Test Case 1:* 1. At Allocations Tables Phase 3 link, nat section, upload an entitlements xml. 2. Red screen should not appear, only message "The content of the XML file is invalid" *Test Case 2* (about additional error discovered when uploading nat xml with value e.g. +++ instead of a number) 1. At Allocations Tables Phase 3 link, nat section, upload a nat xml which contains: <ns1:allocation year="2014" type="free">+++</ns1:allocation> 2. Red screen should not appear, only message "The content of the XML file is invalid" *Test Case 3:* Repeat Test Case 1 and Test Case 2 for naat *Test Case 4* (Regression) 1.Upload a nat with correct format in GB registry as NA. Submit some types of units for next allocation job 2.Upload a naat with correct format in GB registry as NA. Submit some types of units for next allocation job	PASSED
A question mark should appear in allocation screen, for installations or aircraft operators which have been	Wrong "Allocation disabled ..." indication in allocation delivery task	1. Create Allocation delivery task 2. Check if question mark appears only if installation is excluded for given year Description In Allocation delivery task every value has question mark icon indicating that "Allocation disabled because	*Test Case 1: Allocation to aircraft operator* - Aircraft case - All years in Compliance are Not Excluded for AOHA 10930 1. Log in GB as NA 2. Find an "Approve Allocation Delivery Settings" task in tasklist (request id = 495579, account	PASSED

Feature	Summary	Description	Test Cases	SAT Status
excluded for the allocation year.		installation is excluded for this year". It doesn't matter if it is really excluded. Same for OHA and AHOA, different years, different allocation types, adding or removing allocation.	identifier = 10930) 3. Check that in the task confirmation window there is no "?" marking in green boxes. 4. Set all years to Excluded for this aircraft operator. 5. Check that in the task confirmation window there is no "?" marking in green boxes. *Test Case 1 - Sub-Case 1* : Check 2015 as Excluded year, and go to task to check that there is not a "?" mark. *Test Case 1 - Sub-Case 2* : Check 2015 as Excluded year, upload allocation xml for 10930 and year 2016, and check there are no "?" marks in job submission page. *Test Case 1 - Sub-Case 3* : Check 2015 as Excluded year, upload allocation xml for 10927 and year 2015, and check there are "?" marks in job submission page. *Test Case 2: Allocation to installation* - All years in Compliance are Not Excluded - Installation case 1. Log in GB as NA 2. Find an "Approve Allocation Delivery Settings" task in tasklist (request id = 495558, account id=102) 3. Check that in the task confirmation window there is no "?" marking in green boxes. 4. Set all years to Excluded for this installation. 5. Check that in the task confirmation window there is no "?" marking in green boxes. *Test Case 2 - Sub-Case 1* : Make 2015 Excluded, upload allocation xml for 102 and year 2016, and check there are no "?" marks in job submission page. *Test Case 2 - Sub-Case 2* : Make 2015 Excluded, upload allocation xml for 102 and year 2015, and check there are "?" marks in job submission page. *Test Case 3 - Regression for allocation to installation* 1. Log in EU as NA 2. Check that account 101 has Excluded year 2015 3. Upload allocation xml for 101 4. Uploaded units can not be submitted - there must be a "?" mark, and checkbox is disabled *Test Case 4 - Regression for allocation to aircraft* 1. Log in EU as NA 2. Check that account 103 has Excluded year 2016 3. Upload allocation xml for 103 4. Uploaded units can not be submitted - there must be a "?" mark, and checkbox is disabled *Test Case 5 - Exclude/Unexclude between phases of proposal-approval of allocation* Installation accounts (FR): 12347, 12349, 12356	

Feature	Summary	Description	Test Cases	SAT Status
			1. Go to allocation screen, check three installations to receive allocation and submit request (the request XML is created with info that all accounts are not excluded) 2. Go to one of the accounts and exclude the year you just previously checked. 3. Go to tasklist and check that this account does not appear with question-mark (information is read from request XML and not from DB) 4. Approve the request, go to history and check that this account does not appear with question-mark and the others not (information is read from request XML and not from DB) 5. Go to this account and unexclude the excluded year. 6. Go to tasklist history and check that this account does not appear with a question-mark (information is read from request XML and not from DB) Repeat for aircraft. (FR accounts: 12358, 12359, 12360)	
Addition of permission for SDA in ESD registry.	'Manage ESD Account Search' should be granted to SERVICE_DESK_AGENT role	1. Check the script 2. Check if 'Manage ESD Account Search' is granted to SERVICE_DESK_AGENT role Description Liquibase changeset "7_0_4_EUCR-956_PERM_ESD_ACCOUNT_SEARCH1" doesn't cover granting 'Manage ESD Account Search' permission to SERVICE_DESK_AGENT role. If this change was done in PROD, script should be updated to reflect that.	Execute the following query (which returns the roles of ESD who have the permission PERM_ESD_ACCOUNT_SEARCH) and ensure the Service Desk Agent role appears in the resultset. select a.*, role_name from permissions a, role_permission b, roles c where a.permission_id = b.permission_id and b.role_id = c.role_id and perm_key = 'PERM_ESD_ACCOUNT_SEARCH' and registry_code = 'ED' order by 3;	PASSED
New transactions of CER or ERU_FROM_AAU will be characterized as ineligible in account statements.	Ineligible units shown as eligible on account statement page	This issue corrects account statement calculations for new transactions for the units types: * CER * ERU_FROM_AAU New transactions must be entered with the above units in CP1 in positive and negative lists, and ensure that always the units appear as ineligible in account statements.	*Test Case 1: CER* 1. Log in GB as NA 2. Transfer 2 CER of CP1 from account with identifier=356 to trusted account with id=360 3. At Holdings tab of acquiring account, there should be 2 more CER units, as ineligible 4. Account statement of account 360 shows 2 CER ineligible *Test Case 2: ERU_FROM_AAU* 1. Repeat with same data except from unit type which will be ERU_FROM_AAU. 2. Transfer 3 units from account with identifier=356 to trusted account with id=360 3. Check new 3 units are added as ineligible in acquiring account. 4. Account statement of account 360 shows 3 ERU_FROM_AAU ineligible *Test Case 3: CERs which are in General Positive list* Repeat Test Case 1 but for a project which is in General Positive List. The transacted units are characterised as red (ineligible, because they are in CP1) in account holdings, account statement screen and account statement PDF. Transaction EU1190910 is completed between account 356 and 360 and transfers CP1 CER contained in GB1 project, which is in General Positive List. The units are marked as red in account statements of both accounts.	PASSED

Feature	Summary	Description	Test Cases	SAT Status
In NAAT allocation, special reserve value to be allocated did not appear correctly in allocation delivery approval screen. This is now fixed.	Value for AOHA Special Reserve allocation not displayed in Allocation Delivery Task	1. Upload NAAT with vales for Free and Special reserve 2. Tick and submit allocations 3. Display Allocation Delivery task and check if Special Reserve value is taken into account in summaries and grid *Description* When NAAT with value for Free and Special Reserve allocations is uploaded for aircraft operator and Allocation Delivery task created than Special reserve value is not taken into account on task display page. What is interesting that if Special reserve is the only allocation type it is displayed properly.	1. Upload the following NAVAT in FAT, Romanian registry: <?xml version="1.0" encoding="UTF-8"?> <ns1:navat registry="RO" xsi:schemaLocation="urn:eu:europa:ec:clima:ets:1.0 ../navat.xsd" xmlns:xsi="http://www.w3.org/2001/XMLSchema-instance" xmlns:ns1="urn:eu:europa:ec:clima:ets:1.0"> <ns1:aircraftOperator action="A" identifier="12453"> <ns1:allocation year="2016" type="free">46</ns1:allocation> <ns1:allocation year="2017" type="reserve">16</ns1:allocation> <ns1:allocation year="2018" type="free">10</ns1:allocation> <ns1:allocation year="2018" type="reserve">20</ns1:allocation> </ns1:aircraftOperator> </ns1:navat> 2. Upload the same file in EUTL. 3. Perform an allocation for 2018, ensure the value in approval screen appearing is Free=10, Reserve=20 4. Perform an allocation for 2017, ensure the value appearing in approval screen is Reserve=16 5. Perform an allocation for 2016, ensure the value appearing in approval screen is Free=46	PASSED
A user who is un-enrolled from ESD and does not hold any other administrative role should not be considered as privileged. This is now enforced.	User still considered as privileged after un-enrolling from ESD	If given user is AR in EUCR registry and AR in ESD, than it is considered privileged. Now when this user un-enrols from ESD, than should be considered as non-privileged. Unfortunately this is not the case and user still needs to have record in TMS. The reason for that is the query in Authentication Provider doesn't take into account ESD user status at all.	For below cases, a new user creation in userDatabase.xml, is proposed (nadmin11, nadmin12 already exist, also make sure that the chosen nadmin in unenrolled in ESD and GR) *Test Case 1* 1.Register the user nadmin11 in GR and enrol. 2.As NA in GR, grant user an admin role. 3. In FAT DB enter flag=T for the user 4. User should be able to log in with Token *Test Case 2* 5. Unenrol the user 6. Cannot log in with Token *Test Case 3* 7. For the above user, give role=None if needed, and assign him as AR of an account in GR (GR-121-383-0-27) 8. In ESD, log in as the new user and enrol. 9. Make him an AR of an ESD account (EU-100-10001864-0-31) 10. User should log in with Token *Test Case 4*	PASSED

Feature	Summary	Description	Test Cases	SAT Status
			12. Unenrol from ESD, 13. User shouldn't be able to log in with Token anymore	
Under some circumstances the ICE XML did not contain full data. This is now fixed.	ICE XML export takes into account only items currently displayed in the list	1. Upload and approve IE for more than 10 installations 2. Go to Entitlements screen display only 10 items in the list 3. Export XML and check if all installations have been exported.	*Test Case 1* 1. In GR registry as NA, in Entitlements, click Search. 2. Results are returned, but only 3 records have an ICE value uploaded 3. Go to 7nth page (where only one row will appear in XML) 4. Click Export XML 5. Check in XML that 3 entitlements appear 6. Repeat by paging in other pages, exporting always creates a file with 3 records. 7. Return to the ICE screen and ensure paging works normally, after creating and closing the XML file. Repeat the above for CSV file generation but all the records are returned, both those having ICE value and those not having ICE value.	PASSED
When a user is logged in ECAS with both GSM in Token the system detected this and prompted to return to a wrong page of ECAS. This is now fixed, and used is returned to the standard ECAS logout screen.	User logged in ECAS with both GSM in Token - inconsistent logout procedure	Two issues for this: 1.1. As privileged user log in to EUCR with Token 1.2. Log out from EUCR (bot not from ECAS) 1.3. Log in using GSM (expected behaviour - user cannot log in with GSM) 1.4. Check the error description page 1.5. Logout from EUCR and ECAS 2.1 As non-privileged user with Assigned token log in using GSM 2.2. Log out from EUCR (bot not from ECAS) 2.3. Log in using Token (expected behaviour - user cannot log in with Token) 2.4. Check the error description page 2.5. Logout from EUCR and ECAS Refer to -1224	A. Test a privileged user having logged in with both Token and GSM 1. As privileged user log in to EUCR with Token 2. Log out from EUCR (bot not from ECAS) 3. Log in using GSM 4. Check the error description page; the main Logout screen of ECAS is depicted 5. Click the Logout button presented on the EUCR screen 6. Ensure the screen reached in ECAS is the one depicted in step 4 above. 7. Click Logout in ECAS. The user is now logged out of both systems. B. Test a non-privileged user who has a token in ECAS and has logged in ECAS with both GSM and Token. This can be accomplished by assigning a token to a user who is NOT defined with flag T in TMS. 1. Log in with GSM 2. Log out from EUCR (but not ECAS) 3. Log in with Token 4. Check the error description page; the main Logout screen of ECAS is depicted 5. Click the Logout button presented on the EUCR screen 6. Ensure the screen reached in ECAS is the one depicted in step 4 above. 7. Click Logout in ECAS. The user is now logged out of both systems.	PASSED
The prefix "00" or "+" is now mandatory at edit or insert of user's GSM.	Mobile phone update issues	1. As NA go to "Edit your personal details" page and update phone with one that is not starting with + nor 00 2. As NA go to "Edit your personal details" page and check if there is reminder that GSM number should be the same as in ECAS 3. As NA using token go to new registry and request new user to be created	A. Test "Edit your personal details" screen 1. Log in as NA to a registry where you have a profile 2. Click on "Edit your personal details" 3. Enter telephone: 123456789 and click Next.	PASSED

Feature	Summary	Description	Test Cases	SAT Status
		3.1 Fill all required data including GSM 3.2 Click Next and then Back button 3.3 Check is GSM field is enabled *We reproduced only step 1. Step 1 is in scope for fixing*	4. Ensure the validation rule for telephone fires: "International format including country code (prefix: "00" or "+"), e.g. for Belgium +32123456789" B. Test "Fill in your personal details" screen 1. Log in with Token 2. Switch to a registry to which you do not have a profile 3. Click "Fill in your personal details" 4. Enter telephone: 123456789 and click Next. 5. Ensure the validation rule for telephone fires: "International format including country code (prefix: "00" or "+"), e.g. for Belgium +32123456789" C. Test personal details update screen 1. Log in as NA 2. Navigate to Administration-->Users--> Search and locate a user. 3. Click on a user and navigate to Personal Details tab. 4. Click Edit 5. Enter telephone: 123456789 and click Next. 6. Ensure the validation rule for telephone fires: "International format including country code (prefix: "00" or "+"), e.g. for Belgium +32123456789" For all the above cases A,B,C ensure the only allowed telephone format is the following, parentheses are omitted: **(+ or 00)(1 digit of 1..9)(9,10 or 11 numeric digits)** +1123456789 is permitted +11234567891 is permitted +112345678911 is permitted +1123456789111 is not permitted 1123456789 is not permitted 0123456789 is not permitted 11234a6789 is not permitted a123456789 is not permitted 112345678a is not permitted z12345678a is not permitted -1123456789 is not permitted ++112345678 is not permitted 00112-456789 is not permitted 00112.456789 is not permitted 00112456789 is permitted 000000000000 is not permitted 001000000000 is permitted 00z000000000 is not permitted	

Feature	Summary	Description	Test Cases	SAT Status
Reversal of allocation crashed at submission. This is now fixed.	Reversal of Allocation - RedBox - Unrecoverable Error	While proposing Reversal of Allocation units in EUCR-DEV (v 7.0.4, REGISTRY=BG) on OHA account I got few times "Unrecoverable Error". See the pictures attached. This is happening when user will open specific Allocation transaction and there is displayed [Reverse] button,	A. Reverse an allocation to installations. 1. Successfully reversed allocation EU1188316 for GB. 2. Approval was done by NA (Token), NADMIN1 (Token), CA (GSM) B. Reverse an allocation to aircraft operators. 1. Successfully reversed allocation EU1188401 for GB. 2. Approval was done by NA (Token), NADMIN1 (Token), CA (GSM) C. Regression testing: Reverse a surrender 1. Successfully reversed surrender EU1188413. 2. Approval was done by NA (Token), NADMIN1 (Token), CA (GSM)	PASSED
Split of user's details in four tabs: personal details, business details, admin roles, accounts.	Unrecoverable error when requesting change of user contact data	1. Log in as NA with token (same flow for GSM) 2. Go to Users and open user details 3. Go to Administration roles tab 4. Click [Edit] button 5. Change any Contact details and click [Next] 6. Click [Submit] 7. Unrecoverable error is thrown	General test data: New users: nadmin11, nadmin12 Registry tested: GR *Test Case 1* View user details: -For NA user, Auditor, CA, Service Desk, Service Desk Agent -For simple user (AR, AAR) *Test Case 2* Personal details update -Request approved and applied -Request rejected -Double submissions are not permitted *Test Case 3* Business details update -Request approved and applied -Request rejected -Double submissions are not permitted *Test Case 4* Admin roles update -Request approved and applied -Request rejected -Double submissions are not permitted -If applied on REGISTERED user, user becomes VALIDATED and enrolment keys are generated. -Remove a role -Add an admin role -Cannot add an admin role while having another admin role.	PASSED

Feature	Summary	Description	Test Cases	SAT Status
			Test Case 5 Repeat tests in ESD --> Administration --> Users. -Personal details -Business details -Admin roles *Test Case 6* -Unenrol enrolled user -Cannot Edit any of the Personal Details, Business Details or Administration Roles tabs *Test Case 7 - Task History - Old tasks* -Log in GR as NA -In Task List History, open request 366572 -There should be a Business Details tab *Test Case 8 - Task History - New tasks* -Log in GR as NA -In Task List History, open request 499029 (type is Update Of User Business Details) -There should ne only a Business Details tab -Repeat for type: "Administration Roles Update", check newest -There should be only Role and User tabs	
During log in, the system could mix user's profiles, if user held more than one profile; this is now fixed.	Authenticator Provider query which returned EUCR user info returns wrong row	The query which returns the EUCR user info selects all rows of user, even rows with status Unenrolled. The query does not have an order by clause and therefore it is possible that the first row is not the correct one since oracle returns the rows in an arbitrary way. Modify query FIND_EUCR_USER_BY_EID_AND_REGISTRY, and add an order by clause to bring first the non unenrolled status row.		PASSED
It is not possible to generate CAPTCHA images, used during account request for not logged-in user.	Unrecoverable error when requesting new account as not-logged-in user (CAPTCHA issue)	As not logged-in user: 1. Go to registry page and click on "Account request" 2. Check if Captcha image is properly displayed on "Account Opening Account Details" 3. Select account, fill all required data and request new account Description When not logged-in user tries to request new account unrecoverable error it thrown. There seems to be 2 bugs which might be related. When not logged-in user goes to registry page and click on "Account request" link "Account Opening Account Details" page is displayed. Now: 1. Captcha image is broken (NoClassDefFoundError) 2. When user selects any type of account unrecoverable error is thrown (IndexOutOfBoundsException) This issue also exists in version 7.0.4	Deploy EUCR in Production mode. 1. Navigate to a regirtry's homepage withough having logged in. 2. Click on "Account Request" 3. Type an invalid CAPTCHA code and click "Next" 4. Ensure the error "Invalid code typed" appears 5. Click "Try another image" 6. Type the correct CAPTCHA code; enter account type and name and click "Next" 7. Enter new account holder details 8. Provide the rest of the account details, according to the account type chosen. 9. Submit the account creation request. 10. As an NA approve the account creation request and note the new account identifier. 11. Ensure the account has been created by searching for the new account identifier.	PASSED

Feature	Summary	Description	Test Cases	SAT Status
			Repeat for OHA (EU section), trading account (EU section), person account in national registry (KP section).	
Business details update task does not contain user details; this is now fixed.	There is no user information on Business Details Update task details screen	There is no user information on Business Details Update task details screen	1. Log in as NA1 2. Propose Business Details Update 3. Verify there is user related information on task details screen in the form of a table containing URID, name, login. 4. Log in as NA2 5. Approve the task 6. Verify there is user related information on task details screen in the form of a table containing URID, name, login. 7. Search the task in history 8. Verify there is user related information on task details screen in the form of a table containing URID, name, login.	PASSED
KP2 requirements	CLONE - Unrecoverable error when requesting change of user contact data	1. Log in as NA with token (same flow for GSM) 2. Go to Users and open user details 3. Go to Administration roles tab 4. Click [Edit] button 5. Change any Contact details and click [Next] 6. Click [Submit] 7. Unrecoverable error is thrown	General test data: New users: nadmin11, nadmin12 Registry tested: GR *Test Case 1* View user details: -For NA user, Auditor, CA, Service Desk, Service Desk Agent -For simple user (AR, AAR) *Test Case 2* Personal details update -Request approved and applied -Request rejected -Double submissions are not permitted *Test Case 3* Business details update -Request approved and applied -Request rejected -Double submissions are not permitted *Test Case 4* Admin roles update -Request approved and applied -Request rejected -Double submissions are not permitted -If applied on REGISTERED user, user becomes VALIDATED and enrolment keys are generated. -Remove a role	PASSED

Feature	Summary	Description	Test Cases	SAT Status
			-Add an admin role -Cannot add an admin role while having another admin role. *Test Case 5* Repeat tests in ESD --> Administration --> Users. -Personal details -Business details -Admin roles *Test Case 6* -Unenroll enrolled user -Cannot Edit any of the Personal Details, Business Details or Administration Roles tabs *Test Case 7 - Task History - Old tasks* -Log in GR as NA -In Task List History, open request 366572 -There should be a Business Details tab *Test Case 8 - Task History - New tasks* -Log in GR as NA -In Task List History, open request 499029 (type is Update Of User Business Details) -There should ne only a Business Details tab -Repeat for type: "Administration Roles Update", check newest -There should be only Role and User tabs	
KP2 requirements	Message enrichment when logging out due to Token+GSM	The message "Please authenticate using your GSM" should be enriched as: “Please logout from ECAS and then authenticate with your GSM.” The button “Login” to be renamed as “Go to ECAS”. The same for the message "Please authenticate using your Token"	Test Case 1: 1.User is configured to log with GSM 2.User logs in with Token. 3.System informs the user with the "GSM Expected" screen (result1.png): •Title: "Authentication Error" •Message: "Please logout from ECAS and then authenticate with your GSM." •Button 1: "Go to ECAS" •Button 2: "OK" Test Case 2: 1.User is configured to log with Token. 2.User logs in with GSM. 3.System informs the user with the "Token Expected" screen (result2.png): •Title: "Authentication Error" •Message: "Please logout from ECAS and then authenticate with your Token."	PASSED

Feature	Summary	Description	Test Cases	SAT Status
			•Button 1: "Go to ECAS" •Button 2: "OK"	
KP2 requirements	New Account - PPSR	Create PPSR Account, only by NA of MS, only one open per registry, account type code 130, applicable for CP2 only	Possible CP is only 2. Can be created in any KP registry, including EU registry. Related use case: UC_AM_10: REQUEST ACCOUNT OPENING	PASSED
KP2 requirements	PPSR - Allowed unit types	PPSR Accounts can only hold AAUs with originating CP = (current CP = 1) and applicable CP = 2 (Check 7029)	Executed UC_HT_170_TC_01: Transfer AAUs from GB PPSR account to FR PPSR account	PASSED
KP2 requirements	PPSR - Available transactions	Allow only transactions retirement and transfer to another PPSR	Executed UC_HT_170_TC_01: Transfer AAUs from GB PPSR to FR PPSR account	PASSED
KP2 requirements	Carry-Over of CP1 AAUs - Transaction availability	Carry-Over AAU transaction is not available if PPSR account does not exist		PASSED
KP2 requirements	Unit block flag Subject / Not subject to SOP	New flag in unit block for all AAUs with Originating CP2 must bear either "Subject to SOP" or "Not subject to SOP" - Unit block - add flag	UI flag: See EUCR-2482 DB flag: IN FAT database, check if table unit_block has column "SOP" with values 1="Subject to SOP", 2="Not Subject to SOP"	PASSED
KP2 requirements	Unit block view - add "Subject to SOP" or "Not subject to SOP" flag	Unit block view/add/edit - add "Subject to SOP" or "Not subject to SOP" flag The name of the column will be "SOP", the same column could be used by ERU_FROM_AAUs to mark "Converted for SOP" units Changes must be made to export CSV as well	1. Connect as NA and navigate to Administration -> unit blocks. 2. Click on a unit block hyperlink 3. Ensure the fields "Subject to SOP" and "Converted for SOP" exist. 4. Locate an account with both Subject to SOP and Not Subject to SOP and export its unit blocks as CSV. 5. Copy and paste the exported file in Excel and ensure a new right-most column exists, SOP, which contains the SOP value appearing on screen.	PASSED
KP2 requirements	Unit block search - add "Subject to SOP" or "Not subject to SOP" flag	Unit block search - add "Subject to SOP" or "Not subject to SOP" flag	*Test Case 1* 1. Log in GR as NA 2. In Unit Blocks click Search 3. In column "SOP" there should be some records with values "Subject to SOP" / "NotSubject to SOP"	PASSED
KP2 requirements	Holding screen - CP2 AAUs must be split into two rows	Holding screen - CP2 AAUs must be split into two rows There are various versions of this screen depending on the account type, all versions must be changed	Prerequisite: For account PT-643 exist AAU units with both markings (Subject to SOP, Not Subject to SOP) *Test Case 1* 1. Log in PT as NA 2. Go to account 643 -> Holdings 3. There should be rows with: AAU (Not Subject to SOP), and AAU (Subject to SOP) unit type columns	PASSED
KP2 requirements	Auto/Manual unit selection constraint - add "Subject to SOP" or "Not subject to SOP" flag	Auto/Manual unit selection constraint - add "Subject to SOP" or "Not subject to SOP" flag	Type "select * from auto_unit_selection_constraint;" Ensure a new last column exists named: "SOP"	PASSED

Feature	Summary	Description	Test Cases	SAT Status
KP2 requirements	Transaction Block - add "Subject to SOP" or "Not subject to SOP" flag	Transaction Block - add "Subject to SOP" or "Not subject to SOP" flag	1. Check column SOP exists in table TRANSACTION_BLOCK. 2. Check a transaction which transferred AAU units subject to SOP --> units must be marked as Subject to SOP. 3. Check a transaction which transferred AAU units Not subject to SOP --> units must be marked as Not Subject to SOP. 4. Check a transaction which transferred ERU units Converted for Transfer to SOP --> units must be marked as Converted for Transfer to SOP. Note: the exact value of column SOP can be queried via: select * from transaction_block where transaction_id = (select transaction_id from transactions where transaction_identifier = 'PT184');	PASSED
KP2 requirements	Transaction Details - add "Subject to SOP" or "Not subject to SOP" flag	Transaction Details - add "Subject to SOP" or "Not subject to SOP" flag	1. Locate a transaction with AAU units (subject to SOP) as located via the transaction_blocks table with SOP = 1 --> Ensure it appears as Subject to SOP on transaction details screen. 2. Locate a transaction with AAU units (subject to SOP) as located via the transaction_blocks table with SOP = 0 --> Ensure it appears as Not Subject to SOP on transaction details screen. 3. Locate a transaction with AAU units (subject to SOP) as located via the transaction_blocks table with SOP = null --> Ensure it appears as Not Subject to SOP on transaction details screen. 4. Locate a transaction with ERU units (subject to SOP) as located via the transaction_blocks table with SOP = 1 --> Ensure it appears as Converted for SOP on transaction details screen.	PASSED
KP2 requirements	Transaction PDF - add "Subject to SOP" or "Not subject to SOP" flag	Transaction PDF - add "Subject to SOP" or "Not subject to SOP" flag	1. Locate a transaction with AAU units (subject to SOP) as located via the transaction_blocks table with SOP = 1 --> Ensure it appears as Subject to SOP on transaction PDF. 2. Locate a transaction with AAU units (subject to SOP) as located via the transaction_blocks table with SOP = 0 --> Ensure it appears as Not Subject to SOP on transaction PDF. 3. Locate a transaction with AAU units (subject to SOP) as located via the transaction_blocks table with SOP = null --> Ensure it appears as Not Subject to SOP on transaction PDF. 4. Locate a transaction with ERU units (subject to SOP) as located via the transaction_blocks table with SOP = 1 --> Ensure it appears as Converted for SOP on transaction PDF.	PASSED
KP2 requirements	Account Statements - add "Subject to SOP" or "Not subject to SOP" flag (db, code, screen, pdf)	Account Statements - add "Subject to SOP" or "Not subject to SOP" flag - add extra columns for amount & balance - add code to support breaking of amount/balance - modify account statement PDF		PASSED
KP2 requirements	Issuance of CP2 AAUs - default marking is "subject to SOP"	Issuance of CP2 AAUs - default marking is "subject to SOP"		PASSED
KP2 requirements	Database Script to mark CP2 AAUs when installation of application	Database Script to mark CP2 AAUs when installation of application - A script will be created which will run at the GO LIVE of the version which will update all CP2 AAUs for NON-ETS registries with the flag “Not subject to SOP”. - Also, all CP2 AAUs from ETS registries which have left ETS and returned back will be marked as “Not subject to		PASSED

Feature	Summary	Description	Test Cases	SAT Status
		SOP". The latter units can be found as AAU units contained in TRANSACTION_BLOCK table where the transferring registry is a NON-ETS registry		
KP2 requirements	"Transfer to SOP Adaptation Fund for First External Transfer of AAUs" - New transaction	- New transaction "Transfer to SOP Adaptation Fund for First External Transfer of AAUs" - Acquiring account for "Transfer to SOP Adaptation Fund for First External Transfer of AAUs"" is "SOP Adaptation Fund " - The acquiring account is prefilled and cannot be changed - The "SOP Adaptation Fund " account must be kept in a parameter - Only available to NA, subject to 4 eyes principle - is NOT reversible - is immediate - Only available to Account type with code 100 that holds Orig & Applic CP2 AAUs marked as "Subject to SOP" (check UC for all rules) - Check UC for the visibility of the link for the transaction - Check UC for all checks that need to be enforced for the creation of the account proposal - MUST SHOW all AAU units on the screen, BUT only those marked as "Subject to SOP" must be editable - PPSR accounts do not have this type of transaction - At finalization: - Units changed to "NOT Subject to SOP" - Entitlement for first external transfer of AAUs is increased by the amount of the transfer - On completion of "Transfer to SOP Adaptation Fund for First External Transfer of AAUs" the units that were transferred are marked as "not subject to SOP". - The units that are "NOT subject to SOP" must be stored in a different table as they leave the ETS - The value "Entitlement for First External Transfer of AAUs" is increased by 49x the amount of the transaction	Executed UC_HT_180_TC_01: Transfer to SOP for First External Transfer of AAUs	PASSED
KP2 requirements	Incoming external transfers - mark CP2 AAUs as "not subject to SOP"	Incoming external transfers - mark CP2 AAUs as "not subject to SOP" - All CP2 AAUs that are inserted in unit block from an external transfer with a transferring account outside Union Registry will be marked as "not subject to SOP"	Executed UC_HT_180_TC_01: Transfer to SOP for First External Transfer of AAUs	PASSED
KP2 requirements	Create table - handling for registry values	Create table - BE handling for registry values Create enumeration with various values Main table with registry - value type - value, child table with movements and statuses pending, completed etc (like exchange info) - value list contains: - "Entitlement for First External Transfer of AAUs" - "Remaining Entitlement for First External Transfer of AAUs"		PASSED
KP2 requirements	Check at proposal & Transaction finalization - transfer of Kyoto units with orig & applic CP2 AAUs - update value	For each Transfer of Kyoto units with Orig & Applic CP2 AAUs with marking "Subject to SOP", if Hosting registry of transferring and acquiring accounts is different, the value of "Remaining Entitlement for First External Transfer of AAUs" must be checked for all "subject to SOP" units - information like exchange_info should be kept for value "Remaining Entitlement for First External Transfer of AAUs" - at the finalization of the transaction the remaining entitlement should be decreased.		PASSED

Feature	Summary	Description	Test Cases	SAT Status
KP2 requirements	"Transfer to SOP Adaptation Fund for First External Transfer of AAUs" - Finalization of transaction	- On completion of "Transfer to SOP Adaptation Fund for First External Transfer of AAUs" - The similar exchange_info table is updated - the value of "Remaining Entitlement for First External Transfer of AAUs" is updated - the unit blocks are marked as "NOT subject to SOP" in the unit block table and other table	Executed UC_TF_040_TC_232	PASSED
KP2 requirements	New menu under "Kyoto Protocol" with name "KP2 Entitlements" - new screen for NA	- New menu for NA under "Kyoto Protocol" with name "KP2 Entitlements" - The NA views only the values of Share of Proceeds transferred, Entitlement, Used Entitlement, Pending Entitlement, and Remaining Entitlement for First External transfer of AAUs.		PASSED
KP2 requirements	New screen/functionality to upload PPSR / CER/ERU Entitlements	New screens functionality to upload PPSR (AAU) and one for CarryOver (CER/ERU_FROM_AAU) Entitlements for registries, available only to EU-CA Script to add permission to CA The CER/ERU screen should have a drop down with the two types of entitlements (UC were modified), an extra check should be made that the value from the drop down corresponds to the uploaded XML. Check UC for all the checks that need to be enforced on xml upload. History data must be kept. All three types of entitlements must be kept in the same table.	TC.26 UC_EN_040_TC_01: Upload KP2 entitlements in Union Registry	PASSED
KP2 requirements	PPSR Account - Holdings tab - add table with entitlement values	PPSR Account - Holdings tab - add table with entitlement values ("PPSR Initial Transfer Entitlement", "Available PPSR Entitlement")		PASSED
KP2 requirements	"Transfer AAU to PPSR account" - Finalization - update value of "Available PPSR Entitlement"	- On the finalization of the transfer from one PPSR to another PPSR, the "Available PPSR Entitlement" of the acquiring account is DECREASED with the quantity of the transaction - This will create a row on the child table of entitlements, with movement type DECREASE, and also update the parent table with the correct amount (sum of all children)		PASSED
KP2 requirements	Transfer AAU to PPSR account - New transaction	- New transaction Transfer AAU Between PPSR Accounts (either within ETS or outside) - EUCR will NOT check on the proposal of transfer from one PPSR to another PPSR that the "Available PPSR Entitlement" of the acquiring account does not go below 0 - The screen is another issue - Check UC for screen + finalization actions		PASSED
KP2 requirements	Transfer AAU to PPSR account - Proposal/Confirmation Screen	Transfer AAU Between PPSR Accounts - Proposal /Confirmation Screen - The screen includes a list of all OPEN PPSR accounts	*Test Case 1 - Transfer 1 unit to EU PPSR account* : UC_HT_170_TC_01: Transfer AAUs from GB PPSR account to FR PPSR account 1. Log in GB as NA 2. Accounts -> Type:PPSR -> Holdings -> Propose transaction -> Transfer AAU to PPSR account 3. Choose 1st radio button, and select GB account. Quantity to Transfer =1. 4. Complete the proposal and the approval 5. GB account now should have 1 less, and FR 1 more AAU unit. *Test Case 2 - Transfer externally* : UC_HT_170_TC_02: Transfer AAUs from GB PPSR account to Japanese PPSR account	PASSED

Feature	Summary	Description	Test Cases	SAT Status
			- Repeat process of Test Case 1 except for choosing 2nd radiobutton and providing an account e.g. "JP-130-4444-{0,1,2}" - Check unit distribution *Test Case 3 - Retirement* : UC_TF_080_TC_01: RETIRE UNITS - Repeat process of previous test case 1, except for choosing "Retirement" instead of "Transfer AAU to PPSR account", for 1 unit. - Check loss of 1 unit *Test Case 4 - Transfer from any other PHA is not possible* - Send units from GB PHA to GB PPSR. It is not possible. - Send units from FR PHA to GB PPSR. It is not possible. - Send units from Japan to GB PPSR. It is possible.	
KP2 requirements	Incoming transaction from PPSR account - check Available PPSR Entitlement	- When non-EU PPSR is the transferring account, if Available PPSR Entitlement of the acquiring account goes below 0, the transaction must be rejected - Missing ITL error		PASSED
KP2 requirements	"PPSR account" - Retirement transaction available from PPSR account	- Retirement transaction from PPSR account subjects to 4-eyes principle - Some checks concerning the amount are checked by ITL		PASSED
KP2 requirements	New screen for NA (same screen as REQ-46) - add conversion values	- New menu for NA under "Kyoto Protocol" with name "KP2 Entitlements" (same as REQ-46) - The NA views only the values of Converted for Transfer to SOP, Transferred to SOP for Conversion, Entitlement for Conversion, Used Entitlement for Conversion, Pending Entitlement for Conversion and Remaining Entitlement for Conversion. The NA should see these values in total for his registry, as well as a breakdown per each project		PASSED
KP2 requirements	JI Projects - edit limit for TRACK 2 projects	- NA can view and modify limit for track 2 projects - NA can view the Conversion Limits of track 2 projects per project (JI project search screen) - add logging, history - Permission	Tested by: UC_CV_010_TC_03: EDIT PROJECT LIMIT from TC.15 JI Projects document	PASSED
KP2 requirements	New transaction "Conversion of AAUs or RMUs to ERUs prior to Transfer to SOP" (Conversion A)	- New transaction "Conversion of AAUs or RMUs to ERUs prior to Transfer to SOP" (Conversion A) - Available to all type 100 accounts with orig & applic CP2 AAUs or RMUs, except PPSR accounts - Acquiring account of conversion is the same as the transferring account - It is not permitted to convert AAUs and RMUs in the same transaction, also only one project - Outcome is ERU_FROM_AAU or ERU_FROM_RMU depending on the original units (like CP1 conversion) - AAUs involved in conversion may have marking "subject to SOP" or "NOT subject to SOP" (i.e. we do not care if they have been subjected to SOP) - The user must be able to choose "subject to SOP" or "NOT subject to SOP" units (different rows on the screen) - On completion (transaction finalization) of the conversion transaction for ERUs, the ERUs are marked as	Tested by executing UC_HT_195_TC_01: CONVERT UNITS TO ERUS PRIOR TO TRANSFER TO SOP ("CONVERSION A"). In addition, the steps defined in this issue's description were followed. Unit blocks created in EUCR were tested via the EUCR screens. Unit blocks created in EUCR were tested via the query: select end_block-start_block+1, sop from unit_block where block_id in (select block_id from account_holding where account_id =	PASSED

Feature	Summary	Description	Test Cases	SAT Status
		"Converted for SOP", - unit block marking "subject to SOP", "not subject to SOP" is removed from converted ERUs - Check UC for more info about preconditions, and list of available projects. - Each project corresponds to a unit type (it must be shown next to the project number in the drop down) - Only host country of JI project can initiate conversion - Conversion screen includes some calculation display (check UC) - Screen is a different jira	(select account_id from account where account_identifier = 643)) and unit_type_code = 3; Note1: Conversion A of Track 2 projects returns the following ITL error codes which are due to ITL configuration. Correct ITL configuration with regard to JI projects will allow this transaction to complete: * 5063 * 5061 Note2: Conversion entitlements are reviewed via EUCR screens and EUTL screens.	
KP2 requirements	Conversion A - Proposal /Confirmation Screen	Conversion A - Proposal /Confirmation Screen	Tested by executing UC_HT_195_TC_01: CONVERT UNITS TO ERUS PRIOR TO TRANSFER TO SOP ("CONVERSION A").	PASSED
KP2 requirements	Conversion A - Finalization	Conversion A - Finalization	Tested by executing UC_HT_195_TC_01: CONVERT UNITS TO ERUS PRIOR TO TRANSFER TO SOP ("CONVERSION A").	PASSED
KP2 requirements	Holdings screen - display number of units with the marking "Converted for SOP"	- Holdings screen, display number of units with the marking "Converted for SOP"	tested successfully UC_HT_195_TC_01 & UC_HT_200_TC_01	PASSED
KP2 requirements	"Converted for SOP" units can ONLY be used in "Transfer to SOP for Conversion" - exclude from other "Transfer Kyoto Units" or related transactions	- "Converted for SOP" units can ONLY be used in "Transfer to SOP for Conversion" Those units must be EXCLUDED from other "Transfer Kyoto Units" etc transactions. Many transactions involved. This must be implemented in a) filter the unit blocks when proposing transaction b) new extra check in all transactions related to ERUs c) unit block reservation		PASSED
KP2 requirements	New transaction "Transfer to SOP for Conversion"	- New transaction "Transfer to SOP for Conversion" - Available only if "Converted for SOP" units exist on account - Available only from KP accounts of type 100, except PPSR - Unit types: ERU_FROM_AAU or ERU_FROM_RMU with marking "Converted for SOP" - Only one unit type must be present in the transaction - The quantity of the transaction must match a previous Conversion A for the respective project (user selects project) (for track 2 projects) - Destination account is a preselected and not modifiable(parameter in system) (New check must be created to check acq account) - not reversible, not subject to delay, holidays, working hour, 4 eyes, NA --> NA - Check UC for full set of checks which must run - transaction finalization: - increase the variable "Transferred to SOP for Conversion" - increase the variable "Entitlement for Conversion" with 49x the value of the transition "Transfer to SOP for Conversion" of the same project		PASSED

Feature	Summary	Description	Test Cases	SAT Status
		- removal of the marking "Converted for SOP" - new check: - For track 2 projects, conversion quantity must be EXACTLY EQUAL TO the quantity of the last successful "Conversion A" - The value of "Entitlement for Conversion" should always be 49x the value "Transferred to SOP for Conversion"		
KP2 requirements	Transfer to SOP for Conversion - Proposal/Confirmation screen	Transfer to SOP for Conversion - Proposal/Confirmation screen		PASSED
KP2 requirements	Transfer to SOP for Conversion - Finalization	Transfer to SOP for Conversion - Finalization		PASSED
KP2 requirements	New parameter for the target account of "Transfer to SOP for Conversion"	New parameter for the target account of "Transfer to SOP for Conversion" Check UC for name		PASSED
KP2 requirements	New transaction "Conversion of AAUs or RMUs into ERUs" ("Conversion B", 2_57)	- New transaction "Conversion of AAUs or RMUs into ERUs" ("Conversion B") - For track 2 projects, the conversion quantity must be equal to the project conversion limit (i.e. entitlement because someone may modify the limit) - any KP 100 account that holds CP2 AAUs (marked "subject to SOP" or "not subject to SOP") or CP2 RMUs - only one project - only possible after "Transfer to SOP for Conversion" - there is no pending "Transfer to SOP for Conversion" - After proposal - increase "Pending entitlement for conversion" - decrease ""Remaining entitlement for conversion" for project - decrease "Remaining entitlement for conversion" - After completion - decrease "Pending entitlement for conversion" for project - increase "Used Entitlement for Conversion" - not reversible, not subject to delay, holidays, working hours, NA --> NA, 4 eyes - Mandatory cycle: "Conversion A" --> "Transfer to SOP" --> "Conversion B" - check UC for full check list - conversion quantities: - Track 1 (no limit) - conversion A amount X - Transfer to SOP amount X - Conversion B amount 49X - Track 2 (with limit) - conversion A amount = 2% of Limit	Tested successfully UC_HT_205_TC_01 without Track 2 (it was no possible to specified track2 project on ITL)	PASSED

Feature	Summary	Description	Test Cases	SAT Status
		- Transfer to SOP amount = same as conversion A amount - conversion B amount = 49x Conversion A amount		
KP2 requirements	Conversion B - Proposal/Confirmation screen	Conversion B - Proposal/Confirmation screen	tested successfully UC_HT_205_TC_01 (with Track1 projects)	PASSED
KP2 requirements	Conversion B - Finalization	Conversion B - Finalization	Tested successfully UC_HT_205_TC_01 (only for track 1 projects)	PASSED
KP2 requirements	Carry-Over of CP1 AAUs - New transaction	- New transaction "Carry-Over of CP1 AAUs" - Available to accounts PHA, Former OHA, Personal HA (100, 120, 121) with AAU applicable CP1 units - Target account is the CP2 PPSR account that is hosted by the same KP registry of the transferring account - PPSR account must exist and OPEN - transaction available between dates - no limit - on completion unit type applicable CP modified from CP1 to CP2 - not reversible, not subject to delay, holidays, working hours, NA --> NA, 4 eyes - Check UC for full check list (other issue)		PASSED
KP2 requirements	Carry-Over of CP1 AAUs - Proposal/Confirmation screen	Carry-Over of CP1 AAUs - Proposal/Confirmation screen		PASSED
KP2 requirements	Carry-Over of CP1 AAUs - Finalization	Carry-Over of CP1 AAUs - Finalization		PASSED
KP2 requirements	Carry-Over of CP1 AAUs - Checks for transaction	Checks for transaction "Carry-Over of CP1 AAUs" - For the full check list check UC		PASSED
KP2 requirements	"Carry-Over of CP1 ERUs and CERs" - New parameter for availability of transaction	New parameter for availability of transaction "Carry-Over of CP1 EURs & CERs" Used by transaction "Carry-Over of CP1 EURs & CERs"		PASSED
KP2 requirements	"Carry-Over of CP1 ERUs and CERs" - New transaction	- New transaction "Carry-Over of CP1 ERUs and CERs" - Available to 100, 120, 121 accounts that hold CP1 ERU_FROM_AAU and CER - Not available for EU-hosted accounts - Transaction available between dates (check parameter) - Transaction not available if there is no "Carry-Over Entitlement" - Acquiring account is the same as transferring account - The quantity of ERUs and CERs that may be carried-over is limited by the "Carry-Over Entitlement" loaded by CA		PASSED
KP2 requirements	"Carry-Over of CP1 ERUs and CERs" - Proposal/Confirmation screen	Carry-Over of CP1 ERUs and CERs - Proposal/Confirmation screen		PASSED

Feature	Summary	Description	Test Cases	SAT Status
KP2 requirements	"Carry-Over of CP1 ERUs and CERs" - Finalization	Carry-Over of CP1 ERUs and CERs - Finalization		PASSED
KP2 requirements	"Carry-Over of CP1 ERUs and CERs" - Checks	Checks for transaction "Carry-Over of CP1 ERUs and CERs" - For the full check list check UC includes - new check if a "Carry-Over" exceeds the remaining Carry-Over Entitlement is proposed, the transaction will not be allowed to begin		PASSED
KP2 requirements	New screen for NA under "Kyoto Protocol" to view various Carry-Over /Entitlement values	- New screen for NA under "Kyoto Protocol" to view: - For CERs and ERUs: Carry-Over Entitlement, Pending Carry-Over-Entitlement, Used Carry-Over Entitlement - For AAUs: Quantity carried over, Pending carry-over quantity		PASSED
KP2 requirements	"Carry-Over of CP1 ERUs and CERs" - Display values in proposal screen	- Proposal screen of "Carry-Over of ERUs & CERs" shows the following values: ERU Remaining Carry-Over Entitlement, CER Remaining Carry-Over Entitlement		PASSED
KP2 requirements	"Carry-Over of CP1 ERUs and CERs" - Transaction proposal affects variables	Proposal of "Carry-Over of ERUs & CERs" affects the following variables: * Pending Carry-Over Entitlement (for CERs or ERUs depending on the units selected) is increased by the amount of the respective unit type in the transaction * Remaining Carry-Over Entitlement is decreased with the quantity of the transaction		PASSED
KP2 requirements	"Carry-Over of CP1 ERUs and CERs" - New check: If a proposed "Carry-Over" exceeds the remaining Carry-Over Entitlement, then the transaction will not be allowed to begin	new check if a "Carry-Over" exceeds the remaining Carry-Over Entitlement is proposed, the transaction will not be allowed to begin		PASSED
KP2 requirements	"Carry-Over of CP1 ERUs and CERs" - Finalization of transaction	Transaction finalization "Carry over of ERUs & CERs" - After approval from EUTL the following variables change: - Pending Carry-Over entitlement (for ERUs and CERs) is decreased - Used Carry-Over entitlement (for ERUs and CERs) is increased - At finalization of transaction, the unit blocks of the transaction change from applicable CP1 to applicable CP2		PASSED
KP2 requirements	Carry-Over of CP1 AAUs - Finalization of transaction	Transaction finalization "Carry over of CP1 AAUs" After approval from EUTL the following variables change: * Quantity Carried-Over (for AAUs) is increased * At finalization of transaction, the unit blocks of the transaction change from applicable CP1 to applicable CP2		PASSED
KP2 requirements	New LULUCF activity	- New LULUCF activity - add in enumeration - visible at unit block search/edit - visible wherever else there exists a LULUCF list - issuance screen	Tested by: UC_IS_003_TC_01: ISSUE KP UNITS of TC.09 Issuance Allocation document Repeat testing by selecting the last radiobutton: "RMU - Wetland, Drainage and Rewetting (WDR)"	PASSED

Feature	Summary	Description	Test Cases	SAT Status
KP2 requirements	Issuance Limit Screen - Edit RMU issuance limits	- New screen (or modify existing one?) for NA to modify CP2 RMU issuance limits - Message to NA explaining that it is his responsibility - For EU, CA modifies issuance limits	Tested by: UC_IS_020_TC_01:EDIT ISSUANCE LIMIT UC_IS_020_TC_02: EDIT ISSUANCE LIMIT – NEGATIVE TESTING from TC.09 Issuance-Allocation document	PASSED
KP2 requirements	CY & MT have their own Kyoto Registries	- CY & MT have their own Kyoto Registries - modification in the code is simple, more complex is the testing which should include: - creation of the same account types as other Kyoto Registries - connection with ITL, certificates - ESD behaviour as all other Kyoto Registries. ESD specific internal transfers will be obsolete, and also the two parameters with EU KP accounts must be removed	1. Test issuance limits for CY, MT 2. Test issuance for CY, MT 3. Create all KP accounts for CY, MT 4. KP transfers FR-->CY 5. KP transfers FR-->MT 6. KP transfers CY-->FR 7. KP transfers MT-->FR 8. Test Translations <-- why ? 9. Test Reconciliations both ITL & EUTL 10. Check that KP menu is visible 11. Check creation of JI Projects 12. Check notifications 13. Check export Government Accounts 14. Check conversion of AAU / RMU 15. Transfer from CY KP account to ESD-CY account 16. Transfer from ESD-CY account to CY KP account 17. Transfer from MT KP account to ESD-MT account 18. Transfer from ESD-MT account to MT KP account 19. Transfer from JP to CY 20. Transfer from JP to MT	PASSED
KP2 requirements	Investigate if a script is needed for CY & MT	Investigate if a script is needed for CY & MT e.g. for setting up issuance limits default rows etc - create script		PASSED
KP2 requirements	Screen Issuance Limits - Edit AAU issuance limits	- New screen (or modify existing one?) for NA to modify CP2 AAU issuance limits - Message to NA explaining that it is his responsibility - For EU, CA modifies issuance limits - Script to add permissions	Tested by: UC_IS_020_TC_01:EDIT ISSUANCE LIMIT UC_IS_020_TC_02: EDIT ISSUANCE LIMIT – NEGATIVE TESTING from TC.09 Issuance-Allocation document	PASSED
KP2 requirements	Liquibase script to initialize CP2 issuance limit to 0 for all registries	Liquibase script to initialize CP2 issuance limit to 0 for all registries (if needed)		PASSED
KP2 requirements	Liquibase script to give permissions to NA/CA to edit issuance limits	Liquibase script to give permissions to NA/CA to edit issuance limits		PASSED
KP2 requirements	Screen issuance limits	- Screen CP2 issuance limits - Menu under Kyoto Protocol for NA / CA of EU - will display the values:		PASSED

Feature	Summary	Description	Test Cases	SAT Status
		- issuance limit - issuance level (the sum of all issue CP2 AAUs)		
KP2 requirements	New account "AAU Account" (27)	- new account "EU AAU Account" - holds originating CP2 AAUs - Kyoto type 100 - only one - cannot initiate new if there exists a pending request - can open in EU, LI, NO - Account names: "EU AAU Account", "LI AAU Account", "NO AAU Account" - EU opened by CA, LI, NO opened by NA	1. Can be opened in EU, NO, LI only (/) 2. Only one AAU account can be created per registry. (/) - Request one AAU account; a second one cannot be requested. (/) - Create one AAU account; a second one cannot be requested. (/) - Close the AAU account; a new AAU account can be created. (/) 3. It cannot be opened in any other registry. (/) 4. In EU it is created by CA (/) 5. In NO, LI it is created by NA (/) 6. Can only hold CP2 AAUs. (/) - Try to send from another PHA allowances to an AAU account --> transfer must fail. - Try to send from another PHA CP1 AAU units to an AAU account --> transfer must fail. - Try to send from another PHA CER units to an AAU account --> transfer must fail. - Try to send from another PHA ERU units to an AAU account --> transfer must fail.	PASSED
KP2 requirements	"Carry-Over of CP1 ERUs and CERs" - New configuration parameter "End of Carry-Over CP1 -> CP2"	- Configuration parameter "End of Carry-Over CP1 -> CP2". After that date all CERs, ERUs, lCERs, tCERs will become ESD ineligible - affects a lot of transactions/parameters/account statements/account holdings etc (other issues)		PASSED
KP2 requirements	Holdings screens - after comfit param "End of Carry-Over CP1 -> CP2" all CERs, ERUs, lCERs, tCERs will become ESD ineligible	Holdings screen - after config param "End of Carry-Over CP1 -> CP2" all CERs, ERUs, lCERs, tCERs will become ESD ineligible	FAT LV-100-551 has: - CER 1-1 appearing as Limit 1 - CER 1-2 appearing as Limit 1 - CER 2-2 appearing as Limit 1 Modify parameter carry.over.end.date to a date before "now" in FAT Check that - CER 1-1 do not have a Limit specification under column ESD Eligibility - CER 1-2 appearing as Limit 1 - CER 2-2 appearing as Limit 1	PASSED
KP2 requirements	Transaction proposal screens where ESD ineligible is applied- after config param "End of Carry-Over CP1 -> CP2" all CERs, ERUs, lCERs, tCERs will become ESD ineligible	Transaction proposal screens - after config param "End of Carry-Over CP1 -> CP2" all CERs, ERUs, lCERs, tCERs will become ESD ineligible		PASSED

Feature	Summary	Description	Test Cases	SAT Status
KP2 requirements	Add all new transactions in drop down of related screens	Add all new transactions in drop down of related screens + labels.properties		PASSED
KP2 requirements	New transactions - add in TransactionType Enum	New transactions - add in TransactionType Enum	By navigating to a PHA with CP1 AAU and CER and ERU units, of a registry possessing open PPSR accounts, we see the respective transactions appearing as possible transaction types, given that the rest of the conditions are met (e.g. Conversion A, Conversion B etc.)	PASSED
KP2 requirements	Insert Check7889 description in EUCR	"Amount of CERs or ERUs transferred by “Carry Over” should be up to the Remaining Carry-Over Entitlement of transferring registry"		PASSED
KP2 requirements	KP2 Entitlements Upload - DB Tables	KP2 Entitlements Upload - DB Tables	In FAT's DB mentioned tables(3) and sequences(3) must exist	PASSED
KP2 requirements	RedBox - Account Request when error appears on first step	A RedBox appears when trying to create a new Account Request and an error appears on the first step. How to reproduce: Login as CA in EU registry Click "Account Request" Select "International Credit Account" Write some name Click "Next" The message " ERROR CODE:10148It is not permitted to have more than two open accounts of types: International Credit Account, Credit Exchange Account " appears. If the user clicks "Next" or any menu item, a Red Screen appears. In the logs the following appears: javax.faces.FacesException: Unexpected error restoring state for component with id mainForm:accountCreationCaptcha:captcha. Cause: java.lang.IndexOutOfBoundsException: Index: 1, Size: 1.	Tested successfully. 1.Give CA of EU permission with name "Open management account" 2.Follow steps of Description section. No red screen appears, and no exception is produced in logs.	PASSED
KP2 requirements	Forbid project limit update when between Conversion A and Conversion B	It is not possible to update a project's limit when a Conversion A has been proposed and its Conversion B has not been completed yet.	Tested successfully UC_CV_015_TC_01: DELETE PROJECT	PASSED
KP2 requirements	Unit block reservation - after config param "End of Carry-Over CP1 -> CP2" all CERs, ERUs, lCERs, tCERs will become ESD ineligible	Unit block reservation - after config param "End of Carry-Over CP1 -> CP2" all CERs, ERUs, lCERs, tCERs will become ESD ineligible		PASSED
KP2 requirements	Transaction proposal screens - add "Subject to SOP" or "Not subject to SOP" flag	Transaction proposal screens - add "Subject to SOP" or "Not subject to SOP" flag	tested successfully UC_HT_180_TC_01	PASSED
KP2 requirements	Forbid project deletion when between		Tested successfully UC_CV_015_TC_01: DELETE PROJECT	PASSED

Feature	Summary	Description	Test Cases	SAT Status
	Conversion A and Conversion B			
KP2 requirements	New KP2 Entitlements link screen	New KP2 Entitlements link screen Check UC. this is the main CA/NA screen for KP2 entitlements with links to all other screens		PASSED
KP2 requirements	JI Projects Delete Check - cannot delete if pending CP2 Conversion	JI Projects Delete Check - cannot delete if pending CP2 Conversion. It is not possible to delete a project if there is CP2 Conversion pending for that project. - a pending Conversion A - a completed Conversion A (/) - a pending Transfer to SOP for Conversion - a pending Conversion B - remaining entitlement to be finalized when db tables for conversion are created	Tested successfully UC_CV_015_TC_01: DELETE PROJECT	PASSED
KP2 requirements	KP2 Entitlements - Export CSV	KP2 Entitlements - Export CSV In all KP2 Entitlement screens there exists a button "Export CSV" which should export in CSV format the contents of the respective table.	Tested by executing UC_EN_030_TC_01: View KP2 entitlements in Union registry	PASSED
KP2 requirements	Auto/Manual unit selection constraint - add "Subject to SOP" or "Not subject to SOP" flag - Proposal/Confirmation Screens	Auto/Manual unit selection constraint - add "Subject to SOP" or "Not subject to SOP" flag - Proposal/Confirmation Screens		PASSED
KP2 requirements	Project limit must be >= converted quantity	I should not be able to updated project limit to a value < converted quantity. Refer to GB in FAT	1. Log in GB registry 2. In JI Projects change the value of Conversion Limit column to be less than Converted Quantity column. 3. Message should appear:" 80407: The conversion limit cannot be less than the converted quantity"	PASSED
KP2 requirements	Forbid JI Project limit update, when new limit is less than Converted Quantity		To be tested by EUCR-2507 test case	PASSED
KP2 requirements	JI Projects - The column Limit to be renamed to "Conversion Limit".	While reviewing Test Cases, CLIMA asked the column Limit to be renamed to "Conversion Limit".	To be tested by: To UC_CV_010_TC_01: DISPLAY THE PROJECTS LIST PAGE of TC.15 JI Projects document	PASSED
KP2 requirements	Conversion CP1 - Remove from drop down CP2 option	Conversion CP1 - Remove from the drop down CP2 In the transaction proposal for Conversion of CP1 units (existing screen), remove from the drop down CP2. CP1 should be preselected. Make sure that CP2 cannot be "added" by non conventional means, used to select unit blocks and create a transaction request.	1. Navigate to an account with CP1 and CP2 KP units. 2. Propose a transaction 3. Choose "Conversion of AAU or RMU to ERU" and ensure CP2 does not appear in the Commitment Period drop-down list. When a CP is selected, ensure that unit blocks of this CP appear in the holdings screen. 4. Choose "Conversion of AAUs or RMUs to ERUs prior to Transfer to SOP (Conversion A)" and ensure	PASSED

Feature	Summary	Description	Test Cases	SAT Status
		Add extra check to the original Conversion transaction which will forbid the creation of the request if the selected unit blocks are CP2	only CP2 appears in the Commitment Period drop-down list. Ensure that unit blocks of CP2 appear in the holdings screen.	
KP2 requirements	Acquiring Accounts list in Issuance screen - Add AAU Account type in list	In issuance screen, the drop down should contain accounts of type AAU Account.	1. Kyoto Protocol --> Issuance (GR registry) 2. Choose Commitment Period 2 3. Check that all the OPEN AUU Accounts appear	PASSED
KP2 requirements	Transfer PPSR --> PPSR out of ETS, enable CP field	Rightmost field is enabled. Validation: must a valid CP period UPDATE TC, UC		PASSED
KP2 requirements	EUCR-2512 Converted for SOP - unit block reservation	Converted for SOP units must be only used in Transfer to SOP for conversion transaction - modify unit block reservation	Tested by executing UC_HT_200_TC_01: Transfer to SOP for Conversion	PASSED
KP2 requirements	EUCR-2512 Converted for SOP - transaction proposal	Converted for SOP units must be only used in Transfer to SOP for conversion transaction - modify transaction proposal of all transactions which relate to ERU_FROM_AAU and ERU_FROM_RMU	Tested by executing UC_HT_200_TC_01: Transfer to SOP for Conversion	PASSED
KP2 requirements	EUCR-2512 Converted for SOP - extra check in all transactions	Converted for SOP units must be only used in Transfer to SOP for conversion transaction - extra check in all transactions that the selected unit block should not be flagged as "Converted for SOP"		PASSED
KP2 requirements	Insert Check7871 description in EUCR	Check Message: Only one Account of this Account type can be open per Registry.		PASSED
KP2 requirements	Insert Check7872 description in EUCR	Check Message: PPSR Account can only hold AAUs with originating CP =(current CP-1) and applicable CP = current CP		PASSED
KP2 requirements	Insert Check7876 description in EUCR	Check Message: Destination Account for Transfer to SOP for Conversion and Transfer to SOP for First External Transfer of AAUs should be "SOP Adaptation Fund" Account in CDM Registry		PASSED
KP2 requirements	Insert Check7878 description in EUCR	Check Message: Transfer to SOP for Conversion and Transfer to SOP for First External Transfer of AAUs should include units marked as "Subject to SOP" or "Converted for SOP" accordingly.		PASSED
KP2 requirements	Insert Check7879 description in EUCR	Check Message: Amount of CP2 AAU transferred by a Transfer of Kyoto Units between different hosting registries, should be up to the "Remaining Entitlement of First External Transfer of AAU" of the transferring registry.		PASSED
KP2 requirements	Insert Check7880 description in EUCR	Check Message: Transfer to PPSR Account should be up to the remaining "PPSR Entitlement" of the acquiring registry.		PASSED
KP2 requirements	Insert Check7882 description in EUCR	Check Message: AAUs and RMUs cannot be converted in the same transaction.		PASSED
KP2 requirements	Insert Check7883 description in EUCR	Check Message: Conversion A can only convert a single project per transaction		PASSED
KP2 requirements	Insert Check7884 description in EUCR	Check Message: Units marked as "Converted for SOP" can only be transferred by a "Transfer to SOP for Conversion" transaction		PASSED

Feature	Summary	Description	Test Cases	SAT Status
KP2 requirements	Insert Check7884 description in EUCR	Check Message: Units marked as "Converted for SOP" can only be transferred by a "Transfer to SOP for Conversion" transaction		PASSED
KP2 requirements	Insert Check7885 description in EUCR	Check Message: Conversion A not allowed if converted for transfer to SOP quantity minus transferred to SOP for conversion quantity is not 0		PASSED
KP2 requirements	Insert Check7886 description in EUCR	Check Message: Conversion A and Transfer to SOP for Conversion not allowed if remaining conversion entitlement is not 0		PASSED
KP2 requirements	Insert Check7887 description in EUCR	Check Message: Conversion B amount should be up to the remaining conversion entitlement. For track 1 projects it should be exactly equal to the remaining conversion entitlement		PASSED
KP2 requirements	Insert Check7888 description in EUCR	Check Message: Unit Type is not valid for the transaction type		PASSED
KP2 requirements	Insert Check7897 description in EUCR	Check Message: Only one Account of this ETS Account Type can be open per EU, NO, LI KP Registry		PASSED
KP2 requirements	Insert Check7898 description in EUCR	Check Message: EU AAU Account can only hold CP2 AAUs issued by EU		PASSED
KP2 requirements	Insert Check7899 description in EUCR	Check Message: CERs, ERUs, tCERs and lCERs with applicable period CP1 are ESD ineligible after the "End Of Carry Over CP1 CP2 date"		PASSED
KP2 requirements	Transaction Request Approval - add "Subject to SOP" or "Not subject to SOP" flag	Screen Transaction Request Approval - add "Subject to SOP" or "Not subject to SOP" flag		PASSED
KP2 requirements	Net Source Cancellation Notification - managed to transfer units from PPSR account	Net Source Cancellation Notification - managed to transfer units from PPSR account Try to fulfil a Net Source Cancellation Notification, select as source the PPSR account of the registry. The transaction is completed and units are removed from PPSR account. Check must be added in Notification check package to forbid such a transfer		PASSED
KP2 requirements	PPSR Account - Create from EU can be opened by CA and not NA	PPSR Account - Create from EU can be opened by CA and not NA. DES should be modified accordingly Use Case should be updated as well. UC does not mention that this account is NA only!	Testing component: "UC_AM_10_TC_14:OPEN ACCOUNT REQUEST"	PASSED
KP2 requirements	Screen - First External Transfer of AAU Entitlements View	New screen to display First External Transfer of AAU Entitlements The screen shows values for “Remaining entitlement for First External Transfer of AAUs”, “Pending entitlement for First External Transfer of AAUs”, “Used entitlement for First External Transfer of AAUs”. If the user is a CA, the screen will have a drop down with all registries to serve as a filter for the table with all registries	Tested by executing UC_EN_030_TC_01: View KP2 entitlements in Union registry	PASSED
KP2 requirements	Screen - Conversion Entitlements	New Screen to display Conversion Entitlements The screen is split into two tables. The top table shows values of the following values for all projects of each registry: “Registry Code”, “Remaining Entitlement for Conversion”, “Converted for Transfer to SOP”,	Executed UC_EN_030_TC_01: View KP2 entitlements in Union registry confined to Conversion entitlements.	PASSED

Feature	Summary	Description	Test Cases	SAT Status
		"Transferred to SOP for Conversion", "Pending Entitlement for Conversion" and "Used Entitlement for Conversion". There will be a filter with all the registries. The bottom table shows the same values, but per project. A column with the "Registry Code" must always be present in the table. Also, unit type of project, track and project limit if needed. Entity KP2ConversionEntitlements can be used to view all the necessary data for this screen.		
KP2 requirements	Screen - AAU Carry-over Quantities	New Screen to display AAU Carry-over Quantities AAU Carry-over quantities screen shows values for the value "Quantity carried over (for AAU)". If the user is the CA of EU, values for all registries are shown and if the user is the NA of some other registry, only value for the registry of the user is shown.	Tested by executing UC_EN_030_TC_01: View KP2 entitlements in Union registry	PASSED
KP2 requirements	Issuance limit update should consider also "Pending" column	When updating limit in Issuance tab, new limit should be equal or greater than Issued + Pending column units		PASSED
KP2 requirements	Unit block search / CSV - after config param "End of Carry-Over CP1 -> CP2" all CERs, ERUs, lCERs, tCERs will become ESD ineligible	Unit block search / CSV - after config param "End of Carry-Over CP1 -> CP2" all CERs, ERUs, lCERs, tCERs will become ESD ineligible		PASSED
KP2 requirements	Import message description of validation rules of ITL	The following message descriptions where imported from ITL database into EUCR, so that error descriptions appears correctly. Wherever a description already existed, it was overlapped by the new definition.	Ensure the above messages appear in message.properties.	PASSED
KP2 requirements	Insert Check7881 description in EUCR	"Transfer to SOP for Conversion" should include only ERUs marked as "Converted for SOP".		PASSED
Change in transaction pages sorting.	Filter transaction list by default on starting date (most recent ones at the top)	added by: Pieter Baeten impacted env: UR-PROD version: 3.2.3.5 Scenario to reproduce: Look at the transaction list. Incident Description: Transactions seem to be sorted randomly by default. This is very confusing for everyone. Possible cause: - Solution: Please sort transactions on their start date, from recent towards old ones (most recent ones should be shown at the top).	1. Navigate to Accounts-->Transactions and click "Search" 2. Ensure the records presented are initially sorted descending on the column "Started"	PASSED
Change in permissions for closure of Person account in National Registry	We have a customer who is trying to close their Person Account National Registry down. We have the permission "Close person holding account or verifier or trading platform account" enabled for ARs. However, they have sent us a screenshot which	Imported on: 16/12/2014 \\ From: [https://webgate.ec.europa.eu/etsis/browse/ETS-2051]	Tested successfully. 1. Locate a user who is only AR on a registry. 2. Ensure the AUTHORISED_REPRESENTATIVE has permission PERM_ACC_REP_CLS_REQUEST but not permission PERM_ACC_ADM_CLS_REQUEST. Permissions can be browsed via the query: select distinct perm_level, role_name, b.* from permissions a, role_permission b, roles c where a.permission_id = b.permission_id and b.role_id = c.role_id and perm_key = 'PERM_ACC_REP_CLS_REQUEST' and role_name = 'AUTHORISED_REPRESENTATIVE' and registry_code in ('MT') order by 1;	PASSED

Feature	Summary	Description	Test Cases	SAT Status
	clearly shows there is no "Close" hyperlink showing against their GB-121-xxxx-0-yy account. There is one against their EU-100-nnnnnnnnn-0-pp account which confirms that the permission is workign correclty. We can't give ARs "Close account (of any type)" as that would also enable the permission to close an (A)OHA which we don't want as that is reserved for us. Although we don't have anyone trying to close a FOHA we suspect the same might be true there as well. Have we missed something? We know the work around is for us to submit the Account Close request on their behalf, which we have done, but that is not how we wish to work in the long term. ARs ought to be able to submit account closure requests for all accounts excelt for OHAs and AOHAs as all the rest can be closed voluntarily by the Account Holder at any time.		3. Log in as this user and navigate to an account which is of type "Person Account in National Registry" and has no holdings. 4. Ensure the button "close" appears in the account details. 5. Remove the permission PERM_ACC_REP_CLS_REQUEST from the role AR in this registry. 6. Repeat steps 3-4; the "close" button should not appear for the same account.	
Change in date depiction in transaction list	Transactions - Date started and last updated	Hi, The date in which a transaction is started and last updated should have the time. Currently it has only the DD-MM-YYYY.	Tested successfully. Navigate to Accounts -> Transactions.	PASSED

Feature	Summary	Description	Test Cases	SAT Status
	date should have the time	This is important to help predict when a transaction will be completed. Thanks.	Ensure the columns Started and Last Updated contain value in the form: 30/08/2018 18:20 EEST	
Addition of information in account holdings scren	Account holdings should show number of units per unit type	Imported on: 16/12/2014 \\ From: [https://webgate.ec.europa.eu/etsis/browse/ETS-5098]	*Test Case 1* 1. Log in EU, as NA 2. In account 285 check sum of units of second table with each unit quantity in first table (with columns: Unit Type and Balance)	PASSED
Request to have possibility to add comment to deletion/cancellation	Request to have possibility to add comment to deletion/cancellation	It is currently not possible to add comments to a deletion or a cancellation. As account holders often perform these type of transactions on behalf of someone else, it would be very nice if they could add a comment (e.g. deletion of 1.000 allowances on behalf of company X) which they could then use to proof that the transaction has been performed.	The following transactions have enabled comments functionality. The comment is visible by the approved while approving and in history. Voluntary Cancellation Art 3.7ter Cancellation Deletion of Allowances Mandatory Cancellation Surrender of Allowances Ambition Increase Cancellation	PASSED
Add transaction comment - Surrender	EUCR-2807 Add transaction comment - Surrender	Add transaction comment - Surrender	*Test Case* 1. Log in EU as NA 2. For EU 285 perform a surrender of 1 unit with comment 3. Check in transactions the comment integration after it's completed	PASSED
Add transaction comment - Voluntary Cancellation	EUCR-2807 Add transaction comment - Voluntary Cancellation	Add transaction comment - Voluntary Cancellation	*Test Case 1* Repeat test of EUCR-2807 with account 296 and transaction: Voluntary cancellation	PASSED
Add transaction comment - Delete Allowances	EUCR-2807 Add transaction comment - Delete Allowances	Add transaction comment - Delete Allowances	*Test Case 1* - Delete Allowances comment 1. Log in EU, as NA 2. In account 291 delete 1 allowance after entering a comment 3. Approve and in Transactions page, check that comment exists and remaining units are reduced by 1.	PASSED
Request to add information to the 'Enter Emissions' screen	Request to add information to the 'Enter Emissions' screen	Imported on: 16/12/2014 \\ From: [https://webgate.ec.europa.eu/etsis/browse/ETS-6521]	*Test Case* 1. Log in PT, as NA 2. For account 642 (OHA), click Compliance 3. Click in an icon of a year. 4. There should be: installation and account holder name, also for all types of emissions there should be explanatory sentences with asterisk. Finally, user shouldn't be allowed to enter other than positive or zero value.(orange error message) Repeat for an AOHA.	PASSED
Improvement on account list: make account nr, balance and	Improvement on account list: make account nr, balance and	In the account list it would make sense to make the "account number", the "balance" and the "installation/aircraft operator ID" hyperlinks. Each link would bring the user to the account details, but to a different tab: hence respectively to the tab "Account main", "Holdings" and "Installation" tab. This avoids scrolling to the right and reduces the number of clicks if one would liek to consult for example the balance of	*Test Case 1* 1. Log in PT, as NA 2. In Accounts, click Search. Each row should contain hyperlinks: account id, balance,	PASSED

Feature	Summary	Description	Test Cases	SAT Status
installation/AO id clickable	installation/AO id clickable	an account. If a compliance symbol would be added to the account list (other JIRA issue raised earlier), clicking on this symbol could than direct to the "Compliance" tab in the account details.	installation/aircraft id 3. Click on each link, user should redirect to Account Main, Holdings, Installation tab, respectively.	
Add estimated time of execution as tiptext to delayed status in transactions screen	Add estimated time of execution as tiptext to delayed status in transactions screen	added by: Pieter Baeten impacted env: UR-PROD; UR-UT version: 6.2.6.4 Scenario to reproduce: - Incident Description: It is hard for users and administrators to determine when a transaction will be executed if the delay is applicable. The estimated time of execution is already displayed when the transaction is approved by the AAR (or introduced by an AR if no AAR is needed) as described in ETS-4153. It would therefor be very valuable if the estimated time of execution would be displayed in the transaction details. This time has now been added to the transaction details screen. This is fine already, but the user needs to click through to the transaction details to get this time. It would even be more user-friendly if the user could just hover the "30-Delayed" status of the transaction in the transaction overview list (Page ref. #061) and directly get the estimated time of completion as tiptext. This would avoid an additional click and is very useful if one has multiple transactions in status delayed. Possible cause: - Proposed solution: It would even be more user-friendly if the user could just hover the "30-Delayed" status of the transaction and directly get the estimated time of completion as tiptext. This would avoid an additional click and would be very useful if one has multiple transactions in status delayed.	*Test Case 1* 1. Log in PT as NA 2. Perform a transfer of units from PT 643 to GR 383 3. In Transactions, locate transaction and hover over status. 4. Completion info must be provided	PASSED
Request approval for account holder VAT change.	Account Holder VAT number changed without NA approval	Imported on: 16/12/2014 \\ From: [https://webgate.ec.europa.eu/etsis/browse/ETS-6868]	Tested successfully. 1. Navigate to an account and to its "Account Main" tab. 2. Click on "Update" button below the account holder details. 3. Modify the VAT number. 4. Ensure an AH update request is created. 5. Approve the request as another NA. 6. Ensure the requested change is applied by navigating to the account of step 1.	PASSED
Typo in ESD permission label	Typo in ESD permission label	We spotted a typo in an ESD label in the Production database, inside the Permissions table: ||Permission Key ||Permission Label || |PERM_ESD_TR_ENT_APPROVE |{color:red}Propose{color} Esd entitlements Transfer transaction|	Perform the following query and ensure there are values in all columns: select * from permissions where perm_key = 'PERM_ESD_TR_ENT_APPROVE';	PASSED
Request approval for some business details	Business details update without approval	General ticket to gather all business updates that need to be set as major change, so that NA approval will be required.		PASSED
It was not possible to cancel CP1 units if no open CP2 cancellation account existed; this is now fixed.	Cannot Voluntarily Cancel CP1 units although CP1 cancellation account exists	FAT, registry IT. If I suspend the CP2 Voluntary Cancellation account (or if CP2 Volun. Canc. account does not exist), I cannot propose a Voluntary Cancellation (the link is no longer available) for units of CP1 of account with identifier 460	*Test Case 1* 1. Log in EU as NA 2. Suspend the 2 voluntary cancellation accounts 3. Should be unable to see transaction voluntary cancellation of EU 296	PASSED
Transaction towards a requested account was possible; this is now fixed.	Transaction to requested account stuck in proposed		Tested successfully. 1. Request the creation of an OHA and do not approve it yet. 2. Find the details of the just requested account via the query: select * from account order by account_id desc; and note the identifier and check digits. 3. Navigate to a PHA and enter a transfer towards the requested account.	PASSED

Feature	Summary	Description	Test Cases	SAT Status
			4. Ensure this validation rule appears and forbids the transction submission: 80756: The acquiring account must be active	
Change in the "About this site" destination link	Wrong Link - About this site	On EUCR there is the "About this site" link. This shows to http://ec.europa.eu/clima/policies/ets/registries/index_en.htm, but this gives an error message. This is because there is a typo in the link: I assume this page was meant: http://ec.europa.eu/clima/policies/ets/registry/index_en.htm	Tested successfully. From any page of the site, ensure the link "about this site" leads to: http://ec.europa.eu/clima/policies/ets/registry/index_en.htm	PASSED
Change in the "Contacts" destination link	EUCR Contacts link	EUCR Contacts link should direct here: http://ec.europa.eu/clima/contact/index_en.htm. Currently it directs here: http://ec.europa.eu/dgs/clima/contact_en.htm	*Test Case 1* 1. Log in EU, as NA 2. Click Contact link 3. Click again Contact link 4. Should get redirected to http://ec.europa.eu/clima/contact/index_en.htm	PASSED
Allow SD users to view more task types in the tasklist.	SD cannot see others accounts' tasks	Our ServiceDesk staff workers should be able at least to see tasks of type "personal details update"/"business details update". Currently this seems not to be the case. Currently the verification of the documents received for these kind of updates is done by our ServiceDesk staff worker, hence she would need to be able to access the corresponding task in the registry. Can you confirm these tasks are not available for ServiceDesk staff workers (has this changed recently)? It seems as well that these tasks kind not be assigned to ServiceDesk staff workers neither, can you please confirm (probably this is related to our first question)? Is there any role besides the RegAdmin who can see (and act) for these kind of tasks? Thank you for the clarifications! KR, Pieter	1. Connect as NA and locate a user who is only SD in a registry. 2. Navigate to Roles and Permissions and give permission "Read-only" to role SD; approve it as another NA. 3. Navigate to Roles and Permissions and give permission "Approval of AR Addition" to role SD; approve it as another NA. 4. As NA, submit an addition of AR to an account. 5. Connect as SD and locate this task in the tasklist. Claim and ensure it cannot be approved or rejected via the buttons, the message "You are not authorised for this action" appears instead.	PASSED
Add a footnote in External Transfers of Kyoto Units	Footnote - External Transfers of Kyoto Units	In External Transfer of Kyoto Units proposal screen a footnote should be added: "Kyoto units with originating CP1 are not eligible for use in ETS".	In External Transfer of Kyoto Units proposal screen a footnote is added: "Kyoto units with originating CP1 are not eligible for use in ETS".	PASSED
Wrong time depiction for some transactions; this is now fixed.	Incorrect time displayed for transactions	If a transaction is proposed or approved between midnight and 1am hour part of the time shows as 24 instead of 00 Example - look at EU347852 from the "Transactions" side menu. Click on the "Request Details" tab and look at the "User Approved" Action date and time.	*Test Case 1* 1. Log in EU, as NA 2. In Transactions click Search and navigate through the page results 3. There should be no greater value than 23:59 in Started and Last Updated column	PASSED
The system now detects and warns if an AR attempted to be attached on an account is already an AR for a verified connected on the same account.	Inconsistent view of whether or not a user is already related to an account holder	Imported on: 26/01/2016 From: https://webgate.ec.europa.eu/etsis/browse/-1008?filter=10404	1. Attach a verifier on an OHA. 2. Attach the AR of the verifier on the OHA of step 1. 3. Ensure the error message appears: "The relationship with the Account Holder already exists, please consult the available list" and step 2 is not allowed.	PASSED
Country code entered in external transfer screen should be	Country code should be automatically upper-cased	Raised to replace SDB-277 When entering a transaction of Project Credits/AAUs etc. the user has to enter the countrycode of the acquiring Registry. This is case sensitive and error 10120 is generated if the user enters all details of the transaction correctly apart from the fact that the have entered the countrycode in lowercase	1. Connect as NA 2. Navigate to a PHA and enter a transaction towards the account "jp-100-999"	PASSED

Feature	Summary	Description	Test Cases	SAT Status
automatically upper-cased.		letters. This really should not be an error. In fields such as this the application should automatically uppercase the countrycode for the user and only display 10120 if the user has entered something incorrect in this field. It is unusual behaviour because it allows a completely invalid countrycode to be entered provided it is uppercase (e.g. ZZ) but throws an error if the user has entered something correct but in lowercase (e.g. gb). If anything it should have rejected the ZZ completely and uppercased the gb.	3. Approve the transaction request 4. Ensure the transaction is received in ITL --> Transaction Mgt screen	
Correction in export of government accounts functionality.	incorrect Export of Government Accounts	Imported on: 26/01/2016 From: https://webgate.ec.europa.eu/etsis/browse/SDB-3170	Tested successfully. 1. Propose and do not approve a Party Holding Account. 2. Query the just created accounts and locate identifier and check digits. select * from account order by account_id desc; 3. Export Government Accounts and ensure the identifier is not contained. Note: Accounts in any STATE other than ACTIVE will not be contained (e.g. REQUESTED, REMOVED etc.) because this clause has been added in the query.	PASSED
Enable mandatory cancellations	Mandatory Cancellation enabling (4-48)		Tested successfully. Refer to transaction MT225.	PASSED
Correction in emissions correcction screen.	Correct Emissions says Enter Emissions	When you open up the little tick to correct emissions figures the box says Enter Emissions. It should really say Correct Emissions or Update Emissions: It would also be good to have a view of the current and corrected figures just before you send the request to the task list;	Tested successfully. 1. Navigate to an OHA with submitted emissions. 2. Click on the little pencil icon. 3. Ensure the screen is titled "Correct emissions" Repeat with AOHA	PASSED
Correction in ITL notifications screen	ITL Notifications screen - next page/filter does not work	ITL Notifications screen - next page/filter does not work in FAT-BE there exist > 20 notifications. Click select, go to page 2, it displays only 2, go page 3 it displays none, go to page 1 again, it displays none. Filter not working: go to ITL Notification screen, choose "Non Submission Of Certification Report" and click select. 20 found. go to page 2, it displays only two instead of 10 with one being "Unit Carry Over".	1. Locate a registry with several ITL notifications, more than 10 of one specific type (e.g. Non Submission Of Certification Report). 2. Filter for Non Submission Of Certification Report. 3. Go to the next page. 4. Return to the first page 5. Confirm the filter set in step 1 is still applicable.	PASSED
Correction in ITL notifications search mechanism	ITL Notifications - sorting search results disregards filter values	When search is performed in ITL Notifications with specified filter value (e.g. Identifier = 1005406359) and then results are sorted, all results are displayed again disregarding filter value. Same happens after any change to result list component such as increasing number of visible rows or moving to next page.	1. Navigate to Kyoto Protocol -> ITL Notifications. 2. Search for record with and without entering criteria 3. Sort the records and ensure the provided search criteria are respected.	PASSED
Error detection when importing ICE XML.	Wrong error message while importing ICE to holding account	Imported on: 02/02/2016 From: https://webgate.ec.europa.eu/etsis/browse/-1214	1. Log in EU registry as na 2. In EU ETS tab, click ICE Table Upload 3. Browse and Import xml: <?xml version="1.0" encoding="UTF-8" standalone="no"?> <entitlements registryCode="EU" xmlns="urn:eu:europa:ec:clima:ets:1.0"> <installation identifier="101"> <action>U</action> <flag>0</flag> <ice>6066</ice> </installation> <installation identifier="103">	PASSED

Feature	Summary	Description	Test Cases	SAT Status
			<action>A</action> <flag>0</flag> <ice>7077</ice> </installation> </entitlements> 4. After uploading xml, message is: The content of the XML file is invalid 90101: The Installation identifier 103 does not exist in the registry.	
Correction in KP2 entitlements screens	Registry filter in "Transfer to PPSR Entitlements" (EU) doesn't work	Given I'm logged as CA in EU When I go to KP2 entitlement / Transfer to PPSR Entitlements page And select one MS in Registry filter And press Search button Then values for all Member States are displayed (instead of one line just for selected MS)	*Test case* 1. Log in EU as CA 2. At KP2 Entitlements, Transfer to PPSR, check that filter works.	PASSED
JI projects screen correction	NumberFormatException when trying to update JI project convesion limit with empty value	Given I'm logged in as NA in registry And there are JI projects Track 2 defined When I go to JI projects page And update conversion limit of given track 2 project with empty value Then unrecoverable error is thrown <INFO > <2016-05-11 16:59:12,304> <EU> <HRHC:8543768 SHC:903856848 UN:kierecki1 REG:EU> [20160511165912.303][BF_UC04_LOG10][kierecki1][10.219.40.205][EUCR_TESTmanaged1][EU][Unrecoverable error][ERROR_ID: DBFC139C][ERROR_DETAIL: ---------- # Unknown macro: {jiProjectListViewBean.submitLimitUpdate} : java.lang.NumberFormatException: null ---------- javax.faces.FacesException: # : java.lang.NumberFormatException: null	*Test Case 1* 1. In EU registry, Ji Projects tab, click Search 2. Select a row with convertion limit, click on the pencil mark, delete the value 3. Click Submit 4. Should get error message:" Unit quantities may only be positive integers."	PASSED
Addition of label for permission	No label for PERM_KP_ISS_LIMITS permission	There is no label for PERM_KP_ISS_LIMITS permission. Instead of label such as "Set Kyoto Protocol issuance limits", following text "?permission_PERM_KP_ISS_LIMITS?" is displayed.	Ensure the following query returns a value in all fields: select * from permissions where perm_key = 'PERM_KP_ISS_LIMITS';	PASSED
No title displayed in confirmation popup box - deletion of allowances; this is now fixed	No title displayed in confirmation popup box - deletion of allowances	While performing Transaction of Deletion of Allowances there is not displayed title in confirmation popup. This was in the previous version. The conrrect title which was before: "Transfer Confirmation"	*Test Case* 1. Log in Germany, as NA 2. Initiate a allowance deletion for account 199 3. After clicking Next the pop-up appears. 4. Title "Transfer Confirmation" should exist	PASSED
Corrections in voluntary cancellation screen	Red Screen - Voluntary Cancellation from Trading Account - Check 80741	Red Screen - Voluntary Canceallation from Trading Account - Check 80741 It crashes with "nested exception is: java.lang.RuntimeException: java.lang.IllegalArgumentException: Transferring account must be present on the check context."	*Test Case 1* - Perform Voluntary cancellation 1. Log in GR as NA 2. In Accounts, Trading Accounts, select EU-100-10040-0-77	PASSED

Feature	Summary	Description	Test Cases	SAT Status
		CheckContextParam.TRANSFERRING_ACCOUNT has not been added to the context.	3. Perform a voluntary cancellation of e.g. 10 units. 4. After transaction completion, units should be removed and no red screen should appear.	
Correction in ESD entitlement transactions	Red Box Error while Performing Entitlement Transfer/CarryOver in Phase 3 (After Compliance Status Calc.)	Perform Proposal for Transaction of Transfer of Credit Entitlement or CaryOver of Credit Entitlement for ESD Compliance Account while having actual phase in period after compliance status calculation. All of those propositions are resulting with RedBox error. See attached pictures and log file *This happens only with disabled ECAS signature*	1. Set the parameter registryConfig.ALL.ECAS_SIGNATURE_ENABLED = true 2. Perform an ESD transaction and ensure it is submitted with signature 3. Approve the ESD transaction and ensure it is approved with signature 4. Perform an ESD entitlement transaction and ensure it is submitted with signature 5. Approve the ESD entitlement transaction and ensure it is approved with signature 6. Set the parameter registryConfig.ALL.ECAS_SIGNATURE_ENABLED = false 7. Perform an ESD transaction and ensure it is submitted without signature 8. Approve the ESD transaction and ensure it is approved without signature 9. Perform an ESD entitlement transaction and ensure it is submitted without signature 10. Approve the ESD entitlement transaction and ensure it is approved without signature	PASSED
CP1 RMU activity codes are removed from Conversion A screen because these units cannot be converted any more.	CP1 RMU LULUCF displayed in Conversion A proposal screen	Given I'm logged in as NA And there is PHA account with CP1 RMU (Forest management (FM)) and CP2 RMU (Wetland, Drainage and Rewetting (WDR)) When I propose Conversion A Then on transaction proposal screen I can choose one of above LULUCFs In this case only LULUCFs related to CP2 RMU units should be displayed. When user tries to propose Conversion A using LULCF that is not related to CP2 RMU units, transaction is not proposed but there is no error displayed (nothing happens).	1. Locate an account with RMUs. 2. Set all its RMUs to orig CP1 and appl CP1. 3. Ensure the Conversion A is not possible to be submitted for this account. 4. Set all its RMUs to orig CP2 and appl CP2. 5. Ensure the Conversion A is not possible to be submitted for this account. 6. Set some RMUs to orig CP1 and appl CP1 and some RMUs to orig CP2 and appl CP2. 7. Ensure the Conversion A is possible to be submitted only for the CP2 RMU units for this account (with originatining country code the current MS). The following queries were users for these updates. select * from unit_block where account_id in (select account_id from account where identifier = 644) and unit_type = 'RMU' order by last_modified_time desc; update unit_block set original_period = 2, applicable_period = 2 where ID in (480, 479, 478, 477);	PASSED
KP2 Demo Comment: Issuance: the "Available Limit" should be replaced with "Initial Limit"	KP2 Demo Comment: Issuance: the "Available Limit" should be replaced with "Initial Limit"	In the Issuance section the label "Available Limit" is used incorrectly. It should read "Initial Limit" as that is the Issuance Limit that was initially defined.		PASSED

Feature	Summary	Description	Test Cases	SAT Status
CP1 issuance and issuance limits are disabled	KP2 Demo Comment. For CP1 we should not be able to set the limits nor to issue units	For CP1 we should not be able to set the limits nor to issue units. It is obsolete and confusing to have this functionality included in the release, as the CP1 issuance is no longer available.	1. Connect as NA and navigate to Kyoto Protocol -> Issuance Limits 2. Chooce CP1 and ensure the screen is view-only 3. Chooce CP2 and ensure the issuance limits for PC2 and chosen unit type is set normally. 4. Navigate to Kyoto Protocol -> Issuance 5. Chooce CP1 and ensure the screen is view-only 6. Chooce CP2 and ensure the issuance request is submiited normally; after approval by another NA the units are issued normally in the acquiring account. Note: The screen no longer allows setting issuance limits for CP1. In case the user tampers the DOM of the page using Firebug and manages to submit a proposal for CP1, then the following message is displayed: "Cannot set issuance limits for Commitment Period 1."	PASSED
Transfers to SOP account (except the explicit transaction Transfet to SOP) are disabled.	KP2 Demo Comment: Any direct normal 03-00 transfer to the SOP account in the CDM registry should be forbidden	Any direct normal 03-00 transfer to the SOP account in the CDM registry should be forbidden. It would create massive confusion if a member state tries to pay his SoP dues by a normal transfer to the SoP account (maybe he knows the number from a previous transaction or from another MS or from the ITL directly) and does not get any entitlement for first external transfer of AAUs.	1. Connect as NA and navigate to a PHA with KP units. 2. Propose an external transfer towards the SOP account as defined in eucr-configuration.properties. 3. Ensure the following validation rule appears and the transaction cannot be submitted: 80215: External Transfers cannot have CDM SOP Adaptation Fund as an acquiring account	PASSED
KP2 Demo Comment: On the transfers of KP Units page you should see the Available Entitlement for First Transfer of AAUs	KP2 Demo Comment: On the transfers of KP Units page you should see the Available Entitlement for First Transfer of AAUs	On the transfers of KP Units page you should see the Available Entitlement for First Transfer of AAUs. We should see it only on the transfer of KP units page, not on transfer of allowances or other transactions.	1. Propose a transfer to SOP for first external transfer 2. Ensure in the proposal screen that the entitlement appears in the form: " Remaining Entitlement for First External Transfer of AAUs: <<entitlement>> "	PASSED
KP2 Demo Comment: In the drop down list of PPSR accounts the account numbers should not be displayed	KP2 Demo Comment: In the drop down list of PPSR accounts the account numbers should not be displayed	When you choose a transfer from a PPSR account to another European PPSR account the account number is displayed in parenthesis. This should not happen for confidentiality reasons. We should see GR PPSR Account.	*Test Case 1* 1. Log in PT as NA 2. From PPSR account transfer unit to EU PPSR: In Transfer AAU to PPSR account panel, the drop-down list (enabled when choosing first radiobutton) should contain no identifiers.	PASSED
KP2 Demo Comment: conversion of CP1 units should be obsolete.	KP2 Demo Comment: conversion of CP1 units should be obsolete.	Conversion of CP1 units should not be available in the transactions anymore.	Tested successfull. 1. Navigate to an account with CP1 units. 2. Navigate to the account holdings and propose a transaction 3. Ensure "Conversion for CP1" does not appear as an option	PASSED
KP2 Demo Comment: - In JI Projects instead of Limit = -1, track 1 projects should have the label Not Applicable	KP2 Demo Comment: - In JI Projects instead of Limit = -1, track 1 projects should have the label Not Applicable	In JI Projects instead of Limit = -1, track 1 projects should have the label "Not Applicable"	*Test Case* 1. Log in PT as NA 2. Perform a conversion A,B with track 1 project, for PT 643 3. There should be N/A in Limit column	PASSED

Feature	Summary	Description	Test Cases	SAT Status
KP2 Demo Comment: The word transferred has a type in a message. It's written tranfered	KP2 Demo Comment: The word transferred has a type in a message. It's written tranfered	.	1. Conect as NA 2. Propose a Conversion A, a Transfert to SOP for Conversion and a Conversion B. 3. Ensure the word "transferred" appearing in messages is spelled correctly.	PASSED
Screen change	KP2 Demo Comment: conversion B quantity	Conversion B should have a mandatory quantity, not a recommended one. Q = Limit – Transferred to SOP – quantity converted in previously completed cycles. This is no longer recommended; any other quantity you would enter would trigger the rejection of the transaction.	1. Perform a Conversion A -> Transfer to SOP for Conversion -> Conversion B for a Track 2 project 2. Ensure the messages below the Conversion A and Conversion B screen refer to "mandatory" quantity and not to "recommended" quantity.	PASSED
Screen change	KP2 Demo Comment: in Conversion A / B proposal screen there is combobox with commitment period – this should be replaced by label	In Conversion A / B proposal screen there is combobox with commitment period – this should be replaced by label because only CP2 units undergo conversion A or B.	1. Perform a Conversion A -> Transfer to SOP for Conversion -> Conversion B. 2. Ensure the CP appears as a label and not as a drop-down box in Conversion A and Conversion B.	PASSED
Upload of PPSR entitlements created an error if a section was missing; this is now fixed.	NPE when uploading PPSR entitlement without entitlement tag	1. Log in to EU as CA 2. Got to KP2 Entitlements / PPSR entitlement 3. Upload xml that misses entitlements tag Description When user uploads PPSR entitlement xml with missing entitlement tag there is NullPointerException thrown: <?xml version="1.0" encoding="UTF-8" standalone="no"?> <kp2Entitlements unitType="AAU" xmlns="urn:eu:europa:ec:clima:ets:1.0"> <kp2Entitlement> <registryCode>EU</registryCode> <action>A</action> </kp2Entitlement> </kp2Entitlements>	1. Connect as EU-CA and navigate to Kyoto Protocol --> KP2 Entitlements 2. Upload the following file and ensure the validation error appears: "The content of the XML file is invalid" <?xml version="1.0" encoding="UTF-8" standalone="no"?> <kp2Entitlements unitType="AAU" xmlns="urn:eu:europa:ec:clima:ets:1.0"> <kp2Entitlement> <registryCode>EU</registryCode> <action>A</action> </kp2Entitlement> </kp2Entitlements>	PASSED
Screen change	IllegalArgumentException in Unit Blocks when sorting by SOP flag	1. Log in to registry as NA 2. Go to Administration / Unit Blocks 3. Search for unit blocks 4. Click on "SOP" column header to sort unit blocks by SOP flag 5. Click [Search] button again When user tries to sort Unit blocks by SOP flag there are two failures: 1. After clicking the table header "SOP" all values from table disappear 2. Then, if user clicks [Search] button again, unrecoverable error is thrown	1. Log in to registry as NA 2. Go to Administration / Unit Blocks 3. Search for unit blocks 4. Click on "SOP" column header to sort unit blocks by SOP flag 5. Click [Search] button again 6. Browse through pages and reach the last page then back to the first page; ensure the provided search criteria remain as set during step [4].	PASSED

Feature	Summary	Description	Test Cases	SAT Status
Change in account statements for AAU units which are subject to SOP	AAU Subject to SOP units displayed as Not Subject to SOP on Transaction request tab of Account Statement	TC1. Given there is a transaction request for transfer of CP2 AAUs that are subject to SOP and CP2 AAUs that are Not subject to SOP When I go to Account statement page of transferring account And Search for this transaction request using start/end date filters Then request data is displayed And AAU Subject to SOP units are displayed in Subject to SOP column And AAU Not Subject to SOP units are displayed in Not Subject to SOP column TC2. Given there is a transaction pending for transfer of CP2 AAUs that are subject to SOP and CP2 AAUs that are Not subject to SOP When I go to Account statement page of transferring account And Search for this pending transaction using start/end date filters Then transaction data is displayed And AAU Subject to SOP units are displayed in Subject to SOP column And AAU Not Subject to SOP units are displayed in Not Subject to SOP column Description Given there is a transaction request for transfer od CP2 AAUs that are subject to SOP When I go to Account statement page of transferring account And Search for this transaction request using start/end date filters Then request data is displayed And AAU Subject to SOP units are displayed in Not Subject to SOP column Same issue is with Pending Transactions tab of Account statement. The result if this bug is also that if there are CP2 AAU Not Subject to SOP units in request/transaction they are not displayed at all.	Tested successfully with the following data: Transferring account: PT 643 Acquiring account: GR 383 The following are visible in the account statement of the transferring account: * Transaction Request phase 22 units requested for transfer units with flag Subject to SOP, are visible in Account Statements' Transaction Request tab, at the column of Subject to SOP. Not Subject to SOP column is unaltered. * Pending transaction phase After approving, 22 units exists in Pending tab, as Subject to SOP. Not Subject to SOP column is unaltered. * Completed transaction phase After approving the transaction request, 22 units are visible only in Completed tab, as Subject to SOP. Not Subject to SOP column is unaltered.	PASSED
Correction in account statements for carry-over	Carry over account statements: wrong balance	After a CER carry-over I get an account inbalance.	1. Connect as NA and navigate to an account with CER carry-over entititlement and CP2 CERs. 2. Carry-over 1 CER. 3. Approve the transaction and ensure it is completed. 4. Generate the account statement of the account for the specific date. 5. Ensure the account statement correctly adds up, i.e. the CER quantity BEFORE is equal to the CER quantity AFTER. Repeat the same for ERU.	PASSED
Remaining CER/ERU carry-over entitlement is 0 until first transaction is proposed (EU view only)	Remaining CER/ERU carry-over entitlement is 0 until first transaction is proposed (EU view only)	Given I'm logged as EU CA When I upload new CER / ERU entitlement for some registry e.g. BG Then value for remaining entitlement should be set to uploaded (initial) value Given I'm logged as EU CA When I upload new CER / ERU entitlement for some registry e.g. BG Then value for remaining entitlement is not set to uploaded (initial) value	*Test Case* 1. Log in EU as NA 2. At KP2 entitlements, upload CER entitlements for EU with xml: <?xml version="1.0" encoding="UTF-8"?> <kp2Entitlements xmlns="urn:eu:europa:ec:clima:ets:1.0" unitType="CER"> <kp2Entitlement> <registryCode>EU</registryCode>	PASSED

Feature	Summary	Description	Test Cases	SAT Status
		This issue is a display issue observed only in EU registry (in MS registry remaining entitlement is displayed properly). The value displayed in EU is updated after proposal of first carry-over transaction in given registry for particular unit type.	<action>A</action> <entitlement>9000</entitlement> </kp2Entitlement> </kp2Entitlements> 4. After submitting the import, value 9000 should be visible in CER Initial Carry-Over Entitlement and CER Remaining Carry-Over Entitlement columns	
Message logs table screen functionality change	Message logs table screen functionality change	Loading the message logs screen is very slow. We guess it has to do with the number of records in the table. There is only a primary index on the message_logs table. Maybe an extra index is needed, as we have the impression that a full table scan is happening. there could be a relative quick win by: Add index: CREATE INDEX "MSG_LOG_IDX" ON "MESSAGE_LOG" ("DATE_TIME" DESC, "REGISTRY_CODE" DESC) We suggest using a solution similar to the one we use in Task List. Once the user clicks "Message Logs" he just sees the filters. Here he needs to fill in From and To and he gets the list. If he leaves the fields blank it will still work, but it will be very slow. After 3-4 tries the user will understand it's better to fill in From and To and get used to it. Creating an index on the time field will also help.	*Test Case 1* 1. Log in GR, as NA 2. In Message Logs, fill From and To fields and click Filter 3. There should be a minimal delay on displaying the results	PASSED
User lost access to Task List page before it's AAR removal request was accepted; this is now fixed	User lost access to Task List page before it's AAR removal request was accepted	At AAR removal submission request and while approval is still pending. AAR can still access the tasklist page AAR cannot view any task related to the account from which the AAR is being removed.	1. In browser (a) login as AAR and make sure there are some "Add to TAL list" requests which AAR can pick and execute, get Account number from one that request 2. In browser (b) login as NA and remove this AAR from account - do not approve this removal AAR, leave this task in "waiting for approval state" 3. Go back to browser (a) and click home page in menu, than click Task List in menu Result: Every time Task Page is clicked in menu - The tasks related with the account from which the AAR is being removed are not shown	PASSED
CDM accounts implementation	Create the three CDM account types, configuration parameters, add in transaction search	- New account type CCS Net Reversal Cancellation Account (241) (only visible in transaction search) - belongs to CDM - New account type Non-submission of Verification Report Cancellation Account (242) (only visible in transaction search) - belongs to CDM - Account type for SoP Adaptation Fund is 100 - belongs to CDM - Parameter for CCS Project Reserve Account in CDM to be used as prefilled acquiring account for notification - Method to return the account identifier stored in parameter - Search transactions must be able to search with this account type - check UC Nofitications for parameter name	1. Navigate to Accounts->Transactions 2. Ensure the account type Non-submission of Verification Report Cancellation Account exists as an option 3. Ensure the account type CCS Project Reserve Account exists as an option 4. Navigate to EUTL->Transaction Mgt 5. Ensure the above mentioned account types exist in both originating and destination account types drop-down lists.	PASSED

Feature	Summary	Description	Test Cases	SAT Status
PPSR checks	Acquiring account check for PPSR account - for all transactions	- PPSR accounts can receive AAUs from ONLY another PPSR account - Transfers between PPSR accounts are NOT subject to "Share of Proceeds"(SOP) levy - Transfers between PPSR accounts subject to 4-eyes principle	Tested successfully. Refer to transaction: EU1218338	PASSED
KP2 accounts/transactions setup	CP1 ETS Central Clearing Account - Allowed transaction - Carry-Over AAU	CP1 ETS Central Clearing Account - Allowed transaction - Carry-Over AAU Carry-Over of AAUs transaction is allowed from CP1 ETS Central Clearing Account to the CP2 PPSR Account in EU Registry	Tested successfully. Refer to transaction: EU1218338	PASSED
KP2 accounts/transactions setup	EU AAU Account - Available unit types	EU AAU Account - Available unit types EU AAU account should be able to receive/transfer only CP2 AAUs of the same registry.	*Test Case 1 - AAU account sends CP2 AAU units* (/) 1. Log in EU, as NA 2. Transfer AAU CP2 from AAU account to EU 296 3. Check transaction status is completed and units are transferred. *Test Case 2 - AAU account receives CP2 AAU units* (/) 1. Log in EU, as NA 2. Transfer AAU CP2 from EU 296 to AAU account 3. Check transaction status is completed and units are transferred. *Test Case 3 - AAU account cant receive CP1 AAU units* (/) 1. Log in EU, as NA 2. Transfer AAU CP1 from EU 296 to AAU account 3. Check transaction status is terminated/haulted (error code: 7029) and units are not transferred. *Test Case 4 - AAU account cant receive from external registry* (/) 1. Log in PT, as NA 2. Transfer AAU CP2 from PT 643 to EU AAU account 3. Check transaction status is terminated(error code: 7898) and units are not transferred.	PASSED
KP2 accounts/transactions setup	EUCR-2850 EU AAU Account - Available transactions	EU AAU Account - Available transactions	*Test cases* (EU, NA admin) 1. Issue AAU CP2 units to EU AAU account, check new units. 2. Transfer from EU 296, AAU CP2 units, to EU AAU account 3. Retire unit from AAU account, check units reduction. 4. Repeat for cancellation.	PASSED
KP2 accounts/transactions setup	New transactions - confirm permissions and roles	New transactions - add permissions		PASSED
KP2 accounts/transactions setup	Article 3.7ter Cancellation - New Account	Create Art 3.7ter Cancellation Account, only by NA of MS, in any MS, only one, account type code 270, applicable for CP2 only	Refer to account PT-270-10003400-2-23	PASSED
KP2 accounts/transactions setup	Article 3.7ter Cancellation - Available transactions	Art 3.7ter Cancellation Account can only be an acquiring account, no transactions can be initiated from this account	Test Case 1. Log in PT as NA	PASSED

Feature	Summary	Description	Test Cases	SAT Status
			2. Locate an Article 3.7ter Cancellation account with units. 3. Check that for Article 3.7ter Cancellation account, no transaction can be initiated.	
KP2 accounts/transactions setup	Article 3.7ter Cancellation - New transaction	- New transaction from any KP account "Article 3.7ter Cancellation", only if account exists in MS (similar to Voluntary Cancellation) - Initiated by NA only - Any kyoto unit type except "Former EUA" - Units must not be "ESD Used" - add other rules and checks from UC	Tested successfully (LV196). Known Issue: ========== In order to complete the transaction and not get ITL errors only CP2 AAUs with originating country code = transferring registry had to be used. All the unit blocks of the account with different originating country code where marked as "RESERVED_FOR_TX" from the database, so that only the desired ones were available. It would be beneficial if this was be added as a filter to the unit blocks presented to the user.	PASSED
KP2 accounts/transactions setup	Article 3.7ter Cancellation - Transaction proposal/confirmation screen	Transaction proposal/confirmation screen - Article 3.7ter Cancellation Should be similar or the same as voluntary cancellation	Tested successfully with execution transaction "512189-Art 3.7ter cancellation of Kyoto Units" from PHA PT (643) to PT-270-10003435-2-42(as anquiring account.	PASSED
KP2 accounts/transactions setup	Ambition Increase Cancellation - New Account	Create Ambition Increase Cancellation Account, only by NA, any KP registry, only one, account type code 280, applicable for CP2 only	Refer to account : PT-280-10003401-2-25	PASSED
KP2 accounts/transactions setup	Ambition Increase Cancellation - Allowed unit types	Ambition Increase Cancellation Account - Allowed unit types - check UC	Refer to PT-280-10003401-2-25 The NA-PT registry supports a new KP account type called Ambition Increase Cancellation Account. The account type code – 280. (second part of account number) This account type is applicable only for CP2. This constraint enforces at account opening request.(no display drop down list & display on the account number)	PASSED
KP2 accounts/transactions setup	Ambition Increase Cancellation - Account available transactions	No transactions can be initiated from this account, can only be an acquiring account	No transactions can be initiated from an Ambition Increase Cancellation .(the button "Propose a transaction" is not available). These accounts types are only acquiring accounts.(executed transaction Ambition Increase Cancellation from a PHA (PT) to the specific account PT-280-10003401-2-25)	PASSED
KP2 accounts/transactions setup	Ambition Increase Cancellation - New transaction	- New transaction from any KP account "Ambition Increase Cancellation" (similar to Voluntary Cancellation) - Initiated by NA only - for unit types and other rules check UC	tested successfully UC_AM_70_TC_01: APPROVE ACCOUNT OPENING REQUEST Created account : PT-280-10003401-2-25	PASSED
KP2 accounts/transactions setup	Ambition Increase Cancellation - Transaction proposal/confirmation screen	Transaction proposal/confirmation screen - Ambition Increase Cancellation Should be similar or the same as voluntary cancellation	- executed transaction for transaction type called "Ambition Increase Cancellation" by the National Administrator (PT) from any KP account (PHA -PT-643) (the correspondingTransaction proposal/confirmation screen is displayed) This transaction had as destination account the Ambition Increase Cancellation account (PT-280-10003401-2-25)	PASSED

Feature	Summary	Description	Test Cases	SAT Status
KP2 accounts/transactions setup	Export Government Accounts - CSV - add new accounts	- PPSR, Article 3.7ter Cancellation Account and Ambition Increase Cancellation account are considered "Government Accounts" and should be exported in the CSV file 'Export Government Accounts'	1. Propose and approve an ambition increase cancellation account. 2. Propose and approve an Art3.7 cancellation account. 3. Propose and approve a PPSR account. 4. Navigate to Accounts -> Export Government Accounts 5. Ensure the identifiers of the accounts created in step 1,2,3 are included in the list of accounts of step 4.	PASSED
Implementation of Unit block CSV functionality	Search unit blocks - add new CSV - des-req-21	- New CSV file containing serial numbers of all KP units held in accounts of account type (100, 120, 121) for specific unit types - Button visible for NA only in Unit Block Search screen - Contents of the CSV are the same as the existing unit block CSV	1. Navigate to Administration -> unit blocks to a registry with retirement account. 2. Click on "export KP units in KPaccounts" 3. Copy the contents of the created file 4. Ensure the contents are identical to the records returned via the following query: select end_, start_, unit_type, unit_block.* from unit_block where account_id in (select account_id from account where registry_code = 'MT' and kyoto_account_type = 'HOLDING_ACCOUNT', 'PERSON_ACCOUNT_NATIONAL_REG', 'FORMER_OPERATOR_HOLDING_ACCOUNT') and unit_type in ('CER', 'ERU_FROM_AAU', 'AAU', 'LCER', 'TCER');	PASSED
Implementation of Unit block CSV functionality	Search unit blocks - add new CSV - des-req-22	- New CSV file containing serial numbers of all KP units held in retirement account for specific unit types. All retirement accounts of all commitment periods - Button visible for NA only in Unit Block Search screen - Contents of the CSV are the same as the existing unit block CSV - Retirement accounts maybe of type 300	1. Navigate to Administration -> unit blocks to a registry with retirement account. 2. Click on "export KP units in retirement accounts" 3. Copy the contents of the created file 4. Ensure the contents are identical to the records returned when searching units blocks via the account identifier of the retirement account.	PASSED
KP2 accounts/transactions setup	New / Fulfill notification - "Net Reversal of Storage of a CDM CCS Project"	- New notification type "Net Reversal of Storage of a CDM CCS Project" (type code 12) - Fulfill notification "Net Reversal of Storage of a CDM CCS Project", target account is "CCS Net Reversal Cancellation Account (type 241)" - External transfer - transferring account is any KP account from the registry (with some exceptions) - if the parameter for the acquring account is not filled, then we cannot fulfill the notification - Unit types AAU, CER, ERU_FROM_AAU, ERU_FROM_RMU and RMU - The notification fulfillment has to be done in ONE transaction - Check that the transferring account holds enough units of notification project - Subject to 4-eyes principle, proposed by NA, approved by NA - The acquiring account must be prepopulated and cannot be changed by the user	Executed UC_IN_012_TC_01: FULFIL NET REVERSAL OF STORAGE OF A CDM CCS PROJECT	PASSED
KP2 accounts/transactions setup	New / Fulfill notification "Non-submission of Verification Report for a CDM CCS Project" unit type AAU, CER, ERU, AAU	- New notification type "Non-submission of Verification Report for a CDM CCS Project" (code type 13) - Fulfill notification "Non-submission of Verification Report for a CDM CCS Project" creates an external transfer - Transferring account is any KP account from the registry (with some exceptions) - Acquiring account is "Non-Submission of Verification Cancellation Account (type 242) " - if the parameter for the acquiring account is not filled, then we cannot fulfill the notification - The notification fulfillment has to be done in ONE transaction - Check that the transferring account holds enough units of notification project - Subject to 4-eyes principle, proposed by NA, approved by NA - The acquiring account must be prepopulated and cannot be changed by the user	Executed UC_IN_013_TC_01: FULFIL NON SUBMISSION OF VERIFICATION REPORT FOR A CDM CCS PROJECT	PASSED

Feature	Summary	Description	Test Cases	SAT Status
KP2 accounts/transactions setup	Modify all notification transactions to 4 eyes	Modify all notification transactions to 4 eyes	1. Connect as NA and navigate to Kyoto Protocl -> Notifications. 2. Locate an ITL Notitication (in our example: Net source cancellation) and click "fulfill". 3. Enter transferring account by typing its full identifier. 4. Locate an acquiring account and enter quantity on the desired acquiring account. 5. Click "Submit" and ensure a request is created, for approval by another NA (the green confirmation box appears referencing a transaction request ID). 6. As another NA approve the transaction request. 7. If the business rules pertaining to this notification are met, then this notification is completed, otherwise it is terminated.	PASSED
KP2 accounts/transactions setup	New account type: "ESD AAU Deposit Account"	- New account type: "ESD AAU Deposit Account" - Holds only originating CP2 AAUs - Kyoto Type 100 - only one - in any KP - if there exists a pending opening request do not allow a new one to initiate - opened by NA	Account Request 1. Login to Union Registry (Role : NA) Go to «Accounts»- «Account Request» to open a new account. 2. At the screen «Account Opening Account Details» choose theType "ESD AAU Deposit Account" 3. Enter the name (ESD_AAU_NA) 4. Click on the button "Next" 5. At the screen "Account Opening Account Holder Information" choose Account Holder is already linked to the user 6. Select Account Holder from drop-down list 7.Click on the button "Next" 8. At the screen choose the "Account Opening - Authorised Representative Information" 9. Select any Representative from the corresponding list 10. Click on the button "Add" 11. At the screen choose the"Account Opening - Authorised Representatives Linked to Creation Request" 12. Click on the button "Next " 13. At the screen "Account Opening - Authorized Representatives - click on the button "next" with default value 14. At the screen " Account Opening - Additional Authorized Representatives" with default value Expected Results Union Registry validates the entered data and displays the request id. Forwards the request for approval. Approval Request • Login to Union Registry (as nadmin1) • Select the Task List page, • Claim the specific request, and • Click the “Request id” link. • Click on “Approve” button. Expected Results	PASSED

Feature	Summary	Description	Test Cases	SAT Status
			Union Registry receives the approval of the update request from the Administrator, forwards the request to EUTL, receives the approval from EUTL and: • Sets the status of the account type to “EUTL approved” and completes the request process.	
KP2 accounts/transactions setup	ESD AAU Deposit Account - Allowed unit types	ESD AAU Deposit Account - Allowed unit types	The specific scenario has covered from test cases of EUCR-2575	PASSED
KP2 accounts/transactions setup	EUCR-2850 ESD AAU Deposit Account - Available transactions	ESD AAU Deposit Account - Available transactions - "Retirement Transaction" available anytime from account ESD AAU Deposit Account	Tested successully. Refer to transaction PT363	PASSED
KP2 accounts/transactions setup	Holdings tab of "ESD AAU Deposit Account" - display clearing values	- holdings tab of "ESD AAU Deposit Account" displays the following values: - ESD Clearing Value - AAUs to Retire - AAUs available for transfers	1. Connect as NA and navigate to an ESD AAU deposit account. 2. Navigate to its holdings. 3. Ensure a table appears at the bottom containing ESD clearing value, AAUs to retire, AAUs available for transfers.	PASSED
KP2 clearing implementation	ESD/ETS clearing values BE	ESD clearing value BE -		PASSED
KP2 clearing implementation	EUCR-2838 "ESD Clearing Value" - Update ESD Clearing value - Finalization of AEA Transfer	- at the finalization of AEA transfers with transferring registry different than aquiring registry the ESD clearing value of the two registries is affected	1) Search transaction for the specific type 'EsdAEATransfer' 2) Search ent_type_cd = 'ESD_CLEARING_VALUE' with STATUS='COMPLETED' 3) check the result for the specific country "CY" (31 increase + 6 decrease) The above steps describes on the following screens select sum(k.tr_amount) k_amnt , sum(t.quantity)tr_amt, k.registry_code, k.action from kp2_ent_transaction_log k, transactions t where t.request_id = k.request_id and t.status_code = 'COMPLETED' and k.ent_type_cd = 'ESD_CLEARING_VALUE' AND K.STATUS='COMPLETED' and type='EsdAEATransfer' group by k.registry_code, k.action;	PASSED
KP2 clearing implementation	EUCR-2838 "ESD Clearing Value" - Update ESD Clearing value - Finalization of External Transfer Kyoto Units	At the finalization of an “External Transfer of Kyoto units” from ESD AAU Deposit Account to ESD Central Clearing Account a RegistryEntitlementTransactionLog entity will be created with action “INCREASE” and status “COMPLETED”. At the finalization of an “External Transfer of Kyoto units” from ESD Central Clearing Account to ESD AAU Deposit Account a RegistryEntitlementTransactionLog entity will be created with action “DECREASE” and status “COMPLETED”.	test successfully refers to transaction ID NO114	PASSED
KP2 clearing implementation	Update actions of "AAUs to Retire"	The following actions affect the value of "AAUs to Retire". ||Transaction||From||Phase||Record||Action||Status||Registry|| |EsdKPUnitsReturnAfterCompliance|ESD Compliance|Finalization|New|DECREASE|COMPLETED|Transferring ESD Member State| |Retirement|ESD AAU Deposit|Proposal|New|DECREASE|PENDING|Current| |Retirement|ESD AAU Deposit|Cancellation|Update|DECREASE|REJECTED|Current| |Retirement|ESD AAU Deposit|Finalization|Update|DECREASE|COMPLETED|Current|	test successfully the below script check the test successfully the below screen on the related tables select sum(k.tr_amount) k_amnt , sum(t.quantity)tr_amt from kp2_ent_transaction_log k, transactions t	PASSED

Feature	Summary	Description	Test Cases	SAT Status
			where t.request_id = k.request_id and t.status_code = 'COMPLETED' and k.ent_type_cd = 'AAUS_TO_RETIRE' AND K.STATUS='COMPLETED' and k.registry_code ='IT';	
KP2 clearing implementation	Calculation of "AAUs to Retire"	- value of AAUs to Retire is increased by a forumula	test successfully refer to MS-BE (see screen) - AAUst_to_Retire=0 & MS-IT (-87) select sum (tr_amount),registry_code, status, action from kp2_ent_transaction_log where ent_type_cd = 'AAUS_TO_RETIRE' --and status ='COMPLETED' --and action = 'INCREASE' group by registry_code,registry_code, status, action; select COMP_DATE_EMISSIONS, a.account_id, a.esd_member_state, a.esd_year, d.* from ESD_COMPLIANCE_HISTORY ch, account a, esd_compliance_dates d where ch.account_id = a.account_id and sysdate >= d.comp_closure_date and a.esd_year = d.comp_year and a.esd_member_state = 'BE'; and also test successfully the below script check the select sum(k.tr_amount) k_amnt , sum(t.quantity)tr_amt from kp2_ent_transaction_log k, transactions t where t.request_id = k.request_id and t.status_code = 'COMPLETED' and k.ent_type_cd = 'AAUS_TO_RETIRE' AND K.STATUS='COMPLETED' and k.registry_code ='IT'; (also BE) (on the corresponding tables)	PASSED
KP2 clearing implementation	footnote - Holdings screen of ESD AAU Deposit Account	footnote	1. Connect as NA and navigate to an ESD AAU deposit account. 2. Navigate to its holdings. 3. Ensure the footnote appears at the bottom: "AAUs to Retire = AAUs that correspond to ESD emissions that had not been covered by other international credits."	PASSED

Feature	Summary	Description	Test Cases	SAT Status
KP2 clearing implementation	New check for "Retirement Transaction" from ESD AAU Deposit Account	- Maximum amount for "Retirement Transaction" from ESD AAU Deposit Account is the value of the parameter AAUs to Retire	Tested successfully refers to ESD AAU Deposit Account of Portugal (PT-100-10003434-0-31) , which has available AAU (Not Subject to SOP) - 18 with the parameter value "AAU to Retire" is equal to "98" 1) Select the transaction "Retirement" 2) Enter the value 99 on the "Quantity to retire" 3) Click on the button "Submit" Result The Union Registry display the following message 80757: The quantity to retire (99) must be less or equal to the value of "AAUs to Retire" for this registry (98). Repeat the above steps with value on the field quantity to retire "98" that equal to the value of "AAUs to Retire" for this registry (98). Result : The request is submitted successfully Notice: we suggest to discuss if we need to enhancement the current implementation with new check on the the field quantity in order to retire must be less or equal to the value of available units of the ESD AAU Deposit Account	PASSED
KP2 clearing implementation	Retirement transaction from ESD AAU Deposit account proposal/finalization	Retirement transaction from ESD AAU Deposit account proposal/finalization should do the following: - value AAUs to Retire is decreased when retirement transaction is initiated (a pending value will be kept) - NA may choose AAUs that are "subject to SOP" or "not subject to SOP", both must be visible on screen	Refer to transaction PT-363.	PASSED
KP2 clearing implementation	Calculation of "AAUs Available for Transfers"	- calculation method of value "AAUs Available for Transfers"	a1. sum the calculation with the ent_type_cd = 'AAUS_AVAILABLE_FOR_TRANSFERS' select sum (tr_amount),registry_code, status, action from kp2_ent_transaction_log where ent_type_cd = 'AAUS_AVAILABLE_FOR_TRANSFERS' group by registry_code,registry_code, status, action; a2. calculation emission (see field COMP_DATE_EMISSION) select COMP_DATE_EMISSIONS, a.account_id, a.esd_member_state, a.esd_year, d.* from ESD_COMPLIANCE_HISTORY ch, account a, esd_compliance_dates d where ch.account_id = a.account_id --and sysdate >= d.comp_closure_date and a.esd_year = d.comp_year and a.esd_member_state = 'GB';	PASSED

Feature	Summary	Description	Test Cases	SAT Status
KP2 accounts/transactions setup	New check to be added to Cancellation, Internal Transfers, External Transfers initiated from ESD AAU Deposit Account	- new check to be added to Cancellation, Internal Transfers, External Transfers initiated from ESD AAU Deposit Account	test successfully 1. external transfer from PT ESD AAU Deposit Account ---> any registry parameteAAUs available for Transfers 49219 80758: The quantity (49220) must be less or equal to the value of "AAUs Available for Transfer" for this registry (49219). & also cancellation with 80000: The amount 49220 of AAU is not available in the account: 10003434 80758: The quantity (49220) must be less or equal to the value of "AAUs Available for Transfer" for this registry (49219).	PASSED
KP2 accounts/transactions setup	Creation of ESD AAU Deposit Account - initialize various values	- Values of "AAUs to Retire" and "AAUs available for transfers" must be initialized based on all existing ESD transactions - ESD Clearing Values are 0 by default		PASSED
KP2 accounts/transactions setup	New Account Type "ESD Central Clearing Account"	- new Account Type "ESD Central Clearing Account" - holds only originating CP2 AAUs - Kyoto Type 100 - opened in EU KP registry - opened by CA	Account Request 1. Login to Union Registry (Role : CA) Go to «Accounts»- «Account Request» to open a new account. 2. At the screen «Account Opening Account Details» choose theType "ESD Central Clearing Account" 3. Enter the name (ESD_CCA). Ensure only CP2 can be chosen. 4. Click on the button "Next" 5. At the screen "Account Opening Account Holder Information" choose Account Holder is already linked to the user 6. Select Account Holder from drop-down list 7.Click on the button "Next" 8. At the screen choose the "Account Opening - Authorised Representative Information" 9. Select any Representative from the corresponding list 10. Click on the button "Add" 11. At the screen choose the"Account Opening - Authorised Representatives Linked to Creation Request" 12. Click on the button "Next " 13. At the screen "Account Opening - Authorized Representatives - click on the button "next" with default value 14. At the screen " Account Opening - Additional Authorized Representatives" with default value Expected Results Union Registry validates the entered data and displays the request id. Forwards the request for approval. Approval Request • Login to Union Registry (as nadmin1) • Select the Task List page, • Claim the specific request, and • Click the “Request id” link.	PASSED

Feature	Summary	Description	Test Cases	SAT Status
			• Select the Request , • Claim the specific request, and • Click on “Approve” button. Expected Results Union Registry receives the approval of the update request from the Administrator, forwards the request to EUTL, receives the approval from EUTL and: • Sets the status of the account type to “EUTL account approval” and completes the request process. • The account is created for CP2.	
KP2 clearing implementation	Checks looking parameter "AAUs Available for Transfer" should allow transfers from MS ESD Deposit Account to ESD Central Clearing Account	Checks looking parameter "AAUs Available for Transfer" should allow transfers from MS ESD Deposit Account to ESD Central Clearing Account	test successfully refers to transaction ID NO114	PASSED
KP2 clearing implementation	EUCR-2838 "ESD Clearing Value" - Transaction finalization of transfer from ESD AAU Deposit to ESD Central Clearing Account	- Finalization of transactions from MS ESD AAU Deposit Accounts to ESD Central Clearing Account, the ESD Clearing Value of the ESD AAU Deposit Account will increase with the value of the transaction - exceptions may exist!	test successfully refer to transaction ID NO114	PASSED
KP2 clearing implementation	EUCR-2850 ESD Central Clearing Account to an ESD AAU Deposit - allowed transfers	- For a given MS transfers from ESD Central Clearing Account to an ESD AAU Deposit Account is allowed	*Test Case* 1. Log in EU as NA 2. Transfer AAU units from ESD Central Clearing 1000 3408 to ESD AAU Deposit 10003404. 3. Check transferred units.	PASSED
KP2 clearing implementation	EUCR-2838 "ESD Clearing Value" - Transaction finalization of transfer from ESD Central Clearing to ESD AAU Deposit Account	- Finalization of transfers from ESD Central Clearing Accounts to an ESD AAU Deposit Account, the ESD Clearing Value of the respective ESD AAU Deposit Account is decreased with the quantity of the transaction	test successfully refer to transaction id EU1218401	PASSED
KP2 clearing implementation	Calculation of "ESD Clearing Value"	ESD Clearing value is impacted by AEA transfers between ESD Compliance accounts belonging to different MS Transaction finalization, Transaction proposal CHECKS	test successfully as below a1.sum the calculation select sum (tr_amount),registry_code from kp2_ent_transaction_log where ent_type_cd = 'ESD_CLEARING_VALUE' and status ='COMPLETED' and action = 'INCREASE' group by registry_code;	PASSED

Feature	Summary	Description	Test Cases	SAT Status
			a2. sum the calculation (decrease) select sum (tr_amount),registry_code from kp2_ent_transaction_log where ent_type_cd = 'ESD_CLEARING_VALUE' and status ='COMPLETED' and action = 'DECREASE' group by registry_code;	
KP2 clearing implementation	EUCR-2838 Transfers of AAUs from and to ESD Central Clearing Account	Transfers of AAUs from and to ESD Central Clearing Account - transaction proposal, transaction finalization	Tested successfully as duplicate of issue EUCR-2600	PASSED
KP2 clearing implementation	New ESD Clearing Screen showing various values / comments - add footer	- new clearing page showing various values / comments	*Test Case* 1. Log in IS registry as NA 2. In Kyoto Protocol, ESD Accounting And Clearing for CP2, check that these labels exist: - Negative ESD Clearing Value: The Member-State needs to send AAUs to the ESD Central Clearing Account - Positive ESD Clearing Value: The Member-State needs to receive AAUs from the ESD Central Clearing Account	PASSED
KP2 clearing implementation	No blocking for transfers from and to ESD Central Clearing Account	- no blocking for transfers from and to ESD Central Clearing Account - transactions are manual	*Test Case 1* 1. Log in EU as NA 2. Transfer CP2 AAU from 10003408(clearing) to 296 3. Check transaction is completed and units are transferred *Test Case 2* 1. Log in EU as NA 2. Transfer CP2 AAU from 296 to 10003408 3. Check transaction is completed and units are transferred	PASSED
KP2 clearing implementation	New Account Type "ETS AAU Deposit Account"	- new Account Type "ETS AAU Deposit Account" - holds originating CP2 AAUs - Kyoto type 100 - only one open - if pending cannot create new request - open only in NO, LI, EU - only NA can open this account or CA for EU	The specific scenario also covers the EUCR-2602 Account Request 1. Login to Union Registry (Role : CA) Go to «Accounts»- «Account Request» to open a new account. 2. At the screen «Account Opening Account Details» choose theType "ETS AAU Deposit Account" 3. Enter the name (ETS_AAU) 4. Click on the button "Next" 5. At the screen "Account Opening Account Holder Information" choose Account Holder is already linked to the user 6. Select Account Holder from drop-down list 7.Click on the button "Next" 8. At the screen choose the "Account Opening - Authorised Representative Information" 9. Select any Representative from the corresponding list 10. Click on the button "Add"	PASSED

Feature	Summary	Description	Test Cases	SAT Status
			11. At the screen choose the"Account Opening - Authorised Representatives Linked to Creation Request" 12. Click on the button "Next " 13. At the screen "Account Opening - Authorized Representatives - click on the button "next" with default value 14. At the screen " Account Opening - Additional Authorized Representatives" with default value Expected Results Union Registry validates the entered data and displays the request id. Forwards the request for approval. Approval Request • Login to Union Registry (as nadmin1) • Select the Task List page, • Claim the specific request, and • Click the "Request id" link. • Click on "Approve" button. Expected Results Union Registry receives the approval of the update request from the Administrator, forwards the request to EUTL, receives the approval from EUTL and: • Sets the status of the account type to "EUTL approved" and completes the request process.	
KP2 clearing implementation	ETS AAU Deposit Account - Allowed unit types	ETS AAU Deposit Account - Allowed unit types	Account Request 1. Login to Union Registry (Role : CA) Go to «Accounts»- «Account Request» to open a new account. 2. At the screen «Account Opening Account Details» choose theType "ETS AAU Deposit Account" 3. Enter the name (ETS_AAU) 4. Click on the button "Next" 5. At the screen "Account Opening Account Holder Information" choose Account Holder is already linked to the user 6. Select Account Holder from drop-down list 7.Click on the button "Next" 8. At the screen choose the "Account Opening - Authorised Representative Information" 9. Select any Representative from the corresponding list 10. Click on the button "Add" 11. At the screen choose the"Account Opening - Authorised Representatives Linked to Creation Request" 12. Click on the button "Next " 13. At the screen "Account Opening - Authorized Representatives - click on the button "next" with default value 14. At the screen " Account Opening - Additional Authorized Representatives" with default value	PASSED

Feature	Summary	Description	Test Cases	SAT Status
			Expected Results Union Registry validates the entered data and displays the request id. Forwards the request for approval. Approval Request • Login to Union Registry (as nadmin1) • Select the Task List page, • Claim the specific request, and • Click the “Request id” link. • Click on “Approve” button. Expected Results Union Registry receives the approval of the update request from the Administrator, forwards the request to EUTL, receives the approval from EUTL and: • Sets the status of the account type to “EUTL approved” and completes the request process.	
KP2 clearing implementation	EUCR-2850 ETS AAU Deposit Account - Allowed transactions	ETS AAU Deposit Account - Allowed transactions - Retirement transaction available from ETS AAU Deposit Account	1. Navigate to an ETS AAU deposit account which holds KP units. 2. Ensure retirement transaction is available. 3. Refer to EU1218341	PASSED
KP2 clearing implementation	New screen - ETS Accounting and Clearing for CP2 + JBPM to transfer to EUTL	- new ETS screen Accounting and Clearing for CP2 - displays value - if the user has the upd role, can update that value (CA can update for EU, NO, LI) - CA only can view values for all registries including NO & LI. - New JBPM to transfer ETS Clearing Values to EUTL - values must not be saved unless an OK is received from EUTL (like account exclusion)	see attached file related to TC_CL_020_MODIFY_ETS_CLEARING_CP2_INFO	PASSED
KP2 clearing implementation	Holdings tab of ETS AAU Deposit Account - show the value of ETS Clearing Value	- holdings tab of ETS AAU Deposit Account must show the value of ETS Clearing Value	1. Connect as NA and navigate to ETS AAU Deposit Account of the registry. 2. Navigate to account holdings. 3. Ensure that below the account holdings a table appears containing Initial and Current ETS Clearing Value	PASSED
KP2 clearing implementation	ETS Clearing values are default = 0	ETS Clearing values are default = 0		PASSED
KP2 clearing implementation	New account "ETS Central Clearing Account for CP2"	- new account "ETS Central Clearing Account for CP2" - holds originating CP2 AAUs - Kyoto type 100 - created only in EU - opened by CA	The specific scenario also covers the EUCR-2608. Account Request 1. Login to Union Registry (Role : CA) Go to «Accounts»- «Account Request» to open a new account. 2. At the screen «Account Opening Account Details» choose theType "ETS Central Clearing Account for CP2" 3. Enter the name (ETS_CCA_CP2) 4. Click on the button "Next" 5. At the screen "Account Opening Account Holder Information" choose	PASSED

Feature	Summary	Description	Test Cases	SAT Status
			Account Holder is already linked to the user 6. Select Account Holder from drop-down list 7.Click on the button "Next" 8. At the screen choose the "Account Opening - Authorised Representative Information" 9. Select any Representative from the corresponding list 10. Click on the button "Add" 11. At the screen choose the"Account Opening - Authorised Representatives Linked to Creation Request" 12. Click on the button "Next " 13. At the screen "Account Opening - Authorized Representatives - click on the button "next" with default value 14. At the screen " Account Opening - Additional Authorized Representatives" with default value Expected Results Union Registry validates the entered data and displays the request id. Forwards the request for approval. Approval Request • Login to Union Registry (as nadmin1) • Select the Task List page, • Claim the specific request, and • Click the “Request id” link. • Click on “Approve” button. Expected Results Union Registry receives the approval of the update request from the Administrator, forwards the request to EUTL, receives the approval from EUTL and: • Sets the status of the account type to “EUTL approved” and completes the request process.	
KP2 clearing implementation	ETS Central Clearing Account for CP2 - Allowed unit types	ETS Central Clearing Account for CP2 - Allowed unit types	Account Request 1. Login to Union Registry (Role : CA) Go to «Accounts»- «Account Request» to open a new account. 2. At the screen «Account Opening Account Details» choose theType "ETS Central Clearing Account for CP2" 3. Enter the name (ETS_CCA_CP2) 4. Click on the button "Next" 5. At the screen "Account Opening Account Holder Information" choose Account Holder is already linked to the user 6. Select Account Holder from drop-down list 7.Click on the button "Next" 8. At the screen choose the "Account Opening - Authorised Representative Information" 9. Select any Representative from the corresponding list	PASSED

Feature	Summary	Description	Test Cases	SAT Status
			10. Click on the button "Add" 11. At the screen choose the"Account Opening - Authorised Representatives Linked to Creation Request" 12. Click on the button "Next " 13. At the screen "Account Opening - Authorized Representatives - click on the button "next" with default value 14. At the screen " Account Opening - Additional Authorized Representatives" with default value Expected Results Union Registry validates the entered data and displays the request id. Forwards the request for approval. Approval Request • Login to Union Registry (as nadmin1) • Select the Task List page, • Claim the specific request, and • Click the “Request id” link. • Click on “Approve” button. Expected Results Union Registry receives the approval of the update request from the Administrator, forwards the request to EUTL, receives the approval from EUTL and: • Sets the status of the account type to “EUTL approved” and completes the request process.	
KP2 clearing implementation	EUCR-2850 ETS Central Clearing Account for CP2 - Allowed transactions	ETS Central Clearing Account for CP2 - Allowed transactions	*Test Case* 1. Log in EU as NA 2. In Accounts panel choose ETS Central Clearing account type, and Search 3. In available transactions below types should exist: "Transfer of AAU, RMU, ERU, CER, ICER and tCER" and "Transfer to SOP for First External Transfer"	PASSED
KP2 clearing implementation	EUCR-2839 Transaction finalization for ETS AAU Deposit Account to ETS Central Clearing Account must increase the value of ETS Clearing Value	- Finalization of tranfers from ETS AAU Deposit Account to ETS Central Clearing Account must increase the value of ETS Clearing Value	test successfully. Refers to transaction EU1218382 see attached file increase ETS Clearing parameter	PASSED
KP2 clearing implementation	Transfers between ETS Central Clearing Account and ETS Deposit Account and the reverse will be allowed and they will	- All transfers between ETS Central Clearing Account and ETS Deposit Account and the reverse will be allowed and they will ignore ETS Clearing Values		PASSED

Feature	Summary	Description	Test Cases	SAT Status
	ignore ETS Clearing Values			
KP2 clearing implementation	Transfers to/from ETS Central Clearing Account and ETS AAU Deposit Account will not be blocked by ETS Clearing Value	Transfers to/from ETS Central Clearing Account and ETS AAU Deposit Account will not be blocked by ETS Clearing Value		PASSED
KP2 clearing implementation	EUCR-2839 Transaction finalization from ETS Central Clearing Account to ETS AAU Deposit Account decreases the value of ETS Clearing value	- Finalization of transfer from ETS Central Clearing Account to ETS AAU Deposit Account decreases the value of ETS Clearing value	test successfully Refers to corresponding accounts EU-100-10003407-0-76 ETS AAU DEPOSIT EU-100-10003403-0-96 ETS Central Clearing Account for CP2 execution the below tranasactions EU1218344 (2 units) EU1218346 (1 unit) results check the print screen	PASSED
KP2 clearing implementation	Calculation of "ETS Clearing Value"	ETS clearing value is affected by transfers of AAUs from and to the ETS Central Clearing Account	test successfully step1 execution two transaction from ETS AAU DEPOSIT(EU-100-10003407-0-76) to ETS Central Clearing Account for CP2 (EU-100-10003403-0-96) (2 units) and reverses step 2 checks the transfers amounts select sum (tr_amount),registry_code, action from kp2_ent_transaction_log where ent_type_cd = 'ETS_CLEARING_VALUE' and status ='COMPLETED'group by registry_code,action; 2 records (2 units - increase & 1 unit decreases) select * from KP2_REGISTRY_ENTITLEMENT where ent_type_cd = 'ETS_CLEARING_VALUE' (there is no exist record) step 3 checks the corresponding screen (see attached file)	PASSED
Enable cancellations from Aviation Surrender Set-Aside	Cancellation transaction from Aviation Surrender Set-Aside for CERs and ERUs will be allowed without any time limit	- Cancellation from Aviation Surrender Set-Aside for CERs and ERUs will be allowed without any time limit	Tested successfully. Refer to transaction EU1218347.	PASSED
Ensure CER, ERU units become ESD ineligible	ESD related transaction checks - after config	ESD related transaction checks - after config param "End of Carry-Over CP1 -> CP2" all CERs, ERUs, lCERs, tCERs will become ESD ineligible	1. Set the confifuration parameter carry.over.end.date to a date later than current server date. 2. Upload in ESD registry -> ESD Eligibility List upload a General list containing projects and unit types.	PASSED

Feature	Summary	Description	Test Cases	SAT Status
after the lapse of the relevant config parameter	param "End of Carry-Over CP1 -> CP2" all CERs, ERUs, lCERs, tCERs will become ESD ineligible		3. Locate an account in a registry containing the projects/unit types contained in the list uploaded in step 2. 4. Ensure the uploaded unit type/project contains "Limit 1" in column "ESD Eligibility" 5. Update the parameter set in step 1 to a past date. 6. Wait 5 minutes. 7. Repeat step 4 and ensure the holdings contained in the list do NOT contain a reference to a list type.	
Translations	Duplicate i18n entries	The following entries in messages.properties have duplicate values. "Your request to update your mobile phone number has been recorded with identifier" * info.message.update.mobile.number.request.submitted * info.message.update.mobile.number.request.submitted.detail "Your request to update your mobile phone number has not been submitted, because there is a pending personal details update request for this user" * info.message.update.mobile.number.request.pending * info.message.update.mobile.number.request.pending.detail This fact causes confusion to the client, who considers that two different messages have the same text. Actually, these texts are not two separate messages; the first key is the summary and the second key is the details of the same message. These entries are used as error messages inside /EUCR/eucr-ui/src/main/webapp/index.xhtml, where it is clear that the message details are ignored: {code:title=index.xhtml|borderStyle=solid} <p:messages id="errors" globalOnly="true" showSummary="true" showDetail="false"/> {code}		PASSED
KP2 accounts/transactions setup	Check 80000 - Add SOP flag - bring up to date	Check 80000 - Add SOP flag - bring up to date check how TransactionServicesBean.reserveUnitsAutoSelected reserves unit blocks. This check must be in synch with that method. Most probably must use constructSelectionCriteria (change to public) and then selectUnitBlocks as the reserveUnitsAutoSelected Various flags regarding esd are missing also.	*Test Cases* 1. Log in PT as NA 2. Check for all transaction types(see comment), proposal and approval phase, that there are no errors/red screens.	PASSED
Addition of account type as possible destination for issuance	Acquiring Accounts list in Issuance screen - Add ESD AAU Deposit account	ESD AAU Despotit accounts must be added in the drop down of issuance screen	*Test Case 1* 1. Log in EU, as NA 2. Make sure account(ESD AAU Deposit) 10003404 exists 3. In Issuance the above should exist in drop-down list	PASSED

Feature	Summary	Description	Test Cases	SAT Status
Correction in issuance screen	Red Screen - While trying to cancel an issuance of AAU/RMU units	Red Screen - While trying to cancel an issuance of AAU/RMU units unblockIssuanceByCancellingUsersRequest does not have code to handle cancellation of issuance of AAU/RMU units, only allowances.	*Test Case 1* - RMUs 1. Log in Latvia Registry 2. In Kyoto Protocol -> Issuance, select CP2 and account 551 3. Select radiobutton of RMU-Afforestation(AR) and submit 2 units issuance 4. Redirect to Issuance page, check again same radiobutton radiobutton of RMU-Afforestation(AR), and make sure input field is not editable 5. Check anotherRMU radiobutton and make sure to get error: "80300: There can exist no other pending transaction with the same type in the hosting registry" *Test Case 2* - AAUs Repeat above steps in RO registry, account 666 and AAU units issuance(step 3).	PASSED
Correction in KP2 entitlements CSV export	KP2 Entitlements - CSV export should include all rows	This applies to Conversion screen, where a dynamic table with pager is used.	*Test Case 1* 1. Log in EU as CA 2. In KP2 Entitlements, check exported CSV for Conversion and another section, with UI info 3 . All rows should be the same.	PASSED
Correction in Transfer to SOP transaction	After submitting a transfer to SOP for first external transfer, user can submit another one	1. Submit a Transfer to SOP for first ext transf 2. Sign in ECAS 3. When returning in the screen shown in the attachment, user can submit another transfer to SOP for first ext transf	1. Submit a Transfer to SOP for first ext transf 2. Sign in ECAS 3. When returning in the screen enter another value and click "submit". 4. The validation rule appears: "The proposal cannot proceed, because its preconditions failed. Please retry starting from the holdings tab." and the second transaction cannot be submitted.	PASSED
KP2 accounts/transactions setup	New check in Cancellation transactions	According to UCS.13 - Holdings and Transfers v2.60.docx: bq. It is not permitted to cancel AAUs more than the quantity “AAUs available for Transfer” This check is involved in the following use cases: * UC_HT_070: CANCEL KYOTO UNITS * UC_HT_071: PERFORM MANDATORY CANCELLATION OF KYOTO UNITS * UC_HT_072: PERFORM AMBITION INCREASE CANCELLATION * UC_HT_073: PERFORM ART3.7TER CANCELLATION	test successfully the UC_TF_070_TC_01: CANCEL KYOTO UNITS for the following cancellation types Voluntary Cancellation UC_TR_071_TC_01: Mandatory cancellation is available from Excluded account for Mandatory cancellation UC_TR_071_TC_01: Ambition Increase Cancellation is available from Excluded account Ambition Increase Cancellation UC_TR_071_TC_01: Art 3.7ter Cancellation is available from Excluded account the AAUs units of cancellation < = current units for CP2 & < = the value of parameter of AAUs available for Transfer for specific country	PASSED
KP2 accounts/transactions setup	Transfer to PPSR: cannot confirm transaction	If I transfer from PPSR --> to PPSR and enter quantity = -5, quantity = 5.5 and click confirm, there is an orange error message If I then re-try and enter quantity = 1 I cannot click confirm.	1. Connect as NA and propose a transfer PPSR --> PPSR 2, Enter quantity = -5, quantity = 5.5 and click confirm, there is an orange error message 3. Enter value 1 and click submit. The transaction is submitted normally.	PASSED
KP2 accounts/transactions setup	Allow only one mandatory canc. account and one volunt canc.		*Test Case* 1. Log in registry as NA 2. a. If mandatory and cancellation accounts do not exist, make sure only one of each is created for each CP.	PASSED

Feature	Summary	Description	Test Cases	SAT Status
	account is allowed per registry per CP		2. b. If mandatory and cancellation accounts exist already, make sure no second for each type and CP, can be created	
KP2 clearing implementation	New screen - ESD Accounting and Clearing for CP2	New screen for CA - Display all ESD Clearing Values UC does not mention the location of the screen nor the permission. To be defined at implementation.	1. Connect as EU-CA. 2. Navigate to ESD accounting and clearing for CP2. 3. Ensure the screen shows the columns: “ESD Clearing Value”, “AAUs to Retire” and “AAUs Available for Transfers”.	PASSED
KP2 accounts/transactions setup	Transfer to SOP for First External Transfer of AAUs - Add Originating Country Code	In order to be precise about ITL check 5115 and avoid sending wrongly marked units to CDM, in transaction Transfer to SOP for First External Transfer of AAUs Originating Country Code must be added in the filter of units and be equal to the transferring registry. (ITL check 5115: AAUs transferred to the SOP Adaptation Fund account must be AAUs that have never been transferred and have been issued by the Party concerned.)	Tested successfully. 1. Locate an account with CP2 AAUs. 2. Query its unit blocks via the query: select (end_ - start_ + 1), unit_block.* from unit_block where account_id = (select account_id from account where identifier = 10003336) and unit_type = 'AAU' order by last_modified_time desc; 3. Switch the originating country code to another country and ensure this quantity is not available for Transfer to SOP for first external transfer update unit_block set originating_country_code = 'GB' where ID = 562002; 4. If all such units get another originating country code then this transaction is not available. 5. Restore the originating country code to the country of the current user and ensure the transaction is available again and the unit blocks are available to be transacted. The above test is only applicable to CP2 AAU units. All other units are irrelevant to this test.	PASSED
KP2 accounts/transactions setup	Issuance of CP2 units add extra check for AAU related accounts	A check must be added to the check package "Issuance of Kyoto units 1-0" which will check that issuance to AAU Account or ESD AAU Deposit Account are valid unit types for those two accounts. Check if 7029 can be added or some similar check must be created.	1. Connect as NA and perform an issuance to PHA. 2. Repeat issuing to ESD AAU deposit account 3. Repeat issuing to AAU account Ensure all transactions are completed. All succeeded for EU (EU1218368, EU1218367, EU1218366)	PASSED
"Kyoto Protocol Public Reports" configuration for Malta	If I click on link "Kyoto Protocol Public Reports" from the Home page of Malta I get error (pending configuration)		Tested successfully. Redirection is performed without errors. Note: CSRF Guard configuration is necessary if the file is new.	PASSED
Correction in Conversion B messages	Mutually exclusive messages for Conversion B	When Converting with Conversion B and entitlement = 49 and I enter quantity = 50 then I get two messages for the same quantity.	1. Locate an account which is able to receive a Conversion B. 2. The holdings of the account are 100 and the entitlements 49. 3. Enter 999 as transaction quantity and click Next. 4. Ensure the validation rule 82108 appears only.	PASSED
KP2 clearing implementation	Update actions of "ESD Clearing Value"	The following actions affect the value of "ESD Clearing Value". ||Transaction||From||To||Phase||Record||Action||Status||Registry|| |EsdAEATransfer|ESD Compliance|-|Finalization|New|DECREASE|COMPLETED|Transferring ESD Memeber State| |EsdAEATransfer|ESD Compliance|-|Finalization|New|INCREASE|COMPLETED|Acquiring ESD Memeber State|	test successfully as below a1.sum the calculation select sum (tr_amount),registry_code from kp2_ent_transaction_log	PASSED

Feature	Summary	Description	Test Cases	SAT Status
		|EsdReversalAEATransfer|ESD Compliance|-|Finalization|New|DECREASE|COMPLETED|Transferring ESD Memeber State| |EsdReversalAEATransfer|ESD Compliance|-|Finalization|New|INCREASE|COMPLETED|Acquiring ESD Memeber State| |Internal Transfer|ESD AAU Deposit|ESD Central Clearing|Finalization|New|INCREASE|COMPLETED|Transferring| |Internal Transfer|ESD Central Clearing|ESD AAU Deposit|Finalization|New|DECREASE|COMPLETED|Acquiring|	where ent_type_cd = 'ESD_CLEARING_VALUE' and status ='COMPLETED' and action = 'INCREASE' group by registry_code; a2. sum the calculation (decrease) select sum (tr_amount),registry_code from kp2_ent_transaction_log where ent_type_cd = 'ESD_CLEARING_VALUE' and status ='COMPLETED' and action = 'DECREASE' group by registry_code; c. a1 - a2 see attached file	
KP2 clearing implementation	Update actions of "ETS Clearing Value"	The following actions affect the value of "ETS Clearing Value". ||Transaction||From||To||Phase||Record||Action||Status||Registry|| |Internal Transfer|ETS AAU Deposit|ETS Central Clearing|Finalization|New|INCREASE|COMPLETED|Transferring| |Internal Transfer|ETS Central Clearing|ETS AAU Deposit|Finalization|New|DECREASE|COMPLETED|Acquiring|	test successfully the following test cases a. creation two accounts EU-100-10003407-0-76 ETS AAU DEPOSIT EU-100-10003403-0-96 ETS Central Clearing Account for CP2 b. execution two transactions b1 request& transaction_id : 512293 & EU1218344 (transfers 2 units from ETS AAU DEPOSIT --> ETS CENTRAL CLEARING) b2 request& transaction_id :512298 --- EU1218346 (transfers 1 units from ETS CENTRAL CLEARING -> ETS AAU DEPOSIT -->) EU-100-10003403-0-96 (1) to EU-100-10003407-0-76 as nadmin1 After completion the above transaction , checks the table kp2_ent_transaction_log select sum (tr_amount),registry_code, action from kp2_ent_transaction_log where ent_type_cd = 'ETS_CLEARING_VALUE'group by registry_code,action; --> exists 2 records based on the business rule (3.7.2) The value of the parameter ETS Clearing value = 2-1 = 1 check corresponding screen see attached file	PASSED
KP2 clearing implementation	Update actions of "AAUs Available for Transfers"	The following actions affect the value of "AAUs Available for Transfers". ||Transaction||From||Phase||Record||Action||Status||Registry|| |EsdAEADeletionAfterCompliance|ESD Compliance|Finalization|New|INCREASE|COMPLETED|Transferring	Test case 1) Search request_id from the table kp2_ent_transaction_log select * from kp2_ent_transaction_log	PASSED

Feature	Summary	Description	Test Cases	SAT Status
		ESD Member State| |EsdAEADeletionAfterOverallocation|ESD Compliance|Finalization|New|INCREASE|COMPLETED|Transferring ESD Member State| |EsdKPUnitsReturnAfterCompliance|ESD Compliance|Finalization|New|INCREASE|COMPLETED|Transferring ESD Member State| |Cancellation|ESD AAU Deposit|Proposal|New|DECREASE|PENDING|Transferring| |Cancellation|ESD AAU Deposit|Cancellation|Update|DECREASE|REJECTED|Transferring| |Cancellation|ESD AAU Deposit|Finalization|Update|DECREASE|COMPLETED|Transferring| |Internal Transfer|ESD AAU Deposit|Proposal|New|DECREASE|PENDING|Transferring| |Internal Transfer|ESD AAU Deposit|Cancellation|Update|DECREASE|REJECTED|Transferring| |Internal Transfer|ESD AAU Deposit|Finalization|Update|DECREASE|COMPLETED|Transferring| |External Transfer|ESD AAU Deposit|Proposal|New|DECREASE|PENDING|Transferring| |External Transfer|ESD AAU Deposit|Cancellation|Update|DECREASE|REJECTED|Transferring| |External Transfer|ESD AAU Deposit|Finalization|Update|DECREASE|COMPLETED|Transferring|	WHERE ent_type_cd = 'AAUS_AVAILABLE_FOR_TRANSFERS' AND STATUS='COMPLETED' and registry_code ='CY'; 2) check the type of the specific transaction select * from transactions where request_id =224782; /*EsdAEADeletionAfterCompliance*/ select * from transactions where request_id =224783; /*EsdAEADeletionAfterCompliance*/ 3) check the action & amount of the action between transaction table & kp2_entitlement table select sum(k.tr_amount) k_amnt , sum(t.quantity)tr_amt, k.registry_code from kp2_ent_transaction_log k, transactions t where t.request_id = k.request_id and t.status_code = 'COMPLETED' and k.ent_type_cd = 'AAUS_AVAILABLE_FOR_TRANSFERS'AND K.STATUS='COMPLETED' group by k.registry_code;	
KP2 clearing implementation	Translation - Mandatory Cancellation missing	see attached file (translation issue)	Translation appears correctly in transaction types.	PASSED
KP2 clearing implementation	ETS Central Clearing & ESD Central Clearing are not valid accounts for Cancellations	ETS Central Clearing & ESD Central Clearing are not valid accounts for Cancellations	1. Ensure Mandatory cancellation and Ambition increase cancellation accounts have been created for EU registry. 2. Navigate to PHA of EU (which has some KP units) and ensure Mandatory cancellation and Ambition increase cancellation are available transaction types. 3. Navigate to ETS Central Clearing (which has some KP units) and ensure Mandatory cancellation and Ambition increase cancellation are NOT available transaction types. 4. Navigate to ESD Central Clearing (which has some KP units) and ensure Mandatory cancellation and Ambition increase cancellation are NOT available transaction types.	PASSED
KP2 accounts/transactions setup	All new 8.0.x accounts are Kyoto Accounts	All five accounts added in 8.0.1 & 8.0.2 will be Kyoto Account: AAU Account ETS AAU Deposit Account ETS Central Clearing Acount ESD AAU Deposit Account ESD Central Clearing Account In ETSAccountTypeEnum a new boolean needs to be added and return true for NONE and those five accounts. a new method isKPAccount will be added in the enumeration.	1. Connect as NA of Norway 2. Request an AAU account, an ETS AAU deposit account, an ESD AAU deposit account 3. As another NA approve them 4. Note the identifiers and locate them in the database. 5. Ensure in the database that the hosting registry of all three accounts is Norway. Repeat for Liechtenstein.	PASSED
KP2 accounts/transactions setup	Allowed transactions of KP2 accounts	Parent ticket for allowed transactions of all new KP2 account types. Transactions which a KP2 account can launch: {panel:title=PPSR account} Kyoto Specific: * Retirement	The transactions mentioned in this issue's sub-tasks have been tested successfully.	PASSED

Feature	Summary	Description	Test Cases	SAT Status
		* Transfer AAU to PPSR account {panel} {panel:title=AAU Account} Regular Transfers: * Transfer of AAU, RMU, ERU, CER, lCER and tCER Destruction of Units: * Voluntary cancellation of AAU, RMU, CER, ERU, lCER and tCER * Mandatory cancellation of AAU, RMU, CER, ERU, lCER and tCER * Art 3.7ter cancellation of AAU, RMU, CER, ERU, lCER and tCER * Ambition increase cancellation of AAU, RMU, CER, ERU, lCER and tCER Kyoto Specific: * Retirement * Transfer to SOP for First External Transfer {panel} {panel:title=ESD AAU Deposit Account} Regular Transfers: * Transfer of AAU, RMU, ERU, CER, lCER and tCER Destruction of Units: * Voluntary cancellation of AAU, RMU, CER, ERU, lCER and tCER * Mandatory cancellation of AAU, RMU, CER, ERU, lCER and tCER * Art 3.7ter cancellation of AAU, RMU, CER, ERU, lCER and tCER * Ambition increase cancellation of AAU, RMU, CER, ERU, lCER and tCER Kyoto Specific: * Retirement * Transfer to SOP for First External Transfer {panel} {panel:title=ESD Central Clearing Account} Regular Transfers: * Transfer of AAU, RMU, ERU, CER, lCER and tCER Kyoto Specific: * Transfer to SOP for First External Transfer {panel}		

Feature	Summary	Description	Test Cases	SAT Status
		{panel:title=ETS AAU Deposit account} Regular Transfers: * Transfer of AAU, RMU, ERU, CER, lCER and tCER Destruction of Units: * Voluntary cancellation of AAU, RMU, CER, ERU, lCER and tCER * Mandatory cancellation of AAU, RMU, CER, ERU, lCER and tCER * Art 3.7ter cancellation of AAU, RMU, CER, ERU, lCER and tCER * Ambition increase cancellation of AAU, RMU, CER, ERU, lCER and tCER Kyoto Specific: * Retirement * Transfer to SOP for First External Transfer {panel} {panel:title=ETS Central Clearing Account for CP2} Regular Transfers: * Transfer of AAU, RMU, ERU, CER, lCER and tCER Kyoto Specific: * Transfer to SOP for First External Transfer {panel} {panel:title=Ambition increase cancellation account} No available transactions {panel} {panel:title=Voluntary cancellation account} No available transactions {panel} {panel:title=Mandatory cancellation account} No available transactions {panel} {panel:title=Art3.7 Cancellation account} No available transactions {panel}		

Feature	Summary	Description	Test Cases	SAT Status
KP2 accounts/transactions setup	Red Screen - ETS AAU Deposit Account		This issue has been resolved in the context of EUCR-2604.	PASSED
Integration of new ECAS clieant	Upgrade ECAS Client to latest version 4.6.0		Transactions were signed normally using the new client. Login was performed normally.	PASSED
Addition of time zone in transaction lists	UC comment: CET to appear in transaction dates and times	CLIMA confirmed that the time and "CET" (or the server time zone if this is more correct?) should be added in the transaction search screen.	Tested successfully. 1. Connect as NA and navigate to Accounts --> Transactions. 2. Ensure all references to time are in the format DD/MM/YYYY HH:MM plus the server time zone acronym. 3. Ensure this covers: Transaction details page Transaction status history Transaction details page – Request details Transaction PDF 4. Switch to ESD registry; ensure the same holds for: ESD transactions ESD entitlement transactions	PASSED
Disable fulfillment of a deprecated ITL notificationb	Notification Carry-Over - Hide button Fulfill	Notification - Carry Over button "Fulfill" should be invisible	Tested successfully. 1. Connect as EU NA and navigate to Kyoto Protocol --> ITL notifications. 2. Locate a notification of type "unit carry over" which is Incomplete. 3. Click on this notification; ensure the button "Fulfill" does not appear.	PASSED
KP2 accounts/transactions setup	View Account - Close/Suspend/etc buttons do not work if user arrives from screen other than account search	View Account - Close/Suspend/etc buttons do not work if user arrives from screen other than account search If a user navigates to Transaction Search, then clicks on an account and then clicks "Suspend" an error 404 appears. The buttons only work if the user navigates from "Account Search" to the account.		PASSED
KP2 accounts/transactions setup	KP2 New notifications should create Cancellation Transaction Request + run 4-0 checks	KP2 New notifications should create Cancellation Transaction Request + run 4-0 checks	1. Connect as NA and locate an ITL notification 2. Request to fulfill the ITL notification 3. Copy the request ID 4. Query the transaction request as follows: select * from transaction_request where request_id =512442 ; 5. Ensure that the column TRANSACTION_TYPE of the record of step 4 is CancellationKyotoUnits.	PASSED
KP2 clearing implementation	ESD Clearing Values - NA can see values for ALL registries	ESD Clearing Values - NA can see values for ALL registries which is not correct. The NA should see only see values for his own registry.	1. Connect as NA 2. Navigate to "ESD accounting and clearing for CP2" of NO, LI 3. Ensure only one row appears, pertaining to the current registry. 4. For any other registry (PT, DE, GR, FR, RO etc.), also this menu entry does appear for NA, SD, SDAgent. 5. For EU-CA, the menu entry appears, and the screen contains all registries.	PASSED

Feature	Summary	Description	Test Cases	SAT Status
KP2 clearing implementation	ETS Clearing Values - SD, SD Agent, NA Auditor can see values for ALL registries	ETS Clearing Values - SD, SD Agent, NA Auditor can see values for ALL registries Those roles should only see values for their own registry only.	1. Connect as NO-NA, NO-SD, NO-SDA 2. Navigate to ETS-->ETS Accounting and Clearing for CP2 3. Ensure only the values for Norway appear. Repeat as LI-NA, LI-SD, LI-SDA	PASSED
KP2 clearing implementation	AAUS_TO_RETIRE (MS-BE)	During the testing of EUCR-2584, we have identified a different approach on the calculation of the parameter AAUS_TO_RETIRE The below scripts include the calculation on the db level select sum (tr_amount),registry_code, status, action from kp2_ent_transaction_log where ent_type_cd = 'AAUS_TO_RETIRE' --and status ='COMPLETED' --and action = 'INCREASE' group by registry_code,registry_code, status, action; select COMP_DATE_EMISSIONS, a.account_id, a.esd_member_state, a.esd_year, d.* from ESD_COMPLIANCE_HISTORY ch, account a, esd_compliance_dates d where ch.account_id = a.account_id --and sysdate >= d.comp_closure_date and a.esd_year = d.comp_year and a.esd_member_state = 'BE'; the attached screen the display info from corresponding screen	Check the calculation of parameter AAUS_TO_RETIRE 1)Login to Union Registry as (be- no) 2)User navigate to menu Kyoto Protocol ---> ESD Accounting and Clearing for CP2 2) Check the value of AAUS_TO_RETIRE 3) Execute transaction (Retirement) for more value on the pararameter AAUS_TO_RETIRE (step 2)	PASSED
KP2 accounts/transactions setup	Notification Transaction Request - Missing APPROVED BY, APPROVER_ROLE	Notification Transaction Request - Missing APPROVED BY, APPROVER_ROLE When creating a transaction request for a notification - column APPROVER_ROLE must contain NATIONAL_ADMINISTRATOR - column APPROVED_BY must contain the NEW permission PERM_NOTIF_FULFIL_APPROVE - add liquibase script to add to all NAs the permission PERM_NOTIF_FULFIL_APPROVE	1. Connect as NA and fulfill an ITL notification. 2. Copy the request ID in the green box and locate the transaction request via the query: select * from transaction_request where request_id =512442 ; 3. Ensure the APPROVED_BY and APPROVER_ROLE contain PERM_NOTIF_FULFIL_APPROVE and NATIONAL_ADMINISTRATOR respectively.	PASSED
KP2 accounts/transactions setup	Notification Transaction Request - Message after returning from ECAS does not contain request id	Notification Transaction Request - Message after returning from ECAS does not contain request id. The green message which is displayed to the user after returned from ECAS does not contain the request id like the other transactions.	1. Connect as NA and navigate to KP -> ITL Notifications 2. Fulfill a notification, and ensure the green mesage box states: "Your transfer proposal has been recorded and assigned the identifier PT435 . The transaction request with id 512454 has been submitted for approval."	PASSED
KP2 accounts/transactions setup	Transfer to SOP for First External Transfer - Input text field is displayed for CP1 Units	In DEV: # Log-in as NA/GR. # Open holdings of account GR-100-390-0-84. # Propose a "Transfer to SOP for First External Transfer".		PASSED

Feature	Summary	Description	Test Cases	SAT Status
		# Input field should not be displayed for AAUs with Original CP = 1 and Applicable CP = 1 # See attached image "DEV-390-GR (before)". In FAT: # Log-in as NA/EU. # Open holdings of account EU-100-296-0-6. # Propose a "Transfer to SOP for First External Transfer". # Input field should not be displayed for AAUs with Original CP = 1 and Applicable CP = 1 # See attached image "FAT-EU-296 (before)".		
KP2 accounts/transactions setup	EUTL Message 7892 missing description	The transaction PT387 is failed to transfer units from PT-100-10003434-0-31 to EU-100-10003408-0-71 with the following error code & message 7892 (???error.message.check.7892???) see attached file for futher info		PASSED
KP2 accounts/transactions setup	Incoming transactions - suspended workflow	Incoming transactions - suspended workflow When trying to transfer units from JP to PT, the workflow becomes suspended.	Successfully transferred from JP -> PT CERs via transaction: JP9900021 Successfully transferred from JP -> PT ERUs via transaction: JP9900025	PASSED
KP2 accounts/transactions setup	Notification - Net Source Cancellation - Retrieves wrong target account	Notification - Net Source Cancellation - Retrieves wrong target account The code which retrieves the target account does not take into consideration the account.status column	1. Locate a registry with one Net Source Cancellation Account. 2. Navigate to Kyoto Protocol -> Notifications and locate a Net Source Cancellation notification. 3. Update the account of step 1 to account_status = CLOSED. 4. Fulfill the notification of step 2. 5. The error message appears "Your registry is missing an open Net source cancellation account for the current commitment period.Please try again once this issue has been addressed." and the notification cannot be fullfilled. 6. Update the account of step 1 to account_status = CLOSED. 7. Repeat step 4. 8. Ensure the notification is fullfilled normally using the Net Source Cancellation account of step 1. 1. Locate a registry with no Net Source Cancellation Account. 2. Navigate to Kyoto Protocol -> Notifications and locate a Net Source Cancellation notification. 3. Try to fulfill the notification 4. The error message appears "Your registry is missing an open Net source cancellation account for the current commitment period.Please try again once this issue has been addressed." and the notification cannot be fullfilled. 5. Create a request to open a Net Source Cancellation Account but do not approve. 6. Fulfill the notification of step 2 7. The error message appears "Your registry is missing an open Net source cancellation account for the current commitment period.Please try again once this issue has been addressed." and the notification cannot be fullfilled.	PASSED

Feature	Summary	Description	Test Cases	SAT Status
			8. Approve the account opening request 9. Fulfill the notification of step 2 10. The acquiring account is filled with the newly opened Net Source Cancellation Account	
KP2 ITL notifications implementation	Red Screen - ITL Notifications search - enter string in field "Identifier"	Red Screen - ITL Notifications search - enter string in field "Identifier"	*Test Case* 1. Log in EU as NA 2. In ITL Notifications, in Identifier field check that no red error screen is produced due to any string type input.(negative, alphanumeric r, mixed, empty, huge number) 3. Check negative input returns: "An ITL notification identifier must be a number > 0 (maximum 12 digits)." 4. Check alphanumeric returns: "Identifier: the value provided must be numeric." 5. Enter huge number 100000000000 - no message 6. Enter valid and existing 10001 id - should get 1 result	PASSED
KP2 ITL notifications implementation	New ITL Notifications CANNOT be Cancellations - ITL error code 2026	New ITL Notifications CANNOT be Cancellations - ITL error code 2026 2026 For all transactions, except for external transfers, the Initiating and Acquiring Registries must be the same. The two new notifications must be converted to External Transfers. Cancellation transaction needs to have the same transferring and acquiring registry.	1. Fulfill an ITL notificaiton of type "Non-submission of Verification Report for a CDM CCS Project" 2. Locate the transaction request pertaining to this and ensure the column TRANSACTION_TYPE is equal to ExternalTransferKyotoUnits. 3. Fulfill an ITL notificaiton of type "Net Reversal of Storage of a CDM CCS Project" 4. Locate the transaction request pertaining to this and ensure the column TRANSACTION_TYPE is equal to ExternalTransferKyotoUnits.	PASSED
KP2 clearing implementation	Initial ETS Clearing Value may be negative	According to current implementation, in "ETS Accounting and Clearing for CP2" screen, CA can set only zero or positive amounts to "Initial ETS Clearing Value". CA should be able to also set a negative amount for "Initial ETS Clearing Value".	*Test case* 1. Log in EU as CA 2. In ETS Clearing value link, update Initial ETS Clearing value with a negative value. 3. Green box should appear "The update request for registry <Registry> has been sent successfully to EUTL." 4. Log in EUTL and check in ETS Clearing value link that negative value exists.	PASSED
KP2 clearing implementation	Clearing Parameted: ESD AAU for Transfers - Do not affect if transfer is towards EU ESD CCA	Value ESD AAU for Transfers - Do not modify if ESD Dep to ESD CCA	Tested successfully Refer to transaction_id = NO115	PASSED
Allow Unenrol & validate from within a user record	Allow Unenrol & validate from within a user record	We are currently tidying up some validated and enrolled users who no longer have any active account associations. Before finally selecting un-enrol we are going into each user record so we can double check that we are about to un-enrol the correct URID. However, once we have checked all the tabs we then have to go back out to the User Search in order to be able to Un-enrol. It would be useful to have a note of the URID & current status at the top of each tab and then the Un-enrol and Validate buttons available next to the Edit button as well as them being available from the search list as at present.	*Test Case 1 - Check new table data* 1. Log in EU as NA 2. In Users, click one. 3. There should be three new columns: - URID - User Name - User Status 4. Check the above also when navigating on tabs: - Personal Details	PASSED

Feature	Summary	Description	Test Cases	SAT Status
			- Business Details - Administration roles - Accounts *Test Case 2 - Check buttons according to user status* 1. Log in IT, as NA and check that for a registered user, there are two buttons available: Un-enroll and Validate. 2. Log in FI, as NA and check that for a validated and enrolled user, only Un-enroll button appears 3. Log in GR, as NA and check for a Unenrollment-Pending and Unenrolled user, there are no Un-enroll and Validate buttons available. *Test Case 3 - Check Back button functionality* 1. Log in GR, as NA and for a enrolled user, click Unenroll button. 2. Click Cancel 3. Redirection should present User Details page, not User Search. 4. Repeat above 3 steps for Validate button in DE registry, for a registered user *Test Case 4 - Regression* 1. In "User search" screen make sure that all search fields, filtering and paging combinations work as expected. 2. Use Case UC_UA_030: Request Un-Enrolment 3. Use Case UC_UA_012: Validate Use	
Popup-up window on surrender	Popup-up window on surrender	Imported on: 16/12/2014 \\ From: [https://webgate.ec.europa.eu/etsis/browse/ETS-6575]	*Test Case 1 - Propose as AR in account with ACTIVE and ENROLLED AAR* 1. Login as AR: (FR) 2. Propose a Surrender of Allowance of an OHA(10002564) which has at least one active and enrolled AAR → Message B should be displayed after proposal : Your surrender proposal has been recorded and assigned the identifier {0}. The transaction request {1} has been submitted for approval. One of the additional authorized representatives ({2}) needs to approve this task with id {1} via his task list. *Test Case 2 - Propose as AR in account with NOT ACTIVE and ENROLLED AAR* 1. Login as AR: (FR) 2. Propose a Surrender of Allowance of an OHA(10002564) which has no active(suspend the AAR as NA) and enrolled AAR → Message C should be displayed after proposal: Your surrender proposal has been recorded and assigned the identifier {0}. The transaction request {1} has been submitted for approval. The other authorized representative ({2}) needs to approve this task with id {1} via his task list.	PASSED

Feature	Summary	Description	Test Cases	SAT Status
			Test Case 3 - Propose as NA in account with ACTIVE and ENROLLED AAR 1. Login as NA (FR) 2. Propose a Surrender of Allowance of an OHA(10002564) which has at least one active and enrolled AAR → Message A should be displayed after proposal: Your surrender proposal has been recorded and assigned the identifier {0}.The transaction request with id {1} has been submitted for approval. *Test Case 4 - Propose as NA in account with NOT ACTIVE and ENROLLED AAR* 1. Login as NA (FR) 2. Propose a Surrender of Allowance of an OHA(10002564) which has no active(suspend the AAR as NA) and enrolled AAR → Message A should be displayed after proposal. Your surrender proposal has been recorded and assigned the identifier {0}.The transaction request with id {1} has been submitted for approval.	
Update Installation Details task is enriched with more information	More information needed on Update Installation Details task needs more information	Imported on: 16/12/2014 \\ From: [https://webgate.ec.europa.eu/etsis/browse/ETS-705]	*Test Case 1 - New installation info* 1. Log in PT as NA 2. Update Installation tab info for PT 632- Propose the task 3. Before approving it check request data panel. 4. There should be the new "installation - Current Details" tab *Test Case 2 - New aircraft operator info* 1. Log in PT as NA 2. Update aircraft operator tab info for PT 10000696- Propose the task 3. Before approving it check request data panel. 4. There should be the new "Aircraft operator - Current Details" tab *Test Case 3 - Check older tasks* 1. Log in PT as NA 2. In Task List, History check tasks with request ids (383611 for installation and 226777 for aircraft operator) 3. Request panel info should be include the new additions	PASSED
Screen detail correction when adding AR/AAR.	Message repeated (when emails do not match)		*Test Case* 1. Log in PT as NA 2. Navigate to "Additional Authorised Representative Addition" page in order to add another AAR, for an open account 3. In "E-mail Address" and "Confirm E-mail Address "fields insert different character sequences. 4. Screen should resemble the attached one (Only one yellow highlighting appears in first field and the message is: "Confirm E-mail Address")	PASSED

Feature	Summary	Description	Test Cases	SAT Status
Screen design issue when proposing transactions with CER/ERU units	Transfer of KP units - wrong balances		1. Navigate to an account with multiple CER or ERU units of multiple projects of CP1 and CP2 (in our test: 643 of Portugal). 2. Click on "Holdings" tab. 3. Ensure CER and ERU holdings appear in multiple lines, one line per project. 4. Click on "Propose a transaction" 5. Click on "Transfer of AAU, RMU, ERU, CER, lCER and tCER" 6. In the next screen ensure that CER and ERU units appear grouped per CP; the units are not grouped per project; the projects appear in the drop-down list "Project".	PASSED
Account statement screen shows CP1 units as eligible if contained in white list; this is now fixed	Account statement screen shows CP1 units as eligible if contained in white list	After 31/3/2015, all CER/ERU_from_AAU of CP1 are ineligible regardless of ICH list. This does not happen in FAT-->account statement screen, where the units are shown eligible if they are in FAT e.g. PT 643 May 2018	Repeat the following for CER, ERU from AAU units *Test Case 1 - Transfer units not belonging to White List* 1. Log in RO as NA 2. Transfer units not belonging to white list from account 666 to 667 (both are PHA) 3. In Transactions, transaction id => Transaction PDF, check that units are ineligible. Repeat for CER *Test Case 2 - Transfer units belonging to White List* 1. Log in RO as NA 2. For account 666, insert a project into ICH Lists (Positive) 3. Repeat the transfer as above, result should be the same - ineligible units *Test Case 3 - Check that only CER/ERU_FROM_AAU have eligible/ineligible flag in Approve Transaction Request* 1. Log in PT as NA. Use account 643 as transferring, and 10000956 as acquiring. 2. Propose transaction for CER and ERU_FROM_AAU units and a third for RMU 3. Check in Approve Transaction Request that in first and second case, there are ineligible and eligible units, while in third, units contain no flag	PASSED
Unrecoverable error proposing a transaction in a trading account with a validated AAR; this is now fixed	Unrecoverable error proposing a transaction in a trading account with a validated AAR	An unrecoverable error occurs when a transaction to a non-trusted account is proposed in a trading account that has an AAR in validated status. The error occurs after clicking on the "confirm" button in the transaction page.	*Test Case - Unrecoverable error* 1. Log in GR as NA 2. In account 10040(Trading) add AAR GR900000000005 which must be Validated 3. Perform a CER unit transaction from PT 643 to GR 10040. 4. No red screen should appear at Confirm button *Test Case - Regression tests* 1. Log in RO as NA. For RO 655, make sure an exchange transaction is completed. 2. Log in PT as NA. For PT 643, perform an external transaction to JP-100-100. 3. Log in EU as CA, and in EU ETS, Pre-Allocation link, perform a transfer. Approve as another CA and check completion of transaction.	PASSED

Feature	Summary	Description	Test Cases	SAT Status
Change in "Preferred Language" for AH is now submitted without triggering a workflow for approval	Change in "Preferred Language" for AH	Dear service desk Right now when an account holder wants to change Preferred Language in the registry we as NA has to approve this in the task list. That should not be something we should approve. This change has no influence on our work and it is not in any matter a security issue nor something we need documentation for. So I will suggest that this kind of change can be performed by the account representatives without a NA has to approve the task. Kind regards Anita	*Test Case 1 - Update only language* 1. Log in GR as NA 2. In account 383 update only Preferred language field 3. "Preferred language has been successfully set to XX" message should be returned to user and hitting Back should reveal the update. *Test Case 2 - Update postcode and language* 1. Log in GR as NA 2. In account 383 update Postcode field and Preferred Language field. 3. "Your request to update account holder information has been submitted under identifier xxxxx." and "Preferred language has been successfully set to XX." messages should appear 4. Clicking Back should show the change on language. 5. Approve the request and confirm the Postcode change *Test Case 3 - Update only postcode* Repeat above test without dealing with the language. Expected result should exclude any language change. *Test Case 4 - Submit without any edit* 1. Log in GR as NA 2. In account 383 don't update anything and click "Submit" 3. "Please modify some data before proceeding." message should appear in yellow font. *Test Case 5 - Edit only identity document data* 1. Log in GR as NA 2. In account 383 update identity document data and click "Submit" 3. "Your request to update account holder information has been submitted under identifier XXXXX" should be returned and clicking "Back" reveals the identity document change. *Test Case 6 - Regression* Make sure not another request can occur if else is pending Changing the preferred language is forbidden if else request is pending	PASSED
Include information on the AAR approval task as to whether or not the transfer is to a Trusted Account	Include information on the AAR approval task as to whether or not the transfer is to a Trusted Account	Imported on: 16/12/2014 \\ From: [https://webgate.ec.europa.eu/etsis/browse/SDB-1556]	*Test Case 1 - Message when transaction is Transfer Of Allowances* 1. Log in PT as NA 2. For a Trading account, propose a Transfer Of Allowances by writing the full account in appropriate fields. (EU-100-634-0-62) 3. In approval screen, appropriate message must exist: "The acquiring account is outside of the Trusted Account List" Repeat 2 more times, for cases of selecting acquiring account from Trusted accounts, both tabs, with expected message: "The acquiring account is on the Trusted Account List"	PASSED

Feature	Summary	Description	Test Cases	SAT Status
			Test Case 2 - Message when transaction is Transfer of AAU, RMU, ERU, CER, lCER and tCER Repeat first test cases Expected messages are the same as above. *Test Case 3 - Account other than trading* 1. Log in registry as NA 2. Initiate a transaction from 643 to EU-100-637-0-47 3. In approval screen no message (test case 1 - step 3) must exist *Test Case 4 - History tab* 1. Log in registry as NA 2. Propose and approve previous transactions for any account. (Trading and not) 3. In History tab, no message should exist	
If an AR has appointed a verifier to his account and the verifier account is being closed before the appointment has been confirmed the AR cannot appoint a new verifier	If an AR has appointed a verifier to his account and the verifier account is being closed before the appointment has been confirmed the AR cannot appoint a new verifier	I wanted to check what happens when a verifier account is being closed. Result: the verifier gets removed from all accounts were he was appointed verifier and the AR of all these account have to appoint new verifiers. However in one case the appointment was still pending. And here the appointment is not automatically rejected but the account still has the screen showing: "There is already a pending appointment request with id: 19216". This basically means that the account is stuck as no new verifier can be appointed and the only verifier cannot reject any longer as he no longer can no longer access the system.	1. Locate an OHA and request addition of a verifier by clicking "Appoint Verifier" in the Verifier tab. Note the request ID mentioned in the green confirmation window. 2. Repeat for an AOHA, requesting addition of the same verifier. Note the request ID mentioned in the green confirmation window. 3. Close and approve closing of the verifier account. 4. Connect as NA and navigate to tasklist -> History. 5. Search for the request IDs noted in steps 1 and 2 and ensure they have outcome REJECTED.	PASSED
Cancelled tasks appear in the active task list; this is now fixed	Cancelled tasks appear in the active task list	Imported on: 26/01/2016 From: https://webgate.ec.europa.eu/etsis/browse/SDB-2814	*Test Case 1 - Change request to not OPEN and check it does not exist in Exclusive/General Task List* 1. Execute query like: select * from task_item where request_id = 481587; update task_item set IS_OPEN = 0 where request_id = 481587 2. Log in registry and in task list check request 481587 is non existing. *Test Case 2 - Additional testing* (Log in GB registry) 1. Create an account under Account Holder A (account name: SDB-2814_Test) 2. Create an account under Account Holder B (account name: SDB-2814_Test_C) 3. Log in as an AR of "SDB-2814_Test" account and request the addition of "SDB-2814_Test_C" account to your trusted account list 4. Close "SDB-2814_Test_C" account 5. Log in again as the other AR of Account A. 6. On the Trusted Account page you can no longer see the request to add B to the TAL 7. Go to the Task List. You should not see the TAL addition request in a cancelled state. It should not exist at all.	PASSED

Feature	Summary	Description	Test Cases	SAT Status
Login with a 14-digits GSM number was not allowed; this is now fixed.	CLONE - Login is not possible due to mobile phone number length	Dear colleagues, the login to the ACC environment is not possible, as the following error occurs. KR Günter	*Test Case* 1. Set as GSM number to a user in UserData.xml in ECAS; the user is NA 2. Set it as MOBILE_PHONE_NUMBER in USER_DETAILS record corresponding to a USER corresponding to the user of step [1]. 3. Log in normally. 4. Propose a transaction (use acquiring account PT-100-643-10) and reject it using the GSM. 5. Click "Edit Personal Details" and propose to change the mobile phone number and add one more digit. 6. Submit the update request. 7. Reject the update request. Repeat test case for: +29821 +48510608586111 +298213772 +436648031631380 +431234567891234567891234567891 +4312345678912345678912345678912345678912	PASSED
Searching users via wildcard in firstname/lastname is implemented.	CLONE - Using wildcard in user search is not possible anymore	If I search for a user in the acceptance environment by entering part of his first or last name with an asterisk, I receive the attached error “A name may contain maximum 140 characters, dots and dashes”. It is important to be able to find a user by entering part of his name.	*Test case* 1. Log in EU as NA 2. In Administration tab, in Users, in First and Last name fields, try: - Last name: nadmin* => 2 results - First name: *enafname => 1 result - First name: *adm* => 3 results - First name: *se*, Last name: *change => 1 result - First name: Esd, Last name: CENTRAL=> 1 result - First name: Esd, Last name: cEntral => 1 result - Last name: *en*ral => 1 result	PASSED
Update of error messages when pending account management requests exist	List of pending requests per account - (update error messages)	Scenario: Sometimes you need to know whether a request is pending for an account. Problem: This should be done via (the task list #151 and/or) the list of account requests (#047), but you can not search on this page for a specific account or account range. Possible solution: Add the account name and ID in the task list and list of account requests and allow filtering on both.	*Test Case 1 - Personal details update there is pending request* 1. Log in RO as NA in one browser and as nadmin1 in another browser concurrently. 2. Navigate NA and nadmin1 in Administration -> User Management, in the personal details of the same user. 3. Propose a personal detail update - Check green confirmation message 4. As nadmin1, repeat the process. Ensure the following message appears: "Only one personal details update request can be active for one user at any given time. There is a personal details update request attached to this user which has not yet been completed. Its Request ID is 512890. You can check your task list for who is able to confirm or to reject this task. You may also be able to reject the update request task by yourself, if no longer needed." A Jira issue was created (EUCR-2934) to implement this issue in a future release for the following	PASSED

Feature	Summary	Description	Test Cases	SAT Status
			other requests: - Addition of AAR (also for ESD) - Replacement of AR (also for ESD) - Replacement of AAR (also for ESD) - Removal of AR (also for ESD) - Removal of AAR (also for ESD) - Account closure	
Clicking on URID link in Personal Details task does not let you return; this is now fixed	Clicking on URID link in Personal Details task does not let you return	If you submit a "Personal Details Update" task there is a hyperlink to the full user details. If you click this in order to bring up the users contact details you cannot then get back to the Task other than pressing the browser Back button.	1. Connect as NA and navigate to Administration -> Users 2. Click on a user's URID 3. Submit a modification of personal details 4. Navigate to tasklist -> exclusive tab and click on the top task 5. Click on the URID and ensure a pop-up window appears with the user's personal details, business details and account in three tabs corresponding to the clicked URID. As a regression ensure the user's personal details, business details and business details update function normally.	PASSED
If an ITL request for reconciliation, for a country, does not arrive on EUCR/EUTL the second request from ITL will generate issues on both systems because a reconciliation snapshot does not exist; this is now fixed	If an ITL request for reconciliation, for a country, does not arrive on EUCR/EUTL the second request from ITL will generate issues on both systems because a reconciliation snapshot does not exist.	https://webgate.ec.europa.eu/etsis/browse/-1026 Please find below the concluded approach: {quote}a) If the first request for reconciliation does not exists in our databases {quote} EUTL and EUCR will ensure that in such a case no exception will be thrown. The message will be stored in message log table. No response will be send back to ITL. {quote} b) In the second case, if the first request for reconciliation exists in our databases and the reconciliation snapshot is not created yet {quote} In cases where the message fails to be processed due to missing snapshot data, both in EUTL and EUCR it will be retried as defined by the queues' retry policy and if no success, will finally end up to an error queue, as to be implemented in the scope of -1028, -1029. An email can be send as to be implemented in the scope of -1030, -1031. The queue retry policy for reconciliations in both systems to be analysed and re-configured as needed. These details will be finalized during design and implementation. {quote}c) In the third case, and last one, first request for reconciliation exists in our databases and the reconciliation snapshot was created{quote}	Issue tested with JUnit: ReconciliationProvideTotalsTest	PASSED

Feature	Summary	Description	Test Cases	SAT Status
		Proceed as normal		
CP1 RMU LULUCF displayed in "Conversion A" and "Conversion B" proposal screens; this is now fixed	REGRESSION - CP1 RMU LULUCF displayed in "Conversion A" and "Conversion B" proposal screens	Given I'm logged in as NA And there is PHA account with CP1 RMU (Forest management (FM)) and CP2 RMU (Wetland, Drainage and Rewetting (WDR)) When I propose Conversion A Then on transaction proposal screen I can choose one of above LULUCFs In this case only LULUCFs related to CP2 RMU units should be displayed. When user tries to propose Conversion A using LULCF that is not related to CP2 RMU units, transaction is not proposed but there is no error displayed (nothing happens).	1. Locate an account with RMUs. 2. Set all its RMUs to orig CP1 and appl CP1. 3. Ensure the Conversion A is not possible to be submitted for this account. 4. Set all its RMUs to orig CP2 and appl CP2. 5. Ensure the Conversion A is possible to be submitted for this account. 6. Set some RMUs to orig CP1 and appl CP1 and some RMUs to orig CP2 and appl CP2. 7. Ensure the Conversion A is possible to be submitted only for the CP2 RMU units for this account (with originating country code the current MS). The following queries were users for these updates. select * from unit_block where account_id in (select account_id from account where identifier = 644) and unit_type = 'RMU' order by last_modified_time desc; update unit_block set original_period = 2, applicable_period = 2 where ID in (480, 479, 478, 477);	PASSED
Screen design issue for CP2 AAU units.	KP2 Demo Comment: CP2 AAU units has no value in eligibility column on transaction proposal screen (inconsistent with other units e.g. CP1 AAU)	CP2 AAU units has no value in eligibility column on transaction proposal screen (inconsistent with other units e.g. CP1 AAU)	*Test Case* 1. Log in as NA 2. For an account which contains AAUs, propose a transaction of type "Transfer of AAU, RMU, ERU, CER, lCER and tCER" 3. Ensure the "Eligibility" column is blank in the transaction proposal screen, for all AAUs	PASSED
No country code in projects for Transfer to SOP for Conversion; this is now fixed	No country code in projects for Transfer to SOP for Conversion	When choosing the transaction Transfer to SOP for Conversion, the drop down list of projects does not contain the country code. This is inconsistent with conversion A, JI Projects and other places where projects are listed. Projects should have the country code everywhere.	*Test Case* 1. Log in PT as NA 2. Click on Transfer to SOP for Conversion transaction for account 643 3. In dropdown list, country code should be visible (PT302 (TRACK_1))	PASSED
Change of message in footer for conversions	Conversion B of quantity below the mandatory one is allowed by EUCR	1. Project GRXXX has a conversion limit of 100 under track 2 2. Make a conversion A of 2. 3. Try a transfer to SOP. Any quantity other than 2 is forbidden.	1. Initiate a Conversion B for a Track_2 project 2. Ensure below the account holdings, the footer states: The mandatory quantity for this transaction is:	PASSED

Feature	Summary	Description	Test Cases	SAT Status
	(Implementation + Documentation)	4. Make a transfer to SOP of 2. 5. Conversion Entitlement = 98 6. Try a Conversion B Try 20 units. EUCR allows me to propose and approve. It is only ITL check 5065: For the second conversion of AAUs or RMUs for an applicable commitment period for a given track 2 JI project, the quantity to be converted must be equal to the conversion limit for that project less any quantity of ERUs converted under the project during previous conversion cycles and less the quantity of ERUs converted under the associated "conversion A" transaction and transferred to the SOP Adaptation Fund account for that project. that stops the transaction. The behaviour should be consistent. The code below from chapter 29.6.2 of UCS.13 Holdings and Transfers is not implemented. <<new_code>> For Track_2 projects: The quantity must be equal to: Limit – Sum(Completed Conversion A of this Project) – Sum(Completed Conversion B of this Project)	Project Limit - Converted Quantity (including quantity transferred to SOP) = .. .	
AAU units are not properly marked on the transaction breakdown screen; this is now fixed	AAU units are not properly marked on the transaction breakdown screen	When the transaction exceeds maximum number of unit blocks, EUCR displays a screen suggesting how transactions should be broken into smaller pieces. In hat screen AAU units are not market neither Subject to SOP nor Not subject o SOP.	1. Locate an account with CP2 AAU units; some are subject to SOP and some are not subject to SOP. 2. Mark all AAU CP2 unit blocks of this account as reserved except 10 unit blocks. This is done with a query such as: update unit_block set reserved_for_tx = 'PT999' where ID in (561758, 562287, 562286, 505242); 3. Set the configuration parameter itlIntegrationSettings.maxTransactionUnitBlocks = 5 and restart the application server. 4. Propose a transfer to another registry of all available CP2 AAU units of this account. 5. Afetr ECAS confirmation, EUCR presents an alternative transaction screen where AAU units are characterised as either "Subject to SOP" or "Not Subject to SOP".	PASSED
Screen design issue for account holdings	Please align the unit holdings panel in the holdings tab to the left and set it to 30% of the width of the screen	Please align the unit holdings panel in the holdings tab implemented for ETS-5098 to the left and set it to 30% of the width of the screen. As per mail discussion on 10/06.	*Test Case* 1. Log in GR as NA 2. For an account check in Holdings tab, that view resembles the one in attached file. 3. First table with columns Unit Type and Balance should be placed left and set to 30% of the screen width	PASSED

Feature	Summary	Description	Test Cases	SAT Status
A blank issuance limit produced an error; this is now fixed.	NumberFormatException in Issuance Limits	1. Go to EU ac CA 2. Go to Kyoto protocol / issuance limits 3. Remove value from Issuance Limit field 4. press [Submit] button	*Test Case 1: Test empty values* 1. Go to EU as CA 2. Go to Kyoto protocol / issuance limits 3. Remove value from one or more Issuance Limit fields 4. press [Submit] button 5. Should get message; "Unit quantities may only be positive integers." *Test Case 2 - Regression: Test negative values* Repeat TC1 with negative value and with the same expected message. *Test Case 3 - Regression: Test alphabetic values* Repeat TC1 with value equal to "sddf" and with the same expected message. *Test Case 4 - Regression: Test non alpha-numeric values* Repeat TC1 with value equal to "+-*/*/" and with the same expected message. *Test Case 5 - Regression: Test numeric values less than issued* 1. Repeat TC1 with value positive integer, less than Issued quantity. 2. The error message appears "You cannot enter an issuance limit (2) less than the issued quantity (28247)." 3. Submission is cancelled *Test Case 6 - Regression: Test numeric values more than issued* 1. Repeat TC1 with value positive integer, more than Issued quantity. 2. The green message appears "The KP issuance limits have been updated." 3. The values are saved.	PASSED
Change in screen message	Correct Emissions says Enter Emissions in confirmation screen	The label in the emissions confirmation screen will be modified to "Correct emissions".	1. Locate an OHA with emissions. 2. Submit an emissions update request 3. Ensure the confirmation screen title is "Correct Emissions" Repeat for AOHA.	PASSED
Upload of auction table error; this is now fixed	Auction Table Error while uploading XML file - after Confirmation Popup	This problem might be related to other -747, and -750, but looks like RedBox error is happening in different moment - after confirming Popup window. See movie attached. Generally while uploading xml file (attached) there is displayed Popup confirmation window, with proper recognising if on xml there is ADD/UPDATE/DELETE and the xml details are also displayed in datatable on popup window. then while clicking Confirm button I got the redBox error. Part of log file : EU/registry_EU.log is attached as well: Since in -747 the problem was with wrong property "id" instead of "identifier", now in this xml this propsrty is correct, but the problem is in different place. After digging little more on this problem: looks like in EU registry there are 3 Auction Delivery Accounts: 5000187, 5000440 and 5001185. And whenever I upload xml file with giving as auction-delivery-account those first two accounts, then there are no errors. If I will use account 5001185 then this error is happening after displaying popup confirmation	*Test Case 1 - Upload xml with wrong DTYPE of account* 1. Log in EU as CA 2. In DB change DTYPE for account identifier 10101 to ineligible value. 3. Set status to ACTIVE 4. Upload xml in Auction tables tab, and click Confirm 5. Should get error: 7760: The account identifier is not that of an Auction Delivery Account. *Test Case 2 - Upload xml with status other than ACTIVE for account* 1. Log in EU as CA 2. In DB change STATUS column for account identifier 10101 to "REQUESTED" value.	PASSED

Feature	Summary	Description	Test Cases	SAT Status
			3. Set DTYPE to "AuctionDeliveryAccount" 4. Upload xml in Auction tables tab, and click Confirm 5. Should get error: 80209: The account is closed: {0} *Test Case 3 - Upload xml with correct DTYPE and status ACTIVE for account* 1. Log in EU as CA 2. In DB change STATUS column for account identifier 10101 to "ACTIVE" value. 3. Set DTYPE to "AuctionDeliveryAccount" 4. Upload xml in Auction tables tab, and click Confirm 5. Should get success message: "The auction table has been imported."	
Email is created at user validation by NA.	No email sent to registered user after his manual validation by NA	When the new user (status: REGISTERED) is manually validated by NA there is no emails sent to this user informing that his enrolment was accepted. In case of automatic validation (e.g. when REGISTERED user is added as AR to account) Send Enrolment Key task is created and after its approval "Enrolment Confirmation" email is sent. Same email should be sent when user is validate manually.	1. Connect as NA and navigate to Administration->Users 2. Filter for status = "Registered" 3. Locate a user and click his URID 4. Click the button "Validate" 5. The green message box "Confirmation: The users have been validated." appears. 6. Ensure the following email is created and sent to the user "Dear <<first name last name>>, Your enrolment in the <<registry acronym>> registry has been accepted. An enrolment key will be sent to you soon. When you receive this key please click on the link "Enter your enrolment key" above menu and enter the key to fully activate your access to the registry. Sincerely yours, The registry administrator Do not reply to this email address as the mailbox is not monitored. Please contact your national administration should you require further assistance."	PASSED
Problem with final EUTL response status for Entitlement Transactions in ESD; this is now fixed	Problem with final EUTL response status for Entitlement Transactions in ESD	There is situation in ESD (EUCR-DEV, 6.4.4.1) where after performing Entitlement Transaction EUTL final response stuck in "EUTL Approved", but when looking for this transaction in Entitlement Transactions the response is 4-Completed, which mean this transaction was finished and finally the Entitlement is added on the Acquiring account. At the attached picture , you can see that for regular ESD-AEA transfer final EUTL response is "Approved". So why on Entitlement Transactions this response is "EUTL Approved" which mean: "Not entirely completed" On Unisystems FAT EUCR we see also that some transactions stay in this status. See screenshot.	1. Connect to ESD and propose an ESD Entitlement transaction 2. Approve the transaction request 3. Ensure the transaction is completed. 4. Perform the following query and ensure the column STATE of the last record has value APPROVED: select * from request_state where request_id = <<the request ID created at step 1>> order by 1; Tested in FAT with transaction ED220.	PASSED
Unenrollment confirmation page displays empty table of users; this is now fixed	Unenrollment confirmation page displays empty table of users	Unenrollment confirmation page displays empty table of users. See attachment	*Test Case 1* 1. Log in GR as NA 2. For user GR108411640474, start Unenrollment procedure 3. Appearing screen should contain URID, Name and Login columns in User tab	PASSED

Feature	Summary	Description	Test Cases	SAT Status
Add all new transactions in drop down of related screens v2	Add all new transactions in drop down of related screens v2	Add all new transactions in drop down of related screens v2	1. Connect to ETS, choose English language and navigate to Accounts -> Transactions 2. Ensure the Transaction Type drop-down box contains the following transaction types spelled as shown below: 01-00 Issue Of AAUs and RMUs 01-22 Issuance of allowance in Art. 63a registry 01-24 Issuance into Art. 63a pool 01-30 Issuance Aviation Allowance 01-31 Issuance General Allowance 01-32 Decoupling 01-33 Issuance Aviation Allowances Banking 01-34 Issuance General Allowances Banking 01-51 Issuance CP0 01-72 Issuance of Allowances for Exchange 02-00 Conversion 02-56 Conversion of AAUs or RMUs into ERUs (Conversion A) 02-57 Conversion of AAUs or RMUs into ERUs (Conversion B) 03-00 External Transfer Kyoto Units 03-02 Surrender Kyoto Units 03-12 ESD Transfer of 03-16 ESD Return of KP units 03-21 External transfer CP0 03-44 ESD Reversal KP 03-47 Transfer to SOP Adaptation Fund for First External Transfer of AAUs 03-49 Transfer to SOP for Conversion 03-75 Set Aside 03-82 Reversal Surrender Kyoto Units 04-00 Cancellation Kyoto Units 04-02 Surrender Kyoto Units Non KP Registry 04-03 Retirement CP0 04-22 Retirement for Article 63a registries 04-26 Cancellation in Art. 63a registry 04-45 Article 3.7ter Cancellation 04-46 Ambition Increase Cancellation 04-48 Mandatory Cancellation 04-91 Cancellation Against Deletion 05-00 Retirement 05-01 Retirement of surrendered former EUA 05-19 Retirement of ESD Used Units 06-00 Replacement 07-00 Carry Over 07-38 Carry Over of ERUs or CERs	PASSED

Feature	Summary	Description	Test Cases	SAT Status
			07-39 Carry Over of AAUs 08-00 Expiry Date Change 10-00 Internal Transfer 10-01 Cancellation CP0 10-02 Surrender Allowances 10-04 Surrender Kyoto Units (AOHA) 10-104 Reversal Cancellation 10-124 Reversal Cancellation Of Surrender Non Kyoto Units 10-135 Reversal Allocation Aviation Allowances 10-136 Reversal Allocation General Allowances 10-16 ESD Return of KP units (Internal) 10-171 Reversal of Transfer Out of Kyoto Units for Exchange 10-172 Reversal of Receipt of Allowances for Exchange 10-189 Reversal Administrative Deletion 10-190 Reversal Deletion 10-20 Administrative Transfer 10-22 Transfer between Art. 63a registries 10-24 Transfer to Art. 63a gateway 10-25 Transfer from Art. 63a pool 10-26 Transfer from Art. 63a gateway 10-272 Reversal of Issuance of Allowances for Exchange 10-33 Deletion Aviation Allowances Banking 10-34 Deletion General Allowances Banking 10-35 Allocation Aviation Allowances 10-36 Allocation General Allowances 10-37 Auction Delivery 10-41 Cancellation and replacement 10-52 Issuance of former EUA 10-53 Allocation of former EUA 10-54 Issuance of force-majeure allowance 10-55 Correction To Allowances 10-61 Conversion of surrendered former EUA 10-71 Transfer Out of Kyoto Units for Exchange 10-72 Receipt of Allowances for Exchange 10-82 Reversal Surrender Allowances 10-84 Reversal Surrender Kyoto Units (AOHA) 10-86 Return of Excess Allocation 10-89 Administrative Deletion 10-90 Deletion 10-92 Corrective transaction for reversal 10-93 Corrective transaction for reversal	

Feature	Summary	Description	Test Cases	SAT Status
JiProjects datatable doesn't refresh after confirmation dialog close; this is now fixed	JiProjects datatable doesn't refresh after confirmation dialog close	In JiProjects section, after clicking "Confirm" in deletion dialog, table appears not refreshed.	UC_CV_015_TC_01: DELETE PROJECT Refer to Test Case of EUCR-2884	PASSED
ESD Account Search - Forgets filters; this is now fixed	ESD Account Search - Forgets filters	ESD Account Search - Forgets filters when going from one page to another. If year 2015 is selected and the user tries to go to the next screen, all accounts are retrieved.	*Test Case 1 - Year filtering and sorting* 1. Log in ESD as NA 2. In Accounts link, select a Year (2013) and click Search 3. Note the resulting number 4. Click Next (arrow sign button). (Repeat with dropdown row selections: 10,20,50) 5. Rows found sign should be equal to step's 3, and Year equal to 2013. 6. Clicking on columns headers(Identifier, Member State, Year, Balance, Status) should result in the appearance of the same original data of step 2 *Test Case 2 - XML Export* 1. Log in ESD as NA 2. In Accounts link, select a Year (2013) and click Search 3. Click Search and Export 4. XML and UI info should be the same *Test Case 3 - View Details, Suspend and Close actions* 1. Log in ESD as NA 2. In Accounts link, select a Year (2013) and click Search 3. Close and suspend two different accounts. 4. Re-enter screen and check the update for these accounts. 5. Test View Details function.	PASSED
ESD Entitlements Screen - Forgets filters when going to next page; this is now fixed	ESD Entitlements Screen - Forgets filters when going to next page	ESD Entitlements Screen - Forgets filters generally	*Test Case - Year filtering and sorting* 1. Log in ESD as NA 2. In ESD Transactions link, select a Year(2013) and click Search 3. Note the resulting number 4. Click Next (arrow sign button). (Repeat with dropdown row selections: 10,20,50) 5. Rows found sign should be equal to step's 3, and Year equal to 2013. 6. Clicking on columns headers(MS, Year, Entitlement Limit 1, Entitlement Limit 2, Remaining Limit 1, Remaining Limit 2) should result in the appearance of the same original data of step 2 *Test Case 2 - XML Export* 1. Log in ESD as NA 2. In ESD Transactions link, select a Year (2013) and click Search 3. Click Search and Export 4. XML and UI info should be the same	PASSED

Feature	Summary	Description	Test Cases	SAT Status
After JI project deletion, the screen should be refreshed; this is now fixed	After JI project deletion, the screen should be refreshed		*Test Case 1* 1. Log in EU as NA 2. In JI Projects, check a project 3. In another browser, include the project identifier in a conversion A (EU 296). 4. Complete the proposal 5. In first browser, click Delete and Confirm. 6. Below message should be returned and project shouldn't be deleted.: 80402: Cannot delete project EUXXX 80408: Project EUXXX participates in a pending or completed conversion cycle 7. Re-enter JI Projects and click Search 8. Reserved project does not have a selection box available. 9. As another NA, reject the task (in step 3) 10. Re-enter JI Projects, click Search 11. Previously reserved project now has a selection box available. *Test Case 2* 1. Log in EU as NA 2. Check a project in JI Projects, which is not included in any Conversion cycle (e.g. identifier = 445) 3. Click Delete and Confirm. 4. Project should be deleted in DB and UI and page refreshes	PASSED
Missing page reference in Account Delegation Edition Confirmation; this is now fixed	Missing page reference in Account Delegation Edition Confirmation	Steps to reproduce A. Delegate Account In "Account Main", press "Delegate". In "Account Delegation - Select External Platform", select an external platform and press "Next". In "Account Delegation", add a representative and press "Submit". In "Account Delegation Confirmation", press "Back". B. Edit Account Delegation In "Account Main", press "Edit Account Delegation". In "Account Delegation Edition", _*remove all representatives*_ and press "Submit". In "Account Delegation Edition Confirmation", the page number does not exist, as in the attached image.	*Test Case* 1. Log in PT, as NA 2. For PT 632, in "Account Main", press "Delegate". 3. In "Account Delegation - Select External Platform", select an external platform and press "Next". 4. In "Account Delegation", add a representative and press "Submit". 5. In "Account Delegation Confirmation", press "Back". 6. In "Account Main", press "Edit Account Delegation". 7. In "Account Delegation Edition", remove all representatives and press "Submit". 8. In "Account Delegation Edition Confirmation", the page number must exist. as in attached image but with non empty field.	PASSED
Cleanup Script - Add retirement, cancellation	Cleanup Script - Add retirement, cancellation	Cleanup Script - Add retirement, cancellation, esd all all translations should clear KP2_ENT_TRANSACTION_LOG	Repeat the following for retirement, ambition increase cancellation, art3.7 cancellation, mandatory cancellation, voluntary cancellation: 1. Submit a transaction request but do not sign it in ECAS 2. Wait 30 minutes 3. Ensure the latest transaction request for this account is REJECTED via the query: select state, tr.* from transaction_request tr, request_state rs	PASSED

Feature	Summary	Description	Test Cases	SAT Status
			where transferring_account_id = <<the id of the used account>> and tr.request_state_id = rs.request_state_id order by datetime desc;	
"No records found" in un-enrollment confirmation screen	"No records found" in un-enrolment confirmation screen	After proposing un-enrolment of user, his details are not shown. Instead a message "No records found" appears on screen.	*Test Case 1* 1. Log in GR as NA 2. For user GR108411640474, start Unenrollment procedure 3. Appearing screen should contain URID, Name and Login columns in User tab	PASSED

Check 7371 message is added	Check 7371 message	Check 7371 was added in EUTL 8.0.2, but was not included in 7.51 EUTL checks xls.
		
		Added in 7.52 checks xls
		
		Message to be added in EUCR
			1. Locate a terminated transaction in EUCR by navigating to Accounts->Transactions->Filter for status = Terminated.
			2. Update the response code so that 7371 response code is simulated for this transaction. This can be done as follows:
			select * from transactions where transaction_identifier = 'MT192';
			select * from transaction_response where transaction_id = 690491;
			update transaction_response set response_code = 7371 where transaction_id = 690491;
			3. Navigate to the transaction's response codes and ensure the code 7371 appears, with details:
			"7371: Transfers to the CDM SOP Adaptation Fund Account can only be of type "Transfer to SOP for Conversion" or "Transfer to SOP for first External Transfer of AAUs"."
				PASSED

Parent issue to control all changes in AR/AAR actions on accounts	New logic for performing actions in "Authorised Representatives" and "Additional Authorised Representatives" tabs	This parent ticket groups all individual issues which are related to the new mechanism and logic for rendering action buttons in "Authorised Representatives" and "Additional Authorised Representatives" tabs. These issues should be tested simultaneously. The latest analysis document may be found [here|https://sc136.unisystems.gr:4443/jira/secure/attachment/19864/EUCR-495%20-%20Changes%20in%20user%20rights%20on%20accounts_Impl_v6.docx].		PASSED
Checks as per when account management buttons appear	EUCR-2917 Apply mechanism for AR / AAR actions in ESD pages	"Authorised Representatives" and "Additional Authorised Representatives" tabs should be aligned between ETS and ESD. The new mechanism should be applied to ESD as well.	Tested successfully. The cases (see EUCR-495) when each button is rendered is aligned across ETS and ESD.	PASSED
Checks as per when account management buttons work after clicking	EUCR-2917 Post-condition checks for all AR/AAR action buttons in ESD, ETS	After pressing the buttons in AR/AAR tabs, exactly the same checks should be executed, on the post-condition level, according to the new mechanism defined in EUCR-495. It applies to both ESD, ETS and the following buttons: * Remove * Replace * Update * Suspend * Restore	Tested successfully. The related buttons are rendered aligned to the access & user status (see EUCR-495)	PASSED
Allow replacement of unenrolled user	EUCR-2917 Not possible to replace a suspended AR	Imported on: 16/12/2014 \\ From: [https://webgate.ec.europa.eu/etsis/browse/ETS-6577] According to the document on SDB-2139 it should be possible to replace a SUSPENDED AR irrespective of their enrolment statue. This is not possible. The only buttons available (assuming there are at least 2 other ARs) are to REMOVE or RESTORE. If there were only two reps on the account then the only option is to Restore.	*Test Case 1* 1. Log in EU as NA 2. For account 383, suspend authorized representative GR900000000014, confirm, and replace with another. 3. New AR should exist in the place of the old.	PASSED

Feature	Summary	Description	Test Cases	SAT Status
		This means that replacing someone in this state becomes a 2 stage process. The usual scenario is because we have found out that someone has left the company so, if there are only 2 ARs on the account, we suspend the one who has left. the account holder usually wants to replace them but all they can do is add. The removal has to be done as a second change. It ought to be done in one go, exactly as if the AR is not suspended.		
Checks actions on account	EUCR-2917 Changes in user rights on accounts	This is from CMB of 03/12/2013	Tested successfully - all cases are described on the document (EUCR-495 - Changes in user rights on accounts). Please refer to tab **SDB-2139** in this document.	PASSED
Checks special cases of actions on accounts	EUCR-2917 CLONE - Removal / Replacement / Update / Suspension of ARs and AARs according to the status	We would like to make a comprehensive review of the actions that can be taked towards ARs and AARs taking into consideration their roles and the number of ARs and AARs per account. In the table attached to the issue it's the behaviour we propose so that we are in line with the legislation and we have a common understanding of the issue. Here are the guidelines: - The ARs in Unenrollment Pending should be treated like the ones in Enrolled Status - View Only ARs never count when deciding on MinNrAR - The Unenrolled users are as good as "dead" since this action is irreversible and they won't have access to the account - When removing an unenrolled so that the account remains with one AR in (Enrolled OR Unenrollment Pending OR Verified) you should get a Warning message explaining that this action is allowed, but you are under the threshold of Minimum Number of ARs, you will not be able to make a certain variety of actions and you are advised to appoint another AR as soon as possible	Please refer to the attachment. Results of Tests (I Tests on user Removal) 1a) The button (Remove") is not rendered on the tab "AR" & "AAR" of the account. (" EU-100-10000504-0-41" with Status "Suspended") , (ETS - Union Registry PT) . Also, the other distinct buttons are not rendered (Replace, Update, Suspend, Restore). 1b) The button (Remove") is not rendered on the tab "AR" & "AAR" of account ("EU-100-10001866-0-21" with Status "Suspended") , (ESD - Union Registry BE) Also, the other distinct buttons are not rendered (Replace, Update, Suspend, Restore). 2a) The button (Remove") is not rendered on the tab "AR" & "AAR" of the account. (" EU-100-10000666-0-7" with Status "Transfer Pending") , (ETS - Union Registry PT) Also, the other distinct buttons are not rendered (Replace, Update, Suspend, Restore). 2b) The button (Remove") is not rendered on the tab "AR" & "AAR" of the account. ("EU-100-10001866-0-21" with Status "Transfer Pending"- on the db layer level - on the real time condition, it is not possible any account to change of status "Transfer pending) , (ESD - Union Registry PT) Also, the other distinct buttons are not rendered (Replace, Update, Suspend, Restore). 3a) The button (Remove") is not rendered on the tab "AR" & "AAR" of the account. (EU-100-633-0-67 with Status "CLOSED" (ETS - Union Registry PT) Also, the other distinct buttons are not rendered (Replace, Update, Suspend, Restore). 3b) The t button (Remove") is not rendered on the tab "AR" & "AAR" of the account. EU-100-10001862-0-41 with Status "CLOSED" (EDS - Union Registry BE) Also, the other distinct buttons are not rendered (Replace, Update, Suspend, Restore). 4 a) The button ("Remove") is not rendered on the tab "AR" & "AAR" of the account. EU-100-10000505-0-36 with Status "Open" (ETS - Union Registry: PT) . We have executed a request to update installation information (Installation Id :10869) has been submitted under identifier 512810. Also, the buttons "Replace" & "Restore are not rendered for the following reasons	PASSED

Feature	Summary	Description	Test Cases	SAT Status
			Replace : the pending request is set to "Installation UpdateRequest" Restore : the suspend button is active 5 a) The button ("Remove") is not rendered on the tab "AR" & "AAR" of the account. EU-100-10000510-0-11 with Status "Blocked " (ETS - Union Registry: PT) - We have executed a a request to update installation information (Installation Id :10874) that has been submitted under identifier 512817. Also, the buttons "Replace" & "Restore are not rendered. 5b) The button ("Remove") is not rendered on the tab "AR" of the account for the specific user ED999999911357 with Status "Blocked" (ESD - Union Registry CY) - Update the AR information - (Account HolderRepresentativeUpdateRequest - Refers to specific AR Also, the buttons "Replace" & "Restore are rendered for the other users The specific scenario is repeated on the account EU-100-10001866-0-21 (with same status) for "AccountClosureRequest" with the following results: 1) After the submission of the request, the status of account is set to "Suspended" 2) The distinct buttons are not rendered on the tabs "ESD ARs" & "ESD AARs" 6 a) The button "Replace" is not rendered on the account (PT-121-636-0-50 status : Open) because the number of AR =2. b) You have only rendered the button "Remove" on the View Only Authorised Representative . The specific scenario has been executed on the PT Registry for account (643) and AARs(3) PT900000000004, PT900000000003, PT483028062779 with access status = ACTIVE user status = ENROLLED and only view View Only Authorised Representative the last AR The other AARs have rendered the buttons "Replace, Update, Suspend" c) You have rendered the button "Remove" on any ARs. The specific scenario has been executed on the PT Registry for account (643) and AARs(3) PT900000000004, PT900000000003, PT483028062779 with access status = ACTIVE user status = ENROLLED (we suggest to execute the following sql command: update accesses set role_id=10115 where access_id=64769; in order to check immediately the behaviour of api) d) You have rendered the button "Remove" on the suspended user (PT483028062779).	

Feature	Summary	Description	Test Cases	SAT Status
			The specific sceranio has been executed on the PT Registry for account (636) and the 3 related ARs(3) PT900000000004 (with access status = ACTIVE,user status = ENROLLED), PT900000000003 (with access status =ACTIVE,user status = ENROLLED), PT483028062779 (with access status =SUSPENDED, user status = ENROLLED). ---------- II. Tests on rejecting a removal request A) Removal of a user SUSPENDED on an account Test Scenario Registry : PT Account : 636 Authorised Representative: PT483028062779 ---> Request_id : 512891. (as as nadmin1) 1) Submit a removal of a suspended user (PT483028062779 Access State : "Suspended") 2) Reject the removal request (512891) as na 3) The (RO636468991414) is set to Access State :"Suspended" on the account (636) B) Removal of a user ACTIVE on an account Test Scenario Registry : RO Account : 655 Authorised Representative: RO636468991414 ---> Request_id : 512889. (as na) --- 1. Submit a removal of active user (AR : RO636468991414 Access State : "Suspended") 2. Reject the removal request (512889) as nadmin1 3. The user (RO636468991414) is set to Access State :"Active" on the account (655)	
Checks actions on users after sequences of actions	EUCR-2917 AR cannot be updated after remove/update/re-add sequence	see: [https://webgate.ec.europa.eu/etsis/browse/-646]	Tested successfully 1) A) ECUR a) Login to Union Registry (PT) as na b) Navigate to menu Account --> Accountw and searches the Account (643) c) Click on the "tab" AR" and select the button "Update" for the AR1 (PT900000000003 with status "Suspended)) d) Change the values on the fields " Main Phone Number" from 1 --> 4 & Alternate Phone Number on the AR1 (Suspended User) Results : (a) A request to update business details has been submitted under identifier 512828. 1B) ESD - Select the account(EU-100-10001863-0-36 Union Registry : BE Status : Open) - Update the AR information (id ED999999911318 , values on the corresponding Telephone 1 +32774483745 ---> +32774483747 Telephone 2	PASSED

Feature	Summary	Description	Test Cases	SAT Status
			+32123456785 --- > +32123456788 - Submit the request Results Your request to update business details has been submitted under identifier 512835. 1 c) EUTL FOR EUCR 1) Connect to EUTL 2) Navigate to menu Account Mgt 3) Search the specific account (enter start number = 643 and enter number = 643) before submit the above request from EUCR 4) The specific screen presented the specific account 5) Click on the link "Detail" 6) The system presented the relations ARs with the specific account 7) After the execution of the step d , the related columns are updated immediately. 1 d) EUTL for ESD account (EU-100-10001863-0-36) - Executed the above steps with select account number 10001863 before 1 b Result : The system presented the same values on the specific fields with ESD - Executed the steps of scenarios 1b Result : After the execution of the scenario , the related columns of the AR are updated immediately. 2) The button "Update" is not rendered if there is a pending request for removal or replacement for the AR/AAR. 3.In this case, the NA user should not have been able to execute any action on the AR information because the related buttons are not rendered. 4) In this case, the specific validation has already executed on the previous stage ("Submitted request" - see step 3) in order to avoid the creation duplicate request on the same account. The above modifications have been implemented with same approach in both ETS and ESD pages related to ARs/AARs 5) Case 3 : In this case, NA2 is not be able to initiate the account representative update request since AR1 has already been removed from the account. Case 4 : In this case, the removal request is approved before the approval of the update details request.	
Unit Block Search - AAUs do not appear	Unit Block Search - AAUs do not appear correctly	Unit block search - column SOP, screen and CSV does not show correctly "Not subject to SOP" units.	Perform the following query in EUCR: select max(unit_type), SOP, original_period, applicable_period	PASSED

Feature	Summary	Description	Test Cases	SAT Status
correctly in the screen & exported CSV file	in the screen & exported CSV file	Both screen and CSV - AAUs with original period = 1 are shown with BLANK in column SOP - AAUs with original period = 2 are shown with "Subject to SOP" or "Not Subject to SOP" in column SOP depending on flag in Database	from unit_block where unit_type = 'AAU' group by sop, original_period, applicable_period; Ensure in the returned results: * Records of OrigCP1 and ApplCP1 -> have NULL SOP value * Records of OrigCP1 and ApplCP2 -> have NULL SOP value * Records of OrigCP2 and ApplCP2 -> have 1 or 0 SOP value	
The content and structure of the CP2 SEF file is modified so that it can be imported by SEF Tool v6.3.1	CP2 SEF XML format is not compatible with ITL	1. Export CP2 SEF XML from EUCR 2. Import into SEF Report Tool 3. Import CP2 SEF XML from ITL for the same registry. 4. Run the comparsion fucntion in the Report Tool. 5. Compartion function does not work. *For inclusion in V8.0.x* The XML exported from the EUCR for CP2 SEF still uses the CP1 years in table 5b to 5e. These need to be updated to CP2 fomat i.e. the years should run from 2013 to 2023.	1. Export CP2 SEF XML from EUCR 2. Import into SEF Report Tool v.6.3.1 3. The import completes successfully. Note: The SEF report tool does not validate data correctly for CP2. This has been communicated and is followed-up in EUCR-2573.	PASSED
CP2 SEF file contains the new LULUCF activity.	New LULUCF activity - SEF Support	New LULUCF activity - SEF Support	The new LULUCF activity WETLAND_DRAINAGE_AND_REWETTING is referenced in table 2a of SEF report under the section 'Article 3.3 and 3.4 issuance or cancellation'. Test Case 1: Under additions, there should be reported the RMUs issued with the IssueOfAAUsAndRMUs transaction regarding the WETLAND_DRAINAGE_AND_REWETTING LULUCF activity. Test Case 2: Under subtractions, there should be reported the units that are cancelled because of a NET_SOURCE_CANCELLATION notification referencing the WETLAND_DRAINAGE_AND_REWETTING LULUCF activity.	PASSED
Script which corrects CP1 CER/ERU_FROM_AAU balances in account statements needs to be created and set ineligible those units if transaction is after 31/3/2015.	Script which corrects CP1 CER/ERU_FROM_AAU in account statements	Script which corrects CP1 CER/ERU_FROM_AAU balances in account statements needs to be created and set ineligible those units if transaction is after 31/3/2015. The balances of CER/ERU_FROM_AAU were not calculated correctly if the transaction included CP1 units of those types.	1. Execute the CP1 acct. statement correction script Locate an account which has had CP1 CER or CP1 ERU units before 1/4/2015 which are in a positive ICH list. This can be located by querying tmp_fix_accst_log_cp1 where the COMMENTS column begins with "CER FINISHED OK". 2. Browse the holdings of this account and ensure it contains CER units which are in a positive list. 3. Browse the incoming transactions into this account by searching via Accounts -> Transactions and providing the account ID 4. Locate the incoming transaction transferring the specific CERs into this account	PASSED

Feature	Summary	Description	Test Cases	SAT Status
The balances of CER/ERU_FROM_AAU were not calculated correctly if the transaction included CP1 units of those types.			5. Generate an account statement including the located transaction date. Ensure the transferred unit blocks are characterised as INELIGIBLE in the generated account statement.	
EUCR Contacts link from home page to be amended	EUCR Contacts link	EUCR Contacts link should direct here: http://ec.europa.eu/clima/contact/index_en.htm. Currently it directs here: http://ec.europa.eu/dgs/clima/contact_en.htm	Tested successfully. *Test Case 1:ETS, EU registry* 1. Log in EU registry, as NA 2. Click Contact link 3. A pop-up window appears leading to http://ec.europa.eu/clima/contact/index_en.htm *Test Case 2: ESD* Repeat Test Case 1 in ESD as ESD-CA. *Test Case 3:ETS, MS registry* Repeat Test Case 1 as French NA: In this case the destination should be: http://ec.europa.eu/clima/policies/ets/registry/links_en.htm	PASSED
Under certain circumstances, after signature, the system ignores the user's language and reverts to English. This is now fixed.	Messages in wrong language after signature	If the “Preferred language” in the "Edit your personal details" section is "German" then the messages are in English (see attachment). If “Preferred language” is "English" then the messages are in German. It should be the other way around.	The purpose of these test cases is to verify that the language of the messages, after an ECAS signature, always matches the language on the top-right drop-down element. _+Note for Test Cases 1,2,3+: We have used Firefox for proposal and Chrome for approval._ *Test Case 1 - External Transfer - Both users have preferred language English* 1. Make sure menu's language is MT 2. Propose a Transfer Of Allowances from EU-100-754-0-44 (MT) to EU-100-655-0-54 3. Green box's text should be in MT. 4. Change language to English, approve the request, green box's text should be in English. *Test Case 2 - Roles and Permissions change* 1. In NL, make sure proposal user (na) has preferred language "Nederland's" and registry's language is English. 2. Propose a roles and permissions change. 3. Green box's text should be in English. 4. Make sure that approval user (nadmin1) has preferred language "English" 5. Approve the request, green box's text should be in English. *Test Case 3 - TAL addition* 1. In MT, make sure proposal user (na) has preferred language "Malta" and registry's language is	PASSED

Feature	Summary	Description	Test Cases	SAT Status
			English. 2. Propose a TAL addition of EU-100-756-0-34 to MT-121-751-0-62. 3. Green box's text should be in English. 4. Make sure that approval user (nadmin1) has preferred language "English" 5. Approve the request, green box's text should be in English. *Test Case 4 - ESD Transaction* 1. Propose an ESD Transaction 2. Green box should be in English language. 3. Approve the request, green box's text should be in English. _+Note for Test Cases 5,6,7+: We have used Chrome for proposal and Firefox for approval._ *Test Case 5 - Personal details update* 1.In NL, make sure proposal user (nadmin1) has preferred language "English" and registry's language is Nederland's. 2. Propose a personal details update for na's urid 3. Green box should be in NL language. 4. Approval does not present a green box. *Test Case 6 - Administration update* 1.In NL, make sure proposal user (nadmin1) has preferred language "English" and registry's language is Nederland's. 2. Propose an administration role update for a urid (add role of national administrator) 3. Green box should be in NL language. 4. Approval does not present a green box. *Test Case 7 - TAL deletion* 1.In RO, make sure proposal user (na) has preferred language "English" and registry's language is Romanian. 2. Propose a TAL deletion. 3. Green box should be in Romanian language. 4. Approve the request after ensuring that menu's language is English. 5. Green box should be in English. *Test Case 8 - Unit Block suspension/restoration - Firefox* 1. In RO and Firefox, make sure proposal user (nadmin1) has preferred language "Romanian" and registry's language is English 2. Propose a block suspension/restoration. 3. Green box should be in Romanian language. 4. Approve the request after ensuring that menu's language is English.	

Feature	Summary	Description	Test Cases	SAT Status
			5. Green box should be in English. *Additional testing* Above tests should be repeated after changing Firefox's default language to e.g. German The purpose of this additional testing is to make sure that the browser's default language does not affect the language of the messages, after an ECASE signature. In order to add a language to Firefox, please go to {{Options}} → {{Content}} → {{Languages}} → {{Choose...}} → {{Select a language to add}} → {{Add}}, and make sure this language is on the top.	
Hide an obsolete ITL notification type.	ITL Notifications - if carry-over notifications have been removed, they should not be displayed in the type (search)	If carry-over notifications have been removed, they should not be displayed in the type (search). Please check picture attached.	1. Connect as NA of a MS and navigate to its registry home page. 2. Navigate to Kyoto Protocol -> ITL notifications 3. Ensure that no notification name in the Type drop-down list contains the term "carry-over:"	PASSED
Configuration of emails of new KP2 transactions.	Transaction emails with new transaction types have !	The automatic emails that are sent from the EUCR about transactions have a ! after the transaction type. This seems to occur to new transaction types. The ! should not be displayed Please see the emails below. Thanks. – From: CLIMA-EU-ETS-REGISTRY-ACC@ec.europa.eu CLIMA-EU-ETS-REGISTRY-ACC@ec.europa.eu Sent: 8 de julho de 2016 09:20 To: jrs@bluefocus.pt Subject: Transaction Outcome Notification The transaction PT30 of type transactionType_CarryOver_CER_ERU_FROM_AAU between: PT-100-16246 and: PT-100-16246 Involving: Unit Type: CER, Unit Amount: 110 ...has ended with a status Terminated. Do not reply to this email address as the mailbox is not monitored. Please contact your national administration should you require further assistance. Their contact details can be found here: http://ec.europa.eu/clima/policies/ets/registry/links_en.htm – From: CLIMA-EU-ETS-REGISTRY-ACC@ec.europa.eu CLIMA-EU-ETS-REGISTRY-ACC@ec.europa.eu Sent: 8 de julho de 2016 09:21 To: jrs@bluefocus.pt Subject: Transaction Outcome Notification The transaction PT32 of type transactionType_AmbitionIncreaseCancellation between: PT-100-16246	1. Connect as NA and perform an AAU Transfer; approve it as another NA. 2. Ensure the transaction is completed. 3. Receive the email generated by the transaction. 4. Ensure the first line of the email is: The transaction <<>> of type 07-39 Carry Over of AAUs between: .... 5. Retrieve the last email.properties file and ensure the following excerpt is contained within the file: transactionType_ConversionA = 02-56 Conversion of AAUs or RMUs into ERUs (Conversion A) transactionType_ConversionB = 02-57 Conversion of AAUs or RMUs into ERUs (Conversion B) transactionType_TransferToSOPforFirstExtTransferAAU = 03-47 Transfer to SOP Adaptation Fund for First External Transfer of AAUs transactionType_TransferToSOPforConversion = 03-49 Transfer to SOP for Conversion transactionType_Art37Cancellation = 04-45 Article 3.7ter Cancellation transactionType_AmbitionIncreaseCancellation = 04-46 Ambition Increase Cancellation transactionType_MandatoryCancellation = 04-48 Mandatory Cancellation transactionType_EsdRetirementKPUsed = 05-19 Retirement of ESD Used Units transactionType_CarryOver_CER_ERU_FROM_AAU = 07-38 Carry Over of ERUs or CERs transactionType_CarryOver_AAU = 07-39 Carry Over of AAUs transactionType_ReversalAdminDeletion = 10-189 Reversal Administrative Deletion transactionType_AdminTransfer = 10-20 Administrative Transfer transactionType_AuctionDelivery = 10-37 Auction Delivery transactionType_AdminDeletion = 10-89 Administrative Deletion	PASSED

Feature	Summary	Description	Test Cases	SAT Status
		and: PT-280-17005 Involving: Unit Type: AAU, Unit Amount: 800 ...has ended with a status Terminated. Do not reply to this email address as the mailbox is not monitored. Please contact your national administration should you require further assistance. Their contact details can be found here: http://ec.europa.eu/clima/policies/ets/registry/links_en.htm		
Correction in display of KP2 entitlements.	KP Entitlements format	KP Entitlements should be separated by thousands = commas preferably as used elsewhere in UR. This is applicable in all KP2 entitlements	1. Connect as CA and navigate to EU registry (note: the same screen is used for all registries, but EU contains the sum of all other registries so the figures are bigger). 2. Navigate to KP --> KP2 Entitlements 3. Click on each of the following and ensure presented quantities appear with a thousands separator: * Transfer to PPSR Entitlements * First External Transfer Of AAUs Entitlements * Conversions Entitlements * Carry-Over Entitlements (CER/ERU from AAU) * Carry-Over Quantities (AAU)	PASSED
Some special characters are allowed for users' first name and last name.	Existing LAST NAME in personal details fails validation	First name and last name validation will be changed so that to allow 4 Special Characters, ROUND OPENING BRACKET, ROUND CLOSING BRACKET, - HYPHEN and . DOT and numbers. In addition, ESAPI validation will be used.	Tested via the test cases EUCR-3000, EUCR-3001, EUCR-3002, EUCR-3003, EUCR-3004.	PASSED
For Conversion B for Track_2 projects: A validation rule to be triggered if qty <> mandatory qty	Conversion B validation check for mandatory quantity for Track_2 projects	For Conversion B for Track_2 projects: A validation rule to be triggered if qty <> mandatory qty	Tested successfully. Test Scenario : Conversion of AAUs or RMUs to ERUs after the Transfer to SOP (Conversion B) for Track_02 Project *TC_01 : Submit Request with entered quantity value which is less than the limit* 1) Login to EUCR (Union Registry : MT as na) 2) Select a PHA (Party Holding Account: MT-100-10003336-0-41) 3) Click on the "Holding: tab 4) Click on the "Propose transaction" button 5) Choose one Project (PT661) of Track 2 with limit = 980 6) Enter AAU quantity to be converted equal to 800 (< limit) 7) Click on the "Confirm" button 8) The EUCR displays the error rule 82110 ---------- *TC 02: Entered quantity is more than limit* Repeat the steps 6-7 with quantity equal to 981 (> limit) The EUCR displays the error rule 82110, 82106	PASSED

Feature	Summary	Description	Test Cases	SAT Status
			---------- *TC_03 : Enter quantity value is equal to limit* Repeat the steps 6-7 with quantity equal to 980 (= limit) The transaction request is submitted normally. Approve the transaction as another NA. The transaction is completed successfully (MT257).	
After logout from ECAS user is redirected to EUCR instance instead of URL	CLONE - After logout from ECAS user is redirected to EUCR instance instead of URL	1. As NA log in with token 2. Log out from EUCR but not from ECAS 3. log in with GSM 4. Log out from ECAS Description When privileged user logged out from EUCR and not from ECAS and then tried o log in with GSM an error is displayed. User is advised to log out from ECAS and then log in again. In such flow user is redirected to EUCR instance instead to EUCR URL. Same issue is in ACC with 7.0.6. This seems to be a bit related to -1006 but neither TEST nor ACC run in Development mode.	The issue has been tested successfully. For the needs of this issue, the following configuration parameters will need to be modified, as stored in ecas-config-eucr-ui.properties: edu.yale.its.tp.cas.client.filter.serverName= eu.cec.digit.ecas.client.filter.serverProtocol=http eu.cec.digit.ecas.client.filter.serverPort= eu.cec.digit.ecas.client.filter.serverSSLPort= These are used as destination when returning from ECAS, at both logging in and logging out of EUCR. Choose a user configured in TMS as 'G' so he connects via GSM. *A. Login and logout of EUCR* A1. Set the serverName parameter to europa.eu/ A2. Navigate to EUCR and click "Login" A3. Authenticate via GSM in ECAS and click "Login" A4. Ensure the next page is an empty page, in server europa.eu A5. Change manually the current URL so that it points to the EUCR server name A6. The normal page of EUCR appears and user is logged in normally A7. Click link "Logout" in EUCR A8. Click "Logout" from ECAS A9. Ensure the next page is an empty page, in server europa.eu A10. Change manually the current URL and point to the EUCR server name A11. The normal page of EUCR appears and user is logged out normally Repeat the above steps using as serverName the appropriate EUCR server address. The user logs in and logs out normally. *B. Attempt to log in EUCR via Tokens and GSM* Repeat steps A1-A7. B1. Navigate again to EUCR and click "Login" *without having logged out from ECAS* B2. Authenticate in ECAS via Tokens.	PASSED

Feature	Summary	Description	Test Cases	SAT Status
			B3. Ensure the next page is an empty page, in server europa.eu B4. Change manually the current URL and point to the EUCR server name B5. The error page specifying the user is logged in with both GSM and Tokens appears. B6. User clicks "Logout" B7. User navigates to ECAS. B8. User clicks logout from ECAS. B9. Ensure the next page is an empty page, in server europa.eu B10. Change manually the current URL and point to the EUCR server name B11. User is navigated to EUCR, being logged off. Repeat the above steps using as serverName the appropriate EUCR server address. The user logs in and logs out normally.	
Roles and Permission checkboxes are disabled after unfinished signature (add to clear-down job)	Roles and Permission checkboxes are disabled after unfinished signature (add to clear-down job)	Propose update of permission in Roles and Permission Stop when comes to providing password and mobile number in ECAS signature. Go back to EUCR and check state of checkbox for the permission There is error in Roles and Permission table when proposing updated of some permission (switching checkbox) and signature is not finished, process of signature breaks in the moment of providing password and mobile number. When from this moment user will click back button and enter again in EUCR to Roles And Permission page, that proposed checkbox is disabled. There are no either pending tasks for Approval R&P Changes. There might be many disabled checkboxes since I can try propose updates many times, and stop before signature.	1. Connect as NA and navigate to Administration -> Roles and Permissions 2. Propose a change in permissions and confirm 3. Do not sign via ECAS; do not approve as another NA 4. Ensure that the modified checkboxes are disabled Get the most recent permissions update request and check its status is SUBMITTED_NOT_YET_APPROVED: select * from role_perm_conf_request order by request_id desc; select * from request_state where request_id = <<request_id>>; 5. Wait for 35 minutes 6. Ensure the modified checkboxes are again enabled. Re-execute the query of step 4 and ensure the status is REJECTED and another status record for USER_REJECTED.	PASSED
PHA to AAU Account transfer terminated with 7031 (KP2 accounts rules). This is now fixed.	PHA to AAU Account transfer terminated with 7031 (KP2 accounts rules)	Implement the rules found in the latest attachment of issue -1339	The transaction rules have been tested, and logged in the comments of issue EUTL-425 in Jira.	PASSED
Display "before" and "after" values on emissions confirmation screen	Display "before" and "after" values on emissions confirmation screen	it would be useful for a user to display "before" and "after" values on emissions confirmation screen	Tested successfully. *Test Scenario : Update emission value* *TC_01 Submit the request* 1) Login to EUCR (Union Registry PT as na) 2) Select an OHA account (10000485) with emissions (tab Compliance) and specific year (2014) 3) Click on the corresponding image The Union Registry display the Correct Emissions page with the current values for emissions as has already defined by the user 4) Update the value on the field 'CO2 Emissions' from 6 to 8	PASSED

Feature	Summary	Description	Test Cases	SAT Status
			5) Enter the value on the field 'N2O Emissions' (2) 6) Enter the value on the field 'PFC Emissions' (4) 7) Click on the button "Confirm" 8) The EUCR displays the confirmation screen with values of the above fields before & after .Also, the emissions have been recorded and an approval request created under reference: 513244. You will be notified when the emissions are verified. *TC_02 Approval the request* 1) Login to EUCR (Union Registry PT as nadmin1) 2) Search the specific request from the Task list 3) The EUCR displays the confirmation screen 'Approve emissions' with the corresponding info on the emission before & after 4) Click on the button "Approval" 5) Check the value of submission for the specific year 6) The EUCR displays the updated values on the specific fields	
Wrong label in "Enter Emissions" confirmation screen	Wrong label in "Enter Emissions" confirmation screen	Steps: * Log-in as NA/GR. * Search for account 10148 (OHA). * Open "Compliance" tab. * Propose emissions for a year. * In the "Enter Emissions" screen, enter a value and press "Confirm". * The panel title has changed to "Correct Emissions". The panel title should remain "Enter Emissions". The same happens for an Aircraft Operator.	*Test Case 1* 1.Log-in as NA/GR. 2. Search for account OHA 3. Open "Compliance" tab. 4. Propose emissions for a year. 5. In the "Enter Emissions" screen, enter a value and press "Confirm". The panel title should remain "Enter Emissions". *Test Case 2* Repeat test case 1 for an Aircraft Operator.	PASSED
Filter ESD transaction list by default on Last Updated Date (most recent ones at the top)	Filter ESD transaction list by default on Last Updated Date (most recent ones at the top)	1. Log in to ESD 2. Navigate to ESD--> ESD Transactions and click "Search" 2. Ensure the records presented are initially sorted descending on the column "*Last Updated*" Description Same rule as described in ETS-1007 should be applied to ESD transactions.	1. Log in to ESD 2. Navigate to ESD--> ESD Transactions and click "Search" 2. Ensure the records presented are initially sorted descending on the column "Last Updated"	PASSED
Cannot perform mandatory cancellation from OHA account	Cannot perform mandatory cancellation from OHA account	1. Log in to registry 2. Go to OHA account that has KP CP2 units 3. Propose Mandatory cancellation transaction Description	Tested successfully. Test Scenario 1: Mandatory Cancellation from OHA Account EU-100-10000505-0-36 1. Log in to registry (PT as na) 2. Go to OHA account (EU-100-10000505-0-36 (PT)) that has KP CP2 units 3. Propose Mandatory cancellation transaction (04-48 Mandatory Cancellation)	PASSED

Feature	Summary	Description	Test Cases	SAT Status
		When proposing Mandatory cancellation transaction from OHA account, following error is displayed "80733: The transferring and acquiring registry must be the same". User is not allowed to propose this transaction. Also there seems to be some text missing in the bottom right corner. It says ?cancelPage_MANDATORY_CANCELLATION?	4. The system displays the following message ' Your cancellation proposal has been recorded and assigned the identifier EU1243338. The transaction request with id 513627 has been submitted for approval.' 5. Logout from specific role (na) 6. Login in to registry (as nadmin1) 7. Go to the task list 8. Select the specific request 9. Click on the button "Approve" The status of the transaction is set to "Completed" and the units (2) are transferring to EU-250-10003432-2-50 (EU) Test Scenario 2: Mandatory Cancellation from PHA Account 1. Log in to registry (PT as na) 2. Navigate to a Party Holding Account (account 643) and propose a mandatory cancellation 3. Approve the transaction as another NA 4. The transaction is completed. (Transaction PT518 in Portugal)	
Correct the voluntary cancellation destination accounts	Voluntary cancellation destination accounts	1. Go to BG registry 2. Suspend all Voluntary Cancellation accounts 3. Go to PHA account with KP units 4. Check is you can propose Voluntary Cancellation Description When voluntary cancellation transaction is performed units are sent to EU Voluntary cancellation account (pending confirmation from Andrei MUNGIU this is expected behaviour). However when system decides if this transaction type is available to the user - cancellation accounts specific to the registry are analysed. Example: When in Bulgaria all cancellation accounts are suspended user cannot propose Voluntary Cancellation transaction because there is no such link transaction proposal screen.	A. Voluntary cancellation for PHA cannot start if MS cancellation accounts are suspended 1. Set to suspended the Finnish Voluntary Cancellation accounts 2. Navigate to a PHA of Finland; voluntary cancellation is not available 3. Navigate to an OHA of Finland; voluntary cancellation is available B. Voluntary cancellation for OHA cannot start if EU cancellation accounts are suspended 1. Set to suspended the EU Voluntary Cancellation accounts 2. Navigate to a PHA of Finland; voluntary cancellation is available 3. Navigate to an OHA of Finland; voluntary cancellation is not available C. Voluntary cancellation of MS PHA is the MS voluntary cancellation account 1. Propose a voluntary cancellation for Finnish PHA. 2. Ensure the acquiring account is Finnish voluntary cancellation account D. Voluntary cancellation of MS OHA is the EU voluntary cancellation account 1. Propose a voluntary cancellation for Finnish OHA. 2. Ensure the acquiring account is EU voluntary cancellation account Note 1: Voluntary cancellation accounts can be located via the query: select * from account where registry_code = 'EU' and kyoto_account_type = 'VOLUNTARY_CANCELLATION_ACCOUNT' and commitment_period_code in (1,2); Note 2: Via the located account_id values, the accounts can be set to OPEN or SUSPENDED update account set account_status = 'OPEN'	PASSED

Feature	Summary	Description	Test Cases	SAT Status
			where account_id in (301, 10221);	
Repeated error message when updating account holder data. This is now fixed.	Repeated error message when updating account holder data	1. Log in to registry as NA 2. Go to account that has account holder data task pending 3. Try to update account holder data 4. Check if error message is displayed once Description When there is account holder update task pending and user tries to update account holder data again, error message is displayed: Unfortunately error message is repeated twice.	Tested successfully. *Test case 1* 1. Log in to registry as NA , RO registry. 2. Go to account 666 that has account holder data task pending 3. Try to update account holder data 4. Check if error message is displayed once *Test case 2 - Account holder that is Company* 1. Log in to registry as NA , EU registry. 2. Go to account 285 that has account holder data task pending 3. Try to update account holder data 4. Check if error message is displayed once *Test case 3 - Account holder that is plain* 1. Log in to registry as NA , GR registry. 2. Go to account 10220 that has account holder data task pending 3. Try to update account holder data 4. Check if error message is displayed once	PASSED
Installation / Aircraft Operator links in account list don't respect users permission. This is now fixed.	Installation / Aircraft Operator links in account list don't respect users permission	1. Log in to registry as user who has no permission to see Installation tab 2. Go to accounts and search for OHA accounts 3. Click on installation link Description If the user doesn't have permission to so Installation or Aircraft Operator tab in account view, there should be no links pointing to such tabs in account list. Currently the links are visible and when clicked they point no "next available" tab in accounts view (the tab that user has no access to is not displayed)	1. Locate a user who is only AR in a registry. This can be confirmed with the query: select distinct ro.* from roles ro , accesses acc, profile pro where ro.role_id = acc.role_id and acc.profile_id = pro.profile_id and pro.URID = '<<>>'; 2. Retrieve the permissions of the user in the specific registry: select distinct u.urid, u.state as user_state, a.state as access_state, r.role_name as role, pe.perm_key as permission from users u join profile p on p.urid = u.urid join accesses a on a.profile_id = p.profile_id join roles r on a.role_id = r.role_id join role_permission rp on r.role_id = rp.role_id join permissions pe on pe.permission_id = rp.permission_id where u.urid = '<<>>';	PASSED

Feature	Summary	Description	Test Cases	SAT Status
			3. Ensure the permission PERM_ACC_INST_SEE is included in the list of permissions. 4. Search for OHA accounts and ensure the installation links are visible. 5. Delete the role_permission pertaining to PERM_ACC_INST_SEE via the query: delete from role_permission where role_id = <<>> and permission_id = <<>>; 6. Search for OHA accounts and ensure the installation links are not visible. Repeat for AOHA accounts and PERM_ACC_AIR_SEE.	
Correction of the criteria via which accounts are selected in "Export KP units in KP accounts" functionality	Inconsistencies in "Export KP units in KP accounts" functionality	1. Log in to registry 2. Go to Unit blocks 3. Export unit blocks using "Export KP units in KP accounts" button Description There are 2 inconsistencies in "Export KP units in KP accounts" functionality. 1. Button name says "KP accounts" but since in requirements it was stated that this should cover 100 account type - ETS accounts are included as well. Is this expected behaviour? 2. Requirement says that AAU, CER and ERU unit should be exported. Currently systems exports AAU, CER and ERU_FROM_AAU, ERU_FROM_RMU and RMU units. Is this expected behaviour? What about LCERs and TCERs?	A.1. Connect as NA in Romanian Registry A.2. Navigate to Administration -> Unit Blocks and click on "Export KP units" A.3. Ensure holdings of accounts with KP type HOLDING_ACCOUNT(100), FORMER_OPERATOR_HOLDING_ACCOUNT(120), PERSON_ACCOUNT_NATIONAL_REG(121) and unit holdings of AAU, ERU_from_AAU, CER are exported. B.1. Connect as NA in EU Registry B.2. Navigate to Administration -> Unit Blocks and click on "Export KP units" B.3. Ensure unit holdings of AAU, ERU_from_AAU, CER are exported for the following types of accounts: * AAU account * ETS AAU Deposit account * ESD AAU Deposit account * ETS Central Clearing account for CP2	PASSED
This is a legacy issue for Excess Issuance ITL notification.	Notification "Excess Issuance" does not set correctly acquiring account (LEGACY FUNCTIONALITY)	Notification EXCESS_ISSUANCE_CDM_PROJECT does not set correctly acquiring account This notification should have a CDM account as an acquiring account, but it does not set it correctly. Should we add parameter just like the other two new KP notificaitons ?	1. Set the configuration parameter CDM.EXCESS_ISSUANCE_CANCELLATION_ACCOUNT = CDM-100-3567-0 and restart the application server 2. Connect as NA to a registry (in our FAT: Portugal) and navigate to KP -> ITL Notifications 3. Locate an ITL Notification of type EXCESS_ISSUANCE and click on "Fulfil" 4. Enter an acquiring account; the transferring account is retrieved automatically and is set as: CDM-100-3567-0	PASSED
Correction of error during account delegation confirmation.	NPE while Editing Account Delegation Confirmation	For OHA Account click Delegate Button in Account Main tab - Add all external platforms - confirm by Submitting - go back and remove all confirm by Clicking Confirmation Description https://webgate.ec.europa.eu/CITnet/jira/browse/C-886 According to test steps for item: https://sc136.unisystems.gr:4443/jira/browse/EUCR-2889 I got NullPointerException while testing scenario of Adding and removing all entries from existed Account Delegation (Button Remove All) and confirming emptying the list of external platforms	1. Connect as NA and navigate to Accounts -> Accounts 2. Locate an OHA which is not CLOSED 3. Navigate to Account Main and click on "Delegate Account" 4. Click an external platform and click Next 5. Click all the representatives and click Add All; click Submit 6. Ensure a green confirmation message appears informing on the delegation to the external platform. 7. Click button Back 8. Navigate to Account Main and click on "Delegate Account" 9. Click on all the ARs and click on Remove All 10. Click Submit and Confirm; ensure no error appears on screen	PASSED

Feature	Summary	Description	Test Cases	SAT Status
			Repeat for OHA (EU), AOHA (EU), Trading Account (PT 10000954), Person Holding Account (EU), Auction Delivery Account (EU)	
Correct screen omission when passing from unit block details to account details.	Not displayed all Account Detail Tabs when passing from Unit Blocks page to Account details page	ESD - Accounts Browser : Internet Explorer, Mozilla Firefox, Google Chrome Member State: EU - EUROPE Steps: Find any unit block in Unit block search page. Click Account link in column Holding Account (if link exist) Consult to which page user was redirected Description When user is checking searching Unit Block and at the result there are displayed Account link in the column Holding Account, then clicking on that link user is redirected to Account details page, but instead of all tabs there are displayed only: Account Main Authorised Representatives Additional Authorised Representatives There should be displayed all tab, same way like user is redirected from Account Search Page - after clicking View Details link So, looks like from Unit Block page user is redirected to page: tasklist.xhtml instead of esdAccountDetailsView.xhtml	A. Connect as NA in Polish registry 1. Navigate to Administration -> Unit Blocks 2. Click "Search" 3. Click the identifier of a Holding Account 4. Ensure the destination page presents the information of the account using the ETS accounts screen. Repeat for PHA, OHA, AOHA, PeHA. B. Connect as ESD-CA in ESD registry 1. Navigate to Administration -> Unit Blocks 2. Click "Search" 3. Click the identifier of a Holding Account 4. Ensure the destination page presents the information of the account using the ESD accounts screen.	PASSED
Empty error message when attempting to close an ESD account. This is now fixed.	Empty error message when attempting to close an ESD account	Connect as ESD-CA and navigate to ESD -> Accounts -> Click on a "Close" link of an account without balance. An empty orange box appears (see attachment). You should be able to close accounts as follows: {quote} An ESD-CA can change an account status as follows: • OPEN => CLOSED, if account does not hold any units • OPEN => SUSPENDED • SUSPENDED => OPEN • BLOCKED => SUSPENDED • BLOCKED=> CLOSED • SUSPENDED => BLOCKED The account status change needs an approval by another ESD-CA to become effective only when setting the account status to CLOSED. {quote}	Tested successfully. 1. Connect as ESD-CA and navigate to ESD -> Accounts -> Click on a "Close" link of an account without balance. 2. Sign and submit the account closure request 3. Click again the "Close" link for the same account. 4. Ensure the orange message appears: " Only one account management request can be active for one account at any given time. There is a request attached to this account which has not yet been completed. Its Request ID is <<request_id>>. You can check your task list to see who is able to approve or to reject this task. You may also be able to reject the request by yourself, if no longer needed."	PASSED

Feature	Summary	Description	Test Cases	SAT Status
No signature is requested for Notification transactions. This is now fixed.	No signature is requested for Notification transactions	How to reproduce: * Make sure the signature is enabled in the relevant configuration property. * Fulfil any notification transaction. * A request is created, but _*no*_ signature is requested.	1. Connect as NA in a registry (in our FAT: PT registry) and navigate to Kyoto Protocol -> ITL Notifications. 2. Locate an incomplete ITL notification and click on Fulfil. 3. Provide account identifier and enter units 4. Click Next and Submit 5. Ensure ECAS signature is needed to sign the transaction request and sign it. 6. Ensure a transaction request is created normally for approval by another NA. 7. Connect as another NA and approve the transaction. 8. Sign the approval via ECAS. 9. Ensure a transaction is created and processed normally via ECAS. In our environment: PT527 transaction was created, after being proposed via ECAS and approved via ECAS.	PASSED
Correction of screen omission when clicking on user URID link in Tasks	Clicking on user URID link in Tasks shows popup with errors	Propose update of User Personal Details Before Approving this task, go to Details Page and click URID link on top When proposing update of Personal Details, which results in creating task request to approve. Approver is claiming this request, and went into Personal Details Update page in Tasks. Then on top there is visible link with URID which is clickable, and popup box is displayed. But on this popup there is no Title and there is no displayed Business Details tab - according to Test Cases in https://sc136.unisystems.gr:4443/jira/browse/EUCR-2797	1. Connect as NA and navigate to Administration -> Users. 2. Click on an enrolled user. 3. Propose an update of personal details. 4. Navigate to the tasklist -> exclusive tasklist and click on the generated task id. 5. Clink on the URID hyperlink of the affected user appearing on the top-left corner 6. A pop-up window appears with the following tabs, each containing data of the affected user: * Personal details * Business details * Administration roles * Accounts	PASSED

SEF CP2 implementation	New CP2 SEF format	New CP2 SEF format	1. Run the SEF job
			2. Connect as NA and navigate to a registry with CP2 transactions and navigate to Administration -> SEF Reporting
			3. Click on a hyperlink pertaining to a year and download the file
			4. Import the file within the SEF Reporting tool, version 3.6.1
			5. Ensure the file is downloaded without an error.
			
			Note: the SEF job can be executed as follows:
			{code}
			exec sef_kp2_reporting (2013, 2, to_date('31/12/2021 23:59:59', 'dd/mm/yyyy hh24:mi:ss'));
			exec sef_kp2_reporting (2014, 2, to_date('31/12/2021 23:59:59', 'dd/mm/yyyy hh24:mi:ss'));
			exec sef_kp2_reporting (2015, 2, to_date('31/12/2021 23:59:59', 'dd/mm/yyyy hh24:mi:ss'));
			exec sef_kp2_reporting (2016, 2, to_date('31/12/2021 23:59:59', 'dd/mm/yyyy hh24:mi:ss'));
			exec sef_kp2_reporting (2017, 2, to_date('31/12/2021 23:59:59', 'dd/mm/yyyy hh24:mi:ss'));
			exec sef_kp2_reporting (2018, 2, to_date('31/12/2021 23:59:59', 'dd/mm/yyyy hh24:mi:ss'));
			exec sef_kp2_reporting (2019, 2, to_date('31/12/2021 23:59:59', 'dd/mm/yyyy hh24:mi:ss'));
				PASSED

Feature	Summary	Description	Test Cases	SAT Status
			exec sef_kp2_reporting (2020, 2, to_date('31/12/2021 23:59:59', 'dd/mm/yyyy hh24:mi:ss')); commit; {code} The last parameter is the end of carry over.	

SEF CP2 implementation	SEF Procedure and carry-over transactions	SEF Procedure - carry-over transactions will be included in CP2 SEF and not CP1 SEF	1. Run the SEF job
			2. Connect as NA and navigate to a registry with CP2 transactions and navigate to Administration -> SEF Reporting
			3. Click on a hyperlink pertaining to a year and download the file
			4. Import the file within the SEF Reporting tool, version 3.6.1
			5. Ensure the file is downloaded without an error.
			6. Ensure the tables presented follow the calculation formulas defined in the attached document SEF CP2 Reporting_v2_2016-07-08.docx
			
			Note: the SEF job can be executed as follows:
			{code}
			exec sef_kp2_reporting (2013, 2, to_date('31/12/2021 23:59:59', 'dd/mm/yyyy hh24:mi:ss'));
			exec sef_kp2_reporting (2014, 2, to_date('31/12/2021 23:59:59', 'dd/mm/yyyy hh24:mi:ss'));
			exec sef_kp2_reporting (2015, 2, to_date('31/12/2021 23:59:59', 'dd/mm/yyyy hh24:mi:ss'));
			exec sef_kp2_reporting (2016, 2, to_date('31/12/2021 23:59:59', 'dd/mm/yyyy hh24:mi:ss'));
			exec sef_kp2_reporting (2017, 2, to_date('31/12/2021 23:59:59', 'dd/mm/yyyy hh24:mi:ss'));
			exec sef_kp2_reporting (2018, 2, to_date('31/12/2021 23:59:59', 'dd/mm/yyyy hh24:mi:ss'));
			exec sef_kp2_reporting (2019, 2, to_date('31/12/2021 23:59:59', 'dd/mm/yyyy hh24:mi:ss'));
			exec sef_kp2_reporting (2020, 2, to_date('31/12/2021 23:59:59', 'dd/mm/yyyy hh24:mi:ss'));
			commit;
			{code}
			The last parameter is the end of carry over.
				PASSED

For some account management requests, the request cannot be submitted when pending request exists for the same account. In that case, the respective button is now hidden.	Message does not appear when pending request exists	A request cannot be submitted if there is another pending request for the same account; this concerns the following request types: * Addition of AAR (also for ESD) * Replacement of AR (also for ESD) * Replacement of AAR (also for ESD) * Removal of AR (also for ESD) * Removal of AAR (also for ESD) * Account closure	*Test Case 1* - Add AAR while same request is pending 1. As NA, submit a AAR addition for RO 666 2. Try to propose a second request for the same account, relevant button should not exist *Test Case 2* - Add AAR while same request is pending (ESD) 1. As NA, submit a AAR addition for ESD 10001864 2. Try to propose a second request for the same account, relevant button should not exist *Test Case 3* - Replace AR while same request is pending 1. As NA, submit a AAR addition for RO 656 2. Try to propose a second request for the same account, relevant button should not exist *Test Case 4* - Replace AR while same request is pending (ESD) 1. As NA, submit a AAR addition for ESD 10001868 2. Try to propose a second request, relevant button should not exist	PASSED

Feature	Summary	Description	Test Cases	SAT Status
			Test Case 5 - Replace AAR while same request is pending 1. As NA, submit a AAR addition for RO 655 2. Try to propose a second request, relevant button should not exist *Test Case 6* - Replace AAR while same request is pending (ESD) 1. As NA, submit a AAR addition for ESD 10001868 2. Try to propose a second request for the same account, relevant button should not exist *Test Case 7* - Remove AR while same request is pending 1. As NA, submit a AR removal for RO 666, after having suspended an AR for this account 2. Try to propose a second request for the same account, relevant button should not exist *Test Case 8* - Remove AR while same request is pending (ESD) 1. As NA, submit a AR removal for ESD 10001863. 2. Try to propose a second request for the same account, relevant button should not exist *Test Case 9* - Remove AAR while same request is pending 1. As NA, submit a AR removal for RO 666 (make sure no pending AR removal exist) 2. Try to propose a second request for the same account, relevant button should not exist *Test Case 10* - Remove AAR while same request is pending (ESD) 1. As NA, submit a AR removal for ESD 10001867 (make sure no pending AR removal exist) 2. Try to propose a second request for the same account, relevant button should not exist *Test Case 11* - Close account while same request is pending 1. As NA, submit a account closure for an account 2. Try to propose a second request for the same account, relevant button should not exist	
Removal of obsolete XML schema files	Removal of obsolete XML schema files	The following XML schema files are obsolete and are no longer used. * eucr-ui/nap.xsd * eucr-ui/caat.xsd * eucr-commons/nap.xsd * eucr-commons/caat.xsd * eucr-commons/surrenderLimits.xsd After CLIMA approves, we will proceed to their permanent removal from the source code.	This is a technical issue	PASSED
Change in screen information from PPSR->PPSR transfer screen	Transfer PPSR to PPSR - Modify radio button label + drop down	Transfer PPSR to PPSR - Modify radio button label + drop down Radio button label for the first option must be renamed to: "Acquiring PPSR account registry"	*Test Case 1* 1. Log in EU as NA 2. For a PPSR account, initiate a transfer to PPSR transaction. 3. In "Transfer AAU to PPSR account" screen, check that first radiobutton is titled "Acquiring PPSR	PASSED

Feature	Summary	Description	Test Cases	SAT Status
		The drop down must contain only registry codes.	account registry " and that the respective dropdown contains only registries pertaining to OPEN PPSR accounts.	
A set of transactions checking system integrity	Regression: Transactions complete normally	Test transactions complete normally: # OHA -> OHA # ESD -> ESD # PHA -> AAU account # PHA -> PHA # Japan -> PHA (AAU, CER) # Japan -> OHA (AAU, CER)	These transactions were successfully tested. 1. Transaction EU1255876 from OHA -> OHA 2. Transaction EU1255878 from ESD -> ESD 3. Transaction EU1256880 from PHA -> AAU account 4. Transaction PT517 from PHA ->PHA 5. Transaction JP900801 from Japan -> PHA with CER Transaction JP900802 from Japan -> OHA with CER 6. Transaction JP900806 from Japan -> PHA with AAU It is not allowed to send AAU units to OHA; transaction terminated with rule 7036 (correctly)	PASSED
Correction for ITL notification Excess Issuance.	Check 80210 incorrectly fires for ITL notification EXCESS ISSUANCE	I go to PT and fulfil an EXCESS ISSUANCE from PHA 643. The rule 80210 incorrectly fires, PHA 643 has an AAR.	1. Connect as NA and navigate to Kyoto Protocol -> ITL Notifications. 2. Search for an ITL Notification of type "Excess Issuance CDM Project" and click its hyperlink 3. Enter as transferring account the identifier of a PHA of the registry of the user and click Apply. 4. The holdings of the transferring account appear. 5. Enter a quantity of units next to the corresponding unit type and click Next. 6. Click Confirm 7. The green message box appears stating the new transaction request. 8. Navigate to tasklist -> Exclusive Tasklist and ensure a task with request Id equal to the one created in step 7 appears.	PASSED
Correction in text of rule 7892.	Please correct word "except" in rule 7892	Please correct word "except" in rule: 7892: Amount transferred out of "ESD AAU Deposit Account" by Cancelation, Internal and External transfers should not exceed the "AAUs Available for Transfer" limit, except amount transferred to the "ESD Central Clearing Account".	This is a technical issue. Updated relevant message in message.properties file.	PASSED
Three detailed rules for KP2 cancellations are implemented	Additional rules for Cancellations	The following are a series of rules identified during implementation: 1. Art 3.7 Cancellation can only transact AAUs of CP2. 2. Art 3.7 Cancellation can only transact units with originating registry the current user's registry. ~~-3. Ambition Increase Cancellation can only transact units with originating registry the current user's registry.-~~ 4. Voluntary cancelations are blocked after the end of carry over.	A. Test for Art 3.7 Cancellation (Tasks 1 and 2) 1. Locate an account with units of various unit types, of both CP1 and CP2 and originating country code equal to the current registry and other registries as well (in our environment account 551 of Latvia). 2. Propose an Art 3.7 Cancellation Ensure the proposal screen shows **only**: * AAU units of originating CP = 2 * Of originating country code = Current registry B. Test for Voluntary Cancellation (Task 4) 1. Locate an account from which the Voluntary Cancellation is available in the list of transactions (in our environment account 551 of Latvia). 2. Change the configuration parameter carry.over.end.date to the value 01/01/2012 23:59:59 3. Restart the application server	PASSED

Feature	Summary	Description	Test Cases	SAT Status
			4. Navigate to the transactions list of the account used in step [1]. 5. Ensure Voluntary Cancellation is not available. 6. Change the configuration parameter carry.over.end.date to the value 31/03/2021 23:59:59 7. Restart the application server 8. Navigate to the transactions list of the account used in step [1]. 9. Ensure Voluntary Cancellation is available. Note: Task 3 was rejected and was not implemented	
While adding an ESD-AR this appears on screen as ESD-AAR. This is now fixed.	There is wrong description in ESD AR Addition Summary.	When you add an ESD-AR to an ESD compliance account, the summary view shows the user to be added with an "ESD-AAR" header.	*Test Case 1* 1. Log in ESD as NA 2. In an open account request the addition of an AR. (Complete proposal) 3. Ensure the addition request specifies the added user labelled "ESD-AR".	PASSED

During XML uploads into EUCR, a maximum file size parameter is introduced.	Lack of file size validation in XML file uploads	There will be a property defined in the eucr-configuration.properties named backingBean.maxFileSize with the value (in bytes) to be defined by business that will control the maximum file size (in bytes). Properties are periodically reloaded by the application.
		The required jsf page will have a javascript function to check the filesize
		
		{code}
		function checkFileSize(inputFile) {
		var max = #{backingBean.maxFileSize}; //max size in bytes
		
		if (inputFile.files && inputFile.files[0].size > max) {
		alert ('#{labels.file_upload_exceeds_size}');
		}
		}
		{code}
		
		The file upload tag will use this like
		<t:inputFileUpload ... onchange="checkFileSize(this)" />
		
		On the server side the handleXmlImport() method of every upload backing bean will check the fileInpuream for its size like fileinpuream.getChannel().size()
			Test Case 1 - Upload allocation file
			
			1. Change property backingBean.maxFileSize which is in eucr-configuration.properties to 500 and restart the application server
			
			2. Log in GB as NA and upload an allocation file with file size 700 Bytes (this can be found via the document properties of the NAT file)
			
			3. Ensure an orange message appears: "The uploaded file is bigger than the allowed file size (500)."
			
			4. Upload a NAT file with size 400 bytes.
			
			5. Ensure the file uploads successfully.
			
			Repeat for NAAT, ICE, ICH lists, KP2 entitlements, emissions, ESD emissions, ESD allocations, ESD eligibility lists, ESD entitlements.
			
			Note1: The property backingBean.maxFileSize is very important because it constraints the size of uploaded XML files.
			
			Note2: NAT is uploaded via:
			
			NA login -> EUETS -> NAT -> Batch Administration
				PASSED

Feature	Summary	Description	Test Cases	SAT Status
			NAAT is uploaded via: NA login -> EUETS -> NAAT -> Batch Administration Emissions are uploaded via: NA login -> EUETS -> Emissions Upload ICE are uploaded via: NA login -> EUETS -> ICE Table Upload ICH lists are uploaded via: CA login -> EU Registry -> Administration -> Initial List Upload KP2 entitlements: CA login in EU registry -> KP -> KP2 Entitlements -> Carry-Over Entitlements (CER/ERU from AAU) ESD allocations: ESDCA in ESD registry -> ESD -> ESD allocations Upload ESD emissions: ESDCA in ESD registry -> ESD -> ESD Emissions Upload ESD entitlements ESDCA in ESD registry -> ESD -> ESD Entitlements Upload ESD eligibility lists ESDCA in ESD registry -> ESD -> ESD Eligibility List Upload	

Feature	Summary	Description	Test Cases	SAT Status
During a search of records, the system did not respond correctly; this is now fixed.	Every action done during ongoing transactions searching causes logout from EUCR	1. Log in to EUCR 2. Go to Accounts -> Transactions 3. Press "Search" Button -> the button is grayed out 4. Before searching is complete again press "Search" button Actual Result: 1. The screen with info message is displayed: "There was a problem with your request. Please follow this link back to the homepage." 2. After pressing the link user is logged out Expected Result: Nothing happens	1. Navigate to to Accounts → Accounts 2. Press the "Search" button and immediately press any link on the left navigation menu (for example "List of account requests") 3. Ensure the accounts' records appear normally Repeat the same test for Accounts → Transactions Repeat the same test for Kyoto Protocol → JI Projects	PASSED

22.2.4.3 Annex H: Test Report – ITL Annex H tests for MT and CY initialization

Author: Youssouf Wabi / UNFCCC

Version number: 0.1

Status: Draft

Date: 18-Jan-2017

Introduction

As part of the initialization of the national registries of Malta (MT) and Cyprus (CY), the registry software they intend to use has to successfully pass qualifications tests. These tests are extracted from the ITL DES Annex H (new draft version v0.4).

For their Annex H testing MT and CY were expected to pass the tests from CP1 and CP2 that are applicable to them.

This document is the report of the testing performed on the EUCR software, to be used by MT and CY. The tests were executed in 2 phases. A first phase in August 2016 (for most of the CP2 tests) and a 2nd phase in Jan-2017 (for the CP1 tests).

Test results

Ref	Description	Outcome Pass/Fail	Notes
3.2.4.1	Receive CP1 CERs, tCERs, lCERs from CDM pending account	PASS	
3.2.4.2	Receive CP1 CERs, tCERs, lCERs from CDM Adaptation Fund (AF) account	PASS	
3.2.5.1	Successful voluntary cancellation of CP1 CERs	PASS	
3.2.5.2	Voluntary cancellation of CP1 CERs with wrong account	PASS	
3.2.5.3	Voluntary cancellation of CERs with an unknown account identifier	PASS	
3.2.5.4	Successful voluntary cancellation of other CP1 units	PASS	
3.2.5.5	Reconciliation	PASS	
3.2.6.1	Successful mandatory cancellation of CP1 CERs	PASS	
3.2.6.2	Mandatory cancellation of CP1 CERs with wrong account	PASS	
3.2.6.3	Mandatory cancellation of CP1 CERs with an unknown account identifier	PASS	
3.2.6.4	Successful mandatory cancellation of other CP1 units	PASS	
3.2.6.5	Reconciliation	PASS	
3.2.7.1	External transfer to fulfil excess issuance notification while acquiring account configured to reject the transaction	FAIL	Unexpected issue encountered. After investigation, the EC concluded that the issue is due to an EUTL check which triggers erroneously. It would never happen in Prod and in the unlikely case where it would occur a workaround is in place. All test cases from the test series should be re-run once the issue is permanently addressed.
3.2.7.2	Reconciliation	SKIPPED	
3.2.7.3	Successful external transfer to partially fulfil excess issuance notification	FAIL	Same issue as in 3.2.7.1
3.2.7.4	Successful external transfer to partially fulfil excess issuance notification with other eligible unit types	BLOCKED	Not tried due to issue uncovered in 3.2.7.1 and 3.2.7.3
3.2.7.5	Notification update and successful external transfer to fulfil excess issuance notification	BLOCKED	Not tried due to issue uncovered in 3.2.7.1 and 3.2.7.3
3.2.7.6	Reconciliation	SKIPPED	
3.2.8.1	Reversal of storage notification fulfilled with cancellation	BLOCKED	Because of a known issue in the processing of the notifications in the EUCR/EUTL. Fix will be provided in the Q1-2017 release of the EUCR software
3.2.9.1	Non-submission of certification report notification fulfilled with cancellation	BLOCKED	Because of a known issue in the processing of the notifications in the EUCR/EUTL. Fix will be provided in the Q1-2017 release of the EUCR software
3.2.13.1	Successful lCER Expiry Date Change	PASS	
3.2.14.1	Internal transfer of CP1 units within registry ZZ	PASS	

Ref	Description	Outcome Pass/Fail	Notes
3.2.14.2	Reconciliation	PASS	
4.2.1.1	Successful CP2 AAU issuance	PASS	
4.2.1.2	CP2 AAU issuance exceeding the limit	PASS	The error scenario couldn't be made to happen in the EUCR software, thanks to the built-in constraints on serial numbers
4.2.1.3	CP2 AAU issuance within the limit	PASS	
4.2.1.4	CP2 AAU issuance exceeding the limit	PASS	
4.2.1.5	Successful CP2 RMU issuance, LULUCF activity 1	PASS	
4.2.1.6	Successful CP2 RMU issuance, LULUCF activity 7	PASS	
4.2.1.7	CP2 RMU issuance exceeding the limit	PASS	
4.2.1.8	CP2 RMU issuance with serial numbers already existing	PASS	The error scenario couldn't be made to happen in the EUCR software, thanks to the built-in constraints on serial numbers
4.2.1.9	Reconciliation	PASS	
4.2.2.1	Initial conversion of CP2 AAU for JI track 2	PASS	
4.2.2.2	Initial conversion of CP2 RMU for JI track 2	PASS	
4.2.2.3	Initial conversion of CP2 AAU for JI track 1	PASS	
4.2.2.4	Initial conversion of CP2 RMU for JI track 1	PASS	
4.2.2.5	Second conversion of CP2 units for JI track 2 projects, before SOP transfer	PASS	This error scenario wasn't possible in the EUCR software, thanks to proper built-in constraints preventing it.
4.2.2.6	Second conversion of CP2 units for JI track 1 projects, before SOP transfer	PASS	This error scenario wasn't possible in the EUCR software, thanks to proper built-in constraints preventing it.
4.2.2.7	Second step of CP2 conversion cycle - SOP transfer	PASS	
4.2.2.8	Second conversion of CP2 AAU for JI track 2	PASS	
4.2.2.9	Second conversion of CP2 RMU for JI track	PASS	
4.2.2.10	Second conversion of CP2 AAU for JI track 1	PASS	
4.2.2.11	Second conversion of CP2 RMU for JI track	PASS	
4.2.2.12	Second conversion cycle of CP2 AAU for JI track 2 with wrong amounts for conversion	PASS	
4.2.2.13	Second conversion cycle of CP2 RMU for JI track 2 with wrong amounts for conversion A	PASS	
4.2.2.14	Second conversion cycle of CP2 AAU for JI track 1 with wrong amounts for conversion B	PASS	
4.2.2.15	Second conversion cycle of CP2 RMU for JI track 1 with wrong amounts for conversion B	PASS	
4.2.2.16	Attempt at conversion of CP2 units for 2 different projects	PASS	
4.2.2.17	Conversion A of CP2 AAU for JI track 2 with rounding amounts	PASS	
4.2.2.18	Conversion A of CP2 RMU for JI track 2 with rounding amounts	PASS	
4.2.2.19	Conversion B of CP2 AAU for JI track 2 where conversion A amount was rounded	PASS	
4.2.2.20	Conversion B of CP2 RMU for JI track 2 where conversion A amount was rounded	PASS	
4.2.2.21	Conversion A of CP2 AAU for JI track 2 with outstanding limit less than 50	PASS	
4.2.2.22	Conversion A of CP2 RMU for JI track 2 with outstanding limit less than 50	PASS	
4.2.2.23	Reconciliation	PASS	
4.2.3.1	First external transfer of CP2 AAU before SOP payment	PASS	This error scenario was prevented from happening in the EUCR thanks to the built-in constraints of the software.
4.2.3.2	SOP payment for CP2 AAU	PASS	
4.2.3.3	First external transfer of CP2 AAU in excess of allowed limit	PASS	This error scenario was prevented from happening in the EUCR thanks to the built-in constraints of the software.
4.2.3.4	Successive external transfers of CP2 AAU within limit	PASS	
4.2.3.5	Attempt at SOP payment with units originating from a different registry	PASS	
4.2.3.6	Attempt at SOP payment with units previously used	PASS	
4.2.3.7	External transfer with CP2 AAU previously used in external transfers	PASS	
4.2.3.8	Reconciliation	PASS	
4.2.5.1	Receive CP2 AAU, ERU from AAU, ERU from RMU and RMU from another registry	PASS	
4.2.5.2	Transfer CP2 AAU, ERU from AAU, ERU from RMU and RMU to another registry	PASS	
4.2.5.3	External transfer to a registry configured to reject them	PASS	

Ref	Description	Outcome Pass/Fail	Notes
4.2.5.4	Reject incoming external transfer of AAUs from another registry	PASS	This error case couldn't actually be tested, because the 2 test registries instances used were both from the EUCR
4.2.5.5	External transfer to a non-responsive registry	PASS	
4.2.5.6	External transfer to a registry rejected by the EUTL	PASS	
4.2.5.7	External transfer through a non-responsive EUTL	PASS	
4.2.5.8	Reconciliation	PASS	
4.2.5.9	Receive CP2 CERs, tCERs, lCERs from another registry when both registries are CP2 QELRC	PASS	
4.2.5.10	Transfer CP2 CERs, tCERs, lCERs from another registry when both registries are CP2 QELRC	PASS	
4.2.5.11	Transfer CP2 CERs, tCERs, lCERs to a non CP2 QELRC registry	PASS	
4.2.5.14	Reconciliation	PASS	
4.2.6.1	Receive CP2 CERs, tCERs, lCERs from CDM pending account	PASS	
4.2.6.2	Receive CP2 CERs, tCERs, lCERs from CDM Adaptation Fund (AF) account	PASS	
4.2.6.3	Reconciliation	PASS	
4.2.7.1	Cancellation to fulfil a net source cancellation notification for LULUCF 2	PASS	
4.2.7.2	Cancellation to fulfil a net source cancellation notification for LULUCF 7	PASS	
4.2.7.3	Cancellation to fulfil a net Source cancellation notification, that exceeds the outstanding amount of the notification	PASS	
4.2.8.1	Cancellation to fulfil non-compliance cancellation notification in CP2	PASS	
4.2.8.2	Reconciliation	PASS	
4.2.9.1	Successful voluntary cancellation of CP2 AAUs	PASS	
4.2.9.2	Voluntary cancellation of CP2 AAUs with wrong account	PASS	
4.2.9.3	Voluntary cancellation of AAUs with an unknown account identifier	PASS	
4.2.9.4	Successful voluntary cancellation of other CP2 units	PASS	
4.2.9.5	Reconciliation	PASS	
4.2.10.1	Successful mandatory cancellation of CP2 AAUs	PASS	
4.2.10.2	Mandatory cancellation of CP2 AAUs with wrong account	PASS	
4.2.10.3	Mandatory cancellation of CP2 AAUs with an unknown account identifier	PASS	
4.2.10.4	Successful mandatory cancellation of other CP2 units	PASS	
4.2.10.5	Reconciliation	PASS	
4.2.11.1	Successful article 3.7ter cancellation	PASS	
4.2.11.2	Cancellation for article 3.7ter less than the limit	PASS	
4.2.11.3	Cancellation for article 3.7ter greater than the limit	PASS	
4.2.11.4	Cancellation for article 3.7ter with non CP2 AAU	PASS	
4.2.11.5	Cancellation for article 3.7ter with CP2 AAU received from another registry	PASS	
4.2.11.6	Transactions with CP2 AAU before the article 3.7ter cancellation	PASS	
4.2.11.7	Transactions with non CP2 AAU before the article 3.7ter cancellation	PASS	
4.2.11.8	Transactions with CP2 AAU when the article 3.7ter amount is 0	PASS	
4.2.11.9	Transactions with CP2 AAU when the article 3.7ter amount is < 0	PASS	
4.2.11.10	Cancellation for article 3.7ter with non CP2 AAU	PASS	
4.2.11.11	Reconciliation	PASS	
4.2.12.1	Successful ambition increase cancellation	PASS	
4.2.12.2	Cancellation for ambition increase less than the limit	PASS	
4.2.12.3	Cancellation for ambition increase greater than the limit	PASS	
4.2.12.4	Cancellation for ambition increase with CP2 AAU received from another registry	PASS	
4.2.12.5	Cancellation for ambition increase with non CP2 AAU	PASS	
4.2.12.6	Reconciliation	PASS	
4.2.13.1	External transfer to fulfil excess Issuance notification while acquiring account configured to reject the transaction	PASS	
4.2.13.2	Reconciliation	PASS	
4.2.13.3	Successful external transfer to partially fulfil Excess Issuance notification	PASS	
4.2.13.4	Successful external transfer to partially fulfil Excess Issuance notification with other eligible unit types	PASS	
4.2.13.5	Notification update and successful external transfer to fulfill excess issuance notification	PASS	
4.2.13.6	Reconciliation	PASS	
4.2.14.1	Reversal of storage notification (Type 4) fulfilled with cancellation	BLOCKED	For the same reasons as 3.2.8.1
4.2.15.1	Non-submission of certification report notification fulfilled with cancellation	BLOCKED	For the same reasons as 3.2.9.1
4.2.16.1	Retirement of AAUs, ERUs and RMUs	PASS	

Ref	Description	Outcome Pass/Fail	Notes
4.2.16.2	Retirement of AAUs with an unknown account identifier	PASS	
4.2.16.6	Retirement attempt of CERs, tCERs, lCERs when registry has CP2 QELRC, but Doha amendment hasn't entered into force	PASS	
4.2.16.7	Retirement attempt of CERs, tCERs, lCERs when registry has CP2 QELRC and Doha amendment has entered into force	PASS	
4.2.16.8	Retirement attempt of tCERs, lCERs in excess of tCER/lCER retirement limit	PASS	
4.2.16.9	Retirement of tCERs, lCERs within tCER/lCER retirement limit	PASS	
4.2.16.10	Reconciliation	PASS	
4.2.17.2	Replacement of retired lCER for reversal of storage notification (Type 4) with Lcer	BLOCKED	For the same reasons as 3.2.8.1
4.2.17.3	Replacement of lCER in holding account for reversal of storage notification (Type 4) with lCER	BLOCKED	For the same reasons as 3.2.8.1
4.2.17.4	Replacement of retired lCER for reversal of storage notification (Type 4) with AAU, RMU, ERU, CER	BLOCKED	For the same reasons as 3.2.8.1
4.2.17.5	Replacement of lCER in holding account for reversal of storage notification (Type 4) with AAU, RMU, ERU, CER	BLOCKED	For the same reasons as 3.2.8.1
4.2.17.6	Replacement of retired lCER for non-submission of certification report (Type 5) with lCER	BLOCKED	For the same reasons as 3.2.9.1
4.2.17.7	Replacement of lCER in holding account for non-submission of certification report (Type 5) with lCER	BLOCKED	For the same reasons as 3.2.9.1
4.2.17.8	Replacement of retired lCER for non-submission of certification report (Type 5) with AAU, RMU, ERU, CER	BLOCKED	For the same reasons as 3.2.9.1
4.2.17.9	Replacement of lCER in holding account for non-submission of certification report (Type 5) with AAU, RMU, ERU, CER	BLOCKED	For the same reasons as 3.2.9.1
4.2.17.10	Replacement of retired lCER upon expiry (Type 3)	BLOCKED	Notification type 3 couldn't be triggered in ITL REG. Issue to follow up on
4.2.17.11	Replacement of retired tCER upon expiry (Type 3)	BLOCKED	For the same reasons as 4.2.17.10
4.2.17.12	Replacement of tCER in holding account upon expiry (Type 3)	BLOCKED	For the same reasons as 4.2.17.10
4.2.17.13	Reconciliation	SKIPPED	
4.2.18.1	Successful lCER expiry date change	PASS	
4.2.18.2	Successful tCER expiry date change	SKIPPED	This test requires to change the end date of CP3, which would affect all the registries using the test environment simultaneously
4.2.19.1	Internal transfer of CP2 units within registry ZZ	PASS	
4.2.20.1	Conversion of CP2 AAU for JI track 1 when eligibility parameter 2 is missing	PASS	
4.2.20.2	Conversion of CP2 AAU for JI track 2 when eligibility parameter 2 is missing	PASS	
4.2.20.3	External transfer to another registry	PASS	
4.2.20.5	Retirement attempt of CERs, tCERs, lCERs when registry has CP2 QELRC and Doha amendment has entered into force	PASS	
4.2.21.1	CPR notification when AAU issuance is less than CPR amount	PASS	
4.2.21.2	CPR notification upon setting the CPR limit	PASS	
4.2.21.3	CPR notification upon updating the CPR limit	PASS	
4.2.21.4	Reconciliation	PASS	
5.1	Multiple simultaneous incoming transfers	PASS	
5.2	Incoming transfer – long transaction identifier	PASS	
5.3	Incoming transfer – long serial numbers and small blocks	PASS	
5.4	Incoming transfer – long transferring account number	PASS	
5.5	Successful Retirement	PASS	
5.6	Numerous successive incoming transfers – large block quantities	PASS	
5.7	Reconciliation inconsistency and manual intervention	PASS	
5.8	Handling numerous unit blocks	PASS	
5.9	Reconciliation	PASS	

22.3 Zusatzinformationen zu den Trends der Treibhausgase

Hier finden sie die detaillierten Tabellen zur Trenddiskussion der Kapitel 0.2 und 2.

Tabelle 524: Emissionsentwicklung in Deutschland, nach Treibhausgas und Quellgruppe

THG Emissionen/Senken, CO_2-äquivalent (kt)	1990	1991	1992	1993	1994	1995	1996	1997	1998	1999	2000	2001	2002	2003	2004
Netto-CO_2-Emissionen/ -Einbindungen	1.019.229	983.619	934.696	925.001	904.971	903.409	923.550	894.927	886.568	858.058	859.653	875.402	893.279	892.484	875.223
CO_2-Emissionen (ohne LULUCF)	1.052.247	1.014.122	965.793	955.980	939.210	938.150	958.371	930.770	922.780	895.338	899.286	915.636	899.163	900.379	886.211
CH_4 (mit LULUCF)	121.169	115.265	111.613	112.123	108.170	105.831	103.202	98.844	93.566	92.929	88.608	84.960	81.004	77.648	72.600
CH_4(ohne LULUCF)	120.293	114.392	110.723	111.248	107.296	104.960	102.327	97.973	92.696	92.058	87.736	84.091	80.136	76.775	71.733
N_2O(mit LULUCF)	65.819	63.323	64.310	61.517	62.372	61.783	63.053	60.168	47.280	43.857	43.890	45.280	44.456	44.071	46.227
N_2O(ohne LULUCF)	64.989	62.497	63.476	60.694	61.554	60.968	62.238	59.358	46.474	43.053	43.088	44.491	43.677	43.298	45.468
HFC	5.891	5.415	5.638	7.833	8.010	8.217	7.528	8.131	8.710	8.834	7.806	9.129	9.902	9.319	9.618
PFC	3.060	2.655	2.408	2.258	1.920	2.087	2.043	1.656	1.784	1.487	959	872	948	1.018	980
SF_6	4.428	4.746	5.238	5.974	6.249	6.467	6.162	6.109	5.889	4.290	4.072	3.752	3.087	3.034	3.244
NF_3	7	7	7	7	7	5	7	8	8	7	9	8	12	19	23
Gesamt-Emissionen / -Einbindungen inkl. LULUCF	**1.219.604**	**1.175.030**	**1.123.910**	**1.114.712**	**1.091.699**	**1.087.801**	**1.105.545**	**1.069.843**	**1.043.805**	**1.009.460**	**1.004.997**	**1.019.402**	**1.032.688**	**1.027.593**	**1.007.915**
Gesamt-Emissionen ohne LULUCF	**1.250.915**	**1.203.834**	**1.153.282**	**1.143.993**	**1.124.246**	**1.120.856**	**1.138.677**	**1.104.005**	**1.078.341**	**1.045.067**	**1.042.958**	**1.057.978**	**1.036.925**	**1.033.843**	**1.017.276**

THG Emissionen/Senken, CO_2-äquivalent (kt)	2005	2006	2007	2008	2009	2010	2011	2012	2013	2014	2015
Netto-CO_2-Emissionen/ -Einbindungen	852.192	863.298	837.241	833.178	768.816	814.391	795.156	800.967	819.417	778.240	775.753
CO_2-Emissionen (ohne LULUCF)	865.866	877.369	850.743	853.592	788.510	832.437	812.577	817.145	835.459	794.829	792.054
CH_4 (mit LULUCF)	69.344	65.440	63.141	62.201	59.970	59.127	58.002	58.645	58.037	56.874	56.483
CH_4(ohne LULUCF)	68.478	64.573	62.275	61.333	59.101	58.260	57.136	57.778	57.171	56.009	55.616
N_2O(mit LULUCF)	44.204	43.935	45.866	46.380	45.603	37.602	39.016	38.190	38.766	39.437	39.933
N_2O(ohne LULUCF)	43.455	43.175	45.097	45.599	44.807	36.794	38.195	37.354	37.925	38.590	39.078
HFC	9.940	10.162	10.448	10.589	11.170	10.753	10.953	11.140	11.096	11.183	11.356
PFC	839	671	589	568	407	346	279	243	257	235	254
SF_6	3.320	3.242	3.181	2.971	2.924	3.100	3.163	3.155	3.261	3.396	3.562
NF_3	34	28	12	30	29	61	61	35	16	20	12
Gesamt-Emissionen / -Einbindungen inkl. LULUCF	979.873	986.776	960.478	955.916	888.920	925.382	906.630	912.374	930.851	889.385	887.352
Gesamt-Emissionen ohne LULUCF	991.933	999.220	972.344	974.682	906.949	941.750	922.363	926.850	945.186	904.262	901.932

THG Emissionen/Senken, nach Quell- und Senkengruppen, CO_2-äquivalent (kt)	1990	1991	1992	1993	1994	1995	1996	1997	1998	1999	2000	2001	2002	2003	2004
1. Energie	1.036.736	999.782	951.070	941.978	919.622	917.583	938.611	907.486	897.723	873.283	869.937	890.053	873.672	869.080	852.021
2. Industrieprozesse	96.643	92.744	92.784	93.826	99.147	97.339	95.529	95.776	81.948	73.875	76.895	73.840	72.627	76.575	78.555
3. Landwirtschaft	79.582	71.960	69.496	68.422	66.515	67.952	67.953	67.045	67.034	67.847	67.563	67.125	65.026	64.080	64.013
4. Landnutzung, -sänderung & Forstwirtschaft	-31.312	-28.804	-29.373	-29.281	-32.547	-33.055	-33.131	-34.162	-34.536	-35.607	-37.960	-38.576	-4.237	-6.249	-9.362
CO_2	*-33.018*	*-30.503*	*-31.098*	*-30.979*	*-34.239*	*-34.741*	*-34.821*	*-35.843*	*-36.212*	*-37.281*	*-39.633*	*-40.234*	*-5.883*	*-7.895*	*-10.987*
N_2O & CH_4	*1.706*	*1.699*	*1.725*	*1.698*	*1.692*	*1.686*	*1.689*	*1.680*	*1.676*	*1.674*	*1.673*	*1.657*	*1.646*	*1.645*	*1.626*
5. Abfall	37.955	39.349	39.932	39.768	38.962	37.982	36.584	33.698	31.635	30.062	28.564	26.960	25.601	24.107	22.687

THG Emissionen/Senken, nach Quell- und Senkengruppen, CO_2-äquivalent (kt)	2005	2006	2007	2008	2009	2010	2011	2012	2013	2014	2015
1. Energie	831.747	841.328	815.120	820.140	761.945	801.653	781.426	788.090	806.182	764.409	762.231
2. Industrieprozesse	75.488	75.740	76.954	73.149	65.496	62.534	62.463	61.492	61.373	61.446	61.534
3. Landwirtschaft	63.446	62.560	61.973	64.328	63.664	62.853	64.538	64.077	65.242	66.591	66.955
4. Landnutzung, -sänderung & Forstwirtschaft	-12.060	-12.444	-11.867	-18.765	-18.029	-16.369	-15.733	-14.476	-14.335	-14.877	-14.580
CO_2	*-13.674*	*-14.071*	*-13.502*	*-20.414*	*-19.694*	*-18.045*	*-17.421*	*-16.178*	*-16.042*	*-16.589*	*-16.301*
N_2O & CH_4	*1.614*	*1.627*	*1.636*	*1.649*	*1.665*	*1.677*	*1.688*	*1.703*	*1.707*	*1.712*	*1.721*
5. Abfall	21.251	19.593	18.297	17.065	15.844	14.710	13.937	13.191	12.389	11.816	11.210

Tabelle 525: Anteile an der Emissionsentwicklung in Deutschland, nach Treibhausgas und Quellgruppe

THG Emissionen /Senken, Anteile Treibhausgase ohne LULUCF (%)	1990	1991	1992	1993	1994	1995	1996	1997	1998	1999	2000	2001	2002	2003	2004	2005	2006	2007	2008	2009	2010	2011	2012	2013	2014	2015
CO_2 -Emissionen (ohne LULUCF)	84,12	84,24	83,74	83,57	83,54	83,70	84,17	84,31	85,57	85,67	86,22	86,55	86,71	87,09	87,12	87,29	87,81	87,49	87,58	86,94	88,39	88,10	88,16	88,39	87,90	87,82
CH_4	9,62	9,50	9,60	9,72	9,54	9,36	8,99	8,87	8,60	8,81	8,41	7,95	7,73	7,43	7,05	6,90	6,46	6,40	6,29	6,52	6,19	6,19	6,23	6,05	6,19	6,17
N_2O	5,20	5,19	5,50	5,31	5,48	5,44	5,47	5,38	4,31	4,12	4,13	4,21	4,21	4,19	4,47	4,38	4,32	4,64	4,68	4,94	3,91	4,14	4,03	4,01	4,27	4,33
HFC	0,47	0,45	0,49	0,68	0,71	0,73	0,66	0,74	0,81	0,85	0,75	0,86	0,95	0,90	0,95	1,00	1,02	1,07	1,09	1,23	1,14	1,19	1,20	1,17	1,24	1,26
PFC	0,24	0,22	0,21	0,20	0,17	0,19	0,18	0,15	0,17	0,14	0,09	0,08	0,09	0,10	0,10	0,08	0,07	0,06	0,06	0,04	0,04	0,03	0,03	0,03	0,03	0,03
SF_6	0,35	0,39	0,45	0,52	0,56	0,58	0,54	0,55	0,55	0,41	0,39	0,35	0,30	0,29	0,32	0,33	0,32	0,33	0,30	0,32	0,33	0,34	0,34	0,35	0,38	0,39
NF_3	0,001	0,001	0,001	0,001	0,001	0,000	0,001	0,001	0,001	0,001	0,001	0,001	0,001	0,002	0,002	0,003	0,003	0,001	0,003	0,003	0,007	0,007	0,004	0,002	0,002	0,001
Summe	**100,0**	**100,0**	**100,0**	**100,0**	**100,0**	**100,0**	**100,0**	**100,0**	**100,0**	**100,0**	**100,0**	**100,0**	**100,0**	**100,0**	**100,0**	**100,0**	**100,0**	**100,0**	**100,0**	**100,0**	**100,0**	**100,0**	**100,0**	**100,0**	**100,0**	**100,0**

THG Emissionen /Senken, Anteile Quell- & Senkengruppen ohne LULUCF (%)	1990	1991	1992	1993	1994	1995	1996	1997	1998	1999	2000	2001	2002	2003	2004	2005	2006	2007	2008	2009	2010	2011	2012	2013	2014	2015
1. Energie	82,88	83,05	82,47	82,34	81,80	81,86	82,43	82,20	83,25	83,56	83,41	84,13	84,26	84,06	83,76	83,85	84,20	83,83	84,14	84,01	85,12	84,72	85,03	85,29	84,53	84,51
2. Industrieprozesse	7,73	7,70	8,05	8,20	8,82	8,68	8,39	8,68	7,60	7,07	7,37	6,98	7,00	7,41	7,72	7,61	7,58	7,91	7,50	7,22	6,64	6,77	6,63	6,49	6,80	6,82
4. Landwirtschaft	6,36	5,98	6,03	5,98	5,92	6,06	5,97	6,07	6,22	6,49	6,48	6,34	6,27	6,20	6,29	6,40	6,26	6,37	6,60	7,02	6,67	7,00	6,91	6,90	7,36	7,42
5. Abfall	3,03	3,27	3,46	3,48	3,47	3,39	3,21	3,05	2,93	2,88	2,74	2,55	2,47	2,33	2,23	2,14	1,96	1,88	1,75	1,75	1,56	1,51	1,42	1,31	1,31	1,24
Summe	**100,0**	**100,0**	**100,0**	**100,0**	**100,0**	**100,0**	**100,0**	**100,0**	**100,0**	**100,0**	**100,0**	**100,0**	**100,0**	**100,0**	**100,0**	**100,0**	**100,0**	**100,0**	**100,0**	**100,0**	**100,0**	**100,0**	**100,0**	**100,0**	**100,0**	**100,0**

Tabelle 526: Emissionen von direkten und indirekten Treibhausgasen und SO_2 in Deutschland seit 1990

Emissionsentwicklung (kt)	1990	1991	1992	1993	1994	1995	1996	1997	1998	1999	2000	2001	2002	2003	2004
Netto-CO_2-Emissionen/ -Einbindungen	1.019.229	983.619	934.696	925.001	904.971	903.409	923.550	894.927	886.568	858.058	859.653	875.402	893.279	892.484	875.223
CO_2-Emissionen (ohne LULUCF)	1.052.247	1.014.122	965.793	955.980	939.210	938.150	958.371	930.770	922.780	895.338	899.286	915.636	899.163	900.379	886.211
CH_4 (mit LULUCF)	4.847	4.611	4.465	4.485	4.327	4.233	4.128	3.954	3.743	3.717	3.544	3.398	3.240	3.106	2.904
CH_4(ohne LULUCF)	4.812	4.576	4.429	4.450	4.292	4.198	4.093	3.919	3.708	3.682	3.509	3.364	3.205	3.071	2.869
N_2O(mit LULUCF)	221	212	216	206	209	207	212	202	159	147	147	152	149	148	155
N_2O(ohne LULUCF)	218	210	213	204	207	205	209	199	156	144	145	149	147	145	153
HFC (CO_2-äquivalent)	5.891	5.415	5.638	7.833	8.010	8.217	7.528	8.131	8.710	8.834	7.806	9.129	9.902	9.319	9.618
PFC (CO_2-äquivalent)	3.060	2.655	2.408	2.258	1.920	2.087	2.043	1.656	1.784	1.487	959	872	948	1.018	980
SF_6 (CO_2-äquivalent)	4.428	4.746	5.238	5.974	6.249	6.467	6.162	6.109	5.889	4.290	4.072	3.752	3.087	3.034	3.244
NF_3 (CO_2-äquivalent)	7	7	7	7	7	5	7	8	8	7	9	8	12	19	23
NO_X	2.887	2.644	2.498	2.391	2.203	2.168	2.096	2.030	2.007	1.982	1.928	1.851	1.773	1.717	1.650
SO_2	5.485	3.969	3.241	2.905	2.418	1.745	1.476	1.226	980	800	644	623	560	532	491
NMVOC	3.389	2.904	2.669	2.517	2.106	2.025	1.957	1.931	1.890	1.746	1.599	1.497	1.429	1.359	1.367
CO	12.498	10.270	8.886	8.088	6.732	6.436	5.984	5.848	5.405	5.061	4.790	4.614	4.340	4.159	3.923

Emissionsentwicklung (kt)	2005	2006	2007	2008	2009	2010	2011	2012	2013	2014	2015
Netto-CO_2-Emissionen/ -Einbindungen	852.192	863.298	837.241	833.178	768.816	814.391	795.156	800.967	819.417	778.240	775.753
CO_2-Emissionen (ohne LULUCF)	865.866	877.369	850.743	853.592	788.510	832.437	812.577	817.145	835.459	794.829	792.054
CH_4 (mit LULUCF)	2.774	2.618	2.526	2.488	2.399	2.365	2.320	2.346	2.321	2.275	2.259
CH_4(ohne LULUCF)	2.739	2.583	2.491	2.453	2.364	2.330	2.285	2.311	2.287	2.240	2.225
N_2O(mit LULUCF)	148	147	154	156	153	126	131	128	130	132	134
N_2O(ohne LULUCF)	146	145	151	153	150	123	128	125	127	129	131
HFC (CO_2-äquivalent)	9.940	10.162	10.448	10.589	11.170	10.753	10.953	11.140	11.096	11.183	11.356
PFC (CO_2-äquivalent)	839	671	589	568	407	346	279	243	257	235	254
SF_6 (CO_2-äquivalent)	3.320	3.242	3.181	2.971	2.924	3.100	3.163	3.155	3.261	3.396	3.562
NF_3 (CO_2-äquivalent)	34	28	12	30	29	61	61	35	16	20	12
NO_X	1.575	1.558	1.486	1.412	1.311	1.334	1.314	1.271	1.267	1.220	1.186
SO_2	472	473	456	453	396	409	399	381	373	357	352
NMVOC	1.311	1.316	1.252	1.197	1.101	1.216	1.130	1.105	1.092	1.016	1.020
CO	3.718	3.621	3.503	3.398	2.952	3.317	3.230	2.855	2.828	2.715	2.678

Tabelle 527: Veränderungen der Emissionen direkter und indirekter Treibhausgase und SO_2 in Deutschland seit 1990

Emissions Trends Changes compared to base year (%)	**1990**	**1991**	**1992**	**1993**	**1994**	**1995**	**1996**	**1997**	**1998**	**1999**	**2000**	**2001**	**2002**	**2003**	**2004**	**2005**	**2006**	**2007**	**2008**	**2009**	**2010**	**2011**	**2012**	**2013**	**2014**	**2015**
Net CO_2 emissions/removals	0,0	-3,5	-8,3	-9,2	-11,2	-11,4	-9,4	-12,2	-13,0	-15,8	-15,7	-14,1	-12,4	-12,4	-14,1	-16,4	-15,3	-17,9	-18,3	-24,6	-20,1	-22,0	-21,4	-19,6	-23,6	-23,9
CO_2 emissions (without LULUCF)	0,0	-3,6	-8,2	-9,1	-10,7	-10,8	-8,9	-11,5	-12,3	-14,9	-14,5	-13,0	-14,5	-14,4	-15,8	-17,7	-16,6	-19,1	-18,9	-25,1	-20,9	-22,8	-22,3	-20,6	-24,5	-24,7
CH_4(with LULUCF)	0,0	-4,9	-7,9	-7,5	-10,7	-12,7	-14,8	-18,4	-22,8	-23,3	-26,9	-29,9	-33,1	-35,9	-40,1	-42,8	-46,0	-47,9	-48,7	-50,5	-51,2	-52,1	-51,6	-52,1	-53,1	-53,4
N_2O(with LULUCF)	0,0	-3,8	-2,3	-6,5	-5,2	-6,1	-4,2	-8,6	-28,2	-33,4	-33,3	-31,2	-32,5	-33,0	-29,8	-32,8	-33,2	-30,3	-29,5	-30,7	-42,9	-40,7	-42,0	-41,1	-40,1	-39,3
HFC						0,0	-8,4	-1,0	+6,0	+7,5	-5,0	+11,1	+20,5	+13,4	+17,0	+21,0	+23,7	+27,1	+28,9	+35,9	+30,9	+33,3	+35,6	+35,0	+36,1	+38,2
PFC						0,0	-2,1	-20,7	-14,5	-28,8	-54,1	-58,2	-54,6	-51,2	-53,1	-59,8	-67,9	-71,8	-72,8	-80,5	-83,4	-86,6	-88,4	-87,7	-88,8	-87,8
SF_6						0,0	-4,7	-5,5	-8,9	-33,7	-37,0	-42,0	-52,3	-53,1	-49,8	-48,7	-49,9	-50,8	-54,1	-54,8	-52,1	-51,1	-51,2	-49,6	-47,5	-44,9
NF_3						0,0	+36,5	+48,4	+43,4	+26,4	+68,6	+47,8	+131,0	+266,3	+331,3	+552,0	+426,3	+127,3	+459,5	+449,8	+1061,4	+1057,1	+565,6	+203,0	+283,4	+124,7
Total Emissions/Removals with LULUCF	0,0	-3,9	-8,1	-8,9	-10,7	-11,1	-9,6	-12,5	-14,7	-17,5	-17,8	-16,6	-15,6	-16,0	-17,6	-19,9	-19,3	-21,5	-21,8	-27,3	-24,3	-25,9	-25,4	-23,9	-27,3	-27,4
Total Emissions without CO_2 from LULUCF	0,0	-4,0	-8,1	-8,8	-10,4	-10,6	-9,2	-12,0	-14,0	-16,7	-16,8	-15,7	-17,3	-17,6	-18,9	-20,9	-20,3	-22,5	-22,3	-27,7	-24,9	-26,5	-26,1	-24,6	-27,9	-28,1
NO_X	0,0	-8,4	-13,5	-17,2	-23,7	-24,9	-27,4	-29,7	-30,5	-31,3	-33,2	-35,9	-38,6	-40,5	-42,8	-45,5	-46,0	-48,5	-51,1	-54,6	-53,8	-54,5	-56,0	-56,1	-57,8	-58,9
SO_2	0,0	-27,6	-40,9	-47,0	-55,9	-68,2	-73,1	-77,6	-82,1	-85,4	-88,3	-88,6	-89,8	-90,3	-91,0	-91,4	-91,4	-91,7	-91,7	-92,8	-92,5	-92,7	-93,1	-93,2	-93,5	-93,6
NMVOC	0,0	-14,3	-21,2	-25,7	-37,8	-40,2	-42,3	-43,0	-44,2	-48,5	-52,8	-55,8	-57,8	-59,9	-59,7	-61,3	-61,2	-63,0	-64,7	-67,5	-64,1	-66,6	-67,4	-67,8	-70,0	-69,9
CO	0,0	-17,8	-28,9	-35,3	-46,1	-48,5	-52,1	-53,2	-56,8	-59,5	-61,7	-63,1	-65,3	-66,7	-68,6	-70,3	-71,0	-72,0	-72,8	-76,4	-73,5	-74,2	-77,2	-77,4	-78,3	-78,6

Tabelle 528: Veränderungen der Emissionen direkter und indirekter Treibhausgase und SO_2 in Deutschland, seit dem jeweils letzten Jahr

Emissions Trends Changes compared to previous year (%)	**1990**	**1991**	**1992**	**1993**	**1994**	**1995**	**1996**	**1997**	**1998**	**1999**	**2000**	**2001**	**2002**	**2003**	**2004**	**2005**	**2006**	**2007**	**2008**	**2009**	**2010**	**2011**	**2012**	**2013**	**2014**	**2015**
Net CO_2 emissions/removals	0,0	-3,5	-5,0	-1,0	-2,2	-0,2	+2,2	-3,1	-0,9	-3,2	+0,2	+1,8	+2,0	-0,1	-1,9	-2,6	+1,3	-3,0	-0,5	-7,7	+5,9	-2,4	+0,7	+2,3	-5,0	-0,3
CO_2 emissions (without LULUCF)	0,0	-3,6	-4,8	-1,0	-1,8	-0,1	+2,2	-2,9	-0,9	-3,0	+0,4	+1,8	-1,8	+0,1	-1,6	-2,3	+1,3	-3,0	+0,3	-7,6	+5,6	-2,4	+0,6	+2,2	-4,9	-0,3
CH_4 (with LULUCF)	0,0	-4,9	-3,2	+0,5	-3,5	-2,2	-2,5	-4,2	-5,3	-0,7	-4,7	-4,1	-4,7	-4,1	-6,5	-4,5	-5,6	-3,5	-1,5	-3,6	-1,4	-1,9	+1,1	-1,0	-2,0	-0,7
N_2O (with LULUCF)	0,0	-3,8	+1,6	-4,3	+1,4	-0,9	+2,1	-4,6	-21,4	-7,2	+0,1	+3,2	-1,8	-0,9	+4,9	-4,4	-0,6	+4,4	+1,1	-1,7	-17,5	+3,8	-2,1	+1,5	+1,7	+1,3
HFC	0,0	-8,1	+4,1	+38,9	+2,3	+2,6	-8,4	+8,0	+7,1	+1,4	-11,6	+16,9	+8,5	-5,9	+3,2	+3,4	+2,2	+2,8	+1,3	+5,5	-3,7	+1,9	+1,7	-0,4	+0,8	+1,5
PFC	0,0	-13,2	-9,3	-6,2	-15,0	+8,7	-2,1	-19,0	+7,8	-16,6	-35,5	-9,0	+8,7	+7,4	-3,8	-14,3	-20,1	-12,1	-3,7	-28,3	-15,1	-19,4	-13,0	+6,1	-8,8	+8,1
SF_6	0,0	+7,2	+10,4	+14,0	+4,6	+3,5	-4,7	-0,9	-3,6	-27,2	-5,1	-7,9	-17,7	-1,7	+6,9	+2,4	-2,4	-1,9	-6,6	-1,6	+6,0	+2,0	-0,3	+3,4	+4,1	+4,9
NF_3	0,0	+0,0	+0,0	+0,0	+0,0	-23,1	+36,5	+8,7	-3,4	-11,9	+33,4	-12,3	+56,2	+58,6	+17,7	+51,2	-19,3	-56,8	+146,2	-1,7	+111,2	-0,4	-42,5	-54,5	+26,5	-41,4
Total Emissions/Removals with LULUCF	0,0	-3,7	-4,4	-0,8	-2,1	-0,4	+1,6	-3,2	-2,4	-3,3	-0,4	+1,4	+1,3	-0,5	-1,9	-2,8	+0,7	-2,7	-0,5	-7,0	+4,1	-2,0	+0,6	+2,0	-4,5	-0,2
Total Emissions without CO_2 from LULUCF	0,0	-3,8	-4,2	-0,8	-1,7	-0,3	+1,6	-3,0	-2,3	-3,1	-0,2	+1,4	-2,0	-0,3	-1,6	-2,5	+0,7	-2,7	+0,2	-6,9	+3,8	-2,1	+0,5	+2,0	-4,3	-0,3
NO_X	0,0	-8,4	-5,5	-4,3	-7,8	-1,6	-3,3	-3,1	-1,2	-1,2	-2,7	-4,0	-4,2	-3,2	-3,9	-4,6	-1,1	-4,7	-5,0	-7,1	+1,8	-1,5	-3,3	-0,3	-3,7	-2,7
SO_2	0,0	-27,6	-18,3	-10,4	-16,7	-27,9	-15,4	-16,9	-20,1	-18,4	-19,4	-3,3	-10,2	-4,9	-7,7	-4,0	+0,3	-3,5	-0,7	-12,5	+3,2	-2,5	-4,5	-2,2	-4,3	-1,4
NMVOC	0,0	-14,3	-8,1	-5,7	-16,3	-3,9	-3,4	-1,3	-2,1	-7,6	-8,4	-6,4	-4,5	-4,9	+0,6	-4,1	+0,4	-4,9	-4,4	-8,1	+10,5	-7,0	-2,3	-1,2	-6,9	+0,4
CO	0,0	-17,8	-13,5	-9,0	-16,8	-4,4	-7,0	-2,3	-7,6	-6,4	-5,4	-3,7	-5,9	-4,2	-5,7	-5,2	-2,6	-3,3	-3,0	-13,1	+12,4	-2,6	-11,6	-1,0	-4,0	-1,4

Tabelle 529: Veränderungen der Emissionen in Deutschland nach Quellgruppen, seit 1990 / seit dem jeweils letzten Jahr

Emissionsentwicklung gegenüber 1990, Veränderung in %	1990	1991	1992	1993	1994	1995	1996	1997	1998	1999	2000	2001	2002	2003	2004	2005	2006	2007	2008	2009	2010	2011	2012	2013	2014	2015
1. Energie	0,0%	-3,6%	-8,3%	-9,1%	-11,3%	-11,5%	-9,5%	-12,5%	-13,4%	-15,8%	-16,1%	-14,1%	-15,7%	-16,2%	-17,8%	-19,8%	-18,8%	-21,4%	-20,9%	-26,5%	-22,7%	-24,6%	-24,0%	-22,2%	-26,3%	-26,5%
2. Industrieprozesse	0,0%	-4,0%	-4,0%	-2,9%	2,6%	0,7%	-1,2%	-0,9%	-15,2%	-23,6%	-20,4%	-23,6%	-24,9%	-20,8%	-18,7%	-21,9%	-21,6%	-20,4%	-24,3%	-32,2%	-35,3%	-35,4%	-36,4%	-36,5%	-36,4%	-36,3%
3. Landwirtschaft	0,0%	-9,6%	-12,7%	-14,0%	-16,4%	-14,6%	-14,6%	-15,8%	-15,8%	-14,7%	-15,1%	-15,7%	-18,3%	-19,5%	-19,6%	-20,3%	-21,4%	-22,1%	-19,2%	-20,0%	-21,0%	-18,9%	-19,5%	-18,0%	-16,3%	-15,9%
4. Landnutzung, -sänderung & Forstwirtschaft (N_2O & CH_4)	0,0%	-8,0%	-6,2%	-6,5%	3,9%	5,6%	5,8%	9,1%	10,3%	13,7%	21,2%	23,2%	-86,5%	-80,0%	-70,1%	-61,5%	-60,3%	-62,1%	-40,1%	-42,4%	-47,7%	-49,8%	-53,8%	-54,2%	-52,5%	-53,4%
5. Abfall	0,0%	3,7%	5,2%	4,8%	2,7%	0,1%	-3,6%	-11,2%	-16,7%	-20,8%	-24,7%	-29,0%	-32,6%	-36,5%	-40,2%	-44,0%	-48,4%	-51,8%	-55,0%	-58,3%	-61,2%	-63,3%	-65,2%	-67,4%	-68,9%	-70,5%
Emissionsentwicklung, gegenüber dem jeweils letzten Jahr, Veränderung in %	**1990**	**1991**	**1992**	**1993**	**1994**	**1995**	**1996**	**1997**	**1998**	**1999**	**2000**	**2001**	**2002**	**2003**	**2004**	**2005**	**2006**	**2007**	**2008**	**2009**	**2010**	**2011**	**2012**	**2013**	**2014**	**2015**
1. Energie	0,0%	-3,6%	-4,9%	-1,0%	-2,4%	-0,2%	2,3%	-3,3%	-1,1%	-2,7%	-0,4%	2,3%	-1,8%	-0,5%	-2,0%	-2,4%	1,2%	-3,1%	0,6%	-7,1%	5,2%	-2,5%	0,9%	2,3%	-5,2%	-0,3%
2. Industrieprozesse	0,0%	-4,0%	0,0%	1,1%	5,7%	-1,8%	-1,9%	0,3%	-14,4%	-9,9%	4,1%	-4,0%	-1,6%	5,4%	2,6%	-3,9%	0,3%	1,6%	-4,9%	-10,5%	-4,5%	-0,1%	-1,6%	-0,2%	0,1%	0,1%
3. Landwirtschaft	0,0%	-9,6%	-3,4%	-1,5%	-2,8%	2,2%	0,0%	-1,3%	0,0%	1,2%	-0,4%	-0,6%	-3,1%	-1,5%	-0,1%	-0,9%	-1,4%	-0,9%	3,8%	-1,0%	-1,3%	2,7%	-0,7%	1,8%	2,1%	0,5%
4. Landnutzung, -sänderung & Forstwirtschaft (N_2O & CH_4)	0,0%	-8,0%	2,0%	-0,3%	11,2%	1,6%	0,2%	3,1%	1,1%	3,1%	6,6%	1,6%	-89,0%	47,5%	49,8%	28,8%	3,2%	-4,6%	58,1%	-3,9%	-9,2%	-3,9%	-8,0%	-1,0%	3,8%	-2,0%
5. Abfall	0,0%	3,7%	1,5%	-0,4%	-2,0%	-2,5%	-3,7%	-7,9%	-6,1%	-5,0%	-5,0%	-5,6%	-5,0%	-5,8%	-5,9%	-6,3%	-7,8%	-6,6%	-6,7%	-7,2%	-7,2%	-5,3%	-5,4%	-6,1%	-4,6%	-5,1%

22.4 Rückrechnungen: detaillierte Betrachtung auf Grundlage von CRF Table 8

Die folgenden Tabellen geben einen numerischen Überblick über die revidierten Emissionsangaben für die Jahre 1990 und 2014 gemäß CRF-Tabellen 8s1 bis 8s4 der aktuellen CRF-Submission. Die Erläuterungen zu den überarbeiteten Revisionen zur Vorlage 2015 entnehmen Sie bitte Kapitel 10.1 dieses Berichtes sowie den jeweiligen kategoriespezifischen Kapiteln.

22.4.1 Überblick für das Berichtsjahr 1990

Tabelle 530: Detaillierte numerische Übersicht der revidierten CO_2-Emissionen für 1990

Kohlendioxid CO_2	**Re2016**	**2017**	**Änderung**		**Auswirkung auf Gesamt-EM** *ohne LULUCF*	*mit LULUCF*
	[kt]				[%]	
Nationale Gesamtemissionen und -einbindungen	**1.019.252,80**	**1.019.229,00**	**-23,81**	**-0,002**	**-0,002**	**-0,002**
1. Energie	989.769,47	989.771,64	2,17	0,000	0,000	0,000
A. Verbrennung von Energieträgern	985.704,89	985.704,89	0,00	0,000	0,000	0,000
1. Energieerzeugung	423.905,78	423.905,78	0,00	0,000	0,000	0,000
2. Verarbeitendes Gewerbe	185.088,53	185.107,47	18,93	0,010	0,002	0,002
3. Verkehr	161.882,41	161.882,41	0,00	0,000	0,000	0,000
4. Übrige Sektoren	203.030,67	203.011,74	-18,93	-0,009	-0,002	-0,002
5. Sonstige	11.797,50	11.797,50	0,00	0,000	0,000	0,000
B. Flüchtige Emissionen aus Brennstoffen	4.064,58	4.066,75	2,17	0,053	0,000	0,000
1. Festbrennstoffe	1.832,80	1.832,80	0,00	0,000	0,000	0,000
2. Öl und Erdgas	2.231,78	2.233,94	2,17	0,097	0,000	0,000
2. Industrieprozesse & Produktanwendung	**59.285,15**	**59.291,55**	**6,40**	**0,011**	**0,001**	**0,001**
C. Metallerzeugung	25.073,48	25.079,88	6,40	0,026	0,001	0,001
3. Landwirtschaft	**3.183,61**	**3.183,61**	**0,00**	**0,000**	**0,000**	**0,000**
4. Landnutzung, Landnutzungsänderung, Forstw.	**-32.985,43**	**-33.017,81**	**-32,38**	**0,098**		**-0,003**
A. Forste / Wälder	-75.539,23	-75.542,09	-2,85	0,004		0,000
B. Ackerland	12.469,90	12.436,44	-33,46	-0,268		-0,003
C. Grasland	25.538,08	25.543,59	5,50	0,022		0,001
D. Feuchtgebiete	4.064,27	4.063,95	-0,32	-0,008		0,000
E. Siedlungen	1.811,90	1.810,65	-1,25	-0,069		0,000
5. Abfall & Abwasser	**NO,NA,NE**	**NE,NA,NO**				
6. Sonstige	**NA**	**NA**				
sowie, nur nachrichtlich:						
Internationale Verkehre	**18.364,98**	**18.364,98**	**0,00**	**0,000**	**0,000**	**0,000**
Multilaterale Operationen	**NA**	**NO**				
CO_2 aus Biomasse	**21.793,87**	**22.101,38**	**307,51**	**1,411**	**0,029**	**0,030**

Tabelle 531: Detaillierte numerische Übersicht der revidierten CH_4-Emissionen für 1990

Methan CH_4	**Re2016**	**2017**	**Änderung**	**Auswirkung auf Gesamt-EM** *ohne LULUCF*	*mit LULUCF*
	[kt CO_2-Äquivalente]			[%]	
Nationale Gesamtemissionen	**120.110**	**121.169**	**1.059**	**0,881**	**0,880**	**0,874**
1. Energie	**39.174**	**40.224**	**1.050**	**2,680**	**0,873**	**0,867**
A. Verbrennung von Energieträgern	5.270	6.324	1.055	20,014	0,877	0,870
1. Energieerzeugung	280	280	0	0,000	0,000	0,000
2. Verarbeitendes Gewerbe	250	250	0	0,012	0,000	0,000
3. Verkehr	1.329	1.329	0	-0,014	0,000	0,000
4. Übrige Sektoren	3.131	4.186	1.055	33,694	0,877	0,871
5. Sonstige	279	279	0	0,000	0,000	0,000
B. Diffuse Emissionen aus Brennstoffen	33.904	33.899	-5	-0,014	-0,004	-0,004
2. Öl und Erdgas	8.351	8.346	-5	-0,057	-0,004	-0,004
2. Industrieprozesse & Produktanwendung	**343**	**351**	**9**	**2,502**	**0,007**	**0,007**
C. Metallerzeugung	5	13	9	183,923	0,007	0,007
3. Landwirtschaft	**42.737**	**42.737**	**0**	**0,000**	**0,000**	**0,000**
4. Landnutzung, Landnutzungsänderung, Forstw.	**876**	**876**	**0**	**0,000**		**0,000**
E. Siedlungen	NO	24	24	100,000		0,020
H. Sonstige	24	NO,IE	-24	-100,000		-0,020
5. Abfall & Abwasser	**36.981**	**36.981**	**0**	**0,000**	**0,000**	**0,000**
6. Sonstige	**NA**	**NA**				
sowie, nur nachrichtlich:						
Internationale Verkehre	**3**	**3**	**0**	**0,000**	**0,000**	**0,000**
Multilaterale Operationen	**NA**	**NO**				

Tabelle 532: Detaillierte numerische Übersicht der revidierten N_2O-Emissionen für 1990

Lachgas N_2O	**Re2016**	**2017**	**Änderung**	**Auswirkung auf Gesamt-EM** *ohne LULUCF*	*mit LULUCF*
	[kt CO_2-Äquivalente]			[%]	
Nationale Gesamtemissionen	**66.019**	**65.820**	**-200**	**-0,302**	**-0,307**	**-0,303**
1. Energie	**6.741**	**6.741**	**0**	**0,001**	**0,000**	**0,000**
A. Verbrennung von Energieträgern	6.740	6.740	0	0,001	0,000	0,000
1. Energieerzeugung	3.167	3.167	0	0,000	0,000	0,000
2. Verarbeitendes Gewerbe	1.342	1.343	0	0,016	0,000	0,000
3. Verkehr	1.193	1.192	0	-0,036	-0,001	-0,001
4. Übrige Sektoren	976	976	0	0,029	0,000	0,000
5. Sonstige	61	61	0	0,000	0,000	0,000
B. Diffuse Emissionen aus Brennstoffen	1	1	0	0,000	0,000	0,000
1. Festbrennstoffe	NA	NA				
2. Öl und Erdgas	1	1	0	0,000	0,000	0,000
2. Industrieprozesse & Produktanwendung	**23.614**	**23.614**	**0**	**0,001**	**0,000**	**0,000**
C. Metallerzeugung	27	27	0	1,039	0,000	0,000
3. Landwirtschaft	**33.849**	**33.661**	**-188**	**-0,557**	**-0,290**	**-0,286**
D. Landwirtschaftliche Böden	28.764	28.575	-188	-0,655	-0,290	-0,286
4. Landnutzung, Landnutzungsänderung, Forstw.	**830**	**830**	**0**	**0,000**		**0,000**
C. Grasland	2	87	86	5.728		0,131
H . Sonstige	139	53	-86	-61,943		-0,131
5. Abfall & Abwasser	**986**	**974**	**-11**	**-1,159**	**-0,018**	**-0,017**
D. Abwasserbehandlung	970	958	-11	-1,178	-0,018	-0,017
6. Sonstige	**NA**	**NA**				
sowie, nur nachrichtlich:						
Internationale Verkehre	**194**	**194**	**0**	**0,000**	**0,000**	**0,000**
Multilaterale Operationen	**NA**	**NO**				
Indirektes N_2O	**NA,NO,IE**	**NO,IE**				

Tabelle 533: Detaillierte numerische Übersicht der revidierten HFC-Emissionen für 1990

HFCs	Re2016	2017	Änderung		Auswirkung auf Gesamt-EM *ohne LULUCF*	Auswirkung auf Gesamt-EM *mit LULUCF*
	[kt CO_2-Äquivalente]			[%]		
Nationale Gesamtemissionen	**50,32**	**50,32**	**0,00**	**0,000**	**0,000**	**0,000**
2.B.9. Produktion von FKW & SF_6	C	IE				
2.E.1. Elektronik-Industrie	50,32	50,32	0,00	0,000	0,000	0,000
2.F.2. Schaumherstellung	C,NO	NO,IE				
2.F.4. Aerosole	C,NO	NO,IE				
2.F.5. Lösemittel	C	IE				

Tabelle 534: Detaillierte numerische Übersicht der revidierten PFC-Emissionen für 1990

PFCs	Re2016	2017	Änderung		Auswirkung auf Gesamt-EM *ohne LULUCF*	Auswirkung auf Gesamt-EM *mit LULUCF*
	[kt CO_2-Äquivalente]			[%]		
Nationale Gesamtemissionen	**3.060,23**	**3.060,42**	**0,18**	**0,01**	**0,01**	**0,01**
2.E.4. Wärmeüberträger	C	0,18	0,18	100,00	0,01	0,01

Tabelle 535: Detaillierte numerische Übersicht der revidierten SF_6-Emissionen für 1990

Schwefelhexafluorid SF_6	Re-Subm. 2016	Subm. 2017	Änderung		Auswirkung auf Gesamt-EM *ohne LULUCF*	Auswirkung auf Gesamt-EM *mit LULUCF*
	[kt CO_2-Äquivalente]			[%]		
Nationale Gesamtemissionen	**4.343,64**	**4.428,00**	**84,36**	**1,94**	**1,91**	**1,91**
2.E.1. Elektronik-Industrie	NO	84,36	84,36	100,00	1,91	1,91

Tabelle 536: Detaillierte numerische Übersicht der revidierten *Unspecified-Mix*-Emissionen für 1990

Unspeifizierter Mix aus HFCs und PFCs	Re2016	2017	Änderung		Auswirkung auf Gesamt-EM *ohne LULUCF*	Auswirkung auf Gesamt-EM *mit LULUCF*
	[kt CO_2-Äquivalente]			[%]		
Nationale Gesamtemissionen	**5.705,72**	**5.840,68**	**134,96**	**2,37**	**3,05**	**3,05**
2.H. Other	138,64	273,60	134,96	97,34	3,05	3,05

Tabelle 537: Detaillierte numerische Übersicht der revidierten NF_3-Emissionen für 1990

Stickstofftrifluorid NF_3	Re2016	2017	Änderung		Auswirkung auf Gesamt-EM	
					ohne LULUCF	*mit LULUCF*
	[kt CO_2-Äquivalente]				[%]	
Nationale Gesamtemissionen	**6,88**	**6,88**	**0,00**	**0,00**	**0,00**	**0,00**
2.C.3. Aluminiumproduktion	NA	NO				
2.E.1. Elektronik-Industrie	6,88	6,88	0,00	0,00	0,00	0,00

22.4.2 Überblick für das Berichtsjahr 2014

Tabelle 538: Detaillierte numerische Übersicht der revidierten CO_2-Emissionen für 2014

Kohlendioxid CO_2	Re2016	2017	Änderung		Auswirkung auf Gesamt-EM	
					ohne LULUCF	*mit LULUCF*
	[kt]				[%]	
Nationale Gesamtemissionen und -einbindungen	**1.019.253**	**1.019.229**	**-23,81**	**-0,002**	**-0,002**	**-0,002**
1. Energie	**989.769**	**989.772**	**2,17**	**0,000**	**0,000**	**0,000**
A. Verbrennung von Energieträgern	985.705	985.705	0,00	0,000	0,000	0,000
1. Energieerzeugung	423.906	423.906	0,00	0,000	0,000	0,000
2. Verarbeitendes Gewerbe	185.089	185.107	18,93	0,010	0,002	0,002
3. Verkehr	161.882	161.882	0,00	0,000	0,000	0,000
4. Übrige Sektoren	203.031	203.012	-18,93	-0,009	-0,002	-0,002
5. Sonstige	11.797	11.797	0,00	0,000	0,000	0,000
B. Diffuse Emissionen aus Brennstoffen	4.065	4.067	2,17	0,053	0,000	0,000
1. Festbrennstoffe	1.833	1.833	0,00	0,000	0,000	0,000
2. Öl und Erdgas	2.232	2.234	2,17	0,097	0,000	0,000
2. Industrieprozesse & Produktanwendung	**59.285**	**59.292**	**6,40**	**0,011**	**0,001**	**0,001**
C. Metallerzeugung	25.073	25.080	6,40	0,026	0,001	0,001
3. Landwirtschaft	**3.184**	**3.184**	**0,00**	**0,000**	**0,000**	**0,000**
I. Sonstige C-haltige Dünger	NO	IE				
4. Landnutzung, Landnutzungsänderung, Forstw.	**-32.985**	**-33.018**	**-32,38**	**0,098**		**-0,003**
A. Forste / Wälder	-75.539	-75.542	-2,85	0,004		0,000
B. Ackerland	12.470	12.436	-33,46	-0,268		-0,003
C. Grasland	25.538	25.544	5,50	0,022		0,001
D. Feuchtgebiete	4.064	4.064	-0,32	-0,008		0,000
E. Siedlungen	1.812	1.811	-1,25	-0,069		0,000
5. Abfall & Abwasser	**NO,NA,NE**	**NE,NA,NO**				
6. Sonstige	**NA**	**NA**				
sowie, nur nachrichtlich:						
Internationale Verkehre	**18.365**	**18.365**	**0,00**	**0,000**	**0,000**	**0,000**
Multilaterale Operationen	**NA**	**NO**				
CO_2 aus Biomasse	**21.794**	**22.101**	**307,51**	**1,411**	**0,029**	**0,030**

Tabelle 539: Detaillierte numerische Übersicht der revidierten CH4-Emissionen für 2014

Methan CH_4	Re2016	2017	Änderung		Auswirkung auf Gesamt-EM *ohne LULUCF*	Auswirkung auf Gesamt-EM *mit LULUCF*
	[kt CO_2-Äquivalente]				[%]	
Nationale Gesamtemissionen	**120.110**	**121.169**	**1.059**	**0,881**	**0,880**	**0,874**
1. Energie	**39.174**	**40.224**	**1.050**	**2,680**	**0,873**	**0,867**
A. Verbrennung von Energieträgern	5.270	6.324	1.055	20,014	0,877	0,870
1. Energieerzeugung	280	280	0	0,000	0,000	0,000
2. Verarbeitendes Gewerbe	250	250	0	0,012	0,000	0,000
3. Verkehr	1.329	1.329	0	-0,014	0,000	0,000
4. Übrige Sektoren	3.131	4.186	1.055	33,694	0,877	0,871
5. Sonstige	279	279	0	0,000	0,000	0,000
B. Diffuse Emissionen aus Brennstoffen	33.904	33.899	-5	-0,014	-0,004	-0,004
2. Öl und Erdgas	8.351	8.346	-5	-0,057	-0,004	-0,004
2. Industrieprozesse & Produktanwendung	**343**	**351**	**9**	**2,502**	**0,007**	**0,007**
C. Metallerzeugung	5	13	9	183,923	0,007	0,007
3. Landwirtschaft	**42.737**	**42.737**	**0**	**0,000**	**0,000**	**0,000**
4. Landnutzung, Landnutzungsänderung, Forstw.	**876**	**876**	**0**	**0,000**		**0,000**
E. Siedlungen	NO	24	24	100,000		0,020
H . Sonstige	24	NO,IE	-24	-100,000		-0,020
5. Abfall & Abwasser	**36.981**	**36.981**	**0**	**0,000**	**0,000**	**0,000**
sowie, nur nachrichtlich:						
Internationale Verkehre	**3**	**3**	**0**	**0,000**	**0,000**	**0,000**
Multilaterale Operationen	**NA**	**NO**				

Tabelle 540: Detaillierte numerische Übersicht der revidierten N_2O-Emissionen für 2014

Lachgas N_2O	Re2016	2017	Änderung		Auswirkung auf Gesamt-EM *ohne LULUCF*	Auswirkung auf Gesamt-EM *mit LULUCF*
	[kt CO_2-Äquivalente]				[%]	
Nationale Gesamtemissionen	**66.019**	**65.820**	**-200**	**-0,302**	**-0,307**	**-0,303**
1. Energie	**6.741**	**6.741**	**0**	**0,001**	**0,000**	**0,000**
A. Verbrennung von Energieträgern	6.740	6.740	0	0,001	0,000	0,000
1. Energieerzeugung	3.167	3.167	0	0,000	0,000	0,000
2. Verarbeitendes Gewerbe	1.342	1.343	0	0,016	0,000	0,000
3. Verkehr	1.193	1.192	0	-0,036	-0,001	-0,001
4. Übrige Sektoren	976	976	0	0,029	0,000	0,000
5. Sonstige	61	61	0	0,000	0,000	0,000
2. Industrieprozesse & Produktanwendung	**23.614**	**23.614**	**0**	**0,001**	**0,000**	**0,000**
3. Landwirtschaft	**33.849**	**33.661**	**-188**	**-0,557**	**-0,290**	**-0,286**
D. Landwirtschaftliche Böden	28.764	28.575	-188	-0,655	-0,290	-0,286
4. Landnutzung, Landnutzungsänderung, Forstw.	**830**	**830**	**0**	**0,000**		**0,000**
C. Grasland	2	87	86	5.729		0,131
H . Sonstige	139	53	-86	-61,943		-0,131
5. Abfall & Abwasser	**986**	**974**	**-11**	**-1,159**	**-0,018**	**-0,017**
D. Abwasserbehandlung	970	958	-11	-1,178	-0,018	-0,017
6. Sonstige	**NA**	**NA**				

Tabelle 541: Detaillierte numerische Übersicht der revidierten HFC-Emissionen für 2014

HFCs	Re2016	2017	Änderung		Auswirkung auf Gesamt-EM *ohne LULUCF*	Auswirkung auf Gesamt-EM *mit LULUCF*
	[kt CO_2-Äquivalente]				[%]	
Nationale Gesamtemissionen	**50,32**	**50,32**	**0,00**	**0,000**	**0,000**	**0,000**
2.B.9. Produktion von FKW & SF_6	C	IE				
2.F.2. Schaumherstellung	C,NO	NO,IE				
2.F.4. Aerosole	C,NO	NO,IE				
2.F.5. Lösemittel	C	IE				

Tabelle 542: Detaillierte numerische Übersicht der revidierten PFC-Emissionen für 2014

PFCs	*Re2016*	*2017*	*Änderung*		*Auswirkung auf Gesamt-EM ohne LULUCF*	*mit LULUCF*
	[kt CO_2-Äquivalente]			[%]		
Nationale Gesamtemissionen	**3.060,23**	**3.060,42**	**0,18**	**0,01**	**0,006**	**0,006**
2.E.4. Wärmeüberträger	C	0,18	0,18	100,00	0,006	0,006

Tabelle 543: Detaillierte numerische Übersicht der revidierten SF_6-Emissionen für 2014

Schwefelhexafluorid SF_6	*Re2016*	*2017*	*Änderung*		*Auswirkung auf Gesamt-EM ohne LULUCF*	mit LULUCF
	[kt CO_2-Äquivalente]			[%]		
Nationale Gesamtemissionen	**4.343,64**	**4.428,00**	**84,36**	**1,94**	**1,91**	**1,91**
2.E.1. Elektronik-Industrie	NO	84,36	84,36	100,00	1,91	1,91

Tabelle 544: Detaillierte numerische Übersicht der revidierten *Unspecified-Mix*-Emissionen für 2014

Unspezifizierter Mix aus HFCs und PFCs	Re2016	2017	Änderung		Auswirkung auf Gesamt-EM *ohne LULUCF*	*mit LULUCF*
	[kt CO_2-Äquivalente]			[%]		
Nationale Gesamtemissionen	**5.705,72**	**5.840,68**	**134,96**	**2,37**	**3,05**	**3,05**
2.B.10. Sonstige: EM aus sonstigen Produktionsprozessen	NA	NO				
2.H. Other	138,64	273,60	134,96	97,34	3,05	3,05

Tabelle 545: Detaillierte numerische Übersicht der revidierten NF_3-Emissionen für 2014

Stickstofftrifluorid NF_3	Re2016	2017	Änderung		Auswirkung auf Gesamt-EM *ohne LULUCF*	*mit LULUCF*
	[kt CO_2-Äquivalente]			[%]		
Nationale Gesamtemissionen	**6,88**	**6,88**	**0,00**	**0,00**	**0,00**	**0,00**

23 Anhang 7: Tabelle 6.1 der IPCC Good Practice Guidance

Die Unsicherheiten für die deutschen Treibhausgasinventare sind vollständig für alle Kategorien ermittelt.

Begonnen wurde mit einer Ermittlung der Unsicherheiten nach Tier 1 bei den datenliefernden Experten der Facheinheiten im UBA sowie externen Einrichtungen.

Parallel wurden weitere Unsicherheitenangaben durch Expertenschätzungen ermittelt und in die Datenbank ZSE überführt. Es liegt mittlerweile ein überwiegend mittels Expertenschätzung bestimmter Unsicherheiten-Datenbestand vor. Um einen vollständigen Datensatz zu erreichen werden bei noch nicht vorliegenden Expertenschätzungen Unsicherheiten aus Daten der Fachliteratur herangezogen. Eine systematische und vollständige Durchführung der Expertenschätzungen wird kontinuierlich weiter geführt.

In Deutschland werden die Unsicherheiten nach der Tier 2 Methode alle 3 Jahre ermittelt.

Die Ergebnisse der diesjährigen Tier-1-Unsicherheitenanalyse sind nach den Vorgaben von Tabelle 3.2 der IPCC Guidelines 2006 in Tabelle 546 dargestellt.

Tabelle 546: Tabelle 6.1 der IPCC Good Practice Guidance - Details

A	B	C	D	E	F	G	H	I	J	K	L	M
IPCC category	Gas	Base year emissions or removals	Year *x* emissions or removals	Activity data uncertainty	Emission factor / estimation parameter uncertainty	Combined uncertainty	Contribution to Variance by Category in Year x	Type A sensitivity	Type B sensitivity	Uncertainty in trend in national emissions introduced by emission factor / estimation parameter uncertainty	Uncertainty in trend in n emissions introduced by activity data uncertainty	Uncertainty introduced into the trend in total national emissions
		Input data	Input data	Input data Note A	Input data Note A	$\sqrt{E^2+F^2}$	$\frac{(G*D)^2}{(\sum D)^2}$	Note B	$\left\|\frac{D}{\sum C}\right\|$	*I * F* Note C	$\frac{J*E*}{\sqrt{2}}$ Note D	K^2+L^2
		kt CO_2 equivalent	kt CO_2 equivalent	%	%	%		%	%	%	%	%
1 A 1 a	Methan	244770,58	2559966,75	0,0000	71,0906	71,0906	3,26E-02	1,90E-03	2,06E-03	2,07E-01	0,00E+00	4,27E-02
1 A 1 a	Kohlendioxid	304600122,51	301705650,80	0,0000	4,6445	4,6445	1,93E+00	4,43E-02	2,42E-01	1,59E+00	0,00E+00	2,53E+00
1 A 1 a	Lachgas	2109962,22	2423300,96	0,0000	20,7043	20,7043	2,48E-03	5,75E-04	1,95E-03	5,70E-02	0,00E+00	3,25E-03
1 A 1 b	Kohlendioxid	19131150,13	18154030,06	0,0000	5,7356	5,7356	1,07E-02	2,15E-03	1,46E-02	1,18E-01	0,00E+00	1,40E-02
1 A 1 b	Methan	14926,14	13704,45	0,0000	17,1506	17,1506	5,44E-08	1,31E-06	1,10E-05	2,67E-04	0,00E+00	7,12E-08
1 A 1 b	Lachgas	62566,66	55832,25	0,0000	30,2204	30,2204	2,80E-06	4,19E-06	4,48E-05	1,92E-03	0,00E+00	3,67E-06
1 A 1 c	Methan	135624,34	171852,71	0,0000	137,7831	137,7831	5,52E-04	4,99E-05	1,38E-04	2,69E-02	0,00E+00	7,23E-04
1 A 1 c	Lachgas	357751,55	154231,64	0,0000	21,9779	21,9779	1,13E-05	1,09E-04	1,24E-04	3,85E-03	0,00E+00	1,48E-05
1 A 1 c	Kohlendioxid	40220524,02	10157932,32	0,0000	5,5004	5,5004	3,08E-03	1,80E-02	8,16E-03	6,34E-02	0,00E+00	4,02E-03
1 A 2 a	Methan	61215,46	68610,95	0,0000	27,3973	27,3973	3,48E-06	1,53E-05	5,51E-05	2,13E-03	0,00E+00	4,56E-06
1 A 2 a	Lachgas	118100,49	118516,09	0,0000	37,0079	37,0079	1,90E-05	1,85E-05	9,52E-05	4,98E-03	0,00E+00	2,48E-05
1 A 2 a	Kohlendioxid	33097558,64	38576031,16	0,0000	6,1025	6,1025	5,46E-02	9,47E-03	3,10E-02	2,67E-01	0,00E+00	7,15E-02
1 A 2 b	Kohlendioxid	2051868,53	1513285,75	0,0000	11,3486	11,3486	2,91E-04	1,18E-04	1,22E-03	1,95E-02	0,00E+00	3,80E-04
1 A 2 b	Methan	1730,36	1693,81	0,0000	71,4351	71,4351	1,44E-08	2,36E-07	1,36E-06	1,37E-04	0,00E+00	1,89E-08
1 A 2 b	Lachgas	13862,87	7679,60	0,0000	67,9640	67,9640	2,68E-07	2,84E-06	6,17E-06	5,93E-04	0,00E+00	3,51E-07
1 A 2 d	Kohlendioxid	6869,00	6074,31	0,0000	5,6766	5,6766	1,17E-09	4,16E-07	4,88E-06	3,92E-05	0,00E+00	1,53E-09
1 A 2 d	Methan	1099,83	2891,88	0,0000	44,5671	44,5671	1,64E-08	1,61E-06	2,32E-06	1,46E-04	0,00E+00	2,14E-08
1 A 2 d	Lachgas	4719,59	12409,61	0,0000	53,4099	53,4099	4,33E-07	6,90E-06	9,96E-06	7,53E-04	0,00E+00	5,66E-07
1 A 2 e	Kohlendioxid	1986645,42	290202,10	0,0000	5,4817	5,4817	2,49E-06	1,06E-03	2,33E-04	1,81E-03	0,00E+00	3,26E-06
1 A 2 e	Methan	2040,08	222,68	0,0000	41,0938	41,0938	8,25E-11	1,15E-06	1,79E-07	1,04E-05	0,00E+00	1,08E-10
1 A 2 e	Lachgas	18655,95	2548,03	0,0000	58,1220	58,1220	2,16E-08	1,01E-05	2,05E-06	1,68E-04	0,00E+00	2,83E-08
1 A 2 f	Kohlendioxid	18595352,46	13145432,17	0,0000	3,8463	3,8463	2,52E-03	1,52E-03	1,06E-02	5,74E-02	0,00E+00	3,30E-03
1 A 2 f	Methan	18003,83	15109,63	0,0000	22,9892	22,9892	1,19E-07	4,39E-07	1,21E-05	3,94E-04	0,00E+00	1,56E-07
1 A 2 f	Lachgas	173555,06	119834,04	0,0000	26,9375	26,9375	1,03E-05	1,65E-05	9,62E-05	3,67E-03	0,00E+00	1,34E-05
1 A 2 g	Kohlendioxid	88738029,54	72445409,48	0,0000	3,7681	3,7681	7,34E-02	5,34E-04	5,82E-02	3,10E-01	0,00E+00	9,61E-02
1 A 2 g	Methan	138248,12	184921,34	0,0000	29,9210	29,9210	3,02E-05	5,87E-05	1,48E-04	6,28E-03	0,00E+00	3,95E-05
1 A 2 g	Lachgas	645387,83	549897,32	0,0000	15,7638	15,7638	7,40E-05	2,24E-05	4,42E-04	9,84E-03	0,00E+00	9,69E-05
1 A 3 a	Kohlendioxid	2427698,79	2214546,94	7,4675	3,7345	8,3493	3,37E-04	2,01E-04	1,78E-03	9,39E-03	1,88E-02	4,41E-04
1 A 3 a	Methan	2395,22	1960,48	9,4256	94,3895	94,8590	3,41E-08	1,85E-08	1,57E-06	2,10E-04	2,10E-05	4,46E-08
1 A 3 a	Lachgas	24289,81	22068,11	7,3026	109,5616	109,8047	5,79E-06	1,94E-06	1,77E-05	2,75E-03	1,83E-04	7,57E-06
1 A 3 b	Methan	728038,96	137835,66	0,0000	41,7476	41,7476	3,26E-05	3,62E-04	1,11E-04	6,53E-03	0,00E+00	4,27E-05
1 A 3 b	Lachgas	1680885,54	1496893,49	0,0000	27,9911	27,9911	1,73E-03	1,10E-04	1,20E-03	4,76E-02	0,00E+00	2,26E-03
1 A 3 b	Kohlendioxid	166437327,50	152955140,73	0,0000	9,3944	9,3944	2,03E+00	1,47E-02	1,23E-01	1,63E+00	0,00E+00	2,66E+00
1 A 3 c	Kohlendioxid	2331398,96	919325,37	0,0000	10,1028	10,1028	8,50E-05	7,76E-04	7,38E-04	1,05E-02	0,00E+00	1,11E-04
1 A 3 c	Methan	1916,97	337,01	0,0000	32,0587	32,0587	1,15E-10	9,74E-07	2,71E-07	1,23E-05	0,00E+00	1,50E-10

A	B	C	D	E	F	G	H	I	J	K	L	M
1 A 3 c	Lachgas	5332,48	2261,59	0,0000	67,2370	67,2370	2,28E-08	1,65E-06	1,82E-06	1,73E-04	0,00E+00	2,98E-08
1 A 3 d	Kohlendioxid	2851323,06	1798401,61	19,8951	1,9046	19,9861	1,27E-03	4,08E-04	1,44E-03	3,89E-03	4,06E-02	1,67E-03
1 A 3 d	Methan	1488,08	691,03	22,5225	23,9075	32,8456	5,08E-10	4,12E-07	5,55E-07	1,88E-05	1,77E-05	6,64E-10
1 A 3 d	Lachgas	24755,59	17080,04	11,1949	81,5601	82,3248	1,95E-06	2,36E-06	1,37E-05	1,58E-03	2,17E-04	2,55E-06
1 A 3 e	Kohlendioxid	1323713,91	1223711,87	0,0000	2,9564	2,9564	1,29E-05	1,23E-04	9,83E-04	4,11E-03	0,00E+00	1,69E-05
1 A 3 e	Methan	6486,96	5975,34	0,0000	70,1704	70,1704	1,73E-07	5,85E-07	4,80E-06	4,76E-04	0,00E+00	2,27E-07
1 A 3 e	Lachgas	17686,30	10686,49	0,0000	48,4665	48,4665	2,64E-07	2,91E-06	8,58E-06	5,88E-04	0,00E+00	3,46E-07
1 A 4 a	Kohlendioxid	53101145,13	34518831,77	0,0000	7,9031	7,9031	7,33E-02	6,77E-03	2,77E-02	3,10E-01	0,00E+00	9,60E-02
1 A 4 a	Methan	265194,18	25138,24	0,0000	166,5912	166,5912	1,73E-05	1,52E-04	2,02E-05	4,76E-03	0,00E+00	2,26E-05
1 A 4 a	Lachgas	166142,06	81430,58	0,0000	91,3670	91,3670	5,45E-05	4,25E-05	6,54E-05	8,45E-03	0,00E+00	7,14E-05
1 A 4 b	Kohlendioxid	128972932,52	85363670,80	0,0000	8,3921	8,3921	5,06E-01	1,52E-02	6,85E-02	8,13E-01	0,00E+00	6,62E-01
1 A 4 b	Methan	873486,92	743802,11	0,0000	134,7899	134,7899	9,90E-03	2,99E-05	5,97E-04	1,14E-01	0,00E+00	1,30E-02
1 A 4 b	Lachgas	457117,85	298309,77	0,0000	78,3521	78,3521	5,38E-04	5,74E-05	2,40E-04	2,65E-02	0,00E+00	7,04E-04
1 A 4 c	Kohlendioxid	7734555,97	5811678,63	0,0000	13,5356	13,5356	6,10E-03	3,57E-04	4,67E-03	8,93E-02	0,00E+00	7,98E-03
1 A 4 c	Methan	62006,05	361737,62	0,0000	71,7133	71,7133	6,63E-04	2,50E-04	2,90E-04	2,95E-02	0,00E+00	8,68E-04
1 A 4 c	Lachgas	52293,62	77576,04	0,0000	90,1088	90,1088	4,81E-05	2,83E-05	6,23E-05	7,94E-03	0,00E+00	6,30E-05
1 A 5	Kohlendioxid	4004618,27	975849,12	0,0000	4,5899	4,5899	1,98E-05	1,82E-03	7,84E-04	5,09E-03	0,00E+00	2,59E-05
1 A 5	Methan	14035,80	1541,97	0,0000	33,6462	33,6462	2,65E-09	7,88E-06	1,24E-06	5,89E-05	0,00E+00	3,47E-09
1 A 5	Lachgas	27281,32	4211,12	0,0000	85,2446	85,2446	1,27E-07	1,43E-05	3,38E-06	4,08E-04	0,00E+00	1,66E-07
1 B 1	Kohlendioxid	933058,59	704791,06	0,0000	36,0436	36,0436	6,36E-04	4,01E-05	5,66E-04	2,88E-02	0,00E+00	8,32E-04
1 B 1	Methan	19347784,96	3095942,83	0,0000	37,2430	37,2430	1,31E-02	1,01E-02	2,49E-03	1,31E-01	0,00E+00	1,71E-02
1 B 2 a	Kohlendioxid	279398,46	312829,25	0,0000	29,4296	29,4296	8,35E-05	6,97E-05	2,51E-04	1,05E-02	0,00E+00	1,09E-04
1 B 2 a	Methan	313308,42	229537,61	0,0000	27,2378	27,2378	3,85E-05	1,92E-05	1,84E-04	7,10E-03	0,00E+00	5,04E-05
1 B 2 b	Kohlendioxid	1762275,40	1152229,54	0,0000	22,3202	22,3202	6,52E-04	2,19E-04	9,25E-04	2,92E-02	0,00E+00	8,53E-04
1 B 2 b	Methan	8360911,40	4824670,52	0,0000	16,1665	16,1665	5,99E-03	1,56E-03	3,87E-03	8,86E-02	0,00E+00	7,84E-03
1 B 2 c	Kohlendioxid	437759,96	380508,75	0,0000	126,6476	126,6476	2,29E-03	2,12E-05	3,06E-04	5,47E-02	0,00E+00	2,99E-03
1 B 2 c	Methan	1851,64	2725,50	0,0000	37,2284	37,2284	1,01E-08	9,86E-07	2,19E-06	1,15E-04	0,00E+00	1,33E-08
1 B 2 c	Lachgas	547,28	152,10	0,0000	15,2482	15,2482	5,30E-12	2,33E-07	1,22E-07	2,63E-06	0,00E+00	6,93E-12
2 A 1	Kohlendioxid	15408313,70	12377994,18	2,5000	2,0000	3,2016	1,55E-03	6,88E-05	9,94E-03	2,81E-02	3,51E-02	2,02E-03
2 A 2	Kohlendioxid	6159875,94	4976025,11	2,3922	10,5975	10,8641	2,88E-03	5,33E-06	4,00E-03	5,99E-02	1,35E-02	3,77E-03
2 A 3 glass	Kohlendioxid	881306,26	919846,90	0,0000	11,5999	11,5999	1,12E-04	1,66E-04	7,39E-04	1,21E-02	0,00E+00	1,47E-04
2 A 4 other	Kohlendioxid	759810,71	465408,70	0,0000	21,5359	21,5359	9,90E-05	1,20E-04	3,74E-04	1,14E-02	0,00E+00	1,30E-04
2 B 1	Kohlendioxid	6528000,00	4135000,00	0,0000	1,0000	1,0000	1,68E-05	9,20E-04	3,32E-03	4,70E-03	0,00E+00	2,20E-05
2 B 10	Lachgas	C	C	C	C	C	C	C	C	C	C	C
2 B 2	Lachgas	3325908,76	503578,77	1,0000	5,0000	5,0990	6,50E-06	1,76E-03	4,04E-04	2,86E-03	5,72E-04	8,50E-06
2 B 3	Lachgas	20234334,32	250896,61	2,0000	6,0000	6,3246	2,48E-06	1,29E-02	2,01E-04	1,71E-03	5,70E-04	3,25E-06
2 B 5	Kohlendioxid	25806,00	7241,96	10,0000	10,0000	14,1421	1,03E-08	1,09E-05	5,81E-06	8,22E-05	8,22E-05	1,35E-08
2 B 7	Kohlendioxid	537004,51	456153,63	0,0000	2,5000	2,5000	1,28E-06	1,75E-05	3,66E-04	1,29E-03	0,00E+00	1,68E-06
2 B 8	Kohlendioxid	875017,08	972696,02	0,0000	18,0806	18,0806	3,05E-04	2,13E-04	7,81E-04	2,00E-02	0,00E+00	3,99E-04
2 B 8	Methan	428414,10	485327,35	16,1255	13,1191	20,7881	1,00E-04	1,11E-04	3,90E-04	7,23E-03	8,89E-03	1,31E-04
2 B 9	Schwefelhexafluorid	159600,00	96698,35	0,0000	3,0000	3,0000	8,29E-08	2,60E-05	7,76E-05	3,29E-04	0,00E+00	1,09E-07
2 B 9 a	HFC-23	C	C	C	C	C	C	C	C	C	C	C
2 B 9 b	HFC-134a	C	C	C	C	C	C	C	C	C	C	C
2 B 9 b	HFC-227ea	C	C	C	C	C	C	C	C	C	C	C
2 C 1	Methan	6997,29	5299,37	0,0000	67,3954	67,3954	1,26E-07	2,90E-07	4,25E-06	4,06E-04	0,00E+00	1,64E-07
2 C 1	Kohlendioxid	19270069,51	16731125,21	0,0000	8,3900	8,3900	1,94E-02	9,18E-04	1,34E-02	1,59E-01	0,00E+00	2,54E-02
2 C 1	Lachgas	16777,50	16463,22	0,0000	59,2995	59,2995	9,39E-07	2,32E-06	1,32E-05	1,11E-03	0,00E+00	1,23E-06
2 C 2	Kohlendioxid	9107,45	5995,00	0,0000	50,4876	50,4876	9,03E-08	1,10E-06	4,81E-06	3,44E-04	0,00E+00	1,18E-07
2 C 2	Methan	2483,85	1635,00	0,0000	70,7107	70,7107	1,32E-08	3,00E-07	1,31E-06	1,31E-04	0,00E+00	1,72E-08
2 C 3	CF4	1544510,00	79102,56	0,0000	15,0000	15,0000	1,39E-06	9,40E-04	6,35E-05	1,35E-03	0,00E+00	1,82E-06
2 C 3	Schwefelhexafluorid	11400,00	15831,52	0,0000	50,0100	50,0100	6,18E-07	5,31E-06	1,27E-05	8,99E-04	0,00E+00	8,08E-07
2 C 3	C2F6	256200,00	15799,00	0,0000	15,0300	15,0300	5,56E-08	1,54E-04	1,27E-05	2,70E-04	0,00E+00	7,27E-08
2 C 3 a	Kohlendioxid	786025,00	740065,09	1,0000	50,0000	50,0100	1,35E-03	8,37E-05	5,94E-04	4,20E-02	8,40E-04	1,77E-03
2 C 4	Schwefelhexafluorid	176631,60	10533,60	0,0000	30,0375	30,0375	9,86E-08	1,06E-04	8,46E-06	3,59E-04	0,00E+00	1,29E-07
2 C 4	HFC-134a	0,00	48027,98	0,0000	30,0375	30,0375	2,05E-06	3,86E-05	3,86E-05	1,64E-03	0,00E+00	2,68E-06
2 C 5	Kohlendioxid	116494,00	83037,90	0,0000	50,4876	50,4876	1,73E-05	8,99E-06	6,67E-05	4,76E-03	0,00E+00	2,27E-05

A	B	C	D	E	F	G	H	I	J	K	L	M
2 C 6	Kohlendioxid	612320,00	293696,88	0,0000	50,2494	50,2494	2,15E-04	1,62E-04	2,36E-04	1,68E-02	0,00E+00	2,81E-04
2 D 1	Kohlendioxid	553672,28	589829,21	16,4409	40,1890	43,4219	6,46E-04	1,14E-04	4,74E-04	2,69E-02	1,10E-02	8,46E-04
2 D 2	Kohlendioxid	337164,66	586731,58	20,0000	50,0000	53,8516	9,84E-04	2,52E-04	4,71E-04	3,33E-02	1,33E-02	1,29E-03
2 D 2	Lachgas	822,43	1431,19	20,0000	50,0000	53,8516	5,85E-09	6,15E-07	1,15E-06	8,13E-05	3,25E-05	7,66E-09
2 D 3	Kohlendioxid	2042612,00	1317086,83	0,0000	7,3953	7,3953	9,35E-05	2,69E-04	1,06E-03	1,11E-02	0,00E+00	1,22E-04
2 E	Schwefelhexafluorid	47281,67	19608,00	0,0000	12,2000	12,2000	5,64E-08	1,50E-05	1,57E-05	2,72E-04	0,00E+00	7,38E-08
2 E	Stickstofftrifluorid	5289,72	11885,20	0,0000	12,2000	12,2000	2,07E-08	6,11E-06	9,54E-06	1,65E-04	0,00E+00	2,71E-08
2 E	C3F8	0,00	19602,60	0,0000	12,2000	12,2000	5,64E-08	1,57E-05	1,57E-05	2,72E-04	0,00E+00	7,37E-08
2 E	CF4	102615,00	64773,35	0,0000	10,0190	10,0190	4,15E-07	1,46E-05	5,20E-05	7,37E-04	0,00E+00	5,43E-07
2 E	c-C4F8	0,00	11886,20	0,0000	12,2000	12,2000	2,07E-08	9,54E-06	9,54E-06	1,65E-04	0,00E+00	2,71E-08
2 E	HFC-23	17112,33	14208,00	0,0000	12,2000	12,2000	2,96E-08	2,94E-07	1,14E-05	1,97E-04	0,00E+00	3,87E-08
2 E	HFC-32	0,00	37,13	0,0000	12,2000	12,2000	2,02E-13	2,98E-08	2,98E-08	5,14E-07	0,00E+00	2,64E-13
2 E	C2F6	162484,67	54436,40	0,0000	12,2000	12,2000	4,35E-07	6,18E-05	4,37E-05	7,54E-04	0,00E+00	5,69E-07
2 F	HFC-125	147558,73	2217847,41	0,0000	7,9202	7,9202	3,04E-04	1,68E-03	1,78E-03	1,99E-02	0,00E+00	3,98E-04
2 F	C2F6	0,00	2313,94	0,0000	17,5439	17,5439	1,62E-09	1,86E-06	1,86E-06	4,61E-05	0,00E+00	2,12E-09
2 F	HFC-134a	2268299,36	6361681,10	0,0000	5,7230	5,7230	1,31E-03	3,63E-03	5,11E-03	4,13E-02	0,00E+00	1,71E-03
2 F	HFC-143a	68076,48	2025533,84	0,0000	10,2100	10,2100	4,21E-04	1,58E-03	1,63E-03	2,35E-02	0,00E+00	5,51E-04
2 F	HFC-152a	90070,08	30607,71	0,0000	2,4558	2,4558	5,57E-09	3,39E-05	2,46E-05	8,53E-05	0,00E+00	7,28E-09
2 F	HFC-23	16253,62	85422,28	0,0000	13,4099	13,4099	1,29E-06	5,80E-05	6,86E-05	1,30E-03	0,00E+00	1,69E-06
2 F	HFC-227ea	646,63	54284,20	0,0000	4,1476	4,1476	4,99E-08	4,32E-05	4,36E-05	2,56E-04	0,00E+00	6,54E-08
2 F	HFC-245fa	C	C	C	C	C	C	C	C	C	C	C
2 F	HFC-365mfc	C	C	C	C	C	C	C	C	C	C	C
2 F	HFC-236fa	0,00	31151,55	0,0000	9,3274	9,3274	8,32E-08	2,50E-05	2,50E-05	3,30E-04	0,00E+00	1,09E-07
2 F	HFC-32	724,17	132544,72	0,0000	7,9094	7,9094	1,08E-06	1,06E-04	1,06E-04	1,19E-03	0,00E+00	1,42E-06
2 F	C3F8	19911,19	5753,37	0,0000	18,9110	18,9110	1,17E-08	8,31E-06	4,62E-06	1,24E-04	0,00E+00	1,53E-08
2 F	C6F14	C	C	C	C	C	C	C	C	C	C	C
2 F	HFC-43-10mee	C	C	C	C	C	C	C	C	C	C	C
2 G	Methan	11374,09	36521,49	20,0000	20,0000	28,2843	1,05E-06	2,19E-05	2,93E-05	8,29E-04	8,29E-04	1,38E-06
2 G	Lachgas	C	C	C	C	C	C	C	C	C	C	C
2 G	Schwefelhexafluorid	C	C	C	C	C	C	C	C	C	C	C
2 G	HFC-134a	0,00	200,20	0,0000	22,3600	22,3600	1,97E-11	1,61E-07	1,61E-07	5,08E-06	0,00E+00	2,58E-11
2 G	HFC-245fa	0,00	8843,91	0,0000	21,3932	21,3932	3,53E-08	7,10E-06	7,10E-06	2,15E-04	0,00E+00	4,62E-08
2 G	HFC-365mfc	0,00	671,30	0,0000	22,2283	22,2283	2,19E-10	5,39E-07	5,39E-07	1,69E-05	0,00E+00	2,87E-10
2 G	C10F18	C	C	C	C	C	C	C	C	C	C	C
3 A 1 a	Methan	16266832,39	14579072,80	4,0000	20,0000	20,3961	8,71E-02	1,14E-03	1,17E-02	3,31E-01	6,62E-02	1,14E-01
3 A 1 b	Methan	11753310,83	9045399,35	2,3652	11,8262	12,0604	1,17E-02	3,71E-04	7,26E-03	1,21E-01	2,43E-02	1,53E-02
3 A 2 - 4	Methan	1292034,36	1157075,90	0,0000	12,8351	12,8351	2,17E-04	8,99E-05	9,29E-04	1,69E-02	0,00E+00	2,84E-04
3 B 1 a	Methan	2778569,97	2225637,46	4,0000	20,0000	20,3961	2,03E-03	1,76E-05	1,79E-03	5,05E-02	1,01E-02	2,66E-03
3 B 1 a	Lachgas	1168637,88	993932,98	4,0000	100,0000	100,0800	9,75E-03	3,90E-05	7,98E-04	1,13E-01	4,51E-03	1,28E-02
3 B 1 b	Methan	2133718,35	1445532,79	2,3184	11,5918	11,8213	2,88E-04	2,25E-04	1,16E-03	1,90E-02	3,81E-03	3,76E-04
3 B 1 b	Lachgas	1236763,83	1000342,83	2,2260	55,6498	55,6943	3,06E-03	5,14E-08	8,03E-04	6,32E-02	2,53E-03	4,00E-03
3 B 2_4	Methan	140254,75	188165,25	4,6477	10,0051	11,0319	4,25E-06	6,00E-05	1,51E-04	2,14E-03	9,93E-04	5,56E-06
3 B 2_4	Lachgas	305168,99	260713,90	6,0118	175,4903	175,5932	2,06E-03	1,11E-05	2,09E-04	5,20E-02	1,78E-03	2,70E-03
3 B 3	Methan	2233023,07	2341816,86	3,1730	15,8647	16,1789	1,41E-03	4,30E-04	1,88E-03	4,22E-02	8,44E-03	1,85E-03
3 B 3	Lachgas	433852,81	546736,50	3,0297	75,7309	75,7914	1,69E-03	1,57E-04	4,39E-04	4,70E-02	1,88E-03	2,21E-03
3 B 5	Lachgas	1045631,19	1031682,90	10,0000	400,0000	400,1250	1,68E-01	1,49E-04	8,28E-04	4,69E-01	1,17E-02	2,20E-01
3 D	Lachgas	24937338,35	27527082,36	26,1780	89,1952	92,9573	6,45E+00	5,90E-03	2,21E-02	2,79E+00	8,18E-01	8,44E+00
3 G	Kohlendioxid	1744900,17	2214730,98	4,5744	2,8957	5,4139	1,42E-04	6,45E-04	1,78E-03	7,28E-03	1,15E-02	1,85E-04
3 H	Kohlendioxid	477245,21	856270,64	1,0000	1,0000	1,4142	1,44E-06	3,78E-04	6,88E-04	9,72E-04	9,72E-04	1,89E-06
3 J	Methan	3438,20	1295971,45	10,0000	40,0000	41,2311	2,81E-03	1,04E-03	1,04E-03	5,89E-02	1,47E-02	3,68E-03
3 J	Lachgas	1499,16	245009,19	9,5237	97,1007	97,5666	5,63E-04	1,96E-04	1,97E-04	2,70E-02	2,65E-03	7,37E-04
4 A	Methan	17011,07	19815,66	0,0000	674,8888	674,8888	1,76E-04	4,86E-06	1,59E-05	1,52E-02	0,00E+00	2,31E-04
4 A	Lachgas	215371,76	146427,78	0,0000	119,1652	119,1652	3,00E-04	2,23E-05	1,18E-04	1,98E-02	0,00E+00	3,93E-04
4 A	Kohlendioxid	-76148692,02	-57927011,85	0,0000	37,2560	37,2560	4,59E+00	2,95E-03	4,65E-02	2,45E+00	0,00E+00	6,01E+00
4 B	Lachgas	254954,41	288962,43	0,0000	209,8546	209,8546	3,62E-03	6,64E-05	2,32E-04	6,89E-02	0,00E+00	4,74E-03
4 B	Methan	198954,52	247431,62	0,0000	173,6154	173,6154	1,82E-03	6,95E-05	1,99E-04	4,88E-02	0,00E+00	2,38E-03

A	B	C	D	E	F	G	H	I	J	K	L	M
4 B	Kohlendioxid	12563020,11	14348327,71	0,0000	28,1824	28,1824	1,61E-01	3,36E-03	1,15E-02	4,59E-01	0,00E+00	2,11E-01
4 C	Methan	588908,16	513525,44	0,0000	238,9593	238,9593	1,48E-02	2,98E-05	4,12E-04	1,39E-01	0,00E+00	1,94E-02
4 C	Lachgas	89348,12	102813,45	0,0000	172,5506	172,5506	3,10E-04	2,45E-05	8,25E-05	2,01E-02	0,00E+00	4,06E-04
4 C	Kohlendioxid	25391663,22	22092165,46	0,0000	43,0485	43,0485	8,91E-01	1,25E-03	1,77E-02	1,08E+00	0,00E+00	1,17E+00
4 D	Methan	41282,01	43357,75	0,0000	463,6092	463,6092	3,98E-04	8,00E-06	3,48E-05	2,28E-02	0,00E+00	5,21E-04
4 D	Lachgas	21369,85	22331,00	0,0000	155,7451	155,7451	1,19E-05	4,05E-06	1,79E-05	3,95E-03	0,00E+00	1,56E-05
4 D	Kohlendioxid	4217482,98	4006728,12	0,0000	28,9045	28,9045	1,32E-02	4,78E-04	3,22E-03	1,32E-01	0,00E+00	1,73E-02
4 E	Methan	25193,19	42553,35	0,0000	149,3945	149,3945	3,98E-05	1,78E-05	3,42E-05	7,22E-03	0,00E+00	5,21E-05
4 E	Lachgas	129059,50	194197,27	0,0000	108,4489	108,4489	4,37E-04	7,21E-05	1,56E-04	2,39E-02	0,00E+00	5,72E-04
4 E	Kohlendioxid	1924844,10	3302004,62	0,0000	16,7276	16,7276	3,01E-03	1,40E-03	2,65E-03	6,27E-02	0,00E+00	3,93E-03
4 G	Kohlendioxid	-2688893,09	-2123512,49	0,0000	28,2587	28,2587	3,55E-03	4,14E-05	1,70E-03	6,81E-02	0,00E+00	4,64E-03
4 H	Lachgas	104269,85	100042,48	0,0000	199,4967	199,4967	3,92E-04	1,26E-05	8,03E-05	2,27E-02	0,00E+00	5,14E-04
5 A	Methan	35875000,00	8950000,00	0,0000	50,0000	50,0000	1,97E-01	1,61E-02	7,19E-03	5,08E-01	0,00E+00	2,58E-01
5 B	Methan	180880,00	776580,00	1,4472	190,7284	190,7339	2,16E-02	5,06E-04	6,24E-04	1,68E-01	1,28E-03	2,83E-02
5 B	Lachgas	113964,74	326310,00	1,4354	167,4726	167,4787	2,94E-03	1,88E-04	2,62E-04	6,21E-02	5,32E-04	3,85E-03
5 D 1	Methan	1240680,26	583787,72	0,0000	24,0303	24,0303	1,94E-04	3,37E-04	4,69E-04	1,59E-02	0,00E+00	2,54E-04
5 D 1	Lachgas	516667,41	427359,83	33,3640	3904,4611	3904,6037	2,74E+00	7,57E-06	3,43E-04	1,89E+00	1,62E-02	3,59E+00
5 D 2	Methan	15520,73	43087,36	0,0000	50,0000	50,0000	4,57E-06	2,45E-05	3,46E-05	2,45E-03	0,00E+00	5,98E-06
5 D 2	Lachgas	27692,33	25105,26	50,0000	300,0000	304,1381	5,74E-05	2,17E-06	2,02E-05	8,55E-03	1,43E-03	7,52E-05
5 E	Methan	718,13	4301,66	2,0000	60,0000	60,0333	6,57E-08	2,99E-06	3,45E-06	2,93E-04	9,77E-06	8,60E-08
5 E	Lachgas	10842,73	73967,47	2,0000	60,0000	60,0333	1,94E-05	5,23E-05	5,94E-05	5,04E-03	1,68E-04	2,54E-05
Total		$\sum_C$ **1087799155**	$\sum_D$ **887**				$\sum_H$					$\sum_M$ **26,43**
					Percentage uncertainty in total inventory:		$\sqrt{\sum_H}$ **4,5**				**Trend uncertainty:**	$\sqrt{\sum_M}$ **5,1**

Die Unsicherheitsbestimmung für die Kategorien erfolgte einerseits bereits sukzessive im Rahmen der Zuarbeit der datenliefernden Facheinheiten im UBA zur aktuellen Emissionsberichterstattung. Andererseits wurden für Quellgruppen, für die bisher keine oder nur unvollständige Angaben zu den Unsicherheiten vorlagen, im Rahmen von Forschungsvorhaben weitere Unsicherheitenbestimmungen von externen Experten durchgeführt und die Ergebnisse in die Unsicherheitenanalyse der aktuellen Berichterstattung eingearbeitet.

Die Unsicherheiten in der Kategorie Landwirtschaft (CRF 4) werden von Experten des TI abgeschätzt.

Die derzeitige Arbeitsplanung sieht die Erstellung einer Tier-2-Unsicherheitenanalyse alle drei Jahre vor. Die Bestimmung der Unsicherheiten gemäß dem Tier-1-Ansatz werden in jedem Jahr durchgeführt und berichtet.

24 Referenzen

91/271/EWG. (1991). Richtlinie des Rates vom 21. Mai 1991 über die Behandlung von kommunalem Abwasser (91/271/EWG), geändert durch die Verordnung (EG) Nr. 1137/2008 des Europäischen Parlaments und des Rates vom 22. Oktober 2008.

AGEB, 2003: Arbeitsgemeinschaft Energiebilanzen (Hrsg.): Energiebilanzen der Bundesrepublik Deutschland - Jahre 1990-1999, Verlags- und Wirtschaftsgesellschaft der Elektrizitätswerke, Frankfurt a. M.AGEB, 2002: Arbeitsgemeinschaft Energiebilanzen (Hrsg.): Sonderauswertung für das UBA zur Darstellung von ausgewählten Energieverbräuchen in der Struktur der Energiebilanz vor 1995 für Zeitreihen von 1995 bis 1999 (unveröffentlicht)

AGEB, 2014: Arbeitsgemeinschaft Energiebilanzen (Hrsg.): Energiebilanz für die Bundesrepublik Deutschland http://www.ag-energiebilanzen.de/index.php?article_id=29&fileName=bilanz12d.xlsx (Aufruf: 01.08.2014 Köln, Berlin).

AGEB, 2015: Arbeitsgemeinschaft Energiebilanzen (Hrsg.): Energiebilanz für die Bundesrepublik Deutschland http://www.ag-energiebilanzen.de/index.php?article_id=29&fileName=bilanz13d.xls (Aufruf 07.08.2015)

AGEB, 2016: Arbeitsgemeinschaft Energiebilanzen (Hrsg.): Energiebilanz für die Bundesrepublik Deutschland Unveröffentlichte geschätzte Energiebilanz 2014 (Stand 31.07.2016)

AGEB, 2016: Arbeitsgemeinschaft Energiebilanzen (Hrsg.): Energieverbrauch in Deutschland im Jahr 2015. März 2016

AGEB, 2016b: Arbeitsgemeinschaft Energiebilanzen (Hrsg.): Heizwerte der Energieträger und Faktoren für die Umrechnung von spezifischen Mengeneinheiten in Wärmeinheiten http://www.ag-energiebilanzen.de/index.php?article_id=29&fileName=heizwerte2005bis2014.pdf (letzter Aufruf: November 2016)

AMD, 2002/2003**:** Amd Saxony LLC&Co. KG, Dresden, Umweltbericht. S. 16

Amtsblatt_der_Europäischen_Gemeinschaft (1991) Richtlinie des Rates vom 21.Mai 1991 über die Behandlung von kommunalem Abwasser; Nr. L 135/40, 30 S. 91, Artikel 2 Nr. 6.

Amtsblatt_der_Europäischen_Gemeinschaft. (1991). Richtlinie des Rates vom 21.Mai 1991 über die Behandlung von kommunalem Abwasser; Nr. L 135/40, 30 S. 91, Artikel 2 Nr. 6.

Arbeitsgemeinschaft der Vermessungsverwaltungen der Länder (AdV), Objektartenkatalog (ATKIS-OK), Version 3.2, Stand: 01.07.2003 (http://www.atkis.de/dstinfo/dstinfo.dst_start4?dst_oar=1000&inf_sprache=deu&c1=1&dst_typ=25&dst_ver=dst&dst_land=ADV)

ARBEITSGRUPPE BODEN (1994): Bodenkundliche Kartieranleitung, 4. Auflage, Bundesanstalt für Geowissenschaften und Rohstoffe (BGR), Hannover, 392 S.

ARBEITSGRUPPE BODEN (2005): Bodenkundliche Kartieranleitung. 5. verbesserte und erweiterte Auflage, Hannover

ATV, 2000: ATV-DVKK-Arbeitsblatt A 131: Bemessung von einstufigen Belebungsanlagen, Ausgabe05/2000, DWA, ISBN 978-3-933707-41-3

ATV, 2004: ATV-DVWK-M 374: Produktionsspezifische Abwässer und Abfälle aus der Glas- und Mineralfaserindustrie, ATV-DVWK Deutsche Vereinigung der Wasserwirtschaft, Abwasser und Abfall e.V., 08/2004

ATV. (2004). Produktionsspezifische Abwässer und Abfälle aus der Glas- und Mineralfaserindustrie. Hennef: GFA.

AUGUSTIN, J. (2001): Emission, Aufnahme und Klimarelevanz von Spurengasen. - In: Succow, M. & H. Joosten [Hrsg.]: Landschaftsökologische Moorkunde. 2., völlig neubearb. Aufl.: 28-38; Stuttgart (Schweizerbart`sche Verlagsbuchhandlung).

Austermann-Haun, U. and Witte, H. (2014) Liste der großtechnischen Anaerobanlagen zur Industrieabwasserreinigung in Deutschland, Stand April 2014, Hochschule Ostwestfalen-Lippe, Detmold.

Austermann-Haun, U., & Witte, H. (2014). Liste der großtechnischen Anaerobanlagen zur Industrieabwasserreinigung in Deutschland, Stand April 2014. Hochschule Ostwestfalen-Lippe. Detmold.

AUSTERMANN-HAUN, U., WITTE, H. (2014): Vervollständigung der Datengrundlage der Emissionsberchterstattung: CH4-Emissionsfaktoren und CSB-Werte aus der Abwasserreinigung der relevantesten Industriebereiche (CRF 6.B.1). UBA Projekt Nr. 27964, Dessau-Rosslau 2014.

AUTORENKOLLEKTIV (2014): Humusbilanzierung - Eine Methode zur Analyse und Bewertung der Humusversorgung von Ackerland. Fachgruppe Pflanzenernährung, Produktqualität und Ressourcenschutz, Verband Deutscher Landwirtschaftlicher Untersuchungs- und Forschungsanstalten (VDLUFA). Speyer : VDLUFA Selbstverlag, 2014

BACHMAIER, H., GRONAUER, A., 2007: Klimabilanz von Biogasstrom. Bayerische Landesanstalt für Landwirtschaft (LfL). Freising.

BAFA, 2016: Bundesamt für Wirtschaft und Ausfuhrkontrolle, Amtliche Mineralöldaten für die Bundesrepublik Deutschland, URL: http://www.bafa.de/bafa/de/energie/mineraloel_rohoel/amtliche_mineraloeldaten/index.html, (letzter Aufruf: November 2016), Eschborn.

BAIUDBw, 2015: Bundesamt für Infrastruktur, Umweltschutz und Dienstleistungen der Bundeswehr: Energieeinsatz zur Wärmeversorgung in der Bundeswehr

BAKER, J.M., OCHSNER, T.E., VENTEREA, R.T., GRIFFIS, T.J., 2007: Tillage and soil carbon sequestration - What do we really know? Agriculture, Ecosystems and Environment, 118, 1 – 5

BARITZ, R.; SEUFERT, G.; MONTANARELLA, L.; VAN RANST, E. 2010: Carbon concentrations and stocks in forest soils of Europe. Forest Ecology and Management, 260, 262–277

BASt, 2013: Bundesanstalt für Straßenwesen: Unterreihe Verkehrstechnik; Norbert Lensing, V 233: Straßenverkehrszählung 2010: Ergebnisse; Bergisch Gladbach, 2013

BATZ, 1995: Kokereien und Produktemissionen. Mündliche Mitteilung. Umweltbundesamt.

BauGB (2004): „Baugesetzbuch in der Fassung der Bekanntmachung vom 23. September 2004 (BGBl. I S. 2414), das zuletzt durch Artikel 6 des Gesetzes vom 20. Oktober 2015 (BGBl. I S. 1722) geändert worden ist“

BAYERISCHE LANDESANSTALT FÜR LANDWIRTSCHAFT (LfL) (2007): 20 Jahre Boden-Dauerbeobachtung in Bayern, Teil 3: Entwicklung der Humusgehalte zwischen 1986 und 2007; Schriftenreihe, 10, Freising-Weihenstephan.

BAYERISCHES LANDESAMT FÜR UMWELT (BLU) (2011): Den Boden fest im Blick - 25 Jahre Bodendauerbeobachtung in Bayern. S. 93; BLU, Augsburg

BBodSchG (1998): Gesetz zum Schutz vor schädlichen Bodenveränderungen und zur Sanierung von Altlasten (Bundes-Bodenschutzgesetz - BBodSchG); „Bundes-Bodenschutzgesetz vom 17. März 1998 (BGBl. I S. 502), das zuletzt durch Artikel 101 der Verordnung vom 31. August 2015 (BGBl. I S. 1474) geändert worden ist“

BDZ 2005: Zement-Jahresbericht 2004/2005, Berlin.

BECHTOLD, M., TIEMEYER, B., LAGGNER, A., LEPPELT, T., FRAHM, E. & BELTING, S. (2014): Large-scale regionalization of water table depth in peatlands optimized for greenhouse gas emission upscaling. Hydrol. Earth Syst. Sci., 18, 3319–3339, 2014. www.hydrol-earth-syst-sci.net/18/3319/2014/. doi:10.5194/hess-18-3319-2014

BEYER et al., 2004: Beyer, M., Chudy, A., Hoffmann, L., Jentsch, W., Laube, W., Nehring, K., Schiemann, R.: Rostocker Futterbewertungssystem. Kennzahlen des Futterwertes und Futterbedarfs auf der Basis von Nettoenergie. Dummerstorf: Forschungsinstitut für die Biologie landwirtschaftlicher Nutztiere. 392 pp.

BFI 2011 "Emissionsfaktoren zur Eisen- und Stahlindustrie für die Emissionsberichterstattung“, im Auftrag des Umweltbundesamtes, BFI 2011, FKZ 3707 42 301.

BFI 2012: VDEh-Betriebsforschungsinstitut GmbH: Emissionsfaktoren zur Eisen- und Stahlindustrie für die Emissionsberichterstattung. Forschungsbericht, Düsseldorf 2010. – gemeinsame Sonderpublikation von BFI und Umweltbundesamt, Dessau-Roßlau 2012 (in Veröffentlichung)

BGR (Bundesanstalt für Geowissenschaften und Rohstoffe), 2008: Gruppen der Bodenausgangsgesteine in Deutschland 1 : 5.000.000 (BAG 5000); FISBo BGR

BGR (Bundesanstalt für Geowissenschaften und Rohstoffe), 2011: Schätzprofile der BÜK 1000 n 2.3; FISBo BGR

BGR 1995, 1997: Digitale Bodenübersichtskarte der BRD (BUEK 1000); Maßstab: 1:1.000.000; Hannover

BGS BGSs-Bogen– „Brennstoff-, Gas- und Stromwirtschaft der Hochofen-Stahl-und Walzwerke sowie Schmiede-, Preß- und Hammerwerke einschließlich örtlich verbundener sonstiger Betriebe (ohne eigene Kokereien“ ab 2010 vom VDEh, davor Eisen/stahlstatistik des Statistischen Bundesamtes)

BIERTÜMPFEL, A., RUDEL, H., WERNER, A. & VETTER, DR. A. (2009): 15 JAHRE ENERGIEHOLZVERSUCHE IN THÜRINGEN. THÜRINGER LANDESANSTALT FÜR LANDWIRTSCHAFT, JENA

BIPRO 2010: „Evaluierung der Anforderungen der 20. BImSchV für Binnentankschiffe im Hinblick auf die Wirksamkeit der Emissionsminderung klimarelevanter Gase“, im Auftrag des UBA 2010, FKZ 3709 45 326

BLASING, T.J. (2014): Recent Greenhouse Gas Concentrations; http://cdiac.ornl.gov/pns/current_ghg.html; access date 05.11.2014

BLE (Bundesanstalt für Landwirtschaft und Ernährung) (Hrsg.), 2016: Waldbrandstatistik der Bundesrepublik Deutschland für das Jahr 2015, Bonn, 19 S.

BLUM, W., HEINBACH, R. 2006: Endbericht zum BZE Ringversuch Humus 2006. Bayerische Landesanstalt für Wald und Forstwirtschaft (LWF), Freising, 216 S.

BLUM, W.; HEINBACH, R. 2007: Endbericht zum BZE Ringversuch Mineralboden 2007. Teil 1. Bayerische Landesanstalt für Wald und Forstwirtschaft (LWF), Freising, 218 S.

BMBF, 1997: Verbundvorhaben des Umweltbundesamtes mit dem BMBF: Deponiekörper, Förderkennzeichen 1460799A bis G (Teilvorhaben), Projektträger Abfallwirtschaft und Altlasten im Umweltbundesamt Berlin, Koordinierung Fachgebiet Abfall- und Siedlungswasserwirtschaft, Bergische Universität - Gesamthochschule Wuppertal

BMEL (Bundesministerium für Ernährung und Landwirtschaft), 2016: Konzept zur Erstellung von THG-Emissions- und Kohlenstoffinventaren der Quell- und Senkengruppen Landwirtschaft und LULUCF durch das Johann Heinrich von Thünen-Institut (TI) im Zuständigkeitsbereich des BMEL. 2. überarbeitete Fassung vom 14.09.2016, AZ: 521-65408/0002, unveröffentlicht

BMELF (Bundesministerium für Ernährung, Landwirtschaft und Forsten), 1994: Der Wald in den neuen Bundesländern - Eine Auswertung vorhandener Daten nach dem Muster der Bundeswaldinventur, Bonn, 38 S.

BMELF (Bundesministerium für Ernährung, Landwirtschaft und Forsten), 1990: Bundeswaldinventur 1986 – 1990. Inventurbericht und Übersichtstabellen für das Bundesgebiet nach dem Gebietsstand bis zum 3. 10. 1990 einschließlich Berlin (West)

BMELV (Bundesministerium für Ernährung, Landwirtschaft und Verbraucherschutz), 2012: Konzept zur Erstellung von THG-Emissions- und Kohlenstoffinventaren der Quell- und Senkengruppen 4 und 5 im Zuständigkeitsbereich des BMELV, AZ: 521-65408/0002, unveröffentlicht.

BMELV (Bundesministerium für Ernährung, Landwirtschaft und Verbraucherschutz) (Hrsg.), 2010: Aufnahmeanweisung für die Inventurstudie 2008 im Rahmen der Treibhausgasberichterstattung. 2. korrigierte, überarbeitete Aufl., Bonn, 60 S

BMELV (Bundesministerium für Ernährung, Landwirtschaft und Verbraucherschutz) (Hrsg.), 2009: Waldbericht der Bundesregierung 2009. Berlin, 117 S

BMELV (Bundesministerium für Ernährung, Landwirtschaft und Verbraucherschutz) (Hrsg.), 2005. Die zweite Bundeswaldinventur – BWI²: Der Inventurbericht. Bonn, 231 S.

BMELV (Bundesministerium für Verbraucherschutz, Ernährung und Landwirtschaft) (Hrsg.), 2001: Aufnahmeanweisung für die Bundeswaldinventur II (2001 - 2002), 2. korrigierte, überarbeitete Ausgabe, Mai 2001, Bonn, 108 S

BMLFUW, 2005: Bundesministerium für Land- und Forstwirtschaft, Umwelt und Wasserwirtschaft Österreich (2005): Abschätzung der Auswirkungen des Tanktourismus auf den Treibstoffverbrauch und die Entwicklung der CO_2-Emissionen in Österreich. Wien.

BMU, 1990: Bundesminister für Umwelt, Naturschutz und Reaktorsicherheit, Karl Eugen Huthmacher: Eckwerte der ökologischen Sanierung und Entwicklung in den neuen Ländern, Bonn

BMVEL (Bundesministerium für Verbraucherschutz, Ernährung und Landwirtschaft) (Hrsg.), 2001. Aufnahmeanweisung für die Bundeswaldinventur II (2001 - 2002), 2. korrigierte, überarbeitete Ausgabe, Mai 2001, Bonn, 108 S.

BMVg, 2011: Bundesministerium der Verteidigung: Energieeinsatz zur Wärmeversorgung der Bundeswehr (unveröffentlicht).

BOELCKE, B. (2007): Ertragspotenzial und Ertragsaufbau von Weiden (Salix) in Kurzumtriebsplantagen. Fachinformationen der Landesforschungsanstalt für Landwirtschaft und Fischerei Mecklenburg-Vorpommern, <http://www.landwirtschaft-mv.de/cms2/LFA_prod/LFA/content/de/Fachinformationen/Nachwachsende_Rohstoffe/feste_Brennstoffe/Ertragspotenzial_und_Ertragsaufbau_von_Weiden/Ertrag_Weiden_Internet3_07%5B1%5D.pdf> (Zitiert am 03.09.2015)

BOLTE, A., HERTEL, D., AMMER, C., SCHMID, I., NÖRR, R., KUHR, M. und REDDE, N. (2003): Freilandmethoden zur Untersuchung von Baumwurzeln. Forstarchiv 74: 240 262.

BÖRJESSON, P., BERGLUND, M., 2007: Environmental systems analysis of biogas systems—Part II: The environmental impact of replacing various reference systems. Biomass and Bioenergy 31 (2007) 326–344.

BOSSHARD, H.H. 1984: Holzkunde. Band 2: Zur Biologie, Physik und Chemie des Holzes. Birkhäuser, Basel. 312 S.

BPB, 2002: Bundeszentrale für politische Bildung. Projektgruppe Zukunft der Wirtschaft, Die Zukunft der Wirtschaft, Landwirtschaft und Ernährung, herausgegeben von Margarete Wohlan

BSH, 2015: Aktualisierung und Revision des Modells zur Berechnung der spezifischen Verbräuche und Emissionen des von Deutschland ausgehenden Seeverkehrs, UBA-Projekt Nr. 57 153, Hamburg, 2015 – unveröffentlicht.

Bundesgesetzblatt (BGBl) (2004): DirektZahlVerpflV; Direktzahlungen-Verpflichtungenverordnung vom 4. November 2004 (BGBl. I S. 2778), zuletzt geändert durch Artikel 3 der Verordnung vom 15. Dezember 2011 (eBAnz 2011 AT144 V1); Verordnung über die Grundsätze der Erhaltung landwirtschaftlicher Flächen in einem guten landwirtschaftlichen und ökologischen Zustand

Bundesgesetzblatt (BGBl) (2012): Verordnung über das Inverkehrbringen von Düngemitteln, Bodenhilfsstoffen, Kultursubstraten und Pflanzenhilfsmitteln (Düngemittelverordnung - DüMV) (Düngemittelverordnung vom 16. Dezember 2008 BGBl. I S. 2524), die zuletzt durch Artikel 3 der Verordnung vom 23. April 2012 (BGBl. I S. 611) geändert worden ist)

Bundesgesetzblatt (BGBl) (2012): Verordnung über die Anwendung von Düngemitteln, Bodenhilfsstoffen, Kultursubstraten und Pflanzenhilfsmitteln nach den Grundsätzen der guten fachlichen Praxis beim Düngen (Düngeverordnung in der Fassung der Bekanntmachung vom 27. Februar 2007 (BGBl. I S. 221), die zuletzt durch Artikel 5 Absatz 36 des Gesetzes vom 24. Februar 2012 (BGBl. I S. 212) geändert worden ist)

BURSCHEL, P.; KÜRSTEN, E.; LARSON, B.C. (1993): Die Rolle von Wald und Forstwirtschaft im Kohlenstoffhaushalt - eine Betrachtung für die Bundesrepublik Deutschland. Forstliche Forschungsberichte München, Forstwissenschaftliche Fakultät d. Universität München u. Bayrische Landesanstalt f. Wald u. Forstwirtschaft, Freising, 135 S.

Burton, C.S. 2004: Uses and Air Emissions of Liquid PFC Heat Transfer Fluids from the Electronics Sector. EPA Document # EPA-430-R-06-901

BV Glas. (2016a). Jahresbericht des Bundesverband Glasindustrie e.V. 2015, statistischer Anhang.

BV Glas. (2016b). Scherbeneinsatz in der Behälterglasindustrie 2015.

BV Kalk, 2011 (Bundesverband der deutschen Kalkindustrie e.V.): Kalk Daten nationaler Inventarbericht; per E-Mail an das UBA übermittelt.

BVE, 2012: Bundesvereinigung der Deutschen Ernährungsindustrie e.V., Broschüre Ernährungsindustrie 2012, URL: www.bve-online.de

BWaldG (2015): Gesetz zur Erhaltung des Waldes und zur Förderung der Forstwirtschaft (Bundeswaldgesetz); „Bundeswaldgesetz vom 2. Mai 1975 (BGBl. I S. 1037), das zuletzt durch Artikel 413 der Verordnung vom 31. August 2015 (BGBl. I S. 1474) geändert worden ist“

BYRNE, K.A., B. Chojnicki, T.R. Christensen, M. Drösler, A. Freibauer, T. Friborg, S. Frolking, A. Lindroth, J. Mailhammer, N. Malmer, P. Selin, J. Turunen, R. Valenti & L. Zetterberg, 2004: EU Peatlands: Current Carbon Stocks and Trace Gas Fluxes. CarboEurope-GHG Report 4/2004. Specific Study, Tipo-Lito Recchioni, Viterbo, October 2004, S.58.

CAIRNS, M.A.; BROWN, S.; HELMER, E.H.; BAUMGARDNER, G.A., 1997: Root biomass allocation in the world's upland forests. Oecologia, Vol. 111 (1), pp. 1-11

CLODIC D., BARRAULT S. 2011: 1990 to 2010 Refrigerant inventories for Europe. Previsions on banks and emissions from 2006 to 2030 for the European Union. Final report. Part A 1990 to 2010 refrigerant inventories for Europe. 18.10.2011.

CLODIC D., BARRAULT S., SABA S. 2012: Global inventories of the worldwide fleets of refrigerating and airconditioning equipment in order to determine refrigerant emissions, The 1990 to 2006 updating. Extracts from the Final Report, April 2012.

CLODIC., D & BEN YAHIA, M. 1997: Centre d’Energétique, Ecole des Mines de Paris: New Test Bench for Measuring Leak Flow Rate of Mobile Air Conditioning Hoses and Fittings. Earth Technology Conference, Baltimore.

COOLS, N.; VERSCHELDE, P.; QUATAERT, P.; MIKKELSEN, J.; DE VOS, B. 2006: Quality Assurance and Quality Control in Forest Soil Analysis: 4th Forest Soil Co-ordinating Centre (FSCC) Interlaboratory Comparison, Research Institute for Nature and Forest, Geraardsbergen, 66p + annex, http://www.icp-forests.org/DocsSoil/4thSoilRingtest.pdf [zitiert am 20.08.2010]

CORINAIR, 2006 - EMEP/CORINAIR Emission Inventory Guidebook - 2006, EEA technical report No. 11/2006; Dezember 2006, Kopenhagen 2006 URL: http://www.eea.europa.eu/publications/EMEPCORINAIR4

CUHLS et al., 2015: Carsten Cuhls, Birte Mähl, Joachim Clemens - Ermittlung der Emissionssituation bei der Verwertung von Bioabfällen, UBA-Texte 39/2015, FKZ 206 33 326 & 3709 44 320. Umweltbundesamt, April 2015: URL: http://www.umweltbundesamt.de/publikationen/ermittlung-der-emissionssituation-bei-der

DÄMMGEN et al, 2012c: Dämmgen, U., Schulz, J., Kleine Klausing, H., Hutchings, N.J., Haenel, H.-D., Rösemann, C.: Enteric Methane emissions from German pigs. Landbauforsch 62, 83-96.

DÄMMGEN et al, 2013: Dämmgen, U., Meyer, U., Rösemann, C., Haenel, H.-D., Hutchings N.J.: Methane emissions from enteric fermentation as well as nitrogen and volatile solids excretions of German calves – A national approach. Landbauforsch 63, 37-46.

DÄMMGEN et al., 2011: Dämmgen, U., Amon, B., Gyldenkærne, S., Hutchings, N.J., Kleine Klausing, H., Haenel, H.-D., Rösemann, C.: Reassessment of the calculation procedure for the volatile solids excretion rates of cattle and pigs in the Austrian, Danish and German agricultural emission inventories. Landbauforschung, 61: 115 – 126.

DÄMMGEN et al., 2012a: Dämmgen, U., Amon, B., Hutchings, N.J., Haenel, H.-D., Rösemann, C.: Data sets to assess methane emissions from untreated cattle and pig slurry and manure storage systems in the German and Austrian emission inventories. Landbauforschung 62, 1 – 20.

DÄMMGEN et al., 2012b: Dämmgen, U., Rösemann, C., Haenel H.-D., Hutchings N.J.: Enteric methane emissions from German dairy cows. Landbauforschung, 62: 21 – 32.

DÄMMGEN, U., HUTCHINGS N.J., 2005: The assessment of emissions of nitrogen species from agriculture using the methodology of the atmospheric emission inventory guidebook. In: Kuczyński T, Dämmgen U, Webb J, Myczko A (eds) Emissions from European agriculture. Wageningen Academic Publishers, Wageningen. pp 51-62.

DANIEL-GROMKE, J., DENYSENKO, V. (2015): Persönliche Kommunikation. Datenauswertung anhand der Biogasanlagendatenbank des DBFZ.

DAV, 2016: Deutscher Asphaltverband e.V., Schieffelingsweg 6, 53123 Bonn, Veröffentlichung zur Asphaltproduktion in Deutschland, https://www.asphalt.de/themen/aktuelles/asphaltproduktion-2015/, Stand August 2016

DBI 2014a: „Überführung der Bestands- und Ereignisdaten des DVGW in die Emissionsdatenbank des Umweltbundesamts“, im Auftrag des UBA 2014, Projektnr. 27500

DBI 2014b: „THG-Minderungspotenziale in der europäischen Gasinfrastruktur“, im Auftrag des UBA 2014, FKZ 3712 41 344 (noch nicht veröffentlicht)

DBI 2015: „Datenverifizierung und Expertentreffen zu Emissionen bei Erdgastransport, -verteilung und -anwendung“, im Auftrag des UBA 2015, Projektnummer 55803; Leipzig 2015

DBU, 2002: Vogt, R., Knappe, F., Giegrich, J., Detzel, A., IFEU-Institut für Energie und Umweltforschung Heidelberg (Hrsg.): Ökobilanz Bioabfallverwertung. Untersuchung zur Umweltverträglichkeit von Systemen zur Verwertung von biologisch-organischen Abfällen. Initiativen zum Umweltschutz, Band 52. Erich Schmidt Verlag, Berlin 2002

DE VRIES, W.; REINDS, G.J.; GUNDERSON, P; STERBA, H. 2006: The impact of nitrogen deposition on carbon sequestration in European Forests and forest soils. Global Change Biology, 12, 1151-1173

DEBRIV, 2004: Deutscher Braunkohlen-Industrie-Verein e.V., Mitteilung vom 15. September 2004 an das IKP Stuttgart.

DEHSt, 2012: Fackelverluste des JI-Projektes im Saarland: https://www.jicdm.dehst.de/promechg/pages/project2.aspx?PID=3184&ctit=&ccat=&cscop=&cpac=&cstat=&chost=&cred1=&cred2=

DESTATIS. (2013). Umwelt Abwasserbehandlung - Klärschlamm - Ergebnisbericht 2010.

DESTATIS. (22.05.2014). Wasserwirtschaft: Klärschlammentsorgung aus der biologischen Abwasserbehandlung 2006 - 2012.

DGE (2008a) Ernährungsbericht 2008 / Deutsche Gesellschaft für Ernährung e.V. /DGE), pp. 1 CD-ROM, Bonn.

DGE (2008b) Ernährungsbericht 2008 / Deutsche Gesellschaft für Ernährung e.V. /DGE), Deutsche Gesellschaft fÃźr ErnÃ¤hrung

DGE. (2008). Ernährungsbericht 2008 / Deutsche Gesellschaft für Ernährung e.V. /DGE) (pp. 1 CD-ROM).

DGMK, 1992: Deutsche Wissenschaftliche Gesellschaft für Erdöl, Erdgas und Kohle e.V.: Forschungsbericht 448-2 - Ansatzpunkte und Potentiale zur Minderung des Treibhauseffektes aus Sicht der fossilen Energieträger, Hamburg, Seite II-89

DIE VERBRAUCHER INITIATIVE e.V., 2005: Distickstoffmonoxid, (Online Dokument) http://www.zusatzstoffe-online.de/html/zusatz.php3?nr=942 , Zugriff Mai 2005

DIETER, M., ELSASSER, P., 2002: Carbon Stocks and Carbon Stock Changes in the Tree Biomass of Germany's Forests. In: Forstwissenschaftliches Centralblatt (121. Jahrgang), S. 195-210. Berlin: Blackwell Wissenschafts-Verlag

DIETER, M.; ENGLERT, H. 2005: Gegenüberstellung und forstpolitische Diskussion unterschiedlicher Holzeinschlagsschätzungen für die Bundesrepublik Deutschland. Arbeitsbericht des Instituts für Ökonomie 2005/2, Bundesforschungsanstalt für Forst- und Holzwirtschaft, Institut für Ökonomie

DIN, 2003: DIN EN 1279-3: Glas im Bauwesen - Mehrscheiben-Isolierglas - Teil 3: Langzeitprüfverfahren und Anforderungen bezüglich Gasverlustrate und Grenzabweichungen für die Gaskonzentration; Deutsche Fassung EN 1279-3:2002

DIN, 2004: Deutsches Institut für Normung e. V. (DIN). DIN 1343. Referenzzustand, Normzustand, Normvolumen; Begriffe und Werte. Internetseite mit Recherchefunktionen. URL: http://www2.din.de. Berlin.

DIW, 1991: Deutsches Institut für Wirtschaftsforschung, Entwicklung des Energieverbrauchs und seiner Determinanten in der ehemaligen DDR. Von Hans-Joachim Ziesing. Untersuchung im Auftrag des Bundesministers für Wirtschaft. Im Unterauftrag: Institut für Energetik (IfE), Leipzig; Institut für Wirtschaftswissenschaften der Akademie der Wissenschaften, Berlin; Staatliche Vorratskommission für nutzbare Ressourcen der Erdkruste, Berlin. Berlin, April 1991

DIW, 2002: Rieke, H. (DIW): Fahrleistungen und Kraftstoffverbrauch im Straßenverkehr; in: DIW Wochenbericht Nr. 51-52/2002; Berlin, Dezember 2002; Ergebnisse auch kontinuierlichveröffentlicht in „Verkehr in Zahlen“

DLG, 2005: Deutsche Landwirtschafts-Gesellschaft (ed.), Bilanzierung der Nährstoffausscheidungen landwirtschaftlicher Nutztiere. Arbeiten der DLG/Band 199. DLG-Verlag, Frankfurt/Main. 69 pp.

DLG, 2014: Deutsche Landwirtschafts-Gesellschaft (ed.), Bilanzierung der Nährstoffausscheidungen landwirtschaftlicher Nutztiere. Arbeiten der DLG/Band 199, 2. Auflage. DLG-Verlag, Frankfurt/Main. 120 pp.

DMT 2005: persönliche Mitteilung von Herrn Meiners, Deutsche Montan Technologie. 28.09.2005. Gelsenkirchen.

DMT 2011: Meiners et al.: „Diffuse Emissionen fester Brennstoffe (Kohlen) – Emissionen von Grubengas aus stillgelegten Bergwerken; Potential zur Freisetzung und Verwertung von Grubengas“, FKZ 360 16 028 im Auftrag des Umweltbundesamtes Essen 2011

DMT 2014: Meiners et al: "Potential zur Freisetzung und Verwertung von Grubengas"; Projektnummer 39737 im Auftrag des Umweltbundesamtes, Essen 2014

DÖPELHEUER, 2002: Anwendungsorientierte Verfahren zur Bestimmung von CO, HC und Ruß aus Luftfahrttriebwerken, Dissertationsschrift des DLR, Institut für Antriebstechnik, Köln, 2002

DREXHAGE, M. und COLIN, F. (2001): Estimating root system biomass from breast-height diameters. Forestry 74(5): 491 497.

Dreysse, T., (2015): Vergleich des Bodenkohlenstoffmodells CANDY-Carbon-Balance (CCB) mit der Humusbilanzmethode nach VDLUFA am Beispiel von ausgewählten Ackerstandorten der Bodenzustandserhebung Landwirtschaft; Diplomarbeit; Anhalt University of Applied Sciences and Thünen-Institute of Climate Smart Agriculture

DRÖSLER, M., ADELMANN, W., AUGUSTIN, J., BERGMAN, L., BEYER, C., CHOJNICKI, B., FÖRSTER, C., FREIBAUER, A., GIEBELS, M., GÖRLITZ, S., HÖPER, H., KANTELHARDT, J., LIEBERSBACH, H., HAHN-SCHÖFL, M., MINKE, M., PETSCHOW, U., PFADENHAUER, J., SCHALLER, L., SCHÄGNER, P., SOMMER, M., THUILLE, A., WEHRHAN, M., 2011: Klimaschutz durch Moorschutz. Schlussbericht des Vorhabens „Klimaschutz - Moornutzungsstrategien“ 2006-2010; 174 S.

DUNGER, K.; OEHMICHEN, K.; STÜMER, W.; IOST, A.; RIEDEL, T. 2010c: Annex 3, Chapter 19.5.1: Other detailed methodological descriptions for the source/sink category “Land-use change and forestry” – Forest land (5.A), 575-585. In: Submission under the United Nations Framework Convention on Climate Change and the Kyoto Protocol 2010. National Inventory Report for the German Greenhouse Gas Inventory 1990 – 2008. Dessau: Federal Environment Agency, ISSN 1862-4359, 672 p.

DüV – Düngeverordnung, 2007: Verordnung über die Anwendung von Düngemitteln, Bodenhilfsstoffen, Kultursubstraten und Pflanzenhilfsmitteln nach den Grundsätzen der guten fachlichen Praxis beim Düngen (Düngeverordnung – DüV). In der Fassung der Bekanntmachung vom 27. Februar 2007 (BGBl. I S.221).

DÜWEL, O., SIEBNER, C.S., UTERMANN, J., KRONE, F., 2007: Gehalte an organischer Substanz in Oberböden Deutschlands – Bericht über länderübergreifende Auswertung von Punktinformationen im FISBo BGR-“; BGR, Hannover

DWA (2007-2014) Leistungsvergleich kommunaler Kläranlagen (2006 - 2013).

DWA. (2007-2014). Leistungsvergleich kommunaler Kläranlagen (2006 - 2013).

DWA. (2007-2015). Leistungsvergleich kommunaler Kläranlagen (2006 - 2014).

DWD (2013) Persönliche Mitteilung von Herrn Lux am 26.07.2013 "Gemittelte Erdbodentemperaturen in 1 m Tiefe in Deutschland".

DWD (2013, Von Betreff Erhalten Größe Kategorien

DWD, 2013: - Deutscher Wetterdienst - Offenbach" Auskunft vom 26.07.2013

EC, 2006a: European Commission, Joint Research Centre, Institute for Prospective Technological Studies: Integrated Pollution Prevention and Control – Reference Document on Best Available Techniques in the Production of Polymers. October 2006. Sevilla, Spain.

EC, 2007: European Commission, Joint Research Centre, Institute for Prospective Technological Studies: Integrated Pollution Prevention and Control – Reference Document on Best Available Techniques for the Manufacture of Large Volume Inorganic Chemicals - Solids and Others industry. October 2006. Sevilla, Spain.

EDELMANN, S. (2013): Organischer Kohlenstoff in terrestrischen und semiterrestrischen Stadtböden - Eine Bilanzierung der organischen Kohlenstoffgehalte und -mengen in Abhängigkeit von der Flächennutzung im Berliner Stadtgebiet. Diplomabeit, 146 S., Humboldt Universität zu Berlin

EINIG, K., A. JONAS & B. ZASPEL, 2009: Eignung von CORINE-Geodaten und Daten der Flächenerhebung zur Analyse der Siedlungs- und Verkehrsflächenentwicklung in Deutschland. Statistisches Bundesamt - Wirtschaft und Statistik 4/2009, S.355 – 364

ElektroG, 2015: Gesetz über das Inverkehrbringen, die Rücknahme und die umweltverträgliche Entsorgung von Elektro- und Elektronikgeräten vom 20. Oktober 2015.

EMEP (2006) -EMEP/CORINAIR Emission Inventory Guidebook – 2006, Technical Report No 11/2006. http://www.eea.europa.eu/publications/EMEPCORINAIR4

EMEP (2013): EMEP/EEA air pollutant emission inventory guidebook – 2013, Technical Report No 12/2013. http://www.eea.europa.eu/publications/emep-eea-guidebook-2013

EMEP, 2003: Joint EMEP/CORINAIR Atmospheric Emission Inventory Guidebook, 3rd Edition September 2003 UPDATE, EEA, Copenhagen, 2003

EMEP, 2005: European Environment Agency: EMEP/CORINAIR Emission Inventory Guidebook - 2005. Technical report No 30., Stand: 31.12.2005
URL: http://reports.eea.europa.eu/EMEPCORINAIR4/en/

EMEP, 2007: EMEP/CORINAIR Emission Inventory Guidebook – 2007, Technical Report No 16/2007. http://www.eea.europa.eu/publications/EMEPCORINAIR5

EMEP, 2009: EMEP/EEA air pollutant emission inventory guidebook – 2009, Technical Report No 6/2009. http://www.eea.europa.eu/publications/emep-eea-emission-inventory-guidebook-2009

EMEP/EEA, 2010: EMEP/EEA Guidebook 2009, Kapitel 1.A.3.a, 1.A.5.b Aviation, URL: http://www.eea.europa.eu/publications/emep-eea-emission-inventory-guidebook-2009/part-b-sectoral-guidance-chapters/1-energy/1-a-combustion/1-a-3-a-aviation.pdf (Update Dezember 2010) und http://www.eea.europa.eu/publications/emep-eea-emission-inventory-guidebook-2009/part-b-sectoral-guidance-chapters/1-energy/1-a-combustion/1-a-3-a-aviation_annex.zip.

EMEP/EEA, 2013a: EMEP/EEA air pollutant emission inventory guidebook 2013, Non-road mobile sources and machinery (land-based emissions), URL: http://www.eea.europa.eu/publications/emep-eea-guidebook-2013/part-b-sectoral-guidance-chapters/1-energy/1-a-combustion/1-a-4-non-road-mobile-sources (Aufruf: 10.11.2014), Kopenhagen, 2013

EU, 1991: Directive 91/676/EEC concerning the protection of waters against pollution caused by nitrates from agricultural sources. Official Journal of the European Communities, L 375/1, December 31, 1991.

EUROCONTROL, 2004 – The Advanced Emission Model (AEM3) - Validation Report, Jelinek, F., Carlier, S., Smith, J., EEC Report EEC/SEE/2004/004, Brüssel 2004. URL: http://www.eurocontrol.int/eec/public/standard_page/DOC_Report_2004_016.html

EXXON 2014: http://www.erdgassuche-in-deutschland.de/erkundung_foerderung/produktion_von_erdgas/index.html (letzter Aufruf Nov 2014)

FAO (1990) Soil Map of the World. Revised Legend. Reprinted with corrections. FAO, Rome, World Soil Resources Report 60

FAO (2004) Statistical Yearbook Table D1 - Dietary energy protein and fat consumption 2004.

FAO (2004a) Statistical Yearbook Table D1 - Dietary energy protein and fat consumption 2004.

FAO (2004b) FAO Statistical Yearbook / Food and Agriculture Organization of the United Nations; Dietary energy protein and fat consumption 2004. Table D1 - Dietary energy protein and fat consumption, Rom.

FAO (2006) Statistical Yearbook 2005-2006.

FAO (2006a) Statistical Yearbook 2005-2006 Table D1 - Dietary energy protein and fat consumption

FAO (2006b) Statistical Yearbook 2005-2006.

FAO (2007-2008) Statistical Yearbook 2007 - 2008 Table D1 - Dietary energy protein and fat consumption

FAO (2010) Statistical Yearbook 2010 Table D1 - Dietary energy protein and fat consumption

FAO (2015) FAOSTAT-Forestry Database [online]. <http://faostat3.fao.org/home/E> [zitiert am 03.10.2015]

FAO (2015) Food and Agriculture Organization of the United Nations Statistics Division.

FAO 1998: World Reference Base for Soil Resources. Rome, Italy.

FAO. (2004). FAO Statistical Yearbook / Food and Agriculture Organization of the United Nations; Dietary energy protein and fat consumption 2004. Table D1 - Dietary energy protein and fat consumption (Vol. Vol. 1,1 (2004)). Rom.

FAO. (2006). Statistical Yearbook 2005-2006 Table D1 - Dietary energy protein and fat consumption

FAO. (2007-2008). Statistical Yearbook 2007 - 2008 Table D1 - Dietary energy protein and fat consumption Retrieved from http://www.fao.org/economic/ess/ess-publications/ess-yearbook/fao-statistical-yearbook-2007-2008/en/

FAO. (2010). Statistical Yearbook 2010 Table D1 - Dietary energy protein and fat consumption Retrieved from http://www.fao.org/docrep/015/am081m/am081m00.htm

FAO. (2015). Food and Agriculture Organization of the United Nations Statistics Division. Retrieved from http://faostat3.fao.org/download/D/FS/E

FAOSTAT. (2016). Information on protein consumption data from Food Balances, Production and Trade Team Leader Statistics Division (ESS) Food and Agriculture Organization (FAO) of the United Nations Rome, Italy (28.07.2016).

FCCC/SBSTA/2013/L.29/Add.1, para 37, Methodological issues under the Convention: Revision of the UNFCCC reporting guidelines on annual inventories for Parties included in Annex I to the Convention, http://www.unfccc.int/resource/docs/**2013**/**sbsta**/eng/l29a01.pdf

F-Gas V, 2014: Verordnung (EU) Nr. 517/2014 des europäischen Parlaments und des Rates vom 16. April 2014 über fluorierte Treibhausgase und zur Aufhebung der Verordnung (EG) Nr. 842/2006.

FHG ISI, 1993: Fraunhofer-Institut für Systemtechnik und Innovationsforschung: Emissionen der Treibhausgase Distickstoffoxid und Methan in Deutschland: Emissionsbilanz, Identifikation von Forschungs- und Handlungsbedarf sowie Erarbeitung von Handlungsempfehlungen ; Phase 1, UBA-Berichte 93/09, FKZ 10402682, E. Schmidt-Verlag Berlin, 1993

FICHTNER et al. 2011: Fichtner, W; Karl, U; Hartel, R; Balussou, D: Fortschreibung der Emissionsfaktoren für Feuerungs- und Gasturbinenanlagen nach 13./17. BImSchV und TA Luft; Bericht zum Forschungsvorhaben des Umweltbundesamtes unter FKZ 3708 42 301, durchgeführt vom Deutsch-Französischen Institut für Umweltforschung (DFIU) und dem Europäischen Institut für Energieforschung (EIFER)

FISCHER, 1997: Klimawirksame Emissionen durch PKW-Klimaanlagen. Diplomarbeit an der TU Berlin, FB 10, ISS-Fahrzeugtechnik.

FOEN (Federal Office for the Environment) 2010: Switzerland´s Greenhouse Gas Inventory 1990 - 2008, Bern, Switzerland

FORTMANN, H., P. RADEMACHER, H. GROH & H. HÖPER (in Veröffentlichung): Stoffgehalte und –vorräte im Boden und deren Veränderungen; GeoBerichte des LBEG;

FRANKO, U., KOLBE, H., THIEL, E., LIEß, E. (2011): Multi-site validation of a soil organic matter model for arable fields based on generally available input data. Geoderma. 2011, 166, S. 119-134.

FRAUENHOFER ISI 2000: Reichert und Schön: "Methanemissionen durch den Einsatz von Gas in Deutschland von 1990 bis 1997 mit einem Ausblick auf 2010"; Auftragsnummer AG GI5-46043-3/31 im Auftrag des Deutschenvereins des Gas- und Wasserfaches e.V., Karlsruhe 2000

FRAVER et. al 2002, Fraver, S.; Wagner, R.G.; Day, M.; 2002. Dynamics of coarse woody debris following gap harvesting in the Acadian forest of central Main, U.S.A. Can. J. For. Res. 32, 2094-2105.

FREIBAUER, A.; GENSIOR, A. 2011: Annex 3, Chapter 19.5.2: Other detailed methodological descriptions for the source/sink category “Land-use change and forestry” (5) – Cropland, grassland, wetlands, settlements and other areas (5.B/5.C/5.D/5.E/5.F), 650-671. In: Submission under the United Nations Framework Convention on Climate Change and the Kyoto Protocol 2011. National Inventory Report for the German Greenhouse Gas Inventory 1990 – 2009. Dessau: Federal Environment Agency, ISSN 1862-4359, 755 p.

FULLER, R., SMITH, G. und DEVEREUX, B. (2003): The characterisation and measurement of land cover change through remote sensing: problems in operational applications. International Journal of Applied Earth Observation and Geoinformation 4: 234-253.

GÄRTNER, S., MÜNCH, J., REINHARDT, G., VOGT, R., 2008: Materialband: E. Ökobilanzen. In: BMU-Bericht „Optimierungen für einen nachhaltigen Ausbau der Biogaserzeugung und -nutzung in Deutschland“, FKZ: 0327544.

GASUNIE 2014: http://www.erdgas-fuer-morgen.de/hoofdmenu/verdichterstationen (letzter Aufruf November 2014)

GDA, 2011: Gesamtverband der Aluminiumindustrie e.V. (GDA) – GDA Startseite – Produktion, URL: : http://www.aluinfo.de/index.php/produktion.html

GENSIOR, A. & J. ZEITZ (1999): Einfluss einer Wiedervernässungsmaßnahme auf die Dynamik chemischer und physikalischer Bodeneigenschaften eines degradierten Niedermoores. Archiv für Naturschutz und Landschaftsforschung, 38, S. 267 – 302

GfE – Gesellschaft für Ernährungsphysiologie, Ausschuss für Bedarfsnormen, 2006: Energie- und Nährstoffbedarf landwirtschaftlicher Nutztiere. Nr. 10. Empfehlungen zur Energie- und Nährstoffversorgung von Schweinen. Frankfurt/M., DLG, 247 S.

Gibbs, M. J., & Woodbury, J. W. (1993). Methane and Nitrous Oxide: Methods in National Emissions Inventories and Options for Control : Proceedings, ed. A.R. van Amstel, 81-90. Amersfoort, The Netherlands, 3-5 February 1993.

Gibbs, M.J. and Woodbury, J.W. (1993) Methane and Nitrous Oxide: Methods in National Emissions Inventories and Options for Control : Proceedings, ed. A.R. van Amstel, 81-90. Amersfoort, The Netherlands, 3-5 February 1993.

GICON, 2008: Implementierung der Bilanz der Emissionsursachen auf Basis der MESAP-Datenbank Bachmann, Thomas; Kalies, Heiko GICON, Großmann Ingenieur Consult GmbH Niederlassung Leipzig 2008

Gitzhofer, K., Bergmann, G., & Petermann, U. (2008). Bereitstellung aktueller Emissionsdaten für die Glas- und Mineralfaserindustrie. Offenbach a.M. [u.a.].

GLOBAL CARBON PROJECT (2015): GlobalCarbon Budget; http://www.globalcarbonproject.org/carbonbudget/15/hl-full.htm ; Zugriff: 08.12.2015

Global Carbon Project. (2015). Global Carbon Budget. Retrieved from http://www.globalcarbonproject.org/carbonbudget/15/hl-full.htm

GRUENEBERG, E., ZICHE, D. & WELLBROCK, N. (2014): Organic carbon stocks and sequestration rates of forest soils in Germany. Global Change Biology, 20, 2644-2662

GRUNDNER, F.; SCHWAPPACH, A. 1952: Massentafeln zur Bestimmung des Holzgehaltes stehender Waldbäume und Waldbestände. 10. Aufl. Verlag Paul Parey, Berlin, Hamburg, 216 S.

GSE 2003: Service 'Forest Monitoring Inputs for Greenhouse Gas (GHG) Reporting'. Service Results 2003, Reporting Area: Main parts of the Federal State "Saxony", Issue 1.0, 50 p.

GSE 2006: S6 Service Operations Report. Forest Monitoring Inputs for National Greenhouse Gas (GHG) Reporting. Service to BMELV. GSEFM-T2-S6-Ph1. Issue 1.0, 125 p.

GSE 2007: S6 Service Operations Report. Forest Monitoring Inputs for National Greenhouse Gas (GHG) Reporting. Service to BMELV. GSEFM-T3-S6-Ph2. Issue 2.1, 93 p.

GSE 2009: S6 Service Operations Report. Forest Monitoring Inputs for National Greenhouse Gas (GHG) Reporting. Service to BMELV. GSEFM-T3-S6-Ph3. Issue1.0, 211 p.

Gujer, W. (2006) Siedlungswasserwirtschaft; 3., bearb. Aufl., Springer Verlag, Berlin.

Gujer, W. (2006). Siedlungswasserwirtschaft; 3., bearb. Aufl. (B. Springer Verlag Ed.): Springer Verlag, Berlin.

Gujer, W. (2007) Siedlungswasserwirtschaft; 3., bearb. Aufl., Springer Verlag, Berlin.

GURGEL, A. (2011): Ergebnisse der Versuche mit schnellwachsenden Baumarten nach 18 Jahren Bewirtschaftung in Gülzow. Fachinformationen der Landesforschungsanstalt für Landwirtschaft und Fischerei Mecklenburg-Vorpommern http://www.landwirtschaft-mv.de/cms2/LFA_prod/LFA/content/de/Fachinformationen/Nachwachsende_Rohstoffe/feste_Brennstoffe/Ergebnisse_der_Versuche_nach_18_Jahren/5RBEF_B-344umeGurgel2011x.pdf

HAENEL et al. (2011a): Haenel, H.-D.; Dämmgen, U.; Laubach, P.; Rösemann, C.: Update of the calculation of metabolizable energy requirements for pigs in the German agricultural emission inventory. Landbauforschung, 61: 217 – 228.

HAENEL et al. (2016): Haenel H.-D.; Rösemann, C.; Dämmgen, U.; Freibauer , A.; Wulf, S.; Eurich-Menden, B.; Döhler, H.; Schreiner, C.; Bauer, B.; Osterburg, B. (2016): Calculation of gaseous and particulate emissions from German agriculture 1990 – 2014. Report on methods and data (RMD). Submission 2016. Thünen Rep (in Vorbereitung)

HAENEL et al., 2011: Haenel, H.-D., Dämmgen, U., Rösemann, C.: Estimating numbers of piglets, weaners and fattening pigs for the German agricultural emission inventory. Landbauforschung, 61: 229 – 236.

HAENEL, H.-D., WULF, S., 2016: Haenel H.-D., Wulf, S.: Berechnung von CH_4-, N_2O-, NO-, N_2- und NH_3-Emissionen durch Vergärung von Gülle, Mist und Energiepflanzen ab Emissionsberichterstattung 2015. Thünen-Institut, Braunschweig, und KTBL, Darmstadt. Unveröffentlichtes Manuskript.

HAKKILA, P. 1972: Utilisation of residual forest biomass. Springer-Verlag, Berlin, Heidelberg, New York, 568 S.

HÄUSSLER, T., SIEGMUND, R., RIEDEL, T. und KENTER, B. (2006): S6 Service Operations Report. Forest Monitoring Inputs for National Greenhouse Gas (GHG) Reporting. Service to BMELV. Stage 2 of the Earthwatch GMES Service Element. Technischer Bericht, GAF AG, München

HENRICHSMEYER et al, 1996: Henrichsmeyer, W., Cypris, Ch., Löhe, W., Meuth, M., Isermeyer F, Heinrich, I., Schefski, A., Neander, E., Fasterding, F., Neumann, M., Nieberg, H.: Entwicklung des gesamtdeutschen Agrarsektormodells RAUMIS96. Endbericht zum Kooperationsprojekt. Forschungsbericht für das BMELF (94 HS 021), Bonn, Braunschweig.

HOBBS et al., 2004: Hobbs P.J.; Webb J.; Mottram T.T.; Grant B.; Misselbrook T.M.: Emissions of volatile organic compounds originating from UK livestock agriculture. J Science of Food and Agriculture 84, 1414-1420

HÖPER, H. (2002): Carbon and nitrogen mineralization rates in German agriculturally used fenlands. In: Broll, G. Merbach, W. und E.-M. Pfeiffer (Hrsg.): Wetlands in Central Europe. Soil organisms, soil ecological processes, and trace gas emissions. Springer, Berlin, 149-164.

HÖPER, H.; SCHÄFER, W. 2012: Die Bedeutung der organischen Substanz von Mineralböden für den Klimaschutz. Bodenschutz, 3-12, S.72 - 80

HORN, H. (2013): Ertragspotenziale von Kurzumtriebsplantagen in Sachsen: (https://www.landwirtschaft.sachsen.de/landwirtschaft/download/2013_11_28_Vortrag_Horn_Nossen.pdf)

HUMBOLDT-UNIVERSITÄT ZU BERLIN (2013): Erläuterungen zu den „Aktivitätsdaten organische Böden“ Parametrisierter Flächendatensatz zu den organischen Böden in Deutschland; Flächendaten, idealisierte Leitprofile, Bodenkennwerte, Bearbeitungsstand: 04/2013. Projektabschlussbericht an das Thünen-Institut, unveröffentlicht

HVG, 2008: Effiziente Bereitstellung aktueller Emissionsdaten für die Luftreinhaltung. Teilvorhaben 02: Bereitstellung aktueller Emissionsdaten für die Glas- und Mineralfaserindustrie., Forschungsbericht in Veröffentlichung

IER, 2008: Institut für Energiewirtschaft und Rationelle Energieanwendung Stuttgart (Herausgeber),: Theloke, Jochen; Wagner, Susanne; Jepsen Dirk: Emissionen aus der Nahrungsmittelindustrie, Forschungsbericht UBA-FB 001480, FKZ 206 42 101/01.

IFE, 1991: IfE Leipzig GmbH, Energiebilanz 1990 für die neuen Bundesländer. Von Jochen Hesselbach und Mitarbeit von Bernd Lemmnitz, Elke Lindner, Hans-Albert Müller und Ursula Zehrfeld. Untersuchung im Auftrag des Bundesministers für Wirtschaft, Leipzig 1991

IFEU & INFRAS, 2009: IFEU – Institut für Energie- und Umweltforschung Heidelberg gGmbH und INFRAS Zürich: Ermittlung der Unsicherheiten der mit den Modellen TREMOD und TREMOD-MM berechneten Luftschadstoffemissionen des landgebundenen Verkehrs in Deutschland, FKZ 360 16 023, Heidelberg & Zürich.

IFEU & ÖKO-INSTITUT, 2010: Entwicklung eines eigenständigen Modells zur Berechnung des Flugverkehrs (TREMOD-AV), Endbericht zum F+E-Vorhaben 360 16 029; URL: http://www.uba.de/uba-info-medien/4357.html, Berlin & Heidelberg, November 2010

IFEU & ÖKO-INSTITUT, 2015: Revision des Modells zur Berechnung des Flugverkehrs (TREMOD-AV), Berlin & Heidelberg, 2015

IFEU, 2002, Knörr, W. et al, IFEU - Institut für Energie- und Umweltforschung Heidelberg gGmbH: Aktualisierung des Daten- und Rechenmodells: Energieverbrauch und Schadstoffemissionen aus dem motorisierten Verkehr in Deutschland 1980 bis 2020; sowie TREMOD 3.0 ; im Auftrag des Umweltbundesamtes, FKZ 201 45 112; Berlin 2002

IFEU, 2003a: Detzel, A., Vogt, R., Fehrenbach, H., Knappe, F., Gromke, U., IFEU - Institut für Energie- und Umweltforschung Heidelberg gGmbH: Anpassung der deutschen Methodik zur rechnerischen Emissionsermittlung an internationale Richtlinien. Teil Abfall/Abwasser, Februar 2003

IFEU, 2013: Helms, Hinrich; Hoek, Jannis: IFEU - Institut für Energie- und Umweltforschung Heidelberg gGmbH: Recherche der in Deutschland seit Markteinführung jährlich in SCR-Katalysatoren des Straßen- und Off-Road-Verkehr eingesetzten Menge sogenannten AdBlues sowie Ermittlung der durch dessen Einsatz entstandenen CO_2-Emissionen, im Auftrag des Umweltbundesamtes, Projekt-Nr. 27 949, Heidelberg, Juli 2013 - unveröffentlicht.

IFEU, 2016a: Knörr, W. et al, IFEU - Institut für Energie- und Umweltforschung Heidelberg gGmbH: „Daten- und Rechenmodell: Energieverbrauch und Schadstoffemissionen des motorisierten Verkehrs in Deutschland 1960-2035“ sowie TREMOD, im Auftrag des Umweltbundesamtes; Heidelberg, 2016.

IFEU, 2016b: Helms, H., Lambrecht, U., Knörr, W. , IFEU - Institut für Energie- und Umweltforschung Heidelberg gGmbH:,“ Daten- und Rechenmodell: Energieverbrauch und Schadstoffemissionen des motorisierten Verkehrs in Deutschland 1960-2035“ sowie TREMOD-MM, im Auftrag des Umweltbundesamtes; Heidelberg, 2016.

IGZ, 2007: IGZ – Institut für Gemüse- und Zierpflanzenbau, Großbeeren/Erfurt. Düngung im Freilandgemüsebau – Datenbasis für eine erfolgreiche Düngung im Freilandgemüsebau (2. Auflage). Berlin/Bonn. http://www.igzev.de/files/Dueng_im_FGB.pdf

INFRAS, 2014: Handbuch der Emissionsfaktoren des Straßenverkehrs (HBEFA) 3.2 -, URL: http://www.hbefa.net/e/index.html?hbefa/new_in_hbefa_32.html~inhael, Bern, Juli 2014.

IPCC (2006b) IPCC Guidelines for National Greenhouse Gas Inventories. Prepared by the National Greenhouse Gas Inventories Eggleston H.S., B.L., Miwa K., Ngara T. and Tanabe K. (eds). (ed), IGES, Japan.

IPCC (2013): IPCC - Intergovernmental Panel on Climate Change, 2013 Supplement to the 2006 IPCC Guidelines for National Greenhouse Gas Inventories: Wetlands. http://www.ipcc-nggip.iges.or.jp/public/wetlands/

IPCC, (2006a) IPCC Guidelines for National Greenhouse Gas Inventories, Volume 6 Wastewater Treatment and Discharge.

IPCC, 1996a: Intergovernmental Panel on Climate Change: Revised 1996 IPCC Guidelines for National Greenhouse Gas Inventories, Volume 2: Workbook, 1996

IPCC, 1996b: Intergovernmental Panel on Climate Change: Revised 1996 IPCC Guidelines for National Greenhouse Gas Inventories, Volume 3: Reference Manual, 1996

IPCC, 1996c: Intergovernmental Panel on the Climate Change, Emission Inventory Guidebook, 1996: B 465, B466, B 644

IPCC, 1999: Intergovernmental Panel on Climate Change: Aviation and the Global Atmosphere, Kapitel 9, Aircraft Emissions: Current Inventories and Future Scenarios, Cambridge University Press, 1999

IPCC, 2000: Intergovernmental Panel on Climate Change, Good Practice Guidance and Uncertainty Management in National Greenhouse Gas Inventories, IPCC Secretariat, 16th Session, Montreal, 1-8 May 2000 http://www.ipcc-nggip.iges.or.jp/public/gp/english/

IPCC, 2001: Intergovernmental Panel on Climate Change: Corrigendum of Good Practice Guidance and Uncertainty Management in National Greenhouse Gas Inventories, http://www.ipcc-nggip.iges.or.jp/public/gp/gpgaum.htm

IPCC, 2003: Intergovernmental Panel on Climate Change: Good Practice Guidance for Land Use, Land-Use Change and Forestry. vi + 307 S.

IPCC, 2004: Intergovernmental Panel on Climate Change: Synthesis and Assessment Report on the Greenhouse Gas Inventories submitted in 2004, Part I. FCCC/WEB/SAI/2004. Bonn.

IPCC, 2006: Intergovernmental Panel on Climate Change: 2006 IPCC Guidelines for National Greenhouse Gas Inventories, Reference Manual, Volume 4, 2006

IPCC, 2006a – Intergovernmental Panel on Climate Change: Guidelines for National Greenhouse Gas Inventories, Volume 2: Energy, Chapter 3_ Mobile Combustion, URL: http://www.ipcc-nggip.iges.or.jp/public/2006gl/pdf/2_Volume2/V2_3_Ch3_Mobile_Combustion.pdf

IPCC, 2006a: IPCC - Intergovernmental Panel on Climate Change, Guidelines for National Greenhouse Gas Inventories, Volume 4, Agriculture, Forestry and Other Land Use. http://www.ipcc-nggip.iges.or.jp/public/2006gl/vol4.html

IPCC, 2006b – Intergovernmental Panel on Climate Change: Datenbank für Emissionsfaktoren des IPCC; URL: http://www.ipcc-nggip.iges.or.jp/EFDB/main.php

IPCC, 2006b: IPCC - Intergovernmental Panel on Climate Change, Guidelines for National Greenhouse Gas Inventories, Volume 1, General Guidance and Reporting. http://www.ipcc-nggip.iges.or.jp/public/2006gl/vol1.html

IPCC, 2006c: IPCC Guidelines for National Greenhouse Gas Inventories, Volume 6 Wastewater Treatment and Discharge, 2006

IPCC, 2006d: Intergovernmental Panel on Climate Change: 2006 IPCC Guidelines for National Greenhouse Gas Inventories, Volume 3 Industrial Processes and Product Use, 2006

IPCC, 2007: Intergovernmental Panel on Climate Change: IPCC Fourth Assessment Report: Climate Change 2007 URL: http://www.ipcc.ch/publications_and_data/ar4/syr/en/contents.html

IPCC, 2013: Intergovernmental Panel on Climate Change: IPCC Fifth Assessment Report: Climate Change 2014, URL: http://www.ipcc.ch/pdf/assessment-report/ar5/syr/SYR_AR5_FINAL_full.pdf

IPCC, et al, 1997: IPCC/UNEP/OECD/IEA: Revised 1996 IPCC Guidelines for National Greenhouse Gas Inventories. Greenhouse Gas Inventory. Volume 3. Reference Manual. URL: http://www.ipcc-nggip.iges.or.jp/public/gl/invs6.htm

IVL, 2008: Swedish Environmental Research Institute (Author: Ulrik Axelsson): Climate impact of anaesthetic gases for Region Skane 16. December 2008. www.miljo.skane.se/eng/U2237_translation.pdf.

IVT, 2004: Institut für angewandte Verkehrs- und Tourismusforschung e.V.: Fahrleistungserhebung 2002, Teil: Begleitung und Auswertung. Untersuchung im Auftrag der Bundesanstalt für Straßenwesen, Projektnummer FE 82.201/2001. Heilbronn/Mannheim.

JANSSEN, J.; LAATZ, W. 2007: Statistische Datenanalyse mit SPSS für Windows. 5. Auflage Springer-Verlag, Berlin, Heidelberg

JARVIS, S.C., PAIN, B.F., 1994: Greenhouse gas emissions from intensive livestock systems: their estimation and technologies for reduction. Climatic Change 27, 27-38.

JGS-Anlagenverordnung NRW (1998). http://www.umwelt-online.de/recht/wasser/laender/nrw/jgs.htm

JOHANNSON, T. und HJELM, B. (2012): Stump and Root Biomass of Poplar Stands. Forests 3: 166 178.

KÄNDLER, G.; BÖSCH, B. 2013: Methodenentwicklung für die 3. Bundeswaldinventur: Modul 3 Überprüfung und Neukonzeption einer Biomassefunktion: Abschlussbericht, 69 S., Forstliche Versuchs- und Forschungsanstalt Baden-Württemberg, Abt. Biometrie und Informatik

KERN, J., HELLEBRAND, H. J., SCHOLZ, V. & LINKE, B. (2010): Assessment of nitrogen fertilization for the CO2 balance during the production of poplar and rye. Renewable and Sustainable Energy Reviews 14 (2010) 1453–1460

KIRCHGESSNER et al., 1994: Kirchgessner M, Windisch W, Müller HL : Methane release from dairy cows and pigs. In: Aguilera JF (ed) Proc XIII Symp on energy metabolism of farm animals. EAAP Publ 76:399-402

KIRCHGESSNER et al., 2008: Kirchgessner M, Roth FX, Schwarz, FJ, Stangl GI. Tierernährung. 12. Auflage. DLG-Verlag, Frankfurt a.M., 635 S.

KNIGGE, W.; SCHULZ, H. (1966): Grundriss der Forstbenutzung. Paul Parey Verlag, Hamburg und Berlin, 584 S.

KOLLMANN, F. 1982: Technologie des Holzes und der Holzwerkstoffe. Springer-Verlag, Berlin, Heidelberg, New York

KÖNIG, H.-C., 2007. Waldbrandschutz - Kompendium für Forst und Feuerwehr, 1. Fachverlag Matthias Grimm, Berlin, 197 pp.

KÖNIG, N.; BLUM, U.; SYMOSSEK, F.; BUSSIAN, B.; ELLINGHAUS, R.; FURTMANN, K.; GÄRTNER, A.; GUTWASSER, F.; HAUENSTEIN, M.; KIESLING, G.; KLINGENBERG, U.; KLINGER, T; MÖLLER, A.; NACK, T.; REICHELT, L.; SCHIMMING, C.; STAHN, M.; TREFZ-MALCHER, G.; UTERMANN, J. 2005: Handbuch Forstliche Analytik. Bundesministerium für Ernährung, Landwirtschaft und Verbraucherschutz, Bonn, 510 S. http://www.bmelv.de/SharedDocs/Standardartikel/Landwirtschaft/Wald-Jagd/WaldBodenZustand/Handbuch-Forstliche-Analytik.html

KONOPATZKY, A. 2009: Die Veränderungen von Corg- und Nt-Zuständen der Waldböden im Norddeutschen Tiefland am Beispiel Brandenburgs. Tagungsbeitrag zu Kommission III, Böden eine endliche Ressource. DBG, Bonn, 4 S., http://eprints.dbges.de/373/

Korrespondenz Abwasser, Abfall 2009, Ausgabe 11, Hg: GFA, D-53773 Hennef, www.dwa.de/KA

KÖRSCHENS, M., et al. 2004. Humusbilanzierung-Methode zur Beurteilung und Bemessung der Humusversorgung von Ackerland. Verband Deutscher Landwirtschaftlicher Untersuchungs- und Forschungsanstalten. Bonn : VDLUFA Selbstverlag, 2004.

KRISMANN, A., HENNENBERG, K. (2012): Umsetzung der Biodiversitätsziele bei der nachhaltigen Bioenergienutzung (Kurztitel: BfN-Biodiv-Ziele). http://www.bfn.de/fileadmin/BfN/erneuerbareenergien/Dokumente/MethBewrtg_LaenderStudie_FINAL_11_2012_OEKO_HFR_ILN_2012_BfN_BiodivZiele.pdf zuletzt abgerufen am 11.10.2015.

KrWG (2012): Gesetz zur Förderung der Kreislaufwirtschaft und Sicherung der umweltverträglichen Bewirtschaftung von Abfällen (Kreislaufwirtschaftsgesetz - KrWG);„Kreislaufwirtschaftsgesetz vom 24. Februar 2012 (BGBl. I S. 212), das zuletzt durch Artikel 4 des Gesetzes vom 4. April 2016 (BGBl. I S. 569) geändert worden ist“

KTBL, 2016: KTBL – Kuratorium für Technik und Bauwesen in der Landwirtschaft, Documentation for data processing of the activity data for the biogas production for the National Inventory Report, Submission 2017 for 2015. Unpublished, Darmstadt.

KURZ, W.A.; BEUKEMA, S.J.; APPS, M.J. (1996): Estimation of root biomass and dynamics for the carbon budget model of the Canadian forest sector, Can. J. For. Res., Nr. 26 (11), pp.1973-1979

LALE, Andreas 2000: Langzeitemissionsverhalten von Deponien für Siedlungsabfälle in den neuen Bundesländern. TU Dresden, Dissertation; Fakultät Forst-, Geo- und Hydrowissenschaften.

LANGE, Hans-Jürgen, 1988: Kokereien. VOC aus Produktemissionen. Umweltbundesamt. Vermerk. Blatt 2.2.88 vorbehaltlich weiterer Recherchen. Angaben für 1990 – 1995, Angenommener VOC Anteil von 50 %. Unveröffentlicht.

LECHTENBÖHMER et al, 2005: Lechtenböhmer, S.; Harthan, R.; Dämmgen, U.; Strogies, M: Umsetzung des Inventarplanes und nationale unabhängige Überprüfung der Emissionsinventare für Treibhausgase. Teilvorhaben 01. Pilotstudie unabhängige bilaterale Inventarüberprüfung. Endbericht im Auftrag des Umweltbundesamts FKZ: 202 42 203. unveröffentlicht.

LENK et al., 2005: Auswirkungen des Tanktourismus auf das deutsche Steueraufkommen – eine finanzwissenschaftliche Bestandsaufnahme; Leipzig, 2005

LEPPELT et al., 2014: Leppelt, T., Dechow, R., Gebbert, S., Freibauer, A., Lohila, A., Augustin, J., Drösler, M. , Fiedler, S., Glatzel, S., Höper, H., Järveoja, J., Lærke, P. E., Maljanen, M., Mander, Ü., Mäkiranta, P., Minkkinen, K., Ojanen, P., Regina, K., Strömgren, M.: Nitrous oxide emission hotspots from organic soils in Europe. Biogeosciences Discuss., 11, 9135–9182, 2014.

LINDE GAS GMBH, 2005: Aufschäumen von Molkereiprodukten; URL: http://www.lindegas.at/international/web/lg/at/likelgatn.nsf/PrintView/63ED15ADE8FCF595C1256B7B004C6250 , Zugriff Mai 2005

LISKI J.; PERRUCHOUD, D.; KARJALAINEN, T. 2002: Increasing carbon stocks in the forest soils of Western Europe. Forest Ecology and Management, 169, 159-175

LISKI, J. 1995: Variation in soil organic carbon and thickness of soil horizons within a boreal forest stand - effect of trees and implications for sampling. Silva Fennica, 29, 255–266

LUO, Z., WANG, E., SUN, O.J., 2010: Can no-tillage stimulate carbon sequestration in agricultural soils? A meta-analysis of paired experiments. Agriculture, Ecosystems and Environment, 139, 224 – 231

Lux Gerhard WG: Gemittelte Erdbodentemperaturen in 1 m Tiefe in Deutschland26.07.2013 6 KB). [Persönliche Mitteilung von Herrn Lux am 26.07.2013 "Gemittelte Erdbodentemperaturen in 1 m Tiefe in Deutschland"].

MAIER, J. & VETTER, R. (2004): Erträge und Zusammensetzung von Kurzumtriebsgehölzen (Weide, Pappel, Blauglockenbaum); Institut für umweltgerechte Landbewirtschaftung Müllheim

MARX, M., SCHILLI, C., RINKLEBE, J., KASTLER, M., MOLT, C., KAUFMANN-BOLL, C., LAZAR, S., LISCHEID, G. & M. KÖRSCHENS (2016): Erarbeitung fachlicher, rechtlicher und organisatorischer Grundlagen zur Anpassung an den Klimawandel aus Sicht des Bodenschutzes: Teil 3: Bestimmung der Veränderungen des Humusgehalts und deren Ursachen auf Ackerböden Deutschlands. UBA TEXTE 26/2016

MELLERT, K.; WEIS, W.; RÜCKER, G. 2007: Ermittlung der (potentiell) zu erwartenden Signalstärke von Bodenveränderungen – Grundlage für die Bewertung und Interpretation von Ergebnissen der BZE II. BFH, Eberswalde, 92 S., http://bfh-web.fh-eberswalde.de/bze/front_content.php?idcat=120&idart=224

MEYER, K., 1999: Die Flüsse der klimarelevanten Gase CO_2, CH_4, N_2O eines nordwestdeutschen Niedermoores unter dem Einfluss der Wiedervernässung. Göttinger Bodenkundliche Berichte, 111, 134 S.

MNUW, 1990:·Ministerium für Naturschutz, Umweltschutz und Wasserwirtschaft 1990): Umweltbericht der DDR – Informationen zur Analyse der Umweltbedingungen in der DDR und zu weiteren Maßnahmen, März 1990, statistische Angaben für das Aufkommen an Siedlungsabfall für das Gebiet der ehemaligen DDR Tabelle 12, S. 56

MOKANY, K., R.J. RAISON & A.S. PROKUSHKIN, 2006: Critical analysis of root:shoot ratios in terrestrial biomes. Global Change Biology, 12, 84 - 96

MÜLLER-BBM (2009a): Bender et al „Inventarverbesserung 2008, Verbesserung und Ergänzung der aktuellen Inventardaten, IPCC-Kategorie (1996) 1.B.2 Diffuse Emissionen aus Erdöl und Erdgas“, Müller-BBM; Bericht Nr. M 76 595/4, UBA FKZ 360 16 012, 136 S.

MÜLLER-BBM (2009b): Bender et al „Aufbereitung von Daten der Emissionserklärungen gemäß 11. BImSchV aus dem Jahre 2004 für die Verwendung bei der UNFCC- und UNECE-Berichterstattung - Bereich Lageranlagen“, Müller-BBM Bericht Nr. M74 244/7, UBA FKZ 3707 42 103/01, 31 S.

MÜLLER-BBM (2012): Bender und Langer „Ermittlung von Emissionsfaktoren und Aktivitätsraten im Bereich IPCC (1996) 1.B.2.b.iii“, Müller-BBM Bericht Nr. M96023/01, UBA FKZ 360 16 035, 41 S.

MÜLLER-USING, S.; BARTSCH, N.; 2009. Decay dynamic of coarse and fine woody debris of a beech (Fagus sylvatica L.) forest in Central Germany. Eur J Forest Res, 128, 287-296

MUNDEL, G. (1976): Untersuchungen zur Torfmineralisation in Niedermooren.- Archiv Acker-, Pflanzenbau und Bodenkunde. H. 10, 20: 669-679

MWV, 2006: Mineralölwirtschaftsverband, „Mineralölzahlen 2005“.

MWV, 2016: Mineralölwirtschaftsverband, Jahresbericht 2015/Mineralöl-Zahlen 2014 URL: https://www.mwv.de/wp-content/uploads/2016/06/mwv-publikationen-jahresbericht-2016.pdf (letzter Aufruf: November 2016)

NABUURS G.J.; SCHELHAAS M.J. 2002: Carbon profiles of typical forest types across Europe assessed with CO2FIX. Ecological Indicators, 1, 3, 213-223

NEUBAUER, M.; DEMANT, B. (2013): Untersuchungen zum Zusammenhang zwischen oberirdischer und unterirdischer Biomasse der Kiefer im Nordostdeutschen Tiefland, Thünen-Institut 2013

NEUMANN & WYCISK, 2002: Neumann, J., Wycisk, P.: Mittlere jährliche Grundwasserneubildung. Nationalatlas Bundesrepublik Deutschland – Relief, Boden und Wasser, 144 – 145. http://archiv.nationalatlas.de/wp-content/art_pdf/Band2_144-145_archiv.pdf

OECD/IEA, 2014: CO_2-Emissions from fuel combustion 2014 Edition - Highlights, OECD & IEA, Paris, URL: https://www.iea.org/publications/freepublications/publication/co2-emissions-from-fuel-combustion-highlights-2014.html

OEHMICHEN, K., DEMANT, B., DUNGER, K., GRÜNEBERG, E., HENNIG, P., KROIHER, K., NEUBAUER, M., POLLEY, H., RIEDEL, T., ROCK, J., SCHWITZGEBEL, F., STÜMER, W., WELLBROCK, N., ZICHE, D. und BOLTE, A. (2011): Inventurstudie 2008 und Treibhausgasinventar Wald, Band 343. Landbauforschung — vTI Agriculture and Forestry Research. ISBN 978-3-86576-069-2

OEHMICHEN, K.; DUNGER, K.; Steuk, J.; STÜMER, W.; RIEDEL, T. 2011b: Annex 3, Chapter 19.5.1: Other detailed methodological descriptions for the source/sink category "Land-use change and forestry" (5) – Forest land (5.A), 637-649. In: Submission under the United Nations Framework Convention on Climate Change and the Kyoto Protocol 2011. National Inventory Report for the German Greenhouse Gas Inventory 1990 – 2009. Dessau: Federal Environment Agency, ISSN 1862-4359, 755 p.

Öko 2014: „Methodische Anpassung der deutschen THG-Emissionsinventare an die überarbeiteten „UNFCCC reporting guidelines on annual inventories for Parties included in Annex I to the Convention", im Auftrag des UBA 2014, FKZ: 3712 41 103-2 (noch nicht veröffentlicht)

ÖKO-INSTITUT / DIW 2007 (Öko-Institut – Institut für angewandte Ökologie e.V.) / DIW (Deutsches Institut für Wirtschaftsforschung) 2007: Dokumentation der Datenqualität von Aktivitätsdaten für die Berichte über Emissionen aus stationären Feuerungen im Rahmendes Nationalen Inventarberichtes und des Monitoring Mechanismus nach RLEG 99/296; Endbericht zum F&E-Vorhaben FKZ 204 41 132 i.A. des UBA; Berlin

ÖKO-INSTITUT, 2004a: Arbeitsergebnisse aus dem F+E-Vorhaben 201 42 258 Unterstützung beim Aufbau eines Nationalen Systems für eine transparente Erhebung der Grundlagendaten und für die Emissionsberichterstattung entsprechend Artikel 5(1) des Kyoto-Protokolls, Auftragnehmer Öko-Institut, noch bis 15.10.2005 laufend (unveröffentlicht)

ÖKO-INSTITUT, 2004b: Emissionen in Abwasser- und Schlammbehandlung. Arbeitspapier im Rahmen des dem F+E-Vorhaben 201 42 258 Unterstützung beim Aufbau eines Nationalen Systems für eine transparente Erhebung der Grundlagendaten und für die Emissionsberichterstattung entsprechend Artikel 5(1) des Kyoto-Protokolls (unveröffentlicht)

ÖKO-INSTITUT, 2004c: CO_2 Emisssionsfaktoren für die Erstellung der nationalen CO_2-Inventare. Teilbericht für den nationalen Inventarbericht 2004.

ÖKO-INSTITUT, 2005 Analyse, Dokumentation und Überarbeitung der Bilanz der Emissionsursachen (BEU) / Verena Graichen, Ralph O. Harthan, Julia Repenning Weitere Titel Zeitnahe Erfassung und Bewertung des Energieumsatzes von stationären Quellen als Grundlage für strategische Entscheidungen, Bewertungen von Maßnahmen und die Erfüllung internationaler Berichtspflichten im Bereich Klimaschutz und Luftreinhaltung

ÖKO-INSTITUT, 2006a: Kurzstudie - Stand und Entwicklung von Treibhausgasemissionen in den Vorketten für Erdöl und Erdgas für das Institut für wirtschaftliche Oelheizung e.V. (IWO), Endbericht erstellt von Uwe R. Fritsche. Darmstadt, Juli 2006.

ÖKO-INSTITUT, 2006b: Datenaustausch zwischen Emissionshandel und Nationaler Klimaschutzberichterstattung, Abschlussbericht zum F+E-Vorhaben FKZ 205 41 521, Berlin, Dezember 2006. Unveröffentlicht.

ÖKO-INSTITUT, 2015: Inventartool zum deutschen Flugverkehrsinventar 1990-2014, im Rahmen der Aktualisierung des Moduls TREMOD-AV im Transportemissionsmodell TREMOD, Berlin, 01.10.2015.

ÖKO-RECHERCHE, 1996: Aktuelle und künftige Emissionen treibhauswirksamer fluorierter Verbindungen in Deutschland, im Auftrag des UBA, FKZ 106 01 074/01, Frankfurt am Main, 1996.

ÖKO-RECHERCHE, 2001: Emissionen des Kältemittels R-134a aus mobilen Klimaanlagen. Jährliche Emissionsraten von bis zu sieben Jahre alten PKW-Klimaanlagen, Gutachten für das Umweltbundesamt, Berlin, Frankfurt, 2001.

ÖKO-RECHERCHE, 2005: Emissionen und Emissionsprognose von H-FKW, FKW und SF_6 in Deutschland - Aktueller Stand und Entwicklung eines Systems zur jährlichen Ermittlung (Emissionsdaten bis 2003 und Emissionsprognosen für die Jahre 2010 und 2020), Gutachten im Auftrag des Umweltbundesamtes, Dessau, FKZ 202 41 356. URL: http://www.umweltbundesamt.de/uba-info-medien/mysql_medien.php?anfrage=Kennummer&Suchwort=3000.

ÖKO-RECHERCHE, 2007: Daten von H-FKW, FKW und SF6 für die nationale Emissionsberichterstattung gemäß Klimarahmenkonvention für die Berichtsjahre 2004 und 2005 (F-Gas-Emissionen 2004/2005 und Unsicherheitsbestimmung im ZSE), Gutachten im Auftrag des Umweltbundesamtes, Dessau, FKZ 205 41 217/01. URL: http://www.umweltbundesamt.de/uba-info-medien/mysql_medien.php?anfrage=Kennummer&Suchwort=3439

ÖKO-RECHERCHE, 2009: SF_6 und NF_3 in der deutschen Photovoltaik-Industrie - Inventarverbesserung 2008 – Verbesserung und Ergänzung der Daten für die nationale Emissionsberichterstattung gemäß Klimarahmenkonvention in der Kategorie Photovoltaik (2.F.9.h), Endbericht, FuE-Vorhaben FKZ 360 16 027, Frankfurt a.M., Dezember 2009.

ÖKO-RECHERCHE, 2015: Implementierung der ab dem Berichtsjahr 2013 gültigen IPCC Guidelines for National Greenhouse Gas Inventories 2006 in the Inventarerhebung fluorierter Treibhausgase (HFKW, FKW, SF_6, NF_3), Studie im Auftrag des Umweltbundesamtes, FKZ 3712 41 103 1, Climate Change 17/2015, Dessau-Roßlau.

ÖKO-RECHERCHE, Ecofys, 2003: Establishing the Leakage Rates of Mobile Air Conditioners. Report on the EU Commission (DG Environment). B4-3040/2002/337136/MAR/C1. Frankfurt/Nürnberg.

ORELLAS, D.L.,1982: Heat and Products of Detonation for Explosives, Lawrence Livermore National Laboratory, University of California, USA, April 5th

OSOWSKI, S., J. NEUMANN & H. FAHLENKAMP (2004): Nutzung biogener Festbrennstoffe in Vergasungsanlagen. Chemie Ingenieur Technik, 76, No. 7

PAUL, C.; WEBER, M.; MOSANDL, R. 2009: Kohlenstoffbindung junger Aufforstungsflächen. München: Karl Gayer Institut & Technische Universität München, Lehrstuhl für Waldbau, 70 S (unveröffentlicht)

PENNSTATE COLLEGE OF AGRICULTURAL SCIENCES (2011): Calf Rumen Images. http://www.das.psu.edu/research-extension/dairy/nutrition/calves/rumen [2011-02-15]

PIATKOWSKI B.; JENTSCH W. 2012: Anfrage zur Berechnung der Methanemissionen der Rinder; 18.12.2012 (unveröffentlicht; hinterlegt in der Inventarbeschreibung Landwirtschaft: Inventarüberprüfung 2012)

PISTORIUS, T.; ZELL, J.; HARTEBRODT, C. 2006: Untersuchungen zur Rolle des Waldes und der Forstwirtschaft im Kohlenstoffhaushalt des Landes Baden-Württemberg; Forstliche Versuchs- und Forschungsanstalt Baden-Württemberg, Institut für Forstökonomie, Technischer Bericht; 224 S.

PÖPKEN, S., 2011: Obstanbau, Weinanbau und Weihnachtsbaumkulturen in Deutschland. Zwischenbericht des Forschungsprojekts „Methodenentwicklung zur Erfassung der Biomasse mehrjährig verholzter Pflanzen außerhalb von Waldflächen“; Johann Heinrich von Thünen-Institut, Institut für Weltforstwirtschaft

PREISEGGER, 1999: Solvay Fluor und Derivate GmbH: Automotive Air Conditioning Impact of Refrigerant on Global Warming, in: Joint IPCC/TEAP Expert Meeting on Options for the Limitation of Emissions of HFCs and PFCs, Petten, 26-28 May 1999.

PRIETZEL, J.; STETTER, U.; KLEMMT, H.-J.; REHFUESS, K.E. 2006: Recent carbon and nitrogen accumulation and acidification in soils of two Scots pine ecosystems in Southern Germany. Plant and Soil, 289, 153-170

PROBST & CONSORTEN, 2012: Recherche des jährlichen Kohleeinsatzes in historischen Schienenfahrzeugen seit 1990; FKZ: 363 01 392, Dresden, 28. März 2011, ergänzt 22. Mai 2012 - unveröffentlicht

PROGNOS, 2000: Anwendung des IPCC-Referenzverfahrens zur Ermittlung der verbrennungsbedingten CO_2-Emissionen in Deutschland, Forschungsprojekt des UBA, FKZ 29744850, 2000

RENTZ et al, 2002: Rentz, Otto; Karl, Ute; Peter, H.: Ermittlung und Evaluierung von Emissionsfaktoren für Feuerungsanlagen in Deutschland für die Jahre 1995, 2000 und 2010, Bericht zum Forschungsprojekt des Umweltbundesamtes unter FKZ 299 43 142, durchgeführt vom DFIU (Universität Karlsruhe, Deutsch-Französisches Institut für Umweltforschung)

RENTZ et al. 2002b: O. Rentz, K. Gütling und U. Karl 2002: Erarbeitung der Grundlagen für das BVT-Merkblatt Großfeuerungsanlagen im Rahmen des Informationsaustausches nach Art. 16(2) IVU-Richtlinie, Forschungsbericht 200 46 317, Gutachten im Auftrag des Umweltbundesamtes.

RETTENBERGER et al, 1997: RETTENBERGER, STEGMANN: Neue Aspekte der Deponiegasnutzung. Trierer Berichte zur Abfallwirtschaft Band 11. Economia-Verlag Bonn 1997. u.a. S. 268, 319

RICHTLINIE DES RATES vom 21. Mai 1991 über die Behandlung von kommunalem Abwasser (91/271/EWG) (ABl. L 135 vom 30.5.1991, S. 40

RÖSEMANN et al. 2013: Rösemann, C.; Haenel H.-D.; Dämmgen, U.; Poddey, E.; Freibauer , A.; Wulf, S.; Eurich-Menden, B.; Döhler, H.; Schreiner, C.; Bauer, B.; Osterburg, B.: Calculation of gaseous and particulate emissions from German agriculture 1990 – 2011. Report on methods and data (RMD). Submission 2013. Thünen Rep 1. p 386..

RÖSEMANN et al. 2017: Rösemann, C., Haenel H.-D., Dämmgen, U., Freibauer , A., Wulf, S., Eurich-Menden, B., Döhler, H., Osterburg, B.: Calculation of gaseous and particulate emissions from German agriculture 1990 – 2015. Report on methods and data (RMD). Submission 2017. Thünen Report 46, 423 p, claus.roesemann@thuenen.de, dieter.haenel@thuenen.de.

ROSSKOPF, N., FELL, H. & ZEITZ, J. (2015): Organic soils in Germany, their distribution and carbon stocks. Catena 133 (2015), 157–170

ROTH, U., DÖHLER, H., HARTMANN, S., WULF, S., 2011: Treibhausgasbilanzen und CO2eq-Vermeindungskosten landwirtschaftlicher Biogasanlagen. In: Biogas in der Landwirtschaft – Stand und Perspektiven. KTBL-Schrift 488, Darmstadt, S. 196-208.

RÜTER, S. (2011): Projection of Net Emissions from Harvested Wood Products in European Countries : For the period 2013-2020. Thünen-Institute of Wood Research, Report No: 2011/01, 63 p. http://literatur.vti.bund.de/digbib_extern/dn048901.pdf [zitiert am 03.09.2015]

SACHS, L. 1984: Angewandte Statistik. Bd. 6. Aufl., Springer-Verlag, Berlin, Heidelberg, New York, Tokyo.

SANANTONIO, D.; HERMANN R.K.; OVERTON W.S. (1977): Root biomass studies in forest ecosystems. Pedobiologia 17:1–31

Schön, M., Walz, R., Angerer, G., Bätcher, K., Böhm, E., Hillenbrand, T., Hiessl, H., Reichert, J., Paoli, M. and Sartorius, R. (1993) Emissionen der Treibhausgase Distickstoffoxid und Methan in Deutschland : Emissionsbilanz, Identifikation von Forschungs- und Handlungsbedarf sowie Erarbeitung von Handlungsempfehlungen ; Phase 1, E. Schmidt, Berlin.

Schön, M., Walz, R., Angerer, G., Bätcher, K., Böhm, E., Hillenbrand, T., . . . Sartorius, R. (1993). Emissionen der Treibhausgase Distickstoffoxid und Methan in Deutschland : Emissionsbilanz, Identifikation von Forschungs- und Handlungsbedarf sowie Erarbeitung von Handlungsempfehlungen ; Phase 1. Berlin: E. Schmidt.

SCHÖNING, I.; TOTSCHE, K.U.; KOGEL-KNABNER, I. 2006: Small scale spatial variability of organic carbon stocks in litter and solum of a forested Luvisol. Geoderma, 136, 631-642

SCHULZE, E-D.; HÖGBERG, P.; VAN OENE, H.; PERSSSON, T.; HARRISON, A. F.; READ, D. J.; KJÖLLER, A.; MATTEUCCI, G. 2000: Interactions between the carbon and nitrogen cycle and the role of biodiversity. Ecological Studies, 142, 468–492

SCHWARZ, KIMMEL, GSCHREY; LEISEWITZ, SAUER o.J.: Modelle für die Inventarerhebung von F-Gasen, Studie im Auftrag des Umweltbundesamtes, FKZ 363 01 351, 2012. Unveröffentlicht.

SCHWITZGEBEL , F.; DUNGER, K.; POLLEY, H. 2009: Die Inventurstudie 2008. Ergebnisse einer Kohlenstoffinventur auf Bundeswaldinventur-Basis. Hintergrund, Methodik und Durchführung der Studie. Allg Forst Z Waldwirtsch Umweltvorsorge 64: 1070-1071

Senser, F., & Scherz, H. (1991). Der Kleine "Souci-Fachmann-Kraut", Lebensmitteltabelle für die Praxis.

SIEGL et al., 2002: R-134a Emissions from Vehicles, ENVIRON. SCI & TECHNOL., VOL. 36, 561-566.

Six, J.; Contant, R.T.; Papul, E.A.& Paustian, K. 2002: Stabilization Mechanisms Of Soil Organic Matter: Implications For C-Saturation Of Soils. Plant And Soil, 241, 155-176

SKM Enviros 2010: Eco-Efficiency Study of Supermarket Refrigeration, for the European Partnership for Energy and Environment (EPEE), March 2010.

SNEATH, R.W., CHADWICK, D.R., PHILLIPS, V.R., PAIN, B.F. 1997. A UK inventory of nitrous oxide emissions from farmed livestock. Commissions WA 0604 and WA 0605, SRI/IGER, May 1997.

SOMMER S.G. 2001: Effect of composting on nutrient loss and nitrogen availability of cattle deep litter. European Journal of Agronomy 14, 123-133

STATISTIK DER KOHLENWIRTSCHAFT e.V o.J.: Statistik der Kohlenwirtschaft, „Herstellung von Braunkohlenbriketts, Braunkohlenkoks, Staub-, Trocken- und Wirbelschichtkohle nach Revieren“, www.kohlenstatistik.de (Aufruf: 26.08.2013)

STATISTIK DER KOHLEWIRTSCHAFT e.V. Übersichten Download: http://www.kohlenstatistik.de/3-0-Uebersichten.html

STATISTISCHES BUNDESAMT, 1992: Statistisches Bundesamt, Statistisches Jahrbuch 1992 für die Bundesrepublik Deutschland, Tab. 26.2.1 An Abfallbeseitigungsanlagen angelieferte Abfallmengen nach Art der Anlagen, Tab. 26.2.2 An Abfallbeseitigungsanlagen angelieferte Abfallmengen nach Abfallarten

STATISTISCHES BUNDESAMT, 2002c: Statistisches Bundesamt, Klassifikation der Wirtschaftszweige, Ausgabe 1993 (WZ93), Wiesbaden 2002.

STATISTISCHES BUNDESAMT, 2008, Klassifikation der Wirtschaftszweige mit Erläuterungen 2008, Wiesbaden.
URL:
https://www.destatis.de/DE/Methoden/Klassifikationen/GueterWirtschaftklassifikationen/Klassifikationengp2009_wz2008_xls.html

STATISTISCHES BUNDESAMT, 2011d; Wasserwirtschaft Öffentliche Abwasserentsorgung Klärschlammverwertung aus der biologischen Abwasserbehandlung 2011, Wiesbaden

STATISTISCHES BUNDESAMT, 2013: Umwelt Abwasserbehandlung - Klärschlamm - Ergebnisbericht 2010.

STATISTISCHES BUNDESAMT, 2013a; Umwelt - Abwasserbehandlung – Klärschlamm – Ergebnisbericht 2010 (2013), Wiesbaden

STATISTISCHES BUNDESAMT, 2013b: Bevölkerung Deutschland, Online-Abfrage (GENESIS) durch das UBA (Stand: 25.09.2013 / 08:10:31), Fortschreibung des Bevölkerungsstandes, Wiesbaden

STATISTISCHES BUNDESAMT, 2013c: Pressemitteilung vom 31. Mai 2013 – 188/13; Zensus 2011

STATISTISCHES BUNDESAMT, 2014) Wasserwirtschaft: Klärschlammentsorgung aus der biologischen Abwasserbehandlung 2006 - 2012, www.destatis.de/DE/ZahlenFakten/GesamtwirtschaftUmwelt/Umwelt/UmweltstatistischeErhebungen/Wasserwirtschaft/Tabellen/TabellenKlaerschlammVerbrachteTeilmenge.html.

STATISTISCHES BUNDESAMT, 2015: Außenhandelsstatistik, Online-Abfrage (GENESIS) für die WA-Nr. 28362000 durch das UBA (Stand: 14.09.2015), Ausfuhr und Einfuhr nach Gewicht, Datei gesichert in der Inventarbeschreibung des UBA, Dessau-Roßlau 2015.

STATISTISCHES BUNDESAMT, 2015a: Statistisches Bundesamt, Statistik 066 „Monatsberichte über die Elektrizitätsversorgung / Dezember 2015“ Tab. 3.2 und Tab. 5b.

STATISTISCHES BUNDESAMT, 2015b: Statistisches Bundesamt, Statistik 060: Auswertungen des Statistischen Bundesamtes der Bundesrepublik Deutschland „Energieverwendung der Betriebe des Verarbeitenden Gewerbes sowie Bergbaus und Gewinnung von Steinen und Erden“

STATISTISCHES BUNDESAMT, 2015c: Statistisches Bundesamt, Statistik 067: Auswertungen des Statistischen Bundesamtes der Bundesrepublik Deutschland „Stromerzeugungsanlagen der Betriebe des Verarbeitenden Gewerbes sowie Bergbaus und Gewinnung von Steinen und Erden“

STATISTISCHES BUNDESAMT, BGS-Bögen unveröffentlicht (Brennstoff-, Gas- und Stromwirtschaft der Hochofen-, Stahl- und Walzwerke sowie Schmiede-, Press- und Hammerwerke einschließlich der örtlich verbundenen sonstigen Betriebe (ohne eigene Kokerei))- Zusammenfassung der Erfassungsbögen der Eisen- und Stahl-Statistik (FS 4 Reihe 8.1) bis 2010

STATISTISCHES BUNDESAMT, Fachserie 19 Reihe 1, Jg. ab 1990: Statistisches Bundesamt, Fachserie 19, Reihe 1: Umwelt, Abfallentsorgung.

STATISTISCHES BUNDESAMT, Fachserie 19 Reihe 2.1.3, Jg. ab 2010:Umwelt Öffentliche Wasserversorgung und öffentliche Abwasserentsorgung - Strukturdaten zur Wasserwirtschaft, Wiesbaden

STATISTISCHES BUNDESAMT, Fachserie 19 Reihe 2.2: Umwelt, Nichtöffentliche Wasserversorgung und Abwasserbeseitigung (div. Jgg.)

STATISTISCHES BUNDESAMT, Fachserie 19, Reihe 2.1, 2011: Statistisches Bundesamt, Fachserie 19, Reihe 2.1: Öffentliche Wasserversorgung und Abwasserbeseitigung, Klärschlamm (div. Jgg.), Wiesbaden

STATISTISCHES BUNDESAMT, Fachserie 3 Reihe 4, versch. Jahrgänge: Statistisches Bundesamt, Fachserie 3, Reihe 4: Viehbestand und tierische Erzeugung.

STATISTISCHES BUNDESAMT, Fachserie 3 Reihe 4.1, versch. Jahrgänge: Statistisches Bundesamt, Fachserie 3, Reihe 4.1: Viehbestand.

STATISTISCHES BUNDESAMT, Fachserie 3 Reihe 4.1: Viehbestand. Versch. Jahrgänge.

STATISTISCHES BUNDESAMT, Fachserie 3, Reihe 3, Land- und Forstwirtschaft, Fischerei, Landwirtschaftliche Bodennutzung und pflanzliche Erzeugung (div. Jgg.)

STATISTISCHES BUNDESAMT, Fachserie 3, Reihe 3.1.2, Land- und Forstwirtschaft, Fischerei,– Bodennutzung der Betriebe (Landwirtschaftlich genutzte Flächen); (div. Jgg.)

STATISTISCHES BUNDESAMT, Fachserie 3, Reihe 3.1.4, Land- und Forstwirtschaft, Fischerei, Landwirtschaftliche Bodennutzung - Baumobstflächen; (2007)

STATISTISCHES BUNDESAMT, Fachserie 3, Reihe 3.1.4, Land- und Forstwirtschaft, Fischerei, Landwirtschaftliche Bodennutzung - Baumobstflächen - (div. Jgg.)

STATISTISCHES BUNDESAMT, Fachserie 3, Reihe 3.1.5, Land- und Forstwirtschaft, Fischerei, Landwirtschaftliche Bodennutzung - Grunderhebung der Rebflächen - (2009)

STATISTISCHES BUNDESAMT, Fachserie 3, Reihe 3.1.5, Land- und Forstwirtschaft, Fischerei, Landwirtschaftliche Bodennutzung - Rebflächen - (div. Jgg.)

STATISTISCHES BUNDESAMT, Fachserie 3, Reihe 3.1.7, Land- und Forstwirtschaft, Fischerei, Landwirtschaftliche Bodennutzung - Baumschulerhebung - (2005)

STATISTISCHES BUNDESAMT, Fachserie 3, Reihe 3.1.7, Land- und Forstwirtschaft, Fischerei, Landwirtschaftliche Bodennutzung - Baumschulerhebung - (2013)

STATISTISCHES BUNDESAMT, Fachserie 3, Reihe 3.1.7, Land- und Forstwirtschaft, Fischerei, Landwirtschaftliche Bodennutzung - Baumschulerhebung - (div. Jgg.)

STATISTISCHES BUNDESAMT, Fachserie 3, Reihe 3.2.1, Land- und Forstwirtschaft, Fischerei, Wachstum und Ernte – Feldfrüchte; (div. Jgg.)

STATISTISCHES BUNDESAMT, Fachserie 3, Reihe 3.2.1, Land- und Forstwirtschaft, Fischerei, Wachstum und Ernte – Obst; (div. Jgg.)

STATISTISCHES BUNDESAMT, Fachserie 3, Reihe 3: Land- und Forstwirtschaft, Fischerei, Landwirtschaftliche Bodennutzung und pflanzliche Erzeugung. Versch. Jahrgänge.

STATISTISCHES BUNDESAMT, Fachserie 4 Reihe 3.1, Jg. ab 1991: Statistisches Bundesamt, Fachserie 4, Reihe 3.1: Produzierendes Gewerbe - Produktion im produzierenden Gewerbe, Wiesbaden

STATISTISCHES BUNDESAMT, Fachserie 4 Reihe 4.1.1, Jg. ab 1991-2003: Statistisches Bundesamt, Fachserie 4, Reihe 4.1.1: Erhebung über die Energieverwendung der Betriebe des verarbeitenden Gewerbes sowie des Bergbaus und der Gewinnung von Steinen und Erden, Wiesbaden

STATISTISCHES BUNDESAMT, Fachserie 4 Reihe 6.4, Jg. ab 1991: Statistisches Bundesamt, Fachserie 4, Reihe 6.4: Stromerzeugungsanlagen der Betriebe im Bergbau und im verarbeitenden Gewerbe, Wiesbaden.

STATISTISCHES BUNDESAMT, Fachserie 4 Reihe 8.1, versch. Jahrgänge bis 2009: Statistisches Bundesamt; Fachserie 4, Reihe 8.1; Eisen und Stahl, Poeschel-Verlag

STATISTISCHES BUNDESAMT, Fachserie 4 Reihe 8.2, Jg. ab 1990: Statistisches Bundesamt, Fachserie 4, Reihe 8.2: Produzierendes Gewerbe, Düngemittelversorgung, Wiesbaden.

STATISTISCHES BUNDESAMT, Fachserie 4 Reihe 8.2: Produzierendes Gewerbe, Düngemittelversorgung, Versch. Jahrgänge.

STATISTISCHES BUNDESAMT, Fachserie 8 Reihe 4, Jg. ab 1991: Statistisches Bundesamt, Fachserie 8, Reihe 4: Binnenschifffahrt (für die Jahre 1990-2003), Wiesbaden.

STATISTISCHES BUNDESAMT, o.J.: Umweltnutzung und Wirtschaft, Bericht zu den Umweltökonomischen Gesamtrechnungen (div. Jgg.)

STATISTISCHES BUNDESAMT, o.J.: Umweltnutzung und Wirtschaft, Tabellen zu den umweltökonomischen Gesamtrechnungen, Teil 4: Wassereinsatz, Abwasser, Abfall, Flächennutzung, Umweltschutzmaßnahmen (div. Jgg.)

STATISTISCHES BUNDESAMT, Statistisches Jahrbuch ; div. Jgg., Wiesbaden

STBA (2013a) Statistisches Bundesamt, Fachserie 19, Reihe 2.1.3, Strukturdaten zur Wasserwirtschaft 2010.

STBA (2013b) Statistisches Bundesamt, Umwelt - Abwasserbehandlung - Klärschlamm - Ergebnisbericht 2013.

STBA (2015a) Wasserwirtschaft: Klärschlammentsorgung aus der biologischen Abwasserbehandlung 2006-2014, www.destatis.de/DE/ZahlenFakten/GesamtwirtschaftUmwelt/Umwelt/UmweltstatistischeErhebungen/Wasserwirtschaft/Tabellen/TabellenKlaerschlammverwertungsart.html.

STBA (2015b) Statistisches Bundesamt; persönliche Mitteilung von Herrn J. Kaiser; E 207; Deutschland - Erhebung über Gewinnung, Verwendung und Abgabe von Klärgas am 23.07.2015 per Mail, Statistisches Bundesamt.

STBA (2015c) Pressemitteilung 257/15 10.07.2015: 1 340 Gigawattstunden Strom aus Klärgas erzeugt.

STBA (2015c, 31.07.2015). [Statistisches Bundesamt; persönliche Mitteilung von Herrn J. Kaiser; E 207; Deutschland - Erhebung über Gewinnung, Verwendung und Abgabe von Klärgas am 23.07.2015 per Mail].

STBA (22.05.2014) Wasserwirtschaft: Klärschlammentsorgung aus der biologischen Abwasserbehandlung 2006 - 2012, www.destatis.de/DE/ZahlenFakten/GesamtwirtschaftUmwelt/Umwelt/UmweltstatistischeErhebungen/Wasserwirtschaft/Tabellen/TabellenKlaerschlammVerbrachteTeilmenge.html.

STBA. (2013a). Statistisches Bundesamt, Fachserie 19, Reihe 2.1.3, Strukturdaten zur Wasserwirtschaft 2010.

STBA. (2013b). Statistisches Bundesamt, Umwelt - Abwasserbehandlung - Klärschlamm - Ergebnisbericht 2010.

STBA. (2015a). Pressemitteilung 257/15 10.07.2015: 1 340 Gigawattstunden Strom aus Klärgas erzeugt.

StBA. (2015b). Statistisches Bundesamt, Fachserie 19, Reihe 2.1.3, Strukturdaten zur Wasserwirtschaft 2013.

STBA. (2015d). Wasserwirtschaft: Klärschlammentsorgung aus der biologischen Abwasserbehandlung 2006-2013.

StBA. (2016a). Erzeugung, Aufkommen und Verwendung von Klärgas Retrieved from www.destatis.de/DE/ZahlenFakten/Wirtschaftsbereiche/Energie/Erzeugung/Tabellen/AbgabeKlaergas.html

STBA. (2016b). Gewinnung, Verwendung und Abgabe von Klärgas: Deutschland. Retrieved from www-genesis.destatis.de/genesis/online;jsessionid=117EA6AAC8E0A377261EB44D487D3B57.tomcat_GO_1_3?operation=previous&levelindex=2&levelid=1470043212408&step=2

STEHFEST, E., BOUWMAN, L., 2006: N_2O und NO emission from agricultural fields and soils under natural vegetation: summarizing available measurement data and modelling of global emissions. Nutr. Cycl. Agroecosyst. 74, 207-228.

STEINLECHNER, E.B., H.; CATE, F.M.; JUNGMEIER, G.; SPITZER, J. & WUTZL, C. (1994) Möglichkeiten der Vermeidung und Nutzung anthropogener Methanemissionen. Joanneum Research, Institut für Umweltgeologie und Ökosystemforschung, Graz.

STEUK, J. 2010: Vorgaben zur Bewirtschaftung von Wald in Deutschland im Kontext internationaler Vorgaben nach IPCC. vTI-WOI Eberswalde (unveröffentlicht).

STOLLER, DBI 2012: „Verbesserung der Treibhausgasemissionsberichterstattung im Bereich "Gas, Verteilung" durch Datenerhebung und Datenbereitstellung“, im Auftrag des BMWI 2011, Dienstleistungsprojekt Nr. 14/12

STOLZENBURG, K. (2006): Versuchsergebnisse, Weiden, Pappeln und Miscanthus der LAP Forchheim. Landesanstalt für Pflanzenbau, Forchheim

STRAUSS, Karl 1998: Kraftwerkstechnik zur Nutzung fossiler, regenerativer und nuklearer Energiequellen. 4. Auflage. Springer-Verlag.

STRUSCHKA, 2008: Struschka, Dr. M., Kilgus, D., Springmann, M.; Baumbach, Prof.Dr. Günter: Effiziente Bereitstellung aktueller Emissionsdaten für die Luftreinhaltung; UBA-Forschungsbericht 205 42 322; Dessau, 2008.

TA LUFT, 1986: Erste Allgemeine Verwaltungsvorschrift zum Bundes-Immissionsschutzgesetz, TA Luft - Technische Anleitung zur Reinhaltung der Luft, vom 27. Februar 1986, Gemeinsames Ministerialblatt S. 95, ber. S. 202)

TA LUFT, 2002: Erste Allgemeine Verwaltungsvorschrift zum Bundes-Immissionsschutzgesetz, TA Luft - Technische Anleitung zur Reinhaltung der Luft, vom 24. Juli 2002, Gemeinsames Ministerialblatt (GMBl). Nr. 25 - 29 vom 30.7. 2002 S. 511ff.

TEBERT, 2016:

THELOKE et al 2013: Theloke, J.; Kampffmeyer, T.; Kugler, U.; Friedrich, R.; Schilling, S.; Wolf, L.; Springwald, T. (2013): Ermittlung von Emissionsfaktoren und Aktivitätsraten im Bereich IPCC (1996) 1.B.2.a. i-vi - Diffuse Emissionen aus Mineralöl und Mineralölprodukten – Abschlussbericht, Förderkennzeichen 360 16 033; Stuttgart 2013

TI (Johann Heinrich von Thünen-Institut), 2016: Ausführungsbestimmung zur Erstellung von Emissions- und Kohlenstoffinventaren und deren Qualitätsmanagement für den Bereich der Quellgruppen Landwirtschaft und LULUCF. Anlage zum Konzept Emissions- und Kohlenstoffinventare im nachgeordneten Bereich des BMEL vom 14.09.2016. Version 2.01 (14.09.2016).

Tomter, S.M., Hylen, G. & Nilsen, J.-E. 2010: Development of Norway's National Forest Inventory. In: Tomppo, E., Gschwantner, T., Lawrence, M. & McRoberts, R.E. (eds.): National Forest Inventories. Pathways for common reporting, pp. 411-424. Springer, Heidelberg. ISBN 978-90-481-3232-4.

UBA, 1983: Greiner, B., Barghoorn, M. Dobberstein, J., Eder, G., Fuchs, J., Gössele, P.: Chemisch-physikalische Analyse von Hausmüll. Forschungsbericht 83-033 im Auftrag des Umweltbundesamted, Berlin.

UBA, 1986: Barghoorn, M., Gössele, P., Kaworski, W.: Bundesweite Hausmüllanalyse 1983-85, Forschungsbericht 10303508 im Auftrag des Umweltbundesamtes, Berlin.

UBA, 1989b: Luftreinhaltung '88. Tendenzen - Probleme - Lösungen. Materialien zum Vierten Immissionsschutzbericht der Bundesregierung an den Deutschen Bundestag (Drucksache 11/2714) nach Paragraph 61 Bundes-Immissionsschutzgesetz Körperschaft, erschienen Berlin Schmidt, E.

UBA, 1993: Umweltbundesamt: UBA-Text 9/93, Emissionen der Treibhausgase Distickstoffoxid und Methan in Deutschland. Auftragnehmer: Schön, M. et al. Fhg-ISI

UBA, 2000a: UBA-Text 14/00: Pfeiffer, Frank / Struschka, Michael / Baumbach, Günter: Ermittlung der mittleren Emissionsfaktoren zur Darstellung der Emissionsentwicklung aus Feuerungsanlagen im Bereich der Haushalte und Kleinverbraucher, Institut für Verfahrenstechnik und Dampfkesselwesen, Universität Stuttgart, Herausgeber: Umweltbundesamt, FKZ 299 42 245 / 02, Berlin

UBA, 2001: German Notes on BAT for the production of Large Volume Solid Inorganic Chemicals – Soda. URL: www.bvt.umweltbundesamt.de/archiv/sodad.pdf english: www.bvt.umweltbundesamt.de/archiv-e/sodae.pdf)

UBA, 2003a: Projekthandbuch Decor, Umweltbundesamt, Förderkennzeichen IT 20, in Bearbeitung

UBA, 2004: IZT, KPMG, DFIU: Arbeitsergebnisse aus dem F+E-Vorhaben 202 42 266 „Bestimmung und Einführung von Methoden zur Qualitätssicherung und Qualitätskontrolle für die deutschen Inventare der Treibhausgasemissionen entsprechend den Vorgaben der Klimarahmenkonvention (KRK) und der Anforderung der ECE-Luftreinhaltekonvention“ (unveröffentlicht)

UBA, 2004b: Dr. R. Joas; A. Potrykus; R. Schott; S. Wenzel: VOC-Minderungspotenzial beim Transport und Umschlag von Mineralölprodukten mittels Kesselwagen, FKZ 202 44 372, UBA-Texte 12/2004, Dessau.
URL: http://www.umweltdaten.de/publikationen/fpdf-l/2637.pdf

UBA, 2005b, FKZ 20442203/02: Endbericht zum Forschungsprojekt „Einsatz von Sekundärbrennstoffen“

UBA, 2005c, FKZ 20541115: unveröffentlichter Zwischenbericht zum Forschungsprojekt „Bereitstellung der Energiedaten für stationäre Feuerungsanlagen zur Erfüllung der Berichtspflichten im Rahmen des Nationalen Treibhausgasinventars (NIR 2006) und des Berichtes zur Festlegung der zugewiesenen Mengen nach Kyoto-Protokoll“

UBA, 2006: Umweltbundesamt: UBA-Text 29/06,: Lechtenböhmer, Nanning, Buttermann, Hillebrand: Bilanzierung der Gewinnung und Verwendung von Kalkstein und Ausweisung der CO_2-Emissionen, Forschungsbericht FKZ 20541217/02, Dessau 2006

UBA, 2007: Dr. Matthias Kühle-Weidemeier, Wasteconsult International: Endbericht des UFOPlan-Projekts „Anlagen zur mechanisch-biologischen Restabfallbehandlung, FKZ 206 33 301. Juni 2007

UBA, 2007b: Umweltbundesamt: Qualitätssystem Emissionsinventare. Handbuch zur Qualitätskontrolle und Qualitätssicherung bei der Erstellung von Emissionsinventaren und der Berichterstattung unter der Klimarahmenkonvention der Vereinten Nationen sowie der EU-Entscheidung 280/2004/EG, Dessau. Stand 05.06.2007, unveröffentlicht.

UBA, 2010: Ableitung der Kalksteinbilanz aus den statistischen Daten der BGR für Zwecke der Emissionsberichterstattung nach Klimarahmenkonvention und Kyoto Protokoll (Kategorie CRF 2.A.3), Publikationsnummer 4033, direkt unter http://www.uba.de/uba-info-medien/4033.html

UBA, 2011, FKZ 3707 33 303: Endbericht zum Forschungsprojekt „Nutzung der Potenziale des biogenen Anteils im Abfall zur Energieerzeugung“ URL:
http:///www.uba.de/uba-info-medien/4116.html

UBA, 2011b, FKZ 360 16 031: Endbericht zum Forschungsprojekt: „Bereitstellung einer qualitätsgesicherten Datengrundlage für die Emissionsberichterstattung zur Umsetzung von internationalen Luftreinhalte- und Klimaschutzvereinbarungen für ausgewählte Industriebranchen – hier: N_2O Emissionsfaktoren aus der Abwasserreinigung der vier relevantesten Industriebereiche. Ute Austermann-Haun Hochschule Ostwestfalen Lippe), Alvaro Carozzi (Dr. Steinle Indgenieurgesellschaft für Abwassertechnik mbH), Dessau, Oktober 2011.

UBA, 2014 Berichterstattung der Bundesregierung an die EU gemäß 91/271/EWG.

UBA, 2015: Umweltbundesamt: Qualitätssystem Emissionsinventare. Handbuch zur Qualitätskontrolle und Qualitätssicherung bei der Erstellung von Emissionsinventaren und der Berichterstattung unter der Klimarahmenkonvention der Vereinten Nationen sowie der EU-Entscheidung 525/2013/EG, Dessau. Stand 16.09.2010, unveröffentlicht.

UBA, 2016: UBA – Umweltbundesamt: Aktualisierung der Eingangsdaten und Emissionsbilanzen biogener Energienutzungspfade. UBA-Texte 09/2016. Umweltbundesamt, Dessau-Roßlau, pp.191.

UBA. (2014). Berichterstattung der Bundesregierung an die EU gemäß 91/271/EWG.

UBA/BFI 2012: Umweltbundesamt ; VDEh-Betriebsforschungsinstitut: Emissionsfaktoren zur Eisen- und Stahlindustrie für die Emissionsberichterstattung (gemeinsamer Endbericht zu den FKZ 3707 42 301/01 und 3707 41 111/2). Dessau, 2012 – UBA-Publikationsnr. 4362 (URL: www.umweltbundesamt.de/uba-info-medien/4362.html)

UBA/BMUB 2016: Jahresbericht über die Altfahrzeug-Verwertungsquoten in Deutschland im Jahr 2014 nach Art. 7 Abs. 2 der Altfahrzeug-Richtlinie 2000/53/EG, Dessau-Roßlau, Bonn, 1. August 2016.

UMEG 2004: Umweltmessungen, Umwelterhebungen und Gerätesicherheit 2004: Emissionsfaktoren-Handbuch, Emissionserklärung 2004 Baden-Württemberg

UMWELTBUNDESAMT GmbH 2012: Final report of the 2012 technical review of the greenhouse gas emission inventory of Germany to support the determination of annual emission allocations under Decision 406/2009/EC, Reference: DG CLIMA.C.1/SER/2011/0019, 17.08.2012, archiviertes Dokument "ESD-2012-FINAL_Review_Report-Germany.doc", Wien 2012

UNECE (United Nations Economic Commission for Europe) 2006: Manual on methods and criteria for harmonized sampling, assessment, monitoring and analysis of the effects of air pollution on forests, part IIIa: sampling and analysis of soil. Project Coordinating Center (PCC9, Hamburg, 117 p, http://www.icp-forests.org/Manual.htm

UNFCCC 2007: Germany. Report of the review of the initial report of Germany, United Nations 2007

UNFCCC 2010: National Reports.
<http://unfccc.int/national_reports/annex_i_ghg_inventories/inventory_review_reports/items/4715.php>, last accessed 2015-09-22, United Nations 2010

UNFCCC 2011: Report of the technical assessment of the forest management reference level submission of Germany submitted in 2011. FCCC/TAR/2011/DEU, United Nations 2011

UNFCCC 2013: National Inventory Submissions.
http://unfccc.int/national_reports/annex_i_ghg_inventories/national_inventories_submissions/items/7383.php, United Nations 2013

UNFCCC 2014: Report of the COP on its nineteenth session, held in Warsaw from 11 to 23 November 2013. Addendum: Decision 24/CP.19 on the Revision of the UNFCCC reporting guidelines on annual inventories for Parties included in Annex I to the Convention. FCCC/CP/2013/10/Add.3, United Nations 2014

UNFCCC 2014a: National Reports. <http://unfccc.int/national_reports/annex_i_ghg_inventories/national_inventories_submissions/items/8108.php>, last accessed 2015-09-22, United Nations 2014

UNFCCC 2015: Report of the COP on its twentieth session, held in Lima from 1 to 14 December 2014. Page 5. FCCC/CP/2014/10/Add.3, <http://unfccc.int/documentation/documents/advanced_search/items/6911.php?priref=600008360>, last accessed 2015-09-22, United Nations 2015

UNFCCC, 1998: Kyoto Protocol to the United Nations Framework Convention on Climate Change, United Nations 1998

US_EPA 1995: „AP 42, Fifth Edition, Volume I -Chapter 10: Wood Products Industry"(Zugriff Oktober 2013)

UU STS, 2007: Utrecht University (UU), Copernicus Institute Department of Science, Technology, and Society (STS): Estimating CO2 Emissions from the Non- Energy Use of Fossil Fuels in Germany - Methodenaktualisierung für die Emissionsberechnung 2003, FKZ 203 41 253/02.

v.Vogel, H. U., & Synowietz, C. (1974). Chemikerkalender (2. Auflage,S.314; 1974; ed.).

v.Vogel, H.U. and Synowietz, C. (1974) Chemikerkalender.

VANDRÉ et al., 2013: Vandré R, Wulf S, Häußermann U, Horlacher D: N2O emissions from solid manure storage – Calculation of a national emission factor. Landtechnik 68(1), 38 – 42.

VDA, 2014: Verband der Automobilindustrie e.V.: Erläuterungen zur VDA-Marke AdBlue®. URL: https://www.vda.de/de/arbeitsgebiete/adblue/index.html (Aufruf: 07.11.2014), Berlin

VDD 2015: Datenübermittlung des Verbandes, Dokument in der Inventarbeschreibung in „Bitumen_AREF_Zeitreihen_und_Unsicherheiten_Archiv.zip", Dessau-Roßlau 2015

VDEh Wirtschaftsvereinigung Stahl - Stahlinstitut VDEh – Lieferung BGS-Bögen jährlich ab 2010

VDI. (1999). Emissionsminderung ; Glashütten : VDI Richtlinie 2578, Stand: November 1999. Berlin: Beuth.

VDMA 2011: *Energiebedarf für Kältetechnik in Deutschland*, Frankfurt am Main, 04.04.2011.

VDP, 2015: Verband Deutscher Papierfabriken e.V.: Ein Leistungsbericht, Bonn URL.: http://www.vdp-online.de/de/suche.html?eID=dam_frontend_push&docID=2692

VDP, versch. JG: Verband Deutscher Papierfabriken e.V.: Ein Leistungsbericht, Bonn, verschiedene Jahrgänge seit 1990

VdZ, 2009: Forschungsinstitut der Zementindustrie: Bereitstellung einer qualitätsgesicherten Datengrundlage für die Emissionsberichterstattung zur Umsetzung von internationalen Luftreinhalte- und Klimaschutzvereinbarungen für ausgewählte Industriebranchen: Teilvorhaben 03 Zementindustrie (FKZ 370742301/03); Ruppert, Johannes; Scheuer, Wilfried; Schäfer, Stefan; Düsseldorf, 2009.

VDZ, 2015 (Verein Deutscher Zementwerke e.V.): Zement – Produktionsdaten der deutschen Zementindustrie; per E-Mail an das UBA übermittelt.

VERBAND DEUTSCHER PAPIERFABRIKEN e.V. (2014): Altpapierverbrauch in der Papierindustrie. Verband Deutscher Papierfabriken e.V. (vdp), Papier: Ein Leistungsbericht, Diverse Jahrgänge

VERICO SCE 2014: „"Development of scientific-methodological basic prin-ciples for the implementation of recommendations by international inventory reviews – Improvement of quality management and verification of the German emission inventory", im Auftrag des UBA 2014, FKZ 3713 19 101 (noch nicht veröffentlicht)

VOGT, K.A.; VOGT, D.J.; PALMIOTTO, P.A.; OON, P.; OHARA, J.; ASBJORNSEN, H. (1996): Review of root dynamics in forest ecosystems grouped by climate, climatic forest type and species. Plant and Soil, Vol. 187 Nr.2, pp. 159-219

VOLK, F., 1997: Recherches sur les Fumees Produits par la Detonation de divers Explosifs, Explosifs

VSI, 2014: Verband Schmierstoff-Industrie e. V.: persönlicher Kontakt zu Herrn Wallfarth

WALG, O., 2006: Humus contra Heizwert - Rebholzverwertung. Der Winzer, 3/2006

WALTER, K., DON, A. & H. FLESSA (2014): No general carbon sequestration under Central European short rotation coppices; Global Change Biology Bioenergie; doi:10.1111/gcbb.12177

WASTECONSULT INTERNATIONAL, 2009: Methanemissionen aus passiv entgasten Deponien und der Ablagerung von mechanisch-biologisch vorbehandelten Abfällen, FKZ: 360 16 015, Dezember 2009

WEG (2015): Jahresbericht des Wirtschaftsverbandes Erdöl- und Erdgasgewinnung e.V., WEG, 2015 URL: http://www.erdoel-erdgas.de/ , jetzt Bundesverband Erdgas, Erdöl und Geoenergie e.V., Statistischer Bericht 2015, URL: http://www.bveg.de/

WEG 2008a: Erdgas-Erdöl, Entstehung-Suche-Förderung, Hannover, 34 S. URL: http://www.erdoel-erdgas.de/Erdgas_Erd%F6l_Entstehung_Suche_F%F6rderung-134-1-68b.html WEG, 2008b: WEG Bericht zur Schwefelgewinnung im Inland, URL: http://www.erdoel-erdgas.de/article/articleview/13/1/59/

WEILBACHER, 1987: Ausgasung von Zellgasen, interner Laborbericht vom 17.08.87 (überreicht von der BASF AG, Ludwigshafen).

WEINGARTEN, P., 1995: Das „Regionalisierte Agrar- und Umweltinformationssystem für die Bundesrepublik Deutschland“ (RAUMIS). Ber Landwirtschaft 73, 272-302.

WEISBERG, S., 2005: Applied Linear Regression. 3. Auflage, Wiley Interscience, Hoboken, 310p.

WEISS, SCHIELER, SCHADAUER, RADUNSKY, ENGLISCH, 2000: Die Kohlenstoffbilanz des Österreichischen Waldes und Betrachtungen zum Kyoto-Protokoll. Umweltbundesamt GmbH, Wien.

WELLBROCK et al. 2006: Wellbrock, N.; Aydin, C. - T.; Block, J.; Bussian, B.; Deckert, M.; Diekmann, O.; Evers, J.; Fetzer, K. D.; Gauer, J.; Gehrmann, J.; Kölling, C.; König, N.; Liesebach, M.; Martin, J.; Meiwes, K. J.; Milbert, G.; Raben, G.; Riek, W.; Schäffer, W.; Schwerhoff, J.; Ullrich, T.; Utermann, J.; Volz, H. - A.; Weigel, A.; Wolff, B. (2006): Bodenzustandserhebung im Wald (BZE II) Arbeitsanleitung für die Außenaufnahmen. Hrsg. BMELV. Berlin. pp. 413.

WHG (2010): Wasserhaushaltsgesetz – Gesetz zur Ordnung des Wasserhaushaltes. http://www.gesetze-im-internet.de/whg_2009/BJNR258510009.html#BJNR258510009BJNG000100000

Wiechmann, B., Dienemann, C., Kabbe, C., Brandt, S., Vogel, I. and Roskosch, A. (2013) Klärschlammentsorgung in der Bundesrepublik Deutschland, Umweltbundesamt.

Wiechmann, B., Dienemann, C., Kabbe, C., Brandt, S., Vogel, I., & Roskosch, A. (2013). Klärschlammentsorgung in der Bundesrepublik Deutschland: Umweltbundesamt.

WINKLER, M. (2004): „Abschätzung von Emissionsfaktoren bei Transport und Lagerung von Mineralölprodukten“ aus Erdöl, Erdgas, Kohle 120. Jg. 2004, Heft 10 S. 312 ff; Urban Verlag Hamburg/Wien GmbH 2004

WIRTH C, SCHUMACHER J, SCHULZE ED. (2004b): Generic biomass functions for Norway spruce in Central Europe — a meta-analysis approach toward prediction and uncertainty estimation. Tree Physiol. 24(2):121-39.

WIRTH, C.; SCHULZE, E.-D.; SCHWALBE, G.; TOMCZYK, S.; WEBER, G.; WELLER, E. (2004a): Dynamik der Kohlenstoffvorräte in den Wäldern Thüringens. Thüringer Landesanstalt für Wald, Jagd und Fischerei, Jena, 308 S.

WOLFF & RIEK 1996: Wolff, B.; Riek, W. (1996): Deutscher Waldbodenbericht 1996 - Ergebnisse der bundesweiten Bodenzustandserhebung in Wald (BZE) 1987 - 1993. Hrsg.: Bundesministerium für Ernährung, Landwirtschaft und Forsten, Bonn, Bd. 1 u. 2.

WUPPERTAL 2005: Wuppertal Institut für Klima, Umwelt und Energie; Max-Planck-Institut für Chemie, „Treibhausgasemissionen des russischen Erdgas-Exportpipeline-Systems," Wuppertal; Mainz, 2005.

WUTZLER, T., WIRTH, C. und SCHUMACHER, J. (2008): Generic biomass functions for Common beech (Fagus sylvatica L.) in Central Europe predictions and components of uncertainty. Canadian Journal of Forest Research 38(6): 1661 — 1675. 3

WWF. (2015). Das große Wegschmeißen Vom Acker bis zum Verbraucher: Ausmaß und Umwelteffekte der Lebensmittelverschwendung in Deutschland.

ZIESING et al, 2003: Ziesing, Hans-Joachim (DIW), Felix Christian Matthes, (Öko-Institut), Franz Wittke (AGEB), Heike Leonhardt (UBA) „Harmonisierung der Energiedaten zur CO_2-Berechnung", Endbericht zum EUROSTAT-Vorhaben des Umweltbundesamtes, 24.04.2003, aktualisiert um die „Energiebilanz 1999" vom 20.09.2003